

Impianto fotovoltaico con agricoltura integrata “La Cipollona” Comune di Pozzolo Formigaro (AL)

Proponente



Renantis Italia S.r.l.
c/o Copernico Milano Martesana
Viale Monza, 259, 20126 Milano
www.renantis.com – tel. 0224331
Cap. Soc. € 10.000 int.vers. .
Sede legale: Corso Italia, 3, 20122 Milano



RELAZIONE DI CALCOLO PRELIMINARE FONDAZIONI CABINA USO MAGAZZINO

Progettista



Tiemes Srl
Via Riccardo Galli, 9 – 20148 Milano
tel. 024983104/ fax. 0249631510
www.tiemes.it

| | | | | | | |
|--|----------------|-------------------------|------------|-----------|----------|------------|
| 0 | 29/09/2023 | Prima emissione | GB | VDA | | |
| Rev. | Data emissione | Descrizione | Preparato | Approvato | | |
| Origine File: "2318_STRU_04_Cabina Generica_unito.pdf" | | CODICE ELABORATO | | | | |
| | | Commissa | Proc. | Tipo doc | Num | Rev |
| | | 21042 | PZZ | PD | R | 11d |
| Proprietà e diritti del presente documento sono riservati – la riproduzione è vietata / Ownership and copyright are reserved – reproduction is strictly forbidden | | | | | | |

**REALIZZAZIONE IMPIANTO FOTOVOLTAICO
PREDIMENSIONAMENTO FONDAZIONE A PLATEA**

Cabina generica

RELAZIONE DI CALCOLO PRELIMINARE

| | |
|------------------|--|
| REGIONE | PIEMONTE |
| PROVINCIA | ALESSANDRIA |
| COMUNE | POZZOLO FORMIGARO |
| INDIRIZZO | LAT. 44,829477 LONG. 8,808468 |

Il Progettista

Ing. Giovanni Barabino

1. NORMATIVA DI RIFERIMENTO

L'analisi della struttura è condotta utilizzando gli usuali metodi della Scienza delle Costruzioni, con il metodo degli stati limite, ed in conformità della normativa vigente in materia, in particolare:

- Legge 5 novembre 1971 n. 1086 (G.U. 21 dicembre 1971 n. 321), "Norme per la disciplina delle opere di conglomerato cementizio armato, normale e precompresso ed a struttura metallica".
- Legge 2 febbraio 1974 n. 64 (G.U. 21 marzo 1974 n. 76), "Provvedimenti per le costruzioni con particolari prescrizioni per le zone sismiche".
- Indicazioni progettive per le nuove costruzioni in zone sismiche a cura del Ministero per la Ricerca scientifica - Roma 1981.
- D.M. Infrastrutture Trasporti 17/01/2018 (G.U. 20/02/2018 n. 42 - Suppl. Ord. n. 8) "Aggiornamento delle Norme tecniche per le Costruzioni", in seguito chiamata NTC2018.
- UNI-EN 1990:2006 "Eurocodice – Criteri generali di progettazione strutturale".
- UNI-EN 1991:2004 "Eurocodice 1 – Progettazione di strutture in calcestruzzo"
- UNI-EN 1992:2005 "Eurocodice 2 – Progettazione di strutture in acciaio"
- UNI-EN 1997:2005 "Eurocodice 7 – Progettazione Geotecnica"
- UNI-EN 1998:2005 "Eurocodice 8 – Progettazione delle strutture per la resistenza sismica"

Inoltre, in mancanza di specifiche indicazioni, ad integrazione della norma precedente e per quanto con esse non in contrasto, sono state utilizzate le indicazioni contenute nelle seguenti norme:

- Circolare 21 gennaio 2019, n. 7 C.S.LL.PP. (G.U. Serie Generale n. 35 del 11/02/2019 - Suppl. Ord. n. 5), Istruzioni per l'applicazione dell'«Aggiornamento delle "Norme tecniche per le costruzioni"» di cui al decreto ministeriale 17 gennaio 2018, in seguito chiamata Circolare 2019.

2. DEFINIZIONE PROGETTO

Il progetto prevede il predimensionamento delle fondazioni di differenti strutture che andranno a comporre quello che sarà un impianto fotovoltaico nella periferia del comune di Pozzolo Formigaro, provincia di Alessandria. La presente relazione si riferisce al predimensionamento delle fondazioni della struttura Cabina generica.

- Sito in esame: Coordinate WGS84
 - LAT 44,829477
 - LONG 8,808468

3. ANALISI STRUTTURALE

In seguito a contatti via mail, sono stati forniti dalla committenza i dati delle strutture con relativi elaborati grafici preliminari e schede tecniche a corredo.

La struttura Cabina generica si compone di un modulo prefabbricato che ospita tutti i componenti cui necessita per il suo funzionamento. I carichi della sovrastruttura sono trasferiti al terreno di fondazione tramite una platea in calcestruzzo armato ed uno strato di regolarizzazione realizzato in ghiaia compattata.

3.1. ANALISI DEI CARICHI

Un'accurata valutazione dei carichi è un requisito imprescindibile di una corretta progettazione, la valutazione dei carichi e dei sovraccarichi è stata effettuata in accordo con le disposizioni del punto 3.1 delle NTC2018.

I calcoli e le verifiche sono condotti con il metodo semiprobabilistico degli stati limite secondo le indicazioni delle normative di riferimento. Le azioni introdotte direttamente sono combinate con le altre (carichi permanenti, accidentali e sisma) mediante

le combinazioni di carico descritte nei paragrafi seguenti; da esse si ottengono i valori probabilistici da impiegare successivamente nelle verifiche.

Vengono di seguito elencati i carichi di progetto in accordo alle indicazioni fornite dalla committenza e alle normative di riferimento:

- G1 e G2: Carichi permanenti strutturali e non strutturali
 - Ricadono in questa categoria i carichi degli elementi strutturali che vanno a comporre le cabine principali di contenimento degli impianti e gli impianti permanenti che trovano luogo permanentemente nel sistema analizzato
 - $\gamma_{\text{calcestruzzo}} = 25.0 \text{ kN/m}^3$
 - $\gamma_{\text{ghiaia}} = 19.0 \text{ kN/m}^3$
 - $G_{2,\text{cav}} = 25.0 \text{ kN/m}^3$
- Q: Carichi variabili
 - Ricadono in questa categoria i carichi dati da eventuale affollamento della struttura (4.00 kN/m^2), il peso della neve, il carico dato dall'azione del vento e quello del sisma.

3.1.1. Neve

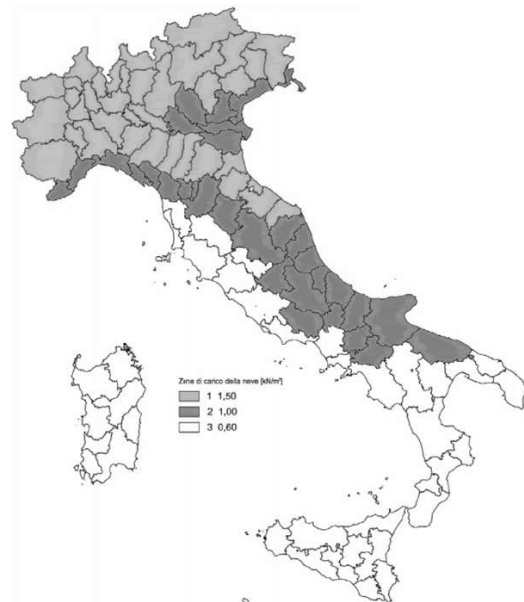
In mancanza di adeguate indagini statistiche e specifici studi locali, che tengano conto sia dell'altezza del manto nevoso che della sua densità, il carico di riferimento della neve al suolo, per località poste a quota inferiore a 1500 m sul livello del mare, non dovrà essere assunto minore di quello calcolato in base alle espressioni riportate nel seguito, cui corrispondono valori associati ad un periodo di ritorno pari a 50 anni per le varie zone indicate nella Fig. 3.4.1. delle NTC2018. Tale zonazione non tiene conto di aspetti specifici e locali che, se necessario, devono essere definiti singolarmente.

L'altitudine di riferimento (espressa in m) è la quota del suolo sul livello del mare nel sito dove è realizzata la costruzione.

$$a_s := 175 \text{ m}$$

$$\gamma_{\text{snow}} := 2 \frac{\text{kN}}{\text{m}^3}$$

$$q_{sk} := \begin{cases} \text{if } a_s \leq 200 \text{ m} & = 1,5 \frac{\text{kN}}{\text{m}^2} \\ 1,5 \frac{\text{kN}}{\text{m}^2} & \\ \text{else} & \\ \text{if } a_s > 200 \text{ m} & \\ \left(\left(1,35 \cdot \left(1 + \left(\frac{a_s}{602} \right)^2 \right) \right) \right) \frac{\text{kN}}{\text{m}^2} & \\ \text{else} & \\ \text{"NO"} & \end{cases}$$



Per altitudini superiori a 1500 m sul livello del mare si deve fare riferimento alle condizioni locali di clima e di esposizione utilizzando comunque valori di carico neve non inferiori a quelli previsti per 1500 m.

Per un'opera di nuova realizzazione in fase di costruzione o per le fasi transitorie relative ad interventi sulle costruzioni esistenti, il periodo di ritorno dell'azione può essere ridotto come di seguito specificato:

per fasi di costruzione o fasi transitorie con durata prevista in sede di progetto non superiore a tre mesi, si assumerà $TR \geq 5$ anni;

per fasi di costruzione o fasi transitorie con durata prevista in sede di progetto compresa fra tre mesi e un anno, si assumerà $TR \geq 10$ anni.

Il coefficiente di esposizione C_E tiene conto delle caratteristiche specifiche dell'area in cui sorge l'opera. Valori consigliati di questo coefficiente sono forniti in Tab. 3.4.I per diverse classi di esposizione. Se non diversamente indicato, si assumerà $C_E = 0.9$.

Tab. 3.4.I – Valori di C_E per diverse classi di esposizione

| Topografia | Descrizione | C_E |
|-------------------|--|-------|
| Battuta dai venti | Aree pianeggianti non ostruite esposte su tutti i lati, senza costruzioni o alberi più alti | 0,9 |
| Normale | Aree in cui non è presente una significativa rimozione di neve sulla costruzione prodotta dal vento, a causa del terreno, altre costruzioni o alberi | 1,0 |
| Riparata | Aree in cui la costruzione considerata è sensibilmente più bassa del circostante terreno o circondata da costruzioni o alberi più alti | 1,1 |

$$C_E := 1$$

Il coefficiente termico tiene conto della riduzione del carico della neve, a causa dello scioglimento della stessa, causata dalla perdita di calore della costruzione. Tale coefficiente dipende dalle proprietà di isolamento termico del materiale utilizzato in copertura.

In assenza di uno specifico e documentato studio, deve essere posto $C_t = 1$.

$$C_t := 1$$

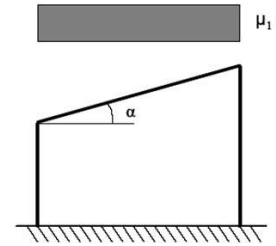
I coefficienti di forma delle coperture dipendono dalla forma stessa della copertura e dall'inclinazione sull'orizzontale delle sue parti componenti e dalle condizioni climatiche locali del sito ove sorge la costruzione.

In assenza di dati suffragati da opportuna documentazione, i valori nominali del coefficiente di forma μ_1 delle coperture ad una o a due falde possono essere ricavati dalla Tab. 3.4.II, essendo α , espresso in gradi sessagesimali, l'angolo formato dalla falda con l'orizzontale.

Per lo Cabina generica è stata considerata una copertura di pendenza approssimabile a 0° .

$$\alpha := 0^\circ$$

```
 $\mu_1 := \text{if } (\alpha \geq 0^\circ) \wedge (\alpha \leq 30^\circ) = 0,8$   
0,8  
else  
if  $(\alpha > 30^\circ) \wedge (\alpha < 60^\circ)$   
0,8 ·  $\left(\frac{60^\circ - \alpha}{30^\circ}\right)$   
else  
if  $\alpha \geq 60^\circ$   
0  
else  
"OK"
```



$$q_s := q_{sk} \cdot \mu_1 \cdot C_E \cdot C_t = 1,2 \frac{\text{kN}}{\text{m}^2}$$

3.1.2. Vento

La velocità base di riferimento v_b è il valore medio su 10 minuti, a 10 m di altezza sul suolo su un terreno pianeggiante e omogeneo di categoria di esposizione II (vedi Tab. 3.3.II), riferito ad un periodo di ritorno $TR = 50$ anni.

Per altitudini superiori a 1500 m sul livello del mare, i valori della velocità base di riferimento possono essere ricavati da opportuna documentazione o da indagini statistiche adeguatamente comprovate, riferite alle condizioni locali di clima e di esposizione.

$$a_s := 175 \text{ m}$$

Tab. 3.3.I - Valori dei parametri $v_{b,0}$, a_0 , k_s

| Zona | Descrizione | $v_{b,0}$ [m/s] | a_0 [m] | k_s |
|------|---|-----------------|-----------|-------|
| 1 | Valle d'Aosta, Piemonte, Lombardia, Trentino Alto Adige, Veneto, Friuli Venezia Giulia (con l'eccezione della provincia di Trieste) | 25 | 1000 | 0,40 |
| 2 | Emilia Romagna | 25 | 750 | 0,45 |
| 3 | Toscana, Marche, Umbria, Lazio, Abruzzo, Molise, Puglia, Campania, Basilicata, Calabria (esclusa la provincia di Reggio Calabria) | 27 | 500 | 0,37 |
| 4 | Sicilia e provincia di Reggio Calabria | 28 | 500 | 0,36 |
| 5 | Sardegna (zona a oriente della retta congiungente Capo Teulada con l'Isola di Maddalena) | 28 | 750 | 0,40 |
| 6 | Sardegna (zona a occidente della retta congiungente Capo Teulada con l'Isola di Maddalena) | 28 | 500 | 0,36 |
| 7 | Liguria | 28 | 1000 | 0,54 |
| 8 | Provincia di Trieste | 30 | 1500 | 0,50 |
| 9 | Isole (con l'eccezione di Sicilia e Sardegna) e mare aperto | 31 | 500 | 0,32 |

$$v_{b,0} := 25 \frac{\text{m}}{\text{s}} \quad a_0 := 1000 \text{ m} \quad k_s := 0,4$$

$$c_a := \begin{cases} 1 & \text{if } a_s \leq a_0 \\ 1 + k_s \cdot \left(\frac{a_s}{a_0} - 1 \right) & \text{else} \end{cases} = 1$$

$$v_b := v_{b,0} \cdot c_a = 25 \frac{\text{m}}{\text{s}}$$

Ove non specificato diversamente, si assumerà $T_R = 50$ anni, cui corrisponde $c_T = 1$. Per un'opera di nuova realizzazione in fase di costruzione o per le fasi transitorie relative ad interventi sulle costruzioni esistenti, il periodo di ritorno dell'azione potrà essere ridotto.

$$T_R := 50$$

$$c_T := 0,75 \cdot \sqrt{1 - 0,2 \cdot \ln \left(-\ln \left(1 - \frac{1}{T_R} \right) \right)} = 1,0007$$

$$v_T := v_b \cdot c_T = 25,0183 \frac{\text{m}}{\text{s}}$$

Le azioni del vento sono costituite da pressioni e depressioni agenti normalmente alle superfici, sia esterne che interne, degli elementi che compongono la costruzione (§ 3.3.4).

L'azione del vento sui singoli elementi che compongono la costruzione va determinata considerando la combinazione più gravosa delle pressioni agenti sulle due facce di ogni elemento.

Nel caso di costruzioni di grande estensione, si deve inoltre tenere conto delle azioni tangenti esercitate dal vento (§ 3.3.4). L'azione d'insieme esercitata dal vento su una costruzione è data dalla risultante delle azioni sui singoli elementi, considerando come direzione del vento quella corrispondente ad uno degli assi principali della pianta della costruzione.

Pressione del vento

$$p := q_r \cdot c_e \cdot c_p \cdot c_d$$

- q_r pressione cinetica di riferimento
- c_e coefficiente di esposizione
- c_p coefficiente di pressione/aerodinamici
- c_d coefficiente dinamico

Azione tangente del vento

$$p_f := q_r \cdot c_e \cdot c_f$$

- c_e coefficiente di esposizione
- c_f coefficiente d'attrito

Pressione cinetica di riferimento

$$\rho := 1,25 \frac{\text{kg}}{\text{m}^3} \quad \text{densità dell'aria}$$

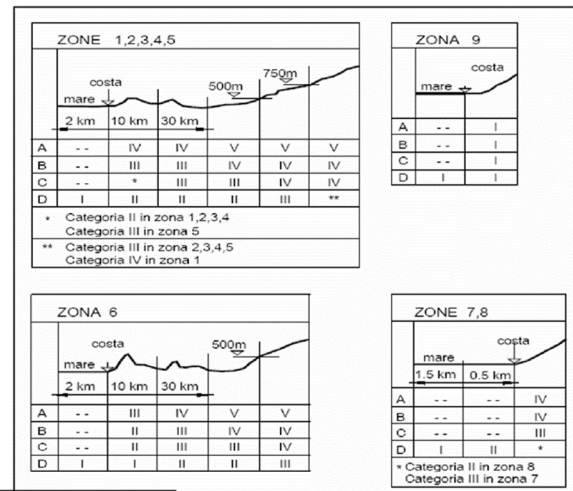
$$q_r := \frac{1}{2} \cdot \rho \cdot v_r^2 = 391,1985 \frac{\text{N}}{\text{m}^2}$$

Il coefficiente di esposizione c_e dipende dall'altezza z sul suolo del punto considerato, dalla topografia del terreno e dalla categoria di esposizione del sito ove sorge la costruzione. In assenza di analisi specifiche che tengano in conto la direzione di provenienza del vento e l'effettiva scabrezza e topografia del terreno che circonda la costruzione, per altezze sul suolo non maggiori di $z = 200$ m, esso è dato dalla formula riportata sotto.

Tab. 3.3.III - Classi di rugosità del terreno

| Classe di rugosità del terreno | Descrizione |
|--------------------------------|--|
| A | Aree urbane in cui almeno il 15% della superficie sia coperto da edifici la cui altezza media superi i 15 m |
| B | Aree urbane (non di classe A), suburbane, industriali e boschive |
| C | Aree con ostacoli diffusi (alberi, case, muri, recinzioni,...); aree con rugosità non riconducibile alle classi A, B, D |
| D | a) Mare e relativa fascia costiera (entro 2 km dalla costa); b) Lago (con larghezza massima pari ad almeno 1 km) e relativa fascia costiera (entro 1 km dalla costa) c) Aree prive di ostacoli o con al più rari ostacoli isolati (aperta campagna, aeroporti, aree agricole, pascoli, zone paludose o sabbiose, superfici innevate o ghiacciate, ...) |

L'assegnazione della classe di rugosità non dipende dalla conformazione orografica e topografica del terreno. Si può assumere che il sito appartenga alla Classe A o B, purché la costruzione si trovi nell'area relativa per non meno di 1 km e comunque per non meno di 20 volte l'altezza della costruzione, per tutti i settori di provenienza del vento ampi almeno 30°. Si deve assumere che il sito appartenga alla Classe D, qualora la costruzione sorga nelle aree indicate con le lettere a) o b), oppure entro un raggio di 1 km da essa vi sia un settore ampio 30°, dove il 90% del terreno sia del tipo indicato con la lettera c). Laddove sussistano dubbi sulla scelta della classe di rugosità, si deve assegnare la classe più sfavorevole (l'azione del vento è in genere minima in Classe A e massima in Classe D).



Tab. 3.3.II - Parametri per la definizione del coefficiente di esposizione

| Categoria di esposizione del sito | K_r | z_0 [m] | z_{min} [m] |
|-----------------------------------|-------|-----------|---------------|
| I | 0,17 | 0,01 | 2 |
| II | 0,19 | 0,05 | 4 |
| III | 0,20 | 0,10 | 5 |
| IV | 0,22 | 0,30 | 8 |
| V | 0,23 | 0,70 | 12 |

$$K_r := 0,19 \quad z_0 := 0,05 \text{ m} \quad z_{min} := 4 \text{ m}$$

Il coefficiente di topografia c_t , in genere funzione dell'altezza z sul suolo, tiene conto delle caratteristiche topografiche e orografiche del sito ove sorge la costruzione. In mancanza di più approfondite valutazioni (Appendice C), il coefficiente di topografia è posto di regola pari a 1 sia per le zone pianeggianti sia per quelle ondulate, collinose e montane.

$$c_t := 1$$

$$c_e := \text{if } z \geq z_{min} \quad = 1,8616$$

$$K_r^2 \cdot c_t \cdot \ln\left(\frac{z}{z_0}\right) \cdot \left(7 + c_t \cdot \ln\left(\frac{z}{z_0}\right)\right)$$

else

if $z < z_{min}$

$$K_r^2 \cdot c_t \cdot \ln\left(\frac{z_{min}}{z_0}\right) \cdot \left(7 + c_t \cdot \ln\left(\frac{z_{min}}{z_0}\right)\right)$$

else

"NO"

La pressione cinetica di picco del vento q_p è il valore atteso della pressione cinetica massima del vento sull'intervallo di tempo $T = 10$ minuti. Essa dipende dall'altezza z sul suolo, dalla ventosità della zona in esame, dal periodo di ritorno di progetto, dalle caratteristiche locali del sito ove sorge la costruzione e dalla densità dell'aria.

In mancanza di analisi specifiche che tengano in conto la direzione di provenienza del vento e l'effettiva rugosità e topografia del terreno limitrofo alla costruzione (Appendice C), per altezze sul suolo non maggiori di $z = 200$ m, la pressione cinetica di picco è fornita dalla relazione sotto.

$$q_p := q_r \cdot c_e \cdot c_t \cdot c_d = 0,7283 \frac{\text{kN}}{\text{m}^2}$$

Carico sulle pareti verticali

A favore di sicurezza, per il calcolo dell'azione del vento, il trasformatore è stato considerato come un parallelepipedo di dimensioni analoghe a quelle del trasformatore.

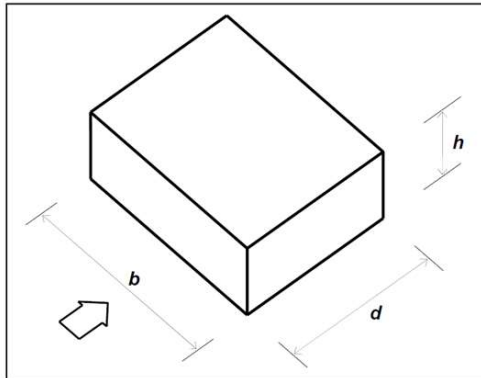
Il comportamento aerodinamico degli edifici e in particolare delle loro pareti dipende, principalmente, dai rapporti tra le dimensioni in pianta e l'altezza. Per edifici tozzi si realizza un flusso tridimensionale. Per gli edifici snelli, con l'esclusione della porzione alla base e di sommità, si realizza un flusso bidimensionale in piani orizzontali. Pertanto, in generale, i coefficienti di pressione forniti in questo paragrafo dipendono dal rapporto h/d , essendo h l'altezza dell'edificio e d la sua dimensione nella direzione del flusso incidente.

$$h := 3,4 \text{ m}$$

$$d := 2,5 \text{ m}$$

$$b := 8,15 \text{ m}$$

$$\frac{h}{d} = 1,36$$



| Faccia sopravvento | Facce laterali | Faccia sottovento |
|---|---|---|
| $h/d \leq 1: c_{pe} = 0,7 + 0,1 \cdot h/d$ $h/d > 1: c_{pe} = 0,8$ | $h/d \leq 0,5: c_{pe} = -0,5 - 0,8 \cdot h/d$ $h/d > 0,5: c_{pe} = -0,9$ | $h/d \leq 1: c_{pe} = -0,3 - 0,2 \cdot h/d$ $1 < h/d \leq 5: c_{pe} = -0,5 - 0,05 \cdot (h/d - 1)$ |

Faccia sopravvento

$$c_{pe,1} := \text{if } \frac{h}{d} \leq 1 \quad = 0,8$$
$$0,7 + 0,1 \cdot \frac{h}{d}$$
$$\text{else}$$
$$\text{if } \frac{h}{d} > 1$$
$$0,8$$
$$\text{else}$$
$$\text{"NO"}$$

Facce laterali

$$c_{pe,2} := \text{if } \frac{h}{d} \leq 0,5 \quad = -0,9$$
$$-0,5 - 0,8 \cdot \frac{h}{d}$$
$$\text{else}$$
$$\text{if } \frac{h}{d} > 0,5$$
$$-0,9$$
$$\text{else}$$
$$\text{"NO"}$$

Faccia sottovento

$$c_{pe,3} := \text{if } \frac{h}{d} \leq 1 \quad = -0,518$$
$$-0,3 - 0,2 \cdot \frac{h}{d}$$
$$\text{else}$$
$$\text{if } \left(\frac{h}{d} > 1 \right) \wedge \left(\frac{h}{d} \leq 5 \right)$$
$$-0,5 - 0,05 \cdot \left(\frac{h}{d} - 1 \right)$$
$$\text{else}$$
$$\text{"NO"}$$

Pressioni sulle pareti laterali

$$P_1 := q_p \cdot c_{pe,1} = 0,5826 \frac{\text{kN}}{\text{m}}$$

faccia sopravvento

$$P_2 := q_p \cdot c_{pe,2} = -0,6554 \frac{\text{kN}}{\text{m}}$$

facce laterali

$$P_3 := q_p \cdot c_{pe,3} = -0,3772 \frac{\text{kN}}{\text{m}}$$

faccia sottovento

3.1.3. Sisma

L'azione sismica viene calcolata sulla base delle considerazioni riportate nella relazione geologica intitolata "Indagini sismiche MASW aree fotovoltaiche in progetto" dello Studio di Geologia Dott. Cavalli Andrea datata Settembre 2023.

- Coordinate geografiche: long. 8,808468°, lat. 44,829477°
- Zona: 3
- Tipo di suolo: B
- Condizioni topografiche: T1
- Coefficiente di amplificazione topografica ST= 1.00
- Vita nominale VN = 50 anni
- Classe d'uso: II
- Coefficiente CU= 1.0
- Coefficiente smorzamento viscoso $\xi= 5.00\%$
- Fattore alterazione spettro $\eta= 1.00$

Ulteriori dettagli su valori e prove effettuate sono consultabili nella relazione geologica sopra citata che verrà allegata al presente documento.

Punti del reticolo contornanti il sito:

| Punto | Longitudine | Latitudine | Distanza |
|--------|-------------|------------|----------|
| [°] | [°] | [km] | |
| 14'919 | 8.8378 | 44.8440 | 2.8208 |
| 14'918 | 8.7674 | 44.8420 | 3.5250 |
| 15'140 | 8.7713 | 44.7920 | 5.0954 |
| 15'141 | 8.8416 | 44.7940 | 4.7321 |

Parametri spettrali

| S.L. | TR | a_g/g | Fo | T*C | Fv | SS | S | CC |
|--------|------|---------|--------|--------|--------|--------|--------|--------|
| | anni | | | | | | | |
| S.L.C. | 975 | 0.1164 | 2.4400 | 0.2728 | 1.1348 | 1.2000 | 1.2000 | 1.4263 |
| S.L.V. | 475 | 0.0853 | 2.4395 | 0.2700 | 0.9713 | 1.2000 | 1.2000 | 1.4293 |
| S.L.D. | 50 | 0.0304 | 2.4838 | 0.2102 | 0.5900 | 1.2000 | 1.2000 | 1.5027 |
| S.L.O. | 30 | 0.0225 | 2.5071 | 0.1802 | 0.5126 | 1.2000 | 1.2000 | 1.5497 |

| TB,o | TC,o | TD,o | TB,v | TC,v | TD,v | dg | vg |
|--------|--------|--------|--------|--------|--------|-------|-------|
| sec | sec | sec | sec | sec | sec | m | m/s |
| 0.1297 | 0.3891 | 2.0747 | 0.0500 | 0.1500 | 1.0000 | 0.028 | 0.087 |
| 0.1286 | 0.3859 | 1.9479 | 0.0500 | 0.1500 | 1.0000 | 0.019 | 0.063 |
| 0.1053 | 0.3158 | 1.7238 | 0.0500 | 0.1500 | 1.0000 | 0.005 | 0.018 |
| 0.0931 | 0.2792 | 1.6917 | 0.0500 | 0.1500 | 1.0000 | 0.003 | 0.012 |

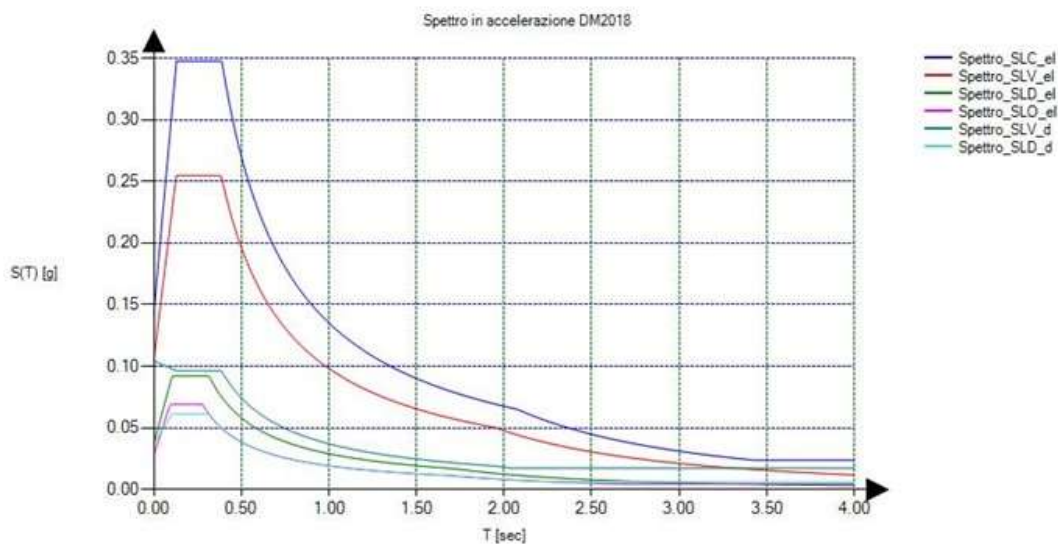


Figura 1 - Spettro in accelerazione orizzontale

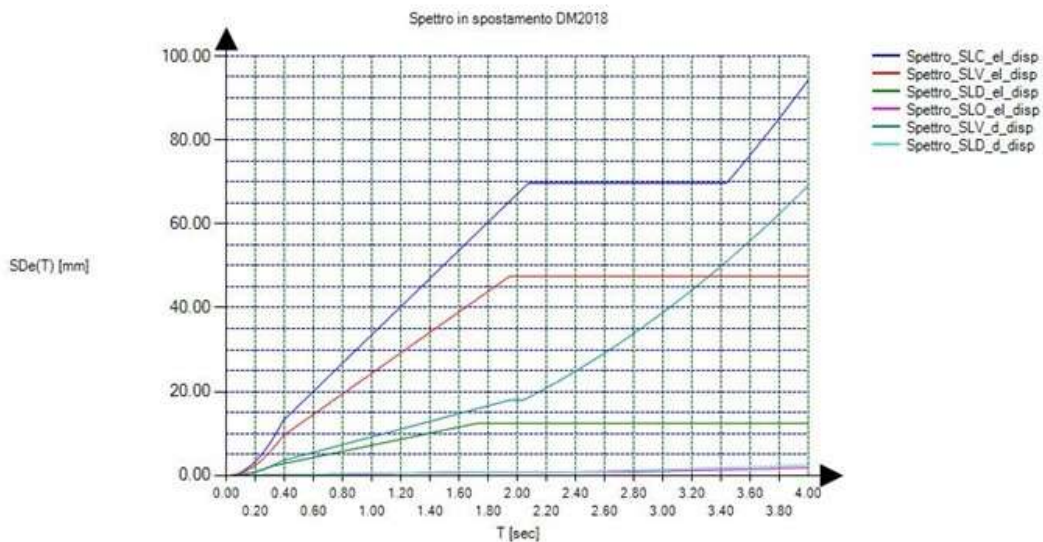


Figura 2 - Spettro in accelerazione orizzontale

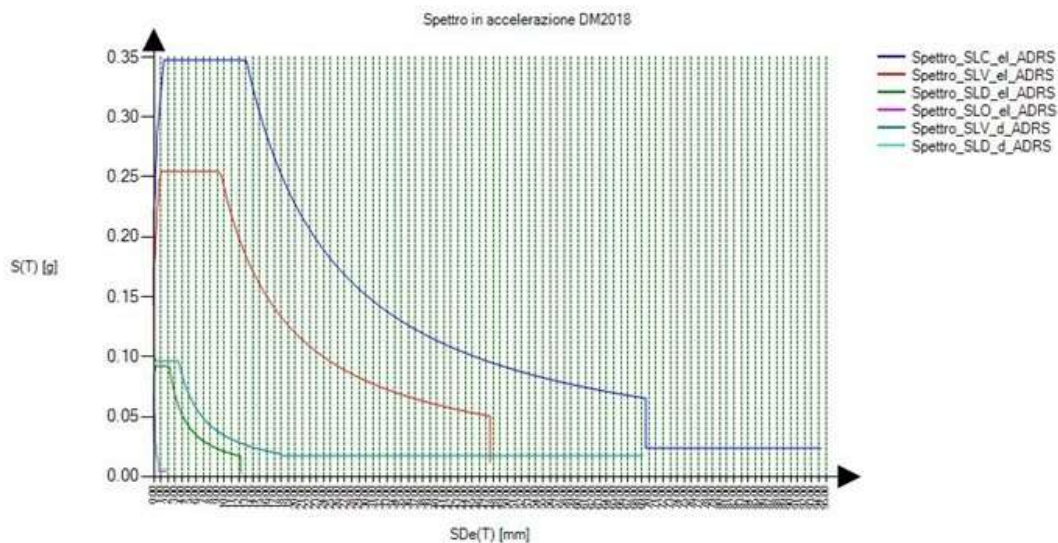


Figura 3 - Spettro in accelerazione orizzontale

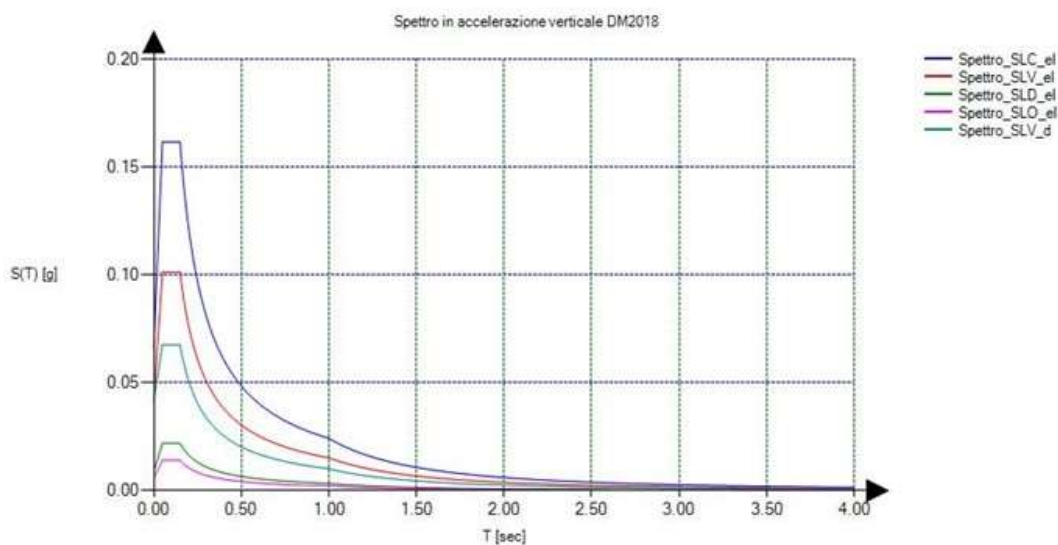


Figura 4 - Spettro in accelerazione orizzontale

3.2. COMBINAZIONE DEI CARICHI

I calcoli e le verifiche sono condotti con il metodo semiprobabilistico degli stati limite secondo le indicazioni del D.M. 2018. I carichi agenti sui solai, derivanti dall'analisi dei carichi, vengono ripartiti dal programma di calcolo in modo automatico sulle membrature (travi, pilastri, pareti, solette, platee, ecc.).

Su tutti gli elementi strutturali è inoltre possibile applicare direttamente ulteriori azioni concentrate e/o distribuite (variabili con legge lineare ed agenti lungo tutta l'asta o su tratti limitati di essa).

Le azioni introdotte direttamente sono combinate con le altre (carichi permanenti, accidentali e sisma) mediante le combinazioni di carico descritte nei tabulati di analisi e verifica; da esse si ottengono i valori probabilistici da impiegare successivamente nelle verifiche.

3.2.1. Stati limite ultimi

Le azioni sulla costruzione sono state cumulate in modo da determinare condizioni di carico tali da risultare più sfavorevoli ai fini delle singole verifiche, tenendo conto della probabilità ridotta di intervento simultaneo di tutte le azioni con i rispettivi valori più sfavorevoli, come consentito dalle norme vigenti.

Per gli stati limite ultimi sono state adottate le combinazioni del tipo:

$$\gamma_{G1} \cdot G_1 + \gamma_{G2} \cdot G_2 + \gamma_P \cdot P + \gamma_{Q1} \cdot Q_{K1} + \gamma_{Q2} \cdot \psi_{02} \cdot Q_{K2} + \gamma_{Q3} \cdot \psi_{03} \cdot Q_{K3} + \dots (1)$$

dove:

G_1 , rappresenta il peso proprio di tutti gli elementi strutturali; peso proprio del terreno, quando pertinente; forze indotte dal terreno (esclusi gli effetti di carichi variabili applicati al terreno); forze risultanti dalla pressione dell'acqua (quando si configurino costanti nel tempo);

G_2 , rappresenta il peso proprio di tutti gli elementi non strutturali;

P , rappresenta l'azione di pretensione e/o precompressione;

Q , azioni sulla struttura o sull'elemento strutturale con valori istantanei che possono risultare sensibilmente diversi fra loro nel tempo:

di lunga durata: agiscono con un'intensità significativa, anche non continuativamente, per un tempo non trascurabile rispetto alla vita nominale della struttura;

di breve durata: azioni che agiscono per un periodo di tempo breve rispetto alla vita nominale della struttura;

Q_{ki} , rappresenta il valore caratteristico della i -esima azione variabile;

$\gamma_g, \gamma_p, \gamma_q$, coefficienti parziali come definiti nella Tab. 2.6.I del D.M. 2018;

ψ_{0i} , sono i coefficienti di combinazione per tenere conto della ridotta probabilità di concomitanza delle azioni variabili con i rispettivi valori caratteristici.

Le combinazioni risultanti sono state costruite a partire dalle sollecitazioni caratteristiche calcolate per ogni condizione di carico elementare: ciascuna condizione di carico accidentale, a rotazione, è stata considerata sollecitazione di base (Q_{k1} nella formula precedente).

In zona sismica, oltre alle sollecitazioni derivanti dalle generiche condizioni di carico statiche, devono essere considerate anche le sollecitazioni derivanti dal sisma. L'azione sismica è stata combinata con le altre azioni secondo la seguente relazione:

$$G_1 + G_2 + P + E + \psi_{21} \cdot Q_{K1} + \psi_{22} \cdot Q_{K2} + \dots$$

dove:

E , rappresenta l'azione sismica per lo stato limite in esame;

G_1 , rappresenta peso proprio di tutti gli elementi strutturali;

G_2 , rappresenta il peso proprio di tutti gli elementi non strutturali;

P , rappresenta l'azione di pretensione e/o precompressione;

ψ_{2i} , coefficiente di combinazione delle azioni variabili Q_i ;

Q_{ki} , valore caratteristico dell'azione variabile Q_i .

Gli effetti dell'azione sismica sono valutati tenendo conto delle masse associate ai seguenti carichi gravitazionali:

$$G_K + \psi_{21} \cdot Q_{K1} + \psi_{22} \cdot Q_{K2} + \dots$$

I valori dei coefficienti ψ_{2i} sono riportati nella seguente tabella:

| Categoria/Azione | ψ_{2i} |
|---|-------------|
| Categoria A - Ambienti ad uso residenziale | 0.3 |
| Categoria B - Uffici | 0.3 |
| Categoria C - Ambienti suscettibili di affollamento | 0.6 |
| Categoria D - Ambienti ad uso commerciale | 0.6 |
| Categoria E - Biblioteche, archivi, magazzini e ambienti ad uso industriale | 0.8 |
| Categoria F - Rimesse e parcheggi (per autoveicoli di peso ≤ 30 kN) | 0.6 |
| Categoria G - Rimesse e parcheggi (per autoveicoli di peso > 30 kN) | 0.3 |
| Categoria H - Coperture | 0.0 |
| Categoria I - Coperture praticabili | * |
| Categoria K - Coperture per usi speciali (impianti, eliporti, ...) | * |
| Vento | 0.0 |
| Neve (a quota ≤ 1000 m s.l.m.) | 0.0 |
| Neve (a quota > 1000 m s.l.m.) | 0.2 |
| Variazioni termiche | 0.0 |

* "Da valutarsi caso per caso"

3.2.2. Stato limite di danno

L'azione sismica, ottenuta dallo spettro di progetto per lo Stato Limite di Danno, è stata combinata con le altre azioni mediante una relazione del tutto analoga alla precedente:

$$G_1 + G_2 + P + E + \psi_{21} \cdot Q_{K1} + \psi_{22} \cdot Q_{K2} + \dots$$

dove:

E, rappresenta l'azione sismica per lo stato limite in esame;

G_1 , rappresenta peso proprio di tutti gli elementi strutturali;

G_2 , rappresenta il peso proprio di tutti gli elementi non strutturali;

P, rappresenta l'azione di pretensione e/o precompressione;

ψ_{2i} , coefficiente di combinazione delle azioni variabili Q_i ;

Q_{ki} , valore caratteristico dell'azione variabile Q_i .

Gli effetti dell'azione sismica sono valutati tenendo conto delle masse associate ai seguenti carichi gravitazionali:

$$G_K + \psi_{21} \cdot Q_{K1} + \psi_{22} \cdot Q_{K2} + \dots$$

I valori dei coefficienti ψ_{2i} sono riportati nella tabella di cui allo SLV.

Stato limite di esercizio

Allo Stato Limite di Esercizio le sollecitazioni con cui sono state progettate le aste sono state ricavate applicando le formule riportate nel D.M. 2018 al §2.5.3. Per le verifiche agli stati limite di esercizio, a seconda dei casi, si fa riferimento alle seguenti combinazioni di carico rara, frequente e quasi permanente:

$$G_1 + G_2 + P + Q_{K1} + \psi_{02} \cdot Q_{K2} + \psi_{03} \cdot Q_{K3} + \dots$$

$$G_1 + G_2 + P + \psi_{11} \cdot Q_{K1} + \psi_{22} \cdot Q_{K2} + \psi_{23} \cdot Q_{K3} + \dots$$

$$G_1 + G_2 + P + \psi_{21} \cdot Q_{K1} + \psi_{22} \cdot Q_{K2} + \psi_{23} \cdot Q_{K3} + \dots$$

dove:

G_{kj} , valore caratteristico della j-esima azione permanente;

P_{kh} , valore caratteristico della h-esima deformazione impressa;

Q_{ki} , valore caratteristico dell'azione variabile di base di ogni combinazione;

Q_{ki} , valore caratteristico della i-esima azione variabile;

ψ_{0i} , coefficiente atto a definire i valori delle azioni ammissibili di durata breve ma ancora significativi nei riguardi della possibile concomitanza con altre azioni variabili;

ψ_{1i} , coefficiente atto a definire i valori delle azioni ammissibili ai frattili di ordine 0.95 delle distribuzioni dei valori istantanei;

ψ_{2i} , coefficiente atto a definire i valori quasi permanenti delle azioni ammissibili ai valori medi delle distribuzioni dei valori istantanei.

Ai coefficienti ψ_{0i} , ψ_{1i} , ψ_{2i} sono attribuiti i seguenti valori:

| Azione | ψ_{0i} | ψ_{1i} | ψ_{2i} |
|---|-------------|-------------|-------------|
| Categoria A – Ambienti ad uso residenziale | 0.7 | 0.5 | 0.3 |
| Categoria B – Uffici | 0.7 | 0.5 | 0.3 |
| Categoria C – Ambienti suscettibili di affollamento | 0.7 | 0.7 | 0.6 |
| Categoria D – Ambienti ad uso commerciale | 0.7 | 0.7 | 0.6 |
| Categoria E – Biblioteche, archivi, magazzini e ambienti ad uso industriale | 1.0 | 0.9 | 0.8 |
| Categoria F – Rimesse e parcheggi (per autoveicoli di peso ≤ 30 kN) | 0.7 | 0.7 | 0.6 |
| Categoria G – Rimesse e parcheggi (per autoveicoli di peso > 30 kN) | 0.7 | 0.5 | 0.3 |
| Categoria H – Coperture | 0.0 | 0.0 | 0.0 |
| Vento | 0.6 | 0.2 | 0.0 |
| Neve (a quota ≤ 1000 m s.l.m.) | 0.5 | 0.2 | 0.0 |
| Neve (a quota > 1000 m s.l.m.) | 0.7 | 0.5 | 0.2 |
| Variazioni termiche | 0.6 | 0.5 | 0.0 |

In maniera analoga a quanto illustrato nel caso dello SLU le combinazioni risultanti sono state costruite a partire dalle sollecitazioni caratteristiche calcolate per ogni condizione di carico; a turno ogni condizione di carico accidentale è stata considerata sollecitazione di base Q_{k1} , con ciò dando origine a tanti valori combinati. Per ognuna delle combinazioni ottenute, in funzione dell'elemento (trave, pilastro, eccetera) sono state effettuate le verifiche allo SLE (tensioni e deformazioni).

4. ANALISI DELLA STRUTTURA

In questo capitolo vengono descritte le principali analisi e verifiche effettuate sulla struttura per dimostrare la rispondenza ai requisiti richiesti dalla normativa di settore.

4.1. METODO DI CALCOLO

Il modello strutturale della piastra in calcestruzzo armato di fondazione è stato analizzato con software agli elementi finiti ipotizzando un suolo alla Winkler. Il modello strutturale ha permesso di ricavare le caratteristiche di sollecitazione agenti sulla platea nelle condizioni di Stato Limite Ultimo e Stato Limite di Esercizio, con le quali sono state eseguite le verifiche della sezione di calcestruzzo armato.

Per la verifica del terreno di fondazione è stata valutata la forza di compressione agente sul terreno utilizzando la combinazione più gravosa ed è stato calcolato il carico limite sopportabile dal terreno seguendo i classici metodi della geotecnica.

4.2. ANALISI DEI MATERIALI STRUTTURALI

Per definire i materiali di cui è composta la struttura sono state fornite dalla committenza diversi elaborati quali schede tecniche e elaborati grafici dai quali è stato possibile definire la tipologia di materiale che compongono la struttura e quindi calcolare i relativi carichi strutturali che andranno ad insistere sulla fondazione da dimensionare.

Cemento armato

Calcestruzzo a prestazione garantita secondo UNI 11104

- Cemento conforme alla norma EN 197-1
- Acqua di impasto conforme alla norma EN 1008
- Additivi conformi alla norma EN 934-2

| Classe | f_{ck} MPa | α_{cc} | γ_{cls} | E_{cm} MPa | f_{cd} MPa | f_{ctm} MPa | f_{ctk} MPa | f_{ctd} MPa |
|--------|-----------------|---------------|----------------|-----------------|-----------------|------------------|------------------|------------------|
| C28/35 | 28.00 | 0.85 | 1.50 | 32'308.25 | 15.87 | 2.77 | 1.94 | 1.29 |

| Classe | f_{cfm} MPa | f_{bk} MPa | f_{bd} MPa | ϵ_{c2} | ϵ_{cu} | $\sigma_{c,Rara}$ MPa | $\sigma_{c,QP}$ MPa |
|--------|------------------|-----------------|-----------------|-----------------|-----------------|--------------------------|------------------------|
| C28/35 | 3.32 | 4.36 | 2.91 | 0.0020 | 0.0035 | 16.80 | 12.60 |

Acciaio in barre da cemento armato

| Classe acciaio | f_{yk} MPa | γ_s | f_{tk} MPa | E_s MPa | f_{yd} MPa | ϵ_{yd} | ϵ_{uk} |
|----------------|-----------------|------------|-----------------|--------------|-----------------|-----------------|-----------------|
| B450C | 450.00 | 1.15 | 540.00 | 210'000.00 | 391.30 | 0.00186 | 0.07500 |

| $(f_y/f_{y,nom})_k$ | ϵ_{ud} | $k = (f_t/f_y)_k$ | $\sigma_{s,Rara}$ MPa | Diametro minimo mandrino di piegatura | |
|---------------------|-----------------|-------------------|--------------------------|--|---|
| | | | | $\Phi \leq 16mm$ | $\Phi > 16mm$ |
| ≤ 1.25 | 0.06750 | 1.15 - 1.35 | 360.00 | Cls normale 4 Φ Cls alleggerito 6 Φ | Cls normale 7 Φ Cls alleggerito 11 Φ |

4.3. DIMENSIONAMENTO E VERIFICA DELLA PIASTRA DI FONDAZIONE

La platea di fondazione è stata dimensionata seguendo le indicazioni della normativa di riferimento nelle condizioni di Stato Limite Ultimo e Stato Limite di Esercizio. Vengono di seguito riportate le viste tridimensionali del modello di calcolo della platea nella condizione considerata dimensionate.

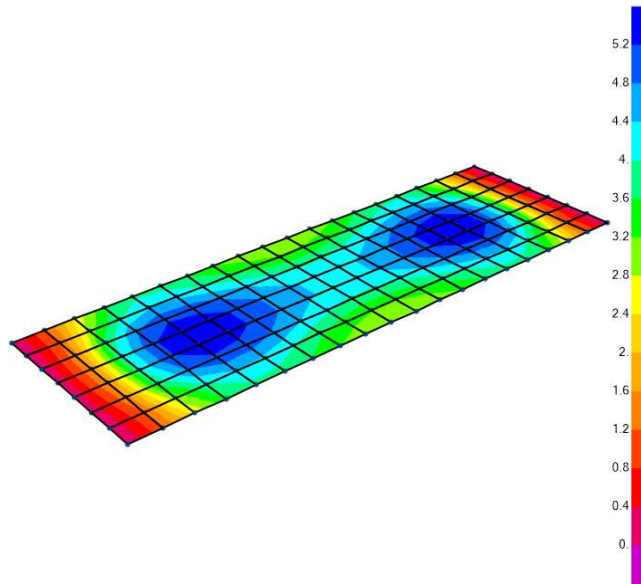


Figura 5 - Sollecitazioni M11 - SLU

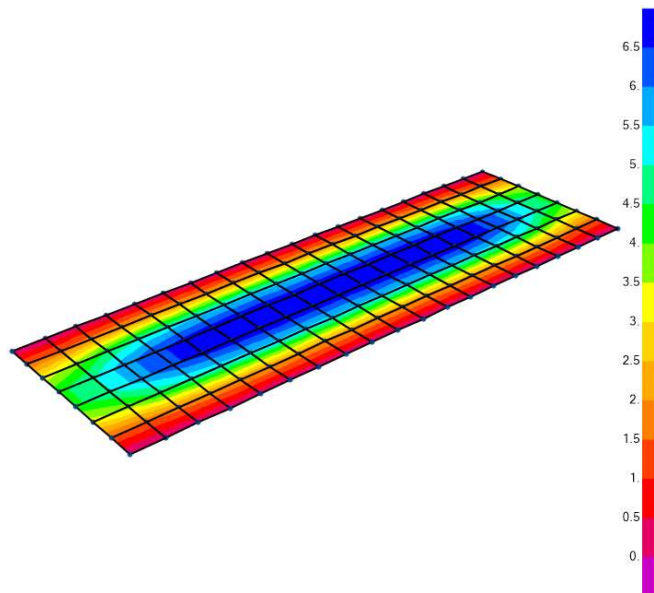


Figura 6 - Sollecitazioni M22 - SLU

VERIFICA DEGLI ELEMENTI SHELL IN DIREZIONE "1" - NTC2018

CARATTERISTICHE MECCANICHE DEI MATERIALI

Calcestruzzo

| | | | | |
|--|------------------|---|----------|-------------------|
| Resistenza caratteristica cubica | R_{ck} | = | 35,00 | N/mm ² |
| Coefficiente che tiene in conto degli effetti di lungo termine | α_{ct} | = | 0,85 | - |
| Coefficiente di sicurezza | γ_c | = | 1,50 | - |
| Resistenza caratteristica cilindrica | f_{ck} | = | 29,05 | N/mm ² |
| Resistenza di calcolo a compressione | f_{cd} | = | 16,46 | N/mm ² |
| Resistenza media a compressione | f_{cm} | = | 37,05 | N/mm ² |
| Resistenza media a trazione | f_{ctm} | = | 2,83 | N/mm ² |
| Resistenza caratteristica a trazione (fretile 5%) | $f_{ctk,0,05}$ | = | 1,98 | N/mm ² |
| Resistenza caratteristica a trazione (fretile 95%) | $f_{ctk,0,95}$ | = | 3,69 | N/mm ² |
| Modulo di elasticità normale medio | E_{cm} | = | 32588 | N/mm ² |
| Deformazione al raggiungimento della massima tensione f_{td} | ϵ_{td} | = | -0,00200 | - |
| Deformazione ultima del calcestruzzo | ϵ_{cu2} | = | -0,00350 | - |

Acciaio per armatura

| | | | | |
|---|-----------------|---|----------|-------------------|
| Resistenza caratteristica di snervamento | f_{yk} | = | 450,00 | N/mm ² |
| Deformazione ultima dell'acciaio | ϵ_{yk} | = | 0,06750 | - |
| Coefficiente di sicurezza | γ_s | = | 1,15 | - |
| Resistenza di calcolo a snervamento | f_{sd} | = | 391,30 | N/mm ² |
| Modulo di elasticità | E_s | = | 200000 | N/mm ² |
| Deformazione dell'acciaio al raggiungimento della tensione f_{yd} | ϵ_{yd} | = | 0,001957 | - |

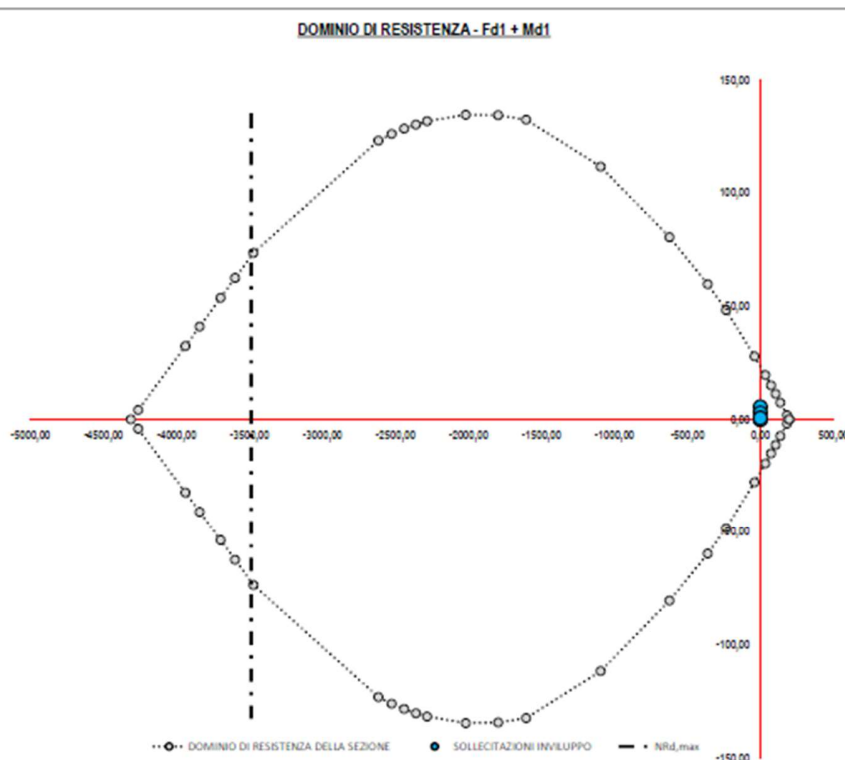
CARATTERISTICHE DELLA SEZIONE TRASVERSALE

| | | | | |
|-------------------------------------|-----|---|---------|----|
| Altezza della sezione trasversale | h | = | 250,00 | mm |
| Larghezza della sezione trasversale | b | = | 1000,00 | mm |

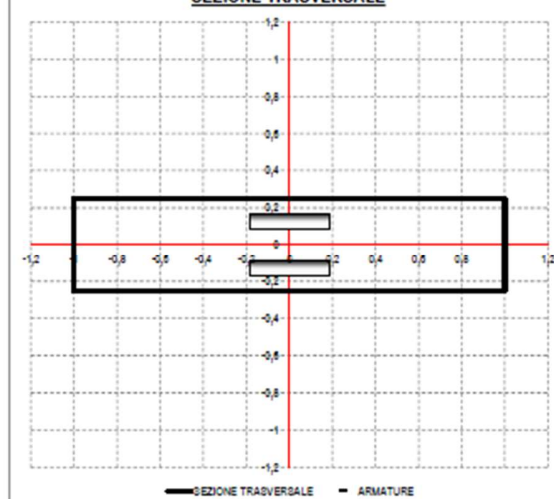
Armature predisposte nella sezione (predisporre almeno uno sbale in zona tesa e uno in zona compressa)

| N° Strato | N° Ferri | Diametro | z_i | Area | $0,5h - z_i$ | z_i |
|-----------|----------|----------|--------|-----------------|--------------|-------|
| - | - | mm | mm | mm ² | mm | mm |
| 1 | 6 | 8 | 61,00 | 251 | 64 | 189 |
| 2 | 6 | 8 | 189,00 | 251 | -64 | 61 |
| 3 | | | 0 | 0 | 0 | 0 |
| 4 | | | 0 | 0 | 0 | 0 |
| 5 | | | 0 | 0 | 0 | 0 |
| 6 | | | 0 | 0 | 0 | 0 |

z_i = distanza fra il bordo superiore della sezione in calcestruzzo ed il baricentro dell'armatura che si sta considerando



SEZIONE TRASVERSALE

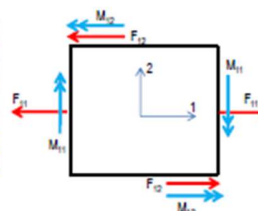


CARATTERISTICHE DELLE SOLLECITAZIONI DI DESIGN IN DIREZIONE 1

| F_{d1} | M_{d1} | V_{d1} | e_1 |
|----------|----------|----------|----------|
| [kN] | [kNm] | [kN] | [m] |
| 0 | 1 | 0 | 0,00E+00 |
| 0 | 1 | 0 | 0,00E+00 |
| 0 | 5 | 0 | 0,00E+00 |
| 0 | 0 | 0 | 0,00E+00 |
| 0 | 3 | 5 | 0,00E+00 |
| 0 | 0 | -6 | 0,00E+00 |
| 0,00 | 0,53 | 0,00 | 0,00E+00 |
| 0,00 | 0,53 | 0,00 | 0,00E+00 |

$$F_{d1} = F_{11} + |F_{12}|$$

$$M_{d1} = M_{11} + |M_{12}|$$



RESISTENZA LIMITE DELLA SEZIONE A COMPRESSIONE SEMPLICE

Massima forza di compressione sopportabile dalla sezione $N_{Rd,max} = -3489,02$ kN

VERIFICA DEGLI ELEMENTI SHELL IN DIREZIONE "2" - NTC2018

CARATTERISTICHE MECCANICHE DEI MATERIALI

Calcestruzzo

| | | | | |
|--|------------------|---|----------|-------------------|
| Resistenza caratteristico cubico | R_{ck} | = | 35,00 | N/mm ² |
| Coefficiente che tiene in conto degli effetti di lungo termine | α_{ct} | = | 0,85 | - |
| Coefficiente di sicurezza | γ_c | = | 1,50 | - |
| Resistenza caratteristica cilindrica | f_{ck} | = | 29,05 | N/mm ² |
| Resistenza di calcolo a compressione | f_{cd} | = | 16,46 | N/mm ² |
| Resistenza media a compressione | f_{cm} | = | 37,05 | N/mm ² |
| Resistenza media a trazione | f_{ctm} | = | 2,83 | N/mm ² |
| Resistenza caratteristica a trazione (frettile 5%) | $f_{ctk,0,05}$ | = | 1,98 | N/mm ² |
| Resistenza caratteristica a trazione (frettile 95%) | $f_{ctk,0,95}$ | = | 3,69 | N/mm ² |
| Modulo di elasticità normale medio | E_{cm} | = | 32588 | N/mm ² |
| Deformazione al raggiungimento della massima tensione f_{td} | ϵ_{td} | = | -0,00200 | - |
| Deformazione ultima del calcestruzzo | ϵ_{cu2} | = | -0,00350 | - |

Acciaio per armatura

| | | | | |
|---|-----------------|---|----------|-------------------|
| Resistenza caratteristica di snervamento | f_{yk} | = | 450,00 | N/mm ² |
| Deformazione ultima dell'acciaio | ϵ_{yk} | = | 0,0675 | - |
| Coefficiente di sicurezza | γ_s | = | 1,15 | - |
| Resistenza di calcolo a snervamento | f_{sd} | = | 391,30 | N/mm ² |
| Modulo di elasticità | E_s | = | 200000 | N/mm ² |
| Deformazione dell'acciaio al raggiungimento della tensione f_{sd} | ϵ_{sd} | = | 0,001957 | - |

CARATTERISTICHE DELLA SEZIONE TRASVERSALE

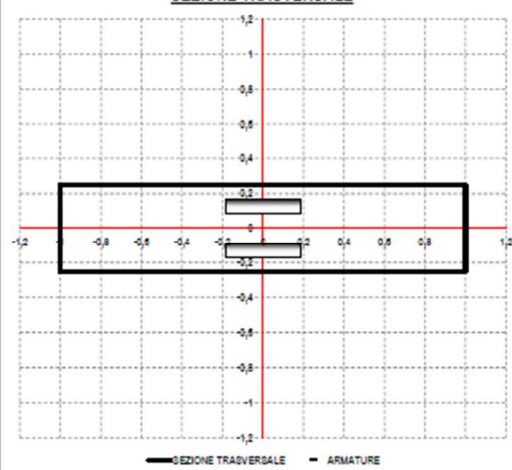
| | | | | |
|-------------------------------------|-----|---|---------|----|
| Altezza della sezione trasversale | h | = | 250,00 | mm |
| Larghezza della sezione trasversale | b | = | 1000,00 | mm |

Armature predisposte nella sezione (predisporre almeno uno sbarbo in zona tese e uno in zona compresse)

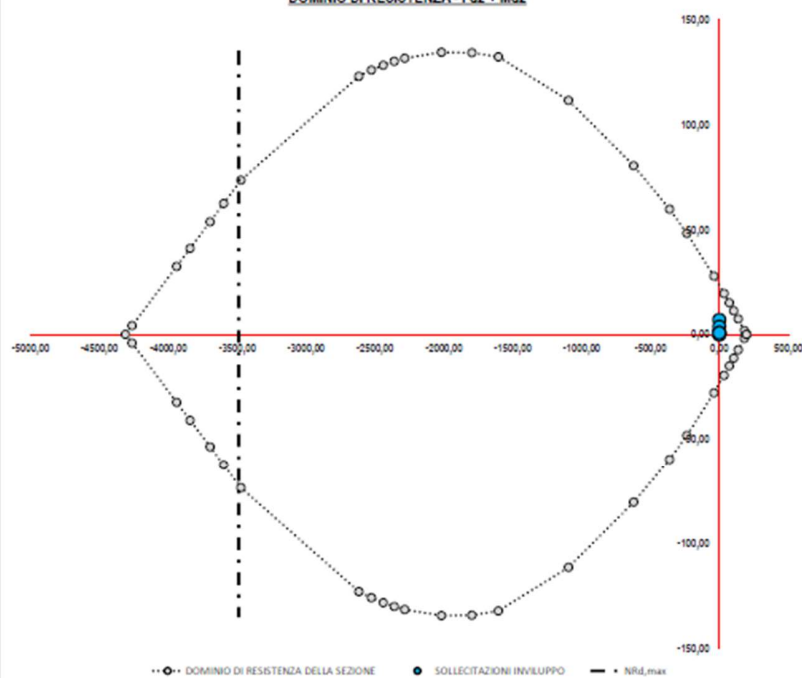
| N° Sbarbo | N° Ferri | Diametro | z_1 | Area | $0,5h - z_1$ | z_1' |
|-----------|----------|----------|--------|-----------------|--------------|--------|
| - | - | mm | mm | mm ² | mm | mm |
| 1 | 6 | 8 | 61,00 | 251 | 64 | 189 |
| 2 | 6 | 8 | 189,00 | 251 | -64 | 61 |
| 3 | | | | 0 | 0 | 0 |
| 4 | | | | 0 | 0 | 0 |
| 5 | | | | 0 | 0 | 0 |
| 6 | | | | 0 | 0 | 0 |

z_1 = distanze fra il bordo superiore della sezione in calcestruzzo ed il baricentro dell'armatura che si sta considerando

SEZIONE TRASVERSALE



DOMINIO DI RESISTENZA - Fd2 + Md2



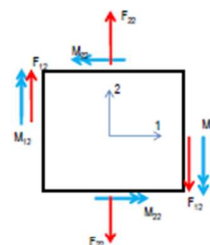
CARATTERISTICHE DELLE SOLLECITAZIONI DI DESIGN IN DIREZIONE 1

Massima forza assiale in direzione 2 e momento associato
 Minima forza assiale in direzione 2 e momento associato
 Massimo momento in direzione 2 e forze assiali associate
 Minimo momento in direzione 2 e forze assiali associate
 Massimo taglio in direzione 2 associato ai relativi valori di F_{d2} e M_{d2}
 Minimo taglio in direzione 2 associato ai relativi valori di F_{d2} e M_{d2}
 Massima eccentricità in direzione 2
 Minima eccentricità in direzione 2

| F_{d2} | M_{d2} | V_{d2} | e_2 |
|----------|----------|----------|----------|
| [kN] | [kNm] | [kN] | [m] |
| 0 | 1 | 0 | 0,00E+00 |
| 0 | 1 | 0 | 0,00E+00 |
| 0 | 7 | 0 | 0,00E+00 |
| 0 | 0 | 0 | 0,00E+00 |
| 0 | 4 | 7 | 0,00E+00 |
| 0 | 0 | -7 | 0,00E+00 |
| 0,00 | 0,68 | 0,00 | 0,00E+00 |
| 0,00 | 0,68 | 0,00 | 0,00E+00 |

$$F_{d2} = F_{22} + |F_{12}|$$

$$M_{d2} = M_{22} + |M_{12}|$$



RESISTENZA LIMITE DELLA SEZIONE A COMPRESSIONE SEMPLICE

Massima forza di compressione sopportabile dalla sezione $N_{Ed,max} = -3489,02$ kN

VERIFICA A TAGLIO DEGLI ELEMENTI SHELL - NTC2018

CARATTERISTICHE MECCANICHE DEI MATERIALI

Calcestruzzo

| | | | | |
|--|------------------|---|---------|-------------------|
| Resistenza caratteristica cubica | R_{ck} | = | 35,00 | N/mm ² |
| Coefficiente che tiene in conto degli effetti di lungo termine | α_{cc} | = | 0,85 | - |
| Coefficiente di sicurezza | γ_c | = | 1,50 | - |
| Resistenza caratteristica cilindrica | f_{ck} | = | 29,05 | N/mm ² |
| Resistenza di calcolo a compressione | f_{cd} | = | 16,46 | N/mm ² |
| Resistenza media a compressione | f_{cm} | = | 37,05 | N/mm ² |
| Resistenza media a trazione | f_{tm} | = | 2,83 | N/mm ² |
| Resistenza caratteristica a trazione (frattile 5%) | $f_{tk,0.05}$ | = | 1,98 | N/mm ² |
| Resistenza caratteristica a trazione (frattile 95%) | $f_{tk,0.95}$ | = | 3,69 | N/mm ² |
| Modulo di elasticità normale medio | E_{cm} | = | 32588 | N/mm ² |
| Deformazione al raggiungimento della massima tensione f_{td} | ϵ_{td} | = | -0,0020 | - |
| Deformazione ultima del calcestruzzo | ϵ_{cu2} | = | -0,0035 | - |

Acciaio per armatura

| | | | | |
|---|-----------------|---|----------|-------------------|
| Resistenza caratteristica di snervamento | f_{yk} | = | 450 | N/mm ² |
| Deformazione ultima dell'acciaio | ϵ_{ud} | = | 0,0675 | - |
| Coefficiente di sicurezza | γ_s | = | 1,15 | - |
| Resistenza di calcolo a snervamento | f_{yd} | = | 391,30 | N/mm ² |
| Modulo di elasticità | E_s | = | 200000 | N/mm ² |
| Deformazione dell'acciaio al raggiungimento della tensione f_{yd} | ϵ_{yd} | = | 0,001957 | - |

CARATTERISTICHE DELLA SEZIONE TRASVERSALE

| | | | | |
|-------------------------------------|-----|---|------|----|
| Altezza della sezione trasversale | h | = | 250 | mm |
| Larghezza della sezione trasversale | b | = | 1000 | mm |

SOLLECITAZIONI DI TAGLIO

| | | | | |
|---|----------------|---|-----|----|
| Sollecitazione di taglio in direzione 1 associata alla presenza di momenti positivi | $V_{Ed,1,pos}$ | = | 5,5 | kN |
| Sollecitazione di taglio in direzione 2 associata alla presenza di momenti positivi | $V_{Ed,2,pos}$ | = | 6,7 | kN |
| Sollecitazione di taglio in direzione 1 associata alla presenza di momenti negativi | $V_{Ed,1,neg}$ | = | 0,0 | kN |
| Sollecitazione di taglio in direzione 2 associata alla presenza di momenti negativi | $V_{Ed,2,neg}$ | = | 0,0 | kN |

RESISTENZA LIMITE A TAGLIO DELLA SEZIONE TRASVERSALE

| | | | | |
|---|-------------------|---|--------|----|
| Altezza utile in direzione 1 per momenti positivi | $d_{1,pos}$ | = | 189,00 | mm |
| Altezza utile in direzione 2 per momenti positivi | $d_{2,pos}$ | = | 189,00 | mm |
| Altezza utile in direzione 1 per momenti negativi | $d_{1,neg}$ | = | 189,00 | mm |
| Altezza utile in direzione 2 per momenti negativi | $d_{2,neg}$ | = | 189,00 | mm |
| Coefficiente di riduzione per effetto della fessurazione | ν | = | 0,500 | - |
| Resistenza a taglio della sezione soggetta a momenti positivi (Dir.1) | $V_{Rd1,max,pos}$ | = | 777,8 | kN |
| Resistenza a taglio della sezione soggetta a momenti positivi (Dir.2) | $V_{Rd2,max,pos}$ | = | 777,8 | kN |
| Resistenza a taglio della sezione soggetta a momenti negativi (Dir.1) | $V_{Rd1,max,neg}$ | = | 777,8 | kN |
| Resistenza a taglio della sezione soggetta a momenti negativi (Dir.2) | $V_{Rd2,max,neg}$ | = | 777,8 | kN |
| Verifica di idoneità della sezione | $\delta_{1,pos}$ | = | ✓ 0,01 | - |
| | $\delta_{2,pos}$ | = | ✓ 0,01 | - |
| | $\delta_{1,neg}$ | = | ✓ 0,00 | - |
| | $\delta_{2,neg}$ | = | ✓ 0,00 | - |

RESISTENZA A TAGLIO DELLA SEZIONE PRIVA DI ARMATURA IDONEA A RESISTERE AL TAGLIO

| | | | | |
|---|------------------|---|---------|-----------------|
| Coefficiente di resistenza al taglio | $C_{Rd,c}$ | = | 0,12 | - |
| Coefficiente k in direzione 1 per momenti positivi | $k_{1,pos}$ | = | 2,000 | - |
| Coefficiente k in direzione 2 per momenti positivi | $k_{2,pos}$ | = | 2,000 | - |
| Coefficiente k in direzione 1 per momenti negativi | $k_{1,neg}$ | = | 2,000 | - |
| Coefficiente k in direzione 2 per momenti negativi | $k_{2,neg}$ | = | 2,000 | - |
| Armatura tesa inferiore in direzione 1 | $A_{snt,1}$ | = | 251 | mm ² |
| Armatura tesa superiore in direzione 1 | $A_{sup,1}$ | = | 251 | mm ² |
| Armatura tesa inferiore in direzione 2 | $A_{snt,2}$ | = | 251 | mm ² |
| Armatura tesa superiore in direzione 2 | $A_{sup,2}$ | = | 251 | mm ² |
| Rapporto geometrico d'armatura tesa in direzione 1 per momenti positivi | $\rho_{1,pos}$ | = | 0,00133 | - |
| Rapporto geometrico d'armatura tesa in direzione 2 per momenti positivi | $\rho_{2,pos}$ | = | 0,00133 | - |
| Rapporto geometrico d'armatura tesa in direzione 1 per momenti negativi | $\rho_{1,neg}$ | = | 0,00133 | - |
| Rapporto geometrico d'armatura tesa in direzione 2 per momenti negativi | $\rho_{2,neg}$ | = | 0,00133 | - |
| Tensione dovuta alla presenza della forza assiale in direzione 1 | σ_1 | = | 0,000 | MPa |
| Tensione dovuta alla presenza della forza assiale in direzione 2 | σ_2 | = | 0,000 | MPa |
| Resistenza a taglio della sezione soggetta a momenti positivi (Dir.1) | $V_{Rd1,c,pos}$ | = | 71,2 | kN |
| Resistenza a taglio della sezione soggetta a momenti positivi (Dir.2) | $V_{Rd2,c,pos}$ | = | 71,2 | kN |
| Resistenza a taglio della sezione soggetta a momenti negativi (Dir.1) | $V_{Rd1,c,neg}$ | = | 71,2 | kN |
| Resistenza a taglio della sezione soggetta a momenti negativi (Dir.2) | $V_{Rd2,c,neg}$ | = | 71,2 | kN |
| Verifica di idoneità della sezione priva di armatura a taglio | $\delta_{1,pos}$ | = | ✓ 0,08 | - |
| | $\delta_{2,pos}$ | = | ✓ 0,09 | - |
| | $\delta_{1,neg}$ | = | ✓ 0,00 | - |
| | $\delta_{2,neg}$ | = | ✓ 0,00 | - |

Vengono allegati i tabulati di analisi del modello strutturale.

4.4. VERIFICA DELLA CAPACITÀ PORTANTE DEL TERRENO

Per le specifiche indagini effettuate per la caratterizzazione meccanica del terreno si rimanda alla relazione geologica allegata redatto dallo Studio di Geologia Dott. Cavalli Andrea datato Agosto e Settembre 2023 e intitolata "RELAZIONE TECNICA PROVE PENETROMETRICHE DINAMICHE CONTINUE".

Per la verifica del terreno di fondazione del Cabina generica sono state considerate la stratigrafie delle prova penetrometrica numero P1, P2, P3, P4, P6 e P9.

Per la consultazione delle relative tabelle stratigrafiche si rimanda alla lettura della relazione tecnica geologia sopra citata. Le stesse verranno riportate nelle successive sezioni tecniche relative ai calcoli geotecnici.

4.4.1. RIFERIMENTI TEORICI

CARICO LIMITE DI FONDAZIONI SU TERRENI

Il carico limite di una fondazione superficiale può essere definito con riferimento a quel valore massimo del carico per il quale in nessun punto del sottosuolo si raggiunge la condizione di rottura (metodo di Frolich), oppure con riferimento a quel valore del carico, maggiore del precedente, per il quale il fenomeno di rottura si è esteso ad un ampio volume del suolo (metodo di Prandtl e successivi).

Prandtl ha studiato il problema della rottura di un semispazio elastico per effetto di un carico applicato sulla sua superficie con riferimento all'acciaio, caratterizzando la resistenza a rottura con una legge del tipo:

$$\tau = c + \sigma \times \operatorname{tg} \varphi \quad \text{valida anche per i terreni.}$$

Le ipotesi e le condizioni introdotte dal Prandtl sono le seguenti:

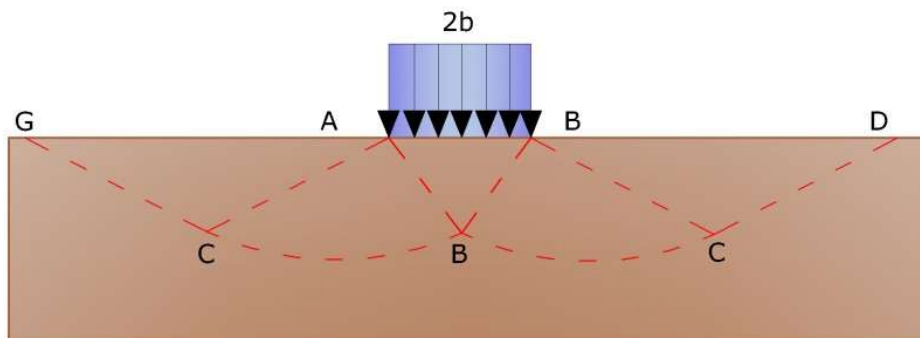
- Materiale privo di peso e quindi $\gamma=0$
- Comportamento rigido - plastico
- Resistenza a rottura del materiale esprimibile con la relazione $\tau=c + \sigma \times \operatorname{tg} \varphi$
- Carico uniforme, verticale ed applicato su una striscia di lunghezza infinita e di larghezza $2b$ (stato di deformazione piana)
- Tensioni tangenziali nulle al contatto fra la striscia di carico e la superficie limite del semispazio.

All'atto della rottura si verifica la plasticizzazione del materiale racchiuso fra la superficie limite del semispazio e la superficie *GFBCD*.

Nel triangolo *AEB* la rottura avviene secondo due famiglie di segmenti rettilinei ed inclinati di $45^\circ + \varphi/2$ rispetto all'orizzontale.

Nelle zone *ABF* e *EBC* la rottura si produce lungo due famiglie di linee, l'una costituita da segmenti rettilinei passanti rispettivamente per i punti *A* ed *E* e l'altra da archi di due famiglie di spirali logaritmiche.

I poli di queste sono i punti *A* ed *E*. Nei triangoli *AFG* e *ECD* la rottura avviene su segmenti inclinati di $\pm(45^\circ + \varphi/2)$ rispetto alla verticale.



Meccanismo di rottura di Prandtl

Individuato così il volume di terreno portato a rottura dal carico limite, questo può essere calcolato scrivendo la condizione di equilibrio fra le forze agenti su qualsiasi volume di terreno delimitato in basso da una qualunque delle superfici di scorrimento.

Si arriva quindi ad una equazione $q = B \times c$, dove il coefficiente B dipende soltanto dall'angolo di attrito φ del terreno.

$$B = \cot g \varphi \left[e^{\pi \tan \varphi} \tan^2 (45^\circ + \varphi / 2) - 1 \right]$$

Per $\varphi = 0$ il coefficiente B risulta pari a 5.14, quindi $q = 5.14 \times c$.

Nell'altro caso particolare di terreno privo di coesione ($c=0$, $\gamma \neq 0$) risulta $q=0$, secondo la teoria di **Prandtl**, non sarebbe dunque possibile applicare nessun carico sulla superficie limite di un terreno incoerente.

Da questa teoria, anche se non applicabile praticamente, hanno preso le mosse tutte le ricerche ed i metodi di calcolo successivi.

Infatti **Caquot** si pose nelle stesse condizioni di Prandtl ad eccezione del fatto che la striscia di carico non è più applicata sulla superficie limite del semispazio, ma a una profondità h , con $h \leq 2b$; il terreno compreso tra la superficie e la profondità h ha le seguenti caratteristiche: $\gamma \neq 0$, $\varphi = 0$, $c = 0$

e cioè sia un mezzo dotato di peso ma privo di resistenza.

Risolvendo le equazioni di equilibrio si arriva all'espressione:

$$q = A \times \gamma + B \times c$$

che è sicuramente un passo avanti rispetto a Prandtl, ma che ancora non rispecchia la realtà.

Metodo di Terzaghi (1955)

Terzaghi, proseguendo lo studio di Caquot, ha apportato alcune modifiche per tenere conto delle effettive caratteristiche dell'insieme opera di fondazione-terreno.

Sotto l'azione del carico trasmesso dalla fondazione il terreno che si trova a contatto con la fondazione stessa tende a sfuggire lateralmente, ma ne è impedito dalle resistenze tangenziali che si sviluppano fra la fondazione ed il terreno. Ciò com-

porta una modifica dello stato tensionale nel terreno posto direttamente al di sotto della fondazione; per tenerne conto **Terzaghi** assegna ai lati AB ed EB del cuneo di Prandtl una inclinazione ψ rispetto all'orizzontale, scegliendo il valore di ψ in funzione delle caratteristiche meccaniche del terreno al contatto terreno-opera di fondazione.

L'ipotesi $\gamma_2 = 0$ per il terreno sotto la fondazione viene così superata ammettendo che le superfici di rottura restino inalterate, l'espressione del carico limite è quindi:

$$q = A \times \gamma \times h + B \times c + C \times \gamma \times b$$

in cui C è un coefficiente che risulta funzione dell'angolo di attrito φ del terreno posto al di sotto del piano di posa e dell'angolo φ prima definito; b è la semilarghezza della striscia.

Inoltre, basandosi su dati sperimentali, *Terzaghi* passa dal problema piano al problema spaziale introducendo dei fattori di forma.

Un ulteriore contributo è stato apportato da *Terzaghi* sull'effettivo comportamento del terreno.

Nel metodo di Prandtl si ipotizza un comportamento del terreno rigido-plastico, *Terzaghi* invece ammette questo comportamento nei terreni molto compatti.

In essi, infatti, la curva carichi-cedimenti presenta un primo tratto rettilineo, seguito da un breve tratto curvilineo (comportamento elasto-plastico); la rottura è istantanea ed il valore del carico limite risulta chiaramente individuato (rottura generale).

In un terreno molto sciolto invece la relazione carichi-cedimenti presenta un tratto curvilineo accentuato fin dai carichi più bassi per effetto di una rottura progressiva del terreno (rottura locale); di conseguenza l'individuazione del carico limite non è così chiara ed evidente come nel caso dei terreni compatti.

Per i terreni molto sciolti, *Terzaghi* consiglia di prendere in considerazione il carico limite il valore che si calcola con la formula precedente introducendo però dei valori ridotti delle caratteristiche meccaniche del terreno e precisamente.

$$\text{tg } \varphi_{rid} = 2/3 \times \text{tg } \varphi \text{ e } c_{rid} = 2/3 \times c$$

Esplicitando i coefficienti della formula precedente, la formula di *Terzaghi* può essere scritta:

$$q_{ult} = c \times N_c \times s_c + \gamma \times D \times N_q + 0.5 \times \gamma \times B \times N_\gamma \times s_\gamma$$

dove:

$$N_q = \frac{a^2}{2 \cos^2 (45 + \varphi / 2)}$$

$$a = e^{(0.75\pi - \varphi / 2) \tan \varphi}$$

$$N_c = (N_q - 1) \cot \varphi$$

$$N_\gamma = \frac{\tan \varphi}{2} \left(\frac{K_p \gamma}{\cos^2 \varphi} - 1 \right)$$

Formula di Meyerhof (1963)

Meyerhof propose una formula per il calcolo del carico limite simile a quella di Terzaghi.; le differenze consistono nell'introduzione di ulteriori coefficienti di forma.

Egli introdusse un coefficiente s_q che moltiplica il fattore N_q , fattori di profondità d_i e di pendenza i_i per il caso in cui il carico trasmesso alla fondazione è inclinato sulla verticale.

I valori dei coefficienti N furono ottenuti da Meyerhof ipotizzando vari archi di prova BF (v. meccanismo Prandtl) , mentre il taglio lungo i piani AF aveva dei valori approssimati.

I fattori di forma tratti da Meyerhof sono di seguito riportati, insieme all'espressione della formula.

$$\text{Carico verticale} \quad q_{ult} = c \times N_c \times s_c \times d_c + \gamma \times D \times N_q \times s_q \times d_q + 0.5 \times \gamma \times B \times N_\gamma \times s_\gamma \times d_\gamma$$

$$\text{Carico inclinato} \quad q_{ult} = c \times N_c \times i_c \times d_c + \gamma \times D \times N_q \times i_q \times d_q + 0.5 \times \gamma \times B \times N_\gamma \times i_\gamma \times d_\gamma$$

$$N_q = e^{\pi \tan \varphi} \tan^2(45 + \varphi / 2)$$

$$N_c = (N_q - 1) \cot \varphi$$

$$N_\gamma = (N_q - 1) \tan(1.4 \varphi)$$

fattore di forma:

$$s_c = 1 + 0.2 k_p \frac{B}{L} \quad \text{per } \varphi > 10$$

$$s_q = s_\gamma = 1 + 0.1 k_p \frac{B}{L} \quad \text{per } \varphi = 0$$

fattore di profondità:

$$d_c = 1 + 0.2 \sqrt{k_p} \frac{D}{B}$$

$$d_q = d_\gamma = 1 + 0.1 \sqrt{k_p} \frac{D}{B} \quad \text{per } \varphi > 10$$

$$d_q = d_\gamma = 1 \quad \text{per } \varphi = 0$$

inclinazione:

$$i_c = i_\gamma = \left(1 - \frac{\theta}{90}\right)^2$$

$$i_\gamma = \left(1 - \frac{\theta}{\varphi}\right)^2 \quad \text{per } \varphi > 0$$

$$i_\gamma = 0 \quad \text{per } \varphi = 0$$

dove :

$$K_p = \tan^2(45^\circ + \varphi/2)$$

θ = Inclinazione della risultante sulla verticale.

Formula di Hansen (1970)

E' una ulteriore estensione della formula di Meyerhof; le estensioni consistono nell'introduzione di b_j che tiene conto della eventuale inclinazione sull'orizzontale del piano di posa e un fattore g_j per terreno in pendenza.

La formula di Hansen vale per qualsiasi rapporto D/B , quindi sia per fondazioni superficiali che profonde, ma lo stesso autore introdusse dei coefficienti per meglio interpretare il comportamento reale della fondazione, senza di essi, infatti, si avrebbe un aumento troppo forte del carico limite con la profondità.

Per valori di $D/B < 1$

$$d_c = 1 + 0.4 \frac{D}{B}$$

$$d_q = 1 + 2 \tan \varphi (1 - \sin \varphi) \frac{D}{B}$$

Per valori $D/B > 1$:

$$d_c = 1 + 0.4 \tan^{-1} \frac{D}{B}$$

$$d_q = 1 + 2 \tan \varphi (1 - \sin \varphi) \tan^{-1} \frac{D}{B}$$

Nel caso $\varphi = 0$

| D/B | 0 | 1 | 1.1 | 2 | 5 | 10 | 20 | 100 |
|--------|---|------|------|------|------|------|------|------|
| d'_c | 0 | 0.40 | 0.33 | 0.44 | 0.55 | 0.59 | 0.61 | 0.62 |

Nei fattori seguenti le espressioni con apici (') valgono quando $\varphi=0$.

Fattore di forma:

$$s'_c = 0.2 \frac{B}{L}$$

$$s_c = 1 + \frac{N_q}{N_c} \frac{B}{L}$$

$$s_c = 1 \quad \text{per fondazioni nastriformi}$$

$$s_q = 1 + \frac{B}{L} \tan \varphi$$

$$s_\gamma = 1 - 0.4 \frac{B}{L}$$

Fattori di inclinazione del carico

$$i'_c = 0.5 - 0.5 \sqrt{1 - \frac{H}{A_f c_a}}$$

$$i_c = i_q - \frac{1 - i_q}{N_q - 1}$$

$$i_q = \left(1 - \frac{0.5H}{V + A_f c_a \cot \varphi} \right)^5$$

$$i_\gamma = \left(1 - \frac{0.7H}{V + A_f c_a \cot \varphi} \right)^5 \quad (\eta = 0)$$

$$i_\gamma = \left(1 - \frac{(0.7 - \eta/450)H}{V + A_f c_a \cot \varphi} \right)^5 \quad (\eta > 0)$$

Fattori di inclinazione del terreno (fondazione su pendio):

$$g'_c = \frac{\beta}{147}$$

$$g_c = 1 - \frac{\beta}{147}$$

$$g_q = g_\gamma = (1 - 0.5 \tan \beta)^5$$

Fattori di inclinazione del piano di fondazione (base inclinata)

$$b'_c = \frac{\eta^\circ}{147^\circ}$$

$$b_c = 1 - \frac{\eta^\circ}{147^\circ}$$

$$b_q = \exp(-2\eta \tan \varphi)$$

Formula di Vesic (1975)

La formula di Vesic è analoga alla formula di Hansen, con N_q ed N_c come per la formula di Meyerhof ed N_γ come sotto riportato:

$$N_\gamma = 2(N_q + 1) \times \tan(\varphi)$$

I fattori di forma e di profondità che compaiono nelle formule del calcolo della capacità portante sono uguali a quelli proposti da Hansen; alcune differenze sono invece riportate nei fattori di inclinazione del carico, del terreno (fondazione su pendio) e del piano di fondazione (base inclinata).

Formula Brich-Hansen (EC 7 – EC 8)

Affinché una fondazione possa resistere il carico di progetto con sicurezza nei riguardi della rottura generale, per tutte le combinazioni di carico relative allo SLU (stato limite ultimo), deve essere soddisfatta la seguente disuguaglianza:

$$V_d \leq R_d$$

Dove V_d è il carico di progetto allo SLU, normale alla base della fondazione, comprendente anche il peso della fondazione stessa; mentre R_d è il carico limite di progetto della fondazione nei confronti di carichi normali, tenendo conto anche dell'effetto di carichi inclinati o eccentrici.

Nella valutazione analitica del carico limite di progetto R_d si devono considerare le situazioni a breve e a lungo termine nei terreni a grana fine.

Il carico limite di progetto in condizioni non drenate si calcola come:

$$R/A' = (2 + p) c_u s_c i_c + q$$

Dove:

$A' = B' L'$ area della fondazione efficace di progetto, intesa, in caso di carico eccentrico, come l'area ridotta al cui centro viene applicata la risultante del carico.

c_u Coesione non drenata.

q pressione litostatica totale sul piano di posa.

s_c Fattore di forma

$s_c = 1 + 0,2 (B'/L')$ per fondazioni rettangolari

$s_c = 1,2$ Per fondazioni quadrate o circolari.

i_c Fattore correttivo per l'inclinazione del carico dovuta ad un carico H.

$$i_c = 0,5 \left(1 + \sqrt{1 - H / A' c_u} \right)$$

Per le condizioni drenate il carico limite di progetto è calcolato come segue.

$$R/A' = c' N_c s_c i_c + q' N_q s_q i_q + 0,5 g' B' N_g s_g i_g$$

Dove:

$$N_q = e^{\pi \tan \phi'} \tan^2 (45 + \phi' / 2)$$

$$N_c = (N_q - 1) \cot \phi'$$

$$N_\gamma = 2 \cdot (N_q - 1) \tan \phi'$$

Fattori di forma

$$s_q = 1 + (B' / L') \cdot \sin \phi' \quad \text{per forma rettangolare}$$

$$s_q = 1 + \sin \phi' \quad \text{per forma quadrata o circolare}$$

$$s_\gamma = 1 - 0,3 (B' / L') \quad \text{per forma rettangolare}$$

$$s_\gamma = 0,7 \quad \text{per forma quadrata o circolare}$$

$$s_c = (s_q \cdot N_q - 1) / (N_q - 1) \quad \text{per forma rettangolare, quadrata o circolare.}$$

Fattori inclinazione risultante dovuta ad un carico orizzontale H

$$i_q = [1 - H / (V + A' \cdot c' \cdot \cot \phi')]^m$$

$$i_\gamma = [1 - H / (V + A' \cdot c' \cdot \cot \phi')]^{m+1}$$

$$i_c = (i_q \cdot N_q - 1) / (N_q - 1)$$

Dove:

$$m = m_B = \frac{\left[2 + \left(\frac{B'}{L'} \right) \right]}{\left[1 + \left(\frac{B'}{L'} \right) \right]} \quad \text{con } H // B'$$

$$m = m_L = \frac{\left[2 + \left(\frac{L'}{B'} \right) \right]}{\left[1 + \left(\frac{L'}{B'} \right) \right]} \quad \text{con } H // L'$$

Se H forma un angolo θ con la direzione di L' , l'esponente "m" viene calcolato con la seguente espressione:

$$m = m_\theta = m_L \cos^2 \theta + m_B \sin^2 \theta$$

Oltre ai fattori correttivi di cui sopra sono considerati quelli complementari della profondità del piano di posa e dell'inclinazione del piano di posa e del piano campagna (Hansen).

Meyerhof e Hanna (1978)

Tutta l'analisi teorica sviluppata per la determinazione del carico limite è stata basata sull'ipotesi che il terreno sia isotropico ed omogeneo fino a notevole profondità.

Tale ipotesi però non rispecchia la realtà perchè il terreno è generalmente non omogeneo con miscele di sabbia, limo e argilla in proporzioni diverse.

Le relazioni per la stima del carico limite, ricavate dall'ipotesi di terreno omogeneo risultano essere molto approssimative se il terreno è stratificato, soprattutto se le superfici di rottura interferiscono con i limiti degli strati del terreno.

Si consideri un sistema costituito da due strati di terreno distinti ed una fondazione posizionata sullo strato superiore a una profondità D dal piano campagna, le superfici di rottura a carico limite possono svilupparsi completamente sullo strato superiore oppure coinvolgere anche il secondo strato. Può accadere che lo strato superiore sia più resistente rispetto allo strato inferiore o viceversa.

In entrambi i casi verrà presentata un'analisi generale per ($c = 0$) e si dimostrerà sarà valida anche nel caso di terreni sabbiosi o argillosi.

Lo studio della capacità portante di un sistema a strati è stato affrontato da diversi autori: Button (1953), Meyerhof (1974), Meyerhof e Hanna (1978)

Meyerhof (1974) ha analizzato un sistema a due strati composto da sabbia densa su argilla morbida e sabbia sciolta su argilla rigida e ha supportato il suo studio con alcuni test su modello. Successivamente Meyerhof e Hanna (1978) hanno integrato lo studio di Meyerhof (1974) includendo nelle analisi il terreno privo di coesione.

Si riporta la trattazione di Meyerhof (1974) e Meyerhof e Hanna (1978).

Nella figura 12.16 (a) è rappresentata una fondazione di larghezza B approfondita D in uno strato di terreno resistente (strato 1). Lo strato debole si trova a distanza H dal piano di posa della fondazione.

Se la distanza H non è sufficiente oppure in condizioni di carico eccezionali una parte di esso verrà trasferito oltre il livello mn . Questa condizione indurrà il formarsi di superfici di rottura anche nello strato più debole (strato 2). Se la distanza H è relativamente grande, le superfici di rottura si svilupperanno completamente nello strato 1 come evidenziato in Figura 12.16b.

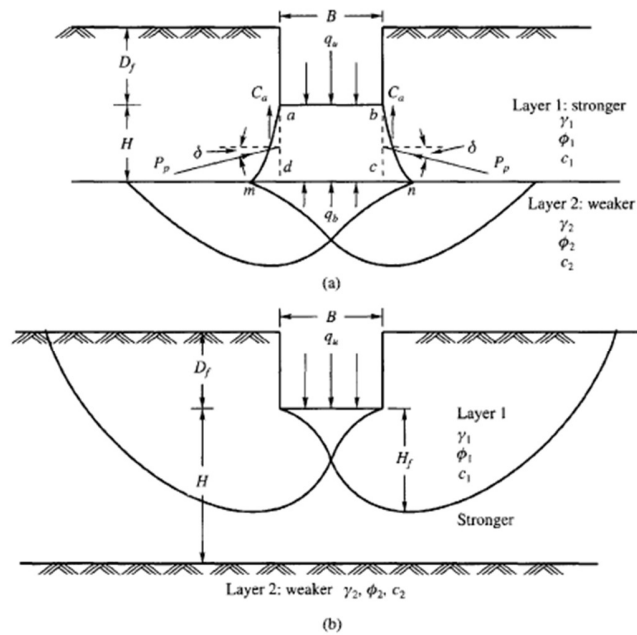


Figure 12.16 Failure of soil below strip footing under vertical load on strong layer overlying weak deposit (after Meyerhof and Hanna, 1978)

Il carico limite negli strati 1 e 2 può essere espresso dalle seguenti relazioni:

Strato 1

$$q_1 = c_1 \cdot N_{c1} + \frac{1}{2} \gamma_1 \cdot B \cdot N_{\gamma_1}$$

Strato 2

$$q_2 = c_2 \cdot N_{c2} + \frac{1}{2} \gamma_2 \cdot B \cdot N_{\gamma_2}$$

Dove:

N_{c1}, N_{γ_1} = fattori di capacità portante dello strato 1 con angolo di resistenza a taglio j_1

N_{c2}, N_{γ_2} = fattori di capacità portante dello strato 2 con angolo di resistenza a taglio j_2

Se il piano di posa della fondazione si trova ad una distanza D_f rispetto al piano campagna e la distanza H è relativamente grande l'espressione del carico limite è la seguente:

$$q_u = q_t = c_1 \cdot N_{c1} + q'_0 \cdot N_{q1} + \frac{1}{2} \gamma_1 \cdot B \cdot N_{\gamma_1}$$

Se q_1 è molto maggiore di q_2 e se la distanza H non è sufficiente a formare una condizione di plasticizzazione completa nello strato 1, allora la rottura è legata alla spinta del terreno che si sviluppa dallo strato più debole allo strato più resistente. La formulazione per la stima del carico limite diventa:

$$q_u = q_b + \frac{2 \cdot (C_a + P_p \sin \delta)}{B} - \gamma_1 \cdot H$$

Dove:

q_b = carico limite nello strato 2

P_p = spinta passiva

C_a = adesione

δ = inclinazione della spinta passiva rispetto all'orizzontale

$$P_p = \frac{\gamma_1 \cdot H^2}{2 \cos \delta} \left(1 + \frac{2D_f}{H} \right) K_p$$

Metodo di Richards et. Al.

Richards, Helm e Budhu (1993) hanno sviluppato una procedura che consente, in condizioni sismiche, di valutare sia il carico limite sia i cedimenti indotti, e quindi di procedere alle verifiche di entrambi gli stati limite (ultimo e di danno). La valutazione del carico limite viene perseguita mediante una semplice estensione del problema del carico limite al caso della presenza di forze di inerzia nel terreno di fondazione dovute al sisma, mentre la stima dei cedimenti viene ottenuta mediante un approccio alla Newmark (cfr. Appendice H di "Aspetti geotecnici della progettazione in zona sismica" – Associazione Geotecnica Italiana). Gli autori hanno esteso la classica formula trinomia del carico limite:

$$q_L = N_q \cdot q + N_c \cdot c + 0.5 N_\gamma \cdot \gamma \cdot B$$

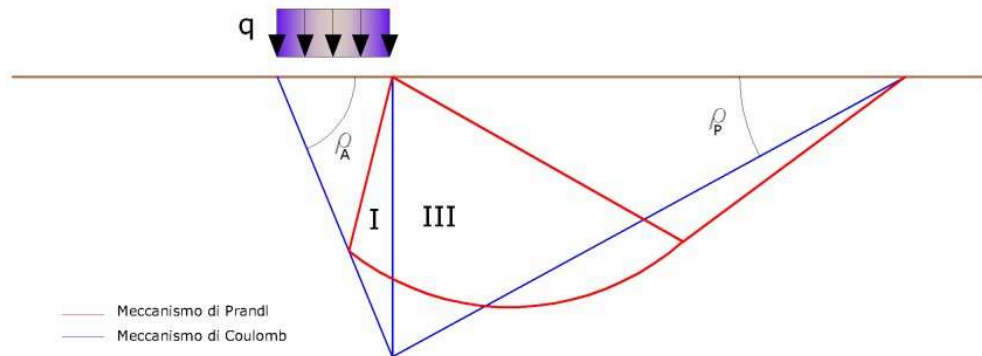
Dove i fattori di capacità portante vengono calcolati con le seguenti formule:

$$N_c = (N_q - 1) \cdot \cot(\phi)$$

$$N_q = \frac{K_{pE}}{K_{AE}}$$

$$N_\gamma = \left(\frac{K_{pE}}{K_{AE}} - 1 \right) \cdot \tan(\rho_{AE})$$

Esaminando con un approccio da equilibrio limite, un meccanismo alla Coulomb e portando in conto le forze d'inerzia agenti sul volume di terreno a rottura. In campo statico, il classico meccanismo di Prandtl può essere infatti approssimato come mostrato nella figura che segue, eliminando la zona di transizione (ventaglio di Prandtl) ridotta alla sola linea AC, che viene riguardata come una parete ideale in equilibrio sotto l'azione della spinta attiva e della spinta passiva che riceve dai cunei I e III:



Schema di calcolo del carico limite (qL)

Gli autori hanno ricavato le espressioni degli angoli ρ_A e ρ_P che definiscono le zone di spinta attiva e passiva, e dei coefficienti di spinta attiva e passiva K_A e K_P in funzione dell'angolo di attrito interno φ del terreno e dell'angolo di attrito δ terreno – parete ideale:

$$\rho_A = \varphi + \tan^{-1} \cdot \left\{ \frac{\sqrt{\tan(\varphi) \cdot (\tan(\varphi) \cdot \cot(\varphi)) \cdot (1 + \tan(\delta) \cdot \cot(\varphi))} - \tan(\varphi)}{1 + \tan(\delta) \cdot (\tan(\varphi) + \cot(\varphi))} \right\}$$

$$\rho_P = -\varphi + \tan^{-1} \cdot \left\{ \frac{\sqrt{\tan(\varphi) \cdot (\tan(\varphi) \cdot \cot(\varphi)) \cdot (1 + \tan(\delta) \cdot \cot(\varphi))} + \tan(\varphi)}{1 + \tan(\delta) \cdot (\tan(\varphi) + \cot(\varphi))} \right\}$$

$$K_A = \frac{\cos^2(\varphi)}{\cos(\delta) \left\{ 1 + \sqrt{\frac{\sin(\varphi + \delta) \cdot \sin(\varphi)}{\cos(\delta)}} \right\}^2}$$

$$K_P = \frac{\cos^2(\varphi)}{\cos(\delta) \left\{ 1 - \sqrt{\frac{\sin(\varphi + \delta) \cdot \sin(\varphi)}{\cos(\delta)}} \right\}^2}$$

E' comunque da osservare che l'impiego delle precedenti formule assumendo $f=0.5d$, conduce a valore dei coefficienti di carico limite molto prossimi a quelli basati su un'analisi alla Prandtl. Richards et. Al. hanno quindi esteso l'applicazione del meccanismo di Coulomb al caso sismico, portando in conto le forze d'inerzia agenti sul volume di terreno a rottura. Tali forze di massa, dovute ad accelerazioni $k_h g$ e $k_v g$, agenti rispettivamente in direzione orizzontale e verticale, sono a loro volta pari a $k_h g$ e $k_v g$. Sono state così ottenute le estensioni delle espressioni di ρ_A e ρ_P , nonché di K_A e K_P , rispettivamente indicate come ρ_{AE} e ρ_{PE} e come K_{AE} e K_{PE} per denotare le condizioni sismiche:

$$\rho_{AE} = (\varphi - \vartheta) + \tan^{-1} \cdot \left\{ \frac{\sqrt{(1 + \tan^2(\varphi - \vartheta)) \cdot [1 + \tan(\delta + \vartheta) \cdot \cot(\varphi - \vartheta)]} - \tan(\varphi - \vartheta)}{1 + \tan(\delta + \vartheta) \cdot (\tan(\varphi - \vartheta) + \cot(\varphi - \vartheta))} \right\}$$

$$\rho_{PE} = -(\varphi - \vartheta) + \tan^{-1} \cdot \left\{ \frac{\sqrt{(1 + \tan^2(\varphi - \vartheta)) \cdot [1 + \tan(\delta + \vartheta) \cdot \cot(\varphi - \vartheta)]} - \tan(\varphi - \vartheta)}{1 + \tan(\delta + \vartheta) \cdot (\tan(\varphi - \vartheta) + \cot(\varphi - \vartheta))} \right\}$$

$$K_{AE} = \frac{\cos^2(\varphi - \vartheta)}{\cos(\vartheta) \cdot \cos(\delta + \vartheta) \left\{ 1 + \sqrt{\frac{\sin(\varphi + \delta) \cdot \sin(\varphi - \vartheta)}{\cos(\delta + \vartheta)}} \right\}^2}$$

$$K_{PE} = \frac{\cos^2(\varphi - \vartheta)}{\cos(\vartheta) \cdot \cos(\delta + \vartheta) \left\{ 1 - \sqrt{\frac{\sin(\varphi + \delta) \cdot \sin(\varphi - \vartheta)}{\cos(\delta + \vartheta)}} \right\}^2}$$

I valori di N_q e N_γ sono determinabili ancora avvalendosi delle formule precedenti, impiegando naturalmente le espressioni degli angoli r_{AE} e r_{PE} e dei coefficienti K_{AE} e K_{PE} relative al caso sismico. In tali espressioni compare l'angolo ϑ definito come:

$$\tan(\theta) = \frac{k_h}{1 - k_v}$$

Nella tabella che segue sono mostrati i fattori di capacità portante calcolati per i seguenti valori dei parametri:

$$\phi = 30^\circ \quad d = 15^\circ$$

Per diversi valori dei coefficienti di spinta sismica:

| $k_h/(1-k_v)$ | N_q | N_γ | N_c |
|---------------|----------|------------|-----------|
| 0 | 16.51037 | 23.75643 | 26.86476 |
| 0.087 | 13.11944 | 15.88906 | 20.9915 |
| 0.176 | 9.851541 | 9.465466 | 15.33132 |
| 0.268 | 7.297657 | 5.357472 | 10.90786 |
| 0.364 | 5.122904 | 2.604404 | 7.141079 |
| 0.466 | 3.216145 | 0.879102 | 3.838476 |
| 0.577 | 1.066982 | 1.103E-03 | 0.1160159 |

Tabella dei fattori di capacità portante per $\phi = 30^\circ$

VERIFICA A CARICO LIMITE DELLE FONDAZIONE (SLU)

La verifica a carico limite delle fondazioni secondo l'approccio SLU si esegue con la seguente disequaglianza:

$$E_d \leq \frac{R_d}{\gamma_{RV}}$$

Dove:

E_d -pressioni agenti alla base della fondazione

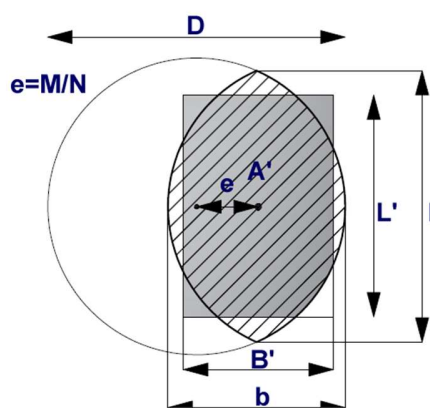
R_d -capacità portante di calcolo

Una fondazione circolare sottoposta ad un carico verticale applicato con un'eccentricità $e = Md / Nd$ può essere considerata equivalente ad una fondazione fittizia con un carico applicato centralmente (Figura seguente), come suggerito da Meyerhof (1953). In questo caso, l'area della fondazione fittizia, A' , può essere calcolata con questa espressione:

$$A' = \frac{D^2}{2} \left(\arccos \frac{2e}{D} - \frac{2e}{D} \sqrt{1 - \left(\frac{2e}{D} \right)^2} \right)$$

Il rapporto delle lunghezze dei lati della fondazione rettangolare equivalente può essere approssimato al rapporto tra le lunghezze b ed l , si ricava da:

$$\frac{B}{L} = \frac{b}{l} = \sqrt{\frac{D-2e}{D+2e}}$$



Metodo di calcolo delle dimensioni equivalenti di una fondazione circolare soggetta a carico non baricentrico

VERIFICA A SLITTAMENTO

In conformità con i criteri di progetto allo SLU, la stabilità di un plinto di fondazione deve essere verificata rispetto al collasso per slittamento oltre a quello per rottura generale. Rispetto al collasso per slittamento la resistenza viene valutata come somma di una componente dovuta all'adesione e una dovuta all'attrito fondazione-terreno; la resistenza laterale derivante dalla spinta passiva del terreno può essere messa in conto secondo una percentuale indicata dell'utente.

La resistenza di calcolo per attrito ed adesione è valutata secondo l'espressione:

$$F_{Rd} = N_{sd} \tan \delta + c_a A'$$

Nella quale N_{sd} è il valore di calcolo della forza verticale, δ è l'angolo di resistenza a taglio alla base del plinto, c_a è l'adesione plinto-terreno e A' è l'area della fondazione efficace, intesa, in caso di carichi eccentrici, come area ridotta al centro della quale è applicata la risultante.

CARICO LIMITE DI FONDAZIONI SU ROCCIA

Per la valutazione della capacità portante ammissibile delle rocce si deve tener conto di di alcuni parametri significativi quali le caratteristiche geologiche, il tipo di roccia e la sua qualità, misurata con l'RQD. Nella capacità portante delle rocce si utilizzano normalmente fattori di sicurezza molto alti e legati in qualche modo al valore del coefficiente RQD: ad esempio, per una roccia con RQD pari al massimo a 0.75 il fattore di sicurezza varia tra 6 e 10. Per la determinazione della capacità portante di una roccia si possono usare le formule di Terzaghi, usando angolo d'attrito e coesione della roccia, o quelle proposte da **Stagg e Zienkiewicz** (1968) in cui i coefficienti della formula della capacità portante valgono:

$$N_q = \tan^6 \left(45 + \frac{\phi}{2} \right)$$
$$N_c = 5 \tan^4 \left(45 + \frac{\phi}{2} \right)$$
$$N_\gamma = N_q + 1$$

Con tali coefficienti vanno usati i fattori di forma impiegati nella formula di Terzaghi.

La capacità portante ultima calcolata è comunque funzione del coefficiente RQD secondo la seguente espressione:

$$q' = q_{ult} (RQD)^2$$

Se il carotaggio in roccia non fornisce pezzi intatti (RQD tende a 0), la roccia viene trattata come un terreno stimando al meglio i parametri c e f.

FATTORI CORRETTIVI SISMICI: PAOLUCCI E PECKER

Per tener conto degli effetti inerziali indotti dal sisma sulla determinazione del q_{lim} vengono introdotti i fattori correttivi z:

$$z_q = \left(1 - \frac{k_h}{\tan \phi} \right)^{0,35}$$
$$z_c = 1 - 0,32 \cdot k_h$$
$$z_\gamma = z_q$$

Dove k_h è il coefficiente sismico orizzontale.

Calcolo coefficienti sismici

Le **NTC 2008** calcolano i coefficienti k_h e k_v in dipendenza di vari fattori:

$$k_h = b'(a_{max}/g)$$

$$k_v = \pm 0,5 \times k_h$$

- b Coefficiente di riduzione accelerazione massima attesa al sito;
- a_{max} Accelerazione orizzontale massima attesa al sito;
- g Accelerazione di gravità;

Tutti i fattori presenti nelle precedenti formule dipendono dall'accelerazione massima attesa sul sito di riferimento rigido e dalle caratteristiche geomorfologiche del territorio.

$$a_{max} = S_S S_T a_g$$

S_S (effetto di amplificazione stratigrafica): $0.90 \leq S_S \leq 1.80$; è funzione di F_0 (Fattore massimo di amplificazione dello spettro in accelerazione orizzontale) e della categoria di suolo (A, B, C, D, E).

S_T (effetto di amplificazione topografica) per fondazioni in prossimità di pendii.

Il valore di S_T varia con il variare delle quattro categorie topografiche introdotte:

$$T1 (S_T = 1.0) \quad T2 (S_T = 1.20) \quad T3 (S_T = 1.20) \quad T4 (S_T = 1.40).$$

Questi valori sono calcolati come funzione del punto in cui si trova il sito oggetto di analisi. Il parametro di entrata per il calcolo è il tempo di ritorno dell'evento sismico che è valutato come segue:

$$T_R = -V_R / \ln(1 - PVR)$$

Con V_R vita di riferimento della costruzione e PVR probabilità di superamento, nella vita di riferimento, associata allo stato limite considerato. La vita di riferimento dipende dalla vita nominale della costruzione e dalla classe d'uso della costruzione (in linea con quanto previsto al punto 2.4.3 delle NTC). In ogni caso V_R dovrà essere maggiore o uguale a 35 anni.

Per l'applicazione dell'**Eurocodice 8** (progettazione geotecnica in campo sismico) il coefficiente sismico orizzontale viene così definito:

$$k_h = a_{gR} \gamma_I S / (g)$$

a_{gR} : accelerazione di picco di riferimento su suolo rigido affiorante,

γ_I : fattore di importanza,

S : soil factor e dipende dal tipo di terreno (da A ad E).

$$a_g = a_{gR} \gamma_I$$

è la "design ground acceleration on type A ground".

Il coefficiente sismico verticale k_v è definito in funzione di k_h , e vale:

$$k_v = \pm 0.5 k_h$$

CEDIMENTI ELASTICI

I cedimenti di una fondazione rettangolare di dimensioni $B \times L$ posta sulla superficie di un semispazio elastico si possono calcolare in base ad una equazione basata sulla teoria dell'elasticità (Timoshenko e Goodier (1951)):

$$\Delta H = q_0 B' \frac{1 - \mu^2}{E_s} \left(I_1 + \frac{1 - 2\mu}{1 - \mu} I_2 \right) I_F \quad (1)$$

dove:

q_0 Intensità della pressione di contatto

B' Minima dimensione dell'area reagente,

E e m Parametri elastici del terreno.

I_i Coefficienti di influenza dipendenti da: L'/B' , spessore dello strato H , coefficiente di Poisson m , profondità del piano di posa D ;

I coefficienti I_1 e I_2 si possono calcolare utilizzando le equazioni fornite da *Steinbrenner (1934)* (V. Bowles), in funzione del rapporto L'/B' ed H/B , utilizzando $B'=B/2$ e $L'=L/2$ per i coefficienti relativi al centro e $B'=B$ e $L'=L$ per i coefficienti relativi al bordo.

Il coefficiente di influenza I_F deriva dalle equazioni di *Fox (1948)*, che indicano il cedimento si riduce con la profondità in funzione del coefficiente di *Poisson* e del rapporto L/B .

In modo da semplificare l'equazione (1) si introduce il coefficiente I_S :

$$I_S = I_1 + \frac{1-2\mu}{1-\mu} I_2$$

Il cedimento dello strato di spessore H vale:

$$\Delta H = q_0 B' \frac{1-\mu^2}{E_S} I_S I_F$$

Per meglio approssimare i cedimenti si suddivide la base di appoggio in modo che il punto si trovi in corrispondenza di uno spigolo esterno comune a più rettangoli. In pratica si moltiplica per un fattore pari a 4 per il calcolo dei cedimenti al centro e per un fattore pari a 1 per i cedimenti al bordo.

Nel calcolo dei cedimenti si considera una profondità del bulbo delle tensioni pari a $5B$, se il substrato roccioso si trova ad una profondità maggiore.

A tal proposito viene considerato substrato roccioso lo strato che ha un valore di E pari a 10 volte dello strato soprastante.

Il modulo elastico per terreni stratificati viene calcolato come media pesata dei moduli elastici degli strati interessati dal cedimento immediato.

CEDIMENTI EDMETRICI

Il calcolo dei cedimenti con l'approccio edometrico consente di valutare un cedimento di consolidazione di tipo monodimensionale, prodotto dalle tensioni indotte da un carico applicato in condizioni di espansione laterale impedita. Pertanto la stima effettuata con questo metodo va considerata come empirica, piuttosto che teorica.

Tuttavia la semplicità d'uso e la facilità di controllare l'influenza dei vari parametri che intervengono nel calcolo, ne fanno un metodo molto diffuso.

L'approccio edometrico nel calcolo dei cedimenti passa essenzialmente attraverso due fasi:

il calcolo delle tensioni verticali indotte alle varie profondità con l'applicazione della teoria dell'elasticità;

la valutazione dei parametri di compressibilità attraverso la prova edometrica.

In riferimento ai risultati della prova edometrica, il cedimento è valutato come:

$$\Delta H = H_0 \cdot RR \cdot \log \frac{\sigma'_{v0} + \Delta\sigma_v}{\sigma'_{v0}}$$

se si tratta di un terreno sovraconsolidato ($OCR > 1$), ossia se l'incremento di tensione dovuto all'applicazione del carico non fa superare la pressione di preconsolidazione s'_p ($\sigma'_{v0} + \Delta\sigma_v < s'_p$).

Se invece il terreno è normalconsolidato ($\sigma'_{v0} = s'_p$) le deformazioni avvengono nel tratto di compressione e il cedimento è valutato come:

$$\Delta H = H_0 \cdot CR \cdot \log \frac{\sigma'_{v0} + \Delta\sigma_v}{\sigma'_{v0}}$$

dove:

RR Rapporto di ricompressione;

CR Rapporto di compressione;

H_0 Spessore iniziale dello strato;

σ'_{v0} Tensione verticale efficace prima dell'applicazione del carico;

$\Delta\sigma_v$ Incremento di tensione verticale dovuto all'applicazione del carico.

In alternativa ai parametri RR e CR si fa riferimento al modulo edometrico M ; in tal caso però occorre scegliere opportunamente il valore del modulo da utilizzare, tenendo conto dell'intervallo tensionale ($\sigma'_{v0} + \Delta\sigma_v$) significativo per il problema in esame.

L'applicazione corretta di questo tipo di approccio richiede:

la suddivisione degli strati compressibili in una serie di piccoli strati di modesto spessore (< 2.00 m);

la stima del modulo edometrico nell'ambito di ciascuno strato;

il calcolo del cedimento come somma dei contributi valutati per ogni piccolo strato in cui è stato suddiviso il banco compressibile.

Molti usano le espressioni sopra riportate per il calcolo del cedimento di consolidazione tanto per le argille quanto per le sabbie di granulometria da fina a media, perché il modulo di elasticità impiegato è ricavato direttamente da prove di consolidazione. Tuttavia, per terreni a grana più grossa le dimensioni dei provini edometrici sono poco significative del comportamento globale dello strato e, per le sabbie, risulta preferibile impiegare prove penetrometriche statiche e dinamiche.

Cedimento secondario

Il cedimento secondario è calcolato facendo riferimento alla relazione:

$$\Delta H_s = H_c \cdot C_\alpha \cdot \log \frac{T}{T_{100}}$$

in cui:

H_c E' l'altezza dello strato in fase di consolidazione;

C_α E' il coefficiente di consolidazione secondaria come pendenza nel tratto secondario della curva *cedimento-logaritmo tempo*;

T Tempo in cui si vuole il cedimento secondario;

T_{100} Tempo necessario all'esaurimento del processo di consolidazione primaria.

CEDIMENTI DI SCHMERTMANN

Un metodo alternativo per il calcolo dei cedimenti è quello proposto da Schmertmann (1970) il quale ha correlato la variazione del bulbo delle tensioni alla deformazione. Schmertmann ha quindi proposto di considerare un diagramma delle deformazioni di forma triangolare in cui la profondità alla quale si hanno deformazioni significative è assunta pari a $4B$, nel caso di fondazioni nastriformi, e pari a $2B$ per fondazioni quadrate o circolari.

Secondo tale approccio il cedimento si esprime attraverso la seguente espressione:

$$w = C_1 \cdot C_2 \cdot \Delta q \cdot \sum \frac{I_z \cdot \Delta z}{E}$$

nella quale:

Δq rappresenta il carico netto applicato alla fondazione;

I_z E' un fattore di deformazione il cui valore è nullo a profondità di $2B$, per fondazione circolare o quadrata, e a profondità $4B$, per fondazione nastriforme.

Il valore massimo di I_z si verifica a una profondità rispettivamente pari a:

$B/2$ per fondazione circolare o quadrata

B per fondazioni nastriformi

e vale

$$I_{zmax} = 0.5 + 0.1 \cdot \left(\frac{\Delta q}{\sigma'_{vi}} \right)^{0.5}$$

dove σ'_{vi} rappresenta la tensione verticale efficace a profondità B/2 per fondazioni quadrate o circolari, e a profondità B per fondazioni nastriformi.

E_i rappresenta il modulo di deformabilità del terreno in corrispondenza dello strato **i-esimo** considerato nel calcolo;

D_{zi} rappresenta lo spessore dello strato **i-esimo**;

C₁ e **C₂** sono due coefficienti correttivi.

Il modulo **E** viene assunto pari a **2.5 q_c** per fondazioni circolari o quadrate e a **3.5 q_c** per fondazioni nastriformi. Nei casi intermedi, si interpola in funzione del valore di **L/B**.

Il termine **q_c** che interviene nella determinazione di **E** rappresenta la resistenza alla punta fornita dalla prova CPT.

Le espressioni dei due coefficienti **C₁** e **C₂** sono:

$$C_1 = 1 - 0.5 \cdot \frac{\sigma'_{v0}}{\Delta q} > 0.5$$

che tiene conto della profondità del piano di posa.

$$C_2 = 1 + 0.2 \cdot \log \frac{t}{0.1}$$

che tiene conto delle deformazioni differite nel tempo per effetto secondario.

Nell'espressione **t** rappresenta il tempo, espresso in anni dopo il termine della costruzione, in corrispondenza del quale si calcola il cedimento.

CEDIMENTI DI BURLAND e BURBIDGE

Qualora si disponga di dati ottenuti da prove penetrometriche dinamiche per il calcolo dei cedimenti è possibile fare affidamento al metodo di Burland e Burbidge (1985), nel quale viene correlato un indice di compressibilità *I_c* al risultato N della prova penetrometrica dinamica. L'espressione del cedimento proposta dai due autori è la seguente:

$$S = f_s \cdot f_H \cdot f_t \cdot \left[\sigma'_{v0} \cdot B^{0.7} \cdot I_c / 3 + (q' - \sigma'_{v0}) \cdot B^{0.7} \cdot I_c \right]$$

nella quale:

| | |
|----------------|--|
| q' | Pressione efficace lorda; |
| σ'_{v0} | Tensione verticale efficace alla quota d'imposta della fondazione; |
| B | Larghezza della fondazione; |
| I _c | Indice di compressibilità; |

f_s , f_H , f_t Fattori correttivi che tengono conto rispettivamente della forma, dello spessore dello strato compressibile e del tempo, per la componente viscosa.

L'indice di compressibilità I_c è legato al valore medio N_{AV} di N_{spt} all'interno di una profondità significativa z :

$$I_c = \frac{1.706}{N_{AV}^{1.4}}$$

Per quanto riguarda i valori di N_{spt} da utilizzare nel calcolo del valore medio N_{AV} va precisato che i valori vanno corretti, per sabbie con componente limosa sotto falda e $N_{spt} > 15$, secondo l'indicazione di Terzaghi e Peck (1948)

$$N_c = 15 + 0.5 (N_{spt} - 15)$$

dove N_c è il valore corretto da usare nei calcoli.

Per depositi ghiaiosi o sabbioso-ghiaiosi il valore corretto è pari a:

$$N_c = 1.25 N_{spt}$$

Le espressioni dei fattori correttivi f_s , f_H ed f_t sono rispettivamente:

$$f_s = \left(\frac{1.25 \cdot L / B}{L / B + 0.25} \right)^2$$

$$f_H = \frac{H}{z_i} \left(2 - \frac{H}{z_i} \right)$$

$$f_t = \left(1 + R_3 + R \cdot \log \frac{t}{3} \right)$$

Con:

t = tempo in anni > 3 ;

R_3 = costante pari a 0.3 per carichi statici e 0.7 per carichi dinamici;

R = 0.2 nel caso di carichi statici e 0.8 per carichi dinamici.

4.4.2. Verifiche

I dati presenti nella relazione geologica sono stati opportunamente integrati con parametri tipici ricavati da letteratura, questi parametri dovranno essere confermati ed eventualmente corretti in base alle indicazioni del Geologo incaricato.

DATI GENERALI

| | |
|--------------------------|---------------------|
| Normativa | NTC 2018 |
| Zona | Grosseto |
| Lat./ Long. [WGS84] | 44,829477/ 8,808468 |
| Larghezza fondazione | 3,47 m |
| Lunghezza fondazione | 9,13 m |
| Profondità piano di posa | 0,25 m |
| Altezza di incastro | 0,9 m |

4.4.2.1. Verifica su penetrometrica P1

STRATIGRAFIA TERRENO

| Spessore strato [m] | Peso unità di volume [kN/m ³] | Peso unità di volume saturo [kN/m ³] | Angolo di attrito [°] | Coesione [kN/m ²] | Coesione non drenata [kN/m ²] | Modulo Elastico [kN/m ²] | Modulo Edometrico [kN/m ²] | Poisson | Coeff. consolidaz. primaria [cmq/s] | Coeff. consolidazione secondaria | Descrizione |
|---------------------|---|--|-----------------------|-------------------------------|---|--------------------------------------|--|---------|-------------------------------------|----------------------------------|-------------|
| 0,8 | 17,03 | 17,03 | 27,0 | 0,0 | 44,13 | 5000,0 | 5000,0 | 0,0 | 0,0 | 0,0 | |
| 3,8 | 17,65 | 17,65 | 37,0 | 0,0 | 0,0 | 5000,0 | 5000,0 | 0,0 | 0,0 | 0,0 | |
| 1,2 | 17,65 | 17,65 | 33,0 | 0,0 | 0,0 | 5000,0 | 5000,0 | 0,0 | 0,0 | 0,0 | |
| 1,2 | 17,65 | 17,65 | 36,0 | 0,0 | 0,0 | 5000,0 | 5000,0 | 0,0 | 0,0 | 0,0 | |

Carichi di progetto agenti sulla fondazione

| Nr. | Nome combinazione | Pressione normale di progetto [kN/m ²] | N [kN] | Mx [kN·m] | My [kN·m] | Hx [kN] | Hy [kN] | Tipo |
|-----|-------------------|--|--------|-----------|-----------|---------|---------|----------|
| 1 | A1+M1+R3 | 0,00 | 880,60 | 0,00 | 0,00 | 0,00 | 0,00 | Progetto |
| 2 | Sisma A | 0,00 | 604,23 | 38,40 | -128,00 | 40,00 | 12,00 | Progetto |
| 3 | S.L.E. | 0,00 | 639,68 | 0,00 | 0,00 | 0,00 | 0,00 | Servizio |
| 4 | Sisma B | 0,00 | 604,23 | 128,00 | -38,40 | 12,00 | 40,00 | Progetto |

Sisma + Coeff. parziali parametri geotecnici terreno + Resistenze

| Nr | Correzione Sismica | Tangente angolo di resistenza al taglio | Coesione efficace | Coesione non drenata | Peso Unità volume in fondazione | Peso unità volume co-pertura | Coeff. Rid. Capacità portante verticale | Coeff. Rid. Capacità portante orizzontale |
|----|--------------------|---|-------------------|----------------------|---------------------------------|------------------------------|---|---|
| 1 | No | 1 | 1 | 1 | 1 | 1 | 2,3 | 1,1 |
| 2 | No | 1,25 | 1,25 | 1,4 | 1 | 1 | 1,8 | 1,1 |
| 3 | No | 1 | 1 | 1 | 1 | 1 | 1 | 1 |
| 4 | No | 1,25 | 1,25 | 1,4 | 1 | 1 | 1,8 | 1,1 |

CARICO LIMITE FONDAZIONE COMBINAZIONE...A1+M1+R3

Autore: Meyerhof and Hanna (1978)

| | |
|---------------------------------|--------------------------|
| Carico limite [Qult] | 300,45 kN/m ² |
| Resistenza di progetto[Rd] | 130,63 kN/m ² |
| Tensione [Ed] | 27,8 kN/m ² |
| Fattore sicurezza [Fs=Qult/Ed] | 10,81 |
| Condizione di verifica [Ed<=Rd] | Verificata |

COEFFICIENTE DI SOTTOFONDAZIONE BOWLES (1982)

Costante di Winkler 56171,22 kN/m³**A1+M1+R3**

Autore: HANSEN (1970) (Condizione drenata)

| | |
|---|-------|
| Fattore [Nq] | 33,53 |
| Fattore [Nc] | 46,37 |
| Fattore [Ng] | 34,24 |
| Fattore forma [Sc] | 1,27 |
| Fattore profondità [Dc] | 1,0 |
| Fattore inclinazione carichi [Ic] | 1,0 |
| Fattore inclinazione pendio [Gc] | 1,0 |
| Fattore inclinazione base [Bc] | 1,0 |
| Fattore forma [Sq] | 1,27 |
| Fattore profondità [Dq] | 1,0 |
| Fattore inclinazione carichi [Iq] | 1,0 |
| Fattore inclinazione pendio [Gq] | 1,0 |
| Fattore inclinazione base [Bq] | 1,0 |
| Fattore forma [Sg] | 0,85 |
| Fattore profondità [Dg] | 1,0 |
| Fattore inclinazione carichi [Ig] | 1,0 |
| Fattore inclinazione pendio [Gg] | 1,0 |
| Fattore inclinazione base [Bg] | 1,0 |
| Fattore correzione sismico inerziale [zq] | 1,0 |
| Fattore correzione sismico inerziale [zg] | 1,0 |
| Fattore correzione sismico inerziale [zc] | 1,0 |

| | |
|------------------------|---------------------------|
| Carico limite | 1064,02 kN/m ² |
| Resistenza di progetto | 462,62 kN/m ² |

Condizione di verifica [Ed<=Rd] Verificata

Autore: TERZAGHI (1955) (Condizione drenata)

| | |
|---|-------|
| Fattore [Nq] | 41,75 |
| Fattore [Nc] | 58,07 |
| Fattore [Ng] | 42,94 |
| Fattore forma [Sc] | 1,0 |
| Fattore forma [Sg] | 1,0 |
| Fattore correzione sismico inerziale [zq] | 1,0 |
| Fattore correzione sismico inerziale [zg] | 1,0 |
| Fattore correzione sismico inerziale [zc] | 1,0 |

| | |
|------------------------|---------------------------|
| Carico limite | 1483,68 kN/m ² |
| Resistenza di progetto | 645,08 kN/m ² |

Condizione di verifica [Ed<=Rd] Verificata

Autore: MEYERHOF (1963) (Condizione drenata)

| | |
|--------------|-------|
| Fattore [Nq] | 33,53 |
| Fattore [Nc] | 46,37 |

| | |
|---|-------|
| Fattore [Ng] | 37,53 |
| Fattore forma [Sc] | 1,28 |
| Fattore profondità [Dc] | 1,0 |
| Fattore inclinazione carichi [Ic] | 1,0 |
| Fattore forma [Sq] | 1,14 |
| Fattore profondità [Dq] | 1,0 |
| Fattore inclinazione carichi [Iq] | 1,0 |
| Fattore forma [Sg] | 1,14 |
| Fattore profondità [Dg] | 1,0 |
| Fattore inclinazione carichi [Ig] | 1,0 |
| Fattore correzione sismico inerziale [zq] | 1,0 |
| Fattore correzione sismico inerziale [zg] | 1,0 |
| Fattore correzione sismico inerziale [zc] | 1,0 |

| | |
|------------------------|---------------------------|
| Carico limite | 1464,86 kN/m ² |
| Resistenza di progetto | 636,9 kN/m ² |

Condizione di verifica [Ed<=Rd] Verificata

Autore: VESIC (1975) (Condizione drenata)

| | |
|---|-------|
| Fattore [Nq] | 33,53 |
| Fattore [Nc] | 46,37 |
| Fattore [Ng] | 48,47 |
| Fattore forma [Sc] | 1,27 |
| Fattore profondità [Dc] | 1,0 |
| Fattore inclinazione carichi [Ic] | 1,0 |
| Fattore inclinazione pendio [Gc] | 1,0 |
| Fattore inclinazione base [Bc] | 1,0 |
| Fattore forma [Sq] | 1,27 |
| Fattore profondità [Dq] | 1,0 |
| Fattore inclinazione carichi [Iq] | 1,0 |
| Fattore inclinazione pendio [Gq] | 1,0 |
| Fattore inclinazione base [Bq] | 1,0 |
| Fattore forma [Sg] | 0,85 |
| Fattore profondità [Dg] | 1,0 |
| Fattore inclinazione carichi [Ig] | 1,0 |
| Fattore inclinazione pendio [Gg] | 1,0 |
| Fattore inclinazione base [Bg] | 1,0 |
| Fattore correzione sismico inerziale [zq] | 1,0 |
| Fattore correzione sismico inerziale [zg] | 1,0 |
| Fattore correzione sismico inerziale [zc] | 1,0 |

| | |
|------------------------|---------------------------|
| Carico limite | 1023,38 kN/m ² |
| Resistenza di progetto | 444,95 kN/m ² |

Condizione di verifica [Ed<=Rd] Verificata

Autore: Brinch - Hansen 1970 (Condizione drenata)

| | |
|---|---------------------------|
| Fattore [Nq] | 33,53 |
| Fattore [Nc] | 46,37 |
| Fattore [Ng] | 45,66 |
| Fattore forma [Sc] | 1,23 |
| Fattore profondità [Dc] | 1,0 |
| Fattore inclinazione carichi [Ic] | 1,0 |
| Fattore inclinazione pendio [Gc] | 1,0 |
| Fattore inclinazione base [Bc] | 1,0 |
| Fattore forma [Sq] | 1,22 |
| Fattore profondità [Dq] | 1,0 |
| Fattore inclinazione carichi [Iq] | 1,0 |
| Fattore inclinazione pendio [Gq] | 1,0 |
| Fattore inclinazione base [Bq] | 1,0 |
| Fattore forma [Sg] | 0,89 |
| Fattore profondità [Dg] | 1,0 |
| Fattore inclinazione carichi [Ig] | 1,0 |
| Fattore inclinazione pendio [Gg] | 1,0 |
| Fattore inclinazione base [Bg] | 1,0 |
| Fattore correzione sismico inerziale [zq] | 1,0 |
| Fattore correzione sismico inerziale [zg] | 1,0 |
| Fattore correzione sismico inerziale [zc] | 1,0 |
| Carico limite | 1404,28 kN/m ² |
| Resistenza di progetto | 610,56 kN/m ² |

Condizione di verifica [Ed<=Rd] Verificata

Autore: Meyerhof and Hanna (1978) (Condizione drenata)

| | |
|---------------------------------------|---------------------------|
| Strato 1 sopra, strato 2 sotto | |
| Fattori di capacità portante strato 1 | |
| Fattore [Nq] | 1,0 |
| Fattore [Nc] | 5,14 |
| Fattori di capacità portante strato 2 | |
| Fattore [Nq] | 42,92 |
| Fattore [Nc] | 55,63 |
| Fattore [Ng] | 14,03 |
| Carico limite strato 2 (qb) | 1169,34 kN/m ² |
| Carico limite strato 1 (qt) | 300,45 kN/m ² |
| Incremento carico limite strato 1 | 13,99 kN/m ² |
| Coefficiente di punzonamento (ks) | 0,0 |
| Rapporto (q1/q2) | 1,89 |

| | |
|------------------------|--------------------------|
| Carico limite | 300,45 kN/m ² |
| Resistenza di progetto | 130,63 kN/m ² |

Condizione di verifica [Ed<=Rd] Verificata

=====

Sisma A

Autore: HANSEN (1970) (Condizione drenata)

=====

| | |
|---|-------|
| Fattore [Nq] | 17,02 |
| Fattore [Nc] | 28,54 |
| Fattore [Ng] | 13,49 |
| Fattore forma [Sc] | 1,0 |
| Fattore profondità [Dc] | 1,0 |
| Fattore inclinazione carichi [Ic] | 0,83 |
| Fattore inclinazione pendio [Gc] | 1,0 |
| Fattore inclinazione base [Bc] | 1,0 |
| Fattore forma [Sq] | 1,0 |
| Fattore profondità [Dq] | 1,0 |
| Fattore inclinazione carichi [Iq] | 0,84 |
| Fattore inclinazione pendio [Gq] | 1,0 |
| Fattore inclinazione base [Bq] | 1,0 |
| Fattore forma [Sg] | 1,0 |
| Fattore profondità [Dg] | 1,0 |
| Fattore inclinazione carichi [Ig] | 0,78 |
| Fattore inclinazione pendio [Gg] | 1,0 |
| Fattore inclinazione base [Bg] | 1,0 |
| Fattore correzione sismico inerziale [zq] | 1,0 |
| Fattore correzione sismico inerziale [zg] | 1,0 |
| Fattore correzione sismico inerziale [zc] | 1,0 |

=====

| | |
|------------------------|--------------------------|
| Carico limite | 342,07 kN/m ² |
| Resistenza di progetto | 190,04 kN/m ² |

Condizione di verifica [Ed<=Rd] Verificata

=====

Autore: TERZAGHI (1955) (Condizione drenata)

=====

| | |
|---|-------|
| Fattore [Nq] | 20,71 |
| Fattore [Nc] | 35,11 |
| Fattore [Ng] | 18,05 |
| Fattore forma [Sc] | 1,0 |
| Fattore forma [Sg] | 1,0 |
| Fattore correzione sismico inerziale [zq] | 1,0 |
| Fattore correzione sismico inerziale [zg] | 1,0 |
| Fattore correzione sismico inerziale [zc] | 1,0 |

=====

| | |
|---------------|--------------------------|
| Carico limite | 637,01 kN/m ² |
|---------------|--------------------------|

Resistenza di progetto 353,9 kN/m²

Condizione di verifica [Ed<=Rd] Verificata

Autore: MEYERHOF (1963) (Condizione drenata)

| | |
|---|-------|
| Fattore [Nq] | 17,02 |
| Fattore [Nc] | 28,54 |
| Fattore [Ng] | 13,94 |
| Fattore forma [Sc] | 1,2 |
| Fattore profondità [Dc] | 1,0 |
| Fattore inclinazione carichi [Ic] | 0,91 |
| Fattore forma [Sq] | 1,1 |
| Fattore profondità [Dq] | 1,0 |
| Fattore inclinazione carichi [Iq] | 0,91 |
| Fattore forma [Sg] | 1,1 |
| Fattore profondità [Dg] | 1,0 |
| Fattore inclinazione carichi [Ig] | 0,75 |
| Fattore correzione sismico inerziale [zq] | 1,0 |
| Fattore correzione sismico inerziale [zg] | 1,0 |
| Fattore correzione sismico inerziale [zc] | 1,0 |

Carico limite 343,73 kN/m²

Resistenza di progetto 190,96 kN/m²

Condizione di verifica [Ed<=Rd] Verificata

Autore: VESIC (1975) (Condizione drenata)

| | |
|---|-------|
| Fattore [Nq] | 17,02 |
| Fattore [Nc] | 28,54 |
| Fattore [Ng] | 20,23 |
| Fattore forma [Sc] | 1,0 |
| Fattore profondità [Dc] | 1,0 |
| Fattore inclinazione carichi [Ic] | 0,88 |
| Fattore inclinazione pendio [Gc] | 1,0 |
| Fattore inclinazione base [Bc] | 1,0 |
| Fattore forma [Sq] | 1,0 |
| Fattore profondità [Dq] | 1,0 |
| Fattore inclinazione carichi [Iq] | 0,88 |
| Fattore inclinazione pendio [Gq] | 1,0 |
| Fattore inclinazione base [Bq] | 1,0 |
| Fattore forma [Sg] | 1,0 |
| Fattore profondità [Dg] | 1,0 |
| Fattore inclinazione carichi [Ig] | 0,82 |
| Fattore inclinazione pendio [Gg] | 1,0 |
| Fattore inclinazione base [Bg] | 1,0 |
| Fattore correzione sismico inerziale [zq] | 1,0 |

| | |
|---|--------------------------|
| Fattore correzione sismico inerziale [zg] | 1,0 |
| Fattore correzione sismico inerziale [zc] | 1,0 |
| ===== | |
| Carico limite | 508,47 kN/m ² |
| Resistenza di progetto | 282,48 kN/m ² |
| Condizione di verifica [Ed<=Rd] | Verificata |
| ===== | |

Autore: Brinch - Hansen 1970 (Condizione drenata)

| | |
|---|--------------------------|
| ===== | |
| Fattore [Nq] | 17,02 |
| Fattore [Nc] | 28,54 |
| Fattore [Ng] | 17,99 |
| Fattore forma [Sc] | 1,18 |
| Fattore profondità [Dc] | 1,0 |
| Fattore inclinazione carichi [Ic] | 0,88 |
| Fattore inclinazione pendio [Gc] | 1,0 |
| Fattore inclinazione base [Bc] | 1,0 |
| Fattore forma [Sq] | 1,17 |
| Fattore profondità [Dq] | 1,0 |
| Fattore inclinazione carichi [Iq] | 0,88 |
| Fattore inclinazione pendio [Gq] | 1,0 |
| Fattore inclinazione base [Bq] | 1,0 |
| Fattore forma [Sg] | 0,9 |
| Fattore profondità [Dg] | 1,0 |
| Fattore inclinazione carichi [Ig] | 0,82 |
| Fattore inclinazione pendio [Gg] | 1,0 |
| Fattore inclinazione base [Bg] | 1,0 |
| Fattore correzione sismico inerziale [zq] | 1,0 |
| Fattore correzione sismico inerziale [zg] | 1,0 |
| Fattore correzione sismico inerziale [zc] | 1,0 |
| ===== | |
| Carico limite | 430,21 kN/m ² |
| Resistenza di progetto | 239,0 kN/m ² |

| | |
|---------------------------------|------------|
| Condizione di verifica [Ed<=Rd] | Verificata |
| ===== | |

Autore: Meyerhof and Hanna (1978) (Condizione drenata)

Strato 1 sopra, strato 2 sotto

| | |
|---------------------------------------|-------|
| Fattori di capacità portante strato 1 | |
| Fattore [Nq] | 1,0 |
| Fattore [Nc] | 5,14 |
| Fattori di capacità portante strato 2 | |
| Fattore [Nq] | 42,92 |
| Fattore [Nc] | 55,63 |

| | |
|-----------------------------------|---------------------------|
| Fattore [Ng] | 14,03 |
| Carico limite strato 2 (qb) | 1169,34 kN/m ² |
| Carico limite strato 1 (qt) | 300,45 kN/m ² |
| Incremento carico limite strato 1 | 13,99 kN/m ² |
| Coefficiente di punzonamento (ks) | 0,0 |
| Rapporto (q1/q2) | 1,89 |
| ===== | |
| Carico limite | 300,45 kN/m ² |
| Resistenza di progetto | 166,91 kN/m ² |
| Condizione di verifica [Ed<=Rd] | Verificata |
| ===== | |

VERIFICA A SCORRIMENTO (Sisma A)

| | |
|--------------------------------------|----------------------|
| ===== | |
| Adesione terreno fondazione | 10 kN/m ² |
| Angolo di attrito terreno fondazione | 0 ° |
| Frazione spinta passiva | 0 % |
| Resistenza di progetto | 199,46 kN |
| Sollecitazione di progetto | 41,76 kN |
| Condizione di verifica [Ed<=Rd] | Verificata |
| ===== | |

Sisma B

Autore: HANSEN (1970) (Condizione drenata)

| | |
|---|-------|
| ===== | |
| Fattore [Nq] | 17,02 |
| Fattore [Nc] | 28,54 |
| Fattore [Ng] | 13,49 |
| Fattore forma [Sc] | 1,0 |
| Fattore profondità [Dc] | 1,0 |
| Fattore inclinazione carichi [Ic] | 0,83 |
| Fattore inclinazione pendio [Gc] | 1,0 |
| Fattore inclinazione base [Bc] | 1,0 |
| Fattore forma [Sq] | 1,0 |
| Fattore profondità [Dq] | 1,0 |
| Fattore inclinazione carichi [Iq] | 0,84 |
| Fattore inclinazione pendio [Gq] | 1,0 |
| Fattore inclinazione base [Bq] | 1,0 |
| Fattore forma [Sg] | 1,0 |
| Fattore profondità [Dg] | 1,0 |
| Fattore inclinazione carichi [Ig] | 0,78 |
| Fattore inclinazione pendio [Gg] | 1,0 |
| Fattore inclinazione base [Bg] | 1,0 |
| Fattore correzione sismico inerziale [zq] | 1,0 |
| Fattore correzione sismico inerziale [zg] | 1,0 |
| Fattore correzione sismico inerziale [zc] | 1,0 |

| | |
|------------------------|--------------------------|
| Carico limite | 369,46 kN/m ² |
| Resistenza di progetto | 205,25 kN/m ² |

Condizione di verifica [Ed<=Rd] Verificata

Autore: TERZAGHI (1955) (Condizione drenata)

| | |
|---|-------|
| Fattore [Nq] | 20,71 |
| Fattore [Nc] | 35,11 |
| Fattore [Ng] | 18,05 |
| Fattore forma [Sc] | 1,0 |
| Fattore forma [Sg] | 1,0 |
| Fattore correzione sismico inerziale [zq] | 1,0 |
| Fattore correzione sismico inerziale [zg] | 1,0 |
| Fattore correzione sismico inerziale [zc] | 1,0 |

| | |
|------------------------|--------------------------|
| Carico limite | 637,01 kN/m ² |
| Resistenza di progetto | 353,9 kN/m ² |

Condizione di verifica [Ed<=Rd] Verificata

Autore: MEYERHOF (1963) (Condizione drenata)

| | |
|---|-------|
| Fattore [Nq] | 17,02 |
| Fattore [Nc] | 28,54 |
| Fattore [Ng] | 13,94 |
| Fattore forma [Sc] | 1,22 |
| Fattore profondità [Dc] | 1,0 |
| Fattore inclinazione carichi [Ic] | 0,91 |
| Fattore forma [Sq] | 1,11 |
| Fattore profondità [Dq] | 1,0 |
| Fattore inclinazione carichi [Iq] | 0,91 |
| Fattore forma [Sg] | 1,11 |
| Fattore profondità [Dg] | 1,0 |
| Fattore inclinazione carichi [Ig] | 0,75 |
| Fattore correzione sismico inerziale [zq] | 1,0 |
| Fattore correzione sismico inerziale [zg] | 1,0 |
| Fattore correzione sismico inerziale [zc] | 1,0 |

| | |
|------------------------|--------------------------|
| Carico limite | 370,76 kN/m ² |
| Resistenza di progetto | 205,98 kN/m ² |

Condizione di verifica [Ed<=Rd] Verificata

Autore: VESIC (1975) (Condizione drenata)

| | |
|---|-------|
| Fattore [Nq] | 17,02 |
| Fattore [Nc] | 28,54 |
| Fattore [Ng] | 20,23 |
| Fattore forma [Sc] | 1,0 |
| Fattore profondità [Dc] | 1,0 |
| Fattore inclinazione carichi [Ic] | 0,88 |
| Fattore inclinazione pendio [Gc] | 1,0 |
| Fattore inclinazione base [Bc] | 1,0 |
| Fattore forma [Sq] | 1,0 |
| Fattore profondità [Dq] | 1,0 |
| Fattore inclinazione carichi [Iq] | 0,88 |
| Fattore inclinazione pendio [Gq] | 1,0 |
| Fattore inclinazione base [Bq] | 1,0 |
| Fattore forma [Sg] | 1,0 |
| Fattore profondità [Dg] | 1,0 |
| Fattore inclinazione carichi [Ig] | 0,82 |
| Fattore inclinazione pendio [Gg] | 1,0 |
| Fattore inclinazione base [Bg] | 1,0 |
| Fattore correzione sismico inerziale [zq] | 1,0 |
| Fattore correzione sismico inerziale [zg] | 1,0 |
| Fattore correzione sismico inerziale [zc] | 1,0 |

| | |
|------------------------|--------------------------|
| Carico limite | 551,74 kN/m ² |
| Resistenza di progetto | 306,52 kN/m ² |

Condizione di verifica [Ed<=Rd] Verificata

Autore: Brinch - Hansen 1970 (Condizione drenata)

| | |
|---|-------|
| Fattore [Nq] | 17,02 |
| Fattore [Nc] | 28,54 |
| Fattore [Ng] | 17,99 |
| Fattore forma [Sc] | 1,2 |
| Fattore profondità [Dc] | 1,0 |
| Fattore inclinazione carichi [Ic] | 0,91 |
| Fattore inclinazione pendio [Gc] | 1,0 |
| Fattore inclinazione base [Bc] | 1,0 |
| Fattore forma [Sq] | 1,19 |
| Fattore profondità [Dq] | 1,0 |
| Fattore inclinazione carichi [Iq] | 0,91 |
| Fattore inclinazione pendio [Gq] | 1,0 |
| Fattore inclinazione base [Bq] | 1,0 |
| Fattore forma [Sg] | 0,88 |
| Fattore profondità [Dg] | 1,0 |
| Fattore inclinazione carichi [Ig] | 0,85 |
| Fattore inclinazione pendio [Gg] | 1,0 |
| Fattore inclinazione base [Bg] | 1,0 |
| Fattore correzione sismico inerziale [zq] | 1,0 |
| Fattore correzione sismico inerziale [zg] | 1,0 |

| | |
|---|--------------------------|
| Fattore correzione sismico inerziale [zc] | 1,0 |
| ===== | |
| Carico limite | 473,42 kN/m ² |
| Resistenza di progetto | 263,01 kN/m ² |
| Condizione di verifica [Ed<=Rd] | Verificata |
| ===== | |

Autore: Meyerhof and Hanna (1978) (Condizione drenata)

Strato 1 sopra, strato 2 sotto

| | |
|---------------------------------------|---------------------------|
| Fattori di capacità portante strato 1 | |
| Fattore [Nq] | 1,0 |
| Fattore [Nc] | 5,14 |
| Fattori di capacità portante strato 2 | |
| Fattore [Nq] | 42,92 |
| Fattore [Nc] | 55,63 |
| Fattore [Ng] | 14,03 |
| Carico limite strato 2 (qb) | 1169,34 kN/m ² |
| Carico limite strato 1 (qt) | 300,45 kN/m ² |
| Incremento carico limite strato 1 | 13,99 kN/m ² |
| Coefficiente di punzonamento (ks) | 0,0 |
| Rapporto (q1/q2) | 1,89 |
| ===== | |
| Carico limite | 300,45 kN/m ² |
| Resistenza di progetto | 166,91 kN/m ² |

| | |
|---------------------------------|------------|
| Condizione di verifica [Ed<=Rd] | Verificata |
| ===== | |

VERIFICA A SCORRIMENTO (Sisma B)

| | |
|--------------------------------------|----------------------|
| Adesione terreno fondazione | 10 kN/m ² |
| Angolo di attrito terreno fondazione | 0 ° |
| Frazione spinta passiva | 0 % |
| Resistenza di progetto | 211,67 kN |
| Sollecitazione di progetto | 41,76 kN |

| | |
|---------------------------------|------------|
| Condizione di verifica [Ed<=Rd] | Verificata |
| ===== | |

4.4.2.2. Verifica su penetrometrica P2

STRATIGRAFIA TERRENO

| Spessore strato [m] | Peso unità di volume [kN/m³] | Peso unità di volume saturo [kN/m³] | Angolo di attrito [°] | Coesione [kN/m²] | Coesione non drenata [kN/m²] | Modulo Elastico [kN/m²] | Modulo Edometrico [kN/m²] | Poisson | Coeff. consolidaz. primaria [cmq/s] | Coeff. consolidazione secondaria | Descrizione |
|---------------------|------------------------------|-------------------------------------|-----------------------|------------------|------------------------------|-------------------------|---------------------------|---------|-------------------------------------|----------------------------------|-------------|
| 0,2 | 14,84 | 14,84 | 29,0 | 0,0 | 9,8067 | 5000,0 | 5000,0 | 0,0 | 0,0 | 0,0 | |
| 2,6 | 18,63 | 18,63 | 41,0 | 0,0 | 0,0 | 5000,0 | 5000,0 | 0,0 | 0,0 | 0,0 | |
| 3,8 | 17,65 | 17,65 | 35,0 | 0,0 | 0,0 | 5000,0 | 5000,0 | 0,0 | 0,0 | 0,0 | |

Carichi di progetto agenti sulla fondazione

| Nr. | Nome combinazione | Pressione normale di progetto [kN/m²] | N [kN] | Mx [kN·m] | My [kN·m] | Hx [kN] | Hy [kN] | Tipo |
|-----|-------------------|---------------------------------------|--------|-----------|-----------|---------|---------|----------|
| 1 | A1+M1+R3 | 0,00 | 880,60 | 0,00 | 0,00 | 0,00 | 0,00 | Progetto |
| 2 | Sisma A | 0,00 | 604,23 | 38,40 | -128,00 | 40,00 | 12,00 | Progetto |
| 3 | S.L.E. | 0,00 | 639,68 | 0,00 | 0,00 | 0,00 | 0,00 | Servizio |
| 4 | Sisma B | 0,00 | 604,23 | 128,00 | -38,40 | 12,00 | 40,00 | Progetto |

Sisma + Coeff. parziali parametri geotecnici terreno + Resistenze

| Nr | Correzione Sismica | Tangente angolo di resistenza al taglio | Coesione efficace | Coesione non drenata | Peso Unità volume in fondazione | Peso unità volume co-pertura | Coeff. Rid. Capacità portante verticale | Coeff. Rid. C capacità portante orizzontale |
|----|--------------------|---|-------------------|----------------------|---------------------------------|------------------------------|---|---|
| 1 | No | 1 | 1 | 1 | 1 | 1 | 2,3 | 1,1 |
| 2 | No | 1,25 | 1,25 | 1,4 | 1 | 1 | 1,8 | 1,1 |
| 3 | No | 1 | 1 | 1 | 1 | 1 | 1 | 1 |
| 4 | No | 1,25 | 1,25 | 1,4 | 1 | 1 | 1,8 | 1,1 |

CARICO LIMITE FONDAZIONE COMBINAZIONE...Sisma A

Autore: HANSEN (1970)

| | |
|---------------------------------|--------------|
| Carico limite [Qult] | 613,11 kN/m² |
| Resistenza di progetto [Rd] | 340,62 kN/m² |
| Tensione [Ed] | 22,03 kN/m² |
| Fattore sicurezza [Fs=Qult/Ed] | 27,83 |
| Condizione di verifica [Ed<=Rd] | Verificata |

COEFFICIENTE DI SOTTOFONDAZIONE BOWLES (1982)

Costante di Winkler 24524,33 kN/m³

A1+M1+R3

Autore: HANSEN (1970) (Condizione drenata)

| | |
|-----------------------------------|-------|
| Fattore [Nq] | 56,1 |
| Fattore [Nc] | 68,0 |
| Fattore [Ng] | 66,97 |
| Fattore forma [Sc] | 1,31 |
| Fattore profondità [Dc] | 1,0 |
| Fattore inclinazione carichi [Ic] | 1,0 |
| Fattore inclinazione pendio [Gc] | 1,0 |
| Fattore inclinazione base [Bc] | 1,0 |
| Fattore forma [Sq] | 1,31 |

| | |
|---|---------------------------|
| Fattore profondità [Dq] | 1,0 |
| Fattore inclinazione carichi [Iq] | 1,0 |
| Fattore inclinazione pendio [Gq] | 1,0 |
| Fattore inclinazione base [Bq] | 1,0 |
| Fattore forma [Sg] | 0,85 |
| Fattore profondità [Dg] | 1,0 |
| Fattore inclinazione carichi [Ig] | 1,0 |
| Fattore inclinazione pendio [Gg] | 1,0 |
| Fattore inclinazione base [Bg] | 1,0 |
| Fattore correzione sismico inerziale [zq] | 1,0 |
| Fattore correzione sismico inerziale [zg] | 1,0 |
| Fattore correzione sismico inerziale [zc] | 1,0 |
| Carico limite | 2089,95 kN/m ² |
| Resistenza di progetto | 908,67 kN/m ² |
| Condizione di verifica [Ed<=Rd] | Verificata |

Autore: TERZAGHI (1955) (Condizione drenata)

| | |
|---|---------------------------|
| Fattore [Nq] | 70,8 |
| Fattore [Nc] | 86,14 |
| Fattore [Ng] | 86,46 |
| Fattore forma [Sc] | 1,0 |
| Fattore forma [Sg] | 1,0 |
| Fattore correzione sismico inerziale [zq] | 1,0 |
| Fattore correzione sismico inerziale [zg] | 1,0 |
| Fattore correzione sismico inerziale [zc] | 1,0 |
| Carico limite | 3022,3 kN/m ² |
| Resistenza di progetto | 1314,04 kN/m ² |
| Condizione di verifica [Ed<=Rd] | Verificata |

Autore: MEYERHOF (1963) (Condizione drenata)

| | |
|---|-------|
| Fattore [Nq] | 56,1 |
| Fattore [Nc] | 68,0 |
| Fattore [Ng] | 77,61 |
| Fattore forma [Sc] | 1,33 |
| Fattore profondità [Dc] | 1,0 |
| Fattore inclinazione carichi [Ic] | 1,0 |
| Fattore forma [Sq] | 1,17 |
| Fattore profondità [Dq] | 1,0 |
| Fattore inclinazione carichi [Iq] | 1,0 |
| Fattore forma [Sg] | 1,17 |
| Fattore profondità [Dg] | 1,0 |
| Fattore inclinazione carichi [Ig] | 1,0 |
| Fattore correzione sismico inerziale [zq] | 1,0 |
| Fattore correzione sismico inerziale [zg] | 1,0 |
| Fattore correzione sismico inerziale [zc] | 1,0 |

Carico limite 3132,47 kN/m²
 Resistenza di progetto 1361,95 kN/m²

Condizione di verifica [Ed<=Rd] Verificata

Autore: VESIC (1975) (Condizione drenata)

| | |
|---|-------|
| Fattore [Nq] | 56,1 |
| Fattore [Nc] | 68,0 |
| Fattore [Ng] | 92,54 |
| Fattore forma [Sc] | 1,31 |
| Fattore profondità [Dc] | 1,0 |
| Fattore inclinazione carichi [Ic] | 1,0 |
| Fattore inclinazione pendio [Gc] | 1,0 |
| Fattore inclinazione base [Bc] | 1,0 |
| Fattore forma [Sq] | 1,31 |
| Fattore profondità [Dq] | 1,0 |
| Fattore inclinazione carichi [Iq] | 1,0 |
| Fattore inclinazione pendio [Gq] | 1,0 |
| Fattore inclinazione base [Bq] | 1,0 |
| Fattore forma [Sg] | 0,85 |
| Fattore profondità [Dg] | 1,0 |
| Fattore inclinazione carichi [Ig] | 1,0 |
| Fattore inclinazione pendio [Gg] | 1,0 |
| Fattore inclinazione base [Bg] | 1,0 |
| Fattore correzione sismico inerziale [zq] | 1,0 |
| Fattore correzione sismico inerziale [zg] | 1,0 |
| Fattore correzione sismico inerziale [zc] | 1,0 |

Carico limite 1333,47 kN/m²
 Resistenza di progetto 579,77 kN/m²

Condizione di verifica [Ed<=Rd] Verificata

Autore: Brinch - Hansen 1970 (Condizione drenata)

| | |
|-----------------------------------|------|
| Fattore [Nq] | 56,1 |
| Fattore [Nc] | 68,0 |
| Fattore [Ng] | 89,3 |
| Fattore forma [Sc] | 1,24 |
| Fattore profondità [Dc] | 1,0 |
| Fattore inclinazione carichi [Ic] | 1,0 |
| Fattore inclinazione pendio [Gc] | 1,0 |
| Fattore inclinazione base [Bc] | 1,0 |
| Fattore forma [Sq] | 1,24 |
| Fattore profondità [Dq] | 1,0 |
| Fattore inclinazione carichi [Iq] | 1,0 |
| Fattore inclinazione pendio [Gq] | 1,0 |
| Fattore inclinazione base [Bq] | 1,0 |
| Fattore forma [Sg] | 0,89 |
| Fattore profondità [Dg] | 1,0 |
| Fattore inclinazione carichi [Ig] | 1,0 |

| | |
|---|-----|
| Fattore inclinazione pendio [Gg] | 1,0 |
| Fattore inclinazione base [Bg] | 1,0 |
| Fattore correzione sismico inerziale [zq] | 1,0 |
| Fattore correzione sismico inerziale [zg] | 1,0 |
| Fattore correzione sismico inerziale [zc] | 1,0 |

| | |
|------------------------|---------------------------|
| Carico limite | 2783,99 kN/m ² |
| Resistenza di progetto | 1210,43 kN/m ² |

Condizione di verifica [Ed<=Rd] Verificata

Autore: Meyerhof and Hanna (1978) (Condizione drenata)

Strato 1 sopra, strato 2 sotto

| | |
|---------------------------------------|-------|
| Fattori di capacità portante strato 1 | |
| Fattore [Nq] | 73,9 |
| Fattore [Nc] | 83,86 |
| Fattore [Ng] | 27,26 |

| | |
|---------------------------------------|-------|
| Fattori di capacità portante strato 2 | |
| Fattore [Nq] | 33,3 |
| Fattore [Nc] | 46,12 |
| Fattore [Ng] | 10,18 |

| | |
|-----------------------------|---------------------------|
| Carico limite strato 2 (qb) | 2336,02 kN/m ² |
| Carico limite strato 1 (qt) | 1396,97 kN/m ² |

| | |
|-----------------------------------|--------------------------|
| Incremento carico limite strato 1 | 160,37 kN/m ² |
| Coefficiente di punzonamento (ks) | 4,42 |
| Rapporto (q1/q2) | 0,35 |

| | |
|------------------------|---------------------------|
| Carico limite | 1396,97 kN/m ² |
| Resistenza di progetto | 607,38 kN/m ² |

Condizione di verifica [Ed<=Rd] Verificata

Sisma A

Autore: HANSEN (1970) (Condizione drenata)

| | |
|-----------------------------------|-------|
| Fattore [Nq] | 25,95 |
| Fattore [Nc] | 38,48 |
| Fattore [Ng] | 24,26 |
| Fattore forma [Sc] | 1,0 |
| Fattore profondità [Dc] | 1,0 |
| Fattore inclinazione carichi [Ic] | 0,83 |
| Fattore inclinazione pendio [Gc] | 1,0 |
| Fattore inclinazione base [Bc] | 1,0 |
| Fattore forma [Sq] | 1,0 |
| Fattore profondità [Dq] | 1,0 |
| Fattore inclinazione carichi [Iq] | 0,84 |

| | |
|---|------|
| Fattore inclinazione pendio [Gq] | 1,0 |
| Fattore inclinazione base [Bq] | 1,0 |
| Fattore forma [Sg] | 1,0 |
| Fattore profondità [Dg] | 1,0 |
| Fattore inclinazione carichi [Ig] | 0,78 |
| Fattore inclinazione pendio [Gg] | 1,0 |
| Fattore inclinazione base [Bg] | 1,0 |
| Fattore correzione sismico inerziale [zq] | 1,0 |
| Fattore correzione sismico inerziale [zg] | 1,0 |
| Fattore correzione sismico inerziale [zc] | 1,0 |

| | |
|------------------------|--------------------------|
| Carico limite | 613,11 kN/m ² |
| Resistenza di progetto | 340,62 kN/m ² |

Condizione di verifica [Ed<=Rd] Verificata

Autore: TERZAGHI (1955) (Condizione drenata)

| | |
|---|-------|
| Fattore [Nq] | 32,05 |
| Fattore [Nc] | 47,89 |
| Fattore [Ng] | 31,77 |
| Fattore forma [Sc] | 1,0 |
| Fattore forma [Sg] | 1,0 |
| Fattore correzione sismico inerziale [zq] | 1,0 |
| Fattore correzione sismico inerziale [zg] | 1,0 |
| Fattore correzione sismico inerziale [zc] | 1,0 |

| | |
|------------------------|---------------------------|
| Carico limite | 1134,11 kN/m ² |
| Resistenza di progetto | 630,06 kN/m ² |

Condizione di verifica [Ed<=Rd] Verificata

Autore: MEYERHOF (1963) (Condizione drenata)

| | |
|---|-------|
| Fattore [Nq] | 25,95 |
| Fattore [Nc] | 38,48 |
| Fattore [Ng] | 25,96 |
| Fattore forma [Sc] | 1,23 |
| Fattore profondità [Dc] | 1,0 |
| Fattore inclinazione carichi [Ic] | 0,91 |
| Fattore forma [Sq] | 1,11 |
| Fattore profondità [Dq] | 1,0 |
| Fattore inclinazione carichi [Iq] | 0,91 |
| Fattore forma [Sg] | 1,11 |
| Fattore profondità [Dg] | 1,0 |
| Fattore inclinazione carichi [Ig] | 0,77 |
| Fattore correzione sismico inerziale [zq] | 1,0 |
| Fattore correzione sismico inerziale [zg] | 1,0 |
| Fattore correzione sismico inerziale [zc] | 1,0 |

| | |
|------------------------|--------------------------|
| Carico limite | 651,13 kN/m ² |
| Resistenza di progetto | 361,74 kN/m ² |

Condizione di verifica [Ed<=Rd] Verificata

Autore: VESIC (1975) (Condizione drenata)

| | |
|---|-------|
| Fattore [Nq] | 25,95 |
| Fattore [Nc] | 38,48 |
| Fattore [Ng] | 34,94 |
| Fattore forma [Sc] | 1,0 |
| Fattore profondità [Dc] | 1,0 |
| Fattore inclinazione carichi [Ic] | 0,88 |
| Fattore inclinazione pendio [Gc] | 1,0 |
| Fattore inclinazione base [Bc] | 1,0 |
| Fattore forma [Sq] | 1,0 |
| Fattore profondità [Dq] | 1,0 |
| Fattore inclinazione carichi [Iq] | 0,88 |
| Fattore inclinazione pendio [Gq] | 1,0 |
| Fattore inclinazione base [Bq] | 1,0 |
| Fattore forma [Sg] | 1,0 |
| Fattore profondità [Dg] | 1,0 |
| Fattore inclinazione carichi [Ig] | 0,82 |
| Fattore inclinazione pendio [Gg] | 1,0 |
| Fattore inclinazione base [Bg] | 1,0 |
| Fattore correzione sismico inerziale [zq] | 1,0 |
| Fattore correzione sismico inerziale [zg] | 1,0 |
| Fattore correzione sismico inerziale [zc] | 1,0 |

| | |
|------------------------|--------------------------|
| Carico limite | 739,53 kN/m ² |
| Resistenza di progetto | 410,85 kN/m ² |

Condizione di verifica [Ed<=Rd] Verificata

Autore: Brinch - Hansen 1970 (Condizione drenata)

| | |
|-----------------------------------|-------|
| Fattore [Nq] | 25,95 |
| Fattore [Nc] | 38,48 |
| Fattore [Ng] | 32,35 |
| Fattore forma [Sc] | 1,19 |
| Fattore profondità [Dc] | 1,0 |
| Fattore inclinazione carichi [Ic] | 0,88 |
| Fattore inclinazione pendio [Gc] | 1,0 |
| Fattore inclinazione base [Bc] | 1,0 |
| Fattore forma [Sq] | 1,18 |
| Fattore profondità [Dq] | 1,0 |
| Fattore inclinazione carichi [Iq] | 0,88 |
| Fattore inclinazione pendio [Gq] | 1,0 |
| Fattore inclinazione base [Bq] | 1,0 |
| Fattore forma [Sg] | 0,9 |
| Fattore profondità [Dg] | 1,0 |
| Fattore inclinazione carichi [Ig] | 0,82 |
| Fattore inclinazione pendio [Gg] | 1,0 |
| Fattore inclinazione base [Bg] | 1,0 |

| | |
|---|-----|
| Fattore correzione sismico inerziale [zq] | 1,0 |
| Fattore correzione sismico inerziale [zg] | 1,0 |
| Fattore correzione sismico inerziale [zc] | 1,0 |

| | |
|------------------------|--------------------------|
| Carico limite | 773,61 kN/m ² |
| Resistenza di progetto | 429,78 kN/m ² |

Condizione di verifica [Ed<=Rd] Verificata

Autore: Meyerhof and Hanna (1978) (Condizione drenata)

Strato 1 sopra, strato 2 sotto

| | |
|---------------------------------------|-------|
| Fattori di capacità portante strato 1 | |
| Fattore [Nq] | 73,9 |
| Fattore [Nc] | 83,86 |
| Fattore [Ng] | 27,26 |

| | |
|---------------------------------------|-------|
| Fattori di capacità portante strato 2 | |
| Fattore [Nq] | 33,3 |
| Fattore [Nc] | 46,12 |
| Fattore [Ng] | 10,18 |

| | |
|-----------------------------|---------------------------|
| Carico limite strato 2 (qb) | 2336,02 kN/m ² |
| Carico limite strato 1 (qt) | 1396,97 kN/m ² |

| | |
|-----------------------------------|--------------------------|
| Incremento carico limite strato 1 | 160,37 kN/m ² |
| Coefficiente di punzonamento (ks) | 4,42 |
| Rapporto (q1/q2) | 0,35 |

| | |
|------------------------|---------------------------|
| Carico limite | 1396,97 kN/m ² |
| Resistenza di progetto | 776,09 kN/m ² |

Condizione di verifica [Ed<=Rd] Verificata

VERIFICA A SCORRIMENTO (Sisma A)

| | |
|--------------------------------------|----------------------|
| Adesione terreno fondazione | 10 kN/m ² |
| Angolo di attrito terreno fondazione | 0 ° |
| Frazione spinta passiva | 0 % |
| Resistenza di progetto | 199,46 kN |
| Sollecitazione di progetto | 41,76 kN |

Condizione di verifica [Ed<=Rd] Verificata

Sisma B

Autore: HANSEN (1970) (Condizione drenata)

| | |
|--------------|-------|
| Fattore [Nq] | 25,95 |
| Fattore [Nc] | 38,48 |
| Fattore [Ng] | 24,26 |

| | |
|---|------|
| Fattore forma [Sc] | 1,0 |
| Fattore profondità [Dc] | 1,0 |
| Fattore inclinazione carichi [Ic] | 0,83 |
| Fattore inclinazione pendio [Gc] | 1,0 |
| Fattore inclinazione base [Bc] | 1,0 |
| Fattore forma [Sq] | 1,0 |
| Fattore profondità [Dq] | 1,0 |
| Fattore inclinazione carichi [Iq] | 0,84 |
| Fattore inclinazione pendio [Gq] | 1,0 |
| Fattore inclinazione base [Bq] | 1,0 |
| Fattore forma [Sg] | 1,0 |
| Fattore profondità [Dg] | 1,0 |
| Fattore inclinazione carichi [Ig] | 0,78 |
| Fattore inclinazione pendio [Gg] | 1,0 |
| Fattore inclinazione base [Bg] | 1,0 |
| Fattore correzione sismico inerziale [zq] | 1,0 |
| Fattore correzione sismico inerziale [zg] | 1,0 |
| Fattore correzione sismico inerziale [zc] | 1,0 |

| | |
|------------------------|--------------------------|
| Carico limite | 664,53 kN/m ² |
| Resistenza di progetto | 369,19 kN/m ² |

Condizione di verifica [Ed<=Rd] Verificata

Autore: TERZAGHI (1955) (Condizione drenata)

| | |
|---|-------|
| Fattore [Nq] | 32,05 |
| Fattore [Nc] | 47,89 |
| Fattore [Ng] | 31,77 |
| Fattore forma [Sc] | 1,0 |
| Fattore forma [Sg] | 1,0 |
| Fattore correzione sismico inerziale [zq] | 1,0 |
| Fattore correzione sismico inerziale [zg] | 1,0 |
| Fattore correzione sismico inerziale [zc] | 1,0 |

| | |
|------------------------|---------------------------|
| Carico limite | 1134,11 kN/m ² |
| Resistenza di progetto | 630,06 kN/m ² |

Condizione di verifica [Ed<=Rd] Verificata

Autore: MEYERHOF (1963) (Condizione drenata)

| | |
|-----------------------------------|-------|
| Fattore [Nq] | 25,95 |
| Fattore [Nc] | 38,48 |
| Fattore [Ng] | 25,96 |
| Fattore forma [Sc] | 1,26 |
| Fattore profondità [Dc] | 1,0 |
| Fattore inclinazione carichi [Ic] | 0,91 |
| Fattore forma [Sq] | 1,13 |
| Fattore profondità [Dq] | 1,0 |
| Fattore inclinazione carichi [Iq] | 0,91 |
| Fattore forma [Sg] | 1,13 |

| | |
|---|------|
| Fattore profondità [Dg] | 1,0 |
| Fattore inclinazione carichi [Ig] | 0,77 |
| Fattore correzione sismico inerziale [zq] | 1,0 |
| Fattore correzione sismico inerziale [zg] | 1,0 |
| Fattore correzione sismico inerziale [zc] | 1,0 |

| | |
|------------------------|--------------------------|
| Carico limite | 705,52 kN/m ² |
| Resistenza di progetto | 391,96 kN/m ² |

Condizione di verifica [Ed<=Rd] Verificata

Autore: VESIC (1975) (Condizione drenata)

| | |
|---|-------|
| Fattore [Nq] | 25,95 |
| Fattore [Nc] | 38,48 |
| Fattore [Ng] | 34,94 |
| Fattore forma [Sc] | 1,0 |
| Fattore profondità [Dc] | 1,0 |
| Fattore inclinazione carichi [Ic] | 0,88 |
| Fattore inclinazione pendio [Gc] | 1,0 |
| Fattore inclinazione base [Bc] | 1,0 |
| Fattore forma [Sq] | 1,0 |
| Fattore profondità [Dq] | 1,0 |
| Fattore inclinazione carichi [Iq] | 0,88 |
| Fattore inclinazione pendio [Gq] | 1,0 |
| Fattore inclinazione base [Bq] | 1,0 |
| Fattore forma [Sg] | 1,0 |
| Fattore profondità [Dg] | 1,0 |
| Fattore inclinazione carichi [Ig] | 0,82 |
| Fattore inclinazione pendio [Gg] | 1,0 |
| Fattore inclinazione base [Bg] | 1,0 |
| Fattore correzione sismico inerziale [zq] | 1,0 |
| Fattore correzione sismico inerziale [zg] | 1,0 |
| Fattore correzione sismico inerziale [zc] | 1,0 |

| | |
|------------------------|--------------------------|
| Carico limite | 804,3 kN/m ² |
| Resistenza di progetto | 446,83 kN/m ² |

Condizione di verifica [Ed<=Rd] Verificata

Autore: Brinch - Hansen 1970 (Condizione drenata)

| | |
|-----------------------------------|-------|
| Fattore [Nq] | 25,95 |
| Fattore [Nc] | 38,48 |
| Fattore [Ng] | 32,35 |
| Fattore forma [Sc] | 1,22 |
| Fattore profondità [Dc] | 1,0 |
| Fattore inclinazione carichi [Ic] | 0,91 |
| Fattore inclinazione pendio [Gc] | 1,0 |
| Fattore inclinazione base [Bc] | 1,0 |
| Fattore forma [Sq] | 1,21 |
| Fattore profondità [Dq] | 1,0 |

| | |
|---|------|
| Fattore inclinazione carichi [Iq] | 0,91 |
| Fattore inclinazione pendio [Gq] | 1,0 |
| Fattore inclinazione base [Bq] | 1,0 |
| Fattore forma [Sg] | 0,88 |
| Fattore profondità [Dg] | 1,0 |
| Fattore inclinazione carichi [Ig] | 0,85 |
| Fattore inclinazione pendio [Gg] | 1,0 |
| Fattore inclinazione base [Bg] | 1,0 |
| Fattore correzione sismico inerziale [zq] | 1,0 |
| Fattore correzione sismico inerziale [zg] | 1,0 |
| Fattore correzione sismico inerziale [zc] | 1,0 |

| | |
|------------------------|--------------------------|
| Carico limite | 853,31 kN/m ² |
| Resistenza di progetto | 474,06 kN/m ² |

Condizione di verifica [Ed<=Rd] Verificata

Autore: Meyerhof and Hanna (1978) (Condizione drenata)

Strato 1 sopra, strato 2 sotto

| | |
|---------------------------------------|-------|
| Fattori di capacità portante strato 1 | |
| Fattore [Nq] | 73,9 |
| Fattore [Nc] | 83,86 |
| Fattore [Ng] | 27,26 |

| | |
|---------------------------------------|-------|
| Fattori di capacità portante strato 2 | |
| Fattore [Nq] | 33,3 |
| Fattore [Nc] | 46,12 |
| Fattore [Ng] | 10,18 |

| | |
|-----------------------------|---------------------------|
| Carico limite strato 2 (qb) | 2336,02 kN/m ² |
| Carico limite strato 1 (qt) | 1396,97 kN/m ² |

| | |
|-----------------------------------|--------------------------|
| Incremento carico limite strato 1 | 160,37 kN/m ² |
| Coefficiente di punzonamento (ks) | 4,42 |
| Rapporto (q1/q2) | 0,35 |

| | |
|------------------------|---------------------------|
| Carico limite | 1396,97 kN/m ² |
| Resistenza di progetto | 776,09 kN/m ² |

Condizione di verifica [Ed<=Rd] Verificata

VERIFICA A SCORRIMENTO (Sisma B)

| | |
|--------------------------------------|----------------------|
| Adesione terreno fondazione | 10 kN/m ² |
| Angolo di attrito terreno fondazione | 0 ° |
| Frazione spinta passiva | 0 % |
| Resistenza di progetto | 211,67 kN |
| Sollecitazione di progetto | 41,76 kN |

Condizione di verifica [Ed<=Rd] Verificata

4.4.2.3. Verifica su penetrometrica P3

STRATIGRAFIA TERRENO

| Spessore strato [m] | Peso unità di volume [kN/m ³] | Peso unità di volume saturo [kN/m ³] | Angolo di attrito [°] | Coesione [kN/m ²] | Coesione non drenata [kN/m ²] | Modulo Elastico [kN/m ²] | Modulo Edometrico [kN/m ²] | Poisson | Coeff. consolidaz. primaria [cmq/s] | Coeff. consolidazione secondaria | Descrizione |
|---------------------|---|--|-----------------------|-------------------------------|---|--------------------------------------|--|---------|-------------------------------------|----------------------------------|-------------|
| 0,4 | 15,85 | 15,85 | 29,0 | 0,0 | 19,61 | 5000,0 | 5000,0 | 0,0 | 0,0 | 0,0 | |
| 2,4 | 18,63 | 18,63 | 40,0 | 0,0 | 0,0 | 5000,0 | 5000,0 | 0,0 | 0,0 | 0,0 | |
| 2,2 | 17,65 | 17,65 | 35,0 | 0,0 | 0,0 | 5000,0 | 5000,0 | 0,0 | 0,0 | 0,0 | |
| 1,0 | 17,65 | 17,65 | 33,0 | 0,0 | 0,0 | 5000,0 | 5000,0 | 0,0 | 0,0 | 0,0 | |
| 1,0 | 17,65 | 17,65 | 35,0 | 0,0 | 0,0 | 5000,0 | 5000,0 | 0,0 | 0,0 | 0,0 | |

Carichi di progetto agenti sulla fondazione

| Nr. | Nome combinazione | Pressione normale di progetto [kN/m ²] | N [kN] | Mx [kN·m] | My [kN·m] | Hx [kN] | Hy [kN] | Tipo |
|-----|-------------------|--|--------|-----------|-----------|---------|---------|----------|
| 1 | A1+M1+R3 | 0,00 | 880,60 | 0,00 | 0,00 | 0,00 | 0,00 | Progetto |
| 2 | Sisma A | 0,00 | 604,23 | 38,40 | -128,00 | 40,00 | 12,00 | Progetto |
| 3 | S.L.E. | 0,00 | 639,68 | 0,00 | 0,00 | 0,00 | 0,00 | Servizio |
| 4 | Sisma B | 0,00 | 604,23 | 128,00 | -38,40 | 12,00 | 40,00 | Progetto |

Sisma + Coeff. parziali parametri geotecnici terreno + Resistenze

| Nr | Correzione Sismica | Tangente angolo di resistenza al taglio | Coesione efficace | Coesione non drenata | Peso Unità volume in fondazione | Peso unità volume co-pertura | Coeff. Rid. Capacità portante verticale | Coeff. Rid. C capacità portante orizzontale |
|----|--------------------|---|-------------------|----------------------|---------------------------------|------------------------------|---|---|
| 1 | No | 1 | 1 | 1 | 1 | 1 | 2,3 | 1,1 |
| 2 | No | 1,25 | 1,25 | 1,4 | 1 | 1 | 1,8 | 1,1 |
| 3 | No | 1 | 1 | 1 | 1 | 1 | 1 | 1 |
| 4 | No | 1,25 | 1,25 | 1,4 | 1 | 1 | 1,8 | 1,1 |

CARICO LIMITE FONDAZIONE COMBINAZIONE...A1+M1+R3

Autore: Meyerhof and Hanna (1978)

| | |
|---------------------------------|--------------------------|
| Carico limite [Qult] | 139,99 kN/m ² |
| Resistenza di progetto[Rd] | 60,87 kN/m ² |
| Tensione [Ed] | 27,8 kN/m ² |
| Fattore sicurezza [Fs=Qult/Ed] | 5,04 |
| Condizione di verifica [Ed<=Rd] | Verificata |

COEFFICIENTE DI SOTTOFONDAZIONE BOWLES (1982)

Costante di Winkler 107148,7 kN/m³

A1+M1+R3

Autore: HANSEN (1970) (Condizione drenata)

Fattore [Nq] 54,23

| | |
|---|-------|
| Fattore [Nc] | 66,28 |
| Fattore [Ng] | 64,13 |
| Fattore forma [Sc] | 1,31 |
| Fattore profondità [Dc] | 1,0 |
| Fattore inclinazione carichi [Ic] | 1,0 |
| Fattore inclinazione pendio [Gc] | 1,0 |
| Fattore inclinazione base [Bc] | 1,0 |
| Fattore forma [Sq] | 1,31 |
| Fattore profondità [Dq] | 1,0 |
| Fattore inclinazione carichi [Iq] | 1,0 |
| Fattore inclinazione pendio [Gq] | 1,0 |
| Fattore inclinazione base [Bq] | 1,0 |
| Fattore forma [Sg] | 0,85 |
| Fattore profondità [Dg] | 1,0 |
| Fattore inclinazione carichi [Ig] | 1,0 |
| Fattore inclinazione pendio [Gg] | 1,0 |
| Fattore inclinazione base [Bg] | 1,0 |
| Fattore correzione sismico inerziale [zq] | 1,0 |
| Fattore correzione sismico inerziale [zg] | 1,0 |
| Fattore correzione sismico inerziale [zc] | 1,0 |

| | |
|------------------------|---------------------------|
| Carico limite | 2012,38 kN/m ² |
| Resistenza di progetto | 874,95 kN/m ² |

Condizione di verifica [Ed<=Rd] Verificata

Autore: TERZAGHI (1955) (Condizione drenata)

| | |
|---|-------|
| Fattore [Nq] | 68,38 |
| Fattore [Nc] | 83,9 |
| Fattore [Ng] | 83,14 |
| Fattore forma [Sc] | 1,0 |
| Fattore forma [Sg] | 1,0 |
| Fattore correzione sismico inerziale [zq] | 1,0 |
| Fattore correzione sismico inerziale [zg] | 1,0 |
| Fattore correzione sismico inerziale [zc] | 1,0 |

| | |
|------------------------|---------------------------|
| Carico limite | 2918,87 kN/m ² |
| Resistenza di progetto | 1269,08 kN/m ² |

Condizione di verifica [Ed<=Rd] Verificata

Autore: MEYERHOF (1963) (Condizione drenata)

| | |
|-----------------------------------|-------|
| Fattore [Nq] | 54,23 |
| Fattore [Nc] | 66,28 |
| Fattore [Ng] | 74,01 |
| Fattore forma [Sc] | 1,33 |
| Fattore profondità [Dc] | 1,0 |
| Fattore inclinazione carichi [Ic] | 1,0 |
| Fattore forma [Sq] | 1,17 |
| Fattore profondità [Dq] | 1,0 |

| | |
|---|------|
| Fattore inclinazione carichi [Iq] | 1,0 |
| Fattore forma [Sg] | 1,17 |
| Fattore profondità [Dg] | 1,0 |
| Fattore inclinazione carichi [Ig] | 1,0 |
| Fattore correzione sismico inerziale [zq] | 1,0 |
| Fattore correzione sismico inerziale [zg] | 1,0 |
| Fattore correzione sismico inerziale [zc] | 1,0 |

| | |
|------------------------|---------------------------|
| Carico limite | 2997,44 kN/m ² |
| Resistenza di progetto | 1303,24 kN/m ² |

Condizione di verifica [Ed<=Rd] Verificata

Autore: VESIC (1975) (Condizione drenata)

| | |
|---|-------|
| Fattore [Nq] | 54,23 |
| Fattore [Nc] | 66,28 |
| Fattore [Ng] | 88,71 |
| Fattore forma [Sc] | 1,31 |
| Fattore profondità [Dc] | 1,0 |
| Fattore inclinazione carichi [Ic] | 1,0 |
| Fattore inclinazione pendio [Gc] | 1,0 |
| Fattore inclinazione base [Bc] | 1,0 |
| Fattore forma [Sq] | 1,31 |
| Fattore profondità [Dq] | 1,0 |
| Fattore inclinazione carichi [Iq] | 1,0 |
| Fattore inclinazione pendio [Gq] | 1,0 |
| Fattore inclinazione base [Bq] | 1,0 |
| Fattore forma [Sg] | 0,85 |
| Fattore profondità [Dg] | 1,0 |
| Fattore inclinazione carichi [Ig] | 1,0 |
| Fattore inclinazione pendio [Gg] | 1,0 |
| Fattore inclinazione base [Bg] | 1,0 |
| Fattore correzione sismico inerziale [zq] | 1,0 |
| Fattore correzione sismico inerziale [zg] | 1,0 |
| Fattore correzione sismico inerziale [zc] | 1,0 |

| | |
|------------------------|---------------------------|
| Carico limite | 1324,82 kN/m ² |
| Resistenza di progetto | 576,01 kN/m ² |

Condizione di verifica [Ed<=Rd] Verificata

Autore: Brinch - Hansen 1970 (Condizione drenata)

| | |
|-----------------------------------|-------|
| Fattore [Nq] | 54,23 |
| Fattore [Nc] | 66,28 |
| Fattore [Ng] | 85,5 |
| Fattore forma [Sc] | 1,24 |
| Fattore profondità [Dc] | 1,0 |
| Fattore inclinazione carichi [Ic] | 1,0 |
| Fattore inclinazione pendio [Gc] | 1,0 |
| Fattore inclinazione base [Bc] | 1,0 |

| | |
|---|------|
| Fattore forma [Sq] | 1,24 |
| Fattore profondità [Dq] | 1,0 |
| Fattore inclinazione carichi [Iq] | 1,0 |
| Fattore inclinazione pendio [Gq] | 1,0 |
| Fattore inclinazione base [Bq] | 1,0 |
| Fattore forma [Sg] | 0,89 |
| Fattore profondità [Dg] | 1,0 |
| Fattore inclinazione carichi [Ig] | 1,0 |
| Fattore inclinazione pendio [Gg] | 1,0 |
| Fattore inclinazione base [Bg] | 1,0 |
| Fattore correzione sismico inerziale [zq] | 1,0 |
| Fattore correzione sismico inerziale [zg] | 1,0 |
| Fattore correzione sismico inerziale [zc] | 1,0 |

| | |
|------------------------|---------------------------|
| Carico limite | 2678,72 kN/m ² |
| Resistenza di progetto | 1164,66 kN/m ² |

Condizione di verifica [Ed<=Rd] Verificata

Autore: Meyerhof and Hanna (1978) (Condizione drenata)

Strato 1 sopra, strato 2 sotto

| | |
|---------------------------------------|------|
| Fattori di capacità portante strato 1 | |
| Fattore [Nq] | 1,0 |
| Fattore [Nc] | 5,14 |

| | |
|---------------------------------------|-------|
| Fattori di capacità portante strato 2 | |
| Fattore [Nq] | 64,2 |
| Fattore [Nc] | 75,31 |
| Fattore [Ng] | 23,0 |

| | |
|-----------------------------|---------------------------|
| Carico limite strato 2 (qb) | 1351,55 kN/m ² |
| Carico limite strato 1 (qt) | 139,99 kN/m ² |

| | |
|-----------------------------------|-----------------------|
| Incremento carico limite strato 1 | 1,7 kN/m ² |
| Coefficiente di punzonamento (ks) | 0,0 |
| Rapporto (q1/q2) | 7,38 |

| | |
|------------------------|--------------------------|
| Carico limite | 139,99 kN/m ² |
| Resistenza di progetto | 60,87 kN/m ² |

Condizione di verifica [Ed<=Rd] Verificata

Sisma A

Autore: HANSEN (1970) (Condizione drenata)

| | |
|--------------------|-------|
| Fattore [Nq] | 25,24 |
| Fattore [Nc] | 37,72 |
| Fattore [Ng] | 23,36 |
| Fattore forma [Sc] | 1,0 |

| | |
|---|------|
| Fattore profondità [Dc] | 1,0 |
| Fattore inclinazione carichi [Ic] | 0,83 |
| Fattore inclinazione pendio [Gc] | 1,0 |
| Fattore inclinazione base [Bc] | 1,0 |
| Fattore forma [Sq] | 1,0 |
| Fattore profondità [Dq] | 1,0 |
| Fattore inclinazione carichi [Iq] | 0,84 |
| Fattore inclinazione pendio [Gq] | 1,0 |
| Fattore inclinazione base [Bq] | 1,0 |
| Fattore forma [Sg] | 1,0 |
| Fattore profondità [Dg] | 1,0 |
| Fattore inclinazione carichi [Ig] | 0,78 |
| Fattore inclinazione pendio [Gg] | 1,0 |
| Fattore inclinazione base [Bg] | 1,0 |
| Fattore correzione sismico inerziale [zq] | 1,0 |
| Fattore correzione sismico inerziale [zg] | 1,0 |
| Fattore correzione sismico inerziale [zc] | 1,0 |

| | |
|------------------------|--------------------------|
| Carico limite | 593,88 kN/m ² |
| Resistenza di progetto | 329,93 kN/m ² |

Condizione di verifica [Ed<=Rd] Verificata

Autore: TERZAGHI (1955) (Condizione drenata)

| | |
|---|-------|
| Fattore [Nq] | 31,14 |
| Fattore [Nc] | 46,91 |
| Fattore [Ng] | 30,69 |
| Fattore forma [Sc] | 1,0 |
| Fattore forma [Sg] | 1,0 |
| Fattore correzione sismico inerziale [zq] | 1,0 |
| Fattore correzione sismico inerziale [zg] | 1,0 |
| Fattore correzione sismico inerziale [zc] | 1,0 |

| | |
|------------------------|---------------------------|
| Carico limite | 1100,76 kN/m ² |
| Resistenza di progetto | 611,53 kN/m ² |

Condizione di verifica [Ed<=Rd] Verificata

Autore: MEYERHOF (1963) (Condizione drenata)

| | |
|-----------------------------------|-------|
| Fattore [Nq] | 25,24 |
| Fattore [Nc] | 37,72 |
| Fattore [Ng] | 24,93 |
| Fattore forma [Sc] | 1,23 |
| Fattore profondità [Dc] | 1,0 |
| Fattore inclinazione carichi [Ic] | 0,91 |
| Fattore forma [Sq] | 1,11 |
| Fattore profondità [Dq] | 1,0 |
| Fattore inclinazione carichi [Iq] | 0,91 |
| Fattore forma [Sg] | 1,11 |
| Fattore profondità [Dg] | 1,0 |

| | |
|---|------|
| Fattore inclinazione carichi [Ig] | 0,77 |
| Fattore correzione sismico inerziale [zq] | 1,0 |
| Fattore correzione sismico inerziale [zg] | 1,0 |
| Fattore correzione sismico inerziale [zc] | 1,0 |

| | |
|------------------------|--------------------------|
| Carico limite | 628,36 kN/m ² |
| Resistenza di progetto | 349,09 kN/m ² |

Condizione di verifica [Ed<=Rd] Verificata

Autore: VESIC (1975) (Condizione drenata)

| | |
|---|-------|
| Fattore [Nq] | 25,24 |
| Fattore [Nc] | 37,72 |
| Fattore [Ng] | 33,71 |
| Fattore forma [Sc] | 1,0 |
| Fattore profondità [Dc] | 1,0 |
| Fattore inclinazione carichi [Ic] | 0,88 |
| Fattore inclinazione pendio [Gc] | 1,0 |
| Fattore inclinazione base [Bc] | 1,0 |
| Fattore forma [Sq] | 1,0 |
| Fattore profondità [Dq] | 1,0 |
| Fattore inclinazione carichi [Iq] | 0,88 |
| Fattore inclinazione pendio [Gq] | 1,0 |
| Fattore inclinazione base [Bq] | 1,0 |
| Fattore forma [Sg] | 1,0 |
| Fattore profondità [Dg] | 1,0 |
| Fattore inclinazione carichi [Ig] | 0,82 |
| Fattore inclinazione pendio [Gg] | 1,0 |
| Fattore inclinazione base [Bg] | 1,0 |
| Fattore correzione sismico inerziale [zq] | 1,0 |
| Fattore correzione sismico inerziale [zg] | 1,0 |
| Fattore correzione sismico inerziale [zc] | 1,0 |

| | |
|------------------------|--------------------------|
| Carico limite | 733,45 kN/m ² |
| Resistenza di progetto | 407,47 kN/m ² |

Condizione di verifica [Ed<=Rd] Verificata

Autore: Brinch - Hansen 1970 (Condizione drenata)

| | |
|-----------------------------------|-------|
| Fattore [Nq] | 25,24 |
| Fattore [Nc] | 37,72 |
| Fattore [Ng] | 31,14 |
| Fattore forma [Sc] | 1,19 |
| Fattore profondità [Dc] | 1,0 |
| Fattore inclinazione carichi [Ic] | 0,88 |
| Fattore inclinazione pendio [Gc] | 1,0 |
| Fattore inclinazione base [Bc] | 1,0 |
| Fattore forma [Sq] | 1,18 |
| Fattore profondità [Dq] | 1,0 |
| Fattore inclinazione carichi [Iq] | 0,88 |

| | |
|---|------|
| Fattore inclinazione pendio [Gq] | 1,0 |
| Fattore inclinazione base [Bq] | 1,0 |
| Fattore forma [Sg] | 0,9 |
| Fattore profondità [Dg] | 1,0 |
| Fattore inclinazione carichi [Ig] | 0,82 |
| Fattore inclinazione pendio [Gg] | 1,0 |
| Fattore inclinazione base [Bg] | 1,0 |
| Fattore correzione sismico inerziale [zq] | 1,0 |
| Fattore correzione sismico inerziale [zg] | 1,0 |
| Fattore correzione sismico inerziale [zc] | 1,0 |

| | |
|------------------------|--------------------------|
| Carico limite | 749,22 kN/m ² |
| Resistenza di progetto | 416,23 kN/m ² |

Condizione di verifica [Ed<=Rd] Verificata

Autore: Meyerhof and Hanna (1978) (Condizione drenata)

Strato 1 sopra, strato 2 sotto

| | |
|---------------------------------------|------|
| Fattori di capacità portante strato 1 | |
| Fattore [Nq] | 1,0 |
| Fattore [Nc] | 5,14 |

| | |
|---------------------------------------|-------|
| Fattori di capacità portante strato 2 | |
| Fattore [Nq] | 64,2 |
| Fattore [Nc] | 75,31 |
| Fattore [Ng] | 23,0 |

| | |
|-----------------------------|---------------------------|
| Carico limite strato 2 (qb) | 1351,55 kN/m ² |
| Carico limite strato 1 (qt) | 139,99 kN/m ² |

| | |
|-----------------------------------|-----------------------|
| Incremento carico limite strato 1 | 1,7 kN/m ² |
| Coefficiente di punzonamento (ks) | 0,0 |
| Rapporto (q1/q2) | 7,38 |

| | |
|------------------------|--------------------------|
| Carico limite | 139,99 kN/m ² |
| Resistenza di progetto | 77,77 kN/m ² |

Condizione di verifica [Ed<=Rd] Verificata

VERIFICA A SCORRIMENTO (Sisma A)

| | |
|--------------------------------------|----------------------|
| Adesione terreno fondazione | 10 kN/m ² |
| Angolo di attrito terreno fondazione | 0 ° |
| Frazione spinta passiva | 0 % |
| Resistenza di progetto | 199,46 kN |
| Sollecitazione di progetto | 41,76 kN |

Condizione di verifica [Ed<=Rd] Verificata

Sisma B

Autore: HANSEN (1970) (Condizione drenata)

| | |
|---|-------|
| Fattore [Nq] | 25,24 |
| Fattore [Nc] | 37,72 |
| Fattore [Ng] | 23,36 |
| Fattore forma [Sc] | 1,0 |
| Fattore profondità [Dc] | 1,0 |
| Fattore inclinazione carichi [Ic] | 0,83 |
| Fattore inclinazione pendio [Gc] | 1,0 |
| Fattore inclinazione base [Bc] | 1,0 |
| Fattore forma [Sq] | 1,0 |
| Fattore profondità [Dq] | 1,0 |
| Fattore inclinazione carichi [Iq] | 0,84 |
| Fattore inclinazione pendio [Gq] | 1,0 |
| Fattore inclinazione base [Bq] | 1,0 |
| Fattore forma [Sg] | 1,0 |
| Fattore profondità [Dg] | 1,0 |
| Fattore inclinazione carichi [Ig] | 0,78 |
| Fattore inclinazione pendio [Gg] | 1,0 |
| Fattore inclinazione base [Bg] | 1,0 |
| Fattore correzione sismico inerziale [zq] | 1,0 |
| Fattore correzione sismico inerziale [zg] | 1,0 |
| Fattore correzione sismico inerziale [zc] | 1,0 |

| | |
|------------------------|--------------------------|
| Carico limite | 643,53 kN/m ² |
| Resistenza di progetto | 357,52 kN/m ² |

Condizione di verifica [Ed<=Rd] Verificata

Autore: TERZAGHI (1955) (Condizione drenata)

| | |
|---|-------|
| Fattore [Nq] | 31,14 |
| Fattore [Nc] | 46,91 |
| Fattore [Ng] | 30,69 |
| Fattore forma [Sc] | 1,0 |
| Fattore forma [Sg] | 1,0 |
| Fattore correzione sismico inerziale [zq] | 1,0 |
| Fattore correzione sismico inerziale [zg] | 1,0 |
| Fattore correzione sismico inerziale [zc] | 1,0 |

| | |
|------------------------|---------------------------|
| Carico limite | 1100,76 kN/m ² |
| Resistenza di progetto | 611,53 kN/m ² |

Condizione di verifica [Ed<=Rd] Verificata

Autore: MEYERHOF (1963) (Condizione drenata)

| | |
|--------------------|-------|
| Fattore [Nq] | 25,24 |
| Fattore [Nc] | 37,72 |
| Fattore [Ng] | 24,93 |
| Fattore forma [Sc] | 1,26 |

| | |
|---|------|
| Fattore profondità [Dc] | 1,0 |
| Fattore inclinazione carichi [Ic] | 0,91 |
| Fattore forma [Sq] | 1,13 |
| Fattore profondità [Dq] | 1,0 |
| Fattore inclinazione carichi [Iq] | 0,91 |
| Fattore forma [Sg] | 1,13 |
| Fattore profondità [Dg] | 1,0 |
| Fattore inclinazione carichi [Ig] | 0,77 |
| Fattore correzione sismico inerziale [zq] | 1,0 |
| Fattore correzione sismico inerziale [zg] | 1,0 |
| Fattore correzione sismico inerziale [zc] | 1,0 |

| | |
|------------------------|--------------------------|
| Carico limite | 680,65 kN/m ² |
| Resistenza di progetto | 378,14 kN/m ² |

Condizione di verifica [Ed<=Rd] Verificata

Autore: VESIC (1975) (Condizione drenata)

| | |
|---|-------|
| Fattore [Nq] | 25,24 |
| Fattore [Nc] | 37,72 |
| Fattore [Ng] | 33,71 |
| Fattore forma [Sc] | 1,0 |
| Fattore profondità [Dc] | 1,0 |
| Fattore inclinazione carichi [Ic] | 0,88 |
| Fattore inclinazione pendio [Gc] | 1,0 |
| Fattore inclinazione base [Bc] | 1,0 |
| Fattore forma [Sq] | 1,0 |
| Fattore profondità [Dq] | 1,0 |
| Fattore inclinazione carichi [Iq] | 0,88 |
| Fattore inclinazione pendio [Gq] | 1,0 |
| Fattore inclinazione base [Bq] | 1,0 |
| Fattore forma [Sg] | 1,0 |
| Fattore profondità [Dg] | 1,0 |
| Fattore inclinazione carichi [Ig] | 0,82 |
| Fattore inclinazione pendio [Gg] | 1,0 |
| Fattore inclinazione base [Bg] | 1,0 |
| Fattore correzione sismico inerziale [zq] | 1,0 |
| Fattore correzione sismico inerziale [zg] | 1,0 |
| Fattore correzione sismico inerziale [zc] | 1,0 |

| | |
|------------------------|--------------------------|
| Carico limite | 797,55 kN/m ² |
| Resistenza di progetto | 443,09 kN/m ² |

Condizione di verifica [Ed<=Rd] Verificata

Autore: Brinch - Hansen 1970 (Condizione drenata)

| | |
|--------------------|-------|
| Fattore [Nq] | 25,24 |
| Fattore [Nc] | 37,72 |
| Fattore [Ng] | 31,14 |
| Fattore forma [Sc] | 1,22 |

| | |
|---|------|
| Fattore profondità [Dc] | 1,0 |
| Fattore inclinazione carichi [Ic] | 0,91 |
| Fattore inclinazione pendio [Gc] | 1,0 |
| Fattore inclinazione base [Bc] | 1,0 |
| Fattore forma [Sq] | 1,21 |
| Fattore profondità [Dq] | 1,0 |
| Fattore inclinazione carichi [Iq] | 0,91 |
| Fattore inclinazione pendio [Gq] | 1,0 |
| Fattore inclinazione base [Bq] | 1,0 |
| Fattore forma [Sg] | 0,88 |
| Fattore profondità [Dg] | 1,0 |
| Fattore inclinazione carichi [Ig] | 0,85 |
| Fattore inclinazione pendio [Gg] | 1,0 |
| Fattore inclinazione base [Bg] | 1,0 |
| Fattore correzione sismico inerziale [zq] | 1,0 |
| Fattore correzione sismico inerziale [zg] | 1,0 |
| Fattore correzione sismico inerziale [zc] | 1,0 |

| | |
|------------------------|--------------------------|
| Carico limite | 826,27 kN/m ² |
| Resistenza di progetto | 459,04 kN/m ² |

Condizione di verifica [Ed<=Rd] Verificata

Autore: Meyerhof and Hanna (1978) (Condizione drenata)

Strato 1 sopra, strato 2 sotto

Fattori di capacità portante strato 1

| | |
|--------------|------|
| Fattore [Nq] | 1,0 |
| Fattore [Nc] | 5,14 |

Fattori di capacità portante strato 2

| | |
|--------------|-------|
| Fattore [Nq] | 64,2 |
| Fattore [Nc] | 75,31 |
| Fattore [Ng] | 23,0 |

| | |
|-----------------------------|---------------------------|
| Carico limite strato 2 (qb) | 1351,55 kN/m ² |
| Carico limite strato 1 (qt) | 139,99 kN/m ² |

| | |
|-----------------------------------|-----------------------|
| Incremento carico limite strato 1 | 1,7 kN/m ² |
| Coefficiente di punzonamento (ks) | 0,0 |
| Rapporto (q1/q2) | 7,38 |

| | |
|------------------------|--------------------------|
| Carico limite | 139,99 kN/m ² |
| Resistenza di progetto | 77,77 kN/m ² |

Condizione di verifica [Ed<=Rd] Verificata

VERIFICA A SCORRIMENTO (Sisma B)

| | |
|--------------------------------------|----------------------|
| Adesione terreno fondazione | 10 kN/m ² |
| Angolo di attrito terreno fondazione | 0 ° |

Frazione spinta passiva 0 %
 Resistenza di progetto 211,67 kN
 Sollecitazione di progetto 41,76 kN

Condizione di verifica [Ed<=Rd] Verificata

4.4.2.4. Verifica su penetrometrica P4

STRATIGRAFIA TERRENO

| Spessore strato [m] | Peso unità di volume [kN/m³] | Peso unità di volume saturo [kN/m³] | Angolo di attrito [°] | Coesione [kN/m²] | Coesione non drenata [kN/m²] | Modulo Elastico [kN/m²] | Modulo Edometrico [kN/m²] | Poisson | Coeff. consolidaz. primaria [cmq/s] | Coeff. consolidazione secondaria | Descrizione |
|---------------------|------------------------------|-------------------------------------|-----------------------|------------------|------------------------------|-------------------------|---------------------------|---------|-------------------------------------|----------------------------------|-------------|
| 0,4 | 15,85 | 15,85 | 29,0 | 0,0 | 19,6133 | 5000,0 | 5000,0 | 0,0 | 0,0 | 0,0 | |
| 1,2 | 17,65 | 17,65 | 44,0 | 0,0 | 0,0 | 5000,0 | 5000,0 | 0,0 | 0,0 | 0,0 | |
| 3,0 | 17,65 | 17,65 | 36,0 | 0,0 | 0,0 | 5000,0 | 5000,0 | 0,0 | 0,0 | 0,0 | |
| 2,2 | 17,65 | 17,65 | 35,0 | 0,0 | 0,0 | 5000,0 | 5000,0 | 0,0 | 0,0 | 0,0 | |

Carichi di progetto agenti sulla fondazione

| Nr. | Nome combinazione | Pressione normale di progetto [kN/m²] | N [kN] | Mx [kN·m] | My [kN·m] | Hx [kN] | Hy [kN] | Tipo |
|-----|-------------------|---------------------------------------|--------|-----------|-----------|---------|---------|----------|
| 1 | A1+M1+R3 | 0,00 | 880,60 | 0,00 | 0,00 | 0,00 | 0,00 | Progetto |
| 2 | Sisma A | 0,00 | 604,23 | 38,40 | -128,00 | 40,00 | 12,00 | Progetto |
| 3 | S.L.E. | 0,00 | 639,68 | 0,00 | 0,00 | 0,00 | 0,00 | Servizio |
| 4 | Sisma B | 0,00 | 604,23 | 128,00 | -38,40 | 12,00 | 40,00 | Progetto |

Sisma + Coeff. parziali parametri geotecnici terreno + Resistenze

| Nr | Correzione Sismica | Tangente angolo di resistenza al taglio | Coesione efficace | Coesione non drenata | Peso Unità volume in fondazione | Peso unità volume co-pertura | Coeff. Rid. Capacità portante verticale | Coeff. Rid. C capacità portante orizzontale |
|----|--------------------|---|-------------------|----------------------|---------------------------------|------------------------------|---|---|
| 1 | No | 1 | 1 | 1 | 1 | 1 | 2,3 | 1,1 |
| 2 | No | 1,25 | 1,25 | 1,4 | 1 | 1 | 1,8 | 1,1 |
| 3 | No | 1 | 1 | 1 | 1 | 1 | 1 | 1 |
| 4 | No | 1,25 | 1,25 | 1,4 | 1 | 1 | 1,8 | 1,1 |

CARICO LIMITE FONDAZIONE COMBINAZIONE...A1+M1+R3

Autore: Meyerhof and Hanna (1978)

Carico limite [Qult] 147,31 kN/m²
 Resistenza di progetto[Rd] 64,05 kN/m²
 Tensione [Ed] 27,8 kN/m²
 Fattore sicurezza [Fs=Qult/Ed] 5,3
 Condizione di verifica [Ed<=Rd] Verificata

COEFFICIENTE DI SOTTOFONDAZIONE BOWLES (1982)

Costante di Winkler 105326,2 kN/m³

A1+M1+R3

Autore: HANSEN (1970) (Condizione drenata)

| | |
|---|-------|
| Fattore [Nq] | 55,22 |
| Fattore [Nc] | 67,2 |
| Fattore [Ng] | 65,64 |
| Fattore forma [Sc] | 1,31 |
| Fattore profondità [Dc] | 1,0 |
| Fattore inclinazione carichi [Ic] | 1,0 |
| Fattore inclinazione pendio [Gc] | 1,0 |
| Fattore inclinazione base [Bc] | 1,0 |
| Fattore forma [Sq] | 1,31 |
| Fattore profondità [Dq] | 1,0 |
| Fattore inclinazione carichi [Iq] | 1,0 |
| Fattore inclinazione pendio [Gq] | 1,0 |
| Fattore inclinazione base [Bq] | 1,0 |
| Fattore forma [Sg] | 0,85 |
| Fattore profondità [Dg] | 1,0 |
| Fattore inclinazione carichi [Ig] | 1,0 |
| Fattore inclinazione pendio [Gg] | 1,0 |
| Fattore inclinazione base [Bg] | 1,0 |
| Fattore correzione sismico inerziale [zq] | 1,0 |
| Fattore correzione sismico inerziale [zg] | 1,0 |
| Fattore correzione sismico inerziale [zc] | 1,0 |

| | |
|------------------------|---------------------------|
| Carico limite | 1981,52 kN/m ² |
| Resistenza di progetto | 861,53 kN/m ² |

Condizione di verifica [Ed<=Rd] Verificata

Autore: TERZAGHI (1955) (Condizione drenata)

| | |
|---|-------|
| Fattore [Nq] | 69,67 |
| Fattore [Nc] | 85,09 |
| Fattore [Ng] | 84,91 |
| Fattore forma [Sc] | 1,0 |
| Fattore forma [Sg] | 1,0 |
| Fattore correzione sismico inerziale [zq] | 1,0 |
| Fattore correzione sismico inerziale [zg] | 1,0 |
| Fattore correzione sismico inerziale [zc] | 1,0 |

| | |
|------------------------|---------------------------|
| Carico limite | 2862,77 kN/m ² |
| Resistenza di progetto | 1244,68 kN/m ² |

Condizione di verifica [Ed<=Rd] Verificata

Autore: MEYERHOF (1963) (Condizione drenata)

| | |
|--------------------|-------|
| Fattore [Nq] | 55,22 |
| Fattore [Nc] | 67,2 |
| Fattore [Ng] | 75,92 |
| Fattore forma [Sc] | 1,33 |

| | |
|---|------|
| Fattore profondità [Dc] | 1,0 |
| Fattore inclinazione carichi [Ic] | 1,0 |
| Fattore forma [Sq] | 1,17 |
| Fattore profondità [Dq] | 1,0 |
| Fattore inclinazione carichi [Iq] | 1,0 |
| Fattore forma [Sg] | 1,17 |
| Fattore profondità [Dg] | 1,0 |
| Fattore inclinazione carichi [Ig] | 1,0 |
| Fattore correzione sismico inerziale [zq] | 1,0 |
| Fattore correzione sismico inerziale [zg] | 1,0 |
| Fattore correzione sismico inerziale [zc] | 1,0 |

| | |
|------------------------|---------------------------|
| Carico limite | 2952,7 kN/m ² |
| Resistenza di progetto | 1283,78 kN/m ² |

Condizione di verifica [Ed<=Rd] Verificata

Autore: VESIC (1975) (Condizione drenata)

| | |
|---|-------|
| Fattore [Nq] | 55,22 |
| Fattore [Nc] | 67,2 |
| Fattore [Ng] | 90,74 |
| Fattore forma [Sc] | 1,31 |
| Fattore profondità [Dc] | 1,0 |
| Fattore inclinazione carichi [Ic] | 1,0 |
| Fattore inclinazione pendio [Gc] | 1,0 |
| Fattore inclinazione base [Bc] | 1,0 |
| Fattore forma [Sq] | 1,31 |
| Fattore profondità [Dq] | 1,0 |
| Fattore inclinazione carichi [Iq] | 1,0 |
| Fattore inclinazione pendio [Gq] | 1,0 |
| Fattore inclinazione base [Bq] | 1,0 |
| Fattore forma [Sg] | 0,85 |
| Fattore profondità [Dg] | 1,0 |
| Fattore inclinazione carichi [Ig] | 1,0 |
| Fattore inclinazione pendio [Gg] | 1,0 |
| Fattore inclinazione base [Bg] | 1,0 |
| Fattore correzione sismico inerziale [zq] | 1,0 |
| Fattore correzione sismico inerziale [zg] | 1,0 |
| Fattore correzione sismico inerziale [zc] | 1,0 |

| | |
|------------------------|---------------------------|
| Carico limite | 1313,57 kN/m ² |
| Resistenza di progetto | 571,12 kN/m ² |

Condizione di verifica [Ed<=Rd] Verificata

Autore: Brinch - Hansen 1970 (Condizione drenata)

| | |
|--------------------|-------|
| Fattore [Nq] | 55,22 |
| Fattore [Nc] | 67,2 |
| Fattore [Ng] | 87,52 |
| Fattore forma [Sc] | 1,24 |

| | |
|---|------|
| Fattore profondità [Dc] | 1,0 |
| Fattore inclinazione carichi [Ic] | 1,0 |
| Fattore inclinazione pendio [Gc] | 1,0 |
| Fattore inclinazione base [Bc] | 1,0 |
| Fattore forma [Sq] | 1,24 |
| Fattore profondità [Dq] | 1,0 |
| Fattore inclinazione carichi [Iq] | 1,0 |
| Fattore inclinazione pendio [Gq] | 1,0 |
| Fattore inclinazione base [Bq] | 1,0 |
| Fattore forma [Sg] | 0,89 |
| Fattore profondità [Dg] | 1,0 |
| Fattore inclinazione carichi [Ig] | 1,0 |
| Fattore inclinazione pendio [Gg] | 1,0 |
| Fattore inclinazione base [Bg] | 1,0 |
| Fattore correzione sismico inerziale [zq] | 1,0 |
| Fattore correzione sismico inerziale [zg] | 1,0 |
| Fattore correzione sismico inerziale [zc] | 1,0 |

| | |
|------------------------|---------------------------|
| Carico limite | 2633,16 kN/m ² |
| Resistenza di progetto | 1144,85 kN/m ² |

Condizione di verifica [Ed<=Rd] Verificata

Autore: Meyerhof and Hanna (1978) (Condizione drenata)

Strato 1 sopra, strato 2 sotto

Fattori di capacità portante strato 1

| | |
|--------------|------|
| Fattore [Nq] | 1,0 |
| Fattore [Nc] | 5,14 |

Fattori di capacità portante strato 2

| | |
|--------------|--------|
| Fattore [Nq] | 115,31 |
| Fattore [Nc] | 118,37 |
| Fattore [Ng] | 46,18 |

| | |
|-----------------------------|---------------------------|
| Carico limite strato 2 (qb) | 2597,84 kN/m ² |
| Carico limite strato 1 (qt) | 147,31 kN/m ² |

| | |
|-----------------------------------|-----------------------|
| Incremento carico limite strato 1 | 1,7 kN/m ² |
| Coefficiente di punzonamento (ks) | 0,0 |
| Rapporto (q1/q2) | 14,03 |

| | |
|------------------------|--------------------------|
| Carico limite | 147,31 kN/m ² |
| Resistenza di progetto | 64,05 kN/m ² |

Condizione di verifica [Ed<=Rd] Verificata

Sisma A

Autore: HANSEN (1970) (Condizione drenata)

| | |
|---|-------|
| Fattore [Nq] | 25,62 |
| Fattore [Nc] | 38,13 |
| Fattore [Ng] | 23,84 |
| Fattore forma [Sc] | 1,0 |
| Fattore profondità [Dc] | 1,0 |
| Fattore inclinazione carichi [Ic] | 0,83 |
| Fattore inclinazione pendio [Gc] | 1,0 |
| Fattore inclinazione base [Bc] | 1,0 |
| Fattore forma [Sq] | 1,0 |
| Fattore profondità [Dq] | 1,0 |
| Fattore inclinazione carichi [Iq] | 0,84 |
| Fattore inclinazione pendio [Gq] | 1,0 |
| Fattore inclinazione base [Bq] | 1,0 |
| Fattore forma [Sg] | 1,0 |
| Fattore profondità [Dg] | 1,0 |
| Fattore inclinazione carichi [Ig] | 0,78 |
| Fattore inclinazione pendio [Gg] | 1,0 |
| Fattore inclinazione base [Bg] | 1,0 |
| Fattore correzione sismico inerziale [zq] | 1,0 |
| Fattore correzione sismico inerziale [zg] | 1,0 |
| Fattore correzione sismico inerziale [zc] | 1,0 |

| | |
|------------------------|--------------------------|
| Carico limite | 582,96 kN/m ² |
| Resistenza di progetto | 323,87 kN/m ² |

Condizione di verifica [Ed<=Rd] Verificata

Autore: TERZAGHI (1955) (Condizione drenata)

| | |
|---|-------|
| Fattore [Nq] | 31,62 |
| Fattore [Nc] | 47,43 |
| Fattore [Ng] | 31,27 |
| Fattore forma [Sc] | 1,0 |
| Fattore forma [Sg] | 1,0 |
| Fattore correzione sismico inerziale [zq] | 1,0 |
| Fattore correzione sismico inerziale [zg] | 1,0 |
| Fattore correzione sismico inerziale [zc] | 1,0 |

| | |
|------------------------|---------------------------|
| Carico limite | 1077,79 kN/m ² |
| Resistenza di progetto | 598,77 kN/m ² |

Condizione di verifica [Ed<=Rd] Verificata

Autore: MEYERHOF (1963) (Condizione drenata)

| | |
|-----------------------------------|-------|
| Fattore [Nq] | 25,62 |
| Fattore [Nc] | 38,13 |
| Fattore [Ng] | 25,48 |
| Fattore forma [Sc] | 1,23 |
| Fattore profondità [Dc] | 1,0 |
| Fattore inclinazione carichi [Ic] | 0,91 |
| Fattore forma [Sq] | 1,11 |

| | |
|---|------|
| Fattore profondità [Dq] | 1,0 |
| Fattore inclinazione carichi [Iq] | 0,91 |
| Fattore forma [Sg] | 1,11 |
| Fattore profondità [Dg] | 1,0 |
| Fattore inclinazione carichi [Ig] | 0,77 |
| Fattore correzione sismico inerziale [zq] | 1,0 |
| Fattore correzione sismico inerziale [zg] | 1,0 |
| Fattore correzione sismico inerziale [zc] | 1,0 |

| | |
|------------------------|--------------------------|
| Carico limite | 618,16 kN/m ² |
| Resistenza di progetto | 343,42 kN/m ² |

Condizione di verifica [Ed<=Rd] Verificata

Autore: VESIC (1975) (Condizione drenata)

| | |
|---|-------|
| Fattore [Nq] | 25,62 |
| Fattore [Nc] | 38,13 |
| Fattore [Ng] | 34,36 |
| Fattore forma [Sc] | 1,0 |
| Fattore profondità [Dc] | 1,0 |
| Fattore inclinazione carichi [Ic] | 0,88 |
| Fattore inclinazione pendio [Gc] | 1,0 |
| Fattore inclinazione base [Bc] | 1,0 |
| Fattore forma [Sq] | 1,0 |
| Fattore profondità [Dq] | 1,0 |
| Fattore inclinazione carichi [Iq] | 0,88 |
| Fattore inclinazione pendio [Gq] | 1,0 |
| Fattore inclinazione base [Bq] | 1,0 |
| Fattore forma [Sg] | 1,0 |
| Fattore profondità [Dg] | 1,0 |
| Fattore inclinazione carichi [Ig] | 0,82 |
| Fattore inclinazione pendio [Gg] | 1,0 |
| Fattore inclinazione base [Bg] | 1,0 |
| Fattore correzione sismico inerziale [zq] | 1,0 |
| Fattore correzione sismico inerziale [zg] | 1,0 |
| Fattore correzione sismico inerziale [zc] | 1,0 |

| | |
|------------------------|--------------------------|
| Carico limite | 726,16 kN/m ² |
| Resistenza di progetto | 403,42 kN/m ² |

Condizione di verifica [Ed<=Rd] Verificata

Autore: Brinch - Hansen 1970 (Condizione drenata)

| | |
|-----------------------------------|-------|
| Fattore [Nq] | 25,62 |
| Fattore [Nc] | 38,13 |
| Fattore [Ng] | 31,78 |
| Fattore forma [Sc] | 1,19 |
| Fattore profondità [Dc] | 1,0 |
| Fattore inclinazione carichi [Ic] | 0,88 |
| Fattore inclinazione pendio [Gc] | 1,0 |

| | |
|---|------|
| Fattore inclinazione base [Bc] | 1,0 |
| Fattore forma [Sq] | 1,18 |
| Fattore profondità [Dq] | 1,0 |
| Fattore inclinazione carichi [Iq] | 0,88 |
| Fattore inclinazione pendio [Gq] | 1,0 |
| Fattore inclinazione base [Bq] | 1,0 |
| Fattore forma [Sg] | 0,9 |
| Fattore profondità [Dg] | 1,0 |
| Fattore inclinazione carichi [Ig] | 0,82 |
| Fattore inclinazione pendio [Gg] | 1,0 |
| Fattore inclinazione base [Bg] | 1,0 |
| Fattore correzione sismico inerziale [zq] | 1,0 |
| Fattore correzione sismico inerziale [zg] | 1,0 |
| Fattore correzione sismico inerziale [zc] | 1,0 |

| | |
|------------------------|--------------------------|
| Carico limite | 735,46 kN/m ² |
| Resistenza di progetto | 408,59 kN/m ² |

Condizione di verifica [Ed<=Rd] Verificata

Autore: Meyerhof and Hanna (1978) (Condizione drenata)

Strato 1 sopra, strato 2 sotto

| | |
|---------------------------------------|------|
| Fattori di capacità portante strato 1 | |
| Fattore [Nq] | 1,0 |
| Fattore [Nc] | 5,14 |

| | |
|---------------------------------------|--------|
| Fattori di capacità portante strato 2 | |
| Fattore [Nq] | 115,31 |
| Fattore [Nc] | 118,37 |
| Fattore [Ng] | 46,18 |

| | |
|-----------------------------|---------------------------|
| Carico limite strato 2 (qb) | 2597,84 kN/m ² |
| Carico limite strato 1 (qt) | 147,31 kN/m ² |

| | |
|-----------------------------------|-----------------------|
| Incremento carico limite strato 1 | 1,7 kN/m ² |
| Coefficiente di punzonamento (ks) | 0,0 |
| Rapporto (q1/q2) | 14,03 |

| | |
|------------------------|--------------------------|
| Carico limite | 147,31 kN/m ² |
| Resistenza di progetto | 81,84 kN/m ² |

Condizione di verifica [Ed<=Rd] Verificata

VERIFICA A SCORRIMENTO (Sisma A)

| | |
|--------------------------------------|----------------------|
| Adesione terreno fondazione | 10 kN/m ² |
| Angolo di attrito terreno fondazione | 0 ° |
| Frazione spinta passiva | 0 % |
| Resistenza di progetto | 199,46 kN |
| Sollecitazione di progetto | 41,76 kN |

Condizione di verifica [Ed<=Rd] Verificata

Sisma B

Autore: HANSEN (1970) (Condizione drenata)

| | |
|---|-------|
| Fattore [Nq] | 25,62 |
| Fattore [Nc] | 38,13 |
| Fattore [Ng] | 23,84 |
| Fattore forma [Sc] | 1,0 |
| Fattore profondità [Dc] | 1,0 |
| Fattore inclinazione carichi [Ic] | 0,83 |
| Fattore inclinazione pendio [Gc] | 1,0 |
| Fattore inclinazione base [Bc] | 1,0 |
| Fattore forma [Sq] | 1,0 |
| Fattore profondità [Dq] | 1,0 |
| Fattore inclinazione carichi [Iq] | 0,84 |
| Fattore inclinazione pendio [Gq] | 1,0 |
| Fattore inclinazione base [Bq] | 1,0 |
| Fattore forma [Sg] | 1,0 |
| Fattore profondità [Dg] | 1,0 |
| Fattore inclinazione carichi [Ig] | 0,78 |
| Fattore inclinazione pendio [Gg] | 1,0 |
| Fattore inclinazione base [Bg] | 1,0 |
| Fattore correzione sismico inerziale [zq] | 1,0 |
| Fattore correzione sismico inerziale [zg] | 1,0 |
| Fattore correzione sismico inerziale [zc] | 1,0 |

| | |
|------------------------|--------------------------|
| Carico limite | 631,43 kN/m ² |
| Resistenza di progetto | 350,79 kN/m ² |

Condizione di verifica [Ed<=Rd] Verificata

Autore: TERZAGHI (1955) (Condizione drenata)

| | |
|---|-------|
| Fattore [Nq] | 31,62 |
| Fattore [Nc] | 47,43 |
| Fattore [Ng] | 31,27 |
| Fattore forma [Sc] | 1,0 |
| Fattore forma [Sg] | 1,0 |
| Fattore correzione sismico inerziale [zq] | 1,0 |
| Fattore correzione sismico inerziale [zg] | 1,0 |
| Fattore correzione sismico inerziale [zc] | 1,0 |

| | |
|------------------------|---------------------------|
| Carico limite | 1077,79 kN/m ² |
| Resistenza di progetto | 598,77 kN/m ² |

Condizione di verifica [Ed<=Rd] Verificata

Autore: MEYERHOF (1963) (Condizione drenata)

| | |
|---|-------|
| Fattore [Nq] | 25,62 |
| Fattore [Nc] | 38,13 |
| Fattore [Ng] | 25,48 |
| Fattore forma [Sc] | 1,26 |
| Fattore profondità [Dc] | 1,0 |
| Fattore inclinazione carichi [Ic] | 0,91 |
| Fattore forma [Sq] | 1,13 |
| Fattore profondità [Dq] | 1,0 |
| Fattore inclinazione carichi [Iq] | 0,91 |
| Fattore forma [Sg] | 1,13 |
| Fattore profondità [Dg] | 1,0 |
| Fattore inclinazione carichi [Ig] | 0,77 |
| Fattore correzione sismico inerziale [zq] | 1,0 |
| Fattore correzione sismico inerziale [zg] | 1,0 |
| Fattore correzione sismico inerziale [zc] | 1,0 |

| | |
|------------------------|--------------------------|
| Carico limite | 669,32 kN/m ² |
| Resistenza di progetto | 371,84 kN/m ² |

Condizione di verifica [Ed<=Rd] Verificata

Autore: VESIC (1975) (Condizione drenata)

| | |
|---|-------|
| Fattore [Nq] | 25,62 |
| Fattore [Nc] | 38,13 |
| Fattore [Ng] | 34,36 |
| Fattore forma [Sc] | 1,0 |
| Fattore profondità [Dc] | 1,0 |
| Fattore inclinazione carichi [Ic] | 0,88 |
| Fattore inclinazione pendio [Gc] | 1,0 |
| Fattore inclinazione base [Bc] | 1,0 |
| Fattore forma [Sq] | 1,0 |
| Fattore profondità [Dq] | 1,0 |
| Fattore inclinazione carichi [Iq] | 0,88 |
| Fattore inclinazione pendio [Gq] | 1,0 |
| Fattore inclinazione base [Bq] | 1,0 |
| Fattore forma [Sg] | 1,0 |
| Fattore profondità [Dg] | 1,0 |
| Fattore inclinazione carichi [Ig] | 0,82 |
| Fattore inclinazione pendio [Gg] | 1,0 |
| Fattore inclinazione base [Bg] | 1,0 |
| Fattore correzione sismico inerziale [zq] | 1,0 |
| Fattore correzione sismico inerziale [zg] | 1,0 |
| Fattore correzione sismico inerziale [zc] | 1,0 |

| | |
|------------------------|--------------------------|
| Carico limite | 789,36 kN/m ² |
| Resistenza di progetto | 438,53 kN/m ² |

Condizione di verifica [Ed<=Rd] Verificata

Autore: Brinch - Hansen 1970 (Condizione drenata)

| | |
|---|-------|
| Fattore [Nq] | 25,62 |
| Fattore [Nc] | 38,13 |
| Fattore [Ng] | 31,78 |
| Fattore forma [Sc] | 1,22 |
| Fattore profondità [Dc] | 1,0 |
| Fattore inclinazione carichi [Ic] | 0,91 |
| Fattore inclinazione pendio [Gc] | 1,0 |
| Fattore inclinazione base [Bc] | 1,0 |
| Fattore forma [Sq] | 1,21 |
| Fattore profondità [Dq] | 1,0 |
| Fattore inclinazione carichi [Iq] | 0,91 |
| Fattore inclinazione pendio [Gq] | 1,0 |
| Fattore inclinazione base [Bq] | 1,0 |
| Fattore forma [Sg] | 0,88 |
| Fattore profondità [Dg] | 1,0 |
| Fattore inclinazione carichi [Ig] | 0,85 |
| Fattore inclinazione pendio [Gg] | 1,0 |
| Fattore inclinazione base [Bg] | 1,0 |
| Fattore correzione sismico inerziale [zq] | 1,0 |
| Fattore correzione sismico inerziale [zg] | 1,0 |
| Fattore correzione sismico inerziale [zc] | 1,0 |

| | |
|------------------------|--------------------------|
| Carico limite | 810,88 kN/m ² |
| Resistenza di progetto | 450,49 kN/m ² |

Condizione di verifica [Ed<=Rd] Verificata

Autore: Meyerhof and Hanna (1978) (Condizione drenata)

Strato 1 sopra, strato 2 sotto

Fattori di capacità portante strato 1

| | |
|--------------|------|
| Fattore [Nq] | 1,0 |
| Fattore [Nc] | 5,14 |

Fattori di capacità portante strato 2

| | |
|--------------|--------|
| Fattore [Nq] | 115,31 |
| Fattore [Nc] | 118,37 |
| Fattore [Ng] | 46,18 |

| | |
|-----------------------------|---------------------------|
| Carico limite strato 2 (qb) | 2597,84 kN/m ² |
| Carico limite strato 1 (qt) | 147,31 kN/m ² |

| | |
|-----------------------------------|-----------------------|
| Incremento carico limite strato 1 | 1,7 kN/m ² |
| Coefficiente di punzonamento (ks) | 0,0 |
| Rapporto (q1/q2) | 14,03 |

| | |
|------------------------|--------------------------|
| Carico limite | 147,31 kN/m ² |
| Resistenza di progetto | 81,84 kN/m ² |

Condizione di verifica [Ed<=Rd] Verificata

VERIFICA A SCORRIMENTO (Sisma B)

| | |
|--------------------------------------|----------------------|
| Adesione terreno fondazione | 10 kN/m ² |
| Angolo di attrito terreno fondazione | 0 ° |
| Frazione spinta passiva | 0 % |
| Resistenza di progetto | 211,67 kN |
| Sollecitazione di progetto | 41,76 kN |

Condizione di verifica [Ed<=Rd] Verificata

4.4.2.5. Verifica su penetrometrica P5

STRATIGRAFIA TERRENO

| Spessore strato [m] | Peso unità di volume [kN/m ³] | Peso unità di volume saturo [kN/m ³] | Angolo di attrito [°] | Coesione [kN/m ²] | Coesione non drenata [kN/m ²] | Modulo Elastico [kN/m ²] | Modulo Edometrico [kN/m ²] | Poisson | Coeff. consolidaz. primaria [cmq/s] | Coeff. consolidazione secondaria | Descrizione |
|---------------------|---|--|-----------------------|-------------------------------|---|--------------------------------------|--|---------|-------------------------------------|----------------------------------|-------------|
| 0,8 | 16,18 | 16,18 | 29,0 | 0,0 | 24,5166 | 5000,0 | 5000,0 | 0,0 | 0,0 | 0,0 | |
| 3,8 | 17,65 | 17,65 | 36,0 | 0,0 | 0,0 | 5000,0 | 5000,0 | 0,0 | 0,0 | 0,0 | |
| 1,8 | 17,65 | 17,65 | 34,0 | 0,0 | 0,0 | 5000,0 | 5000,0 | 0,0 | 0,0 | 0,0 | |

Carichi di progetto agenti sulla fondazione

| Nr. | Nome combinazione | Pressione normale di progetto [kN/m ²] | N [kN] | Mx [kN·m] | My [kN·m] | Hx [kN] | Hy [kN] | Tipo |
|-----|-------------------|--|--------|-----------|-----------|---------|---------|----------|
| 1 | A1+M1+R3 | 0,00 | 880,60 | 0,00 | 0,00 | 0,00 | 0,00 | Progetto |
| 2 | Sisma A | 0,00 | 604,23 | 38,40 | -128,00 | 40,00 | 12,00 | Progetto |
| 3 | S.L.E. | 0,00 | 639,68 | 0,00 | 0,00 | 0,00 | 0,00 | Servizio |
| 4 | Sisma B | 0,00 | 604,23 | 128,00 | -38,40 | 12,00 | 40,00 | Progetto |

Sisma + Coeff. parziali parametri geotecnici terreno + Resistenze

| Nr | Correzione Sismica | Tangente angolo di resistenza al taglio | Coesione efficace | Coesione non drenata | Peso Unità volume in fondazione | Peso unità volume copertura | Coeff. Rid. Capacità portante verticale | Coeff. Rid. C capacità portante orizzontale |
|----|--------------------|---|-------------------|----------------------|---------------------------------|-----------------------------|---|---|
| 1 | No | 1 | 1 | 1 | 1 | 1 | 2,3 | 1,1 |
| 2 | No | 1,25 | 1,25 | 1,4 | 1 | 1 | 1,8 | 1,1 |
| 3 | No | 1 | 1 | 1 | 1 | 1 | 1 | 1 |
| 4 | No | 1,25 | 1,25 | 1,4 | 1 | 1 | 1,8 | 1,1 |

CARICO LIMITE FONDAZIONE COMBINAZIONE...A1+M1+R3

Autore: Meyerhof and Hanna (1978)

| | |
|---------------------------------|--------------------------|
| Carico limite [Qult] | 166,96 kN/m ² |
| Resistenza di progetto[Rd] | 72,59 kN/m ² |
| Tensione [Ed] | 27,8 kN/m ² |
| Fattore sicurezza [Fs=Qult/Ed] | 6,01 |
| Condizione di verifica [Ed<=Rd] | Verificata |

COEFFICIENTE DI SOTTOFONDAZIONE BOWLES (1982)

Costante di Winkler 52239,55 kN/m³

A1+M1+R3

Autore: HANSEN (1970) (Condizione drenata)

| | |
|---|--------------------------|
| Fattore [Nq] | 32,05 |
| Fattore [Nc] | 44,86 |
| Fattore [Ng] | 32,24 |
| Fattore forma [Sc] | 1,27 |
| Fattore profondità [Dc] | 1,0 |
| Fattore inclinazione carichi [Ic] | 1,0 |
| Fattore inclinazione pendio [Gc] | 1,0 |
| Fattore inclinazione base [Bc] | 1,0 |
| Fattore forma [Sq] | 1,26 |
| Fattore profondità [Dq] | 1,0 |
| Fattore inclinazione carichi [Iq] | 1,0 |
| Fattore inclinazione pendio [Gq] | 1,0 |
| Fattore inclinazione base [Bq] | 1,0 |
| Fattore forma [Sg] | 0,85 |
| Fattore profondità [Dg] | 1,0 |
| Fattore inclinazione carichi [Ig] | 1,0 |
| Fattore inclinazione pendio [Gg] | 1,0 |
| Fattore inclinazione base [Bg] | 1,0 |
| Fattore correzione sismico inerziale [zq] | 1,0 |
| Fattore correzione sismico inerziale [zg] | 1,0 |
| Fattore correzione sismico inerziale [zc] | 1,0 |
| Carico limite | 988,04 kN/m ² |
| Resistenza di progetto | 429,58 kN/m ² |

Condizione di verifica [Ed<=Rd] Verificata

Autore: TERZAGHI (1955) (Condizione drenata)

| | |
|---|---------------------------|
| Fattore [Nq] | 39,85 |
| Fattore [Nc] | 56,12 |
| Fattore [Ng] | 40,69 |
| Fattore forma [Sc] | 1,0 |
| Fattore forma [Sg] | 1,0 |
| Fattore correzione sismico inerziale [zq] | 1,0 |
| Fattore correzione sismico inerziale [zg] | 1,0 |
| Fattore correzione sismico inerziale [zc] | 1,0 |
| Carico limite | 1387,96 kN/m ² |
| Resistenza di progetto | 603,46 kN/m ² |

Condizione di verifica [Ed<=Rd] Verificata

Autore: MEYERHOF (1963) (Condizione drenata)

| | |
|--------------|-------|
| Fattore [Nq] | 32,05 |
|--------------|-------|

| | |
|---|---------------------------|
| Fattore [Nc] | 44,86 |
| Fattore [Ng] | 35,19 |
| Fattore forma [Sc] | 1,28 |
| Fattore profondità [Dc] | 1,0 |
| Fattore inclinazione carichi [Ic] | 1,0 |
| Fattore forma [Sq] | 1,14 |
| Fattore profondità [Dq] | 1,0 |
| Fattore inclinazione carichi [Iq] | 1,0 |
| Fattore forma [Sg] | 1,14 |
| Fattore profondità [Dg] | 1,0 |
| Fattore inclinazione carichi [Ig] | 1,0 |
| Fattore correzione sismico inerziale [zq] | 1,0 |
| Fattore correzione sismico inerziale [zg] | 1,0 |
| Fattore correzione sismico inerziale [zc] | 1,0 |
| ===== | |
| Carico limite | 1355,15 kN/m ² |
| Resistenza di progetto | 589,19 kN/m ² |

Condizione di verifica [Ed<=Rd] Verificata

Autore: VESIC (1975) (Condizione drenata)

| | |
|---|--------------------------|
| Fattore [Nq] | 32,05 |
| Fattore [Nc] | 44,86 |
| Fattore [Ng] | 45,76 |
| Fattore forma [Sc] | 1,27 |
| Fattore profondità [Dc] | 1,0 |
| Fattore inclinazione carichi [Ic] | 1,0 |
| Fattore inclinazione pendio [Gc] | 1,0 |
| Fattore inclinazione base [Bc] | 1,0 |
| Fattore forma [Sq] | 1,26 |
| Fattore profondità [Dq] | 1,0 |
| Fattore inclinazione carichi [Iq] | 1,0 |
| Fattore inclinazione pendio [Gq] | 1,0 |
| Fattore inclinazione base [Bq] | 1,0 |
| Fattore forma [Sg] | 0,85 |
| Fattore profondità [Dg] | 1,0 |
| Fattore inclinazione carichi [Ig] | 1,0 |
| Fattore inclinazione pendio [Gg] | 1,0 |
| Fattore inclinazione base [Bg] | 1,0 |
| Fattore correzione sismico inerziale [zq] | 1,0 |
| Fattore correzione sismico inerziale [zg] | 1,0 |
| Fattore correzione sismico inerziale [zc] | 1,0 |
| ===== | |
| Carico limite | 993,37 kN/m ² |
| Resistenza di progetto | 431,9 kN/m ² |

Condizione di verifica [Ed<=Rd] Verificata

Autore: Brinch - Hansen 1970 (Condizione drenata)

| | |
|--------------|-------|
| Fattore [Nq] | 32,05 |
|--------------|-------|

| | |
|---|-------|
| Fattore [Nc] | 44,86 |
| Fattore [Ng] | 42,99 |
| Fattore forma [Sc] | 1,22 |
| Fattore profondità [Dc] | 1,0 |
| Fattore inclinazione carichi [Ic] | 1,0 |
| Fattore inclinazione pendio [Gc] | 1,0 |
| Fattore inclinazione base [Bc] | 1,0 |
| Fattore forma [Sq] | 1,22 |
| Fattore profondità [Dq] | 1,0 |
| Fattore inclinazione carichi [Iq] | 1,0 |
| Fattore inclinazione pendio [Gq] | 1,0 |
| Fattore inclinazione base [Bq] | 1,0 |
| Fattore forma [Sg] | 0,89 |
| Fattore profondità [Dg] | 1,0 |
| Fattore inclinazione carichi [Ig] | 1,0 |
| Fattore inclinazione pendio [Gg] | 1,0 |
| Fattore inclinazione base [Bg] | 1,0 |
| Fattore correzione sismico inerziale [zq] | 1,0 |
| Fattore correzione sismico inerziale [zg] | 1,0 |
| Fattore correzione sismico inerziale [zc] | 1,0 |

| | |
|------------------------|---------------------------|
| Carico limite | 1305,99 kN/m ² |
| Resistenza di progetto | 567,82 kN/m ² |

Condizione di verifica [Ed<=Rd] Verificata

Autore: Meyerhof and Hanna (1978) (Condizione drenata)

Strato 1 sopra, strato 2 sotto

| | |
|---------------------------------------|------|
| Fattori di capacità portante strato 1 | |
| Fattore [Nq] | 1,0 |
| Fattore [Nc] | 5,14 |

| | |
|---------------------------------------|-------|
| Fattori di capacità portante strato 2 | |
| Fattore [Nq] | 37,75 |
| Fattore [Nc] | 50,59 |
| Fattore [Ng] | 11,94 |

| | |
|-----------------------------|--------------------------|
| Carico limite strato 2 (qb) | 979,43 kN/m ² |
| Carico limite strato 1 (qt) | 166,96 kN/m ² |

| | |
|-----------------------------------|------------------------|
| Incremento carico limite strato 1 | 7,77 kN/m ² |
| Coefficiente di punzonamento (ks) | 0,0 |
| Rapporto (q1/q2) | 2,9 |

| | |
|------------------------|--------------------------|
| Carico limite | 166,96 kN/m ² |
| Resistenza di progetto | 72,59 kN/m ² |

Condizione di verifica [Ed<=Rd] Verificata

Sisma A

Autore: HANSEN (1970) (Condizione drenata)

| | |
|---|-------|
| Fattore [Nq] | 16,4 |
| Fattore [Nc] | 27,81 |
| Fattore [Ng] | 12,79 |
| Fattore forma [Sc] | 1,0 |
| Fattore profondità [Dc] | 1,0 |
| Fattore inclinazione carichi [Ic] | 0,83 |
| Fattore inclinazione pendio [Gc] | 1,0 |
| Fattore inclinazione base [Bc] | 1,0 |
| Fattore forma [Sq] | 1,0 |
| Fattore profondità [Dq] | 1,0 |
| Fattore inclinazione carichi [Iq] | 0,84 |
| Fattore inclinazione pendio [Gq] | 1,0 |
| Fattore inclinazione base [Bq] | 1,0 |
| Fattore forma [Sg] | 1,0 |
| Fattore profondità [Dg] | 1,0 |
| Fattore inclinazione carichi [Ig] | 0,78 |
| Fattore inclinazione pendio [Gg] | 1,0 |
| Fattore inclinazione base [Bg] | 1,0 |
| Fattore correzione sismico inerziale [zq] | 1,0 |
| Fattore correzione sismico inerziale [zg] | 1,0 |
| Fattore correzione sismico inerziale [zc] | 1,0 |

| | |
|------------------------|--------------------------|
| Carico limite | 320,11 kN/m ² |
| Resistenza di progetto | 177,84 kN/m ² |

Condizione di verifica [Ed<=Rd] Verificata

Autore: TERZAGHI (1955) (Condizione drenata)

| | |
|---|-------|
| Fattore [Nq] | 19,93 |
| Fattore [Nc] | 34,18 |
| Fattore [Ng] | 17,28 |
| Fattore forma [Sc] | 1,0 |
| Fattore forma [Sg] | 1,0 |
| Fattore correzione sismico inerziale [zq] | 1,0 |
| Fattore correzione sismico inerziale [zg] | 1,0 |
| Fattore correzione sismico inerziale [zc] | 1,0 |

| | |
|------------------------|--------------------------|
| Carico limite | 601,55 kN/m ² |
| Resistenza di progetto | 334,2 kN/m ² |

Condizione di verifica [Ed<=Rd] Verificata

Autore: MEYERHOF (1963) (Condizione drenata)

| | |
|--------------------|-------|
| Fattore [Nq] | 16,4 |
| Fattore [Nc] | 27,81 |
| Fattore [Ng] | 13,19 |
| Fattore forma [Sc] | 1,19 |

| | |
|---|------|
| Fattore profondità [Dc] | 1,0 |
| Fattore inclinazione carichi [Ic] | 0,91 |
| Fattore forma [Sq] | 1,1 |
| Fattore profondità [Dq] | 1,0 |
| Fattore inclinazione carichi [Iq] | 0,91 |
| Fattore forma [Sg] | 1,1 |
| Fattore profondità [Dg] | 1,0 |
| Fattore inclinazione carichi [Ig] | 0,74 |
| Fattore correzione sismico inerziale [zq] | 1,0 |
| Fattore correzione sismico inerziale [zg] | 1,0 |
| Fattore correzione sismico inerziale [zc] | 1,0 |

| | |
|------------------------|--------------------------|
| Carico limite | 319,88 kN/m ² |
| Resistenza di progetto | 177,71 kN/m ² |

Condizione di verifica [Ed<=Rd] Verificata

Autore: VESIC (1975) (Condizione drenata)

| | |
|---|-------|
| Fattore [Nq] | 16,4 |
| Fattore [Nc] | 27,81 |
| Fattore [Ng] | 19,27 |
| Fattore forma [Sc] | 1,0 |
| Fattore profondità [Dc] | 1,0 |
| Fattore inclinazione carichi [Ic] | 0,88 |
| Fattore inclinazione pendio [Gc] | 1,0 |
| Fattore inclinazione base [Bc] | 1,0 |
| Fattore forma [Sq] | 1,0 |
| Fattore profondità [Dq] | 1,0 |
| Fattore inclinazione carichi [Iq] | 0,88 |
| Fattore inclinazione pendio [Gq] | 1,0 |
| Fattore inclinazione base [Bq] | 1,0 |
| Fattore forma [Sg] | 1,0 |
| Fattore profondità [Dg] | 1,0 |
| Fattore inclinazione carichi [Ig] | 0,82 |
| Fattore inclinazione pendio [Gg] | 1,0 |
| Fattore inclinazione base [Bg] | 1,0 |
| Fattore correzione sismico inerziale [zq] | 1,0 |
| Fattore correzione sismico inerziale [zg] | 1,0 |
| Fattore correzione sismico inerziale [zc] | 1,0 |

| | |
|------------------------|--------------------------|
| Carico limite | 478,33 kN/m ² |
| Resistenza di progetto | 265,74 kN/m ² |

Condizione di verifica [Ed<=Rd] Verificata

Autore: Brinch - Hansen 1970 (Condizione drenata)

| | |
|--------------------|-------|
| Fattore [Nq] | 16,4 |
| Fattore [Nc] | 27,81 |
| Fattore [Ng] | 17,06 |
| Fattore forma [Sc] | 1,17 |

| | |
|---|------|
| Fattore profondità [Dc] | 1,0 |
| Fattore inclinazione carichi [Ic] | 0,88 |
| Fattore inclinazione pendio [Gc] | 1,0 |
| Fattore inclinazione base [Bc] | 1,0 |
| Fattore forma [Sq] | 1,16 |
| Fattore profondità [Dq] | 1,0 |
| Fattore inclinazione carichi [Iq] | 0,88 |
| Fattore inclinazione pendio [Gq] | 1,0 |
| Fattore inclinazione base [Bq] | 1,0 |
| Fattore forma [Sg] | 0,9 |
| Fattore profondità [Dg] | 1,0 |
| Fattore inclinazione carichi [Ig] | 0,82 |
| Fattore inclinazione pendio [Gg] | 1,0 |
| Fattore inclinazione base [Bg] | 1,0 |
| Fattore correzione sismico inerziale [zq] | 1,0 |
| Fattore correzione sismico inerziale [zg] | 1,0 |
| Fattore correzione sismico inerziale [zc] | 1,0 |

| | |
|------------------------|--------------------------|
| Carico limite | 402,53 kN/m ² |
| Resistenza di progetto | 223,63 kN/m ² |

Condizione di verifica [Ed<=Rd] Verificata

Autore: Meyerhof and Hanna (1978) (Condizione drenata)

Strato 1 sopra, strato 2 sotto

Fattori di capacità portante strato 1

| | |
|--------------|------|
| Fattore [Nq] | 1,0 |
| Fattore [Nc] | 5,14 |

Fattori di capacità portante strato 2

| | |
|--------------|-------|
| Fattore [Nq] | 37,75 |
| Fattore [Nc] | 50,59 |
| Fattore [Ng] | 11,94 |

| | |
|-----------------------------|--------------------------|
| Carico limite strato 2 (qb) | 979,43 kN/m ² |
| Carico limite strato 1 (qt) | 166,96 kN/m ² |

| | |
|-----------------------------------|------------------------|
| Incremento carico limite strato 1 | 7,77 kN/m ² |
| Coefficiente di punzonamento (ks) | 0,0 |
| Rapporto (q1/q2) | 2,9 |

| | |
|------------------------|--------------------------|
| Carico limite | 166,96 kN/m ² |
| Resistenza di progetto | 92,75 kN/m ² |

Condizione di verifica [Ed<=Rd] Verificata

VERIFICA A SCORRIMENTO (Sisma A)

| | |
|--------------------------------------|----------------------|
| Adesione terreno fondazione | 10 kN/m ² |
| Angolo di attrito terreno fondazione | 0 ° |

| | |
|----------------------------|-----------|
| Frazione spinta passiva | 0 % |
| Resistenza di progetto | 199,46 kN |
| Sollecitazione di progetto | 41,76 kN |

Condizione di verifica $[Ed \leq Rd]$ Verificata

Sisma B

Autore: HANSEN (1970) (Condizione drenata)

| | |
|---|-------|
| Fattore [Nq] | 16,4 |
| Fattore [Nc] | 27,81 |
| Fattore [Ng] | 12,79 |
| Fattore forma [Sc] | 1,0 |
| Fattore profondità [Dc] | 1,0 |
| Fattore inclinazione carichi [Ic] | 0,83 |
| Fattore inclinazione pendio [Gc] | 1,0 |
| Fattore inclinazione base [Bc] | 1,0 |
| Fattore forma [Sq] | 1,0 |
| Fattore profondità [Dq] | 1,0 |
| Fattore inclinazione carichi [Iq] | 0,84 |
| Fattore inclinazione pendio [Gq] | 1,0 |
| Fattore inclinazione base [Bq] | 1,0 |
| Fattore forma [Sg] | 1,0 |
| Fattore profondità [Dg] | 1,0 |
| Fattore inclinazione carichi [Ig] | 0,78 |
| Fattore inclinazione pendio [Gg] | 1,0 |
| Fattore inclinazione base [Bg] | 1,0 |
| Fattore correzione sismico inerziale [zq] | 1,0 |
| Fattore correzione sismico inerziale [zg] | 1,0 |
| Fattore correzione sismico inerziale [zc] | 1,0 |

| | |
|------------------------|--------------------------|
| Carico limite | 345,86 kN/m ² |
| Resistenza di progetto | 192,14 kN/m ² |

Condizione di verifica $[Ed \leq Rd]$ Verificata

Autore: TERZAGHI (1955) (Condizione drenata)

| | |
|---|-------|
| Fattore [Nq] | 19,93 |
| Fattore [Nc] | 34,18 |
| Fattore [Ng] | 17,28 |
| Fattore forma [Sc] | 1,0 |
| Fattore forma [Sg] | 1,0 |
| Fattore correzione sismico inerziale [zq] | 1,0 |
| Fattore correzione sismico inerziale [zg] | 1,0 |
| Fattore correzione sismico inerziale [zc] | 1,0 |

| | |
|------------------------|--------------------------|
| Carico limite | 601,55 kN/m ² |
| Resistenza di progetto | 334,2 kN/m ² |

Condizione di verifica $[Ed \leq Rd]$ Verificata

Autore: MEYERHOF (1963) (Condizione drenata)

| | |
|---|-------|
| Fattore [Nq] | 16,4 |
| Fattore [Nc] | 27,81 |
| Fattore [Ng] | 13,19 |
| Fattore forma [Sc] | 1,22 |
| Fattore profondità [Dc] | 1,0 |
| Fattore inclinazione carichi [Ic] | 0,91 |
| Fattore forma [Sq] | 1,11 |
| Fattore profondità [Dq] | 1,0 |
| Fattore inclinazione carichi [Iq] | 0,91 |
| Fattore forma [Sg] | 1,11 |
| Fattore profondità [Dg] | 1,0 |
| Fattore inclinazione carichi [Ig] | 0,74 |
| Fattore correzione sismico inerziale [zq] | 1,0 |
| Fattore correzione sismico inerziale [zg] | 1,0 |
| Fattore correzione sismico inerziale [zc] | 1,0 |

| | |
|------------------------|--------------------------|
| Carico limite | 345,13 kN/m ² |
| Resistenza di progetto | 191,74 kN/m ² |

Condizione di verifica [Ed<=Rd] Verificata

Autore: VESIC (1975) (Condizione drenata)

| | |
|---|-------|
| Fattore [Nq] | 16,4 |
| Fattore [Nc] | 27,81 |
| Fattore [Ng] | 19,27 |
| Fattore forma [Sc] | 1,0 |
| Fattore profondità [Dc] | 1,0 |
| Fattore inclinazione carichi [Ic] | 0,88 |
| Fattore inclinazione pendio [Gc] | 1,0 |
| Fattore inclinazione base [Bc] | 1,0 |
| Fattore forma [Sq] | 1,0 |
| Fattore profondità [Dq] | 1,0 |
| Fattore inclinazione carichi [Iq] | 0,88 |
| Fattore inclinazione pendio [Gq] | 1,0 |
| Fattore inclinazione base [Bq] | 1,0 |
| Fattore forma [Sg] | 1,0 |
| Fattore profondità [Dg] | 1,0 |
| Fattore inclinazione carichi [Ig] | 0,82 |
| Fattore inclinazione pendio [Gg] | 1,0 |
| Fattore inclinazione base [Bg] | 1,0 |
| Fattore correzione sismico inerziale [zq] | 1,0 |
| Fattore correzione sismico inerziale [zg] | 1,0 |
| Fattore correzione sismico inerziale [zc] | 1,0 |

| | |
|------------------------|--------------------------|
| Carico limite | 519,19 kN/m ² |
| Resistenza di progetto | 288,44 kN/m ² |

Condizione di verifica [Ed<=Rd] Verificata

Autore: Brinch - Hansen 1970 (Condizione drenata)

| | |
|---|-------|
| Fattore [Nq] | 16,4 |
| Fattore [Nc] | 27,81 |
| Fattore [Ng] | 17,06 |
| Fattore forma [Sc] | 1,2 |
| Fattore profondità [Dc] | 1,0 |
| Fattore inclinazione carichi [Ic] | 0,91 |
| Fattore inclinazione pendio [Gc] | 1,0 |
| Fattore inclinazione base [Bc] | 1,0 |
| Fattore forma [Sq] | 1,19 |
| Fattore profondità [Dq] | 1,0 |
| Fattore inclinazione carichi [Iq] | 0,91 |
| Fattore inclinazione pendio [Gq] | 1,0 |
| Fattore inclinazione base [Bq] | 1,0 |
| Fattore forma [Sg] | 0,88 |
| Fattore profondità [Dg] | 1,0 |
| Fattore inclinazione carichi [Ig] | 0,85 |
| Fattore inclinazione pendio [Gg] | 1,0 |
| Fattore inclinazione base [Bg] | 1,0 |
| Fattore correzione sismico inerziale [zq] | 1,0 |
| Fattore correzione sismico inerziale [zg] | 1,0 |
| Fattore correzione sismico inerziale [zc] | 1,0 |

| | |
|------------------------|--------------------------|
| Carico limite | 443,05 kN/m ² |
| Resistenza di progetto | 246,14 kN/m ² |

Condizione di verifica [Ed<=Rd] Verificata

Autore: Meyerhof and Hanna (1978) (Condizione drenata)

Strato 1 sopra, strato 2 sotto

Fattori di capacità portante strato 1

| | |
|--------------|------|
| Fattore [Nq] | 1,0 |
| Fattore [Nc] | 5,14 |

Fattori di capacità portante strato 2

| | |
|--------------|-------|
| Fattore [Nq] | 37,75 |
| Fattore [Nc] | 50,59 |
| Fattore [Ng] | 11,94 |

| | |
|-----------------------------|--------------------------|
| Carico limite strato 2 (qb) | 979,43 kN/m ² |
| Carico limite strato 1 (qt) | 166,96 kN/m ² |

| | |
|-----------------------------------|------------------------|
| Incremento carico limite strato 1 | 7,77 kN/m ² |
| Coefficiente di punzonamento (ks) | 0,0 |
| Rapporto (q1/q2) | 2,9 |

| | |
|------------------------|--------------------------|
| Carico limite | 166,96 kN/m ² |
| Resistenza di progetto | 92,75 kN/m ² |

Condizione di verifica [Ed<=Rd] Verificata

VERIFICA A SCORRIMENTO (Sisma B)

Adesione terreno fondazione 10 kN/m²
 Angolo di attrito terreno fondazione 0 °
 Frazione spinta passiva 0 %
 Resistenza di progetto 211,67 kN
 Sollecitazione di progetto 41,76 kN

Condizione di verifica [Ed<=Rd] Verificata

4.4.2.6. Verifica su penetrometrica P6

STRATIGRAFIA TERRENO

| Spessore strato [m] | Peso unità di volume [kN/m ³] | Peso unità di volume saturo [kN/m ³] | Angolo di attrito [°] | Coesione [kN/m ²] | Coesione non drenata [kN/m ²] | Modulo Elastico [kN/m ²] | Modulo Edometrico [kN/m ²] | Poisson | Coeff. consolidaz. primaria [cmq/s] | Coeff. consolidazione secondaria | Descrizione |
|---------------------|---|--|-----------------------|-------------------------------|---|--------------------------------------|--|---------|-------------------------------------|----------------------------------|-------------|
| 0,6 | 15,85 | 15,85 | 29,0 | 0,0 | 19,6133 | 5000,0 | 5000,0 | 0,0 | 0,0 | 0,0 | |
| 2,2 | 17,65 | 17,65 | 40,0 | 0,0 | 0,0 | 5000,0 | 5000,0 | 0,0 | 0,0 | 0,0 | |
| 0,6 | 16,18 | 16,18 | 32,0 | 0,0 | 0,0 | 5000,0 | 5000,0 | 0,0 | 0,0 | 0,0 | |
| 1,6 | 17,65 | 17,65 | 37,0 | 0,0 | 0,0 | 5000,0 | 5000,0 | 0,0 | 0,0 | 0,0 | |
| 2,0 | 17,65 | 17,65 | 33,0 | 0,0 | 0,0 | 5000,0 | 5000,0 | 0,0 | 0,0 | 0,0 | |

Carichi di progetto agenti sulla fondazione

| Nr. | Nome combinazione | Pressione normale di progetto [kN/m ²] | N [kN] | Mx [kN·m] | My [kN·m] | Hx [kN] | Hy [kN] | Tipo |
|-----|-------------------|--|--------|-----------|-----------|---------|---------|----------|
| 1 | A1+M1+R3 | 0,00 | 880,60 | 0,00 | 0,00 | 0,00 | 0,00 | Progetto |
| 2 | Sisma A | 0,00 | 604,23 | 38,40 | -128,00 | 40,00 | 12,00 | Progetto |
| 3 | S.L.E. | 0,00 | 639,68 | 0,00 | 0,00 | 0,00 | 0,00 | Servizio |
| 4 | Sisma B | 0,00 | 604,23 | 128,00 | -38,40 | 12,00 | 40,00 | Progetto |

Sisma + Coeff. parziali parametri geotecnici terreno + Resistenze

| Nr | Correzione Sismica | Tangente angolo di resistenza al taglio | Coesione efficace | Coesione non drenata | Peso Unità volume in fondazione | Peso unità volume co-pertura | Coeff. Rid. Capacità portante verticale | Coeff. Rid. C capacità portante orizzontale |
|----|--------------------|---|-------------------|----------------------|---------------------------------|------------------------------|---|---|
| 1 | No | 1 | 1 | 1 | 1 | 1 | 2,3 | 1,1 |
| 2 | No | 1,25 | 1,25 | 1,4 | 1 | 1 | 1,8 | 1,1 |
| 3 | No | 1 | 1 | 1 | 1 | 1 | 1 | 1 |
| 4 | No | 1,25 | 1,25 | 1,4 | 1 | 1 | 1,8 | 1,1 |

CARICO LIMITE FONDAZIONE COMBINAZIONE...A1+M1+R3

Autore: Meyerhof and Hanna (1978)

Carico limite [Qult] 140,02 kN/m²
 Resistenza di progetto[Rd] 60,88 kN/m²

| | |
|---------------------------------|------------------------|
| Tensione [Ed] | 27,8 kN/m ² |
| Fattore sicurezza [Fs=Qult/Ed] | 5,04 |
| Condizione di verifica [Ed<=Rd] | Verificata |

| | |
|---|----------------------------|
| COEFFICIENTE DI SOTTOFONDAZIONE BOWLES (1982) | |
| Costante di Winkler | 83469,88 kN/m ³ |

A1+M1+R3

Autore: HANSEN (1970) (Condizione drenata)

| | |
|---|-------|
| Fattore [Nq] | 46,53 |
| Fattore [Nc] | 59,08 |
| Fattore [Ng] | 52,63 |
| Fattore forma [Sc] | 1,3 |
| Fattore profondità [Dc] | 1,0 |
| Fattore inclinazione carichi [Ic] | 1,0 |
| Fattore inclinazione pendio [Gc] | 1,0 |
| Fattore inclinazione base [Bc] | 1,0 |
| Fattore forma [Sq] | 1,29 |
| Fattore profondità [Dq] | 1,0 |
| Fattore inclinazione carichi [Iq] | 1,0 |
| Fattore inclinazione pendio [Gq] | 1,0 |
| Fattore inclinazione base [Bq] | 1,0 |
| Fattore forma [Sg] | 0,85 |
| Fattore profondità [Dg] | 1,0 |
| Fattore inclinazione carichi [Ig] | 1,0 |
| Fattore inclinazione pendio [Gg] | 1,0 |
| Fattore inclinazione base [Bg] | 1,0 |
| Fattore correzione sismico inerziale [zq] | 1,0 |
| Fattore correzione sismico inerziale [zg] | 1,0 |
| Fattore correzione sismico inerziale [zc] | 1,0 |

| | |
|------------------------|---------------------------|
| Carico limite | 1573,25 kN/m ² |
| Resistenza di progetto | 684,02 kN/m ² |

| | |
|---------------------------------|------------|
| Condizione di verifica [Ed<=Rd] | Verificata |
|---------------------------------|------------|

Autore: TERZAGHI (1955) (Condizione drenata)

| | |
|---|-------|
| Fattore [Nq] | 58,45 |
| Fattore [Nc] | 74,55 |
| Fattore [Ng] | 68,95 |
| Fattore forma [Sc] | 1,0 |
| Fattore forma [Sg] | 1,0 |
| Fattore correzione sismico inerziale [zq] | 1,0 |
| Fattore correzione sismico inerziale [zg] | 1,0 |
| Fattore correzione sismico inerziale [zc] | 1,0 |

| | |
|------------------------|---------------------------|
| Carico limite | 2293,92 kN/m ² |
| Resistenza di progetto | 997,36 kN/m ² |

| | |
|---------------------------------|------------|
| Condizione di verifica [Ed<=Rd] | Verificata |
|---------------------------------|------------|

Autore: MEYERHOF (1963) (Condizione drenata)

| | |
|---|-------|
| Fattore [Nq] | 46,53 |
| Fattore [Nc] | 59,08 |
| Fattore [Ng] | 59,7 |
| Fattore forma [Sc] | 1,31 |
| Fattore profondità [Dc] | 1,0 |
| Fattore inclinazione carichi [Ic] | 1,0 |
| Fattore forma [Sq] | 1,16 |
| Fattore profondità [Dq] | 1,0 |
| Fattore inclinazione carichi [Iq] | 1,0 |
| Fattore forma [Sg] | 1,16 |
| Fattore profondità [Dg] | 1,0 |
| Fattore inclinazione carichi [Ig] | 1,0 |
| Fattore correzione sismico inerziale [zq] | 1,0 |
| Fattore correzione sismico inerziale [zg] | 1,0 |
| Fattore correzione sismico inerziale [zc] | 1,0 |

| | |
|------------------------|---------------------------|
| Carico limite | 2279,31 kN/m ² |
| Resistenza di progetto | 991,01 kN/m ² |

Condizione di verifica [Ed<=Rd] Verificata

Autore: VESIC (1975) (Condizione drenata)

| | |
|---|-------|
| Fattore [Nq] | 46,53 |
| Fattore [Nc] | 59,08 |
| Fattore [Ng] | 73,26 |
| Fattore forma [Sc] | 1,3 |
| Fattore profondità [Dc] | 1,0 |
| Fattore inclinazione carichi [Ic] | 1,0 |
| Fattore inclinazione pendio [Gc] | 1,0 |
| Fattore inclinazione base [Bc] | 1,0 |
| Fattore forma [Sq] | 1,29 |
| Fattore profondità [Dq] | 1,0 |
| Fattore inclinazione carichi [Iq] | 1,0 |
| Fattore inclinazione pendio [Gq] | 1,0 |
| Fattore inclinazione base [Bq] | 1,0 |
| Fattore forma [Sg] | 0,85 |
| Fattore profondità [Dg] | 1,0 |
| Fattore inclinazione carichi [Ig] | 1,0 |
| Fattore inclinazione pendio [Gg] | 1,0 |
| Fattore inclinazione base [Bg] | 1,0 |
| Fattore correzione sismico inerziale [zq] | 1,0 |
| Fattore correzione sismico inerziale [zg] | 1,0 |
| Fattore correzione sismico inerziale [zc] | 1,0 |

| | |
|------------------------|---------------------------|
| Carico limite | 1196,88 kN/m ² |
| Resistenza di progetto | 520,38 kN/m ² |

Condizione di verifica [Ed<=Rd] Verificata

Autore: Brinch - Hansen 1970 (Condizione drenata)

| | |
|---|---------------------------|
| Fattore [Nq] | 46,53 |
| Fattore [Nc] | 59,08 |
| Fattore [Ng] | 70,18 |
| Fattore forma [Sc] | 1,24 |
| Fattore profondità [Dc] | 1,0 |
| Fattore inclinazione carichi [Ic] | 1,0 |
| Fattore inclinazione pendio [Gc] | 1,0 |
| Fattore inclinazione base [Bc] | 1,0 |
| Fattore forma [Sq] | 1,23 |
| Fattore profondità [Dq] | 1,0 |
| Fattore inclinazione carichi [Iq] | 1,0 |
| Fattore inclinazione pendio [Gq] | 1,0 |
| Fattore inclinazione base [Bq] | 1,0 |
| Fattore forma [Sg] | 0,89 |
| Fattore profondità [Dg] | 1,0 |
| Fattore inclinazione carichi [Ig] | 1,0 |
| Fattore inclinazione pendio [Gg] | 1,0 |
| Fattore inclinazione base [Bg] | 1,0 |
| Fattore correzione sismico inerziale [zq] | 1,0 |
| Fattore correzione sismico inerziale [zg] | 1,0 |
| Fattore correzione sismico inerziale [zc] | 1,0 |
| <hr/> | |
| Carico limite | 2086,75 kN/m ² |
| Resistenza di progetto | 907,28 kN/m ² |
| <hr/> | |
| Condizione di verifica [Ed<=Rd] | Verificata |
| <hr/> | |

Autore: Meyerhof and Hanna (1978) (Condizione drenata)

Strato 1 sopra, strato 2 sotto

| | |
|---------------------------------------|---------------------------|
| Fattori di capacità portante strato 1 | |
| Fattore [Nq] | 1,0 |
| Fattore [Nc] | 5,14 |
| Fattori di capacità portante strato 2 | |
| Fattore [Nq] | 64,2 |
| Fattore [Nc] | 75,31 |
| Fattore [Ng] | 23,0 |
| Carico limite strato 2 (qb) | 1544,68 kN/m ² |
| Carico limite strato 1 (qt) | 140,02 kN/m ² |
| Incremento carico limite strato 1 | 3,96 kN/m ² |
| Coefficiente di punzonamento (ks) | 0,0 |
| Rapporto (q1/q2) | 6,99 |
| <hr/> | |
| Carico limite | 140,02 kN/m ² |
| Resistenza di progetto | 60,88 kN/m ² |
| <hr/> | |

Condizione di verifica $[Ed \leq Rd]$ Verificata

Sisma A

Autore: HANSEN (1970) (Condizione drenata)

| | |
|---|-------|
| Fattore [Nq] | 22,26 |
| Fattore [Nc] | 34,48 |
| Fattore [Ng] | 19,66 |
| Fattore forma [Sc] | 1,0 |
| Fattore profondità [Dc] | 1,0 |
| Fattore inclinazione carichi [Ic] | 0,83 |
| Fattore inclinazione pendio [Gc] | 1,0 |
| Fattore inclinazione base [Bc] | 1,0 |
| Fattore forma [Sq] | 1,0 |
| Fattore profondità [Dq] | 1,0 |
| Fattore inclinazione carichi [Iq] | 0,84 |
| Fattore inclinazione pendio [Gq] | 1,0 |
| Fattore inclinazione base [Bq] | 1,0 |
| Fattore forma [Sg] | 1,0 |
| Fattore profondità [Dg] | 1,0 |
| Fattore inclinazione carichi [Ig] | 0,78 |
| Fattore inclinazione pendio [Gg] | 1,0 |
| Fattore inclinazione base [Bg] | 1,0 |
| Fattore correzione sismico inerziale [zq] | 1,0 |
| Fattore correzione sismico inerziale [zg] | 1,0 |
| Fattore correzione sismico inerziale [zc] | 1,0 |

| | |
|------------------------|--------------------------|
| Carico limite | 477,05 kN/m ² |
| Resistenza di progetto | 265,03 kN/m ² |

Condizione di verifica $[Ed \leq Rd]$ Verificata

Autore: TERZAGHI (1955) (Condizione drenata)

| | |
|---|-------|
| Fattore [Nq] | 27,35 |
| Fattore [Nc] | 42,74 |
| Fattore [Ng] | 26,03 |
| Fattore forma [Sc] | 1,0 |
| Fattore forma [Sg] | 1,0 |
| Fattore correzione sismico inerziale [zq] | 1,0 |
| Fattore correzione sismico inerziale [zg] | 1,0 |
| Fattore correzione sismico inerziale [zc] | 1,0 |

| | |
|------------------------|--------------------------|
| Carico limite | 887,04 kN/m ² |
| Resistenza di progetto | 492,8 kN/m ² |

Condizione di verifica $[Ed \leq Rd]$ Verificata

Autore: MEYERHOF (1963) (Condizione drenata)

| | |
|---|-------|
| Fattore [Nq] | 22,26 |
| Fattore [Nc] | 34,48 |
| Fattore [Ng] | 20,75 |
| Fattore forma [Sc] | 1,22 |
| Fattore profondità [Dc] | 1,0 |
| Fattore inclinazione carichi [Ic] | 0,91 |
| Fattore forma [Sq] | 1,11 |
| Fattore profondità [Dq] | 1,0 |
| Fattore inclinazione carichi [Iq] | 0,91 |
| Fattore forma [Sg] | 1,11 |
| Fattore profondità [Dg] | 1,0 |
| Fattore inclinazione carichi [Ig] | 0,76 |
| Fattore correzione sismico inerziale [zq] | 1,0 |
| Fattore correzione sismico inerziale [zg] | 1,0 |
| Fattore correzione sismico inerziale [zc] | 1,0 |

| | |
|------------------------|--------------------------|
| Carico limite | 496,47 kN/m ² |
| Resistenza di progetto | 275,81 kN/m ² |

Condizione di verifica [Ed<=Rd] Verificata

Autore: VESIC (1975) (Condizione drenata)

| | |
|---|-------|
| Fattore [Nq] | 22,26 |
| Fattore [Nc] | 34,48 |
| Fattore [Ng] | 28,68 |
| Fattore forma [Sc] | 1,0 |
| Fattore profondità [Dc] | 1,0 |
| Fattore inclinazione carichi [Ic] | 0,88 |
| Fattore inclinazione pendio [Gc] | 1,0 |
| Fattore inclinazione base [Bc] | 1,0 |
| Fattore forma [Sq] | 1,0 |
| Fattore profondità [Dq] | 1,0 |
| Fattore inclinazione carichi [Iq] | 0,88 |
| Fattore inclinazione pendio [Gq] | 1,0 |
| Fattore inclinazione base [Bq] | 1,0 |
| Fattore forma [Sg] | 1,0 |
| Fattore profondità [Dg] | 1,0 |
| Fattore inclinazione carichi [Ig] | 0,82 |
| Fattore inclinazione pendio [Gg] | 1,0 |
| Fattore inclinazione base [Bg] | 1,0 |
| Fattore correzione sismico inerziale [zq] | 1,0 |
| Fattore correzione sismico inerziale [zg] | 1,0 |
| Fattore correzione sismico inerziale [zc] | 1,0 |

| | |
|------------------------|--------------------------|
| Carico limite | 657,27 kN/m ² |
| Resistenza di progetto | 365,15 kN/m ² |

Condizione di verifica [Ed<=Rd] Verificata

Autore: Brinch - Hansen 1970 (Condizione drenata)

| | |
|---|-------|
| Fattore [Nq] | 22,26 |
| Fattore [Nc] | 34,48 |
| Fattore [Ng] | 26,21 |
| Fattore forma [Sc] | 1,19 |
| Fattore profondità [Dc] | 1,0 |
| Fattore inclinazione carichi [Ic] | 0,88 |
| Fattore inclinazione pendio [Gc] | 1,0 |
| Fattore inclinazione base [Bc] | 1,0 |
| Fattore forma [Sq] | 1,18 |
| Fattore profondità [Dq] | 1,0 |
| Fattore inclinazione carichi [Iq] | 0,88 |
| Fattore inclinazione pendio [Gq] | 1,0 |
| Fattore inclinazione base [Bq] | 1,0 |
| Fattore forma [Sg] | 0,9 |
| Fattore profondità [Dg] | 1,0 |
| Fattore inclinazione carichi [Ig] | 0,82 |
| Fattore inclinazione pendio [Gg] | 1,0 |
| Fattore inclinazione base [Bg] | 1,0 |
| Fattore correzione sismico inerziale [zq] | 1,0 |
| Fattore correzione sismico inerziale [zg] | 1,0 |
| Fattore correzione sismico inerziale [zc] | 1,0 |

| | |
|------------------------|--------------------------|
| Carico limite | 601,29 kN/m ² |
| Resistenza di progetto | 334,05 kN/m ² |

Condizione di verifica [Ed<=Rd] Verificata

Autore: Meyerhof and Hanna (1978) (Condizione drenata)

Strato 1 sopra, strato 2 sotto

Fattori di capacità portante strato 1

| | |
|--------------|------|
| Fattore [Nq] | 1,0 |
| Fattore [Nc] | 5,14 |

Fattori di capacità portante strato 2

| | |
|--------------|-------|
| Fattore [Nq] | 64,2 |
| Fattore [Nc] | 75,31 |
| Fattore [Ng] | 23,0 |

| | |
|-----------------------------|---------------------------|
| Carico limite strato 2 (qb) | 1544,68 kN/m ² |
| Carico limite strato 1 (qt) | 140,02 kN/m ² |

| | |
|-----------------------------------|------------------------|
| Incremento carico limite strato 1 | 3,96 kN/m ² |
| Coefficiente di punzonamento (ks) | 0,0 |
| Rapporto (q1/q2) | 6,99 |

| | |
|------------------------|--------------------------|
| Carico limite | 140,02 kN/m ² |
| Resistenza di progetto | 77,79 kN/m ² |

Condizione di verifica [Ed<=Rd] Verificata

VERIFICA A SCORRIMENTO (Sisma A)

| | |
|--------------------------------------|----------------------|
| Adesione terreno fondazione | 10 kN/m ² |
| Angolo di attrito terreno fondazione | 0 ° |
| Frazione spinta passiva | 0 % |
| Resistenza di progetto | 199,46 kN |
| Sollecitazione di progetto | 41,76 kN |

Condizione di verifica [Ed<=Rd] Verificata

Sisma B

Autore: HANSEN (1970) (Condizione drenata)

| | |
|---|-------|
| Fattore [Nq] | 22,26 |
| Fattore [Nc] | 34,48 |
| Fattore [Ng] | 19,66 |
| Fattore forma [Sc] | 1,0 |
| Fattore profondità [Dc] | 1,0 |
| Fattore inclinazione carichi [Ic] | 0,83 |
| Fattore inclinazione pendio [Gc] | 1,0 |
| Fattore inclinazione base [Bc] | 1,0 |
| Fattore forma [Sq] | 1,0 |
| Fattore profondità [Dq] | 1,0 |
| Fattore inclinazione carichi [Iq] | 0,84 |
| Fattore inclinazione pendio [Gq] | 1,0 |
| Fattore inclinazione base [Bq] | 1,0 |
| Fattore forma [Sg] | 1,0 |
| Fattore profondità [Dg] | 1,0 |
| Fattore inclinazione carichi [Ig] | 0,78 |
| Fattore inclinazione pendio [Gg] | 1,0 |
| Fattore inclinazione base [Bg] | 1,0 |
| Fattore correzione sismico inerziale [zq] | 1,0 |
| Fattore correzione sismico inerziale [zg] | 1,0 |
| Fattore correzione sismico inerziale [zc] | 1,0 |

| | |
|------------------------|--------------------------|
| Carico limite | 516,29 kN/m ² |
| Resistenza di progetto | 286,83 kN/m ² |

Condizione di verifica [Ed<=Rd] Verificata

Autore: TERZAGHI (1955) (Condizione drenata)

| | |
|---|-------|
| Fattore [Nq] | 27,35 |
| Fattore [Nc] | 42,74 |
| Fattore [Ng] | 26,03 |
| Fattore forma [Sc] | 1,0 |
| Fattore forma [Sg] | 1,0 |
| Fattore correzione sismico inerziale [zq] | 1,0 |
| Fattore correzione sismico inerziale [zg] | 1,0 |
| Fattore correzione sismico inerziale [zc] | 1,0 |

| | |
|------------------------|--------------------------|
| Carico limite | 887,04 kN/m ² |
| Resistenza di progetto | 492,8 kN/m ² |

Condizione di verifica [Ed<=Rd] Verificata

Autore: MEYERHOF (1963) (Condizione drenata)

| | |
|---|-------|
| Fattore [Nq] | 22,26 |
| Fattore [Nc] | 34,48 |
| Fattore [Ng] | 20,75 |
| Fattore forma [Sc] | 1,25 |
| Fattore profondità [Dc] | 1,0 |
| Fattore inclinazione carichi [Ic] | 0,91 |
| Fattore forma [Sq] | 1,12 |
| Fattore profondità [Dq] | 1,0 |
| Fattore inclinazione carichi [Iq] | 0,91 |
| Fattore forma [Sg] | 1,12 |
| Fattore profondità [Dg] | 1,0 |
| Fattore inclinazione carichi [Ig] | 0,76 |
| Fattore correzione sismico inerziale [zq] | 1,0 |
| Fattore correzione sismico inerziale [zg] | 1,0 |
| Fattore correzione sismico inerziale [zc] | 1,0 |

| | |
|------------------------|--------------------------|
| Carico limite | 536,96 kN/m ² |
| Resistenza di progetto | 298,31 kN/m ² |

Condizione di verifica [Ed<=Rd] Verificata

Autore: VESIC (1975) (Condizione drenata)

| | |
|---|-------|
| Fattore [Nq] | 22,26 |
| Fattore [Nc] | 34,48 |
| Fattore [Ng] | 28,68 |
| Fattore forma [Sc] | 1,0 |
| Fattore profondità [Dc] | 1,0 |
| Fattore inclinazione carichi [Ic] | 0,88 |
| Fattore inclinazione pendio [Gc] | 1,0 |
| Fattore inclinazione base [Bc] | 1,0 |
| Fattore forma [Sq] | 1,0 |
| Fattore profondità [Dq] | 1,0 |
| Fattore inclinazione carichi [Iq] | 0,88 |
| Fattore inclinazione pendio [Gq] | 1,0 |
| Fattore inclinazione base [Bq] | 1,0 |
| Fattore forma [Sg] | 1,0 |
| Fattore profondità [Dg] | 1,0 |
| Fattore inclinazione carichi [Ig] | 0,82 |
| Fattore inclinazione pendio [Gg] | 1,0 |
| Fattore inclinazione base [Bg] | 1,0 |
| Fattore correzione sismico inerziale [zq] | 1,0 |
| Fattore correzione sismico inerziale [zg] | 1,0 |
| Fattore correzione sismico inerziale [zc] | 1,0 |

| | |
|------------------------|--------------------------|
| Carico limite | 714,11 kN/m ² |
| Resistenza di progetto | 396,73 kN/m ² |

Condizione di verifica [Ed≤Rd] Verificata

Autore: Brinch - Hansen 1970 (Condizione drenata)

| | |
|---|-------|
| Fattore [Nq] | 22,26 |
| Fattore [Nc] | 34,48 |
| Fattore [Ng] | 26,21 |
| Fattore forma [Sc] | 1,21 |
| Fattore profondità [Dc] | 1,0 |
| Fattore inclinazione carichi [Ic] | 0,91 |
| Fattore inclinazione pendio [Gc] | 1,0 |
| Fattore inclinazione base [Bc] | 1,0 |
| Fattore forma [Sq] | 1,2 |
| Fattore profondità [Dq] | 1,0 |
| Fattore inclinazione carichi [Iq] | 0,91 |
| Fattore inclinazione pendio [Gq] | 1,0 |
| Fattore inclinazione base [Bq] | 1,0 |
| Fattore forma [Sg] | 0,88 |
| Fattore profondità [Dg] | 1,0 |
| Fattore inclinazione carichi [Ig] | 0,85 |
| Fattore inclinazione pendio [Gg] | 1,0 |
| Fattore inclinazione base [Bg] | 1,0 |
| Fattore correzione sismico inerziale [zq] | 1,0 |
| Fattore correzione sismico inerziale [zg] | 1,0 |
| Fattore correzione sismico inerziale [zc] | 1,0 |

| | |
|------------------------|--------------------------|
| Carico limite | 662,59 kN/m ² |
| Resistenza di progetto | 368,11 kN/m ² |

Condizione di verifica [Ed≤Rd] Verificata

Autore: Meyerhof and Hanna (1978) (Condizione drenata)

Strato 1 sopra, strato 2 sotto

Fattori di capacità portante strato 1

| | |
|--------------|------|
| Fattore [Nq] | 1,0 |
| Fattore [Nc] | 5,14 |

Fattori di capacità portante strato 2

| | |
|--------------|-------|
| Fattore [Nq] | 64,2 |
| Fattore [Nc] | 75,31 |
| Fattore [Ng] | 23,0 |

| | |
|-----------------------------|---------------------------|
| Carico limite strato 2 (qb) | 1544,68 kN/m ² |
| Carico limite strato 1 (qt) | 140,02 kN/m ² |

| | |
|-----------------------------------|------------------------|
| Incremento carico limite strato 1 | 3,96 kN/m ² |
| Coefficiente di punzonamento (ks) | 0,0 |

| | |
|---|--------------------------|
| Rapporto (q_1/q_2) | 6,99 |
| Carico limite | 140,02 kN/m ² |
| Resistenza di progetto | 77,79 kN/m ² |
| Condizione di verifica [$E_d \leq R_d$] | Verificata |

VERIFICA A SCORRIMENTO (Sisma B)

| | |
|---|----------------------|
| Adesione terreno fondazione | 10 kN/m ² |
| Angolo di attrito terreno fondazione | 0 ° |
| Frazione spinta passiva | 0 % |
| Resistenza di progetto | 211,67 kN |
| Sollecitazione di progetto | 41,76 kN |
| Condizione di verifica [$E_d \leq R_d$] | Verificata |

4.4.2.7. Verifica su penetrometrica P7

STRATIGRAFIA TERRENO

| Spessore strato [m] | Peso unità di volume [kN/m ³] | Peso unità di volume saturo [kN/m ³] | Angolo di attrito [°] | Coesione [kN/m ²] | Coesione non drenata [kN/m ²] | Modulo Elastico [kN/m ²] | Modulo Edometrico [kN/m ²] | Poisson | Coeff. consolidaz. primaria [cmq/s] | Coeff. consolidazione secondaria | Descrizione |
|---------------------|---|--|-----------------------|-------------------------------|---|--------------------------------------|--|---------|-------------------------------------|----------------------------------|-------------|
| 0,6 | 17,94 | 17,94 | 27,0 | 0,0 | 81,6894 | 5000,0 | 5000,0 | 0,0 | 0,0 | 0,0 | |
| 3,2 | 17,65 | 17,65 | 36,0 | 0,0 | 0,0 | 5000,0 | 5000,0 | 0,0 | 0,0 | 0,0 | |
| 0,6 | 16,18 | 16,18 | 30,0 | 0,0 | 0,0 | 5000,0 | 5000,0 | 0,0 | 0,0 | 0,0 | |
| 1,6 | 17,65 | 17,65 | 36,0 | 0,0 | 0,0 | 5000,0 | 5000,0 | 0,0 | 0,0 | 0,0 | |

Carichi di progetto agenti sulla fondazione

| Nr. | Nome combinazione | Pressione normale di progetto [kN/m ²] | N [kN] | Mx [kN·m] | My [kN·m] | Hx [kN] | Hy [kN] | Tipo |
|-----|-------------------|--|--------|-----------|-----------|---------|---------|----------|
| 1 | A1+M1+R3 | 0,00 | 880,60 | 0,00 | 0,00 | 0,00 | 0,00 | Progetto |
| 2 | Sisma A | 0,00 | 604,23 | 38,40 | -128,00 | 40,00 | 12,00 | Progetto |
| 3 | S.L.E. | 0,00 | 639,68 | 0,00 | 0,00 | 0,00 | 0,00 | Servizio |
| 4 | Sisma B | 0,00 | 604,23 | 128,00 | -38,40 | 12,00 | 40,00 | Progetto |

Sisma + Coeff. parziali parametri geotecnici terreno + Resistenze

| Nr | Correzione Sismica | Tangente angolo di resistenza al taglio | Coesione efficace | Coesione non drenata | Peso Unità volume in fondazione | Peso unità volume co-pertura | Coef. Rid. Capacità portante verticale | Coef. Rid. C capacità portante orizzontale |
|----|--------------------|---|-------------------|----------------------|---------------------------------|------------------------------|--|--|
| 1 | No | 1 | 1 | 1 | 1 | 1 | 2,3 | 1,1 |
| 2 | No | 1,25 | 1,25 | 1,4 | 1 | 1 | 1,8 | 1,1 |
| 3 | No | 1 | 1 | 1 | 1 | 1 | 1 | 1 |
| 4 | No | 1,25 | 1,25 | 1,4 | 1 | 1 | 1,8 | 1,1 |

CARICO LIMITE FONDAZIONE COMBINAZIONE...Sisma A

Autore: HANSEN (1970)

| | |
|---------------------------------|--------------------------|
| Carico limite [Qult] | 339,81 kN/m ² |
| Resistenza di progetto[Rd] | 188,78 kN/m ² |
| Tensione [Ed] | 22,03 kN/m ² |
| Fattore sicurezza [Fs=Qult/Ed] | 15,42 |
| Condizione di verifica [Ed<=Rd] | Verificata |

COEFFICIENTE DI SOTTOFONDAZIONE BOWLES (1982)

Costante di Winkler 13592,5 kN/m³**A1+M1+R3**

Autore: HANSEN (1970) (Condizione drenata)

| | |
|---|-------|
| Fattore [Nq] | 32,83 |
| Fattore [Nc] | 45,65 |
| Fattore [Ng] | 33,3 |
| Fattore forma [Sc] | 1,27 |
| Fattore profondità [Dc] | 1,0 |
| Fattore inclinazione carichi [Ic] | 1,0 |
| Fattore inclinazione pendio [Gc] | 1,0 |
| Fattore inclinazione base [Bc] | 1,0 |
| Fattore forma [Sq] | 1,27 |
| Fattore profondità [Dq] | 1,0 |
| Fattore inclinazione carichi [Iq] | 1,0 |
| Fattore inclinazione pendio [Gq] | 1,0 |
| Fattore inclinazione base [Bq] | 1,0 |
| Fattore forma [Sg] | 0,85 |
| Fattore profondità [Dg] | 1,0 |
| Fattore inclinazione carichi [Ig] | 1,0 |
| Fattore inclinazione pendio [Gg] | 1,0 |
| Fattore inclinazione base [Bg] | 1,0 |
| Fattore correzione sismico inerziale [zq] | 1,0 |
| Fattore correzione sismico inerziale [zg] | 1,0 |
| Fattore correzione sismico inerziale [zc] | 1,0 |

| | |
|------------------------|---------------------------|
| Carico limite | 1052,64 kN/m ² |
| Resistenza di progetto | 457,67 kN/m ² |

Condizione di verifica [Ed<=Rd] Verificata

Autore: TERZAGHI (1955) (Condizione drenata)

| | |
|---|-------|
| Fattore [Nq] | 40,85 |
| Fattore [Nc] | 57,15 |
| Fattore [Ng] | 41,79 |
| Fattore forma [Sc] | 1,0 |
| Fattore forma [Sg] | 1,0 |
| Fattore correzione sismico inerziale [zq] | 1,0 |
| Fattore correzione sismico inerziale [zg] | 1,0 |
| Fattore correzione sismico inerziale [zc] | 1,0 |

Carico limite 1465,52 kN/m²
 Resistenza di progetto 637,18 kN/m²

Condizione di verifica [Ed<=Rd] Verificata

Autore: MEYERHOF (1963) (Condizione drenata)

| | |
|---|-------|
| Fattore [Nq] | 32,83 |
| Fattore [Nc] | 45,65 |
| Fattore [Ng] | 36,42 |
| Fattore forma [Sc] | 1,28 |
| Fattore profondità [Dc] | 1,0 |
| Fattore inclinazione carichi [Ic] | 1,0 |
| Fattore forma [Sq] | 1,14 |
| Fattore profondità [Dq] | 1,0 |
| Fattore inclinazione carichi [Iq] | 1,0 |
| Fattore forma [Sg] | 1,14 |
| Fattore profondità [Dg] | 1,0 |
| Fattore inclinazione carichi [Ig] | 1,0 |
| Fattore correzione sismico inerziale [zq] | 1,0 |
| Fattore correzione sismico inerziale [zg] | 1,0 |
| Fattore correzione sismico inerziale [zc] | 1,0 |

Carico limite 1441,27 kN/m²
 Resistenza di progetto 626,64 kN/m²

Condizione di verifica [Ed<=Rd] Verificata

Autore: VESIC (1975) (Condizione drenata)

| | |
|---|-------|
| Fattore [Nq] | 32,83 |
| Fattore [Nc] | 45,65 |
| Fattore [Ng] | 47,18 |
| Fattore forma [Sc] | 1,27 |
| Fattore profondità [Dc] | 1,0 |
| Fattore inclinazione carichi [Ic] | 1,0 |
| Fattore inclinazione pendio [Gc] | 1,0 |
| Fattore inclinazione base [Bc] | 1,0 |
| Fattore forma [Sq] | 1,27 |
| Fattore profondità [Dq] | 1,0 |
| Fattore inclinazione carichi [Iq] | 1,0 |
| Fattore inclinazione pendio [Gq] | 1,0 |
| Fattore inclinazione base [Bq] | 1,0 |
| Fattore forma [Sg] | 0,85 |
| Fattore profondità [Dg] | 1,0 |
| Fattore inclinazione carichi [Ig] | 1,0 |
| Fattore inclinazione pendio [Gg] | 1,0 |
| Fattore inclinazione base [Bg] | 1,0 |
| Fattore correzione sismico inerziale [zq] | 1,0 |
| Fattore correzione sismico inerziale [zg] | 1,0 |
| Fattore correzione sismico inerziale [zc] | 1,0 |

| | |
|------------------------|---------------------------|
| Carico limite | 1016,64 kN/m ² |
| Resistenza di progetto | 442,02 kN/m ² |

Condizione di verifica [Ed≤Rd] Verificata

Autore: Brinch - Hansen 1970 (Condizione drenata)

| | |
|---|-------|
| Fattore [Nq] | 32,83 |
| Fattore [Nc] | 45,65 |
| Fattore [Ng] | 44,39 |
| Fattore forma [Sc] | 1,22 |
| Fattore profondità [Dc] | 1,0 |
| Fattore inclinazione carichi [Ic] | 1,0 |
| Fattore inclinazione pendio [Gc] | 1,0 |
| Fattore inclinazione base [Bc] | 1,0 |
| Fattore forma [Sq] | 1,22 |
| Fattore profondità [Dq] | 1,0 |
| Fattore inclinazione carichi [Iq] | 1,0 |
| Fattore inclinazione pendio [Gq] | 1,0 |
| Fattore inclinazione base [Bq] | 1,0 |
| Fattore forma [Sg] | 0,89 |
| Fattore profondità [Dg] | 1,0 |
| Fattore inclinazione carichi [Ig] | 1,0 |
| Fattore inclinazione pendio [Gg] | 1,0 |
| Fattore inclinazione base [Bg] | 1,0 |
| Fattore correzione sismico inerziale [zq] | 1,0 |
| Fattore correzione sismico inerziale [zg] | 1,0 |
| Fattore correzione sismico inerziale [zc] | 1,0 |

| | |
|------------------------|---------------------------|
| Carico limite | 1386,19 kN/m ² |
| Resistenza di progetto | 602,69 kN/m ² |

Condizione di verifica [Ed≤Rd] Verificata

Autore: Meyerhof and Hanna (1978) (Condizione drenata)

Strato 1 sopra, strato 2 sotto

Fattori di capacità portante strato 1

| | |
|--------------|------|
| Fattore [Nq] | 1,0 |
| Fattore [Nc] | 5,14 |

Fattori di capacità portante strato 2

| | |
|--------------|-------|
| Fattore [Nq] | 37,75 |
| Fattore [Nc] | 50,59 |
| Fattore [Ng] | 11,94 |

| | |
|-----------------------------|--------------------------|
| Carico limite strato 2 (qb) | 885,08 kN/m ² |
| Carico limite strato 1 (qt) | 547,31 kN/m ² |

| | |
|-----------------------------------|-------------------------|
| Incremento carico limite strato 1 | 16,48 kN/m ² |
| Coefficiente di punzonamento (ks) | 0,0 |

| | |
|---|--------------------------|
| Rapporto (q_1/q_2) | 0,87 |
| Carico limite | 547,31 kN/m ² |
| Resistenza di progetto | 237,96 kN/m ² |
| Condizione di verifica [$E_d \leq R_d$] | Verificata |

Sisma A

Autore: HANSEN (1970) (Condizione drenata)

| | |
|--|--------------------------|
| Fattore [N _q] | 16,73 |
| Fattore [N _c] | 28,2 |
| Fattore [N _g] | 13,16 |
| Fattore forma [S _c] | 1,0 |
| Fattore profondità [D _c] | 1,0 |
| Fattore inclinazione carichi [I _c] | 0,83 |
| Fattore inclinazione pendio [G _c] | 1,0 |
| Fattore inclinazione base [B _c] | 1,0 |
| Fattore forma [S _q] | 1,0 |
| Fattore profondità [D _q] | 1,0 |
| Fattore inclinazione carichi [I _q] | 0,84 |
| Fattore inclinazione pendio [G _q] | 1,0 |
| Fattore inclinazione base [B _q] | 1,0 |
| Fattore forma [S _g] | 1,0 |
| Fattore profondità [D _g] | 1,0 |
| Fattore inclinazione carichi [I _g] | 0,78 |
| Fattore inclinazione pendio [G _g] | 1,0 |
| Fattore inclinazione base [B _g] | 1,0 |
| Fattore correzione sismico inerziale [z _q] | 1,0 |
| Fattore correzione sismico inerziale [z _g] | 1,0 |
| Fattore correzione sismico inerziale [z _c] | 1,0 |
| Carico limite | 339,81 kN/m ² |
| Resistenza di progetto | 188,78 kN/m ² |

Condizione di verifica [$E_d \leq R_d$] Verificata

Autore: TERZAGHI (1955) (Condizione drenata)

| | |
|--|--------------------------|
| Fattore [N _q] | 20,34 |
| Fattore [N _c] | 34,67 |
| Fattore [N _g] | 17,69 |
| Fattore forma [S _c] | 1,0 |
| Fattore forma [S _g] | 1,0 |
| Fattore correzione sismico inerziale [z _q] | 1,0 |
| Fattore correzione sismico inerziale [z _g] | 1,0 |
| Fattore correzione sismico inerziale [z _c] | 1,0 |
| Carico limite | 633,91 kN/m ² |
| Resistenza di progetto | 352,17 kN/m ² |

Condizione di verifica [Ed<=Rd] Verificata

Autore: MEYERHOF (1963) (Condizione drenata)

| | |
|---|-------|
| Fattore [Nq] | 16,73 |
| Fattore [Nc] | 28,2 |
| Fattore [Ng] | 13,58 |
| Fattore forma [Sc] | 1,2 |
| Fattore profondità [Dc] | 1,0 |
| Fattore inclinazione carichi [Ic] | 0,91 |
| Fattore forma [Sq] | 1,1 |
| Fattore profondità [Dq] | 1,0 |
| Fattore inclinazione carichi [Iq] | 0,91 |
| Fattore forma [Sg] | 1,1 |
| Fattore profondità [Dg] | 1,0 |
| Fattore inclinazione carichi [Ig] | 0,74 |
| Fattore correzione sismico inerziale [zq] | 1,0 |
| Fattore correzione sismico inerziale [zg] | 1,0 |
| Fattore correzione sismico inerziale [zc] | 1,0 |

| | |
|------------------------|--------------------------|
| Carico limite | 340,91 kN/m ² |
| Resistenza di progetto | 189,4 kN/m ² |

Condizione di verifica [Ed<=Rd] Verificata

Autore: VESIC (1975) (Condizione drenata)

| | |
|---|-------|
| Fattore [Nq] | 16,73 |
| Fattore [Nc] | 28,2 |
| Fattore [Ng] | 19,78 |
| Fattore forma [Sc] | 1,0 |
| Fattore profondità [Dc] | 1,0 |
| Fattore inclinazione carichi [Ic] | 0,88 |
| Fattore inclinazione pendio [Gc] | 1,0 |
| Fattore inclinazione base [Bc] | 1,0 |
| Fattore forma [Sq] | 1,0 |
| Fattore profondità [Dq] | 1,0 |
| Fattore inclinazione carichi [Iq] | 0,88 |
| Fattore inclinazione pendio [Gq] | 1,0 |
| Fattore inclinazione base [Bq] | 1,0 |
| Fattore forma [Sg] | 1,0 |
| Fattore profondità [Dg] | 1,0 |
| Fattore inclinazione carichi [Ig] | 0,82 |
| Fattore inclinazione pendio [Gg] | 1,0 |
| Fattore inclinazione base [Bg] | 1,0 |
| Fattore correzione sismico inerziale [zq] | 1,0 |
| Fattore correzione sismico inerziale [zg] | 1,0 |
| Fattore correzione sismico inerziale [zc] | 1,0 |

| | |
|------------------------|--------------------------|
| Carico limite | 504,67 kN/m ² |
| Resistenza di progetto | 280,37 kN/m ² |

Condizione di verifica [Ed<=Rd] Verificata

Autore: Brinch - Hansen 1970 (Condizione drenata)

| | |
|---|--------------------------|
| Fattore [Nq] | 16,73 |
| Fattore [Nc] | 28,2 |
| Fattore [Ng] | 17,55 |
| Fattore forma [Sc] | 1,18 |
| Fattore profondità [Dc] | 1,0 |
| Fattore inclinazione carichi [Ic] | 0,88 |
| Fattore inclinazione pendio [Gc] | 1,0 |
| Fattore inclinazione base [Bc] | 1,0 |
| Fattore forma [Sq] | 1,16 |
| Fattore profondità [Dq] | 1,0 |
| Fattore inclinazione carichi [Iq] | 0,88 |
| Fattore inclinazione pendio [Gq] | 1,0 |
| Fattore inclinazione base [Bq] | 1,0 |
| Fattore forma [Sg] | 0,9 |
| Fattore profondità [Dg] | 1,0 |
| Fattore inclinazione carichi [Ig] | 0,82 |
| Fattore inclinazione pendio [Gg] | 1,0 |
| Fattore inclinazione base [Bg] | 1,0 |
| Fattore correzione sismico inerziale [zq] | 1,0 |
| Fattore correzione sismico inerziale [zg] | 1,0 |
| Fattore correzione sismico inerziale [zc] | 1,0 |
| Carico limite | 427,23 kN/m ² |
| Resistenza di progetto | 237,35 kN/m ² |

Condizione di verifica [Ed<=Rd] Verificata

Autore: Meyerhof and Hanna (1978) (Condizione drenata)

Strato 1 sopra, strato 2 sotto

| | |
|---------------------------------------|--------------------------|
| Fattori di capacità portante strato 1 | |
| Fattore [Nq] | 1,0 |
| Fattore [Nc] | 5,14 |
| Fattori di capacità portante strato 2 | |
| Fattore [Nq] | 37,75 |
| Fattore [Nc] | 50,59 |
| Fattore [Ng] | 11,94 |
| Carico limite strato 2 (qb) | 885,08 kN/m ² |
| Carico limite strato 1 (qt) | 547,31 kN/m ² |
| Incremento carico limite strato 1 | 16,48 kN/m ² |
| Coefficiente di punzonamento (ks) | 0,0 |
| Rapporto (q1/q2) | 0,87 |
| Carico limite | 547,31 kN/m ² |

Resistenza di progetto 304,06 kN/m²

Condizione di verifica [Ed<=Rd] Verificata

VERIFICA A SCORRIMENTO (Sisma A)

Adesione terreno fondazione 10 kN/m²
 Angolo di attrito terreno fondazione 0 °
 Frazione spinta passiva 0 %
 Resistenza di progetto 199,46 kN
 Sollecitazione di progetto 41,76 kN

Condizione di verifica [Ed<=Rd] Verificata

Sisma B

Autore: HANSEN (1970) (Condizione drenata)

Fattore [Nq] 16,73
 Fattore [Nc] 28,2
 Fattore [Ng] 13,16
 Fattore forma [Sc] 1,0
 Fattore profondità [Dc] 1,0
 Fattore inclinazione carichi [Ic] 0,83
 Fattore inclinazione pendio [Gc] 1,0
 Fattore inclinazione base [Bc] 1,0
 Fattore forma [Sq] 1,0
 Fattore profondità [Dq] 1,0
 Fattore inclinazione carichi [Iq] 0,84
 Fattore inclinazione pendio [Gq] 1,0
 Fattore inclinazione base [Bq] 1,0
 Fattore forma [Sg] 1,0
 Fattore profondità [Dg] 1,0
 Fattore inclinazione carichi [Ig] 0,78
 Fattore inclinazione pendio [Gg] 1,0
 Fattore inclinazione base [Bg] 1,0
 Fattore correzione sismico inerziale [zq] 1,0
 Fattore correzione sismico inerziale [zg] 1,0
 Fattore correzione sismico inerziale [zc] 1,0

Carico limite 366,77 kN/m²
 Resistenza di progetto 203,76 kN/m²

Condizione di verifica [Ed<=Rd] Verificata

Autore: TERZAGHI (1955) (Condizione drenata)

Fattore [Nq] 20,34
 Fattore [Nc] 34,67
 Fattore [Ng] 17,69
 Fattore forma [Sc] 1,0
 Fattore forma [Sg] 1,0

| | |
|---|-----|
| Fattore correzione sismico inerziale [zq] | 1,0 |
| Fattore correzione sismico inerziale [zg] | 1,0 |
| Fattore correzione sismico inerziale [zc] | 1,0 |

| | |
|------------------------|--------------------------|
| Carico limite | 633,91 kN/m ² |
| Resistenza di progetto | 352,17 kN/m ² |

Condizione di verifica [Ed<=Rd] Verificata

Autore: MEYERHOF (1963) (Condizione drenata)

| | |
|---|-------|
| Fattore [Nq] | 16,73 |
| Fattore [Nc] | 28,2 |
| Fattore [Ng] | 13,58 |
| Fattore forma [Sc] | 1,22 |
| Fattore profondità [Dc] | 1,0 |
| Fattore inclinazione carichi [Ic] | 0,91 |
| Fattore forma [Sq] | 1,11 |
| Fattore profondità [Dq] | 1,0 |
| Fattore inclinazione carichi [Iq] | 0,91 |
| Fattore forma [Sg] | 1,11 |
| Fattore profondità [Dg] | 1,0 |
| Fattore inclinazione carichi [Ig] | 0,74 |
| Fattore correzione sismico inerziale [zq] | 1,0 |
| Fattore correzione sismico inerziale [zg] | 1,0 |
| Fattore correzione sismico inerziale [zc] | 1,0 |

| | |
|------------------------|--------------------------|
| Carico limite | 367,43 kN/m ² |
| Resistenza di progetto | 204,13 kN/m ² |

Condizione di verifica [Ed<=Rd] Verificata

Autore: VESIC (1975) (Condizione drenata)

| | |
|-----------------------------------|-------|
| Fattore [Nq] | 16,73 |
| Fattore [Nc] | 28,2 |
| Fattore [Ng] | 19,78 |
| Fattore forma [Sc] | 1,0 |
| Fattore profondità [Dc] | 1,0 |
| Fattore inclinazione carichi [Ic] | 0,88 |
| Fattore inclinazione pendio [Gc] | 1,0 |
| Fattore inclinazione base [Bc] | 1,0 |
| Fattore forma [Sq] | 1,0 |
| Fattore profondità [Dq] | 1,0 |
| Fattore inclinazione carichi [Iq] | 0,88 |
| Fattore inclinazione pendio [Gq] | 1,0 |
| Fattore inclinazione base [Bq] | 1,0 |
| Fattore forma [Sg] | 1,0 |
| Fattore profondità [Dg] | 1,0 |
| Fattore inclinazione carichi [Ig] | 0,82 |
| Fattore inclinazione pendio [Gg] | 1,0 |
| Fattore inclinazione base [Bg] | 1,0 |

| | |
|---|-----|
| Fattore correzione sismico inerziale [zq] | 1,0 |
| Fattore correzione sismico inerziale [zg] | 1,0 |
| Fattore correzione sismico inerziale [zc] | 1,0 |

| | |
|------------------------|--------------------------|
| Carico limite | 547,35 kN/m ² |
| Resistenza di progetto | 304,08 kN/m ² |

Condizione di verifica [Ed<=Rd] Verificata

Autore: Brinch - Hansen 1970 (Condizione drenata)

| | |
|---|-------|
| Fattore [Nq] | 16,73 |
| Fattore [Nc] | 28,2 |
| Fattore [Ng] | 17,55 |
| Fattore forma [Sc] | 1,2 |
| Fattore profondità [Dc] | 1,0 |
| Fattore inclinazione carichi [Ic] | 0,91 |
| Fattore inclinazione pendio [Gc] | 1,0 |
| Fattore inclinazione base [Bc] | 1,0 |
| Fattore forma [Sq] | 1,19 |
| Fattore profondità [Dq] | 1,0 |
| Fattore inclinazione carichi [Iq] | 0,91 |
| Fattore inclinazione pendio [Gq] | 1,0 |
| Fattore inclinazione base [Bq] | 1,0 |
| Fattore forma [Sg] | 0,88 |
| Fattore profondità [Dg] | 1,0 |
| Fattore inclinazione carichi [Ig] | 0,85 |
| Fattore inclinazione pendio [Gg] | 1,0 |
| Fattore inclinazione base [Bg] | 1,0 |
| Fattore correzione sismico inerziale [zq] | 1,0 |
| Fattore correzione sismico inerziale [zg] | 1,0 |
| Fattore correzione sismico inerziale [zc] | 1,0 |

| | |
|------------------------|--------------------------|
| Carico limite | 469,94 kN/m ² |
| Resistenza di progetto | 261,08 kN/m ² |

Condizione di verifica [Ed<=Rd] Verificata

Autore: Meyerhof and Hanna (1978) (Condizione drenata)

Strato 1 sopra, strato 2 sotto

| | |
|---------------------------------------|------|
| Fattori di capacità portante strato 1 | |
| Fattore [Nq] | 1,0 |
| Fattore [Nc] | 5,14 |

| | |
|---------------------------------------|-------|
| Fattori di capacità portante strato 2 | |
| Fattore [Nq] | 37,75 |
| Fattore [Nc] | 50,59 |
| Fattore [Ng] | 11,94 |

| | |
|-----------------------------|--------------------------|
| Carico limite strato 2 (qb) | 885,08 kN/m ² |
|-----------------------------|--------------------------|

| | |
|-----------------------------------|--------------------------|
| Carico limite strato 1 (qt) | 547,31 kN/m ² |
| Incremento carico limite strato 1 | 16,48 kN/m ² |
| Coefficiente di punzonamento (ks) | 0,0 |
| Rapporto (q1/q2) | 0,87 |

| | |
|------------------------|--------------------------|
| Carico limite | 547,31 kN/m ² |
| Resistenza di progetto | 304,06 kN/m ² |

Condizione di verifica [Ed<=Rd] Verificata

VERIFICA A SCORRIMENTO (Sisma B)

| | |
|--------------------------------------|----------------------|
| Adesione terreno fondazione | 10 kN/m ² |
| Angolo di attrito terreno fondazione | 0 ° |
| Frazione spinta passiva | 0 % |
| Resistenza di progetto | 211,67 kN |
| Sollecitazione di progetto | 41,76 kN |

Condizione di verifica [Ed<=Rd] Verificata

4.4.2.8. Verifica su penetrometrica P8

STRATIGRAFIA TERRENO

| Spessore strato [m] | Peso unità di volume [kN/m ³] | Peso unità di volume saturo [kN/m ³] | Angolo di attrito [°] | Coesione [kN/m ²] | Coesione non drenata [kN/m ²] | Modulo Elastico [kN/m ²] | Modulo Edometrico [kN/m ²] | Poisson | Coeff. consolidaz. primaria [cmq/s] | Coeff. consolidazione secondaria | Descrizione |
|---------------------|---|--|-----------------------|-------------------------------|---|--------------------------------------|--|---------|-------------------------------------|----------------------------------|-------------|
| 0,6 | 16,99 | 16,99 | 30,0 | 0,0 | 42,46 | 5000,0 | 5000,0 | 0,0 | 0,0 | 0,0 | |
| 1,8 | 18,63 | 18,63 | 42,0 | 0,0 | 0,0 | 5000,0 | 5000,0 | 0,0 | 0,0 | 0,0 | |
| 2,6 | 17,65 | 17,65 | 36,0 | 0,0 | 0,0 | 5000,0 | 5000,0 | 0,0 | 0,0 | 0,0 | |
| 2,2 | 17,65 | 17,65 | 34,0 | 0,0 | 0,0 | 5000,0 | 5000,0 | 0,0 | 0,0 | 0,0 | |

Carichi di progetto agenti sulla fondazione

| Nr. | Nome combinazione | Pressione normale di progetto [kN/m ²] | N [kN] | Mx [kN·m] | My [kN·m] | Hx [kN] | Hy [kN] | Tipo |
|-----|-------------------|--|--------|-----------|-----------|---------|---------|----------|
| 1 | A1+M1+R3 | 0,00 | 880,60 | 0,00 | 0,00 | 0,00 | 0,00 | Progetto |
| 2 | Sisma A | 0,00 | 604,23 | 38,40 | -128,00 | 40,00 | 12,00 | Progetto |
| 3 | S.L.E. | 0,00 | 639,68 | 0,00 | 0,00 | 0,00 | 0,00 | Servizio |
| 4 | Sisma B | 0,00 | 604,23 | 128,00 | -38,40 | 12,00 | 40,00 | Progetto |

Sisma + Coeff. parziali parametri geotecnici terreno + Resistenze

| Nr | Correzione Sismica | Tangente angolo di resistenza al taglio | Coesione efficace | Coesione non drenata | Peso Unità volume in fondazione | Peso unità volume co-pertura | Coef. Rid. Capacità portante verticale | Coef.Rid.C capacità portante orizzontale |
|----|--------------------|---|-------------------|----------------------|---------------------------------|------------------------------|--|--|
| 1 | No | 1 | 1 | 1 | 1 | 1 | 2,3 | 1,1 |
| 2 | No | 1,25 | 1,25 | 1,4 | 1 | 1 | 1,8 | 1,1 |

| | | | | | | | | |
|---|----|------|------|-----|---|---|-----|-----|
| 3 | No | 1 | 1 | 1 | 1 | 1 | 1 | 1 |
| 4 | No | 1,25 | 1,25 | 1,4 | 1 | 1 | 1,8 | 1,1 |

CARICO LIMITE FONDAZIONE COMBINAZIONE...A1+M1+R3

Autore: Meyerhof and Hanna (1978)

| | |
|---------------------------------|--------------------------|
| Carico limite [Qult] | 306,18 kN/m ² |
| Resistenza di progetto[Rd] | 133,12 kN/m ² |
| Tensione [Ed] | 27,8 kN/m ² |
| Fattore sicurezza [Fs=Qult/Ed] | 11,02 |
| Condizione di verifica [Ed<=Rd] | Verificata |

COEFFICIENTE DI SOTTOFONDAZIONE BOWLES (1982)

Costante di Winkler 109201,0 kN/m³

A1+M1+R3

Autore: HANSEN (1970) (Condizione drenata)

| | |
|---|-------|
| Fattore [Nq] | 55,17 |
| Fattore [Nc] | 67,14 |
| Fattore [Ng] | 65,55 |
| Fattore forma [Sc] | 1,31 |
| Fattore profondità [Dc] | 1,0 |
| Fattore inclinazione carichi [Ic] | 1,0 |
| Fattore inclinazione pendio [Gc] | 1,0 |
| Fattore inclinazione base [Bc] | 1,0 |
| Fattore forma [Sq] | 1,31 |
| Fattore profondità [Dq] | 1,0 |
| Fattore inclinazione carichi [Iq] | 1,0 |
| Fattore inclinazione pendio [Gq] | 1,0 |
| Fattore inclinazione base [Bq] | 1,0 |
| Fattore forma [Sg] | 0,85 |
| Fattore profondità [Dg] | 1,0 |
| Fattore inclinazione carichi [Ig] | 1,0 |
| Fattore inclinazione pendio [Gg] | 1,0 |
| Fattore inclinazione base [Bg] | 1,0 |
| Fattore correzione sismico inerziale [zq] | 1,0 |
| Fattore correzione sismico inerziale [zg] | 1,0 |
| Fattore correzione sismico inerziale [zc] | 1,0 |

| | |
|------------------------|---------------------------|
| Carico limite | 2057,51 kN/m ² |
| Resistenza di progetto | 894,57 kN/m ² |

Condizione di verifica [Ed<=Rd] Verificata

Autore: TERZAGHI (1955) (Condizione drenata)

| | |
|--------------------|-------|
| Fattore [Nq] | 69,59 |
| Fattore [Nc] | 85,02 |
| Fattore [Ng] | 84,81 |
| Fattore forma [Sc] | 1,0 |
| Fattore forma [Sg] | 1,0 |

| | |
|---|-----|
| Fattore correzione sismico inerziale [zq] | 1,0 |
| Fattore correzione sismico inerziale [zg] | 1,0 |
| Fattore correzione sismico inerziale [zc] | 1,0 |

| | |
|------------------------|---------------------------|
| Carico limite | 2967,74 kN/m ² |
| Resistenza di progetto | 1290,32 kN/m ² |

Condizione di verifica [Ed<=Rd] Verificata

Autore: MEYERHOF (1963) (Condizione drenata)

| | |
|---|-------|
| Fattore [Nq] | 55,17 |
| Fattore [Nc] | 67,14 |
| Fattore [Ng] | 75,81 |
| Fattore forma [Sc] | 1,33 |
| Fattore profondità [Dc] | 1,0 |
| Fattore inclinazione carichi [Ic] | 1,0 |
| Fattore forma [Sq] | 1,17 |
| Fattore profondità [Dq] | 1,0 |
| Fattore inclinazione carichi [Iq] | 1,0 |
| Fattore forma [Sg] | 1,17 |
| Fattore profondità [Dg] | 1,0 |
| Fattore inclinazione carichi [Ig] | 1,0 |
| Fattore correzione sismico inerziale [zq] | 1,0 |
| Fattore correzione sismico inerziale [zg] | 1,0 |
| Fattore correzione sismico inerziale [zc] | 1,0 |

| | |
|------------------------|---------------------------|
| Carico limite | 3058,99 kN/m ² |
| Resistenza di progetto | 1330,0 kN/m ² |

Condizione di verifica [Ed<=Rd] Verificata

Autore: VESIC (1975) (Condizione drenata)

| | |
|-----------------------------------|-------|
| Fattore [Nq] | 55,17 |
| Fattore [Nc] | 67,14 |
| Fattore [Ng] | 90,63 |
| Fattore forma [Sc] | 1,31 |
| Fattore profondità [Dc] | 1,0 |
| Fattore inclinazione carichi [Ic] | 1,0 |
| Fattore inclinazione pendio [Gc] | 1,0 |
| Fattore inclinazione base [Bc] | 1,0 |
| Fattore forma [Sq] | 1,31 |
| Fattore profondità [Dq] | 1,0 |
| Fattore inclinazione carichi [Iq] | 1,0 |
| Fattore inclinazione pendio [Gq] | 1,0 |
| Fattore inclinazione base [Bq] | 1,0 |
| Fattore forma [Sg] | 0,85 |
| Fattore profondità [Dg] | 1,0 |
| Fattore inclinazione carichi [Ig] | 1,0 |
| Fattore inclinazione pendio [Gg] | 1,0 |
| Fattore inclinazione base [Bg] | 1,0 |

| | |
|---|-----|
| Fattore correzione sismico inerziale [zq] | 1,0 |
| Fattore correzione sismico inerziale [zg] | 1,0 |
| Fattore correzione sismico inerziale [zc] | 1,0 |

| | |
|------------------------|---------------------------|
| Carico limite | 1330,18 kN/m ² |
| Resistenza di progetto | 578,34 kN/m ² |

Condizione di verifica [Ed<=Rd] Verificata

Autore: Brinch - Hansen 1970 (Condizione drenata)

| | |
|---|-------|
| Fattore [Nq] | 55,17 |
| Fattore [Nc] | 67,14 |
| Fattore [Ng] | 87,4 |
| Fattore forma [Sc] | 1,24 |
| Fattore profondità [Dc] | 1,0 |
| Fattore inclinazione carichi [Ic] | 1,0 |
| Fattore inclinazione pendio [Gc] | 1,0 |
| Fattore inclinazione base [Bc] | 1,0 |
| Fattore forma [Sq] | 1,24 |
| Fattore profondità [Dq] | 1,0 |
| Fattore inclinazione carichi [Iq] | 1,0 |
| Fattore inclinazione pendio [Gq] | 1,0 |
| Fattore inclinazione base [Bq] | 1,0 |
| Fattore forma [Sg] | 0,89 |
| Fattore profondità [Dg] | 1,0 |
| Fattore inclinazione carichi [Ig] | 1,0 |
| Fattore inclinazione pendio [Gg] | 1,0 |
| Fattore inclinazione base [Bg] | 1,0 |
| Fattore correzione sismico inerziale [zq] | 1,0 |
| Fattore correzione sismico inerziale [zg] | 1,0 |
| Fattore correzione sismico inerziale [zc] | 1,0 |

| | |
|------------------------|---------------------------|
| Carico limite | 2730,03 kN/m ² |
| Resistenza di progetto | 1186,97 kN/m ² |

Condizione di verifica [Ed<=Rd] Verificata

Autore: Meyerhof and Hanna (1978) (Condizione drenata)

Strato 1 sopra, strato 2 sotto

| | |
|---------------------------------------|------|
| Fattori di capacità portante strato 1 | |
| Fattore [Nq] | 1,0 |
| Fattore [Nc] | 5,14 |

| | |
|---------------------------------------|-------|
| Fattori di capacità portante strato 2 | |
| Fattore [Nq] | 85,37 |
| Fattore [Nc] | 93,71 |
| Fattore [Ng] | 32,39 |

| | |
|-----------------------------|---------------------------|
| Carico limite strato 2 (qb) | 2284,76 kN/m ² |
|-----------------------------|---------------------------|

| | |
|-----------------------------------|--------------------------|
| Carico limite strato 1 (qt) | 306,18 kN/m ² |
| Incremento carico limite strato 1 | 8,57 kN/m ² |
| Coefficiente di punzonamento (ks) | 0,0 |
| Rapporto (q1/q2) | 4,8 |
| Carico limite | 306,18 kN/m ² |
| Resistenza di progetto | 133,12 kN/m ² |
| Condizione di verifica [Ed<=Rd] | Verificata |

Sisma A

Autore: HANSEN (1970) (Condizione drenata)

| | |
|---|--------------------------|
| Fattore [Nq] | 25,59 |
| Fattore [Nc] | 38,11 |
| Fattore [Ng] | 23,81 |
| Fattore forma [Sc] | 1,0 |
| Fattore profondità [Dc] | 1,0 |
| Fattore inclinazione carichi [Ic] | 0,83 |
| Fattore inclinazione pendio [Gc] | 1,0 |
| Fattore inclinazione base [Bc] | 1,0 |
| Fattore forma [Sq] | 1,0 |
| Fattore profondità [Dq] | 1,0 |
| Fattore inclinazione carichi [Iq] | 0,84 |
| Fattore inclinazione pendio [Gq] | 1,0 |
| Fattore inclinazione base [Bq] | 1,0 |
| Fattore forma [Sg] | 1,0 |
| Fattore profondità [Dg] | 1,0 |
| Fattore inclinazione carichi [Ig] | 0,78 |
| Fattore inclinazione pendio [Gg] | 1,0 |
| Fattore inclinazione base [Bg] | 1,0 |
| Fattore correzione sismico inerziale [zq] | 1,0 |
| Fattore correzione sismico inerziale [zg] | 1,0 |
| Fattore correzione sismico inerziale [zc] | 1,0 |
| Carico limite | 605,47 kN/m ² |
| Resistenza di progetto | 336,37 kN/m ² |
| Condizione di verifica [Ed<=Rd] | Verificata |

Autore: TERZAGHI (1955) (Condizione drenata)

| | |
|---|-------|
| Fattore [Nq] | 31,59 |
| Fattore [Nc] | 47,4 |
| Fattore [Ng] | 31,23 |
| Fattore forma [Sc] | 1,0 |
| Fattore forma [Sg] | 1,0 |
| Fattore correzione sismico inerziale [zq] | 1,0 |
| Fattore correzione sismico inerziale [zg] | 1,0 |
| Fattore correzione sismico inerziale [zc] | 1,0 |

| | |
|------------------------|---------------------------|
| Carico limite | 1118,27 kN/m ² |
| Resistenza di progetto | 621,26 kN/m ² |

Condizione di verifica [Ed<=Rd] Verificata

Autore: MEYERHOF (1963) (Condizione drenata)

| | |
|---|-------|
| Fattore [Nq] | 25,59 |
| Fattore [Nc] | 38,11 |
| Fattore [Ng] | 25,44 |
| Fattore forma [Sc] | 1,23 |
| Fattore profondità [Dc] | 1,0 |
| Fattore inclinazione carichi [Ic] | 0,91 |
| Fattore forma [Sq] | 1,11 |
| Fattore profondità [Dq] | 1,0 |
| Fattore inclinazione carichi [Iq] | 0,91 |
| Fattore forma [Sg] | 1,11 |
| Fattore profondità [Dg] | 1,0 |
| Fattore inclinazione carichi [Ig] | 0,77 |
| Fattore correzione sismico inerziale [zq] | 1,0 |
| Fattore correzione sismico inerziale [zg] | 1,0 |
| Fattore correzione sismico inerziale [zc] | 1,0 |

| | |
|------------------------|--------------------------|
| Carico limite | 642,04 kN/m ² |
| Resistenza di progetto | 356,69 kN/m ² |

Condizione di verifica [Ed<=Rd] Verificata

Autore: VESIC (1975) (Condizione drenata)

| | |
|---|-------|
| Fattore [Nq] | 25,59 |
| Fattore [Nc] | 38,11 |
| Fattore [Ng] | 34,33 |
| Fattore forma [Sc] | 1,0 |
| Fattore profondità [Dc] | 1,0 |
| Fattore inclinazione carichi [Ic] | 0,88 |
| Fattore inclinazione pendio [Gc] | 1,0 |
| Fattore inclinazione base [Bc] | 1,0 |
| Fattore forma [Sq] | 1,0 |
| Fattore profondità [Dq] | 1,0 |
| Fattore inclinazione carichi [Iq] | 0,88 |
| Fattore inclinazione pendio [Gq] | 1,0 |
| Fattore inclinazione base [Bq] | 1,0 |
| Fattore forma [Sg] | 1,0 |
| Fattore profondità [Dg] | 1,0 |
| Fattore inclinazione carichi [Ig] | 0,82 |
| Fattore inclinazione pendio [Gg] | 1,0 |
| Fattore inclinazione base [Bg] | 1,0 |
| Fattore correzione sismico inerziale [zq] | 1,0 |
| Fattore correzione sismico inerziale [zg] | 1,0 |
| Fattore correzione sismico inerziale [zc] | 1,0 |

| | |
|------------------------|--------------------------|
| Carico limite | 736,85 kN/m ² |
| Resistenza di progetto | 409,36 kN/m ² |

Condizione di verifica [Ed<=Rd] Verificata

Autore: Brinch - Hansen 1970 (Condizione drenata)

| | |
|---|-------|
| Fattore [Nq] | 25,59 |
| Fattore [Nc] | 38,11 |
| Fattore [Ng] | 31,75 |
| Fattore forma [Sc] | 1,19 |
| Fattore profondità [Dc] | 1,0 |
| Fattore inclinazione carichi [Ic] | 0,88 |
| Fattore inclinazione pendio [Gc] | 1,0 |
| Fattore inclinazione base [Bc] | 1,0 |
| Fattore forma [Sq] | 1,18 |
| Fattore profondità [Dq] | 1,0 |
| Fattore inclinazione carichi [Iq] | 0,88 |
| Fattore inclinazione pendio [Gq] | 1,0 |
| Fattore inclinazione base [Bq] | 1,0 |
| Fattore forma [Sg] | 0,9 |
| Fattore profondità [Dg] | 1,0 |
| Fattore inclinazione carichi [Ig] | 0,82 |
| Fattore inclinazione pendio [Gg] | 1,0 |
| Fattore inclinazione base [Bg] | 1,0 |
| Fattore correzione sismico inerziale [zq] | 1,0 |
| Fattore correzione sismico inerziale [zg] | 1,0 |
| Fattore correzione sismico inerziale [zc] | 1,0 |

| | |
|------------------------|--------------------------|
| Carico limite | 763,81 kN/m ² |
| Resistenza di progetto | 424,34 kN/m ² |

Condizione di verifica [Ed<=Rd] Verificata

Autore: Meyerhof and Hanna (1978) (Condizione drenata)

Strato 1 sopra, strato 2 sotto

| | |
|---------------------------------------|------|
| Fattori di capacità portante strato 1 | |
| Fattore [Nq] | 1,0 |
| Fattore [Nc] | 5,14 |

| | |
|---------------------------------------|-------|
| Fattori di capacità portante strato 2 | |
| Fattore [Nq] | 85,37 |
| Fattore [Nc] | 93,71 |
| Fattore [Ng] | 32,39 |

| | |
|-----------------------------|---------------------------|
| Carico limite strato 2 (qb) | 2284,76 kN/m ² |
| Carico limite strato 1 (qt) | 306,18 kN/m ² |

Incremento carico limite strato 1 8,57 kN/m²

| | |
|-----------------------------------|--------------------------|
| Coefficiente di punzonamento (ks) | 0,0 |
| Rapporto (q1/q2) | 4,8 |
| Carico limite | 306,18 kN/m ² |
| Resistenza di progetto | 170,1 kN/m ² |
| Condizione di verifica [Ed<=Rd] | Verificata |

VERIFICA A SCORRIMENTO (Sisma A)

| | |
|--------------------------------------|----------------------|
| Adesione terreno fondazione | 10 kN/m ² |
| Angolo di attrito terreno fondazione | 0 ° |
| Frazione spinta passiva | 0 % |
| Resistenza di progetto | 199,46 kN |
| Sollecitazione di progetto | 41,76 kN |
| Condizione di verifica [Ed<=Rd] | Verificata |

Sisma B

Autore: HANSEN (1970) (Condizione drenata)

| | |
|---|--------------------------|
| Fattore [Nq] | 25,59 |
| Fattore [Nc] | 38,11 |
| Fattore [Ng] | 23,81 |
| Fattore forma [Sc] | 1,0 |
| Fattore profondità [Dc] | 1,0 |
| Fattore inclinazione carichi [Ic] | 0,83 |
| Fattore inclinazione pendio [Gc] | 1,0 |
| Fattore inclinazione base [Bc] | 1,0 |
| Fattore forma [Sq] | 1,0 |
| Fattore profondità [Dq] | 1,0 |
| Fattore inclinazione carichi [Iq] | 0,84 |
| Fattore inclinazione pendio [Gq] | 1,0 |
| Fattore inclinazione base [Bq] | 1,0 |
| Fattore forma [Sg] | 1,0 |
| Fattore profondità [Dg] | 1,0 |
| Fattore inclinazione carichi [Ig] | 0,78 |
| Fattore inclinazione pendio [Gg] | 1,0 |
| Fattore inclinazione base [Bg] | 1,0 |
| Fattore correzione sismico inerziale [zq] | 1,0 |
| Fattore correzione sismico inerziale [zg] | 1,0 |
| Fattore correzione sismico inerziale [zc] | 1,0 |
| Carico limite | 655,54 kN/m ² |
| Resistenza di progetto | 364,19 kN/m ² |
| Condizione di verifica [Ed<=Rd] | Verificata |

Autore: TERZAGHI (1955) (Condizione drenata)

| | |
|--------------|-------|
| Fattore [Nq] | 31,59 |
|--------------|-------|

| | |
|---|-------|
| Fattore [Nc] | 47,4 |
| Fattore [Ng] | 31,23 |
| Fattore forma [Sc] | 1,0 |
| Fattore forma [Sg] | 1,0 |
| Fattore correzione sismico inerziale [zq] | 1,0 |
| Fattore correzione sismico inerziale [zg] | 1,0 |
| Fattore correzione sismico inerziale [zc] | 1,0 |

| | |
|------------------------|---------------------------|
| Carico limite | 1118,27 kN/m ² |
| Resistenza di progetto | 621,26 kN/m ² |

Condizione di verifica [Ed<=Rd] Verificata

Autore: MEYERHOF (1963) (Condizione drenata)

| | |
|---|-------|
| Fattore [Nq] | 25,59 |
| Fattore [Nc] | 38,11 |
| Fattore [Ng] | 25,44 |
| Fattore forma [Sc] | 1,26 |
| Fattore profondità [Dc] | 1,0 |
| Fattore inclinazione carichi [Ic] | 0,91 |
| Fattore forma [Sq] | 1,13 |
| Fattore profondità [Dq] | 1,0 |
| Fattore inclinazione carichi [Iq] | 0,91 |
| Fattore forma [Sg] | 1,13 |
| Fattore profondità [Dg] | 1,0 |
| Fattore inclinazione carichi [Ig] | 0,77 |
| Fattore correzione sismico inerziale [zq] | 1,0 |
| Fattore correzione sismico inerziale [zg] | 1,0 |
| Fattore correzione sismico inerziale [zc] | 1,0 |

| | |
|------------------------|--------------------------|
| Carico limite | 694,88 kN/m ² |
| Resistenza di progetto | 386,05 kN/m ² |

Condizione di verifica [Ed<=Rd] Verificata

Autore: VESIC (1975) (Condizione drenata)

| | |
|-----------------------------------|-------|
| Fattore [Nq] | 25,59 |
| Fattore [Nc] | 38,11 |
| Fattore [Ng] | 34,33 |
| Fattore forma [Sc] | 1,0 |
| Fattore profondità [Dc] | 1,0 |
| Fattore inclinazione carichi [Ic] | 0,88 |
| Fattore inclinazione pendio [Gc] | 1,0 |
| Fattore inclinazione base [Bc] | 1,0 |
| Fattore forma [Sq] | 1,0 |
| Fattore profondità [Dq] | 1,0 |
| Fattore inclinazione carichi [Iq] | 0,88 |
| Fattore inclinazione pendio [Gq] | 1,0 |
| Fattore inclinazione base [Bq] | 1,0 |
| Fattore forma [Sg] | 1,0 |

| | |
|---|------|
| Fattore profondità [Dg] | 1,0 |
| Fattore inclinazione carichi [Ig] | 0,82 |
| Fattore inclinazione pendio [Gg] | 1,0 |
| Fattore inclinazione base [Bg] | 1,0 |
| Fattore correzione sismico inerziale [zq] | 1,0 |
| Fattore correzione sismico inerziale [zg] | 1,0 |
| Fattore correzione sismico inerziale [zc] | 1,0 |

| | |
|------------------------|--------------------------|
| Carico limite | 800,73 kN/m ² |
| Resistenza di progetto | 444,85 kN/m ² |

Condizione di verifica [Ed<=Rd] Verificata

Autore: Brinch - Hansen 1970 (Condizione drenata)

| | |
|---|-------|
| Fattore [Nq] | 25,59 |
| Fattore [Nc] | 38,11 |
| Fattore [Ng] | 31,75 |
| Fattore forma [Sc] | 1,22 |
| Fattore profondità [Dc] | 1,0 |
| Fattore inclinazione carichi [Ic] | 0,91 |
| Fattore inclinazione pendio [Gc] | 1,0 |
| Fattore inclinazione base [Bc] | 1,0 |
| Fattore forma [Sq] | 1,21 |
| Fattore profondità [Dq] | 1,0 |
| Fattore inclinazione carichi [Iq] | 0,91 |
| Fattore inclinazione pendio [Gq] | 1,0 |
| Fattore inclinazione base [Bq] | 1,0 |
| Fattore forma [Sg] | 0,88 |
| Fattore profondità [Dg] | 1,0 |
| Fattore inclinazione carichi [Ig] | 0,85 |
| Fattore inclinazione pendio [Gg] | 1,0 |
| Fattore inclinazione base [Bg] | 1,0 |
| Fattore correzione sismico inerziale [zq] | 1,0 |
| Fattore correzione sismico inerziale [zg] | 1,0 |
| Fattore correzione sismico inerziale [zc] | 1,0 |

| | |
|------------------------|--------------------------|
| Carico limite | 841,92 kN/m ² |
| Resistenza di progetto | 467,73 kN/m ² |

Condizione di verifica [Ed<=Rd] Verificata

Autore: Meyerhof and Hanna (1978) (Condizione drenata)

Strato 1 sopra, strato 2 sotto

| | |
|---------------------------------------|------|
| Fattori di capacità portante strato 1 | |
| Fattore [Nq] | 1,0 |
| Fattore [Nc] | 5,14 |

| | |
|---------------------------------------|-------|
| Fattori di capacità portante strato 2 | |
| Fattore [Nq] | 85,37 |

| | |
|-----------------------------------|---------------------------|
| Fattore [Nc] | 93,71 |
| Fattore [Ng] | 32,39 |
| Carico limite strato 2 (qb) | 2284,76 kN/m ² |
| Carico limite strato 1 (qt) | 306,18 kN/m ² |
| Incremento carico limite strato 1 | 8,57 kN/m ² |
| Coefficiente di punzonamento (ks) | 0,0 |
| Rapporto (q1/q2) | 4,8 |

| | |
|------------------------|--------------------------|
| Carico limite | 306,18 kN/m ² |
| Resistenza di progetto | 170,1 kN/m ² |

Condizione di verifica [Ed<=Rd] Verificata

VERIFICA A SCORRIMENTO (Sisma B)

| | |
|--------------------------------------|----------------------|
| Adesione terreno fondazione | 10 kN/m ² |
| Angolo di attrito terreno fondazione | 0 ° |
| Frazione spinta passiva | 0 % |
| Resistenza di progetto | 211,67 kN |
| Sollecitazione di progetto | 41,76 kN |

Condizione di verifica [Ed<=Rd] Verificata

4.4.2.9. Verifica su penetrometrica P9

STRATIGRAFIA TERRENO

| Spessore strato [m] | Peso unità di volume [kN/m ³] | Peso unità di volume saturo [kN/m ³] | Angolo di attrito [°] | Coesione [kN/m ²] | Coesione non drenata [kN/m ²] | Modulo Elastico [kN/m ²] | Modulo Edometrico [kN/m ²] | Poisson | Coeff. consolidaz. primaria [cmq/s] | Coeff. consolidazione secondaria | Descrizione |
|---------------------|---|--|-----------------------|-------------------------------|---|--------------------------------------|--|---------|-------------------------------------|----------------------------------|-------------|
| 0,6 | 17,29 | 17,29 | 30,0 | 0,0 | 52,2694 | 5000,0 | 5000,0 | 0,0 | 0,0 | 0,0 | |
| 3,6 | 17,65 | 17,65 | 35,0 | 0,0 | 0,0 | 5000,0 | 5000,0 | 0,0 | 0,0 | 0,0 | |
| 2,6 | 17,65 | 17,65 | 36,0 | 0,0 | 0,0 | 5000,0 | 5000,0 | 0,0 | 0,0 | 0,0 | |

Carichi di progetto agenti sulla fondazione

| Nr. | Nome combinazione | Pressione normale di progetto [kN/m ²] | N [kN] | Mx [kN·m] | My [kN·m] | Hx [kN] | Hy [kN] | Tipo |
|-----|-------------------|--|--------|-----------|-----------|---------|---------|----------|
| 1 | A1+M1+R3 | 0,00 | 880,60 | 0,00 | 0,00 | 0,00 | 0,00 | Progetto |
| 2 | Sisma A | 0,00 | 604,23 | 38,40 | -128,00 | 40,00 | 12,00 | Progetto |
| 3 | S.L.E. | 0,00 | 639,68 | 0,00 | 0,00 | 0,00 | 0,00 | Servizio |
| 4 | Sisma B | 0,00 | 604,23 | 128,00 | -38,40 | 12,00 | 40,00 | Progetto |

Sisma + Coeff. parziali parametri geotecnici terreno + Resistenze

| Nr | Correzione Sismica | Tangente angolo di resistenza al | Coesione efficace | Coesione non drenata | Peso Unità volume in fondazione | Peso unità volume co-pertura | Coeff. Rid. Capacità portante | Coeff.Rid.C capacità por- |
|----|--------------------|----------------------------------|-------------------|----------------------|---------------------------------|------------------------------|-------------------------------|---------------------------|
|----|--------------------|----------------------------------|-------------------|----------------------|---------------------------------|------------------------------|-------------------------------|---------------------------|

| | | taglio | | | | | verticale | tante oriz- zontale |
|---|----|--------|------|-----|---|---|-----------|------------------------|
| 1 | No | 1 | 1 | 1 | 1 | 1 | 2,3 | 1,1 |
| 2 | No | 1,25 | 1,25 | 1,4 | 1 | 1 | 1,8 | 1,1 |
| 3 | No | 1 | 1 | 1 | 1 | 1 | 1 | 1 |
| 4 | No | 1,25 | 1,25 | 1,4 | 1 | 1 | 1,8 | 1,1 |

CARICO LIMITE FONDAZIONE COMBINAZIONE...Sisma A

Autore: MEYERHOF (1963)

| | |
|---------------------------------|--------------------------|
| Carico limite [Qult] | 314,26 kN/m ² |
| Resistenza di progetto[Rd] | 174,59 kN/m ² |
| Tensione [Ed] | 22,03 kN/m ² |
| Fattore sicurezza [Fs=Qult/Ed] | 14,26 |
| Condizione di verifica [Ed<=Rd] | Verificata |

COEFFICIENTE DI SOTTOFONDAZIONE BOWLES (1982)

Costante di Winkler 12570,42 kN/m³**A1+M1+R3**

Autore: HANSEN (1970) (Condizione drenata)

| | |
|---|-------|
| Fattore [Nq] | 30,98 |
| Fattore [Nc] | 43,76 |
| Fattore [Ng] | 30,82 |
| Fattore forma [Sc] | 1,27 |
| Fattore profondità [Dc] | 1,0 |
| Fattore inclinazione carichi [Ic] | 1,0 |
| Fattore inclinazione pendio [Gc] | 1,0 |
| Fattore inclinazione base [Bc] | 1,0 |
| Fattore forma [Sq] | 1,26 |
| Fattore profondità [Dq] | 1,0 |
| Fattore inclinazione carichi [Iq] | 1,0 |
| Fattore inclinazione pendio [Gq] | 1,0 |
| Fattore inclinazione base [Bq] | 1,0 |
| Fattore forma [Sg] | 0,85 |
| Fattore profondità [Dg] | 1,0 |
| Fattore inclinazione carichi [Ig] | 1,0 |
| Fattore inclinazione pendio [Gg] | 1,0 |
| Fattore inclinazione base [Bg] | 1,0 |
| Fattore correzione sismico inerziale [zq] | 1,0 |
| Fattore correzione sismico inerziale [zg] | 1,0 |
| Fattore correzione sismico inerziale [zc] | 1,0 |

| | |
|------------------------|--------------------------|
| Carico limite | 967,1 kN/m ² |
| Resistenza di progetto | 420,48 kN/m ² |

Condizione di verifica [Ed<=Rd] Verificata

Autore: TERZAGHI (1955) (Condizione drenata)

| | |
|--------------|-------|
| Fattore [Nq] | 38,48 |
|--------------|-------|

| | |
|---|-------|
| Fattore [Nc] | 54,7 |
| Fattore [Ng] | 39,18 |
| Fattore forma [Sc] | 1,0 |
| Fattore forma [Sg] | 1,0 |
| Fattore correzione sismico inerziale [zq] | 1,0 |
| Fattore correzione sismico inerziale [zg] | 1,0 |
| Fattore correzione sismico inerziale [zc] | 1,0 |

| | |
|------------------------|---------------------------|
| Carico limite | 1363,22 kN/m ² |
| Resistenza di progetto | 592,7 kN/m ² |

Condizione di verifica [Ed<=Rd] Verificata

Autore: MEYERHOF (1963) (Condizione drenata)

| | |
|---|-------|
| Fattore [Nq] | 30,98 |
| Fattore [Nc] | 43,76 |
| Fattore [Ng] | 33,52 |
| Fattore forma [Sc] | 1,27 |
| Fattore profondità [Dc] | 1,0 |
| Fattore inclinazione carichi [Ic] | 1,0 |
| Fattore forma [Sq] | 1,14 |
| Fattore profondità [Dq] | 1,0 |
| Fattore inclinazione carichi [Iq] | 1,0 |
| Fattore forma [Sg] | 1,14 |
| Fattore profondità [Dg] | 1,0 |
| Fattore inclinazione carichi [Ig] | 1,0 |
| Fattore correzione sismico inerziale [zq] | 1,0 |
| Fattore correzione sismico inerziale [zg] | 1,0 |
| Fattore correzione sismico inerziale [zc] | 1,0 |

| | |
|------------------------|--------------------------|
| Carico limite | 1316,3 kN/m ² |
| Resistenza di progetto | 572,3 kN/m ² |

Condizione di verifica [Ed<=Rd] Verificata

Autore: VESIC (1975) (Condizione drenata)

| | |
|-----------------------------------|-------|
| Fattore [Nq] | 30,98 |
| Fattore [Nc] | 43,76 |
| Fattore [Ng] | 43,83 |
| Fattore forma [Sc] | 1,27 |
| Fattore profondità [Dc] | 1,0 |
| Fattore inclinazione carichi [Ic] | 1,0 |
| Fattore inclinazione pendio [Gc] | 1,0 |
| Fattore inclinazione base [Bc] | 1,0 |
| Fattore forma [Sq] | 1,26 |
| Fattore profondità [Dq] | 1,0 |
| Fattore inclinazione carichi [Iq] | 1,0 |
| Fattore inclinazione pendio [Gq] | 1,0 |
| Fattore inclinazione base [Bq] | 1,0 |
| Fattore forma [Sg] | 0,85 |

| | |
|---|-----|
| Fattore profondità [Dg] | 1,0 |
| Fattore inclinazione carichi [Ig] | 1,0 |
| Fattore inclinazione pendio [Gg] | 1,0 |
| Fattore inclinazione base [Bg] | 1,0 |
| Fattore correzione sismico inerziale [zq] | 1,0 |
| Fattore correzione sismico inerziale [zg] | 1,0 |
| Fattore correzione sismico inerziale [zc] | 1,0 |

| | |
|------------------------|--------------------------|
| Carico limite | 980,78 kN/m ² |
| Resistenza di progetto | 426,43 kN/m ² |

Condizione di verifica [Ed<=Rd] Verificata

Autore: Brinch - Hansen 1970 (Condizione drenata)

| | |
|---|-------|
| Fattore [Nq] | 30,98 |
| Fattore [Nc] | 43,76 |
| Fattore [Ng] | 41,09 |
| Fattore forma [Sc] | 1,22 |
| Fattore profondità [Dc] | 1,0 |
| Fattore inclinazione carichi [Ic] | 1,0 |
| Fattore inclinazione pendio [Gc] | 1,0 |
| Fattore inclinazione base [Bc] | 1,0 |
| Fattore forma [Sq] | 1,21 |
| Fattore profondità [Dq] | 1,0 |
| Fattore inclinazione carichi [Iq] | 1,0 |
| Fattore inclinazione pendio [Gq] | 1,0 |
| Fattore inclinazione base [Bq] | 1,0 |
| Fattore forma [Sg] | 0,89 |
| Fattore profondità [Dg] | 1,0 |
| Fattore inclinazione carichi [Ig] | 1,0 |
| Fattore inclinazione pendio [Gg] | 1,0 |
| Fattore inclinazione base [Bg] | 1,0 |
| Fattore correzione sismico inerziale [zq] | 1,0 |
| Fattore correzione sismico inerziale [zg] | 1,0 |
| Fattore correzione sismico inerziale [zc] | 1,0 |

| | |
|------------------------|---------------------------|
| Carico limite | 1274,81 kN/m ² |
| Resistenza di progetto | 554,26 kN/m ² |

Condizione di verifica [Ed<=Rd] Verificata

Autore: Meyerhof and Hanna (1978) (Condizione drenata)

Strato 1 sopra, strato 2 sotto

| | |
|---------------------------------------|------|
| Fattori di capacità portante strato 1 | |
| Fattore [Nq] | 1,0 |
| Fattore [Nc] | 5,14 |
| Fattori di capacità portante strato 2 | |
| Fattore [Nq] | 33,3 |

| | |
|-----------------------------------|--------------------------|
| Fattore [Nc] | 46,12 |
| Fattore [Ng] | 10,18 |
| Carico limite strato 2 (qb) | 749,42 kN/m ² |
| Carico limite strato 1 (qt) | 348,35 kN/m ² |
| Incremento carico limite strato 1 | 10,54 kN/m ² |
| Coefficiente di punzonamento (ks) | 0,0 |
| Rapporto (q1/q2) | 1,16 |
| ===== | |
| Carico limite | 348,35 kN/m ² |
| Resistenza di progetto | 151,46 kN/m ² |
| Condizione di verifica [Ed<=Rd] | Verificata |
| ===== | |

Sisma A

Autore: HANSEN (1970) (Condizione drenata)

| | |
|---|--------------------------|
| Fattore [Nq] | 15,95 |
| Fattore [Nc] | 27,28 |
| Fattore [Ng] | 12,3 |
| Fattore forma [Sc] | 1,0 |
| Fattore profondità [Dc] | 1,0 |
| Fattore inclinazione carichi [Ic] | 0,83 |
| Fattore inclinazione pendio [Gc] | 1,0 |
| Fattore inclinazione base [Bc] | 1,0 |
| Fattore forma [Sq] | 1,0 |
| Fattore profondità [Dq] | 1,0 |
| Fattore inclinazione carichi [Iq] | 0,84 |
| Fattore inclinazione pendio [Gq] | 1,0 |
| Fattore inclinazione base [Bq] | 1,0 |
| Fattore forma [Sg] | 1,0 |
| Fattore profondità [Dg] | 1,0 |
| Fattore inclinazione carichi [Ig] | 0,78 |
| Fattore inclinazione pendio [Gg] | 1,0 |
| Fattore inclinazione base [Bg] | 1,0 |
| Fattore correzione sismico inerziale [zq] | 1,0 |
| Fattore correzione sismico inerziale [zg] | 1,0 |
| Fattore correzione sismico inerziale [zc] | 1,0 |
| ===== | |
| Carico limite | 315,38 kN/m ² |
| Resistenza di progetto | 175,21 kN/m ² |
| Condizione di verifica [Ed<=Rd] | Verificata |
| ===== | |

Autore: TERZAGHI (1955) (Condizione drenata)

| | |
|--------------------|-------|
| Fattore [Nq] | 19,36 |
| Fattore [Nc] | 33,5 |
| Fattore [Ng] | 16,72 |
| Fattore forma [Sc] | 1,0 |

| | |
|---|-----|
| Fattore forma [Sg] | 1,0 |
| Fattore correzione sismico inerziale [zq] | 1,0 |
| Fattore correzione sismico inerziale [zg] | 1,0 |
| Fattore correzione sismico inerziale [zc] | 1,0 |

| | |
|------------------------|--------------------------|
| Carico limite | 594,45 kN/m ² |
| Resistenza di progetto | 330,25 kN/m ² |

Condizione di verifica [Ed<=Rd] Verificata

Autore: MEYERHOF (1963) (Condizione drenata)

| | |
|---|-------|
| Fattore [Nq] | 15,95 |
| Fattore [Nc] | 27,28 |
| Fattore [Ng] | 12,65 |
| Fattore forma [Sc] | 1,19 |
| Fattore profondità [Dc] | 1,0 |
| Fattore inclinazione carichi [Ic] | 0,91 |
| Fattore forma [Sq] | 1,1 |
| Fattore profondità [Dq] | 1,0 |
| Fattore inclinazione carichi [Iq] | 0,91 |
| Fattore forma [Sg] | 1,1 |
| Fattore profondità [Dg] | 1,0 |
| Fattore inclinazione carichi [Ig] | 0,74 |
| Fattore correzione sismico inerziale [zq] | 1,0 |
| Fattore correzione sismico inerziale [zg] | 1,0 |
| Fattore correzione sismico inerziale [zc] | 1,0 |

| | |
|------------------------|--------------------------|
| Carico limite | 314,26 kN/m ² |
| Resistenza di progetto | 174,59 kN/m ² |

Condizione di verifica [Ed<=Rd] Verificata

Autore: VESIC (1975) (Condizione drenata)

| | |
|-----------------------------------|-------|
| Fattore [Nq] | 15,95 |
| Fattore [Nc] | 27,28 |
| Fattore [Ng] | 18,59 |
| Fattore forma [Sc] | 1,0 |
| Fattore profondità [Dc] | 1,0 |
| Fattore inclinazione carichi [Ic] | 0,88 |
| Fattore inclinazione pendio [Gc] | 1,0 |
| Fattore inclinazione base [Bc] | 1,0 |
| Fattore forma [Sq] | 1,0 |
| Fattore profondità [Dq] | 1,0 |
| Fattore inclinazione carichi [Iq] | 0,88 |
| Fattore inclinazione pendio [Gq] | 1,0 |
| Fattore inclinazione base [Bq] | 1,0 |
| Fattore forma [Sg] | 1,0 |
| Fattore profondità [Dg] | 1,0 |
| Fattore inclinazione carichi [Ig] | 0,82 |
| Fattore inclinazione pendio [Gg] | 1,0 |

| | |
|---|-----|
| Fattore inclinazione base [Bg] | 1,0 |
| Fattore correzione sismico inerziale [zq] | 1,0 |
| Fattore correzione sismico inerziale [zg] | 1,0 |
| Fattore correzione sismico inerziale [zc] | 1,0 |

| | |
|------------------------|--------------------------|
| Carico limite | 471,06 kN/m ² |
| Resistenza di progetto | 261,7 kN/m ² |

Condizione di verifica [Ed<=Rd] Verificata

Autore: Brinch - Hansen 1970 (Condizione drenata)

| | |
|---|-------|
| Fattore [Nq] | 15,95 |
| Fattore [Nc] | 27,28 |
| Fattore [Ng] | 16,39 |
| Fattore forma [Sc] | 1,17 |
| Fattore profondità [Dc] | 1,0 |
| Fattore inclinazione carichi [Ic] | 0,88 |
| Fattore inclinazione pendio [Gc] | 1,0 |
| Fattore inclinazione base [Bc] | 1,0 |
| Fattore forma [Sq] | 1,16 |
| Fattore profondità [Dq] | 1,0 |
| Fattore inclinazione carichi [Iq] | 0,88 |
| Fattore inclinazione pendio [Gq] | 1,0 |
| Fattore inclinazione base [Bq] | 1,0 |
| Fattore forma [Sg] | 0,9 |
| Fattore profondità [Dg] | 1,0 |
| Fattore inclinazione carichi [Ig] | 0,82 |
| Fattore inclinazione pendio [Gg] | 1,0 |
| Fattore inclinazione base [Bg] | 1,0 |
| Fattore correzione sismico inerziale [zq] | 1,0 |
| Fattore correzione sismico inerziale [zg] | 1,0 |
| Fattore correzione sismico inerziale [zc] | 1,0 |

| | |
|------------------------|--------------------------|
| Carico limite | 396,39 kN/m ² |
| Resistenza di progetto | 220,22 kN/m ² |

Condizione di verifica [Ed<=Rd] Verificata

Autore: Meyerhof and Hanna (1978) (Condizione drenata)

Strato 1 sopra, strato 2 sotto

| | |
|---------------------------------------|------|
| Fattori di capacità portante strato 1 | |
| Fattore [Nq] | 1,0 |
| Fattore [Nc] | 5,14 |

| | |
|---------------------------------------|-------|
| Fattori di capacità portante strato 2 | |
| Fattore [Nq] | 33,3 |
| Fattore [Nc] | 46,12 |
| Fattore [Ng] | 10,18 |

| | |
|-----------------------------|--------------------------|
| Carico limite strato 2 (qb) | 749,42 kN/m ² |
| Carico limite strato 1 (qt) | 348,35 kN/m ² |

| | |
|-----------------------------------|-------------------------|
| Incremento carico limite strato 1 | 10,54 kN/m ² |
| Coefficiente di punzonamento (ks) | 0,0 |
| Rapporto (q1/q2) | 1,16 |

| | |
|------------------------|--------------------------|
| Carico limite | 348,35 kN/m ² |
| Resistenza di progetto | 193,53 kN/m ² |

Condizione di verifica [Ed<=Rd] Verificata

VERIFICA A SCORRIMENTO (Sisma A)

| | |
|--------------------------------------|----------------------|
| Adesione terreno fondazione | 10 kN/m ² |
| Angolo di attrito terreno fondazione | 0 ° |
| Frazione spinta passiva | 0 % |
| Resistenza di progetto | 199,46 kN |
| Sollecitazione di progetto | 41,76 kN |

Condizione di verifica [Ed<=Rd] Verificata

Sisma B

Autore: HANSEN (1970) (Condizione drenata)

| | |
|---|-------|
| Fattore [Nq] | 15,95 |
| Fattore [Nc] | 27,28 |
| Fattore [Ng] | 12,3 |
| Fattore forma [Sc] | 1,0 |
| Fattore profondità [Dc] | 1,0 |
| Fattore inclinazione carichi [Ic] | 0,83 |
| Fattore inclinazione pendio [Gc] | 1,0 |
| Fattore inclinazione base [Bc] | 1,0 |
| Fattore forma [Sq] | 1,0 |
| Fattore profondità [Dq] | 1,0 |
| Fattore inclinazione carichi [Iq] | 0,84 |
| Fattore inclinazione pendio [Gq] | 1,0 |
| Fattore inclinazione base [Bq] | 1,0 |
| Fattore forma [Sg] | 1,0 |
| Fattore profondità [Dg] | 1,0 |
| Fattore inclinazione carichi [Ig] | 0,78 |
| Fattore inclinazione pendio [Gg] | 1,0 |
| Fattore inclinazione base [Bg] | 1,0 |
| Fattore correzione sismico inerziale [zq] | 1,0 |
| Fattore correzione sismico inerziale [zg] | 1,0 |
| Fattore correzione sismico inerziale [zc] | 1,0 |

| | |
|------------------------|--------------------------|
| Carico limite | 340,45 kN/m ² |
| Resistenza di progetto | 189,14 kN/m ² |

Condizione di verifica [Ed<=Rd] Verificata

Autore: TERZAGHI (1955) (Condizione drenata)

| | |
|---|--------------------------|
| Fattore [Nq] | 19,36 |
| Fattore [Nc] | 33,5 |
| Fattore [Ng] | 16,72 |
| Fattore forma [Sc] | 1,0 |
| Fattore forma [Sg] | 1,0 |
| Fattore correzione sismico inerziale [zq] | 1,0 |
| Fattore correzione sismico inerziale [zg] | 1,0 |
| Fattore correzione sismico inerziale [zc] | 1,0 |
| Carico limite | 594,45 kN/m ² |
| Resistenza di progetto | 330,25 kN/m ² |
| Condizione di verifica [Ed<=Rd] | Verificata |

Autore: MEYERHOF (1963) (Condizione drenata)

| | |
|---|--------------------------|
| Fattore [Nq] | 15,95 |
| Fattore [Nc] | 27,28 |
| Fattore [Ng] | 12,65 |
| Fattore forma [Sc] | 1,22 |
| Fattore profondità [Dc] | 1,0 |
| Fattore inclinazione carichi [Ic] | 0,91 |
| Fattore forma [Sq] | 1,11 |
| Fattore profondità [Dq] | 1,0 |
| Fattore inclinazione carichi [Iq] | 0,91 |
| Fattore forma [Sg] | 1,11 |
| Fattore profondità [Dg] | 1,0 |
| Fattore inclinazione carichi [Ig] | 0,74 |
| Fattore correzione sismico inerziale [zq] | 1,0 |
| Fattore correzione sismico inerziale [zg] | 1,0 |
| Fattore correzione sismico inerziale [zc] | 1,0 |
| Carico limite | 338,73 kN/m ² |
| Resistenza di progetto | 188,18 kN/m ² |
| Condizione di verifica [Ed<=Rd] | Verificata |

Autore: VESIC (1975) (Condizione drenata)

| | |
|-----------------------------------|-------|
| Fattore [Nq] | 15,95 |
| Fattore [Nc] | 27,28 |
| Fattore [Ng] | 18,59 |
| Fattore forma [Sc] | 1,0 |
| Fattore profondità [Dc] | 1,0 |
| Fattore inclinazione carichi [Ic] | 0,88 |
| Fattore inclinazione pendio [Gc] | 1,0 |
| Fattore inclinazione base [Bc] | 1,0 |
| Fattore forma [Sq] | 1,0 |
| Fattore profondità [Dq] | 1,0 |

| | |
|---|------|
| Fattore inclinazione carichi [Iq] | 0,88 |
| Fattore inclinazione pendio [Gq] | 1,0 |
| Fattore inclinazione base [Bq] | 1,0 |
| Fattore forma [Sg] | 1,0 |
| Fattore profondità [Dg] | 1,0 |
| Fattore inclinazione carichi [Ig] | 0,82 |
| Fattore inclinazione pendio [Gg] | 1,0 |
| Fattore inclinazione base [Bg] | 1,0 |
| Fattore correzione sismico inerziale [zq] | 1,0 |
| Fattore correzione sismico inerziale [zg] | 1,0 |
| Fattore correzione sismico inerziale [zc] | 1,0 |

| | |
|------------------------|--------------------------|
| Carico limite | 510,98 kN/m ² |
| Resistenza di progetto | 283,88 kN/m ² |

Condizione di verifica [Ed<=Rd] Verificata

Autore: Brinch - Hansen 1970 (Condizione drenata)

| | |
|---|-------|
| Fattore [Nq] | 15,95 |
| Fattore [Nc] | 27,28 |
| Fattore [Ng] | 16,39 |
| Fattore forma [Sc] | 1,2 |
| Fattore profondità [Dc] | 1,0 |
| Fattore inclinazione carichi [Ic] | 0,91 |
| Fattore inclinazione pendio [Gc] | 1,0 |
| Fattore inclinazione base [Bc] | 1,0 |
| Fattore forma [Sq] | 1,18 |
| Fattore profondità [Dq] | 1,0 |
| Fattore inclinazione carichi [Iq] | 0,91 |
| Fattore inclinazione pendio [Gq] | 1,0 |
| Fattore inclinazione base [Bq] | 1,0 |
| Fattore forma [Sg] | 0,88 |
| Fattore profondità [Dg] | 1,0 |
| Fattore inclinazione carichi [Ig] | 0,85 |
| Fattore inclinazione pendio [Gg] | 1,0 |
| Fattore inclinazione base [Bg] | 1,0 |
| Fattore correzione sismico inerziale [zq] | 1,0 |
| Fattore correzione sismico inerziale [zg] | 1,0 |
| Fattore correzione sismico inerziale [zc] | 1,0 |

| | |
|------------------------|--------------------------|
| Carico limite | 436,05 kN/m ² |
| Resistenza di progetto | 242,25 kN/m ² |

Condizione di verifica [Ed<=Rd] Verificata

Autore: Meyerhof and Hanna (1978) (Condizione drenata)

Strato 1 sopra, strato 2 sotto

| | |
|---------------------------------------|-----|
| Fattori di capacità portante strato 1 | |
| Fattore [Nq] | 1,0 |

| | |
|---------------------------------------|--------------------------|
| Fattore [Nc] | 5,14 |
| Fattori di capacità portante strato 2 | |
| Fattore [Nq] | 33,3 |
| Fattore [Nc] | 46,12 |
| Fattore [Ng] | 10,18 |
| Carico limite strato 2 (qb) | 749,42 kN/m ² |
| Carico limite strato 1 (qt) | 348,35 kN/m ² |
| Incremento carico limite strato 1 | 10,54 kN/m ² |
| Coefficiente di punzonamento (ks) | 0,0 |
| Rapporto (q1/q2) | 1,16 |
| ===== | |
| Carico limite | 348,35 kN/m ² |
| Resistenza di progetto | 193,53 kN/m ² |
| Condizione di verifica [Ed<=Rd] | Verificata |
| ===== | |

VERIFICA A SCORRIMENTO (Sisma B)

| | |
|--------------------------------------|----------------------|
| Adesione terreno fondazione | 10 kN/m ² |
| Angolo di attrito terreno fondazione | 0 ° |
| Frazione spinta passiva | 0 % |
| Resistenza di progetto | 211,67 kN |
| Sollecitazione di progetto | 41,76 kN |
| Condizione di verifica [Ed<=Rd] | Verificata |
| ===== | |

4.4.2.10. Verifica su penetrometrica P10

STRATIGRAFIA TERRENO

| Spessore strato [m] | Peso unità di volume [kN/m ³] | Peso unità di volume saturo [kN/m ³] | Angolo di attrito [°] | Coe-sione [kN/m ²] | Coe-sione non drenata [kN/m ²] | Modulo Elastico [kN/m ²] | Modulo Edometrico [kN/m ²] | Poisson | Coeff. consolidaz. primaria [cmq/s] | Coeff. consolidazione secondaria | Descrizione |
|---------------------|---|--|-----------------------|--------------------------------|--|--------------------------------------|--|---------|-------------------------------------|----------------------------------|-------------|
| 0,6 | 16,87 | 16,87 | 30,0 | 0,0 | 39,2266 | 5000,0 | 5000,0 | 0,0 | 0,0 | 0,0 | |
| 2,8 | 17,65 | 17,65 | 39,0 | 0,0 | 0,0 | 5000,0 | 5000,0 | 0,0 | 0,0 | 0,0 | |
| 3,2 | 17,65 | 17,65 | 35,0 | 0,0 | 0,0 | 5000,0 | 5000,0 | 0,0 | 0,0 | 0,0 | |

Carichi di progetto agenti sulla fondazione

| Nr. | Nome combinazione | Pressione normale di progetto [kN/m ²] | N [kN] | Mx [kN·m] | My [kN·m] | Hx [kN] | Hy [kN] | Tipo |
|-----|-------------------|--|--------|-----------|-----------|---------|---------|----------|
| 1 | A1+M1+R3 | 0,00 | 880,60 | 0,00 | 0,00 | 0,00 | 0,00 | Progetto |
| 2 | Sisma A | 0,00 | 604,23 | 38,40 | -128,00 | 40,00 | 12,00 | Progetto |
| 3 | S.L.E. | 0,00 | 639,68 | 0,00 | 0,00 | 0,00 | 0,00 | Servizio |
| 4 | Sisma B | 0,00 | 604,23 | 128,00 | -38,40 | 12,00 | 40,00 | Progetto |

Sisma + Coeff. parziali parametri geotecnici terreno + Resistenze

| Nr | Correzione Sismica | Tangente angolo di resistenza al taglio | Coesione efficace | Coesione non drenata | Peso Unità volume in fondazione | Peso unità volume co-pertura | Coef. Rid. Capacità portante verticale | Coef.Rid.C apacità portante orizzontale |
|----|--------------------|---|-------------------|----------------------|---------------------------------|------------------------------|--|---|
| 1 | No | 1 | 1 | 1 | 1 | 1 | 2,3 | 1,1 |
| 2 | No | 1,25 | 1,25 | 1,4 | 1 | 1 | 1,8 | 1,1 |
| 3 | No | 1 | 1 | 1 | 1 | 1 | 1 | 1 |
| 4 | No | 1,25 | 1,25 | 1,4 | 1 | 1 | 1,8 | 1,1 |

CARICO LIMITE FONDAZIONE COMBINAZIONE...A1+M1+R3

Autore: Meyerhof and Hanna (1978)

| | |
|---------------------------------|--------------------------|
| Carico limite [Qult] | 273,21 kN/m ² |
| Resistenza di progetto[Rd] | 118,79 kN/m ² |
| Tensione [Ed] | 27,8 kN/m ² |
| Fattore sicurezza [Fs=Qult/Ed] | 9,83 |
| Condizione di verifica [Ed<=Rd] | Verificata |

COEFFICIENTE DI SOTTOFONDAZIONE BOWLES (1982)

Costante di Winkler 90320,25 kN/m³**A1+M1+R3**

Autore: HANSEN (1970) (Condizione drenata)

| | |
|---|-------|
| Fattore [Nq] | 48,62 |
| Fattore [Nc] | 61,06 |
| Fattore [Ng] | 55,71 |
| Fattore forma [Sc] | 1,3 |
| Fattore profondità [Dc] | 1,0 |
| Fattore inclinazione carichi [Ic] | 1,0 |
| Fattore inclinazione pendio [Gc] | 1,0 |
| Fattore inclinazione base [Bc] | 1,0 |
| Fattore forma [Sq] | 1,3 |
| Fattore profondità [Dq] | 1,0 |
| Fattore inclinazione carichi [Iq] | 1,0 |
| Fattore inclinazione pendio [Gq] | 1,0 |
| Fattore inclinazione base [Bq] | 1,0 |
| Fattore forma [Sg] | 0,85 |
| Fattore profondità [Dg] | 1,0 |
| Fattore inclinazione carichi [Ig] | 1,0 |
| Fattore inclinazione pendio [Gg] | 1,0 |
| Fattore inclinazione base [Bg] | 1,0 |
| Fattore correzione sismico inerziale [zq] | 1,0 |
| Fattore correzione sismico inerziale [zg] | 1,0 |
| Fattore correzione sismico inerziale [zc] | 1,0 |

| | |
|------------------------|--------------------------|
| Carico limite | 1705,1 kN/m ² |
| Resistenza di progetto | 741,35 kN/m ² |

Condizione di verifica [Ed<=Rd] Verificata

Autore: TERZAGHI (1955) (Condizione drenata)

| | |
|---|-------|
| Fattore [Nq] | 61,14 |
| Fattore [Nc] | 77,11 |
| Fattore [Ng] | 72,88 |
| Fattore forma [Sc] | 1,0 |
| Fattore forma [Sg] | 1,0 |
| Fattore correzione sismico inerziale [zq] | 1,0 |
| Fattore correzione sismico inerziale [zg] | 1,0 |
| Fattore correzione sismico inerziale [zc] | 1,0 |

| | |
|------------------------|---------------------------|
| Carico limite | 2478,3 kN/m ² |
| Resistenza di progetto | 1077,52 kN/m ² |

| | |
|---------------------------------|------------|
| Condizione di verifica [Ed<=Rd] | Verificata |
|---------------------------------|------------|

Autore: MEYERHOF (1963) (Condizione drenata)

| | |
|---|-------|
| Fattore [Nq] | 48,62 |
| Fattore [Nc] | 61,06 |
| Fattore [Ng] | 63,5 |
| Fattore forma [Sc] | 1,32 |
| Fattore profondità [Dc] | 1,0 |
| Fattore inclinazione carichi [Ic] | 1,0 |
| Fattore forma [Sq] | 1,16 |
| Fattore profondità [Dq] | 1,0 |
| Fattore inclinazione carichi [Iq] | 1,0 |
| Fattore forma [Sg] | 1,16 |
| Fattore profondità [Dg] | 1,0 |
| Fattore inclinazione carichi [Ig] | 1,0 |
| Fattore correzione sismico inerziale [zq] | 1,0 |
| Fattore correzione sismico inerziale [zg] | 1,0 |
| Fattore correzione sismico inerziale [zc] | 1,0 |

| | |
|------------------------|---------------------------|
| Carico limite | 2480,75 kN/m ² |
| Resistenza di progetto | 1078,59 kN/m ² |

| | |
|---------------------------------|------------|
| Condizione di verifica [Ed<=Rd] | Verificata |
|---------------------------------|------------|

Autore: VESIC (1975) (Condizione drenata)

| | |
|-----------------------------------|-------|
| Fattore [Nq] | 48,62 |
| Fattore [Nc] | 61,06 |
| Fattore [Ng] | 77,4 |
| Fattore forma [Sc] | 1,3 |
| Fattore profondità [Dc] | 1,0 |
| Fattore inclinazione carichi [Ic] | 1,0 |
| Fattore inclinazione pendio [Gc] | 1,0 |
| Fattore inclinazione base [Bc] | 1,0 |
| Fattore forma [Sq] | 1,3 |
| Fattore profondità [Dq] | 1,0 |
| Fattore inclinazione carichi [Iq] | 1,0 |

| | |
|---|------|
| Fattore inclinazione pendio [Gq] | 1,0 |
| Fattore inclinazione base [Bq] | 1,0 |
| Fattore forma [Sg] | 0,85 |
| Fattore profondità [Dg] | 1,0 |
| Fattore inclinazione carichi [Ig] | 1,0 |
| Fattore inclinazione pendio [Gg] | 1,0 |
| Fattore inclinazione base [Bg] | 1,0 |
| Fattore correzione sismico inerziale [zq] | 1,0 |
| Fattore correzione sismico inerziale [zg] | 1,0 |
| Fattore correzione sismico inerziale [zc] | 1,0 |

| | |
|------------------------|---------------------------|
| Carico limite | 1240,69 kN/m ² |
| Resistenza di progetto | 539,43 kN/m ² |

Condizione di verifica [Ed<=Rd] Verificata

Autore: Brinch - Hansen 1970 (Condizione drenata)

| | |
|---|-------|
| Fattore [Nq] | 48,62 |
| Fattore [Nc] | 61,06 |
| Fattore [Ng] | 74,28 |
| Fattore forma [Sc] | 1,24 |
| Fattore profondità [Dc] | 1,0 |
| Fattore inclinazione carichi [Ic] | 1,0 |
| Fattore inclinazione pendio [Gc] | 1,0 |
| Fattore inclinazione base [Bc] | 1,0 |
| Fattore forma [Sq] | 1,23 |
| Fattore profondità [Dq] | 1,0 |
| Fattore inclinazione carichi [Iq] | 1,0 |
| Fattore inclinazione pendio [Gq] | 1,0 |
| Fattore inclinazione base [Bq] | 1,0 |
| Fattore forma [Sg] | 0,89 |
| Fattore profondità [Dg] | 1,0 |
| Fattore inclinazione carichi [Ig] | 1,0 |
| Fattore inclinazione pendio [Gg] | 1,0 |
| Fattore inclinazione base [Bg] | 1,0 |
| Fattore correzione sismico inerziale [zq] | 1,0 |
| Fattore correzione sismico inerziale [zg] | 1,0 |
| Fattore correzione sismico inerziale [zc] | 1,0 |

| | |
|------------------------|---------------------------|
| Carico limite | 2258,01 kN/m ² |
| Resistenza di progetto | 981,74 kN/m ² |

Condizione di verifica [Ed<=Rd] Verificata

Autore: Meyerhof and Hanna (1978) (Condizione drenata)

Strato 1 sopra, strato 2 sotto

| | |
|---------------------------------------|------|
| Fattori di capacità portante strato 1 | |
| Fattore [Nq] | 1,0 |
| Fattore [Nc] | 5,14 |

| | |
|---------------------------------------|---------------------------|
| Fattori di capacità portante strato 2 | |
| Fattore [Nq] | 55,96 |
| Fattore [Nc] | 67,87 |
| Fattore [Ng] | 19,46 |
| Carico limite strato 2 (qb) | |
| | 1356,55 kN/m ² |
| Carico limite strato 1 (qt) | |
| | 273,21 kN/m ² |
| Incremento carico limite strato 1 | |
| | 7,91 kN/m ² |
| Coefficiente di punzonamento (ks) | |
| | 0,0 |
| Rapporto (q1/q2) | |
| | 2,96 |
| ===== | |
| Carico limite | 273,21 kN/m ² |
| Resistenza di progetto | 118,79 kN/m ² |
| ===== | |
| Condizione di verifica [Ed<=Rd] | Verificata |
| ===== | |

Sisma A

Autore: HANSEN (1970) (Condizione drenata)

| | |
|---|--------------------------|
| Fattore [Nq] | 23,07 |
| Fattore [Nc] | 35,38 |
| Fattore [Ng] | 20,66 |
| Fattore forma [Sc] | 1,0 |
| Fattore profondità [Dc] | 1,0 |
| Fattore inclinazione carichi [Ic] | 0,83 |
| Fattore inclinazione pendio [Gc] | 1,0 |
| Fattore inclinazione base [Bc] | 1,0 |
| Fattore forma [Sq] | 1,0 |
| Fattore profondità [Dq] | 1,0 |
| Fattore inclinazione carichi [Iq] | 0,84 |
| Fattore inclinazione pendio [Gq] | 1,0 |
| Fattore inclinazione base [Bq] | 1,0 |
| Fattore forma [Sg] | 1,0 |
| Fattore profondità [Dg] | 1,0 |
| Fattore inclinazione carichi [Ig] | 0,78 |
| Fattore inclinazione pendio [Gg] | 1,0 |
| Fattore inclinazione base [Bg] | 1,0 |
| Fattore correzione sismico inerziale [zq] | 1,0 |
| Fattore correzione sismico inerziale [zg] | 1,0 |
| Fattore correzione sismico inerziale [zc] | 1,0 |
| ===== | |
| Carico limite | 513,11 kN/m ² |
| Resistenza di progetto | 285,06 kN/m ² |
| ===== | |
| Condizione di verifica [Ed<=Rd] | Verificata |
| ===== | |

Autore: TERZAGHI (1955) (Condizione drenata)

| | |
|--------------|-------|
| Fattore [Nq] | 28,39 |
|--------------|-------|

| | |
|---|-------|
| Fattore [Nc] | 43,89 |
| Fattore [Ng] | 27,33 |
| Fattore forma [Sc] | 1,0 |
| Fattore forma [Sg] | 1,0 |
| Fattore correzione sismico inerziale [zq] | 1,0 |
| Fattore correzione sismico inerziale [zg] | 1,0 |
| Fattore correzione sismico inerziale [zc] | 1,0 |

| | |
|------------------------|--------------------------|
| Carico limite | 952,27 kN/m ² |
| Resistenza di progetto | 529,04 kN/m ² |

Condizione di verifica [Ed<=Rd] Verificata

Autore: MEYERHOF (1963) (Condizione drenata)

| | |
|---|-------|
| Fattore [Nq] | 23,07 |
| Fattore [Nc] | 35,38 |
| Fattore [Ng] | 21,88 |
| Fattore forma [Sc] | 1,22 |
| Fattore profondità [Dc] | 1,0 |
| Fattore inclinazione carichi [Ic] | 0,91 |
| Fattore forma [Sq] | 1,11 |
| Fattore profondità [Dq] | 1,0 |
| Fattore inclinazione carichi [Iq] | 0,91 |
| Fattore forma [Sg] | 1,11 |
| Fattore profondità [Dg] | 1,0 |
| Fattore inclinazione carichi [Ig] | 0,77 |
| Fattore correzione sismico inerziale [zq] | 1,0 |
| Fattore correzione sismico inerziale [zg] | 1,0 |
| Fattore correzione sismico inerziale [zc] | 1,0 |

| | |
|------------------------|--------------------------|
| Carico limite | 536,72 kN/m ² |
| Resistenza di progetto | 298,18 kN/m ² |

Condizione di verifica [Ed<=Rd] Verificata

Autore: VESIC (1975) (Condizione drenata)

| | |
|-----------------------------------|-------|
| Fattore [Nq] | 23,07 |
| Fattore [Nc] | 35,38 |
| Fattore [Ng] | 30,04 |
| Fattore forma [Sc] | 1,0 |
| Fattore profondità [Dc] | 1,0 |
| Fattore inclinazione carichi [Ic] | 0,88 |
| Fattore inclinazione pendio [Gc] | 1,0 |
| Fattore inclinazione base [Bc] | 1,0 |
| Fattore forma [Sq] | 1,0 |
| Fattore profondità [Dq] | 1,0 |
| Fattore inclinazione carichi [Iq] | 0,88 |
| Fattore inclinazione pendio [Gq] | 1,0 |
| Fattore inclinazione base [Bq] | 1,0 |
| Fattore forma [Sg] | 1,0 |

| | |
|---|------|
| Fattore profondità [Dg] | 1,0 |
| Fattore inclinazione carichi [Ig] | 0,82 |
| Fattore inclinazione pendio [Gg] | 1,0 |
| Fattore inclinazione base [Bg] | 1,0 |
| Fattore correzione sismico inerziale [zq] | 1,0 |
| Fattore correzione sismico inerziale [zg] | 1,0 |
| Fattore correzione sismico inerziale [zc] | 1,0 |

| | |
|------------------------|--------------------------|
| Carico limite | 682,86 kN/m ² |
| Resistenza di progetto | 379,37 kN/m ² |

Condizione di verifica [Ed<=Rd] Verificata

Autore: Brinch - Hansen 1970 (Condizione drenata)

| | |
|---|-------|
| Fattore [Nq] | 23,07 |
| Fattore [Nc] | 35,38 |
| Fattore [Ng] | 27,55 |
| Fattore forma [Sc] | 1,19 |
| Fattore profondità [Dc] | 1,0 |
| Fattore inclinazione carichi [Ic] | 0,88 |
| Fattore inclinazione pendio [Gc] | 1,0 |
| Fattore inclinazione base [Bc] | 1,0 |
| Fattore forma [Sq] | 1,18 |
| Fattore profondità [Dq] | 1,0 |
| Fattore inclinazione carichi [Iq] | 0,88 |
| Fattore inclinazione pendio [Gq] | 1,0 |
| Fattore inclinazione base [Bq] | 1,0 |
| Fattore forma [Sg] | 0,9 |
| Fattore profondità [Dg] | 1,0 |
| Fattore inclinazione carichi [Ig] | 0,82 |
| Fattore inclinazione pendio [Gg] | 1,0 |
| Fattore inclinazione base [Bg] | 1,0 |
| Fattore correzione sismico inerziale [zq] | 1,0 |
| Fattore correzione sismico inerziale [zg] | 1,0 |
| Fattore correzione sismico inerziale [zc] | 1,0 |

| | |
|------------------------|--------------------------|
| Carico limite | 646,84 kN/m ² |
| Resistenza di progetto | 359,35 kN/m ² |

Condizione di verifica [Ed<=Rd] Verificata

Autore: Meyerhof and Hanna (1978) (Condizione drenata)

Strato 1 sopra, strato 2 sotto

| | |
|---------------------------------------|-------|
| Fattori di capacità portante strato 1 | |
| Fattore [Nq] | 1,0 |
| Fattore [Nc] | 5,14 |
| Fattori di capacità portante strato 2 | |
| Fattore [Nq] | 55,96 |

| | |
|-----------------------------------|---------------------------|
| Fattore [Nc] | 67,87 |
| Fattore [Ng] | 19,46 |
| Carico limite strato 2 (qb) | 1356,55 kN/m ² |
| Carico limite strato 1 (qt) | 273,21 kN/m ² |
| Incremento carico limite strato 1 | 7,91 kN/m ² |
| Coefficiente di punzonamento (ks) | 0,0 |
| Rapporto (q1/q2) | 2,96 |
| ===== | |
| Carico limite | 273,21 kN/m ² |
| Resistenza di progetto | 151,78 kN/m ² |
| Condizione di verifica [Ed<=Rd] | Verificata |
| ===== | |

VERIFICA A SCORRIMENTO (Sisma A)

| | |
|--------------------------------------|----------------------|
| Adesione terreno fondazione | 10 kN/m ² |
| Angolo di attrito terreno fondazione | 0 ° |
| Frazione spinta passiva | 0 % |
| Resistenza di progetto | 199,46 kN |
| Sollecitazione di progetto | 41,76 kN |
| Condizione di verifica [Ed<=Rd] | Verificata |
| ===== | |

Sisma B

Autore: HANSEN (1970) (Condizione drenata)

| | |
|---|--------------------------|
| Fattore [Nq] | 23,07 |
| Fattore [Nc] | 35,38 |
| Fattore [Ng] | 20,66 |
| Fattore forma [Sc] | 1,0 |
| Fattore profondità [Dc] | 1,0 |
| Fattore inclinazione carichi [Ic] | 0,83 |
| Fattore inclinazione pendio [Gc] | 1,0 |
| Fattore inclinazione base [Bc] | 1,0 |
| Fattore forma [Sq] | 1,0 |
| Fattore profondità [Dq] | 1,0 |
| Fattore inclinazione carichi [Iq] | 0,84 |
| Fattore inclinazione pendio [Gq] | 1,0 |
| Fattore inclinazione base [Bq] | 1,0 |
| Fattore forma [Sg] | 1,0 |
| Fattore profondità [Dg] | 1,0 |
| Fattore inclinazione carichi [Ig] | 0,78 |
| Fattore inclinazione pendio [Gg] | 1,0 |
| Fattore inclinazione base [Bg] | 1,0 |
| Fattore correzione sismico inerziale [zq] | 1,0 |
| Fattore correzione sismico inerziale [zg] | 1,0 |
| Fattore correzione sismico inerziale [zc] | 1,0 |
| ===== | |
| Carico limite | 555,11 kN/m ² |
| Resistenza di progetto | 308,4 kN/m ² |
| ===== | |

Condizione di verifica [Ed<=Rd] Verificata

Autore: TERZAGHI (1955) (Condizione drenata)

| | |
|---|-------|
| Fattore [Nq] | 28,39 |
| Fattore [Nc] | 43,89 |
| Fattore [Ng] | 27,33 |
| Fattore forma [Sc] | 1,0 |
| Fattore forma [Sg] | 1,0 |
| Fattore correzione sismico inerziale [zq] | 1,0 |
| Fattore correzione sismico inerziale [zg] | 1,0 |
| Fattore correzione sismico inerziale [zc] | 1,0 |

| | |
|------------------------|--------------------------|
| Carico limite | 952,27 kN/m ² |
| Resistenza di progetto | 529,04 kN/m ² |

Condizione di verifica [Ed<=Rd] Verificata

Autore: MEYERHOF (1963) (Condizione drenata)

| | |
|---|-------|
| Fattore [Nq] | 23,07 |
| Fattore [Nc] | 35,38 |
| Fattore [Ng] | 21,88 |
| Fattore forma [Sc] | 1,25 |
| Fattore profondità [Dc] | 1,0 |
| Fattore inclinazione carichi [Ic] | 0,91 |
| Fattore forma [Sq] | 1,12 |
| Fattore profondità [Dq] | 1,0 |
| Fattore inclinazione carichi [Iq] | 0,91 |
| Fattore forma [Sg] | 1,12 |
| Fattore profondità [Dg] | 1,0 |
| Fattore inclinazione carichi [Ig] | 0,77 |
| Fattore correzione sismico inerziale [zq] | 1,0 |
| Fattore correzione sismico inerziale [zg] | 1,0 |
| Fattore correzione sismico inerziale [zc] | 1,0 |

| | |
|------------------------|--------------------------|
| Carico limite | 580,32 kN/m ² |
| Resistenza di progetto | 322,4 kN/m ² |

Condizione di verifica [Ed<=Rd] Verificata

Autore: VESIC (1975) (Condizione drenata)

| | |
|-----------------------------------|-------|
| Fattore [Nq] | 23,07 |
| Fattore [Nc] | 35,38 |
| Fattore [Ng] | 30,04 |
| Fattore forma [Sc] | 1,0 |
| Fattore profondità [Dc] | 1,0 |
| Fattore inclinazione carichi [Ic] | 0,88 |
| Fattore inclinazione pendio [Gc] | 1,0 |

| | |
|---|------|
| Fattore inclinazione base [Bc] | 1,0 |
| Fattore forma [Sq] | 1,0 |
| Fattore profondità [Dq] | 1,0 |
| Fattore inclinazione carichi [Iq] | 0,88 |
| Fattore inclinazione pendio [Gq] | 1,0 |
| Fattore inclinazione base [Bq] | 1,0 |
| Fattore forma [Sg] | 1,0 |
| Fattore profondità [Dg] | 1,0 |
| Fattore inclinazione carichi [Ig] | 0,82 |
| Fattore inclinazione pendio [Gg] | 1,0 |
| Fattore inclinazione base [Bg] | 1,0 |
| Fattore correzione sismico inerziale [zq] | 1,0 |
| Fattore correzione sismico inerziale [zg] | 1,0 |
| Fattore correzione sismico inerziale [zc] | 1,0 |

| | |
|------------------------|--------------------------|
| Carico limite | 741,69 kN/m ² |
| Resistenza di progetto | 412,05 kN/m ² |

Condizione di verifica [Ed<=Rd] Verificata

Autore: Brinch - Hansen 1970 (Condizione drenata)

| | |
|---|-------|
| Fattore [Nq] | 23,07 |
| Fattore [Nc] | 35,38 |
| Fattore [Ng] | 27,55 |
| Fattore forma [Sc] | 1,21 |
| Fattore profondità [Dc] | 1,0 |
| Fattore inclinazione carichi [Ic] | 0,91 |
| Fattore inclinazione pendio [Gc] | 1,0 |
| Fattore inclinazione base [Bc] | 1,0 |
| Fattore forma [Sq] | 1,2 |
| Fattore profondità [Dq] | 1,0 |
| Fattore inclinazione carichi [Iq] | 0,91 |
| Fattore inclinazione pendio [Gq] | 1,0 |
| Fattore inclinazione base [Bq] | 1,0 |
| Fattore forma [Sg] | 0,88 |
| Fattore profondità [Dg] | 1,0 |
| Fattore inclinazione carichi [Ig] | 0,85 |
| Fattore inclinazione pendio [Gg] | 1,0 |
| Fattore inclinazione base [Bg] | 1,0 |
| Fattore correzione sismico inerziale [zq] | 1,0 |
| Fattore correzione sismico inerziale [zg] | 1,0 |
| Fattore correzione sismico inerziale [zc] | 1,0 |

| | |
|------------------------|--------------------------|
| Carico limite | 712,63 kN/m ² |
| Resistenza di progetto | 395,9 kN/m ² |

Condizione di verifica [Ed<=Rd] Verificata

Autore: Meyerhof and Hanna (1978) (Condizione drenata)

Strato 1 sopra, strato 2 sotto

| | |
|---------------------------------------|---------------------------|
| Fattori di capacità portante strato 1 | |
| Fattore [Nq] | 1,0 |
| Fattore [Nc] | 5,14 |
| Fattori di capacità portante strato 2 | |
| Fattore [Nq] | 55,96 |
| Fattore [Nc] | 67,87 |
| Fattore [Ng] | 19,46 |
| Carico limite strato 2 (qb) | 1356,55 kN/m ² |
| Carico limite strato 1 (qt) | 273,21 kN/m ² |
| Incremento carico limite strato 1 | 7,91 kN/m ² |
| Coefficiente di punzonamento (ks) | 0,0 |
| Rapporto (q1/q2) | 2,96 |
| ===== | |
| Carico limite | 273,21 kN/m ² |
| Resistenza di progetto | 151,78 kN/m ² |
| Condizione di verifica [Ed<=Rd] | Verificata |
| ===== | |

VERIFICA A SCORRIMENTO (Sisma B)

| | |
|--------------------------------------|----------------------|
| Adesione terreno fondazione | 10 kN/m ² |
| Angolo di attrito terreno fondazione | 0 ° |
| Frazione spinta passiva | 0 % |
| Resistenza di progetto | 211,67 kN |
| Sollecitazione di progetto | 41,76 kN |
| Condizione di verifica [Ed<=Rd] | Verificata |
| ===== | |

4.4.2.11. Verifica su penetrometrica P11

STRATIGRAFIA TERRENO

| Spessore strato [m] | Peso unità di volume [kN/m ³] | Peso unità di volume saturo [kN/m ³] | Angolo di attrito [°] | Coe-sione [kN/m ²] | Coe-sione non drenata [kN/m ²] | Modulo Elastico [kN/m ²] | Modulo Edometrico [kN/m ²] | Poisson | Coeff. consolidaz. primaria [cmq/s] | Coeff. consolidazione secondaria | Descrizione |
|---------------------|---|--|-----------------------|--------------------------------|--|--------------------------------------|--|---------|-------------------------------------|----------------------------------|-------------|
| 0,6 | 17,09 | 17,09 | 30,0 | 0,0 | 45,7971 | 5000,0 | 5000,0 | 0,0 | 0,0 | 0,0 | |
| 2,4 | 17,65 | 17,65 | 40,0 | 0,0 | 0,0 | 5000,0 | 5000,0 | 0,0 | 0,0 | 0,0 | |
| 3,4 | 17,65 | 17,65 | 35,0 | 0,0 | 0,0 | 5000,0 | 5000,0 | 0,0 | 0,0 | 0,0 | |

Carichi di progetto agenti sulla fondazione

| Nr. | Nome combinazione | Pressione normale di progetto [kN/m ²] | N [kN] | Mx [kN·m] | My [kN·m] | Hx [kN] | Hy [kN] | Tipo |
|-----|-------------------|--|--------|-----------|-----------|---------|---------|----------|
| 1 | A1+M1+R3 | 0,00 | 880,60 | 0,00 | 0,00 | 0,00 | 0,00 | Progetto |
| 2 | Sisma A | 0,00 | 604,23 | 38,40 | -128,00 | 40,00 | 12,00 | Progetto |

| | | | | | | | | |
|---|---------|------|--------|--------|--------|-------|-------|----------|
| 3 | S.L.E. | 0,00 | 639,68 | 0,00 | 0,00 | 0,00 | 0,00 | Servizio |
| 4 | Sisma B | 0,00 | 604,23 | 128,00 | -38,40 | 12,00 | 40,00 | Progetto |

Sisma + Coeff. parziali parametri geotecnici terreno + Resistenze

| Nr | Correzione Sismica | Tangente angolo di resistenza al taglio | Coesione efficace | Coesione non drenata | Peso Unità volume in fondazione | Peso unità volume co-pertura | Coef. Rid. Capacità portante verticale | Coef.Rid.C capacità portante orizzontale |
|----|--------------------|---|-------------------|----------------------|---------------------------------|------------------------------|--|--|
| 1 | No | 1 | 1 | 1 | 1 | 1 | 2,3 | 1,1 |
| 2 | No | 1,25 | 1,25 | 1,4 | 1 | 1 | 1,8 | 1,1 |
| 3 | No | 1 | 1 | 1 | 1 | 1 | 1 | 1 |
| 4 | No | 1,25 | 1,25 | 1,4 | 1 | 1 | 1,8 | 1,1 |

CARICO LIMITE FONDAZIONE COMBINAZIONE...A1+M1+R3

Autore: Meyerhof and Hanna (1978)

| | |
|---------------------------------|--------------------------|
| Carico limite [Qult] | 321,96 kN/m ² |
| Resistenza di progetto[Rd] | 139,98 kN/m ² |
| Tensione [Ed] | 27,8 kN/m ² |
| Fattore sicurezza [Fs=Qult/Ed] | 11,58 |
| Condizione di verifica [Ed<=Rd] | Verificata |

COEFFICIENTE DI SOTTOFONDAZIONE BOWLES (1982)

Costante di Winkler 97826,67 kN/m³**A1+M1+R3**

Autore: HANSEN (1970) (Condizione drenata)

| | |
|---|-------|
| Fattore [Nq] | 51,69 |
| Fattore [Nc] | 63,93 |
| Fattore [Ng] | 60,28 |
| Fattore forma [Sc] | 1,31 |
| Fattore profondità [Dc] | 1,0 |
| Fattore inclinazione carichi [Ic] | 1,0 |
| Fattore inclinazione pendio [Gc] | 1,0 |
| Fattore inclinazione base [Bc] | 1,0 |
| Fattore forma [Sq] | 1,3 |
| Fattore profondità [Dq] | 1,0 |
| Fattore inclinazione carichi [Iq] | 1,0 |
| Fattore inclinazione pendio [Gq] | 1,0 |
| Fattore inclinazione base [Bq] | 1,0 |
| Fattore forma [Sg] | 0,85 |
| Fattore profondità [Dg] | 1,0 |
| Fattore inclinazione carichi [Ig] | 1,0 |
| Fattore inclinazione pendio [Gg] | 1,0 |
| Fattore inclinazione base [Bg] | 1,0 |
| Fattore correzione sismico inerziale [zq] | 1,0 |
| Fattore correzione sismico inerziale [zg] | 1,0 |
| Fattore correzione sismico inerziale [zc] | 1,0 |

| | |
|------------------------|---------------------------|
| Carico limite | 1846,99 kN/m ² |
| Resistenza di progetto | 803,04 kN/m ² |

Condizione di verifica [Ed<=Rd] Verificata

Autore: TERZAGHI (1955) (Condizione drenata)

| | |
|---|-------|
| Fattore [Nq] | 65,1 |
| Fattore [Nc] | 80,84 |
| Fattore [Ng] | 78,54 |
| Fattore forma [Sc] | 1,0 |
| Fattore forma [Sg] | 1,0 |
| Fattore correzione sismico inerziale [zq] | 1,0 |
| Fattore correzione sismico inerziale [zg] | 1,0 |
| Fattore correzione sismico inerziale [zc] | 1,0 |

| | |
|------------------------|---------------------------|
| Carico limite | 2674,3 kN/m ² |
| Resistenza di progetto | 1162,74 kN/m ² |

Condizione di verifica [Ed<=Rd] Verificata

Autore: MEYERHOF (1963) (Condizione drenata)

| | |
|---|-------|
| Fattore [Nq] | 51,69 |
| Fattore [Nc] | 63,93 |
| Fattore [Ng] | 69,19 |
| Fattore forma [Sc] | 1,33 |
| Fattore profondità [Dc] | 1,0 |
| Fattore inclinazione carichi [Ic] | 1,0 |
| Fattore forma [Sq] | 1,16 |
| Fattore profondità [Dq] | 1,0 |
| Fattore inclinazione carichi [Iq] | 1,0 |
| Fattore forma [Sg] | 1,16 |
| Fattore profondità [Dg] | 1,0 |
| Fattore inclinazione carichi [Ig] | 1,0 |
| Fattore correzione sismico inerziale [zq] | 1,0 |
| Fattore correzione sismico inerziale [zg] | 1,0 |
| Fattore correzione sismico inerziale [zc] | 1,0 |

| | |
|------------------------|---------------------------|
| Carico limite | 2711,24 kN/m ² |
| Resistenza di progetto | 1178,8 kN/m ² |

Condizione di verifica [Ed<=Rd] Verificata

Autore: VESIC (1975) (Condizione drenata)

| | |
|-----------------------------------|-------|
| Fattore [Nq] | 51,69 |
| Fattore [Nc] | 63,93 |
| Fattore [Ng] | 83,55 |
| Fattore forma [Sc] | 1,31 |
| Fattore profondità [Dc] | 1,0 |
| Fattore inclinazione carichi [Ic] | 1,0 |
| Fattore inclinazione pendio [Gc] | 1,0 |
| Fattore inclinazione base [Bc] | 1,0 |

| | |
|---|------|
| Fattore forma [Sq] | 1,3 |
| Fattore profondità [Dq] | 1,0 |
| Fattore inclinazione carichi [Iq] | 1,0 |
| Fattore inclinazione pendio [Gq] | 1,0 |
| Fattore inclinazione base [Bq] | 1,0 |
| Fattore forma [Sg] | 0,85 |
| Fattore profondità [Dg] | 1,0 |
| Fattore inclinazione carichi [Ig] | 1,0 |
| Fattore inclinazione pendio [Gg] | 1,0 |
| Fattore inclinazione base [Bg] | 1,0 |
| Fattore correzione sismico inerziale [zq] | 1,0 |
| Fattore correzione sismico inerziale [zg] | 1,0 |
| Fattore correzione sismico inerziale [zc] | 1,0 |

| | |
|------------------------|---------------------------|
| Carico limite | 1278,67 kN/m ² |
| Resistenza di progetto | 555,94 kN/m ² |

Condizione di verifica [Ed<=Rd] Verificata

Autore: Brinch - Hansen 1970 (Condizione drenata)

| | |
|---|-------|
| Fattore [Nq] | 51,69 |
| Fattore [Nc] | 63,93 |
| Fattore [Ng] | 80,38 |
| Fattore forma [Sc] | 1,24 |
| Fattore profondità [Dc] | 1,0 |
| Fattore inclinazione carichi [Ic] | 1,0 |
| Fattore inclinazione pendio [Gc] | 1,0 |
| Fattore inclinazione base [Bc] | 1,0 |
| Fattore forma [Sq] | 1,24 |
| Fattore profondità [Dq] | 1,0 |
| Fattore inclinazione carichi [Iq] | 1,0 |
| Fattore inclinazione pendio [Gq] | 1,0 |
| Fattore inclinazione base [Bq] | 1,0 |
| Fattore forma [Sg] | 0,89 |
| Fattore profondità [Dg] | 1,0 |
| Fattore inclinazione carichi [Ig] | 1,0 |
| Fattore inclinazione pendio [Gg] | 1,0 |
| Fattore inclinazione base [Bg] | 1,0 |
| Fattore correzione sismico inerziale [zq] | 1,0 |
| Fattore correzione sismico inerziale [zg] | 1,0 |
| Fattore correzione sismico inerziale [zc] | 1,0 |

| | |
|------------------------|---------------------------|
| Carico limite | 2445,67 kN/m ² |
| Resistenza di progetto | 1063,33 kN/m ² |

Condizione di verifica [Ed<=Rd] Verificata

Autore: Meyerhof and Hanna (1978) (Condizione drenata)

Strato 1 sopra, strato 2 sotto

| | |
|---------------------------------------|---------------------------|
| Fattori di capacità portante strato 1 | |
| Fattore [Nq] | 1,0 |
| Fattore [Nc] | 5,14 |
| Fattori di capacità portante strato 2 | |
| Fattore [Nq] | 64,2 |
| Fattore [Nc] | 75,31 |
| Fattore [Ng] | 23,0 |
| Carico limite strato 2 (qb) | 1600,79 kN/m ² |
| Carico limite strato 1 (qt) | 321,96 kN/m ² |
| Incremento carico limite strato 1 | 9,24 kN/m ² |
| Coefficiente di punzonamento (ks) | 0,0 |
| Rapporto (q1/q2) | 2,99 |
| ===== | |
| Carico limite | 321,96 kN/m ² |
| Resistenza di progetto | 139,98 kN/m ² |
| Condizione di verifica [Ed<=Rd] | Verificata |
| ===== | |

Sisma A

Autore: HANSEN (1970) (Condizione drenata)

| | |
|---|--------------------------|
| Fattore [Nq] | 24,26 |
| Fattore [Nc] | 36,67 |
| Fattore [Ng] | 22,13 |
| Fattore forma [Sc] | 1,0 |
| Fattore profondità [Dc] | 1,0 |
| Fattore inclinazione carichi [Ic] | 0,83 |
| Fattore inclinazione pendio [Gc] | 1,0 |
| Fattore inclinazione base [Bc] | 1,0 |
| Fattore forma [Sq] | 1,0 |
| Fattore profondità [Dq] | 1,0 |
| Fattore inclinazione carichi [Iq] | 0,84 |
| Fattore inclinazione pendio [Gq] | 1,0 |
| Fattore inclinazione base [Bq] | 1,0 |
| Fattore forma [Sg] | 1,0 |
| Fattore profondità [Dg] | 1,0 |
| Fattore inclinazione carichi [Ig] | 0,78 |
| Fattore inclinazione pendio [Gg] | 1,0 |
| Fattore inclinazione base [Bg] | 1,0 |
| Fattore correzione sismico inerziale [zq] | 1,0 |
| Fattore correzione sismico inerziale [zg] | 1,0 |
| Fattore correzione sismico inerziale [zc] | 1,0 |
| ===== | |
| Carico limite | 549,85 kN/m ² |
| Resistenza di progetto | 305,47 kN/m ² |
| Condizione di verifica [Ed<=Rd] | Verificata |
| ===== | |

Autore: TERZAGHI (1955) (Condizione drenata)

| | |
|---|-------|
| Fattore [Nq] | 29,9 |
| Fattore [Nc] | 45,55 |
| Fattore [Ng] | 29,18 |
| Fattore forma [Sc] | 1,0 |
| Fattore forma [Sg] | 1,0 |
| Fattore correzione sismico inerziale [zq] | 1,0 |
| Fattore correzione sismico inerziale [zg] | 1,0 |
| Fattore correzione sismico inerziale [zc] | 1,0 |

| | |
|------------------------|---------------------------|
| Carico limite | 1018,09 kN/m ² |
| Resistenza di progetto | 565,6 kN/m ² |

Condizione di verifica [Ed<=Rd] Verificata

Autore: MEYERHOF (1963) (Condizione drenata)

| | |
|---|-------|
| Fattore [Nq] | 24,26 |
| Fattore [Nc] | 36,67 |
| Fattore [Ng] | 23,54 |
| Fattore forma [Sc] | 1,22 |
| Fattore profondità [Dc] | 1,0 |
| Fattore inclinazione carichi [Ic] | 0,91 |
| Fattore forma [Sq] | 1,11 |
| Fattore profondità [Dq] | 1,0 |
| Fattore inclinazione carichi [Iq] | 0,91 |
| Fattore forma [Sg] | 1,11 |
| Fattore profondità [Dg] | 1,0 |
| Fattore inclinazione carichi [Ig] | 0,77 |
| Fattore correzione sismico inerziale [zq] | 1,0 |
| Fattore correzione sismico inerziale [zg] | 1,0 |
| Fattore correzione sismico inerziale [zc] | 1,0 |

| | |
|------------------------|--------------------------|
| Carico limite | 579,03 kN/m ² |
| Resistenza di progetto | 321,68 kN/m ² |

Condizione di verifica [Ed<=Rd] Verificata

Autore: VESIC (1975) (Condizione drenata)

| | |
|-----------------------------------|-------|
| Fattore [Nq] | 24,26 |
| Fattore [Nc] | 36,67 |
| Fattore [Ng] | 32,05 |
| Fattore forma [Sc] | 1,0 |
| Fattore profondità [Dc] | 1,0 |
| Fattore inclinazione carichi [Ic] | 0,88 |
| Fattore inclinazione pendio [Gc] | 1,0 |
| Fattore inclinazione base [Bc] | 1,0 |
| Fattore forma [Sq] | 1,0 |
| Fattore profondità [Dq] | 1,0 |
| Fattore inclinazione carichi [Iq] | 0,88 |

| | |
|---|------|
| Fattore inclinazione pendio [Gq] | 1,0 |
| Fattore inclinazione base [Bq] | 1,0 |
| Fattore forma [Sg] | 1,0 |
| Fattore profondità [Dg] | 1,0 |
| Fattore inclinazione carichi [Ig] | 0,82 |
| Fattore inclinazione pendio [Gg] | 1,0 |
| Fattore inclinazione base [Bg] | 1,0 |
| Fattore correzione sismico inerziale [zq] | 1,0 |
| Fattore correzione sismico inerziale [zg] | 1,0 |
| Fattore correzione sismico inerziale [zc] | 1,0 |

| | |
|------------------------|--------------------------|
| Carico limite | 705,39 kN/m ² |
| Resistenza di progetto | 391,88 kN/m ² |

Condizione di verifica [Ed<=Rd] Verificata

Autore: Brinch - Hansen 1970 (Condizione drenata)

| | |
|---|-------|
| Fattore [Nq] | 24,26 |
| Fattore [Nc] | 36,67 |
| Fattore [Ng] | 29,51 |
| Fattore forma [Sc] | 1,19 |
| Fattore profondità [Dc] | 1,0 |
| Fattore inclinazione carichi [Ic] | 0,88 |
| Fattore inclinazione pendio [Gc] | 1,0 |
| Fattore inclinazione base [Bc] | 1,0 |
| Fattore forma [Sq] | 1,18 |
| Fattore profondità [Dq] | 1,0 |
| Fattore inclinazione carichi [Iq] | 0,88 |
| Fattore inclinazione pendio [Gq] | 1,0 |
| Fattore inclinazione base [Bq] | 1,0 |
| Fattore forma [Sg] | 0,9 |
| Fattore profondità [Dg] | 1,0 |
| Fattore inclinazione carichi [Ig] | 0,82 |
| Fattore inclinazione pendio [Gg] | 1,0 |
| Fattore inclinazione base [Bg] | 1,0 |
| Fattore correzione sismico inerziale [zq] | 1,0 |
| Fattore correzione sismico inerziale [zg] | 1,0 |
| Fattore correzione sismico inerziale [zc] | 1,0 |

| | |
|------------------------|--------------------------|
| Carico limite | 693,37 kN/m ² |
| Resistenza di progetto | 385,2 kN/m ² |

Condizione di verifica [Ed<=Rd] Verificata

Autore: Meyerhof and Hanna (1978) (Condizione drenata)

Strato 1 sopra, strato 2 sotto

| | |
|---------------------------------------|------|
| Fattori di capacità portante strato 1 | |
| Fattore [Nq] | 1,0 |
| Fattore [Nc] | 5,14 |

| | |
|---------------------------------------|---------------------------|
| Fattori di capacità portante strato 2 | |
| Fattore [Nq] | 64,2 |
| Fattore [Nc] | 75,31 |
| Fattore [Ng] | 23,0 |
| Carico limite strato 2 (qb) | 1600,79 kN/m ² |
| Carico limite strato 1 (qt) | 321,96 kN/m ² |
| Incremento carico limite strato 1 | 9,24 kN/m ² |
| Coefficiente di punzonamento (ks) | 0,0 |
| Rapporto (q1/q2) | 2,99 |
| ===== | |
| Carico limite | 321,96 kN/m ² |
| Resistenza di progetto | 178,87 kN/m ² |
| Condizione di verifica [Ed<=Rd] | Verificata |
| ===== | |

VERIFICA A SCORRIMENTO (Sisma A)

| | |
|--------------------------------------|----------------------|
| Adesione terreno fondazione | 10 kN/m ² |
| Angolo di attrito terreno fondazione | 0 ° |
| Frazione spinta passiva | 0 % |
| Resistenza di progetto | 199,46 kN |
| Sollecitazione di progetto | 41,76 kN |
| Condizione di verifica [Ed<=Rd] | Verificata |
| ===== | |

Sisma B

Autore: HANSEN (1970) (Condizione drenata)

| | |
|---|-------|
| Fattore [Nq] | 24,26 |
| Fattore [Nc] | 36,67 |
| Fattore [Ng] | 22,13 |
| Fattore forma [Sc] | 1,0 |
| Fattore profondità [Dc] | 1,0 |
| Fattore inclinazione carichi [Ic] | 0,83 |
| Fattore inclinazione pendio [Gc] | 1,0 |
| Fattore inclinazione base [Bc] | 1,0 |
| Fattore forma [Sq] | 1,0 |
| Fattore profondità [Dq] | 1,0 |
| Fattore inclinazione carichi [Iq] | 0,84 |
| Fattore inclinazione pendio [Gq] | 1,0 |
| Fattore inclinazione base [Bq] | 1,0 |
| Fattore forma [Sg] | 1,0 |
| Fattore profondità [Dg] | 1,0 |
| Fattore inclinazione carichi [Ig] | 0,78 |
| Fattore inclinazione pendio [Gg] | 1,0 |
| Fattore inclinazione base [Bg] | 1,0 |
| Fattore correzione sismico inerziale [zq] | 1,0 |
| Fattore correzione sismico inerziale [zg] | 1,0 |
| Fattore correzione sismico inerziale [zc] | 1,0 |

| | |
|------------------------|--------------------------|
| Carico limite | 594,92 kN/m ² |
| Resistenza di progetto | 330,51 kN/m ² |

Condizione di verifica [Ed<=Rd] Verificata

Autore: TERZAGHI (1955) (Condizione drenata)

| | |
|---|-------|
| Fattore [Nq] | 29,9 |
| Fattore [Nc] | 45,55 |
| Fattore [Ng] | 29,18 |
| Fattore forma [Sc] | 1,0 |
| Fattore forma [Sg] | 1,0 |
| Fattore correzione sismico inerziale [zq] | 1,0 |
| Fattore correzione sismico inerziale [zg] | 1,0 |
| Fattore correzione sismico inerziale [zc] | 1,0 |

| | |
|------------------------|---------------------------|
| Carico limite | 1018,09 kN/m ² |
| Resistenza di progetto | 565,6 kN/m ² |

Condizione di verifica [Ed<=Rd] Verificata

Autore: MEYERHOF (1963) (Condizione drenata)

| | |
|---|-------|
| Fattore [Nq] | 24,26 |
| Fattore [Nc] | 36,67 |
| Fattore [Ng] | 23,54 |
| Fattore forma [Sc] | 1,25 |
| Fattore profondità [Dc] | 1,0 |
| Fattore inclinazione carichi [Ic] | 0,91 |
| Fattore forma [Sq] | 1,13 |
| Fattore profondità [Dq] | 1,0 |
| Fattore inclinazione carichi [Iq] | 0,91 |
| Fattore forma [Sg] | 1,13 |
| Fattore profondità [Dg] | 1,0 |
| Fattore inclinazione carichi [Ig] | 0,77 |
| Fattore correzione sismico inerziale [zq] | 1,0 |
| Fattore correzione sismico inerziale [zg] | 1,0 |
| Fattore correzione sismico inerziale [zc] | 1,0 |

| | |
|------------------------|--------------------------|
| Carico limite | 626,19 kN/m ² |
| Resistenza di progetto | 347,88 kN/m ² |

Condizione di verifica [Ed<=Rd] Verificata

Autore: VESIC (1975) (Condizione drenata)

| | |
|--------------------|-------|
| Fattore [Nq] | 24,26 |
| Fattore [Nc] | 36,67 |
| Fattore [Ng] | 32,05 |
| Fattore forma [Sc] | 1,0 |

| | |
|---|------|
| Fattore profondità [Dc] | 1,0 |
| Fattore inclinazione carichi [Ic] | 0,88 |
| Fattore inclinazione pendio [Gc] | 1,0 |
| Fattore inclinazione base [Bc] | 1,0 |
| Fattore forma [Sq] | 1,0 |
| Fattore profondità [Dq] | 1,0 |
| Fattore inclinazione carichi [Iq] | 0,88 |
| Fattore inclinazione pendio [Gq] | 1,0 |
| Fattore inclinazione base [Bq] | 1,0 |
| Fattore forma [Sg] | 1,0 |
| Fattore profondità [Dg] | 1,0 |
| Fattore inclinazione carichi [Ig] | 0,82 |
| Fattore inclinazione pendio [Gg] | 1,0 |
| Fattore inclinazione base [Bg] | 1,0 |
| Fattore correzione sismico inerziale [zq] | 1,0 |
| Fattore correzione sismico inerziale [zg] | 1,0 |
| Fattore correzione sismico inerziale [zc] | 1,0 |

| | |
|------------------------|--------------------------|
| Carico limite | 766,17 kN/m ² |
| Resistenza di progetto | 425,65 kN/m ² |

Condizione di verifica [Ed<=Rd] Verificata

Autore: Brinch - Hansen 1970 (Condizione drenata)

| | |
|---|-------|
| Fattore [Nq] | 24,26 |
| Fattore [Nc] | 36,67 |
| Fattore [Ng] | 29,51 |
| Fattore forma [Sc] | 1,21 |
| Fattore profondità [Dc] | 1,0 |
| Fattore inclinazione carichi [Ic] | 0,91 |
| Fattore inclinazione pendio [Gc] | 1,0 |
| Fattore inclinazione base [Bc] | 1,0 |
| Fattore forma [Sq] | 1,21 |
| Fattore profondità [Dq] | 1,0 |
| Fattore inclinazione carichi [Iq] | 0,91 |
| Fattore inclinazione pendio [Gq] | 1,0 |
| Fattore inclinazione base [Bq] | 1,0 |
| Fattore forma [Sg] | 0,88 |
| Fattore profondità [Dg] | 1,0 |
| Fattore inclinazione carichi [Ig] | 0,85 |
| Fattore inclinazione pendio [Gg] | 1,0 |
| Fattore inclinazione base [Bg] | 1,0 |
| Fattore correzione sismico inerziale [zq] | 1,0 |
| Fattore correzione sismico inerziale [zg] | 1,0 |
| Fattore correzione sismico inerziale [zc] | 1,0 |

| | |
|------------------------|--------------------------|
| Carico limite | 763,95 kN/m ² |
| Resistenza di progetto | 424,41 kN/m ² |

Condizione di verifica [Ed<=Rd] Verificata

Autore: Meyerhof and Hanna (1978) (Condizione drenata)

Strato 1 sopra, strato 2 sotto

Fattori di capacità portante strato 1

Fattore [Nq] 1,0
 Fattore [Nc] 5,14

Fattori di capacità portante strato 2

Fattore [Nq] 64,2
 Fattore [Nc] 75,31
 Fattore [Ng] 23,0

Carico limite strato 2 (qb) 1600,79 kN/m²
 Carico limite strato 1 (qt) 321,96 kN/m²

Incremento carico limite strato 1 9,24 kN/m²
 Coefficiente di punzonamento (ks) 0,0
 Rapporto (q1/q2) 2,99

Carico limite 321,96 kN/m²
 Resistenza di progetto 178,87 kN/m²

Condizione di verifica [Ed<=Rd] Verificata

VERIFICA A SCORRIMENTO (Sisma B)

Adesione terreno fondazione 10 kN/m²
 Angolo di attrito terreno fondazione 0 °
 Frazione spinta passiva 0 %
 Resistenza di progetto 211,67 kN
 Sollecitazione di progetto 41,76 kN

Condizione di verifica [Ed<=Rd] Verificata

4.4.2.12. Verifica su penetrometrica P12

STRATIGRAFIA TERRENO

| Spessore strato [m] | Peso unità di volume [kN/m ³] | Peso unità di volume saturo [kN/m ³] | Angolo di attrito [°] | Coe-sione [kN/m ²] | Coe-sione non drenata [kN/m ²] | Modulo Elastico [kN/m ²] | Modulo Edometrico [kN/m ²] | Poisson | Coeff. consolidaz. primaria [cmq/s] | Coeff. consolidazione secondaria | Descrizione |
|---------------------|---|--|-----------------------|--------------------------------|--|--------------------------------------|--|---------|-------------------------------------|----------------------------------|-------------|
| 0,6 | 17,09 | 17,09 | 30,0 | 0,0 | 45,7971 | 5000,0 | 5000,0 | 0,0 | 0,0 | 0,0 | |
| 1,4 | 17,65 | 17,65 | 41,0 | 0,0 | 0,0 | 5000,0 | 5000,0 | 0,0 | 0,0 | 0,0 | |
| 2,6 | 17,65 | 17,65 | 37,0 | 0,0 | 0,0 | 5000,0 | 5000,0 | 0,0 | 0,0 | 0,0 | |
| 1,2 | 17,65 | 17,65 | 34,0 | 0,0 | 0,0 | 5000,0 | 5000,0 | 0,0 | 0,0 | 0,0 | |
| 1,0 | 17,65 | 17,65 | 36,0 | 0,0 | 0,0 | 5000,0 | 5000,0 | 0,0 | 0,0 | 0,0 | |

Carichi di progetto agenti sulla fondazione

| Nr. | Nome combinazione | Pressione normale di progetto [kN/m ²] | N [kN] | Mx [kN·m] | My [kN·m] | Hx [kN] | Hy [kN] | Tipo |
|-----|-------------------|--|--------|-----------|-----------|---------|---------|----------|
| 1 | A1+M1+R3 | 0,00 | 880,60 | 0,00 | 0,00 | 0,00 | 0,00 | Progetto |
| 2 | Sisma A | 0,00 | 604,23 | 38,40 | -128,00 | 40,00 | 12,00 | Progetto |
| 3 | S.L.E. | 0,00 | 639,68 | 0,00 | 0,00 | 0,00 | 0,00 | Servizio |
| 4 | Sisma B | 0,00 | 604,23 | 128,00 | -38,40 | 12,00 | 40,00 | Progetto |

Sisma + Coeff. parziali parametri geotecnici terreno + Resistenze

| Nr | Correzione Sismica | Tangente angolo di resistenza al taglio | Coesione efficace | Coesione non drenata | Peso Unità volume in fondazione | Peso unità volume copertura | Coef. Rid. Capacità portante verticale | Coef.Rid.C capacità portante orizzontale |
|----|--------------------|---|-------------------|----------------------|---------------------------------|-----------------------------|--|--|
| 1 | No | 1 | 1 | 1 | 1 | 1 | 2,3 | 1,1 |
| 2 | No | 1,25 | 1,25 | 1,4 | 1 | 1 | 1,8 | 1,1 |
| 3 | No | 1 | 1 | 1 | 1 | 1 | 1 | 1 |
| 4 | No | 1,25 | 1,25 | 1,4 | 1 | 1 | 1,8 | 1,1 |

CARICO LIMITE FONDAZIONE COMBINAZIONE...A1+M1+R3

Autore: Meyerhof and Hanna (1978)

| | |
|---------------------------------|--------------------------|
| Carico limite [Qult] | 325,82 kN/m ² |
| Resistenza di progetto[Rd] | 141,66 kN/m ² |
| Tensione [Ed] | 27,8 kN/m ² |
| Fattore sicurezza [Fs=Qult/Ed] | 11,72 |
| Condizione di verifica [Ed<=Rd] | Verificata |

COEFFICIENTE DI SOTTOFONDAZIONE BOWLES (1982)

Costante di Winkler 92043,45 kN/m³

A1+M1+R3

Autore: HANSEN (1970) (Condizione drenata)

| | |
|---|-------|
| Fattore [Nq] | 49,25 |
| Fattore [Nc] | 61,65 |
| Fattore [Ng] | 56,64 |
| Fattore forma [Sc] | 1,3 |
| Fattore profondità [Dc] | 1,0 |
| Fattore inclinazione carichi [Ic] | 1,0 |
| Fattore inclinazione pendio [Gc] | 1,0 |
| Fattore inclinazione base [Bc] | 1,0 |
| Fattore forma [Sq] | 1,3 |
| Fattore profondità [Dq] | 1,0 |
| Fattore inclinazione carichi [Iq] | 1,0 |
| Fattore inclinazione pendio [Gq] | 1,0 |
| Fattore inclinazione base [Bq] | 1,0 |
| Fattore forma [Sg] | 0,85 |
| Fattore profondità [Dg] | 1,0 |
| Fattore inclinazione carichi [Ig] | 1,0 |
| Fattore inclinazione pendio [Gg] | 1,0 |
| Fattore inclinazione base [Bg] | 1,0 |
| Fattore correzione sismico inerziale [zq] | 1,0 |

| | |
|---|-----|
| Fattore correzione sismico inerziale [zg] | 1,0 |
| Fattore correzione sismico inerziale [zc] | 1,0 |

| | |
|------------------------|---------------------------|
| Carico limite | 1738,36 kN/m ² |
| Resistenza di progetto | 755,81 kN/m ² |

Condizione di verifica [Ed<=Rd] Verificata

Autore: TERZAGHI (1955) (Condizione drenata)

| | |
|---|-------|
| Fattore [Nq] | 61,95 |
| Fattore [Nc] | 77,88 |
| Fattore [Ng] | 74,05 |
| Fattore forma [Sc] | 1,0 |
| Fattore forma [Sg] | 1,0 |
| Fattore correzione sismico inerziale [zq] | 1,0 |
| Fattore correzione sismico inerziale [zg] | 1,0 |
| Fattore correzione sismico inerziale [zc] | 1,0 |

| | |
|------------------------|---------------------------|
| Carico limite | 2523,89 kN/m ² |
| Resistenza di progetto | 1097,34 kN/m ² |

Condizione di verifica [Ed<=Rd] Verificata

Autore: MEYERHOF (1963) (Condizione drenata)

| | |
|---|-------|
| Fattore [Nq] | 49,25 |
| Fattore [Nc] | 61,65 |
| Fattore [Ng] | 64,65 |
| Fattore forma [Sc] | 1,32 |
| Fattore profondità [Dc] | 1,0 |
| Fattore inclinazione carichi [Ic] | 1,0 |
| Fattore forma [Sq] | 1,16 |
| Fattore profondità [Dq] | 1,0 |
| Fattore inclinazione carichi [Iq] | 1,0 |
| Fattore forma [Sg] | 1,16 |
| Fattore profondità [Dg] | 1,0 |
| Fattore inclinazione carichi [Ig] | 1,0 |
| Fattore correzione sismico inerziale [zq] | 1,0 |
| Fattore correzione sismico inerziale [zg] | 1,0 |
| Fattore correzione sismico inerziale [zc] | 1,0 |

| | |
|------------------------|---------------------------|
| Carico limite | 2532,43 kN/m ² |
| Resistenza di progetto | 1101,06 kN/m ² |

Condizione di verifica [Ed<=Rd] Verificata

Autore: VESIC (1975) (Condizione drenata)

| | |
|--------------|-------|
| Fattore [Nq] | 49,25 |
| Fattore [Nc] | 61,65 |

| | |
|---|---------------------------|
| Fattore [Ng] | 78,65 |
| Fattore forma [Sc] | 1,3 |
| Fattore profondità [Dc] | 1,0 |
| Fattore inclinazione carichi [Ic] | 1,0 |
| Fattore inclinazione pendio [Gc] | 1,0 |
| Fattore inclinazione base [Bc] | 1,0 |
| Fattore forma [Sq] | 1,3 |
| Fattore profondità [Dq] | 1,0 |
| Fattore inclinazione carichi [Iq] | 1,0 |
| Fattore inclinazione pendio [Gq] | 1,0 |
| Fattore inclinazione base [Bq] | 1,0 |
| Fattore forma [Sg] | 0,85 |
| Fattore profondità [Dg] | 1,0 |
| Fattore inclinazione carichi [Ig] | 1,0 |
| Fattore inclinazione pendio [Gg] | 1,0 |
| Fattore inclinazione base [Bg] | 1,0 |
| Fattore correzione sismico inerziale [zq] | 1,0 |
| Fattore correzione sismico inerziale [zg] | 1,0 |
| Fattore correzione sismico inerziale [zc] | 1,0 |
| ===== | |
| Carico limite | 1249,48 kN/m ² |
| Resistenza di progetto | 543,25 kN/m ² |
| ===== | |
| Condizione di verifica [Ed<=Rd] | Verificata |
| ===== | |

Autore: Brinch - Hansen 1970 (Condizione drenata)

| | |
|---|---------------------------|
| Fattore [Nq] | 49,25 |
| Fattore [Nc] | 61,65 |
| Fattore [Ng] | 75,52 |
| Fattore forma [Sc] | 1,24 |
| Fattore profondità [Dc] | 1,0 |
| Fattore inclinazione carichi [Ic] | 1,0 |
| Fattore inclinazione pendio [Gc] | 1,0 |
| Fattore inclinazione base [Bc] | 1,0 |
| Fattore forma [Sq] | 1,23 |
| Fattore profondità [Dq] | 1,0 |
| Fattore inclinazione carichi [Iq] | 1,0 |
| Fattore inclinazione pendio [Gq] | 1,0 |
| Fattore inclinazione base [Bq] | 1,0 |
| Fattore forma [Sg] | 0,89 |
| Fattore profondità [Dg] | 1,0 |
| Fattore inclinazione carichi [Ig] | 1,0 |
| Fattore inclinazione pendio [Gg] | 1,0 |
| Fattore inclinazione base [Bg] | 1,0 |
| Fattore correzione sismico inerziale [zq] | 1,0 |
| Fattore correzione sismico inerziale [zg] | 1,0 |
| Fattore correzione sismico inerziale [zc] | 1,0 |
| ===== | |
| Carico limite | 2301,09 kN/m ² |
| Resistenza di progetto | 1000,47 kN/m ² |
| ===== | |
| Condizione di verifica [Ed<=Rd] | Verificata |
| ===== | |

Autore: Meyerhof and Hanna (1978) (Condizione drenata)

Strato 1 sopra, strato 2 sotto

Fattori di capacità portante strato 1

| | |
|--------------|------|
| Fattore [Nq] | 1,0 |
| Fattore [Nc] | 5,14 |

Fattori di capacità portante strato 2

| | |
|--------------|-------|
| Fattore [Nq] | 73,9 |
| Fattore [Nc] | 83,86 |
| Fattore [Ng] | 27,26 |

| | |
|-----------------------------|---------------------------|
| Carico limite strato 2 (qb) | 1883,77 kN/m ² |
|-----------------------------|---------------------------|

| | |
|-----------------------------|--------------------------|
| Carico limite strato 1 (qt) | 325,82 kN/m ² |
|-----------------------------|--------------------------|

| | |
|-----------------------------------|------------------------|
| Incremento carico limite strato 1 | 9,24 kN/m ² |
|-----------------------------------|------------------------|

| | |
|-----------------------------------|-----|
| Coefficiente di punzonamento (ks) | 0,0 |
|-----------------------------------|-----|

| | |
|------------------|------|
| Rapporto (q1/q2) | 3,55 |
|------------------|------|

| | |
|---------------|--------------------------|
| Carico limite | 325,82 kN/m ² |
|---------------|--------------------------|

| | |
|------------------------|--------------------------|
| Resistenza di progetto | 141,66 kN/m ² |
|------------------------|--------------------------|

| | |
|---------------------------------|------------|
| Condizione di verifica [Ed<=Rd] | Verificata |
|---------------------------------|------------|

Sisma A

Autore: HANSEN (1970) (Condizione drenata)

| | |
|--------------|-------|
| Fattore [Nq] | 23,32 |
|--------------|-------|

| | |
|--------------|-------|
| Fattore [Nc] | 35,64 |
|--------------|-------|

| | |
|--------------|-------|
| Fattore [Ng] | 20,96 |
|--------------|-------|

| | |
|--------------------|-----|
| Fattore forma [Sc] | 1,0 |
|--------------------|-----|

| | |
|-------------------------|-----|
| Fattore profondità [Dc] | 1,0 |
|-------------------------|-----|

| | |
|-----------------------------------|------|
| Fattore inclinazione carichi [Ic] | 0,83 |
|-----------------------------------|------|

| | |
|----------------------------------|-----|
| Fattore inclinazione pendio [Gc] | 1,0 |
|----------------------------------|-----|

| | |
|--------------------------------|-----|
| Fattore inclinazione base [Bc] | 1,0 |
|--------------------------------|-----|

| | |
|--------------------|-----|
| Fattore forma [Sq] | 1,0 |
|--------------------|-----|

| | |
|-------------------------|-----|
| Fattore profondità [Dq] | 1,0 |
|-------------------------|-----|

| | |
|-----------------------------------|------|
| Fattore inclinazione carichi [Iq] | 0,84 |
|-----------------------------------|------|

| | |
|----------------------------------|-----|
| Fattore inclinazione pendio [Gq] | 1,0 |
|----------------------------------|-----|

| | |
|--------------------------------|-----|
| Fattore inclinazione base [Bq] | 1,0 |
|--------------------------------|-----|

| | |
|--------------------|-----|
| Fattore forma [Sg] | 1,0 |
|--------------------|-----|

| | |
|-------------------------|-----|
| Fattore profondità [Dg] | 1,0 |
|-------------------------|-----|

| | |
|-----------------------------------|------|
| Fattore inclinazione carichi [Ig] | 0,78 |
|-----------------------------------|------|

| | |
|----------------------------------|-----|
| Fattore inclinazione pendio [Gg] | 1,0 |
|----------------------------------|-----|

| | |
|--------------------------------|-----|
| Fattore inclinazione base [Bg] | 1,0 |
|--------------------------------|-----|

| | |
|---|-----|
| Fattore correzione sismico inerziale [zq] | 1,0 |
|---|-----|

| | |
|---|-----|
| Fattore correzione sismico inerziale [zg] | 1,0 |
|---|-----|

| | |
|---|-----|
| Fattore correzione sismico inerziale [zc] | 1,0 |
|---|-----|

| | |
|------------------------|--------------------------|
| Carico limite | 521,95 kN/m ² |
| Resistenza di progetto | 289,97 kN/m ² |

Condizione di verifica [Ed<=Rd] Verificata

Autore: TERZAGHI (1955) (Condizione drenata)

| | |
|---|-------|
| Fattore [Nq] | 28,69 |
| Fattore [Nc] | 44,23 |
| Fattore [Ng] | 27,71 |
| Fattore forma [Sc] | 1,0 |
| Fattore forma [Sg] | 1,0 |
| Fattore correzione sismico inerziale [zq] | 1,0 |
| Fattore correzione sismico inerziale [zg] | 1,0 |
| Fattore correzione sismico inerziale [zc] | 1,0 |

| | |
|------------------------|--------------------------|
| Carico limite | 968,04 kN/m ² |
| Resistenza di progetto | 537,8 kN/m ² |

Condizione di verifica [Ed<=Rd] Verificata

Autore: MEYERHOF (1963) (Condizione drenata)

| | |
|---|-------|
| Fattore [Nq] | 23,32 |
| Fattore [Nc] | 35,64 |
| Fattore [Ng] | 22,22 |
| Fattore forma [Sc] | 1,22 |
| Fattore profondità [Dc] | 1,0 |
| Fattore inclinazione carichi [Ic] | 0,91 |
| Fattore forma [Sq] | 1,11 |
| Fattore profondità [Dq] | 1,0 |
| Fattore inclinazione carichi [Iq] | 0,91 |
| Fattore forma [Sg] | 1,11 |
| Fattore profondità [Dg] | 1,0 |
| Fattore inclinazione carichi [Ig] | 0,77 |
| Fattore correzione sismico inerziale [zq] | 1,0 |
| Fattore correzione sismico inerziale [zg] | 1,0 |
| Fattore correzione sismico inerziale [zc] | 1,0 |

| | |
|------------------------|--------------------------|
| Carico limite | 546,77 kN/m ² |
| Resistenza di progetto | 303,76 kN/m ² |

Condizione di verifica [Ed<=Rd] Verificata

Autore: VESIC (1975) (Condizione drenata)

| | |
|-------------------------|-------|
| Fattore [Nq] | 23,32 |
| Fattore [Nc] | 35,64 |
| Fattore [Ng] | 30,45 |
| Fattore forma [Sc] | 1,0 |
| Fattore profondità [Dc] | 1,0 |

| | |
|---|------|
| Fattore inclinazione carichi [Ic] | 0,88 |
| Fattore inclinazione pendio [Gc] | 1,0 |
| Fattore inclinazione base [Bc] | 1,0 |
| Fattore forma [Sq] | 1,0 |
| Fattore profondità [Dq] | 1,0 |
| Fattore inclinazione carichi [Iq] | 0,88 |
| Fattore inclinazione pendio [Gq] | 1,0 |
| Fattore inclinazione base [Bq] | 1,0 |
| Fattore forma [Sg] | 1,0 |
| Fattore profondità [Dg] | 1,0 |
| Fattore inclinazione carichi [Ig] | 0,82 |
| Fattore inclinazione pendio [Gg] | 1,0 |
| Fattore inclinazione base [Bg] | 1,0 |
| Fattore correzione sismico inerziale [zq] | 1,0 |
| Fattore correzione sismico inerziale [zg] | 1,0 |
| Fattore correzione sismico inerziale [zc] | 1,0 |

| | |
|------------------------|--------------------------|
| Carico limite | 688,11 kN/m ² |
| Resistenza di progetto | 382,28 kN/m ² |

Condizione di verifica [Ed<=Rd] Verificata

Autore: Brinch - Hansen 1970 (Condizione drenata)

| | |
|---|-------|
| Fattore [Nq] | 23,32 |
| Fattore [Nc] | 35,64 |
| Fattore [Ng] | 27,95 |
| Fattore forma [Sc] | 1,19 |
| Fattore profondità [Dc] | 1,0 |
| Fattore inclinazione carichi [Ic] | 0,88 |
| Fattore inclinazione pendio [Gc] | 1,0 |
| Fattore inclinazione base [Bc] | 1,0 |
| Fattore forma [Sq] | 1,18 |
| Fattore profondità [Dq] | 1,0 |
| Fattore inclinazione carichi [Iq] | 0,88 |
| Fattore inclinazione pendio [Gq] | 1,0 |
| Fattore inclinazione base [Bq] | 1,0 |
| Fattore forma [Sg] | 0,9 |
| Fattore profondità [Dg] | 1,0 |
| Fattore inclinazione carichi [Ig] | 0,82 |
| Fattore inclinazione pendio [Gg] | 1,0 |
| Fattore inclinazione base [Bg] | 1,0 |
| Fattore correzione sismico inerziale [zq] | 1,0 |
| Fattore correzione sismico inerziale [zg] | 1,0 |
| Fattore correzione sismico inerziale [zc] | 1,0 |

| | |
|------------------------|--------------------------|
| Carico limite | 658,02 kN/m ² |
| Resistenza di progetto | 365,57 kN/m ² |

Condizione di verifica [Ed<=Rd] Verificata

Autore: Meyerhof and Hanna (1978) (Condizione drenata)

Strato 1 sopra, strato 2 sotto

| | |
|---------------------------------------|---------------------------|
| Fattori di capacità portante strato 1 | |
| Fattore [Nq] | 1,0 |
| Fattore [Nc] | 5,14 |
| Fattori di capacità portante strato 2 | |
| Fattore [Nq] | 73,9 |
| Fattore [Nc] | 83,86 |
| Fattore [Ng] | 27,26 |
| Carico limite strato 2 (qb) | 1883,77 kN/m ² |
| Carico limite strato 1 (qt) | 325,82 kN/m ² |
| Incremento carico limite strato 1 | 9,24 kN/m ² |
| Coefficiente di punzonamento (ks) | 0,0 |
| Rapporto (q1/q2) | 3,55 |

| | |
|------------------------|--------------------------|
| Carico limite | 325,82 kN/m ² |
| Resistenza di progetto | 181,01 kN/m ² |

| | |
|---------------------------------|------------|
| Condizione di verifica [Ed<=Rd] | Verificata |
|---------------------------------|------------|

VERIFICA A SCORRIMENTO (Sisma A)

| | |
|--------------------------------------|----------------------|
| Adesione terreno fondazione | 10 kN/m ² |
| Angolo di attrito terreno fondazione | 0 ° |
| Frazione spinta passiva | 0 % |
| Resistenza di progetto | 199,46 kN |
| Sollecitazione di progetto | 41,76 kN |

| | |
|---------------------------------|------------|
| Condizione di verifica [Ed<=Rd] | Verificata |
|---------------------------------|------------|

Sisma B

Autore: HANSEN (1970) (Condizione drenata)

| | |
|-----------------------------------|-------|
| Fattore [Nq] | 23,32 |
| Fattore [Nc] | 35,64 |
| Fattore [Ng] | 20,96 |
| Fattore forma [Sc] | 1,0 |
| Fattore profondità [Dc] | 1,0 |
| Fattore inclinazione carichi [Ic] | 0,83 |
| Fattore inclinazione pendio [Gc] | 1,0 |
| Fattore inclinazione base [Bc] | 1,0 |
| Fattore forma [Sq] | 1,0 |
| Fattore profondità [Dq] | 1,0 |
| Fattore inclinazione carichi [Iq] | 0,84 |
| Fattore inclinazione pendio [Gq] | 1,0 |
| Fattore inclinazione base [Bq] | 1,0 |
| Fattore forma [Sg] | 1,0 |
| Fattore profondità [Dg] | 1,0 |

| | |
|---|------|
| Fattore inclinazione carichi [Ig] | 0,78 |
| Fattore inclinazione pendio [Gg] | 1,0 |
| Fattore inclinazione base [Bg] | 1,0 |
| Fattore correzione sismico inerziale [zq] | 1,0 |
| Fattore correzione sismico inerziale [zg] | 1,0 |
| Fattore correzione sismico inerziale [zc] | 1,0 |

| | |
|------------------------|--------------------------|
| Carico limite | 564,63 kN/m ² |
| Resistenza di progetto | 313,68 kN/m ² |

Condizione di verifica [Ed<=Rd] Verificata

Autore: TERZAGHI (1955) (Condizione drenata)

| | |
|---|-------|
| Fattore [Nq] | 28,69 |
| Fattore [Nc] | 44,23 |
| Fattore [Ng] | 27,71 |
| Fattore forma [Sc] | 1,0 |
| Fattore forma [Sg] | 1,0 |
| Fattore correzione sismico inerziale [zq] | 1,0 |
| Fattore correzione sismico inerziale [zg] | 1,0 |
| Fattore correzione sismico inerziale [zc] | 1,0 |

| | |
|------------------------|--------------------------|
| Carico limite | 968,04 kN/m ² |
| Resistenza di progetto | 537,8 kN/m ² |

Condizione di verifica [Ed<=Rd] Verificata

Autore: MEYERHOF (1963) (Condizione drenata)

| | |
|---|-------|
| Fattore [Nq] | 23,32 |
| Fattore [Nc] | 35,64 |
| Fattore [Ng] | 22,22 |
| Fattore forma [Sc] | 1,25 |
| Fattore profondità [Dc] | 1,0 |
| Fattore inclinazione carichi [Ic] | 0,91 |
| Fattore forma [Sq] | 1,13 |
| Fattore profondità [Dq] | 1,0 |
| Fattore inclinazione carichi [Iq] | 0,91 |
| Fattore forma [Sg] | 1,13 |
| Fattore profondità [Dg] | 1,0 |
| Fattore inclinazione carichi [Ig] | 0,77 |
| Fattore correzione sismico inerziale [zq] | 1,0 |
| Fattore correzione sismico inerziale [zg] | 1,0 |
| Fattore correzione sismico inerziale [zc] | 1,0 |

| | |
|------------------------|--------------------------|
| Carico limite | 591,15 kN/m ² |
| Resistenza di progetto | 328,41 kN/m ² |

Condizione di verifica [Ed<=Rd] Verificata

Autore: VESIC (1975) (Condizione drenata)

| | |
|---|-------|
| Fattore [Nq] | 23,32 |
| Fattore [Nc] | 35,64 |
| Fattore [Ng] | 30,45 |
| Fattore forma [Sc] | 1,0 |
| Fattore profondità [Dc] | 1,0 |
| Fattore inclinazione carichi [Ic] | 0,88 |
| Fattore inclinazione pendio [Gc] | 1,0 |
| Fattore inclinazione base [Bc] | 1,0 |
| Fattore forma [Sq] | 1,0 |
| Fattore profondità [Dq] | 1,0 |
| Fattore inclinazione carichi [Iq] | 0,88 |
| Fattore inclinazione pendio [Gq] | 1,0 |
| Fattore inclinazione base [Bq] | 1,0 |
| Fattore forma [Sg] | 1,0 |
| Fattore profondità [Dg] | 1,0 |
| Fattore inclinazione carichi [Ig] | 0,82 |
| Fattore inclinazione pendio [Gg] | 1,0 |
| Fattore inclinazione base [Bg] | 1,0 |
| Fattore correzione sismico inerziale [zq] | 1,0 |
| Fattore correzione sismico inerziale [zg] | 1,0 |
| Fattore correzione sismico inerziale [zc] | 1,0 |

Carico limite 747,33 kN/m²Resistenza di progetto 415,18 kN/m²

Condizione di verifica [Ed<=Rd] Verificata

Autore: Brinch - Hansen 1970 (Condizione drenata)

| | |
|---|-------|
| Fattore [Nq] | 23,32 |
| Fattore [Nc] | 35,64 |
| Fattore [Ng] | 27,95 |
| Fattore forma [Sc] | 1,21 |
| Fattore profondità [Dc] | 1,0 |
| Fattore inclinazione carichi [Ic] | 0,91 |
| Fattore inclinazione pendio [Gc] | 1,0 |
| Fattore inclinazione base [Bc] | 1,0 |
| Fattore forma [Sq] | 1,2 |
| Fattore profondità [Dq] | 1,0 |
| Fattore inclinazione carichi [Iq] | 0,91 |
| Fattore inclinazione pendio [Gq] | 1,0 |
| Fattore inclinazione base [Bq] | 1,0 |
| Fattore forma [Sg] | 0,88 |
| Fattore profondità [Dg] | 1,0 |
| Fattore inclinazione carichi [Ig] | 0,85 |
| Fattore inclinazione pendio [Gg] | 1,0 |
| Fattore inclinazione base [Bg] | 1,0 |
| Fattore correzione sismico inerziale [zq] | 1,0 |
| Fattore correzione sismico inerziale [zg] | 1,0 |
| Fattore correzione sismico inerziale [zc] | 1,0 |

| | |
|------------------------|--------------------------|
| Carico limite | 724,91 kN/m ² |
| Resistenza di progetto | 402,73 kN/m ² |

Condizione di verifica [Ed<=Rd] Verificata

Autore: Meyerhof and Hanna (1978) (Condizione drenata)

Strato 1 sopra, strato 2 sotto

Fattori di capacità portante strato 1

| | |
|--------------|------|
| Fattore [Nq] | 1,0 |
| Fattore [Nc] | 5,14 |

Fattori di capacità portante strato 2

| | |
|--------------|-------|
| Fattore [Nq] | 73,9 |
| Fattore [Nc] | 83,86 |
| Fattore [Ng] | 27,26 |

| | |
|-----------------------------|---------------------------|
| Carico limite strato 2 (qb) | 1883,77 kN/m ² |
| Carico limite strato 1 (qt) | 325,82 kN/m ² |

| | |
|-----------------------------------|------------------------|
| Incremento carico limite strato 1 | 9,24 kN/m ² |
| Coefficiente di punzonamento (ks) | 0,0 |
| Rapporto (q1/q2) | 3,55 |

| | |
|------------------------|--------------------------|
| Carico limite | 325,82 kN/m ² |
| Resistenza di progetto | 181,01 kN/m ² |

Condizione di verifica [Ed<=Rd] Verificata

VERIFICA A SCORRIMENTO (Sisma B)

| | |
|--------------------------------------|----------------------|
| Adesione terreno fondazione | 10 kN/m ² |
| Angolo di attrito terreno fondazione | 0 ° |
| Frazione spinta passiva | 0 % |
| Resistenza di progetto | 211,67 kN |
| Sollecitazione di progetto | 41,76 kN |

Condizione di verifica [Ed<=Rd] Verificata

1. Model geometry

This section provides model geometry information, including items such as joint coordinates, joint restraints, and element connectivity.

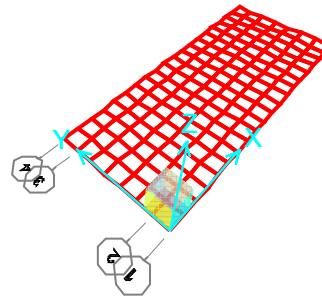


Figure 1: Finite element model

1.1. Joint coordinates

Table 1: Joint Coordinates

| Table 1: Joint Coordinates | | | | | |
|----------------------------|----------|-----------|---------|---------|---------|
| Joint | CoordSys | CoordType | GlobalX | GlobalY | GlobalZ |
| | | | m | m | m |
| 1 | GLOBAL | Cartesian | 0. | 0. | 0. |
| 2 | GLOBAL | Cartesian | 9.15 | 0. | 0. |
| 3 | GLOBAL | Cartesian | 9.15 | 3.5 | 0. |
| 4 | GLOBAL | Cartesian | 0. | 3.5 | 0. |
| 5 | GLOBAL | Cartesian | 0.5 | 3. | 0. |
| 6 | GLOBAL | Cartesian | 8.65 | 0.5 | 0. |
| 7 | GLOBAL | Cartesian | 0. | 10. | 0. |
| 8 | GLOBAL | Cartesian | 0.5 | 10. | 0. |

Table 1: Joint Coordinates

| Joint | CoordSys | CoordType | GlobalX m | GlobalY m | GlobalZ m |
|-------|----------|-----------|--------------|--------------|--------------|
| 9 | GLOBAL | Cartesian | 0.5 | 10.5 | 0. |
| 10 | GLOBAL | Cartesian | 0. | 10.5 | 0. |
| 11 | GLOBAL | Cartesian | 8.65 | 10. | 0. |
| 12 | GLOBAL | Cartesian | 9.15 | 10. | 0. |
| 13 | GLOBAL | Cartesian | 9.15 | 10.5 | 0. |
| 14 | GLOBAL | Cartesian | 8.65 | 10.5 | 0. |
| 15 | GLOBAL | Cartesian | 9.15 | 13. | 0. |
| 16 | GLOBAL | Cartesian | 9.15 | 13.5 | 0. |
| 17 | GLOBAL | Cartesian | 8.65 | 13.5 | 0. |
| 18 | GLOBAL | Cartesian | 8.65 | 13. | 0. |
| 19 | GLOBAL | Cartesian | 0.5 | 13.5 | 0. |
| 20 | GLOBAL | Cartesian | 0. | 13.5 | 0. |
| 21 | GLOBAL | Cartesian | 0. | 13. | 0. |
| 22 | GLOBAL | Cartesian | 0.5 | 13. | 0. |
| 57 | GLOBAL | Cartesian | 0.5 | 0. | 0. |
| 58 | GLOBAL | Cartesian | 0.5 | 0.5 | 0. |
| 59 | GLOBAL | Cartesian | 0. | 0.5 | 0. |
| 60 | GLOBAL | Cartesian | 8.65 | 0. | 0. |
| 61 | GLOBAL | Cartesian | 9.15 | 0.5 | 0. |
| 62 | GLOBAL | Cartesian | 9.15 | 3. | 0. |
| 63 | GLOBAL | Cartesian | 8.65 | 3. | 0. |
| 64 | GLOBAL | Cartesian | 8.65 | 3.5 | 0. |
| 65 | GLOBAL | Cartesian | 0.5 | 3.5 | 0. |
| 66 | GLOBAL | Cartesian | 0. | 3. | 0. |
| 67 | GLOBAL | Cartesian | 0.97941 | 0. | 0. |
| 68 | GLOBAL | Cartesian | 0.97941 | 0.5 | 0. |
| 69 | GLOBAL | Cartesian | 1.45882 | 0. | 0. |
| 70 | GLOBAL | Cartesian | 1.45882 | 0.5 | 0. |
| 71 | GLOBAL | Cartesian | 1.93824 | 0. | 0. |
| 72 | GLOBAL | Cartesian | 1.93824 | 0.5 | 0. |
| 73 | GLOBAL | Cartesian | 2.41765 | 0. | 0. |
| 74 | GLOBAL | Cartesian | 2.41765 | 0.5 | 0. |
| 75 | GLOBAL | Cartesian | 2.89706 | 0. | 0. |
| 76 | GLOBAL | Cartesian | 2.89706 | 0.5 | 0. |
| 77 | GLOBAL | Cartesian | 3.37647 | 0. | 0. |
| 78 | GLOBAL | Cartesian | 3.37647 | 0.5 | 0. |
| 79 | GLOBAL | Cartesian | 3.85588 | 0. | 0. |
| 80 | GLOBAL | Cartesian | 3.85588 | 0.5 | 0. |

Table 1: Joint Coordinates

| Joint | CoordSys | CoordType | GlobalX m | GlobalY m | GlobalZ m |
|-------|----------|-----------|--------------|--------------|--------------|
| 81 | GLOBAL | Cartesian | 4.33529 | 0. | 0. |
| 82 | GLOBAL | Cartesian | 4.33529 | 0.5 | 0. |
| 83 | GLOBAL | Cartesian | 4.81471 | 0. | 0. |
| 84 | GLOBAL | Cartesian | 4.81471 | 0.5 | 0. |
| 85 | GLOBAL | Cartesian | 5.29412 | 0. | 0. |
| 86 | GLOBAL | Cartesian | 5.29412 | 0.5 | 0. |
| 87 | GLOBAL | Cartesian | 5.77353 | 0. | 0. |
| 88 | GLOBAL | Cartesian | 5.77353 | 0.5 | 0. |
| 89 | GLOBAL | Cartesian | 6.25294 | 0. | 0. |
| 90 | GLOBAL | Cartesian | 6.25294 | 0.5 | 0. |
| 91 | GLOBAL | Cartesian | 6.73235 | 0. | 0. |
| 92 | GLOBAL | Cartesian | 6.73235 | 0.5 | 0. |
| 93 | GLOBAL | Cartesian | 7.21176 | 0. | 0. |
| 94 | GLOBAL | Cartesian | 7.21176 | 0.5 | 0. |
| 95 | GLOBAL | Cartesian | 7.69118 | 0. | 0. |
| 96 | GLOBAL | Cartesian | 7.69118 | 0.5 | 0. |
| 97 | GLOBAL | Cartesian | 8.17059 | 0. | 0. |
| 98 | GLOBAL | Cartesian | 8.17059 | 0.5 | 0. |
| 99 | GLOBAL | Cartesian | 9.15 | 1. | 0. |
| 100 | GLOBAL | Cartesian | 8.65 | 1. | 0. |
| 101 | GLOBAL | Cartesian | 9.15 | 1.5 | 0. |
| 102 | GLOBAL | Cartesian | 8.65 | 1.5 | 0. |
| 103 | GLOBAL | Cartesian | 9.15 | 2. | 0. |
| 104 | GLOBAL | Cartesian | 8.65 | 2. | 0. |
| 105 | GLOBAL | Cartesian | 9.15 | 2.5 | 0. |
| 106 | GLOBAL | Cartesian | 8.65 | 2.5 | 0. |
| 107 | GLOBAL | Cartesian | 8.17059 | 3.5 | 0. |
| 108 | GLOBAL | Cartesian | 8.17059 | 3. | 0. |
| 109 | GLOBAL | Cartesian | 7.69118 | 3.5 | 0. |
| 110 | GLOBAL | Cartesian | 7.69118 | 3. | 0. |
| 111 | GLOBAL | Cartesian | 7.21176 | 3.5 | 0. |
| 112 | GLOBAL | Cartesian | 7.21176 | 3. | 0. |
| 113 | GLOBAL | Cartesian | 6.73235 | 3.5 | 0. |
| 114 | GLOBAL | Cartesian | 6.73235 | 3. | 0. |
| 115 | GLOBAL | Cartesian | 6.25294 | 3.5 | 0. |
| 116 | GLOBAL | Cartesian | 6.25294 | 3. | 0. |
| 117 | GLOBAL | Cartesian | 5.77353 | 3.5 | 0. |
| 118 | GLOBAL | Cartesian | 5.77353 | 3. | 0. |

Table 1: Joint Coordinates

| Joint | CoordSys | CoordType | GlobalX m | GlobalY m | GlobalZ m |
|-------|----------|-----------|--------------|--------------|--------------|
| 119 | GLOBAL | Cartesian | 5.29412 | 3.5 | 0. |
| 120 | GLOBAL | Cartesian | 5.29412 | 3. | 0. |
| 121 | GLOBAL | Cartesian | 4.81471 | 3.5 | 0. |
| 122 | GLOBAL | Cartesian | 4.81471 | 3. | 0. |
| 123 | GLOBAL | Cartesian | 4.33529 | 3.5 | 0. |
| 124 | GLOBAL | Cartesian | 4.33529 | 3. | 0. |
| 125 | GLOBAL | Cartesian | 3.85588 | 3.5 | 0. |
| 126 | GLOBAL | Cartesian | 3.85588 | 3. | 0. |
| 127 | GLOBAL | Cartesian | 3.37647 | 3.5 | 0. |
| 128 | GLOBAL | Cartesian | 3.37647 | 3. | 0. |
| 129 | GLOBAL | Cartesian | 2.89706 | 3.5 | 0. |
| 130 | GLOBAL | Cartesian | 2.89706 | 3. | 0. |
| 131 | GLOBAL | Cartesian | 2.41765 | 3.5 | 0. |
| 132 | GLOBAL | Cartesian | 2.41765 | 3. | 0. |
| 133 | GLOBAL | Cartesian | 1.93824 | 3.5 | 0. |
| 134 | GLOBAL | Cartesian | 1.93824 | 3. | 0. |
| 135 | GLOBAL | Cartesian | 1.45882 | 3.5 | 0. |
| 136 | GLOBAL | Cartesian | 1.45882 | 3. | 0. |
| 137 | GLOBAL | Cartesian | 0.97941 | 3.5 | 0. |
| 138 | GLOBAL | Cartesian | 0.97941 | 3. | 0. |
| 139 | GLOBAL | Cartesian | 0. | 2.5 | 0. |
| 140 | GLOBAL | Cartesian | 0.5 | 2.5 | 0. |
| 141 | GLOBAL | Cartesian | 0. | 2. | 0. |
| 142 | GLOBAL | Cartesian | 0.5 | 2. | 0. |
| 143 | GLOBAL | Cartesian | 0. | 1.5 | 0. |
| 144 | GLOBAL | Cartesian | 0.5 | 1.5 | 0. |
| 145 | GLOBAL | Cartesian | 0. | 1. | 0. |
| 146 | GLOBAL | Cartesian | 0.5 | 1. | 0. |
| 147 | GLOBAL | Cartesian | 0.97941 | 1. | 0. |
| 148 | GLOBAL | Cartesian | 0.97941 | 1.5 | 0. |
| 149 | GLOBAL | Cartesian | 0.97941 | 2. | 0. |
| 150 | GLOBAL | Cartesian | 0.97941 | 2.5 | 0. |
| 151 | GLOBAL | Cartesian | 1.45882 | 1. | 0. |
| 152 | GLOBAL | Cartesian | 1.45882 | 1.5 | 0. |
| 153 | GLOBAL | Cartesian | 1.45882 | 2. | 0. |
| 154 | GLOBAL | Cartesian | 1.45882 | 2.5 | 0. |
| 155 | GLOBAL | Cartesian | 1.93824 | 1. | 0. |
| 156 | GLOBAL | Cartesian | 1.93824 | 1.5 | 0. |

Table 1: Joint Coordinates

| Joint | CoordSys | CoordType | GlobalX m | GlobalY m | GlobalZ m |
|-------|----------|-----------|--------------|--------------|--------------|
| 157 | GLOBAL | Cartesian | 1.93824 | 2. | 0. |
| 158 | GLOBAL | Cartesian | 1.93824 | 2.5 | 0. |
| 159 | GLOBAL | Cartesian | 2.41765 | 1. | 0. |
| 160 | GLOBAL | Cartesian | 2.41765 | 1.5 | 0. |
| 161 | GLOBAL | Cartesian | 2.41765 | 2. | 0. |
| 162 | GLOBAL | Cartesian | 2.41765 | 2.5 | 0. |
| 163 | GLOBAL | Cartesian | 2.89706 | 1. | 0. |
| 164 | GLOBAL | Cartesian | 2.89706 | 1.5 | 0. |
| 165 | GLOBAL | Cartesian | 2.89706 | 2. | 0. |
| 166 | GLOBAL | Cartesian | 2.89706 | 2.5 | 0. |
| 167 | GLOBAL | Cartesian | 3.37647 | 1. | 0. |
| 168 | GLOBAL | Cartesian | 3.37647 | 1.5 | 0. |
| 169 | GLOBAL | Cartesian | 3.37647 | 2. | 0. |
| 170 | GLOBAL | Cartesian | 3.37647 | 2.5 | 0. |
| 171 | GLOBAL | Cartesian | 3.85588 | 1. | 0. |
| 172 | GLOBAL | Cartesian | 3.85588 | 1.5 | 0. |
| 173 | GLOBAL | Cartesian | 3.85588 | 2. | 0. |
| 174 | GLOBAL | Cartesian | 3.85588 | 2.5 | 0. |
| 175 | GLOBAL | Cartesian | 4.33529 | 1. | 0. |
| 176 | GLOBAL | Cartesian | 4.33529 | 1.5 | 0. |
| 177 | GLOBAL | Cartesian | 4.33529 | 2. | 0. |
| 178 | GLOBAL | Cartesian | 4.33529 | 2.5 | 0. |
| 179 | GLOBAL | Cartesian | 4.81471 | 1. | 0. |
| 180 | GLOBAL | Cartesian | 4.81471 | 1.5 | 0. |
| 181 | GLOBAL | Cartesian | 4.81471 | 2. | 0. |
| 182 | GLOBAL | Cartesian | 4.81471 | 2.5 | 0. |
| 183 | GLOBAL | Cartesian | 5.29412 | 1. | 0. |
| 184 | GLOBAL | Cartesian | 5.29412 | 1.5 | 0. |
| 185 | GLOBAL | Cartesian | 5.29412 | 2. | 0. |
| 186 | GLOBAL | Cartesian | 5.29412 | 2.5 | 0. |
| 187 | GLOBAL | Cartesian | 5.77353 | 1. | 0. |
| 188 | GLOBAL | Cartesian | 5.77353 | 1.5 | 0. |
| 189 | GLOBAL | Cartesian | 5.77353 | 2. | 0. |
| 190 | GLOBAL | Cartesian | 5.77353 | 2.5 | 0. |
| 191 | GLOBAL | Cartesian | 6.25294 | 1. | 0. |
| 192 | GLOBAL | Cartesian | 6.25294 | 1.5 | 0. |
| 193 | GLOBAL | Cartesian | 6.25294 | 2. | 0. |
| 194 | GLOBAL | Cartesian | 6.25294 | 2.5 | 0. |

Table 1: Joint Coordinates

| Joint | CoordSys | CoordType | GlobalX m | GlobalY m | GlobalZ m |
|-------|----------|-----------|--------------|--------------|--------------|
| 195 | GLOBAL | Cartesian | 6.73235 | 1. | 0. |
| 196 | GLOBAL | Cartesian | 6.73235 | 1.5 | 0. |
| 197 | GLOBAL | Cartesian | 6.73235 | 2. | 0. |
| 198 | GLOBAL | Cartesian | 6.73235 | 2.5 | 0. |
| 199 | GLOBAL | Cartesian | 7.21176 | 1. | 0. |
| 200 | GLOBAL | Cartesian | 7.21176 | 1.5 | 0. |
| 201 | GLOBAL | Cartesian | 7.21176 | 2. | 0. |
| 202 | GLOBAL | Cartesian | 7.21176 | 2.5 | 0. |
| 203 | GLOBAL | Cartesian | 7.69118 | 1. | 0. |
| 204 | GLOBAL | Cartesian | 7.69118 | 1.5 | 0. |
| 205 | GLOBAL | Cartesian | 7.69118 | 2. | 0. |
| 206 | GLOBAL | Cartesian | 7.69118 | 2.5 | 0. |
| 207 | GLOBAL | Cartesian | 8.17059 | 1. | 0. |
| 208 | GLOBAL | Cartesian | 8.17059 | 1.5 | 0. |
| 209 | GLOBAL | Cartesian | 8.17059 | 2. | 0. |
| 210 | GLOBAL | Cartesian | 8.17059 | 2.5 | 0. |
| 211 | GLOBAL | Cartesian | 0.97941 | 10. | 0. |
| 212 | GLOBAL | Cartesian | 0.97941 | 10.5 | 0. |
| 213 | GLOBAL | Cartesian | 1.45882 | 10. | 0. |
| 214 | GLOBAL | Cartesian | 1.45882 | 10.5 | 0. |
| 215 | GLOBAL | Cartesian | 1.93824 | 10. | 0. |
| 216 | GLOBAL | Cartesian | 1.93824 | 10.5 | 0. |
| 217 | GLOBAL | Cartesian | 2.41765 | 10. | 0. |
| 218 | GLOBAL | Cartesian | 2.41765 | 10.5 | 0. |
| 219 | GLOBAL | Cartesian | 2.89706 | 10. | 0. |
| 220 | GLOBAL | Cartesian | 2.89706 | 10.5 | 0. |
| 221 | GLOBAL | Cartesian | 3.37647 | 10. | 0. |
| 222 | GLOBAL | Cartesian | 3.37647 | 10.5 | 0. |
| 223 | GLOBAL | Cartesian | 3.85588 | 10. | 0. |
| 224 | GLOBAL | Cartesian | 3.85588 | 10.5 | 0. |
| 225 | GLOBAL | Cartesian | 4.33529 | 10. | 0. |
| 226 | GLOBAL | Cartesian | 4.33529 | 10.5 | 0. |
| 227 | GLOBAL | Cartesian | 4.81471 | 10. | 0. |
| 228 | GLOBAL | Cartesian | 4.81471 | 10.5 | 0. |
| 229 | GLOBAL | Cartesian | 5.29412 | 10. | 0. |
| 230 | GLOBAL | Cartesian | 5.29412 | 10.5 | 0. |
| 231 | GLOBAL | Cartesian | 5.77353 | 10. | 0. |
| 232 | GLOBAL | Cartesian | 5.77353 | 10.5 | 0. |

Table 1: Joint Coordinates

| Joint | CoordSys | CoordType | GlobalX m | GlobalY m | GlobalZ m |
|-------|----------|-----------|--------------|--------------|--------------|
| 233 | GLOBAL | Cartesian | 6.25294 | 10. | 0. |
| 234 | GLOBAL | Cartesian | 6.25294 | 10.5 | 0. |
| 235 | GLOBAL | Cartesian | 6.73235 | 10. | 0. |
| 236 | GLOBAL | Cartesian | 6.73235 | 10.5 | 0. |
| 237 | GLOBAL | Cartesian | 7.21176 | 10. | 0. |
| 238 | GLOBAL | Cartesian | 7.21176 | 10.5 | 0. |
| 239 | GLOBAL | Cartesian | 7.69118 | 10. | 0. |
| 240 | GLOBAL | Cartesian | 7.69118 | 10.5 | 0. |
| 241 | GLOBAL | Cartesian | 8.17059 | 10. | 0. |
| 242 | GLOBAL | Cartesian | 8.17059 | 10.5 | 0. |
| 243 | GLOBAL | Cartesian | 9.15 | 11. | 0. |
| 244 | GLOBAL | Cartesian | 8.65 | 11. | 0. |
| 245 | GLOBAL | Cartesian | 9.15 | 11.5 | 0. |
| 246 | GLOBAL | Cartesian | 8.65 | 11.5 | 0. |
| 247 | GLOBAL | Cartesian | 9.15 | 12. | 0. |
| 248 | GLOBAL | Cartesian | 8.65 | 12. | 0. |
| 249 | GLOBAL | Cartesian | 9.15 | 12.5 | 0. |
| 250 | GLOBAL | Cartesian | 8.65 | 12.5 | 0. |
| 251 | GLOBAL | Cartesian | 8.17059 | 13.5 | 0. |
| 252 | GLOBAL | Cartesian | 8.17059 | 13. | 0. |
| 253 | GLOBAL | Cartesian | 7.69118 | 13.5 | 0. |
| 254 | GLOBAL | Cartesian | 7.69118 | 13. | 0. |
| 255 | GLOBAL | Cartesian | 7.21176 | 13.5 | 0. |
| 256 | GLOBAL | Cartesian | 7.21176 | 13. | 0. |
| 257 | GLOBAL | Cartesian | 6.73235 | 13.5 | 0. |
| 258 | GLOBAL | Cartesian | 6.73235 | 13. | 0. |
| 259 | GLOBAL | Cartesian | 6.25294 | 13.5 | 0. |
| 260 | GLOBAL | Cartesian | 6.25294 | 13. | 0. |
| 261 | GLOBAL | Cartesian | 5.77353 | 13.5 | 0. |
| 262 | GLOBAL | Cartesian | 5.77353 | 13. | 0. |
| 263 | GLOBAL | Cartesian | 5.29412 | 13.5 | 0. |
| 264 | GLOBAL | Cartesian | 5.29412 | 13. | 0. |
| 265 | GLOBAL | Cartesian | 4.81471 | 13.5 | 0. |
| 266 | GLOBAL | Cartesian | 4.81471 | 13. | 0. |
| 267 | GLOBAL | Cartesian | 4.33529 | 13.5 | 0. |
| 268 | GLOBAL | Cartesian | 4.33529 | 13. | 0. |
| 269 | GLOBAL | Cartesian | 3.85588 | 13.5 | 0. |
| 270 | GLOBAL | Cartesian | 3.85588 | 13. | 0. |

Table 1: Joint Coordinates

| Joint | CoordSys | CoordType | GlobalX m | GlobalY m | GlobalZ m |
|-------|----------|-----------|--------------|--------------|--------------|
| 271 | GLOBAL | Cartesian | 3.37647 | 13.5 | 0. |
| 272 | GLOBAL | Cartesian | 3.37647 | 13. | 0. |
| 273 | GLOBAL | Cartesian | 2.89706 | 13.5 | 0. |
| 274 | GLOBAL | Cartesian | 2.89706 | 13. | 0. |
| 275 | GLOBAL | Cartesian | 2.41765 | 13.5 | 0. |
| 276 | GLOBAL | Cartesian | 2.41765 | 13. | 0. |
| 277 | GLOBAL | Cartesian | 1.93824 | 13.5 | 0. |
| 278 | GLOBAL | Cartesian | 1.93824 | 13. | 0. |
| 279 | GLOBAL | Cartesian | 1.45882 | 13.5 | 0. |
| 280 | GLOBAL | Cartesian | 1.45882 | 13. | 0. |
| 281 | GLOBAL | Cartesian | 0.97941 | 13.5 | 0. |
| 282 | GLOBAL | Cartesian | 0.97941 | 13. | 0. |
| 283 | GLOBAL | Cartesian | 0. | 12.5 | 0. |
| 284 | GLOBAL | Cartesian | 0.5 | 12.5 | 0. |
| 285 | GLOBAL | Cartesian | 0. | 12. | 0. |
| 286 | GLOBAL | Cartesian | 0.5 | 12. | 0. |
| 287 | GLOBAL | Cartesian | 0. | 11.5 | 0. |
| 288 | GLOBAL | Cartesian | 0.5 | 11.5 | 0. |
| 289 | GLOBAL | Cartesian | 0. | 11. | 0. |
| 290 | GLOBAL | Cartesian | 0.5 | 11. | 0. |
| 291 | GLOBAL | Cartesian | 8.17059 | 12.5 | 0. |
| 292 | GLOBAL | Cartesian | 8.17059 | 12. | 0. |
| 293 | GLOBAL | Cartesian | 8.17059 | 11.5 | 0. |
| 294 | GLOBAL | Cartesian | 8.17059 | 11. | 0. |
| 295 | GLOBAL | Cartesian | 7.69118 | 12.5 | 0. |
| 296 | GLOBAL | Cartesian | 7.69118 | 12. | 0. |
| 297 | GLOBAL | Cartesian | 7.69118 | 11.5 | 0. |
| 298 | GLOBAL | Cartesian | 7.69118 | 11. | 0. |
| 299 | GLOBAL | Cartesian | 7.21176 | 12.5 | 0. |
| 300 | GLOBAL | Cartesian | 7.21176 | 12. | 0. |
| 301 | GLOBAL | Cartesian | 7.21176 | 11.5 | 0. |
| 302 | GLOBAL | Cartesian | 7.21176 | 11. | 0. |
| 303 | GLOBAL | Cartesian | 6.73235 | 12.5 | 0. |
| 304 | GLOBAL | Cartesian | 6.73235 | 12. | 0. |
| 305 | GLOBAL | Cartesian | 6.73235 | 11.5 | 0. |
| 306 | GLOBAL | Cartesian | 6.73235 | 11. | 0. |
| 307 | GLOBAL | Cartesian | 6.25294 | 12.5 | 0. |
| 308 | GLOBAL | Cartesian | 6.25294 | 12. | 0. |

Table 1: Joint Coordinates

| Joint | CoordSys | CoordType | GlobalX m | GlobalY m | GlobalZ m |
|-------|----------|-----------|--------------|--------------|--------------|
| 309 | GLOBAL | Cartesian | 6.25294 | 11.5 | 0. |
| 310 | GLOBAL | Cartesian | 6.25294 | 11. | 0. |
| 311 | GLOBAL | Cartesian | 5.77353 | 12.5 | 0. |
| 312 | GLOBAL | Cartesian | 5.77353 | 12. | 0. |
| 313 | GLOBAL | Cartesian | 5.77353 | 11.5 | 0. |
| 314 | GLOBAL | Cartesian | 5.77353 | 11. | 0. |
| 315 | GLOBAL | Cartesian | 5.29412 | 12.5 | 0. |
| 316 | GLOBAL | Cartesian | 5.29412 | 12. | 0. |
| 317 | GLOBAL | Cartesian | 5.29412 | 11.5 | 0. |
| 318 | GLOBAL | Cartesian | 5.29412 | 11. | 0. |
| 319 | GLOBAL | Cartesian | 4.81471 | 12.5 | 0. |
| 320 | GLOBAL | Cartesian | 4.81471 | 12. | 0. |
| 321 | GLOBAL | Cartesian | 4.81471 | 11.5 | 0. |
| 322 | GLOBAL | Cartesian | 4.81471 | 11. | 0. |
| 323 | GLOBAL | Cartesian | 4.33529 | 12.5 | 0. |
| 324 | GLOBAL | Cartesian | 4.33529 | 12. | 0. |
| 325 | GLOBAL | Cartesian | 4.33529 | 11.5 | 0. |
| 326 | GLOBAL | Cartesian | 4.33529 | 11. | 0. |
| 327 | GLOBAL | Cartesian | 3.85588 | 12.5 | 0. |
| 328 | GLOBAL | Cartesian | 3.85588 | 12. | 0. |
| 329 | GLOBAL | Cartesian | 3.85588 | 11.5 | 0. |
| 330 | GLOBAL | Cartesian | 3.85588 | 11. | 0. |
| 331 | GLOBAL | Cartesian | 3.37647 | 12.5 | 0. |
| 332 | GLOBAL | Cartesian | 3.37647 | 12. | 0. |
| 333 | GLOBAL | Cartesian | 3.37647 | 11.5 | 0. |
| 334 | GLOBAL | Cartesian | 3.37647 | 11. | 0. |
| 335 | GLOBAL | Cartesian | 2.89706 | 12.5 | 0. |
| 336 | GLOBAL | Cartesian | 2.89706 | 12. | 0. |
| 337 | GLOBAL | Cartesian | 2.89706 | 11.5 | 0. |
| 338 | GLOBAL | Cartesian | 2.89706 | 11. | 0. |
| 339 | GLOBAL | Cartesian | 2.41765 | 12.5 | 0. |
| 340 | GLOBAL | Cartesian | 2.41765 | 12. | 0. |
| 341 | GLOBAL | Cartesian | 2.41765 | 11.5 | 0. |
| 342 | GLOBAL | Cartesian | 2.41765 | 11. | 0. |
| 343 | GLOBAL | Cartesian | 1.93824 | 12.5 | 0. |
| 344 | GLOBAL | Cartesian | 1.93824 | 12. | 0. |
| 345 | GLOBAL | Cartesian | 1.93824 | 11.5 | 0. |
| 346 | GLOBAL | Cartesian | 1.93824 | 11. | 0. |

Table 1: Joint Coordinates

| Joint | CoordSys | CoordType | GlobalX m | GlobalY m | GlobalZ m |
|-------|----------|-----------|--------------|--------------|--------------|
| 347 | GLOBAL | Cartesian | 1.45882 | 12.5 | 0. |
| 348 | GLOBAL | Cartesian | 1.45882 | 12. | 0. |
| 349 | GLOBAL | Cartesian | 1.45882 | 11.5 | 0. |
| 350 | GLOBAL | Cartesian | 1.45882 | 11. | 0. |
| 351 | GLOBAL | Cartesian | 0.97941 | 12.5 | 0. |
| 352 | GLOBAL | Cartesian | 0.97941 | 12. | 0. |
| 353 | GLOBAL | Cartesian | 0.97941 | 11.5 | 0. |
| 354 | GLOBAL | Cartesian | 0.97941 | 11. | 0. |

1.2. Element connectivity

Table 2: Connectivity - Area

Table 2: Connectivity - Area

| Area | Joint1 | Joint2 | Joint3 | Joint4 |
|------|--------|--------|--------|--------|
| 1 | 7 | 8 | 9 | 10 |
| 2 | 11 | 12 | 13 | 14 |
| 3 | 15 | 16 | 17 | 18 |
| 4 | 19 | 20 | 21 | 22 |
| 42 | 1 | 57 | 58 | 59 |
| 44 | 60 | 2 | 61 | 6 |
| 46 | 62 | 3 | 64 | 63 |
| 48 | 65 | 4 | 66 | 5 |
| 183 | 57 | 67 | 68 | 58 |
| 184 | 67 | 69 | 70 | 68 |
| 185 | 69 | 71 | 72 | 70 |
| 186 | 71 | 73 | 74 | 72 |
| 187 | 73 | 75 | 76 | 74 |
| 188 | 75 | 77 | 78 | 76 |
| 189 | 77 | 79 | 80 | 78 |
| 190 | 79 | 81 | 82 | 80 |
| 191 | 81 | 83 | 84 | 82 |
| 192 | 83 | 85 | 86 | 84 |
| 193 | 85 | 87 | 88 | 86 |

Table 2: Connectivity - Area

| Area | Joint1 | Joint2 | Joint3 | Joint4 |
|------|--------|--------|--------|--------|
| 194 | 87 | 89 | 90 | 88 |
| 195 | 89 | 91 | 92 | 90 |
| 196 | 91 | 93 | 94 | 92 |
| 197 | 93 | 95 | 96 | 94 |
| 198 | 95 | 97 | 98 | 96 |
| 199 | 97 | 60 | 6 | 98 |
| 200 | 61 | 99 | 100 | 6 |
| 201 | 99 | 101 | 102 | 100 |
| 202 | 101 | 103 | 104 | 102 |
| 203 | 103 | 105 | 106 | 104 |
| 204 | 105 | 62 | 63 | 106 |
| 205 | 64 | 107 | 108 | 63 |
| 206 | 107 | 109 | 110 | 108 |
| 207 | 109 | 111 | 112 | 110 |
| 208 | 111 | 113 | 114 | 112 |
| 209 | 113 | 115 | 116 | 114 |
| 210 | 115 | 117 | 118 | 116 |
| 211 | 117 | 119 | 120 | 118 |
| 212 | 119 | 121 | 122 | 120 |
| 213 | 121 | 123 | 124 | 122 |
| 214 | 123 | 125 | 126 | 124 |
| 215 | 125 | 127 | 128 | 126 |
| 216 | 127 | 129 | 130 | 128 |
| 217 | 129 | 131 | 132 | 130 |
| 218 | 131 | 133 | 134 | 132 |
| 219 | 133 | 135 | 136 | 134 |
| 220 | 135 | 137 | 138 | 136 |
| 221 | 137 | 65 | 5 | 138 |
| 222 | 66 | 139 | 140 | 5 |
| 223 | 139 | 141 | 142 | 140 |
| 224 | 141 | 143 | 144 | 142 |
| 225 | 143 | 145 | 146 | 144 |
| 226 | 145 | 59 | 58 | 146 |
| 227 | 58 | 68 | 147 | 146 |
| 228 | 146 | 147 | 148 | 144 |
| 229 | 144 | 148 | 149 | 142 |
| 230 | 142 | 149 | 150 | 140 |
| 231 | 140 | 150 | 138 | 5 |

Table 2: Connectivity - Area

| Area | Joint1 | Joint2 | Joint3 | Joint4 |
|------|--------|--------|--------|--------|
| 232 | 68 | 70 | 151 | 147 |
| 233 | 147 | 151 | 152 | 148 |
| 234 | 148 | 152 | 153 | 149 |
| 235 | 149 | 153 | 154 | 150 |
| 236 | 150 | 154 | 136 | 138 |
| 237 | 70 | 72 | 155 | 151 |
| 238 | 151 | 155 | 156 | 152 |
| 239 | 152 | 156 | 157 | 153 |
| 240 | 153 | 157 | 158 | 154 |
| 241 | 154 | 158 | 134 | 136 |
| 242 | 72 | 74 | 159 | 155 |
| 243 | 155 | 159 | 160 | 156 |
| 244 | 156 | 160 | 161 | 157 |
| 245 | 157 | 161 | 162 | 158 |
| 246 | 158 | 162 | 132 | 134 |
| 247 | 74 | 76 | 163 | 159 |
| 248 | 159 | 163 | 164 | 160 |
| 249 | 160 | 164 | 165 | 161 |
| 250 | 161 | 165 | 166 | 162 |
| 251 | 162 | 166 | 130 | 132 |
| 252 | 76 | 78 | 167 | 163 |
| 253 | 163 | 167 | 168 | 164 |
| 254 | 164 | 168 | 169 | 165 |
| 255 | 165 | 169 | 170 | 166 |
| 256 | 166 | 170 | 128 | 130 |
| 257 | 78 | 80 | 171 | 167 |
| 258 | 167 | 171 | 172 | 168 |
| 259 | 168 | 172 | 173 | 169 |
| 260 | 169 | 173 | 174 | 170 |
| 261 | 170 | 174 | 126 | 128 |
| 262 | 80 | 82 | 175 | 171 |
| 263 | 171 | 175 | 176 | 172 |
| 264 | 172 | 176 | 177 | 173 |
| 265 | 173 | 177 | 178 | 174 |
| 266 | 174 | 178 | 124 | 126 |
| 267 | 82 | 84 | 179 | 175 |
| 268 | 175 | 179 | 180 | 176 |
| 269 | 176 | 180 | 181 | 177 |

Table 2: Connectivity - Area

| Area | Joint1 | Joint2 | Joint3 | Joint4 |
|------|--------|--------|--------|--------|
| 270 | 177 | 181 | 182 | 178 |
| 271 | 178 | 182 | 122 | 124 |
| 272 | 84 | 86 | 183 | 179 |
| 273 | 179 | 183 | 184 | 180 |
| 274 | 180 | 184 | 185 | 181 |
| 275 | 181 | 185 | 186 | 182 |
| 276 | 182 | 186 | 120 | 122 |
| 277 | 86 | 88 | 187 | 183 |
| 278 | 183 | 187 | 188 | 184 |
| 279 | 184 | 188 | 189 | 185 |
| 280 | 185 | 189 | 190 | 186 |
| 281 | 186 | 190 | 118 | 120 |
| 282 | 88 | 90 | 191 | 187 |
| 283 | 187 | 191 | 192 | 188 |
| 284 | 188 | 192 | 193 | 189 |
| 285 | 189 | 193 | 194 | 190 |
| 286 | 190 | 194 | 116 | 118 |
| 287 | 90 | 92 | 195 | 191 |
| 288 | 191 | 195 | 196 | 192 |
| 289 | 192 | 196 | 197 | 193 |
| 290 | 193 | 197 | 198 | 194 |
| 291 | 194 | 198 | 114 | 116 |
| 292 | 92 | 94 | 199 | 195 |
| 293 | 195 | 199 | 200 | 196 |
| 294 | 196 | 200 | 201 | 197 |
| 295 | 197 | 201 | 202 | 198 |
| 296 | 198 | 202 | 112 | 114 |
| 297 | 94 | 96 | 203 | 199 |
| 298 | 199 | 203 | 204 | 200 |
| 299 | 200 | 204 | 205 | 201 |
| 300 | 201 | 205 | 206 | 202 |
| 301 | 202 | 206 | 110 | 112 |
| 302 | 96 | 98 | 207 | 203 |
| 303 | 203 | 207 | 208 | 204 |
| 304 | 204 | 208 | 209 | 205 |
| 305 | 205 | 209 | 210 | 206 |
| 306 | 206 | 210 | 108 | 110 |
| 307 | 98 | 6 | 100 | 207 |

Table 2: Connectivity - Area

| Area | Joint1 | Joint2 | Joint3 | Joint4 |
|------|--------|--------|--------|--------|
| 308 | 207 | 100 | 102 | 208 |
| 309 | 208 | 102 | 104 | 209 |
| 310 | 209 | 104 | 106 | 210 |
| 311 | 210 | 106 | 63 | 108 |
| 312 | 8 | 211 | 212 | 9 |
| 313 | 211 | 213 | 214 | 212 |
| 314 | 213 | 215 | 216 | 214 |
| 315 | 215 | 217 | 218 | 216 |
| 316 | 217 | 219 | 220 | 218 |
| 317 | 219 | 221 | 222 | 220 |
| 318 | 221 | 223 | 224 | 222 |
| 319 | 223 | 225 | 226 | 224 |
| 320 | 225 | 227 | 228 | 226 |
| 321 | 227 | 229 | 230 | 228 |
| 322 | 229 | 231 | 232 | 230 |
| 323 | 231 | 233 | 234 | 232 |
| 324 | 233 | 235 | 236 | 234 |
| 325 | 235 | 237 | 238 | 236 |
| 326 | 237 | 239 | 240 | 238 |
| 327 | 239 | 241 | 242 | 240 |
| 328 | 241 | 11 | 14 | 242 |
| 329 | 13 | 243 | 244 | 14 |
| 330 | 243 | 245 | 246 | 244 |
| 331 | 245 | 247 | 248 | 246 |
| 332 | 247 | 249 | 250 | 248 |
| 333 | 249 | 15 | 18 | 250 |
| 334 | 17 | 251 | 252 | 18 |
| 335 | 251 | 253 | 254 | 252 |
| 336 | 253 | 255 | 256 | 254 |
| 337 | 255 | 257 | 258 | 256 |
| 338 | 257 | 259 | 260 | 258 |
| 339 | 259 | 261 | 262 | 260 |
| 340 | 261 | 263 | 264 | 262 |
| 341 | 263 | 265 | 266 | 264 |
| 342 | 265 | 267 | 268 | 266 |
| 343 | 267 | 269 | 270 | 268 |
| 344 | 269 | 271 | 272 | 270 |
| 345 | 271 | 273 | 274 | 272 |

Table 2: Connectivity - Area

| Area | Joint1 | Joint2 | Joint3 | Joint4 |
|------|--------|--------|--------|--------|
| 346 | 273 | 275 | 276 | 274 |
| 347 | 275 | 277 | 278 | 276 |
| 348 | 277 | 279 | 280 | 278 |
| 349 | 279 | 281 | 282 | 280 |
| 350 | 281 | 19 | 22 | 282 |
| 351 | 21 | 283 | 284 | 22 |
| 352 | 283 | 285 | 286 | 284 |
| 353 | 285 | 287 | 288 | 286 |
| 354 | 287 | 289 | 290 | 288 |
| 355 | 289 | 10 | 9 | 290 |
| 356 | 18 | 252 | 291 | 250 |
| 357 | 250 | 291 | 292 | 248 |
| 358 | 248 | 292 | 293 | 246 |
| 359 | 246 | 293 | 294 | 244 |
| 360 | 244 | 294 | 242 | 14 |
| 361 | 252 | 254 | 295 | 291 |
| 362 | 291 | 295 | 296 | 292 |
| 363 | 292 | 296 | 297 | 293 |
| 364 | 293 | 297 | 298 | 294 |
| 365 | 294 | 298 | 240 | 242 |
| 366 | 254 | 256 | 299 | 295 |
| 367 | 295 | 299 | 300 | 296 |
| 368 | 296 | 300 | 301 | 297 |
| 369 | 297 | 301 | 302 | 298 |
| 370 | 298 | 302 | 238 | 240 |
| 371 | 256 | 258 | 303 | 299 |
| 372 | 299 | 303 | 304 | 300 |
| 373 | 300 | 304 | 305 | 301 |
| 374 | 301 | 305 | 306 | 302 |
| 375 | 302 | 306 | 236 | 238 |
| 376 | 258 | 260 | 307 | 303 |
| 377 | 303 | 307 | 308 | 304 |
| 378 | 304 | 308 | 309 | 305 |
| 379 | 305 | 309 | 310 | 306 |
| 380 | 306 | 310 | 234 | 236 |
| 381 | 260 | 262 | 311 | 307 |
| 382 | 307 | 311 | 312 | 308 |
| 383 | 308 | 312 | 313 | 309 |

Table 2: Connectivity - Area

| Area | Joint1 | Joint2 | Joint3 | Joint4 |
|------|--------|--------|--------|--------|
| 384 | 309 | 313 | 314 | 310 |
| 385 | 310 | 314 | 232 | 234 |
| 386 | 262 | 264 | 315 | 311 |
| 387 | 311 | 315 | 316 | 312 |
| 388 | 312 | 316 | 317 | 313 |
| 389 | 313 | 317 | 318 | 314 |
| 390 | 314 | 318 | 230 | 232 |
| 391 | 264 | 266 | 319 | 315 |
| 392 | 315 | 319 | 320 | 316 |
| 393 | 316 | 320 | 321 | 317 |
| 394 | 317 | 321 | 322 | 318 |
| 395 | 318 | 322 | 228 | 230 |
| 396 | 266 | 268 | 323 | 319 |
| 397 | 319 | 323 | 324 | 320 |
| 398 | 320 | 324 | 325 | 321 |
| 399 | 321 | 325 | 326 | 322 |
| 400 | 322 | 326 | 226 | 228 |
| 401 | 268 | 270 | 327 | 323 |
| 402 | 323 | 327 | 328 | 324 |
| 403 | 324 | 328 | 329 | 325 |
| 404 | 325 | 329 | 330 | 326 |
| 405 | 326 | 330 | 224 | 226 |
| 406 | 270 | 272 | 331 | 327 |
| 407 | 327 | 331 | 332 | 328 |
| 408 | 328 | 332 | 333 | 329 |
| 409 | 329 | 333 | 334 | 330 |
| 410 | 330 | 334 | 222 | 224 |
| 411 | 272 | 274 | 335 | 331 |
| 412 | 331 | 335 | 336 | 332 |
| 413 | 332 | 336 | 337 | 333 |
| 414 | 333 | 337 | 338 | 334 |
| 415 | 334 | 338 | 220 | 222 |
| 416 | 274 | 276 | 339 | 335 |
| 417 | 335 | 339 | 340 | 336 |
| 418 | 336 | 340 | 341 | 337 |
| 419 | 337 | 341 | 342 | 338 |
| 420 | 338 | 342 | 218 | 220 |
| 421 | 276 | 278 | 343 | 339 |

Table 2: Connectivity - Area

| Area | Joint1 | Joint2 | Joint3 | Joint4 |
|------|--------|--------|--------|--------|
| 422 | 339 | 343 | 344 | 340 |
| 423 | 340 | 344 | 345 | 341 |
| 424 | 341 | 345 | 346 | 342 |
| 425 | 342 | 346 | 216 | 218 |
| 426 | 278 | 280 | 347 | 343 |
| 427 | 343 | 347 | 348 | 344 |
| 428 | 344 | 348 | 349 | 345 |
| 429 | 345 | 349 | 350 | 346 |
| 430 | 346 | 350 | 214 | 216 |
| 431 | 280 | 282 | 351 | 347 |
| 432 | 347 | 351 | 352 | 348 |
| 433 | 348 | 352 | 353 | 349 |
| 434 | 349 | 353 | 354 | 350 |
| 435 | 350 | 354 | 212 | 214 |
| 436 | 282 | 22 | 284 | 351 |
| 437 | 351 | 284 | 286 | 352 |
| 438 | 352 | 286 | 288 | 353 |
| 439 | 353 | 288 | 290 | 354 |
| 440 | 354 | 290 | 9 | 212 |

Table 3: Area Section Assignments**Table 3: Area Section Assignments**

| Area | Section | MatProp |
|------|-----------|---------|
| 1 | PLATEA_25 | Default |
| 2 | PLATEA_25 | Default |
| 3 | PLATEA_25 | Default |
| 4 | PLATEA_25 | Default |
| 42 | PLATEA_25 | Default |
| 44 | PLATEA_25 | Default |
| 46 | PLATEA_25 | Default |
| 48 | PLATEA_25 | Default |
| 183 | PLATEA_25 | Default |
| 184 | PLATEA_25 | Default |
| 185 | PLATEA_25 | Default |

Table 3: Area Section Assignments

| Area | Section | MatProp |
|------|-----------|---------|
| 186 | PLATEA_25 | Default |
| 187 | PLATEA_25 | Default |
| 188 | PLATEA_25 | Default |
| 189 | PLATEA_25 | Default |
| 190 | PLATEA_25 | Default |
| 191 | PLATEA_25 | Default |
| 192 | PLATEA_25 | Default |
| 193 | PLATEA_25 | Default |
| 194 | PLATEA_25 | Default |
| 195 | PLATEA_25 | Default |
| 196 | PLATEA_25 | Default |
| 197 | PLATEA_25 | Default |
| 198 | PLATEA_25 | Default |
| 199 | PLATEA_25 | Default |
| 200 | PLATEA_25 | Default |
| 201 | PLATEA_25 | Default |
| 202 | PLATEA_25 | Default |
| 203 | PLATEA_25 | Default |
| 204 | PLATEA_25 | Default |
| 205 | PLATEA_25 | Default |
| 206 | PLATEA_25 | Default |
| 207 | PLATEA_25 | Default |
| 208 | PLATEA_25 | Default |
| 209 | PLATEA_25 | Default |
| 210 | PLATEA_25 | Default |
| 211 | PLATEA_25 | Default |
| 212 | PLATEA_25 | Default |
| 213 | PLATEA_25 | Default |
| 214 | PLATEA_25 | Default |
| 215 | PLATEA_25 | Default |
| 216 | PLATEA_25 | Default |
| 217 | PLATEA_25 | Default |
| 218 | PLATEA_25 | Default |
| 219 | PLATEA_25 | Default |
| 220 | PLATEA_25 | Default |
| 221 | PLATEA_25 | Default |
| 222 | PLATEA_25 | Default |
| 223 | PLATEA_25 | Default |

Table 3: Area Section Assignments

| Area | Section | MatProp |
|------|-----------|---------|
| 224 | PLATEA_25 | Default |
| 225 | PLATEA_25 | Default |
| 226 | PLATEA_25 | Default |
| 227 | PLATEA_25 | Default |
| 228 | PLATEA_25 | Default |
| 229 | PLATEA_25 | Default |
| 230 | PLATEA_25 | Default |
| 231 | PLATEA_25 | Default |
| 232 | PLATEA_25 | Default |
| 233 | PLATEA_25 | Default |
| 234 | PLATEA_25 | Default |
| 235 | PLATEA_25 | Default |
| 236 | PLATEA_25 | Default |
| 237 | PLATEA_25 | Default |
| 238 | PLATEA_25 | Default |
| 239 | PLATEA_25 | Default |
| 240 | PLATEA_25 | Default |
| 241 | PLATEA_25 | Default |
| 242 | PLATEA_25 | Default |
| 243 | PLATEA_25 | Default |
| 244 | PLATEA_25 | Default |
| 245 | PLATEA_25 | Default |
| 246 | PLATEA_25 | Default |
| 247 | PLATEA_25 | Default |
| 248 | PLATEA_25 | Default |
| 249 | PLATEA_25 | Default |
| 250 | PLATEA_25 | Default |
| 251 | PLATEA_25 | Default |
| 252 | PLATEA_25 | Default |
| 253 | PLATEA_25 | Default |
| 254 | PLATEA_25 | Default |
| 255 | PLATEA_25 | Default |
| 256 | PLATEA_25 | Default |
| 257 | PLATEA_25 | Default |
| 258 | PLATEA_25 | Default |
| 259 | PLATEA_25 | Default |
| 260 | PLATEA_25 | Default |
| 261 | PLATEA_25 | Default |

Table 3: Area Section Assignments

| Area | Section | MatProp |
|------|-----------|---------|
| 262 | PLATEA_25 | Default |
| 263 | PLATEA_25 | Default |
| 264 | PLATEA_25 | Default |
| 265 | PLATEA_25 | Default |
| 266 | PLATEA_25 | Default |
| 267 | PLATEA_25 | Default |
| 268 | PLATEA_25 | Default |
| 269 | PLATEA_25 | Default |
| 270 | PLATEA_25 | Default |
| 271 | PLATEA_25 | Default |
| 272 | PLATEA_25 | Default |
| 273 | PLATEA_25 | Default |
| 274 | PLATEA_25 | Default |
| 275 | PLATEA_25 | Default |
| 276 | PLATEA_25 | Default |
| 277 | PLATEA_25 | Default |
| 278 | PLATEA_25 | Default |
| 279 | PLATEA_25 | Default |
| 280 | PLATEA_25 | Default |
| 281 | PLATEA_25 | Default |
| 282 | PLATEA_25 | Default |
| 283 | PLATEA_25 | Default |
| 284 | PLATEA_25 | Default |
| 285 | PLATEA_25 | Default |
| 286 | PLATEA_25 | Default |
| 287 | PLATEA_25 | Default |
| 288 | PLATEA_25 | Default |
| 289 | PLATEA_25 | Default |
| 290 | PLATEA_25 | Default |
| 291 | PLATEA_25 | Default |
| 292 | PLATEA_25 | Default |
| 293 | PLATEA_25 | Default |
| 294 | PLATEA_25 | Default |
| 295 | PLATEA_25 | Default |
| 296 | PLATEA_25 | Default |
| 297 | PLATEA_25 | Default |
| 298 | PLATEA_25 | Default |
| 299 | PLATEA_25 | Default |

Table 3: Area Section Assignments

| Area | Section | MatProp |
|------|-----------|---------|
| 300 | PLATEA_25 | Default |
| 301 | PLATEA_25 | Default |
| 302 | PLATEA_25 | Default |
| 303 | PLATEA_25 | Default |
| 304 | PLATEA_25 | Default |
| 305 | PLATEA_25 | Default |
| 306 | PLATEA_25 | Default |
| 307 | PLATEA_25 | Default |
| 308 | PLATEA_25 | Default |
| 309 | PLATEA_25 | Default |
| 310 | PLATEA_25 | Default |
| 311 | PLATEA_25 | Default |
| 312 | PLATEA_25 | Default |
| 313 | PLATEA_25 | Default |
| 314 | PLATEA_25 | Default |
| 315 | PLATEA_25 | Default |
| 316 | PLATEA_25 | Default |
| 317 | PLATEA_25 | Default |
| 318 | PLATEA_25 | Default |
| 319 | PLATEA_25 | Default |
| 320 | PLATEA_25 | Default |
| 321 | PLATEA_25 | Default |
| 322 | PLATEA_25 | Default |
| 323 | PLATEA_25 | Default |
| 324 | PLATEA_25 | Default |
| 325 | PLATEA_25 | Default |
| 326 | PLATEA_25 | Default |
| 327 | PLATEA_25 | Default |
| 328 | PLATEA_25 | Default |
| 329 | PLATEA_25 | Default |
| 330 | PLATEA_25 | Default |
| 331 | PLATEA_25 | Default |
| 332 | PLATEA_25 | Default |
| 333 | PLATEA_25 | Default |
| 334 | PLATEA_25 | Default |
| 335 | PLATEA_25 | Default |
| 336 | PLATEA_25 | Default |
| 337 | PLATEA_25 | Default |

Table 3: Area Section Assignments

| Area | Section | MatProp |
|------|-----------|---------|
| 338 | PLATEA_25 | Default |
| 339 | PLATEA_25 | Default |
| 340 | PLATEA_25 | Default |
| 341 | PLATEA_25 | Default |
| 342 | PLATEA_25 | Default |
| 343 | PLATEA_25 | Default |
| 344 | PLATEA_25 | Default |
| 345 | PLATEA_25 | Default |
| 346 | PLATEA_25 | Default |
| 347 | PLATEA_25 | Default |
| 348 | PLATEA_25 | Default |
| 349 | PLATEA_25 | Default |
| 350 | PLATEA_25 | Default |
| 351 | PLATEA_25 | Default |
| 352 | PLATEA_25 | Default |
| 353 | PLATEA_25 | Default |
| 354 | PLATEA_25 | Default |
| 355 | PLATEA_25 | Default |
| 356 | PLATEA_25 | Default |
| 357 | PLATEA_25 | Default |
| 358 | PLATEA_25 | Default |
| 359 | PLATEA_25 | Default |
| 360 | PLATEA_25 | Default |
| 361 | PLATEA_25 | Default |
| 362 | PLATEA_25 | Default |
| 363 | PLATEA_25 | Default |
| 364 | PLATEA_25 | Default |
| 365 | PLATEA_25 | Default |
| 366 | PLATEA_25 | Default |
| 367 | PLATEA_25 | Default |
| 368 | PLATEA_25 | Default |
| 369 | PLATEA_25 | Default |
| 370 | PLATEA_25 | Default |
| 371 | PLATEA_25 | Default |
| 372 | PLATEA_25 | Default |
| 373 | PLATEA_25 | Default |
| 374 | PLATEA_25 | Default |
| 375 | PLATEA_25 | Default |

Table 3: Area Section Assignments

| Area | Section | MatProp |
|------|-----------|---------|
| 376 | PLATEA_25 | Default |
| 377 | PLATEA_25 | Default |
| 378 | PLATEA_25 | Default |
| 379 | PLATEA_25 | Default |
| 380 | PLATEA_25 | Default |
| 381 | PLATEA_25 | Default |
| 382 | PLATEA_25 | Default |
| 383 | PLATEA_25 | Default |
| 384 | PLATEA_25 | Default |
| 385 | PLATEA_25 | Default |
| 386 | PLATEA_25 | Default |
| 387 | PLATEA_25 | Default |
| 388 | PLATEA_25 | Default |
| 389 | PLATEA_25 | Default |
| 390 | PLATEA_25 | Default |
| 391 | PLATEA_25 | Default |
| 392 | PLATEA_25 | Default |
| 393 | PLATEA_25 | Default |
| 394 | PLATEA_25 | Default |
| 395 | PLATEA_25 | Default |
| 396 | PLATEA_25 | Default |
| 397 | PLATEA_25 | Default |
| 398 | PLATEA_25 | Default |
| 399 | PLATEA_25 | Default |
| 400 | PLATEA_25 | Default |
| 401 | PLATEA_25 | Default |
| 402 | PLATEA_25 | Default |
| 403 | PLATEA_25 | Default |
| 404 | PLATEA_25 | Default |
| 405 | PLATEA_25 | Default |
| 406 | PLATEA_25 | Default |
| 407 | PLATEA_25 | Default |
| 408 | PLATEA_25 | Default |
| 409 | PLATEA_25 | Default |
| 410 | PLATEA_25 | Default |
| 411 | PLATEA_25 | Default |
| 412 | PLATEA_25 | Default |
| 413 | PLATEA_25 | Default |

Table 3: Area Section Assignments

| Area | Section | MatProp |
|------|-----------|---------|
| 414 | PLATEA_25 | Default |
| 415 | PLATEA_25 | Default |
| 416 | PLATEA_25 | Default |
| 417 | PLATEA_25 | Default |
| 418 | PLATEA_25 | Default |
| 419 | PLATEA_25 | Default |
| 420 | PLATEA_25 | Default |
| 421 | PLATEA_25 | Default |
| 422 | PLATEA_25 | Default |
| 423 | PLATEA_25 | Default |
| 424 | PLATEA_25 | Default |
| 425 | PLATEA_25 | Default |
| 426 | PLATEA_25 | Default |
| 427 | PLATEA_25 | Default |
| 428 | PLATEA_25 | Default |
| 429 | PLATEA_25 | Default |
| 430 | PLATEA_25 | Default |
| 431 | PLATEA_25 | Default |
| 432 | PLATEA_25 | Default |
| 433 | PLATEA_25 | Default |
| 434 | PLATEA_25 | Default |
| 435 | PLATEA_25 | Default |
| 436 | PLATEA_25 | Default |
| 437 | PLATEA_25 | Default |
| 438 | PLATEA_25 | Default |
| 439 | PLATEA_25 | Default |
| 440 | PLATEA_25 | Default |

2. Material properties

This section provides material property information for materials used in the model.

Table 4: Material Properties 02 - Basic Mechanical Properties

| Table 4: Material Properties 02 - Basic Mechanical Properties | | | | | | |
|---|---------------------|----------------------|-----------------|-----------------|-----|------------|
| Material | UnitWeight KN/m3 | UnitMass KN-s2/m4 | E1 KN/m2 | G12 KN/m2 | U12 | A1 1/C |
| B450C | 7.6973E+01 | 7.8490E+00 | 210000000 | | | 1.1700E-05 |
| C28/35 | 2.4993E+01 | 2.5485E+00 | 32308000. | 13461666. 67 | 0.2 | 1.0000E-05 |
| S355 | 7.6973E+01 | 7.8490E+00 | 210000000 | 80769230. 77 | 0.3 | 1.1700E-05 |
| Tendon | 7.6973E+01 | 7.8490E+00 | 196500599 .9 | | | 1.1700E-05 |

Table 5: Material Properties 03a - Steel Data

| Table 5: Material Properties 03a - Steel Data | | | | |
|---|-------------|-------------|------------|-------------|
| Material | Fy KN/m2 | Fu KN/m2 | FinalSlope | CoupModType |
| S355 | 355000. | 510000. | -0.1 | Von Mises |

Table 6: Material Properties 03b - Concrete Data

| Table 6: Material Properties 03b - Concrete Data | | | | |
|--|-------------|--------------|------------|---------------------------------|
| Material | Fc KN/m2 | eFc KN/m2 | FinalSlope | CoupModType |
| C28/35 | 28000. | 28000. | -0.1 | Modified Darwin- Pecknold |

Table 7: Material Properties 03e - Rebar Data

Table 7: Material Properties 03e - Rebar Data

| Material | Fy | Fu | FinalSlope | CoupModType |
|----------|---------|---------|------------|-------------|
| | KN/m2 | KN/m2 | | |
| B450C | 450000. | 540000. | -0.1 | Von Mises |

Table 8: Material Properties 03f - Tendon Data

Table 8: Material Properties 03f - Tendon Data

| Material | Fy | Fu | FinalSlope | CoupModType |
|----------|------------|------------|------------|-------------|
| | KN/m2 | KN/m2 | | |
| Tendon | 1689905.16 | 1861584.63 | -0.1 | Von Mises |

3. Section properties

This section provides section property information for objects used in the model.

3.1. Frames

Table 9: Frame Section Properties 01 - General, Part 1 of 4

Table 9: Frame Section Properties 01 - General, Part 1 of 4

| SectionName | Material | Shape | t3 | t2 | S33Top | S33Bot | S22Left | S22Right | Area | TorsConst | I33 |
|-------------|----------|-------------|-----|-----|--------|--------|---------|----------|------|-----------|----------|
| | | | m | m | m3 | m3 | m3 | m3 | m2 | m4 | m4 |
| FSEC1 | S355 | Rectangular | 0.5 | 0.3 | 0.0125 | 0.0125 | 0.0075 | 0.0075 | 0.15 | 0.002817 | 0.003125 |

Table 9: Frame Section Properties 01 - General, Part 2 of 4

Table 9: Frame Section Properties 01 - General, Part 2 of 4

| SectionName | I22 | CGOffset3 | I23 | CGOffset2 | AS2 | AS3 |
|-------------|----------|-----------|-----|-----------|-------|-------|
| | m4 | m | m4 | m | m2 | m2 |
| FSEC1 | 0.001125 | 0. | 0. | 0. | 0.125 | 0.125 |

Table 9: Frame Section Properties 01 - General, Part 3 of 4

Table 9: Frame Section Properties 01 - General, Part 3 of 4

| SectionName | EccV3 | Cw | Z33 | Z22 | R33 | R22 |
|-------------|-------|----|---------|---------|----------|----------|
| | m | m6 | m3 | m3 | m | m |
| FSEC1 | 0. | 0. | 0.01875 | 0.01125 | 0.144338 | 0.086603 |

Table 9: Frame Section Properties 01 - General, Part 4 of 4

Table 9: Frame Section Properties 01 - General, Part 4 of 4

| SectionName | EccV2 | AMod | A2Mod | A3Mod | JMod | I2Mod | I3Mod | MMod | WMod |
|-------------|-------|------|-------|-------|------|-------|-------|------|------|
| | m | | | | | | | | |
| FSEC1 | 0. | 1. | 1. | 1. | 1. | 1. | 1. | 1. | 1. |

3.2. Areas

Table 10: Area Section Properties, Part 1 of 2

Table 10: Area Section Properties, Part 1 of 2

| Section | Material | AreaType | Type | DrillDOF | Thickness | BendThick | F11Mod | F22Mod | F12Mod | M11Mod |
|-----------|----------|----------|------------|----------|-----------|-----------|--------|--------|--------|--------|
| | | | | | m | m | | | | |
| PLATEA_25 | C28/35 | Shell | Shell-Thin | Yes | 0.25 | 0.25 | 1. | 1. | 1. | 1. |

Table 10: Area Section Properties, Part 2 of 2

Table 10: Area Section Properties, Part 2 of 2

| Section | M22Mod | M12Mod | V13Mod | V23Mod | MMod | WMod |
|-----------|--------|--------|--------|--------|------|------|
| PLATEA_25 | 1. | 1. | 1. | 1. | 1. | 1. |

3.3. Solids

Table 11: Solid Property Definitions

| Table 11: Solid Property Definitions | | | | |
|--------------------------------------|----------|----------------------|----------------------|----------------------|
| SolidProp | Material | MatAngleA Degrees | MatAngleB Degrees | MatAngleC Degrees |
| Solid1 | C28/35 | 0. | 0. | 0. |

4. Load patterns

This section provides loading information as applied to the model.

4.1. Definitions

Table 12: Load Pattern Definitions

| Table 12: Load Pattern Definitions | | | |
|------------------------------------|------------|------------|----------|
| LoadPat | DesignType | SelfWtMult | AutoLoad |
| DEAD | Dead | 1. | |
| G1_smistamento | Super Dead | 0. | |
| G2_smistamento | Super Dead | 0. | |
| Q_smistamento | Live | 0. | |
| Q_neve | Snow | 0. | |

5. Load cases

This section provides load case information.

5.1. Definitions

Table 13: Load Case Definitions

| Table 13: Load Case Definitions | | | | | | | |
|---------------------------------|-------------|-------------|-----------|----------|------------|-----------|----------------------|
| Case | Type | InitialCond | ModalCase | BaseCase | MassSource | DesActOpt | DesignAct |
| DEAD | LinStatic | Zero | | | | Prog Det | Non-Composite |
| MODAL | LinModal | Zero | | | | Prog Det | Other |
| G1_smistamento | LinStatic | Zero | | | | Prog Det | Long-Term Composite |
| G2_smistamento | LinStatic | Zero | | | | Prog Det | Long-Term Composite |
| Q_smistamento | LinStatic | Zero | | | | Prog Det | Short-Term Composite |
| Q_neve | LinStatic | Zero | | | | Prog Det | Short-Term Composite |
| SLU_01_SC | StagedConst | Zero | | | | Prog Det | Staged |
| SLU_02_SC | StagedConst | Zero | | | | Prog Det | Staged |
| SLE_01_CAR_S C | StagedConst | Zero | | | | Prog Det | Staged |
| SLE_02_CAR_S C | StagedConst | Zero | | | | Prog Det | Staged |
| SLE_01_FREQ_ SC | StagedConst | Zero | | | | Prog Det | Staged |
| SLE_02_FREQ_ SC | StagedConst | Zero | | | | Prog Det | Staged |
| SLE_01_QP_SC | StagedConst | Zero | | | | Prog Det | Staged |
| SLU_01_SNL | NonStatic | Zero | | | | Prog Det | Non-Composite |

5.2. Static case load assignments

Table 14: Case - Static 1 - Load Assignments

Table 14: Case - Static 1 - Load Assignments

| Case | LoadType | LoadName | LoadSF |
|----------------|--------------|----------------|--------|
| DEAD | Load pattern | DEAD | 1. |
| G1_smistamento | Load pattern | G1_smistamento | 1. |
| G2_smistamento | Load pattern | G2_smistamento | 1. |
| Q_smistamento | Load pattern | Q_smistamento | 1. |
| Q_neve | Load pattern | Q_neve | 1. |
| SLU_01_SNL | Load pattern | DEAD | 1.3 |
| SLU_01_SNL | Load pattern | G1_smistamento | 1.3 |
| SLU_01_SNL | Load pattern | G2_smistamento | 1.5 |
| SLU_01_SNL | Load pattern | Q_neve | 1.5 |
| SLU_01_SNL | Load pattern | Q_smistamento | 1.05 |

5.3. Response spectrum case load assignments

Table 15: Function - Response Spectrum - User

Table 15: Function - Response Spectrum - User

| Name | Period Sec | Accel | FuncDamp |
|--------|---------------|-------|----------|
| UNIFRS | 0. | 1. | 0.05 |
| UNIFRS | 1. | 1. | |

6. Structure results

This section provides structure results, including items such as structural periods and base reactions.

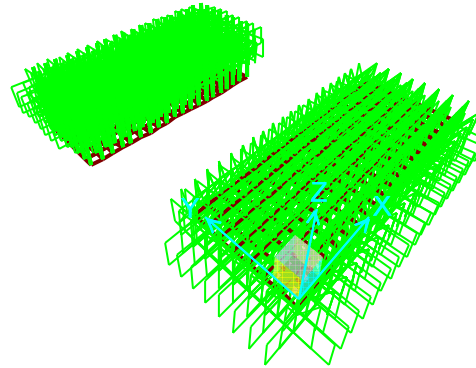


Figure 2: Deformed shape

6.1. Mass summary

Table 16: Assembled Joint Masses

| Table 16: Assembled Joint Masses | | | | | | | | | | | |
|----------------------------------|------------|-----------|-----------|-----------|---------|---------|---------|---------|---------|---------|----|
| Joint | MassSource | U1 | U2 | U3 | R1 | R2 | R3 | CenterX | CenterY | CenterZ | |
| | | KN-s2/m | KN-s2/m | KN-s2/m | KN-m-s2 | KN-m-s2 | KN-m-s2 | m | m | m | |
| 1 | MSSSRC1 | 3.982E-02 | 3.982E-02 | 3.982E-02 | 0. | 0. | 0. | 0. | 0. | 0. | 0. |
| 2 | MSSSRC1 | 3.982E-02 | 3.982E-02 | 3.982E-02 | 0. | 0. | 0. | 9.15 | 0. | 0. | 0. |
| 3 | MSSSRC1 | 3.982E-02 | 3.982E-02 | 3.982E-02 | 0. | 0. | 0. | 9.15 | 3.5 | 0. | 0. |
| 4 | MSSSRC1 | 3.982E-02 | 3.982E-02 | 3.982E-02 | 0. | 0. | 0. | 0. | 3.5 | 0. | 0. |
| 5 | MSSSRC1 | 0.16 | 0.16 | 0.16 | 0. | 0. | 0. | 0.5 | 3. | 0. | 0. |
| 6 | MSSSRC1 | 0.16 | 0.16 | 0.16 | 0. | 0. | 0. | 8.65 | 0.5 | 0. | 0. |
| 7 | MSSSRC1 | 3.982E-02 | 3.982E-02 | 3.982E-02 | 0. | 0. | 0. | 0. | 10. | 0. | 0. |
| 8 | MSSSRC1 | 7.800E-02 | 7.800E-02 | 7.800E-02 | 0. | 0. | 0. | 0.5 | 10. | 0. | 0. |
| 9 | MSSSRC1 | 0.16 | 0.16 | 0.16 | 0. | 0. | 0. | 0.5 | 10.5 | 0. | 0. |
| 10 | MSSSRC1 | 7.964E-02 | 7.964E-02 | 7.964E-02 | 0. | 0. | 0. | 0. | 10.5 | 0. | 0. |
| 11 | MSSSRC1 | 7.800E-02 | 7.800E-02 | 7.800E-02 | 0. | 0. | 0. | 8.65 | 10. | 0. | 0. |
| 12 | MSSSRC1 | 3.982E-02 | 3.982E-02 | 3.982E-02 | 0. | 0. | 0. | 9.15 | 10. | 0. | 0. |
| 13 | MSSSRC1 | 7.964E-02 | 7.964E-02 | 7.964E-02 | 0. | 0. | 0. | 9.15 | 10.5 | 0. | 0. |
| 14 | MSSSRC1 | 0.16 | 0.16 | 0.16 | 0. | 0. | 0. | 8.65 | 10.5 | 0. | 0. |
| 15 | MSSSRC1 | 7.964E-02 | 7.964E-02 | 7.964E-02 | 0. | 0. | 0. | 9.15 | 13. | 0. | 0. |
| 16 | MSSSRC1 | 3.982E-02 | 3.982E-02 | 3.982E-02 | 0. | 0. | 0. | 9.15 | 13.5 | 0. | 0. |

Table 16: Assembled Joint Masses

| Joint | MassSource | U1 | U2 | U3 | R1 | R2 | R3 | CenterX | CenterY | CenterZ |
|-------|------------|-----------|-----------|-----------|---------|---------|---------|---------|---------|---------|
| | | KN-s2/m | KN-s2/m | KN-s2/m | KN-m-s2 | KN-m-s2 | KN-m-s2 | m | m | m |
| 17 | MSSSRC1 | 7.800E-02 | 7.800E-02 | 7.800E-02 | 0. | 0. | 0. | 8.65 | 13.5 | 0. |
| 18 | MSSSRC1 | 0.16 | 0.16 | 0.16 | 0. | 0. | 0. | 8.65 | 13. | 0. |
| 19 | MSSSRC1 | 7.800E-02 | 7.800E-02 | 7.800E-02 | 0. | 0. | 0. | 0.5 | 13.5 | 0. |
| 20 | MSSSRC1 | 3.982E-02 | 3.982E-02 | 3.982E-02 | 0. | 0. | 0. | 0. | 13.5 | 0. |
| 21 | MSSSRC1 | 7.964E-02 | 7.964E-02 | 7.964E-02 | 0. | 0. | 0. | 0. | 13. | 0. |
| 22 | MSSSRC1 | 0.16 | 0.16 | 0.16 | 0. | 0. | 0. | 0.5 | 13. | 0. |
| 57 | MSSSRC1 | 7.800E-02 | 7.800E-02 | 7.800E-02 | 0. | 0. | 0. | 0.5 | 0. | 0. |
| 58 | MSSSRC1 | 0.16 | 0.16 | 0.16 | 0. | 0. | 0. | 0.5 | 0.5 | 0. |
| 59 | MSSSRC1 | 7.964E-02 | 7.964E-02 | 7.964E-02 | 0. | 0. | 0. | 0. | 0.5 | 0. |
| 60 | MSSSRC1 | 7.800E-02 | 7.800E-02 | 7.800E-02 | 0. | 0. | 0. | 8.65 | 0. | 0. |
| 61 | MSSSRC1 | 7.964E-02 | 7.964E-02 | 7.964E-02 | 0. | 0. | 0. | 9.15 | 0.5 | 0. |
| 62 | MSSSRC1 | 7.964E-02 | 7.964E-02 | 7.964E-02 | 0. | 0. | 0. | 9.15 | 3. | 0. |
| 63 | MSSSRC1 | 0.16 | 0.16 | 0.16 | 0. | 0. | 0. | 8.65 | 3. | 0. |
| 64 | MSSSRC1 | 7.800E-02 | 7.800E-02 | 7.800E-02 | 0. | 0. | 0. | 8.65 | 3.5 | 0. |
| 65 | MSSSRC1 | 7.800E-02 | 7.800E-02 | 7.800E-02 | 0. | 0. | 0. | 0.5 | 3.5 | 0. |
| 66 | MSSSRC1 | 7.964E-02 | 7.964E-02 | 7.964E-02 | 0. | 0. | 0. | 0. | 3. | 0. |
| 67 | MSSSRC1 | 7.636E-02 | 7.636E-02 | 7.636E-02 | 0. | 0. | 0. | 0.97941 | 0. | 0. |
| 68 | MSSSRC1 | 0.15 | 0.15 | 0.15 | 0. | 0. | 0. | 0.97941 | 0.5 | 0. |
| 69 | MSSSRC1 | 7.636E-02 | 7.636E-02 | 7.636E-02 | 0. | 0. | 0. | 1.45882 | 0. | 0. |
| 70 | MSSSRC1 | 0.15 | 0.15 | 0.15 | 0. | 0. | 0. | 1.45882 | 0.5 | 0. |
| 71 | MSSSRC1 | 7.636E-02 | 7.636E-02 | 7.636E-02 | 0. | 0. | 0. | 1.93824 | 0. | 0. |
| 72 | MSSSRC1 | 0.15 | 0.15 | 0.15 | 0. | 0. | 0. | 1.93824 | 0.5 | 0. |
| 73 | MSSSRC1 | 7.636E-02 | 7.636E-02 | 7.636E-02 | 0. | 0. | 0. | 2.41765 | 0. | 0. |
| 74 | MSSSRC1 | 0.15 | 0.15 | 0.15 | 0. | 0. | 0. | 2.41765 | 0.5 | 0. |
| 75 | MSSSRC1 | 7.636E-02 | 7.636E-02 | 7.636E-02 | 0. | 0. | 0. | 2.89706 | 0. | 0. |
| 76 | MSSSRC1 | 0.15 | 0.15 | 0.15 | 0. | 0. | 0. | 2.89706 | 0.5 | 0. |
| 77 | MSSSRC1 | 7.636E-02 | 7.636E-02 | 7.636E-02 | 0. | 0. | 0. | 3.37647 | 0. | 0. |
| 78 | MSSSRC1 | 0.15 | 0.15 | 0.15 | 0. | 0. | 0. | 3.37647 | 0.5 | 0. |
| 79 | MSSSRC1 | 7.636E-02 | 7.636E-02 | 7.636E-02 | 0. | 0. | 0. | 3.85588 | 0. | 0. |
| 80 | MSSSRC1 | 0.15 | 0.15 | 0.15 | 0. | 0. | 0. | 3.85588 | 0.5 | 0. |
| 81 | MSSSRC1 | 7.636E-02 | 7.636E-02 | 7.636E-02 | 0. | 0. | 0. | 4.33529 | 0. | 0. |
| 82 | MSSSRC1 | 0.15 | 0.15 | 0.15 | 0. | 0. | 0. | 4.33529 | 0.5 | 0. |
| 83 | MSSSRC1 | 7.636E-02 | 7.636E-02 | 7.636E-02 | 0. | 0. | 0. | 4.81471 | 0. | 0. |
| 84 | MSSSRC1 | 0.15 | 0.15 | 0.15 | 0. | 0. | 0. | 4.81471 | 0.5 | 0. |
| 85 | MSSSRC1 | 7.636E-02 | 7.636E-02 | 7.636E-02 | 0. | 0. | 0. | 5.29412 | 0. | 0. |
| 86 | MSSSRC1 | 0.15 | 0.15 | 0.15 | 0. | 0. | 0. | 5.29412 | 0.5 | 0. |
| 87 | MSSSRC1 | 7.636E-02 | 7.636E-02 | 7.636E-02 | 0. | 0. | 0. | 5.77353 | 0. | 0. |
| 88 | MSSSRC1 | 0.15 | 0.15 | 0.15 | 0. | 0. | 0. | 5.77353 | 0.5 | 0. |

Table 16: Assembled Joint Masses

| Joint | MassSource | U1 | U2 | U3 | R1 | R2 | R3 | CenterX | CenterY | CenterZ |
|-------|------------|-----------|-----------|-----------|---------|---------|---------|---------|---------|---------|
| | | KN-s2/m | KN-s2/m | KN-s2/m | KN-m-s2 | KN-m-s2 | KN-m-s2 | m | m | m |
| 89 | MSSSRC1 | 7.636E-02 | 7.636E-02 | 7.636E-02 | 0. | 0. | 0. | 6.25294 | 0. | 0. |
| 90 | MSSSRC1 | 0.15 | 0.15 | 0.15 | 0. | 0. | 0. | 6.25294 | 0.5 | 0. |
| 91 | MSSSRC1 | 7.636E-02 | 7.636E-02 | 7.636E-02 | 0. | 0. | 0. | 6.73235 | 0. | 0. |
| 92 | MSSSRC1 | 0.15 | 0.15 | 0.15 | 0. | 0. | 0. | 6.73235 | 0.5 | 0. |
| 93 | MSSSRC1 | 7.636E-02 | 7.636E-02 | 7.636E-02 | 0. | 0. | 0. | 7.21176 | 0. | 0. |
| 94 | MSSSRC1 | 0.15 | 0.15 | 0.15 | 0. | 0. | 0. | 7.21176 | 0.5 | 0. |
| 95 | MSSSRC1 | 7.636E-02 | 7.636E-02 | 7.636E-02 | 0. | 0. | 0. | 7.69118 | 0. | 0. |
| 96 | MSSSRC1 | 0.15 | 0.15 | 0.15 | 0. | 0. | 0. | 7.69118 | 0.5 | 0. |
| 97 | MSSSRC1 | 7.636E-02 | 7.636E-02 | 7.636E-02 | 0. | 0. | 0. | 8.17059 | 0. | 0. |
| 98 | MSSSRC1 | 0.15 | 0.15 | 0.15 | 0. | 0. | 0. | 8.17059 | 0.5 | 0. |
| 99 | MSSSRC1 | 7.964E-02 | 7.964E-02 | 7.964E-02 | 0. | 0. | 0. | 9.15 | 1. | 0. |
| 100 | MSSSRC1 | 0.16 | 0.16 | 0.16 | 0. | 0. | 0. | 8.65 | 1. | 0. |
| 101 | MSSSRC1 | 7.964E-02 | 7.964E-02 | 7.964E-02 | 0. | 0. | 0. | 9.15 | 1.5 | 0. |
| 102 | MSSSRC1 | 0.16 | 0.16 | 0.16 | 0. | 0. | 0. | 8.65 | 1.5 | 0. |
| 103 | MSSSRC1 | 7.964E-02 | 7.964E-02 | 7.964E-02 | 0. | 0. | 0. | 9.15 | 2. | 0. |
| 104 | MSSSRC1 | 0.16 | 0.16 | 0.16 | 0. | 0. | 0. | 8.65 | 2. | 0. |
| 105 | MSSSRC1 | 7.964E-02 | 7.964E-02 | 7.964E-02 | 0. | 0. | 0. | 9.15 | 2.5 | 0. |
| 106 | MSSSRC1 | 0.16 | 0.16 | 0.16 | 0. | 0. | 0. | 8.65 | 2.5 | 0. |
| 107 | MSSSRC1 | 7.636E-02 | 7.636E-02 | 7.636E-02 | 0. | 0. | 0. | 8.17059 | 3.5 | 0. |
| 108 | MSSSRC1 | 0.15 | 0.15 | 0.15 | 0. | 0. | 0. | 8.17059 | 3. | 0. |
| 109 | MSSSRC1 | 7.636E-02 | 7.636E-02 | 7.636E-02 | 0. | 0. | 0. | 7.69118 | 3.5 | 0. |
| 110 | MSSSRC1 | 0.15 | 0.15 | 0.15 | 0. | 0. | 0. | 7.69118 | 3. | 0. |
| 111 | MSSSRC1 | 7.636E-02 | 7.636E-02 | 7.636E-02 | 0. | 0. | 0. | 7.21176 | 3.5 | 0. |
| 112 | MSSSRC1 | 0.15 | 0.15 | 0.15 | 0. | 0. | 0. | 7.21176 | 3. | 0. |
| 113 | MSSSRC1 | 7.636E-02 | 7.636E-02 | 7.636E-02 | 0. | 0. | 0. | 6.73235 | 3.5 | 0. |
| 114 | MSSSRC1 | 0.15 | 0.15 | 0.15 | 0. | 0. | 0. | 6.73235 | 3. | 0. |
| 115 | MSSSRC1 | 7.636E-02 | 7.636E-02 | 7.636E-02 | 0. | 0. | 0. | 6.25294 | 3.5 | 0. |
| 116 | MSSSRC1 | 0.15 | 0.15 | 0.15 | 0. | 0. | 0. | 6.25294 | 3. | 0. |
| 117 | MSSSRC1 | 7.636E-02 | 7.636E-02 | 7.636E-02 | 0. | 0. | 0. | 5.77353 | 3.5 | 0. |
| 118 | MSSSRC1 | 0.15 | 0.15 | 0.15 | 0. | 0. | 0. | 5.77353 | 3. | 0. |
| 119 | MSSSRC1 | 7.636E-02 | 7.636E-02 | 7.636E-02 | 0. | 0. | 0. | 5.29412 | 3.5 | 0. |
| 120 | MSSSRC1 | 0.15 | 0.15 | 0.15 | 0. | 0. | 0. | 5.29412 | 3. | 0. |
| 121 | MSSSRC1 | 7.636E-02 | 7.636E-02 | 7.636E-02 | 0. | 0. | 0. | 4.81471 | 3.5 | 0. |
| 122 | MSSSRC1 | 0.15 | 0.15 | 0.15 | 0. | 0. | 0. | 4.81471 | 3. | 0. |
| 123 | MSSSRC1 | 7.636E-02 | 7.636E-02 | 7.636E-02 | 0. | 0. | 0. | 4.33529 | 3.5 | 0. |
| 124 | MSSSRC1 | 0.15 | 0.15 | 0.15 | 0. | 0. | 0. | 4.33529 | 3. | 0. |
| 125 | MSSSRC1 | 7.636E-02 | 7.636E-02 | 7.636E-02 | 0. | 0. | 0. | 3.85588 | 3.5 | 0. |
| 126 | MSSSRC1 | 0.15 | 0.15 | 0.15 | 0. | 0. | 0. | 3.85588 | 3. | 0. |

Table 16: Assembled Joint Masses

| Joint | MassSource | U1 | U2 | U3 | R1 | R2 | R3 | CenterX | CenterY | CenterZ |
|-------|------------|-----------|-----------|-----------|---------|---------|---------|---------|---------|---------|
| | | KN-s2/m | KN-s2/m | KN-s2/m | KN-m-s2 | KN-m-s2 | KN-m-s2 | m | m | m |
| 127 | MSSSRC1 | 7.636E-02 | 7.636E-02 | 7.636E-02 | 0. | 0. | 0. | 3.37647 | 3.5 | 0. |
| 128 | MSSSRC1 | 0.15 | 0.15 | 0.15 | 0. | 0. | 0. | 3.37647 | 3. | 0. |
| 129 | MSSSRC1 | 7.636E-02 | 7.636E-02 | 7.636E-02 | 0. | 0. | 0. | 2.89706 | 3.5 | 0. |
| 130 | MSSSRC1 | 0.15 | 0.15 | 0.15 | 0. | 0. | 0. | 2.89706 | 3. | 0. |
| 131 | MSSSRC1 | 7.636E-02 | 7.636E-02 | 7.636E-02 | 0. | 0. | 0. | 2.41765 | 3.5 | 0. |
| 132 | MSSSRC1 | 0.15 | 0.15 | 0.15 | 0. | 0. | 0. | 2.41765 | 3. | 0. |
| 133 | MSSSRC1 | 7.636E-02 | 7.636E-02 | 7.636E-02 | 0. | 0. | 0. | 1.93824 | 3.5 | 0. |
| 134 | MSSSRC1 | 0.15 | 0.15 | 0.15 | 0. | 0. | 0. | 1.93824 | 3. | 0. |
| 135 | MSSSRC1 | 7.636E-02 | 7.636E-02 | 7.636E-02 | 0. | 0. | 0. | 1.45882 | 3.5 | 0. |
| 136 | MSSSRC1 | 0.15 | 0.15 | 0.15 | 0. | 0. | 0. | 1.45882 | 3. | 0. |
| 137 | MSSSRC1 | 7.636E-02 | 7.636E-02 | 7.636E-02 | 0. | 0. | 0. | 0.97941 | 3.5 | 0. |
| 138 | MSSSRC1 | 0.15 | 0.15 | 0.15 | 0. | 0. | 0. | 0.97941 | 3. | 0. |
| 139 | MSSSRC1 | 7.964E-02 | 7.964E-02 | 7.964E-02 | 0. | 0. | 0. | 0. | 2.5 | 0. |
| 140 | MSSSRC1 | 0.16 | 0.16 | 0.16 | 0. | 0. | 0. | 0.5 | 2.5 | 0. |
| 141 | MSSSRC1 | 7.964E-02 | 7.964E-02 | 7.964E-02 | 0. | 0. | 0. | 0. | 2. | 0. |
| 142 | MSSSRC1 | 0.16 | 0.16 | 0.16 | 0. | 0. | 0. | 0.5 | 2. | 0. |
| 143 | MSSSRC1 | 7.964E-02 | 7.964E-02 | 7.964E-02 | 0. | 0. | 0. | 0. | 1.5 | 0. |
| 144 | MSSSRC1 | 0.16 | 0.16 | 0.16 | 0. | 0. | 0. | 0.5 | 1.5 | 0. |
| 145 | MSSSRC1 | 7.964E-02 | 7.964E-02 | 7.964E-02 | 0. | 0. | 0. | 0. | 1. | 0. |
| 146 | MSSSRC1 | 0.16 | 0.16 | 0.16 | 0. | 0. | 0. | 0.5 | 1. | 0. |
| 147 | MSSSRC1 | 0.15 | 0.15 | 0.15 | 0. | 0. | 0. | 0.97941 | 1. | 0. |
| 148 | MSSSRC1 | 0.15 | 0.15 | 0.15 | 0. | 0. | 0. | 0.97941 | 1.5 | 0. |
| 149 | MSSSRC1 | 0.15 | 0.15 | 0.15 | 0. | 0. | 0. | 0.97941 | 2. | 0. |
| 150 | MSSSRC1 | 0.15 | 0.15 | 0.15 | 0. | 0. | 0. | 0.97941 | 2.5 | 0. |
| 151 | MSSSRC1 | 0.15 | 0.15 | 0.15 | 0. | 0. | 0. | 1.45882 | 1. | 0. |
| 152 | MSSSRC1 | 0.15 | 0.15 | 0.15 | 0. | 0. | 0. | 1.45882 | 1.5 | 0. |
| 153 | MSSSRC1 | 0.15 | 0.15 | 0.15 | 0. | 0. | 0. | 1.45882 | 2. | 0. |
| 154 | MSSSRC1 | 0.15 | 0.15 | 0.15 | 0. | 0. | 0. | 1.45882 | 2.5 | 0. |
| 155 | MSSSRC1 | 0.15 | 0.15 | 0.15 | 0. | 0. | 0. | 1.93824 | 1. | 0. |
| 156 | MSSSRC1 | 0.15 | 0.15 | 0.15 | 0. | 0. | 0. | 1.93824 | 1.5 | 0. |
| 157 | MSSSRC1 | 0.15 | 0.15 | 0.15 | 0. | 0. | 0. | 1.93824 | 2. | 0. |
| 158 | MSSSRC1 | 0.15 | 0.15 | 0.15 | 0. | 0. | 0. | 1.93824 | 2.5 | 0. |
| 159 | MSSSRC1 | 0.15 | 0.15 | 0.15 | 0. | 0. | 0. | 2.41765 | 1. | 0. |
| 160 | MSSSRC1 | 0.15 | 0.15 | 0.15 | 0. | 0. | 0. | 2.41765 | 1.5 | 0. |
| 161 | MSSSRC1 | 0.15 | 0.15 | 0.15 | 0. | 0. | 0. | 2.41765 | 2. | 0. |
| 162 | MSSSRC1 | 0.15 | 0.15 | 0.15 | 0. | 0. | 0. | 2.41765 | 2.5 | 0. |
| 163 | MSSSRC1 | 0.15 | 0.15 | 0.15 | 0. | 0. | 0. | 2.89706 | 1. | 0. |
| 164 | MSSSRC1 | 0.15 | 0.15 | 0.15 | 0. | 0. | 0. | 2.89706 | 1.5 | 0. |

Table 16: Assembled Joint Masses

| Joint | MassSource | U1 | U2 | U3 | R1 | R2 | R3 | CenterX | CenterY | CenterZ |
|-------|------------|---------|---------|---------|---------|---------|---------|---------|---------|---------|
| | | KN-s2/m | KN-s2/m | KN-s2/m | KN-m-s2 | KN-m-s2 | KN-m-s2 | m | m | m |
| 165 | MSSSRC1 | 0.15 | 0.15 | 0.15 | 0. | 0. | 0. | 2.89706 | 2. | 0. |
| 166 | MSSSRC1 | 0.15 | 0.15 | 0.15 | 0. | 0. | 0. | 2.89706 | 2.5 | 0. |
| 167 | MSSSRC1 | 0.15 | 0.15 | 0.15 | 0. | 0. | 0. | 3.37647 | 1. | 0. |
| 168 | MSSSRC1 | 0.15 | 0.15 | 0.15 | 0. | 0. | 0. | 3.37647 | 1.5 | 0. |
| 169 | MSSSRC1 | 0.15 | 0.15 | 0.15 | 0. | 0. | 0. | 3.37647 | 2. | 0. |
| 170 | MSSSRC1 | 0.15 | 0.15 | 0.15 | 0. | 0. | 0. | 3.37647 | 2.5 | 0. |
| 171 | MSSSRC1 | 0.15 | 0.15 | 0.15 | 0. | 0. | 0. | 3.85588 | 1. | 0. |
| 172 | MSSSRC1 | 0.15 | 0.15 | 0.15 | 0. | 0. | 0. | 3.85588 | 1.5 | 0. |
| 173 | MSSSRC1 | 0.15 | 0.15 | 0.15 | 0. | 0. | 0. | 3.85588 | 2. | 0. |
| 174 | MSSSRC1 | 0.15 | 0.15 | 0.15 | 0. | 0. | 0. | 3.85588 | 2.5 | 0. |
| 175 | MSSSRC1 | 0.15 | 0.15 | 0.15 | 0. | 0. | 0. | 4.33529 | 1. | 0. |
| 176 | MSSSRC1 | 0.15 | 0.15 | 0.15 | 0. | 0. | 0. | 4.33529 | 1.5 | 0. |
| 177 | MSSSRC1 | 0.15 | 0.15 | 0.15 | 0. | 0. | 0. | 4.33529 | 2. | 0. |
| 178 | MSSSRC1 | 0.15 | 0.15 | 0.15 | 0. | 0. | 0. | 4.33529 | 2.5 | 0. |
| 179 | MSSSRC1 | 0.15 | 0.15 | 0.15 | 0. | 0. | 0. | 4.81471 | 1. | 0. |
| 180 | MSSSRC1 | 0.15 | 0.15 | 0.15 | 0. | 0. | 0. | 4.81471 | 1.5 | 0. |
| 181 | MSSSRC1 | 0.15 | 0.15 | 0.15 | 0. | 0. | 0. | 4.81471 | 2. | 0. |
| 182 | MSSSRC1 | 0.15 | 0.15 | 0.15 | 0. | 0. | 0. | 4.81471 | 2.5 | 0. |
| 183 | MSSSRC1 | 0.15 | 0.15 | 0.15 | 0. | 0. | 0. | 5.29412 | 1. | 0. |
| 184 | MSSSRC1 | 0.15 | 0.15 | 0.15 | 0. | 0. | 0. | 5.29412 | 1.5 | 0. |
| 185 | MSSSRC1 | 0.15 | 0.15 | 0.15 | 0. | 0. | 0. | 5.29412 | 2. | 0. |
| 186 | MSSSRC1 | 0.15 | 0.15 | 0.15 | 0. | 0. | 0. | 5.29412 | 2.5 | 0. |
| 187 | MSSSRC1 | 0.15 | 0.15 | 0.15 | 0. | 0. | 0. | 5.77353 | 1. | 0. |
| 188 | MSSSRC1 | 0.15 | 0.15 | 0.15 | 0. | 0. | 0. | 5.77353 | 1.5 | 0. |
| 189 | MSSSRC1 | 0.15 | 0.15 | 0.15 | 0. | 0. | 0. | 5.77353 | 2. | 0. |
| 190 | MSSSRC1 | 0.15 | 0.15 | 0.15 | 0. | 0. | 0. | 5.77353 | 2.5 | 0. |
| 191 | MSSSRC1 | 0.15 | 0.15 | 0.15 | 0. | 0. | 0. | 6.25294 | 1. | 0. |
| 192 | MSSSRC1 | 0.15 | 0.15 | 0.15 | 0. | 0. | 0. | 6.25294 | 1.5 | 0. |
| 193 | MSSSRC1 | 0.15 | 0.15 | 0.15 | 0. | 0. | 0. | 6.25294 | 2. | 0. |
| 194 | MSSSRC1 | 0.15 | 0.15 | 0.15 | 0. | 0. | 0. | 6.25294 | 2.5 | 0. |
| 195 | MSSSRC1 | 0.15 | 0.15 | 0.15 | 0. | 0. | 0. | 6.73235 | 1. | 0. |
| 196 | MSSSRC1 | 0.15 | 0.15 | 0.15 | 0. | 0. | 0. | 6.73235 | 1.5 | 0. |
| 197 | MSSSRC1 | 0.15 | 0.15 | 0.15 | 0. | 0. | 0. | 6.73235 | 2. | 0. |
| 198 | MSSSRC1 | 0.15 | 0.15 | 0.15 | 0. | 0. | 0. | 6.73235 | 2.5 | 0. |
| 199 | MSSSRC1 | 0.15 | 0.15 | 0.15 | 0. | 0. | 0. | 7.21176 | 1. | 0. |
| 200 | MSSSRC1 | 0.15 | 0.15 | 0.15 | 0. | 0. | 0. | 7.21176 | 1.5 | 0. |
| 201 | MSSSRC1 | 0.15 | 0.15 | 0.15 | 0. | 0. | 0. | 7.21176 | 2. | 0. |
| 202 | MSSSRC1 | 0.15 | 0.15 | 0.15 | 0. | 0. | 0. | 7.21176 | 2.5 | 0. |

Table 16: Assembled Joint Masses

| Joint | MassSource | U1 | U2 | U3 | R1 | R2 | R3 | CenterX | CenterY | CenterZ |
|-------|------------|-----------|-----------|-----------|---------|---------|---------|---------|---------|---------|
| | | KN-s2/m | KN-s2/m | KN-s2/m | KN-m-s2 | KN-m-s2 | KN-m-s2 | m | m | m |
| 203 | MSSSRC1 | 0.15 | 0.15 | 0.15 | 0. | 0. | 0. | 7.69118 | 1. | 0. |
| 204 | MSSSRC1 | 0.15 | 0.15 | 0.15 | 0. | 0. | 0. | 7.69118 | 1.5 | 0. |
| 205 | MSSSRC1 | 0.15 | 0.15 | 0.15 | 0. | 0. | 0. | 7.69118 | 2. | 0. |
| 206 | MSSSRC1 | 0.15 | 0.15 | 0.15 | 0. | 0. | 0. | 7.69118 | 2.5 | 0. |
| 207 | MSSSRC1 | 0.15 | 0.15 | 0.15 | 0. | 0. | 0. | 8.17059 | 1. | 0. |
| 208 | MSSSRC1 | 0.15 | 0.15 | 0.15 | 0. | 0. | 0. | 8.17059 | 1.5 | 0. |
| 209 | MSSSRC1 | 0.15 | 0.15 | 0.15 | 0. | 0. | 0. | 8.17059 | 2. | 0. |
| 210 | MSSSRC1 | 0.15 | 0.15 | 0.15 | 0. | 0. | 0. | 8.17059 | 2.5 | 0. |
| 211 | MSSSRC1 | 7.636E-02 | 7.636E-02 | 7.636E-02 | 0. | 0. | 0. | 0.97941 | 10. | 0. |
| 212 | MSSSRC1 | 0.15 | 0.15 | 0.15 | 0. | 0. | 0. | 0.97941 | 10.5 | 0. |
| 213 | MSSSRC1 | 7.636E-02 | 7.636E-02 | 7.636E-02 | 0. | 0. | 0. | 1.45882 | 10. | 0. |
| 214 | MSSSRC1 | 0.15 | 0.15 | 0.15 | 0. | 0. | 0. | 1.45882 | 10.5 | 0. |
| 215 | MSSSRC1 | 7.636E-02 | 7.636E-02 | 7.636E-02 | 0. | 0. | 0. | 1.93824 | 10. | 0. |
| 216 | MSSSRC1 | 0.15 | 0.15 | 0.15 | 0. | 0. | 0. | 1.93824 | 10.5 | 0. |
| 217 | MSSSRC1 | 7.636E-02 | 7.636E-02 | 7.636E-02 | 0. | 0. | 0. | 2.41765 | 10. | 0. |
| 218 | MSSSRC1 | 0.15 | 0.15 | 0.15 | 0. | 0. | 0. | 2.41765 | 10.5 | 0. |
| 219 | MSSSRC1 | 7.636E-02 | 7.636E-02 | 7.636E-02 | 0. | 0. | 0. | 2.89706 | 10. | 0. |
| 220 | MSSSRC1 | 0.15 | 0.15 | 0.15 | 0. | 0. | 0. | 2.89706 | 10.5 | 0. |
| 221 | MSSSRC1 | 7.636E-02 | 7.636E-02 | 7.636E-02 | 0. | 0. | 0. | 3.37647 | 10. | 0. |
| 222 | MSSSRC1 | 0.15 | 0.15 | 0.15 | 0. | 0. | 0. | 3.37647 | 10.5 | 0. |
| 223 | MSSSRC1 | 7.636E-02 | 7.636E-02 | 7.636E-02 | 0. | 0. | 0. | 3.85588 | 10. | 0. |
| 224 | MSSSRC1 | 0.15 | 0.15 | 0.15 | 0. | 0. | 0. | 3.85588 | 10.5 | 0. |
| 225 | MSSSRC1 | 7.636E-02 | 7.636E-02 | 7.636E-02 | 0. | 0. | 0. | 4.33529 | 10. | 0. |
| 226 | MSSSRC1 | 0.15 | 0.15 | 0.15 | 0. | 0. | 0. | 4.33529 | 10.5 | 0. |
| 227 | MSSSRC1 | 7.636E-02 | 7.636E-02 | 7.636E-02 | 0. | 0. | 0. | 4.81471 | 10. | 0. |
| 228 | MSSSRC1 | 0.15 | 0.15 | 0.15 | 0. | 0. | 0. | 4.81471 | 10.5 | 0. |
| 229 | MSSSRC1 | 7.636E-02 | 7.636E-02 | 7.636E-02 | 0. | 0. | 0. | 5.29412 | 10. | 0. |
| 230 | MSSSRC1 | 0.15 | 0.15 | 0.15 | 0. | 0. | 0. | 5.29412 | 10.5 | 0. |
| 231 | MSSSRC1 | 7.636E-02 | 7.636E-02 | 7.636E-02 | 0. | 0. | 0. | 5.77353 | 10. | 0. |
| 232 | MSSSRC1 | 0.15 | 0.15 | 0.15 | 0. | 0. | 0. | 5.77353 | 10.5 | 0. |
| 233 | MSSSRC1 | 7.636E-02 | 7.636E-02 | 7.636E-02 | 0. | 0. | 0. | 6.25294 | 10. | 0. |
| 234 | MSSSRC1 | 0.15 | 0.15 | 0.15 | 0. | 0. | 0. | 6.25294 | 10.5 | 0. |
| 235 | MSSSRC1 | 7.636E-02 | 7.636E-02 | 7.636E-02 | 0. | 0. | 0. | 6.73235 | 10. | 0. |
| 236 | MSSSRC1 | 0.15 | 0.15 | 0.15 | 0. | 0. | 0. | 6.73235 | 10.5 | 0. |
| 237 | MSSSRC1 | 7.636E-02 | 7.636E-02 | 7.636E-02 | 0. | 0. | 0. | 7.21176 | 10. | 0. |
| 238 | MSSSRC1 | 0.15 | 0.15 | 0.15 | 0. | 0. | 0. | 7.21176 | 10.5 | 0. |
| 239 | MSSSRC1 | 7.636E-02 | 7.636E-02 | 7.636E-02 | 0. | 0. | 0. | 7.69118 | 10. | 0. |
| 240 | MSSSRC1 | 0.15 | 0.15 | 0.15 | 0. | 0. | 0. | 7.69118 | 10.5 | 0. |

Table 16: Assembled Joint Masses

| Joint | MassSource | U1 | U2 | U3 | R1 | R2 | R3 | CenterX | CenterY | CenterZ |
|-------|------------|-----------|-----------|-----------|---------|---------|---------|---------|---------|---------|
| | | KN-s2/m | KN-s2/m | KN-s2/m | KN-m-s2 | KN-m-s2 | KN-m-s2 | m | m | m |
| 241 | MSSSRC1 | 7.636E-02 | 7.636E-02 | 7.636E-02 | 0. | 0. | 0. | 8.17059 | 10. | 0. |
| 242 | MSSSRC1 | 0.15 | 0.15 | 0.15 | 0. | 0. | 0. | 8.17059 | 10.5 | 0. |
| 243 | MSSSRC1 | 7.964E-02 | 7.964E-02 | 7.964E-02 | 0. | 0. | 0. | 9.15 | 11. | 0. |
| 244 | MSSSRC1 | 0.16 | 0.16 | 0.16 | 0. | 0. | 0. | 8.65 | 11. | 0. |
| 245 | MSSSRC1 | 7.964E-02 | 7.964E-02 | 7.964E-02 | 0. | 0. | 0. | 9.15 | 11.5 | 0. |
| 246 | MSSSRC1 | 0.16 | 0.16 | 0.16 | 0. | 0. | 0. | 8.65 | 11.5 | 0. |
| 247 | MSSSRC1 | 7.964E-02 | 7.964E-02 | 7.964E-02 | 0. | 0. | 0. | 9.15 | 12. | 0. |
| 248 | MSSSRC1 | 0.16 | 0.16 | 0.16 | 0. | 0. | 0. | 8.65 | 12. | 0. |
| 249 | MSSSRC1 | 7.964E-02 | 7.964E-02 | 7.964E-02 | 0. | 0. | 0. | 9.15 | 12.5 | 0. |
| 250 | MSSSRC1 | 0.16 | 0.16 | 0.16 | 0. | 0. | 0. | 8.65 | 12.5 | 0. |
| 251 | MSSSRC1 | 7.636E-02 | 7.636E-02 | 7.636E-02 | 0. | 0. | 0. | 8.17059 | 13.5 | 0. |
| 252 | MSSSRC1 | 0.15 | 0.15 | 0.15 | 0. | 0. | 0. | 8.17059 | 13. | 0. |
| 253 | MSSSRC1 | 7.636E-02 | 7.636E-02 | 7.636E-02 | 0. | 0. | 0. | 7.69118 | 13.5 | 0. |
| 254 | MSSSRC1 | 0.15 | 0.15 | 0.15 | 0. | 0. | 0. | 7.69118 | 13. | 0. |
| 255 | MSSSRC1 | 7.636E-02 | 7.636E-02 | 7.636E-02 | 0. | 0. | 0. | 7.21176 | 13.5 | 0. |
| 256 | MSSSRC1 | 0.15 | 0.15 | 0.15 | 0. | 0. | 0. | 7.21176 | 13. | 0. |
| 257 | MSSSRC1 | 7.636E-02 | 7.636E-02 | 7.636E-02 | 0. | 0. | 0. | 6.73235 | 13.5 | 0. |
| 258 | MSSSRC1 | 0.15 | 0.15 | 0.15 | 0. | 0. | 0. | 6.73235 | 13. | 0. |
| 259 | MSSSRC1 | 7.636E-02 | 7.636E-02 | 7.636E-02 | 0. | 0. | 0. | 6.25294 | 13.5 | 0. |
| 260 | MSSSRC1 | 0.15 | 0.15 | 0.15 | 0. | 0. | 0. | 6.25294 | 13. | 0. |
| 261 | MSSSRC1 | 7.636E-02 | 7.636E-02 | 7.636E-02 | 0. | 0. | 0. | 5.77353 | 13.5 | 0. |
| 262 | MSSSRC1 | 0.15 | 0.15 | 0.15 | 0. | 0. | 0. | 5.77353 | 13. | 0. |
| 263 | MSSSRC1 | 7.636E-02 | 7.636E-02 | 7.636E-02 | 0. | 0. | 0. | 5.29412 | 13.5 | 0. |
| 264 | MSSSRC1 | 0.15 | 0.15 | 0.15 | 0. | 0. | 0. | 5.29412 | 13. | 0. |
| 265 | MSSSRC1 | 7.636E-02 | 7.636E-02 | 7.636E-02 | 0. | 0. | 0. | 4.81471 | 13.5 | 0. |
| 266 | MSSSRC1 | 0.15 | 0.15 | 0.15 | 0. | 0. | 0. | 4.81471 | 13. | 0. |
| 267 | MSSSRC1 | 7.636E-02 | 7.636E-02 | 7.636E-02 | 0. | 0. | 0. | 4.33529 | 13.5 | 0. |
| 268 | MSSSRC1 | 0.15 | 0.15 | 0.15 | 0. | 0. | 0. | 4.33529 | 13. | 0. |
| 269 | MSSSRC1 | 7.636E-02 | 7.636E-02 | 7.636E-02 | 0. | 0. | 0. | 3.85588 | 13.5 | 0. |
| 270 | MSSSRC1 | 0.15 | 0.15 | 0.15 | 0. | 0. | 0. | 3.85588 | 13. | 0. |
| 271 | MSSSRC1 | 7.636E-02 | 7.636E-02 | 7.636E-02 | 0. | 0. | 0. | 3.37647 | 13.5 | 0. |
| 272 | MSSSRC1 | 0.15 | 0.15 | 0.15 | 0. | 0. | 0. | 3.37647 | 13. | 0. |
| 273 | MSSSRC1 | 7.636E-02 | 7.636E-02 | 7.636E-02 | 0. | 0. | 0. | 2.89706 | 13.5 | 0. |
| 274 | MSSSRC1 | 0.15 | 0.15 | 0.15 | 0. | 0. | 0. | 2.89706 | 13. | 0. |
| 275 | MSSSRC1 | 7.636E-02 | 7.636E-02 | 7.636E-02 | 0. | 0. | 0. | 2.41765 | 13.5 | 0. |
| 276 | MSSSRC1 | 0.15 | 0.15 | 0.15 | 0. | 0. | 0. | 2.41765 | 13. | 0. |
| 277 | MSSSRC1 | 7.636E-02 | 7.636E-02 | 7.636E-02 | 0. | 0. | 0. | 1.93824 | 13.5 | 0. |
| 278 | MSSSRC1 | 0.15 | 0.15 | 0.15 | 0. | 0. | 0. | 1.93824 | 13. | 0. |

Table 16: Assembled Joint Masses

| Joint | MassSource | U1 | U2 | U3 | R1 | R2 | R3 | CenterX | CenterY | CenterZ |
|-------|------------|-----------|-----------|-----------|---------|---------|---------|---------|---------|---------|
| | | KN-s2/m | KN-s2/m | KN-s2/m | KN-m-s2 | KN-m-s2 | KN-m-s2 | m | m | m |
| 279 | MSSSRC1 | 7.636E-02 | 7.636E-02 | 7.636E-02 | 0. | 0. | 0. | 1.45882 | 13.5 | 0. |
| 280 | MSSSRC1 | 0.15 | 0.15 | 0.15 | 0. | 0. | 0. | 1.45882 | 13. | 0. |
| 281 | MSSSRC1 | 7.636E-02 | 7.636E-02 | 7.636E-02 | 0. | 0. | 0. | 0.97941 | 13.5 | 0. |
| 282 | MSSSRC1 | 0.15 | 0.15 | 0.15 | 0. | 0. | 0. | 0.97941 | 13. | 0. |
| 283 | MSSSRC1 | 7.964E-02 | 7.964E-02 | 7.964E-02 | 0. | 0. | 0. | 0. | 12.5 | 0. |
| 284 | MSSSRC1 | 0.16 | 0.16 | 0.16 | 0. | 0. | 0. | 0.5 | 12.5 | 0. |
| 285 | MSSSRC1 | 7.964E-02 | 7.964E-02 | 7.964E-02 | 0. | 0. | 0. | 0. | 12. | 0. |
| 286 | MSSSRC1 | 0.16 | 0.16 | 0.16 | 0. | 0. | 0. | 0.5 | 12. | 0. |
| 287 | MSSSRC1 | 7.964E-02 | 7.964E-02 | 7.964E-02 | 0. | 0. | 0. | 0. | 11.5 | 0. |
| 288 | MSSSRC1 | 0.16 | 0.16 | 0.16 | 0. | 0. | 0. | 0.5 | 11.5 | 0. |
| 289 | MSSSRC1 | 7.964E-02 | 7.964E-02 | 7.964E-02 | 0. | 0. | 0. | 0. | 11. | 0. |
| 290 | MSSSRC1 | 0.16 | 0.16 | 0.16 | 0. | 0. | 0. | 0.5 | 11. | 0. |
| 291 | MSSSRC1 | 0.15 | 0.15 | 0.15 | 0. | 0. | 0. | 8.17059 | 12.5 | 0. |
| 292 | MSSSRC1 | 0.15 | 0.15 | 0.15 | 0. | 0. | 0. | 8.17059 | 12. | 0. |
| 293 | MSSSRC1 | 0.15 | 0.15 | 0.15 | 0. | 0. | 0. | 8.17059 | 11.5 | 0. |
| 294 | MSSSRC1 | 0.15 | 0.15 | 0.15 | 0. | 0. | 0. | 8.17059 | 11. | 0. |
| 295 | MSSSRC1 | 0.15 | 0.15 | 0.15 | 0. | 0. | 0. | 7.69118 | 12.5 | 0. |
| 296 | MSSSRC1 | 0.15 | 0.15 | 0.15 | 0. | 0. | 0. | 7.69118 | 12. | 0. |
| 297 | MSSSRC1 | 0.15 | 0.15 | 0.15 | 0. | 0. | 0. | 7.69118 | 11.5 | 0. |
| 298 | MSSSRC1 | 0.15 | 0.15 | 0.15 | 0. | 0. | 0. | 7.69118 | 11. | 0. |
| 299 | MSSSRC1 | 0.15 | 0.15 | 0.15 | 0. | 0. | 0. | 7.21176 | 12.5 | 0. |
| 300 | MSSSRC1 | 0.15 | 0.15 | 0.15 | 0. | 0. | 0. | 7.21176 | 12. | 0. |
| 301 | MSSSRC1 | 0.15 | 0.15 | 0.15 | 0. | 0. | 0. | 7.21176 | 11.5 | 0. |
| 302 | MSSSRC1 | 0.15 | 0.15 | 0.15 | 0. | 0. | 0. | 7.21176 | 11. | 0. |
| 303 | MSSSRC1 | 0.15 | 0.15 | 0.15 | 0. | 0. | 0. | 6.73235 | 12.5 | 0. |
| 304 | MSSSRC1 | 0.15 | 0.15 | 0.15 | 0. | 0. | 0. | 6.73235 | 12. | 0. |
| 305 | MSSSRC1 | 0.15 | 0.15 | 0.15 | 0. | 0. | 0. | 6.73235 | 11.5 | 0. |
| 306 | MSSSRC1 | 0.15 | 0.15 | 0.15 | 0. | 0. | 0. | 6.73235 | 11. | 0. |
| 307 | MSSSRC1 | 0.15 | 0.15 | 0.15 | 0. | 0. | 0. | 6.25294 | 12.5 | 0. |
| 308 | MSSSRC1 | 0.15 | 0.15 | 0.15 | 0. | 0. | 0. | 6.25294 | 12. | 0. |
| 309 | MSSSRC1 | 0.15 | 0.15 | 0.15 | 0. | 0. | 0. | 6.25294 | 11.5 | 0. |
| 310 | MSSSRC1 | 0.15 | 0.15 | 0.15 | 0. | 0. | 0. | 6.25294 | 11. | 0. |
| 311 | MSSSRC1 | 0.15 | 0.15 | 0.15 | 0. | 0. | 0. | 5.77353 | 12.5 | 0. |
| 312 | MSSSRC1 | 0.15 | 0.15 | 0.15 | 0. | 0. | 0. | 5.77353 | 12. | 0. |
| 313 | MSSSRC1 | 0.15 | 0.15 | 0.15 | 0. | 0. | 0. | 5.77353 | 11.5 | 0. |
| 314 | MSSSRC1 | 0.15 | 0.15 | 0.15 | 0. | 0. | 0. | 5.77353 | 11. | 0. |
| 315 | MSSSRC1 | 0.15 | 0.15 | 0.15 | 0. | 0. | 0. | 5.29412 | 12.5 | 0. |
| 316 | MSSSRC1 | 0.15 | 0.15 | 0.15 | 0. | 0. | 0. | 5.29412 | 12. | 0. |

Table 16: Assembled Joint Masses

| Joint | MassSource | U1 | U2 | U3 | R1 | R2 | R3 | CenterX | CenterY | CenterZ |
|-------|------------|---------|---------|---------|---------|---------|---------|---------|---------|---------|
| | | KN-s2/m | KN-s2/m | KN-s2/m | KN-m-s2 | KN-m-s2 | KN-m-s2 | m | m | m |
| 317 | MSSSRC1 | 0.15 | 0.15 | 0.15 | 0. | 0. | 0. | 5.29412 | 11.5 | 0. |
| 318 | MSSSRC1 | 0.15 | 0.15 | 0.15 | 0. | 0. | 0. | 5.29412 | 11. | 0. |
| 319 | MSSSRC1 | 0.15 | 0.15 | 0.15 | 0. | 0. | 0. | 4.81471 | 12.5 | 0. |
| 320 | MSSSRC1 | 0.15 | 0.15 | 0.15 | 0. | 0. | 0. | 4.81471 | 12. | 0. |
| 321 | MSSSRC1 | 0.15 | 0.15 | 0.15 | 0. | 0. | 0. | 4.81471 | 11.5 | 0. |
| 322 | MSSSRC1 | 0.15 | 0.15 | 0.15 | 0. | 0. | 0. | 4.81471 | 11. | 0. |
| 323 | MSSSRC1 | 0.15 | 0.15 | 0.15 | 0. | 0. | 0. | 4.33529 | 12.5 | 0. |
| 324 | MSSSRC1 | 0.15 | 0.15 | 0.15 | 0. | 0. | 0. | 4.33529 | 12. | 0. |
| 325 | MSSSRC1 | 0.15 | 0.15 | 0.15 | 0. | 0. | 0. | 4.33529 | 11.5 | 0. |
| 326 | MSSSRC1 | 0.15 | 0.15 | 0.15 | 0. | 0. | 0. | 4.33529 | 11. | 0. |
| 327 | MSSSRC1 | 0.15 | 0.15 | 0.15 | 0. | 0. | 0. | 3.85588 | 12.5 | 0. |
| 328 | MSSSRC1 | 0.15 | 0.15 | 0.15 | 0. | 0. | 0. | 3.85588 | 12. | 0. |
| 329 | MSSSRC1 | 0.15 | 0.15 | 0.15 | 0. | 0. | 0. | 3.85588 | 11.5 | 0. |
| 330 | MSSSRC1 | 0.15 | 0.15 | 0.15 | 0. | 0. | 0. | 3.85588 | 11. | 0. |
| 331 | MSSSRC1 | 0.15 | 0.15 | 0.15 | 0. | 0. | 0. | 3.37647 | 12.5 | 0. |
| 332 | MSSSRC1 | 0.15 | 0.15 | 0.15 | 0. | 0. | 0. | 3.37647 | 12. | 0. |
| 333 | MSSSRC1 | 0.15 | 0.15 | 0.15 | 0. | 0. | 0. | 3.37647 | 11.5 | 0. |
| 334 | MSSSRC1 | 0.15 | 0.15 | 0.15 | 0. | 0. | 0. | 3.37647 | 11. | 0. |
| 335 | MSSSRC1 | 0.15 | 0.15 | 0.15 | 0. | 0. | 0. | 2.89706 | 12.5 | 0. |
| 336 | MSSSRC1 | 0.15 | 0.15 | 0.15 | 0. | 0. | 0. | 2.89706 | 12. | 0. |
| 337 | MSSSRC1 | 0.15 | 0.15 | 0.15 | 0. | 0. | 0. | 2.89706 | 11.5 | 0. |
| 338 | MSSSRC1 | 0.15 | 0.15 | 0.15 | 0. | 0. | 0. | 2.89706 | 11. | 0. |
| 339 | MSSSRC1 | 0.15 | 0.15 | 0.15 | 0. | 0. | 0. | 2.41765 | 12.5 | 0. |
| 340 | MSSSRC1 | 0.15 | 0.15 | 0.15 | 0. | 0. | 0. | 2.41765 | 12. | 0. |
| 341 | MSSSRC1 | 0.15 | 0.15 | 0.15 | 0. | 0. | 0. | 2.41765 | 11.5 | 0. |
| 342 | MSSSRC1 | 0.15 | 0.15 | 0.15 | 0. | 0. | 0. | 2.41765 | 11. | 0. |
| 343 | MSSSRC1 | 0.15 | 0.15 | 0.15 | 0. | 0. | 0. | 1.93824 | 12.5 | 0. |
| 344 | MSSSRC1 | 0.15 | 0.15 | 0.15 | 0. | 0. | 0. | 1.93824 | 12. | 0. |
| 345 | MSSSRC1 | 0.15 | 0.15 | 0.15 | 0. | 0. | 0. | 1.93824 | 11.5 | 0. |
| 346 | MSSSRC1 | 0.15 | 0.15 | 0.15 | 0. | 0. | 0. | 1.93824 | 11. | 0. |
| 347 | MSSSRC1 | 0.15 | 0.15 | 0.15 | 0. | 0. | 0. | 1.45882 | 12.5 | 0. |
| 348 | MSSSRC1 | 0.15 | 0.15 | 0.15 | 0. | 0. | 0. | 1.45882 | 12. | 0. |
| 349 | MSSSRC1 | 0.15 | 0.15 | 0.15 | 0. | 0. | 0. | 1.45882 | 11.5 | 0. |
| 350 | MSSSRC1 | 0.15 | 0.15 | 0.15 | 0. | 0. | 0. | 1.45882 | 11. | 0. |
| 351 | MSSSRC1 | 0.15 | 0.15 | 0.15 | 0. | 0. | 0. | 0.97941 | 12.5 | 0. |
| 352 | MSSSRC1 | 0.15 | 0.15 | 0.15 | 0. | 0. | 0. | 0.97941 | 12. | 0. |
| 353 | MSSSRC1 | 0.15 | 0.15 | 0.15 | 0. | 0. | 0. | 0.97941 | 11.5 | 0. |
| 354 | MSSSRC1 | 0.15 | 0.15 | 0.15 | 0. | 0. | 0. | 0.97941 | 11. | 0. |

Table 16: Assembled Joint Masses

| Joint | MassSource | U1 | U2 | U3 | R1 | R2 | R3 | CenterX | CenterY | CenterZ |
|----------|------------|---------|---------|---------|---------|---------|---------|---------|---------|---------|
| | | KN-s2/m | KN-s2/m | KN-s2/m | KN-m-s2 | KN-m-s2 | KN-m-s2 | m | m | m |
| 10~Link | MSSSRC1 | 0. | 0. | 0. | 0. | 0. | 0. | 0. | 10.5 | 0. |
| 7~Link | MSSSRC1 | 0. | 0. | 0. | 0. | 0. | 0. | 0. | 10. | 0. |
| 8~Link | MSSSRC1 | 0. | 0. | 0. | 0. | 0. | 0. | 0.5 | 10. | 0. |
| 11~Link | MSSSRC1 | 0. | 0. | 0. | 0. | 0. | 0. | 8.65 | 10. | 0. |
| 12~Link | MSSSRC1 | 0. | 0. | 0. | 0. | 0. | 0. | 9.15 | 10. | 0. |
| 13~Link | MSSSRC1 | 0. | 0. | 0. | 0. | 0. | 0. | 9.15 | 10.5 | 0. |
| 15~Link | MSSSRC1 | 0. | 0. | 0. | 0. | 0. | 0. | 9.15 | 13. | 0. |
| 16~Link | MSSSRC1 | 0. | 0. | 0. | 0. | 0. | 0. | 9.15 | 13.5 | 0. |
| 17~Link | MSSSRC1 | 0. | 0. | 0. | 0. | 0. | 0. | 8.65 | 13.5 | 0. |
| 19~Link | MSSSRC1 | 0. | 0. | 0. | 0. | 0. | 0. | 0.5 | 13.5 | 0. |
| 20~Link | MSSSRC1 | 0. | 0. | 0. | 0. | 0. | 0. | 0. | 13.5 | 0. |
| 21~Link | MSSSRC1 | 0. | 0. | 0. | 0. | 0. | 0. | 0. | 13. | 0. |
| 9~Link | MSSSRC1 | 0. | 0. | 0. | 0. | 0. | 0. | 0.5 | 10.5 | 0. |
| 14~Link | MSSSRC1 | 0. | 0. | 0. | 0. | 0. | 0. | 8.65 | 10.5 | 0. |
| 18~Link | MSSSRC1 | 0. | 0. | 0. | 0. | 0. | 0. | 8.65 | 13. | 0. |
| 22~Link | MSSSRC1 | 0. | 0. | 0. | 0. | 0. | 0. | 0.5 | 13. | 0. |
| 211~Link | MSSSRC1 | 0. | 0. | 0. | 0. | 0. | 0. | 0.97941 | 10. | 0. |
| 213~Link | MSSSRC1 | 0. | 0. | 0. | 0. | 0. | 0. | 1.45882 | 10. | 0. |
| 215~Link | MSSSRC1 | 0. | 0. | 0. | 0. | 0. | 0. | 1.93824 | 10. | 0. |
| 217~Link | MSSSRC1 | 0. | 0. | 0. | 0. | 0. | 0. | 2.41765 | 10. | 0. |
| 219~Link | MSSSRC1 | 0. | 0. | 0. | 0. | 0. | 0. | 2.89706 | 10. | 0. |
| 221~Link | MSSSRC1 | 0. | 0. | 0. | 0. | 0. | 0. | 3.37647 | 10. | 0. |
| 223~Link | MSSSRC1 | 0. | 0. | 0. | 0. | 0. | 0. | 3.85588 | 10. | 0. |
| 225~Link | MSSSRC1 | 0. | 0. | 0. | 0. | 0. | 0. | 4.33529 | 10. | 0. |
| 227~Link | MSSSRC1 | 0. | 0. | 0. | 0. | 0. | 0. | 4.81471 | 10. | 0. |
| 229~Link | MSSSRC1 | 0. | 0. | 0. | 0. | 0. | 0. | 5.29412 | 10. | 0. |
| 231~Link | MSSSRC1 | 0. | 0. | 0. | 0. | 0. | 0. | 5.77353 | 10. | 0. |
| 233~Link | MSSSRC1 | 0. | 0. | 0. | 0. | 0. | 0. | 6.25294 | 10. | 0. |
| 235~Link | MSSSRC1 | 0. | 0. | 0. | 0. | 0. | 0. | 6.73235 | 10. | 0. |
| 237~Link | MSSSRC1 | 0. | 0. | 0. | 0. | 0. | 0. | 7.21176 | 10. | 0. |
| 239~Link | MSSSRC1 | 0. | 0. | 0. | 0. | 0. | 0. | 7.69118 | 10. | 0. |
| 241~Link | MSSSRC1 | 0. | 0. | 0. | 0. | 0. | 0. | 8.17059 | 10. | 0. |
| 212~Link | MSSSRC1 | 0. | 0. | 0. | 0. | 0. | 0. | 0.97941 | 10.5 | 0. |
| 214~Link | MSSSRC1 | 0. | 0. | 0. | 0. | 0. | 0. | 1.45882 | 10.5 | 0. |
| 216~Link | MSSSRC1 | 0. | 0. | 0. | 0. | 0. | 0. | 1.93824 | 10.5 | 0. |
| 218~Link | MSSSRC1 | 0. | 0. | 0. | 0. | 0. | 0. | 2.41765 | 10.5 | 0. |
| 220~Link | MSSSRC1 | 0. | 0. | 0. | 0. | 0. | 0. | 2.89706 | 10.5 | 0. |
| 222~Link | MSSSRC1 | 0. | 0. | 0. | 0. | 0. | 0. | 3.37647 | 10.5 | 0. |

Table 16: Assembled Joint Masses

| Joint | MassSource | U1 | U2 | U3 | R1 | R2 | R3 | CenterX | CenterY | CenterZ |
|----------|------------|---------|---------|---------|---------|---------|---------|---------|---------|---------|
| | | KN-s2/m | KN-s2/m | KN-s2/m | KN-m-s2 | KN-m-s2 | KN-m-s2 | m | m | m |
| 224~Link | MSSSRC1 | 0. | 0. | 0. | 0. | 0. | 0. | 3.85588 | 10.5 | 0. |
| 226~Link | MSSSRC1 | 0. | 0. | 0. | 0. | 0. | 0. | 4.33529 | 10.5 | 0. |
| 228~Link | MSSSRC1 | 0. | 0. | 0. | 0. | 0. | 0. | 4.81471 | 10.5 | 0. |
| 230~Link | MSSSRC1 | 0. | 0. | 0. | 0. | 0. | 0. | 5.29412 | 10.5 | 0. |
| 232~Link | MSSSRC1 | 0. | 0. | 0. | 0. | 0. | 0. | 5.77353 | 10.5 | 0. |
| 234~Link | MSSSRC1 | 0. | 0. | 0. | 0. | 0. | 0. | 6.25294 | 10.5 | 0. |
| 236~Link | MSSSRC1 | 0. | 0. | 0. | 0. | 0. | 0. | 6.73235 | 10.5 | 0. |
| 238~Link | MSSSRC1 | 0. | 0. | 0. | 0. | 0. | 0. | 7.21176 | 10.5 | 0. |
| 240~Link | MSSSRC1 | 0. | 0. | 0. | 0. | 0. | 0. | 7.69118 | 10.5 | 0. |
| 242~Link | MSSSRC1 | 0. | 0. | 0. | 0. | 0. | 0. | 8.17059 | 10.5 | 0. |
| 243~Link | MSSSRC1 | 0. | 0. | 0. | 0. | 0. | 0. | 9.15 | 11. | 0. |
| 245~Link | MSSSRC1 | 0. | 0. | 0. | 0. | 0. | 0. | 9.15 | 11.5 | 0. |
| 247~Link | MSSSRC1 | 0. | 0. | 0. | 0. | 0. | 0. | 9.15 | 12. | 0. |
| 249~Link | MSSSRC1 | 0. | 0. | 0. | 0. | 0. | 0. | 9.15 | 12.5 | 0. |
| 244~Link | MSSSRC1 | 0. | 0. | 0. | 0. | 0. | 0. | 8.65 | 11. | 0. |
| 246~Link | MSSSRC1 | 0. | 0. | 0. | 0. | 0. | 0. | 8.65 | 11.5 | 0. |
| 248~Link | MSSSRC1 | 0. | 0. | 0. | 0. | 0. | 0. | 8.65 | 12. | 0. |
| 250~Link | MSSSRC1 | 0. | 0. | 0. | 0. | 0. | 0. | 8.65 | 12.5 | 0. |
| 251~Link | MSSSRC1 | 0. | 0. | 0. | 0. | 0. | 0. | 8.17059 | 13.5 | 0. |
| 253~Link | MSSSRC1 | 0. | 0. | 0. | 0. | 0. | 0. | 7.69118 | 13.5 | 0. |
| 255~Link | MSSSRC1 | 0. | 0. | 0. | 0. | 0. | 0. | 7.21176 | 13.5 | 0. |
| 257~Link | MSSSRC1 | 0. | 0. | 0. | 0. | 0. | 0. | 6.73235 | 13.5 | 0. |
| 259~Link | MSSSRC1 | 0. | 0. | 0. | 0. | 0. | 0. | 6.25294 | 13.5 | 0. |
| 261~Link | MSSSRC1 | 0. | 0. | 0. | 0. | 0. | 0. | 5.77353 | 13.5 | 0. |
| 263~Link | MSSSRC1 | 0. | 0. | 0. | 0. | 0. | 0. | 5.29412 | 13.5 | 0. |
| 265~Link | MSSSRC1 | 0. | 0. | 0. | 0. | 0. | 0. | 4.81471 | 13.5 | 0. |
| 267~Link | MSSSRC1 | 0. | 0. | 0. | 0. | 0. | 0. | 4.33529 | 13.5 | 0. |
| 269~Link | MSSSRC1 | 0. | 0. | 0. | 0. | 0. | 0. | 3.85588 | 13.5 | 0. |
| 271~Link | MSSSRC1 | 0. | 0. | 0. | 0. | 0. | 0. | 3.37647 | 13.5 | 0. |
| 273~Link | MSSSRC1 | 0. | 0. | 0. | 0. | 0. | 0. | 2.89706 | 13.5 | 0. |
| 275~Link | MSSSRC1 | 0. | 0. | 0. | 0. | 0. | 0. | 2.41765 | 13.5 | 0. |
| 277~Link | MSSSRC1 | 0. | 0. | 0. | 0. | 0. | 0. | 1.93824 | 13.5 | 0. |
| 279~Link | MSSSRC1 | 0. | 0. | 0. | 0. | 0. | 0. | 1.45882 | 13.5 | 0. |
| 281~Link | MSSSRC1 | 0. | 0. | 0. | 0. | 0. | 0. | 0.97941 | 13.5 | 0. |
| 252~Link | MSSSRC1 | 0. | 0. | 0. | 0. | 0. | 0. | 8.17059 | 13. | 0. |
| 254~Link | MSSSRC1 | 0. | 0. | 0. | 0. | 0. | 0. | 7.69118 | 13. | 0. |
| 256~Link | MSSSRC1 | 0. | 0. | 0. | 0. | 0. | 0. | 7.21176 | 13. | 0. |
| 258~Link | MSSSRC1 | 0. | 0. | 0. | 0. | 0. | 0. | 6.73235 | 13. | 0. |

Table 16: Assembled Joint Masses

| Joint | MassSource | U1 | U2 | U3 | R1 | R2 | R3 | CenterX | CenterY | CenterZ |
|----------|------------|---------|---------|---------|---------|---------|---------|---------|---------|---------|
| | | KN-s2/m | KN-s2/m | KN-s2/m | KN-m-s2 | KN-m-s2 | KN-m-s2 | m | m | m |
| 260~Link | MSSSRC1 | 0. | 0. | 0. | 0. | 0. | 0. | 6.25294 | 13. | 0. |
| 262~Link | MSSSRC1 | 0. | 0. | 0. | 0. | 0. | 0. | 5.77353 | 13. | 0. |
| 264~Link | MSSSRC1 | 0. | 0. | 0. | 0. | 0. | 0. | 5.29412 | 13. | 0. |
| 266~Link | MSSSRC1 | 0. | 0. | 0. | 0. | 0. | 0. | 4.81471 | 13. | 0. |
| 268~Link | MSSSRC1 | 0. | 0. | 0. | 0. | 0. | 0. | 4.33529 | 13. | 0. |
| 270~Link | MSSSRC1 | 0. | 0. | 0. | 0. | 0. | 0. | 3.85588 | 13. | 0. |
| 272~Link | MSSSRC1 | 0. | 0. | 0. | 0. | 0. | 0. | 3.37647 | 13. | 0. |
| 274~Link | MSSSRC1 | 0. | 0. | 0. | 0. | 0. | 0. | 2.89706 | 13. | 0. |
| 276~Link | MSSSRC1 | 0. | 0. | 0. | 0. | 0. | 0. | 2.41765 | 13. | 0. |
| 278~Link | MSSSRC1 | 0. | 0. | 0. | 0. | 0. | 0. | 1.93824 | 13. | 0. |
| 280~Link | MSSSRC1 | 0. | 0. | 0. | 0. | 0. | 0. | 1.45882 | 13. | 0. |
| 282~Link | MSSSRC1 | 0. | 0. | 0. | 0. | 0. | 0. | 0.97941 | 13. | 0. |
| 283~Link | MSSSRC1 | 0. | 0. | 0. | 0. | 0. | 0. | 0. | 12.5 | 0. |
| 285~Link | MSSSRC1 | 0. | 0. | 0. | 0. | 0. | 0. | 0. | 12. | 0. |
| 287~Link | MSSSRC1 | 0. | 0. | 0. | 0. | 0. | 0. | 0. | 11.5 | 0. |
| 289~Link | MSSSRC1 | 0. | 0. | 0. | 0. | 0. | 0. | 0. | 11. | 0. |
| 284~Link | MSSSRC1 | 0. | 0. | 0. | 0. | 0. | 0. | 0.5 | 12.5 | 0. |
| 286~Link | MSSSRC1 | 0. | 0. | 0. | 0. | 0. | 0. | 0.5 | 12. | 0. |
| 288~Link | MSSSRC1 | 0. | 0. | 0. | 0. | 0. | 0. | 0.5 | 11.5 | 0. |
| 290~Link | MSSSRC1 | 0. | 0. | 0. | 0. | 0. | 0. | 0.5 | 11. | 0. |
| 291~Link | MSSSRC1 | 0. | 0. | 0. | 0. | 0. | 0. | 8.17059 | 12.5 | 0. |
| 292~Link | MSSSRC1 | 0. | 0. | 0. | 0. | 0. | 0. | 8.17059 | 12. | 0. |
| 293~Link | MSSSRC1 | 0. | 0. | 0. | 0. | 0. | 0. | 8.17059 | 11.5 | 0. |
| 294~Link | MSSSRC1 | 0. | 0. | 0. | 0. | 0. | 0. | 8.17059 | 11. | 0. |
| 295~Link | MSSSRC1 | 0. | 0. | 0. | 0. | 0. | 0. | 7.69118 | 12.5 | 0. |
| 296~Link | MSSSRC1 | 0. | 0. | 0. | 0. | 0. | 0. | 7.69118 | 12. | 0. |
| 297~Link | MSSSRC1 | 0. | 0. | 0. | 0. | 0. | 0. | 7.69118 | 11.5 | 0. |
| 298~Link | MSSSRC1 | 0. | 0. | 0. | 0. | 0. | 0. | 7.69118 | 11. | 0. |
| 299~Link | MSSSRC1 | 0. | 0. | 0. | 0. | 0. | 0. | 7.21176 | 12.5 | 0. |
| 300~Link | MSSSRC1 | 0. | 0. | 0. | 0. | 0. | 0. | 7.21176 | 12. | 0. |
| 301~Link | MSSSRC1 | 0. | 0. | 0. | 0. | 0. | 0. | 7.21176 | 11.5 | 0. |
| 302~Link | MSSSRC1 | 0. | 0. | 0. | 0. | 0. | 0. | 7.21176 | 11. | 0. |
| 303~Link | MSSSRC1 | 0. | 0. | 0. | 0. | 0. | 0. | 6.73235 | 12.5 | 0. |
| 304~Link | MSSSRC1 | 0. | 0. | 0. | 0. | 0. | 0. | 6.73235 | 12. | 0. |
| 305~Link | MSSSRC1 | 0. | 0. | 0. | 0. | 0. | 0. | 6.73235 | 11.5 | 0. |
| 306~Link | MSSSRC1 | 0. | 0. | 0. | 0. | 0. | 0. | 6.73235 | 11. | 0. |
| 307~Link | MSSSRC1 | 0. | 0. | 0. | 0. | 0. | 0. | 6.25294 | 12.5 | 0. |
| 308~Link | MSSSRC1 | 0. | 0. | 0. | 0. | 0. | 0. | 6.25294 | 12. | 0. |

Table 16: Assembled Joint Masses

| Joint | MassSource | U1 | U2 | U3 | R1 | R2 | R3 | CenterX | CenterY | CenterZ |
|----------|------------|---------|---------|---------|---------|---------|---------|---------|---------|---------|
| | | KN-s2/m | KN-s2/m | KN-s2/m | KN-m-s2 | KN-m-s2 | KN-m-s2 | m | m | m |
| 309~Link | MSSSRC1 | 0. | 0. | 0. | 0. | 0. | 0. | 6.25294 | 11.5 | 0. |
| 310~Link | MSSSRC1 | 0. | 0. | 0. | 0. | 0. | 0. | 6.25294 | 11. | 0. |
| 311~Link | MSSSRC1 | 0. | 0. | 0. | 0. | 0. | 0. | 5.77353 | 12.5 | 0. |
| 312~Link | MSSSRC1 | 0. | 0. | 0. | 0. | 0. | 0. | 5.77353 | 12. | 0. |
| 313~Link | MSSSRC1 | 0. | 0. | 0. | 0. | 0. | 0. | 5.77353 | 11.5 | 0. |
| 314~Link | MSSSRC1 | 0. | 0. | 0. | 0. | 0. | 0. | 5.77353 | 11. | 0. |
| 315~Link | MSSSRC1 | 0. | 0. | 0. | 0. | 0. | 0. | 5.29412 | 12.5 | 0. |
| 316~Link | MSSSRC1 | 0. | 0. | 0. | 0. | 0. | 0. | 5.29412 | 12. | 0. |
| 317~Link | MSSSRC1 | 0. | 0. | 0. | 0. | 0. | 0. | 5.29412 | 11.5 | 0. |
| 318~Link | MSSSRC1 | 0. | 0. | 0. | 0. | 0. | 0. | 5.29412 | 11. | 0. |
| 319~Link | MSSSRC1 | 0. | 0. | 0. | 0. | 0. | 0. | 4.81471 | 12.5 | 0. |
| 320~Link | MSSSRC1 | 0. | 0. | 0. | 0. | 0. | 0. | 4.81471 | 12. | 0. |
| 321~Link | MSSSRC1 | 0. | 0. | 0. | 0. | 0. | 0. | 4.81471 | 11.5 | 0. |
| 322~Link | MSSSRC1 | 0. | 0. | 0. | 0. | 0. | 0. | 4.81471 | 11. | 0. |
| 323~Link | MSSSRC1 | 0. | 0. | 0. | 0. | 0. | 0. | 4.33529 | 12.5 | 0. |
| 324~Link | MSSSRC1 | 0. | 0. | 0. | 0. | 0. | 0. | 4.33529 | 12. | 0. |
| 325~Link | MSSSRC1 | 0. | 0. | 0. | 0. | 0. | 0. | 4.33529 | 11.5 | 0. |
| 326~Link | MSSSRC1 | 0. | 0. | 0. | 0. | 0. | 0. | 4.33529 | 11. | 0. |
| 327~Link | MSSSRC1 | 0. | 0. | 0. | 0. | 0. | 0. | 3.85588 | 12.5 | 0. |
| 328~Link | MSSSRC1 | 0. | 0. | 0. | 0. | 0. | 0. | 3.85588 | 12. | 0. |
| 329~Link | MSSSRC1 | 0. | 0. | 0. | 0. | 0. | 0. | 3.85588 | 11.5 | 0. |
| 330~Link | MSSSRC1 | 0. | 0. | 0. | 0. | 0. | 0. | 3.85588 | 11. | 0. |
| 331~Link | MSSSRC1 | 0. | 0. | 0. | 0. | 0. | 0. | 3.37647 | 12.5 | 0. |
| 332~Link | MSSSRC1 | 0. | 0. | 0. | 0. | 0. | 0. | 3.37647 | 12. | 0. |
| 333~Link | MSSSRC1 | 0. | 0. | 0. | 0. | 0. | 0. | 3.37647 | 11.5 | 0. |
| 334~Link | MSSSRC1 | 0. | 0. | 0. | 0. | 0. | 0. | 3.37647 | 11. | 0. |
| 335~Link | MSSSRC1 | 0. | 0. | 0. | 0. | 0. | 0. | 2.89706 | 12.5 | 0. |
| 336~Link | MSSSRC1 | 0. | 0. | 0. | 0. | 0. | 0. | 2.89706 | 12. | 0. |
| 337~Link | MSSSRC1 | 0. | 0. | 0. | 0. | 0. | 0. | 2.89706 | 11.5 | 0. |
| 338~Link | MSSSRC1 | 0. | 0. | 0. | 0. | 0. | 0. | 2.89706 | 11. | 0. |
| 339~Link | MSSSRC1 | 0. | 0. | 0. | 0. | 0. | 0. | 2.41765 | 12.5 | 0. |
| 340~Link | MSSSRC1 | 0. | 0. | 0. | 0. | 0. | 0. | 2.41765 | 12. | 0. |
| 341~Link | MSSSRC1 | 0. | 0. | 0. | 0. | 0. | 0. | 2.41765 | 11.5 | 0. |
| 342~Link | MSSSRC1 | 0. | 0. | 0. | 0. | 0. | 0. | 2.41765 | 11. | 0. |
| 343~Link | MSSSRC1 | 0. | 0. | 0. | 0. | 0. | 0. | 1.93824 | 12.5 | 0. |
| 344~Link | MSSSRC1 | 0. | 0. | 0. | 0. | 0. | 0. | 1.93824 | 12. | 0. |
| 345~Link | MSSSRC1 | 0. | 0. | 0. | 0. | 0. | 0. | 1.93824 | 11.5 | 0. |
| 346~Link | MSSSRC1 | 0. | 0. | 0. | 0. | 0. | 0. | 1.93824 | 11. | 0. |

Table 16: Assembled Joint Masses

| Joint | MassSource | U1 | U2 | U3 | R1 | R2 | R3 | CenterX | CenterY | CenterZ |
|----------|------------|---------|---------|---------|---------|---------|---------|---------|---------|---------|
| | | KN-s2/m | KN-s2/m | KN-s2/m | KN-m-s2 | KN-m-s2 | KN-m-s2 | m | m | m |
| 347~Link | MSSSRC1 | 0. | 0. | 0. | 0. | 0. | 0. | 1.45882 | 12.5 | 0. |
| 348~Link | MSSSRC1 | 0. | 0. | 0. | 0. | 0. | 0. | 1.45882 | 12. | 0. |
| 349~Link | MSSSRC1 | 0. | 0. | 0. | 0. | 0. | 0. | 1.45882 | 11.5 | 0. |
| 350~Link | MSSSRC1 | 0. | 0. | 0. | 0. | 0. | 0. | 1.45882 | 11. | 0. |
| 351~Link | MSSSRC1 | 0. | 0. | 0. | 0. | 0. | 0. | 0.97941 | 12.5 | 0. |
| 352~Link | MSSSRC1 | 0. | 0. | 0. | 0. | 0. | 0. | 0.97941 | 12. | 0. |
| 353~Link | MSSSRC1 | 0. | 0. | 0. | 0. | 0. | 0. | 0.97941 | 11.5 | 0. |
| 354~Link | MSSSRC1 | 0. | 0. | 0. | 0. | 0. | 0. | 0.97941 | 11. | 0. |
| 59~Link | MSSSRC1 | 0. | 0. | 0. | 0. | 0. | 0. | 0. | 0.5 | 0. |
| 1~Link | MSSSRC1 | 0. | 0. | 0. | 0. | 0. | 0. | 0. | 0. | 0. |
| 57~Link | MSSSRC1 | 0. | 0. | 0. | 0. | 0. | 0. | 0.5 | 0. | 0. |
| 60~Link | MSSSRC1 | 0. | 0. | 0. | 0. | 0. | 0. | 8.65 | 0. | 0. |
| 2~Link | MSSSRC1 | 0. | 0. | 0. | 0. | 0. | 0. | 9.15 | 0. | 0. |
| 61~Link | MSSSRC1 | 0. | 0. | 0. | 0. | 0. | 0. | 9.15 | 0.5 | 0. |
| 62~Link | MSSSRC1 | 0. | 0. | 0. | 0. | 0. | 0. | 9.15 | 3. | 0. |
| 3~Link | MSSSRC1 | 0. | 0. | 0. | 0. | 0. | 0. | 9.15 | 3.5 | 0. |
| 64~Link | MSSSRC1 | 0. | 0. | 0. | 0. | 0. | 0. | 8.65 | 3.5 | 0. |
| 65~Link | MSSSRC1 | 0. | 0. | 0. | 0. | 0. | 0. | 0.5 | 3.5 | 0. |
| 4~Link | MSSSRC1 | 0. | 0. | 0. | 0. | 0. | 0. | 0. | 3.5 | 0. |
| 66~Link | MSSSRC1 | 0. | 0. | 0. | 0. | 0. | 0. | 0. | 3. | 0. |
| 67~Link | MSSSRC1 | 0. | 0. | 0. | 0. | 0. | 0. | 0.97941 | 0. | 0. |
| 69~Link | MSSSRC1 | 0. | 0. | 0. | 0. | 0. | 0. | 1.45882 | 0. | 0. |
| 71~Link | MSSSRC1 | 0. | 0. | 0. | 0. | 0. | 0. | 1.93824 | 0. | 0. |
| 73~Link | MSSSRC1 | 0. | 0. | 0. | 0. | 0. | 0. | 2.41765 | 0. | 0. |
| 75~Link | MSSSRC1 | 0. | 0. | 0. | 0. | 0. | 0. | 2.89706 | 0. | 0. |
| 77~Link | MSSSRC1 | 0. | 0. | 0. | 0. | 0. | 0. | 3.37647 | 0. | 0. |
| 79~Link | MSSSRC1 | 0. | 0. | 0. | 0. | 0. | 0. | 3.85588 | 0. | 0. |
| 81~Link | MSSSRC1 | 0. | 0. | 0. | 0. | 0. | 0. | 4.33529 | 0. | 0. |
| 83~Link | MSSSRC1 | 0. | 0. | 0. | 0. | 0. | 0. | 4.81471 | 0. | 0. |
| 85~Link | MSSSRC1 | 0. | 0. | 0. | 0. | 0. | 0. | 5.29412 | 0. | 0. |
| 87~Link | MSSSRC1 | 0. | 0. | 0. | 0. | 0. | 0. | 5.77353 | 0. | 0. |
| 89~Link | MSSSRC1 | 0. | 0. | 0. | 0. | 0. | 0. | 6.25294 | 0. | 0. |
| 91~Link | MSSSRC1 | 0. | 0. | 0. | 0. | 0. | 0. | 6.73235 | 0. | 0. |
| 93~Link | MSSSRC1 | 0. | 0. | 0. | 0. | 0. | 0. | 7.21176 | 0. | 0. |
| 95~Link | MSSSRC1 | 0. | 0. | 0. | 0. | 0. | 0. | 7.69118 | 0. | 0. |
| 97~Link | MSSSRC1 | 0. | 0. | 0. | 0. | 0. | 0. | 8.17059 | 0. | 0. |
| 99~Link | MSSSRC1 | 0. | 0. | 0. | 0. | 0. | 0. | 9.15 | 1. | 0. |
| 101~Link | MSSSRC1 | 0. | 0. | 0. | 0. | 0. | 0. | 9.15 | 1.5 | 0. |

Table 16: Assembled Joint Masses

| Joint | MassSource | U1 | U2 | U3 | R1 | R2 | R3 | CenterX | CenterY | CenterZ |
|----------|------------|---------|---------|---------|---------|---------|---------|---------|---------|---------|
| | | KN-s2/m | KN-s2/m | KN-s2/m | KN-m-s2 | KN-m-s2 | KN-m-s2 | m | m | m |
| 103~Link | MSSSRC1 | 0. | 0. | 0. | 0. | 0. | 0. | 9.15 | 2. | 0. |
| 105~Link | MSSSRC1 | 0. | 0. | 0. | 0. | 0. | 0. | 9.15 | 2.5 | 0. |
| 107~Link | MSSSRC1 | 0. | 0. | 0. | 0. | 0. | 0. | 8.17059 | 3.5 | 0. |
| 109~Link | MSSSRC1 | 0. | 0. | 0. | 0. | 0. | 0. | 7.69118 | 3.5 | 0. |
| 111~Link | MSSSRC1 | 0. | 0. | 0. | 0. | 0. | 0. | 7.21176 | 3.5 | 0. |
| 113~Link | MSSSRC1 | 0. | 0. | 0. | 0. | 0. | 0. | 6.73235 | 3.5 | 0. |
| 115~Link | MSSSRC1 | 0. | 0. | 0. | 0. | 0. | 0. | 6.25294 | 3.5 | 0. |
| 117~Link | MSSSRC1 | 0. | 0. | 0. | 0. | 0. | 0. | 5.77353 | 3.5 | 0. |
| 119~Link | MSSSRC1 | 0. | 0. | 0. | 0. | 0. | 0. | 5.29412 | 3.5 | 0. |
| 121~Link | MSSSRC1 | 0. | 0. | 0. | 0. | 0. | 0. | 4.81471 | 3.5 | 0. |
| 123~Link | MSSSRC1 | 0. | 0. | 0. | 0. | 0. | 0. | 4.33529 | 3.5 | 0. |
| 125~Link | MSSSRC1 | 0. | 0. | 0. | 0. | 0. | 0. | 3.85588 | 3.5 | 0. |
| 127~Link | MSSSRC1 | 0. | 0. | 0. | 0. | 0. | 0. | 3.37647 | 3.5 | 0. |
| 129~Link | MSSSRC1 | 0. | 0. | 0. | 0. | 0. | 0. | 2.89706 | 3.5 | 0. |
| 131~Link | MSSSRC1 | 0. | 0. | 0. | 0. | 0. | 0. | 2.41765 | 3.5 | 0. |
| 133~Link | MSSSRC1 | 0. | 0. | 0. | 0. | 0. | 0. | 1.93824 | 3.5 | 0. |
| 135~Link | MSSSRC1 | 0. | 0. | 0. | 0. | 0. | 0. | 1.45882 | 3.5 | 0. |
| 137~Link | MSSSRC1 | 0. | 0. | 0. | 0. | 0. | 0. | 0.97941 | 3.5 | 0. |
| 139~Link | MSSSRC1 | 0. | 0. | 0. | 0. | 0. | 0. | 0. | 2.5 | 0. |
| 141~Link | MSSSRC1 | 0. | 0. | 0. | 0. | 0. | 0. | 0. | 2. | 0. |
| 143~Link | MSSSRC1 | 0. | 0. | 0. | 0. | 0. | 0. | 0. | 1.5 | 0. |
| 145~Link | MSSSRC1 | 0. | 0. | 0. | 0. | 0. | 0. | 0. | 1. | 0. |
| 58~Link | MSSSRC1 | 0. | 0. | 0. | 0. | 0. | 0. | 0.5 | 0.5 | 0. |
| 6~Link | MSSSRC1 | 0. | 0. | 0. | 0. | 0. | 0. | 8.65 | 0.5 | 0. |
| 63~Link | MSSSRC1 | 0. | 0. | 0. | 0. | 0. | 0. | 8.65 | 3. | 0. |
| 5~Link | MSSSRC1 | 0. | 0. | 0. | 0. | 0. | 0. | 0.5 | 3. | 0. |
| 68~Link | MSSSRC1 | 0. | 0. | 0. | 0. | 0. | 0. | 0.97941 | 0.5 | 0. |
| 70~Link | MSSSRC1 | 0. | 0. | 0. | 0. | 0. | 0. | 1.45882 | 0.5 | 0. |
| 72~Link | MSSSRC1 | 0. | 0. | 0. | 0. | 0. | 0. | 1.93824 | 0.5 | 0. |
| 74~Link | MSSSRC1 | 0. | 0. | 0. | 0. | 0. | 0. | 2.41765 | 0.5 | 0. |
| 76~Link | MSSSRC1 | 0. | 0. | 0. | 0. | 0. | 0. | 2.89706 | 0.5 | 0. |
| 78~Link | MSSSRC1 | 0. | 0. | 0. | 0. | 0. | 0. | 3.37647 | 0.5 | 0. |
| 80~Link | MSSSRC1 | 0. | 0. | 0. | 0. | 0. | 0. | 3.85588 | 0.5 | 0. |
| 82~Link | MSSSRC1 | 0. | 0. | 0. | 0. | 0. | 0. | 4.33529 | 0.5 | 0. |
| 84~Link | MSSSRC1 | 0. | 0. | 0. | 0. | 0. | 0. | 4.81471 | 0.5 | 0. |
| 86~Link | MSSSRC1 | 0. | 0. | 0. | 0. | 0. | 0. | 5.29412 | 0.5 | 0. |
| 88~Link | MSSSRC1 | 0. | 0. | 0. | 0. | 0. | 0. | 5.77353 | 0.5 | 0. |
| 90~Link | MSSSRC1 | 0. | 0. | 0. | 0. | 0. | 0. | 6.25294 | 0.5 | 0. |

Table 16: Assembled Joint Masses

| Joint | MassSource | U1 | U2 | U3 | R1 | R2 | R3 | CenterX | CenterY | CenterZ |
|----------|------------|---------|---------|---------|---------|---------|---------|---------|---------|---------|
| | | KN-s2/m | KN-s2/m | KN-s2/m | KN-m-s2 | KN-m-s2 | KN-m-s2 | m | m | m |
| 92~Link | MSSSRC1 | 0. | 0. | 0. | 0. | 0. | 0. | 6.73235 | 0.5 | 0. |
| 94~Link | MSSSRC1 | 0. | 0. | 0. | 0. | 0. | 0. | 7.21176 | 0.5 | 0. |
| 96~Link | MSSSRC1 | 0. | 0. | 0. | 0. | 0. | 0. | 7.69118 | 0.5 | 0. |
| 98~Link | MSSSRC1 | 0. | 0. | 0. | 0. | 0. | 0. | 8.17059 | 0.5 | 0. |
| 100~Link | MSSSRC1 | 0. | 0. | 0. | 0. | 0. | 0. | 8.65 | 1. | 0. |
| 102~Link | MSSSRC1 | 0. | 0. | 0. | 0. | 0. | 0. | 8.65 | 1.5 | 0. |
| 104~Link | MSSSRC1 | 0. | 0. | 0. | 0. | 0. | 0. | 8.65 | 2. | 0. |
| 106~Link | MSSSRC1 | 0. | 0. | 0. | 0. | 0. | 0. | 8.65 | 2.5 | 0. |
| 108~Link | MSSSRC1 | 0. | 0. | 0. | 0. | 0. | 0. | 8.17059 | 3. | 0. |
| 110~Link | MSSSRC1 | 0. | 0. | 0. | 0. | 0. | 0. | 7.69118 | 3. | 0. |
| 112~Link | MSSSRC1 | 0. | 0. | 0. | 0. | 0. | 0. | 7.21176 | 3. | 0. |
| 114~Link | MSSSRC1 | 0. | 0. | 0. | 0. | 0. | 0. | 6.73235 | 3. | 0. |
| 116~Link | MSSSRC1 | 0. | 0. | 0. | 0. | 0. | 0. | 6.25294 | 3. | 0. |
| 118~Link | MSSSRC1 | 0. | 0. | 0. | 0. | 0. | 0. | 5.77353 | 3. | 0. |
| 120~Link | MSSSRC1 | 0. | 0. | 0. | 0. | 0. | 0. | 5.29412 | 3. | 0. |
| 122~Link | MSSSRC1 | 0. | 0. | 0. | 0. | 0. | 0. | 4.81471 | 3. | 0. |
| 124~Link | MSSSRC1 | 0. | 0. | 0. | 0. | 0. | 0. | 4.33529 | 3. | 0. |
| 126~Link | MSSSRC1 | 0. | 0. | 0. | 0. | 0. | 0. | 3.85588 | 3. | 0. |
| 128~Link | MSSSRC1 | 0. | 0. | 0. | 0. | 0. | 0. | 3.37647 | 3. | 0. |
| 130~Link | MSSSRC1 | 0. | 0. | 0. | 0. | 0. | 0. | 2.89706 | 3. | 0. |
| 132~Link | MSSSRC1 | 0. | 0. | 0. | 0. | 0. | 0. | 2.41765 | 3. | 0. |
| 134~Link | MSSSRC1 | 0. | 0. | 0. | 0. | 0. | 0. | 1.93824 | 3. | 0. |
| 136~Link | MSSSRC1 | 0. | 0. | 0. | 0. | 0. | 0. | 1.45882 | 3. | 0. |
| 138~Link | MSSSRC1 | 0. | 0. | 0. | 0. | 0. | 0. | 0.97941 | 3. | 0. |
| 140~Link | MSSSRC1 | 0. | 0. | 0. | 0. | 0. | 0. | 0.5 | 2.5 | 0. |
| 142~Link | MSSSRC1 | 0. | 0. | 0. | 0. | 0. | 0. | 0.5 | 2. | 0. |
| 144~Link | MSSSRC1 | 0. | 0. | 0. | 0. | 0. | 0. | 0.5 | 1.5 | 0. |
| 146~Link | MSSSRC1 | 0. | 0. | 0. | 0. | 0. | 0. | 0.5 | 1. | 0. |
| 147~Link | MSSSRC1 | 0. | 0. | 0. | 0. | 0. | 0. | 0.97941 | 1. | 0. |
| 148~Link | MSSSRC1 | 0. | 0. | 0. | 0. | 0. | 0. | 0.97941 | 1.5 | 0. |
| 149~Link | MSSSRC1 | 0. | 0. | 0. | 0. | 0. | 0. | 0.97941 | 2. | 0. |
| 150~Link | MSSSRC1 | 0. | 0. | 0. | 0. | 0. | 0. | 0.97941 | 2.5 | 0. |
| 151~Link | MSSSRC1 | 0. | 0. | 0. | 0. | 0. | 0. | 1.45882 | 1. | 0. |
| 152~Link | MSSSRC1 | 0. | 0. | 0. | 0. | 0. | 0. | 1.45882 | 1.5 | 0. |
| 153~Link | MSSSRC1 | 0. | 0. | 0. | 0. | 0. | 0. | 1.45882 | 2. | 0. |
| 154~Link | MSSSRC1 | 0. | 0. | 0. | 0. | 0. | 0. | 1.45882 | 2.5 | 0. |
| 155~Link | MSSSRC1 | 0. | 0. | 0. | 0. | 0. | 0. | 1.93824 | 1. | 0. |
| 156~Link | MSSSRC1 | 0. | 0. | 0. | 0. | 0. | 0. | 1.93824 | 1.5 | 0. |

Table 16: Assembled Joint Masses

| Joint | MassSource | U1 | U2 | U3 | R1 | R2 | R3 | CenterX | CenterY | CenterZ |
|----------|------------|---------|---------|---------|---------|---------|---------|---------|---------|---------|
| | | KN-s2/m | KN-s2/m | KN-s2/m | KN-m-s2 | KN-m-s2 | KN-m-s2 | m | m | m |
| 157~Link | MSSSRC1 | 0. | 0. | 0. | 0. | 0. | 0. | 1.93824 | 2. | 0. |
| 158~Link | MSSSRC1 | 0. | 0. | 0. | 0. | 0. | 0. | 1.93824 | 2.5 | 0. |
| 159~Link | MSSSRC1 | 0. | 0. | 0. | 0. | 0. | 0. | 2.41765 | 1. | 0. |
| 160~Link | MSSSRC1 | 0. | 0. | 0. | 0. | 0. | 0. | 2.41765 | 1.5 | 0. |
| 161~Link | MSSSRC1 | 0. | 0. | 0. | 0. | 0. | 0. | 2.41765 | 2. | 0. |
| 162~Link | MSSSRC1 | 0. | 0. | 0. | 0. | 0. | 0. | 2.41765 | 2.5 | 0. |
| 163~Link | MSSSRC1 | 0. | 0. | 0. | 0. | 0. | 0. | 2.89706 | 1. | 0. |
| 164~Link | MSSSRC1 | 0. | 0. | 0. | 0. | 0. | 0. | 2.89706 | 1.5 | 0. |
| 165~Link | MSSSRC1 | 0. | 0. | 0. | 0. | 0. | 0. | 2.89706 | 2. | 0. |
| 166~Link | MSSSRC1 | 0. | 0. | 0. | 0. | 0. | 0. | 2.89706 | 2.5 | 0. |
| 167~Link | MSSSRC1 | 0. | 0. | 0. | 0. | 0. | 0. | 3.37647 | 1. | 0. |
| 168~Link | MSSSRC1 | 0. | 0. | 0. | 0. | 0. | 0. | 3.37647 | 1.5 | 0. |
| 169~Link | MSSSRC1 | 0. | 0. | 0. | 0. | 0. | 0. | 3.37647 | 2. | 0. |
| 170~Link | MSSSRC1 | 0. | 0. | 0. | 0. | 0. | 0. | 3.37647 | 2.5 | 0. |
| 171~Link | MSSSRC1 | 0. | 0. | 0. | 0. | 0. | 0. | 3.85588 | 1. | 0. |
| 172~Link | MSSSRC1 | 0. | 0. | 0. | 0. | 0. | 0. | 3.85588 | 1.5 | 0. |
| 173~Link | MSSSRC1 | 0. | 0. | 0. | 0. | 0. | 0. | 3.85588 | 2. | 0. |
| 174~Link | MSSSRC1 | 0. | 0. | 0. | 0. | 0. | 0. | 3.85588 | 2.5 | 0. |
| 175~Link | MSSSRC1 | 0. | 0. | 0. | 0. | 0. | 0. | 4.33529 | 1. | 0. |
| 176~Link | MSSSRC1 | 0. | 0. | 0. | 0. | 0. | 0. | 4.33529 | 1.5 | 0. |
| 177~Link | MSSSRC1 | 0. | 0. | 0. | 0. | 0. | 0. | 4.33529 | 2. | 0. |
| 178~Link | MSSSRC1 | 0. | 0. | 0. | 0. | 0. | 0. | 4.33529 | 2.5 | 0. |
| 179~Link | MSSSRC1 | 0. | 0. | 0. | 0. | 0. | 0. | 4.81471 | 1. | 0. |
| 180~Link | MSSSRC1 | 0. | 0. | 0. | 0. | 0. | 0. | 4.81471 | 1.5 | 0. |
| 181~Link | MSSSRC1 | 0. | 0. | 0. | 0. | 0. | 0. | 4.81471 | 2. | 0. |
| 182~Link | MSSSRC1 | 0. | 0. | 0. | 0. | 0. | 0. | 4.81471 | 2.5 | 0. |
| 183~Link | MSSSRC1 | 0. | 0. | 0. | 0. | 0. | 0. | 5.29412 | 1. | 0. |
| 184~Link | MSSSRC1 | 0. | 0. | 0. | 0. | 0. | 0. | 5.29412 | 1.5 | 0. |
| 185~Link | MSSSRC1 | 0. | 0. | 0. | 0. | 0. | 0. | 5.29412 | 2. | 0. |
| 186~Link | MSSSRC1 | 0. | 0. | 0. | 0. | 0. | 0. | 5.29412 | 2.5 | 0. |
| 187~Link | MSSSRC1 | 0. | 0. | 0. | 0. | 0. | 0. | 5.77353 | 1. | 0. |
| 188~Link | MSSSRC1 | 0. | 0. | 0. | 0. | 0. | 0. | 5.77353 | 1.5 | 0. |
| 189~Link | MSSSRC1 | 0. | 0. | 0. | 0. | 0. | 0. | 5.77353 | 2. | 0. |
| 190~Link | MSSSRC1 | 0. | 0. | 0. | 0. | 0. | 0. | 5.77353 | 2.5 | 0. |
| 191~Link | MSSSRC1 | 0. | 0. | 0. | 0. | 0. | 0. | 6.25294 | 1. | 0. |
| 192~Link | MSSSRC1 | 0. | 0. | 0. | 0. | 0. | 0. | 6.25294 | 1.5 | 0. |
| 193~Link | MSSSRC1 | 0. | 0. | 0. | 0. | 0. | 0. | 6.25294 | 2. | 0. |
| 194~Link | MSSSRC1 | 0. | 0. | 0. | 0. | 0. | 0. | 6.25294 | 2.5 | 0. |

Table 16: Assembled Joint Masses

| Joint | MassSource | U1 | U2 | U3 | R1 | R2 | R3 | CenterX | CenterY | CenterZ |
|------------|------------|---------|---------|---------|---------|---------|---------|---------|---------|---------|
| | | KN-s2/m | KN-s2/m | KN-s2/m | KN-m-s2 | KN-m-s2 | KN-m-s2 | m | m | m |
| 195~Link | MSSSRC1 | 0. | 0. | 0. | 0. | 0. | 0. | 6.73235 | 1. | 0. |
| 196~Link | MSSSRC1 | 0. | 0. | 0. | 0. | 0. | 0. | 6.73235 | 1.5 | 0. |
| 197~Link | MSSSRC1 | 0. | 0. | 0. | 0. | 0. | 0. | 6.73235 | 2. | 0. |
| 198~Link | MSSSRC1 | 0. | 0. | 0. | 0. | 0. | 0. | 6.73235 | 2.5 | 0. |
| 199~Link | MSSSRC1 | 0. | 0. | 0. | 0. | 0. | 0. | 7.21176 | 1. | 0. |
| 200~Link | MSSSRC1 | 0. | 0. | 0. | 0. | 0. | 0. | 7.21176 | 1.5 | 0. |
| 201~Link | MSSSRC1 | 0. | 0. | 0. | 0. | 0. | 0. | 7.21176 | 2. | 0. |
| 202~Link | MSSSRC1 | 0. | 0. | 0. | 0. | 0. | 0. | 7.21176 | 2.5 | 0. |
| 203~Link | MSSSRC1 | 0. | 0. | 0. | 0. | 0. | 0. | 7.69118 | 1. | 0. |
| 204~Link | MSSSRC1 | 0. | 0. | 0. | 0. | 0. | 0. | 7.69118 | 1.5 | 0. |
| 205~Link | MSSSRC1 | 0. | 0. | 0. | 0. | 0. | 0. | 7.69118 | 2. | 0. |
| 206~Link | MSSSRC1 | 0. | 0. | 0. | 0. | 0. | 0. | 7.69118 | 2.5 | 0. |
| 207~Link | MSSSRC1 | 0. | 0. | 0. | 0. | 0. | 0. | 8.17059 | 1. | 0. |
| 208~Link | MSSSRC1 | 0. | 0. | 0. | 0. | 0. | 0. | 8.17059 | 1.5 | 0. |
| 209~Link | MSSSRC1 | 0. | 0. | 0. | 0. | 0. | 0. | 8.17059 | 2. | 0. |
| 210~Link | MSSSRC1 | 0. | 0. | 0. | 0. | 0. | 0. | 8.17059 | 2.5 | 0. |
| SumAccelUX | MSSSRC1 | 40.81 | 0. | 0. | 0. | 0. | 0. | 4.575 | 6.75 | 0. |
| SumAccelUY | MSSSRC1 | 0. | 40.81 | 0. | 0. | 0. | 0. | 4.575 | 6.75 | 0. |
| SumAccelUZ | MSSSRC1 | 0. | 0. | 40.81 | 0. | 0. | 0. | 4.575 | 6.75 | 0. |

6.2. Base reactions

Table 17: Base Reactions

Table 17: Base Reactions

| OutputCase | GlobalFX | GlobalFY | GlobalFZ | GlobalMX | GlobalMY | GlobalMZ |
|----------------|----------|----------|----------|-----------|------------|----------|
| | KN | KN | KN | KN-m | KN-m | KN-m |
| DEAD | 0. | 0. | 400.194 | 2701.3115 | -1830.8889 | 0. |
| G1_smistamento | 0. | 0. | 439.693 | 2967.9244 | -2011.5932 | 0. |
| G2_smistamento | 0. | 0. | 163. | 1100.25 | -745.725 | 0. |
| Q_smistamento | 0. | 0. | 163. | 1100.25 | -745.725 | 0. |
| Q_neve | 0. | 0. | 78.782 | 531.7751 | -360.4254 | 0. |

7. Joint results

This section provides joint results, including items such as displacements and reactions.

Table 18: Joint Displacements

Table 18: Joint Displacements

| Joint | OutputCase | U1 m | U2 m | U3 m | R1 Radians | R2 Radians | R3 Radians |
|-------|----------------|---------|---------|------------|---------------|---------------|---------------|
| 1 | DEAD | 0. | 0. | -0.000069 | -1.967E-18 | 2.929E-18 | 0. |
| 1 | G1_smistamento | 0. | 0. | -0.000013 | -0.000029 | 0.00003 | 0. |
| 1 | G2_smistamento | 0. | 0. | -4.783E-06 | -0.000011 | 0.000011 | 0. |
| 1 | Q_smistamento | 0. | 0. | -4.783E-06 | -0.000011 | 0.000011 | 0. |
| 1 | Q_neve | 0. | 0. | -0.000014 | -3.745E-19 | 5.843E-19 | 0. |
| 2 | DEAD | 0. | 0. | -0.000069 | -5.804E-19 | -2.875E-18 | 0. |
| 2 | G1_smistamento | 0. | 0. | -0.000013 | -0.000029 | -0.00003 | 0. |
| 2 | G2_smistamento | 0. | 0. | -4.783E-06 | -0.000011 | -0.000011 | 0. |
| 2 | Q_smistamento | 0. | 0. | -4.783E-06 | -0.000011 | -0.000011 | 0. |
| 2 | Q_neve | 0. | 0. | -0.000014 | -9.602E-20 | -5.504E-19 | 0. |
| 3 | DEAD | 0. | 0. | -0.000069 | 6.289E-19 | -5.812E-19 | 0. |
| 3 | G1_smistamento | 0. | 0. | -0.000013 | 0.000029 | -0.00003 | 0. |
| 3 | G2_smistamento | 0. | 0. | -4.783E-06 | 0.000011 | -0.000011 | 0. |
| 3 | Q_smistamento | 0. | 0. | -4.783E-06 | 0.000011 | -0.000011 | 0. |
| 3 | Q_neve | 0. | 0. | -0.000014 | 1.242E-19 | -1.191E-19 | 0. |
| 4 | DEAD | 0. | 0. | -0.000069 | 1.599E-18 | 1.528E-18 | 0. |
| 4 | G1_smistamento | 0. | 0. | -0.000013 | 0.000029 | 0.00003 | 0. |
| 4 | G2_smistamento | 0. | 0. | -4.783E-06 | 0.000011 | 0.000011 | 0. |
| 4 | Q_smistamento | 0. | 0. | -4.783E-06 | 0.000011 | 0.000011 | 0. |
| 4 | Q_neve | 0. | 0. | -0.000014 | 3.049E-19 | 3.077E-19 | 0. |
| 5 | DEAD | 0. | 0. | -0.000069 | 1.287E-18 | 1.484E-18 | 0. |
| 5 | G1_smistamento | 0. | 0. | -0.000043 | 0.000029 | 0.000031 | 0. |
| 5 | G2_smistamento | 0. | 0. | -0.000016 | 0.000011 | 0.000011 | 0. |
| 5 | Q_smistamento | 0. | 0. | -0.000016 | 0.000011 | 0.000011 | 0. |
| 5 | Q_neve | 0. | 0. | -0.000014 | 2.436E-19 | 2.970E-19 | 0. |
| 6 | DEAD | 0. | 0. | -0.000069 | -3.688E-19 | -2.439E-18 | 0. |
| 6 | G1_smistamento | 0. | 0. | -0.000043 | -0.000029 | -0.000031 | 0. |
| 6 | G2_smistamento | 0. | 0. | -0.000016 | -0.000011 | -0.000011 | 0. |
| 6 | Q_smistamento | 0. | 0. | -0.000016 | -0.000011 | -0.000011 | 0. |
| 6 | Q_neve | 0. | 0. | -0.000014 | -6.495E-20 | -4.879E-19 | 0. |
| 7 | DEAD | 0. | 0. | -0.000625 | -1.540E-17 | 4.762E-17 | 0. |
| 7 | G1_smistamento | 0. | 0. | -0.000421 | -0.000046 | 0.000133 | 0. |

Table 18: Joint Displacements

| Joint | OutputCase | U1 | U2 | U3 | R1 | R2 | R3 |
|-------|----------------|----|----|-----------|------------|-----------|---------|
| | | m | m | m | Radians | Radians | Radians |
| 7 | G2_smistamento | 0. | 0. | -0.000156 | -0.000017 | 0.000049 | 0. |
| 7 | Q_smistamento | 0. | 0. | -0.000156 | -0.000017 | 0.000049 | 0. |
| 7 | Q_neve | 0. | 0. | -0.000123 | -2.982E-18 | 9.376E-18 | 0. |
| 8 | DEAD | 0. | 0. | -0.000625 | -1.306E-17 | 4.792E-17 | 0. |
| 8 | G1_smistamento | 0. | 0. | -0.000487 | -0.000047 | 0.00013 | 0. |
| 8 | G2_smistamento | 0. | 0. | -0.000181 | -0.000017 | 0.000048 | 0. |
| 8 | Q_smistamento | 0. | 0. | -0.000181 | -0.000017 | 0.000048 | 0. |
| 8 | Q_neve | 0. | 0. | -0.000123 | -2.487E-18 | 9.568E-18 | 0. |
| 9 | DEAD | 0. | 0. | -0.000625 | -1.323E-17 | 4.521E-17 | 0. |
| 9 | G1_smistamento | 0. | 0. | -0.000511 | -0.000044 | 0.000133 | 0. |
| 9 | G2_smistamento | 0. | 0. | -0.000189 | -0.000016 | 0.000049 | 0. |
| 9 | Q_smistamento | 0. | 0. | -0.000189 | -0.000016 | 0.000049 | 0. |
| 9 | Q_neve | 0. | 0. | -0.000123 | -2.629E-18 | 8.890E-18 | 0. |
| 10 | DEAD | 0. | 0. | -0.000625 | -1.688E-17 | 4.510E-17 | 0. |
| 10 | G1_smistamento | 0. | 0. | -0.000444 | -0.000042 | 0.000134 | 0. |
| 10 | G2_smistamento | 0. | 0. | -0.000164 | -0.000016 | 0.00005 | 0. |
| 10 | Q_smistamento | 0. | 0. | -0.000164 | -0.000016 | 0.00005 | 0. |
| 10 | Q_neve | 0. | 0. | -0.000123 | -3.287E-18 | 8.945E-18 | 0. |
| 11 | DEAD | 0. | 0. | -0.000625 | 6.447E-17 | 1.473E-17 | 0. |
| 11 | G1_smistamento | 0. | 0. | -0.000487 | -0.000047 | -0.00013 | 0. |
| 11 | G2_smistamento | 0. | 0. | -0.000181 | -0.000017 | -0.000048 | 0. |
| 11 | Q_smistamento | 0. | 0. | -0.000181 | -0.000017 | -0.000048 | 0. |
| 11 | Q_neve | 0. | 0. | -0.000123 | 1.267E-17 | 3.063E-18 | 0. |
| 12 | DEAD | 0. | 0. | -0.000625 | 6.271E-17 | 1.301E-17 | 0. |
| 12 | G1_smistamento | 0. | 0. | -0.000421 | -0.000046 | -0.000133 | 0. |
| 12 | G2_smistamento | 0. | 0. | -0.000156 | -0.000017 | -0.000049 | 0. |
| 12 | Q_smistamento | 0. | 0. | -0.000156 | -0.000017 | -0.000049 | 0. |
| 12 | Q_neve | 0. | 0. | -0.000123 | 1.241E-17 | 2.602E-18 | 0. |
| 13 | DEAD | 0. | 0. | -0.000625 | 6.315E-17 | 1.344E-17 | 0. |
| 13 | G1_smistamento | 0. | 0. | -0.000444 | -0.000042 | -0.000134 | 0. |
| 13 | G2_smistamento | 0. | 0. | -0.000164 | -0.000016 | -0.00005 | 0. |
| 13 | Q_smistamento | 0. | 0. | -0.000164 | -0.000016 | -0.00005 | 0. |
| 13 | Q_neve | 0. | 0. | -0.000123 | 1.257E-17 | 2.711E-18 | 0. |
| 14 | DEAD | 0. | 0. | -0.000625 | 6.408E-17 | 1.529E-17 | 0. |
| 14 | G1_smistamento | 0. | 0. | -0.000511 | -0.000044 | -0.000133 | 0. |
| 14 | G2_smistamento | 0. | 0. | -0.000189 | -0.000016 | -0.000049 | 0. |
| 14 | Q_smistamento | 0. | 0. | -0.000189 | -0.000016 | -0.000049 | 0. |
| 14 | Q_neve | 0. | 0. | -0.000123 | 1.274E-17 | 3.090E-18 | 0. |

Table 18: Joint Displacements

| Joint | OutputCase | U1 | U2 | U3 | R1 | R2 | R3 |
|-------|----------------|----|----|-----------|------------|-----------|---------|
| | | m | m | m | Radians | Radians | Radians |
| 15 | DEAD | 0. | 0. | -0.000625 | 5.313E-17 | 1.128E-17 | 0. |
| 15 | G1_smistamento | 0. | 0. | -0.000444 | 0.000042 | -0.000134 | 0. |
| 15 | G2_smistamento | 0. | 0. | -0.000164 | 0.000016 | -0.00005 | 0. |
| 15 | Q_smistamento | 0. | 0. | -0.000164 | 0.000016 | -0.00005 | 0. |
| 15 | Q_neve | 0. | 0. | -0.000123 | 1.057E-17 | 2.385E-18 | 0. |
| 16 | DEAD | 0. | 0. | -0.000625 | 5.200E-17 | 1.258E-17 | 0. |
| 16 | G1_smistamento | 0. | 0. | -0.000421 | 0.000046 | -0.000133 | 0. |
| 16 | G2_smistamento | 0. | 0. | -0.000156 | 0.000017 | -0.000049 | 0. |
| 16 | Q_smistamento | 0. | 0. | -0.000156 | 0.000017 | -0.000049 | 0. |
| 16 | Q_neve | 0. | 0. | -0.000123 | 1.016E-17 | 2.494E-18 | 0. |
| 17 | DEAD | 0. | 0. | -0.000625 | 5.345E-17 | 1.249E-17 | 0. |
| 17 | G1_smistamento | 0. | 0. | -0.000487 | 0.000047 | -0.00013 | 0. |
| 17 | G2_smistamento | 0. | 0. | -0.000181 | 0.000017 | -0.000048 | 0. |
| 17 | Q_smistamento | 0. | 0. | -0.000181 | 0.000017 | -0.000048 | 0. |
| 17 | Q_neve | 0. | 0. | -0.000123 | 1.048E-17 | 2.481E-18 | 0. |
| 18 | DEAD | 0. | 0. | -0.000625 | 5.476E-17 | 1.122E-17 | 0. |
| 18 | G1_smistamento | 0. | 0. | -0.000511 | 0.000044 | -0.000133 | 0. |
| 18 | G2_smistamento | 0. | 0. | -0.000189 | 0.000016 | -0.000049 | 0. |
| 18 | Q_smistamento | 0. | 0. | -0.000189 | 0.000016 | -0.000049 | 0. |
| 18 | Q_neve | 0. | 0. | -0.000123 | 1.076E-17 | 2.250E-18 | 0. |
| 19 | DEAD | 0. | 0. | -0.000625 | -2.559E-17 | 2.418E-17 | 0. |
| 19 | G1_smistamento | 0. | 0. | -0.000487 | 0.000047 | 0.00013 | 0. |
| 19 | G2_smistamento | 0. | 0. | -0.000181 | 0.000017 | 0.000048 | 0. |
| 19 | Q_smistamento | 0. | 0. | -0.000181 | 0.000017 | 0.000048 | 0. |
| 19 | Q_neve | 0. | 0. | -0.000123 | -5.096E-18 | 4.699E-18 | 0. |
| 20 | DEAD | 0. | 0. | -0.000625 | -2.605E-17 | 2.689E-17 | 0. |
| 20 | G1_smistamento | 0. | 0. | -0.000421 | 0.000046 | 0.000133 | 0. |
| 20 | G2_smistamento | 0. | 0. | -0.000156 | 0.000017 | 0.000049 | 0. |
| 20 | Q_smistamento | 0. | 0. | -0.000156 | 0.000017 | 0.000049 | 0. |
| 20 | Q_neve | 0. | 0. | -0.000123 | -5.285E-18 | 5.367E-18 | 0. |
| 21 | DEAD | 0. | 0. | -0.000625 | -2.786E-17 | 2.651E-17 | 0. |
| 21 | G1_smistamento | 0. | 0. | -0.000444 | 0.000042 | 0.000134 | 0. |
| 21 | G2_smistamento | 0. | 0. | -0.000164 | 0.000016 | 0.00005 | 0. |
| 21 | Q_smistamento | 0. | 0. | -0.000164 | 0.000016 | 0.00005 | 0. |
| 21 | Q_neve | 0. | 0. | -0.000123 | -5.489E-18 | 5.232E-18 | 0. |
| 22 | DEAD | 0. | 0. | -0.000625 | -2.652E-17 | 2.676E-17 | 0. |
| 22 | G1_smistamento | 0. | 0. | -0.000511 | 0.000044 | 0.000133 | 0. |
| 22 | G2_smistamento | 0. | 0. | -0.000189 | 0.000016 | 0.000049 | 0. |

Table 18: Joint Displacements

| Joint | OutputCase | U1 | U2 | U3 | R1 | R2 | R3 |
|-------|----------------|----|----|------------|------------|------------|---------|
| | | m | m | m | Radians | Radians | Radians |
| 22 | Q_smistamento | 0. | 0. | -0.000189 | 0.000016 | 0.000049 | 0. |
| 22 | Q_neve | 0. | 0. | -0.000123 | -5.283E-18 | 5.281E-18 | 0. |
| 57 | DEAD | 0. | 0. | -0.000069 | -1.919E-18 | 2.874E-18 | 0. |
| 57 | G1_smistamento | 0. | 0. | -0.000027 | -0.000031 | 0.000028 | 0. |
| 57 | G2_smistamento | 0. | 0. | -0.00001 | -0.000011 | 0.00001 | 0. |
| 57 | Q_smistamento | 0. | 0. | -0.00001 | -0.000011 | 0.00001 | 0. |
| 57 | Q_neve | 0. | 0. | -0.000014 | -3.797E-19 | 5.599E-19 | 0. |
| 58 | DEAD | 0. | 0. | -0.000069 | -1.735E-18 | 2.777E-18 | 0. |
| 58 | G1_smistamento | 0. | 0. | -0.000043 | -0.000029 | 0.000031 | 0. |
| 58 | G2_smistamento | 0. | 0. | -0.000016 | -0.000011 | 0.000011 | 0. |
| 58 | Q_smistamento | 0. | 0. | -0.000016 | -0.000011 | 0.000011 | 0. |
| 58 | Q_neve | 0. | 0. | -0.000014 | -3.388E-19 | 5.389E-19 | 0. |
| 59 | DEAD | 0. | 0. | -0.000069 | -2.046E-18 | 2.756E-18 | 0. |
| 59 | G1_smistamento | 0. | 0. | -0.000027 | -0.000026 | 0.000031 | 0. |
| 59 | G2_smistamento | 0. | 0. | -9.968E-06 | -9.713E-06 | 0.000012 | 0. |
| 59 | Q_smistamento | 0. | 0. | -9.968E-06 | -9.713E-06 | 0.000012 | 0. |
| 59 | Q_neve | 0. | 0. | -0.000014 | -3.947E-19 | 5.435E-19 | 0. |
| 60 | DEAD | 0. | 0. | -0.000069 | -4.187E-19 | -2.683E-18 | 0. |
| 60 | G1_smistamento | 0. | 0. | -0.000027 | -0.000031 | -0.000028 | 0. |
| 60 | G2_smistamento | 0. | 0. | -0.00001 | -0.000011 | -0.00001 | 0. |
| 60 | Q_smistamento | 0. | 0. | -0.00001 | -0.000011 | -0.00001 | 0. |
| 60 | Q_neve | 0. | 0. | -0.000014 | -8.597E-20 | -5.252E-19 | 0. |
| 61 | DEAD | 0. | 0. | -0.000069 | -5.150E-19 | -2.609E-18 | 0. |
| 61 | G1_smistamento | 0. | 0. | -0.000027 | -0.000026 | -0.000031 | 0. |
| 61 | G2_smistamento | 0. | 0. | -9.968E-06 | -9.713E-06 | -0.000012 | 0. |
| 61 | Q_smistamento | 0. | 0. | -9.968E-06 | -9.713E-06 | -0.000012 | 0. |
| 61 | Q_neve | 0. | 0. | -0.000014 | -9.487E-20 | -5.158E-19 | 0. |
| 62 | DEAD | 0. | 0. | -0.000069 | 4.049E-19 | -1.041E-18 | 0. |
| 62 | G1_smistamento | 0. | 0. | -0.000027 | 0.000026 | -0.000031 | 0. |
| 62 | G2_smistamento | 0. | 0. | -9.968E-06 | 9.713E-06 | -0.000012 | 0. |
| 62 | Q_smistamento | 0. | 0. | -9.968E-06 | 9.713E-06 | -0.000012 | 0. |
| 62 | Q_neve | 0. | 0. | -0.000014 | 7.697E-20 | -2.055E-19 | 0. |
| 63 | DEAD | 0. | 0. | -0.000069 | 7.856E-19 | -1.005E-18 | 0. |
| 63 | G1_smistamento | 0. | 0. | -0.000043 | 0.000029 | -0.000031 | 0. |
| 63 | G2_smistamento | 0. | 0. | -0.000016 | 0.000011 | -0.000011 | 0. |
| 63 | Q_smistamento | 0. | 0. | -0.000016 | 0.000011 | -0.000011 | 0. |
| 63 | Q_neve | 0. | 0. | -0.000014 | 1.610E-19 | -1.959E-19 | 0. |
| 64 | DEAD | 0. | 0. | -0.000069 | 1.039E-18 | -5.307E-19 | 0. |

Table 18: Joint Displacements

| Joint | OutputCase | U1 | U2 | U3 | R1 | R2 | R3 |
|-------|----------------|----|----|------------|------------|------------|---------|
| | | m | m | m | Radians | Radians | Radians |
| 64 | G1_smistamento | 0. | 0. | -0.000027 | 0.000031 | -0.000028 | 0. |
| 64 | G2_smistamento | 0. | 0. | -0.00001 | 0.000011 | -0.00001 | 0. |
| 64 | Q_smistamento | 0. | 0. | -0.00001 | 0.000011 | -0.00001 | 0. |
| 64 | Q_neve | 0. | 0. | -0.000014 | 2.075E-19 | -1.036E-19 | 0. |
| 65 | DEAD | 0. | 0. | -0.000069 | 1.553E-18 | 1.342E-18 | 0. |
| 65 | G1_smistamento | 0. | 0. | -0.000027 | 0.000031 | 0.000028 | 0. |
| 65 | G2_smistamento | 0. | 0. | -0.00001 | 0.000011 | 0.00001 | 0. |
| 65 | Q_smistamento | 0. | 0. | -0.00001 | 0.000011 | 0.00001 | 0. |
| 65 | Q_neve | 0. | 0. | -0.000014 | 3.021E-19 | 2.609E-19 | 0. |
| 66 | DEAD | 0. | 0. | -0.000069 | 1.314E-18 | 1.437E-18 | 0. |
| 66 | G1_smistamento | 0. | 0. | -0.000027 | 0.000026 | 0.000031 | 0. |
| 66 | G2_smistamento | 0. | 0. | -9.968E-06 | 9.713E-06 | 0.000012 | 0. |
| 66 | Q_smistamento | 0. | 0. | -9.968E-06 | 9.713E-06 | 0.000012 | 0. |
| 66 | Q_neve | 0. | 0. | -0.000014 | 2.546E-19 | 2.846E-19 | 0. |
| 67 | DEAD | 0. | 0. | -0.000069 | -1.761E-18 | 2.697E-18 | 0. |
| 67 | G1_smistamento | 0. | 0. | -0.000039 | -0.000034 | 0.000022 | 0. |
| 67 | G2_smistamento | 0. | 0. | -0.000015 | -0.000013 | 8.194E-06 | 0. |
| 67 | Q_smistamento | 0. | 0. | -0.000015 | -0.000013 | 8.194E-06 | 0. |
| 67 | Q_neve | 0. | 0. | -0.000014 | -3.398E-19 | 5.254E-19 | 0. |
| 68 | DEAD | 0. | 0. | -0.000069 | -1.587E-18 | 2.565E-18 | 0. |
| 68 | G1_smistamento | 0. | 0. | -0.000056 | -0.000032 | 0.000025 | 0. |
| 68 | G2_smistamento | 0. | 0. | -0.000021 | -0.000012 | 9.423E-06 | 0. |
| 68 | Q_smistamento | 0. | 0. | -0.000021 | -0.000012 | 9.423E-06 | 0. |
| 68 | Q_neve | 0. | 0. | -0.000014 | -3.147E-19 | 4.980E-19 | 0. |
| 69 | DEAD | 0. | 0. | -0.000069 | -1.484E-18 | 2.133E-18 | 0. |
| 69 | G1_smistamento | 0. | 0. | -0.000048 | -0.000037 | 0.000015 | 0. |
| 69 | G2_smistamento | 0. | 0. | -0.000018 | -0.000014 | 5.546E-06 | 0. |
| 69 | Q_smistamento | 0. | 0. | -0.000018 | -0.000014 | 5.546E-06 | 0. |
| 69 | Q_neve | 0. | 0. | -0.000014 | -2.901E-19 | 4.159E-19 | 0. |
| 70 | DEAD | 0. | 0. | -0.000069 | -1.432E-18 | 1.986E-18 | 0. |
| 70 | G1_smistamento | 0. | 0. | -0.000066 | -0.000035 | 0.000018 | 0. |
| 70 | G2_smistamento | 0. | 0. | -0.000025 | -0.000013 | 6.541E-06 | 0. |
| 70 | Q_smistamento | 0. | 0. | -0.000025 | -0.000013 | 6.541E-06 | 0. |
| 70 | Q_neve | 0. | 0. | -0.000014 | -2.697E-19 | 3.930E-19 | 0. |
| 71 | DEAD | 0. | 0. | -0.000069 | -1.484E-18 | 1.193E-18 | 0. |
| 71 | G1_smistamento | 0. | 0. | -0.000054 | -0.000039 | 8.164E-06 | 0. |
| 71 | G2_smistamento | 0. | 0. | -0.00002 | -0.000015 | 3.026E-06 | 0. |
| 71 | Q_smistamento | 0. | 0. | -0.00002 | -0.000015 | 3.026E-06 | 0. |

Table 18: Joint Displacements

| Joint | OutputCase | U1 | U2 | U3 | R1 | R2 | R3 |
|-------|----------------|----|----|-----------|------------|------------|---------|
| | | m | m | m | Radians | Radians | Radians |
| 71 | Q_neve | 0. | 0. | -0.000014 | -3.008E-19 | 2.396E-19 | 0. |
| 72 | DEAD | 0. | 0. | -0.000069 | -1.268E-18 | 1.151E-18 | 0. |
| 72 | G1_smistamento | 0. | 0. | -0.000073 | -0.000037 | 0.00001 | 0. |
| 72 | G2_smistamento | 0. | 0. | -0.000027 | -0.000014 | 3.802E-06 | 0. |
| 72 | Q_smistamento | 0. | 0. | -0.000027 | -0.000014 | 3.802E-06 | 0. |
| 72 | Q_neve | 0. | 0. | -0.000014 | -2.606E-19 | 2.284E-19 | 0. |
| 73 | DEAD | 0. | 0. | -0.000069 | -1.267E-18 | 6.010E-19 | 0. |
| 73 | G1_smistamento | 0. | 0. | -0.000056 | -0.000041 | 3.098E-06 | 0. |
| 73 | G2_smistamento | 0. | 0. | -0.000021 | -0.000015 | 1.148E-06 | 0. |
| 73 | Q_smistamento | 0. | 0. | -0.000021 | -0.000015 | 1.148E-06 | 0. |
| 73 | Q_neve | 0. | 0. | -0.000014 | -2.528E-19 | 1.192E-19 | 0. |
| 74 | DEAD | 0. | 0. | -0.000069 | -1.276E-18 | 5.734E-19 | 0. |
| 74 | G1_smistamento | 0. | 0. | -0.000077 | -0.000039 | 4.687E-06 | 0. |
| 74 | G2_smistamento | 0. | 0. | -0.000028 | -0.000014 | 1.738E-06 | 0. |
| 74 | Q_smistamento | 0. | 0. | -0.000028 | -0.000014 | 1.738E-06 | 0. |
| 74 | Q_neve | 0. | 0. | -0.000014 | -2.533E-19 | 1.131E-19 | 0. |
| 75 | DEAD | 0. | 0. | -0.000069 | -1.591E-18 | 4.018E-19 | 0. |
| 75 | G1_smistamento | 0. | 0. | -0.000057 | -0.000043 | 8.178E-08 | 0. |
| 75 | G2_smistamento | 0. | 0. | -0.000021 | -0.000016 | 3.032E-08 | 0. |
| 75 | Q_smistamento | 0. | 0. | -0.000021 | -0.000016 | 3.032E-08 | 0. |
| 75 | Q_neve | 0. | 0. | -0.000014 | -3.276E-19 | 8.199E-20 | 0. |
| 76 | DEAD | 0. | 0. | -0.000069 | -1.247E-18 | 4.530E-19 | 0. |
| 76 | G1_smistamento | 0. | 0. | -0.000078 | -0.00004 | 1.240E-06 | 0. |
| 76 | G2_smistamento | 0. | 0. | -0.000029 | -0.000015 | 4.598E-07 | 0. |
| 76 | Q_smistamento | 0. | 0. | -0.000029 | -0.000015 | 4.598E-07 | 0. |
| 76 | Q_neve | 0. | 0. | -0.000014 | -2.501E-19 | 8.282E-20 | 0. |
| 77 | DEAD | 0. | 0. | -0.000069 | -1.484E-18 | 5.341E-19 | 0. |
| 77 | G1_smistamento | 0. | 0. | -0.000057 | -0.000044 | -1.172E-06 | 0. |
| 77 | G2_smistamento | 0. | 0. | -0.000021 | -0.000016 | -4.344E-07 | 0. |
| 77 | Q_smistamento | 0. | 0. | -0.000021 | -0.000016 | -4.344E-07 | 0. |
| 77 | Q_neve | 0. | 0. | -0.000014 | -2.948E-19 | 1.040E-19 | 0. |
| 78 | DEAD | 0. | 0. | -0.000069 | -1.386E-18 | 6.143E-19 | 0. |
| 78 | G1_smistamento | 0. | 0. | -0.000078 | -0.000041 | -3.877E-07 | 0. |
| 78 | G2_smistamento | 0. | 0. | -0.000029 | -0.000015 | -1.437E-07 | 0. |
| 78 | Q_smistamento | 0. | 0. | -0.000029 | -0.000015 | -1.437E-07 | 0. |
| 78 | Q_neve | 0. | 0. | -0.000014 | -2.728E-19 | 1.218E-19 | 0. |
| 79 | DEAD | 0. | 0. | -0.000069 | -1.486E-18 | 6.161E-19 | 0. |
| 79 | G1_smistamento | 0. | 0. | -0.000056 | -0.000044 | -1.178E-06 | 0. |

Table 18: Joint Displacements

| Joint | OutputCase | U1 | U2 | U3 | R1 | R2 | R3 |
|-------|----------------|----|----|-----------|------------|------------|---------|
| | | m | m | m | Radians | Radians | Radians |
| 79 | G2_smistamento | 0. | 0. | -0.000021 | -0.000016 | -4.366E-07 | 0. |
| 79 | Q_smistamento | 0. | 0. | -0.000021 | -0.000016 | -4.366E-07 | 0. |
| 79 | Q_neve | 0. | 0. | -0.000014 | -2.944E-19 | 1.259E-19 | 0. |
| 80 | DEAD | 0. | 0. | -0.000069 | -1.331E-18 | 5.569E-19 | 0. |
| 80 | G1_smistamento | 0. | 0. | -0.000078 | -0.000041 | -7.257E-07 | 0. |
| 80 | G2_smistamento | 0. | 0. | -0.000029 | -0.000015 | -2.690E-07 | 0. |
| 80 | Q_smistamento | 0. | 0. | -0.000029 | -0.000015 | -2.690E-07 | 0. |
| 80 | Q_neve | 0. | 0. | -0.000014 | -2.693E-19 | 1.154E-19 | 0. |
| 81 | DEAD | 0. | 0. | -0.000069 | -1.592E-18 | 6.215E-19 | 0. |
| 81 | G1_smistamento | 0. | 0. | -0.000056 | -0.000045 | -4.691E-07 | 0. |
| 81 | G2_smistamento | 0. | 0. | -0.000021 | -0.000017 | -1.739E-07 | 0. |
| 81 | Q_smistamento | 0. | 0. | -0.000021 | -0.000017 | -1.739E-07 | 0. |
| 81 | Q_neve | 0. | 0. | -0.000014 | -3.175E-19 | 1.241E-19 | 0. |
| 82 | DEAD | 0. | 0. | -0.000069 | -1.098E-18 | 4.318E-19 | 0. |
| 82 | G1_smistamento | 0. | 0. | -0.000078 | -0.000041 | -3.217E-07 | 0. |
| 82 | G2_smistamento | 0. | 0. | -0.000029 | -0.000015 | -1.192E-07 | 0. |
| 82 | Q_smistamento | 0. | 0. | -0.000029 | -0.000015 | -1.192E-07 | 0. |
| 82 | Q_neve | 0. | 0. | -0.000014 | -2.171E-19 | 8.787E-20 | 0. |
| 83 | DEAD | 0. | 0. | -0.000069 | -1.248E-18 | 4.378E-19 | 0. |
| 83 | G1_smistamento | 0. | 0. | -0.000056 | -0.000045 | 4.691E-07 | 0. |
| 83 | G2_smistamento | 0. | 0. | -0.000021 | -0.000017 | 1.739E-07 | 0. |
| 83 | Q_smistamento | 0. | 0. | -0.000021 | -0.000017 | 1.739E-07 | 0. |
| 83 | Q_neve | 0. | 0. | -0.000014 | -2.339E-19 | 7.929E-20 | 0. |
| 84 | DEAD | 0. | 0. | -0.000069 | -9.645E-19 | 1.888E-19 | 0. |
| 84 | G1_smistamento | 0. | 0. | -0.000078 | -0.000041 | 3.217E-07 | 0. |
| 84 | G2_smistamento | 0. | 0. | -0.000029 | -0.000015 | 1.192E-07 | 0. |
| 84 | Q_smistamento | 0. | 0. | -0.000029 | -0.000015 | 1.192E-07 | 0. |
| 84 | Q_neve | 0. | 0. | -0.000014 | -1.883E-19 | 3.159E-20 | 0. |
| 85 | DEAD | 0. | 0. | -0.000069 | -1.111E-18 | 5.492E-19 | 0. |
| 85 | G1_smistamento | 0. | 0. | -0.000056 | -0.000044 | 1.178E-06 | 0. |
| 85 | G2_smistamento | 0. | 0. | -0.000021 | -0.000016 | 4.366E-07 | 0. |
| 85 | Q_smistamento | 0. | 0. | -0.000021 | -0.000016 | 4.366E-07 | 0. |
| 85 | Q_neve | 0. | 0. | -0.000014 | -2.202E-19 | 1.045E-19 | 0. |
| 86 | DEAD | 0. | 0. | -0.000069 | -7.378E-19 | 4.438E-20 | 0. |
| 86 | G1_smistamento | 0. | 0. | -0.000078 | -0.000041 | 7.257E-07 | 0. |
| 86 | G2_smistamento | 0. | 0. | -0.000029 | -0.000015 | 2.690E-07 | 0. |
| 86 | Q_smistamento | 0. | 0. | -0.000029 | -0.000015 | 2.690E-07 | 0. |
| 86 | Q_neve | 0. | 0. | -0.000014 | -1.441E-19 | 0. | 0. |

Table 18: Joint Displacements

| Joint | OutputCase | U1 | U2 | U3 | R1 | R2 | R3 |
|-------|----------------|----|----|-----------|------------|------------|---------|
| | | m | m | m | Radians | Radians | Radians |
| 87 | DEAD | 0. | 0. | -0.000069 | -7.318E-19 | 6.466E-19 | 0. |
| 87 | G1_smistamento | 0. | 0. | -0.000057 | -0.000044 | 1.172E-06 | 0. |
| 87 | G2_smistamento | 0. | 0. | -0.000021 | -0.000016 | 4.344E-07 | 0. |
| 87 | Q_smistamento | 0. | 0. | -0.000021 | -0.000016 | 4.344E-07 | 0. |
| 87 | Q_neve | 0. | 0. | -0.000014 | -1.355E-19 | 1.273E-19 | 0. |
| 88 | DEAD | 0. | 0. | -0.000069 | -3.591E-19 | 3.323E-19 | 0. |
| 88 | G1_smistamento | 0. | 0. | -0.000078 | -0.000041 | 3.877E-07 | 0. |
| 88 | G2_smistamento | 0. | 0. | -0.000029 | -0.000015 | 1.437E-07 | 0. |
| 88 | Q_smistamento | 0. | 0. | -0.000029 | -0.000015 | 1.437E-07 | 0. |
| 88 | Q_neve | 0. | 0. | -0.000014 | -8.470E-20 | 6.127E-20 | 0. |
| 89 | DEAD | 0. | 0. | -0.000069 | -2.808E-19 | 7.054E-19 | 0. |
| 89 | G1_smistamento | 0. | 0. | -0.000057 | -0.000043 | -8.178E-08 | 0. |
| 89 | G2_smistamento | 0. | 0. | -0.000021 | -0.000016 | -3.032E-08 | 0. |
| 89 | Q_smistamento | 0. | 0. | -0.000021 | -0.000016 | -3.032E-08 | 0. |
| 89 | Q_neve | 0. | 0. | -0.000014 | -5.565E-20 | 1.362E-19 | 0. |
| 90 | DEAD | 0. | 0. | -0.000069 | -2.005E-19 | 4.159E-19 | 0. |
| 90 | G1_smistamento | 0. | 0. | -0.000078 | -0.00004 | -1.240E-06 | 0. |
| 90 | G2_smistamento | 0. | 0. | -0.000029 | -0.000015 | -4.598E-07 | 0. |
| 90 | Q_smistamento | 0. | 0. | -0.000029 | -0.000015 | -4.598E-07 | 0. |
| 90 | Q_neve | 0. | 0. | -0.000014 | -4.521E-20 | 7.814E-20 | 0. |
| 91 | DEAD | 0. | 0. | -0.000069 | -5.421E-20 | 5.651E-19 | 0. |
| 91 | G1_smistamento | 0. | 0. | -0.000056 | -0.000041 | -3.098E-06 | 0. |
| 91 | G2_smistamento | 0. | 0. | -0.000021 | -0.000015 | -1.148E-06 | 0. |
| 91 | Q_smistamento | 0. | 0. | -0.000021 | -0.000015 | -1.148E-06 | 0. |
| 91 | Q_neve | 0. | 0. | -0.000014 | 0. | 1.082E-19 | 0. |
| 92 | DEAD | 0. | 0. | -0.000069 | 4.066E-20 | 3.126E-19 | 0. |
| 92 | G1_smistamento | 0. | 0. | -0.000077 | -0.000039 | -4.687E-06 | 0. |
| 92 | G2_smistamento | 0. | 0. | -0.000028 | -0.000014 | -1.738E-06 | 0. |
| 92 | Q_smistamento | 0. | 0. | -0.000028 | -0.000014 | -1.738E-06 | 0. |
| 92 | Q_neve | 0. | 0. | -0.000014 | 0. | 5.684E-20 | 0. |
| 93 | DEAD | 0. | 0. | -0.000069 | 3.220E-19 | -3.527E-19 | 0. |
| 93 | G1_smistamento | 0. | 0. | -0.000054 | -0.000039 | -8.164E-06 | 0. |
| 93 | G2_smistamento | 0. | 0. | -0.00002 | -0.000015 | -3.026E-06 | 0. |
| 93 | Q_smistamento | 0. | 0. | -0.00002 | -0.000015 | -3.026E-06 | 0. |
| 93 | Q_neve | 0. | 0. | -0.000014 | 5.785E-20 | -7.376E-20 | 0. |
| 94 | DEAD | 0. | 0. | -0.000069 | 2.338E-19 | -3.397E-19 | 0. |
| 94 | G1_smistamento | 0. | 0. | -0.000073 | -0.000037 | -0.00001 | 0. |
| 94 | G2_smistamento | 0. | 0. | -0.000027 | -0.000014 | -3.802E-06 | 0. |

Table 18: Joint Displacements

| Joint | OutputCase | U1 | U2 | U3 | R1 | R2 | R3 |
|-------|----------------|----|----|-----------|------------|------------|---------|
| | | m | m | m | Radians | Radians | Radians |
| 94 | Q_smistamento | 0. | 0. | -0.000027 | -0.000014 | -3.802E-06 | 0. |
| 94 | Q_neve | 0. | 0. | -0.000014 | 4.278E-20 | -7.004E-20 | 0. |
| 95 | DEAD | 0. | 0. | -0.000069 | -1.991E-20 | -1.561E-18 | 0. |
| 95 | G1_smistamento | 0. | 0. | -0.000048 | -0.000037 | -0.000015 | 0. |
| 95 | G2_smistamento | 0. | 0. | -0.000018 | -0.000014 | -5.546E-06 | 0. |
| 95 | Q_smistamento | 0. | 0. | -0.000018 | -0.000014 | -5.546E-06 | 0. |
| 95 | Q_neve | 0. | 0. | -0.000014 | 0. | -3.003E-19 | 0. |
| 96 | DEAD | 0. | 0. | -0.000069 | 5.500E-20 | -1.376E-18 | 0. |
| 96 | G1_smistamento | 0. | 0. | -0.000066 | -0.000035 | -0.000018 | 0. |
| 96 | G2_smistamento | 0. | 0. | -0.000025 | -0.000013 | -6.541E-06 | 0. |
| 96 | Q_smistamento | 0. | 0. | -0.000025 | -0.000013 | -6.541E-06 | 0. |
| 96 | Q_neve | 0. | 0. | -0.000014 | 0. | -2.535E-19 | 0. |
| 97 | DEAD | 0. | 0. | -0.000069 | -1.084E-19 | -2.345E-18 | 0. |
| 97 | G1_smistamento | 0. | 0. | -0.000039 | -0.000034 | -0.000022 | 0. |
| 97 | G2_smistamento | 0. | 0. | -0.000015 | -0.000013 | -8.194E-06 | 0. |
| 97 | Q_smistamento | 0. | 0. | -0.000015 | -0.000013 | -8.194E-06 | 0. |
| 97 | Q_neve | 0. | 0. | -0.000014 | -1.355E-20 | -4.521E-19 | 0. |
| 98 | DEAD | 0. | 0. | -0.000069 | -2.168E-19 | -2.130E-18 | 0. |
| 98 | G1_smistamento | 0. | 0. | -0.000056 | -0.000032 | -0.000025 | 0. |
| 98 | G2_smistamento | 0. | 0. | -0.000021 | -0.000012 | -9.423E-06 | 0. |
| 98 | Q_smistamento | 0. | 0. | -0.000021 | -0.000012 | -9.423E-06 | 0. |
| 98 | Q_neve | 0. | 0. | -0.000014 | -4.405E-20 | -4.153E-19 | 0. |
| 99 | DEAD | 0. | 0. | -0.000069 | -3.599E-19 | -2.426E-18 | 0. |
| 99 | G1_smistamento | 0. | 0. | -0.000038 | -0.000018 | -0.000034 | 0. |
| 99 | G2_smistamento | 0. | 0. | -0.000014 | -6.803E-06 | -0.000012 | 0. |
| 99 | Q_smistamento | 0. | 0. | -0.000014 | -6.803E-06 | -0.000012 | 0. |
| 99 | Q_neve | 0. | 0. | -0.000014 | -6.114E-20 | -4.792E-19 | 0. |
| 100 | DEAD | 0. | 0. | -0.000069 | -2.717E-19 | -2.358E-18 | 0. |
| 100 | G1_smistamento | 0. | 0. | -0.000055 | -0.000021 | -0.000034 | 0. |
| 100 | G2_smistamento | 0. | 0. | -0.00002 | -7.666E-06 | -0.000012 | 0. |
| 100 | Q_smistamento | 0. | 0. | -0.00002 | -7.666E-06 | -0.000012 | 0. |
| 100 | Q_neve | 0. | 0. | -0.000014 | -5.297E-20 | -4.659E-19 | 0. |
| 101 | DEAD | 0. | 0. | -0.000069 | -3.356E-19 | -2.399E-18 | 0. |
| 101 | G1_smistamento | 0. | 0. | -0.000045 | -6.591E-06 | -0.000035 | 0. |
| 101 | G2_smistamento | 0. | 0. | -0.000017 | -2.443E-06 | -0.000013 | 0. |
| 101 | Q_smistamento | 0. | 0. | -0.000017 | -2.443E-06 | -0.000013 | 0. |
| 101 | Q_neve | 0. | 0. | -0.000014 | -6.825E-20 | -4.743E-19 | 0. |
| 102 | DEAD | 0. | 0. | -0.000069 | 1.163E-19 | -2.174E-18 | 0. |

Table 18: Joint Displacements

| Joint | OutputCase | U1 | U2 | U3 | R1 | R2 | R3 |
|-------|----------------|----|----|-----------|------------|------------|---------|
| | | m | m | m | Radians | Radians | Radians |
| 102 | G1_smistamento | 0. | 0. | -0.000062 | -7.385E-06 | -0.000035 | 0. |
| 102 | G2_smistamento | 0. | 0. | -0.000023 | -2.738E-06 | -0.000013 | 0. |
| 102 | Q_smistamento | 0. | 0. | -0.000023 | -2.738E-06 | -0.000013 | 0. |
| 102 | Q_neve | 0. | 0. | -0.000014 | 2.006E-20 | -4.303E-19 | 0. |
| 103 | DEAD | 0. | 0. | -0.000069 | -4.220E-19 | -1.807E-18 | 0. |
| 103 | G1_smistamento | 0. | 0. | -0.000045 | 6.591E-06 | -0.000035 | 0. |
| 103 | G2_smistamento | 0. | 0. | -0.000017 | 2.443E-06 | -0.000013 | 0. |
| 103 | Q_smistamento | 0. | 0. | -0.000017 | 2.443E-06 | -0.000013 | 0. |
| 103 | Q_neve | 0. | 0. | -0.000014 | -8.507E-20 | -3.541E-19 | 0. |
| 104 | DEAD | 0. | 0. | -0.000069 | 5.602E-20 | -1.843E-18 | 0. |
| 104 | G1_smistamento | 0. | 0. | -0.000062 | 7.385E-06 | -0.000035 | 0. |
| 104 | G2_smistamento | 0. | 0. | -0.000023 | 2.738E-06 | -0.000013 | 0. |
| 104 | Q_smistamento | 0. | 0. | -0.000023 | 2.738E-06 | -0.000013 | 0. |
| 104 | Q_neve | 0. | 0. | -0.000014 | 0. | -3.659E-19 | 0. |
| 105 | DEAD | 0. | 0. | -0.000069 | -2.187E-19 | -1.302E-18 | 0. |
| 105 | G1_smistamento | 0. | 0. | -0.000038 | 0.000018 | -0.000034 | 0. |
| 105 | G2_smistamento | 0. | 0. | -0.000014 | 6.803E-06 | -0.000012 | 0. |
| 105 | Q_smistamento | 0. | 0. | -0.000014 | 6.803E-06 | -0.000012 | 0. |
| 105 | Q_neve | 0. | 0. | -0.000014 | -4.353E-20 | -2.576E-19 | 0. |
| 106 | DEAD | 0. | 0. | -0.000069 | 2.876E-19 | -1.450E-18 | 0. |
| 106 | G1_smistamento | 0. | 0. | -0.000055 | 0.000021 | -0.000034 | 0. |
| 106 | G2_smistamento | 0. | 0. | -0.00002 | 7.666E-06 | -0.000012 | 0. |
| 106 | Q_smistamento | 0. | 0. | -0.00002 | 7.666E-06 | -0.000012 | 0. |
| 106 | Q_neve | 0. | 0. | -0.000014 | 5.844E-20 | -2.876E-19 | 0. |
| 107 | DEAD | 0. | 0. | -0.000069 | 1.469E-18 | -5.954E-19 | 0. |
| 107 | G1_smistamento | 0. | 0. | -0.000039 | 0.000034 | -0.000022 | 0. |
| 107 | G2_smistamento | 0. | 0. | -0.000015 | 0.000013 | -8.194E-06 | 0. |
| 107 | Q_smistamento | 0. | 0. | -0.000015 | 0.000013 | -8.194E-06 | 0. |
| 107 | Q_neve | 0. | 0. | -0.000014 | 2.903E-19 | -1.116E-19 | 0. |
| 108 | DEAD | 0. | 0. | -0.000069 | 1.244E-18 | -8.780E-19 | 0. |
| 108 | G1_smistamento | 0. | 0. | -0.000056 | 0.000032 | -0.000025 | 0. |
| 108 | G2_smistamento | 0. | 0. | -0.000021 | 0.000012 | -9.423E-06 | 0. |
| 108 | Q_smistamento | 0. | 0. | -0.000021 | 0.000012 | -9.423E-06 | 0. |
| 108 | Q_neve | 0. | 0. | -0.000014 | 2.420E-19 | -1.766E-19 | 0. |
| 109 | DEAD | 0. | 0. | -0.000069 | 1.419E-18 | -5.387E-19 | 0. |
| 109 | G1_smistamento | 0. | 0. | -0.000048 | 0.000037 | -0.000015 | 0. |
| 109 | G2_smistamento | 0. | 0. | -0.000018 | 0.000014 | -5.546E-06 | 0. |
| 109 | Q_smistamento | 0. | 0. | -0.000018 | 0.000014 | -5.546E-06 | 0. |

Table 18: Joint Displacements

| Joint | OutputCase | U1 | U2 | U3 | R1 | R2 | R3 |
|-------|----------------|----|----|-----------|-----------|------------|---------|
| | | m | m | m | Radians | Radians | Radians |
| 109 | Q_neve | 0. | 0. | -0.000014 | 2.765E-19 | -1.076E-19 | 0. |
| 110 | DEAD | 0. | 0. | -0.000069 | 1.395E-18 | -5.895E-19 | 0. |
| 110 | G1_smistamento | 0. | 0. | -0.000066 | 0.000035 | -0.000018 | 0. |
| 110 | G2_smistamento | 0. | 0. | -0.000025 | 0.000013 | -6.541E-06 | 0. |
| 110 | Q_smistamento | 0. | 0. | -0.000025 | 0.000013 | -6.541E-06 | 0. |
| 110 | Q_neve | 0. | 0. | -0.000014 | 2.756E-19 | -1.135E-19 | 0. |
| 111 | DEAD | 0. | 0. | -0.000069 | 1.572E-18 | -1.535E-19 | 0. |
| 111 | G1_smistamento | 0. | 0. | -0.000054 | 0.000039 | -8.164E-06 | 0. |
| 111 | G2_smistamento | 0. | 0. | -0.00002 | 0.000015 | -3.026E-06 | 0. |
| 111 | Q_smistamento | 0. | 0. | -0.00002 | 0.000015 | -3.026E-06 | 0. |
| 111 | Q_neve | 0. | 0. | -0.000014 | 2.914E-19 | -3.246E-20 | 0. |
| 112 | DEAD | 0. | 0. | -0.000069 | 1.425E-18 | -1.044E-19 | 0. |
| 112 | G1_smistamento | 0. | 0. | -0.000073 | 0.000037 | -0.00001 | 0. |
| 112 | G2_smistamento | 0. | 0. | -0.000027 | 0.000014 | -3.802E-06 | 0. |
| 112 | Q_smistamento | 0. | 0. | -0.000027 | 0.000014 | -3.802E-06 | 0. |
| 112 | Q_neve | 0. | 0. | -0.000014 | 2.800E-19 | -1.426E-20 | 0. |
| 113 | DEAD | 0. | 0. | -0.000069 | 1.388E-18 | 6.989E-20 | 0. |
| 113 | G1_smistamento | 0. | 0. | -0.000056 | 0.000041 | -3.098E-06 | 0. |
| 113 | G2_smistamento | 0. | 0. | -0.000021 | 0.000015 | -1.148E-06 | 0. |
| 113 | Q_smistamento | 0. | 0. | -0.000021 | 0.000015 | -1.148E-06 | 0. |
| 113 | Q_neve | 0. | 0. | -0.000014 | 2.641E-19 | 0. | 0. |
| 114 | DEAD | 0. | 0. | -0.000069 | 1.279E-18 | 2.376E-19 | 0. |
| 114 | G1_smistamento | 0. | 0. | -0.000077 | 0.000039 | -4.687E-06 | 0. |
| 114 | G2_smistamento | 0. | 0. | -0.000028 | 0.000014 | -1.738E-06 | 0. |
| 114 | Q_smistamento | 0. | 0. | -0.000028 | 0.000014 | -1.738E-06 | 0. |
| 114 | Q_neve | 0. | 0. | -0.000014 | 2.509E-19 | 4.585E-20 | 0. |
| 115 | DEAD | 0. | 0. | -0.000069 | 1.323E-18 | 2.259E-19 | 0. |
| 115 | G1_smistamento | 0. | 0. | -0.000057 | 0.000043 | -8.178E-08 | 0. |
| 115 | G2_smistamento | 0. | 0. | -0.000021 | 0.000016 | -3.032E-08 | 0. |
| 115 | Q_smistamento | 0. | 0. | -0.000021 | 0.000016 | -3.032E-08 | 0. |
| 115 | Q_neve | 0. | 0. | -0.000014 | 2.434E-19 | 4.349E-20 | 0. |
| 116 | DEAD | 0. | 0. | -0.000069 | 1.154E-18 | 2.369E-19 | 0. |
| 116 | G1_smistamento | 0. | 0. | -0.000078 | 0.00004 | -1.240E-06 | 0. |
| 116 | G2_smistamento | 0. | 0. | -0.000029 | 0.000015 | -4.598E-07 | 0. |
| 116 | Q_smistamento | 0. | 0. | -0.000029 | 0.000015 | -4.598E-07 | 0. |
| 116 | Q_neve | 0. | 0. | -0.000014 | 2.247E-19 | 4.173E-20 | 0. |
| 117 | DEAD | 0. | 0. | -0.000069 | 1.477E-18 | 1.355E-19 | 0. |
| 117 | G1_smistamento | 0. | 0. | -0.000057 | 0.000044 | 1.172E-06 | 0. |

Table 18: Joint Displacements

| Joint | OutputCase | U1 | U2 | U3 | R1 | R2 | R3 |
|-------|----------------|----|----|-----------|-----------|------------|---------|
| | | m | m | m | Radians | Radians | Radians |
| 117 | G2_smistamento | 0. | 0. | -0.000021 | 0.000016 | 4.344E-07 | 0. |
| 117 | Q_smistamento | 0. | 0. | -0.000021 | 0.000016 | 4.344E-07 | 0. |
| 117 | Q_neve | 0. | 0. | -0.000014 | 2.935E-19 | 2.965E-20 | 0. |
| 118 | DEAD | 0. | 0. | -0.000069 | 1.172E-18 | -3.727E-20 | 0. |
| 118 | G1_smistamento | 0. | 0. | -0.000078 | 0.000041 | 3.877E-07 | 0. |
| 118 | G2_smistamento | 0. | 0. | -0.000029 | 0.000015 | 1.437E-07 | 0. |
| 118 | Q_smistamento | 0. | 0. | -0.000029 | 0.000015 | 1.437E-07 | 0. |
| 118 | Q_neve | 0. | 0. | -0.000014 | 2.352E-19 | 0. | 0. |
| 119 | DEAD | 0. | 0. | -0.000069 | 1.681E-18 | 2.820E-19 | 0. |
| 119 | G1_smistamento | 0. | 0. | -0.000056 | 0.000044 | 1.178E-06 | 0. |
| 119 | G2_smistamento | 0. | 0. | -0.000021 | 0.000016 | 4.366E-07 | 0. |
| 119 | Q_smistamento | 0. | 0. | -0.000021 | 0.000016 | 4.366E-07 | 0. |
| 119 | Q_neve | 0. | 0. | -0.000014 | 3.253E-19 | 6.047E-20 | 0. |
| 120 | DEAD | 0. | 0. | -0.000069 | 1.464E-18 | 0. | 0. |
| 120 | G1_smistamento | 0. | 0. | -0.000078 | 0.000041 | 7.257E-07 | 0. |
| 120 | G2_smistamento | 0. | 0. | -0.000029 | 0.000015 | 2.690E-07 | 0. |
| 120 | Q_smistamento | 0. | 0. | -0.000029 | 0.000015 | 2.690E-07 | 0. |
| 120 | Q_neve | 0. | 0. | -0.000014 | 2.880E-19 | 0. | 0. |
| 121 | DEAD | 0. | 0. | -0.000069 | 1.808E-18 | 2.424E-19 | 0. |
| 121 | G1_smistamento | 0. | 0. | -0.000056 | 0.000045 | 4.691E-07 | 0. |
| 121 | G2_smistamento | 0. | 0. | -0.000021 | 0.000017 | 1.739E-07 | 0. |
| 121 | Q_smistamento | 0. | 0. | -0.000021 | 0.000017 | 1.739E-07 | 0. |
| 121 | Q_neve | 0. | 0. | -0.000014 | 3.570E-19 | 4.588E-20 | 0. |
| 122 | DEAD | 0. | 0. | -0.000069 | 1.542E-18 | 1.807E-19 | 0. |
| 122 | G1_smistamento | 0. | 0. | -0.000078 | 0.000041 | 3.217E-07 | 0. |
| 122 | G2_smistamento | 0. | 0. | -0.000029 | 0.000015 | 1.192E-07 | 0. |
| 122 | Q_smistamento | 0. | 0. | -0.000029 | 0.000015 | 1.192E-07 | 0. |
| 122 | Q_neve | 0. | 0. | -0.000014 | 3.181E-19 | 3.307E-20 | 0. |
| 123 | DEAD | 0. | 0. | -0.000069 | 1.789E-18 | 2.312E-19 | 0. |
| 123 | G1_smistamento | 0. | 0. | -0.000056 | 0.000045 | -4.691E-07 | 0. |
| 123 | G2_smistamento | 0. | 0. | -0.000021 | 0.000017 | -1.739E-07 | 0. |
| 123 | Q_smistamento | 0. | 0. | -0.000021 | 0.000017 | -1.739E-07 | 0. |
| 123 | Q_neve | 0. | 0. | -0.000014 | 3.388E-19 | 3.743E-20 | 0. |
| 124 | DEAD | 0. | 0. | -0.000069 | 1.640E-18 | 1.440E-19 | 0. |
| 124 | G1_smistamento | 0. | 0. | -0.000078 | 0.000041 | -3.217E-07 | 0. |
| 124 | G2_smistamento | 0. | 0. | -0.000029 | 0.000015 | -1.192E-07 | 0. |
| 124 | Q_smistamento | 0. | 0. | -0.000029 | 0.000015 | -1.192E-07 | 0. |
| 124 | Q_neve | 0. | 0. | -0.000014 | 3.219E-19 | 2.871E-20 | 0. |

Table 18: Joint Displacements

| Joint | OutputCase | U1 | U2 | U3 | R1 | R2 | R3 |
|-------|----------------|----|----|-----------|-----------|------------|---------|
| | | m | m | m | Radians | Radians | Radians |
| 125 | DEAD | 0. | 0. | -0.000069 | 1.748E-18 | 0. | 0. |
| 125 | G1_smistamento | 0. | 0. | -0.000056 | 0.000044 | -1.178E-06 | 0. |
| 125 | G2_smistamento | 0. | 0. | -0.000021 | 0.000016 | -4.366E-07 | 0. |
| 125 | Q_smistamento | 0. | 0. | -0.000021 | 0.000016 | -4.366E-07 | 0. |
| 125 | Q_neve | 0. | 0. | -0.000014 | 3.362E-19 | 0. | 0. |
| 126 | DEAD | 0. | 0. | -0.000069 | 1.647E-18 | -5.421E-20 | 0. |
| 126 | G1_smistamento | 0. | 0. | -0.000078 | 0.000041 | -7.257E-07 | 0. |
| 126 | G2_smistamento | 0. | 0. | -0.000029 | 0.000015 | -2.690E-07 | 0. |
| 126 | Q_smistamento | 0. | 0. | -0.000029 | 0.000015 | -2.690E-07 | 0. |
| 126 | Q_neve | 0. | 0. | -0.000014 | 3.278E-19 | -1.016E-20 | 0. |
| 127 | DEAD | 0. | 0. | -0.000069 | 1.952E-18 | 1.220E-19 | 0. |
| 127 | G1_smistamento | 0. | 0. | -0.000057 | 0.000044 | -1.172E-06 | 0. |
| 127 | G2_smistamento | 0. | 0. | -0.000021 | 0.000016 | -4.344E-07 | 0. |
| 127 | Q_smistamento | 0. | 0. | -0.000021 | 0.000016 | -4.344E-07 | 0. |
| 127 | Q_neve | 0. | 0. | -0.000014 | 3.930E-19 | 2.695E-20 | 0. |
| 128 | DEAD | 0. | 0. | -0.000069 | 1.739E-18 | 1.010E-20 | 0. |
| 128 | G1_smistamento | 0. | 0. | -0.000078 | 0.000041 | -3.877E-07 | 0. |
| 128 | G2_smistamento | 0. | 0. | -0.000029 | 0.000015 | -1.437E-07 | 0. |
| 128 | Q_smistamento | 0. | 0. | -0.000029 | 0.000015 | -1.437E-07 | 0. |
| 128 | Q_neve | 0. | 0. | -0.000014 | 3.504E-19 | 0. | 0. |
| 129 | DEAD | 0. | 0. | -0.000069 | 1.708E-18 | 4.751E-19 | 0. |
| 129 | G1_smistamento | 0. | 0. | -0.000057 | 0.000043 | 8.178E-08 | 0. |
| 129 | G2_smistamento | 0. | 0. | -0.000021 | 0.000016 | 3.032E-08 | 0. |
| 129 | Q_smistamento | 0. | 0. | -0.000021 | 0.000016 | 3.032E-08 | 0. |
| 129 | Q_neve | 0. | 0. | -0.000014 | 3.367E-19 | 9.715E-20 | 0. |
| 130 | DEAD | 0. | 0. | -0.000069 | 1.762E-18 | 5.216E-19 | 0. |
| 130 | G1_smistamento | 0. | 0. | -0.000078 | 0.00004 | 1.240E-06 | 0. |
| 130 | G2_smistamento | 0. | 0. | -0.000029 | 0.000015 | 4.598E-07 | 0. |
| 130 | Q_smistamento | 0. | 0. | -0.000029 | 0.000015 | 4.598E-07 | 0. |
| 130 | Q_neve | 0. | 0. | -0.000014 | 3.490E-19 | 1.097E-19 | 0. |
| 131 | DEAD | 0. | 0. | -0.000069 | 1.913E-18 | 1.002E-18 | 0. |
| 131 | G1_smistamento | 0. | 0. | -0.000056 | 0.000041 | 3.098E-06 | 0. |
| 131 | G2_smistamento | 0. | 0. | -0.000021 | 0.000015 | 1.148E-06 | 0. |
| 131 | Q_smistamento | 0. | 0. | -0.000021 | 0.000015 | 1.148E-06 | 0. |
| 131 | Q_neve | 0. | 0. | -0.000014 | 3.768E-19 | 2.047E-19 | 0. |
| 132 | DEAD | 0. | 0. | -0.000069 | 1.750E-18 | 8.802E-19 | 0. |
| 132 | G1_smistamento | 0. | 0. | -0.000077 | 0.000039 | 4.687E-06 | 0. |
| 132 | G2_smistamento | 0. | 0. | -0.000028 | 0.000014 | 1.738E-06 | 0. |

Table 18: Joint Displacements

| Joint | OutputCase | U1 | U2 | U3 | R1 | R2 | R3 |
|-------|----------------|----|----|-----------|-----------|-----------|---------|
| | | m | m | m | Radians | Radians | Radians |
| 132 | Q_smistamento | 0. | 0. | -0.000028 | 0.000014 | 1.738E-06 | 0. |
| 132 | Q_neve | 0. | 0. | -0.000014 | 3.403E-19 | 1.744E-19 | 0. |
| 133 | DEAD | 0. | 0. | -0.000069 | 1.911E-18 | 9.690E-19 | 0. |
| 133 | G1_smistamento | 0. | 0. | -0.000054 | 0.000039 | 8.164E-06 | 0. |
| 133 | G2_smistamento | 0. | 0. | -0.00002 | 0.000015 | 3.026E-06 | 0. |
| 133 | Q_smistamento | 0. | 0. | -0.00002 | 0.000015 | 3.026E-06 | 0. |
| 133 | Q_neve | 0. | 0. | -0.000014 | 3.769E-19 | 1.923E-19 | 0. |
| 134 | DEAD | 0. | 0. | -0.000069 | 1.720E-18 | 1.125E-18 | 0. |
| 134 | G1_smistamento | 0. | 0. | -0.000073 | 0.000037 | 0.00001 | 0. |
| 134 | G2_smistamento | 0. | 0. | -0.000027 | 0.000014 | 3.802E-06 | 0. |
| 134 | Q_smistamento | 0. | 0. | -0.000027 | 0.000014 | 3.802E-06 | 0. |
| 134 | Q_neve | 0. | 0. | -0.000014 | 3.398E-19 | 2.304E-19 | 0. |
| 135 | DEAD | 0. | 0. | -0.000069 | 1.587E-18 | 1.030E-18 | 0. |
| 135 | G1_smistamento | 0. | 0. | -0.000048 | 0.000037 | 0.000015 | 0. |
| 135 | G2_smistamento | 0. | 0. | -0.000018 | 0.000014 | 5.546E-06 | 0. |
| 135 | Q_smistamento | 0. | 0. | -0.000018 | 0.000014 | 5.546E-06 | 0. |
| 135 | Q_neve | 0. | 0. | -0.000014 | 3.178E-19 | 2.100E-19 | 0. |
| 136 | DEAD | 0. | 0. | -0.000069 | 1.590E-18 | 1.296E-18 | 0. |
| 136 | G1_smistamento | 0. | 0. | -0.000066 | 0.000035 | 0.000018 | 0. |
| 136 | G2_smistamento | 0. | 0. | -0.000025 | 0.000013 | 6.541E-06 | 0. |
| 136 | Q_smistamento | 0. | 0. | -0.000025 | 0.000013 | 6.541E-06 | 0. |
| 136 | Q_neve | 0. | 0. | -0.000014 | 3.075E-19 | 2.436E-19 | 0. |
| 137 | DEAD | 0. | 0. | -0.000069 | 1.703E-18 | 1.320E-18 | 0. |
| 137 | G1_smistamento | 0. | 0. | -0.000039 | 0.000034 | 0.000022 | 0. |
| 137 | G2_smistamento | 0. | 0. | -0.000015 | 0.000013 | 8.194E-06 | 0. |
| 137 | Q_smistamento | 0. | 0. | -0.000015 | 0.000013 | 8.194E-06 | 0. |
| 137 | Q_neve | 0. | 0. | -0.000014 | 3.290E-19 | 2.488E-19 | 0. |
| 138 | DEAD | 0. | 0. | -0.000069 | 1.462E-18 | 1.284E-18 | 0. |
| 138 | G1_smistamento | 0. | 0. | -0.000056 | 0.000032 | 0.000025 | 0. |
| 138 | G2_smistamento | 0. | 0. | -0.000021 | 0.000012 | 9.423E-06 | 0. |
| 138 | Q_smistamento | 0. | 0. | -0.000021 | 0.000012 | 9.423E-06 | 0. |
| 138 | Q_neve | 0. | 0. | -0.000014 | 2.848E-19 | 2.567E-19 | 0. |
| 139 | DEAD | 0. | 0. | -0.000069 | 7.199E-19 | 1.274E-18 | 0. |
| 139 | G1_smistamento | 0. | 0. | -0.000038 | 0.000018 | 0.000034 | 0. |
| 139 | G2_smistamento | 0. | 0. | -0.000014 | 6.803E-06 | 0.000012 | 0. |
| 139 | Q_smistamento | 0. | 0. | -0.000014 | 6.803E-06 | 0.000012 | 0. |
| 139 | Q_neve | 0. | 0. | -0.000014 | 1.440E-19 | 2.575E-19 | 0. |
| 140 | DEAD | 0. | 0. | -0.000069 | 8.783E-19 | 1.762E-18 | 0. |

Table 18: Joint Displacements

| Joint | OutputCase | U1 | U2 | U3 | R1 | R2 | R3 |
|-------|----------------|----|----|-----------|------------|-----------|---------|
| | | m | m | m | Radians | Radians | Radians |
| 140 | G1_smistamento | 0. | 0. | -0.000055 | 0.000021 | 0.000034 | 0. |
| 140 | G2_smistamento | 0. | 0. | -0.00002 | 7.666E-06 | 0.000012 | 0. |
| 140 | Q_smistamento | 0. | 0. | -0.00002 | 7.666E-06 | 0.000012 | 0. |
| 140 | Q_neve | 0. | 0. | -0.000014 | 1.668E-19 | 3.388E-19 | 0. |
| 141 | DEAD | 0. | 0. | -0.000069 | 5.833E-20 | 1.732E-18 | 0. |
| 141 | G1_smistamento | 0. | 0. | -0.000045 | 6.591E-06 | 0.000035 | 0. |
| 141 | G2_smistamento | 0. | 0. | -0.000017 | 2.443E-06 | 0.000013 | 0. |
| 141 | Q_smistamento | 0. | 0. | -0.000017 | 2.443E-06 | 0.000013 | 0. |
| 141 | Q_neve | 0. | 0. | -0.000014 | 1.368E-20 | 3.382E-19 | 0. |
| 142 | DEAD | 0. | 0. | -0.000069 | 2.472E-19 | 1.691E-18 | 0. |
| 142 | G1_smistamento | 0. | 0. | -0.000062 | 7.385E-06 | 0.000035 | 0. |
| 142 | G2_smistamento | 0. | 0. | -0.000023 | 2.738E-06 | 0.000013 | 0. |
| 142 | Q_smistamento | 0. | 0. | -0.000023 | 2.738E-06 | 0.000013 | 0. |
| 142 | Q_neve | 0. | 0. | -0.000014 | 5.069E-20 | 3.316E-19 | 0. |
| 143 | DEAD | 0. | 0. | -0.000069 | -8.325E-19 | 1.763E-18 | 0. |
| 143 | G1_smistamento | 0. | 0. | -0.000045 | -6.591E-06 | 0.000035 | 0. |
| 143 | G2_smistamento | 0. | 0. | -0.000017 | -2.443E-06 | 0.000013 | 0. |
| 143 | Q_smistamento | 0. | 0. | -0.000017 | -2.443E-06 | 0.000013 | 0. |
| 143 | Q_neve | 0. | 0. | -0.000014 | -1.709E-19 | 3.505E-19 | 0. |
| 144 | DEAD | 0. | 0. | -0.000069 | -6.505E-19 | 1.988E-18 | 0. |
| 144 | G1_smistamento | 0. | 0. | -0.000062 | -7.385E-06 | 0.000035 | 0. |
| 144 | G2_smistamento | 0. | 0. | -0.000023 | -2.738E-06 | 0.000013 | 0. |
| 144 | Q_smistamento | 0. | 0. | -0.000023 | -2.738E-06 | 0.000013 | 0. |
| 144 | Q_neve | 0. | 0. | -0.000014 | -1.152E-19 | 3.858E-19 | 0. |
| 145 | DEAD | 0. | 0. | -0.000069 | -1.905E-18 | 2.262E-18 | 0. |
| 145 | G1_smistamento | 0. | 0. | -0.000038 | -0.000018 | 0.000034 | 0. |
| 145 | G2_smistamento | 0. | 0. | -0.000014 | -6.803E-06 | 0.000012 | 0. |
| 145 | Q_smistamento | 0. | 0. | -0.000014 | -6.803E-06 | 0.000012 | 0. |
| 145 | Q_neve | 0. | 0. | -0.000014 | -3.599E-19 | 4.564E-19 | 0. |
| 146 | DEAD | 0. | 0. | -0.000069 | -1.346E-18 | 2.427E-18 | 0. |
| 146 | G1_smistamento | 0. | 0. | -0.000055 | -0.000021 | 0.000034 | 0. |
| 146 | G2_smistamento | 0. | 0. | -0.00002 | -7.666E-06 | 0.000012 | 0. |
| 146 | Q_smistamento | 0. | 0. | -0.00002 | -7.666E-06 | 0.000012 | 0. |
| 146 | Q_neve | 0. | 0. | -0.000014 | -2.555E-19 | 4.794E-19 | 0. |
| 147 | DEAD | 0. | 0. | -0.000069 | -1.019E-18 | 2.280E-18 | 0. |
| 147 | G1_smistamento | 0. | 0. | -0.00007 | -0.000023 | 0.000029 | 0. |
| 147 | G2_smistamento | 0. | 0. | -0.000026 | -8.643E-06 | 0.000011 | 0. |
| 147 | Q_smistamento | 0. | 0. | -0.000026 | -8.643E-06 | 0.000011 | 0. |

Table 18: Joint Displacements

| Joint | OutputCase | U1 | U2 | U3 | R1 | R2 | R3 |
|-------|----------------|----|----|-----------|------------|-----------|---------|
| | | m | m | m | Radians | Radians | Radians |
| 147 | Q_neve | 0. | 0. | -0.000014 | -1.905E-19 | 4.464E-19 | 0. |
| 148 | DEAD | 0. | 0. | -0.000069 | -2.951E-19 | 1.850E-18 | 0. |
| 148 | G1_smistamento | 0. | 0. | -0.000078 | -8.286E-06 | 0.00003 | 0. |
| 148 | G2_smistamento | 0. | 0. | -0.000029 | -3.072E-06 | 0.000011 | 0. |
| 148 | Q_smistamento | 0. | 0. | -0.000029 | -3.072E-06 | 0.000011 | 0. |
| 148 | Q_neve | 0. | 0. | -0.000014 | -4.567E-20 | 3.744E-19 | 0. |
| 149 | DEAD | 0. | 0. | -0.000069 | 4.239E-19 | 1.835E-18 | 0. |
| 149 | G1_smistamento | 0. | 0. | -0.000078 | 8.286E-06 | 0.00003 | 0. |
| 149 | G2_smistamento | 0. | 0. | -0.000029 | 3.072E-06 | 0.000011 | 0. |
| 149 | Q_smistamento | 0. | 0. | -0.000029 | 3.072E-06 | 0.000011 | 0. |
| 149 | Q_neve | 0. | 0. | -0.000014 | 8.592E-20 | 3.568E-19 | 0. |
| 150 | DEAD | 0. | 0. | -0.000069 | 1.016E-18 | 1.477E-18 | 0. |
| 150 | G1_smistamento | 0. | 0. | -0.00007 | 0.000023 | 0.000029 | 0. |
| 150 | G2_smistamento | 0. | 0. | -0.000026 | 8.643E-06 | 0.000011 | 0. |
| 150 | Q_smistamento | 0. | 0. | -0.000026 | 8.643E-06 | 0.000011 | 0. |
| 150 | Q_neve | 0. | 0. | -0.000014 | 2.021E-19 | 2.886E-19 | 0. |
| 151 | DEAD | 0. | 0. | -0.000069 | -6.398E-19 | 1.697E-18 | 0. |
| 151 | G1_smistamento | 0. | 0. | -0.000082 | -0.000025 | 0.00002 | 0. |
| 151 | G2_smistamento | 0. | 0. | -0.00003 | -9.452E-06 | 7.393E-06 | 0. |
| 151 | Q_smistamento | 0. | 0. | -0.00003 | -9.452E-06 | 7.393E-06 | 0. |
| 151 | Q_neve | 0. | 0. | -0.000014 | -1.388E-19 | 3.356E-19 | 0. |
| 152 | DEAD | 0. | 0. | -0.000069 | -9.565E-20 | 1.613E-18 | 0. |
| 152 | G1_smistamento | 0. | 0. | -0.000091 | -9.085E-06 | 0.000021 | 0. |
| 152 | G2_smistamento | 0. | 0. | -0.000034 | -3.368E-06 | 7.896E-06 | 0. |
| 152 | Q_smistamento | 0. | 0. | -0.000034 | -3.368E-06 | 7.896E-06 | 0. |
| 152 | Q_neve | 0. | 0. | -0.000014 | -1.403E-20 | 3.202E-19 | 0. |
| 153 | DEAD | 0. | 0. | -0.000069 | 5.348E-19 | 1.369E-18 | 0. |
| 153 | G1_smistamento | 0. | 0. | -0.000091 | 9.085E-06 | 0.000021 | 0. |
| 153 | G2_smistamento | 0. | 0. | -0.000034 | 3.368E-06 | 7.896E-06 | 0. |
| 153 | Q_smistamento | 0. | 0. | -0.000034 | 3.368E-06 | 7.896E-06 | 0. |
| 153 | Q_neve | 0. | 0. | -0.000014 | 1.167E-19 | 2.727E-19 | 0. |
| 154 | DEAD | 0. | 0. | -0.000069 | 1.166E-18 | 1.342E-18 | 0. |
| 154 | G1_smistamento | 0. | 0. | -0.000082 | 0.000025 | 0.00002 | 0. |
| 154 | G2_smistamento | 0. | 0. | -0.00003 | 9.452E-06 | 7.393E-06 | 0. |
| 154 | Q_smistamento | 0. | 0. | -0.00003 | 9.452E-06 | 7.393E-06 | 0. |
| 154 | Q_neve | 0. | 0. | -0.000014 | 2.304E-19 | 2.744E-19 | 0. |
| 155 | DEAD | 0. | 0. | -0.000069 | -5.723E-19 | 1.091E-18 | 0. |
| 155 | G1_smistamento | 0. | 0. | -0.00009 | -0.000027 | 0.000012 | 0. |

Table 18: Joint Displacements

| Joint | OutputCase | U1 | U2 | U3 | R1 | R2 | R3 |
|-------|----------------|----|----|-----------|------------|-----------|---------|
| | | m | m | m | Radians | Radians | Radians |
| 155 | G2_smistamento | 0. | 0. | -0.000033 | -0.00001 | 4.397E-06 | 0. |
| 155 | Q_smistamento | 0. | 0. | -0.000033 | -0.00001 | 4.397E-06 | 0. |
| 155 | Q_neve | 0. | 0. | -0.000014 | -1.118E-19 | 2.202E-19 | 0. |
| 156 | DEAD | 0. | 0. | -0.000069 | -5.269E-20 | 1.086E-18 | 0. |
| 156 | G1_smistamento | 0. | 0. | -0.000099 | -9.647E-06 | 0.000013 | 0. |
| 156 | G2_smistamento | 0. | 0. | -0.000037 | -3.576E-06 | 4.730E-06 | 0. |
| 156 | Q_smistamento | 0. | 0. | -0.000037 | -3.576E-06 | 4.730E-06 | 0. |
| 156 | Q_neve | 0. | 0. | -0.000014 | 0. | 2.156E-19 | 0. |
| 157 | DEAD | 0. | 0. | -0.000069 | 5.826E-19 | 1.142E-18 | 0. |
| 157 | G1_smistamento | 0. | 0. | -0.000099 | 9.647E-06 | 0.000013 | 0. |
| 157 | G2_smistamento | 0. | 0. | -0.000037 | 3.576E-06 | 4.730E-06 | 0. |
| 157 | Q_smistamento | 0. | 0. | -0.000037 | 3.576E-06 | 4.730E-06 | 0. |
| 157 | Q_neve | 0. | 0. | -0.000014 | 1.180E-19 | 2.304E-19 | 0. |
| 158 | DEAD | 0. | 0. | -0.000069 | 1.179E-18 | 1.111E-18 | 0. |
| 158 | G1_smistamento | 0. | 0. | -0.00009 | 0.000027 | 0.000012 | 0. |
| 158 | G2_smistamento | 0. | 0. | -0.000033 | 0.00001 | 4.397E-06 | 0. |
| 158 | Q_smistamento | 0. | 0. | -0.000033 | 0.00001 | 4.397E-06 | 0. |
| 158 | Q_neve | 0. | 0. | -0.000014 | 2.314E-19 | 2.236E-19 | 0. |
| 159 | DEAD | 0. | 0. | -0.000069 | -6.632E-19 | 7.229E-19 | 0. |
| 159 | G1_smistamento | 0. | 0. | -0.000094 | -0.000028 | 5.802E-06 | 0. |
| 159 | G2_smistamento | 0. | 0. | -0.000035 | -0.00001 | 2.151E-06 | 0. |
| 159 | Q_smistamento | 0. | 0. | -0.000035 | -0.00001 | 2.151E-06 | 0. |
| 159 | Q_neve | 0. | 0. | -0.000014 | -1.283E-19 | 1.409E-19 | 0. |
| 160 | DEAD | 0. | 0. | -0.000069 | -1.863E-19 | 8.408E-19 | 0. |
| 160 | G1_smistamento | 0. | 0. | -0.000103 | -0.00001 | 6.388E-06 | 0. |
| 160 | G2_smistamento | 0. | 0. | -0.000038 | -3.710E-06 | 2.368E-06 | 0. |
| 160 | Q_smistamento | 0. | 0. | -0.000038 | -3.710E-06 | 2.368E-06 | 0. |
| 160 | Q_neve | 0. | 0. | -0.000014 | -3.727E-20 | 1.704E-19 | 0. |
| 161 | DEAD | 0. | 0. | -0.000069 | 5.150E-19 | 9.877E-19 | 0. |
| 161 | G1_smistamento | 0. | 0. | -0.000103 | 0.00001 | 6.388E-06 | 0. |
| 161 | G2_smistamento | 0. | 0. | -0.000038 | 3.710E-06 | 2.368E-06 | 0. |
| 161 | Q_smistamento | 0. | 0. | -0.000038 | 3.710E-06 | 2.368E-06 | 0. |
| 161 | Q_neve | 0. | 0. | -0.000014 | 1.084E-19 | 1.990E-19 | 0. |
| 162 | DEAD | 0. | 0. | -0.000069 | 1.227E-18 | 9.283E-19 | 0. |
| 162 | G1_smistamento | 0. | 0. | -0.000094 | 0.000028 | 5.802E-06 | 0. |
| 162 | G2_smistamento | 0. | 0. | -0.000035 | 0.00001 | 2.151E-06 | 0. |
| 162 | Q_smistamento | 0. | 0. | -0.000035 | 0.00001 | 2.151E-06 | 0. |
| 162 | Q_neve | 0. | 0. | -0.000014 | 2.423E-19 | 1.863E-19 | 0. |

Table 18: Joint Displacements

| Joint | OutputCase | U1 | U2 | U3 | R1 | R2 | R3 |
|-------|----------------|----|----|-----------|------------|-----------|---------|
| | | m | m | m | Radians | Radians | Radians |
| 163 | DEAD | 0. | 0. | -0.000069 | -8.410E-19 | 6.352E-19 | 0. |
| 163 | G1_smistamento | 0. | 0. | -0.000096 | -0.000029 | 2.008E-06 | 0. |
| 163 | G2_smistamento | 0. | 0. | -0.000035 | -0.000011 | 7.445E-07 | 0. |
| 163 | Q_smistamento | 0. | 0. | -0.000035 | -0.000011 | 7.445E-07 | 0. |
| 163 | Q_neve | 0. | 0. | -0.000014 | -1.713E-19 | 1.221E-19 | 0. |
| 164 | DEAD | 0. | 0. | -0.000069 | -7.825E-20 | 6.111E-19 | 0. |
| 164 | G1_smistamento | 0. | 0. | -0.000105 | -0.00001 | 2.392E-06 | 0. |
| 164 | G2_smistamento | 0. | 0. | -0.000039 | -3.796E-06 | 8.869E-07 | 0. |
| 164 | Q_smistamento | 0. | 0. | -0.000039 | -3.796E-06 | 8.869E-07 | 0. |
| 164 | Q_neve | 0. | 0. | -0.000014 | -1.387E-20 | 1.278E-19 | 0. |
| 165 | DEAD | 0. | 0. | -0.000069 | 5.416E-19 | 4.966E-19 | 0. |
| 165 | G1_smistamento | 0. | 0. | -0.000105 | 0.00001 | 2.392E-06 | 0. |
| 165 | G2_smistamento | 0. | 0. | -0.000039 | 3.796E-06 | 8.869E-07 | 0. |
| 165 | Q_smistamento | 0. | 0. | -0.000039 | 3.796E-06 | 8.869E-07 | 0. |
| 165 | Q_neve | 0. | 0. | -0.000014 | 1.083E-19 | 9.505E-20 | 0. |
| 166 | DEAD | 0. | 0. | -0.000069 | 1.227E-18 | 5.413E-19 | 0. |
| 166 | G1_smistamento | 0. | 0. | -0.000096 | 0.000029 | 2.008E-06 | 0. |
| 166 | G2_smistamento | 0. | 0. | -0.000035 | 0.000011 | 7.445E-07 | 0. |
| 166 | Q_smistamento | 0. | 0. | -0.000035 | 0.000011 | 7.445E-07 | 0. |
| 166 | Q_neve | 0. | 0. | -0.000014 | 2.448E-19 | 1.107E-19 | 0. |
| 167 | DEAD | 0. | 0. | -0.000069 | -8.878E-19 | 4.966E-19 | 0. |
| 167 | G1_smistamento | 0. | 0. | -0.000096 | -0.000029 | 1.175E-07 | 0. |
| 167 | G2_smistamento | 0. | 0. | -0.000036 | -0.000011 | 4.356E-08 | 0. |
| 167 | Q_smistamento | 0. | 0. | -0.000036 | -0.000011 | 4.356E-08 | 0. |
| 167 | Q_neve | 0. | 0. | -0.000014 | -1.746E-19 | 9.397E-20 | 0. |
| 168 | DEAD | 0. | 0. | -0.000069 | -2.711E-20 | 3.967E-19 | 0. |
| 168 | G1_smistamento | 0. | 0. | -0.000106 | -0.00001 | 3.623E-07 | 0. |
| 168 | G2_smistamento | 0. | 0. | -0.000039 | -3.851E-06 | 1.343E-07 | 0. |
| 168 | Q_smistamento | 0. | 0. | -0.000039 | -3.851E-06 | 1.343E-07 | 0. |
| 168 | Q_neve | 0. | 0. | -0.000014 | 0. | 7.898E-20 | 0. |
| 169 | DEAD | 0. | 0. | -0.000069 | 7.251E-19 | 2.168E-19 | 0. |
| 169 | G1_smistamento | 0. | 0. | -0.000106 | 0.00001 | 3.623E-07 | 0. |
| 169 | G2_smistamento | 0. | 0. | -0.000039 | 3.851E-06 | 1.343E-07 | 0. |
| 169 | Q_smistamento | 0. | 0. | -0.000039 | 3.851E-06 | 1.343E-07 | 0. |
| 169 | Q_neve | 0. | 0. | -0.000014 | 1.372E-19 | 4.405E-20 | 0. |
| 170 | DEAD | 0. | 0. | -0.000069 | 1.178E-18 | 1.694E-20 | 0. |
| 170 | G1_smistamento | 0. | 0. | -0.000096 | 0.000029 | 1.175E-07 | 0. |
| 170 | G2_smistamento | 0. | 0. | -0.000036 | 0.000011 | 4.356E-08 | 0. |

Table 18: Joint Displacements

| Joint | OutputCase | U1 | U2 | U3 | R1 | R2 | R3 |
|-------|----------------|----|----|-----------|------------|------------|---------|
| | | m | m | m | Radians | Radians | Radians |
| 170 | Q_smistamento | 0. | 0. | -0.000036 | 0.000011 | 4.356E-08 | 0. |
| 170 | Q_neve | 0. | 0. | -0.000014 | 2.362E-19 | 0. | 0. |
| 171 | DEAD | 0. | 0. | -0.000069 | -6.655E-19 | 3.590E-19 | 0. |
| 171 | G1_smistamento | 0. | 0. | -0.000096 | -0.000029 | -4.377E-07 | 0. |
| 171 | G2_smistamento | 0. | 0. | -0.000036 | -0.000011 | -1.622E-07 | 0. |
| 171 | Q_smistamento | 0. | 0. | -0.000036 | -0.000011 | -1.622E-07 | 0. |
| 171 | Q_neve | 0. | 0. | -0.000014 | -1.400E-19 | 8.297E-20 | 0. |
| 172 | DEAD | 0. | 0. | -0.000069 | 9.796E-20 | 1.591E-19 | 0. |
| 172 | G1_smistamento | 0. | 0. | -0.000106 | -0.00001 | -3.003E-07 | 0. |
| 172 | G2_smistamento | 0. | 0. | -0.000039 | -3.885E-06 | -1.113E-07 | 0. |
| 172 | Q_smistamento | 0. | 0. | -0.000039 | -3.885E-06 | -1.113E-07 | 0. |
| 172 | Q_neve | 0. | 0. | -0.000014 | 1.969E-20 | 3.655E-20 | 0. |
| 173 | DEAD | 0. | 0. | -0.000069 | 9.464E-19 | 6.734E-20 | 0. |
| 173 | G1_smistamento | 0. | 0. | -0.000106 | 0.00001 | -3.003E-07 | 0. |
| 173 | G2_smistamento | 0. | 0. | -0.000039 | 3.885E-06 | -1.113E-07 | 0. |
| 173 | Q_smistamento | 0. | 0. | -0.000039 | 3.885E-06 | -1.113E-07 | 0. |
| 173 | Q_neve | 0. | 0. | -0.000014 | 1.851E-19 | 1.037E-20 | 0. |
| 174 | DEAD | 0. | 0. | -0.000069 | 1.300E-18 | -1.084E-19 | 0. |
| 174 | G1_smistamento | 0. | 0. | -0.000096 | 0.000029 | -4.377E-07 | 0. |
| 174 | G2_smistamento | 0. | 0. | -0.000036 | 0.000011 | -1.622E-07 | 0. |
| 174 | Q_smistamento | 0. | 0. | -0.000036 | 0.000011 | -1.622E-07 | 0. |
| 174 | Q_neve | 0. | 0. | -0.000014 | 2.583E-19 | -2.372E-20 | 0. |
| 175 | DEAD | 0. | 0. | -0.000069 | -4.975E-19 | 1.846E-19 | 0. |
| 175 | G1_smistamento | 0. | 0. | -0.000096 | -0.00003 | -2.280E-07 | 0. |
| 175 | G2_smistamento | 0. | 0. | -0.000035 | -0.000011 | -8.451E-08 | 0. |
| 175 | Q_smistamento | 0. | 0. | -0.000035 | -0.000011 | -8.451E-08 | 0. |
| 175 | Q_neve | 0. | 0. | -0.000014 | -9.550E-20 | 3.890E-20 | 0. |
| 176 | DEAD | 0. | 0. | -0.000069 | 3.117E-19 | 1.355E-20 | 0. |
| 176 | G1_smistamento | 0. | 0. | -0.000106 | -0.000011 | -1.836E-07 | 0. |
| 176 | G2_smistamento | 0. | 0. | -0.000039 | -3.900E-06 | -6.805E-08 | 0. |
| 176 | Q_smistamento | 0. | 0. | -0.000039 | -3.900E-06 | -6.805E-08 | 0. |
| 176 | Q_neve | 0. | 0. | -0.000014 | 6.118E-20 | 0. | 0. |
| 177 | DEAD | 0. | 0. | -0.000069 | 8.945E-19 | -1.208E-19 | 0. |
| 177 | G1_smistamento | 0. | 0. | -0.000106 | 0.000011 | -1.836E-07 | 0. |
| 177 | G2_smistamento | 0. | 0. | -0.000039 | 3.900E-06 | -6.805E-08 | 0. |
| 177 | Q_smistamento | 0. | 0. | -0.000039 | 3.900E-06 | -6.805E-08 | 0. |
| 177 | Q_neve | 0. | 0. | -0.000014 | 1.796E-19 | -2.685E-20 | 0. |
| 178 | DEAD | 0. | 0. | -0.000069 | 1.294E-18 | 1.355E-19 | 0. |

Table 18: Joint Displacements

| Joint | OutputCase | U1 | U2 | U3 | R1 | R2 | R3 |
|-------|----------------|----|----|-----------|------------|------------|---------|
| | | m | m | m | Radians | Radians | Radians |
| 178 | G1_smistamento | 0. | 0. | -0.000096 | 0.00003 | -2.280E-07 | 0. |
| 178 | G2_smistamento | 0. | 0. | -0.000035 | 0.000011 | -8.451E-08 | 0. |
| 178 | Q_smistamento | 0. | 0. | -0.000035 | 0.000011 | -8.451E-08 | 0. |
| 178 | Q_neve | 0. | 0. | -0.000014 | 2.592E-19 | 2.372E-20 | 0. |
| 179 | DEAD | 0. | 0. | -0.000069 | -2.317E-19 | 6.296E-20 | 0. |
| 179 | G1_smistamento | 0. | 0. | -0.000096 | -0.00003 | 2.280E-07 | 0. |
| 179 | G2_smistamento | 0. | 0. | -0.000035 | -0.000011 | 8.451E-08 | 0. |
| 179 | Q_smistamento | 0. | 0. | -0.000035 | -0.000011 | 8.451E-08 | 0. |
| 179 | Q_neve | 0. | 0. | -0.000014 | -5.046E-20 | 0. | 0. |
| 180 | DEAD | 0. | 0. | -0.000069 | 4.229E-19 | -2.352E-19 | 0. |
| 180 | G1_smistamento | 0. | 0. | -0.000106 | -0.000011 | 1.836E-07 | 0. |
| 180 | G2_smistamento | 0. | 0. | -0.000039 | -3.900E-06 | 6.805E-08 | 0. |
| 180 | Q_smistamento | 0. | 0. | -0.000039 | -3.900E-06 | 6.805E-08 | 0. |
| 180 | Q_neve | 0. | 0. | -0.000014 | 8.775E-20 | -4.237E-20 | 0. |
| 181 | DEAD | 0. | 0. | -0.000069 | 8.268E-19 | -1.626E-19 | 0. |
| 181 | G1_smistamento | 0. | 0. | -0.000106 | 0.000011 | 1.836E-07 | 0. |
| 181 | G2_smistamento | 0. | 0. | -0.000039 | 3.900E-06 | 6.805E-08 | 0. |
| 181 | Q_smistamento | 0. | 0. | -0.000039 | 3.900E-06 | 6.805E-08 | 0. |
| 181 | Q_neve | 0. | 0. | -0.000014 | 1.694E-19 | -3.388E-20 | 0. |
| 182 | DEAD | 0. | 0. | -0.000069 | 1.042E-18 | 4.066E-20 | 0. |
| 182 | G1_smistamento | 0. | 0. | -0.000096 | 0.00003 | 2.280E-07 | 0. |
| 182 | G2_smistamento | 0. | 0. | -0.000035 | 0.000011 | 8.451E-08 | 0. |
| 182 | Q_smistamento | 0. | 0. | -0.000035 | 0.000011 | 8.451E-08 | 0. |
| 182 | Q_neve | 0. | 0. | -0.000014 | 2.041E-19 | 0. | 0. |
| 183 | DEAD | 0. | 0. | -0.000069 | -6.143E-20 | -5.955E-20 | 0. |
| 183 | G1_smistamento | 0. | 0. | -0.000096 | -0.000029 | 4.377E-07 | 0. |
| 183 | G2_smistamento | 0. | 0. | -0.000036 | -0.000011 | 1.622E-07 | 0. |
| 183 | Q_smistamento | 0. | 0. | -0.000036 | -0.000011 | 1.622E-07 | 0. |
| 183 | Q_neve | 0. | 0. | -0.000014 | -1.735E-20 | -1.799E-20 | 0. |
| 184 | DEAD | 0. | 0. | -0.000069 | 5.338E-19 | -1.207E-19 | 0. |
| 184 | G1_smistamento | 0. | 0. | -0.000106 | -0.00001 | 3.003E-07 | 0. |
| 184 | G2_smistamento | 0. | 0. | -0.000039 | -3.885E-06 | 1.113E-07 | 0. |
| 184 | Q_smistamento | 0. | 0. | -0.000039 | -3.885E-06 | 1.113E-07 | 0. |
| 184 | Q_neve | 0. | 0. | -0.000014 | 1.072E-19 | -2.252E-20 | 0. |
| 185 | DEAD | 0. | 0. | -0.000069 | 6.927E-19 | -1.932E-19 | 0. |
| 185 | G1_smistamento | 0. | 0. | -0.000106 | 0.00001 | 3.003E-07 | 0. |
| 185 | G2_smistamento | 0. | 0. | -0.000039 | 3.885E-06 | 1.113E-07 | 0. |
| 185 | Q_smistamento | 0. | 0. | -0.000039 | 3.885E-06 | 1.113E-07 | 0. |

Table 18: Joint Displacements

| Joint | OutputCase | U1 | U2 | U3 | R1 | R2 | R3 |
|-------|----------------|----|----|-----------|------------|------------|---------|
| | | m | m | m | Radians | Radians | Radians |
| 185 | Q_neve | 0. | 0. | -0.000014 | 1.387E-19 | -3.608E-20 | 0. |
| 186 | DEAD | 0. | 0. | -0.000069 | 9.108E-19 | -1.083E-19 | 0. |
| 186 | G1_smistamento | 0. | 0. | -0.000096 | 0.000029 | 4.377E-07 | 0. |
| 186 | G2_smistamento | 0. | 0. | -0.000036 | 0.000011 | 1.622E-07 | 0. |
| 186 | Q_smistamento | 0. | 0. | -0.000036 | 0.000011 | 1.622E-07 | 0. |
| 186 | Q_neve | 0. | 0. | -0.000014 | 1.865E-19 | -2.331E-20 | 0. |
| 187 | DEAD | 0. | 0. | -0.000069 | -4.426E-20 | 1.371E-19 | 0. |
| 187 | G1_smistamento | 0. | 0. | -0.000096 | -0.000029 | -1.175E-07 | 0. |
| 187 | G2_smistamento | 0. | 0. | -0.000036 | -0.000011 | -4.356E-08 | 0. |
| 187 | Q_smistamento | 0. | 0. | -0.000036 | -0.000011 | -4.356E-08 | 0. |
| 187 | Q_neve | 0. | 0. | -0.000014 | -1.361E-20 | 3.350E-20 | 0. |
| 188 | DEAD | 0. | 0. | -0.000069 | 5.944E-19 | 1.826E-20 | 0. |
| 188 | G1_smistamento | 0. | 0. | -0.000106 | -0.00001 | -3.623E-07 | 0. |
| 188 | G2_smistamento | 0. | 0. | -0.000039 | -3.851E-06 | -1.343E-07 | 0. |
| 188 | Q_smistamento | 0. | 0. | -0.000039 | -3.851E-06 | -1.343E-07 | 0. |
| 188 | Q_neve | 0. | 0. | -0.000014 | 1.196E-19 | 0. | 0. |
| 189 | DEAD | 0. | 0. | -0.000069 | 7.311E-19 | 2.170E-20 | 0. |
| 189 | G1_smistamento | 0. | 0. | -0.000106 | 0.00001 | -3.623E-07 | 0. |
| 189 | G2_smistamento | 0. | 0. | -0.000039 | 3.851E-06 | -1.343E-07 | 0. |
| 189 | Q_smistamento | 0. | 0. | -0.000039 | 3.851E-06 | -1.343E-07 | 0. |
| 189 | Q_neve | 0. | 0. | -0.000014 | 1.502E-19 | 0. | 0. |
| 190 | DEAD | 0. | 0. | -0.000069 | 9.739E-19 | -2.274E-19 | 0. |
| 190 | G1_smistamento | 0. | 0. | -0.000096 | 0.000029 | -1.175E-07 | 0. |
| 190 | G2_smistamento | 0. | 0. | -0.000036 | 0.000011 | -4.356E-08 | 0. |
| 190 | Q_smistamento | 0. | 0. | -0.000036 | 0.000011 | -4.356E-08 | 0. |
| 190 | Q_neve | 0. | 0. | -0.000014 | 1.953E-19 | -4.322E-20 | 0. |
| 191 | DEAD | 0. | 0. | -0.000069 | 2.239E-19 | 2.474E-19 | 0. |
| 191 | G1_smistamento | 0. | 0. | -0.000096 | -0.000029 | -2.008E-06 | 0. |
| 191 | G2_smistamento | 0. | 0. | -0.000035 | -0.000011 | -7.445E-07 | 0. |
| 191 | Q_smistamento | 0. | 0. | -0.000035 | -0.000011 | -7.445E-07 | 0. |
| 191 | Q_neve | 0. | 0. | -0.000014 | 4.100E-20 | 4.560E-20 | 0. |
| 192 | DEAD | 0. | 0. | -0.000069 | 5.268E-19 | 3.045E-20 | 0. |
| 192 | G1_smistamento | 0. | 0. | -0.000105 | -0.00001 | -2.392E-06 | 0. |
| 192 | G2_smistamento | 0. | 0. | -0.000039 | -3.796E-06 | -8.869E-07 | 0. |
| 192 | Q_smistamento | 0. | 0. | -0.000039 | -3.796E-06 | -8.869E-07 | 0. |
| 192 | Q_neve | 0. | 0. | -0.000014 | 1.036E-19 | 0. | 0. |
| 193 | DEAD | 0. | 0. | -0.000069 | 7.581E-19 | 1.745E-19 | 0. |
| 193 | G1_smistamento | 0. | 0. | -0.000105 | 0.00001 | -2.392E-06 | 0. |

Table 18: Joint Displacements

| Joint | OutputCase | U1 | U2 | U3 | R1 | R2 | R3 |
|-------|----------------|----|----|-----------|------------|------------|---------|
| | | m | m | m | Radians | Radians | Radians |
| 193 | G2_smistamento | 0. | 0. | -0.000039 | 3.796E-06 | -8.869E-07 | 0. |
| 193 | Q_smistamento | 0. | 0. | -0.000039 | 3.796E-06 | -8.869E-07 | 0. |
| 193 | Q_neve | 0. | 0. | -0.000014 | 1.554E-19 | 3.464E-20 | 0. |
| 194 | DEAD | 0. | 0. | -0.000069 | 9.360E-19 | 2.609E-19 | 0. |
| 194 | G1_smistamento | 0. | 0. | -0.000096 | 0.000029 | -2.008E-06 | 0. |
| 194 | G2_smistamento | 0. | 0. | -0.000035 | 0.000011 | -7.445E-07 | 0. |
| 194 | Q_smistamento | 0. | 0. | -0.000035 | 0.000011 | -7.445E-07 | 0. |
| 194 | Q_neve | 0. | 0. | -0.000014 | 1.870E-19 | 5.887E-20 | 0. |
| 195 | DEAD | 0. | 0. | -0.000069 | 3.564E-19 | 2.525E-20 | 0. |
| 195 | G1_smistamento | 0. | 0. | -0.000094 | -0.000028 | -5.802E-06 | 0. |
| 195 | G2_smistamento | 0. | 0. | -0.000035 | -0.00001 | -2.151E-06 | 0. |
| 195 | Q_smistamento | 0. | 0. | -0.000035 | -0.00001 | -2.151E-06 | 0. |
| 195 | Q_neve | 0. | 0. | -0.000014 | 6.465E-20 | 0. | 0. |
| 196 | DEAD | 0. | 0. | -0.000069 | 4.737E-19 | 1.897E-19 | 0. |
| 196 | G1_smistamento | 0. | 0. | -0.000103 | -0.00001 | -6.388E-06 | 0. |
| 196 | G2_smistamento | 0. | 0. | -0.000038 | -3.710E-06 | -2.368E-06 | 0. |
| 196 | Q_smistamento | 0. | 0. | -0.000038 | -3.710E-06 | -2.368E-06 | 0. |
| 196 | Q_neve | 0. | 0. | -0.000014 | 9.056E-20 | 3.388E-20 | 0. |
| 197 | DEAD | 0. | 0. | -0.000069 | 5.953E-19 | 4.021E-19 | 0. |
| 197 | G1_smistamento | 0. | 0. | -0.000103 | 0.00001 | -6.388E-06 | 0. |
| 197 | G2_smistamento | 0. | 0. | -0.000038 | 3.710E-06 | -2.368E-06 | 0. |
| 197 | Q_smistamento | 0. | 0. | -0.000038 | 3.710E-06 | -2.368E-06 | 0. |
| 197 | Q_neve | 0. | 0. | -0.000014 | 1.252E-19 | 7.678E-20 | 0. |
| 198 | DEAD | 0. | 0. | -0.000069 | 1.034E-18 | 4.284E-19 | 0. |
| 198 | G1_smistamento | 0. | 0. | -0.000094 | 0.000028 | -5.802E-06 | 0. |
| 198 | G2_smistamento | 0. | 0. | -0.000035 | 0.00001 | -2.151E-06 | 0. |
| 198 | Q_smistamento | 0. | 0. | -0.000035 | 0.00001 | -2.151E-06 | 0. |
| 198 | Q_neve | 0. | 0. | -0.000014 | 2.062E-19 | 7.634E-20 | 0. |
| 199 | DEAD | 0. | 0. | -0.000069 | 2.666E-19 | -2.291E-19 | 0. |
| 199 | G1_smistamento | 0. | 0. | -0.00009 | -0.000027 | -0.000012 | 0. |
| 199 | G2_smistamento | 0. | 0. | -0.000033 | -0.00001 | -4.397E-06 | 0. |
| 199 | Q_smistamento | 0. | 0. | -0.000033 | -0.00001 | -4.397E-06 | 0. |
| 199 | Q_neve | 0. | 0. | -0.000014 | 4.772E-20 | -4.987E-20 | 0. |
| 200 | DEAD | 0. | 0. | -0.000069 | 2.465E-19 | -5.421E-20 | 0. |
| 200 | G1_smistamento | 0. | 0. | -0.000099 | -9.647E-06 | -0.000013 | 0. |
| 200 | G2_smistamento | 0. | 0. | -0.000037 | -3.576E-06 | -4.730E-06 | 0. |
| 200 | Q_smistamento | 0. | 0. | -0.000037 | -3.576E-06 | -4.730E-06 | 0. |
| 200 | Q_neve | 0. | 0. | -0.000014 | 4.970E-20 | -1.440E-20 | 0. |

Table 18: Joint Displacements

| Joint | OutputCase | U1 | U2 | U3 | R1 | R2 | R3 |
|-------|----------------|----|----|-----------|------------|------------|---------|
| | | m | m | m | Radians | Radians | Radians |
| 201 | DEAD | 0. | 0. | -0.000069 | 6.053E-19 | 1.897E-19 | 0. |
| 201 | G1_smistamento | 0. | 0. | -0.000099 | 9.647E-06 | -0.000013 | 0. |
| 201 | G2_smistamento | 0. | 0. | -0.000037 | 3.576E-06 | -4.730E-06 | 0. |
| 201 | Q_smistamento | 0. | 0. | -0.000037 | 3.576E-06 | -4.730E-06 | 0. |
| 201 | Q_neve | 0. | 0. | -0.000014 | 1.187E-19 | 3.049E-20 | 0. |
| 202 | DEAD | 0. | 0. | -0.000069 | 1.017E-18 | -1.064E-19 | 0. |
| 202 | G1_smistamento | 0. | 0. | -0.00009 | 0.000027 | -0.000012 | 0. |
| 202 | G2_smistamento | 0. | 0. | -0.000033 | 0.00001 | -4.397E-06 | 0. |
| 202 | Q_smistamento | 0. | 0. | -0.000033 | 0.00001 | -4.397E-06 | 0. |
| 202 | Q_neve | 0. | 0. | -0.000014 | 2.002E-19 | -2.612E-20 | 0. |
| 203 | DEAD | 0. | 0. | -0.000069 | 6.774E-20 | -1.006E-18 | 0. |
| 203 | G1_smistamento | 0. | 0. | -0.000082 | -0.000025 | -0.00002 | 0. |
| 203 | G2_smistamento | 0. | 0. | -0.00003 | -9.452E-06 | -7.393E-06 | 0. |
| 203 | Q_smistamento | 0. | 0. | -0.00003 | -9.452E-06 | -7.393E-06 | 0. |
| 203 | Q_neve | 0. | 0. | -0.000014 | 1.694E-20 | -2.005E-19 | 0. |
| 204 | DEAD | 0. | 0. | -0.000069 | 1.550E-19 | -9.510E-19 | 0. |
| 204 | G1_smistamento | 0. | 0. | -0.000091 | -9.085E-06 | -0.000021 | 0. |
| 204 | G2_smistamento | 0. | 0. | -0.000034 | -3.368E-06 | -7.896E-06 | 0. |
| 204 | Q_smistamento | 0. | 0. | -0.000034 | -3.368E-06 | -7.896E-06 | 0. |
| 204 | Q_neve | 0. | 0. | -0.000014 | 2.753E-20 | -1.863E-19 | 0. |
| 205 | DEAD | 0. | 0. | -0.000069 | 4.927E-19 | -9.133E-19 | 0. |
| 205 | G1_smistamento | 0. | 0. | -0.000091 | 9.085E-06 | -0.000021 | 0. |
| 205 | G2_smistamento | 0. | 0. | -0.000034 | 3.368E-06 | -7.896E-06 | 0. |
| 205 | Q_smistamento | 0. | 0. | -0.000034 | 3.368E-06 | -7.896E-06 | 0. |
| 205 | Q_neve | 0. | 0. | -0.000014 | 9.992E-20 | -1.781E-19 | 0. |
| 206 | DEAD | 0. | 0. | -0.000069 | 1.186E-18 | -6.776E-19 | 0. |
| 206 | G1_smistamento | 0. | 0. | -0.000082 | 0.000025 | -0.00002 | 0. |
| 206 | G2_smistamento | 0. | 0. | -0.00003 | 9.452E-06 | -7.393E-06 | 0. |
| 206 | Q_smistamento | 0. | 0. | -0.00003 | 9.452E-06 | -7.393E-06 | 0. |
| 206 | Q_neve | 0. | 0. | -0.000014 | 2.338E-19 | -1.321E-19 | 0. |
| 207 | DEAD | 0. | 0. | -0.000069 | -1.593E-19 | -1.952E-18 | 0. |
| 207 | G1_smistamento | 0. | 0. | -0.00007 | -0.000023 | -0.000029 | 0. |
| 207 | G2_smistamento | 0. | 0. | -0.000026 | -8.643E-06 | -0.000011 | 0. |
| 207 | Q_smistamento | 0. | 0. | -0.000026 | -8.643E-06 | -0.000011 | 0. |
| 207 | Q_neve | 0. | 0. | -0.000014 | -1.998E-20 | -3.837E-19 | 0. |
| 208 | DEAD | 0. | 0. | -0.000069 | 8.470E-20 | -1.810E-18 | 0. |
| 208 | G1_smistamento | 0. | 0. | -0.000078 | -8.286E-06 | -0.00003 | 0. |
| 208 | G2_smistamento | 0. | 0. | -0.000029 | -3.072E-06 | -0.000011 | 0. |

Table 18: Joint Displacements

| Joint | OutputCase | U1 | U2 | U3 | R1 | R2 | R3 |
|-------|----------------|----|----|-----------|------------|------------|---------|
| | | m | m | m | Radians | Radians | Radians |
| 208 | Q_smistamento | 0. | 0. | -0.000029 | -3.072E-06 | -0.000011 | 0. |
| 208 | Q_neve | 0. | 0. | -0.000014 | 1.525E-20 | -3.592E-19 | 0. |
| 209 | DEAD | 0. | 0. | -0.000069 | 4.050E-19 | -1.803E-18 | 0. |
| 209 | G1_smistamento | 0. | 0. | -0.000078 | 8.286E-06 | -0.00003 | 0. |
| 209 | G2_smistamento | 0. | 0. | -0.000029 | 3.072E-06 | -0.000011 | 0. |
| 209 | Q_smistamento | 0. | 0. | -0.000029 | 3.072E-06 | -0.000011 | 0. |
| 209 | Q_neve | 0. | 0. | -0.000014 | 8.408E-20 | -3.574E-19 | 0. |
| 210 | DEAD | 0. | 0. | -0.000069 | 6.505E-19 | -1.237E-18 | 0. |
| 210 | G1_smistamento | 0. | 0. | -0.00007 | 0.000023 | -0.000029 | 0. |
| 210 | G2_smistamento | 0. | 0. | -0.000026 | 8.643E-06 | -0.000011 | 0. |
| 210 | Q_smistamento | 0. | 0. | -0.000026 | 8.643E-06 | -0.000011 | 0. |
| 210 | Q_neve | 0. | 0. | -0.000014 | 1.321E-19 | -2.478E-19 | 0. |
| 211 | DEAD | 0. | 0. | -0.000625 | -9.975E-18 | 5.044E-17 | 0. |
| 211 | G1_smistamento | 0. | 0. | -0.000548 | -0.000049 | 0.000121 | 0. |
| 211 | G2_smistamento | 0. | 0. | -0.000203 | -0.000018 | 0.000045 | 0. |
| 211 | Q_smistamento | 0. | 0. | -0.000203 | -0.000018 | 0.000045 | 0. |
| 211 | Q_neve | 0. | 0. | -0.000123 | -1.681E-18 | 9.888E-18 | 0. |
| 212 | DEAD | 0. | 0. | -0.000625 | -8.327E-18 | 4.402E-17 | 0. |
| 212 | G1_smistamento | 0. | 0. | -0.000572 | -0.000048 | 0.000124 | 0. |
| 212 | G2_smistamento | 0. | 0. | -0.000212 | -0.000018 | 0.000046 | 0. |
| 212 | Q_smistamento | 0. | 0. | -0.000212 | -0.000018 | 0.000046 | 0. |
| 212 | Q_neve | 0. | 0. | -0.000123 | -1.750E-18 | 8.654E-18 | 0. |
| 213 | DEAD | 0. | 0. | -0.000625 | -2.330E-18 | 4.684E-17 | 0. |
| 213 | G1_smistamento | 0. | 0. | -0.000603 | -0.000052 | 0.000107 | 0. |
| 213 | G2_smistamento | 0. | 0. | -0.000223 | -0.000019 | 0.00004 | 0. |
| 213 | Q_smistamento | 0. | 0. | -0.000223 | -0.000019 | 0.00004 | 0. |
| 213 | Q_neve | 0. | 0. | -0.000123 | -4.885E-19 | 9.162E-18 | 0. |
| 214 | DEAD | 0. | 0. | -0.000625 | -3.703E-18 | 4.173E-17 | 0. |
| 214 | G1_smistamento | 0. | 0. | -0.000628 | -0.000051 | 0.000109 | 0. |
| 214 | G2_smistamento | 0. | 0. | -0.000233 | -0.000019 | 0.00004 | 0. |
| 214 | Q_smistamento | 0. | 0. | -0.000233 | -0.000019 | 0.00004 | 0. |
| 214 | Q_neve | 0. | 0. | -0.000123 | -7.598E-19 | 8.128E-18 | 0. |
| 215 | DEAD | 0. | 0. | -0.000625 | 1.301E-18 | 4.490E-17 | 0. |
| 215 | G1_smistamento | 0. | 0. | -0.000649 | -0.000054 | 0.000089 | 0. |
| 215 | G2_smistamento | 0. | 0. | -0.000241 | -0.00002 | 0.000033 | 0. |
| 215 | Q_smistamento | 0. | 0. | -0.000241 | -0.00002 | 0.000033 | 0. |
| 215 | Q_neve | 0. | 0. | -0.000123 | 3.253E-19 | 8.750E-18 | 0. |
| 216 | DEAD | 0. | 0. | -0.000625 | 1.277E-18 | 3.924E-17 | 0. |

Table 18: Joint Displacements

| Joint | OutputCase | U1 | U2 | U3 | R1 | R2 | R3 |
|-------|----------------|----|----|-----------|-----------|-----------|---------|
| | | m | m | m | Radians | Radians | Radians |
| 216 | G1_smistamento | 0. | 0. | -0.000676 | -0.000053 | 0.000091 | 0. |
| 216 | G2_smistamento | 0. | 0. | -0.000251 | -0.00002 | 0.000034 | 0. |
| 216 | Q_smistamento | 0. | 0. | -0.000251 | -0.00002 | 0.000034 | 0. |
| 216 | Q_neve | 0. | 0. | -0.000123 | 2.024E-19 | 7.617E-18 | 0. |
| 217 | DEAD | 0. | 0. | -0.000625 | 8.890E-18 | 4.310E-17 | 0. |
| 217 | G1_smistamento | 0. | 0. | -0.000687 | -0.000055 | 0.00007 | 0. |
| 217 | G2_smistamento | 0. | 0. | -0.000255 | -0.00002 | 0.000026 | 0. |
| 217 | Q_smistamento | 0. | 0. | -0.000255 | -0.00002 | 0.000026 | 0. |
| 217 | Q_neve | 0. | 0. | -0.000123 | 1.708E-18 | 8.525E-18 | 0. |
| 218 | DEAD | 0. | 0. | -0.000625 | 6.832E-18 | 3.599E-17 | 0. |
| 218 | G1_smistamento | 0. | 0. | -0.000715 | -0.000054 | 0.000072 | 0. |
| 218 | G2_smistamento | 0. | 0. | -0.000265 | -0.00002 | 0.000027 | 0. |
| 218 | Q_smistamento | 0. | 0. | -0.000265 | -0.00002 | 0.000027 | 0. |
| 218 | Q_neve | 0. | 0. | -0.000123 | 1.360E-18 | 7.148E-18 | 0. |
| 219 | DEAD | 0. | 0. | -0.000625 | 1.372E-17 | 3.952E-17 | 0. |
| 219 | G1_smistamento | 0. | 0. | -0.000717 | -0.000057 | 0.000052 | 0. |
| 219 | G2_smistamento | 0. | 0. | -0.000266 | -0.000021 | 0.000019 | 0. |
| 219 | Q_smistamento | 0. | 0. | -0.000266 | -0.000021 | 0.000019 | 0. |
| 219 | Q_neve | 0. | 0. | -0.000123 | 2.699E-18 | 7.793E-18 | 0. |
| 220 | DEAD | 0. | 0. | -0.000625 | 1.266E-17 | 3.285E-17 | 0. |
| 220 | G1_smistamento | 0. | 0. | -0.000745 | -0.000055 | 0.000053 | 0. |
| 220 | G2_smistamento | 0. | 0. | -0.000276 | -0.000021 | 0.00002 | 0. |
| 220 | Q_smistamento | 0. | 0. | -0.000276 | -0.000021 | 0.00002 | 0. |
| 220 | Q_neve | 0. | 0. | -0.000123 | 2.425E-18 | 6.532E-18 | 0. |
| 221 | DEAD | 0. | 0. | -0.000625 | 2.008E-17 | 3.654E-17 | 0. |
| 221 | G1_smistamento | 0. | 0. | -0.000738 | -0.000058 | 0.000035 | 0. |
| 221 | G2_smistamento | 0. | 0. | -0.000273 | -0.000021 | 0.000013 | 0. |
| 221 | Q_smistamento | 0. | 0. | -0.000273 | -0.000021 | 0.000013 | 0. |
| 221 | Q_neve | 0. | 0. | -0.000123 | 3.858E-18 | 7.129E-18 | 0. |
| 222 | DEAD | 0. | 0. | -0.000625 | 1.844E-17 | 3.036E-17 | 0. |
| 222 | G1_smistamento | 0. | 0. | -0.000766 | -0.000056 | 0.000036 | 0. |
| 222 | G2_smistamento | 0. | 0. | -0.000284 | -0.000021 | 0.000013 | 0. |
| 222 | Q_smistamento | 0. | 0. | -0.000284 | -0.000021 | 0.000013 | 0. |
| 222 | Q_neve | 0. | 0. | -0.000123 | 3.646E-18 | 5.936E-18 | 0. |
| 223 | DEAD | 0. | 0. | -0.000625 | 2.527E-17 | 3.665E-17 | 0. |
| 223 | G1_smistamento | 0. | 0. | -0.000751 | -0.000059 | 0.000021 | 0. |
| 223 | G2_smistamento | 0. | 0. | -0.000278 | -0.000022 | 7.611E-06 | 0. |
| 223 | Q_smistamento | 0. | 0. | -0.000278 | -0.000022 | 7.611E-06 | 0. |

Table 18: Joint Displacements

| Joint | OutputCase | U1 | U2 | U3 | R1 | R2 | R3 |
|-------|----------------|----|----|-----------|-----------|------------|---------|
| | | m | m | m | Radians | Radians | Radians |
| 223 | Q_neve | 0. | 0. | -0.000123 | 4.935E-18 | 7.156E-18 | 0. |
| 224 | DEAD | 0. | 0. | -0.000625 | 2.372E-17 | 3.143E-17 | 0. |
| 224 | G1_smistamento | 0. | 0. | -0.00078 | -0.000057 | 0.000021 | 0. |
| 224 | G2_smistamento | 0. | 0. | -0.000289 | -0.000021 | 7.817E-06 | 0. |
| 224 | Q_smistamento | 0. | 0. | -0.000289 | -0.000021 | 7.817E-06 | 0. |
| 224 | Q_neve | 0. | 0. | -0.000123 | 4.661E-18 | 6.009E-18 | 0. |
| 225 | DEAD | 0. | 0. | -0.000625 | 3.055E-17 | 3.776E-17 | 0. |
| 225 | G1_smistamento | 0. | 0. | -0.000757 | -0.000059 | 6.708E-06 | 0. |
| 225 | G2_smistamento | 0. | 0. | -0.000281 | -0.000022 | 2.487E-06 | 0. |
| 225 | Q_smistamento | 0. | 0. | -0.000281 | -0.000022 | 2.487E-06 | 0. |
| 225 | Q_neve | 0. | 0. | -0.000123 | 5.977E-18 | 7.345E-18 | 0. |
| 226 | DEAD | 0. | 0. | -0.000625 | 2.940E-17 | 3.281E-17 | 0. |
| 226 | G1_smistamento | 0. | 0. | -0.000787 | -0.000057 | 6.897E-06 | 0. |
| 226 | G2_smistamento | 0. | 0. | -0.000292 | -0.000021 | 2.557E-06 | 0. |
| 226 | Q_smistamento | 0. | 0. | -0.000292 | -0.000021 | 2.557E-06 | 0. |
| 226 | Q_neve | 0. | 0. | -0.000123 | 5.845E-18 | 6.372E-18 | 0. |
| 227 | DEAD | 0. | 0. | -0.000625 | 3.469E-17 | 3.954E-17 | 0. |
| 227 | G1_smistamento | 0. | 0. | -0.000757 | -0.000059 | -6.708E-06 | 0. |
| 227 | G2_smistamento | 0. | 0. | -0.000281 | -0.000022 | -2.487E-06 | 0. |
| 227 | Q_smistamento | 0. | 0. | -0.000281 | -0.000022 | -2.487E-06 | 0. |
| 227 | Q_neve | 0. | 0. | -0.000123 | 6.830E-18 | 7.713E-18 | 0. |
| 228 | DEAD | 0. | 0. | -0.000625 | 3.587E-17 | 3.386E-17 | 0. |
| 228 | G1_smistamento | 0. | 0. | -0.000787 | -0.000057 | -6.897E-06 | 0. |
| 228 | G2_smistamento | 0. | 0. | -0.000292 | -0.000021 | -2.557E-06 | 0. |
| 228 | Q_smistamento | 0. | 0. | -0.000292 | -0.000021 | -2.557E-06 | 0. |
| 228 | Q_neve | 0. | 0. | -0.000123 | 7.020E-18 | 6.642E-18 | 0. |
| 229 | DEAD | 0. | 0. | -0.000625 | 3.975E-17 | 4.305E-17 | 0. |
| 229 | G1_smistamento | 0. | 0. | -0.000751 | -0.000059 | -0.000021 | 0. |
| 229 | G2_smistamento | 0. | 0. | -0.000278 | -0.000022 | -7.611E-06 | 0. |
| 229 | Q_smistamento | 0. | 0. | -0.000278 | -0.000022 | -7.611E-06 | 0. |
| 229 | Q_neve | 0. | 0. | -0.000123 | 7.802E-18 | 8.466E-18 | 0. |
| 230 | DEAD | 0. | 0. | -0.000625 | 4.055E-17 | 3.685E-17 | 0. |
| 230 | G1_smistamento | 0. | 0. | -0.00078 | -0.000057 | -0.000021 | 0. |
| 230 | G2_smistamento | 0. | 0. | -0.000289 | -0.000021 | -7.817E-06 | 0. |
| 230 | Q_smistamento | 0. | 0. | -0.000289 | -0.000021 | -7.817E-06 | 0. |
| 230 | Q_neve | 0. | 0. | -0.000123 | 7.973E-18 | 7.210E-18 | 0. |
| 231 | DEAD | 0. | 0. | -0.000625 | 4.695E-17 | 4.808E-17 | 0. |
| 231 | G1_smistamento | 0. | 0. | -0.000738 | -0.000058 | -0.000035 | 0. |

Table 18: Joint Displacements

| Joint | OutputCase | U1 | U2 | U3 | R1 | R2 | R3 |
|-------|----------------|----|----|-----------|-----------|-----------|---------|
| | | m | m | m | Radians | Radians | Radians |
| 231 | G2_smistamento | 0. | 0. | -0.000273 | -0.000021 | -0.000013 | 0. |
| 231 | Q_smistamento | 0. | 0. | -0.000273 | -0.000021 | -0.000013 | 0. |
| 231 | Q_neve | 0. | 0. | -0.000123 | 9.177E-18 | 9.487E-18 | 0. |
| 232 | DEAD | 0. | 0. | -0.000625 | 4.627E-17 | 4.250E-17 | 0. |
| 232 | G1_smistamento | 0. | 0. | -0.000766 | -0.000056 | -0.000036 | 0. |
| 232 | G2_smistamento | 0. | 0. | -0.000284 | -0.000021 | -0.000013 | 0. |
| 232 | Q_smistamento | 0. | 0. | -0.000284 | -0.000021 | -0.000013 | 0. |
| 232 | Q_neve | 0. | 0. | -0.000123 | 9.039E-18 | 8.321E-18 | 0. |
| 233 | DEAD | 0. | 0. | -0.000625 | 5.203E-17 | 5.144E-17 | 0. |
| 233 | G1_smistamento | 0. | 0. | -0.000717 | -0.000057 | -0.000052 | 0. |
| 233 | G2_smistamento | 0. | 0. | -0.000266 | -0.000021 | -0.000019 | 0. |
| 233 | Q_smistamento | 0. | 0. | -0.000266 | -0.000021 | -0.000019 | 0. |
| 233 | Q_neve | 0. | 0. | -0.000123 | 1.022E-17 | 1.023E-17 | 0. |
| 234 | DEAD | 0. | 0. | -0.000625 | 5.107E-17 | 4.609E-17 | 0. |
| 234 | G1_smistamento | 0. | 0. | -0.000745 | -0.000055 | -0.000053 | 0. |
| 234 | G2_smistamento | 0. | 0. | -0.000276 | -0.000021 | -0.00002 | 0. |
| 234 | Q_smistamento | 0. | 0. | -0.000276 | -0.000021 | -0.00002 | 0. |
| 234 | Q_neve | 0. | 0. | -0.000123 | 1.006E-17 | 9.115E-18 | 0. |
| 235 | DEAD | 0. | 0. | -0.000625 | 5.768E-17 | 5.175E-17 | 0. |
| 235 | G1_smistamento | 0. | 0. | -0.000687 | -0.000055 | -0.00007 | 0. |
| 235 | G2_smistamento | 0. | 0. | -0.000255 | -0.00002 | -0.000026 | 0. |
| 235 | Q_smistamento | 0. | 0. | -0.000255 | -0.00002 | -0.000026 | 0. |
| 235 | Q_neve | 0. | 0. | -0.000123 | 1.128E-17 | 1.027E-17 | 0. |
| 236 | DEAD | 0. | 0. | -0.000625 | 5.624E-17 | 4.575E-17 | 0. |
| 236 | G1_smistamento | 0. | 0. | -0.000715 | -0.000054 | -0.000072 | 0. |
| 236 | G2_smistamento | 0. | 0. | -0.000265 | -0.00002 | -0.000027 | 0. |
| 236 | Q_smistamento | 0. | 0. | -0.000265 | -0.00002 | -0.000027 | 0. |
| 236 | Q_neve | 0. | 0. | -0.000123 | 1.107E-17 | 9.125E-18 | 0. |
| 237 | DEAD | 0. | 0. | -0.000625 | 6.287E-17 | 4.414E-17 | 0. |
| 237 | G1_smistamento | 0. | 0. | -0.000649 | -0.000054 | -0.000089 | 0. |
| 237 | G2_smistamento | 0. | 0. | -0.000241 | -0.00002 | -0.000033 | 0. |
| 237 | Q_smistamento | 0. | 0. | -0.000241 | -0.00002 | -0.000033 | 0. |
| 237 | Q_neve | 0. | 0. | -0.000123 | 1.239E-17 | 8.773E-18 | 0. |
| 238 | DEAD | 0. | 0. | -0.000625 | 5.958E-17 | 4.247E-17 | 0. |
| 238 | G1_smistamento | 0. | 0. | -0.000676 | -0.000053 | -0.000091 | 0. |
| 238 | G2_smistamento | 0. | 0. | -0.000251 | -0.00002 | -0.000034 | 0. |
| 238 | Q_smistamento | 0. | 0. | -0.000251 | -0.00002 | -0.000034 | 0. |
| 238 | Q_neve | 0. | 0. | -0.000123 | 1.175E-17 | 8.481E-18 | 0. |

Table 18: Joint Displacements

| Joint | OutputCase | U1 | U2 | U3 | R1 | R2 | R3 |
|-------|----------------|----|----|-----------|------------|-----------|---------|
| | | m | m | m | Radians | Radians | Radians |
| 239 | DEAD | 0. | 0. | -0.000625 | 6.375E-17 | 3.279E-17 | 0. |
| 239 | G1_smistamento | 0. | 0. | -0.000603 | -0.000052 | -0.000107 | 0. |
| 239 | G2_smistamento | 0. | 0. | -0.000223 | -0.000019 | -0.00004 | 0. |
| 239 | Q_smistamento | 0. | 0. | -0.000223 | -0.000019 | -0.00004 | 0. |
| 239 | Q_neve | 0. | 0. | -0.000123 | 1.236E-17 | 6.694E-18 | 0. |
| 240 | DEAD | 0. | 0. | -0.000625 | 6.321E-17 | 3.138E-17 | 0. |
| 240 | G1_smistamento | 0. | 0. | -0.000628 | -0.000051 | -0.000109 | 0. |
| 240 | G2_smistamento | 0. | 0. | -0.000233 | -0.000019 | -0.00004 | 0. |
| 240 | Q_smistamento | 0. | 0. | -0.000233 | -0.000019 | -0.00004 | 0. |
| 240 | Q_neve | 0. | 0. | -0.000123 | 1.239E-17 | 6.393E-18 | 0. |
| 241 | DEAD | 0. | 0. | -0.000625 | 6.462E-17 | 2.124E-17 | 0. |
| 241 | G1_smistamento | 0. | 0. | -0.000548 | -0.000049 | -0.000121 | 0. |
| 241 | G2_smistamento | 0. | 0. | -0.000203 | -0.000018 | -0.000045 | 0. |
| 241 | Q_smistamento | 0. | 0. | -0.000203 | -0.000018 | -0.000045 | 0. |
| 241 | Q_neve | 0. | 0. | -0.000123 | 1.268E-17 | 4.390E-18 | 0. |
| 242 | DEAD | 0. | 0. | -0.000625 | 6.339E-17 | 2.103E-17 | 0. |
| 242 | G1_smistamento | 0. | 0. | -0.000572 | -0.000048 | -0.000124 | 0. |
| 242 | G2_smistamento | 0. | 0. | -0.000212 | -0.000018 | -0.000046 | 0. |
| 242 | Q_smistamento | 0. | 0. | -0.000212 | -0.000018 | -0.000046 | 0. |
| 242 | Q_neve | 0. | 0. | -0.000123 | 1.244E-17 | 4.310E-18 | 0. |
| 243 | DEAD | 0. | 0. | -0.000625 | 6.543E-17 | 1.481E-17 | 0. |
| 243 | G1_smistamento | 0. | 0. | -0.000462 | -0.00003 | -0.000136 | 0. |
| 243 | G2_smistamento | 0. | 0. | -0.000171 | -0.000011 | -0.00005 | 0. |
| 243 | Q_smistamento | 0. | 0. | -0.000171 | -0.000011 | -0.00005 | 0. |
| 243 | Q_neve | 0. | 0. | -0.000123 | 1.302E-17 | 3.088E-18 | 0. |
| 244 | DEAD | 0. | 0. | -0.000625 | 6.339E-17 | 1.420E-17 | 0. |
| 244 | G1_smistamento | 0. | 0. | -0.00053 | -0.000032 | -0.000136 | 0. |
| 244 | G2_smistamento | 0. | 0. | -0.000197 | -0.000012 | -0.00005 | 0. |
| 244 | Q_smistamento | 0. | 0. | -0.000197 | -0.000012 | -0.00005 | 0. |
| 244 | Q_neve | 0. | 0. | -0.000123 | 1.264E-17 | 2.873E-18 | 0. |
| 245 | DEAD | 0. | 0. | -0.000625 | 6.454E-17 | 1.117E-17 | 0. |
| 245 | G1_smistamento | 0. | 0. | -0.000473 | -0.000011 | -0.000137 | 0. |
| 245 | G2_smistamento | 0. | 0. | -0.000175 | -4.097E-06 | -0.000051 | 0. |
| 245 | Q_smistamento | 0. | 0. | -0.000175 | -4.097E-06 | -0.000051 | 0. |
| 245 | Q_neve | 0. | 0. | -0.000123 | 1.276E-17 | 2.243E-18 | 0. |
| 246 | DEAD | 0. | 0. | -0.000625 | 6.330E-17 | 1.236E-17 | 0. |
| 246 | G1_smistamento | 0. | 0. | -0.000541 | -0.000012 | -0.000137 | 0. |
| 246 | G2_smistamento | 0. | 0. | -0.000201 | -4.360E-06 | -0.000051 | 0. |

Table 18: Joint Displacements

| Joint | OutputCase | U1 | U2 | U3 | R1 | R2 | R3 |
|-------|----------------|----|----|-----------|------------|-----------|---------|
| | | m | m | m | Radians | Radians | Radians |
| 246 | Q_smistamento | 0. | 0. | -0.000201 | -4.360E-06 | -0.000051 | 0. |
| 246 | Q_neve | 0. | 0. | -0.000123 | 1.251E-17 | 2.505E-18 | 0. |
| 247 | DEAD | 0. | 0. | -0.000625 | 6.099E-17 | 9.552E-18 | 0. |
| 247 | G1_smistamento | 0. | 0. | -0.000473 | 0.000011 | -0.000137 | 0. |
| 247 | G2_smistamento | 0. | 0. | -0.000175 | 4.097E-06 | -0.000051 | 0. |
| 247 | Q_smistamento | 0. | 0. | -0.000175 | 4.097E-06 | -0.000051 | 0. |
| 247 | Q_neve | 0. | 0. | -0.000123 | 1.190E-17 | 1.963E-18 | 0. |
| 248 | DEAD | 0. | 0. | -0.000625 | 5.950E-17 | 1.101E-17 | 0. |
| 248 | G1_smistamento | 0. | 0. | -0.000541 | 0.000012 | -0.000137 | 0. |
| 248 | G2_smistamento | 0. | 0. | -0.000201 | 4.360E-06 | -0.000051 | 0. |
| 248 | Q_smistamento | 0. | 0. | -0.000201 | 4.360E-06 | -0.000051 | 0. |
| 248 | Q_neve | 0. | 0. | -0.000123 | 1.168E-17 | 2.295E-18 | 0. |
| 249 | DEAD | 0. | 0. | -0.000625 | 5.606E-17 | 9.070E-18 | 0. |
| 249 | G1_smistamento | 0. | 0. | -0.000462 | 0.00003 | -0.000136 | 0. |
| 249 | G2_smistamento | 0. | 0. | -0.000171 | 0.000011 | -0.00005 | 0. |
| 249 | Q_smistamento | 0. | 0. | -0.000171 | 0.000011 | -0.00005 | 0. |
| 249 | Q_neve | 0. | 0. | -0.000123 | 1.110E-17 | 1.843E-18 | 0. |
| 250 | DEAD | 0. | 0. | -0.000625 | 5.744E-17 | 1.046E-17 | 0. |
| 250 | G1_smistamento | 0. | 0. | -0.00053 | 0.000032 | -0.000136 | 0. |
| 250 | G2_smistamento | 0. | 0. | -0.000197 | 0.000012 | -0.00005 | 0. |
| 250 | Q_smistamento | 0. | 0. | -0.000197 | 0.000012 | -0.00005 | 0. |
| 250 | Q_neve | 0. | 0. | -0.000123 | 1.130E-17 | 2.122E-18 | 0. |
| 251 | DEAD | 0. | 0. | -0.000625 | 5.245E-17 | 1.289E-17 | 0. |
| 251 | G1_smistamento | 0. | 0. | -0.000548 | 0.000049 | -0.000121 | 0. |
| 251 | G2_smistamento | 0. | 0. | -0.000203 | 0.000018 | -0.000045 | 0. |
| 251 | Q_smistamento | 0. | 0. | -0.000203 | 0.000018 | -0.000045 | 0. |
| 251 | Q_neve | 0. | 0. | -0.000123 | 1.056E-17 | 2.511E-18 | 0. |
| 252 | DEAD | 0. | 0. | -0.000625 | 5.418E-17 | 1.441E-17 | 0. |
| 252 | G1_smistamento | 0. | 0. | -0.000572 | 0.000048 | -0.000124 | 0. |
| 252 | G2_smistamento | 0. | 0. | -0.000212 | 0.000018 | -0.000046 | 0. |
| 252 | Q_smistamento | 0. | 0. | -0.000212 | 0.000018 | -0.000046 | 0. |
| 252 | Q_neve | 0. | 0. | -0.000123 | 1.064E-17 | 2.918E-18 | 0. |
| 253 | DEAD | 0. | 0. | -0.000625 | 4.969E-17 | 1.340E-17 | 0. |
| 253 | G1_smistamento | 0. | 0. | -0.000603 | 0.000052 | -0.000107 | 0. |
| 253 | G2_smistamento | 0. | 0. | -0.000223 | 0.000019 | -0.00004 | 0. |
| 253 | Q_smistamento | 0. | 0. | -0.000223 | 0.000019 | -0.00004 | 0. |
| 253 | Q_neve | 0. | 0. | -0.000123 | 9.614E-18 | 2.725E-18 | 0. |
| 254 | DEAD | 0. | 0. | -0.000625 | 5.006E-17 | 1.767E-17 | 0. |

Table 18: Joint Displacements

| Joint | OutputCase | U1 | U2 | U3 | R1 | R2 | R3 |
|-------|----------------|----|----|-----------|-----------|-----------|---------|
| | | m | m | m | Radians | Radians | Radians |
| 254 | G1_smistamento | 0. | 0. | -0.000628 | 0.000051 | -0.000109 | 0. |
| 254 | G2_smistamento | 0. | 0. | -0.000233 | 0.000019 | -0.00004 | 0. |
| 254 | Q_smistamento | 0. | 0. | -0.000233 | 0.000019 | -0.00004 | 0. |
| 254 | Q_neve | 0. | 0. | -0.000123 | 9.819E-18 | 3.537E-18 | 0. |
| 255 | DEAD | 0. | 0. | -0.000625 | 4.607E-17 | 1.550E-17 | 0. |
| 255 | G1_smistamento | 0. | 0. | -0.000649 | 0.000054 | -0.000089 | 0. |
| 255 | G2_smistamento | 0. | 0. | -0.000241 | 0.00002 | -0.000033 | 0. |
| 255 | Q_smistamento | 0. | 0. | -0.000241 | 0.00002 | -0.000033 | 0. |
| 255 | Q_neve | 0. | 0. | -0.000123 | 9.023E-18 | 3.090E-18 | 0. |
| 256 | DEAD | 0. | 0. | -0.000625 | 4.610E-17 | 1.897E-17 | 0. |
| 256 | G1_smistamento | 0. | 0. | -0.000676 | 0.000053 | -0.000091 | 0. |
| 256 | G2_smistamento | 0. | 0. | -0.000251 | 0.00002 | -0.000034 | 0. |
| 256 | Q_smistamento | 0. | 0. | -0.000251 | 0.00002 | -0.000034 | 0. |
| 256 | Q_neve | 0. | 0. | -0.000123 | 9.013E-18 | 3.795E-18 | 0. |
| 257 | DEAD | 0. | 0. | -0.000625 | 4.217E-17 | 1.438E-17 | 0. |
| 257 | G1_smistamento | 0. | 0. | -0.000687 | 0.000055 | -0.00007 | 0. |
| 257 | G2_smistamento | 0. | 0. | -0.000255 | 0.00002 | -0.000026 | 0. |
| 257 | Q_smistamento | 0. | 0. | -0.000255 | 0.00002 | -0.000026 | 0. |
| 257 | Q_neve | 0. | 0. | -0.000123 | 8.219E-18 | 2.854E-18 | 0. |
| 258 | DEAD | 0. | 0. | -0.000625 | 4.172E-17 | 1.903E-17 | 0. |
| 258 | G1_smistamento | 0. | 0. | -0.000715 | 0.000054 | -0.000072 | 0. |
| 258 | G2_smistamento | 0. | 0. | -0.000265 | 0.00002 | -0.000027 | 0. |
| 258 | Q_smistamento | 0. | 0. | -0.000265 | 0.00002 | -0.000027 | 0. |
| 258 | Q_neve | 0. | 0. | -0.000123 | 8.155E-18 | 3.768E-18 | 0. |
| 259 | DEAD | 0. | 0. | -0.000625 | 3.740E-17 | 1.117E-17 | 0. |
| 259 | G1_smistamento | 0. | 0. | -0.000717 | 0.000057 | -0.000052 | 0. |
| 259 | G2_smistamento | 0. | 0. | -0.000266 | 0.000021 | -0.000019 | 0. |
| 259 | Q_smistamento | 0. | 0. | -0.000266 | 0.000021 | -0.000019 | 0. |
| 259 | Q_neve | 0. | 0. | -0.000123 | 7.397E-18 | 2.209E-18 | 0. |
| 260 | DEAD | 0. | 0. | -0.000625 | 3.795E-17 | 1.573E-17 | 0. |
| 260 | G1_smistamento | 0. | 0. | -0.000745 | 0.000055 | -0.000053 | 0. |
| 260 | G2_smistamento | 0. | 0. | -0.000276 | 0.000021 | -0.00002 | 0. |
| 260 | Q_smistamento | 0. | 0. | -0.000276 | 0.000021 | -0.00002 | 0. |
| 260 | Q_neve | 0. | 0. | -0.000123 | 7.279E-18 | 3.059E-18 | 0. |
| 261 | DEAD | 0. | 0. | -0.000625 | 3.406E-17 | 5.516E-18 | 0. |
| 261 | G1_smistamento | 0. | 0. | -0.000738 | 0.000058 | -0.000035 | 0. |
| 261 | G2_smistamento | 0. | 0. | -0.000273 | 0.000021 | -0.000013 | 0. |
| 261 | Q_smistamento | 0. | 0. | -0.000273 | 0.000021 | -0.000013 | 0. |

Table 18: Joint Displacements

| Joint | OutputCase | U1 | U2 | U3 | R1 | R2 | R3 |
|-------|----------------|----|----|-----------|-----------|------------|---------|
| | | m | m | m | Radians | Radians | Radians |
| 261 | Q_neve | 0. | 0. | -0.000123 | 6.677E-18 | 1.091E-18 | 0. |
| 262 | DEAD | 0. | 0. | -0.000625 | 3.176E-17 | 1.124E-17 | 0. |
| 262 | G1_smistamento | 0. | 0. | -0.000766 | 0.000056 | -0.000036 | 0. |
| 262 | G2_smistamento | 0. | 0. | -0.000284 | 0.000021 | -0.000013 | 0. |
| 262 | Q_smistamento | 0. | 0. | -0.000284 | 0.000021 | -0.000013 | 0. |
| 262 | Q_neve | 0. | 0. | -0.000123 | 6.226E-18 | 2.196E-18 | 0. |
| 263 | DEAD | 0. | 0. | -0.000625 | 2.689E-17 | 2.630E-19 | 0. |
| 263 | G1_smistamento | 0. | 0. | -0.000751 | 0.000059 | -0.000021 | 0. |
| 263 | G2_smistamento | 0. | 0. | -0.000278 | 0.000022 | -7.611E-06 | 0. |
| 263 | Q_smistamento | 0. | 0. | -0.000278 | 0.000022 | -7.611E-06 | 0. |
| 263 | Q_neve | 0. | 0. | -0.000123 | 5.475E-18 | 7.190E-20 | 0. |
| 264 | DEAD | 0. | 0. | -0.000625 | 2.647E-17 | 5.418E-18 | 0. |
| 264 | G1_smistamento | 0. | 0. | -0.00078 | 0.000057 | -0.000021 | 0. |
| 264 | G2_smistamento | 0. | 0. | -0.000289 | 0.000021 | -7.817E-06 | 0. |
| 264 | Q_smistamento | 0. | 0. | -0.000289 | 0.000021 | -7.817E-06 | 0. |
| 264 | Q_neve | 0. | 0. | -0.000123 | 5.126E-18 | 1.109E-18 | 0. |
| 265 | DEAD | 0. | 0. | -0.000625 | 2.007E-17 | -6.248E-18 | 0. |
| 265 | G1_smistamento | 0. | 0. | -0.000757 | 0.000059 | -6.708E-06 | 0. |
| 265 | G2_smistamento | 0. | 0. | -0.000281 | 0.000022 | -2.487E-06 | 0. |
| 265 | Q_smistamento | 0. | 0. | -0.000281 | 0.000022 | -2.487E-06 | 0. |
| 265 | Q_neve | 0. | 0. | -0.000123 | 3.931E-18 | -1.251E-18 | 0. |
| 266 | DEAD | 0. | 0. | -0.000625 | 2.154E-17 | 1.103E-18 | 0. |
| 266 | G1_smistamento | 0. | 0. | -0.000787 | 0.000057 | -6.897E-06 | 0. |
| 266 | G2_smistamento | 0. | 0. | -0.000292 | 0.000021 | -2.557E-06 | 0. |
| 266 | Q_smistamento | 0. | 0. | -0.000292 | 0.000021 | -2.557E-06 | 0. |
| 266 | Q_neve | 0. | 0. | -0.000123 | 4.209E-18 | 2.090E-19 | 0. |
| 267 | DEAD | 0. | 0. | -0.000625 | 1.387E-17 | -7.535E-18 | 0. |
| 267 | G1_smistamento | 0. | 0. | -0.000757 | 0.000059 | 6.708E-06 | 0. |
| 267 | G2_smistamento | 0. | 0. | -0.000281 | 0.000022 | 2.487E-06 | 0. |
| 267 | Q_smistamento | 0. | 0. | -0.000281 | 0.000022 | 2.487E-06 | 0. |
| 267 | Q_neve | 0. | 0. | -0.000123 | 2.789E-18 | -1.477E-18 | 0. |
| 268 | DEAD | 0. | 0. | -0.000625 | 1.301E-17 | -5.783E-19 | 0. |
| 268 | G1_smistamento | 0. | 0. | -0.000787 | 0.000057 | 6.897E-06 | 0. |
| 268 | G2_smistamento | 0. | 0. | -0.000292 | 0.000021 | 2.557E-06 | 0. |
| 268 | Q_smistamento | 0. | 0. | -0.000292 | 0.000021 | 2.557E-06 | 0. |
| 268 | Q_neve | 0. | 0. | -0.000123 | 2.494E-18 | -1.468E-19 | 0. |
| 269 | DEAD | 0. | 0. | -0.000625 | 6.288E-18 | -7.264E-18 | 0. |
| 269 | G1_smistamento | 0. | 0. | -0.000751 | 0.000059 | 0.000021 | 0. |

Table 18: Joint Displacements

| Joint | OutputCase | U1 | U2 | U3 | R1 | R2 | R3 |
|-------|----------------|----|----|-----------|------------|------------|---------|
| | | m | m | m | Radians | Radians | Radians |
| 269 | G2_smistamento | 0. | 0. | -0.000278 | 0.000022 | 7.611E-06 | 0. |
| 269 | Q_smistamento | 0. | 0. | -0.000278 | 0.000022 | 7.611E-06 | 0. |
| 269 | Q_neve | 0. | 0. | -0.000123 | 1.193E-18 | -1.500E-18 | 0. |
| 270 | DEAD | 0. | 0. | -0.000625 | 7.156E-18 | 3.420E-19 | 0. |
| 270 | G1_smistamento | 0. | 0. | -0.00078 | 0.000057 | 0.000021 | 0. |
| 270 | G2_smistamento | 0. | 0. | -0.000289 | 0.000021 | 7.817E-06 | 0. |
| 270 | Q_smistamento | 0. | 0. | -0.000289 | 0.000021 | 7.817E-06 | 0. |
| 270 | Q_neve | 0. | 0. | -0.000123 | 1.409E-18 | 3.981E-20 | 0. |
| 271 | DEAD | 0. | 0. | -0.000625 | 3.200E-19 | -3.471E-18 | 0. |
| 271 | G1_smistamento | 0. | 0. | -0.000738 | 0.000058 | 0.000035 | 0. |
| 271 | G2_smistamento | 0. | 0. | -0.000273 | 0.000021 | 0.000013 | 0. |
| 271 | Q_smistamento | 0. | 0. | -0.000273 | 0.000021 | 0.000013 | 0. |
| 271 | Q_neve | 0. | 0. | -0.000123 | -5.617E-20 | -8.134E-19 | 0. |
| 272 | DEAD | 0. | 0. | -0.000625 | -6.350E-20 | 1.897E-18 | 0. |
| 272 | G1_smistamento | 0. | 0. | -0.000766 | 0.000056 | 0.000036 | 0. |
| 272 | G2_smistamento | 0. | 0. | -0.000284 | 0.000021 | 0.000013 | 0. |
| 272 | Q_smistamento | 0. | 0. | -0.000284 | 0.000021 | 0.000013 | 0. |
| 272 | Q_neve | 0. | 0. | -0.000123 | -6.426E-20 | 3.117E-19 | 0. |
| 273 | DEAD | 0. | 0. | -0.000625 | -7.118E-18 | -1.355E-19 | 0. |
| 273 | G1_smistamento | 0. | 0. | -0.000717 | 0.000057 | 0.000052 | 0. |
| 273 | G2_smistamento | 0. | 0. | -0.000266 | 0.000021 | 0.000019 | 0. |
| 273 | Q_smistamento | 0. | 0. | -0.000266 | 0.000021 | 0.000019 | 0. |
| 273 | Q_neve | 0. | 0. | -0.000123 | -1.398E-18 | -6.437E-20 | 0. |
| 274 | DEAD | 0. | 0. | -0.000625 | -5.054E-18 | 5.367E-18 | 0. |
| 274 | G1_smistamento | 0. | 0. | -0.000745 | 0.000055 | 0.000053 | 0. |
| 274 | G2_smistamento | 0. | 0. | -0.000276 | 0.000021 | 0.00002 | 0. |
| 274 | Q_smistamento | 0. | 0. | -0.000276 | 0.000021 | 0.00002 | 0. |
| 274 | Q_neve | 0. | 0. | -0.000123 | -9.654E-19 | 1.026E-18 | 0. |
| 275 | DEAD | 0. | 0. | -0.000625 | -1.096E-17 | 4.769E-18 | 0. |
| 275 | G1_smistamento | 0. | 0. | -0.000687 | 0.000055 | 0.00007 | 0. |
| 275 | G2_smistamento | 0. | 0. | -0.000255 | 0.00002 | 0.000026 | 0. |
| 275 | Q_smistamento | 0. | 0. | -0.000255 | 0.00002 | 0.000026 | 0. |
| 275 | Q_neve | 0. | 0. | -0.000123 | -2.170E-18 | 9.755E-19 | 0. |
| 276 | DEAD | 0. | 0. | -0.000625 | -1.016E-17 | 8.216E-18 | 0. |
| 276 | G1_smistamento | 0. | 0. | -0.000715 | 0.000054 | 0.000072 | 0. |
| 276 | G2_smistamento | 0. | 0. | -0.000265 | 0.00002 | 0.000027 | 0. |
| 276 | Q_smistamento | 0. | 0. | -0.000265 | 0.00002 | 0.000027 | 0. |
| 276 | Q_neve | 0. | 0. | -0.000123 | -2.098E-18 | 1.537E-18 | 0. |

Table 18: Joint Displacements

| Joint | OutputCase | U1 | U2 | U3 | R1 | R2 | R3 |
|-------|----------------|----|----|-----------|------------|-----------|---------|
| | | m | m | m | Radians | Radians | Radians |
| 277 | DEAD | 0. | 0. | -0.000625 | -1.485E-17 | 6.722E-18 | 0. |
| 277 | G1_smistamento | 0. | 0. | -0.000649 | 0.000054 | 0.000089 | 0. |
| 277 | G2_smistamento | 0. | 0. | -0.000241 | 0.00002 | 0.000033 | 0. |
| 277 | Q_smistamento | 0. | 0. | -0.000241 | 0.00002 | 0.000033 | 0. |
| 277 | Q_neve | 0. | 0. | -0.000123 | -2.958E-18 | 1.274E-18 | 0. |
| 278 | DEAD | 0. | 0. | -0.000625 | -1.497E-17 | 1.299E-17 | 0. |
| 278 | G1_smistamento | 0. | 0. | -0.000676 | 0.000053 | 0.000091 | 0. |
| 278 | G2_smistamento | 0. | 0. | -0.000251 | 0.00002 | 0.000034 | 0. |
| 278 | Q_smistamento | 0. | 0. | -0.000251 | 0.00002 | 0.000034 | 0. |
| 278 | Q_neve | 0. | 0. | -0.000123 | -2.955E-18 | 2.544E-18 | 0. |
| 279 | DEAD | 0. | 0. | -0.000625 | -2.114E-17 | 1.268E-17 | 0. |
| 279 | G1_smistamento | 0. | 0. | -0.000603 | 0.000052 | 0.000107 | 0. |
| 279 | G2_smistamento | 0. | 0. | -0.000223 | 0.000019 | 0.00004 | 0. |
| 279 | Q_smistamento | 0. | 0. | -0.000223 | 0.000019 | 0.00004 | 0. |
| 279 | Q_neve | 0. | 0. | -0.000123 | -4.204E-18 | 2.521E-18 | 0. |
| 280 | DEAD | 0. | 0. | -0.000625 | -1.960E-17 | 1.702E-17 | 0. |
| 280 | G1_smistamento | 0. | 0. | -0.000628 | 0.000051 | 0.000109 | 0. |
| 280 | G2_smistamento | 0. | 0. | -0.000233 | 0.000019 | 0.00004 | 0. |
| 280 | Q_smistamento | 0. | 0. | -0.000233 | 0.000019 | 0.00004 | 0. |
| 280 | Q_neve | 0. | 0. | -0.000123 | -3.916E-18 | 3.361E-18 | 0. |
| 281 | DEAD | 0. | 0. | -0.000625 | -2.335E-17 | 1.952E-17 | 0. |
| 281 | G1_smistamento | 0. | 0. | -0.000548 | 0.000049 | 0.000121 | 0. |
| 281 | G2_smistamento | 0. | 0. | -0.000203 | 0.000018 | 0.000045 | 0. |
| 281 | Q_smistamento | 0. | 0. | -0.000203 | 0.000018 | 0.000045 | 0. |
| 281 | Q_neve | 0. | 0. | -0.000123 | -4.623E-18 | 3.932E-18 | 0. |
| 282 | DEAD | 0. | 0. | -0.000625 | -2.358E-17 | 2.223E-17 | 0. |
| 282 | G1_smistamento | 0. | 0. | -0.000572 | 0.000048 | 0.000124 | 0. |
| 282 | G2_smistamento | 0. | 0. | -0.000212 | 0.000018 | 0.000046 | 0. |
| 282 | Q_smistamento | 0. | 0. | -0.000212 | 0.000018 | 0.000046 | 0. |
| 282 | Q_neve | 0. | 0. | -0.000123 | -4.727E-18 | 4.418E-18 | 0. |
| 283 | DEAD | 0. | 0. | -0.000625 | -2.928E-17 | 2.949E-17 | 0. |
| 283 | G1_smistamento | 0. | 0. | -0.000462 | 0.00003 | 0.000136 | 0. |
| 283 | G2_smistamento | 0. | 0. | -0.000171 | 0.000011 | 0.00005 | 0. |
| 283 | Q_smistamento | 0. | 0. | -0.000171 | 0.000011 | 0.00005 | 0. |
| 283 | Q_neve | 0. | 0. | -0.000123 | -5.852E-18 | 5.800E-18 | 0. |
| 284 | DEAD | 0. | 0. | -0.000625 | -2.655E-17 | 2.862E-17 | 0. |
| 284 | G1_smistamento | 0. | 0. | -0.00053 | 0.000032 | 0.000136 | 0. |
| 284 | G2_smistamento | 0. | 0. | -0.000197 | 0.000012 | 0.00005 | 0. |

Table 18: Joint Displacements

| Joint | OutputCase | U1 | U2 | U3 | R1 | R2 | R3 |
|-------|----------------|----|----|-----------|------------|-----------|---------|
| | | m | m | m | Radians | Radians | Radians |
| 284 | Q_smistamento | 0. | 0. | -0.000197 | 0.000012 | 0.000005 | 0. |
| 284 | Q_neve | 0. | 0. | -0.000123 | -5.182E-18 | 5.665E-18 | 0. |
| 285 | DEAD | 0. | 0. | -0.000625 | -2.831E-17 | 3.342E-17 | 0. |
| 285 | G1_smistamento | 0. | 0. | -0.000473 | 0.000011 | 0.000137 | 0. |
| 285 | G2_smistamento | 0. | 0. | -0.000175 | 4.097E-06 | 0.000051 | 0. |
| 285 | Q_smistamento | 0. | 0. | -0.000175 | 4.097E-06 | 0.000051 | 0. |
| 285 | Q_neve | 0. | 0. | -0.000123 | -5.553E-18 | 6.524E-18 | 0. |
| 286 | DEAD | 0. | 0. | -0.000625 | -2.490E-17 | 3.162E-17 | 0. |
| 286 | G1_smistamento | 0. | 0. | -0.000541 | 0.000012 | 0.000137 | 0. |
| 286 | G2_smistamento | 0. | 0. | -0.000201 | 4.360E-06 | 0.000051 | 0. |
| 286 | Q_smistamento | 0. | 0. | -0.000201 | 4.360E-06 | 0.000051 | 0. |
| 286 | Q_neve | 0. | 0. | -0.000123 | -4.892E-18 | 6.226E-18 | 0. |
| 287 | DEAD | 0. | 0. | -0.000625 | -2.472E-17 | 3.690E-17 | 0. |
| 287 | G1_smistamento | 0. | 0. | -0.000473 | -0.000011 | 0.000137 | 0. |
| 287 | G2_smistamento | 0. | 0. | -0.000175 | -4.097E-06 | 0.000051 | 0. |
| 287 | Q_smistamento | 0. | 0. | -0.000175 | -4.097E-06 | 0.000051 | 0. |
| 287 | Q_neve | 0. | 0. | -0.000123 | -4.811E-18 | 7.388E-18 | 0. |
| 288 | DEAD | 0. | 0. | -0.000625 | -2.000E-17 | 3.597E-17 | 0. |
| 288 | G1_smistamento | 0. | 0. | -0.000541 | -0.000012 | 0.000137 | 0. |
| 288 | G2_smistamento | 0. | 0. | -0.000201 | -4.360E-06 | 0.000051 | 0. |
| 288 | Q_smistamento | 0. | 0. | -0.000201 | -4.360E-06 | 0.000051 | 0. |
| 288 | Q_neve | 0. | 0. | -0.000123 | -3.893E-18 | 7.079E-18 | 0. |
| 289 | DEAD | 0. | 0. | -0.000625 | -1.982E-17 | 4.062E-17 | 0. |
| 289 | G1_smistamento | 0. | 0. | -0.000462 | -0.00003 | 0.000136 | 0. |
| 289 | G2_smistamento | 0. | 0. | -0.000171 | -0.000011 | 0.00005 | 0. |
| 289 | Q_smistamento | 0. | 0. | -0.000171 | -0.000011 | 0.00005 | 0. |
| 289 | Q_neve | 0. | 0. | -0.000123 | -3.810E-18 | 7.991E-18 | 0. |
| 290 | DEAD | 0. | 0. | -0.000625 | -1.550E-17 | 4.142E-17 | 0. |
| 290 | G1_smistamento | 0. | 0. | -0.00053 | -0.000032 | 0.000136 | 0. |
| 290 | G2_smistamento | 0. | 0. | -0.000197 | -0.000012 | 0.00005 | 0. |
| 290 | Q_smistamento | 0. | 0. | -0.000197 | -0.000012 | 0.00005 | 0. |
| 290 | Q_neve | 0. | 0. | -0.000123 | -3.036E-18 | 8.226E-18 | 0. |
| 291 | DEAD | 0. | 0. | -0.000625 | 5.682E-17 | 1.735E-17 | 0. |
| 291 | G1_smistamento | 0. | 0. | -0.000594 | 0.000035 | -0.000127 | 0. |
| 291 | G2_smistamento | 0. | 0. | -0.00022 | 0.000013 | -0.000047 | 0. |
| 291 | Q_smistamento | 0. | 0. | -0.00022 | 0.000013 | -0.000047 | 0. |
| 291 | Q_neve | 0. | 0. | -0.000123 | 1.111E-17 | 3.495E-18 | 0. |
| 292 | DEAD | 0. | 0. | -0.000625 | 5.909E-17 | 1.861E-17 | 0. |

Table 18: Joint Displacements

| Joint | OutputCase | U1 | U2 | U3 | R1 | R2 | R3 |
|-------|----------------|----|----|-----------|------------|-----------|---------|
| | | m | m | m | Radians | Radians | Radians |
| 292 | G1_smistamento | 0. | 0. | -0.000606 | 0.000013 | -0.000129 | 0. |
| 292 | G2_smistamento | 0. | 0. | -0.000225 | 4.717E-06 | -0.000048 | 0. |
| 292 | Q_smistamento | 0. | 0. | -0.000225 | 4.717E-06 | -0.000048 | 0. |
| 292 | Q_neve | 0. | 0. | -0.000123 | 1.156E-17 | 3.692E-18 | 0. |
| 293 | DEAD | 0. | 0. | -0.000625 | 6.092E-17 | 1.862E-17 | 0. |
| 293 | G1_smistamento | 0. | 0. | -0.000606 | -0.000013 | -0.000129 | 0. |
| 293 | G2_smistamento | 0. | 0. | -0.000225 | -4.717E-06 | -0.000048 | 0. |
| 293 | Q_smistamento | 0. | 0. | -0.000225 | -4.717E-06 | -0.000048 | 0. |
| 293 | Q_neve | 0. | 0. | -0.000123 | 1.206E-17 | 3.865E-18 | 0. |
| 294 | DEAD | 0. | 0. | -0.000625 | 6.269E-17 | 2.007E-17 | 0. |
| 294 | G1_smistamento | 0. | 0. | -0.000594 | -0.000035 | -0.000127 | 0. |
| 294 | G2_smistamento | 0. | 0. | -0.00022 | -0.000013 | -0.000047 | 0. |
| 294 | Q_smistamento | 0. | 0. | -0.00022 | -0.000013 | -0.000047 | 0. |
| 294 | Q_neve | 0. | 0. | -0.000123 | 1.250E-17 | 4.037E-18 | 0. |
| 295 | DEAD | 0. | 0. | -0.000625 | 5.356E-17 | 2.331E-17 | 0. |
| 295 | G1_smistamento | 0. | 0. | -0.000651 | 0.000037 | -0.000111 | 0. |
| 295 | G2_smistamento | 0. | 0. | -0.000241 | 0.000014 | -0.000041 | 0. |
| 295 | Q_smistamento | 0. | 0. | -0.000241 | 0.000014 | -0.000041 | 0. |
| 295 | Q_neve | 0. | 0. | -0.000123 | 1.052E-17 | 4.703E-18 | 0. |
| 296 | DEAD | 0. | 0. | -0.000625 | 5.794E-17 | 2.437E-17 | 0. |
| 296 | G1_smistamento | 0. | 0. | -0.000664 | 0.000014 | -0.000113 | 0. |
| 296 | G2_smistamento | 0. | 0. | -0.000246 | 5.051E-06 | -0.000042 | 0. |
| 296 | Q_smistamento | 0. | 0. | -0.000246 | 5.051E-06 | -0.000042 | 0. |
| 296 | Q_neve | 0. | 0. | -0.000123 | 1.138E-17 | 4.872E-18 | 0. |
| 297 | DEAD | 0. | 0. | -0.000625 | 5.985E-17 | 2.696E-17 | 0. |
| 297 | G1_smistamento | 0. | 0. | -0.000664 | -0.000014 | -0.000113 | 0. |
| 297 | G2_smistamento | 0. | 0. | -0.000246 | -5.051E-06 | -0.000042 | 0. |
| 297 | Q_smistamento | 0. | 0. | -0.000246 | -5.051E-06 | -0.000042 | 0. |
| 297 | Q_neve | 0. | 0. | -0.000123 | 1.184E-17 | 5.380E-18 | 0. |
| 298 | DEAD | 0. | 0. | -0.000625 | 6.124E-17 | 2.959E-17 | 0. |
| 298 | G1_smistamento | 0. | 0. | -0.000651 | -0.000037 | -0.000111 | 0. |
| 298 | G2_smistamento | 0. | 0. | -0.000241 | -0.000014 | -0.000041 | 0. |
| 298 | Q_smistamento | 0. | 0. | -0.000241 | -0.000014 | -0.000041 | 0. |
| 298 | Q_neve | 0. | 0. | -0.000123 | 1.210E-17 | 6.004E-18 | 0. |
| 299 | DEAD | 0. | 0. | -0.000625 | 5.035E-17 | 2.349E-17 | 0. |
| 299 | G1_smistamento | 0. | 0. | -0.0007 | 0.000039 | -0.000092 | 0. |
| 299 | G2_smistamento | 0. | 0. | -0.000259 | 0.000015 | -0.000034 | 0. |
| 299 | Q_smistamento | 0. | 0. | -0.000259 | 0.000015 | -0.000034 | 0. |

Table 18: Joint Displacements

| Joint | OutputCase | U1 | U2 | U3 | R1 | R2 | R3 |
|-------|----------------|----|----|-----------|------------|-----------|---------|
| | | m | m | m | Radians | Radians | Radians |
| 299 | Q_neve | 0. | 0. | -0.000123 | 9.843E-18 | 4.743E-18 | 0. |
| 300 | DEAD | 0. | 0. | -0.000625 | 5.416E-17 | 2.830E-17 | 0. |
| 300 | G1_smistamento | 0. | 0. | -0.000714 | 0.000014 | -0.000093 | 0. |
| 300 | G2_smistamento | 0. | 0. | -0.000265 | 5.296E-06 | -0.000035 | 0. |
| 300 | Q_smistamento | 0. | 0. | -0.000265 | 5.296E-06 | -0.000035 | 0. |
| 300 | Q_neve | 0. | 0. | -0.000123 | 1.068E-17 | 5.665E-18 | 0. |
| 301 | DEAD | 0. | 0. | -0.000625 | 5.703E-17 | 3.358E-17 | 0. |
| 301 | G1_smistamento | 0. | 0. | -0.000714 | -0.000014 | -0.000093 | 0. |
| 301 | G2_smistamento | 0. | 0. | -0.000265 | -5.296E-06 | -0.000035 | 0. |
| 301 | Q_smistamento | 0. | 0. | -0.000265 | -5.296E-06 | -0.000035 | 0. |
| 301 | Q_neve | 0. | 0. | -0.000123 | 1.125E-17 | 6.763E-18 | 0. |
| 302 | DEAD | 0. | 0. | -0.000625 | 5.669E-17 | 3.656E-17 | 0. |
| 302 | G1_smistamento | 0. | 0. | -0.0007 | -0.000039 | -0.000092 | 0. |
| 302 | G2_smistamento | 0. | 0. | -0.000259 | -0.000015 | -0.000034 | 0. |
| 302 | Q_smistamento | 0. | 0. | -0.000259 | -0.000015 | -0.000034 | 0. |
| 302 | Q_neve | 0. | 0. | -0.000123 | 1.121E-17 | 7.254E-18 | 0. |
| 303 | DEAD | 0. | 0. | -0.000625 | 4.505E-17 | 2.376E-17 | 0. |
| 303 | G1_smistamento | 0. | 0. | -0.00074 | 0.00004 | -0.000073 | 0. |
| 303 | G2_smistamento | 0. | 0. | -0.000274 | 0.000015 | -0.000027 | 0. |
| 303 | Q_smistamento | 0. | 0. | -0.000274 | 0.000015 | -0.000027 | 0. |
| 303 | Q_neve | 0. | 0. | -0.000123 | 8.820E-18 | 4.725E-18 | 0. |
| 304 | DEAD | 0. | 0. | -0.000625 | 5.040E-17 | 2.963E-17 | 0. |
| 304 | G1_smistamento | 0. | 0. | -0.000754 | 0.000015 | -0.000073 | 0. |
| 304 | G2_smistamento | 0. | 0. | -0.000279 | 5.460E-06 | -0.000027 | 0. |
| 304 | Q_smistamento | 0. | 0. | -0.000279 | 5.460E-06 | -0.000027 | 0. |
| 304 | Q_neve | 0. | 0. | -0.000123 | 9.905E-18 | 5.861E-18 | 0. |
| 305 | DEAD | 0. | 0. | -0.000625 | 5.104E-17 | 3.562E-17 | 0. |
| 305 | G1_smistamento | 0. | 0. | -0.000754 | -0.000015 | -0.000073 | 0. |
| 305 | G2_smistamento | 0. | 0. | -0.000279 | -5.460E-06 | -0.000027 | 0. |
| 305 | Q_smistamento | 0. | 0. | -0.000279 | -5.460E-06 | -0.000027 | 0. |
| 305 | Q_neve | 0. | 0. | -0.000123 | 1.011E-17 | 7.030E-18 | 0. |
| 306 | DEAD | 0. | 0. | -0.000625 | 5.311E-17 | 4.176E-17 | 0. |
| 306 | G1_smistamento | 0. | 0. | -0.00074 | -0.00004 | -0.000073 | 0. |
| 306 | G2_smistamento | 0. | 0. | -0.000274 | -0.000015 | -0.000027 | 0. |
| 306 | Q_smistamento | 0. | 0. | -0.000274 | -0.000015 | -0.000027 | 0. |
| 306 | Q_neve | 0. | 0. | -0.000123 | 1.048E-17 | 8.313E-18 | 0. |
| 307 | DEAD | 0. | 0. | -0.000625 | 3.863E-17 | 2.255E-17 | 0. |
| 307 | G1_smistamento | 0. | 0. | -0.00077 | 0.000041 | -0.000054 | 0. |

Table 18: Joint Displacements

| Joint | OutputCase | U1 | U2 | U3 | R1 | R2 | R3 |
|-------|----------------|----|----|-----------|------------|-----------|---------|
| | | m | m | m | Radians | Radians | Radians |
| 307 | G2_smistamento | 0. | 0. | -0.000285 | 0.000015 | -0.00002 | 0. |
| 307 | Q_smistamento | 0. | 0. | -0.000285 | 0.000015 | -0.00002 | 0. |
| 307 | Q_neve | 0. | 0. | -0.000123 | 7.510E-18 | 4.337E-18 | 0. |
| 308 | DEAD | 0. | 0. | -0.000625 | 4.304E-17 | 2.839E-17 | 0. |
| 308 | G1_smistamento | 0. | 0. | -0.000784 | 0.000015 | -0.000055 | 0. |
| 308 | G2_smistamento | 0. | 0. | -0.000291 | 5.569E-06 | -0.00002 | 0. |
| 308 | Q_smistamento | 0. | 0. | -0.000291 | 5.569E-06 | -0.00002 | 0. |
| 308 | Q_neve | 0. | 0. | -0.000123 | 8.418E-18 | 5.615E-18 | 0. |
| 309 | DEAD | 0. | 0. | -0.000625 | 4.554E-17 | 3.494E-17 | 0. |
| 309 | G1_smistamento | 0. | 0. | -0.000784 | -0.000015 | -0.000055 | 0. |
| 309 | G2_smistamento | 0. | 0. | -0.000291 | -5.569E-06 | -0.00002 | 0. |
| 309 | Q_smistamento | 0. | 0. | -0.000291 | -5.569E-06 | -0.00002 | 0. |
| 309 | Q_neve | 0. | 0. | -0.000123 | 8.999E-18 | 6.885E-18 | 0. |
| 310 | DEAD | 0. | 0. | -0.000625 | 4.691E-17 | 4.077E-17 | 0. |
| 310 | G1_smistamento | 0. | 0. | -0.00077 | -0.000041 | -0.000054 | 0. |
| 310 | G2_smistamento | 0. | 0. | -0.000285 | -0.000015 | -0.00002 | 0. |
| 310 | Q_smistamento | 0. | 0. | -0.000285 | -0.000015 | -0.00002 | 0. |
| 310 | Q_neve | 0. | 0. | -0.000123 | 9.245E-18 | 8.070E-18 | 0. |
| 311 | DEAD | 0. | 0. | -0.000625 | 3.348E-17 | 1.735E-17 | 0. |
| 311 | G1_smistamento | 0. | 0. | -0.000792 | 0.000042 | -0.000037 | 0. |
| 311 | G2_smistamento | 0. | 0. | -0.000293 | 0.000015 | -0.000014 | 0. |
| 311 | Q_smistamento | 0. | 0. | -0.000293 | 0.000015 | -0.000014 | 0. |
| 311 | Q_neve | 0. | 0. | -0.000123 | 6.522E-18 | 3.420E-18 | 0. |
| 312 | DEAD | 0. | 0. | -0.000625 | 3.665E-17 | 2.418E-17 | 0. |
| 312 | G1_smistamento | 0. | 0. | -0.000806 | 0.000015 | -0.000037 | 0. |
| 312 | G2_smistamento | 0. | 0. | -0.000299 | 5.641E-06 | -0.000014 | 0. |
| 312 | Q_smistamento | 0. | 0. | -0.000299 | 5.641E-06 | -0.000014 | 0. |
| 312 | Q_neve | 0. | 0. | -0.000123 | 7.183E-18 | 4.730E-18 | 0. |
| 313 | DEAD | 0. | 0. | -0.000625 | 3.980E-17 | 3.133E-17 | 0. |
| 313 | G1_smistamento | 0. | 0. | -0.000806 | -0.000015 | -0.000037 | 0. |
| 313 | G2_smistamento | 0. | 0. | -0.000299 | -5.641E-06 | -0.000014 | 0. |
| 313 | Q_smistamento | 0. | 0. | -0.000299 | -5.641E-06 | -0.000014 | 0. |
| 313 | Q_neve | 0. | 0. | -0.000123 | 7.844E-18 | 6.153E-18 | 0. |
| 314 | DEAD | 0. | 0. | -0.000625 | 4.259E-17 | 3.806E-17 | 0. |
| 314 | G1_smistamento | 0. | 0. | -0.000792 | -0.000042 | -0.000037 | 0. |
| 314 | G2_smistamento | 0. | 0. | -0.000293 | -0.000015 | -0.000014 | 0. |
| 314 | Q_smistamento | 0. | 0. | -0.000293 | -0.000015 | -0.000014 | 0. |
| 314 | Q_neve | 0. | 0. | -0.000123 | 8.289E-18 | 7.373E-18 | 0. |

Table 18: Joint Displacements

| Joint | OutputCase | U1 | U2 | U3 | R1 | R2 | R3 |
|-------|----------------|----|----|-----------|------------|------------|---------|
| | | m | m | m | Radians | Radians | Radians |
| 315 | DEAD | 0. | 0. | -0.000625 | 2.635E-17 | 1.195E-17 | 0. |
| 315 | G1_smistamento | 0. | 0. | -0.000806 | 0.000042 | -0.000021 | 0. |
| 315 | G2_smistamento | 0. | 0. | -0.000299 | 0.000016 | -7.950E-06 | 0. |
| 315 | Q_smistamento | 0. | 0. | -0.000299 | 0.000016 | -7.950E-06 | 0. |
| 315 | Q_neve | 0. | 0. | -0.000123 | 5.096E-18 | 2.320E-18 | 0. |
| 316 | DEAD | 0. | 0. | -0.000625 | 2.927E-17 | 1.972E-17 | 0. |
| 316 | G1_smistamento | 0. | 0. | -0.00082 | 0.000015 | -0.000022 | 0. |
| 316 | G2_smistamento | 0. | 0. | -0.000304 | 5.685E-06 | -8.017E-06 | 0. |
| 316 | Q_smistamento | 0. | 0. | -0.000304 | 5.685E-06 | -8.017E-06 | 0. |
| 316 | Q_neve | 0. | 0. | -0.000123 | 5.746E-18 | 3.830E-18 | 0. |
| 317 | DEAD | 0. | 0. | -0.000625 | 3.280E-17 | 2.797E-17 | 0. |
| 317 | G1_smistamento | 0. | 0. | -0.00082 | -0.000015 | -0.000022 | 0. |
| 317 | G2_smistamento | 0. | 0. | -0.000304 | -5.685E-06 | -8.017E-06 | 0. |
| 317 | Q_smistamento | 0. | 0. | -0.000304 | -5.685E-06 | -8.017E-06 | 0. |
| 317 | Q_neve | 0. | 0. | -0.000123 | 6.505E-18 | 5.394E-18 | 0. |
| 318 | DEAD | 0. | 0. | -0.000625 | 3.800E-17 | 3.219E-17 | 0. |
| 318 | G1_smistamento | 0. | 0. | -0.000806 | -0.000042 | -0.000021 | 0. |
| 318 | G2_smistamento | 0. | 0. | -0.000299 | -0.000016 | -7.950E-06 | 0. |
| 318 | Q_smistamento | 0. | 0. | -0.000299 | -0.000016 | -7.950E-06 | 0. |
| 318 | Q_neve | 0. | 0. | -0.000123 | 7.427E-18 | 6.323E-18 | 0. |
| 319 | DEAD | 0. | 0. | -0.000625 | 1.968E-17 | 8.070E-18 | 0. |
| 319 | G1_smistamento | 0. | 0. | -0.000812 | 0.000042 | -7.016E-06 | 0. |
| 319 | G2_smistamento | 0. | 0. | -0.000301 | 0.000016 | -2.601E-06 | 0. |
| 319 | Q_smistamento | 0. | 0. | -0.000301 | 0.000016 | -2.601E-06 | 0. |
| 319 | Q_neve | 0. | 0. | -0.000123 | 3.862E-18 | 1.568E-18 | 0. |
| 320 | DEAD | 0. | 0. | -0.000625 | 1.979E-17 | 1.591E-17 | 0. |
| 320 | G1_smistamento | 0. | 0. | -0.000827 | 0.000015 | -7.076E-06 | 0. |
| 320 | G2_smistamento | 0. | 0. | -0.000307 | 5.706E-06 | -2.623E-06 | 0. |
| 320 | Q_smistamento | 0. | 0. | -0.000307 | 5.706E-06 | -2.623E-06 | 0. |
| 320 | Q_neve | 0. | 0. | -0.000123 | 3.912E-18 | 3.097E-18 | 0. |
| 321 | DEAD | 0. | 0. | -0.000625 | 2.816E-17 | 2.223E-17 | 0. |
| 321 | G1_smistamento | 0. | 0. | -0.000827 | -0.000015 | -7.076E-06 | 0. |
| 321 | G2_smistamento | 0. | 0. | -0.000307 | -5.706E-06 | -2.623E-06 | 0. |
| 321 | Q_smistamento | 0. | 0. | -0.000307 | -5.706E-06 | -2.623E-06 | 0. |
| 321 | Q_neve | 0. | 0. | -0.000123 | 5.511E-18 | 4.310E-18 | 0. |
| 322 | DEAD | 0. | 0. | -0.000625 | 3.318E-17 | 2.876E-17 | 0. |
| 322 | G1_smistamento | 0. | 0. | -0.000812 | -0.000042 | -7.016E-06 | 0. |
| 322 | G2_smistamento | 0. | 0. | -0.000301 | -0.000016 | -2.601E-06 | 0. |

Table 18: Joint Displacements

| Joint | OutputCase | U1 | U2 | U3 | R1 | R2 | R3 |
|-------|----------------|----|----|-----------|------------|------------|---------|
| | | m | m | m | Radians | Radians | Radians |
| 322 | Q_smistamento | 0. | 0. | -0.000301 | -0.000016 | -2.601E-06 | 0. |
| 322 | Q_neve | 0. | 0. | -0.000123 | 6.502E-18 | 5.614E-18 | 0. |
| 323 | DEAD | 0. | 0. | -0.000625 | 1.357E-17 | 6.946E-18 | 0. |
| 323 | G1_smistamento | 0. | 0. | -0.000812 | 0.000042 | 7.016E-06 | 0. |
| 323 | G2_smistamento | 0. | 0. | -0.000301 | 0.000016 | 2.601E-06 | 0. |
| 323 | Q_smistamento | 0. | 0. | -0.000301 | 0.000016 | 2.601E-06 | 0. |
| 323 | Q_neve | 0. | 0. | -0.000123 | 2.598E-18 | 1.325E-18 | 0. |
| 324 | DEAD | 0. | 0. | -0.000625 | 1.511E-17 | 1.251E-17 | 0. |
| 324 | G1_smistamento | 0. | 0. | -0.000827 | 0.000015 | 7.076E-06 | 0. |
| 324 | G2_smistamento | 0. | 0. | -0.000307 | 5.706E-06 | 2.623E-06 | 0. |
| 324 | Q_smistamento | 0. | 0. | -0.000307 | 5.706E-06 | 2.623E-06 | 0. |
| 324 | Q_neve | 0. | 0. | -0.000123 | 3.001E-18 | 2.448E-18 | 0. |
| 325 | DEAD | 0. | 0. | -0.000625 | 2.096E-17 | 2.017E-17 | 0. |
| 325 | G1_smistamento | 0. | 0. | -0.000827 | -0.000015 | 7.076E-06 | 0. |
| 325 | G2_smistamento | 0. | 0. | -0.000307 | -5.706E-06 | 2.623E-06 | 0. |
| 325 | Q_smistamento | 0. | 0. | -0.000307 | -5.706E-06 | 2.623E-06 | 0. |
| 325 | Q_neve | 0. | 0. | -0.000123 | 4.069E-18 | 3.903E-18 | 0. |
| 326 | DEAD | 0. | 0. | -0.000625 | 2.800E-17 | 2.534E-17 | 0. |
| 326 | G1_smistamento | 0. | 0. | -0.000812 | -0.000042 | 7.016E-06 | 0. |
| 326 | G2_smistamento | 0. | 0. | -0.000301 | -0.000016 | 2.601E-06 | 0. |
| 326 | Q_smistamento | 0. | 0. | -0.000301 | -0.000016 | 2.601E-06 | 0. |
| 326 | Q_neve | 0. | 0. | -0.000123 | 5.496E-18 | 4.943E-18 | 0. |
| 327 | DEAD | 0. | 0. | -0.000625 | 6.849E-18 | 6.497E-18 | 0. |
| 327 | G1_smistamento | 0. | 0. | -0.000806 | 0.000042 | 0.000021 | 0. |
| 327 | G2_smistamento | 0. | 0. | -0.000299 | 0.000016 | 7.950E-06 | 0. |
| 327 | Q_smistamento | 0. | 0. | -0.000299 | 0.000016 | 7.950E-06 | 0. |
| 327 | Q_neve | 0. | 0. | -0.000123 | 1.355E-18 | 1.277E-18 | 0. |
| 328 | DEAD | 0. | 0. | -0.000625 | 8.511E-18 | 1.160E-17 | 0. |
| 328 | G1_smistamento | 0. | 0. | -0.00082 | 0.000015 | 0.000022 | 0. |
| 328 | G2_smistamento | 0. | 0. | -0.000304 | 5.685E-06 | 8.017E-06 | 0. |
| 328 | Q_smistamento | 0. | 0. | -0.000304 | 5.685E-06 | 8.017E-06 | 0. |
| 328 | Q_neve | 0. | 0. | -0.000123 | 1.681E-18 | 2.250E-18 | 0. |
| 329 | DEAD | 0. | 0. | -0.000625 | 1.406E-17 | 1.779E-17 | 0. |
| 329 | G1_smistamento | 0. | 0. | -0.00082 | -0.000015 | 0.000022 | 0. |
| 329 | G2_smistamento | 0. | 0. | -0.000304 | -5.685E-06 | 8.017E-06 | 0. |
| 329 | Q_smistamento | 0. | 0. | -0.000304 | -5.685E-06 | 8.017E-06 | 0. |
| 329 | Q_neve | 0. | 0. | -0.000123 | 2.789E-18 | 3.461E-18 | 0. |
| 330 | DEAD | 0. | 0. | -0.000625 | 2.157E-17 | 2.429E-17 | 0. |

Table 18: Joint Displacements

| Joint | OutputCase | U1 | U2 | U3 | R1 | R2 | R3 |
|-------|----------------|----|----|-----------|------------|-----------|---------|
| | | m | m | m | Radians | Radians | Radians |
| 330 | G1_smistamento | 0. | 0. | -0.000806 | -0.000042 | 0.000021 | 0. |
| 330 | G2_smistamento | 0. | 0. | -0.000299 | -0.000016 | 7.950E-06 | 0. |
| 330 | Q_smistamento | 0. | 0. | -0.000299 | -0.000016 | 7.950E-06 | 0. |
| 330 | Q_neve | 0. | 0. | -0.000123 | 4.137E-18 | 4.662E-18 | 0. |
| 331 | DEAD | 0. | 0. | -0.000625 | 2.711E-18 | 7.730E-18 | 0. |
| 331 | G1_smistamento | 0. | 0. | -0.000792 | 0.000042 | 0.000037 | 0. |
| 331 | G2_smistamento | 0. | 0. | -0.000293 | 0.000015 | 0.000014 | 0. |
| 331 | Q_smistamento | 0. | 0. | -0.000293 | 0.000015 | 0.000014 | 0. |
| 331 | Q_neve | 0. | 0. | -0.000123 | 5.014E-19 | 1.501E-18 | 0. |
| 332 | DEAD | 0. | 0. | -0.000625 | 3.861E-18 | 1.327E-17 | 0. |
| 332 | G1_smistamento | 0. | 0. | -0.000806 | 0.000015 | 0.000037 | 0. |
| 332 | G2_smistamento | 0. | 0. | -0.000299 | 5.641E-06 | 0.000014 | 0. |
| 332 | Q_smistamento | 0. | 0. | -0.000299 | 5.641E-06 | 0.000014 | 0. |
| 332 | Q_neve | 0. | 0. | -0.000123 | 8.208E-19 | 2.553E-18 | 0. |
| 333 | DEAD | 0. | 0. | -0.000625 | 9.257E-18 | 1.812E-17 | 0. |
| 333 | G1_smistamento | 0. | 0. | -0.000806 | -0.000015 | 0.000037 | 0. |
| 333 | G2_smistamento | 0. | 0. | -0.000299 | -5.641E-06 | 0.000014 | 0. |
| 333 | Q_smistamento | 0. | 0. | -0.000299 | -5.641E-06 | 0.000014 | 0. |
| 333 | Q_neve | 0. | 0. | -0.000123 | 1.860E-18 | 3.494E-18 | 0. |
| 334 | DEAD | 0. | 0. | -0.000625 | 1.471E-17 | 2.580E-17 | 0. |
| 334 | G1_smistamento | 0. | 0. | -0.000792 | -0.000042 | 0.000037 | 0. |
| 334 | G2_smistamento | 0. | 0. | -0.000293 | -0.000015 | 0.000014 | 0. |
| 334 | Q_smistamento | 0. | 0. | -0.000293 | -0.000015 | 0.000014 | 0. |
| 334 | Q_neve | 0. | 0. | -0.000123 | 2.912E-18 | 5.042E-18 | 0. |
| 335 | DEAD | 0. | 0. | -0.000625 | -3.469E-18 | 1.079E-17 | 0. |
| 335 | G1_smistamento | 0. | 0. | -0.00077 | 0.000041 | 0.000054 | 0. |
| 335 | G2_smistamento | 0. | 0. | -0.000285 | 0.000015 | 0.00002 | 0. |
| 335 | Q_smistamento | 0. | 0. | -0.000285 | 0.000015 | 0.00002 | 0. |
| 335 | Q_neve | 0. | 0. | -0.000123 | -6.505E-19 | 2.078E-18 | 0. |
| 336 | DEAD | 0. | 0. | -0.000625 | -1.098E-18 | 1.627E-17 | 0. |
| 336 | G1_smistamento | 0. | 0. | -0.000784 | 0.000015 | 0.000055 | 0. |
| 336 | G2_smistamento | 0. | 0. | -0.000291 | 5.569E-06 | 0.00002 | 0. |
| 336 | Q_smistamento | 0. | 0. | -0.000291 | 5.569E-06 | 0.00002 | 0. |
| 336 | Q_neve | 0. | 0. | -0.000123 | -2.185E-19 | 3.177E-18 | 0. |
| 337 | DEAD | 0. | 0. | -0.000625 | 3.036E-18 | 2.156E-17 | 0. |
| 337 | G1_smistamento | 0. | 0. | -0.000784 | -0.000015 | 0.000055 | 0. |
| 337 | G2_smistamento | 0. | 0. | -0.000291 | -5.569E-06 | 0.00002 | 0. |
| 337 | Q_smistamento | 0. | 0. | -0.000291 | -5.569E-06 | 0.00002 | 0. |

Table 18: Joint Displacements

| Joint | OutputCase | U1 | U2 | U3 | R1 | R2 | R3 |
|-------|----------------|----|----|-----------|------------|-----------|---------|
| | | m | m | m | Radians | Radians | Radians |
| 337 | Q_neve | 0. | 0. | -0.000123 | 7.048E-19 | 4.261E-18 | 0. |
| 338 | DEAD | 0. | 0. | -0.000625 | 9.498E-18 | 2.715E-17 | 0. |
| 338 | G1_smistamento | 0. | 0. | -0.00077 | -0.000041 | 0.000054 | 0. |
| 338 | G2_smistamento | 0. | 0. | -0.000285 | -0.000015 | 0.00002 | 0. |
| 338 | Q_smistamento | 0. | 0. | -0.000285 | -0.000015 | 0.00002 | 0. |
| 338 | Q_neve | 0. | 0. | -0.000123 | 1.849E-18 | 5.332E-18 | 0. |
| 339 | DEAD | 0. | 0. | -0.000625 | -8.315E-18 | 1.424E-17 | 0. |
| 339 | G1_smistamento | 0. | 0. | -0.00074 | 0.00004 | 0.000073 | 0. |
| 339 | G2_smistamento | 0. | 0. | -0.000274 | 0.000015 | 0.000027 | 0. |
| 339 | Q_smistamento | 0. | 0. | -0.000274 | 0.000015 | 0.000027 | 0. |
| 339 | Q_neve | 0. | 0. | -0.000123 | -1.665E-18 | 2.738E-18 | 0. |
| 340 | DEAD | 0. | 0. | -0.000625 | -5.692E-18 | 1.973E-17 | 0. |
| 340 | G1_smistamento | 0. | 0. | -0.000754 | 0.000015 | 0.000073 | 0. |
| 340 | G2_smistamento | 0. | 0. | -0.000279 | 5.460E-06 | 0.000027 | 0. |
| 340 | Q_smistamento | 0. | 0. | -0.000279 | 5.460E-06 | 0.000027 | 0. |
| 340 | Q_neve | 0. | 0. | -0.000123 | -1.166E-18 | 3.876E-18 | 0. |
| 341 | DEAD | 0. | 0. | -0.000625 | -2.203E-18 | 2.507E-17 | 0. |
| 341 | G1_smistamento | 0. | 0. | -0.000754 | -0.000015 | 0.000073 | 0. |
| 341 | G2_smistamento | 0. | 0. | -0.000279 | -5.460E-06 | 0.000027 | 0. |
| 341 | Q_smistamento | 0. | 0. | -0.000279 | -5.460E-06 | 0.000027 | 0. |
| 341 | Q_neve | 0. | 0. | -0.000123 | -4.479E-19 | 4.967E-18 | 0. |
| 342 | DEAD | 0. | 0. | -0.000625 | 3.637E-18 | 3.051E-17 | 0. |
| 342 | G1_smistamento | 0. | 0. | -0.00074 | -0.00004 | 0.000073 | 0. |
| 342 | G2_smistamento | 0. | 0. | -0.000274 | -0.000015 | 0.000027 | 0. |
| 342 | Q_smistamento | 0. | 0. | -0.000274 | -0.000015 | 0.000027 | 0. |
| 342 | Q_neve | 0. | 0. | -0.000123 | 6.810E-19 | 6.044E-18 | 0. |
| 343 | DEAD | 0. | 0. | -0.000625 | -1.377E-17 | 1.760E-17 | 0. |
| 343 | G1_smistamento | 0. | 0. | -0.0007 | 0.000039 | 0.000092 | 0. |
| 343 | G2_smistamento | 0. | 0. | -0.000259 | 0.000015 | 0.000034 | 0. |
| 343 | Q_smistamento | 0. | 0. | -0.000259 | 0.000015 | 0.000034 | 0. |
| 343 | Q_neve | 0. | 0. | -0.000123 | -2.738E-18 | 3.398E-18 | 0. |
| 344 | DEAD | 0. | 0. | -0.000625 | -1.121E-17 | 2.426E-17 | 0. |
| 344 | G1_smistamento | 0. | 0. | -0.000714 | 0.000014 | 0.000093 | 0. |
| 344 | G2_smistamento | 0. | 0. | -0.000265 | 5.296E-06 | 0.000035 | 0. |
| 344 | Q_smistamento | 0. | 0. | -0.000265 | 5.296E-06 | 0.000035 | 0. |
| 344 | Q_neve | 0. | 0. | -0.000123 | -2.201E-18 | 4.760E-18 | 0. |
| 345 | DEAD | 0. | 0. | -0.000625 | -6.322E-18 | 2.762E-17 | 0. |
| 345 | G1_smistamento | 0. | 0. | -0.000714 | -0.000014 | 0.000093 | 0. |

Table 18: Joint Displacements

| Joint | OutputCase | U1 | U2 | U3 | R1 | R2 | R3 |
|-------|----------------|----|----|-----------|------------|-----------|---------|
| | | m | m | m | Radians | Radians | Radians |
| 345 | G2_smistamento | 0. | 0. | -0.000265 | -5.296E-06 | 0.000035 | 0. |
| 345 | Q_smistamento | 0. | 0. | -0.000265 | -5.296E-06 | 0.000035 | 0. |
| 345 | Q_neve | 0. | 0. | -0.000123 | -1.240E-18 | 5.425E-18 | 0. |
| 346 | DEAD | 0. | 0. | -0.000625 | -2.598E-18 | 3.386E-17 | 0. |
| 346 | G1_smistamento | 0. | 0. | -0.0007 | -0.000039 | 0.000092 | 0. |
| 346 | G2_smistamento | 0. | 0. | -0.000259 | -0.000015 | 0.000034 | 0. |
| 346 | Q_smistamento | 0. | 0. | -0.000259 | -0.000015 | 0.000034 | 0. |
| 346 | Q_neve | 0. | 0. | -0.000123 | -5.063E-19 | 6.647E-18 | 0. |
| 347 | DEAD | 0. | 0. | -0.000625 | -1.989E-17 | 2.182E-17 | 0. |
| 347 | G1_smistamento | 0. | 0. | -0.000651 | 0.000037 | 0.000111 | 0. |
| 347 | G2_smistamento | 0. | 0. | -0.000241 | 0.000014 | 0.000041 | 0. |
| 347 | Q_smistamento | 0. | 0. | -0.000241 | 0.000014 | 0.000041 | 0. |
| 347 | Q_neve | 0. | 0. | -0.000123 | -3.883E-18 | 4.448E-18 | 0. |
| 348 | DEAD | 0. | 0. | -0.000625 | -1.519E-17 | 2.733E-17 | 0. |
| 348 | G1_smistamento | 0. | 0. | -0.000664 | 0.000014 | 0.000113 | 0. |
| 348 | G2_smistamento | 0. | 0. | -0.000246 | 5.051E-06 | 0.000042 | 0. |
| 348 | Q_smistamento | 0. | 0. | -0.000246 | 5.051E-06 | 0.000042 | 0. |
| 348 | Q_neve | 0. | 0. | -0.000123 | -2.991E-18 | 5.387E-18 | 0. |
| 349 | DEAD | 0. | 0. | -0.000625 | -1.178E-17 | 3.307E-17 | 0. |
| 349 | G1_smistamento | 0. | 0. | -0.000664 | -0.000014 | 0.000113 | 0. |
| 349 | G2_smistamento | 0. | 0. | -0.000246 | -5.051E-06 | 0.000042 | 0. |
| 349 | Q_smistamento | 0. | 0. | -0.000246 | -5.051E-06 | 0.000042 | 0. |
| 349 | Q_neve | 0. | 0. | -0.000123 | -2.284E-18 | 6.505E-18 | 0. |
| 350 | DEAD | 0. | 0. | -0.000625 | -6.283E-18 | 3.665E-17 | 0. |
| 350 | G1_smistamento | 0. | 0. | -0.000651 | -0.000037 | 0.000111 | 0. |
| 350 | G2_smistamento | 0. | 0. | -0.000241 | -0.000014 | 0.000041 | 0. |
| 350 | Q_smistamento | 0. | 0. | -0.000241 | -0.000014 | 0.000041 | 0. |
| 350 | Q_neve | 0. | 0. | -0.000123 | -1.246E-18 | 7.156E-18 | 0. |
| 351 | DEAD | 0. | 0. | -0.000625 | -2.393E-17 | 2.580E-17 | 0. |
| 351 | G1_smistamento | 0. | 0. | -0.000594 | 0.000035 | 0.000127 | 0. |
| 351 | G2_smistamento | 0. | 0. | -0.00022 | 0.000013 | 0.000047 | 0. |
| 351 | Q_smistamento | 0. | 0. | -0.00022 | 0.000013 | 0.000047 | 0. |
| 351 | Q_neve | 0. | 0. | -0.000123 | -4.711E-18 | 5.142E-18 | 0. |
| 352 | DEAD | 0. | 0. | -0.000625 | -2.079E-17 | 3.026E-17 | 0. |
| 352 | G1_smistamento | 0. | 0. | -0.000606 | 0.000013 | 0.000129 | 0. |
| 352 | G2_smistamento | 0. | 0. | -0.000225 | 4.717E-06 | 0.000048 | 0. |
| 352 | Q_smistamento | 0. | 0. | -0.000225 | 4.717E-06 | 0.000048 | 0. |
| 352 | Q_neve | 0. | 0. | -0.000123 | -4.100E-18 | 5.932E-18 | 0. |

Table 18: Joint Displacements

| Joint | OutputCase | U1 | U2 | U3 | R1 | R2 | R3 |
|---------|----------------|----|----|-----------|------------|-----------|---------|
| | | m | m | m | Radians | Radians | Radians |
| 353 | DEAD | 0. | 0. | -0.000625 | -1.565E-17 | 3.421E-17 | 0. |
| 353 | G1_smistamento | 0. | 0. | -0.000606 | -0.000013 | 0.000129 | 0. |
| 353 | G2_smistamento | 0. | 0. | -0.000225 | -4.717E-06 | 0.000048 | 0. |
| 353 | Q_smistamento | 0. | 0. | -0.000225 | -4.717E-06 | 0.000048 | 0. |
| 353 | Q_neve | 0. | 0. | -0.000123 | -3.027E-18 | 6.797E-18 | 0. |
| 354 | DEAD | 0. | 0. | -0.000625 | -1.151E-17 | 3.925E-17 | 0. |
| 354 | G1_smistamento | 0. | 0. | -0.000594 | -0.000035 | 0.000127 | 0. |
| 354 | G2_smistamento | 0. | 0. | -0.00022 | -0.000013 | 0.000047 | 0. |
| 354 | Q_smistamento | 0. | 0. | -0.00022 | -0.000013 | 0.000047 | 0. |
| 354 | Q_neve | 0. | 0. | -0.000123 | -2.156E-18 | 7.806E-18 | 0. |
| 10~Link | DEAD | 0. | 0. | 0. | 0. | 0. | 0. |
| 10~Link | G1_smistamento | 0. | 0. | 0. | 0. | 0. | 0. |
| 10~Link | G2_smistamento | 0. | 0. | 0. | 0. | 0. | 0. |
| 10~Link | Q_smistamento | 0. | 0. | 0. | 0. | 0. | 0. |
| 10~Link | Q_neve | 0. | 0. | 0. | 0. | 0. | 0. |
| 7~Link | DEAD | 0. | 0. | 0. | 0. | 0. | 0. |
| 7~Link | G1_smistamento | 0. | 0. | 0. | 0. | 0. | 0. |
| 7~Link | G2_smistamento | 0. | 0. | 0. | 0. | 0. | 0. |
| 7~Link | Q_smistamento | 0. | 0. | 0. | 0. | 0. | 0. |
| 7~Link | Q_neve | 0. | 0. | 0. | 0. | 0. | 0. |
| 8~Link | DEAD | 0. | 0. | 0. | 0. | 0. | 0. |
| 8~Link | G1_smistamento | 0. | 0. | 0. | 0. | 0. | 0. |
| 8~Link | G2_smistamento | 0. | 0. | 0. | 0. | 0. | 0. |
| 8~Link | Q_smistamento | 0. | 0. | 0. | 0. | 0. | 0. |
| 8~Link | Q_neve | 0. | 0. | 0. | 0. | 0. | 0. |
| 11~Link | DEAD | 0. | 0. | 0. | 0. | 0. | 0. |
| 11~Link | G1_smistamento | 0. | 0. | 0. | 0. | 0. | 0. |
| 11~Link | G2_smistamento | 0. | 0. | 0. | 0. | 0. | 0. |
| 11~Link | Q_smistamento | 0. | 0. | 0. | 0. | 0. | 0. |
| 11~Link | Q_neve | 0. | 0. | 0. | 0. | 0. | 0. |
| 12~Link | DEAD | 0. | 0. | 0. | 0. | 0. | 0. |
| 12~Link | G1_smistamento | 0. | 0. | 0. | 0. | 0. | 0. |
| 12~Link | G2_smistamento | 0. | 0. | 0. | 0. | 0. | 0. |
| 12~Link | Q_smistamento | 0. | 0. | 0. | 0. | 0. | 0. |
| 12~Link | Q_neve | 0. | 0. | 0. | 0. | 0. | 0. |
| 13~Link | DEAD | 0. | 0. | 0. | 0. | 0. | 0. |
| 13~Link | G1_smistamento | 0. | 0. | 0. | 0. | 0. | 0. |
| 13~Link | G2_smistamento | 0. | 0. | 0. | 0. | 0. | 0. |

Table 18: Joint Displacements

| Joint | OutputCase | U1 | U2 | U3 | R1 | R2 | R3 |
|---------|----------------|----|----|----|---------|---------|---------|
| | | m | m | m | Radians | Radians | Radians |
| 13~Link | Q_smistamento | 0. | 0. | 0. | 0. | 0. | 0. |
| 13~Link | Q_neve | 0. | 0. | 0. | 0. | 0. | 0. |
| 15~Link | DEAD | 0. | 0. | 0. | 0. | 0. | 0. |
| 15~Link | G1_smistamento | 0. | 0. | 0. | 0. | 0. | 0. |
| 15~Link | G2_smistamento | 0. | 0. | 0. | 0. | 0. | 0. |
| 15~Link | Q_smistamento | 0. | 0. | 0. | 0. | 0. | 0. |
| 15~Link | Q_neve | 0. | 0. | 0. | 0. | 0. | 0. |
| 16~Link | DEAD | 0. | 0. | 0. | 0. | 0. | 0. |
| 16~Link | G1_smistamento | 0. | 0. | 0. | 0. | 0. | 0. |
| 16~Link | G2_smistamento | 0. | 0. | 0. | 0. | 0. | 0. |
| 16~Link | Q_smistamento | 0. | 0. | 0. | 0. | 0. | 0. |
| 16~Link | Q_neve | 0. | 0. | 0. | 0. | 0. | 0. |
| 17~Link | DEAD | 0. | 0. | 0. | 0. | 0. | 0. |
| 17~Link | G1_smistamento | 0. | 0. | 0. | 0. | 0. | 0. |
| 17~Link | G2_smistamento | 0. | 0. | 0. | 0. | 0. | 0. |
| 17~Link | Q_smistamento | 0. | 0. | 0. | 0. | 0. | 0. |
| 17~Link | Q_neve | 0. | 0. | 0. | 0. | 0. | 0. |
| 19~Link | DEAD | 0. | 0. | 0. | 0. | 0. | 0. |
| 19~Link | G1_smistamento | 0. | 0. | 0. | 0. | 0. | 0. |
| 19~Link | G2_smistamento | 0. | 0. | 0. | 0. | 0. | 0. |
| 19~Link | Q_smistamento | 0. | 0. | 0. | 0. | 0. | 0. |
| 19~Link | Q_neve | 0. | 0. | 0. | 0. | 0. | 0. |
| 20~Link | DEAD | 0. | 0. | 0. | 0. | 0. | 0. |
| 20~Link | G1_smistamento | 0. | 0. | 0. | 0. | 0. | 0. |
| 20~Link | G2_smistamento | 0. | 0. | 0. | 0. | 0. | 0. |
| 20~Link | Q_smistamento | 0. | 0. | 0. | 0. | 0. | 0. |
| 20~Link | Q_neve | 0. | 0. | 0. | 0. | 0. | 0. |
| 21~Link | DEAD | 0. | 0. | 0. | 0. | 0. | 0. |
| 21~Link | G1_smistamento | 0. | 0. | 0. | 0. | 0. | 0. |
| 21~Link | G2_smistamento | 0. | 0. | 0. | 0. | 0. | 0. |
| 21~Link | Q_smistamento | 0. | 0. | 0. | 0. | 0. | 0. |
| 21~Link | Q_neve | 0. | 0. | 0. | 0. | 0. | 0. |
| 9~Link | DEAD | 0. | 0. | 0. | 0. | 0. | 0. |
| 9~Link | G1_smistamento | 0. | 0. | 0. | 0. | 0. | 0. |
| 9~Link | G2_smistamento | 0. | 0. | 0. | 0. | 0. | 0. |
| 9~Link | Q_smistamento | 0. | 0. | 0. | 0. | 0. | 0. |
| 9~Link | Q_neve | 0. | 0. | 0. | 0. | 0. | 0. |
| 14~Link | DEAD | 0. | 0. | 0. | 0. | 0. | 0. |

Table 18: Joint Displacements

| Joint | OutputCase | U1 | U2 | U3 | R1 | R2 | R3 |
|----------|----------------|----|----|----|---------|---------|---------|
| | | m | m | m | Radians | Radians | Radians |
| 14~Link | G1_smistamento | 0. | 0. | 0. | 0. | 0. | 0. |
| 14~Link | G2_smistamento | 0. | 0. | 0. | 0. | 0. | 0. |
| 14~Link | Q_smistamento | 0. | 0. | 0. | 0. | 0. | 0. |
| 14~Link | Q_neve | 0. | 0. | 0. | 0. | 0. | 0. |
| 18~Link | DEAD | 0. | 0. | 0. | 0. | 0. | 0. |
| 18~Link | G1_smistamento | 0. | 0. | 0. | 0. | 0. | 0. |
| 18~Link | G2_smistamento | 0. | 0. | 0. | 0. | 0. | 0. |
| 18~Link | Q_smistamento | 0. | 0. | 0. | 0. | 0. | 0. |
| 18~Link | Q_neve | 0. | 0. | 0. | 0. | 0. | 0. |
| 22~Link | DEAD | 0. | 0. | 0. | 0. | 0. | 0. |
| 22~Link | G1_smistamento | 0. | 0. | 0. | 0. | 0. | 0. |
| 22~Link | G2_smistamento | 0. | 0. | 0. | 0. | 0. | 0. |
| 22~Link | Q_smistamento | 0. | 0. | 0. | 0. | 0. | 0. |
| 22~Link | Q_neve | 0. | 0. | 0. | 0. | 0. | 0. |
| 211~Link | DEAD | 0. | 0. | 0. | 0. | 0. | 0. |
| 211~Link | G1_smistamento | 0. | 0. | 0. | 0. | 0. | 0. |
| 211~Link | G2_smistamento | 0. | 0. | 0. | 0. | 0. | 0. |
| 211~Link | Q_smistamento | 0. | 0. | 0. | 0. | 0. | 0. |
| 211~Link | Q_neve | 0. | 0. | 0. | 0. | 0. | 0. |
| 213~Link | DEAD | 0. | 0. | 0. | 0. | 0. | 0. |
| 213~Link | G1_smistamento | 0. | 0. | 0. | 0. | 0. | 0. |
| 213~Link | G2_smistamento | 0. | 0. | 0. | 0. | 0. | 0. |
| 213~Link | Q_smistamento | 0. | 0. | 0. | 0. | 0. | 0. |
| 213~Link | Q_neve | 0. | 0. | 0. | 0. | 0. | 0. |
| 215~Link | DEAD | 0. | 0. | 0. | 0. | 0. | 0. |
| 215~Link | G1_smistamento | 0. | 0. | 0. | 0. | 0. | 0. |
| 215~Link | G2_smistamento | 0. | 0. | 0. | 0. | 0. | 0. |
| 215~Link | Q_smistamento | 0. | 0. | 0. | 0. | 0. | 0. |
| 215~Link | Q_neve | 0. | 0. | 0. | 0. | 0. | 0. |
| 217~Link | DEAD | 0. | 0. | 0. | 0. | 0. | 0. |
| 217~Link | G1_smistamento | 0. | 0. | 0. | 0. | 0. | 0. |
| 217~Link | G2_smistamento | 0. | 0. | 0. | 0. | 0. | 0. |
| 217~Link | Q_smistamento | 0. | 0. | 0. | 0. | 0. | 0. |
| 217~Link | Q_neve | 0. | 0. | 0. | 0. | 0. | 0. |
| 219~Link | DEAD | 0. | 0. | 0. | 0. | 0. | 0. |
| 219~Link | G1_smistamento | 0. | 0. | 0. | 0. | 0. | 0. |
| 219~Link | G2_smistamento | 0. | 0. | 0. | 0. | 0. | 0. |
| 219~Link | Q_smistamento | 0. | 0. | 0. | 0. | 0. | 0. |

Table 18: Joint Displacements

| Joint | OutputCase | U1 | U2 | U3 | R1 | R2 | R3 |
|----------|----------------|----|----|----|---------|---------|---------|
| | | m | m | m | Radians | Radians | Radians |
| 219~Link | Q_neve | 0. | 0. | 0. | 0. | 0. | 0. |
| 221~Link | DEAD | 0. | 0. | 0. | 0. | 0. | 0. |
| 221~Link | G1_smistamento | 0. | 0. | 0. | 0. | 0. | 0. |
| 221~Link | G2_smistamento | 0. | 0. | 0. | 0. | 0. | 0. |
| 221~Link | Q_smistamento | 0. | 0. | 0. | 0. | 0. | 0. |
| 221~Link | Q_neve | 0. | 0. | 0. | 0. | 0. | 0. |
| 223~Link | DEAD | 0. | 0. | 0. | 0. | 0. | 0. |
| 223~Link | G1_smistamento | 0. | 0. | 0. | 0. | 0. | 0. |
| 223~Link | G2_smistamento | 0. | 0. | 0. | 0. | 0. | 0. |
| 223~Link | Q_smistamento | 0. | 0. | 0. | 0. | 0. | 0. |
| 223~Link | Q_neve | 0. | 0. | 0. | 0. | 0. | 0. |
| 225~Link | DEAD | 0. | 0. | 0. | 0. | 0. | 0. |
| 225~Link | G1_smistamento | 0. | 0. | 0. | 0. | 0. | 0. |
| 225~Link | G2_smistamento | 0. | 0. | 0. | 0. | 0. | 0. |
| 225~Link | Q_smistamento | 0. | 0. | 0. | 0. | 0. | 0. |
| 225~Link | Q_neve | 0. | 0. | 0. | 0. | 0. | 0. |
| 227~Link | DEAD | 0. | 0. | 0. | 0. | 0. | 0. |
| 227~Link | G1_smistamento | 0. | 0. | 0. | 0. | 0. | 0. |
| 227~Link | G2_smistamento | 0. | 0. | 0. | 0. | 0. | 0. |
| 227~Link | Q_smistamento | 0. | 0. | 0. | 0. | 0. | 0. |
| 227~Link | Q_neve | 0. | 0. | 0. | 0. | 0. | 0. |
| 229~Link | DEAD | 0. | 0. | 0. | 0. | 0. | 0. |
| 229~Link | G1_smistamento | 0. | 0. | 0. | 0. | 0. | 0. |
| 229~Link | G2_smistamento | 0. | 0. | 0. | 0. | 0. | 0. |
| 229~Link | Q_smistamento | 0. | 0. | 0. | 0. | 0. | 0. |
| 229~Link | Q_neve | 0. | 0. | 0. | 0. | 0. | 0. |
| 231~Link | DEAD | 0. | 0. | 0. | 0. | 0. | 0. |
| 231~Link | G1_smistamento | 0. | 0. | 0. | 0. | 0. | 0. |
| 231~Link | G2_smistamento | 0. | 0. | 0. | 0. | 0. | 0. |
| 231~Link | Q_smistamento | 0. | 0. | 0. | 0. | 0. | 0. |
| 231~Link | Q_neve | 0. | 0. | 0. | 0. | 0. | 0. |
| 233~Link | DEAD | 0. | 0. | 0. | 0. | 0. | 0. |
| 233~Link | G1_smistamento | 0. | 0. | 0. | 0. | 0. | 0. |
| 233~Link | G2_smistamento | 0. | 0. | 0. | 0. | 0. | 0. |
| 233~Link | Q_smistamento | 0. | 0. | 0. | 0. | 0. | 0. |
| 233~Link | Q_neve | 0. | 0. | 0. | 0. | 0. | 0. |
| 235~Link | DEAD | 0. | 0. | 0. | 0. | 0. | 0. |
| 235~Link | G1_smistamento | 0. | 0. | 0. | 0. | 0. | 0. |

Table 18: Joint Displacements

| Joint | OutputCase | U1 | U2 | U3 | R1 | R2 | R3 |
|----------|----------------|----|----|----|---------|---------|---------|
| | | m | m | m | Radians | Radians | Radians |
| 235~Link | G2_smistamento | 0. | 0. | 0. | 0. | 0. | 0. |
| 235~Link | Q_smistamento | 0. | 0. | 0. | 0. | 0. | 0. |
| 235~Link | Q_neve | 0. | 0. | 0. | 0. | 0. | 0. |
| 237~Link | DEAD | 0. | 0. | 0. | 0. | 0. | 0. |
| 237~Link | G1_smistamento | 0. | 0. | 0. | 0. | 0. | 0. |
| 237~Link | G2_smistamento | 0. | 0. | 0. | 0. | 0. | 0. |
| 237~Link | Q_smistamento | 0. | 0. | 0. | 0. | 0. | 0. |
| 237~Link | Q_neve | 0. | 0. | 0. | 0. | 0. | 0. |
| 239~Link | DEAD | 0. | 0. | 0. | 0. | 0. | 0. |
| 239~Link | G1_smistamento | 0. | 0. | 0. | 0. | 0. | 0. |
| 239~Link | G2_smistamento | 0. | 0. | 0. | 0. | 0. | 0. |
| 239~Link | Q_smistamento | 0. | 0. | 0. | 0. | 0. | 0. |
| 239~Link | Q_neve | 0. | 0. | 0. | 0. | 0. | 0. |
| 241~Link | DEAD | 0. | 0. | 0. | 0. | 0. | 0. |
| 241~Link | G1_smistamento | 0. | 0. | 0. | 0. | 0. | 0. |
| 241~Link | G2_smistamento | 0. | 0. | 0. | 0. | 0. | 0. |
| 241~Link | Q_smistamento | 0. | 0. | 0. | 0. | 0. | 0. |
| 241~Link | Q_neve | 0. | 0. | 0. | 0. | 0. | 0. |
| 212~Link | DEAD | 0. | 0. | 0. | 0. | 0. | 0. |
| 212~Link | G1_smistamento | 0. | 0. | 0. | 0. | 0. | 0. |
| 212~Link | G2_smistamento | 0. | 0. | 0. | 0. | 0. | 0. |
| 212~Link | Q_smistamento | 0. | 0. | 0. | 0. | 0. | 0. |
| 212~Link | Q_neve | 0. | 0. | 0. | 0. | 0. | 0. |
| 214~Link | DEAD | 0. | 0. | 0. | 0. | 0. | 0. |
| 214~Link | G1_smistamento | 0. | 0. | 0. | 0. | 0. | 0. |
| 214~Link | G2_smistamento | 0. | 0. | 0. | 0. | 0. | 0. |
| 214~Link | Q_smistamento | 0. | 0. | 0. | 0. | 0. | 0. |
| 214~Link | Q_neve | 0. | 0. | 0. | 0. | 0. | 0. |
| 216~Link | DEAD | 0. | 0. | 0. | 0. | 0. | 0. |
| 216~Link | G1_smistamento | 0. | 0. | 0. | 0. | 0. | 0. |
| 216~Link | G2_smistamento | 0. | 0. | 0. | 0. | 0. | 0. |
| 216~Link | Q_smistamento | 0. | 0. | 0. | 0. | 0. | 0. |
| 216~Link | Q_neve | 0. | 0. | 0. | 0. | 0. | 0. |
| 218~Link | DEAD | 0. | 0. | 0. | 0. | 0. | 0. |
| 218~Link | G1_smistamento | 0. | 0. | 0. | 0. | 0. | 0. |
| 218~Link | G2_smistamento | 0. | 0. | 0. | 0. | 0. | 0. |
| 218~Link | Q_smistamento | 0. | 0. | 0. | 0. | 0. | 0. |
| 218~Link | Q_neve | 0. | 0. | 0. | 0. | 0. | 0. |

Table 18: Joint Displacements

| Joint | OutputCase | U1 | U2 | U3 | R1 | R2 | R3 |
|----------|----------------|----|----|----|---------|---------|---------|
| | | m | m | m | Radians | Radians | Radians |
| 220~Link | DEAD | 0. | 0. | 0. | 0. | 0. | 0. |
| 220~Link | G1_smistamento | 0. | 0. | 0. | 0. | 0. | 0. |
| 220~Link | G2_smistamento | 0. | 0. | 0. | 0. | 0. | 0. |
| 220~Link | Q_smistamento | 0. | 0. | 0. | 0. | 0. | 0. |
| 220~Link | Q_neve | 0. | 0. | 0. | 0. | 0. | 0. |
| 222~Link | DEAD | 0. | 0. | 0. | 0. | 0. | 0. |
| 222~Link | G1_smistamento | 0. | 0. | 0. | 0. | 0. | 0. |
| 222~Link | G2_smistamento | 0. | 0. | 0. | 0. | 0. | 0. |
| 222~Link | Q_smistamento | 0. | 0. | 0. | 0. | 0. | 0. |
| 222~Link | Q_neve | 0. | 0. | 0. | 0. | 0. | 0. |
| 224~Link | DEAD | 0. | 0. | 0. | 0. | 0. | 0. |
| 224~Link | G1_smistamento | 0. | 0. | 0. | 0. | 0. | 0. |
| 224~Link | G2_smistamento | 0. | 0. | 0. | 0. | 0. | 0. |
| 224~Link | Q_smistamento | 0. | 0. | 0. | 0. | 0. | 0. |
| 224~Link | Q_neve | 0. | 0. | 0. | 0. | 0. | 0. |
| 226~Link | DEAD | 0. | 0. | 0. | 0. | 0. | 0. |
| 226~Link | G1_smistamento | 0. | 0. | 0. | 0. | 0. | 0. |
| 226~Link | G2_smistamento | 0. | 0. | 0. | 0. | 0. | 0. |
| 226~Link | Q_smistamento | 0. | 0. | 0. | 0. | 0. | 0. |
| 226~Link | Q_neve | 0. | 0. | 0. | 0. | 0. | 0. |
| 228~Link | DEAD | 0. | 0. | 0. | 0. | 0. | 0. |
| 228~Link | G1_smistamento | 0. | 0. | 0. | 0. | 0. | 0. |
| 228~Link | G2_smistamento | 0. | 0. | 0. | 0. | 0. | 0. |
| 228~Link | Q_smistamento | 0. | 0. | 0. | 0. | 0. | 0. |
| 228~Link | Q_neve | 0. | 0. | 0. | 0. | 0. | 0. |
| 230~Link | DEAD | 0. | 0. | 0. | 0. | 0. | 0. |
| 230~Link | G1_smistamento | 0. | 0. | 0. | 0. | 0. | 0. |
| 230~Link | G2_smistamento | 0. | 0. | 0. | 0. | 0. | 0. |
| 230~Link | Q_smistamento | 0. | 0. | 0. | 0. | 0. | 0. |
| 230~Link | Q_neve | 0. | 0. | 0. | 0. | 0. | 0. |
| 232~Link | DEAD | 0. | 0. | 0. | 0. | 0. | 0. |
| 232~Link | G1_smistamento | 0. | 0. | 0. | 0. | 0. | 0. |
| 232~Link | G2_smistamento | 0. | 0. | 0. | 0. | 0. | 0. |
| 232~Link | Q_smistamento | 0. | 0. | 0. | 0. | 0. | 0. |
| 232~Link | Q_neve | 0. | 0. | 0. | 0. | 0. | 0. |
| 234~Link | DEAD | 0. | 0. | 0. | 0. | 0. | 0. |
| 234~Link | G1_smistamento | 0. | 0. | 0. | 0. | 0. | 0. |
| 234~Link | G2_smistamento | 0. | 0. | 0. | 0. | 0. | 0. |

Table 18: Joint Displacements

| Joint | OutputCase | U1 | U2 | U3 | R1 | R2 | R3 |
|----------|----------------|----|----|----|---------|---------|---------|
| | | m | m | m | Radians | Radians | Radians |
| 234~Link | Q_smistamento | 0. | 0. | 0. | 0. | 0. | 0. |
| 234~Link | Q_neve | 0. | 0. | 0. | 0. | 0. | 0. |
| 236~Link | DEAD | 0. | 0. | 0. | 0. | 0. | 0. |
| 236~Link | G1_smistamento | 0. | 0. | 0. | 0. | 0. | 0. |
| 236~Link | G2_smistamento | 0. | 0. | 0. | 0. | 0. | 0. |
| 236~Link | Q_smistamento | 0. | 0. | 0. | 0. | 0. | 0. |
| 236~Link | Q_neve | 0. | 0. | 0. | 0. | 0. | 0. |
| 238~Link | DEAD | 0. | 0. | 0. | 0. | 0. | 0. |
| 238~Link | G1_smistamento | 0. | 0. | 0. | 0. | 0. | 0. |
| 238~Link | G2_smistamento | 0. | 0. | 0. | 0. | 0. | 0. |
| 238~Link | Q_smistamento | 0. | 0. | 0. | 0. | 0. | 0. |
| 238~Link | Q_neve | 0. | 0. | 0. | 0. | 0. | 0. |
| 240~Link | DEAD | 0. | 0. | 0. | 0. | 0. | 0. |
| 240~Link | G1_smistamento | 0. | 0. | 0. | 0. | 0. | 0. |
| 240~Link | G2_smistamento | 0. | 0. | 0. | 0. | 0. | 0. |
| 240~Link | Q_smistamento | 0. | 0. | 0. | 0. | 0. | 0. |
| 240~Link | Q_neve | 0. | 0. | 0. | 0. | 0. | 0. |
| 242~Link | DEAD | 0. | 0. | 0. | 0. | 0. | 0. |
| 242~Link | G1_smistamento | 0. | 0. | 0. | 0. | 0. | 0. |
| 242~Link | G2_smistamento | 0. | 0. | 0. | 0. | 0. | 0. |
| 242~Link | Q_smistamento | 0. | 0. | 0. | 0. | 0. | 0. |
| 242~Link | Q_neve | 0. | 0. | 0. | 0. | 0. | 0. |
| 243~Link | DEAD | 0. | 0. | 0. | 0. | 0. | 0. |
| 243~Link | G1_smistamento | 0. | 0. | 0. | 0. | 0. | 0. |
| 243~Link | G2_smistamento | 0. | 0. | 0. | 0. | 0. | 0. |
| 243~Link | Q_smistamento | 0. | 0. | 0. | 0. | 0. | 0. |
| 243~Link | Q_neve | 0. | 0. | 0. | 0. | 0. | 0. |
| 245~Link | DEAD | 0. | 0. | 0. | 0. | 0. | 0. |
| 245~Link | G1_smistamento | 0. | 0. | 0. | 0. | 0. | 0. |
| 245~Link | G2_smistamento | 0. | 0. | 0. | 0. | 0. | 0. |
| 245~Link | Q_smistamento | 0. | 0. | 0. | 0. | 0. | 0. |
| 245~Link | Q_neve | 0. | 0. | 0. | 0. | 0. | 0. |
| 247~Link | DEAD | 0. | 0. | 0. | 0. | 0. | 0. |
| 247~Link | G1_smistamento | 0. | 0. | 0. | 0. | 0. | 0. |
| 247~Link | G2_smistamento | 0. | 0. | 0. | 0. | 0. | 0. |
| 247~Link | Q_smistamento | 0. | 0. | 0. | 0. | 0. | 0. |
| 247~Link | Q_neve | 0. | 0. | 0. | 0. | 0. | 0. |
| 249~Link | DEAD | 0. | 0. | 0. | 0. | 0. | 0. |

Table 18: Joint Displacements

| Joint | OutputCase | U1 | U2 | U3 | R1 | R2 | R3 |
|----------|----------------|----|----|----|---------|---------|---------|
| | | m | m | m | Radians | Radians | Radians |
| 249~Link | G1_smistamento | 0. | 0. | 0. | 0. | 0. | 0. |
| 249~Link | G2_smistamento | 0. | 0. | 0. | 0. | 0. | 0. |
| 249~Link | Q_smistamento | 0. | 0. | 0. | 0. | 0. | 0. |
| 249~Link | Q_neve | 0. | 0. | 0. | 0. | 0. | 0. |
| 244~Link | DEAD | 0. | 0. | 0. | 0. | 0. | 0. |
| 244~Link | G1_smistamento | 0. | 0. | 0. | 0. | 0. | 0. |
| 244~Link | G2_smistamento | 0. | 0. | 0. | 0. | 0. | 0. |
| 244~Link | Q_smistamento | 0. | 0. | 0. | 0. | 0. | 0. |
| 244~Link | Q_neve | 0. | 0. | 0. | 0. | 0. | 0. |
| 246~Link | DEAD | 0. | 0. | 0. | 0. | 0. | 0. |
| 246~Link | G1_smistamento | 0. | 0. | 0. | 0. | 0. | 0. |
| 246~Link | G2_smistamento | 0. | 0. | 0. | 0. | 0. | 0. |
| 246~Link | Q_smistamento | 0. | 0. | 0. | 0. | 0. | 0. |
| 246~Link | Q_neve | 0. | 0. | 0. | 0. | 0. | 0. |
| 248~Link | DEAD | 0. | 0. | 0. | 0. | 0. | 0. |
| 248~Link | G1_smistamento | 0. | 0. | 0. | 0. | 0. | 0. |
| 248~Link | G2_smistamento | 0. | 0. | 0. | 0. | 0. | 0. |
| 248~Link | Q_smistamento | 0. | 0. | 0. | 0. | 0. | 0. |
| 248~Link | Q_neve | 0. | 0. | 0. | 0. | 0. | 0. |
| 250~Link | DEAD | 0. | 0. | 0. | 0. | 0. | 0. |
| 250~Link | G1_smistamento | 0. | 0. | 0. | 0. | 0. | 0. |
| 250~Link | G2_smistamento | 0. | 0. | 0. | 0. | 0. | 0. |
| 250~Link | Q_smistamento | 0. | 0. | 0. | 0. | 0. | 0. |
| 250~Link | Q_neve | 0. | 0. | 0. | 0. | 0. | 0. |
| 251~Link | DEAD | 0. | 0. | 0. | 0. | 0. | 0. |
| 251~Link | G1_smistamento | 0. | 0. | 0. | 0. | 0. | 0. |
| 251~Link | G2_smistamento | 0. | 0. | 0. | 0. | 0. | 0. |
| 251~Link | Q_smistamento | 0. | 0. | 0. | 0. | 0. | 0. |
| 251~Link | Q_neve | 0. | 0. | 0. | 0. | 0. | 0. |
| 253~Link | DEAD | 0. | 0. | 0. | 0. | 0. | 0. |
| 253~Link | G1_smistamento | 0. | 0. | 0. | 0. | 0. | 0. |
| 253~Link | G2_smistamento | 0. | 0. | 0. | 0. | 0. | 0. |
| 253~Link | Q_smistamento | 0. | 0. | 0. | 0. | 0. | 0. |
| 253~Link | Q_neve | 0. | 0. | 0. | 0. | 0. | 0. |
| 255~Link | DEAD | 0. | 0. | 0. | 0. | 0. | 0. |
| 255~Link | G1_smistamento | 0. | 0. | 0. | 0. | 0. | 0. |
| 255~Link | G2_smistamento | 0. | 0. | 0. | 0. | 0. | 0. |
| 255~Link | Q_smistamento | 0. | 0. | 0. | 0. | 0. | 0. |

Table 18: Joint Displacements

| Joint | OutputCase | U1 | U2 | U3 | R1 | R2 | R3 |
|----------|----------------|----|----|----|---------|---------|---------|
| | | m | m | m | Radians | Radians | Radians |
| 255~Link | Q_neve | 0. | 0. | 0. | 0. | 0. | 0. |
| 257~Link | DEAD | 0. | 0. | 0. | 0. | 0. | 0. |
| 257~Link | G1_smistamento | 0. | 0. | 0. | 0. | 0. | 0. |
| 257~Link | G2_smistamento | 0. | 0. | 0. | 0. | 0. | 0. |
| 257~Link | Q_smistamento | 0. | 0. | 0. | 0. | 0. | 0. |
| 257~Link | Q_neve | 0. | 0. | 0. | 0. | 0. | 0. |
| 259~Link | DEAD | 0. | 0. | 0. | 0. | 0. | 0. |
| 259~Link | G1_smistamento | 0. | 0. | 0. | 0. | 0. | 0. |
| 259~Link | G2_smistamento | 0. | 0. | 0. | 0. | 0. | 0. |
| 259~Link | Q_smistamento | 0. | 0. | 0. | 0. | 0. | 0. |
| 259~Link | Q_neve | 0. | 0. | 0. | 0. | 0. | 0. |
| 261~Link | DEAD | 0. | 0. | 0. | 0. | 0. | 0. |
| 261~Link | G1_smistamento | 0. | 0. | 0. | 0. | 0. | 0. |
| 261~Link | G2_smistamento | 0. | 0. | 0. | 0. | 0. | 0. |
| 261~Link | Q_smistamento | 0. | 0. | 0. | 0. | 0. | 0. |
| 261~Link | Q_neve | 0. | 0. | 0. | 0. | 0. | 0. |
| 263~Link | DEAD | 0. | 0. | 0. | 0. | 0. | 0. |
| 263~Link | G1_smistamento | 0. | 0. | 0. | 0. | 0. | 0. |
| 263~Link | G2_smistamento | 0. | 0. | 0. | 0. | 0. | 0. |
| 263~Link | Q_smistamento | 0. | 0. | 0. | 0. | 0. | 0. |
| 263~Link | Q_neve | 0. | 0. | 0. | 0. | 0. | 0. |
| 265~Link | DEAD | 0. | 0. | 0. | 0. | 0. | 0. |
| 265~Link | G1_smistamento | 0. | 0. | 0. | 0. | 0. | 0. |
| 265~Link | G2_smistamento | 0. | 0. | 0. | 0. | 0. | 0. |
| 265~Link | Q_smistamento | 0. | 0. | 0. | 0. | 0. | 0. |
| 265~Link | Q_neve | 0. | 0. | 0. | 0. | 0. | 0. |
| 267~Link | DEAD | 0. | 0. | 0. | 0. | 0. | 0. |
| 267~Link | G1_smistamento | 0. | 0. | 0. | 0. | 0. | 0. |
| 267~Link | G2_smistamento | 0. | 0. | 0. | 0. | 0. | 0. |
| 267~Link | Q_smistamento | 0. | 0. | 0. | 0. | 0. | 0. |
| 267~Link | Q_neve | 0. | 0. | 0. | 0. | 0. | 0. |
| 269~Link | DEAD | 0. | 0. | 0. | 0. | 0. | 0. |
| 269~Link | G1_smistamento | 0. | 0. | 0. | 0. | 0. | 0. |
| 269~Link | G2_smistamento | 0. | 0. | 0. | 0. | 0. | 0. |
| 269~Link | Q_smistamento | 0. | 0. | 0. | 0. | 0. | 0. |
| 269~Link | Q_neve | 0. | 0. | 0. | 0. | 0. | 0. |
| 271~Link | DEAD | 0. | 0. | 0. | 0. | 0. | 0. |
| 271~Link | G1_smistamento | 0. | 0. | 0. | 0. | 0. | 0. |

Table 18: Joint Displacements

| Joint | OutputCase | U1 | U2 | U3 | R1 | R2 | R3 |
|----------|----------------|----|----|----|---------|---------|---------|
| | | m | m | m | Radians | Radians | Radians |
| 271~Link | G2_smistamento | 0. | 0. | 0. | 0. | 0. | 0. |
| 271~Link | Q_smistamento | 0. | 0. | 0. | 0. | 0. | 0. |
| 271~Link | Q_neve | 0. | 0. | 0. | 0. | 0. | 0. |
| 273~Link | DEAD | 0. | 0. | 0. | 0. | 0. | 0. |
| 273~Link | G1_smistamento | 0. | 0. | 0. | 0. | 0. | 0. |
| 273~Link | G2_smistamento | 0. | 0. | 0. | 0. | 0. | 0. |
| 273~Link | Q_smistamento | 0. | 0. | 0. | 0. | 0. | 0. |
| 273~Link | Q_neve | 0. | 0. | 0. | 0. | 0. | 0. |
| 275~Link | DEAD | 0. | 0. | 0. | 0. | 0. | 0. |
| 275~Link | G1_smistamento | 0. | 0. | 0. | 0. | 0. | 0. |
| 275~Link | G2_smistamento | 0. | 0. | 0. | 0. | 0. | 0. |
| 275~Link | Q_smistamento | 0. | 0. | 0. | 0. | 0. | 0. |
| 275~Link | Q_neve | 0. | 0. | 0. | 0. | 0. | 0. |
| 277~Link | DEAD | 0. | 0. | 0. | 0. | 0. | 0. |
| 277~Link | G1_smistamento | 0. | 0. | 0. | 0. | 0. | 0. |
| 277~Link | G2_smistamento | 0. | 0. | 0. | 0. | 0. | 0. |
| 277~Link | Q_smistamento | 0. | 0. | 0. | 0. | 0. | 0. |
| 277~Link | Q_neve | 0. | 0. | 0. | 0. | 0. | 0. |
| 279~Link | DEAD | 0. | 0. | 0. | 0. | 0. | 0. |
| 279~Link | G1_smistamento | 0. | 0. | 0. | 0. | 0. | 0. |
| 279~Link | G2_smistamento | 0. | 0. | 0. | 0. | 0. | 0. |
| 279~Link | Q_smistamento | 0. | 0. | 0. | 0. | 0. | 0. |
| 279~Link | Q_neve | 0. | 0. | 0. | 0. | 0. | 0. |
| 281~Link | DEAD | 0. | 0. | 0. | 0. | 0. | 0. |
| 281~Link | G1_smistamento | 0. | 0. | 0. | 0. | 0. | 0. |
| 281~Link | G2_smistamento | 0. | 0. | 0. | 0. | 0. | 0. |
| 281~Link | Q_smistamento | 0. | 0. | 0. | 0. | 0. | 0. |
| 281~Link | Q_neve | 0. | 0. | 0. | 0. | 0. | 0. |
| 252~Link | DEAD | 0. | 0. | 0. | 0. | 0. | 0. |
| 252~Link | G1_smistamento | 0. | 0. | 0. | 0. | 0. | 0. |
| 252~Link | G2_smistamento | 0. | 0. | 0. | 0. | 0. | 0. |
| 252~Link | Q_smistamento | 0. | 0. | 0. | 0. | 0. | 0. |
| 252~Link | Q_neve | 0. | 0. | 0. | 0. | 0. | 0. |
| 254~Link | DEAD | 0. | 0. | 0. | 0. | 0. | 0. |
| 254~Link | G1_smistamento | 0. | 0. | 0. | 0. | 0. | 0. |
| 254~Link | G2_smistamento | 0. | 0. | 0. | 0. | 0. | 0. |
| 254~Link | Q_smistamento | 0. | 0. | 0. | 0. | 0. | 0. |
| 254~Link | Q_neve | 0. | 0. | 0. | 0. | 0. | 0. |

Table 18: Joint Displacements

| Joint | OutputCase | U1 | U2 | U3 | R1 | R2 | R3 |
|----------|----------------|----|----|----|---------|---------|---------|
| | | m | m | m | Radians | Radians | Radians |
| 256~Link | DEAD | 0. | 0. | 0. | 0. | 0. | 0. |
| 256~Link | G1_smistamento | 0. | 0. | 0. | 0. | 0. | 0. |
| 256~Link | G2_smistamento | 0. | 0. | 0. | 0. | 0. | 0. |
| 256~Link | Q_smistamento | 0. | 0. | 0. | 0. | 0. | 0. |
| 256~Link | Q_neve | 0. | 0. | 0. | 0. | 0. | 0. |
| 258~Link | DEAD | 0. | 0. | 0. | 0. | 0. | 0. |
| 258~Link | G1_smistamento | 0. | 0. | 0. | 0. | 0. | 0. |
| 258~Link | G2_smistamento | 0. | 0. | 0. | 0. | 0. | 0. |
| 258~Link | Q_smistamento | 0. | 0. | 0. | 0. | 0. | 0. |
| 258~Link | Q_neve | 0. | 0. | 0. | 0. | 0. | 0. |
| 260~Link | DEAD | 0. | 0. | 0. | 0. | 0. | 0. |
| 260~Link | G1_smistamento | 0. | 0. | 0. | 0. | 0. | 0. |
| 260~Link | G2_smistamento | 0. | 0. | 0. | 0. | 0. | 0. |
| 260~Link | Q_smistamento | 0. | 0. | 0. | 0. | 0. | 0. |
| 260~Link | Q_neve | 0. | 0. | 0. | 0. | 0. | 0. |
| 262~Link | DEAD | 0. | 0. | 0. | 0. | 0. | 0. |
| 262~Link | G1_smistamento | 0. | 0. | 0. | 0. | 0. | 0. |
| 262~Link | G2_smistamento | 0. | 0. | 0. | 0. | 0. | 0. |
| 262~Link | Q_smistamento | 0. | 0. | 0. | 0. | 0. | 0. |
| 262~Link | Q_neve | 0. | 0. | 0. | 0. | 0. | 0. |
| 264~Link | DEAD | 0. | 0. | 0. | 0. | 0. | 0. |
| 264~Link | G1_smistamento | 0. | 0. | 0. | 0. | 0. | 0. |
| 264~Link | G2_smistamento | 0. | 0. | 0. | 0. | 0. | 0. |
| 264~Link | Q_smistamento | 0. | 0. | 0. | 0. | 0. | 0. |
| 264~Link | Q_neve | 0. | 0. | 0. | 0. | 0. | 0. |
| 266~Link | DEAD | 0. | 0. | 0. | 0. | 0. | 0. |
| 266~Link | G1_smistamento | 0. | 0. | 0. | 0. | 0. | 0. |
| 266~Link | G2_smistamento | 0. | 0. | 0. | 0. | 0. | 0. |
| 266~Link | Q_smistamento | 0. | 0. | 0. | 0. | 0. | 0. |
| 266~Link | Q_neve | 0. | 0. | 0. | 0. | 0. | 0. |
| 268~Link | DEAD | 0. | 0. | 0. | 0. | 0. | 0. |
| 268~Link | G1_smistamento | 0. | 0. | 0. | 0. | 0. | 0. |
| 268~Link | G2_smistamento | 0. | 0. | 0. | 0. | 0. | 0. |
| 268~Link | Q_smistamento | 0. | 0. | 0. | 0. | 0. | 0. |
| 268~Link | Q_neve | 0. | 0. | 0. | 0. | 0. | 0. |
| 270~Link | DEAD | 0. | 0. | 0. | 0. | 0. | 0. |
| 270~Link | G1_smistamento | 0. | 0. | 0. | 0. | 0. | 0. |
| 270~Link | G2_smistamento | 0. | 0. | 0. | 0. | 0. | 0. |

Table 18: Joint Displacements

| Joint | OutputCase | U1 | U2 | U3 | R1 | R2 | R3 |
|----------|----------------|----|----|----|---------|---------|---------|
| | | m | m | m | Radians | Radians | Radians |
| 270~Link | Q_smistamento | 0. | 0. | 0. | 0. | 0. | 0. |
| 270~Link | Q_neve | 0. | 0. | 0. | 0. | 0. | 0. |
| 272~Link | DEAD | 0. | 0. | 0. | 0. | 0. | 0. |
| 272~Link | G1_smistamento | 0. | 0. | 0. | 0. | 0. | 0. |
| 272~Link | G2_smistamento | 0. | 0. | 0. | 0. | 0. | 0. |
| 272~Link | Q_smistamento | 0. | 0. | 0. | 0. | 0. | 0. |
| 272~Link | Q_neve | 0. | 0. | 0. | 0. | 0. | 0. |
| 274~Link | DEAD | 0. | 0. | 0. | 0. | 0. | 0. |
| 274~Link | G1_smistamento | 0. | 0. | 0. | 0. | 0. | 0. |
| 274~Link | G2_smistamento | 0. | 0. | 0. | 0. | 0. | 0. |
| 274~Link | Q_smistamento | 0. | 0. | 0. | 0. | 0. | 0. |
| 274~Link | Q_neve | 0. | 0. | 0. | 0. | 0. | 0. |
| 276~Link | DEAD | 0. | 0. | 0. | 0. | 0. | 0. |
| 276~Link | G1_smistamento | 0. | 0. | 0. | 0. | 0. | 0. |
| 276~Link | G2_smistamento | 0. | 0. | 0. | 0. | 0. | 0. |
| 276~Link | Q_smistamento | 0. | 0. | 0. | 0. | 0. | 0. |
| 276~Link | Q_neve | 0. | 0. | 0. | 0. | 0. | 0. |
| 278~Link | DEAD | 0. | 0. | 0. | 0. | 0. | 0. |
| 278~Link | G1_smistamento | 0. | 0. | 0. | 0. | 0. | 0. |
| 278~Link | G2_smistamento | 0. | 0. | 0. | 0. | 0. | 0. |
| 278~Link | Q_smistamento | 0. | 0. | 0. | 0. | 0. | 0. |
| 278~Link | Q_neve | 0. | 0. | 0. | 0. | 0. | 0. |
| 280~Link | DEAD | 0. | 0. | 0. | 0. | 0. | 0. |
| 280~Link | G1_smistamento | 0. | 0. | 0. | 0. | 0. | 0. |
| 280~Link | G2_smistamento | 0. | 0. | 0. | 0. | 0. | 0. |
| 280~Link | Q_smistamento | 0. | 0. | 0. | 0. | 0. | 0. |
| 280~Link | Q_neve | 0. | 0. | 0. | 0. | 0. | 0. |
| 282~Link | DEAD | 0. | 0. | 0. | 0. | 0. | 0. |
| 282~Link | G1_smistamento | 0. | 0. | 0. | 0. | 0. | 0. |
| 282~Link | G2_smistamento | 0. | 0. | 0. | 0. | 0. | 0. |
| 282~Link | Q_smistamento | 0. | 0. | 0. | 0. | 0. | 0. |
| 282~Link | Q_neve | 0. | 0. | 0. | 0. | 0. | 0. |
| 283~Link | DEAD | 0. | 0. | 0. | 0. | 0. | 0. |
| 283~Link | G1_smistamento | 0. | 0. | 0. | 0. | 0. | 0. |
| 283~Link | G2_smistamento | 0. | 0. | 0. | 0. | 0. | 0. |
| 283~Link | Q_smistamento | 0. | 0. | 0. | 0. | 0. | 0. |
| 283~Link | Q_neve | 0. | 0. | 0. | 0. | 0. | 0. |
| 285~Link | DEAD | 0. | 0. | 0. | 0. | 0. | 0. |

Table 18: Joint Displacements

| Joint | OutputCase | U1 | U2 | U3 | R1 | R2 | R3 |
|----------|----------------|----|----|----|---------|---------|---------|
| | | m | m | m | Radians | Radians | Radians |
| 285~Link | G1_smistamento | 0. | 0. | 0. | 0. | 0. | 0. |
| 285~Link | G2_smistamento | 0. | 0. | 0. | 0. | 0. | 0. |
| 285~Link | Q_smistamento | 0. | 0. | 0. | 0. | 0. | 0. |
| 285~Link | Q_neve | 0. | 0. | 0. | 0. | 0. | 0. |
| 287~Link | DEAD | 0. | 0. | 0. | 0. | 0. | 0. |
| 287~Link | G1_smistamento | 0. | 0. | 0. | 0. | 0. | 0. |
| 287~Link | G2_smistamento | 0. | 0. | 0. | 0. | 0. | 0. |
| 287~Link | Q_smistamento | 0. | 0. | 0. | 0. | 0. | 0. |
| 287~Link | Q_neve | 0. | 0. | 0. | 0. | 0. | 0. |
| 289~Link | DEAD | 0. | 0. | 0. | 0. | 0. | 0. |
| 289~Link | G1_smistamento | 0. | 0. | 0. | 0. | 0. | 0. |
| 289~Link | G2_smistamento | 0. | 0. | 0. | 0. | 0. | 0. |
| 289~Link | Q_smistamento | 0. | 0. | 0. | 0. | 0. | 0. |
| 289~Link | Q_neve | 0. | 0. | 0. | 0. | 0. | 0. |
| 284~Link | DEAD | 0. | 0. | 0. | 0. | 0. | 0. |
| 284~Link | G1_smistamento | 0. | 0. | 0. | 0. | 0. | 0. |
| 284~Link | G2_smistamento | 0. | 0. | 0. | 0. | 0. | 0. |
| 284~Link | Q_smistamento | 0. | 0. | 0. | 0. | 0. | 0. |
| 284~Link | Q_neve | 0. | 0. | 0. | 0. | 0. | 0. |
| 286~Link | DEAD | 0. | 0. | 0. | 0. | 0. | 0. |
| 286~Link | G1_smistamento | 0. | 0. | 0. | 0. | 0. | 0. |
| 286~Link | G2_smistamento | 0. | 0. | 0. | 0. | 0. | 0. |
| 286~Link | Q_smistamento | 0. | 0. | 0. | 0. | 0. | 0. |
| 286~Link | Q_neve | 0. | 0. | 0. | 0. | 0. | 0. |
| 288~Link | DEAD | 0. | 0. | 0. | 0. | 0. | 0. |
| 288~Link | G1_smistamento | 0. | 0. | 0. | 0. | 0. | 0. |
| 288~Link | G2_smistamento | 0. | 0. | 0. | 0. | 0. | 0. |
| 288~Link | Q_smistamento | 0. | 0. | 0. | 0. | 0. | 0. |
| 288~Link | Q_neve | 0. | 0. | 0. | 0. | 0. | 0. |
| 290~Link | DEAD | 0. | 0. | 0. | 0. | 0. | 0. |
| 290~Link | G1_smistamento | 0. | 0. | 0. | 0. | 0. | 0. |
| 290~Link | G2_smistamento | 0. | 0. | 0. | 0. | 0. | 0. |
| 290~Link | Q_smistamento | 0. | 0. | 0. | 0. | 0. | 0. |
| 290~Link | Q_neve | 0. | 0. | 0. | 0. | 0. | 0. |
| 291~Link | DEAD | 0. | 0. | 0. | 0. | 0. | 0. |
| 291~Link | G1_smistamento | 0. | 0. | 0. | 0. | 0. | 0. |
| 291~Link | G2_smistamento | 0. | 0. | 0. | 0. | 0. | 0. |
| 291~Link | Q_smistamento | 0. | 0. | 0. | 0. | 0. | 0. |

Table 18: Joint Displacements

| Joint | OutputCase | U1 | U2 | U3 | R1 | R2 | R3 |
|----------|----------------|----|----|----|---------|---------|---------|
| | | m | m | m | Radians | Radians | Radians |
| 291~Link | Q_neve | 0. | 0. | 0. | 0. | 0. | 0. |
| 292~Link | DEAD | 0. | 0. | 0. | 0. | 0. | 0. |
| 292~Link | G1_smistamento | 0. | 0. | 0. | 0. | 0. | 0. |
| 292~Link | G2_smistamento | 0. | 0. | 0. | 0. | 0. | 0. |
| 292~Link | Q_smistamento | 0. | 0. | 0. | 0. | 0. | 0. |
| 292~Link | Q_neve | 0. | 0. | 0. | 0. | 0. | 0. |
| 293~Link | DEAD | 0. | 0. | 0. | 0. | 0. | 0. |
| 293~Link | G1_smistamento | 0. | 0. | 0. | 0. | 0. | 0. |
| 293~Link | G2_smistamento | 0. | 0. | 0. | 0. | 0. | 0. |
| 293~Link | Q_smistamento | 0. | 0. | 0. | 0. | 0. | 0. |
| 293~Link | Q_neve | 0. | 0. | 0. | 0. | 0. | 0. |
| 294~Link | DEAD | 0. | 0. | 0. | 0. | 0. | 0. |
| 294~Link | G1_smistamento | 0. | 0. | 0. | 0. | 0. | 0. |
| 294~Link | G2_smistamento | 0. | 0. | 0. | 0. | 0. | 0. |
| 294~Link | Q_smistamento | 0. | 0. | 0. | 0. | 0. | 0. |
| 294~Link | Q_neve | 0. | 0. | 0. | 0. | 0. | 0. |
| 295~Link | DEAD | 0. | 0. | 0. | 0. | 0. | 0. |
| 295~Link | G1_smistamento | 0. | 0. | 0. | 0. | 0. | 0. |
| 295~Link | G2_smistamento | 0. | 0. | 0. | 0. | 0. | 0. |
| 295~Link | Q_smistamento | 0. | 0. | 0. | 0. | 0. | 0. |
| 295~Link | Q_neve | 0. | 0. | 0. | 0. | 0. | 0. |
| 296~Link | DEAD | 0. | 0. | 0. | 0. | 0. | 0. |
| 296~Link | G1_smistamento | 0. | 0. | 0. | 0. | 0. | 0. |
| 296~Link | G2_smistamento | 0. | 0. | 0. | 0. | 0. | 0. |
| 296~Link | Q_smistamento | 0. | 0. | 0. | 0. | 0. | 0. |
| 296~Link | Q_neve | 0. | 0. | 0. | 0. | 0. | 0. |
| 297~Link | DEAD | 0. | 0. | 0. | 0. | 0. | 0. |
| 297~Link | G1_smistamento | 0. | 0. | 0. | 0. | 0. | 0. |
| 297~Link | G2_smistamento | 0. | 0. | 0. | 0. | 0. | 0. |
| 297~Link | Q_smistamento | 0. | 0. | 0. | 0. | 0. | 0. |
| 297~Link | Q_neve | 0. | 0. | 0. | 0. | 0. | 0. |
| 298~Link | DEAD | 0. | 0. | 0. | 0. | 0. | 0. |
| 298~Link | G1_smistamento | 0. | 0. | 0. | 0. | 0. | 0. |
| 298~Link | G2_smistamento | 0. | 0. | 0. | 0. | 0. | 0. |
| 298~Link | Q_smistamento | 0. | 0. | 0. | 0. | 0. | 0. |
| 298~Link | Q_neve | 0. | 0. | 0. | 0. | 0. | 0. |
| 299~Link | DEAD | 0. | 0. | 0. | 0. | 0. | 0. |
| 299~Link | G1_smistamento | 0. | 0. | 0. | 0. | 0. | 0. |

Table 18: Joint Displacements

| Joint | OutputCase | U1 | U2 | U3 | R1 | R2 | R3 |
|----------|----------------|----|----|----|---------|---------|---------|
| | | m | m | m | Radians | Radians | Radians |
| 299~Link | G2_smistamento | 0. | 0. | 0. | 0. | 0. | 0. |
| 299~Link | Q_smistamento | 0. | 0. | 0. | 0. | 0. | 0. |
| 299~Link | Q_neve | 0. | 0. | 0. | 0. | 0. | 0. |
| 300~Link | DEAD | 0. | 0. | 0. | 0. | 0. | 0. |
| 300~Link | G1_smistamento | 0. | 0. | 0. | 0. | 0. | 0. |
| 300~Link | G2_smistamento | 0. | 0. | 0. | 0. | 0. | 0. |
| 300~Link | Q_smistamento | 0. | 0. | 0. | 0. | 0. | 0. |
| 300~Link | Q_neve | 0. | 0. | 0. | 0. | 0. | 0. |
| 301~Link | DEAD | 0. | 0. | 0. | 0. | 0. | 0. |
| 301~Link | G1_smistamento | 0. | 0. | 0. | 0. | 0. | 0. |
| 301~Link | G2_smistamento | 0. | 0. | 0. | 0. | 0. | 0. |
| 301~Link | Q_smistamento | 0. | 0. | 0. | 0. | 0. | 0. |
| 301~Link | Q_neve | 0. | 0. | 0. | 0. | 0. | 0. |
| 302~Link | DEAD | 0. | 0. | 0. | 0. | 0. | 0. |
| 302~Link | G1_smistamento | 0. | 0. | 0. | 0. | 0. | 0. |
| 302~Link | G2_smistamento | 0. | 0. | 0. | 0. | 0. | 0. |
| 302~Link | Q_smistamento | 0. | 0. | 0. | 0. | 0. | 0. |
| 302~Link | Q_neve | 0. | 0. | 0. | 0. | 0. | 0. |
| 303~Link | DEAD | 0. | 0. | 0. | 0. | 0. | 0. |
| 303~Link | G1_smistamento | 0. | 0. | 0. | 0. | 0. | 0. |
| 303~Link | G2_smistamento | 0. | 0. | 0. | 0. | 0. | 0. |
| 303~Link | Q_smistamento | 0. | 0. | 0. | 0. | 0. | 0. |
| 303~Link | Q_neve | 0. | 0. | 0. | 0. | 0. | 0. |
| 304~Link | DEAD | 0. | 0. | 0. | 0. | 0. | 0. |
| 304~Link | G1_smistamento | 0. | 0. | 0. | 0. | 0. | 0. |
| 304~Link | G2_smistamento | 0. | 0. | 0. | 0. | 0. | 0. |
| 304~Link | Q_smistamento | 0. | 0. | 0. | 0. | 0. | 0. |
| 304~Link | Q_neve | 0. | 0. | 0. | 0. | 0. | 0. |
| 305~Link | DEAD | 0. | 0. | 0. | 0. | 0. | 0. |
| 305~Link | G1_smistamento | 0. | 0. | 0. | 0. | 0. | 0. |
| 305~Link | G2_smistamento | 0. | 0. | 0. | 0. | 0. | 0. |
| 305~Link | Q_smistamento | 0. | 0. | 0. | 0. | 0. | 0. |
| 305~Link | Q_neve | 0. | 0. | 0. | 0. | 0. | 0. |
| 306~Link | DEAD | 0. | 0. | 0. | 0. | 0. | 0. |
| 306~Link | G1_smistamento | 0. | 0. | 0. | 0. | 0. | 0. |
| 306~Link | G2_smistamento | 0. | 0. | 0. | 0. | 0. | 0. |
| 306~Link | Q_smistamento | 0. | 0. | 0. | 0. | 0. | 0. |
| 306~Link | Q_neve | 0. | 0. | 0. | 0. | 0. | 0. |

Table 18: Joint Displacements

| Joint | OutputCase | U1 | U2 | U3 | R1 | R2 | R3 |
|----------|----------------|----|----|----|---------|---------|---------|
| | | m | m | m | Radians | Radians | Radians |
| 307~Link | DEAD | 0. | 0. | 0. | 0. | 0. | 0. |
| 307~Link | G1_smistamento | 0. | 0. | 0. | 0. | 0. | 0. |
| 307~Link | G2_smistamento | 0. | 0. | 0. | 0. | 0. | 0. |
| 307~Link | Q_smistamento | 0. | 0. | 0. | 0. | 0. | 0. |
| 307~Link | Q_neve | 0. | 0. | 0. | 0. | 0. | 0. |
| 308~Link | DEAD | 0. | 0. | 0. | 0. | 0. | 0. |
| 308~Link | G1_smistamento | 0. | 0. | 0. | 0. | 0. | 0. |
| 308~Link | G2_smistamento | 0. | 0. | 0. | 0. | 0. | 0. |
| 308~Link | Q_smistamento | 0. | 0. | 0. | 0. | 0. | 0. |
| 308~Link | Q_neve | 0. | 0. | 0. | 0. | 0. | 0. |
| 309~Link | DEAD | 0. | 0. | 0. | 0. | 0. | 0. |
| 309~Link | G1_smistamento | 0. | 0. | 0. | 0. | 0. | 0. |
| 309~Link | G2_smistamento | 0. | 0. | 0. | 0. | 0. | 0. |
| 309~Link | Q_smistamento | 0. | 0. | 0. | 0. | 0. | 0. |
| 309~Link | Q_neve | 0. | 0. | 0. | 0. | 0. | 0. |
| 310~Link | DEAD | 0. | 0. | 0. | 0. | 0. | 0. |
| 310~Link | G1_smistamento | 0. | 0. | 0. | 0. | 0. | 0. |
| 310~Link | G2_smistamento | 0. | 0. | 0. | 0. | 0. | 0. |
| 310~Link | Q_smistamento | 0. | 0. | 0. | 0. | 0. | 0. |
| 310~Link | Q_neve | 0. | 0. | 0. | 0. | 0. | 0. |
| 311~Link | DEAD | 0. | 0. | 0. | 0. | 0. | 0. |
| 311~Link | G1_smistamento | 0. | 0. | 0. | 0. | 0. | 0. |
| 311~Link | G2_smistamento | 0. | 0. | 0. | 0. | 0. | 0. |
| 311~Link | Q_smistamento | 0. | 0. | 0. | 0. | 0. | 0. |
| 311~Link | Q_neve | 0. | 0. | 0. | 0. | 0. | 0. |
| 312~Link | DEAD | 0. | 0. | 0. | 0. | 0. | 0. |
| 312~Link | G1_smistamento | 0. | 0. | 0. | 0. | 0. | 0. |
| 312~Link | G2_smistamento | 0. | 0. | 0. | 0. | 0. | 0. |
| 312~Link | Q_smistamento | 0. | 0. | 0. | 0. | 0. | 0. |
| 312~Link | Q_neve | 0. | 0. | 0. | 0. | 0. | 0. |
| 313~Link | DEAD | 0. | 0. | 0. | 0. | 0. | 0. |
| 313~Link | G1_smistamento | 0. | 0. | 0. | 0. | 0. | 0. |
| 313~Link | G2_smistamento | 0. | 0. | 0. | 0. | 0. | 0. |
| 313~Link | Q_smistamento | 0. | 0. | 0. | 0. | 0. | 0. |
| 313~Link | Q_neve | 0. | 0. | 0. | 0. | 0. | 0. |
| 314~Link | DEAD | 0. | 0. | 0. | 0. | 0. | 0. |
| 314~Link | G1_smistamento | 0. | 0. | 0. | 0. | 0. | 0. |
| 314~Link | G2_smistamento | 0. | 0. | 0. | 0. | 0. | 0. |

Table 18: Joint Displacements

| Joint | OutputCase | U1 | U2 | U3 | R1 | R2 | R3 |
|----------|----------------|----|----|----|---------|---------|---------|
| | | m | m | m | Radians | Radians | Radians |
| 314~Link | Q_smistamento | 0. | 0. | 0. | 0. | 0. | 0. |
| 314~Link | Q_neve | 0. | 0. | 0. | 0. | 0. | 0. |
| 315~Link | DEAD | 0. | 0. | 0. | 0. | 0. | 0. |
| 315~Link | G1_smistamento | 0. | 0. | 0. | 0. | 0. | 0. |
| 315~Link | G2_smistamento | 0. | 0. | 0. | 0. | 0. | 0. |
| 315~Link | Q_smistamento | 0. | 0. | 0. | 0. | 0. | 0. |
| 315~Link | Q_neve | 0. | 0. | 0. | 0. | 0. | 0. |
| 316~Link | DEAD | 0. | 0. | 0. | 0. | 0. | 0. |
| 316~Link | G1_smistamento | 0. | 0. | 0. | 0. | 0. | 0. |
| 316~Link | G2_smistamento | 0. | 0. | 0. | 0. | 0. | 0. |
| 316~Link | Q_smistamento | 0. | 0. | 0. | 0. | 0. | 0. |
| 316~Link | Q_neve | 0. | 0. | 0. | 0. | 0. | 0. |
| 317~Link | DEAD | 0. | 0. | 0. | 0. | 0. | 0. |
| 317~Link | G1_smistamento | 0. | 0. | 0. | 0. | 0. | 0. |
| 317~Link | G2_smistamento | 0. | 0. | 0. | 0. | 0. | 0. |
| 317~Link | Q_smistamento | 0. | 0. | 0. | 0. | 0. | 0. |
| 317~Link | Q_neve | 0. | 0. | 0. | 0. | 0. | 0. |
| 318~Link | DEAD | 0. | 0. | 0. | 0. | 0. | 0. |
| 318~Link | G1_smistamento | 0. | 0. | 0. | 0. | 0. | 0. |
| 318~Link | G2_smistamento | 0. | 0. | 0. | 0. | 0. | 0. |
| 318~Link | Q_smistamento | 0. | 0. | 0. | 0. | 0. | 0. |
| 318~Link | Q_neve | 0. | 0. | 0. | 0. | 0. | 0. |
| 319~Link | DEAD | 0. | 0. | 0. | 0. | 0. | 0. |
| 319~Link | G1_smistamento | 0. | 0. | 0. | 0. | 0. | 0. |
| 319~Link | G2_smistamento | 0. | 0. | 0. | 0. | 0. | 0. |
| 319~Link | Q_smistamento | 0. | 0. | 0. | 0. | 0. | 0. |
| 319~Link | Q_neve | 0. | 0. | 0. | 0. | 0. | 0. |
| 320~Link | DEAD | 0. | 0. | 0. | 0. | 0. | 0. |
| 320~Link | G1_smistamento | 0. | 0. | 0. | 0. | 0. | 0. |
| 320~Link | G2_smistamento | 0. | 0. | 0. | 0. | 0. | 0. |
| 320~Link | Q_smistamento | 0. | 0. | 0. | 0. | 0. | 0. |
| 320~Link | Q_neve | 0. | 0. | 0. | 0. | 0. | 0. |
| 321~Link | DEAD | 0. | 0. | 0. | 0. | 0. | 0. |
| 321~Link | G1_smistamento | 0. | 0. | 0. | 0. | 0. | 0. |
| 321~Link | G2_smistamento | 0. | 0. | 0. | 0. | 0. | 0. |
| 321~Link | Q_smistamento | 0. | 0. | 0. | 0. | 0. | 0. |
| 321~Link | Q_neve | 0. | 0. | 0. | 0. | 0. | 0. |
| 322~Link | DEAD | 0. | 0. | 0. | 0. | 0. | 0. |

Table 18: Joint Displacements

| Joint | OutputCase | U1 | U2 | U3 | R1 | R2 | R3 |
|----------|----------------|----|----|----|---------|---------|---------|
| | | m | m | m | Radians | Radians | Radians |
| 322~Link | G1_smistamento | 0. | 0. | 0. | 0. | 0. | 0. |
| 322~Link | G2_smistamento | 0. | 0. | 0. | 0. | 0. | 0. |
| 322~Link | Q_smistamento | 0. | 0. | 0. | 0. | 0. | 0. |
| 322~Link | Q_neve | 0. | 0. | 0. | 0. | 0. | 0. |
| 323~Link | DEAD | 0. | 0. | 0. | 0. | 0. | 0. |
| 323~Link | G1_smistamento | 0. | 0. | 0. | 0. | 0. | 0. |
| 323~Link | G2_smistamento | 0. | 0. | 0. | 0. | 0. | 0. |
| 323~Link | Q_smistamento | 0. | 0. | 0. | 0. | 0. | 0. |
| 323~Link | Q_neve | 0. | 0. | 0. | 0. | 0. | 0. |
| 324~Link | DEAD | 0. | 0. | 0. | 0. | 0. | 0. |
| 324~Link | G1_smistamento | 0. | 0. | 0. | 0. | 0. | 0. |
| 324~Link | G2_smistamento | 0. | 0. | 0. | 0. | 0. | 0. |
| 324~Link | Q_smistamento | 0. | 0. | 0. | 0. | 0. | 0. |
| 324~Link | Q_neve | 0. | 0. | 0. | 0. | 0. | 0. |
| 325~Link | DEAD | 0. | 0. | 0. | 0. | 0. | 0. |
| 325~Link | G1_smistamento | 0. | 0. | 0. | 0. | 0. | 0. |
| 325~Link | G2_smistamento | 0. | 0. | 0. | 0. | 0. | 0. |
| 325~Link | Q_smistamento | 0. | 0. | 0. | 0. | 0. | 0. |
| 325~Link | Q_neve | 0. | 0. | 0. | 0. | 0. | 0. |
| 326~Link | DEAD | 0. | 0. | 0. | 0. | 0. | 0. |
| 326~Link | G1_smistamento | 0. | 0. | 0. | 0. | 0. | 0. |
| 326~Link | G2_smistamento | 0. | 0. | 0. | 0. | 0. | 0. |
| 326~Link | Q_smistamento | 0. | 0. | 0. | 0. | 0. | 0. |
| 326~Link | Q_neve | 0. | 0. | 0. | 0. | 0. | 0. |
| 327~Link | DEAD | 0. | 0. | 0. | 0. | 0. | 0. |
| 327~Link | G1_smistamento | 0. | 0. | 0. | 0. | 0. | 0. |
| 327~Link | G2_smistamento | 0. | 0. | 0. | 0. | 0. | 0. |
| 327~Link | Q_smistamento | 0. | 0. | 0. | 0. | 0. | 0. |
| 327~Link | Q_neve | 0. | 0. | 0. | 0. | 0. | 0. |
| 328~Link | DEAD | 0. | 0. | 0. | 0. | 0. | 0. |
| 328~Link | G1_smistamento | 0. | 0. | 0. | 0. | 0. | 0. |
| 328~Link | G2_smistamento | 0. | 0. | 0. | 0. | 0. | 0. |
| 328~Link | Q_smistamento | 0. | 0. | 0. | 0. | 0. | 0. |
| 328~Link | Q_neve | 0. | 0. | 0. | 0. | 0. | 0. |
| 329~Link | DEAD | 0. | 0. | 0. | 0. | 0. | 0. |
| 329~Link | G1_smistamento | 0. | 0. | 0. | 0. | 0. | 0. |
| 329~Link | G2_smistamento | 0. | 0. | 0. | 0. | 0. | 0. |
| 329~Link | Q_smistamento | 0. | 0. | 0. | 0. | 0. | 0. |

Table 18: Joint Displacements

| Joint | OutputCase | U1 | U2 | U3 | R1 | R2 | R3 |
|----------|----------------|----|----|----|---------|---------|---------|
| | | m | m | m | Radians | Radians | Radians |
| 329~Link | Q_neve | 0. | 0. | 0. | 0. | 0. | 0. |
| 330~Link | DEAD | 0. | 0. | 0. | 0. | 0. | 0. |
| 330~Link | G1_smistamento | 0. | 0. | 0. | 0. | 0. | 0. |
| 330~Link | G2_smistamento | 0. | 0. | 0. | 0. | 0. | 0. |
| 330~Link | Q_smistamento | 0. | 0. | 0. | 0. | 0. | 0. |
| 330~Link | Q_neve | 0. | 0. | 0. | 0. | 0. | 0. |
| 331~Link | DEAD | 0. | 0. | 0. | 0. | 0. | 0. |
| 331~Link | G1_smistamento | 0. | 0. | 0. | 0. | 0. | 0. |
| 331~Link | G2_smistamento | 0. | 0. | 0. | 0. | 0. | 0. |
| 331~Link | Q_smistamento | 0. | 0. | 0. | 0. | 0. | 0. |
| 331~Link | Q_neve | 0. | 0. | 0. | 0. | 0. | 0. |
| 332~Link | DEAD | 0. | 0. | 0. | 0. | 0. | 0. |
| 332~Link | G1_smistamento | 0. | 0. | 0. | 0. | 0. | 0. |
| 332~Link | G2_smistamento | 0. | 0. | 0. | 0. | 0. | 0. |
| 332~Link | Q_smistamento | 0. | 0. | 0. | 0. | 0. | 0. |
| 332~Link | Q_neve | 0. | 0. | 0. | 0. | 0. | 0. |
| 333~Link | DEAD | 0. | 0. | 0. | 0. | 0. | 0. |
| 333~Link | G1_smistamento | 0. | 0. | 0. | 0. | 0. | 0. |
| 333~Link | G2_smistamento | 0. | 0. | 0. | 0. | 0. | 0. |
| 333~Link | Q_smistamento | 0. | 0. | 0. | 0. | 0. | 0. |
| 333~Link | Q_neve | 0. | 0. | 0. | 0. | 0. | 0. |
| 334~Link | DEAD | 0. | 0. | 0. | 0. | 0. | 0. |
| 334~Link | G1_smistamento | 0. | 0. | 0. | 0. | 0. | 0. |
| 334~Link | G2_smistamento | 0. | 0. | 0. | 0. | 0. | 0. |
| 334~Link | Q_smistamento | 0. | 0. | 0. | 0. | 0. | 0. |
| 334~Link | Q_neve | 0. | 0. | 0. | 0. | 0. | 0. |
| 335~Link | DEAD | 0. | 0. | 0. | 0. | 0. | 0. |
| 335~Link | G1_smistamento | 0. | 0. | 0. | 0. | 0. | 0. |
| 335~Link | G2_smistamento | 0. | 0. | 0. | 0. | 0. | 0. |
| 335~Link | Q_smistamento | 0. | 0. | 0. | 0. | 0. | 0. |
| 335~Link | Q_neve | 0. | 0. | 0. | 0. | 0. | 0. |
| 336~Link | DEAD | 0. | 0. | 0. | 0. | 0. | 0. |
| 336~Link | G1_smistamento | 0. | 0. | 0. | 0. | 0. | 0. |
| 336~Link | G2_smistamento | 0. | 0. | 0. | 0. | 0. | 0. |
| 336~Link | Q_smistamento | 0. | 0. | 0. | 0. | 0. | 0. |
| 336~Link | Q_neve | 0. | 0. | 0. | 0. | 0. | 0. |
| 337~Link | DEAD | 0. | 0. | 0. | 0. | 0. | 0. |
| 337~Link | G1_smistamento | 0. | 0. | 0. | 0. | 0. | 0. |

Table 18: Joint Displacements

| Joint | OutputCase | U1 | U2 | U3 | R1 | R2 | R3 |
|----------|----------------|----|----|----|---------|---------|---------|
| | | m | m | m | Radians | Radians | Radians |
| 337~Link | G2_smistamento | 0. | 0. | 0. | 0. | 0. | 0. |
| 337~Link | Q_smistamento | 0. | 0. | 0. | 0. | 0. | 0. |
| 337~Link | Q_neve | 0. | 0. | 0. | 0. | 0. | 0. |
| 338~Link | DEAD | 0. | 0. | 0. | 0. | 0. | 0. |
| 338~Link | G1_smistamento | 0. | 0. | 0. | 0. | 0. | 0. |
| 338~Link | G2_smistamento | 0. | 0. | 0. | 0. | 0. | 0. |
| 338~Link | Q_smistamento | 0. | 0. | 0. | 0. | 0. | 0. |
| 338~Link | Q_neve | 0. | 0. | 0. | 0. | 0. | 0. |
| 339~Link | DEAD | 0. | 0. | 0. | 0. | 0. | 0. |
| 339~Link | G1_smistamento | 0. | 0. | 0. | 0. | 0. | 0. |
| 339~Link | G2_smistamento | 0. | 0. | 0. | 0. | 0. | 0. |
| 339~Link | Q_smistamento | 0. | 0. | 0. | 0. | 0. | 0. |
| 339~Link | Q_neve | 0. | 0. | 0. | 0. | 0. | 0. |
| 340~Link | DEAD | 0. | 0. | 0. | 0. | 0. | 0. |
| 340~Link | G1_smistamento | 0. | 0. | 0. | 0. | 0. | 0. |
| 340~Link | G2_smistamento | 0. | 0. | 0. | 0. | 0. | 0. |
| 340~Link | Q_smistamento | 0. | 0. | 0. | 0. | 0. | 0. |
| 340~Link | Q_neve | 0. | 0. | 0. | 0. | 0. | 0. |
| 341~Link | DEAD | 0. | 0. | 0. | 0. | 0. | 0. |
| 341~Link | G1_smistamento | 0. | 0. | 0. | 0. | 0. | 0. |
| 341~Link | G2_smistamento | 0. | 0. | 0. | 0. | 0. | 0. |
| 341~Link | Q_smistamento | 0. | 0. | 0. | 0. | 0. | 0. |
| 341~Link | Q_neve | 0. | 0. | 0. | 0. | 0. | 0. |
| 342~Link | DEAD | 0. | 0. | 0. | 0. | 0. | 0. |
| 342~Link | G1_smistamento | 0. | 0. | 0. | 0. | 0. | 0. |
| 342~Link | G2_smistamento | 0. | 0. | 0. | 0. | 0. | 0. |
| 342~Link | Q_smistamento | 0. | 0. | 0. | 0. | 0. | 0. |
| 342~Link | Q_neve | 0. | 0. | 0. | 0. | 0. | 0. |
| 343~Link | DEAD | 0. | 0. | 0. | 0. | 0. | 0. |
| 343~Link | G1_smistamento | 0. | 0. | 0. | 0. | 0. | 0. |
| 343~Link | G2_smistamento | 0. | 0. | 0. | 0. | 0. | 0. |
| 343~Link | Q_smistamento | 0. | 0. | 0. | 0. | 0. | 0. |
| 343~Link | Q_neve | 0. | 0. | 0. | 0. | 0. | 0. |
| 344~Link | DEAD | 0. | 0. | 0. | 0. | 0. | 0. |
| 344~Link | G1_smistamento | 0. | 0. | 0. | 0. | 0. | 0. |
| 344~Link | G2_smistamento | 0. | 0. | 0. | 0. | 0. | 0. |
| 344~Link | Q_smistamento | 0. | 0. | 0. | 0. | 0. | 0. |
| 344~Link | Q_neve | 0. | 0. | 0. | 0. | 0. | 0. |

Table 18: Joint Displacements

| Joint | OutputCase | U1 | U2 | U3 | R1 | R2 | R3 |
|----------|----------------|----|----|----|---------|---------|---------|
| | | m | m | m | Radians | Radians | Radians |
| 345~Link | DEAD | 0. | 0. | 0. | 0. | 0. | 0. |
| 345~Link | G1_smistamento | 0. | 0. | 0. | 0. | 0. | 0. |
| 345~Link | G2_smistamento | 0. | 0. | 0. | 0. | 0. | 0. |
| 345~Link | Q_smistamento | 0. | 0. | 0. | 0. | 0. | 0. |
| 345~Link | Q_neve | 0. | 0. | 0. | 0. | 0. | 0. |
| 346~Link | DEAD | 0. | 0. | 0. | 0. | 0. | 0. |
| 346~Link | G1_smistamento | 0. | 0. | 0. | 0. | 0. | 0. |
| 346~Link | G2_smistamento | 0. | 0. | 0. | 0. | 0. | 0. |
| 346~Link | Q_smistamento | 0. | 0. | 0. | 0. | 0. | 0. |
| 346~Link | Q_neve | 0. | 0. | 0. | 0. | 0. | 0. |
| 347~Link | DEAD | 0. | 0. | 0. | 0. | 0. | 0. |
| 347~Link | G1_smistamento | 0. | 0. | 0. | 0. | 0. | 0. |
| 347~Link | G2_smistamento | 0. | 0. | 0. | 0. | 0. | 0. |
| 347~Link | Q_smistamento | 0. | 0. | 0. | 0. | 0. | 0. |
| 347~Link | Q_neve | 0. | 0. | 0. | 0. | 0. | 0. |
| 348~Link | DEAD | 0. | 0. | 0. | 0. | 0. | 0. |
| 348~Link | G1_smistamento | 0. | 0. | 0. | 0. | 0. | 0. |
| 348~Link | G2_smistamento | 0. | 0. | 0. | 0. | 0. | 0. |
| 348~Link | Q_smistamento | 0. | 0. | 0. | 0. | 0. | 0. |
| 348~Link | Q_neve | 0. | 0. | 0. | 0. | 0. | 0. |
| 349~Link | DEAD | 0. | 0. | 0. | 0. | 0. | 0. |
| 349~Link | G1_smistamento | 0. | 0. | 0. | 0. | 0. | 0. |
| 349~Link | G2_smistamento | 0. | 0. | 0. | 0. | 0. | 0. |
| 349~Link | Q_smistamento | 0. | 0. | 0. | 0. | 0. | 0. |
| 349~Link | Q_neve | 0. | 0. | 0. | 0. | 0. | 0. |
| 350~Link | DEAD | 0. | 0. | 0. | 0. | 0. | 0. |
| 350~Link | G1_smistamento | 0. | 0. | 0. | 0. | 0. | 0. |
| 350~Link | G2_smistamento | 0. | 0. | 0. | 0. | 0. | 0. |
| 350~Link | Q_smistamento | 0. | 0. | 0. | 0. | 0. | 0. |
| 350~Link | Q_neve | 0. | 0. | 0. | 0. | 0. | 0. |
| 351~Link | DEAD | 0. | 0. | 0. | 0. | 0. | 0. |
| 351~Link | G1_smistamento | 0. | 0. | 0. | 0. | 0. | 0. |
| 351~Link | G2_smistamento | 0. | 0. | 0. | 0. | 0. | 0. |
| 351~Link | Q_smistamento | 0. | 0. | 0. | 0. | 0. | 0. |
| 351~Link | Q_neve | 0. | 0. | 0. | 0. | 0. | 0. |
| 352~Link | DEAD | 0. | 0. | 0. | 0. | 0. | 0. |
| 352~Link | G1_smistamento | 0. | 0. | 0. | 0. | 0. | 0. |
| 352~Link | G2_smistamento | 0. | 0. | 0. | 0. | 0. | 0. |

Table 18: Joint Displacements

| Joint | OutputCase | U1 | U2 | U3 | R1 | R2 | R3 |
|----------|----------------|----|----|----|---------|---------|---------|
| | | m | m | m | Radians | Radians | Radians |
| 352~Link | Q_smistamento | 0. | 0. | 0. | 0. | 0. | 0. |
| 352~Link | Q_neve | 0. | 0. | 0. | 0. | 0. | 0. |
| 353~Link | DEAD | 0. | 0. | 0. | 0. | 0. | 0. |
| 353~Link | G1_smistamento | 0. | 0. | 0. | 0. | 0. | 0. |
| 353~Link | G2_smistamento | 0. | 0. | 0. | 0. | 0. | 0. |
| 353~Link | Q_smistamento | 0. | 0. | 0. | 0. | 0. | 0. |
| 353~Link | Q_neve | 0. | 0. | 0. | 0. | 0. | 0. |
| 354~Link | DEAD | 0. | 0. | 0. | 0. | 0. | 0. |
| 354~Link | G1_smistamento | 0. | 0. | 0. | 0. | 0. | 0. |
| 354~Link | G2_smistamento | 0. | 0. | 0. | 0. | 0. | 0. |
| 354~Link | Q_smistamento | 0. | 0. | 0. | 0. | 0. | 0. |
| 354~Link | Q_neve | 0. | 0. | 0. | 0. | 0. | 0. |
| 59~Link | DEAD | 0. | 0. | 0. | 0. | 0. | 0. |
| 59~Link | G1_smistamento | 0. | 0. | 0. | 0. | 0. | 0. |
| 59~Link | G2_smistamento | 0. | 0. | 0. | 0. | 0. | 0. |
| 59~Link | Q_smistamento | 0. | 0. | 0. | 0. | 0. | 0. |
| 59~Link | Q_neve | 0. | 0. | 0. | 0. | 0. | 0. |
| 1~Link | DEAD | 0. | 0. | 0. | 0. | 0. | 0. |
| 1~Link | G1_smistamento | 0. | 0. | 0. | 0. | 0. | 0. |
| 1~Link | G2_smistamento | 0. | 0. | 0. | 0. | 0. | 0. |
| 1~Link | Q_smistamento | 0. | 0. | 0. | 0. | 0. | 0. |
| 1~Link | Q_neve | 0. | 0. | 0. | 0. | 0. | 0. |
| 57~Link | DEAD | 0. | 0. | 0. | 0. | 0. | 0. |
| 57~Link | G1_smistamento | 0. | 0. | 0. | 0. | 0. | 0. |
| 57~Link | G2_smistamento | 0. | 0. | 0. | 0. | 0. | 0. |
| 57~Link | Q_smistamento | 0. | 0. | 0. | 0. | 0. | 0. |
| 57~Link | Q_neve | 0. | 0. | 0. | 0. | 0. | 0. |
| 60~Link | DEAD | 0. | 0. | 0. | 0. | 0. | 0. |
| 60~Link | G1_smistamento | 0. | 0. | 0. | 0. | 0. | 0. |
| 60~Link | G2_smistamento | 0. | 0. | 0. | 0. | 0. | 0. |
| 60~Link | Q_smistamento | 0. | 0. | 0. | 0. | 0. | 0. |
| 60~Link | Q_neve | 0. | 0. | 0. | 0. | 0. | 0. |
| 2~Link | DEAD | 0. | 0. | 0. | 0. | 0. | 0. |
| 2~Link | G1_smistamento | 0. | 0. | 0. | 0. | 0. | 0. |
| 2~Link | G2_smistamento | 0. | 0. | 0. | 0. | 0. | 0. |
| 2~Link | Q_smistamento | 0. | 0. | 0. | 0. | 0. | 0. |
| 2~Link | Q_neve | 0. | 0. | 0. | 0. | 0. | 0. |
| 61~Link | DEAD | 0. | 0. | 0. | 0. | 0. | 0. |

Table 18: Joint Displacements

| Joint | OutputCase | U1 | U2 | U3 | R1 | R2 | R3 |
|---------|----------------|----|----|----|---------|---------|---------|
| | | m | m | m | Radians | Radians | Radians |
| 61~Link | G1_smistamento | 0. | 0. | 0. | 0. | 0. | 0. |
| 61~Link | G2_smistamento | 0. | 0. | 0. | 0. | 0. | 0. |
| 61~Link | Q_smistamento | 0. | 0. | 0. | 0. | 0. | 0. |
| 61~Link | Q_neve | 0. | 0. | 0. | 0. | 0. | 0. |
| 62~Link | DEAD | 0. | 0. | 0. | 0. | 0. | 0. |
| 62~Link | G1_smistamento | 0. | 0. | 0. | 0. | 0. | 0. |
| 62~Link | G2_smistamento | 0. | 0. | 0. | 0. | 0. | 0. |
| 62~Link | Q_smistamento | 0. | 0. | 0. | 0. | 0. | 0. |
| 62~Link | Q_neve | 0. | 0. | 0. | 0. | 0. | 0. |
| 3~Link | DEAD | 0. | 0. | 0. | 0. | 0. | 0. |
| 3~Link | G1_smistamento | 0. | 0. | 0. | 0. | 0. | 0. |
| 3~Link | G2_smistamento | 0. | 0. | 0. | 0. | 0. | 0. |
| 3~Link | Q_smistamento | 0. | 0. | 0. | 0. | 0. | 0. |
| 3~Link | Q_neve | 0. | 0. | 0. | 0. | 0. | 0. |
| 64~Link | DEAD | 0. | 0. | 0. | 0. | 0. | 0. |
| 64~Link | G1_smistamento | 0. | 0. | 0. | 0. | 0. | 0. |
| 64~Link | G2_smistamento | 0. | 0. | 0. | 0. | 0. | 0. |
| 64~Link | Q_smistamento | 0. | 0. | 0. | 0. | 0. | 0. |
| 64~Link | Q_neve | 0. | 0. | 0. | 0. | 0. | 0. |
| 65~Link | DEAD | 0. | 0. | 0. | 0. | 0. | 0. |
| 65~Link | G1_smistamento | 0. | 0. | 0. | 0. | 0. | 0. |
| 65~Link | G2_smistamento | 0. | 0. | 0. | 0. | 0. | 0. |
| 65~Link | Q_smistamento | 0. | 0. | 0. | 0. | 0. | 0. |
| 65~Link | Q_neve | 0. | 0. | 0. | 0. | 0. | 0. |
| 4~Link | DEAD | 0. | 0. | 0. | 0. | 0. | 0. |
| 4~Link | G1_smistamento | 0. | 0. | 0. | 0. | 0. | 0. |
| 4~Link | G2_smistamento | 0. | 0. | 0. | 0. | 0. | 0. |
| 4~Link | Q_smistamento | 0. | 0. | 0. | 0. | 0. | 0. |
| 4~Link | Q_neve | 0. | 0. | 0. | 0. | 0. | 0. |
| 66~Link | DEAD | 0. | 0. | 0. | 0. | 0. | 0. |
| 66~Link | G1_smistamento | 0. | 0. | 0. | 0. | 0. | 0. |
| 66~Link | G2_smistamento | 0. | 0. | 0. | 0. | 0. | 0. |
| 66~Link | Q_smistamento | 0. | 0. | 0. | 0. | 0. | 0. |
| 66~Link | Q_neve | 0. | 0. | 0. | 0. | 0. | 0. |
| 67~Link | DEAD | 0. | 0. | 0. | 0. | 0. | 0. |
| 67~Link | G1_smistamento | 0. | 0. | 0. | 0. | 0. | 0. |
| 67~Link | G2_smistamento | 0. | 0. | 0. | 0. | 0. | 0. |
| 67~Link | Q_smistamento | 0. | 0. | 0. | 0. | 0. | 0. |

Table 18: Joint Displacements

| Joint | OutputCase | U1 | U2 | U3 | R1 | R2 | R3 |
|---------|----------------|----|----|----|---------|---------|---------|
| | | m | m | m | Radians | Radians | Radians |
| 67~Link | Q_neve | 0. | 0. | 0. | 0. | 0. | 0. |
| 69~Link | DEAD | 0. | 0. | 0. | 0. | 0. | 0. |
| 69~Link | G1_smistamento | 0. | 0. | 0. | 0. | 0. | 0. |
| 69~Link | G2_smistamento | 0. | 0. | 0. | 0. | 0. | 0. |
| 69~Link | Q_smistamento | 0. | 0. | 0. | 0. | 0. | 0. |
| 69~Link | Q_neve | 0. | 0. | 0. | 0. | 0. | 0. |
| 71~Link | DEAD | 0. | 0. | 0. | 0. | 0. | 0. |
| 71~Link | G1_smistamento | 0. | 0. | 0. | 0. | 0. | 0. |
| 71~Link | G2_smistamento | 0. | 0. | 0. | 0. | 0. | 0. |
| 71~Link | Q_smistamento | 0. | 0. | 0. | 0. | 0. | 0. |
| 71~Link | Q_neve | 0. | 0. | 0. | 0. | 0. | 0. |
| 73~Link | DEAD | 0. | 0. | 0. | 0. | 0. | 0. |
| 73~Link | G1_smistamento | 0. | 0. | 0. | 0. | 0. | 0. |
| 73~Link | G2_smistamento | 0. | 0. | 0. | 0. | 0. | 0. |
| 73~Link | Q_smistamento | 0. | 0. | 0. | 0. | 0. | 0. |
| 73~Link | Q_neve | 0. | 0. | 0. | 0. | 0. | 0. |
| 75~Link | DEAD | 0. | 0. | 0. | 0. | 0. | 0. |
| 75~Link | G1_smistamento | 0. | 0. | 0. | 0. | 0. | 0. |
| 75~Link | G2_smistamento | 0. | 0. | 0. | 0. | 0. | 0. |
| 75~Link | Q_smistamento | 0. | 0. | 0. | 0. | 0. | 0. |
| 75~Link | Q_neve | 0. | 0. | 0. | 0. | 0. | 0. |
| 77~Link | DEAD | 0. | 0. | 0. | 0. | 0. | 0. |
| 77~Link | G1_smistamento | 0. | 0. | 0. | 0. | 0. | 0. |
| 77~Link | G2_smistamento | 0. | 0. | 0. | 0. | 0. | 0. |
| 77~Link | Q_smistamento | 0. | 0. | 0. | 0. | 0. | 0. |
| 77~Link | Q_neve | 0. | 0. | 0. | 0. | 0. | 0. |
| 79~Link | DEAD | 0. | 0. | 0. | 0. | 0. | 0. |
| 79~Link | G1_smistamento | 0. | 0. | 0. | 0. | 0. | 0. |
| 79~Link | G2_smistamento | 0. | 0. | 0. | 0. | 0. | 0. |
| 79~Link | Q_smistamento | 0. | 0. | 0. | 0. | 0. | 0. |
| 79~Link | Q_neve | 0. | 0. | 0. | 0. | 0. | 0. |
| 81~Link | DEAD | 0. | 0. | 0. | 0. | 0. | 0. |
| 81~Link | G1_smistamento | 0. | 0. | 0. | 0. | 0. | 0. |
| 81~Link | G2_smistamento | 0. | 0. | 0. | 0. | 0. | 0. |
| 81~Link | Q_smistamento | 0. | 0. | 0. | 0. | 0. | 0. |
| 81~Link | Q_neve | 0. | 0. | 0. | 0. | 0. | 0. |
| 83~Link | DEAD | 0. | 0. | 0. | 0. | 0. | 0. |
| 83~Link | G1_smistamento | 0. | 0. | 0. | 0. | 0. | 0. |

Table 18: Joint Displacements

| Joint | OutputCase | U1 | U2 | U3 | R1 | R2 | R3 |
|---------|----------------|----|----|----|---------|---------|---------|
| | | m | m | m | Radians | Radians | Radians |
| 83~Link | G2_smistamento | 0. | 0. | 0. | 0. | 0. | 0. |
| 83~Link | Q_smistamento | 0. | 0. | 0. | 0. | 0. | 0. |
| 83~Link | Q_neve | 0. | 0. | 0. | 0. | 0. | 0. |
| 85~Link | DEAD | 0. | 0. | 0. | 0. | 0. | 0. |
| 85~Link | G1_smistamento | 0. | 0. | 0. | 0. | 0. | 0. |
| 85~Link | G2_smistamento | 0. | 0. | 0. | 0. | 0. | 0. |
| 85~Link | Q_smistamento | 0. | 0. | 0. | 0. | 0. | 0. |
| 85~Link | Q_neve | 0. | 0. | 0. | 0. | 0. | 0. |
| 87~Link | DEAD | 0. | 0. | 0. | 0. | 0. | 0. |
| 87~Link | G1_smistamento | 0. | 0. | 0. | 0. | 0. | 0. |
| 87~Link | G2_smistamento | 0. | 0. | 0. | 0. | 0. | 0. |
| 87~Link | Q_smistamento | 0. | 0. | 0. | 0. | 0. | 0. |
| 87~Link | Q_neve | 0. | 0. | 0. | 0. | 0. | 0. |
| 89~Link | DEAD | 0. | 0. | 0. | 0. | 0. | 0. |
| 89~Link | G1_smistamento | 0. | 0. | 0. | 0. | 0. | 0. |
| 89~Link | G2_smistamento | 0. | 0. | 0. | 0. | 0. | 0. |
| 89~Link | Q_smistamento | 0. | 0. | 0. | 0. | 0. | 0. |
| 89~Link | Q_neve | 0. | 0. | 0. | 0. | 0. | 0. |
| 91~Link | DEAD | 0. | 0. | 0. | 0. | 0. | 0. |
| 91~Link | G1_smistamento | 0. | 0. | 0. | 0. | 0. | 0. |
| 91~Link | G2_smistamento | 0. | 0. | 0. | 0. | 0. | 0. |
| 91~Link | Q_smistamento | 0. | 0. | 0. | 0. | 0. | 0. |
| 91~Link | Q_neve | 0. | 0. | 0. | 0. | 0. | 0. |
| 93~Link | DEAD | 0. | 0. | 0. | 0. | 0. | 0. |
| 93~Link | G1_smistamento | 0. | 0. | 0. | 0. | 0. | 0. |
| 93~Link | G2_smistamento | 0. | 0. | 0. | 0. | 0. | 0. |
| 93~Link | Q_smistamento | 0. | 0. | 0. | 0. | 0. | 0. |
| 93~Link | Q_neve | 0. | 0. | 0. | 0. | 0. | 0. |
| 95~Link | DEAD | 0. | 0. | 0. | 0. | 0. | 0. |
| 95~Link | G1_smistamento | 0. | 0. | 0. | 0. | 0. | 0. |
| 95~Link | G2_smistamento | 0. | 0. | 0. | 0. | 0. | 0. |
| 95~Link | Q_smistamento | 0. | 0. | 0. | 0. | 0. | 0. |
| 95~Link | Q_neve | 0. | 0. | 0. | 0. | 0. | 0. |
| 97~Link | DEAD | 0. | 0. | 0. | 0. | 0. | 0. |
| 97~Link | G1_smistamento | 0. | 0. | 0. | 0. | 0. | 0. |
| 97~Link | G2_smistamento | 0. | 0. | 0. | 0. | 0. | 0. |
| 97~Link | Q_smistamento | 0. | 0. | 0. | 0. | 0. | 0. |
| 97~Link | Q_neve | 0. | 0. | 0. | 0. | 0. | 0. |

Table 18: Joint Displacements

| Joint | OutputCase | U1 | U2 | U3 | R1 | R2 | R3 |
|----------|----------------|----|----|----|---------|---------|---------|
| | | m | m | m | Radians | Radians | Radians |
| 99~Link | DEAD | 0. | 0. | 0. | 0. | 0. | 0. |
| 99~Link | G1_smistamento | 0. | 0. | 0. | 0. | 0. | 0. |
| 99~Link | G2_smistamento | 0. | 0. | 0. | 0. | 0. | 0. |
| 99~Link | Q_smistamento | 0. | 0. | 0. | 0. | 0. | 0. |
| 99~Link | Q_neve | 0. | 0. | 0. | 0. | 0. | 0. |
| 101~Link | DEAD | 0. | 0. | 0. | 0. | 0. | 0. |
| 101~Link | G1_smistamento | 0. | 0. | 0. | 0. | 0. | 0. |
| 101~Link | G2_smistamento | 0. | 0. | 0. | 0. | 0. | 0. |
| 101~Link | Q_smistamento | 0. | 0. | 0. | 0. | 0. | 0. |
| 101~Link | Q_neve | 0. | 0. | 0. | 0. | 0. | 0. |
| 103~Link | DEAD | 0. | 0. | 0. | 0. | 0. | 0. |
| 103~Link | G1_smistamento | 0. | 0. | 0. | 0. | 0. | 0. |
| 103~Link | G2_smistamento | 0. | 0. | 0. | 0. | 0. | 0. |
| 103~Link | Q_smistamento | 0. | 0. | 0. | 0. | 0. | 0. |
| 103~Link | Q_neve | 0. | 0. | 0. | 0. | 0. | 0. |
| 105~Link | DEAD | 0. | 0. | 0. | 0. | 0. | 0. |
| 105~Link | G1_smistamento | 0. | 0. | 0. | 0. | 0. | 0. |
| 105~Link | G2_smistamento | 0. | 0. | 0. | 0. | 0. | 0. |
| 105~Link | Q_smistamento | 0. | 0. | 0. | 0. | 0. | 0. |
| 105~Link | Q_neve | 0. | 0. | 0. | 0. | 0. | 0. |
| 107~Link | DEAD | 0. | 0. | 0. | 0. | 0. | 0. |
| 107~Link | G1_smistamento | 0. | 0. | 0. | 0. | 0. | 0. |
| 107~Link | G2_smistamento | 0. | 0. | 0. | 0. | 0. | 0. |
| 107~Link | Q_smistamento | 0. | 0. | 0. | 0. | 0. | 0. |
| 107~Link | Q_neve | 0. | 0. | 0. | 0. | 0. | 0. |
| 109~Link | DEAD | 0. | 0. | 0. | 0. | 0. | 0. |
| 109~Link | G1_smistamento | 0. | 0. | 0. | 0. | 0. | 0. |
| 109~Link | G2_smistamento | 0. | 0. | 0. | 0. | 0. | 0. |
| 109~Link | Q_smistamento | 0. | 0. | 0. | 0. | 0. | 0. |
| 109~Link | Q_neve | 0. | 0. | 0. | 0. | 0. | 0. |
| 111~Link | DEAD | 0. | 0. | 0. | 0. | 0. | 0. |
| 111~Link | G1_smistamento | 0. | 0. | 0. | 0. | 0. | 0. |
| 111~Link | G2_smistamento | 0. | 0. | 0. | 0. | 0. | 0. |
| 111~Link | Q_smistamento | 0. | 0. | 0. | 0. | 0. | 0. |
| 111~Link | Q_neve | 0. | 0. | 0. | 0. | 0. | 0. |
| 113~Link | DEAD | 0. | 0. | 0. | 0. | 0. | 0. |
| 113~Link | G1_smistamento | 0. | 0. | 0. | 0. | 0. | 0. |
| 113~Link | G2_smistamento | 0. | 0. | 0. | 0. | 0. | 0. |

Table 18: Joint Displacements

| Joint | OutputCase | U1 | U2 | U3 | R1 | R2 | R3 |
|----------|----------------|----|----|----|---------|---------|---------|
| | | m | m | m | Radians | Radians | Radians |
| 113~Link | Q_smistamento | 0. | 0. | 0. | 0. | 0. | 0. |
| 113~Link | Q_neve | 0. | 0. | 0. | 0. | 0. | 0. |
| 115~Link | DEAD | 0. | 0. | 0. | 0. | 0. | 0. |
| 115~Link | G1_smistamento | 0. | 0. | 0. | 0. | 0. | 0. |
| 115~Link | G2_smistamento | 0. | 0. | 0. | 0. | 0. | 0. |
| 115~Link | Q_smistamento | 0. | 0. | 0. | 0. | 0. | 0. |
| 115~Link | Q_neve | 0. | 0. | 0. | 0. | 0. | 0. |
| 117~Link | DEAD | 0. | 0. | 0. | 0. | 0. | 0. |
| 117~Link | G1_smistamento | 0. | 0. | 0. | 0. | 0. | 0. |
| 117~Link | G2_smistamento | 0. | 0. | 0. | 0. | 0. | 0. |
| 117~Link | Q_smistamento | 0. | 0. | 0. | 0. | 0. | 0. |
| 117~Link | Q_neve | 0. | 0. | 0. | 0. | 0. | 0. |
| 119~Link | DEAD | 0. | 0. | 0. | 0. | 0. | 0. |
| 119~Link | G1_smistamento | 0. | 0. | 0. | 0. | 0. | 0. |
| 119~Link | G2_smistamento | 0. | 0. | 0. | 0. | 0. | 0. |
| 119~Link | Q_smistamento | 0. | 0. | 0. | 0. | 0. | 0. |
| 119~Link | Q_neve | 0. | 0. | 0. | 0. | 0. | 0. |
| 121~Link | DEAD | 0. | 0. | 0. | 0. | 0. | 0. |
| 121~Link | G1_smistamento | 0. | 0. | 0. | 0. | 0. | 0. |
| 121~Link | G2_smistamento | 0. | 0. | 0. | 0. | 0. | 0. |
| 121~Link | Q_smistamento | 0. | 0. | 0. | 0. | 0. | 0. |
| 121~Link | Q_neve | 0. | 0. | 0. | 0. | 0. | 0. |
| 123~Link | DEAD | 0. | 0. | 0. | 0. | 0. | 0. |
| 123~Link | G1_smistamento | 0. | 0. | 0. | 0. | 0. | 0. |
| 123~Link | G2_smistamento | 0. | 0. | 0. | 0. | 0. | 0. |
| 123~Link | Q_smistamento | 0. | 0. | 0. | 0. | 0. | 0. |
| 123~Link | Q_neve | 0. | 0. | 0. | 0. | 0. | 0. |
| 125~Link | DEAD | 0. | 0. | 0. | 0. | 0. | 0. |
| 125~Link | G1_smistamento | 0. | 0. | 0. | 0. | 0. | 0. |
| 125~Link | G2_smistamento | 0. | 0. | 0. | 0. | 0. | 0. |
| 125~Link | Q_smistamento | 0. | 0. | 0. | 0. | 0. | 0. |
| 125~Link | Q_neve | 0. | 0. | 0. | 0. | 0. | 0. |
| 127~Link | DEAD | 0. | 0. | 0. | 0. | 0. | 0. |
| 127~Link | G1_smistamento | 0. | 0. | 0. | 0. | 0. | 0. |
| 127~Link | G2_smistamento | 0. | 0. | 0. | 0. | 0. | 0. |
| 127~Link | Q_smistamento | 0. | 0. | 0. | 0. | 0. | 0. |
| 127~Link | Q_neve | 0. | 0. | 0. | 0. | 0. | 0. |
| 129~Link | DEAD | 0. | 0. | 0. | 0. | 0. | 0. |

Table 18: Joint Displacements

| Joint | OutputCase | U1 | U2 | U3 | R1 | R2 | R3 |
|----------|----------------|----|----|----|---------|---------|---------|
| | | m | m | m | Radians | Radians | Radians |
| 129~Link | G1_smistamento | 0. | 0. | 0. | 0. | 0. | 0. |
| 129~Link | G2_smistamento | 0. | 0. | 0. | 0. | 0. | 0. |
| 129~Link | Q_smistamento | 0. | 0. | 0. | 0. | 0. | 0. |
| 129~Link | Q_neve | 0. | 0. | 0. | 0. | 0. | 0. |
| 131~Link | DEAD | 0. | 0. | 0. | 0. | 0. | 0. |
| 131~Link | G1_smistamento | 0. | 0. | 0. | 0. | 0. | 0. |
| 131~Link | G2_smistamento | 0. | 0. | 0. | 0. | 0. | 0. |
| 131~Link | Q_smistamento | 0. | 0. | 0. | 0. | 0. | 0. |
| 131~Link | Q_neve | 0. | 0. | 0. | 0. | 0. | 0. |
| 133~Link | DEAD | 0. | 0. | 0. | 0. | 0. | 0. |
| 133~Link | G1_smistamento | 0. | 0. | 0. | 0. | 0. | 0. |
| 133~Link | G2_smistamento | 0. | 0. | 0. | 0. | 0. | 0. |
| 133~Link | Q_smistamento | 0. | 0. | 0. | 0. | 0. | 0. |
| 133~Link | Q_neve | 0. | 0. | 0. | 0. | 0. | 0. |
| 135~Link | DEAD | 0. | 0. | 0. | 0. | 0. | 0. |
| 135~Link | G1_smistamento | 0. | 0. | 0. | 0. | 0. | 0. |
| 135~Link | G2_smistamento | 0. | 0. | 0. | 0. | 0. | 0. |
| 135~Link | Q_smistamento | 0. | 0. | 0. | 0. | 0. | 0. |
| 135~Link | Q_neve | 0. | 0. | 0. | 0. | 0. | 0. |
| 137~Link | DEAD | 0. | 0. | 0. | 0. | 0. | 0. |
| 137~Link | G1_smistamento | 0. | 0. | 0. | 0. | 0. | 0. |
| 137~Link | G2_smistamento | 0. | 0. | 0. | 0. | 0. | 0. |
| 137~Link | Q_smistamento | 0. | 0. | 0. | 0. | 0. | 0. |
| 137~Link | Q_neve | 0. | 0. | 0. | 0. | 0. | 0. |
| 139~Link | DEAD | 0. | 0. | 0. | 0. | 0. | 0. |
| 139~Link | G1_smistamento | 0. | 0. | 0. | 0. | 0. | 0. |
| 139~Link | G2_smistamento | 0. | 0. | 0. | 0. | 0. | 0. |
| 139~Link | Q_smistamento | 0. | 0. | 0. | 0. | 0. | 0. |
| 139~Link | Q_neve | 0. | 0. | 0. | 0. | 0. | 0. |
| 141~Link | DEAD | 0. | 0. | 0. | 0. | 0. | 0. |
| 141~Link | G1_smistamento | 0. | 0. | 0. | 0. | 0. | 0. |
| 141~Link | G2_smistamento | 0. | 0. | 0. | 0. | 0. | 0. |
| 141~Link | Q_smistamento | 0. | 0. | 0. | 0. | 0. | 0. |
| 141~Link | Q_neve | 0. | 0. | 0. | 0. | 0. | 0. |
| 143~Link | DEAD | 0. | 0. | 0. | 0. | 0. | 0. |
| 143~Link | G1_smistamento | 0. | 0. | 0. | 0. | 0. | 0. |
| 143~Link | G2_smistamento | 0. | 0. | 0. | 0. | 0. | 0. |
| 143~Link | Q_smistamento | 0. | 0. | 0. | 0. | 0. | 0. |

Table 18: Joint Displacements

| Joint | OutputCase | U1 | U2 | U3 | R1 | R2 | R3 |
|----------|----------------|----|----|----|---------|---------|---------|
| | | m | m | m | Radians | Radians | Radians |
| 143~Link | Q_neve | 0. | 0. | 0. | 0. | 0. | 0. |
| 145~Link | DEAD | 0. | 0. | 0. | 0. | 0. | 0. |
| 145~Link | G1_smistamento | 0. | 0. | 0. | 0. | 0. | 0. |
| 145~Link | G2_smistamento | 0. | 0. | 0. | 0. | 0. | 0. |
| 145~Link | Q_smistamento | 0. | 0. | 0. | 0. | 0. | 0. |
| 145~Link | Q_neve | 0. | 0. | 0. | 0. | 0. | 0. |
| 58~Link | DEAD | 0. | 0. | 0. | 0. | 0. | 0. |
| 58~Link | G1_smistamento | 0. | 0. | 0. | 0. | 0. | 0. |
| 58~Link | G2_smistamento | 0. | 0. | 0. | 0. | 0. | 0. |
| 58~Link | Q_smistamento | 0. | 0. | 0. | 0. | 0. | 0. |
| 58~Link | Q_neve | 0. | 0. | 0. | 0. | 0. | 0. |
| 6~Link | DEAD | 0. | 0. | 0. | 0. | 0. | 0. |
| 6~Link | G1_smistamento | 0. | 0. | 0. | 0. | 0. | 0. |
| 6~Link | G2_smistamento | 0. | 0. | 0. | 0. | 0. | 0. |
| 6~Link | Q_smistamento | 0. | 0. | 0. | 0. | 0. | 0. |
| 6~Link | Q_neve | 0. | 0. | 0. | 0. | 0. | 0. |
| 63~Link | DEAD | 0. | 0. | 0. | 0. | 0. | 0. |
| 63~Link | G1_smistamento | 0. | 0. | 0. | 0. | 0. | 0. |
| 63~Link | G2_smistamento | 0. | 0. | 0. | 0. | 0. | 0. |
| 63~Link | Q_smistamento | 0. | 0. | 0. | 0. | 0. | 0. |
| 63~Link | Q_neve | 0. | 0. | 0. | 0. | 0. | 0. |
| 5~Link | DEAD | 0. | 0. | 0. | 0. | 0. | 0. |
| 5~Link | G1_smistamento | 0. | 0. | 0. | 0. | 0. | 0. |
| 5~Link | G2_smistamento | 0. | 0. | 0. | 0. | 0. | 0. |
| 5~Link | Q_smistamento | 0. | 0. | 0. | 0. | 0. | 0. |
| 5~Link | Q_neve | 0. | 0. | 0. | 0. | 0. | 0. |
| 68~Link | DEAD | 0. | 0. | 0. | 0. | 0. | 0. |
| 68~Link | G1_smistamento | 0. | 0. | 0. | 0. | 0. | 0. |
| 68~Link | G2_smistamento | 0. | 0. | 0. | 0. | 0. | 0. |
| 68~Link | Q_smistamento | 0. | 0. | 0. | 0. | 0. | 0. |
| 68~Link | Q_neve | 0. | 0. | 0. | 0. | 0. | 0. |
| 70~Link | DEAD | 0. | 0. | 0. | 0. | 0. | 0. |
| 70~Link | G1_smistamento | 0. | 0. | 0. | 0. | 0. | 0. |
| 70~Link | G2_smistamento | 0. | 0. | 0. | 0. | 0. | 0. |
| 70~Link | Q_smistamento | 0. | 0. | 0. | 0. | 0. | 0. |
| 70~Link | Q_neve | 0. | 0. | 0. | 0. | 0. | 0. |
| 72~Link | DEAD | 0. | 0. | 0. | 0. | 0. | 0. |
| 72~Link | G1_smistamento | 0. | 0. | 0. | 0. | 0. | 0. |

Table 18: Joint Displacements

| Joint | OutputCase | U1 | U2 | U3 | R1 | R2 | R3 |
|---------|----------------|----|----|----|---------|---------|---------|
| | | m | m | m | Radians | Radians | Radians |
| 72~Link | G2_smistamento | 0. | 0. | 0. | 0. | 0. | 0. |
| 72~Link | Q_smistamento | 0. | 0. | 0. | 0. | 0. | 0. |
| 72~Link | Q_neve | 0. | 0. | 0. | 0. | 0. | 0. |
| 74~Link | DEAD | 0. | 0. | 0. | 0. | 0. | 0. |
| 74~Link | G1_smistamento | 0. | 0. | 0. | 0. | 0. | 0. |
| 74~Link | G2_smistamento | 0. | 0. | 0. | 0. | 0. | 0. |
| 74~Link | Q_smistamento | 0. | 0. | 0. | 0. | 0. | 0. |
| 74~Link | Q_neve | 0. | 0. | 0. | 0. | 0. | 0. |
| 76~Link | DEAD | 0. | 0. | 0. | 0. | 0. | 0. |
| 76~Link | G1_smistamento | 0. | 0. | 0. | 0. | 0. | 0. |
| 76~Link | G2_smistamento | 0. | 0. | 0. | 0. | 0. | 0. |
| 76~Link | Q_smistamento | 0. | 0. | 0. | 0. | 0. | 0. |
| 76~Link | Q_neve | 0. | 0. | 0. | 0. | 0. | 0. |
| 78~Link | DEAD | 0. | 0. | 0. | 0. | 0. | 0. |
| 78~Link | G1_smistamento | 0. | 0. | 0. | 0. | 0. | 0. |
| 78~Link | G2_smistamento | 0. | 0. | 0. | 0. | 0. | 0. |
| 78~Link | Q_smistamento | 0. | 0. | 0. | 0. | 0. | 0. |
| 78~Link | Q_neve | 0. | 0. | 0. | 0. | 0. | 0. |
| 80~Link | DEAD | 0. | 0. | 0. | 0. | 0. | 0. |
| 80~Link | G1_smistamento | 0. | 0. | 0. | 0. | 0. | 0. |
| 80~Link | G2_smistamento | 0. | 0. | 0. | 0. | 0. | 0. |
| 80~Link | Q_smistamento | 0. | 0. | 0. | 0. | 0. | 0. |
| 80~Link | Q_neve | 0. | 0. | 0. | 0. | 0. | 0. |
| 82~Link | DEAD | 0. | 0. | 0. | 0. | 0. | 0. |
| 82~Link | G1_smistamento | 0. | 0. | 0. | 0. | 0. | 0. |
| 82~Link | G2_smistamento | 0. | 0. | 0. | 0. | 0. | 0. |
| 82~Link | Q_smistamento | 0. | 0. | 0. | 0. | 0. | 0. |
| 82~Link | Q_neve | 0. | 0. | 0. | 0. | 0. | 0. |
| 84~Link | DEAD | 0. | 0. | 0. | 0. | 0. | 0. |
| 84~Link | G1_smistamento | 0. | 0. | 0. | 0. | 0. | 0. |
| 84~Link | G2_smistamento | 0. | 0. | 0. | 0. | 0. | 0. |
| 84~Link | Q_smistamento | 0. | 0. | 0. | 0. | 0. | 0. |
| 84~Link | Q_neve | 0. | 0. | 0. | 0. | 0. | 0. |
| 86~Link | DEAD | 0. | 0. | 0. | 0. | 0. | 0. |
| 86~Link | G1_smistamento | 0. | 0. | 0. | 0. | 0. | 0. |
| 86~Link | G2_smistamento | 0. | 0. | 0. | 0. | 0. | 0. |
| 86~Link | Q_smistamento | 0. | 0. | 0. | 0. | 0. | 0. |
| 86~Link | Q_neve | 0. | 0. | 0. | 0. | 0. | 0. |

Table 18: Joint Displacements

| Joint | OutputCase | U1 | U2 | U3 | R1 | R2 | R3 |
|----------|----------------|----|----|----|---------|---------|---------|
| | | m | m | m | Radians | Radians | Radians |
| 88~Link | DEAD | 0. | 0. | 0. | 0. | 0. | 0. |
| 88~Link | G1_smistamento | 0. | 0. | 0. | 0. | 0. | 0. |
| 88~Link | G2_smistamento | 0. | 0. | 0. | 0. | 0. | 0. |
| 88~Link | Q_smistamento | 0. | 0. | 0. | 0. | 0. | 0. |
| 88~Link | Q_neve | 0. | 0. | 0. | 0. | 0. | 0. |
| 90~Link | DEAD | 0. | 0. | 0. | 0. | 0. | 0. |
| 90~Link | G1_smistamento | 0. | 0. | 0. | 0. | 0. | 0. |
| 90~Link | G2_smistamento | 0. | 0. | 0. | 0. | 0. | 0. |
| 90~Link | Q_smistamento | 0. | 0. | 0. | 0. | 0. | 0. |
| 90~Link | Q_neve | 0. | 0. | 0. | 0. | 0. | 0. |
| 92~Link | DEAD | 0. | 0. | 0. | 0. | 0. | 0. |
| 92~Link | G1_smistamento | 0. | 0. | 0. | 0. | 0. | 0. |
| 92~Link | G2_smistamento | 0. | 0. | 0. | 0. | 0. | 0. |
| 92~Link | Q_smistamento | 0. | 0. | 0. | 0. | 0. | 0. |
| 92~Link | Q_neve | 0. | 0. | 0. | 0. | 0. | 0. |
| 94~Link | DEAD | 0. | 0. | 0. | 0. | 0. | 0. |
| 94~Link | G1_smistamento | 0. | 0. | 0. | 0. | 0. | 0. |
| 94~Link | G2_smistamento | 0. | 0. | 0. | 0. | 0. | 0. |
| 94~Link | Q_smistamento | 0. | 0. | 0. | 0. | 0. | 0. |
| 94~Link | Q_neve | 0. | 0. | 0. | 0. | 0. | 0. |
| 96~Link | DEAD | 0. | 0. | 0. | 0. | 0. | 0. |
| 96~Link | G1_smistamento | 0. | 0. | 0. | 0. | 0. | 0. |
| 96~Link | G2_smistamento | 0. | 0. | 0. | 0. | 0. | 0. |
| 96~Link | Q_smistamento | 0. | 0. | 0. | 0. | 0. | 0. |
| 96~Link | Q_neve | 0. | 0. | 0. | 0. | 0. | 0. |
| 98~Link | DEAD | 0. | 0. | 0. | 0. | 0. | 0. |
| 98~Link | G1_smistamento | 0. | 0. | 0. | 0. | 0. | 0. |
| 98~Link | G2_smistamento | 0. | 0. | 0. | 0. | 0. | 0. |
| 98~Link | Q_smistamento | 0. | 0. | 0. | 0. | 0. | 0. |
| 98~Link | Q_neve | 0. | 0. | 0. | 0. | 0. | 0. |
| 100~Link | DEAD | 0. | 0. | 0. | 0. | 0. | 0. |
| 100~Link | G1_smistamento | 0. | 0. | 0. | 0. | 0. | 0. |
| 100~Link | G2_smistamento | 0. | 0. | 0. | 0. | 0. | 0. |
| 100~Link | Q_smistamento | 0. | 0. | 0. | 0. | 0. | 0. |
| 100~Link | Q_neve | 0. | 0. | 0. | 0. | 0. | 0. |
| 102~Link | DEAD | 0. | 0. | 0. | 0. | 0. | 0. |
| 102~Link | G1_smistamento | 0. | 0. | 0. | 0. | 0. | 0. |
| 102~Link | G2_smistamento | 0. | 0. | 0. | 0. | 0. | 0. |

Table 18: Joint Displacements

| Joint | OutputCase | U1 | U2 | U3 | R1 | R2 | R3 |
|----------|----------------|----|----|----|---------|---------|---------|
| | | m | m | m | Radians | Radians | Radians |
| 102~Link | Q_smistamento | 0. | 0. | 0. | 0. | 0. | 0. |
| 102~Link | Q_neve | 0. | 0. | 0. | 0. | 0. | 0. |
| 104~Link | DEAD | 0. | 0. | 0. | 0. | 0. | 0. |
| 104~Link | G1_smistamento | 0. | 0. | 0. | 0. | 0. | 0. |
| 104~Link | G2_smistamento | 0. | 0. | 0. | 0. | 0. | 0. |
| 104~Link | Q_smistamento | 0. | 0. | 0. | 0. | 0. | 0. |
| 104~Link | Q_neve | 0. | 0. | 0. | 0. | 0. | 0. |
| 106~Link | DEAD | 0. | 0. | 0. | 0. | 0. | 0. |
| 106~Link | G1_smistamento | 0. | 0. | 0. | 0. | 0. | 0. |
| 106~Link | G2_smistamento | 0. | 0. | 0. | 0. | 0. | 0. |
| 106~Link | Q_smistamento | 0. | 0. | 0. | 0. | 0. | 0. |
| 106~Link | Q_neve | 0. | 0. | 0. | 0. | 0. | 0. |
| 108~Link | DEAD | 0. | 0. | 0. | 0. | 0. | 0. |
| 108~Link | G1_smistamento | 0. | 0. | 0. | 0. | 0. | 0. |
| 108~Link | G2_smistamento | 0. | 0. | 0. | 0. | 0. | 0. |
| 108~Link | Q_smistamento | 0. | 0. | 0. | 0. | 0. | 0. |
| 108~Link | Q_neve | 0. | 0. | 0. | 0. | 0. | 0. |
| 110~Link | DEAD | 0. | 0. | 0. | 0. | 0. | 0. |
| 110~Link | G1_smistamento | 0. | 0. | 0. | 0. | 0. | 0. |
| 110~Link | G2_smistamento | 0. | 0. | 0. | 0. | 0. | 0. |
| 110~Link | Q_smistamento | 0. | 0. | 0. | 0. | 0. | 0. |
| 110~Link | Q_neve | 0. | 0. | 0. | 0. | 0. | 0. |
| 112~Link | DEAD | 0. | 0. | 0. | 0. | 0. | 0. |
| 112~Link | G1_smistamento | 0. | 0. | 0. | 0. | 0. | 0. |
| 112~Link | G2_smistamento | 0. | 0. | 0. | 0. | 0. | 0. |
| 112~Link | Q_smistamento | 0. | 0. | 0. | 0. | 0. | 0. |
| 112~Link | Q_neve | 0. | 0. | 0. | 0. | 0. | 0. |
| 114~Link | DEAD | 0. | 0. | 0. | 0. | 0. | 0. |
| 114~Link | G1_smistamento | 0. | 0. | 0. | 0. | 0. | 0. |
| 114~Link | G2_smistamento | 0. | 0. | 0. | 0. | 0. | 0. |
| 114~Link | Q_smistamento | 0. | 0. | 0. | 0. | 0. | 0. |
| 114~Link | Q_neve | 0. | 0. | 0. | 0. | 0. | 0. |
| 116~Link | DEAD | 0. | 0. | 0. | 0. | 0. | 0. |
| 116~Link | G1_smistamento | 0. | 0. | 0. | 0. | 0. | 0. |
| 116~Link | G2_smistamento | 0. | 0. | 0. | 0. | 0. | 0. |
| 116~Link | Q_smistamento | 0. | 0. | 0. | 0. | 0. | 0. |
| 116~Link | Q_neve | 0. | 0. | 0. | 0. | 0. | 0. |
| 118~Link | DEAD | 0. | 0. | 0. | 0. | 0. | 0. |

Table 18: Joint Displacements

| Joint | OutputCase | U1 | U2 | U3 | R1 | R2 | R3 |
|----------|----------------|----|----|----|---------|---------|---------|
| | | m | m | m | Radians | Radians | Radians |
| 118~Link | G1_smistamento | 0. | 0. | 0. | 0. | 0. | 0. |
| 118~Link | G2_smistamento | 0. | 0. | 0. | 0. | 0. | 0. |
| 118~Link | Q_smistamento | 0. | 0. | 0. | 0. | 0. | 0. |
| 118~Link | Q_neve | 0. | 0. | 0. | 0. | 0. | 0. |
| 120~Link | DEAD | 0. | 0. | 0. | 0. | 0. | 0. |
| 120~Link | G1_smistamento | 0. | 0. | 0. | 0. | 0. | 0. |
| 120~Link | G2_smistamento | 0. | 0. | 0. | 0. | 0. | 0. |
| 120~Link | Q_smistamento | 0. | 0. | 0. | 0. | 0. | 0. |
| 120~Link | Q_neve | 0. | 0. | 0. | 0. | 0. | 0. |
| 122~Link | DEAD | 0. | 0. | 0. | 0. | 0. | 0. |
| 122~Link | G1_smistamento | 0. | 0. | 0. | 0. | 0. | 0. |
| 122~Link | G2_smistamento | 0. | 0. | 0. | 0. | 0. | 0. |
| 122~Link | Q_smistamento | 0. | 0. | 0. | 0. | 0. | 0. |
| 122~Link | Q_neve | 0. | 0. | 0. | 0. | 0. | 0. |
| 124~Link | DEAD | 0. | 0. | 0. | 0. | 0. | 0. |
| 124~Link | G1_smistamento | 0. | 0. | 0. | 0. | 0. | 0. |
| 124~Link | G2_smistamento | 0. | 0. | 0. | 0. | 0. | 0. |
| 124~Link | Q_smistamento | 0. | 0. | 0. | 0. | 0. | 0. |
| 124~Link | Q_neve | 0. | 0. | 0. | 0. | 0. | 0. |
| 126~Link | DEAD | 0. | 0. | 0. | 0. | 0. | 0. |
| 126~Link | G1_smistamento | 0. | 0. | 0. | 0. | 0. | 0. |
| 126~Link | G2_smistamento | 0. | 0. | 0. | 0. | 0. | 0. |
| 126~Link | Q_smistamento | 0. | 0. | 0. | 0. | 0. | 0. |
| 126~Link | Q_neve | 0. | 0. | 0. | 0. | 0. | 0. |
| 128~Link | DEAD | 0. | 0. | 0. | 0. | 0. | 0. |
| 128~Link | G1_smistamento | 0. | 0. | 0. | 0. | 0. | 0. |
| 128~Link | G2_smistamento | 0. | 0. | 0. | 0. | 0. | 0. |
| 128~Link | Q_smistamento | 0. | 0. | 0. | 0. | 0. | 0. |
| 128~Link | Q_neve | 0. | 0. | 0. | 0. | 0. | 0. |
| 130~Link | DEAD | 0. | 0. | 0. | 0. | 0. | 0. |
| 130~Link | G1_smistamento | 0. | 0. | 0. | 0. | 0. | 0. |
| 130~Link | G2_smistamento | 0. | 0. | 0. | 0. | 0. | 0. |
| 130~Link | Q_smistamento | 0. | 0. | 0. | 0. | 0. | 0. |
| 130~Link | Q_neve | 0. | 0. | 0. | 0. | 0. | 0. |
| 132~Link | DEAD | 0. | 0. | 0. | 0. | 0. | 0. |
| 132~Link | G1_smistamento | 0. | 0. | 0. | 0. | 0. | 0. |
| 132~Link | G2_smistamento | 0. | 0. | 0. | 0. | 0. | 0. |
| 132~Link | Q_smistamento | 0. | 0. | 0. | 0. | 0. | 0. |

Table 18: Joint Displacements

| Joint | OutputCase | U1 | U2 | U3 | R1 | R2 | R3 |
|----------|----------------|----|----|----|---------|---------|---------|
| | | m | m | m | Radians | Radians | Radians |
| 132~Link | Q_neve | 0. | 0. | 0. | 0. | 0. | 0. |
| 134~Link | DEAD | 0. | 0. | 0. | 0. | 0. | 0. |
| 134~Link | G1_smistamento | 0. | 0. | 0. | 0. | 0. | 0. |
| 134~Link | G2_smistamento | 0. | 0. | 0. | 0. | 0. | 0. |
| 134~Link | Q_smistamento | 0. | 0. | 0. | 0. | 0. | 0. |
| 134~Link | Q_neve | 0. | 0. | 0. | 0. | 0. | 0. |
| 136~Link | DEAD | 0. | 0. | 0. | 0. | 0. | 0. |
| 136~Link | G1_smistamento | 0. | 0. | 0. | 0. | 0. | 0. |
| 136~Link | G2_smistamento | 0. | 0. | 0. | 0. | 0. | 0. |
| 136~Link | Q_smistamento | 0. | 0. | 0. | 0. | 0. | 0. |
| 136~Link | Q_neve | 0. | 0. | 0. | 0. | 0. | 0. |
| 138~Link | DEAD | 0. | 0. | 0. | 0. | 0. | 0. |
| 138~Link | G1_smistamento | 0. | 0. | 0. | 0. | 0. | 0. |
| 138~Link | G2_smistamento | 0. | 0. | 0. | 0. | 0. | 0. |
| 138~Link | Q_smistamento | 0. | 0. | 0. | 0. | 0. | 0. |
| 138~Link | Q_neve | 0. | 0. | 0. | 0. | 0. | 0. |
| 140~Link | DEAD | 0. | 0. | 0. | 0. | 0. | 0. |
| 140~Link | G1_smistamento | 0. | 0. | 0. | 0. | 0. | 0. |
| 140~Link | G2_smistamento | 0. | 0. | 0. | 0. | 0. | 0. |
| 140~Link | Q_smistamento | 0. | 0. | 0. | 0. | 0. | 0. |
| 140~Link | Q_neve | 0. | 0. | 0. | 0. | 0. | 0. |
| 142~Link | DEAD | 0. | 0. | 0. | 0. | 0. | 0. |
| 142~Link | G1_smistamento | 0. | 0. | 0. | 0. | 0. | 0. |
| 142~Link | G2_smistamento | 0. | 0. | 0. | 0. | 0. | 0. |
| 142~Link | Q_smistamento | 0. | 0. | 0. | 0. | 0. | 0. |
| 142~Link | Q_neve | 0. | 0. | 0. | 0. | 0. | 0. |
| 144~Link | DEAD | 0. | 0. | 0. | 0. | 0. | 0. |
| 144~Link | G1_smistamento | 0. | 0. | 0. | 0. | 0. | 0. |
| 144~Link | G2_smistamento | 0. | 0. | 0. | 0. | 0. | 0. |
| 144~Link | Q_smistamento | 0. | 0. | 0. | 0. | 0. | 0. |
| 144~Link | Q_neve | 0. | 0. | 0. | 0. | 0. | 0. |
| 146~Link | DEAD | 0. | 0. | 0. | 0. | 0. | 0. |
| 146~Link | G1_smistamento | 0. | 0. | 0. | 0. | 0. | 0. |
| 146~Link | G2_smistamento | 0. | 0. | 0. | 0. | 0. | 0. |
| 146~Link | Q_smistamento | 0. | 0. | 0. | 0. | 0. | 0. |
| 146~Link | Q_neve | 0. | 0. | 0. | 0. | 0. | 0. |
| 147~Link | DEAD | 0. | 0. | 0. | 0. | 0. | 0. |
| 147~Link | G1_smistamento | 0. | 0. | 0. | 0. | 0. | 0. |

Table 18: Joint Displacements

| Joint | OutputCase | U1 | U2 | U3 | R1 | R2 | R3 |
|----------|----------------|----|----|----|---------|---------|---------|
| | | m | m | m | Radians | Radians | Radians |
| 147~Link | G2_smistamento | 0. | 0. | 0. | 0. | 0. | 0. |
| 147~Link | Q_smistamento | 0. | 0. | 0. | 0. | 0. | 0. |
| 147~Link | Q_neve | 0. | 0. | 0. | 0. | 0. | 0. |
| 148~Link | DEAD | 0. | 0. | 0. | 0. | 0. | 0. |
| 148~Link | G1_smistamento | 0. | 0. | 0. | 0. | 0. | 0. |
| 148~Link | G2_smistamento | 0. | 0. | 0. | 0. | 0. | 0. |
| 148~Link | Q_smistamento | 0. | 0. | 0. | 0. | 0. | 0. |
| 148~Link | Q_neve | 0. | 0. | 0. | 0. | 0. | 0. |
| 149~Link | DEAD | 0. | 0. | 0. | 0. | 0. | 0. |
| 149~Link | G1_smistamento | 0. | 0. | 0. | 0. | 0. | 0. |
| 149~Link | G2_smistamento | 0. | 0. | 0. | 0. | 0. | 0. |
| 149~Link | Q_smistamento | 0. | 0. | 0. | 0. | 0. | 0. |
| 149~Link | Q_neve | 0. | 0. | 0. | 0. | 0. | 0. |
| 150~Link | DEAD | 0. | 0. | 0. | 0. | 0. | 0. |
| 150~Link | G1_smistamento | 0. | 0. | 0. | 0. | 0. | 0. |
| 150~Link | G2_smistamento | 0. | 0. | 0. | 0. | 0. | 0. |
| 150~Link | Q_smistamento | 0. | 0. | 0. | 0. | 0. | 0. |
| 150~Link | Q_neve | 0. | 0. | 0. | 0. | 0. | 0. |
| 151~Link | DEAD | 0. | 0. | 0. | 0. | 0. | 0. |
| 151~Link | G1_smistamento | 0. | 0. | 0. | 0. | 0. | 0. |
| 151~Link | G2_smistamento | 0. | 0. | 0. | 0. | 0. | 0. |
| 151~Link | Q_smistamento | 0. | 0. | 0. | 0. | 0. | 0. |
| 151~Link | Q_neve | 0. | 0. | 0. | 0. | 0. | 0. |
| 152~Link | DEAD | 0. | 0. | 0. | 0. | 0. | 0. |
| 152~Link | G1_smistamento | 0. | 0. | 0. | 0. | 0. | 0. |
| 152~Link | G2_smistamento | 0. | 0. | 0. | 0. | 0. | 0. |
| 152~Link | Q_smistamento | 0. | 0. | 0. | 0. | 0. | 0. |
| 152~Link | Q_neve | 0. | 0. | 0. | 0. | 0. | 0. |
| 153~Link | DEAD | 0. | 0. | 0. | 0. | 0. | 0. |
| 153~Link | G1_smistamento | 0. | 0. | 0. | 0. | 0. | 0. |
| 153~Link | G2_smistamento | 0. | 0. | 0. | 0. | 0. | 0. |
| 153~Link | Q_smistamento | 0. | 0. | 0. | 0. | 0. | 0. |
| 153~Link | Q_neve | 0. | 0. | 0. | 0. | 0. | 0. |
| 154~Link | DEAD | 0. | 0. | 0. | 0. | 0. | 0. |
| 154~Link | G1_smistamento | 0. | 0. | 0. | 0. | 0. | 0. |
| 154~Link | G2_smistamento | 0. | 0. | 0. | 0. | 0. | 0. |
| 154~Link | Q_smistamento | 0. | 0. | 0. | 0. | 0. | 0. |
| 154~Link | Q_neve | 0. | 0. | 0. | 0. | 0. | 0. |

Table 18: Joint Displacements

| Joint | OutputCase | U1 | U2 | U3 | R1 | R2 | R3 |
|----------|----------------|----|----|----|---------|---------|---------|
| | | m | m | m | Radians | Radians | Radians |
| 155~Link | DEAD | 0. | 0. | 0. | 0. | 0. | 0. |
| 155~Link | G1_smistamento | 0. | 0. | 0. | 0. | 0. | 0. |
| 155~Link | G2_smistamento | 0. | 0. | 0. | 0. | 0. | 0. |
| 155~Link | Q_smistamento | 0. | 0. | 0. | 0. | 0. | 0. |
| 155~Link | Q_neve | 0. | 0. | 0. | 0. | 0. | 0. |
| 156~Link | DEAD | 0. | 0. | 0. | 0. | 0. | 0. |
| 156~Link | G1_smistamento | 0. | 0. | 0. | 0. | 0. | 0. |
| 156~Link | G2_smistamento | 0. | 0. | 0. | 0. | 0. | 0. |
| 156~Link | Q_smistamento | 0. | 0. | 0. | 0. | 0. | 0. |
| 156~Link | Q_neve | 0. | 0. | 0. | 0. | 0. | 0. |
| 157~Link | DEAD | 0. | 0. | 0. | 0. | 0. | 0. |
| 157~Link | G1_smistamento | 0. | 0. | 0. | 0. | 0. | 0. |
| 157~Link | G2_smistamento | 0. | 0. | 0. | 0. | 0. | 0. |
| 157~Link | Q_smistamento | 0. | 0. | 0. | 0. | 0. | 0. |
| 157~Link | Q_neve | 0. | 0. | 0. | 0. | 0. | 0. |
| 158~Link | DEAD | 0. | 0. | 0. | 0. | 0. | 0. |
| 158~Link | G1_smistamento | 0. | 0. | 0. | 0. | 0. | 0. |
| 158~Link | G2_smistamento | 0. | 0. | 0. | 0. | 0. | 0. |
| 158~Link | Q_smistamento | 0. | 0. | 0. | 0. | 0. | 0. |
| 158~Link | Q_neve | 0. | 0. | 0. | 0. | 0. | 0. |
| 159~Link | DEAD | 0. | 0. | 0. | 0. | 0. | 0. |
| 159~Link | G1_smistamento | 0. | 0. | 0. | 0. | 0. | 0. |
| 159~Link | G2_smistamento | 0. | 0. | 0. | 0. | 0. | 0. |
| 159~Link | Q_smistamento | 0. | 0. | 0. | 0. | 0. | 0. |
| 159~Link | Q_neve | 0. | 0. | 0. | 0. | 0. | 0. |
| 160~Link | DEAD | 0. | 0. | 0. | 0. | 0. | 0. |
| 160~Link | G1_smistamento | 0. | 0. | 0. | 0. | 0. | 0. |
| 160~Link | G2_smistamento | 0. | 0. | 0. | 0. | 0. | 0. |
| 160~Link | Q_smistamento | 0. | 0. | 0. | 0. | 0. | 0. |
| 160~Link | Q_neve | 0. | 0. | 0. | 0. | 0. | 0. |
| 161~Link | DEAD | 0. | 0. | 0. | 0. | 0. | 0. |
| 161~Link | G1_smistamento | 0. | 0. | 0. | 0. | 0. | 0. |
| 161~Link | G2_smistamento | 0. | 0. | 0. | 0. | 0. | 0. |
| 161~Link | Q_smistamento | 0. | 0. | 0. | 0. | 0. | 0. |
| 161~Link | Q_neve | 0. | 0. | 0. | 0. | 0. | 0. |
| 162~Link | DEAD | 0. | 0. | 0. | 0. | 0. | 0. |
| 162~Link | G1_smistamento | 0. | 0. | 0. | 0. | 0. | 0. |
| 162~Link | G2_smistamento | 0. | 0. | 0. | 0. | 0. | 0. |

Table 18: Joint Displacements

| Joint | OutputCase | U1 | U2 | U3 | R1 | R2 | R3 |
|----------|----------------|----|----|----|---------|---------|---------|
| | | m | m | m | Radians | Radians | Radians |
| 162~Link | Q_smistamento | 0. | 0. | 0. | 0. | 0. | 0. |
| 162~Link | Q_neve | 0. | 0. | 0. | 0. | 0. | 0. |
| 163~Link | DEAD | 0. | 0. | 0. | 0. | 0. | 0. |
| 163~Link | G1_smistamento | 0. | 0. | 0. | 0. | 0. | 0. |
| 163~Link | G2_smistamento | 0. | 0. | 0. | 0. | 0. | 0. |
| 163~Link | Q_smistamento | 0. | 0. | 0. | 0. | 0. | 0. |
| 163~Link | Q_neve | 0. | 0. | 0. | 0. | 0. | 0. |
| 164~Link | DEAD | 0. | 0. | 0. | 0. | 0. | 0. |
| 164~Link | G1_smistamento | 0. | 0. | 0. | 0. | 0. | 0. |
| 164~Link | G2_smistamento | 0. | 0. | 0. | 0. | 0. | 0. |
| 164~Link | Q_smistamento | 0. | 0. | 0. | 0. | 0. | 0. |
| 164~Link | Q_neve | 0. | 0. | 0. | 0. | 0. | 0. |
| 165~Link | DEAD | 0. | 0. | 0. | 0. | 0. | 0. |
| 165~Link | G1_smistamento | 0. | 0. | 0. | 0. | 0. | 0. |
| 165~Link | G2_smistamento | 0. | 0. | 0. | 0. | 0. | 0. |
| 165~Link | Q_smistamento | 0. | 0. | 0. | 0. | 0. | 0. |
| 165~Link | Q_neve | 0. | 0. | 0. | 0. | 0. | 0. |
| 166~Link | DEAD | 0. | 0. | 0. | 0. | 0. | 0. |
| 166~Link | G1_smistamento | 0. | 0. | 0. | 0. | 0. | 0. |
| 166~Link | G2_smistamento | 0. | 0. | 0. | 0. | 0. | 0. |
| 166~Link | Q_smistamento | 0. | 0. | 0. | 0. | 0. | 0. |
| 166~Link | Q_neve | 0. | 0. | 0. | 0. | 0. | 0. |
| 167~Link | DEAD | 0. | 0. | 0. | 0. | 0. | 0. |
| 167~Link | G1_smistamento | 0. | 0. | 0. | 0. | 0. | 0. |
| 167~Link | G2_smistamento | 0. | 0. | 0. | 0. | 0. | 0. |
| 167~Link | Q_smistamento | 0. | 0. | 0. | 0. | 0. | 0. |
| 167~Link | Q_neve | 0. | 0. | 0. | 0. | 0. | 0. |
| 168~Link | DEAD | 0. | 0. | 0. | 0. | 0. | 0. |
| 168~Link | G1_smistamento | 0. | 0. | 0. | 0. | 0. | 0. |
| 168~Link | G2_smistamento | 0. | 0. | 0. | 0. | 0. | 0. |
| 168~Link | Q_smistamento | 0. | 0. | 0. | 0. | 0. | 0. |
| 168~Link | Q_neve | 0. | 0. | 0. | 0. | 0. | 0. |
| 169~Link | DEAD | 0. | 0. | 0. | 0. | 0. | 0. |
| 169~Link | G1_smistamento | 0. | 0. | 0. | 0. | 0. | 0. |
| 169~Link | G2_smistamento | 0. | 0. | 0. | 0. | 0. | 0. |
| 169~Link | Q_smistamento | 0. | 0. | 0. | 0. | 0. | 0. |
| 169~Link | Q_neve | 0. | 0. | 0. | 0. | 0. | 0. |
| 170~Link | DEAD | 0. | 0. | 0. | 0. | 0. | 0. |

Table 18: Joint Displacements

| Joint | OutputCase | U1 | U2 | U3 | R1 | R2 | R3 |
|----------|----------------|----|----|----|---------|---------|---------|
| | | m | m | m | Radians | Radians | Radians |
| 170~Link | G1_smistamento | 0. | 0. | 0. | 0. | 0. | 0. |
| 170~Link | G2_smistamento | 0. | 0. | 0. | 0. | 0. | 0. |
| 170~Link | Q_smistamento | 0. | 0. | 0. | 0. | 0. | 0. |
| 170~Link | Q_neve | 0. | 0. | 0. | 0. | 0. | 0. |
| 171~Link | DEAD | 0. | 0. | 0. | 0. | 0. | 0. |
| 171~Link | G1_smistamento | 0. | 0. | 0. | 0. | 0. | 0. |
| 171~Link | G2_smistamento | 0. | 0. | 0. | 0. | 0. | 0. |
| 171~Link | Q_smistamento | 0. | 0. | 0. | 0. | 0. | 0. |
| 171~Link | Q_neve | 0. | 0. | 0. | 0. | 0. | 0. |
| 172~Link | DEAD | 0. | 0. | 0. | 0. | 0. | 0. |
| 172~Link | G1_smistamento | 0. | 0. | 0. | 0. | 0. | 0. |
| 172~Link | G2_smistamento | 0. | 0. | 0. | 0. | 0. | 0. |
| 172~Link | Q_smistamento | 0. | 0. | 0. | 0. | 0. | 0. |
| 172~Link | Q_neve | 0. | 0. | 0. | 0. | 0. | 0. |
| 173~Link | DEAD | 0. | 0. | 0. | 0. | 0. | 0. |
| 173~Link | G1_smistamento | 0. | 0. | 0. | 0. | 0. | 0. |
| 173~Link | G2_smistamento | 0. | 0. | 0. | 0. | 0. | 0. |
| 173~Link | Q_smistamento | 0. | 0. | 0. | 0. | 0. | 0. |
| 173~Link | Q_neve | 0. | 0. | 0. | 0. | 0. | 0. |
| 174~Link | DEAD | 0. | 0. | 0. | 0. | 0. | 0. |
| 174~Link | G1_smistamento | 0. | 0. | 0. | 0. | 0. | 0. |
| 174~Link | G2_smistamento | 0. | 0. | 0. | 0. | 0. | 0. |
| 174~Link | Q_smistamento | 0. | 0. | 0. | 0. | 0. | 0. |
| 174~Link | Q_neve | 0. | 0. | 0. | 0. | 0. | 0. |
| 175~Link | DEAD | 0. | 0. | 0. | 0. | 0. | 0. |
| 175~Link | G1_smistamento | 0. | 0. | 0. | 0. | 0. | 0. |
| 175~Link | G2_smistamento | 0. | 0. | 0. | 0. | 0. | 0. |
| 175~Link | Q_smistamento | 0. | 0. | 0. | 0. | 0. | 0. |
| 175~Link | Q_neve | 0. | 0. | 0. | 0. | 0. | 0. |
| 176~Link | DEAD | 0. | 0. | 0. | 0. | 0. | 0. |
| 176~Link | G1_smistamento | 0. | 0. | 0. | 0. | 0. | 0. |
| 176~Link | G2_smistamento | 0. | 0. | 0. | 0. | 0. | 0. |
| 176~Link | Q_smistamento | 0. | 0. | 0. | 0. | 0. | 0. |
| 176~Link | Q_neve | 0. | 0. | 0. | 0. | 0. | 0. |
| 177~Link | DEAD | 0. | 0. | 0. | 0. | 0. | 0. |
| 177~Link | G1_smistamento | 0. | 0. | 0. | 0. | 0. | 0. |
| 177~Link | G2_smistamento | 0. | 0. | 0. | 0. | 0. | 0. |
| 177~Link | Q_smistamento | 0. | 0. | 0. | 0. | 0. | 0. |

Table 18: Joint Displacements

| Joint | OutputCase | U1 | U2 | U3 | R1 | R2 | R3 |
|----------|----------------|----|----|----|---------|---------|---------|
| | | m | m | m | Radians | Radians | Radians |
| 177~Link | Q_neve | 0. | 0. | 0. | 0. | 0. | 0. |
| 178~Link | DEAD | 0. | 0. | 0. | 0. | 0. | 0. |
| 178~Link | G1_smistamento | 0. | 0. | 0. | 0. | 0. | 0. |
| 178~Link | G2_smistamento | 0. | 0. | 0. | 0. | 0. | 0. |
| 178~Link | Q_smistamento | 0. | 0. | 0. | 0. | 0. | 0. |
| 178~Link | Q_neve | 0. | 0. | 0. | 0. | 0. | 0. |
| 179~Link | DEAD | 0. | 0. | 0. | 0. | 0. | 0. |
| 179~Link | G1_smistamento | 0. | 0. | 0. | 0. | 0. | 0. |
| 179~Link | G2_smistamento | 0. | 0. | 0. | 0. | 0. | 0. |
| 179~Link | Q_smistamento | 0. | 0. | 0. | 0. | 0. | 0. |
| 179~Link | Q_neve | 0. | 0. | 0. | 0. | 0. | 0. |
| 180~Link | DEAD | 0. | 0. | 0. | 0. | 0. | 0. |
| 180~Link | G1_smistamento | 0. | 0. | 0. | 0. | 0. | 0. |
| 180~Link | G2_smistamento | 0. | 0. | 0. | 0. | 0. | 0. |
| 180~Link | Q_smistamento | 0. | 0. | 0. | 0. | 0. | 0. |
| 180~Link | Q_neve | 0. | 0. | 0. | 0. | 0. | 0. |
| 181~Link | DEAD | 0. | 0. | 0. | 0. | 0. | 0. |
| 181~Link | G1_smistamento | 0. | 0. | 0. | 0. | 0. | 0. |
| 181~Link | G2_smistamento | 0. | 0. | 0. | 0. | 0. | 0. |
| 181~Link | Q_smistamento | 0. | 0. | 0. | 0. | 0. | 0. |
| 181~Link | Q_neve | 0. | 0. | 0. | 0. | 0. | 0. |
| 182~Link | DEAD | 0. | 0. | 0. | 0. | 0. | 0. |
| 182~Link | G1_smistamento | 0. | 0. | 0. | 0. | 0. | 0. |
| 182~Link | G2_smistamento | 0. | 0. | 0. | 0. | 0. | 0. |
| 182~Link | Q_smistamento | 0. | 0. | 0. | 0. | 0. | 0. |
| 182~Link | Q_neve | 0. | 0. | 0. | 0. | 0. | 0. |
| 183~Link | DEAD | 0. | 0. | 0. | 0. | 0. | 0. |
| 183~Link | G1_smistamento | 0. | 0. | 0. | 0. | 0. | 0. |
| 183~Link | G2_smistamento | 0. | 0. | 0. | 0. | 0. | 0. |
| 183~Link | Q_smistamento | 0. | 0. | 0. | 0. | 0. | 0. |
| 183~Link | Q_neve | 0. | 0. | 0. | 0. | 0. | 0. |
| 184~Link | DEAD | 0. | 0. | 0. | 0. | 0. | 0. |
| 184~Link | G1_smistamento | 0. | 0. | 0. | 0. | 0. | 0. |
| 184~Link | G2_smistamento | 0. | 0. | 0. | 0. | 0. | 0. |
| 184~Link | Q_smistamento | 0. | 0. | 0. | 0. | 0. | 0. |
| 184~Link | Q_neve | 0. | 0. | 0. | 0. | 0. | 0. |
| 185~Link | DEAD | 0. | 0. | 0. | 0. | 0. | 0. |
| 185~Link | G1_smistamento | 0. | 0. | 0. | 0. | 0. | 0. |

Table 18: Joint Displacements

| Joint | OutputCase | U1 | U2 | U3 | R1 | R2 | R3 |
|----------|----------------|----|----|----|---------|---------|---------|
| | | m | m | m | Radians | Radians | Radians |
| 185~Link | G2_smistamento | 0. | 0. | 0. | 0. | 0. | 0. |
| 185~Link | Q_smistamento | 0. | 0. | 0. | 0. | 0. | 0. |
| 185~Link | Q_neve | 0. | 0. | 0. | 0. | 0. | 0. |
| 186~Link | DEAD | 0. | 0. | 0. | 0. | 0. | 0. |
| 186~Link | G1_smistamento | 0. | 0. | 0. | 0. | 0. | 0. |
| 186~Link | G2_smistamento | 0. | 0. | 0. | 0. | 0. | 0. |
| 186~Link | Q_smistamento | 0. | 0. | 0. | 0. | 0. | 0. |
| 186~Link | Q_neve | 0. | 0. | 0. | 0. | 0. | 0. |
| 187~Link | DEAD | 0. | 0. | 0. | 0. | 0. | 0. |
| 187~Link | G1_smistamento | 0. | 0. | 0. | 0. | 0. | 0. |
| 187~Link | G2_smistamento | 0. | 0. | 0. | 0. | 0. | 0. |
| 187~Link | Q_smistamento | 0. | 0. | 0. | 0. | 0. | 0. |
| 187~Link | Q_neve | 0. | 0. | 0. | 0. | 0. | 0. |
| 188~Link | DEAD | 0. | 0. | 0. | 0. | 0. | 0. |
| 188~Link | G1_smistamento | 0. | 0. | 0. | 0. | 0. | 0. |
| 188~Link | G2_smistamento | 0. | 0. | 0. | 0. | 0. | 0. |
| 188~Link | Q_smistamento | 0. | 0. | 0. | 0. | 0. | 0. |
| 188~Link | Q_neve | 0. | 0. | 0. | 0. | 0. | 0. |
| 189~Link | DEAD | 0. | 0. | 0. | 0. | 0. | 0. |
| 189~Link | G1_smistamento | 0. | 0. | 0. | 0. | 0. | 0. |
| 189~Link | G2_smistamento | 0. | 0. | 0. | 0. | 0. | 0. |
| 189~Link | Q_smistamento | 0. | 0. | 0. | 0. | 0. | 0. |
| 189~Link | Q_neve | 0. | 0. | 0. | 0. | 0. | 0. |
| 190~Link | DEAD | 0. | 0. | 0. | 0. | 0. | 0. |
| 190~Link | G1_smistamento | 0. | 0. | 0. | 0. | 0. | 0. |
| 190~Link | G2_smistamento | 0. | 0. | 0. | 0. | 0. | 0. |
| 190~Link | Q_smistamento | 0. | 0. | 0. | 0. | 0. | 0. |
| 190~Link | Q_neve | 0. | 0. | 0. | 0. | 0. | 0. |
| 191~Link | DEAD | 0. | 0. | 0. | 0. | 0. | 0. |
| 191~Link | G1_smistamento | 0. | 0. | 0. | 0. | 0. | 0. |
| 191~Link | G2_smistamento | 0. | 0. | 0. | 0. | 0. | 0. |
| 191~Link | Q_smistamento | 0. | 0. | 0. | 0. | 0. | 0. |
| 191~Link | Q_neve | 0. | 0. | 0. | 0. | 0. | 0. |
| 192~Link | DEAD | 0. | 0. | 0. | 0. | 0. | 0. |
| 192~Link | G1_smistamento | 0. | 0. | 0. | 0. | 0. | 0. |
| 192~Link | G2_smistamento | 0. | 0. | 0. | 0. | 0. | 0. |
| 192~Link | Q_smistamento | 0. | 0. | 0. | 0. | 0. | 0. |
| 192~Link | Q_neve | 0. | 0. | 0. | 0. | 0. | 0. |

Table 18: Joint Displacements

| Joint | OutputCase | U1 | U2 | U3 | R1 | R2 | R3 |
|----------|----------------|----|----|----|---------|---------|---------|
| | | m | m | m | Radians | Radians | Radians |
| 193~Link | DEAD | 0. | 0. | 0. | 0. | 0. | 0. |
| 193~Link | G1_smistamento | 0. | 0. | 0. | 0. | 0. | 0. |
| 193~Link | G2_smistamento | 0. | 0. | 0. | 0. | 0. | 0. |
| 193~Link | Q_smistamento | 0. | 0. | 0. | 0. | 0. | 0. |
| 193~Link | Q_neve | 0. | 0. | 0. | 0. | 0. | 0. |
| 194~Link | DEAD | 0. | 0. | 0. | 0. | 0. | 0. |
| 194~Link | G1_smistamento | 0. | 0. | 0. | 0. | 0. | 0. |
| 194~Link | G2_smistamento | 0. | 0. | 0. | 0. | 0. | 0. |
| 194~Link | Q_smistamento | 0. | 0. | 0. | 0. | 0. | 0. |
| 194~Link | Q_neve | 0. | 0. | 0. | 0. | 0. | 0. |
| 195~Link | DEAD | 0. | 0. | 0. | 0. | 0. | 0. |
| 195~Link | G1_smistamento | 0. | 0. | 0. | 0. | 0. | 0. |
| 195~Link | G2_smistamento | 0. | 0. | 0. | 0. | 0. | 0. |
| 195~Link | Q_smistamento | 0. | 0. | 0. | 0. | 0. | 0. |
| 195~Link | Q_neve | 0. | 0. | 0. | 0. | 0. | 0. |
| 196~Link | DEAD | 0. | 0. | 0. | 0. | 0. | 0. |
| 196~Link | G1_smistamento | 0. | 0. | 0. | 0. | 0. | 0. |
| 196~Link | G2_smistamento | 0. | 0. | 0. | 0. | 0. | 0. |
| 196~Link | Q_smistamento | 0. | 0. | 0. | 0. | 0. | 0. |
| 196~Link | Q_neve | 0. | 0. | 0. | 0. | 0. | 0. |
| 197~Link | DEAD | 0. | 0. | 0. | 0. | 0. | 0. |
| 197~Link | G1_smistamento | 0. | 0. | 0. | 0. | 0. | 0. |
| 197~Link | G2_smistamento | 0. | 0. | 0. | 0. | 0. | 0. |
| 197~Link | Q_smistamento | 0. | 0. | 0. | 0. | 0. | 0. |
| 197~Link | Q_neve | 0. | 0. | 0. | 0. | 0. | 0. |
| 198~Link | DEAD | 0. | 0. | 0. | 0. | 0. | 0. |
| 198~Link | G1_smistamento | 0. | 0. | 0. | 0. | 0. | 0. |
| 198~Link | G2_smistamento | 0. | 0. | 0. | 0. | 0. | 0. |
| 198~Link | Q_smistamento | 0. | 0. | 0. | 0. | 0. | 0. |
| 198~Link | Q_neve | 0. | 0. | 0. | 0. | 0. | 0. |
| 199~Link | DEAD | 0. | 0. | 0. | 0. | 0. | 0. |
| 199~Link | G1_smistamento | 0. | 0. | 0. | 0. | 0. | 0. |
| 199~Link | G2_smistamento | 0. | 0. | 0. | 0. | 0. | 0. |
| 199~Link | Q_smistamento | 0. | 0. | 0. | 0. | 0. | 0. |
| 199~Link | Q_neve | 0. | 0. | 0. | 0. | 0. | 0. |
| 200~Link | DEAD | 0. | 0. | 0. | 0. | 0. | 0. |
| 200~Link | G1_smistamento | 0. | 0. | 0. | 0. | 0. | 0. |
| 200~Link | G2_smistamento | 0. | 0. | 0. | 0. | 0. | 0. |

Table 18: Joint Displacements

| Joint | OutputCase | U1 | U2 | U3 | R1 | R2 | R3 |
|----------|----------------|----|----|----|---------|---------|---------|
| | | m | m | m | Radians | Radians | Radians |
| 200~Link | Q_smistamento | 0. | 0. | 0. | 0. | 0. | 0. |
| 200~Link | Q_neve | 0. | 0. | 0. | 0. | 0. | 0. |
| 201~Link | DEAD | 0. | 0. | 0. | 0. | 0. | 0. |
| 201~Link | G1_smistamento | 0. | 0. | 0. | 0. | 0. | 0. |
| 201~Link | G2_smistamento | 0. | 0. | 0. | 0. | 0. | 0. |
| 201~Link | Q_smistamento | 0. | 0. | 0. | 0. | 0. | 0. |
| 201~Link | Q_neve | 0. | 0. | 0. | 0. | 0. | 0. |
| 202~Link | DEAD | 0. | 0. | 0. | 0. | 0. | 0. |
| 202~Link | G1_smistamento | 0. | 0. | 0. | 0. | 0. | 0. |
| 202~Link | G2_smistamento | 0. | 0. | 0. | 0. | 0. | 0. |
| 202~Link | Q_smistamento | 0. | 0. | 0. | 0. | 0. | 0. |
| 202~Link | Q_neve | 0. | 0. | 0. | 0. | 0. | 0. |
| 203~Link | DEAD | 0. | 0. | 0. | 0. | 0. | 0. |
| 203~Link | G1_smistamento | 0. | 0. | 0. | 0. | 0. | 0. |
| 203~Link | G2_smistamento | 0. | 0. | 0. | 0. | 0. | 0. |
| 203~Link | Q_smistamento | 0. | 0. | 0. | 0. | 0. | 0. |
| 203~Link | Q_neve | 0. | 0. | 0. | 0. | 0. | 0. |
| 204~Link | DEAD | 0. | 0. | 0. | 0. | 0. | 0. |
| 204~Link | G1_smistamento | 0. | 0. | 0. | 0. | 0. | 0. |
| 204~Link | G2_smistamento | 0. | 0. | 0. | 0. | 0. | 0. |
| 204~Link | Q_smistamento | 0. | 0. | 0. | 0. | 0. | 0. |
| 204~Link | Q_neve | 0. | 0. | 0. | 0. | 0. | 0. |
| 205~Link | DEAD | 0. | 0. | 0. | 0. | 0. | 0. |
| 205~Link | G1_smistamento | 0. | 0. | 0. | 0. | 0. | 0. |
| 205~Link | G2_smistamento | 0. | 0. | 0. | 0. | 0. | 0. |
| 205~Link | Q_smistamento | 0. | 0. | 0. | 0. | 0. | 0. |
| 205~Link | Q_neve | 0. | 0. | 0. | 0. | 0. | 0. |
| 206~Link | DEAD | 0. | 0. | 0. | 0. | 0. | 0. |
| 206~Link | G1_smistamento | 0. | 0. | 0. | 0. | 0. | 0. |
| 206~Link | G2_smistamento | 0. | 0. | 0. | 0. | 0. | 0. |
| 206~Link | Q_smistamento | 0. | 0. | 0. | 0. | 0. | 0. |
| 206~Link | Q_neve | 0. | 0. | 0. | 0. | 0. | 0. |
| 207~Link | DEAD | 0. | 0. | 0. | 0. | 0. | 0. |
| 207~Link | G1_smistamento | 0. | 0. | 0. | 0. | 0. | 0. |
| 207~Link | G2_smistamento | 0. | 0. | 0. | 0. | 0. | 0. |
| 207~Link | Q_smistamento | 0. | 0. | 0. | 0. | 0. | 0. |
| 207~Link | Q_neve | 0. | 0. | 0. | 0. | 0. | 0. |
| 208~Link | DEAD | 0. | 0. | 0. | 0. | 0. | 0. |

Table 18: Joint Displacements

| Joint | OutputCase | U1 | U2 | U3 | R1 | R2 | R3 |
|----------|----------------|----|----|----|---------|---------|---------|
| | | m | m | m | Radians | Radians | Radians |
| 208~Link | G1_smistamento | 0. | 0. | 0. | 0. | 0. | 0. |
| 208~Link | G2_smistamento | 0. | 0. | 0. | 0. | 0. | 0. |
| 208~Link | Q_smistamento | 0. | 0. | 0. | 0. | 0. | 0. |
| 208~Link | Q_neve | 0. | 0. | 0. | 0. | 0. | 0. |
| 209~Link | DEAD | 0. | 0. | 0. | 0. | 0. | 0. |
| 209~Link | G1_smistamento | 0. | 0. | 0. | 0. | 0. | 0. |
| 209~Link | G2_smistamento | 0. | 0. | 0. | 0. | 0. | 0. |
| 209~Link | Q_smistamento | 0. | 0. | 0. | 0. | 0. | 0. |
| 209~Link | Q_neve | 0. | 0. | 0. | 0. | 0. | 0. |
| 210~Link | DEAD | 0. | 0. | 0. | 0. | 0. | 0. |
| 210~Link | G1_smistamento | 0. | 0. | 0. | 0. | 0. | 0. |
| 210~Link | G2_smistamento | 0. | 0. | 0. | 0. | 0. | 0. |
| 210~Link | Q_smistamento | 0. | 0. | 0. | 0. | 0. | 0. |
| 210~Link | Q_neve | 0. | 0. | 0. | 0. | 0. | 0. |

Table 19: Joint Reactions

Table 19: Joint Reactions

| Joint | OutputCase | F1 | F2 | F3 | M1 | M2 | M3 |
|-------|----------------|----|----|-------|------|------|------|
| | | KN | KN | KN | KN-m | KN-m | KN-m |
| 1 | DEAD | 0. | 0. | 0.391 | 0. | 0. | 0. |
| 1 | G1_smistamento | 0. | 0. | 0.073 | 0. | 0. | 0. |
| 1 | G2_smistamento | 0. | 0. | 0.027 | 0. | 0. | 0. |
| 1 | Q_smistamento | 0. | 0. | 0.027 | 0. | 0. | 0. |
| 1 | Q_neve | 0. | 0. | 0.077 | 0. | 0. | 0. |
| 2 | DEAD | 0. | 0. | 0.391 | 0. | 0. | 0. |
| 2 | G1_smistamento | 0. | 0. | 0.073 | 0. | 0. | 0. |
| 2 | G2_smistamento | 0. | 0. | 0.027 | 0. | 0. | 0. |
| 2 | Q_smistamento | 0. | 0. | 0.027 | 0. | 0. | 0. |
| 2 | Q_neve | 0. | 0. | 0.077 | 0. | 0. | 0. |
| 3 | DEAD | 0. | 0. | 0.391 | 0. | 0. | 0. |
| 3 | G1_smistamento | 0. | 0. | 0.073 | 0. | 0. | 0. |
| 3 | G2_smistamento | 0. | 0. | 0.027 | 0. | 0. | 0. |
| 3 | Q_smistamento | 0. | 0. | 0.027 | 0. | 0. | 0. |
| 3 | Q_neve | 0. | 0. | 0.077 | 0. | 0. | 0. |
| 4 | DEAD | 0. | 0. | 0.391 | 0. | 0. | 0. |

Table 19: Joint Reactions

| Joint | OutputCase | F1 KN | F2 KN | F3 KN | M1 KN-m | M2 KN-m | M3 KN-m |
|-------|----------------|----------|----------|----------|------------|------------|------------|
| 4 | G1_smistamento | 0. | 0. | 0.073 | 0. | 0. | 0. |
| 4 | G2_smistamento | 0. | 0. | 0.027 | 0. | 0. | 0. |
| 4 | Q_smistamento | 0. | 0. | 0.027 | 0. | 0. | 0. |
| 4 | Q_neve | 0. | 0. | 0.077 | 0. | 0. | 0. |
| 5 | DEAD | 0. | 0. | 1.53 | 0. | 0. | 0. |
| 5 | G1_smistamento | 0. | 0. | 0.937 | 0. | 0. | 0. |
| 5 | G2_smistamento | 0. | 0. | 0.348 | 0. | 0. | 0. |
| 5 | Q_smistamento | 0. | 0. | 0.348 | 0. | 0. | 0. |
| 5 | Q_neve | 0. | 0. | 0.301 | 0. | 0. | 0. |
| 6 | DEAD | 0. | 0. | 1.53 | 0. | 0. | 0. |
| 6 | G1_smistamento | 0. | 0. | 0.937 | 0. | 0. | 0. |
| 6 | G2_smistamento | 0. | 0. | 0.348 | 0. | 0. | 0. |
| 6 | Q_smistamento | 0. | 0. | 0.348 | 0. | 0. | 0. |
| 6 | Q_neve | 0. | 0. | 0.301 | 0. | 0. | 0. |
| 7 | DEAD | 0. | 0. | 0.391 | 0. | 0. | 0. |
| 7 | G1_smistamento | 0. | 0. | 0.263 | 0. | 0. | 0. |
| 7 | G2_smistamento | 0. | 0. | 0.098 | 0. | 0. | 0. |
| 7 | Q_smistamento | 0. | 0. | 0.098 | 0. | 0. | 0. |
| 7 | Q_neve | 0. | 0. | 0.077 | 0. | 0. | 0. |
| 8 | DEAD | 0. | 0. | 0.765 | 0. | 0. | 0. |
| 8 | G1_smistamento | 0. | 0. | 0.597 | 0. | 0. | 0. |
| 8 | G2_smistamento | 0. | 0. | 0.221 | 0. | 0. | 0. |
| 8 | Q_smistamento | 0. | 0. | 0.221 | 0. | 0. | 0. |
| 8 | Q_neve | 0. | 0. | 0.151 | 0. | 0. | 0. |
| 9 | DEAD | 0. | 0. | 1.53 | 0. | 0. | 0. |
| 9 | G1_smistamento | 0. | 0. | 1.25 | 0. | 0. | 0. |
| 9 | G2_smistamento | 0. | 0. | 0.463 | 0. | 0. | 0. |
| 9 | Q_smistamento | 0. | 0. | 0.463 | 0. | 0. | 0. |
| 9 | Q_neve | 0. | 0. | 0.301 | 0. | 0. | 0. |
| 10 | DEAD | 0. | 0. | 0.781 | 0. | 0. | 0. |
| 10 | G1_smistamento | 0. | 0. | 0.555 | 0. | 0. | 0. |
| 10 | G2_smistamento | 0. | 0. | 0.206 | 0. | 0. | 0. |
| 10 | Q_smistamento | 0. | 0. | 0.206 | 0. | 0. | 0. |
| 10 | Q_neve | 0. | 0. | 0.154 | 0. | 0. | 0. |
| 11 | DEAD | 0. | 0. | 0.765 | 0. | 0. | 0. |
| 11 | G1_smistamento | 0. | 0. | 0.597 | 0. | 0. | 0. |
| 11 | G2_smistamento | 0. | 0. | 0.221 | 0. | 0. | 0. |
| 11 | Q_smistamento | 0. | 0. | 0.221 | 0. | 0. | 0. |

Table 19: Joint Reactions

| Joint | OutputCase | F1 | F2 | F3 | M1 | M2 | M3 |
|-------|----------------|----|----|-------|------|------|------|
| | | KN | KN | KN | KN-m | KN-m | KN-m |
| 11 | Q_neve | 0. | 0. | 0.151 | 0. | 0. | 0. |
| 12 | DEAD | 0. | 0. | 0.391 | 0. | 0. | 0. |
| 12 | G1_smistamento | 0. | 0. | 0.263 | 0. | 0. | 0. |
| 12 | G2_smistamento | 0. | 0. | 0.098 | 0. | 0. | 0. |
| 12 | Q_smistamento | 0. | 0. | 0.098 | 0. | 0. | 0. |
| 12 | Q_neve | 0. | 0. | 0.077 | 0. | 0. | 0. |
| 13 | DEAD | 0. | 0. | 0.781 | 0. | 0. | 0. |
| 13 | G1_smistamento | 0. | 0. | 0.555 | 0. | 0. | 0. |
| 13 | G2_smistamento | 0. | 0. | 0.206 | 0. | 0. | 0. |
| 13 | Q_smistamento | 0. | 0. | 0.206 | 0. | 0. | 0. |
| 13 | Q_neve | 0. | 0. | 0.154 | 0. | 0. | 0. |
| 14 | DEAD | 0. | 0. | 1.53 | 0. | 0. | 0. |
| 14 | G1_smistamento | 0. | 0. | 1.25 | 0. | 0. | 0. |
| 14 | G2_smistamento | 0. | 0. | 0.463 | 0. | 0. | 0. |
| 14 | Q_smistamento | 0. | 0. | 0.463 | 0. | 0. | 0. |
| 14 | Q_neve | 0. | 0. | 0.301 | 0. | 0. | 0. |
| 15 | DEAD | 0. | 0. | 0.781 | 0. | 0. | 0. |
| 15 | G1_smistamento | 0. | 0. | 0.555 | 0. | 0. | 0. |
| 15 | G2_smistamento | 0. | 0. | 0.206 | 0. | 0. | 0. |
| 15 | Q_smistamento | 0. | 0. | 0.206 | 0. | 0. | 0. |
| 15 | Q_neve | 0. | 0. | 0.154 | 0. | 0. | 0. |
| 16 | DEAD | 0. | 0. | 0.391 | 0. | 0. | 0. |
| 16 | G1_smistamento | 0. | 0. | 0.263 | 0. | 0. | 0. |
| 16 | G2_smistamento | 0. | 0. | 0.098 | 0. | 0. | 0. |
| 16 | Q_smistamento | 0. | 0. | 0.098 | 0. | 0. | 0. |
| 16 | Q_neve | 0. | 0. | 0.077 | 0. | 0. | 0. |
| 17 | DEAD | 0. | 0. | 0.765 | 0. | 0. | 0. |
| 17 | G1_smistamento | 0. | 0. | 0.597 | 0. | 0. | 0. |
| 17 | G2_smistamento | 0. | 0. | 0.221 | 0. | 0. | 0. |
| 17 | Q_smistamento | 0. | 0. | 0.221 | 0. | 0. | 0. |
| 17 | Q_neve | 0. | 0. | 0.151 | 0. | 0. | 0. |
| 18 | DEAD | 0. | 0. | 1.53 | 0. | 0. | 0. |
| 18 | G1_smistamento | 0. | 0. | 1.25 | 0. | 0. | 0. |
| 18 | G2_smistamento | 0. | 0. | 0.463 | 0. | 0. | 0. |
| 18 | Q_smistamento | 0. | 0. | 0.463 | 0. | 0. | 0. |
| 18 | Q_neve | 0. | 0. | 0.301 | 0. | 0. | 0. |
| 19 | DEAD | 0. | 0. | 0.765 | 0. | 0. | 0. |
| 19 | G1_smistamento | 0. | 0. | 0.597 | 0. | 0. | 0. |

Table 19: Joint Reactions

| Joint | OutputCase | F1 | F2 | F3 | M1 | M2 | M3 |
|-------|----------------|----|----|-------|------|------|------|
| | | KN | KN | KN | KN-m | KN-m | KN-m |
| 19 | G2_smistamento | 0. | 0. | 0.221 | 0. | 0. | 0. |
| 19 | Q_smistamento | 0. | 0. | 0.221 | 0. | 0. | 0. |
| 19 | Q_neve | 0. | 0. | 0.151 | 0. | 0. | 0. |
| 20 | DEAD | 0. | 0. | 0.391 | 0. | 0. | 0. |
| 20 | G1_smistamento | 0. | 0. | 0.263 | 0. | 0. | 0. |
| 20 | G2_smistamento | 0. | 0. | 0.098 | 0. | 0. | 0. |
| 20 | Q_smistamento | 0. | 0. | 0.098 | 0. | 0. | 0. |
| 20 | Q_neve | 0. | 0. | 0.077 | 0. | 0. | 0. |
| 21 | DEAD | 0. | 0. | 0.781 | 0. | 0. | 0. |
| 21 | G1_smistamento | 0. | 0. | 0.555 | 0. | 0. | 0. |
| 21 | G2_smistamento | 0. | 0. | 0.206 | 0. | 0. | 0. |
| 21 | Q_smistamento | 0. | 0. | 0.206 | 0. | 0. | 0. |
| 21 | Q_neve | 0. | 0. | 0.154 | 0. | 0. | 0. |
| 22 | DEAD | 0. | 0. | 1.53 | 0. | 0. | 0. |
| 22 | G1_smistamento | 0. | 0. | 1.25 | 0. | 0. | 0. |
| 22 | G2_smistamento | 0. | 0. | 0.463 | 0. | 0. | 0. |
| 22 | Q_smistamento | 0. | 0. | 0.463 | 0. | 0. | 0. |
| 22 | Q_neve | 0. | 0. | 0.301 | 0. | 0. | 0. |
| 57 | DEAD | 0. | 0. | 0.765 | 0. | 0. | 0. |
| 57 | G1_smistamento | 0. | 0. | 0.301 | 0. | 0. | 0. |
| 57 | G2_smistamento | 0. | 0. | 0.112 | 0. | 0. | 0. |
| 57 | Q_smistamento | 0. | 0. | 0.112 | 0. | 0. | 0. |
| 57 | Q_neve | 0. | 0. | 0.151 | 0. | 0. | 0. |
| 58 | DEAD | 0. | 0. | 1.53 | 0. | 0. | 0. |
| 58 | G1_smistamento | 0. | 0. | 0.937 | 0. | 0. | 0. |
| 58 | G2_smistamento | 0. | 0. | 0.348 | 0. | 0. | 0. |
| 58 | Q_smistamento | 0. | 0. | 0.348 | 0. | 0. | 0. |
| 58 | Q_neve | 0. | 0. | 0.301 | 0. | 0. | 0. |
| 59 | DEAD | 0. | 0. | 0.781 | 0. | 0. | 0. |
| 59 | G1_smistamento | 0. | 0. | 0.303 | 0. | 0. | 0. |
| 59 | G2_smistamento | 0. | 0. | 0.112 | 0. | 0. | 0. |
| 59 | Q_smistamento | 0. | 0. | 0.112 | 0. | 0. | 0. |
| 59 | Q_neve | 0. | 0. | 0.154 | 0. | 0. | 0. |
| 60 | DEAD | 0. | 0. | 0.765 | 0. | 0. | 0. |
| 60 | G1_smistamento | 0. | 0. | 0.301 | 0. | 0. | 0. |
| 60 | G2_smistamento | 0. | 0. | 0.112 | 0. | 0. | 0. |
| 60 | Q_smistamento | 0. | 0. | 0.112 | 0. | 0. | 0. |
| 60 | Q_neve | 0. | 0. | 0.151 | 0. | 0. | 0. |

Table 19: Joint Reactions

| Joint | OutputCase | F1 | F2 | F3 | M1 | M2 | M3 |
|-------|----------------|----|----|-------|------|------|------|
| | | KN | KN | KN | KN-m | KN-m | KN-m |
| 61 | DEAD | 0. | 0. | 0.781 | 0. | 0. | 0. |
| 61 | G1_smistamento | 0. | 0. | 0.303 | 0. | 0. | 0. |
| 61 | G2_smistamento | 0. | 0. | 0.112 | 0. | 0. | 0. |
| 61 | Q_smistamento | 0. | 0. | 0.112 | 0. | 0. | 0. |
| 61 | Q_neve | 0. | 0. | 0.154 | 0. | 0. | 0. |
| 62 | DEAD | 0. | 0. | 0.781 | 0. | 0. | 0. |
| 62 | G1_smistamento | 0. | 0. | 0.303 | 0. | 0. | 0. |
| 62 | G2_smistamento | 0. | 0. | 0.112 | 0. | 0. | 0. |
| 62 | Q_smistamento | 0. | 0. | 0.112 | 0. | 0. | 0. |
| 62 | Q_neve | 0. | 0. | 0.154 | 0. | 0. | 0. |
| 63 | DEAD | 0. | 0. | 1.53 | 0. | 0. | 0. |
| 63 | G1_smistamento | 0. | 0. | 0.937 | 0. | 0. | 0. |
| 63 | G2_smistamento | 0. | 0. | 0.348 | 0. | 0. | 0. |
| 63 | Q_smistamento | 0. | 0. | 0.348 | 0. | 0. | 0. |
| 63 | Q_neve | 0. | 0. | 0.301 | 0. | 0. | 0. |
| 64 | DEAD | 0. | 0. | 0.765 | 0. | 0. | 0. |
| 64 | G1_smistamento | 0. | 0. | 0.301 | 0. | 0. | 0. |
| 64 | G2_smistamento | 0. | 0. | 0.112 | 0. | 0. | 0. |
| 64 | Q_smistamento | 0. | 0. | 0.112 | 0. | 0. | 0. |
| 64 | Q_neve | 0. | 0. | 0.151 | 0. | 0. | 0. |
| 65 | DEAD | 0. | 0. | 0.765 | 0. | 0. | 0. |
| 65 | G1_smistamento | 0. | 0. | 0.301 | 0. | 0. | 0. |
| 65 | G2_smistamento | 0. | 0. | 0.112 | 0. | 0. | 0. |
| 65 | Q_smistamento | 0. | 0. | 0.112 | 0. | 0. | 0. |
| 65 | Q_neve | 0. | 0. | 0.151 | 0. | 0. | 0. |
| 66 | DEAD | 0. | 0. | 0.781 | 0. | 0. | 0. |
| 66 | G1_smistamento | 0. | 0. | 0.303 | 0. | 0. | 0. |
| 66 | G2_smistamento | 0. | 0. | 0.112 | 0. | 0. | 0. |
| 66 | Q_smistamento | 0. | 0. | 0.112 | 0. | 0. | 0. |
| 66 | Q_neve | 0. | 0. | 0.154 | 0. | 0. | 0. |
| 67 | DEAD | 0. | 0. | 0.749 | 0. | 0. | 0. |
| 67 | G1_smistamento | 0. | 0. | 0.425 | 0. | 0. | 0. |
| 67 | G2_smistamento | 0. | 0. | 0.157 | 0. | 0. | 0. |
| 67 | Q_smistamento | 0. | 0. | 0.157 | 0. | 0. | 0. |
| 67 | Q_neve | 0. | 0. | 0.147 | 0. | 0. | 0. |
| 68 | DEAD | 0. | 0. | 1.498 | 0. | 0. | 0. |
| 68 | G1_smistamento | 0. | 0. | 1.211 | 0. | 0. | 0. |
| 68 | G2_smistamento | 0. | 0. | 0.449 | 0. | 0. | 0. |

Table 19: Joint Reactions

| Joint | OutputCase | F1 | F2 | F3 | M1 | M2 | M3 |
|-------|----------------|----|----|-------|------|------|------|
| | | KN | KN | KN | KN-m | KN-m | KN-m |
| 68 | Q_smistamento | 0. | 0. | 0.449 | 0. | 0. | 0. |
| 68 | Q_neve | 0. | 0. | 0.295 | 0. | 0. | 0. |
| 69 | DEAD | 0. | 0. | 0.749 | 0. | 0. | 0. |
| 69 | G1_smistamento | 0. | 0. | 0.521 | 0. | 0. | 0. |
| 69 | G2_smistamento | 0. | 0. | 0.193 | 0. | 0. | 0. |
| 69 | Q_smistamento | 0. | 0. | 0.193 | 0. | 0. | 0. |
| 69 | Q_neve | 0. | 0. | 0.147 | 0. | 0. | 0. |
| 70 | DEAD | 0. | 0. | 1.498 | 0. | 0. | 0. |
| 70 | G1_smistamento | 0. | 0. | 1.434 | 0. | 0. | 0. |
| 70 | G2_smistamento | 0. | 0. | 0.532 | 0. | 0. | 0. |
| 70 | Q_smistamento | 0. | 0. | 0.532 | 0. | 0. | 0. |
| 70 | Q_neve | 0. | 0. | 0.295 | 0. | 0. | 0. |
| 71 | DEAD | 0. | 0. | 0.749 | 0. | 0. | 0. |
| 71 | G1_smistamento | 0. | 0. | 0.58 | 0. | 0. | 0. |
| 71 | G2_smistamento | 0. | 0. | 0.215 | 0. | 0. | 0. |
| 71 | Q_smistamento | 0. | 0. | 0.215 | 0. | 0. | 0. |
| 71 | Q_neve | 0. | 0. | 0.147 | 0. | 0. | 0. |
| 72 | DEAD | 0. | 0. | 1.498 | 0. | 0. | 0. |
| 72 | G1_smistamento | 0. | 0. | 1.577 | 0. | 0. | 0. |
| 72 | G2_smistamento | 0. | 0. | 0.585 | 0. | 0. | 0. |
| 72 | Q_smistamento | 0. | 0. | 0.585 | 0. | 0. | 0. |
| 72 | Q_neve | 0. | 0. | 0.295 | 0. | 0. | 0. |
| 73 | DEAD | 0. | 0. | 0.749 | 0. | 0. | 0. |
| 73 | G1_smistamento | 0. | 0. | 0.608 | 0. | 0. | 0. |
| 73 | G2_smistamento | 0. | 0. | 0.225 | 0. | 0. | 0. |
| 73 | Q_smistamento | 0. | 0. | 0.225 | 0. | 0. | 0. |
| 73 | Q_neve | 0. | 0. | 0.147 | 0. | 0. | 0. |
| 74 | DEAD | 0. | 0. | 1.498 | 0. | 0. | 0. |
| 74 | G1_smistamento | 0. | 0. | 1.653 | 0. | 0. | 0. |
| 74 | G2_smistamento | 0. | 0. | 0.613 | 0. | 0. | 0. |
| 74 | Q_smistamento | 0. | 0. | 0.613 | 0. | 0. | 0. |
| 74 | Q_neve | 0. | 0. | 0.295 | 0. | 0. | 0. |
| 75 | DEAD | 0. | 0. | 0.749 | 0. | 0. | 0. |
| 75 | G1_smistamento | 0. | 0. | 0.615 | 0. | 0. | 0. |
| 75 | G2_smistamento | 0. | 0. | 0.228 | 0. | 0. | 0. |
| 75 | Q_smistamento | 0. | 0. | 0.228 | 0. | 0. | 0. |
| 75 | Q_neve | 0. | 0. | 0.147 | 0. | 0. | 0. |
| 76 | DEAD | 0. | 0. | 1.498 | 0. | 0. | 0. |

Table 19: Joint Reactions

| Joint | OutputCase | F1 | F2 | F3 | M1 | M2 | M3 |
|-------|----------------|----|----|-------|------|------|------|
| | | KN | KN | KN | KN-m | KN-m | KN-m |
| 76 | G1_smistamento | 0. | 0. | 1.682 | 0. | 0. | 0. |
| 76 | G2_smistamento | 0. | 0. | 0.623 | 0. | 0. | 0. |
| 76 | Q_smistamento | 0. | 0. | 0.623 | 0. | 0. | 0. |
| 76 | Q_neve | 0. | 0. | 0.295 | 0. | 0. | 0. |
| 77 | DEAD | 0. | 0. | 0.749 | 0. | 0. | 0. |
| 77 | G1_smistamento | 0. | 0. | 0.612 | 0. | 0. | 0. |
| 77 | G2_smistamento | 0. | 0. | 0.227 | 0. | 0. | 0. |
| 77 | Q_smistamento | 0. | 0. | 0.227 | 0. | 0. | 0. |
| 77 | Q_neve | 0. | 0. | 0.147 | 0. | 0. | 0. |
| 78 | DEAD | 0. | 0. | 1.498 | 0. | 0. | 0. |
| 78 | G1_smistamento | 0. | 0. | 1.685 | 0. | 0. | 0. |
| 78 | G2_smistamento | 0. | 0. | 0.625 | 0. | 0. | 0. |
| 78 | Q_smistamento | 0. | 0. | 0.625 | 0. | 0. | 0. |
| 78 | Q_neve | 0. | 0. | 0.295 | 0. | 0. | 0. |
| 79 | DEAD | 0. | 0. | 0.749 | 0. | 0. | 0. |
| 79 | G1_smistamento | 0. | 0. | 0.606 | 0. | 0. | 0. |
| 79 | G2_smistamento | 0. | 0. | 0.224 | 0. | 0. | 0. |
| 79 | Q_smistamento | 0. | 0. | 0.224 | 0. | 0. | 0. |
| 79 | Q_neve | 0. | 0. | 0.147 | 0. | 0. | 0. |
| 80 | DEAD | 0. | 0. | 1.498 | 0. | 0. | 0. |
| 80 | G1_smistamento | 0. | 0. | 1.678 | 0. | 0. | 0. |
| 80 | G2_smistamento | 0. | 0. | 0.622 | 0. | 0. | 0. |
| 80 | Q_smistamento | 0. | 0. | 0.622 | 0. | 0. | 0. |
| 80 | Q_neve | 0. | 0. | 0.295 | 0. | 0. | 0. |
| 81 | DEAD | 0. | 0. | 0.749 | 0. | 0. | 0. |
| 81 | G1_smistamento | 0. | 0. | 0.601 | 0. | 0. | 0. |
| 81 | G2_smistamento | 0. | 0. | 0.223 | 0. | 0. | 0. |
| 81 | Q_smistamento | 0. | 0. | 0.223 | 0. | 0. | 0. |
| 81 | Q_neve | 0. | 0. | 0.147 | 0. | 0. | 0. |
| 82 | DEAD | 0. | 0. | 1.498 | 0. | 0. | 0. |
| 82 | G1_smistamento | 0. | 0. | 1.672 | 0. | 0. | 0. |
| 82 | G2_smistamento | 0. | 0. | 0.62 | 0. | 0. | 0. |
| 82 | Q_smistamento | 0. | 0. | 0.62 | 0. | 0. | 0. |
| 82 | Q_neve | 0. | 0. | 0.295 | 0. | 0. | 0. |
| 83 | DEAD | 0. | 0. | 0.749 | 0. | 0. | 0. |
| 83 | G1_smistamento | 0. | 0. | 0.601 | 0. | 0. | 0. |
| 83 | G2_smistamento | 0. | 0. | 0.223 | 0. | 0. | 0. |
| 83 | Q_smistamento | 0. | 0. | 0.223 | 0. | 0. | 0. |

Table 19: Joint Reactions

| Joint | OutputCase | F1 | F2 | F3 | M1 | M2 | M3 |
|-------|----------------|----|----|-------|------|------|------|
| | | KN | KN | KN | KN-m | KN-m | KN-m |
| 83 | Q_neve | 0. | 0. | 0.147 | 0. | 0. | 0. |
| 84 | DEAD | 0. | 0. | 1.498 | 0. | 0. | 0. |
| 84 | G1_smistamento | 0. | 0. | 1.672 | 0. | 0. | 0. |
| 84 | G2_smistamento | 0. | 0. | 0.62 | 0. | 0. | 0. |
| 84 | Q_smistamento | 0. | 0. | 0.62 | 0. | 0. | 0. |
| 84 | Q_neve | 0. | 0. | 0.295 | 0. | 0. | 0. |
| 85 | DEAD | 0. | 0. | 0.749 | 0. | 0. | 0. |
| 85 | G1_smistamento | 0. | 0. | 0.606 | 0. | 0. | 0. |
| 85 | G2_smistamento | 0. | 0. | 0.224 | 0. | 0. | 0. |
| 85 | Q_smistamento | 0. | 0. | 0.224 | 0. | 0. | 0. |
| 85 | Q_neve | 0. | 0. | 0.147 | 0. | 0. | 0. |
| 86 | DEAD | 0. | 0. | 1.498 | 0. | 0. | 0. |
| 86 | G1_smistamento | 0. | 0. | 1.678 | 0. | 0. | 0. |
| 86 | G2_smistamento | 0. | 0. | 0.622 | 0. | 0. | 0. |
| 86 | Q_smistamento | 0. | 0. | 0.622 | 0. | 0. | 0. |
| 86 | Q_neve | 0. | 0. | 0.295 | 0. | 0. | 0. |
| 87 | DEAD | 0. | 0. | 0.749 | 0. | 0. | 0. |
| 87 | G1_smistamento | 0. | 0. | 0.612 | 0. | 0. | 0. |
| 87 | G2_smistamento | 0. | 0. | 0.227 | 0. | 0. | 0. |
| 87 | Q_smistamento | 0. | 0. | 0.227 | 0. | 0. | 0. |
| 87 | Q_neve | 0. | 0. | 0.147 | 0. | 0. | 0. |
| 88 | DEAD | 0. | 0. | 1.498 | 0. | 0. | 0. |
| 88 | G1_smistamento | 0. | 0. | 1.685 | 0. | 0. | 0. |
| 88 | G2_smistamento | 0. | 0. | 0.625 | 0. | 0. | 0. |
| 88 | Q_smistamento | 0. | 0. | 0.625 | 0. | 0. | 0. |
| 88 | Q_neve | 0. | 0. | 0.295 | 0. | 0. | 0. |
| 89 | DEAD | 0. | 0. | 0.749 | 0. | 0. | 0. |
| 89 | G1_smistamento | 0. | 0. | 0.615 | 0. | 0. | 0. |
| 89 | G2_smistamento | 0. | 0. | 0.228 | 0. | 0. | 0. |
| 89 | Q_smistamento | 0. | 0. | 0.228 | 0. | 0. | 0. |
| 89 | Q_neve | 0. | 0. | 0.147 | 0. | 0. | 0. |
| 90 | DEAD | 0. | 0. | 1.498 | 0. | 0. | 0. |
| 90 | G1_smistamento | 0. | 0. | 1.682 | 0. | 0. | 0. |
| 90 | G2_smistamento | 0. | 0. | 0.623 | 0. | 0. | 0. |
| 90 | Q_smistamento | 0. | 0. | 0.623 | 0. | 0. | 0. |
| 90 | Q_neve | 0. | 0. | 0.295 | 0. | 0. | 0. |
| 91 | DEAD | 0. | 0. | 0.749 | 0. | 0. | 0. |
| 91 | G1_smistamento | 0. | 0. | 0.608 | 0. | 0. | 0. |

Table 19: Joint Reactions

| Joint | OutputCase | F1 | F2 | F3 | M1 | M2 | M3 |
|-------|----------------|----|----|-------|------|------|------|
| | | KN | KN | KN | KN-m | KN-m | KN-m |
| 91 | G2_smistamento | 0. | 0. | 0.225 | 0. | 0. | 0. |
| 91 | Q_smistamento | 0. | 0. | 0.225 | 0. | 0. | 0. |
| 91 | Q_neve | 0. | 0. | 0.147 | 0. | 0. | 0. |
| 92 | DEAD | 0. | 0. | 1.498 | 0. | 0. | 0. |
| 92 | G1_smistamento | 0. | 0. | 1.653 | 0. | 0. | 0. |
| 92 | G2_smistamento | 0. | 0. | 0.613 | 0. | 0. | 0. |
| 92 | Q_smistamento | 0. | 0. | 0.613 | 0. | 0. | 0. |
| 92 | Q_neve | 0. | 0. | 0.295 | 0. | 0. | 0. |
| 93 | DEAD | 0. | 0. | 0.749 | 0. | 0. | 0. |
| 93 | G1_smistamento | 0. | 0. | 0.58 | 0. | 0. | 0. |
| 93 | G2_smistamento | 0. | 0. | 0.215 | 0. | 0. | 0. |
| 93 | Q_smistamento | 0. | 0. | 0.215 | 0. | 0. | 0. |
| 93 | Q_neve | 0. | 0. | 0.147 | 0. | 0. | 0. |
| 94 | DEAD | 0. | 0. | 1.498 | 0. | 0. | 0. |
| 94 | G1_smistamento | 0. | 0. | 1.577 | 0. | 0. | 0. |
| 94 | G2_smistamento | 0. | 0. | 0.585 | 0. | 0. | 0. |
| 94 | Q_smistamento | 0. | 0. | 0.585 | 0. | 0. | 0. |
| 94 | Q_neve | 0. | 0. | 0.295 | 0. | 0. | 0. |
| 95 | DEAD | 0. | 0. | 0.749 | 0. | 0. | 0. |
| 95 | G1_smistamento | 0. | 0. | 0.521 | 0. | 0. | 0. |
| 95 | G2_smistamento | 0. | 0. | 0.193 | 0. | 0. | 0. |
| 95 | Q_smistamento | 0. | 0. | 0.193 | 0. | 0. | 0. |
| 95 | Q_neve | 0. | 0. | 0.147 | 0. | 0. | 0. |
| 96 | DEAD | 0. | 0. | 1.498 | 0. | 0. | 0. |
| 96 | G1_smistamento | 0. | 0. | 1.434 | 0. | 0. | 0. |
| 96 | G2_smistamento | 0. | 0. | 0.532 | 0. | 0. | 0. |
| 96 | Q_smistamento | 0. | 0. | 0.532 | 0. | 0. | 0. |
| 96 | Q_neve | 0. | 0. | 0.295 | 0. | 0. | 0. |
| 97 | DEAD | 0. | 0. | 0.749 | 0. | 0. | 0. |
| 97 | G1_smistamento | 0. | 0. | 0.425 | 0. | 0. | 0. |
| 97 | G2_smistamento | 0. | 0. | 0.157 | 0. | 0. | 0. |
| 97 | Q_smistamento | 0. | 0. | 0.157 | 0. | 0. | 0. |
| 97 | Q_neve | 0. | 0. | 0.147 | 0. | 0. | 0. |
| 98 | DEAD | 0. | 0. | 1.498 | 0. | 0. | 0. |
| 98 | G1_smistamento | 0. | 0. | 1.211 | 0. | 0. | 0. |
| 98 | G2_smistamento | 0. | 0. | 0.449 | 0. | 0. | 0. |
| 98 | Q_smistamento | 0. | 0. | 0.449 | 0. | 0. | 0. |
| 98 | Q_neve | 0. | 0. | 0.295 | 0. | 0. | 0. |

Table 19: Joint Reactions

| Joint | OutputCase | F1 | F2 | F3 | M1 | M2 | M3 |
|-------|----------------|----|----|-------|------|------|------|
| | | KN | KN | KN | KN-m | KN-m | KN-m |
| 99 | DEAD | 0. | 0. | 0.781 | 0. | 0. | 0. |
| 99 | G1_smistamento | 0. | 0. | 0.43 | 0. | 0. | 0. |
| 99 | G2_smistamento | 0. | 0. | 0.159 | 0. | 0. | 0. |
| 99 | Q_smistamento | 0. | 0. | 0.159 | 0. | 0. | 0. |
| 99 | Q_neve | 0. | 0. | 0.154 | 0. | 0. | 0. |
| 100 | DEAD | 0. | 0. | 1.53 | 0. | 0. | 0. |
| 100 | G1_smistamento | 0. | 0. | 1.217 | 0. | 0. | 0. |
| 100 | G2_smistamento | 0. | 0. | 0.451 | 0. | 0. | 0. |
| 100 | Q_smistamento | 0. | 0. | 0.451 | 0. | 0. | 0. |
| 100 | Q_neve | 0. | 0. | 0.301 | 0. | 0. | 0. |
| 101 | DEAD | 0. | 0. | 0.781 | 0. | 0. | 0. |
| 101 | G1_smistamento | 0. | 0. | 0.502 | 0. | 0. | 0. |
| 101 | G2_smistamento | 0. | 0. | 0.186 | 0. | 0. | 0. |
| 101 | Q_smistamento | 0. | 0. | 0.186 | 0. | 0. | 0. |
| 101 | Q_neve | 0. | 0. | 0.154 | 0. | 0. | 0. |
| 102 | DEAD | 0. | 0. | 1.53 | 0. | 0. | 0. |
| 102 | G1_smistamento | 0. | 0. | 1.375 | 0. | 0. | 0. |
| 102 | G2_smistamento | 0. | 0. | 0.51 | 0. | 0. | 0. |
| 102 | Q_smistamento | 0. | 0. | 0.51 | 0. | 0. | 0. |
| 102 | Q_neve | 0. | 0. | 0.301 | 0. | 0. | 0. |
| 103 | DEAD | 0. | 0. | 0.781 | 0. | 0. | 0. |
| 103 | G1_smistamento | 0. | 0. | 0.502 | 0. | 0. | 0. |
| 103 | G2_smistamento | 0. | 0. | 0.186 | 0. | 0. | 0. |
| 103 | Q_smistamento | 0. | 0. | 0.186 | 0. | 0. | 0. |
| 103 | Q_neve | 0. | 0. | 0.154 | 0. | 0. | 0. |
| 104 | DEAD | 0. | 0. | 1.53 | 0. | 0. | 0. |
| 104 | G1_smistamento | 0. | 0. | 1.375 | 0. | 0. | 0. |
| 104 | G2_smistamento | 0. | 0. | 0.51 | 0. | 0. | 0. |
| 104 | Q_smistamento | 0. | 0. | 0.51 | 0. | 0. | 0. |
| 104 | Q_neve | 0. | 0. | 0.301 | 0. | 0. | 0. |
| 105 | DEAD | 0. | 0. | 0.781 | 0. | 0. | 0. |
| 105 | G1_smistamento | 0. | 0. | 0.43 | 0. | 0. | 0. |
| 105 | G2_smistamento | 0. | 0. | 0.159 | 0. | 0. | 0. |
| 105 | Q_smistamento | 0. | 0. | 0.159 | 0. | 0. | 0. |
| 105 | Q_neve | 0. | 0. | 0.154 | 0. | 0. | 0. |
| 106 | DEAD | 0. | 0. | 1.53 | 0. | 0. | 0. |
| 106 | G1_smistamento | 0. | 0. | 1.217 | 0. | 0. | 0. |
| 106 | G2_smistamento | 0. | 0. | 0.451 | 0. | 0. | 0. |

Table 19: Joint Reactions

| Joint | OutputCase | F1 | F2 | F3 | M1 | M2 | M3 |
|-------|----------------|----|----|-------|------|------|------|
| | | KN | KN | KN | KN-m | KN-m | KN-m |
| 106 | Q_smistamento | 0. | 0. | 0.451 | 0. | 0. | 0. |
| 106 | Q_neve | 0. | 0. | 0.301 | 0. | 0. | 0. |
| 107 | DEAD | 0. | 0. | 0.749 | 0. | 0. | 0. |
| 107 | G1_smistamento | 0. | 0. | 0.425 | 0. | 0. | 0. |
| 107 | G2_smistamento | 0. | 0. | 0.157 | 0. | 0. | 0. |
| 107 | Q_smistamento | 0. | 0. | 0.157 | 0. | 0. | 0. |
| 107 | Q_neve | 0. | 0. | 0.147 | 0. | 0. | 0. |
| 108 | DEAD | 0. | 0. | 1.498 | 0. | 0. | 0. |
| 108 | G1_smistamento | 0. | 0. | 1.211 | 0. | 0. | 0. |
| 108 | G2_smistamento | 0. | 0. | 0.449 | 0. | 0. | 0. |
| 108 | Q_smistamento | 0. | 0. | 0.449 | 0. | 0. | 0. |
| 108 | Q_neve | 0. | 0. | 0.295 | 0. | 0. | 0. |
| 109 | DEAD | 0. | 0. | 0.749 | 0. | 0. | 0. |
| 109 | G1_smistamento | 0. | 0. | 0.521 | 0. | 0. | 0. |
| 109 | G2_smistamento | 0. | 0. | 0.193 | 0. | 0. | 0. |
| 109 | Q_smistamento | 0. | 0. | 0.193 | 0. | 0. | 0. |
| 109 | Q_neve | 0. | 0. | 0.147 | 0. | 0. | 0. |
| 110 | DEAD | 0. | 0. | 1.498 | 0. | 0. | 0. |
| 110 | G1_smistamento | 0. | 0. | 1.434 | 0. | 0. | 0. |
| 110 | G2_smistamento | 0. | 0. | 0.532 | 0. | 0. | 0. |
| 110 | Q_smistamento | 0. | 0. | 0.532 | 0. | 0. | 0. |
| 110 | Q_neve | 0. | 0. | 0.295 | 0. | 0. | 0. |
| 111 | DEAD | 0. | 0. | 0.749 | 0. | 0. | 0. |
| 111 | G1_smistamento | 0. | 0. | 0.58 | 0. | 0. | 0. |
| 111 | G2_smistamento | 0. | 0. | 0.215 | 0. | 0. | 0. |
| 111 | Q_smistamento | 0. | 0. | 0.215 | 0. | 0. | 0. |
| 111 | Q_neve | 0. | 0. | 0.147 | 0. | 0. | 0. |
| 112 | DEAD | 0. | 0. | 1.498 | 0. | 0. | 0. |
| 112 | G1_smistamento | 0. | 0. | 1.577 | 0. | 0. | 0. |
| 112 | G2_smistamento | 0. | 0. | 0.585 | 0. | 0. | 0. |
| 112 | Q_smistamento | 0. | 0. | 0.585 | 0. | 0. | 0. |
| 112 | Q_neve | 0. | 0. | 0.295 | 0. | 0. | 0. |
| 113 | DEAD | 0. | 0. | 0.749 | 0. | 0. | 0. |
| 113 | G1_smistamento | 0. | 0. | 0.608 | 0. | 0. | 0. |
| 113 | G2_smistamento | 0. | 0. | 0.225 | 0. | 0. | 0. |
| 113 | Q_smistamento | 0. | 0. | 0.225 | 0. | 0. | 0. |
| 113 | Q_neve | 0. | 0. | 0.147 | 0. | 0. | 0. |
| 114 | DEAD | 0. | 0. | 1.498 | 0. | 0. | 0. |

Table 19: Joint Reactions

| Joint | OutputCase | F1 | F2 | F3 | M1 | M2 | M3 |
|-------|----------------|----|----|-------|------|------|------|
| | | KN | KN | KN | KN-m | KN-m | KN-m |
| 114 | G1_smistamento | 0. | 0. | 1.653 | 0. | 0. | 0. |
| 114 | G2_smistamento | 0. | 0. | 0.613 | 0. | 0. | 0. |
| 114 | Q_smistamento | 0. | 0. | 0.613 | 0. | 0. | 0. |
| 114 | Q_neve | 0. | 0. | 0.295 | 0. | 0. | 0. |
| 115 | DEAD | 0. | 0. | 0.749 | 0. | 0. | 0. |
| 115 | G1_smistamento | 0. | 0. | 0.615 | 0. | 0. | 0. |
| 115 | G2_smistamento | 0. | 0. | 0.228 | 0. | 0. | 0. |
| 115 | Q_smistamento | 0. | 0. | 0.228 | 0. | 0. | 0. |
| 115 | Q_neve | 0. | 0. | 0.147 | 0. | 0. | 0. |
| 116 | DEAD | 0. | 0. | 1.498 | 0. | 0. | 0. |
| 116 | G1_smistamento | 0. | 0. | 1.682 | 0. | 0. | 0. |
| 116 | G2_smistamento | 0. | 0. | 0.623 | 0. | 0. | 0. |
| 116 | Q_smistamento | 0. | 0. | 0.623 | 0. | 0. | 0. |
| 116 | Q_neve | 0. | 0. | 0.295 | 0. | 0. | 0. |
| 117 | DEAD | 0. | 0. | 0.749 | 0. | 0. | 0. |
| 117 | G1_smistamento | 0. | 0. | 0.612 | 0. | 0. | 0. |
| 117 | G2_smistamento | 0. | 0. | 0.227 | 0. | 0. | 0. |
| 117 | Q_smistamento | 0. | 0. | 0.227 | 0. | 0. | 0. |
| 117 | Q_neve | 0. | 0. | 0.147 | 0. | 0. | 0. |
| 118 | DEAD | 0. | 0. | 1.498 | 0. | 0. | 0. |
| 118 | G1_smistamento | 0. | 0. | 1.685 | 0. | 0. | 0. |
| 118 | G2_smistamento | 0. | 0. | 0.625 | 0. | 0. | 0. |
| 118 | Q_smistamento | 0. | 0. | 0.625 | 0. | 0. | 0. |
| 118 | Q_neve | 0. | 0. | 0.295 | 0. | 0. | 0. |
| 119 | DEAD | 0. | 0. | 0.749 | 0. | 0. | 0. |
| 119 | G1_smistamento | 0. | 0. | 0.606 | 0. | 0. | 0. |
| 119 | G2_smistamento | 0. | 0. | 0.224 | 0. | 0. | 0. |
| 119 | Q_smistamento | 0. | 0. | 0.224 | 0. | 0. | 0. |
| 119 | Q_neve | 0. | 0. | 0.147 | 0. | 0. | 0. |
| 120 | DEAD | 0. | 0. | 1.498 | 0. | 0. | 0. |
| 120 | G1_smistamento | 0. | 0. | 1.678 | 0. | 0. | 0. |
| 120 | G2_smistamento | 0. | 0. | 0.622 | 0. | 0. | 0. |
| 120 | Q_smistamento | 0. | 0. | 0.622 | 0. | 0. | 0. |
| 120 | Q_neve | 0. | 0. | 0.295 | 0. | 0. | 0. |
| 121 | DEAD | 0. | 0. | 0.749 | 0. | 0. | 0. |
| 121 | G1_smistamento | 0. | 0. | 0.601 | 0. | 0. | 0. |
| 121 | G2_smistamento | 0. | 0. | 0.223 | 0. | 0. | 0. |
| 121 | Q_smistamento | 0. | 0. | 0.223 | 0. | 0. | 0. |

Table 19: Joint Reactions

| Joint | OutputCase | F1 | F2 | F3 | M1 | M2 | M3 |
|-------|----------------|----|----|-------|------|------|------|
| | | KN | KN | KN | KN-m | KN-m | KN-m |
| 121 | Q_neve | 0. | 0. | 0.147 | 0. | 0. | 0. |
| 122 | DEAD | 0. | 0. | 1.498 | 0. | 0. | 0. |
| 122 | G1_smistamento | 0. | 0. | 1.672 | 0. | 0. | 0. |
| 122 | G2_smistamento | 0. | 0. | 0.62 | 0. | 0. | 0. |
| 122 | Q_smistamento | 0. | 0. | 0.62 | 0. | 0. | 0. |
| 122 | Q_neve | 0. | 0. | 0.295 | 0. | 0. | 0. |
| 123 | DEAD | 0. | 0. | 0.749 | 0. | 0. | 0. |
| 123 | G1_smistamento | 0. | 0. | 0.601 | 0. | 0. | 0. |
| 123 | G2_smistamento | 0. | 0. | 0.223 | 0. | 0. | 0. |
| 123 | Q_smistamento | 0. | 0. | 0.223 | 0. | 0. | 0. |
| 123 | Q_neve | 0. | 0. | 0.147 | 0. | 0. | 0. |
| 124 | DEAD | 0. | 0. | 1.498 | 0. | 0. | 0. |
| 124 | G1_smistamento | 0. | 0. | 1.672 | 0. | 0. | 0. |
| 124 | G2_smistamento | 0. | 0. | 0.62 | 0. | 0. | 0. |
| 124 | Q_smistamento | 0. | 0. | 0.62 | 0. | 0. | 0. |
| 124 | Q_neve | 0. | 0. | 0.295 | 0. | 0. | 0. |
| 125 | DEAD | 0. | 0. | 0.749 | 0. | 0. | 0. |
| 125 | G1_smistamento | 0. | 0. | 0.606 | 0. | 0. | 0. |
| 125 | G2_smistamento | 0. | 0. | 0.224 | 0. | 0. | 0. |
| 125 | Q_smistamento | 0. | 0. | 0.224 | 0. | 0. | 0. |
| 125 | Q_neve | 0. | 0. | 0.147 | 0. | 0. | 0. |
| 126 | DEAD | 0. | 0. | 1.498 | 0. | 0. | 0. |
| 126 | G1_smistamento | 0. | 0. | 1.678 | 0. | 0. | 0. |
| 126 | G2_smistamento | 0. | 0. | 0.622 | 0. | 0. | 0. |
| 126 | Q_smistamento | 0. | 0. | 0.622 | 0. | 0. | 0. |
| 126 | Q_neve | 0. | 0. | 0.295 | 0. | 0. | 0. |
| 127 | DEAD | 0. | 0. | 0.749 | 0. | 0. | 0. |
| 127 | G1_smistamento | 0. | 0. | 0.612 | 0. | 0. | 0. |
| 127 | G2_smistamento | 0. | 0. | 0.227 | 0. | 0. | 0. |
| 127 | Q_smistamento | 0. | 0. | 0.227 | 0. | 0. | 0. |
| 127 | Q_neve | 0. | 0. | 0.147 | 0. | 0. | 0. |
| 128 | DEAD | 0. | 0. | 1.498 | 0. | 0. | 0. |
| 128 | G1_smistamento | 0. | 0. | 1.685 | 0. | 0. | 0. |
| 128 | G2_smistamento | 0. | 0. | 0.625 | 0. | 0. | 0. |
| 128 | Q_smistamento | 0. | 0. | 0.625 | 0. | 0. | 0. |
| 128 | Q_neve | 0. | 0. | 0.295 | 0. | 0. | 0. |
| 129 | DEAD | 0. | 0. | 0.749 | 0. | 0. | 0. |
| 129 | G1_smistamento | 0. | 0. | 0.615 | 0. | 0. | 0. |

Table 19: Joint Reactions

| Joint | OutputCase | F1 | F2 | F3 | M1 | M2 | M3 |
|-------|----------------|----|----|-------|------|------|------|
| | | KN | KN | KN | KN-m | KN-m | KN-m |
| 129 | G2_smistamento | 0. | 0. | 0.228 | 0. | 0. | 0. |
| 129 | Q_smistamento | 0. | 0. | 0.228 | 0. | 0. | 0. |
| 129 | Q_neve | 0. | 0. | 0.147 | 0. | 0. | 0. |
| 130 | DEAD | 0. | 0. | 1.498 | 0. | 0. | 0. |
| 130 | G1_smistamento | 0. | 0. | 1.682 | 0. | 0. | 0. |
| 130 | G2_smistamento | 0. | 0. | 0.623 | 0. | 0. | 0. |
| 130 | Q_smistamento | 0. | 0. | 0.623 | 0. | 0. | 0. |
| 130 | Q_neve | 0. | 0. | 0.295 | 0. | 0. | 0. |
| 131 | DEAD | 0. | 0. | 0.749 | 0. | 0. | 0. |
| 131 | G1_smistamento | 0. | 0. | 0.608 | 0. | 0. | 0. |
| 131 | G2_smistamento | 0. | 0. | 0.225 | 0. | 0. | 0. |
| 131 | Q_smistamento | 0. | 0. | 0.225 | 0. | 0. | 0. |
| 131 | Q_neve | 0. | 0. | 0.147 | 0. | 0. | 0. |
| 132 | DEAD | 0. | 0. | 1.498 | 0. | 0. | 0. |
| 132 | G1_smistamento | 0. | 0. | 1.653 | 0. | 0. | 0. |
| 132 | G2_smistamento | 0. | 0. | 0.613 | 0. | 0. | 0. |
| 132 | Q_smistamento | 0. | 0. | 0.613 | 0. | 0. | 0. |
| 132 | Q_neve | 0. | 0. | 0.295 | 0. | 0. | 0. |
| 133 | DEAD | 0. | 0. | 0.749 | 0. | 0. | 0. |
| 133 | G1_smistamento | 0. | 0. | 0.58 | 0. | 0. | 0. |
| 133 | G2_smistamento | 0. | 0. | 0.215 | 0. | 0. | 0. |
| 133 | Q_smistamento | 0. | 0. | 0.215 | 0. | 0. | 0. |
| 133 | Q_neve | 0. | 0. | 0.147 | 0. | 0. | 0. |
| 134 | DEAD | 0. | 0. | 1.498 | 0. | 0. | 0. |
| 134 | G1_smistamento | 0. | 0. | 1.577 | 0. | 0. | 0. |
| 134 | G2_smistamento | 0. | 0. | 0.585 | 0. | 0. | 0. |
| 134 | Q_smistamento | 0. | 0. | 0.585 | 0. | 0. | 0. |
| 134 | Q_neve | 0. | 0. | 0.295 | 0. | 0. | 0. |
| 135 | DEAD | 0. | 0. | 0.749 | 0. | 0. | 0. |
| 135 | G1_smistamento | 0. | 0. | 0.521 | 0. | 0. | 0. |
| 135 | G2_smistamento | 0. | 0. | 0.193 | 0. | 0. | 0. |
| 135 | Q_smistamento | 0. | 0. | 0.193 | 0. | 0. | 0. |
| 135 | Q_neve | 0. | 0. | 0.147 | 0. | 0. | 0. |
| 136 | DEAD | 0. | 0. | 1.498 | 0. | 0. | 0. |
| 136 | G1_smistamento | 0. | 0. | 1.434 | 0. | 0. | 0. |
| 136 | G2_smistamento | 0. | 0. | 0.532 | 0. | 0. | 0. |
| 136 | Q_smistamento | 0. | 0. | 0.532 | 0. | 0. | 0. |
| 136 | Q_neve | 0. | 0. | 0.295 | 0. | 0. | 0. |

Table 19: Joint Reactions

| Joint | OutputCase | F1 | F2 | F3 | M1 | M2 | M3 |
|-------|----------------|----|----|-------|------|------|------|
| | | KN | KN | KN | KN-m | KN-m | KN-m |
| 137 | DEAD | 0. | 0. | 0.749 | 0. | 0. | 0. |
| 137 | G1_smistamento | 0. | 0. | 0.425 | 0. | 0. | 0. |
| 137 | G2_smistamento | 0. | 0. | 0.157 | 0. | 0. | 0. |
| 137 | Q_smistamento | 0. | 0. | 0.157 | 0. | 0. | 0. |
| 137 | Q_neve | 0. | 0. | 0.147 | 0. | 0. | 0. |
| 138 | DEAD | 0. | 0. | 1.498 | 0. | 0. | 0. |
| 138 | G1_smistamento | 0. | 0. | 1.211 | 0. | 0. | 0. |
| 138 | G2_smistamento | 0. | 0. | 0.449 | 0. | 0. | 0. |
| 138 | Q_smistamento | 0. | 0. | 0.449 | 0. | 0. | 0. |
| 138 | Q_neve | 0. | 0. | 0.295 | 0. | 0. | 0. |
| 139 | DEAD | 0. | 0. | 0.781 | 0. | 0. | 0. |
| 139 | G1_smistamento | 0. | 0. | 0.43 | 0. | 0. | 0. |
| 139 | G2_smistamento | 0. | 0. | 0.159 | 0. | 0. | 0. |
| 139 | Q_smistamento | 0. | 0. | 0.159 | 0. | 0. | 0. |
| 139 | Q_neve | 0. | 0. | 0.154 | 0. | 0. | 0. |
| 140 | DEAD | 0. | 0. | 1.53 | 0. | 0. | 0. |
| 140 | G1_smistamento | 0. | 0. | 1.217 | 0. | 0. | 0. |
| 140 | G2_smistamento | 0. | 0. | 0.451 | 0. | 0. | 0. |
| 140 | Q_smistamento | 0. | 0. | 0.451 | 0. | 0. | 0. |
| 140 | Q_neve | 0. | 0. | 0.301 | 0. | 0. | 0. |
| 141 | DEAD | 0. | 0. | 0.781 | 0. | 0. | 0. |
| 141 | G1_smistamento | 0. | 0. | 0.502 | 0. | 0. | 0. |
| 141 | G2_smistamento | 0. | 0. | 0.186 | 0. | 0. | 0. |
| 141 | Q_smistamento | 0. | 0. | 0.186 | 0. | 0. | 0. |
| 141 | Q_neve | 0. | 0. | 0.154 | 0. | 0. | 0. |
| 142 | DEAD | 0. | 0. | 1.53 | 0. | 0. | 0. |
| 142 | G1_smistamento | 0. | 0. | 1.375 | 0. | 0. | 0. |
| 142 | G2_smistamento | 0. | 0. | 0.51 | 0. | 0. | 0. |
| 142 | Q_smistamento | 0. | 0. | 0.51 | 0. | 0. | 0. |
| 142 | Q_neve | 0. | 0. | 0.301 | 0. | 0. | 0. |
| 143 | DEAD | 0. | 0. | 0.781 | 0. | 0. | 0. |
| 143 | G1_smistamento | 0. | 0. | 0.502 | 0. | 0. | 0. |
| 143 | G2_smistamento | 0. | 0. | 0.186 | 0. | 0. | 0. |
| 143 | Q_smistamento | 0. | 0. | 0.186 | 0. | 0. | 0. |
| 143 | Q_neve | 0. | 0. | 0.154 | 0. | 0. | 0. |
| 144 | DEAD | 0. | 0. | 1.53 | 0. | 0. | 0. |
| 144 | G1_smistamento | 0. | 0. | 1.375 | 0. | 0. | 0. |
| 144 | G2_smistamento | 0. | 0. | 0.51 | 0. | 0. | 0. |

Table 19: Joint Reactions

| Joint | OutputCase | F1 | F2 | F3 | M1 | M2 | M3 |
|-------|----------------|----|----|-------|------|------|------|
| | | KN | KN | KN | KN-m | KN-m | KN-m |
| 144 | Q_smistamento | 0. | 0. | 0.51 | 0. | 0. | 0. |
| 144 | Q_neve | 0. | 0. | 0.301 | 0. | 0. | 0. |
| 145 | DEAD | 0. | 0. | 0.781 | 0. | 0. | 0. |
| 145 | G1_smistamento | 0. | 0. | 0.43 | 0. | 0. | 0. |
| 145 | G2_smistamento | 0. | 0. | 0.159 | 0. | 0. | 0. |
| 145 | Q_smistamento | 0. | 0. | 0.159 | 0. | 0. | 0. |
| 145 | Q_neve | 0. | 0. | 0.154 | 0. | 0. | 0. |
| 146 | DEAD | 0. | 0. | 1.53 | 0. | 0. | 0. |
| 146 | G1_smistamento | 0. | 0. | 1.217 | 0. | 0. | 0. |
| 146 | G2_smistamento | 0. | 0. | 0.451 | 0. | 0. | 0. |
| 146 | Q_smistamento | 0. | 0. | 0.451 | 0. | 0. | 0. |
| 146 | Q_neve | 0. | 0. | 0.301 | 0. | 0. | 0. |
| 147 | DEAD | 0. | 0. | 1.498 | 0. | 0. | 0. |
| 147 | G1_smistamento | 0. | 0. | 1.519 | 0. | 0. | 0. |
| 147 | G2_smistamento | 0. | 0. | 0.563 | 0. | 0. | 0. |
| 147 | Q_smistamento | 0. | 0. | 0.563 | 0. | 0. | 0. |
| 147 | Q_neve | 0. | 0. | 0.295 | 0. | 0. | 0. |
| 148 | DEAD | 0. | 0. | 1.498 | 0. | 0. | 0. |
| 148 | G1_smistamento | 0. | 0. | 1.692 | 0. | 0. | 0. |
| 148 | G2_smistamento | 0. | 0. | 0.627 | 0. | 0. | 0. |
| 148 | Q_smistamento | 0. | 0. | 0.627 | 0. | 0. | 0. |
| 148 | Q_neve | 0. | 0. | 0.295 | 0. | 0. | 0. |
| 149 | DEAD | 0. | 0. | 1.498 | 0. | 0. | 0. |
| 149 | G1_smistamento | 0. | 0. | 1.692 | 0. | 0. | 0. |
| 149 | G2_smistamento | 0. | 0. | 0.627 | 0. | 0. | 0. |
| 149 | Q_smistamento | 0. | 0. | 0.627 | 0. | 0. | 0. |
| 149 | Q_neve | 0. | 0. | 0.295 | 0. | 0. | 0. |
| 150 | DEAD | 0. | 0. | 1.498 | 0. | 0. | 0. |
| 150 | G1_smistamento | 0. | 0. | 1.519 | 0. | 0. | 0. |
| 150 | G2_smistamento | 0. | 0. | 0.563 | 0. | 0. | 0. |
| 150 | Q_smistamento | 0. | 0. | 0.563 | 0. | 0. | 0. |
| 150 | Q_neve | 0. | 0. | 0.295 | 0. | 0. | 0. |
| 151 | DEAD | 0. | 0. | 1.498 | 0. | 0. | 0. |
| 151 | G1_smistamento | 0. | 0. | 1.77 | 0. | 0. | 0. |
| 151 | G2_smistamento | 0. | 0. | 0.656 | 0. | 0. | 0. |
| 151 | Q_smistamento | 0. | 0. | 0.656 | 0. | 0. | 0. |
| 151 | Q_neve | 0. | 0. | 0.295 | 0. | 0. | 0. |
| 152 | DEAD | 0. | 0. | 1.498 | 0. | 0. | 0. |

Table 19: Joint Reactions

| Joint | OutputCase | F1 | F2 | F3 | M1 | M2 | M3 |
|-------|----------------|----|----|-------|------|------|------|
| | | KN | KN | KN | KN-m | KN-m | KN-m |
| 152 | G1_smistamento | 0. | 0. | 1.96 | 0. | 0. | 0. |
| 152 | G2_smistamento | 0. | 0. | 0.727 | 0. | 0. | 0. |
| 152 | Q_smistamento | 0. | 0. | 0.727 | 0. | 0. | 0. |
| 152 | Q_neve | 0. | 0. | 0.295 | 0. | 0. | 0. |
| 153 | DEAD | 0. | 0. | 1.498 | 0. | 0. | 0. |
| 153 | G1_smistamento | 0. | 0. | 1.96 | 0. | 0. | 0. |
| 153 | G2_smistamento | 0. | 0. | 0.727 | 0. | 0. | 0. |
| 153 | Q_smistamento | 0. | 0. | 0.727 | 0. | 0. | 0. |
| 153 | Q_neve | 0. | 0. | 0.295 | 0. | 0. | 0. |
| 154 | DEAD | 0. | 0. | 1.498 | 0. | 0. | 0. |
| 154 | G1_smistamento | 0. | 0. | 1.77 | 0. | 0. | 0. |
| 154 | G2_smistamento | 0. | 0. | 0.656 | 0. | 0. | 0. |
| 154 | Q_smistamento | 0. | 0. | 0.656 | 0. | 0. | 0. |
| 154 | Q_neve | 0. | 0. | 0.295 | 0. | 0. | 0. |
| 155 | DEAD | 0. | 0. | 1.498 | 0. | 0. | 0. |
| 155 | G1_smistamento | 0. | 0. | 1.933 | 0. | 0. | 0. |
| 155 | G2_smistamento | 0. | 0. | 0.717 | 0. | 0. | 0. |
| 155 | Q_smistamento | 0. | 0. | 0.717 | 0. | 0. | 0. |
| 155 | Q_neve | 0. | 0. | 0.295 | 0. | 0. | 0. |
| 156 | DEAD | 0. | 0. | 1.498 | 0. | 0. | 0. |
| 156 | G1_smistamento | 0. | 0. | 2.135 | 0. | 0. | 0. |
| 156 | G2_smistamento | 0. | 0. | 0.791 | 0. | 0. | 0. |
| 156 | Q_smistamento | 0. | 0. | 0.791 | 0. | 0. | 0. |
| 156 | Q_neve | 0. | 0. | 0.295 | 0. | 0. | 0. |
| 157 | DEAD | 0. | 0. | 1.498 | 0. | 0. | 0. |
| 157 | G1_smistamento | 0. | 0. | 2.135 | 0. | 0. | 0. |
| 157 | G2_smistamento | 0. | 0. | 0.791 | 0. | 0. | 0. |
| 157 | Q_smistamento | 0. | 0. | 0.791 | 0. | 0. | 0. |
| 157 | Q_neve | 0. | 0. | 0.295 | 0. | 0. | 0. |
| 158 | DEAD | 0. | 0. | 1.498 | 0. | 0. | 0. |
| 158 | G1_smistamento | 0. | 0. | 1.933 | 0. | 0. | 0. |
| 158 | G2_smistamento | 0. | 0. | 0.717 | 0. | 0. | 0. |
| 158 | Q_smistamento | 0. | 0. | 0.717 | 0. | 0. | 0. |
| 158 | Q_neve | 0. | 0. | 0.295 | 0. | 0. | 0. |
| 159 | DEAD | 0. | 0. | 1.498 | 0. | 0. | 0. |
| 159 | G1_smistamento | 0. | 0. | 2.023 | 0. | 0. | 0. |
| 159 | G2_smistamento | 0. | 0. | 0.75 | 0. | 0. | 0. |
| 159 | Q_smistamento | 0. | 0. | 0.75 | 0. | 0. | 0. |

Table 19: Joint Reactions

| Joint | OutputCase | F1 | F2 | F3 | M1 | M2 | M3 |
|-------|----------------|----|----|-------|------|------|------|
| | | KN | KN | KN | KN-m | KN-m | KN-m |
| 159 | Q_neve | 0. | 0. | 0.295 | 0. | 0. | 0. |
| 160 | DEAD | 0. | 0. | 1.498 | 0. | 0. | 0. |
| 160 | G1_smistamento | 0. | 0. | 2.232 | 0. | 0. | 0. |
| 160 | G2_smistamento | 0. | 0. | 0.827 | 0. | 0. | 0. |
| 160 | Q_smistamento | 0. | 0. | 0.827 | 0. | 0. | 0. |
| 160 | Q_neve | 0. | 0. | 0.295 | 0. | 0. | 0. |
| 161 | DEAD | 0. | 0. | 1.498 | 0. | 0. | 0. |
| 161 | G1_smistamento | 0. | 0. | 2.232 | 0. | 0. | 0. |
| 161 | G2_smistamento | 0. | 0. | 0.827 | 0. | 0. | 0. |
| 161 | Q_smistamento | 0. | 0. | 0.827 | 0. | 0. | 0. |
| 161 | Q_neve | 0. | 0. | 0.295 | 0. | 0. | 0. |
| 162 | DEAD | 0. | 0. | 1.498 | 0. | 0. | 0. |
| 162 | G1_smistamento | 0. | 0. | 2.023 | 0. | 0. | 0. |
| 162 | G2_smistamento | 0. | 0. | 0.75 | 0. | 0. | 0. |
| 162 | Q_smistamento | 0. | 0. | 0.75 | 0. | 0. | 0. |
| 162 | Q_neve | 0. | 0. | 0.295 | 0. | 0. | 0. |
| 163 | DEAD | 0. | 0. | 1.498 | 0. | 0. | 0. |
| 163 | G1_smistamento | 0. | 0. | 2.061 | 0. | 0. | 0. |
| 163 | G2_smistamento | 0. | 0. | 0.764 | 0. | 0. | 0. |
| 163 | Q_smistamento | 0. | 0. | 0.764 | 0. | 0. | 0. |
| 163 | Q_neve | 0. | 0. | 0.295 | 0. | 0. | 0. |
| 164 | DEAD | 0. | 0. | 1.498 | 0. | 0. | 0. |
| 164 | G1_smistamento | 0. | 0. | 2.275 | 0. | 0. | 0. |
| 164 | G2_smistamento | 0. | 0. | 0.843 | 0. | 0. | 0. |
| 164 | Q_smistamento | 0. | 0. | 0.843 | 0. | 0. | 0. |
| 164 | Q_neve | 0. | 0. | 0.295 | 0. | 0. | 0. |
| 165 | DEAD | 0. | 0. | 1.498 | 0. | 0. | 0. |
| 165 | G1_smistamento | 0. | 0. | 2.275 | 0. | 0. | 0. |
| 165 | G2_smistamento | 0. | 0. | 0.843 | 0. | 0. | 0. |
| 165 | Q_smistamento | 0. | 0. | 0.843 | 0. | 0. | 0. |
| 165 | Q_neve | 0. | 0. | 0.295 | 0. | 0. | 0. |
| 166 | DEAD | 0. | 0. | 1.498 | 0. | 0. | 0. |
| 166 | G1_smistamento | 0. | 0. | 2.061 | 0. | 0. | 0. |
| 166 | G2_smistamento | 0. | 0. | 0.764 | 0. | 0. | 0. |
| 166 | Q_smistamento | 0. | 0. | 0.764 | 0. | 0. | 0. |
| 166 | Q_neve | 0. | 0. | 0.295 | 0. | 0. | 0. |
| 167 | DEAD | 0. | 0. | 1.498 | 0. | 0. | 0. |
| 167 | G1_smistamento | 0. | 0. | 2.071 | 0. | 0. | 0. |

Table 19: Joint Reactions

| Joint | OutputCase | F1 | F2 | F3 | M1 | M2 | M3 |
|-------|----------------|----|----|-------|------|------|------|
| | | KN | KN | KN | KN-m | KN-m | KN-m |
| 167 | G2_smistamento | 0. | 0. | 0.768 | 0. | 0. | 0. |
| 167 | Q_smistamento | 0. | 0. | 0.768 | 0. | 0. | 0. |
| 167 | Q_neve | 0. | 0. | 0.295 | 0. | 0. | 0. |
| 168 | DEAD | 0. | 0. | 1.498 | 0. | 0. | 0. |
| 168 | G1_smistamento | 0. | 0. | 2.288 | 0. | 0. | 0. |
| 168 | G2_smistamento | 0. | 0. | 0.848 | 0. | 0. | 0. |
| 168 | Q_smistamento | 0. | 0. | 0.848 | 0. | 0. | 0. |
| 168 | Q_neve | 0. | 0. | 0.295 | 0. | 0. | 0. |
| 169 | DEAD | 0. | 0. | 1.498 | 0. | 0. | 0. |
| 169 | G1_smistamento | 0. | 0. | 2.288 | 0. | 0. | 0. |
| 169 | G2_smistamento | 0. | 0. | 0.848 | 0. | 0. | 0. |
| 169 | Q_smistamento | 0. | 0. | 0.848 | 0. | 0. | 0. |
| 169 | Q_neve | 0. | 0. | 0.295 | 0. | 0. | 0. |
| 170 | DEAD | 0. | 0. | 1.498 | 0. | 0. | 0. |
| 170 | G1_smistamento | 0. | 0. | 2.071 | 0. | 0. | 0. |
| 170 | G2_smistamento | 0. | 0. | 0.768 | 0. | 0. | 0. |
| 170 | Q_smistamento | 0. | 0. | 0.768 | 0. | 0. | 0. |
| 170 | Q_neve | 0. | 0. | 0.295 | 0. | 0. | 0. |
| 171 | DEAD | 0. | 0. | 1.498 | 0. | 0. | 0. |
| 171 | G1_smistamento | 0. | 0. | 2.068 | 0. | 0. | 0. |
| 171 | G2_smistamento | 0. | 0. | 0.767 | 0. | 0. | 0. |
| 171 | Q_smistamento | 0. | 0. | 0.767 | 0. | 0. | 0. |
| 171 | Q_neve | 0. | 0. | 0.295 | 0. | 0. | 0. |
| 172 | DEAD | 0. | 0. | 1.498 | 0. | 0. | 0. |
| 172 | G1_smistamento | 0. | 0. | 2.287 | 0. | 0. | 0. |
| 172 | G2_smistamento | 0. | 0. | 0.848 | 0. | 0. | 0. |
| 172 | Q_smistamento | 0. | 0. | 0.848 | 0. | 0. | 0. |
| 172 | Q_neve | 0. | 0. | 0.295 | 0. | 0. | 0. |
| 173 | DEAD | 0. | 0. | 1.498 | 0. | 0. | 0. |
| 173 | G1_smistamento | 0. | 0. | 2.287 | 0. | 0. | 0. |
| 173 | G2_smistamento | 0. | 0. | 0.848 | 0. | 0. | 0. |
| 173 | Q_smistamento | 0. | 0. | 0.848 | 0. | 0. | 0. |
| 173 | Q_neve | 0. | 0. | 0.295 | 0. | 0. | 0. |
| 174 | DEAD | 0. | 0. | 1.498 | 0. | 0. | 0. |
| 174 | G1_smistamento | 0. | 0. | 2.068 | 0. | 0. | 0. |
| 174 | G2_smistamento | 0. | 0. | 0.767 | 0. | 0. | 0. |
| 174 | Q_smistamento | 0. | 0. | 0.767 | 0. | 0. | 0. |
| 174 | Q_neve | 0. | 0. | 0.295 | 0. | 0. | 0. |

Table 19: Joint Reactions

| Joint | OutputCase | F1 KN | F2 KN | F3 KN | M1 KN-m | M2 KN-m | M3 KN-m |
|-------|----------------|----------|----------|----------|------------|------------|------------|
| 175 | DEAD | 0. | 0. | 1.498 | 0. | 0. | 0. |
| 175 | G1_smistamento | 0. | 0. | 2.064 | 0. | 0. | 0. |
| 175 | G2_smistamento | 0. | 0. | 0.765 | 0. | 0. | 0. |
| 175 | Q_smistamento | 0. | 0. | 0.765 | 0. | 0. | 0. |
| 175 | Q_neve | 0. | 0. | 0.295 | 0. | 0. | 0. |
| 176 | DEAD | 0. | 0. | 1.498 | 0. | 0. | 0. |
| 176 | G1_smistamento | 0. | 0. | 2.284 | 0. | 0. | 0. |
| 176 | G2_smistamento | 0. | 0. | 0.847 | 0. | 0. | 0. |
| 176 | Q_smistamento | 0. | 0. | 0.847 | 0. | 0. | 0. |
| 176 | Q_neve | 0. | 0. | 0.295 | 0. | 0. | 0. |
| 177 | DEAD | 0. | 0. | 1.498 | 0. | 0. | 0. |
| 177 | G1_smistamento | 0. | 0. | 2.284 | 0. | 0. | 0. |
| 177 | G2_smistamento | 0. | 0. | 0.847 | 0. | 0. | 0. |
| 177 | Q_smistamento | 0. | 0. | 0.847 | 0. | 0. | 0. |
| 177 | Q_neve | 0. | 0. | 0.295 | 0. | 0. | 0. |
| 178 | DEAD | 0. | 0. | 1.498 | 0. | 0. | 0. |
| 178 | G1_smistamento | 0. | 0. | 2.064 | 0. | 0. | 0. |
| 178 | G2_smistamento | 0. | 0. | 0.765 | 0. | 0. | 0. |
| 178 | Q_smistamento | 0. | 0. | 0.765 | 0. | 0. | 0. |
| 178 | Q_neve | 0. | 0. | 0.295 | 0. | 0. | 0. |
| 179 | DEAD | 0. | 0. | 1.498 | 0. | 0. | 0. |
| 179 | G1_smistamento | 0. | 0. | 2.064 | 0. | 0. | 0. |
| 179 | G2_smistamento | 0. | 0. | 0.765 | 0. | 0. | 0. |
| 179 | Q_smistamento | 0. | 0. | 0.765 | 0. | 0. | 0. |
| 179 | Q_neve | 0. | 0. | 0.295 | 0. | 0. | 0. |
| 180 | DEAD | 0. | 0. | 1.498 | 0. | 0. | 0. |
| 180 | G1_smistamento | 0. | 0. | 2.284 | 0. | 0. | 0. |
| 180 | G2_smistamento | 0. | 0. | 0.847 | 0. | 0. | 0. |
| 180 | Q_smistamento | 0. | 0. | 0.847 | 0. | 0. | 0. |
| 180 | Q_neve | 0. | 0. | 0.295 | 0. | 0. | 0. |
| 181 | DEAD | 0. | 0. | 1.498 | 0. | 0. | 0. |
| 181 | G1_smistamento | 0. | 0. | 2.284 | 0. | 0. | 0. |
| 181 | G2_smistamento | 0. | 0. | 0.847 | 0. | 0. | 0. |
| 181 | Q_smistamento | 0. | 0. | 0.847 | 0. | 0. | 0. |
| 181 | Q_neve | 0. | 0. | 0.295 | 0. | 0. | 0. |
| 182 | DEAD | 0. | 0. | 1.498 | 0. | 0. | 0. |
| 182 | G1_smistamento | 0. | 0. | 2.064 | 0. | 0. | 0. |
| 182 | G2_smistamento | 0. | 0. | 0.765 | 0. | 0. | 0. |

Table 19: Joint Reactions

| Joint | OutputCase | F1 | F2 | F3 | M1 | M2 | M3 |
|-------|----------------|----|----|-------|------|------|------|
| | | KN | KN | KN | KN-m | KN-m | KN-m |
| 182 | Q_smistamento | 0. | 0. | 0.765 | 0. | 0. | 0. |
| 182 | Q_neve | 0. | 0. | 0.295 | 0. | 0. | 0. |
| 183 | DEAD | 0. | 0. | 1.498 | 0. | 0. | 0. |
| 183 | G1_smistamento | 0. | 0. | 2.068 | 0. | 0. | 0. |
| 183 | G2_smistamento | 0. | 0. | 0.767 | 0. | 0. | 0. |
| 183 | Q_smistamento | 0. | 0. | 0.767 | 0. | 0. | 0. |
| 183 | Q_neve | 0. | 0. | 0.295 | 0. | 0. | 0. |
| 184 | DEAD | 0. | 0. | 1.498 | 0. | 0. | 0. |
| 184 | G1_smistamento | 0. | 0. | 2.287 | 0. | 0. | 0. |
| 184 | G2_smistamento | 0. | 0. | 0.848 | 0. | 0. | 0. |
| 184 | Q_smistamento | 0. | 0. | 0.848 | 0. | 0. | 0. |
| 184 | Q_neve | 0. | 0. | 0.295 | 0. | 0. | 0. |
| 185 | DEAD | 0. | 0. | 1.498 | 0. | 0. | 0. |
| 185 | G1_smistamento | 0. | 0. | 2.287 | 0. | 0. | 0. |
| 185 | G2_smistamento | 0. | 0. | 0.848 | 0. | 0. | 0. |
| 185 | Q_smistamento | 0. | 0. | 0.848 | 0. | 0. | 0. |
| 185 | Q_neve | 0. | 0. | 0.295 | 0. | 0. | 0. |
| 186 | DEAD | 0. | 0. | 1.498 | 0. | 0. | 0. |
| 186 | G1_smistamento | 0. | 0. | 2.068 | 0. | 0. | 0. |
| 186 | G2_smistamento | 0. | 0. | 0.767 | 0. | 0. | 0. |
| 186 | Q_smistamento | 0. | 0. | 0.767 | 0. | 0. | 0. |
| 186 | Q_neve | 0. | 0. | 0.295 | 0. | 0. | 0. |
| 187 | DEAD | 0. | 0. | 1.498 | 0. | 0. | 0. |
| 187 | G1_smistamento | 0. | 0. | 2.071 | 0. | 0. | 0. |
| 187 | G2_smistamento | 0. | 0. | 0.768 | 0. | 0. | 0. |
| 187 | Q_smistamento | 0. | 0. | 0.768 | 0. | 0. | 0. |
| 187 | Q_neve | 0. | 0. | 0.295 | 0. | 0. | 0. |
| 188 | DEAD | 0. | 0. | 1.498 | 0. | 0. | 0. |
| 188 | G1_smistamento | 0. | 0. | 2.288 | 0. | 0. | 0. |
| 188 | G2_smistamento | 0. | 0. | 0.848 | 0. | 0. | 0. |
| 188 | Q_smistamento | 0. | 0. | 0.848 | 0. | 0. | 0. |
| 188 | Q_neve | 0. | 0. | 0.295 | 0. | 0. | 0. |
| 189 | DEAD | 0. | 0. | 1.498 | 0. | 0. | 0. |
| 189 | G1_smistamento | 0. | 0. | 2.288 | 0. | 0. | 0. |
| 189 | G2_smistamento | 0. | 0. | 0.848 | 0. | 0. | 0. |
| 189 | Q_smistamento | 0. | 0. | 0.848 | 0. | 0. | 0. |
| 189 | Q_neve | 0. | 0. | 0.295 | 0. | 0. | 0. |
| 190 | DEAD | 0. | 0. | 1.498 | 0. | 0. | 0. |

Table 19: Joint Reactions

| Joint | OutputCase | F1 | F2 | F3 | M1 | M2 | M3 |
|-------|----------------|----|----|-------|------|------|------|
| | | KN | KN | KN | KN-m | KN-m | KN-m |
| 190 | G1_smistamento | 0. | 0. | 2.071 | 0. | 0. | 0. |
| 190 | G2_smistamento | 0. | 0. | 0.768 | 0. | 0. | 0. |
| 190 | Q_smistamento | 0. | 0. | 0.768 | 0. | 0. | 0. |
| 190 | Q_neve | 0. | 0. | 0.295 | 0. | 0. | 0. |
| 191 | DEAD | 0. | 0. | 1.498 | 0. | 0. | 0. |
| 191 | G1_smistamento | 0. | 0. | 2.061 | 0. | 0. | 0. |
| 191 | G2_smistamento | 0. | 0. | 0.764 | 0. | 0. | 0. |
| 191 | Q_smistamento | 0. | 0. | 0.764 | 0. | 0. | 0. |
| 191 | Q_neve | 0. | 0. | 0.295 | 0. | 0. | 0. |
| 192 | DEAD | 0. | 0. | 1.498 | 0. | 0. | 0. |
| 192 | G1_smistamento | 0. | 0. | 2.275 | 0. | 0. | 0. |
| 192 | G2_smistamento | 0. | 0. | 0.843 | 0. | 0. | 0. |
| 192 | Q_smistamento | 0. | 0. | 0.843 | 0. | 0. | 0. |
| 192 | Q_neve | 0. | 0. | 0.295 | 0. | 0. | 0. |
| 193 | DEAD | 0. | 0. | 1.498 | 0. | 0. | 0. |
| 193 | G1_smistamento | 0. | 0. | 2.275 | 0. | 0. | 0. |
| 193 | G2_smistamento | 0. | 0. | 0.843 | 0. | 0. | 0. |
| 193 | Q_smistamento | 0. | 0. | 0.843 | 0. | 0. | 0. |
| 193 | Q_neve | 0. | 0. | 0.295 | 0. | 0. | 0. |
| 194 | DEAD | 0. | 0. | 1.498 | 0. | 0. | 0. |
| 194 | G1_smistamento | 0. | 0. | 2.061 | 0. | 0. | 0. |
| 194 | G2_smistamento | 0. | 0. | 0.764 | 0. | 0. | 0. |
| 194 | Q_smistamento | 0. | 0. | 0.764 | 0. | 0. | 0. |
| 194 | Q_neve | 0. | 0. | 0.295 | 0. | 0. | 0. |
| 195 | DEAD | 0. | 0. | 1.498 | 0. | 0. | 0. |
| 195 | G1_smistamento | 0. | 0. | 2.023 | 0. | 0. | 0. |
| 195 | G2_smistamento | 0. | 0. | 0.75 | 0. | 0. | 0. |
| 195 | Q_smistamento | 0. | 0. | 0.75 | 0. | 0. | 0. |
| 195 | Q_neve | 0. | 0. | 0.295 | 0. | 0. | 0. |
| 196 | DEAD | 0. | 0. | 1.498 | 0. | 0. | 0. |
| 196 | G1_smistamento | 0. | 0. | 2.232 | 0. | 0. | 0. |
| 196 | G2_smistamento | 0. | 0. | 0.827 | 0. | 0. | 0. |
| 196 | Q_smistamento | 0. | 0. | 0.827 | 0. | 0. | 0. |
| 196 | Q_neve | 0. | 0. | 0.295 | 0. | 0. | 0. |
| 197 | DEAD | 0. | 0. | 1.498 | 0. | 0. | 0. |
| 197 | G1_smistamento | 0. | 0. | 2.232 | 0. | 0. | 0. |
| 197 | G2_smistamento | 0. | 0. | 0.827 | 0. | 0. | 0. |
| 197 | Q_smistamento | 0. | 0. | 0.827 | 0. | 0. | 0. |

Table 19: Joint Reactions

| Joint | OutputCase | F1 | F2 | F3 | M1 | M2 | M3 |
|-------|----------------|----|----|-------|------|------|------|
| | | KN | KN | KN | KN-m | KN-m | KN-m |
| 197 | Q_neve | 0. | 0. | 0.295 | 0. | 0. | 0. |
| 198 | DEAD | 0. | 0. | 1.498 | 0. | 0. | 0. |
| 198 | G1_smistamento | 0. | 0. | 2.023 | 0. | 0. | 0. |
| 198 | G2_smistamento | 0. | 0. | 0.75 | 0. | 0. | 0. |
| 198 | Q_smistamento | 0. | 0. | 0.75 | 0. | 0. | 0. |
| 198 | Q_neve | 0. | 0. | 0.295 | 0. | 0. | 0. |
| 199 | DEAD | 0. | 0. | 1.498 | 0. | 0. | 0. |
| 199 | G1_smistamento | 0. | 0. | 1.933 | 0. | 0. | 0. |
| 199 | G2_smistamento | 0. | 0. | 0.717 | 0. | 0. | 0. |
| 199 | Q_smistamento | 0. | 0. | 0.717 | 0. | 0. | 0. |
| 199 | Q_neve | 0. | 0. | 0.295 | 0. | 0. | 0. |
| 200 | DEAD | 0. | 0. | 1.498 | 0. | 0. | 0. |
| 200 | G1_smistamento | 0. | 0. | 2.135 | 0. | 0. | 0. |
| 200 | G2_smistamento | 0. | 0. | 0.791 | 0. | 0. | 0. |
| 200 | Q_smistamento | 0. | 0. | 0.791 | 0. | 0. | 0. |
| 200 | Q_neve | 0. | 0. | 0.295 | 0. | 0. | 0. |
| 201 | DEAD | 0. | 0. | 1.498 | 0. | 0. | 0. |
| 201 | G1_smistamento | 0. | 0. | 2.135 | 0. | 0. | 0. |
| 201 | G2_smistamento | 0. | 0. | 0.791 | 0. | 0. | 0. |
| 201 | Q_smistamento | 0. | 0. | 0.791 | 0. | 0. | 0. |
| 201 | Q_neve | 0. | 0. | 0.295 | 0. | 0. | 0. |
| 202 | DEAD | 0. | 0. | 1.498 | 0. | 0. | 0. |
| 202 | G1_smistamento | 0. | 0. | 1.933 | 0. | 0. | 0. |
| 202 | G2_smistamento | 0. | 0. | 0.717 | 0. | 0. | 0. |
| 202 | Q_smistamento | 0. | 0. | 0.717 | 0. | 0. | 0. |
| 202 | Q_neve | 0. | 0. | 0.295 | 0. | 0. | 0. |
| 203 | DEAD | 0. | 0. | 1.498 | 0. | 0. | 0. |
| 203 | G1_smistamento | 0. | 0. | 1.77 | 0. | 0. | 0. |
| 203 | G2_smistamento | 0. | 0. | 0.656 | 0. | 0. | 0. |
| 203 | Q_smistamento | 0. | 0. | 0.656 | 0. | 0. | 0. |
| 203 | Q_neve | 0. | 0. | 0.295 | 0. | 0. | 0. |
| 204 | DEAD | 0. | 0. | 1.498 | 0. | 0. | 0. |
| 204 | G1_smistamento | 0. | 0. | 1.96 | 0. | 0. | 0. |
| 204 | G2_smistamento | 0. | 0. | 0.727 | 0. | 0. | 0. |
| 204 | Q_smistamento | 0. | 0. | 0.727 | 0. | 0. | 0. |
| 204 | Q_neve | 0. | 0. | 0.295 | 0. | 0. | 0. |
| 205 | DEAD | 0. | 0. | 1.498 | 0. | 0. | 0. |
| 205 | G1_smistamento | 0. | 0. | 1.96 | 0. | 0. | 0. |

Table 19: Joint Reactions

| Joint | OutputCase | F1 | F2 | F3 | M1 | M2 | M3 |
|-------|----------------|----|----|-------|------|------|------|
| | | KN | KN | KN | KN-m | KN-m | KN-m |
| 205 | G2_smistamento | 0. | 0. | 0.727 | 0. | 0. | 0. |
| 205 | Q_smistamento | 0. | 0. | 0.727 | 0. | 0. | 0. |
| 205 | Q_neve | 0. | 0. | 0.295 | 0. | 0. | 0. |
| 206 | DEAD | 0. | 0. | 1.498 | 0. | 0. | 0. |
| 206 | G1_smistamento | 0. | 0. | 1.77 | 0. | 0. | 0. |
| 206 | G2_smistamento | 0. | 0. | 0.656 | 0. | 0. | 0. |
| 206 | Q_smistamento | 0. | 0. | 0.656 | 0. | 0. | 0. |
| 206 | Q_neve | 0. | 0. | 0.295 | 0. | 0. | 0. |
| 207 | DEAD | 0. | 0. | 1.498 | 0. | 0. | 0. |
| 207 | G1_smistamento | 0. | 0. | 1.519 | 0. | 0. | 0. |
| 207 | G2_smistamento | 0. | 0. | 0.563 | 0. | 0. | 0. |
| 207 | Q_smistamento | 0. | 0. | 0.563 | 0. | 0. | 0. |
| 207 | Q_neve | 0. | 0. | 0.295 | 0. | 0. | 0. |
| 208 | DEAD | 0. | 0. | 1.498 | 0. | 0. | 0. |
| 208 | G1_smistamento | 0. | 0. | 1.692 | 0. | 0. | 0. |
| 208 | G2_smistamento | 0. | 0. | 0.627 | 0. | 0. | 0. |
| 208 | Q_smistamento | 0. | 0. | 0.627 | 0. | 0. | 0. |
| 208 | Q_neve | 0. | 0. | 0.295 | 0. | 0. | 0. |
| 209 | DEAD | 0. | 0. | 1.498 | 0. | 0. | 0. |
| 209 | G1_smistamento | 0. | 0. | 1.692 | 0. | 0. | 0. |
| 209 | G2_smistamento | 0. | 0. | 0.627 | 0. | 0. | 0. |
| 209 | Q_smistamento | 0. | 0. | 0.627 | 0. | 0. | 0. |
| 209 | Q_neve | 0. | 0. | 0.295 | 0. | 0. | 0. |
| 210 | DEAD | 0. | 0. | 1.498 | 0. | 0. | 0. |
| 210 | G1_smistamento | 0. | 0. | 1.519 | 0. | 0. | 0. |
| 210 | G2_smistamento | 0. | 0. | 0.563 | 0. | 0. | 0. |
| 210 | Q_smistamento | 0. | 0. | 0.563 | 0. | 0. | 0. |
| 210 | Q_neve | 0. | 0. | 0.295 | 0. | 0. | 0. |
| 211 | DEAD | 0. | 0. | 0.749 | 0. | 0. | 0. |
| 211 | G1_smistamento | 0. | 0. | 0.656 | 0. | 0. | 0. |
| 211 | G2_smistamento | 0. | 0. | 0.243 | 0. | 0. | 0. |
| 211 | Q_smistamento | 0. | 0. | 0.243 | 0. | 0. | 0. |
| 211 | Q_neve | 0. | 0. | 0.147 | 0. | 0. | 0. |
| 212 | DEAD | 0. | 0. | 1.498 | 0. | 0. | 0. |
| 212 | G1_smistamento | 0. | 0. | 1.372 | 0. | 0. | 0. |
| 212 | G2_smistamento | 0. | 0. | 0.509 | 0. | 0. | 0. |
| 212 | Q_smistamento | 0. | 0. | 0.509 | 0. | 0. | 0. |
| 212 | Q_neve | 0. | 0. | 0.295 | 0. | 0. | 0. |

Table 19: Joint Reactions

| Joint | OutputCase | F1 KN | F2 KN | F3 KN | M1 KN-m | M2 KN-m | M3 KN-m |
|-------|----------------|----------|----------|----------|------------|------------|------------|
| 213 | DEAD | 0. | 0. | 0.749 | 0. | 0. | 0. |
| 213 | G1_smistamento | 0. | 0. | 0.722 | 0. | 0. | 0. |
| 213 | G2_smistamento | 0. | 0. | 0.268 | 0. | 0. | 0. |
| 213 | Q_smistamento | 0. | 0. | 0.268 | 0. | 0. | 0. |
| 213 | Q_neve | 0. | 0. | 0.147 | 0. | 0. | 0. |
| 214 | DEAD | 0. | 0. | 1.498 | 0. | 0. | 0. |
| 214 | G1_smistamento | 0. | 0. | 1.506 | 0. | 0. | 0. |
| 214 | G2_smistamento | 0. | 0. | 0.558 | 0. | 0. | 0. |
| 214 | Q_smistamento | 0. | 0. | 0.558 | 0. | 0. | 0. |
| 214 | Q_neve | 0. | 0. | 0.295 | 0. | 0. | 0. |
| 215 | DEAD | 0. | 0. | 0.749 | 0. | 0. | 0. |
| 215 | G1_smistamento | 0. | 0. | 0.778 | 0. | 0. | 0. |
| 215 | G2_smistamento | 0. | 0. | 0.289 | 0. | 0. | 0. |
| 215 | Q_smistamento | 0. | 0. | 0.289 | 0. | 0. | 0. |
| 215 | Q_neve | 0. | 0. | 0.147 | 0. | 0. | 0. |
| 216 | DEAD | 0. | 0. | 1.498 | 0. | 0. | 0. |
| 216 | G1_smistamento | 0. | 0. | 1.621 | 0. | 0. | 0. |
| 216 | G2_smistamento | 0. | 0. | 0.601 | 0. | 0. | 0. |
| 216 | Q_smistamento | 0. | 0. | 0.601 | 0. | 0. | 0. |
| 216 | Q_neve | 0. | 0. | 0.295 | 0. | 0. | 0. |
| 217 | DEAD | 0. | 0. | 0.749 | 0. | 0. | 0. |
| 217 | G1_smistamento | 0. | 0. | 0.824 | 0. | 0. | 0. |
| 217 | G2_smistamento | 0. | 0. | 0.305 | 0. | 0. | 0. |
| 217 | Q_smistamento | 0. | 0. | 0.305 | 0. | 0. | 0. |
| 217 | Q_neve | 0. | 0. | 0.147 | 0. | 0. | 0. |
| 218 | DEAD | 0. | 0. | 1.498 | 0. | 0. | 0. |
| 218 | G1_smistamento | 0. | 0. | 1.714 | 0. | 0. | 0. |
| 218 | G2_smistamento | 0. | 0. | 0.636 | 0. | 0. | 0. |
| 218 | Q_smistamento | 0. | 0. | 0.636 | 0. | 0. | 0. |
| 218 | Q_neve | 0. | 0. | 0.295 | 0. | 0. | 0. |
| 219 | DEAD | 0. | 0. | 0.749 | 0. | 0. | 0. |
| 219 | G1_smistamento | 0. | 0. | 0.859 | 0. | 0. | 0. |
| 219 | G2_smistamento | 0. | 0. | 0.318 | 0. | 0. | 0. |
| 219 | Q_smistamento | 0. | 0. | 0.318 | 0. | 0. | 0. |
| 219 | Q_neve | 0. | 0. | 0.147 | 0. | 0. | 0. |
| 220 | DEAD | 0. | 0. | 1.498 | 0. | 0. | 0. |
| 220 | G1_smistamento | 0. | 0. | 1.786 | 0. | 0. | 0. |
| 220 | G2_smistamento | 0. | 0. | 0.662 | 0. | 0. | 0. |

Table 19: Joint Reactions

| Joint | OutputCase | F1 | F2 | F3 | M1 | M2 | M3 |
|-------|----------------|----|----|-------|------|------|------|
| | | KN | KN | KN | KN-m | KN-m | KN-m |
| 220 | Q_smistamento | 0. | 0. | 0.662 | 0. | 0. | 0. |
| 220 | Q_neve | 0. | 0. | 0.295 | 0. | 0. | 0. |
| 221 | DEAD | 0. | 0. | 0.749 | 0. | 0. | 0. |
| 221 | G1_smistamento | 0. | 0. | 0.884 | 0. | 0. | 0. |
| 221 | G2_smistamento | 0. | 0. | 0.328 | 0. | 0. | 0. |
| 221 | Q_smistamento | 0. | 0. | 0.328 | 0. | 0. | 0. |
| 221 | Q_neve | 0. | 0. | 0.147 | 0. | 0. | 0. |
| 222 | DEAD | 0. | 0. | 1.498 | 0. | 0. | 0. |
| 222 | G1_smistamento | 0. | 0. | 1.837 | 0. | 0. | 0. |
| 222 | G2_smistamento | 0. | 0. | 0.681 | 0. | 0. | 0. |
| 222 | Q_smistamento | 0. | 0. | 0.681 | 0. | 0. | 0. |
| 222 | Q_neve | 0. | 0. | 0.295 | 0. | 0. | 0. |
| 223 | DEAD | 0. | 0. | 0.749 | 0. | 0. | 0. |
| 223 | G1_smistamento | 0. | 0. | 0.9 | 0. | 0. | 0. |
| 223 | G2_smistamento | 0. | 0. | 0.334 | 0. | 0. | 0. |
| 223 | Q_smistamento | 0. | 0. | 0.334 | 0. | 0. | 0. |
| 223 | Q_neve | 0. | 0. | 0.147 | 0. | 0. | 0. |
| 224 | DEAD | 0. | 0. | 1.498 | 0. | 0. | 0. |
| 224 | G1_smistamento | 0. | 0. | 1.87 | 0. | 0. | 0. |
| 224 | G2_smistamento | 0. | 0. | 0.693 | 0. | 0. | 0. |
| 224 | Q_smistamento | 0. | 0. | 0.693 | 0. | 0. | 0. |
| 224 | Q_neve | 0. | 0. | 0.295 | 0. | 0. | 0. |
| 225 | DEAD | 0. | 0. | 0.749 | 0. | 0. | 0. |
| 225 | G1_smistamento | 0. | 0. | 0.908 | 0. | 0. | 0. |
| 225 | G2_smistamento | 0. | 0. | 0.337 | 0. | 0. | 0. |
| 225 | Q_smistamento | 0. | 0. | 0.337 | 0. | 0. | 0. |
| 225 | Q_neve | 0. | 0. | 0.147 | 0. | 0. | 0. |
| 226 | DEAD | 0. | 0. | 1.498 | 0. | 0. | 0. |
| 226 | G1_smistamento | 0. | 0. | 1.886 | 0. | 0. | 0. |
| 226 | G2_smistamento | 0. | 0. | 0.699 | 0. | 0. | 0. |
| 226 | Q_smistamento | 0. | 0. | 0.699 | 0. | 0. | 0. |
| 226 | Q_neve | 0. | 0. | 0.295 | 0. | 0. | 0. |
| 227 | DEAD | 0. | 0. | 0.749 | 0. | 0. | 0. |
| 227 | G1_smistamento | 0. | 0. | 0.908 | 0. | 0. | 0. |
| 227 | G2_smistamento | 0. | 0. | 0.337 | 0. | 0. | 0. |
| 227 | Q_smistamento | 0. | 0. | 0.337 | 0. | 0. | 0. |
| 227 | Q_neve | 0. | 0. | 0.147 | 0. | 0. | 0. |
| 228 | DEAD | 0. | 0. | 1.498 | 0. | 0. | 0. |

Table 19: Joint Reactions

| Joint | OutputCase | F1 | F2 | F3 | M1 | M2 | M3 |
|-------|----------------|----|----|-------|------|------|------|
| | | KN | KN | KN | KN-m | KN-m | KN-m |
| 228 | G1_smistamento | 0. | 0. | 1.886 | 0. | 0. | 0. |
| 228 | G2_smistamento | 0. | 0. | 0.699 | 0. | 0. | 0. |
| 228 | Q_smistamento | 0. | 0. | 0.699 | 0. | 0. | 0. |
| 228 | Q_neve | 0. | 0. | 0.295 | 0. | 0. | 0. |
| 229 | DEAD | 0. | 0. | 0.749 | 0. | 0. | 0. |
| 229 | G1_smistamento | 0. | 0. | 0.9 | 0. | 0. | 0. |
| 229 | G2_smistamento | 0. | 0. | 0.334 | 0. | 0. | 0. |
| 229 | Q_smistamento | 0. | 0. | 0.334 | 0. | 0. | 0. |
| 229 | Q_neve | 0. | 0. | 0.147 | 0. | 0. | 0. |
| 230 | DEAD | 0. | 0. | 1.498 | 0. | 0. | 0. |
| 230 | G1_smistamento | 0. | 0. | 1.87 | 0. | 0. | 0. |
| 230 | G2_smistamento | 0. | 0. | 0.693 | 0. | 0. | 0. |
| 230 | Q_smistamento | 0. | 0. | 0.693 | 0. | 0. | 0. |
| 230 | Q_neve | 0. | 0. | 0.295 | 0. | 0. | 0. |
| 231 | DEAD | 0. | 0. | 0.749 | 0. | 0. | 0. |
| 231 | G1_smistamento | 0. | 0. | 0.884 | 0. | 0. | 0. |
| 231 | G2_smistamento | 0. | 0. | 0.328 | 0. | 0. | 0. |
| 231 | Q_smistamento | 0. | 0. | 0.328 | 0. | 0. | 0. |
| 231 | Q_neve | 0. | 0. | 0.147 | 0. | 0. | 0. |
| 232 | DEAD | 0. | 0. | 1.498 | 0. | 0. | 0. |
| 232 | G1_smistamento | 0. | 0. | 1.837 | 0. | 0. | 0. |
| 232 | G2_smistamento | 0. | 0. | 0.681 | 0. | 0. | 0. |
| 232 | Q_smistamento | 0. | 0. | 0.681 | 0. | 0. | 0. |
| 232 | Q_neve | 0. | 0. | 0.295 | 0. | 0. | 0. |
| 233 | DEAD | 0. | 0. | 0.749 | 0. | 0. | 0. |
| 233 | G1_smistamento | 0. | 0. | 0.859 | 0. | 0. | 0. |
| 233 | G2_smistamento | 0. | 0. | 0.318 | 0. | 0. | 0. |
| 233 | Q_smistamento | 0. | 0. | 0.318 | 0. | 0. | 0. |
| 233 | Q_neve | 0. | 0. | 0.147 | 0. | 0. | 0. |
| 234 | DEAD | 0. | 0. | 1.498 | 0. | 0. | 0. |
| 234 | G1_smistamento | 0. | 0. | 1.786 | 0. | 0. | 0. |
| 234 | G2_smistamento | 0. | 0. | 0.662 | 0. | 0. | 0. |
| 234 | Q_smistamento | 0. | 0. | 0.662 | 0. | 0. | 0. |
| 234 | Q_neve | 0. | 0. | 0.295 | 0. | 0. | 0. |
| 235 | DEAD | 0. | 0. | 0.749 | 0. | 0. | 0. |
| 235 | G1_smistamento | 0. | 0. | 0.824 | 0. | 0. | 0. |
| 235 | G2_smistamento | 0. | 0. | 0.305 | 0. | 0. | 0. |
| 235 | Q_smistamento | 0. | 0. | 0.305 | 0. | 0. | 0. |

Table 19: Joint Reactions

| Joint | OutputCase | F1 KN | F2 KN | F3 KN | M1 KN-m | M2 KN-m | M3 KN-m |
|-------|----------------|----------|----------|----------|------------|------------|------------|
| 235 | Q_neve | 0. | 0. | 0.147 | 0. | 0. | 0. |
| 236 | DEAD | 0. | 0. | 1.498 | 0. | 0. | 0. |
| 236 | G1_smistamento | 0. | 0. | 1.714 | 0. | 0. | 0. |
| 236 | G2_smistamento | 0. | 0. | 0.636 | 0. | 0. | 0. |
| 236 | Q_smistamento | 0. | 0. | 0.636 | 0. | 0. | 0. |
| 236 | Q_neve | 0. | 0. | 0.295 | 0. | 0. | 0. |
| 237 | DEAD | 0. | 0. | 0.749 | 0. | 0. | 0. |
| 237 | G1_smistamento | 0. | 0. | 0.778 | 0. | 0. | 0. |
| 237 | G2_smistamento | 0. | 0. | 0.289 | 0. | 0. | 0. |
| 237 | Q_smistamento | 0. | 0. | 0.289 | 0. | 0. | 0. |
| 237 | Q_neve | 0. | 0. | 0.147 | 0. | 0. | 0. |
| 238 | DEAD | 0. | 0. | 1.498 | 0. | 0. | 0. |
| 238 | G1_smistamento | 0. | 0. | 1.621 | 0. | 0. | 0. |
| 238 | G2_smistamento | 0. | 0. | 0.601 | 0. | 0. | 0. |
| 238 | Q_smistamento | 0. | 0. | 0.601 | 0. | 0. | 0. |
| 238 | Q_neve | 0. | 0. | 0.295 | 0. | 0. | 0. |
| 239 | DEAD | 0. | 0. | 0.749 | 0. | 0. | 0. |
| 239 | G1_smistamento | 0. | 0. | 0.722 | 0. | 0. | 0. |
| 239 | G2_smistamento | 0. | 0. | 0.268 | 0. | 0. | 0. |
| 239 | Q_smistamento | 0. | 0. | 0.268 | 0. | 0. | 0. |
| 239 | Q_neve | 0. | 0. | 0.147 | 0. | 0. | 0. |
| 240 | DEAD | 0. | 0. | 1.498 | 0. | 0. | 0. |
| 240 | G1_smistamento | 0. | 0. | 1.506 | 0. | 0. | 0. |
| 240 | G2_smistamento | 0. | 0. | 0.558 | 0. | 0. | 0. |
| 240 | Q_smistamento | 0. | 0. | 0.558 | 0. | 0. | 0. |
| 240 | Q_neve | 0. | 0. | 0.295 | 0. | 0. | 0. |
| 241 | DEAD | 0. | 0. | 0.749 | 0. | 0. | 0. |
| 241 | G1_smistamento | 0. | 0. | 0.656 | 0. | 0. | 0. |
| 241 | G2_smistamento | 0. | 0. | 0.243 | 0. | 0. | 0. |
| 241 | Q_smistamento | 0. | 0. | 0.243 | 0. | 0. | 0. |
| 241 | Q_neve | 0. | 0. | 0.147 | 0. | 0. | 0. |
| 242 | DEAD | 0. | 0. | 1.498 | 0. | 0. | 0. |
| 242 | G1_smistamento | 0. | 0. | 1.372 | 0. | 0. | 0. |
| 242 | G2_smistamento | 0. | 0. | 0.509 | 0. | 0. | 0. |
| 242 | Q_smistamento | 0. | 0. | 0.509 | 0. | 0. | 0. |
| 242 | Q_neve | 0. | 0. | 0.295 | 0. | 0. | 0. |
| 243 | DEAD | 0. | 0. | 0.781 | 0. | 0. | 0. |
| 243 | G1_smistamento | 0. | 0. | 0.578 | 0. | 0. | 0. |

Table 19: Joint Reactions

| Joint | OutputCase | F1 | F2 | F3 | M1 | M2 | M3 |
|-------|----------------|----|----|-------|------|------|------|
| | | KN | KN | KN | KN-m | KN-m | KN-m |
| 243 | G2_smistamento | 0. | 0. | 0.214 | 0. | 0. | 0. |
| 243 | Q_smistamento | 0. | 0. | 0.214 | 0. | 0. | 0. |
| 243 | Q_neve | 0. | 0. | 0.154 | 0. | 0. | 0. |
| 244 | DEAD | 0. | 0. | 1.53 | 0. | 0. | 0. |
| 244 | G1_smistamento | 0. | 0. | 1.298 | 0. | 0. | 0. |
| 244 | G2_smistamento | 0. | 0. | 0.481 | 0. | 0. | 0. |
| 244 | Q_smistamento | 0. | 0. | 0.481 | 0. | 0. | 0. |
| 244 | Q_neve | 0. | 0. | 0.301 | 0. | 0. | 0. |
| 245 | DEAD | 0. | 0. | 0.781 | 0. | 0. | 0. |
| 245 | G1_smistamento | 0. | 0. | 0.591 | 0. | 0. | 0. |
| 245 | G2_smistamento | 0. | 0. | 0.219 | 0. | 0. | 0. |
| 245 | Q_smistamento | 0. | 0. | 0.219 | 0. | 0. | 0. |
| 245 | Q_neve | 0. | 0. | 0.154 | 0. | 0. | 0. |
| 246 | DEAD | 0. | 0. | 1.53 | 0. | 0. | 0. |
| 246 | G1_smistamento | 0. | 0. | 1.326 | 0. | 0. | 0. |
| 246 | G2_smistamento | 0. | 0. | 0.491 | 0. | 0. | 0. |
| 246 | Q_smistamento | 0. | 0. | 0.491 | 0. | 0. | 0. |
| 246 | Q_neve | 0. | 0. | 0.301 | 0. | 0. | 0. |
| 247 | DEAD | 0. | 0. | 0.781 | 0. | 0. | 0. |
| 247 | G1_smistamento | 0. | 0. | 0.591 | 0. | 0. | 0. |
| 247 | G2_smistamento | 0. | 0. | 0.219 | 0. | 0. | 0. |
| 247 | Q_smistamento | 0. | 0. | 0.219 | 0. | 0. | 0. |
| 247 | Q_neve | 0. | 0. | 0.154 | 0. | 0. | 0. |
| 248 | DEAD | 0. | 0. | 1.53 | 0. | 0. | 0. |
| 248 | G1_smistamento | 0. | 0. | 1.326 | 0. | 0. | 0. |
| 248 | G2_smistamento | 0. | 0. | 0.491 | 0. | 0. | 0. |
| 248 | Q_smistamento | 0. | 0. | 0.491 | 0. | 0. | 0. |
| 248 | Q_neve | 0. | 0. | 0.301 | 0. | 0. | 0. |
| 249 | DEAD | 0. | 0. | 0.781 | 0. | 0. | 0. |
| 249 | G1_smistamento | 0. | 0. | 0.578 | 0. | 0. | 0. |
| 249 | G2_smistamento | 0. | 0. | 0.214 | 0. | 0. | 0. |
| 249 | Q_smistamento | 0. | 0. | 0.214 | 0. | 0. | 0. |
| 249 | Q_neve | 0. | 0. | 0.154 | 0. | 0. | 0. |
| 250 | DEAD | 0. | 0. | 1.53 | 0. | 0. | 0. |
| 250 | G1_smistamento | 0. | 0. | 1.298 | 0. | 0. | 0. |
| 250 | G2_smistamento | 0. | 0. | 0.481 | 0. | 0. | 0. |
| 250 | Q_smistamento | 0. | 0. | 0.481 | 0. | 0. | 0. |
| 250 | Q_neve | 0. | 0. | 0.301 | 0. | 0. | 0. |

Table 19: Joint Reactions

| Joint | OutputCase | F1 KN | F2 KN | F3 KN | M1 KN-m | M2 KN-m | M3 KN-m |
|-------|----------------|----------|----------|----------|------------|------------|------------|
| 251 | DEAD | 0. | 0. | 0.749 | 0. | 0. | 0. |
| 251 | G1_smistamento | 0. | 0. | 0.656 | 0. | 0. | 0. |
| 251 | G2_smistamento | 0. | 0. | 0.243 | 0. | 0. | 0. |
| 251 | Q_smistamento | 0. | 0. | 0.243 | 0. | 0. | 0. |
| 251 | Q_neve | 0. | 0. | 0.147 | 0. | 0. | 0. |
| 252 | DEAD | 0. | 0. | 1.498 | 0. | 0. | 0. |
| 252 | G1_smistamento | 0. | 0. | 1.372 | 0. | 0. | 0. |
| 252 | G2_smistamento | 0. | 0. | 0.509 | 0. | 0. | 0. |
| 252 | Q_smistamento | 0. | 0. | 0.509 | 0. | 0. | 0. |
| 252 | Q_neve | 0. | 0. | 0.295 | 0. | 0. | 0. |
| 253 | DEAD | 0. | 0. | 0.749 | 0. | 0. | 0. |
| 253 | G1_smistamento | 0. | 0. | 0.722 | 0. | 0. | 0. |
| 253 | G2_smistamento | 0. | 0. | 0.268 | 0. | 0. | 0. |
| 253 | Q_smistamento | 0. | 0. | 0.268 | 0. | 0. | 0. |
| 253 | Q_neve | 0. | 0. | 0.147 | 0. | 0. | 0. |
| 254 | DEAD | 0. | 0. | 1.498 | 0. | 0. | 0. |
| 254 | G1_smistamento | 0. | 0. | 1.506 | 0. | 0. | 0. |
| 254 | G2_smistamento | 0. | 0. | 0.558 | 0. | 0. | 0. |
| 254 | Q_smistamento | 0. | 0. | 0.558 | 0. | 0. | 0. |
| 254 | Q_neve | 0. | 0. | 0.295 | 0. | 0. | 0. |
| 255 | DEAD | 0. | 0. | 0.749 | 0. | 0. | 0. |
| 255 | G1_smistamento | 0. | 0. | 0.778 | 0. | 0. | 0. |
| 255 | G2_smistamento | 0. | 0. | 0.289 | 0. | 0. | 0. |
| 255 | Q_smistamento | 0. | 0. | 0.289 | 0. | 0. | 0. |
| 255 | Q_neve | 0. | 0. | 0.147 | 0. | 0. | 0. |
| 256 | DEAD | 0. | 0. | 1.498 | 0. | 0. | 0. |
| 256 | G1_smistamento | 0. | 0. | 1.621 | 0. | 0. | 0. |
| 256 | G2_smistamento | 0. | 0. | 0.601 | 0. | 0. | 0. |
| 256 | Q_smistamento | 0. | 0. | 0.601 | 0. | 0. | 0. |
| 256 | Q_neve | 0. | 0. | 0.295 | 0. | 0. | 0. |
| 257 | DEAD | 0. | 0. | 0.749 | 0. | 0. | 0. |
| 257 | G1_smistamento | 0. | 0. | 0.824 | 0. | 0. | 0. |
| 257 | G2_smistamento | 0. | 0. | 0.305 | 0. | 0. | 0. |
| 257 | Q_smistamento | 0. | 0. | 0.305 | 0. | 0. | 0. |
| 257 | Q_neve | 0. | 0. | 0.147 | 0. | 0. | 0. |
| 258 | DEAD | 0. | 0. | 1.498 | 0. | 0. | 0. |
| 258 | G1_smistamento | 0. | 0. | 1.714 | 0. | 0. | 0. |
| 258 | G2_smistamento | 0. | 0. | 0.636 | 0. | 0. | 0. |

Table 19: Joint Reactions

| Joint | OutputCase | F1 | F2 | F3 | M1 | M2 | M3 |
|-------|----------------|----|----|-------|------|------|------|
| | | KN | KN | KN | KN-m | KN-m | KN-m |
| 258 | Q_smistamento | 0. | 0. | 0.636 | 0. | 0. | 0. |
| 258 | Q_neve | 0. | 0. | 0.295 | 0. | 0. | 0. |
| 259 | DEAD | 0. | 0. | 0.749 | 0. | 0. | 0. |
| 259 | G1_smistamento | 0. | 0. | 0.859 | 0. | 0. | 0. |
| 259 | G2_smistamento | 0. | 0. | 0.318 | 0. | 0. | 0. |
| 259 | Q_smistamento | 0. | 0. | 0.318 | 0. | 0. | 0. |
| 259 | Q_neve | 0. | 0. | 0.147 | 0. | 0. | 0. |
| 260 | DEAD | 0. | 0. | 1.498 | 0. | 0. | 0. |
| 260 | G1_smistamento | 0. | 0. | 1.786 | 0. | 0. | 0. |
| 260 | G2_smistamento | 0. | 0. | 0.662 | 0. | 0. | 0. |
| 260 | Q_smistamento | 0. | 0. | 0.662 | 0. | 0. | 0. |
| 260 | Q_neve | 0. | 0. | 0.295 | 0. | 0. | 0. |
| 261 | DEAD | 0. | 0. | 0.749 | 0. | 0. | 0. |
| 261 | G1_smistamento | 0. | 0. | 0.884 | 0. | 0. | 0. |
| 261 | G2_smistamento | 0. | 0. | 0.328 | 0. | 0. | 0. |
| 261 | Q_smistamento | 0. | 0. | 0.328 | 0. | 0. | 0. |
| 261 | Q_neve | 0. | 0. | 0.147 | 0. | 0. | 0. |
| 262 | DEAD | 0. | 0. | 1.498 | 0. | 0. | 0. |
| 262 | G1_smistamento | 0. | 0. | 1.837 | 0. | 0. | 0. |
| 262 | G2_smistamento | 0. | 0. | 0.681 | 0. | 0. | 0. |
| 262 | Q_smistamento | 0. | 0. | 0.681 | 0. | 0. | 0. |
| 262 | Q_neve | 0. | 0. | 0.295 | 0. | 0. | 0. |
| 263 | DEAD | 0. | 0. | 0.749 | 0. | 0. | 0. |
| 263 | G1_smistamento | 0. | 0. | 0.9 | 0. | 0. | 0. |
| 263 | G2_smistamento | 0. | 0. | 0.334 | 0. | 0. | 0. |
| 263 | Q_smistamento | 0. | 0. | 0.334 | 0. | 0. | 0. |
| 263 | Q_neve | 0. | 0. | 0.147 | 0. | 0. | 0. |
| 264 | DEAD | 0. | 0. | 1.498 | 0. | 0. | 0. |
| 264 | G1_smistamento | 0. | 0. | 1.87 | 0. | 0. | 0. |
| 264 | G2_smistamento | 0. | 0. | 0.693 | 0. | 0. | 0. |
| 264 | Q_smistamento | 0. | 0. | 0.693 | 0. | 0. | 0. |
| 264 | Q_neve | 0. | 0. | 0.295 | 0. | 0. | 0. |
| 265 | DEAD | 0. | 0. | 0.749 | 0. | 0. | 0. |
| 265 | G1_smistamento | 0. | 0. | 0.908 | 0. | 0. | 0. |
| 265 | G2_smistamento | 0. | 0. | 0.337 | 0. | 0. | 0. |
| 265 | Q_smistamento | 0. | 0. | 0.337 | 0. | 0. | 0. |
| 265 | Q_neve | 0. | 0. | 0.147 | 0. | 0. | 0. |
| 266 | DEAD | 0. | 0. | 1.498 | 0. | 0. | 0. |

Table 19: Joint Reactions

| Joint | OutputCase | F1 | F2 | F3 | M1 | M2 | M3 |
|-------|----------------|----|----|-------|------|------|------|
| | | KN | KN | KN | KN-m | KN-m | KN-m |
| 266 | G1_smistamento | 0. | 0. | 1.886 | 0. | 0. | 0. |
| 266 | G2_smistamento | 0. | 0. | 0.699 | 0. | 0. | 0. |
| 266 | Q_smistamento | 0. | 0. | 0.699 | 0. | 0. | 0. |
| 266 | Q_neve | 0. | 0. | 0.295 | 0. | 0. | 0. |
| 267 | DEAD | 0. | 0. | 0.749 | 0. | 0. | 0. |
| 267 | G1_smistamento | 0. | 0. | 0.908 | 0. | 0. | 0. |
| 267 | G2_smistamento | 0. | 0. | 0.337 | 0. | 0. | 0. |
| 267 | Q_smistamento | 0. | 0. | 0.337 | 0. | 0. | 0. |
| 267 | Q_neve | 0. | 0. | 0.147 | 0. | 0. | 0. |
| 268 | DEAD | 0. | 0. | 1.498 | 0. | 0. | 0. |
| 268 | G1_smistamento | 0. | 0. | 1.886 | 0. | 0. | 0. |
| 268 | G2_smistamento | 0. | 0. | 0.699 | 0. | 0. | 0. |
| 268 | Q_smistamento | 0. | 0. | 0.699 | 0. | 0. | 0. |
| 268 | Q_neve | 0. | 0. | 0.295 | 0. | 0. | 0. |
| 269 | DEAD | 0. | 0. | 0.749 | 0. | 0. | 0. |
| 269 | G1_smistamento | 0. | 0. | 0.9 | 0. | 0. | 0. |
| 269 | G2_smistamento | 0. | 0. | 0.334 | 0. | 0. | 0. |
| 269 | Q_smistamento | 0. | 0. | 0.334 | 0. | 0. | 0. |
| 269 | Q_neve | 0. | 0. | 0.147 | 0. | 0. | 0. |
| 270 | DEAD | 0. | 0. | 1.498 | 0. | 0. | 0. |
| 270 | G1_smistamento | 0. | 0. | 1.87 | 0. | 0. | 0. |
| 270 | G2_smistamento | 0. | 0. | 0.693 | 0. | 0. | 0. |
| 270 | Q_smistamento | 0. | 0. | 0.693 | 0. | 0. | 0. |
| 270 | Q_neve | 0. | 0. | 0.295 | 0. | 0. | 0. |
| 271 | DEAD | 0. | 0. | 0.749 | 0. | 0. | 0. |
| 271 | G1_smistamento | 0. | 0. | 0.884 | 0. | 0. | 0. |
| 271 | G2_smistamento | 0. | 0. | 0.328 | 0. | 0. | 0. |
| 271 | Q_smistamento | 0. | 0. | 0.328 | 0. | 0. | 0. |
| 271 | Q_neve | 0. | 0. | 0.147 | 0. | 0. | 0. |
| 272 | DEAD | 0. | 0. | 1.498 | 0. | 0. | 0. |
| 272 | G1_smistamento | 0. | 0. | 1.837 | 0. | 0. | 0. |
| 272 | G2_smistamento | 0. | 0. | 0.681 | 0. | 0. | 0. |
| 272 | Q_smistamento | 0. | 0. | 0.681 | 0. | 0. | 0. |
| 272 | Q_neve | 0. | 0. | 0.295 | 0. | 0. | 0. |
| 273 | DEAD | 0. | 0. | 0.749 | 0. | 0. | 0. |
| 273 | G1_smistamento | 0. | 0. | 0.859 | 0. | 0. | 0. |
| 273 | G2_smistamento | 0. | 0. | 0.318 | 0. | 0. | 0. |
| 273 | Q_smistamento | 0. | 0. | 0.318 | 0. | 0. | 0. |

Table 19: Joint Reactions

| Joint | OutputCase | F1 | F2 | F3 | M1 | M2 | M3 |
|-------|----------------|----|----|-------|------|------|------|
| | | KN | KN | KN | KN-m | KN-m | KN-m |
| 273 | Q_neve | 0. | 0. | 0.147 | 0. | 0. | 0. |
| 274 | DEAD | 0. | 0. | 1.498 | 0. | 0. | 0. |
| 274 | G1_smistamento | 0. | 0. | 1.786 | 0. | 0. | 0. |
| 274 | G2_smistamento | 0. | 0. | 0.662 | 0. | 0. | 0. |
| 274 | Q_smistamento | 0. | 0. | 0.662 | 0. | 0. | 0. |
| 274 | Q_neve | 0. | 0. | 0.295 | 0. | 0. | 0. |
| 275 | DEAD | 0. | 0. | 0.749 | 0. | 0. | 0. |
| 275 | G1_smistamento | 0. | 0. | 0.824 | 0. | 0. | 0. |
| 275 | G2_smistamento | 0. | 0. | 0.305 | 0. | 0. | 0. |
| 275 | Q_smistamento | 0. | 0. | 0.305 | 0. | 0. | 0. |
| 275 | Q_neve | 0. | 0. | 0.147 | 0. | 0. | 0. |
| 276 | DEAD | 0. | 0. | 1.498 | 0. | 0. | 0. |
| 276 | G1_smistamento | 0. | 0. | 1.714 | 0. | 0. | 0. |
| 276 | G2_smistamento | 0. | 0. | 0.636 | 0. | 0. | 0. |
| 276 | Q_smistamento | 0. | 0. | 0.636 | 0. | 0. | 0. |
| 276 | Q_neve | 0. | 0. | 0.295 | 0. | 0. | 0. |
| 277 | DEAD | 0. | 0. | 0.749 | 0. | 0. | 0. |
| 277 | G1_smistamento | 0. | 0. | 0.778 | 0. | 0. | 0. |
| 277 | G2_smistamento | 0. | 0. | 0.289 | 0. | 0. | 0. |
| 277 | Q_smistamento | 0. | 0. | 0.289 | 0. | 0. | 0. |
| 277 | Q_neve | 0. | 0. | 0.147 | 0. | 0. | 0. |
| 278 | DEAD | 0. | 0. | 1.498 | 0. | 0. | 0. |
| 278 | G1_smistamento | 0. | 0. | 1.621 | 0. | 0. | 0. |
| 278 | G2_smistamento | 0. | 0. | 0.601 | 0. | 0. | 0. |
| 278 | Q_smistamento | 0. | 0. | 0.601 | 0. | 0. | 0. |
| 278 | Q_neve | 0. | 0. | 0.295 | 0. | 0. | 0. |
| 279 | DEAD | 0. | 0. | 0.749 | 0. | 0. | 0. |
| 279 | G1_smistamento | 0. | 0. | 0.722 | 0. | 0. | 0. |
| 279 | G2_smistamento | 0. | 0. | 0.268 | 0. | 0. | 0. |
| 279 | Q_smistamento | 0. | 0. | 0.268 | 0. | 0. | 0. |
| 279 | Q_neve | 0. | 0. | 0.147 | 0. | 0. | 0. |
| 280 | DEAD | 0. | 0. | 1.498 | 0. | 0. | 0. |
| 280 | G1_smistamento | 0. | 0. | 1.506 | 0. | 0. | 0. |
| 280 | G2_smistamento | 0. | 0. | 0.558 | 0. | 0. | 0. |
| 280 | Q_smistamento | 0. | 0. | 0.558 | 0. | 0. | 0. |
| 280 | Q_neve | 0. | 0. | 0.295 | 0. | 0. | 0. |
| 281 | DEAD | 0. | 0. | 0.749 | 0. | 0. | 0. |
| 281 | G1_smistamento | 0. | 0. | 0.656 | 0. | 0. | 0. |

Table 19: Joint Reactions

| Joint | OutputCase | F1 | F2 | F3 | M1 | M2 | M3 |
|-------|----------------|----|----|-------|------|------|------|
| | | KN | KN | KN | KN-m | KN-m | KN-m |
| 281 | G2_smistamento | 0. | 0. | 0.243 | 0. | 0. | 0. |
| 281 | Q_smistamento | 0. | 0. | 0.243 | 0. | 0. | 0. |
| 281 | Q_neve | 0. | 0. | 0.147 | 0. | 0. | 0. |
| 282 | DEAD | 0. | 0. | 1.498 | 0. | 0. | 0. |
| 282 | G1_smistamento | 0. | 0. | 1.372 | 0. | 0. | 0. |
| 282 | G2_smistamento | 0. | 0. | 0.509 | 0. | 0. | 0. |
| 282 | Q_smistamento | 0. | 0. | 0.509 | 0. | 0. | 0. |
| 282 | Q_neve | 0. | 0. | 0.295 | 0. | 0. | 0. |
| 283 | DEAD | 0. | 0. | 0.781 | 0. | 0. | 0. |
| 283 | G1_smistamento | 0. | 0. | 0.578 | 0. | 0. | 0. |
| 283 | G2_smistamento | 0. | 0. | 0.214 | 0. | 0. | 0. |
| 283 | Q_smistamento | 0. | 0. | 0.214 | 0. | 0. | 0. |
| 283 | Q_neve | 0. | 0. | 0.154 | 0. | 0. | 0. |
| 284 | DEAD | 0. | 0. | 1.53 | 0. | 0. | 0. |
| 284 | G1_smistamento | 0. | 0. | 1.298 | 0. | 0. | 0. |
| 284 | G2_smistamento | 0. | 0. | 0.481 | 0. | 0. | 0. |
| 284 | Q_smistamento | 0. | 0. | 0.481 | 0. | 0. | 0. |
| 284 | Q_neve | 0. | 0. | 0.301 | 0. | 0. | 0. |
| 285 | DEAD | 0. | 0. | 0.781 | 0. | 0. | 0. |
| 285 | G1_smistamento | 0. | 0. | 0.591 | 0. | 0. | 0. |
| 285 | G2_smistamento | 0. | 0. | 0.219 | 0. | 0. | 0. |
| 285 | Q_smistamento | 0. | 0. | 0.219 | 0. | 0. | 0. |
| 285 | Q_neve | 0. | 0. | 0.154 | 0. | 0. | 0. |
| 286 | DEAD | 0. | 0. | 1.53 | 0. | 0. | 0. |
| 286 | G1_smistamento | 0. | 0. | 1.326 | 0. | 0. | 0. |
| 286 | G2_smistamento | 0. | 0. | 0.491 | 0. | 0. | 0. |
| 286 | Q_smistamento | 0. | 0. | 0.491 | 0. | 0. | 0. |
| 286 | Q_neve | 0. | 0. | 0.301 | 0. | 0. | 0. |
| 287 | DEAD | 0. | 0. | 0.781 | 0. | 0. | 0. |
| 287 | G1_smistamento | 0. | 0. | 0.591 | 0. | 0. | 0. |
| 287 | G2_smistamento | 0. | 0. | 0.219 | 0. | 0. | 0. |
| 287 | Q_smistamento | 0. | 0. | 0.219 | 0. | 0. | 0. |
| 287 | Q_neve | 0. | 0. | 0.154 | 0. | 0. | 0. |
| 288 | DEAD | 0. | 0. | 1.53 | 0. | 0. | 0. |
| 288 | G1_smistamento | 0. | 0. | 1.326 | 0. | 0. | 0. |
| 288 | G2_smistamento | 0. | 0. | 0.491 | 0. | 0. | 0. |
| 288 | Q_smistamento | 0. | 0. | 0.491 | 0. | 0. | 0. |
| 288 | Q_neve | 0. | 0. | 0.301 | 0. | 0. | 0. |

Table 19: Joint Reactions

| Joint | OutputCase | F1 | F2 | F3 | M1 | M2 | M3 |
|-------|----------------|----|----|-------|------|------|------|
| | | KN | KN | KN | KN-m | KN-m | KN-m |
| 289 | DEAD | 0. | 0. | 0.781 | 0. | 0. | 0. |
| 289 | G1_smistamento | 0. | 0. | 0.578 | 0. | 0. | 0. |
| 289 | G2_smistamento | 0. | 0. | 0.214 | 0. | 0. | 0. |
| 289 | Q_smistamento | 0. | 0. | 0.214 | 0. | 0. | 0. |
| 289 | Q_neve | 0. | 0. | 0.154 | 0. | 0. | 0. |
| 290 | DEAD | 0. | 0. | 1.53 | 0. | 0. | 0. |
| 290 | G1_smistamento | 0. | 0. | 1.298 | 0. | 0. | 0. |
| 290 | G2_smistamento | 0. | 0. | 0.481 | 0. | 0. | 0. |
| 290 | Q_smistamento | 0. | 0. | 0.481 | 0. | 0. | 0. |
| 290 | Q_neve | 0. | 0. | 0.301 | 0. | 0. | 0. |
| 291 | DEAD | 0. | 0. | 1.498 | 0. | 0. | 0. |
| 291 | G1_smistamento | 0. | 0. | 1.423 | 0. | 0. | 0. |
| 291 | G2_smistamento | 0. | 0. | 0.528 | 0. | 0. | 0. |
| 291 | Q_smistamento | 0. | 0. | 0.528 | 0. | 0. | 0. |
| 291 | Q_neve | 0. | 0. | 0.295 | 0. | 0. | 0. |
| 292 | DEAD | 0. | 0. | 1.498 | 0. | 0. | 0. |
| 292 | G1_smistamento | 0. | 0. | 1.452 | 0. | 0. | 0. |
| 292 | G2_smistamento | 0. | 0. | 0.538 | 0. | 0. | 0. |
| 292 | Q_smistamento | 0. | 0. | 0.538 | 0. | 0. | 0. |
| 292 | Q_neve | 0. | 0. | 0.295 | 0. | 0. | 0. |
| 293 | DEAD | 0. | 0. | 1.498 | 0. | 0. | 0. |
| 293 | G1_smistamento | 0. | 0. | 1.452 | 0. | 0. | 0. |
| 293 | G2_smistamento | 0. | 0. | 0.538 | 0. | 0. | 0. |
| 293 | Q_smistamento | 0. | 0. | 0.538 | 0. | 0. | 0. |
| 293 | Q_neve | 0. | 0. | 0.295 | 0. | 0. | 0. |
| 294 | DEAD | 0. | 0. | 1.498 | 0. | 0. | 0. |
| 294 | G1_smistamento | 0. | 0. | 1.423 | 0. | 0. | 0. |
| 294 | G2_smistamento | 0. | 0. | 0.528 | 0. | 0. | 0. |
| 294 | Q_smistamento | 0. | 0. | 0.528 | 0. | 0. | 0. |
| 294 | Q_neve | 0. | 0. | 0.295 | 0. | 0. | 0. |
| 295 | DEAD | 0. | 0. | 1.498 | 0. | 0. | 0. |
| 295 | G1_smistamento | 0. | 0. | 1.561 | 0. | 0. | 0. |
| 295 | G2_smistamento | 0. | 0. | 0.579 | 0. | 0. | 0. |
| 295 | Q_smistamento | 0. | 0. | 0.579 | 0. | 0. | 0. |
| 295 | Q_neve | 0. | 0. | 0.295 | 0. | 0. | 0. |
| 296 | DEAD | 0. | 0. | 1.498 | 0. | 0. | 0. |
| 296 | G1_smistamento | 0. | 0. | 1.592 | 0. | 0. | 0. |
| 296 | G2_smistamento | 0. | 0. | 0.59 | 0. | 0. | 0. |

Table 19: Joint Reactions

| Joint | OutputCase | F1 | F2 | F3 | M1 | M2 | M3 |
|-------|----------------|----|----|-------|------|------|------|
| | | KN | KN | KN | KN-m | KN-m | KN-m |
| 296 | Q_smistamento | 0. | 0. | 0.59 | 0. | 0. | 0. |
| 296 | Q_neve | 0. | 0. | 0.295 | 0. | 0. | 0. |
| 297 | DEAD | 0. | 0. | 1.498 | 0. | 0. | 0. |
| 297 | G1_smistamento | 0. | 0. | 1.592 | 0. | 0. | 0. |
| 297 | G2_smistamento | 0. | 0. | 0.59 | 0. | 0. | 0. |
| 297 | Q_smistamento | 0. | 0. | 0.59 | 0. | 0. | 0. |
| 297 | Q_neve | 0. | 0. | 0.295 | 0. | 0. | 0. |
| 298 | DEAD | 0. | 0. | 1.498 | 0. | 0. | 0. |
| 298 | G1_smistamento | 0. | 0. | 1.561 | 0. | 0. | 0. |
| 298 | G2_smistamento | 0. | 0. | 0.579 | 0. | 0. | 0. |
| 298 | Q_smistamento | 0. | 0. | 0.579 | 0. | 0. | 0. |
| 298 | Q_neve | 0. | 0. | 0.295 | 0. | 0. | 0. |
| 299 | DEAD | 0. | 0. | 1.498 | 0. | 0. | 0. |
| 299 | G1_smistamento | 0. | 0. | 1.678 | 0. | 0. | 0. |
| 299 | G2_smistamento | 0. | 0. | 0.622 | 0. | 0. | 0. |
| 299 | Q_smistamento | 0. | 0. | 0.622 | 0. | 0. | 0. |
| 299 | Q_neve | 0. | 0. | 0.295 | 0. | 0. | 0. |
| 300 | DEAD | 0. | 0. | 1.498 | 0. | 0. | 0. |
| 300 | G1_smistamento | 0. | 0. | 1.711 | 0. | 0. | 0. |
| 300 | G2_smistamento | 0. | 0. | 0.634 | 0. | 0. | 0. |
| 300 | Q_smistamento | 0. | 0. | 0.634 | 0. | 0. | 0. |
| 300 | Q_neve | 0. | 0. | 0.295 | 0. | 0. | 0. |
| 301 | DEAD | 0. | 0. | 1.498 | 0. | 0. | 0. |
| 301 | G1_smistamento | 0. | 0. | 1.711 | 0. | 0. | 0. |
| 301 | G2_smistamento | 0. | 0. | 0.634 | 0. | 0. | 0. |
| 301 | Q_smistamento | 0. | 0. | 0.634 | 0. | 0. | 0. |
| 301 | Q_neve | 0. | 0. | 0.295 | 0. | 0. | 0. |
| 302 | DEAD | 0. | 0. | 1.498 | 0. | 0. | 0. |
| 302 | G1_smistamento | 0. | 0. | 1.678 | 0. | 0. | 0. |
| 302 | G2_smistamento | 0. | 0. | 0.622 | 0. | 0. | 0. |
| 302 | Q_smistamento | 0. | 0. | 0.622 | 0. | 0. | 0. |
| 302 | Q_neve | 0. | 0. | 0.295 | 0. | 0. | 0. |
| 303 | DEAD | 0. | 0. | 1.498 | 0. | 0. | 0. |
| 303 | G1_smistamento | 0. | 0. | 1.773 | 0. | 0. | 0. |
| 303 | G2_smistamento | 0. | 0. | 0.657 | 0. | 0. | 0. |
| 303 | Q_smistamento | 0. | 0. | 0.657 | 0. | 0. | 0. |
| 303 | Q_neve | 0. | 0. | 0.295 | 0. | 0. | 0. |
| 304 | DEAD | 0. | 0. | 1.498 | 0. | 0. | 0. |

Table 19: Joint Reactions

| Joint | OutputCase | F1 | F2 | F3 | M1 | M2 | M3 |
|-------|----------------|----|----|-------|------|------|------|
| | | KN | KN | KN | KN-m | KN-m | KN-m |
| 304 | G1_smistamento | 0. | 0. | 1.807 | 0. | 0. | 0. |
| 304 | G2_smistamento | 0. | 0. | 0.67 | 0. | 0. | 0. |
| 304 | Q_smistamento | 0. | 0. | 0.67 | 0. | 0. | 0. |
| 304 | Q_neve | 0. | 0. | 0.295 | 0. | 0. | 0. |
| 305 | DEAD | 0. | 0. | 1.498 | 0. | 0. | 0. |
| 305 | G1_smistamento | 0. | 0. | 1.807 | 0. | 0. | 0. |
| 305 | G2_smistamento | 0. | 0. | 0.67 | 0. | 0. | 0. |
| 305 | Q_smistamento | 0. | 0. | 0.67 | 0. | 0. | 0. |
| 305 | Q_neve | 0. | 0. | 0.295 | 0. | 0. | 0. |
| 306 | DEAD | 0. | 0. | 1.498 | 0. | 0. | 0. |
| 306 | G1_smistamento | 0. | 0. | 1.773 | 0. | 0. | 0. |
| 306 | G2_smistamento | 0. | 0. | 0.657 | 0. | 0. | 0. |
| 306 | Q_smistamento | 0. | 0. | 0.657 | 0. | 0. | 0. |
| 306 | Q_neve | 0. | 0. | 0.295 | 0. | 0. | 0. |
| 307 | DEAD | 0. | 0. | 1.498 | 0. | 0. | 0. |
| 307 | G1_smistamento | 0. | 0. | 1.845 | 0. | 0. | 0. |
| 307 | G2_smistamento | 0. | 0. | 0.684 | 0. | 0. | 0. |
| 307 | Q_smistamento | 0. | 0. | 0.684 | 0. | 0. | 0. |
| 307 | Q_neve | 0. | 0. | 0.295 | 0. | 0. | 0. |
| 308 | DEAD | 0. | 0. | 1.498 | 0. | 0. | 0. |
| 308 | G1_smistamento | 0. | 0. | 1.88 | 0. | 0. | 0. |
| 308 | G2_smistamento | 0. | 0. | 0.697 | 0. | 0. | 0. |
| 308 | Q_smistamento | 0. | 0. | 0.697 | 0. | 0. | 0. |
| 308 | Q_neve | 0. | 0. | 0.295 | 0. | 0. | 0. |
| 309 | DEAD | 0. | 0. | 1.498 | 0. | 0. | 0. |
| 309 | G1_smistamento | 0. | 0. | 1.88 | 0. | 0. | 0. |
| 309 | G2_smistamento | 0. | 0. | 0.697 | 0. | 0. | 0. |
| 309 | Q_smistamento | 0. | 0. | 0.697 | 0. | 0. | 0. |
| 309 | Q_neve | 0. | 0. | 0.295 | 0. | 0. | 0. |
| 310 | DEAD | 0. | 0. | 1.498 | 0. | 0. | 0. |
| 310 | G1_smistamento | 0. | 0. | 1.845 | 0. | 0. | 0. |
| 310 | G2_smistamento | 0. | 0. | 0.684 | 0. | 0. | 0. |
| 310 | Q_smistamento | 0. | 0. | 0.684 | 0. | 0. | 0. |
| 310 | Q_neve | 0. | 0. | 0.295 | 0. | 0. | 0. |
| 311 | DEAD | 0. | 0. | 1.498 | 0. | 0. | 0. |
| 311 | G1_smistamento | 0. | 0. | 1.898 | 0. | 0. | 0. |
| 311 | G2_smistamento | 0. | 0. | 0.703 | 0. | 0. | 0. |
| 311 | Q_smistamento | 0. | 0. | 0.703 | 0. | 0. | 0. |

Table 19: Joint Reactions

| Joint | OutputCase | F1 | F2 | F3 | M1 | M2 | M3 |
|-------|----------------|----|----|-------|------|------|------|
| | | KN | KN | KN | KN-m | KN-m | KN-m |
| 311 | Q_neve | 0. | 0. | 0.295 | 0. | 0. | 0. |
| 312 | DEAD | 0. | 0. | 1.498 | 0. | 0. | 0. |
| 312 | G1_smistamento | 0. | 0. | 1.933 | 0. | 0. | 0. |
| 312 | G2_smistamento | 0. | 0. | 0.716 | 0. | 0. | 0. |
| 312 | Q_smistamento | 0. | 0. | 0.716 | 0. | 0. | 0. |
| 312 | Q_neve | 0. | 0. | 0.295 | 0. | 0. | 0. |
| 313 | DEAD | 0. | 0. | 1.498 | 0. | 0. | 0. |
| 313 | G1_smistamento | 0. | 0. | 1.933 | 0. | 0. | 0. |
| 313 | G2_smistamento | 0. | 0. | 0.716 | 0. | 0. | 0. |
| 313 | Q_smistamento | 0. | 0. | 0.716 | 0. | 0. | 0. |
| 313 | Q_neve | 0. | 0. | 0.295 | 0. | 0. | 0. |
| 314 | DEAD | 0. | 0. | 1.498 | 0. | 0. | 0. |
| 314 | G1_smistamento | 0. | 0. | 1.898 | 0. | 0. | 0. |
| 314 | G2_smistamento | 0. | 0. | 0.703 | 0. | 0. | 0. |
| 314 | Q_smistamento | 0. | 0. | 0.703 | 0. | 0. | 0. |
| 314 | Q_neve | 0. | 0. | 0.295 | 0. | 0. | 0. |
| 315 | DEAD | 0. | 0. | 1.498 | 0. | 0. | 0. |
| 315 | G1_smistamento | 0. | 0. | 1.931 | 0. | 0. | 0. |
| 315 | G2_smistamento | 0. | 0. | 0.716 | 0. | 0. | 0. |
| 315 | Q_smistamento | 0. | 0. | 0.716 | 0. | 0. | 0. |
| 315 | Q_neve | 0. | 0. | 0.295 | 0. | 0. | 0. |
| 316 | DEAD | 0. | 0. | 1.498 | 0. | 0. | 0. |
| 316 | G1_smistamento | 0. | 0. | 1.966 | 0. | 0. | 0. |
| 316 | G2_smistamento | 0. | 0. | 0.729 | 0. | 0. | 0. |
| 316 | Q_smistamento | 0. | 0. | 0.729 | 0. | 0. | 0. |
| 316 | Q_neve | 0. | 0. | 0.295 | 0. | 0. | 0. |
| 317 | DEAD | 0. | 0. | 1.498 | 0. | 0. | 0. |
| 317 | G1_smistamento | 0. | 0. | 1.966 | 0. | 0. | 0. |
| 317 | G2_smistamento | 0. | 0. | 0.729 | 0. | 0. | 0. |
| 317 | Q_smistamento | 0. | 0. | 0.729 | 0. | 0. | 0. |
| 317 | Q_neve | 0. | 0. | 0.295 | 0. | 0. | 0. |
| 318 | DEAD | 0. | 0. | 1.498 | 0. | 0. | 0. |
| 318 | G1_smistamento | 0. | 0. | 1.931 | 0. | 0. | 0. |
| 318 | G2_smistamento | 0. | 0. | 0.716 | 0. | 0. | 0. |
| 318 | Q_smistamento | 0. | 0. | 0.716 | 0. | 0. | 0. |
| 318 | Q_neve | 0. | 0. | 0.295 | 0. | 0. | 0. |
| 319 | DEAD | 0. | 0. | 1.498 | 0. | 0. | 0. |
| 319 | G1_smistamento | 0. | 0. | 1.947 | 0. | 0. | 0. |

Table 19: Joint Reactions

| Joint | OutputCase | F1 | F2 | F3 | M1 | M2 | M3 |
|-------|----------------|----|----|-------|------|------|------|
| | | KN | KN | KN | KN-m | KN-m | KN-m |
| 319 | G2_smistamento | 0. | 0. | 0.722 | 0. | 0. | 0. |
| 319 | Q_smistamento | 0. | 0. | 0.722 | 0. | 0. | 0. |
| 319 | Q_neve | 0. | 0. | 0.295 | 0. | 0. | 0. |
| 320 | DEAD | 0. | 0. | 1.498 | 0. | 0. | 0. |
| 320 | G1_smistamento | 0. | 0. | 1.983 | 0. | 0. | 0. |
| 320 | G2_smistamento | 0. | 0. | 0.735 | 0. | 0. | 0. |
| 320 | Q_smistamento | 0. | 0. | 0.735 | 0. | 0. | 0. |
| 320 | Q_neve | 0. | 0. | 0.295 | 0. | 0. | 0. |
| 321 | DEAD | 0. | 0. | 1.498 | 0. | 0. | 0. |
| 321 | G1_smistamento | 0. | 0. | 1.983 | 0. | 0. | 0. |
| 321 | G2_smistamento | 0. | 0. | 0.735 | 0. | 0. | 0. |
| 321 | Q_smistamento | 0. | 0. | 0.735 | 0. | 0. | 0. |
| 321 | Q_neve | 0. | 0. | 0.295 | 0. | 0. | 0. |
| 322 | DEAD | 0. | 0. | 1.498 | 0. | 0. | 0. |
| 322 | G1_smistamento | 0. | 0. | 1.947 | 0. | 0. | 0. |
| 322 | G2_smistamento | 0. | 0. | 0.722 | 0. | 0. | 0. |
| 322 | Q_smistamento | 0. | 0. | 0.722 | 0. | 0. | 0. |
| 322 | Q_neve | 0. | 0. | 0.295 | 0. | 0. | 0. |
| 323 | DEAD | 0. | 0. | 1.498 | 0. | 0. | 0. |
| 323 | G1_smistamento | 0. | 0. | 1.947 | 0. | 0. | 0. |
| 323 | G2_smistamento | 0. | 0. | 0.722 | 0. | 0. | 0. |
| 323 | Q_smistamento | 0. | 0. | 0.722 | 0. | 0. | 0. |
| 323 | Q_neve | 0. | 0. | 0.295 | 0. | 0. | 0. |
| 324 | DEAD | 0. | 0. | 1.498 | 0. | 0. | 0. |
| 324 | G1_smistamento | 0. | 0. | 1.983 | 0. | 0. | 0. |
| 324 | G2_smistamento | 0. | 0. | 0.735 | 0. | 0. | 0. |
| 324 | Q_smistamento | 0. | 0. | 0.735 | 0. | 0. | 0. |
| 324 | Q_neve | 0. | 0. | 0.295 | 0. | 0. | 0. |
| 325 | DEAD | 0. | 0. | 1.498 | 0. | 0. | 0. |
| 325 | G1_smistamento | 0. | 0. | 1.983 | 0. | 0. | 0. |
| 325 | G2_smistamento | 0. | 0. | 0.735 | 0. | 0. | 0. |
| 325 | Q_smistamento | 0. | 0. | 0.735 | 0. | 0. | 0. |
| 325 | Q_neve | 0. | 0. | 0.295 | 0. | 0. | 0. |
| 326 | DEAD | 0. | 0. | 1.498 | 0. | 0. | 0. |
| 326 | G1_smistamento | 0. | 0. | 1.947 | 0. | 0. | 0. |
| 326 | G2_smistamento | 0. | 0. | 0.722 | 0. | 0. | 0. |
| 326 | Q_smistamento | 0. | 0. | 0.722 | 0. | 0. | 0. |
| 326 | Q_neve | 0. | 0. | 0.295 | 0. | 0. | 0. |

Table 19: Joint Reactions

| Joint | OutputCase | F1 | F2 | F3 | M1 | M2 | M3 |
|-------|----------------|----|----|-------|------|------|------|
| | | KN | KN | KN | KN-m | KN-m | KN-m |
| 327 | DEAD | 0. | 0. | 1.498 | 0. | 0. | 0. |
| 327 | G1_smistamento | 0. | 0. | 1.931 | 0. | 0. | 0. |
| 327 | G2_smistamento | 0. | 0. | 0.716 | 0. | 0. | 0. |
| 327 | Q_smistamento | 0. | 0. | 0.716 | 0. | 0. | 0. |
| 327 | Q_neve | 0. | 0. | 0.295 | 0. | 0. | 0. |
| 328 | DEAD | 0. | 0. | 1.498 | 0. | 0. | 0. |
| 328 | G1_smistamento | 0. | 0. | 1.966 | 0. | 0. | 0. |
| 328 | G2_smistamento | 0. | 0. | 0.729 | 0. | 0. | 0. |
| 328 | Q_smistamento | 0. | 0. | 0.729 | 0. | 0. | 0. |
| 328 | Q_neve | 0. | 0. | 0.295 | 0. | 0. | 0. |
| 329 | DEAD | 0. | 0. | 1.498 | 0. | 0. | 0. |
| 329 | G1_smistamento | 0. | 0. | 1.966 | 0. | 0. | 0. |
| 329 | G2_smistamento | 0. | 0. | 0.729 | 0. | 0. | 0. |
| 329 | Q_smistamento | 0. | 0. | 0.729 | 0. | 0. | 0. |
| 329 | Q_neve | 0. | 0. | 0.295 | 0. | 0. | 0. |
| 330 | DEAD | 0. | 0. | 1.498 | 0. | 0. | 0. |
| 330 | G1_smistamento | 0. | 0. | 1.931 | 0. | 0. | 0. |
| 330 | G2_smistamento | 0. | 0. | 0.716 | 0. | 0. | 0. |
| 330 | Q_smistamento | 0. | 0. | 0.716 | 0. | 0. | 0. |
| 330 | Q_neve | 0. | 0. | 0.295 | 0. | 0. | 0. |
| 331 | DEAD | 0. | 0. | 1.498 | 0. | 0. | 0. |
| 331 | G1_smistamento | 0. | 0. | 1.898 | 0. | 0. | 0. |
| 331 | G2_smistamento | 0. | 0. | 0.703 | 0. | 0. | 0. |
| 331 | Q_smistamento | 0. | 0. | 0.703 | 0. | 0. | 0. |
| 331 | Q_neve | 0. | 0. | 0.295 | 0. | 0. | 0. |
| 332 | DEAD | 0. | 0. | 1.498 | 0. | 0. | 0. |
| 332 | G1_smistamento | 0. | 0. | 1.933 | 0. | 0. | 0. |
| 332 | G2_smistamento | 0. | 0. | 0.716 | 0. | 0. | 0. |
| 332 | Q_smistamento | 0. | 0. | 0.716 | 0. | 0. | 0. |
| 332 | Q_neve | 0. | 0. | 0.295 | 0. | 0. | 0. |
| 333 | DEAD | 0. | 0. | 1.498 | 0. | 0. | 0. |
| 333 | G1_smistamento | 0. | 0. | 1.933 | 0. | 0. | 0. |
| 333 | G2_smistamento | 0. | 0. | 0.716 | 0. | 0. | 0. |
| 333 | Q_smistamento | 0. | 0. | 0.716 | 0. | 0. | 0. |
| 333 | Q_neve | 0. | 0. | 0.295 | 0. | 0. | 0. |
| 334 | DEAD | 0. | 0. | 1.498 | 0. | 0. | 0. |
| 334 | G1_smistamento | 0. | 0. | 1.898 | 0. | 0. | 0. |
| 334 | G2_smistamento | 0. | 0. | 0.703 | 0. | 0. | 0. |

Table 19: Joint Reactions

| Joint | OutputCase | F1 | F2 | F3 | M1 | M2 | M3 |
|-------|----------------|----|----|-------|------|------|------|
| | | KN | KN | KN | KN-m | KN-m | KN-m |
| 334 | Q_smistamento | 0. | 0. | 0.703 | 0. | 0. | 0. |
| 334 | Q_neve | 0. | 0. | 0.295 | 0. | 0. | 0. |
| 335 | DEAD | 0. | 0. | 1.498 | 0. | 0. | 0. |
| 335 | G1_smistamento | 0. | 0. | 1.845 | 0. | 0. | 0. |
| 335 | G2_smistamento | 0. | 0. | 0.684 | 0. | 0. | 0. |
| 335 | Q_smistamento | 0. | 0. | 0.684 | 0. | 0. | 0. |
| 335 | Q_neve | 0. | 0. | 0.295 | 0. | 0. | 0. |
| 336 | DEAD | 0. | 0. | 1.498 | 0. | 0. | 0. |
| 336 | G1_smistamento | 0. | 0. | 1.88 | 0. | 0. | 0. |
| 336 | G2_smistamento | 0. | 0. | 0.697 | 0. | 0. | 0. |
| 336 | Q_smistamento | 0. | 0. | 0.697 | 0. | 0. | 0. |
| 336 | Q_neve | 0. | 0. | 0.295 | 0. | 0. | 0. |
| 337 | DEAD | 0. | 0. | 1.498 | 0. | 0. | 0. |
| 337 | G1_smistamento | 0. | 0. | 1.88 | 0. | 0. | 0. |
| 337 | G2_smistamento | 0. | 0. | 0.697 | 0. | 0. | 0. |
| 337 | Q_smistamento | 0. | 0. | 0.697 | 0. | 0. | 0. |
| 337 | Q_neve | 0. | 0. | 0.295 | 0. | 0. | 0. |
| 338 | DEAD | 0. | 0. | 1.498 | 0. | 0. | 0. |
| 338 | G1_smistamento | 0. | 0. | 1.845 | 0. | 0. | 0. |
| 338 | G2_smistamento | 0. | 0. | 0.684 | 0. | 0. | 0. |
| 338 | Q_smistamento | 0. | 0. | 0.684 | 0. | 0. | 0. |
| 338 | Q_neve | 0. | 0. | 0.295 | 0. | 0. | 0. |
| 339 | DEAD | 0. | 0. | 1.498 | 0. | 0. | 0. |
| 339 | G1_smistamento | 0. | 0. | 1.773 | 0. | 0. | 0. |
| 339 | G2_smistamento | 0. | 0. | 0.657 | 0. | 0. | 0. |
| 339 | Q_smistamento | 0. | 0. | 0.657 | 0. | 0. | 0. |
| 339 | Q_neve | 0. | 0. | 0.295 | 0. | 0. | 0. |
| 340 | DEAD | 0. | 0. | 1.498 | 0. | 0. | 0. |
| 340 | G1_smistamento | 0. | 0. | 1.807 | 0. | 0. | 0. |
| 340 | G2_smistamento | 0. | 0. | 0.67 | 0. | 0. | 0. |
| 340 | Q_smistamento | 0. | 0. | 0.67 | 0. | 0. | 0. |
| 340 | Q_neve | 0. | 0. | 0.295 | 0. | 0. | 0. |
| 341 | DEAD | 0. | 0. | 1.498 | 0. | 0. | 0. |
| 341 | G1_smistamento | 0. | 0. | 1.807 | 0. | 0. | 0. |
| 341 | G2_smistamento | 0. | 0. | 0.67 | 0. | 0. | 0. |
| 341 | Q_smistamento | 0. | 0. | 0.67 | 0. | 0. | 0. |
| 341 | Q_neve | 0. | 0. | 0.295 | 0. | 0. | 0. |
| 342 | DEAD | 0. | 0. | 1.498 | 0. | 0. | 0. |

Table 19: Joint Reactions

| Joint | OutputCase | F1 | F2 | F3 | M1 | M2 | M3 |
|-------|----------------|----|----|-------|------|------|------|
| | | KN | KN | KN | KN-m | KN-m | KN-m |
| 342 | G1_smistamento | 0. | 0. | 1.773 | 0. | 0. | 0. |
| 342 | G2_smistamento | 0. | 0. | 0.657 | 0. | 0. | 0. |
| 342 | Q_smistamento | 0. | 0. | 0.657 | 0. | 0. | 0. |
| 342 | Q_neve | 0. | 0. | 0.295 | 0. | 0. | 0. |
| 343 | DEAD | 0. | 0. | 1.498 | 0. | 0. | 0. |
| 343 | G1_smistamento | 0. | 0. | 1.678 | 0. | 0. | 0. |
| 343 | G2_smistamento | 0. | 0. | 0.622 | 0. | 0. | 0. |
| 343 | Q_smistamento | 0. | 0. | 0.622 | 0. | 0. | 0. |
| 343 | Q_neve | 0. | 0. | 0.295 | 0. | 0. | 0. |
| 344 | DEAD | 0. | 0. | 1.498 | 0. | 0. | 0. |
| 344 | G1_smistamento | 0. | 0. | 1.711 | 0. | 0. | 0. |
| 344 | G2_smistamento | 0. | 0. | 0.634 | 0. | 0. | 0. |
| 344 | Q_smistamento | 0. | 0. | 0.634 | 0. | 0. | 0. |
| 344 | Q_neve | 0. | 0. | 0.295 | 0. | 0. | 0. |
| 345 | DEAD | 0. | 0. | 1.498 | 0. | 0. | 0. |
| 345 | G1_smistamento | 0. | 0. | 1.711 | 0. | 0. | 0. |
| 345 | G2_smistamento | 0. | 0. | 0.634 | 0. | 0. | 0. |
| 345 | Q_smistamento | 0. | 0. | 0.634 | 0. | 0. | 0. |
| 345 | Q_neve | 0. | 0. | 0.295 | 0. | 0. | 0. |
| 346 | DEAD | 0. | 0. | 1.498 | 0. | 0. | 0. |
| 346 | G1_smistamento | 0. | 0. | 1.678 | 0. | 0. | 0. |
| 346 | G2_smistamento | 0. | 0. | 0.622 | 0. | 0. | 0. |
| 346 | Q_smistamento | 0. | 0. | 0.622 | 0. | 0. | 0. |
| 346 | Q_neve | 0. | 0. | 0.295 | 0. | 0. | 0. |
| 347 | DEAD | 0. | 0. | 1.498 | 0. | 0. | 0. |
| 347 | G1_smistamento | 0. | 0. | 1.561 | 0. | 0. | 0. |
| 347 | G2_smistamento | 0. | 0. | 0.579 | 0. | 0. | 0. |
| 347 | Q_smistamento | 0. | 0. | 0.579 | 0. | 0. | 0. |
| 347 | Q_neve | 0. | 0. | 0.295 | 0. | 0. | 0. |
| 348 | DEAD | 0. | 0. | 1.498 | 0. | 0. | 0. |
| 348 | G1_smistamento | 0. | 0. | 1.592 | 0. | 0. | 0. |
| 348 | G2_smistamento | 0. | 0. | 0.59 | 0. | 0. | 0. |
| 348 | Q_smistamento | 0. | 0. | 0.59 | 0. | 0. | 0. |
| 348 | Q_neve | 0. | 0. | 0.295 | 0. | 0. | 0. |
| 349 | DEAD | 0. | 0. | 1.498 | 0. | 0. | 0. |
| 349 | G1_smistamento | 0. | 0. | 1.592 | 0. | 0. | 0. |
| 349 | G2_smistamento | 0. | 0. | 0.59 | 0. | 0. | 0. |
| 349 | Q_smistamento | 0. | 0. | 0.59 | 0. | 0. | 0. |

Table 19: Joint Reactions

| Joint | OutputCase | F1 | F2 | F3 | M1 | M2 | M3 |
|-------|----------------|----|----|-------|------|------|------|
| | | KN | KN | KN | KN-m | KN-m | KN-m |
| 349 | Q_neve | 0. | 0. | 0.295 | 0. | 0. | 0. |
| 350 | DEAD | 0. | 0. | 1.498 | 0. | 0. | 0. |
| 350 | G1_smistamento | 0. | 0. | 1.561 | 0. | 0. | 0. |
| 350 | G2_smistamento | 0. | 0. | 0.579 | 0. | 0. | 0. |
| 350 | Q_smistamento | 0. | 0. | 0.579 | 0. | 0. | 0. |
| 350 | Q_neve | 0. | 0. | 0.295 | 0. | 0. | 0. |
| 351 | DEAD | 0. | 0. | 1.498 | 0. | 0. | 0. |
| 351 | G1_smistamento | 0. | 0. | 1.423 | 0. | 0. | 0. |
| 351 | G2_smistamento | 0. | 0. | 0.528 | 0. | 0. | 0. |
| 351 | Q_smistamento | 0. | 0. | 0.528 | 0. | 0. | 0. |
| 351 | Q_neve | 0. | 0. | 0.295 | 0. | 0. | 0. |
| 352 | DEAD | 0. | 0. | 1.498 | 0. | 0. | 0. |
| 352 | G1_smistamento | 0. | 0. | 1.452 | 0. | 0. | 0. |
| 352 | G2_smistamento | 0. | 0. | 0.538 | 0. | 0. | 0. |
| 352 | Q_smistamento | 0. | 0. | 0.538 | 0. | 0. | 0. |
| 352 | Q_neve | 0. | 0. | 0.295 | 0. | 0. | 0. |
| 353 | DEAD | 0. | 0. | 1.498 | 0. | 0. | 0. |
| 353 | G1_smistamento | 0. | 0. | 1.452 | 0. | 0. | 0. |
| 353 | G2_smistamento | 0. | 0. | 0.538 | 0. | 0. | 0. |
| 353 | Q_smistamento | 0. | 0. | 0.538 | 0. | 0. | 0. |
| 353 | Q_neve | 0. | 0. | 0.295 | 0. | 0. | 0. |
| 354 | DEAD | 0. | 0. | 1.498 | 0. | 0. | 0. |
| 354 | G1_smistamento | 0. | 0. | 1.423 | 0. | 0. | 0. |
| 354 | G2_smistamento | 0. | 0. | 0.528 | 0. | 0. | 0. |
| 354 | Q_smistamento | 0. | 0. | 0.528 | 0. | 0. | 0. |
| 354 | Q_neve | 0. | 0. | 0.295 | 0. | 0. | 0. |

8. Area results

This section provides area results, including items such as forces and stresses.

Table 20: Element Forces - Area Shells, Part 1 of 3

Table 20: Element Forces - Area Shells, Part 1 of 3

| Area | AreaElem | Joint | OutputCase | F11 KN/m | F22 KN/m | F12 KN/m |
|------|----------|-------|----------------|-------------|-------------|-------------|
| 1 | 1 | 7 | DEAD | 0. | 0. | 0. |
| 1 | 1 | 8 | DEAD | 0. | 0. | 0. |
| 1 | 1 | 9 | DEAD | 0. | 0. | 0. |
| 1 | 1 | 10 | DEAD | 0. | 0. | 0. |
| 1 | 1 | 7 | G1_smistamento | 0. | 0. | 0. |
| 1 | 1 | 8 | G1_smistamento | 0. | 0. | 0. |
| 1 | 1 | 9 | G1_smistamento | 0. | 0. | 0. |
| 1 | 1 | 10 | G1_smistamento | 0. | 0. | 0. |
| 1 | 1 | 7 | G2_smistamento | 0. | 0. | 0. |
| 1 | 1 | 8 | G2_smistamento | 0. | 0. | 0. |
| 1 | 1 | 9 | G2_smistamento | 0. | 0. | 0. |
| 1 | 1 | 10 | G2_smistamento | 0. | 0. | 0. |
| 1 | 1 | 7 | Q_smistamento | 0. | 0. | 0. |
| 1 | 1 | 8 | Q_smistamento | 0. | 0. | 0. |
| 1 | 1 | 9 | Q_smistamento | 0. | 0. | 0. |
| 1 | 1 | 10 | Q_smistamento | 0. | 0. | 0. |
| 1 | 1 | 7 | Q_neve | 0. | 0. | 0. |
| 1 | 1 | 8 | Q_neve | 0. | 0. | 0. |
| 1 | 1 | 9 | Q_neve | 0. | 0. | 0. |
| 1 | 1 | 10 | Q_neve | 0. | 0. | 0. |
| 2 | 2 | 11 | DEAD | 0. | 0. | 0. |
| 2 | 2 | 12 | DEAD | 0. | 0. | 0. |
| 2 | 2 | 13 | DEAD | 0. | 0. | 0. |
| 2 | 2 | 14 | DEAD | 0. | 0. | 0. |
| 2 | 2 | 11 | G1_smistamento | 0. | 0. | 0. |
| 2 | 2 | 12 | G1_smistamento | 0. | 0. | 0. |
| 2 | 2 | 13 | G1_smistamento | 0. | 0. | 0. |
| 2 | 2 | 14 | G1_smistamento | 0. | 0. | 0. |
| 2 | 2 | 11 | G2_smistamento | 0. | 0. | 0. |
| 2 | 2 | 12 | G2_smistamento | 0. | 0. | 0. |
| 2 | 2 | 13 | G2_smistamento | 0. | 0. | 0. |
| 2 | 2 | 14 | G2_smistamento | 0. | 0. | 0. |
| 2 | 2 | 11 | Q_smistamento | 0. | 0. | 0. |
| 2 | 2 | 12 | Q_smistamento | 0. | 0. | 0. |
| 2 | 2 | 13 | Q_smistamento | 0. | 0. | 0. |
| 2 | 2 | 14 | Q_smistamento | 0. | 0. | 0. |
| 2 | 2 | 11 | Q_neve | 0. | 0. | 0. |

Table 20: Element Forces - Area Shells, Part 1 of 3

| Area | AreaElem | Joint | OutputCase | F11 KN/m | F22 KN/m | F12 KN/m |
|------|----------|-------|----------------|-------------|-------------|-------------|
| 2 | 2 | 12 | Q_neve | 0. | 0. | 0. |
| 2 | 2 | 13 | Q_neve | 0. | 0. | 0. |
| 2 | 2 | 14 | Q_neve | 0. | 0. | 0. |
| 3 | 3 | 15 | DEAD | 0. | 0. | 0. |
| 3 | 3 | 16 | DEAD | 0. | 0. | 0. |
| 3 | 3 | 17 | DEAD | 0. | 0. | 0. |
| 3 | 3 | 18 | DEAD | 0. | 0. | 0. |
| 3 | 3 | 15 | G1_smistamento | 0. | 0. | 0. |
| 3 | 3 | 16 | G1_smistamento | 0. | 0. | 0. |
| 3 | 3 | 17 | G1_smistamento | 0. | 0. | 0. |
| 3 | 3 | 18 | G1_smistamento | 0. | 0. | 0. |
| 3 | 3 | 15 | G2_smistamento | 0. | 0. | 0. |
| 3 | 3 | 16 | G2_smistamento | 0. | 0. | 0. |
| 3 | 3 | 17 | G2_smistamento | 0. | 0. | 0. |
| 3 | 3 | 18 | G2_smistamento | 0. | 0. | 0. |
| 3 | 3 | 15 | Q_smistamento | 0. | 0. | 0. |
| 3 | 3 | 16 | Q_smistamento | 0. | 0. | 0. |
| 3 | 3 | 17 | Q_smistamento | 0. | 0. | 0. |
| 3 | 3 | 18 | Q_smistamento | 0. | 0. | 0. |
| 3 | 3 | 15 | Q_neve | 0. | 0. | 0. |
| 3 | 3 | 16 | Q_neve | 0. | 0. | 0. |
| 3 | 3 | 17 | Q_neve | 0. | 0. | 0. |
| 3 | 3 | 18 | Q_neve | 0. | 0. | 0. |
| 4 | 4 | 19 | DEAD | 0. | 0. | 0. |
| 4 | 4 | 20 | DEAD | 0. | 0. | 0. |
| 4 | 4 | 21 | DEAD | 0. | 0. | 0. |
| 4 | 4 | 22 | DEAD | 0. | 0. | 0. |
| 4 | 4 | 19 | G1_smistamento | 0. | 0. | 0. |
| 4 | 4 | 20 | G1_smistamento | 0. | 0. | 0. |
| 4 | 4 | 21 | G1_smistamento | 0. | 0. | 0. |
| 4 | 4 | 22 | G1_smistamento | 0. | 0. | 0. |
| 4 | 4 | 19 | G2_smistamento | 0. | 0. | 0. |
| 4 | 4 | 20 | G2_smistamento | 0. | 0. | 0. |
| 4 | 4 | 21 | G2_smistamento | 0. | 0. | 0. |
| 4 | 4 | 22 | G2_smistamento | 0. | 0. | 0. |
| 4 | 4 | 19 | Q_smistamento | 0. | 0. | 0. |
| 4 | 4 | 20 | Q_smistamento | 0. | 0. | 0. |
| 4 | 4 | 21 | Q_smistamento | 0. | 0. | 0. |

Table 20: Element Forces - Area Shells, Part 1 of 3

| Area | AreaElem | Joint | OutputCase | F11 KN/m | F22 KN/m | F12 KN/m |
|------|----------|-------|----------------|-------------|-------------|-------------|
| 4 | 4 | 22 | Q_smistamento | 0. | 0. | 0. |
| 4 | 4 | 19 | Q_neve | 0. | 0. | 0. |
| 4 | 4 | 20 | Q_neve | 0. | 0. | 0. |
| 4 | 4 | 21 | Q_neve | 0. | 0. | 0. |
| 4 | 4 | 22 | Q_neve | 0. | 0. | 0. |
| 42 | 42 | 1 | DEAD | 0. | 0. | 0. |
| 42 | 42 | 57 | DEAD | 0. | 0. | 0. |
| 42 | 42 | 58 | DEAD | 0. | 0. | 0. |
| 42 | 42 | 59 | DEAD | 0. | 0. | 0. |
| 42 | 42 | 1 | G1_smistamento | 0. | 0. | 0. |
| 42 | 42 | 57 | G1_smistamento | 0. | 0. | 0. |
| 42 | 42 | 58 | G1_smistamento | 0. | 0. | 0. |
| 42 | 42 | 59 | G1_smistamento | 0. | 0. | 0. |
| 42 | 42 | 1 | G2_smistamento | 0. | 0. | 0. |
| 42 | 42 | 57 | G2_smistamento | 0. | 0. | 0. |
| 42 | 42 | 58 | G2_smistamento | 0. | 0. | 0. |
| 42 | 42 | 59 | G2_smistamento | 0. | 0. | 0. |
| 42 | 42 | 1 | Q_smistamento | 0. | 0. | 0. |
| 42 | 42 | 57 | Q_smistamento | 0. | 0. | 0. |
| 42 | 42 | 58 | Q_smistamento | 0. | 0. | 0. |
| 42 | 42 | 59 | Q_smistamento | 0. | 0. | 0. |
| 42 | 42 | 1 | Q_neve | 0. | 0. | 0. |
| 42 | 42 | 57 | Q_neve | 0. | 0. | 0. |
| 42 | 42 | 58 | Q_neve | 0. | 0. | 0. |
| 42 | 42 | 59 | Q_neve | 0. | 0. | 0. |
| 44 | 44 | 60 | DEAD | 0. | 0. | 0. |
| 44 | 44 | 2 | DEAD | 0. | 0. | 0. |
| 44 | 44 | 61 | DEAD | 0. | 0. | 0. |
| 44 | 44 | 6 | DEAD | 0. | 0. | 0. |
| 44 | 44 | 60 | G1_smistamento | 0. | 0. | 0. |
| 44 | 44 | 2 | G1_smistamento | 0. | 0. | 0. |
| 44 | 44 | 61 | G1_smistamento | 0. | 0. | 0. |
| 44 | 44 | 6 | G1_smistamento | 0. | 0. | 0. |
| 44 | 44 | 60 | G2_smistamento | 0. | 0. | 0. |
| 44 | 44 | 2 | G2_smistamento | 0. | 0. | 0. |
| 44 | 44 | 61 | G2_smistamento | 0. | 0. | 0. |
| 44 | 44 | 6 | G2_smistamento | 0. | 0. | 0. |
| 44 | 44 | 60 | Q_smistamento | 0. | 0. | 0. |

Table 20: Element Forces - Area Shells, Part 1 of 3

| Area | AreaElem | Joint | OutputCase | F11 KN/m | F22 KN/m | F12 KN/m |
|------|----------|-------|----------------|-------------|-------------|-------------|
| 44 | 44 | 2 | Q_smistamento | 0. | 0. | 0. |
| 44 | 44 | 61 | Q_smistamento | 0. | 0. | 0. |
| 44 | 44 | 6 | Q_smistamento | 0. | 0. | 0. |
| 44 | 44 | 60 | Q_neve | 0. | 0. | 0. |
| 44 | 44 | 2 | Q_neve | 0. | 0. | 0. |
| 44 | 44 | 61 | Q_neve | 0. | 0. | 0. |
| 44 | 44 | 6 | Q_neve | 0. | 0. | 0. |
| 46 | 46 | 62 | DEAD | 0. | 0. | 0. |
| 46 | 46 | 3 | DEAD | 0. | 0. | 0. |
| 46 | 46 | 64 | DEAD | 0. | 0. | 0. |
| 46 | 46 | 63 | DEAD | 0. | 0. | 0. |
| 46 | 46 | 62 | G1_smistamento | 0. | 0. | 0. |
| 46 | 46 | 3 | G1_smistamento | 0. | 0. | 0. |
| 46 | 46 | 64 | G1_smistamento | 0. | 0. | 0. |
| 46 | 46 | 63 | G1_smistamento | 0. | 0. | 0. |
| 46 | 46 | 62 | G2_smistamento | 0. | 0. | 0. |
| 46 | 46 | 3 | G2_smistamento | 0. | 0. | 0. |
| 46 | 46 | 64 | G2_smistamento | 0. | 0. | 0. |
| 46 | 46 | 63 | G2_smistamento | 0. | 0. | 0. |
| 46 | 46 | 62 | Q_smistamento | 0. | 0. | 0. |
| 46 | 46 | 3 | Q_smistamento | 0. | 0. | 0. |
| 46 | 46 | 64 | Q_smistamento | 0. | 0. | 0. |
| 46 | 46 | 63 | Q_smistamento | 0. | 0. | 0. |
| 46 | 46 | 62 | Q_neve | 0. | 0. | 0. |
| 46 | 46 | 3 | Q_neve | 0. | 0. | 0. |
| 46 | 46 | 64 | Q_neve | 0. | 0. | 0. |
| 46 | 46 | 63 | Q_neve | 0. | 0. | 0. |
| 48 | 48 | 65 | DEAD | 0. | 0. | 0. |
| 48 | 48 | 4 | DEAD | 0. | 0. | 0. |
| 48 | 48 | 66 | DEAD | 0. | 0. | 0. |
| 48 | 48 | 5 | DEAD | 0. | 0. | 0. |
| 48 | 48 | 65 | G1_smistamento | 0. | 0. | 0. |
| 48 | 48 | 4 | G1_smistamento | 0. | 0. | 0. |
| 48 | 48 | 66 | G1_smistamento | 0. | 0. | 0. |
| 48 | 48 | 5 | G1_smistamento | 0. | 0. | 0. |
| 48 | 48 | 65 | G2_smistamento | 0. | 0. | 0. |
| 48 | 48 | 4 | G2_smistamento | 0. | 0. | 0. |
| 48 | 48 | 66 | G2_smistamento | 0. | 0. | 0. |

Table 20: Element Forces - Area Shells, Part 1 of 3

| Area | AreaElem | Joint | OutputCase | F11 KN/m | F22 KN/m | F12 KN/m |
|------|----------|-------|----------------|-------------|-------------|-------------|
| 48 | 48 | 5 | G2_smistamento | 0. | 0. | 0. |
| 48 | 48 | 65 | Q_smistamento | 0. | 0. | 0. |
| 48 | 48 | 4 | Q_smistamento | 0. | 0. | 0. |
| 48 | 48 | 66 | Q_smistamento | 0. | 0. | 0. |
| 48 | 48 | 5 | Q_smistamento | 0. | 0. | 0. |
| 48 | 48 | 65 | Q_neve | 0. | 0. | 0. |
| 48 | 48 | 4 | Q_neve | 0. | 0. | 0. |
| 48 | 48 | 66 | Q_neve | 0. | 0. | 0. |
| 48 | 48 | 5 | Q_neve | 0. | 0. | 0. |
| 183 | 183 | 57 | DEAD | 0. | 0. | 0. |
| 183 | 183 | 67 | DEAD | 0. | 0. | 0. |
| 183 | 183 | 68 | DEAD | 0. | 0. | 0. |
| 183 | 183 | 58 | DEAD | 0. | 0. | 0. |
| 183 | 183 | 57 | G1_smistamento | 0. | 0. | 0. |
| 183 | 183 | 67 | G1_smistamento | 0. | 0. | 0. |
| 183 | 183 | 68 | G1_smistamento | 0. | 0. | 0. |
| 183 | 183 | 58 | G1_smistamento | 0. | 0. | 0. |
| 183 | 183 | 57 | G2_smistamento | 0. | 0. | 0. |
| 183 | 183 | 67 | G2_smistamento | 0. | 0. | 0. |
| 183 | 183 | 68 | G2_smistamento | 0. | 0. | 0. |
| 183 | 183 | 58 | G2_smistamento | 0. | 0. | 0. |
| 183 | 183 | 57 | Q_smistamento | 0. | 0. | 0. |
| 183 | 183 | 67 | Q_smistamento | 0. | 0. | 0. |
| 183 | 183 | 68 | Q_smistamento | 0. | 0. | 0. |
| 183 | 183 | 58 | Q_smistamento | 0. | 0. | 0. |
| 183 | 183 | 57 | Q_neve | 0. | 0. | 0. |
| 183 | 183 | 67 | Q_neve | 0. | 0. | 0. |
| 183 | 183 | 68 | Q_neve | 0. | 0. | 0. |
| 183 | 183 | 58 | Q_neve | 0. | 0. | 0. |
| 184 | 184 | 67 | DEAD | 0. | 0. | 0. |
| 184 | 184 | 69 | DEAD | 0. | 0. | 0. |
| 184 | 184 | 70 | DEAD | 0. | 0. | 0. |
| 184 | 184 | 68 | DEAD | 0. | 0. | 0. |
| 184 | 184 | 67 | G1_smistamento | 0. | 0. | 0. |
| 184 | 184 | 69 | G1_smistamento | 0. | 0. | 0. |
| 184 | 184 | 70 | G1_smistamento | 0. | 0. | 0. |
| 184 | 184 | 68 | G1_smistamento | 0. | 0. | 0. |
| 184 | 184 | 67 | G2_smistamento | 0. | 0. | 0. |

Table 20: Element Forces - Area Shells, Part 1 of 3

| Area | AreaElem | Joint | OutputCase | F11 KN/m | F22 KN/m | F12 KN/m |
|------|----------|-------|----------------|-------------|-------------|-------------|
| 184 | 184 | 69 | G2_smistamento | 0. | 0. | 0. |
| 184 | 184 | 70 | G2_smistamento | 0. | 0. | 0. |
| 184 | 184 | 68 | G2_smistamento | 0. | 0. | 0. |
| 184 | 184 | 67 | Q_smistamento | 0. | 0. | 0. |
| 184 | 184 | 69 | Q_smistamento | 0. | 0. | 0. |
| 184 | 184 | 70 | Q_smistamento | 0. | 0. | 0. |
| 184 | 184 | 68 | Q_smistamento | 0. | 0. | 0. |
| 184 | 184 | 67 | Q_neve | 0. | 0. | 0. |
| 184 | 184 | 69 | Q_neve | 0. | 0. | 0. |
| 184 | 184 | 70 | Q_neve | 0. | 0. | 0. |
| 184 | 184 | 68 | Q_neve | 0. | 0. | 0. |
| 185 | 185 | 69 | DEAD | 0. | 0. | 0. |
| 185 | 185 | 71 | DEAD | 0. | 0. | 0. |
| 185 | 185 | 72 | DEAD | 0. | 0. | 0. |
| 185 | 185 | 70 | DEAD | 0. | 0. | 0. |
| 185 | 185 | 69 | G1_smistamento | 0. | 0. | 0. |
| 185 | 185 | 71 | G1_smistamento | 0. | 0. | 0. |
| 185 | 185 | 72 | G1_smistamento | 0. | 0. | 0. |
| 185 | 185 | 70 | G1_smistamento | 0. | 0. | 0. |
| 185 | 185 | 69 | G2_smistamento | 0. | 0. | 0. |
| 185 | 185 | 71 | G2_smistamento | 0. | 0. | 0. |
| 185 | 185 | 72 | G2_smistamento | 0. | 0. | 0. |
| 185 | 185 | 70 | G2_smistamento | 0. | 0. | 0. |
| 185 | 185 | 69 | Q_smistamento | 0. | 0. | 0. |
| 185 | 185 | 71 | Q_smistamento | 0. | 0. | 0. |
| 185 | 185 | 72 | Q_smistamento | 0. | 0. | 0. |
| 185 | 185 | 70 | Q_smistamento | 0. | 0. | 0. |
| 185 | 185 | 69 | Q_neve | 0. | 0. | 0. |
| 185 | 185 | 71 | Q_neve | 0. | 0. | 0. |
| 185 | 185 | 72 | Q_neve | 0. | 0. | 0. |
| 185 | 185 | 70 | Q_neve | 0. | 0. | 0. |
| 186 | 186 | 71 | DEAD | 0. | 0. | 0. |
| 186 | 186 | 73 | DEAD | 0. | 0. | 0. |
| 186 | 186 | 74 | DEAD | 0. | 0. | 0. |
| 186 | 186 | 72 | DEAD | 0. | 0. | 0. |
| 186 | 186 | 71 | G1_smistamento | 0. | 0. | 0. |
| 186 | 186 | 73 | G1_smistamento | 0. | 0. | 0. |
| 186 | 186 | 74 | G1_smistamento | 0. | 0. | 0. |

Table 20: Element Forces - Area Shells, Part 1 of 3

| Area | AreaElem | Joint | OutputCase | F11 KN/m | F22 KN/m | F12 KN/m |
|------|----------|-------|----------------|-------------|-------------|-------------|
| 186 | 186 | 72 | G1_smistamento | 0. | 0. | 0. |
| 186 | 186 | 71 | G2_smistamento | 0. | 0. | 0. |
| 186 | 186 | 73 | G2_smistamento | 0. | 0. | 0. |
| 186 | 186 | 74 | G2_smistamento | 0. | 0. | 0. |
| 186 | 186 | 72 | G2_smistamento | 0. | 0. | 0. |
| 186 | 186 | 71 | Q_smistamento | 0. | 0. | 0. |
| 186 | 186 | 73 | Q_smistamento | 0. | 0. | 0. |
| 186 | 186 | 74 | Q_smistamento | 0. | 0. | 0. |
| 186 | 186 | 72 | Q_smistamento | 0. | 0. | 0. |
| 186 | 186 | 71 | Q_neve | 0. | 0. | 0. |
| 186 | 186 | 73 | Q_neve | 0. | 0. | 0. |
| 186 | 186 | 74 | Q_neve | 0. | 0. | 0. |
| 186 | 186 | 72 | Q_neve | 0. | 0. | 0. |
| 187 | 187 | 73 | DEAD | 0. | 0. | 0. |
| 187 | 187 | 75 | DEAD | 0. | 0. | 0. |
| 187 | 187 | 76 | DEAD | 0. | 0. | 0. |
| 187 | 187 | 74 | DEAD | 0. | 0. | 0. |
| 187 | 187 | 73 | G1_smistamento | 0. | 0. | 0. |
| 187 | 187 | 75 | G1_smistamento | 0. | 0. | 0. |
| 187 | 187 | 76 | G1_smistamento | 0. | 0. | 0. |
| 187 | 187 | 74 | G1_smistamento | 0. | 0. | 0. |
| 187 | 187 | 73 | G2_smistamento | 0. | 0. | 0. |
| 187 | 187 | 75 | G2_smistamento | 0. | 0. | 0. |
| 187 | 187 | 76 | G2_smistamento | 0. | 0. | 0. |
| 187 | 187 | 74 | G2_smistamento | 0. | 0. | 0. |
| 187 | 187 | 73 | Q_smistamento | 0. | 0. | 0. |
| 187 | 187 | 75 | Q_smistamento | 0. | 0. | 0. |
| 187 | 187 | 76 | Q_smistamento | 0. | 0. | 0. |
| 187 | 187 | 74 | Q_smistamento | 0. | 0. | 0. |
| 187 | 187 | 73 | Q_neve | 0. | 0. | 0. |
| 187 | 187 | 75 | Q_neve | 0. | 0. | 0. |
| 187 | 187 | 76 | Q_neve | 0. | 0. | 0. |
| 187 | 187 | 74 | Q_neve | 0. | 0. | 0. |
| 188 | 188 | 75 | DEAD | 0. | 0. | 0. |
| 188 | 188 | 77 | DEAD | 0. | 0. | 0. |
| 188 | 188 | 78 | DEAD | 0. | 0. | 0. |
| 188 | 188 | 76 | DEAD | 0. | 0. | 0. |
| 188 | 188 | 75 | G1_smistamento | 0. | 0. | 0. |

Table 20: Element Forces - Area Shells, Part 1 of 3

| Area | AreaElem | Joint | OutputCase | F11 KN/m | F22 KN/m | F12 KN/m |
|------|----------|-------|----------------|-------------|-------------|-------------|
| 188 | 188 | 77 | G1_smistamento | 0. | 0. | 0. |
| 188 | 188 | 78 | G1_smistamento | 0. | 0. | 0. |
| 188 | 188 | 76 | G1_smistamento | 0. | 0. | 0. |
| 188 | 188 | 75 | G2_smistamento | 0. | 0. | 0. |
| 188 | 188 | 77 | G2_smistamento | 0. | 0. | 0. |
| 188 | 188 | 78 | G2_smistamento | 0. | 0. | 0. |
| 188 | 188 | 76 | G2_smistamento | 0. | 0. | 0. |
| 188 | 188 | 75 | Q_smistamento | 0. | 0. | 0. |
| 188 | 188 | 77 | Q_smistamento | 0. | 0. | 0. |
| 188 | 188 | 78 | Q_smistamento | 0. | 0. | 0. |
| 188 | 188 | 76 | Q_smistamento | 0. | 0. | 0. |
| 188 | 188 | 75 | Q_neve | 0. | 0. | 0. |
| 188 | 188 | 77 | Q_neve | 0. | 0. | 0. |
| 188 | 188 | 78 | Q_neve | 0. | 0. | 0. |
| 188 | 188 | 76 | Q_neve | 0. | 0. | 0. |
| 189 | 189 | 77 | DEAD | 0. | 0. | 0. |
| 189 | 189 | 79 | DEAD | 0. | 0. | 0. |
| 189 | 189 | 80 | DEAD | 0. | 0. | 0. |
| 189 | 189 | 78 | DEAD | 0. | 0. | 0. |
| 189 | 189 | 77 | G1_smistamento | 0. | 0. | 0. |
| 189 | 189 | 79 | G1_smistamento | 0. | 0. | 0. |
| 189 | 189 | 80 | G1_smistamento | 0. | 0. | 0. |
| 189 | 189 | 78 | G1_smistamento | 0. | 0. | 0. |
| 189 | 189 | 77 | G2_smistamento | 0. | 0. | 0. |
| 189 | 189 | 79 | G2_smistamento | 0. | 0. | 0. |
| 189 | 189 | 80 | G2_smistamento | 0. | 0. | 0. |
| 189 | 189 | 78 | G2_smistamento | 0. | 0. | 0. |
| 189 | 189 | 77 | Q_smistamento | 0. | 0. | 0. |
| 189 | 189 | 79 | Q_smistamento | 0. | 0. | 0. |
| 189 | 189 | 80 | Q_smistamento | 0. | 0. | 0. |
| 189 | 189 | 78 | Q_smistamento | 0. | 0. | 0. |
| 189 | 189 | 77 | Q_neve | 0. | 0. | 0. |
| 189 | 189 | 79 | Q_neve | 0. | 0. | 0. |
| 189 | 189 | 80 | Q_neve | 0. | 0. | 0. |
| 189 | 189 | 78 | Q_neve | 0. | 0. | 0. |
| 190 | 190 | 79 | DEAD | 0. | 0. | 0. |
| 190 | 190 | 81 | DEAD | 0. | 0. | 0. |
| 190 | 190 | 82 | DEAD | 0. | 0. | 0. |

Table 20: Element Forces - Area Shells, Part 1 of 3

| Area | AreaElem | Joint | OutputCase | F11 KN/m | F22 KN/m | F12 KN/m |
|------|----------|-------|----------------|-------------|-------------|-------------|
| 190 | 190 | 80 | DEAD | 0. | 0. | 0. |
| 190 | 190 | 79 | G1_smistamento | 0. | 0. | 0. |
| 190 | 190 | 81 | G1_smistamento | 0. | 0. | 0. |
| 190 | 190 | 82 | G1_smistamento | 0. | 0. | 0. |
| 190 | 190 | 80 | G1_smistamento | 0. | 0. | 0. |
| 190 | 190 | 79 | G2_smistamento | 0. | 0. | 0. |
| 190 | 190 | 81 | G2_smistamento | 0. | 0. | 0. |
| 190 | 190 | 82 | G2_smistamento | 0. | 0. | 0. |
| 190 | 190 | 80 | G2_smistamento | 0. | 0. | 0. |
| 190 | 190 | 79 | Q_smistamento | 0. | 0. | 0. |
| 190 | 190 | 81 | Q_smistamento | 0. | 0. | 0. |
| 190 | 190 | 82 | Q_smistamento | 0. | 0. | 0. |
| 190 | 190 | 80 | Q_smistamento | 0. | 0. | 0. |
| 190 | 190 | 79 | Q_neve | 0. | 0. | 0. |
| 190 | 190 | 81 | Q_neve | 0. | 0. | 0. |
| 190 | 190 | 82 | Q_neve | 0. | 0. | 0. |
| 190 | 190 | 80 | Q_neve | 0. | 0. | 0. |
| 191 | 191 | 81 | DEAD | 0. | 0. | 0. |
| 191 | 191 | 83 | DEAD | 0. | 0. | 0. |
| 191 | 191 | 84 | DEAD | 0. | 0. | 0. |
| 191 | 191 | 82 | DEAD | 0. | 0. | 0. |
| 191 | 191 | 81 | G1_smistamento | 0. | 0. | 0. |
| 191 | 191 | 83 | G1_smistamento | 0. | 0. | 0. |
| 191 | 191 | 84 | G1_smistamento | 0. | 0. | 0. |
| 191 | 191 | 82 | G1_smistamento | 0. | 0. | 0. |
| 191 | 191 | 81 | G2_smistamento | 0. | 0. | 0. |
| 191 | 191 | 83 | G2_smistamento | 0. | 0. | 0. |
| 191 | 191 | 84 | G2_smistamento | 0. | 0. | 0. |
| 191 | 191 | 82 | G2_smistamento | 0. | 0. | 0. |
| 191 | 191 | 81 | Q_smistamento | 0. | 0. | 0. |
| 191 | 191 | 83 | Q_smistamento | 0. | 0. | 0. |
| 191 | 191 | 84 | Q_smistamento | 0. | 0. | 0. |
| 191 | 191 | 82 | Q_smistamento | 0. | 0. | 0. |
| 191 | 191 | 81 | Q_neve | 0. | 0. | 0. |
| 191 | 191 | 83 | Q_neve | 0. | 0. | 0. |
| 191 | 191 | 84 | Q_neve | 0. | 0. | 0. |
| 191 | 191 | 82 | Q_neve | 0. | 0. | 0. |
| 192 | 192 | 83 | DEAD | 0. | 0. | 0. |

Table 20: Element Forces - Area Shells, Part 1 of 3

| Area | AreaElem | Joint | OutputCase | F11 KN/m | F22 KN/m | F12 KN/m |
|------|----------|-------|----------------|-------------|-------------|-------------|
| 192 | 192 | 85 | DEAD | 0. | 0. | 0. |
| 192 | 192 | 86 | DEAD | 0. | 0. | 0. |
| 192 | 192 | 84 | DEAD | 0. | 0. | 0. |
| 192 | 192 | 83 | G1_smistamento | 0. | 0. | 0. |
| 192 | 192 | 85 | G1_smistamento | 0. | 0. | 0. |
| 192 | 192 | 86 | G1_smistamento | 0. | 0. | 0. |
| 192 | 192 | 84 | G1_smistamento | 0. | 0. | 0. |
| 192 | 192 | 83 | G2_smistamento | 0. | 0. | 0. |
| 192 | 192 | 85 | G2_smistamento | 0. | 0. | 0. |
| 192 | 192 | 86 | G2_smistamento | 0. | 0. | 0. |
| 192 | 192 | 84 | G2_smistamento | 0. | 0. | 0. |
| 192 | 192 | 83 | Q_smistamento | 0. | 0. | 0. |
| 192 | 192 | 85 | Q_smistamento | 0. | 0. | 0. |
| 192 | 192 | 86 | Q_smistamento | 0. | 0. | 0. |
| 192 | 192 | 84 | Q_smistamento | 0. | 0. | 0. |
| 192 | 192 | 83 | Q_neve | 0. | 0. | 0. |
| 192 | 192 | 85 | Q_neve | 0. | 0. | 0. |
| 192 | 192 | 86 | Q_neve | 0. | 0. | 0. |
| 192 | 192 | 84 | Q_neve | 0. | 0. | 0. |
| 193 | 193 | 85 | DEAD | 0. | 0. | 0. |
| 193 | 193 | 87 | DEAD | 0. | 0. | 0. |
| 193 | 193 | 88 | DEAD | 0. | 0. | 0. |
| 193 | 193 | 86 | DEAD | 0. | 0. | 0. |
| 193 | 193 | 85 | G1_smistamento | 0. | 0. | 0. |
| 193 | 193 | 87 | G1_smistamento | 0. | 0. | 0. |
| 193 | 193 | 88 | G1_smistamento | 0. | 0. | 0. |
| 193 | 193 | 86 | G1_smistamento | 0. | 0. | 0. |
| 193 | 193 | 85 | G2_smistamento | 0. | 0. | 0. |
| 193 | 193 | 87 | G2_smistamento | 0. | 0. | 0. |
| 193 | 193 | 88 | G2_smistamento | 0. | 0. | 0. |
| 193 | 193 | 86 | G2_smistamento | 0. | 0. | 0. |
| 193 | 193 | 85 | Q_smistamento | 0. | 0. | 0. |
| 193 | 193 | 87 | Q_smistamento | 0. | 0. | 0. |
| 193 | 193 | 88 | Q_smistamento | 0. | 0. | 0. |
| 193 | 193 | 86 | Q_smistamento | 0. | 0. | 0. |
| 193 | 193 | 85 | Q_neve | 0. | 0. | 0. |
| 193 | 193 | 87 | Q_neve | 0. | 0. | 0. |
| 193 | 193 | 88 | Q_neve | 0. | 0. | 0. |

Table 20: Element Forces - Area Shells, Part 1 of 3

| Area | AreaElem | Joint | OutputCase | F11 KN/m | F22 KN/m | F12 KN/m |
|------|----------|-------|----------------|-------------|-------------|-------------|
| 193 | 193 | 86 | Q_neve | 0. | 0. | 0. |
| 194 | 194 | 87 | DEAD | 0. | 0. | 0. |
| 194 | 194 | 89 | DEAD | 0. | 0. | 0. |
| 194 | 194 | 90 | DEAD | 0. | 0. | 0. |
| 194 | 194 | 88 | DEAD | 0. | 0. | 0. |
| 194 | 194 | 87 | G1_smistamento | 0. | 0. | 0. |
| 194 | 194 | 89 | G1_smistamento | 0. | 0. | 0. |
| 194 | 194 | 90 | G1_smistamento | 0. | 0. | 0. |
| 194 | 194 | 88 | G1_smistamento | 0. | 0. | 0. |
| 194 | 194 | 87 | G2_smistamento | 0. | 0. | 0. |
| 194 | 194 | 89 | G2_smistamento | 0. | 0. | 0. |
| 194 | 194 | 90 | G2_smistamento | 0. | 0. | 0. |
| 194 | 194 | 88 | G2_smistamento | 0. | 0. | 0. |
| 194 | 194 | 87 | Q_smistamento | 0. | 0. | 0. |
| 194 | 194 | 89 | Q_smistamento | 0. | 0. | 0. |
| 194 | 194 | 90 | Q_smistamento | 0. | 0. | 0. |
| 194 | 194 | 88 | Q_smistamento | 0. | 0. | 0. |
| 194 | 194 | 87 | Q_neve | 0. | 0. | 0. |
| 194 | 194 | 89 | Q_neve | 0. | 0. | 0. |
| 194 | 194 | 90 | Q_neve | 0. | 0. | 0. |
| 194 | 194 | 88 | Q_neve | 0. | 0. | 0. |
| 195 | 195 | 89 | DEAD | 0. | 0. | 0. |
| 195 | 195 | 91 | DEAD | 0. | 0. | 0. |
| 195 | 195 | 92 | DEAD | 0. | 0. | 0. |
| 195 | 195 | 90 | DEAD | 0. | 0. | 0. |
| 195 | 195 | 89 | G1_smistamento | 0. | 0. | 0. |
| 195 | 195 | 91 | G1_smistamento | 0. | 0. | 0. |
| 195 | 195 | 92 | G1_smistamento | 0. | 0. | 0. |
| 195 | 195 | 90 | G1_smistamento | 0. | 0. | 0. |
| 195 | 195 | 89 | G2_smistamento | 0. | 0. | 0. |
| 195 | 195 | 91 | G2_smistamento | 0. | 0. | 0. |
| 195 | 195 | 92 | G2_smistamento | 0. | 0. | 0. |
| 195 | 195 | 90 | G2_smistamento | 0. | 0. | 0. |
| 195 | 195 | 89 | Q_smistamento | 0. | 0. | 0. |
| 195 | 195 | 91 | Q_smistamento | 0. | 0. | 0. |
| 195 | 195 | 92 | Q_smistamento | 0. | 0. | 0. |
| 195 | 195 | 90 | Q_smistamento | 0. | 0. | 0. |
| 195 | 195 | 89 | Q_neve | 0. | 0. | 0. |

Table 20: Element Forces - Area Shells, Part 1 of 3

| Area | AreaElem | Joint | OutputCase | F11 KN/m | F22 KN/m | F12 KN/m |
|------|----------|-------|----------------|-------------|-------------|-------------|
| 195 | 195 | 91 | Q_neve | 0. | 0. | 0. |
| 195 | 195 | 92 | Q_neve | 0. | 0. | 0. |
| 195 | 195 | 90 | Q_neve | 0. | 0. | 0. |
| 196 | 196 | 91 | DEAD | 0. | 0. | 0. |
| 196 | 196 | 93 | DEAD | 0. | 0. | 0. |
| 196 | 196 | 94 | DEAD | 0. | 0. | 0. |
| 196 | 196 | 92 | DEAD | 0. | 0. | 0. |
| 196 | 196 | 91 | G1_smistamento | 0. | 0. | 0. |
| 196 | 196 | 93 | G1_smistamento | 0. | 0. | 0. |
| 196 | 196 | 94 | G1_smistamento | 0. | 0. | 0. |
| 196 | 196 | 92 | G1_smistamento | 0. | 0. | 0. |
| 196 | 196 | 91 | G2_smistamento | 0. | 0. | 0. |
| 196 | 196 | 93 | G2_smistamento | 0. | 0. | 0. |
| 196 | 196 | 94 | G2_smistamento | 0. | 0. | 0. |
| 196 | 196 | 92 | G2_smistamento | 0. | 0. | 0. |
| 196 | 196 | 91 | Q_smistamento | 0. | 0. | 0. |
| 196 | 196 | 93 | Q_smistamento | 0. | 0. | 0. |
| 196 | 196 | 94 | Q_smistamento | 0. | 0. | 0. |
| 196 | 196 | 92 | Q_smistamento | 0. | 0. | 0. |
| 196 | 196 | 91 | Q_neve | 0. | 0. | 0. |
| 196 | 196 | 93 | Q_neve | 0. | 0. | 0. |
| 196 | 196 | 94 | Q_neve | 0. | 0. | 0. |
| 196 | 196 | 92 | Q_neve | 0. | 0. | 0. |
| 197 | 197 | 93 | DEAD | 0. | 0. | 0. |
| 197 | 197 | 95 | DEAD | 0. | 0. | 0. |
| 197 | 197 | 96 | DEAD | 0. | 0. | 0. |
| 197 | 197 | 94 | DEAD | 0. | 0. | 0. |
| 197 | 197 | 93 | G1_smistamento | 0. | 0. | 0. |
| 197 | 197 | 95 | G1_smistamento | 0. | 0. | 0. |
| 197 | 197 | 96 | G1_smistamento | 0. | 0. | 0. |
| 197 | 197 | 94 | G1_smistamento | 0. | 0. | 0. |
| 197 | 197 | 93 | G2_smistamento | 0. | 0. | 0. |
| 197 | 197 | 95 | G2_smistamento | 0. | 0. | 0. |
| 197 | 197 | 96 | G2_smistamento | 0. | 0. | 0. |
| 197 | 197 | 94 | G2_smistamento | 0. | 0. | 0. |
| 197 | 197 | 93 | Q_smistamento | 0. | 0. | 0. |
| 197 | 197 | 95 | Q_smistamento | 0. | 0. | 0. |
| 197 | 197 | 96 | Q_smistamento | 0. | 0. | 0. |

Table 20: Element Forces - Area Shells, Part 1 of 3

| Area | AreaElem | Joint | OutputCase | F11 KN/m | F22 KN/m | F12 KN/m |
|------|----------|-------|----------------|-------------|-------------|-------------|
| 197 | 197 | 94 | Q_smistamento | 0. | 0. | 0. |
| 197 | 197 | 93 | Q_neve | 0. | 0. | 0. |
| 197 | 197 | 95 | Q_neve | 0. | 0. | 0. |
| 197 | 197 | 96 | Q_neve | 0. | 0. | 0. |
| 197 | 197 | 94 | Q_neve | 0. | 0. | 0. |
| 198 | 198 | 95 | DEAD | 0. | 0. | 0. |
| 198 | 198 | 97 | DEAD | 0. | 0. | 0. |
| 198 | 198 | 98 | DEAD | 0. | 0. | 0. |
| 198 | 198 | 96 | DEAD | 0. | 0. | 0. |
| 198 | 198 | 95 | G1_smistamento | 0. | 0. | 0. |
| 198 | 198 | 97 | G1_smistamento | 0. | 0. | 0. |
| 198 | 198 | 98 | G1_smistamento | 0. | 0. | 0. |
| 198 | 198 | 96 | G1_smistamento | 0. | 0. | 0. |
| 198 | 198 | 95 | G2_smistamento | 0. | 0. | 0. |
| 198 | 198 | 97 | G2_smistamento | 0. | 0. | 0. |
| 198 | 198 | 98 | G2_smistamento | 0. | 0. | 0. |
| 198 | 198 | 96 | G2_smistamento | 0. | 0. | 0. |
| 198 | 198 | 95 | Q_smistamento | 0. | 0. | 0. |
| 198 | 198 | 97 | Q_smistamento | 0. | 0. | 0. |
| 198 | 198 | 98 | Q_smistamento | 0. | 0. | 0. |
| 198 | 198 | 96 | Q_smistamento | 0. | 0. | 0. |
| 198 | 198 | 95 | Q_neve | 0. | 0. | 0. |
| 198 | 198 | 97 | Q_neve | 0. | 0. | 0. |
| 198 | 198 | 98 | Q_neve | 0. | 0. | 0. |
| 198 | 198 | 96 | Q_neve | 0. | 0. | 0. |
| 199 | 199 | 97 | DEAD | 0. | 0. | 0. |
| 199 | 199 | 60 | DEAD | 0. | 0. | 0. |
| 199 | 199 | 6 | DEAD | 0. | 0. | 0. |
| 199 | 199 | 98 | DEAD | 0. | 0. | 0. |
| 199 | 199 | 97 | G1_smistamento | 0. | 0. | 0. |
| 199 | 199 | 60 | G1_smistamento | 0. | 0. | 0. |
| 199 | 199 | 6 | G1_smistamento | 0. | 0. | 0. |
| 199 | 199 | 98 | G1_smistamento | 0. | 0. | 0. |
| 199 | 199 | 97 | G2_smistamento | 0. | 0. | 0. |
| 199 | 199 | 60 | G2_smistamento | 0. | 0. | 0. |
| 199 | 199 | 6 | G2_smistamento | 0. | 0. | 0. |
| 199 | 199 | 98 | G2_smistamento | 0. | 0. | 0. |
| 199 | 199 | 97 | Q_smistamento | 0. | 0. | 0. |

Table 20: Element Forces - Area Shells, Part 1 of 3

| Area | AreaElem | Joint | OutputCase | F11 KN/m | F22 KN/m | F12 KN/m |
|------|----------|-------|----------------|-------------|-------------|-------------|
| 199 | 199 | 60 | Q_smistamento | 0. | 0. | 0. |
| 199 | 199 | 6 | Q_smistamento | 0. | 0. | 0. |
| 199 | 199 | 98 | Q_smistamento | 0. | 0. | 0. |
| 199 | 199 | 97 | Q_neve | 0. | 0. | 0. |
| 199 | 199 | 60 | Q_neve | 0. | 0. | 0. |
| 199 | 199 | 6 | Q_neve | 0. | 0. | 0. |
| 199 | 199 | 98 | Q_neve | 0. | 0. | 0. |
| 200 | 200 | 61 | DEAD | 0. | 0. | 0. |
| 200 | 200 | 99 | DEAD | 0. | 0. | 0. |
| 200 | 200 | 100 | DEAD | 0. | 0. | 0. |
| 200 | 200 | 6 | DEAD | 0. | 0. | 0. |
| 200 | 200 | 61 | G1_smistamento | 0. | 0. | 0. |
| 200 | 200 | 99 | G1_smistamento | 0. | 0. | 0. |
| 200 | 200 | 100 | G1_smistamento | 0. | 0. | 0. |
| 200 | 200 | 6 | G1_smistamento | 0. | 0. | 0. |
| 200 | 200 | 61 | G2_smistamento | 0. | 0. | 0. |
| 200 | 200 | 99 | G2_smistamento | 0. | 0. | 0. |
| 200 | 200 | 100 | G2_smistamento | 0. | 0. | 0. |
| 200 | 200 | 6 | G2_smistamento | 0. | 0. | 0. |
| 200 | 200 | 61 | Q_smistamento | 0. | 0. | 0. |
| 200 | 200 | 99 | Q_smistamento | 0. | 0. | 0. |
| 200 | 200 | 100 | Q_smistamento | 0. | 0. | 0. |
| 200 | 200 | 6 | Q_smistamento | 0. | 0. | 0. |
| 200 | 200 | 61 | Q_neve | 0. | 0. | 0. |
| 200 | 200 | 99 | Q_neve | 0. | 0. | 0. |
| 200 | 200 | 100 | Q_neve | 0. | 0. | 0. |
| 200 | 200 | 6 | Q_neve | 0. | 0. | 0. |
| 201 | 201 | 99 | DEAD | 0. | 0. | 0. |
| 201 | 201 | 101 | DEAD | 0. | 0. | 0. |
| 201 | 201 | 102 | DEAD | 0. | 0. | 0. |
| 201 | 201 | 100 | DEAD | 0. | 0. | 0. |
| 201 | 201 | 99 | G1_smistamento | 0. | 0. | 0. |
| 201 | 201 | 101 | G1_smistamento | 0. | 0. | 0. |
| 201 | 201 | 102 | G1_smistamento | 0. | 0. | 0. |
| 201 | 201 | 100 | G1_smistamento | 0. | 0. | 0. |
| 201 | 201 | 99 | G2_smistamento | 0. | 0. | 0. |
| 201 | 201 | 101 | G2_smistamento | 0. | 0. | 0. |
| 201 | 201 | 102 | G2_smistamento | 0. | 0. | 0. |

Table 20: Element Forces - Area Shells, Part 1 of 3

| Area | AreaElem | Joint | OutputCase | F11 KN/m | F22 KN/m | F12 KN/m |
|------|----------|-------|----------------|-------------|-------------|-------------|
| 201 | 201 | 100 | G2_smistamento | 0. | 0. | 0. |
| 201 | 201 | 99 | Q_smistamento | 0. | 0. | 0. |
| 201 | 201 | 101 | Q_smistamento | 0. | 0. | 0. |
| 201 | 201 | 102 | Q_smistamento | 0. | 0. | 0. |
| 201 | 201 | 100 | Q_smistamento | 0. | 0. | 0. |
| 201 | 201 | 99 | Q_neve | 0. | 0. | 0. |
| 201 | 201 | 101 | Q_neve | 0. | 0. | 0. |
| 201 | 201 | 102 | Q_neve | 0. | 0. | 0. |
| 201 | 201 | 100 | Q_neve | 0. | 0. | 0. |
| 202 | 202 | 101 | DEAD | 0. | 0. | 0. |
| 202 | 202 | 103 | DEAD | 0. | 0. | 0. |
| 202 | 202 | 104 | DEAD | 0. | 0. | 0. |
| 202 | 202 | 102 | DEAD | 0. | 0. | 0. |
| 202 | 202 | 101 | G1_smistamento | 0. | 0. | 0. |
| 202 | 202 | 103 | G1_smistamento | 0. | 0. | 0. |
| 202 | 202 | 104 | G1_smistamento | 0. | 0. | 0. |
| 202 | 202 | 102 | G1_smistamento | 0. | 0. | 0. |
| 202 | 202 | 101 | G2_smistamento | 0. | 0. | 0. |
| 202 | 202 | 103 | G2_smistamento | 0. | 0. | 0. |
| 202 | 202 | 104 | G2_smistamento | 0. | 0. | 0. |
| 202 | 202 | 102 | G2_smistamento | 0. | 0. | 0. |
| 202 | 202 | 101 | Q_smistamento | 0. | 0. | 0. |
| 202 | 202 | 103 | Q_smistamento | 0. | 0. | 0. |
| 202 | 202 | 104 | Q_smistamento | 0. | 0. | 0. |
| 202 | 202 | 102 | Q_smistamento | 0. | 0. | 0. |
| 202 | 202 | 101 | Q_neve | 0. | 0. | 0. |
| 202 | 202 | 103 | Q_neve | 0. | 0. | 0. |
| 202 | 202 | 104 | Q_neve | 0. | 0. | 0. |
| 202 | 202 | 102 | Q_neve | 0. | 0. | 0. |
| 203 | 203 | 103 | DEAD | 0. | 0. | 0. |
| 203 | 203 | 105 | DEAD | 0. | 0. | 0. |
| 203 | 203 | 106 | DEAD | 0. | 0. | 0. |
| 203 | 203 | 104 | DEAD | 0. | 0. | 0. |
| 203 | 203 | 103 | G1_smistamento | 0. | 0. | 0. |
| 203 | 203 | 105 | G1_smistamento | 0. | 0. | 0. |
| 203 | 203 | 106 | G1_smistamento | 0. | 0. | 0. |
| 203 | 203 | 104 | G1_smistamento | 0. | 0. | 0. |
| 203 | 203 | 103 | G2_smistamento | 0. | 0. | 0. |

Table 20: Element Forces - Area Shells, Part 1 of 3

| Area | AreaElem | Joint | OutputCase | F11 KN/m | F22 KN/m | F12 KN/m |
|------|----------|-------|----------------|-------------|-------------|-------------|
| 203 | 203 | 105 | G2_smistamento | 0. | 0. | 0. |
| 203 | 203 | 106 | G2_smistamento | 0. | 0. | 0. |
| 203 | 203 | 104 | G2_smistamento | 0. | 0. | 0. |
| 203 | 203 | 103 | Q_smistamento | 0. | 0. | 0. |
| 203 | 203 | 105 | Q_smistamento | 0. | 0. | 0. |
| 203 | 203 | 106 | Q_smistamento | 0. | 0. | 0. |
| 203 | 203 | 104 | Q_smistamento | 0. | 0. | 0. |
| 203 | 203 | 103 | Q_neve | 0. | 0. | 0. |
| 203 | 203 | 105 | Q_neve | 0. | 0. | 0. |
| 203 | 203 | 106 | Q_neve | 0. | 0. | 0. |
| 203 | 203 | 104 | Q_neve | 0. | 0. | 0. |
| 204 | 204 | 105 | DEAD | 0. | 0. | 0. |
| 204 | 204 | 62 | DEAD | 0. | 0. | 0. |
| 204 | 204 | 63 | DEAD | 0. | 0. | 0. |
| 204 | 204 | 106 | DEAD | 0. | 0. | 0. |
| 204 | 204 | 105 | G1_smistamento | 0. | 0. | 0. |
| 204 | 204 | 62 | G1_smistamento | 0. | 0. | 0. |
| 204 | 204 | 63 | G1_smistamento | 0. | 0. | 0. |
| 204 | 204 | 106 | G1_smistamento | 0. | 0. | 0. |
| 204 | 204 | 105 | G2_smistamento | 0. | 0. | 0. |
| 204 | 204 | 62 | G2_smistamento | 0. | 0. | 0. |
| 204 | 204 | 63 | G2_smistamento | 0. | 0. | 0. |
| 204 | 204 | 106 | G2_smistamento | 0. | 0. | 0. |
| 204 | 204 | 105 | Q_smistamento | 0. | 0. | 0. |
| 204 | 204 | 62 | Q_smistamento | 0. | 0. | 0. |
| 204 | 204 | 63 | Q_smistamento | 0. | 0. | 0. |
| 204 | 204 | 106 | Q_smistamento | 0. | 0. | 0. |
| 204 | 204 | 105 | Q_neve | 0. | 0. | 0. |
| 204 | 204 | 62 | Q_neve | 0. | 0. | 0. |
| 204 | 204 | 63 | Q_neve | 0. | 0. | 0. |
| 204 | 204 | 106 | Q_neve | 0. | 0. | 0. |
| 205 | 205 | 64 | DEAD | 0. | 0. | 0. |
| 205 | 205 | 107 | DEAD | 0. | 0. | 0. |
| 205 | 205 | 108 | DEAD | 0. | 0. | 0. |
| 205 | 205 | 63 | DEAD | 0. | 0. | 0. |
| 205 | 205 | 64 | G1_smistamento | 0. | 0. | 0. |
| 205 | 205 | 107 | G1_smistamento | 0. | 0. | 0. |
| 205 | 205 | 108 | G1_smistamento | 0. | 0. | 0. |

Table 20: Element Forces - Area Shells, Part 1 of 3

| Area | AreaElem | Joint | OutputCase | F11 KN/m | F22 KN/m | F12 KN/m |
|------|----------|-------|----------------|-------------|-------------|-------------|
| 205 | 205 | 63 | G1_smistamento | 0. | 0. | 0. |
| 205 | 205 | 64 | G2_smistamento | 0. | 0. | 0. |
| 205 | 205 | 107 | G2_smistamento | 0. | 0. | 0. |
| 205 | 205 | 108 | G2_smistamento | 0. | 0. | 0. |
| 205 | 205 | 63 | G2_smistamento | 0. | 0. | 0. |
| 205 | 205 | 64 | Q_smistamento | 0. | 0. | 0. |
| 205 | 205 | 107 | Q_smistamento | 0. | 0. | 0. |
| 205 | 205 | 108 | Q_smistamento | 0. | 0. | 0. |
| 205 | 205 | 63 | Q_smistamento | 0. | 0. | 0. |
| 205 | 205 | 64 | Q_neve | 0. | 0. | 0. |
| 205 | 205 | 107 | Q_neve | 0. | 0. | 0. |
| 205 | 205 | 108 | Q_neve | 0. | 0. | 0. |
| 205 | 205 | 63 | Q_neve | 0. | 0. | 0. |
| 206 | 206 | 107 | DEAD | 0. | 0. | 0. |
| 206 | 206 | 109 | DEAD | 0. | 0. | 0. |
| 206 | 206 | 110 | DEAD | 0. | 0. | 0. |
| 206 | 206 | 108 | DEAD | 0. | 0. | 0. |
| 206 | 206 | 107 | G1_smistamento | 0. | 0. | 0. |
| 206 | 206 | 109 | G1_smistamento | 0. | 0. | 0. |
| 206 | 206 | 110 | G1_smistamento | 0. | 0. | 0. |
| 206 | 206 | 108 | G1_smistamento | 0. | 0. | 0. |
| 206 | 206 | 107 | G2_smistamento | 0. | 0. | 0. |
| 206 | 206 | 109 | G2_smistamento | 0. | 0. | 0. |
| 206 | 206 | 110 | G2_smistamento | 0. | 0. | 0. |
| 206 | 206 | 108 | G2_smistamento | 0. | 0. | 0. |
| 206 | 206 | 107 | Q_smistamento | 0. | 0. | 0. |
| 206 | 206 | 109 | Q_smistamento | 0. | 0. | 0. |
| 206 | 206 | 110 | Q_smistamento | 0. | 0. | 0. |
| 206 | 206 | 108 | Q_smistamento | 0. | 0. | 0. |
| 206 | 206 | 107 | Q_neve | 0. | 0. | 0. |
| 206 | 206 | 109 | Q_neve | 0. | 0. | 0. |
| 206 | 206 | 110 | Q_neve | 0. | 0. | 0. |
| 206 | 206 | 108 | Q_neve | 0. | 0. | 0. |
| 207 | 207 | 109 | DEAD | 0. | 0. | 0. |
| 207 | 207 | 111 | DEAD | 0. | 0. | 0. |
| 207 | 207 | 112 | DEAD | 0. | 0. | 0. |
| 207 | 207 | 110 | DEAD | 0. | 0. | 0. |
| 207 | 207 | 109 | G1_smistamento | 0. | 0. | 0. |

Table 20: Element Forces - Area Shells, Part 1 of 3

| Area | AreaElem | Joint | OutputCase | F11 KN/m | F22 KN/m | F12 KN/m |
|------|----------|-------|----------------|-------------|-------------|-------------|
| 207 | 207 | 111 | G1_smistamento | 0. | 0. | 0. |
| 207 | 207 | 112 | G1_smistamento | 0. | 0. | 0. |
| 207 | 207 | 110 | G1_smistamento | 0. | 0. | 0. |
| 207 | 207 | 109 | G2_smistamento | 0. | 0. | 0. |
| 207 | 207 | 111 | G2_smistamento | 0. | 0. | 0. |
| 207 | 207 | 112 | G2_smistamento | 0. | 0. | 0. |
| 207 | 207 | 110 | G2_smistamento | 0. | 0. | 0. |
| 207 | 207 | 109 | Q_smistamento | 0. | 0. | 0. |
| 207 | 207 | 111 | Q_smistamento | 0. | 0. | 0. |
| 207 | 207 | 112 | Q_smistamento | 0. | 0. | 0. |
| 207 | 207 | 110 | Q_smistamento | 0. | 0. | 0. |
| 207 | 207 | 109 | Q_neve | 0. | 0. | 0. |
| 207 | 207 | 111 | Q_neve | 0. | 0. | 0. |
| 207 | 207 | 112 | Q_neve | 0. | 0. | 0. |
| 207 | 207 | 110 | Q_neve | 0. | 0. | 0. |
| 208 | 208 | 111 | DEAD | 0. | 0. | 0. |
| 208 | 208 | 113 | DEAD | 0. | 0. | 0. |
| 208 | 208 | 114 | DEAD | 0. | 0. | 0. |
| 208 | 208 | 112 | DEAD | 0. | 0. | 0. |
| 208 | 208 | 111 | G1_smistamento | 0. | 0. | 0. |
| 208 | 208 | 113 | G1_smistamento | 0. | 0. | 0. |
| 208 | 208 | 114 | G1_smistamento | 0. | 0. | 0. |
| 208 | 208 | 112 | G1_smistamento | 0. | 0. | 0. |
| 208 | 208 | 111 | G2_smistamento | 0. | 0. | 0. |
| 208 | 208 | 113 | G2_smistamento | 0. | 0. | 0. |
| 208 | 208 | 114 | G2_smistamento | 0. | 0. | 0. |
| 208 | 208 | 112 | G2_smistamento | 0. | 0. | 0. |
| 208 | 208 | 111 | Q_smistamento | 0. | 0. | 0. |
| 208 | 208 | 113 | Q_smistamento | 0. | 0. | 0. |
| 208 | 208 | 114 | Q_smistamento | 0. | 0. | 0. |
| 208 | 208 | 112 | Q_smistamento | 0. | 0. | 0. |
| 208 | 208 | 111 | Q_neve | 0. | 0. | 0. |
| 208 | 208 | 113 | Q_neve | 0. | 0. | 0. |
| 208 | 208 | 114 | Q_neve | 0. | 0. | 0. |
| 208 | 208 | 112 | Q_neve | 0. | 0. | 0. |
| 209 | 209 | 113 | DEAD | 0. | 0. | 0. |
| 209 | 209 | 115 | DEAD | 0. | 0. | 0. |
| 209 | 209 | 116 | DEAD | 0. | 0. | 0. |

Table 20: Element Forces - Area Shells, Part 1 of 3

| Area | AreaElem | Joint | OutputCase | F11 KN/m | F22 KN/m | F12 KN/m |
|------|----------|-------|----------------|-------------|-------------|-------------|
| 209 | 209 | 114 | DEAD | 0. | 0. | 0. |
| 209 | 209 | 113 | G1_smistamento | 0. | 0. | 0. |
| 209 | 209 | 115 | G1_smistamento | 0. | 0. | 0. |
| 209 | 209 | 116 | G1_smistamento | 0. | 0. | 0. |
| 209 | 209 | 114 | G1_smistamento | 0. | 0. | 0. |
| 209 | 209 | 113 | G2_smistamento | 0. | 0. | 0. |
| 209 | 209 | 115 | G2_smistamento | 0. | 0. | 0. |
| 209 | 209 | 116 | G2_smistamento | 0. | 0. | 0. |
| 209 | 209 | 114 | G2_smistamento | 0. | 0. | 0. |
| 209 | 209 | 113 | Q_smistamento | 0. | 0. | 0. |
| 209 | 209 | 115 | Q_smistamento | 0. | 0. | 0. |
| 209 | 209 | 116 | Q_smistamento | 0. | 0. | 0. |
| 209 | 209 | 114 | Q_smistamento | 0. | 0. | 0. |
| 209 | 209 | 113 | Q_neve | 0. | 0. | 0. |
| 209 | 209 | 115 | Q_neve | 0. | 0. | 0. |
| 209 | 209 | 116 | Q_neve | 0. | 0. | 0. |
| 209 | 209 | 114 | Q_neve | 0. | 0. | 0. |
| 210 | 210 | 115 | DEAD | 0. | 0. | 0. |
| 210 | 210 | 117 | DEAD | 0. | 0. | 0. |
| 210 | 210 | 118 | DEAD | 0. | 0. | 0. |
| 210 | 210 | 116 | DEAD | 0. | 0. | 0. |
| 210 | 210 | 115 | G1_smistamento | 0. | 0. | 0. |
| 210 | 210 | 117 | G1_smistamento | 0. | 0. | 0. |
| 210 | 210 | 118 | G1_smistamento | 0. | 0. | 0. |
| 210 | 210 | 116 | G1_smistamento | 0. | 0. | 0. |
| 210 | 210 | 115 | G2_smistamento | 0. | 0. | 0. |
| 210 | 210 | 117 | G2_smistamento | 0. | 0. | 0. |
| 210 | 210 | 118 | G2_smistamento | 0. | 0. | 0. |
| 210 | 210 | 116 | G2_smistamento | 0. | 0. | 0. |
| 210 | 210 | 115 | Q_smistamento | 0. | 0. | 0. |
| 210 | 210 | 117 | Q_smistamento | 0. | 0. | 0. |
| 210 | 210 | 118 | Q_smistamento | 0. | 0. | 0. |
| 210 | 210 | 116 | Q_smistamento | 0. | 0. | 0. |
| 210 | 210 | 115 | Q_neve | 0. | 0. | 0. |
| 210 | 210 | 117 | Q_neve | 0. | 0. | 0. |
| 210 | 210 | 118 | Q_neve | 0. | 0. | 0. |
| 210 | 210 | 116 | Q_neve | 0. | 0. | 0. |
| 211 | 211 | 117 | DEAD | 0. | 0. | 0. |

Table 20: Element Forces - Area Shells, Part 1 of 3

| Area | AreaElem | Joint | OutputCase | F11 KN/m | F22 KN/m | F12 KN/m |
|------|----------|-------|----------------|-------------|-------------|-------------|
| 211 | 211 | 119 | DEAD | 0. | 0. | 0. |
| 211 | 211 | 120 | DEAD | 0. | 0. | 0. |
| 211 | 211 | 118 | DEAD | 0. | 0. | 0. |
| 211 | 211 | 117 | G1_smistamento | 0. | 0. | 0. |
| 211 | 211 | 119 | G1_smistamento | 0. | 0. | 0. |
| 211 | 211 | 120 | G1_smistamento | 0. | 0. | 0. |
| 211 | 211 | 118 | G1_smistamento | 0. | 0. | 0. |
| 211 | 211 | 117 | G2_smistamento | 0. | 0. | 0. |
| 211 | 211 | 119 | G2_smistamento | 0. | 0. | 0. |
| 211 | 211 | 120 | G2_smistamento | 0. | 0. | 0. |
| 211 | 211 | 118 | G2_smistamento | 0. | 0. | 0. |
| 211 | 211 | 117 | Q_smistamento | 0. | 0. | 0. |
| 211 | 211 | 119 | Q_smistamento | 0. | 0. | 0. |
| 211 | 211 | 120 | Q_smistamento | 0. | 0. | 0. |
| 211 | 211 | 118 | Q_smistamento | 0. | 0. | 0. |
| 211 | 211 | 117 | Q_neve | 0. | 0. | 0. |
| 211 | 211 | 119 | Q_neve | 0. | 0. | 0. |
| 211 | 211 | 120 | Q_neve | 0. | 0. | 0. |
| 211 | 211 | 118 | Q_neve | 0. | 0. | 0. |
| 212 | 212 | 119 | DEAD | 0. | 0. | 0. |
| 212 | 212 | 121 | DEAD | 0. | 0. | 0. |
| 212 | 212 | 122 | DEAD | 0. | 0. | 0. |
| 212 | 212 | 120 | DEAD | 0. | 0. | 0. |
| 212 | 212 | 119 | G1_smistamento | 0. | 0. | 0. |
| 212 | 212 | 121 | G1_smistamento | 0. | 0. | 0. |
| 212 | 212 | 122 | G1_smistamento | 0. | 0. | 0. |
| 212 | 212 | 120 | G1_smistamento | 0. | 0. | 0. |
| 212 | 212 | 119 | G2_smistamento | 0. | 0. | 0. |
| 212 | 212 | 121 | G2_smistamento | 0. | 0. | 0. |
| 212 | 212 | 122 | G2_smistamento | 0. | 0. | 0. |
| 212 | 212 | 120 | G2_smistamento | 0. | 0. | 0. |
| 212 | 212 | 119 | Q_smistamento | 0. | 0. | 0. |
| 212 | 212 | 121 | Q_smistamento | 0. | 0. | 0. |
| 212 | 212 | 122 | Q_smistamento | 0. | 0. | 0. |
| 212 | 212 | 120 | Q_smistamento | 0. | 0. | 0. |
| 212 | 212 | 119 | Q_neve | 0. | 0. | 0. |
| 212 | 212 | 121 | Q_neve | 0. | 0. | 0. |
| 212 | 212 | 122 | Q_neve | 0. | 0. | 0. |

Table 20: Element Forces - Area Shells, Part 1 of 3

| Area | AreaElem | Joint | OutputCase | F11 KN/m | F22 KN/m | F12 KN/m |
|------|----------|-------|----------------|-------------|-------------|-------------|
| 212 | 212 | 120 | Q_neve | 0. | 0. | 0. |
| 213 | 213 | 121 | DEAD | 0. | 0. | 0. |
| 213 | 213 | 123 | DEAD | 0. | 0. | 0. |
| 213 | 213 | 124 | DEAD | 0. | 0. | 0. |
| 213 | 213 | 122 | DEAD | 0. | 0. | 0. |
| 213 | 213 | 121 | G1_smistamento | 0. | 0. | 0. |
| 213 | 213 | 123 | G1_smistamento | 0. | 0. | 0. |
| 213 | 213 | 124 | G1_smistamento | 0. | 0. | 0. |
| 213 | 213 | 122 | G1_smistamento | 0. | 0. | 0. |
| 213 | 213 | 121 | G2_smistamento | 0. | 0. | 0. |
| 213 | 213 | 123 | G2_smistamento | 0. | 0. | 0. |
| 213 | 213 | 124 | G2_smistamento | 0. | 0. | 0. |
| 213 | 213 | 122 | G2_smistamento | 0. | 0. | 0. |
| 213 | 213 | 121 | Q_smistamento | 0. | 0. | 0. |
| 213 | 213 | 123 | Q_smistamento | 0. | 0. | 0. |
| 213 | 213 | 124 | Q_smistamento | 0. | 0. | 0. |
| 213 | 213 | 122 | Q_smistamento | 0. | 0. | 0. |
| 213 | 213 | 121 | Q_neve | 0. | 0. | 0. |
| 213 | 213 | 123 | Q_neve | 0. | 0. | 0. |
| 213 | 213 | 124 | Q_neve | 0. | 0. | 0. |
| 213 | 213 | 122 | Q_neve | 0. | 0. | 0. |
| 214 | 214 | 123 | DEAD | 0. | 0. | 0. |
| 214 | 214 | 125 | DEAD | 0. | 0. | 0. |
| 214 | 214 | 126 | DEAD | 0. | 0. | 0. |
| 214 | 214 | 124 | DEAD | 0. | 0. | 0. |
| 214 | 214 | 123 | G1_smistamento | 0. | 0. | 0. |
| 214 | 214 | 125 | G1_smistamento | 0. | 0. | 0. |
| 214 | 214 | 126 | G1_smistamento | 0. | 0. | 0. |
| 214 | 214 | 124 | G1_smistamento | 0. | 0. | 0. |
| 214 | 214 | 123 | G2_smistamento | 0. | 0. | 0. |
| 214 | 214 | 125 | G2_smistamento | 0. | 0. | 0. |
| 214 | 214 | 126 | G2_smistamento | 0. | 0. | 0. |
| 214 | 214 | 124 | G2_smistamento | 0. | 0. | 0. |
| 214 | 214 | 123 | Q_smistamento | 0. | 0. | 0. |
| 214 | 214 | 125 | Q_smistamento | 0. | 0. | 0. |
| 214 | 214 | 126 | Q_smistamento | 0. | 0. | 0. |
| 214 | 214 | 124 | Q_smistamento | 0. | 0. | 0. |
| 214 | 214 | 123 | Q_neve | 0. | 0. | 0. |

Table 20: Element Forces - Area Shells, Part 1 of 3

| Area | AreaElem | Joint | OutputCase | F11 KN/m | F22 KN/m | F12 KN/m |
|------|----------|-------|----------------|-------------|-------------|-------------|
| 214 | 214 | 125 | Q_neve | 0. | 0. | 0. |
| 214 | 214 | 126 | Q_neve | 0. | 0. | 0. |
| 214 | 214 | 124 | Q_neve | 0. | 0. | 0. |
| 215 | 215 | 125 | DEAD | 0. | 0. | 0. |
| 215 | 215 | 127 | DEAD | 0. | 0. | 0. |
| 215 | 215 | 128 | DEAD | 0. | 0. | 0. |
| 215 | 215 | 126 | DEAD | 0. | 0. | 0. |
| 215 | 215 | 125 | G1_smistamento | 0. | 0. | 0. |
| 215 | 215 | 127 | G1_smistamento | 0. | 0. | 0. |
| 215 | 215 | 128 | G1_smistamento | 0. | 0. | 0. |
| 215 | 215 | 126 | G1_smistamento | 0. | 0. | 0. |
| 215 | 215 | 125 | G2_smistamento | 0. | 0. | 0. |
| 215 | 215 | 127 | G2_smistamento | 0. | 0. | 0. |
| 215 | 215 | 128 | G2_smistamento | 0. | 0. | 0. |
| 215 | 215 | 126 | G2_smistamento | 0. | 0. | 0. |
| 215 | 215 | 125 | Q_smistamento | 0. | 0. | 0. |
| 215 | 215 | 127 | Q_smistamento | 0. | 0. | 0. |
| 215 | 215 | 128 | Q_smistamento | 0. | 0. | 0. |
| 215 | 215 | 126 | Q_smistamento | 0. | 0. | 0. |
| 215 | 215 | 125 | Q_neve | 0. | 0. | 0. |
| 215 | 215 | 127 | Q_neve | 0. | 0. | 0. |
| 215 | 215 | 128 | Q_neve | 0. | 0. | 0. |
| 215 | 215 | 126 | Q_neve | 0. | 0. | 0. |
| 216 | 216 | 127 | DEAD | 0. | 0. | 0. |
| 216 | 216 | 129 | DEAD | 0. | 0. | 0. |
| 216 | 216 | 130 | DEAD | 0. | 0. | 0. |
| 216 | 216 | 128 | DEAD | 0. | 0. | 0. |
| 216 | 216 | 127 | G1_smistamento | 0. | 0. | 0. |
| 216 | 216 | 129 | G1_smistamento | 0. | 0. | 0. |
| 216 | 216 | 130 | G1_smistamento | 0. | 0. | 0. |
| 216 | 216 | 128 | G1_smistamento | 0. | 0. | 0. |
| 216 | 216 | 127 | G2_smistamento | 0. | 0. | 0. |
| 216 | 216 | 129 | G2_smistamento | 0. | 0. | 0. |
| 216 | 216 | 130 | G2_smistamento | 0. | 0. | 0. |
| 216 | 216 | 128 | G2_smistamento | 0. | 0. | 0. |
| 216 | 216 | 127 | Q_smistamento | 0. | 0. | 0. |
| 216 | 216 | 129 | Q_smistamento | 0. | 0. | 0. |
| 216 | 216 | 130 | Q_smistamento | 0. | 0. | 0. |

Table 20: Element Forces - Area Shells, Part 1 of 3

| Area | AreaElem | Joint | OutputCase | F11 KN/m | F22 KN/m | F12 KN/m |
|------|----------|-------|----------------|-------------|-------------|-------------|
| 216 | 216 | 128 | Q_smistamento | 0. | 0. | 0. |
| 216 | 216 | 127 | Q_neve | 0. | 0. | 0. |
| 216 | 216 | 129 | Q_neve | 0. | 0. | 0. |
| 216 | 216 | 130 | Q_neve | 0. | 0. | 0. |
| 216 | 216 | 128 | Q_neve | 0. | 0. | 0. |
| 217 | 217 | 129 | DEAD | 0. | 0. | 0. |
| 217 | 217 | 131 | DEAD | 0. | 0. | 0. |
| 217 | 217 | 132 | DEAD | 0. | 0. | 0. |
| 217 | 217 | 130 | DEAD | 0. | 0. | 0. |
| 217 | 217 | 129 | G1_smistamento | 0. | 0. | 0. |
| 217 | 217 | 131 | G1_smistamento | 0. | 0. | 0. |
| 217 | 217 | 132 | G1_smistamento | 0. | 0. | 0. |
| 217 | 217 | 130 | G1_smistamento | 0. | 0. | 0. |
| 217 | 217 | 129 | G2_smistamento | 0. | 0. | 0. |
| 217 | 217 | 131 | G2_smistamento | 0. | 0. | 0. |
| 217 | 217 | 132 | G2_smistamento | 0. | 0. | 0. |
| 217 | 217 | 130 | G2_smistamento | 0. | 0. | 0. |
| 217 | 217 | 129 | Q_smistamento | 0. | 0. | 0. |
| 217 | 217 | 131 | Q_smistamento | 0. | 0. | 0. |
| 217 | 217 | 132 | Q_smistamento | 0. | 0. | 0. |
| 217 | 217 | 130 | Q_smistamento | 0. | 0. | 0. |
| 217 | 217 | 129 | Q_neve | 0. | 0. | 0. |
| 217 | 217 | 131 | Q_neve | 0. | 0. | 0. |
| 217 | 217 | 132 | Q_neve | 0. | 0. | 0. |
| 217 | 217 | 130 | Q_neve | 0. | 0. | 0. |
| 218 | 218 | 131 | DEAD | 0. | 0. | 0. |
| 218 | 218 | 133 | DEAD | 0. | 0. | 0. |
| 218 | 218 | 134 | DEAD | 0. | 0. | 0. |
| 218 | 218 | 132 | DEAD | 0. | 0. | 0. |
| 218 | 218 | 131 | G1_smistamento | 0. | 0. | 0. |
| 218 | 218 | 133 | G1_smistamento | 0. | 0. | 0. |
| 218 | 218 | 134 | G1_smistamento | 0. | 0. | 0. |
| 218 | 218 | 132 | G1_smistamento | 0. | 0. | 0. |
| 218 | 218 | 131 | G2_smistamento | 0. | 0. | 0. |
| 218 | 218 | 133 | G2_smistamento | 0. | 0. | 0. |
| 218 | 218 | 134 | G2_smistamento | 0. | 0. | 0. |
| 218 | 218 | 132 | G2_smistamento | 0. | 0. | 0. |
| 218 | 218 | 131 | Q_smistamento | 0. | 0. | 0. |

Table 20: Element Forces - Area Shells, Part 1 of 3

| Area | AreaElem | Joint | OutputCase | F11 KN/m | F22 KN/m | F12 KN/m |
|------|----------|-------|----------------|-------------|-------------|-------------|
| 218 | 218 | 133 | Q_smistamento | 0. | 0. | 0. |
| 218 | 218 | 134 | Q_smistamento | 0. | 0. | 0. |
| 218 | 218 | 132 | Q_smistamento | 0. | 0. | 0. |
| 218 | 218 | 131 | Q_neve | 0. | 0. | 0. |
| 218 | 218 | 133 | Q_neve | 0. | 0. | 0. |
| 218 | 218 | 134 | Q_neve | 0. | 0. | 0. |
| 218 | 218 | 132 | Q_neve | 0. | 0. | 0. |
| 219 | 219 | 133 | DEAD | 0. | 0. | 0. |
| 219 | 219 | 135 | DEAD | 0. | 0. | 0. |
| 219 | 219 | 136 | DEAD | 0. | 0. | 0. |
| 219 | 219 | 134 | DEAD | 0. | 0. | 0. |
| 219 | 219 | 133 | G1_smistamento | 0. | 0. | 0. |
| 219 | 219 | 135 | G1_smistamento | 0. | 0. | 0. |
| 219 | 219 | 136 | G1_smistamento | 0. | 0. | 0. |
| 219 | 219 | 134 | G1_smistamento | 0. | 0. | 0. |
| 219 | 219 | 133 | G2_smistamento | 0. | 0. | 0. |
| 219 | 219 | 135 | G2_smistamento | 0. | 0. | 0. |
| 219 | 219 | 136 | G2_smistamento | 0. | 0. | 0. |
| 219 | 219 | 134 | G2_smistamento | 0. | 0. | 0. |
| 219 | 219 | 133 | Q_smistamento | 0. | 0. | 0. |
| 219 | 219 | 135 | Q_smistamento | 0. | 0. | 0. |
| 219 | 219 | 136 | Q_smistamento | 0. | 0. | 0. |
| 219 | 219 | 134 | Q_smistamento | 0. | 0. | 0. |
| 219 | 219 | 133 | Q_neve | 0. | 0. | 0. |
| 219 | 219 | 135 | Q_neve | 0. | 0. | 0. |
| 219 | 219 | 136 | Q_neve | 0. | 0. | 0. |
| 219 | 219 | 134 | Q_neve | 0. | 0. | 0. |
| 220 | 220 | 135 | DEAD | 0. | 0. | 0. |
| 220 | 220 | 137 | DEAD | 0. | 0. | 0. |
| 220 | 220 | 138 | DEAD | 0. | 0. | 0. |
| 220 | 220 | 136 | DEAD | 0. | 0. | 0. |
| 220 | 220 | 135 | G1_smistamento | 0. | 0. | 0. |
| 220 | 220 | 137 | G1_smistamento | 0. | 0. | 0. |
| 220 | 220 | 138 | G1_smistamento | 0. | 0. | 0. |
| 220 | 220 | 136 | G1_smistamento | 0. | 0. | 0. |
| 220 | 220 | 135 | G2_smistamento | 0. | 0. | 0. |
| 220 | 220 | 137 | G2_smistamento | 0. | 0. | 0. |
| 220 | 220 | 138 | G2_smistamento | 0. | 0. | 0. |

Table 20: Element Forces - Area Shells, Part 1 of 3

| Area | AreaElem | Joint | OutputCase | F11 KN/m | F22 KN/m | F12 KN/m |
|------|----------|-------|----------------|-------------|-------------|-------------|
| 220 | 220 | 136 | G2_smistamento | 0. | 0. | 0. |
| 220 | 220 | 135 | Q_smistamento | 0. | 0. | 0. |
| 220 | 220 | 137 | Q_smistamento | 0. | 0. | 0. |
| 220 | 220 | 138 | Q_smistamento | 0. | 0. | 0. |
| 220 | 220 | 136 | Q_smistamento | 0. | 0. | 0. |
| 220 | 220 | 135 | Q_neve | 0. | 0. | 0. |
| 220 | 220 | 137 | Q_neve | 0. | 0. | 0. |
| 220 | 220 | 138 | Q_neve | 0. | 0. | 0. |
| 220 | 220 | 136 | Q_neve | 0. | 0. | 0. |
| 221 | 221 | 137 | DEAD | 0. | 0. | 0. |
| 221 | 221 | 65 | DEAD | 0. | 0. | 0. |
| 221 | 221 | 5 | DEAD | 0. | 0. | 0. |
| 221 | 221 | 138 | DEAD | 0. | 0. | 0. |
| 221 | 221 | 137 | G1_smistamento | 0. | 0. | 0. |
| 221 | 221 | 65 | G1_smistamento | 0. | 0. | 0. |
| 221 | 221 | 5 | G1_smistamento | 0. | 0. | 0. |
| 221 | 221 | 138 | G1_smistamento | 0. | 0. | 0. |
| 221 | 221 | 137 | G2_smistamento | 0. | 0. | 0. |
| 221 | 221 | 65 | G2_smistamento | 0. | 0. | 0. |
| 221 | 221 | 5 | G2_smistamento | 0. | 0. | 0. |
| 221 | 221 | 138 | G2_smistamento | 0. | 0. | 0. |
| 221 | 221 | 137 | Q_smistamento | 0. | 0. | 0. |
| 221 | 221 | 65 | Q_smistamento | 0. | 0. | 0. |
| 221 | 221 | 5 | Q_smistamento | 0. | 0. | 0. |
| 221 | 221 | 138 | Q_smistamento | 0. | 0. | 0. |
| 221 | 221 | 137 | Q_neve | 0. | 0. | 0. |
| 221 | 221 | 65 | Q_neve | 0. | 0. | 0. |
| 221 | 221 | 5 | Q_neve | 0. | 0. | 0. |
| 221 | 221 | 138 | Q_neve | 0. | 0. | 0. |
| 222 | 222 | 66 | DEAD | 0. | 0. | 0. |
| 222 | 222 | 139 | DEAD | 0. | 0. | 0. |
| 222 | 222 | 140 | DEAD | 0. | 0. | 0. |
| 222 | 222 | 5 | DEAD | 0. | 0. | 0. |
| 222 | 222 | 66 | G1_smistamento | 0. | 0. | 0. |
| 222 | 222 | 139 | G1_smistamento | 0. | 0. | 0. |
| 222 | 222 | 140 | G1_smistamento | 0. | 0. | 0. |
| 222 | 222 | 5 | G1_smistamento | 0. | 0. | 0. |
| 222 | 222 | 66 | G2_smistamento | 0. | 0. | 0. |

Table 20: Element Forces - Area Shells, Part 1 of 3

| Area | AreaElem | Joint | OutputCase | F11 KN/m | F22 KN/m | F12 KN/m |
|------|----------|-------|----------------|-------------|-------------|-------------|
| 222 | 222 | 139 | G2_smistamento | 0. | 0. | 0. |
| 222 | 222 | 140 | G2_smistamento | 0. | 0. | 0. |
| 222 | 222 | 5 | G2_smistamento | 0. | 0. | 0. |
| 222 | 222 | 66 | Q_smistamento | 0. | 0. | 0. |
| 222 | 222 | 139 | Q_smistamento | 0. | 0. | 0. |
| 222 | 222 | 140 | Q_smistamento | 0. | 0. | 0. |
| 222 | 222 | 5 | Q_smistamento | 0. | 0. | 0. |
| 222 | 222 | 66 | Q_neve | 0. | 0. | 0. |
| 222 | 222 | 139 | Q_neve | 0. | 0. | 0. |
| 222 | 222 | 140 | Q_neve | 0. | 0. | 0. |
| 222 | 222 | 5 | Q_neve | 0. | 0. | 0. |
| 223 | 223 | 139 | DEAD | 0. | 0. | 0. |
| 223 | 223 | 141 | DEAD | 0. | 0. | 0. |
| 223 | 223 | 142 | DEAD | 0. | 0. | 0. |
| 223 | 223 | 140 | DEAD | 0. | 0. | 0. |
| 223 | 223 | 139 | G1_smistamento | 0. | 0. | 0. |
| 223 | 223 | 141 | G1_smistamento | 0. | 0. | 0. |
| 223 | 223 | 142 | G1_smistamento | 0. | 0. | 0. |
| 223 | 223 | 140 | G1_smistamento | 0. | 0. | 0. |
| 223 | 223 | 139 | G2_smistamento | 0. | 0. | 0. |
| 223 | 223 | 141 | G2_smistamento | 0. | 0. | 0. |
| 223 | 223 | 142 | G2_smistamento | 0. | 0. | 0. |
| 223 | 223 | 140 | G2_smistamento | 0. | 0. | 0. |
| 223 | 223 | 139 | Q_smistamento | 0. | 0. | 0. |
| 223 | 223 | 141 | Q_smistamento | 0. | 0. | 0. |
| 223 | 223 | 142 | Q_smistamento | 0. | 0. | 0. |
| 223 | 223 | 140 | Q_smistamento | 0. | 0. | 0. |
| 223 | 223 | 139 | Q_neve | 0. | 0. | 0. |
| 223 | 223 | 141 | Q_neve | 0. | 0. | 0. |
| 223 | 223 | 142 | Q_neve | 0. | 0. | 0. |
| 223 | 223 | 140 | Q_neve | 0. | 0. | 0. |
| 224 | 224 | 141 | DEAD | 0. | 0. | 0. |
| 224 | 224 | 143 | DEAD | 0. | 0. | 0. |
| 224 | 224 | 144 | DEAD | 0. | 0. | 0. |
| 224 | 224 | 142 | DEAD | 0. | 0. | 0. |
| 224 | 224 | 141 | G1_smistamento | 0. | 0. | 0. |
| 224 | 224 | 143 | G1_smistamento | 0. | 0. | 0. |
| 224 | 224 | 144 | G1_smistamento | 0. | 0. | 0. |

Table 20: Element Forces - Area Shells, Part 1 of 3

| Area | AreaElem | Joint | OutputCase | F11 KN/m | F22 KN/m | F12 KN/m |
|------|----------|-------|----------------|-------------|-------------|-------------|
| 224 | 224 | 142 | G1_smistamento | 0. | 0. | 0. |
| 224 | 224 | 141 | G2_smistamento | 0. | 0. | 0. |
| 224 | 224 | 143 | G2_smistamento | 0. | 0. | 0. |
| 224 | 224 | 144 | G2_smistamento | 0. | 0. | 0. |
| 224 | 224 | 142 | G2_smistamento | 0. | 0. | 0. |
| 224 | 224 | 141 | Q_smistamento | 0. | 0. | 0. |
| 224 | 224 | 143 | Q_smistamento | 0. | 0. | 0. |
| 224 | 224 | 144 | Q_smistamento | 0. | 0. | 0. |
| 224 | 224 | 142 | Q_smistamento | 0. | 0. | 0. |
| 224 | 224 | 141 | Q_neve | 0. | 0. | 0. |
| 224 | 224 | 143 | Q_neve | 0. | 0. | 0. |
| 224 | 224 | 144 | Q_neve | 0. | 0. | 0. |
| 224 | 224 | 142 | Q_neve | 0. | 0. | 0. |
| 225 | 225 | 143 | DEAD | 0. | 0. | 0. |
| 225 | 225 | 145 | DEAD | 0. | 0. | 0. |
| 225 | 225 | 146 | DEAD | 0. | 0. | 0. |
| 225 | 225 | 144 | DEAD | 0. | 0. | 0. |
| 225 | 225 | 143 | G1_smistamento | 0. | 0. | 0. |
| 225 | 225 | 145 | G1_smistamento | 0. | 0. | 0. |
| 225 | 225 | 146 | G1_smistamento | 0. | 0. | 0. |
| 225 | 225 | 144 | G1_smistamento | 0. | 0. | 0. |
| 225 | 225 | 143 | G2_smistamento | 0. | 0. | 0. |
| 225 | 225 | 145 | G2_smistamento | 0. | 0. | 0. |
| 225 | 225 | 146 | G2_smistamento | 0. | 0. | 0. |
| 225 | 225 | 144 | G2_smistamento | 0. | 0. | 0. |
| 225 | 225 | 143 | Q_smistamento | 0. | 0. | 0. |
| 225 | 225 | 145 | Q_smistamento | 0. | 0. | 0. |
| 225 | 225 | 146 | Q_smistamento | 0. | 0. | 0. |
| 225 | 225 | 144 | Q_smistamento | 0. | 0. | 0. |
| 225 | 225 | 143 | Q_neve | 0. | 0. | 0. |
| 225 | 225 | 145 | Q_neve | 0. | 0. | 0. |
| 225 | 225 | 146 | Q_neve | 0. | 0. | 0. |
| 225 | 225 | 144 | Q_neve | 0. | 0. | 0. |
| 226 | 226 | 145 | DEAD | 0. | 0. | 0. |
| 226 | 226 | 59 | DEAD | 0. | 0. | 0. |
| 226 | 226 | 58 | DEAD | 0. | 0. | 0. |
| 226 | 226 | 146 | DEAD | 0. | 0. | 0. |
| 226 | 226 | 145 | G1_smistamento | 0. | 0. | 0. |

Table 20: Element Forces - Area Shells, Part 1 of 3

| Area | AreaElem | Joint | OutputCase | F11 KN/m | F22 KN/m | F12 KN/m |
|------|----------|-------|----------------|-------------|-------------|-------------|
| 226 | 226 | 59 | G1_smistamento | 0. | 0. | 0. |
| 226 | 226 | 58 | G1_smistamento | 0. | 0. | 0. |
| 226 | 226 | 146 | G1_smistamento | 0. | 0. | 0. |
| 226 | 226 | 145 | G2_smistamento | 0. | 0. | 0. |
| 226 | 226 | 59 | G2_smistamento | 0. | 0. | 0. |
| 226 | 226 | 58 | G2_smistamento | 0. | 0. | 0. |
| 226 | 226 | 146 | G2_smistamento | 0. | 0. | 0. |
| 226 | 226 | 145 | Q_smistamento | 0. | 0. | 0. |
| 226 | 226 | 59 | Q_smistamento | 0. | 0. | 0. |
| 226 | 226 | 58 | Q_smistamento | 0. | 0. | 0. |
| 226 | 226 | 146 | Q_smistamento | 0. | 0. | 0. |
| 226 | 226 | 145 | Q_neve | 0. | 0. | 0. |
| 226 | 226 | 59 | Q_neve | 0. | 0. | 0. |
| 226 | 226 | 58 | Q_neve | 0. | 0. | 0. |
| 226 | 226 | 146 | Q_neve | 0. | 0. | 0. |
| 227 | 227 | 58 | DEAD | 0. | 0. | 0. |
| 227 | 227 | 68 | DEAD | 0. | 0. | 0. |
| 227 | 227 | 147 | DEAD | 0. | 0. | 0. |
| 227 | 227 | 146 | DEAD | 0. | 0. | 0. |
| 227 | 227 | 58 | G1_smistamento | 0. | 0. | 0. |
| 227 | 227 | 68 | G1_smistamento | 0. | 0. | 0. |
| 227 | 227 | 147 | G1_smistamento | 0. | 0. | 0. |
| 227 | 227 | 146 | G1_smistamento | 0. | 0. | 0. |
| 227 | 227 | 58 | G2_smistamento | 0. | 0. | 0. |
| 227 | 227 | 68 | G2_smistamento | 0. | 0. | 0. |
| 227 | 227 | 147 | G2_smistamento | 0. | 0. | 0. |
| 227 | 227 | 146 | G2_smistamento | 0. | 0. | 0. |
| 227 | 227 | 58 | Q_smistamento | 0. | 0. | 0. |
| 227 | 227 | 68 | Q_smistamento | 0. | 0. | 0. |
| 227 | 227 | 147 | Q_smistamento | 0. | 0. | 0. |
| 227 | 227 | 146 | Q_smistamento | 0. | 0. | 0. |
| 227 | 227 | 58 | Q_neve | 0. | 0. | 0. |
| 227 | 227 | 68 | Q_neve | 0. | 0. | 0. |
| 227 | 227 | 147 | Q_neve | 0. | 0. | 0. |
| 227 | 227 | 146 | Q_neve | 0. | 0. | 0. |
| 228 | 228 | 146 | DEAD | 0. | 0. | 0. |
| 228 | 228 | 147 | DEAD | 0. | 0. | 0. |
| 228 | 228 | 148 | DEAD | 0. | 0. | 0. |

Table 20: Element Forces - Area Shells, Part 1 of 3

| Area | AreaElem | Joint | OutputCase | F11 KN/m | F22 KN/m | F12 KN/m |
|------|----------|-------|----------------|-------------|-------------|-------------|
| 228 | 228 | 144 | DEAD | 0. | 0. | 0. |
| 228 | 228 | 146 | G1_smistamento | 0. | 0. | 0. |
| 228 | 228 | 147 | G1_smistamento | 0. | 0. | 0. |
| 228 | 228 | 148 | G1_smistamento | 0. | 0. | 0. |
| 228 | 228 | 144 | G1_smistamento | 0. | 0. | 0. |
| 228 | 228 | 146 | G2_smistamento | 0. | 0. | 0. |
| 228 | 228 | 147 | G2_smistamento | 0. | 0. | 0. |
| 228 | 228 | 148 | G2_smistamento | 0. | 0. | 0. |
| 228 | 228 | 144 | G2_smistamento | 0. | 0. | 0. |
| 228 | 228 | 146 | Q_smistamento | 0. | 0. | 0. |
| 228 | 228 | 147 | Q_smistamento | 0. | 0. | 0. |
| 228 | 228 | 148 | Q_smistamento | 0. | 0. | 0. |
| 228 | 228 | 144 | Q_smistamento | 0. | 0. | 0. |
| 228 | 228 | 146 | Q_neve | 0. | 0. | 0. |
| 228 | 228 | 147 | Q_neve | 0. | 0. | 0. |
| 228 | 228 | 148 | Q_neve | 0. | 0. | 0. |
| 228 | 228 | 144 | Q_neve | 0. | 0. | 0. |
| 229 | 229 | 144 | DEAD | 0. | 0. | 0. |
| 229 | 229 | 148 | DEAD | 0. | 0. | 0. |
| 229 | 229 | 149 | DEAD | 0. | 0. | 0. |
| 229 | 229 | 142 | DEAD | 0. | 0. | 0. |
| 229 | 229 | 144 | G1_smistamento | 0. | 0. | 0. |
| 229 | 229 | 148 | G1_smistamento | 0. | 0. | 0. |
| 229 | 229 | 149 | G1_smistamento | 0. | 0. | 0. |
| 229 | 229 | 142 | G1_smistamento | 0. | 0. | 0. |
| 229 | 229 | 144 | G2_smistamento | 0. | 0. | 0. |
| 229 | 229 | 148 | G2_smistamento | 0. | 0. | 0. |
| 229 | 229 | 149 | G2_smistamento | 0. | 0. | 0. |
| 229 | 229 | 142 | G2_smistamento | 0. | 0. | 0. |
| 229 | 229 | 144 | Q_smistamento | 0. | 0. | 0. |
| 229 | 229 | 148 | Q_smistamento | 0. | 0. | 0. |
| 229 | 229 | 149 | Q_smistamento | 0. | 0. | 0. |
| 229 | 229 | 142 | Q_smistamento | 0. | 0. | 0. |
| 229 | 229 | 144 | Q_neve | 0. | 0. | 0. |
| 229 | 229 | 148 | Q_neve | 0. | 0. | 0. |
| 229 | 229 | 149 | Q_neve | 0. | 0. | 0. |
| 229 | 229 | 142 | Q_neve | 0. | 0. | 0. |
| 230 | 230 | 142 | DEAD | 0. | 0. | 0. |

Table 20: Element Forces - Area Shells, Part 1 of 3

| Area | AreaElem | Joint | OutputCase | F11 KN/m | F22 KN/m | F12 KN/m |
|------|----------|-------|----------------|-------------|-------------|-------------|
| 230 | 230 | 149 | DEAD | 0. | 0. | 0. |
| 230 | 230 | 150 | DEAD | 0. | 0. | 0. |
| 230 | 230 | 140 | DEAD | 0. | 0. | 0. |
| 230 | 230 | 142 | G1_smistamento | 0. | 0. | 0. |
| 230 | 230 | 149 | G1_smistamento | 0. | 0. | 0. |
| 230 | 230 | 150 | G1_smistamento | 0. | 0. | 0. |
| 230 | 230 | 140 | G1_smistamento | 0. | 0. | 0. |
| 230 | 230 | 142 | G2_smistamento | 0. | 0. | 0. |
| 230 | 230 | 149 | G2_smistamento | 0. | 0. | 0. |
| 230 | 230 | 150 | G2_smistamento | 0. | 0. | 0. |
| 230 | 230 | 140 | G2_smistamento | 0. | 0. | 0. |
| 230 | 230 | 142 | Q_smistamento | 0. | 0. | 0. |
| 230 | 230 | 149 | Q_smistamento | 0. | 0. | 0. |
| 230 | 230 | 150 | Q_smistamento | 0. | 0. | 0. |
| 230 | 230 | 140 | Q_smistamento | 0. | 0. | 0. |
| 230 | 230 | 142 | Q_neve | 0. | 0. | 0. |
| 230 | 230 | 149 | Q_neve | 0. | 0. | 0. |
| 230 | 230 | 150 | Q_neve | 0. | 0. | 0. |
| 230 | 230 | 140 | Q_neve | 0. | 0. | 0. |
| 231 | 231 | 140 | DEAD | 0. | 0. | 0. |
| 231 | 231 | 150 | DEAD | 0. | 0. | 0. |
| 231 | 231 | 138 | DEAD | 0. | 0. | 0. |
| 231 | 231 | 5 | DEAD | 0. | 0. | 0. |
| 231 | 231 | 140 | G1_smistamento | 0. | 0. | 0. |
| 231 | 231 | 150 | G1_smistamento | 0. | 0. | 0. |
| 231 | 231 | 138 | G1_smistamento | 0. | 0. | 0. |
| 231 | 231 | 5 | G1_smistamento | 0. | 0. | 0. |
| 231 | 231 | 140 | G2_smistamento | 0. | 0. | 0. |
| 231 | 231 | 150 | G2_smistamento | 0. | 0. | 0. |
| 231 | 231 | 138 | G2_smistamento | 0. | 0. | 0. |
| 231 | 231 | 5 | G2_smistamento | 0. | 0. | 0. |
| 231 | 231 | 140 | Q_smistamento | 0. | 0. | 0. |
| 231 | 231 | 150 | Q_smistamento | 0. | 0. | 0. |
| 231 | 231 | 138 | Q_smistamento | 0. | 0. | 0. |
| 231 | 231 | 5 | Q_smistamento | 0. | 0. | 0. |
| 231 | 231 | 140 | Q_neve | 0. | 0. | 0. |
| 231 | 231 | 150 | Q_neve | 0. | 0. | 0. |
| 231 | 231 | 138 | Q_neve | 0. | 0. | 0. |

Table 20: Element Forces - Area Shells, Part 1 of 3

| Area | AreaElem | Joint | OutputCase | F11 KN/m | F22 KN/m | F12 KN/m |
|------|----------|-------|----------------|-------------|-------------|-------------|
| 231 | 231 | 5 | Q_neve | 0. | 0. | 0. |
| 232 | 232 | 68 | DEAD | 0. | 0. | 0. |
| 232 | 232 | 70 | DEAD | 0. | 0. | 0. |
| 232 | 232 | 151 | DEAD | 0. | 0. | 0. |
| 232 | 232 | 147 | DEAD | 0. | 0. | 0. |
| 232 | 232 | 68 | G1_smistamento | 0. | 0. | 0. |
| 232 | 232 | 70 | G1_smistamento | 0. | 0. | 0. |
| 232 | 232 | 151 | G1_smistamento | 0. | 0. | 0. |
| 232 | 232 | 147 | G1_smistamento | 0. | 0. | 0. |
| 232 | 232 | 68 | G2_smistamento | 0. | 0. | 0. |
| 232 | 232 | 70 | G2_smistamento | 0. | 0. | 0. |
| 232 | 232 | 151 | G2_smistamento | 0. | 0. | 0. |
| 232 | 232 | 147 | G2_smistamento | 0. | 0. | 0. |
| 232 | 232 | 68 | Q_smistamento | 0. | 0. | 0. |
| 232 | 232 | 70 | Q_smistamento | 0. | 0. | 0. |
| 232 | 232 | 151 | Q_smistamento | 0. | 0. | 0. |
| 232 | 232 | 147 | Q_smistamento | 0. | 0. | 0. |
| 232 | 232 | 68 | Q_neve | 0. | 0. | 0. |
| 232 | 232 | 70 | Q_neve | 0. | 0. | 0. |
| 232 | 232 | 151 | Q_neve | 0. | 0. | 0. |
| 232 | 232 | 147 | Q_neve | 0. | 0. | 0. |
| 233 | 233 | 147 | DEAD | 0. | 0. | 0. |
| 233 | 233 | 151 | DEAD | 0. | 0. | 0. |
| 233 | 233 | 152 | DEAD | 0. | 0. | 0. |
| 233 | 233 | 148 | DEAD | 0. | 0. | 0. |
| 233 | 233 | 147 | G1_smistamento | 0. | 0. | 0. |
| 233 | 233 | 151 | G1_smistamento | 0. | 0. | 0. |
| 233 | 233 | 152 | G1_smistamento | 0. | 0. | 0. |
| 233 | 233 | 148 | G1_smistamento | 0. | 0. | 0. |
| 233 | 233 | 147 | G2_smistamento | 0. | 0. | 0. |
| 233 | 233 | 151 | G2_smistamento | 0. | 0. | 0. |
| 233 | 233 | 152 | G2_smistamento | 0. | 0. | 0. |
| 233 | 233 | 148 | G2_smistamento | 0. | 0. | 0. |
| 233 | 233 | 147 | Q_smistamento | 0. | 0. | 0. |
| 233 | 233 | 151 | Q_smistamento | 0. | 0. | 0. |
| 233 | 233 | 152 | Q_smistamento | 0. | 0. | 0. |
| 233 | 233 | 148 | Q_smistamento | 0. | 0. | 0. |
| 233 | 233 | 147 | Q_neve | 0. | 0. | 0. |

Table 20: Element Forces - Area Shells, Part 1 of 3

| Area | AreaElem | Joint | OutputCase | F11 KN/m | F22 KN/m | F12 KN/m |
|------|----------|-------|----------------|-------------|-------------|-------------|
| 233 | 233 | 151 | Q_neve | 0. | 0. | 0. |
| 233 | 233 | 152 | Q_neve | 0. | 0. | 0. |
| 233 | 233 | 148 | Q_neve | 0. | 0. | 0. |
| 234 | 234 | 148 | DEAD | 0. | 0. | 0. |
| 234 | 234 | 152 | DEAD | 0. | 0. | 0. |
| 234 | 234 | 153 | DEAD | 0. | 0. | 0. |
| 234 | 234 | 149 | DEAD | 0. | 0. | 0. |
| 234 | 234 | 148 | G1_smistamento | 0. | 0. | 0. |
| 234 | 234 | 152 | G1_smistamento | 0. | 0. | 0. |
| 234 | 234 | 153 | G1_smistamento | 0. | 0. | 0. |
| 234 | 234 | 149 | G1_smistamento | 0. | 0. | 0. |
| 234 | 234 | 148 | G2_smistamento | 0. | 0. | 0. |
| 234 | 234 | 152 | G2_smistamento | 0. | 0. | 0. |
| 234 | 234 | 153 | G2_smistamento | 0. | 0. | 0. |
| 234 | 234 | 149 | G2_smistamento | 0. | 0. | 0. |
| 234 | 234 | 148 | Q_smistamento | 0. | 0. | 0. |
| 234 | 234 | 152 | Q_smistamento | 0. | 0. | 0. |
| 234 | 234 | 153 | Q_smistamento | 0. | 0. | 0. |
| 234 | 234 | 149 | Q_smistamento | 0. | 0. | 0. |
| 234 | 234 | 148 | Q_neve | 0. | 0. | 0. |
| 234 | 234 | 152 | Q_neve | 0. | 0. | 0. |
| 234 | 234 | 153 | Q_neve | 0. | 0. | 0. |
| 234 | 234 | 149 | Q_neve | 0. | 0. | 0. |
| 235 | 235 | 149 | DEAD | 0. | 0. | 0. |
| 235 | 235 | 153 | DEAD | 0. | 0. | 0. |
| 235 | 235 | 154 | DEAD | 0. | 0. | 0. |
| 235 | 235 | 150 | DEAD | 0. | 0. | 0. |
| 235 | 235 | 149 | G1_smistamento | 0. | 0. | 0. |
| 235 | 235 | 153 | G1_smistamento | 0. | 0. | 0. |
| 235 | 235 | 154 | G1_smistamento | 0. | 0. | 0. |
| 235 | 235 | 150 | G1_smistamento | 0. | 0. | 0. |
| 235 | 235 | 149 | G2_smistamento | 0. | 0. | 0. |
| 235 | 235 | 153 | G2_smistamento | 0. | 0. | 0. |
| 235 | 235 | 154 | G2_smistamento | 0. | 0. | 0. |
| 235 | 235 | 150 | G2_smistamento | 0. | 0. | 0. |
| 235 | 235 | 149 | Q_smistamento | 0. | 0. | 0. |
| 235 | 235 | 153 | Q_smistamento | 0. | 0. | 0. |
| 235 | 235 | 154 | Q_smistamento | 0. | 0. | 0. |

Table 20: Element Forces - Area Shells, Part 1 of 3

| Area | AreaElem | Joint | OutputCase | F11 KN/m | F22 KN/m | F12 KN/m |
|------|----------|-------|----------------|-------------|-------------|-------------|
| 235 | 235 | 150 | Q_smistamento | 0. | 0. | 0. |
| 235 | 235 | 149 | Q_neve | 0. | 0. | 0. |
| 235 | 235 | 153 | Q_neve | 0. | 0. | 0. |
| 235 | 235 | 154 | Q_neve | 0. | 0. | 0. |
| 235 | 235 | 150 | Q_neve | 0. | 0. | 0. |
| 236 | 236 | 150 | DEAD | 0. | 0. | 0. |
| 236 | 236 | 154 | DEAD | 0. | 0. | 0. |
| 236 | 236 | 136 | DEAD | 0. | 0. | 0. |
| 236 | 236 | 138 | DEAD | 0. | 0. | 0. |
| 236 | 236 | 150 | G1_smistamento | 0. | 0. | 0. |
| 236 | 236 | 154 | G1_smistamento | 0. | 0. | 0. |
| 236 | 236 | 136 | G1_smistamento | 0. | 0. | 0. |
| 236 | 236 | 138 | G1_smistamento | 0. | 0. | 0. |
| 236 | 236 | 150 | G2_smistamento | 0. | 0. | 0. |
| 236 | 236 | 154 | G2_smistamento | 0. | 0. | 0. |
| 236 | 236 | 136 | G2_smistamento | 0. | 0. | 0. |
| 236 | 236 | 138 | G2_smistamento | 0. | 0. | 0. |
| 236 | 236 | 150 | Q_smistamento | 0. | 0. | 0. |
| 236 | 236 | 154 | Q_smistamento | 0. | 0. | 0. |
| 236 | 236 | 136 | Q_smistamento | 0. | 0. | 0. |
| 236 | 236 | 138 | Q_smistamento | 0. | 0. | 0. |
| 236 | 236 | 150 | Q_neve | 0. | 0. | 0. |
| 236 | 236 | 154 | Q_neve | 0. | 0. | 0. |
| 236 | 236 | 136 | Q_neve | 0. | 0. | 0. |
| 236 | 236 | 138 | Q_neve | 0. | 0. | 0. |
| 237 | 237 | 70 | DEAD | 0. | 0. | 0. |
| 237 | 237 | 72 | DEAD | 0. | 0. | 0. |
| 237 | 237 | 155 | DEAD | 0. | 0. | 0. |
| 237 | 237 | 151 | DEAD | 0. | 0. | 0. |
| 237 | 237 | 70 | G1_smistamento | 0. | 0. | 0. |
| 237 | 237 | 72 | G1_smistamento | 0. | 0. | 0. |
| 237 | 237 | 155 | G1_smistamento | 0. | 0. | 0. |
| 237 | 237 | 151 | G1_smistamento | 0. | 0. | 0. |
| 237 | 237 | 70 | G2_smistamento | 0. | 0. | 0. |
| 237 | 237 | 72 | G2_smistamento | 0. | 0. | 0. |
| 237 | 237 | 155 | G2_smistamento | 0. | 0. | 0. |
| 237 | 237 | 151 | G2_smistamento | 0. | 0. | 0. |
| 237 | 237 | 70 | Q_smistamento | 0. | 0. | 0. |

Table 20: Element Forces - Area Shells, Part 1 of 3

| Area | AreaElem | Joint | OutputCase | F11 KN/m | F22 KN/m | F12 KN/m |
|------|----------|-------|----------------|-------------|-------------|-------------|
| 237 | 237 | 72 | Q_smistamento | 0. | 0. | 0. |
| 237 | 237 | 155 | Q_smistamento | 0. | 0. | 0. |
| 237 | 237 | 151 | Q_smistamento | 0. | 0. | 0. |
| 237 | 237 | 70 | Q_neve | 0. | 0. | 0. |
| 237 | 237 | 72 | Q_neve | 0. | 0. | 0. |
| 237 | 237 | 155 | Q_neve | 0. | 0. | 0. |
| 237 | 237 | 151 | Q_neve | 0. | 0. | 0. |
| 238 | 238 | 151 | DEAD | 0. | 0. | 0. |
| 238 | 238 | 155 | DEAD | 0. | 0. | 0. |
| 238 | 238 | 156 | DEAD | 0. | 0. | 0. |
| 238 | 238 | 152 | DEAD | 0. | 0. | 0. |
| 238 | 238 | 151 | G1_smistamento | 0. | 0. | 0. |
| 238 | 238 | 155 | G1_smistamento | 0. | 0. | 0. |
| 238 | 238 | 156 | G1_smistamento | 0. | 0. | 0. |
| 238 | 238 | 152 | G1_smistamento | 0. | 0. | 0. |
| 238 | 238 | 151 | G2_smistamento | 0. | 0. | 0. |
| 238 | 238 | 155 | G2_smistamento | 0. | 0. | 0. |
| 238 | 238 | 156 | G2_smistamento | 0. | 0. | 0. |
| 238 | 238 | 152 | G2_smistamento | 0. | 0. | 0. |
| 238 | 238 | 151 | Q_smistamento | 0. | 0. | 0. |
| 238 | 238 | 155 | Q_smistamento | 0. | 0. | 0. |
| 238 | 238 | 156 | Q_smistamento | 0. | 0. | 0. |
| 238 | 238 | 152 | Q_smistamento | 0. | 0. | 0. |
| 238 | 238 | 151 | Q_neve | 0. | 0. | 0. |
| 238 | 238 | 155 | Q_neve | 0. | 0. | 0. |
| 238 | 238 | 156 | Q_neve | 0. | 0. | 0. |
| 238 | 238 | 152 | Q_neve | 0. | 0. | 0. |
| 239 | 239 | 152 | DEAD | 0. | 0. | 0. |
| 239 | 239 | 156 | DEAD | 0. | 0. | 0. |
| 239 | 239 | 157 | DEAD | 0. | 0. | 0. |
| 239 | 239 | 153 | DEAD | 0. | 0. | 0. |
| 239 | 239 | 152 | G1_smistamento | 0. | 0. | 0. |
| 239 | 239 | 156 | G1_smistamento | 0. | 0. | 0. |
| 239 | 239 | 157 | G1_smistamento | 0. | 0. | 0. |
| 239 | 239 | 153 | G1_smistamento | 0. | 0. | 0. |
| 239 | 239 | 152 | G2_smistamento | 0. | 0. | 0. |
| 239 | 239 | 156 | G2_smistamento | 0. | 0. | 0. |
| 239 | 239 | 157 | G2_smistamento | 0. | 0. | 0. |

Table 20: Element Forces - Area Shells, Part 1 of 3

| Area | AreaElem | Joint | OutputCase | F11 KN/m | F22 KN/m | F12 KN/m |
|------|----------|-------|----------------|-------------|-------------|-------------|
| 239 | 239 | 153 | G2_smistamento | 0. | 0. | 0. |
| 239 | 239 | 152 | Q_smistamento | 0. | 0. | 0. |
| 239 | 239 | 156 | Q_smistamento | 0. | 0. | 0. |
| 239 | 239 | 157 | Q_smistamento | 0. | 0. | 0. |
| 239 | 239 | 153 | Q_smistamento | 0. | 0. | 0. |
| 239 | 239 | 152 | Q_neve | 0. | 0. | 0. |
| 239 | 239 | 156 | Q_neve | 0. | 0. | 0. |
| 239 | 239 | 157 | Q_neve | 0. | 0. | 0. |
| 239 | 239 | 153 | Q_neve | 0. | 0. | 0. |
| 240 | 240 | 153 | DEAD | 0. | 0. | 0. |
| 240 | 240 | 157 | DEAD | 0. | 0. | 0. |
| 240 | 240 | 158 | DEAD | 0. | 0. | 0. |
| 240 | 240 | 154 | DEAD | 0. | 0. | 0. |
| 240 | 240 | 153 | G1_smistamento | 0. | 0. | 0. |
| 240 | 240 | 157 | G1_smistamento | 0. | 0. | 0. |
| 240 | 240 | 158 | G1_smistamento | 0. | 0. | 0. |
| 240 | 240 | 154 | G1_smistamento | 0. | 0. | 0. |
| 240 | 240 | 153 | G2_smistamento | 0. | 0. | 0. |
| 240 | 240 | 157 | G2_smistamento | 0. | 0. | 0. |
| 240 | 240 | 158 | G2_smistamento | 0. | 0. | 0. |
| 240 | 240 | 154 | G2_smistamento | 0. | 0. | 0. |
| 240 | 240 | 153 | Q_smistamento | 0. | 0. | 0. |
| 240 | 240 | 157 | Q_smistamento | 0. | 0. | 0. |
| 240 | 240 | 158 | Q_smistamento | 0. | 0. | 0. |
| 240 | 240 | 154 | Q_smistamento | 0. | 0. | 0. |
| 240 | 240 | 153 | Q_neve | 0. | 0. | 0. |
| 240 | 240 | 157 | Q_neve | 0. | 0. | 0. |
| 240 | 240 | 158 | Q_neve | 0. | 0. | 0. |
| 240 | 240 | 154 | Q_neve | 0. | 0. | 0. |
| 241 | 241 | 154 | DEAD | 0. | 0. | 0. |
| 241 | 241 | 158 | DEAD | 0. | 0. | 0. |
| 241 | 241 | 134 | DEAD | 0. | 0. | 0. |
| 241 | 241 | 136 | DEAD | 0. | 0. | 0. |
| 241 | 241 | 154 | G1_smistamento | 0. | 0. | 0. |
| 241 | 241 | 158 | G1_smistamento | 0. | 0. | 0. |
| 241 | 241 | 134 | G1_smistamento | 0. | 0. | 0. |
| 241 | 241 | 136 | G1_smistamento | 0. | 0. | 0. |
| 241 | 241 | 154 | G2_smistamento | 0. | 0. | 0. |

Table 20: Element Forces - Area Shells, Part 1 of 3

| Area | AreaElem | Joint | OutputCase | F11 KN/m | F22 KN/m | F12 KN/m |
|------|----------|-------|----------------|-------------|-------------|-------------|
| 241 | 241 | 158 | G2_smistamento | 0. | 0. | 0. |
| 241 | 241 | 134 | G2_smistamento | 0. | 0. | 0. |
| 241 | 241 | 136 | G2_smistamento | 0. | 0. | 0. |
| 241 | 241 | 154 | Q_smistamento | 0. | 0. | 0. |
| 241 | 241 | 158 | Q_smistamento | 0. | 0. | 0. |
| 241 | 241 | 134 | Q_smistamento | 0. | 0. | 0. |
| 241 | 241 | 136 | Q_smistamento | 0. | 0. | 0. |
| 241 | 241 | 154 | Q_neve | 0. | 0. | 0. |
| 241 | 241 | 158 | Q_neve | 0. | 0. | 0. |
| 241 | 241 | 134 | Q_neve | 0. | 0. | 0. |
| 241 | 241 | 136 | Q_neve | 0. | 0. | 0. |
| 242 | 242 | 72 | DEAD | 0. | 0. | 0. |
| 242 | 242 | 74 | DEAD | 0. | 0. | 0. |
| 242 | 242 | 159 | DEAD | 0. | 0. | 0. |
| 242 | 242 | 155 | DEAD | 0. | 0. | 0. |
| 242 | 242 | 72 | G1_smistamento | 0. | 0. | 0. |
| 242 | 242 | 74 | G1_smistamento | 0. | 0. | 0. |
| 242 | 242 | 159 | G1_smistamento | 0. | 0. | 0. |
| 242 | 242 | 155 | G1_smistamento | 0. | 0. | 0. |
| 242 | 242 | 72 | G2_smistamento | 0. | 0. | 0. |
| 242 | 242 | 74 | G2_smistamento | 0. | 0. | 0. |
| 242 | 242 | 159 | G2_smistamento | 0. | 0. | 0. |
| 242 | 242 | 155 | G2_smistamento | 0. | 0. | 0. |
| 242 | 242 | 72 | Q_smistamento | 0. | 0. | 0. |
| 242 | 242 | 74 | Q_smistamento | 0. | 0. | 0. |
| 242 | 242 | 159 | Q_smistamento | 0. | 0. | 0. |
| 242 | 242 | 155 | Q_smistamento | 0. | 0. | 0. |
| 242 | 242 | 72 | Q_neve | 0. | 0. | 0. |
| 242 | 242 | 74 | Q_neve | 0. | 0. | 0. |
| 242 | 242 | 159 | Q_neve | 0. | 0. | 0. |
| 242 | 242 | 155 | Q_neve | 0. | 0. | 0. |
| 243 | 243 | 155 | DEAD | 0. | 0. | 0. |
| 243 | 243 | 159 | DEAD | 0. | 0. | 0. |
| 243 | 243 | 160 | DEAD | 0. | 0. | 0. |
| 243 | 243 | 156 | DEAD | 0. | 0. | 0. |
| 243 | 243 | 155 | G1_smistamento | 0. | 0. | 0. |
| 243 | 243 | 159 | G1_smistamento | 0. | 0. | 0. |
| 243 | 243 | 160 | G1_smistamento | 0. | 0. | 0. |

Table 20: Element Forces - Area Shells, Part 1 of 3

| Area | AreaElem | Joint | OutputCase | F11 KN/m | F22 KN/m | F12 KN/m |
|------|----------|-------|----------------|-------------|-------------|-------------|
| 243 | 243 | 156 | G1_smistamento | 0. | 0. | 0. |
| 243 | 243 | 155 | G2_smistamento | 0. | 0. | 0. |
| 243 | 243 | 159 | G2_smistamento | 0. | 0. | 0. |
| 243 | 243 | 160 | G2_smistamento | 0. | 0. | 0. |
| 243 | 243 | 156 | G2_smistamento | 0. | 0. | 0. |
| 243 | 243 | 155 | Q_smistamento | 0. | 0. | 0. |
| 243 | 243 | 159 | Q_smistamento | 0. | 0. | 0. |
| 243 | 243 | 160 | Q_smistamento | 0. | 0. | 0. |
| 243 | 243 | 156 | Q_smistamento | 0. | 0. | 0. |
| 243 | 243 | 155 | Q_neve | 0. | 0. | 0. |
| 243 | 243 | 159 | Q_neve | 0. | 0. | 0. |
| 243 | 243 | 160 | Q_neve | 0. | 0. | 0. |
| 243 | 243 | 156 | Q_neve | 0. | 0. | 0. |
| 244 | 244 | 156 | DEAD | 0. | 0. | 0. |
| 244 | 244 | 160 | DEAD | 0. | 0. | 0. |
| 244 | 244 | 161 | DEAD | 0. | 0. | 0. |
| 244 | 244 | 157 | DEAD | 0. | 0. | 0. |
| 244 | 244 | 156 | G1_smistamento | 0. | 0. | 0. |
| 244 | 244 | 160 | G1_smistamento | 0. | 0. | 0. |
| 244 | 244 | 161 | G1_smistamento | 0. | 0. | 0. |
| 244 | 244 | 157 | G1_smistamento | 0. | 0. | 0. |
| 244 | 244 | 156 | G2_smistamento | 0. | 0. | 0. |
| 244 | 244 | 160 | G2_smistamento | 0. | 0. | 0. |
| 244 | 244 | 161 | G2_smistamento | 0. | 0. | 0. |
| 244 | 244 | 157 | G2_smistamento | 0. | 0. | 0. |
| 244 | 244 | 156 | Q_smistamento | 0. | 0. | 0. |
| 244 | 244 | 160 | Q_smistamento | 0. | 0. | 0. |
| 244 | 244 | 161 | Q_smistamento | 0. | 0. | 0. |
| 244 | 244 | 157 | Q_smistamento | 0. | 0. | 0. |
| 244 | 244 | 156 | Q_neve | 0. | 0. | 0. |
| 244 | 244 | 160 | Q_neve | 0. | 0. | 0. |
| 244 | 244 | 161 | Q_neve | 0. | 0. | 0. |
| 244 | 244 | 157 | Q_neve | 0. | 0. | 0. |
| 245 | 245 | 157 | DEAD | 0. | 0. | 0. |
| 245 | 245 | 161 | DEAD | 0. | 0. | 0. |
| 245 | 245 | 162 | DEAD | 0. | 0. | 0. |
| 245 | 245 | 158 | DEAD | 0. | 0. | 0. |
| 245 | 245 | 157 | G1_smistamento | 0. | 0. | 0. |

Table 20: Element Forces - Area Shells, Part 1 of 3

| Area | AreaElem | Joint | OutputCase | F11 KN/m | F22 KN/m | F12 KN/m |
|------|----------|-------|----------------|-------------|-------------|-------------|
| 245 | 245 | 161 | G1_smistamento | 0. | 0. | 0. |
| 245 | 245 | 162 | G1_smistamento | 0. | 0. | 0. |
| 245 | 245 | 158 | G1_smistamento | 0. | 0. | 0. |
| 245 | 245 | 157 | G2_smistamento | 0. | 0. | 0. |
| 245 | 245 | 161 | G2_smistamento | 0. | 0. | 0. |
| 245 | 245 | 162 | G2_smistamento | 0. | 0. | 0. |
| 245 | 245 | 158 | G2_smistamento | 0. | 0. | 0. |
| 245 | 245 | 157 | Q_smistamento | 0. | 0. | 0. |
| 245 | 245 | 161 | Q_smistamento | 0. | 0. | 0. |
| 245 | 245 | 162 | Q_smistamento | 0. | 0. | 0. |
| 245 | 245 | 158 | Q_smistamento | 0. | 0. | 0. |
| 245 | 245 | 157 | Q_neve | 0. | 0. | 0. |
| 245 | 245 | 161 | Q_neve | 0. | 0. | 0. |
| 245 | 245 | 162 | Q_neve | 0. | 0. | 0. |
| 245 | 245 | 158 | Q_neve | 0. | 0. | 0. |
| 246 | 246 | 158 | DEAD | 0. | 0. | 0. |
| 246 | 246 | 162 | DEAD | 0. | 0. | 0. |
| 246 | 246 | 132 | DEAD | 0. | 0. | 0. |
| 246 | 246 | 134 | DEAD | 0. | 0. | 0. |
| 246 | 246 | 158 | G1_smistamento | 0. | 0. | 0. |
| 246 | 246 | 162 | G1_smistamento | 0. | 0. | 0. |
| 246 | 246 | 132 | G1_smistamento | 0. | 0. | 0. |
| 246 | 246 | 134 | G1_smistamento | 0. | 0. | 0. |
| 246 | 246 | 158 | G2_smistamento | 0. | 0. | 0. |
| 246 | 246 | 162 | G2_smistamento | 0. | 0. | 0. |
| 246 | 246 | 132 | G2_smistamento | 0. | 0. | 0. |
| 246 | 246 | 134 | G2_smistamento | 0. | 0. | 0. |
| 246 | 246 | 158 | Q_smistamento | 0. | 0. | 0. |
| 246 | 246 | 162 | Q_smistamento | 0. | 0. | 0. |
| 246 | 246 | 132 | Q_smistamento | 0. | 0. | 0. |
| 246 | 246 | 134 | Q_smistamento | 0. | 0. | 0. |
| 246 | 246 | 158 | Q_neve | 0. | 0. | 0. |
| 246 | 246 | 162 | Q_neve | 0. | 0. | 0. |
| 246 | 246 | 132 | Q_neve | 0. | 0. | 0. |
| 246 | 246 | 134 | Q_neve | 0. | 0. | 0. |
| 247 | 247 | 74 | DEAD | 0. | 0. | 0. |
| 247 | 247 | 76 | DEAD | 0. | 0. | 0. |
| 247 | 247 | 163 | DEAD | 0. | 0. | 0. |

Table 20: Element Forces - Area Shells, Part 1 of 3

| Area | AreaElem | Joint | OutputCase | F11 KN/m | F22 KN/m | F12 KN/m |
|------|----------|-------|----------------|-------------|-------------|-------------|
| 247 | 247 | 159 | DEAD | 0. | 0. | 0. |
| 247 | 247 | 74 | G1_smistamento | 0. | 0. | 0. |
| 247 | 247 | 76 | G1_smistamento | 0. | 0. | 0. |
| 247 | 247 | 163 | G1_smistamento | 0. | 0. | 0. |
| 247 | 247 | 159 | G1_smistamento | 0. | 0. | 0. |
| 247 | 247 | 74 | G2_smistamento | 0. | 0. | 0. |
| 247 | 247 | 76 | G2_smistamento | 0. | 0. | 0. |
| 247 | 247 | 163 | G2_smistamento | 0. | 0. | 0. |
| 247 | 247 | 159 | G2_smistamento | 0. | 0. | 0. |
| 247 | 247 | 74 | Q_smistamento | 0. | 0. | 0. |
| 247 | 247 | 76 | Q_smistamento | 0. | 0. | 0. |
| 247 | 247 | 163 | Q_smistamento | 0. | 0. | 0. |
| 247 | 247 | 159 | Q_smistamento | 0. | 0. | 0. |
| 247 | 247 | 74 | Q_neve | 0. | 0. | 0. |
| 247 | 247 | 76 | Q_neve | 0. | 0. | 0. |
| 247 | 247 | 163 | Q_neve | 0. | 0. | 0. |
| 247 | 247 | 159 | Q_neve | 0. | 0. | 0. |
| 248 | 248 | 159 | DEAD | 0. | 0. | 0. |
| 248 | 248 | 163 | DEAD | 0. | 0. | 0. |
| 248 | 248 | 164 | DEAD | 0. | 0. | 0. |
| 248 | 248 | 160 | DEAD | 0. | 0. | 0. |
| 248 | 248 | 159 | G1_smistamento | 0. | 0. | 0. |
| 248 | 248 | 163 | G1_smistamento | 0. | 0. | 0. |
| 248 | 248 | 164 | G1_smistamento | 0. | 0. | 0. |
| 248 | 248 | 160 | G1_smistamento | 0. | 0. | 0. |
| 248 | 248 | 159 | G2_smistamento | 0. | 0. | 0. |
| 248 | 248 | 163 | G2_smistamento | 0. | 0. | 0. |
| 248 | 248 | 164 | G2_smistamento | 0. | 0. | 0. |
| 248 | 248 | 160 | G2_smistamento | 0. | 0. | 0. |
| 248 | 248 | 159 | Q_smistamento | 0. | 0. | 0. |
| 248 | 248 | 163 | Q_smistamento | 0. | 0. | 0. |
| 248 | 248 | 164 | Q_smistamento | 0. | 0. | 0. |
| 248 | 248 | 160 | Q_smistamento | 0. | 0. | 0. |
| 248 | 248 | 159 | Q_neve | 0. | 0. | 0. |
| 248 | 248 | 163 | Q_neve | 0. | 0. | 0. |
| 248 | 248 | 164 | Q_neve | 0. | 0. | 0. |
| 248 | 248 | 160 | Q_neve | 0. | 0. | 0. |
| 249 | 249 | 160 | DEAD | 0. | 0. | 0. |

Table 20: Element Forces - Area Shells, Part 1 of 3

| Area | AreaElem | Joint | OutputCase | F11 KN/m | F22 KN/m | F12 KN/m |
|------|----------|-------|----------------|-------------|-------------|-------------|
| 249 | 249 | 164 | DEAD | 0. | 0. | 0. |
| 249 | 249 | 165 | DEAD | 0. | 0. | 0. |
| 249 | 249 | 161 | DEAD | 0. | 0. | 0. |
| 249 | 249 | 160 | G1_smistamento | 0. | 0. | 0. |
| 249 | 249 | 164 | G1_smistamento | 0. | 0. | 0. |
| 249 | 249 | 165 | G1_smistamento | 0. | 0. | 0. |
| 249 | 249 | 161 | G1_smistamento | 0. | 0. | 0. |
| 249 | 249 | 160 | G2_smistamento | 0. | 0. | 0. |
| 249 | 249 | 164 | G2_smistamento | 0. | 0. | 0. |
| 249 | 249 | 165 | G2_smistamento | 0. | 0. | 0. |
| 249 | 249 | 161 | G2_smistamento | 0. | 0. | 0. |
| 249 | 249 | 160 | Q_smistamento | 0. | 0. | 0. |
| 249 | 249 | 164 | Q_smistamento | 0. | 0. | 0. |
| 249 | 249 | 165 | Q_smistamento | 0. | 0. | 0. |
| 249 | 249 | 161 | Q_smistamento | 0. | 0. | 0. |
| 249 | 249 | 160 | Q_neve | 0. | 0. | 0. |
| 249 | 249 | 164 | Q_neve | 0. | 0. | 0. |
| 249 | 249 | 165 | Q_neve | 0. | 0. | 0. |
| 249 | 249 | 161 | Q_neve | 0. | 0. | 0. |
| 250 | 250 | 161 | DEAD | 0. | 0. | 0. |
| 250 | 250 | 165 | DEAD | 0. | 0. | 0. |
| 250 | 250 | 166 | DEAD | 0. | 0. | 0. |
| 250 | 250 | 162 | DEAD | 0. | 0. | 0. |
| 250 | 250 | 161 | G1_smistamento | 0. | 0. | 0. |
| 250 | 250 | 165 | G1_smistamento | 0. | 0. | 0. |
| 250 | 250 | 166 | G1_smistamento | 0. | 0. | 0. |
| 250 | 250 | 162 | G1_smistamento | 0. | 0. | 0. |
| 250 | 250 | 161 | G2_smistamento | 0. | 0. | 0. |
| 250 | 250 | 165 | G2_smistamento | 0. | 0. | 0. |
| 250 | 250 | 166 | G2_smistamento | 0. | 0. | 0. |
| 250 | 250 | 162 | G2_smistamento | 0. | 0. | 0. |
| 250 | 250 | 161 | Q_smistamento | 0. | 0. | 0. |
| 250 | 250 | 165 | Q_smistamento | 0. | 0. | 0. |
| 250 | 250 | 166 | Q_smistamento | 0. | 0. | 0. |
| 250 | 250 | 162 | Q_smistamento | 0. | 0. | 0. |
| 250 | 250 | 161 | Q_neve | 0. | 0. | 0. |
| 250 | 250 | 165 | Q_neve | 0. | 0. | 0. |
| 250 | 250 | 166 | Q_neve | 0. | 0. | 0. |

Table 20: Element Forces - Area Shells, Part 1 of 3

| Area | AreaElem | Joint | OutputCase | F11 KN/m | F22 KN/m | F12 KN/m |
|------|----------|-------|----------------|-------------|-------------|-------------|
| 250 | 250 | 162 | Q_neve | 0. | 0. | 0. |
| 251 | 251 | 162 | DEAD | 0. | 0. | 0. |
| 251 | 251 | 166 | DEAD | 0. | 0. | 0. |
| 251 | 251 | 130 | DEAD | 0. | 0. | 0. |
| 251 | 251 | 132 | DEAD | 0. | 0. | 0. |
| 251 | 251 | 162 | G1_smistamento | 0. | 0. | 0. |
| 251 | 251 | 166 | G1_smistamento | 0. | 0. | 0. |
| 251 | 251 | 130 | G1_smistamento | 0. | 0. | 0. |
| 251 | 251 | 132 | G1_smistamento | 0. | 0. | 0. |
| 251 | 251 | 162 | G2_smistamento | 0. | 0. | 0. |
| 251 | 251 | 166 | G2_smistamento | 0. | 0. | 0. |
| 251 | 251 | 130 | G2_smistamento | 0. | 0. | 0. |
| 251 | 251 | 132 | G2_smistamento | 0. | 0. | 0. |
| 251 | 251 | 162 | Q_smistamento | 0. | 0. | 0. |
| 251 | 251 | 166 | Q_smistamento | 0. | 0. | 0. |
| 251 | 251 | 130 | Q_smistamento | 0. | 0. | 0. |
| 251 | 251 | 132 | Q_smistamento | 0. | 0. | 0. |
| 251 | 251 | 162 | Q_neve | 0. | 0. | 0. |
| 251 | 251 | 166 | Q_neve | 0. | 0. | 0. |
| 251 | 251 | 130 | Q_neve | 0. | 0. | 0. |
| 251 | 251 | 132 | Q_neve | 0. | 0. | 0. |
| 252 | 252 | 76 | DEAD | 0. | 0. | 0. |
| 252 | 252 | 78 | DEAD | 0. | 0. | 0. |
| 252 | 252 | 167 | DEAD | 0. | 0. | 0. |
| 252 | 252 | 163 | DEAD | 0. | 0. | 0. |
| 252 | 252 | 76 | G1_smistamento | 0. | 0. | 0. |
| 252 | 252 | 78 | G1_smistamento | 0. | 0. | 0. |
| 252 | 252 | 167 | G1_smistamento | 0. | 0. | 0. |
| 252 | 252 | 163 | G1_smistamento | 0. | 0. | 0. |
| 252 | 252 | 76 | G2_smistamento | 0. | 0. | 0. |
| 252 | 252 | 78 | G2_smistamento | 0. | 0. | 0. |
| 252 | 252 | 167 | G2_smistamento | 0. | 0. | 0. |
| 252 | 252 | 163 | G2_smistamento | 0. | 0. | 0. |
| 252 | 252 | 76 | Q_smistamento | 0. | 0. | 0. |
| 252 | 252 | 78 | Q_smistamento | 0. | 0. | 0. |
| 252 | 252 | 167 | Q_smistamento | 0. | 0. | 0. |
| 252 | 252 | 163 | Q_smistamento | 0. | 0. | 0. |
| 252 | 252 | 76 | Q_neve | 0. | 0. | 0. |

Table 20: Element Forces - Area Shells, Part 1 of 3

| Area | AreaElem | Joint | OutputCase | F11 KN/m | F22 KN/m | F12 KN/m |
|------|----------|-------|----------------|-------------|-------------|-------------|
| 252 | 252 | 78 | Q_neve | 0. | 0. | 0. |
| 252 | 252 | 167 | Q_neve | 0. | 0. | 0. |
| 252 | 252 | 163 | Q_neve | 0. | 0. | 0. |
| 253 | 253 | 163 | DEAD | 0. | 0. | 0. |
| 253 | 253 | 167 | DEAD | 0. | 0. | 0. |
| 253 | 253 | 168 | DEAD | 0. | 0. | 0. |
| 253 | 253 | 164 | DEAD | 0. | 0. | 0. |
| 253 | 253 | 163 | G1_smistamento | 0. | 0. | 0. |
| 253 | 253 | 167 | G1_smistamento | 0. | 0. | 0. |
| 253 | 253 | 168 | G1_smistamento | 0. | 0. | 0. |
| 253 | 253 | 164 | G1_smistamento | 0. | 0. | 0. |
| 253 | 253 | 163 | G2_smistamento | 0. | 0. | 0. |
| 253 | 253 | 167 | G2_smistamento | 0. | 0. | 0. |
| 253 | 253 | 168 | G2_smistamento | 0. | 0. | 0. |
| 253 | 253 | 164 | G2_smistamento | 0. | 0. | 0. |
| 253 | 253 | 163 | Q_smistamento | 0. | 0. | 0. |
| 253 | 253 | 167 | Q_smistamento | 0. | 0. | 0. |
| 253 | 253 | 168 | Q_smistamento | 0. | 0. | 0. |
| 253 | 253 | 164 | Q_smistamento | 0. | 0. | 0. |
| 253 | 253 | 163 | Q_neve | 0. | 0. | 0. |
| 253 | 253 | 167 | Q_neve | 0. | 0. | 0. |
| 253 | 253 | 168 | Q_neve | 0. | 0. | 0. |
| 253 | 253 | 164 | Q_neve | 0. | 0. | 0. |
| 254 | 254 | 164 | DEAD | 0. | 0. | 0. |
| 254 | 254 | 168 | DEAD | 0. | 0. | 0. |
| 254 | 254 | 169 | DEAD | 0. | 0. | 0. |
| 254 | 254 | 165 | DEAD | 0. | 0. | 0. |
| 254 | 254 | 164 | G1_smistamento | 0. | 0. | 0. |
| 254 | 254 | 168 | G1_smistamento | 0. | 0. | 0. |
| 254 | 254 | 169 | G1_smistamento | 0. | 0. | 0. |
| 254 | 254 | 165 | G1_smistamento | 0. | 0. | 0. |
| 254 | 254 | 164 | G2_smistamento | 0. | 0. | 0. |
| 254 | 254 | 168 | G2_smistamento | 0. | 0. | 0. |
| 254 | 254 | 169 | G2_smistamento | 0. | 0. | 0. |
| 254 | 254 | 165 | G2_smistamento | 0. | 0. | 0. |
| 254 | 254 | 164 | Q_smistamento | 0. | 0. | 0. |
| 254 | 254 | 168 | Q_smistamento | 0. | 0. | 0. |
| 254 | 254 | 169 | Q_smistamento | 0. | 0. | 0. |

Table 20: Element Forces - Area Shells, Part 1 of 3

| Area | AreaElem | Joint | OutputCase | F11 KN/m | F22 KN/m | F12 KN/m |
|------|----------|-------|----------------|-------------|-------------|-------------|
| 254 | 254 | 165 | Q_smistamento | 0. | 0. | 0. |
| 254 | 254 | 164 | Q_neve | 0. | 0. | 0. |
| 254 | 254 | 168 | Q_neve | 0. | 0. | 0. |
| 254 | 254 | 169 | Q_neve | 0. | 0. | 0. |
| 254 | 254 | 165 | Q_neve | 0. | 0. | 0. |
| 255 | 255 | 165 | DEAD | 0. | 0. | 0. |
| 255 | 255 | 169 | DEAD | 0. | 0. | 0. |
| 255 | 255 | 170 | DEAD | 0. | 0. | 0. |
| 255 | 255 | 166 | DEAD | 0. | 0. | 0. |
| 255 | 255 | 165 | G1_smistamento | 0. | 0. | 0. |
| 255 | 255 | 169 | G1_smistamento | 0. | 0. | 0. |
| 255 | 255 | 170 | G1_smistamento | 0. | 0. | 0. |
| 255 | 255 | 166 | G1_smistamento | 0. | 0. | 0. |
| 255 | 255 | 165 | G2_smistamento | 0. | 0. | 0. |
| 255 | 255 | 169 | G2_smistamento | 0. | 0. | 0. |
| 255 | 255 | 170 | G2_smistamento | 0. | 0. | 0. |
| 255 | 255 | 166 | G2_smistamento | 0. | 0. | 0. |
| 255 | 255 | 165 | Q_smistamento | 0. | 0. | 0. |
| 255 | 255 | 169 | Q_smistamento | 0. | 0. | 0. |
| 255 | 255 | 170 | Q_smistamento | 0. | 0. | 0. |
| 255 | 255 | 166 | Q_smistamento | 0. | 0. | 0. |
| 255 | 255 | 165 | Q_neve | 0. | 0. | 0. |
| 255 | 255 | 169 | Q_neve | 0. | 0. | 0. |
| 255 | 255 | 170 | Q_neve | 0. | 0. | 0. |
| 255 | 255 | 166 | Q_neve | 0. | 0. | 0. |
| 256 | 256 | 166 | DEAD | 0. | 0. | 0. |
| 256 | 256 | 170 | DEAD | 0. | 0. | 0. |
| 256 | 256 | 128 | DEAD | 0. | 0. | 0. |
| 256 | 256 | 130 | DEAD | 0. | 0. | 0. |
| 256 | 256 | 166 | G1_smistamento | 0. | 0. | 0. |
| 256 | 256 | 170 | G1_smistamento | 0. | 0. | 0. |
| 256 | 256 | 128 | G1_smistamento | 0. | 0. | 0. |
| 256 | 256 | 130 | G1_smistamento | 0. | 0. | 0. |
| 256 | 256 | 166 | G2_smistamento | 0. | 0. | 0. |
| 256 | 256 | 170 | G2_smistamento | 0. | 0. | 0. |
| 256 | 256 | 128 | G2_smistamento | 0. | 0. | 0. |
| 256 | 256 | 130 | G2_smistamento | 0. | 0. | 0. |
| 256 | 256 | 166 | Q_smistamento | 0. | 0. | 0. |

Table 20: Element Forces - Area Shells, Part 1 of 3

| Area | AreaElem | Joint | OutputCase | F11 KN/m | F22 KN/m | F12 KN/m |
|------|----------|-------|----------------|-------------|-------------|-------------|
| 256 | 256 | 170 | Q_smistamento | 0. | 0. | 0. |
| 256 | 256 | 128 | Q_smistamento | 0. | 0. | 0. |
| 256 | 256 | 130 | Q_smistamento | 0. | 0. | 0. |
| 256 | 256 | 166 | Q_neve | 0. | 0. | 0. |
| 256 | 256 | 170 | Q_neve | 0. | 0. | 0. |
| 256 | 256 | 128 | Q_neve | 0. | 0. | 0. |
| 256 | 256 | 130 | Q_neve | 0. | 0. | 0. |
| 257 | 257 | 78 | DEAD | 0. | 0. | 0. |
| 257 | 257 | 80 | DEAD | 0. | 0. | 0. |
| 257 | 257 | 171 | DEAD | 0. | 0. | 0. |
| 257 | 257 | 167 | DEAD | 0. | 0. | 0. |
| 257 | 257 | 78 | G1_smistamento | 0. | 0. | 0. |
| 257 | 257 | 80 | G1_smistamento | 0. | 0. | 0. |
| 257 | 257 | 171 | G1_smistamento | 0. | 0. | 0. |
| 257 | 257 | 167 | G1_smistamento | 0. | 0. | 0. |
| 257 | 257 | 78 | G2_smistamento | 0. | 0. | 0. |
| 257 | 257 | 80 | G2_smistamento | 0. | 0. | 0. |
| 257 | 257 | 171 | G2_smistamento | 0. | 0. | 0. |
| 257 | 257 | 167 | G2_smistamento | 0. | 0. | 0. |
| 257 | 257 | 78 | Q_smistamento | 0. | 0. | 0. |
| 257 | 257 | 80 | Q_smistamento | 0. | 0. | 0. |
| 257 | 257 | 171 | Q_smistamento | 0. | 0. | 0. |
| 257 | 257 | 167 | Q_smistamento | 0. | 0. | 0. |
| 257 | 257 | 78 | Q_neve | 0. | 0. | 0. |
| 257 | 257 | 80 | Q_neve | 0. | 0. | 0. |
| 257 | 257 | 171 | Q_neve | 0. | 0. | 0. |
| 257 | 257 | 167 | Q_neve | 0. | 0. | 0. |
| 258 | 258 | 167 | DEAD | 0. | 0. | 0. |
| 258 | 258 | 171 | DEAD | 0. | 0. | 0. |
| 258 | 258 | 172 | DEAD | 0. | 0. | 0. |
| 258 | 258 | 168 | DEAD | 0. | 0. | 0. |
| 258 | 258 | 167 | G1_smistamento | 0. | 0. | 0. |
| 258 | 258 | 171 | G1_smistamento | 0. | 0. | 0. |
| 258 | 258 | 172 | G1_smistamento | 0. | 0. | 0. |
| 258 | 258 | 168 | G1_smistamento | 0. | 0. | 0. |
| 258 | 258 | 167 | G2_smistamento | 0. | 0. | 0. |
| 258 | 258 | 171 | G2_smistamento | 0. | 0. | 0. |
| 258 | 258 | 172 | G2_smistamento | 0. | 0. | 0. |

Table 20: Element Forces - Area Shells, Part 1 of 3

| Area | AreaElem | Joint | OutputCase | F11 KN/m | F22 KN/m | F12 KN/m |
|------|----------|-------|----------------|-------------|-------------|-------------|
| 258 | 258 | 168 | G2_smistamento | 0. | 0. | 0. |
| 258 | 258 | 167 | Q_smistamento | 0. | 0. | 0. |
| 258 | 258 | 171 | Q_smistamento | 0. | 0. | 0. |
| 258 | 258 | 172 | Q_smistamento | 0. | 0. | 0. |
| 258 | 258 | 168 | Q_smistamento | 0. | 0. | 0. |
| 258 | 258 | 167 | Q_neve | 0. | 0. | 0. |
| 258 | 258 | 171 | Q_neve | 0. | 0. | 0. |
| 258 | 258 | 172 | Q_neve | 0. | 0. | 0. |
| 258 | 258 | 168 | Q_neve | 0. | 0. | 0. |
| 259 | 259 | 168 | DEAD | 0. | 0. | 0. |
| 259 | 259 | 172 | DEAD | 0. | 0. | 0. |
| 259 | 259 | 173 | DEAD | 0. | 0. | 0. |
| 259 | 259 | 169 | DEAD | 0. | 0. | 0. |
| 259 | 259 | 168 | G1_smistamento | 0. | 0. | 0. |
| 259 | 259 | 172 | G1_smistamento | 0. | 0. | 0. |
| 259 | 259 | 173 | G1_smistamento | 0. | 0. | 0. |
| 259 | 259 | 169 | G1_smistamento | 0. | 0. | 0. |
| 259 | 259 | 168 | G2_smistamento | 0. | 0. | 0. |
| 259 | 259 | 172 | G2_smistamento | 0. | 0. | 0. |
| 259 | 259 | 173 | G2_smistamento | 0. | 0. | 0. |
| 259 | 259 | 169 | G2_smistamento | 0. | 0. | 0. |
| 259 | 259 | 168 | Q_smistamento | 0. | 0. | 0. |
| 259 | 259 | 172 | Q_smistamento | 0. | 0. | 0. |
| 259 | 259 | 173 | Q_smistamento | 0. | 0. | 0. |
| 259 | 259 | 169 | Q_smistamento | 0. | 0. | 0. |
| 259 | 259 | 168 | Q_neve | 0. | 0. | 0. |
| 259 | 259 | 172 | Q_neve | 0. | 0. | 0. |
| 259 | 259 | 173 | Q_neve | 0. | 0. | 0. |
| 259 | 259 | 169 | Q_neve | 0. | 0. | 0. |
| 260 | 260 | 169 | DEAD | 0. | 0. | 0. |
| 260 | 260 | 173 | DEAD | 0. | 0. | 0. |
| 260 | 260 | 174 | DEAD | 0. | 0. | 0. |
| 260 | 260 | 170 | DEAD | 0. | 0. | 0. |
| 260 | 260 | 169 | G1_smistamento | 0. | 0. | 0. |
| 260 | 260 | 173 | G1_smistamento | 0. | 0. | 0. |
| 260 | 260 | 174 | G1_smistamento | 0. | 0. | 0. |
| 260 | 260 | 170 | G1_smistamento | 0. | 0. | 0. |
| 260 | 260 | 169 | G2_smistamento | 0. | 0. | 0. |

Table 20: Element Forces - Area Shells, Part 1 of 3

| Area | AreaElem | Joint | OutputCase | F11 KN/m | F22 KN/m | F12 KN/m |
|------|----------|-------|----------------|-------------|-------------|-------------|
| 260 | 260 | 173 | G2_smistamento | 0. | 0. | 0. |
| 260 | 260 | 174 | G2_smistamento | 0. | 0. | 0. |
| 260 | 260 | 170 | G2_smistamento | 0. | 0. | 0. |
| 260 | 260 | 169 | Q_smistamento | 0. | 0. | 0. |
| 260 | 260 | 173 | Q_smistamento | 0. | 0. | 0. |
| 260 | 260 | 174 | Q_smistamento | 0. | 0. | 0. |
| 260 | 260 | 170 | Q_smistamento | 0. | 0. | 0. |
| 260 | 260 | 169 | Q_neve | 0. | 0. | 0. |
| 260 | 260 | 173 | Q_neve | 0. | 0. | 0. |
| 260 | 260 | 174 | Q_neve | 0. | 0. | 0. |
| 260 | 260 | 170 | Q_neve | 0. | 0. | 0. |
| 261 | 261 | 170 | DEAD | 0. | 0. | 0. |
| 261 | 261 | 174 | DEAD | 0. | 0. | 0. |
| 261 | 261 | 126 | DEAD | 0. | 0. | 0. |
| 261 | 261 | 128 | DEAD | 0. | 0. | 0. |
| 261 | 261 | 170 | G1_smistamento | 0. | 0. | 0. |
| 261 | 261 | 174 | G1_smistamento | 0. | 0. | 0. |
| 261 | 261 | 126 | G1_smistamento | 0. | 0. | 0. |
| 261 | 261 | 128 | G1_smistamento | 0. | 0. | 0. |
| 261 | 261 | 170 | G2_smistamento | 0. | 0. | 0. |
| 261 | 261 | 174 | G2_smistamento | 0. | 0. | 0. |
| 261 | 261 | 126 | G2_smistamento | 0. | 0. | 0. |
| 261 | 261 | 128 | G2_smistamento | 0. | 0. | 0. |
| 261 | 261 | 170 | Q_smistamento | 0. | 0. | 0. |
| 261 | 261 | 174 | Q_smistamento | 0. | 0. | 0. |
| 261 | 261 | 126 | Q_smistamento | 0. | 0. | 0. |
| 261 | 261 | 128 | Q_smistamento | 0. | 0. | 0. |
| 261 | 261 | 170 | Q_neve | 0. | 0. | 0. |
| 261 | 261 | 174 | Q_neve | 0. | 0. | 0. |
| 261 | 261 | 126 | Q_neve | 0. | 0. | 0. |
| 261 | 261 | 128 | Q_neve | 0. | 0. | 0. |
| 262 | 262 | 80 | DEAD | 0. | 0. | 0. |
| 262 | 262 | 82 | DEAD | 0. | 0. | 0. |
| 262 | 262 | 175 | DEAD | 0. | 0. | 0. |
| 262 | 262 | 171 | DEAD | 0. | 0. | 0. |
| 262 | 262 | 80 | G1_smistamento | 0. | 0. | 0. |
| 262 | 262 | 82 | G1_smistamento | 0. | 0. | 0. |
| 262 | 262 | 175 | G1_smistamento | 0. | 0. | 0. |

Table 20: Element Forces - Area Shells, Part 1 of 3

| Area | AreaElem | Joint | OutputCase | F11 KN/m | F22 KN/m | F12 KN/m |
|------|----------|-------|----------------|-------------|-------------|-------------|
| 262 | 262 | 171 | G1_smistamento | 0. | 0. | 0. |
| 262 | 262 | 80 | G2_smistamento | 0. | 0. | 0. |
| 262 | 262 | 82 | G2_smistamento | 0. | 0. | 0. |
| 262 | 262 | 175 | G2_smistamento | 0. | 0. | 0. |
| 262 | 262 | 171 | G2_smistamento | 0. | 0. | 0. |
| 262 | 262 | 80 | Q_smistamento | 0. | 0. | 0. |
| 262 | 262 | 82 | Q_smistamento | 0. | 0. | 0. |
| 262 | 262 | 175 | Q_smistamento | 0. | 0. | 0. |
| 262 | 262 | 171 | Q_smistamento | 0. | 0. | 0. |
| 262 | 262 | 80 | Q_neve | 0. | 0. | 0. |
| 262 | 262 | 82 | Q_neve | 0. | 0. | 0. |
| 262 | 262 | 175 | Q_neve | 0. | 0. | 0. |
| 262 | 262 | 171 | Q_neve | 0. | 0. | 0. |
| 263 | 263 | 171 | DEAD | 0. | 0. | 0. |
| 263 | 263 | 175 | DEAD | 0. | 0. | 0. |
| 263 | 263 | 176 | DEAD | 0. | 0. | 0. |
| 263 | 263 | 172 | DEAD | 0. | 0. | 0. |
| 263 | 263 | 171 | G1_smistamento | 0. | 0. | 0. |
| 263 | 263 | 175 | G1_smistamento | 0. | 0. | 0. |
| 263 | 263 | 176 | G1_smistamento | 0. | 0. | 0. |
| 263 | 263 | 172 | G1_smistamento | 0. | 0. | 0. |
| 263 | 263 | 171 | G2_smistamento | 0. | 0. | 0. |
| 263 | 263 | 175 | G2_smistamento | 0. | 0. | 0. |
| 263 | 263 | 176 | G2_smistamento | 0. | 0. | 0. |
| 263 | 263 | 172 | G2_smistamento | 0. | 0. | 0. |
| 263 | 263 | 171 | Q_smistamento | 0. | 0. | 0. |
| 263 | 263 | 175 | Q_smistamento | 0. | 0. | 0. |
| 263 | 263 | 176 | Q_smistamento | 0. | 0. | 0. |
| 263 | 263 | 172 | Q_smistamento | 0. | 0. | 0. |
| 263 | 263 | 171 | Q_neve | 0. | 0. | 0. |
| 263 | 263 | 175 | Q_neve | 0. | 0. | 0. |
| 263 | 263 | 176 | Q_neve | 0. | 0. | 0. |
| 263 | 263 | 172 | Q_neve | 0. | 0. | 0. |
| 264 | 264 | 172 | DEAD | 0. | 0. | 0. |
| 264 | 264 | 176 | DEAD | 0. | 0. | 0. |
| 264 | 264 | 177 | DEAD | 0. | 0. | 0. |
| 264 | 264 | 173 | DEAD | 0. | 0. | 0. |
| 264 | 264 | 172 | G1_smistamento | 0. | 0. | 0. |

Table 20: Element Forces - Area Shells, Part 1 of 3

| Area | AreaElem | Joint | OutputCase | F11 KN/m | F22 KN/m | F12 KN/m |
|------|----------|-------|----------------|-------------|-------------|-------------|
| 264 | 264 | 176 | G1_smistamento | 0. | 0. | 0. |
| 264 | 264 | 177 | G1_smistamento | 0. | 0. | 0. |
| 264 | 264 | 173 | G1_smistamento | 0. | 0. | 0. |
| 264 | 264 | 172 | G2_smistamento | 0. | 0. | 0. |
| 264 | 264 | 176 | G2_smistamento | 0. | 0. | 0. |
| 264 | 264 | 177 | G2_smistamento | 0. | 0. | 0. |
| 264 | 264 | 173 | G2_smistamento | 0. | 0. | 0. |
| 264 | 264 | 172 | Q_smistamento | 0. | 0. | 0. |
| 264 | 264 | 176 | Q_smistamento | 0. | 0. | 0. |
| 264 | 264 | 177 | Q_smistamento | 0. | 0. | 0. |
| 264 | 264 | 173 | Q_smistamento | 0. | 0. | 0. |
| 264 | 264 | 172 | Q_neve | 0. | 0. | 0. |
| 264 | 264 | 176 | Q_neve | 0. | 0. | 0. |
| 264 | 264 | 177 | Q_neve | 0. | 0. | 0. |
| 264 | 264 | 173 | Q_neve | 0. | 0. | 0. |
| 265 | 265 | 173 | DEAD | 0. | 0. | 0. |
| 265 | 265 | 177 | DEAD | 0. | 0. | 0. |
| 265 | 265 | 178 | DEAD | 0. | 0. | 0. |
| 265 | 265 | 174 | DEAD | 0. | 0. | 0. |
| 265 | 265 | 173 | G1_smistamento | 0. | 0. | 0. |
| 265 | 265 | 177 | G1_smistamento | 0. | 0. | 0. |
| 265 | 265 | 178 | G1_smistamento | 0. | 0. | 0. |
| 265 | 265 | 174 | G1_smistamento | 0. | 0. | 0. |
| 265 | 265 | 173 | G2_smistamento | 0. | 0. | 0. |
| 265 | 265 | 177 | G2_smistamento | 0. | 0. | 0. |
| 265 | 265 | 178 | G2_smistamento | 0. | 0. | 0. |
| 265 | 265 | 174 | G2_smistamento | 0. | 0. | 0. |
| 265 | 265 | 173 | Q_smistamento | 0. | 0. | 0. |
| 265 | 265 | 177 | Q_smistamento | 0. | 0. | 0. |
| 265 | 265 | 178 | Q_smistamento | 0. | 0. | 0. |
| 265 | 265 | 174 | Q_smistamento | 0. | 0. | 0. |
| 265 | 265 | 173 | Q_neve | 0. | 0. | 0. |
| 265 | 265 | 177 | Q_neve | 0. | 0. | 0. |
| 265 | 265 | 178 | Q_neve | 0. | 0. | 0. |
| 265 | 265 | 174 | Q_neve | 0. | 0. | 0. |
| 266 | 266 | 174 | DEAD | 0. | 0. | 0. |
| 266 | 266 | 178 | DEAD | 0. | 0. | 0. |
| 266 | 266 | 124 | DEAD | 0. | 0. | 0. |

Table 20: Element Forces - Area Shells, Part 1 of 3

| Area | AreaElem | Joint | OutputCase | F11 KN/m | F22 KN/m | F12 KN/m |
|------|----------|-------|----------------|-------------|-------------|-------------|
| 266 | 266 | 126 | DEAD | 0. | 0. | 0. |
| 266 | 266 | 174 | G1_smistamento | 0. | 0. | 0. |
| 266 | 266 | 178 | G1_smistamento | 0. | 0. | 0. |
| 266 | 266 | 124 | G1_smistamento | 0. | 0. | 0. |
| 266 | 266 | 126 | G1_smistamento | 0. | 0. | 0. |
| 266 | 266 | 174 | G2_smistamento | 0. | 0. | 0. |
| 266 | 266 | 178 | G2_smistamento | 0. | 0. | 0. |
| 266 | 266 | 124 | G2_smistamento | 0. | 0. | 0. |
| 266 | 266 | 126 | G2_smistamento | 0. | 0. | 0. |
| 266 | 266 | 174 | Q_smistamento | 0. | 0. | 0. |
| 266 | 266 | 178 | Q_smistamento | 0. | 0. | 0. |
| 266 | 266 | 124 | Q_smistamento | 0. | 0. | 0. |
| 266 | 266 | 126 | Q_smistamento | 0. | 0. | 0. |
| 266 | 266 | 174 | Q_neve | 0. | 0. | 0. |
| 266 | 266 | 178 | Q_neve | 0. | 0. | 0. |
| 266 | 266 | 124 | Q_neve | 0. | 0. | 0. |
| 266 | 266 | 126 | Q_neve | 0. | 0. | 0. |
| 267 | 267 | 82 | DEAD | 0. | 0. | 0. |
| 267 | 267 | 84 | DEAD | 0. | 0. | 0. |
| 267 | 267 | 179 | DEAD | 0. | 0. | 0. |
| 267 | 267 | 175 | DEAD | 0. | 0. | 0. |
| 267 | 267 | 82 | G1_smistamento | 0. | 0. | 0. |
| 267 | 267 | 84 | G1_smistamento | 0. | 0. | 0. |
| 267 | 267 | 179 | G1_smistamento | 0. | 0. | 0. |
| 267 | 267 | 175 | G1_smistamento | 0. | 0. | 0. |
| 267 | 267 | 82 | G2_smistamento | 0. | 0. | 0. |
| 267 | 267 | 84 | G2_smistamento | 0. | 0. | 0. |
| 267 | 267 | 179 | G2_smistamento | 0. | 0. | 0. |
| 267 | 267 | 175 | G2_smistamento | 0. | 0. | 0. |
| 267 | 267 | 82 | Q_smistamento | 0. | 0. | 0. |
| 267 | 267 | 84 | Q_smistamento | 0. | 0. | 0. |
| 267 | 267 | 179 | Q_smistamento | 0. | 0. | 0. |
| 267 | 267 | 175 | Q_smistamento | 0. | 0. | 0. |
| 267 | 267 | 82 | Q_neve | 0. | 0. | 0. |
| 267 | 267 | 84 | Q_neve | 0. | 0. | 0. |
| 267 | 267 | 179 | Q_neve | 0. | 0. | 0. |
| 267 | 267 | 175 | Q_neve | 0. | 0. | 0. |
| 268 | 268 | 175 | DEAD | 0. | 0. | 0. |

Table 20: Element Forces - Area Shells, Part 1 of 3

| Area | AreaElem | Joint | OutputCase | F11 KN/m | F22 KN/m | F12 KN/m |
|------|----------|-------|----------------|-------------|-------------|-------------|
| 268 | 268 | 179 | DEAD | 0. | 0. | 0. |
| 268 | 268 | 180 | DEAD | 0. | 0. | 0. |
| 268 | 268 | 176 | DEAD | 0. | 0. | 0. |
| 268 | 268 | 175 | G1_smistamento | 0. | 0. | 0. |
| 268 | 268 | 179 | G1_smistamento | 0. | 0. | 0. |
| 268 | 268 | 180 | G1_smistamento | 0. | 0. | 0. |
| 268 | 268 | 176 | G1_smistamento | 0. | 0. | 0. |
| 268 | 268 | 175 | G2_smistamento | 0. | 0. | 0. |
| 268 | 268 | 179 | G2_smistamento | 0. | 0. | 0. |
| 268 | 268 | 180 | G2_smistamento | 0. | 0. | 0. |
| 268 | 268 | 176 | G2_smistamento | 0. | 0. | 0. |
| 268 | 268 | 175 | Q_smistamento | 0. | 0. | 0. |
| 268 | 268 | 179 | Q_smistamento | 0. | 0. | 0. |
| 268 | 268 | 180 | Q_smistamento | 0. | 0. | 0. |
| 268 | 268 | 176 | Q_smistamento | 0. | 0. | 0. |
| 268 | 268 | 175 | Q_neve | 0. | 0. | 0. |
| 268 | 268 | 179 | Q_neve | 0. | 0. | 0. |
| 268 | 268 | 180 | Q_neve | 0. | 0. | 0. |
| 268 | 268 | 176 | Q_neve | 0. | 0. | 0. |
| 269 | 269 | 176 | DEAD | 0. | 0. | 0. |
| 269 | 269 | 180 | DEAD | 0. | 0. | 0. |
| 269 | 269 | 181 | DEAD | 0. | 0. | 0. |
| 269 | 269 | 177 | DEAD | 0. | 0. | 0. |
| 269 | 269 | 176 | G1_smistamento | 0. | 0. | 0. |
| 269 | 269 | 180 | G1_smistamento | 0. | 0. | 0. |
| 269 | 269 | 181 | G1_smistamento | 0. | 0. | 0. |
| 269 | 269 | 177 | G1_smistamento | 0. | 0. | 0. |
| 269 | 269 | 176 | G2_smistamento | 0. | 0. | 0. |
| 269 | 269 | 180 | G2_smistamento | 0. | 0. | 0. |
| 269 | 269 | 181 | G2_smistamento | 0. | 0. | 0. |
| 269 | 269 | 177 | G2_smistamento | 0. | 0. | 0. |
| 269 | 269 | 176 | Q_smistamento | 0. | 0. | 0. |
| 269 | 269 | 180 | Q_smistamento | 0. | 0. | 0. |
| 269 | 269 | 181 | Q_smistamento | 0. | 0. | 0. |
| 269 | 269 | 177 | Q_smistamento | 0. | 0. | 0. |
| 269 | 269 | 176 | Q_neve | 0. | 0. | 0. |
| 269 | 269 | 180 | Q_neve | 0. | 0. | 0. |
| 269 | 269 | 181 | Q_neve | 0. | 0. | 0. |

Table 20: Element Forces - Area Shells, Part 1 of 3

| Area | AreaElem | Joint | OutputCase | F11 KN/m | F22 KN/m | F12 KN/m |
|------|----------|-------|----------------|-------------|-------------|-------------|
| 269 | 269 | 177 | Q_neve | 0. | 0. | 0. |
| 270 | 270 | 177 | DEAD | 0. | 0. | 0. |
| 270 | 270 | 181 | DEAD | 0. | 0. | 0. |
| 270 | 270 | 182 | DEAD | 0. | 0. | 0. |
| 270 | 270 | 178 | DEAD | 0. | 0. | 0. |
| 270 | 270 | 177 | G1_smistamento | 0. | 0. | 0. |
| 270 | 270 | 181 | G1_smistamento | 0. | 0. | 0. |
| 270 | 270 | 182 | G1_smistamento | 0. | 0. | 0. |
| 270 | 270 | 178 | G1_smistamento | 0. | 0. | 0. |
| 270 | 270 | 177 | G2_smistamento | 0. | 0. | 0. |
| 270 | 270 | 181 | G2_smistamento | 0. | 0. | 0. |
| 270 | 270 | 182 | G2_smistamento | 0. | 0. | 0. |
| 270 | 270 | 178 | G2_smistamento | 0. | 0. | 0. |
| 270 | 270 | 177 | Q_smistamento | 0. | 0. | 0. |
| 270 | 270 | 181 | Q_smistamento | 0. | 0. | 0. |
| 270 | 270 | 182 | Q_smistamento | 0. | 0. | 0. |
| 270 | 270 | 178 | Q_smistamento | 0. | 0. | 0. |
| 270 | 270 | 177 | Q_neve | 0. | 0. | 0. |
| 270 | 270 | 181 | Q_neve | 0. | 0. | 0. |
| 270 | 270 | 182 | Q_neve | 0. | 0. | 0. |
| 270 | 270 | 178 | Q_neve | 0. | 0. | 0. |
| 271 | 271 | 178 | DEAD | 0. | 0. | 0. |
| 271 | 271 | 182 | DEAD | 0. | 0. | 0. |
| 271 | 271 | 122 | DEAD | 0. | 0. | 0. |
| 271 | 271 | 124 | DEAD | 0. | 0. | 0. |
| 271 | 271 | 178 | G1_smistamento | 0. | 0. | 0. |
| 271 | 271 | 182 | G1_smistamento | 0. | 0. | 0. |
| 271 | 271 | 122 | G1_smistamento | 0. | 0. | 0. |
| 271 | 271 | 124 | G1_smistamento | 0. | 0. | 0. |
| 271 | 271 | 178 | G2_smistamento | 0. | 0. | 0. |
| 271 | 271 | 182 | G2_smistamento | 0. | 0. | 0. |
| 271 | 271 | 122 | G2_smistamento | 0. | 0. | 0. |
| 271 | 271 | 124 | G2_smistamento | 0. | 0. | 0. |
| 271 | 271 | 178 | Q_smistamento | 0. | 0. | 0. |
| 271 | 271 | 182 | Q_smistamento | 0. | 0. | 0. |
| 271 | 271 | 122 | Q_smistamento | 0. | 0. | 0. |
| 271 | 271 | 124 | Q_smistamento | 0. | 0. | 0. |
| 271 | 271 | 178 | Q_neve | 0. | 0. | 0. |

Table 20: Element Forces - Area Shells, Part 1 of 3

| Area | AreaElem | Joint | OutputCase | F11 KN/m | F22 KN/m | F12 KN/m |
|------|----------|-------|----------------|-------------|-------------|-------------|
| 271 | 271 | 182 | Q_neve | 0. | 0. | 0. |
| 271 | 271 | 122 | Q_neve | 0. | 0. | 0. |
| 271 | 271 | 124 | Q_neve | 0. | 0. | 0. |
| 272 | 272 | 84 | DEAD | 0. | 0. | 0. |
| 272 | 272 | 86 | DEAD | 0. | 0. | 0. |
| 272 | 272 | 183 | DEAD | 0. | 0. | 0. |
| 272 | 272 | 179 | DEAD | 0. | 0. | 0. |
| 272 | 272 | 84 | G1_smistamento | 0. | 0. | 0. |
| 272 | 272 | 86 | G1_smistamento | 0. | 0. | 0. |
| 272 | 272 | 183 | G1_smistamento | 0. | 0. | 0. |
| 272 | 272 | 179 | G1_smistamento | 0. | 0. | 0. |
| 272 | 272 | 84 | G2_smistamento | 0. | 0. | 0. |
| 272 | 272 | 86 | G2_smistamento | 0. | 0. | 0. |
| 272 | 272 | 183 | G2_smistamento | 0. | 0. | 0. |
| 272 | 272 | 179 | G2_smistamento | 0. | 0. | 0. |
| 272 | 272 | 84 | Q_smistamento | 0. | 0. | 0. |
| 272 | 272 | 86 | Q_smistamento | 0. | 0. | 0. |
| 272 | 272 | 183 | Q_smistamento | 0. | 0. | 0. |
| 272 | 272 | 179 | Q_smistamento | 0. | 0. | 0. |
| 272 | 272 | 84 | Q_neve | 0. | 0. | 0. |
| 272 | 272 | 86 | Q_neve | 0. | 0. | 0. |
| 272 | 272 | 183 | Q_neve | 0. | 0. | 0. |
| 272 | 272 | 179 | Q_neve | 0. | 0. | 0. |
| 273 | 273 | 179 | DEAD | 0. | 0. | 0. |
| 273 | 273 | 183 | DEAD | 0. | 0. | 0. |
| 273 | 273 | 184 | DEAD | 0. | 0. | 0. |
| 273 | 273 | 180 | DEAD | 0. | 0. | 0. |
| 273 | 273 | 179 | G1_smistamento | 0. | 0. | 0. |
| 273 | 273 | 183 | G1_smistamento | 0. | 0. | 0. |
| 273 | 273 | 184 | G1_smistamento | 0. | 0. | 0. |
| 273 | 273 | 180 | G1_smistamento | 0. | 0. | 0. |
| 273 | 273 | 179 | G2_smistamento | 0. | 0. | 0. |
| 273 | 273 | 183 | G2_smistamento | 0. | 0. | 0. |
| 273 | 273 | 184 | G2_smistamento | 0. | 0. | 0. |
| 273 | 273 | 180 | G2_smistamento | 0. | 0. | 0. |
| 273 | 273 | 179 | Q_smistamento | 0. | 0. | 0. |
| 273 | 273 | 183 | Q_smistamento | 0. | 0. | 0. |
| 273 | 273 | 184 | Q_smistamento | 0. | 0. | 0. |

Table 20: Element Forces - Area Shells, Part 1 of 3

| Area | AreaElem | Joint | OutputCase | F11 KN/m | F22 KN/m | F12 KN/m |
|------|----------|-------|----------------|-------------|-------------|-------------|
| 273 | 273 | 180 | Q_smistamento | 0. | 0. | 0. |
| 273 | 273 | 179 | Q_neve | 0. | 0. | 0. |
| 273 | 273 | 183 | Q_neve | 0. | 0. | 0. |
| 273 | 273 | 184 | Q_neve | 0. | 0. | 0. |
| 273 | 273 | 180 | Q_neve | 0. | 0. | 0. |
| 274 | 274 | 180 | DEAD | 0. | 0. | 0. |
| 274 | 274 | 184 | DEAD | 0. | 0. | 0. |
| 274 | 274 | 185 | DEAD | 0. | 0. | 0. |
| 274 | 274 | 181 | DEAD | 0. | 0. | 0. |
| 274 | 274 | 180 | G1_smistamento | 0. | 0. | 0. |
| 274 | 274 | 184 | G1_smistamento | 0. | 0. | 0. |
| 274 | 274 | 185 | G1_smistamento | 0. | 0. | 0. |
| 274 | 274 | 181 | G1_smistamento | 0. | 0. | 0. |
| 274 | 274 | 180 | G2_smistamento | 0. | 0. | 0. |
| 274 | 274 | 184 | G2_smistamento | 0. | 0. | 0. |
| 274 | 274 | 185 | G2_smistamento | 0. | 0. | 0. |
| 274 | 274 | 181 | G2_smistamento | 0. | 0. | 0. |
| 274 | 274 | 180 | Q_smistamento | 0. | 0. | 0. |
| 274 | 274 | 184 | Q_smistamento | 0. | 0. | 0. |
| 274 | 274 | 185 | Q_smistamento | 0. | 0. | 0. |
| 274 | 274 | 181 | Q_smistamento | 0. | 0. | 0. |
| 274 | 274 | 180 | Q_neve | 0. | 0. | 0. |
| 274 | 274 | 184 | Q_neve | 0. | 0. | 0. |
| 274 | 274 | 185 | Q_neve | 0. | 0. | 0. |
| 274 | 274 | 181 | Q_neve | 0. | 0. | 0. |
| 275 | 275 | 181 | DEAD | 0. | 0. | 0. |
| 275 | 275 | 185 | DEAD | 0. | 0. | 0. |
| 275 | 275 | 186 | DEAD | 0. | 0. | 0. |
| 275 | 275 | 182 | DEAD | 0. | 0. | 0. |
| 275 | 275 | 181 | G1_smistamento | 0. | 0. | 0. |
| 275 | 275 | 185 | G1_smistamento | 0. | 0. | 0. |
| 275 | 275 | 186 | G1_smistamento | 0. | 0. | 0. |
| 275 | 275 | 182 | G1_smistamento | 0. | 0. | 0. |
| 275 | 275 | 181 | G2_smistamento | 0. | 0. | 0. |
| 275 | 275 | 185 | G2_smistamento | 0. | 0. | 0. |
| 275 | 275 | 186 | G2_smistamento | 0. | 0. | 0. |
| 275 | 275 | 182 | G2_smistamento | 0. | 0. | 0. |
| 275 | 275 | 181 | Q_smistamento | 0. | 0. | 0. |

Table 20: Element Forces - Area Shells, Part 1 of 3

| Area | AreaElem | Joint | OutputCase | F11 KN/m | F22 KN/m | F12 KN/m |
|------|----------|-------|----------------|-------------|-------------|-------------|
| 275 | 275 | 185 | Q_smistamento | 0. | 0. | 0. |
| 275 | 275 | 186 | Q_smistamento | 0. | 0. | 0. |
| 275 | 275 | 182 | Q_smistamento | 0. | 0. | 0. |
| 275 | 275 | 181 | Q_neve | 0. | 0. | 0. |
| 275 | 275 | 185 | Q_neve | 0. | 0. | 0. |
| 275 | 275 | 186 | Q_neve | 0. | 0. | 0. |
| 275 | 275 | 182 | Q_neve | 0. | 0. | 0. |
| 276 | 276 | 182 | DEAD | 0. | 0. | 0. |
| 276 | 276 | 186 | DEAD | 0. | 0. | 0. |
| 276 | 276 | 120 | DEAD | 0. | 0. | 0. |
| 276 | 276 | 122 | DEAD | 0. | 0. | 0. |
| 276 | 276 | 182 | G1_smistamento | 0. | 0. | 0. |
| 276 | 276 | 186 | G1_smistamento | 0. | 0. | 0. |
| 276 | 276 | 120 | G1_smistamento | 0. | 0. | 0. |
| 276 | 276 | 122 | G1_smistamento | 0. | 0. | 0. |
| 276 | 276 | 182 | G2_smistamento | 0. | 0. | 0. |
| 276 | 276 | 186 | G2_smistamento | 0. | 0. | 0. |
| 276 | 276 | 120 | G2_smistamento | 0. | 0. | 0. |
| 276 | 276 | 122 | G2_smistamento | 0. | 0. | 0. |
| 276 | 276 | 182 | Q_smistamento | 0. | 0. | 0. |
| 276 | 276 | 186 | Q_smistamento | 0. | 0. | 0. |
| 276 | 276 | 120 | Q_smistamento | 0. | 0. | 0. |
| 276 | 276 | 122 | Q_smistamento | 0. | 0. | 0. |
| 276 | 276 | 182 | Q_neve | 0. | 0. | 0. |
| 276 | 276 | 186 | Q_neve | 0. | 0. | 0. |
| 276 | 276 | 120 | Q_neve | 0. | 0. | 0. |
| 276 | 276 | 122 | Q_neve | 0. | 0. | 0. |
| 277 | 277 | 86 | DEAD | 0. | 0. | 0. |
| 277 | 277 | 88 | DEAD | 0. | 0. | 0. |
| 277 | 277 | 187 | DEAD | 0. | 0. | 0. |
| 277 | 277 | 183 | DEAD | 0. | 0. | 0. |
| 277 | 277 | 86 | G1_smistamento | 0. | 0. | 0. |
| 277 | 277 | 88 | G1_smistamento | 0. | 0. | 0. |
| 277 | 277 | 187 | G1_smistamento | 0. | 0. | 0. |
| 277 | 277 | 183 | G1_smistamento | 0. | 0. | 0. |
| 277 | 277 | 86 | G2_smistamento | 0. | 0. | 0. |
| 277 | 277 | 88 | G2_smistamento | 0. | 0. | 0. |
| 277 | 277 | 187 | G2_smistamento | 0. | 0. | 0. |

Table 20: Element Forces - Area Shells, Part 1 of 3

| Area | AreaElem | Joint | OutputCase | F11 KN/m | F22 KN/m | F12 KN/m |
|------|----------|-------|----------------|-------------|-------------|-------------|
| 277 | 277 | 183 | G2_smistamento | 0. | 0. | 0. |
| 277 | 277 | 86 | Q_smistamento | 0. | 0. | 0. |
| 277 | 277 | 88 | Q_smistamento | 0. | 0. | 0. |
| 277 | 277 | 187 | Q_smistamento | 0. | 0. | 0. |
| 277 | 277 | 183 | Q_smistamento | 0. | 0. | 0. |
| 277 | 277 | 86 | Q_neve | 0. | 0. | 0. |
| 277 | 277 | 88 | Q_neve | 0. | 0. | 0. |
| 277 | 277 | 187 | Q_neve | 0. | 0. | 0. |
| 277 | 277 | 183 | Q_neve | 0. | 0. | 0. |
| 278 | 278 | 183 | DEAD | 0. | 0. | 0. |
| 278 | 278 | 187 | DEAD | 0. | 0. | 0. |
| 278 | 278 | 188 | DEAD | 0. | 0. | 0. |
| 278 | 278 | 184 | DEAD | 0. | 0. | 0. |
| 278 | 278 | 183 | G1_smistamento | 0. | 0. | 0. |
| 278 | 278 | 187 | G1_smistamento | 0. | 0. | 0. |
| 278 | 278 | 188 | G1_smistamento | 0. | 0. | 0. |
| 278 | 278 | 184 | G1_smistamento | 0. | 0. | 0. |
| 278 | 278 | 183 | G2_smistamento | 0. | 0. | 0. |
| 278 | 278 | 187 | G2_smistamento | 0. | 0. | 0. |
| 278 | 278 | 188 | G2_smistamento | 0. | 0. | 0. |
| 278 | 278 | 184 | G2_smistamento | 0. | 0. | 0. |
| 278 | 278 | 183 | Q_smistamento | 0. | 0. | 0. |
| 278 | 278 | 187 | Q_smistamento | 0. | 0. | 0. |
| 278 | 278 | 188 | Q_smistamento | 0. | 0. | 0. |
| 278 | 278 | 184 | Q_smistamento | 0. | 0. | 0. |
| 278 | 278 | 183 | Q_neve | 0. | 0. | 0. |
| 278 | 278 | 187 | Q_neve | 0. | 0. | 0. |
| 278 | 278 | 188 | Q_neve | 0. | 0. | 0. |
| 278 | 278 | 184 | Q_neve | 0. | 0. | 0. |
| 279 | 279 | 184 | DEAD | 0. | 0. | 0. |
| 279 | 279 | 188 | DEAD | 0. | 0. | 0. |
| 279 | 279 | 189 | DEAD | 0. | 0. | 0. |
| 279 | 279 | 185 | DEAD | 0. | 0. | 0. |
| 279 | 279 | 184 | G1_smistamento | 0. | 0. | 0. |
| 279 | 279 | 188 | G1_smistamento | 0. | 0. | 0. |
| 279 | 279 | 189 | G1_smistamento | 0. | 0. | 0. |
| 279 | 279 | 185 | G1_smistamento | 0. | 0. | 0. |
| 279 | 279 | 184 | G2_smistamento | 0. | 0. | 0. |

Table 20: Element Forces - Area Shells, Part 1 of 3

| Area | AreaElem | Joint | OutputCase | F11 KN/m | F22 KN/m | F12 KN/m |
|------|----------|-------|----------------|-------------|-------------|-------------|
| 279 | 279 | 188 | G2_smistamento | 0. | 0. | 0. |
| 279 | 279 | 189 | G2_smistamento | 0. | 0. | 0. |
| 279 | 279 | 185 | G2_smistamento | 0. | 0. | 0. |
| 279 | 279 | 184 | Q_smistamento | 0. | 0. | 0. |
| 279 | 279 | 188 | Q_smistamento | 0. | 0. | 0. |
| 279 | 279 | 189 | Q_smistamento | 0. | 0. | 0. |
| 279 | 279 | 185 | Q_smistamento | 0. | 0. | 0. |
| 279 | 279 | 184 | Q_neve | 0. | 0. | 0. |
| 279 | 279 | 188 | Q_neve | 0. | 0. | 0. |
| 279 | 279 | 189 | Q_neve | 0. | 0. | 0. |
| 279 | 279 | 185 | Q_neve | 0. | 0. | 0. |
| 280 | 280 | 185 | DEAD | 0. | 0. | 0. |
| 280 | 280 | 189 | DEAD | 0. | 0. | 0. |
| 280 | 280 | 190 | DEAD | 0. | 0. | 0. |
| 280 | 280 | 186 | DEAD | 0. | 0. | 0. |
| 280 | 280 | 185 | G1_smistamento | 0. | 0. | 0. |
| 280 | 280 | 189 | G1_smistamento | 0. | 0. | 0. |
| 280 | 280 | 190 | G1_smistamento | 0. | 0. | 0. |
| 280 | 280 | 186 | G1_smistamento | 0. | 0. | 0. |
| 280 | 280 | 185 | G2_smistamento | 0. | 0. | 0. |
| 280 | 280 | 189 | G2_smistamento | 0. | 0. | 0. |
| 280 | 280 | 190 | G2_smistamento | 0. | 0. | 0. |
| 280 | 280 | 186 | G2_smistamento | 0. | 0. | 0. |
| 280 | 280 | 185 | Q_smistamento | 0. | 0. | 0. |
| 280 | 280 | 189 | Q_smistamento | 0. | 0. | 0. |
| 280 | 280 | 190 | Q_smistamento | 0. | 0. | 0. |
| 280 | 280 | 186 | Q_smistamento | 0. | 0. | 0. |
| 280 | 280 | 185 | Q_neve | 0. | 0. | 0. |
| 280 | 280 | 189 | Q_neve | 0. | 0. | 0. |
| 280 | 280 | 190 | Q_neve | 0. | 0. | 0. |
| 280 | 280 | 186 | Q_neve | 0. | 0. | 0. |
| 281 | 281 | 186 | DEAD | 0. | 0. | 0. |
| 281 | 281 | 190 | DEAD | 0. | 0. | 0. |
| 281 | 281 | 118 | DEAD | 0. | 0. | 0. |
| 281 | 281 | 120 | DEAD | 0. | 0. | 0. |
| 281 | 281 | 186 | G1_smistamento | 0. | 0. | 0. |
| 281 | 281 | 190 | G1_smistamento | 0. | 0. | 0. |
| 281 | 281 | 118 | G1_smistamento | 0. | 0. | 0. |

Table 20: Element Forces - Area Shells, Part 1 of 3

| Area | AreaElem | Joint | OutputCase | F11 KN/m | F22 KN/m | F12 KN/m |
|------|----------|-------|----------------|-------------|-------------|-------------|
| 281 | 281 | 120 | G1_smistamento | 0. | 0. | 0. |
| 281 | 281 | 186 | G2_smistamento | 0. | 0. | 0. |
| 281 | 281 | 190 | G2_smistamento | 0. | 0. | 0. |
| 281 | 281 | 118 | G2_smistamento | 0. | 0. | 0. |
| 281 | 281 | 120 | G2_smistamento | 0. | 0. | 0. |
| 281 | 281 | 186 | Q_smistamento | 0. | 0. | 0. |
| 281 | 281 | 190 | Q_smistamento | 0. | 0. | 0. |
| 281 | 281 | 118 | Q_smistamento | 0. | 0. | 0. |
| 281 | 281 | 120 | Q_smistamento | 0. | 0. | 0. |
| 281 | 281 | 186 | Q_neve | 0. | 0. | 0. |
| 281 | 281 | 190 | Q_neve | 0. | 0. | 0. |
| 281 | 281 | 118 | Q_neve | 0. | 0. | 0. |
| 281 | 281 | 120 | Q_neve | 0. | 0. | 0. |
| 282 | 282 | 88 | DEAD | 0. | 0. | 0. |
| 282 | 282 | 90 | DEAD | 0. | 0. | 0. |
| 282 | 282 | 191 | DEAD | 0. | 0. | 0. |
| 282 | 282 | 187 | DEAD | 0. | 0. | 0. |
| 282 | 282 | 88 | G1_smistamento | 0. | 0. | 0. |
| 282 | 282 | 90 | G1_smistamento | 0. | 0. | 0. |
| 282 | 282 | 191 | G1_smistamento | 0. | 0. | 0. |
| 282 | 282 | 187 | G1_smistamento | 0. | 0. | 0. |
| 282 | 282 | 88 | G2_smistamento | 0. | 0. | 0. |
| 282 | 282 | 90 | G2_smistamento | 0. | 0. | 0. |
| 282 | 282 | 191 | G2_smistamento | 0. | 0. | 0. |
| 282 | 282 | 187 | G2_smistamento | 0. | 0. | 0. |
| 282 | 282 | 88 | Q_smistamento | 0. | 0. | 0. |
| 282 | 282 | 90 | Q_smistamento | 0. | 0. | 0. |
| 282 | 282 | 191 | Q_smistamento | 0. | 0. | 0. |
| 282 | 282 | 187 | Q_smistamento | 0. | 0. | 0. |
| 282 | 282 | 88 | Q_neve | 0. | 0. | 0. |
| 282 | 282 | 90 | Q_neve | 0. | 0. | 0. |
| 282 | 282 | 191 | Q_neve | 0. | 0. | 0. |
| 282 | 282 | 187 | Q_neve | 0. | 0. | 0. |
| 283 | 283 | 187 | DEAD | 0. | 0. | 0. |
| 283 | 283 | 191 | DEAD | 0. | 0. | 0. |
| 283 | 283 | 192 | DEAD | 0. | 0. | 0. |
| 283 | 283 | 188 | DEAD | 0. | 0. | 0. |
| 283 | 283 | 187 | G1_smistamento | 0. | 0. | 0. |

Table 20: Element Forces - Area Shells, Part 1 of 3

| Area | AreaElem | Joint | OutputCase | F11 KN/m | F22 KN/m | F12 KN/m |
|------|----------|-------|----------------|-------------|-------------|-------------|
| 283 | 283 | 191 | G1_smistamento | 0. | 0. | 0. |
| 283 | 283 | 192 | G1_smistamento | 0. | 0. | 0. |
| 283 | 283 | 188 | G1_smistamento | 0. | 0. | 0. |
| 283 | 283 | 187 | G2_smistamento | 0. | 0. | 0. |
| 283 | 283 | 191 | G2_smistamento | 0. | 0. | 0. |
| 283 | 283 | 192 | G2_smistamento | 0. | 0. | 0. |
| 283 | 283 | 188 | G2_smistamento | 0. | 0. | 0. |
| 283 | 283 | 187 | Q_smistamento | 0. | 0. | 0. |
| 283 | 283 | 191 | Q_smistamento | 0. | 0. | 0. |
| 283 | 283 | 192 | Q_smistamento | 0. | 0. | 0. |
| 283 | 283 | 188 | Q_smistamento | 0. | 0. | 0. |
| 283 | 283 | 187 | Q_neve | 0. | 0. | 0. |
| 283 | 283 | 191 | Q_neve | 0. | 0. | 0. |
| 283 | 283 | 192 | Q_neve | 0. | 0. | 0. |
| 283 | 283 | 188 | Q_neve | 0. | 0. | 0. |
| 284 | 284 | 188 | DEAD | 0. | 0. | 0. |
| 284 | 284 | 192 | DEAD | 0. | 0. | 0. |
| 284 | 284 | 193 | DEAD | 0. | 0. | 0. |
| 284 | 284 | 189 | DEAD | 0. | 0. | 0. |
| 284 | 284 | 188 | G1_smistamento | 0. | 0. | 0. |
| 284 | 284 | 192 | G1_smistamento | 0. | 0. | 0. |
| 284 | 284 | 193 | G1_smistamento | 0. | 0. | 0. |
| 284 | 284 | 189 | G1_smistamento | 0. | 0. | 0. |
| 284 | 284 | 188 | G2_smistamento | 0. | 0. | 0. |
| 284 | 284 | 192 | G2_smistamento | 0. | 0. | 0. |
| 284 | 284 | 193 | G2_smistamento | 0. | 0. | 0. |
| 284 | 284 | 189 | G2_smistamento | 0. | 0. | 0. |
| 284 | 284 | 188 | Q_smistamento | 0. | 0. | 0. |
| 284 | 284 | 192 | Q_smistamento | 0. | 0. | 0. |
| 284 | 284 | 193 | Q_smistamento | 0. | 0. | 0. |
| 284 | 284 | 189 | Q_smistamento | 0. | 0. | 0. |
| 284 | 284 | 188 | Q_neve | 0. | 0. | 0. |
| 284 | 284 | 192 | Q_neve | 0. | 0. | 0. |
| 284 | 284 | 193 | Q_neve | 0. | 0. | 0. |
| 284 | 284 | 189 | Q_neve | 0. | 0. | 0. |
| 285 | 285 | 189 | DEAD | 0. | 0. | 0. |
| 285 | 285 | 193 | DEAD | 0. | 0. | 0. |
| 285 | 285 | 194 | DEAD | 0. | 0. | 0. |

Table 20: Element Forces - Area Shells, Part 1 of 3

| Area | AreaElem | Joint | OutputCase | F11 KN/m | F22 KN/m | F12 KN/m |
|------|----------|-------|----------------|-------------|-------------|-------------|
| 285 | 285 | 190 | DEAD | 0. | 0. | 0. |
| 285 | 285 | 189 | G1_smistamento | 0. | 0. | 0. |
| 285 | 285 | 193 | G1_smistamento | 0. | 0. | 0. |
| 285 | 285 | 194 | G1_smistamento | 0. | 0. | 0. |
| 285 | 285 | 190 | G1_smistamento | 0. | 0. | 0. |
| 285 | 285 | 189 | G2_smistamento | 0. | 0. | 0. |
| 285 | 285 | 193 | G2_smistamento | 0. | 0. | 0. |
| 285 | 285 | 194 | G2_smistamento | 0. | 0. | 0. |
| 285 | 285 | 190 | G2_smistamento | 0. | 0. | 0. |
| 285 | 285 | 189 | Q_smistamento | 0. | 0. | 0. |
| 285 | 285 | 193 | Q_smistamento | 0. | 0. | 0. |
| 285 | 285 | 194 | Q_smistamento | 0. | 0. | 0. |
| 285 | 285 | 190 | Q_smistamento | 0. | 0. | 0. |
| 285 | 285 | 189 | Q_neve | 0. | 0. | 0. |
| 285 | 285 | 193 | Q_neve | 0. | 0. | 0. |
| 285 | 285 | 194 | Q_neve | 0. | 0. | 0. |
| 285 | 285 | 190 | Q_neve | 0. | 0. | 0. |
| 286 | 286 | 190 | DEAD | 0. | 0. | 0. |
| 286 | 286 | 194 | DEAD | 0. | 0. | 0. |
| 286 | 286 | 116 | DEAD | 0. | 0. | 0. |
| 286 | 286 | 118 | DEAD | 0. | 0. | 0. |
| 286 | 286 | 190 | G1_smistamento | 0. | 0. | 0. |
| 286 | 286 | 194 | G1_smistamento | 0. | 0. | 0. |
| 286 | 286 | 116 | G1_smistamento | 0. | 0. | 0. |
| 286 | 286 | 118 | G1_smistamento | 0. | 0. | 0. |
| 286 | 286 | 190 | G2_smistamento | 0. | 0. | 0. |
| 286 | 286 | 194 | G2_smistamento | 0. | 0. | 0. |
| 286 | 286 | 116 | G2_smistamento | 0. | 0. | 0. |
| 286 | 286 | 118 | G2_smistamento | 0. | 0. | 0. |
| 286 | 286 | 190 | Q_smistamento | 0. | 0. | 0. |
| 286 | 286 | 194 | Q_smistamento | 0. | 0. | 0. |
| 286 | 286 | 116 | Q_smistamento | 0. | 0. | 0. |
| 286 | 286 | 118 | Q_smistamento | 0. | 0. | 0. |
| 286 | 286 | 190 | Q_neve | 0. | 0. | 0. |
| 286 | 286 | 194 | Q_neve | 0. | 0. | 0. |
| 286 | 286 | 116 | Q_neve | 0. | 0. | 0. |
| 286 | 286 | 118 | Q_neve | 0. | 0. | 0. |
| 287 | 287 | 90 | DEAD | 0. | 0. | 0. |

Table 20: Element Forces - Area Shells, Part 1 of 3

| Area | AreaElem | Joint | OutputCase | F11 KN/m | F22 KN/m | F12 KN/m |
|------|----------|-------|----------------|-------------|-------------|-------------|
| 287 | 287 | 92 | DEAD | 0. | 0. | 0. |
| 287 | 287 | 195 | DEAD | 0. | 0. | 0. |
| 287 | 287 | 191 | DEAD | 0. | 0. | 0. |
| 287 | 287 | 90 | G1_smistamento | 0. | 0. | 0. |
| 287 | 287 | 92 | G1_smistamento | 0. | 0. | 0. |
| 287 | 287 | 195 | G1_smistamento | 0. | 0. | 0. |
| 287 | 287 | 191 | G1_smistamento | 0. | 0. | 0. |
| 287 | 287 | 90 | G2_smistamento | 0. | 0. | 0. |
| 287 | 287 | 92 | G2_smistamento | 0. | 0. | 0. |
| 287 | 287 | 195 | G2_smistamento | 0. | 0. | 0. |
| 287 | 287 | 191 | G2_smistamento | 0. | 0. | 0. |
| 287 | 287 | 90 | Q_smistamento | 0. | 0. | 0. |
| 287 | 287 | 92 | Q_smistamento | 0. | 0. | 0. |
| 287 | 287 | 195 | Q_smistamento | 0. | 0. | 0. |
| 287 | 287 | 191 | Q_smistamento | 0. | 0. | 0. |
| 287 | 287 | 90 | Q_neve | 0. | 0. | 0. |
| 287 | 287 | 92 | Q_neve | 0. | 0. | 0. |
| 287 | 287 | 195 | Q_neve | 0. | 0. | 0. |
| 287 | 287 | 191 | Q_neve | 0. | 0. | 0. |
| 288 | 288 | 191 | DEAD | 0. | 0. | 0. |
| 288 | 288 | 195 | DEAD | 0. | 0. | 0. |
| 288 | 288 | 196 | DEAD | 0. | 0. | 0. |
| 288 | 288 | 192 | DEAD | 0. | 0. | 0. |
| 288 | 288 | 191 | G1_smistamento | 0. | 0. | 0. |
| 288 | 288 | 195 | G1_smistamento | 0. | 0. | 0. |
| 288 | 288 | 196 | G1_smistamento | 0. | 0. | 0. |
| 288 | 288 | 192 | G1_smistamento | 0. | 0. | 0. |
| 288 | 288 | 191 | G2_smistamento | 0. | 0. | 0. |
| 288 | 288 | 195 | G2_smistamento | 0. | 0. | 0. |
| 288 | 288 | 196 | G2_smistamento | 0. | 0. | 0. |
| 288 | 288 | 192 | G2_smistamento | 0. | 0. | 0. |
| 288 | 288 | 191 | Q_smistamento | 0. | 0. | 0. |
| 288 | 288 | 195 | Q_smistamento | 0. | 0. | 0. |
| 288 | 288 | 196 | Q_smistamento | 0. | 0. | 0. |
| 288 | 288 | 192 | Q_smistamento | 0. | 0. | 0. |
| 288 | 288 | 191 | Q_neve | 0. | 0. | 0. |
| 288 | 288 | 195 | Q_neve | 0. | 0. | 0. |
| 288 | 288 | 196 | Q_neve | 0. | 0. | 0. |

Table 20: Element Forces - Area Shells, Part 1 of 3

| Area | AreaElem | Joint | OutputCase | F11 KN/m | F22 KN/m | F12 KN/m |
|------|----------|-------|----------------|-------------|-------------|-------------|
| 288 | 288 | 192 | Q_neve | 0. | 0. | 0. |
| 289 | 289 | 192 | DEAD | 0. | 0. | 0. |
| 289 | 289 | 196 | DEAD | 0. | 0. | 0. |
| 289 | 289 | 197 | DEAD | 0. | 0. | 0. |
| 289 | 289 | 193 | DEAD | 0. | 0. | 0. |
| 289 | 289 | 192 | G1_smistamento | 0. | 0. | 0. |
| 289 | 289 | 196 | G1_smistamento | 0. | 0. | 0. |
| 289 | 289 | 197 | G1_smistamento | 0. | 0. | 0. |
| 289 | 289 | 193 | G1_smistamento | 0. | 0. | 0. |
| 289 | 289 | 192 | G2_smistamento | 0. | 0. | 0. |
| 289 | 289 | 196 | G2_smistamento | 0. | 0. | 0. |
| 289 | 289 | 197 | G2_smistamento | 0. | 0. | 0. |
| 289 | 289 | 193 | G2_smistamento | 0. | 0. | 0. |
| 289 | 289 | 192 | Q_smistamento | 0. | 0. | 0. |
| 289 | 289 | 196 | Q_smistamento | 0. | 0. | 0. |
| 289 | 289 | 197 | Q_smistamento | 0. | 0. | 0. |
| 289 | 289 | 193 | Q_smistamento | 0. | 0. | 0. |
| 289 | 289 | 192 | Q_neve | 0. | 0. | 0. |
| 289 | 289 | 196 | Q_neve | 0. | 0. | 0. |
| 289 | 289 | 197 | Q_neve | 0. | 0. | 0. |
| 289 | 289 | 193 | Q_neve | 0. | 0. | 0. |
| 290 | 290 | 193 | DEAD | 0. | 0. | 0. |
| 290 | 290 | 197 | DEAD | 0. | 0. | 0. |
| 290 | 290 | 198 | DEAD | 0. | 0. | 0. |
| 290 | 290 | 194 | DEAD | 0. | 0. | 0. |
| 290 | 290 | 193 | G1_smistamento | 0. | 0. | 0. |
| 290 | 290 | 197 | G1_smistamento | 0. | 0. | 0. |
| 290 | 290 | 198 | G1_smistamento | 0. | 0. | 0. |
| 290 | 290 | 194 | G1_smistamento | 0. | 0. | 0. |
| 290 | 290 | 193 | G2_smistamento | 0. | 0. | 0. |
| 290 | 290 | 197 | G2_smistamento | 0. | 0. | 0. |
| 290 | 290 | 198 | G2_smistamento | 0. | 0. | 0. |
| 290 | 290 | 194 | G2_smistamento | 0. | 0. | 0. |
| 290 | 290 | 193 | Q_smistamento | 0. | 0. | 0. |
| 290 | 290 | 197 | Q_smistamento | 0. | 0. | 0. |
| 290 | 290 | 198 | Q_smistamento | 0. | 0. | 0. |
| 290 | 290 | 194 | Q_smistamento | 0. | 0. | 0. |
| 290 | 290 | 193 | Q_neve | 0. | 0. | 0. |

Table 20: Element Forces - Area Shells, Part 1 of 3

| Area | AreaElem | Joint | OutputCase | F11 KN/m | F22 KN/m | F12 KN/m |
|------|----------|-------|----------------|-------------|-------------|-------------|
| 290 | 290 | 197 | Q_neve | 0. | 0. | 0. |
| 290 | 290 | 198 | Q_neve | 0. | 0. | 0. |
| 290 | 290 | 194 | Q_neve | 0. | 0. | 0. |
| 291 | 291 | 194 | DEAD | 0. | 0. | 0. |
| 291 | 291 | 198 | DEAD | 0. | 0. | 0. |
| 291 | 291 | 114 | DEAD | 0. | 0. | 0. |
| 291 | 291 | 116 | DEAD | 0. | 0. | 0. |
| 291 | 291 | 194 | G1_smistamento | 0. | 0. | 0. |
| 291 | 291 | 198 | G1_smistamento | 0. | 0. | 0. |
| 291 | 291 | 114 | G1_smistamento | 0. | 0. | 0. |
| 291 | 291 | 116 | G1_smistamento | 0. | 0. | 0. |
| 291 | 291 | 194 | G2_smistamento | 0. | 0. | 0. |
| 291 | 291 | 198 | G2_smistamento | 0. | 0. | 0. |
| 291 | 291 | 114 | G2_smistamento | 0. | 0. | 0. |
| 291 | 291 | 116 | G2_smistamento | 0. | 0. | 0. |
| 291 | 291 | 194 | Q_smistamento | 0. | 0. | 0. |
| 291 | 291 | 198 | Q_smistamento | 0. | 0. | 0. |
| 291 | 291 | 114 | Q_smistamento | 0. | 0. | 0. |
| 291 | 291 | 116 | Q_smistamento | 0. | 0. | 0. |
| 291 | 291 | 194 | Q_neve | 0. | 0. | 0. |
| 291 | 291 | 198 | Q_neve | 0. | 0. | 0. |
| 291 | 291 | 114 | Q_neve | 0. | 0. | 0. |
| 291 | 291 | 116 | Q_neve | 0. | 0. | 0. |
| 292 | 292 | 92 | DEAD | 0. | 0. | 0. |
| 292 | 292 | 94 | DEAD | 0. | 0. | 0. |
| 292 | 292 | 199 | DEAD | 0. | 0. | 0. |
| 292 | 292 | 195 | DEAD | 0. | 0. | 0. |
| 292 | 292 | 92 | G1_smistamento | 0. | 0. | 0. |
| 292 | 292 | 94 | G1_smistamento | 0. | 0. | 0. |
| 292 | 292 | 199 | G1_smistamento | 0. | 0. | 0. |
| 292 | 292 | 195 | G1_smistamento | 0. | 0. | 0. |
| 292 | 292 | 92 | G2_smistamento | 0. | 0. | 0. |
| 292 | 292 | 94 | G2_smistamento | 0. | 0. | 0. |
| 292 | 292 | 199 | G2_smistamento | 0. | 0. | 0. |
| 292 | 292 | 195 | G2_smistamento | 0. | 0. | 0. |
| 292 | 292 | 92 | Q_smistamento | 0. | 0. | 0. |
| 292 | 292 | 94 | Q_smistamento | 0. | 0. | 0. |
| 292 | 292 | 199 | Q_smistamento | 0. | 0. | 0. |

Table 20: Element Forces - Area Shells, Part 1 of 3

| Area | AreaElem | Joint | OutputCase | F11 KN/m | F22 KN/m | F12 KN/m |
|------|----------|-------|----------------|-------------|-------------|-------------|
| 292 | 292 | 195 | Q_smistamento | 0. | 0. | 0. |
| 292 | 292 | 92 | Q_neve | 0. | 0. | 0. |
| 292 | 292 | 94 | Q_neve | 0. | 0. | 0. |
| 292 | 292 | 199 | Q_neve | 0. | 0. | 0. |
| 292 | 292 | 195 | Q_neve | 0. | 0. | 0. |
| 293 | 293 | 195 | DEAD | 0. | 0. | 0. |
| 293 | 293 | 199 | DEAD | 0. | 0. | 0. |
| 293 | 293 | 200 | DEAD | 0. | 0. | 0. |
| 293 | 293 | 196 | DEAD | 0. | 0. | 0. |
| 293 | 293 | 195 | G1_smistamento | 0. | 0. | 0. |
| 293 | 293 | 199 | G1_smistamento | 0. | 0. | 0. |
| 293 | 293 | 200 | G1_smistamento | 0. | 0. | 0. |
| 293 | 293 | 196 | G1_smistamento | 0. | 0. | 0. |
| 293 | 293 | 195 | G2_smistamento | 0. | 0. | 0. |
| 293 | 293 | 199 | G2_smistamento | 0. | 0. | 0. |
| 293 | 293 | 200 | G2_smistamento | 0. | 0. | 0. |
| 293 | 293 | 196 | G2_smistamento | 0. | 0. | 0. |
| 293 | 293 | 195 | Q_smistamento | 0. | 0. | 0. |
| 293 | 293 | 199 | Q_smistamento | 0. | 0. | 0. |
| 293 | 293 | 200 | Q_smistamento | 0. | 0. | 0. |
| 293 | 293 | 196 | Q_smistamento | 0. | 0. | 0. |
| 293 | 293 | 195 | Q_neve | 0. | 0. | 0. |
| 293 | 293 | 199 | Q_neve | 0. | 0. | 0. |
| 293 | 293 | 200 | Q_neve | 0. | 0. | 0. |
| 293 | 293 | 196 | Q_neve | 0. | 0. | 0. |
| 294 | 294 | 196 | DEAD | 0. | 0. | 0. |
| 294 | 294 | 200 | DEAD | 0. | 0. | 0. |
| 294 | 294 | 201 | DEAD | 0. | 0. | 0. |
| 294 | 294 | 197 | DEAD | 0. | 0. | 0. |
| 294 | 294 | 196 | G1_smistamento | 0. | 0. | 0. |
| 294 | 294 | 200 | G1_smistamento | 0. | 0. | 0. |
| 294 | 294 | 201 | G1_smistamento | 0. | 0. | 0. |
| 294 | 294 | 197 | G1_smistamento | 0. | 0. | 0. |
| 294 | 294 | 196 | G2_smistamento | 0. | 0. | 0. |
| 294 | 294 | 200 | G2_smistamento | 0. | 0. | 0. |
| 294 | 294 | 201 | G2_smistamento | 0. | 0. | 0. |
| 294 | 294 | 197 | G2_smistamento | 0. | 0. | 0. |
| 294 | 294 | 196 | Q_smistamento | 0. | 0. | 0. |

Table 20: Element Forces - Area Shells, Part 1 of 3

| Area | AreaElem | Joint | OutputCase | F11 KN/m | F22 KN/m | F12 KN/m |
|------|----------|-------|----------------|-------------|-------------|-------------|
| 294 | 294 | 200 | Q_smistamento | 0. | 0. | 0. |
| 294 | 294 | 201 | Q_smistamento | 0. | 0. | 0. |
| 294 | 294 | 197 | Q_smistamento | 0. | 0. | 0. |
| 294 | 294 | 196 | Q_neve | 0. | 0. | 0. |
| 294 | 294 | 200 | Q_neve | 0. | 0. | 0. |
| 294 | 294 | 201 | Q_neve | 0. | 0. | 0. |
| 294 | 294 | 197 | Q_neve | 0. | 0. | 0. |
| 295 | 295 | 197 | DEAD | 0. | 0. | 0. |
| 295 | 295 | 201 | DEAD | 0. | 0. | 0. |
| 295 | 295 | 202 | DEAD | 0. | 0. | 0. |
| 295 | 295 | 198 | DEAD | 0. | 0. | 0. |
| 295 | 295 | 197 | G1_smistamento | 0. | 0. | 0. |
| 295 | 295 | 201 | G1_smistamento | 0. | 0. | 0. |
| 295 | 295 | 202 | G1_smistamento | 0. | 0. | 0. |
| 295 | 295 | 198 | G1_smistamento | 0. | 0. | 0. |
| 295 | 295 | 197 | G2_smistamento | 0. | 0. | 0. |
| 295 | 295 | 201 | G2_smistamento | 0. | 0. | 0. |
| 295 | 295 | 202 | G2_smistamento | 0. | 0. | 0. |
| 295 | 295 | 198 | G2_smistamento | 0. | 0. | 0. |
| 295 | 295 | 197 | Q_smistamento | 0. | 0. | 0. |
| 295 | 295 | 201 | Q_smistamento | 0. | 0. | 0. |
| 295 | 295 | 202 | Q_smistamento | 0. | 0. | 0. |
| 295 | 295 | 198 | Q_smistamento | 0. | 0. | 0. |
| 295 | 295 | 197 | Q_neve | 0. | 0. | 0. |
| 295 | 295 | 201 | Q_neve | 0. | 0. | 0. |
| 295 | 295 | 202 | Q_neve | 0. | 0. | 0. |
| 295 | 295 | 198 | Q_neve | 0. | 0. | 0. |
| 296 | 296 | 198 | DEAD | 0. | 0. | 0. |
| 296 | 296 | 202 | DEAD | 0. | 0. | 0. |
| 296 | 296 | 112 | DEAD | 0. | 0. | 0. |
| 296 | 296 | 114 | DEAD | 0. | 0. | 0. |
| 296 | 296 | 198 | G1_smistamento | 0. | 0. | 0. |
| 296 | 296 | 202 | G1_smistamento | 0. | 0. | 0. |
| 296 | 296 | 112 | G1_smistamento | 0. | 0. | 0. |
| 296 | 296 | 114 | G1_smistamento | 0. | 0. | 0. |
| 296 | 296 | 198 | G2_smistamento | 0. | 0. | 0. |
| 296 | 296 | 202 | G2_smistamento | 0. | 0. | 0. |
| 296 | 296 | 112 | G2_smistamento | 0. | 0. | 0. |

Table 20: Element Forces - Area Shells, Part 1 of 3

| Area | AreaElem | Joint | OutputCase | F11 KN/m | F22 KN/m | F12 KN/m |
|------|----------|-------|----------------|-------------|-------------|-------------|
| 296 | 296 | 114 | G2_smistamento | 0. | 0. | 0. |
| 296 | 296 | 198 | Q_smistamento | 0. | 0. | 0. |
| 296 | 296 | 202 | Q_smistamento | 0. | 0. | 0. |
| 296 | 296 | 112 | Q_smistamento | 0. | 0. | 0. |
| 296 | 296 | 114 | Q_smistamento | 0. | 0. | 0. |
| 296 | 296 | 198 | Q_neve | 0. | 0. | 0. |
| 296 | 296 | 202 | Q_neve | 0. | 0. | 0. |
| 296 | 296 | 112 | Q_neve | 0. | 0. | 0. |
| 296 | 296 | 114 | Q_neve | 0. | 0. | 0. |
| 297 | 297 | 94 | DEAD | 0. | 0. | 0. |
| 297 | 297 | 96 | DEAD | 0. | 0. | 0. |
| 297 | 297 | 203 | DEAD | 0. | 0. | 0. |
| 297 | 297 | 199 | DEAD | 0. | 0. | 0. |
| 297 | 297 | 94 | G1_smistamento | 0. | 0. | 0. |
| 297 | 297 | 96 | G1_smistamento | 0. | 0. | 0. |
| 297 | 297 | 203 | G1_smistamento | 0. | 0. | 0. |
| 297 | 297 | 199 | G1_smistamento | 0. | 0. | 0. |
| 297 | 297 | 94 | G2_smistamento | 0. | 0. | 0. |
| 297 | 297 | 96 | G2_smistamento | 0. | 0. | 0. |
| 297 | 297 | 203 | G2_smistamento | 0. | 0. | 0. |
| 297 | 297 | 199 | G2_smistamento | 0. | 0. | 0. |
| 297 | 297 | 94 | Q_smistamento | 0. | 0. | 0. |
| 297 | 297 | 96 | Q_smistamento | 0. | 0. | 0. |
| 297 | 297 | 203 | Q_smistamento | 0. | 0. | 0. |
| 297 | 297 | 199 | Q_smistamento | 0. | 0. | 0. |
| 297 | 297 | 94 | Q_neve | 0. | 0. | 0. |
| 297 | 297 | 96 | Q_neve | 0. | 0. | 0. |
| 297 | 297 | 203 | Q_neve | 0. | 0. | 0. |
| 297 | 297 | 199 | Q_neve | 0. | 0. | 0. |
| 298 | 298 | 199 | DEAD | 0. | 0. | 0. |
| 298 | 298 | 203 | DEAD | 0. | 0. | 0. |
| 298 | 298 | 204 | DEAD | 0. | 0. | 0. |
| 298 | 298 | 200 | DEAD | 0. | 0. | 0. |
| 298 | 298 | 199 | G1_smistamento | 0. | 0. | 0. |
| 298 | 298 | 203 | G1_smistamento | 0. | 0. | 0. |
| 298 | 298 | 204 | G1_smistamento | 0. | 0. | 0. |
| 298 | 298 | 200 | G1_smistamento | 0. | 0. | 0. |
| 298 | 298 | 199 | G2_smistamento | 0. | 0. | 0. |

Table 20: Element Forces - Area Shells, Part 1 of 3

| Area | AreaElem | Joint | OutputCase | F11 KN/m | F22 KN/m | F12 KN/m |
|------|----------|-------|----------------|-------------|-------------|-------------|
| 298 | 298 | 203 | G2_smistamento | 0. | 0. | 0. |
| 298 | 298 | 204 | G2_smistamento | 0. | 0. | 0. |
| 298 | 298 | 200 | G2_smistamento | 0. | 0. | 0. |
| 298 | 298 | 199 | Q_smistamento | 0. | 0. | 0. |
| 298 | 298 | 203 | Q_smistamento | 0. | 0. | 0. |
| 298 | 298 | 204 | Q_smistamento | 0. | 0. | 0. |
| 298 | 298 | 200 | Q_smistamento | 0. | 0. | 0. |
| 298 | 298 | 199 | Q_neve | 0. | 0. | 0. |
| 298 | 298 | 203 | Q_neve | 0. | 0. | 0. |
| 298 | 298 | 204 | Q_neve | 0. | 0. | 0. |
| 298 | 298 | 200 | Q_neve | 0. | 0. | 0. |
| 299 | 299 | 200 | DEAD | 0. | 0. | 0. |
| 299 | 299 | 204 | DEAD | 0. | 0. | 0. |
| 299 | 299 | 205 | DEAD | 0. | 0. | 0. |
| 299 | 299 | 201 | DEAD | 0. | 0. | 0. |
| 299 | 299 | 200 | G1_smistamento | 0. | 0. | 0. |
| 299 | 299 | 204 | G1_smistamento | 0. | 0. | 0. |
| 299 | 299 | 205 | G1_smistamento | 0. | 0. | 0. |
| 299 | 299 | 201 | G1_smistamento | 0. | 0. | 0. |
| 299 | 299 | 200 | G2_smistamento | 0. | 0. | 0. |
| 299 | 299 | 204 | G2_smistamento | 0. | 0. | 0. |
| 299 | 299 | 205 | G2_smistamento | 0. | 0. | 0. |
| 299 | 299 | 201 | G2_smistamento | 0. | 0. | 0. |
| 299 | 299 | 200 | Q_smistamento | 0. | 0. | 0. |
| 299 | 299 | 204 | Q_smistamento | 0. | 0. | 0. |
| 299 | 299 | 205 | Q_smistamento | 0. | 0. | 0. |
| 299 | 299 | 201 | Q_smistamento | 0. | 0. | 0. |
| 299 | 299 | 200 | Q_neve | 0. | 0. | 0. |
| 299 | 299 | 204 | Q_neve | 0. | 0. | 0. |
| 299 | 299 | 205 | Q_neve | 0. | 0. | 0. |
| 299 | 299 | 201 | Q_neve | 0. | 0. | 0. |
| 300 | 300 | 201 | DEAD | 0. | 0. | 0. |
| 300 | 300 | 205 | DEAD | 0. | 0. | 0. |
| 300 | 300 | 206 | DEAD | 0. | 0. | 0. |
| 300 | 300 | 202 | DEAD | 0. | 0. | 0. |
| 300 | 300 | 201 | G1_smistamento | 0. | 0. | 0. |
| 300 | 300 | 205 | G1_smistamento | 0. | 0. | 0. |
| 300 | 300 | 206 | G1_smistamento | 0. | 0. | 0. |

Table 20: Element Forces - Area Shells, Part 1 of 3

| Area | AreaElem | Joint | OutputCase | F11 KN/m | F22 KN/m | F12 KN/m |
|------|----------|-------|----------------|-------------|-------------|-------------|
| 300 | 300 | 202 | G1_smistamento | 0. | 0. | 0. |
| 300 | 300 | 201 | G2_smistamento | 0. | 0. | 0. |
| 300 | 300 | 205 | G2_smistamento | 0. | 0. | 0. |
| 300 | 300 | 206 | G2_smistamento | 0. | 0. | 0. |
| 300 | 300 | 202 | G2_smistamento | 0. | 0. | 0. |
| 300 | 300 | 201 | Q_smistamento | 0. | 0. | 0. |
| 300 | 300 | 205 | Q_smistamento | 0. | 0. | 0. |
| 300 | 300 | 206 | Q_smistamento | 0. | 0. | 0. |
| 300 | 300 | 202 | Q_smistamento | 0. | 0. | 0. |
| 300 | 300 | 201 | Q_neve | 0. | 0. | 0. |
| 300 | 300 | 205 | Q_neve | 0. | 0. | 0. |
| 300 | 300 | 206 | Q_neve | 0. | 0. | 0. |
| 300 | 300 | 202 | Q_neve | 0. | 0. | 0. |
| 301 | 301 | 202 | DEAD | 0. | 0. | 0. |
| 301 | 301 | 206 | DEAD | 0. | 0. | 0. |
| 301 | 301 | 110 | DEAD | 0. | 0. | 0. |
| 301 | 301 | 112 | DEAD | 0. | 0. | 0. |
| 301 | 301 | 202 | G1_smistamento | 0. | 0. | 0. |
| 301 | 301 | 206 | G1_smistamento | 0. | 0. | 0. |
| 301 | 301 | 110 | G1_smistamento | 0. | 0. | 0. |
| 301 | 301 | 112 | G1_smistamento | 0. | 0. | 0. |
| 301 | 301 | 202 | G2_smistamento | 0. | 0. | 0. |
| 301 | 301 | 206 | G2_smistamento | 0. | 0. | 0. |
| 301 | 301 | 110 | G2_smistamento | 0. | 0. | 0. |
| 301 | 301 | 112 | G2_smistamento | 0. | 0. | 0. |
| 301 | 301 | 202 | Q_smistamento | 0. | 0. | 0. |
| 301 | 301 | 206 | Q_smistamento | 0. | 0. | 0. |
| 301 | 301 | 110 | Q_smistamento | 0. | 0. | 0. |
| 301 | 301 | 112 | Q_smistamento | 0. | 0. | 0. |
| 301 | 301 | 202 | Q_neve | 0. | 0. | 0. |
| 301 | 301 | 206 | Q_neve | 0. | 0. | 0. |
| 301 | 301 | 110 | Q_neve | 0. | 0. | 0. |
| 301 | 301 | 112 | Q_neve | 0. | 0. | 0. |
| 302 | 302 | 96 | DEAD | 0. | 0. | 0. |
| 302 | 302 | 98 | DEAD | 0. | 0. | 0. |
| 302 | 302 | 207 | DEAD | 0. | 0. | 0. |
| 302 | 302 | 203 | DEAD | 0. | 0. | 0. |
| 302 | 302 | 96 | G1_smistamento | 0. | 0. | 0. |

Table 20: Element Forces - Area Shells, Part 1 of 3

| Area | AreaElem | Joint | OutputCase | F11 KN/m | F22 KN/m | F12 KN/m |
|------|----------|-------|----------------|-------------|-------------|-------------|
| 302 | 302 | 98 | G1_smistamento | 0. | 0. | 0. |
| 302 | 302 | 207 | G1_smistamento | 0. | 0. | 0. |
| 302 | 302 | 203 | G1_smistamento | 0. | 0. | 0. |
| 302 | 302 | 96 | G2_smistamento | 0. | 0. | 0. |
| 302 | 302 | 98 | G2_smistamento | 0. | 0. | 0. |
| 302 | 302 | 207 | G2_smistamento | 0. | 0. | 0. |
| 302 | 302 | 203 | G2_smistamento | 0. | 0. | 0. |
| 302 | 302 | 96 | Q_smistamento | 0. | 0. | 0. |
| 302 | 302 | 98 | Q_smistamento | 0. | 0. | 0. |
| 302 | 302 | 207 | Q_smistamento | 0. | 0. | 0. |
| 302 | 302 | 203 | Q_smistamento | 0. | 0. | 0. |
| 302 | 302 | 96 | Q_neve | 0. | 0. | 0. |
| 302 | 302 | 98 | Q_neve | 0. | 0. | 0. |
| 302 | 302 | 207 | Q_neve | 0. | 0. | 0. |
| 302 | 302 | 203 | Q_neve | 0. | 0. | 0. |
| 303 | 303 | 203 | DEAD | 0. | 0. | 0. |
| 303 | 303 | 207 | DEAD | 0. | 0. | 0. |
| 303 | 303 | 208 | DEAD | 0. | 0. | 0. |
| 303 | 303 | 204 | DEAD | 0. | 0. | 0. |
| 303 | 303 | 203 | G1_smistamento | 0. | 0. | 0. |
| 303 | 303 | 207 | G1_smistamento | 0. | 0. | 0. |
| 303 | 303 | 208 | G1_smistamento | 0. | 0. | 0. |
| 303 | 303 | 204 | G1_smistamento | 0. | 0. | 0. |
| 303 | 303 | 203 | G2_smistamento | 0. | 0. | 0. |
| 303 | 303 | 207 | G2_smistamento | 0. | 0. | 0. |
| 303 | 303 | 208 | G2_smistamento | 0. | 0. | 0. |
| 303 | 303 | 204 | G2_smistamento | 0. | 0. | 0. |
| 303 | 303 | 203 | Q_smistamento | 0. | 0. | 0. |
| 303 | 303 | 207 | Q_smistamento | 0. | 0. | 0. |
| 303 | 303 | 208 | Q_smistamento | 0. | 0. | 0. |
| 303 | 303 | 204 | Q_smistamento | 0. | 0. | 0. |
| 303 | 303 | 203 | Q_neve | 0. | 0. | 0. |
| 303 | 303 | 207 | Q_neve | 0. | 0. | 0. |
| 303 | 303 | 208 | Q_neve | 0. | 0. | 0. |
| 303 | 303 | 204 | Q_neve | 0. | 0. | 0. |
| 304 | 304 | 204 | DEAD | 0. | 0. | 0. |
| 304 | 304 | 208 | DEAD | 0. | 0. | 0. |
| 304 | 304 | 209 | DEAD | 0. | 0. | 0. |

Table 20: Element Forces - Area Shells, Part 1 of 3

| Area | AreaElem | Joint | OutputCase | F11 KN/m | F22 KN/m | F12 KN/m |
|------|----------|-------|----------------|-------------|-------------|-------------|
| 304 | 304 | 205 | DEAD | 0. | 0. | 0. |
| 304 | 304 | 204 | G1_smistamento | 0. | 0. | 0. |
| 304 | 304 | 208 | G1_smistamento | 0. | 0. | 0. |
| 304 | 304 | 209 | G1_smistamento | 0. | 0. | 0. |
| 304 | 304 | 205 | G1_smistamento | 0. | 0. | 0. |
| 304 | 304 | 204 | G2_smistamento | 0. | 0. | 0. |
| 304 | 304 | 208 | G2_smistamento | 0. | 0. | 0. |
| 304 | 304 | 209 | G2_smistamento | 0. | 0. | 0. |
| 304 | 304 | 205 | G2_smistamento | 0. | 0. | 0. |
| 304 | 304 | 204 | Q_smistamento | 0. | 0. | 0. |
| 304 | 304 | 208 | Q_smistamento | 0. | 0. | 0. |
| 304 | 304 | 209 | Q_smistamento | 0. | 0. | 0. |
| 304 | 304 | 205 | Q_smistamento | 0. | 0. | 0. |
| 304 | 304 | 204 | Q_neve | 0. | 0. | 0. |
| 304 | 304 | 208 | Q_neve | 0. | 0. | 0. |
| 304 | 304 | 209 | Q_neve | 0. | 0. | 0. |
| 304 | 304 | 205 | Q_neve | 0. | 0. | 0. |
| 305 | 305 | 205 | DEAD | 0. | 0. | 0. |
| 305 | 305 | 209 | DEAD | 0. | 0. | 0. |
| 305 | 305 | 210 | DEAD | 0. | 0. | 0. |
| 305 | 305 | 206 | DEAD | 0. | 0. | 0. |
| 305 | 305 | 205 | G1_smistamento | 0. | 0. | 0. |
| 305 | 305 | 209 | G1_smistamento | 0. | 0. | 0. |
| 305 | 305 | 210 | G1_smistamento | 0. | 0. | 0. |
| 305 | 305 | 206 | G1_smistamento | 0. | 0. | 0. |
| 305 | 305 | 205 | G2_smistamento | 0. | 0. | 0. |
| 305 | 305 | 209 | G2_smistamento | 0. | 0. | 0. |
| 305 | 305 | 210 | G2_smistamento | 0. | 0. | 0. |
| 305 | 305 | 206 | G2_smistamento | 0. | 0. | 0. |
| 305 | 305 | 205 | Q_smistamento | 0. | 0. | 0. |
| 305 | 305 | 209 | Q_smistamento | 0. | 0. | 0. |
| 305 | 305 | 210 | Q_smistamento | 0. | 0. | 0. |
| 305 | 305 | 206 | Q_smistamento | 0. | 0. | 0. |
| 305 | 305 | 205 | Q_neve | 0. | 0. | 0. |
| 305 | 305 | 209 | Q_neve | 0. | 0. | 0. |
| 305 | 305 | 210 | Q_neve | 0. | 0. | 0. |
| 305 | 305 | 206 | Q_neve | 0. | 0. | 0. |
| 306 | 306 | 206 | DEAD | 0. | 0. | 0. |

Table 20: Element Forces - Area Shells, Part 1 of 3

| Area | AreaElem | Joint | OutputCase | F11 KN/m | F22 KN/m | F12 KN/m |
|------|----------|-------|----------------|-------------|-------------|-------------|
| 306 | 306 | 210 | DEAD | 0. | 0. | 0. |
| 306 | 306 | 108 | DEAD | 0. | 0. | 0. |
| 306 | 306 | 110 | DEAD | 0. | 0. | 0. |
| 306 | 306 | 206 | G1_smistamento | 0. | 0. | 0. |
| 306 | 306 | 210 | G1_smistamento | 0. | 0. | 0. |
| 306 | 306 | 108 | G1_smistamento | 0. | 0. | 0. |
| 306 | 306 | 110 | G1_smistamento | 0. | 0. | 0. |
| 306 | 306 | 206 | G2_smistamento | 0. | 0. | 0. |
| 306 | 306 | 210 | G2_smistamento | 0. | 0. | 0. |
| 306 | 306 | 108 | G2_smistamento | 0. | 0. | 0. |
| 306 | 306 | 110 | G2_smistamento | 0. | 0. | 0. |
| 306 | 306 | 206 | Q_smistamento | 0. | 0. | 0. |
| 306 | 306 | 210 | Q_smistamento | 0. | 0. | 0. |
| 306 | 306 | 108 | Q_smistamento | 0. | 0. | 0. |
| 306 | 306 | 110 | Q_smistamento | 0. | 0. | 0. |
| 306 | 306 | 206 | Q_neve | 0. | 0. | 0. |
| 306 | 306 | 210 | Q_neve | 0. | 0. | 0. |
| 306 | 306 | 108 | Q_neve | 0. | 0. | 0. |
| 306 | 306 | 110 | Q_neve | 0. | 0. | 0. |
| 307 | 307 | 98 | DEAD | 0. | 0. | 0. |
| 307 | 307 | 6 | DEAD | 0. | 0. | 0. |
| 307 | 307 | 100 | DEAD | 0. | 0. | 0. |
| 307 | 307 | 207 | DEAD | 0. | 0. | 0. |
| 307 | 307 | 98 | G1_smistamento | 0. | 0. | 0. |
| 307 | 307 | 6 | G1_smistamento | 0. | 0. | 0. |
| 307 | 307 | 100 | G1_smistamento | 0. | 0. | 0. |
| 307 | 307 | 207 | G1_smistamento | 0. | 0. | 0. |
| 307 | 307 | 98 | G2_smistamento | 0. | 0. | 0. |
| 307 | 307 | 6 | G2_smistamento | 0. | 0. | 0. |
| 307 | 307 | 100 | G2_smistamento | 0. | 0. | 0. |
| 307 | 307 | 207 | G2_smistamento | 0. | 0. | 0. |
| 307 | 307 | 98 | Q_smistamento | 0. | 0. | 0. |
| 307 | 307 | 6 | Q_smistamento | 0. | 0. | 0. |
| 307 | 307 | 100 | Q_smistamento | 0. | 0. | 0. |
| 307 | 307 | 207 | Q_smistamento | 0. | 0. | 0. |
| 307 | 307 | 98 | Q_neve | 0. | 0. | 0. |
| 307 | 307 | 6 | Q_neve | 0. | 0. | 0. |
| 307 | 307 | 100 | Q_neve | 0. | 0. | 0. |

Table 20: Element Forces - Area Shells, Part 1 of 3

| Area | AreaElem | Joint | OutputCase | F11 KN/m | F22 KN/m | F12 KN/m |
|------|----------|-------|----------------|-------------|-------------|-------------|
| 307 | 307 | 207 | Q_neve | 0. | 0. | 0. |
| 308 | 308 | 207 | DEAD | 0. | 0. | 0. |
| 308 | 308 | 100 | DEAD | 0. | 0. | 0. |
| 308 | 308 | 102 | DEAD | 0. | 0. | 0. |
| 308 | 308 | 208 | DEAD | 0. | 0. | 0. |
| 308 | 308 | 207 | G1_smistamento | 0. | 0. | 0. |
| 308 | 308 | 100 | G1_smistamento | 0. | 0. | 0. |
| 308 | 308 | 102 | G1_smistamento | 0. | 0. | 0. |
| 308 | 308 | 208 | G1_smistamento | 0. | 0. | 0. |
| 308 | 308 | 207 | G2_smistamento | 0. | 0. | 0. |
| 308 | 308 | 100 | G2_smistamento | 0. | 0. | 0. |
| 308 | 308 | 102 | G2_smistamento | 0. | 0. | 0. |
| 308 | 308 | 208 | G2_smistamento | 0. | 0. | 0. |
| 308 | 308 | 207 | Q_smistamento | 0. | 0. | 0. |
| 308 | 308 | 100 | Q_smistamento | 0. | 0. | 0. |
| 308 | 308 | 102 | Q_smistamento | 0. | 0. | 0. |
| 308 | 308 | 208 | Q_smistamento | 0. | 0. | 0. |
| 308 | 308 | 207 | Q_neve | 0. | 0. | 0. |
| 308 | 308 | 100 | Q_neve | 0. | 0. | 0. |
| 308 | 308 | 102 | Q_neve | 0. | 0. | 0. |
| 308 | 308 | 208 | Q_neve | 0. | 0. | 0. |
| 309 | 309 | 208 | DEAD | 0. | 0. | 0. |
| 309 | 309 | 102 | DEAD | 0. | 0. | 0. |
| 309 | 309 | 104 | DEAD | 0. | 0. | 0. |
| 309 | 309 | 209 | DEAD | 0. | 0. | 0. |
| 309 | 309 | 208 | G1_smistamento | 0. | 0. | 0. |
| 309 | 309 | 102 | G1_smistamento | 0. | 0. | 0. |
| 309 | 309 | 104 | G1_smistamento | 0. | 0. | 0. |
| 309 | 309 | 209 | G1_smistamento | 0. | 0. | 0. |
| 309 | 309 | 208 | G2_smistamento | 0. | 0. | 0. |
| 309 | 309 | 102 | G2_smistamento | 0. | 0. | 0. |
| 309 | 309 | 104 | G2_smistamento | 0. | 0. | 0. |
| 309 | 309 | 209 | G2_smistamento | 0. | 0. | 0. |
| 309 | 309 | 208 | Q_smistamento | 0. | 0. | 0. |
| 309 | 309 | 102 | Q_smistamento | 0. | 0. | 0. |
| 309 | 309 | 104 | Q_smistamento | 0. | 0. | 0. |
| 309 | 309 | 209 | Q_smistamento | 0. | 0. | 0. |
| 309 | 309 | 208 | Q_neve | 0. | 0. | 0. |

Table 20: Element Forces - Area Shells, Part 1 of 3

| Area | AreaElem | Joint | OutputCase | F11 KN/m | F22 KN/m | F12 KN/m |
|------|----------|-------|----------------|-------------|-------------|-------------|
| 309 | 309 | 102 | Q_neve | 0. | 0. | 0. |
| 309 | 309 | 104 | Q_neve | 0. | 0. | 0. |
| 309 | 309 | 209 | Q_neve | 0. | 0. | 0. |
| 310 | 310 | 209 | DEAD | 0. | 0. | 0. |
| 310 | 310 | 104 | DEAD | 0. | 0. | 0. |
| 310 | 310 | 106 | DEAD | 0. | 0. | 0. |
| 310 | 310 | 210 | DEAD | 0. | 0. | 0. |
| 310 | 310 | 209 | G1_smistamento | 0. | 0. | 0. |
| 310 | 310 | 104 | G1_smistamento | 0. | 0. | 0. |
| 310 | 310 | 106 | G1_smistamento | 0. | 0. | 0. |
| 310 | 310 | 210 | G1_smistamento | 0. | 0. | 0. |
| 310 | 310 | 209 | G2_smistamento | 0. | 0. | 0. |
| 310 | 310 | 104 | G2_smistamento | 0. | 0. | 0. |
| 310 | 310 | 106 | G2_smistamento | 0. | 0. | 0. |
| 310 | 310 | 210 | G2_smistamento | 0. | 0. | 0. |
| 310 | 310 | 209 | Q_smistamento | 0. | 0. | 0. |
| 310 | 310 | 104 | Q_smistamento | 0. | 0. | 0. |
| 310 | 310 | 106 | Q_smistamento | 0. | 0. | 0. |
| 310 | 310 | 210 | Q_smistamento | 0. | 0. | 0. |
| 310 | 310 | 209 | Q_neve | 0. | 0. | 0. |
| 310 | 310 | 104 | Q_neve | 0. | 0. | 0. |
| 310 | 310 | 106 | Q_neve | 0. | 0. | 0. |
| 310 | 310 | 210 | Q_neve | 0. | 0. | 0. |
| 311 | 311 | 210 | DEAD | 0. | 0. | 0. |
| 311 | 311 | 106 | DEAD | 0. | 0. | 0. |
| 311 | 311 | 63 | DEAD | 0. | 0. | 0. |
| 311 | 311 | 108 | DEAD | 0. | 0. | 0. |
| 311 | 311 | 210 | G1_smistamento | 0. | 0. | 0. |
| 311 | 311 | 106 | G1_smistamento | 0. | 0. | 0. |
| 311 | 311 | 63 | G1_smistamento | 0. | 0. | 0. |
| 311 | 311 | 108 | G1_smistamento | 0. | 0. | 0. |
| 311 | 311 | 210 | G2_smistamento | 0. | 0. | 0. |
| 311 | 311 | 106 | G2_smistamento | 0. | 0. | 0. |
| 311 | 311 | 63 | G2_smistamento | 0. | 0. | 0. |
| 311 | 311 | 108 | G2_smistamento | 0. | 0. | 0. |
| 311 | 311 | 210 | Q_smistamento | 0. | 0. | 0. |
| 311 | 311 | 106 | Q_smistamento | 0. | 0. | 0. |
| 311 | 311 | 63 | Q_smistamento | 0. | 0. | 0. |

Table 20: Element Forces - Area Shells, Part 1 of 3

| Area | AreaElem | Joint | OutputCase | F11 KN/m | F22 KN/m | F12 KN/m |
|------|----------|-------|----------------|-------------|-------------|-------------|
| 311 | 311 | 108 | Q_smistamento | 0. | 0. | 0. |
| 311 | 311 | 210 | Q_neve | 0. | 0. | 0. |
| 311 | 311 | 106 | Q_neve | 0. | 0. | 0. |
| 311 | 311 | 63 | Q_neve | 0. | 0. | 0. |
| 311 | 311 | 108 | Q_neve | 0. | 0. | 0. |
| 312 | 312 | 8 | DEAD | 0. | 0. | 0. |
| 312 | 312 | 211 | DEAD | 0. | 0. | 0. |
| 312 | 312 | 212 | DEAD | 0. | 0. | 0. |
| 312 | 312 | 9 | DEAD | 0. | 0. | 0. |
| 312 | 312 | 8 | G1_smistamento | 0. | 0. | 0. |
| 312 | 312 | 211 | G1_smistamento | 0. | 0. | 0. |
| 312 | 312 | 212 | G1_smistamento | 0. | 0. | 0. |
| 312 | 312 | 9 | G1_smistamento | 0. | 0. | 0. |
| 312 | 312 | 8 | G2_smistamento | 0. | 0. | 0. |
| 312 | 312 | 211 | G2_smistamento | 0. | 0. | 0. |
| 312 | 312 | 212 | G2_smistamento | 0. | 0. | 0. |
| 312 | 312 | 9 | G2_smistamento | 0. | 0. | 0. |
| 312 | 312 | 8 | Q_smistamento | 0. | 0. | 0. |
| 312 | 312 | 211 | Q_smistamento | 0. | 0. | 0. |
| 312 | 312 | 212 | Q_smistamento | 0. | 0. | 0. |
| 312 | 312 | 9 | Q_smistamento | 0. | 0. | 0. |
| 312 | 312 | 8 | Q_neve | 0. | 0. | 0. |
| 312 | 312 | 211 | Q_neve | 0. | 0. | 0. |
| 312 | 312 | 212 | Q_neve | 0. | 0. | 0. |
| 312 | 312 | 9 | Q_neve | 0. | 0. | 0. |
| 313 | 313 | 211 | DEAD | 0. | 0. | 0. |
| 313 | 313 | 213 | DEAD | 0. | 0. | 0. |
| 313 | 313 | 214 | DEAD | 0. | 0. | 0. |
| 313 | 313 | 212 | DEAD | 0. | 0. | 0. |
| 313 | 313 | 211 | G1_smistamento | 0. | 0. | 0. |
| 313 | 313 | 213 | G1_smistamento | 0. | 0. | 0. |
| 313 | 313 | 214 | G1_smistamento | 0. | 0. | 0. |
| 313 | 313 | 212 | G1_smistamento | 0. | 0. | 0. |
| 313 | 313 | 211 | G2_smistamento | 0. | 0. | 0. |
| 313 | 313 | 213 | G2_smistamento | 0. | 0. | 0. |
| 313 | 313 | 214 | G2_smistamento | 0. | 0. | 0. |
| 313 | 313 | 212 | G2_smistamento | 0. | 0. | 0. |
| 313 | 313 | 211 | Q_smistamento | 0. | 0. | 0. |

Table 20: Element Forces - Area Shells, Part 1 of 3

| Area | AreaElem | Joint | OutputCase | F11 KN/m | F22 KN/m | F12 KN/m |
|------|----------|-------|----------------|-------------|-------------|-------------|
| 313 | 313 | 213 | Q_smistamento | 0. | 0. | 0. |
| 313 | 313 | 214 | Q_smistamento | 0. | 0. | 0. |
| 313 | 313 | 212 | Q_smistamento | 0. | 0. | 0. |
| 313 | 313 | 211 | Q_neve | 0. | 0. | 0. |
| 313 | 313 | 213 | Q_neve | 0. | 0. | 0. |
| 313 | 313 | 214 | Q_neve | 0. | 0. | 0. |
| 313 | 313 | 212 | Q_neve | 0. | 0. | 0. |
| 314 | 314 | 213 | DEAD | 0. | 0. | 0. |
| 314 | 314 | 215 | DEAD | 0. | 0. | 0. |
| 314 | 314 | 216 | DEAD | 0. | 0. | 0. |
| 314 | 314 | 214 | DEAD | 0. | 0. | 0. |
| 314 | 314 | 213 | G1_smistamento | 0. | 0. | 0. |
| 314 | 314 | 215 | G1_smistamento | 0. | 0. | 0. |
| 314 | 314 | 216 | G1_smistamento | 0. | 0. | 0. |
| 314 | 314 | 214 | G1_smistamento | 0. | 0. | 0. |
| 314 | 314 | 213 | G2_smistamento | 0. | 0. | 0. |
| 314 | 314 | 215 | G2_smistamento | 0. | 0. | 0. |
| 314 | 314 | 216 | G2_smistamento | 0. | 0. | 0. |
| 314 | 314 | 214 | G2_smistamento | 0. | 0. | 0. |
| 314 | 314 | 213 | Q_smistamento | 0. | 0. | 0. |
| 314 | 314 | 215 | Q_smistamento | 0. | 0. | 0. |
| 314 | 314 | 216 | Q_smistamento | 0. | 0. | 0. |
| 314 | 314 | 214 | Q_smistamento | 0. | 0. | 0. |
| 314 | 314 | 213 | Q_neve | 0. | 0. | 0. |
| 314 | 314 | 215 | Q_neve | 0. | 0. | 0. |
| 314 | 314 | 216 | Q_neve | 0. | 0. | 0. |
| 314 | 314 | 214 | Q_neve | 0. | 0. | 0. |
| 315 | 315 | 215 | DEAD | 0. | 0. | 0. |
| 315 | 315 | 217 | DEAD | 0. | 0. | 0. |
| 315 | 315 | 218 | DEAD | 0. | 0. | 0. |
| 315 | 315 | 216 | DEAD | 0. | 0. | 0. |
| 315 | 315 | 215 | G1_smistamento | 0. | 0. | 0. |
| 315 | 315 | 217 | G1_smistamento | 0. | 0. | 0. |
| 315 | 315 | 218 | G1_smistamento | 0. | 0. | 0. |
| 315 | 315 | 216 | G1_smistamento | 0. | 0. | 0. |
| 315 | 315 | 215 | G2_smistamento | 0. | 0. | 0. |
| 315 | 315 | 217 | G2_smistamento | 0. | 0. | 0. |
| 315 | 315 | 218 | G2_smistamento | 0. | 0. | 0. |

Table 20: Element Forces - Area Shells, Part 1 of 3

| Area | AreaElem | Joint | OutputCase | F11 KN/m | F22 KN/m | F12 KN/m |
|------|----------|-------|----------------|-------------|-------------|-------------|
| 315 | 315 | 216 | G2_smistamento | 0. | 0. | 0. |
| 315 | 315 | 215 | Q_smistamento | 0. | 0. | 0. |
| 315 | 315 | 217 | Q_smistamento | 0. | 0. | 0. |
| 315 | 315 | 218 | Q_smistamento | 0. | 0. | 0. |
| 315 | 315 | 216 | Q_smistamento | 0. | 0. | 0. |
| 315 | 315 | 215 | Q_neve | 0. | 0. | 0. |
| 315 | 315 | 217 | Q_neve | 0. | 0. | 0. |
| 315 | 315 | 218 | Q_neve | 0. | 0. | 0. |
| 315 | 315 | 216 | Q_neve | 0. | 0. | 0. |
| 316 | 316 | 217 | DEAD | 0. | 0. | 0. |
| 316 | 316 | 219 | DEAD | 0. | 0. | 0. |
| 316 | 316 | 220 | DEAD | 0. | 0. | 0. |
| 316 | 316 | 218 | DEAD | 0. | 0. | 0. |
| 316 | 316 | 217 | G1_smistamento | 0. | 0. | 0. |
| 316 | 316 | 219 | G1_smistamento | 0. | 0. | 0. |
| 316 | 316 | 220 | G1_smistamento | 0. | 0. | 0. |
| 316 | 316 | 218 | G1_smistamento | 0. | 0. | 0. |
| 316 | 316 | 217 | G2_smistamento | 0. | 0. | 0. |
| 316 | 316 | 219 | G2_smistamento | 0. | 0. | 0. |
| 316 | 316 | 220 | G2_smistamento | 0. | 0. | 0. |
| 316 | 316 | 218 | G2_smistamento | 0. | 0. | 0. |
| 316 | 316 | 217 | Q_smistamento | 0. | 0. | 0. |
| 316 | 316 | 219 | Q_smistamento | 0. | 0. | 0. |
| 316 | 316 | 220 | Q_smistamento | 0. | 0. | 0. |
| 316 | 316 | 218 | Q_smistamento | 0. | 0. | 0. |
| 316 | 316 | 217 | Q_neve | 0. | 0. | 0. |
| 316 | 316 | 219 | Q_neve | 0. | 0. | 0. |
| 316 | 316 | 220 | Q_neve | 0. | 0. | 0. |
| 316 | 316 | 218 | Q_neve | 0. | 0. | 0. |
| 317 | 317 | 219 | DEAD | 0. | 0. | 0. |
| 317 | 317 | 221 | DEAD | 0. | 0. | 0. |
| 317 | 317 | 222 | DEAD | 0. | 0. | 0. |
| 317 | 317 | 220 | DEAD | 0. | 0. | 0. |
| 317 | 317 | 219 | G1_smistamento | 0. | 0. | 0. |
| 317 | 317 | 221 | G1_smistamento | 0. | 0. | 0. |
| 317 | 317 | 222 | G1_smistamento | 0. | 0. | 0. |
| 317 | 317 | 220 | G1_smistamento | 0. | 0. | 0. |
| 317 | 317 | 219 | G2_smistamento | 0. | 0. | 0. |

Table 20: Element Forces - Area Shells, Part 1 of 3

| Area | AreaElem | Joint | OutputCase | F11 KN/m | F22 KN/m | F12 KN/m |
|------|----------|-------|----------------|-------------|-------------|-------------|
| 317 | 317 | 221 | G2_smistamento | 0. | 0. | 0. |
| 317 | 317 | 222 | G2_smistamento | 0. | 0. | 0. |
| 317 | 317 | 220 | G2_smistamento | 0. | 0. | 0. |
| 317 | 317 | 219 | Q_smistamento | 0. | 0. | 0. |
| 317 | 317 | 221 | Q_smistamento | 0. | 0. | 0. |
| 317 | 317 | 222 | Q_smistamento | 0. | 0. | 0. |
| 317 | 317 | 220 | Q_smistamento | 0. | 0. | 0. |
| 317 | 317 | 219 | Q_neve | 0. | 0. | 0. |
| 317 | 317 | 221 | Q_neve | 0. | 0. | 0. |
| 317 | 317 | 222 | Q_neve | 0. | 0. | 0. |
| 317 | 317 | 220 | Q_neve | 0. | 0. | 0. |
| 318 | 318 | 221 | DEAD | 0. | 0. | 0. |
| 318 | 318 | 223 | DEAD | 0. | 0. | 0. |
| 318 | 318 | 224 | DEAD | 0. | 0. | 0. |
| 318 | 318 | 222 | DEAD | 0. | 0. | 0. |
| 318 | 318 | 221 | G1_smistamento | 0. | 0. | 0. |
| 318 | 318 | 223 | G1_smistamento | 0. | 0. | 0. |
| 318 | 318 | 224 | G1_smistamento | 0. | 0. | 0. |
| 318 | 318 | 222 | G1_smistamento | 0. | 0. | 0. |
| 318 | 318 | 221 | G2_smistamento | 0. | 0. | 0. |
| 318 | 318 | 223 | G2_smistamento | 0. | 0. | 0. |
| 318 | 318 | 224 | G2_smistamento | 0. | 0. | 0. |
| 318 | 318 | 222 | G2_smistamento | 0. | 0. | 0. |
| 318 | 318 | 221 | Q_smistamento | 0. | 0. | 0. |
| 318 | 318 | 223 | Q_smistamento | 0. | 0. | 0. |
| 318 | 318 | 224 | Q_smistamento | 0. | 0. | 0. |
| 318 | 318 | 222 | Q_smistamento | 0. | 0. | 0. |
| 318 | 318 | 221 | Q_neve | 0. | 0. | 0. |
| 318 | 318 | 223 | Q_neve | 0. | 0. | 0. |
| 318 | 318 | 224 | Q_neve | 0. | 0. | 0. |
| 318 | 318 | 222 | Q_neve | 0. | 0. | 0. |
| 319 | 319 | 223 | DEAD | 0. | 0. | 0. |
| 319 | 319 | 225 | DEAD | 0. | 0. | 0. |
| 319 | 319 | 226 | DEAD | 0. | 0. | 0. |
| 319 | 319 | 224 | DEAD | 0. | 0. | 0. |
| 319 | 319 | 223 | G1_smistamento | 0. | 0. | 0. |
| 319 | 319 | 225 | G1_smistamento | 0. | 0. | 0. |
| 319 | 319 | 226 | G1_smistamento | 0. | 0. | 0. |

Table 20: Element Forces - Area Shells, Part 1 of 3

| Area | AreaElem | Joint | OutputCase | F11 KN/m | F22 KN/m | F12 KN/m |
|------|----------|-------|----------------|-------------|-------------|-------------|
| 319 | 319 | 224 | G1_smistamento | 0. | 0. | 0. |
| 319 | 319 | 223 | G2_smistamento | 0. | 0. | 0. |
| 319 | 319 | 225 | G2_smistamento | 0. | 0. | 0. |
| 319 | 319 | 226 | G2_smistamento | 0. | 0. | 0. |
| 319 | 319 | 224 | G2_smistamento | 0. | 0. | 0. |
| 319 | 319 | 223 | Q_smistamento | 0. | 0. | 0. |
| 319 | 319 | 225 | Q_smistamento | 0. | 0. | 0. |
| 319 | 319 | 226 | Q_smistamento | 0. | 0. | 0. |
| 319 | 319 | 224 | Q_smistamento | 0. | 0. | 0. |
| 319 | 319 | 223 | Q_neve | 0. | 0. | 0. |
| 319 | 319 | 225 | Q_neve | 0. | 0. | 0. |
| 319 | 319 | 226 | Q_neve | 0. | 0. | 0. |
| 319 | 319 | 224 | Q_neve | 0. | 0. | 0. |
| 320 | 320 | 225 | DEAD | 0. | 0. | 0. |
| 320 | 320 | 227 | DEAD | 0. | 0. | 0. |
| 320 | 320 | 228 | DEAD | 0. | 0. | 0. |
| 320 | 320 | 226 | DEAD | 0. | 0. | 0. |
| 320 | 320 | 225 | G1_smistamento | 0. | 0. | 0. |
| 320 | 320 | 227 | G1_smistamento | 0. | 0. | 0. |
| 320 | 320 | 228 | G1_smistamento | 0. | 0. | 0. |
| 320 | 320 | 226 | G1_smistamento | 0. | 0. | 0. |
| 320 | 320 | 225 | G2_smistamento | 0. | 0. | 0. |
| 320 | 320 | 227 | G2_smistamento | 0. | 0. | 0. |
| 320 | 320 | 228 | G2_smistamento | 0. | 0. | 0. |
| 320 | 320 | 226 | G2_smistamento | 0. | 0. | 0. |
| 320 | 320 | 225 | Q_smistamento | 0. | 0. | 0. |
| 320 | 320 | 227 | Q_smistamento | 0. | 0. | 0. |
| 320 | 320 | 228 | Q_smistamento | 0. | 0. | 0. |
| 320 | 320 | 226 | Q_smistamento | 0. | 0. | 0. |
| 320 | 320 | 225 | Q_neve | 0. | 0. | 0. |
| 320 | 320 | 227 | Q_neve | 0. | 0. | 0. |
| 320 | 320 | 228 | Q_neve | 0. | 0. | 0. |
| 320 | 320 | 226 | Q_neve | 0. | 0. | 0. |
| 321 | 321 | 227 | DEAD | 0. | 0. | 0. |
| 321 | 321 | 229 | DEAD | 0. | 0. | 0. |
| 321 | 321 | 230 | DEAD | 0. | 0. | 0. |
| 321 | 321 | 228 | DEAD | 0. | 0. | 0. |
| 321 | 321 | 227 | G1_smistamento | 0. | 0. | 0. |

Table 20: Element Forces - Area Shells, Part 1 of 3

| Area | AreaElem | Joint | OutputCase | F11 KN/m | F22 KN/m | F12 KN/m |
|------|----------|-------|----------------|-------------|-------------|-------------|
| 321 | 321 | 229 | G1_smistamento | 0. | 0. | 0. |
| 321 | 321 | 230 | G1_smistamento | 0. | 0. | 0. |
| 321 | 321 | 228 | G1_smistamento | 0. | 0. | 0. |
| 321 | 321 | 227 | G2_smistamento | 0. | 0. | 0. |
| 321 | 321 | 229 | G2_smistamento | 0. | 0. | 0. |
| 321 | 321 | 230 | G2_smistamento | 0. | 0. | 0. |
| 321 | 321 | 228 | G2_smistamento | 0. | 0. | 0. |
| 321 | 321 | 227 | Q_smistamento | 0. | 0. | 0. |
| 321 | 321 | 229 | Q_smistamento | 0. | 0. | 0. |
| 321 | 321 | 230 | Q_smistamento | 0. | 0. | 0. |
| 321 | 321 | 228 | Q_smistamento | 0. | 0. | 0. |
| 321 | 321 | 227 | Q_neve | 0. | 0. | 0. |
| 321 | 321 | 229 | Q_neve | 0. | 0. | 0. |
| 321 | 321 | 230 | Q_neve | 0. | 0. | 0. |
| 321 | 321 | 228 | Q_neve | 0. | 0. | 0. |
| 322 | 322 | 229 | DEAD | 0. | 0. | 0. |
| 322 | 322 | 231 | DEAD | 0. | 0. | 0. |
| 322 | 322 | 232 | DEAD | 0. | 0. | 0. |
| 322 | 322 | 230 | DEAD | 0. | 0. | 0. |
| 322 | 322 | 229 | G1_smistamento | 0. | 0. | 0. |
| 322 | 322 | 231 | G1_smistamento | 0. | 0. | 0. |
| 322 | 322 | 232 | G1_smistamento | 0. | 0. | 0. |
| 322 | 322 | 230 | G1_smistamento | 0. | 0. | 0. |
| 322 | 322 | 229 | G2_smistamento | 0. | 0. | 0. |
| 322 | 322 | 231 | G2_smistamento | 0. | 0. | 0. |
| 322 | 322 | 232 | G2_smistamento | 0. | 0. | 0. |
| 322 | 322 | 230 | G2_smistamento | 0. | 0. | 0. |
| 322 | 322 | 229 | Q_smistamento | 0. | 0. | 0. |
| 322 | 322 | 231 | Q_smistamento | 0. | 0. | 0. |
| 322 | 322 | 232 | Q_smistamento | 0. | 0. | 0. |
| 322 | 322 | 230 | Q_smistamento | 0. | 0. | 0. |
| 322 | 322 | 229 | Q_neve | 0. | 0. | 0. |
| 322 | 322 | 231 | Q_neve | 0. | 0. | 0. |
| 322 | 322 | 232 | Q_neve | 0. | 0. | 0. |
| 322 | 322 | 230 | Q_neve | 0. | 0. | 0. |
| 323 | 323 | 231 | DEAD | 0. | 0. | 0. |
| 323 | 323 | 233 | DEAD | 0. | 0. | 0. |
| 323 | 323 | 234 | DEAD | 0. | 0. | 0. |

Table 20: Element Forces - Area Shells, Part 1 of 3

| Area | AreaElem | Joint | OutputCase | F11 KN/m | F22 KN/m | F12 KN/m |
|------|----------|-------|----------------|-------------|-------------|-------------|
| 323 | 323 | 232 | DEAD | 0. | 0. | 0. |
| 323 | 323 | 231 | G1_smistamento | 0. | 0. | 0. |
| 323 | 323 | 233 | G1_smistamento | 0. | 0. | 0. |
| 323 | 323 | 234 | G1_smistamento | 0. | 0. | 0. |
| 323 | 323 | 232 | G1_smistamento | 0. | 0. | 0. |
| 323 | 323 | 231 | G2_smistamento | 0. | 0. | 0. |
| 323 | 323 | 233 | G2_smistamento | 0. | 0. | 0. |
| 323 | 323 | 234 | G2_smistamento | 0. | 0. | 0. |
| 323 | 323 | 232 | G2_smistamento | 0. | 0. | 0. |
| 323 | 323 | 231 | Q_smistamento | 0. | 0. | 0. |
| 323 | 323 | 233 | Q_smistamento | 0. | 0. | 0. |
| 323 | 323 | 234 | Q_smistamento | 0. | 0. | 0. |
| 323 | 323 | 232 | Q_smistamento | 0. | 0. | 0. |
| 323 | 323 | 231 | Q_neve | 0. | 0. | 0. |
| 323 | 323 | 233 | Q_neve | 0. | 0. | 0. |
| 323 | 323 | 234 | Q_neve | 0. | 0. | 0. |
| 323 | 323 | 232 | Q_neve | 0. | 0. | 0. |
| 324 | 324 | 233 | DEAD | 0. | 0. | 0. |
| 324 | 324 | 235 | DEAD | 0. | 0. | 0. |
| 324 | 324 | 236 | DEAD | 0. | 0. | 0. |
| 324 | 324 | 234 | DEAD | 0. | 0. | 0. |
| 324 | 324 | 233 | G1_smistamento | 0. | 0. | 0. |
| 324 | 324 | 235 | G1_smistamento | 0. | 0. | 0. |
| 324 | 324 | 236 | G1_smistamento | 0. | 0. | 0. |
| 324 | 324 | 234 | G1_smistamento | 0. | 0. | 0. |
| 324 | 324 | 233 | G2_smistamento | 0. | 0. | 0. |
| 324 | 324 | 235 | G2_smistamento | 0. | 0. | 0. |
| 324 | 324 | 236 | G2_smistamento | 0. | 0. | 0. |
| 324 | 324 | 234 | G2_smistamento | 0. | 0. | 0. |
| 324 | 324 | 233 | Q_smistamento | 0. | 0. | 0. |
| 324 | 324 | 235 | Q_smistamento | 0. | 0. | 0. |
| 324 | 324 | 236 | Q_smistamento | 0. | 0. | 0. |
| 324 | 324 | 234 | Q_smistamento | 0. | 0. | 0. |
| 324 | 324 | 233 | Q_neve | 0. | 0. | 0. |
| 324 | 324 | 235 | Q_neve | 0. | 0. | 0. |
| 324 | 324 | 236 | Q_neve | 0. | 0. | 0. |
| 324 | 324 | 234 | Q_neve | 0. | 0. | 0. |
| 325 | 325 | 235 | DEAD | 0. | 0. | 0. |

Table 20: Element Forces - Area Shells, Part 1 of 3

| Area | AreaElem | Joint | OutputCase | F11 KN/m | F22 KN/m | F12 KN/m |
|------|----------|-------|----------------|-------------|-------------|-------------|
| 325 | 325 | 237 | DEAD | 0. | 0. | 0. |
| 325 | 325 | 238 | DEAD | 0. | 0. | 0. |
| 325 | 325 | 236 | DEAD | 0. | 0. | 0. |
| 325 | 325 | 235 | G1_smistamento | 0. | 0. | 0. |
| 325 | 325 | 237 | G1_smistamento | 0. | 0. | 0. |
| 325 | 325 | 238 | G1_smistamento | 0. | 0. | 0. |
| 325 | 325 | 236 | G1_smistamento | 0. | 0. | 0. |
| 325 | 325 | 235 | G2_smistamento | 0. | 0. | 0. |
| 325 | 325 | 237 | G2_smistamento | 0. | 0. | 0. |
| 325 | 325 | 238 | G2_smistamento | 0. | 0. | 0. |
| 325 | 325 | 236 | G2_smistamento | 0. | 0. | 0. |
| 325 | 325 | 235 | Q_smistamento | 0. | 0. | 0. |
| 325 | 325 | 237 | Q_smistamento | 0. | 0. | 0. |
| 325 | 325 | 238 | Q_smistamento | 0. | 0. | 0. |
| 325 | 325 | 236 | Q_smistamento | 0. | 0. | 0. |
| 325 | 325 | 235 | Q_neve | 0. | 0. | 0. |
| 325 | 325 | 237 | Q_neve | 0. | 0. | 0. |
| 325 | 325 | 238 | Q_neve | 0. | 0. | 0. |
| 325 | 325 | 236 | Q_neve | 0. | 0. | 0. |
| 326 | 326 | 237 | DEAD | 0. | 0. | 0. |
| 326 | 326 | 239 | DEAD | 0. | 0. | 0. |
| 326 | 326 | 240 | DEAD | 0. | 0. | 0. |
| 326 | 326 | 238 | DEAD | 0. | 0. | 0. |
| 326 | 326 | 237 | G1_smistamento | 0. | 0. | 0. |
| 326 | 326 | 239 | G1_smistamento | 0. | 0. | 0. |
| 326 | 326 | 240 | G1_smistamento | 0. | 0. | 0. |
| 326 | 326 | 238 | G1_smistamento | 0. | 0. | 0. |
| 326 | 326 | 237 | G2_smistamento | 0. | 0. | 0. |
| 326 | 326 | 239 | G2_smistamento | 0. | 0. | 0. |
| 326 | 326 | 240 | G2_smistamento | 0. | 0. | 0. |
| 326 | 326 | 238 | G2_smistamento | 0. | 0. | 0. |
| 326 | 326 | 237 | Q_smistamento | 0. | 0. | 0. |
| 326 | 326 | 239 | Q_smistamento | 0. | 0. | 0. |
| 326 | 326 | 240 | Q_smistamento | 0. | 0. | 0. |
| 326 | 326 | 238 | Q_smistamento | 0. | 0. | 0. |
| 326 | 326 | 237 | Q_neve | 0. | 0. | 0. |
| 326 | 326 | 239 | Q_neve | 0. | 0. | 0. |
| 326 | 326 | 240 | Q_neve | 0. | 0. | 0. |

Table 20: Element Forces - Area Shells, Part 1 of 3

| Area | AreaElem | Joint | OutputCase | F11 KN/m | F22 KN/m | F12 KN/m |
|------|----------|-------|----------------|-------------|-------------|-------------|
| 326 | 326 | 238 | Q_neve | 0. | 0. | 0. |
| 327 | 327 | 239 | DEAD | 0. | 0. | 0. |
| 327 | 327 | 241 | DEAD | 0. | 0. | 0. |
| 327 | 327 | 242 | DEAD | 0. | 0. | 0. |
| 327 | 327 | 240 | DEAD | 0. | 0. | 0. |
| 327 | 327 | 239 | G1_smistamento | 0. | 0. | 0. |
| 327 | 327 | 241 | G1_smistamento | 0. | 0. | 0. |
| 327 | 327 | 242 | G1_smistamento | 0. | 0. | 0. |
| 327 | 327 | 240 | G1_smistamento | 0. | 0. | 0. |
| 327 | 327 | 239 | G2_smistamento | 0. | 0. | 0. |
| 327 | 327 | 241 | G2_smistamento | 0. | 0. | 0. |
| 327 | 327 | 242 | G2_smistamento | 0. | 0. | 0. |
| 327 | 327 | 240 | G2_smistamento | 0. | 0. | 0. |
| 327 | 327 | 239 | Q_smistamento | 0. | 0. | 0. |
| 327 | 327 | 241 | Q_smistamento | 0. | 0. | 0. |
| 327 | 327 | 242 | Q_smistamento | 0. | 0. | 0. |
| 327 | 327 | 240 | Q_smistamento | 0. | 0. | 0. |
| 327 | 327 | 239 | Q_neve | 0. | 0. | 0. |
| 327 | 327 | 241 | Q_neve | 0. | 0. | 0. |
| 327 | 327 | 242 | Q_neve | 0. | 0. | 0. |
| 327 | 327 | 240 | Q_neve | 0. | 0. | 0. |
| 328 | 328 | 241 | DEAD | 0. | 0. | 0. |
| 328 | 328 | 11 | DEAD | 0. | 0. | 0. |
| 328 | 328 | 14 | DEAD | 0. | 0. | 0. |
| 328 | 328 | 242 | DEAD | 0. | 0. | 0. |
| 328 | 328 | 241 | G1_smistamento | 0. | 0. | 0. |
| 328 | 328 | 11 | G1_smistamento | 0. | 0. | 0. |
| 328 | 328 | 14 | G1_smistamento | 0. | 0. | 0. |
| 328 | 328 | 242 | G1_smistamento | 0. | 0. | 0. |
| 328 | 328 | 241 | G2_smistamento | 0. | 0. | 0. |
| 328 | 328 | 11 | G2_smistamento | 0. | 0. | 0. |
| 328 | 328 | 14 | G2_smistamento | 0. | 0. | 0. |
| 328 | 328 | 242 | G2_smistamento | 0. | 0. | 0. |
| 328 | 328 | 241 | Q_smistamento | 0. | 0. | 0. |
| 328 | 328 | 11 | Q_smistamento | 0. | 0. | 0. |
| 328 | 328 | 14 | Q_smistamento | 0. | 0. | 0. |
| 328 | 328 | 242 | Q_smistamento | 0. | 0. | 0. |
| 328 | 328 | 241 | Q_neve | 0. | 0. | 0. |

Table 20: Element Forces - Area Shells, Part 1 of 3

| Area | AreaElem | Joint | OutputCase | F11 KN/m | F22 KN/m | F12 KN/m |
|------|----------|-------|----------------|-------------|-------------|-------------|
| 328 | 328 | 11 | Q_neve | 0. | 0. | 0. |
| 328 | 328 | 14 | Q_neve | 0. | 0. | 0. |
| 328 | 328 | 242 | Q_neve | 0. | 0. | 0. |
| 329 | 329 | 13 | DEAD | 0. | 0. | 0. |
| 329 | 329 | 243 | DEAD | 0. | 0. | 0. |
| 329 | 329 | 244 | DEAD | 0. | 0. | 0. |
| 329 | 329 | 14 | DEAD | 0. | 0. | 0. |
| 329 | 329 | 13 | G1_smistamento | 0. | 0. | 0. |
| 329 | 329 | 243 | G1_smistamento | 0. | 0. | 0. |
| 329 | 329 | 244 | G1_smistamento | 0. | 0. | 0. |
| 329 | 329 | 14 | G1_smistamento | 0. | 0. | 0. |
| 329 | 329 | 13 | G2_smistamento | 0. | 0. | 0. |
| 329 | 329 | 243 | G2_smistamento | 0. | 0. | 0. |
| 329 | 329 | 244 | G2_smistamento | 0. | 0. | 0. |
| 329 | 329 | 14 | G2_smistamento | 0. | 0. | 0. |
| 329 | 329 | 13 | Q_smistamento | 0. | 0. | 0. |
| 329 | 329 | 243 | Q_smistamento | 0. | 0. | 0. |
| 329 | 329 | 244 | Q_smistamento | 0. | 0. | 0. |
| 329 | 329 | 14 | Q_smistamento | 0. | 0. | 0. |
| 329 | 329 | 13 | Q_neve | 0. | 0. | 0. |
| 329 | 329 | 243 | Q_neve | 0. | 0. | 0. |
| 329 | 329 | 244 | Q_neve | 0. | 0. | 0. |
| 329 | 329 | 14 | Q_neve | 0. | 0. | 0. |
| 330 | 330 | 243 | DEAD | 0. | 0. | 0. |
| 330 | 330 | 245 | DEAD | 0. | 0. | 0. |
| 330 | 330 | 246 | DEAD | 0. | 0. | 0. |
| 330 | 330 | 244 | DEAD | 0. | 0. | 0. |
| 330 | 330 | 243 | G1_smistamento | 0. | 0. | 0. |
| 330 | 330 | 245 | G1_smistamento | 0. | 0. | 0. |
| 330 | 330 | 246 | G1_smistamento | 0. | 0. | 0. |
| 330 | 330 | 244 | G1_smistamento | 0. | 0. | 0. |
| 330 | 330 | 243 | G2_smistamento | 0. | 0. | 0. |
| 330 | 330 | 245 | G2_smistamento | 0. | 0. | 0. |
| 330 | 330 | 246 | G2_smistamento | 0. | 0. | 0. |
| 330 | 330 | 244 | G2_smistamento | 0. | 0. | 0. |
| 330 | 330 | 243 | Q_smistamento | 0. | 0. | 0. |
| 330 | 330 | 245 | Q_smistamento | 0. | 0. | 0. |
| 330 | 330 | 246 | Q_smistamento | 0. | 0. | 0. |

Table 20: Element Forces - Area Shells, Part 1 of 3

| Area | AreaElem | Joint | OutputCase | F11 KN/m | F22 KN/m | F12 KN/m |
|------|----------|-------|----------------|-------------|-------------|-------------|
| 330 | 330 | 244 | Q_smistamento | 0. | 0. | 0. |
| 330 | 330 | 243 | Q_neve | 0. | 0. | 0. |
| 330 | 330 | 245 | Q_neve | 0. | 0. | 0. |
| 330 | 330 | 246 | Q_neve | 0. | 0. | 0. |
| 330 | 330 | 244 | Q_neve | 0. | 0. | 0. |
| 331 | 331 | 245 | DEAD | 0. | 0. | 0. |
| 331 | 331 | 247 | DEAD | 0. | 0. | 0. |
| 331 | 331 | 248 | DEAD | 0. | 0. | 0. |
| 331 | 331 | 246 | DEAD | 0. | 0. | 0. |
| 331 | 331 | 245 | G1_smistamento | 0. | 0. | 0. |
| 331 | 331 | 247 | G1_smistamento | 0. | 0. | 0. |
| 331 | 331 | 248 | G1_smistamento | 0. | 0. | 0. |
| 331 | 331 | 246 | G1_smistamento | 0. | 0. | 0. |
| 331 | 331 | 245 | G2_smistamento | 0. | 0. | 0. |
| 331 | 331 | 247 | G2_smistamento | 0. | 0. | 0. |
| 331 | 331 | 248 | G2_smistamento | 0. | 0. | 0. |
| 331 | 331 | 246 | G2_smistamento | 0. | 0. | 0. |
| 331 | 331 | 245 | Q_smistamento | 0. | 0. | 0. |
| 331 | 331 | 247 | Q_smistamento | 0. | 0. | 0. |
| 331 | 331 | 248 | Q_smistamento | 0. | 0. | 0. |
| 331 | 331 | 246 | Q_smistamento | 0. | 0. | 0. |
| 331 | 331 | 245 | Q_neve | 0. | 0. | 0. |
| 331 | 331 | 247 | Q_neve | 0. | 0. | 0. |
| 331 | 331 | 248 | Q_neve | 0. | 0. | 0. |
| 331 | 331 | 246 | Q_neve | 0. | 0. | 0. |
| 332 | 332 | 247 | DEAD | 0. | 0. | 0. |
| 332 | 332 | 249 | DEAD | 0. | 0. | 0. |
| 332 | 332 | 250 | DEAD | 0. | 0. | 0. |
| 332 | 332 | 248 | DEAD | 0. | 0. | 0. |
| 332 | 332 | 247 | G1_smistamento | 0. | 0. | 0. |
| 332 | 332 | 249 | G1_smistamento | 0. | 0. | 0. |
| 332 | 332 | 250 | G1_smistamento | 0. | 0. | 0. |
| 332 | 332 | 248 | G1_smistamento | 0. | 0. | 0. |
| 332 | 332 | 247 | G2_smistamento | 0. | 0. | 0. |
| 332 | 332 | 249 | G2_smistamento | 0. | 0. | 0. |
| 332 | 332 | 250 | G2_smistamento | 0. | 0. | 0. |
| 332 | 332 | 248 | G2_smistamento | 0. | 0. | 0. |
| 332 | 332 | 247 | Q_smistamento | 0. | 0. | 0. |

Table 20: Element Forces - Area Shells, Part 1 of 3

| Area | AreaElem | Joint | OutputCase | F11 KN/m | F22 KN/m | F12 KN/m |
|------|----------|-------|----------------|-------------|-------------|-------------|
| 332 | 332 | 249 | Q_smistamento | 0. | 0. | 0. |
| 332 | 332 | 250 | Q_smistamento | 0. | 0. | 0. |
| 332 | 332 | 248 | Q_smistamento | 0. | 0. | 0. |
| 332 | 332 | 247 | Q_neve | 0. | 0. | 0. |
| 332 | 332 | 249 | Q_neve | 0. | 0. | 0. |
| 332 | 332 | 250 | Q_neve | 0. | 0. | 0. |
| 332 | 332 | 248 | Q_neve | 0. | 0. | 0. |
| 333 | 333 | 249 | DEAD | 0. | 0. | 0. |
| 333 | 333 | 15 | DEAD | 0. | 0. | 0. |
| 333 | 333 | 18 | DEAD | 0. | 0. | 0. |
| 333 | 333 | 250 | DEAD | 0. | 0. | 0. |
| 333 | 333 | 249 | G1_smistamento | 0. | 0. | 0. |
| 333 | 333 | 15 | G1_smistamento | 0. | 0. | 0. |
| 333 | 333 | 18 | G1_smistamento | 0. | 0. | 0. |
| 333 | 333 | 250 | G1_smistamento | 0. | 0. | 0. |
| 333 | 333 | 249 | G2_smistamento | 0. | 0. | 0. |
| 333 | 333 | 15 | G2_smistamento | 0. | 0. | 0. |
| 333 | 333 | 18 | G2_smistamento | 0. | 0. | 0. |
| 333 | 333 | 250 | G2_smistamento | 0. | 0. | 0. |
| 333 | 333 | 249 | Q_smistamento | 0. | 0. | 0. |
| 333 | 333 | 15 | Q_smistamento | 0. | 0. | 0. |
| 333 | 333 | 18 | Q_smistamento | 0. | 0. | 0. |
| 333 | 333 | 250 | Q_smistamento | 0. | 0. | 0. |
| 333 | 333 | 249 | Q_neve | 0. | 0. | 0. |
| 333 | 333 | 15 | Q_neve | 0. | 0. | 0. |
| 333 | 333 | 18 | Q_neve | 0. | 0. | 0. |
| 333 | 333 | 250 | Q_neve | 0. | 0. | 0. |
| 334 | 334 | 17 | DEAD | 0. | 0. | 0. |
| 334 | 334 | 251 | DEAD | 0. | 0. | 0. |
| 334 | 334 | 252 | DEAD | 0. | 0. | 0. |
| 334 | 334 | 18 | DEAD | 0. | 0. | 0. |
| 334 | 334 | 17 | G1_smistamento | 0. | 0. | 0. |
| 334 | 334 | 251 | G1_smistamento | 0. | 0. | 0. |
| 334 | 334 | 252 | G1_smistamento | 0. | 0. | 0. |
| 334 | 334 | 18 | G1_smistamento | 0. | 0. | 0. |
| 334 | 334 | 17 | G2_smistamento | 0. | 0. | 0. |
| 334 | 334 | 251 | G2_smistamento | 0. | 0. | 0. |
| 334 | 334 | 252 | G2_smistamento | 0. | 0. | 0. |

Table 20: Element Forces - Area Shells, Part 1 of 3

| Area | AreaElem | Joint | OutputCase | F11 KN/m | F22 KN/m | F12 KN/m |
|------|----------|-------|----------------|-------------|-------------|-------------|
| 334 | 334 | 18 | G2_smistamento | 0. | 0. | 0. |
| 334 | 334 | 17 | Q_smistamento | 0. | 0. | 0. |
| 334 | 334 | 251 | Q_smistamento | 0. | 0. | 0. |
| 334 | 334 | 252 | Q_smistamento | 0. | 0. | 0. |
| 334 | 334 | 18 | Q_smistamento | 0. | 0. | 0. |
| 334 | 334 | 17 | Q_neve | 0. | 0. | 0. |
| 334 | 334 | 251 | Q_neve | 0. | 0. | 0. |
| 334 | 334 | 252 | Q_neve | 0. | 0. | 0. |
| 334 | 334 | 18 | Q_neve | 0. | 0. | 0. |
| 335 | 335 | 251 | DEAD | 0. | 0. | 0. |
| 335 | 335 | 253 | DEAD | 0. | 0. | 0. |
| 335 | 335 | 254 | DEAD | 0. | 0. | 0. |
| 335 | 335 | 252 | DEAD | 0. | 0. | 0. |
| 335 | 335 | 251 | G1_smistamento | 0. | 0. | 0. |
| 335 | 335 | 253 | G1_smistamento | 0. | 0. | 0. |
| 335 | 335 | 254 | G1_smistamento | 0. | 0. | 0. |
| 335 | 335 | 252 | G1_smistamento | 0. | 0. | 0. |
| 335 | 335 | 251 | G2_smistamento | 0. | 0. | 0. |
| 335 | 335 | 253 | G2_smistamento | 0. | 0. | 0. |
| 335 | 335 | 254 | G2_smistamento | 0. | 0. | 0. |
| 335 | 335 | 252 | G2_smistamento | 0. | 0. | 0. |
| 335 | 335 | 251 | Q_smistamento | 0. | 0. | 0. |
| 335 | 335 | 253 | Q_smistamento | 0. | 0. | 0. |
| 335 | 335 | 254 | Q_smistamento | 0. | 0. | 0. |
| 335 | 335 | 252 | Q_smistamento | 0. | 0. | 0. |
| 335 | 335 | 251 | Q_neve | 0. | 0. | 0. |
| 335 | 335 | 253 | Q_neve | 0. | 0. | 0. |
| 335 | 335 | 254 | Q_neve | 0. | 0. | 0. |
| 335 | 335 | 252 | Q_neve | 0. | 0. | 0. |
| 336 | 336 | 253 | DEAD | 0. | 0. | 0. |
| 336 | 336 | 255 | DEAD | 0. | 0. | 0. |
| 336 | 336 | 256 | DEAD | 0. | 0. | 0. |
| 336 | 336 | 254 | DEAD | 0. | 0. | 0. |
| 336 | 336 | 253 | G1_smistamento | 0. | 0. | 0. |
| 336 | 336 | 255 | G1_smistamento | 0. | 0. | 0. |
| 336 | 336 | 256 | G1_smistamento | 0. | 0. | 0. |
| 336 | 336 | 254 | G1_smistamento | 0. | 0. | 0. |
| 336 | 336 | 253 | G2_smistamento | 0. | 0. | 0. |

Table 20: Element Forces - Area Shells, Part 1 of 3

| Area | AreaElem | Joint | OutputCase | F11 KN/m | F22 KN/m | F12 KN/m |
|------|----------|-------|----------------|-------------|-------------|-------------|
| 336 | 336 | 255 | G2_smistamento | 0. | 0. | 0. |
| 336 | 336 | 256 | G2_smistamento | 0. | 0. | 0. |
| 336 | 336 | 254 | G2_smistamento | 0. | 0. | 0. |
| 336 | 336 | 253 | Q_smistamento | 0. | 0. | 0. |
| 336 | 336 | 255 | Q_smistamento | 0. | 0. | 0. |
| 336 | 336 | 256 | Q_smistamento | 0. | 0. | 0. |
| 336 | 336 | 254 | Q_smistamento | 0. | 0. | 0. |
| 336 | 336 | 253 | Q_neve | 0. | 0. | 0. |
| 336 | 336 | 255 | Q_neve | 0. | 0. | 0. |
| 336 | 336 | 256 | Q_neve | 0. | 0. | 0. |
| 336 | 336 | 254 | Q_neve | 0. | 0. | 0. |
| 337 | 337 | 255 | DEAD | 0. | 0. | 0. |
| 337 | 337 | 257 | DEAD | 0. | 0. | 0. |
| 337 | 337 | 258 | DEAD | 0. | 0. | 0. |
| 337 | 337 | 256 | DEAD | 0. | 0. | 0. |
| 337 | 337 | 255 | G1_smistamento | 0. | 0. | 0. |
| 337 | 337 | 257 | G1_smistamento | 0. | 0. | 0. |
| 337 | 337 | 258 | G1_smistamento | 0. | 0. | 0. |
| 337 | 337 | 256 | G1_smistamento | 0. | 0. | 0. |
| 337 | 337 | 255 | G2_smistamento | 0. | 0. | 0. |
| 337 | 337 | 257 | G2_smistamento | 0. | 0. | 0. |
| 337 | 337 | 258 | G2_smistamento | 0. | 0. | 0. |
| 337 | 337 | 256 | G2_smistamento | 0. | 0. | 0. |
| 337 | 337 | 255 | Q_smistamento | 0. | 0. | 0. |
| 337 | 337 | 257 | Q_smistamento | 0. | 0. | 0. |
| 337 | 337 | 258 | Q_smistamento | 0. | 0. | 0. |
| 337 | 337 | 256 | Q_smistamento | 0. | 0. | 0. |
| 337 | 337 | 255 | Q_neve | 0. | 0. | 0. |
| 337 | 337 | 257 | Q_neve | 0. | 0. | 0. |
| 337 | 337 | 258 | Q_neve | 0. | 0. | 0. |
| 337 | 337 | 256 | Q_neve | 0. | 0. | 0. |
| 338 | 338 | 257 | DEAD | 0. | 0. | 0. |
| 338 | 338 | 259 | DEAD | 0. | 0. | 0. |
| 338 | 338 | 260 | DEAD | 0. | 0. | 0. |
| 338 | 338 | 258 | DEAD | 0. | 0. | 0. |
| 338 | 338 | 257 | G1_smistamento | 0. | 0. | 0. |
| 338 | 338 | 259 | G1_smistamento | 0. | 0. | 0. |
| 338 | 338 | 260 | G1_smistamento | 0. | 0. | 0. |

Table 20: Element Forces - Area Shells, Part 1 of 3

| Area | AreaElem | Joint | OutputCase | F11 KN/m | F22 KN/m | F12 KN/m |
|------|----------|-------|----------------|-------------|-------------|-------------|
| 338 | 338 | 258 | G1_smistamento | 0. | 0. | 0. |
| 338 | 338 | 257 | G2_smistamento | 0. | 0. | 0. |
| 338 | 338 | 259 | G2_smistamento | 0. | 0. | 0. |
| 338 | 338 | 260 | G2_smistamento | 0. | 0. | 0. |
| 338 | 338 | 258 | G2_smistamento | 0. | 0. | 0. |
| 338 | 338 | 257 | Q_smistamento | 0. | 0. | 0. |
| 338 | 338 | 259 | Q_smistamento | 0. | 0. | 0. |
| 338 | 338 | 260 | Q_smistamento | 0. | 0. | 0. |
| 338 | 338 | 258 | Q_smistamento | 0. | 0. | 0. |
| 338 | 338 | 257 | Q_neve | 0. | 0. | 0. |
| 338 | 338 | 259 | Q_neve | 0. | 0. | 0. |
| 338 | 338 | 260 | Q_neve | 0. | 0. | 0. |
| 338 | 338 | 258 | Q_neve | 0. | 0. | 0. |
| 339 | 339 | 259 | DEAD | 0. | 0. | 0. |
| 339 | 339 | 261 | DEAD | 0. | 0. | 0. |
| 339 | 339 | 262 | DEAD | 0. | 0. | 0. |
| 339 | 339 | 260 | DEAD | 0. | 0. | 0. |
| 339 | 339 | 259 | G1_smistamento | 0. | 0. | 0. |
| 339 | 339 | 261 | G1_smistamento | 0. | 0. | 0. |
| 339 | 339 | 262 | G1_smistamento | 0. | 0. | 0. |
| 339 | 339 | 260 | G1_smistamento | 0. | 0. | 0. |
| 339 | 339 | 259 | G2_smistamento | 0. | 0. | 0. |
| 339 | 339 | 261 | G2_smistamento | 0. | 0. | 0. |
| 339 | 339 | 262 | G2_smistamento | 0. | 0. | 0. |
| 339 | 339 | 260 | G2_smistamento | 0. | 0. | 0. |
| 339 | 339 | 259 | Q_smistamento | 0. | 0. | 0. |
| 339 | 339 | 261 | Q_smistamento | 0. | 0. | 0. |
| 339 | 339 | 262 | Q_smistamento | 0. | 0. | 0. |
| 339 | 339 | 260 | Q_smistamento | 0. | 0. | 0. |
| 339 | 339 | 259 | Q_neve | 0. | 0. | 0. |
| 339 | 339 | 261 | Q_neve | 0. | 0. | 0. |
| 339 | 339 | 262 | Q_neve | 0. | 0. | 0. |
| 339 | 339 | 260 | Q_neve | 0. | 0. | 0. |
| 340 | 340 | 261 | DEAD | 0. | 0. | 0. |
| 340 | 340 | 263 | DEAD | 0. | 0. | 0. |
| 340 | 340 | 264 | DEAD | 0. | 0. | 0. |
| 340 | 340 | 262 | DEAD | 0. | 0. | 0. |
| 340 | 340 | 261 | G1_smistamento | 0. | 0. | 0. |

Table 20: Element Forces - Area Shells, Part 1 of 3

| Area | AreaElem | Joint | OutputCase | F11 KN/m | F22 KN/m | F12 KN/m |
|------|----------|-------|----------------|-------------|-------------|-------------|
| 340 | 340 | 263 | G1_smistamento | 0. | 0. | 0. |
| 340 | 340 | 264 | G1_smistamento | 0. | 0. | 0. |
| 340 | 340 | 262 | G1_smistamento | 0. | 0. | 0. |
| 340 | 340 | 261 | G2_smistamento | 0. | 0. | 0. |
| 340 | 340 | 263 | G2_smistamento | 0. | 0. | 0. |
| 340 | 340 | 264 | G2_smistamento | 0. | 0. | 0. |
| 340 | 340 | 262 | G2_smistamento | 0. | 0. | 0. |
| 340 | 340 | 261 | Q_smistamento | 0. | 0. | 0. |
| 340 | 340 | 263 | Q_smistamento | 0. | 0. | 0. |
| 340 | 340 | 264 | Q_smistamento | 0. | 0. | 0. |
| 340 | 340 | 262 | Q_smistamento | 0. | 0. | 0. |
| 340 | 340 | 261 | Q_neve | 0. | 0. | 0. |
| 340 | 340 | 263 | Q_neve | 0. | 0. | 0. |
| 340 | 340 | 264 | Q_neve | 0. | 0. | 0. |
| 340 | 340 | 262 | Q_neve | 0. | 0. | 0. |
| 341 | 341 | 263 | DEAD | 0. | 0. | 0. |
| 341 | 341 | 265 | DEAD | 0. | 0. | 0. |
| 341 | 341 | 266 | DEAD | 0. | 0. | 0. |
| 341 | 341 | 264 | DEAD | 0. | 0. | 0. |
| 341 | 341 | 263 | G1_smistamento | 0. | 0. | 0. |
| 341 | 341 | 265 | G1_smistamento | 0. | 0. | 0. |
| 341 | 341 | 266 | G1_smistamento | 0. | 0. | 0. |
| 341 | 341 | 264 | G1_smistamento | 0. | 0. | 0. |
| 341 | 341 | 263 | G2_smistamento | 0. | 0. | 0. |
| 341 | 341 | 265 | G2_smistamento | 0. | 0. | 0. |
| 341 | 341 | 266 | G2_smistamento | 0. | 0. | 0. |
| 341 | 341 | 264 | G2_smistamento | 0. | 0. | 0. |
| 341 | 341 | 263 | Q_smistamento | 0. | 0. | 0. |
| 341 | 341 | 265 | Q_smistamento | 0. | 0. | 0. |
| 341 | 341 | 266 | Q_smistamento | 0. | 0. | 0. |
| 341 | 341 | 264 | Q_smistamento | 0. | 0. | 0. |
| 341 | 341 | 263 | Q_neve | 0. | 0. | 0. |
| 341 | 341 | 265 | Q_neve | 0. | 0. | 0. |
| 341 | 341 | 266 | Q_neve | 0. | 0. | 0. |
| 341 | 341 | 264 | Q_neve | 0. | 0. | 0. |
| 342 | 342 | 265 | DEAD | 0. | 0. | 0. |
| 342 | 342 | 267 | DEAD | 0. | 0. | 0. |
| 342 | 342 | 268 | DEAD | 0. | 0. | 0. |

Table 20: Element Forces - Area Shells, Part 1 of 3

| Area | AreaElem | Joint | OutputCase | F11 KN/m | F22 KN/m | F12 KN/m |
|------|----------|-------|----------------|-------------|-------------|-------------|
| 342 | 342 | 266 | DEAD | 0. | 0. | 0. |
| 342 | 342 | 265 | G1_smistamento | 0. | 0. | 0. |
| 342 | 342 | 267 | G1_smistamento | 0. | 0. | 0. |
| 342 | 342 | 268 | G1_smistamento | 0. | 0. | 0. |
| 342 | 342 | 266 | G1_smistamento | 0. | 0. | 0. |
| 342 | 342 | 265 | G2_smistamento | 0. | 0. | 0. |
| 342 | 342 | 267 | G2_smistamento | 0. | 0. | 0. |
| 342 | 342 | 268 | G2_smistamento | 0. | 0. | 0. |
| 342 | 342 | 266 | G2_smistamento | 0. | 0. | 0. |
| 342 | 342 | 265 | Q_smistamento | 0. | 0. | 0. |
| 342 | 342 | 267 | Q_smistamento | 0. | 0. | 0. |
| 342 | 342 | 268 | Q_smistamento | 0. | 0. | 0. |
| 342 | 342 | 266 | Q_smistamento | 0. | 0. | 0. |
| 342 | 342 | 265 | Q_neve | 0. | 0. | 0. |
| 342 | 342 | 267 | Q_neve | 0. | 0. | 0. |
| 342 | 342 | 268 | Q_neve | 0. | 0. | 0. |
| 342 | 342 | 266 | Q_neve | 0. | 0. | 0. |
| 343 | 343 | 267 | DEAD | 0. | 0. | 0. |
| 343 | 343 | 269 | DEAD | 0. | 0. | 0. |
| 343 | 343 | 270 | DEAD | 0. | 0. | 0. |
| 343 | 343 | 268 | DEAD | 0. | 0. | 0. |
| 343 | 343 | 267 | G1_smistamento | 0. | 0. | 0. |
| 343 | 343 | 269 | G1_smistamento | 0. | 0. | 0. |
| 343 | 343 | 270 | G1_smistamento | 0. | 0. | 0. |
| 343 | 343 | 268 | G1_smistamento | 0. | 0. | 0. |
| 343 | 343 | 267 | G2_smistamento | 0. | 0. | 0. |
| 343 | 343 | 269 | G2_smistamento | 0. | 0. | 0. |
| 343 | 343 | 270 | G2_smistamento | 0. | 0. | 0. |
| 343 | 343 | 268 | G2_smistamento | 0. | 0. | 0. |
| 343 | 343 | 267 | Q_smistamento | 0. | 0. | 0. |
| 343 | 343 | 269 | Q_smistamento | 0. | 0. | 0. |
| 343 | 343 | 270 | Q_smistamento | 0. | 0. | 0. |
| 343 | 343 | 268 | Q_smistamento | 0. | 0. | 0. |
| 343 | 343 | 267 | Q_neve | 0. | 0. | 0. |
| 343 | 343 | 269 | Q_neve | 0. | 0. | 0. |
| 343 | 343 | 270 | Q_neve | 0. | 0. | 0. |
| 343 | 343 | 268 | Q_neve | 0. | 0. | 0. |
| 344 | 344 | 269 | DEAD | 0. | 0. | 0. |

Table 20: Element Forces - Area Shells, Part 1 of 3

| Area | AreaElem | Joint | OutputCase | F11 KN/m | F22 KN/m | F12 KN/m |
|------|----------|-------|----------------|-------------|-------------|-------------|
| 344 | 344 | 271 | DEAD | 0. | 0. | 0. |
| 344 | 344 | 272 | DEAD | 0. | 0. | 0. |
| 344 | 344 | 270 | DEAD | 0. | 0. | 0. |
| 344 | 344 | 269 | G1_smistamento | 0. | 0. | 0. |
| 344 | 344 | 271 | G1_smistamento | 0. | 0. | 0. |
| 344 | 344 | 272 | G1_smistamento | 0. | 0. | 0. |
| 344 | 344 | 270 | G1_smistamento | 0. | 0. | 0. |
| 344 | 344 | 269 | G2_smistamento | 0. | 0. | 0. |
| 344 | 344 | 271 | G2_smistamento | 0. | 0. | 0. |
| 344 | 344 | 272 | G2_smistamento | 0. | 0. | 0. |
| 344 | 344 | 270 | G2_smistamento | 0. | 0. | 0. |
| 344 | 344 | 269 | Q_smistamento | 0. | 0. | 0. |
| 344 | 344 | 271 | Q_smistamento | 0. | 0. | 0. |
| 344 | 344 | 272 | Q_smistamento | 0. | 0. | 0. |
| 344 | 344 | 270 | Q_smistamento | 0. | 0. | 0. |
| 344 | 344 | 269 | Q_neve | 0. | 0. | 0. |
| 344 | 344 | 271 | Q_neve | 0. | 0. | 0. |
| 344 | 344 | 272 | Q_neve | 0. | 0. | 0. |
| 344 | 344 | 270 | Q_neve | 0. | 0. | 0. |
| 345 | 345 | 271 | DEAD | 0. | 0. | 0. |
| 345 | 345 | 273 | DEAD | 0. | 0. | 0. |
| 345 | 345 | 274 | DEAD | 0. | 0. | 0. |
| 345 | 345 | 272 | DEAD | 0. | 0. | 0. |
| 345 | 345 | 271 | G1_smistamento | 0. | 0. | 0. |
| 345 | 345 | 273 | G1_smistamento | 0. | 0. | 0. |
| 345 | 345 | 274 | G1_smistamento | 0. | 0. | 0. |
| 345 | 345 | 272 | G1_smistamento | 0. | 0. | 0. |
| 345 | 345 | 271 | G2_smistamento | 0. | 0. | 0. |
| 345 | 345 | 273 | G2_smistamento | 0. | 0. | 0. |
| 345 | 345 | 274 | G2_smistamento | 0. | 0. | 0. |
| 345 | 345 | 272 | G2_smistamento | 0. | 0. | 0. |
| 345 | 345 | 271 | Q_smistamento | 0. | 0. | 0. |
| 345 | 345 | 273 | Q_smistamento | 0. | 0. | 0. |
| 345 | 345 | 274 | Q_smistamento | 0. | 0. | 0. |
| 345 | 345 | 272 | Q_smistamento | 0. | 0. | 0. |
| 345 | 345 | 271 | Q_neve | 0. | 0. | 0. |
| 345 | 345 | 273 | Q_neve | 0. | 0. | 0. |
| 345 | 345 | 274 | Q_neve | 0. | 0. | 0. |

Table 20: Element Forces - Area Shells, Part 1 of 3

| Area | AreaElem | Joint | OutputCase | F11 KN/m | F22 KN/m | F12 KN/m |
|------|----------|-------|----------------|-------------|-------------|-------------|
| 345 | 345 | 272 | Q_neve | 0. | 0. | 0. |
| 346 | 346 | 273 | DEAD | 0. | 0. | 0. |
| 346 | 346 | 275 | DEAD | 0. | 0. | 0. |
| 346 | 346 | 276 | DEAD | 0. | 0. | 0. |
| 346 | 346 | 274 | DEAD | 0. | 0. | 0. |
| 346 | 346 | 273 | G1_smistamento | 0. | 0. | 0. |
| 346 | 346 | 275 | G1_smistamento | 0. | 0. | 0. |
| 346 | 346 | 276 | G1_smistamento | 0. | 0. | 0. |
| 346 | 346 | 274 | G1_smistamento | 0. | 0. | 0. |
| 346 | 346 | 273 | G2_smistamento | 0. | 0. | 0. |
| 346 | 346 | 275 | G2_smistamento | 0. | 0. | 0. |
| 346 | 346 | 276 | G2_smistamento | 0. | 0. | 0. |
| 346 | 346 | 274 | G2_smistamento | 0. | 0. | 0. |
| 346 | 346 | 273 | Q_smistamento | 0. | 0. | 0. |
| 346 | 346 | 275 | Q_smistamento | 0. | 0. | 0. |
| 346 | 346 | 276 | Q_smistamento | 0. | 0. | 0. |
| 346 | 346 | 274 | Q_smistamento | 0. | 0. | 0. |
| 346 | 346 | 273 | Q_neve | 0. | 0. | 0. |
| 346 | 346 | 275 | Q_neve | 0. | 0. | 0. |
| 346 | 346 | 276 | Q_neve | 0. | 0. | 0. |
| 346 | 346 | 274 | Q_neve | 0. | 0. | 0. |
| 347 | 347 | 275 | DEAD | 0. | 0. | 0. |
| 347 | 347 | 277 | DEAD | 0. | 0. | 0. |
| 347 | 347 | 278 | DEAD | 0. | 0. | 0. |
| 347 | 347 | 276 | DEAD | 0. | 0. | 0. |
| 347 | 347 | 275 | G1_smistamento | 0. | 0. | 0. |
| 347 | 347 | 277 | G1_smistamento | 0. | 0. | 0. |
| 347 | 347 | 278 | G1_smistamento | 0. | 0. | 0. |
| 347 | 347 | 276 | G1_smistamento | 0. | 0. | 0. |
| 347 | 347 | 275 | G2_smistamento | 0. | 0. | 0. |
| 347 | 347 | 277 | G2_smistamento | 0. | 0. | 0. |
| 347 | 347 | 278 | G2_smistamento | 0. | 0. | 0. |
| 347 | 347 | 276 | G2_smistamento | 0. | 0. | 0. |
| 347 | 347 | 275 | Q_smistamento | 0. | 0. | 0. |
| 347 | 347 | 277 | Q_smistamento | 0. | 0. | 0. |
| 347 | 347 | 278 | Q_smistamento | 0. | 0. | 0. |
| 347 | 347 | 276 | Q_smistamento | 0. | 0. | 0. |
| 347 | 347 | 275 | Q_neve | 0. | 0. | 0. |

Table 20: Element Forces - Area Shells, Part 1 of 3

| Area | AreaElem | Joint | OutputCase | F11 KN/m | F22 KN/m | F12 KN/m |
|------|----------|-------|----------------|-------------|-------------|-------------|
| 347 | 347 | 277 | Q_neve | 0. | 0. | 0. |
| 347 | 347 | 278 | Q_neve | 0. | 0. | 0. |
| 347 | 347 | 276 | Q_neve | 0. | 0. | 0. |
| 348 | 348 | 277 | DEAD | 0. | 0. | 0. |
| 348 | 348 | 279 | DEAD | 0. | 0. | 0. |
| 348 | 348 | 280 | DEAD | 0. | 0. | 0. |
| 348 | 348 | 278 | DEAD | 0. | 0. | 0. |
| 348 | 348 | 277 | G1_smistamento | 0. | 0. | 0. |
| 348 | 348 | 279 | G1_smistamento | 0. | 0. | 0. |
| 348 | 348 | 280 | G1_smistamento | 0. | 0. | 0. |
| 348 | 348 | 278 | G1_smistamento | 0. | 0. | 0. |
| 348 | 348 | 277 | G2_smistamento | 0. | 0. | 0. |
| 348 | 348 | 279 | G2_smistamento | 0. | 0. | 0. |
| 348 | 348 | 280 | G2_smistamento | 0. | 0. | 0. |
| 348 | 348 | 278 | G2_smistamento | 0. | 0. | 0. |
| 348 | 348 | 277 | Q_smistamento | 0. | 0. | 0. |
| 348 | 348 | 279 | Q_smistamento | 0. | 0. | 0. |
| 348 | 348 | 280 | Q_smistamento | 0. | 0. | 0. |
| 348 | 348 | 278 | Q_smistamento | 0. | 0. | 0. |
| 348 | 348 | 277 | Q_neve | 0. | 0. | 0. |
| 348 | 348 | 279 | Q_neve | 0. | 0. | 0. |
| 348 | 348 | 280 | Q_neve | 0. | 0. | 0. |
| 348 | 348 | 278 | Q_neve | 0. | 0. | 0. |
| 349 | 349 | 279 | DEAD | 0. | 0. | 0. |
| 349 | 349 | 281 | DEAD | 0. | 0. | 0. |
| 349 | 349 | 282 | DEAD | 0. | 0. | 0. |
| 349 | 349 | 280 | DEAD | 0. | 0. | 0. |
| 349 | 349 | 279 | G1_smistamento | 0. | 0. | 0. |
| 349 | 349 | 281 | G1_smistamento | 0. | 0. | 0. |
| 349 | 349 | 282 | G1_smistamento | 0. | 0. | 0. |
| 349 | 349 | 280 | G1_smistamento | 0. | 0. | 0. |
| 349 | 349 | 279 | G2_smistamento | 0. | 0. | 0. |
| 349 | 349 | 281 | G2_smistamento | 0. | 0. | 0. |
| 349 | 349 | 282 | G2_smistamento | 0. | 0. | 0. |
| 349 | 349 | 280 | G2_smistamento | 0. | 0. | 0. |
| 349 | 349 | 279 | Q_smistamento | 0. | 0. | 0. |
| 349 | 349 | 281 | Q_smistamento | 0. | 0. | 0. |
| 349 | 349 | 282 | Q_smistamento | 0. | 0. | 0. |

Table 20: Element Forces - Area Shells, Part 1 of 3

| Area | AreaElem | Joint | OutputCase | F11 KN/m | F22 KN/m | F12 KN/m |
|------|----------|-------|----------------|-------------|-------------|-------------|
| 349 | 349 | 280 | Q_smistamento | 0. | 0. | 0. |
| 349 | 349 | 279 | Q_neve | 0. | 0. | 0. |
| 349 | 349 | 281 | Q_neve | 0. | 0. | 0. |
| 349 | 349 | 282 | Q_neve | 0. | 0. | 0. |
| 349 | 349 | 280 | Q_neve | 0. | 0. | 0. |
| 350 | 350 | 281 | DEAD | 0. | 0. | 0. |
| 350 | 350 | 19 | DEAD | 0. | 0. | 0. |
| 350 | 350 | 22 | DEAD | 0. | 0. | 0. |
| 350 | 350 | 282 | DEAD | 0. | 0. | 0. |
| 350 | 350 | 281 | G1_smistamento | 0. | 0. | 0. |
| 350 | 350 | 19 | G1_smistamento | 0. | 0. | 0. |
| 350 | 350 | 22 | G1_smistamento | 0. | 0. | 0. |
| 350 | 350 | 282 | G1_smistamento | 0. | 0. | 0. |
| 350 | 350 | 281 | G2_smistamento | 0. | 0. | 0. |
| 350 | 350 | 19 | G2_smistamento | 0. | 0. | 0. |
| 350 | 350 | 22 | G2_smistamento | 0. | 0. | 0. |
| 350 | 350 | 282 | G2_smistamento | 0. | 0. | 0. |
| 350 | 350 | 281 | Q_smistamento | 0. | 0. | 0. |
| 350 | 350 | 19 | Q_smistamento | 0. | 0. | 0. |
| 350 | 350 | 22 | Q_smistamento | 0. | 0. | 0. |
| 350 | 350 | 282 | Q_smistamento | 0. | 0. | 0. |
| 350 | 350 | 281 | Q_neve | 0. | 0. | 0. |
| 350 | 350 | 19 | Q_neve | 0. | 0. | 0. |
| 350 | 350 | 22 | Q_neve | 0. | 0. | 0. |
| 350 | 350 | 282 | Q_neve | 0. | 0. | 0. |
| 351 | 351 | 21 | DEAD | 0. | 0. | 0. |
| 351 | 351 | 283 | DEAD | 0. | 0. | 0. |
| 351 | 351 | 284 | DEAD | 0. | 0. | 0. |
| 351 | 351 | 22 | DEAD | 0. | 0. | 0. |
| 351 | 351 | 21 | G1_smistamento | 0. | 0. | 0. |
| 351 | 351 | 283 | G1_smistamento | 0. | 0. | 0. |
| 351 | 351 | 284 | G1_smistamento | 0. | 0. | 0. |
| 351 | 351 | 22 | G1_smistamento | 0. | 0. | 0. |
| 351 | 351 | 21 | G2_smistamento | 0. | 0. | 0. |
| 351 | 351 | 283 | G2_smistamento | 0. | 0. | 0. |
| 351 | 351 | 284 | G2_smistamento | 0. | 0. | 0. |
| 351 | 351 | 22 | G2_smistamento | 0. | 0. | 0. |
| 351 | 351 | 21 | Q_smistamento | 0. | 0. | 0. |

Table 20: Element Forces - Area Shells, Part 1 of 3

| Area | AreaElem | Joint | OutputCase | F11 KN/m | F22 KN/m | F12 KN/m |
|------|----------|-------|----------------|-------------|-------------|-------------|
| 351 | 351 | 283 | Q_smistamento | 0. | 0. | 0. |
| 351 | 351 | 284 | Q_smistamento | 0. | 0. | 0. |
| 351 | 351 | 22 | Q_smistamento | 0. | 0. | 0. |
| 351 | 351 | 21 | Q_neve | 0. | 0. | 0. |
| 351 | 351 | 283 | Q_neve | 0. | 0. | 0. |
| 351 | 351 | 284 | Q_neve | 0. | 0. | 0. |
| 351 | 351 | 22 | Q_neve | 0. | 0. | 0. |
| 352 | 352 | 283 | DEAD | 0. | 0. | 0. |
| 352 | 352 | 285 | DEAD | 0. | 0. | 0. |
| 352 | 352 | 286 | DEAD | 0. | 0. | 0. |
| 352 | 352 | 284 | DEAD | 0. | 0. | 0. |
| 352 | 352 | 283 | G1_smistamento | 0. | 0. | 0. |
| 352 | 352 | 285 | G1_smistamento | 0. | 0. | 0. |
| 352 | 352 | 286 | G1_smistamento | 0. | 0. | 0. |
| 352 | 352 | 284 | G1_smistamento | 0. | 0. | 0. |
| 352 | 352 | 283 | G2_smistamento | 0. | 0. | 0. |
| 352 | 352 | 285 | G2_smistamento | 0. | 0. | 0. |
| 352 | 352 | 286 | G2_smistamento | 0. | 0. | 0. |
| 352 | 352 | 284 | G2_smistamento | 0. | 0. | 0. |
| 352 | 352 | 283 | Q_smistamento | 0. | 0. | 0. |
| 352 | 352 | 285 | Q_smistamento | 0. | 0. | 0. |
| 352 | 352 | 286 | Q_smistamento | 0. | 0. | 0. |
| 352 | 352 | 284 | Q_smistamento | 0. | 0. | 0. |
| 352 | 352 | 283 | Q_neve | 0. | 0. | 0. |
| 352 | 352 | 285 | Q_neve | 0. | 0. | 0. |
| 352 | 352 | 286 | Q_neve | 0. | 0. | 0. |
| 352 | 352 | 284 | Q_neve | 0. | 0. | 0. |
| 353 | 353 | 285 | DEAD | 0. | 0. | 0. |
| 353 | 353 | 287 | DEAD | 0. | 0. | 0. |
| 353 | 353 | 288 | DEAD | 0. | 0. | 0. |
| 353 | 353 | 286 | DEAD | 0. | 0. | 0. |
| 353 | 353 | 285 | G1_smistamento | 0. | 0. | 0. |
| 353 | 353 | 287 | G1_smistamento | 0. | 0. | 0. |
| 353 | 353 | 288 | G1_smistamento | 0. | 0. | 0. |
| 353 | 353 | 286 | G1_smistamento | 0. | 0. | 0. |
| 353 | 353 | 285 | G2_smistamento | 0. | 0. | 0. |
| 353 | 353 | 287 | G2_smistamento | 0. | 0. | 0. |
| 353 | 353 | 288 | G2_smistamento | 0. | 0. | 0. |

Table 20: Element Forces - Area Shells, Part 1 of 3

| Area | AreaElem | Joint | OutputCase | F11 KN/m | F22 KN/m | F12 KN/m |
|------|----------|-------|----------------|-------------|-------------|-------------|
| 353 | 353 | 286 | G2_smistamento | 0. | 0. | 0. |
| 353 | 353 | 285 | Q_smistamento | 0. | 0. | 0. |
| 353 | 353 | 287 | Q_smistamento | 0. | 0. | 0. |
| 353 | 353 | 288 | Q_smistamento | 0. | 0. | 0. |
| 353 | 353 | 286 | Q_smistamento | 0. | 0. | 0. |
| 353 | 353 | 285 | Q_neve | 0. | 0. | 0. |
| 353 | 353 | 287 | Q_neve | 0. | 0. | 0. |
| 353 | 353 | 288 | Q_neve | 0. | 0. | 0. |
| 353 | 353 | 286 | Q_neve | 0. | 0. | 0. |
| 354 | 354 | 287 | DEAD | 0. | 0. | 0. |
| 354 | 354 | 289 | DEAD | 0. | 0. | 0. |
| 354 | 354 | 290 | DEAD | 0. | 0. | 0. |
| 354 | 354 | 288 | DEAD | 0. | 0. | 0. |
| 354 | 354 | 287 | G1_smistamento | 0. | 0. | 0. |
| 354 | 354 | 289 | G1_smistamento | 0. | 0. | 0. |
| 354 | 354 | 290 | G1_smistamento | 0. | 0. | 0. |
| 354 | 354 | 288 | G1_smistamento | 0. | 0. | 0. |
| 354 | 354 | 287 | G2_smistamento | 0. | 0. | 0. |
| 354 | 354 | 289 | G2_smistamento | 0. | 0. | 0. |
| 354 | 354 | 290 | G2_smistamento | 0. | 0. | 0. |
| 354 | 354 | 288 | G2_smistamento | 0. | 0. | 0. |
| 354 | 354 | 287 | Q_smistamento | 0. | 0. | 0. |
| 354 | 354 | 289 | Q_smistamento | 0. | 0. | 0. |
| 354 | 354 | 290 | Q_smistamento | 0. | 0. | 0. |
| 354 | 354 | 288 | Q_smistamento | 0. | 0. | 0. |
| 354 | 354 | 287 | Q_neve | 0. | 0. | 0. |
| 354 | 354 | 289 | Q_neve | 0. | 0. | 0. |
| 354 | 354 | 290 | Q_neve | 0. | 0. | 0. |
| 354 | 354 | 288 | Q_neve | 0. | 0. | 0. |
| 355 | 355 | 289 | DEAD | 0. | 0. | 0. |
| 355 | 355 | 10 | DEAD | 0. | 0. | 0. |
| 355 | 355 | 9 | DEAD | 0. | 0. | 0. |
| 355 | 355 | 290 | DEAD | 0. | 0. | 0. |
| 355 | 355 | 289 | G1_smistamento | 0. | 0. | 0. |
| 355 | 355 | 10 | G1_smistamento | 0. | 0. | 0. |
| 355 | 355 | 9 | G1_smistamento | 0. | 0. | 0. |
| 355 | 355 | 290 | G1_smistamento | 0. | 0. | 0. |
| 355 | 355 | 289 | G2_smistamento | 0. | 0. | 0. |

Table 20: Element Forces - Area Shells, Part 1 of 3

| Area | AreaElem | Joint | OutputCase | F11 KN/m | F22 KN/m | F12 KN/m |
|------|----------|-------|----------------|-------------|-------------|-------------|
| 355 | 355 | 10 | G2_smistamento | 0. | 0. | 0. |
| 355 | 355 | 9 | G2_smistamento | 0. | 0. | 0. |
| 355 | 355 | 290 | G2_smistamento | 0. | 0. | 0. |
| 355 | 355 | 289 | Q_smistamento | 0. | 0. | 0. |
| 355 | 355 | 10 | Q_smistamento | 0. | 0. | 0. |
| 355 | 355 | 9 | Q_smistamento | 0. | 0. | 0. |
| 355 | 355 | 290 | Q_smistamento | 0. | 0. | 0. |
| 355 | 355 | 289 | Q_neve | 0. | 0. | 0. |
| 355 | 355 | 10 | Q_neve | 0. | 0. | 0. |
| 355 | 355 | 9 | Q_neve | 0. | 0. | 0. |
| 355 | 355 | 290 | Q_neve | 0. | 0. | 0. |
| 356 | 356 | 18 | DEAD | 0. | 0. | 0. |
| 356 | 356 | 252 | DEAD | 0. | 0. | 0. |
| 356 | 356 | 291 | DEAD | 0. | 0. | 0. |
| 356 | 356 | 250 | DEAD | 0. | 0. | 0. |
| 356 | 356 | 18 | G1_smistamento | 0. | 0. | 0. |
| 356 | 356 | 252 | G1_smistamento | 0. | 0. | 0. |
| 356 | 356 | 291 | G1_smistamento | 0. | 0. | 0. |
| 356 | 356 | 250 | G1_smistamento | 0. | 0. | 0. |
| 356 | 356 | 18 | G2_smistamento | 0. | 0. | 0. |
| 356 | 356 | 252 | G2_smistamento | 0. | 0. | 0. |
| 356 | 356 | 291 | G2_smistamento | 0. | 0. | 0. |
| 356 | 356 | 250 | G2_smistamento | 0. | 0. | 0. |
| 356 | 356 | 18 | Q_smistamento | 0. | 0. | 0. |
| 356 | 356 | 252 | Q_smistamento | 0. | 0. | 0. |
| 356 | 356 | 291 | Q_smistamento | 0. | 0. | 0. |
| 356 | 356 | 250 | Q_smistamento | 0. | 0. | 0. |
| 356 | 356 | 18 | Q_neve | 0. | 0. | 0. |
| 356 | 356 | 252 | Q_neve | 0. | 0. | 0. |
| 356 | 356 | 291 | Q_neve | 0. | 0. | 0. |
| 356 | 356 | 250 | Q_neve | 0. | 0. | 0. |
| 357 | 357 | 250 | DEAD | 0. | 0. | 0. |
| 357 | 357 | 291 | DEAD | 0. | 0. | 0. |
| 357 | 357 | 292 | DEAD | 0. | 0. | 0. |
| 357 | 357 | 248 | DEAD | 0. | 0. | 0. |
| 357 | 357 | 250 | G1_smistamento | 0. | 0. | 0. |
| 357 | 357 | 291 | G1_smistamento | 0. | 0. | 0. |
| 357 | 357 | 292 | G1_smistamento | 0. | 0. | 0. |

Table 20: Element Forces - Area Shells, Part 1 of 3

| Area | AreaElem | Joint | OutputCase | F11 KN/m | F22 KN/m | F12 KN/m |
|------|----------|-------|----------------|-------------|-------------|-------------|
| 357 | 357 | 248 | G1_smistamento | 0. | 0. | 0. |
| 357 | 357 | 250 | G2_smistamento | 0. | 0. | 0. |
| 357 | 357 | 291 | G2_smistamento | 0. | 0. | 0. |
| 357 | 357 | 292 | G2_smistamento | 0. | 0. | 0. |
| 357 | 357 | 248 | G2_smistamento | 0. | 0. | 0. |
| 357 | 357 | 250 | Q_smistamento | 0. | 0. | 0. |
| 357 | 357 | 291 | Q_smistamento | 0. | 0. | 0. |
| 357 | 357 | 292 | Q_smistamento | 0. | 0. | 0. |
| 357 | 357 | 248 | Q_smistamento | 0. | 0. | 0. |
| 357 | 357 | 250 | Q_neve | 0. | 0. | 0. |
| 357 | 357 | 291 | Q_neve | 0. | 0. | 0. |
| 357 | 357 | 292 | Q_neve | 0. | 0. | 0. |
| 357 | 357 | 248 | Q_neve | 0. | 0. | 0. |
| 358 | 358 | 248 | DEAD | 0. | 0. | 0. |
| 358 | 358 | 292 | DEAD | 0. | 0. | 0. |
| 358 | 358 | 293 | DEAD | 0. | 0. | 0. |
| 358 | 358 | 246 | DEAD | 0. | 0. | 0. |
| 358 | 358 | 248 | G1_smistamento | 0. | 0. | 0. |
| 358 | 358 | 292 | G1_smistamento | 0. | 0. | 0. |
| 358 | 358 | 293 | G1_smistamento | 0. | 0. | 0. |
| 358 | 358 | 246 | G1_smistamento | 0. | 0. | 0. |
| 358 | 358 | 248 | G2_smistamento | 0. | 0. | 0. |
| 358 | 358 | 292 | G2_smistamento | 0. | 0. | 0. |
| 358 | 358 | 293 | G2_smistamento | 0. | 0. | 0. |
| 358 | 358 | 246 | G2_smistamento | 0. | 0. | 0. |
| 358 | 358 | 248 | Q_smistamento | 0. | 0. | 0. |
| 358 | 358 | 292 | Q_smistamento | 0. | 0. | 0. |
| 358 | 358 | 293 | Q_smistamento | 0. | 0. | 0. |
| 358 | 358 | 246 | Q_smistamento | 0. | 0. | 0. |
| 358 | 358 | 248 | Q_neve | 0. | 0. | 0. |
| 358 | 358 | 292 | Q_neve | 0. | 0. | 0. |
| 358 | 358 | 293 | Q_neve | 0. | 0. | 0. |
| 358 | 358 | 246 | Q_neve | 0. | 0. | 0. |
| 359 | 359 | 246 | DEAD | 0. | 0. | 0. |
| 359 | 359 | 293 | DEAD | 0. | 0. | 0. |
| 359 | 359 | 294 | DEAD | 0. | 0. | 0. |
| 359 | 359 | 244 | DEAD | 0. | 0. | 0. |
| 359 | 359 | 246 | G1_smistamento | 0. | 0. | 0. |

Table 20: Element Forces - Area Shells, Part 1 of 3

| Area | AreaElem | Joint | OutputCase | F11 KN/m | F22 KN/m | F12 KN/m |
|------|----------|-------|----------------|-------------|-------------|-------------|
| 359 | 359 | 293 | G1_smistamento | 0. | 0. | 0. |
| 359 | 359 | 294 | G1_smistamento | 0. | 0. | 0. |
| 359 | 359 | 244 | G1_smistamento | 0. | 0. | 0. |
| 359 | 359 | 246 | G2_smistamento | 0. | 0. | 0. |
| 359 | 359 | 293 | G2_smistamento | 0. | 0. | 0. |
| 359 | 359 | 294 | G2_smistamento | 0. | 0. | 0. |
| 359 | 359 | 244 | G2_smistamento | 0. | 0. | 0. |
| 359 | 359 | 246 | Q_smistamento | 0. | 0. | 0. |
| 359 | 359 | 293 | Q_smistamento | 0. | 0. | 0. |
| 359 | 359 | 294 | Q_smistamento | 0. | 0. | 0. |
| 359 | 359 | 244 | Q_smistamento | 0. | 0. | 0. |
| 359 | 359 | 246 | Q_neve | 0. | 0. | 0. |
| 359 | 359 | 293 | Q_neve | 0. | 0. | 0. |
| 359 | 359 | 294 | Q_neve | 0. | 0. | 0. |
| 359 | 359 | 244 | Q_neve | 0. | 0. | 0. |
| 360 | 360 | 244 | DEAD | 0. | 0. | 0. |
| 360 | 360 | 294 | DEAD | 0. | 0. | 0. |
| 360 | 360 | 242 | DEAD | 0. | 0. | 0. |
| 360 | 360 | 14 | DEAD | 0. | 0. | 0. |
| 360 | 360 | 244 | G1_smistamento | 0. | 0. | 0. |
| 360 | 360 | 294 | G1_smistamento | 0. | 0. | 0. |
| 360 | 360 | 242 | G1_smistamento | 0. | 0. | 0. |
| 360 | 360 | 14 | G1_smistamento | 0. | 0. | 0. |
| 360 | 360 | 244 | G2_smistamento | 0. | 0. | 0. |
| 360 | 360 | 294 | G2_smistamento | 0. | 0. | 0. |
| 360 | 360 | 242 | G2_smistamento | 0. | 0. | 0. |
| 360 | 360 | 14 | G2_smistamento | 0. | 0. | 0. |
| 360 | 360 | 244 | Q_smistamento | 0. | 0. | 0. |
| 360 | 360 | 294 | Q_smistamento | 0. | 0. | 0. |
| 360 | 360 | 242 | Q_smistamento | 0. | 0. | 0. |
| 360 | 360 | 14 | Q_smistamento | 0. | 0. | 0. |
| 360 | 360 | 244 | Q_neve | 0. | 0. | 0. |
| 360 | 360 | 294 | Q_neve | 0. | 0. | 0. |
| 360 | 360 | 242 | Q_neve | 0. | 0. | 0. |
| 360 | 360 | 14 | Q_neve | 0. | 0. | 0. |
| 361 | 361 | 252 | DEAD | 0. | 0. | 0. |
| 361 | 361 | 254 | DEAD | 0. | 0. | 0. |
| 361 | 361 | 295 | DEAD | 0. | 0. | 0. |

Table 20: Element Forces - Area Shells, Part 1 of 3

| Area | AreaElem | Joint | OutputCase | F11 KN/m | F22 KN/m | F12 KN/m |
|------|----------|-------|----------------|-------------|-------------|-------------|
| 361 | 361 | 291 | DEAD | 0. | 0. | 0. |
| 361 | 361 | 252 | G1_smistamento | 0. | 0. | 0. |
| 361 | 361 | 254 | G1_smistamento | 0. | 0. | 0. |
| 361 | 361 | 295 | G1_smistamento | 0. | 0. | 0. |
| 361 | 361 | 291 | G1_smistamento | 0. | 0. | 0. |
| 361 | 361 | 252 | G2_smistamento | 0. | 0. | 0. |
| 361 | 361 | 254 | G2_smistamento | 0. | 0. | 0. |
| 361 | 361 | 295 | G2_smistamento | 0. | 0. | 0. |
| 361 | 361 | 291 | G2_smistamento | 0. | 0. | 0. |
| 361 | 361 | 252 | Q_smistamento | 0. | 0. | 0. |
| 361 | 361 | 254 | Q_smistamento | 0. | 0. | 0. |
| 361 | 361 | 295 | Q_smistamento | 0. | 0. | 0. |
| 361 | 361 | 291 | Q_smistamento | 0. | 0. | 0. |
| 361 | 361 | 252 | Q_neve | 0. | 0. | 0. |
| 361 | 361 | 254 | Q_neve | 0. | 0. | 0. |
| 361 | 361 | 295 | Q_neve | 0. | 0. | 0. |
| 361 | 361 | 291 | Q_neve | 0. | 0. | 0. |
| 362 | 362 | 291 | DEAD | 0. | 0. | 0. |
| 362 | 362 | 295 | DEAD | 0. | 0. | 0. |
| 362 | 362 | 296 | DEAD | 0. | 0. | 0. |
| 362 | 362 | 292 | DEAD | 0. | 0. | 0. |
| 362 | 362 | 291 | G1_smistamento | 0. | 0. | 0. |
| 362 | 362 | 295 | G1_smistamento | 0. | 0. | 0. |
| 362 | 362 | 296 | G1_smistamento | 0. | 0. | 0. |
| 362 | 362 | 292 | G1_smistamento | 0. | 0. | 0. |
| 362 | 362 | 291 | G2_smistamento | 0. | 0. | 0. |
| 362 | 362 | 295 | G2_smistamento | 0. | 0. | 0. |
| 362 | 362 | 296 | G2_smistamento | 0. | 0. | 0. |
| 362 | 362 | 292 | G2_smistamento | 0. | 0. | 0. |
| 362 | 362 | 291 | Q_smistamento | 0. | 0. | 0. |
| 362 | 362 | 295 | Q_smistamento | 0. | 0. | 0. |
| 362 | 362 | 296 | Q_smistamento | 0. | 0. | 0. |
| 362 | 362 | 292 | Q_smistamento | 0. | 0. | 0. |
| 362 | 362 | 291 | Q_neve | 0. | 0. | 0. |
| 362 | 362 | 295 | Q_neve | 0. | 0. | 0. |
| 362 | 362 | 296 | Q_neve | 0. | 0. | 0. |
| 362 | 362 | 292 | Q_neve | 0. | 0. | 0. |
| 363 | 363 | 292 | DEAD | 0. | 0. | 0. |

Table 20: Element Forces - Area Shells, Part 1 of 3

| Area | AreaElem | Joint | OutputCase | F11 KN/m | F22 KN/m | F12 KN/m |
|------|----------|-------|----------------|-------------|-------------|-------------|
| 363 | 363 | 296 | DEAD | 0. | 0. | 0. |
| 363 | 363 | 297 | DEAD | 0. | 0. | 0. |
| 363 | 363 | 293 | DEAD | 0. | 0. | 0. |
| 363 | 363 | 292 | G1_smistamento | 0. | 0. | 0. |
| 363 | 363 | 296 | G1_smistamento | 0. | 0. | 0. |
| 363 | 363 | 297 | G1_smistamento | 0. | 0. | 0. |
| 363 | 363 | 293 | G1_smistamento | 0. | 0. | 0. |
| 363 | 363 | 292 | G2_smistamento | 0. | 0. | 0. |
| 363 | 363 | 296 | G2_smistamento | 0. | 0. | 0. |
| 363 | 363 | 297 | G2_smistamento | 0. | 0. | 0. |
| 363 | 363 | 293 | G2_smistamento | 0. | 0. | 0. |
| 363 | 363 | 292 | Q_smistamento | 0. | 0. | 0. |
| 363 | 363 | 296 | Q_smistamento | 0. | 0. | 0. |
| 363 | 363 | 297 | Q_smistamento | 0. | 0. | 0. |
| 363 | 363 | 293 | Q_smistamento | 0. | 0. | 0. |
| 363 | 363 | 292 | Q_neve | 0. | 0. | 0. |
| 363 | 363 | 296 | Q_neve | 0. | 0. | 0. |
| 363 | 363 | 297 | Q_neve | 0. | 0. | 0. |
| 363 | 363 | 293 | Q_neve | 0. | 0. | 0. |
| 364 | 364 | 293 | DEAD | 0. | 0. | 0. |
| 364 | 364 | 297 | DEAD | 0. | 0. | 0. |
| 364 | 364 | 298 | DEAD | 0. | 0. | 0. |
| 364 | 364 | 294 | DEAD | 0. | 0. | 0. |
| 364 | 364 | 293 | G1_smistamento | 0. | 0. | 0. |
| 364 | 364 | 297 | G1_smistamento | 0. | 0. | 0. |
| 364 | 364 | 298 | G1_smistamento | 0. | 0. | 0. |
| 364 | 364 | 294 | G1_smistamento | 0. | 0. | 0. |
| 364 | 364 | 293 | G2_smistamento | 0. | 0. | 0. |
| 364 | 364 | 297 | G2_smistamento | 0. | 0. | 0. |
| 364 | 364 | 298 | G2_smistamento | 0. | 0. | 0. |
| 364 | 364 | 294 | G2_smistamento | 0. | 0. | 0. |
| 364 | 364 | 293 | Q_smistamento | 0. | 0. | 0. |
| 364 | 364 | 297 | Q_smistamento | 0. | 0. | 0. |
| 364 | 364 | 298 | Q_smistamento | 0. | 0. | 0. |
| 364 | 364 | 294 | Q_smistamento | 0. | 0. | 0. |
| 364 | 364 | 293 | Q_neve | 0. | 0. | 0. |
| 364 | 364 | 297 | Q_neve | 0. | 0. | 0. |
| 364 | 364 | 298 | Q_neve | 0. | 0. | 0. |

Table 20: Element Forces - Area Shells, Part 1 of 3

| Area | AreaElem | Joint | OutputCase | F11 KN/m | F22 KN/m | F12 KN/m |
|------|----------|-------|----------------|-------------|-------------|-------------|
| 364 | 364 | 294 | Q_neve | 0. | 0. | 0. |
| 365 | 365 | 294 | DEAD | 0. | 0. | 0. |
| 365 | 365 | 298 | DEAD | 0. | 0. | 0. |
| 365 | 365 | 240 | DEAD | 0. | 0. | 0. |
| 365 | 365 | 242 | DEAD | 0. | 0. | 0. |
| 365 | 365 | 294 | G1_smistamento | 0. | 0. | 0. |
| 365 | 365 | 298 | G1_smistamento | 0. | 0. | 0. |
| 365 | 365 | 240 | G1_smistamento | 0. | 0. | 0. |
| 365 | 365 | 242 | G1_smistamento | 0. | 0. | 0. |
| 365 | 365 | 294 | G2_smistamento | 0. | 0. | 0. |
| 365 | 365 | 298 | G2_smistamento | 0. | 0. | 0. |
| 365 | 365 | 240 | G2_smistamento | 0. | 0. | 0. |
| 365 | 365 | 242 | G2_smistamento | 0. | 0. | 0. |
| 365 | 365 | 294 | Q_smistamento | 0. | 0. | 0. |
| 365 | 365 | 298 | Q_smistamento | 0. | 0. | 0. |
| 365 | 365 | 240 | Q_smistamento | 0. | 0. | 0. |
| 365 | 365 | 242 | Q_smistamento | 0. | 0. | 0. |
| 365 | 365 | 294 | Q_neve | 0. | 0. | 0. |
| 365 | 365 | 298 | Q_neve | 0. | 0. | 0. |
| 365 | 365 | 240 | Q_neve | 0. | 0. | 0. |
| 365 | 365 | 242 | Q_neve | 0. | 0. | 0. |
| 366 | 366 | 254 | DEAD | 0. | 0. | 0. |
| 366 | 366 | 256 | DEAD | 0. | 0. | 0. |
| 366 | 366 | 299 | DEAD | 0. | 0. | 0. |
| 366 | 366 | 295 | DEAD | 0. | 0. | 0. |
| 366 | 366 | 254 | G1_smistamento | 0. | 0. | 0. |
| 366 | 366 | 256 | G1_smistamento | 0. | 0. | 0. |
| 366 | 366 | 299 | G1_smistamento | 0. | 0. | 0. |
| 366 | 366 | 295 | G1_smistamento | 0. | 0. | 0. |
| 366 | 366 | 254 | G2_smistamento | 0. | 0. | 0. |
| 366 | 366 | 256 | G2_smistamento | 0. | 0. | 0. |
| 366 | 366 | 299 | G2_smistamento | 0. | 0. | 0. |
| 366 | 366 | 295 | G2_smistamento | 0. | 0. | 0. |
| 366 | 366 | 254 | Q_smistamento | 0. | 0. | 0. |
| 366 | 366 | 256 | Q_smistamento | 0. | 0. | 0. |
| 366 | 366 | 299 | Q_smistamento | 0. | 0. | 0. |
| 366 | 366 | 295 | Q_smistamento | 0. | 0. | 0. |
| 366 | 366 | 254 | Q_neve | 0. | 0. | 0. |

Table 20: Element Forces - Area Shells, Part 1 of 3

| Area | AreaElem | Joint | OutputCase | F11 KN/m | F22 KN/m | F12 KN/m |
|------|----------|-------|----------------|-------------|-------------|-------------|
| 366 | 366 | 256 | Q_neve | 0. | 0. | 0. |
| 366 | 366 | 299 | Q_neve | 0. | 0. | 0. |
| 366 | 366 | 295 | Q_neve | 0. | 0. | 0. |
| 367 | 367 | 295 | DEAD | 0. | 0. | 0. |
| 367 | 367 | 299 | DEAD | 0. | 0. | 0. |
| 367 | 367 | 300 | DEAD | 0. | 0. | 0. |
| 367 | 367 | 296 | DEAD | 0. | 0. | 0. |
| 367 | 367 | 295 | G1_smistamento | 0. | 0. | 0. |
| 367 | 367 | 299 | G1_smistamento | 0. | 0. | 0. |
| 367 | 367 | 300 | G1_smistamento | 0. | 0. | 0. |
| 367 | 367 | 296 | G1_smistamento | 0. | 0. | 0. |
| 367 | 367 | 295 | G2_smistamento | 0. | 0. | 0. |
| 367 | 367 | 299 | G2_smistamento | 0. | 0. | 0. |
| 367 | 367 | 300 | G2_smistamento | 0. | 0. | 0. |
| 367 | 367 | 296 | G2_smistamento | 0. | 0. | 0. |
| 367 | 367 | 295 | Q_smistamento | 0. | 0. | 0. |
| 367 | 367 | 299 | Q_smistamento | 0. | 0. | 0. |
| 367 | 367 | 300 | Q_smistamento | 0. | 0. | 0. |
| 367 | 367 | 296 | Q_smistamento | 0. | 0. | 0. |
| 367 | 367 | 295 | Q_neve | 0. | 0. | 0. |
| 367 | 367 | 299 | Q_neve | 0. | 0. | 0. |
| 367 | 367 | 300 | Q_neve | 0. | 0. | 0. |
| 367 | 367 | 296 | Q_neve | 0. | 0. | 0. |
| 368 | 368 | 296 | DEAD | 0. | 0. | 0. |
| 368 | 368 | 300 | DEAD | 0. | 0. | 0. |
| 368 | 368 | 301 | DEAD | 0. | 0. | 0. |
| 368 | 368 | 297 | DEAD | 0. | 0. | 0. |
| 368 | 368 | 296 | G1_smistamento | 0. | 0. | 0. |
| 368 | 368 | 300 | G1_smistamento | 0. | 0. | 0. |
| 368 | 368 | 301 | G1_smistamento | 0. | 0. | 0. |
| 368 | 368 | 297 | G1_smistamento | 0. | 0. | 0. |
| 368 | 368 | 296 | G2_smistamento | 0. | 0. | 0. |
| 368 | 368 | 300 | G2_smistamento | 0. | 0. | 0. |
| 368 | 368 | 301 | G2_smistamento | 0. | 0. | 0. |
| 368 | 368 | 297 | G2_smistamento | 0. | 0. | 0. |
| 368 | 368 | 296 | Q_smistamento | 0. | 0. | 0. |
| 368 | 368 | 300 | Q_smistamento | 0. | 0. | 0. |
| 368 | 368 | 301 | Q_smistamento | 0. | 0. | 0. |

Table 20: Element Forces - Area Shells, Part 1 of 3

| Area | AreaElem | Joint | OutputCase | F11 KN/m | F22 KN/m | F12 KN/m |
|------|----------|-------|----------------|-------------|-------------|-------------|
| 368 | 368 | 297 | Q_smistamento | 0. | 0. | 0. |
| 368 | 368 | 296 | Q_neve | 0. | 0. | 0. |
| 368 | 368 | 300 | Q_neve | 0. | 0. | 0. |
| 368 | 368 | 301 | Q_neve | 0. | 0. | 0. |
| 368 | 368 | 297 | Q_neve | 0. | 0. | 0. |
| 369 | 369 | 297 | DEAD | 0. | 0. | 0. |
| 369 | 369 | 301 | DEAD | 0. | 0. | 0. |
| 369 | 369 | 302 | DEAD | 0. | 0. | 0. |
| 369 | 369 | 298 | DEAD | 0. | 0. | 0. |
| 369 | 369 | 297 | G1_smistamento | 0. | 0. | 0. |
| 369 | 369 | 301 | G1_smistamento | 0. | 0. | 0. |
| 369 | 369 | 302 | G1_smistamento | 0. | 0. | 0. |
| 369 | 369 | 298 | G1_smistamento | 0. | 0. | 0. |
| 369 | 369 | 297 | G2_smistamento | 0. | 0. | 0. |
| 369 | 369 | 301 | G2_smistamento | 0. | 0. | 0. |
| 369 | 369 | 302 | G2_smistamento | 0. | 0. | 0. |
| 369 | 369 | 298 | G2_smistamento | 0. | 0. | 0. |
| 369 | 369 | 297 | Q_smistamento | 0. | 0. | 0. |
| 369 | 369 | 301 | Q_smistamento | 0. | 0. | 0. |
| 369 | 369 | 302 | Q_smistamento | 0. | 0. | 0. |
| 369 | 369 | 298 | Q_smistamento | 0. | 0. | 0. |
| 369 | 369 | 297 | Q_neve | 0. | 0. | 0. |
| 369 | 369 | 301 | Q_neve | 0. | 0. | 0. |
| 369 | 369 | 302 | Q_neve | 0. | 0. | 0. |
| 369 | 369 | 298 | Q_neve | 0. | 0. | 0. |
| 370 | 370 | 298 | DEAD | 0. | 0. | 0. |
| 370 | 370 | 302 | DEAD | 0. | 0. | 0. |
| 370 | 370 | 238 | DEAD | 0. | 0. | 0. |
| 370 | 370 | 240 | DEAD | 0. | 0. | 0. |
| 370 | 370 | 298 | G1_smistamento | 0. | 0. | 0. |
| 370 | 370 | 302 | G1_smistamento | 0. | 0. | 0. |
| 370 | 370 | 238 | G1_smistamento | 0. | 0. | 0. |
| 370 | 370 | 240 | G1_smistamento | 0. | 0. | 0. |
| 370 | 370 | 298 | G2_smistamento | 0. | 0. | 0. |
| 370 | 370 | 302 | G2_smistamento | 0. | 0. | 0. |
| 370 | 370 | 238 | G2_smistamento | 0. | 0. | 0. |
| 370 | 370 | 240 | G2_smistamento | 0. | 0. | 0. |
| 370 | 370 | 298 | Q_smistamento | 0. | 0. | 0. |

Table 20: Element Forces - Area Shells, Part 1 of 3

| Area | AreaElem | Joint | OutputCase | F11 KN/m | F22 KN/m | F12 KN/m |
|------|----------|-------|----------------|-------------|-------------|-------------|
| 370 | 370 | 302 | Q_smistamento | 0. | 0. | 0. |
| 370 | 370 | 238 | Q_smistamento | 0. | 0. | 0. |
| 370 | 370 | 240 | Q_smistamento | 0. | 0. | 0. |
| 370 | 370 | 298 | Q_neve | 0. | 0. | 0. |
| 370 | 370 | 302 | Q_neve | 0. | 0. | 0. |
| 370 | 370 | 238 | Q_neve | 0. | 0. | 0. |
| 370 | 370 | 240 | Q_neve | 0. | 0. | 0. |
| 371 | 371 | 256 | DEAD | 0. | 0. | 0. |
| 371 | 371 | 258 | DEAD | 0. | 0. | 0. |
| 371 | 371 | 303 | DEAD | 0. | 0. | 0. |
| 371 | 371 | 299 | DEAD | 0. | 0. | 0. |
| 371 | 371 | 256 | G1_smistamento | 0. | 0. | 0. |
| 371 | 371 | 258 | G1_smistamento | 0. | 0. | 0. |
| 371 | 371 | 303 | G1_smistamento | 0. | 0. | 0. |
| 371 | 371 | 299 | G1_smistamento | 0. | 0. | 0. |
| 371 | 371 | 256 | G2_smistamento | 0. | 0. | 0. |
| 371 | 371 | 258 | G2_smistamento | 0. | 0. | 0. |
| 371 | 371 | 303 | G2_smistamento | 0. | 0. | 0. |
| 371 | 371 | 299 | G2_smistamento | 0. | 0. | 0. |
| 371 | 371 | 256 | Q_smistamento | 0. | 0. | 0. |
| 371 | 371 | 258 | Q_smistamento | 0. | 0. | 0. |
| 371 | 371 | 303 | Q_smistamento | 0. | 0. | 0. |
| 371 | 371 | 299 | Q_smistamento | 0. | 0. | 0. |
| 371 | 371 | 256 | Q_neve | 0. | 0. | 0. |
| 371 | 371 | 258 | Q_neve | 0. | 0. | 0. |
| 371 | 371 | 303 | Q_neve | 0. | 0. | 0. |
| 371 | 371 | 299 | Q_neve | 0. | 0. | 0. |
| 372 | 372 | 299 | DEAD | 0. | 0. | 0. |
| 372 | 372 | 303 | DEAD | 0. | 0. | 0. |
| 372 | 372 | 304 | DEAD | 0. | 0. | 0. |
| 372 | 372 | 300 | DEAD | 0. | 0. | 0. |
| 372 | 372 | 299 | G1_smistamento | 0. | 0. | 0. |
| 372 | 372 | 303 | G1_smistamento | 0. | 0. | 0. |
| 372 | 372 | 304 | G1_smistamento | 0. | 0. | 0. |
| 372 | 372 | 300 | G1_smistamento | 0. | 0. | 0. |
| 372 | 372 | 299 | G2_smistamento | 0. | 0. | 0. |
| 372 | 372 | 303 | G2_smistamento | 0. | 0. | 0. |
| 372 | 372 | 304 | G2_smistamento | 0. | 0. | 0. |

Table 20: Element Forces - Area Shells, Part 1 of 3

| Area | AreaElem | Joint | OutputCase | F11 KN/m | F22 KN/m | F12 KN/m |
|------|----------|-------|----------------|-------------|-------------|-------------|
| 372 | 372 | 300 | G2_smistamento | 0. | 0. | 0. |
| 372 | 372 | 299 | Q_smistamento | 0. | 0. | 0. |
| 372 | 372 | 303 | Q_smistamento | 0. | 0. | 0. |
| 372 | 372 | 304 | Q_smistamento | 0. | 0. | 0. |
| 372 | 372 | 300 | Q_smistamento | 0. | 0. | 0. |
| 372 | 372 | 299 | Q_neve | 0. | 0. | 0. |
| 372 | 372 | 303 | Q_neve | 0. | 0. | 0. |
| 372 | 372 | 304 | Q_neve | 0. | 0. | 0. |
| 372 | 372 | 300 | Q_neve | 0. | 0. | 0. |
| 373 | 373 | 300 | DEAD | 0. | 0. | 0. |
| 373 | 373 | 304 | DEAD | 0. | 0. | 0. |
| 373 | 373 | 305 | DEAD | 0. | 0. | 0. |
| 373 | 373 | 301 | DEAD | 0. | 0. | 0. |
| 373 | 373 | 300 | G1_smistamento | 0. | 0. | 0. |
| 373 | 373 | 304 | G1_smistamento | 0. | 0. | 0. |
| 373 | 373 | 305 | G1_smistamento | 0. | 0. | 0. |
| 373 | 373 | 301 | G1_smistamento | 0. | 0. | 0. |
| 373 | 373 | 300 | G2_smistamento | 0. | 0. | 0. |
| 373 | 373 | 304 | G2_smistamento | 0. | 0. | 0. |
| 373 | 373 | 305 | G2_smistamento | 0. | 0. | 0. |
| 373 | 373 | 301 | G2_smistamento | 0. | 0. | 0. |
| 373 | 373 | 300 | Q_smistamento | 0. | 0. | 0. |
| 373 | 373 | 304 | Q_smistamento | 0. | 0. | 0. |
| 373 | 373 | 305 | Q_smistamento | 0. | 0. | 0. |
| 373 | 373 | 301 | Q_smistamento | 0. | 0. | 0. |
| 373 | 373 | 300 | Q_neve | 0. | 0. | 0. |
| 373 | 373 | 304 | Q_neve | 0. | 0. | 0. |
| 373 | 373 | 305 | Q_neve | 0. | 0. | 0. |
| 373 | 373 | 301 | Q_neve | 0. | 0. | 0. |
| 374 | 374 | 301 | DEAD | 0. | 0. | 0. |
| 374 | 374 | 305 | DEAD | 0. | 0. | 0. |
| 374 | 374 | 306 | DEAD | 0. | 0. | 0. |
| 374 | 374 | 302 | DEAD | 0. | 0. | 0. |
| 374 | 374 | 301 | G1_smistamento | 0. | 0. | 0. |
| 374 | 374 | 305 | G1_smistamento | 0. | 0. | 0. |
| 374 | 374 | 306 | G1_smistamento | 0. | 0. | 0. |
| 374 | 374 | 302 | G1_smistamento | 0. | 0. | 0. |
| 374 | 374 | 301 | G2_smistamento | 0. | 0. | 0. |

Table 20: Element Forces - Area Shells, Part 1 of 3

| Area | AreaElem | Joint | OutputCase | F11 KN/m | F22 KN/m | F12 KN/m |
|------|----------|-------|----------------|-------------|-------------|-------------|
| 374 | 374 | 305 | G2_smistamento | 0. | 0. | 0. |
| 374 | 374 | 306 | G2_smistamento | 0. | 0. | 0. |
| 374 | 374 | 302 | G2_smistamento | 0. | 0. | 0. |
| 374 | 374 | 301 | Q_smistamento | 0. | 0. | 0. |
| 374 | 374 | 305 | Q_smistamento | 0. | 0. | 0. |
| 374 | 374 | 306 | Q_smistamento | 0. | 0. | 0. |
| 374 | 374 | 302 | Q_smistamento | 0. | 0. | 0. |
| 374 | 374 | 301 | Q_neve | 0. | 0. | 0. |
| 374 | 374 | 305 | Q_neve | 0. | 0. | 0. |
| 374 | 374 | 306 | Q_neve | 0. | 0. | 0. |
| 374 | 374 | 302 | Q_neve | 0. | 0. | 0. |
| 375 | 375 | 302 | DEAD | 0. | 0. | 0. |
| 375 | 375 | 306 | DEAD | 0. | 0. | 0. |
| 375 | 375 | 236 | DEAD | 0. | 0. | 0. |
| 375 | 375 | 238 | DEAD | 0. | 0. | 0. |
| 375 | 375 | 302 | G1_smistamento | 0. | 0. | 0. |
| 375 | 375 | 306 | G1_smistamento | 0. | 0. | 0. |
| 375 | 375 | 236 | G1_smistamento | 0. | 0. | 0. |
| 375 | 375 | 238 | G1_smistamento | 0. | 0. | 0. |
| 375 | 375 | 302 | G2_smistamento | 0. | 0. | 0. |
| 375 | 375 | 306 | G2_smistamento | 0. | 0. | 0. |
| 375 | 375 | 236 | G2_smistamento | 0. | 0. | 0. |
| 375 | 375 | 238 | G2_smistamento | 0. | 0. | 0. |
| 375 | 375 | 302 | Q_smistamento | 0. | 0. | 0. |
| 375 | 375 | 306 | Q_smistamento | 0. | 0. | 0. |
| 375 | 375 | 236 | Q_smistamento | 0. | 0. | 0. |
| 375 | 375 | 238 | Q_smistamento | 0. | 0. | 0. |
| 375 | 375 | 302 | Q_neve | 0. | 0. | 0. |
| 375 | 375 | 306 | Q_neve | 0. | 0. | 0. |
| 375 | 375 | 236 | Q_neve | 0. | 0. | 0. |
| 375 | 375 | 238 | Q_neve | 0. | 0. | 0. |
| 376 | 376 | 258 | DEAD | 0. | 0. | 0. |
| 376 | 376 | 260 | DEAD | 0. | 0. | 0. |
| 376 | 376 | 307 | DEAD | 0. | 0. | 0. |
| 376 | 376 | 303 | DEAD | 0. | 0. | 0. |
| 376 | 376 | 258 | G1_smistamento | 0. | 0. | 0. |
| 376 | 376 | 260 | G1_smistamento | 0. | 0. | 0. |
| 376 | 376 | 307 | G1_smistamento | 0. | 0. | 0. |

Table 20: Element Forces - Area Shells, Part 1 of 3

| Area | AreaElem | Joint | OutputCase | F11 KN/m | F22 KN/m | F12 KN/m |
|------|----------|-------|----------------|-------------|-------------|-------------|
| 376 | 376 | 303 | G1_smistamento | 0. | 0. | 0. |
| 376 | 376 | 258 | G2_smistamento | 0. | 0. | 0. |
| 376 | 376 | 260 | G2_smistamento | 0. | 0. | 0. |
| 376 | 376 | 307 | G2_smistamento | 0. | 0. | 0. |
| 376 | 376 | 303 | G2_smistamento | 0. | 0. | 0. |
| 376 | 376 | 258 | Q_smistamento | 0. | 0. | 0. |
| 376 | 376 | 260 | Q_smistamento | 0. | 0. | 0. |
| 376 | 376 | 307 | Q_smistamento | 0. | 0. | 0. |
| 376 | 376 | 303 | Q_smistamento | 0. | 0. | 0. |
| 376 | 376 | 258 | Q_neve | 0. | 0. | 0. |
| 376 | 376 | 260 | Q_neve | 0. | 0. | 0. |
| 376 | 376 | 307 | Q_neve | 0. | 0. | 0. |
| 376 | 376 | 303 | Q_neve | 0. | 0. | 0. |
| 377 | 377 | 303 | DEAD | 0. | 0. | 0. |
| 377 | 377 | 307 | DEAD | 0. | 0. | 0. |
| 377 | 377 | 308 | DEAD | 0. | 0. | 0. |
| 377 | 377 | 304 | DEAD | 0. | 0. | 0. |
| 377 | 377 | 303 | G1_smistamento | 0. | 0. | 0. |
| 377 | 377 | 307 | G1_smistamento | 0. | 0. | 0. |
| 377 | 377 | 308 | G1_smistamento | 0. | 0. | 0. |
| 377 | 377 | 304 | G1_smistamento | 0. | 0. | 0. |
| 377 | 377 | 303 | G2_smistamento | 0. | 0. | 0. |
| 377 | 377 | 307 | G2_smistamento | 0. | 0. | 0. |
| 377 | 377 | 308 | G2_smistamento | 0. | 0. | 0. |
| 377 | 377 | 304 | G2_smistamento | 0. | 0. | 0. |
| 377 | 377 | 303 | Q_smistamento | 0. | 0. | 0. |
| 377 | 377 | 307 | Q_smistamento | 0. | 0. | 0. |
| 377 | 377 | 308 | Q_smistamento | 0. | 0. | 0. |
| 377 | 377 | 304 | Q_smistamento | 0. | 0. | 0. |
| 377 | 377 | 303 | Q_neve | 0. | 0. | 0. |
| 377 | 377 | 307 | Q_neve | 0. | 0. | 0. |
| 377 | 377 | 308 | Q_neve | 0. | 0. | 0. |
| 377 | 377 | 304 | Q_neve | 0. | 0. | 0. |
| 378 | 378 | 304 | DEAD | 0. | 0. | 0. |
| 378 | 378 | 308 | DEAD | 0. | 0. | 0. |
| 378 | 378 | 309 | DEAD | 0. | 0. | 0. |
| 378 | 378 | 305 | DEAD | 0. | 0. | 0. |
| 378 | 378 | 304 | G1_smistamento | 0. | 0. | 0. |

Table 20: Element Forces - Area Shells, Part 1 of 3

| Area | AreaElem | Joint | OutputCase | F11 KN/m | F22 KN/m | F12 KN/m |
|------|----------|-------|----------------|-------------|-------------|-------------|
| 378 | 378 | 308 | G1_smistamento | 0. | 0. | 0. |
| 378 | 378 | 309 | G1_smistamento | 0. | 0. | 0. |
| 378 | 378 | 305 | G1_smistamento | 0. | 0. | 0. |
| 378 | 378 | 304 | G2_smistamento | 0. | 0. | 0. |
| 378 | 378 | 308 | G2_smistamento | 0. | 0. | 0. |
| 378 | 378 | 309 | G2_smistamento | 0. | 0. | 0. |
| 378 | 378 | 305 | G2_smistamento | 0. | 0. | 0. |
| 378 | 378 | 304 | Q_smistamento | 0. | 0. | 0. |
| 378 | 378 | 308 | Q_smistamento | 0. | 0. | 0. |
| 378 | 378 | 309 | Q_smistamento | 0. | 0. | 0. |
| 378 | 378 | 305 | Q_smistamento | 0. | 0. | 0. |
| 378 | 378 | 304 | Q_neve | 0. | 0. | 0. |
| 378 | 378 | 308 | Q_neve | 0. | 0. | 0. |
| 378 | 378 | 309 | Q_neve | 0. | 0. | 0. |
| 378 | 378 | 305 | Q_neve | 0. | 0. | 0. |
| 379 | 379 | 305 | DEAD | 0. | 0. | 0. |
| 379 | 379 | 309 | DEAD | 0. | 0. | 0. |
| 379 | 379 | 310 | DEAD | 0. | 0. | 0. |
| 379 | 379 | 306 | DEAD | 0. | 0. | 0. |
| 379 | 379 | 305 | G1_smistamento | 0. | 0. | 0. |
| 379 | 379 | 309 | G1_smistamento | 0. | 0. | 0. |
| 379 | 379 | 310 | G1_smistamento | 0. | 0. | 0. |
| 379 | 379 | 306 | G1_smistamento | 0. | 0. | 0. |
| 379 | 379 | 305 | G2_smistamento | 0. | 0. | 0. |
| 379 | 379 | 309 | G2_smistamento | 0. | 0. | 0. |
| 379 | 379 | 310 | G2_smistamento | 0. | 0. | 0. |
| 379 | 379 | 306 | G2_smistamento | 0. | 0. | 0. |
| 379 | 379 | 305 | Q_smistamento | 0. | 0. | 0. |
| 379 | 379 | 309 | Q_smistamento | 0. | 0. | 0. |
| 379 | 379 | 310 | Q_smistamento | 0. | 0. | 0. |
| 379 | 379 | 306 | Q_smistamento | 0. | 0. | 0. |
| 379 | 379 | 305 | Q_neve | 0. | 0. | 0. |
| 379 | 379 | 309 | Q_neve | 0. | 0. | 0. |
| 379 | 379 | 310 | Q_neve | 0. | 0. | 0. |
| 379 | 379 | 306 | Q_neve | 0. | 0. | 0. |
| 380 | 380 | 306 | DEAD | 0. | 0. | 0. |
| 380 | 380 | 310 | DEAD | 0. | 0. | 0. |
| 380 | 380 | 234 | DEAD | 0. | 0. | 0. |

Table 20: Element Forces - Area Shells, Part 1 of 3

| Area | AreaElem | Joint | OutputCase | F11 KN/m | F22 KN/m | F12 KN/m |
|------|----------|-------|----------------|-------------|-------------|-------------|
| 380 | 380 | 236 | DEAD | 0. | 0. | 0. |
| 380 | 380 | 306 | G1_smistamento | 0. | 0. | 0. |
| 380 | 380 | 310 | G1_smistamento | 0. | 0. | 0. |
| 380 | 380 | 234 | G1_smistamento | 0. | 0. | 0. |
| 380 | 380 | 236 | G1_smistamento | 0. | 0. | 0. |
| 380 | 380 | 306 | G2_smistamento | 0. | 0. | 0. |
| 380 | 380 | 310 | G2_smistamento | 0. | 0. | 0. |
| 380 | 380 | 234 | G2_smistamento | 0. | 0. | 0. |
| 380 | 380 | 236 | G2_smistamento | 0. | 0. | 0. |
| 380 | 380 | 306 | Q_smistamento | 0. | 0. | 0. |
| 380 | 380 | 310 | Q_smistamento | 0. | 0. | 0. |
| 380 | 380 | 234 | Q_smistamento | 0. | 0. | 0. |
| 380 | 380 | 236 | Q_smistamento | 0. | 0. | 0. |
| 380 | 380 | 306 | Q_neve | 0. | 0. | 0. |
| 380 | 380 | 310 | Q_neve | 0. | 0. | 0. |
| 380 | 380 | 234 | Q_neve | 0. | 0. | 0. |
| 380 | 380 | 236 | Q_neve | 0. | 0. | 0. |
| 381 | 381 | 260 | DEAD | 0. | 0. | 0. |
| 381 | 381 | 262 | DEAD | 0. | 0. | 0. |
| 381 | 381 | 311 | DEAD | 0. | 0. | 0. |
| 381 | 381 | 307 | DEAD | 0. | 0. | 0. |
| 381 | 381 | 260 | G1_smistamento | 0. | 0. | 0. |
| 381 | 381 | 262 | G1_smistamento | 0. | 0. | 0. |
| 381 | 381 | 311 | G1_smistamento | 0. | 0. | 0. |
| 381 | 381 | 307 | G1_smistamento | 0. | 0. | 0. |
| 381 | 381 | 260 | G2_smistamento | 0. | 0. | 0. |
| 381 | 381 | 262 | G2_smistamento | 0. | 0. | 0. |
| 381 | 381 | 311 | G2_smistamento | 0. | 0. | 0. |
| 381 | 381 | 307 | G2_smistamento | 0. | 0. | 0. |
| 381 | 381 | 260 | Q_smistamento | 0. | 0. | 0. |
| 381 | 381 | 262 | Q_smistamento | 0. | 0. | 0. |
| 381 | 381 | 311 | Q_smistamento | 0. | 0. | 0. |
| 381 | 381 | 307 | Q_smistamento | 0. | 0. | 0. |
| 381 | 381 | 260 | Q_neve | 0. | 0. | 0. |
| 381 | 381 | 262 | Q_neve | 0. | 0. | 0. |
| 381 | 381 | 311 | Q_neve | 0. | 0. | 0. |
| 381 | 381 | 307 | Q_neve | 0. | 0. | 0. |
| 382 | 382 | 307 | DEAD | 0. | 0. | 0. |

Table 20: Element Forces - Area Shells, Part 1 of 3

| Area | AreaElem | Joint | OutputCase | F11 KN/m | F22 KN/m | F12 KN/m |
|------|----------|-------|----------------|-------------|-------------|-------------|
| 382 | 382 | 311 | DEAD | 0. | 0. | 0. |
| 382 | 382 | 312 | DEAD | 0. | 0. | 0. |
| 382 | 382 | 308 | DEAD | 0. | 0. | 0. |
| 382 | 382 | 307 | G1_smistamento | 0. | 0. | 0. |
| 382 | 382 | 311 | G1_smistamento | 0. | 0. | 0. |
| 382 | 382 | 312 | G1_smistamento | 0. | 0. | 0. |
| 382 | 382 | 308 | G1_smistamento | 0. | 0. | 0. |
| 382 | 382 | 307 | G2_smistamento | 0. | 0. | 0. |
| 382 | 382 | 311 | G2_smistamento | 0. | 0. | 0. |
| 382 | 382 | 312 | G2_smistamento | 0. | 0. | 0. |
| 382 | 382 | 308 | G2_smistamento | 0. | 0. | 0. |
| 382 | 382 | 307 | Q_smistamento | 0. | 0. | 0. |
| 382 | 382 | 311 | Q_smistamento | 0. | 0. | 0. |
| 382 | 382 | 312 | Q_smistamento | 0. | 0. | 0. |
| 382 | 382 | 308 | Q_smistamento | 0. | 0. | 0. |
| 382 | 382 | 307 | Q_neve | 0. | 0. | 0. |
| 382 | 382 | 311 | Q_neve | 0. | 0. | 0. |
| 382 | 382 | 312 | Q_neve | 0. | 0. | 0. |
| 382 | 382 | 308 | Q_neve | 0. | 0. | 0. |
| 383 | 383 | 308 | DEAD | 0. | 0. | 0. |
| 383 | 383 | 312 | DEAD | 0. | 0. | 0. |
| 383 | 383 | 313 | DEAD | 0. | 0. | 0. |
| 383 | 383 | 309 | DEAD | 0. | 0. | 0. |
| 383 | 383 | 308 | G1_smistamento | 0. | 0. | 0. |
| 383 | 383 | 312 | G1_smistamento | 0. | 0. | 0. |
| 383 | 383 | 313 | G1_smistamento | 0. | 0. | 0. |
| 383 | 383 | 309 | G1_smistamento | 0. | 0. | 0. |
| 383 | 383 | 308 | G2_smistamento | 0. | 0. | 0. |
| 383 | 383 | 312 | G2_smistamento | 0. | 0. | 0. |
| 383 | 383 | 313 | G2_smistamento | 0. | 0. | 0. |
| 383 | 383 | 309 | G2_smistamento | 0. | 0. | 0. |
| 383 | 383 | 308 | Q_smistamento | 0. | 0. | 0. |
| 383 | 383 | 312 | Q_smistamento | 0. | 0. | 0. |
| 383 | 383 | 313 | Q_smistamento | 0. | 0. | 0. |
| 383 | 383 | 309 | Q_smistamento | 0. | 0. | 0. |
| 383 | 383 | 308 | Q_neve | 0. | 0. | 0. |
| 383 | 383 | 312 | Q_neve | 0. | 0. | 0. |
| 383 | 383 | 313 | Q_neve | 0. | 0. | 0. |

Table 20: Element Forces - Area Shells, Part 1 of 3

| Area | AreaElem | Joint | OutputCase | F11 KN/m | F22 KN/m | F12 KN/m |
|------|----------|-------|----------------|-------------|-------------|-------------|
| 383 | 383 | 309 | Q_neve | 0. | 0. | 0. |
| 384 | 384 | 309 | DEAD | 0. | 0. | 0. |
| 384 | 384 | 313 | DEAD | 0. | 0. | 0. |
| 384 | 384 | 314 | DEAD | 0. | 0. | 0. |
| 384 | 384 | 310 | DEAD | 0. | 0. | 0. |
| 384 | 384 | 309 | G1_smistamento | 0. | 0. | 0. |
| 384 | 384 | 313 | G1_smistamento | 0. | 0. | 0. |
| 384 | 384 | 314 | G1_smistamento | 0. | 0. | 0. |
| 384 | 384 | 310 | G1_smistamento | 0. | 0. | 0. |
| 384 | 384 | 309 | G2_smistamento | 0. | 0. | 0. |
| 384 | 384 | 313 | G2_smistamento | 0. | 0. | 0. |
| 384 | 384 | 314 | G2_smistamento | 0. | 0. | 0. |
| 384 | 384 | 310 | G2_smistamento | 0. | 0. | 0. |
| 384 | 384 | 309 | Q_smistamento | 0. | 0. | 0. |
| 384 | 384 | 313 | Q_smistamento | 0. | 0. | 0. |
| 384 | 384 | 314 | Q_smistamento | 0. | 0. | 0. |
| 384 | 384 | 310 | Q_smistamento | 0. | 0. | 0. |
| 384 | 384 | 309 | Q_neve | 0. | 0. | 0. |
| 384 | 384 | 313 | Q_neve | 0. | 0. | 0. |
| 384 | 384 | 314 | Q_neve | 0. | 0. | 0. |
| 384 | 384 | 310 | Q_neve | 0. | 0. | 0. |
| 385 | 385 | 310 | DEAD | 0. | 0. | 0. |
| 385 | 385 | 314 | DEAD | 0. | 0. | 0. |
| 385 | 385 | 232 | DEAD | 0. | 0. | 0. |
| 385 | 385 | 234 | DEAD | 0. | 0. | 0. |
| 385 | 385 | 310 | G1_smistamento | 0. | 0. | 0. |
| 385 | 385 | 314 | G1_smistamento | 0. | 0. | 0. |
| 385 | 385 | 232 | G1_smistamento | 0. | 0. | 0. |
| 385 | 385 | 234 | G1_smistamento | 0. | 0. | 0. |
| 385 | 385 | 310 | G2_smistamento | 0. | 0. | 0. |
| 385 | 385 | 314 | G2_smistamento | 0. | 0. | 0. |
| 385 | 385 | 232 | G2_smistamento | 0. | 0. | 0. |
| 385 | 385 | 234 | G2_smistamento | 0. | 0. | 0. |
| 385 | 385 | 310 | Q_smistamento | 0. | 0. | 0. |
| 385 | 385 | 314 | Q_smistamento | 0. | 0. | 0. |
| 385 | 385 | 232 | Q_smistamento | 0. | 0. | 0. |
| 385 | 385 | 234 | Q_smistamento | 0. | 0. | 0. |
| 385 | 385 | 310 | Q_neve | 0. | 0. | 0. |

Table 20: Element Forces - Area Shells, Part 1 of 3

| Area | AreaElem | Joint | OutputCase | F11 KN/m | F22 KN/m | F12 KN/m |
|------|----------|-------|----------------|-------------|-------------|-------------|
| 385 | 385 | 314 | Q_neve | 0. | 0. | 0. |
| 385 | 385 | 232 | Q_neve | 0. | 0. | 0. |
| 385 | 385 | 234 | Q_neve | 0. | 0. | 0. |
| 386 | 386 | 262 | DEAD | 0. | 0. | 0. |
| 386 | 386 | 264 | DEAD | 0. | 0. | 0. |
| 386 | 386 | 315 | DEAD | 0. | 0. | 0. |
| 386 | 386 | 311 | DEAD | 0. | 0. | 0. |
| 386 | 386 | 262 | G1_smistamento | 0. | 0. | 0. |
| 386 | 386 | 264 | G1_smistamento | 0. | 0. | 0. |
| 386 | 386 | 315 | G1_smistamento | 0. | 0. | 0. |
| 386 | 386 | 311 | G1_smistamento | 0. | 0. | 0. |
| 386 | 386 | 262 | G2_smistamento | 0. | 0. | 0. |
| 386 | 386 | 264 | G2_smistamento | 0. | 0. | 0. |
| 386 | 386 | 315 | G2_smistamento | 0. | 0. | 0. |
| 386 | 386 | 311 | G2_smistamento | 0. | 0. | 0. |
| 386 | 386 | 262 | Q_smistamento | 0. | 0. | 0. |
| 386 | 386 | 264 | Q_smistamento | 0. | 0. | 0. |
| 386 | 386 | 315 | Q_smistamento | 0. | 0. | 0. |
| 386 | 386 | 311 | Q_smistamento | 0. | 0. | 0. |
| 386 | 386 | 262 | Q_neve | 0. | 0. | 0. |
| 386 | 386 | 264 | Q_neve | 0. | 0. | 0. |
| 386 | 386 | 315 | Q_neve | 0. | 0. | 0. |
| 386 | 386 | 311 | Q_neve | 0. | 0. | 0. |
| 387 | 387 | 311 | DEAD | 0. | 0. | 0. |
| 387 | 387 | 315 | DEAD | 0. | 0. | 0. |
| 387 | 387 | 316 | DEAD | 0. | 0. | 0. |
| 387 | 387 | 312 | DEAD | 0. | 0. | 0. |
| 387 | 387 | 311 | G1_smistamento | 0. | 0. | 0. |
| 387 | 387 | 315 | G1_smistamento | 0. | 0. | 0. |
| 387 | 387 | 316 | G1_smistamento | 0. | 0. | 0. |
| 387 | 387 | 312 | G1_smistamento | 0. | 0. | 0. |
| 387 | 387 | 311 | G2_smistamento | 0. | 0. | 0. |
| 387 | 387 | 315 | G2_smistamento | 0. | 0. | 0. |
| 387 | 387 | 316 | G2_smistamento | 0. | 0. | 0. |
| 387 | 387 | 312 | G2_smistamento | 0. | 0. | 0. |
| 387 | 387 | 311 | Q_smistamento | 0. | 0. | 0. |
| 387 | 387 | 315 | Q_smistamento | 0. | 0. | 0. |
| 387 | 387 | 316 | Q_smistamento | 0. | 0. | 0. |

Table 20: Element Forces - Area Shells, Part 1 of 3

| Area | AreaElem | Joint | OutputCase | F11 KN/m | F22 KN/m | F12 KN/m |
|------|----------|-------|----------------|-------------|-------------|-------------|
| 387 | 387 | 312 | Q_smistamento | 0. | 0. | 0. |
| 387 | 387 | 311 | Q_neve | 0. | 0. | 0. |
| 387 | 387 | 315 | Q_neve | 0. | 0. | 0. |
| 387 | 387 | 316 | Q_neve | 0. | 0. | 0. |
| 387 | 387 | 312 | Q_neve | 0. | 0. | 0. |
| 388 | 388 | 312 | DEAD | 0. | 0. | 0. |
| 388 | 388 | 316 | DEAD | 0. | 0. | 0. |
| 388 | 388 | 317 | DEAD | 0. | 0. | 0. |
| 388 | 388 | 313 | DEAD | 0. | 0. | 0. |
| 388 | 388 | 312 | G1_smistamento | 0. | 0. | 0. |
| 388 | 388 | 316 | G1_smistamento | 0. | 0. | 0. |
| 388 | 388 | 317 | G1_smistamento | 0. | 0. | 0. |
| 388 | 388 | 313 | G1_smistamento | 0. | 0. | 0. |
| 388 | 388 | 312 | G2_smistamento | 0. | 0. | 0. |
| 388 | 388 | 316 | G2_smistamento | 0. | 0. | 0. |
| 388 | 388 | 317 | G2_smistamento | 0. | 0. | 0. |
| 388 | 388 | 313 | G2_smistamento | 0. | 0. | 0. |
| 388 | 388 | 312 | Q_smistamento | 0. | 0. | 0. |
| 388 | 388 | 316 | Q_smistamento | 0. | 0. | 0. |
| 388 | 388 | 317 | Q_smistamento | 0. | 0. | 0. |
| 388 | 388 | 313 | Q_smistamento | 0. | 0. | 0. |
| 388 | 388 | 312 | Q_neve | 0. | 0. | 0. |
| 388 | 388 | 316 | Q_neve | 0. | 0. | 0. |
| 388 | 388 | 317 | Q_neve | 0. | 0. | 0. |
| 388 | 388 | 313 | Q_neve | 0. | 0. | 0. |
| 389 | 389 | 313 | DEAD | 0. | 0. | 0. |
| 389 | 389 | 317 | DEAD | 0. | 0. | 0. |
| 389 | 389 | 318 | DEAD | 0. | 0. | 0. |
| 389 | 389 | 314 | DEAD | 0. | 0. | 0. |
| 389 | 389 | 313 | G1_smistamento | 0. | 0. | 0. |
| 389 | 389 | 317 | G1_smistamento | 0. | 0. | 0. |
| 389 | 389 | 318 | G1_smistamento | 0. | 0. | 0. |
| 389 | 389 | 314 | G1_smistamento | 0. | 0. | 0. |
| 389 | 389 | 313 | G2_smistamento | 0. | 0. | 0. |
| 389 | 389 | 317 | G2_smistamento | 0. | 0. | 0. |
| 389 | 389 | 318 | G2_smistamento | 0. | 0. | 0. |
| 389 | 389 | 314 | G2_smistamento | 0. | 0. | 0. |
| 389 | 389 | 313 | Q_smistamento | 0. | 0. | 0. |

Table 20: Element Forces - Area Shells, Part 1 of 3

| Area | AreaElem | Joint | OutputCase | F11 KN/m | F22 KN/m | F12 KN/m |
|------|----------|-------|----------------|-------------|-------------|-------------|
| 389 | 389 | 317 | Q_smistamento | 0. | 0. | 0. |
| 389 | 389 | 318 | Q_smistamento | 0. | 0. | 0. |
| 389 | 389 | 314 | Q_smistamento | 0. | 0. | 0. |
| 389 | 389 | 313 | Q_neve | 0. | 0. | 0. |
| 389 | 389 | 317 | Q_neve | 0. | 0. | 0. |
| 389 | 389 | 318 | Q_neve | 0. | 0. | 0. |
| 389 | 389 | 314 | Q_neve | 0. | 0. | 0. |
| 390 | 390 | 314 | DEAD | 0. | 0. | 0. |
| 390 | 390 | 318 | DEAD | 0. | 0. | 0. |
| 390 | 390 | 230 | DEAD | 0. | 0. | 0. |
| 390 | 390 | 232 | DEAD | 0. | 0. | 0. |
| 390 | 390 | 314 | G1_smistamento | 0. | 0. | 0. |
| 390 | 390 | 318 | G1_smistamento | 0. | 0. | 0. |
| 390 | 390 | 230 | G1_smistamento | 0. | 0. | 0. |
| 390 | 390 | 232 | G1_smistamento | 0. | 0. | 0. |
| 390 | 390 | 314 | G2_smistamento | 0. | 0. | 0. |
| 390 | 390 | 318 | G2_smistamento | 0. | 0. | 0. |
| 390 | 390 | 230 | G2_smistamento | 0. | 0. | 0. |
| 390 | 390 | 232 | G2_smistamento | 0. | 0. | 0. |
| 390 | 390 | 314 | Q_smistamento | 0. | 0. | 0. |
| 390 | 390 | 318 | Q_smistamento | 0. | 0. | 0. |
| 390 | 390 | 230 | Q_smistamento | 0. | 0. | 0. |
| 390 | 390 | 232 | Q_smistamento | 0. | 0. | 0. |
| 390 | 390 | 314 | Q_neve | 0. | 0. | 0. |
| 390 | 390 | 318 | Q_neve | 0. | 0. | 0. |
| 390 | 390 | 230 | Q_neve | 0. | 0. | 0. |
| 390 | 390 | 232 | Q_neve | 0. | 0. | 0. |
| 391 | 391 | 264 | DEAD | 0. | 0. | 0. |
| 391 | 391 | 266 | DEAD | 0. | 0. | 0. |
| 391 | 391 | 319 | DEAD | 0. | 0. | 0. |
| 391 | 391 | 315 | DEAD | 0. | 0. | 0. |
| 391 | 391 | 264 | G1_smistamento | 0. | 0. | 0. |
| 391 | 391 | 266 | G1_smistamento | 0. | 0. | 0. |
| 391 | 391 | 319 | G1_smistamento | 0. | 0. | 0. |
| 391 | 391 | 315 | G1_smistamento | 0. | 0. | 0. |
| 391 | 391 | 264 | G2_smistamento | 0. | 0. | 0. |
| 391 | 391 | 266 | G2_smistamento | 0. | 0. | 0. |
| 391 | 391 | 319 | G2_smistamento | 0. | 0. | 0. |

Table 20: Element Forces - Area Shells, Part 1 of 3

| Area | AreaElem | Joint | OutputCase | F11 KN/m | F22 KN/m | F12 KN/m |
|------|----------|-------|----------------|-------------|-------------|-------------|
| 391 | 391 | 315 | G2_smistamento | 0. | 0. | 0. |
| 391 | 391 | 264 | Q_smistamento | 0. | 0. | 0. |
| 391 | 391 | 266 | Q_smistamento | 0. | 0. | 0. |
| 391 | 391 | 319 | Q_smistamento | 0. | 0. | 0. |
| 391 | 391 | 315 | Q_smistamento | 0. | 0. | 0. |
| 391 | 391 | 264 | Q_neve | 0. | 0. | 0. |
| 391 | 391 | 266 | Q_neve | 0. | 0. | 0. |
| 391 | 391 | 319 | Q_neve | 0. | 0. | 0. |
| 391 | 391 | 315 | Q_neve | 0. | 0. | 0. |
| 392 | 392 | 315 | DEAD | 0. | 0. | 0. |
| 392 | 392 | 319 | DEAD | 0. | 0. | 0. |
| 392 | 392 | 320 | DEAD | 0. | 0. | 0. |
| 392 | 392 | 316 | DEAD | 0. | 0. | 0. |
| 392 | 392 | 315 | G1_smistamento | 0. | 0. | 0. |
| 392 | 392 | 319 | G1_smistamento | 0. | 0. | 0. |
| 392 | 392 | 320 | G1_smistamento | 0. | 0. | 0. |
| 392 | 392 | 316 | G1_smistamento | 0. | 0. | 0. |
| 392 | 392 | 315 | G2_smistamento | 0. | 0. | 0. |
| 392 | 392 | 319 | G2_smistamento | 0. | 0. | 0. |
| 392 | 392 | 320 | G2_smistamento | 0. | 0. | 0. |
| 392 | 392 | 316 | G2_smistamento | 0. | 0. | 0. |
| 392 | 392 | 315 | Q_smistamento | 0. | 0. | 0. |
| 392 | 392 | 319 | Q_smistamento | 0. | 0. | 0. |
| 392 | 392 | 320 | Q_smistamento | 0. | 0. | 0. |
| 392 | 392 | 316 | Q_smistamento | 0. | 0. | 0. |
| 392 | 392 | 315 | Q_neve | 0. | 0. | 0. |
| 392 | 392 | 319 | Q_neve | 0. | 0. | 0. |
| 392 | 392 | 320 | Q_neve | 0. | 0. | 0. |
| 392 | 392 | 316 | Q_neve | 0. | 0. | 0. |
| 393 | 393 | 316 | DEAD | 0. | 0. | 0. |
| 393 | 393 | 320 | DEAD | 0. | 0. | 0. |
| 393 | 393 | 321 | DEAD | 0. | 0. | 0. |
| 393 | 393 | 317 | DEAD | 0. | 0. | 0. |
| 393 | 393 | 316 | G1_smistamento | 0. | 0. | 0. |
| 393 | 393 | 320 | G1_smistamento | 0. | 0. | 0. |
| 393 | 393 | 321 | G1_smistamento | 0. | 0. | 0. |
| 393 | 393 | 317 | G1_smistamento | 0. | 0. | 0. |
| 393 | 393 | 316 | G2_smistamento | 0. | 0. | 0. |

Table 20: Element Forces - Area Shells, Part 1 of 3

| Area | AreaElem | Joint | OutputCase | F11 KN/m | F22 KN/m | F12 KN/m |
|------|----------|-------|----------------|-------------|-------------|-------------|
| 393 | 393 | 320 | G2_smistamento | 0. | 0. | 0. |
| 393 | 393 | 321 | G2_smistamento | 0. | 0. | 0. |
| 393 | 393 | 317 | G2_smistamento | 0. | 0. | 0. |
| 393 | 393 | 316 | Q_smistamento | 0. | 0. | 0. |
| 393 | 393 | 320 | Q_smistamento | 0. | 0. | 0. |
| 393 | 393 | 321 | Q_smistamento | 0. | 0. | 0. |
| 393 | 393 | 317 | Q_smistamento | 0. | 0. | 0. |
| 393 | 393 | 316 | Q_neve | 0. | 0. | 0. |
| 393 | 393 | 320 | Q_neve | 0. | 0. | 0. |
| 393 | 393 | 321 | Q_neve | 0. | 0. | 0. |
| 393 | 393 | 317 | Q_neve | 0. | 0. | 0. |
| 394 | 394 | 317 | DEAD | 0. | 0. | 0. |
| 394 | 394 | 321 | DEAD | 0. | 0. | 0. |
| 394 | 394 | 322 | DEAD | 0. | 0. | 0. |
| 394 | 394 | 318 | DEAD | 0. | 0. | 0. |
| 394 | 394 | 317 | G1_smistamento | 0. | 0. | 0. |
| 394 | 394 | 321 | G1_smistamento | 0. | 0. | 0. |
| 394 | 394 | 322 | G1_smistamento | 0. | 0. | 0. |
| 394 | 394 | 318 | G1_smistamento | 0. | 0. | 0. |
| 394 | 394 | 317 | G2_smistamento | 0. | 0. | 0. |
| 394 | 394 | 321 | G2_smistamento | 0. | 0. | 0. |
| 394 | 394 | 322 | G2_smistamento | 0. | 0. | 0. |
| 394 | 394 | 318 | G2_smistamento | 0. | 0. | 0. |
| 394 | 394 | 317 | Q_smistamento | 0. | 0. | 0. |
| 394 | 394 | 321 | Q_smistamento | 0. | 0. | 0. |
| 394 | 394 | 322 | Q_smistamento | 0. | 0. | 0. |
| 394 | 394 | 318 | Q_smistamento | 0. | 0. | 0. |
| 394 | 394 | 317 | Q_neve | 0. | 0. | 0. |
| 394 | 394 | 321 | Q_neve | 0. | 0. | 0. |
| 394 | 394 | 322 | Q_neve | 0. | 0. | 0. |
| 394 | 394 | 318 | Q_neve | 0. | 0. | 0. |
| 395 | 395 | 318 | DEAD | 0. | 0. | 0. |
| 395 | 395 | 322 | DEAD | 0. | 0. | 0. |
| 395 | 395 | 228 | DEAD | 0. | 0. | 0. |
| 395 | 395 | 230 | DEAD | 0. | 0. | 0. |
| 395 | 395 | 318 | G1_smistamento | 0. | 0. | 0. |
| 395 | 395 | 322 | G1_smistamento | 0. | 0. | 0. |
| 395 | 395 | 228 | G1_smistamento | 0. | 0. | 0. |

Table 20: Element Forces - Area Shells, Part 1 of 3

| Area | AreaElem | Joint | OutputCase | F11 KN/m | F22 KN/m | F12 KN/m |
|------|----------|-------|----------------|-------------|-------------|-------------|
| 395 | 395 | 230 | G1_smistamento | 0. | 0. | 0. |
| 395 | 395 | 318 | G2_smistamento | 0. | 0. | 0. |
| 395 | 395 | 322 | G2_smistamento | 0. | 0. | 0. |
| 395 | 395 | 228 | G2_smistamento | 0. | 0. | 0. |
| 395 | 395 | 230 | G2_smistamento | 0. | 0. | 0. |
| 395 | 395 | 318 | Q_smistamento | 0. | 0. | 0. |
| 395 | 395 | 322 | Q_smistamento | 0. | 0. | 0. |
| 395 | 395 | 228 | Q_smistamento | 0. | 0. | 0. |
| 395 | 395 | 230 | Q_smistamento | 0. | 0. | 0. |
| 395 | 395 | 318 | Q_neve | 0. | 0. | 0. |
| 395 | 395 | 322 | Q_neve | 0. | 0. | 0. |
| 395 | 395 | 228 | Q_neve | 0. | 0. | 0. |
| 395 | 395 | 230 | Q_neve | 0. | 0. | 0. |
| 396 | 396 | 266 | DEAD | 0. | 0. | 0. |
| 396 | 396 | 268 | DEAD | 0. | 0. | 0. |
| 396 | 396 | 323 | DEAD | 0. | 0. | 0. |
| 396 | 396 | 319 | DEAD | 0. | 0. | 0. |
| 396 | 396 | 266 | G1_smistamento | 0. | 0. | 0. |
| 396 | 396 | 268 | G1_smistamento | 0. | 0. | 0. |
| 396 | 396 | 323 | G1_smistamento | 0. | 0. | 0. |
| 396 | 396 | 319 | G1_smistamento | 0. | 0. | 0. |
| 396 | 396 | 266 | G2_smistamento | 0. | 0. | 0. |
| 396 | 396 | 268 | G2_smistamento | 0. | 0. | 0. |
| 396 | 396 | 323 | G2_smistamento | 0. | 0. | 0. |
| 396 | 396 | 319 | G2_smistamento | 0. | 0. | 0. |
| 396 | 396 | 266 | Q_smistamento | 0. | 0. | 0. |
| 396 | 396 | 268 | Q_smistamento | 0. | 0. | 0. |
| 396 | 396 | 323 | Q_smistamento | 0. | 0. | 0. |
| 396 | 396 | 319 | Q_smistamento | 0. | 0. | 0. |
| 396 | 396 | 266 | Q_neve | 0. | 0. | 0. |
| 396 | 396 | 268 | Q_neve | 0. | 0. | 0. |
| 396 | 396 | 323 | Q_neve | 0. | 0. | 0. |
| 396 | 396 | 319 | Q_neve | 0. | 0. | 0. |
| 397 | 397 | 319 | DEAD | 0. | 0. | 0. |
| 397 | 397 | 323 | DEAD | 0. | 0. | 0. |
| 397 | 397 | 324 | DEAD | 0. | 0. | 0. |
| 397 | 397 | 320 | DEAD | 0. | 0. | 0. |
| 397 | 397 | 319 | G1_smistamento | 0. | 0. | 0. |

Table 20: Element Forces - Area Shells, Part 1 of 3

| Area | AreaElem | Joint | OutputCase | F11 KN/m | F22 KN/m | F12 KN/m |
|------|----------|-------|----------------|-------------|-------------|-------------|
| 397 | 397 | 323 | G1_smistamento | 0. | 0. | 0. |
| 397 | 397 | 324 | G1_smistamento | 0. | 0. | 0. |
| 397 | 397 | 320 | G1_smistamento | 0. | 0. | 0. |
| 397 | 397 | 319 | G2_smistamento | 0. | 0. | 0. |
| 397 | 397 | 323 | G2_smistamento | 0. | 0. | 0. |
| 397 | 397 | 324 | G2_smistamento | 0. | 0. | 0. |
| 397 | 397 | 320 | G2_smistamento | 0. | 0. | 0. |
| 397 | 397 | 319 | Q_smistamento | 0. | 0. | 0. |
| 397 | 397 | 323 | Q_smistamento | 0. | 0. | 0. |
| 397 | 397 | 324 | Q_smistamento | 0. | 0. | 0. |
| 397 | 397 | 320 | Q_smistamento | 0. | 0. | 0. |
| 397 | 397 | 319 | Q_neve | 0. | 0. | 0. |
| 397 | 397 | 323 | Q_neve | 0. | 0. | 0. |
| 397 | 397 | 324 | Q_neve | 0. | 0. | 0. |
| 397 | 397 | 320 | Q_neve | 0. | 0. | 0. |
| 398 | 398 | 320 | DEAD | 0. | 0. | 0. |
| 398 | 398 | 324 | DEAD | 0. | 0. | 0. |
| 398 | 398 | 325 | DEAD | 0. | 0. | 0. |
| 398 | 398 | 321 | DEAD | 0. | 0. | 0. |
| 398 | 398 | 320 | G1_smistamento | 0. | 0. | 0. |
| 398 | 398 | 324 | G1_smistamento | 0. | 0. | 0. |
| 398 | 398 | 325 | G1_smistamento | 0. | 0. | 0. |
| 398 | 398 | 321 | G1_smistamento | 0. | 0. | 0. |
| 398 | 398 | 320 | G2_smistamento | 0. | 0. | 0. |
| 398 | 398 | 324 | G2_smistamento | 0. | 0. | 0. |
| 398 | 398 | 325 | G2_smistamento | 0. | 0. | 0. |
| 398 | 398 | 321 | G2_smistamento | 0. | 0. | 0. |
| 398 | 398 | 320 | Q_smistamento | 0. | 0. | 0. |
| 398 | 398 | 324 | Q_smistamento | 0. | 0. | 0. |
| 398 | 398 | 325 | Q_smistamento | 0. | 0. | 0. |
| 398 | 398 | 321 | Q_smistamento | 0. | 0. | 0. |
| 398 | 398 | 320 | Q_neve | 0. | 0. | 0. |
| 398 | 398 | 324 | Q_neve | 0. | 0. | 0. |
| 398 | 398 | 325 | Q_neve | 0. | 0. | 0. |
| 398 | 398 | 321 | Q_neve | 0. | 0. | 0. |
| 399 | 399 | 321 | DEAD | 0. | 0. | 0. |
| 399 | 399 | 325 | DEAD | 0. | 0. | 0. |
| 399 | 399 | 326 | DEAD | 0. | 0. | 0. |

Table 20: Element Forces - Area Shells, Part 1 of 3

| Area | AreaElem | Joint | OutputCase | F11 KN/m | F22 KN/m | F12 KN/m |
|------|----------|-------|----------------|-------------|-------------|-------------|
| 399 | 399 | 322 | DEAD | 0. | 0. | 0. |
| 399 | 399 | 321 | G1_smistamento | 0. | 0. | 0. |
| 399 | 399 | 325 | G1_smistamento | 0. | 0. | 0. |
| 399 | 399 | 326 | G1_smistamento | 0. | 0. | 0. |
| 399 | 399 | 322 | G1_smistamento | 0. | 0. | 0. |
| 399 | 399 | 321 | G2_smistamento | 0. | 0. | 0. |
| 399 | 399 | 325 | G2_smistamento | 0. | 0. | 0. |
| 399 | 399 | 326 | G2_smistamento | 0. | 0. | 0. |
| 399 | 399 | 322 | G2_smistamento | 0. | 0. | 0. |
| 399 | 399 | 321 | Q_smistamento | 0. | 0. | 0. |
| 399 | 399 | 325 | Q_smistamento | 0. | 0. | 0. |
| 399 | 399 | 326 | Q_smistamento | 0. | 0. | 0. |
| 399 | 399 | 322 | Q_smistamento | 0. | 0. | 0. |
| 399 | 399 | 321 | Q_neve | 0. | 0. | 0. |
| 399 | 399 | 325 | Q_neve | 0. | 0. | 0. |
| 399 | 399 | 326 | Q_neve | 0. | 0. | 0. |
| 399 | 399 | 322 | Q_neve | 0. | 0. | 0. |
| 400 | 400 | 322 | DEAD | 0. | 0. | 0. |
| 400 | 400 | 326 | DEAD | 0. | 0. | 0. |
| 400 | 400 | 226 | DEAD | 0. | 0. | 0. |
| 400 | 400 | 228 | DEAD | 0. | 0. | 0. |
| 400 | 400 | 322 | G1_smistamento | 0. | 0. | 0. |
| 400 | 400 | 326 | G1_smistamento | 0. | 0. | 0. |
| 400 | 400 | 226 | G1_smistamento | 0. | 0. | 0. |
| 400 | 400 | 228 | G1_smistamento | 0. | 0. | 0. |
| 400 | 400 | 322 | G2_smistamento | 0. | 0. | 0. |
| 400 | 400 | 326 | G2_smistamento | 0. | 0. | 0. |
| 400 | 400 | 226 | G2_smistamento | 0. | 0. | 0. |
| 400 | 400 | 228 | G2_smistamento | 0. | 0. | 0. |
| 400 | 400 | 322 | Q_smistamento | 0. | 0. | 0. |
| 400 | 400 | 326 | Q_smistamento | 0. | 0. | 0. |
| 400 | 400 | 226 | Q_smistamento | 0. | 0. | 0. |
| 400 | 400 | 228 | Q_smistamento | 0. | 0. | 0. |
| 400 | 400 | 322 | Q_neve | 0. | 0. | 0. |
| 400 | 400 | 326 | Q_neve | 0. | 0. | 0. |
| 400 | 400 | 226 | Q_neve | 0. | 0. | 0. |
| 400 | 400 | 228 | Q_neve | 0. | 0. | 0. |
| 401 | 401 | 268 | DEAD | 0. | 0. | 0. |

Table 20: Element Forces - Area Shells, Part 1 of 3

| Area | AreaElem | Joint | OutputCase | F11 KN/m | F22 KN/m | F12 KN/m |
|------|----------|-------|----------------|-------------|-------------|-------------|
| 401 | 401 | 270 | DEAD | 0. | 0. | 0. |
| 401 | 401 | 327 | DEAD | 0. | 0. | 0. |
| 401 | 401 | 323 | DEAD | 0. | 0. | 0. |
| 401 | 401 | 268 | G1_smistamento | 0. | 0. | 0. |
| 401 | 401 | 270 | G1_smistamento | 0. | 0. | 0. |
| 401 | 401 | 327 | G1_smistamento | 0. | 0. | 0. |
| 401 | 401 | 323 | G1_smistamento | 0. | 0. | 0. |
| 401 | 401 | 268 | G2_smistamento | 0. | 0. | 0. |
| 401 | 401 | 270 | G2_smistamento | 0. | 0. | 0. |
| 401 | 401 | 327 | G2_smistamento | 0. | 0. | 0. |
| 401 | 401 | 323 | G2_smistamento | 0. | 0. | 0. |
| 401 | 401 | 268 | Q_smistamento | 0. | 0. | 0. |
| 401 | 401 | 270 | Q_smistamento | 0. | 0. | 0. |
| 401 | 401 | 327 | Q_smistamento | 0. | 0. | 0. |
| 401 | 401 | 323 | Q_smistamento | 0. | 0. | 0. |
| 401 | 401 | 268 | Q_neve | 0. | 0. | 0. |
| 401 | 401 | 270 | Q_neve | 0. | 0. | 0. |
| 401 | 401 | 327 | Q_neve | 0. | 0. | 0. |
| 401 | 401 | 323 | Q_neve | 0. | 0. | 0. |
| 402 | 402 | 323 | DEAD | 0. | 0. | 0. |
| 402 | 402 | 327 | DEAD | 0. | 0. | 0. |
| 402 | 402 | 328 | DEAD | 0. | 0. | 0. |
| 402 | 402 | 324 | DEAD | 0. | 0. | 0. |
| 402 | 402 | 323 | G1_smistamento | 0. | 0. | 0. |
| 402 | 402 | 327 | G1_smistamento | 0. | 0. | 0. |
| 402 | 402 | 328 | G1_smistamento | 0. | 0. | 0. |
| 402 | 402 | 324 | G1_smistamento | 0. | 0. | 0. |
| 402 | 402 | 323 | G2_smistamento | 0. | 0. | 0. |
| 402 | 402 | 327 | G2_smistamento | 0. | 0. | 0. |
| 402 | 402 | 328 | G2_smistamento | 0. | 0. | 0. |
| 402 | 402 | 324 | G2_smistamento | 0. | 0. | 0. |
| 402 | 402 | 323 | Q_smistamento | 0. | 0. | 0. |
| 402 | 402 | 327 | Q_smistamento | 0. | 0. | 0. |
| 402 | 402 | 328 | Q_smistamento | 0. | 0. | 0. |
| 402 | 402 | 324 | Q_smistamento | 0. | 0. | 0. |
| 402 | 402 | 323 | Q_neve | 0. | 0. | 0. |
| 402 | 402 | 327 | Q_neve | 0. | 0. | 0. |
| 402 | 402 | 328 | Q_neve | 0. | 0. | 0. |

Table 20: Element Forces - Area Shells, Part 1 of 3

| Area | AreaElem | Joint | OutputCase | F11 KN/m | F22 KN/m | F12 KN/m |
|------|----------|-------|----------------|-------------|-------------|-------------|
| 402 | 402 | 324 | Q_neve | 0. | 0. | 0. |
| 403 | 403 | 324 | DEAD | 0. | 0. | 0. |
| 403 | 403 | 328 | DEAD | 0. | 0. | 0. |
| 403 | 403 | 329 | DEAD | 0. | 0. | 0. |
| 403 | 403 | 325 | DEAD | 0. | 0. | 0. |
| 403 | 403 | 324 | G1_smistamento | 0. | 0. | 0. |
| 403 | 403 | 328 | G1_smistamento | 0. | 0. | 0. |
| 403 | 403 | 329 | G1_smistamento | 0. | 0. | 0. |
| 403 | 403 | 325 | G1_smistamento | 0. | 0. | 0. |
| 403 | 403 | 324 | G2_smistamento | 0. | 0. | 0. |
| 403 | 403 | 328 | G2_smistamento | 0. | 0. | 0. |
| 403 | 403 | 329 | G2_smistamento | 0. | 0. | 0. |
| 403 | 403 | 325 | G2_smistamento | 0. | 0. | 0. |
| 403 | 403 | 324 | Q_smistamento | 0. | 0. | 0. |
| 403 | 403 | 328 | Q_smistamento | 0. | 0. | 0. |
| 403 | 403 | 329 | Q_smistamento | 0. | 0. | 0. |
| 403 | 403 | 325 | Q_smistamento | 0. | 0. | 0. |
| 403 | 403 | 324 | Q_neve | 0. | 0. | 0. |
| 403 | 403 | 328 | Q_neve | 0. | 0. | 0. |
| 403 | 403 | 329 | Q_neve | 0. | 0. | 0. |
| 403 | 403 | 325 | Q_neve | 0. | 0. | 0. |
| 404 | 404 | 325 | DEAD | 0. | 0. | 0. |
| 404 | 404 | 329 | DEAD | 0. | 0. | 0. |
| 404 | 404 | 330 | DEAD | 0. | 0. | 0. |
| 404 | 404 | 326 | DEAD | 0. | 0. | 0. |
| 404 | 404 | 325 | G1_smistamento | 0. | 0. | 0. |
| 404 | 404 | 329 | G1_smistamento | 0. | 0. | 0. |
| 404 | 404 | 330 | G1_smistamento | 0. | 0. | 0. |
| 404 | 404 | 326 | G1_smistamento | 0. | 0. | 0. |
| 404 | 404 | 325 | G2_smistamento | 0. | 0. | 0. |
| 404 | 404 | 329 | G2_smistamento | 0. | 0. | 0. |
| 404 | 404 | 330 | G2_smistamento | 0. | 0. | 0. |
| 404 | 404 | 326 | G2_smistamento | 0. | 0. | 0. |
| 404 | 404 | 325 | Q_smistamento | 0. | 0. | 0. |
| 404 | 404 | 329 | Q_smistamento | 0. | 0. | 0. |
| 404 | 404 | 330 | Q_smistamento | 0. | 0. | 0. |
| 404 | 404 | 326 | Q_smistamento | 0. | 0. | 0. |
| 404 | 404 | 325 | Q_neve | 0. | 0. | 0. |

Table 20: Element Forces - Area Shells, Part 1 of 3

| Area | AreaElem | Joint | OutputCase | F11 KN/m | F22 KN/m | F12 KN/m |
|------|----------|-------|----------------|-------------|-------------|-------------|
| 404 | 404 | 329 | Q_neve | 0. | 0. | 0. |
| 404 | 404 | 330 | Q_neve | 0. | 0. | 0. |
| 404 | 404 | 326 | Q_neve | 0. | 0. | 0. |
| 405 | 405 | 326 | DEAD | 0. | 0. | 0. |
| 405 | 405 | 330 | DEAD | 0. | 0. | 0. |
| 405 | 405 | 224 | DEAD | 0. | 0. | 0. |
| 405 | 405 | 226 | DEAD | 0. | 0. | 0. |
| 405 | 405 | 326 | G1_smistamento | 0. | 0. | 0. |
| 405 | 405 | 330 | G1_smistamento | 0. | 0. | 0. |
| 405 | 405 | 224 | G1_smistamento | 0. | 0. | 0. |
| 405 | 405 | 226 | G1_smistamento | 0. | 0. | 0. |
| 405 | 405 | 326 | G2_smistamento | 0. | 0. | 0. |
| 405 | 405 | 330 | G2_smistamento | 0. | 0. | 0. |
| 405 | 405 | 224 | G2_smistamento | 0. | 0. | 0. |
| 405 | 405 | 226 | G2_smistamento | 0. | 0. | 0. |
| 405 | 405 | 326 | Q_smistamento | 0. | 0. | 0. |
| 405 | 405 | 330 | Q_smistamento | 0. | 0. | 0. |
| 405 | 405 | 224 | Q_smistamento | 0. | 0. | 0. |
| 405 | 405 | 226 | Q_smistamento | 0. | 0. | 0. |
| 405 | 405 | 326 | Q_neve | 0. | 0. | 0. |
| 405 | 405 | 330 | Q_neve | 0. | 0. | 0. |
| 405 | 405 | 224 | Q_neve | 0. | 0. | 0. |
| 405 | 405 | 226 | Q_neve | 0. | 0. | 0. |
| 406 | 406 | 270 | DEAD | 0. | 0. | 0. |
| 406 | 406 | 272 | DEAD | 0. | 0. | 0. |
| 406 | 406 | 331 | DEAD | 0. | 0. | 0. |
| 406 | 406 | 327 | DEAD | 0. | 0. | 0. |
| 406 | 406 | 270 | G1_smistamento | 0. | 0. | 0. |
| 406 | 406 | 272 | G1_smistamento | 0. | 0. | 0. |
| 406 | 406 | 331 | G1_smistamento | 0. | 0. | 0. |
| 406 | 406 | 327 | G1_smistamento | 0. | 0. | 0. |
| 406 | 406 | 270 | G2_smistamento | 0. | 0. | 0. |
| 406 | 406 | 272 | G2_smistamento | 0. | 0. | 0. |
| 406 | 406 | 331 | G2_smistamento | 0. | 0. | 0. |
| 406 | 406 | 327 | G2_smistamento | 0. | 0. | 0. |
| 406 | 406 | 270 | Q_smistamento | 0. | 0. | 0. |
| 406 | 406 | 272 | Q_smistamento | 0. | 0. | 0. |
| 406 | 406 | 331 | Q_smistamento | 0. | 0. | 0. |

Table 20: Element Forces - Area Shells, Part 1 of 3

| Area | AreaElem | Joint | OutputCase | F11 KN/m | F22 KN/m | F12 KN/m |
|------|----------|-------|----------------|-------------|-------------|-------------|
| 406 | 406 | 327 | Q_smistamento | 0. | 0. | 0. |
| 406 | 406 | 270 | Q_neve | 0. | 0. | 0. |
| 406 | 406 | 272 | Q_neve | 0. | 0. | 0. |
| 406 | 406 | 331 | Q_neve | 0. | 0. | 0. |
| 406 | 406 | 327 | Q_neve | 0. | 0. | 0. |
| 407 | 407 | 327 | DEAD | 0. | 0. | 0. |
| 407 | 407 | 331 | DEAD | 0. | 0. | 0. |
| 407 | 407 | 332 | DEAD | 0. | 0. | 0. |
| 407 | 407 | 328 | DEAD | 0. | 0. | 0. |
| 407 | 407 | 327 | G1_smistamento | 0. | 0. | 0. |
| 407 | 407 | 331 | G1_smistamento | 0. | 0. | 0. |
| 407 | 407 | 332 | G1_smistamento | 0. | 0. | 0. |
| 407 | 407 | 328 | G1_smistamento | 0. | 0. | 0. |
| 407 | 407 | 327 | G2_smistamento | 0. | 0. | 0. |
| 407 | 407 | 331 | G2_smistamento | 0. | 0. | 0. |
| 407 | 407 | 332 | G2_smistamento | 0. | 0. | 0. |
| 407 | 407 | 328 | G2_smistamento | 0. | 0. | 0. |
| 407 | 407 | 327 | Q_smistamento | 0. | 0. | 0. |
| 407 | 407 | 331 | Q_smistamento | 0. | 0. | 0. |
| 407 | 407 | 332 | Q_smistamento | 0. | 0. | 0. |
| 407 | 407 | 328 | Q_smistamento | 0. | 0. | 0. |
| 407 | 407 | 327 | Q_neve | 0. | 0. | 0. |
| 407 | 407 | 331 | Q_neve | 0. | 0. | 0. |
| 407 | 407 | 332 | Q_neve | 0. | 0. | 0. |
| 407 | 407 | 328 | Q_neve | 0. | 0. | 0. |
| 408 | 408 | 328 | DEAD | 0. | 0. | 0. |
| 408 | 408 | 332 | DEAD | 0. | 0. | 0. |
| 408 | 408 | 333 | DEAD | 0. | 0. | 0. |
| 408 | 408 | 329 | DEAD | 0. | 0. | 0. |
| 408 | 408 | 328 | G1_smistamento | 0. | 0. | 0. |
| 408 | 408 | 332 | G1_smistamento | 0. | 0. | 0. |
| 408 | 408 | 333 | G1_smistamento | 0. | 0. | 0. |
| 408 | 408 | 329 | G1_smistamento | 0. | 0. | 0. |
| 408 | 408 | 328 | G2_smistamento | 0. | 0. | 0. |
| 408 | 408 | 332 | G2_smistamento | 0. | 0. | 0. |
| 408 | 408 | 333 | G2_smistamento | 0. | 0. | 0. |
| 408 | 408 | 329 | G2_smistamento | 0. | 0. | 0. |
| 408 | 408 | 328 | Q_smistamento | 0. | 0. | 0. |

Table 20: Element Forces - Area Shells, Part 1 of 3

| Area | AreaElem | Joint | OutputCase | F11 KN/m | F22 KN/m | F12 KN/m |
|------|----------|-------|----------------|-------------|-------------|-------------|
| 408 | 408 | 332 | Q_smistamento | 0. | 0. | 0. |
| 408 | 408 | 333 | Q_smistamento | 0. | 0. | 0. |
| 408 | 408 | 329 | Q_smistamento | 0. | 0. | 0. |
| 408 | 408 | 328 | Q_neve | 0. | 0. | 0. |
| 408 | 408 | 332 | Q_neve | 0. | 0. | 0. |
| 408 | 408 | 333 | Q_neve | 0. | 0. | 0. |
| 408 | 408 | 329 | Q_neve | 0. | 0. | 0. |
| 409 | 409 | 329 | DEAD | 0. | 0. | 0. |
| 409 | 409 | 333 | DEAD | 0. | 0. | 0. |
| 409 | 409 | 334 | DEAD | 0. | 0. | 0. |
| 409 | 409 | 330 | DEAD | 0. | 0. | 0. |
| 409 | 409 | 329 | G1_smistamento | 0. | 0. | 0. |
| 409 | 409 | 333 | G1_smistamento | 0. | 0. | 0. |
| 409 | 409 | 334 | G1_smistamento | 0. | 0. | 0. |
| 409 | 409 | 330 | G1_smistamento | 0. | 0. | 0. |
| 409 | 409 | 329 | G2_smistamento | 0. | 0. | 0. |
| 409 | 409 | 333 | G2_smistamento | 0. | 0. | 0. |
| 409 | 409 | 334 | G2_smistamento | 0. | 0. | 0. |
| 409 | 409 | 330 | G2_smistamento | 0. | 0. | 0. |
| 409 | 409 | 329 | Q_smistamento | 0. | 0. | 0. |
| 409 | 409 | 333 | Q_smistamento | 0. | 0. | 0. |
| 409 | 409 | 334 | Q_smistamento | 0. | 0. | 0. |
| 409 | 409 | 330 | Q_smistamento | 0. | 0. | 0. |
| 409 | 409 | 329 | Q_neve | 0. | 0. | 0. |
| 409 | 409 | 333 | Q_neve | 0. | 0. | 0. |
| 409 | 409 | 334 | Q_neve | 0. | 0. | 0. |
| 409 | 409 | 330 | Q_neve | 0. | 0. | 0. |
| 410 | 410 | 330 | DEAD | 0. | 0. | 0. |
| 410 | 410 | 334 | DEAD | 0. | 0. | 0. |
| 410 | 410 | 222 | DEAD | 0. | 0. | 0. |
| 410 | 410 | 224 | DEAD | 0. | 0. | 0. |
| 410 | 410 | 330 | G1_smistamento | 0. | 0. | 0. |
| 410 | 410 | 334 | G1_smistamento | 0. | 0. | 0. |
| 410 | 410 | 222 | G1_smistamento | 0. | 0. | 0. |
| 410 | 410 | 224 | G1_smistamento | 0. | 0. | 0. |
| 410 | 410 | 330 | G2_smistamento | 0. | 0. | 0. |
| 410 | 410 | 334 | G2_smistamento | 0. | 0. | 0. |
| 410 | 410 | 222 | G2_smistamento | 0. | 0. | 0. |

Table 20: Element Forces - Area Shells, Part 1 of 3

| Area | AreaElem | Joint | OutputCase | F11 KN/m | F22 KN/m | F12 KN/m |
|------|----------|-------|----------------|-------------|-------------|-------------|
| 410 | 410 | 224 | G2_smistamento | 0. | 0. | 0. |
| 410 | 410 | 330 | Q_smistamento | 0. | 0. | 0. |
| 410 | 410 | 334 | Q_smistamento | 0. | 0. | 0. |
| 410 | 410 | 222 | Q_smistamento | 0. | 0. | 0. |
| 410 | 410 | 224 | Q_smistamento | 0. | 0. | 0. |
| 410 | 410 | 330 | Q_neve | 0. | 0. | 0. |
| 410 | 410 | 334 | Q_neve | 0. | 0. | 0. |
| 410 | 410 | 222 | Q_neve | 0. | 0. | 0. |
| 410 | 410 | 224 | Q_neve | 0. | 0. | 0. |
| 411 | 411 | 272 | DEAD | 0. | 0. | 0. |
| 411 | 411 | 274 | DEAD | 0. | 0. | 0. |
| 411 | 411 | 335 | DEAD | 0. | 0. | 0. |
| 411 | 411 | 331 | DEAD | 0. | 0. | 0. |
| 411 | 411 | 272 | G1_smistamento | 0. | 0. | 0. |
| 411 | 411 | 274 | G1_smistamento | 0. | 0. | 0. |
| 411 | 411 | 335 | G1_smistamento | 0. | 0. | 0. |
| 411 | 411 | 331 | G1_smistamento | 0. | 0. | 0. |
| 411 | 411 | 272 | G2_smistamento | 0. | 0. | 0. |
| 411 | 411 | 274 | G2_smistamento | 0. | 0. | 0. |
| 411 | 411 | 335 | G2_smistamento | 0. | 0. | 0. |
| 411 | 411 | 331 | G2_smistamento | 0. | 0. | 0. |
| 411 | 411 | 272 | Q_smistamento | 0. | 0. | 0. |
| 411 | 411 | 274 | Q_smistamento | 0. | 0. | 0. |
| 411 | 411 | 335 | Q_smistamento | 0. | 0. | 0. |
| 411 | 411 | 331 | Q_smistamento | 0. | 0. | 0. |
| 411 | 411 | 272 | Q_neve | 0. | 0. | 0. |
| 411 | 411 | 274 | Q_neve | 0. | 0. | 0. |
| 411 | 411 | 335 | Q_neve | 0. | 0. | 0. |
| 411 | 411 | 331 | Q_neve | 0. | 0. | 0. |
| 412 | 412 | 331 | DEAD | 0. | 0. | 0. |
| 412 | 412 | 335 | DEAD | 0. | 0. | 0. |
| 412 | 412 | 336 | DEAD | 0. | 0. | 0. |
| 412 | 412 | 332 | DEAD | 0. | 0. | 0. |
| 412 | 412 | 331 | G1_smistamento | 0. | 0. | 0. |
| 412 | 412 | 335 | G1_smistamento | 0. | 0. | 0. |
| 412 | 412 | 336 | G1_smistamento | 0. | 0. | 0. |
| 412 | 412 | 332 | G1_smistamento | 0. | 0. | 0. |
| 412 | 412 | 331 | G2_smistamento | 0. | 0. | 0. |

Table 20: Element Forces - Area Shells, Part 1 of 3

| Area | AreaElem | Joint | OutputCase | F11 KN/m | F22 KN/m | F12 KN/m |
|------|----------|-------|----------------|-------------|-------------|-------------|
| 412 | 412 | 335 | G2_smistamento | 0. | 0. | 0. |
| 412 | 412 | 336 | G2_smistamento | 0. | 0. | 0. |
| 412 | 412 | 332 | G2_smistamento | 0. | 0. | 0. |
| 412 | 412 | 331 | Q_smistamento | 0. | 0. | 0. |
| 412 | 412 | 335 | Q_smistamento | 0. | 0. | 0. |
| 412 | 412 | 336 | Q_smistamento | 0. | 0. | 0. |
| 412 | 412 | 332 | Q_smistamento | 0. | 0. | 0. |
| 412 | 412 | 331 | Q_neve | 0. | 0. | 0. |
| 412 | 412 | 335 | Q_neve | 0. | 0. | 0. |
| 412 | 412 | 336 | Q_neve | 0. | 0. | 0. |
| 412 | 412 | 332 | Q_neve | 0. | 0. | 0. |
| 413 | 413 | 332 | DEAD | 0. | 0. | 0. |
| 413 | 413 | 336 | DEAD | 0. | 0. | 0. |
| 413 | 413 | 337 | DEAD | 0. | 0. | 0. |
| 413 | 413 | 333 | DEAD | 0. | 0. | 0. |
| 413 | 413 | 332 | G1_smistamento | 0. | 0. | 0. |
| 413 | 413 | 336 | G1_smistamento | 0. | 0. | 0. |
| 413 | 413 | 337 | G1_smistamento | 0. | 0. | 0. |
| 413 | 413 | 333 | G1_smistamento | 0. | 0. | 0. |
| 413 | 413 | 332 | G2_smistamento | 0. | 0. | 0. |
| 413 | 413 | 336 | G2_smistamento | 0. | 0. | 0. |
| 413 | 413 | 337 | G2_smistamento | 0. | 0. | 0. |
| 413 | 413 | 333 | G2_smistamento | 0. | 0. | 0. |
| 413 | 413 | 332 | Q_smistamento | 0. | 0. | 0. |
| 413 | 413 | 336 | Q_smistamento | 0. | 0. | 0. |
| 413 | 413 | 337 | Q_smistamento | 0. | 0. | 0. |
| 413 | 413 | 333 | Q_smistamento | 0. | 0. | 0. |
| 413 | 413 | 332 | Q_neve | 0. | 0. | 0. |
| 413 | 413 | 336 | Q_neve | 0. | 0. | 0. |
| 413 | 413 | 337 | Q_neve | 0. | 0. | 0. |
| 413 | 413 | 333 | Q_neve | 0. | 0. | 0. |
| 414 | 414 | 333 | DEAD | 0. | 0. | 0. |
| 414 | 414 | 337 | DEAD | 0. | 0. | 0. |
| 414 | 414 | 338 | DEAD | 0. | 0. | 0. |
| 414 | 414 | 334 | DEAD | 0. | 0. | 0. |
| 414 | 414 | 333 | G1_smistamento | 0. | 0. | 0. |
| 414 | 414 | 337 | G1_smistamento | 0. | 0. | 0. |
| 414 | 414 | 338 | G1_smistamento | 0. | 0. | 0. |

Table 20: Element Forces - Area Shells, Part 1 of 3

| Area | AreaElem | Joint | OutputCase | F11 KN/m | F22 KN/m | F12 KN/m |
|------|----------|-------|----------------|-------------|-------------|-------------|
| 414 | 414 | 334 | G1_smistamento | 0. | 0. | 0. |
| 414 | 414 | 333 | G2_smistamento | 0. | 0. | 0. |
| 414 | 414 | 337 | G2_smistamento | 0. | 0. | 0. |
| 414 | 414 | 338 | G2_smistamento | 0. | 0. | 0. |
| 414 | 414 | 334 | G2_smistamento | 0. | 0. | 0. |
| 414 | 414 | 333 | Q_smistamento | 0. | 0. | 0. |
| 414 | 414 | 337 | Q_smistamento | 0. | 0. | 0. |
| 414 | 414 | 338 | Q_smistamento | 0. | 0. | 0. |
| 414 | 414 | 334 | Q_smistamento | 0. | 0. | 0. |
| 414 | 414 | 333 | Q_neve | 0. | 0. | 0. |
| 414 | 414 | 337 | Q_neve | 0. | 0. | 0. |
| 414 | 414 | 338 | Q_neve | 0. | 0. | 0. |
| 414 | 414 | 334 | Q_neve | 0. | 0. | 0. |
| 415 | 415 | 334 | DEAD | 0. | 0. | 0. |
| 415 | 415 | 338 | DEAD | 0. | 0. | 0. |
| 415 | 415 | 220 | DEAD | 0. | 0. | 0. |
| 415 | 415 | 222 | DEAD | 0. | 0. | 0. |
| 415 | 415 | 334 | G1_smistamento | 0. | 0. | 0. |
| 415 | 415 | 338 | G1_smistamento | 0. | 0. | 0. |
| 415 | 415 | 220 | G1_smistamento | 0. | 0. | 0. |
| 415 | 415 | 222 | G1_smistamento | 0. | 0. | 0. |
| 415 | 415 | 334 | G2_smistamento | 0. | 0. | 0. |
| 415 | 415 | 338 | G2_smistamento | 0. | 0. | 0. |
| 415 | 415 | 220 | G2_smistamento | 0. | 0. | 0. |
| 415 | 415 | 222 | G2_smistamento | 0. | 0. | 0. |
| 415 | 415 | 334 | Q_smistamento | 0. | 0. | 0. |
| 415 | 415 | 338 | Q_smistamento | 0. | 0. | 0. |
| 415 | 415 | 220 | Q_smistamento | 0. | 0. | 0. |
| 415 | 415 | 222 | Q_smistamento | 0. | 0. | 0. |
| 415 | 415 | 334 | Q_neve | 0. | 0. | 0. |
| 415 | 415 | 338 | Q_neve | 0. | 0. | 0. |
| 415 | 415 | 220 | Q_neve | 0. | 0. | 0. |
| 415 | 415 | 222 | Q_neve | 0. | 0. | 0. |
| 416 | 416 | 274 | DEAD | 0. | 0. | 0. |
| 416 | 416 | 276 | DEAD | 0. | 0. | 0. |
| 416 | 416 | 339 | DEAD | 0. | 0. | 0. |
| 416 | 416 | 335 | DEAD | 0. | 0. | 0. |
| 416 | 416 | 274 | G1_smistamento | 0. | 0. | 0. |

Table 20: Element Forces - Area Shells, Part 1 of 3

| Area | AreaElem | Joint | OutputCase | F11 KN/m | F22 KN/m | F12 KN/m |
|------|----------|-------|----------------|-------------|-------------|-------------|
| 416 | 416 | 276 | G1_smistamento | 0. | 0. | 0. |
| 416 | 416 | 339 | G1_smistamento | 0. | 0. | 0. |
| 416 | 416 | 335 | G1_smistamento | 0. | 0. | 0. |
| 416 | 416 | 274 | G2_smistamento | 0. | 0. | 0. |
| 416 | 416 | 276 | G2_smistamento | 0. | 0. | 0. |
| 416 | 416 | 339 | G2_smistamento | 0. | 0. | 0. |
| 416 | 416 | 335 | G2_smistamento | 0. | 0. | 0. |
| 416 | 416 | 274 | Q_smistamento | 0. | 0. | 0. |
| 416 | 416 | 276 | Q_smistamento | 0. | 0. | 0. |
| 416 | 416 | 339 | Q_smistamento | 0. | 0. | 0. |
| 416 | 416 | 335 | Q_smistamento | 0. | 0. | 0. |
| 416 | 416 | 274 | Q_neve | 0. | 0. | 0. |
| 416 | 416 | 276 | Q_neve | 0. | 0. | 0. |
| 416 | 416 | 339 | Q_neve | 0. | 0. | 0. |
| 416 | 416 | 335 | Q_neve | 0. | 0. | 0. |
| 417 | 417 | 335 | DEAD | 0. | 0. | 0. |
| 417 | 417 | 339 | DEAD | 0. | 0. | 0. |
| 417 | 417 | 340 | DEAD | 0. | 0. | 0. |
| 417 | 417 | 336 | DEAD | 0. | 0. | 0. |
| 417 | 417 | 335 | G1_smistamento | 0. | 0. | 0. |
| 417 | 417 | 339 | G1_smistamento | 0. | 0. | 0. |
| 417 | 417 | 340 | G1_smistamento | 0. | 0. | 0. |
| 417 | 417 | 336 | G1_smistamento | 0. | 0. | 0. |
| 417 | 417 | 335 | G2_smistamento | 0. | 0. | 0. |
| 417 | 417 | 339 | G2_smistamento | 0. | 0. | 0. |
| 417 | 417 | 340 | G2_smistamento | 0. | 0. | 0. |
| 417 | 417 | 336 | G2_smistamento | 0. | 0. | 0. |
| 417 | 417 | 335 | Q_smistamento | 0. | 0. | 0. |
| 417 | 417 | 339 | Q_smistamento | 0. | 0. | 0. |
| 417 | 417 | 340 | Q_smistamento | 0. | 0. | 0. |
| 417 | 417 | 336 | Q_smistamento | 0. | 0. | 0. |
| 417 | 417 | 335 | Q_neve | 0. | 0. | 0. |
| 417 | 417 | 339 | Q_neve | 0. | 0. | 0. |
| 417 | 417 | 340 | Q_neve | 0. | 0. | 0. |
| 417 | 417 | 336 | Q_neve | 0. | 0. | 0. |
| 418 | 418 | 336 | DEAD | 0. | 0. | 0. |
| 418 | 418 | 340 | DEAD | 0. | 0. | 0. |
| 418 | 418 | 341 | DEAD | 0. | 0. | 0. |

Table 20: Element Forces - Area Shells, Part 1 of 3

| Area | AreaElem | Joint | OutputCase | F11 KN/m | F22 KN/m | F12 KN/m |
|------|----------|-------|----------------|-------------|-------------|-------------|
| 418 | 418 | 337 | DEAD | 0. | 0. | 0. |
| 418 | 418 | 336 | G1_smistamento | 0. | 0. | 0. |
| 418 | 418 | 340 | G1_smistamento | 0. | 0. | 0. |
| 418 | 418 | 341 | G1_smistamento | 0. | 0. | 0. |
| 418 | 418 | 337 | G1_smistamento | 0. | 0. | 0. |
| 418 | 418 | 336 | G2_smistamento | 0. | 0. | 0. |
| 418 | 418 | 340 | G2_smistamento | 0. | 0. | 0. |
| 418 | 418 | 341 | G2_smistamento | 0. | 0. | 0. |
| 418 | 418 | 337 | G2_smistamento | 0. | 0. | 0. |
| 418 | 418 | 336 | Q_smistamento | 0. | 0. | 0. |
| 418 | 418 | 340 | Q_smistamento | 0. | 0. | 0. |
| 418 | 418 | 341 | Q_smistamento | 0. | 0. | 0. |
| 418 | 418 | 337 | Q_smistamento | 0. | 0. | 0. |
| 418 | 418 | 336 | Q_neve | 0. | 0. | 0. |
| 418 | 418 | 340 | Q_neve | 0. | 0. | 0. |
| 418 | 418 | 341 | Q_neve | 0. | 0. | 0. |
| 418 | 418 | 337 | Q_neve | 0. | 0. | 0. |
| 419 | 419 | 337 | DEAD | 0. | 0. | 0. |
| 419 | 419 | 341 | DEAD | 0. | 0. | 0. |
| 419 | 419 | 342 | DEAD | 0. | 0. | 0. |
| 419 | 419 | 338 | DEAD | 0. | 0. | 0. |
| 419 | 419 | 337 | G1_smistamento | 0. | 0. | 0. |
| 419 | 419 | 341 | G1_smistamento | 0. | 0. | 0. |
| 419 | 419 | 342 | G1_smistamento | 0. | 0. | 0. |
| 419 | 419 | 338 | G1_smistamento | 0. | 0. | 0. |
| 419 | 419 | 337 | G2_smistamento | 0. | 0. | 0. |
| 419 | 419 | 341 | G2_smistamento | 0. | 0. | 0. |
| 419 | 419 | 342 | G2_smistamento | 0. | 0. | 0. |
| 419 | 419 | 338 | G2_smistamento | 0. | 0. | 0. |
| 419 | 419 | 337 | Q_smistamento | 0. | 0. | 0. |
| 419 | 419 | 341 | Q_smistamento | 0. | 0. | 0. |
| 419 | 419 | 342 | Q_smistamento | 0. | 0. | 0. |
| 419 | 419 | 338 | Q_smistamento | 0. | 0. | 0. |
| 419 | 419 | 337 | Q_neve | 0. | 0. | 0. |
| 419 | 419 | 341 | Q_neve | 0. | 0. | 0. |
| 419 | 419 | 342 | Q_neve | 0. | 0. | 0. |
| 419 | 419 | 338 | Q_neve | 0. | 0. | 0. |
| 420 | 420 | 338 | DEAD | 0. | 0. | 0. |

Table 20: Element Forces - Area Shells, Part 1 of 3

| Area | AreaElem | Joint | OutputCase | F11 KN/m | F22 KN/m | F12 KN/m |
|------|----------|-------|----------------|-------------|-------------|-------------|
| 420 | 420 | 342 | DEAD | 0. | 0. | 0. |
| 420 | 420 | 218 | DEAD | 0. | 0. | 0. |
| 420 | 420 | 220 | DEAD | 0. | 0. | 0. |
| 420 | 420 | 338 | G1_smistamento | 0. | 0. | 0. |
| 420 | 420 | 342 | G1_smistamento | 0. | 0. | 0. |
| 420 | 420 | 218 | G1_smistamento | 0. | 0. | 0. |
| 420 | 420 | 220 | G1_smistamento | 0. | 0. | 0. |
| 420 | 420 | 338 | G2_smistamento | 0. | 0. | 0. |
| 420 | 420 | 342 | G2_smistamento | 0. | 0. | 0. |
| 420 | 420 | 218 | G2_smistamento | 0. | 0. | 0. |
| 420 | 420 | 220 | G2_smistamento | 0. | 0. | 0. |
| 420 | 420 | 338 | Q_smistamento | 0. | 0. | 0. |
| 420 | 420 | 342 | Q_smistamento | 0. | 0. | 0. |
| 420 | 420 | 218 | Q_smistamento | 0. | 0. | 0. |
| 420 | 420 | 220 | Q_smistamento | 0. | 0. | 0. |
| 420 | 420 | 338 | Q_neve | 0. | 0. | 0. |
| 420 | 420 | 342 | Q_neve | 0. | 0. | 0. |
| 420 | 420 | 218 | Q_neve | 0. | 0. | 0. |
| 420 | 420 | 220 | Q_neve | 0. | 0. | 0. |
| 421 | 421 | 276 | DEAD | 0. | 0. | 0. |
| 421 | 421 | 278 | DEAD | 0. | 0. | 0. |
| 421 | 421 | 343 | DEAD | 0. | 0. | 0. |
| 421 | 421 | 339 | DEAD | 0. | 0. | 0. |
| 421 | 421 | 276 | G1_smistamento | 0. | 0. | 0. |
| 421 | 421 | 278 | G1_smistamento | 0. | 0. | 0. |
| 421 | 421 | 343 | G1_smistamento | 0. | 0. | 0. |
| 421 | 421 | 339 | G1_smistamento | 0. | 0. | 0. |
| 421 | 421 | 276 | G2_smistamento | 0. | 0. | 0. |
| 421 | 421 | 278 | G2_smistamento | 0. | 0. | 0. |
| 421 | 421 | 343 | G2_smistamento | 0. | 0. | 0. |
| 421 | 421 | 339 | G2_smistamento | 0. | 0. | 0. |
| 421 | 421 | 276 | Q_smistamento | 0. | 0. | 0. |
| 421 | 421 | 278 | Q_smistamento | 0. | 0. | 0. |
| 421 | 421 | 343 | Q_smistamento | 0. | 0. | 0. |
| 421 | 421 | 339 | Q_smistamento | 0. | 0. | 0. |
| 421 | 421 | 276 | Q_neve | 0. | 0. | 0. |
| 421 | 421 | 278 | Q_neve | 0. | 0. | 0. |
| 421 | 421 | 343 | Q_neve | 0. | 0. | 0. |

Table 20: Element Forces - Area Shells, Part 1 of 3

| Area | AreaElem | Joint | OutputCase | F11 KN/m | F22 KN/m | F12 KN/m |
|------|----------|-------|----------------|-------------|-------------|-------------|
| 421 | 421 | 339 | Q_neve | 0. | 0. | 0. |
| 422 | 422 | 339 | DEAD | 0. | 0. | 0. |
| 422 | 422 | 343 | DEAD | 0. | 0. | 0. |
| 422 | 422 | 344 | DEAD | 0. | 0. | 0. |
| 422 | 422 | 340 | DEAD | 0. | 0. | 0. |
| 422 | 422 | 339 | G1_smistamento | 0. | 0. | 0. |
| 422 | 422 | 343 | G1_smistamento | 0. | 0. | 0. |
| 422 | 422 | 344 | G1_smistamento | 0. | 0. | 0. |
| 422 | 422 | 340 | G1_smistamento | 0. | 0. | 0. |
| 422 | 422 | 339 | G2_smistamento | 0. | 0. | 0. |
| 422 | 422 | 343 | G2_smistamento | 0. | 0. | 0. |
| 422 | 422 | 344 | G2_smistamento | 0. | 0. | 0. |
| 422 | 422 | 340 | G2_smistamento | 0. | 0. | 0. |
| 422 | 422 | 339 | Q_smistamento | 0. | 0. | 0. |
| 422 | 422 | 343 | Q_smistamento | 0. | 0. | 0. |
| 422 | 422 | 344 | Q_smistamento | 0. | 0. | 0. |
| 422 | 422 | 340 | Q_smistamento | 0. | 0. | 0. |
| 422 | 422 | 339 | Q_neve | 0. | 0. | 0. |
| 422 | 422 | 343 | Q_neve | 0. | 0. | 0. |
| 422 | 422 | 344 | Q_neve | 0. | 0. | 0. |
| 422 | 422 | 340 | Q_neve | 0. | 0. | 0. |
| 423 | 423 | 340 | DEAD | 0. | 0. | 0. |
| 423 | 423 | 344 | DEAD | 0. | 0. | 0. |
| 423 | 423 | 345 | DEAD | 0. | 0. | 0. |
| 423 | 423 | 341 | DEAD | 0. | 0. | 0. |
| 423 | 423 | 340 | G1_smistamento | 0. | 0. | 0. |
| 423 | 423 | 344 | G1_smistamento | 0. | 0. | 0. |
| 423 | 423 | 345 | G1_smistamento | 0. | 0. | 0. |
| 423 | 423 | 341 | G1_smistamento | 0. | 0. | 0. |
| 423 | 423 | 340 | G2_smistamento | 0. | 0. | 0. |
| 423 | 423 | 344 | G2_smistamento | 0. | 0. | 0. |
| 423 | 423 | 345 | G2_smistamento | 0. | 0. | 0. |
| 423 | 423 | 341 | G2_smistamento | 0. | 0. | 0. |
| 423 | 423 | 340 | Q_smistamento | 0. | 0. | 0. |
| 423 | 423 | 344 | Q_smistamento | 0. | 0. | 0. |
| 423 | 423 | 345 | Q_smistamento | 0. | 0. | 0. |
| 423 | 423 | 341 | Q_smistamento | 0. | 0. | 0. |
| 423 | 423 | 340 | Q_neve | 0. | 0. | 0. |

Table 20: Element Forces - Area Shells, Part 1 of 3

| Area | AreaElem | Joint | OutputCase | F11 KN/m | F22 KN/m | F12 KN/m |
|------|----------|-------|----------------|-------------|-------------|-------------|
| 423 | 423 | 344 | Q_neve | 0. | 0. | 0. |
| 423 | 423 | 345 | Q_neve | 0. | 0. | 0. |
| 423 | 423 | 341 | Q_neve | 0. | 0. | 0. |
| 424 | 424 | 341 | DEAD | 0. | 0. | 0. |
| 424 | 424 | 345 | DEAD | 0. | 0. | 0. |
| 424 | 424 | 346 | DEAD | 0. | 0. | 0. |
| 424 | 424 | 342 | DEAD | 0. | 0. | 0. |
| 424 | 424 | 341 | G1_smistamento | 0. | 0. | 0. |
| 424 | 424 | 345 | G1_smistamento | 0. | 0. | 0. |
| 424 | 424 | 346 | G1_smistamento | 0. | 0. | 0. |
| 424 | 424 | 342 | G1_smistamento | 0. | 0. | 0. |
| 424 | 424 | 341 | G2_smistamento | 0. | 0. | 0. |
| 424 | 424 | 345 | G2_smistamento | 0. | 0. | 0. |
| 424 | 424 | 346 | G2_smistamento | 0. | 0. | 0. |
| 424 | 424 | 342 | G2_smistamento | 0. | 0. | 0. |
| 424 | 424 | 341 | Q_smistamento | 0. | 0. | 0. |
| 424 | 424 | 345 | Q_smistamento | 0. | 0. | 0. |
| 424 | 424 | 346 | Q_smistamento | 0. | 0. | 0. |
| 424 | 424 | 342 | Q_smistamento | 0. | 0. | 0. |
| 424 | 424 | 341 | Q_neve | 0. | 0. | 0. |
| 424 | 424 | 345 | Q_neve | 0. | 0. | 0. |
| 424 | 424 | 346 | Q_neve | 0. | 0. | 0. |
| 424 | 424 | 342 | Q_neve | 0. | 0. | 0. |
| 425 | 425 | 342 | DEAD | 0. | 0. | 0. |
| 425 | 425 | 346 | DEAD | 0. | 0. | 0. |
| 425 | 425 | 216 | DEAD | 0. | 0. | 0. |
| 425 | 425 | 218 | DEAD | 0. | 0. | 0. |
| 425 | 425 | 342 | G1_smistamento | 0. | 0. | 0. |
| 425 | 425 | 346 | G1_smistamento | 0. | 0. | 0. |
| 425 | 425 | 216 | G1_smistamento | 0. | 0. | 0. |
| 425 | 425 | 218 | G1_smistamento | 0. | 0. | 0. |
| 425 | 425 | 342 | G2_smistamento | 0. | 0. | 0. |
| 425 | 425 | 346 | G2_smistamento | 0. | 0. | 0. |
| 425 | 425 | 216 | G2_smistamento | 0. | 0. | 0. |
| 425 | 425 | 218 | G2_smistamento | 0. | 0. | 0. |
| 425 | 425 | 342 | Q_smistamento | 0. | 0. | 0. |
| 425 | 425 | 346 | Q_smistamento | 0. | 0. | 0. |
| 425 | 425 | 216 | Q_smistamento | 0. | 0. | 0. |

Table 20: Element Forces - Area Shells, Part 1 of 3

| Area | AreaElem | Joint | OutputCase | F11 KN/m | F22 KN/m | F12 KN/m |
|------|----------|-------|----------------|-------------|-------------|-------------|
| 425 | 425 | 218 | Q_smistamento | 0. | 0. | 0. |
| 425 | 425 | 342 | Q_neve | 0. | 0. | 0. |
| 425 | 425 | 346 | Q_neve | 0. | 0. | 0. |
| 425 | 425 | 216 | Q_neve | 0. | 0. | 0. |
| 425 | 425 | 218 | Q_neve | 0. | 0. | 0. |
| 426 | 426 | 278 | DEAD | 0. | 0. | 0. |
| 426 | 426 | 280 | DEAD | 0. | 0. | 0. |
| 426 | 426 | 347 | DEAD | 0. | 0. | 0. |
| 426 | 426 | 343 | DEAD | 0. | 0. | 0. |
| 426 | 426 | 278 | G1_smistamento | 0. | 0. | 0. |
| 426 | 426 | 280 | G1_smistamento | 0. | 0. | 0. |
| 426 | 426 | 347 | G1_smistamento | 0. | 0. | 0. |
| 426 | 426 | 343 | G1_smistamento | 0. | 0. | 0. |
| 426 | 426 | 278 | G2_smistamento | 0. | 0. | 0. |
| 426 | 426 | 280 | G2_smistamento | 0. | 0. | 0. |
| 426 | 426 | 347 | G2_smistamento | 0. | 0. | 0. |
| 426 | 426 | 343 | G2_smistamento | 0. | 0. | 0. |
| 426 | 426 | 278 | Q_smistamento | 0. | 0. | 0. |
| 426 | 426 | 280 | Q_smistamento | 0. | 0. | 0. |
| 426 | 426 | 347 | Q_smistamento | 0. | 0. | 0. |
| 426 | 426 | 343 | Q_smistamento | 0. | 0. | 0. |
| 426 | 426 | 278 | Q_neve | 0. | 0. | 0. |
| 426 | 426 | 280 | Q_neve | 0. | 0. | 0. |
| 426 | 426 | 347 | Q_neve | 0. | 0. | 0. |
| 426 | 426 | 343 | Q_neve | 0. | 0. | 0. |
| 427 | 427 | 343 | DEAD | 0. | 0. | 0. |
| 427 | 427 | 347 | DEAD | 0. | 0. | 0. |
| 427 | 427 | 348 | DEAD | 0. | 0. | 0. |
| 427 | 427 | 344 | DEAD | 0. | 0. | 0. |
| 427 | 427 | 343 | G1_smistamento | 0. | 0. | 0. |
| 427 | 427 | 347 | G1_smistamento | 0. | 0. | 0. |
| 427 | 427 | 348 | G1_smistamento | 0. | 0. | 0. |
| 427 | 427 | 344 | G1_smistamento | 0. | 0. | 0. |
| 427 | 427 | 343 | G2_smistamento | 0. | 0. | 0. |
| 427 | 427 | 347 | G2_smistamento | 0. | 0. | 0. |
| 427 | 427 | 348 | G2_smistamento | 0. | 0. | 0. |
| 427 | 427 | 344 | G2_smistamento | 0. | 0. | 0. |
| 427 | 427 | 343 | Q_smistamento | 0. | 0. | 0. |

Table 20: Element Forces - Area Shells, Part 1 of 3

| Area | AreaElem | Joint | OutputCase | F11 KN/m | F22 KN/m | F12 KN/m |
|------|----------|-------|----------------|-------------|-------------|-------------|
| 427 | 427 | 347 | Q_smistamento | 0. | 0. | 0. |
| 427 | 427 | 348 | Q_smistamento | 0. | 0. | 0. |
| 427 | 427 | 344 | Q_smistamento | 0. | 0. | 0. |
| 427 | 427 | 343 | Q_neve | 0. | 0. | 0. |
| 427 | 427 | 347 | Q_neve | 0. | 0. | 0. |
| 427 | 427 | 348 | Q_neve | 0. | 0. | 0. |
| 427 | 427 | 344 | Q_neve | 0. | 0. | 0. |
| 428 | 428 | 344 | DEAD | 0. | 0. | 0. |
| 428 | 428 | 348 | DEAD | 0. | 0. | 0. |
| 428 | 428 | 349 | DEAD | 0. | 0. | 0. |
| 428 | 428 | 345 | DEAD | 0. | 0. | 0. |
| 428 | 428 | 344 | G1_smistamento | 0. | 0. | 0. |
| 428 | 428 | 348 | G1_smistamento | 0. | 0. | 0. |
| 428 | 428 | 349 | G1_smistamento | 0. | 0. | 0. |
| 428 | 428 | 345 | G1_smistamento | 0. | 0. | 0. |
| 428 | 428 | 344 | G2_smistamento | 0. | 0. | 0. |
| 428 | 428 | 348 | G2_smistamento | 0. | 0. | 0. |
| 428 | 428 | 349 | G2_smistamento | 0. | 0. | 0. |
| 428 | 428 | 345 | G2_smistamento | 0. | 0. | 0. |
| 428 | 428 | 344 | Q_smistamento | 0. | 0. | 0. |
| 428 | 428 | 348 | Q_smistamento | 0. | 0. | 0. |
| 428 | 428 | 349 | Q_smistamento | 0. | 0. | 0. |
| 428 | 428 | 345 | Q_smistamento | 0. | 0. | 0. |
| 428 | 428 | 344 | Q_neve | 0. | 0. | 0. |
| 428 | 428 | 348 | Q_neve | 0. | 0. | 0. |
| 428 | 428 | 349 | Q_neve | 0. | 0. | 0. |
| 428 | 428 | 345 | Q_neve | 0. | 0. | 0. |
| 429 | 429 | 345 | DEAD | 0. | 0. | 0. |
| 429 | 429 | 349 | DEAD | 0. | 0. | 0. |
| 429 | 429 | 350 | DEAD | 0. | 0. | 0. |
| 429 | 429 | 346 | DEAD | 0. | 0. | 0. |
| 429 | 429 | 345 | G1_smistamento | 0. | 0. | 0. |
| 429 | 429 | 349 | G1_smistamento | 0. | 0. | 0. |
| 429 | 429 | 350 | G1_smistamento | 0. | 0. | 0. |
| 429 | 429 | 346 | G1_smistamento | 0. | 0. | 0. |
| 429 | 429 | 345 | G2_smistamento | 0. | 0. | 0. |
| 429 | 429 | 349 | G2_smistamento | 0. | 0. | 0. |
| 429 | 429 | 350 | G2_smistamento | 0. | 0. | 0. |

Table 20: Element Forces - Area Shells, Part 1 of 3

| Area | AreaElem | Joint | OutputCase | F11 KN/m | F22 KN/m | F12 KN/m |
|------|----------|-------|----------------|-------------|-------------|-------------|
| 429 | 429 | 346 | G2_smistamento | 0. | 0. | 0. |
| 429 | 429 | 345 | Q_smistamento | 0. | 0. | 0. |
| 429 | 429 | 349 | Q_smistamento | 0. | 0. | 0. |
| 429 | 429 | 350 | Q_smistamento | 0. | 0. | 0. |
| 429 | 429 | 346 | Q_smistamento | 0. | 0. | 0. |
| 429 | 429 | 345 | Q_neve | 0. | 0. | 0. |
| 429 | 429 | 349 | Q_neve | 0. | 0. | 0. |
| 429 | 429 | 350 | Q_neve | 0. | 0. | 0. |
| 429 | 429 | 346 | Q_neve | 0. | 0. | 0. |
| 430 | 430 | 346 | DEAD | 0. | 0. | 0. |
| 430 | 430 | 350 | DEAD | 0. | 0. | 0. |
| 430 | 430 | 214 | DEAD | 0. | 0. | 0. |
| 430 | 430 | 216 | DEAD | 0. | 0. | 0. |
| 430 | 430 | 346 | G1_smistamento | 0. | 0. | 0. |
| 430 | 430 | 350 | G1_smistamento | 0. | 0. | 0. |
| 430 | 430 | 214 | G1_smistamento | 0. | 0. | 0. |
| 430 | 430 | 216 | G1_smistamento | 0. | 0. | 0. |
| 430 | 430 | 346 | G2_smistamento | 0. | 0. | 0. |
| 430 | 430 | 350 | G2_smistamento | 0. | 0. | 0. |
| 430 | 430 | 214 | G2_smistamento | 0. | 0. | 0. |
| 430 | 430 | 216 | G2_smistamento | 0. | 0. | 0. |
| 430 | 430 | 346 | Q_smistamento | 0. | 0. | 0. |
| 430 | 430 | 350 | Q_smistamento | 0. | 0. | 0. |
| 430 | 430 | 214 | Q_smistamento | 0. | 0. | 0. |
| 430 | 430 | 216 | Q_smistamento | 0. | 0. | 0. |
| 430 | 430 | 346 | Q_neve | 0. | 0. | 0. |
| 430 | 430 | 350 | Q_neve | 0. | 0. | 0. |
| 430 | 430 | 214 | Q_neve | 0. | 0. | 0. |
| 430 | 430 | 216 | Q_neve | 0. | 0. | 0. |
| 431 | 431 | 280 | DEAD | 0. | 0. | 0. |
| 431 | 431 | 282 | DEAD | 0. | 0. | 0. |
| 431 | 431 | 351 | DEAD | 0. | 0. | 0. |
| 431 | 431 | 347 | DEAD | 0. | 0. | 0. |
| 431 | 431 | 280 | G1_smistamento | 0. | 0. | 0. |
| 431 | 431 | 282 | G1_smistamento | 0. | 0. | 0. |
| 431 | 431 | 351 | G1_smistamento | 0. | 0. | 0. |
| 431 | 431 | 347 | G1_smistamento | 0. | 0. | 0. |
| 431 | 431 | 280 | G2_smistamento | 0. | 0. | 0. |

Table 20: Element Forces - Area Shells, Part 1 of 3

| Area | AreaElem | Joint | OutputCase | F11 KN/m | F22 KN/m | F12 KN/m |
|------|----------|-------|----------------|-------------|-------------|-------------|
| 431 | 431 | 282 | G2_smistamento | 0. | 0. | 0. |
| 431 | 431 | 351 | G2_smistamento | 0. | 0. | 0. |
| 431 | 431 | 347 | G2_smistamento | 0. | 0. | 0. |
| 431 | 431 | 280 | Q_smistamento | 0. | 0. | 0. |
| 431 | 431 | 282 | Q_smistamento | 0. | 0. | 0. |
| 431 | 431 | 351 | Q_smistamento | 0. | 0. | 0. |
| 431 | 431 | 347 | Q_smistamento | 0. | 0. | 0. |
| 431 | 431 | 280 | Q_neve | 0. | 0. | 0. |
| 431 | 431 | 282 | Q_neve | 0. | 0. | 0. |
| 431 | 431 | 351 | Q_neve | 0. | 0. | 0. |
| 431 | 431 | 347 | Q_neve | 0. | 0. | 0. |
| 432 | 432 | 347 | DEAD | 0. | 0. | 0. |
| 432 | 432 | 351 | DEAD | 0. | 0. | 0. |
| 432 | 432 | 352 | DEAD | 0. | 0. | 0. |
| 432 | 432 | 348 | DEAD | 0. | 0. | 0. |
| 432 | 432 | 347 | G1_smistamento | 0. | 0. | 0. |
| 432 | 432 | 351 | G1_smistamento | 0. | 0. | 0. |
| 432 | 432 | 352 | G1_smistamento | 0. | 0. | 0. |
| 432 | 432 | 348 | G1_smistamento | 0. | 0. | 0. |
| 432 | 432 | 347 | G2_smistamento | 0. | 0. | 0. |
| 432 | 432 | 351 | G2_smistamento | 0. | 0. | 0. |
| 432 | 432 | 352 | G2_smistamento | 0. | 0. | 0. |
| 432 | 432 | 348 | G2_smistamento | 0. | 0. | 0. |
| 432 | 432 | 347 | Q_smistamento | 0. | 0. | 0. |
| 432 | 432 | 351 | Q_smistamento | 0. | 0. | 0. |
| 432 | 432 | 352 | Q_smistamento | 0. | 0. | 0. |
| 432 | 432 | 348 | Q_smistamento | 0. | 0. | 0. |
| 432 | 432 | 347 | Q_neve | 0. | 0. | 0. |
| 432 | 432 | 351 | Q_neve | 0. | 0. | 0. |
| 432 | 432 | 352 | Q_neve | 0. | 0. | 0. |
| 432 | 432 | 348 | Q_neve | 0. | 0. | 0. |
| 433 | 433 | 348 | DEAD | 0. | 0. | 0. |
| 433 | 433 | 352 | DEAD | 0. | 0. | 0. |
| 433 | 433 | 353 | DEAD | 0. | 0. | 0. |
| 433 | 433 | 349 | DEAD | 0. | 0. | 0. |
| 433 | 433 | 348 | G1_smistamento | 0. | 0. | 0. |
| 433 | 433 | 352 | G1_smistamento | 0. | 0. | 0. |
| 433 | 433 | 353 | G1_smistamento | 0. | 0. | 0. |

Table 20: Element Forces - Area Shells, Part 1 of 3

| Area | AreaElem | Joint | OutputCase | F11 KN/m | F22 KN/m | F12 KN/m |
|------|----------|-------|----------------|-------------|-------------|-------------|
| 433 | 433 | 349 | G1_smistamento | 0. | 0. | 0. |
| 433 | 433 | 348 | G2_smistamento | 0. | 0. | 0. |
| 433 | 433 | 352 | G2_smistamento | 0. | 0. | 0. |
| 433 | 433 | 353 | G2_smistamento | 0. | 0. | 0. |
| 433 | 433 | 349 | G2_smistamento | 0. | 0. | 0. |
| 433 | 433 | 348 | Q_smistamento | 0. | 0. | 0. |
| 433 | 433 | 352 | Q_smistamento | 0. | 0. | 0. |
| 433 | 433 | 353 | Q_smistamento | 0. | 0. | 0. |
| 433 | 433 | 349 | Q_smistamento | 0. | 0. | 0. |
| 433 | 433 | 348 | Q_neve | 0. | 0. | 0. |
| 433 | 433 | 352 | Q_neve | 0. | 0. | 0. |
| 433 | 433 | 353 | Q_neve | 0. | 0. | 0. |
| 433 | 433 | 349 | Q_neve | 0. | 0. | 0. |
| 434 | 434 | 349 | DEAD | 0. | 0. | 0. |
| 434 | 434 | 353 | DEAD | 0. | 0. | 0. |
| 434 | 434 | 354 | DEAD | 0. | 0. | 0. |
| 434 | 434 | 350 | DEAD | 0. | 0. | 0. |
| 434 | 434 | 349 | G1_smistamento | 0. | 0. | 0. |
| 434 | 434 | 353 | G1_smistamento | 0. | 0. | 0. |
| 434 | 434 | 354 | G1_smistamento | 0. | 0. | 0. |
| 434 | 434 | 350 | G1_smistamento | 0. | 0. | 0. |
| 434 | 434 | 349 | G2_smistamento | 0. | 0. | 0. |
| 434 | 434 | 353 | G2_smistamento | 0. | 0. | 0. |
| 434 | 434 | 354 | G2_smistamento | 0. | 0. | 0. |
| 434 | 434 | 350 | G2_smistamento | 0. | 0. | 0. |
| 434 | 434 | 349 | Q_smistamento | 0. | 0. | 0. |
| 434 | 434 | 353 | Q_smistamento | 0. | 0. | 0. |
| 434 | 434 | 354 | Q_smistamento | 0. | 0. | 0. |
| 434 | 434 | 350 | Q_smistamento | 0. | 0. | 0. |
| 434 | 434 | 349 | Q_neve | 0. | 0. | 0. |
| 434 | 434 | 353 | Q_neve | 0. | 0. | 0. |
| 434 | 434 | 354 | Q_neve | 0. | 0. | 0. |
| 434 | 434 | 350 | Q_neve | 0. | 0. | 0. |
| 435 | 435 | 350 | DEAD | 0. | 0. | 0. |
| 435 | 435 | 354 | DEAD | 0. | 0. | 0. |
| 435 | 435 | 212 | DEAD | 0. | 0. | 0. |
| 435 | 435 | 214 | DEAD | 0. | 0. | 0. |
| 435 | 435 | 350 | G1_smistamento | 0. | 0. | 0. |

Table 20: Element Forces - Area Shells, Part 1 of 3

| Area | AreaElem | Joint | OutputCase | F11 KN/m | F22 KN/m | F12 KN/m |
|------|----------|-------|----------------|-------------|-------------|-------------|
| 435 | 435 | 354 | G1_smistamento | 0. | 0. | 0. |
| 435 | 435 | 212 | G1_smistamento | 0. | 0. | 0. |
| 435 | 435 | 214 | G1_smistamento | 0. | 0. | 0. |
| 435 | 435 | 350 | G2_smistamento | 0. | 0. | 0. |
| 435 | 435 | 354 | G2_smistamento | 0. | 0. | 0. |
| 435 | 435 | 212 | G2_smistamento | 0. | 0. | 0. |
| 435 | 435 | 214 | G2_smistamento | 0. | 0. | 0. |
| 435 | 435 | 350 | Q_smistamento | 0. | 0. | 0. |
| 435 | 435 | 354 | Q_smistamento | 0. | 0. | 0. |
| 435 | 435 | 212 | Q_smistamento | 0. | 0. | 0. |
| 435 | 435 | 214 | Q_smistamento | 0. | 0. | 0. |
| 435 | 435 | 350 | Q_neve | 0. | 0. | 0. |
| 435 | 435 | 354 | Q_neve | 0. | 0. | 0. |
| 435 | 435 | 212 | Q_neve | 0. | 0. | 0. |
| 435 | 435 | 214 | Q_neve | 0. | 0. | 0. |
| 436 | 436 | 282 | DEAD | 0. | 0. | 0. |
| 436 | 436 | 22 | DEAD | 0. | 0. | 0. |
| 436 | 436 | 284 | DEAD | 0. | 0. | 0. |
| 436 | 436 | 351 | DEAD | 0. | 0. | 0. |
| 436 | 436 | 282 | G1_smistamento | 0. | 0. | 0. |
| 436 | 436 | 22 | G1_smistamento | 0. | 0. | 0. |
| 436 | 436 | 284 | G1_smistamento | 0. | 0. | 0. |
| 436 | 436 | 351 | G1_smistamento | 0. | 0. | 0. |
| 436 | 436 | 282 | G2_smistamento | 0. | 0. | 0. |
| 436 | 436 | 22 | G2_smistamento | 0. | 0. | 0. |
| 436 | 436 | 284 | G2_smistamento | 0. | 0. | 0. |
| 436 | 436 | 351 | G2_smistamento | 0. | 0. | 0. |
| 436 | 436 | 282 | Q_smistamento | 0. | 0. | 0. |
| 436 | 436 | 22 | Q_smistamento | 0. | 0. | 0. |
| 436 | 436 | 284 | Q_smistamento | 0. | 0. | 0. |
| 436 | 436 | 351 | Q_smistamento | 0. | 0. | 0. |
| 436 | 436 | 282 | Q_neve | 0. | 0. | 0. |
| 436 | 436 | 22 | Q_neve | 0. | 0. | 0. |
| 436 | 436 | 284 | Q_neve | 0. | 0. | 0. |
| 436 | 436 | 351 | Q_neve | 0. | 0. | 0. |
| 437 | 437 | 351 | DEAD | 0. | 0. | 0. |
| 437 | 437 | 284 | DEAD | 0. | 0. | 0. |
| 437 | 437 | 286 | DEAD | 0. | 0. | 0. |

Table 20: Element Forces - Area Shells, Part 1 of 3

| Area | AreaElem | Joint | OutputCase | F11 KN/m | F22 KN/m | F12 KN/m |
|------|----------|-------|----------------|-------------|-------------|-------------|
| 437 | 437 | 352 | DEAD | 0. | 0. | 0. |
| 437 | 437 | 351 | G1_smistamento | 0. | 0. | 0. |
| 437 | 437 | 284 | G1_smistamento | 0. | 0. | 0. |
| 437 | 437 | 286 | G1_smistamento | 0. | 0. | 0. |
| 437 | 437 | 352 | G1_smistamento | 0. | 0. | 0. |
| 437 | 437 | 351 | G2_smistamento | 0. | 0. | 0. |
| 437 | 437 | 284 | G2_smistamento | 0. | 0. | 0. |
| 437 | 437 | 286 | G2_smistamento | 0. | 0. | 0. |
| 437 | 437 | 352 | G2_smistamento | 0. | 0. | 0. |
| 437 | 437 | 351 | Q_smistamento | 0. | 0. | 0. |
| 437 | 437 | 284 | Q_smistamento | 0. | 0. | 0. |
| 437 | 437 | 286 | Q_smistamento | 0. | 0. | 0. |
| 437 | 437 | 352 | Q_smistamento | 0. | 0. | 0. |
| 437 | 437 | 351 | Q_neve | 0. | 0. | 0. |
| 437 | 437 | 284 | Q_neve | 0. | 0. | 0. |
| 437 | 437 | 286 | Q_neve | 0. | 0. | 0. |
| 437 | 437 | 352 | Q_neve | 0. | 0. | 0. |
| 438 | 438 | 352 | DEAD | 0. | 0. | 0. |
| 438 | 438 | 286 | DEAD | 0. | 0. | 0. |
| 438 | 438 | 288 | DEAD | 0. | 0. | 0. |
| 438 | 438 | 353 | DEAD | 0. | 0. | 0. |
| 438 | 438 | 352 | G1_smistamento | 0. | 0. | 0. |
| 438 | 438 | 286 | G1_smistamento | 0. | 0. | 0. |
| 438 | 438 | 288 | G1_smistamento | 0. | 0. | 0. |
| 438 | 438 | 353 | G1_smistamento | 0. | 0. | 0. |
| 438 | 438 | 352 | G2_smistamento | 0. | 0. | 0. |
| 438 | 438 | 286 | G2_smistamento | 0. | 0. | 0. |
| 438 | 438 | 288 | G2_smistamento | 0. | 0. | 0. |
| 438 | 438 | 353 | G2_smistamento | 0. | 0. | 0. |
| 438 | 438 | 352 | Q_smistamento | 0. | 0. | 0. |
| 438 | 438 | 286 | Q_smistamento | 0. | 0. | 0. |
| 438 | 438 | 288 | Q_smistamento | 0. | 0. | 0. |
| 438 | 438 | 353 | Q_smistamento | 0. | 0. | 0. |
| 438 | 438 | 352 | Q_neve | 0. | 0. | 0. |
| 438 | 438 | 286 | Q_neve | 0. | 0. | 0. |
| 438 | 438 | 288 | Q_neve | 0. | 0. | 0. |
| 438 | 438 | 353 | Q_neve | 0. | 0. | 0. |
| 439 | 439 | 353 | DEAD | 0. | 0. | 0. |

Table 20: Element Forces - Area Shells, Part 1 of 3

| Area | AreaElem | Joint | OutputCase | F11 KN/m | F22 KN/m | F12 KN/m |
|------|----------|-------|----------------|-------------|-------------|-------------|
| 439 | 439 | 288 | DEAD | 0. | 0. | 0. |
| 439 | 439 | 290 | DEAD | 0. | 0. | 0. |
| 439 | 439 | 354 | DEAD | 0. | 0. | 0. |
| 439 | 439 | 353 | G1_smistamento | 0. | 0. | 0. |
| 439 | 439 | 288 | G1_smistamento | 0. | 0. | 0. |
| 439 | 439 | 290 | G1_smistamento | 0. | 0. | 0. |
| 439 | 439 | 354 | G1_smistamento | 0. | 0. | 0. |
| 439 | 439 | 353 | G2_smistamento | 0. | 0. | 0. |
| 439 | 439 | 288 | G2_smistamento | 0. | 0. | 0. |
| 439 | 439 | 290 | G2_smistamento | 0. | 0. | 0. |
| 439 | 439 | 354 | G2_smistamento | 0. | 0. | 0. |
| 439 | 439 | 353 | Q_smistamento | 0. | 0. | 0. |
| 439 | 439 | 288 | Q_smistamento | 0. | 0. | 0. |
| 439 | 439 | 290 | Q_smistamento | 0. | 0. | 0. |
| 439 | 439 | 354 | Q_smistamento | 0. | 0. | 0. |
| 439 | 439 | 353 | Q_neve | 0. | 0. | 0. |
| 439 | 439 | 288 | Q_neve | 0. | 0. | 0. |
| 439 | 439 | 290 | Q_neve | 0. | 0. | 0. |
| 439 | 439 | 354 | Q_neve | 0. | 0. | 0. |
| 440 | 440 | 354 | DEAD | 0. | 0. | 0. |
| 440 | 440 | 290 | DEAD | 0. | 0. | 0. |
| 440 | 440 | 9 | DEAD | 0. | 0. | 0. |
| 440 | 440 | 212 | DEAD | 0. | 0. | 0. |
| 440 | 440 | 354 | G1_smistamento | 0. | 0. | 0. |
| 440 | 440 | 290 | G1_smistamento | 0. | 0. | 0. |
| 440 | 440 | 9 | G1_smistamento | 0. | 0. | 0. |
| 440 | 440 | 212 | G1_smistamento | 0. | 0. | 0. |
| 440 | 440 | 354 | G2_smistamento | 0. | 0. | 0. |
| 440 | 440 | 290 | G2_smistamento | 0. | 0. | 0. |
| 440 | 440 | 9 | G2_smistamento | 0. | 0. | 0. |
| 440 | 440 | 212 | G2_smistamento | 0. | 0. | 0. |
| 440 | 440 | 354 | Q_smistamento | 0. | 0. | 0. |
| 440 | 440 | 290 | Q_smistamento | 0. | 0. | 0. |
| 440 | 440 | 9 | Q_smistamento | 0. | 0. | 0. |
| 440 | 440 | 212 | Q_smistamento | 0. | 0. | 0. |
| 440 | 440 | 354 | Q_neve | 0. | 0. | 0. |
| 440 | 440 | 290 | Q_neve | 0. | 0. | 0. |
| 440 | 440 | 9 | Q_neve | 0. | 0. | 0. |

Table 20: Element Forces - Area Shells, Part 1 of 3

| Area | AreaElem | Joint | OutputCase | F11 KN/m | F22 KN/m | F12 KN/m |
|------|----------|-------|------------|-------------|-------------|-------------|
| 440 | 440 | 212 | Q_neve | 0. | 0. | 0. |

Table 20: Element Forces - Area Shells, Part 2 of 3

Table 20: Element Forces - Area Shells, Part 2 of 3

| Area | Joint | OutputCase | M11 KN-m/m | M22 KN-m/m | M12 KN-m/m |
|------|-------|----------------|---------------|---------------|---------------|
| 1 | 7 | DEAD | 5.515E-15 | -4.695E-14 | 1.561E-13 |
| 1 | 8 | DEAD | -6.178E-14 | -5.194E-14 | 1.561E-13 |
| 1 | 9 | DEAD | 1.539E-14 | -7.658E-14 | 2.088E-13 |
| 1 | 10 | DEAD | -1.112E-13 | -2.198E-13 | 2.088E-13 |
| 1 | 7 | G1_smistamento | -0.0117 | -0.0077 | -0.1086 |
| 1 | 8 | G1_smistamento | 0.4744 | 5.366E-04 | -0.1534 |
| 1 | 9 | G1_smistamento | 0.4977 | 0.6459 | -0.1832 |
| 1 | 10 | G1_smistamento | 0.0011 | 0.6011 | -0.1385 |
| 1 | 7 | G2_smistamento | -0.0044 | -0.0029 | -0.0403 |
| 1 | 8 | G2_smistamento | 0.1759 | 1.989E-04 | -0.0569 |
| 1 | 9 | G2_smistamento | 0.1845 | 0.2394 | -0.0679 |
| 1 | 10 | G2_smistamento | 4.210E-04 | 0.2228 | -0.0514 |
| 1 | 7 | Q_smistamento | -0.0044 | -0.0029 | -0.0403 |
| 1 | 8 | Q_smistamento | 0.1759 | 1.989E-04 | -0.0569 |
| 1 | 9 | Q_smistamento | 0.1845 | 0.2394 | -0.0679 |
| 1 | 10 | Q_smistamento | 4.210E-04 | 0.2228 | -0.0514 |
| 1 | 7 | Q_neve | 3.055E-14 | 2.814E-14 | 3.143E-14 |
| 1 | 8 | Q_neve | -5.588E-14 | -3.020E-14 | 3.801E-14 |
| 1 | 9 | Q_neve | -1.060E-14 | -1.959E-14 | 4.459E-14 |
| 1 | 10 | Q_neve | 1.721E-15 | -5.817E-14 | 3.801E-14 |
| 2 | 11 | DEAD | 5.246E-13 | -5.796E-14 | -1.023E-13 |
| 2 | 12 | DEAD | -2.664E-13 | -4.350E-14 | -7.602E-14 |
| 2 | 13 | DEAD | 1.823E-13 | 1.264E-13 | -4.968E-14 |
| 2 | 14 | DEAD | 2.208E-13 | 1.803E-13 | -7.602E-14 |
| 2 | 11 | G1_smistamento | 0.4744 | 5.366E-04 | 0.1534 |
| 2 | 12 | G1_smistamento | -0.0117 | -0.0077 | 0.1086 |
| 2 | 13 | G1_smistamento | 0.0011 | 0.6011 | 0.1385 |
| 2 | 14 | G1_smistamento | 0.4977 | 0.6459 | 0.1832 |
| 2 | 11 | G2_smistamento | 0.1759 | 1.989E-04 | 0.0569 |
| 2 | 12 | G2_smistamento | -0.0044 | -0.0029 | 0.0403 |

Table 20: Element Forces - Area Shells, Part 2 of 3

| Area | Joint | OutputCase | M11 | M22 | M12 |
|------|-------|----------------|------------|------------|------------|
| | | | KN-m/m | KN-m/m | KN-m/m |
| 2 | 13 | G2_smistamento | 4.210E-04 | 0.2228 | 0.0514 |
| 2 | 14 | G2_smistamento | 0.1845 | 0.2394 | 0.0679 |
| 2 | 11 | Q_smistamento | 0.1759 | 1.989E-04 | 0.0569 |
| 2 | 12 | Q_smistamento | -0.0044 | -0.0029 | 0.0403 |
| 2 | 13 | Q_smistamento | 4.210E-04 | 0.2228 | 0.0514 |
| 2 | 14 | Q_smistamento | 0.1845 | 0.2394 | 0.0679 |
| 2 | 11 | Q_neve | 1.144E-13 | 1.621E-14 | -1.520E-14 |
| 2 | 12 | Q_neve | -3.443E-14 | 2.236E-15 | -1.520E-14 |
| 2 | 13 | Q_neve | 6.753E-14 | 3.843E-14 | -1.520E-14 |
| 2 | 14 | Q_neve | 2.599E-15 | 9.642E-15 | -1.520E-14 |
| 3 | 15 | DEAD | -4.236E-14 | -2.818E-14 | -5.878E-14 |
| 3 | 16 | DEAD | -1.973E-13 | -1.764E-13 | -6.841E-14 |
| 3 | 17 | DEAD | 1.716E-13 | 1.726E-13 | -3.244E-14 |
| 3 | 18 | DEAD | -3.268E-14 | -3.805E-13 | -6.841E-14 |
| 3 | 15 | G1_smistamento | 0.0011 | 0.6011 | -0.1385 |
| 3 | 16 | G1_smistamento | -0.0117 | -0.0077 | -0.1086 |
| 3 | 17 | G1_smistamento | 0.4744 | 5.366E-04 | -0.1534 |
| 3 | 18 | G1_smistamento | 0.4977 | 0.6459 | -0.1832 |
| 3 | 15 | G2_smistamento | 4.210E-04 | 0.2228 | -0.0514 |
| 3 | 16 | G2_smistamento | -0.0044 | -0.0029 | -0.0403 |
| 3 | 17 | G2_smistamento | 0.1759 | 1.989E-04 | -0.0569 |
| 3 | 18 | G2_smistamento | 0.1845 | 0.2394 | -0.0679 |
| 3 | 15 | Q_smistamento | 4.210E-04 | 0.2228 | -0.0514 |
| 3 | 16 | Q_smistamento | -0.0044 | -0.0029 | -0.0403 |
| 3 | 17 | Q_smistamento | 0.1759 | 1.989E-04 | -0.0569 |
| 3 | 18 | Q_smistamento | 0.1845 | 0.2394 | -0.0679 |
| 3 | 15 | Q_neve | -5.645E-14 | -4.289E-14 | -4.819E-15 |
| 3 | 16 | Q_neve | -2.274E-14 | -4.348E-14 | -1.140E-14 |
| 3 | 17 | Q_neve | 1.844E-14 | 3.529E-14 | -1.799E-14 |
| 3 | 18 | Q_neve | 1.182E-14 | -6.817E-14 | -1.140E-14 |
| 4 | 19 | DEAD | 4.943E-13 | 2.052E-14 | 1.023E-13 |
| 4 | 20 | DEAD | -1.101E-14 | 3.739E-14 | -2.982E-15 |
| 4 | 21 | DEAD | -1.541E-13 | 1.752E-13 | 4.968E-14 |
| 4 | 22 | DEAD | 2.029E-13 | 2.382E-13 | 1.550E-13 |
| 4 | 19 | G1_smistamento | 0.4744 | 5.366E-04 | 0.1534 |
| 4 | 20 | G1_smistamento | -0.0117 | -0.0077 | 0.1086 |
| 4 | 21 | G1_smistamento | 0.0011 | 0.6011 | 0.1385 |
| 4 | 22 | G1_smistamento | 0.4977 | 0.6459 | 0.1832 |

Table 20: Element Forces - Area Shells, Part 2 of 3

| Area | Joint | OutputCase | M11 | M22 | M12 |
|------|-------|----------------|------------|------------|------------|
| | | | KN-m/m | KN-m/m | KN-m/m |
| 4 | 19 | G2_smistamento | 0.1759 | 1.989E-04 | 0.0569 |
| 4 | 20 | G2_smistamento | -0.0044 | -0.0029 | 0.0403 |
| 4 | 21 | G2_smistamento | 4.210E-04 | 0.2228 | 0.0514 |
| 4 | 22 | G2_smistamento | 0.1845 | 0.2394 | 0.0679 |
| 4 | 19 | Q_smistamento | 0.1759 | 1.989E-04 | 0.0569 |
| 4 | 20 | Q_smistamento | -0.0044 | -0.0029 | 0.0403 |
| 4 | 21 | Q_smistamento | 4.210E-04 | 0.2228 | 0.0514 |
| 4 | 22 | Q_smistamento | 0.1845 | 0.2394 | 0.0679 |
| 4 | 19 | Q_neve | 1.239E-13 | 3.613E-14 | 2.457E-14 |
| 4 | 20 | Q_neve | -1.812E-14 | -3.439E-14 | -1.764E-15 |
| 4 | 21 | Q_neve | -1.514E-14 | 5.176E-14 | -1.764E-15 |
| 4 | 22 | Q_neve | 2.714E-14 | 3.391E-14 | 2.457E-14 |
| 42 | 1 | DEAD | -7.001E-15 | -1.108E-14 | 8.111E-15 |
| 42 | 57 | DEAD | 1.286E-14 | 9.220E-15 | 4.819E-15 |
| 42 | 58 | DEAD | 1.151E-14 | 2.225E-14 | 1.469E-14 |
| 42 | 59 | DEAD | -9.771E-15 | -5.181E-15 | 1.799E-14 |
| 42 | 1 | G1_smistamento | -0.0115 | -0.0075 | -0.1347 |
| 42 | 57 | G1_smistamento | 0.3563 | 0.0026 | -0.1747 |
| 42 | 58 | G1_smistamento | 0.3333 | 0.4608 | -0.1996 |
| 42 | 59 | G1_smistamento | 0.003 | 0.451 | -0.1596 |
| 42 | 1 | G2_smistamento | -0.0043 | -0.0028 | -0.0499 |
| 42 | 57 | G2_smistamento | 0.1321 | 9.536E-04 | -0.0647 |
| 42 | 58 | G2_smistamento | 0.1235 | 0.1708 | -0.074 |
| 42 | 59 | G2_smistamento | 0.0011 | 0.1672 | -0.0592 |
| 42 | 1 | Q_smistamento | -0.0043 | -0.0028 | -0.0499 |
| 42 | 57 | Q_smistamento | 0.1321 | 9.536E-04 | -0.0647 |
| 42 | 58 | Q_smistamento | 0.1235 | 0.1708 | -0.074 |
| 42 | 59 | Q_smistamento | 0.0011 | 0.1672 | -0.0592 |
| 42 | 1 | Q_neve | 1.447E-15 | -5.732E-15 | 1.078E-15 |
| 42 | 57 | Q_neve | 2.496E-15 | 6.256E-15 | 6.661E-16 |
| 42 | 58 | Q_neve | 1.344E-15 | 1.159E-15 | 2.723E-15 |
| 42 | 59 | Q_neve | 1.364E-15 | 3.068E-15 | 3.135E-15 |
| 44 | 60 | DEAD | 2.733E-16 | -1.838E-15 | -1.330E-14 |
| 44 | 2 | DEAD | 3.077E-14 | -2.581E-15 | -1.330E-14 |
| 44 | 61 | DEAD | -1.001E-14 | 1.585E-14 | -1.330E-14 |
| 44 | 6 | DEAD | 4.929E-14 | 2.087E-14 | -1.330E-14 |
| 44 | 60 | G1_smistamento | 0.3563 | 0.0026 | 0.1747 |
| 44 | 2 | G1_smistamento | -0.0115 | -0.0075 | 0.1347 |

Table 20: Element Forces - Area Shells, Part 2 of 3

| Area | Joint | OutputCase | M11 | M22 | M12 |
|------|-------|----------------|------------|------------|------------|
| | | | KN-m/m | KN-m/m | KN-m/m |
| 44 | 61 | G1_smistamento | 0.003 | 0.451 | 0.1596 |
| 44 | 6 | G1_smistamento | 0.3333 | 0.4608 | 0.1996 |
| 44 | 60 | G2_smistamento | 0.1321 | 9.536E-04 | 0.0647 |
| 44 | 2 | G2_smistamento | -0.0043 | -0.0028 | 0.0499 |
| 44 | 61 | G2_smistamento | 0.0011 | 0.1672 | 0.0592 |
| 44 | 6 | G2_smistamento | 0.1235 | 0.1708 | 0.074 |
| 44 | 60 | Q_smistamento | 0.1321 | 9.536E-04 | 0.0647 |
| 44 | 2 | Q_smistamento | -0.0043 | -0.0028 | 0.0499 |
| 44 | 61 | Q_smistamento | 0.0011 | 0.1672 | 0.0592 |
| 44 | 6 | Q_smistamento | 0.1235 | 0.1708 | 0.074 |
| 44 | 60 | Q_neve | 4.660E-15 | 5.674E-15 | -2.202E-15 |
| 44 | 2 | Q_neve | -1.571E-15 | -5.244E-15 | -2.202E-15 |
| 44 | 61 | Q_neve | 4.248E-15 | 6.085E-15 | -3.025E-15 |
| 44 | 6 | Q_neve | 1.927E-15 | -1.009E-16 | -3.025E-15 |
| 46 | 62 | DEAD | -1.363E-14 | 3.678E-14 | -3.085E-14 |
| 46 | 3 | DEAD | -4.445E-14 | -1.369E-14 | -3.205E-14 |
| 46 | 64 | DEAD | 5.426E-14 | 9.872E-16 | -2.426E-14 |
| 46 | 63 | DEAD | 3.661E-14 | 6.572E-14 | -2.876E-14 |
| 46 | 62 | G1_smistamento | 0.003 | 0.451 | -0.1596 |
| 46 | 3 | G1_smistamento | -0.0115 | -0.0075 | -0.1347 |
| 46 | 64 | G1_smistamento | 0.3563 | 0.0026 | -0.1747 |
| 46 | 63 | G1_smistamento | 0.3333 | 0.4608 | -0.1996 |
| 46 | 62 | G2_smistamento | 0.0011 | 0.1672 | -0.0592 |
| 46 | 3 | G2_smistamento | -0.0043 | -0.0028 | -0.0499 |
| 46 | 64 | G2_smistamento | 0.1321 | 9.536E-04 | -0.0647 |
| 46 | 63 | G2_smistamento | 0.1235 | 0.1708 | -0.074 |
| 46 | 62 | Q_smistamento | 0.0011 | 0.1672 | -0.0592 |
| 46 | 3 | Q_smistamento | -0.0043 | -0.0028 | -0.0499 |
| 46 | 64 | Q_smistamento | 0.1321 | 9.536E-04 | -0.0647 |
| 46 | 63 | Q_smistamento | 0.1235 | 0.1708 | -0.074 |
| 46 | 62 | Q_neve | 3.384E-15 | 8.875E-15 | -5.432E-15 |
| 46 | 3 | Q_neve | -8.681E-15 | -3.510E-15 | -5.582E-15 |
| 46 | 64 | Q_neve | 1.028E-14 | 3.834E-15 | -5.020E-15 |
| 46 | 63 | Q_neve | 7.824E-16 | 6.776E-15 | -5.582E-15 |
| 48 | 65 | DEAD | 2.273E-14 | -1.721E-14 | 3.292E-15 |
| 48 | 4 | DEAD | 5.642E-15 | 3.319E-15 | -3.292E-15 |
| 48 | 66 | DEAD | -2.778E-15 | 4.286E-14 | -3.292E-15 |
| 48 | 5 | DEAD | 1.716E-14 | 7.080E-14 | 3.292E-15 |

Table 20: Element Forces - Area Shells, Part 2 of 3

| Area | Joint | OutputCase | M11 | M22 | M12 |
|------|-------|----------------|------------|------------|------------|
| | | | KN-m/m | KN-m/m | KN-m/m |
| 48 | 65 | G1_smistamento | 0.3563 | 0.0026 | 0.1747 |
| 48 | 4 | G1_smistamento | -0.0115 | -0.0075 | 0.1347 |
| 48 | 66 | G1_smistamento | 0.003 | 0.451 | 0.1596 |
| 48 | 5 | G1_smistamento | 0.3333 | 0.4608 | 0.1996 |
| 48 | 65 | G2_smistamento | 0.1321 | 9.536E-04 | 0.0647 |
| 48 | 4 | G2_smistamento | -0.0043 | -0.0028 | 0.0499 |
| 48 | 66 | G2_smistamento | 0.0011 | 0.1672 | 0.0592 |
| 48 | 5 | G2_smistamento | 0.1235 | 0.1708 | 0.074 |
| 48 | 65 | Q_smistamento | 0.1321 | 9.536E-04 | 0.0647 |
| 48 | 4 | Q_smistamento | -0.0043 | -0.0028 | 0.0499 |
| 48 | 66 | Q_smistamento | 0.0011 | 0.1672 | 0.0592 |
| 48 | 5 | Q_smistamento | 0.1235 | 0.1708 | 0.074 |
| 48 | 65 | Q_neve | 8.851E-15 | -2.472E-15 | 1.472E-15 |
| 48 | 4 | Q_neve | 6.967E-18 | 3.484E-17 | -5.854E-16 |
| 48 | 66 | Q_neve | -7.151E-16 | 8.946E-15 | -9.968E-16 |
| 48 | 5 | Q_neve | 2.784E-15 | 1.392E-14 | 1.060E-15 |
| 183 | 57 | DEAD | -1.969E-14 | 2.870E-16 | 1.330E-14 |
| 183 | 67 | DEAD | 6.109E-14 | 1.591E-14 | 1.330E-14 |
| 183 | 68 | DEAD | 2.516E-14 | 2.703E-14 | 1.330E-14 |
| 183 | 58 | DEAD | 1.706E-14 | 3.278E-14 | 1.330E-14 |
| 183 | 57 | G1_smistamento | 0.3641 | 0.0041 | -0.2208 |
| 183 | 67 | G1_smistamento | 0.5888 | -3.106E-04 | -0.2322 |
| 183 | 68 | G1_smistamento | 0.761 | 0.5293 | -0.2466 |
| 183 | 58 | G1_smistamento | 0.3322 | 0.4606 | -0.2353 |
| 183 | 57 | G2_smistamento | 0.135 | 0.0015 | -0.0819 |
| 183 | 67 | G2_smistamento | 0.2183 | -1.152E-04 | -0.0861 |
| 183 | 68 | G2_smistamento | 0.2821 | 0.1962 | -0.0914 |
| 183 | 58 | G2_smistamento | 0.1231 | 0.1707 | -0.0872 |
| 183 | 57 | Q_smistamento | 0.135 | 0.0015 | -0.0819 |
| 183 | 67 | Q_smistamento | 0.2183 | -1.152E-04 | -0.0861 |
| 183 | 68 | Q_smistamento | 0.2821 | 0.1962 | -0.0914 |
| 183 | 58 | Q_smistamento | 0.1231 | 0.1707 | -0.0872 |
| 183 | 57 | Q_neve | -3.429E-15 | 3.124E-15 | 2.138E-15 |
| 183 | 67 | Q_neve | 1.014E-14 | 3.995E-15 | 2.549E-15 |
| 183 | 68 | Q_neve | 5.211E-15 | 4.359E-15 | 2.138E-15 |
| 183 | 58 | Q_neve | 3.760E-15 | 4.201E-15 | 1.727E-15 |
| 184 | 67 | DEAD | 3.623E-14 | 2.276E-14 | 1.279E-14 |
| 184 | 69 | DEAD | 6.517E-14 | -1.751E-14 | 1.279E-14 |

Table 20: Element Forces - Area Shells, Part 2 of 3

| Area | Joint | OutputCase | M11 | M22 | M12 |
|------|-------|----------------|-----------|------------|-----------|
| | | | KN-m/m | KN-m/m | KN-m/m |
| 184 | 70 | DEAD | 7.614E-14 | 5.444E-14 | 6.210E-15 |
| 184 | 68 | DEAD | 4.007E-14 | 2.487E-14 | 6.210E-15 |
| 184 | 67 | G1_smistamento | 0.5983 | 0.0016 | -0.2217 |
| 184 | 69 | G1_smistamento | 0.656 | 0.001 | -0.1996 |
| 184 | 70 | G1_smistamento | 0.8234 | 0.5555 | -0.1992 |
| 184 | 68 | G1_smistamento | 0.758 | 0.5287 | -0.2214 |
| 184 | 67 | G2_smistamento | 0.2218 | 5.891E-04 | -0.0822 |
| 184 | 69 | G2_smistamento | 0.2432 | 3.775E-04 | -0.074 |
| 184 | 70 | G2_smistamento | 0.3053 | 0.2059 | -0.0739 |
| 184 | 68 | G2_smistamento | 0.281 | 0.196 | -0.0821 |
| 184 | 67 | Q_smistamento | 0.2218 | 5.891E-04 | -0.0822 |
| 184 | 69 | Q_smistamento | 0.2432 | 3.775E-04 | -0.074 |
| 184 | 70 | Q_smistamento | 0.3053 | 0.2059 | -0.0739 |
| 184 | 68 | Q_smistamento | 0.281 | 0.196 | -0.0821 |
| 184 | 67 | Q_neve | 4.227E-15 | 2.263E-15 | 2.376E-15 |
| 184 | 69 | Q_neve | 1.427E-14 | -9.914E-16 | 2.376E-15 |
| 184 | 70 | Q_neve | 1.204E-14 | 9.258E-15 | 2.376E-15 |
| 184 | 68 | Q_neve | 9.128E-15 | 5.386E-15 | 2.376E-15 |
| 185 | 69 | DEAD | 8.383E-14 | -6.099E-15 | 7.602E-15 |
| 185 | 71 | DEAD | 8.458E-14 | 3.327E-14 | 4.310E-15 |
| 185 | 72 | DEAD | 5.585E-14 | 3.175E-14 | 7.602E-15 |
| 185 | 70 | DEAD | 1.093E-13 | 5.795E-14 | 1.089E-14 |
| 185 | 69 | G1_smistamento | 0.656 | 0.001 | -0.1832 |
| 185 | 71 | G1_smistamento | 0.537 | 3.676E-04 | -0.1625 |
| 185 | 72 | G1_smistamento | 0.6971 | 0.5618 | -0.1506 |
| 185 | 70 | G1_smistamento | 0.8228 | 0.5554 | -0.1714 |
| 185 | 69 | G2_smistamento | 0.2432 | 3.757E-04 | -0.0679 |
| 185 | 71 | G2_smistamento | 0.1991 | 1.363E-04 | -0.0602 |
| 185 | 72 | G2_smistamento | 0.2584 | 0.2083 | -0.0558 |
| 185 | 70 | G2_smistamento | 0.305 | 0.2059 | -0.0635 |
| 185 | 69 | Q_smistamento | 0.2432 | 3.757E-04 | -0.0679 |
| 185 | 71 | Q_smistamento | 0.1991 | 1.363E-04 | -0.0602 |
| 185 | 72 | Q_smistamento | 0.2584 | 0.2083 | -0.0558 |
| 185 | 70 | Q_smistamento | 0.305 | 0.2059 | -0.0635 |
| 185 | 69 | Q_neve | 2.019E-14 | -1.763E-16 | 9.502E-16 |
| 185 | 71 | Q_neve | 1.112E-14 | 7.071E-16 | 5.388E-16 |
| 185 | 72 | Q_neve | 1.289E-14 | 1.021E-14 | 9.502E-16 |
| 185 | 70 | Q_neve | 2.089E-14 | 1.254E-14 | 1.362E-15 |

Table 20: Element Forces - Area Shells, Part 2 of 3

| Area | Joint | OutputCase | M11 | M22 | M12 |
|------|-------|----------------|------------|------------|------------|
| | | | KN-m/m | KN-m/m | KN-m/m |
| 186 | 71 | DEAD | 8.360E-14 | 3.307E-14 | 7.092E-15 |
| 186 | 73 | DEAD | 2.216E-14 | -3.712E-14 | 7.092E-15 |
| 186 | 74 | DEAD | 3.423E-14 | 4.295E-14 | 5.092E-16 |
| 186 | 72 | DEAD | 8.141E-14 | 4.187E-14 | 5.092E-16 |
| 186 | 71 | G1_smistamento | 0.5364 | 2.638E-04 | -0.1455 |
| 186 | 73 | G1_smistamento | 0.3526 | -7.058E-05 | -0.1278 |
| 186 | 74 | G1_smistamento | 0.5054 | 0.5612 | -0.1117 |
| 186 | 72 | G1_smistamento | 0.6966 | 0.5617 | -0.1294 |
| 186 | 71 | G2_smistamento | 0.1989 | 9.780E-05 | -0.0539 |
| 186 | 73 | G2_smistamento | 0.1307 | -2.617E-05 | -0.0474 |
| 186 | 74 | G2_smistamento | 0.1873 | 0.208 | -0.0414 |
| 186 | 72 | G2_smistamento | 0.2583 | 0.2082 | -0.048 |
| 186 | 71 | Q_smistamento | 0.1989 | 9.780E-05 | -0.0539 |
| 186 | 73 | Q_smistamento | 0.1307 | -2.617E-05 | -0.0474 |
| 186 | 74 | Q_smistamento | 0.1873 | 0.208 | -0.0414 |
| 186 | 72 | Q_smistamento | 0.2583 | 0.2082 | -0.048 |
| 186 | 71 | Q_neve | 1.983E-14 | 3.980E-15 | 1.536E-15 |
| 186 | 73 | Q_neve | 1.104E-15 | -9.702E-15 | 1.536E-15 |
| 186 | 74 | Q_neve | 9.445E-15 | 1.128E-14 | -1.102E-16 |
| 186 | 72 | Q_neve | 1.499E-14 | 1.036E-14 | -1.102E-16 |
| 187 | 73 | DEAD | 4.332E-14 | -3.874E-14 | -8.993E-15 |
| 187 | 75 | DEAD | -1.405E-14 | 8.757E-15 | -8.993E-15 |
| 187 | 76 | DEAD | 1.369E-14 | 5.014E-14 | -2.410E-15 |
| 187 | 74 | DEAD | 2.545E-14 | 4.826E-14 | -2.410E-15 |
| 187 | 73 | G1_smistamento | 0.3521 | -1.740E-04 | -0.1111 |
| 187 | 75 | G1_smistamento | 0.1771 | -2.723E-04 | -0.096 |
| 187 | 76 | G1_smistamento | 0.3239 | 0.5598 | -0.0808 |
| 187 | 74 | G1_smistamento | 0.5052 | 0.5612 | -0.0959 |
| 187 | 73 | G2_smistamento | 0.1305 | -6.451E-05 | -0.0412 |
| 187 | 75 | G2_smistamento | 0.0656 | -1.010E-04 | -0.0356 |
| 187 | 76 | G2_smistamento | 0.1201 | 0.2075 | -0.03 |
| 187 | 74 | G2_smistamento | 0.1873 | 0.208 | -0.0356 |
| 187 | 73 | Q_smistamento | 0.1305 | -6.451E-05 | -0.0412 |
| 187 | 75 | Q_smistamento | 0.0656 | -1.010E-04 | -0.0356 |
| 187 | 76 | Q_smistamento | 0.1201 | 0.2075 | -0.03 |
| 187 | 74 | Q_smistamento | 0.1873 | 0.208 | -0.0356 |
| 187 | 73 | Q_neve | 6.467E-15 | -7.329E-15 | -2.098E-15 |
| 187 | 75 | Q_neve | -7.492E-16 | 7.415E-15 | -2.509E-15 |

Table 20: Element Forces - Area Shells, Part 2 of 3

| Area | Joint | OutputCase | M11 | M22 | M12 |
|------|-------|----------------|------------|------------|------------|
| | | | KN-m/m | KN-m/m | KN-m/m |
| 187 | 76 | Q_neve | 6.776E-15 | 6.557E-15 | -4.035E-17 |
| 187 | 74 | Q_neve | 2.234E-15 | 9.986E-15 | 3.711E-16 |
| 188 | 75 | DEAD | -3.733E-14 | 4.161E-15 | 3.987E-15 |
| 188 | 77 | DEAD | 1.525E-14 | 2.229E-14 | 6.956E-16 |
| 188 | 78 | DEAD | -3.156E-14 | -6.537E-15 | -5.888E-15 |
| 188 | 76 | DEAD | 1.278E-14 | 4.945E-14 | -2.596E-15 |
| 188 | 75 | G1_smistamento | 0.1766 | -3.662E-04 | -0.0802 |
| 188 | 77 | G1_smistamento | 0.0432 | -3.226E-04 | -0.0671 |
| 188 | 78 | G1_smistamento | 0.1857 | 0.5596 | -0.0553 |
| 188 | 76 | G1_smistamento | 0.3239 | 0.5598 | -0.0685 |
| 188 | 75 | G2_smistamento | 0.0655 | -1.358E-04 | -0.0297 |
| 188 | 77 | G2_smistamento | 0.016 | -1.196E-04 | -0.0249 |
| 188 | 78 | G2_smistamento | 0.0688 | 0.2074 | -0.0205 |
| 188 | 76 | G2_smistamento | 0.1201 | 0.2075 | -0.0254 |
| 188 | 75 | Q_smistamento | 0.0655 | -1.358E-04 | -0.0297 |
| 188 | 77 | Q_smistamento | 0.016 | -1.196E-04 | -0.0249 |
| 188 | 78 | Q_smistamento | 0.0688 | 0.2074 | -0.0205 |
| 188 | 76 | Q_smistamento | 0.1201 | 0.2075 | -0.0254 |
| 188 | 75 | Q_neve | -2.504E-15 | 6.633E-15 | 1.796E-15 |
| 188 | 77 | Q_neve | 1.591E-16 | 2.361E-15 | 1.385E-15 |
| 188 | 78 | Q_neve | -7.236E-15 | 2.557E-16 | -1.084E-15 |
| 188 | 76 | Q_neve | 2.216E-15 | 5.241E-15 | -6.723E-16 |
| 189 | 77 | DEAD | -2.088E-14 | 4.610E-15 | -3.292E-15 |
| 189 | 79 | DEAD | 8.512E-15 | 4.176E-15 | 0. |
| 189 | 80 | DEAD | 1.162E-14 | 2.889E-14 | 3.292E-15 |
| 189 | 78 | DEAD | 6.454E-15 | 1.364E-14 | 0. |
| 189 | 77 | G1_smistamento | 0.0428 | -4.025E-04 | -0.0528 |
| 189 | 79 | G1_smistamento | -0.0419 | -3.120E-04 | -0.0411 |
| 189 | 80 | G1_smistamento | 0.0975 | 0.5603 | -0.0334 |
| 189 | 78 | G1_smistamento | 0.1858 | 0.5596 | -0.0451 |
| 189 | 77 | G2_smistamento | 0.0159 | -1.492E-04 | -0.0196 |
| 189 | 79 | G2_smistamento | -0.0155 | -1.157E-04 | -0.0152 |
| 189 | 80 | G2_smistamento | 0.0362 | 0.2077 | -0.0124 |
| 189 | 78 | G2_smistamento | 0.0689 | 0.2074 | -0.0167 |
| 189 | 77 | Q_smistamento | 0.0159 | -1.492E-04 | -0.0196 |
| 189 | 79 | Q_smistamento | -0.0155 | -1.157E-04 | -0.0152 |
| 189 | 80 | Q_smistamento | 0.0362 | 0.2077 | -0.0124 |
| 189 | 78 | Q_smistamento | 0.0689 | 0.2074 | -0.0167 |

Table 20: Element Forces - Area Shells, Part 2 of 3

| Area | Joint | OutputCase | M11 | M22 | M12 |
|------|-------|----------------|------------|------------|------------|
| | | | KN-m/m | KN-m/m | KN-m/m |
| 189 | 77 | Q_neve | 2.380E-15 | 2.825E-15 | -1.362E-15 |
| 189 | 79 | Q_neve | -5.838E-15 | -4.540E-15 | -5.388E-16 |
| 189 | 80 | Q_neve | 3.203E-15 | 9.409E-15 | -5.388E-16 |
| 189 | 78 | Q_neve | -6.948E-16 | -1.043E-15 | -1.362E-15 |
| 190 | 79 | DEAD | 1.503E-14 | -2.561E-15 | -8.820E-16 |
| 190 | 81 | DEAD | -8.182E-15 | 3.071E-14 | 5.701E-15 |
| 190 | 82 | DEAD | 2.820E-14 | 5.340E-14 | 1.228E-14 |
| 190 | 80 | DEAD | 5.807E-15 | 3.153E-14 | 5.701E-15 |
| 190 | 79 | G1_smistamento | -0.0422 | -3.671E-04 | -0.0281 |
| 190 | 81 | G1_smistamento | -0.0823 | -3.032E-04 | -0.0174 |
| 190 | 82 | G1_smistamento | 0.0557 | 0.561 | -0.0137 |
| 190 | 80 | G1_smistamento | 0.0976 | 0.5603 | -0.0244 |
| 190 | 79 | G2_smistamento | -0.0156 | -1.361E-04 | -0.0104 |
| 190 | 81 | G2_smistamento | -0.0305 | -1.124E-04 | -0.0065 |
| 190 | 82 | G2_smistamento | 0.0207 | 0.208 | -0.0051 |
| 190 | 80 | G2_smistamento | 0.0362 | 0.2077 | -0.009 |
| 190 | 79 | Q_smistamento | -0.0156 | -1.361E-04 | -0.0104 |
| 190 | 81 | Q_smistamento | -0.0305 | -1.124E-04 | -0.0065 |
| 190 | 82 | Q_smistamento | 0.0207 | 0.208 | -0.0051 |
| 190 | 80 | Q_smistamento | 0.0362 | 0.2077 | -0.009 |
| 190 | 79 | Q_neve | -4.577E-15 | -6.507E-15 | 6.661E-16 |
| 190 | 81 | Q_neve | 6.797E-15 | 1.038E-14 | 1.489E-15 |
| 190 | 82 | Q_neve | 6.121E-15 | 9.951E-15 | 3.135E-15 |
| 190 | 80 | Q_neve | 3.299E-15 | 1.017E-14 | 2.312E-15 |
| 191 | 81 | DEAD | 4.963E-14 | 3.039E-14 | 1.469E-14 |
| 191 | 83 | DEAD | -1.414E-14 | -1.869E-14 | 1.469E-14 |
| 191 | 84 | DEAD | 4.634E-14 | 7.318E-14 | 8.111E-15 |
| 191 | 82 | DEAD | 3.030E-14 | 6.525E-14 | 8.111E-15 |
| 191 | 81 | G1_smistamento | -0.0824 | -3.230E-04 | -0.0052 |
| 191 | 83 | G1_smistamento | -0.0824 | -3.230E-04 | 0.0052 |
| 191 | 84 | G1_smistamento | 0.0557 | 0.561 | 0.0052 |
| 191 | 82 | G1_smistamento | 0.0557 | 0.561 | -0.0052 |
| 191 | 81 | G2_smistamento | -0.0305 | -1.197E-04 | -0.0019 |
| 191 | 83 | G2_smistamento | -0.0305 | -1.197E-04 | 0.0019 |
| 191 | 84 | G2_smistamento | 0.0207 | 0.208 | 0.0019 |
| 191 | 82 | G2_smistamento | 0.0207 | 0.208 | -0.0019 |
| 191 | 81 | Q_smistamento | -0.0305 | -1.197E-04 | -0.0019 |
| 191 | 83 | Q_smistamento | -0.0305 | -1.197E-04 | 0.0019 |

Table 20: Element Forces - Area Shells, Part 2 of 3

| Area | Joint | OutputCase | M11 | M22 | M12 |
|------|-------|----------------|------------|------------|-----------|
| | | | KN-m/m | KN-m/m | KN-m/m |
| 191 | 84 | Q_smistamento | 0.0207 | 0.208 | 0.0019 |
| 191 | 82 | Q_smistamento | 0.0207 | 0.208 | -0.0019 |
| 191 | 81 | Q_neve | 3.593E-15 | 8.408E-15 | 3.911E-15 |
| 191 | 83 | Q_neve | 4.273E-15 | -4.813E-15 | 4.323E-15 |
| 191 | 84 | Q_neve | 9.353E-15 | 1.499E-14 | 2.265E-15 |
| 191 | 82 | Q_neve | 6.536E-15 | 8.970E-15 | 1.854E-15 |
| 192 | 83 | DEAD | 2.675E-14 | -6.111E-15 | 1.432E-14 |
| 192 | 85 | DEAD | -4.918E-14 | 2.081E-14 | 2.420E-14 |
| 192 | 86 | DEAD | 4.404E-14 | 4.079E-14 | 2.749E-14 |
| 192 | 84 | DEAD | 5.950E-15 | 5.948E-14 | 1.761E-14 |
| 192 | 83 | G1_smistamento | -0.0823 | -3.032E-04 | 0.0174 |
| 192 | 85 | G1_smistamento | -0.0422 | -3.671E-04 | 0.0281 |
| 192 | 86 | G1_smistamento | 0.0976 | 0.5603 | 0.0244 |
| 192 | 84 | G1_smistamento | 0.0557 | 0.561 | 0.0137 |
| 192 | 83 | G2_smistamento | -0.0305 | -1.124E-04 | 0.0065 |
| 192 | 85 | G2_smistamento | -0.0156 | -1.361E-04 | 0.0104 |
| 192 | 86 | G2_smistamento | 0.0362 | 0.2077 | 0.009 |
| 192 | 84 | G2_smistamento | 0.0207 | 0.208 | 0.0051 |
| 192 | 83 | Q_smistamento | -0.0305 | -1.124E-04 | 0.0065 |
| 192 | 85 | Q_smistamento | -0.0156 | -1.361E-04 | 0.0104 |
| 192 | 86 | Q_smistamento | 0.0362 | 0.2077 | 0.009 |
| 192 | 84 | Q_smistamento | 0.0207 | 0.208 | 0.0051 |
| 192 | 83 | Q_neve | 5.162E-15 | -4.503E-15 | 2.091E-15 |
| 192 | 85 | Q_neve | -1.063E-14 | 4.708E-15 | 3.737E-15 |
| 192 | 86 | Q_neve | 8.557E-15 | 7.532E-15 | 4.560E-15 |
| 192 | 84 | Q_neve | -2.394E-16 | 1.222E-14 | 2.914E-15 |
| 193 | 85 | DEAD | 3.030E-14 | 5.467E-14 | 2.730E-14 |
| 193 | 87 | DEAD | -4.199E-14 | -1.363E-15 | 2.072E-14 |
| 193 | 88 | DEAD | -3.101E-14 | 4.439E-14 | 2.401E-14 |
| 193 | 86 | DEAD | -2.905E-15 | 1.633E-14 | 3.059E-14 |
| 193 | 85 | G1_smistamento | -0.0419 | -3.120E-04 | 0.0411 |
| 193 | 87 | G1_smistamento | 0.0428 | -4.025E-04 | 0.0528 |
| 193 | 88 | G1_smistamento | 0.1858 | 0.5596 | 0.0451 |
| 193 | 86 | G1_smistamento | 0.0975 | 0.5603 | 0.0334 |
| 193 | 85 | G2_smistamento | -0.0155 | -1.157E-04 | 0.0152 |
| 193 | 87 | G2_smistamento | 0.0159 | -1.492E-04 | 0.0196 |
| 193 | 88 | G2_smistamento | 0.0689 | 0.2074 | 0.0167 |
| 193 | 86 | G2_smistamento | 0.0362 | 0.2077 | 0.0124 |

Table 20: Element Forces - Area Shells, Part 2 of 3

| Area | Joint | OutputCase | M11 | M22 | M12 |
|------|-------|----------------|------------|------------|-----------|
| | | | KN-m/m | KN-m/m | KN-m/m |
| 193 | 85 | Q_smistamento | -0.0155 | -1.157E-04 | 0.0152 |
| 193 | 87 | Q_smistamento | 0.0159 | -1.492E-04 | 0.0196 |
| 193 | 88 | Q_smistamento | 0.0689 | 0.2074 | 0.0167 |
| 193 | 86 | Q_smistamento | 0.0362 | 0.2077 | 0.0124 |
| 193 | 85 | Q_neve | 5.499E-15 | 6.982E-15 | 5.725E-15 |
| 193 | 87 | Q_neve | -9.142E-15 | 1.223E-15 | 4.902E-15 |
| 193 | 88 | Q_neve | -5.699E-16 | 6.262E-15 | 4.490E-15 |
| 193 | 86 | Q_neve | -4.102E-15 | 6.675E-15 | 5.313E-15 |
| 194 | 87 | DEAD | -3.384E-14 | 2.130E-15 | 3.129E-14 |
| 194 | 89 | DEAD | 2.792E-14 | 5.524E-15 | 2.800E-14 |
| 194 | 90 | DEAD | 1.389E-14 | 2.353E-14 | 1.812E-14 |
| 194 | 88 | DEAD | -1.652E-14 | 4.009E-14 | 2.141E-14 |
| 194 | 87 | G1_smistamento | 0.0432 | -3.226E-04 | 0.0671 |
| 194 | 89 | G1_smistamento | 0.1766 | -3.662E-04 | 0.0802 |
| 194 | 90 | G1_smistamento | 0.3239 | 0.5598 | 0.0685 |
| 194 | 88 | G1_smistamento | 0.1857 | 0.5596 | 0.0553 |
| 194 | 87 | G2_smistamento | 0.016 | -1.196E-04 | 0.0249 |
| 194 | 89 | G2_smistamento | 0.0655 | -1.358E-04 | 0.0297 |
| 194 | 90 | G2_smistamento | 0.1201 | 0.2075 | 0.0254 |
| 194 | 88 | G2_smistamento | 0.0688 | 0.2074 | 0.0205 |
| 194 | 87 | Q_smistamento | 0.016 | -1.196E-04 | 0.0249 |
| 194 | 89 | Q_smistamento | 0.0655 | -1.358E-04 | 0.0297 |
| 194 | 90 | Q_smistamento | 0.1201 | 0.2075 | 0.0254 |
| 194 | 88 | Q_smistamento | 0.0688 | 0.2074 | 0.0205 |
| 194 | 87 | Q_neve | -6.794E-15 | 1.074E-15 | 5.336E-15 |
| 194 | 89 | Q_neve | 6.082E-15 | -1.023E-15 | 4.925E-15 |
| 194 | 90 | Q_neve | 2.875E-15 | 4.983E-15 | 3.691E-15 |
| 194 | 88 | Q_neve | -3.587E-15 | 4.943E-15 | 4.102E-15 |
| 195 | 89 | DEAD | -1.874E-14 | -7.474E-15 | 1.900E-14 |
| 195 | 91 | DEAD | 4.921E-14 | 3.743E-14 | 1.900E-14 |
| 195 | 92 | DEAD | 9.238E-15 | -5.829E-15 | 1.900E-14 |
| 195 | 90 | DEAD | 9.707E-15 | 1.768E-14 | 1.900E-14 |
| 195 | 89 | G1_smistamento | 0.1771 | -2.723E-04 | 0.096 |
| 195 | 91 | G1_smistamento | 0.3521 | -1.740E-04 | 0.1111 |
| 195 | 92 | G1_smistamento | 0.5052 | 0.5612 | 0.0959 |
| 195 | 90 | G1_smistamento | 0.3239 | 0.5598 | 0.0808 |
| 195 | 89 | G2_smistamento | 0.0656 | -1.010E-04 | 0.0356 |
| 195 | 91 | G2_smistamento | 0.1305 | -6.451E-05 | 0.0412 |

Table 20: Element Forces - Area Shells, Part 2 of 3

| Area | Joint | OutputCase | M11 | M22 | M12 |
|------|-------|----------------|------------|------------|------------|
| | | | KN-m/m | KN-m/m | KN-m/m |
| 195 | 92 | G2_smistamento | 0.1873 | 0.208 | 0.0356 |
| 195 | 90 | G2_smistamento | 0.1201 | 0.2075 | 0.03 |
| 195 | 89 | Q_smistamento | 0.0656 | -1.010E-04 | 0.0356 |
| 195 | 91 | Q_smistamento | 0.1305 | -6.451E-05 | 0.0412 |
| 195 | 92 | Q_smistamento | 0.1873 | 0.208 | 0.0356 |
| 195 | 90 | Q_smistamento | 0.1201 | 0.2075 | 0.03 |
| 195 | 89 | Q_neve | -2.766E-15 | -2.111E-15 | 3.801E-15 |
| 195 | 91 | Q_neve | 9.638E-15 | 3.791E-15 | 3.801E-15 |
| 195 | 92 | Q_neve | 6.389E-15 | 1.695E-15 | 3.801E-15 |
| 195 | 90 | Q_neve | -2.808E-15 | 3.276E-15 | 3.801E-15 |
| 196 | 91 | DEAD | 4.453E-14 | 3.844E-14 | 1.799E-14 |
| 196 | 93 | DEAD | 1.164E-13 | -2.798E-14 | 1.140E-14 |
| 196 | 94 | DEAD | 8.897E-14 | 5.325E-14 | 4.819E-15 |
| 196 | 92 | DEAD | 3.989E-14 | -5.757E-15 | 1.140E-14 |
| 196 | 91 | G1_smistamento | 0.3526 | -7.058E-05 | 0.1278 |
| 196 | 93 | G1_smistamento | 0.5364 | 2.638E-04 | 0.1455 |
| 196 | 94 | G1_smistamento | 0.6966 | 0.5617 | 0.1294 |
| 196 | 92 | G1_smistamento | 0.5054 | 0.5612 | 0.1117 |
| 196 | 91 | G2_smistamento | 0.1307 | -2.617E-05 | 0.0474 |
| 196 | 93 | G2_smistamento | 0.1989 | 9.780E-05 | 0.0539 |
| 196 | 94 | G2_smistamento | 0.2583 | 0.2082 | 0.048 |
| 196 | 92 | G2_smistamento | 0.1873 | 0.208 | 0.0414 |
| 196 | 91 | Q_smistamento | 0.1307 | -2.617E-05 | 0.0474 |
| 196 | 93 | Q_smistamento | 0.1989 | 9.780E-05 | 0.0539 |
| 196 | 94 | Q_smistamento | 0.2583 | 0.2082 | 0.048 |
| 196 | 92 | Q_smistamento | 0.1873 | 0.208 | 0.0414 |
| 196 | 91 | Q_neve | 6.652E-15 | 1.941E-15 | 3.847E-15 |
| 196 | 93 | Q_neve | 2.367E-14 | -6.891E-15 | 2.202E-15 |
| 196 | 94 | Q_neve | 1.396E-14 | 1.130E-14 | 1.379E-15 |
| 196 | 92 | Q_neve | 1.226E-14 | 2.675E-15 | 3.025E-15 |
| 197 | 93 | DEAD | 1.414E-13 | -6.205E-15 | -1.330E-14 |
| 197 | 95 | DEAD | 7.109E-14 | 9.210E-15 | -1.989E-14 |
| 197 | 96 | DEAD | 1.242E-13 | 4.564E-14 | -1.330E-14 |
| 197 | 94 | DEAD | 7.191E-14 | 3.307E-14 | -6.720E-15 |
| 197 | 93 | G1_smistamento | 0.537 | 3.676E-04 | 0.1625 |
| 197 | 95 | G1_smistamento | 0.656 | 0.001 | 0.1832 |
| 197 | 96 | G1_smistamento | 0.8228 | 0.5554 | 0.1714 |
| 197 | 94 | G1_smistamento | 0.6971 | 0.5618 | 0.1506 |

Table 20: Element Forces - Area Shells, Part 2 of 3

| Area | Joint | OutputCase | M11 | M22 | M12 |
|------|-------|----------------|-----------|------------|------------|
| | | | KN-m/m | KN-m/m | KN-m/m |
| 197 | 93 | G2_smistamento | 0.1991 | 1.363E-04 | 0.0602 |
| 197 | 95 | G2_smistamento | 0.2432 | 3.757E-04 | 0.0679 |
| 197 | 96 | G2_smistamento | 0.305 | 0.2059 | 0.0635 |
| 197 | 94 | G2_smistamento | 0.2584 | 0.2083 | 0.0558 |
| 197 | 93 | Q_smistamento | 0.1991 | 1.363E-04 | 0.0602 |
| 197 | 95 | Q_smistamento | 0.2432 | 3.757E-04 | 0.0679 |
| 197 | 96 | Q_smistamento | 0.305 | 0.2059 | 0.0635 |
| 197 | 94 | Q_smistamento | 0.2584 | 0.2083 | 0.0558 |
| 197 | 93 | Q_neve | 2.547E-14 | -6.407E-15 | -2.613E-15 |
| 197 | 95 | Q_neve | 1.310E-14 | 2.764E-15 | -3.847E-15 |
| 197 | 96 | Q_neve | 2.043E-14 | 7.891E-15 | -2.613E-15 |
| 197 | 94 | Q_neve | 1.464E-14 | 1.048E-14 | -1.379E-15 |
| 198 | 95 | DEAD | 8.657E-14 | 1.481E-14 | -1.001E-14 |
| 198 | 97 | DEAD | 5.134E-14 | -1.777E-14 | -1.001E-14 |
| 198 | 98 | DEAD | 4.789E-14 | 1.892E-14 | -1.659E-14 |
| 198 | 96 | DEAD | 9.166E-14 | 2.585E-14 | -1.659E-14 |
| 198 | 95 | G1_smistamento | 0.656 | 0.001 | 0.1996 |
| 198 | 97 | G1_smistamento | 0.5983 | 0.0016 | 0.2217 |
| 198 | 98 | G1_smistamento | 0.758 | 0.5287 | 0.2214 |
| 198 | 96 | G1_smistamento | 0.8234 | 0.5555 | 0.1992 |
| 198 | 95 | G2_smistamento | 0.2432 | 3.775E-04 | 0.074 |
| 198 | 97 | G2_smistamento | 0.2218 | 5.891E-04 | 0.0822 |
| 198 | 98 | G2_smistamento | 0.281 | 0.196 | 0.0821 |
| 198 | 96 | G2_smistamento | 0.3053 | 0.2059 | 0.0739 |
| 198 | 95 | Q_smistamento | 0.2432 | 3.775E-04 | 0.074 |
| 198 | 97 | Q_smistamento | 0.2218 | 5.891E-04 | 0.0822 |
| 198 | 98 | Q_smistamento | 0.281 | 0.196 | 0.0821 |
| 198 | 96 | Q_smistamento | 0.3053 | 0.2059 | 0.0739 |
| 198 | 95 | Q_neve | 1.333E-14 | 1.317E-15 | -1.553E-15 |
| 198 | 97 | Q_neve | 1.315E-14 | -3.656E-15 | -1.141E-15 |
| 198 | 98 | Q_neve | 1.096E-14 | 1.831E-15 | -3.198E-15 |
| 198 | 96 | Q_neve | 2.004E-14 | 8.585E-15 | -3.610E-15 |
| 199 | 97 | DEAD | 2.304E-14 | -2.176E-14 | -1.659E-14 |
| 199 | 60 | DEAD | 3.539E-14 | 9.136E-15 | -1.659E-14 |
| 199 | 6 | DEAD | 6.175E-15 | 2.517E-15 | -1.001E-14 |
| 199 | 98 | DEAD | 5.226E-14 | 2.436E-14 | -1.001E-14 |
| 199 | 97 | G1_smistamento | 0.5888 | -3.106E-04 | 0.2322 |
| 199 | 60 | G1_smistamento | 0.3641 | 0.0041 | 0.2208 |

Table 20: Element Forces - Area Shells, Part 2 of 3

| Area | Joint | OutputCase | M11 | M22 | M12 |
|------|-------|----------------|------------|------------|------------|
| | | | KN-m/m | KN-m/m | KN-m/m |
| 199 | 6 | G1_smistamento | 0.3322 | 0.4606 | 0.2353 |
| 199 | 98 | G1_smistamento | 0.761 | 0.5293 | 0.2466 |
| 199 | 97 | G2_smistamento | 0.2183 | -1.152E-04 | 0.0861 |
| 199 | 60 | G2_smistamento | 0.135 | 0.0015 | 0.0819 |
| 199 | 6 | G2_smistamento | 0.1231 | 0.1707 | 0.0872 |
| 199 | 98 | G2_smistamento | 0.2821 | 0.1962 | 0.0914 |
| 199 | 97 | Q_smistamento | 0.2183 | -1.152E-04 | 0.0861 |
| 199 | 60 | Q_smistamento | 0.135 | 0.0015 | 0.0819 |
| 199 | 6 | Q_smistamento | 0.1231 | 0.1707 | 0.0872 |
| 199 | 98 | Q_smistamento | 0.2821 | 0.1962 | 0.0914 |
| 199 | 97 | Q_neve | 4.931E-15 | -4.409E-15 | -2.961E-15 |
| 199 | 60 | Q_neve | 8.134E-15 | 7.023E-15 | -2.961E-15 |
| 199 | 6 | Q_neve | -4.177E-16 | -1.529E-15 | -1.315E-15 |
| 199 | 98 | Q_neve | 1.348E-14 | 4.142E-15 | -1.315E-15 |
| 200 | 61 | DEAD | -6.811E-15 | 2.208E-14 | -7.347E-15 |
| 200 | 99 | DEAD | -3.492E-14 | 2.739E-16 | -5.260E-15 |
| 200 | 100 | DEAD | 5.408E-14 | 2.044E-14 | -4.055E-15 |
| 200 | 6 | DEAD | 3.873E-14 | 1.303E-14 | -1.184E-14 |
| 200 | 61 | G1_smistamento | 0.0052 | 0.4619 | 0.1828 |
| 200 | 99 | G1_smistamento | -8.483E-04 | 0.8595 | 0.1686 |
| 200 | 100 | G1_smistamento | 0.3887 | 1.0746 | 0.2005 |
| 200 | 6 | G1_smistamento | 0.3328 | 0.4586 | 0.2147 |
| 200 | 61 | G2_smistamento | 0.0019 | 0.1712 | 0.0678 |
| 200 | 99 | G2_smistamento | -3.145E-04 | 0.3186 | 0.0625 |
| 200 | 100 | G2_smistamento | 0.1441 | 0.3984 | 0.0743 |
| 200 | 6 | G2_smistamento | 0.1234 | 0.17 | 0.0796 |
| 200 | 61 | Q_smistamento | 0.0019 | 0.1712 | 0.0678 |
| 200 | 99 | Q_smistamento | -3.145E-04 | 0.3186 | 0.0625 |
| 200 | 100 | Q_smistamento | 0.1441 | 0.3984 | 0.0743 |
| 200 | 6 | Q_smistamento | 0.1234 | 0.17 | 0.0796 |
| 200 | 61 | Q_neve | 2.593E-15 | 2.590E-15 | -1.892E-15 |
| 200 | 99 | Q_neve | -5.866E-15 | 2.151E-15 | -1.220E-15 |
| 200 | 100 | Q_neve | 1.154E-14 | 5.368E-15 | -2.461E-16 |
| 200 | 6 | Q_neve | 2.363E-15 | -1.141E-15 | -1.631E-15 |
| 201 | 99 | DEAD | -2.495E-14 | 2.129E-14 | -1.528E-15 |
| 201 | 101 | DEAD | 5.571E-15 | -2.484E-14 | -1.469E-14 |
| 201 | 102 | DEAD | 4.253E-14 | 7.231E-14 | -2.128E-14 |
| 201 | 100 | DEAD | 3.766E-14 | 7.257E-15 | -8.111E-15 |

Table 20: Element Forces - Area Shells, Part 2 of 3

| Area | Joint | OutputCase | M11 | M22 | M12 |
|------|-------|----------------|------------|------------|------------|
| | | | KN-m/m | KN-m/m | KN-m/m |
| 201 | 99 | G1_smistamento | 0.0014 | 0.871 | 0.1288 |
| 201 | 101 | G1_smistamento | 0.0013 | 1.1087 | 0.0751 |
| 201 | 102 | G1_smistamento | 0.4071 | 1.3245 | 0.0916 |
| 201 | 100 | G1_smistamento | 0.388 | 1.0714 | 0.1453 |
| 201 | 99 | G2_smistamento | 5.360E-04 | 0.3229 | 0.0477 |
| 201 | 101 | G2_smistamento | 4.756E-04 | 0.411 | 0.0278 |
| 201 | 102 | G2_smistamento | 0.1509 | 0.491 | 0.034 |
| 201 | 100 | G2_smistamento | 0.1439 | 0.3972 | 0.0539 |
| 201 | 99 | Q_smistamento | 5.360E-04 | 0.3229 | 0.0477 |
| 201 | 101 | Q_smistamento | 4.756E-04 | 0.411 | 0.0278 |
| 201 | 102 | Q_smistamento | 0.1509 | 0.491 | 0.034 |
| 201 | 100 | Q_smistamento | 0.1439 | 0.3972 | 0.0539 |
| 201 | 99 | Q_neve | -4.045E-15 | 7.173E-15 | -3.183E-16 |
| 201 | 101 | Q_neve | 1.629E-15 | -7.880E-15 | -3.198E-15 |
| 201 | 102 | Q_neve | 4.698E-15 | 8.921E-15 | -4.433E-15 |
| 201 | 100 | Q_neve | 1.078E-14 | 5.801E-15 | -1.553E-15 |
| 202 | 101 | DEAD | 8.518E-15 | -1.137E-14 | -3.560E-14 |
| 202 | 103 | DEAD | -1.392E-14 | -5.065E-15 | -3.889E-14 |
| 202 | 104 | DEAD | 1.935E-15 | -4.785E-15 | -2.902E-14 |
| 202 | 102 | DEAD | 2.722E-14 | 3.164E-15 | -2.572E-14 |
| 202 | 101 | G1_smistamento | 0.0014 | 1.1093 | 0.0279 |
| 202 | 103 | G1_smistamento | 0.0014 | 1.1093 | -0.0279 |
| 202 | 104 | G1_smistamento | 0.407 | 1.3241 | -0.0279 |
| 202 | 102 | G1_smistamento | 0.407 | 1.3241 | 0.0279 |
| 202 | 101 | G2_smistamento | 5.248E-04 | 0.4112 | 0.0103 |
| 202 | 103 | G2_smistamento | 5.248E-04 | 0.4112 | -0.0103 |
| 202 | 104 | G2_smistamento | 0.1509 | 0.4909 | -0.0103 |
| 202 | 102 | G2_smistamento | 0.1509 | 0.4909 | 0.0103 |
| 202 | 101 | Q_smistamento | 5.248E-04 | 0.4112 | 0.0103 |
| 202 | 103 | Q_smistamento | 5.248E-04 | 0.4112 | -0.0103 |
| 202 | 104 | Q_smistamento | 0.1509 | 0.4909 | -0.0103 |
| 202 | 102 | Q_smistamento | 0.1509 | 0.4909 | 0.0103 |
| 202 | 101 | Q_neve | 6.526E-15 | 2.036E-15 | -6.999E-15 |
| 202 | 103 | Q_neve | -7.465E-15 | -4.087E-15 | -6.999E-15 |
| 202 | 104 | Q_neve | 3.748E-15 | -1.976E-15 | -5.353E-15 |
| 202 | 102 | Q_neve | 3.130E-15 | -4.863E-16 | -5.353E-15 |
| 203 | 103 | DEAD | -3.143E-15 | 2.379E-14 | -3.041E-14 |
| 203 | 105 | DEAD | -2.820E-14 | 6.434E-15 | -3.370E-14 |

Table 20: Element Forces - Area Shells, Part 2 of 3

| Area | Joint | OutputCase | M11 | M22 | M12 |
|------|-------|----------------|------------|------------|------------|
| | | | KN-m/m | KN-m/m | KN-m/m |
| 203 | 106 | DEAD | 2.072E-14 | 6.411E-14 | -3.041E-14 |
| 203 | 104 | DEAD | -2.686E-15 | -2.401E-14 | -2.711E-14 |
| 203 | 103 | G1_smistamento | 0.0013 | 1.1087 | -0.0751 |
| 203 | 105 | G1_smistamento | 0.0014 | 0.871 | -0.1288 |
| 203 | 106 | G1_smistamento | 0.388 | 1.0714 | -0.1453 |
| 203 | 104 | G1_smistamento | 0.4071 | 1.3245 | -0.0916 |
| 203 | 103 | G2_smistamento | 4.756E-04 | 0.411 | -0.0278 |
| 203 | 105 | G2_smistamento | 5.360E-04 | 0.3229 | -0.0477 |
| 203 | 106 | G2_smistamento | 0.1439 | 0.3972 | -0.0539 |
| 203 | 104 | G2_smistamento | 0.1509 | 0.491 | -0.034 |
| 203 | 103 | Q_smistamento | 4.756E-04 | 0.411 | -0.0278 |
| 203 | 105 | Q_smistamento | 5.360E-04 | 0.3229 | -0.0477 |
| 203 | 106 | Q_smistamento | 0.1439 | 0.3972 | -0.0539 |
| 203 | 104 | Q_smistamento | 0.1509 | 0.491 | -0.034 |
| 203 | 103 | Q_neve | -4.423E-15 | 3.450E-16 | -5.939E-15 |
| 203 | 105 | Q_neve | -6.308E-15 | 5.073E-15 | -6.350E-15 |
| 203 | 106 | Q_neve | 4.423E-15 | 1.248E-14 | -5.939E-15 |
| 203 | 104 | Q_neve | 2.744E-15 | -1.510E-15 | -5.527E-15 |
| 204 | 105 | DEAD | -8.776E-15 | 9.325E-14 | -2.471E-14 |
| 204 | 62 | DEAD | -1.442E-14 | 5.791E-15 | -1.812E-14 |
| 204 | 63 | DEAD | 2.825E-14 | 6.116E-14 | -2.471E-14 |
| 204 | 106 | DEAD | 1.109E-14 | 3.459E-14 | -3.129E-14 |
| 204 | 105 | G1_smistamento | -8.483E-04 | 0.8595 | -0.1686 |
| 204 | 62 | G1_smistamento | 0.0052 | 0.4619 | -0.1828 |
| 204 | 63 | G1_smistamento | 0.3328 | 0.4586 | -0.2147 |
| 204 | 106 | G1_smistamento | 0.3887 | 1.0746 | -0.2005 |
| 204 | 105 | G2_smistamento | -3.145E-04 | 0.3186 | -0.0625 |
| 204 | 62 | G2_smistamento | 0.0019 | 0.1712 | -0.0678 |
| 204 | 63 | G2_smistamento | 0.1234 | 0.17 | -0.0796 |
| 204 | 106 | G2_smistamento | 0.1441 | 0.3984 | -0.0743 |
| 204 | 105 | Q_smistamento | -3.145E-04 | 0.3186 | -0.0625 |
| 204 | 62 | Q_smistamento | 0.0019 | 0.1712 | -0.0678 |
| 204 | 63 | Q_smistamento | 0.1234 | 0.17 | -0.0796 |
| 204 | 106 | Q_smistamento | 0.1441 | 0.3984 | -0.0743 |
| 204 | 105 | Q_neve | -5.637E-15 | 1.541E-14 | -5.052E-15 |
| 204 | 62 | Q_neve | 1.896E-15 | 4.057E-15 | -4.641E-15 |
| 204 | 63 | Q_neve | 2.489E-15 | 1.161E-14 | -5.875E-15 |
| 204 | 106 | Q_neve | 5.290E-15 | 6.217E-15 | -6.287E-15 |

Table 20: Element Forces - Area Shells, Part 2 of 3

| Area | Joint | OutputCase | M11 | M22 | M12 |
|------|-------|----------------|------------|------------|------------|
| | | | KN-m/m | KN-m/m | KN-m/m |
| 205 | 64 | DEAD | -1.318E-14 | -1.387E-14 | -3.275E-14 |
| 205 | 107 | DEAD | -2.261E-15 | 1.568E-14 | -2.167E-14 |
| 205 | 108 | DEAD | 2.221E-14 | 2.480E-14 | -2.616E-14 |
| 205 | 63 | DEAD | 8.437E-15 | 4.941E-14 | -3.154E-14 |
| 205 | 64 | G1_smistamento | 0.3641 | 0.0041 | -0.2208 |
| 205 | 107 | G1_smistamento | 0.5888 | -3.106E-04 | -0.2322 |
| 205 | 108 | G1_smistamento | 0.761 | 0.5293 | -0.2466 |
| 205 | 63 | G1_smistamento | 0.3322 | 0.4606 | -0.2353 |
| 205 | 64 | G2_smistamento | 0.135 | 0.0015 | -0.0819 |
| 205 | 107 | G2_smistamento | 0.2183 | -1.152E-04 | -0.0861 |
| 205 | 108 | G2_smistamento | 0.2821 | 0.1962 | -0.0914 |
| 205 | 63 | G2_smistamento | 0.1231 | 0.1707 | -0.0872 |
| 205 | 64 | Q_smistamento | 0.135 | 0.0015 | -0.0819 |
| 205 | 107 | Q_smistamento | 0.2183 | -1.152E-04 | -0.0861 |
| 205 | 108 | Q_smistamento | 0.2821 | 0.1962 | -0.0914 |
| 205 | 63 | Q_smistamento | 0.1231 | 0.1707 | -0.0872 |
| 205 | 64 | Q_neve | -4.687E-15 | -1.355E-15 | -5.843E-15 |
| 205 | 107 | Q_neve | 5.069E-15 | 7.438E-15 | -5.171E-15 |
| 205 | 108 | Q_neve | 3.440E-15 | 2.246E-15 | -4.609E-15 |
| 205 | 63 | Q_neve | 1.880E-15 | 8.775E-15 | -5.994E-15 |
| 206 | 107 | DEAD | -4.165E-15 | 3.425E-14 | -4.751E-15 |
| 206 | 109 | DEAD | 7.740E-15 | -4.305E-14 | -5.074E-15 |
| 206 | 110 | DEAD | 1.723E-14 | 4.248E-14 | -4.751E-15 |
| 206 | 108 | DEAD | 4.025E-14 | 2.072E-14 | -2.153E-14 |
| 206 | 107 | G1_smistamento | 0.5983 | 0.0016 | -0.2217 |
| 206 | 109 | G1_smistamento | 0.656 | 0.001 | -0.1996 |
| 206 | 110 | G1_smistamento | 0.8234 | 0.5555 | -0.1992 |
| 206 | 108 | G1_smistamento | 0.758 | 0.5287 | -0.2214 |
| 206 | 107 | G2_smistamento | 0.2218 | 5.891E-04 | -0.0822 |
| 206 | 109 | G2_smistamento | 0.2432 | 3.775E-04 | -0.074 |
| 206 | 110 | G2_smistamento | 0.3053 | 0.2059 | -0.0739 |
| 206 | 108 | G2_smistamento | 0.281 | 0.196 | -0.0821 |
| 206 | 107 | Q_smistamento | 0.2218 | 5.891E-04 | -0.0822 |
| 206 | 109 | Q_smistamento | 0.2432 | 3.775E-04 | -0.074 |
| 206 | 110 | Q_smistamento | 0.3053 | 0.2059 | -0.0739 |
| 206 | 108 | Q_smistamento | 0.281 | 0.196 | -0.0821 |
| 206 | 107 | Q_neve | -1.111E-15 | 4.130E-15 | -1.457E-15 |
| 206 | 109 | Q_neve | -6.031E-16 | -7.547E-15 | 4.495E-16 |

Table 20: Element Forces - Area Shells, Part 2 of 3

| Area | Joint | OutputCase | M11 | M22 | M12 |
|------|-------|----------------|------------|------------|------------|
| | | | KN-m/m | KN-m/m | KN-m/m |
| 206 | 110 | Q_neve | 3.724E-15 | 6.085E-15 | -1.869E-15 |
| 206 | 108 | Q_neve | 1.195E-14 | 5.825E-15 | -4.488E-15 |
| 207 | 109 | DEAD | 5.739E-14 | -1.993E-14 | -7.856E-15 |
| 207 | 111 | DEAD | -1.261E-16 | -1.076E-14 | -9.502E-16 |
| 207 | 112 | DEAD | 6.233E-14 | 5.413E-14 | -1.115E-14 |
| 207 | 110 | DEAD | 4.431E-14 | 4.355E-14 | -9.502E-16 |
| 207 | 109 | G1_smistamento | 0.656 | 0.001 | -0.1832 |
| 207 | 111 | G1_smistamento | 0.537 | 3.676E-04 | -0.1625 |
| 207 | 112 | G1_smistamento | 0.6971 | 0.5618 | -0.1506 |
| 207 | 110 | G1_smistamento | 0.8228 | 0.5554 | -0.1714 |
| 207 | 109 | G2_smistamento | 0.2432 | 3.757E-04 | -0.0679 |
| 207 | 111 | G2_smistamento | 0.1991 | 1.363E-04 | -0.0602 |
| 207 | 112 | G2_smistamento | 0.2584 | 0.2083 | -0.0558 |
| 207 | 110 | G2_smistamento | 0.305 | 0.2059 | -0.0635 |
| 207 | 109 | Q_smistamento | 0.2432 | 3.757E-04 | -0.0679 |
| 207 | 111 | Q_smistamento | 0.1991 | 1.363E-04 | -0.0602 |
| 207 | 112 | Q_smistamento | 0.2584 | 0.2083 | -0.0558 |
| 207 | 110 | Q_smistamento | 0.305 | 0.2059 | -0.0635 |
| 207 | 109 | Q_neve | 5.676E-15 | -6.834E-15 | 6.490E-16 |
| 207 | 111 | Q_neve | 4.780E-15 | 2.659E-15 | 2.376E-16 |
| 207 | 112 | Q_neve | 1.226E-14 | 3.864E-15 | -1.739E-16 |
| 207 | 110 | Q_neve | 7.454E-15 | 8.625E-15 | 2.376E-16 |
| 208 | 111 | DEAD | -1.535E-15 | -1.587E-14 | 1.045E-14 |
| 208 | 113 | DEAD | 4.015E-14 | -1.076E-14 | 1.824E-14 |
| 208 | 114 | DEAD | 2.315E-14 | 3.844E-14 | 1.045E-14 |
| 208 | 112 | DEAD | 4.632E-14 | 4.972E-14 | 8.365E-15 |
| 208 | 111 | G1_smistamento | 0.5364 | 2.638E-04 | -0.1455 |
| 208 | 113 | G1_smistamento | 0.3526 | -7.058E-05 | -0.1278 |
| 208 | 114 | G1_smistamento | 0.5054 | 0.5612 | -0.1117 |
| 208 | 112 | G1_smistamento | 0.6966 | 0.5617 | -0.1294 |
| 208 | 111 | G2_smistamento | 0.1989 | 9.780E-05 | -0.0539 |
| 208 | 113 | G2_smistamento | 0.1307 | -2.617E-05 | -0.0474 |
| 208 | 114 | G2_smistamento | 0.1873 | 0.208 | -0.0414 |
| 208 | 112 | G2_smistamento | 0.2583 | 0.2082 | -0.048 |
| 208 | 111 | Q_smistamento | 0.1989 | 9.780E-05 | -0.0539 |
| 208 | 113 | Q_smistamento | 0.1307 | -2.617E-05 | -0.0474 |
| 208 | 114 | Q_smistamento | 0.1873 | 0.208 | -0.0414 |
| 208 | 112 | Q_smistamento | 0.2583 | 0.2082 | -0.048 |

Table 20: Element Forces - Area Shells, Part 2 of 3

| Area | Joint | OutputCase | M11 | M22 | M12 |
|------|-------|----------------|------------|------------|------------|
| | | | KN-m/m | KN-m/m | KN-m/m |
| 208 | 111 | Q_neve | 5.774E-15 | 3.216E-15 | 9.269E-16 |
| 208 | 113 | Q_neve | 2.056E-15 | -1.887E-15 | 2.874E-15 |
| 208 | 114 | Q_neve | 5.569E-15 | 2.188E-15 | 2.161E-15 |
| 208 | 112 | Q_neve | 4.833E-15 | 2.125E-15 | 1.640E-15 |
| 209 | 113 | DEAD | -1.219E-14 | -1.626E-14 | 1.064E-14 |
| 209 | 115 | DEAD | 3.782E-14 | 2.756E-14 | 1.096E-14 |
| 209 | 116 | DEAD | -2.700E-14 | 8.424E-15 | 7.638E-16 |
| 209 | 114 | DEAD | 2.917E-14 | 3.373E-14 | 1.754E-14 |
| 209 | 113 | G1_smistamento | 0.3521 | -1.740E-04 | -0.1111 |
| 209 | 115 | G1_smistamento | 0.1771 | -2.723E-04 | -0.096 |
| 209 | 116 | G1_smistamento | 0.3239 | 0.5598 | -0.0808 |
| 209 | 114 | G1_smistamento | 0.5052 | 0.5612 | -0.0959 |
| 209 | 113 | G2_smistamento | 0.1305 | -6.451E-05 | -0.0412 |
| 209 | 115 | G2_smistamento | 0.0656 | -1.010E-04 | -0.0356 |
| 209 | 116 | G2_smistamento | 0.1201 | 0.2075 | -0.03 |
| 209 | 114 | G2_smistamento | 0.1873 | 0.208 | -0.0356 |
| 209 | 113 | Q_smistamento | 0.1305 | -6.451E-05 | -0.0412 |
| 209 | 115 | Q_smistamento | 0.0656 | -1.010E-04 | -0.0356 |
| 209 | 116 | Q_smistamento | 0.1201 | 0.2075 | -0.03 |
| 209 | 114 | Q_smistamento | 0.1873 | 0.208 | -0.0356 |
| 209 | 113 | Q_neve | 3.370E-15 | 1.758E-15 | 1.536E-15 |
| 209 | 115 | Q_neve | 3.627E-15 | 2.074E-15 | 1.315E-15 |
| 209 | 116 | Q_neve | -5.270E-15 | 2.993E-15 | -1.102E-16 |
| 209 | 114 | Q_neve | 4.450E-15 | 1.251E-15 | 2.961E-15 |
| 210 | 115 | DEAD | 2.868E-14 | 4.064E-14 | -1.425E-14 |
| 210 | 117 | DEAD | -3.957E-14 | -1.445E-14 | -1.963E-14 |
| 210 | 118 | DEAD | 1.099E-14 | 6.080E-14 | -1.425E-14 |
| 210 | 116 | DEAD | -4.904E-14 | -1.239E-14 | -3.173E-15 |
| 210 | 115 | G1_smistamento | 0.1766 | -3.662E-04 | -0.0802 |
| 210 | 117 | G1_smistamento | 0.0432 | -3.226E-04 | -0.0671 |
| 210 | 118 | G1_smistamento | 0.1857 | 0.5596 | -0.0553 |
| 210 | 116 | G1_smistamento | 0.3239 | 0.5598 | -0.0685 |
| 210 | 115 | G2_smistamento | 0.0655 | -1.358E-04 | -0.0297 |
| 210 | 117 | G2_smistamento | 0.016 | -1.196E-04 | -0.0249 |
| 210 | 118 | G2_smistamento | 0.0688 | 0.2074 | -0.0205 |
| 210 | 116 | G2_smistamento | 0.1201 | 0.2075 | -0.0254 |
| 210 | 115 | Q_smistamento | 0.0655 | -1.358E-04 | -0.0297 |
| 210 | 117 | Q_smistamento | 0.016 | -1.196E-04 | -0.0249 |

Table 20: Element Forces - Area Shells, Part 2 of 3

| Area | Joint | OutputCase | M11 | M22 | M12 |
|------|-------|----------------|------------|------------|------------|
| | | | KN-m/m | KN-m/m | KN-m/m |
| 210 | 118 | Q_smistamento | 0.0688 | 0.2074 | -0.0205 |
| 210 | 116 | Q_smistamento | 0.1201 | 0.2075 | -0.0254 |
| 210 | 115 | Q_neve | 8.527E-16 | 1.693E-15 | -2.083E-15 |
| 210 | 117 | Q_neve | -2.576E-15 | 2.620E-15 | -3.167E-15 |
| 210 | 118 | Q_neve | 4.967E-15 | 7.453E-15 | -2.906E-15 |
| 210 | 116 | Q_neve | -9.777E-15 | 1.180E-15 | -1.109E-15 |
| 211 | 117 | DEAD | 1.518E-14 | 2.365E-16 | -1.071E-14 |
| 211 | 119 | DEAD | 1.761E-14 | 1.834E-15 | -1.970E-14 |
| 211 | 120 | DEAD | 2.711E-14 | 4.015E-14 | -1.400E-14 |
| 211 | 118 | DEAD | 1.154E-15 | 5.779E-14 | -1.641E-14 |
| 211 | 117 | G1_smistamento | 0.0428 | -4.025E-04 | -0.0528 |
| 211 | 119 | G1_smistamento | -0.0419 | -3.120E-04 | -0.0411 |
| 211 | 120 | G1_smistamento | 0.0975 | 0.5603 | -0.0334 |
| 211 | 118 | G1_smistamento | 0.1858 | 0.5596 | -0.0451 |
| 211 | 117 | G2_smistamento | 0.0159 | -1.492E-04 | -0.0196 |
| 211 | 119 | G2_smistamento | -0.0155 | -1.157E-04 | -0.0152 |
| 211 | 120 | G2_smistamento | 0.0362 | 0.2077 | -0.0124 |
| 211 | 118 | G2_smistamento | 0.0689 | 0.2074 | -0.0167 |
| 211 | 117 | Q_smistamento | 0.0159 | -1.492E-04 | -0.0196 |
| 211 | 119 | Q_smistamento | -0.0155 | -1.157E-04 | -0.0152 |
| 211 | 120 | Q_smistamento | 0.0362 | 0.2077 | -0.0124 |
| 211 | 118 | Q_smistamento | 0.0689 | 0.2074 | -0.0167 |
| 211 | 117 | Q_neve | 3.490E-15 | 3.958E-15 | -2.740E-15 |
| 211 | 119 | Q_neve | 3.236E-15 | 2.691E-15 | -2.851E-15 |
| 211 | 120 | Q_neve | 2.152E-15 | 7.147E-15 | -4.386E-15 |
| 211 | 118 | Q_neve | 1.693E-15 | 4.851E-15 | -2.851E-15 |
| 212 | 119 | DEAD | -2.091E-14 | -3.227E-16 | -1.374E-14 |
| 212 | 121 | DEAD | 9.163E-15 | -8.907E-15 | -1.166E-14 |
| 212 | 122 | DEAD | 4.039E-14 | 6.921E-14 | -7.161E-15 |
| 212 | 120 | DEAD | 1.245E-14 | 3.718E-14 | -1.495E-14 |
| 212 | 119 | G1_smistamento | -0.0422 | -3.671E-04 | -0.0281 |
| 212 | 121 | G1_smistamento | -0.0823 | -3.032E-04 | -0.0174 |
| 212 | 122 | G1_smistamento | 0.0557 | 0.561 | -0.0137 |
| 212 | 120 | G1_smistamento | 0.0976 | 0.5603 | -0.0244 |
| 212 | 119 | G2_smistamento | -0.0156 | -1.361E-04 | -0.0104 |
| 212 | 121 | G2_smistamento | -0.0305 | -1.124E-04 | -0.0065 |
| 212 | 122 | G2_smistamento | 0.0207 | 0.208 | -0.0051 |
| 212 | 120 | G2_smistamento | 0.0362 | 0.2077 | -0.009 |

Table 20: Element Forces - Area Shells, Part 2 of 3

| Area | Joint | OutputCase | M11 | M22 | M12 |
|------|-------|----------------|------------|------------|------------|
| | | | KN-m/m | KN-m/m | KN-m/m |
| 212 | 119 | Q_smistamento | -0.0156 | -1.361E-04 | -0.0104 |
| 212 | 121 | Q_smistamento | -0.0305 | -1.124E-04 | -0.0065 |
| 212 | 122 | Q_smistamento | 0.0207 | 0.208 | -0.0051 |
| 212 | 120 | Q_smistamento | 0.0362 | 0.2077 | -0.009 |
| 212 | 119 | Q_neve | -8.261E-15 | 5.060E-17 | -3.317E-15 |
| 212 | 121 | Q_neve | 5.385E-15 | 1.563E-15 | -2.233E-15 |
| 212 | 122 | Q_neve | 6.242E-15 | 8.382E-15 | -1.671E-15 |
| 212 | 120 | Q_neve | 1.682E-15 | 5.266E-15 | -3.468E-15 |
| 213 | 121 | DEAD | 8.349E-15 | -2.075E-15 | 1.391E-15 |
| 213 | 123 | DEAD | -1.625E-14 | -2.299E-14 | 1.391E-15 |
| 213 | 124 | DEAD | -2.498E-14 | 3.866E-14 | -5.192E-15 |
| 213 | 122 | DEAD | 3.312E-14 | 5.601E-14 | -5.192E-15 |
| 213 | 121 | G1_smistamento | -0.0824 | -3.230E-04 | -0.0052 |
| 213 | 123 | G1_smistamento | -0.0824 | -3.230E-04 | 0.0052 |
| 213 | 124 | G1_smistamento | 0.0557 | 0.561 | 0.0052 |
| 213 | 122 | G1_smistamento | 0.0557 | 0.561 | -0.0052 |
| 213 | 121 | G2_smistamento | -0.0305 | -1.197E-04 | -0.0019 |
| 213 | 123 | G2_smistamento | -0.0305 | -1.197E-04 | 0.0019 |
| 213 | 124 | G2_smistamento | 0.0207 | 0.208 | 0.0019 |
| 213 | 122 | G2_smistamento | 0.0207 | 0.208 | -0.0019 |
| 213 | 121 | Q_smistamento | -0.0305 | -1.197E-04 | -0.0019 |
| 213 | 123 | Q_smistamento | -0.0305 | -1.197E-04 | 0.0019 |
| 213 | 124 | Q_smistamento | 0.0207 | 0.208 | 0.0019 |
| 213 | 122 | Q_smistamento | 0.0207 | 0.208 | -0.0019 |
| 213 | 121 | Q_neve | -3.512E-15 | -2.059E-15 | 1.124E-15 |
| 213 | 123 | Q_neve | 1.450E-15 | -2.548E-15 | 4.115E-16 |
| 213 | 124 | Q_neve | -9.375E-15 | 3.187E-15 | 3.012E-16 |
| 213 | 122 | Q_neve | 1.061E-14 | 8.665E-15 | -4.115E-16 |
| 214 | 123 | DEAD | -5.379E-14 | -1.663E-14 | 9.502E-16 |
| 214 | 125 | DEAD | 1.139E-15 | -2.525E-14 | -3.546E-15 |
| 214 | 126 | DEAD | -1.676E-14 | 4.015E-14 | 9.502E-16 |
| 214 | 124 | DEAD | -2.564E-15 | 3.523E-14 | -2.546E-16 |
| 214 | 123 | G1_smistamento | -0.0823 | -3.032E-04 | 0.0174 |
| 214 | 125 | G1_smistamento | -0.0422 | -3.671E-04 | 0.0281 |
| 214 | 126 | G1_smistamento | 0.0976 | 0.5603 | 0.0244 |
| 214 | 124 | G1_smistamento | 0.0557 | 0.561 | 0.0137 |
| 214 | 123 | G2_smistamento | -0.0305 | -1.124E-04 | 0.0065 |
| 214 | 125 | G2_smistamento | -0.0156 | -1.361E-04 | 0.0104 |

Table 20: Element Forces - Area Shells, Part 2 of 3

| Area | Joint | OutputCase | M11 | M22 | M12 |
|------|-------|----------------|------------|------------|------------|
| | | | KN-m/m | KN-m/m | KN-m/m |
| 214 | 126 | G2_smistamento | 0.0362 | 0.2077 | 0.009 |
| 214 | 124 | G2_smistamento | 0.0207 | 0.208 | 0.0051 |
| 214 | 123 | Q_smistamento | -0.0305 | -1.124E-04 | 0.0065 |
| 214 | 125 | Q_smistamento | -0.0156 | -1.361E-04 | 0.0104 |
| 214 | 126 | Q_smistamento | 0.0362 | 0.2077 | 0.009 |
| 214 | 124 | Q_smistamento | 0.0207 | 0.208 | 0.0051 |
| 214 | 123 | Q_neve | -5.492E-15 | -9.532E-16 | 0. |
| 214 | 125 | Q_neve | -3.768E-15 | -9.196E-15 | -1.837E-15 |
| 214 | 126 | Q_neve | -2.406E-15 | 7.070E-15 | 0. |
| 214 | 124 | Q_neve | -1.814E-15 | 5.514E-15 | -1.014E-15 |
| 215 | 125 | DEAD | -1.438E-14 | -2.502E-14 | -5.956E-15 |
| 215 | 127 | DEAD | 3.161E-14 | 1.998E-14 | -8.043E-15 |
| 215 | 128 | DEAD | 3.006E-14 | 2.929E-14 | -9.247E-15 |
| 215 | 126 | DEAD | 1.167E-15 | 3.561E-14 | -1.459E-15 |
| 215 | 125 | G1_smistamento | -0.0419 | -3.120E-04 | 0.0411 |
| 215 | 127 | G1_smistamento | 0.0428 | -4.025E-04 | 0.0528 |
| 215 | 128 | G1_smistamento | 0.1858 | 0.5596 | 0.0451 |
| 215 | 126 | G1_smistamento | 0.0975 | 0.5603 | 0.0334 |
| 215 | 125 | G2_smistamento | -0.0155 | -1.157E-04 | 0.0152 |
| 215 | 127 | G2_smistamento | 0.0159 | -1.492E-04 | 0.0196 |
| 215 | 128 | G2_smistamento | 0.0689 | 0.2074 | 0.0167 |
| 215 | 126 | G2_smistamento | 0.0362 | 0.2077 | 0.0124 |
| 215 | 125 | Q_smistamento | -0.0155 | -1.157E-04 | 0.0152 |
| 215 | 127 | Q_smistamento | 0.0159 | -1.492E-04 | 0.0196 |
| 215 | 128 | Q_smistamento | 0.0689 | 0.2074 | 0.0167 |
| 215 | 126 | Q_smistamento | 0.0362 | 0.2077 | 0.0124 |
| 215 | 125 | Q_neve | -7.102E-16 | -7.370E-15 | -2.280E-15 |
| 215 | 127 | Q_neve | 4.105E-15 | 5.156E-15 | -2.842E-15 |
| 215 | 128 | Q_neve | 1.122E-14 | 2.916E-15 | -1.046E-15 |
| 215 | 126 | Q_neve | -7.312E-15 | 7.316E-15 | -1.196E-15 |
| 216 | 127 | DEAD | -2.739E-15 | 1.664E-14 | 1.254E-14 |
| 216 | 129 | DEAD | 6.635E-14 | -1.560E-14 | 1.133E-14 |
| 216 | 130 | DEAD | 4.170E-14 | 4.132E-14 | 2.664E-15 |
| 216 | 128 | DEAD | 5.812E-14 | 2.225E-14 | -1.832E-15 |
| 216 | 127 | G1_smistamento | 0.0432 | -3.226E-04 | 0.0671 |
| 216 | 129 | G1_smistamento | 0.1766 | -3.662E-04 | 0.0802 |
| 216 | 130 | G1_smistamento | 0.3239 | 0.5598 | 0.0685 |
| 216 | 128 | G1_smistamento | 0.1857 | 0.5596 | 0.0553 |

Table 20: Element Forces - Area Shells, Part 2 of 3

| Area | Joint | OutputCase | M11 | M22 | M12 |
|------|-------|----------------|------------|------------|------------|
| | | | KN-m/m | KN-m/m | KN-m/m |
| 216 | 127 | G2_smistamento | 0.016 | -1.196E-04 | 0.0249 |
| 216 | 129 | G2_smistamento | 0.0655 | -1.358E-04 | 0.0297 |
| 216 | 130 | G2_smistamento | 0.1201 | 0.2075 | 0.0254 |
| 216 | 128 | G2_smistamento | 0.0688 | 0.2074 | 0.0205 |
| 216 | 127 | Q_smistamento | 0.016 | -1.196E-04 | 0.0249 |
| 216 | 129 | Q_smistamento | 0.0655 | -1.358E-04 | 0.0297 |
| 216 | 130 | Q_smistamento | 0.1201 | 0.2075 | 0.0254 |
| 216 | 128 | Q_smistamento | 0.0688 | 0.2074 | 0.0205 |
| 216 | 127 | Q_neve | 8.448E-16 | 6.069E-15 | 2.518E-15 |
| 216 | 129 | Q_neve | 1.050E-14 | -3.732E-15 | 2.477E-15 |
| 216 | 130 | Q_neve | 4.856E-15 | 3.909E-15 | 1.283E-15 |
| 216 | 128 | Q_neve | 1.605E-14 | 6.760E-15 | -8.144E-16 |
| 217 | 129 | DEAD | 5.516E-14 | -2.840E-14 | -1.400E-14 |
| 217 | 131 | DEAD | 3.662E-14 | 1.284E-14 | -1.864E-16 |
| 217 | 132 | DEAD | 3.582E-14 | 3.291E-14 | -1.071E-14 |
| 217 | 130 | DEAD | 3.868E-14 | 3.300E-14 | 9.688E-15 |
| 217 | 129 | G1_smistamento | 0.1771 | -2.723E-04 | 0.096 |
| 217 | 131 | G1_smistamento | 0.3521 | -1.740E-04 | 0.1111 |
| 217 | 132 | G1_smistamento | 0.5052 | 0.5612 | 0.0959 |
| 217 | 130 | G1_smistamento | 0.3239 | 0.5598 | 0.0808 |
| 217 | 129 | G2_smistamento | 0.0656 | -1.010E-04 | 0.0356 |
| 217 | 131 | G2_smistamento | 0.1305 | -6.451E-05 | 0.0412 |
| 217 | 132 | G2_smistamento | 0.1873 | 0.208 | 0.0356 |
| 217 | 130 | G2_smistamento | 0.1201 | 0.2075 | 0.03 |
| 217 | 129 | Q_smistamento | 0.0656 | -1.010E-04 | 0.0356 |
| 217 | 131 | Q_smistamento | 0.1305 | -6.451E-05 | 0.0412 |
| 217 | 132 | Q_smistamento | 0.1873 | 0.208 | 0.0356 |
| 217 | 130 | Q_smistamento | 0.1201 | 0.2075 | 0.03 |
| 217 | 129 | Q_neve | 9.998E-15 | -5.493E-15 | -3.025E-15 |
| 217 | 131 | Q_neve | 8.392E-15 | 3.580E-15 | -2.841E-16 |
| 217 | 132 | Q_neve | 8.353E-15 | 6.028E-15 | -2.202E-15 |
| 217 | 130 | Q_neve | 4.792E-15 | 5.328E-15 | 2.185E-15 |
| 218 | 131 | DEAD | 4.762E-15 | 4.414E-15 | -3.292E-15 |
| 218 | 133 | DEAD | -6.597E-15 | 1.313E-14 | 5.701E-15 |
| 218 | 134 | DEAD | 1.258E-14 | 1.388E-14 | 3.292E-15 |
| 218 | 132 | DEAD | 3.249E-14 | 3.082E-14 | 5.701E-15 |
| 218 | 131 | G1_smistamento | 0.3526 | -7.058E-05 | 0.1278 |
| 218 | 133 | G1_smistamento | 0.5364 | 2.638E-04 | 0.1455 |

Table 20: Element Forces - Area Shells, Part 2 of 3

| Area | Joint | OutputCase | M11 | M22 | M12 |
|------|-------|----------------|------------|------------|------------|
| | | | KN-m/m | KN-m/m | KN-m/m |
| 218 | 134 | G1_smistamento | 0.6966 | 0.5617 | 0.1294 |
| 218 | 132 | G1_smistamento | 0.5054 | 0.5612 | 0.1117 |
| 218 | 131 | G2_smistamento | 0.1307 | -2.617E-05 | 0.0474 |
| 218 | 133 | G2_smistamento | 0.1989 | 9.780E-05 | 0.0539 |
| 218 | 134 | G2_smistamento | 0.2583 | 0.2082 | 0.048 |
| 218 | 132 | G2_smistamento | 0.1873 | 0.208 | 0.0414 |
| 218 | 131 | Q_smistamento | 0.1307 | -2.617E-05 | 0.0474 |
| 218 | 133 | Q_smistamento | 0.1989 | 9.780E-05 | 0.0539 |
| 218 | 134 | Q_smistamento | 0.2583 | 0.2082 | 0.048 |
| 218 | 132 | Q_smistamento | 0.1873 | 0.208 | 0.0414 |
| 218 | 131 | Q_neve | -1.532E-16 | 2.364E-15 | -4.115E-16 |
| 218 | 133 | Q_neve | -1.982E-15 | -5.184E-16 | 1.536E-15 |
| 218 | 134 | Q_neve | 3.241E-15 | 4.525E-15 | 4.115E-16 |
| 218 | 132 | Q_neve | 8.099E-15 | 5.448E-15 | -1.102E-16 |
| 219 | 133 | DEAD | 2.251E-14 | 3.309E-14 | 1.400E-14 |
| 219 | 135 | DEAD | -1.130E-14 | -5.210E-14 | 1.488E-14 |
| 219 | 136 | DEAD | 4.020E-14 | 5.243E-14 | 1.071E-14 |
| 219 | 134 | DEAD | -2.244E-15 | 1.291E-14 | -1.578E-15 |
| 219 | 133 | G1_smistamento | 0.537 | 3.676E-04 | 0.1625 |
| 219 | 135 | G1_smistamento | 0.656 | 0.001 | 0.1832 |
| 219 | 136 | G1_smistamento | 0.8228 | 0.5554 | 0.1714 |
| 219 | 134 | G1_smistamento | 0.6971 | 0.5618 | 0.1506 |
| 219 | 133 | G2_smistamento | 0.1991 | 1.363E-04 | 0.0602 |
| 219 | 135 | G2_smistamento | 0.2432 | 3.757E-04 | 0.0679 |
| 219 | 136 | G2_smistamento | 0.305 | 0.2059 | 0.0635 |
| 219 | 134 | G2_smistamento | 0.2584 | 0.2083 | 0.0558 |
| 219 | 133 | Q_smistamento | 0.1991 | 1.363E-04 | 0.0602 |
| 219 | 135 | Q_smistamento | 0.2432 | 3.757E-04 | 0.0679 |
| 219 | 136 | Q_smistamento | 0.305 | 0.2059 | 0.0635 |
| 219 | 134 | Q_smistamento | 0.2584 | 0.2083 | 0.0558 |
| 219 | 133 | Q_neve | 4.946E-15 | 5.209E-15 | 3.262E-15 |
| 219 | 135 | Q_neve | 5.149E-16 | -6.830E-15 | 2.549E-15 |
| 219 | 136 | Q_neve | 2.477E-15 | 7.678E-15 | 2.439E-15 |
| 219 | 134 | Q_neve | 1.029E-15 | 3.148E-15 | 1.727E-15 |
| 220 | 135 | DEAD | 3.027E-14 | -3.827E-14 | 8.552E-15 |
| 220 | 137 | DEAD | -2.632E-15 | -4.335E-16 | -4.937E-15 |
| 220 | 138 | DEAD | 2.081E-14 | 4.278E-14 | 8.552E-15 |
| 220 | 136 | DEAD | 1.095E-14 | 4.771E-14 | 4.937E-15 |

Table 20: Element Forces - Area Shells, Part 2 of 3

| Area | Joint | OutputCase | M11 | M22 | M12 |
|------|-------|----------------|------------|------------|------------|
| | | | KN-m/m | KN-m/m | KN-m/m |
| 220 | 135 | G1_smistamento | 0.656 | 0.001 | 0.1996 |
| 220 | 137 | G1_smistamento | 0.5983 | 0.0016 | 0.2217 |
| 220 | 138 | G1_smistamento | 0.758 | 0.5287 | 0.2214 |
| 220 | 136 | G1_smistamento | 0.8234 | 0.5555 | 0.1992 |
| 220 | 135 | G2_smistamento | 0.2432 | 3.775E-04 | 0.074 |
| 220 | 137 | G2_smistamento | 0.2218 | 5.891E-04 | 0.0822 |
| 220 | 138 | G2_smistamento | 0.281 | 0.196 | 0.0821 |
| 220 | 136 | G2_smistamento | 0.3053 | 0.2059 | 0.0739 |
| 220 | 135 | Q_smistamento | 0.2432 | 3.775E-04 | 0.074 |
| 220 | 137 | Q_smistamento | 0.2218 | 5.891E-04 | 0.0822 |
| 220 | 138 | Q_smistamento | 0.281 | 0.196 | 0.0821 |
| 220 | 136 | Q_smistamento | 0.3053 | 0.2059 | 0.0739 |
| 220 | 135 | Q_neve | 3.184E-16 | -3.028E-15 | 1.599E-15 |
| 220 | 137 | Q_neve | 1.389E-15 | -3.453E-15 | -6.490E-16 |
| 220 | 138 | Q_neve | 1.019E-14 | 1.425E-14 | 7.763E-16 |
| 220 | 136 | Q_neve | -1.389E-15 | 4.879E-15 | 1.739E-16 |
| 221 | 137 | DEAD | -1.690E-14 | -1.092E-14 | -3.037E-15 |
| 221 | 65 | DEAD | 2.969E-14 | 3.706E-16 | 1.945E-14 |
| 221 | 5 | DEAD | -1.114E-14 | 4.750E-14 | 6.838E-15 |
| 221 | 138 | DEAD | 6.343E-14 | 6.044E-14 | 1.286E-14 |
| 221 | 137 | G1_smistamento | 0.5888 | -3.106E-04 | 0.2322 |
| 221 | 65 | G1_smistamento | 0.3641 | 0.0041 | 0.2208 |
| 221 | 5 | G1_smistamento | 0.3322 | 0.4606 | 0.2353 |
| 221 | 138 | G1_smistamento | 0.761 | 0.5293 | 0.2466 |
| 221 | 137 | G2_smistamento | 0.2183 | -1.152E-04 | 0.0861 |
| 221 | 65 | G2_smistamento | 0.135 | 0.0015 | 0.0819 |
| 221 | 5 | G2_smistamento | 0.1231 | 0.1707 | 0.0872 |
| 221 | 138 | G2_smistamento | 0.2821 | 0.1962 | 0.0914 |
| 221 | 137 | Q_smistamento | 0.2183 | -1.152E-04 | 0.0861 |
| 221 | 65 | Q_smistamento | 0.135 | 0.0015 | 0.0819 |
| 221 | 5 | Q_smistamento | 0.1231 | 0.1707 | 0.0872 |
| 221 | 138 | Q_smistamento | 0.2821 | 0.1962 | 0.0914 |
| 221 | 137 | Q_neve | -6.257E-16 | -3.217E-15 | 2.461E-16 |
| 221 | 65 | Q_neve | 4.662E-15 | -1.353E-15 | 3.769E-15 |
| 221 | 5 | Q_neve | -1.037E-15 | 1.201E-14 | 1.892E-15 |
| 221 | 138 | Q_neve | 1.042E-14 | 1.264E-14 | 3.358E-15 |
| 222 | 66 | DEAD | 1.678E-14 | 3.631E-14 | -7.974E-15 |
| 222 | 139 | DEAD | -2.126E-14 | 6.069E-14 | -1.391E-15 |

Table 20: Element Forces - Area Shells, Part 2 of 3

| Area | Joint | OutputCase | M11 | M22 | M12 |
|------|-------|----------------|------------|-----------|------------|
| | | | KN-m/m | KN-m/m | KN-m/m |
| 222 | 140 | DEAD | -4.576E-14 | 2.973E-14 | 1.178E-14 |
| 222 | 5 | DEAD | -1.057E-14 | 2.530E-14 | 5.192E-15 |
| 222 | 66 | G1_smistamento | 0.0052 | 0.4619 | 0.1828 |
| 222 | 139 | G1_smistamento | -8.483E-04 | 0.8595 | 0.1686 |
| 222 | 140 | G1_smistamento | 0.3887 | 1.0746 | 0.2005 |
| 222 | 5 | G1_smistamento | 0.3328 | 0.4586 | 0.2147 |
| 222 | 66 | G2_smistamento | 0.0019 | 0.1712 | 0.0678 |
| 222 | 139 | G2_smistamento | -3.145E-04 | 0.3186 | 0.0625 |
| 222 | 140 | G2_smistamento | 0.1441 | 0.3984 | 0.0743 |
| 222 | 5 | G2_smistamento | 0.1234 | 0.17 | 0.0796 |
| 222 | 66 | Q_smistamento | 0.0019 | 0.1712 | 0.0678 |
| 222 | 139 | Q_smistamento | -3.145E-04 | 0.3186 | 0.0625 |
| 222 | 140 | Q_smistamento | 0.1441 | 0.3984 | 0.0743 |
| 222 | 5 | Q_smistamento | 0.1234 | 0.17 | 0.0796 |
| 222 | 66 | Q_neve | 6.812E-16 | 8.688E-15 | -1.408E-15 |
| 222 | 139 | Q_neve | -5.092E-15 | 8.786E-15 | -1.739E-16 |
| 222 | 140 | Q_neve | -3.948E-15 | 7.762E-15 | 1.883E-15 |
| 222 | 5 | Q_neve | -6.688E-16 | 3.745E-15 | 6.490E-16 |
| 223 | 139 | DEAD | -1.012E-14 | 5.788E-14 | 2.508E-14 |
| 223 | 141 | DEAD | 1.552E-14 | 5.433E-14 | 2.508E-14 |
| 223 | 142 | DEAD | 1.416E-14 | 7.064E-14 | 5.328E-15 |
| 223 | 140 | DEAD | -5.566E-14 | 2.430E-14 | 5.328E-15 |
| 223 | 139 | G1_smistamento | 0.0014 | 0.871 | 0.1288 |
| 223 | 141 | G1_smistamento | 0.0013 | 1.1087 | 0.0751 |
| 223 | 142 | G1_smistamento | 0.4071 | 1.3245 | 0.0916 |
| 223 | 140 | G1_smistamento | 0.388 | 1.0714 | 0.1453 |
| 223 | 139 | G2_smistamento | 5.360E-04 | 0.3229 | 0.0477 |
| 223 | 141 | G2_smistamento | 4.756E-04 | 0.411 | 0.0278 |
| 223 | 142 | G2_smistamento | 0.1509 | 0.491 | 0.034 |
| 223 | 140 | G2_smistamento | 0.1439 | 0.3972 | 0.0539 |
| 223 | 139 | Q_smistamento | 5.360E-04 | 0.3229 | 0.0477 |
| 223 | 141 | Q_smistamento | 4.756E-04 | 0.411 | 0.0278 |
| 223 | 142 | Q_smistamento | 0.1509 | 0.491 | 0.034 |
| 223 | 140 | Q_smistamento | 0.1439 | 0.3972 | 0.0539 |
| 223 | 139 | Q_neve | -4.319E-15 | 7.472E-15 | 3.610E-15 |
| 223 | 141 | Q_neve | 5.125E-15 | 1.519E-14 | 4.021E-15 |
| 223 | 142 | Q_neve | 3.190E-15 | 1.539E-14 | 1.141E-15 |
| 223 | 140 | Q_neve | -7.322E-15 | 2.331E-15 | 7.297E-16 |

Table 20: Element Forces - Area Shells, Part 2 of 3

| Area | Joint | OutputCase | M11 | M22 | M12 |
|------|-------|----------------|------------|-----------|-----------|
| | | | KN-m/m | KN-m/m | KN-m/m |
| 224 | 141 | DEAD | 1.913E-14 | 7.282E-14 | 1.191E-14 |
| 224 | 143 | DEAD | -3.146E-14 | 7.522E-14 | 1.191E-14 |
| 224 | 144 | DEAD | 2.530E-14 | 1.037E-13 | 1.849E-14 |
| 224 | 142 | DEAD | 1.174E-14 | 5.424E-14 | 1.849E-14 |
| 224 | 141 | G1_smistamento | 0.0014 | 1.1093 | 0.0279 |
| 224 | 143 | G1_smistamento | 0.0014 | 1.1093 | -0.0279 |
| 224 | 144 | G1_smistamento | 0.407 | 1.3241 | -0.0279 |
| 224 | 142 | G1_smistamento | 0.407 | 1.3241 | 0.0279 |
| 224 | 141 | G2_smistamento | 5.248E-04 | 0.4112 | 0.0103 |
| 224 | 143 | G2_smistamento | 5.248E-04 | 0.4112 | -0.0103 |
| 224 | 144 | G2_smistamento | 0.1509 | 0.4909 | -0.0103 |
| 224 | 142 | G2_smistamento | 0.1509 | 0.4909 | 0.0103 |
| 224 | 141 | Q_smistamento | 5.248E-04 | 0.4112 | 0.0103 |
| 224 | 143 | Q_smistamento | 5.248E-04 | 0.4112 | -0.0103 |
| 224 | 144 | Q_smistamento | 0.1509 | 0.4909 | -0.0103 |
| 224 | 142 | Q_smistamento | 0.1509 | 0.4909 | 0.0103 |
| 224 | 141 | Q_neve | 4.432E-15 | 1.778E-14 | 2.329E-15 |
| 224 | 143 | Q_neve | -8.014E-15 | 1.312E-14 | 3.152E-15 |
| 224 | 144 | Q_neve | 8.752E-15 | 1.963E-14 | 4.798E-15 |
| 224 | 142 | Q_neve | 1.244E-15 | 1.004E-14 | 3.975E-15 |
| 225 | 143 | DEAD | -2.832E-14 | 1.265E-13 | 2.002E-14 |
| 225 | 145 | DEAD | 1.211E-14 | 5.234E-14 | 3.319E-14 |
| 225 | 146 | DEAD | -2.585E-14 | 3.025E-14 | 3.319E-14 |
| 225 | 144 | DEAD | 3.350E-14 | 9.019E-14 | 2.002E-14 |
| 225 | 143 | G1_smistamento | 0.0013 | 1.1087 | -0.0751 |
| 225 | 145 | G1_smistamento | 0.0014 | 0.871 | -0.1288 |
| 225 | 146 | G1_smistamento | 0.388 | 1.0714 | -0.1453 |
| 225 | 144 | G1_smistamento | 0.4071 | 1.3245 | -0.0916 |
| 225 | 143 | G2_smistamento | 4.756E-04 | 0.411 | -0.0278 |
| 225 | 145 | G2_smistamento | 5.360E-04 | 0.3229 | -0.0477 |
| 225 | 146 | G2_smistamento | 0.1439 | 0.3972 | -0.0539 |
| 225 | 144 | G2_smistamento | 0.1509 | 0.491 | -0.034 |
| 225 | 143 | Q_smistamento | 4.756E-04 | 0.411 | -0.0278 |
| 225 | 145 | Q_smistamento | 5.360E-04 | 0.3229 | -0.0477 |
| 225 | 146 | Q_smistamento | 0.1439 | 0.3972 | -0.0539 |
| 225 | 144 | Q_smistamento | 0.1509 | 0.491 | -0.034 |
| 225 | 143 | Q_neve | -7.155E-15 | 2.041E-14 | 5.116E-15 |
| 225 | 145 | Q_neve | -2.229E-15 | 1.017E-14 | 7.173E-15 |

Table 20: Element Forces - Area Shells, Part 2 of 3

| Area | Joint | OutputCase | M11 | M22 | M12 |
|------|-------|----------------|------------|------------|-----------|
| | | | KN-m/m | KN-m/m | KN-m/m |
| 225 | 146 | Q_neve | 1.691E-15 | 7.860E-15 | 6.762E-15 |
| 225 | 144 | Q_neve | 8.880E-15 | 1.881E-14 | 4.704E-15 |
| 226 | 145 | DEAD | 5.453E-15 | 3.449E-14 | 3.889E-14 |
| 226 | 59 | DEAD | 5.431E-15 | -1.041E-14 | 2.902E-14 |
| 226 | 58 | DEAD | -2.365E-15 | 1.516E-14 | 2.572E-14 |
| 226 | 146 | DEAD | -1.802E-14 | 5.008E-14 | 3.560E-14 |
| 226 | 145 | G1_smistamento | -8.483E-04 | 0.8595 | -0.1686 |
| 226 | 59 | G1_smistamento | 0.0052 | 0.4619 | -0.1828 |
| 226 | 58 | G1_smistamento | 0.3328 | 0.4586 | -0.2147 |
| 226 | 146 | G1_smistamento | 0.3887 | 1.0746 | -0.2005 |
| 226 | 145 | G2_smistamento | -3.145E-04 | 0.3186 | -0.0625 |
| 226 | 59 | G2_smistamento | 0.0019 | 0.1712 | -0.0678 |
| 226 | 58 | G2_smistamento | 0.1234 | 0.17 | -0.0796 |
| 226 | 146 | G2_smistamento | 0.1441 | 0.3984 | -0.0743 |
| 226 | 145 | Q_smistamento | -3.145E-04 | 0.3186 | -0.0625 |
| 226 | 59 | Q_smistamento | 0.0019 | 0.1712 | -0.0678 |
| 226 | 58 | Q_smistamento | 0.1234 | 0.17 | -0.0796 |
| 226 | 146 | Q_smistamento | 0.1441 | 0.3984 | -0.0743 |
| 226 | 145 | Q_neve | -2.560E-15 | 4.723E-15 | 6.460E-15 |
| 226 | 59 | Q_neve | 3.129E-16 | -8.364E-19 | 4.815E-15 |
| 226 | 58 | Q_neve | 1.966E-15 | 5.135E-15 | 3.992E-15 |
| 226 | 146 | Q_neve | 5.186E-16 | 8.434E-15 | 5.638E-15 |
| 227 | 58 | DEAD | 1.046E-14 | 1.750E-14 | 1.692E-14 |
| 227 | 68 | DEAD | 3.454E-14 | 4.732E-14 | 1.692E-14 |
| 227 | 147 | DEAD | 4.132E-14 | 5.329E-14 | 2.679E-14 |
| 227 | 146 | DEAD | 6.559E-15 | 5.554E-14 | 2.679E-14 |
| 227 | 58 | G1_smistamento | 0.3317 | 0.4583 | -0.2444 |
| 227 | 68 | G1_smistamento | 0.7607 | 0.528 | -0.2431 |
| 227 | 147 | G1_smistamento | 0.996 | 1.3346 | -0.2165 |
| 227 | 146 | G1_smistamento | 0.3872 | 1.0743 | -0.2178 |
| 227 | 58 | G2_smistamento | 0.123 | 0.1699 | -0.0906 |
| 227 | 68 | G2_smistamento | 0.282 | 0.1957 | -0.0901 |
| 227 | 147 | G2_smistamento | 0.3692 | 0.4948 | -0.0803 |
| 227 | 146 | G2_smistamento | 0.1435 | 0.3983 | -0.0807 |
| 227 | 58 | Q_smistamento | 0.123 | 0.1699 | -0.0906 |
| 227 | 68 | Q_smistamento | 0.282 | 0.1957 | -0.0901 |
| 227 | 147 | Q_smistamento | 0.3692 | 0.4948 | -0.0803 |
| 227 | 146 | Q_smistamento | 0.1435 | 0.3983 | -0.0807 |

Table 20: Element Forces - Area Shells, Part 2 of 3

| Area | Joint | OutputCase | M11 | M22 | M12 |
|------|-------|----------------|------------|-----------|-----------|
| | | | KN-m/m | KN-m/m | KN-m/m |
| 227 | 58 | Q_neve | 4.175E-15 | 4.050E-15 | 2.558E-15 |
| 227 | 68 | Q_neve | 5.531E-15 | 8.187E-15 | 2.598E-15 |
| 227 | 147 | Q_neve | 9.009E-15 | 1.341E-14 | 3.381E-15 |
| 227 | 146 | Q_neve | 1.417E-15 | 1.230E-14 | 5.478E-15 |
| 228 | 146 | DEAD | 6.184E-16 | 1.785E-14 | 3.136E-14 |
| 228 | 147 | DEAD | 5.845E-14 | 8.448E-14 | 2.686E-14 |
| 228 | 148 | DEAD | 4.547E-14 | 6.434E-14 | 3.136E-14 |
| 228 | 144 | DEAD | -7.379E-15 | 9.107E-14 | 3.015E-14 |
| 228 | 146 | G1_smistamento | 0.3866 | 1.0711 | -0.1615 |
| 228 | 147 | G1_smistamento | 0.996 | 1.3344 | -0.1617 |
| 228 | 148 | G1_smistamento | 1.0815 | 1.6098 | -0.0983 |
| 228 | 144 | G1_smistamento | 0.4057 | 1.3242 | -0.0981 |
| 228 | 146 | G2_smistamento | 0.1433 | 0.3971 | -0.0599 |
| 228 | 147 | G2_smistamento | 0.3692 | 0.4947 | -0.06 |
| 228 | 148 | G2_smistamento | 0.4009 | 0.5968 | -0.0364 |
| 228 | 144 | G2_smistamento | 0.1504 | 0.4909 | -0.0364 |
| 228 | 146 | Q_smistamento | 0.1433 | 0.3971 | -0.0599 |
| 228 | 147 | Q_smistamento | 0.3692 | 0.4947 | -0.06 |
| 228 | 148 | Q_smistamento | 0.4009 | 0.5968 | -0.0364 |
| 228 | 144 | Q_smistamento | 0.1504 | 0.4909 | -0.0364 |
| 228 | 146 | Q_neve | 1.378E-15 | 5.402E-15 | 4.989E-15 |
| 228 | 147 | Q_neve | 9.170E-15 | 1.257E-14 | 5.290E-15 |
| 228 | 148 | Q_neve | 1.382E-14 | 2.073E-14 | 4.989E-15 |
| 228 | 144 | Q_neve | -6.260E-15 | 1.196E-14 | 6.113E-15 |
| 229 | 144 | DEAD | -8.147E-15 | 9.513E-14 | 2.508E-14 |
| 229 | 148 | DEAD | 5.705E-14 | 7.040E-14 | 1.191E-14 |
| 229 | 149 | DEAD | -4.444E-15 | 6.427E-14 | 5.328E-15 |
| 229 | 142 | DEAD | 1.303E-14 | 5.764E-14 | 1.849E-14 |
| 229 | 144 | G1_smistamento | 0.4057 | 1.3239 | -0.0329 |
| 229 | 148 | G1_smistamento | 1.0817 | 1.6106 | -0.0329 |
| 229 | 149 | G1_smistamento | 1.0817 | 1.6106 | 0.0329 |
| 229 | 142 | G1_smistamento | 0.4057 | 1.3239 | 0.0329 |
| 229 | 144 | G2_smistamento | 0.1504 | 0.4908 | -0.0122 |
| 229 | 148 | G2_smistamento | 0.401 | 0.5971 | -0.0122 |
| 229 | 149 | G2_smistamento | 0.401 | 0.5971 | 0.0122 |
| 229 | 142 | G2_smistamento | 0.1504 | 0.4908 | 0.0122 |
| 229 | 144 | Q_smistamento | 0.1504 | 0.4908 | -0.0122 |
| 229 | 148 | Q_smistamento | 0.401 | 0.5971 | -0.0122 |

Table 20: Element Forces - Area Shells, Part 2 of 3

| Area | Joint | OutputCase | M11 | M22 | M12 |
|------|-------|----------------|------------|-----------|------------|
| | | | KN-m/m | KN-m/m | KN-m/m |
| 229 | 149 | Q_smistamento | 0.401 | 0.5971 | 0.0122 |
| 229 | 142 | Q_smistamento | 0.1504 | 0.4908 | 0.0122 |
| 229 | 144 | Q_neve | -6.441E-15 | 1.553E-14 | 5.209E-15 |
| 229 | 148 | Q_neve | 1.315E-14 | 1.594E-14 | 3.152E-15 |
| 229 | 149 | Q_neve | -2.695E-16 | 9.356E-15 | 1.917E-15 |
| 229 | 142 | Q_neve | 2.763E-15 | 1.090E-14 | 3.975E-15 |
| 230 | 142 | DEAD | 8.033E-15 | 7.773E-14 | -3.733E-15 |
| 230 | 149 | DEAD | -2.135E-15 | 4.134E-14 | 1.963E-14 |
| 230 | 150 | DEAD | 3.971E-14 | 5.839E-14 | 9.434E-15 |
| 230 | 140 | DEAD | 2.708E-14 | 4.916E-14 | 3.173E-15 |
| 230 | 142 | G1_smistamento | 0.4057 | 1.3242 | 0.0981 |
| 230 | 149 | G1_smistamento | 1.0815 | 1.6098 | 0.0983 |
| 230 | 150 | G1_smistamento | 0.996 | 1.3344 | 0.1617 |
| 230 | 140 | G1_smistamento | 0.3866 | 1.0711 | 0.1615 |
| 230 | 142 | G2_smistamento | 0.1504 | 0.4909 | 0.0364 |
| 230 | 149 | G2_smistamento | 0.4009 | 0.5968 | 0.0364 |
| 230 | 150 | G2_smistamento | 0.3692 | 0.4947 | 0.06 |
| 230 | 140 | G2_smistamento | 0.1433 | 0.3971 | 0.0599 |
| 230 | 142 | Q_smistamento | 0.1504 | 0.4909 | 0.0364 |
| 230 | 149 | Q_smistamento | 0.4009 | 0.5968 | 0.0364 |
| 230 | 150 | Q_smistamento | 0.3692 | 0.4947 | 0.06 |
| 230 | 140 | Q_smistamento | 0.1433 | 0.3971 | 0.0599 |
| 230 | 142 | Q_neve | 2.290E-15 | 1.614E-14 | 4.836E-16 |
| 230 | 149 | Q_neve | -9.797E-16 | 6.541E-15 | 3.816E-15 |
| 230 | 150 | Q_neve | 5.787E-15 | 1.141E-14 | 2.129E-15 |
| 230 | 140 | Q_neve | 4.781E-15 | 8.187E-15 | 9.354E-16 |
| 231 | 140 | DEAD | 3.012E-14 | 3.673E-14 | 1.539E-14 |
| 231 | 150 | DEAD | 5.408E-14 | 6.889E-14 | 1.451E-14 |
| 231 | 138 | DEAD | 4.946E-14 | 2.480E-14 | 5.515E-15 |
| 231 | 5 | DEAD | -1.299E-14 | 3.967E-14 | 1.780E-14 |
| 231 | 140 | G1_smistamento | 0.3872 | 1.0743 | 0.2178 |
| 231 | 150 | G1_smistamento | 0.996 | 1.3346 | 0.2165 |
| 231 | 138 | G1_smistamento | 0.7607 | 0.528 | 0.2431 |
| 231 | 5 | G1_smistamento | 0.3317 | 0.4583 | 0.2444 |
| 231 | 140 | G2_smistamento | 0.1435 | 0.3983 | 0.0807 |
| 231 | 150 | G2_smistamento | 0.3692 | 0.4948 | 0.0803 |
| 231 | 138 | G2_smistamento | 0.282 | 0.1957 | 0.0901 |
| 231 | 5 | G2_smistamento | 0.123 | 0.1699 | 0.0906 |

Table 20: Element Forces - Area Shells, Part 2 of 3

| Area | Joint | OutputCase | M11 | M22 | M12 |
|------|-------|----------------|------------|-----------|-----------|
| | | | KN-m/m | KN-m/m | KN-m/m |
| 231 | 140 | Q_smistamento | 0.1435 | 0.3983 | 0.0807 |
| 231 | 150 | Q_smistamento | 0.3692 | 0.4948 | 0.0803 |
| 231 | 138 | Q_smistamento | 0.282 | 0.1957 | 0.0901 |
| 231 | 5 | Q_smistamento | 0.123 | 0.1699 | 0.0906 |
| 231 | 140 | Q_neve | 6.570E-15 | 7.474E-15 | 1.362E-15 |
| 231 | 150 | Q_neve | 5.916E-15 | 5.174E-15 | 3.088E-15 |
| 231 | 138 | Q_neve | 1.089E-14 | 1.426E-14 | 5.388E-16 |
| 231 | 5 | Q_neve | -1.284E-15 | 3.734E-15 | 3.088E-15 |
| 232 | 68 | DEAD | 6.069E-14 | 5.708E-14 | 1.381E-14 |
| 232 | 70 | DEAD | 6.917E-14 | 6.773E-14 | 1.381E-14 |
| 232 | 151 | DEAD | 1.175E-13 | 1.040E-13 | 2.040E-14 |
| 232 | 147 | DEAD | 2.062E-14 | 6.197E-14 | 2.040E-14 |
| 232 | 68 | G1_smistamento | 0.7578 | 0.5274 | -0.2169 |
| 232 | 70 | G1_smistamento | 0.8231 | 0.554 | -0.1876 |
| 232 | 151 | G1_smistamento | 1.0722 | 1.4482 | -0.1633 |
| 232 | 147 | G1_smistamento | 0.9956 | 1.3345 | -0.1925 |
| 232 | 68 | G2_smistamento | 0.2809 | 0.1955 | -0.0804 |
| 232 | 70 | G2_smistamento | 0.3051 | 0.2054 | -0.0695 |
| 232 | 151 | G2_smistamento | 0.3975 | 0.5369 | -0.0605 |
| 232 | 147 | G2_smistamento | 0.3691 | 0.4947 | -0.0714 |
| 232 | 68 | Q_smistamento | 0.2809 | 0.1955 | -0.0804 |
| 232 | 70 | Q_smistamento | 0.3051 | 0.2054 | -0.0695 |
| 232 | 151 | Q_smistamento | 0.3975 | 0.5369 | -0.0605 |
| 232 | 147 | Q_smistamento | 0.3691 | 0.4947 | -0.0714 |
| 232 | 68 | Q_neve | 8.435E-15 | 1.319E-14 | 2.914E-15 |
| 232 | 70 | Q_neve | 1.414E-14 | 8.473E-15 | 3.326E-15 |
| 232 | 151 | Q_neve | 1.461E-14 | 1.936E-14 | 3.737E-15 |
| 232 | 147 | Q_neve | 9.615E-15 | 1.053E-14 | 3.326E-15 |
| 233 | 147 | DEAD | 2.954E-14 | 7.769E-14 | 3.502E-14 |
| 233 | 151 | DEAD | 9.968E-14 | 6.999E-14 | 2.306E-14 |
| 233 | 152 | DEAD | 5.669E-14 | 4.560E-14 | 8.688E-15 |
| 233 | 148 | DEAD | 1.862E-14 | 5.971E-14 | 2.635E-14 |
| 233 | 147 | G1_smistamento | 0.9956 | 1.3343 | -0.1448 |
| 233 | 151 | G1_smistamento | 1.0719 | 1.4468 | -0.1294 |
| 233 | 152 | G1_smistamento | 1.1834 | 1.7658 | -0.0788 |
| 233 | 148 | G1_smistamento | 1.0801 | 1.6095 | -0.0942 |
| 233 | 147 | G2_smistamento | 0.3691 | 0.4946 | -0.0537 |
| 233 | 151 | G2_smistamento | 0.3974 | 0.5364 | -0.048 |

Table 20: Element Forces - Area Shells, Part 2 of 3

| Area | Joint | OutputCase | M11 | M22 | M12 |
|------|-------|----------------|-----------|-----------|------------|
| | | | KN-m/m | KN-m/m | KN-m/m |
| 233 | 152 | G2_smistamento | 0.4387 | 0.6546 | -0.0292 |
| 233 | 148 | G2_smistamento | 0.4004 | 0.5967 | -0.0349 |
| 233 | 147 | Q_smistamento | 0.3691 | 0.4946 | -0.0537 |
| 233 | 151 | Q_smistamento | 0.3974 | 0.5364 | -0.048 |
| 233 | 152 | Q_smistamento | 0.4387 | 0.6546 | -0.0292 |
| 233 | 148 | Q_smistamento | 0.4004 | 0.5967 | -0.0349 |
| 233 | 147 | Q_neve | 4.768E-15 | 9.533E-15 | 4.670E-15 |
| 233 | 151 | Q_neve | 1.796E-14 | 1.816E-14 | 4.641E-15 |
| 233 | 152 | Q_neve | 6.516E-15 | 8.402E-15 | 5.558E-16 |
| 233 | 148 | Q_neve | 1.096E-14 | 1.528E-14 | 6.287E-15 |
| 234 | 148 | DEAD | 1.848E-14 | 4.924E-14 | 1.714E-15 |
| 234 | 152 | DEAD | 5.669E-14 | 6.300E-14 | 2.628E-14 |
| 234 | 153 | DEAD | 3.782E-14 | 6.693E-14 | 1.159E-14 |
| 234 | 149 | DEAD | 6.945E-14 | 7.740E-14 | 9.825E-15 |
| 234 | 148 | G1_smistamento | 1.0803 | 1.6104 | -0.0292 |
| 234 | 152 | G1_smistamento | 1.1833 | 1.7654 | -0.0292 |
| 234 | 153 | G1_smistamento | 1.1833 | 1.7654 | 0.0292 |
| 234 | 149 | G1_smistamento | 1.0803 | 1.6104 | 0.0292 |
| 234 | 148 | G2_smistamento | 0.4005 | 0.597 | -0.0108 |
| 234 | 152 | G2_smistamento | 0.4387 | 0.6544 | -0.0108 |
| 234 | 153 | G2_smistamento | 0.4387 | 0.6544 | 0.0108 |
| 234 | 149 | G2_smistamento | 0.4005 | 0.597 | 0.0108 |
| 234 | 148 | Q_smistamento | 0.4005 | 0.597 | -0.0108 |
| 234 | 152 | Q_smistamento | 0.4387 | 0.6544 | -0.0108 |
| 234 | 153 | Q_smistamento | 0.4387 | 0.6544 | 0.0108 |
| 234 | 149 | Q_smistamento | 0.4005 | 0.597 | 0.0108 |
| 234 | 148 | Q_neve | 1.024E-14 | 1.543E-14 | 6.575E-16 |
| 234 | 152 | Q_neve | 6.777E-15 | 1.473E-14 | 4.180E-15 |
| 234 | 153 | Q_neve | 7.874E-15 | 1.100E-14 | 1.480E-15 |
| 234 | 149 | Q_neve | 9.554E-15 | 1.134E-14 | 2.946E-15 |
| 235 | 149 | DEAD | 6.540E-14 | 6.215E-14 | 1.488E-14 |
| 235 | 153 | DEAD | 4.119E-14 | 6.251E-14 | 9.825E-15 |
| 235 | 154 | DEAD | 2.796E-14 | 6.256E-14 | -1.578E-15 |
| 235 | 150 | DEAD | 1.938E-14 | 5.223E-14 | 2.628E-14 |
| 235 | 149 | G1_smistamento | 1.0801 | 1.6095 | 0.0942 |
| 235 | 153 | G1_smistamento | 1.1834 | 1.7658 | 0.0788 |
| 235 | 154 | G1_smistamento | 1.0719 | 1.4468 | 0.1294 |
| 235 | 150 | G1_smistamento | 0.9956 | 1.3343 | 0.1448 |

Table 20: Element Forces - Area Shells, Part 2 of 3

| Area | Joint | OutputCase | M11 | M22 | M12 |
|------|-------|----------------|------------|------------|------------|
| | | | KN-m/m | KN-m/m | KN-m/m |
| 235 | 149 | G2_smistamento | 0.4004 | 0.5967 | 0.0349 |
| 235 | 153 | G2_smistamento | 0.4387 | 0.6546 | 0.0292 |
| 235 | 154 | G2_smistamento | 0.3974 | 0.5364 | 0.048 |
| 235 | 150 | G2_smistamento | 0.3691 | 0.4946 | 0.0537 |
| 235 | 149 | Q_smistamento | 0.4004 | 0.5967 | 0.0349 |
| 235 | 153 | Q_smistamento | 0.4387 | 0.6546 | 0.0292 |
| 235 | 154 | Q_smistamento | 0.3974 | 0.5364 | 0.048 |
| 235 | 150 | Q_smistamento | 0.3691 | 0.4946 | 0.0537 |
| 235 | 149 | Q_neve | 7.839E-15 | 9.455E-15 | 2.153E-15 |
| 235 | 153 | Q_neve | 7.018E-15 | 9.207E-15 | 1.973E-15 |
| 235 | 154 | Q_neve | 7.839E-15 | 1.192E-14 | -7.274E-16 |
| 235 | 150 | Q_neve | 3.315E-15 | 1.538E-14 | 4.441E-15 |
| 236 | 150 | DEAD | 1.600E-14 | 5.321E-14 | 1.780E-14 |
| 236 | 154 | DEAD | 1.981E-14 | 5.686E-14 | -1.864E-16 |
| 236 | 136 | DEAD | -2.931E-15 | 1.782E-14 | 1.451E-14 |
| 236 | 138 | DEAD | 2.105E-14 | 3.341E-14 | 9.688E-15 |
| 236 | 150 | G1_smistamento | 0.9956 | 1.3345 | 0.1925 |
| 236 | 154 | G1_smistamento | 1.0722 | 1.4482 | 0.1633 |
| 236 | 136 | G1_smistamento | 0.8231 | 0.554 | 0.1876 |
| 236 | 138 | G1_smistamento | 0.7578 | 0.5274 | 0.2169 |
| 236 | 150 | G2_smistamento | 0.3691 | 0.4947 | 0.0714 |
| 236 | 154 | G2_smistamento | 0.3975 | 0.5369 | 0.0605 |
| 236 | 136 | G2_smistamento | 0.3051 | 0.2054 | 0.0695 |
| 236 | 138 | G2_smistamento | 0.2809 | 0.1955 | 0.0804 |
| 236 | 150 | Q_smistamento | 0.3691 | 0.4947 | 0.0714 |
| 236 | 154 | Q_smistamento | 0.3975 | 0.5369 | 0.0605 |
| 236 | 136 | Q_smistamento | 0.3051 | 0.2054 | 0.0695 |
| 236 | 138 | Q_smistamento | 0.2809 | 0.1955 | 0.0804 |
| 236 | 150 | Q_neve | -5.145E-15 | -3.442E-15 | 3.453E-15 |
| 236 | 154 | Q_neve | 6.529E-15 | 1.662E-14 | 2.439E-15 |
| 236 | 136 | Q_neve | -5.248E-15 | -1.487E-15 | 5.099E-15 |
| 236 | 138 | Q_neve | 1.301E-14 | 1.693E-14 | 3.262E-15 |
| 237 | 70 | DEAD | 1.117E-13 | 6.701E-14 | 1.989E-14 |
| 237 | 72 | DEAD | 5.969E-14 | 7.265E-14 | 1.001E-14 |
| 237 | 155 | DEAD | 5.620E-14 | 6.578E-14 | 6.720E-15 |
| 237 | 151 | DEAD | 8.973E-14 | 1.043E-13 | 1.659E-14 |
| 237 | 70 | G1_smistamento | 0.8225 | 0.5539 | -0.1583 |
| 237 | 72 | G1_smistamento | 0.697 | 0.5613 | -0.134 |

Table 20: Element Forces - Area Shells, Part 2 of 3

| Area | Joint | OutputCase | M11 | M22 | M12 |
|------|-------|----------------|-----------|-----------|------------|
| | | | KN-m/m | KN-m/m | KN-m/m |
| 237 | 155 | G1_smistamento | 0.9324 | 1.4868 | -0.1125 |
| 237 | 151 | G1_smistamento | 1.0731 | 1.4484 | -0.1368 |
| 237 | 70 | G2_smistamento | 0.3049 | 0.2053 | -0.0587 |
| 237 | 72 | G2_smistamento | 0.2584 | 0.2081 | -0.0497 |
| 237 | 155 | G2_smistamento | 0.3456 | 0.5512 | -0.0417 |
| 237 | 151 | G2_smistamento | 0.3978 | 0.5369 | -0.0507 |
| 237 | 70 | Q_smistamento | 0.3049 | 0.2053 | -0.0587 |
| 237 | 72 | Q_smistamento | 0.2584 | 0.2081 | -0.0497 |
| 237 | 155 | Q_smistamento | 0.3456 | 0.5512 | -0.0417 |
| 237 | 151 | Q_smistamento | 0.3978 | 0.5369 | -0.0507 |
| 237 | 70 | Q_neve | 1.970E-14 | 9.557E-15 | 1.837E-15 |
| 237 | 72 | Q_neve | 1.513E-14 | 1.733E-14 | 1.910E-16 |
| 237 | 155 | Q_neve | 1.445E-14 | 1.295E-14 | 1.014E-15 |
| 237 | 151 | Q_neve | 1.153E-14 | 1.908E-14 | 2.660E-15 |
| 238 | 151 | DEAD | 9.762E-14 | 8.212E-14 | 4.496E-15 |
| 238 | 155 | DEAD | 4.002E-14 | 5.711E-14 | 1.205E-15 |
| 238 | 156 | DEAD | 2.685E-14 | 4.426E-14 | 1.205E-15 |
| 238 | 152 | DEAD | 8.446E-14 | 5.217E-14 | 4.496E-15 |
| 238 | 151 | G1_smistamento | 1.0728 | 1.447 | -0.1038 |
| 238 | 155 | G1_smistamento | 0.9322 | 1.4861 | -0.0878 |
| 238 | 156 | G1_smistamento | 1.0347 | 1.8306 | -0.0527 |
| 238 | 152 | G1_smistamento | 1.1832 | 1.7657 | -0.0687 |
| 238 | 151 | G2_smistamento | 0.3977 | 0.5364 | -0.0385 |
| 238 | 155 | G2_smistamento | 0.3456 | 0.5509 | -0.0326 |
| 238 | 156 | G2_smistamento | 0.3836 | 0.6786 | -0.0195 |
| 238 | 152 | G2_smistamento | 0.4386 | 0.6546 | -0.0255 |
| 238 | 151 | Q_smistamento | 0.3977 | 0.5364 | -0.0385 |
| 238 | 155 | Q_smistamento | 0.3456 | 0.5509 | -0.0326 |
| 238 | 156 | Q_smistamento | 0.3836 | 0.6786 | -0.0195 |
| 238 | 152 | Q_smistamento | 0.4386 | 0.6546 | -0.0255 |
| 238 | 151 | Q_neve | 1.133E-14 | 1.704E-14 | 1.631E-15 |
| 238 | 155 | Q_neve | 1.696E-14 | 1.749E-14 | 1.370E-15 |
| 238 | 156 | Q_neve | 4.645E-15 | 5.826E-15 | 1.220E-15 |
| 238 | 152 | Q_neve | 1.398E-14 | 7.512E-15 | 2.193E-15 |
| 239 | 152 | DEAD | 9.439E-14 | 5.777E-14 | 2.596E-15 |
| 239 | 156 | DEAD | 2.446E-14 | 5.978E-14 | -3.987E-15 |
| 239 | 157 | DEAD | 4.790E-14 | 7.217E-14 | -6.956E-16 |
| 239 | 153 | DEAD | 1.664E-14 | 6.019E-14 | 5.888E-15 |

Table 20: Element Forces - Area Shells, Part 2 of 3

| Area | Joint | OutputCase | M11 | M22 | M12 |
|------|-------|----------------|-----------|-----------|------------|
| | | | KN-m/m | KN-m/m | KN-m/m |
| 239 | 152 | G1_smistamento | 1.1831 | 1.7653 | -0.0206 |
| 239 | 156 | G1_smistamento | 1.0347 | 1.8302 | -0.0206 |
| 239 | 157 | G1_smistamento | 1.0347 | 1.8302 | 0.0206 |
| 239 | 153 | G1_smistamento | 1.1831 | 1.7653 | 0.0206 |
| 239 | 152 | G2_smistamento | 0.4386 | 0.6544 | -0.0076 |
| 239 | 156 | G2_smistamento | 0.3836 | 0.6785 | -0.0076 |
| 239 | 157 | G2_smistamento | 0.3836 | 0.6785 | 0.0076 |
| 239 | 153 | G2_smistamento | 0.4386 | 0.6544 | 0.0076 |
| 239 | 152 | Q_smistamento | 0.4386 | 0.6544 | -0.0076 |
| 239 | 156 | Q_smistamento | 0.3836 | 0.6785 | -0.0076 |
| 239 | 157 | Q_smistamento | 0.3836 | 0.6785 | 0.0076 |
| 239 | 153 | Q_smistamento | 0.4386 | 0.6544 | 0.0076 |
| 239 | 152 | Q_neve | 1.753E-14 | 1.536E-14 | 7.360E-16 |
| 239 | 156 | Q_neve | 8.602E-15 | 1.142E-14 | -1.211E-15 |
| 239 | 157 | Q_neve | 8.480E-15 | 1.207E-14 | -4.984E-16 |
| 239 | 153 | Q_neve | 3.870E-15 | 1.245E-14 | 2.330E-17 |
| 240 | 153 | DEAD | 3.340E-14 | 6.262E-14 | 4.751E-15 |
| 240 | 157 | DEAD | 3.625E-14 | 6.536E-14 | 2.546E-16 |
| 240 | 158 | DEAD | 4.286E-14 | 5.069E-14 | 4.751E-15 |
| 240 | 154 | DEAD | 2.432E-14 | 5.508E-14 | 3.546E-15 |
| 240 | 153 | G1_smistamento | 1.1832 | 1.7657 | 0.0687 |
| 240 | 157 | G1_smistamento | 1.0347 | 1.8306 | 0.0527 |
| 240 | 158 | G1_smistamento | 0.9322 | 1.4861 | 0.0878 |
| 240 | 154 | G1_smistamento | 1.0728 | 1.447 | 0.1038 |
| 240 | 153 | G2_smistamento | 0.4386 | 0.6546 | 0.0255 |
| 240 | 157 | G2_smistamento | 0.3836 | 0.6786 | 0.0195 |
| 240 | 158 | G2_smistamento | 0.3456 | 0.5509 | 0.0326 |
| 240 | 154 | G2_smistamento | 0.3977 | 0.5364 | 0.0385 |
| 240 | 153 | Q_smistamento | 0.4386 | 0.6546 | 0.0255 |
| 240 | 157 | Q_smistamento | 0.3836 | 0.6786 | 0.0195 |
| 240 | 158 | Q_smistamento | 0.3456 | 0.5509 | 0.0326 |
| 240 | 154 | Q_smistamento | 0.3977 | 0.5364 | 0.0385 |
| 240 | 153 | Q_neve | 2.327E-15 | 8.162E-15 | 1.544E-15 |
| 240 | 157 | Q_neve | 8.942E-15 | 1.425E-14 | 2.694E-16 |
| 240 | 158 | Q_neve | 5.928E-15 | 8.882E-15 | 1.544E-15 |
| 240 | 154 | Q_neve | 8.222E-15 | 1.312E-14 | 6.808E-16 |
| 241 | 154 | DEAD | 1.472E-14 | 5.273E-14 | 5.956E-15 |
| 241 | 158 | DEAD | 5.473E-14 | 7.258E-14 | 1.459E-15 |

Table 20: Element Forces - Area Shells, Part 2 of 3

| Area | Joint | OutputCase | M11 | M22 | M12 |
|------|-------|----------------|------------|------------|------------|
| | | | KN-m/m | KN-m/m | KN-m/m |
| 241 | 134 | DEAD | -9.968E-15 | 2.804E-14 | 9.247E-15 |
| 241 | 136 | DEAD | 4.979E-14 | 2.814E-14 | 8.043E-15 |
| 241 | 154 | G1_smistamento | 1.0731 | 1.4484 | 0.1368 |
| 241 | 158 | G1_smistamento | 0.9324 | 1.4868 | 0.1125 |
| 241 | 134 | G1_smistamento | 0.697 | 0.5613 | 0.134 |
| 241 | 136 | G1_smistamento | 0.8225 | 0.5539 | 0.1583 |
| 241 | 154 | G2_smistamento | 0.3978 | 0.5369 | 0.0507 |
| 241 | 158 | G2_smistamento | 0.3456 | 0.5512 | 0.0417 |
| 241 | 134 | G2_smistamento | 0.2584 | 0.2081 | 0.0497 |
| 241 | 136 | G2_smistamento | 0.3049 | 0.2053 | 0.0587 |
| 241 | 154 | Q_smistamento | 0.3978 | 0.5369 | 0.0507 |
| 241 | 158 | Q_smistamento | 0.3456 | 0.5512 | 0.0417 |
| 241 | 134 | Q_smistamento | 0.2584 | 0.2081 | 0.0497 |
| 241 | 136 | Q_smistamento | 0.3049 | 0.2053 | 0.0587 |
| 241 | 154 | Q_neve | 8.379E-15 | 1.620E-14 | 9.820E-16 |
| 241 | 158 | Q_neve | 7.528E-15 | 1.508E-14 | -7.041E-16 |
| 241 | 134 | Q_neve | 7.669E-16 | 5.297E-15 | 1.393E-15 |
| 241 | 136 | Q_neve | 1.974E-15 | -3.506E-16 | 9.417E-16 |
| 242 | 72 | DEAD | 8.800E-14 | 8.760E-14 | 5.888E-15 |
| 242 | 74 | DEAD | 3.887E-14 | 6.448E-14 | -9.688E-15 |
| 242 | 159 | DEAD | 1.106E-14 | 4.851E-14 | -3.987E-15 |
| 242 | 155 | DEAD | 7.302E-14 | 6.736E-14 | 1.864E-16 |
| 242 | 72 | G1_smistamento | 0.6965 | 0.5612 | -0.1123 |
| 242 | 74 | G1_smistamento | 0.5053 | 0.561 | -0.0951 |
| 242 | 159 | G1_smistamento | 0.727 | 1.495 | -0.0762 |
| 242 | 155 | G1_smistamento | 0.9326 | 1.4869 | -0.0933 |
| 242 | 72 | G2_smistamento | 0.2582 | 0.208 | -0.0416 |
| 242 | 74 | G2_smistamento | 0.1873 | 0.208 | -0.0353 |
| 242 | 159 | G2_smistamento | 0.2695 | 0.5542 | -0.0282 |
| 242 | 155 | G2_smistamento | 0.3457 | 0.5512 | -0.0346 |
| 242 | 72 | Q_smistamento | 0.2582 | 0.208 | -0.0416 |
| 242 | 74 | Q_smistamento | 0.1873 | 0.208 | -0.0353 |
| 242 | 159 | Q_smistamento | 0.2695 | 0.5542 | -0.0282 |
| 242 | 155 | Q_smistamento | 0.3457 | 0.5512 | -0.0346 |
| 242 | 72 | Q_neve | 1.918E-14 | 1.743E-14 | 1.092E-15 |
| 242 | 74 | Q_neve | 5.364E-15 | 1.363E-14 | -5.939E-16 |
| 242 | 159 | Q_neve | -4.698E-16 | 1.054E-14 | -1.421E-16 |
| 242 | 155 | Q_neve | 1.904E-14 | 1.291E-14 | -5.939E-16 |

Table 20: Element Forces - Area Shells, Part 2 of 3

| Area | Joint | OutputCase | M11 | M22 | M12 |
|------|-------|----------------|------------|-----------|------------|
| | | | KN-m/m | KN-m/m | KN-m/m |
| 243 | 155 | DEAD | 8.693E-14 | 6.850E-14 | -4.310E-15 |
| 243 | 159 | DEAD | -4.174E-15 | 3.212E-14 | -7.602E-15 |
| 243 | 160 | DEAD | 4.990E-14 | 5.122E-14 | -1.089E-14 |
| 243 | 156 | DEAD | 1.558E-14 | 4.200E-14 | -7.602E-15 |
| 243 | 155 | G1_smistamento | 0.9325 | 1.4862 | -0.0688 |
| 243 | 159 | G1_smistamento | 0.727 | 1.4947 | -0.0578 |
| 243 | 160 | G1_smistamento | 0.8189 | 1.8482 | -0.0338 |
| 243 | 156 | G1_smistamento | 1.0351 | 1.8306 | -0.0448 |
| 243 | 155 | G2_smistamento | 0.3457 | 0.5509 | -0.0255 |
| 243 | 159 | G2_smistamento | 0.2695 | 0.5541 | -0.0214 |
| 243 | 160 | G2_smistamento | 0.3036 | 0.6851 | -0.0125 |
| 243 | 156 | G2_smistamento | 0.3837 | 0.6786 | -0.0166 |
| 243 | 155 | Q_smistamento | 0.3457 | 0.5509 | -0.0255 |
| 243 | 159 | Q_smistamento | 0.2695 | 0.5541 | -0.0214 |
| 243 | 160 | Q_smistamento | 0.3036 | 0.6851 | -0.0125 |
| 243 | 156 | Q_smistamento | 0.3837 | 0.6786 | -0.0166 |
| 243 | 155 | Q_neve | 1.816E-14 | 1.608E-14 | -1.790E-15 |
| 243 | 159 | Q_neve | 4.789E-16 | 8.133E-15 | -3.025E-15 |
| 243 | 160 | Q_neve | 5.300E-15 | 8.568E-15 | -3.436E-15 |
| 243 | 156 | Q_neve | 5.519E-15 | 6.179E-15 | -2.202E-15 |
| 244 | 156 | DEAD | 1.530E-14 | 4.327E-14 | -1.900E-15 |
| 244 | 160 | DEAD | 5.595E-14 | 8.272E-14 | -5.192E-15 |
| 244 | 161 | DEAD | 5.839E-15 | 4.533E-14 | -1.900E-15 |
| 244 | 157 | DEAD | 4.073E-14 | 7.573E-14 | 1.391E-15 |
| 244 | 156 | G1_smistamento | 1.0351 | 1.8303 | -0.0132 |
| 244 | 160 | G1_smistamento | 0.8189 | 1.848 | -0.0132 |
| 244 | 161 | G1_smistamento | 0.8189 | 1.848 | 0.0132 |
| 244 | 157 | G1_smistamento | 1.0351 | 1.8303 | 0.0132 |
| 244 | 156 | G2_smistamento | 0.3837 | 0.6785 | -0.0049 |
| 244 | 160 | G2_smistamento | 0.3036 | 0.6851 | -0.0049 |
| 244 | 161 | G2_smistamento | 0.3036 | 0.6851 | 0.0049 |
| 244 | 157 | G2_smistamento | 0.3837 | 0.6785 | 0.0049 |
| 244 | 156 | Q_smistamento | 0.3837 | 0.6785 | -0.0049 |
| 244 | 160 | Q_smistamento | 0.3036 | 0.6851 | -0.0049 |
| 244 | 161 | Q_smistamento | 0.3036 | 0.6851 | 0.0049 |
| 244 | 157 | Q_smistamento | 0.3837 | 0.6785 | 0.0049 |
| 244 | 156 | Q_neve | 5.326E-15 | 9.770E-15 | -7.127E-16 |
| 244 | 160 | Q_neve | 8.609E-15 | 1.582E-14 | -1.536E-15 |

Table 20: Element Forces - Area Shells, Part 2 of 3

| Area | Joint | OutputCase | M11 | M22 | M12 |
|------|-------|----------------|-----------|-----------|------------|
| | | | KN-m/m | KN-m/m | KN-m/m |
| 244 | 161 | Q_neve | 3.166E-15 | 1.131E-14 | -7.127E-16 |
| 244 | 157 | Q_neve | 6.654E-15 | 1.346E-14 | 1.102E-16 |
| 245 | 157 | DEAD | 3.258E-14 | 6.733E-14 | -2.341E-15 |
| 245 | 161 | DEAD | 2.294E-14 | 7.402E-14 | -3.546E-15 |
| 245 | 162 | DEAD | 3.464E-14 | 5.786E-14 | 4.242E-15 |
| 245 | 158 | DEAD | 2.006E-14 | 4.974E-14 | -2.546E-16 |
| 245 | 157 | G1_smistamento | 1.0351 | 1.8306 | 0.0448 |
| 245 | 161 | G1_smistamento | 0.8189 | 1.8482 | 0.0338 |
| 245 | 162 | G1_smistamento | 0.727 | 1.4947 | 0.0578 |
| 245 | 158 | G1_smistamento | 0.9325 | 1.4862 | 0.0688 |
| 245 | 157 | G2_smistamento | 0.3837 | 0.6786 | 0.0166 |
| 245 | 161 | G2_smistamento | 0.3036 | 0.6851 | 0.0125 |
| 245 | 162 | G2_smistamento | 0.2695 | 0.5541 | 0.0214 |
| 245 | 158 | G2_smistamento | 0.3457 | 0.5509 | 0.0255 |
| 245 | 157 | Q_smistamento | 0.3837 | 0.6786 | 0.0166 |
| 245 | 161 | Q_smistamento | 0.3036 | 0.6851 | 0.0125 |
| 245 | 162 | Q_smistamento | 0.2695 | 0.5541 | 0.0214 |
| 245 | 158 | Q_smistamento | 0.3457 | 0.5509 | 0.0255 |
| 245 | 157 | Q_neve | 7.681E-15 | 1.412E-14 | 5.388E-16 |
| 245 | 161 | Q_neve | 3.139E-15 | 1.550E-14 | -1.298E-15 |
| 245 | 162 | Q_neve | 8.710E-15 | 9.393E-15 | 1.362E-15 |
| 245 | 158 | Q_neve | 1.493E-15 | 4.806E-15 | 3.478E-16 |
| 246 | 158 | DEAD | 1.236E-14 | 7.368E-14 | -1.391E-15 |
| 246 | 162 | DEAD | 4.360E-14 | 7.092E-14 | 1.900E-15 |
| 246 | 132 | DEAD | 4.157E-14 | 4.200E-14 | 5.192E-15 |
| 246 | 134 | DEAD | 1.603E-14 | 2.196E-14 | 1.900E-15 |
| 246 | 158 | G1_smistamento | 0.9326 | 1.4869 | 0.0933 |
| 246 | 162 | G1_smistamento | 0.727 | 1.495 | 0.0762 |
| 246 | 132 | G1_smistamento | 0.5053 | 0.561 | 0.0951 |
| 246 | 134 | G1_smistamento | 0.6965 | 0.5612 | 0.1123 |
| 246 | 158 | G2_smistamento | 0.3457 | 0.5512 | 0.0346 |
| 246 | 162 | G2_smistamento | 0.2695 | 0.5542 | 0.0282 |
| 246 | 132 | G2_smistamento | 0.1873 | 0.208 | 0.0353 |
| 246 | 134 | G2_smistamento | 0.2582 | 0.208 | 0.0416 |
| 246 | 158 | Q_smistamento | 0.3457 | 0.5512 | 0.0346 |
| 246 | 162 | Q_smistamento | 0.2695 | 0.5542 | 0.0282 |
| 246 | 132 | Q_smistamento | 0.1873 | 0.208 | 0.0353 |
| 246 | 134 | Q_smistamento | 0.2582 | 0.208 | 0.0416 |

Table 20: Element Forces - Area Shells, Part 2 of 3

| Area | Joint | OutputCase | M11 | M22 | M12 |
|------|-------|----------------|-----------|-----------|------------|
| | | | KN-m/m | KN-m/m | KN-m/m |
| 246 | 158 | Q_neve | 5.273E-15 | 1.519E-14 | 7.996E-16 |
| 246 | 162 | Q_neve | 6.231E-15 | 1.035E-14 | 4.984E-16 |
| 246 | 132 | Q_neve | 8.564E-15 | 6.961E-15 | 3.882E-16 |
| 246 | 134 | Q_neve | 3.865E-15 | 5.925E-15 | -7.360E-16 |
| 247 | 74 | DEAD | 2.139E-14 | 5.947E-14 | -1.242E-14 |
| 247 | 76 | DEAD | 1.612E-14 | 5.181E-15 | -7.602E-15 |
| 247 | 163 | DEAD | 1.234E-14 | 6.358E-14 | -2.559E-14 |
| 247 | 159 | DEAD | 2.188E-14 | 5.373E-14 | -7.602E-15 |
| 247 | 74 | G1_smistamento | 0.5051 | 0.561 | -0.0792 |
| 247 | 76 | G1_smistamento | 0.3239 | 0.5598 | -0.067 |
| 247 | 163 | G1_smistamento | 0.5362 | 1.4932 | -0.0515 |
| 247 | 159 | G1_smistamento | 0.7271 | 1.495 | -0.0637 |
| 247 | 74 | G2_smistamento | 0.1873 | 0.208 | -0.0294 |
| 247 | 76 | G2_smistamento | 0.1201 | 0.2075 | -0.0249 |
| 247 | 163 | G2_smistamento | 0.1988 | 0.5535 | -0.0191 |
| 247 | 159 | G2_smistamento | 0.2696 | 0.5542 | -0.0236 |
| 247 | 74 | Q_smistamento | 0.1873 | 0.208 | -0.0294 |
| 247 | 76 | Q_smistamento | 0.1201 | 0.2075 | -0.0249 |
| 247 | 163 | Q_smistamento | 0.1988 | 0.5535 | -0.0191 |
| 247 | 159 | Q_smistamento | 0.2696 | 0.5542 | -0.0236 |
| 247 | 74 | Q_neve | 1.204E-15 | 1.157E-14 | -2.393E-15 |
| 247 | 76 | Q_neve | 4.500E-15 | 1.796E-15 | -7.763E-16 |
| 247 | 163 | Q_neve | 7.170E-15 | 1.177E-14 | -5.684E-15 |
| 247 | 159 | Q_neve | 4.885E-16 | 8.894E-15 | -1.599E-15 |
| 248 | 159 | DEAD | 1.601E-14 | 3.575E-14 | -9.688E-15 |
| 248 | 163 | DEAD | 1.471E-14 | 6.781E-14 | -3.987E-15 |
| 248 | 164 | DEAD | 2.794E-14 | 7.566E-14 | 1.864E-16 |
| 248 | 160 | DEAD | 4.064E-14 | 4.930E-14 | 5.888E-15 |
| 248 | 159 | G1_smistamento | 0.7271 | 1.4947 | -0.0453 |
| 248 | 163 | G1_smistamento | 0.5362 | 1.4931 | -0.0382 |
| 248 | 164 | G1_smistamento | 0.6211 | 1.8475 | -0.0218 |
| 248 | 160 | G1_smistamento | 0.8193 | 1.8482 | -0.0289 |
| 248 | 159 | G2_smistamento | 0.2695 | 0.5541 | -0.0168 |
| 248 | 163 | G2_smistamento | 0.1988 | 0.5535 | -0.0142 |
| 248 | 164 | G2_smistamento | 0.2303 | 0.6849 | -0.0081 |
| 248 | 160 | G2_smistamento | 0.3037 | 0.6852 | -0.0107 |
| 248 | 159 | Q_smistamento | 0.2695 | 0.5541 | -0.0168 |
| 248 | 163 | Q_smistamento | 0.1988 | 0.5535 | -0.0142 |

Table 20: Element Forces - Area Shells, Part 2 of 3

| Area | Joint | OutputCase | M11 | M22 | M12 |
|------|-------|----------------|------------|-----------|------------|
| | | | KN-m/m | KN-m/m | KN-m/m |
| 248 | 164 | Q_smistamento | 0.2303 | 0.6849 | -0.0081 |
| 248 | 160 | Q_smistamento | 0.3037 | 0.6852 | -0.0107 |
| 248 | 159 | Q_neve | -7.756E-16 | 5.615E-15 | -2.564E-15 |
| 248 | 163 | Q_neve | 8.019E-15 | 1.586E-14 | -1.179E-15 |
| 248 | 164 | Q_neve | 5.705E-15 | 1.333E-14 | 1.139E-15 |
| 248 | 160 | Q_neve | 6.887E-15 | 1.021E-14 | 4.666E-16 |
| 249 | 160 | DEAD | 4.364E-14 | 7.775E-14 | -3.037E-15 |
| 249 | 164 | DEAD | 1.237E-14 | 2.544E-14 | 5.633E-15 |
| 249 | 165 | DEAD | 4.734E-14 | 8.639E-14 | 6.838E-15 |
| 249 | 161 | DEAD | 7.861E-14 | 7.029E-14 | -7.533E-15 |
| 249 | 160 | G1_smistamento | 0.8192 | 1.8481 | -0.0085 |
| 249 | 164 | G1_smistamento | 0.6211 | 1.8475 | -0.0085 |
| 249 | 165 | G1_smistamento | 0.6211 | 1.8475 | 0.0085 |
| 249 | 161 | G1_smistamento | 0.8192 | 1.8481 | 0.0085 |
| 249 | 160 | G2_smistamento | 0.3037 | 0.6851 | -0.0031 |
| 249 | 164 | G2_smistamento | 0.2303 | 0.6849 | -0.0031 |
| 249 | 165 | G2_smistamento | 0.2303 | 0.6849 | 0.0031 |
| 249 | 161 | G2_smistamento | 0.3037 | 0.6851 | 0.0031 |
| 249 | 160 | Q_smistamento | 0.3037 | 0.6851 | -0.0031 |
| 249 | 164 | Q_smistamento | 0.2303 | 0.6849 | -0.0031 |
| 249 | 165 | Q_smistamento | 0.2303 | 0.6849 | 0.0031 |
| 249 | 161 | Q_smistamento | 0.3037 | 0.6851 | 0.0031 |
| 249 | 160 | Q_neve | 1.041E-14 | 1.804E-14 | -3.478E-16 |
| 249 | 164 | Q_neve | 3.279E-15 | 1.176E-14 | 2.121E-15 |
| 249 | 165 | Q_neve | 8.355E-15 | 1.023E-14 | 1.298E-15 |
| 249 | 161 | Q_neve | 1.727E-14 | 1.259E-14 | -1.171E-15 |
| 250 | 161 | DEAD | 6.803E-14 | 8.710E-14 | 1.488E-14 |
| 250 | 165 | DEAD | 5.155E-14 | 9.137E-14 | -6.956E-16 |
| 250 | 166 | DEAD | 4.664E-15 | 3.690E-14 | -1.578E-15 |
| 250 | 162 | DEAD | 8.528E-14 | 6.257E-14 | 2.596E-15 |
| 250 | 161 | G1_smistamento | 0.8193 | 1.8482 | 0.0289 |
| 250 | 165 | G1_smistamento | 0.6211 | 1.8475 | 0.0218 |
| 250 | 166 | G1_smistamento | 0.5362 | 1.4931 | 0.0382 |
| 250 | 162 | G1_smistamento | 0.7271 | 1.4947 | 0.0453 |
| 250 | 161 | G2_smistamento | 0.3037 | 0.6852 | 0.0107 |
| 250 | 165 | G2_smistamento | 0.2303 | 0.6849 | 0.0081 |
| 250 | 166 | G2_smistamento | 0.1988 | 0.5535 | 0.0142 |
| 250 | 162 | G2_smistamento | 0.2695 | 0.5541 | 0.0168 |

Table 20: Element Forces - Area Shells, Part 2 of 3

| Area | Joint | OutputCase | M11 | M22 | M12 |
|------|-------|----------------|------------|-----------|------------|
| | | | KN-m/m | KN-m/m | KN-m/m |
| 250 | 161 | Q_smistamento | 0.3037 | 0.6852 | 0.0107 |
| 250 | 165 | Q_smistamento | 0.2303 | 0.6849 | 0.0081 |
| 250 | 166 | Q_smistamento | 0.1988 | 0.5535 | 0.0142 |
| 250 | 162 | Q_smistamento | 0.2695 | 0.5541 | 0.0168 |
| 250 | 161 | Q_neve | 1.782E-14 | 1.746E-14 | 1.591E-15 |
| 250 | 165 | Q_neve | 5.367E-15 | 1.253E-14 | -2.042E-15 |
| 250 | 166 | Q_neve | 1.093E-14 | 1.509E-14 | -8.780E-16 |
| 250 | 162 | Q_neve | 6.807E-15 | 9.857E-15 | -8.081E-16 |
| 251 | 162 | DEAD | 8.022E-14 | 7.488E-14 | -1.900E-15 |
| 251 | 166 | DEAD | 1.219E-14 | 4.397E-14 | 1.391E-15 |
| 251 | 130 | DEAD | 4.402E-14 | 6.171E-14 | -1.900E-15 |
| 251 | 132 | DEAD | 3.152E-14 | 3.204E-14 | -5.192E-15 |
| 251 | 162 | G1_smistamento | 0.7271 | 1.495 | 0.0637 |
| 251 | 166 | G1_smistamento | 0.5362 | 1.4932 | 0.0515 |
| 251 | 130 | G1_smistamento | 0.3239 | 0.5598 | 0.067 |
| 251 | 132 | G1_smistamento | 0.5051 | 0.561 | 0.0792 |
| 251 | 162 | G2_smistamento | 0.2696 | 0.5542 | 0.0236 |
| 251 | 166 | G2_smistamento | 0.1988 | 0.5535 | 0.0191 |
| 251 | 130 | G2_smistamento | 0.1201 | 0.2075 | 0.0249 |
| 251 | 132 | G2_smistamento | 0.1873 | 0.208 | 0.0294 |
| 251 | 162 | Q_smistamento | 0.2696 | 0.5542 | 0.0236 |
| 251 | 166 | Q_smistamento | 0.1988 | 0.5535 | 0.0191 |
| 251 | 130 | Q_smistamento | 0.1201 | 0.2075 | 0.0249 |
| 251 | 132 | Q_smistamento | 0.1873 | 0.208 | 0.0294 |
| 251 | 162 | Q_neve | 1.003E-14 | 1.374E-14 | 1.156E-15 |
| 251 | 166 | Q_neve | 7.762E-15 | 1.225E-14 | -5.302E-16 |
| 251 | 130 | Q_neve | 5.406E-15 | 7.877E-15 | 7.445E-16 |
| 251 | 132 | Q_neve | 7.145E-15 | 6.695E-15 | 2.927E-16 |
| 252 | 76 | DEAD | -4.742E-15 | 8.002E-15 | -9.179E-15 |
| 252 | 78 | DEAD | -1.906E-14 | 1.540E-14 | -1.714E-15 |
| 252 | 167 | DEAD | 1.995E-14 | 6.231E-14 | 7.279E-15 |
| 252 | 163 | DEAD | 3.854E-14 | 7.629E-14 | -1.159E-14 |
| 252 | 76 | G1_smistamento | 0.3239 | 0.5598 | -0.0547 |
| 252 | 78 | G1_smistamento | 0.1857 | 0.5596 | -0.0455 |
| 252 | 167 | G1_smistamento | 0.3922 | 1.4901 | -0.0339 |
| 252 | 163 | G1_smistamento | 0.5363 | 1.4932 | -0.0431 |
| 252 | 76 | G2_smistamento | 0.1201 | 0.2075 | -0.0203 |
| 252 | 78 | G2_smistamento | 0.0688 | 0.2074 | -0.0169 |

Table 20: Element Forces - Area Shells, Part 2 of 3

| Area | Joint | OutputCase | M11 | M22 | M12 |
|------|-------|----------------|------------|-----------|------------|
| | | | KN-m/m | KN-m/m | KN-m/m |
| 252 | 167 | G2_smistamento | 0.1454 | 0.5524 | -0.0126 |
| 252 | 163 | G2_smistamento | 0.1988 | 0.5535 | -0.016 |
| 252 | 76 | Q_smistamento | 0.1201 | 0.2075 | -0.0203 |
| 252 | 78 | Q_smistamento | 0.0688 | 0.2074 | -0.0169 |
| 252 | 167 | Q_smistamento | 0.1454 | 0.5524 | -0.0126 |
| 252 | 163 | Q_smistamento | 0.1988 | 0.5535 | -0.016 |
| 252 | 76 | Q_neve | 3.727E-15 | 4.482E-15 | -1.234E-15 |
| 252 | 78 | Q_neve | -8.838E-15 | 1.391E-15 | -6.024E-16 |
| 252 | 167 | Q_neve | 8.464E-16 | 9.831E-15 | 1.234E-15 |
| 252 | 163 | Q_neve | 8.957E-15 | 1.631E-14 | -2.248E-15 |
| 253 | 163 | DEAD | 3.271E-14 | 6.789E-14 | 1.205E-15 |
| 253 | 167 | DEAD | 2.533E-14 | 7.827E-14 | -1.205E-15 |
| 253 | 168 | DEAD | 7.015E-14 | 8.723E-14 | 4.496E-15 |
| 253 | 164 | DEAD | -7.993E-15 | 5.975E-14 | -4.496E-15 |
| 253 | 163 | G1_smistamento | 0.5362 | 1.4931 | -0.0297 |
| 253 | 167 | G1_smistamento | 0.3922 | 1.4901 | -0.0249 |
| 253 | 168 | G1_smistamento | 0.4731 | 1.8428 | -0.0138 |
| 253 | 164 | G1_smistamento | 0.6213 | 1.8476 | -0.0187 |
| 253 | 163 | G2_smistamento | 0.1988 | 0.5535 | -0.011 |
| 253 | 167 | G2_smistamento | 0.1454 | 0.5524 | -0.0092 |
| 253 | 168 | G2_smistamento | 0.1754 | 0.6832 | -0.0051 |
| 253 | 164 | G2_smistamento | 0.2303 | 0.6849 | -0.0069 |
| 253 | 163 | Q_smistamento | 0.1988 | 0.5535 | -0.011 |
| 253 | 167 | Q_smistamento | 0.1454 | 0.5524 | -0.0092 |
| 253 | 168 | Q_smistamento | 0.1754 | 0.6832 | -0.0051 |
| 253 | 164 | Q_smistamento | 0.2303 | 0.6849 | -0.0069 |
| 253 | 163 | Q_neve | 8.150E-15 | 1.600E-14 | 0. |
| 253 | 167 | Q_neve | 1.854E-15 | 1.150E-14 | -3.012E-16 |
| 253 | 168 | Q_neve | 7.944E-15 | 1.744E-14 | 0. |
| 253 | 164 | Q_neve | 5.866E-15 | 1.428E-14 | -1.124E-15 |
| 254 | 164 | DEAD | -7.298E-15 | 3.264E-14 | 1.495E-14 |
| 254 | 168 | DEAD | 7.010E-14 | 1.084E-13 | 2.515E-14 |
| 254 | 169 | DEAD | 2.274E-14 | 4.457E-14 | 1.166E-14 |
| 254 | 165 | DEAD | 5.652E-14 | 7.999E-14 | 1.856E-14 |
| 254 | 164 | G1_smistamento | 0.6213 | 1.8475 | -0.0054 |
| 254 | 168 | G1_smistamento | 0.4731 | 1.8428 | -0.0054 |
| 254 | 169 | G1_smistamento | 0.4731 | 1.8428 | 0.0054 |
| 254 | 165 | G1_smistamento | 0.6213 | 1.8475 | 0.0054 |

Table 20: Element Forces - Area Shells, Part 2 of 3

| Area | Joint | OutputCase | M11 | M22 | M12 |
|------|-------|----------------|-----------|-----------|------------|
| | | | KN-m/m | KN-m/m | KN-m/m |
| 254 | 164 | G2_smistamento | 0.2303 | 0.6849 | -0.002 |
| 254 | 168 | G2_smistamento | 0.1754 | 0.6832 | -0.002 |
| 254 | 169 | G2_smistamento | 0.1754 | 0.6832 | 0.002 |
| 254 | 165 | G2_smistamento | 0.2303 | 0.6849 | 0.002 |
| 254 | 164 | Q_smistamento | 0.2303 | 0.6849 | -0.002 |
| 254 | 168 | Q_smistamento | 0.1754 | 0.6832 | -0.002 |
| 254 | 169 | Q_smistamento | 0.1754 | 0.6832 | 0.002 |
| 254 | 165 | Q_smistamento | 0.2303 | 0.6849 | 0.002 |
| 254 | 164 | Q_neve | 5.032E-15 | 1.128E-14 | 2.225E-15 |
| 254 | 168 | Q_neve | 9.871E-15 | 1.958E-14 | 3.349E-15 |
| 254 | 169 | Q_neve | 1.059E-14 | 6.956E-15 | 1.813E-15 |
| 254 | 165 | Q_neve | 2.362E-15 | 1.166E-14 | 2.115E-15 |
| 255 | 165 | DEAD | 4.163E-14 | 7.886E-14 | 3.105E-15 |
| 255 | 169 | DEAD | 2.645E-14 | 4.634E-14 | 7.279E-15 |
| 255 | 170 | DEAD | 7.619E-14 | 5.417E-14 | 6.397E-15 |
| 255 | 166 | DEAD | 4.291E-14 | 4.963E-14 | -9.179E-15 |
| 255 | 165 | G1_smistamento | 0.6213 | 1.8476 | 0.0187 |
| 255 | 169 | G1_smistamento | 0.4731 | 1.8428 | 0.0138 |
| 255 | 170 | G1_smistamento | 0.3922 | 1.4901 | 0.0249 |
| 255 | 166 | G1_smistamento | 0.5362 | 1.4931 | 0.0297 |
| 255 | 165 | G2_smistamento | 0.2303 | 0.6849 | 0.0069 |
| 255 | 169 | G2_smistamento | 0.1754 | 0.6832 | 0.0051 |
| 255 | 170 | G2_smistamento | 0.1454 | 0.5524 | 0.0092 |
| 255 | 166 | G2_smistamento | 0.1988 | 0.5535 | 0.011 |
| 255 | 165 | Q_smistamento | 0.2303 | 0.6849 | 0.0069 |
| 255 | 169 | Q_smistamento | 0.1754 | 0.6832 | 0.0051 |
| 255 | 170 | Q_smistamento | 0.1454 | 0.5524 | 0.0092 |
| 255 | 166 | Q_smistamento | 0.1988 | 0.5535 | 0.011 |
| 255 | 165 | Q_neve | 4.504E-15 | 1.115E-14 | 7.763E-16 |
| 255 | 169 | Q_neve | 1.113E-14 | 1.055E-14 | 1.709E-15 |
| 255 | 170 | Q_neve | 9.750E-15 | 1.023E-14 | 1.599E-15 |
| 255 | 166 | Q_neve | 1.257E-14 | 1.528E-14 | -7.593E-16 |
| 256 | 166 | DEAD | 4.132E-14 | 5.356E-14 | 1.900E-15 |
| 256 | 170 | DEAD | 8.390E-14 | 9.305E-14 | 1.900E-15 |
| 256 | 128 | DEAD | 5.489E-14 | 2.270E-14 | 1.900E-15 |
| 256 | 130 | DEAD | 5.222E-14 | 6.302E-14 | 1.900E-15 |
| 256 | 166 | G1_smistamento | 0.5363 | 1.4932 | 0.0431 |
| 256 | 170 | G1_smistamento | 0.3922 | 1.4901 | 0.0339 |

Table 20: Element Forces - Area Shells, Part 2 of 3

| Area | Joint | OutputCase | M11 | M22 | M12 |
|------|-------|----------------|------------|-----------|------------|
| | | | KN-m/m | KN-m/m | KN-m/m |
| 256 | 128 | G1_smistamento | 0.1857 | 0.5596 | 0.0455 |
| 256 | 130 | G1_smistamento | 0.3239 | 0.5598 | 0.0547 |
| 256 | 166 | G2_smistamento | 0.1988 | 0.5535 | 0.016 |
| 256 | 170 | G2_smistamento | 0.1454 | 0.5524 | 0.0126 |
| 256 | 128 | G2_smistamento | 0.0688 | 0.2074 | 0.0169 |
| 256 | 130 | G2_smistamento | 0.1201 | 0.2075 | 0.0203 |
| 256 | 166 | Q_smistamento | 0.1988 | 0.5535 | 0.016 |
| 256 | 170 | Q_smistamento | 0.1454 | 0.5524 | 0.0126 |
| 256 | 128 | Q_smistamento | 0.0688 | 0.2074 | 0.0169 |
| 256 | 130 | Q_smistamento | 0.1201 | 0.2075 | 0.0203 |
| 256 | 166 | Q_neve | 1.373E-14 | 1.435E-14 | -7.678E-16 |
| 256 | 170 | Q_neve | 1.083E-14 | 1.138E-14 | -5.069E-16 |
| 256 | 128 | Q_neve | 1.929E-14 | 1.250E-14 | 5.512E-17 |
| 256 | 130 | Q_neve | 2.596E-15 | 7.267E-15 | -9.184E-16 |
| 257 | 78 | DEAD | -7.927E-16 | 2.357E-14 | 9.757E-15 |
| 257 | 80 | DEAD | 3.234E-14 | 6.686E-14 | 1.425E-14 |
| 257 | 171 | DEAD | 1.813E-14 | 6.883E-14 | 1.305E-14 |
| 257 | 167 | DEAD | 3.275E-14 | 5.904E-14 | 1.425E-14 |
| 257 | 78 | G1_smistamento | 0.1858 | 0.5596 | -0.0352 |
| 257 | 80 | G1_smistamento | 0.0975 | 0.5603 | -0.0276 |
| 257 | 171 | G1_smistamento | 0.3008 | 1.4882 | -0.02 |
| 257 | 167 | G1_smistamento | 0.3922 | 1.4901 | -0.0277 |
| 257 | 78 | G2_smistamento | 0.0689 | 0.2075 | -0.0131 |
| 257 | 80 | G2_smistamento | 0.0362 | 0.2077 | -0.0102 |
| 257 | 171 | G2_smistamento | 0.1115 | 0.5517 | -0.0074 |
| 257 | 167 | G2_smistamento | 0.1454 | 0.5524 | -0.0103 |
| 257 | 78 | Q_smistamento | 0.0689 | 0.2075 | -0.0131 |
| 257 | 80 | Q_smistamento | 0.0362 | 0.2077 | -0.0102 |
| 257 | 171 | Q_smistamento | 0.1115 | 0.5517 | -0.0074 |
| 257 | 167 | Q_smistamento | 0.1454 | 0.5524 | -0.0103 |
| 257 | 78 | Q_neve | -1.428E-15 | 6.055E-15 | 6.024E-16 |
| 257 | 80 | Q_neve | 4.425E-15 | 9.068E-15 | 1.727E-15 |
| 257 | 171 | Q_neve | 6.595E-15 | 1.408E-14 | 2.248E-15 |
| 257 | 167 | Q_neve | 2.074E-16 | 1.267E-14 | 2.549E-15 |
| 258 | 167 | DEAD | 1.543E-14 | 6.994E-14 | 1.330E-14 |
| 258 | 171 | DEAD | 3.396E-14 | 6.522E-14 | 1.659E-14 |
| 258 | 172 | DEAD | 1.996E-14 | 7.282E-14 | 1.330E-14 |
| 258 | 168 | DEAD | 5.988E-14 | 9.608E-14 | 1.001E-14 |

Table 20: Element Forces - Area Shells, Part 2 of 3

| Area | Joint | OutputCase | M11 | M22 | M12 |
|------|-------|----------------|------------|-----------|-----------|
| | | | KN-m/m | KN-m/m | KN-m/m |
| 258 | 167 | G1_smistamento | 0.3922 | 1.4901 | -0.0186 |
| 258 | 171 | G1_smistamento | 0.3009 | 1.4883 | -0.0148 |
| 258 | 172 | G1_smistamento | 0.3795 | 1.8391 | -0.008 |
| 258 | 168 | G1_smistamento | 0.4732 | 1.8428 | -0.0117 |
| 258 | 167 | G2_smistamento | 0.1454 | 0.5524 | -0.0069 |
| 258 | 171 | G2_smistamento | 0.1115 | 0.5517 | -0.0055 |
| 258 | 172 | G2_smistamento | 0.1407 | 0.6818 | -0.003 |
| 258 | 168 | G2_smistamento | 0.1754 | 0.6832 | -0.0043 |
| 258 | 167 | Q_smistamento | 0.1454 | 0.5524 | -0.0069 |
| 258 | 171 | Q_smistamento | 0.1115 | 0.5517 | -0.0055 |
| 258 | 172 | Q_smistamento | 0.1407 | 0.6818 | -0.003 |
| 258 | 168 | Q_smistamento | 0.1754 | 0.6832 | -0.0043 |
| 258 | 167 | Q_neve | -1.739E-15 | 9.734E-15 | 2.439E-15 |
| 258 | 171 | Q_neve | 9.802E-15 | 1.974E-14 | 3.674E-15 |
| 258 | 172 | Q_neve | 2.273E-15 | 1.004E-14 | 3.262E-15 |
| 258 | 168 | Q_neve | 1.176E-14 | 1.964E-14 | 2.028E-15 |
| 259 | 168 | DEAD | 5.894E-14 | 1.053E-13 | 2.410E-15 |
| 259 | 172 | DEAD | 2.165E-14 | 9.131E-14 | 8.111E-15 |
| 259 | 173 | DEAD | 1.779E-14 | 6.742E-14 | 8.993E-15 |
| 259 | 169 | DEAD | 3.441E-14 | 4.647E-14 | 1.469E-14 |
| 259 | 168 | G1_smistamento | 0.4732 | 1.8428 | -0.0033 |
| 259 | 172 | G1_smistamento | 0.3795 | 1.8391 | -0.0033 |
| 259 | 173 | G1_smistamento | 0.3795 | 1.8391 | 0.0033 |
| 259 | 169 | G1_smistamento | 0.4732 | 1.8428 | 0.0033 |
| 259 | 168 | G2_smistamento | 0.1754 | 0.6832 | -0.0012 |
| 259 | 172 | G2_smistamento | 0.1407 | 0.6818 | -0.0012 |
| 259 | 173 | G2_smistamento | 0.1407 | 0.6818 | 0.0012 |
| 259 | 169 | G2_smistamento | 0.1754 | 0.6832 | 0.0012 |
| 259 | 168 | Q_smistamento | 0.1754 | 0.6832 | -0.0012 |
| 259 | 172 | Q_smistamento | 0.1407 | 0.6818 | -0.0012 |
| 259 | 173 | Q_smistamento | 0.1407 | 0.6818 | 0.0012 |
| 259 | 169 | Q_smistamento | 0.1754 | 0.6832 | 0.0012 |
| 259 | 168 | Q_neve | 1.131E-14 | 2.118E-14 | 6.024E-16 |
| 259 | 172 | Q_neve | 4.096E-15 | 1.761E-14 | 2.439E-15 |
| 259 | 173 | Q_neve | -6.211E-16 | 1.089E-14 | 2.248E-15 |
| 259 | 169 | Q_neve | 9.445E-15 | 7.328E-15 | 3.262E-15 |
| 260 | 169 | DEAD | 4.252E-14 | 5.099E-14 | 2.084E-14 |
| 260 | 173 | DEAD | 1.229E-14 | 5.395E-14 | 1.546E-14 |

Table 20: Element Forces - Area Shells, Part 2 of 3

| Area | Joint | OutputCase | M11 | M22 | M12 |
|------|-------|----------------|------------|-----------|------------|
| | | | KN-m/m | KN-m/m | KN-m/m |
| 260 | 174 | DEAD | -2.660E-14 | 1.149E-14 | 7.670E-15 |
| 260 | 170 | DEAD | 5.138E-14 | 4.202E-14 | 1.875E-14 |
| 260 | 169 | G1_smistamento | 0.4732 | 1.8428 | 0.0117 |
| 260 | 173 | G1_smistamento | 0.3795 | 1.8391 | 0.008 |
| 260 | 174 | G1_smistamento | 0.3009 | 1.4883 | 0.0148 |
| 260 | 170 | G1_smistamento | 0.3922 | 1.4901 | 0.0186 |
| 260 | 169 | G2_smistamento | 0.1754 | 0.6832 | 0.0043 |
| 260 | 173 | G2_smistamento | 0.1407 | 0.6818 | 0.003 |
| 260 | 174 | G2_smistamento | 0.1115 | 0.5517 | 0.0055 |
| 260 | 170 | G2_smistamento | 0.1454 | 0.5524 | 0.0069 |
| 260 | 169 | Q_smistamento | 0.1754 | 0.6832 | 0.0043 |
| 260 | 173 | Q_smistamento | 0.1407 | 0.6818 | 0.003 |
| 260 | 174 | Q_smistamento | 0.1115 | 0.5517 | 0.0055 |
| 260 | 170 | Q_smistamento | 0.1454 | 0.5524 | 0.0069 |
| 260 | 169 | Q_neve | 9.982E-15 | 1.031E-14 | 3.674E-15 |
| 260 | 173 | Q_neve | -8.709E-16 | 8.548E-15 | 3.262E-15 |
| 260 | 174 | Q_neve | -3.390E-15 | 2.697E-15 | 2.028E-15 |
| 260 | 170 | Q_neve | 1.014E-14 | 9.268E-15 | 2.439E-15 |
| 261 | 170 | DEAD | 6.418E-14 | 8.462E-14 | 5.819E-15 |
| 261 | 174 | DEAD | -1.886E-14 | 2.682E-14 | 3.733E-15 |
| 261 | 126 | DEAD | -1.358E-14 | 3.154E-14 | -1.722E-14 |
| 261 | 128 | DEAD | 3.668E-14 | 2.805E-14 | -9.434E-15 |
| 261 | 170 | G1_smistamento | 0.3922 | 1.4901 | 0.0277 |
| 261 | 174 | G1_smistamento | 0.3008 | 1.4882 | 0.02 |
| 261 | 126 | G1_smistamento | 0.0975 | 0.5603 | 0.0276 |
| 261 | 128 | G1_smistamento | 0.1858 | 0.5596 | 0.0352 |
| 261 | 170 | G2_smistamento | 0.1454 | 0.5524 | 0.0103 |
| 261 | 174 | G2_smistamento | 0.1115 | 0.5517 | 0.0074 |
| 261 | 126 | G2_smistamento | 0.0362 | 0.2077 | 0.0102 |
| 261 | 128 | G2_smistamento | 0.0689 | 0.2075 | 0.0131 |
| 261 | 170 | Q_smistamento | 0.1454 | 0.5524 | 0.0103 |
| 261 | 174 | Q_smistamento | 0.1115 | 0.5517 | 0.0074 |
| 261 | 126 | Q_smistamento | 0.0362 | 0.2077 | 0.0102 |
| 261 | 128 | Q_smistamento | 0.0689 | 0.2075 | 0.0131 |
| 261 | 170 | Q_neve | 1.431E-14 | 1.514E-14 | 2.057E-15 |
| 261 | 174 | Q_neve | -5.177E-15 | 3.689E-15 | 5.217E-16 |
| 261 | 126 | Q_neve | -3.383E-15 | 8.143E-15 | -2.057E-15 |
| 261 | 128 | Q_neve | 1.005E-14 | 1.068E-14 | -1.947E-15 |

Table 20: Element Forces - Area Shells, Part 2 of 3

| Area | Joint | OutputCase | M11 | M22 | M12 |
|------|-------|----------------|-----------|-----------|-----------|
| | | | KN-m/m | KN-m/m | KN-m/m |
| 262 | 80 | DEAD | 8.028E-15 | 5.740E-14 | 1.900E-14 |
| 262 | 82 | DEAD | 3.770E-14 | 5.832E-14 | 1.989E-14 |
| 262 | 175 | DEAD | 2.737E-14 | 4.546E-14 | 1.900E-14 |
| 262 | 171 | DEAD | 2.906E-14 | 6.449E-14 | 6.720E-15 |
| 262 | 80 | G1_smistamento | 0.0976 | 0.5603 | -0.0186 |
| 262 | 82 | G1_smistamento | 0.0557 | 0.561 | -0.0118 |
| 262 | 175 | G1_smistamento | 0.2575 | 1.4876 | -0.008 |
| 262 | 171 | G1_smistamento | 0.3008 | 1.4882 | -0.0149 |
| 262 | 80 | G2_smistamento | 0.0362 | 0.2077 | -0.0069 |
| 262 | 82 | G2_smistamento | 0.0207 | 0.208 | -0.0044 |
| 262 | 175 | G2_smistamento | 0.0955 | 0.5515 | -0.003 |
| 262 | 171 | G2_smistamento | 0.1115 | 0.5517 | -0.0055 |
| 262 | 80 | Q_smistamento | 0.0362 | 0.2077 | -0.0069 |
| 262 | 82 | Q_smistamento | 0.0207 | 0.208 | -0.0044 |
| 262 | 175 | Q_smistamento | 0.0955 | 0.5515 | -0.003 |
| 262 | 171 | Q_smistamento | 0.1115 | 0.5517 | -0.0055 |
| 262 | 80 | Q_neve | 1.051E-15 | 7.966E-15 | 4.363E-15 |
| 262 | 82 | Q_neve | 7.398E-15 | 1.175E-14 | 3.760E-15 |
| 262 | 175 | Q_neve | 4.338E-16 | 1.229E-14 | 3.951E-15 |
| 262 | 171 | Q_neve | 1.244E-14 | 1.474E-14 | 1.703E-15 |
| 263 | 171 | DEAD | 2.499E-14 | 6.696E-14 | 1.140E-14 |
| 263 | 175 | DEAD | 3.440E-14 | 6.200E-14 | 1.140E-14 |
| 263 | 176 | DEAD | 3.939E-14 | 8.959E-14 | 1.140E-14 |
| 263 | 172 | DEAD | 2.000E-14 | 7.887E-14 | 1.140E-14 |
| 263 | 171 | G1_smistamento | 0.3009 | 1.4883 | -0.0096 |
| 263 | 175 | G1_smistamento | 0.2575 | 1.4876 | -0.0063 |
| 263 | 176 | G1_smistamento | 0.3352 | 1.8374 | -0.003 |
| 263 | 172 | G1_smistamento | 0.3796 | 1.8391 | -0.0063 |
| 263 | 171 | G2_smistamento | 0.1115 | 0.5517 | -0.0036 |
| 263 | 175 | G2_smistamento | 0.0955 | 0.5515 | -0.0023 |
| 263 | 176 | G2_smistamento | 0.1243 | 0.6811 | -0.0011 |
| 263 | 172 | G2_smistamento | 0.1407 | 0.6818 | -0.0023 |
| 263 | 171 | Q_smistamento | 0.1115 | 0.5517 | -0.0036 |
| 263 | 175 | Q_smistamento | 0.0955 | 0.5515 | -0.0023 |
| 263 | 176 | Q_smistamento | 0.1243 | 0.6811 | -0.0011 |
| 263 | 172 | Q_smistamento | 0.1407 | 0.6818 | -0.0023 |
| 263 | 171 | Q_neve | 1.192E-14 | 1.913E-14 | 3.025E-15 |
| 263 | 175 | Q_neve | 1.115E-15 | 1.183E-14 | 2.613E-15 |

Table 20: Element Forces - Area Shells, Part 2 of 3

| Area | Joint | OutputCase | M11 | M22 | M12 |
|------|-------|----------------|------------|-----------|------------|
| | | | KN-m/m | KN-m/m | KN-m/m |
| 263 | 176 | Q_neve | 5.541E-15 | 1.686E-14 | 2.202E-15 |
| 263 | 172 | Q_neve | 7.081E-15 | 1.204E-14 | 2.613E-15 |
| 264 | 172 | DEAD | 2.549E-14 | 9.057E-14 | 8.043E-15 |
| 264 | 176 | DEAD | 2.615E-14 | 5.529E-14 | 1.254E-14 |
| 264 | 177 | DEAD | 4.031E-14 | 5.600E-14 | 1.459E-15 |
| 264 | 173 | DEAD | 2.327E-14 | 6.064E-14 | 2.664E-15 |
| 264 | 172 | G1_smistamento | 0.3796 | 1.8391 | -0.0015 |
| 264 | 176 | G1_smistamento | 0.3353 | 1.8374 | -0.0015 |
| 264 | 177 | G1_smistamento | 0.3353 | 1.8374 | 0.0015 |
| 264 | 173 | G1_smistamento | 0.3796 | 1.8391 | 0.0015 |
| 264 | 172 | G2_smistamento | 0.1407 | 0.6818 | -5.740E-04 |
| 264 | 176 | G2_smistamento | 0.1243 | 0.6812 | -5.740E-04 |
| 264 | 177 | G2_smistamento | 0.1243 | 0.6812 | 5.740E-04 |
| 264 | 173 | G2_smistamento | 0.1407 | 0.6818 | 5.740E-04 |
| 264 | 172 | Q_smistamento | 0.1407 | 0.6818 | -5.740E-04 |
| 264 | 176 | Q_smistamento | 0.1243 | 0.6812 | -5.740E-04 |
| 264 | 177 | Q_smistamento | 0.1243 | 0.6812 | 5.740E-04 |
| 264 | 173 | Q_smistamento | 0.1407 | 0.6818 | 5.740E-04 |
| 264 | 172 | Q_neve | 6.777E-15 | 1.791E-14 | 1.860E-15 |
| 264 | 176 | Q_neve | 1.934E-15 | 1.466E-14 | 2.573E-15 |
| 264 | 177 | Q_neve | 9.554E-15 | 9.582E-15 | -1.972E-16 |
| 264 | 173 | Q_neve | 1.214E-15 | 1.106E-14 | 5.155E-16 |
| 265 | 173 | DEAD | 1.219E-14 | 4.010E-14 | 4.683E-15 |
| 265 | 177 | DEAD | 4.368E-14 | 6.456E-14 | -1.178E-14 |
| 265 | 178 | DEAD | -1.291E-14 | 1.335E-14 | -8.484E-15 |
| 265 | 174 | DEAD | -2.586E-14 | 1.312E-14 | 7.974E-15 |
| 265 | 173 | G1_smistamento | 0.3796 | 1.8391 | 0.0063 |
| 265 | 177 | G1_smistamento | 0.3352 | 1.8374 | 0.003 |
| 265 | 178 | G1_smistamento | 0.2575 | 1.4876 | 0.0063 |
| 265 | 174 | G1_smistamento | 0.3009 | 1.4883 | 0.0096 |
| 265 | 173 | G2_smistamento | 0.1407 | 0.6818 | 0.0023 |
| 265 | 177 | G2_smistamento | 0.1243 | 0.6811 | 0.0011 |
| 265 | 178 | G2_smistamento | 0.0955 | 0.5515 | 0.0023 |
| 265 | 174 | G2_smistamento | 0.1115 | 0.5517 | 0.0036 |
| 265 | 173 | Q_smistamento | 0.1407 | 0.6818 | 0.0023 |
| 265 | 177 | Q_smistamento | 0.1243 | 0.6811 | 0.0011 |
| 265 | 178 | Q_smistamento | 0.0955 | 0.5515 | 0.0023 |
| 265 | 174 | Q_smistamento | 0.1115 | 0.5517 | 0.0036 |

Table 20: Element Forces - Area Shells, Part 2 of 3

| Area | Joint | OutputCase | M11 | M22 | M12 |
|------|-------|----------------|------------|-----------|------------|
| | | | KN-m/m | KN-m/m | KN-m/m |
| 265 | 173 | Q_neve | 1.762E-15 | 1.034E-14 | 9.968E-16 |
| 265 | 177 | Q_neve | 9.111E-15 | 1.023E-14 | -1.883E-15 |
| 265 | 178 | Q_neve | -3.484E-15 | 3.857E-15 | -1.472E-15 |
| 265 | 174 | Q_neve | -4.776E-15 | 4.534E-17 | 1.408E-15 |
| 266 | 174 | DEAD | -1.592E-14 | 2.624E-14 | -1.900E-15 |
| 266 | 178 | DEAD | -1.835E-14 | 1.602E-14 | -1.900E-15 |
| 266 | 124 | DEAD | 9.519E-16 | 4.146E-14 | -1.900E-15 |
| 266 | 126 | DEAD | -2.370E-14 | 1.890E-14 | -1.900E-15 |
| 266 | 174 | G1_smistamento | 0.3008 | 1.4882 | 0.0149 |
| 266 | 178 | G1_smistamento | 0.2575 | 1.4876 | 0.008 |
| 266 | 124 | G1_smistamento | 0.0557 | 0.561 | 0.0118 |
| 266 | 126 | G1_smistamento | 0.0976 | 0.5603 | 0.0186 |
| 266 | 174 | G2_smistamento | 0.1115 | 0.5517 | 0.0055 |
| 266 | 178 | G2_smistamento | 0.0955 | 0.5515 | 0.003 |
| 266 | 124 | G2_smistamento | 0.0207 | 0.208 | 0.0044 |
| 266 | 126 | G2_smistamento | 0.0362 | 0.2077 | 0.0069 |
| 266 | 174 | Q_smistamento | 0.1115 | 0.5517 | 0.0055 |
| 266 | 178 | Q_smistamento | 0.0955 | 0.5515 | 0.003 |
| 266 | 124 | Q_smistamento | 0.0207 | 0.208 | 0.0044 |
| 266 | 126 | Q_smistamento | 0.0362 | 0.2077 | 0.0069 |
| 266 | 174 | Q_neve | -3.746E-15 | 5.884E-15 | -2.376E-16 |
| 266 | 178 | Q_neve | -3.158E-15 | 1.593E-15 | 1.739E-16 |
| 266 | 124 | Q_neve | -4.569E-15 | 6.707E-15 | -2.376E-16 |
| 266 | 126 | Q_neve | 5.450E-16 | 5.296E-15 | -6.490E-16 |
| 267 | 82 | DEAD | 2.421E-14 | 7.949E-14 | 1.520E-14 |
| 267 | 84 | DEAD | 4.606E-14 | 6.439E-14 | 1.191E-14 |
| 267 | 179 | DEAD | 4.054E-15 | 6.756E-14 | 1.520E-14 |
| 267 | 175 | DEAD | 3.495E-14 | 3.847E-14 | 1.849E-14 |
| 267 | 82 | G1_smistamento | 0.0557 | 0.561 | -0.0033 |
| 267 | 84 | G1_smistamento | 0.0557 | 0.561 | 0.0033 |
| 267 | 179 | G1_smistamento | 0.2575 | 1.4876 | 0.0033 |
| 267 | 175 | G1_smistamento | 0.2575 | 1.4876 | -0.0033 |
| 267 | 82 | G2_smistamento | 0.0207 | 0.208 | -0.0012 |
| 267 | 84 | G2_smistamento | 0.0207 | 0.208 | 0.0012 |
| 267 | 179 | G2_smistamento | 0.0955 | 0.5515 | 0.0012 |
| 267 | 175 | G2_smistamento | 0.0955 | 0.5515 | -0.0012 |
| 267 | 82 | Q_smistamento | 0.0207 | 0.208 | -0.0012 |
| 267 | 84 | Q_smistamento | 0.0207 | 0.208 | 0.0012 |

Table 20: Element Forces - Area Shells, Part 2 of 3

| Area | Joint | OutputCase | M11 | M22 | M12 |
|------|-------|----------------|------------|-----------|------------|
| | | | KN-m/m | KN-m/m | KN-m/m |
| 267 | 179 | Q_smistamento | 0.0955 | 0.5515 | 0.0012 |
| 267 | 175 | Q_smistamento | 0.0955 | 0.5515 | -0.0012 |
| 267 | 82 | Q_neve | 6.681E-15 | 1.136E-14 | 2.851E-15 |
| 267 | 84 | Q_neve | 7.667E-15 | 1.268E-14 | 2.028E-15 |
| 267 | 179 | Q_neve | 5.138E-15 | 1.352E-14 | 2.851E-15 |
| 267 | 175 | Q_neve | 7.358E-15 | 1.114E-14 | 3.674E-15 |
| 268 | 175 | DEAD | 3.805E-14 | 7.226E-14 | 8.111E-15 |
| 268 | 179 | DEAD | 1.635E-14 | 5.626E-14 | 2.698E-14 |
| 268 | 180 | DEAD | 2.324E-14 | 5.745E-14 | 1.469E-14 |
| 268 | 176 | DEAD | 4.351E-14 | 8.342E-14 | 7.229E-15 |
| 268 | 175 | G1_smistamento | 0.2575 | 1.4876 | -0.0016 |
| 268 | 179 | G1_smistamento | 0.2575 | 1.4876 | 0.0016 |
| 268 | 180 | G1_smistamento | 0.3353 | 1.8374 | 0.0016 |
| 268 | 176 | G1_smistamento | 0.3353 | 1.8374 | -0.0016 |
| 268 | 175 | G2_smistamento | 0.0955 | 0.5515 | -5.770E-04 |
| 268 | 179 | G2_smistamento | 0.0955 | 0.5515 | 5.770E-04 |
| 268 | 180 | G2_smistamento | 0.1243 | 0.6811 | 5.770E-04 |
| 268 | 176 | G2_smistamento | 0.1243 | 0.6811 | -5.770E-04 |
| 268 | 175 | Q_smistamento | 0.0955 | 0.5515 | -5.770E-04 |
| 268 | 179 | Q_smistamento | 0.0955 | 0.5515 | 5.770E-04 |
| 268 | 180 | Q_smistamento | 0.1243 | 0.6811 | 5.770E-04 |
| 268 | 176 | Q_smistamento | 0.1243 | 0.6811 | -5.770E-04 |
| 268 | 175 | Q_neve | 8.192E-15 | 1.511E-14 | 1.046E-15 |
| 268 | 179 | Q_neve | 4.001E-15 | 7.891E-15 | 3.555E-15 |
| 268 | 180 | Q_neve | 8.912E-15 | 1.624E-14 | 2.280E-15 |
| 268 | 176 | Q_neve | 5.441E-15 | 1.509E-14 | 1.909E-15 |
| 269 | 176 | DEAD | 3.349E-14 | 6.430E-14 | 1.418E-14 |
| 269 | 180 | DEAD | 3.921E-14 | 7.556E-14 | 1.900E-15 |
| 269 | 181 | DEAD | -1.424E-14 | 3.404E-15 | 1.018E-15 |
| 269 | 177 | DEAD | 3.633E-14 | 5.129E-14 | 1.900E-15 |
| 269 | 176 | G1_smistamento | 0.3353 | 1.8374 | 1.539E-14 |
| 269 | 180 | G1_smistamento | 0.3353 | 1.8374 | 6.956E-16 |
| 269 | 181 | G1_smistamento | 0.3353 | 1.8374 | 5.515E-15 |
| 269 | 177 | G1_smistamento | 0.3353 | 1.8374 | -2.596E-15 |
| 269 | 176 | G2_smistamento | 0.1243 | 0.6812 | 7.220E-15 |
| 269 | 180 | G2_smistamento | 0.1243 | 0.6812 | -1.171E-15 |
| 269 | 181 | G2_smistamento | 0.1243 | 0.6812 | 2.282E-15 |
| 269 | 177 | G2_smistamento | 0.1243 | 0.6812 | 2.121E-15 |

Table 20: Element Forces - Area Shells, Part 2 of 3

| Area | Joint | OutputCase | M11 | M22 | M12 |
|------|-------|----------------|------------|------------|------------|
| | | | KN-m/m | KN-m/m | KN-m/m |
| 269 | 176 | Q_smistamento | 0.1243 | 0.6812 | 7.220E-15 |
| 269 | 180 | Q_smistamento | 0.1243 | 0.6812 | -1.171E-15 |
| 269 | 181 | Q_smistamento | 0.1243 | 0.6812 | 2.282E-15 |
| 269 | 177 | Q_smistamento | 0.1243 | 0.6812 | 2.121E-15 |
| 269 | 176 | Q_neve | 5.721E-15 | 1.336E-14 | 2.660E-15 |
| 269 | 180 | Q_neve | 7.136E-15 | 1.032E-14 | 7.127E-16 |
| 269 | 181 | Q_neve | 9.896E-16 | 4.515E-15 | 1.910E-16 |
| 269 | 177 | Q_neve | 1.890E-15 | 6.308E-15 | 7.127E-16 |
| 270 | 177 | DEAD | 2.115E-14 | 5.675E-14 | -1.787E-14 |
| 270 | 181 | DEAD | -8.984E-15 | -1.450E-15 | -8.552E-15 |
| 270 | 182 | DEAD | 1.210E-14 | 4.112E-14 | -2.774E-14 |
| 270 | 178 | DEAD | 2.229E-14 | 1.665E-14 | -8.552E-15 |
| 270 | 177 | G1_smistamento | 0.3353 | 1.8374 | 0.0016 |
| 270 | 181 | G1_smistamento | 0.3353 | 1.8374 | -0.0016 |
| 270 | 182 | G1_smistamento | 0.2575 | 1.4876 | -0.0016 |
| 270 | 178 | G1_smistamento | 0.2575 | 1.4876 | 0.0016 |
| 270 | 177 | G2_smistamento | 0.1243 | 0.6811 | 5.770E-04 |
| 270 | 181 | G2_smistamento | 0.1243 | 0.6811 | -5.770E-04 |
| 270 | 182 | G2_smistamento | 0.0955 | 0.5515 | -5.770E-04 |
| 270 | 178 | G2_smistamento | 0.0955 | 0.5515 | 5.770E-04 |
| 270 | 177 | Q_smistamento | 0.1243 | 0.6811 | 5.770E-04 |
| 270 | 181 | Q_smistamento | 0.1243 | 0.6811 | -5.770E-04 |
| 270 | 182 | Q_smistamento | 0.0955 | 0.5515 | -5.770E-04 |
| 270 | 178 | Q_smistamento | 0.0955 | 0.5515 | 5.770E-04 |
| 270 | 177 | Q_neve | 2.092E-15 | 1.036E-14 | -2.329E-15 |
| 270 | 181 | Q_neve | -6.511E-16 | -2.874E-15 | -2.851E-15 |
| 270 | 182 | Q_neve | 6.104E-15 | 1.067E-14 | -4.798E-15 |
| 270 | 178 | Q_neve | -2.397E-16 | 4.121E-15 | -2.851E-15 |
| 271 | 178 | DEAD | 2.060E-14 | 3.054E-14 | -9.502E-15 |
| 271 | 182 | DEAD | 1.056E-14 | 5.459E-14 | -1.609E-14 |
| 271 | 122 | DEAD | 4.117E-14 | 4.453E-14 | -9.502E-15 |
| 271 | 124 | DEAD | -3.717E-14 | 2.332E-14 | -2.919E-15 |
| 271 | 178 | G1_smistamento | 0.2575 | 1.4876 | 0.0033 |
| 271 | 182 | G1_smistamento | 0.2575 | 1.4876 | -0.0033 |
| 271 | 122 | G1_smistamento | 0.0557 | 0.561 | -0.0033 |
| 271 | 124 | G1_smistamento | 0.0557 | 0.561 | 0.0033 |
| 271 | 178 | G2_smistamento | 0.0955 | 0.5515 | 0.0012 |
| 271 | 182 | G2_smistamento | 0.0955 | 0.5515 | -0.0012 |

Table 20: Element Forces - Area Shells, Part 2 of 3

| Area | Joint | OutputCase | M11 | M22 | M12 |
|------|-------|----------------|------------|-----------|------------|
| | | | KN-m/m | KN-m/m | KN-m/m |
| 271 | 122 | G2_smistamento | 0.0207 | 0.208 | -0.0012 |
| 271 | 124 | G2_smistamento | 0.0207 | 0.208 | 0.0012 |
| 271 | 178 | Q_smistamento | 0.0955 | 0.5515 | 0.0012 |
| 271 | 182 | Q_smistamento | 0.0955 | 0.5515 | -0.0012 |
| 271 | 122 | Q_smistamento | 0.0207 | 0.208 | -0.0012 |
| 271 | 124 | Q_smistamento | 0.0207 | 0.208 | 0.0012 |
| 271 | 178 | Q_neve | -1.095E-16 | 4.427E-15 | -1.837E-15 |
| 271 | 182 | Q_neve | 6.443E-15 | 1.166E-14 | -2.660E-15 |
| 271 | 122 | Q_neve | 8.840E-15 | 1.214E-14 | -1.014E-15 |
| 271 | 124 | Q_neve | -6.621E-15 | 3.125E-15 | -1.910E-16 |
| 272 | 84 | DEAD | 5.720E-15 | 5.960E-14 | 1.330E-14 |
| 272 | 86 | DEAD | 4.806E-14 | 6.412E-14 | 1.330E-14 |
| 272 | 183 | DEAD | -7.858E-15 | 6.084E-14 | 1.330E-14 |
| 272 | 179 | DEAD | 5.670E-14 | 7.770E-14 | 1.330E-14 |
| 272 | 84 | G1_smistamento | 0.0557 | 0.561 | 0.0118 |
| 272 | 86 | G1_smistamento | 0.0976 | 0.5603 | 0.0186 |
| 272 | 183 | G1_smistamento | 0.3008 | 1.4882 | 0.0149 |
| 272 | 179 | G1_smistamento | 0.2575 | 1.4876 | 0.008 |
| 272 | 84 | G2_smistamento | 0.0207 | 0.208 | 0.0044 |
| 272 | 86 | G2_smistamento | 0.0362 | 0.2077 | 0.0069 |
| 272 | 183 | G2_smistamento | 0.1115 | 0.5517 | 0.0055 |
| 272 | 179 | G2_smistamento | 0.0955 | 0.5515 | 0.003 |
| 272 | 84 | Q_smistamento | 0.0207 | 0.208 | 0.0044 |
| 272 | 86 | Q_smistamento | 0.0362 | 0.2077 | 0.0069 |
| 272 | 183 | Q_smistamento | 0.1115 | 0.5517 | 0.0055 |
| 272 | 179 | Q_smistamento | 0.0955 | 0.5515 | 0.003 |
| 272 | 84 | Q_neve | -2.279E-16 | 1.211E-14 | 3.025E-15 |
| 272 | 86 | Q_neve | 8.115E-15 | 1.022E-14 | 2.613E-15 |
| 272 | 183 | Q_neve | 4.504E-15 | 1.355E-14 | 2.202E-15 |
| 272 | 179 | Q_neve | 4.000E-15 | 1.187E-14 | 2.613E-15 |
| 273 | 179 | DEAD | 6.326E-14 | 7.829E-14 | 1.748E-14 |
| 273 | 183 | DEAD | -2.079E-14 | 4.726E-14 | 1.018E-15 |
| 273 | 184 | DEAD | 2.778E-15 | 5.237E-14 | -2.273E-15 |
| 273 | 180 | DEAD | 6.018E-16 | 4.562E-14 | 1.418E-14 |
| 273 | 179 | G1_smistamento | 0.2575 | 1.4876 | 0.0063 |
| 273 | 183 | G1_smistamento | 0.3009 | 1.4883 | 0.0096 |
| 273 | 184 | G1_smistamento | 0.3796 | 1.8391 | 0.0063 |
| 273 | 180 | G1_smistamento | 0.3352 | 1.8374 | 0.003 |

Table 20: Element Forces - Area Shells, Part 2 of 3

| Area | Joint | OutputCase | M11 | M22 | M12 |
|------|-------|----------------|------------|------------|------------|
| | | | KN-m/m | KN-m/m | KN-m/m |
| 273 | 179 | G2_smistamento | 0.0955 | 0.5515 | 0.0023 |
| 273 | 183 | G2_smistamento | 0.1115 | 0.5517 | 0.0036 |
| 273 | 184 | G2_smistamento | 0.1407 | 0.6818 | 0.0023 |
| 273 | 180 | G2_smistamento | 0.1243 | 0.6811 | 0.0011 |
| 273 | 179 | Q_smistamento | 0.0955 | 0.5515 | 0.0023 |
| 273 | 183 | Q_smistamento | 0.1115 | 0.5517 | 0.0036 |
| 273 | 184 | Q_smistamento | 0.1407 | 0.6818 | 0.0023 |
| 273 | 180 | Q_smistamento | 0.1243 | 0.6811 | 0.0011 |
| 273 | 179 | Q_neve | 4.132E-15 | 9.844E-15 | 2.897E-15 |
| 273 | 183 | Q_neve | 8.640E-16 | 9.155E-15 | 1.553E-15 |
| 273 | 184 | Q_neve | -5.023E-15 | 8.507E-15 | 4.285E-16 |
| 273 | 180 | Q_neve | 8.579E-15 | 1.810E-14 | 3.198E-15 |
| 274 | 180 | DEAD | 1.116E-14 | 7.366E-14 | -3.801E-15 |
| 274 | 184 | DEAD | -2.049E-15 | 3.363E-14 | 1.178E-14 |
| 274 | 185 | DEAD | -7.357E-15 | -9.044E-15 | -3.801E-15 |
| 274 | 181 | DEAD | 3.712E-15 | 3.187E-15 | -7.974E-15 |
| 274 | 180 | G1_smistamento | 0.3353 | 1.8374 | 0.0015 |
| 274 | 184 | G1_smistamento | 0.3796 | 1.8391 | 0.0015 |
| 274 | 185 | G1_smistamento | 0.3796 | 1.8391 | -0.0015 |
| 274 | 181 | G1_smistamento | 0.3353 | 1.8374 | -0.0015 |
| 274 | 180 | G2_smistamento | 0.1243 | 0.6812 | 5.740E-04 |
| 274 | 184 | G2_smistamento | 0.1407 | 0.6818 | 5.740E-04 |
| 274 | 185 | G2_smistamento | 0.1407 | 0.6818 | -5.740E-04 |
| 274 | 181 | G2_smistamento | 0.1243 | 0.6812 | -5.740E-04 |
| 274 | 180 | Q_smistamento | 0.1243 | 0.6812 | 5.740E-04 |
| 274 | 184 | Q_smistamento | 0.1407 | 0.6818 | 5.740E-04 |
| 274 | 185 | Q_smistamento | 0.1407 | 0.6818 | -5.740E-04 |
| 274 | 181 | Q_smistamento | 0.1243 | 0.6812 | -5.740E-04 |
| 274 | 180 | Q_neve | 8.145E-15 | 1.432E-14 | -3.882E-16 |
| 274 | 184 | Q_neve | -6.323E-15 | 2.441E-15 | 1.970E-15 |
| 274 | 185 | Q_neve | -1.870E-16 | -1.847E-16 | -7.996E-16 |
| 274 | 181 | Q_neve | -1.508E-16 | 3.676E-15 | -1.733E-15 |
| 275 | 181 | DEAD | -2.720E-15 | -4.137E-15 | -1.064E-14 |
| 275 | 185 | DEAD | 5.318E-15 | -3.446E-15 | -1.096E-14 |
| 275 | 186 | DEAD | 2.814E-14 | 5.141E-14 | -7.638E-16 |
| 275 | 182 | DEAD | 1.725E-14 | 3.647E-14 | -1.754E-14 |
| 275 | 181 | G1_smistamento | 0.3352 | 1.8374 | -0.003 |
| 275 | 185 | G1_smistamento | 0.3796 | 1.8391 | -0.0063 |

Table 20: Element Forces - Area Shells, Part 2 of 3

| Area | Joint | OutputCase | M11 | M22 | M12 |
|------|-------|----------------|------------|------------|------------|
| | | | KN-m/m | KN-m/m | KN-m/m |
| 275 | 186 | G1_smistamento | 0.3009 | 1.4883 | -0.0096 |
| 275 | 182 | G1_smistamento | 0.2575 | 1.4876 | -0.0063 |
| 275 | 181 | G2_smistamento | 0.1243 | 0.6811 | -0.0011 |
| 275 | 185 | G2_smistamento | 0.1407 | 0.6818 | -0.0023 |
| 275 | 186 | G2_smistamento | 0.1115 | 0.5517 | -0.0036 |
| 275 | 182 | G2_smistamento | 0.0955 | 0.5515 | -0.0023 |
| 275 | 181 | Q_smistamento | 0.1243 | 0.6811 | -0.0011 |
| 275 | 185 | Q_smistamento | 0.1407 | 0.6818 | -0.0023 |
| 275 | 186 | Q_smistamento | 0.1115 | 0.5517 | -0.0036 |
| 275 | 182 | Q_smistamento | 0.0955 | 0.5515 | -0.0023 |
| 275 | 181 | Q_neve | 1.486E-15 | -1.922E-15 | -1.298E-15 |
| 275 | 185 | Q_neve | -3.397E-16 | -1.661E-15 | -1.489E-15 |
| 275 | 186 | Q_neve | 3.548E-16 | 9.702E-15 | 3.478E-16 |
| 275 | 182 | Q_neve | 7.169E-15 | 8.728E-15 | -2.312E-15 |
| 276 | 182 | DEAD | 2.446E-14 | 5.289E-14 | -7.602E-15 |
| 276 | 186 | DEAD | 1.676E-14 | 5.583E-14 | -7.602E-15 |
| 276 | 120 | DEAD | 3.351E-14 | 4.878E-14 | -7.602E-15 |
| 276 | 122 | DEAD | 1.840E-14 | 3.444E-14 | -7.602E-15 |
| 276 | 182 | G1_smistamento | 0.2575 | 1.4876 | -0.008 |
| 276 | 186 | G1_smistamento | 0.3008 | 1.4882 | -0.0149 |
| 276 | 120 | G1_smistamento | 0.0976 | 0.5603 | -0.0186 |
| 276 | 122 | G1_smistamento | 0.0557 | 0.561 | -0.0118 |
| 276 | 182 | G2_smistamento | 0.0955 | 0.5515 | -0.003 |
| 276 | 186 | G2_smistamento | 0.1115 | 0.5517 | -0.0055 |
| 276 | 120 | G2_smistamento | 0.0362 | 0.2077 | -0.0069 |
| 276 | 122 | G2_smistamento | 0.0207 | 0.208 | -0.0044 |
| 276 | 182 | Q_smistamento | 0.0955 | 0.5515 | -0.003 |
| 276 | 186 | Q_smistamento | 0.1115 | 0.5517 | -0.0055 |
| 276 | 120 | Q_smistamento | 0.0362 | 0.2077 | -0.0069 |
| 276 | 122 | Q_smistamento | 0.0207 | 0.208 | -0.0044 |
| 276 | 182 | Q_neve | 9.651E-15 | 1.321E-14 | -1.164E-15 |
| 276 | 186 | Q_neve | 8.322E-16 | 8.614E-15 | -1.164E-15 |
| 276 | 120 | Q_neve | -3.269E-16 | 7.756E-15 | -2.399E-15 |
| 276 | 122 | Q_neve | 8.135E-15 | 1.057E-14 | -2.399E-15 |
| 277 | 86 | DEAD | -3.447E-15 | 6.111E-14 | 2.318E-14 |
| 277 | 88 | DEAD | -4.626E-14 | -1.037E-14 | 1.330E-14 |
| 277 | 187 | DEAD | -3.266E-14 | 4.342E-14 | 3.428E-15 |
| 277 | 183 | DEAD | 2.369E-14 | 6.287E-14 | 1.330E-14 |

Table 20: Element Forces - Area Shells, Part 2 of 3

| Area | Joint | OutputCase | M11 | M22 | M12 |
|------|-------|----------------|------------|-----------|------------|
| | | | KN-m/m | KN-m/m | KN-m/m |
| 277 | 86 | G1_smistamento | 0.0975 | 0.5603 | 0.0276 |
| 277 | 88 | G1_smistamento | 0.1858 | 0.5596 | 0.0352 |
| 277 | 187 | G1_smistamento | 0.3922 | 1.4901 | 0.0277 |
| 277 | 183 | G1_smistamento | 0.3008 | 1.4882 | 0.02 |
| 277 | 86 | G2_smistamento | 0.0362 | 0.2077 | 0.0102 |
| 277 | 88 | G2_smistamento | 0.0689 | 0.2075 | 0.0131 |
| 277 | 187 | G2_smistamento | 0.1454 | 0.5524 | 0.0103 |
| 277 | 183 | G2_smistamento | 0.1115 | 0.5517 | 0.0074 |
| 277 | 86 | Q_smistamento | 0.0362 | 0.2077 | 0.0102 |
| 277 | 88 | Q_smistamento | 0.0689 | 0.2075 | 0.0131 |
| 277 | 187 | Q_smistamento | 0.1454 | 0.5524 | 0.0103 |
| 277 | 183 | Q_smistamento | 0.1115 | 0.5517 | 0.0074 |
| 277 | 86 | Q_neve | -8.638E-16 | 9.082E-15 | 2.691E-15 |
| 277 | 88 | Q_neve | -5.330E-15 | 3.612E-15 | 3.143E-15 |
| 277 | 187 | Q_neve | -2.818E-15 | 6.716E-15 | 6.342E-16 |
| 277 | 183 | Q_neve | -2.450E-15 | 1.308E-14 | 2.320E-15 |
| 278 | 183 | DEAD | 2.518E-14 | 6.820E-14 | 2.155E-15 |
| 278 | 187 | DEAD | -3.114E-14 | 5.443E-14 | -2.341E-15 |
| 278 | 188 | DEAD | -8.555E-15 | 3.775E-14 | 5.447E-15 |
| 278 | 184 | DEAD | -6.923E-16 | 4.867E-14 | 4.242E-15 |
| 278 | 183 | G1_smistamento | 0.3009 | 1.4883 | 0.0148 |
| 278 | 187 | G1_smistamento | 0.3922 | 1.4901 | 0.0186 |
| 278 | 188 | G1_smistamento | 0.4732 | 1.8428 | 0.0117 |
| 278 | 184 | G1_smistamento | 0.3795 | 1.8391 | 0.008 |
| 278 | 183 | G2_smistamento | 0.1115 | 0.5517 | 0.0055 |
| 278 | 187 | G2_smistamento | 0.1454 | 0.5524 | 0.0069 |
| 278 | 188 | G2_smistamento | 0.1754 | 0.6832 | 0.0043 |
| 278 | 184 | G2_smistamento | 0.1407 | 0.6818 | 0.003 |
| 278 | 183 | Q_smistamento | 0.1115 | 0.5517 | 0.0055 |
| 278 | 187 | Q_smistamento | 0.1454 | 0.5524 | 0.0069 |
| 278 | 188 | Q_smistamento | 0.1754 | 0.6832 | 0.0043 |
| 278 | 184 | Q_smistamento | 0.1407 | 0.6818 | 0.003 |
| 278 | 183 | Q_neve | -7.451E-16 | 8.772E-15 | 7.996E-16 |
| 278 | 187 | Q_neve | -2.182E-15 | 1.483E-14 | 1.101E-15 |
| 278 | 188 | Q_neve | -2.699E-15 | 3.937E-15 | 3.882E-16 |
| 278 | 184 | Q_neve | 6.977E-16 | 1.195E-14 | 1.512E-15 |
| 279 | 184 | DEAD | -2.763E-15 | 3.755E-14 | 1.583E-14 |
| 279 | 188 | DEAD | -1.535E-14 | 2.371E-14 | -9.502E-16 |

Table 20: Element Forces - Area Shells, Part 2 of 3

| Area | Joint | OutputCase | M11 | M22 | M12 |
|------|-------|----------------|------------|------------|------------|
| | | | KN-m/m | KN-m/m | KN-m/m |
| 279 | 189 | DEAD | -4.308E-14 | -1.594E-14 | -6.274E-16 |
| 279 | 185 | DEAD | 7.277E-15 | -1.384E-15 | -9.502E-16 |
| 279 | 184 | G1_smistamento | 0.3795 | 1.8391 | 0.0033 |
| 279 | 188 | G1_smistamento | 0.4732 | 1.8428 | 0.0033 |
| 279 | 189 | G1_smistamento | 0.4732 | 1.8428 | -0.0033 |
| 279 | 185 | G1_smistamento | 0.3795 | 1.8391 | -0.0033 |
| 279 | 184 | G2_smistamento | 0.1407 | 0.6818 | 0.0012 |
| 279 | 188 | G2_smistamento | 0.1754 | 0.6832 | 0.0012 |
| 279 | 189 | G2_smistamento | 0.1754 | 0.6832 | -0.0012 |
| 279 | 185 | G2_smistamento | 0.1407 | 0.6818 | -0.0012 |
| 279 | 184 | Q_smistamento | 0.1407 | 0.6818 | 0.0012 |
| 279 | 188 | Q_smistamento | 0.1754 | 0.6832 | 0.0012 |
| 279 | 189 | Q_smistamento | 0.1754 | 0.6832 | -0.0012 |
| 279 | 185 | Q_smistamento | 0.1407 | 0.6818 | -0.0012 |
| 279 | 184 | Q_neve | -3.565E-16 | 5.637E-15 | 1.892E-15 |
| 279 | 188 | Q_neve | -4.318E-15 | 5.339E-15 | 2.057E-16 |
| 279 | 189 | Q_neve | -6.117E-15 | -9.458E-16 | 2.461E-16 |
| 279 | 185 | Q_neve | 5.169E-16 | -1.128E-16 | -2.057E-16 |
| 280 | 185 | DEAD | -1.324E-14 | -2.045E-14 | -2.782E-15 |
| 280 | 189 | DEAD | -3.230E-14 | 4.689E-15 | 1.038E-14 |
| 280 | 190 | DEAD | 2.132E-14 | 4.373E-14 | 1.038E-14 |
| 280 | 186 | DEAD | 2.612E-14 | 4.995E-14 | -2.782E-15 |
| 280 | 185 | G1_smistamento | 0.3795 | 1.8391 | -0.008 |
| 280 | 189 | G1_smistamento | 0.4732 | 1.8428 | -0.0117 |
| 280 | 190 | G1_smistamento | 0.3922 | 1.4901 | -0.0186 |
| 280 | 186 | G1_smistamento | 0.3009 | 1.4883 | -0.0148 |
| 280 | 185 | G2_smistamento | 0.1407 | 0.6818 | -0.003 |
| 280 | 189 | G2_smistamento | 0.1754 | 0.6832 | -0.0043 |
| 280 | 190 | G2_smistamento | 0.1454 | 0.5524 | -0.0069 |
| 280 | 186 | G2_smistamento | 0.1115 | 0.5517 | -0.0055 |
| 280 | 185 | Q_smistamento | 0.1407 | 0.6818 | -0.003 |
| 280 | 189 | Q_smistamento | 0.1754 | 0.6832 | -0.0043 |
| 280 | 190 | Q_smistamento | 0.1454 | 0.5524 | -0.0069 |
| 280 | 186 | Q_smistamento | 0.1115 | 0.5517 | -0.0055 |
| 280 | 185 | Q_neve | 2.127E-16 | -1.265E-15 | 5.706E-16 |
| 280 | 189 | Q_neve | -5.292E-15 | 1.319E-15 | 1.353E-15 |
| 280 | 190 | Q_neve | 2.579E-15 | 8.095E-15 | 1.805E-15 |
| 280 | 186 | Q_neve | 3.451E-15 | 8.005E-15 | -1.116E-15 |

Table 20: Element Forces - Area Shells, Part 2 of 3

| Area | Joint | OutputCase | M11 | M22 | M12 |
|------|-------|----------------|------------|------------|------------|
| | | | KN-m/m | KN-m/m | KN-m/m |
| 281 | 186 | DEAD | 2.749E-14 | 5.539E-14 | -2.664E-15 |
| 281 | 190 | DEAD | 1.355E-14 | 1.074E-14 | -7.161E-15 |
| 281 | 118 | DEAD | -2.547E-15 | 2.371E-14 | -1.254E-14 |
| 281 | 120 | DEAD | 2.137E-14 | 4.983E-14 | -1.374E-14 |
| 281 | 186 | G1_smistamento | 0.3008 | 1.4882 | -0.02 |
| 281 | 190 | G1_smistamento | 0.3922 | 1.4901 | -0.0277 |
| 281 | 118 | G1_smistamento | 0.1858 | 0.5596 | -0.0352 |
| 281 | 120 | G1_smistamento | 0.0975 | 0.5603 | -0.0276 |
| 281 | 186 | G2_smistamento | 0.1115 | 0.5517 | -0.0074 |
| 281 | 190 | G2_smistamento | 0.1454 | 0.5524 | -0.0103 |
| 281 | 118 | G2_smistamento | 0.0689 | 0.2075 | -0.0131 |
| 281 | 120 | G2_smistamento | 0.0362 | 0.2077 | -0.0102 |
| 281 | 186 | Q_smistamento | 0.1115 | 0.5517 | -0.0074 |
| 281 | 190 | Q_smistamento | 0.1454 | 0.5524 | -0.0103 |
| 281 | 118 | Q_smistamento | 0.0689 | 0.2075 | -0.0131 |
| 281 | 120 | Q_smistamento | 0.0362 | 0.2077 | -0.0102 |
| 281 | 186 | Q_neve | 2.121E-15 | 9.564E-15 | -8.081E-16 |
| 281 | 190 | Q_neve | 3.078E-15 | 8.549E-16 | -1.671E-15 |
| 281 | 118 | Q_neve | 3.728E-16 | 5.758E-15 | -2.042E-15 |
| 281 | 120 | Q_neve | 1.020E-15 | 5.381E-15 | -3.317E-15 |
| 282 | 88 | DEAD | -1.961E-14 | -3.443E-15 | 2.040E-14 |
| 282 | 90 | DEAD | 1.540E-14 | 1.074E-14 | 1.140E-14 |
| 282 | 191 | DEAD | 1.352E-16 | 6.568E-14 | 1.381E-14 |
| 282 | 187 | DEAD | -3.525E-15 | 5.435E-14 | 1.140E-14 |
| 282 | 88 | G1_smistamento | 0.1857 | 0.5596 | 0.0455 |
| 282 | 90 | G1_smistamento | 0.3239 | 0.5598 | 0.0547 |
| 282 | 191 | G1_smistamento | 0.5363 | 1.4932 | 0.0431 |
| 282 | 187 | G1_smistamento | 0.3922 | 1.4901 | 0.0339 |
| 282 | 88 | G2_smistamento | 0.0688 | 0.2074 | 0.0169 |
| 282 | 90 | G2_smistamento | 0.1201 | 0.2075 | 0.0203 |
| 282 | 191 | G2_smistamento | 0.1988 | 0.5535 | 0.016 |
| 282 | 187 | G2_smistamento | 0.1454 | 0.5524 | 0.0126 |
| 282 | 88 | Q_smistamento | 0.0688 | 0.2074 | 0.0169 |
| 282 | 90 | Q_smistamento | 0.1201 | 0.2075 | 0.0203 |
| 282 | 191 | Q_smistamento | 0.1988 | 0.5535 | 0.016 |
| 282 | 187 | Q_smistamento | 0.1454 | 0.5524 | 0.0126 |
| 282 | 88 | Q_neve | -4.269E-15 | 3.407E-15 | 3.239E-15 |
| 282 | 90 | Q_neve | 3.976E-15 | 5.511E-16 | 3.760E-15 |

Table 20: Element Forces - Area Shells, Part 2 of 3

| Area | Joint | OutputCase | M11 | M22 | M12 |
|------|-------|----------------|------------|------------|------------|
| | | | KN-m/m | KN-m/m | KN-m/m |
| 282 | 191 | Q_neve | -1.492E-15 | 1.482E-14 | 3.650E-15 |
| 282 | 187 | Q_neve | 2.022E-15 | 8.060E-15 | 1.703E-15 |
| 283 | 187 | DEAD | 4.213E-15 | 7.573E-14 | 9.757E-15 |
| 283 | 191 | DEAD | 5.148E-16 | 4.859E-14 | 1.514E-14 |
| 283 | 192 | DEAD | 2.643E-14 | 9.075E-15 | 1.305E-14 |
| 283 | 188 | DEAD | -2.047E-14 | 2.267E-14 | 1.969E-15 |
| 283 | 187 | G1_smistamento | 0.3922 | 1.4901 | 0.0249 |
| 283 | 191 | G1_smistamento | 0.5362 | 1.4931 | 0.0297 |
| 283 | 192 | G1_smistamento | 0.6213 | 1.8476 | 0.0187 |
| 283 | 188 | G1_smistamento | 0.4731 | 1.8428 | 0.0138 |
| 283 | 187 | G2_smistamento | 0.1454 | 0.5524 | 0.0092 |
| 283 | 191 | G2_smistamento | 0.1988 | 0.5535 | 0.011 |
| 283 | 192 | G2_smistamento | 0.2303 | 0.6849 | 0.0069 |
| 283 | 188 | G2_smistamento | 0.1754 | 0.6832 | 0.0051 |
| 283 | 187 | Q_smistamento | 0.1454 | 0.5524 | 0.0092 |
| 283 | 191 | Q_smistamento | 0.1988 | 0.5535 | 0.011 |
| 283 | 192 | Q_smistamento | 0.2303 | 0.6849 | 0.0069 |
| 283 | 188 | Q_smistamento | 0.1754 | 0.6832 | 0.0051 |
| 283 | 187 | Q_neve | 3.698E-15 | 1.562E-14 | 2.106E-15 |
| 283 | 191 | Q_neve | -1.432E-15 | 1.142E-14 | 2.066E-15 |
| 283 | 192 | Q_neve | 8.121E-15 | 7.083E-16 | 1.695E-15 |
| 283 | 188 | Q_neve | -4.210E-15 | 7.407E-15 | -4.029E-16 |
| 284 | 188 | DEAD | -1.743E-14 | 2.722E-14 | -2.596E-15 |
| 284 | 192 | DEAD | 3.435E-14 | 3.179E-14 | -8.297E-15 |
| 284 | 193 | DEAD | -6.323E-15 | 1.364E-14 | 6.956E-16 |
| 284 | 189 | DEAD | -1.749E-14 | -1.018E-14 | -5.006E-15 |
| 284 | 188 | G1_smistamento | 0.4731 | 1.8428 | 0.0054 |
| 284 | 192 | G1_smistamento | 0.6213 | 1.8475 | 0.0054 |
| 284 | 193 | G1_smistamento | 0.6213 | 1.8475 | -0.0054 |
| 284 | 189 | G1_smistamento | 0.4731 | 1.8428 | -0.0054 |
| 284 | 188 | G2_smistamento | 0.1754 | 0.6832 | 0.002 |
| 284 | 192 | G2_smistamento | 0.2303 | 0.6849 | 0.002 |
| 284 | 193 | G2_smistamento | 0.2303 | 0.6849 | -0.002 |
| 284 | 189 | G2_smistamento | 0.1754 | 0.6832 | -0.002 |
| 284 | 188 | Q_smistamento | 0.1754 | 0.6832 | 0.002 |
| 284 | 192 | Q_smistamento | 0.2303 | 0.6849 | 0.002 |
| 284 | 193 | Q_smistamento | 0.2303 | 0.6849 | -0.002 |
| 284 | 189 | Q_smistamento | 0.1754 | 0.6832 | -0.002 |

Table 20: Element Forces - Area Shells, Part 2 of 3

| Area | Joint | OutputCase | M11 | M22 | M12 |
|------|-------|----------------|------------|------------|------------|
| | | | KN-m/m | KN-m/m | KN-m/m |
| 284 | 188 | Q_neve | -5.668E-15 | 1.870E-15 | -3.012E-16 |
| 284 | 192 | Q_neve | 9.858E-15 | 8.925E-15 | -1.124E-15 |
| 284 | 193 | Q_neve | -2.171E-15 | 4.544E-15 | -1.124E-15 |
| 284 | 189 | Q_neve | -1.663E-15 | 6.959E-16 | -3.012E-16 |
| 285 | 189 | DEAD | -1.965E-14 | -6.750E-15 | 1.203E-14 |
| 285 | 193 | DEAD | 8.952E-15 | 5.337E-14 | 5.769E-15 |
| 285 | 194 | DEAD | -6.326E-14 | -3.720E-14 | -4.428E-15 |
| 285 | 190 | DEAD | -2.273E-14 | 4.308E-14 | 1.894E-14 |
| 285 | 189 | G1_smistamento | 0.4731 | 1.8428 | -0.0138 |
| 285 | 193 | G1_smistamento | 0.6213 | 1.8476 | -0.0187 |
| 285 | 194 | G1_smistamento | 0.5362 | 1.4931 | -0.0297 |
| 285 | 190 | G1_smistamento | 0.3922 | 1.4901 | -0.0249 |
| 285 | 189 | G2_smistamento | 0.1754 | 0.6832 | -0.0051 |
| 285 | 193 | G2_smistamento | 0.2303 | 0.6849 | -0.0069 |
| 285 | 194 | G2_smistamento | 0.1988 | 0.5535 | -0.011 |
| 285 | 190 | G2_smistamento | 0.1454 | 0.5524 | -0.0092 |
| 285 | 189 | Q_smistamento | 0.1754 | 0.6832 | -0.0051 |
| 285 | 193 | Q_smistamento | 0.2303 | 0.6849 | -0.0069 |
| 285 | 194 | Q_smistamento | 0.1988 | 0.5535 | -0.011 |
| 285 | 190 | Q_smistamento | 0.1454 | 0.5524 | -0.0092 |
| 285 | 189 | Q_neve | -3.852E-15 | -1.570E-15 | 2.231E-15 |
| 285 | 193 | Q_neve | 1.272E-15 | 1.008E-14 | 1.379E-15 |
| 285 | 194 | Q_neve | -1.373E-14 | -6.507E-15 | -2.706E-15 |
| 285 | 190 | Q_neve | -5.311E-15 | 6.787E-15 | 3.847E-15 |
| 286 | 190 | DEAD | -3.494E-14 | 1.462E-15 | -1.159E-14 |
| 286 | 194 | DEAD | -6.186E-14 | -1.655E-14 | 6.956E-16 |
| 286 | 116 | DEAD | -3.371E-14 | 3.726E-14 | -1.714E-15 |
| 286 | 118 | DEAD | 6.032E-15 | 1.678E-14 | -2.596E-15 |
| 286 | 190 | G1_smistamento | 0.3922 | 1.4901 | -0.0339 |
| 286 | 194 | G1_smistamento | 0.5363 | 1.4932 | -0.0431 |
| 286 | 116 | G1_smistamento | 0.3239 | 0.5598 | -0.0547 |
| 286 | 118 | G1_smistamento | 0.1857 | 0.5596 | -0.0455 |
| 286 | 190 | G2_smistamento | 0.1454 | 0.5524 | -0.0126 |
| 286 | 194 | G2_smistamento | 0.1988 | 0.5535 | -0.016 |
| 286 | 116 | G2_smistamento | 0.1201 | 0.2075 | -0.0203 |
| 286 | 118 | G2_smistamento | 0.0688 | 0.2074 | -0.0169 |
| 286 | 190 | Q_smistamento | 0.1454 | 0.5524 | -0.0126 |
| 286 | 194 | Q_smistamento | 0.1988 | 0.5535 | -0.016 |

Table 20: Element Forces - Area Shells, Part 2 of 3

| Area | Joint | OutputCase | M11 | M22 | M12 |
|------|-------|----------------|------------|------------|------------|
| | | | KN-m/m | KN-m/m | KN-m/m |
| 286 | 116 | Q_smistamento | 0.1201 | 0.2075 | -0.0203 |
| 286 | 118 | Q_smistamento | 0.0688 | 0.2074 | -0.0169 |
| 286 | 190 | Q_neve | -5.358E-15 | -2.268E-15 | -1.298E-15 |
| 286 | 194 | Q_neve | -1.247E-14 | 1.441E-15 | 1.060E-15 |
| 286 | 116 | Q_neve | -9.370E-15 | -1.077E-16 | 3.478E-16 |
| 286 | 118 | Q_neve | 2.550E-15 | 7.407E-15 | -5.854E-16 |
| 287 | 90 | DEAD | -2.166E-15 | 1.019E-14 | 1.520E-14 |
| 287 | 92 | DEAD | 2.277E-14 | 3.853E-15 | 1.849E-14 |
| 287 | 195 | DEAD | 4.968E-14 | 6.203E-14 | 1.520E-14 |
| 287 | 191 | DEAD | 1.619E-14 | 5.981E-14 | 1.191E-14 |
| 287 | 90 | G1_smistamento | 0.3239 | 0.5598 | 0.067 |
| 287 | 92 | G1_smistamento | 0.5051 | 0.561 | 0.0792 |
| 287 | 195 | G1_smistamento | 0.7271 | 1.495 | 0.0637 |
| 287 | 191 | G1_smistamento | 0.5362 | 1.4932 | 0.0515 |
| 287 | 90 | G2_smistamento | 0.1201 | 0.2075 | 0.0249 |
| 287 | 92 | G2_smistamento | 0.1873 | 0.208 | 0.0294 |
| 287 | 195 | G2_smistamento | 0.2696 | 0.5542 | 0.0236 |
| 287 | 191 | G2_smistamento | 0.1988 | 0.5535 | 0.0191 |
| 287 | 90 | Q_smistamento | 0.1201 | 0.2075 | 0.0249 |
| 287 | 92 | Q_smistamento | 0.1873 | 0.208 | 0.0294 |
| 287 | 195 | Q_smistamento | 0.2696 | 0.5542 | 0.0236 |
| 287 | 191 | Q_smistamento | 0.1988 | 0.5535 | 0.0191 |
| 287 | 90 | Q_neve | -2.768E-15 | 2.575E-15 | 3.326E-15 |
| 287 | 92 | Q_neve | 7.285E-15 | 3.465E-15 | 4.560E-15 |
| 287 | 195 | Q_neve | 1.174E-14 | 1.091E-14 | 3.326E-15 |
| 287 | 191 | Q_neve | 2.039E-15 | 1.180E-14 | 2.091E-15 |
| 288 | 191 | DEAD | 5.802E-15 | 4.993E-14 | 1.083E-14 |
| 288 | 195 | DEAD | 4.997E-14 | 5.593E-14 | 4.565E-15 |
| 288 | 196 | DEAD | -2.053E-14 | -3.236E-14 | -8.925E-15 |
| 288 | 192 | DEAD | -1.339E-14 | -4.143E-15 | 1.444E-14 |
| 288 | 191 | G1_smistamento | 0.5362 | 1.4931 | 0.0382 |
| 288 | 195 | G1_smistamento | 0.7271 | 1.4947 | 0.0453 |
| 288 | 196 | G1_smistamento | 0.8193 | 1.8482 | 0.0289 |
| 288 | 192 | G1_smistamento | 0.6211 | 1.8475 | 0.0218 |
| 288 | 191 | G2_smistamento | 0.1988 | 0.5535 | 0.0142 |
| 288 | 195 | G2_smistamento | 0.2695 | 0.5541 | 0.0168 |
| 288 | 196 | G2_smistamento | 0.3037 | 0.6852 | 0.0107 |
| 288 | 192 | G2_smistamento | 0.2303 | 0.6849 | 0.0081 |

Table 20: Element Forces - Area Shells, Part 2 of 3

| Area | Joint | OutputCase | M11 | M22 | M12 |
|------|-------|----------------|------------|------------|------------|
| | | | KN-m/m | KN-m/m | KN-m/m |
| 288 | 191 | Q_smistamento | 0.1988 | 0.5535 | 0.0142 |
| 288 | 195 | Q_smistamento | 0.2695 | 0.5541 | 0.0168 |
| 288 | 196 | Q_smistamento | 0.3037 | 0.6852 | 0.0107 |
| 288 | 192 | Q_smistamento | 0.2303 | 0.6849 | 0.0081 |
| 288 | 191 | Q_neve | 1.366E-15 | 1.044E-14 | 2.025E-15 |
| 288 | 195 | Q_neve | 1.251E-14 | 1.219E-14 | 3.097E-16 |
| 288 | 196 | Q_neve | -4.395E-15 | -8.483E-15 | -2.501E-15 |
| 288 | 192 | Q_neve | 6.774E-16 | 2.419E-15 | 2.778E-15 |
| 289 | 192 | DEAD | -8.308E-15 | 1.853E-14 | -8.806E-15 |
| 289 | 196 | DEAD | -1.472E-14 | -1.354E-14 | -1.451E-14 |
| 289 | 197 | DEAD | -1.283E-14 | 3.540E-14 | -1.210E-14 |
| 289 | 193 | DEAD | -1.925E-14 | 3.327E-15 | -1.780E-14 |
| 289 | 192 | G1_smistamento | 0.6211 | 1.8475 | 0.0085 |
| 289 | 196 | G1_smistamento | 0.8192 | 1.8481 | 0.0085 |
| 289 | 197 | G1_smistamento | 0.8192 | 1.8481 | -0.0085 |
| 289 | 193 | G1_smistamento | 0.6211 | 1.8475 | -0.0085 |
| 289 | 192 | G2_smistamento | 0.2303 | 0.6849 | 0.0031 |
| 289 | 196 | G2_smistamento | 0.3037 | 0.6851 | 0.0031 |
| 289 | 197 | G2_smistamento | 0.3037 | 0.6851 | -0.0031 |
| 289 | 193 | G2_smistamento | 0.2303 | 0.6849 | -0.0031 |
| 289 | 192 | Q_smistamento | 0.2303 | 0.6849 | 0.0031 |
| 289 | 196 | Q_smistamento | 0.3037 | 0.6851 | 0.0031 |
| 289 | 197 | Q_smistamento | 0.3037 | 0.6851 | -0.0031 |
| 289 | 193 | Q_smistamento | 0.2303 | 0.6849 | -0.0031 |
| 289 | 192 | Q_neve | -4.359E-16 | 7.658E-15 | -1.996E-15 |
| 289 | 196 | Q_neve | -4.569E-15 | -6.261E-15 | -2.558E-15 |
| 289 | 197 | Q_neve | -1.465E-15 | 9.921E-15 | -3.230E-15 |
| 289 | 193 | Q_neve | -3.746E-15 | 3.222E-16 | -3.381E-15 |
| 290 | 193 | DEAD | -5.030E-15 | 5.441E-14 | -2.084E-14 |
| 290 | 197 | DEAD | -2.201E-14 | 1.675E-14 | -1.393E-14 |
| 290 | 198 | DEAD | 3.282E-14 | 5.605E-14 | -7.670E-15 |
| 290 | 194 | DEAD | -5.781E-14 | -3.386E-14 | 2.528E-15 |
| 290 | 193 | G1_smistamento | 0.6211 | 1.8475 | -0.0218 |
| 290 | 197 | G1_smistamento | 0.8193 | 1.8482 | -0.0289 |
| 290 | 198 | G1_smistamento | 0.7271 | 1.4947 | -0.0453 |
| 290 | 194 | G1_smistamento | 0.5362 | 1.4931 | -0.0382 |
| 290 | 193 | G2_smistamento | 0.2303 | 0.6849 | -0.0081 |
| 290 | 197 | G2_smistamento | 0.3037 | 0.6852 | -0.0107 |

Table 20: Element Forces - Area Shells, Part 2 of 3

| Area | Joint | OutputCase | M11 | M22 | M12 |
|------|-------|----------------|------------|------------|------------|
| | | | KN-m/m | KN-m/m | KN-m/m |
| 290 | 198 | G2_smistamento | 0.2695 | 0.5541 | -0.0168 |
| 290 | 194 | G2_smistamento | 0.1988 | 0.5535 | -0.0142 |
| 290 | 193 | Q_smistamento | 0.2303 | 0.6849 | -0.0081 |
| 290 | 197 | Q_smistamento | 0.3037 | 0.6852 | -0.0107 |
| 290 | 198 | Q_smistamento | 0.2695 | 0.5541 | -0.0168 |
| 290 | 194 | Q_smistamento | 0.1988 | 0.5535 | -0.0142 |
| 290 | 193 | Q_neve | -1.971E-15 | 6.903E-15 | -2.723E-15 |
| 290 | 197 | Q_neve | -2.100E-15 | 7.225E-15 | -2.011E-15 |
| 290 | 198 | Q_neve | 4.406E-15 | 6.697E-15 | -1.078E-15 |
| 290 | 194 | Q_neve | -7.758E-15 | -3.781E-15 | -3.649E-16 |
| 291 | 194 | DEAD | -5.503E-14 | -6.169E-15 | 1.714E-15 |
| 291 | 198 | DEAD | 3.021E-14 | 2.114E-14 | 1.400E-14 |
| 291 | 114 | DEAD | 2.438E-14 | 3.539E-14 | 1.159E-14 |
| 291 | 116 | DEAD | -1.382E-14 | 3.801E-14 | 1.071E-14 |
| 291 | 194 | G1_smistamento | 0.5362 | 1.4932 | -0.0515 |
| 291 | 198 | G1_smistamento | 0.7271 | 1.495 | -0.0637 |
| 291 | 114 | G1_smistamento | 0.5051 | 0.561 | -0.0792 |
| 291 | 116 | G1_smistamento | 0.3239 | 0.5598 | -0.067 |
| 291 | 194 | G2_smistamento | 0.1988 | 0.5535 | -0.0191 |
| 291 | 198 | G2_smistamento | 0.2696 | 0.5542 | -0.0236 |
| 291 | 114 | G2_smistamento | 0.1873 | 0.208 | -0.0294 |
| 291 | 116 | G2_smistamento | 0.1201 | 0.2075 | -0.0249 |
| 291 | 194 | Q_smistamento | 0.1988 | 0.5535 | -0.0191 |
| 291 | 198 | Q_smistamento | 0.2696 | 0.5542 | -0.0236 |
| 291 | 114 | Q_smistamento | 0.1873 | 0.208 | -0.0294 |
| 291 | 116 | Q_smistamento | 0.1201 | 0.2075 | -0.0249 |
| 291 | 194 | Q_neve | -4.376E-15 | 2.041E-15 | 8.718E-16 |
| 291 | 198 | Q_neve | 2.843E-15 | 5.870E-15 | 1.544E-15 |
| 291 | 114 | Q_neve | 7.761E-15 | 3.482E-15 | 2.929E-15 |
| 291 | 116 | Q_neve | -5.694E-15 | 2.682E-15 | 1.544E-15 |
| 292 | 92 | DEAD | 3.760E-14 | 1.675E-14 | 2.223E-14 |
| 292 | 94 | DEAD | 7.936E-14 | 1.456E-14 | -3.546E-15 |
| 292 | 199 | DEAD | 4.459E-14 | 1.223E-14 | 2.478E-15 |
| 292 | 195 | DEAD | 1.353E-14 | 5.077E-14 | -2.546E-16 |
| 292 | 92 | G1_smistamento | 0.5053 | 0.561 | 0.0951 |
| 292 | 94 | G1_smistamento | 0.6965 | 0.5612 | 0.1123 |
| 292 | 199 | G1_smistamento | 0.9326 | 1.4869 | 0.0933 |
| 292 | 195 | G1_smistamento | 0.727 | 1.495 | 0.0762 |

Table 20: Element Forces - Area Shells, Part 2 of 3

| Area | Joint | OutputCase | M11 | M22 | M12 |
|------|-------|----------------|------------|------------|------------|
| | | | KN-m/m | KN-m/m | KN-m/m |
| 292 | 92 | G2_smistamento | 0.1873 | 0.208 | 0.0353 |
| 292 | 94 | G2_smistamento | 0.2582 | 0.208 | 0.0416 |
| 292 | 199 | G2_smistamento | 0.3457 | 0.5512 | 0.0346 |
| 292 | 195 | G2_smistamento | 0.2695 | 0.5542 | 0.0282 |
| 292 | 92 | Q_smistamento | 0.1873 | 0.208 | 0.0353 |
| 292 | 94 | Q_smistamento | 0.2582 | 0.208 | 0.0416 |
| 292 | 199 | Q_smistamento | 0.3457 | 0.5512 | 0.0346 |
| 292 | 195 | Q_smistamento | 0.2695 | 0.5542 | 0.0282 |
| 292 | 92 | Q_neve | 8.061E-15 | 3.389E-15 | 3.720E-15 |
| 292 | 94 | Q_neve | 1.315E-14 | 2.842E-15 | -1.739E-16 |
| 292 | 199 | Q_neve | 9.399E-15 | 2.669E-15 | -3.944E-16 |
| 292 | 195 | Q_neve | 1.633E-15 | 6.957E-15 | 6.490E-16 |
| 293 | 195 | DEAD | 8.124E-15 | 4.615E-14 | -1.217E-14 |
| 293 | 199 | DEAD | 3.659E-14 | 1.225E-14 | -1.096E-14 |
| 293 | 200 | DEAD | 9.165E-14 | 1.941E-14 | -2.204E-14 |
| 293 | 196 | DEAD | -4.158E-14 | -4.289E-14 | -1.754E-14 |
| 293 | 195 | G1_smistamento | 0.727 | 1.4947 | 0.0578 |
| 293 | 199 | G1_smistamento | 0.9325 | 1.4862 | 0.0688 |
| 293 | 200 | G1_smistamento | 1.0351 | 1.8306 | 0.0448 |
| 293 | 196 | G1_smistamento | 0.8189 | 1.8482 | 0.0338 |
| 293 | 195 | G2_smistamento | 0.2695 | 0.5541 | 0.0214 |
| 293 | 199 | G2_smistamento | 0.3457 | 0.5509 | 0.0255 |
| 293 | 200 | G2_smistamento | 0.3837 | 0.6786 | 0.0166 |
| 293 | 196 | G2_smistamento | 0.3036 | 0.6851 | 0.0125 |
| 293 | 195 | Q_smistamento | 0.2695 | 0.5541 | 0.0214 |
| 293 | 199 | Q_smistamento | 0.3457 | 0.5509 | 0.0255 |
| 293 | 200 | Q_smistamento | 0.3837 | 0.6786 | 0.0166 |
| 293 | 196 | Q_smistamento | 0.3036 | 0.6851 | 0.0125 |
| 293 | 195 | Q_neve | -1.803E-15 | 1.015E-14 | -2.740E-15 |
| 293 | 199 | Q_neve | 1.057E-14 | -2.430E-16 | -2.028E-15 |
| 293 | 200 | Q_neve | 1.404E-14 | 5.414E-15 | -4.386E-15 |
| 293 | 196 | Q_neve | -4.037E-15 | -4.152E-15 | -3.674E-15 |
| 294 | 196 | DEAD | -4.126E-14 | -3.080E-14 | -1.444E-14 |
| 294 | 200 | DEAD | 8.258E-14 | 2.379E-14 | -6.651E-15 |
| 294 | 201 | DEAD | 2.416E-14 | 5.931E-14 | -4.565E-15 |
| 294 | 197 | DEAD | 3.073E-14 | 4.107E-14 | -6.651E-15 |
| 294 | 196 | G1_smistamento | 0.8189 | 1.848 | 0.0132 |
| 294 | 200 | G1_smistamento | 1.0351 | 1.8303 | 0.0132 |

Table 20: Element Forces - Area Shells, Part 2 of 3

| Area | Joint | OutputCase | M11 | M22 | M12 |
|------|-------|----------------|------------|------------|------------|
| | | | KN-m/m | KN-m/m | KN-m/m |
| 294 | 201 | G1_smistamento | 1.0351 | 1.8303 | -0.0132 |
| 294 | 197 | G1_smistamento | 0.8189 | 1.848 | -0.0132 |
| 294 | 196 | G2_smistamento | 0.3036 | 0.6851 | 0.0049 |
| 294 | 200 | G2_smistamento | 0.3837 | 0.6785 | 0.0049 |
| 294 | 201 | G2_smistamento | 0.3837 | 0.6785 | -0.0049 |
| 294 | 197 | G2_smistamento | 0.3036 | 0.6851 | -0.0049 |
| 294 | 196 | Q_smistamento | 0.3036 | 0.6851 | 0.0049 |
| 294 | 200 | Q_smistamento | 0.3837 | 0.6785 | 0.0049 |
| 294 | 201 | Q_smistamento | 0.3837 | 0.6785 | -0.0049 |
| 294 | 197 | Q_smistamento | 0.3036 | 0.6851 | -0.0049 |
| 294 | 196 | Q_neve | -6.069E-15 | -4.706E-15 | -1.156E-15 |
| 294 | 200 | Q_neve | 1.593E-14 | 4.367E-15 | -2.842E-15 |
| 294 | 201 | Q_neve | 4.525E-15 | 1.124E-14 | -7.445E-16 |
| 294 | 197 | Q_neve | 7.290E-15 | 1.054E-14 | -1.196E-15 |
| 295 | 197 | DEAD | 2.614E-14 | 2.871E-14 | 4.565E-15 |
| 295 | 201 | DEAD | 2.714E-14 | 5.305E-14 | 1.083E-14 |
| 295 | 202 | DEAD | 8.456E-14 | 3.447E-14 | 1.444E-14 |
| 295 | 198 | DEAD | 2.797E-14 | 5.717E-14 | -8.925E-15 |
| 295 | 197 | G1_smistamento | 0.8189 | 1.8482 | -0.0338 |
| 295 | 201 | G1_smistamento | 1.0351 | 1.8306 | -0.0448 |
| 295 | 202 | G1_smistamento | 0.9325 | 1.4862 | -0.0688 |
| 295 | 198 | G1_smistamento | 0.727 | 1.4947 | -0.0578 |
| 295 | 197 | G2_smistamento | 0.3036 | 0.6851 | -0.0125 |
| 295 | 201 | G2_smistamento | 0.3837 | 0.6786 | -0.0166 |
| 295 | 202 | G2_smistamento | 0.3457 | 0.5509 | -0.0255 |
| 295 | 198 | G2_smistamento | 0.2695 | 0.5541 | -0.0214 |
| 295 | 197 | Q_smistamento | 0.3036 | 0.6851 | -0.0125 |
| 295 | 201 | Q_smistamento | 0.3837 | 0.6786 | -0.0166 |
| 295 | 202 | Q_smistamento | 0.3457 | 0.5509 | -0.0255 |
| 295 | 198 | Q_smistamento | 0.2695 | 0.5541 | -0.0214 |
| 295 | 197 | Q_neve | 7.838E-15 | 6.431E-15 | 3.330E-16 |
| 295 | 201 | Q_neve | 5.460E-15 | 1.334E-14 | 2.240E-15 |
| 295 | 202 | Q_neve | 2.049E-14 | 5.506E-15 | 1.567E-15 |
| 295 | 198 | Q_neve | 4.196E-16 | 1.036E-14 | -1.052E-15 |
| 296 | 198 | DEAD | 1.605E-14 | 1.617E-14 | 1.184E-14 |
| 296 | 202 | DEAD | 9.802E-14 | 7.915E-14 | 3.173E-15 |
| 296 | 112 | DEAD | 4.239E-14 | 1.946E-14 | 5.260E-15 |
| 296 | 114 | DEAD | 2.313E-14 | 3.060E-14 | 1.963E-14 |

Table 20: Element Forces - Area Shells, Part 2 of 3

| Area | Joint | OutputCase | M11 | M22 | M12 |
|------|-------|----------------|-----------|-----------|------------|
| | | | KN-m/m | KN-m/m | KN-m/m |
| 296 | 198 | G1_smistamento | 0.727 | 1.495 | -0.0762 |
| 296 | 202 | G1_smistamento | 0.9326 | 1.4869 | -0.0933 |
| 296 | 112 | G1_smistamento | 0.6965 | 0.5612 | -0.1123 |
| 296 | 114 | G1_smistamento | 0.5053 | 0.561 | -0.0951 |
| 296 | 198 | G2_smistamento | 0.2695 | 0.5542 | -0.0282 |
| 296 | 202 | G2_smistamento | 0.3457 | 0.5512 | -0.0346 |
| 296 | 112 | G2_smistamento | 0.2582 | 0.208 | -0.0416 |
| 296 | 114 | G2_smistamento | 0.1873 | 0.208 | -0.0353 |
| 296 | 198 | Q_smistamento | 0.2695 | 0.5542 | -0.0282 |
| 296 | 202 | Q_smistamento | 0.3457 | 0.5512 | -0.0346 |
| 296 | 112 | Q_smistamento | 0.2582 | 0.208 | -0.0416 |
| 296 | 114 | Q_smistamento | 0.1873 | 0.208 | -0.0353 |
| 296 | 198 | Q_neve | 3.846E-16 | 7.420E-15 | 2.138E-15 |
| 296 | 202 | Q_neve | 2.176E-14 | 1.722E-14 | 1.910E-16 |
| 296 | 112 | Q_neve | 7.276E-15 | 2.379E-15 | 2.138E-15 |
| 296 | 114 | Q_neve | 4.787E-15 | 1.485E-15 | 2.660E-15 |
| 297 | 94 | DEAD | 7.264E-14 | 1.183E-14 | -1.381E-14 |
| 297 | 96 | DEAD | 1.182E-13 | 2.581E-14 | -1.469E-14 |
| 297 | 203 | DEAD | 7.511E-14 | 1.430E-14 | -2.040E-14 |
| 297 | 199 | DEAD | 6.802E-14 | 2.170E-14 | -8.111E-15 |
| 297 | 94 | G1_smistamento | 0.697 | 0.5613 | 0.134 |
| 297 | 96 | G1_smistamento | 0.8225 | 0.5539 | 0.1583 |
| 297 | 203 | G1_smistamento | 1.0731 | 1.4484 | 0.1368 |
| 297 | 199 | G1_smistamento | 0.9324 | 1.4868 | 0.1125 |
| 297 | 94 | G2_smistamento | 0.2584 | 0.2081 | 0.0497 |
| 297 | 96 | G2_smistamento | 0.3049 | 0.2053 | 0.0587 |
| 297 | 203 | G2_smistamento | 0.3978 | 0.5369 | 0.0507 |
| 297 | 199 | G2_smistamento | 0.3456 | 0.5512 | 0.0417 |
| 297 | 94 | Q_smistamento | 0.2584 | 0.2081 | 0.0497 |
| 297 | 96 | Q_smistamento | 0.3049 | 0.2053 | 0.0587 |
| 297 | 203 | Q_smistamento | 0.3978 | 0.5369 | 0.0507 |
| 297 | 199 | Q_smistamento | 0.3456 | 0.5512 | 0.0417 |
| 297 | 94 | Q_neve | 1.804E-14 | 5.422E-15 | -2.320E-15 |
| 297 | 96 | Q_neve | 1.662E-14 | 1.947E-15 | -3.404E-15 |
| 297 | 203 | Q_neve | 1.588E-14 | 4.496E-15 | -3.143E-15 |
| 297 | 199 | Q_neve | 1.302E-14 | 3.695E-15 | -1.347E-15 |
| 298 | 199 | DEAD | 6.372E-14 | 2.278E-14 | -1.659E-14 |
| 298 | 203 | DEAD | 7.541E-14 | 7.101E-15 | -1.330E-14 |

Table 20: Element Forces - Area Shells, Part 2 of 3

| Area | Joint | OutputCase | M11 | M22 | M12 |
|------|-------|----------------|-----------|-----------|------------|
| | | | KN-m/m | KN-m/m | KN-m/m |
| 298 | 204 | DEAD | 1.258E-13 | 4.706E-14 | -1.001E-14 |
| 298 | 200 | DEAD | 5.073E-14 | 2.164E-15 | -1.330E-14 |
| 298 | 199 | G1_smistamento | 0.9322 | 1.4861 | 0.0878 |
| 298 | 203 | G1_smistamento | 1.0728 | 1.447 | 0.1038 |
| 298 | 204 | G1_smistamento | 1.1832 | 1.7657 | 0.0687 |
| 298 | 200 | G1_smistamento | 1.0347 | 1.8306 | 0.0527 |
| 298 | 199 | G2_smistamento | 0.3456 | 0.5509 | 0.0326 |
| 298 | 203 | G2_smistamento | 0.3977 | 0.5364 | 0.0385 |
| 298 | 204 | G2_smistamento | 0.4386 | 0.6546 | 0.0255 |
| 298 | 200 | G2_smistamento | 0.3836 | 0.6786 | 0.0195 |
| 298 | 199 | Q_smistamento | 0.3456 | 0.5509 | 0.0326 |
| 298 | 203 | Q_smistamento | 0.3977 | 0.5364 | 0.0385 |
| 298 | 204 | Q_smistamento | 0.4386 | 0.6546 | 0.0255 |
| 298 | 200 | Q_smistamento | 0.3836 | 0.6786 | 0.0195 |
| 298 | 199 | Q_neve | 1.233E-14 | 2.524E-15 | -2.518E-15 |
| 298 | 203 | Q_neve | 1.527E-14 | 8.601E-16 | -1.845E-15 |
| 298 | 204 | Q_neve | 1.891E-14 | 8.284E-15 | -1.283E-15 |
| 298 | 200 | Q_neve | 1.383E-14 | 3.535E-15 | -2.668E-15 |
| 299 | 200 | DEAD | 3.985E-14 | 1.726E-14 | -1.089E-14 |
| 299 | 204 | DEAD | 1.352E-13 | 3.922E-14 | -4.310E-15 |
| 299 | 205 | DEAD | 1.143E-13 | 6.375E-14 | -4.310E-15 |
| 299 | 201 | DEAD | 1.002E-13 | 7.172E-14 | -1.089E-14 |
| 299 | 200 | G1_smistamento | 1.0347 | 1.8302 | 0.0206 |
| 299 | 204 | G1_smistamento | 1.1831 | 1.7653 | 0.0206 |
| 299 | 205 | G1_smistamento | 1.1831 | 1.7653 | -0.0206 |
| 299 | 201 | G1_smistamento | 1.0347 | 1.8302 | -0.0206 |
| 299 | 200 | G2_smistamento | 0.3836 | 0.6785 | 0.0076 |
| 299 | 204 | G2_smistamento | 0.4386 | 0.6544 | 0.0076 |
| 299 | 205 | G2_smistamento | 0.4386 | 0.6544 | -0.0076 |
| 299 | 201 | G2_smistamento | 0.3836 | 0.6785 | -0.0076 |
| 299 | 200 | Q_smistamento | 0.3836 | 0.6785 | 0.0076 |
| 299 | 204 | Q_smistamento | 0.4386 | 0.6544 | 0.0076 |
| 299 | 205 | Q_smistamento | 0.4386 | 0.6544 | -0.0076 |
| 299 | 201 | Q_smistamento | 0.3836 | 0.6785 | -0.0076 |
| 299 | 200 | Q_neve | 1.077E-14 | 2.585E-15 | -1.773E-15 |
| 299 | 204 | Q_neve | 2.225E-14 | 9.157E-15 | -5.388E-16 |
| 299 | 205 | Q_neve | 1.797E-14 | 1.143E-14 | -1.273E-16 |
| 299 | 201 | Q_neve | 2.431E-14 | 1.697E-14 | -1.362E-15 |

Table 20: Element Forces - Area Shells, Part 2 of 3

| Area | Joint | OutputCase | M11 | M22 | M12 |
|------|-------|----------------|-----------|-----------|------------|
| | | | KN-m/m | KN-m/m | KN-m/m |
| 300 | 201 | DEAD | 1.025E-13 | 6.538E-14 | 7.092E-15 |
| 300 | 205 | DEAD | 1.298E-13 | 9.796E-14 | -9.366E-15 |
| 300 | 206 | DEAD | 7.736E-14 | 5.838E-14 | 5.092E-16 |
| 300 | 202 | DEAD | 3.721E-14 | 3.008E-14 | 1.697E-14 |
| 300 | 201 | G1_smistamento | 1.0347 | 1.8306 | -0.0527 |
| 300 | 205 | G1_smistamento | 1.1832 | 1.7657 | -0.0687 |
| 300 | 206 | G1_smistamento | 1.0728 | 1.447 | -0.1038 |
| 300 | 202 | G1_smistamento | 0.9322 | 1.4861 | -0.0878 |
| 300 | 201 | G2_smistamento | 0.3836 | 0.6786 | -0.0195 |
| 300 | 205 | G2_smistamento | 0.4386 | 0.6546 | -0.0255 |
| 300 | 206 | G2_smistamento | 0.3977 | 0.5364 | -0.0385 |
| 300 | 202 | G2_smistamento | 0.3456 | 0.5509 | -0.0326 |
| 300 | 201 | Q_smistamento | 0.3836 | 0.6786 | -0.0195 |
| 300 | 205 | Q_smistamento | 0.4386 | 0.6546 | -0.0255 |
| 300 | 206 | Q_smistamento | 0.3977 | 0.5364 | -0.0385 |
| 300 | 202 | Q_smistamento | 0.3456 | 0.5509 | -0.0326 |
| 300 | 201 | Q_neve | 2.249E-14 | 1.758E-14 | 1.102E-16 |
| 300 | 205 | Q_neve | 1.899E-14 | 1.143E-14 | -3.593E-15 |
| 300 | 206 | Q_neve | 1.920E-14 | 1.841E-14 | -1.536E-15 |
| 300 | 202 | Q_neve | 2.742E-15 | 1.758E-15 | 2.168E-15 |
| 301 | 202 | DEAD | 5.709E-14 | 7.757E-14 | -3.105E-15 |
| 301 | 206 | DEAD | 6.494E-14 | 2.143E-14 | 5.888E-15 |
| 301 | 110 | DEAD | 3.817E-14 | 2.244E-14 | -6.397E-15 |
| 301 | 112 | DEAD | 5.383E-14 | 2.513E-14 | -3.987E-15 |
| 301 | 202 | G1_smistamento | 0.9324 | 1.4868 | -0.1125 |
| 301 | 206 | G1_smistamento | 1.0731 | 1.4484 | -0.1368 |
| 301 | 110 | G1_smistamento | 0.8225 | 0.5539 | -0.1583 |
| 301 | 112 | G1_smistamento | 0.697 | 0.5613 | -0.134 |
| 301 | 202 | G2_smistamento | 0.3456 | 0.5512 | -0.0417 |
| 301 | 206 | G2_smistamento | 0.3978 | 0.5369 | -0.0507 |
| 301 | 110 | G2_smistamento | 0.3049 | 0.2053 | -0.0587 |
| 301 | 112 | G2_smistamento | 0.2584 | 0.2081 | -0.0497 |
| 301 | 202 | Q_smistamento | 0.3456 | 0.5512 | -0.0417 |
| 301 | 206 | Q_smistamento | 0.3978 | 0.5369 | -0.0507 |
| 301 | 110 | Q_smistamento | 0.3049 | 0.2053 | -0.0587 |
| 301 | 112 | Q_smistamento | 0.2584 | 0.2081 | -0.0497 |
| 301 | 202 | Q_neve | 4.949E-15 | 1.505E-14 | -8.314E-16 |
| 301 | 206 | Q_neve | 1.876E-14 | 6.297E-15 | 1.266E-15 |

Table 20: Element Forces - Area Shells, Part 2 of 3

| Area | Joint | OutputCase | M11 | M22 | M12 |
|------|-------|----------------|-----------|-----------|------------|
| | | | KN-m/m | KN-m/m | KN-m/m |
| 301 | 110 | Q_neve | 5.978E-15 | 5.380E-15 | -8.314E-16 |
| 301 | 112 | Q_neve | 1.177E-14 | 9.482E-16 | -7.911E-16 |
| 302 | 96 | DEAD | 8.637E-14 | 2.350E-14 | -2.325E-14 |
| 302 | 98 | DEAD | 5.502E-14 | 9.335E-15 | -1.546E-14 |
| 302 | 207 | DEAD | 5.592E-14 | 9.515E-15 | -1.666E-14 |
| 302 | 203 | DEAD | 1.122E-13 | 2.867E-14 | -1.875E-14 |
| 302 | 96 | G1_smistamento | 0.8231 | 0.554 | 0.1876 |
| 302 | 98 | G1_smistamento | 0.7578 | 0.5274 | 0.2169 |
| 302 | 207 | G1_smistamento | 0.9956 | 1.3345 | 0.1925 |
| 302 | 203 | G1_smistamento | 1.0722 | 1.4482 | 0.1633 |
| 302 | 96 | G2_smistamento | 0.3051 | 0.2054 | 0.0695 |
| 302 | 98 | G2_smistamento | 0.2809 | 0.1955 | 0.0804 |
| 302 | 207 | G2_smistamento | 0.3691 | 0.4947 | 0.0714 |
| 302 | 203 | G2_smistamento | 0.3975 | 0.5369 | 0.0605 |
| 302 | 96 | Q_smistamento | 0.3051 | 0.2054 | 0.0695 |
| 302 | 98 | Q_smistamento | 0.2809 | 0.1955 | 0.0804 |
| 302 | 207 | Q_smistamento | 0.3691 | 0.4947 | 0.0714 |
| 302 | 203 | Q_smistamento | 0.3975 | 0.5369 | 0.0605 |
| 302 | 96 | Q_neve | 1.700E-14 | 1.890E-15 | -4.149E-15 |
| 302 | 98 | Q_neve | 1.430E-14 | 4.542E-15 | -3.326E-15 |
| 302 | 207 | Q_neve | 1.329E-14 | 5.593E-15 | -2.503E-15 |
| 302 | 203 | Q_neve | 2.026E-14 | 7.217E-15 | -3.326E-15 |
| 303 | 203 | DEAD | 1.188E-13 | 3.087E-14 | -9.247E-15 |
| 303 | 207 | DEAD | 6.512E-14 | 5.125E-14 | -8.043E-15 |
| 303 | 208 | DEAD | 4.602E-14 | 1.236E-14 | -5.956E-15 |
| 303 | 204 | DEAD | 1.161E-13 | 3.973E-14 | -1.459E-15 |
| 303 | 203 | G1_smistamento | 1.0719 | 1.4468 | 0.1294 |
| 303 | 207 | G1_smistamento | 0.9956 | 1.3343 | 0.1448 |
| 303 | 208 | G1_smistamento | 1.0801 | 1.6095 | 0.0942 |
| 303 | 204 | G1_smistamento | 1.1834 | 1.7658 | 0.0788 |
| 303 | 203 | G2_smistamento | 0.3974 | 0.5364 | 0.048 |
| 303 | 207 | G2_smistamento | 0.3691 | 0.4946 | 0.0537 |
| 303 | 208 | G2_smistamento | 0.4004 | 0.5967 | 0.0349 |
| 303 | 204 | G2_smistamento | 0.4387 | 0.6546 | 0.0292 |
| 303 | 203 | Q_smistamento | 0.3974 | 0.5364 | 0.048 |
| 303 | 207 | Q_smistamento | 0.3691 | 0.4946 | 0.0537 |
| 303 | 208 | Q_smistamento | 0.4004 | 0.5967 | 0.0349 |
| 303 | 204 | Q_smistamento | 0.4387 | 0.6546 | 0.0292 |

Table 20: Element Forces - Area Shells, Part 2 of 3

| Area | Joint | OutputCase | M11 | M22 | M12 |
|------|-------|----------------|-----------|-----------|------------|
| | | | KN-m/m | KN-m/m | KN-m/m |
| 303 | 203 | Q_neve | 1.794E-14 | 2.540E-16 | -1.718E-15 |
| 303 | 207 | Q_neve | 1.804E-14 | 1.013E-14 | -1.567E-15 |
| 303 | 208 | Q_neve | 1.187E-14 | 2.003E-15 | -8.951E-16 |
| 303 | 204 | Q_neve | 2.051E-14 | 1.013E-14 | -3.330E-16 |
| 304 | 204 | DEAD | 1.093E-13 | 4.333E-14 | -1.900E-15 |
| 304 | 208 | DEAD | 5.887E-14 | 5.324E-14 | -1.900E-15 |
| 304 | 209 | DEAD | 4.963E-14 | 2.152E-14 | -1.900E-15 |
| 304 | 205 | DEAD | 1.243E-13 | 6.435E-14 | -1.900E-15 |
| 304 | 204 | G1_smistamento | 1.1833 | 1.7654 | 0.0292 |
| 304 | 208 | G1_smistamento | 1.0803 | 1.6104 | 0.0292 |
| 304 | 209 | G1_smistamento | 1.0803 | 1.6104 | -0.0292 |
| 304 | 205 | G1_smistamento | 1.1833 | 1.7654 | -0.0292 |
| 304 | 204 | G2_smistamento | 0.4387 | 0.6544 | 0.0108 |
| 304 | 208 | G2_smistamento | 0.4005 | 0.597 | 0.0108 |
| 304 | 209 | G2_smistamento | 0.4005 | 0.597 | -0.0108 |
| 304 | 205 | G2_smistamento | 0.4387 | 0.6544 | -0.0108 |
| 304 | 204 | Q_smistamento | 0.4387 | 0.6544 | 0.0108 |
| 304 | 208 | Q_smistamento | 0.4005 | 0.597 | 0.0108 |
| 304 | 209 | Q_smistamento | 0.4005 | 0.597 | -0.0108 |
| 304 | 205 | Q_smistamento | 0.4387 | 0.6544 | -0.0108 |
| 304 | 204 | Q_neve | 2.095E-14 | 8.569E-15 | -7.127E-16 |
| 304 | 208 | Q_neve | 1.299E-14 | 9.280E-15 | -7.127E-16 |
| 304 | 209 | Q_neve | 1.879E-14 | 7.644E-15 | -7.127E-16 |
| 304 | 205 | Q_neve | 1.783E-14 | 1.370E-14 | -7.127E-16 |
| 305 | 205 | DEAD | 1.245E-13 | 1.085E-13 | -1.154E-14 |
| 305 | 209 | DEAD | 5.892E-14 | 1.195E-14 | -2.141E-14 |
| 305 | 210 | DEAD | 3.094E-15 | 4.472E-14 | -3.787E-14 |
| 305 | 206 | DEAD | 1.128E-13 | 5.433E-14 | -2.800E-14 |
| 305 | 205 | G1_smistamento | 1.1834 | 1.7658 | -0.0788 |
| 305 | 209 | G1_smistamento | 1.0801 | 1.6095 | -0.0942 |
| 305 | 210 | G1_smistamento | 0.9956 | 1.3343 | -0.1448 |
| 305 | 206 | G1_smistamento | 1.0719 | 1.4468 | -0.1294 |
| 305 | 205 | G2_smistamento | 0.4387 | 0.6546 | -0.0292 |
| 305 | 209 | G2_smistamento | 0.4004 | 0.5967 | -0.0349 |
| 305 | 210 | G2_smistamento | 0.3691 | 0.4946 | -0.0537 |
| 305 | 206 | G2_smistamento | 0.3974 | 0.5364 | -0.048 |
| 305 | 205 | Q_smistamento | 0.4387 | 0.6546 | -0.0292 |
| 305 | 209 | Q_smistamento | 0.4004 | 0.5967 | -0.0349 |

Table 20: Element Forces - Area Shells, Part 2 of 3

| Area | Joint | OutputCase | M11 | M22 | M12 |
|------|-------|----------------|------------|-----------|------------|
| | | | KN-m/m | KN-m/m | KN-m/m |
| 305 | 210 | Q_smistamento | 0.3691 | 0.4946 | -0.0537 |
| 305 | 206 | Q_smistamento | 0.3974 | 0.5364 | -0.048 |
| 305 | 205 | Q_neve | 1.821E-14 | 1.165E-14 | -1.158E-15 |
| 305 | 209 | Q_neve | 1.735E-14 | 5.423E-15 | -3.627E-15 |
| 305 | 210 | Q_neve | 1.445E-15 | 6.818E-15 | -6.919E-15 |
| 305 | 206 | Q_neve | 2.404E-14 | 1.910E-14 | -4.450E-15 |
| 306 | 206 | DEAD | 1.113E-13 | 4.577E-14 | -3.370E-14 |
| 306 | 210 | DEAD | -2.733E-16 | 4.175E-14 | -3.217E-14 |
| 306 | 108 | DEAD | 5.661E-14 | 5.852E-14 | -2.711E-14 |
| 306 | 110 | DEAD | 1.001E-14 | 2.405E-14 | -5.838E-15 |
| 306 | 206 | G1_smistamento | 1.0722 | 1.4482 | -0.1633 |
| 306 | 210 | G1_smistamento | 0.9956 | 1.3345 | -0.1925 |
| 306 | 108 | G1_smistamento | 0.7578 | 0.5274 | -0.2169 |
| 306 | 110 | G1_smistamento | 0.8231 | 0.554 | -0.1876 |
| 306 | 206 | G2_smistamento | 0.3975 | 0.5369 | -0.0605 |
| 306 | 210 | G2_smistamento | 0.3691 | 0.4947 | -0.0714 |
| 306 | 108 | G2_smistamento | 0.2809 | 0.1955 | -0.0804 |
| 306 | 110 | G2_smistamento | 0.3051 | 0.2054 | -0.0695 |
| 306 | 206 | Q_smistamento | 0.3975 | 0.5369 | -0.0605 |
| 306 | 210 | Q_smistamento | 0.3691 | 0.4947 | -0.0714 |
| 306 | 108 | Q_smistamento | 0.2809 | 0.1955 | -0.0804 |
| 306 | 110 | Q_smistamento | 0.3051 | 0.2054 | -0.0695 |
| 306 | 206 | Q_neve | 2.313E-14 | 7.621E-15 | -6.794E-15 |
| 306 | 210 | Q_neve | -3.812E-16 | 8.351E-15 | -6.863E-15 |
| 306 | 108 | Q_neve | 1.233E-14 | 1.287E-14 | -5.559E-15 |
| 306 | 110 | Q_neve | 1.985E-15 | 5.368E-15 | -1.926E-15 |
| 307 | 98 | DEAD | 4.637E-14 | 2.208E-14 | -1.564E-14 |
| 307 | 6 | DEAD | 8.657E-15 | 4.999E-15 | -1.115E-14 |
| 307 | 100 | DEAD | 2.703E-14 | 1.426E-14 | -9.061E-15 |
| 307 | 207 | DEAD | 5.762E-14 | 1.282E-14 | -7.856E-15 |
| 307 | 98 | G1_smistamento | 0.7607 | 0.528 | 0.2431 |
| 307 | 6 | G1_smistamento | 0.3317 | 0.4583 | 0.2444 |
| 307 | 100 | G1_smistamento | 0.3872 | 1.0743 | 0.2178 |
| 307 | 207 | G1_smistamento | 0.996 | 1.3346 | 0.2165 |
| 307 | 98 | G2_smistamento | 0.282 | 0.1957 | 0.0901 |
| 307 | 6 | G2_smistamento | 0.123 | 0.1699 | 0.0906 |
| 307 | 100 | G2_smistamento | 0.1435 | 0.3983 | 0.0807 |
| 307 | 207 | G2_smistamento | 0.3692 | 0.4948 | 0.0803 |

Table 20: Element Forces - Area Shells, Part 2 of 3

| Area | Joint | OutputCase | M11 | M22 | M12 |
|------|-------|----------------|------------|------------|------------|
| | | | KN-m/m | KN-m/m | KN-m/m |
| 307 | 98 | Q_smistamento | 0.282 | 0.1957 | 0.0901 |
| 307 | 6 | Q_smistamento | 0.123 | 0.1699 | 0.0906 |
| 307 | 100 | Q_smistamento | 0.1435 | 0.3983 | 0.0807 |
| 307 | 207 | Q_smistamento | 0.3692 | 0.4948 | 0.0803 |
| 307 | 98 | Q_neve | 1.094E-14 | 4.061E-15 | -2.581E-15 |
| 307 | 6 | Q_neve | 3.342E-15 | -9.273E-16 | -1.608E-15 |
| 307 | 100 | Q_neve | 6.105E-15 | 7.044E-15 | -2.170E-15 |
| 307 | 207 | Q_neve | 1.085E-14 | 2.056E-15 | -2.431E-15 |
| 308 | 207 | DEAD | 6.600E-14 | 6.041E-14 | -1.184E-14 |
| 308 | 100 | DEAD | 2.480E-14 | 1.146E-14 | -1.634E-14 |
| 308 | 102 | DEAD | 1.786E-14 | 5.670E-14 | -5.260E-15 |
| 308 | 208 | DEAD | 4.908E-14 | 4.461E-15 | -6.465E-15 |
| 308 | 207 | G1_smistamento | 0.996 | 1.3344 | 0.1617 |
| 308 | 100 | G1_smistamento | 0.3866 | 1.0711 | 0.1615 |
| 308 | 102 | G1_smistamento | 0.4057 | 1.3242 | 0.0981 |
| 308 | 208 | G1_smistamento | 1.0815 | 1.6098 | 0.0983 |
| 308 | 207 | G2_smistamento | 0.3692 | 0.4947 | 0.06 |
| 308 | 100 | G2_smistamento | 0.1433 | 0.3971 | 0.0599 |
| 308 | 102 | G2_smistamento | 0.1504 | 0.4909 | 0.0364 |
| 308 | 208 | G2_smistamento | 0.4009 | 0.5968 | 0.0364 |
| 308 | 207 | Q_smistamento | 0.3692 | 0.4947 | 0.06 |
| 308 | 100 | Q_smistamento | 0.1433 | 0.3971 | 0.0599 |
| 308 | 102 | Q_smistamento | 0.1504 | 0.4909 | 0.0364 |
| 308 | 208 | Q_smistamento | 0.4009 | 0.5968 | 0.0364 |
| 308 | 207 | Q_neve | 9.590E-15 | 7.011E-15 | -1.869E-15 |
| 308 | 100 | Q_neve | 8.735E-15 | 8.273E-15 | -2.129E-15 |
| 308 | 102 | Q_neve | 7.436E-16 | 4.748E-15 | -1.457E-15 |
| 308 | 208 | Q_neve | 1.264E-14 | 3.130E-15 | -4.836E-16 |
| 309 | 208 | DEAD | 6.349E-14 | 4.826E-14 | 8.138E-16 |
| 309 | 102 | DEAD | 9.844E-15 | -7.030E-15 | -1.685E-14 |
| 309 | 104 | DEAD | -1.099E-14 | -8.111E-15 | -2.552E-14 |
| 309 | 209 | DEAD | 1.272E-14 | 1.725E-14 | -1.356E-14 |
| 309 | 208 | G1_smistamento | 1.0817 | 1.6106 | 0.0329 |
| 309 | 102 | G1_smistamento | 0.4057 | 1.3239 | 0.0329 |
| 309 | 104 | G1_smistamento | 0.4057 | 1.3239 | -0.0329 |
| 309 | 209 | G1_smistamento | 1.0817 | 1.6106 | -0.0329 |
| 309 | 208 | G2_smistamento | 0.401 | 0.5971 | 0.0122 |
| 309 | 102 | G2_smistamento | 0.1504 | 0.4908 | 0.0122 |

Table 20: Element Forces - Area Shells, Part 2 of 3

| Area | Joint | OutputCase | M11 | M22 | M12 |
|------|-------|----------------|------------|------------|------------|
| | | | KN-m/m | KN-m/m | KN-m/m |
| 309 | 104 | G2_smistamento | 0.1504 | 0.4908 | -0.0122 |
| 309 | 209 | G2_smistamento | 0.401 | 0.5971 | -0.0122 |
| 309 | 208 | Q_smistamento | 0.401 | 0.5971 | 0.0122 |
| 309 | 102 | Q_smistamento | 0.1504 | 0.4908 | 0.0122 |
| 309 | 104 | Q_smistamento | 0.1504 | 0.4908 | -0.0122 |
| 309 | 209 | Q_smistamento | 0.401 | 0.5971 | -0.0122 |
| 309 | 208 | Q_neve | 1.208E-14 | 6.224E-15 | -1.762E-16 |
| 309 | 102 | Q_neve | 2.016E-15 | 2.381E-15 | -2.083E-15 |
| 309 | 104 | Q_neve | -2.936E-15 | -4.680E-15 | -5.525E-15 |
| 309 | 209 | Q_neve | 4.279E-15 | 6.290E-15 | -2.906E-15 |
| 310 | 209 | DEAD | 2.223E-14 | 2.073E-14 | -3.370E-14 |
| 310 | 104 | DEAD | -1.574E-14 | -1.496E-14 | -2.711E-14 |
| 310 | 106 | DEAD | -3.696E-15 | 4.912E-14 | -2.711E-14 |
| 310 | 210 | DEAD | 6.491E-14 | 3.277E-14 | -3.370E-14 |
| 310 | 209 | G1_smistamento | 1.0815 | 1.6098 | -0.0983 |
| 310 | 104 | G1_smistamento | 0.4057 | 1.3242 | -0.0981 |
| 310 | 106 | G1_smistamento | 0.3866 | 1.0711 | -0.1615 |
| 310 | 210 | G1_smistamento | 0.996 | 1.3344 | -0.1617 |
| 310 | 209 | G2_smistamento | 0.4009 | 0.5968 | -0.0364 |
| 310 | 104 | G2_smistamento | 0.1504 | 0.4909 | -0.0364 |
| 310 | 106 | G2_smistamento | 0.1433 | 0.3971 | -0.0599 |
| 310 | 210 | G2_smistamento | 0.3692 | 0.4947 | -0.06 |
| 310 | 209 | Q_smistamento | 0.4009 | 0.5968 | -0.0364 |
| 310 | 104 | Q_smistamento | 0.1504 | 0.4909 | -0.0364 |
| 310 | 106 | Q_smistamento | 0.1433 | 0.3971 | -0.0599 |
| 310 | 210 | Q_smistamento | 0.3692 | 0.4947 | -0.06 |
| 310 | 209 | Q_neve | 3.475E-15 | -9.614E-16 | -7.474E-15 |
| 310 | 104 | Q_neve | -3.513E-15 | -2.420E-15 | -6.240E-15 |
| 310 | 106 | Q_neve | 6.561E-15 | 1.694E-14 | -5.829E-15 |
| 310 | 210 | Q_neve | 4.819E-15 | 4.677E-15 | -7.063E-15 |
| 311 | 210 | DEAD | 6.658E-14 | 7.033E-14 | -2.737E-14 |
| 311 | 106 | DEAD | -1.805E-14 | 2.103E-14 | -2.946E-14 |
| 311 | 63 | DEAD | 2.132E-14 | 6.128E-14 | -3.724E-14 |
| 311 | 108 | DEAD | 4.038E-14 | 5.641E-14 | -2.946E-14 |
| 311 | 210 | G1_smistamento | 0.996 | 1.3346 | -0.2165 |
| 311 | 106 | G1_smistamento | 0.3872 | 1.0743 | -0.2178 |
| 311 | 63 | G1_smistamento | 0.3317 | 0.4583 | -0.2444 |
| 311 | 108 | G1_smistamento | 0.7607 | 0.528 | -0.2431 |

Table 20: Element Forces - Area Shells, Part 2 of 3

| Area | Joint | OutputCase | M11 | M22 | M12 |
|------|-------|----------------|------------|------------|------------|
| | | | KN-m/m | KN-m/m | KN-m/m |
| 311 | 210 | G2_smistamento | 0.3692 | 0.4948 | -0.0803 |
| 311 | 106 | G2_smistamento | 0.1435 | 0.3983 | -0.0807 |
| 311 | 63 | G2_smistamento | 0.123 | 0.1699 | -0.0906 |
| 311 | 108 | G2_smistamento | 0.282 | 0.1957 | -0.0901 |
| 311 | 210 | Q_smistamento | 0.3692 | 0.4948 | -0.0803 |
| 311 | 106 | Q_smistamento | 0.1435 | 0.3983 | -0.0807 |
| 311 | 63 | Q_smistamento | 0.123 | 0.1699 | -0.0906 |
| 311 | 108 | Q_smistamento | 0.282 | 0.1957 | -0.0901 |
| 311 | 210 | Q_neve | 7.511E-15 | 9.011E-15 | -4.910E-15 |
| 311 | 106 | Q_neve | 1.635E-15 | 6.125E-15 | -5.994E-15 |
| 311 | 63 | Q_neve | 2.882E-15 | 1.302E-14 | -6.967E-15 |
| 311 | 108 | Q_neve | 6.264E-15 | 1.199E-14 | -5.171E-15 |
| 312 | 8 | DEAD | -4.519E-13 | -2.319E-14 | 2.291E-13 |
| 312 | 211 | DEAD | 1.684E-14 | 2.243E-13 | 3.608E-13 |
| 312 | 212 | DEAD | 4.006E-13 | 1.315E-13 | 4.398E-13 |
| 312 | 9 | DEAD | -1.708E-13 | -8.179E-14 | 3.081E-13 |
| 312 | 8 | G1_smistamento | 0.4834 | 0.0023 | -0.19 |
| 312 | 211 | G1_smistamento | 1.0503 | -2.711E-04 | -0.1997 |
| 312 | 212 | G1_smistamento | 1.2675 | 0.7558 | -0.2345 |
| 312 | 9 | G1_smistamento | 0.4974 | 0.6458 | -0.2247 |
| 312 | 8 | G2_smistamento | 0.1792 | 8.674E-04 | -0.0704 |
| 312 | 211 | G2_smistamento | 0.3894 | -1.005E-04 | -0.074 |
| 312 | 212 | G2_smistamento | 0.4699 | 0.2802 | -0.0869 |
| 312 | 9 | G2_smistamento | 0.1844 | 0.2394 | -0.0833 |
| 312 | 8 | Q_smistamento | 0.1792 | 8.674E-04 | -0.0704 |
| 312 | 211 | Q_smistamento | 0.3894 | -1.005E-04 | -0.074 |
| 312 | 212 | Q_smistamento | 0.4699 | 0.2802 | -0.0869 |
| 312 | 9 | Q_smistamento | 0.1844 | 0.2394 | -0.0833 |
| 312 | 8 | Q_neve | -7.102E-14 | -3.078E-14 | 4.765E-14 |
| 312 | 211 | Q_neve | 1.259E-14 | 2.121E-14 | 6.740E-14 |
| 312 | 212 | Q_neve | 6.722E-14 | -1.103E-14 | 7.398E-14 |
| 312 | 9 | Q_neve | -3.349E-14 | -1.171E-14 | 5.423E-14 |
| 313 | 211 | DEAD | 1.962E-13 | 3.267E-13 | 5.047E-13 |
| 313 | 213 | DEAD | 4.866E-13 | -3.217E-14 | 4.520E-13 |
| 313 | 214 | DEAD | 2.752E-13 | -6.827E-14 | 3.467E-13 |
| 313 | 212 | DEAD | 1.443E-13 | -5.838E-15 | 3.994E-13 |
| 313 | 211 | G1_smistamento | 1.0585 | 0.0014 | -0.1874 |
| 313 | 213 | G1_smistamento | 1.4847 | 0.0015 | -0.1663 |

Table 20: Element Forces - Area Shells, Part 2 of 3

| Area | Joint | OutputCase | M11 | M22 | M12 |
|------|-------|----------------|------------|------------|-----------|
| | | | KN-m/m | KN-m/m | KN-m/m |
| 313 | 214 | G1_smistamento | 1.6977 | 0.8208 | -0.1894 |
| 313 | 212 | G1_smistamento | 1.2657 | 0.7555 | -0.2105 |
| 313 | 211 | G2_smistamento | 0.3924 | 5.107E-04 | -0.0695 |
| 313 | 213 | G2_smistamento | 0.5504 | 5.719E-04 | -0.0617 |
| 313 | 214 | G2_smistamento | 0.6294 | 0.3043 | -0.0702 |
| 313 | 212 | G2_smistamento | 0.4692 | 0.2801 | -0.078 |
| 313 | 211 | Q_smistamento | 0.3924 | 5.107E-04 | -0.0695 |
| 313 | 213 | Q_smistamento | 0.5504 | 5.719E-04 | -0.0617 |
| 313 | 214 | Q_smistamento | 0.6294 | 0.3043 | -0.0702 |
| 313 | 212 | Q_smistamento | 0.4692 | 0.2801 | -0.078 |
| 313 | 211 | Q_neve | 8.953E-14 | 1.212E-14 | 8.260E-14 |
| 313 | 213 | Q_neve | 3.525E-14 | -1.453E-14 | 7.602E-14 |
| 313 | 214 | Q_neve | 6.155E-14 | -9.272E-15 | 6.943E-14 |
| 313 | 212 | Q_neve | 3.031E-14 | 2.796E-16 | 7.602E-14 |
| 314 | 213 | DEAD | 4.031E-13 | -1.250E-13 | 3.385E-13 |
| 314 | 215 | DEAD | -4.174E-14 | 2.409E-13 | 3.385E-13 |
| 314 | 216 | DEAD | 2.583E-13 | -2.171E-13 | 3.912E-13 |
| 314 | 214 | DEAD | 1.558E-13 | -3.563E-14 | 3.912E-13 |
| 314 | 213 | G1_smistamento | 1.4838 | 0.0014 | -0.1546 |
| 314 | 215 | G1_smistamento | 1.6538 | 0.0011 | -0.1375 |
| 314 | 216 | G1_smistamento | 1.8603 | 0.8543 | -0.1447 |
| 314 | 214 | G1_smistamento | 1.6978 | 0.8208 | -0.1619 |
| 314 | 213 | G2_smistamento | 0.5501 | 5.014E-04 | -0.0573 |
| 314 | 215 | G2_smistamento | 0.6131 | 4.082E-04 | -0.051 |
| 314 | 216 | G2_smistamento | 0.6896 | 0.3167 | -0.0536 |
| 314 | 214 | G2_smistamento | 0.6294 | 0.3043 | -0.06 |
| 314 | 213 | Q_smistamento | 0.5501 | 5.014E-04 | -0.0573 |
| 314 | 215 | Q_smistamento | 0.6131 | 4.082E-04 | -0.051 |
| 314 | 216 | Q_smistamento | 0.6896 | 0.3167 | -0.0536 |
| 314 | 214 | Q_smistamento | 0.6294 | 0.3043 | -0.06 |
| 314 | 213 | Q_neve | 6.604E-14 | -1.827E-14 | 6.563E-14 |
| 314 | 215 | Q_neve | 6.428E-15 | 3.244E-14 | 7.222E-14 |
| 314 | 216 | Q_neve | 3.230E-14 | -4.872E-14 | 7.880E-14 |
| 314 | 214 | Q_neve | 4.346E-14 | 3.445E-16 | 7.222E-14 |
| 315 | 215 | DEAD | 1.026E-13 | 2.506E-13 | 4.257E-13 |
| 315 | 217 | DEAD | 2.059E-13 | -2.656E-13 | 4.784E-13 |
| 315 | 218 | DEAD | 5.075E-13 | 6.297E-14 | 4.257E-13 |
| 315 | 216 | DEAD | 5.079E-15 | -3.216E-13 | 3.730E-13 |

Table 20: Element Forces - Area Shells, Part 2 of 3

| Area | Joint | OutputCase | M11 | M22 | M12 |
|------|-------|----------------|------------|------------|-----------|
| | | | KN-m/m | KN-m/m | KN-m/m |
| 315 | 215 | G1_smistamento | 1.6529 | 9.231E-04 | -0.1285 |
| 315 | 217 | G1_smistamento | 1.6381 | 5.505E-04 | -0.1156 |
| 315 | 218 | G1_smistamento | 1.84 | 0.867 | -0.1114 |
| 315 | 216 | G1_smistamento | 1.86 | 0.8543 | -0.1243 |
| 315 | 215 | G2_smistamento | 0.6128 | 3.422E-04 | -0.0477 |
| 315 | 217 | G2_smistamento | 0.6073 | 2.041E-04 | -0.0428 |
| 315 | 218 | G2_smistamento | 0.6821 | 0.3214 | -0.0413 |
| 315 | 216 | G2_smistamento | 0.6895 | 0.3167 | -0.0461 |
| 315 | 215 | Q_smistamento | 0.6128 | 3.422E-04 | -0.0477 |
| 315 | 217 | Q_smistamento | 0.6073 | 2.041E-04 | -0.0428 |
| 315 | 218 | Q_smistamento | 0.6821 | 0.3214 | -0.0413 |
| 315 | 216 | Q_smistamento | 0.6895 | 0.3167 | -0.0461 |
| 315 | 215 | Q_neve | 2.873E-14 | 1.965E-14 | 8.362E-14 |
| 315 | 217 | Q_neve | 1.100E-14 | -6.127E-14 | 9.020E-14 |
| 315 | 218 | Q_neve | 8.387E-14 | 1.883E-14 | 8.362E-14 |
| 315 | 216 | Q_neve | -9.574E-15 | -4.563E-14 | 7.703E-14 |
| 316 | 217 | DEAD | 6.260E-13 | -2.873E-13 | 4.161E-13 |
| 316 | 219 | DEAD | -1.139E-13 | -7.107E-14 | 3.897E-13 |
| 316 | 220 | DEAD | 5.503E-13 | -3.386E-14 | 3.897E-13 |
| 316 | 218 | DEAD | 4.739E-14 | 1.034E-13 | 4.161E-13 |
| 316 | 217 | G1_smistamento | 1.6379 | 4.961E-04 | -0.1069 |
| 316 | 219 | G1_smistamento | 1.5215 | 9.525E-05 | -0.0958 |
| 316 | 220 | G1_smistamento | 1.7222 | 0.8674 | -0.0856 |
| 316 | 218 | G1_smistamento | 1.8397 | 0.867 | -0.0968 |
| 316 | 217 | G2_smistamento | 0.6072 | 1.839E-04 | -0.0396 |
| 316 | 219 | G2_smistamento | 0.564 | 3.531E-05 | -0.0355 |
| 316 | 220 | G2_smistamento | 0.6384 | 0.3215 | -0.0317 |
| 316 | 218 | G2_smistamento | 0.682 | 0.3214 | -0.0359 |
| 316 | 217 | Q_smistamento | 0.6072 | 1.839E-04 | -0.0396 |
| 316 | 219 | Q_smistamento | 0.564 | 3.531E-05 | -0.0355 |
| 316 | 220 | Q_smistamento | 0.6384 | 0.3215 | -0.0317 |
| 316 | 218 | Q_smistamento | 0.682 | 0.3214 | -0.0359 |
| 316 | 217 | Q_neve | 1.203E-13 | -2.511E-14 | 8.362E-14 |
| 316 | 219 | Q_neve | -7.863E-15 | -2.232E-14 | 7.703E-14 |
| 316 | 220 | Q_neve | 4.789E-14 | -1.195E-14 | 8.362E-14 |
| 316 | 218 | Q_neve | 5.632E-14 | 2.366E-15 | 9.020E-14 |
| 317 | 219 | DEAD | 1.160E-13 | -1.076E-13 | 5.032E-13 |
| 317 | 221 | DEAD | 3.586E-13 | 4.191E-14 | 4.769E-13 |

Table 20: Element Forces - Area Shells, Part 2 of 3

| Area | Joint | OutputCase | M11 | M22 | M12 |
|------|-------|----------------|------------|------------|-----------|
| | | | KN-m/m | KN-m/m | KN-m/m |
| 317 | 222 | DEAD | 2.147E-13 | -2.459E-13 | 4.242E-13 |
| 317 | 220 | DEAD | 1.545E-13 | -3.051E-14 | 4.505E-13 |
| 317 | 219 | G1_smistamento | 1.5217 | 1.332E-04 | -0.0856 |
| 317 | 221 | G1_smistamento | 1.3742 | -2.275E-04 | -0.0744 |
| 317 | 222 | G1_smistamento | 1.5757 | 0.8621 | -0.0629 |
| 317 | 220 | G1_smistamento | 1.7218 | 0.8673 | -0.074 |
| 317 | 219 | G2_smistamento | 0.5641 | 4.939E-05 | -0.0317 |
| 317 | 221 | G2_smistamento | 0.5094 | -8.432E-05 | -0.0276 |
| 317 | 222 | G2_smistamento | 0.5841 | 0.3196 | -0.0233 |
| 317 | 220 | G2_smistamento | 0.6383 | 0.3215 | -0.0274 |
| 317 | 219 | Q_smistamento | 0.5641 | 4.939E-05 | -0.0317 |
| 317 | 221 | Q_smistamento | 0.5094 | -8.432E-05 | -0.0276 |
| 317 | 222 | Q_smistamento | 0.5841 | 0.3196 | -0.0233 |
| 317 | 220 | Q_smistamento | 0.6383 | 0.3215 | -0.0274 |
| 317 | 219 | Q_neve | 1.537E-14 | -1.183E-14 | 8.742E-14 |
| 317 | 221 | Q_neve | 9.574E-14 | 2.004E-14 | 8.742E-14 |
| 317 | 222 | Q_neve | 8.203E-14 | -1.430E-14 | 8.742E-14 |
| 317 | 220 | Q_neve | 1.591E-14 | -4.332E-14 | 8.742E-14 |
| 318 | 221 | DEAD | 2.134E-13 | 3.427E-14 | 4.368E-13 |
| 318 | 223 | DEAD | -2.138E-13 | 1.951E-13 | 3.842E-13 |
| 318 | 224 | DEAD | -5.536E-13 | -6.405E-13 | 3.842E-13 |
| 318 | 222 | DEAD | 2.043E-13 | -2.426E-13 | 4.368E-13 |
| 318 | 221 | G1_smistamento | 1.3745 | -1.535E-04 | -0.0619 |
| 318 | 223 | G1_smistamento | 1.2482 | -4.200E-04 | -0.0499 |
| 318 | 224 | G1_smistamento | 1.4512 | 0.8561 | -0.0404 |
| 318 | 222 | G1_smistamento | 1.5754 | 0.8621 | -0.0524 |
| 318 | 221 | G2_smistamento | 0.5096 | -5.691E-05 | -0.023 |
| 318 | 223 | G2_smistamento | 0.4627 | -1.557E-04 | -0.0185 |
| 318 | 224 | G2_smistamento | 0.538 | 0.3174 | -0.015 |
| 318 | 222 | G2_smistamento | 0.584 | 0.3196 | -0.0194 |
| 318 | 221 | Q_smistamento | 0.5096 | -5.691E-05 | -0.023 |
| 318 | 223 | Q_smistamento | 0.4627 | -1.557E-04 | -0.0185 |
| 318 | 224 | Q_smistamento | 0.538 | 0.3174 | -0.015 |
| 318 | 222 | Q_smistamento | 0.584 | 0.3196 | -0.0194 |
| 318 | 221 | Q_neve | 6.846E-14 | 3.795E-15 | 7.602E-14 |
| 318 | 223 | Q_neve | -7.803E-14 | -6.037E-15 | 7.602E-14 |
| 318 | 224 | Q_neve | -2.617E-14 | -5.463E-14 | 7.602E-14 |
| 318 | 222 | Q_neve | 3.438E-15 | -1.344E-14 | 7.602E-14 |

Table 20: Element Forces - Area Shells, Part 2 of 3

| Area | Joint | OutputCase | M11 | M22 | M12 |
|------|-------|----------------|------------|------------|-----------|
| | | | KN-m/m | KN-m/m | KN-m/m |
| 319 | 223 | DEAD | -7.335E-14 | 2.653E-13 | 3.497E-13 |
| 319 | 225 | DEAD | -1.104E-13 | -8.945E-14 | 3.497E-13 |
| 319 | 226 | DEAD | 1.209E-13 | -2.770E-14 | 3.497E-13 |
| 319 | 224 | DEAD | -4.692E-13 | -6.194E-13 | 3.497E-13 |
| 319 | 223 | G1_smistamento | 1.2485 | -3.566E-04 | -0.0353 |
| 319 | 225 | G1_smistamento | 1.1771 | -4.978E-04 | -0.0224 |
| 319 | 226 | G1_smistamento | 1.3809 | 0.8524 | -0.0171 |
| 319 | 224 | G1_smistamento | 1.4509 | 0.8561 | -0.03 |
| 319 | 223 | G2_smistamento | 0.4628 | -1.322E-04 | -0.0131 |
| 319 | 225 | G2_smistamento | 0.4364 | -1.845E-04 | -0.0083 |
| 319 | 226 | G2_smistamento | 0.5119 | 0.316 | -0.0063 |
| 319 | 224 | G2_smistamento | 0.5379 | 0.3174 | -0.0111 |
| 319 | 223 | Q_smistamento | 0.4628 | -1.322E-04 | -0.0131 |
| 319 | 225 | Q_smistamento | 0.4364 | -1.845E-04 | -0.0083 |
| 319 | 226 | Q_smistamento | 0.5119 | 0.316 | -0.0063 |
| 319 | 224 | Q_smistamento | 0.5379 | 0.3174 | -0.0111 |
| 319 | 223 | Q_neve | -4.516E-14 | -1.025E-14 | 7.602E-14 |
| 319 | 225 | Q_neve | 1.587E-14 | -3.832E-15 | 6.943E-14 |
| 319 | 226 | Q_neve | -6.079E-14 | -2.918E-14 | 7.602E-14 |
| 319 | 224 | Q_neve | -2.775E-14 | -4.415E-14 | 8.260E-14 |
| 320 | 225 | DEAD | 5.094E-14 | -9.707E-14 | 3.274E-13 |
| 320 | 227 | DEAD | -3.937E-13 | -2.377E-14 | 3.537E-13 |
| 320 | 228 | DEAD | -4.329E-13 | 1.155E-14 | 4.327E-13 |
| 320 | 226 | DEAD | 2.284E-13 | -7.315E-14 | 4.064E-13 |
| 320 | 225 | G1_smistamento | 1.1772 | -4.735E-04 | -0.0066 |
| 320 | 227 | G1_smistamento | 1.1772 | -4.735E-04 | 0.0066 |
| 320 | 228 | G1_smistamento | 1.3808 | 0.8524 | 0.0066 |
| 320 | 226 | G1_smistamento | 1.3808 | 0.8524 | -0.0066 |
| 320 | 225 | G2_smistamento | 0.4364 | -1.755E-04 | -0.0024 |
| 320 | 227 | G2_smistamento | 0.4364 | -1.755E-04 | 0.0024 |
| 320 | 228 | G2_smistamento | 0.5119 | 0.316 | 0.0024 |
| 320 | 226 | G2_smistamento | 0.5119 | 0.316 | -0.0024 |
| 320 | 225 | Q_smistamento | 0.4364 | -1.755E-04 | -0.0024 |
| 320 | 227 | Q_smistamento | 0.4364 | -1.755E-04 | 0.0024 |
| 320 | 228 | Q_smistamento | 0.5119 | 0.316 | 0.0024 |
| 320 | 226 | Q_smistamento | 0.5119 | 0.316 | -0.0024 |
| 320 | 225 | Q_neve | -4.325E-17 | 3.658E-15 | 6.563E-14 |
| 320 | 227 | Q_neve | -7.551E-14 | -2.879E-14 | 6.563E-14 |

Table 20: Element Forces - Area Shells, Part 2 of 3

| Area | Joint | OutputCase | M11 | M22 | M12 |
|------|-------|----------------|------------|------------|-----------|
| | | | KN-m/m | KN-m/m | KN-m/m |
| 320 | 228 | Q_neve | -3.131E-14 | 4.480E-14 | 7.880E-14 |
| 320 | 226 | Q_neve | -1.453E-15 | -1.397E-14 | 7.880E-14 |
| 321 | 227 | DEAD | -3.789E-13 | -3.215E-15 | 4.257E-13 |
| 321 | 229 | DEAD | -2.021E-13 | 3.332E-13 | 4.520E-13 |
| 321 | 230 | DEAD | -3.756E-13 | -3.028E-13 | 4.257E-13 |
| 321 | 228 | DEAD | -1.988E-13 | 3.362E-14 | 3.994E-13 |
| 321 | 227 | G1_smistamento | 1.1771 | -4.978E-04 | 0.0224 |
| 321 | 229 | G1_smistamento | 1.2485 | -3.566E-04 | 0.0353 |
| 321 | 230 | G1_smistamento | 1.4509 | 0.8561 | 0.03 |
| 321 | 228 | G1_smistamento | 1.3809 | 0.8524 | 0.0171 |
| 321 | 227 | G2_smistamento | 0.4364 | -1.845E-04 | 0.0083 |
| 321 | 229 | G2_smistamento | 0.4628 | -1.322E-04 | 0.0131 |
| 321 | 230 | G2_smistamento | 0.5379 | 0.3174 | 0.0111 |
| 321 | 228 | G2_smistamento | 0.5119 | 0.316 | 0.0063 |
| 321 | 227 | Q_smistamento | 0.4364 | -1.845E-04 | 0.0083 |
| 321 | 229 | Q_smistamento | 0.4628 | -1.322E-04 | 0.0131 |
| 321 | 230 | Q_smistamento | 0.5379 | 0.3174 | 0.0111 |
| 321 | 228 | Q_smistamento | 0.5119 | 0.316 | 0.0063 |
| 321 | 227 | Q_neve | -4.651E-14 | -6.738E-15 | 8.362E-14 |
| 321 | 229 | Q_neve | -6.397E-14 | 6.397E-14 | 9.020E-14 |
| 321 | 230 | Q_neve | -8.272E-14 | -6.928E-14 | 8.362E-14 |
| 321 | 228 | Q_neve | -3.105E-14 | 3.105E-14 | 7.703E-14 |
| 322 | 229 | DEAD | -3.654E-13 | 4.445E-13 | 4.465E-13 |
| 322 | 231 | DEAD | -4.418E-13 | -5.294E-14 | 4.465E-13 |
| 322 | 232 | DEAD | -6.057E-13 | -2.830E-13 | 4.201E-13 |
| 322 | 230 | DEAD | -5.636E-13 | -5.039E-13 | 4.201E-13 |
| 322 | 229 | G1_smistamento | 1.2482 | -4.200E-04 | 0.0499 |
| 322 | 231 | G1_smistamento | 1.3745 | -1.535E-04 | 0.0619 |
| 322 | 232 | G1_smistamento | 1.5754 | 0.8621 | 0.0524 |
| 322 | 230 | G1_smistamento | 1.4512 | 0.8561 | 0.0404 |
| 322 | 229 | G2_smistamento | 0.4627 | -1.557E-04 | 0.0185 |
| 322 | 231 | G2_smistamento | 0.5096 | -5.691E-05 | 0.023 |
| 322 | 232 | G2_smistamento | 0.584 | 0.3196 | 0.0194 |
| 322 | 230 | G2_smistamento | 0.538 | 0.3174 | 0.015 |
| 322 | 229 | Q_smistamento | 0.4627 | -1.557E-04 | 0.0185 |
| 322 | 231 | Q_smistamento | 0.5096 | -5.691E-05 | 0.023 |
| 322 | 232 | Q_smistamento | 0.584 | 0.3196 | 0.0194 |
| 322 | 230 | Q_smistamento | 0.538 | 0.3174 | 0.015 |

Table 20: Element Forces - Area Shells, Part 2 of 3

| Area | Joint | OutputCase | M11 | M22 | M12 |
|------|-------|----------------|------------|------------|-----------|
| | | | KN-m/m | KN-m/m | KN-m/m |
| 322 | 229 | Q_neve | -2.934E-15 | 6.984E-14 | 8.640E-14 |
| 322 | 231 | Q_neve | -1.680E-13 | -2.898E-14 | 8.640E-14 |
| 322 | 232 | Q_neve | -9.921E-14 | -5.606E-14 | 7.323E-14 |
| 322 | 230 | Q_neve | -1.194E-13 | -6.272E-14 | 7.323E-14 |
| 323 | 231 | DEAD | -3.719E-13 | 2.488E-14 | 3.649E-13 |
| 323 | 233 | DEAD | -1.901E-13 | 1.694E-14 | 3.649E-13 |
| 323 | 234 | DEAD | -1.317E-13 | -3.537E-13 | 3.649E-13 |
| 323 | 232 | DEAD | -6.213E-13 | -2.431E-13 | 3.649E-13 |
| 323 | 231 | G1_smistamento | 1.3742 | -2.275E-04 | 0.0744 |
| 323 | 233 | G1_smistamento | 1.5217 | 1.332E-04 | 0.0856 |
| 323 | 234 | G1_smistamento | 1.7218 | 0.8673 | 0.074 |
| 323 | 232 | G1_smistamento | 1.5757 | 0.8621 | 0.0629 |
| 323 | 231 | G2_smistamento | 0.5094 | -8.432E-05 | 0.0276 |
| 323 | 233 | G2_smistamento | 0.5641 | 4.939E-05 | 0.0317 |
| 323 | 234 | G2_smistamento | 0.6383 | 0.3215 | 0.0274 |
| 323 | 232 | G2_smistamento | 0.5841 | 0.3196 | 0.0233 |
| 323 | 231 | Q_smistamento | 0.5094 | -8.432E-05 | 0.0276 |
| 323 | 233 | Q_smistamento | 0.5641 | 4.939E-05 | 0.0317 |
| 323 | 234 | Q_smistamento | 0.6383 | 0.3215 | 0.0274 |
| 323 | 232 | Q_smistamento | 0.5841 | 0.3196 | 0.0233 |
| 323 | 231 | Q_neve | -1.372E-13 | -4.068E-14 | 8.362E-14 |
| 323 | 233 | Q_neve | -6.744E-15 | 4.882E-15 | 8.362E-14 |
| 323 | 234 | Q_neve | -2.286E-14 | -4.151E-14 | 8.362E-14 |
| 323 | 232 | Q_neve | -1.277E-13 | -2.721E-14 | 8.362E-14 |
| 324 | 233 | DEAD | -1.791E-13 | 6.167E-14 | 3.953E-13 |
| 324 | 235 | DEAD | 1.506E-13 | 4.551E-14 | 4.216E-13 |
| 324 | 236 | DEAD | 2.456E-13 | -1.852E-13 | 3.953E-13 |
| 324 | 234 | DEAD | -3.464E-13 | -3.857E-13 | 3.690E-13 |
| 324 | 233 | G1_smistamento | 1.5215 | 9.525E-05 | 0.0958 |
| 324 | 235 | G1_smistamento | 1.6379 | 4.961E-04 | 0.1069 |
| 324 | 236 | G1_smistamento | 1.8397 | 0.867 | 0.0968 |
| 324 | 234 | G1_smistamento | 1.7222 | 0.8674 | 0.0856 |
| 324 | 233 | G2_smistamento | 0.564 | 3.531E-05 | 0.0355 |
| 324 | 235 | G2_smistamento | 0.6072 | 1.839E-04 | 0.0396 |
| 324 | 236 | G2_smistamento | 0.682 | 0.3214 | 0.0359 |
| 324 | 234 | G2_smistamento | 0.6384 | 0.3215 | 0.0317 |
| 324 | 233 | Q_smistamento | 0.564 | 3.531E-05 | 0.0355 |
| 324 | 235 | Q_smistamento | 0.6072 | 1.839E-04 | 0.0396 |

Table 20: Element Forces - Area Shells, Part 2 of 3

| Area | Joint | OutputCase | M11 | M22 | M12 |
|------|-------|----------------|------------|------------|-----------|
| | | | KN-m/m | KN-m/m | KN-m/m |
| 324 | 236 | Q_smistamento | 0.682 | 0.3214 | 0.0359 |
| 324 | 234 | Q_smistamento | 0.6384 | 0.3215 | 0.0317 |
| 324 | 233 | Q_neve | -4.419E-14 | -2.608E-15 | 6.841E-14 |
| 324 | 235 | Q_neve | 2.874E-14 | -2.907E-14 | 6.841E-14 |
| 324 | 236 | Q_neve | 5.702E-14 | 9.735E-15 | 6.841E-14 |
| 324 | 234 | Q_neve | -7.577E-14 | -5.787E-14 | 6.841E-14 |
| 325 | 235 | DEAD | 2.980E-13 | 9.747E-14 | 4.094E-13 |
| 325 | 237 | DEAD | 1.044E-12 | -2.496E-14 | 2.514E-13 |
| 325 | 238 | DEAD | 2.816E-13 | -3.008E-13 | 1.987E-13 |
| 325 | 236 | DEAD | 1.852E-13 | -2.126E-13 | 3.567E-13 |
| 325 | 235 | G1_smistamento | 1.6381 | 5.505E-04 | 0.1156 |
| 325 | 237 | G1_smistamento | 1.6529 | 9.231E-04 | 0.1285 |
| 325 | 238 | G1_smistamento | 1.86 | 0.8543 | 0.1243 |
| 325 | 236 | G1_smistamento | 1.84 | 0.867 | 0.1114 |
| 325 | 235 | G2_smistamento | 0.6073 | 2.041E-04 | 0.0428 |
| 325 | 237 | G2_smistamento | 0.6128 | 3.422E-04 | 0.0477 |
| 325 | 238 | G2_smistamento | 0.6895 | 0.3167 | 0.0461 |
| 325 | 236 | G2_smistamento | 0.6821 | 0.3214 | 0.0413 |
| 325 | 235 | Q_smistamento | 0.6073 | 2.041E-04 | 0.0428 |
| 325 | 237 | Q_smistamento | 0.6128 | 3.422E-04 | 0.0477 |
| 325 | 238 | Q_smistamento | 0.6895 | 0.3167 | 0.0461 |
| 325 | 236 | Q_smistamento | 0.6821 | 0.3214 | 0.0413 |
| 325 | 235 | Q_neve | 3.973E-14 | -1.685E-14 | 9.197E-14 |
| 325 | 237 | Q_neve | 2.163E-13 | 6.316E-15 | 6.563E-14 |
| 325 | 238 | Q_neve | 4.056E-14 | -7.199E-14 | 5.247E-14 |
| 325 | 236 | Q_neve | 6.073E-14 | -1.090E-15 | 7.880E-14 |
| 326 | 237 | DEAD | 6.902E-13 | -8.625E-14 | 6.896E-14 |
| 326 | 239 | DEAD | 1.288E-12 | 5.870E-14 | 6.896E-14 |
| 326 | 240 | DEAD | 1.309E-12 | 3.219E-13 | 1.743E-13 |
| 326 | 238 | DEAD | 6.428E-13 | -1.651E-13 | 1.743E-13 |
| 326 | 237 | G1_smistamento | 1.6538 | 0.0011 | 0.1375 |
| 326 | 239 | G1_smistamento | 1.4838 | 0.0014 | 0.1546 |
| 326 | 240 | G1_smistamento | 1.6978 | 0.8208 | 0.1619 |
| 326 | 238 | G1_smistamento | 1.8603 | 0.8543 | 0.1447 |
| 326 | 237 | G2_smistamento | 0.6131 | 4.082E-04 | 0.051 |
| 326 | 239 | G2_smistamento | 0.5501 | 5.014E-04 | 0.0573 |
| 326 | 240 | G2_smistamento | 0.6294 | 0.3043 | 0.06 |
| 326 | 238 | G2_smistamento | 0.6896 | 0.3167 | 0.0536 |

Table 20: Element Forces - Area Shells, Part 2 of 3

| Area | Joint | OutputCase | M11 | M22 | M12 |
|------|-------|----------------|-----------|------------|------------|
| | | | KN-m/m | KN-m/m | KN-m/m |
| 326 | 237 | Q_smistamento | 0.6131 | 4.082E-04 | 0.051 |
| 326 | 239 | Q_smistamento | 0.5501 | 5.014E-04 | 0.0573 |
| 326 | 240 | Q_smistamento | 0.6294 | 0.3043 | 0.06 |
| 326 | 238 | Q_smistamento | 0.6896 | 0.3167 | 0.0536 |
| 326 | 237 | Q_neve | 1.583E-13 | 8.176E-15 | 5.838E-15 |
| 326 | 239 | Q_neve | 2.148E-13 | 3.267E-14 | 5.838E-15 |
| 326 | 240 | Q_neve | 2.480E-13 | 6.166E-14 | 3.217E-14 |
| 326 | 238 | Q_neve | 1.202E-13 | -4.550E-14 | 3.217E-14 |
| 327 | 239 | DEAD | 1.242E-12 | 7.092E-14 | 1.023E-13 |
| 327 | 241 | DEAD | 8.574E-13 | 1.265E-13 | 7.602E-14 |
| 327 | 242 | DEAD | 5.972E-13 | 5.092E-15 | 4.968E-14 |
| 327 | 240 | DEAD | 1.279E-12 | 3.372E-13 | 7.602E-14 |
| 327 | 239 | G1_smistamento | 1.4847 | 0.0015 | 0.1663 |
| 327 | 241 | G1_smistamento | 1.0585 | 0.0014 | 0.1874 |
| 327 | 242 | G1_smistamento | 1.2657 | 0.7555 | 0.2105 |
| 327 | 240 | G1_smistamento | 1.6977 | 0.8208 | 0.1894 |
| 327 | 239 | G2_smistamento | 0.5504 | 5.719E-04 | 0.0617 |
| 327 | 241 | G2_smistamento | 0.3924 | 5.107E-04 | 0.0695 |
| 327 | 242 | G2_smistamento | 0.4692 | 0.2801 | 0.078 |
| 327 | 240 | G2_smistamento | 0.6294 | 0.3043 | 0.0702 |
| 327 | 239 | Q_smistamento | 0.5504 | 5.719E-04 | 0.0617 |
| 327 | 241 | Q_smistamento | 0.3924 | 5.107E-04 | 0.0695 |
| 327 | 242 | Q_smistamento | 0.4692 | 0.2801 | 0.078 |
| 327 | 240 | Q_smistamento | 0.6294 | 0.3043 | 0.0702 |
| 327 | 239 | Q_neve | 2.471E-13 | 3.451E-14 | 2.179E-14 |
| 327 | 241 | Q_neve | 1.612E-13 | 2.890E-14 | 1.520E-14 |
| 327 | 242 | Q_neve | 1.615E-13 | 1.596E-15 | 8.620E-15 |
| 327 | 240 | Q_neve | 2.303E-13 | 5.852E-14 | 1.520E-14 |
| 328 | 241 | DEAD | 7.932E-13 | 1.146E-13 | -1.520E-14 |
| 328 | 11 | DEAD | 3.280E-13 | -1.153E-13 | -4.154E-14 |
| 328 | 14 | DEAD | 2.501E-13 | 8.496E-14 | -1.520E-14 |
| 328 | 242 | DEAD | 7.724E-13 | 5.258E-14 | 1.113E-14 |
| 328 | 241 | G1_smistamento | 1.0503 | -2.711E-04 | 0.1997 |
| 328 | 11 | G1_smistamento | 0.4834 | 0.0023 | 0.19 |
| 328 | 14 | G1_smistamento | 0.4974 | 0.6458 | 0.2247 |
| 328 | 242 | G1_smistamento | 1.2675 | 0.7558 | 0.2345 |
| 328 | 241 | G2_smistamento | 0.3894 | -1.005E-04 | 0.074 |
| 328 | 11 | G2_smistamento | 0.1792 | 8.674E-04 | 0.0704 |

Table 20: Element Forces - Area Shells, Part 2 of 3

| Area | Joint | OutputCase | M11 | M22 | M12 |
|------|-------|----------------|------------|------------|------------|
| | | | KN-m/m | KN-m/m | KN-m/m |
| 328 | 14 | G2_smistamento | 0.1844 | 0.2394 | 0.0833 |
| 328 | 242 | G2_smistamento | 0.4699 | 0.2802 | 0.0869 |
| 328 | 241 | Q_smistamento | 0.3894 | -1.005E-04 | 0.074 |
| 328 | 11 | Q_smistamento | 0.1792 | 8.674E-04 | 0.0704 |
| 328 | 14 | Q_smistamento | 0.1844 | 0.2394 | 0.0833 |
| 328 | 242 | Q_smistamento | 0.4699 | 0.2802 | 0.0869 |
| 328 | 241 | Q_neve | 1.462E-13 | 2.135E-14 | 1.018E-15 |
| 328 | 11 | Q_neve | 1.066E-13 | 2.343E-14 | 1.018E-15 |
| 328 | 14 | Q_neve | 3.431E-14 | 1.476E-14 | 1.418E-14 |
| 328 | 242 | Q_neve | 1.823E-13 | 6.974E-15 | 1.418E-14 |
| 329 | 13 | DEAD | 2.245E-13 | 3.026E-13 | -6.732E-14 |
| 329 | 243 | DEAD | -3.903E-13 | 1.315E-14 | 2.837E-14 |
| 329 | 244 | DEAD | 3.133E-13 | -1.220E-13 | 1.433E-13 |
| 329 | 14 | DEAD | 1.528E-13 | 1.218E-13 | 2.037E-15 |
| 329 | 13 | G1_smistamento | 0.0034 | 0.6122 | 0.1553 |
| 329 | 243 | G1_smistamento | -6.140E-05 | 1.3605 | 0.1426 |
| 329 | 244 | G1_smistamento | 0.6014 | 1.6078 | 0.193 |
| 329 | 14 | G1_smistamento | 0.4975 | 0.645 | 0.2057 |
| 329 | 13 | G2_smistamento | 0.0012 | 0.2269 | 0.0576 |
| 329 | 243 | G2_smistamento | -2.276E-05 | 0.5044 | 0.0529 |
| 329 | 244 | G2_smistamento | 0.2229 | 0.596 | 0.0715 |
| 329 | 14 | G2_smistamento | 0.1844 | 0.2391 | 0.0762 |
| 329 | 13 | Q_smistamento | 0.0012 | 0.2269 | 0.0576 |
| 329 | 243 | Q_smistamento | -2.276E-05 | 0.5044 | 0.0529 |
| 329 | 244 | Q_smistamento | 0.2229 | 0.596 | 0.0715 |
| 329 | 14 | Q_smistamento | 0.1844 | 0.2391 | 0.0762 |
| 329 | 13 | Q_neve | 5.496E-14 | 2.101E-14 | -1.975E-14 |
| 329 | 243 | Q_neve | -3.249E-14 | 5.825E-14 | 0. |
| 329 | 244 | Q_neve | -8.402E-15 | -3.906E-14 | 1.975E-14 |
| 329 | 14 | Q_neve | 2.347E-14 | 2.204E-14 | 0. |
| 330 | 243 | DEAD | -3.999E-13 | 6.084E-14 | 2.199E-13 |
| 330 | 245 | DEAD | -1.324E-14 | -2.796E-13 | 1.936E-13 |
| 330 | 246 | DEAD | 2.156E-13 | 2.945E-13 | 1.146E-13 |
| 330 | 244 | DEAD | 3.192E-13 | -1.974E-13 | 1.409E-13 |
| 330 | 243 | G1_smistamento | 0.0019 | 1.3703 | 0.1082 |
| 330 | 245 | G1_smistamento | 0.0027 | 1.8601 | 0.0591 |
| 330 | 246 | G1_smistamento | 0.6503 | 2.109 | 0.0901 |
| 330 | 244 | G1_smistamento | 0.6011 | 1.6064 | 0.1392 |

Table 20: Element Forces - Area Shells, Part 2 of 3

| Area | Joint | OutputCase | M11 | M22 | M12 |
|------|-------|----------------|------------|------------|------------|
| | | | KN-m/m | KN-m/m | KN-m/m |
| 330 | 243 | G2_smistamento | 7.017E-04 | 0.508 | 0.0401 |
| 330 | 245 | G2_smistamento | 0.001 | 0.6896 | 0.0219 |
| 330 | 246 | G2_smistamento | 0.2411 | 0.7818 | 0.0334 |
| 330 | 244 | G2_smistamento | 0.2228 | 0.5955 | 0.0516 |
| 330 | 243 | Q_smistamento | 7.017E-04 | 0.508 | 0.0401 |
| 330 | 245 | Q_smistamento | 0.001 | 0.6896 | 0.0219 |
| 330 | 246 | Q_smistamento | 0.2411 | 0.7818 | 0.0334 |
| 330 | 244 | Q_smistamento | 0.2228 | 0.5955 | 0.0516 |
| 330 | 243 | Q_neve | -1.937E-14 | 5.503E-14 | 5.498E-14 |
| 330 | 245 | Q_neve | -2.532E-14 | -1.038E-13 | 4.839E-14 |
| 330 | 246 | Q_neve | 5.880E-14 | 5.092E-14 | 2.864E-14 |
| 330 | 244 | Q_neve | -1.791E-14 | -6.677E-14 | 3.523E-14 |
| 331 | 245 | DEAD | 3.752E-14 | -2.461E-13 | 1.064E-13 |
| 331 | 247 | DEAD | -1.752E-13 | -3.519E-13 | 1.064E-13 |
| 331 | 248 | DEAD | 2.646E-13 | -2.955E-13 | 1.064E-13 |
| 331 | 246 | DEAD | 7.827E-14 | -2.696E-13 | 1.064E-13 |
| 331 | 245 | G1_smistamento | 0.0027 | 1.8602 | 0.0249 |
| 331 | 247 | G1_smistamento | 0.0027 | 1.8602 | -0.0249 |
| 331 | 248 | G1_smistamento | 0.6504 | 2.1093 | -0.0249 |
| 331 | 246 | G1_smistamento | 0.6504 | 2.1093 | 0.0249 |
| 331 | 245 | G2_smistamento | 0.001 | 0.6896 | 0.0092 |
| 331 | 247 | G2_smistamento | 0.001 | 0.6896 | -0.0092 |
| 331 | 248 | G2_smistamento | 0.2411 | 0.782 | -0.0092 |
| 331 | 246 | G2_smistamento | 0.2411 | 0.782 | 0.0092 |
| 331 | 245 | Q_smistamento | 0.001 | 0.6896 | 0.0092 |
| 331 | 247 | Q_smistamento | 0.001 | 0.6896 | -0.0092 |
| 331 | 248 | Q_smistamento | 0.2411 | 0.782 | -0.0092 |
| 331 | 246 | Q_smistamento | 0.2411 | 0.782 | 0.0092 |
| 331 | 245 | Q_neve | -2.464E-14 | -8.870E-14 | 1.520E-14 |
| 331 | 247 | Q_neve | 9.465E-15 | -6.029E-14 | 1.520E-14 |
| 331 | 248 | Q_neve | 2.226E-14 | -7.141E-14 | 1.520E-14 |
| 331 | 246 | Q_neve | 3.662E-14 | -6.276E-14 | 1.520E-14 |
| 332 | 247 | DEAD | 9.375E-15 | -2.622E-13 | 9.828E-14 |
| 332 | 249 | DEAD | -2.632E-13 | -6.251E-13 | -7.056E-15 |
| 332 | 250 | DEAD | 3.517E-13 | 1.064E-13 | -7.056E-15 |
| 332 | 248 | DEAD | 1.910E-13 | -3.289E-13 | 9.828E-14 |
| 332 | 247 | G1_smistamento | 0.0027 | 1.8601 | -0.0591 |
| 332 | 249 | G1_smistamento | 0.0019 | 1.3703 | -0.1082 |

Table 20: Element Forces - Area Shells, Part 2 of 3

| Area | Joint | OutputCase | M11 | M22 | M12 |
|------|-------|----------------|------------|------------|------------|
| | | | KN-m/m | KN-m/m | KN-m/m |
| 332 | 250 | G1_smistamento | 0.6011 | 1.6064 | -0.1392 |
| 332 | 248 | G1_smistamento | 0.6503 | 2.109 | -0.0901 |
| 332 | 247 | G2_smistamento | 0.001 | 0.6896 | -0.0219 |
| 332 | 249 | G2_smistamento | 7.017E-04 | 0.508 | -0.0401 |
| 332 | 250 | G2_smistamento | 0.2228 | 0.5955 | -0.0516 |
| 332 | 248 | G2_smistamento | 0.2411 | 0.7818 | -0.0334 |
| 332 | 247 | Q_smistamento | 0.001 | 0.6896 | -0.0219 |
| 332 | 249 | Q_smistamento | 7.017E-04 | 0.508 | -0.0401 |
| 332 | 250 | Q_smistamento | 0.2228 | 0.5955 | -0.0516 |
| 332 | 248 | Q_smistamento | 0.2411 | 0.7818 | -0.0334 |
| 332 | 247 | Q_neve | 1.772E-14 | -4.213E-14 | 1.418E-14 |
| 332 | 249 | Q_neve | 1.459E-14 | -8.669E-14 | 1.018E-15 |
| 332 | 250 | Q_neve | 1.031E-14 | -1.581E-16 | 1.018E-15 |
| 332 | 248 | Q_neve | 2.199E-14 | -4.966E-14 | 1.418E-14 |
| 333 | 249 | DEAD | -2.500E-13 | -5.313E-13 | -1.632E-13 |
| 333 | 15 | DEAD | -1.737E-14 | -9.911E-15 | -1.632E-13 |
| 333 | 18 | DEAD | 6.746E-15 | -2.745E-13 | -1.105E-13 |
| 333 | 250 | DEAD | 2.986E-13 | -8.891E-14 | -1.105E-13 |
| 333 | 249 | G1_smistamento | -6.140E-05 | 1.3605 | -0.1426 |
| 333 | 15 | G1_smistamento | 0.0034 | 0.6122 | -0.1553 |
| 333 | 18 | G1_smistamento | 0.4975 | 0.645 | -0.2057 |
| 333 | 250 | G1_smistamento | 0.6014 | 1.6078 | -0.193 |
| 333 | 249 | G2_smistamento | -2.276E-05 | 0.5044 | -0.0529 |
| 333 | 15 | G2_smistamento | 0.0012 | 0.2269 | -0.0576 |
| 333 | 18 | G2_smistamento | 0.1844 | 0.2391 | -0.0762 |
| 333 | 250 | G2_smistamento | 0.2229 | 0.596 | -0.0715 |
| 333 | 249 | Q_smistamento | -2.276E-05 | 0.5044 | -0.0529 |
| 333 | 15 | Q_smistamento | 0.0012 | 0.2269 | -0.0576 |
| 333 | 18 | Q_smistamento | 0.1844 | 0.2391 | -0.0762 |
| 333 | 250 | Q_smistamento | 0.2229 | 0.596 | -0.0715 |
| 333 | 249 | Q_neve | 4.518E-14 | -5.109E-14 | -2.559E-14 |
| 333 | 15 | Q_neve | -5.215E-14 | -3.240E-14 | -2.559E-14 |
| 333 | 18 | Q_neve | 8.977E-15 | -5.438E-14 | -1.242E-14 |
| 333 | 250 | Q_neve | -7.713E-15 | -2.746E-14 | -1.242E-14 |
| 334 | 17 | DEAD | -7.015E-14 | 1.501E-13 | -4.303E-14 |
| 334 | 251 | DEAD | 1.477E-13 | -1.405E-13 | 6.230E-14 |
| 334 | 252 | DEAD | 3.742E-13 | 1.955E-15 | 8.864E-14 |
| 334 | 18 | DEAD | 1.279E-13 | -3.973E-13 | -1.669E-14 |

Table 20: Element Forces - Area Shells, Part 2 of 3

| Area | Joint | OutputCase | M11 | M22 | M12 |
|------|-------|----------------|------------|------------|------------|
| | | | KN-m/m | KN-m/m | KN-m/m |
| 334 | 17 | G1_smistamento | 0.4834 | 0.0023 | -0.19 |
| 334 | 251 | G1_smistamento | 1.0503 | -2.711E-04 | -0.1997 |
| 334 | 252 | G1_smistamento | 1.2675 | 0.7558 | -0.2345 |
| 334 | 18 | G1_smistamento | 0.4974 | 0.6458 | -0.2247 |
| 334 | 17 | G2_smistamento | 0.1792 | 8.674E-04 | -0.0704 |
| 334 | 251 | G2_smistamento | 0.3894 | -1.005E-04 | -0.074 |
| 334 | 252 | G2_smistamento | 0.4699 | 0.2802 | -0.0869 |
| 334 | 18 | G2_smistamento | 0.1844 | 0.2394 | -0.0833 |
| 334 | 17 | Q_smistamento | 0.1792 | 8.674E-04 | -0.0704 |
| 334 | 251 | Q_smistamento | 0.3894 | -1.005E-04 | -0.074 |
| 334 | 252 | Q_smistamento | 0.4699 | 0.2802 | -0.0869 |
| 334 | 18 | Q_smistamento | 0.1844 | 0.2394 | -0.0833 |
| 334 | 17 | Q_neve | 3.995E-14 | 4.073E-14 | -1.697E-14 |
| 334 | 251 | Q_neve | -3.264E-14 | 9.250E-15 | 2.782E-15 |
| 334 | 252 | Q_neve | 1.173E-13 | -6.998E-15 | 9.366E-15 |
| 334 | 18 | Q_neve | 6.035E-15 | -7.386E-14 | -1.038E-14 |
| 335 | 251 | DEAD | 6.861E-14 | -9.753E-14 | 1.663E-13 |
| 335 | 253 | DEAD | 3.063E-14 | -3.346E-14 | 2.357E-13 |
| 335 | 254 | DEAD | -7.622E-14 | -3.170E-14 | 3.506E-13 |
| 335 | 252 | DEAD | 6.231E-13 | -7.296E-14 | 2.357E-13 |
| 335 | 251 | G1_smistamento | 1.0585 | 0.0014 | -0.1874 |
| 335 | 253 | G1_smistamento | 1.4847 | 0.0015 | -0.1663 |
| 335 | 254 | G1_smistamento | 1.6977 | 0.8208 | -0.1894 |
| 335 | 252 | G1_smistamento | 1.2657 | 0.7555 | -0.2105 |
| 335 | 251 | G2_smistamento | 0.3924 | 5.107E-04 | -0.0695 |
| 335 | 253 | G2_smistamento | 0.5504 | 5.719E-04 | -0.0617 |
| 335 | 254 | G2_smistamento | 0.6294 | 0.3043 | -0.0702 |
| 335 | 252 | G2_smistamento | 0.4692 | 0.2801 | -0.078 |
| 335 | 251 | Q_smistamento | 0.3924 | 5.107E-04 | -0.0695 |
| 335 | 253 | Q_smistamento | 0.5504 | 5.719E-04 | -0.0617 |
| 335 | 254 | Q_smistamento | 0.6294 | 0.3043 | -0.0702 |
| 335 | 252 | Q_smistamento | 0.4692 | 0.2801 | -0.078 |
| 335 | 251 | Q_neve | -2.400E-14 | 8.190E-15 | 6.322E-14 |
| 335 | 253 | Q_neve | 5.331E-14 | -6.218E-15 | 5.840E-14 |
| 335 | 254 | Q_neve | -8.242E-14 | -2.719E-14 | 6.981E-14 |
| 335 | 252 | Q_neve | 1.866E-13 | 8.594E-15 | 5.182E-14 |
| 336 | 253 | DEAD | 3.407E-13 | 4.688E-14 | 2.093E-13 |
| 336 | 255 | DEAD | 8.321E-14 | -7.669E-14 | 2.909E-13 |

Table 20: Element Forces - Area Shells, Part 2 of 3

| Area | Joint | OutputCase | M11 | M22 | M12 |
|------|-------|----------------|------------|------------|-----------|
| | | | KN-m/m | KN-m/m | KN-m/m |
| 336 | 256 | DEAD | 2.799E-14 | 6.334E-14 | 2.620E-13 |
| 336 | 254 | DEAD | 1.885E-13 | -2.403E-14 | 3.172E-13 |
| 336 | 253 | G1_smistamento | 1.4838 | 0.0014 | -0.1546 |
| 336 | 255 | G1_smistamento | 1.6538 | 0.0011 | -0.1375 |
| 336 | 256 | G1_smistamento | 1.8603 | 0.8543 | -0.1447 |
| 336 | 254 | G1_smistamento | 1.6978 | 0.8208 | -0.1619 |
| 336 | 253 | G2_smistamento | 0.5501 | 5.014E-04 | -0.0573 |
| 336 | 255 | G2_smistamento | 0.6131 | 4.082E-04 | -0.051 |
| 336 | 256 | G2_smistamento | 0.6896 | 0.3167 | -0.0536 |
| 336 | 254 | G2_smistamento | 0.6294 | 0.3043 | -0.06 |
| 336 | 253 | Q_smistamento | 0.5501 | 5.014E-04 | -0.0573 |
| 336 | 255 | Q_smistamento | 0.6131 | 4.082E-04 | -0.051 |
| 336 | 256 | Q_smistamento | 0.6896 | 0.3167 | -0.0536 |
| 336 | 254 | Q_smistamento | 0.6294 | 0.3043 | -0.06 |
| 336 | 253 | Q_neve | 7.803E-14 | -1.677E-14 | 4.422E-14 |
| 336 | 255 | Q_neve | -1.089E-14 | 1.651E-14 | 5.562E-14 |
| 336 | 256 | Q_neve | -3.438E-15 | -9.362E-15 | 5.080E-14 |
| 336 | 254 | Q_neve | 5.412E-14 | 5.816E-15 | 6.220E-14 |
| 337 | 255 | DEAD | -1.468E-13 | -1.865E-13 | 2.909E-13 |
| 337 | 257 | DEAD | -1.868E-13 | 1.404E-14 | 3.076E-13 |
| 337 | 258 | DEAD | -9.080E-14 | 9.333E-14 | 3.172E-13 |
| 337 | 256 | DEAD | 2.115E-13 | 1.095E-13 | 2.549E-13 |
| 337 | 255 | G1_smistamento | 1.6529 | 9.231E-04 | -0.1285 |
| 337 | 257 | G1_smistamento | 1.6381 | 5.505E-04 | -0.1156 |
| 337 | 258 | G1_smistamento | 1.84 | 0.867 | -0.1114 |
| 337 | 256 | G1_smistamento | 1.86 | 0.8543 | -0.1243 |
| 337 | 255 | G2_smistamento | 0.6128 | 3.422E-04 | -0.0477 |
| 337 | 257 | G2_smistamento | 0.6073 | 2.041E-04 | -0.0428 |
| 337 | 258 | G2_smistamento | 0.6821 | 0.3214 | -0.0413 |
| 337 | 256 | G2_smistamento | 0.6895 | 0.3167 | -0.0461 |
| 337 | 255 | Q_smistamento | 0.6128 | 3.422E-04 | -0.0477 |
| 337 | 257 | Q_smistamento | 0.6073 | 2.041E-04 | -0.0428 |
| 337 | 258 | Q_smistamento | 0.6821 | 0.3214 | -0.0413 |
| 337 | 256 | Q_smistamento | 0.6895 | 0.3167 | -0.0461 |
| 337 | 255 | Q_neve | -5.129E-14 | 3.037E-15 | 4.714E-14 |
| 337 | 257 | Q_neve | 7.979E-16 | -6.295E-15 | 6.271E-14 |
| 337 | 258 | Q_neve | -1.919E-15 | -6.838E-15 | 6.689E-14 |
| 337 | 256 | Q_neve | 1.726E-14 | 1.675E-14 | 6.271E-14 |

Table 20: Element Forces - Area Shells, Part 2 of 3

| Area | Joint | OutputCase | M11 | M22 | M12 |
|------|-------|----------------|------------|------------|-----------|
| | | | KN-m/m | KN-m/m | KN-m/m |
| 338 | 257 | DEAD | -1.801E-13 | -1.522E-13 | 3.436E-13 |
| 338 | 259 | DEAD | -4.613E-13 | -1.937E-13 | 3.532E-13 |
| 338 | 260 | DEAD | -4.698E-13 | -1.785E-13 | 2.646E-13 |
| 338 | 258 | DEAD | -8.604E-14 | 1.025E-13 | 3.005E-13 |
| 338 | 257 | G1_smistamento | 1.6379 | 4.961E-04 | -0.1069 |
| 338 | 259 | G1_smistamento | 1.5215 | 9.525E-05 | -0.0958 |
| 338 | 260 | G1_smistamento | 1.7222 | 0.8674 | -0.0856 |
| 338 | 258 | G1_smistamento | 1.8397 | 0.867 | -0.0968 |
| 338 | 257 | G2_smistamento | 0.6072 | 1.839E-04 | -0.0396 |
| 338 | 259 | G2_smistamento | 0.564 | 3.531E-05 | -0.0355 |
| 338 | 260 | G2_smistamento | 0.6384 | 0.3215 | -0.0317 |
| 338 | 258 | G2_smistamento | 0.682 | 0.3214 | -0.0359 |
| 338 | 257 | Q_smistamento | 0.6072 | 1.839E-04 | -0.0396 |
| 338 | 259 | Q_smistamento | 0.564 | 3.531E-05 | -0.0355 |
| 338 | 260 | Q_smistamento | 0.6384 | 0.3215 | -0.0317 |
| 338 | 258 | Q_smistamento | 0.682 | 0.3214 | -0.0359 |
| 338 | 257 | Q_neve | -1.940E-14 | 2.546E-14 | 6.981E-14 |
| 338 | 259 | Q_neve | -1.026E-13 | -4.369E-14 | 5.840E-14 |
| 338 | 260 | Q_neve | -7.372E-14 | 1.065E-14 | 6.322E-14 |
| 338 | 258 | Q_neve | -5.323E-14 | 5.683E-15 | 5.182E-14 |
| 339 | 259 | DEAD | -4.304E-13 | -1.419E-13 | 3.371E-13 |
| 339 | 261 | DEAD | -5.564E-13 | 1.604E-13 | 2.722E-13 |
| 339 | 262 | DEAD | -5.160E-13 | 6.213E-14 | 4.687E-13 |
| 339 | 260 | DEAD | -2.075E-13 | -1.490E-13 | 3.512E-13 |
| 339 | 259 | G1_smistamento | 1.5217 | 1.332E-04 | -0.0856 |
| 339 | 261 | G1_smistamento | 1.3742 | -2.275E-04 | -0.0744 |
| 339 | 262 | G1_smistamento | 1.5757 | 0.8621 | -0.0629 |
| 339 | 260 | G1_smistamento | 1.7218 | 0.8673 | -0.074 |
| 339 | 259 | G2_smistamento | 0.5641 | 4.939E-05 | -0.0317 |
| 339 | 261 | G2_smistamento | 0.5094 | -8.432E-05 | -0.0276 |
| 339 | 262 | G2_smistamento | 0.5841 | 0.3196 | -0.0233 |
| 339 | 260 | G2_smistamento | 0.6383 | 0.3215 | -0.0274 |
| 339 | 259 | Q_smistamento | 0.5641 | 4.939E-05 | -0.0317 |
| 339 | 261 | Q_smistamento | 0.5094 | -8.432E-05 | -0.0276 |
| 339 | 262 | Q_smistamento | 0.5841 | 0.3196 | -0.0233 |
| 339 | 260 | Q_smistamento | 0.6383 | 0.3215 | -0.0274 |
| 339 | 259 | Q_neve | -8.021E-14 | -4.636E-14 | 5.525E-14 |
| 339 | 261 | Q_neve | -1.163E-13 | 5.828E-14 | 6.183E-14 |

Table 20: Element Forces - Area Shells, Part 2 of 3

| Area | Joint | OutputCase | M11 | M22 | M12 |
|------|-------|----------------|------------|------------|-----------|
| | | | KN-m/m | KN-m/m | KN-m/m |
| 339 | 262 | Q_neve | -1.222E-13 | -1.920E-14 | 8.158E-14 |
| 339 | 260 | Q_neve | -7.689E-15 | 2.866E-14 | 7.500E-14 |
| 340 | 261 | DEAD | -7.212E-13 | 1.251E-13 | 5.240E-13 |
| 340 | 263 | DEAD | -1.731E-13 | 1.310E-14 | 4.520E-13 |
| 340 | 264 | DEAD | -8.561E-13 | -7.569E-14 | 4.186E-13 |
| 340 | 262 | DEAD | -2.126E-13 | -2.640E-14 | 3.994E-13 |
| 340 | 261 | G1_smistamento | 1.3745 | -1.535E-04 | -0.0619 |
| 340 | 263 | G1_smistamento | 1.2482 | -4.200E-04 | -0.0499 |
| 340 | 264 | G1_smistamento | 1.4512 | 0.8561 | -0.0404 |
| 340 | 262 | G1_smistamento | 1.5754 | 0.8621 | -0.0524 |
| 340 | 261 | G2_smistamento | 0.5096 | -5.691E-05 | -0.023 |
| 340 | 263 | G2_smistamento | 0.4627 | -1.557E-04 | -0.0185 |
| 340 | 264 | G2_smistamento | 0.538 | 0.3174 | -0.015 |
| 340 | 262 | G2_smistamento | 0.584 | 0.3196 | -0.0194 |
| 340 | 261 | Q_smistamento | 0.5096 | -5.691E-05 | -0.023 |
| 340 | 263 | Q_smistamento | 0.4627 | -1.557E-04 | -0.0185 |
| 340 | 264 | Q_smistamento | 0.538 | 0.3174 | -0.015 |
| 340 | 262 | Q_smistamento | 0.584 | 0.3196 | -0.0194 |
| 340 | 261 | Q_neve | -1.045E-13 | 5.928E-14 | 7.982E-14 |
| 340 | 263 | Q_neve | -7.028E-14 | 8.891E-15 | 7.982E-14 |
| 340 | 264 | Q_neve | -1.292E-13 | 1.484E-14 | 7.982E-14 |
| 340 | 262 | Q_neve | -6.370E-14 | -1.744E-14 | 7.982E-14 |
| 341 | 263 | DEAD | -5.340E-13 | -1.436E-13 | 4.693E-13 |
| 341 | 265 | DEAD | -6.400E-13 | -2.265E-13 | 4.403E-13 |
| 341 | 266 | DEAD | -3.497E-13 | -1.700E-13 | 4.429E-13 |
| 341 | 264 | DEAD | -5.116E-13 | -5.859E-14 | 3.350E-13 |
| 341 | 263 | G1_smistamento | 1.2485 | -3.566E-04 | -0.0353 |
| 341 | 265 | G1_smistamento | 1.1771 | -4.978E-04 | -0.0224 |
| 341 | 266 | G1_smistamento | 1.3809 | 0.8524 | -0.0171 |
| 341 | 264 | G1_smistamento | 1.4509 | 0.8561 | -0.03 |
| 341 | 263 | G2_smistamento | 0.4628 | -1.322E-04 | -0.0131 |
| 341 | 265 | G2_smistamento | 0.4364 | -1.845E-04 | -0.0083 |
| 341 | 266 | G2_smistamento | 0.5119 | 0.316 | -0.0063 |
| 341 | 264 | G2_smistamento | 0.5379 | 0.3174 | -0.0111 |
| 341 | 263 | Q_smistamento | 0.4628 | -1.322E-04 | -0.0131 |
| 341 | 265 | Q_smistamento | 0.4364 | -1.845E-04 | -0.0083 |
| 341 | 266 | Q_smistamento | 0.5119 | 0.316 | -0.0063 |
| 341 | 264 | Q_smistamento | 0.5379 | 0.3174 | -0.0111 |

Table 20: Element Forces - Area Shells, Part 2 of 3

| Area | Joint | OutputCase | M11 | M22 | M12 |
|------|-------|----------------|------------|------------|-----------|
| | | | KN-m/m | KN-m/m | KN-m/m |
| 341 | 263 | Q_neve | -1.466E-13 | 5.247E-15 | 1.016E-13 |
| 341 | 265 | Q_neve | -9.721E-14 | -4.634E-14 | 1.034E-13 |
| 341 | 266 | Q_neve | -1.014E-13 | -2.520E-14 | 8.844E-14 |
| 341 | 264 | Q_neve | -6.100E-14 | -3.547E-15 | 6.387E-14 |
| 342 | 265 | DEAD | -3.824E-13 | -2.311E-13 | 4.906E-13 |
| 342 | 267 | DEAD | 8.220E-14 | -5.075E-14 | 4.642E-13 |
| 342 | 268 | DEAD | -5.656E-14 | 1.342E-13 | 5.432E-13 |
| 342 | 266 | DEAD | -1.449E-13 | -8.038E-14 | 5.696E-13 |
| 342 | 265 | G1_smistamento | 1.1772 | -4.735E-04 | -0.0066 |
| 342 | 267 | G1_smistamento | 1.1772 | -4.735E-04 | 0.0066 |
| 342 | 268 | G1_smistamento | 1.3808 | 0.8524 | 0.0066 |
| 342 | 266 | G1_smistamento | 1.3808 | 0.8524 | -0.0066 |
| 342 | 265 | G2_smistamento | 0.4364 | -1.755E-04 | -0.0024 |
| 342 | 267 | G2_smistamento | 0.4364 | -1.755E-04 | 0.0024 |
| 342 | 268 | G2_smistamento | 0.5119 | 0.316 | 0.0024 |
| 342 | 266 | G2_smistamento | 0.5119 | 0.316 | -0.0024 |
| 342 | 265 | Q_smistamento | 0.4364 | -1.755E-04 | -0.0024 |
| 342 | 267 | Q_smistamento | 0.4364 | -1.755E-04 | 0.0024 |
| 342 | 268 | Q_smistamento | 0.5119 | 0.316 | 0.0024 |
| 342 | 266 | Q_smistamento | 0.5119 | 0.316 | -0.0024 |
| 342 | 265 | Q_neve | -1.365E-13 | -4.703E-14 | 9.363E-14 |
| 342 | 267 | Q_neve | 8.244E-14 | -1.202E-14 | 8.705E-14 |
| 342 | 268 | Q_neve | 6.098E-14 | 9.122E-14 | 1.002E-13 |
| 342 | 266 | Q_neve | -1.109E-13 | -5.070E-14 | 1.068E-13 |
| 343 | 267 | DEAD | -5.372E-14 | -2.264E-14 | 5.868E-13 |
| 343 | 269 | DEAD | 1.873E-13 | 1.865E-14 | 5.052E-13 |
| 343 | 270 | DEAD | 1.240E-13 | -8.189E-14 | 5.078E-13 |
| 343 | 268 | DEAD | -2.007E-14 | 8.777E-14 | 4.526E-13 |
| 343 | 267 | G1_smistamento | 1.1771 | -4.978E-04 | 0.0224 |
| 343 | 269 | G1_smistamento | 1.2485 | -3.566E-04 | 0.0353 |
| 343 | 270 | G1_smistamento | 1.4509 | 0.8561 | 0.03 |
| 343 | 268 | G1_smistamento | 1.3809 | 0.8524 | 0.0171 |
| 343 | 267 | G2_smistamento | 0.4364 | -1.845E-04 | 0.0083 |
| 343 | 269 | G2_smistamento | 0.4628 | -1.322E-04 | 0.0131 |
| 343 | 270 | G2_smistamento | 0.5379 | 0.3174 | 0.0111 |
| 343 | 268 | G2_smistamento | 0.5119 | 0.316 | 0.0063 |
| 343 | 267 | Q_smistamento | 0.4364 | -1.845E-04 | 0.0083 |
| 343 | 269 | Q_smistamento | 0.4628 | -1.322E-04 | 0.0131 |

Table 20: Element Forces - Area Shells, Part 2 of 3

| Area | Joint | OutputCase | M11 | M22 | M12 |
|------|-------|----------------|------------|------------|-----------|
| | | | KN-m/m | KN-m/m | KN-m/m |
| 343 | 270 | Q_smistamento | 0.5379 | 0.3174 | 0.0111 |
| 343 | 268 | Q_smistamento | 0.5119 | 0.316 | 0.0063 |
| 343 | 267 | Q_neve | 2.196E-14 | -1.288E-14 | 1.111E-13 |
| 343 | 269 | Q_neve | -1.946E-14 | 1.315E-14 | 1.201E-13 |
| 343 | 270 | Q_neve | -3.811E-14 | -5.649E-14 | 9.794E-14 |
| 343 | 268 | Q_neve | 7.600E-14 | 7.569E-14 | 1.003E-13 |
| 344 | 269 | DEAD | 1.822E-13 | 8.995E-14 | 4.976E-13 |
| 344 | 271 | DEAD | 5.177E-13 | 1.566E-13 | 4.186E-13 |
| 344 | 272 | DEAD | 1.789E-13 | 7.349E-14 | 4.450E-13 |
| 344 | 270 | DEAD | 1.227E-13 | -2.384E-13 | 5.240E-13 |
| 344 | 269 | G1_smistamento | 1.2482 | -4.200E-04 | 0.0499 |
| 344 | 271 | G1_smistamento | 1.3745 | -1.535E-04 | 0.0619 |
| 344 | 272 | G1_smistamento | 1.5754 | 0.8621 | 0.0524 |
| 344 | 270 | G1_smistamento | 1.4512 | 0.8561 | 0.0404 |
| 344 | 269 | G2_smistamento | 0.4627 | -1.557E-04 | 0.0185 |
| 344 | 271 | G2_smistamento | 0.5096 | -5.691E-05 | 0.023 |
| 344 | 272 | G2_smistamento | 0.584 | 0.3196 | 0.0194 |
| 344 | 270 | G2_smistamento | 0.538 | 0.3174 | 0.015 |
| 344 | 269 | Q_smistamento | 0.4627 | -1.557E-04 | 0.0185 |
| 344 | 271 | Q_smistamento | 0.5096 | -5.691E-05 | 0.023 |
| 344 | 272 | Q_smistamento | 0.584 | 0.3196 | 0.0194 |
| 344 | 270 | Q_smistamento | 0.538 | 0.3174 | 0.015 |
| 344 | 269 | Q_neve | 4.121E-14 | 1.834E-14 | 9.312E-14 |
| 344 | 271 | Q_neve | 9.734E-14 | 2.918E-14 | 8.895E-14 |
| 344 | 272 | Q_neve | 1.817E-14 | -1.787E-14 | 9.312E-14 |
| 344 | 270 | Q_neve | 2.904E-14 | -3.583E-14 | 1.087E-13 |
| 345 | 271 | DEAD | 3.671E-14 | 4.016E-14 | 4.936E-13 |
| 345 | 273 | DEAD | 5.157E-13 | -2.552E-13 | 4.480E-13 |
| 345 | 274 | DEAD | 2.902E-13 | 4.345E-14 | 3.882E-13 |
| 345 | 272 | DEAD | 3.642E-13 | 9.369E-14 | 3.426E-13 |
| 345 | 271 | G1_smistamento | 1.3742 | -2.275E-04 | 0.0744 |
| 345 | 273 | G1_smistamento | 1.5217 | 1.332E-04 | 0.0856 |
| 345 | 274 | G1_smistamento | 1.7218 | 0.8673 | 0.074 |
| 345 | 272 | G1_smistamento | 1.5757 | 0.8621 | 0.0629 |
| 345 | 271 | G2_smistamento | 0.5094 | -8.432E-05 | 0.0276 |
| 345 | 273 | G2_smistamento | 0.5641 | 4.939E-05 | 0.0317 |
| 345 | 274 | G2_smistamento | 0.6383 | 0.3215 | 0.0274 |
| 345 | 272 | G2_smistamento | 0.5841 | 0.3196 | 0.0233 |

Table 20: Element Forces - Area Shells, Part 2 of 3

| Area | Joint | OutputCase | M11 | M22 | M12 |
|------|-------|----------------|------------|------------|-----------|
| | | | KN-m/m | KN-m/m | KN-m/m |
| 345 | 271 | Q_smistamento | 0.5094 | -8.432E-05 | 0.0276 |
| 345 | 273 | Q_smistamento | 0.5641 | 4.939E-05 | 0.0317 |
| 345 | 274 | Q_smistamento | 0.6383 | 0.3215 | 0.0274 |
| 345 | 272 | Q_smistamento | 0.5841 | 0.3196 | 0.0233 |
| 345 | 271 | Q_neve | 4.156E-14 | 2.342E-14 | 9.970E-14 |
| 345 | 273 | Q_neve | 8.616E-14 | -2.335E-14 | 7.931E-14 |
| 345 | 274 | Q_neve | 5.061E-14 | -3.007E-14 | 8.654E-14 |
| 345 | 272 | Q_neve | 7.300E-14 | 9.569E-15 | 7.272E-14 |
| 346 | 273 | DEAD | 3.599E-13 | -2.976E-13 | 2.301E-13 |
| 346 | 275 | DEAD | 4.273E-13 | -1.230E-13 | 4.222E-13 |
| 346 | 276 | DEAD | -4.825E-14 | 3.155E-14 | 2.564E-13 |
| 346 | 274 | DEAD | 5.458E-13 | 1.535E-13 | 4.748E-13 |
| 346 | 273 | G1_smistamento | 1.5215 | 9.525E-05 | 0.0958 |
| 346 | 275 | G1_smistamento | 1.6379 | 4.961E-04 | 0.1069 |
| 346 | 276 | G1_smistamento | 1.8397 | 0.867 | 0.0968 |
| 346 | 274 | G1_smistamento | 1.7222 | 0.8674 | 0.0856 |
| 346 | 273 | G2_smistamento | 0.564 | 3.531E-05 | 0.0355 |
| 346 | 275 | G2_smistamento | 0.6072 | 1.839E-04 | 0.0396 |
| 346 | 276 | G2_smistamento | 0.682 | 0.3214 | 0.0359 |
| 346 | 274 | G2_smistamento | 0.6384 | 0.3215 | 0.0317 |
| 346 | 273 | Q_smistamento | 0.564 | 3.531E-05 | 0.0355 |
| 346 | 275 | Q_smistamento | 0.6072 | 1.839E-04 | 0.0396 |
| 346 | 276 | Q_smistamento | 0.682 | 0.3214 | 0.0359 |
| 346 | 274 | Q_smistamento | 0.6384 | 0.3215 | 0.0317 |
| 346 | 273 | Q_neve | 9.599E-14 | -5.641E-15 | 3.713E-14 |
| 346 | 275 | Q_neve | 8.307E-14 | -2.018E-14 | 7.374E-14 |
| 346 | 276 | Q_neve | 3.181E-14 | 2.892E-14 | 5.029E-14 |
| 346 | 274 | Q_neve | 5.756E-14 | -2.923E-14 | 9.349E-14 |
| 347 | 275 | DEAD | 1.215E-13 | -1.900E-13 | 2.666E-13 |
| 347 | 277 | DEAD | 2.107E-13 | 7.105E-14 | 3.649E-13 |
| 347 | 278 | DEAD | 5.988E-13 | 1.425E-13 | 3.719E-13 |
| 347 | 276 | DEAD | 2.929E-13 | 1.665E-13 | 3.649E-13 |
| 347 | 275 | G1_smistamento | 1.6381 | 5.505E-04 | 0.1156 |
| 347 | 277 | G1_smistamento | 1.6529 | 9.231E-04 | 0.1285 |
| 347 | 278 | G1_smistamento | 1.86 | 0.8543 | 0.1243 |
| 347 | 276 | G1_smistamento | 1.84 | 0.867 | 0.1114 |
| 347 | 275 | G2_smistamento | 0.6073 | 2.041E-04 | 0.0428 |
| 347 | 277 | G2_smistamento | 0.6128 | 3.422E-04 | 0.0477 |

Table 20: Element Forces - Area Shells, Part 2 of 3

| Area | Joint | OutputCase | M11 | M22 | M12 |
|------|-------|----------------|------------|------------|-----------|
| | | | KN-m/m | KN-m/m | KN-m/m |
| 347 | 278 | G2_smistamento | 0.6895 | 0.3167 | 0.0461 |
| 347 | 276 | G2_smistamento | 0.6821 | 0.3214 | 0.0413 |
| 347 | 275 | Q_smistamento | 0.6073 | 2.041E-04 | 0.0428 |
| 347 | 277 | Q_smistamento | 0.6128 | 3.422E-04 | 0.0477 |
| 347 | 278 | Q_smistamento | 0.6895 | 0.3167 | 0.0461 |
| 347 | 276 | Q_smistamento | 0.6821 | 0.3214 | 0.0413 |
| 347 | 275 | Q_neve | -1.761E-14 | -4.182E-14 | 6.322E-14 |
| 347 | 277 | Q_neve | 5.974E-14 | 2.115E-14 | 8.121E-14 |
| 347 | 278 | Q_neve | 8.032E-14 | 1.331E-14 | 6.981E-14 |
| 347 | 276 | Q_neve | 1.042E-13 | 4.584E-14 | 7.463E-14 |
| 348 | 277 | DEAD | 4.117E-13 | 6.964E-14 | 4.307E-13 |
| 348 | 279 | DEAD | 6.069E-13 | -3.029E-13 | 3.421E-13 |
| 348 | 280 | DEAD | 6.487E-13 | 3.066E-13 | 2.990E-13 |
| 348 | 278 | DEAD | 1.000E-13 | 6.474E-15 | 3.421E-13 |
| 348 | 277 | G1_smistamento | 1.6538 | 0.0011 | 0.1375 |
| 348 | 279 | G1_smistamento | 1.4838 | 0.0014 | 0.1546 |
| 348 | 280 | G1_smistamento | 1.6978 | 0.8208 | 0.1619 |
| 348 | 278 | G1_smistamento | 1.8603 | 0.8543 | 0.1447 |
| 348 | 277 | G2_smistamento | 0.6131 | 4.082E-04 | 0.051 |
| 348 | 279 | G2_smistamento | 0.5501 | 5.014E-04 | 0.0573 |
| 348 | 280 | G2_smistamento | 0.6294 | 0.3043 | 0.06 |
| 348 | 278 | G2_smistamento | 0.6896 | 0.3167 | 0.0536 |
| 348 | 277 | Q_smistamento | 0.6131 | 4.082E-04 | 0.051 |
| 348 | 279 | Q_smistamento | 0.5501 | 5.014E-04 | 0.0573 |
| 348 | 280 | Q_smistamento | 0.6294 | 0.3043 | 0.06 |
| 348 | 278 | Q_smistamento | 0.6896 | 0.3167 | 0.0536 |
| 348 | 277 | Q_neve | 1.384E-13 | 5.307E-14 | 8.158E-14 |
| 348 | 279 | Q_neve | 7.689E-14 | -6.358E-14 | 6.841E-14 |
| 348 | 280 | Q_neve | 9.394E-14 | 4.813E-14 | 5.525E-14 |
| 348 | 278 | Q_neve | 5.138E-14 | -1.338E-14 | 6.841E-14 |
| 349 | 279 | DEAD | 5.317E-13 | -3.240E-13 | 3.020E-13 |
| 349 | 281 | DEAD | 4.704E-13 | -1.408E-14 | 1.941E-13 |
| 349 | 282 | DEAD | 4.527E-13 | 2.290E-13 | 2.757E-13 |
| 349 | 280 | DEAD | 7.535E-13 | 2.953E-13 | 2.468E-13 |
| 349 | 279 | G1_smistamento | 1.4847 | 0.0015 | 0.1663 |
| 349 | 281 | G1_smistamento | 1.0585 | 0.0014 | 0.1874 |
| 349 | 282 | G1_smistamento | 1.2657 | 0.7555 | 0.2105 |
| 349 | 280 | G1_smistamento | 1.6977 | 0.8208 | 0.1894 |

Table 20: Element Forces - Area Shells, Part 2 of 3

| Area | Joint | OutputCase | M11 | M22 | M12 |
|------|-------|----------------|------------|------------|-----------|
| | | | KN-m/m | KN-m/m | KN-m/m |
| 349 | 279 | G2_smistamento | 0.5504 | 5.719E-04 | 0.0617 |
| 349 | 281 | G2_smistamento | 0.3924 | 5.107E-04 | 0.0695 |
| 349 | 282 | G2_smistamento | 0.4692 | 0.2801 | 0.078 |
| 349 | 280 | G2_smistamento | 0.6294 | 0.3043 | 0.0702 |
| 349 | 279 | Q_smistamento | 0.5504 | 5.719E-04 | 0.0617 |
| 349 | 281 | Q_smistamento | 0.3924 | 5.107E-04 | 0.0695 |
| 349 | 282 | Q_smistamento | 0.4692 | 0.2801 | 0.078 |
| 349 | 280 | Q_smistamento | 0.6294 | 0.3043 | 0.0702 |
| 349 | 279 | Q_neve | 8.881E-14 | -4.126E-14 | 5.840E-14 |
| 349 | 281 | Q_neve | 1.403E-13 | -3.307E-15 | 4.042E-14 |
| 349 | 282 | Q_neve | 8.223E-14 | 6.407E-14 | 5.182E-14 |
| 349 | 280 | Q_neve | 1.305E-13 | 4.607E-14 | 4.700E-14 |
| 350 | 281 | DEAD | 4.298E-13 | 8.848E-15 | 1.520E-13 |
| 350 | 19 | DEAD | 4.654E-13 | -4.455E-14 | 2.169E-13 |
| 350 | 22 | DEAD | 3.607E-13 | 2.952E-13 | 1.520E-13 |
| 350 | 282 | DEAD | 5.247E-13 | 2.517E-13 | 2.696E-13 |
| 350 | 281 | G1_smistamento | 1.0503 | -2.711E-04 | 0.1997 |
| 350 | 19 | G1_smistamento | 0.4834 | 0.0023 | 0.19 |
| 350 | 22 | G1_smistamento | 0.4974 | 0.6458 | 0.2247 |
| 350 | 282 | G1_smistamento | 1.2675 | 0.7558 | 0.2345 |
| 350 | 281 | G2_smistamento | 0.3894 | -1.005E-04 | 0.074 |
| 350 | 19 | G2_smistamento | 0.1792 | 8.674E-04 | 0.0704 |
| 350 | 22 | G2_smistamento | 0.1844 | 0.2394 | 0.0833 |
| 350 | 282 | G2_smistamento | 0.4699 | 0.2802 | 0.0869 |
| 350 | 281 | Q_smistamento | 0.3894 | -1.005E-04 | 0.074 |
| 350 | 19 | Q_smistamento | 0.1792 | 8.674E-04 | 0.0704 |
| 350 | 22 | Q_smistamento | 0.1844 | 0.2394 | 0.0833 |
| 350 | 282 | Q_smistamento | 0.4699 | 0.2802 | 0.0869 |
| 350 | 281 | Q_neve | 1.122E-13 | -1.175E-14 | 2.661E-14 |
| 350 | 19 | Q_neve | 3.734E-14 | 1.288E-14 | 4.941E-14 |
| 350 | 22 | Q_neve | 5.458E-14 | 3.598E-14 | 2.661E-14 |
| 350 | 282 | Q_neve | 1.023E-13 | 8.119E-14 | 4.941E-14 |
| 351 | 21 | DEAD | -2.714E-13 | 3.296E-13 | 1.520E-13 |
| 351 | 283 | DEAD | 3.450E-14 | -1.411E-13 | 2.047E-13 |
| 351 | 284 | DEAD | 1.137E-13 | -1.148E-13 | 1.520E-13 |
| 351 | 22 | DEAD | 3.209E-13 | 1.848E-13 | 9.937E-14 |
| 351 | 21 | G1_smistamento | 0.0034 | 0.6122 | 0.1553 |
| 351 | 283 | G1_smistamento | -6.140E-05 | 1.3605 | 0.1426 |

Table 20: Element Forces - Area Shells, Part 2 of 3

| Area | Joint | OutputCase | M11 | M22 | M12 |
|------|-------|----------------|------------|------------|-----------|
| | | | KN-m/m | KN-m/m | KN-m/m |
| 351 | 284 | G1_smistamento | 0.6014 | 1.6078 | 0.193 |
| 351 | 22 | G1_smistamento | 0.4975 | 0.645 | 0.2057 |
| 351 | 21 | G2_smistamento | 0.0012 | 0.2269 | 0.0576 |
| 351 | 283 | G2_smistamento | -2.276E-05 | 0.5044 | 0.0529 |
| 351 | 284 | G2_smistamento | 0.2229 | 0.596 | 0.0715 |
| 351 | 22 | G2_smistamento | 0.1844 | 0.2391 | 0.0762 |
| 351 | 21 | Q_smistamento | 0.0012 | 0.2269 | 0.0576 |
| 351 | 283 | Q_smistamento | -2.276E-05 | 0.5044 | 0.0529 |
| 351 | 284 | Q_smistamento | 0.2229 | 0.596 | 0.0715 |
| 351 | 22 | Q_smistamento | 0.1844 | 0.2391 | 0.0762 |
| 351 | 21 | Q_neve | -1.166E-14 | 4.462E-14 | 2.382E-14 |
| 351 | 283 | Q_neve | 5.341E-15 | 1.642E-14 | 4.357E-14 |
| 351 | 284 | Q_neve | 1.879E-14 | -2.039E-14 | 3.699E-14 |
| 351 | 22 | Q_neve | 1.604E-14 | 1.066E-14 | 1.724E-14 |
| 352 | 283 | DEAD | -3.196E-14 | 7.839E-14 | 2.433E-13 |
| 352 | 285 | DEAD | 5.162E-14 | -2.302E-13 | 2.696E-13 |
| 352 | 286 | DEAD | 2.182E-13 | -1.378E-14 | 2.433E-13 |
| 352 | 284 | DEAD | 2.030E-13 | -1.841E-13 | 2.169E-13 |
| 352 | 283 | G1_smistamento | 0.0019 | 1.3703 | 0.1082 |
| 352 | 285 | G1_smistamento | 0.0027 | 1.8601 | 0.0591 |
| 352 | 286 | G1_smistamento | 0.6503 | 2.109 | 0.0901 |
| 352 | 284 | G1_smistamento | 0.6011 | 1.6064 | 0.1392 |
| 352 | 283 | G2_smistamento | 7.017E-04 | 0.508 | 0.0401 |
| 352 | 285 | G2_smistamento | 0.001 | 0.6896 | 0.0219 |
| 352 | 286 | G2_smistamento | 0.2411 | 0.7818 | 0.0334 |
| 352 | 284 | G2_smistamento | 0.2228 | 0.5955 | 0.0516 |
| 352 | 283 | Q_smistamento | 7.017E-04 | 0.508 | 0.0401 |
| 352 | 285 | Q_smistamento | 0.001 | 0.6896 | 0.0219 |
| 352 | 286 | Q_smistamento | 0.2411 | 0.7818 | 0.0334 |
| 352 | 284 | Q_smistamento | 0.2228 | 0.5955 | 0.0516 |
| 352 | 283 | Q_neve | -1.203E-14 | -1.731E-14 | 4.941E-14 |
| 352 | 285 | Q_neve | -5.993E-15 | -3.190E-14 | 4.941E-14 |
| 352 | 286 | Q_neve | 3.816E-14 | -2.307E-14 | 4.941E-14 |
| 352 | 284 | Q_neve | 1.787E-14 | -1.133E-14 | 4.941E-14 |
| 353 | 285 | DEAD | -5.192E-15 | -3.241E-13 | 2.321E-13 |
| 353 | 287 | DEAD | -6.491E-14 | -3.067E-13 | 2.585E-13 |
| 353 | 288 | DEAD | 1.391E-15 | -6.071E-13 | 2.848E-13 |
| 353 | 286 | DEAD | 1.523E-13 | -1.684E-13 | 2.585E-13 |

Table 20: Element Forces - Area Shells, Part 2 of 3

| Area | Joint | OutputCase | M11 | M22 | M12 |
|------|-------|----------------|------------|------------|-----------|
| | | | KN-m/m | KN-m/m | KN-m/m |
| 353 | 285 | G1_smistamento | 0.0027 | 1.8602 | 0.0249 |
| 353 | 287 | G1_smistamento | 0.0027 | 1.8602 | -0.0249 |
| 353 | 288 | G1_smistamento | 0.6504 | 2.1093 | -0.0249 |
| 353 | 286 | G1_smistamento | 0.6504 | 2.1093 | 0.0249 |
| 353 | 285 | G2_smistamento | 0.001 | 0.6896 | 0.0092 |
| 353 | 287 | G2_smistamento | 0.001 | 0.6896 | -0.0092 |
| 353 | 288 | G2_smistamento | 0.2411 | 0.782 | -0.0092 |
| 353 | 286 | G2_smistamento | 0.2411 | 0.782 | 0.0092 |
| 353 | 285 | Q_smistamento | 0.001 | 0.6896 | 0.0092 |
| 353 | 287 | Q_smistamento | 0.001 | 0.6896 | -0.0092 |
| 353 | 288 | Q_smistamento | 0.2411 | 0.782 | -0.0092 |
| 353 | 286 | Q_smistamento | 0.2411 | 0.782 | 0.0092 |
| 353 | 285 | Q_neve | -7.847E-15 | -7.538E-14 | 4.663E-14 |
| 353 | 287 | Q_neve | 1.787E-14 | -4.943E-14 | 5.979E-14 |
| 353 | 288 | Q_neve | 1.355E-14 | -6.715E-14 | 5.979E-14 |
| 353 | 286 | Q_neve | 2.774E-14 | -9.880E-14 | 4.663E-14 |
| 354 | 287 | DEAD | -7.164E-14 | -4.339E-13 | 2.929E-13 |
| 354 | 289 | DEAD | -9.328E-14 | -4.151E-13 | 2.929E-13 |
| 354 | 290 | DEAD | -2.362E-13 | -4.669E-13 | 3.456E-13 |
| 354 | 288 | DEAD | 1.503E-13 | -3.032E-13 | 3.456E-13 |
| 354 | 287 | G1_smistamento | 0.0027 | 1.8601 | -0.0591 |
| 354 | 289 | G1_smistamento | 0.0019 | 1.3703 | -0.1082 |
| 354 | 290 | G1_smistamento | 0.6011 | 1.6064 | -0.1392 |
| 354 | 288 | G1_smistamento | 0.6503 | 2.109 | -0.0901 |
| 354 | 287 | G2_smistamento | 0.001 | 0.6896 | -0.0219 |
| 354 | 289 | G2_smistamento | 7.017E-04 | 0.508 | -0.0401 |
| 354 | 290 | G2_smistamento | 0.2228 | 0.5955 | -0.0516 |
| 354 | 288 | G2_smistamento | 0.2411 | 0.7818 | -0.0334 |
| 354 | 287 | Q_smistamento | 0.001 | 0.6896 | -0.0219 |
| 354 | 289 | Q_smistamento | 7.017E-04 | 0.508 | -0.0401 |
| 354 | 290 | Q_smistamento | 0.2228 | 0.5955 | -0.0516 |
| 354 | 288 | Q_smistamento | 0.2411 | 0.7818 | -0.0334 |
| 354 | 287 | Q_neve | 2.469E-14 | -3.233E-14 | 5.803E-14 |
| 354 | 289 | Q_neve | -5.901E-14 | -1.454E-13 | 5.145E-14 |
| 354 | 290 | Q_neve | -2.469E-14 | -8.170E-14 | 7.120E-14 |
| 354 | 288 | Q_neve | 1.340E-14 | -5.983E-14 | 7.778E-14 |
| 355 | 289 | DEAD | -1.176E-13 | -2.810E-13 | 3.152E-13 |
| 355 | 10 | DEAD | 8.124E-15 | -2.420E-13 | 2.889E-13 |

Table 20: Element Forces - Area Shells, Part 2 of 3

| Area | Joint | OutputCase | M11 | M22 | M12 |
|------|-------|----------------|------------|------------|-----------|
| | | | KN-m/m | KN-m/m | KN-m/m |
| 355 | 9 | DEAD | -2.873E-14 | 5.405E-15 | 2.625E-13 |
| 355 | 290 | DEAD | -1.202E-13 | -4.099E-13 | 2.889E-13 |
| 355 | 289 | G1_smistamento | -6.140E-05 | 1.3605 | -0.1426 |
| 355 | 10 | G1_smistamento | 0.0034 | 0.6122 | -0.1553 |
| 355 | 9 | G1_smistamento | 0.4975 | 0.645 | -0.2057 |
| 355 | 290 | G1_smistamento | 0.6014 | 1.6078 | -0.193 |
| 355 | 289 | G2_smistamento | -2.276E-05 | 0.5044 | -0.0529 |
| 355 | 10 | G2_smistamento | 0.0012 | 0.2269 | -0.0576 |
| 355 | 9 | G2_smistamento | 0.1844 | 0.2391 | -0.0762 |
| 355 | 290 | G2_smistamento | 0.2229 | 0.596 | -0.0715 |
| 355 | 289 | Q_smistamento | -2.276E-05 | 0.5044 | -0.0529 |
| 355 | 10 | Q_smistamento | 0.0012 | 0.2269 | -0.0576 |
| 355 | 9 | Q_smistamento | 0.1844 | 0.2391 | -0.0762 |
| 355 | 290 | Q_smistamento | 0.2229 | 0.596 | -0.0715 |
| 355 | 289 | Q_neve | -5.247E-14 | -6.323E-14 | 5.979E-14 |
| 355 | 10 | Q_neve | 2.517E-14 | -2.767E-14 | 5.321E-14 |
| 355 | 9 | Q_neve | -2.449E-14 | -2.335E-15 | 4.663E-14 |
| 355 | 290 | Q_neve | 4.842E-16 | -7.210E-14 | 5.321E-14 |
| 356 | 18 | DEAD | 2.515E-13 | -2.149E-13 | 2.335E-14 |
| 356 | 252 | DEAD | 2.666E-13 | 7.056E-15 | 1.287E-13 |
| 356 | 291 | DEAD | 7.519E-13 | -2.412E-13 | 1.287E-13 |
| 356 | 250 | DEAD | 3.719E-13 | -9.828E-14 | 2.335E-14 |
| 356 | 18 | G1_smistamento | 0.4972 | 0.645 | -0.2429 |
| 356 | 252 | G1_smistamento | 1.2672 | 0.7545 | -0.2467 |
| 356 | 291 | G1_smistamento | 1.5756 | 1.941 | -0.2263 |
| 356 | 250 | G1_smistamento | 0.5994 | 1.6074 | -0.2225 |
| 356 | 18 | G2_smistamento | 0.1843 | 0.2391 | -0.0901 |
| 356 | 252 | G2_smistamento | 0.4698 | 0.2797 | -0.0915 |
| 356 | 291 | G2_smistamento | 0.5841 | 0.7196 | -0.0839 |
| 356 | 250 | G2_smistamento | 0.2222 | 0.5959 | -0.0825 |
| 356 | 18 | Q_smistamento | 0.1843 | 0.2391 | -0.0901 |
| 356 | 252 | Q_smistamento | 0.4698 | 0.2797 | -0.0915 |
| 356 | 291 | Q_smistamento | 0.5841 | 0.7196 | -0.0839 |
| 356 | 250 | Q_smistamento | 0.2222 | 0.5959 | -0.0825 |
| 356 | 18 | Q_neve | -1.735E-14 | -6.276E-14 | 2.037E-15 |
| 356 | 252 | Q_neve | 1.272E-13 | -6.956E-16 | 2.837E-14 |
| 356 | 291 | Q_neve | 1.637E-13 | -2.656E-14 | 2.837E-14 |
| 356 | 250 | Q_neve | 6.470E-14 | 2.596E-15 | 2.037E-15 |

Table 20: Element Forces - Area Shells, Part 2 of 3

| Area | Joint | OutputCase | M11 | M22 | M12 |
|------|-------|----------------|-----------|------------|------------|
| | | | KN-m/m | KN-m/m | KN-m/m |
| 357 | 250 | DEAD | 4.563E-13 | 1.638E-13 | 1.520E-14 |
| 357 | 291 | DEAD | 7.739E-13 | -8.215E-14 | 4.154E-14 |
| 357 | 292 | DEAD | 1.184E-12 | 9.116E-15 | 1.520E-14 |
| 357 | 248 | DEAD | 7.938E-14 | -3.949E-13 | -1.113E-14 |
| 357 | 250 | G1_smistamento | 0.5991 | 1.606 | -0.1673 |
| 357 | 291 | G1_smistamento | 1.5756 | 1.9408 | -0.1724 |
| 357 | 292 | G1_smistamento | 1.7096 | 2.4821 | -0.1071 |
| 357 | 248 | G1_smistamento | 0.6481 | 2.1086 | -0.102 |
| 357 | 250 | G2_smistamento | 0.2221 | 0.5954 | -0.062 |
| 357 | 291 | G2_smistamento | 0.5841 | 0.7195 | -0.0639 |
| 357 | 292 | G2_smistamento | 0.6338 | 0.9201 | -0.0397 |
| 357 | 248 | G2_smistamento | 0.2403 | 0.7817 | -0.0378 |
| 357 | 250 | Q_smistamento | 0.2221 | 0.5954 | -0.062 |
| 357 | 291 | Q_smistamento | 0.5841 | 0.7195 | -0.0639 |
| 357 | 292 | Q_smistamento | 0.6338 | 0.9201 | -0.0397 |
| 357 | 248 | Q_smistamento | 0.2403 | 0.7817 | -0.0378 |
| 357 | 250 | Q_neve | 5.764E-14 | 3.211E-14 | 7.602E-15 |
| 357 | 291 | Q_neve | 1.784E-13 | -2.111E-14 | 7.602E-15 |
| 357 | 292 | Q_neve | 2.008E-13 | 1.730E-14 | 7.602E-15 |
| 357 | 248 | Q_neve | 4.015E-14 | -6.061E-14 | 7.602E-15 |
| 358 | 248 | DEAD | 1.564E-13 | -2.833E-13 | 9.122E-14 |
| 358 | 292 | DEAD | 1.107E-12 | 1.426E-14 | 3.855E-14 |
| 358 | 293 | DEAD | 8.641E-13 | 9.520E-14 | 9.122E-14 |
| 358 | 246 | DEAD | 2.215E-13 | -3.050E-13 | 1.439E-13 |
| 358 | 248 | G1_smistamento | 0.6481 | 2.1089 | -0.0352 |
| 358 | 292 | G1_smistamento | 1.7098 | 2.483 | -0.0352 |
| 358 | 293 | G1_smistamento | 1.7098 | 2.483 | 0.0352 |
| 358 | 246 | G1_smistamento | 0.6481 | 2.1089 | 0.0352 |
| 358 | 248 | G2_smistamento | 0.2403 | 0.7818 | -0.013 |
| 358 | 292 | G2_smistamento | 0.6338 | 0.9205 | -0.013 |
| 358 | 293 | G2_smistamento | 0.6338 | 0.9205 | 0.013 |
| 358 | 246 | G2_smistamento | 0.2403 | 0.7818 | 0.013 |
| 358 | 248 | Q_smistamento | 0.2403 | 0.7818 | -0.013 |
| 358 | 292 | Q_smistamento | 0.6338 | 0.9205 | -0.013 |
| 358 | 293 | Q_smistamento | 0.6338 | 0.9205 | 0.013 |
| 358 | 246 | Q_smistamento | 0.2403 | 0.7818 | 0.013 |
| 358 | 248 | Q_neve | 3.200E-14 | -6.102E-14 | 1.622E-14 |
| 358 | 292 | Q_neve | 1.905E-13 | -1.246E-14 | 1.622E-14 |

Table 20: Element Forces - Area Shells, Part 2 of 3

| Area | Joint | OutputCase | M11 | M22 | M12 |
|------|-------|----------------|------------|------------|------------|
| | | | KN-m/m | KN-m/m | KN-m/m |
| 358 | 293 | Q_neve | 1.571E-13 | -8.350E-15 | 2.939E-14 |
| 358 | 246 | Q_neve | 6.704E-14 | -5.690E-14 | 2.939E-14 |
| 359 | 246 | DEAD | 4.333E-13 | 3.412E-13 | 1.155E-13 |
| 359 | 293 | DEAD | 6.711E-13 | 8.127E-14 | 9.882E-14 |
| 359 | 294 | DEAD | 8.020E-13 | -1.854E-13 | 3.652E-14 |
| 359 | 244 | DEAD | 2.563E-13 | -9.648E-14 | 9.882E-14 |
| 359 | 246 | G1_smistamento | 0.6481 | 2.1086 | 0.102 |
| 359 | 293 | G1_smistamento | 1.7096 | 2.4821 | 0.1071 |
| 359 | 294 | G1_smistamento | 1.5756 | 1.9408 | 0.1724 |
| 359 | 244 | G1_smistamento | 0.5991 | 1.606 | 0.1673 |
| 359 | 246 | G2_smistamento | 0.2403 | 0.7817 | 0.0378 |
| 359 | 293 | G2_smistamento | 0.6338 | 0.9201 | 0.0397 |
| 359 | 294 | G2_smistamento | 0.5841 | 0.7195 | 0.0639 |
| 359 | 244 | G2_smistamento | 0.2221 | 0.5954 | 0.062 |
| 359 | 246 | Q_smistamento | 0.2403 | 0.7817 | 0.0378 |
| 359 | 293 | Q_smistamento | 0.6338 | 0.9201 | 0.0397 |
| 359 | 294 | Q_smistamento | 0.5841 | 0.7195 | 0.0639 |
| 359 | 244 | Q_smistamento | 0.2221 | 0.5954 | 0.062 |
| 359 | 246 | Q_neve | 1.022E-13 | 7.308E-14 | 1.228E-14 |
| 359 | 293 | Q_neve | 1.509E-13 | -1.256E-14 | 1.469E-14 |
| 359 | 294 | Q_neve | 2.067E-13 | 2.289E-14 | -8.820E-16 |
| 359 | 244 | Q_neve | -2.026E-14 | -9.814E-14 | 8.111E-15 |
| 360 | 244 | DEAD | 1.034E-13 | -2.171E-13 | 9.326E-14 |
| 360 | 294 | DEAD | 9.267E-13 | 1.923E-13 | 3.801E-14 |
| 360 | 242 | DEAD | 7.518E-13 | 2.322E-14 | 1.196E-13 |
| 360 | 14 | DEAD | 2.420E-13 | 8.701E-14 | 3.801E-14 |
| 360 | 244 | G1_smistamento | 0.5994 | 1.6074 | 0.2225 |
| 360 | 294 | G1_smistamento | 1.5756 | 1.941 | 0.2263 |
| 360 | 242 | G1_smistamento | 1.2672 | 0.7545 | 0.2467 |
| 360 | 14 | G1_smistamento | 0.4972 | 0.645 | 0.2429 |
| 360 | 244 | G2_smistamento | 0.2222 | 0.5959 | 0.0825 |
| 360 | 294 | G2_smistamento | 0.5841 | 0.7196 | 0.0839 |
| 360 | 242 | G2_smistamento | 0.4698 | 0.2797 | 0.0915 |
| 360 | 14 | G2_smistamento | 0.1843 | 0.2391 | 0.0901 |
| 360 | 244 | Q_smistamento | 0.2222 | 0.5959 | 0.0825 |
| 360 | 294 | Q_smistamento | 0.5841 | 0.7196 | 0.0839 |
| 360 | 242 | Q_smistamento | 0.4698 | 0.2797 | 0.0915 |
| 360 | 14 | Q_smistamento | 0.1843 | 0.2391 | 0.0901 |

Table 20: Element Forces - Area Shells, Part 2 of 3

| Area | Joint | OutputCase | M11 | M22 | M12 |
|------|-------|----------------|------------|------------|-----------|
| | | | KN-m/m | KN-m/m | KN-m/m |
| 360 | 244 | Q_neve | -3.164E-15 | -3.437E-14 | 1.293E-14 |
| 360 | 294 | Q_neve | 2.099E-13 | 4.995E-14 | 1.710E-14 |
| 360 | 242 | Q_neve | 1.771E-13 | 3.722E-14 | 3.268E-14 |
| 360 | 14 | Q_neve | 4.527E-14 | 1.704E-14 | 1.710E-14 |
| 361 | 252 | DEAD | 6.720E-13 | 1.238E-14 | 2.625E-13 |
| 361 | 254 | DEAD | -1.301E-13 | -2.444E-13 | 2.959E-13 |
| 361 | 295 | DEAD | 4.284E-13 | -2.575E-13 | 3.152E-13 |
| 361 | 291 | DEAD | 4.722E-13 | -2.345E-13 | 1.906E-13 |
| 361 | 252 | G1_smistamento | 1.2655 | 0.7541 | -0.2215 |
| 361 | 254 | G1_smistamento | 1.6974 | 0.8191 | -0.1929 |
| 361 | 295 | G1_smistamento | 2.0307 | 2.129 | -0.1764 |
| 361 | 291 | G1_smistamento | 1.575 | 1.9409 | -0.2051 |
| 361 | 252 | G2_smistamento | 0.4691 | 0.2796 | -0.0821 |
| 361 | 254 | G2_smistamento | 0.6292 | 0.3036 | -0.0715 |
| 361 | 295 | G2_smistamento | 0.7528 | 0.7893 | -0.0654 |
| 361 | 291 | G2_smistamento | 0.5839 | 0.7195 | -0.076 |
| 361 | 252 | Q_smistamento | 0.4691 | 0.2796 | -0.0821 |
| 361 | 254 | Q_smistamento | 0.6292 | 0.3036 | -0.0715 |
| 361 | 295 | Q_smistamento | 0.7528 | 0.7893 | -0.0654 |
| 361 | 291 | Q_smistamento | 0.5839 | 0.7195 | -0.076 |
| 361 | 252 | Q_neve | 1.753E-13 | 1.989E-15 | 4.334E-14 |
| 361 | 254 | Q_neve | -7.619E-14 | -7.606E-14 | 6.068E-14 |
| 361 | 295 | Q_neve | 8.888E-14 | -1.529E-14 | 6.309E-14 |
| 361 | 291 | Q_neve | 9.662E-14 | -6.125E-14 | 3.434E-14 |
| 362 | 291 | DEAD | 5.435E-13 | -3.058E-14 | 1.591E-13 |
| 362 | 295 | DEAD | 4.230E-13 | -4.948E-13 | 1.784E-13 |
| 362 | 296 | DEAD | 7.606E-14 | -1.557E-13 | 5.376E-14 |
| 362 | 292 | DEAD | 9.035E-13 | 1.210E-14 | 1.257E-13 |
| 362 | 291 | G1_smistamento | 1.5749 | 1.9407 | -0.1585 |
| 362 | 295 | G1_smistamento | 2.0304 | 2.1276 | -0.1437 |
| 362 | 296 | G1_smistamento | 2.2007 | 2.7332 | -0.0897 |
| 362 | 292 | G1_smistamento | 1.7078 | 2.4817 | -0.1044 |
| 362 | 291 | G2_smistamento | 0.5838 | 0.7194 | -0.0588 |
| 362 | 295 | G2_smistamento | 0.7527 | 0.7887 | -0.0533 |
| 362 | 296 | G2_smistamento | 0.8158 | 1.0132 | -0.0333 |
| 362 | 292 | G2_smistamento | 0.6331 | 0.92 | -0.0387 |
| 362 | 291 | Q_smistamento | 0.5838 | 0.7194 | -0.0588 |
| 362 | 295 | Q_smistamento | 0.7527 | 0.7887 | -0.0533 |

Table 20: Element Forces - Area Shells, Part 2 of 3

| Area | Joint | OutputCase | M11 | M22 | M12 |
|------|-------|----------------|------------|------------|-----------|
| | | | KN-m/m | KN-m/m | KN-m/m |
| 362 | 296 | Q_smistamento | 0.8158 | 1.0132 | -0.0333 |
| 362 | 292 | Q_smistamento | 0.6331 | 0.92 | -0.0387 |
| 362 | 291 | Q_neve | 1.161E-13 | -1.040E-15 | 2.800E-14 |
| 362 | 295 | Q_neve | 7.133E-14 | -1.111E-13 | 2.800E-14 |
| 362 | 296 | Q_neve | -8.205E-15 | -2.984E-14 | 2.141E-14 |
| 362 | 292 | Q_neve | 2.104E-13 | -8.194E-15 | 2.141E-14 |
| 363 | 292 | DEAD | 9.480E-13 | -6.361E-14 | 8.147E-15 |
| 363 | 296 | DEAD | -2.952E-14 | -3.497E-13 | 1.135E-13 |
| 363 | 297 | DEAD | 6.616E-13 | 8.451E-14 | 1.135E-13 |
| 363 | 293 | DEAD | 8.296E-13 | 1.539E-13 | 8.147E-15 |
| 363 | 292 | G1_smistamento | 1.708 | 2.4826 | -0.033 |
| 363 | 296 | G1_smistamento | 2.2006 | 2.7328 | -0.033 |
| 363 | 297 | G1_smistamento | 2.2006 | 2.7328 | 0.033 |
| 363 | 293 | G1_smistamento | 1.708 | 2.4826 | 0.033 |
| 363 | 292 | G2_smistamento | 0.6332 | 0.9203 | -0.0122 |
| 363 | 296 | G2_smistamento | 0.8158 | 1.0131 | -0.0122 |
| 363 | 297 | G2_smistamento | 0.8158 | 1.0131 | 0.0122 |
| 363 | 293 | G2_smistamento | 0.6332 | 0.9203 | 0.0122 |
| 363 | 292 | Q_smistamento | 0.6332 | 0.9203 | -0.0122 |
| 363 | 296 | Q_smistamento | 0.8158 | 1.0131 | -0.0122 |
| 363 | 297 | Q_smistamento | 0.8158 | 1.0131 | 0.0122 |
| 363 | 293 | Q_smistamento | 0.6332 | 0.9203 | 0.0122 |
| 363 | 292 | Q_neve | 2.094E-13 | -2.736E-15 | 4.819E-15 |
| 363 | 296 | Q_neve | -1.810E-14 | -6.876E-14 | 1.799E-14 |
| 363 | 297 | Q_neve | 1.246E-13 | 7.962E-15 | 1.799E-14 |
| 363 | 293 | Q_neve | 1.440E-13 | -8.685E-15 | 4.819E-15 |
| 364 | 293 | DEAD | 9.230E-13 | 1.784E-13 | 9.882E-14 |
| 364 | 297 | DEAD | 6.519E-13 | 2.336E-13 | 1.611E-13 |
| 364 | 298 | DEAD | 8.900E-13 | -1.442E-13 | 9.882E-14 |
| 364 | 294 | DEAD | 7.506E-13 | -6.260E-14 | 8.213E-14 |
| 364 | 293 | G1_smistamento | 1.7078 | 2.4817 | 0.1044 |
| 364 | 297 | G1_smistamento | 2.2007 | 2.7332 | 0.0897 |
| 364 | 298 | G1_smistamento | 2.0304 | 2.1276 | 0.1437 |
| 364 | 294 | G1_smistamento | 1.5749 | 1.9407 | 0.1585 |
| 364 | 293 | G2_smistamento | 0.6331 | 0.92 | 0.0387 |
| 364 | 297 | G2_smistamento | 0.8158 | 1.0132 | 0.0333 |
| 364 | 298 | G2_smistamento | 0.7527 | 0.7887 | 0.0533 |
| 364 | 294 | G2_smistamento | 0.5838 | 0.7194 | 0.0588 |

Table 20: Element Forces - Area Shells, Part 2 of 3

| Area | Joint | OutputCase | M11 | M22 | M12 |
|------|-------|----------------|------------|------------|-----------|
| | | | KN-m/m | KN-m/m | KN-m/m |
| 364 | 293 | Q_smistamento | 0.6331 | 0.92 | 0.0387 |
| 364 | 297 | Q_smistamento | 0.8158 | 1.0132 | 0.0333 |
| 364 | 298 | Q_smistamento | 0.7527 | 0.7887 | 0.0533 |
| 364 | 294 | Q_smistamento | 0.5838 | 0.7194 | 0.0588 |
| 364 | 293 | Q_neve | 1.357E-13 | -9.744E-15 | 1.914E-14 |
| 364 | 297 | Q_neve | 1.225E-13 | 3.263E-14 | 3.648E-14 |
| 364 | 298 | Q_neve | 1.727E-13 | -2.209E-14 | 4.547E-14 |
| 364 | 294 | Q_neve | 1.744E-13 | 1.535E-14 | 1.673E-14 |
| 365 | 294 | DEAD | 7.448E-13 | 6.222E-14 | 6.081E-14 |
| 365 | 298 | DEAD | 9.912E-13 | 1.767E-13 | 8.715E-14 |
| 365 | 240 | DEAD | 1.222E-12 | -7.932E-14 | 6.081E-14 |
| 365 | 242 | DEAD | 5.995E-13 | 1.141E-13 | 3.448E-14 |
| 365 | 294 | G1_smistamento | 1.575 | 1.9409 | 0.2051 |
| 365 | 298 | G1_smistamento | 2.0307 | 2.129 | 0.1764 |
| 365 | 240 | G1_smistamento | 1.6974 | 0.8191 | 0.1929 |
| 365 | 242 | G1_smistamento | 1.2655 | 0.7541 | 0.2215 |
| 365 | 294 | G2_smistamento | 0.5839 | 0.7195 | 0.076 |
| 365 | 298 | G2_smistamento | 0.7528 | 0.7893 | 0.0654 |
| 365 | 240 | G2_smistamento | 0.6292 | 0.3036 | 0.0715 |
| 365 | 242 | G2_smistamento | 0.4691 | 0.2796 | 0.0821 |
| 365 | 294 | Q_smistamento | 0.5839 | 0.7195 | 0.076 |
| 365 | 298 | Q_smistamento | 0.7528 | 0.7893 | 0.0654 |
| 365 | 240 | Q_smistamento | 0.6292 | 0.3036 | 0.0715 |
| 365 | 242 | Q_smistamento | 0.4691 | 0.2796 | 0.0821 |
| 365 | 294 | Q_neve | 1.857E-13 | 4.960E-14 | 2.179E-14 |
| 365 | 298 | Q_neve | 1.778E-13 | -1.094E-14 | 2.179E-14 |
| 365 | 240 | Q_neve | 2.153E-13 | 3.972E-14 | 8.620E-15 |
| 365 | 242 | Q_neve | 1.548E-13 | 3.185E-14 | 8.620E-15 |
| 366 | 254 | DEAD | 1.573E-13 | -3.084E-13 | 3.892E-13 |
| 366 | 256 | DEAD | -4.543E-14 | 4.182E-15 | 3.076E-13 |
| 366 | 299 | DEAD | 6.509E-14 | -7.692E-13 | 3.102E-13 |
| 366 | 295 | DEAD | -2.396E-13 | -3.349E-13 | 2.549E-13 |
| 366 | 254 | G1_smistamento | 1.6974 | 0.8191 | -0.164 |
| 366 | 256 | G1_smistamento | 1.8601 | 0.8534 | -0.1393 |
| 366 | 299 | G1_smistamento | 2.1856 | 2.2252 | -0.1248 |
| 366 | 295 | G1_smistamento | 2.0315 | 2.1292 | -0.1494 |
| 366 | 254 | G2_smistamento | 0.6293 | 0.3036 | -0.0608 |
| 366 | 256 | G2_smistamento | 0.6896 | 0.3164 | -0.0517 |

Table 20: Element Forces - Area Shells, Part 2 of 3

| Area | Joint | OutputCase | M11 | M22 | M12 |
|------|-------|----------------|------------|------------|-----------|
| | | | KN-m/m | KN-m/m | KN-m/m |
| 366 | 299 | G2_smistamento | 0.8102 | 0.8249 | -0.0463 |
| 366 | 295 | G2_smistamento | 0.7531 | 0.7893 | -0.0554 |
| 366 | 254 | Q_smistamento | 0.6293 | 0.3036 | -0.0608 |
| 366 | 256 | Q_smistamento | 0.6896 | 0.3164 | -0.0517 |
| 366 | 299 | Q_smistamento | 0.8102 | 0.8249 | -0.0463 |
| 366 | 295 | Q_smistamento | 0.7531 | 0.7893 | -0.0554 |
| 366 | 254 | Q_neve | 2.447E-14 | -6.855E-14 | 7.120E-14 |
| 366 | 256 | Q_neve | -1.716E-14 | -4.729E-14 | 5.979E-14 |
| 366 | 299 | Q_neve | 7.055E-14 | -9.488E-14 | 5.803E-14 |
| 366 | 295 | Q_neve | -7.311E-14 | -5.058E-14 | 4.663E-14 |
| 367 | 295 | DEAD | -3.326E-13 | -7.149E-13 | 1.739E-13 |
| 367 | 299 | DEAD | 3.977E-14 | -4.951E-13 | 3.056E-13 |
| 367 | 300 | DEAD | 1.710E-13 | -9.278E-14 | 3.582E-13 |
| 367 | 296 | DEAD | 5.171E-13 | -4.679E-15 | 2.266E-13 |
| 367 | 295 | G1_smistamento | 2.0312 | 2.1277 | -0.1177 |
| 367 | 299 | G1_smistamento | 2.1854 | 2.2243 | -0.1009 |
| 367 | 300 | G1_smistamento | 2.352 | 2.8747 | -0.0624 |
| 367 | 296 | G1_smistamento | 2.2004 | 2.7332 | -0.0793 |
| 367 | 295 | G2_smistamento | 0.753 | 0.7888 | -0.0436 |
| 367 | 299 | G2_smistamento | 0.8102 | 0.8246 | -0.0374 |
| 367 | 300 | G2_smistamento | 0.8719 | 1.0657 | -0.0231 |
| 367 | 296 | G2_smistamento | 0.8157 | 1.0132 | -0.0294 |
| 367 | 295 | Q_smistamento | 0.753 | 0.7888 | -0.0436 |
| 367 | 299 | Q_smistamento | 0.8102 | 0.8246 | -0.0374 |
| 367 | 300 | Q_smistamento | 0.8719 | 1.0657 | -0.0231 |
| 367 | 296 | Q_smistamento | 0.8157 | 1.0132 | -0.0294 |
| 367 | 295 | Q_neve | -1.043E-13 | -1.456E-13 | 3.485E-14 |
| 367 | 299 | Q_neve | 6.664E-14 | -7.506E-14 | 6.119E-14 |
| 367 | 300 | Q_neve | 3.639E-14 | -3.449E-14 | 6.777E-14 |
| 367 | 296 | Q_neve | 1.020E-13 | -1.663E-14 | 4.144E-14 |
| 368 | 296 | DEAD | 5.046E-13 | -1.714E-13 | 2.017E-13 |
| 368 | 300 | DEAD | 8.478E-14 | -4.281E-13 | 2.807E-13 |
| 368 | 301 | DEAD | 6.889E-13 | 1.182E-13 | 2.544E-13 |
| 368 | 297 | DEAD | 4.929E-13 | 3.277E-14 | 1.754E-13 |
| 368 | 296 | G1_smistamento | 2.2003 | 2.7328 | -0.0242 |
| 368 | 300 | G1_smistamento | 2.3519 | 2.8743 | -0.0242 |
| 368 | 301 | G1_smistamento | 2.3519 | 2.8743 | 0.0242 |
| 368 | 297 | G1_smistamento | 2.2003 | 2.7328 | 0.0242 |

Table 20: Element Forces - Area Shells, Part 2 of 3

| Area | Joint | OutputCase | M11 | M22 | M12 |
|------|-------|----------------|-----------|------------|-----------|
| | | | KN-m/m | KN-m/m | KN-m/m |
| 368 | 296 | G2_smistamento | 0.8157 | 1.0131 | -0.009 |
| 368 | 300 | G2_smistamento | 0.8719 | 1.0655 | -0.009 |
| 368 | 301 | G2_smistamento | 0.8719 | 1.0655 | 0.009 |
| 368 | 297 | G2_smistamento | 0.8157 | 1.0131 | 0.009 |
| 368 | 296 | Q_smistamento | 0.8157 | 1.0131 | -0.009 |
| 368 | 300 | Q_smistamento | 0.8719 | 1.0655 | -0.009 |
| 368 | 301 | Q_smistamento | 0.8719 | 1.0655 | 0.009 |
| 368 | 297 | Q_smistamento | 0.8157 | 1.0131 | 0.009 |
| 368 | 296 | Q_neve | 9.710E-14 | -3.676E-14 | 4.663E-14 |
| 368 | 300 | Q_neve | 3.349E-14 | -3.107E-14 | 6.638E-14 |
| 368 | 301 | Q_neve | 1.210E-13 | -3.593E-14 | 5.979E-14 |
| 368 | 297 | Q_neve | 1.133E-13 | 1.254E-14 | 4.005E-14 |
| 369 | 297 | DEAD | 5.413E-13 | 1.314E-13 | 1.622E-13 |
| 369 | 301 | DEAD | 6.766E-13 | 1.291E-13 | 2.245E-13 |
| 369 | 302 | DEAD | 4.887E-13 | 1.841E-13 | 2.939E-13 |
| 369 | 298 | DEAD | 7.753E-13 | -1.671E-13 | 2.772E-13 |
| 369 | 297 | G1_smistamento | 2.2004 | 2.7332 | 0.0793 |
| 369 | 301 | G1_smistamento | 2.352 | 2.8747 | 0.0624 |
| 369 | 302 | G1_smistamento | 2.1854 | 2.2243 | 0.1009 |
| 369 | 298 | G1_smistamento | 2.0312 | 2.1277 | 0.1177 |
| 369 | 297 | G2_smistamento | 0.8157 | 1.0132 | 0.0294 |
| 369 | 301 | G2_smistamento | 0.8719 | 1.0657 | 0.0231 |
| 369 | 302 | G2_smistamento | 0.8102 | 0.8246 | 0.0374 |
| 369 | 298 | G2_smistamento | 0.753 | 0.7888 | 0.0436 |
| 369 | 297 | Q_smistamento | 0.8157 | 1.0132 | 0.0294 |
| 369 | 301 | Q_smistamento | 0.8719 | 1.0657 | 0.0231 |
| 369 | 302 | Q_smistamento | 0.8102 | 0.8246 | 0.0374 |
| 369 | 298 | Q_smistamento | 0.753 | 0.7888 | 0.0436 |
| 369 | 297 | Q_neve | 1.293E-13 | 4.670E-14 | 3.903E-14 |
| 369 | 301 | Q_neve | 1.259E-13 | -5.155E-15 | 3.903E-14 |
| 369 | 302 | Q_neve | 7.257E-14 | 3.929E-14 | 5.219E-14 |
| 369 | 298 | Q_neve | 1.416E-13 | -2.573E-14 | 5.219E-14 |
| 370 | 298 | DEAD | 8.374E-13 | 8.204E-14 | 2.342E-13 |
| 370 | 302 | DEAD | 3.060E-13 | -2.474E-13 | 3.491E-13 |
| 370 | 238 | DEAD | 8.407E-13 | 9.850E-14 | 3.132E-13 |
| 370 | 240 | DEAD | 1.178E-12 | 6.051E-15 | 2.438E-13 |
| 370 | 298 | G1_smistamento | 2.0315 | 2.1292 | 0.1494 |
| 370 | 302 | G1_smistamento | 2.1856 | 2.2252 | 0.1248 |

Table 20: Element Forces - Area Shells, Part 2 of 3

| Area | Joint | OutputCase | M11 | M22 | M12 |
|------|-------|----------------|------------|------------|-----------|
| | | | KN-m/m | KN-m/m | KN-m/m |
| 370 | 238 | G1_smistamento | 1.8601 | 0.8534 | 0.1393 |
| 370 | 240 | G1_smistamento | 1.6974 | 0.8191 | 0.164 |
| 370 | 298 | G2_smistamento | 0.7531 | 0.7893 | 0.0554 |
| 370 | 302 | G2_smistamento | 0.8102 | 0.8249 | 0.0463 |
| 370 | 238 | G2_smistamento | 0.6896 | 0.3164 | 0.0517 |
| 370 | 240 | G2_smistamento | 0.6293 | 0.3036 | 0.0608 |
| 370 | 298 | Q_smistamento | 0.7531 | 0.7893 | 0.0554 |
| 370 | 302 | Q_smistamento | 0.8102 | 0.8249 | 0.0463 |
| 370 | 238 | Q_smistamento | 0.6896 | 0.3164 | 0.0517 |
| 370 | 240 | Q_smistamento | 0.6293 | 0.3036 | 0.0608 |
| 370 | 298 | Q_neve | 1.377E-13 | 3.439E-15 | 4.714E-14 |
| 370 | 302 | Q_neve | 6.429E-14 | -2.666E-14 | 7.588E-14 |
| 370 | 238 | Q_neve | 1.188E-13 | -3.195E-14 | 6.689E-14 |
| 370 | 240 | Q_neve | 2.536E-13 | 3.094E-14 | 4.955E-14 |
| 371 | 256 | DEAD | 1.853E-13 | 5.423E-14 | 2.534E-13 |
| 371 | 258 | DEAD | -1.554E-13 | -1.538E-13 | 2.701E-13 |
| 371 | 303 | DEAD | -1.340E-13 | -4.362E-13 | 3.851E-13 |
| 371 | 299 | DEAD | -1.126E-13 | -7.299E-13 | 3.228E-13 |
| 371 | 256 | G1_smistamento | 1.8598 | 0.8534 | -0.1185 |
| 371 | 258 | G1_smistamento | 1.8399 | 0.8664 | -0.1012 |
| 371 | 303 | G1_smistamento | 2.1552 | 2.268 | -0.0869 |
| 371 | 299 | G1_smistamento | 2.1859 | 2.2253 | -0.1042 |
| 371 | 256 | G2_smistamento | 0.6895 | 0.3164 | -0.0439 |
| 371 | 258 | G2_smistamento | 0.6821 | 0.3212 | -0.0375 |
| 371 | 303 | G2_smistamento | 0.799 | 0.8408 | -0.0322 |
| 371 | 299 | G2_smistamento | 0.8103 | 0.8249 | -0.0386 |
| 371 | 256 | Q_smistamento | 0.6895 | 0.3164 | -0.0439 |
| 371 | 258 | Q_smistamento | 0.6821 | 0.3212 | -0.0375 |
| 371 | 303 | Q_smistamento | 0.799 | 0.8408 | -0.0322 |
| 371 | 299 | Q_smistamento | 0.8103 | 0.8249 | -0.0386 |
| 371 | 256 | Q_neve | 1.516E-14 | -2.975E-14 | 6.373E-14 |
| 371 | 258 | Q_neve | -2.478E-14 | -1.944E-14 | 6.132E-14 |
| 371 | 303 | Q_neve | -4.985E-14 | -9.805E-14 | 7.690E-14 |
| 371 | 299 | Q_neve | -4.204E-15 | -1.141E-13 | 6.791E-14 |
| 372 | 299 | DEAD | -6.350E-14 | -6.579E-13 | 3.780E-13 |
| 372 | 303 | DEAD | -1.606E-13 | -3.111E-13 | 4.403E-13 |
| 372 | 304 | DEAD | -1.227E-13 | -6.382E-13 | 3.517E-13 |
| 372 | 300 | DEAD | 2.936E-13 | 6.410E-14 | 3.350E-13 |

Table 20: Element Forces - Area Shells, Part 2 of 3

| Area | Joint | OutputCase | M11 | M22 | M12 |
|------|-------|----------------|------------|------------|-----------|
| | | | KN-m/m | KN-m/m | KN-m/m |
| 372 | 299 | G1_smistamento | 2.1857 | 2.2243 | -0.0805 |
| 372 | 303 | G1_smistamento | 2.1551 | 2.2674 | -0.0684 |
| 372 | 304 | G1_smistamento | 2.3138 | 2.9414 | -0.0416 |
| 372 | 300 | G1_smistamento | 2.3524 | 2.8748 | -0.0537 |
| 372 | 299 | G2_smistamento | 0.8103 | 0.8246 | -0.0298 |
| 372 | 303 | G2_smistamento | 0.7989 | 0.8406 | -0.0254 |
| 372 | 304 | G2_smistamento | 0.8578 | 1.0904 | -0.0154 |
| 372 | 300 | G2_smistamento | 0.8721 | 1.0657 | -0.0199 |
| 372 | 299 | Q_smistamento | 0.8103 | 0.8246 | -0.0298 |
| 372 | 303 | Q_smistamento | 0.7989 | 0.8406 | -0.0254 |
| 372 | 304 | Q_smistamento | 0.8578 | 1.0904 | -0.0154 |
| 372 | 300 | Q_smistamento | 0.8721 | 1.0657 | -0.0199 |
| 372 | 299 | Q_neve | 6.107E-15 | -8.226E-14 | 7.792E-14 |
| 372 | 303 | Q_neve | -5.418E-14 | -4.460E-14 | 7.551E-14 |
| 372 | 304 | Q_neve | -5.314E-14 | -1.415E-13 | 7.792E-14 |
| 372 | 300 | Q_neve | 6.843E-14 | -4.377E-14 | 6.892E-14 |
| 373 | 300 | DEAD | 1.190E-13 | -4.750E-13 | 3.426E-13 |
| 373 | 304 | DEAD | 2.246E-14 | 1.057E-13 | 3.690E-13 |
| 373 | 305 | DEAD | 1.223E-13 | -1.426E-13 | 4.480E-13 |
| 373 | 301 | DEAD | 2.759E-13 | 1.090E-13 | 4.216E-13 |
| 373 | 300 | G1_smistamento | 2.3523 | 2.8744 | -0.0162 |
| 373 | 304 | G1_smistamento | 2.3138 | 2.9412 | -0.0162 |
| 373 | 305 | G1_smistamento | 2.3138 | 2.9412 | 0.0162 |
| 373 | 301 | G1_smistamento | 2.3523 | 2.8744 | 0.0162 |
| 373 | 300 | G2_smistamento | 0.872 | 1.0656 | -0.006 |
| 373 | 304 | G2_smistamento | 0.8577 | 1.0903 | -0.006 |
| 373 | 305 | G2_smistamento | 0.8577 | 1.0903 | 0.006 |
| 373 | 301 | G2_smistamento | 0.872 | 1.0656 | 0.006 |
| 373 | 300 | Q_smistamento | 0.872 | 1.0656 | -0.006 |
| 373 | 304 | Q_smistamento | 0.8577 | 1.0903 | -0.006 |
| 373 | 305 | Q_smistamento | 0.8577 | 1.0903 | 0.006 |
| 373 | 301 | Q_smistamento | 0.872 | 1.0656 | 0.006 |
| 373 | 300 | Q_neve | 5.801E-14 | -4.814E-14 | 6.563E-14 |
| 373 | 304 | Q_neve | -3.444E-14 | 2.363E-16 | 6.563E-14 |
| 373 | 305 | Q_neve | 2.180E-14 | -3.168E-14 | 7.880E-14 |
| 373 | 301 | Q_neve | 1.164E-14 | -4.585E-14 | 7.880E-14 |
| 374 | 301 | DEAD | 3.324E-13 | 1.303E-13 | 3.461E-13 |
| 374 | 305 | DEAD | 7.953E-14 | -3.248E-14 | 5.401E-13 |

Table 20: Element Forces - Area Shells, Part 2 of 3

| Area | Joint | OutputCase | M11 | M22 | M12 |
|------|-------|----------------|------------|------------|-----------|
| | | | KN-m/m | KN-m/m | KN-m/m |
| 374 | 306 | DEAD | -1.317E-14 | -1.759E-13 | 3.988E-13 |
| 374 | 302 | DEAD | 8.498E-13 | 2.677E-14 | 2.505E-13 |
| 374 | 301 | G1_smistamento | 2.3524 | 2.8748 | 0.0537 |
| 374 | 305 | G1_smistamento | 2.3138 | 2.9414 | 0.0416 |
| 374 | 306 | G1_smistamento | 2.1551 | 2.2674 | 0.0684 |
| 374 | 302 | G1_smistamento | 2.1857 | 2.2243 | 0.0805 |
| 374 | 301 | G2_smistamento | 0.8721 | 1.0657 | 0.0199 |
| 374 | 305 | G2_smistamento | 0.8578 | 1.0904 | 0.0154 |
| 374 | 306 | G2_smistamento | 0.7989 | 0.8406 | 0.0254 |
| 374 | 302 | G2_smistamento | 0.8103 | 0.8246 | 0.0298 |
| 374 | 301 | Q_smistamento | 0.8721 | 1.0657 | 0.0199 |
| 374 | 305 | Q_smistamento | 0.8578 | 1.0904 | 0.0154 |
| 374 | 306 | Q_smistamento | 0.7989 | 0.8406 | 0.0254 |
| 374 | 302 | Q_smistamento | 0.8103 | 0.8246 | 0.0298 |
| 374 | 301 | Q_neve | 1.205E-14 | -1.152E-14 | 6.614E-14 |
| 374 | 305 | Q_neve | 3.480E-14 | -2.375E-17 | 1.081E-13 |
| 374 | 306 | Q_neve | -3.486E-14 | -6.830E-14 | 8.589E-14 |
| 374 | 302 | Q_neve | 2.175E-13 | 6.416E-14 | 5.538E-14 |
| 375 | 302 | DEAD | 9.434E-13 | -2.225E-13 | 3.927E-13 |
| 375 | 306 | DEAD | -1.394E-14 | 2.392E-14 | 2.944E-13 |
| 375 | 236 | DEAD | 9.419E-14 | -5.187E-13 | 2.610E-13 |
| 375 | 238 | DEAD | 3.218E-13 | -3.533E-14 | 2.681E-13 |
| 375 | 302 | G1_smistamento | 2.1859 | 2.2253 | 0.1042 |
| 375 | 306 | G1_smistamento | 2.1552 | 2.268 | 0.0869 |
| 375 | 236 | G1_smistamento | 1.8399 | 0.8664 | 0.1012 |
| 375 | 238 | G1_smistamento | 1.8598 | 0.8534 | 0.1185 |
| 375 | 302 | G2_smistamento | 0.8103 | 0.8249 | 0.0386 |
| 375 | 306 | G2_smistamento | 0.799 | 0.8408 | 0.0322 |
| 375 | 236 | G2_smistamento | 0.6821 | 0.3212 | 0.0375 |
| 375 | 238 | G2_smistamento | 0.6895 | 0.3164 | 0.0439 |
| 375 | 302 | Q_smistamento | 0.8103 | 0.8249 | 0.0386 |
| 375 | 306 | Q_smistamento | 0.799 | 0.8408 | 0.0322 |
| 375 | 236 | Q_smistamento | 0.6821 | 0.3212 | 0.0375 |
| 375 | 238 | Q_smistamento | 0.6895 | 0.3164 | 0.0439 |
| 375 | 302 | Q_neve | 2.046E-13 | -5.071E-15 | 6.499E-14 |
| 375 | 306 | Q_neve | -1.900E-14 | -4.796E-14 | 5.182E-14 |
| 375 | 236 | Q_neve | 5.240E-14 | -5.527E-14 | 4.524E-14 |
| 375 | 238 | Q_neve | 3.943E-14 | -3.233E-14 | 5.840E-14 |

Table 20: Element Forces - Area Shells, Part 2 of 3

| Area | Joint | OutputCase | M11 | M22 | M12 |
|------|-------|----------------|------------|------------|-----------|
| | | | KN-m/m | KN-m/m | KN-m/m |
| 376 | 258 | DEAD | -1.929E-13 | -1.134E-13 | 2.742E-13 |
| 376 | 260 | DEAD | -4.628E-13 | 4.800E-14 | 3.558E-13 |
| 376 | 307 | DEAD | -5.795E-14 | -2.286E-13 | 3.795E-13 |
| 376 | 303 | DEAD | -1.929E-13 | -4.984E-13 | 4.348E-13 |
| 376 | 258 | G1_smistamento | 1.8396 | 0.8664 | -0.0864 |
| 376 | 260 | G1_smistamento | 1.7221 | 0.8671 | -0.0742 |
| 376 | 307 | G1_smistamento | 2.0307 | 2.2805 | -0.0608 |
| 376 | 303 | G1_smistamento | 2.1554 | 2.2681 | -0.073 |
| 376 | 258 | G2_smistamento | 0.682 | 0.3212 | -0.032 |
| 376 | 260 | G2_smistamento | 0.6384 | 0.3214 | -0.0275 |
| 376 | 307 | G2_smistamento | 0.7528 | 0.8454 | -0.0225 |
| 376 | 303 | G2_smistamento | 0.799 | 0.8408 | -0.0271 |
| 376 | 258 | Q_smistamento | 0.682 | 0.3212 | -0.032 |
| 376 | 260 | Q_smistamento | 0.6384 | 0.3214 | -0.0275 |
| 376 | 307 | Q_smistamento | 0.7528 | 0.8454 | -0.0225 |
| 376 | 303 | Q_smistamento | 0.799 | 0.8408 | -0.0271 |
| 376 | 258 | Q_neve | -6.967E-14 | -1.768E-14 | 6.753E-14 |
| 376 | 260 | Q_neve | -7.384E-14 | 7.688E-15 | 7.653E-14 |
| 376 | 307 | Q_neve | -8.284E-14 | -8.351E-14 | 8.070E-14 |
| 376 | 303 | Q_neve | -8.829E-15 | -1.018E-13 | 8.311E-14 |
| 377 | 303 | DEAD | -2.036E-13 | -3.153E-13 | 4.242E-13 |
| 377 | 307 | DEAD | -1.744E-13 | -5.473E-13 | 4.505E-13 |
| 377 | 308 | DEAD | -4.900E-13 | -3.252E-13 | 5.032E-13 |
| 377 | 304 | DEAD | 3.951E-14 | -5.835E-13 | 4.769E-13 |
| 377 | 303 | G1_smistamento | 2.1552 | 2.2675 | -0.0547 |
| 377 | 307 | G1_smistamento | 2.0307 | 2.2802 | -0.0466 |
| 377 | 308 | G1_smistamento | 2.1839 | 2.9647 | -0.0277 |
| 377 | 304 | G1_smistamento | 2.3142 | 2.9415 | -0.0358 |
| 377 | 303 | G2_smistamento | 0.799 | 0.8406 | -0.0203 |
| 377 | 307 | G2_smistamento | 0.7528 | 0.8453 | -0.0173 |
| 377 | 308 | G2_smistamento | 0.8096 | 1.0991 | -0.0103 |
| 377 | 304 | G2_smistamento | 0.8579 | 1.0905 | -0.0133 |
| 377 | 303 | Q_smistamento | 0.799 | 0.8406 | -0.0203 |
| 377 | 307 | Q_smistamento | 0.7528 | 0.8453 | -0.0173 |
| 377 | 308 | Q_smistamento | 0.8096 | 1.0991 | -0.0103 |
| 377 | 304 | Q_smistamento | 0.8579 | 1.0905 | -0.0133 |
| 377 | 303 | Q_neve | -2.373E-15 | -4.250E-14 | 7.513E-14 |
| 377 | 307 | Q_neve | -9.928E-14 | -1.609E-13 | 8.413E-14 |

Table 20: Element Forces - Area Shells, Part 2 of 3

| Area | Joint | OutputCase | M11 | M22 | M12 |
|------|-------|----------------|------------|------------|-----------|
| | | | KN-m/m | KN-m/m | KN-m/m |
| 377 | 308 | Q_neve | -8.219E-14 | -2.686E-14 | 8.830E-14 |
| 377 | 304 | Q_neve | -3.820E-15 | -1.379E-13 | 9.071E-14 |
| 378 | 304 | DEAD | 2.701E-13 | 1.902E-13 | 4.617E-13 |
| 378 | 308 | DEAD | -5.748E-13 | -5.430E-13 | 4.424E-13 |
| 378 | 309 | DEAD | -3.158E-13 | -5.337E-14 | 4.353E-13 |
| 378 | 305 | DEAD | 1.757E-13 | -2.665E-13 | 3.634E-13 |
| 378 | 304 | G1_smistamento | 2.3141 | 2.9412 | -0.0107 |
| 378 | 308 | G1_smistamento | 2.1839 | 2.9646 | -0.0107 |
| 378 | 309 | G1_smistamento | 2.1839 | 2.9646 | 0.0107 |
| 378 | 305 | G1_smistamento | 2.3141 | 2.9412 | 0.0107 |
| 378 | 304 | G2_smistamento | 0.8579 | 1.0904 | -0.004 |
| 378 | 308 | G2_smistamento | 0.8096 | 1.099 | -0.004 |
| 378 | 309 | G2_smistamento | 0.8096 | 1.099 | 0.004 |
| 378 | 305 | G2_smistamento | 0.8579 | 1.0904 | 0.004 |
| 378 | 304 | Q_smistamento | 0.8579 | 1.0904 | -0.004 |
| 378 | 308 | Q_smistamento | 0.8096 | 1.099 | -0.004 |
| 378 | 309 | Q_smistamento | 0.8096 | 1.099 | 0.004 |
| 378 | 305 | Q_smistamento | 0.8579 | 1.0904 | 0.004 |
| 378 | 304 | Q_neve | 2.196E-14 | -1.450E-15 | 9.451E-14 |
| 378 | 308 | Q_neve | -9.359E-14 | -1.264E-13 | 8.070E-14 |
| 378 | 309 | Q_neve | -2.576E-14 | 1.665E-14 | 8.793E-14 |
| 378 | 305 | Q_neve | -1.428E-15 | -4.083E-14 | 6.753E-14 |
| 379 | 305 | DEAD | 2.007E-13 | -1.267E-13 | 4.161E-13 |
| 379 | 309 | DEAD | -3.718E-13 | -3.149E-13 | 3.897E-13 |
| 379 | 310 | DEAD | -1.646E-13 | -5.761E-14 | 3.897E-13 |
| 379 | 306 | DEAD | -1.052E-13 | -2.457E-13 | 4.161E-13 |
| 379 | 305 | G1_smistamento | 2.3142 | 2.9415 | 0.0358 |
| 379 | 309 | G1_smistamento | 2.1839 | 2.9647 | 0.0277 |
| 379 | 310 | G1_smistamento | 2.0307 | 2.2802 | 0.0466 |
| 379 | 306 | G1_smistamento | 2.1552 | 2.2675 | 0.0547 |
| 379 | 305 | G2_smistamento | 0.8579 | 1.0905 | 0.0133 |
| 379 | 309 | G2_smistamento | 0.8096 | 1.0991 | 0.0103 |
| 379 | 310 | G2_smistamento | 0.7528 | 0.8453 | 0.0173 |
| 379 | 306 | G2_smistamento | 0.799 | 0.8406 | 0.0203 |
| 379 | 305 | Q_smistamento | 0.8579 | 1.0905 | 0.0133 |
| 379 | 309 | Q_smistamento | 0.8096 | 1.0991 | 0.0103 |
| 379 | 310 | Q_smistamento | 0.7528 | 0.8453 | 0.0173 |
| 379 | 306 | Q_smistamento | 0.799 | 0.8406 | 0.0203 |

Table 20: Element Forces - Area Shells, Part 2 of 3

| Area | Joint | OutputCase | M11 | M22 | M12 |
|------|-------|----------------|------------|------------|-----------|
| | | | KN-m/m | KN-m/m | KN-m/m |
| 379 | 305 | Q_neve | 1.223E-14 | -1.368E-14 | 8.362E-14 |
| 379 | 309 | Q_neve | -3.948E-14 | -2.440E-15 | 7.703E-14 |
| 379 | 310 | Q_neve | -2.316E-14 | -5.236E-14 | 8.362E-14 |
| 379 | 306 | Q_neve | -3.701E-14 | -4.935E-14 | 9.020E-14 |
| 380 | 306 | DEAD | -6.009E-14 | -1.115E-13 | 3.406E-13 |
| 380 | 310 | DEAD | -2.382E-13 | -6.323E-13 | 3.380E-13 |
| 380 | 234 | DEAD | -3.333E-13 | -2.135E-13 | 4.196E-13 |
| 380 | 236 | DEAD | 2.325E-13 | -4.908E-13 | 2.853E-13 |
| 380 | 306 | G1_smistamento | 2.1554 | 2.2681 | 0.073 |
| 380 | 310 | G1_smistamento | 2.0307 | 2.2805 | 0.0608 |
| 380 | 234 | G1_smistamento | 1.7221 | 0.8671 | 0.0742 |
| 380 | 236 | G1_smistamento | 1.8396 | 0.8664 | 0.0864 |
| 380 | 306 | G2_smistamento | 0.799 | 0.8408 | 0.0271 |
| 380 | 310 | G2_smistamento | 0.7528 | 0.8454 | 0.0225 |
| 380 | 234 | G2_smistamento | 0.6384 | 0.3214 | 0.0275 |
| 380 | 236 | G2_smistamento | 0.682 | 0.3212 | 0.032 |
| 380 | 306 | Q_smistamento | 0.799 | 0.8408 | 0.0271 |
| 380 | 310 | Q_smistamento | 0.7528 | 0.8454 | 0.0225 |
| 380 | 234 | Q_smistamento | 0.6384 | 0.3214 | 0.0275 |
| 380 | 236 | Q_smistamento | 0.682 | 0.3212 | 0.032 |
| 380 | 306 | Q_neve | -2.702E-14 | -4.531E-14 | 7.602E-14 |
| 380 | 310 | Q_neve | -2.990E-14 | -1.002E-13 | 8.260E-14 |
| 380 | 234 | Q_neve | -8.463E-14 | -5.683E-14 | 7.602E-14 |
| 380 | 236 | Q_neve | 5.651E-14 | -6.320E-14 | 6.943E-14 |
| 381 | 260 | DEAD | -2.074E-13 | 1.064E-13 | 4.991E-13 |
| 381 | 262 | DEAD | -5.190E-13 | -4.068E-14 | 4.465E-13 |
| 381 | 311 | DEAD | -4.444E-13 | -4.466E-13 | 3.675E-13 |
| 381 | 307 | DEAD | -5.947E-13 | -4.192E-13 | 4.201E-13 |
| 381 | 260 | G1_smistamento | 1.7217 | 0.867 | -0.0625 |
| 381 | 262 | G1_smistamento | 1.5757 | 0.862 | -0.0528 |
| 381 | 311 | G1_smistamento | 1.8811 | 2.2784 | -0.0415 |
| 381 | 307 | G1_smistamento | 2.0308 | 2.2805 | -0.0512 |
| 381 | 260 | G2_smistamento | 0.6383 | 0.3214 | -0.0232 |
| 381 | 262 | G2_smistamento | 0.5841 | 0.3196 | -0.0196 |
| 381 | 311 | G2_smistamento | 0.6973 | 0.8446 | -0.0154 |
| 381 | 307 | G2_smistamento | 0.7529 | 0.8454 | -0.019 |
| 381 | 260 | Q_smistamento | 0.6383 | 0.3214 | -0.0232 |
| 381 | 262 | Q_smistamento | 0.5841 | 0.3196 | -0.0196 |

Table 20: Element Forces - Area Shells, Part 2 of 3

| Area | Joint | OutputCase | M11 | M22 | M12 |
|------|-------|----------------|------------|------------|-----------|
| | | | KN-m/m | KN-m/m | KN-m/m |
| 381 | 311 | Q_smistamento | 0.6973 | 0.8446 | -0.0154 |
| 381 | 307 | Q_smistamento | 0.7529 | 0.8454 | -0.019 |
| 381 | 260 | Q_neve | -1.873E-14 | 1.203E-14 | 8.450E-14 |
| 381 | 262 | Q_neve | -1.286E-13 | 1.020E-14 | 7.551E-14 |
| 381 | 311 | Q_neve | -4.588E-14 | -8.425E-14 | 7.133E-14 |
| 381 | 307 | Q_neve | -1.598E-13 | -1.066E-13 | 6.892E-14 |
| 382 | 307 | DEAD | -5.392E-13 | -5.399E-13 | 4.242E-13 |
| 382 | 311 | DEAD | -5.410E-13 | -3.487E-13 | 4.313E-13 |
| 382 | 312 | DEAD | -5.688E-13 | -5.300E-13 | 5.032E-13 |
| 382 | 308 | DEAD | -3.731E-13 | -2.993E-13 | 4.049E-13 |
| 382 | 307 | G1_smistamento | 2.0308 | 2.2802 | -0.0371 |
| 382 | 311 | G1_smistamento | 1.8811 | 2.2783 | -0.0313 |
| 382 | 312 | G1_smistamento | 2.0313 | 2.9667 | -0.0181 |
| 382 | 308 | G1_smistamento | 2.1841 | 2.9648 | -0.0239 |
| 382 | 307 | G2_smistamento | 0.7528 | 0.8453 | -0.0137 |
| 382 | 311 | G2_smistamento | 0.6973 | 0.8446 | -0.0116 |
| 382 | 312 | G2_smistamento | 0.753 | 1.0998 | -0.0067 |
| 382 | 308 | G2_smistamento | 0.8097 | 1.0991 | -0.0089 |
| 382 | 307 | Q_smistamento | 0.7528 | 0.8453 | -0.0137 |
| 382 | 311 | Q_smistamento | 0.6973 | 0.8446 | -0.0116 |
| 382 | 312 | Q_smistamento | 0.753 | 1.0998 | -0.0067 |
| 382 | 308 | Q_smistamento | 0.8097 | 1.0991 | -0.0089 |
| 382 | 307 | Q_neve | -1.747E-13 | -1.689E-13 | 9.085E-14 |
| 382 | 311 | Q_neve | -1.045E-14 | 2.918E-15 | 7.944E-14 |
| 382 | 312 | Q_neve | -1.360E-13 | -1.532E-13 | 1.106E-13 |
| 382 | 308 | Q_neve | -5.654E-14 | -3.000E-14 | 9.919E-14 |
| 383 | 308 | DEAD | -4.141E-13 | -5.285E-13 | 5.301E-13 |
| 383 | 312 | DEAD | -4.718E-13 | -3.011E-13 | 4.748E-13 |
| 383 | 313 | DEAD | -4.601E-13 | -2.849E-13 | 5.037E-13 |
| 383 | 309 | DEAD | -2.085E-13 | -9.041E-14 | 4.222E-13 |
| 383 | 308 | G1_smistamento | 2.1841 | 2.9646 | -0.0071 |
| 383 | 312 | G1_smistamento | 2.0313 | 2.9666 | -0.0071 |
| 383 | 313 | G1_smistamento | 2.0313 | 2.9666 | 0.0071 |
| 383 | 309 | G1_smistamento | 2.1841 | 2.9646 | 0.0071 |
| 383 | 308 | G2_smistamento | 0.8097 | 1.099 | -0.0026 |
| 383 | 312 | G2_smistamento | 0.753 | 1.0998 | -0.0026 |
| 383 | 313 | G2_smistamento | 0.753 | 1.0998 | 0.0026 |
| 383 | 309 | G2_smistamento | 0.8097 | 1.099 | 0.0026 |

Table 20: Element Forces - Area Shells, Part 2 of 3

| Area | Joint | OutputCase | M11 | M22 | M12 |
|------|-------|----------------|------------|------------|-----------|
| | | | KN-m/m | KN-m/m | KN-m/m |
| 383 | 308 | Q_smistamento | 0.8097 | 1.099 | -0.0026 |
| 383 | 312 | Q_smistamento | 0.753 | 1.0998 | -0.0026 |
| 383 | 313 | Q_smistamento | 0.753 | 1.0998 | 0.0026 |
| 383 | 309 | Q_smistamento | 0.8097 | 1.099 | 0.0026 |
| 383 | 308 | Q_neve | -8.375E-14 | -1.219E-13 | 9.173E-14 |
| 383 | 312 | Q_neve | -1.161E-13 | -9.845E-14 | 1.073E-13 |
| 383 | 313 | Q_neve | -8.539E-14 | -5.108E-14 | 9.831E-14 |
| 383 | 309 | Q_neve | -5.023E-14 | -2.603E-14 | 9.414E-14 |
| 384 | 309 | DEAD | -3.536E-13 | -3.573E-13 | 4.257E-13 |
| 384 | 313 | DEAD | -3.255E-13 | 1.456E-14 | 4.784E-13 |
| 384 | 314 | DEAD | -2.812E-13 | -6.272E-13 | 4.257E-13 |
| 384 | 310 | DEAD | -3.321E-13 | -1.836E-14 | 3.730E-13 |
| 384 | 309 | G1_smistamento | 2.1841 | 2.9648 | 0.0239 |
| 384 | 313 | G1_smistamento | 2.0313 | 2.9667 | 0.0181 |
| 384 | 314 | G1_smistamento | 1.8811 | 2.2783 | 0.0313 |
| 384 | 310 | G1_smistamento | 2.0308 | 2.2802 | 0.0371 |
| 384 | 309 | G2_smistamento | 0.8097 | 1.0991 | 0.0089 |
| 384 | 313 | G2_smistamento | 0.753 | 1.0998 | 0.0067 |
| 384 | 314 | G2_smistamento | 0.6973 | 0.8446 | 0.0116 |
| 384 | 310 | G2_smistamento | 0.7528 | 0.8453 | 0.0137 |
| 384 | 309 | Q_smistamento | 0.8097 | 1.0991 | 0.0089 |
| 384 | 313 | Q_smistamento | 0.753 | 1.0998 | 0.0067 |
| 384 | 314 | Q_smistamento | 0.6973 | 0.8446 | 0.0116 |
| 384 | 310 | Q_smistamento | 0.7528 | 0.8453 | 0.0137 |
| 384 | 309 | Q_neve | -6.637E-14 | -1.482E-14 | 8.362E-14 |
| 384 | 313 | Q_neve | -6.837E-14 | -3.658E-15 | 9.020E-14 |
| 384 | 314 | Q_neve | -1.075E-13 | -1.021E-13 | 8.362E-14 |
| 384 | 310 | Q_neve | -3.710E-14 | -4.480E-14 | 7.703E-14 |
| 385 | 310 | DEAD | -3.548E-13 | -5.571E-13 | 3.704E-13 |
| 385 | 314 | DEAD | -2.561E-13 | -3.258E-13 | 3.634E-13 |
| 385 | 232 | DEAD | -6.543E-13 | -4.748E-13 | 3.441E-13 |
| 385 | 234 | DEAD | -1.145E-13 | -2.501E-13 | 4.424E-13 |
| 385 | 310 | G1_smistamento | 2.0308 | 2.2805 | 0.0512 |
| 385 | 314 | G1_smistamento | 1.8811 | 2.2784 | 0.0415 |
| 385 | 232 | G1_smistamento | 1.5757 | 0.862 | 0.0528 |
| 385 | 234 | G1_smistamento | 1.7217 | 0.867 | 0.0625 |
| 385 | 310 | G2_smistamento | 0.7529 | 0.8454 | 0.019 |
| 385 | 314 | G2_smistamento | 0.6973 | 0.8446 | 0.0154 |

Table 20: Element Forces - Area Shells, Part 2 of 3

| Area | Joint | OutputCase | M11 | M22 | M12 |
|------|-------|----------------|------------|------------|-----------|
| | | | KN-m/m | KN-m/m | KN-m/m |
| 385 | 232 | G2_smistamento | 0.5841 | 0.3196 | 0.0196 |
| 385 | 234 | G2_smistamento | 0.6383 | 0.3214 | 0.0232 |
| 385 | 310 | Q_smistamento | 0.7529 | 0.8454 | 0.019 |
| 385 | 314 | Q_smistamento | 0.6973 | 0.8446 | 0.0154 |
| 385 | 232 | Q_smistamento | 0.5841 | 0.3196 | 0.0196 |
| 385 | 234 | Q_smistamento | 0.6383 | 0.3214 | 0.0232 |
| 385 | 310 | Q_neve | -5.455E-14 | -1.205E-13 | 8.121E-14 |
| 385 | 314 | Q_neve | -1.000E-13 | -6.264E-14 | 6.322E-14 |
| 385 | 232 | Q_neve | -1.516E-13 | -1.123E-13 | 7.463E-14 |
| 385 | 234 | Q_neve | -2.923E-14 | -2.478E-14 | 6.981E-14 |
| 386 | 262 | DEAD | -2.323E-13 | 2.415E-14 | 3.385E-13 |
| 386 | 264 | DEAD | -8.445E-13 | -4.155E-13 | 4.105E-13 |
| 386 | 315 | DEAD | -1.896E-13 | 2.381E-13 | 3.912E-13 |
| 386 | 311 | DEAD | -7.918E-13 | -4.682E-13 | 4.105E-13 |
| 386 | 262 | G1_smistamento | 1.5754 | 0.862 | -0.0423 |
| 386 | 264 | G1_smistamento | 1.4512 | 0.8562 | -0.0336 |
| 386 | 315 | G1_smistamento | 1.7553 | 2.272 | -0.0254 |
| 386 | 311 | G1_smistamento | 1.8811 | 2.2784 | -0.0341 |
| 386 | 262 | G2_smistamento | 0.584 | 0.3195 | -0.0157 |
| 386 | 264 | G2_smistamento | 0.538 | 0.3174 | -0.0124 |
| 386 | 315 | G2_smistamento | 0.6507 | 0.8423 | -0.0094 |
| 386 | 311 | G2_smistamento | 0.6974 | 0.8446 | -0.0126 |
| 386 | 262 | Q_smistamento | 0.584 | 0.3195 | -0.0157 |
| 386 | 264 | Q_smistamento | 0.538 | 0.3174 | -0.0124 |
| 386 | 315 | Q_smistamento | 0.6507 | 0.8423 | -0.0094 |
| 386 | 311 | Q_smistamento | 0.6974 | 0.8446 | -0.0126 |
| 386 | 262 | Q_neve | -5.972E-14 | 1.200E-14 | 7.982E-14 |
| 386 | 264 | Q_neve | -1.368E-13 | -5.353E-14 | 8.464E-14 |
| 386 | 315 | Q_neve | -1.132E-13 | 1.303E-15 | 7.982E-14 |
| 386 | 311 | Q_neve | -1.088E-13 | -9.138E-14 | 9.780E-14 |
| 387 | 311 | DEAD | -7.923E-13 | -4.470E-13 | 5.078E-13 |
| 387 | 315 | DEAD | -3.000E-13 | -1.285E-13 | 5.438E-13 |
| 387 | 316 | DEAD | -4.335E-13 | -3.911E-13 | 5.868E-13 |
| 387 | 312 | DEAD | -4.811E-13 | -4.017E-13 | 5.965E-13 |
| 387 | 311 | G1_smistamento | 1.8811 | 2.2783 | -0.0238 |
| 387 | 315 | G1_smistamento | 1.7553 | 2.272 | -0.0191 |
| 387 | 316 | G1_smistamento | 1.9041 | 2.9613 | -0.0107 |
| 387 | 312 | G1_smistamento | 2.0314 | 2.9667 | -0.0154 |

Table 20: Element Forces - Area Shells, Part 2 of 3

| Area | Joint | OutputCase | M11 | M22 | M12 |
|------|-------|----------------|------------|------------|-----------|
| | | | KN-m/m | KN-m/m | KN-m/m |
| 387 | 311 | G2_smistamento | 0.6974 | 0.8446 | -0.0088 |
| 387 | 315 | G2_smistamento | 0.6507 | 0.8423 | -0.0071 |
| 387 | 316 | G2_smistamento | 0.7059 | 1.0978 | -0.004 |
| 387 | 312 | G2_smistamento | 0.7531 | 1.0998 | -0.0057 |
| 387 | 311 | Q_smistamento | 0.6974 | 0.8446 | -0.0088 |
| 387 | 315 | Q_smistamento | 0.6507 | 0.8423 | -0.0071 |
| 387 | 316 | Q_smistamento | 0.7059 | 1.0978 | -0.004 |
| 387 | 312 | Q_smistamento | 0.7531 | 1.0998 | -0.0057 |
| 387 | 311 | Q_neve | -9.256E-14 | -1.086E-14 | 9.794E-14 |
| 387 | 315 | Q_neve | -1.224E-13 | -5.615E-14 | 1.021E-13 |
| 387 | 316 | Q_neve | -1.098E-13 | -7.751E-14 | 1.111E-13 |
| 387 | 312 | Q_neve | -9.280E-14 | -1.648E-13 | 9.553E-14 |
| 388 | 312 | DEAD | -4.672E-13 | -2.289E-13 | 5.570E-13 |
| 388 | 316 | DEAD | -5.026E-13 | -2.055E-13 | 5.833E-13 |
| 388 | 317 | DEAD | -4.507E-13 | -6.206E-13 | 5.833E-13 |
| 388 | 313 | DEAD | -2.557E-13 | -3.931E-13 | 5.570E-13 |
| 388 | 312 | G1_smistamento | 2.0314 | 2.9666 | -0.0044 |
| 388 | 316 | G1_smistamento | 1.9041 | 2.9613 | -0.0044 |
| 388 | 317 | G1_smistamento | 1.9041 | 2.9613 | 0.0044 |
| 388 | 313 | G1_smistamento | 2.0314 | 2.9666 | 0.0044 |
| 388 | 312 | G2_smistamento | 0.7531 | 1.0998 | -0.0016 |
| 388 | 316 | G2_smistamento | 0.7059 | 1.0978 | -0.0016 |
| 388 | 317 | G2_smistamento | 0.7059 | 1.0978 | 0.0016 |
| 388 | 313 | G2_smistamento | 0.7531 | 1.0998 | 0.0016 |
| 388 | 312 | Q_smistamento | 0.7531 | 1.0998 | -0.0016 |
| 388 | 316 | Q_smistamento | 0.7059 | 1.0978 | -0.0016 |
| 388 | 317 | Q_smistamento | 0.7059 | 1.0978 | 0.0016 |
| 388 | 313 | Q_smistamento | 0.7531 | 1.0998 | 0.0016 |
| 388 | 312 | Q_neve | -9.402E-14 | -7.628E-14 | 1.031E-13 |
| 388 | 316 | Q_neve | -9.572E-14 | -6.361E-14 | 1.187E-13 |
| 388 | 317 | Q_neve | -1.179E-13 | -1.166E-13 | 1.097E-13 |
| 388 | 313 | Q_neve | -4.634E-14 | -5.374E-14 | 1.055E-13 |
| 389 | 313 | DEAD | -1.758E-13 | 1.887E-13 | 4.439E-13 |
| 389 | 317 | DEAD | -5.167E-13 | -6.522E-13 | 3.649E-13 |
| 389 | 318 | DEAD | -5.939E-13 | -4.795E-13 | 2.859E-13 |
| 389 | 314 | DEAD | -6.977E-13 | -7.674E-13 | 3.649E-13 |
| 389 | 313 | G1_smistamento | 2.0314 | 2.9667 | 0.0154 |
| 389 | 317 | G1_smistamento | 1.9041 | 2.9613 | 0.0107 |

Table 20: Element Forces - Area Shells, Part 2 of 3

| Area | Joint | OutputCase | M11 | M22 | M12 |
|------|-------|----------------|------------|------------|-----------|
| | | | KN-m/m | KN-m/m | KN-m/m |
| 389 | 318 | G1_smistamento | 1.7553 | 2.272 | 0.0191 |
| 389 | 314 | G1_smistamento | 1.8811 | 2.2783 | 0.0238 |
| 389 | 313 | G2_smistamento | 0.7531 | 1.0998 | 0.0057 |
| 389 | 317 | G2_smistamento | 0.7059 | 1.0978 | 0.004 |
| 389 | 318 | G2_smistamento | 0.6507 | 0.8423 | 0.0071 |
| 389 | 314 | G2_smistamento | 0.6974 | 0.8446 | 0.0088 |
| 389 | 313 | Q_smistamento | 0.7531 | 1.0998 | 0.0057 |
| 389 | 317 | Q_smistamento | 0.7059 | 1.0978 | 0.004 |
| 389 | 318 | Q_smistamento | 0.6507 | 0.8423 | 0.0071 |
| 389 | 314 | Q_smistamento | 0.6974 | 0.8446 | 0.0088 |
| 389 | 313 | Q_neve | -4.392E-14 | -2.138E-16 | 8.158E-14 |
| 389 | 317 | Q_neve | -1.164E-13 | -1.216E-13 | 7.500E-14 |
| 389 | 318 | Q_neve | -1.081E-13 | -6.440E-14 | 5.525E-14 |
| 389 | 314 | Q_neve | -1.098E-13 | -1.084E-13 | 6.183E-14 |
| 390 | 314 | DEAD | -6.460E-13 | -3.842E-13 | 3.046E-13 |
| 390 | 318 | DEAD | -6.538E-13 | -6.236E-13 | 2.757E-13 |
| 390 | 230 | DEAD | -3.859E-13 | -3.199E-14 | 4.099E-13 |
| 390 | 232 | DEAD | -6.176E-13 | -4.425E-13 | 3.020E-13 |
| 390 | 314 | G1_smistamento | 1.8811 | 2.2784 | 0.0341 |
| 390 | 318 | G1_smistamento | 1.7553 | 2.272 | 0.0254 |
| 390 | 230 | G1_smistamento | 1.4512 | 0.8562 | 0.0336 |
| 390 | 232 | G1_smistamento | 1.5754 | 0.862 | 0.0423 |
| 390 | 314 | G2_smistamento | 0.6974 | 0.8446 | 0.0126 |
| 390 | 318 | G2_smistamento | 0.6507 | 0.8423 | 0.0094 |
| 390 | 230 | G2_smistamento | 0.538 | 0.3174 | 0.0124 |
| 390 | 232 | G2_smistamento | 0.584 | 0.3195 | 0.0157 |
| 390 | 314 | Q_smistamento | 0.6974 | 0.8446 | 0.0126 |
| 390 | 318 | Q_smistamento | 0.6507 | 0.8423 | 0.0094 |
| 390 | 230 | Q_smistamento | 0.538 | 0.3174 | 0.0124 |
| 390 | 232 | Q_smistamento | 0.584 | 0.3195 | 0.0157 |
| 390 | 314 | Q_neve | -1.160E-13 | -8.277E-14 | 6.512E-14 |
| 390 | 318 | Q_neve | -1.291E-13 | -1.214E-13 | 5.613E-14 |
| 390 | 230 | Q_neve | -9.212E-14 | -2.270E-14 | 7.171E-14 |
| 390 | 232 | Q_neve | -1.061E-13 | -8.523E-14 | 6.930E-14 |
| 391 | 264 | DEAD | -4.685E-13 | -3.357E-13 | 5.017E-13 |
| 391 | 266 | DEAD | -2.704E-13 | 4.235E-13 | 4.754E-13 |
| 391 | 319 | DEAD | -4.323E-13 | -1.546E-13 | 5.017E-13 |
| 391 | 315 | DEAD | -1.914E-13 | 1.865E-13 | 5.280E-13 |

Table 20: Element Forces - Area Shells, Part 2 of 3

| Area | Joint | OutputCase | M11 | M22 | M12 |
|------|-------|----------------|------------|------------|-----------|
| | | | KN-m/m | KN-m/m | KN-m/m |
| 391 | 264 | G1_smistamento | 1.4509 | 0.8561 | -0.0232 |
| 391 | 266 | G1_smistamento | 1.3809 | 0.8525 | -0.0147 |
| 391 | 319 | G1_smistamento | 1.6848 | 2.2674 | -0.0104 |
| 391 | 315 | G1_smistamento | 1.7554 | 2.272 | -0.0188 |
| 391 | 264 | G2_smistamento | 0.5379 | 0.3174 | -0.0086 |
| 391 | 266 | G2_smistamento | 0.5119 | 0.316 | -0.0055 |
| 391 | 319 | G2_smistamento | 0.6246 | 0.8405 | -0.0039 |
| 391 | 315 | G2_smistamento | 0.6507 | 0.8423 | -0.007 |
| 391 | 264 | Q_smistamento | 0.5379 | 0.3174 | -0.0086 |
| 391 | 266 | Q_smistamento | 0.5119 | 0.316 | -0.0055 |
| 391 | 319 | Q_smistamento | 0.6246 | 0.8405 | -0.0039 |
| 391 | 315 | Q_smistamento | 0.6507 | 0.8423 | -0.007 |
| 391 | 264 | Q_neve | -6.000E-14 | -3.928E-14 | 8.552E-14 |
| 391 | 266 | Q_neve | -7.984E-14 | 5.426E-14 | 8.793E-14 |
| 391 | 319 | Q_neve | -5.260E-14 | -2.200E-14 | 8.552E-14 |
| 391 | 315 | Q_neve | -9.547E-14 | 1.558E-14 | 9.451E-14 |
| 392 | 315 | DEAD | -2.623E-13 | -8.585E-14 | 4.566E-13 |
| 392 | 319 | DEAD | -5.239E-13 | -2.454E-13 | 5.119E-13 |
| 392 | 320 | DEAD | -4.598E-13 | 3.264E-14 | 5.620E-13 |
| 392 | 316 | DEAD | -2.211E-13 | -4.692E-13 | 6.436E-13 |
| 392 | 315 | G1_smistamento | 1.7554 | 2.272 | -0.0126 |
| 392 | 319 | G1_smistamento | 1.6848 | 2.2674 | -0.0083 |
| 392 | 320 | G1_smistamento | 1.8331 | 2.9568 | -0.0042 |
| 392 | 316 | G1_smistamento | 1.9042 | 2.9613 | -0.0084 |
| 392 | 315 | G2_smistamento | 0.6507 | 0.8423 | -0.0047 |
| 392 | 319 | G2_smistamento | 0.6246 | 0.8406 | -0.0031 |
| 392 | 320 | G2_smistamento | 0.6796 | 1.0961 | -0.0015 |
| 392 | 316 | G2_smistamento | 0.7059 | 1.0978 | -0.0031 |
| 392 | 315 | Q_smistamento | 0.6507 | 0.8423 | -0.0047 |
| 392 | 319 | Q_smistamento | 0.6246 | 0.8406 | -0.0031 |
| 392 | 320 | Q_smistamento | 0.6796 | 1.0961 | -0.0015 |
| 392 | 316 | Q_smistamento | 0.7059 | 1.0978 | -0.0031 |
| 392 | 315 | Q_neve | -9.101E-14 | -3.926E-14 | 8.756E-14 |
| 392 | 319 | Q_neve | -5.692E-14 | -3.071E-14 | 8.997E-14 |
| 392 | 320 | Q_neve | -7.290E-14 | -2.773E-14 | 1.139E-13 |
| 392 | 316 | Q_neve | -7.420E-14 | -7.761E-14 | 1.229E-13 |
| 393 | 316 | DEAD | -2.202E-13 | -1.301E-13 | 6.921E-13 |
| 393 | 320 | DEAD | -5.792E-13 | -5.610E-13 | 5.316E-13 |

Table 20: Element Forces - Area Shells, Part 2 of 3

| Area | Joint | OutputCase | M11 | M22 | M12 |
|------|-------|----------------|------------|------------|------------|
| | | | KN-m/m | KN-m/m | KN-m/m |
| 393 | 321 | DEAD | -9.048E-13 | -1.025E-12 | 4.025E-13 |
| 393 | 317 | DEAD | -5.002E-13 | -6.400E-13 | 4.262E-13 |
| 393 | 316 | G1_smistamento | 1.9042 | 2.9613 | -0.0021 |
| 393 | 320 | G1_smistamento | 1.8331 | 2.9568 | -0.0021 |
| 393 | 321 | G1_smistamento | 1.8331 | 2.9568 | 0.0021 |
| 393 | 317 | G1_smistamento | 1.9042 | 2.9613 | 0.0021 |
| 393 | 316 | G2_smistamento | 0.7059 | 1.0978 | -7.794E-04 |
| 393 | 320 | G2_smistamento | 0.6796 | 1.0961 | -7.794E-04 |
| 393 | 321 | G2_smistamento | 0.6796 | 1.0961 | 7.794E-04 |
| 393 | 317 | G2_smistamento | 0.7059 | 1.0978 | 7.794E-04 |
| 393 | 316 | Q_smistamento | 0.7059 | 1.0978 | -7.794E-04 |
| 393 | 320 | Q_smistamento | 0.6796 | 1.0961 | -7.794E-04 |
| 393 | 321 | Q_smistamento | 0.6796 | 1.0961 | 7.794E-04 |
| 393 | 317 | Q_smistamento | 0.7059 | 1.0978 | 7.794E-04 |
| 393 | 316 | Q_neve | -6.682E-14 | -4.517E-14 | 1.219E-13 |
| 393 | 320 | Q_neve | -9.978E-14 | -1.560E-13 | 1.111E-13 |
| 393 | 321 | Q_neve | -1.261E-13 | -1.439E-13 | 7.578E-14 |
| 393 | 317 | Q_neve | -1.245E-13 | -1.214E-13 | 9.794E-14 |
| 394 | 317 | DEAD | -4.355E-13 | -5.419E-13 | 2.818E-13 |
| 394 | 321 | DEAD | -8.472E-13 | -8.432E-13 | 3.608E-13 |
| 394 | 322 | DEAD | -1.195E-13 | -2.259E-13 | 3.871E-13 |
| 394 | 318 | DEAD | -5.971E-13 | -5.403E-13 | 3.081E-13 |
| 394 | 317 | G1_smistamento | 1.9042 | 2.9613 | 0.0084 |
| 394 | 321 | G1_smistamento | 1.8331 | 2.9568 | 0.0042 |
| 394 | 322 | G1_smistamento | 1.6848 | 2.2674 | 0.0083 |
| 394 | 318 | G1_smistamento | 1.7554 | 2.272 | 0.0126 |
| 394 | 317 | G2_smistamento | 0.7059 | 1.0978 | 0.0031 |
| 394 | 321 | G2_smistamento | 0.6796 | 1.0961 | 0.0015 |
| 394 | 322 | G2_smistamento | 0.6246 | 0.8406 | 0.0031 |
| 394 | 318 | G2_smistamento | 0.6507 | 0.8423 | 0.0047 |
| 394 | 317 | Q_smistamento | 0.7059 | 1.0978 | 0.0031 |
| 394 | 321 | Q_smistamento | 0.6796 | 1.0961 | 0.0015 |
| 394 | 322 | Q_smistamento | 0.6246 | 0.8406 | 0.0031 |
| 394 | 318 | Q_smistamento | 0.6507 | 0.8423 | 0.0047 |
| 394 | 317 | Q_neve | -1.044E-13 | -1.274E-13 | 6.563E-14 |
| 394 | 321 | Q_neve | -1.259E-13 | -9.071E-14 | 7.880E-14 |
| 394 | 322 | Q_neve | -2.866E-14 | -1.044E-13 | 7.880E-14 |
| 394 | 318 | Q_neve | -1.325E-13 | -8.413E-14 | 6.563E-14 |

Table 20: Element Forces - Area Shells, Part 2 of 3

| Area | Joint | OutputCase | M11 | M22 | M12 |
|------|-------|----------------|------------|------------|-----------|
| | | | KN-m/m | KN-m/m | KN-m/m |
| 395 | 318 | DEAD | -5.756E-13 | -6.042E-13 | 3.649E-13 |
| 395 | 322 | DEAD | -2.470E-13 | -4.564E-13 | 3.649E-13 |
| 395 | 228 | DEAD | -2.168E-13 | -7.425E-14 | 3.649E-13 |
| 395 | 230 | DEAD | -2.832E-13 | -5.425E-15 | 3.649E-13 |
| 395 | 318 | G1_smistamento | 1.7554 | 2.272 | 0.0188 |
| 395 | 322 | G1_smistamento | 1.6848 | 2.2674 | 0.0104 |
| 395 | 228 | G1_smistamento | 1.3809 | 0.8525 | 0.0147 |
| 395 | 230 | G1_smistamento | 1.4509 | 0.8561 | 0.0232 |
| 395 | 318 | G2_smistamento | 0.6507 | 0.8423 | 0.007 |
| 395 | 322 | G2_smistamento | 0.6246 | 0.8405 | 0.0039 |
| 395 | 228 | G2_smistamento | 0.5119 | 0.316 | 0.0055 |
| 395 | 230 | G2_smistamento | 0.5379 | 0.3174 | 0.0086 |
| 395 | 318 | Q_smistamento | 0.6507 | 0.8423 | 0.007 |
| 395 | 322 | Q_smistamento | 0.6246 | 0.8405 | 0.0039 |
| 395 | 228 | Q_smistamento | 0.5119 | 0.316 | 0.0055 |
| 395 | 230 | Q_smistamento | 0.5379 | 0.3174 | 0.0086 |
| 395 | 318 | Q_neve | -1.427E-13 | -1.201E-13 | 6.841E-14 |
| 395 | 322 | Q_neve | -2.733E-14 | -1.039E-13 | 6.841E-14 |
| 395 | 228 | Q_neve | -3.164E-14 | 8.579E-16 | 6.841E-14 |
| 395 | 230 | Q_neve | -6.436E-14 | -1.253E-14 | 6.841E-14 |
| 396 | 266 | DEAD | -6.352E-14 | 3.478E-13 | 5.280E-13 |
| 396 | 268 | DEAD | -2.050E-13 | -9.753E-14 | 5.544E-13 |
| 396 | 323 | DEAD | 1.471E-13 | -2.089E-14 | 4.754E-13 |
| 396 | 319 | DEAD | -3.499E-13 | -3.170E-14 | 4.490E-13 |
| 396 | 266 | G1_smistamento | 1.3809 | 0.8525 | -0.0042 |
| 396 | 268 | G1_smistamento | 1.3809 | 0.8525 | 0.0042 |
| 396 | 323 | G1_smistamento | 1.6848 | 2.2674 | 0.0042 |
| 396 | 319 | G1_smistamento | 1.6848 | 2.2674 | -0.0042 |
| 396 | 266 | G2_smistamento | 0.5119 | 0.316 | -0.0016 |
| 396 | 268 | G2_smistamento | 0.5119 | 0.316 | 0.0016 |
| 396 | 323 | G2_smistamento | 0.6246 | 0.8405 | 0.0016 |
| 396 | 319 | G2_smistamento | 0.6246 | 0.8405 | -0.0016 |
| 396 | 266 | Q_smistamento | 0.5119 | 0.316 | -0.0016 |
| 396 | 268 | Q_smistamento | 0.5119 | 0.316 | 0.0016 |
| 396 | 323 | Q_smistamento | 0.6246 | 0.8405 | 0.0016 |
| 396 | 319 | Q_smistamento | 0.6246 | 0.8405 | -0.0016 |
| 396 | 266 | Q_neve | -9.401E-14 | 4.061E-14 | 1.130E-13 |
| 396 | 268 | Q_neve | 5.232E-14 | 2.459E-14 | 1.196E-13 |

Table 20: Element Forces - Area Shells, Part 2 of 3

| Area | Joint | OutputCase | M11 | M22 | M12 |
|------|-------|----------------|------------|------------|------------|
| | | | KN-m/m | KN-m/m | KN-m/m |
| 396 | 323 | Q_neve | -1.336E-14 | -3.016E-14 | 9.984E-14 |
| 396 | 319 | Q_neve | -5.137E-14 | -1.984E-14 | 9.326E-14 |
| 397 | 319 | DEAD | -2.064E-13 | -2.111E-13 | 5.447E-13 |
| 397 | 323 | DEAD | 8.527E-14 | 4.150E-13 | 4.657E-13 |
| 397 | 324 | DEAD | -2.953E-13 | -6.555E-13 | 4.131E-13 |
| 397 | 320 | DEAD | -4.216E-13 | 9.242E-14 | 4.921E-13 |
| 397 | 319 | G1_smistamento | 1.6848 | 2.2674 | -0.0021 |
| 397 | 323 | G1_smistamento | 1.6848 | 2.2674 | 0.0021 |
| 397 | 324 | G1_smistamento | 1.8331 | 2.9568 | 0.0021 |
| 397 | 320 | G1_smistamento | 1.8331 | 2.9568 | -0.0021 |
| 397 | 319 | G2_smistamento | 0.6246 | 0.8406 | -7.702E-04 |
| 397 | 323 | G2_smistamento | 0.6246 | 0.8406 | 7.702E-04 |
| 397 | 324 | G2_smistamento | 0.6796 | 1.0961 | 7.702E-04 |
| 397 | 320 | G2_smistamento | 0.6796 | 1.0961 | -7.702E-04 |
| 397 | 319 | Q_smistamento | 0.6246 | 0.8406 | -7.702E-04 |
| 397 | 323 | Q_smistamento | 0.6246 | 0.8406 | 7.702E-04 |
| 397 | 324 | Q_smistamento | 0.6796 | 1.0961 | 7.702E-04 |
| 397 | 320 | Q_smistamento | 0.6796 | 1.0961 | -7.702E-04 |
| 397 | 319 | Q_neve | -4.324E-14 | -1.401E-14 | 9.729E-14 |
| 397 | 323 | Q_neve | 3.468E-15 | 3.649E-14 | 9.312E-14 |
| 397 | 324 | Q_neve | -5.558E-14 | -1.152E-13 | 7.754E-14 |
| 397 | 320 | Q_neve | -8.376E-14 | -4.657E-15 | 9.312E-14 |
| 398 | 320 | DEAD | -4.418E-13 | -5.555E-13 | 3.771E-13 |
| 398 | 324 | DEAD | -3.024E-13 | -2.286E-13 | 4.298E-13 |
| 398 | 325 | DEAD | -5.994E-14 | -8.584E-13 | 5.351E-13 |
| 398 | 321 | DEAD | -7.238E-13 | -1.071E-12 | 4.824E-13 |
| 398 | 320 | G1_smistamento | 1.8331 | 2.9568 | 4.075E-13 |
| 398 | 324 | G1_smistamento | 1.8331 | 2.9568 | 4.602E-13 |
| 398 | 325 | G1_smistamento | 1.8331 | 2.9568 | 5.655E-13 |
| 398 | 321 | G1_smistamento | 1.8331 | 2.9568 | 5.128E-13 |
| 398 | 320 | G2_smistamento | 0.6796 | 1.0961 | 1.429E-13 |
| 398 | 324 | G2_smistamento | 0.6796 | 1.0961 | 1.693E-13 |
| 398 | 325 | G2_smistamento | 0.6796 | 1.0961 | 2.219E-13 |
| 398 | 321 | G2_smistamento | 0.6796 | 1.0961 | 1.956E-13 |
| 398 | 320 | Q_smistamento | 0.6796 | 1.0961 | 1.429E-13 |
| 398 | 324 | Q_smistamento | 0.6796 | 1.0961 | 1.693E-13 |
| 398 | 325 | Q_smistamento | 0.6796 | 1.0961 | 2.219E-13 |
| 398 | 321 | Q_smistamento | 0.6796 | 1.0961 | 1.956E-13 |

Table 20: Element Forces - Area Shells, Part 2 of 3

| Area | Joint | OutputCase | M11 | M22 | M12 |
|------|-------|----------------|------------|------------|------------|
| | | | KN-m/m | KN-m/m | KN-m/m |
| 398 | 320 | Q_neve | -1.056E-13 | -1.378E-13 | 8.185E-14 |
| 398 | 324 | Q_neve | -5.376E-14 | -6.164E-14 | 8.844E-14 |
| 398 | 325 | Q_neve | -3.977E-14 | -1.444E-13 | 1.082E-13 |
| 398 | 321 | Q_neve | -9.162E-14 | -1.522E-13 | 1.016E-13 |
| 399 | 321 | DEAD | -7.683E-13 | -8.621E-13 | 5.579E-13 |
| 399 | 325 | DEAD | -1.239E-14 | -7.363E-13 | 4.166E-13 |
| 399 | 326 | DEAD | -4.062E-13 | -6.317E-13 | 3.999E-13 |
| 399 | 322 | DEAD | -2.955E-13 | -2.557E-13 | 4.956E-13 |
| 399 | 321 | G1_smistamento | 1.8331 | 2.9568 | 0.0021 |
| 399 | 325 | G1_smistamento | 1.8331 | 2.9568 | -0.0021 |
| 399 | 326 | G1_smistamento | 1.6848 | 2.2674 | -0.0021 |
| 399 | 322 | G1_smistamento | 1.6848 | 2.2674 | 0.0021 |
| 399 | 321 | G2_smistamento | 0.6796 | 1.0961 | 7.702E-04 |
| 399 | 325 | G2_smistamento | 0.6796 | 1.0961 | -7.702E-04 |
| 399 | 326 | G2_smistamento | 0.6246 | 0.8406 | -7.702E-04 |
| 399 | 322 | G2_smistamento | 0.6246 | 0.8406 | 7.702E-04 |
| 399 | 321 | Q_smistamento | 0.6796 | 1.0961 | 7.702E-04 |
| 399 | 325 | Q_smistamento | 0.6796 | 1.0961 | -7.702E-04 |
| 399 | 326 | Q_smistamento | 0.6246 | 0.8406 | -7.702E-04 |
| 399 | 322 | Q_smistamento | 0.6246 | 0.8406 | 7.702E-04 |
| 399 | 321 | Q_neve | -9.148E-14 | -1.000E-13 | 1.096E-13 |
| 399 | 325 | Q_neve | -3.699E-14 | -1.340E-13 | 8.983E-14 |
| 399 | 326 | Q_neve | -1.408E-13 | -1.494E-13 | 7.666E-14 |
| 399 | 322 | Q_neve | -1.148E-14 | -8.547E-14 | 9.641E-14 |
| 400 | 322 | DEAD | -2.910E-13 | -4.645E-13 | 3.578E-13 |
| 400 | 326 | DEAD | -5.100E-13 | -5.188E-13 | 4.368E-13 |
| 400 | 226 | DEAD | 3.575E-13 | 2.498E-13 | 4.632E-13 |
| 400 | 228 | DEAD | -5.067E-13 | -1.863E-13 | 3.842E-13 |
| 400 | 322 | G1_smistamento | 1.6848 | 2.2674 | 0.0042 |
| 400 | 326 | G1_smistamento | 1.6848 | 2.2674 | -0.0042 |
| 400 | 226 | G1_smistamento | 1.3809 | 0.8525 | -0.0042 |
| 400 | 228 | G1_smistamento | 1.3809 | 0.8525 | 0.0042 |
| 400 | 322 | G2_smistamento | 0.6246 | 0.8405 | 0.0016 |
| 400 | 326 | G2_smistamento | 0.6246 | 0.8405 | -0.0016 |
| 400 | 226 | G2_smistamento | 0.5119 | 0.316 | -0.0016 |
| 400 | 228 | G2_smistamento | 0.5119 | 0.316 | 0.0016 |
| 400 | 322 | Q_smistamento | 0.6246 | 0.8405 | 0.0016 |
| 400 | 326 | Q_smistamento | 0.6246 | 0.8405 | -0.0016 |

Table 20: Element Forces - Area Shells, Part 2 of 3

| Area | Joint | OutputCase | M11 | M22 | M12 |
|------|-------|----------------|------------|------------|-----------|
| | | | KN-m/m | KN-m/m | KN-m/m |
| 400 | 226 | Q_smistamento | 0.5119 | 0.316 | -0.0016 |
| 400 | 228 | Q_smistamento | 0.5119 | 0.316 | 0.0016 |
| 400 | 322 | Q_neve | -9.179E-15 | -9.985E-14 | 6.285E-14 |
| 400 | 326 | Q_neve | -1.485E-13 | -1.198E-13 | 8.260E-14 |
| 400 | 226 | Q_neve | 7.279E-15 | 2.194E-14 | 8.918E-14 |
| 400 | 228 | Q_neve | -5.299E-14 | 1.982E-15 | 6.943E-14 |
| 401 | 268 | DEAD | -2.068E-14 | -3.663E-14 | 4.865E-13 |
| 401 | 270 | DEAD | 1.729E-13 | -1.682E-14 | 4.338E-13 |
| 401 | 327 | DEAD | 6.819E-14 | 9.174E-14 | 4.865E-13 |
| 401 | 323 | DEAD | -1.596E-13 | -9.911E-14 | 5.392E-13 |
| 401 | 268 | G1_smistamento | 1.3809 | 0.8525 | 0.0147 |
| 401 | 270 | G1_smistamento | 1.4509 | 0.8561 | 0.0232 |
| 401 | 327 | G1_smistamento | 1.7554 | 2.272 | 0.0188 |
| 401 | 323 | G1_smistamento | 1.6848 | 2.2674 | 0.0104 |
| 401 | 268 | G2_smistamento | 0.5119 | 0.316 | 0.0055 |
| 401 | 270 | G2_smistamento | 0.5379 | 0.3174 | 0.0086 |
| 401 | 327 | G2_smistamento | 0.6507 | 0.8423 | 0.007 |
| 401 | 323 | G2_smistamento | 0.6246 | 0.8405 | 0.0039 |
| 401 | 268 | Q_smistamento | 0.5119 | 0.316 | 0.0055 |
| 401 | 270 | Q_smistamento | 0.5379 | 0.3174 | 0.0086 |
| 401 | 327 | Q_smistamento | 0.6507 | 0.8423 | 0.007 |
| 401 | 323 | Q_smistamento | 0.6246 | 0.8405 | 0.0039 |
| 401 | 268 | Q_neve | 9.132E-14 | 3.551E-14 | 8.362E-14 |
| 401 | 270 | Q_neve | -4.332E-14 | 1.754E-14 | 7.703E-14 |
| 401 | 327 | Q_neve | 5.264E-14 | 1.240E-16 | 8.362E-14 |
| 401 | 323 | Q_neve | -7.213E-14 | -4.747E-14 | 9.020E-14 |
| 402 | 323 | DEAD | -6.896E-14 | 4.428E-13 | 4.105E-13 |
| 402 | 327 | DEAD | -2.511E-14 | -4.326E-13 | 4.105E-13 |
| 402 | 328 | DEAD | -1.743E-13 | 7.413E-14 | 4.105E-13 |
| 402 | 324 | DEAD | -1.041E-13 | -6.696E-13 | 4.105E-13 |
| 402 | 323 | G1_smistamento | 1.6848 | 2.2674 | 0.0083 |
| 402 | 327 | G1_smistamento | 1.7554 | 2.272 | 0.0126 |
| 402 | 328 | G1_smistamento | 1.9042 | 2.9613 | 0.0084 |
| 402 | 324 | G1_smistamento | 1.8331 | 2.9568 | 0.0042 |
| 402 | 323 | G2_smistamento | 0.6246 | 0.8406 | 0.0031 |
| 402 | 327 | G2_smistamento | 0.6507 | 0.8423 | 0.0047 |
| 402 | 328 | G2_smistamento | 0.7059 | 1.0978 | 0.0031 |
| 402 | 324 | G2_smistamento | 0.6796 | 1.0961 | 0.0015 |

Table 20: Element Forces - Area Shells, Part 2 of 3

| Area | Joint | OutputCase | M11 | M22 | M12 |
|------|-------|----------------|------------|------------|------------|
| | | | KN-m/m | KN-m/m | KN-m/m |
| 402 | 323 | Q_smistamento | 0.6246 | 0.8406 | 0.0031 |
| 402 | 327 | Q_smistamento | 0.6507 | 0.8423 | 0.0047 |
| 402 | 328 | Q_smistamento | 0.7059 | 1.0978 | 0.0031 |
| 402 | 324 | Q_smistamento | 0.6796 | 1.0961 | 0.0015 |
| 402 | 323 | Q_neve | -5.526E-14 | 1.821E-14 | 7.982E-14 |
| 402 | 327 | Q_neve | 3.384E-14 | -5.080E-14 | 7.323E-14 |
| 402 | 328 | Q_neve | -3.881E-14 | 1.748E-15 | 7.982E-14 |
| 402 | 324 | Q_neve | -1.389E-14 | -1.117E-13 | 8.640E-14 |
| 403 | 324 | DEAD | -5.413E-14 | -8.821E-14 | 5.088E-13 |
| 403 | 328 | DEAD | -2.303E-13 | -5.066E-13 | 4.561E-13 |
| 403 | 329 | DEAD | -1.397E-13 | -5.161E-13 | 4.034E-13 |
| 403 | 325 | DEAD | -5.792E-13 | -9.871E-13 | 4.561E-13 |
| 403 | 324 | G1_smistamento | 1.8331 | 2.9568 | 0.0021 |
| 403 | 328 | G1_smistamento | 1.9042 | 2.9613 | 0.0021 |
| 403 | 329 | G1_smistamento | 1.9042 | 2.9613 | -0.0021 |
| 403 | 325 | G1_smistamento | 1.8331 | 2.9568 | -0.0021 |
| 403 | 324 | G2_smistamento | 0.6796 | 1.0961 | 7.794E-04 |
| 403 | 328 | G2_smistamento | 0.7059 | 1.0978 | 7.794E-04 |
| 403 | 329 | G2_smistamento | 0.7059 | 1.0978 | -7.794E-04 |
| 403 | 325 | G2_smistamento | 0.6796 | 1.0961 | -7.794E-04 |
| 403 | 324 | Q_smistamento | 0.6796 | 1.0961 | 7.794E-04 |
| 403 | 328 | Q_smistamento | 0.7059 | 1.0978 | 7.794E-04 |
| 403 | 329 | Q_smistamento | 0.7059 | 1.0978 | -7.794E-04 |
| 403 | 325 | Q_smistamento | 0.6796 | 1.0961 | -7.794E-04 |
| 403 | 324 | Q_neve | -2.306E-14 | -6.134E-14 | 9.020E-14 |
| 403 | 328 | Q_neve | -4.398E-14 | -7.921E-14 | 7.703E-14 |
| 403 | 329 | Q_neve | -2.635E-14 | -1.173E-13 | 7.703E-14 |
| 403 | 325 | Q_neve | -9.665E-14 | -1.450E-13 | 9.020E-14 |
| 404 | 325 | DEAD | -4.398E-13 | -8.585E-13 | 3.482E-13 |
| 404 | 329 | DEAD | -3.643E-13 | -1.329E-12 | 4.465E-13 |
| 404 | 330 | DEAD | -9.420E-14 | -7.840E-14 | 4.272E-13 |
| 404 | 326 | DEAD | -2.952E-13 | -5.090E-13 | 4.201E-13 |
| 404 | 325 | G1_smistamento | 1.8331 | 2.9568 | -0.0042 |
| 404 | 329 | G1_smistamento | 1.9042 | 2.9613 | -0.0084 |
| 404 | 330 | G1_smistamento | 1.7554 | 2.272 | -0.0126 |
| 404 | 326 | G1_smistamento | 1.6848 | 2.2674 | -0.0083 |
| 404 | 325 | G2_smistamento | 0.6796 | 1.0961 | -0.0015 |
| 404 | 329 | G2_smistamento | 0.7059 | 1.0978 | -0.0031 |

Table 20: Element Forces - Area Shells, Part 2 of 3

| Area | Joint | OutputCase | M11 | M22 | M12 |
|------|-------|----------------|------------|------------|-----------|
| | | | KN-m/m | KN-m/m | KN-m/m |
| 404 | 330 | G2_smistamento | 0.6507 | 0.8423 | -0.0047 |
| 404 | 326 | G2_smistamento | 0.6246 | 0.8406 | -0.0031 |
| 404 | 325 | Q_smistamento | 0.6796 | 1.0961 | -0.0015 |
| 404 | 329 | Q_smistamento | 0.7059 | 1.0978 | -0.0031 |
| 404 | 330 | Q_smistamento | 0.6507 | 0.8423 | -0.0047 |
| 404 | 326 | Q_smistamento | 0.6246 | 0.8406 | -0.0031 |
| 404 | 325 | Q_neve | -1.146E-13 | -1.462E-13 | 6.044E-14 |
| 404 | 329 | Q_neve | -3.635E-14 | -2.580E-13 | 7.843E-14 |
| 404 | 330 | Q_neve | 1.052E-14 | 2.501E-14 | 8.019E-14 |
| 404 | 326 | Q_neve | -9.478E-14 | -1.354E-13 | 8.501E-14 |
| 405 | 326 | DEAD | -2.556E-13 | -6.239E-13 | 5.985E-13 |
| 405 | 330 | DEAD | 2.908E-14 | 2.081E-14 | 4.809E-13 |
| 405 | 224 | DEAD | -3.905E-13 | -5.087E-13 | 5.722E-13 |
| 405 | 226 | DEAD | 4.883E-14 | 2.776E-13 | 5.073E-13 |
| 405 | 326 | G1_smistamento | 1.6848 | 2.2674 | -0.0104 |
| 405 | 330 | G1_smistamento | 1.7554 | 2.272 | -0.0188 |
| 405 | 224 | G1_smistamento | 1.4509 | 0.8561 | -0.0232 |
| 405 | 226 | G1_smistamento | 1.3809 | 0.8525 | -0.0147 |
| 405 | 326 | G2_smistamento | 0.6246 | 0.8405 | -0.0039 |
| 405 | 330 | G2_smistamento | 0.6507 | 0.8423 | -0.007 |
| 405 | 224 | G2_smistamento | 0.5379 | 0.3174 | -0.0086 |
| 405 | 226 | G2_smistamento | 0.5119 | 0.316 | -0.0055 |
| 405 | 326 | Q_smistamento | 0.6246 | 0.8405 | -0.0039 |
| 405 | 330 | Q_smistamento | 0.6507 | 0.8423 | -0.007 |
| 405 | 224 | Q_smistamento | 0.5379 | 0.3174 | -0.0086 |
| 405 | 226 | Q_smistamento | 0.5119 | 0.316 | -0.0055 |
| 405 | 326 | Q_neve | -9.916E-14 | -1.139E-13 | 1.154E-13 |
| 405 | 330 | Q_neve | 1.648E-14 | -4.252E-14 | 9.743E-14 |
| 405 | 224 | Q_neve | -2.674E-14 | -4.809E-14 | 1.088E-13 |
| 405 | 226 | Q_neve | -4.689E-14 | 1.591E-14 | 1.040E-13 |
| 406 | 270 | DEAD | 2.095E-13 | 1.476E-13 | 4.708E-13 |
| 406 | 272 | DEAD | 7.351E-14 | -3.166E-13 | 4.085E-13 |
| 406 | 331 | DEAD | 1.174E-13 | -1.552E-13 | 3.654E-13 |
| 406 | 327 | DEAD | 1.393E-13 | 1.255E-14 | 3.821E-13 |
| 406 | 270 | G1_smistamento | 1.4512 | 0.8562 | 0.0336 |
| 406 | 272 | G1_smistamento | 1.5754 | 0.862 | 0.0423 |
| 406 | 331 | G1_smistamento | 1.8811 | 2.2784 | 0.0341 |
| 406 | 327 | G1_smistamento | 1.7553 | 2.272 | 0.0254 |

Table 20: Element Forces - Area Shells, Part 2 of 3

| Area | Joint | OutputCase | M11 | M22 | M12 |
|------|-------|----------------|------------|------------|-----------|
| | | | KN-m/m | KN-m/m | KN-m/m |
| 406 | 270 | G2_smistamento | 0.538 | 0.3174 | 0.0124 |
| 406 | 272 | G2_smistamento | 0.584 | 0.3195 | 0.0157 |
| 406 | 331 | G2_smistamento | 0.6974 | 0.8446 | 0.0126 |
| 406 | 327 | G2_smistamento | 0.6507 | 0.8423 | 0.0094 |
| 406 | 270 | Q_smistamento | 0.538 | 0.3174 | 0.0124 |
| 406 | 272 | Q_smistamento | 0.584 | 0.3195 | 0.0157 |
| 406 | 331 | Q_smistamento | 0.6974 | 0.8446 | 0.0126 |
| 406 | 327 | Q_smistamento | 0.6507 | 0.8423 | 0.0094 |
| 406 | 270 | Q_neve | 3.631E-14 | 4.737E-14 | 9.108E-14 |
| 406 | 272 | Q_neve | 7.002E-16 | -7.479E-14 | 8.691E-14 |
| 406 | 331 | Q_neve | 2.973E-14 | -2.504E-14 | 6.475E-14 |
| 406 | 327 | Q_neve | 9.752E-15 | -9.780E-15 | 8.033E-14 |
| 407 | 327 | DEAD | 2.246E-14 | -2.925E-13 | 4.085E-13 |
| 407 | 331 | DEAD | 1.794E-13 | 9.151E-14 | 3.269E-13 |
| 407 | 332 | DEAD | 2.759E-13 | -1.313E-13 | 3.821E-13 |
| 407 | 328 | DEAD | 4.942E-15 | 9.216E-15 | 3.269E-13 |
| 407 | 327 | G1_smistamento | 1.7553 | 2.272 | 0.0191 |
| 407 | 331 | G1_smistamento | 1.8811 | 2.2783 | 0.0238 |
| 407 | 332 | G1_smistamento | 2.0314 | 2.9667 | 0.0154 |
| 407 | 328 | G1_smistamento | 1.9041 | 2.9613 | 0.0107 |
| 407 | 327 | G2_smistamento | 0.6507 | 0.8423 | 0.0071 |
| 407 | 331 | G2_smistamento | 0.6974 | 0.8446 | 0.0088 |
| 407 | 332 | G2_smistamento | 0.7531 | 1.0998 | 0.0057 |
| 407 | 328 | G2_smistamento | 0.7059 | 1.0978 | 0.004 |
| 407 | 327 | Q_smistamento | 0.6507 | 0.8423 | 0.0071 |
| 407 | 331 | Q_smistamento | 0.6974 | 0.8446 | 0.0088 |
| 407 | 332 | Q_smistamento | 0.7531 | 1.0998 | 0.0057 |
| 407 | 328 | Q_smistamento | 0.7059 | 1.0978 | 0.004 |
| 407 | 327 | Q_neve | -6.706E-15 | -5.980E-14 | 8.260E-14 |
| 407 | 331 | Q_neve | 4.169E-14 | 2.224E-14 | 5.803E-14 |
| 407 | 332 | Q_neve | 1.716E-14 | -5.898E-14 | 6.943E-14 |
| 407 | 328 | Q_neve | 1.865E-14 | 5.787E-15 | 7.120E-14 |
| 408 | 328 | DEAD | -6.033E-14 | -4.239E-13 | 3.497E-13 |
| 408 | 332 | DEAD | 2.463E-13 | -1.236E-13 | 3.426E-13 |
| 408 | 333 | DEAD | 2.162E-13 | -6.214E-13 | 3.497E-13 |
| 408 | 329 | DEAD | -3.527E-13 | -5.910E-13 | 4.480E-13 |
| 408 | 328 | G1_smistamento | 1.9041 | 2.9613 | 0.0044 |
| 408 | 332 | G1_smistamento | 2.0314 | 2.9666 | 0.0044 |

Table 20: Element Forces - Area Shells, Part 2 of 3

| Area | Joint | OutputCase | M11 | M22 | M12 |
|------|-------|----------------|------------|------------|-----------|
| | | | KN-m/m | KN-m/m | KN-m/m |
| 408 | 333 | G1_smistamento | 2.0314 | 2.9666 | -0.0044 |
| 408 | 329 | G1_smistamento | 1.9041 | 2.9613 | -0.0044 |
| 408 | 328 | G2_smistamento | 0.7059 | 1.0978 | 0.0016 |
| 408 | 332 | G2_smistamento | 0.7531 | 1.0998 | 0.0016 |
| 408 | 333 | G2_smistamento | 0.7531 | 1.0998 | -0.0016 |
| 408 | 329 | G2_smistamento | 0.7059 | 1.0978 | -0.0016 |
| 408 | 328 | Q_smistamento | 0.7059 | 1.0978 | 0.0016 |
| 408 | 332 | Q_smistamento | 0.7531 | 1.0998 | 0.0016 |
| 408 | 333 | Q_smistamento | 0.7531 | 1.0998 | -0.0016 |
| 408 | 329 | Q_smistamento | 0.7059 | 1.0978 | -0.0016 |
| 408 | 328 | Q_neve | 6.940E-15 | -1.025E-13 | 6.841E-14 |
| 408 | 332 | Q_neve | 2.676E-14 | -2.265E-14 | 7.323E-14 |
| 408 | 333 | Q_neve | 1.681E-14 | -1.322E-13 | 6.841E-14 |
| 408 | 329 | Q_neve | -5.717E-14 | -1.066E-13 | 8.640E-14 |
| 409 | 329 | DEAD | -5.110E-13 | -1.324E-12 | 5.078E-13 |
| 409 | 333 | DEAD | 2.021E-13 | -3.179E-13 | 4.526E-13 |
| 409 | 334 | DEAD | 1.309E-13 | -4.849E-13 | 5.868E-13 |
| 409 | 330 | DEAD | 5.067E-14 | 3.097E-14 | 5.052E-13 |
| 409 | 329 | G1_smistamento | 1.9041 | 2.9613 | -0.0107 |
| 409 | 333 | G1_smistamento | 2.0314 | 2.9667 | -0.0154 |
| 409 | 334 | G1_smistamento | 1.8811 | 2.2783 | -0.0238 |
| 409 | 330 | G1_smistamento | 1.7553 | 2.272 | -0.0191 |
| 409 | 329 | G2_smistamento | 0.7059 | 1.0978 | -0.004 |
| 409 | 333 | G2_smistamento | 0.7531 | 1.0998 | -0.0057 |
| 409 | 334 | G2_smistamento | 0.6974 | 0.8446 | -0.0088 |
| 409 | 330 | G2_smistamento | 0.6507 | 0.8423 | -0.0071 |
| 409 | 329 | Q_smistamento | 0.7059 | 1.0978 | -0.004 |
| 409 | 333 | Q_smistamento | 0.7531 | 1.0998 | -0.0057 |
| 409 | 334 | Q_smistamento | 0.6974 | 0.8446 | -0.0088 |
| 409 | 330 | Q_smistamento | 0.6507 | 0.8423 | -0.0071 |
| 409 | 329 | Q_neve | -8.058E-14 | -2.571E-13 | 9.655E-14 |
| 409 | 333 | Q_neve | 1.818E-14 | -7.934E-14 | 8.932E-14 |
| 409 | 334 | Q_neve | 4.780E-14 | -8.924E-14 | 1.163E-13 |
| 409 | 330 | Q_neve | 7.479E-15 | 2.517E-14 | 8.932E-14 |
| 410 | 330 | DEAD | 2.877E-14 | 1.039E-13 | 4.287E-13 |
| 410 | 334 | DEAD | 1.227E-13 | -5.437E-13 | 3.690E-13 |
| 410 | 222 | DEAD | 2.164E-13 | -6.398E-14 | 2.707E-13 |
| 410 | 224 | DEAD | -5.389E-13 | -5.338E-13 | 4.216E-13 |

Table 20: Element Forces - Area Shells, Part 2 of 3

| Area | Joint | OutputCase | M11 | M22 | M12 |
|------|-------|----------------|------------|------------|-----------|
| | | | KN-m/m | KN-m/m | KN-m/m |
| 410 | 330 | G1_smistamento | 1.7553 | 2.272 | -0.0254 |
| 410 | 334 | G1_smistamento | 1.8811 | 2.2784 | -0.0341 |
| 410 | 222 | G1_smistamento | 1.5754 | 0.862 | -0.0423 |
| 410 | 224 | G1_smistamento | 1.4512 | 0.8562 | -0.0336 |
| 410 | 330 | G2_smistamento | 0.6507 | 0.8423 | -0.0094 |
| 410 | 334 | G2_smistamento | 0.6974 | 0.8446 | -0.0126 |
| 410 | 222 | G2_smistamento | 0.584 | 0.3195 | -0.0157 |
| 410 | 224 | G2_smistamento | 0.538 | 0.3174 | -0.0124 |
| 410 | 330 | Q_smistamento | 0.6507 | 0.8423 | -0.0094 |
| 410 | 334 | Q_smistamento | 0.6974 | 0.8446 | -0.0126 |
| 410 | 222 | Q_smistamento | 0.584 | 0.3195 | -0.0157 |
| 410 | 224 | Q_smistamento | 0.538 | 0.3174 | -0.0124 |
| 410 | 330 | Q_neve | -7.308E-15 | -3.848E-14 | 8.918E-14 |
| 410 | 334 | Q_neve | 4.154E-14 | -8.517E-14 | 6.943E-14 |
| 410 | 222 | Q_neve | 1.491E-14 | -2.614E-14 | 6.285E-14 |
| 410 | 224 | Q_neve | -3.252E-14 | -4.073E-14 | 8.260E-14 |
| 411 | 272 | DEAD | 2.514E-13 | -3.571E-13 | 4.389E-13 |
| 411 | 274 | DEAD | 3.531E-13 | 2.012E-14 | 3.766E-13 |
| 411 | 335 | DEAD | 8.685E-14 | -2.320E-13 | 4.125E-13 |
| 411 | 331 | DEAD | 3.729E-13 | -3.913E-14 | 4.292E-13 |
| 411 | 272 | G1_smistamento | 1.5757 | 0.862 | 0.0528 |
| 411 | 274 | G1_smistamento | 1.7217 | 0.867 | 0.0625 |
| 411 | 335 | G1_smistamento | 2.0308 | 2.2805 | 0.0512 |
| 411 | 331 | G1_smistamento | 1.8811 | 2.2784 | 0.0415 |
| 411 | 272 | G2_smistamento | 0.5841 | 0.3196 | 0.0196 |
| 411 | 274 | G2_smistamento | 0.6383 | 0.3214 | 0.0232 |
| 411 | 335 | G2_smistamento | 0.7529 | 0.8454 | 0.019 |
| 411 | 331 | G2_smistamento | 0.6973 | 0.8446 | 0.0154 |
| 411 | 272 | Q_smistamento | 0.5841 | 0.3196 | 0.0196 |
| 411 | 274 | Q_smistamento | 0.6383 | 0.3214 | 0.0232 |
| 411 | 335 | Q_smistamento | 0.7529 | 0.8454 | 0.019 |
| 411 | 331 | Q_smistamento | 0.6973 | 0.8446 | 0.0154 |
| 411 | 272 | Q_neve | 5.143E-14 | -6.853E-14 | 9.261E-14 |
| 411 | 274 | Q_neve | 6.667E-14 | 3.270E-14 | 7.463E-14 |
| 411 | 335 | Q_neve | 2.839E-14 | -4.549E-14 | 8.603E-14 |
| 411 | 331 | Q_neve | 5.021E-14 | -2.984E-14 | 8.121E-14 |
| 412 | 331 | DEAD | 3.930E-13 | 1.619E-13 | 3.593E-13 |
| 412 | 335 | DEAD | 5.810E-14 | -5.183E-13 | 3.664E-13 |

Table 20: Element Forces - Area Shells, Part 2 of 3

| Area | Joint | OutputCase | M11 | M22 | M12 |
|------|-------|----------------|------------|------------|-----------|
| | | | KN-m/m | KN-m/m | KN-m/m |
| 412 | 336 | DEAD | 4.622E-13 | 1.916E-13 | 3.856E-13 |
| 412 | 332 | DEAD | 8.443E-14 | -2.286E-13 | 2.874E-13 |
| 412 | 331 | G1_smistamento | 1.8811 | 2.2783 | 0.0313 |
| 412 | 335 | G1_smistamento | 2.0308 | 2.2802 | 0.0371 |
| 412 | 336 | G1_smistamento | 2.1841 | 2.9648 | 0.0239 |
| 412 | 332 | G1_smistamento | 2.0313 | 2.9667 | 0.0181 |
| 412 | 331 | G2_smistamento | 0.6973 | 0.8446 | 0.0116 |
| 412 | 335 | G2_smistamento | 0.7528 | 0.8453 | 0.0137 |
| 412 | 336 | G2_smistamento | 0.8097 | 1.0991 | 0.0089 |
| 412 | 332 | G2_smistamento | 0.753 | 1.0998 | 0.0067 |
| 412 | 331 | Q_smistamento | 0.6973 | 0.8446 | 0.0116 |
| 412 | 335 | Q_smistamento | 0.7528 | 0.8453 | 0.0137 |
| 412 | 336 | Q_smistamento | 0.8097 | 1.0991 | 0.0089 |
| 412 | 332 | Q_smistamento | 0.753 | 1.0998 | 0.0067 |
| 412 | 331 | Q_neve | 5.985E-14 | 3.728E-14 | 6.373E-14 |
| 412 | 335 | Q_neve | 3.416E-14 | -8.339E-14 | 6.791E-14 |
| 412 | 336 | Q_neve | 1.026E-13 | 3.399E-14 | 7.690E-14 |
| 412 | 332 | Q_neve | 2.894E-15 | -6.199E-14 | 6.132E-14 |
| 413 | 332 | DEAD | -2.857E-14 | -1.828E-13 | 3.614E-13 |
| 413 | 336 | DEAD | 4.373E-13 | -1.274E-13 | 3.254E-13 |
| 413 | 337 | DEAD | 1.426E-13 | -4.329E-13 | 4.140E-13 |
| 413 | 333 | DEAD | 2.925E-13 | -6.936E-13 | 4.044E-13 |
| 413 | 332 | G1_smistamento | 2.0313 | 2.9666 | 0.0071 |
| 413 | 336 | G1_smistamento | 2.1841 | 2.9646 | 0.0071 |
| 413 | 337 | G1_smistamento | 2.1841 | 2.9646 | -0.0071 |
| 413 | 333 | G1_smistamento | 2.0313 | 2.9666 | -0.0071 |
| 413 | 332 | G2_smistamento | 0.753 | 1.0998 | 0.0026 |
| 413 | 336 | G2_smistamento | 0.8097 | 1.099 | 0.0026 |
| 413 | 337 | G2_smistamento | 0.8097 | 1.099 | -0.0026 |
| 413 | 333 | G2_smistamento | 0.753 | 1.0998 | -0.0026 |
| 413 | 332 | Q_smistamento | 0.753 | 1.0998 | 0.0026 |
| 413 | 336 | Q_smistamento | 0.8097 | 1.099 | 0.0026 |
| 413 | 337 | Q_smistamento | 0.8097 | 1.099 | -0.0026 |
| 413 | 333 | Q_smistamento | 0.753 | 1.0998 | -0.0026 |
| 413 | 332 | Q_neve | 3.116E-15 | -3.778E-14 | 6.943E-14 |
| 413 | 336 | Q_neve | 8.882E-14 | -6.207E-14 | 7.602E-14 |
| 413 | 337 | Q_neve | 7.718E-14 | -6.247E-14 | 8.260E-14 |
| 413 | 333 | Q_neve | 2.710E-14 | -1.337E-13 | 7.602E-14 |

Table 20: Element Forces - Area Shells, Part 2 of 3

| Area | Joint | OutputCase | M11 | M22 | M12 |
|------|-------|----------------|------------|------------|-----------|
| | | | KN-m/m | KN-m/m | KN-m/m |
| 414 | 333 | DEAD | 2.249E-13 | -4.750E-13 | 4.327E-13 |
| 414 | 337 | DEAD | 1.179E-13 | -5.164E-13 | 3.730E-13 |
| 414 | 338 | DEAD | 3.566E-13 | -4.486E-13 | 3.274E-13 |
| 414 | 334 | DEAD | -3.232E-13 | -5.098E-13 | 4.784E-13 |
| 414 | 333 | G1_smistamento | 2.0313 | 2.9667 | -0.0181 |
| 414 | 337 | G1_smistamento | 2.1841 | 2.9648 | -0.0239 |
| 414 | 338 | G1_smistamento | 2.0308 | 2.2802 | -0.0371 |
| 414 | 334 | G1_smistamento | 1.8811 | 2.2783 | -0.0313 |
| 414 | 333 | G2_smistamento | 0.753 | 1.0998 | -0.0067 |
| 414 | 337 | G2_smistamento | 0.8097 | 1.0991 | -0.0089 |
| 414 | 338 | G2_smistamento | 0.7528 | 0.8453 | -0.0137 |
| 414 | 334 | G2_smistamento | 0.6973 | 0.8446 | -0.0116 |
| 414 | 333 | Q_smistamento | 0.753 | 1.0998 | -0.0067 |
| 414 | 337 | Q_smistamento | 0.8097 | 1.0991 | -0.0089 |
| 414 | 338 | Q_smistamento | 0.7528 | 0.8453 | -0.0137 |
| 414 | 334 | Q_smistamento | 0.6973 | 0.8446 | -0.0116 |
| 414 | 333 | Q_neve | 2.964E-14 | -8.568E-14 | 8.728E-14 |
| 414 | 337 | Q_neve | 8.026E-14 | -5.792E-14 | 8.134E-14 |
| 414 | 338 | Q_neve | 8.724E-14 | -9.391E-14 | 6.095E-14 |
| 414 | 334 | Q_neve | -8.596E-14 | -1.188E-13 | 1.011E-13 |
| 415 | 334 | DEAD | -3.417E-13 | -5.447E-13 | 2.894E-13 |
| 415 | 338 | DEAD | 4.276E-13 | -3.519E-13 | 5.412E-13 |
| 415 | 220 | DEAD | 1.422E-13 | -1.793E-13 | 3.947E-13 |
| 415 | 222 | DEAD | 1.939E-13 | -9.847E-14 | 4.622E-13 |
| 415 | 334 | G1_smistamento | 1.8811 | 2.2784 | -0.0415 |
| 415 | 338 | G1_smistamento | 2.0308 | 2.2805 | -0.0512 |
| 415 | 220 | G1_smistamento | 1.7217 | 0.867 | -0.0625 |
| 415 | 222 | G1_smistamento | 1.5757 | 0.862 | -0.0528 |
| 415 | 334 | G2_smistamento | 0.6973 | 0.8446 | -0.0154 |
| 415 | 338 | G2_smistamento | 0.7529 | 0.8454 | -0.019 |
| 415 | 220 | G2_smistamento | 0.6383 | 0.3214 | -0.0232 |
| 415 | 222 | G2_smistamento | 0.5841 | 0.3196 | -0.0196 |
| 415 | 334 | Q_smistamento | 0.6973 | 0.8446 | -0.0154 |
| 415 | 338 | Q_smistamento | 0.7529 | 0.8454 | -0.019 |
| 415 | 220 | Q_smistamento | 0.6383 | 0.3214 | -0.0232 |
| 415 | 222 | Q_smistamento | 0.5841 | 0.3196 | -0.0196 |
| 415 | 334 | Q_neve | -8.328E-14 | -8.666E-14 | 5.715E-14 |
| 415 | 338 | Q_neve | 1.162E-13 | -3.347E-14 | 1.021E-13 |

Table 20: Element Forces - Area Shells, Part 2 of 3

| Area | Joint | OutputCase | M11 | M22 | M12 |
|------|-------|----------------|-----------|------------|-----------|
| | | | KN-m/m | KN-m/m | KN-m/m |
| 415 | 220 | Q_neve | 1.629E-14 | -4.304E-14 | 8.348E-14 |
| 415 | 222 | Q_neve | 6.766E-14 | -3.923E-14 | 9.553E-14 |
| 416 | 274 | DEAD | 5.296E-13 | 6.390E-14 | 3.801E-13 |
| 416 | 276 | DEAD | 1.769E-14 | -1.217E-13 | 3.081E-13 |
| 416 | 339 | DEAD | 3.256E-13 | -1.665E-13 | 3.801E-13 |
| 416 | 335 | DEAD | 2.218E-13 | -4.931E-14 | 3.608E-13 |
| 416 | 274 | G1_smistamento | 1.7221 | 0.8671 | 0.0742 |
| 416 | 276 | G1_smistamento | 1.8396 | 0.8664 | 0.0864 |
| 416 | 339 | G1_smistamento | 2.1554 | 2.2681 | 0.073 |
| 416 | 335 | G1_smistamento | 2.0307 | 2.2805 | 0.0608 |
| 416 | 274 | G2_smistamento | 0.6384 | 0.3214 | 0.0275 |
| 416 | 276 | G2_smistamento | 0.682 | 0.3212 | 0.032 |
| 416 | 339 | G2_smistamento | 0.799 | 0.8408 | 0.0271 |
| 416 | 335 | G2_smistamento | 0.7528 | 0.8454 | 0.0225 |
| 416 | 274 | Q_smistamento | 0.6384 | 0.3214 | 0.0275 |
| 416 | 276 | Q_smistamento | 0.682 | 0.3212 | 0.032 |
| 416 | 339 | Q_smistamento | 0.799 | 0.8408 | 0.0271 |
| 416 | 335 | Q_smistamento | 0.7528 | 0.8454 | 0.0225 |
| 416 | 274 | Q_neve | 8.085E-14 | 2.922E-14 | 7.082E-14 |
| 416 | 276 | Q_neve | 1.717E-14 | -2.524E-14 | 7.741E-14 |
| 416 | 339 | Q_neve | 1.749E-14 | -5.060E-14 | 7.741E-14 |
| 416 | 335 | Q_neve | 6.407E-14 | -4.745E-14 | 7.082E-14 |
| 417 | 335 | DEAD | 2.560E-13 | -4.957E-13 | 3.932E-13 |
| 417 | 339 | DEAD | 2.774E-13 | -7.247E-14 | 4.029E-13 |
| 417 | 340 | DEAD | 1.868E-13 | -2.093E-13 | 3.669E-13 |
| 417 | 336 | DEAD | 3.136E-13 | 1.086E-13 | 4.029E-13 |
| 417 | 335 | G1_smistamento | 2.0307 | 2.2802 | 0.0466 |
| 417 | 339 | G1_smistamento | 2.1552 | 2.2675 | 0.0547 |
| 417 | 340 | G1_smistamento | 2.3142 | 2.9415 | 0.0358 |
| 417 | 336 | G1_smistamento | 2.1839 | 2.9647 | 0.0277 |
| 417 | 335 | G2_smistamento | 0.7528 | 0.8453 | 0.0173 |
| 417 | 339 | G2_smistamento | 0.799 | 0.8406 | 0.0203 |
| 417 | 340 | G2_smistamento | 0.8579 | 1.0905 | 0.0133 |
| 417 | 336 | G2_smistamento | 0.8096 | 1.0991 | 0.0103 |
| 417 | 335 | Q_smistamento | 0.7528 | 0.8453 | 0.0173 |
| 417 | 339 | Q_smistamento | 0.799 | 0.8406 | 0.0203 |
| 417 | 340 | Q_smistamento | 0.8579 | 1.0905 | 0.0133 |
| 417 | 336 | Q_smistamento | 0.8096 | 1.0991 | 0.0103 |

Table 20: Element Forces - Area Shells, Part 2 of 3

| Area | Joint | OutputCase | M11 | M22 | M12 |
|------|-------|----------------|-----------|------------|-----------|
| | | | KN-m/m | KN-m/m | KN-m/m |
| 417 | 335 | Q_neve | 4.568E-14 | -9.422E-14 | 7.931E-14 |
| 417 | 339 | Q_neve | 5.147E-14 | -4.411E-14 | 8.172E-14 |
| 417 | 340 | Q_neve | 2.511E-14 | -1.933E-14 | 7.272E-14 |
| 417 | 336 | Q_neve | 9.344E-14 | 2.748E-14 | 8.172E-14 |
| 418 | 336 | DEAD | 2.756E-13 | -2.150E-13 | 3.517E-13 |
| 418 | 340 | DEAD | 2.760E-13 | -1.286E-13 | 3.877E-13 |
| 418 | 341 | DEAD | 1.045E-13 | -4.388E-13 | 3.780E-13 |
| 418 | 337 | DEAD | 3.550E-13 | -3.656E-13 | 3.877E-13 |
| 418 | 336 | G1_smistamento | 2.1839 | 2.9646 | 0.0107 |
| 418 | 340 | G1_smistamento | 2.3141 | 2.9412 | 0.0107 |
| 418 | 341 | G1_smistamento | 2.3141 | 2.9412 | -0.0107 |
| 418 | 337 | G1_smistamento | 2.1839 | 2.9646 | -0.0107 |
| 418 | 336 | G2_smistamento | 0.8096 | 1.099 | 0.004 |
| 418 | 340 | G2_smistamento | 0.8579 | 1.0904 | 0.004 |
| 418 | 341 | G2_smistamento | 0.8579 | 1.0904 | -0.004 |
| 418 | 337 | G2_smistamento | 0.8096 | 1.099 | -0.004 |
| 418 | 336 | Q_smistamento | 0.8096 | 1.099 | 0.004 |
| 418 | 340 | Q_smistamento | 0.8579 | 1.0904 | 0.004 |
| 418 | 341 | Q_smistamento | 0.8579 | 1.0904 | -0.004 |
| 418 | 337 | Q_smistamento | 0.8096 | 1.099 | -0.004 |
| 418 | 336 | Q_neve | 9.023E-14 | -2.233E-14 | 6.614E-14 |
| 418 | 340 | Q_neve | 2.165E-14 | -7.237E-14 | 6.373E-14 |
| 418 | 341 | Q_neve | 3.757E-14 | -6.841E-14 | 8.589E-14 |
| 418 | 337 | Q_neve | 6.197E-14 | -6.826E-14 | 7.690E-14 |
| 419 | 337 | DEAD | 3.388E-13 | -5.132E-13 | 3.780E-13 |
| 419 | 341 | DEAD | 1.129E-14 | -6.554E-13 | 3.350E-13 |
| 419 | 342 | DEAD | 2.104E-13 | -2.071E-13 | 3.517E-13 |
| 419 | 338 | DEAD | 2.187E-13 | -5.665E-13 | 4.403E-13 |
| 419 | 337 | G1_smistamento | 2.1839 | 2.9647 | -0.0277 |
| 419 | 341 | G1_smistamento | 2.3142 | 2.9415 | -0.0358 |
| 419 | 342 | G1_smistamento | 2.1552 | 2.2675 | -0.0547 |
| 419 | 338 | G1_smistamento | 2.0307 | 2.2802 | -0.0466 |
| 419 | 337 | G2_smistamento | 0.8096 | 1.0991 | -0.0103 |
| 419 | 341 | G2_smistamento | 0.8579 | 1.0905 | -0.0133 |
| 419 | 342 | G2_smistamento | 0.799 | 0.8406 | -0.0203 |
| 419 | 338 | G2_smistamento | 0.7528 | 0.8453 | -0.0173 |
| 419 | 337 | Q_smistamento | 0.8096 | 1.0991 | -0.0103 |
| 419 | 341 | Q_smistamento | 0.8579 | 1.0905 | -0.0133 |

Table 20: Element Forces - Area Shells, Part 2 of 3

| Area | Joint | OutputCase | M11 | M22 | M12 |
|------|-------|----------------|------------|------------|-----------|
| | | | KN-m/m | KN-m/m | KN-m/m |
| 419 | 342 | Q_smistamento | 0.799 | 0.8406 | -0.0203 |
| 419 | 338 | Q_smistamento | 0.7528 | 0.8453 | -0.0173 |
| 419 | 337 | Q_neve | 4.925E-14 | -8.432E-14 | 8.881E-14 |
| 419 | 341 | Q_neve | 2.872E-14 | -1.176E-13 | 7.082E-14 |
| 419 | 342 | Q_neve | -5.063E-15 | -5.963E-14 | 8.223E-14 |
| 419 | 338 | Q_neve | 1.053E-13 | -9.047E-14 | 7.741E-14 |
| 420 | 338 | DEAD | 2.648E-13 | -4.149E-13 | 4.596E-13 |
| 420 | 342 | DEAD | 1.601E-13 | -4.373E-13 | 3.710E-13 |
| 420 | 218 | DEAD | 1.134E-13 | -6.595E-14 | 4.070E-13 |
| 420 | 220 | DEAD | 4.860E-13 | -7.197E-14 | 4.500E-13 |
| 420 | 338 | G1_smistamento | 2.0307 | 2.2805 | -0.0608 |
| 420 | 342 | G1_smistamento | 2.1554 | 2.2681 | -0.073 |
| 420 | 218 | G1_smistamento | 1.8396 | 0.8664 | -0.0864 |
| 420 | 220 | G1_smistamento | 1.7221 | 0.8671 | -0.0742 |
| 420 | 338 | G2_smistamento | 0.7528 | 0.8454 | -0.0225 |
| 420 | 342 | G2_smistamento | 0.799 | 0.8408 | -0.0271 |
| 420 | 218 | G2_smistamento | 0.682 | 0.3212 | -0.032 |
| 420 | 220 | G2_smistamento | 0.6384 | 0.3214 | -0.0275 |
| 420 | 338 | Q_smistamento | 0.7528 | 0.8454 | -0.0225 |
| 420 | 342 | Q_smistamento | 0.799 | 0.8408 | -0.0271 |
| 420 | 218 | Q_smistamento | 0.682 | 0.3212 | -0.032 |
| 420 | 220 | Q_smistamento | 0.6384 | 0.3214 | -0.0275 |
| 420 | 338 | Q_neve | 1.076E-13 | -2.506E-14 | 8.779E-14 |
| 420 | 342 | Q_neve | -2.132E-14 | -1.052E-13 | 7.463E-14 |
| 420 | 218 | Q_neve | 6.484E-14 | -2.020E-15 | 6.804E-14 |
| 420 | 220 | Q_neve | 4.698E-14 | -4.019E-14 | 8.121E-14 |
| 421 | 276 | DEAD | 3.209E-13 | -3.413E-14 | 4.485E-13 |
| 421 | 278 | DEAD | 5.026E-13 | 3.117E-13 | 3.862E-13 |
| 421 | 343 | DEAD | 1.333E-13 | -3.403E-13 | 4.485E-13 |
| 421 | 339 | DEAD | 4.533E-13 | -9.316E-14 | 4.652E-13 |
| 421 | 276 | G1_smistamento | 1.8399 | 0.8664 | 0.1012 |
| 421 | 278 | G1_smistamento | 1.8598 | 0.8534 | 0.1185 |
| 421 | 343 | G1_smistamento | 2.1859 | 2.2253 | 0.1042 |
| 421 | 339 | G1_smistamento | 2.1552 | 2.268 | 0.0869 |
| 421 | 276 | G2_smistamento | 0.6821 | 0.3212 | 0.0375 |
| 421 | 278 | G2_smistamento | 0.6895 | 0.3164 | 0.0439 |
| 421 | 343 | G2_smistamento | 0.8103 | 0.8249 | 0.0386 |
| 421 | 339 | G2_smistamento | 0.799 | 0.8408 | 0.0322 |

Table 20: Element Forces - Area Shells, Part 2 of 3

| Area | Joint | OutputCase | M11 | M22 | M12 |
|------|-------|----------------|-----------|------------|-----------|
| | | | KN-m/m | KN-m/m | KN-m/m |
| 421 | 276 | Q_smistamento | 0.6821 | 0.3212 | 0.0375 |
| 421 | 278 | Q_smistamento | 0.6895 | 0.3164 | 0.0439 |
| 421 | 343 | Q_smistamento | 0.8103 | 0.8249 | 0.0386 |
| 421 | 339 | Q_smistamento | 0.799 | 0.8408 | 0.0322 |
| 421 | 276 | Q_neve | 1.063E-13 | -1.425E-14 | 7.602E-14 |
| 421 | 278 | Q_neve | 8.196E-14 | 5.102E-14 | 6.285E-14 |
| 421 | 343 | Q_neve | 3.387E-14 | -6.034E-14 | 7.602E-14 |
| 421 | 339 | Q_neve | 4.822E-14 | -3.867E-14 | 8.918E-14 |
| 422 | 339 | DEAD | 4.077E-13 | -3.860E-14 | 3.461E-13 |
| 422 | 343 | DEAD | 1.105E-13 | -3.297E-13 | 3.892E-13 |
| 422 | 344 | DEAD | 4.570E-13 | -1.077E-13 | 3.988E-13 |
| 422 | 340 | DEAD | 2.981E-13 | -1.815E-13 | 3.102E-13 |
| 422 | 339 | G1_smistamento | 2.1551 | 2.2674 | 0.0684 |
| 422 | 343 | G1_smistamento | 2.1857 | 2.2243 | 0.0805 |
| 422 | 344 | G1_smistamento | 2.3524 | 2.8748 | 0.0537 |
| 422 | 340 | G1_smistamento | 2.3138 | 2.9414 | 0.0416 |
| 422 | 339 | G2_smistamento | 0.7989 | 0.8406 | 0.0254 |
| 422 | 343 | G2_smistamento | 0.8103 | 0.8246 | 0.0298 |
| 422 | 344 | G2_smistamento | 0.8721 | 1.0657 | 0.0199 |
| 422 | 340 | G2_smistamento | 0.8578 | 1.0904 | 0.0154 |
| 422 | 339 | Q_smistamento | 0.7989 | 0.8406 | 0.0254 |
| 422 | 343 | Q_smistamento | 0.8103 | 0.8246 | 0.0298 |
| 422 | 344 | Q_smistamento | 0.8721 | 1.0657 | 0.0199 |
| 422 | 340 | Q_smistamento | 0.8578 | 1.0904 | 0.0154 |
| 422 | 339 | Q_neve | 6.310E-14 | -4.075E-14 | 7.602E-14 |
| 422 | 343 | Q_neve | 3.212E-14 | -2.603E-14 | 8.260E-14 |
| 422 | 344 | Q_neve | 1.141E-13 | -4.239E-14 | 7.602E-14 |
| 422 | 340 | Q_neve | 2.965E-14 | -1.863E-14 | 6.943E-14 |
| 423 | 340 | DEAD | 2.307E-13 | 9.223E-14 | 4.023E-13 |
| 423 | 344 | DEAD | 4.332E-13 | -5.063E-13 | 3.041E-13 |
| 423 | 345 | DEAD | 1.912E-13 | -2.633E-13 | 2.970E-13 |
| 423 | 341 | DEAD | 1.369E-13 | -5.655E-13 | 3.041E-13 |
| 423 | 340 | G1_smistamento | 2.3138 | 2.9412 | 0.0162 |
| 423 | 344 | G1_smistamento | 2.3523 | 2.8744 | 0.0162 |
| 423 | 345 | G1_smistamento | 2.3523 | 2.8744 | -0.0162 |
| 423 | 341 | G1_smistamento | 2.3138 | 2.9412 | -0.0162 |
| 423 | 340 | G2_smistamento | 0.8577 | 1.0903 | 0.006 |
| 423 | 344 | G2_smistamento | 0.872 | 1.0656 | 0.006 |

Table 20: Element Forces - Area Shells, Part 2 of 3

| Area | Joint | OutputCase | M11 | M22 | M12 |
|------|-------|----------------|------------|------------|-----------|
| | | | KN-m/m | KN-m/m | KN-m/m |
| 423 | 345 | G2_smistamento | 0.872 | 1.0656 | -0.006 |
| 423 | 341 | G2_smistamento | 0.8577 | 1.0903 | -0.006 |
| 423 | 340 | Q_smistamento | 0.8577 | 1.0903 | 0.006 |
| 423 | 344 | Q_smistamento | 0.872 | 1.0656 | 0.006 |
| 423 | 345 | Q_smistamento | 0.872 | 1.0656 | -0.006 |
| 423 | 341 | Q_smistamento | 0.8577 | 1.0903 | -0.006 |
| 423 | 340 | Q_neve | 1.914E-14 | -4.573E-14 | 8.209E-14 |
| 423 | 344 | Q_neve | 1.223E-13 | -9.275E-14 | 5.511E-14 |
| 423 | 345 | Q_neve | 3.313E-14 | -3.503E-14 | 6.234E-14 |
| 423 | 341 | Q_neve | 1.694E-14 | -6.641E-14 | 5.511E-14 |
| 424 | 341 | DEAD | 6.090E-14 | -6.420E-13 | 3.350E-13 |
| 424 | 345 | DEAD | 1.193E-13 | -5.039E-13 | 3.254E-13 |
| 424 | 346 | DEAD | 6.271E-13 | -2.316E-14 | 4.403E-13 |
| 424 | 342 | DEAD | -5.847E-14 | -2.867E-13 | 4.044E-13 |
| 424 | 341 | G1_smistamento | 2.3138 | 2.9414 | -0.0416 |
| 424 | 345 | G1_smistamento | 2.3524 | 2.8748 | -0.0537 |
| 424 | 346 | G1_smistamento | 2.1857 | 2.2243 | -0.0805 |
| 424 | 342 | G1_smistamento | 2.1551 | 2.2674 | -0.0684 |
| 424 | 341 | G2_smistamento | 0.8578 | 1.0904 | -0.0154 |
| 424 | 345 | G2_smistamento | 0.8721 | 1.0657 | -0.0199 |
| 424 | 346 | G2_smistamento | 0.8103 | 0.8246 | -0.0298 |
| 424 | 342 | G2_smistamento | 0.7989 | 0.8406 | -0.0254 |
| 424 | 341 | Q_smistamento | 0.8578 | 1.0904 | -0.0154 |
| 424 | 345 | Q_smistamento | 0.8721 | 1.0657 | -0.0199 |
| 424 | 346 | Q_smistamento | 0.8103 | 0.8246 | -0.0298 |
| 424 | 342 | Q_smistamento | 0.7989 | 0.8406 | -0.0254 |
| 424 | 341 | Q_neve | -1.248E-15 | -1.361E-13 | 7.133E-14 |
| 424 | 345 | Q_neve | 3.932E-14 | -5.068E-14 | 6.234E-14 |
| 424 | 346 | Q_neve | 1.362E-13 | -2.168E-14 | 8.450E-14 |
| 424 | 342 | Q_neve | -5.120E-14 | -8.853E-14 | 8.209E-14 |
| 425 | 342 | DEAD | -7.804E-14 | -5.148E-13 | 4.576E-13 |
| 425 | 346 | DEAD | 5.622E-13 | -3.663E-13 | 5.225E-13 |
| 425 | 216 | DEAD | -5.499E-14 | -2.416E-13 | 3.786E-13 |
| 425 | 218 | DEAD | 4.963E-13 | 9.453E-14 | 4.961E-13 |
| 425 | 342 | G1_smistamento | 2.1552 | 2.268 | -0.0869 |
| 425 | 346 | G1_smistamento | 2.1859 | 2.2253 | -0.1042 |
| 425 | 216 | G1_smistamento | 1.8598 | 0.8534 | -0.1185 |
| 425 | 218 | G1_smistamento | 1.8399 | 0.8664 | -0.1012 |

Table 20: Element Forces - Area Shells, Part 2 of 3

| Area | Joint | OutputCase | M11 | M22 | M12 |
|------|-------|----------------|------------|------------|-----------|
| | | | KN-m/m | KN-m/m | KN-m/m |
| 425 | 342 | G2_smistamento | 0.799 | 0.8408 | -0.0322 |
| 425 | 346 | G2_smistamento | 0.8103 | 0.8249 | -0.0386 |
| 425 | 216 | G2_smistamento | 0.6895 | 0.3164 | -0.0439 |
| 425 | 218 | G2_smistamento | 0.6821 | 0.3212 | -0.0375 |
| 425 | 342 | Q_smistamento | 0.799 | 0.8408 | -0.0322 |
| 425 | 346 | Q_smistamento | 0.8103 | 0.8249 | -0.0386 |
| 425 | 216 | Q_smistamento | 0.6895 | 0.3164 | -0.0439 |
| 425 | 218 | Q_smistamento | 0.6821 | 0.3212 | -0.0375 |
| 425 | 342 | Q_neve | -3.825E-14 | -1.134E-13 | 8.362E-14 |
| 425 | 346 | Q_neve | 1.155E-13 | -4.985E-14 | 9.502E-14 |
| 425 | 216 | Q_neve | -4.510E-15 | -4.342E-14 | 8.362E-14 |
| 425 | 218 | Q_neve | 8.260E-14 | 2.815E-15 | 9.502E-14 |
| 426 | 278 | DEAD | 1.115E-13 | 2.192E-13 | 3.745E-13 |
| 426 | 280 | DEAD | 7.000E-13 | 2.560E-13 | 3.026E-13 |
| 426 | 347 | DEAD | 3.484E-13 | -1.778E-14 | 4.009E-13 |
| 426 | 343 | DEAD | 3.642E-13 | -3.168E-13 | 3.816E-13 |
| 426 | 278 | G1_smistamento | 1.8601 | 0.8534 | 0.1393 |
| 426 | 280 | G1_smistamento | 1.6974 | 0.8191 | 0.164 |
| 426 | 347 | G1_smistamento | 2.0315 | 2.1292 | 0.1494 |
| 426 | 343 | G1_smistamento | 2.1856 | 2.2252 | 0.1248 |
| 426 | 278 | G2_smistamento | 0.6896 | 0.3164 | 0.0517 |
| 426 | 280 | G2_smistamento | 0.6293 | 0.3036 | 0.0608 |
| 426 | 347 | G2_smistamento | 0.7531 | 0.7893 | 0.0554 |
| 426 | 343 | G2_smistamento | 0.8102 | 0.8249 | 0.0463 |
| 426 | 278 | Q_smistamento | 0.6896 | 0.3164 | 0.0517 |
| 426 | 280 | Q_smistamento | 0.6293 | 0.3036 | 0.0608 |
| 426 | 347 | Q_smistamento | 0.7531 | 0.7893 | 0.0554 |
| 426 | 343 | Q_smistamento | 0.8102 | 0.8249 | 0.0463 |
| 426 | 278 | Q_neve | 6.022E-14 | 4.829E-14 | 6.994E-14 |
| 426 | 280 | Q_neve | 9.571E-14 | 6.048E-15 | 6.271E-14 |
| 426 | 347 | Q_neve | 7.091E-14 | 3.026E-15 | 8.969E-14 |
| 426 | 343 | Q_neve | 1.138E-13 | -4.168E-14 | 6.271E-14 |
| 427 | 343 | DEAD | 3.807E-13 | -2.310E-13 | 4.500E-13 |
| 427 | 347 | DEAD | 2.962E-13 | -1.758E-13 | 4.140E-13 |
| 427 | 348 | DEAD | 4.630E-13 | -2.935E-13 | 3.710E-13 |
| 427 | 344 | DEAD | -3.959E-14 | -2.746E-13 | 3.614E-13 |
| 427 | 343 | G1_smistamento | 2.1854 | 2.2243 | 0.1009 |
| 427 | 347 | G1_smistamento | 2.0312 | 2.1277 | 0.1177 |

Table 20: Element Forces - Area Shells, Part 2 of 3

| Area | Joint | OutputCase | M11 | M22 | M12 |
|------|-------|----------------|------------|------------|-----------|
| | | | KN-m/m | KN-m/m | KN-m/m |
| 427 | 348 | G1_smistamento | 2.2004 | 2.7332 | 0.0793 |
| 427 | 344 | G1_smistamento | 2.352 | 2.8747 | 0.0624 |
| 427 | 343 | G2_smistamento | 0.8102 | 0.8246 | 0.0374 |
| 427 | 347 | G2_smistamento | 0.753 | 0.7888 | 0.0436 |
| 427 | 348 | G2_smistamento | 0.8157 | 1.0132 | 0.0294 |
| 427 | 344 | G2_smistamento | 0.8719 | 1.0657 | 0.0231 |
| 427 | 343 | Q_smistamento | 0.8102 | 0.8246 | 0.0374 |
| 427 | 347 | Q_smistamento | 0.753 | 0.7888 | 0.0436 |
| 427 | 348 | Q_smistamento | 0.8157 | 1.0132 | 0.0294 |
| 427 | 344 | Q_smistamento | 0.8719 | 1.0657 | 0.0231 |
| 427 | 343 | Q_neve | 9.662E-14 | -3.040E-14 | 8.538E-14 |
| 427 | 347 | Q_neve | 5.924E-14 | -4.578E-14 | 7.222E-14 |
| 427 | 348 | Q_neve | 1.081E-13 | -5.179E-14 | 5.905E-14 |
| 427 | 344 | Q_neve | -4.126E-15 | -6.635E-14 | 7.222E-14 |
| 428 | 344 | DEAD | -9.752E-15 | -3.957E-13 | 3.011E-13 |
| 428 | 348 | DEAD | 4.880E-13 | -9.616E-14 | 4.064E-13 |
| 428 | 349 | DEAD | 1.713E-13 | -4.385E-13 | 4.591E-13 |
| 428 | 345 | DEAD | 6.427E-13 | -2.706E-13 | 3.537E-13 |
| 428 | 344 | G1_smistamento | 2.3519 | 2.8743 | 0.0242 |
| 428 | 348 | G1_smistamento | 2.2003 | 2.7328 | 0.0242 |
| 428 | 349 | G1_smistamento | 2.2003 | 2.7328 | -0.0242 |
| 428 | 345 | G1_smistamento | 2.3519 | 2.8743 | -0.0242 |
| 428 | 344 | G2_smistamento | 0.8719 | 1.0655 | 0.009 |
| 428 | 348 | G2_smistamento | 0.8157 | 1.0131 | 0.009 |
| 428 | 349 | G2_smistamento | 0.8157 | 1.0131 | -0.009 |
| 428 | 345 | G2_smistamento | 0.8719 | 1.0655 | -0.009 |
| 428 | 344 | Q_smistamento | 0.8719 | 1.0655 | 0.009 |
| 428 | 348 | Q_smistamento | 0.8157 | 1.0131 | 0.009 |
| 428 | 349 | Q_smistamento | 0.8157 | 1.0131 | -0.009 |
| 428 | 345 | Q_smistamento | 0.8719 | 1.0655 | -0.009 |
| 428 | 344 | Q_neve | -2.446E-14 | -1.095E-13 | 5.386E-14 |
| 428 | 348 | Q_neve | 9.914E-14 | -9.901E-15 | 9.159E-14 |
| 428 | 349 | Q_neve | 3.396E-14 | -9.385E-14 | 8.677E-14 |
| 428 | 345 | Q_neve | 1.370E-13 | -1.813E-14 | 7.184E-14 |
| 429 | 345 | DEAD | 5.899E-13 | -3.846E-13 | 4.327E-13 |
| 429 | 349 | DEAD | 1.962E-13 | -4.730E-13 | 3.081E-13 |
| 429 | 350 | DEAD | -1.243E-13 | -4.801E-13 | 3.274E-13 |
| 429 | 346 | DEAD | 5.089E-13 | -1.544E-14 | 3.608E-13 |

Table 20: Element Forces - Area Shells, Part 2 of 3

| Area | Joint | OutputCase | M11 | M22 | M12 |
|------|-------|----------------|------------|------------|-----------|
| | | | KN-m/m | KN-m/m | KN-m/m |
| 429 | 345 | G1_smistamento | 2.352 | 2.8747 | -0.0624 |
| 429 | 349 | G1_smistamento | 2.2004 | 2.7332 | -0.0793 |
| 429 | 350 | G1_smistamento | 2.0312 | 2.1277 | -0.1177 |
| 429 | 346 | G1_smistamento | 2.1854 | 2.2243 | -0.1009 |
| 429 | 345 | G2_smistamento | 0.8719 | 1.0657 | -0.0231 |
| 429 | 349 | G2_smistamento | 0.8157 | 1.0132 | -0.0294 |
| 429 | 350 | G2_smistamento | 0.753 | 0.7888 | -0.0436 |
| 429 | 346 | G2_smistamento | 0.8102 | 0.8246 | -0.0374 |
| 429 | 345 | Q_smistamento | 0.8719 | 1.0657 | -0.0231 |
| 429 | 349 | Q_smistamento | 0.8157 | 1.0132 | -0.0294 |
| 429 | 350 | Q_smistamento | 0.753 | 0.7888 | -0.0436 |
| 429 | 346 | Q_smistamento | 0.8102 | 0.8246 | -0.0374 |
| 429 | 345 | Q_neve | 1.320E-13 | -4.368E-14 | 7.968E-14 |
| 429 | 349 | Q_neve | 3.754E-14 | -9.206E-14 | 5.752E-14 |
| 429 | 350 | Q_neve | 1.980E-15 | -6.179E-14 | 5.335E-14 |
| 429 | 346 | Q_neve | 6.223E-14 | -4.762E-14 | 6.410E-14 |
| 430 | 346 | DEAD | 4.477E-13 | -3.212E-13 | 3.102E-13 |
| 430 | 350 | DEAD | -9.513E-14 | -2.297E-13 | 2.742E-13 |
| 430 | 214 | DEAD | 2.535E-13 | -1.862E-13 | 3.892E-13 |
| 430 | 216 | DEAD | 1.122E-13 | -1.409E-13 | 3.795E-13 |
| 430 | 346 | G1_smistamento | 2.1856 | 2.2252 | -0.1248 |
| 430 | 350 | G1_smistamento | 2.0315 | 2.1292 | -0.1494 |
| 430 | 214 | G1_smistamento | 1.6974 | 0.8191 | -0.164 |
| 430 | 216 | G1_smistamento | 1.8601 | 0.8534 | -0.1393 |
| 430 | 346 | G2_smistamento | 0.8102 | 0.8249 | -0.0463 |
| 430 | 350 | G2_smistamento | 0.7531 | 0.7893 | -0.0554 |
| 430 | 214 | G2_smistamento | 0.6293 | 0.3036 | -0.0608 |
| 430 | 216 | G2_smistamento | 0.6896 | 0.3164 | -0.0517 |
| 430 | 346 | Q_smistamento | 0.8102 | 0.8249 | -0.0463 |
| 430 | 350 | Q_smistamento | 0.7531 | 0.7893 | -0.0554 |
| 430 | 214 | Q_smistamento | 0.6293 | 0.3036 | -0.0608 |
| 430 | 216 | Q_smistamento | 0.6896 | 0.3164 | -0.0517 |
| 430 | 346 | Q_neve | 5.756E-14 | -7.512E-14 | 5.094E-14 |
| 430 | 350 | Q_neve | 8.243E-15 | -5.194E-14 | 5.335E-14 |
| 430 | 214 | Q_neve | 4.933E-14 | -1.752E-14 | 7.069E-14 |
| 430 | 216 | Q_neve | 2.882E-14 | -4.783E-14 | 7.968E-14 |
| 431 | 280 | DEAD | 5.900E-13 | 2.356E-13 | 3.096E-13 |
| 431 | 282 | DEAD | 3.967E-13 | 3.018E-13 | 2.833E-13 |

Table 20: Element Forces - Area Shells, Part 2 of 3

| Area | Joint | OutputCase | M11 | M22 | M12 |
|------|-------|----------------|------------|------------|-----------|
| | | | KN-m/m | KN-m/m | KN-m/m |
| 431 | 351 | DEAD | 1.226E-13 | -4.747E-14 | 2.833E-13 |
| 431 | 347 | DEAD | 5.383E-13 | -9.652E-14 | 3.096E-13 |
| 431 | 280 | G1_smistamento | 1.6974 | 0.8191 | 0.1929 |
| 431 | 282 | G1_smistamento | 1.2655 | 0.7541 | 0.2215 |
| 431 | 351 | G1_smistamento | 1.575 | 1.9409 | 0.2051 |
| 431 | 347 | G1_smistamento | 2.0307 | 2.129 | 0.1764 |
| 431 | 280 | G2_smistamento | 0.6292 | 0.3036 | 0.0715 |
| 431 | 282 | G2_smistamento | 0.4691 | 0.2796 | 0.0821 |
| 431 | 351 | G2_smistamento | 0.5839 | 0.7195 | 0.076 |
| 431 | 347 | G2_smistamento | 0.7528 | 0.7893 | 0.0654 |
| 431 | 280 | Q_smistamento | 0.6292 | 0.3036 | 0.0715 |
| 431 | 282 | Q_smistamento | 0.4691 | 0.2796 | 0.0821 |
| 431 | 351 | Q_smistamento | 0.5839 | 0.7195 | 0.076 |
| 431 | 347 | Q_smistamento | 0.7528 | 0.7893 | 0.0654 |
| 431 | 280 | Q_neve | 1.047E-13 | 1.712E-14 | 6.651E-14 |
| 431 | 282 | Q_neve | 7.879E-14 | 4.577E-14 | 6.410E-14 |
| 431 | 351 | Q_neve | 5.117E-14 | -1.332E-14 | 6.651E-14 |
| 431 | 347 | Q_neve | 8.702E-14 | 7.917E-15 | 5.752E-14 |
| 432 | 347 | DEAD | 5.457E-13 | -1.196E-13 | 3.704E-13 |
| 432 | 351 | DEAD | 7.524E-14 | -2.599E-13 | 3.178E-13 |
| 432 | 352 | DEAD | -4.020E-14 | -3.631E-13 | 3.441E-13 |
| 432 | 348 | DEAD | 3.847E-13 | -4.508E-13 | 3.968E-13 |
| 432 | 347 | G1_smistamento | 2.0304 | 2.1276 | 0.1437 |
| 432 | 351 | G1_smistamento | 1.5749 | 1.9407 | 0.1585 |
| 432 | 352 | G1_smistamento | 1.7078 | 2.4817 | 0.1044 |
| 432 | 348 | G1_smistamento | 2.2007 | 2.7332 | 0.0897 |
| 432 | 347 | G2_smistamento | 0.7527 | 0.7887 | 0.0533 |
| 432 | 351 | G2_smistamento | 0.5838 | 0.7194 | 0.0588 |
| 432 | 352 | G2_smistamento | 0.6331 | 0.92 | 0.0387 |
| 432 | 348 | G2_smistamento | 0.8158 | 1.0132 | 0.0333 |
| 432 | 347 | Q_smistamento | 0.7527 | 0.7887 | 0.0533 |
| 432 | 351 | Q_smistamento | 0.5838 | 0.7194 | 0.0588 |
| 432 | 352 | Q_smistamento | 0.6331 | 0.92 | 0.0387 |
| 432 | 348 | Q_smistamento | 0.8158 | 1.0132 | 0.0333 |
| 432 | 347 | Q_neve | 4.386E-14 | -3.828E-14 | 6.183E-14 |
| 432 | 351 | Q_neve | 3.678E-14 | -6.022E-14 | 6.183E-14 |
| 432 | 352 | Q_neve | -3.103E-14 | -5.721E-14 | 7.500E-14 |
| 432 | 348 | Q_neve | 1.100E-13 | -4.953E-14 | 7.500E-14 |

Table 20: Element Forces - Area Shells, Part 2 of 3

| Area | Joint | OutputCase | M11 | M22 | M12 |
|------|-------|----------------|------------|------------|-----------|
| | | | KN-m/m | KN-m/m | KN-m/m |
| 433 | 348 | DEAD | 5.425E-13 | 3.445E-14 | 3.547E-13 |
| 433 | 352 | DEAD | 1.905E-14 | -4.398E-13 | 3.573E-13 |
| 433 | 353 | DEAD | -7.306E-14 | -5.153E-13 | 2.230E-13 |
| 433 | 349 | DEAD | -1.715E-14 | -4.629E-13 | 3.573E-13 |
| 433 | 348 | G1_smistamento | 2.2006 | 2.7328 | 0.033 |
| 433 | 352 | G1_smistamento | 1.708 | 2.4826 | 0.033 |
| 433 | 353 | G1_smistamento | 1.708 | 2.4826 | -0.033 |
| 433 | 349 | G1_smistamento | 2.2006 | 2.7328 | -0.033 |
| 433 | 348 | G2_smistamento | 0.8158 | 1.0131 | 0.0122 |
| 433 | 352 | G2_smistamento | 0.6332 | 0.9203 | 0.0122 |
| 433 | 353 | G2_smistamento | 0.6332 | 0.9203 | -0.0122 |
| 433 | 349 | G2_smistamento | 0.8158 | 1.0131 | -0.0122 |
| 433 | 348 | Q_smistamento | 0.8158 | 1.0131 | 0.0122 |
| 433 | 352 | Q_smistamento | 0.6332 | 0.9203 | 0.0122 |
| 433 | 353 | Q_smistamento | 0.6332 | 0.9203 | -0.0122 |
| 433 | 349 | Q_smistamento | 0.8158 | 1.0131 | -0.0122 |
| 433 | 348 | Q_neve | 1.211E-13 | 1.541E-15 | 7.398E-14 |
| 433 | 352 | Q_neve | -3.090E-14 | -8.995E-14 | 7.222E-14 |
| 433 | 353 | Q_neve | -2.041E-14 | -1.137E-13 | 4.765E-14 |
| 433 | 349 | Q_neve | 1.189E-14 | -7.349E-14 | 7.222E-14 |
| 434 | 349 | DEAD | 8.489E-14 | -6.001E-13 | 2.362E-13 |
| 434 | 353 | DEAD | -1.283E-13 | -5.021E-13 | 3.608E-13 |
| 434 | 354 | DEAD | 1.013E-13 | -2.018E-13 | 3.415E-13 |
| 434 | 350 | DEAD | 2.404E-13 | -3.968E-13 | 3.081E-13 |
| 434 | 349 | G1_smistamento | 2.2007 | 2.7332 | -0.0897 |
| 434 | 353 | G1_smistamento | 1.7078 | 2.4817 | -0.1044 |
| 434 | 354 | G1_smistamento | 1.5749 | 1.9407 | -0.1585 |
| 434 | 350 | G1_smistamento | 2.0304 | 2.1276 | -0.1437 |
| 434 | 349 | G2_smistamento | 0.8158 | 1.0132 | -0.0333 |
| 434 | 353 | G2_smistamento | 0.6331 | 0.92 | -0.0387 |
| 434 | 354 | G2_smistamento | 0.5838 | 0.7194 | -0.0588 |
| 434 | 350 | G2_smistamento | 0.7527 | 0.7887 | -0.0533 |
| 434 | 349 | Q_smistamento | 0.8158 | 1.0132 | -0.0333 |
| 434 | 353 | Q_smistamento | 0.6331 | 0.92 | -0.0387 |
| 434 | 354 | Q_smistamento | 0.5838 | 0.7194 | -0.0588 |
| 434 | 350 | Q_smistamento | 0.7527 | 0.7887 | -0.0533 |
| 434 | 349 | Q_neve | 2.494E-14 | -1.011E-13 | 4.093E-14 |
| 434 | 353 | Q_neve | -7.779E-15 | -1.279E-13 | 6.791E-14 |

Table 20: Element Forces - Area Shells, Part 2 of 3

| Area | Joint | OutputCase | M11 | M22 | M12 |
|------|-------|----------------|-----------|------------|-----------|
| | | | KN-m/m | KN-m/m | KN-m/m |
| 434 | 354 | Q_neve | 7.103E-14 | 1.082E-14 | 5.409E-14 |
| 434 | 350 | Q_neve | 2.678E-14 | -7.357E-14 | 6.132E-14 |
| 435 | 350 | DEAD | 3.734E-13 | -5.116E-14 | 3.897E-13 |
| 435 | 354 | DEAD | 8.410E-14 | -5.496E-13 | 2.529E-13 |
| 435 | 212 | DEAD | 4.092E-14 | 2.455E-14 | 4.161E-13 |
| 435 | 214 | DEAD | 1.763E-13 | -2.467E-13 | 2.792E-13 |
| 435 | 350 | G1_smistamento | 2.0307 | 2.129 | -0.1764 |
| 435 | 354 | G1_smistamento | 1.575 | 1.9409 | -0.2051 |
| 435 | 212 | G1_smistamento | 1.2655 | 0.7541 | -0.2215 |
| 435 | 214 | G1_smistamento | 1.6974 | 0.8191 | -0.1929 |
| 435 | 350 | G2_smistamento | 0.7528 | 0.7893 | -0.0654 |
| 435 | 354 | G2_smistamento | 0.5839 | 0.7195 | -0.076 |
| 435 | 212 | G2_smistamento | 0.4691 | 0.2796 | -0.0821 |
| 435 | 214 | G2_smistamento | 0.6292 | 0.3036 | -0.0715 |
| 435 | 350 | Q_smistamento | 0.7528 | 0.7893 | -0.0654 |
| 435 | 354 | Q_smistamento | 0.5839 | 0.7195 | -0.076 |
| 435 | 212 | Q_smistamento | 0.4691 | 0.2796 | -0.0821 |
| 435 | 214 | Q_smistamento | 0.6292 | 0.3036 | -0.0715 |
| 435 | 350 | Q_neve | 4.519E-14 | -3.549E-14 | 6.753E-14 |
| 435 | 354 | Q_neve | 6.934E-14 | -5.157E-14 | 4.714E-14 |
| 435 | 212 | Q_neve | 2.133E-14 | 3.185E-15 | 8.070E-14 |
| 435 | 214 | Q_neve | 4.136E-14 | -3.347E-14 | 6.689E-14 |
| 436 | 282 | DEAD | 5.278E-13 | 2.894E-13 | 2.240E-13 |
| 436 | 22 | DEAD | 3.842E-13 | 2.880E-13 | 1.713E-13 |
| 436 | 284 | DEAD | 1.761E-14 | -2.077E-13 | 1.713E-13 |
| 436 | 351 | DEAD | 4.007E-13 | -1.037E-13 | 2.240E-13 |
| 436 | 282 | G1_smistamento | 1.2672 | 0.7545 | 0.2467 |
| 436 | 22 | G1_smistamento | 0.4972 | 0.645 | 0.2429 |
| 436 | 284 | G1_smistamento | 0.5994 | 1.6074 | 0.2225 |
| 436 | 351 | G1_smistamento | 1.5756 | 1.941 | 0.2263 |
| 436 | 282 | G2_smistamento | 0.4698 | 0.2797 | 0.0915 |
| 436 | 22 | G2_smistamento | 0.1843 | 0.2391 | 0.0901 |
| 436 | 284 | G2_smistamento | 0.2222 | 0.5959 | 0.0825 |
| 436 | 351 | G2_smistamento | 0.5841 | 0.7196 | 0.0839 |
| 436 | 282 | Q_smistamento | 0.4698 | 0.2797 | 0.0915 |
| 436 | 22 | Q_smistamento | 0.1843 | 0.2391 | 0.0901 |
| 436 | 284 | Q_smistamento | 0.2222 | 0.5959 | 0.0825 |
| 436 | 351 | Q_smistamento | 0.5841 | 0.7196 | 0.0839 |

Table 20: Element Forces - Area Shells, Part 2 of 3

| Area | Joint | OutputCase | M11 | M22 | M12 |
|------|-------|----------------|------------|------------|-----------|
| | | | KN-m/m | KN-m/m | KN-m/m |
| 436 | 282 | Q_neve | 1.171E-13 | 6.436E-14 | 4.079E-14 |
| 436 | 22 | Q_neve | 5.052E-14 | 2.263E-14 | 2.762E-14 |
| 436 | 284 | Q_neve | 1.502E-14 | -3.110E-14 | 2.762E-14 |
| 436 | 351 | Q_neve | 5.875E-14 | -3.498E-14 | 4.079E-14 |
| 437 | 351 | DEAD | 4.591E-13 | -5.747E-14 | 2.280E-13 |
| 437 | 284 | DEAD | 1.081E-14 | -2.408E-13 | 2.017E-13 |
| 437 | 286 | DEAD | 1.661E-13 | -1.003E-13 | 2.280E-13 |
| 437 | 352 | DEAD | -5.832E-14 | -2.704E-13 | 2.544E-13 |
| 437 | 351 | G1_smistamento | 1.5756 | 1.9408 | 0.1724 |
| 437 | 284 | G1_smistamento | 0.5991 | 1.606 | 0.1673 |
| 437 | 286 | G1_smistamento | 0.6481 | 2.1086 | 0.102 |
| 437 | 352 | G1_smistamento | 1.7096 | 2.4821 | 0.1071 |
| 437 | 351 | G2_smistamento | 0.5841 | 0.7195 | 0.0639 |
| 437 | 284 | G2_smistamento | 0.2221 | 0.5954 | 0.062 |
| 437 | 286 | G2_smistamento | 0.2403 | 0.7817 | 0.0378 |
| 437 | 352 | G2_smistamento | 0.6338 | 0.9201 | 0.0397 |
| 437 | 351 | Q_smistamento | 0.5841 | 0.7195 | 0.0639 |
| 437 | 284 | Q_smistamento | 0.2221 | 0.5954 | 0.062 |
| 437 | 286 | Q_smistamento | 0.2403 | 0.7817 | 0.0378 |
| 437 | 352 | Q_smistamento | 0.6338 | 0.9201 | 0.0397 |
| 437 | 351 | Q_neve | 6.623E-14 | -3.821E-14 | 4.751E-14 |
| 437 | 284 | Q_neve | 1.057E-14 | -2.169E-14 | 4.334E-14 |
| 437 | 286 | Q_neve | 2.262E-14 | -1.928E-14 | 4.751E-14 |
| 437 | 352 | Q_neve | 2.126E-14 | -4.720E-14 | 6.309E-14 |
| 438 | 352 | DEAD | -1.320E-13 | -4.652E-13 | 3.795E-13 |
| 438 | 286 | DEAD | 1.976E-13 | -1.588E-13 | 3.365E-13 |
| 438 | 288 | DEAD | -2.044E-13 | -6.693E-13 | 2.742E-13 |
| 438 | 353 | DEAD | 4.181E-13 | -3.201E-13 | 3.628E-13 |
| 438 | 352 | G1_smistamento | 1.7098 | 2.483 | 0.0352 |
| 438 | 286 | G1_smistamento | 0.6481 | 2.1089 | 0.0352 |
| 438 | 288 | G1_smistamento | 0.6481 | 2.1089 | -0.0352 |
| 438 | 353 | G1_smistamento | 1.7098 | 2.483 | -0.0352 |
| 438 | 352 | G2_smistamento | 0.6338 | 0.9205 | 0.013 |
| 438 | 286 | G2_smistamento | 0.2403 | 0.7818 | 0.013 |
| 438 | 288 | G2_smistamento | 0.2403 | 0.7818 | -0.013 |
| 438 | 353 | G2_smistamento | 0.6338 | 0.9205 | -0.013 |
| 438 | 352 | Q_smistamento | 0.6338 | 0.9205 | 0.013 |
| 438 | 286 | Q_smistamento | 0.2403 | 0.7818 | 0.013 |

Table 20: Element Forces - Area Shells, Part 2 of 3

| Area | Joint | OutputCase | M11 | M22 | M12 |
|------|-------|----------------|------------|------------|-----------|
| | | | KN-m/m | KN-m/m | KN-m/m |
| 438 | 288 | Q_smistamento | 0.2403 | 0.7818 | -0.013 |
| 438 | 353 | Q_smistamento | 0.6338 | 0.9205 | -0.013 |
| 438 | 352 | Q_neve | 9.332E-16 | -8.920E-14 | 6.170E-14 |
| 438 | 286 | Q_neve | -5.688E-15 | -9.920E-14 | 5.752E-14 |
| 438 | 288 | Q_neve | -2.358E-15 | -6.616E-14 | 4.853E-14 |
| 438 | 353 | Q_neve | 3.134E-14 | -9.179E-14 | 6.410E-14 |
| 439 | 353 | DEAD | 2.516E-13 | -4.930E-13 | 3.345E-13 |
| 439 | 288 | DEAD | -1.249E-13 | -4.484E-13 | 3.608E-13 |
| 439 | 290 | DEAD | 7.716E-14 | -4.173E-13 | 3.345E-13 |
| 439 | 354 | DEAD | 2.142E-13 | -1.720E-14 | 3.081E-13 |
| 439 | 353 | G1_smistamento | 1.7096 | 2.4821 | -0.1071 |
| 439 | 288 | G1_smistamento | 0.6481 | 2.1086 | -0.102 |
| 439 | 290 | G1_smistamento | 0.5991 | 1.606 | -0.1673 |
| 439 | 354 | G1_smistamento | 1.5756 | 1.9408 | -0.1724 |
| 439 | 353 | G2_smistamento | 0.6338 | 0.9201 | -0.0397 |
| 439 | 288 | G2_smistamento | 0.2403 | 0.7817 | -0.0378 |
| 439 | 290 | G2_smistamento | 0.2221 | 0.5954 | -0.062 |
| 439 | 354 | G2_smistamento | 0.5841 | 0.7195 | -0.0639 |
| 439 | 353 | Q_smistamento | 0.6338 | 0.9201 | -0.0397 |
| 439 | 288 | Q_smistamento | 0.2403 | 0.7817 | -0.0378 |
| 439 | 290 | Q_smistamento | 0.2221 | 0.5954 | -0.062 |
| 439 | 354 | Q_smistamento | 0.5841 | 0.7195 | -0.0639 |
| 439 | 353 | Q_neve | 6.406E-15 | -1.379E-13 | 7.222E-14 |
| 439 | 288 | Q_neve | 7.670E-15 | -4.870E-14 | 7.222E-14 |
| 439 | 290 | Q_neve | 2.780E-14 | -9.016E-14 | 7.222E-14 |
| 439 | 354 | Q_neve | 2.084E-14 | -2.614E-15 | 7.222E-14 |
| 440 | 354 | DEAD | -2.572E-14 | -5.024E-13 | 3.821E-13 |
| 440 | 290 | DEAD | 1.222E-13 | -2.254E-13 | 2.286E-13 |
| 440 | 9 | DEAD | -3.889E-14 | -9.428E-14 | 4.085E-13 |
| 440 | 212 | DEAD | 3.263E-13 | 4.982E-15 | 3.339E-13 |
| 440 | 354 | G1_smistamento | 1.5756 | 1.941 | -0.2263 |
| 440 | 290 | G1_smistamento | 0.5994 | 1.6074 | -0.2225 |
| 440 | 9 | G1_smistamento | 0.4972 | 0.645 | -0.2429 |
| 440 | 212 | G1_smistamento | 1.2672 | 0.7545 | -0.2467 |
| 440 | 354 | G2_smistamento | 0.5841 | 0.7196 | -0.0839 |
| 440 | 290 | G2_smistamento | 0.2222 | 0.5959 | -0.0825 |
| 440 | 9 | G2_smistamento | 0.1843 | 0.2391 | -0.0901 |
| 440 | 212 | G2_smistamento | 0.4698 | 0.2797 | -0.0915 |

Table 20: Element Forces - Area Shells, Part 2 of 3

| Area | Joint | OutputCase | M11 | M22 | M12 |
|------|-------|---------------|------------|------------|-----------|
| | | | KN-m/m | KN-m/m | KN-m/m |
| 440 | 354 | Q_smistamento | 0.5841 | 0.7196 | -0.0839 |
| 440 | 290 | Q_smistamento | 0.2222 | 0.5959 | -0.0825 |
| 440 | 9 | Q_smistamento | 0.1843 | 0.2391 | -0.0901 |
| 440 | 212 | Q_smistamento | 0.4698 | 0.2797 | -0.0915 |
| 440 | 354 | Q_neve | 3.557E-16 | -5.442E-14 | 6.702E-14 |
| 440 | 290 | Q_neve | 2.935E-14 | -5.401E-14 | 5.562E-14 |
| 440 | 9 | Q_neve | -2.269E-14 | -1.162E-14 | 7.361E-14 |
| 440 | 212 | Q_neve | 8.942E-14 | 9.352E-15 | 6.220E-14 |

Table 20: Element Forces - Area Shells, Part 3 of 3

Table 20: Element Forces - Area Shells, Part 3 of 3

| Area | Joint | OutputCase | V13 | V23 |
|------|-------|----------------|------------|------------|
| | | | KN/m | KN/m |
| 1 | 7 | DEAD | 1.038E-13 | -5.016E-13 |
| 1 | 8 | DEAD | 1.038E-13 | -6.203E-13 |
| 1 | 9 | DEAD | -2.782E-14 | -1.066E-13 |
| 1 | 10 | DEAD | -2.782E-14 | 6.963E-13 |
| 1 | 7 | G1_smistamento | -0.91 | -1.13 |
| 1 | 8 | G1_smistamento | -0.91 | -1.2 |
| 1 | 9 | G1_smistamento | -0.93 | -1.2 |
| 1 | 10 | G1_smistamento | -0.93 | -1.13 |
| 1 | 7 | G2_smistamento | -0.34 | -0.42 |
| 1 | 8 | G2_smistamento | -0.34 | -0.45 |
| 1 | 9 | G2_smistamento | -0.35 | -0.45 |
| 1 | 10 | G2_smistamento | -0.35 | -0.42 |
| 1 | 7 | Q_smistamento | -0.34 | -0.42 |
| 1 | 8 | Q_smistamento | -0.34 | -0.45 |
| 1 | 9 | Q_smistamento | -0.35 | -0.45 |
| 1 | 10 | Q_smistamento | -0.35 | -0.42 |
| 1 | 7 | Q_neve | 2.207E-13 | 8.229E-15 |
| 1 | 8 | Q_neve | 2.207E-13 | -1.624E-13 |
| 1 | 9 | Q_neve | -5.913E-14 | -8.229E-15 |
| 1 | 10 | Q_neve | -5.913E-14 | 1.339E-13 |
| 2 | 11 | DEAD | 1.246E-12 | -1.249E-12 |
| 2 | 12 | DEAD | 1.246E-12 | -7.092E-13 |
| 2 | 13 | DEAD | -3.339E-13 | -1.955E-13 |

Table 20: Element Forces - Area Shells, Part 3 of 3

| Area | Joint | OutputCase | V13 KN/m | V23 KN/m |
|------|-------|----------------|-------------|-------------|
| 2 | 14 | DEAD | -3.339E-13 | -5.092E-14 |
| 2 | 11 | G1_smistamento | 0.91 | -1.2 |
| 2 | 12 | G1_smistamento | 0.91 | -1.13 |
| 2 | 13 | G1_smistamento | 0.93 | -1.13 |
| 2 | 14 | G1_smistamento | 0.93 | -1.2 |
| 2 | 11 | G2_smistamento | 0.34 | -0.45 |
| 2 | 12 | G2_smistamento | 0.34 | -0.42 |
| 2 | 13 | G2_smistamento | 0.35 | -0.42 |
| 2 | 14 | G2_smistamento | 0.35 | -0.45 |
| 2 | 11 | Q_smistamento | 0.34 | -0.45 |
| 2 | 12 | Q_smistamento | 0.34 | -0.42 |
| 2 | 13 | Q_smistamento | 0.35 | -0.42 |
| 2 | 14 | Q_smistamento | 0.35 | -0.45 |
| 2 | 11 | Q_neve | 2.726E-13 | -8.170E-14 |
| 2 | 12 | Q_neve | 2.726E-13 | -1.865E-13 |
| 2 | 13 | Q_neve | -7.304E-14 | -3.233E-14 |
| 2 | 14 | Q_neve | -7.304E-14 | 4.394E-14 |
| 3 | 15 | DEAD | -2.300E-13 | 1.365E-12 |
| 3 | 16 | DEAD | 7.174E-13 | 4.526E-13 |
| 3 | 17 | DEAD | 1.218E-12 | -1.137E-12 |
| 3 | 18 | DEAD | 1.639E-12 | -2.049E-12 |
| 3 | 15 | G1_smistamento | 0.93 | 1.13 |
| 3 | 16 | G1_smistamento | 0.91 | 1.13 |
| 3 | 17 | G1_smistamento | 0.91 | 1.2 |
| 3 | 18 | G1_smistamento | 0.93 | 1.2 |
| 3 | 15 | G2_smistamento | 0.35 | 0.42 |
| 3 | 16 | G2_smistamento | 0.34 | 0.42 |
| 3 | 17 | G2_smistamento | 0.34 | 0.45 |
| 3 | 18 | G2_smistamento | 0.35 | 0.45 |
| 3 | 15 | Q_smistamento | 0.35 | 0.42 |
| 3 | 16 | Q_smistamento | 0.34 | 0.42 |
| 3 | 17 | Q_smistamento | 0.34 | 0.45 |
| 3 | 18 | Q_smistamento | 0.35 | 0.45 |
| 3 | 15 | Q_neve | 1.233E-13 | 9.807E-14 |
| 3 | 16 | Q_neve | 1.277E-13 | -8.502E-14 |
| 3 | 17 | Q_neve | 3.043E-13 | -2.311E-13 |
| 3 | 18 | Q_neve | 2.429E-13 | -4.471E-13 |
| 4 | 19 | DEAD | -1.023E-12 | 1.056E-12 |

Table 20: Element Forces - Area Shells, Part 3 of 3

| Area | Joint | OutputCase | V13 KN/m | V23 KN/m |
|------|-------|----------------|-------------|-------------|
| 4 | 20 | DEAD | -1.023E-12 | -5.368E-13 |
| 4 | 21 | DEAD | -4.968E-13 | -5.239E-13 |
| 4 | 22 | DEAD | -4.968E-13 | 3.848E-13 |
| 4 | 19 | G1_smistamento | -0.91 | 1.2 |
| 4 | 20 | G1_smistamento | -0.91 | 1.13 |
| 4 | 21 | G1_smistamento | -0.93 | 1.13 |
| 4 | 22 | G1_smistamento | -0.93 | 1.2 |
| 4 | 19 | G2_smistamento | -0.34 | 0.45 |
| 4 | 20 | G2_smistamento | -0.34 | 0.42 |
| 4 | 21 | G2_smistamento | -0.35 | 0.42 |
| 4 | 22 | G2_smistamento | -0.35 | 0.45 |
| 4 | 19 | Q_smistamento | -0.34 | 0.45 |
| 4 | 20 | Q_smistamento | -0.34 | 0.42 |
| 4 | 21 | Q_smistamento | -0.35 | 0.42 |
| 4 | 22 | Q_smistamento | -0.35 | 0.45 |
| 4 | 19 | Q_neve | -3.486E-13 | 7.474E-14 |
| 4 | 20 | Q_neve | -3.486E-13 | 2.124E-13 |
| 4 | 21 | Q_neve | -2.979E-15 | 5.829E-14 |
| 4 | 22 | Q_neve | -2.979E-15 | -5.090E-14 |
| 42 | 1 | DEAD | -5.006E-14 | 2.723E-14 |
| 42 | 57 | DEAD | -5.006E-14 | -1.016E-13 |
| 42 | 58 | DEAD | -8.297E-14 | 1.078E-14 |
| 42 | 59 | DEAD | -8.297E-14 | -2.887E-15 |
| 42 | 1 | G1_smistamento | -0.69 | -0.84 |
| 42 | 57 | G1_smistamento | -0.69 | -0.84 |
| 42 | 58 | G1_smistamento | -0.61 | -0.84 |
| 42 | 59 | G1_smistamento | -0.61 | -0.84 |
| 42 | 1 | G2_smistamento | -0.25 | -0.31 |
| 42 | 57 | G2_smistamento | -0.25 | -0.31 |
| 42 | 58 | G2_smistamento | -0.23 | -0.31 |
| 42 | 59 | G2_smistamento | -0.23 | -0.31 |
| 42 | 1 | Q_smistamento | -0.25 | -0.31 |
| 42 | 57 | Q_smistamento | -0.25 | -0.31 |
| 42 | 58 | Q_smistamento | -0.23 | -0.31 |
| 42 | 59 | Q_smistamento | -0.23 | -0.31 |
| 42 | 1 | Q_neve | 8.113E-15 | -2.971E-14 |
| 42 | 57 | Q_neve | 8.113E-15 | -1.195E-14 |
| 42 | 58 | Q_neve | -2.174E-15 | 2.377E-14 |

Table 20: Element Forces - Area Shells, Part 3 of 3

| Area | Joint | OutputCase | V13 KN/m | V23 KN/m |
|------|-------|----------------|-------------|-------------|
| 42 | 59 | Q_neve | -2.174E-15 | 2.449E-15 |
| 44 | 60 | DEAD | 1.112E-14 | -6.397E-14 |
| 44 | 2 | DEAD | 1.112E-14 | -7.279E-14 |
| 44 | 61 | DEAD | 9.341E-14 | -3.105E-14 |
| 44 | 6 | DEAD | 9.341E-14 | 9.179E-14 |
| 44 | 60 | G1_smistamento | 0.69 | -0.84 |
| 44 | 2 | G1_smistamento | 0.69 | -0.84 |
| 44 | 61 | G1_smistamento | 0.61 | -0.84 |
| 44 | 6 | G1_smistamento | 0.61 | -0.84 |
| 44 | 60 | G2_smistamento | 0.25 | -0.31 |
| 44 | 2 | G2_smistamento | 0.25 | -0.31 |
| 44 | 61 | G2_smistamento | 0.23 | -0.31 |
| 44 | 6 | G2_smistamento | 0.23 | -0.31 |
| 44 | 60 | Q_smistamento | 0.25 | -0.31 |
| 44 | 2 | Q_smistamento | 0.25 | -0.31 |
| 44 | 61 | Q_smistamento | 0.23 | -0.31 |
| 44 | 6 | Q_smistamento | 0.23 | -0.31 |
| 44 | 60 | Q_neve | 1.112E-14 | 8.695E-16 |
| 44 | 2 | Q_neve | 1.112E-14 | -1.970E-14 |
| 44 | 61 | Q_neve | 9.067E-15 | -3.245E-15 |
| 44 | 6 | Q_neve | 9.067E-15 | 1.733E-14 |
| 46 | 62 | DEAD | 1.021E-13 | 2.670E-13 |
| 46 | 3 | DEAD | 2.068E-13 | 3.894E-14 |
| 46 | 64 | DEAD | 3.160E-13 | 2.176E-13 |
| 46 | 63 | DEAD | 2.398E-13 | -1.043E-14 |
| 46 | 62 | G1_smistamento | 0.61 | 0.84 |
| 46 | 3 | G1_smistamento | 0.69 | 0.84 |
| 46 | 64 | G1_smistamento | 0.69 | 0.84 |
| 46 | 63 | G1_smistamento | 0.61 | 0.84 |
| 46 | 62 | G2_smistamento | 0.23 | 0.31 |
| 46 | 3 | G2_smistamento | 0.25 | 0.31 |
| 46 | 64 | G2_smistamento | 0.25 | 0.31 |
| 46 | 63 | G2_smistamento | 0.23 | 0.31 |
| 46 | 62 | Q_smistamento | 0.23 | 0.31 |
| 46 | 3 | Q_smistamento | 0.25 | 0.31 |
| 46 | 64 | Q_smistamento | 0.25 | 0.31 |
| 46 | 63 | Q_smistamento | 0.23 | 0.31 |
| 46 | 62 | Q_neve | 1.355E-14 | 3.519E-14 |

Table 20: Element Forces - Area Shells, Part 3 of 3

| Area | Joint | OutputCase | V13 | V23 |
|------|-------|----------------|------------|------------|
| | | | KN/m | KN/m |
| 46 | 3 | Q_neve | 2.289E-14 | 2.114E-14 |
| 46 | 64 | Q_neve | 5.058E-14 | 6.385E-15 |
| 46 | 63 | Q_neve | 2.700E-14 | 2.620E-15 |
| 48 | 65 | DEAD | -6.490E-14 | 1.194E-13 |
| 48 | 4 | DEAD | -6.490E-14 | 9.409E-14 |
| 48 | 66 | DEAD | 1.739E-14 | 4.160E-15 |
| 48 | 5 | DEAD | 1.739E-14 | 1.435E-13 |
| 48 | 65 | G1_smistamento | -0.69 | 0.84 |
| 48 | 4 | G1_smistamento | -0.69 | 0.84 |
| 48 | 66 | G1_smistamento | -0.61 | 0.84 |
| 48 | 5 | G1_smistamento | -0.61 | 0.84 |
| 48 | 65 | G2_smistamento | -0.25 | 0.31 |
| 48 | 4 | G2_smistamento | -0.25 | 0.31 |
| 48 | 66 | G2_smistamento | -0.23 | 0.31 |
| 48 | 5 | G2_smistamento | -0.23 | 0.31 |
| 48 | 65 | Q_smistamento | -0.25 | 0.31 |
| 48 | 4 | Q_smistamento | -0.25 | 0.31 |
| 48 | 66 | Q_smistamento | -0.23 | 0.31 |
| 48 | 5 | Q_smistamento | -0.23 | 0.31 |
| 48 | 65 | Q_neve | -2.410E-14 | 2.493E-14 |
| 48 | 4 | Q_neve | -2.410E-14 | 1.334E-14 |
| 48 | 66 | Q_neve | -5.589E-15 | -5.927E-15 |
| 48 | 5 | Q_neve | -5.589E-15 | 9.226E-15 |
| 183 | 57 | DEAD | -8.611E-14 | -7.092E-14 |
| 183 | 67 | DEAD | -2.226E-13 | 1.900E-14 |
| 183 | 68 | DEAD | 2.910E-14 | -5.092E-15 |
| 183 | 58 | DEAD | -9.095E-14 | 1.900E-14 |
| 183 | 57 | G1_smistamento | -0.44 | -0.89 |
| 183 | 67 | G1_smistamento | -0.44 | -1.04 |
| 183 | 68 | G1_smistamento | -0.87 | -1.04 |
| 183 | 58 | G1_smistamento | -0.87 | -0.89 |
| 183 | 57 | G2_smistamento | -0.16 | -0.33 |
| 183 | 67 | G2_smistamento | -0.16 | -0.38 |
| 183 | 68 | G2_smistamento | -0.32 | -0.38 |
| 183 | 58 | G2_smistamento | -0.32 | -0.33 |
| 183 | 57 | Q_smistamento | -0.16 | -0.33 |
| 183 | 67 | Q_smistamento | -0.16 | -0.38 |
| 183 | 68 | Q_smistamento | -0.32 | -0.38 |

Table 20: Element Forces - Area Shells, Part 3 of 3

| Area | Joint | OutputCase | V13 KN/m | V23 KN/m |
|------|-------|----------------|-------------|-------------|
| 183 | 58 | Q_smistamento | -0.32 | -0.33 |
| 183 | 57 | Q_neve | -3.325E-14 | -1.469E-14 |
| 183 | 67 | Q_neve | -1.960E-14 | -6.607E-15 |
| 183 | 68 | Q_neve | -2.387E-15 | -1.263E-14 |
| 183 | 58 | Q_neve | -1.960E-14 | 7.794E-15 |
| 184 | 67 | DEAD | -5.285E-14 | 1.357E-14 |
| 184 | 69 | DEAD | -1.010E-13 | -5.065E-14 |
| 184 | 70 | DEAD | 6.235E-14 | -1.181E-13 |
| 184 | 68 | DEAD | -1.175E-13 | 3.164E-14 |
| 184 | 67 | G1_smistamento | -0.12 | -1.1 |
| 184 | 69 | G1_smistamento | -0.12 | -1.16 |
| 184 | 70 | G1_smistamento | -0.14 | -1.16 |
| 184 | 68 | G1_smistamento | -0.14 | -1.1 |
| 184 | 67 | G2_smistamento | -4.494E-02 | -0.41 |
| 184 | 69 | G2_smistamento | -4.494E-02 | -0.43 |
| 184 | 70 | G2_smistamento | -5.082E-02 | -0.43 |
| 184 | 68 | G2_smistamento | -5.082E-02 | -0.41 |
| 184 | 67 | Q_smistamento | -4.494E-02 | -0.41 |
| 184 | 69 | Q_smistamento | -4.494E-02 | -0.43 |
| 184 | 70 | Q_smistamento | -5.082E-02 | -0.43 |
| 184 | 68 | Q_smistamento | -5.082E-02 | -0.41 |
| 184 | 67 | Q_neve | -1.460E-14 | -4.242E-15 |
| 184 | 69 | Q_neve | -1.460E-14 | -2.913E-14 |
| 184 | 70 | Q_neve | 3.913E-15 | -2.070E-14 |
| 184 | 68 | Q_neve | 3.913E-15 | -6.501E-15 |
| 185 | 69 | DEAD | -3.987E-14 | -3.119E-13 |
| 185 | 71 | DEAD | 8.320E-15 | 6.711E-14 |
| 185 | 72 | DEAD | 5.888E-14 | 1.730E-14 |
| 185 | 70 | DEAD | 2.387E-13 | -4.810E-14 |
| 185 | 69 | G1_smistamento | 0.22 | -1.15 |
| 185 | 71 | G1_smistamento | 0.22 | -1.17 |
| 185 | 72 | G1_smistamento | 0.24 | -1.17 |
| 185 | 70 | G1_smistamento | 0.24 | -1.15 |
| 185 | 69 | G2_smistamento | 8.326E-02 | -0.43 |
| 185 | 71 | G2_smistamento | 8.326E-02 | -0.43 |
| 185 | 72 | G2_smistamento | 8.840E-02 | -0.43 |
| 185 | 70 | G2_smistamento | 8.840E-02 | -0.43 |
| 185 | 69 | Q_smistamento | 8.326E-02 | -0.43 |

Table 20: Element Forces - Area Shells, Part 3 of 3

| Area | Joint | OutputCase | V13 KN/m | V23 KN/m |
|------|-------|----------------|-------------|-------------|
| 185 | 71 | Q_smistamento | 8.326E-02 | -0.43 |
| 185 | 72 | Q_smistamento | 8.840E-02 | -0.43 |
| 185 | 70 | Q_smistamento | 8.840E-02 | -0.43 |
| 185 | 69 | Q_neve | 1.971E-14 | -5.141E-14 |
| 185 | 71 | Q_neve | 2.293E-14 | 1.201E-14 |
| 185 | 72 | Q_neve | 1.354E-14 | -2.037E-15 |
| 185 | 70 | Q_neve | 3.527E-14 | -4.765E-14 |
| 186 | 71 | DEAD | 2.283E-13 | -3.139E-14 |
| 186 | 73 | DEAD | 1.833E-13 | -2.426E-13 |
| 186 | 74 | DEAD | 4.726E-14 | -1.301E-13 |
| 186 | 72 | DEAD | 3.521E-14 | -6.151E-14 |
| 186 | 71 | G1_smistamento | 0.35 | -1.16 |
| 186 | 73 | G1_smistamento | 0.35 | -1.16 |
| 186 | 74 | G1_smistamento | 0.37 | -1.16 |
| 186 | 72 | G1_smistamento | 0.37 | -1.16 |
| 186 | 71 | G2_smistamento | 0.13 | -0.43 |
| 186 | 73 | G2_smistamento | 0.13 | -0.43 |
| 186 | 74 | G2_smistamento | 0.14 | -0.43 |
| 186 | 72 | G2_smistamento | 0.14 | -0.43 |
| 186 | 71 | Q_smistamento | 0.13 | -0.43 |
| 186 | 73 | Q_smistamento | 0.13 | -0.43 |
| 186 | 74 | Q_smistamento | 0.14 | -0.43 |
| 186 | 72 | Q_smistamento | 0.14 | -0.43 |
| 186 | 71 | Q_neve | 3.516E-14 | -1.922E-14 |
| 186 | 73 | Q_neve | 2.672E-14 | -5.112E-14 |
| 186 | 74 | Q_neve | 2.898E-14 | -6.036E-14 |
| 186 | 72 | Q_neve | 2.672E-14 | 2.499E-14 |
| 187 | 73 | DEAD | 1.358E-13 | -1.393E-13 |
| 187 | 75 | DEAD | 1.117E-13 | -1.969E-14 |
| 187 | 76 | DEAD | -1.230E-14 | 2.528E-14 |
| 187 | 74 | DEAD | -1.022E-13 | -1.514E-13 |
| 187 | 73 | G1_smistamento | 0.33 | -1.15 |
| 187 | 75 | G1_smistamento | 0.33 | -1.15 |
| 187 | 76 | G1_smistamento | 0.35 | -1.15 |
| 187 | 74 | G1_smistamento | 0.35 | -1.15 |
| 187 | 73 | G2_smistamento | 0.12 | -0.43 |
| 187 | 75 | G2_smistamento | 0.12 | -0.43 |
| 187 | 76 | G2_smistamento | 0.13 | -0.43 |

Table 20: Element Forces - Area Shells, Part 3 of 3

| Area | Joint | OutputCase | V13 KN/m | V23 KN/m |
|------|-------|----------------|-------------|-------------|
| 187 | 74 | G2_smistamento | 0.13 | -0.43 |
| 187 | 73 | Q_smistamento | 0.12 | -0.43 |
| 187 | 75 | Q_smistamento | 0.12 | -0.43 |
| 187 | 76 | Q_smistamento | 0.13 | -0.43 |
| 187 | 74 | Q_smistamento | 0.13 | -0.43 |
| 187 | 73 | Q_neve | 2.283E-14 | -3.582E-14 |
| 187 | 75 | Q_neve | 1.681E-14 | -1.199E-15 |
| 187 | 76 | Q_neve | -1.214E-14 | -1.525E-14 |
| 187 | 74 | Q_neve | -3.462E-14 | -3.206E-14 |
| 188 | 75 | DEAD | -9.366E-14 | 3.801E-14 |
| 188 | 77 | DEAD | -9.366E-14 | 3.801E-14 |
| 188 | 78 | DEAD | 1.697E-13 | 3.801E-14 |
| 188 | 76 | DEAD | 1.697E-13 | 3.801E-14 |
| 188 | 75 | G1_smistamento | 0.25 | -1.15 |
| 188 | 77 | G1_smistamento | 0.25 | -1.15 |
| 188 | 78 | G1_smistamento | 0.26 | -1.15 |
| 188 | 76 | G1_smistamento | 0.26 | -1.15 |
| 188 | 75 | G2_smistamento | 9.442E-02 | -0.43 |
| 188 | 77 | G2_smistamento | 9.442E-02 | -0.43 |
| 188 | 78 | G2_smistamento | 9.818E-02 | -0.43 |
| 188 | 76 | G2_smistamento | 9.818E-02 | -0.43 |
| 188 | 75 | Q_smistamento | 9.442E-02 | -0.43 |
| 188 | 77 | Q_smistamento | 9.442E-02 | -0.43 |
| 188 | 78 | Q_smistamento | 9.818E-02 | -0.43 |
| 188 | 76 | Q_smistamento | 9.818E-02 | -0.43 |
| 188 | 75 | Q_neve | 5.558E-15 | 1.770E-14 |
| 188 | 77 | Q_neve | 5.558E-15 | -4.635E-15 |
| 188 | 78 | Q_neve | 4.670E-14 | 2.387E-14 |
| 188 | 76 | Q_neve | 4.670E-14 | -1.081E-14 |
| 189 | 77 | DEAD | -1.994E-14 | 1.866E-14 |
| 189 | 79 | DEAD | -4.403E-14 | -6.965E-14 |
| 189 | 80 | DEAD | 2.944E-14 | -4.717E-14 |
| 189 | 78 | DEAD | -6.049E-14 | 1.264E-14 |
| 189 | 77 | G1_smistamento | 0.16 | -1.14 |
| 189 | 79 | G1_smistamento | 0.16 | -1.15 |
| 189 | 80 | G1_smistamento | 0.17 | -1.15 |
| 189 | 78 | G1_smistamento | 0.17 | -1.14 |
| 189 | 77 | G2_smistamento | 5.984E-02 | -0.42 |

Table 20: Element Forces - Area Shells, Part 3 of 3

| Area | Joint | OutputCase | V13 KN/m | V23 KN/m |
|------|-------|----------------|-------------|-------------|
| 189 | 79 | G2_smistamento | 5.984E-02 | -0.42 |
| 189 | 80 | G2_smistamento | 6.251E-02 | -0.42 |
| 189 | 78 | G2_smistamento | 6.251E-02 | -0.42 |
| 189 | 77 | Q_smistamento | 5.984E-02 | -0.42 |
| 189 | 79 | Q_smistamento | 5.984E-02 | -0.42 |
| 189 | 80 | Q_smistamento | 6.251E-02 | -0.42 |
| 189 | 78 | Q_smistamento | 6.251E-02 | -0.42 |
| 189 | 77 | Q_neve | 2.260E-14 | -1.793E-15 |
| 189 | 79 | Q_neve | 1.657E-14 | -3.827E-14 |
| 189 | 80 | Q_neve | -3.121E-17 | -3.265E-14 |
| 189 | 78 | Q_neve | -2.251E-14 | -3.299E-15 |
| 190 | 79 | DEAD | -1.900E-14 | -2.757E-14 |
| 190 | 81 | DEAD | 5.092E-15 | -7.695E-14 |
| 190 | 82 | DEAD | -1.900E-14 | -7.695E-14 |
| 190 | 80 | DEAD | 7.092E-14 | -2.757E-14 |
| 190 | 79 | G1_smistamento | 7.619E-02 | -1.14 |
| 190 | 81 | G1_smistamento | 7.619E-02 | -1.14 |
| 190 | 82 | G1_smistamento | 8.000E-02 | -1.14 |
| 190 | 80 | G1_smistamento | 8.000E-02 | -1.14 |
| 190 | 79 | G2_smistamento | 2.824E-02 | -0.42 |
| 190 | 81 | G2_smistamento | 2.824E-02 | -0.42 |
| 190 | 82 | G2_smistamento | 2.966E-02 | -0.42 |
| 190 | 80 | G2_smistamento | 2.966E-02 | -0.42 |
| 190 | 79 | Q_smistamento | 2.824E-02 | -0.42 |
| 190 | 81 | Q_smistamento | 2.824E-02 | -0.42 |
| 190 | 82 | Q_smistamento | 2.966E-02 | -0.42 |
| 190 | 80 | Q_smistamento | 2.966E-02 | -0.42 |
| 190 | 79 | Q_neve | -4.207E-14 | -3.459E-14 |
| 190 | 81 | Q_neve | -3.604E-14 | -5.791E-15 |
| 190 | 82 | Q_neve | 5.248E-15 | -5.791E-15 |
| 190 | 80 | Q_neve | 2.773E-14 | -3.459E-14 |
| 191 | 81 | DEAD | 8.518E-14 | -1.955E-15 |
| 191 | 83 | DEAD | 1.077E-13 | -2.866E-13 |
| 191 | 84 | DEAD | 1.935E-14 | -1.501E-13 |
| 191 | 82 | DEAD | 2.537E-14 | -1.220E-13 |
| 191 | 81 | G1_smistamento | 2.885E-14 | -1.14 |
| 191 | 83 | G1_smistamento | 6.365E-15 | -1.14 |
| 191 | 84 | G1_smistamento | 9.468E-14 | -1.14 |

Table 20: Element Forces - Area Shells, Part 3 of 3

| Area | Joint | OutputCase | V13 KN/m | V23 KN/m |
|------|-------|----------------|-------------|-------------|
| 191 | 82 | G1_smistamento | 8.866E-14 | -1.14 |
| 191 | 81 | G2_smistamento | 3.801E-14 | -0.42 |
| 191 | 83 | G2_smistamento | 3.801E-14 | -0.42 |
| 191 | 84 | G2_smistamento | 3.801E-14 | -0.42 |
| 191 | 82 | G2_smistamento | 3.801E-14 | -0.42 |
| 191 | 81 | Q_smistamento | 3.801E-14 | -0.42 |
| 191 | 83 | Q_smistamento | 3.801E-14 | -0.42 |
| 191 | 84 | Q_smistamento | 3.801E-14 | -0.42 |
| 191 | 82 | Q_smistamento | 3.801E-14 | -0.42 |
| 191 | 81 | Q_neve | 6.851E-15 | -1.030E-14 |
| 191 | 83 | Q_neve | 4.041E-15 | -3.504E-14 |
| 191 | 84 | Q_neve | 1.097E-14 | -2.058E-14 |
| 191 | 82 | Q_neve | 1.021E-14 | -3.504E-14 |
| 192 | 83 | DEAD | 4.912E-14 | -8.772E-14 |
| 192 | 85 | DEAD | 4.912E-14 | -1.464E-13 |
| 192 | 86 | DEAD | 1.314E-13 | -5.481E-14 |
| 192 | 84 | DEAD | 1.314E-13 | -1.957E-13 |
| 192 | 83 | G1_smistamento | -7.619E-02 | -1.14 |
| 192 | 85 | G1_smistamento | -7.619E-02 | -1.14 |
| 192 | 86 | G1_smistamento | -8.000E-02 | -1.14 |
| 192 | 84 | G1_smistamento | -8.000E-02 | -1.14 |
| 192 | 83 | G2_smistamento | -2.824E-02 | -0.42 |
| 192 | 85 | G2_smistamento | -2.824E-02 | -0.42 |
| 192 | 86 | G2_smistamento | -2.966E-02 | -0.42 |
| 192 | 84 | G2_smistamento | -2.966E-02 | -0.42 |
| 192 | 83 | Q_smistamento | -2.824E-02 | -0.42 |
| 192 | 85 | Q_smistamento | -2.824E-02 | -0.42 |
| 192 | 86 | Q_smistamento | -2.966E-02 | -0.42 |
| 192 | 84 | Q_smistamento | -2.966E-02 | -0.42 |
| 192 | 83 | Q_neve | 3.384E-14 | -4.083E-15 |
| 192 | 85 | Q_neve | 3.384E-14 | -1.327E-14 |
| 192 | 86 | Q_neve | 2.981E-15 | -1.848E-14 |
| 192 | 84 | Q_neve | 2.981E-15 | -2.355E-14 |
| 193 | 85 | DEAD | 1.261E-13 | 1.592E-13 |
| 193 | 87 | DEAD | 1.261E-13 | -1.029E-13 |
| 193 | 88 | DEAD | 1.590E-13 | -5.472E-14 |
| 193 | 86 | DEAD | 1.590E-13 | -2.062E-14 |
| 193 | 85 | G1_smistamento | -0.16 | -1.15 |

Table 20: Element Forces - Area Shells, Part 3 of 3

| Area | Joint | OutputCase | V13 KN/m | V23 KN/m |
|------|-------|----------------|-------------|-------------|
| 193 | 87 | G1_smistamento | -0.16 | -1.14 |
| 193 | 88 | G1_smistamento | -0.17 | -1.14 |
| 193 | 86 | G1_smistamento | -0.17 | -1.15 |
| 193 | 85 | G2_smistamento | -5.984E-02 | -0.42 |
| 193 | 87 | G2_smistamento | -5.984E-02 | -0.42 |
| 193 | 88 | G2_smistamento | -6.251E-02 | -0.42 |
| 193 | 86 | G2_smistamento | -6.251E-02 | -0.42 |
| 193 | 85 | Q_smistamento | -5.984E-02 | -0.42 |
| 193 | 87 | Q_smistamento | -5.984E-02 | -0.42 |
| 193 | 88 | Q_smistamento | -6.251E-02 | -0.42 |
| 193 | 86 | Q_smistamento | -6.251E-02 | -0.42 |
| 193 | 85 | Q_neve | 1.066E-14 | 1.733E-14 |
| 193 | 87 | Q_neve | 1.066E-14 | -1.970E-14 |
| 193 | 88 | Q_neve | 3.329E-14 | -1.970E-14 |
| 193 | 86 | Q_neve | 3.329E-14 | 1.733E-14 |
| 194 | 87 | DEAD | -1.048E-13 | -8.043E-14 |
| 194 | 89 | DEAD | -1.048E-13 | 5.447E-14 |
| 194 | 90 | DEAD | 7.627E-14 | -1.459E-14 |
| 194 | 88 | DEAD | 7.627E-14 | 2.155E-14 |
| 194 | 87 | G1_smistamento | -0.25 | -1.15 |
| 194 | 89 | G1_smistamento | -0.25 | -1.15 |
| 194 | 90 | G1_smistamento | -0.26 | -1.15 |
| 194 | 88 | G1_smistamento | -0.26 | -1.15 |
| 194 | 87 | G2_smistamento | -9.442E-02 | -0.43 |
| 194 | 89 | G2_smistamento | -9.442E-02 | -0.43 |
| 194 | 90 | G2_smistamento | -9.818E-02 | -0.43 |
| 194 | 88 | G2_smistamento | -9.818E-02 | -0.43 |
| 194 | 87 | Q_smistamento | -9.442E-02 | -0.43 |
| 194 | 89 | Q_smistamento | -9.442E-02 | -0.43 |
| 194 | 90 | Q_smistamento | -9.818E-02 | -0.43 |
| 194 | 88 | Q_smistamento | -9.818E-02 | -0.43 |
| 194 | 87 | Q_neve | -2.655E-14 | -1.706E-14 |
| 194 | 89 | Q_neve | -2.374E-14 | 2.259E-15 |
| 194 | 90 | Q_neve | 6.362E-15 | -1.501E-14 |
| 194 | 88 | Q_neve | 7.115E-15 | 8.431E-15 |
| 195 | 89 | DEAD | -1.099E-13 | 2.028E-14 |
| 195 | 91 | DEAD | -1.340E-13 | 3.835E-14 |
| 195 | 92 | DEAD | 5.342E-15 | 3.674E-14 |

Table 20: Element Forces - Area Shells, Part 3 of 3

| Area | Joint | OutputCase | V13 KN/m | V23 KN/m |
|------|-------|----------------|-------------|-------------|
| 195 | 90 | DEAD | -8.459E-14 | 1.042E-13 |
| 195 | 89 | G1_smistamento | -0.33 | -1.15 |
| 195 | 91 | G1_smistamento | -0.33 | -1.15 |
| 195 | 92 | G1_smistamento | -0.35 | -1.15 |
| 195 | 90 | G1_smistamento | -0.35 | -1.15 |
| 195 | 89 | G2_smistamento | -0.12 | -0.43 |
| 195 | 91 | G2_smistamento | -0.12 | -0.43 |
| 195 | 92 | G2_smistamento | -0.13 | -0.43 |
| 195 | 90 | G2_smistamento | -0.13 | -0.43 |
| 195 | 89 | Q_smistamento | -0.12 | -0.43 |
| 195 | 91 | Q_smistamento | -0.12 | -0.43 |
| 195 | 92 | Q_smistamento | -0.13 | -0.43 |
| 195 | 90 | Q_smistamento | -0.13 | -0.43 |
| 195 | 89 | Q_neve | -1.389E-14 | -2.042E-14 |
| 195 | 91 | Q_neve | -2.273E-14 | 1.480E-14 |
| 195 | 92 | Q_neve | -1.549E-15 | -8.081E-15 |
| 195 | 90 | Q_neve | -2.478E-14 | 6.575E-15 |
| 196 | 91 | DEAD | -1.599E-13 | 1.516E-13 |
| 196 | 93 | DEAD | -1.840E-13 | -2.061E-13 |
| 196 | 94 | DEAD | -7.763E-14 | -1.611E-13 |
| 196 | 92 | DEAD | -1.676E-13 | 1.396E-13 |
| 196 | 91 | G1_smistamento | -0.35 | -1.16 |
| 196 | 93 | G1_smistamento | -0.35 | -1.16 |
| 196 | 94 | G1_smistamento | -0.37 | -1.16 |
| 196 | 92 | G1_smistamento | -0.37 | -1.16 |
| 196 | 91 | G2_smistamento | -0.13 | -0.43 |
| 196 | 93 | G2_smistamento | -0.13 | -0.43 |
| 196 | 94 | G2_smistamento | -0.14 | -0.43 |
| 196 | 92 | G2_smistamento | -0.14 | -0.43 |
| 196 | 91 | Q_smistamento | -0.13 | -0.43 |
| 196 | 93 | Q_smistamento | -0.13 | -0.43 |
| 196 | 94 | Q_smistamento | -0.14 | -0.43 |
| 196 | 92 | Q_smistamento | -0.14 | -0.43 |
| 196 | 91 | Q_neve | -3.384E-14 | 5.726E-15 |
| 196 | 93 | Q_neve | -3.384E-14 | -3.783E-14 |
| 196 | 94 | Q_neve | -2.981E-15 | -3.542E-14 |
| 196 | 92 | Q_neve | -2.981E-15 | 2.595E-14 |
| 197 | 93 | DEAD | 3.894E-14 | -1.773E-13 |

Table 20: Element Forces - Area Shells, Part 3 of 3

| Area | Joint | OutputCase | V13 KN/m | V23 KN/m |
|------|-------|----------------|-------------|-------------|
| 197 | 95 | DEAD | 3.894E-14 | -1.235E-13 |
| 197 | 96 | DEAD | -1.043E-14 | -1.273E-14 |
| 197 | 94 | DEAD | -1.043E-14 | -1.235E-13 |
| 197 | 93 | G1_smistamento | -0.22 | -1.17 |
| 197 | 95 | G1_smistamento | -0.22 | -1.15 |
| 197 | 96 | G1_smistamento | -0.24 | -1.15 |
| 197 | 94 | G1_smistamento | -0.24 | -1.17 |
| 197 | 93 | G2_smistamento | -8.326E-02 | -0.43 |
| 197 | 95 | G2_smistamento | -8.326E-02 | -0.43 |
| 197 | 96 | G2_smistamento | -8.840E-02 | -0.43 |
| 197 | 94 | G2_smistamento | -8.840E-02 | -0.43 |
| 197 | 93 | Q_smistamento | -8.326E-02 | -0.43 |
| 197 | 95 | Q_smistamento | -8.326E-02 | -0.43 |
| 197 | 96 | Q_smistamento | -8.840E-02 | -0.43 |
| 197 | 94 | Q_smistamento | -8.840E-02 | -0.43 |
| 197 | 93 | Q_neve | 1.520E-14 | -2.390E-14 |
| 197 | 95 | Q_neve | 1.239E-14 | -2.923E-14 |
| 197 | 96 | Q_neve | -3.319E-15 | 4.899E-15 |
| 197 | 94 | Q_neve | -4.072E-15 | -5.392E-14 |
| 198 | 95 | DEAD | 8.111E-14 | 1.009E-14 |
| 198 | 97 | DEAD | 5.701E-14 | -3.767E-14 |
| 198 | 98 | DEAD | 1.469E-13 | -1.051E-13 |
| 198 | 96 | DEAD | 5.701E-14 | 2.817E-14 |
| 198 | 95 | G1_smistamento | 0.12 | -1.16 |
| 198 | 97 | G1_smistamento | 0.12 | -1.1 |
| 198 | 98 | G1_smistamento | 0.14 | -1.1 |
| 198 | 96 | G1_smistamento | 0.14 | -1.16 |
| 198 | 95 | G2_smistamento | 4.494E-02 | -0.43 |
| 198 | 97 | G2_smistamento | 4.494E-02 | -0.41 |
| 198 | 98 | G2_smistamento | 5.082E-02 | -0.41 |
| 198 | 96 | G2_smistamento | 5.082E-02 | -0.43 |
| 198 | 95 | Q_smistamento | 4.494E-02 | -0.43 |
| 198 | 97 | Q_smistamento | 4.494E-02 | -0.41 |
| 198 | 98 | Q_smistamento | 5.082E-02 | -0.41 |
| 198 | 96 | Q_smistamento | 5.082E-02 | -0.43 |
| 198 | 95 | Q_neve | 1.425E-14 | -1.133E-14 |
| 198 | 97 | Q_neve | 8.229E-15 | -1.915E-14 |
| 198 | 98 | Q_neve | 1.425E-14 | -1.956E-14 |

Table 20: Element Forces - Area Shells, Part 3 of 3

| Area | Joint | OutputCase | V13 KN/m | V23 KN/m |
|------|-------|----------------|-------------|-------------|
| 198 | 96 | Q_neve | -8.229E-15 | 9.650E-15 |
| 199 | 97 | DEAD | -7.974E-14 | -1.832E-14 |
| 199 | 60 | DEAD | -7.974E-14 | -4.565E-14 |
| 199 | 6 | DEAD | 1.178E-13 | 1.133E-13 |
| 199 | 98 | DEAD | 1.178E-13 | -1.444E-13 |
| 199 | 97 | G1_smistamento | 0.44 | -1.04 |
| 199 | 60 | G1_smistamento | 0.44 | -0.89 |
| 199 | 6 | G1_smistamento | 0.87 | -0.89 |
| 199 | 98 | G1_smistamento | 0.87 | -1.04 |
| 199 | 97 | G2_smistamento | 0.16 | -0.38 |
| 199 | 60 | G2_smistamento | 0.16 | -0.33 |
| 199 | 6 | G2_smistamento | 0.32 | -0.33 |
| 199 | 98 | G2_smistamento | 0.32 | -0.38 |
| 199 | 97 | Q_smistamento | 0.16 | -0.38 |
| 199 | 60 | Q_smistamento | 0.16 | -0.33 |
| 199 | 6 | Q_smistamento | 0.32 | -0.33 |
| 199 | 98 | Q_smistamento | 0.32 | -0.38 |
| 199 | 97 | Q_neve | -4.660E-16 | -8.186E-15 |
| 199 | 60 | Q_neve | -4.660E-16 | 2.046E-15 |
| 199 | 6 | Q_neve | 2.422E-14 | 1.650E-14 |
| 199 | 98 | Q_neve | 2.422E-14 | -3.293E-14 |
| 200 | 61 | DEAD | 2.306E-13 | 1.874E-13 |
| 200 | 99 | DEAD | 5.633E-14 | 9.909E-14 |
| 200 | 100 | DEAD | 2.635E-13 | -9.238E-14 |
| 200 | 6 | DEAD | -7.533E-14 | -3.258E-14 |
| 200 | 61 | G1_smistamento | 0.68 | -0.73 |
| 200 | 99 | G1_smistamento | 0.81 | -0.73 |
| 200 | 100 | G1_smistamento | 0.81 | -1.17 |
| 200 | 6 | G1_smistamento | 0.68 | -1.17 |
| 200 | 61 | G2_smistamento | 0.25 | -0.27 |
| 200 | 99 | G2_smistamento | 0.3 | -0.27 |
| 200 | 100 | G2_smistamento | 0.3 | -0.43 |
| 200 | 6 | G2_smistamento | 0.25 | -0.43 |
| 200 | 61 | Q_smistamento | 0.25 | -0.27 |
| 200 | 99 | Q_smistamento | 0.3 | -0.27 |
| 200 | 100 | Q_smistamento | 0.3 | -0.43 |
| 200 | 6 | Q_smistamento | 0.25 | -0.43 |
| 200 | 61 | Q_neve | 2.332E-14 | 2.948E-14 |

Table 20: Element Forces - Area Shells, Part 3 of 3

| Area | Joint | OutputCase | V13 | V23 |
|------|-------|----------------|------------|------------|
| | | | KN/m | KN/m |
| 200 | 99 | Q_neve | 3.581E-14 | -1.432E-15 |
| 200 | 100 | Q_neve | 2.538E-14 | -1.166E-14 |
| 200 | 6 | Q_neve | -1.562E-14 | -1.995E-14 |
| 201 | 99 | DEAD | 1.457E-13 | 1.770E-13 |
| 201 | 101 | DEAD | 1.100E-13 | 1.959E-14 |
| 201 | 102 | DEAD | 6.338E-14 | -5.344E-14 |
| 201 | 100 | DEAD | 2.416E-13 | -9.561E-14 |
| 201 | 99 | G1_smistamento | 0.88 | -0.44 |
| 201 | 101 | G1_smistamento | 0.92 | -0.44 |
| 201 | 102 | G1_smistamento | 0.92 | -0.47 |
| 201 | 100 | G1_smistamento | 0.88 | -0.47 |
| 201 | 99 | G2_smistamento | 0.33 | -0.16 |
| 201 | 101 | G2_smistamento | 0.34 | -0.16 |
| 201 | 102 | G2_smistamento | 0.34 | -0.18 |
| 201 | 100 | G2_smistamento | 0.33 | -0.18 |
| 201 | 99 | Q_smistamento | 0.33 | -0.16 |
| 201 | 101 | Q_smistamento | 0.34 | -0.16 |
| 201 | 102 | Q_smistamento | 0.34 | -0.18 |
| 201 | 100 | Q_smistamento | 0.33 | -0.18 |
| 201 | 99 | Q_neve | 3.772E-14 | 4.223E-14 |
| 201 | 101 | Q_neve | 2.262E-14 | 1.131E-14 |
| 201 | 102 | Q_neve | 1.098E-14 | -3.032E-15 |
| 201 | 100 | Q_neve | 6.171E-14 | -1.131E-14 |
| 202 | 101 | DEAD | 4.021E-14 | 5.760E-14 |
| 202 | 103 | DEAD | 2.978E-14 | 3.512E-14 |
| 202 | 104 | DEAD | 7.297E-15 | -5.760E-14 |
| 202 | 102 | DEAD | 4.624E-14 | -6.363E-14 |
| 202 | 101 | G1_smistamento | 0.92 | 1.141E-14 |
| 202 | 103 | G1_smistamento | 0.92 | 4.513E-14 |
| 202 | 104 | G1_smistamento | 0.92 | 3.610E-14 |
| 202 | 102 | G1_smistamento | 0.92 | 4.513E-14 |
| 202 | 101 | G2_smistamento | 0.34 | 3.523E-14 |
| 202 | 103 | G2_smistamento | 0.34 | 3.523E-14 |
| 202 | 104 | G2_smistamento | 0.34 | 1.466E-14 |
| 202 | 102 | G2_smistamento | 0.34 | 1.466E-14 |
| 202 | 101 | Q_smistamento | 0.34 | 3.523E-14 |
| 202 | 103 | Q_smistamento | 0.34 | 3.523E-14 |
| 202 | 104 | Q_smistamento | 0.34 | 1.466E-14 |

Table 20: Element Forces - Area Shells, Part 3 of 3

| Area | Joint | OutputCase | V13 KN/m | V23 KN/m |
|------|-------|----------------|-------------|-------------|
| 202 | 102 | Q_smistamento | 0.34 | 1.466E-14 |
| 202 | 101 | Q_neve | 3.598E-14 | 1.947E-14 |
| 202 | 103 | Q_neve | -1.144E-14 | 1.947E-14 |
| 202 | 104 | Q_neve | 1.747E-14 | -5.217E-15 |
| 202 | 102 | Q_neve | -1.350E-14 | -5.217E-15 |
| 203 | 103 | DEAD | 4.565E-14 | 2.748E-14 |
| 203 | 105 | DEAD | 9.502E-15 | 2.910E-14 |
| 203 | 106 | DEAD | 1.444E-13 | -1.700E-13 |
| 203 | 104 | DEAD | 9.502E-15 | -8.611E-14 |
| 203 | 103 | G1_smistamento | 0.92 | 0.44 |
| 203 | 105 | G1_smistamento | 0.88 | 0.44 |
| 203 | 106 | G1_smistamento | 0.88 | 0.47 |
| 203 | 104 | G1_smistamento | 0.92 | 0.47 |
| 203 | 103 | G2_smistamento | 0.34 | 0.16 |
| 203 | 105 | G2_smistamento | 0.33 | 0.16 |
| 203 | 106 | G2_smistamento | 0.33 | 0.18 |
| 203 | 104 | G2_smistamento | 0.34 | 0.18 |
| 203 | 103 | Q_smistamento | 0.34 | 0.16 |
| 203 | 105 | Q_smistamento | 0.33 | 0.16 |
| 203 | 106 | Q_smistamento | 0.33 | 0.18 |
| 203 | 104 | Q_smistamento | 0.34 | 0.18 |
| 203 | 103 | Q_neve | 1.130E-14 | -3.691E-15 |
| 203 | 105 | Q_neve | 2.810E-15 | -2.898E-14 |
| 203 | 106 | Q_neve | 4.215E-14 | -2.838E-14 |
| 203 | 104 | Q_neve | 7.530E-16 | -3.516E-14 |
| 204 | 105 | DEAD | 1.042E-13 | 7.788E-14 |
| 204 | 62 | DEAD | 3.674E-14 | 7.788E-14 |
| 204 | 63 | DEAD | 3.835E-14 | -2.087E-14 |
| 204 | 106 | DEAD | 2.028E-14 | -2.087E-14 |
| 204 | 105 | G1_smistamento | 0.81 | 0.73 |
| 204 | 62 | G1_smistamento | 0.68 | 0.73 |
| 204 | 63 | G1_smistamento | 0.68 | 1.17 |
| 204 | 106 | G1_smistamento | 0.81 | 1.17 |
| 204 | 105 | G2_smistamento | 0.3 | 0.27 |
| 204 | 62 | G2_smistamento | 0.25 | 0.27 |
| 204 | 63 | G2_smistamento | 0.25 | 0.43 |
| 204 | 106 | G2_smistamento | 0.3 | 0.43 |
| 204 | 105 | Q_smistamento | 0.3 | 0.27 |

Table 20: Element Forces - Area Shells, Part 3 of 3

| Area | Joint | OutputCase | V13 | V23 |
|------|-------|----------------|------------|------------|
| | | | KN/m | KN/m |
| 204 | 62 | Q_smistamento | 0.25 | 0.27 |
| 204 | 63 | Q_smistamento | 0.25 | 0.43 |
| 204 | 106 | Q_smistamento | 0.3 | 0.43 |
| 204 | 105 | Q_neve | 3.427E-14 | 2.864E-14 |
| 204 | 62 | Q_neve | 6.979E-15 | 9.374E-15 |
| 204 | 63 | Q_neve | 1.358E-15 | -3.102E-14 |
| 204 | 106 | Q_neve | 3.578E-14 | -1.531E-14 |
| 205 | 64 | DEAD | 1.250E-13 | 2.571E-13 |
| 205 | 107 | DEAD | 8.170E-14 | -4.276E-14 |
| 205 | 108 | DEAD | -3.953E-14 | 1.419E-13 |
| 205 | 63 | DEAD | 3.233E-14 | -4.276E-14 |
| 205 | 64 | G1_smistamento | 0.44 | 0.89 |
| 205 | 107 | G1_smistamento | 0.44 | 1.04 |
| 205 | 108 | G1_smistamento | 0.87 | 1.04 |
| 205 | 63 | G1_smistamento | 0.87 | 0.89 |
| 205 | 64 | G2_smistamento | 0.16 | 0.33 |
| 205 | 107 | G2_smistamento | 0.16 | 0.38 |
| 205 | 108 | G2_smistamento | 0.32 | 0.38 |
| 205 | 63 | G2_smistamento | 0.32 | 0.33 |
| 205 | 64 | Q_smistamento | 0.16 | 0.33 |
| 205 | 107 | Q_smistamento | 0.16 | 0.38 |
| 205 | 108 | Q_smistamento | 0.32 | 0.38 |
| 205 | 63 | Q_smistamento | 0.32 | 0.33 |
| 205 | 64 | Q_neve | 1.247E-14 | 1.817E-14 |
| 205 | 107 | Q_neve | -1.580E-15 | -6.374E-15 |
| 205 | 108 | Q_neve | 1.247E-14 | -3.495E-16 |
| 205 | 63 | Q_neve | 8.706E-15 | -4.316E-15 |
| 206 | 107 | DEAD | -3.674E-14 | 2.851E-14 |
| 206 | 109 | DEAD | 7.568E-14 | 7.347E-14 |
| 206 | 110 | DEAD | -2.028E-14 | 2.851E-14 |
| 206 | 108 | DEAD | 9.843E-15 | 4.055E-14 |
| 206 | 107 | G1_smistamento | 0.12 | 1.1 |
| 206 | 109 | G1_smistamento | 0.12 | 1.16 |
| 206 | 110 | G1_smistamento | 0.14 | 1.16 |
| 206 | 108 | G1_smistamento | 0.14 | 1.1 |
| 206 | 107 | G2_smistamento | 4.494E-02 | 0.41 |
| 206 | 109 | G2_smistamento | 4.494E-02 | 0.43 |
| 206 | 110 | G2_smistamento | 5.082E-02 | 0.43 |

Table 20: Element Forces - Area Shells, Part 3 of 3

| Area | Joint | OutputCase | V13 KN/m | V23 KN/m |
|------|-------|----------------|-------------|-------------|
| 206 | 108 | G2_smistamento | 5.082E-02 | 0.41 |
| 206 | 107 | Q_smistamento | 4.494E-02 | 0.41 |
| 206 | 109 | Q_smistamento | 4.494E-02 | 0.43 |
| 206 | 110 | Q_smistamento | 5.082E-02 | 0.43 |
| 206 | 108 | Q_smistamento | 5.082E-02 | 0.41 |
| 206 | 107 | Q_neve | -8.695E-16 | -1.511E-14 |
| 206 | 109 | Q_neve | 4.347E-15 | 3.994E-14 |
| 206 | 110 | Q_neve | 3.245E-15 | 1.986E-14 |
| 206 | 108 | Q_neve | -1.623E-14 | 1.114E-14 |
| 207 | 109 | DEAD | -1.849E-13 | -4.021E-14 |
| 207 | 111 | DEAD | 6.720E-14 | 2.641E-13 |
| 207 | 112 | DEAD | -1.191E-13 | -7.297E-15 |
| 207 | 110 | DEAD | 1.989E-13 | 1.160E-13 |
| 207 | 109 | G1_smistamento | -0.22 | 1.15 |
| 207 | 111 | G1_smistamento | -0.22 | 1.17 |
| 207 | 112 | G1_smistamento | -0.24 | 1.17 |
| 207 | 110 | G1_smistamento | -0.24 | 1.15 |
| 207 | 109 | G2_smistamento | -8.326E-02 | 0.43 |
| 207 | 111 | G2_smistamento | -8.326E-02 | 0.43 |
| 207 | 112 | G2_smistamento | -8.840E-02 | 0.43 |
| 207 | 110 | G2_smistamento | -8.840E-02 | 0.43 |
| 207 | 109 | Q_smistamento | -8.326E-02 | 0.43 |
| 207 | 111 | Q_smistamento | -8.326E-02 | 0.43 |
| 207 | 112 | Q_smistamento | -8.840E-02 | 0.43 |
| 207 | 110 | Q_smistamento | -8.840E-02 | 0.43 |
| 207 | 109 | Q_neve | 6.677E-16 | 2.002E-14 |
| 207 | 111 | Q_neve | 1.834E-14 | 1.521E-14 |
| 207 | 112 | Q_neve | -1.373E-14 | -1.289E-14 |
| 207 | 110 | Q_neve | 3.274E-14 | 2.755E-14 |
| 208 | 111 | DEAD | -7.568E-14 | 2.137E-13 |
| 208 | 113 | DEAD | 8.493E-14 | 1.194E-13 |
| 208 | 114 | DEAD | -9.843E-15 | -3.317E-14 |
| 208 | 112 | DEAD | 2.001E-13 | 4.160E-15 |
| 208 | 111 | G1_smistamento | -0.35 | 1.16 |
| 208 | 113 | G1_smistamento | -0.35 | 1.16 |
| 208 | 114 | G1_smistamento | -0.37 | 1.16 |
| 208 | 112 | G1_smistamento | -0.37 | 1.16 |
| 208 | 111 | G2_smistamento | -0.13 | 0.43 |

Table 20: Element Forces - Area Shells, Part 3 of 3

| Area | Joint | OutputCase | V13 KN/m | V23 KN/m |
|------|-------|----------------|-------------|-------------|
| 208 | 113 | G2_smistamento | -0.13 | 0.43 |
| 208 | 114 | G2_smistamento | -0.14 | 0.43 |
| 208 | 112 | G2_smistamento | -0.14 | 0.43 |
| 208 | 111 | Q_smistamento | -0.13 | 0.43 |
| 208 | 113 | Q_smistamento | -0.13 | 0.43 |
| 208 | 114 | Q_smistamento | -0.14 | 0.43 |
| 208 | 112 | Q_smistamento | -0.14 | 0.43 |
| 208 | 111 | Q_neve | -3.677E-14 | -8.792E-15 |
| 208 | 113 | Q_neve | 3.384E-15 | 3.281E-14 |
| 208 | 114 | Q_neve | 2.321E-15 | -1.496E-14 |
| 208 | 112 | Q_neve | 5.482E-14 | 4.009E-15 |
| 209 | 113 | DEAD | -4.726E-14 | 1.358E-13 |
| 209 | 115 | DEAD | 1.150E-13 | -1.472E-13 |
| 209 | 116 | DEAD | -2.283E-13 | -1.230E-14 |
| 209 | 114 | DEAD | 6.558E-14 | 9.968E-14 |
| 209 | 113 | G1_smistamento | -0.33 | 1.15 |
| 209 | 115 | G1_smistamento | -0.33 | 1.15 |
| 209 | 116 | G1_smistamento | -0.35 | 1.15 |
| 209 | 114 | G1_smistamento | -0.35 | 1.15 |
| 209 | 113 | G2_smistamento | -0.12 | 0.43 |
| 209 | 115 | G2_smistamento | -0.12 | 0.43 |
| 209 | 116 | G2_smistamento | -0.13 | 0.43 |
| 209 | 114 | G2_smistamento | -0.13 | 0.43 |
| 209 | 113 | Q_smistamento | -0.12 | 0.43 |
| 209 | 115 | Q_smistamento | -0.12 | 0.43 |
| 209 | 116 | Q_smistamento | -0.13 | 0.43 |
| 209 | 114 | Q_smistamento | -0.13 | 0.43 |
| 209 | 113 | Q_neve | -3.643E-14 | 1.615E-14 |
| 209 | 115 | Q_neve | 6.533E-15 | 1.145E-15 |
| 209 | 116 | Q_neve | -4.671E-14 | 9.979E-15 |
| 209 | 114 | Q_neve | 6.533E-15 | -7.084E-15 |
| 210 | 115 | DEAD | 1.366E-14 | -2.146E-14 |
| 210 | 117 | DEAD | -5.540E-14 | 3.189E-14 |
| 210 | 118 | DEAD | 1.289E-13 | 1.925E-13 |
| 210 | 116 | DEAD | 2.689E-14 | -2.314E-13 |
| 210 | 115 | G1_smistamento | -0.25 | 1.15 |
| 210 | 117 | G1_smistamento | -0.25 | 1.15 |
| 210 | 118 | G1_smistamento | -0.26 | 1.15 |

Table 20: Element Forces - Area Shells, Part 3 of 3

| Area | Joint | OutputCase | V13 KN/m | V23 KN/m |
|------|-------|----------------|-------------|-------------|
| 210 | 116 | G1_smistamento | -0.26 | 1.15 |
| 210 | 115 | G2_smistamento | -9.442E-02 | 0.43 |
| 210 | 117 | G2_smistamento | -9.442E-02 | 0.43 |
| 210 | 118 | G2_smistamento | -9.818E-02 | 0.43 |
| 210 | 116 | G2_smistamento | -9.818E-02 | 0.43 |
| 210 | 115 | Q_smistamento | -9.442E-02 | 0.43 |
| 210 | 117 | Q_smistamento | -9.442E-02 | 0.43 |
| 210 | 118 | Q_smistamento | -9.818E-02 | 0.43 |
| 210 | 116 | Q_smistamento | -9.818E-02 | 0.43 |
| 210 | 115 | Q_neve | 9.110E-15 | 3.594E-14 |
| 210 | 117 | Q_neve | 1.754E-14 | -1.128E-14 |
| 210 | 118 | Q_neve | 1.940E-14 | 9.195E-15 |
| 210 | 116 | Q_neve | 2.166E-14 | -1.128E-14 |
| 211 | 117 | DEAD | -6.558E-14 | -2.503E-14 |
| 211 | 119 | DEAD | 3.478E-15 | 2.074E-13 |
| 211 | 120 | DEAD | -1.150E-13 | -4.149E-14 |
| 211 | 118 | DEAD | -1.298E-14 | 1.251E-13 |
| 211 | 117 | G1_smistamento | -0.16 | 1.14 |
| 211 | 119 | G1_smistamento | -0.16 | 1.15 |
| 211 | 120 | G1_smistamento | -0.17 | 1.15 |
| 211 | 118 | G1_smistamento | -0.17 | 1.14 |
| 211 | 117 | G2_smistamento | -5.984E-02 | 0.42 |
| 211 | 119 | G2_smistamento | -5.984E-02 | 0.42 |
| 211 | 120 | G2_smistamento | -6.251E-02 | 0.42 |
| 211 | 118 | G2_smistamento | -6.251E-02 | 0.42 |
| 211 | 117 | Q_smistamento | -5.984E-02 | 0.42 |
| 211 | 119 | Q_smistamento | -5.984E-02 | 0.42 |
| 211 | 120 | Q_smistamento | -6.251E-02 | 0.42 |
| 211 | 118 | Q_smistamento | -6.251E-02 | 0.42 |
| 211 | 117 | Q_neve | -1.640E-14 | -2.333E-15 |
| 211 | 119 | Q_neve | 8.695E-16 | 8.706E-15 |
| 211 | 120 | Q_neve | -2.874E-14 | 5.896E-15 |
| 211 | 118 | Q_neve | -3.245E-15 | -1.580E-15 |
| 212 | 119 | DEAD | -7.881E-14 | 6.176E-14 |
| 212 | 121 | DEAD | 3.521E-14 | 6.338E-14 |
| 212 | 122 | DEAD | 6.931E-14 | 6.176E-14 |
| 212 | 120 | DEAD | 1.833E-13 | 1.457E-13 |
| 212 | 119 | G1_smistamento | -7.619E-02 | 1.14 |

Table 20: Element Forces - Area Shells, Part 3 of 3

| Area | Joint | OutputCase | V13 KN/m | V23 KN/m |
|------|-------|----------------|-------------|-------------|
| 212 | 121 | G1_smistamento | -7.619E-02 | 1.14 |
| 212 | 122 | G1_smistamento | -8.000E-02 | 1.14 |
| 212 | 120 | G1_smistamento | -8.000E-02 | 1.14 |
| 212 | 119 | G2_smistamento | -2.824E-02 | 0.42 |
| 212 | 121 | G2_smistamento | -2.824E-02 | 0.42 |
| 212 | 122 | G2_smistamento | -2.966E-02 | 0.42 |
| 212 | 120 | G2_smistamento | -2.966E-02 | 0.42 |
| 212 | 119 | Q_smistamento | -2.824E-02 | 0.42 |
| 212 | 121 | Q_smistamento | -2.824E-02 | 0.42 |
| 212 | 122 | Q_smistamento | -2.966E-02 | 0.42 |
| 212 | 120 | Q_smistamento | -2.966E-02 | 0.42 |
| 212 | 119 | Q_neve | -1.634E-14 | 1.347E-15 |
| 212 | 121 | Q_neve | 1.819E-14 | 2.348E-14 |
| 212 | 122 | Q_neve | 1.040E-14 | 3.404E-15 |
| 212 | 120 | Q_neve | 6.139E-14 | 2.759E-14 |
| 213 | 121 | DEAD | -7.067E-14 | 5.074E-14 |
| 213 | 123 | DEAD | 4.012E-14 | 3.869E-14 |
| 213 | 124 | DEAD | -1.859E-13 | 2.153E-13 |
| 213 | 122 | DEAD | -2.397E-13 | 1.704E-13 |
| 213 | 121 | G1_smistamento | -1.307E-14 | 1.14 |
| 213 | 123 | G1_smistamento | 7.524E-14 | 1.14 |
| 213 | 124 | G1_smistamento | -2.435E-13 | 1.14 |
| 213 | 122 | G1_smistamento | -3.033E-13 | 1.14 |
| 213 | 121 | G2_smistamento | -2.885E-14 | 0.42 |
| 213 | 123 | G2_smistamento | 2.655E-14 | 0.42 |
| 213 | 124 | G2_smistamento | -9.468E-14 | 0.42 |
| 213 | 122 | G2_smistamento | -1.216E-13 | 0.42 |
| 213 | 121 | Q_smistamento | -2.885E-14 | 0.42 |
| 213 | 123 | Q_smistamento | 2.655E-14 | 0.42 |
| 213 | 124 | Q_smistamento | -9.468E-14 | 0.42 |
| 213 | 122 | Q_smistamento | -1.216E-13 | 0.42 |
| 213 | 121 | Q_neve | 1.099E-14 | 1.437E-14 |
| 213 | 123 | Q_neve | 1.058E-14 | 1.984E-14 |
| 213 | 124 | Q_neve | -4.662E-14 | 8.198E-15 |
| 213 | 122 | Q_neve | -6.759E-14 | 3.836E-14 |
| 214 | 123 | DEAD | -7.058E-14 | 1.206E-13 |
| 214 | 125 | DEAD | 6.592E-14 | 2.351E-14 |
| 214 | 126 | DEAD | 6.108E-14 | 2.189E-14 |

Table 20: Element Forces - Area Shells, Part 3 of 3

| Area | Joint | OutputCase | V13 | V23 |
|------|-------|----------------|------------|------------|
| | | | KN/m | KN/m |
| 214 | 124 | DEAD | 1.811E-13 | 2.045E-13 |
| 214 | 123 | G1_smistamento | 7.619E-02 | 1.14 |
| 214 | 125 | G1_smistamento | 7.619E-02 | 1.14 |
| 214 | 126 | G1_smistamento | 8.000E-02 | 1.14 |
| 214 | 124 | G1_smistamento | 8.000E-02 | 1.14 |
| 214 | 123 | G2_smistamento | 2.824E-02 | 0.42 |
| 214 | 125 | G2_smistamento | 2.824E-02 | 0.42 |
| 214 | 126 | G2_smistamento | 2.966E-02 | 0.42 |
| 214 | 124 | G2_smistamento | 2.966E-02 | 0.42 |
| 214 | 123 | Q_smistamento | 2.824E-02 | 0.42 |
| 214 | 125 | Q_smistamento | 2.824E-02 | 0.42 |
| 214 | 126 | Q_smistamento | 2.966E-02 | 0.42 |
| 214 | 124 | Q_smistamento | 2.966E-02 | 0.42 |
| 214 | 123 | Q_neve | -2.363E-14 | 2.355E-14 |
| 214 | 125 | Q_neve | 8.093E-15 | 2.026E-15 |
| 214 | 126 | Q_neve | 1.060E-15 | 1.327E-14 |
| 214 | 124 | Q_neve | 5.130E-14 | 2.054E-14 |
| 215 | 125 | DEAD | 4.208E-14 | 7.372E-14 |
| 215 | 127 | DEAD | 8.866E-14 | 8.459E-14 |
| 215 | 128 | DEAD | -8.959E-14 | -1.402E-13 |
| 215 | 126 | DEAD | 6.365E-15 | 1.340E-13 |
| 215 | 125 | G1_smistamento | 0.16 | 1.15 |
| 215 | 127 | G1_smistamento | 0.16 | 1.14 |
| 215 | 128 | G1_smistamento | 0.17 | 1.14 |
| 215 | 126 | G1_smistamento | 0.17 | 1.15 |
| 215 | 125 | G2_smistamento | 5.984E-02 | 0.42 |
| 215 | 127 | G2_smistamento | 5.984E-02 | 0.42 |
| 215 | 128 | G2_smistamento | 6.251E-02 | 0.42 |
| 215 | 126 | G2_smistamento | 6.251E-02 | 0.42 |
| 215 | 125 | Q_smistamento | 5.984E-02 | 0.42 |
| 215 | 127 | Q_smistamento | 5.984E-02 | 0.42 |
| 215 | 128 | Q_smistamento | 6.251E-02 | 0.42 |
| 215 | 126 | Q_smistamento | 6.251E-02 | 0.42 |
| 215 | 125 | Q_neve | 1.234E-14 | 2.425E-14 |
| 215 | 127 | Q_neve | 1.315E-14 | -5.825E-16 |
| 215 | 128 | Q_neve | -1.234E-14 | -2.306E-14 |
| 215 | 126 | Q_neve | 2.961E-14 | 3.028E-14 |
| 216 | 127 | DEAD | 1.250E-13 | -1.662E-13 |

Table 20: Element Forces - Area Shells, Part 3 of 3

| Area | Joint | OutputCase | V13 | V23 |
|------|-------|----------------|------------|------------|
| | | | KN/m | KN/m |
| 216 | 129 | DEAD | 3.351E-14 | 1.289E-13 |
| 216 | 130 | DEAD | -3.953E-14 | 8.068E-14 |
| 216 | 128 | DEAD | -1.475E-13 | 1.366E-14 |
| 216 | 127 | G1_smistamento | 0.25 | 1.15 |
| 216 | 129 | G1_smistamento | 0.25 | 1.15 |
| 216 | 130 | G1_smistamento | 0.26 | 1.15 |
| 216 | 128 | G1_smistamento | 0.26 | 1.15 |
| 216 | 127 | G2_smistamento | 9.442E-02 | 0.43 |
| 216 | 129 | G2_smistamento | 9.442E-02 | 0.43 |
| 216 | 130 | G2_smistamento | 9.818E-02 | 0.43 |
| 216 | 128 | G2_smistamento | 9.818E-02 | 0.43 |
| 216 | 127 | Q_smistamento | 9.442E-02 | 0.43 |
| 216 | 129 | Q_smistamento | 9.442E-02 | 0.43 |
| 216 | 130 | Q_smistamento | 9.818E-02 | 0.43 |
| 216 | 128 | Q_smistamento | 9.818E-02 | 0.43 |
| 216 | 127 | Q_neve | 2.674E-14 | -1.891E-14 |
| 216 | 129 | Q_neve | 9.883E-15 | 9.141E-15 |
| 216 | 130 | Q_neve | -2.674E-14 | 2.841E-14 |
| 216 | 128 | Q_neve | -3.126E-14 | -3.202E-15 |
| 217 | 129 | DEAD | 8.831E-14 | 2.071E-13 |
| 217 | 131 | DEAD | -8.831E-14 | 7.822E-14 |
| 217 | 132 | DEAD | -5.981E-14 | 5.897E-14 |
| 217 | 130 | DEAD | 5.981E-14 | 4.531E-14 |
| 217 | 129 | G1_smistamento | 0.33 | 1.15 |
| 217 | 131 | G1_smistamento | 0.33 | 1.15 |
| 217 | 132 | G1_smistamento | 0.35 | 1.15 |
| 217 | 130 | G1_smistamento | 0.35 | 1.15 |
| 217 | 129 | G2_smistamento | 0.12 | 0.43 |
| 217 | 131 | G2_smistamento | 0.12 | 0.43 |
| 217 | 132 | G2_smistamento | 0.13 | 0.43 |
| 217 | 130 | G2_smistamento | 0.13 | 0.43 |
| 217 | 129 | Q_smistamento | 0.12 | 0.43 |
| 217 | 131 | Q_smistamento | 0.12 | 0.43 |
| 217 | 132 | Q_smistamento | 0.13 | 0.43 |
| 217 | 130 | Q_smistamento | 0.13 | 0.43 |
| 217 | 129 | Q_neve | 2.655E-14 | 3.756E-14 |
| 217 | 131 | Q_neve | -9.172E-15 | 1.117E-14 |
| 217 | 132 | Q_neve | -6.362E-15 | 8.760E-15 |

Table 20: Element Forces - Area Shells, Part 3 of 3

| Area | Joint | OutputCase | V13 | V23 |
|------|-------|----------------|------------|------------|
| | | | KN/m | KN/m |
| 217 | 130 | Q_neve | 2.580E-14 | 1.734E-14 |
| 218 | 131 | DEAD | 1.994E-14 | 6.083E-14 |
| 218 | 133 | DEAD | -6.999E-14 | -4.717E-14 |
| 218 | 134 | DEAD | -2.944E-14 | 1.102E-13 |
| 218 | 132 | DEAD | -5.353E-14 | 1.866E-14 |
| 218 | 131 | G1_smistamento | 0.35 | 1.16 |
| 218 | 133 | G1_smistamento | 0.35 | 1.16 |
| 218 | 134 | G1_smistamento | 0.37 | 1.16 |
| 218 | 132 | G1_smistamento | 0.37 | 1.16 |
| 218 | 131 | G2_smistamento | 0.13 | 0.43 |
| 218 | 133 | G2_smistamento | 0.13 | 0.43 |
| 218 | 134 | G2_smistamento | 0.14 | 0.43 |
| 218 | 132 | G2_smistamento | 0.14 | 0.43 |
| 218 | 131 | Q_smistamento | 0.13 | 0.43 |
| 218 | 133 | Q_smistamento | 0.13 | 0.43 |
| 218 | 134 | Q_smistamento | 0.14 | 0.43 |
| 218 | 132 | Q_smistamento | 0.14 | 0.43 |
| 218 | 131 | Q_neve | -3.129E-15 | 7.360E-15 |
| 218 | 133 | Q_neve | -2.561E-14 | 1.750E-14 |
| 218 | 134 | Q_neve | -5.186E-15 | -4.984E-15 |
| 218 | 132 | Q_neve | -1.121E-14 | 1.338E-14 |
| 219 | 133 | DEAD | -1.612E-14 | 2.512E-14 |
| 219 | 135 | DEAD | 5.133E-14 | 8.611E-14 |
| 219 | 136 | DEAD | 8.263E-14 | 2.884E-13 |
| 219 | 134 | DEAD | 1.007E-13 | -2.910E-14 |
| 219 | 133 | G1_smistamento | 0.22 | 1.17 |
| 219 | 135 | G1_smistamento | 0.22 | 1.15 |
| 219 | 136 | G1_smistamento | 0.24 | 1.15 |
| 219 | 134 | G1_smistamento | 0.24 | 1.17 |
| 219 | 133 | G2_smistamento | 8.326E-02 | 0.43 |
| 219 | 135 | G2_smistamento | 8.326E-02 | 0.43 |
| 219 | 136 | G2_smistamento | 8.840E-02 | 0.43 |
| 219 | 134 | G2_smistamento | 8.840E-02 | 0.43 |
| 219 | 133 | Q_smistamento | 8.326E-02 | 0.43 |
| 219 | 135 | Q_smistamento | 8.326E-02 | 0.43 |
| 219 | 136 | Q_smistamento | 8.840E-02 | 0.43 |
| 219 | 134 | Q_smistamento | 8.840E-02 | 0.43 |
| 219 | 133 | Q_neve | -3.913E-15 | -4.697E-15 |

Table 20: Element Forces - Area Shells, Part 3 of 3

| Area | Joint | OutputCase | V13 | V23 |
|------|-------|----------------|------------|------------|
| | | | KN/m | KN/m |
| 219 | 135 | Q_neve | 6.925E-15 | 1.753E-14 |
| 219 | 136 | Q_neve | 1.460E-14 | 3.439E-14 |
| 219 | 134 | Q_neve | -3.362E-15 | -9.215E-15 |
| 220 | 135 | DEAD | -8.288E-14 | 2.065E-13 |
| 220 | 137 | DEAD | -1.295E-13 | 1.459E-14 |
| 220 | 138 | DEAD | 1.969E-13 | 1.736E-13 |
| 220 | 136 | DEAD | 1.010E-13 | 8.043E-14 |
| 220 | 135 | G1_smistamento | -0.12 | 1.16 |
| 220 | 137 | G1_smistamento | -0.12 | 1.1 |
| 220 | 138 | G1_smistamento | -0.14 | 1.1 |
| 220 | 136 | G1_smistamento | -0.14 | 1.16 |
| 220 | 135 | G2_smistamento | -4.494E-02 | 0.43 |
| 220 | 137 | G2_smistamento | -4.494E-02 | 0.41 |
| 220 | 138 | G2_smistamento | -5.082E-02 | 0.41 |
| 220 | 136 | G2_smistamento | -5.082E-02 | 0.43 |
| 220 | 135 | Q_smistamento | -4.494E-02 | 0.43 |
| 220 | 137 | Q_smistamento | -4.494E-02 | 0.41 |
| 220 | 138 | Q_smistamento | -5.082E-02 | 0.41 |
| 220 | 136 | Q_smistamento | -5.082E-02 | 0.43 |
| 220 | 135 | Q_neve | -3.380E-16 | 2.281E-14 |
| 220 | 137 | Q_neve | -3.148E-15 | 2.125E-14 |
| 220 | 138 | Q_neve | 4.904E-14 | 4.133E-14 |
| 220 | 136 | Q_neve | 4.828E-14 | -3.435E-15 |
| 221 | 137 | DEAD | 4.928E-14 | 3.028E-13 |
| 221 | 65 | DEAD | -5.667E-14 | -3.326E-14 |
| 221 | 5 | DEAD | -2.963E-13 | 2.863E-13 |
| 221 | 138 | DEAD | 9.161E-15 | -3.326E-14 |
| 221 | 137 | G1_smistamento | -0.44 | 1.04 |
| 221 | 65 | G1_smistamento | -0.44 | 0.89 |
| 221 | 5 | G1_smistamento | -0.87 | 0.89 |
| 221 | 138 | G1_smistamento | -0.87 | 1.04 |
| 221 | 137 | G2_smistamento | -0.16 | 0.38 |
| 221 | 65 | G2_smistamento | -0.16 | 0.33 |
| 221 | 5 | G2_smistamento | -0.32 | 0.33 |
| 221 | 138 | G2_smistamento | -0.32 | 0.38 |
| 221 | 137 | Q_smistamento | -0.16 | 0.38 |
| 221 | 65 | Q_smistamento | -0.16 | 0.33 |
| 221 | 5 | Q_smistamento | -0.32 | 0.33 |

Table 20: Element Forces - Area Shells, Part 3 of 3

| Area | Joint | OutputCase | V13 KN/m | V23 KN/m |
|------|-------|----------------|-------------|-------------|
| 221 | 138 | Q_smistamento | -0.32 | 0.38 |
| 221 | 137 | Q_neve | -3.297E-16 | 4.371E-14 |
| 221 | 65 | Q_neve | -3.606E-14 | 4.666E-15 |
| 221 | 5 | Q_neve | -3.530E-14 | 5.606E-14 |
| 221 | 138 | Q_neve | -3.140E-15 | -1.179E-14 |
| 222 | 66 | DEAD | 4.565E-14 | 9.272E-14 |
| 222 | 139 | DEAD | 7.533E-14 | 9.272E-14 |
| 222 | 140 | DEAD | 1.444E-13 | -1.212E-13 |
| 222 | 5 | DEAD | -5.633E-14 | -1.212E-13 |
| 222 | 66 | G1_smistamento | -0.68 | 0.73 |
| 222 | 139 | G1_smistamento | -0.81 | 0.73 |
| 222 | 140 | G1_smistamento | -0.81 | 1.17 |
| 222 | 5 | G1_smistamento | -0.68 | 1.17 |
| 222 | 66 | G2_smistamento | -0.25 | 0.27 |
| 222 | 139 | G2_smistamento | -0.3 | 0.27 |
| 222 | 140 | G2_smistamento | -0.3 | 0.43 |
| 222 | 5 | G2_smistamento | -0.25 | 0.43 |
| 222 | 66 | Q_smistamento | -0.25 | 0.27 |
| 222 | 139 | Q_smistamento | -0.3 | 0.27 |
| 222 | 140 | Q_smistamento | -0.3 | 0.43 |
| 222 | 5 | Q_smistamento | -0.25 | 0.43 |
| 222 | 66 | Q_neve | 4.264E-17 | 3.478E-15 |
| 222 | 139 | Q_neve | -1.591E-16 | 3.478E-15 |
| 222 | 140 | Q_neve | 8.272E-15 | -1.298E-14 |
| 222 | 5 | Q_neve | -2.216E-15 | -1.298E-14 |
| 223 | 139 | DEAD | 1.016E-13 | 6.210E-14 |
| 223 | 141 | DEAD | -1.959E-14 | 6.210E-14 |
| 223 | 142 | DEAD | 2.887E-15 | 1.279E-13 |
| 223 | 140 | DEAD | 9.561E-14 | 1.279E-13 |
| 223 | 139 | G1_smistamento | -0.88 | 0.44 |
| 223 | 141 | G1_smistamento | -0.92 | 0.44 |
| 223 | 142 | G1_smistamento | -0.92 | 0.47 |
| 223 | 140 | G1_smistamento | -0.88 | 0.47 |
| 223 | 139 | G2_smistamento | -0.33 | 0.16 |
| 223 | 141 | G2_smistamento | -0.34 | 0.16 |
| 223 | 142 | G2_smistamento | -0.34 | 0.18 |
| 223 | 140 | G2_smistamento | -0.33 | 0.18 |
| 223 | 139 | Q_smistamento | -0.33 | 0.16 |

Table 20: Element Forces - Area Shells, Part 3 of 3

| Area | Joint | OutputCase | V13 | V23 |
|------|-------|----------------|------------|------------|
| | | | KN/m | KN/m |
| 223 | 141 | Q_smistamento | -0.34 | 0.16 |
| 223 | 142 | Q_smistamento | -0.34 | 0.18 |
| 223 | 140 | Q_smistamento | -0.33 | 0.18 |
| 223 | 139 | Q_neve | -2.131E-15 | 1.738E-14 |
| 223 | 141 | Q_neve | 7.953E-15 | 1.738E-14 |
| 223 | 142 | Q_neve | 1.638E-14 | 1.944E-14 |
| 223 | 140 | Q_neve | -4.390E-15 | 1.944E-14 |
| 224 | 141 | DEAD | 3.733E-14 | -1.864E-15 |
| 224 | 143 | DEAD | -1.393E-13 | -1.864E-15 |
| 224 | 144 | DEAD | -9.434E-14 | 9.688E-14 |
| 224 | 142 | DEAD | 2.528E-14 | 9.688E-14 |
| 224 | 141 | G1_smistamento | -0.92 | -4.636E-14 |
| 224 | 143 | G1_smistamento | -0.92 | -4.636E-14 |
| 224 | 144 | G1_smistamento | -0.92 | 6.062E-14 |
| 224 | 142 | G1_smistamento | -0.92 | 6.062E-14 |
| 224 | 141 | G2_smistamento | -0.34 | 4.433E-15 |
| 224 | 143 | G2_smistamento | -0.34 | -1.188E-15 |
| 224 | 144 | G2_smistamento | -0.34 | 3.183E-16 |
| 224 | 142 | G2_smistamento | -0.34 | -1.188E-15 |
| 224 | 141 | Q_smistamento | -0.34 | 4.433E-15 |
| 224 | 143 | Q_smistamento | -0.34 | -1.188E-15 |
| 224 | 144 | Q_smistamento | -0.34 | 3.183E-16 |
| 224 | 142 | Q_smistamento | -0.34 | -1.188E-15 |
| 224 | 141 | Q_neve | -2.228E-15 | -1.855E-15 |
| 224 | 143 | Q_neve | -2.019E-14 | -1.855E-15 |
| 224 | 144 | Q_neve | -3.103E-14 | 1.255E-14 |
| 224 | 142 | Q_neve | -2.019E-14 | 1.255E-14 |
| 225 | 143 | DEAD | -1.009E-14 | -1.495E-13 |
| 225 | 145 | DEAD | 1.035E-13 | -1.045E-13 |
| 225 | 146 | DEAD | 1.051E-13 | -1.166E-13 |
| 225 | 144 | DEAD | -9.400E-14 | -1.045E-13 |
| 225 | 143 | G1_smistamento | -0.92 | -0.44 |
| 225 | 145 | G1_smistamento | -0.88 | -0.44 |
| 225 | 146 | G1_smistamento | -0.88 | -0.47 |
| 225 | 144 | G1_smistamento | -0.92 | -0.47 |
| 225 | 143 | G2_smistamento | -0.34 | -0.16 |
| 225 | 145 | G2_smistamento | -0.33 | -0.16 |
| 225 | 146 | G2_smistamento | -0.33 | -0.18 |

Table 20: Element Forces - Area Shells, Part 3 of 3

| Area | Joint | OutputCase | V13 KN/m | V23 KN/m |
|------|-------|----------------|-------------|-------------|
| 225 | 144 | G2_smistamento | -0.34 | -0.18 |
| 225 | 143 | Q_smistamento | -0.34 | -0.16 |
| 225 | 145 | Q_smistamento | -0.33 | -0.16 |
| 225 | 146 | Q_smistamento | -0.33 | -0.18 |
| 225 | 144 | Q_smistamento | -0.34 | -0.18 |
| 225 | 143 | Q_neve | -2.272E-14 | -3.879E-14 |
| 225 | 145 | Q_neve | -5.155E-15 | -2.193E-14 |
| 225 | 146 | Q_neve | 6.086E-15 | -1.822E-14 |
| 225 | 144 | Q_neve | -2.573E-14 | -1.370E-14 |
| 226 | 145 | DEAD | 1.415E-13 | -1.586E-13 |
| 226 | 59 | DEAD | -1.026E-13 | -7.033E-14 |
| 226 | 58 | DEAD | -5.599E-14 | -5.990E-14 |
| 226 | 146 | DEAD | 4.556E-14 | -1.197E-13 |
| 226 | 145 | G1_smistamento | -0.81 | -0.73 |
| 226 | 59 | G1_smistamento | -0.68 | -0.73 |
| 226 | 58 | G1_smistamento | -0.68 | -1.17 |
| 226 | 146 | G1_smistamento | -0.81 | -1.17 |
| 226 | 145 | G2_smistamento | -0.3 | -0.27 |
| 226 | 59 | G2_smistamento | -0.25 | -0.27 |
| 226 | 58 | G2_smistamento | -0.25 | -0.43 |
| 226 | 146 | G2_smistamento | -0.3 | -0.43 |
| 226 | 145 | Q_smistamento | -0.3 | -0.27 |
| 226 | 59 | Q_smistamento | -0.25 | -0.27 |
| 226 | 58 | Q_smistamento | -0.25 | -0.43 |
| 226 | 146 | Q_smistamento | -0.3 | -0.43 |
| 226 | 145 | Q_neve | 2.492E-15 | 6.840E-15 |
| 226 | 59 | Q_neve | -9.300E-15 | -1.564E-14 |
| 226 | 58 | Q_neve | -3.680E-15 | -1.990E-14 |
| 226 | 146 | Q_neve | 9.860E-16 | -2.593E-14 |
| 227 | 58 | DEAD | -1.131E-13 | -8.900E-14 |
| 227 | 68 | DEAD | 6.676E-14 | -2.757E-14 |
| 227 | 147 | DEAD | -1.625E-13 | -7.254E-14 |
| 227 | 146 | DEAD | -1.143E-13 | -7.695E-14 |
| 227 | 58 | G1_smistamento | -0.95 | -1.23 |
| 227 | 68 | G1_smistamento | -0.95 | -1.62 |
| 227 | 147 | G1_smistamento | -1.32 | -1.62 |
| 227 | 146 | G1_smistamento | -1.32 | -1.23 |
| 227 | 58 | G2_smistamento | -0.35 | -0.46 |

Table 20: Element Forces - Area Shells, Part 3 of 3

| Area | Joint | OutputCase | V13 KN/m | V23 KN/m |
|------|-------|----------------|-------------|-------------|
| 227 | 68 | G2_smistamento | -0.35 | -0.6 |
| 227 | 147 | G2_smistamento | -0.49 | -0.6 |
| 227 | 146 | G2_smistamento | -0.49 | -0.46 |
| 227 | 58 | Q_smistamento | -0.35 | -0.46 |
| 227 | 68 | Q_smistamento | -0.35 | -0.6 |
| 227 | 147 | Q_smistamento | -0.49 | -0.6 |
| 227 | 146 | Q_smistamento | -0.49 | -0.46 |
| 227 | 58 | Q_neve | -3.372E-14 | -2.668E-14 |
| 227 | 68 | Q_neve | 5.217E-15 | -6.808E-15 |
| 227 | 147 | Q_neve | -9.036E-15 | -1.845E-14 |
| 227 | 146 | Q_neve | -1.947E-14 | -2.694E-15 |
| 228 | 146 | DEAD | 5.342E-15 | -1.460E-13 |
| 228 | 147 | DEAD | -1.777E-13 | 5.353E-14 |
| 228 | 148 | DEAD | -1.099E-13 | -1.296E-13 |
| 228 | 144 | DEAD | -3.259E-13 | 6.999E-14 |
| 228 | 146 | G1_smistamento | -1.4 | -0.51 |
| 228 | 147 | G1_smistamento | -1.4 | -0.55 |
| 228 | 148 | G1_smistamento | -1.54 | -0.55 |
| 228 | 144 | G1_smistamento | -1.54 | -0.51 |
| 228 | 146 | G2_smistamento | -0.52 | -0.19 |
| 228 | 147 | G2_smistamento | -0.52 | -0.2 |
| 228 | 148 | G2_smistamento | -0.57 | -0.2 |
| 228 | 144 | G2_smistamento | -0.57 | -0.19 |
| 228 | 146 | Q_smistamento | -0.52 | -0.19 |
| 228 | 147 | Q_smistamento | -0.52 | -0.2 |
| 228 | 148 | Q_smistamento | -0.57 | -0.2 |
| 228 | 144 | Q_smistamento | -0.57 | -0.19 |
| 228 | 146 | Q_neve | 2.915E-15 | -3.342E-14 |
| 228 | 147 | Q_neve | -2.840E-14 | 1.867E-15 |
| 228 | 148 | Q_neve | -3.617E-14 | -3.547E-14 |
| 228 | 144 | Q_neve | -6.543E-14 | 1.832E-14 |
| 229 | 144 | DEAD | -4.937E-14 | 1.539E-13 |
| 229 | 148 | DEAD | -1.843E-13 | 3.105E-14 |
| 229 | 149 | DEAD | 4.937E-14 | 5.515E-14 |
| 229 | 142 | DEAD | 1.323E-14 | 6.397E-14 |
| 229 | 144 | G1_smistamento | -1.54 | 1.814E-13 |
| 229 | 148 | G1_smistamento | -1.54 | 4.234E-14 |
| 229 | 149 | G1_smistamento | -1.54 | 8.616E-15 |

Table 20: Element Forces - Area Shells, Part 3 of 3

| Area | Joint | OutputCase | V13 | V23 |
|------|-------|----------------|------------|------------|
| | | | KN/m | KN/m |
| 229 | 142 | G1_smistamento | -1.54 | 1.905E-13 |
| 229 | 144 | G2_smistamento | -0.57 | 2.074E-14 |
| 229 | 148 | G2_smistamento | -0.57 | 1.251E-14 |
| 229 | 149 | G2_smistamento | -0.57 | 1.251E-14 |
| 229 | 142 | G2_smistamento | -0.57 | 2.074E-14 |
| 229 | 144 | Q_smistamento | -0.57 | 2.074E-14 |
| 229 | 148 | Q_smistamento | -0.57 | 1.251E-14 |
| 229 | 149 | Q_smistamento | -0.57 | 1.251E-14 |
| 229 | 142 | Q_smistamento | -0.57 | 2.074E-14 |
| 229 | 144 | Q_neve | -3.191E-15 | 4.199E-14 |
| 229 | 148 | Q_neve | -7.144E-14 | -5.376E-15 |
| 229 | 149 | Q_neve | 4.001E-14 | 9.079E-15 |
| 229 | 142 | Q_neve | -2.001E-14 | 1.725E-14 |
| 230 | 142 | DEAD | 7.440E-14 | 4.751E-15 |
| 230 | 149 | DEAD | 2.944E-14 | -8.356E-14 |
| 230 | 150 | DEAD | -7.888E-15 | 4.751E-15 |
| 230 | 140 | DEAD | -1.994E-14 | 6.456E-14 |
| 230 | 142 | G1_smistamento | -1.54 | 0.51 |
| 230 | 149 | G1_smistamento | -1.54 | 0.55 |
| 230 | 150 | G1_smistamento | -1.4 | 0.55 |
| 230 | 140 | G1_smistamento | -1.4 | 0.51 |
| 230 | 142 | G2_smistamento | -0.57 | 0.19 |
| 230 | 149 | G2_smistamento | -0.57 | 0.2 |
| 230 | 150 | G2_smistamento | -0.52 | 0.2 |
| 230 | 140 | G2_smistamento | -0.52 | 0.19 |
| 230 | 142 | Q_smistamento | -0.57 | 0.19 |
| 230 | 149 | Q_smistamento | -0.57 | 0.2 |
| 230 | 150 | Q_smistamento | -0.52 | 0.2 |
| 230 | 140 | Q_smistamento | -0.52 | 0.19 |
| 230 | 142 | Q_neve | 2.034E-14 | 2.725E-15 |
| 230 | 149 | Q_neve | 1.512E-14 | -2.663E-14 |
| 230 | 150 | Q_neve | -8.462E-15 | -1.579E-14 |
| 230 | 140 | Q_neve | 1.101E-14 | 2.069E-14 |
| 231 | 140 | DEAD | 7.754E-14 | 6.822E-16 |
| 231 | 150 | DEAD | -3.487E-14 | -6.838E-14 |
| 231 | 138 | DEAD | -8.704E-14 | 1.323E-13 |
| 231 | 5 | DEAD | -1.172E-13 | 3.037E-14 |
| 231 | 140 | G1_smistamento | -1.32 | 1.23 |

Table 20: Element Forces - Area Shells, Part 3 of 3

| Area | Joint | OutputCase | V13 KN/m | V23 KN/m |
|------|-------|----------------|-------------|-------------|
| 231 | 150 | G1_smistamento | -1.32 | 1.62 |
| 231 | 138 | G1_smistamento | -0.95 | 1.62 |
| 231 | 5 | G1_smistamento | -0.95 | 1.23 |
| 231 | 140 | G2_smistamento | -0.49 | 0.46 |
| 231 | 150 | G2_smistamento | -0.49 | 0.6 |
| 231 | 138 | G2_smistamento | -0.35 | 0.6 |
| 231 | 5 | G2_smistamento | -0.35 | 0.46 |
| 231 | 140 | Q_smistamento | -0.49 | 0.46 |
| 231 | 150 | Q_smistamento | -0.49 | 0.6 |
| 231 | 138 | Q_smistamento | -0.35 | 0.6 |
| 231 | 5 | Q_smistamento | -0.35 | 0.46 |
| 231 | 140 | Q_neve | 1.800E-14 | -1.188E-14 |
| 231 | 150 | Q_neve | 1.840E-14 | -3.355E-14 |
| 231 | 138 | Q_neve | -3.344E-14 | -1.188E-14 |
| 231 | 5 | Q_neve | -1.246E-14 | 2.405E-14 |
| 232 | 68 | DEAD | -1.587E-14 | 1.152E-13 |
| 232 | 70 | DEAD | -4.158E-14 | -1.843E-13 |
| 232 | 151 | DEAD | -9.816E-14 | -1.152E-13 |
| 232 | 147 | DEAD | -2.720E-13 | 1.323E-14 |
| 232 | 68 | G1_smistamento | -0.19 | -1.68 |
| 232 | 70 | G1_smistamento | -0.19 | -1.85 |
| 232 | 151 | G1_smistamento | -0.21 | -1.85 |
| 232 | 147 | G1_smistamento | -0.21 | -1.68 |
| 232 | 68 | G2_smistamento | -6.859E-02 | -0.62 |
| 232 | 70 | G2_smistamento | -6.859E-02 | -0.69 |
| 232 | 151 | G2_smistamento | -7.728E-02 | -0.69 |
| 232 | 147 | G2_smistamento | -7.728E-02 | -0.62 |
| 232 | 68 | Q_smistamento | -6.859E-02 | -0.62 |
| 232 | 70 | Q_smistamento | -6.859E-02 | -0.69 |
| 232 | 151 | Q_smistamento | -7.728E-02 | -0.69 |
| 232 | 147 | Q_smistamento | -7.728E-02 | -0.62 |
| 232 | 68 | Q_neve | -7.996E-15 | -9.459E-15 |
| 232 | 70 | Q_neve | -1.402E-14 | -9.661E-15 |
| 232 | 151 | Q_neve | -3.882E-15 | -1.230E-15 |
| 232 | 147 | Q_neve | -2.636E-14 | -1.172E-14 |
| 233 | 147 | DEAD | 2.851E-14 | -1.450E-14 |
| 233 | 151 | DEAD | -1.546E-13 | 1.681E-13 |
| 233 | 152 | DEAD | 2.851E-14 | 1.665E-13 |

Table 20: Element Forces - Area Shells, Part 3 of 3

| Area | Joint | OutputCase | V13 KN/m | V23 KN/m |
|------|-------|----------------|-------------|-------------|
| 233 | 148 | DEAD | -1.875E-13 | 6.940E-14 |
| 233 | 147 | G1_smistamento | -0.26 | -0.58 |
| 233 | 151 | G1_smistamento | -0.26 | -0.67 |
| 233 | 152 | G1_smistamento | -0.32 | -0.67 |
| 233 | 148 | G1_smistamento | -0.32 | -0.58 |
| 233 | 147 | G2_smistamento | -9.656E-02 | -0.22 |
| 233 | 151 | G2_smistamento | -9.656E-02 | -0.25 |
| 233 | 152 | G2_smistamento | -0.12 | -0.25 |
| 233 | 148 | G2_smistamento | -0.12 | -0.22 |
| 233 | 147 | Q_smistamento | -9.656E-02 | -0.22 |
| 233 | 151 | Q_smistamento | -9.656E-02 | -0.25 |
| 233 | 152 | Q_smistamento | -0.12 | -0.25 |
| 233 | 148 | Q_smistamento | -0.12 | -0.22 |
| 233 | 147 | Q_neve | 1.872E-14 | -2.357E-14 |
| 233 | 151 | Q_neve | -1.501E-14 | 2.655E-14 |
| 233 | 152 | Q_neve | -8.027E-15 | 4.020E-14 |
| 233 | 148 | Q_neve | -1.706E-14 | -6.362E-15 |
| 234 | 148 | DEAD | -9.713E-14 | -9.536E-14 |
| 234 | 152 | DEAD | 5.540E-14 | 4.437E-14 |
| 234 | 153 | DEAD | 1.827E-13 | -1.612E-13 |
| 234 | 149 | DEAD | -2.689E-14 | 1.267E-13 |
| 234 | 148 | G1_smistamento | -0.33 | -5.422E-14 |
| 234 | 152 | G1_smistamento | -0.33 | 7.067E-14 |
| 234 | 153 | G1_smistamento | -0.33 | -2.023E-13 |
| 234 | 149 | G1_smistamento | -0.33 | 1.859E-13 |
| 234 | 148 | G2_smistamento | -0.12 | -6.115E-14 |
| 234 | 152 | G2_smistamento | -0.12 | -1.748E-14 |
| 234 | 153 | G2_smistamento | -0.12 | -1.146E-13 |
| 234 | 149 | G2_smistamento | -0.12 | 4.836E-14 |
| 234 | 148 | Q_smistamento | -0.12 | -6.115E-14 |
| 234 | 152 | Q_smistamento | -0.12 | -1.748E-14 |
| 234 | 153 | Q_smistamento | -0.12 | -1.146E-13 |
| 234 | 149 | Q_smistamento | -0.12 | 4.836E-14 |
| 234 | 148 | Q_neve | -7.550E-15 | -2.341E-14 |
| 234 | 152 | Q_neve | 2.818E-14 | 3.798E-14 |
| 234 | 153 | Q_neve | 2.537E-14 | -4.192E-14 |
| 234 | 149 | Q_neve | -6.797E-15 | 6.061E-14 |
| 235 | 149 | DEAD | -2.851E-14 | -4.496E-14 |

Table 20: Element Forces - Area Shells, Part 3 of 3

| Area | Joint | OutputCase | V13 | V23 |
|------|-------|----------------|------------|------------|
| | | | KN/m | KN/m |
| 235 | 153 | DEAD | 1.064E-13 | 1.020E-13 |
| 235 | 154 | DEAD | -2.851E-14 | -1.205E-14 |
| 235 | 150 | DEAD | 7.638E-15 | 6.906E-14 |
| 235 | 149 | G1_smistamento | -0.32 | 0.58 |
| 235 | 153 | G1_smistamento | -0.32 | 0.67 |
| 235 | 154 | G1_smistamento | -0.26 | 0.67 |
| 235 | 150 | G1_smistamento | -0.26 | 0.58 |
| 235 | 149 | G2_smistamento | -0.12 | 0.22 |
| 235 | 153 | G2_smistamento | -0.12 | 0.25 |
| 235 | 154 | G2_smistamento | -9.656E-02 | 0.25 |
| 235 | 150 | G2_smistamento | -9.656E-02 | 0.22 |
| 235 | 149 | Q_smistamento | -0.12 | 0.22 |
| 235 | 153 | Q_smistamento | -0.12 | 0.25 |
| 235 | 154 | Q_smistamento | -9.656E-02 | 0.25 |
| 235 | 150 | Q_smistamento | -9.656E-02 | 0.22 |
| 235 | 149 | Q_neve | 4.464E-15 | -6.894E-15 |
| 235 | 153 | Q_neve | 3.819E-14 | 9.269E-15 |
| 235 | 154 | Q_neve | -2.228E-14 | -1.924E-14 |
| 235 | 150 | Q_neve | -1.324E-14 | 2.161E-14 |
| 236 | 150 | DEAD | -7.152E-14 | 5.167E-14 |
| 236 | 154 | DEAD | -4.903E-14 | 3.521E-14 |
| 236 | 136 | DEAD | 1.095E-13 | 1.669E-13 |
| 236 | 138 | DEAD | 1.155E-13 | 1.833E-13 |
| 236 | 150 | G1_smistamento | -0.21 | 1.68 |
| 236 | 154 | G1_smistamento | -0.21 | 1.85 |
| 236 | 136 | G1_smistamento | -0.19 | 1.85 |
| 236 | 138 | G1_smistamento | -0.19 | 1.68 |
| 236 | 150 | G2_smistamento | -7.728E-02 | 0.62 |
| 236 | 154 | G2_smistamento | -7.728E-02 | 0.69 |
| 236 | 136 | G2_smistamento | -6.859E-02 | 0.69 |
| 236 | 138 | G2_smistamento | -6.859E-02 | 0.62 |
| 236 | 150 | Q_smistamento | -7.728E-02 | 0.62 |
| 236 | 154 | Q_smistamento | -7.728E-02 | 0.69 |
| 236 | 136 | Q_smistamento | -6.859E-02 | 0.69 |
| 236 | 138 | Q_smistamento | -6.859E-02 | 0.62 |
| 236 | 150 | Q_neve | -2.314E-14 | -3.429E-14 |
| 236 | 154 | Q_neve | -9.087E-15 | 2.160E-14 |
| 236 | 136 | Q_neve | 3.858E-14 | 5.211E-14 |

Table 20: Element Forces - Area Shells, Part 3 of 3

| Area | Joint | OutputCase | V13 | V23 |
|------|-------|----------------|------------|------------|
| | | | KN/m | KN/m |
| 236 | 138 | Q_neve | 4.234E-14 | -2.160E-14 |
| 237 | 70 | DEAD | 7.636E-14 | -2.067E-13 |
| 237 | 72 | DEAD | 1.229E-13 | -1.366E-14 |
| 237 | 155 | DEAD | 1.422E-13 | 7.206E-15 |
| 237 | 151 | DEAD | 2.381E-13 | -1.289E-13 |
| 237 | 70 | G1_smistamento | 0.22 | -1.84 |
| 237 | 72 | G1_smistamento | 0.22 | -1.9 |
| 237 | 155 | G1_smistamento | 0.25 | -1.9 |
| 237 | 151 | G1_smistamento | 0.25 | -1.84 |
| 237 | 70 | G2_smistamento | 8.112E-02 | -0.68 |
| 237 | 72 | G2_smistamento | 8.112E-02 | -0.71 |
| 237 | 155 | G2_smistamento | 9.287E-02 | -0.71 |
| 237 | 151 | G2_smistamento | 9.287E-02 | -0.68 |
| 237 | 70 | Q_smistamento | 8.112E-02 | -0.68 |
| 237 | 72 | Q_smistamento | 8.112E-02 | -0.71 |
| 237 | 155 | Q_smistamento | 9.287E-02 | -0.71 |
| 237 | 151 | Q_smistamento | 9.287E-02 | -0.68 |
| 237 | 70 | Q_neve | 1.972E-15 | -1.766E-14 |
| 237 | 72 | Q_neve | 7.996E-15 | 4.475E-15 |
| 237 | 155 | Q_neve | -1.860E-14 | -1.560E-14 |
| 237 | 151 | Q_neve | 3.882E-15 | 8.590E-15 |
| 238 | 151 | DEAD | 1.279E-13 | -4.208E-14 |
| 238 | 155 | DEAD | 6.210E-14 | 2.537E-14 |
| 238 | 156 | DEAD | 6.210E-14 | 8.959E-14 |
| 238 | 152 | DEAD | 1.279E-13 | 1.077E-13 |
| 238 | 151 | G1_smistamento | 0.22 | -0.67 |
| 238 | 155 | G1_smistamento | 0.22 | -0.72 |
| 238 | 156 | G1_smistamento | 0.24 | -0.72 |
| 238 | 152 | G1_smistamento | 0.24 | -0.67 |
| 238 | 151 | G2_smistamento | 8.264E-02 | -0.25 |
| 238 | 155 | G2_smistamento | 8.264E-02 | -0.27 |
| 238 | 156 | G2_smistamento | 8.875E-02 | -0.27 |
| 238 | 152 | G2_smistamento | 8.875E-02 | -0.25 |
| 238 | 151 | Q_smistamento | 8.264E-02 | -0.25 |
| 238 | 155 | Q_smistamento | 8.264E-02 | -0.27 |
| 238 | 156 | Q_smistamento | 8.875E-02 | -0.27 |
| 238 | 152 | Q_smistamento | 8.875E-02 | -0.25 |
| 238 | 151 | Q_neve | -1.340E-14 | 6.311E-15 |

Table 20: Element Forces - Area Shells, Part 3 of 3

| Area | Joint | OutputCase | V13 KN/m | V23 KN/m |
|------|-------|----------------|-------------|-------------|
| 238 | 155 | Q_neve | -4.432E-14 | 2.141E-14 |
| 238 | 156 | Q_neve | 3.597E-14 | 4.951E-14 |
| 238 | 152 | Q_neve | 2.769E-14 | -1.219E-15 |
| 239 | 152 | DEAD | 1.735E-13 | -4.937E-14 |
| 239 | 156 | DEAD | -2.885E-14 | 7.024E-14 |
| 239 | 157 | DEAD | -4.046E-14 | 4.937E-14 |
| 239 | 153 | DEAD | -9.468E-14 | -1.273E-13 |
| 239 | 152 | G1_smistamento | 0.23 | -4.776E-14 |
| 239 | 156 | G1_smistamento | 0.23 | 1.301E-13 |
| 239 | 157 | G1_smistamento | 0.23 | 1.333E-13 |
| 239 | 153 | G1_smistamento | 0.23 | -2.156E-13 |
| 239 | 152 | G2_smistamento | 8.432E-02 | -6.288E-14 |
| 239 | 156 | G2_smistamento | 8.432E-02 | -2.188E-15 |
| 239 | 157 | G2_smistamento | 8.432E-02 | 1.223E-13 |
| 239 | 153 | G2_smistamento | 8.432E-02 | -1.380E-13 |
| 239 | 152 | Q_smistamento | 8.432E-02 | -6.288E-14 |
| 239 | 156 | Q_smistamento | 8.432E-02 | -2.188E-15 |
| 239 | 157 | Q_smistamento | 8.432E-02 | 1.223E-13 |
| 239 | 153 | Q_smistamento | 8.432E-02 | -1.380E-13 |
| 239 | 152 | Q_neve | 5.461E-14 | 1.999E-14 |
| 239 | 156 | Q_neve | -1.995E-15 | -1.318E-14 |
| 239 | 157 | Q_neve | -7.104E-15 | 9.704E-15 |
| 239 | 153 | Q_neve | -4.314E-14 | -7.010E-15 |
| 240 | 153 | DEAD | 4.937E-14 | 1.437E-13 |
| 240 | 157 | DEAD | -1.754E-13 | 6.906E-14 |
| 240 | 158 | DEAD | -4.937E-14 | -8.670E-14 |
| 240 | 154 | DEAD | -1.096E-13 | 1.020E-13 |
| 240 | 153 | G1_smistamento | 0.24 | 0.67 |
| 240 | 157 | G1_smistamento | 0.24 | 0.72 |
| 240 | 158 | G1_smistamento | 0.22 | 0.72 |
| 240 | 154 | G1_smistamento | 0.22 | 0.67 |
| 240 | 153 | G2_smistamento | 8.875E-02 | 0.25 |
| 240 | 157 | G2_smistamento | 8.875E-02 | 0.27 |
| 240 | 158 | G2_smistamento | 8.264E-02 | 0.27 |
| 240 | 154 | G2_smistamento | 8.264E-02 | 0.25 |
| 240 | 153 | Q_smistamento | 8.875E-02 | 0.25 |
| 240 | 157 | Q_smistamento | 8.875E-02 | 0.27 |
| 240 | 158 | Q_smistamento | 8.264E-02 | 0.27 |

Table 20: Element Forces - Area Shells, Part 3 of 3

| Area | Joint | OutputCase | V13 KN/m | V23 KN/m |
|------|-------|----------------|-------------|-------------|
| 240 | 154 | Q_smistamento | 8.264E-02 | 0.25 |
| 240 | 153 | Q_neve | -1.389E-14 | -1.230E-15 |
| 240 | 157 | Q_neve | -3.918E-14 | 2.105E-14 |
| 240 | 158 | Q_neve | -1.549E-15 | -9.459E-15 |
| 240 | 154 | Q_neve | -8.326E-15 | -1.392E-14 |
| 241 | 154 | DEAD | 3.835E-14 | 9.536E-14 |
| 241 | 158 | DEAD | -9.493E-14 | 3.819E-15 |
| 241 | 134 | DEAD | 1.042E-13 | 1.612E-13 |
| 241 | 136 | DEAD | 1.519E-13 | 5.319E-14 |
| 241 | 154 | G1_smistamento | 0.25 | 1.84 |
| 241 | 158 | G1_smistamento | 0.25 | 1.9 |
| 241 | 134 | G1_smistamento | 0.22 | 1.9 |
| 241 | 136 | G1_smistamento | 0.22 | 1.84 |
| 241 | 154 | G2_smistamento | 9.287E-02 | 0.68 |
| 241 | 158 | G2_smistamento | 9.287E-02 | 0.71 |
| 241 | 134 | G2_smistamento | 8.112E-02 | 0.71 |
| 241 | 136 | G2_smistamento | 8.112E-02 | 0.68 |
| 241 | 154 | Q_smistamento | 9.287E-02 | 0.68 |
| 241 | 158 | Q_smistamento | 9.287E-02 | 0.71 |
| 241 | 134 | Q_smistamento | 8.112E-02 | 0.71 |
| 241 | 136 | Q_smistamento | 8.112E-02 | 0.68 |
| 241 | 154 | Q_neve | -1.152E-14 | 1.884E-14 |
| 241 | 158 | Q_neve | -1.954E-14 | 3.140E-15 |
| 241 | 134 | Q_neve | 8.269E-16 | 1.679E-14 |
| 241 | 136 | Q_neve | 1.954E-14 | 3.606E-14 |
| 242 | 72 | DEAD | 5.863E-14 | 3.894E-14 |
| 242 | 74 | DEAD | -5.217E-14 | 1.004E-13 |
| 242 | 159 | DEAD | 1.409E-13 | -1.043E-14 |
| 242 | 155 | DEAD | 1.947E-13 | -1.484E-14 |
| 242 | 72 | G1_smistamento | 0.36 | -1.89 |
| 242 | 74 | G1_smistamento | 0.36 | -1.9 |
| 242 | 159 | G1_smistamento | 0.39 | -1.9 |
| 242 | 155 | G1_smistamento | 0.39 | -1.89 |
| 242 | 72 | G2_smistamento | 0.13 | -0.7 |
| 242 | 74 | G2_smistamento | 0.13 | -0.71 |
| 242 | 159 | G2_smistamento | 0.14 | -0.71 |
| 242 | 155 | G2_smistamento | 0.14 | -0.7 |
| 242 | 72 | Q_smistamento | 0.13 | -0.7 |

Table 20: Element Forces - Area Shells, Part 3 of 3

| Area | Joint | OutputCase | V13 KN/m | V23 KN/m |
|------|-------|----------------|-------------|-------------|
| 242 | 74 | Q_smistamento | 0.13 | -0.71 |
| 242 | 159 | Q_smistamento | 0.14 | -0.71 |
| 242 | 155 | Q_smistamento | 0.14 | -0.7 |
| 242 | 72 | Q_neve | 2.214E-14 | 2.492E-15 |
| 242 | 74 | Q_neve | 2.876E-15 | 3.566E-14 |
| 242 | 159 | Q_neve | 5.506E-14 | -3.680E-15 |
| 242 | 155 | Q_neve | 7.077E-14 | 1.303E-14 |
| 243 | 155 | DEAD | 1.020E-13 | 1.095E-13 |
| 243 | 159 | DEAD | 1.020E-13 | -4.903E-14 |
| 243 | 160 | DEAD | 6.906E-14 | -7.152E-14 |
| 243 | 156 | DEAD | 6.906E-14 | 1.155E-13 |
| 243 | 155 | G1_smistamento | 0.38 | -0.71 |
| 243 | 159 | G1_smistamento | 0.38 | -0.73 |
| 243 | 160 | G1_smistamento | 0.4 | -0.73 |
| 243 | 156 | G1_smistamento | 0.4 | -0.71 |
| 243 | 155 | G2_smistamento | 0.14 | -0.26 |
| 243 | 159 | G2_smistamento | 0.14 | -0.27 |
| 243 | 160 | G2_smistamento | 0.15 | -0.27 |
| 243 | 156 | G2_smistamento | 0.15 | -0.26 |
| 243 | 155 | Q_smistamento | 0.14 | -0.26 |
| 243 | 159 | Q_smistamento | 0.14 | -0.27 |
| 243 | 160 | Q_smistamento | 0.15 | -0.27 |
| 243 | 156 | Q_smistamento | 0.15 | -0.26 |
| 243 | 155 | Q_neve | 5.145E-14 | 5.731E-14 |
| 243 | 159 | Q_neve | 5.145E-14 | -1.756E-14 |
| 243 | 160 | Q_neve | 1.031E-14 | -2.954E-16 |
| 243 | 156 | Q_neve | 1.031E-14 | 3.181E-14 |
| 244 | 156 | DEAD | -1.013E-13 | -7.881E-14 |
| 244 | 160 | DEAD | -5.633E-14 | 1.143E-13 |
| 244 | 161 | DEAD | 6.329E-14 | 6.931E-14 |
| 244 | 157 | DEAD | 7.533E-14 | -6.676E-14 |
| 244 | 156 | G1_smistamento | 0.4 | 1.305E-13 |
| 244 | 160 | G1_smistamento | 0.4 | 4.410E-15 |
| 244 | 161 | G1_smistamento | 0.4 | 9.757E-14 |
| 244 | 157 | G1_smistamento | 0.4 | -6.142E-14 |
| 244 | 156 | G2_smistamento | 0.15 | 6.617E-14 |
| 244 | 160 | G2_smistamento | 0.15 | 2.282E-14 |
| 244 | 161 | G2_smistamento | 0.15 | 3.411E-16 |

Table 20: Element Forces - Area Shells, Part 3 of 3

| Area | Joint | OutputCase | V13 KN/m | V23 KN/m |
|------|-------|----------------|-------------|-------------|
| 244 | 157 | G2_smistamento | 0.15 | 7.220E-14 |
| 244 | 156 | Q_smistamento | 0.15 | 6.617E-14 |
| 244 | 160 | Q_smistamento | 0.15 | 2.282E-14 |
| 244 | 161 | Q_smistamento | 0.15 | 3.411E-16 |
| 244 | 157 | Q_smistamento | 0.15 | 7.220E-14 |
| 244 | 156 | Q_neve | -2.406E-14 | 2.256E-14 |
| 244 | 160 | Q_neve | -1.001E-14 | 5.748E-15 |
| 244 | 161 | Q_neve | 2.682E-15 | -8.303E-15 |
| 244 | 157 | Q_neve | 6.447E-15 | 2.632E-14 |
| 245 | 157 | DEAD | -1.773E-14 | 2.239E-13 |
| 245 | 161 | DEAD | 7.058E-14 | -9.850E-14 |
| 245 | 162 | DEAD | -1.273E-15 | 1.087E-13 |
| 245 | 158 | DEAD | -6.108E-14 | -8.204E-14 |
| 245 | 157 | G1_smistamento | 0.4 | 0.71 |
| 245 | 161 | G1_smistamento | 0.4 | 0.73 |
| 245 | 162 | G1_smistamento | 0.38 | 0.73 |
| 245 | 158 | G1_smistamento | 0.38 | 0.71 |
| 245 | 157 | G2_smistamento | 0.15 | 0.26 |
| 245 | 161 | G2_smistamento | 0.15 | 0.27 |
| 245 | 162 | G2_smistamento | 0.14 | 0.27 |
| 245 | 158 | G2_smistamento | 0.14 | 0.26 |
| 245 | 157 | Q_smistamento | 0.15 | 0.26 |
| 245 | 161 | Q_smistamento | 0.15 | 0.27 |
| 245 | 162 | Q_smistamento | 0.14 | 0.27 |
| 245 | 158 | Q_smistamento | 0.14 | 0.26 |
| 245 | 157 | Q_neve | 2.216E-15 | 3.016E-14 |
| 245 | 161 | Q_neve | 1.586E-14 | 1.029E-14 |
| 245 | 162 | Q_neve | 1.591E-16 | 5.473E-15 |
| 245 | 158 | Q_neve | -1.705E-14 | -1.029E-14 |
| 246 | 158 | DEAD | -2.017E-13 | 1.475E-13 |
| 246 | 162 | DEAD | -1.070E-13 | 1.206E-13 |
| 246 | 132 | DEAD | -1.688E-13 | -3.351E-14 |
| 246 | 134 | DEAD | 1.070E-13 | 2.189E-14 |
| 246 | 158 | G1_smistamento | 0.39 | 1.89 |
| 246 | 162 | G1_smistamento | 0.39 | 1.9 |
| 246 | 132 | G1_smistamento | 0.36 | 1.9 |
| 246 | 134 | G1_smistamento | 0.36 | 1.89 |
| 246 | 158 | G2_smistamento | 0.14 | 0.7 |

Table 20: Element Forces - Area Shells, Part 3 of 3

| Area | Joint | OutputCase | V13 KN/m | V23 KN/m |
|------|-------|----------------|-------------|-------------|
| 246 | 162 | G2_smistamento | 0.14 | 0.71 |
| 246 | 132 | G2_smistamento | 0.13 | 0.71 |
| 246 | 134 | G2_smistamento | 0.13 | 0.7 |
| 246 | 158 | Q_smistamento | 0.14 | 0.7 |
| 246 | 162 | Q_smistamento | 0.14 | 0.71 |
| 246 | 132 | Q_smistamento | 0.13 | 0.71 |
| 246 | 134 | Q_smistamento | 0.13 | 0.7 |
| 246 | 158 | Q_neve | -3.132E-14 | 3.661E-14 |
| 246 | 162 | Q_neve | -3.011E-14 | 2.682E-15 |
| 246 | 132 | Q_neve | -2.926E-14 | -4.538E-15 |
| 246 | 134 | Q_neve | 3.367E-14 | -2.406E-14 |
| 247 | 74 | DEAD | 8.993E-14 | -6.049E-14 |
| 247 | 76 | DEAD | 1.076E-13 | -1.998E-13 |
| 247 | 163 | DEAD | 2.410E-14 | -4.403E-14 |
| 247 | 159 | DEAD | -2.216E-13 | -1.875E-14 |
| 247 | 74 | G1_smistamento | 0.35 | -1.89 |
| 247 | 76 | G1_smistamento | 0.35 | -1.89 |
| 247 | 163 | G1_smistamento | 0.37 | -1.89 |
| 247 | 159 | G1_smistamento | 0.37 | -1.89 |
| 247 | 74 | G2_smistamento | 0.13 | -0.7 |
| 247 | 76 | G2_smistamento | 0.13 | -0.7 |
| 247 | 163 | G2_smistamento | 0.14 | -0.7 |
| 247 | 159 | G2_smistamento | 0.14 | -0.7 |
| 247 | 74 | Q_smistamento | 0.13 | -0.7 |
| 247 | 76 | Q_smistamento | 0.13 | -0.7 |
| 247 | 163 | Q_smistamento | 0.14 | -0.7 |
| 247 | 159 | Q_smistamento | 0.14 | -0.7 |
| 247 | 74 | Q_neve | 1.001E-14 | 9.778E-15 |
| 247 | 76 | Q_neve | 1.201E-14 | -3.649E-14 |
| 247 | 163 | Q_neve | -6.447E-15 | 5.663E-15 |
| 247 | 159 | Q_neve | -4.765E-14 | -1.517E-15 |
| 248 | 159 | DEAD | -1.444E-13 | -2.017E-13 |
| 248 | 163 | DEAD | -7.533E-14 | 8.170E-14 |
| 248 | 164 | DEAD | -4.565E-14 | -1.688E-13 |
| 248 | 160 | DEAD | 5.633E-14 | 3.233E-14 |
| 248 | 159 | G1_smistamento | 0.37 | -0.72 |
| 248 | 163 | G1_smistamento | 0.37 | -0.72 |
| 248 | 164 | G1_smistamento | 0.38 | -0.72 |

Table 20: Element Forces - Area Shells, Part 3 of 3

| Area | Joint | OutputCase | V13 KN/m | V23 KN/m |
|------|-------|----------------|-------------|-------------|
| 248 | 160 | G1_smistamento | 0.38 | -0.72 |
| 248 | 159 | G2_smistamento | 0.14 | -0.27 |
| 248 | 163 | G2_smistamento | 0.14 | -0.27 |
| 248 | 164 | G2_smistamento | 0.14 | -0.27 |
| 248 | 160 | G2_smistamento | 0.14 | -0.27 |
| 248 | 159 | Q_smistamento | 0.14 | -0.27 |
| 248 | 163 | Q_smistamento | 0.14 | -0.27 |
| 248 | 164 | Q_smistamento | 0.14 | -0.27 |
| 248 | 160 | Q_smistamento | 0.14 | -0.27 |
| 248 | 159 | Q_neve | -4.405E-14 | -2.739E-14 |
| 248 | 163 | Q_neve | -1.876E-14 | 1.230E-14 |
| 248 | 164 | Q_neve | -7.021E-15 | -1.299E-14 |
| 248 | 160 | Q_neve | -2.444E-16 | -2.062E-14 |
| 249 | 160 | DEAD | 3.453E-14 | -1.900E-14 |
| 249 | 164 | DEAD | 1.694E-13 | -4.310E-14 |
| 249 | 165 | DEAD | 5.099E-14 | -1.900E-14 |
| 249 | 161 | DEAD | 8.713E-14 | -1.089E-13 |
| 249 | 160 | G1_smistamento | 0.38 | -5.540E-14 |
| 249 | 164 | G1_smistamento | 0.38 | -2.130E-14 |
| 249 | 165 | G1_smistamento | 0.38 | 2.689E-14 |
| 249 | 161 | G1_smistamento | 0.38 | -2.353E-13 |
| 249 | 160 | G2_smistamento | 0.14 | -3.754E-14 |
| 249 | 164 | G2_smistamento | 0.14 | 5.018E-14 |
| 249 | 165 | G2_smistamento | 0.14 | -6.223E-14 |
| 249 | 161 | G2_smistamento | 0.14 | -7.422E-15 |
| 249 | 160 | Q_smistamento | 0.14 | -3.754E-14 |
| 249 | 164 | Q_smistamento | 0.14 | 5.018E-14 |
| 249 | 165 | Q_smistamento | 0.14 | -6.223E-14 |
| 249 | 161 | Q_smistamento | 0.14 | -7.422E-15 |
| 249 | 160 | Q_neve | 2.633E-14 | -5.748E-15 |
| 249 | 164 | Q_neve | 1.469E-14 | 2.145E-14 |
| 249 | 165 | Q_neve | 3.662E-14 | -2.632E-14 |
| 249 | 161 | Q_neve | 1.263E-14 | 7.053E-15 |
| 250 | 161 | DEAD | 1.922E-13 | 8.679E-14 |
| 250 | 165 | DEAD | 1.248E-13 | 1.016E-13 |
| 250 | 166 | DEAD | 1.593E-13 | 1.032E-13 |
| 250 | 162 | DEAD | 1.413E-13 | 2.887E-15 |
| 250 | 161 | G1_smistamento | 0.38 | 0.72 |

Table 20: Element Forces - Area Shells, Part 3 of 3

| Area | Joint | OutputCase | V13 KN/m | V23 KN/m |
|------|-------|----------------|-------------|-------------|
| 250 | 165 | G1_smistamento | 0.38 | 0.72 |
| 250 | 166 | G1_smistamento | 0.37 | 0.72 |
| 250 | 162 | G1_smistamento | 0.37 | 0.72 |
| 250 | 161 | G2_smistamento | 0.14 | 0.27 |
| 250 | 165 | G2_smistamento | 0.14 | 0.27 |
| 250 | 166 | G2_smistamento | 0.14 | 0.27 |
| 250 | 162 | G2_smistamento | 0.14 | 0.27 |
| 250 | 161 | Q_smistamento | 0.14 | 0.27 |
| 250 | 165 | Q_smistamento | 0.14 | 0.27 |
| 250 | 166 | Q_smistamento | 0.14 | 0.27 |
| 250 | 162 | Q_smistamento | 0.14 | 0.27 |
| 250 | 161 | Q_neve | 4.394E-14 | 1.825E-14 |
| 250 | 165 | Q_neve | 1.262E-14 | -2.315E-14 |
| 250 | 166 | Q_neve | 1.308E-14 | 1.619E-14 |
| 250 | 162 | Q_neve | -1.618E-14 | 7.709E-15 |
| 251 | 162 | DEAD | 1.349E-13 | 9.909E-14 |
| 251 | 166 | DEAD | 1.766E-13 | -1.009E-14 |
| 251 | 130 | DEAD | 3.614E-14 | -3.258E-14 |
| 251 | 132 | DEAD | -1.196E-13 | 1.051E-13 |
| 251 | 162 | G1_smistamento | 0.37 | 1.89 |
| 251 | 166 | G1_smistamento | 0.37 | 1.89 |
| 251 | 130 | G1_smistamento | 0.35 | 1.89 |
| 251 | 132 | G1_smistamento | 0.35 | 1.89 |
| 251 | 162 | G2_smistamento | 0.14 | 0.7 |
| 251 | 166 | G2_smistamento | 0.14 | 0.7 |
| 251 | 130 | G2_smistamento | 0.13 | 0.7 |
| 251 | 132 | G2_smistamento | 0.13 | 0.7 |
| 251 | 162 | Q_smistamento | 0.14 | 0.7 |
| 251 | 166 | Q_smistamento | 0.14 | 0.7 |
| 251 | 130 | Q_smistamento | 0.13 | 0.7 |
| 251 | 132 | Q_smistamento | 0.13 | 0.7 |
| 251 | 162 | Q_neve | -2.841E-15 | -1.143E-14 |
| 251 | 166 | Q_neve | -3.649E-15 | 2.620E-14 |
| 251 | 130 | Q_neve | 2.185E-14 | 1.737E-14 |
| 251 | 132 | Q_neve | -2.011E-14 | 1.180E-14 |
| 252 | 76 | DEAD | 2.885E-14 | -2.581E-13 |
| 252 | 78 | DEAD | -4.183E-14 | -6.779E-14 |
| 252 | 167 | DEAD | 9.468E-14 | -9.350E-14 |

Table 20: Element Forces - Area Shells, Part 3 of 3

| Area | Joint | OutputCase | V13 KN/m | V23 KN/m |
|------|-------|----------------|-------------|-------------|
| 252 | 163 | DEAD | -9.120E-14 | -8.425E-14 |
| 252 | 76 | G1_smistamento | 0.27 | -1.89 |
| 252 | 78 | G1_smistamento | 0.27 | -1.88 |
| 252 | 167 | G1_smistamento | 0.28 | -1.88 |
| 252 | 163 | G1_smistamento | 0.28 | -1.89 |
| 252 | 76 | G2_smistamento | 9.834E-02 | -0.7 |
| 252 | 78 | G2_smistamento | 9.834E-02 | -0.7 |
| 252 | 167 | G2_smistamento | 0.1 | -0.7 |
| 252 | 163 | G2_smistamento | 0.1 | -0.7 |
| 252 | 76 | Q_smistamento | 9.834E-02 | -0.7 |
| 252 | 78 | Q_smistamento | 9.834E-02 | -0.7 |
| 252 | 167 | Q_smistamento | 0.1 | -0.7 |
| 252 | 163 | Q_smistamento | 0.1 | -0.7 |
| 252 | 76 | Q_neve | 2.486E-14 | -2.977E-14 |
| 252 | 78 | Q_neve | 1.362E-14 | -2.380E-14 |
| 252 | 167 | Q_neve | 8.400E-15 | -1.537E-14 |
| 252 | 163 | Q_neve | 5.388E-15 | -3.203E-14 |
| 253 | 163 | DEAD | -1.100E-13 | 4.403E-14 |
| 253 | 167 | DEAD | 1.165E-13 | -1.643E-13 |
| 253 | 168 | DEAD | -2.416E-13 | 6.049E-14 |
| 253 | 164 | DEAD | -9.748E-14 | -1.621E-14 |
| 253 | 163 | G1_smistamento | 0.28 | -0.72 |
| 253 | 167 | G1_smistamento | 0.28 | -0.72 |
| 253 | 168 | G1_smistamento | 0.29 | -0.72 |
| 253 | 164 | G1_smistamento | 0.29 | -0.72 |
| 253 | 163 | G2_smistamento | 0.1 | -0.27 |
| 253 | 167 | G2_smistamento | 0.1 | -0.27 |
| 253 | 168 | G2_smistamento | 0.11 | -0.27 |
| 253 | 164 | G2_smistamento | 0.11 | -0.27 |
| 253 | 163 | Q_smistamento | 0.1 | -0.27 |
| 253 | 167 | Q_smistamento | 0.1 | -0.27 |
| 253 | 168 | Q_smistamento | 0.11 | -0.27 |
| 253 | 164 | Q_smistamento | 0.11 | -0.27 |
| 253 | 163 | Q_neve | 4.899E-15 | 2.790E-14 |
| 253 | 167 | Q_neve | 2.778E-14 | -4.271E-14 |
| 253 | 168 | Q_neve | -2.390E-14 | -2.958E-15 |
| 253 | 164 | Q_neve | 3.097E-15 | -3.617E-15 |
| 254 | 164 | DEAD | -1.387E-13 | -1.737E-13 |

Table 20: Element Forces - Area Shells, Part 3 of 3

| Area | Joint | OutputCase | V13 KN/m | V23 KN/m |
|------|-------|----------------|-------------|-------------|
| 254 | 168 | DEAD | -9.213E-14 | 1.570E-13 |
| 254 | 169 | DEAD | -8.934E-14 | 2.213E-13 |
| 254 | 165 | DEAD | 6.615E-15 | -2.400E-14 |
| 254 | 164 | G1_smistamento | 0.29 | -1.557E-13 |
| 254 | 168 | G1_smistamento | 0.29 | 2.213E-13 |
| 254 | 169 | G1_smistamento | 0.29 | 2.887E-13 |
| 254 | 165 | G1_smistamento | 0.29 | -1.737E-13 |
| 254 | 164 | G2_smistamento | 0.11 | -3.495E-14 |
| 254 | 168 | G2_smistamento | 0.11 | 4.051E-14 |
| 254 | 169 | G2_smistamento | 0.11 | 9.671E-14 |
| 254 | 165 | G2_smistamento | 0.11 | -5.001E-14 |
| 254 | 164 | Q_smistamento | 0.11 | -3.495E-14 |
| 254 | 168 | Q_smistamento | 0.11 | 4.051E-14 |
| 254 | 169 | Q_smistamento | 0.11 | 9.671E-14 |
| 254 | 165 | Q_smistamento | 0.11 | -5.001E-14 |
| 254 | 164 | Q_neve | -1.322E-14 | 1.861E-14 |
| 254 | 168 | Q_neve | 1.207E-14 | 3.693E-14 |
| 254 | 169 | Q_neve | -1.528E-14 | 2.890E-14 |
| 254 | 165 | Q_neve | -8.505E-15 | -1.051E-16 |
| 255 | 165 | DEAD | -9.843E-15 | 1.181E-13 |
| 255 | 169 | DEAD | -2.910E-14 | 5.065E-14 |
| 255 | 170 | DEAD | -7.568E-14 | -1.357E-14 |
| 255 | 166 | DEAD | 8.611E-14 | -3.164E-14 |
| 255 | 165 | G1_smistamento | 0.29 | 0.72 |
| 255 | 169 | G1_smistamento | 0.29 | 0.72 |
| 255 | 170 | G1_smistamento | 0.28 | 0.72 |
| 255 | 166 | G1_smistamento | 0.28 | 0.72 |
| 255 | 165 | G2_smistamento | 0.11 | 0.27 |
| 255 | 169 | G2_smistamento | 0.11 | 0.27 |
| 255 | 170 | G2_smistamento | 0.1 | 0.27 |
| 255 | 166 | G2_smistamento | 0.1 | 0.27 |
| 255 | 165 | Q_smistamento | 0.11 | 0.27 |
| 255 | 169 | Q_smistamento | 0.11 | 0.27 |
| 255 | 170 | Q_smistamento | 0.1 | 0.27 |
| 255 | 166 | Q_smistamento | 0.1 | 0.27 |
| 255 | 165 | Q_neve | -2.225E-14 | -3.222E-14 |
| 255 | 169 | Q_neve | -1.020E-14 | 3.031E-14 |
| 255 | 170 | Q_neve | -1.813E-14 | -3.416E-15 |

Table 20: Element Forces - Area Shells, Part 3 of 3

| Area | Joint | OutputCase | V13 | V23 |
|------|-------|----------------|------------|------------|
| | | | KN/m | KN/m |
| 255 | 166 | Q_neve | 2.683E-14 | -2.318E-14 |
| 256 | 166 | DEAD | -2.217E-13 | -7.788E-14 |
| 256 | 170 | DEAD | -1.510E-13 | 1.590E-13 |
| 256 | 128 | DEAD | -1.394E-13 | 2.087E-14 |
| 256 | 130 | DEAD | 4.649E-14 | 1.261E-13 |
| 256 | 166 | G1_smistamento | 0.28 | 1.89 |
| 256 | 170 | G1_smistamento | 0.28 | 1.88 |
| 256 | 128 | G1_smistamento | 0.27 | 1.88 |
| 256 | 130 | G1_smistamento | 0.27 | 1.89 |
| 256 | 166 | G2_smistamento | 0.1 | 0.7 |
| 256 | 170 | G2_smistamento | 0.1 | 0.7 |
| 256 | 128 | G2_smistamento | 9.834E-02 | 0.7 |
| 256 | 130 | G2_smistamento | 9.834E-02 | 0.7 |
| 256 | 166 | Q_smistamento | 0.1 | 0.7 |
| 256 | 170 | Q_smistamento | 0.1 | 0.7 |
| 256 | 128 | Q_smistamento | 9.834E-02 | 0.7 |
| 256 | 130 | Q_smistamento | 9.834E-02 | 0.7 |
| 256 | 166 | Q_neve | -1.276E-14 | -9.630E-15 |
| 256 | 170 | Q_neve | -3.924E-15 | 1.948E-14 |
| 256 | 128 | Q_neve | -3.950E-14 | -3.432E-14 |
| 256 | 130 | Q_neve | -1.627E-14 | 2.565E-14 |
| 257 | 78 | DEAD | -2.469E-14 | -2.180E-14 |
| 257 | 80 | DEAD | 3.953E-14 | -3.267E-14 |
| 257 | 171 | DEAD | 2.469E-14 | 1.263E-13 |
| 257 | 167 | DEAD | -1.250E-13 | -1.479E-13 |
| 257 | 78 | G1_smistamento | 0.17 | -1.88 |
| 257 | 80 | G1_smistamento | 0.17 | -1.87 |
| 257 | 171 | G1_smistamento | 0.18 | -1.87 |
| 257 | 167 | G1_smistamento | 0.18 | -1.88 |
| 257 | 78 | G2_smistamento | 6.261E-02 | -0.7 |
| 257 | 80 | G2_smistamento | 6.261E-02 | -0.69 |
| 257 | 171 | G2_smistamento | 6.508E-02 | -0.69 |
| 257 | 167 | G2_smistamento | 6.508E-02 | -0.7 |
| 257 | 78 | Q_smistamento | 6.261E-02 | -0.7 |
| 257 | 80 | Q_smistamento | 6.261E-02 | -0.69 |
| 257 | 171 | Q_smistamento | 6.508E-02 | -0.69 |
| 257 | 167 | Q_smistamento | 6.508E-02 | -0.7 |
| 257 | 78 | Q_neve | -1.097E-14 | -2.532E-14 |

Table 20: Element Forces - Area Shells, Part 3 of 3

| Area | Joint | OutputCase | V13 KN/m | V23 KN/m |
|------|-------|----------------|-------------|-------------|
| 257 | 80 | Q_neve | -2.938E-15 | -1.188E-14 |
| 257 | 171 | Q_neve | -6.851E-15 | 1.582E-14 |
| 257 | 167 | Q_neve | -2.557E-14 | -1.188E-14 |
| 258 | 167 | DEAD | 1.124E-13 | -8.170E-14 |
| 258 | 171 | DEAD | 6.745E-14 | -1.206E-13 |
| 258 | 172 | DEAD | 3.012E-14 | -3.233E-14 |
| 258 | 168 | DEAD | 1.807E-14 | -2.189E-14 |
| 258 | 167 | G1_smistamento | 0.18 | -0.71 |
| 258 | 171 | G1_smistamento | 0.18 | -0.71 |
| 258 | 172 | G1_smistamento | 0.18 | -0.71 |
| 258 | 168 | G1_smistamento | 0.18 | -0.71 |
| 258 | 167 | G2_smistamento | 6.560E-02 | -0.26 |
| 258 | 171 | G2_smistamento | 6.560E-02 | -0.26 |
| 258 | 172 | G2_smistamento | 6.734E-02 | -0.26 |
| 258 | 168 | G2_smistamento | 6.734E-02 | -0.26 |
| 258 | 167 | Q_smistamento | 6.560E-02 | -0.26 |
| 258 | 171 | Q_smistamento | 6.560E-02 | -0.26 |
| 258 | 172 | Q_smistamento | 6.734E-02 | -0.26 |
| 258 | 168 | Q_smistamento | 6.734E-02 | -0.26 |
| 258 | 167 | Q_neve | -6.331E-15 | -1.440E-14 |
| 258 | 171 | Q_neve | -1.476E-14 | -7.678E-15 |
| 258 | 172 | Q_neve | 3.955E-15 | 1.440E-14 |
| 258 | 168 | Q_neve | 1.696E-15 | 5.512E-16 |
| 259 | 168 | DEAD | -2.528E-14 | 1.574E-13 |
| 259 | 172 | DEAD | 1.514E-13 | -4.776E-14 |
| 259 | 173 | DEAD | 1.393E-13 | 4.217E-14 |
| 259 | 169 | DEAD | 1.969E-14 | 1.333E-13 |
| 259 | 168 | G1_smistamento | 0.18 | 1.093E-13 |
| 259 | 172 | G1_smistamento | 0.18 | 8.356E-14 |
| 259 | 173 | G1_smistamento | 0.18 | 1.093E-13 |
| 259 | 169 | G1_smistamento | 0.18 | -6.456E-14 |
| 259 | 168 | G2_smistamento | 6.757E-02 | 9.294E-14 |
| 259 | 172 | G2_smistamento | 6.757E-02 | -4.416E-14 |
| 259 | 173 | G2_smistamento | 6.757E-02 | 3.534E-14 |
| 259 | 169 | G2_smistamento | 6.757E-02 | 2.990E-14 |
| 259 | 168 | Q_smistamento | 6.757E-02 | 9.294E-14 |
| 259 | 172 | Q_smistamento | 6.757E-02 | -4.416E-14 |
| 259 | 173 | Q_smistamento | 6.757E-02 | 3.534E-14 |

Table 20: Element Forces - Area Shells, Part 3 of 3

| Area | Joint | OutputCase | V13 KN/m | V23 KN/m |
|------|-------|----------------|-------------|-------------|
| 259 | 169 | Q_smistamento | 6.757E-02 | 2.990E-14 |
| 259 | 168 | Q_neve | -3.913E-15 | 4.679E-14 |
| 259 | 172 | Q_neve | 3.543E-14 | -2.327E-14 |
| 259 | 173 | Q_neve | 1.460E-14 | 2.210E-14 |
| 259 | 169 | Q_neve | 2.514E-14 | 1.376E-14 |
| 260 | 169 | DEAD | 1.109E-13 | -1.216E-13 |
| 260 | 173 | DEAD | 1.125E-13 | 2.562E-13 |
| 260 | 174 | DEAD | 1.932E-13 | 2.655E-14 |
| 260 | 170 | DEAD | 2.771E-13 | 1.904E-13 |
| 260 | 169 | G1_smistamento | 0.18 | 0.71 |
| 260 | 173 | G1_smistamento | 0.18 | 0.71 |
| 260 | 174 | G1_smistamento | 0.18 | 0.71 |
| 260 | 170 | G1_smistamento | 0.18 | 0.71 |
| 260 | 169 | G2_smistamento | 6.734E-02 | 0.26 |
| 260 | 173 | G2_smistamento | 6.734E-02 | 0.26 |
| 260 | 174 | G2_smistamento | 6.560E-02 | 0.26 |
| 260 | 170 | G2_smistamento | 6.560E-02 | 0.26 |
| 260 | 169 | Q_smistamento | 6.734E-02 | 0.26 |
| 260 | 173 | Q_smistamento | 6.734E-02 | 0.26 |
| 260 | 174 | Q_smistamento | 6.560E-02 | 0.26 |
| 260 | 170 | Q_smistamento | 6.560E-02 | 0.26 |
| 260 | 169 | Q_neve | 1.489E-14 | -7.127E-15 |
| 260 | 173 | Q_neve | 3.215E-14 | 3.864E-14 |
| 260 | 174 | Q_neve | 2.312E-14 | -7.127E-15 |
| 260 | 170 | Q_neve | 4.861E-14 | 4.687E-14 |
| 261 | 170 | DEAD | 4.501E-15 | 7.949E-14 |
| 261 | 174 | DEAD | 2.727E-13 | -6.863E-14 |
| 261 | 126 | DEAD | 1.855E-13 | 6.304E-14 |
| 261 | 128 | DEAD | 1.739E-13 | 2.112E-13 |
| 261 | 170 | G1_smistamento | 0.18 | 1.88 |
| 261 | 174 | G1_smistamento | 0.18 | 1.87 |
| 261 | 126 | G1_smistamento | 0.17 | 1.87 |
| 261 | 128 | G1_smistamento | 0.17 | 1.88 |
| 261 | 170 | G2_smistamento | 6.508E-02 | 0.7 |
| 261 | 174 | G2_smistamento | 6.508E-02 | 0.69 |
| 261 | 126 | G2_smistamento | 6.261E-02 | 0.69 |
| 261 | 128 | G2_smistamento | 6.261E-02 | 0.7 |
| 261 | 170 | Q_smistamento | 6.508E-02 | 0.7 |

Table 20: Element Forces - Area Shells, Part 3 of 3

| Area | Joint | OutputCase | V13 KN/m | V23 KN/m |
|------|-------|----------------|-------------|-------------|
| 261 | 174 | Q_smistamento | 6.508E-02 | 0.69 |
| 261 | 126 | Q_smistamento | 6.261E-02 | 0.69 |
| 261 | 128 | Q_smistamento | 6.261E-02 | 0.7 |
| 261 | 170 | Q_neve | 1.629E-14 | -1.547E-14 |
| 261 | 174 | Q_neve | 4.118E-14 | -2.014E-14 |
| 261 | 126 | Q_neve | 6.566E-14 | 7.158E-15 |
| 261 | 128 | Q_neve | 5.147E-14 | 1.895E-14 |
| 262 | 80 | DEAD | -4.115E-14 | -7.788E-14 |
| 262 | 82 | DEAD | -8.772E-14 | 4.496E-14 |
| 262 | 175 | DEAD | 4.115E-14 | 2.087E-14 |
| 262 | 171 | DEAD | -5.481E-14 | 1.205E-14 |
| 262 | 80 | G1_smistamento | 8.004E-02 | -1.87 |
| 262 | 82 | G1_smistamento | 8.004E-02 | -1.87 |
| 262 | 175 | G1_smistamento | 8.299E-02 | -1.87 |
| 262 | 171 | G1_smistamento | 8.299E-02 | -1.87 |
| 262 | 80 | G2_smistamento | 2.967E-02 | -0.69 |
| 262 | 82 | G2_smistamento | 2.967E-02 | -0.69 |
| 262 | 175 | G2_smistamento | 3.076E-02 | -0.69 |
| 262 | 171 | G2_smistamento | 3.076E-02 | -0.69 |
| 262 | 80 | Q_smistamento | 2.967E-02 | -0.69 |
| 262 | 82 | Q_smistamento | 2.967E-02 | -0.69 |
| 262 | 175 | Q_smistamento | 3.076E-02 | -0.69 |
| 262 | 171 | Q_smistamento | 3.076E-02 | -0.69 |
| 262 | 80 | Q_neve | 1.358E-15 | -3.110E-14 |
| 262 | 82 | Q_neve | -2.153E-14 | 9.692E-15 |
| 262 | 175 | Q_neve | 3.427E-14 | 1.210E-14 |
| 262 | 171 | Q_neve | 7.274E-15 | -1.088E-14 |
| 263 | 171 | DEAD | -3.419E-14 | 7.915E-14 |
| 263 | 175 | DEAD | -5.667E-14 | -1.637E-13 |
| 263 | 176 | DEAD | 1.519E-14 | -3.137E-15 |
| 263 | 172 | DEAD | 9.161E-15 | -1.308E-13 |
| 263 | 171 | G1_smistamento | 8.382E-02 | -0.71 |
| 263 | 175 | G1_smistamento | 8.382E-02 | -0.71 |
| 263 | 176 | G1_smistamento | 8.585E-02 | -0.71 |
| 263 | 172 | G1_smistamento | 8.585E-02 | -0.71 |
| 263 | 171 | G2_smistamento | 3.107E-02 | -0.26 |
| 263 | 175 | G2_smistamento | 3.107E-02 | -0.26 |
| 263 | 176 | G2_smistamento | 3.183E-02 | -0.26 |

Table 20: Element Forces - Area Shells, Part 3 of 3

| Area | Joint | OutputCase | V13 KN/m | V23 KN/m |
|------|-------|----------------|-------------|-------------|
| 263 | 172 | G2_smistamento | 3.183E-02 | -0.26 |
| 263 | 171 | Q_smistamento | 3.107E-02 | -0.26 |
| 263 | 175 | Q_smistamento | 3.107E-02 | -0.26 |
| 263 | 176 | Q_smistamento | 3.183E-02 | -0.26 |
| 263 | 172 | Q_smistamento | 3.183E-02 | -0.26 |
| 263 | 171 | Q_neve | 1.437E-14 | 1.357E-14 |
| 263 | 175 | Q_neve | 1.437E-14 | -5.694E-15 |
| 263 | 176 | Q_neve | 8.198E-15 | -2.884E-15 |
| 263 | 172 | Q_neve | 8.198E-15 | 1.282E-14 |
| 264 | 172 | DEAD | -5.006E-14 | 7.347E-14 |
| 264 | 176 | DEAD | 1.298E-13 | -2.851E-14 |
| 264 | 177 | DEAD | -8.297E-14 | 4.055E-14 |
| 264 | 173 | DEAD | -3.478E-14 | -2.851E-14 |
| 264 | 172 | G1_smistamento | 8.623E-02 | 2.290E-13 |
| 264 | 176 | G1_smistamento | 8.623E-02 | -3.478E-15 |
| 264 | 177 | G1_smistamento | 8.623E-02 | 1.796E-13 |
| 264 | 173 | G1_smistamento | 8.623E-02 | 1.298E-14 |
| 264 | 172 | G2_smistamento | 3.197E-02 | 1.871E-14 |
| 264 | 176 | G2_smistamento | 3.197E-02 | 2.011E-14 |
| 264 | 177 | G2_smistamento | 3.197E-02 | 7.631E-14 |
| 264 | 173 | G2_smistamento | 3.197E-02 | 3.649E-15 |
| 264 | 172 | Q_smistamento | 3.197E-02 | 1.871E-14 |
| 264 | 176 | Q_smistamento | 3.197E-02 | 2.011E-14 |
| 264 | 177 | Q_smistamento | 3.197E-02 | 7.631E-14 |
| 264 | 173 | Q_smistamento | 3.197E-02 | 3.649E-15 |
| 264 | 172 | Q_neve | -1.220E-14 | 2.486E-14 |
| 264 | 176 | Q_neve | 1.591E-14 | -2.841E-15 |
| 264 | 177 | Q_neve | -1.631E-14 | 8.400E-15 |
| 264 | 173 | Q_neve | -8.780E-15 | 2.185E-14 |
| 265 | 173 | DEAD | -7.881E-14 | 6.813E-14 |
| 265 | 177 | DEAD | -7.881E-14 | 2.195E-13 |
| 265 | 178 | DEAD | 6.931E-14 | 1.504E-13 |
| 265 | 174 | DEAD | 6.931E-14 | 1.701E-13 |
| 265 | 173 | G1_smistamento | 8.585E-02 | 0.71 |
| 265 | 177 | G1_smistamento | 8.585E-02 | 0.71 |
| 265 | 178 | G1_smistamento | 8.382E-02 | 0.71 |
| 265 | 174 | G1_smistamento | 8.382E-02 | 0.71 |
| 265 | 173 | G2_smistamento | 3.183E-02 | 0.26 |

Table 20: Element Forces - Area Shells, Part 3 of 3

| Area | Joint | OutputCase | V13 KN/m | V23 KN/m |
|------|-------|----------------|-------------|-------------|
| 265 | 177 | G2_smistamento | 3.183E-02 | 0.26 |
| 265 | 178 | G2_smistamento | 3.107E-02 | 0.26 |
| 265 | 174 | G2_smistamento | 3.107E-02 | 0.26 |
| 265 | 173 | Q_smistamento | 3.183E-02 | 0.26 |
| 265 | 177 | Q_smistamento | 3.183E-02 | 0.26 |
| 265 | 178 | Q_smistamento | 3.107E-02 | 0.26 |
| 265 | 174 | Q_smistamento | 3.107E-02 | 0.26 |
| 265 | 173 | Q_neve | -3.106E-14 | 3.107E-14 |
| 265 | 177 | Q_neve | -3.106E-14 | 1.893E-14 |
| 265 | 178 | Q_neve | 2.037E-14 | 1.050E-14 |
| 265 | 174 | Q_neve | 2.037E-14 | 3.333E-14 |
| 266 | 174 | DEAD | -7.279E-14 | -3.708E-14 |
| 266 | 178 | DEAD | -9.688E-14 | -1.073E-13 |
| 266 | 124 | DEAD | 9.179E-14 | -8.645E-14 |
| 266 | 126 | DEAD | 1.864E-15 | 4.080E-14 |
| 266 | 174 | G1_smistamento | 8.299E-02 | 1.87 |
| 266 | 178 | G1_smistamento | 8.299E-02 | 1.87 |
| 266 | 124 | G1_smistamento | 8.004E-02 | 1.87 |
| 266 | 126 | G1_smistamento | 8.004E-02 | 1.87 |
| 266 | 174 | G2_smistamento | 3.076E-02 | 0.69 |
| 266 | 178 | G2_smistamento | 3.076E-02 | 0.69 |
| 266 | 124 | G2_smistamento | 2.967E-02 | 0.69 |
| 266 | 126 | G2_smistamento | 2.967E-02 | 0.69 |
| 266 | 174 | Q_smistamento | 3.076E-02 | 0.69 |
| 266 | 178 | Q_smistamento | 3.076E-02 | 0.69 |
| 266 | 124 | Q_smistamento | 2.967E-02 | 0.69 |
| 266 | 126 | Q_smistamento | 2.967E-02 | 0.69 |
| 266 | 174 | Q_neve | 8.124E-15 | -3.086E-15 |
| 266 | 178 | Q_neve | -7.104E-16 | 1.152E-14 |
| 266 | 124 | Q_neve | 2.870E-14 | 3.086E-15 |
| 266 | 126 | Q_neve | 5.461E-15 | -8.269E-16 |
| 267 | 82 | DEAD | -1.391E-14 | 7.347E-14 |
| 267 | 84 | DEAD | -1.391E-14 | -2.851E-14 |
| 267 | 179 | DEAD | 5.192E-14 | 4.055E-14 |
| 267 | 175 | DEAD | 5.192E-14 | -2.851E-14 |
| 267 | 82 | G1_smistamento | -3.071E-14 | -1.87 |
| 267 | 84 | G1_smistamento | -8.229E-15 | -1.87 |
| 267 | 179 | G1_smistamento | 2.205E-15 | -1.87 |

Table 20: Element Forces - Area Shells, Part 3 of 3

| Area | Joint | OutputCase | V13 KN/m | V23 KN/m |
|------|-------|----------------|-------------|-------------|
| 267 | 175 | G1_smistamento | 8.229E-15 | -1.87 |
| 267 | 82 | G2_smistamento | -6.956E-15 | -0.69 |
| 267 | 84 | G2_smistamento | -6.956E-15 | -0.69 |
| 267 | 179 | G2_smistamento | 2.596E-14 | -0.69 |
| 267 | 175 | G2_smistamento | 2.596E-14 | -0.69 |
| 267 | 82 | Q_smistamento | -6.956E-15 | -0.69 |
| 267 | 84 | Q_smistamento | -6.956E-15 | -0.69 |
| 267 | 179 | Q_smistamento | 2.596E-14 | -0.69 |
| 267 | 175 | Q_smistamento | 2.596E-14 | -0.69 |
| 267 | 82 | Q_neve | -8.269E-16 | 9.576E-15 |
| 267 | 84 | Q_neve | 1.983E-15 | -1.928E-14 |
| 267 | 179 | Q_neve | 1.152E-14 | -4.825E-15 |
| 267 | 175 | Q_neve | 1.227E-14 | -1.517E-14 |
| 268 | 175 | DEAD | 1.714E-14 | -1.612E-14 |
| 268 | 179 | DEAD | -6.956E-15 | -1.855E-13 |
| 268 | 180 | DEAD | 1.159E-13 | 8.263E-14 |
| 268 | 176 | DEAD | 2.596E-14 | -4.501E-15 |
| 268 | 175 | G1_smistamento | -2.435E-14 | -0.71 |
| 268 | 179 | G1_smistamento | 2.062E-14 | -0.71 |
| 268 | 180 | G1_smistamento | 9.086E-14 | -0.71 |
| 268 | 176 | G1_smistamento | 1.029E-13 | -0.71 |
| 268 | 175 | G2_smistamento | -3.307E-15 | -0.26 |
| 268 | 179 | G2_smistamento | 7.934E-15 | -0.26 |
| 268 | 180 | G2_smistamento | 4.607E-14 | -0.26 |
| 268 | 176 | G2_smistamento | 4.908E-14 | -0.26 |
| 268 | 175 | Q_smistamento | -3.307E-15 | -0.26 |
| 268 | 179 | Q_smistamento | 7.934E-15 | -0.26 |
| 268 | 180 | Q_smistamento | 4.607E-14 | -0.26 |
| 268 | 176 | Q_smistamento | 4.908E-14 | -0.26 |
| 268 | 175 | Q_neve | 1.492E-14 | 4.623E-15 |
| 268 | 179 | Q_neve | -1.941E-15 | -3.371E-14 |
| 268 | 180 | Q_neve | 5.200E-16 | -2.006E-14 |
| 268 | 176 | Q_neve | -3.998E-15 | 2.183E-14 |
| 269 | 176 | DEAD | -4.996E-14 | 1.036E-13 |
| 269 | 180 | DEAD | -7.245E-14 | 3.894E-14 |
| 269 | 181 | DEAD | 1.640E-13 | 1.530E-13 |
| 269 | 177 | DEAD | 1.580E-13 | -1.043E-14 |
| 269 | 176 | G1_smistamento | -1.278E-13 | -1.767E-13 |

Table 20: Element Forces - Area Shells, Part 3 of 3

| Area | Joint | OutputCase | V13 KN/m | V23 KN/m |
|------|-------|----------------|-------------|-------------|
| 269 | 180 | G1_smistamento | -4.105E-14 | 1.681E-13 |
| 269 | 181 | G1_smistamento | 4.318E-13 | -1.273E-13 |
| 269 | 177 | G1_smistamento | 2.881E-13 | 6.940E-14 |
| 269 | 176 | G2_smistamento | -1.293E-14 | 3.296E-14 |
| 269 | 180 | G2_smistamento | -2.418E-14 | 5.684E-14 |
| 269 | 181 | G2_smistamento | 1.270E-13 | 9.057E-14 |
| 269 | 177 | G2_smistamento | 1.239E-13 | 2.393E-14 |
| 269 | 176 | Q_smistamento | -1.293E-14 | 3.296E-14 |
| 269 | 180 | Q_smistamento | -2.418E-14 | 5.684E-14 |
| 269 | 181 | Q_smistamento | 1.270E-13 | 9.057E-14 |
| 269 | 177 | Q_smistamento | 1.239E-13 | 2.393E-14 |
| 269 | 176 | Q_neve | -9.809E-15 | 1.259E-14 |
| 269 | 180 | Q_neve | -1.824E-14 | -2.015E-15 |
| 269 | 181 | Q_neve | 1.694E-14 | 6.416E-15 |
| 269 | 177 | Q_neve | 1.468E-14 | 1.033E-14 |
| 270 | 177 | DEAD | -5.794E-14 | 1.133E-13 |
| 270 | 181 | DEAD | 1.460E-13 | -6.329E-14 |
| 270 | 182 | DEAD | -8.570E-15 | -1.832E-14 |
| 270 | 178 | DEAD | 1.296E-13 | 1.013E-13 |
| 270 | 177 | G1_smistamento | 9.319E-16 | 0.71 |
| 270 | 181 | G1_smistamento | 1.808E-13 | 0.71 |
| 270 | 182 | G1_smistamento | -4.844E-14 | 0.71 |
| 270 | 178 | G1_smistamento | -2.497E-16 | 0.71 |
| 270 | 177 | G2_smistamento | -1.124E-14 | 0.26 |
| 270 | 181 | G2_smistamento | 1.582E-13 | 0.26 |
| 270 | 182 | G2_smistamento | -3.012E-15 | 0.26 |
| 270 | 178 | G2_smistamento | 8.412E-14 | 0.26 |
| 270 | 177 | Q_smistamento | -1.124E-14 | 0.26 |
| 270 | 181 | Q_smistamento | 1.582E-13 | 0.26 |
| 270 | 182 | Q_smistamento | -3.012E-15 | 0.26 |
| 270 | 178 | Q_smistamento | 8.412E-14 | 0.26 |
| 270 | 177 | Q_neve | -4.041E-14 | 3.680E-15 |
| 270 | 181 | Q_neve | 2.141E-14 | -3.019E-14 |
| 270 | 182 | Q_neve | -1.779E-14 | -2.492E-15 |
| 270 | 178 | Q_neve | -1.219E-15 | 1.713E-14 |
| 271 | 178 | DEAD | -5.433E-15 | -1.994E-14 |
| 271 | 182 | DEAD | -2.792E-14 | -3.962E-14 |
| 271 | 122 | DEAD | -1.371E-13 | 2.944E-14 |

Table 20: Element Forces - Area Shells, Part 3 of 3

| Area | Joint | OutputCase | V13 KN/m | V23 KN/m |
|------|-------|----------------|-------------|-------------|
| 271 | 124 | DEAD | -1.431E-13 | -1.219E-13 |
| 271 | 178 | G1_smistamento | -6.686E-14 | 1.87 |
| 271 | 182 | G1_smistamento | -4.437E-14 | 1.87 |
| 271 | 122 | G1_smistamento | -1.327E-13 | 1.87 |
| 271 | 124 | G1_smistamento | -1.267E-13 | 1.87 |
| 271 | 178 | G2_smistamento | 9.319E-16 | 0.69 |
| 271 | 182 | G2_smistamento | 9.319E-16 | 0.69 |
| 271 | 122 | G2_smistamento | -4.844E-14 | 0.69 |
| 271 | 124 | G2_smistamento | -4.844E-14 | 0.69 |
| 271 | 178 | Q_smistamento | 9.319E-16 | 0.69 |
| 271 | 182 | Q_smistamento | 9.319E-16 | 0.69 |
| 271 | 122 | Q_smistamento | -4.844E-14 | 0.69 |
| 271 | 124 | Q_smistamento | -4.844E-14 | 0.69 |
| 271 | 178 | Q_neve | -2.526E-14 | 1.634E-14 |
| 271 | 182 | Q_neve | -2.526E-14 | 4.347E-16 |
| 271 | 122 | Q_neve | -2.938E-14 | -1.040E-14 |
| 271 | 124 | Q_neve | -2.938E-14 | -1.623E-15 |
| 272 | 84 | DEAD | -7.652E-14 | 6.965E-14 |
| 272 | 86 | DEAD | -1.006E-13 | -1.425E-14 |
| 272 | 183 | DEAD | 2.856E-13 | -1.264E-14 |
| 272 | 179 | DEAD | 1.956E-13 | -1.425E-14 |
| 272 | 84 | G1_smistamento | -8.004E-02 | -1.87 |
| 272 | 86 | G1_smistamento | -8.004E-02 | -1.87 |
| 272 | 183 | G1_smistamento | -8.299E-02 | -1.87 |
| 272 | 179 | G1_smistamento | -8.299E-02 | -1.87 |
| 272 | 84 | G2_smistamento | -2.967E-02 | -0.69 |
| 272 | 86 | G2_smistamento | -2.967E-02 | -0.69 |
| 272 | 183 | G2_smistamento | -3.076E-02 | -0.69 |
| 272 | 179 | G2_smistamento | -3.076E-02 | -0.69 |
| 272 | 84 | Q_smistamento | -2.967E-02 | -0.69 |
| 272 | 86 | Q_smistamento | -2.967E-02 | -0.69 |
| 272 | 183 | Q_smistamento | -3.076E-02 | -0.69 |
| 272 | 179 | Q_smistamento | -3.076E-02 | -0.69 |
| 272 | 84 | Q_neve | -2.805E-14 | 2.330E-16 |
| 272 | 86 | Q_neve | -2.805E-14 | -8.695E-16 |
| 272 | 183 | Q_neve | 3.161E-14 | -1.211E-14 |
| 272 | 179 | Q_neve | 3.161E-14 | 3.245E-15 |
| 273 | 179 | DEAD | -3.953E-14 | 6.397E-14 |

Table 20: Element Forces - Area Shells, Part 3 of 3

| Area | Joint | OutputCase | V13 | V23 |
|------|-------|----------------|------------|------------|
| | | | KN/m | KN/m |
| 273 | 183 | DEAD | 1.387E-13 | 1.210E-13 |
| 273 | 184 | DEAD | 1.250E-13 | 3.105E-14 |
| 273 | 180 | DEAD | 8.934E-14 | 8.806E-14 |
| 273 | 179 | G1_smistamento | -8.382E-02 | -0.71 |
| 273 | 183 | G1_smistamento | -8.382E-02 | -0.71 |
| 273 | 184 | G1_smistamento | -8.585E-02 | -0.71 |
| 273 | 180 | G1_smistamento | -8.585E-02 | -0.71 |
| 273 | 179 | G2_smistamento | -3.107E-02 | -0.26 |
| 273 | 183 | G2_smistamento | -3.107E-02 | -0.26 |
| 273 | 184 | G2_smistamento | -3.183E-02 | -0.26 |
| 273 | 180 | G2_smistamento | -3.183E-02 | -0.26 |
| 273 | 179 | Q_smistamento | -3.107E-02 | -0.26 |
| 273 | 183 | Q_smistamento | -3.107E-02 | -0.26 |
| 273 | 184 | Q_smistamento | -3.183E-02 | -0.26 |
| 273 | 180 | Q_smistamento | -3.183E-02 | -0.26 |
| 273 | 179 | Q_neve | -3.755E-14 | -1.929E-15 |
| 273 | 183 | Q_neve | 7.414E-15 | 7.200E-15 |
| 273 | 184 | Q_neve | 2.211E-14 | 2.687E-14 |
| 273 | 180 | Q_neve | 3.416E-14 | -7.200E-15 |
| 274 | 180 | DEAD | 3.614E-14 | 1.086E-13 |
| 274 | 184 | DEAD | -7.788E-14 | -4.556E-14 |
| 274 | 185 | DEAD | 1.349E-13 | -2.307E-14 |
| 274 | 181 | DEAD | 2.087E-14 | 1.026E-13 |
| 274 | 180 | G1_smistamento | -8.623E-02 | 1.266E-13 |
| 274 | 184 | G1_smistamento | -8.623E-02 | 1.900E-14 |
| 274 | 185 | G1_smistamento | -8.623E-02 | -2.026E-13 |
| 274 | 181 | G1_smistamento | -8.623E-02 | 1.900E-14 |
| 274 | 180 | G2_smistamento | -3.197E-02 | 2.672E-14 |
| 274 | 184 | G2_smistamento | -3.197E-02 | -9.797E-15 |
| 274 | 185 | G2_smistamento | -3.197E-02 | -8.848E-14 |
| 274 | 181 | G2_smistamento | -3.197E-02 | 4.781E-14 |
| 274 | 180 | Q_smistamento | -3.197E-02 | 2.672E-14 |
| 274 | 184 | Q_smistamento | -3.197E-02 | -9.797E-15 |
| 274 | 185 | Q_smistamento | -3.197E-02 | -8.848E-14 |
| 274 | 181 | Q_smistamento | -3.197E-02 | 4.781E-14 |
| 274 | 180 | Q_neve | 3.911E-14 | 1.020E-14 |
| 274 | 184 | Q_neve | 5.388E-15 | 6.894E-15 |
| 274 | 185 | Q_neve | 2.265E-14 | -2.683E-14 |

Table 20: Element Forces - Area Shells, Part 3 of 3

| Area | Joint | OutputCase | V13 KN/m | V23 KN/m |
|------|-------|----------------|-------------|-------------|
| 274 | 181 | Q_neve | 1.362E-14 | 1.924E-14 |
| 275 | 181 | DEAD | -1.000E-13 | -8.806E-14 |
| 275 | 185 | DEAD | -1.225E-13 | -1.451E-13 |
| 275 | 186 | DEAD | 8.102E-14 | -1.210E-13 |
| 275 | 182 | DEAD | 7.499E-14 | -1.780E-13 |
| 275 | 181 | G1_smistamento | -8.585E-02 | 0.71 |
| 275 | 185 | G1_smistamento | -8.585E-02 | 0.71 |
| 275 | 186 | G1_smistamento | -8.382E-02 | 0.71 |
| 275 | 182 | G1_smistamento | -8.382E-02 | 0.71 |
| 275 | 181 | G2_smistamento | -3.183E-02 | 0.26 |
| 275 | 185 | G2_smistamento | -3.183E-02 | 0.26 |
| 275 | 186 | G2_smistamento | -3.107E-02 | 0.26 |
| 275 | 182 | G2_smistamento | -3.107E-02 | 0.26 |
| 275 | 181 | Q_smistamento | -3.183E-02 | 0.26 |
| 275 | 185 | Q_smistamento | -3.183E-02 | 0.26 |
| 275 | 186 | Q_smistamento | -3.107E-02 | 0.26 |
| 275 | 182 | Q_smistamento | -3.107E-02 | 0.26 |
| 275 | 181 | Q_neve | -2.453E-14 | -1.157E-14 |
| 275 | 185 | Q_neve | -2.693E-14 | -3.029E-14 |
| 275 | 186 | Q_neve | 2.690E-14 | -3.832E-14 |
| 275 | 182 | Q_neve | 4.713E-14 | -3.029E-14 |
| 276 | 182 | DEAD | -6.676E-14 | 6.397E-14 |
| 276 | 186 | DEAD | -6.676E-14 | -5.888E-14 |
| 276 | 120 | DEAD | 1.143E-13 | 3.105E-14 |
| 276 | 122 | DEAD | 1.143E-13 | 3.987E-14 |
| 276 | 182 | G1_smistamento | -8.299E-02 | 1.87 |
| 276 | 186 | G1_smistamento | -8.299E-02 | 1.87 |
| 276 | 120 | G1_smistamento | -8.004E-02 | 1.87 |
| 276 | 122 | G1_smistamento | -8.004E-02 | 1.87 |
| 276 | 182 | G2_smistamento | -3.076E-02 | 0.69 |
| 276 | 186 | G2_smistamento | -3.076E-02 | 0.69 |
| 276 | 120 | G2_smistamento | -2.967E-02 | 0.69 |
| 276 | 122 | G2_smistamento | -2.967E-02 | 0.69 |
| 276 | 182 | Q_smistamento | -3.076E-02 | 0.69 |
| 276 | 186 | Q_smistamento | -3.076E-02 | 0.69 |
| 276 | 120 | Q_smistamento | -2.967E-02 | 0.69 |
| 276 | 122 | Q_smistamento | -2.967E-02 | 0.69 |
| 276 | 182 | Q_neve | 7.181E-15 | 1.730E-14 |

Table 20: Element Forces - Area Shells, Part 3 of 3

| Area | Joint | OutputCase | V13 | V23 |
|------|-------|----------------|------------|------------|
| | | | KN/m | KN/m |
| 276 | 186 | Q_neve | 7.181E-15 | -3.129E-15 |
| 276 | 120 | Q_neve | 4.627E-14 | 2.896E-15 |
| 276 | 122 | Q_neve | 4.627E-14 | -5.186E-15 |
| 277 | 86 | DEAD | -5.192E-14 | -4.751E-14 |
| 277 | 88 | DEAD | 1.761E-13 | -6.838E-14 |
| 277 | 187 | DEAD | 1.391E-14 | -4.751E-14 |
| 277 | 183 | DEAD | 2.420E-13 | 3.037E-14 |
| 277 | 86 | G1_smistamento | -0.17 | -1.87 |
| 277 | 88 | G1_smistamento | -0.17 | -1.88 |
| 277 | 187 | G1_smistamento | -0.18 | -1.88 |
| 277 | 183 | G1_smistamento | -0.18 | -1.87 |
| 277 | 86 | G2_smistamento | -6.261E-02 | -0.69 |
| 277 | 88 | G2_smistamento | -6.261E-02 | -0.7 |
| 277 | 187 | G2_smistamento | -6.508E-02 | -0.7 |
| 277 | 183 | G2_smistamento | -6.508E-02 | -0.69 |
| 277 | 86 | Q_smistamento | -6.261E-02 | -0.69 |
| 277 | 88 | Q_smistamento | -6.261E-02 | -0.7 |
| 277 | 187 | Q_smistamento | -6.508E-02 | -0.7 |
| 277 | 183 | Q_smistamento | -6.508E-02 | -0.69 |
| 277 | 86 | Q_neve | -2.790E-14 | -5.228E-15 |
| 277 | 88 | Q_neve | 3.392E-14 | 3.055E-15 |
| 277 | 187 | Q_neve | 2.958E-15 | -1.140E-14 |
| 277 | 183 | Q_neve | 1.952E-14 | 1.951E-14 |
| 278 | 183 | DEAD | 1.248E-13 | 9.468E-14 |
| 278 | 187 | DEAD | -3.580E-14 | -5.947E-14 |
| 278 | 188 | DEAD | 1.413E-13 | 2.885E-14 |
| 278 | 184 | DEAD | -6.872E-14 | 1.545E-13 |
| 278 | 183 | G1_smistamento | -0.18 | -0.71 |
| 278 | 187 | G1_smistamento | -0.18 | -0.71 |
| 278 | 188 | G1_smistamento | -0.18 | -0.71 |
| 278 | 184 | G1_smistamento | -0.18 | -0.71 |
| 278 | 183 | G2_smistamento | -6.560E-02 | -0.26 |
| 278 | 187 | G2_smistamento | -6.560E-02 | -0.26 |
| 278 | 188 | G2_smistamento | -6.734E-02 | -0.26 |
| 278 | 184 | G2_smistamento | -6.734E-02 | -0.26 |
| 278 | 183 | Q_smistamento | -6.560E-02 | -0.26 |
| 278 | 187 | Q_smistamento | -6.560E-02 | -0.26 |
| 278 | 188 | Q_smistamento | -6.734E-02 | -0.26 |

Table 20: Element Forces - Area Shells, Part 3 of 3

| Area | Joint | OutputCase | V13 KN/m | V23 KN/m |
|------|-------|----------------|-------------|-------------|
| 278 | 184 | Q_smistamento | -6.734E-02 | -0.26 |
| 278 | 183 | Q_neve | -3.435E-15 | 3.637E-15 |
| 278 | 187 | Q_neve | -1.789E-14 | 1.493E-14 |
| 278 | 188 | Q_neve | 2.125E-14 | -1.076E-14 |
| 278 | 184 | Q_neve | -3.489E-15 | 3.139E-14 |
| 279 | 184 | DEAD | 3.698E-14 | 2.189E-14 |
| 279 | 188 | DEAD | 2.217E-13 | 1.464E-13 |
| 279 | 189 | DEAD | -1.605E-13 | 1.206E-13 |
| 279 | 185 | DEAD | 1.394E-13 | 1.957E-13 |
| 279 | 184 | G1_smistamento | -0.18 | -3.987E-14 |
| 279 | 188 | G1_smistamento | -0.18 | 2.452E-13 |
| 279 | 189 | G1_smistamento | -0.18 | 5.888E-14 |
| 279 | 185 | G1_smistamento | -0.18 | 3.439E-13 |
| 279 | 184 | G2_smistamento | -6.757E-02 | -1.568E-15 |
| 279 | 188 | G2_smistamento | -6.757E-02 | 1.199E-13 |
| 279 | 189 | G2_smistamento | -6.757E-02 | 3.958E-14 |
| 279 | 185 | G2_smistamento | -6.757E-02 | 1.034E-13 |
| 279 | 184 | Q_smistamento | -6.757E-02 | -1.568E-15 |
| 279 | 188 | Q_smistamento | -6.757E-02 | 1.199E-13 |
| 279 | 189 | Q_smistamento | -6.757E-02 | 3.958E-14 |
| 279 | 185 | Q_smistamento | -6.757E-02 | 1.034E-13 |
| 279 | 184 | Q_neve | 9.883E-15 | 1.675E-14 |
| 279 | 188 | Q_neve | 2.233E-14 | 2.743E-14 |
| 279 | 189 | Q_neve | -3.126E-14 | 1.057E-14 |
| 279 | 185 | Q_neve | 3.468E-14 | 2.126E-14 |
| 280 | 185 | DEAD | 7.279E-14 | -1.663E-13 |
| 280 | 189 | DEAD | 9.688E-14 | -9.884E-14 |
| 280 | 190 | DEAD | -9.179E-14 | -1.663E-13 |
| 280 | 186 | DEAD | -1.864E-15 | -1.482E-13 |
| 280 | 185 | G1_smistamento | -0.18 | 0.71 |
| 280 | 189 | G1_smistamento | -0.18 | 0.71 |
| 280 | 190 | G1_smistamento | -0.18 | 0.71 |
| 280 | 186 | G1_smistamento | -0.18 | 0.71 |
| 280 | 185 | G2_smistamento | -6.734E-02 | 0.26 |
| 280 | 189 | G2_smistamento | -6.734E-02 | 0.26 |
| 280 | 190 | G2_smistamento | -6.560E-02 | 0.26 |
| 280 | 186 | G2_smistamento | -6.560E-02 | 0.26 |
| 280 | 185 | Q_smistamento | -6.734E-02 | 0.26 |

Table 20: Element Forces - Area Shells, Part 3 of 3

| Area | Joint | OutputCase | V13 KN/m | V23 KN/m |
|------|-------|----------------|-------------|-------------|
| 280 | 189 | Q_smistamento | -6.734E-02 | 0.26 |
| 280 | 190 | Q_smistamento | -6.560E-02 | 0.26 |
| 280 | 186 | Q_smistamento | -6.560E-02 | 0.26 |
| 280 | 185 | Q_neve | 1.646E-14 | -3.999E-14 |
| 280 | 189 | Q_neve | 0. | -2.100E-15 |
| 280 | 190 | Q_neve | -1.646E-14 | -5.028E-14 |
| 280 | 186 | Q_neve | 0. | -6.214E-15 |
| 281 | 186 | DEAD | -1.278E-13 | -9.161E-15 |
| 281 | 190 | DEAD | -8.450E-14 | 3.419E-14 |
| 281 | 118 | DEAD | 1.849E-13 | 5.667E-14 |
| 281 | 120 | DEAD | 1.130E-13 | -1.519E-14 |
| 281 | 186 | G1_smistamento | -0.18 | 1.87 |
| 281 | 190 | G1_smistamento | -0.18 | 1.88 |
| 281 | 118 | G1_smistamento | -0.17 | 1.88 |
| 281 | 120 | G1_smistamento | -0.17 | 1.87 |
| 281 | 186 | G2_smistamento | -6.508E-02 | 0.69 |
| 281 | 190 | G2_smistamento | -6.508E-02 | 0.7 |
| 281 | 118 | G2_smistamento | -6.261E-02 | 0.7 |
| 281 | 120 | G2_smistamento | -6.261E-02 | 0.69 |
| 281 | 186 | Q_smistamento | -6.508E-02 | 0.69 |
| 281 | 190 | Q_smistamento | -6.508E-02 | 0.7 |
| 281 | 118 | Q_smistamento | -6.261E-02 | 0.7 |
| 281 | 120 | Q_smistamento | -6.261E-02 | 0.69 |
| 281 | 186 | Q_neve | -1.071E-14 | 2.138E-14 |
| 281 | 190 | Q_neve | -3.681E-14 | -1.837E-14 |
| 281 | 118 | Q_neve | 4.278E-14 | 2.138E-14 |
| 281 | 120 | Q_neve | -5.950E-15 | -1.014E-14 |
| 282 | 88 | DEAD | -7.661E-14 | -1.995E-13 |
| 282 | 90 | DEAD | -7.822E-14 | -1.064E-13 |
| 282 | 191 | DEAD | 3.860E-14 | -1.995E-13 |
| 282 | 187 | DEAD | -4.531E-14 | -7.638E-15 |
| 282 | 88 | G1_smistamento | -0.27 | -1.88 |
| 282 | 90 | G1_smistamento | -0.27 | -1.89 |
| 282 | 191 | G1_smistamento | -0.28 | -1.89 |
| 282 | 187 | G1_smistamento | -0.28 | -1.88 |
| 282 | 88 | G2_smistamento | -9.834E-02 | -0.7 |
| 282 | 90 | G2_smistamento | -9.834E-02 | -0.7 |
| 282 | 191 | G2_smistamento | -0.1 | -0.7 |

Table 20: Element Forces - Area Shells, Part 3 of 3

| Area | Joint | OutputCase | V13 KN/m | V23 KN/m |
|------|-------|----------------|-------------|-------------|
| 282 | 187 | G2_smistamento | -0.1 | -0.7 |
| 282 | 88 | Q_smistamento | -9.834E-02 | -0.7 |
| 282 | 90 | Q_smistamento | -9.834E-02 | -0.7 |
| 282 | 191 | Q_smistamento | -0.1 | -0.7 |
| 282 | 187 | Q_smistamento | -0.1 | -0.7 |
| 282 | 88 | Q_neve | -1.673E-14 | -4.264E-14 |
| 282 | 90 | Q_neve | -3.079E-14 | 7.794E-15 |
| 282 | 191 | Q_neve | 2.030E-14 | -4.881E-14 |
| 282 | 187 | Q_neve | 1.653E-14 | -6.607E-15 |
| 283 | 187 | DEAD | 9.561E-14 | 3.137E-15 |
| 283 | 191 | DEAD | 7.313E-14 | 1.681E-13 |
| 283 | 192 | DEAD | -1.959E-14 | -7.915E-14 |
| 283 | 188 | DEAD | -2.562E-14 | 6.940E-14 |
| 283 | 187 | G1_smistamento | -0.28 | -0.72 |
| 283 | 191 | G1_smistamento | -0.28 | -0.72 |
| 283 | 192 | G1_smistamento | -0.29 | -0.72 |
| 283 | 188 | G1_smistamento | -0.29 | -0.72 |
| 283 | 187 | G2_smistamento | -0.1 | -0.27 |
| 283 | 191 | G2_smistamento | -0.1 | -0.27 |
| 283 | 192 | G2_smistamento | -0.11 | -0.27 |
| 283 | 188 | G2_smistamento | -0.11 | -0.27 |
| 283 | 187 | Q_smistamento | -0.1 | -0.27 |
| 283 | 191 | Q_smistamento | -0.1 | -0.27 |
| 283 | 192 | Q_smistamento | -0.11 | -0.27 |
| 283 | 188 | Q_smistamento | -0.11 | -0.27 |
| 283 | 187 | Q_neve | 1.966E-14 | 1.566E-14 |
| 283 | 191 | Q_neve | 3.412E-14 | 3.148E-14 |
| 283 | 192 | Q_neve | -2.560E-14 | -2.754E-14 |
| 283 | 188 | Q_neve | -8.581E-16 | 3.148E-14 |
| 284 | 188 | DEAD | 1.959E-14 | 1.561E-13 |
| 284 | 192 | DEAD | -1.169E-13 | -4.301E-14 |
| 284 | 193 | DEAD | -9.561E-14 | 2.444E-14 |
| 284 | 189 | DEAD | -2.157E-13 | 1.380E-13 |
| 284 | 188 | G1_smistamento | -0.29 | 2.752E-13 |
| 284 | 192 | G1_smistamento | -0.29 | -1.760E-13 |
| 284 | 193 | G1_smistamento | -0.29 | 2.094E-13 |
| 284 | 189 | G1_smistamento | -0.29 | 5.001E-15 |
| 284 | 188 | G2_smistamento | -0.11 | 1.385E-13 |

Table 20: Element Forces - Area Shells, Part 3 of 3

| Area | Joint | OutputCase | V13 KN/m | V23 KN/m |
|------|-------|----------------|-------------|-------------|
| 284 | 192 | G2_smistamento | -0.11 | -3.448E-14 |
| 284 | 193 | G2_smistamento | -0.11 | 5.625E-14 |
| 284 | 189 | G2_smistamento | -0.11 | 7.249E-14 |
| 284 | 188 | Q_smistamento | -0.11 | 1.385E-13 |
| 284 | 192 | Q_smistamento | -0.11 | -3.448E-14 |
| 284 | 193 | Q_smistamento | -0.11 | 5.625E-14 |
| 284 | 189 | Q_smistamento | -0.11 | 7.249E-14 |
| 284 | 188 | Q_neve | -1.220E-14 | 3.704E-14 |
| 284 | 192 | Q_neve | -2.906E-14 | -3.350E-15 |
| 284 | 193 | Q_neve | -1.631E-14 | -6.160E-15 |
| 284 | 189 | Q_neve | -2.083E-14 | 3.780E-14 |
| 285 | 189 | DEAD | 2.826E-14 | 3.555E-14 |
| 285 | 193 | DEAD | -1.099E-13 | 1.130E-13 |
| 285 | 194 | DEAD | 2.093E-13 | 2.495E-13 |
| 285 | 190 | DEAD | 5.342E-15 | -8.450E-14 |
| 285 | 189 | G1_smistamento | -0.29 | 0.72 |
| 285 | 193 | G1_smistamento | -0.29 | 0.72 |
| 285 | 194 | G1_smistamento | -0.28 | 0.72 |
| 285 | 190 | G1_smistamento | -0.28 | 0.72 |
| 285 | 189 | G2_smistamento | -0.11 | 0.27 |
| 285 | 193 | G2_smistamento | -0.11 | 0.27 |
| 285 | 194 | G2_smistamento | -0.1 | 0.27 |
| 285 | 190 | G2_smistamento | -0.1 | 0.27 |
| 285 | 189 | Q_smistamento | -0.11 | 0.27 |
| 285 | 193 | Q_smistamento | -0.11 | 0.27 |
| 285 | 194 | Q_smistamento | -0.1 | 0.27 |
| 285 | 190 | Q_smistamento | -0.1 | 0.27 |
| 285 | 189 | Q_neve | 1.106E-14 | 1.687E-14 |
| 285 | 193 | Q_neve | -3.471E-14 | 2.696E-14 |
| 285 | 194 | Q_neve | 5.426E-14 | 3.539E-14 |
| 285 | 190 | Q_neve | 2.642E-16 | 1.461E-14 |
| 286 | 190 | DEAD | 1.614E-15 | -5.353E-14 |
| 286 | 194 | DEAD | 4.658E-14 | -1.599E-13 |
| 286 | 116 | DEAD | 8.390E-14 | -6.999E-14 |
| 286 | 118 | DEAD | 9.595E-14 | -7.763E-14 |
| 286 | 190 | G1_smistamento | -0.28 | 1.88 |
| 286 | 194 | G1_smistamento | -0.28 | 1.89 |
| 286 | 116 | G1_smistamento | -0.27 | 1.89 |

Table 20: Element Forces - Area Shells, Part 3 of 3

| Area | Joint | OutputCase | V13 | V23 |
|------|-------|----------------|------------|------------|
| | | | KN/m | KN/m |
| 286 | 118 | G1_smistamento | -0.27 | 1.88 |
| 286 | 190 | G2_smistamento | -0.1 | 0.7 |
| 286 | 194 | G2_smistamento | -0.1 | 0.7 |
| 286 | 116 | G2_smistamento | -9.834E-02 | 0.7 |
| 286 | 118 | G2_smistamento | -9.834E-02 | 0.7 |
| 286 | 190 | Q_smistamento | -0.1 | 0.7 |
| 286 | 194 | Q_smistamento | -0.1 | 0.7 |
| 286 | 116 | Q_smistamento | -9.834E-02 | 0.7 |
| 286 | 118 | Q_smistamento | -9.834E-02 | 0.7 |
| 286 | 190 | Q_neve | -1.931E-14 | -5.663E-15 |
| 286 | 194 | Q_neve | 7.644E-16 | -7.371E-15 |
| 286 | 116 | Q_neve | 7.433E-15 | -9.778E-15 |
| 286 | 118 | Q_neve | 3.368E-14 | -2.589E-14 |
| 287 | 90 | DEAD | -5.794E-14 | -5.388E-14 |
| 287 | 92 | DEAD | -8.204E-14 | -1.586E-13 |
| 287 | 195 | DEAD | -8.570E-15 | -1.362E-13 |
| 287 | 191 | DEAD | -9.850E-14 | -5.990E-14 |
| 287 | 90 | G1_smistamento | -0.35 | -1.89 |
| 287 | 92 | G1_smistamento | -0.35 | -1.89 |
| 287 | 195 | G1_smistamento | -0.37 | -1.89 |
| 287 | 191 | G1_smistamento | -0.37 | -1.89 |
| 287 | 90 | G2_smistamento | -0.13 | -0.7 |
| 287 | 92 | G2_smistamento | -0.13 | -0.7 |
| 287 | 195 | G2_smistamento | -0.14 | -0.7 |
| 287 | 191 | G2_smistamento | -0.14 | -0.7 |
| 287 | 90 | Q_smistamento | -0.13 | -0.7 |
| 287 | 92 | Q_smistamento | -0.13 | -0.7 |
| 287 | 195 | Q_smistamento | -0.14 | -0.7 |
| 287 | 191 | Q_smistamento | -0.14 | -0.7 |
| 287 | 90 | Q_neve | -6.967E-15 | -3.294E-14 |
| 287 | 92 | Q_neve | -1.018E-14 | 8.528E-17 |
| 287 | 195 | Q_neve | -4.910E-15 | -2.882E-14 |
| 287 | 191 | Q_neve | -2.664E-14 | 1.654E-14 |
| 288 | 191 | DEAD | 2.757E-14 | 3.664E-13 |
| 288 | 195 | DEAD | -4.149E-14 | 2.316E-14 |
| 288 | 196 | DEAD | 7.695E-14 | 2.512E-13 |
| 288 | 192 | DEAD | -2.503E-14 | 1.384E-13 |
| 288 | 191 | G1_smistamento | -0.37 | -0.72 |

Table 20: Element Forces - Area Shells, Part 3 of 3

| Area | Joint | OutputCase | V13 KN/m | V23 KN/m |
|------|-------|----------------|-------------|-------------|
| 288 | 195 | G1_smistamento | -0.37 | -0.72 |
| 288 | 196 | G1_smistamento | -0.38 | -0.72 |
| 288 | 192 | G1_smistamento | -0.38 | -0.72 |
| 288 | 191 | G2_smistamento | -0.14 | -0.27 |
| 288 | 195 | G2_smistamento | -0.14 | -0.27 |
| 288 | 196 | G2_smistamento | -0.14 | -0.27 |
| 288 | 192 | G2_smistamento | -0.14 | -0.27 |
| 288 | 191 | Q_smistamento | -0.14 | -0.27 |
| 288 | 195 | Q_smistamento | -0.14 | -0.27 |
| 288 | 196 | Q_smistamento | -0.14 | -0.27 |
| 288 | 192 | Q_smistamento | -0.14 | -0.27 |
| 288 | 191 | Q_neve | -1.828E-14 | 6.231E-14 |
| 288 | 195 | Q_neve | -2.390E-14 | 8.718E-15 |
| 288 | 196 | Q_neve | 6.405E-15 | 5.409E-14 |
| 288 | 192 | Q_neve | 4.899E-15 | 2.929E-14 |
| 289 | 192 | DEAD | 7.220E-14 | -5.006E-14 |
| 289 | 196 | DEAD | 2.885E-14 | -1.247E-13 |
| 289 | 197 | DEAD | 2.282E-14 | -8.297E-14 |
| 289 | 193 | DEAD | 9.468E-14 | 1.057E-13 |
| 289 | 192 | G1_smistamento | -0.38 | -6.931E-14 |
| 289 | 196 | G1_smistamento | -0.38 | -2.327E-13 |
| 289 | 197 | G1_smistamento | -0.38 | 7.881E-14 |
| 289 | 193 | G1_smistamento | -0.38 | 1.416E-14 |
| 289 | 192 | G2_smistamento | -0.14 | 3.466E-14 |
| 289 | 196 | G2_smistamento | -0.14 | -7.232E-14 |
| 289 | 197 | G2_smistamento | -0.14 | -3.941E-14 |
| 289 | 193 | G2_smistamento | -0.14 | 6.757E-14 |
| 289 | 192 | Q_smistamento | -0.14 | 3.466E-14 |
| 289 | 196 | Q_smistamento | -0.14 | -7.232E-14 |
| 289 | 197 | Q_smistamento | -0.14 | -3.941E-14 |
| 289 | 193 | Q_smistamento | -0.14 | 6.757E-14 |
| 289 | 192 | Q_neve | 4.825E-15 | 9.099E-15 |
| 289 | 196 | Q_neve | 1.928E-14 | -5.041E-14 |
| 289 | 197 | Q_neve | -9.576E-15 | -1.147E-14 |
| 289 | 193 | Q_neve | 1.517E-14 | 1.953E-14 |
| 290 | 193 | DEAD | -4.471E-14 | 1.150E-13 |
| 290 | 197 | DEAD | 6.608E-14 | -1.351E-13 |
| 290 | 198 | DEAD | -1.928E-13 | 6.558E-14 |

Table 20: Element Forces - Area Shells, Part 3 of 3

| Area | Joint | OutputCase | V13 KN/m | V23 KN/m |
|------|-------|----------------|-------------|-------------|
| 290 | 194 | DEAD | -2.466E-13 | 1.446E-13 |
| 290 | 193 | G1_smistamento | -0.38 | 0.72 |
| 290 | 197 | G1_smistamento | -0.38 | 0.72 |
| 290 | 198 | G1_smistamento | -0.37 | 0.72 |
| 290 | 194 | G1_smistamento | -0.37 | 0.72 |
| 290 | 193 | G2_smistamento | -0.14 | 0.27 |
| 290 | 197 | G2_smistamento | -0.14 | 0.27 |
| 290 | 198 | G2_smistamento | -0.14 | 0.27 |
| 290 | 194 | G2_smistamento | -0.14 | 0.27 |
| 290 | 193 | Q_smistamento | -0.14 | 0.27 |
| 290 | 197 | Q_smistamento | -0.14 | 0.27 |
| 290 | 198 | Q_smistamento | -0.14 | 0.27 |
| 290 | 194 | Q_smistamento | -0.14 | 0.27 |
| 290 | 193 | Q_neve | -2.830E-14 | 1.596E-14 |
| 290 | 197 | Q_neve | -6.226E-15 | -1.460E-14 |
| 290 | 198 | Q_neve | -1.802E-14 | 3.036E-14 |
| 290 | 194 | Q_neve | -3.297E-14 | 3.913E-15 |
| 291 | 194 | DEAD | -1.602E-13 | -9.561E-14 |
| 291 | 198 | DEAD | -3.015E-13 | -1.169E-13 |
| 291 | 114 | DEAD | 1.032E-13 | 1.959E-14 |
| 291 | 116 | DEAD | -2.686E-13 | -2.157E-13 |
| 291 | 194 | G1_smistamento | -0.37 | 1.89 |
| 291 | 198 | G1_smistamento | -0.37 | 1.89 |
| 291 | 114 | G1_smistamento | -0.35 | 1.89 |
| 291 | 116 | G1_smistamento | -0.35 | 1.89 |
| 291 | 194 | G2_smistamento | -0.14 | 0.7 |
| 291 | 198 | G2_smistamento | -0.14 | 0.7 |
| 291 | 114 | G2_smistamento | -0.13 | 0.7 |
| 291 | 116 | G2_smistamento | -0.13 | 0.7 |
| 291 | 194 | Q_smistamento | -0.14 | 0.7 |
| 291 | 198 | Q_smistamento | -0.14 | 0.7 |
| 291 | 114 | Q_smistamento | -0.13 | 0.7 |
| 291 | 116 | Q_smistamento | -0.13 | 0.7 |
| 291 | 194 | Q_neve | -4.872E-14 | 4.635E-15 |
| 291 | 198 | Q_neve | -2.985E-14 | -1.730E-14 |
| 291 | 114 | Q_neve | 4.771E-15 | 1.081E-14 |
| 291 | 116 | Q_neve | -3.191E-14 | -2.896E-15 |
| 292 | 92 | DEAD | -1.337E-13 | 5.353E-14 |

Table 20: Element Forces - Area Shells, Part 3 of 3

| Area | Joint | OutputCase | V13 KN/m | V23 KN/m |
|------|-------|----------------|-------------|-------------|
| 292 | 94 | DEAD | 7.638E-15 | -6.813E-14 |
| 292 | 199 | DEAD | -2.654E-13 | 6.999E-14 |
| 292 | 195 | DEAD | 1.064E-13 | -1.504E-13 |
| 292 | 92 | G1_smistamento | -0.36 | -1.9 |
| 292 | 94 | G1_smistamento | -0.36 | -1.89 |
| 292 | 199 | G1_smistamento | -0.39 | -1.89 |
| 292 | 195 | G1_smistamento | -0.39 | -1.9 |
| 292 | 92 | G2_smistamento | -0.13 | -0.71 |
| 292 | 94 | G2_smistamento | -0.13 | -0.7 |
| 292 | 199 | G2_smistamento | -0.14 | -0.7 |
| 292 | 195 | G2_smistamento | -0.14 | -0.71 |
| 292 | 92 | Q_smistamento | -0.13 | -0.71 |
| 292 | 94 | Q_smistamento | -0.13 | -0.7 |
| 292 | 199 | Q_smistamento | -0.14 | -0.7 |
| 292 | 195 | Q_smistamento | -0.14 | -0.71 |
| 292 | 92 | Q_neve | -8.368E-15 | 2.444E-16 |
| 292 | 94 | Q_neve | 9.300E-15 | -9.121E-16 |
| 292 | 199 | Q_neve | -4.746E-14 | 1.876E-14 |
| 292 | 195 | Q_neve | -9.860E-16 | -5.027E-15 |
| 293 | 195 | DEAD | -7.831E-14 | 7.347E-14 |
| 293 | 199 | DEAD | 7.745E-14 | 1.969E-14 |
| 293 | 200 | DEAD | -2.923E-13 | 4.055E-14 |
| 293 | 196 | DEAD | -3.340E-13 | 1.514E-13 |
| 293 | 195 | G1_smistamento | -0.38 | -0.73 |
| 293 | 199 | G1_smistamento | -0.38 | -0.71 |
| 293 | 200 | G1_smistamento | -0.4 | -0.71 |
| 293 | 196 | G1_smistamento | -0.4 | -0.73 |
| 293 | 195 | G2_smistamento | -0.14 | -0.27 |
| 293 | 199 | G2_smistamento | -0.14 | -0.26 |
| 293 | 200 | G2_smistamento | -0.15 | -0.26 |
| 293 | 196 | G2_smistamento | -0.15 | -0.27 |
| 293 | 195 | Q_smistamento | -0.14 | -0.27 |
| 293 | 199 | Q_smistamento | -0.14 | -0.26 |
| 293 | 200 | Q_smistamento | -0.15 | -0.26 |
| 293 | 196 | Q_smistamento | -0.15 | -0.27 |
| 293 | 195 | Q_neve | -2.230E-14 | 3.487E-14 |
| 293 | 199 | Q_neve | 5.396E-15 | -1.170E-14 |
| 293 | 200 | Q_neve | -5.728E-14 | 1.952E-15 |

Table 20: Element Forces - Area Shells, Part 3 of 3

| Area | Joint | OutputCase | V13 KN/m | V23 KN/m |
|------|-------|----------------|-------------|-------------|
| 293 | 196 | Q_neve | -7.072E-14 | 5.208E-14 |
| 294 | 196 | DEAD | -3.477E-13 | -1.900E-14 |
| 294 | 200 | DEAD | -2.995E-13 | -9.129E-14 |
| 294 | 201 | DEAD | -5.142E-14 | -1.900E-14 |
| 294 | 197 | DEAD | 1.284E-13 | -2.888E-13 |
| 294 | 196 | G1_smistamento | -0.4 | 1.162E-14 |
| 294 | 200 | G1_smistamento | -0.4 | -2.714E-13 |
| 294 | 201 | G1_smistamento | -0.4 | -2.682E-13 |
| 294 | 197 | G1_smistamento | -0.4 | -1.562E-13 |
| 294 | 196 | G2_smistamento | -0.15 | -3.975E-14 |
| 294 | 200 | G2_smistamento | -0.15 | -5.561E-14 |
| 294 | 201 | G2_smistamento | -0.15 | -3.152E-14 |
| 294 | 197 | G2_smistamento | -0.15 | -1.297E-13 |
| 294 | 196 | Q_smistamento | -0.15 | -3.975E-14 |
| 294 | 200 | Q_smistamento | -0.15 | -5.561E-14 |
| 294 | 201 | Q_smistamento | -0.15 | -3.152E-14 |
| 294 | 197 | Q_smistamento | -0.15 | -1.297E-13 |
| 294 | 196 | Q_neve | -6.316E-14 | -2.842E-14 |
| 294 | 200 | Q_neve | -5.714E-14 | -1.237E-14 |
| 294 | 201 | Q_neve | 1.090E-14 | -1.196E-14 |
| 294 | 197 | Q_neve | 3.338E-14 | -4.940E-14 |
| 295 | 197 | DEAD | 6.260E-14 | -1.152E-13 |
| 295 | 201 | DEAD | 8.670E-14 | 7.024E-14 |
| 295 | 202 | DEAD | -2.336E-13 | 1.152E-13 |
| 295 | 198 | DEAD | -1.437E-13 | -1.273E-13 |
| 295 | 197 | G1_smistamento | -0.4 | 0.73 |
| 295 | 201 | G1_smistamento | -0.4 | 0.71 |
| 295 | 202 | G1_smistamento | -0.38 | 0.71 |
| 295 | 198 | G1_smistamento | -0.38 | 0.73 |
| 295 | 197 | G2_smistamento | -0.15 | 0.27 |
| 295 | 201 | G2_smistamento | -0.15 | 0.26 |
| 295 | 202 | G2_smistamento | -0.14 | 0.26 |
| 295 | 198 | G2_smistamento | -0.14 | 0.27 |
| 295 | 197 | Q_smistamento | -0.15 | 0.27 |
| 295 | 201 | Q_smistamento | -0.15 | 0.26 |
| 295 | 202 | Q_smistamento | -0.14 | 0.26 |
| 295 | 198 | Q_smistamento | -0.14 | 0.27 |
| 295 | 197 | Q_neve | 3.700E-15 | -2.096E-14 |

Table 20: Element Forces - Area Shells, Part 3 of 3

| Area | Joint | OutputCase | V13 | V23 |
|------|-------|----------------|------------|------------|
| | | | KN/m | KN/m |
| 295 | 201 | Q_neve | 1.253E-14 | 1.682E-14 |
| 295 | 202 | Q_neve | -5.596E-14 | 3.047E-14 |
| 295 | 198 | Q_neve | -3.273E-14 | -3.754E-15 |
| 296 | 198 | DEAD | -1.206E-13 | -1.357E-14 |
| 296 | 202 | DEAD | -2.122E-13 | 1.647E-13 |
| 296 | 112 | DEAD | -2.189E-14 | 1.181E-13 |
| 296 | 114 | DEAD | -1.299E-13 | 8.238E-14 |
| 296 | 198 | G1_smistamento | -0.39 | 1.9 |
| 296 | 202 | G1_smistamento | -0.39 | 1.89 |
| 296 | 112 | G1_smistamento | -0.36 | 1.89 |
| 296 | 114 | G1_smistamento | -0.36 | 1.9 |
| 296 | 198 | G2_smistamento | -0.14 | 0.71 |
| 296 | 202 | G2_smistamento | -0.14 | 0.7 |
| 296 | 112 | G2_smistamento | -0.13 | 0.7 |
| 296 | 114 | G2_smistamento | -0.13 | 0.71 |
| 296 | 198 | Q_smistamento | -0.14 | 0.71 |
| 296 | 202 | Q_smistamento | -0.14 | 0.7 |
| 296 | 112 | Q_smistamento | -0.13 | 0.7 |
| 296 | 114 | Q_smistamento | -0.13 | 0.71 |
| 296 | 198 | Q_neve | -3.969E-14 | 1.557E-14 |
| 296 | 202 | Q_neve | -5.696E-14 | 3.183E-14 |
| 296 | 112 | Q_neve | 7.624E-15 | 4.026E-14 |
| 296 | 114 | Q_neve | -1.787E-14 | 1.331E-14 |
| 297 | 94 | DEAD | -2.469E-14 | -1.587E-14 |
| 297 | 96 | DEAD | -9.213E-14 | 5.922E-14 |
| 297 | 203 | DEAD | 2.469E-14 | -9.816E-14 |
| 297 | 199 | DEAD | 6.615E-15 | 2.630E-14 |
| 297 | 94 | G1_smistamento | -0.22 | -1.9 |
| 297 | 96 | G1_smistamento | -0.22 | -1.84 |
| 297 | 203 | G1_smistamento | -0.25 | -1.84 |
| 297 | 199 | G1_smistamento | -0.25 | -1.9 |
| 297 | 94 | G2_smistamento | -8.112E-02 | -0.71 |
| 297 | 96 | G2_smistamento | -8.112E-02 | -0.68 |
| 297 | 203 | G2_smistamento | -9.287E-02 | -0.68 |
| 297 | 199 | G2_smistamento | -9.287E-02 | -0.71 |
| 297 | 94 | Q_smistamento | -8.112E-02 | -0.71 |
| 297 | 96 | Q_smistamento | -8.112E-02 | -0.68 |
| 297 | 203 | Q_smistamento | -9.287E-02 | -0.68 |

Table 20: Element Forces - Area Shells, Part 3 of 3

| Area | Joint | OutputCase | V13 KN/m | V23 KN/m |
|------|-------|----------------|-------------|-------------|
| 297 | 199 | Q_smistamento | -9.287E-02 | -0.71 |
| 297 | 94 | Q_neve | 6.808E-15 | 1.463E-14 |
| 297 | 96 | Q_neve | -1.005E-14 | 6.808E-15 |
| 297 | 203 | Q_neve | 2.694E-15 | -2.651E-14 |
| 297 | 199 | Q_neve | -1.824E-15 | 2.694E-15 |
| 298 | 199 | DEAD | 9.586E-14 | 7.431E-14 |
| 298 | 203 | DEAD | 2.841E-14 | -3.164E-14 |
| 298 | 204 | DEAD | -2.004E-13 | -2.549E-13 |
| 298 | 200 | DEAD | -2.185E-13 | 5.065E-14 |
| 298 | 199 | G1_smistamento | -0.22 | -0.72 |
| 298 | 203 | G1_smistamento | -0.22 | -0.67 |
| 298 | 204 | G1_smistamento | -0.24 | -0.67 |
| 298 | 200 | G1_smistamento | -0.24 | -0.72 |
| 298 | 199 | G2_smistamento | -8.264E-02 | -0.27 |
| 298 | 203 | G2_smistamento | -8.264E-02 | -0.25 |
| 298 | 204 | G2_smistamento | -8.875E-02 | -0.25 |
| 298 | 200 | G2_smistamento | -8.875E-02 | -0.27 |
| 298 | 199 | Q_smistamento | -8.264E-02 | -0.27 |
| 298 | 203 | Q_smistamento | -8.264E-02 | -0.25 |
| 298 | 204 | Q_smistamento | -8.875E-02 | -0.25 |
| 298 | 200 | Q_smistamento | -8.875E-02 | -0.27 |
| 298 | 199 | Q_neve | 9.258E-15 | -5.950E-15 |
| 298 | 203 | Q_neve | -1.041E-14 | -6.300E-15 |
| 298 | 204 | Q_neve | -9.258E-15 | -3.681E-14 |
| 298 | 200 | Q_neve | -1.453E-14 | -1.864E-14 |
| 299 | 200 | DEAD | -1.808E-13 | -8.170E-14 |
| 299 | 204 | DEAD | -1.808E-13 | -1.688E-13 |
| 299 | 205 | DEAD | 2.497E-16 | -3.233E-14 |
| 299 | 201 | DEAD | 2.497E-16 | -2.017E-13 |
| 299 | 200 | G1_smistamento | -0.23 | -3.398E-13 |
| 299 | 204 | G1_smistamento | -0.23 | -1.708E-13 |
| 299 | 205 | G1_smistamento | -0.23 | -1.258E-13 |
| 299 | 201 | G1_smistamento | -0.23 | -3.518E-13 |
| 299 | 200 | G2_smistamento | -8.432E-02 | -6.774E-14 |
| 299 | 204 | G2_smistamento | -8.432E-02 | -7.398E-14 |
| 299 | 205 | G2_smistamento | -8.432E-02 | 3.924E-14 |
| 299 | 201 | G2_smistamento | -8.432E-02 | -1.398E-13 |
| 299 | 200 | Q_smistamento | -8.432E-02 | -6.774E-14 |

Table 20: Element Forces - Area Shells, Part 3 of 3

| Area | Joint | OutputCase | V13 KN/m | V23 KN/m |
|------|-------|----------------|-------------|-------------|
| 299 | 204 | Q_smistamento | -8.432E-02 | -7.398E-14 |
| 299 | 205 | Q_smistamento | -8.432E-02 | 3.924E-14 |
| 299 | 201 | Q_smistamento | -8.432E-02 | -1.398E-13 |
| 299 | 200 | Q_neve | -1.646E-14 | -1.207E-14 |
| 299 | 204 | Q_neve | -1.646E-14 | -2.843E-14 |
| 299 | 205 | Q_neve | 1.646E-14 | 8.505E-15 |
| 299 | 201 | Q_neve | 1.646E-14 | -4.283E-14 |
| 300 | 201 | DEAD | -1.020E-13 | 7.508E-14 |
| 300 | 205 | DEAD | -1.020E-13 | 7.949E-14 |
| 300 | 206 | DEAD | -6.906E-14 | 1.245E-13 |
| 300 | 202 | DEAD | -6.906E-14 | 6.304E-14 |
| 300 | 201 | G1_smistamento | -0.24 | 0.72 |
| 300 | 205 | G1_smistamento | -0.24 | 0.67 |
| 300 | 206 | G1_smistamento | -0.22 | 0.67 |
| 300 | 202 | G1_smistamento | -0.22 | 0.72 |
| 300 | 201 | G2_smistamento | -8.875E-02 | 0.27 |
| 300 | 205 | G2_smistamento | -8.875E-02 | 0.25 |
| 300 | 206 | G2_smistamento | -8.264E-02 | 0.25 |
| 300 | 202 | G2_smistamento | -8.264E-02 | 0.27 |
| 300 | 201 | Q_smistamento | -8.875E-02 | 0.27 |
| 300 | 205 | Q_smistamento | -8.875E-02 | 0.25 |
| 300 | 206 | Q_smistamento | -8.264E-02 | 0.25 |
| 300 | 202 | Q_smistamento | -8.264E-02 | 0.27 |
| 300 | 201 | Q_neve | -1.279E-16 | 6.364E-14 |
| 300 | 205 | Q_neve | 2.682E-15 | -2.473E-14 |
| 300 | 206 | Q_neve | -2.481E-14 | -4.251E-15 |
| 300 | 202 | Q_neve | -2.406E-14 | 1.642E-14 |
| 301 | 202 | DEAD | -6.108E-14 | 1.760E-13 |
| 301 | 206 | DEAD | -8.356E-14 | -1.832E-13 |
| 301 | 110 | DEAD | 7.058E-14 | -5.001E-15 |
| 301 | 112 | DEAD | 6.456E-14 | 2.117E-13 |
| 301 | 202 | G1_smistamento | -0.25 | 1.9 |
| 301 | 206 | G1_smistamento | -0.25 | 1.84 |
| 301 | 110 | G1_smistamento | -0.22 | 1.84 |
| 301 | 112 | G1_smistamento | -0.22 | 1.9 |
| 301 | 202 | G2_smistamento | -9.287E-02 | 0.71 |
| 301 | 206 | G2_smistamento | -9.287E-02 | 0.68 |
| 301 | 110 | G2_smistamento | -8.112E-02 | 0.68 |

Table 20: Element Forces - Area Shells, Part 3 of 3

| Area | Joint | OutputCase | V13 KN/m | V23 KN/m |
|------|-------|----------------|-------------|-------------|
| 301 | 112 | G2_smistamento | -8.112E-02 | 0.71 |
| 301 | 202 | Q_smistamento | -9.287E-02 | 0.71 |
| 301 | 206 | Q_smistamento | -9.287E-02 | 0.68 |
| 301 | 110 | Q_smistamento | -8.112E-02 | 0.68 |
| 301 | 112 | Q_smistamento | -8.112E-02 | 0.71 |
| 301 | 202 | Q_neve | -2.726E-14 | 4.282E-14 |
| 301 | 206 | Q_neve | -2.767E-14 | -2.492E-14 |
| 301 | 110 | Q_neve | 1.182E-14 | -2.438E-15 |
| 301 | 112 | Q_neve | -9.153E-15 | 3.680E-14 |
| 302 | 96 | DEAD | 2.189E-14 | -7.415E-14 |
| 302 | 98 | DEAD | 8.934E-14 | 9.688E-14 |
| 302 | 207 | DEAD | 1.206E-13 | -1.729E-13 |
| 302 | 203 | DEAD | 1.387E-13 | -1.864E-15 |
| 302 | 96 | G1_smistamento | 0.19 | -1.85 |
| 302 | 98 | G1_smistamento | 0.19 | -1.68 |
| 302 | 207 | G1_smistamento | 0.21 | -1.68 |
| 302 | 203 | G1_smistamento | 0.21 | -1.85 |
| 302 | 96 | G2_smistamento | 6.859E-02 | -0.69 |
| 302 | 98 | G2_smistamento | 6.859E-02 | -0.62 |
| 302 | 207 | G2_smistamento | 7.728E-02 | -0.62 |
| 302 | 203 | G2_smistamento | 7.728E-02 | -0.69 |
| 302 | 96 | Q_smistamento | 6.859E-02 | -0.69 |
| 302 | 98 | Q_smistamento | 6.859E-02 | -0.62 |
| 302 | 207 | Q_smistamento | 7.728E-02 | -0.62 |
| 302 | 203 | Q_smistamento | 7.728E-02 | -0.69 |
| 302 | 96 | Q_neve | 1.647E-14 | -1.854E-14 |
| 302 | 98 | Q_neve | 7.635E-15 | 7.763E-15 |
| 302 | 207 | Q_neve | 1.441E-14 | -4.323E-14 |
| 302 | 203 | Q_neve | -8.823E-15 | 1.599E-14 |
| 303 | 203 | DEAD | 2.282E-14 | 3.411E-16 |
| 303 | 207 | DEAD | 2.444E-14 | 6.456E-14 |
| 303 | 208 | DEAD | 7.220E-14 | 6.617E-14 |
| 303 | 204 | DEAD | 1.561E-13 | -8.356E-14 |
| 303 | 203 | G1_smistamento | 0.26 | -0.67 |
| 303 | 207 | G1_smistamento | 0.26 | -0.58 |
| 303 | 208 | G1_smistamento | 0.32 | -0.58 |
| 303 | 204 | G1_smistamento | 0.32 | -0.67 |
| 303 | 203 | G2_smistamento | 9.656E-02 | -0.25 |

Table 20: Element Forces - Area Shells, Part 3 of 3

| Area | Joint | OutputCase | V13 KN/m | V23 KN/m |
|------|-------|----------------|-------------|-------------|
| 303 | 207 | G2_smistamento | 9.656E-02 | -0.22 |
| 303 | 208 | G2_smistamento | 0.12 | -0.22 |
| 303 | 204 | G2_smistamento | 0.12 | -0.25 |
| 303 | 203 | Q_smistamento | 9.656E-02 | -0.25 |
| 303 | 207 | Q_smistamento | 9.656E-02 | -0.22 |
| 303 | 208 | Q_smistamento | 0.12 | -0.22 |
| 303 | 204 | Q_smistamento | 0.12 | -0.25 |
| 303 | 203 | Q_neve | -1.234E-14 | -9.386E-15 |
| 303 | 207 | Q_neve | -1.102E-15 | 1.857E-14 |
| 303 | 208 | Q_neve | 1.234E-14 | -1.556E-14 |
| 303 | 204 | Q_neve | 1.536E-14 | 2.063E-14 |
| 304 | 204 | DEAD | 1.223E-13 | 9.843E-15 |
| 304 | 208 | DEAD | 1.447E-13 | 2.910E-14 |
| 304 | 209 | DEAD | 1.058E-13 | 7.568E-14 |
| 304 | 205 | DEAD | 1.118E-13 | -8.611E-14 |
| 304 | 204 | G1_smistamento | 0.33 | -1.171E-14 |
| 304 | 208 | G1_smistamento | 0.33 | -7.033E-14 |
| 304 | 209 | G1_smistamento | 0.33 | 2.121E-14 |
| 304 | 205 | G1_smistamento | 0.33 | -1.197E-13 |
| 304 | 204 | G2_smistamento | 0.12 | 3.306E-14 |
| 304 | 208 | G2_smistamento | 0.12 | -3.347E-14 |
| 304 | 209 | G2_smistamento | 0.12 | -6.157E-14 |
| 304 | 205 | G2_smistamento | 0.12 | 4.059E-14 |
| 304 | 204 | Q_smistamento | 0.12 | 3.306E-14 |
| 304 | 208 | Q_smistamento | 0.12 | -3.347E-14 |
| 304 | 209 | Q_smistamento | 0.12 | -6.157E-14 |
| 304 | 205 | Q_smistamento | 0.12 | 4.059E-14 |
| 304 | 204 | Q_neve | 1.275E-14 | 3.521E-15 |
| 304 | 208 | Q_neve | 1.275E-14 | -1.314E-14 |
| 304 | 209 | Q_neve | 8.633E-15 | -4.708E-15 |
| 304 | 205 | Q_neve | 8.633E-15 | 1.262E-15 |
| 305 | 205 | DEAD | 2.471E-13 | 1.479E-13 |
| 305 | 209 | DEAD | 2.230E-13 | -1.230E-14 |
| 305 | 210 | DEAD | 2.471E-13 | 3.267E-14 |
| 305 | 206 | DEAD | 1.571E-13 | 1.358E-13 |
| 305 | 205 | G1_smistamento | 0.32 | 0.67 |
| 305 | 209 | G1_smistamento | 0.32 | 0.58 |
| 305 | 210 | G1_smistamento | 0.26 | 0.58 |

Table 20: Element Forces - Area Shells, Part 3 of 3

| Area | Joint | OutputCase | V13 KN/m | V23 KN/m |
|------|-------|----------------|-------------|-------------|
| 305 | 206 | G1_smistamento | 0.26 | 0.67 |
| 305 | 205 | G2_smistamento | 0.12 | 0.25 |
| 305 | 209 | G2_smistamento | 0.12 | 0.22 |
| 305 | 210 | G2_smistamento | 9.656E-02 | 0.22 |
| 305 | 206 | G2_smistamento | 9.656E-02 | 0.25 |
| 305 | 205 | Q_smistamento | 0.12 | 0.25 |
| 305 | 209 | Q_smistamento | 0.12 | 0.22 |
| 305 | 210 | Q_smistamento | 9.656E-02 | 0.22 |
| 305 | 206 | Q_smistamento | 9.656E-02 | 0.25 |
| 305 | 205 | Q_neve | 2.317E-14 | -8.269E-16 |
| 305 | 209 | Q_neve | 2.317E-14 | 3.086E-15 |
| 305 | 210 | Q_neve | 5.403E-14 | 1.152E-14 |
| 305 | 206 | Q_neve | 5.403E-14 | -3.086E-15 |
| 306 | 206 | DEAD | 5.472E-14 | 1.071E-13 |
| 306 | 210 | DEAD | 1.687E-13 | -1.539E-13 |
| 306 | 108 | DEAD | -1.592E-13 | 1.400E-13 |
| 306 | 110 | DEAD | -4.521E-14 | -5.515E-14 |
| 306 | 206 | G1_smistamento | 0.21 | 1.85 |
| 306 | 210 | G1_smistamento | 0.21 | 1.68 |
| 306 | 108 | G1_smistamento | 0.19 | 1.68 |
| 306 | 110 | G1_smistamento | 0.19 | 1.85 |
| 306 | 206 | G2_smistamento | 7.728E-02 | 0.69 |
| 306 | 210 | G2_smistamento | 7.728E-02 | 0.62 |
| 306 | 108 | G2_smistamento | 6.859E-02 | 0.62 |
| 306 | 110 | G2_smistamento | 6.859E-02 | 0.69 |
| 306 | 206 | Q_smistamento | 7.728E-02 | 0.69 |
| 306 | 210 | Q_smistamento | 7.728E-02 | 0.62 |
| 306 | 108 | Q_smistamento | 6.859E-02 | 0.62 |
| 306 | 110 | Q_smistamento | 6.859E-02 | 0.69 |
| 306 | 206 | Q_neve | 2.912E-14 | 2.590E-14 |
| 306 | 210 | Q_neve | 4.598E-14 | -3.523E-14 |
| 306 | 108 | Q_neve | -2.437E-14 | 3.824E-14 |
| 306 | 110 | Q_neve | -1.985E-14 | -1.466E-14 |
| 307 | 98 | DEAD | -1.387E-13 | -9.595E-14 |
| 307 | 6 | DEAD | 7.008E-14 | -1.614E-15 |
| 307 | 100 | DEAD | -8.934E-14 | -4.658E-14 |
| 307 | 207 | DEAD | 3.005E-13 | -8.390E-14 |
| 307 | 98 | G1_smistamento | 0.95 | -1.62 |

Table 20: Element Forces - Area Shells, Part 3 of 3

| Area | Joint | OutputCase | V13 KN/m | V23 KN/m |
|------|-------|----------------|-------------|-------------|
| 307 | 6 | G1_smistamento | 0.95 | -1.23 |
| 307 | 100 | G1_smistamento | 1.32 | -1.23 |
| 307 | 207 | G1_smistamento | 1.32 | -1.62 |
| 307 | 98 | G2_smistamento | 0.35 | -0.6 |
| 307 | 6 | G2_smistamento | 0.35 | -0.46 |
| 307 | 100 | G2_smistamento | 0.49 | -0.46 |
| 307 | 207 | G2_smistamento | 0.49 | -0.6 |
| 307 | 98 | Q_smistamento | 0.35 | -0.6 |
| 307 | 6 | Q_smistamento | 0.35 | -0.46 |
| 307 | 100 | Q_smistamento | 0.49 | -0.46 |
| 307 | 207 | Q_smistamento | 0.49 | -0.6 |
| 307 | 98 | Q_neve | -3.290E-14 | -1.592E-14 |
| 307 | 6 | Q_neve | 2.733E-14 | 1.444E-14 |
| 307 | 100 | Q_neve | -2.055E-14 | -2.209E-14 |
| 307 | 207 | Q_neve | 5.819E-14 | -6.129E-15 |
| 308 | 207 | DEAD | -5.133E-14 | 2.095E-13 |
| 308 | 100 | DEAD | 2.442E-13 | -4.496E-14 |
| 308 | 102 | DEAD | -1.007E-13 | -1.525E-13 |
| 308 | 208 | DEAD | 1.454E-13 | -1.205E-14 |
| 308 | 207 | G1_smistamento | 1.4 | -0.55 |
| 308 | 100 | G1_smistamento | 1.4 | -0.51 |
| 308 | 102 | G1_smistamento | 1.54 | -0.51 |
| 308 | 208 | G1_smistamento | 1.54 | -0.55 |
| 308 | 207 | G2_smistamento | 0.52 | -0.2 |
| 308 | 100 | G2_smistamento | 0.52 | -0.19 |
| 308 | 102 | G2_smistamento | 0.57 | -0.19 |
| 308 | 208 | G2_smistamento | 0.57 | -0.2 |
| 308 | 207 | Q_smistamento | 0.52 | -0.2 |
| 308 | 100 | Q_smistamento | 0.52 | -0.19 |
| 308 | 102 | Q_smistamento | 0.57 | -0.19 |
| 308 | 208 | Q_smistamento | 0.57 | -0.2 |
| 308 | 207 | Q_neve | -4.433E-15 | 2.976E-14 |
| 308 | 100 | Q_neve | 2.969E-14 | 1.179E-14 |
| 308 | 102 | Q_neve | -3.183E-16 | -1.550E-14 |
| 308 | 208 | Q_neve | 2.969E-14 | -4.666E-15 |
| 309 | 208 | DEAD | 1.301E-13 | 2.155E-14 |
| 309 | 102 | DEAD | 2.426E-13 | 9.943E-14 |
| 309 | 104 | DEAD | 3.139E-14 | 5.447E-14 |

Table 20: Element Forces - Area Shells, Part 3 of 3

| Area | Joint | OutputCase | V13 KN/m | V23 KN/m |
|------|-------|----------------|-------------|-------------|
| 309 | 209 | DEAD | 6.151E-14 | 3.360E-14 |
| 309 | 208 | G1_smistamento | 1.54 | -9.968E-14 |
| 309 | 102 | G1_smistamento | 1.54 | 1.263E-13 |
| 309 | 104 | G1_smistamento | 1.54 | 1.472E-13 |
| 309 | 209 | G1_smistamento | 1.54 | -2.180E-14 |
| 309 | 208 | G2_smistamento | 0.57 | -3.735E-14 |
| 309 | 102 | G2_smistamento | 0.57 | 4.946E-14 |
| 309 | 104 | G2_smistamento | 0.57 | 3.260E-14 |
| 309 | 209 | G2_smistamento | 0.57 | -3.283E-14 |
| 309 | 208 | Q_smistamento | 0.57 | -3.735E-14 |
| 309 | 102 | Q_smistamento | 0.57 | 4.946E-14 |
| 309 | 104 | Q_smistamento | 0.57 | 3.260E-14 |
| 309 | 209 | Q_smistamento | 0.57 | -3.283E-14 |
| 309 | 208 | Q_neve | 2.094E-14 | 1.393E-14 |
| 309 | 102 | Q_neve | 4.905E-14 | 9.417E-15 |
| 309 | 104 | Q_neve | 2.300E-14 | 9.820E-15 |
| 309 | 209 | Q_neve | 3.053E-14 | -7.041E-15 |
| 310 | 209 | DEAD | -1.484E-14 | -2.571E-14 |
| 310 | 104 | DEAD | 9.918E-14 | -1.807E-14 |
| 310 | 106 | DEAD | 1.004E-13 | -1.738E-13 |
| 310 | 210 | DEAD | 2.144E-13 | -6.745E-14 |
| 310 | 209 | G1_smistamento | 1.54 | 0.55 |
| 310 | 104 | G1_smistamento | 1.54 | 0.51 |
| 310 | 106 | G1_smistamento | 1.4 | 0.51 |
| 310 | 210 | G1_smistamento | 1.4 | 0.55 |
| 310 | 209 | G2_smistamento | 0.57 | 0.2 |
| 310 | 104 | G2_smistamento | 0.57 | 0.19 |
| 310 | 106 | G2_smistamento | 0.52 | 0.19 |
| 310 | 210 | G2_smistamento | 0.52 | 0.2 |
| 310 | 209 | Q_smistamento | 0.57 | 0.2 |
| 310 | 104 | Q_smistamento | 0.57 | 0.19 |
| 310 | 106 | Q_smistamento | 0.52 | 0.19 |
| 310 | 210 | Q_smistamento | 0.52 | 0.2 |
| 310 | 209 | Q_neve | -1.750E-15 | -1.913E-14 |
| 310 | 104 | Q_neve | 5.807E-14 | -3.498E-14 |
| 310 | 106 | Q_neve | -2.438E-14 | -4.382E-14 |
| 310 | 210 | Q_neve | 3.339E-14 | 4.103E-15 |
| 311 | 210 | DEAD | 5.353E-14 | 4.556E-14 |

Table 20: Element Forces - Area Shells, Part 3 of 3

| Area | Joint | OutputCase | V13 | V23 |
|------|-------|----------------|------------|------------|
| | | | KN/m | KN/m |
| 311 | 106 | DEAD | 2.784E-13 | -5.599E-14 |
| 311 | 63 | DEAD | 6.999E-14 | -1.026E-13 |
| 311 | 108 | DEAD | 1.302E-13 | 1.415E-13 |
| 311 | 210 | G1_smistamento | 1.32 | 1.62 |
| 311 | 106 | G1_smistamento | 1.32 | 1.23 |
| 311 | 63 | G1_smistamento | 0.95 | 1.23 |
| 311 | 108 | G1_smistamento | 0.95 | 1.62 |
| 311 | 210 | G2_smistamento | 0.49 | 0.6 |
| 311 | 106 | G2_smistamento | 0.49 | 0.46 |
| 311 | 63 | G2_smistamento | 0.35 | 0.46 |
| 311 | 108 | G2_smistamento | 0.35 | 0.6 |
| 311 | 210 | Q_smistamento | 0.49 | 0.6 |
| 311 | 106 | Q_smistamento | 0.49 | 0.46 |
| 311 | 63 | Q_smistamento | 0.35 | 0.46 |
| 311 | 108 | Q_smistamento | 0.35 | 0.6 |
| 311 | 210 | Q_neve | -2.131E-15 | 6.416E-15 |
| 311 | 106 | Q_neve | 2.878E-14 | -2.395E-14 |
| 311 | 63 | Q_neve | 1.638E-14 | 1.259E-14 |
| 311 | 108 | Q_neve | 2.467E-14 | -3.373E-15 |
| 312 | 8 | DEAD | -3.244E-13 | 9.639E-14 |
| 312 | 211 | DEAD | -1.596E-12 | 1.669E-13 |
| 312 | 212 | DEAD | -5.878E-13 | 3.597E-13 |
| 312 | 9 | DEAD | -1.596E-12 | -6.230E-13 |
| 312 | 8 | G1_smistamento | -1.11 | -1.27 |
| 312 | 211 | G1_smistamento | -1.11 | -1.49 |
| 312 | 212 | G1_smistamento | -1.54 | -1.49 |
| 312 | 9 | G1_smistamento | -1.54 | -1.27 |
| 312 | 8 | G2_smistamento | -0.41 | -0.47 |
| 312 | 211 | G2_smistamento | -0.41 | -0.55 |
| 312 | 212 | G2_smistamento | -0.57 | -0.55 |
| 312 | 9 | G2_smistamento | -0.57 | -0.47 |
| 312 | 8 | Q_smistamento | -0.41 | -0.47 |
| 312 | 211 | Q_smistamento | -0.41 | -0.55 |
| 312 | 212 | Q_smistamento | -0.57 | -0.55 |
| 312 | 9 | Q_smistamento | -0.57 | -0.47 |
| 312 | 8 | Q_neve | -1.286E-13 | 1.662E-13 |
| 312 | 211 | Q_neve | -2.218E-13 | -1.289E-13 |
| 312 | 212 | Q_neve | -1.945E-13 | -8.068E-14 |

Table 20: Element Forces - Area Shells, Part 3 of 3

| Area | Joint | OutputCase | V13 | V23 |
|------|-------|----------------|------------|------------|
| | | | KN/m | KN/m |
| 312 | 9 | Q_neve | -3.864E-13 | -1.366E-14 |
| 313 | 211 | DEAD | -5.592E-13 | 7.398E-13 |
| 313 | 213 | DEAD | -1.317E-12 | 1.168E-13 |
| 313 | 214 | DEAD | 1.547E-12 | 4.765E-13 |
| 313 | 212 | DEAD | -6.591E-13 | 6.434E-13 |
| 313 | 211 | G1_smistamento | -0.84 | -1.55 |
| 313 | 213 | G1_smistamento | -0.84 | -1.68 |
| 313 | 214 | G1_smistamento | -0.85 | -1.68 |
| 313 | 212 | G1_smistamento | -0.85 | -1.55 |
| 313 | 211 | G2_smistamento | -0.31 | -0.58 |
| 313 | 213 | G2_smistamento | -0.31 | -0.62 |
| 313 | 214 | G2_smistamento | -0.32 | -0.62 |
| 313 | 212 | G2_smistamento | -0.32 | -0.58 |
| 313 | 211 | Q_smistamento | -0.31 | -0.58 |
| 313 | 213 | Q_smistamento | -0.31 | -0.62 |
| 313 | 214 | Q_smistamento | -0.32 | -0.62 |
| 313 | 212 | Q_smistamento | -0.32 | -0.58 |
| 313 | 211 | Q_neve | 1.140E-13 | 1.042E-13 |
| 313 | 213 | Q_neve | 6.583E-14 | -2.910E-14 |
| 313 | 214 | Q_neve | 1.140E-13 | 3.835E-14 |
| 313 | 212 | Q_neve | -6.583E-14 | 8.611E-14 |
| 314 | 213 | DEAD | 2.708E-13 | -4.099E-13 |
| 314 | 215 | DEAD | 8.491E-13 | 1.003E-12 |
| 314 | 216 | DEAD | -6.509E-13 | 1.170E-12 |
| 314 | 214 | DEAD | 1.507E-12 | 2.131E-13 |
| 314 | 213 | G1_smistamento | -0.34 | -1.67 |
| 314 | 215 | G1_smistamento | -0.34 | -1.74 |
| 314 | 216 | G1_smistamento | -0.32 | -1.74 |
| 314 | 214 | G1_smistamento | -0.32 | -1.67 |
| 314 | 213 | G2_smistamento | -0.13 | -0.62 |
| 314 | 215 | G2_smistamento | -0.13 | -0.65 |
| 314 | 216 | G2_smistamento | -0.12 | -0.65 |
| 314 | 214 | G2_smistamento | -0.12 | -0.62 |
| 314 | 213 | Q_smistamento | -0.13 | -0.62 |
| 314 | 215 | Q_smistamento | -0.13 | -0.65 |
| 314 | 216 | Q_smistamento | -0.12 | -0.65 |
| 314 | 214 | Q_smistamento | -0.12 | -0.62 |
| 314 | 213 | Q_neve | 6.210E-14 | -2.039E-13 |

Table 20: Element Forces - Area Shells, Part 3 of 3

| Area | Joint | OutputCase | V13 | V23 |
|------|-------|----------------|------------|------------|
| | | | KN/m | KN/m |
| 314 | 215 | Q_neve | 1.103E-13 | 1.378E-13 |
| 314 | 216 | Q_neve | 1.279E-13 | 1.088E-13 |
| 314 | 214 | Q_neve | 3.078E-13 | 1.378E-13 |
| 315 | 215 | DEAD | 1.391E-13 | 6.027E-13 |
| 315 | 217 | DEAD | -4.134E-13 | -1.337E-12 |
| 315 | 218 | DEAD | -5.192E-13 | -4.506E-13 |
| 315 | 216 | DEAD | -1.335E-12 | 1.033E-12 |
| 315 | 215 | G1_smistamento | 2.241E-02 | -1.73 |
| 315 | 217 | G1_smistamento | 2.241E-02 | -1.76 |
| 315 | 218 | G1_smistamento | 3.333E-02 | -1.76 |
| 315 | 216 | G1_smistamento | 3.333E-02 | -1.73 |
| 315 | 215 | G2_smistamento | 8.307E-03 | -0.64 |
| 315 | 217 | G2_smistamento | 8.307E-03 | -0.65 |
| 315 | 218 | G2_smistamento | 1.236E-02 | -0.65 |
| 315 | 216 | G2_smistamento | 1.236E-02 | -0.64 |
| 315 | 215 | Q_smistamento | 8.307E-03 | -0.64 |
| 315 | 217 | Q_smistamento | 8.307E-03 | -0.65 |
| 315 | 218 | Q_smistamento | 1.236E-02 | -0.65 |
| 315 | 216 | Q_smistamento | 1.236E-02 | -0.64 |
| 315 | 215 | Q_neve | 7.465E-14 | 4.428E-14 |
| 315 | 217 | Q_neve | -1.528E-14 | -2.969E-13 |
| 315 | 218 | Q_neve | -1.887E-13 | -1.203E-13 |
| 315 | 216 | Q_neve | -2.128E-13 | 1.639E-13 |
| 316 | 217 | DEAD | 1.524E-12 | -2.037E-14 |
| 316 | 219 | DEAD | 1.332E-12 | 7.602E-14 |
| 316 | 220 | DEAD | -1.372E-12 | -2.837E-13 |
| 316 | 218 | DEAD | -2.092E-12 | 7.602E-14 |
| 316 | 217 | G1_smistamento | 0.22 | -1.76 |
| 316 | 219 | G1_smistamento | 0.22 | -1.76 |
| 316 | 220 | G1_smistamento | 0.22 | -1.76 |
| 316 | 218 | G1_smistamento | 0.22 | -1.76 |
| 316 | 217 | G2_smistamento | 8.247E-02 | -0.65 |
| 316 | 219 | G2_smistamento | 8.247E-02 | -0.65 |
| 316 | 220 | G2_smistamento | 8.334E-02 | -0.65 |
| 316 | 218 | G2_smistamento | 8.334E-02 | -0.65 |
| 316 | 217 | Q_smistamento | 8.247E-02 | -0.65 |
| 316 | 219 | Q_smistamento | 8.247E-02 | -0.65 |
| 316 | 220 | Q_smistamento | 8.334E-02 | -0.65 |

Table 20: Element Forces - Area Shells, Part 3 of 3

| Area | Joint | OutputCase | V13 KN/m | V23 KN/m |
|------|-------|----------------|-------------|-------------|
| 316 | 218 | Q_smistamento | 8.334E-02 | -0.65 |
| 316 | 217 | Q_neve | 3.736E-13 | -1.241E-13 |
| 316 | 219 | Q_neve | 3.254E-13 | 1.035E-13 |
| 316 | 220 | Q_neve | 4.446E-14 | -8.911E-15 |
| 316 | 218 | Q_neve | -1.354E-13 | -9.400E-14 |
| 317 | 219 | DEAD | -9.495E-13 | 7.880E-13 |
| 317 | 221 | DEAD | -9.495E-13 | 4.636E-13 |
| 317 | 222 | DEAD | 1.025E-12 | 6.563E-13 |
| 317 | 220 | DEAD | 1.025E-12 | 6.856E-14 |
| 317 | 219 | G1_smistamento | 0.28 | -1.76 |
| 317 | 221 | G1_smistamento | 0.28 | -1.75 |
| 317 | 222 | G1_smistamento | 0.28 | -1.75 |
| 317 | 220 | G1_smistamento | 0.28 | -1.76 |
| 317 | 219 | G2_smistamento | 0.11 | -0.65 |
| 317 | 221 | G2_smistamento | 0.11 | -0.65 |
| 317 | 222 | G2_smistamento | 0.1 | -0.65 |
| 317 | 220 | G2_smistamento | 0.1 | -0.65 |
| 317 | 219 | Q_smistamento | 0.11 | -0.65 |
| 317 | 221 | Q_smistamento | 0.11 | -0.65 |
| 317 | 222 | Q_smistamento | 0.1 | -0.65 |
| 317 | 220 | Q_smistamento | 0.1 | -0.65 |
| 317 | 219 | Q_neve | -2.077E-13 | 2.834E-13 |
| 317 | 221 | Q_neve | -2.077E-13 | -7.508E-14 |
| 317 | 222 | Q_neve | 5.565E-14 | 2.012E-13 |
| 317 | 220 | Q_neve | 5.565E-14 | -1.245E-13 |
| 318 | 221 | DEAD | 8.796E-13 | 6.136E-13 |
| 318 | 223 | DEAD | 5.070E-13 | 1.500E-12 |
| 318 | 224 | DEAD | 1.933E-12 | 1.667E-12 |
| 318 | 222 | DEAD | 1.165E-12 | 1.237E-12 |
| 318 | 221 | G1_smistamento | 0.24 | -1.75 |
| 318 | 223 | G1_smistamento | 0.24 | -1.74 |
| 318 | 224 | G1_smistamento | 0.24 | -1.74 |
| 318 | 222 | G1_smistamento | 0.24 | -1.75 |
| 318 | 221 | G2_smistamento | 9.063E-02 | -0.65 |
| 318 | 223 | G2_smistamento | 9.063E-02 | -0.64 |
| 318 | 224 | G2_smistamento | 8.900E-02 | -0.64 |
| 318 | 222 | G2_smistamento | 8.900E-02 | -0.65 |
| 318 | 221 | Q_smistamento | 9.063E-02 | -0.65 |

Table 20: Element Forces - Area Shells, Part 3 of 3

| Area | Joint | OutputCase | V13 KN/m | V23 KN/m |
|------|-------|----------------|-------------|-------------|
| 318 | 223 | Q_smistamento | 9.063E-02 | -0.64 |
| 318 | 224 | Q_smistamento | 8.900E-02 | -0.64 |
| 318 | 222 | Q_smistamento | 8.900E-02 | -0.65 |
| 318 | 221 | Q_neve | 2.401E-13 | 1.754E-13 |
| 318 | 223 | Q_neve | 1.919E-13 | 6.465E-14 |
| 318 | 224 | Q_neve | 2.730E-13 | 1.096E-13 |
| 318 | 222 | Q_neve | 9.316E-14 | 1.634E-13 |
| 319 | 223 | DEAD | -3.597E-13 | 2.297E-12 |
| 319 | 225 | DEAD | -1.669E-13 | -8.531E-13 |
| 319 | 226 | DEAD | -9.639E-14 | 5.911E-14 |
| 319 | 224 | DEAD | 6.230E-13 | 1.385E-12 |
| 319 | 223 | G1_smistamento | 0.14 | -1.74 |
| 319 | 225 | G1_smistamento | 0.14 | -1.73 |
| 319 | 226 | G1_smistamento | 0.14 | -1.73 |
| 319 | 224 | G1_smistamento | 0.14 | -1.74 |
| 319 | 223 | G2_smistamento | 5.129E-02 | -0.64 |
| 319 | 225 | G2_smistamento | 5.129E-02 | -0.64 |
| 319 | 226 | G2_smistamento | 5.020E-02 | -0.64 |
| 319 | 224 | G2_smistamento | 5.020E-02 | -0.64 |
| 319 | 223 | Q_smistamento | 5.129E-02 | -0.64 |
| 319 | 225 | Q_smistamento | 5.129E-02 | -0.64 |
| 319 | 226 | Q_smistamento | 5.020E-02 | -0.64 |
| 319 | 224 | Q_smistamento | 5.020E-02 | -0.64 |
| 319 | 223 | Q_neve | -1.854E-13 | 2.007E-13 |
| 319 | 225 | Q_neve | -1.854E-13 | -2.969E-14 |
| 319 | 226 | Q_neve | 2.425E-13 | -2.969E-14 |
| 319 | 224 | Q_neve | 2.425E-13 | 2.007E-13 |
| 320 | 225 | DEAD | 9.529E-13 | 1.018E-14 |
| 320 | 227 | DEAD | 7.602E-13 | -9.502E-13 |
| 320 | 228 | DEAD | 1.480E-12 | 1.418E-13 |
| 320 | 226 | DEAD | 7.602E-13 | -9.502E-13 |
| 320 | 225 | G1_smistamento | -2.226E-13 | -1.73 |
| 320 | 227 | G1_smistamento | -2.226E-13 | -1.73 |
| 320 | 228 | G1_smistamento | 8.307E-13 | -1.73 |
| 320 | 226 | G1_smistamento | 8.307E-13 | -1.73 |
| 320 | 225 | G2_smistamento | 2.484E-13 | -0.64 |
| 320 | 227 | G2_smistamento | 2.484E-13 | -0.64 |
| 320 | 228 | G2_smistamento | 5.117E-13 | -0.64 |

Table 20: Element Forces - Area Shells, Part 3 of 3

| Area | Joint | OutputCase | V13 KN/m | V23 KN/m |
|------|-------|----------------|-------------|-------------|
| 320 | 226 | G2_smistamento | 5.117E-13 | -0.64 |
| 320 | 225 | Q_smistamento | 2.484E-13 | -0.64 |
| 320 | 227 | Q_smistamento | 2.484E-13 | -0.64 |
| 320 | 228 | Q_smistamento | 5.117E-13 | -0.64 |
| 320 | 226 | Q_smistamento | 5.117E-13 | -0.64 |
| 320 | 225 | Q_neve | 7.415E-14 | 2.121E-14 |
| 320 | 227 | Q_neve | 7.415E-14 | -3.072E-13 |
| 320 | 228 | Q_neve | 1.729E-13 | -1.171E-14 |
| 320 | 226 | Q_neve | 1.729E-13 | -2.249E-13 |
| 321 | 227 | DEAD | -7.492E-13 | 1.399E-13 |
| 321 | 229 | DEAD | -7.492E-13 | 1.444E-12 |
| 321 | 230 | DEAD | 1.357E-12 | 1.456E-12 |
| 321 | 228 | DEAD | 1.357E-12 | -5.314E-13 |
| 321 | 227 | G1_smistamento | -0.14 | -1.73 |
| 321 | 229 | G1_smistamento | -0.14 | -1.74 |
| 321 | 230 | G1_smistamento | -0.14 | -1.74 |
| 321 | 228 | G1_smistamento | -0.14 | -1.73 |
| 321 | 227 | G2_smistamento | -5.129E-02 | -0.64 |
| 321 | 229 | G2_smistamento | -5.129E-02 | -0.64 |
| 321 | 230 | G2_smistamento | -5.020E-02 | -0.64 |
| 321 | 228 | G2_smistamento | -5.020E-02 | -0.64 |
| 321 | 227 | Q_smistamento | -5.129E-02 | -0.64 |
| 321 | 229 | Q_smistamento | -5.129E-02 | -0.64 |
| 321 | 230 | Q_smistamento | -5.020E-02 | -0.64 |
| 321 | 228 | Q_smistamento | -5.020E-02 | -0.64 |
| 321 | 227 | Q_neve | -8.347E-14 | -1.807E-13 |
| 321 | 229 | Q_neve | -8.347E-14 | 3.147E-13 |
| 321 | 230 | Q_neve | 3.115E-13 | 2.472E-13 |
| 321 | 228 | Q_neve | 3.115E-13 | -1.626E-13 |
| 322 | 229 | DEAD | -4.377E-13 | 1.743E-12 |
| 322 | 231 | DEAD | -4.377E-13 | 6.896E-13 |
| 322 | 232 | DEAD | 1.274E-12 | 6.896E-13 |
| 322 | 230 | DEAD | 1.274E-12 | 1.743E-12 |
| 322 | 229 | G1_smistamento | -0.24 | -1.74 |
| 322 | 231 | G1_smistamento | -0.24 | -1.75 |
| 322 | 232 | G1_smistamento | -0.24 | -1.75 |
| 322 | 230 | G1_smistamento | -0.24 | -1.74 |
| 322 | 229 | G2_smistamento | -9.063E-02 | -0.64 |

Table 20: Element Forces - Area Shells, Part 3 of 3

| Area | Joint | OutputCase | V13 KN/m | V23 KN/m |
|------|-------|----------------|-------------|-------------|
| 322 | 231 | G2_smistamento | -9.063E-02 | -0.65 |
| 322 | 232 | G2_smistamento | -8.900E-02 | -0.65 |
| 322 | 230 | G2_smistamento | -8.900E-02 | -0.64 |
| 322 | 229 | Q_smistamento | -9.063E-02 | -0.64 |
| 322 | 231 | Q_smistamento | -9.063E-02 | -0.65 |
| 322 | 232 | Q_smistamento | -8.900E-02 | -0.65 |
| 322 | 230 | Q_smistamento | -8.900E-02 | -0.64 |
| 322 | 229 | Q_neve | 2.160E-13 | 4.049E-13 |
| 322 | 231 | Q_neve | 2.642E-13 | -7.236E-14 |
| 322 | 232 | Q_neve | 1.831E-13 | -7.236E-14 |
| 322 | 230 | Q_neve | 3.629E-13 | 4.049E-13 |
| 323 | 231 | DEAD | -4.079E-13 | 1.013E-12 |
| 323 | 233 | DEAD | -4.079E-13 | 5.348E-13 |
| 323 | 234 | DEAD | -2.762E-13 | 3.550E-13 |
| 323 | 232 | DEAD | -2.762E-13 | 1.062E-12 |
| 323 | 231 | G1_smistamento | -0.28 | -1.75 |
| 323 | 233 | G1_smistamento | -0.28 | -1.76 |
| 323 | 234 | G1_smistamento | -0.28 | -1.76 |
| 323 | 232 | G1_smistamento | -0.28 | -1.75 |
| 323 | 231 | G2_smistamento | -0.11 | -0.65 |
| 323 | 233 | G2_smistamento | -0.11 | -0.65 |
| 323 | 234 | G2_smistamento | -0.1 | -0.65 |
| 323 | 232 | G2_smistamento | -0.1 | -0.65 |
| 323 | 231 | Q_smistamento | -0.11 | -0.65 |
| 323 | 233 | Q_smistamento | -0.11 | -0.65 |
| 323 | 234 | Q_smistamento | -0.1 | -0.65 |
| 323 | 232 | Q_smistamento | -0.1 | -0.65 |
| 323 | 231 | Q_neve | -2.559E-13 | -5.599E-14 |
| 323 | 233 | Q_neve | -2.559E-13 | 7.729E-14 |
| 323 | 234 | Q_neve | -1.242E-13 | 1.415E-13 |
| 323 | 232 | Q_neve | -1.242E-13 | 9.375E-14 |
| 324 | 233 | DEAD | -1.054E-12 | 1.062E-12 |
| 324 | 235 | DEAD | -8.742E-13 | 3.550E-13 |
| 324 | 236 | DEAD | -9.224E-13 | 5.348E-13 |
| 324 | 234 | DEAD | -8.742E-13 | 1.013E-12 |
| 324 | 233 | G1_smistamento | -0.22 | -1.76 |
| 324 | 235 | G1_smistamento | -0.22 | -1.76 |
| 324 | 236 | G1_smistamento | -0.22 | -1.76 |

Table 20: Element Forces - Area Shells, Part 3 of 3

| Area | Joint | OutputCase | V13 KN/m | V23 KN/m |
|------|-------|----------------|-------------|-------------|
| 324 | 234 | G1_smistamento | -0.22 | -1.76 |
| 324 | 233 | G2_smistamento | -8.247E-02 | -0.65 |
| 324 | 235 | G2_smistamento | -8.247E-02 | -0.65 |
| 324 | 236 | G2_smistamento | -8.334E-02 | -0.65 |
| 324 | 234 | G2_smistamento | -8.334E-02 | -0.65 |
| 324 | 233 | Q_smistamento | -8.247E-02 | -0.65 |
| 324 | 235 | Q_smistamento | -8.247E-02 | -0.65 |
| 324 | 236 | Q_smistamento | -8.334E-02 | -0.65 |
| 324 | 234 | Q_smistamento | -8.334E-02 | -0.65 |
| 324 | 233 | Q_neve | -1.122E-13 | 7.881E-14 |
| 324 | 235 | Q_neve | -1.604E-13 | -6.608E-14 |
| 324 | 236 | Q_neve | -2.109E-13 | -6.931E-14 |
| 324 | 234 | Q_neve | -3.908E-13 | 2.466E-13 |
| 325 | 235 | DEAD | -1.297E-12 | 1.348E-12 |
| 325 | 237 | DEAD | -1.477E-12 | 1.252E-12 |
| 325 | 238 | DEAD | -3.754E-13 | 1.085E-12 |
| 325 | 236 | DEAD | -4.235E-13 | 7.249E-13 |
| 325 | 235 | G1_smistamento | -2.241E-02 | -1.76 |
| 325 | 237 | G1_smistamento | -2.241E-02 | -1.73 |
| 325 | 238 | G1_smistamento | -3.333E-02 | -1.73 |
| 325 | 236 | G1_smistamento | -3.333E-02 | -1.76 |
| 325 | 235 | G2_smistamento | -8.307E-03 | -0.65 |
| 325 | 237 | G2_smistamento | -8.307E-03 | -0.64 |
| 325 | 238 | G2_smistamento | -1.236E-02 | -0.64 |
| 325 | 236 | G2_smistamento | -1.236E-02 | -0.65 |
| 325 | 235 | Q_smistamento | -8.307E-03 | -0.65 |
| 325 | 237 | Q_smistamento | -8.307E-03 | -0.64 |
| 325 | 238 | Q_smistamento | -1.236E-02 | -0.64 |
| 325 | 236 | Q_smistamento | -1.236E-02 | -0.65 |
| 325 | 235 | Q_neve | -3.792E-13 | 1.904E-13 |
| 325 | 237 | Q_neve | -4.274E-13 | 1.406E-13 |
| 325 | 238 | Q_neve | 2.462E-13 | 2.562E-13 |
| 325 | 236 | Q_neve | 6.633E-14 | -7.547E-15 |
| 326 | 237 | DEAD | -1.877E-12 | 1.353E-12 |
| 326 | 239 | DEAD | -1.697E-12 | -2.029E-12 |
| 326 | 240 | DEAD | -1.087E-12 | 1.677E-13 |
| 326 | 238 | DEAD | -1.039E-12 | -1.239E-12 |
| 326 | 237 | G1_smistamento | 0.34 | -1.74 |

Table 20: Element Forces - Area Shells, Part 3 of 3

| Area | Joint | OutputCase | V13 KN/m | V23 KN/m |
|------|-------|----------------|-------------|-------------|
| 326 | 239 | G1_smistamento | 0.34 | -1.67 |
| 326 | 240 | G1_smistamento | 0.32 | -1.67 |
| 326 | 238 | G1_smistamento | 0.32 | -1.74 |
| 326 | 237 | G2_smistamento | 0.13 | -0.65 |
| 326 | 239 | G2_smistamento | 0.13 | -0.62 |
| 326 | 240 | G2_smistamento | 0.12 | -0.62 |
| 326 | 238 | G2_smistamento | 0.12 | -0.65 |
| 326 | 237 | Q_smistamento | 0.13 | -0.65 |
| 326 | 239 | Q_smistamento | 0.13 | -0.62 |
| 326 | 240 | Q_smistamento | 0.12 | -0.62 |
| 326 | 238 | Q_smistamento | 0.12 | -0.65 |
| 326 | 237 | Q_neve | -3.319E-13 | 1.976E-13 |
| 326 | 239 | Q_neve | -3.319E-13 | -2.460E-13 |
| 326 | 240 | Q_neve | -2.002E-13 | 4.947E-14 |
| 326 | 238 | Q_neve | -2.002E-13 | -4.853E-14 |
| 327 | 239 | DEAD | 4.114E-13 | -9.040E-13 |
| 327 | 241 | DEAD | 2.186E-13 | 4.961E-13 |
| 327 | 242 | DEAD | 2.781E-12 | 6.760E-13 |
| 327 | 240 | DEAD | 2.062E-12 | -9.522E-13 |
| 327 | 239 | G1_smistamento | 0.84 | -1.68 |
| 327 | 241 | G1_smistamento | 0.84 | -1.55 |
| 327 | 242 | G1_smistamento | 0.85 | -1.55 |
| 327 | 240 | G1_smistamento | 0.85 | -1.68 |
| 327 | 239 | G2_smistamento | 0.31 | -0.62 |
| 327 | 241 | G2_smistamento | 0.31 | -0.58 |
| 327 | 242 | G2_smistamento | 0.32 | -0.58 |
| 327 | 240 | G2_smistamento | 0.32 | -0.62 |
| 327 | 239 | Q_smistamento | 0.31 | -0.62 |
| 327 | 241 | Q_smistamento | 0.31 | -0.58 |
| 327 | 242 | Q_smistamento | 0.32 | -0.58 |
| 327 | 240 | Q_smistamento | 0.32 | -0.62 |
| 327 | 239 | Q_neve | 1.622E-13 | 2.546E-15 |
| 327 | 241 | Q_neve | 1.140E-13 | -9.502E-15 |
| 327 | 242 | Q_neve | 2.939E-13 | 3.546E-14 |
| 327 | 240 | Q_neve | 1.140E-13 | -9.502E-15 |
| 328 | 241 | DEAD | 1.216E-12 | 1.059E-12 |
| 328 | 11 | DEAD | 1.216E-12 | -1.986E-12 |
| 328 | 14 | DEAD | 1.216E-12 | 5.458E-15 |

Table 20: Element Forces - Area Shells, Part 3 of 3

| Area | Joint | OutputCase | V13 | V23 |
|------|-------|----------------|------------|------------|
| | | | KN/m | KN/m |
| 328 | 242 | DEAD | 1.216E-12 | -1.426E-13 |
| 328 | 241 | G1_smistamento | 1.11 | -1.49 |
| 328 | 11 | G1_smistamento | 1.11 | -1.27 |
| 328 | 14 | G1_smistamento | 1.54 | -1.27 |
| 328 | 242 | G1_smistamento | 1.54 | -1.49 |
| 328 | 241 | G2_smistamento | 0.41 | -0.55 |
| 328 | 11 | G2_smistamento | 0.41 | -0.47 |
| 328 | 14 | G2_smistamento | 0.57 | -0.47 |
| 328 | 242 | G2_smistamento | 0.57 | -0.55 |
| 328 | 241 | Q_smistamento | 0.41 | -0.55 |
| 328 | 11 | Q_smistamento | 0.41 | -0.47 |
| 328 | 14 | Q_smistamento | 0.57 | -0.47 |
| 328 | 242 | Q_smistamento | 0.57 | -0.55 |
| 328 | 241 | Q_neve | -7.455E-15 | 7.636E-14 |
| 328 | 11 | Q_neve | -7.455E-15 | -1.533E-13 |
| 328 | 14 | Q_neve | 3.875E-13 | 1.422E-13 |
| 328 | 242 | Q_neve | 3.875E-13 | -1.698E-13 |
| 329 | 13 | DEAD | 9.149E-13 | 1.824E-12 |
| 329 | 243 | DEAD | 5.165E-13 | 9.502E-13 |
| 329 | 244 | DEAD | 1.442E-12 | -1.513E-13 |
| 329 | 14 | DEAD | -6.685E-13 | 9.502E-13 |
| 329 | 13 | G1_smistamento | 1.01 | -1.4 |
| 329 | 243 | G1_smistamento | 1.23 | -1.4 |
| 329 | 244 | G1_smistamento | 1.23 | -1.82 |
| 329 | 14 | G1_smistamento | 1.01 | -1.82 |
| 329 | 13 | G2_smistamento | 0.38 | -0.52 |
| 329 | 243 | G2_smistamento | 0.46 | -0.52 |
| 329 | 244 | G2_smistamento | 0.46 | -0.68 |
| 329 | 14 | G2_smistamento | 0.38 | -0.68 |
| 329 | 13 | Q_smistamento | 0.38 | -0.52 |
| 329 | 243 | Q_smistamento | 0.46 | -0.52 |
| 329 | 244 | Q_smistamento | 0.46 | -0.68 |
| 329 | 14 | Q_smistamento | 0.38 | -0.68 |
| 329 | 13 | Q_neve | 3.733E-14 | 1.346E-13 |
| 329 | 243 | Q_neve | 1.240E-13 | -9.018E-14 |
| 329 | 244 | Q_neve | -9.434E-14 | 2.169E-13 |
| 329 | 14 | Q_neve | -2.381E-13 | 1.567E-13 |
| 330 | 243 | DEAD | 1.895E-12 | 1.819E-13 |

Table 20: Element Forces - Area Shells, Part 3 of 3

| Area | Joint | OutputCase | V13 | V23 |
|------|-------|----------------|------------|------------|
| | | | KN/m | KN/m |
| 330 | 245 | DEAD | 6.489E-13 | 3.746E-13 |
| 330 | 246 | DEAD | 8.416E-13 | -1.398E-12 |
| 330 | 244 | DEAD | 1.176E-12 | -6.787E-13 |
| 330 | 243 | G1_smistamento | 1.3 | -0.92 |
| 330 | 245 | G1_smistamento | 1.39 | -0.92 |
| 330 | 246 | G1_smistamento | 1.39 | -0.94 |
| 330 | 244 | G1_smistamento | 1.3 | -0.94 |
| 330 | 243 | G2_smistamento | 0.48 | -0.34 |
| 330 | 245 | G2_smistamento | 0.52 | -0.34 |
| 330 | 246 | G2_smistamento | 0.52 | -0.35 |
| 330 | 244 | G2_smistamento | 0.48 | -0.35 |
| 330 | 243 | Q_smistamento | 0.48 | -0.34 |
| 330 | 245 | Q_smistamento | 0.52 | -0.34 |
| 330 | 246 | Q_smistamento | 0.52 | -0.35 |
| 330 | 244 | Q_smistamento | 0.48 | -0.35 |
| 330 | 243 | Q_neve | 1.318E-13 | 2.253E-13 |
| 330 | 245 | Q_neve | 2.277E-13 | 2.735E-13 |
| 330 | 246 | Q_neve | 1.153E-13 | -3.013E-13 |
| 330 | 244 | Q_neve | 1.619E-13 | -1.215E-13 |
| 331 | 245 | DEAD | 1.034E-12 | 4.154E-13 |
| 331 | 247 | DEAD | 4.588E-13 | 4.154E-13 |
| 331 | 248 | DEAD | 6.387E-13 | -1.113E-13 |
| 331 | 246 | DEAD | 9.855E-13 | -1.113E-13 |
| 331 | 245 | G1_smistamento | 1.39 | -3.523E-13 |
| 331 | 247 | G1_smistamento | 1.39 | -1.595E-13 |
| 331 | 248 | G1_smistamento | 1.39 | -4.839E-13 |
| 331 | 246 | G1_smistamento | 1.39 | 2.355E-13 |
| 331 | 245 | G2_smistamento | 0.52 | 5.592E-15 |
| 331 | 247 | G2_smistamento | 0.52 | 1.020E-13 |
| 331 | 248 | G2_smistamento | 0.52 | -2.907E-13 |
| 331 | 246 | G2_smistamento | 0.52 | 6.906E-14 |
| 331 | 245 | Q_smistamento | 0.52 | 5.592E-15 |
| 331 | 247 | Q_smistamento | 0.52 | 1.020E-13 |
| 331 | 248 | Q_smistamento | 0.52 | -2.907E-13 |
| 331 | 246 | Q_smistamento | 0.52 | 6.906E-14 |
| 331 | 245 | Q_neve | 3.293E-13 | -1.131E-13 |
| 331 | 247 | Q_neve | -1.496E-13 | -1.671E-14 |
| 331 | 248 | Q_neve | -8.220E-14 | -1.625E-13 |

Table 20: Element Forces - Area Shells, Part 3 of 3

| Area | Joint | OutputCase | V13 | V23 |
|------|-------|----------------|------------|------------|
| | | | KN/m | KN/m |
| 331 | 246 | Q_neve | 3.112E-13 | 1.972E-13 |
| 332 | 247 | DEAD | 1.480E-12 | 2.300E-13 |
| 332 | 249 | DEAD | 7.602E-13 | 6.156E-13 |
| 332 | 250 | DEAD | 9.529E-13 | -1.218E-12 |
| 332 | 248 | DEAD | 7.602E-13 | 2.206E-13 |
| 332 | 247 | G1_smistamento | 1.39 | 0.92 |
| 332 | 249 | G1_smistamento | 1.3 | 0.92 |
| 332 | 250 | G1_smistamento | 1.3 | 0.94 |
| 332 | 248 | G1_smistamento | 1.39 | 0.94 |
| 332 | 247 | G2_smistamento | 0.52 | 0.34 |
| 332 | 249 | G2_smistamento | 0.48 | 0.34 |
| 332 | 250 | G2_smistamento | 0.48 | 0.35 |
| 332 | 248 | G2_smistamento | 0.52 | 0.35 |
| 332 | 247 | Q_smistamento | 0.52 | 0.34 |
| 332 | 249 | Q_smistamento | 0.48 | 0.34 |
| 332 | 250 | Q_smistamento | 0.48 | 0.35 |
| 332 | 248 | Q_smistamento | 0.52 | 0.35 |
| 332 | 247 | Q_neve | 5.599E-14 | 1.456E-13 |
| 332 | 249 | Q_neve | 1.910E-14 | 1.938E-13 |
| 332 | 250 | Q_neve | -1.415E-13 | -1.836E-13 |
| 332 | 248 | Q_neve | 2.660E-13 | -3.728E-15 |
| 333 | 249 | DEAD | 1.370E-12 | -1.046E-12 |
| 333 | 15 | DEAD | -2.708E-13 | -1.046E-12 |
| 333 | 18 | DEAD | -7.801E-14 | 6.658E-13 |
| 333 | 250 | DEAD | 6.509E-13 | 6.658E-13 |
| 333 | 249 | G1_smistamento | 1.23 | 1.4 |
| 333 | 15 | G1_smistamento | 1.01 | 1.4 |
| 333 | 18 | G1_smistamento | 1.01 | 1.82 |
| 333 | 250 | G1_smistamento | 1.23 | 1.82 |
| 333 | 249 | G2_smistamento | 0.46 | 0.52 |
| 333 | 15 | G2_smistamento | 0.38 | 0.52 |
| 333 | 18 | G2_smistamento | 0.38 | 0.68 |
| 333 | 250 | G2_smistamento | 0.46 | 0.68 |
| 333 | 249 | Q_smistamento | 0.46 | 0.52 |
| 333 | 15 | Q_smistamento | 0.38 | 0.52 |
| 333 | 18 | Q_smistamento | 0.38 | 0.68 |
| 333 | 250 | Q_smistamento | 0.46 | 0.68 |
| 333 | 249 | Q_neve | -5.158E-14 | -6.583E-14 |

Table 20: Element Forces - Area Shells, Part 3 of 3

| Area | Joint | OutputCase | V13 | V23 |
|------|-------|----------------|------------|------------|
| | | | KN/m | KN/m |
| 333 | 15 | Q_neve | 6.083E-14 | -1.764E-14 |
| 333 | 18 | Q_neve | 8.009E-14 | 6.583E-14 |
| 333 | 250 | Q_neve | 1.102E-13 | 2.457E-13 |
| 334 | 17 | DEAD | -9.922E-13 | -6.183E-13 |
| 334 | 251 | DEAD | 2.280E-13 | 8.687E-13 |
| 334 | 252 | DEAD | 1.904E-12 | -7.500E-13 |
| 334 | 18 | DEAD | 2.280E-13 | -1.846E-13 |
| 334 | 17 | G1_smistamento | 1.11 | 1.27 |
| 334 | 251 | G1_smistamento | 1.11 | 1.49 |
| 334 | 252 | G1_smistamento | 1.54 | 1.49 |
| 334 | 18 | G1_smistamento | 1.54 | 1.27 |
| 334 | 17 | G2_smistamento | 0.41 | 0.47 |
| 334 | 251 | G2_smistamento | 0.41 | 0.55 |
| 334 | 252 | G2_smistamento | 0.57 | 0.55 |
| 334 | 18 | G2_smistamento | 0.57 | 0.47 |
| 334 | 17 | Q_smistamento | 0.41 | 0.47 |
| 334 | 251 | Q_smistamento | 0.41 | 0.55 |
| 334 | 252 | Q_smistamento | 0.57 | 0.55 |
| 334 | 18 | Q_smistamento | 0.57 | 0.47 |
| 334 | 17 | Q_neve | -3.398E-13 | -1.138E-13 |
| 334 | 251 | Q_neve | -2.146E-13 | 1.966E-13 |
| 334 | 252 | Q_neve | 5.489E-13 | -2.948E-13 |
| 334 | 18 | Q_neve | 8.161E-14 | -1.491E-13 |
| 335 | 251 | DEAD | 7.873E-13 | 1.317E-13 |
| 335 | 253 | DEAD | -3.048E-13 | 1.333E-12 |
| 335 | 254 | DEAD | -1.319E-12 | -1.317E-13 |
| 335 | 252 | DEAD | -2.280E-12 | 1.860E-12 |
| 335 | 251 | G1_smistamento | 0.84 | 1.55 |
| 335 | 253 | G1_smistamento | 0.84 | 1.68 |
| 335 | 254 | G1_smistamento | 0.85 | 1.68 |
| 335 | 252 | G1_smistamento | 0.85 | 1.55 |
| 335 | 251 | G2_smistamento | 0.31 | 0.58 |
| 335 | 253 | G2_smistamento | 0.31 | 0.62 |
| 335 | 254 | G2_smistamento | 0.32 | 0.62 |
| 335 | 252 | G2_smistamento | 0.32 | 0.58 |
| 335 | 251 | Q_smistamento | 0.31 | 0.58 |
| 335 | 253 | Q_smistamento | 0.31 | 0.62 |
| 335 | 254 | Q_smistamento | 0.32 | 0.62 |

Table 20: Element Forces - Area Shells, Part 3 of 3

| Area | Joint | OutputCase | V13 KN/m | V23 KN/m |
|------|-------|----------------|-------------|-------------|
| 335 | 252 | Q_smistamento | 0.32 | 0.58 |
| 335 | 251 | Q_neve | 6.565E-14 | 2.033E-13 |
| 335 | 253 | Q_neve | -6.924E-14 | -3.919E-14 |
| 335 | 254 | Q_neve | -5.598E-13 | 5.774E-15 |
| 335 | 252 | Q_neve | -5.959E-13 | 1.912E-13 |
| 336 | 253 | DEAD | -1.649E-13 | -2.280E-13 |
| 336 | 255 | DEAD | -1.385E-12 | 8.511E-13 |
| 336 | 256 | DEAD | -8.233E-13 | -2.280E-13 |
| 336 | 254 | DEAD | 8.531E-13 | 6.111E-14 |
| 336 | 253 | G1_smistamento | 0.34 | 1.67 |
| 336 | 255 | G1_smistamento | 0.34 | 1.74 |
| 336 | 256 | G1_smistamento | 0.32 | 1.74 |
| 336 | 254 | G1_smistamento | 0.32 | 1.67 |
| 336 | 253 | G2_smistamento | 0.13 | 0.62 |
| 336 | 255 | G2_smistamento | 0.13 | 0.65 |
| 336 | 256 | G2_smistamento | 0.12 | 0.65 |
| 336 | 254 | G2_smistamento | 0.12 | 0.62 |
| 336 | 253 | Q_smistamento | 0.13 | 0.62 |
| 336 | 255 | Q_smistamento | 0.13 | 0.65 |
| 336 | 256 | Q_smistamento | 0.12 | 0.65 |
| 336 | 254 | Q_smistamento | 0.12 | 0.62 |
| 336 | 253 | Q_neve | -1.995E-13 | -1.140E-13 |
| 336 | 255 | Q_neve | -3.697E-13 | 6.583E-14 |
| 336 | 256 | Q_neve | -1.995E-13 | -1.140E-13 |
| 336 | 254 | Q_neve | 2.557E-13 | -6.583E-14 |
| 337 | 255 | DEAD | 9.217E-13 | 7.703E-13 |
| 337 | 257 | DEAD | 5.619E-13 | -3.828E-13 |
| 337 | 258 | DEAD | -9.217E-13 | 9.020E-13 |
| 337 | 256 | DEAD | -1.018E-12 | -9.095E-13 |
| 337 | 255 | G1_smistamento | -2.241E-02 | 1.73 |
| 337 | 257 | G1_smistamento | -2.241E-02 | 1.76 |
| 337 | 258 | G1_smistamento | -3.333E-02 | 1.76 |
| 337 | 256 | G1_smistamento | -3.333E-02 | 1.73 |
| 337 | 255 | G2_smistamento | -8.307E-03 | 0.64 |
| 337 | 257 | G2_smistamento | -8.307E-03 | 0.65 |
| 337 | 258 | G2_smistamento | -1.236E-02 | 0.65 |
| 337 | 256 | G2_smistamento | -1.236E-02 | 0.64 |
| 337 | 255 | Q_smistamento | -8.307E-03 | 0.64 |

Table 20: Element Forces - Area Shells, Part 3 of 3

| Area | Joint | OutputCase | V13 KN/m | V23 KN/m |
|------|-------|----------------|-------------|-------------|
| 337 | 257 | Q_smistamento | -8.307E-03 | 0.65 |
| 337 | 258 | Q_smistamento | -1.236E-02 | 0.65 |
| 337 | 256 | Q_smistamento | -1.236E-02 | 0.64 |
| 337 | 255 | Q_neve | 2.070E-13 | 7.186E-14 |
| 337 | 257 | Q_neve | 2.102E-13 | -1.365E-13 |
| 337 | 258 | Q_neve | -1.880E-13 | -4.335E-14 |
| 337 | 256 | Q_neve | -2.019E-14 | -1.200E-13 |
| 338 | 257 | DEAD | -1.697E-13 | -4.099E-13 |
| 338 | 259 | DEAD | -2.174E-12 | -4.357E-13 |
| 338 | 260 | DEAD | 9.366E-14 | 1.170E-12 |
| 338 | 258 | DEAD | -1.779E-12 | -1.724E-13 |
| 338 | 257 | G1_smistamento | -0.22 | 1.76 |
| 338 | 259 | G1_smistamento | -0.22 | 1.76 |
| 338 | 260 | G1_smistamento | -0.22 | 1.76 |
| 338 | 258 | G1_smistamento | -0.22 | 1.76 |
| 338 | 257 | G2_smistamento | -8.247E-02 | 0.65 |
| 338 | 259 | G2_smistamento | -8.247E-02 | 0.65 |
| 338 | 260 | G2_smistamento | -8.334E-02 | 0.65 |
| 338 | 258 | G2_smistamento | -8.334E-02 | 0.65 |
| 338 | 257 | Q_smistamento | -8.247E-02 | 0.65 |
| 338 | 259 | Q_smistamento | -8.247E-02 | 0.65 |
| 338 | 260 | Q_smistamento | -8.334E-02 | 0.65 |
| 338 | 258 | Q_smistamento | -8.334E-02 | 0.65 |
| 338 | 257 | Q_neve | -3.037E-14 | 5.490E-14 |
| 338 | 259 | Q_neve | -4.832E-13 | -7.322E-14 |
| 338 | 260 | Q_neve | 6.838E-14 | 3.347E-13 |
| 338 | 258 | Q_neve | -2.199E-13 | -2.213E-13 |
| 339 | 259 | DEAD | -1.910E-12 | 3.255E-14 |
| 339 | 261 | DEAD | -2.782E-13 | -6.481E-13 |
| 339 | 262 | DEAD | -6.656E-14 | -1.021E-12 |
| 339 | 260 | DEAD | 1.038E-12 | 8.002E-13 |
| 339 | 259 | G1_smistamento | -0.28 | 1.76 |
| 339 | 261 | G1_smistamento | -0.28 | 1.75 |
| 339 | 262 | G1_smistamento | -0.28 | 1.75 |
| 339 | 260 | G1_smistamento | -0.28 | 1.76 |
| 339 | 259 | G2_smistamento | -0.11 | 0.65 |
| 339 | 261 | G2_smistamento | -0.11 | 0.65 |
| 339 | 262 | G2_smistamento | -0.1 | 0.65 |

Table 20: Element Forces - Area Shells, Part 3 of 3

| Area | Joint | OutputCase | V13 KN/m | V23 KN/m |
|------|-------|----------------|-------------|-------------|
| 339 | 260 | G2_smistamento | -0.1 | 0.65 |
| 339 | 259 | Q_smistamento | -0.11 | 0.65 |
| 339 | 261 | Q_smistamento | -0.11 | 0.65 |
| 339 | 262 | Q_smistamento | -0.1 | 0.65 |
| 339 | 260 | Q_smistamento | -0.1 | 0.65 |
| 339 | 259 | Q_neve | -3.616E-13 | 1.670E-13 |
| 339 | 261 | Q_neve | -1.335E-13 | -2.637E-13 |
| 339 | 262 | Q_neve | 4.994E-16 | -3.761E-13 |
| 339 | 260 | Q_neve | 2.285E-13 | 1.972E-13 |
| 340 | 261 | DEAD | -2.464E-13 | -1.176E-12 |
| 340 | 263 | DEAD | 1.025E-12 | 9.828E-13 |
| 340 | 264 | DEAD | -1.958E-12 | -6.489E-13 |
| 340 | 262 | DEAD | -9.495E-13 | -7.056E-14 |
| 340 | 261 | G1_smistamento | -0.24 | 1.75 |
| 340 | 263 | G1_smistamento | -0.24 | 1.74 |
| 340 | 264 | G1_smistamento | -0.24 | 1.74 |
| 340 | 262 | G1_smistamento | -0.24 | 1.75 |
| 340 | 261 | G2_smistamento | -9.063E-02 | 0.65 |
| 340 | 263 | G2_smistamento | -9.063E-02 | 0.64 |
| 340 | 264 | G2_smistamento | -8.900E-02 | 0.64 |
| 340 | 262 | G2_smistamento | -8.900E-02 | 0.65 |
| 340 | 261 | Q_smistamento | -9.063E-02 | 0.65 |
| 340 | 263 | Q_smistamento | -9.063E-02 | 0.64 |
| 340 | 264 | Q_smistamento | -8.900E-02 | 0.64 |
| 340 | 262 | Q_smistamento | -8.900E-02 | 0.65 |
| 340 | 261 | Q_neve | -6.974E-14 | -3.483E-13 |
| 340 | 263 | Q_neve | 2.341E-14 | 2.209E-13 |
| 340 | 264 | Q_neve | -2.343E-13 | -1.838E-13 |
| 340 | 262 | Q_neve | -4.242E-14 | -2.399E-13 |
| 341 | 263 | DEAD | -1.851E-12 | 1.799E-13 |
| 341 | 265 | DEAD | -5.667E-13 | -1.198E-12 |
| 341 | 266 | DEAD | 2.551E-13 | 4.819E-14 |
| 341 | 264 | DEAD | 1.935E-12 | 5.137E-13 |
| 341 | 263 | G1_smistamento | -0.14 | 1.74 |
| 341 | 265 | G1_smistamento | -0.14 | 1.73 |
| 341 | 266 | G1_smistamento | -0.14 | 1.73 |
| 341 | 264 | G1_smistamento | -0.14 | 1.74 |
| 341 | 263 | G2_smistamento | -5.129E-02 | 0.64 |

Table 20: Element Forces - Area Shells, Part 3 of 3

| Area | Joint | OutputCase | V13 KN/m | V23 KN/m |
|------|-------|----------------|-------------|-------------|
| 341 | 265 | G2_smistamento | -5.129E-02 | 0.64 |
| 341 | 266 | G2_smistamento | -5.020E-02 | 0.64 |
| 341 | 264 | G2_smistamento | -5.020E-02 | 0.64 |
| 341 | 263 | Q_smistamento | -5.129E-02 | 0.64 |
| 341 | 265 | Q_smistamento | -5.129E-02 | 0.64 |
| 341 | 266 | Q_smistamento | -5.020E-02 | 0.64 |
| 341 | 264 | Q_smistamento | -5.020E-02 | 0.64 |
| 341 | 263 | Q_neve | -2.837E-13 | -9.843E-15 |
| 341 | 265 | Q_neve | -5.565E-14 | -9.493E-14 |
| 341 | 266 | Q_neve | -2.037E-14 | -7.568E-14 |
| 341 | 264 | Q_neve | 2.077E-13 | 1.519E-13 |
| 342 | 265 | DEAD | 6.407E-13 | -3.644E-13 |
| 342 | 267 | DEAD | 1.540E-12 | 3.068E-13 |
| 342 | 268 | DEAD | -4.126E-13 | 8.205E-13 |
| 342 | 266 | DEAD | -1.717E-13 | 8.335E-13 |
| 342 | 265 | G1_smistamento | 1.518E-12 | 1.73 |
| 342 | 267 | G1_smistamento | 2.057E-12 | 1.73 |
| 342 | 268 | G1_smistamento | 9.909E-13 | 1.73 |
| 342 | 266 | G1_smistamento | 1.136E-12 | 1.73 |
| 342 | 265 | G2_smistamento | 8.335E-13 | 0.64 |
| 342 | 267 | G2_smistamento | 1.277E-12 | 0.64 |
| 342 | 268 | G2_smistamento | 3.068E-13 | 0.64 |
| 342 | 266 | G2_smistamento | 9.166E-14 | 0.64 |
| 342 | 265 | Q_smistamento | 8.335E-13 | 0.64 |
| 342 | 267 | Q_smistamento | 1.277E-12 | 0.64 |
| 342 | 268 | Q_smistamento | 3.068E-13 | 0.64 |
| 342 | 266 | Q_smistamento | 9.166E-14 | 0.64 |
| 342 | 265 | Q_neve | 3.965E-13 | -5.149E-14 |
| 342 | 267 | Q_neve | 5.732E-13 | 6.049E-14 |
| 342 | 268 | Q_neve | 3.636E-13 | 3.270E-13 |
| 342 | 266 | Q_neve | 2.440E-13 | 4.403E-14 |
| 343 | 267 | DEAD | -1.406E-12 | 5.721E-13 |
| 343 | 269 | DEAD | -3.006E-13 | -1.223E-12 |
| 343 | 270 | DEAD | 5.694E-13 | -8.762E-13 |
| 343 | 268 | DEAD | 2.201E-12 | 1.147E-12 |
| 343 | 267 | G1_smistamento | 0.14 | 1.73 |
| 343 | 269 | G1_smistamento | 0.14 | 1.74 |
| 343 | 270 | G1_smistamento | 0.14 | 1.74 |

Table 20: Element Forces - Area Shells, Part 3 of 3

| Area | Joint | OutputCase | V13 KN/m | V23 KN/m |
|------|-------|----------------|-------------|-------------|
| 343 | 268 | G1_smistamento | 0.14 | 1.73 |
| 343 | 267 | G2_smistamento | 5.129E-02 | 0.64 |
| 343 | 269 | G2_smistamento | 5.129E-02 | 0.64 |
| 343 | 270 | G2_smistamento | 5.020E-02 | 0.64 |
| 343 | 268 | G2_smistamento | 5.020E-02 | 0.64 |
| 343 | 267 | Q_smistamento | 5.129E-02 | 0.64 |
| 343 | 269 | Q_smistamento | 5.129E-02 | 0.64 |
| 343 | 270 | Q_smistamento | 5.020E-02 | 0.64 |
| 343 | 268 | Q_smistamento | 5.020E-02 | 0.64 |
| 343 | 267 | Q_neve | -4.357E-13 | 8.058E-14 |
| 343 | 269 | Q_neve | -2.077E-13 | -2.044E-13 |
| 343 | 270 | Q_neve | -1.724E-13 | -4.132E-13 |
| 343 | 268 | Q_neve | 5.565E-14 | 4.704E-13 |
| 344 | 269 | DEAD | 5.768E-13 | -1.034E-12 |
| 344 | 271 | DEAD | 1.322E-12 | -4.588E-13 |
| 344 | 272 | DEAD | -1.793E-12 | -6.387E-13 |
| 344 | 270 | DEAD | -2.579E-13 | -9.855E-13 |
| 344 | 269 | G1_smistamento | 0.24 | 1.74 |
| 344 | 271 | G1_smistamento | 0.24 | 1.75 |
| 344 | 272 | G1_smistamento | 0.24 | 1.75 |
| 344 | 270 | G1_smistamento | 0.24 | 1.74 |
| 344 | 269 | G2_smistamento | 9.063E-02 | 0.64 |
| 344 | 271 | G2_smistamento | 9.063E-02 | 0.65 |
| 344 | 272 | G2_smistamento | 8.900E-02 | 0.65 |
| 344 | 270 | G2_smistamento | 8.900E-02 | 0.64 |
| 344 | 269 | Q_smistamento | 9.063E-02 | 0.64 |
| 344 | 271 | Q_smistamento | 9.063E-02 | 0.65 |
| 344 | 272 | Q_smistamento | 8.900E-02 | 0.65 |
| 344 | 270 | Q_smistamento | 8.900E-02 | 0.64 |
| 344 | 269 | Q_neve | 4.105E-14 | -1.862E-13 |
| 344 | 271 | Q_neve | 9.247E-14 | 1.072E-13 |
| 344 | 272 | Q_neve | -2.881E-13 | -1.368E-13 |
| 344 | 270 | Q_neve | 5.956E-14 | -2.878E-13 |
| 345 | 271 | DEAD | 8.891E-13 | -1.600E-12 |
| 345 | 273 | DEAD | 1.568E-13 | 6.027E-13 |
| 345 | 274 | DEAD | 9.911E-14 | 1.296E-12 |
| 345 | 272 | DEAD | -7.649E-13 | -4.506E-13 |
| 345 | 271 | G1_smistamento | 0.28 | 1.75 |

Table 20: Element Forces - Area Shells, Part 3 of 3

| Area | Joint | OutputCase | V13 KN/m | V23 KN/m |
|------|-------|----------------|-------------|-------------|
| 345 | 273 | G1_smistamento | 0.28 | 1.76 |
| 345 | 274 | G1_smistamento | 0.28 | 1.76 |
| 345 | 272 | G1_smistamento | 0.28 | 1.75 |
| 345 | 271 | G2_smistamento | 0.11 | 0.65 |
| 345 | 273 | G2_smistamento | 0.11 | 0.65 |
| 345 | 274 | G2_smistamento | 0.1 | 0.65 |
| 345 | 272 | G2_smistamento | 0.1 | 0.65 |
| 345 | 271 | Q_smistamento | 0.11 | 0.65 |
| 345 | 273 | Q_smistamento | 0.11 | 0.65 |
| 345 | 274 | Q_smistamento | 0.1 | 0.65 |
| 345 | 272 | Q_smistamento | 0.1 | 0.65 |
| 345 | 271 | Q_neve | 1.101E-13 | -3.407E-13 |
| 345 | 273 | Q_neve | -2.478E-14 | -7.092E-14 |
| 345 | 274 | Q_neve | -1.861E-13 | -7.738E-14 |
| 345 | 272 | Q_neve | -2.223E-13 | -5.092E-15 |
| 346 | 273 | DEAD | 9.773E-13 | 1.350E-12 |
| 346 | 275 | DEAD | -6.285E-13 | 7.174E-13 |
| 346 | 276 | DEAD | -1.129E-12 | -3.617E-13 |
| 346 | 274 | DEAD | -8.918E-13 | 1.639E-12 |
| 346 | 273 | G1_smistamento | 0.22 | 1.76 |
| 346 | 275 | G1_smistamento | 0.22 | 1.76 |
| 346 | 276 | G1_smistamento | 0.22 | 1.76 |
| 346 | 274 | G1_smistamento | 0.22 | 1.76 |
| 346 | 273 | G2_smistamento | 8.247E-02 | 0.65 |
| 346 | 275 | G2_smistamento | 8.247E-02 | 0.65 |
| 346 | 276 | G2_smistamento | 8.334E-02 | 0.65 |
| 346 | 274 | G2_smistamento | 8.334E-02 | 0.65 |
| 346 | 273 | Q_smistamento | 8.247E-02 | 0.65 |
| 346 | 275 | Q_smistamento | 8.247E-02 | 0.65 |
| 346 | 276 | Q_smistamento | 8.334E-02 | 0.65 |
| 346 | 274 | Q_smistamento | 8.334E-02 | 0.65 |
| 346 | 273 | Q_neve | 2.849E-13 | 4.972E-14 |
| 346 | 275 | Q_neve | -7.161E-14 | 1.742E-13 |
| 346 | 276 | Q_neve | -2.089E-13 | 1.680E-14 |
| 346 | 274 | Q_neve | -1.374E-13 | 9.188E-14 |
| 347 | 275 | DEAD | 2.410E-13 | 3.977E-13 |
| 347 | 277 | DEAD | -4.785E-13 | -5.721E-13 |
| 347 | 278 | DEAD | 8.993E-13 | 1.344E-13 |

Table 20: Element Forces - Area Shells, Part 3 of 3

| Area | Joint | OutputCase | V13 | V23 |
|------|-------|----------------|------------|------------|
| | | | KN/m | KN/m |
| 347 | 276 | DEAD | 7.065E-13 | 8.762E-13 |
| 347 | 275 | G1_smistamento | 2.241E-02 | 1.76 |
| 347 | 277 | G1_smistamento | 2.241E-02 | 1.73 |
| 347 | 278 | G1_smistamento | 3.333E-02 | 1.73 |
| 347 | 276 | G1_smistamento | 3.333E-02 | 1.76 |
| 347 | 275 | G2_smistamento | 8.307E-03 | 0.65 |
| 347 | 277 | G2_smistamento | 8.307E-03 | 0.64 |
| 347 | 278 | G2_smistamento | 1.236E-02 | 0.64 |
| 347 | 276 | G2_smistamento | 1.236E-02 | 0.65 |
| 347 | 275 | Q_smistamento | 8.307E-03 | 0.65 |
| 347 | 277 | Q_smistamento | 8.307E-03 | 0.64 |
| 347 | 278 | Q_smistamento | 1.236E-02 | 0.64 |
| 347 | 276 | Q_smistamento | 1.236E-02 | 0.65 |
| 347 | 275 | Q_neve | 1.140E-13 | 9.375E-14 |
| 347 | 277 | Q_neve | -6.583E-14 | 9.843E-15 |
| 347 | 278 | Q_neve | 1.140E-13 | 7.729E-14 |
| 347 | 276 | Q_neve | 6.583E-14 | 7.568E-14 |
| 348 | 277 | DEAD | 3.448E-13 | -9.115E-13 |
| 348 | 279 | DEAD | 1.064E-12 | 1.436E-12 |
| 348 | 280 | DEAD | 8.715E-13 | 1.063E-12 |
| 348 | 278 | DEAD | 1.064E-12 | -1.438E-13 |
| 348 | 277 | G1_smistamento | -0.34 | 1.74 |
| 348 | 279 | G1_smistamento | -0.34 | 1.67 |
| 348 | 280 | G1_smistamento | -0.32 | 1.67 |
| 348 | 278 | G1_smistamento | -0.32 | 1.74 |
| 348 | 277 | G2_smistamento | -0.13 | 0.65 |
| 348 | 279 | G2_smistamento | -0.13 | 0.62 |
| 348 | 280 | G2_smistamento | -0.12 | 0.62 |
| 348 | 278 | G2_smistamento | -0.12 | 0.65 |
| 348 | 277 | Q_smistamento | -0.13 | 0.65 |
| 348 | 279 | Q_smistamento | -0.13 | 0.62 |
| 348 | 280 | Q_smistamento | -0.12 | 0.62 |
| 348 | 278 | Q_smistamento | -0.12 | 0.65 |
| 348 | 277 | Q_neve | 4.937E-14 | -9.552E-14 |
| 348 | 279 | Q_neve | 1.843E-13 | -3.228E-15 |
| 348 | 280 | Q_neve | -4.937E-14 | 2.666E-13 |
| 348 | 278 | Q_neve | -1.323E-14 | -1.678E-13 |
| 349 | 279 | DEAD | -7.927E-13 | 1.531E-12 |

Table 20: Element Forces - Area Shells, Part 3 of 3

| Area | Joint | OutputCase | V13 | V23 |
|------|-------|----------------|------------|------------|
| | | | KN/m | KN/m |
| 349 | 281 | DEAD | -9.726E-13 | -3.421E-13 |
| 349 | 282 | DEAD | 2.606E-13 | 1.662E-12 |
| 349 | 280 | DEAD | 2.124E-13 | -3.421E-13 |
| 349 | 279 | G1_smistamento | -0.84 | 1.68 |
| 349 | 281 | G1_smistamento | -0.84 | 1.55 |
| 349 | 282 | G1_smistamento | -0.85 | 1.55 |
| 349 | 280 | G1_smistamento | -0.85 | 1.68 |
| 349 | 279 | G2_smistamento | -0.31 | 0.62 |
| 349 | 281 | G2_smistamento | -0.31 | 0.58 |
| 349 | 282 | G2_smistamento | -0.32 | 0.58 |
| 349 | 280 | G2_smistamento | -0.32 | 0.62 |
| 349 | 279 | Q_smistamento | -0.31 | 0.62 |
| 349 | 281 | Q_smistamento | -0.31 | 0.58 |
| 349 | 282 | Q_smistamento | -0.32 | 0.58 |
| 349 | 280 | Q_smistamento | -0.32 | 0.62 |
| 349 | 279 | Q_neve | -7.024E-14 | 2.297E-13 |
| 349 | 281 | Q_neve | -1.152E-13 | -6.024E-15 |
| 349 | 282 | Q_neve | 1.273E-13 | 3.120E-13 |
| 349 | 280 | Q_neve | 1.152E-13 | -2.248E-14 |
| 350 | 281 | DEAD | -9.911E-14 | 9.177E-13 |
| 350 | 19 | DEAD | -1.140E-12 | -9.326E-13 |
| 350 | 22 | DEAD | -8.891E-13 | 1.971E-12 |
| 350 | 282 | DEAD | 8.355E-13 | -1.196E-12 |
| 350 | 281 | G1_smistamento | -1.11 | 1.49 |
| 350 | 19 | G1_smistamento | -1.11 | 1.27 |
| 350 | 22 | G1_smistamento | -1.54 | 1.27 |
| 350 | 282 | G1_smistamento | -1.54 | 1.49 |
| 350 | 281 | G2_smistamento | -0.41 | 0.55 |
| 350 | 19 | G2_smistamento | -0.41 | 0.47 |
| 350 | 22 | G2_smistamento | -0.57 | 0.47 |
| 350 | 282 | G2_smistamento | -0.57 | 0.55 |
| 350 | 281 | Q_smistamento | -0.41 | 0.55 |
| 350 | 19 | Q_smistamento | -0.41 | 0.47 |
| 350 | 22 | Q_smistamento | -0.57 | 0.47 |
| 350 | 282 | Q_smistamento | -0.57 | 0.55 |
| 350 | 281 | Q_neve | 3.045E-15 | 2.794E-13 |
| 350 | 19 | Q_neve | -2.571E-13 | -5.990E-14 |
| 350 | 22 | Q_neve | -3.261E-13 | 3.288E-13 |

Table 20: Element Forces - Area Shells, Part 3 of 3

| Area | Joint | OutputCase | V13 | V23 |
|------|-------|----------------|------------|------------|
| | | | KN/m | KN/m |
| 350 | 282 | Q_neve | 1.050E-13 | -1.586E-13 |
| 351 | 21 | DEAD | -1.360E-12 | -1.031E-12 |
| 351 | 283 | DEAD | -1.206E-12 | -1.031E-12 |
| 351 | 284 | DEAD | 2.199E-13 | -1.093E-13 |
| 351 | 22 | DEAD | -1.074E-12 | -1.093E-13 |
| 351 | 21 | G1_smistamento | -1.01 | 1.4 |
| 351 | 283 | G1_smistamento | -1.23 | 1.4 |
| 351 | 284 | G1_smistamento | -1.23 | 1.82 |
| 351 | 22 | G1_smistamento | -1.01 | 1.82 |
| 351 | 21 | G2_smistamento | -0.38 | 0.52 |
| 351 | 283 | G2_smistamento | -0.46 | 0.52 |
| 351 | 284 | G2_smistamento | -0.46 | 0.68 |
| 351 | 22 | G2_smistamento | -0.38 | 0.68 |
| 351 | 21 | Q_smistamento | -0.38 | 0.52 |
| 351 | 283 | Q_smistamento | -0.46 | 0.52 |
| 351 | 284 | Q_smistamento | -0.46 | 0.68 |
| 351 | 22 | Q_smistamento | -0.38 | 0.68 |
| 351 | 21 | Q_neve | -6.456E-14 | -1.428E-13 |
| 351 | 283 | Q_neve | -1.188E-13 | -1.428E-13 |
| 351 | 284 | Q_neve | 8.356E-14 | 3.826E-14 |
| 351 | 22 | Q_neve | -1.188E-13 | 3.826E-14 |
| 352 | 283 | DEAD | -1.079E-12 | -5.267E-13 |
| 352 | 285 | DEAD | -8.158E-13 | -5.267E-13 |
| 352 | 286 | DEAD | -2.892E-13 | 5.267E-13 |
| 352 | 284 | DEAD | -5.525E-13 | 5.267E-13 |
| 352 | 283 | G1_smistamento | -1.3 | 0.92 |
| 352 | 285 | G1_smistamento | -1.39 | 0.92 |
| 352 | 286 | G1_smistamento | -1.39 | 0.94 |
| 352 | 284 | G1_smistamento | -1.3 | 0.94 |
| 352 | 283 | G2_smistamento | -0.48 | 0.34 |
| 352 | 285 | G2_smistamento | -0.52 | 0.34 |
| 352 | 286 | G2_smistamento | -0.52 | 0.35 |
| 352 | 284 | G2_smistamento | -0.48 | 0.35 |
| 352 | 283 | Q_smistamento | -0.48 | 0.34 |
| 352 | 285 | Q_smistamento | -0.52 | 0.34 |
| 352 | 286 | Q_smistamento | -0.52 | 0.35 |
| 352 | 284 | Q_smistamento | -0.48 | 0.35 |
| 352 | 283 | Q_neve | -1.612E-13 | -3.894E-14 |

Table 20: Element Forces - Area Shells, Part 3 of 3

| Area | Joint | OutputCase | V13 | V23 |
|------|-------|----------------|------------|------------|
| | | | KN/m | KN/m |
| 352 | 285 | Q_neve | -2.495E-13 | -3.894E-14 |
| 352 | 286 | Q_neve | -9.536E-14 | 1.043E-14 |
| 352 | 284 | Q_neve | -3.555E-14 | 1.043E-14 |
| 353 | 285 | DEAD | -9.169E-13 | 1.188E-13 |
| 353 | 287 | DEAD | 1.764E-14 | 1.188E-13 |
| 353 | 288 | DEAD | 4.727E-15 | -8.029E-13 |
| 353 | 286 | DEAD | -2.457E-13 | -8.029E-13 |
| 353 | 285 | G1_smistamento | -1.39 | -8.233E-13 |
| 353 | 287 | G1_smistamento | -1.39 | -8.233E-13 |
| 353 | 288 | G1_smistamento | -1.39 | -1.649E-13 |
| 353 | 286 | G1_smistamento | -1.39 | -1.649E-13 |
| 353 | 285 | G2_smistamento | -0.52 | -1.001E-13 |
| 353 | 287 | G2_smistamento | -0.52 | -1.001E-13 |
| 353 | 288 | G2_smistamento | -0.52 | -1.659E-13 |
| 353 | 286 | G2_smistamento | -0.52 | -1.659E-13 |
| 353 | 285 | Q_smistamento | -0.52 | -1.001E-13 |
| 353 | 287 | Q_smistamento | -0.52 | -1.001E-13 |
| 353 | 288 | Q_smistamento | -0.52 | -1.659E-13 |
| 353 | 286 | Q_smistamento | -0.52 | -1.659E-13 |
| 353 | 285 | Q_neve | -2.273E-13 | 3.894E-14 |
| 353 | 287 | Q_neve | -2.887E-15 | 3.894E-14 |
| 353 | 288 | Q_neve | 1.513E-13 | -1.043E-14 |
| 353 | 286 | Q_neve | -1.016E-13 | -1.043E-14 |
| 354 | 287 | DEAD | -9.040E-13 | -4.154E-13 |
| 354 | 289 | DEAD | -5.572E-13 | -4.154E-13 |
| 354 | 290 | DEAD | 6.760E-13 | 1.113E-13 |
| 354 | 288 | DEAD | 1.011E-13 | 1.113E-13 |
| 354 | 287 | G1_smistamento | -1.39 | -0.92 |
| 354 | 289 | G1_smistamento | -1.3 | -0.92 |
| 354 | 290 | G1_smistamento | -1.3 | -0.94 |
| 354 | 288 | G1_smistamento | -1.39 | -0.94 |
| 354 | 287 | G2_smistamento | -0.52 | -0.34 |
| 354 | 289 | G2_smistamento | -0.48 | -0.34 |
| 354 | 290 | G2_smistamento | -0.48 | -0.35 |
| 354 | 288 | G2_smistamento | -0.52 | -0.35 |
| 354 | 287 | Q_smistamento | -0.52 | -0.34 |
| 354 | 289 | Q_smistamento | -0.48 | -0.34 |
| 354 | 290 | Q_smistamento | -0.48 | -0.35 |

Table 20: Element Forces - Area Shells, Part 3 of 3

| Area | Joint | OutputCase | V13 KN/m | V23 KN/m |
|------|-------|----------------|-------------|-------------|
| 354 | 288 | Q_smistamento | -0.52 | -0.35 |
| 354 | 287 | Q_neve | 9.468E-14 | -2.577E-13 |
| 354 | 289 | Q_neve | -3.533E-13 | -2.577E-13 |
| 354 | 290 | Q_neve | 2.885E-14 | -2.732E-14 |
| 354 | 288 | Q_neve | -7.730E-15 | -2.732E-14 |
| 355 | 289 | DEAD | -1.218E-12 | 6.081E-13 |
| 355 | 10 | DEAD | 8.893E-14 | 6.081E-13 |
| 355 | 9 | DEAD | 2.300E-13 | 6.081E-13 |
| 355 | 290 | DEAD | 7.473E-13 | 6.081E-13 |
| 355 | 289 | G1_smistamento | -1.23 | -1.4 |
| 355 | 10 | G1_smistamento | -1.01 | -1.4 |
| 355 | 9 | G1_smistamento | -1.01 | -1.82 |
| 355 | 290 | G1_smistamento | -1.23 | -1.82 |
| 355 | 289 | G2_smistamento | -0.46 | -0.52 |
| 355 | 10 | G2_smistamento | -0.38 | -0.52 |
| 355 | 9 | G2_smistamento | -0.38 | -0.68 |
| 355 | 290 | G2_smistamento | -0.46 | -0.68 |
| 355 | 289 | Q_smistamento | -0.46 | -0.52 |
| 355 | 10 | Q_smistamento | -0.38 | -0.52 |
| 355 | 9 | Q_smistamento | -0.38 | -0.68 |
| 355 | 290 | Q_smistamento | -0.46 | -0.68 |
| 355 | 289 | Q_neve | -5.785E-14 | 1.780E-13 |
| 355 | 10 | Q_neve | -1.438E-13 | 1.780E-13 |
| 355 | 9 | Q_neve | 2.384E-13 | 1.451E-13 |
| 355 | 290 | Q_neve | -1.603E-13 | 1.451E-13 |
| 356 | 18 | DEAD | 6.156E-13 | 3.821E-13 |
| 356 | 252 | DEAD | 6.156E-13 | 9.251E-13 |
| 356 | 291 | DEAD | 2.206E-13 | -1.066E-12 |
| 356 | 250 | DEAD | 2.206E-13 | 1.583E-12 |
| 356 | 18 | G1_smistamento | 1.65 | 1.92 |
| 356 | 252 | G1_smistamento | 1.65 | 2.37 |
| 356 | 291 | G1_smistamento | 2.08 | 2.37 |
| 356 | 250 | G1_smistamento | 2.08 | 1.92 |
| 356 | 18 | G2_smistamento | 0.61 | 0.71 |
| 356 | 252 | G2_smistamento | 0.61 | 0.88 |
| 356 | 291 | G2_smistamento | 0.77 | 0.88 |
| 356 | 250 | G2_smistamento | 0.77 | 0.71 |
| 356 | 18 | Q_smistamento | 0.61 | 0.71 |

Table 20: Element Forces - Area Shells, Part 3 of 3

| Area | Joint | OutputCase | V13 | V23 |
|------|-------|----------------|-----------|------------|
| | | | KN/m | KN/m |
| 356 | 252 | Q_smistamento | 0.61 | 0.88 |
| 356 | 291 | Q_smistamento | 0.77 | 0.88 |
| 356 | 250 | Q_smistamento | 0.77 | 0.71 |
| 356 | 18 | Q_neve | 2.818E-13 | 1.680E-14 |
| 356 | 252 | Q_neve | 2.818E-13 | 1.654E-13 |
| 356 | 291 | Q_neve | 1.173E-13 | 4.972E-14 |
| 356 | 250 | Q_neve | 1.173E-13 | 2.147E-13 |
| 357 | 250 | DEAD | 8.973E-13 | -1.626E-12 |
| 357 | 291 | DEAD | 8.973E-13 | 6.991E-13 |
| 357 | 292 | DEAD | 1.687E-12 | -4.619E-14 |
| 357 | 248 | DEAD | 1.687E-12 | -9.093E-14 |
| 357 | 250 | G1_smistamento | 2.17 | 0.99 |
| 357 | 291 | G1_smistamento | 2.17 | 1.07 |
| 357 | 292 | G1_smistamento | 2.34 | 1.07 |
| 357 | 248 | G1_smistamento | 2.34 | 0.99 |
| 357 | 250 | G2_smistamento | 0.8 | 0.37 |
| 357 | 291 | G2_smistamento | 0.8 | 0.4 |
| 357 | 292 | G2_smistamento | 0.87 | 0.4 |
| 357 | 248 | G2_smistamento | 0.87 | 0.37 |
| 357 | 250 | Q_smistamento | 0.8 | 0.37 |
| 357 | 291 | Q_smistamento | 0.8 | 0.4 |
| 357 | 292 | Q_smistamento | 0.87 | 0.4 |
| 357 | 248 | Q_smistamento | 0.87 | 0.37 |
| 357 | 250 | Q_neve | 1.483E-13 | -1.732E-13 |
| 357 | 291 | Q_neve | 1.483E-13 | 1.552E-13 |
| 357 | 292 | Q_neve | 3.458E-13 | -1.403E-13 |
| 357 | 248 | Q_neve | 3.458E-13 | 7.288E-14 |
| 358 | 248 | DEAD | 2.462E-12 | 3.393E-13 |
| 358 | 292 | DEAD | 2.462E-12 | 1.724E-13 |
| 358 | 293 | DEAD | 8.824E-13 | -1.873E-13 |
| 358 | 246 | DEAD | 8.824E-13 | 4.357E-13 |
| 358 | 248 | G1_smistamento | 2.35 | -6.383E-13 |
| 358 | 292 | G1_smistamento | 2.35 | 1.329E-12 |
| 358 | 293 | G1_smistamento | 2.35 | -4.583E-14 |
| 358 | 246 | G1_smistamento | 2.35 | 1.066E-12 |
| 358 | 248 | G2_smistamento | 0.87 | 3.410E-14 |
| 358 | 292 | G2_smistamento | 0.87 | -1.273E-13 |
| 358 | 293 | G2_smistamento | 0.87 | -2.621E-13 |

Table 20: Element Forces - Area Shells, Part 3 of 3

| Area | Joint | OutputCase | V13 | V23 |
|------|-------|----------------|-----------|------------|
| | | | KN/m | KN/m |
| 358 | 246 | G2_smistamento | 0.87 | 7.024E-14 |
| 358 | 248 | Q_smistamento | 0.87 | 3.410E-14 |
| 358 | 292 | Q_smistamento | 0.87 | -1.273E-13 |
| 358 | 293 | Q_smistamento | 0.87 | -2.621E-13 |
| 358 | 246 | Q_smistamento | 0.87 | 7.024E-14 |
| 358 | 248 | Q_neve | 3.579E-13 | -2.043E-13 |
| 358 | 292 | Q_neve | 3.579E-13 | 1.394E-13 |
| 358 | 293 | Q_neve | 1.933E-13 | -2.043E-13 |
| 358 | 246 | Q_neve | 1.933E-13 | 2.217E-13 |
| 359 | 246 | DEAD | 5.681E-13 | 1.799E-13 |
| 359 | 293 | DEAD | 1.955E-13 | -5.301E-13 |
| 359 | 294 | DEAD | 2.016E-12 | 4.819E-14 |
| 359 | 244 | DEAD | 1.249E-12 | -1.978E-12 |
| 359 | 246 | G1_smistamento | 2.34 | -0.99 |
| 359 | 293 | G1_smistamento | 2.34 | -1.07 |
| 359 | 294 | G1_smistamento | 2.17 | -1.07 |
| 359 | 244 | G1_smistamento | 2.17 | -0.99 |
| 359 | 246 | G2_smistamento | 0.87 | -0.37 |
| 359 | 293 | G2_smistamento | 0.87 | -0.4 |
| 359 | 294 | G2_smistamento | 0.8 | -0.4 |
| 359 | 244 | G2_smistamento | 0.8 | -0.37 |
| 359 | 246 | Q_smistamento | 0.87 | -0.37 |
| 359 | 293 | Q_smistamento | 0.87 | -0.4 |
| 359 | 294 | Q_smistamento | 0.8 | -0.4 |
| 359 | 244 | Q_smistamento | 0.8 | -0.37 |
| 359 | 246 | Q_neve | 6.856E-14 | -5.908E-16 |
| 359 | 293 | Q_neve | 6.856E-14 | 3.748E-14 |
| 359 | 294 | Q_neve | 4.636E-13 | 1.146E-13 |
| 359 | 244 | Q_neve | 4.636E-13 | -5.221E-13 |
| 360 | 244 | DEAD | 2.154E-12 | 1.360E-12 |
| 360 | 294 | DEAD | 1.087E-12 | -1.286E-12 |
| 360 | 242 | DEAD | 1.495E-12 | -2.199E-13 |
| 360 | 14 | DEAD | 1.877E-12 | 1.742E-12 |
| 360 | 244 | G1_smistamento | 2.08 | -1.92 |
| 360 | 294 | G1_smistamento | 2.08 | -2.37 |
| 360 | 242 | G1_smistamento | 1.65 | -2.37 |
| 360 | 14 | G1_smistamento | 1.65 | -1.92 |
| 360 | 244 | G2_smistamento | 0.77 | -0.71 |

Table 20: Element Forces - Area Shells, Part 3 of 3

| Area | Joint | OutputCase | V13 KN/m | V23 KN/m |
|------|-------|----------------|-------------|-------------|
| 360 | 294 | G2_smistamento | 0.77 | -0.88 |
| 360 | 242 | G2_smistamento | 0.61 | -0.88 |
| 360 | 14 | G2_smistamento | 0.61 | -0.71 |
| 360 | 244 | Q_smistamento | 0.77 | -0.71 |
| 360 | 294 | Q_smistamento | 0.77 | -0.88 |
| 360 | 242 | Q_smistamento | 0.61 | -0.88 |
| 360 | 14 | Q_smistamento | 0.61 | -0.71 |
| 360 | 244 | Q_neve | 5.099E-13 | 1.865E-13 |
| 360 | 294 | Q_neve | 3.782E-13 | -1.082E-13 |
| 360 | 242 | Q_neve | 3.453E-13 | -4.394E-14 |
| 360 | 14 | Q_neve | 4.770E-13 | 3.362E-13 |
| 361 | 252 | DEAD | -2.644E-12 | -1.900E-13 |
| 361 | 254 | DEAD | -1.398E-12 | 7.092E-13 |
| 361 | 295 | DEAD | 5.157E-13 | -1.900E-13 |
| 361 | 291 | DEAD | 1.819E-13 | 5.092E-14 |
| 361 | 252 | G1_smistamento | 0.93 | 2.43 |
| 361 | 254 | G1_smistamento | 0.93 | 2.68 |
| 361 | 295 | G1_smistamento | 0.98 | 2.68 |
| 361 | 291 | G1_smistamento | 0.98 | 2.43 |
| 361 | 252 | G2_smistamento | 0.35 | 0.9 |
| 361 | 254 | G2_smistamento | 0.35 | 0.99 |
| 361 | 295 | G2_smistamento | 0.36 | 0.99 |
| 361 | 291 | G2_smistamento | 0.36 | 0.9 |
| 361 | 252 | Q_smistamento | 0.35 | 0.9 |
| 361 | 254 | Q_smistamento | 0.35 | 0.99 |
| 361 | 295 | Q_smistamento | 0.36 | 0.99 |
| 361 | 291 | Q_smistamento | 0.36 | 0.9 |
| 361 | 252 | Q_neve | -8.694E-13 | 7.729E-14 |
| 361 | 254 | Q_neve | -5.547E-13 | 7.127E-14 |
| 361 | 295 | Q_neve | 5.224E-14 | 9.375E-14 |
| 361 | 291 | Q_neve | 1.366E-13 | 7.127E-14 |
| 362 | 291 | DEAD | 1.036E-12 | -9.726E-13 |
| 362 | 295 | DEAD | -1.161E-12 | 6.109E-13 |
| 362 | 296 | DEAD | -8.076E-13 | 2.124E-13 |
| 362 | 292 | DEAD | -3.400E-12 | 1.138E-12 |
| 362 | 291 | G1_smistamento | 1.06 | 1.11 |
| 362 | 295 | G1_smistamento | 1.06 | 1.24 |
| 362 | 296 | G1_smistamento | 1.14 | 1.24 |

Table 20: Element Forces - Area Shells, Part 3 of 3

| Area | Joint | OutputCase | V13 KN/m | V23 KN/m |
|------|-------|----------------|-------------|-------------|
| 362 | 292 | G1_smistamento | 1.14 | 1.11 |
| 362 | 291 | G2_smistamento | 0.39 | 0.41 |
| 362 | 295 | G2_smistamento | 0.39 | 0.46 |
| 362 | 296 | G2_smistamento | 0.42 | 0.46 |
| 362 | 292 | G2_smistamento | 0.42 | 0.41 |
| 362 | 291 | Q_smistamento | 0.39 | 0.41 |
| 362 | 295 | Q_smistamento | 0.39 | 0.46 |
| 362 | 296 | Q_smistamento | 0.42 | 0.46 |
| 362 | 292 | Q_smistamento | 0.42 | 0.41 |
| 362 | 291 | Q_neve | 1.373E-13 | -1.888E-13 |
| 362 | 295 | Q_neve | -9.079E-14 | 8.145E-14 |
| 362 | 296 | Q_neve | -4.223E-13 | -1.723E-13 |
| 362 | 292 | Q_neve | -6.504E-13 | 2.131E-13 |
| 363 | 292 | DEAD | -1.849E-12 | -2.237E-14 |
| 363 | 296 | DEAD | -1.837E-12 | 1.522E-12 |
| 363 | 297 | DEAD | -1.191E-12 | 1.163E-12 |
| 363 | 293 | DEAD | -5.199E-13 | 7.402E-14 |
| 363 | 292 | G1_smistamento | 1.16 | 6.387E-13 |
| 363 | 296 | G1_smistamento | 1.16 | 1.021E-12 |
| 363 | 297 | G1_smistamento | 1.16 | 1.034E-12 |
| 363 | 293 | G1_smistamento | 1.16 | -3.255E-14 |
| 363 | 292 | G2_smistamento | 0.43 | -1.208E-13 |
| 363 | 296 | G2_smistamento | 0.43 | -5.275E-15 |
| 363 | 297 | G2_smistamento | 0.43 | 4.059E-13 |
| 363 | 293 | G2_smistamento | 0.43 | -5.648E-13 |
| 363 | 292 | Q_smistamento | 0.43 | -1.208E-13 |
| 363 | 296 | Q_smistamento | 0.43 | -5.275E-15 |
| 363 | 297 | Q_smistamento | 0.43 | 4.059E-13 |
| 363 | 293 | Q_smistamento | 0.43 | -5.648E-13 |
| 363 | 292 | Q_neve | -3.977E-13 | 4.565E-14 |
| 363 | 296 | Q_neve | -3.495E-13 | 9.297E-14 |
| 363 | 297 | Q_neve | -1.344E-13 | 1.444E-13 |
| 363 | 293 | Q_neve | 4.546E-14 | -3.020E-13 |
| 364 | 293 | DEAD | -5.619E-13 | -7.703E-13 |
| 364 | 297 | DEAD | -3.950E-13 | -2.729E-15 |
| 364 | 298 | DEAD | 1.018E-12 | -9.020E-13 |
| 364 | 294 | DEAD | 3.950E-13 | -5.294E-13 |
| 364 | 293 | G1_smistamento | 1.14 | -1.11 |

Table 20: Element Forces - Area Shells, Part 3 of 3

| Area | Joint | OutputCase | V13 KN/m | V23 KN/m |
|------|-------|----------------|-------------|-------------|
| 364 | 297 | G1_smistamento | 1.14 | -1.24 |
| 364 | 298 | G1_smistamento | 1.06 | -1.24 |
| 364 | 294 | G1_smistamento | 1.06 | -1.11 |
| 364 | 293 | G2_smistamento | 0.42 | -0.41 |
| 364 | 297 | G2_smistamento | 0.42 | -0.46 |
| 364 | 298 | G2_smistamento | 0.39 | -0.46 |
| 364 | 294 | G2_smistamento | 0.39 | -0.41 |
| 364 | 293 | Q_smistamento | 0.42 | -0.41 |
| 364 | 297 | Q_smistamento | 0.42 | -0.46 |
| 364 | 298 | Q_smistamento | 0.39 | -0.46 |
| 364 | 294 | Q_smistamento | 0.39 | -0.41 |
| 364 | 293 | Q_neve | -3.478E-14 | 1.108E-13 |
| 364 | 297 | Q_neve | 6.956E-15 | -1.854E-13 |
| 364 | 298 | Q_neve | 1.298E-13 | -5.378E-14 |
| 364 | 294 | Q_neve | -2.596E-14 | 2.425E-13 |
| 365 | 294 | DEAD | 2.382E-13 | -7.853E-13 |
| 365 | 298 | DEAD | 4.439E-13 | -4.737E-13 |
| 365 | 240 | DEAD | 3.699E-13 | -1.269E-13 |
| 365 | 242 | DEAD | 1.761E-12 | -2.104E-13 |
| 365 | 294 | G1_smistamento | 0.98 | -2.43 |
| 365 | 298 | G1_smistamento | 0.98 | -2.68 |
| 365 | 240 | G1_smistamento | 0.93 | -2.68 |
| 365 | 242 | G1_smistamento | 0.93 | -2.43 |
| 365 | 294 | G2_smistamento | 0.36 | -0.9 |
| 365 | 298 | G2_smistamento | 0.36 | -0.99 |
| 365 | 240 | G2_smistamento | 0.35 | -0.99 |
| 365 | 242 | G2_smistamento | 0.35 | -0.9 |
| 365 | 294 | Q_smistamento | 0.36 | -0.9 |
| 365 | 298 | Q_smistamento | 0.36 | -0.99 |
| 365 | 240 | Q_smistamento | 0.35 | -0.99 |
| 365 | 242 | Q_smistamento | 0.35 | -0.9 |
| 365 | 294 | Q_neve | -2.546E-15 | 1.459E-14 |
| 365 | 298 | Q_neve | 6.822E-16 | 7.720E-14 |
| 365 | 240 | Q_neve | -3.546E-14 | 8.043E-14 |
| 365 | 242 | Q_neve | 1.323E-13 | -1.532E-13 |
| 366 | 254 | DEAD | -4.581E-13 | -2.186E-13 |
| 366 | 256 | DEAD | -1.203E-12 | -6.230E-13 |
| 366 | 299 | DEAD | 9.902E-13 | -2.062E-12 |

Table 20: Element Forces - Area Shells, Part 3 of 3

| Area | Joint | OutputCase | V13 KN/m | V23 KN/m |
|------|-------|----------------|-------------|-------------|
| 366 | 295 | DEAD | -5.450E-13 | 1.669E-13 |
| 366 | 254 | G1_smistamento | 0.37 | 2.67 |
| 366 | 256 | G1_smistamento | 0.37 | 2.79 |
| 366 | 299 | G1_smistamento | 0.35 | 2.79 |
| 366 | 295 | G1_smistamento | 0.35 | 2.67 |
| 366 | 254 | G2_smistamento | 0.14 | 0.99 |
| 366 | 256 | G2_smistamento | 0.14 | 1.04 |
| 366 | 299 | G2_smistamento | 0.13 | 1.04 |
| 366 | 295 | G2_smistamento | 0.13 | 0.99 |
| 366 | 254 | Q_smistamento | 0.14 | 0.99 |
| 366 | 256 | Q_smistamento | 0.14 | 1.04 |
| 366 | 299 | Q_smistamento | 0.13 | 1.04 |
| 366 | 295 | Q_smistamento | 0.13 | 0.99 |
| 366 | 254 | Q_neve | -2.391E-14 | -7.704E-14 |
| 366 | 256 | Q_neve | -1.653E-13 | 1.559E-13 |
| 366 | 299 | Q_neve | 4.040E-13 | -2.745E-13 |
| 366 | 295 | Q_neve | 3.223E-14 | 2.052E-13 |
| 367 | 295 | DEAD | 9.093E-14 | 1.946E-12 |
| 367 | 299 | DEAD | 6.434E-13 | 4.588E-13 |
| 367 | 300 | DEAD | -6.991E-13 | 1.551E-12 |
| 367 | 296 | DEAD | 1.168E-13 | 9.855E-13 |
| 367 | 295 | G1_smistamento | 0.4 | 1.25 |
| 367 | 299 | G1_smistamento | 0.4 | 1.34 |
| 367 | 300 | G1_smistamento | 0.39 | 1.34 |
| 367 | 296 | G1_smistamento | 0.39 | 1.25 |
| 367 | 295 | G2_smistamento | 0.15 | 0.46 |
| 367 | 299 | G2_smistamento | 0.15 | 0.5 |
| 367 | 300 | G2_smistamento | 0.15 | 0.5 |
| 367 | 296 | G2_smistamento | 0.15 | 0.46 |
| 367 | 295 | Q_smistamento | 0.15 | 0.46 |
| 367 | 299 | Q_smistamento | 0.15 | 0.5 |
| 367 | 300 | Q_smistamento | 0.15 | 0.5 |
| 367 | 296 | Q_smistamento | 0.15 | 0.46 |
| 367 | 295 | Q_neve | 3.539E-13 | 1.999E-13 |
| 367 | 299 | Q_neve | 3.989E-13 | 1.051E-13 |
| 367 | 300 | Q_neve | -1.069E-13 | 2.657E-13 |
| 367 | 296 | Q_neve | -9.484E-14 | -1.009E-14 |
| 368 | 296 | DEAD | -6.156E-13 | 3.244E-13 |

Table 20: Element Forces - Area Shells, Part 3 of 3

| Area | Joint | OutputCase | V13 KN/m | V23 KN/m |
|------|-------|----------------|-------------|-------------|
| 368 | 300 | DEAD | -6.156E-13 | 2.052E-12 |
| 368 | 301 | DEAD | -2.206E-13 | 5.878E-13 |
| 368 | 297 | DEAD | -2.206E-13 | 2.052E-12 |
| 368 | 296 | G1_smistamento | 0.41 | -2.410E-13 |
| 368 | 300 | G1_smistamento | 0.41 | 1.285E-12 |
| 368 | 301 | G1_smistamento | 0.41 | -8.993E-13 |
| 368 | 297 | G1_smistamento | 0.41 | 1.680E-12 |
| 368 | 296 | G2_smistamento | 0.15 | -5.633E-14 |
| 368 | 300 | G2_smistamento | 0.15 | 6.663E-13 |
| 368 | 301 | G2_smistamento | 0.15 | 7.533E-14 |
| 368 | 297 | G2_smistamento | 0.15 | 4.359E-13 |
| 368 | 296 | Q_smistamento | 0.15 | -5.633E-14 |
| 368 | 300 | Q_smistamento | 0.15 | 6.663E-13 |
| 368 | 301 | Q_smistamento | 0.15 | 7.533E-14 |
| 368 | 297 | Q_smistamento | 0.15 | 4.359E-13 |
| 368 | 296 | Q_neve | -1.539E-13 | 9.843E-15 |
| 368 | 300 | Q_neve | -1.539E-13 | 1.913E-13 |
| 368 | 301 | Q_neve | -5.515E-14 | 7.568E-14 |
| 368 | 297 | Q_neve | -5.515E-14 | 2.078E-13 |
| 369 | 297 | DEAD | 2.986E-13 | -2.735E-13 |
| 369 | 301 | DEAD | 8.511E-13 | 1.086E-13 |
| 369 | 302 | DEAD | -7.547E-13 | 1.215E-13 |
| 369 | 298 | DEAD | 6.111E-14 | -9.447E-13 |
| 369 | 297 | G1_smistamento | 0.39 | -1.25 |
| 369 | 301 | G1_smistamento | 0.39 | -1.34 |
| 369 | 302 | G1_smistamento | 0.4 | -1.34 |
| 369 | 298 | G1_smistamento | 0.4 | -1.25 |
| 369 | 297 | G2_smistamento | 0.15 | -0.46 |
| 369 | 301 | G2_smistamento | 0.15 | -0.5 |
| 369 | 302 | G2_smistamento | 0.15 | -0.5 |
| 369 | 298 | G2_smistamento | 0.15 | -0.46 |
| 369 | 297 | Q_smistamento | 0.15 | -0.46 |
| 369 | 301 | Q_smistamento | 0.15 | -0.5 |
| 369 | 302 | Q_smistamento | 0.15 | -0.5 |
| 369 | 298 | Q_smistamento | 0.15 | -0.46 |
| 369 | 297 | Q_neve | 7.024E-14 | -1.510E-13 |
| 369 | 301 | Q_neve | 1.152E-13 | 7.220E-14 |
| 369 | 302 | Q_neve | -1.273E-13 | 4.649E-14 |

Table 20: Element Forces - Area Shells, Part 3 of 3

| Area | Joint | OutputCase | V13 KN/m | V23 KN/m |
|------|-------|----------------|-------------|-------------|
| 369 | 298 | Q_neve | -1.152E-13 | 2.282E-14 |
| 370 | 298 | DEAD | 5.368E-13 | -1.595E-13 |
| 370 | 302 | DEAD | -2.354E-12 | 1.122E-12 |
| 370 | 238 | DEAD | -3.848E-13 | 2.355E-13 |
| 370 | 240 | DEAD | -1.827E-12 | -5.898E-13 |
| 370 | 298 | G1_smistamento | 0.35 | -2.67 |
| 370 | 302 | G1_smistamento | 0.35 | -2.79 |
| 370 | 238 | G1_smistamento | 0.37 | -2.79 |
| 370 | 240 | G1_smistamento | 0.37 | -2.67 |
| 370 | 298 | G2_smistamento | 0.13 | -0.99 |
| 370 | 302 | G2_smistamento | 0.13 | -1.04 |
| 370 | 238 | G2_smistamento | 0.14 | -1.04 |
| 370 | 240 | G2_smistamento | 0.14 | -0.99 |
| 370 | 298 | Q_smistamento | 0.13 | -0.99 |
| 370 | 302 | Q_smistamento | 0.13 | -1.04 |
| 370 | 238 | Q_smistamento | 0.14 | -1.04 |
| 370 | 240 | Q_smistamento | 0.14 | -0.99 |
| 370 | 298 | Q_neve | 1.025E-13 | -4.810E-14 |
| 370 | 302 | Q_neve | -3.472E-13 | 1.795E-13 |
| 370 | 238 | Q_neve | -2.925E-13 | 6.711E-14 |
| 370 | 240 | Q_neve | -4.130E-13 | -1.798E-14 |
| 371 | 256 | DEAD | -2.504E-13 | -5.674E-13 |
| 371 | 258 | DEAD | 4.432E-13 | -1.146E-12 |
| 371 | 303 | DEAD | 9.346E-13 | -4.074E-14 |
| 371 | 299 | DEAD | -2.151E-13 | -2.199E-12 |
| 371 | 256 | G1_smistamento | -1.292E-02 | 2.78 |
| 371 | 258 | G1_smistamento | -1.292E-02 | 2.84 |
| 371 | 303 | G1_smistamento | -3.523E-02 | 2.84 |
| 371 | 299 | G1_smistamento | -3.523E-02 | 2.78 |
| 371 | 256 | G2_smistamento | -4.791E-03 | 1.03 |
| 371 | 258 | G2_smistamento | -4.791E-03 | 1.05 |
| 371 | 303 | G2_smistamento | -1.306E-02 | 1.05 |
| 371 | 299 | G2_smistamento | -1.306E-02 | 1.03 |
| 371 | 256 | Q_smistamento | -4.791E-03 | 1.03 |
| 371 | 258 | Q_smistamento | -4.791E-03 | 1.05 |
| 371 | 303 | Q_smistamento | -1.306E-02 | 1.05 |
| 371 | 299 | Q_smistamento | -1.306E-02 | 1.03 |
| 371 | 256 | Q_neve | 2.223E-13 | 1.450E-14 |

Table 20: Element Forces - Area Shells, Part 3 of 3

| Area | Joint | OutputCase | V13 | V23 |
|------|-------|----------------|------------|------------|
| | | | KN/m | KN/m |
| 371 | 258 | Q_neve | 1.709E-13 | -2.822E-13 |
| 371 | 303 | Q_neve | 2.478E-14 | -1.665E-13 |
| 371 | 299 | Q_neve | -3.229E-13 | -1.834E-13 |
| 372 | 299 | DEAD | -2.044E-12 | 5.016E-13 |
| 372 | 303 | DEAD | 8.205E-13 | -4.746E-14 |
| 372 | 304 | DEAD | -4.643E-13 | 1.066E-13 |
| 372 | 300 | DEAD | -3.644E-13 | 1.796E-12 |
| 372 | 299 | G1_smistamento | -1.004E-02 | 1.33 |
| 372 | 303 | G1_smistamento | -1.004E-02 | 1.37 |
| 372 | 304 | G1_smistamento | -2.675E-02 | 1.37 |
| 372 | 300 | G1_smistamento | -2.675E-02 | 1.33 |
| 372 | 299 | G2_smistamento | -3.723E-03 | 0.49 |
| 372 | 303 | G2_smistamento | -3.723E-03 | 0.51 |
| 372 | 304 | G2_smistamento | -9.917E-03 | 0.51 |
| 372 | 300 | G2_smistamento | -9.917E-03 | 0.49 |
| 372 | 299 | Q_smistamento | -3.723E-03 | 0.49 |
| 372 | 303 | Q_smistamento | -3.723E-03 | 0.51 |
| 372 | 304 | Q_smistamento | -9.917E-03 | 0.51 |
| 372 | 300 | Q_smistamento | -9.917E-03 | 0.49 |
| 372 | 299 | Q_neve | -4.313E-13 | 6.990E-14 |
| 372 | 303 | Q_neve | -7.483E-14 | -1.645E-13 |
| 372 | 304 | Q_neve | -2.338E-13 | -1.934E-13 |
| 372 | 300 | Q_neve | -3.052E-13 | 4.115E-13 |
| 373 | 300 | DEAD | -9.639E-14 | 4.377E-13 |
| 373 | 304 | DEAD | -9.639E-14 | 7.174E-13 |
| 373 | 305 | DEAD | -3.597E-13 | -1.274E-12 |
| 373 | 301 | DEAD | -3.597E-13 | 1.639E-12 |
| 373 | 300 | G1_smistamento | -1.564E-02 | -8.769E-13 |
| 373 | 304 | G1_smistamento | -1.564E-02 | 7.805E-13 |
| 373 | 305 | G1_smistamento | -1.564E-02 | -1.404E-12 |
| 373 | 301 | G1_smistamento | -1.564E-02 | 1.044E-12 |
| 373 | 300 | G2_smistamento | -5.799E-03 | -4.181E-13 |
| 373 | 304 | G2_smistamento | -5.799E-03 | 3.143E-13 |
| 373 | 305 | G2_smistamento | -5.799E-03 | -4.181E-13 |
| 373 | 301 | G2_smistamento | -5.799E-03 | 4.459E-13 |
| 373 | 300 | Q_smistamento | -5.799E-03 | -4.181E-13 |
| 373 | 304 | Q_smistamento | -5.799E-03 | 3.143E-13 |
| 373 | 305 | Q_smistamento | -5.799E-03 | -4.181E-13 |

Table 20: Element Forces - Area Shells, Part 3 of 3

| Area | Joint | OutputCase | V13 KN/m | V23 KN/m |
|------|-------|----------------|-------------|-------------|
| 373 | 301 | Q_smistamento | -5.799E-03 | 4.459E-13 |
| 373 | 300 | Q_neve | -5.006E-14 | -1.457E-13 |
| 373 | 304 | Q_neve | -5.006E-14 | 5.226E-14 |
| 373 | 305 | Q_neve | -8.297E-14 | -6.338E-14 |
| 373 | 301 | Q_neve | -8.297E-14 | 5.226E-14 |
| 374 | 301 | DEAD | -7.331E-13 | 1.566E-12 |
| 374 | 305 | DEAD | 1.053E-12 | -4.737E-13 |
| 374 | 306 | DEAD | -2.840E-12 | 1.171E-12 |
| 374 | 302 | DEAD | -3.029E-12 | -2.104E-13 |
| 374 | 301 | G1_smistamento | -2.675E-02 | -1.33 |
| 374 | 305 | G1_smistamento | -2.675E-02 | -1.37 |
| 374 | 306 | G1_smistamento | -1.004E-02 | -1.37 |
| 374 | 302 | G1_smistamento | -1.004E-02 | -1.33 |
| 374 | 301 | G2_smistamento | -9.917E-03 | -0.49 |
| 374 | 305 | G2_smistamento | -9.917E-03 | -0.51 |
| 374 | 306 | G2_smistamento | -3.723E-03 | -0.51 |
| 374 | 302 | G2_smistamento | -3.723E-03 | -0.49 |
| 374 | 301 | Q_smistamento | -9.917E-03 | -0.49 |
| 374 | 305 | Q_smistamento | -9.917E-03 | -0.51 |
| 374 | 306 | Q_smistamento | -3.723E-03 | -0.51 |
| 374 | 302 | Q_smistamento | -3.723E-03 | -0.49 |
| 374 | 301 | Q_neve | -1.037E-14 | 2.553E-13 |
| 374 | 305 | Q_neve | 2.145E-13 | -1.016E-13 |
| 374 | 306 | Q_neve | -6.358E-13 | 2.388E-13 |
| 374 | 302 | Q_neve | -5.755E-13 | -2.887E-15 |
| 375 | 302 | DEAD | -2.130E-12 | 2.510E-14 |
| 375 | 306 | DEAD | -1.244E-12 | -1.533E-12 |
| 375 | 236 | DEAD | -6.822E-13 | -6.332E-13 |
| 375 | 238 | DEAD | -1.112E-12 | -2.159E-13 |
| 375 | 302 | G1_smistamento | -3.523E-02 | -2.78 |
| 375 | 306 | G1_smistamento | -3.523E-02 | -2.84 |
| 375 | 236 | G1_smistamento | -1.292E-02 | -2.84 |
| 375 | 238 | G1_smistamento | -1.292E-02 | -2.78 |
| 375 | 302 | G2_smistamento | -1.306E-02 | -1.03 |
| 375 | 306 | G2_smistamento | -1.306E-02 | -1.05 |
| 375 | 236 | G2_smistamento | -4.791E-03 | -1.05 |
| 375 | 238 | G2_smistamento | -4.791E-03 | -1.03 |
| 375 | 302 | Q_smistamento | -1.306E-02 | -1.03 |

Table 20: Element Forces - Area Shells, Part 3 of 3

| Area | Joint | OutputCase | V13 KN/m | V23 KN/m |
|------|-------|----------------|-------------|-------------|
| 375 | 306 | Q_smistamento | -1.306E-02 | -1.05 |
| 375 | 236 | Q_smistamento | -4.791E-03 | -1.05 |
| 375 | 238 | Q_smistamento | -4.791E-03 | -1.03 |
| 375 | 302 | Q_neve | -3.451E-13 | 7.186E-14 |
| 375 | 306 | Q_neve | -3.002E-13 | -1.365E-13 |
| 375 | 236 | Q_neve | -1.596E-14 | -4.335E-14 |
| 375 | 238 | Q_neve | -3.911E-15 | -1.200E-13 |
| 376 | 258 | DEAD | 9.475E-13 | -3.272E-13 |
| 376 | 260 | DEAD | -6.583E-13 | -1.130E-12 |
| 376 | 307 | DEAD | 4.208E-13 | -1.117E-12 |
| 376 | 303 | DEAD | 6.583E-13 | -9.984E-13 |
| 376 | 258 | G1_smistamento | -0.22 | 2.83 |
| 376 | 260 | G1_smistamento | -0.22 | 2.85 |
| 376 | 307 | G1_smistamento | -0.23 | 2.85 |
| 376 | 303 | G1_smistamento | -0.23 | 2.83 |
| 376 | 258 | G2_smistamento | -8.090E-02 | 1.05 |
| 376 | 260 | G2_smistamento | -8.090E-02 | 1.06 |
| 376 | 307 | G2_smistamento | -8.644E-02 | 1.06 |
| 376 | 303 | G2_smistamento | -8.644E-02 | 1.05 |
| 376 | 258 | Q_smistamento | -8.090E-02 | 1.05 |
| 376 | 260 | Q_smistamento | -8.090E-02 | 1.06 |
| 376 | 307 | Q_smistamento | -8.644E-02 | 1.06 |
| 376 | 303 | Q_smistamento | -8.644E-02 | 1.05 |
| 376 | 258 | Q_neve | 1.152E-13 | -2.410E-14 |
| 376 | 260 | Q_neve | -6.142E-14 | -3.662E-13 |
| 376 | 307 | Q_neve | -1.152E-13 | -8.993E-14 |
| 376 | 303 | Q_neve | 4.410E-15 | -4.320E-13 |
| 377 | 303 | DEAD | 5.639E-13 | -1.287E-12 |
| 377 | 307 | DEAD | 4.228E-13 | 1.398E-12 |
| 377 | 308 | DEAD | -2.464E-12 | -2.335E-13 |
| 377 | 304 | DEAD | -4.988E-13 | -1.819E-13 |
| 377 | 303 | G1_smistamento | -0.22 | 1.36 |
| 377 | 307 | G1_smistamento | -0.22 | 1.39 |
| 377 | 308 | G1_smistamento | -0.23 | 1.39 |
| 377 | 304 | G1_smistamento | -0.23 | 1.36 |
| 377 | 303 | G2_smistamento | -8.231E-02 | 0.51 |
| 377 | 307 | G2_smistamento | -8.231E-02 | 0.51 |
| 377 | 308 | G2_smistamento | -8.672E-02 | 0.51 |

Table 20: Element Forces - Area Shells, Part 3 of 3

| Area | Joint | OutputCase | V13 KN/m | V23 KN/m |
|------|-------|----------------|-------------|-------------|
| 377 | 304 | G2_smistamento | -8.672E-02 | 0.51 |
| 377 | 303 | Q_smistamento | -8.231E-02 | 0.51 |
| 377 | 307 | Q_smistamento | -8.231E-02 | 0.51 |
| 377 | 308 | Q_smistamento | -8.672E-02 | 0.51 |
| 377 | 304 | Q_smistamento | -8.672E-02 | 0.51 |
| 377 | 303 | Q_neve | -3.911E-15 | -1.158E-13 |
| 377 | 307 | Q_neve | -9.061E-14 | 2.041E-13 |
| 377 | 308 | Q_neve | -3.002E-13 | 2.298E-13 |
| 377 | 304 | Q_neve | -1.564E-13 | -2.896E-13 |
| 378 | 304 | DEAD | -9.624E-13 | -1.056E-12 |
| 378 | 308 | DEAD | -2.620E-12 | 1.976E-12 |
| 378 | 309 | DEAD | 3.543E-13 | 5.239E-13 |
| 378 | 305 | DEAD | -2.093E-12 | 7.312E-16 |
| 378 | 304 | G1_smistamento | -0.23 | -1.086E-12 |
| 378 | 308 | G1_smistamento | -0.23 | 2.087E-12 |
| 378 | 309 | G1_smistamento | -0.23 | 2.074E-12 |
| 378 | 305 | G1_smistamento | -0.23 | -4.146E-13 |
| 378 | 304 | G2_smistamento | -8.479E-02 | -4.724E-13 |
| 378 | 308 | G2_smistamento | -8.479E-02 | 7.802E-13 |
| 378 | 309 | G2_smistamento | -8.479E-02 | 5.428E-14 |
| 378 | 305 | G2_smistamento | -8.479E-02 | 5.601E-14 |
| 378 | 304 | Q_smistamento | -8.479E-02 | -4.724E-13 |
| 378 | 308 | Q_smistamento | -8.479E-02 | 7.802E-13 |
| 378 | 309 | Q_smistamento | -8.479E-02 | 5.428E-14 |
| 378 | 305 | Q_smistamento | -8.479E-02 | 5.601E-14 |
| 378 | 304 | Q_neve | -1.715E-13 | -3.028E-14 |
| 378 | 308 | Q_neve | -4.478E-13 | 4.727E-13 |
| 378 | 309 | Q_neve | 1.905E-13 | 3.153E-13 |
| 378 | 305 | Q_neve | -2.174E-13 | 1.189E-14 |
| 379 | 305 | DEAD | -4.894E-13 | -4.432E-13 |
| 379 | 309 | DEAD | -4.894E-13 | 2.151E-13 |
| 379 | 310 | DEAD | -1.411E-12 | 2.151E-13 |
| 379 | 306 | DEAD | -1.411E-12 | -4.432E-13 |
| 379 | 305 | G1_smistamento | -0.23 | -1.36 |
| 379 | 309 | G1_smistamento | -0.23 | -1.39 |
| 379 | 310 | G1_smistamento | -0.22 | -1.39 |
| 379 | 306 | G1_smistamento | -0.22 | -1.36 |
| 379 | 305 | G2_smistamento | -8.672E-02 | -0.51 |

Table 20: Element Forces - Area Shells, Part 3 of 3

| Area | Joint | OutputCase | V13 KN/m | V23 KN/m |
|------|-------|----------------|-------------|-------------|
| 379 | 309 | G2_smistamento | -8.672E-02 | -0.51 |
| 379 | 310 | G2_smistamento | -8.231E-02 | -0.51 |
| 379 | 306 | G2_smistamento | -8.231E-02 | -0.51 |
| 379 | 305 | Q_smistamento | -8.672E-02 | -0.51 |
| 379 | 309 | Q_smistamento | -8.672E-02 | -0.51 |
| 379 | 310 | Q_smistamento | -8.231E-02 | -0.51 |
| 379 | 306 | Q_smistamento | -8.231E-02 | -0.51 |
| 379 | 305 | Q_neve | -1.087E-14 | -1.868E-13 |
| 379 | 309 | Q_neve | -5.583E-14 | -2.223E-14 |
| 379 | 310 | Q_neve | -2.742E-13 | -2.223E-14 |
| 379 | 306 | Q_neve | -2.862E-13 | -1.868E-13 |
| 380 | 306 | DEAD | -1.391E-13 | -6.658E-13 |
| 380 | 310 | DEAD | -3.577E-13 | 1.046E-12 |
| 380 | 234 | DEAD | 5.192E-13 | 1.046E-12 |
| 380 | 236 | DEAD | -1.543E-12 | -6.658E-13 |
| 380 | 306 | G1_smistamento | -0.23 | -2.83 |
| 380 | 310 | G1_smistamento | -0.23 | -2.85 |
| 380 | 234 | G1_smistamento | -0.22 | -2.85 |
| 380 | 236 | G1_smistamento | -0.22 | -2.83 |
| 380 | 306 | G2_smistamento | -8.644E-02 | -1.05 |
| 380 | 310 | G2_smistamento | -8.644E-02 | -1.06 |
| 380 | 234 | G2_smistamento | -8.090E-02 | -1.06 |
| 380 | 236 | G2_smistamento | -8.090E-02 | -1.05 |
| 380 | 306 | Q_smistamento | -8.644E-02 | -1.05 |
| 380 | 310 | Q_smistamento | -8.644E-02 | -1.06 |
| 380 | 234 | Q_smistamento | -8.090E-02 | -1.06 |
| 380 | 236 | Q_smistamento | -8.090E-02 | -1.05 |
| 380 | 306 | Q_neve | 2.851E-14 | 3.462E-14 |
| 380 | 310 | Q_neve | -7.111E-14 | 2.455E-15 |
| 380 | 234 | Q_neve | 2.851E-14 | 2.980E-13 |
| 380 | 236 | Q_neve | -4.990E-13 | -2.115E-13 |
| 381 | 260 | DEAD | -6.481E-13 | -2.072E-12 |
| 381 | 262 | DEAD | -1.933E-12 | -5.145E-13 |
| 381 | 311 | DEAD | 8.002E-13 | -3.604E-13 |
| 381 | 307 | DEAD | -8.796E-13 | -7.778E-13 |
| 381 | 260 | G1_smistamento | -0.28 | 2.85 |
| 381 | 262 | G1_smistamento | -0.28 | 2.85 |
| 381 | 311 | G1_smistamento | -0.29 | 2.85 |

Table 20: Element Forces - Area Shells, Part 3 of 3

| Area | Joint | OutputCase | V13 KN/m | V23 KN/m |
|------|-------|----------------|-------------|-------------|
| 381 | 307 | G1_smistamento | -0.29 | 2.85 |
| 381 | 260 | G2_smistamento | -0.1 | 1.06 |
| 381 | 262 | G2_smistamento | -0.1 | 1.06 |
| 381 | 311 | G2_smistamento | -0.11 | 1.06 |
| 381 | 307 | G2_smistamento | -0.11 | 1.06 |
| 381 | 260 | Q_smistamento | -0.1 | 1.06 |
| 381 | 262 | Q_smistamento | -0.1 | 1.06 |
| 381 | 311 | Q_smistamento | -0.11 | 1.06 |
| 381 | 307 | Q_smistamento | -0.11 | 1.06 |
| 381 | 260 | Q_neve | -1.778E-13 | -4.939E-13 |
| 381 | 262 | Q_neve | -3.192E-13 | -8.688E-14 |
| 381 | 311 | Q_neve | 3.488E-13 | -1.828E-16 |
| 381 | 307 | Q_neve | -2.291E-14 | -3.502E-13 |
| 382 | 307 | DEAD | -8.213E-13 | 6.712E-13 |
| 382 | 311 | DEAD | 1.556E-12 | 3.726E-13 |
| 382 | 312 | DEAD | -1.611E-12 | 1.291E-14 |
| 382 | 308 | DEAD | 1.029E-12 | 7.676E-13 |
| 382 | 307 | G1_smistamento | -0.29 | 1.38 |
| 382 | 311 | G1_smistamento | -0.29 | 1.39 |
| 382 | 312 | G1_smistamento | -0.29 | 1.39 |
| 382 | 308 | G1_smistamento | -0.29 | 1.38 |
| 382 | 307 | G2_smistamento | -0.11 | 0.51 |
| 382 | 311 | G2_smistamento | -0.11 | 0.51 |
| 382 | 312 | G2_smistamento | -0.11 | 0.51 |
| 382 | 308 | G2_smistamento | -0.11 | 0.51 |
| 382 | 307 | Q_smistamento | -0.11 | 0.51 |
| 382 | 311 | Q_smistamento | -0.11 | 0.51 |
| 382 | 312 | Q_smistamento | -0.11 | 0.51 |
| 382 | 308 | Q_smistamento | -0.11 | 0.51 |
| 382 | 307 | Q_neve | 1.120E-13 | 1.205E-13 |
| 382 | 311 | Q_neve | 4.332E-13 | -2.218E-13 |
| 382 | 312 | Q_neve | -2.830E-13 | -2.251E-13 |
| 382 | 308 | Q_neve | 1.369E-13 | 2.884E-13 |
| 383 | 308 | DEAD | 8.911E-13 | 9.929E-13 |
| 383 | 312 | DEAD | 7.112E-13 | 6.109E-13 |
| 383 | 313 | DEAD | -1.347E-12 | 7.129E-14 |
| 383 | 309 | DEAD | -1.395E-12 | 1.138E-12 |
| 383 | 308 | G1_smistamento | -0.29 | 2.414E-12 |

Table 20: Element Forces - Area Shells, Part 3 of 3

| Area | Joint | OutputCase | V13 | V23 |
|------|-------|----------------|------------|------------|
| | | | KN/m | KN/m |
| 383 | 312 | G1_smistamento | -0.29 | 6.767E-13 |
| 383 | 313 | G1_smistamento | -0.29 | 7.025E-13 |
| 383 | 309 | G1_smistamento | -0.29 | 1.072E-12 |
| 383 | 308 | G2_smistamento | -0.11 | 6.740E-13 |
| 383 | 312 | G2_smistamento | -0.11 | 3.624E-13 |
| 383 | 313 | G2_smistamento | -0.11 | 5.423E-13 |
| 383 | 309 | G2_smistamento | -0.11 | 6.258E-13 |
| 383 | 308 | Q_smistamento | -0.11 | 6.740E-13 |
| 383 | 312 | Q_smistamento | -0.11 | 3.624E-13 |
| 383 | 313 | Q_smistamento | -0.11 | 5.423E-13 |
| 383 | 309 | Q_smistamento | -0.11 | 6.258E-13 |
| 383 | 308 | Q_neve | 3.596E-14 | 4.645E-13 |
| 383 | 312 | Q_neve | 1.291E-13 | 6.508E-14 |
| 383 | 313 | Q_neve | -3.590E-13 | 2.012E-14 |
| 383 | 309 | Q_neve | -1.671E-13 | 4.765E-13 |
| 384 | 309 | DEAD | -8.147E-14 | -1.779E-13 |
| 384 | 313 | DEAD | -8.147E-14 | -7.751E-13 |
| 384 | 314 | DEAD | -1.135E-12 | -1.495E-12 |
| 384 | 310 | DEAD | -1.135E-12 | 1.491E-14 |
| 384 | 309 | G1_smistamento | -0.29 | -1.38 |
| 384 | 313 | G1_smistamento | -0.29 | -1.39 |
| 384 | 314 | G1_smistamento | -0.29 | -1.39 |
| 384 | 310 | G1_smistamento | -0.29 | -1.38 |
| 384 | 309 | G2_smistamento | -0.11 | -0.51 |
| 384 | 313 | G2_smistamento | -0.11 | -0.51 |
| 384 | 314 | G2_smistamento | -0.11 | -0.51 |
| 384 | 310 | G2_smistamento | -0.11 | -0.51 |
| 384 | 309 | Q_smistamento | -0.11 | -0.51 |
| 384 | 313 | Q_smistamento | -0.11 | -0.51 |
| 384 | 314 | Q_smistamento | -0.11 | -0.51 |
| 384 | 310 | Q_smistamento | -0.11 | -0.51 |
| 384 | 309 | Q_neve | 5.592E-15 | -1.862E-13 |
| 384 | 313 | Q_neve | 5.592E-15 | -1.561E-13 |
| 384 | 314 | Q_neve | -2.907E-13 | -1.368E-13 |
| 384 | 310 | Q_neve | -2.907E-13 | -2.444E-14 |
| 385 | 310 | DEAD | -5.627E-13 | 3.210E-13 |
| 385 | 314 | DEAD | 1.697E-13 | -8.124E-13 |
| 385 | 232 | DEAD | -9.577E-13 | -1.917E-12 |

Table 20: Element Forces - Area Shells, Part 3 of 3

| Area | Joint | OutputCase | V13 KN/m | V23 KN/m |
|------|-------|----------------|-------------|-------------|
| 385 | 234 | DEAD | -9.366E-14 | 1.953E-12 |
| 385 | 310 | G1_smistamento | -0.29 | -2.85 |
| 385 | 314 | G1_smistamento | -0.29 | -2.85 |
| 385 | 232 | G1_smistamento | -0.28 | -2.85 |
| 385 | 234 | G1_smistamento | -0.28 | -2.85 |
| 385 | 310 | G2_smistamento | -0.11 | -1.06 |
| 385 | 314 | G2_smistamento | -0.11 | -1.06 |
| 385 | 232 | G2_smistamento | -0.1 | -1.06 |
| 385 | 234 | G2_smistamento | -0.1 | -1.06 |
| 385 | 310 | Q_smistamento | -0.11 | -1.06 |
| 385 | 314 | Q_smistamento | -0.11 | -1.06 |
| 385 | 232 | Q_smistamento | -0.1 | -1.06 |
| 385 | 234 | Q_smistamento | -0.1 | -1.06 |
| 385 | 310 | Q_neve | -3.059E-13 | 2.289E-13 |
| 385 | 314 | Q_neve | -7.788E-14 | -1.348E-13 |
| 385 | 232 | Q_neve | -2.072E-13 | -6.735E-14 |
| 385 | 234 | Q_neve | 2.087E-14 | 2.108E-13 |
| 386 | 262 | DEAD | -8.274E-14 | -1.983E-12 |
| 386 | 264 | DEAD | -1.727E-12 | 2.558E-12 |
| 386 | 315 | DEAD | 2.287E-12 | 3.868E-13 |
| 386 | 311 | DEAD | 5.110E-13 | -7.336E-13 |
| 386 | 262 | G1_smistamento | -0.24 | 2.85 |
| 386 | 264 | G1_smistamento | -0.24 | 2.85 |
| 386 | 315 | G1_smistamento | -0.25 | 2.85 |
| 386 | 311 | G1_smistamento | -0.25 | 2.85 |
| 386 | 262 | G2_smistamento | -8.997E-02 | 1.06 |
| 386 | 264 | G2_smistamento | -8.997E-02 | 1.06 |
| 386 | 315 | G2_smistamento | -9.120E-02 | 1.06 |
| 386 | 311 | G2_smistamento | -9.120E-02 | 1.06 |
| 386 | 262 | Q_smistamento | -8.997E-02 | 1.06 |
| 386 | 264 | Q_smistamento | -8.997E-02 | 1.06 |
| 386 | 315 | Q_smistamento | -9.120E-02 | 1.06 |
| 386 | 311 | Q_smistamento | -9.120E-02 | 1.06 |
| 386 | 262 | Q_neve | 1.191E-13 | -2.603E-13 |
| 386 | 264 | Q_neve | -1.989E-13 | 2.520E-13 |
| 386 | 315 | Q_neve | 1.849E-13 | -6.279E-14 |
| 386 | 311 | Q_neve | -6.720E-14 | -1.759E-13 |
| 387 | 311 | DEAD | 1.176E-12 | 2.328E-13 |

Table 20: Element Forces - Area Shells, Part 3 of 3

| Area | Joint | OutputCase | V13 | V23 |
|------|-------|----------------|------------|------------|
| | | | KN/m | KN/m |
| 387 | 315 | DEAD | 4.561E-13 | -3.421E-13 |
| 387 | 316 | DEAD | 6.489E-13 | -6.889E-13 |
| 387 | 312 | DEAD | 4.561E-13 | -3.421E-13 |
| 387 | 311 | G1_smistamento | -0.25 | 1.39 |
| 387 | 315 | G1_smistamento | -0.25 | 1.39 |
| 387 | 316 | G1_smistamento | -0.25 | 1.39 |
| 387 | 312 | G1_smistamento | -0.25 | 1.39 |
| 387 | 311 | G2_smistamento | -9.100E-02 | 0.51 |
| 387 | 315 | G2_smistamento | -9.100E-02 | 0.51 |
| 387 | 316 | G2_smistamento | -9.213E-02 | 0.51 |
| 387 | 312 | G2_smistamento | -9.213E-02 | 0.51 |
| 387 | 311 | Q_smistamento | -9.100E-02 | 0.51 |
| 387 | 315 | Q_smistamento | -9.100E-02 | 0.51 |
| 387 | 316 | Q_smistamento | -9.213E-02 | 0.51 |
| 387 | 312 | Q_smistamento | -9.213E-02 | 0.51 |
| 387 | 311 | Q_neve | 1.205E-14 | -6.465E-14 |
| 387 | 315 | Q_neve | -1.678E-13 | -1.184E-13 |
| 387 | 316 | Q_neve | 4.496E-14 | -1.634E-13 |
| 387 | 312 | Q_neve | -3.228E-15 | -5.260E-14 |
| 388 | 312 | DEAD | -9.984E-13 | -2.253E-13 |
| 388 | 316 | DEAD | 2.864E-13 | -7.129E-14 |
| 388 | 317 | DEAD | -1.130E-12 | 3.013E-13 |
| 388 | 313 | DEAD | 5.498E-13 | -9.929E-13 |
| 388 | 312 | G1_smistamento | -0.25 | 1.492E-12 |
| 388 | 316 | G1_smistamento | -0.25 | -1.636E-12 |
| 388 | 317 | G1_smistamento | -0.25 | -3.515E-13 |
| 388 | 313 | G1_smistamento | -0.25 | -1.880E-13 |
| 388 | 312 | G2_smistamento | -9.191E-02 | 7.092E-14 |
| 388 | 316 | G2_smistamento | -9.191E-02 | 1.914E-13 |
| 388 | 317 | G2_smistamento | -9.191E-02 | 5.092E-15 |
| 388 | 313 | G2_smistamento | -9.191E-02 | 4.547E-13 |
| 388 | 312 | Q_smistamento | -9.191E-02 | 7.092E-14 |
| 388 | 316 | Q_smistamento | -9.191E-02 | 1.914E-13 |
| 388 | 317 | Q_smistamento | -9.191E-02 | 5.092E-15 |
| 388 | 313 | Q_smistamento | -9.191E-02 | 4.547E-13 |
| 388 | 312 | Q_neve | -1.381E-13 | 6.176E-14 |
| 388 | 316 | Q_neve | 4.174E-14 | -9.884E-14 |
| 388 | 317 | Q_neve | -2.040E-13 | 6.176E-14 |

Table 20: Element Forces - Area Shells, Part 3 of 3

| Area | Joint | OutputCase | V13 KN/m | V23 KN/m |
|------|-------|----------------|-------------|-------------|
| 388 | 313 | Q_neve | -1.558E-13 | -1.482E-13 |
| 389 | 313 | DEAD | -7.676E-13 | -2.322E-12 |
| 389 | 317 | DEAD | -5.749E-13 | 5.612E-13 |
| 389 | 318 | DEAD | -3.726E-13 | 5.741E-13 |
| 389 | 314 | DEAD | 3.468E-13 | -2.994E-12 |
| 389 | 313 | G1_smistamento | -0.25 | -1.39 |
| 389 | 317 | G1_smistamento | -0.25 | -1.39 |
| 389 | 318 | G1_smistamento | -0.25 | -1.39 |
| 389 | 314 | G1_smistamento | -0.25 | -1.39 |
| 389 | 313 | G2_smistamento | -9.213E-02 | -0.51 |
| 389 | 317 | G2_smistamento | -9.213E-02 | -0.51 |
| 389 | 318 | G2_smistamento | -9.100E-02 | -0.51 |
| 389 | 314 | G2_smistamento | -9.100E-02 | -0.51 |
| 389 | 313 | Q_smistamento | -9.213E-02 | -0.51 |
| 389 | 317 | Q_smistamento | -9.213E-02 | -0.51 |
| 389 | 318 | Q_smistamento | -9.100E-02 | -0.51 |
| 389 | 314 | Q_smistamento | -9.100E-02 | -0.51 |
| 389 | 313 | Q_neve | -2.698E-13 | -3.106E-13 |
| 389 | 317 | Q_neve | -2.216E-13 | 7.999E-14 |
| 389 | 318 | Q_neve | -7.229E-14 | 3.503E-14 |
| 389 | 314 | Q_neve | 1.076E-13 | -2.985E-13 |
| 390 | 314 | DEAD | 4.546E-14 | 1.982E-13 |
| 390 | 318 | DEAD | -2.755E-13 | 6.991E-13 |
| 390 | 230 | DEAD | -3.495E-13 | 1.778E-12 |
| 390 | 232 | DEAD | 1.568E-12 | -9.093E-14 |
| 390 | 314 | G1_smistamento | -0.25 | -2.85 |
| 390 | 318 | G1_smistamento | -0.25 | -2.85 |
| 390 | 230 | G1_smistamento | -0.24 | -2.85 |
| 390 | 232 | G1_smistamento | -0.24 | -2.85 |
| 390 | 314 | G2_smistamento | -9.120E-02 | -1.06 |
| 390 | 318 | G2_smistamento | -9.120E-02 | -1.06 |
| 390 | 230 | G2_smistamento | -8.997E-02 | -1.06 |
| 390 | 232 | G2_smistamento | -8.997E-02 | -1.06 |
| 390 | 314 | Q_smistamento | -9.120E-02 | -1.06 |
| 390 | 318 | Q_smistamento | -9.120E-02 | -1.06 |
| 390 | 230 | Q_smistamento | -8.997E-02 | -1.06 |
| 390 | 232 | Q_smistamento | -8.997E-02 | -1.06 |
| 390 | 314 | Q_neve | 5.633E-14 | 2.101E-13 |

Table 20: Element Forces - Area Shells, Part 3 of 3

| Area | Joint | OutputCase | V13 | V23 |
|------|-------|----------------|------------|------------|
| | | | KN/m | KN/m |
| 390 | 318 | Q_neve | 1.782E-14 | 6.711E-14 |
| 390 | 230 | Q_neve | -7.533E-14 | 4.076E-13 |
| 390 | 232 | Q_neve | 2.482E-13 | -4.810E-14 |
| 391 | 264 | DEAD | -1.799E-13 | 5.239E-13 |
| 391 | 266 | DEAD | 7.065E-13 | -1.570E-12 |
| 391 | 319 | DEAD | -4.819E-14 | -1.056E-12 |
| 391 | 315 | DEAD | -4.785E-13 | 1.722E-12 |
| 391 | 264 | G1_smistamento | -0.14 | 2.85 |
| 391 | 266 | G1_smistamento | -0.14 | 2.85 |
| 391 | 319 | G1_smistamento | -0.14 | 2.85 |
| 391 | 315 | G1_smistamento | -0.14 | 2.85 |
| 391 | 264 | G2_smistamento | -5.094E-02 | 1.06 |
| 391 | 266 | G2_smistamento | -5.094E-02 | 1.06 |
| 391 | 319 | G2_smistamento | -5.134E-02 | 1.06 |
| 391 | 315 | G2_smistamento | -5.134E-02 | 1.06 |
| 391 | 264 | Q_smistamento | -5.094E-02 | 1.06 |
| 391 | 266 | Q_smistamento | -5.094E-02 | 1.06 |
| 391 | 319 | Q_smistamento | -5.134E-02 | 1.06 |
| 391 | 315 | Q_smistamento | -5.134E-02 | 1.06 |
| 391 | 264 | Q_neve | 2.919E-14 | -1.413E-13 |
| 391 | 266 | Q_neve | 2.273E-14 | -2.275E-13 |
| 391 | 319 | Q_neve | 1.609E-13 | -1.248E-13 |
| 391 | 315 | Q_neve | -1.748E-13 | 3.320E-13 |
| 392 | 315 | DEAD | -4.181E-13 | -1.337E-13 |
| 392 | 319 | DEAD | -1.317E-12 | 4.988E-13 |
| 392 | 320 | DEAD | -4.181E-13 | 1.578E-12 |
| 392 | 316 | DEAD | -6.591E-13 | -4.228E-13 |
| 392 | 315 | G1_smistamento | -0.14 | 1.39 |
| 392 | 319 | G1_smistamento | -0.14 | 1.39 |
| 392 | 320 | G1_smistamento | -0.14 | 1.39 |
| 392 | 316 | G1_smistamento | -0.14 | 1.39 |
| 392 | 315 | G2_smistamento | -5.144E-02 | 0.51 |
| 392 | 319 | G2_smistamento | -5.144E-02 | 0.51 |
| 392 | 320 | G2_smistamento | -5.186E-02 | 0.51 |
| 392 | 316 | G2_smistamento | -5.186E-02 | 0.51 |
| 392 | 315 | Q_smistamento | -5.144E-02 | 0.51 |
| 392 | 319 | Q_smistamento | -5.144E-02 | 0.51 |
| 392 | 320 | Q_smistamento | -5.186E-02 | 0.51 |

Table 20: Element Forces - Area Shells, Part 3 of 3

| Area | Joint | OutputCase | V13 KN/m | V23 KN/m |
|------|-------|----------------|-------------|-------------|
| 392 | 316 | Q_smistamento | -5.186E-02 | 0.51 |
| 392 | 315 | Q_neve | 3.911E-15 | -2.399E-13 |
| 392 | 319 | Q_neve | -2.691E-13 | 4.428E-14 |
| 392 | 320 | Q_neve | 3.002E-13 | 2.209E-13 |
| 392 | 316 | Q_neve | 6.006E-14 | -1.203E-13 |
| 393 | 316 | DEAD | -1.879E-12 | -4.074E-14 |
| 393 | 320 | DEAD | -8.131E-13 | -1.672E-12 |
| 393 | 321 | DEAD | 3.590E-13 | -5.674E-13 |
| 393 | 317 | DEAD | -2.310E-14 | -1.672E-12 |
| 393 | 316 | G1_smistamento | -0.14 | -1.317E-13 |
| 393 | 320 | G1_smistamento | -0.14 | -1.333E-12 |
| 393 | 321 | G1_smistamento | -0.14 | 1.317E-13 |
| 393 | 317 | G1_smistamento | -0.14 | -1.860E-12 |
| 393 | 316 | G2_smistamento | -5.183E-02 | 1.456E-13 |
| 393 | 320 | G2_smistamento | -5.183E-02 | -7.361E-13 |
| 393 | 321 | G2_smistamento | -5.183E-02 | -1.836E-13 |
| 393 | 317 | G2_smistamento | -5.183E-02 | -6.702E-13 |
| 393 | 316 | Q_smistamento | -5.183E-02 | 1.456E-13 |
| 393 | 320 | Q_smistamento | -5.183E-02 | -7.361E-13 |
| 393 | 321 | Q_smistamento | -5.183E-02 | -1.836E-13 |
| 393 | 317 | Q_smistamento | -5.183E-02 | -6.702E-13 |
| 393 | 316 | Q_neve | -8.229E-14 | -3.546E-14 |
| 393 | 320 | Q_neve | 5.260E-14 | -2.274E-13 |
| 393 | 321 | Q_neve | 8.229E-14 | -2.546E-15 |
| 393 | 317 | Q_neve | 1.184E-13 | -9.570E-14 |
| 394 | 317 | DEAD | 2.151E-13 | 8.009E-13 |
| 394 | 321 | DEAD | 2.151E-13 | 1.328E-12 |
| 394 | 322 | DEAD | -4.432E-13 | 1.328E-12 |
| 394 | 318 | DEAD | -4.432E-13 | 8.009E-13 |
| 394 | 317 | G1_smistamento | -0.14 | -1.39 |
| 394 | 321 | G1_smistamento | -0.14 | -1.39 |
| 394 | 322 | G1_smistamento | -0.14 | -1.39 |
| 394 | 318 | G1_smistamento | -0.14 | -1.39 |
| 394 | 317 | G2_smistamento | -5.186E-02 | -0.51 |
| 394 | 321 | G2_smistamento | -5.186E-02 | -0.51 |
| 394 | 322 | G2_smistamento | -5.144E-02 | -0.51 |
| 394 | 318 | G2_smistamento | -5.144E-02 | -0.51 |
| 394 | 317 | Q_smistamento | -5.186E-02 | -0.51 |

Table 20: Element Forces - Area Shells, Part 3 of 3

| Area | Joint | OutputCase | V13 KN/m | V23 KN/m |
|------|-------|----------------|-------------|-------------|
| 394 | 321 | Q_smistamento | -5.186E-02 | -0.51 |
| 394 | 322 | Q_smistamento | -5.144E-02 | -0.51 |
| 394 | 318 | Q_smistamento | -5.144E-02 | -0.51 |
| 394 | 317 | Q_neve | 0. | 6.210E-14 |
| 394 | 321 | Q_neve | 0. | 1.279E-13 |
| 394 | 322 | Q_neve | 0. | 1.279E-13 |
| 394 | 318 | Q_neve | 0. | 6.210E-14 |
| 395 | 318 | DEAD | 1.094E-12 | 7.194E-13 |
| 395 | 322 | DEAD | 9.013E-13 | 1.105E-12 |
| 395 | 228 | DEAD | -4.859E-13 | 1.928E-13 |
| 395 | 230 | DEAD | -1.205E-12 | 1.632E-12 |
| 395 | 318 | G1_smistamento | -0.14 | -2.85 |
| 395 | 322 | G1_smistamento | -0.14 | -2.85 |
| 395 | 228 | G1_smistamento | -0.14 | -2.85 |
| 395 | 230 | G1_smistamento | -0.14 | -2.85 |
| 395 | 318 | G2_smistamento | -5.134E-02 | -1.06 |
| 395 | 322 | G2_smistamento | -5.134E-02 | -1.06 |
| 395 | 228 | G2_smistamento | -5.094E-02 | -1.06 |
| 395 | 230 | G2_smistamento | -5.094E-02 | -1.06 |
| 395 | 318 | Q_smistamento | -5.134E-02 | -1.06 |
| 395 | 322 | Q_smistamento | -5.134E-02 | -1.06 |
| 395 | 228 | Q_smistamento | -5.094E-02 | -1.06 |
| 395 | 230 | Q_smistamento | -5.094E-02 | -1.06 |
| 395 | 318 | Q_neve | 2.355E-13 | 9.663E-14 |
| 395 | 322 | Q_neve | 2.355E-13 | 2.271E-13 |
| 395 | 228 | Q_neve | -1.595E-13 | 1.789E-13 |
| 395 | 230 | Q_neve | -1.595E-13 | 2.765E-13 |
| 396 | 266 | DEAD | -4.201E-13 | -1.636E-12 |
| 396 | 268 | DEAD | -4.330E-13 | 7.371E-13 |
| 396 | 323 | DEAD | 1.028E-12 | -1.880E-13 |
| 396 | 319 | DEAD | 3.570E-13 | -5.292E-14 |
| 396 | 266 | G1_smistamento | 1.482E-12 | 2.85 |
| 396 | 268 | G1_smistamento | 1.841E-12 | 2.85 |
| 396 | 323 | G1_smistamento | -4.934E-13 | 2.85 |
| 396 | 319 | G1_smistamento | -3.970E-13 | 2.85 |
| 396 | 266 | G2_smistamento | 1.089E-13 | 1.06 |
| 396 | 268 | G2_smistamento | 1.025E-13 | 1.06 |
| 396 | 323 | G2_smistamento | 4.310E-14 | 1.06 |

Table 20: Element Forces - Area Shells, Part 3 of 3

| Area | Joint | OutputCase | V13 KN/m | V23 KN/m |
|------|-------|----------------|-------------|-------------|
| 396 | 319 | G2_smistamento | -2.925E-13 | 1.06 |
| 396 | 266 | Q_smistamento | 1.089E-13 | 1.06 |
| 396 | 268 | Q_smistamento | 1.025E-13 | 1.06 |
| 396 | 323 | Q_smistamento | 4.310E-14 | 1.06 |
| 396 | 319 | Q_smistamento | -2.925E-13 | 1.06 |
| 396 | 266 | Q_neve | 2.742E-13 | -1.758E-13 |
| 396 | 268 | Q_neve | 3.192E-13 | -1.950E-13 |
| 396 | 323 | Q_neve | 1.087E-14 | -1.758E-13 |
| 396 | 319 | Q_neve | 2.291E-14 | -1.400E-14 |
| 397 | 319 | DEAD | 6.310E-14 | 3.312E-13 |
| 397 | 323 | DEAD | 1.695E-12 | -2.148E-12 |
| 397 | 324 | DEAD | -5.952E-13 | -1.775E-12 |
| 397 | 320 | DEAD | 5.097E-13 | -4.365E-13 |
| 397 | 319 | G1_smistamento | -4.074E-14 | 1.39 |
| 397 | 323 | G1_smistamento | 1.064E-12 | 1.39 |
| 397 | 324 | G1_smistamento | -5.674E-13 | 1.39 |
| 397 | 320 | G1_smistamento | 1.064E-12 | 1.39 |
| 397 | 319 | G2_smistamento | -2.040E-13 | 0.51 |
| 397 | 323 | G2_smistamento | 2.521E-13 | 0.51 |
| 397 | 324 | G2_smistamento | -1.381E-13 | 0.51 |
| 397 | 320 | G2_smistamento | 3.180E-13 | 0.51 |
| 397 | 319 | Q_smistamento | -2.040E-13 | 0.51 |
| 397 | 323 | Q_smistamento | 2.521E-13 | 0.51 |
| 397 | 324 | Q_smistamento | -1.381E-13 | 0.51 |
| 397 | 320 | Q_smistamento | 3.180E-13 | 0.51 |
| 397 | 319 | Q_neve | 1.864E-15 | 8.728E-15 |
| 397 | 323 | Q_neve | 2.299E-13 | -3.923E-13 |
| 397 | 324 | Q_neve | -9.688E-14 | -3.698E-13 |
| 397 | 320 | Q_neve | 1.312E-13 | 2.704E-15 |
| 398 | 320 | DEAD | 6.638E-13 | -1.262E-12 |
| 398 | 324 | DEAD | 8.566E-13 | -1.047E-12 |
| 398 | 325 | DEAD | 4.005E-13 | -8.667E-13 |
| 398 | 321 | DEAD | 1.120E-12 | -1.310E-12 |
| 398 | 320 | G1_smistamento | 1.907E-12 | 4.044E-13 |
| 398 | 324 | G1_smistamento | 1.727E-12 | -2.563E-12 |
| 398 | 325 | G1_smistamento | -4.628E-13 | -2.229E-12 |
| 398 | 321 | G1_smistamento | -5.110E-13 | 1.651E-12 |
| 398 | 320 | G2_smistamento | 8.752E-13 | -2.037E-14 |

Table 20: Element Forces - Area Shells, Part 3 of 3

| Area | Joint | OutputCase | V13 KN/m | V23 KN/m |
|------|-------|----------------|-------------|-------------|
| 398 | 324 | G2_smistamento | 8.752E-13 | -3.801E-13 |
| 398 | 325 | G2_smistamento | 1.510E-13 | -2.837E-13 |
| 398 | 321 | G2_smistamento | 1.510E-13 | -3.801E-13 |
| 398 | 320 | Q_smistamento | 8.752E-13 | -2.037E-14 |
| 398 | 324 | Q_smistamento | 8.752E-13 | -3.801E-13 |
| 398 | 325 | Q_smistamento | 1.510E-13 | -2.837E-13 |
| 398 | 321 | Q_smistamento | 1.510E-13 | -3.801E-13 |
| 398 | 320 | Q_neve | 2.596E-13 | 5.972E-14 |
| 398 | 324 | Q_neve | 2.596E-13 | -2.229E-13 |
| 398 | 325 | Q_neve | -6.956E-14 | -3.353E-13 |
| 398 | 321 | Q_neve | -6.956E-14 | 8.984E-14 |
| 399 | 321 | DEAD | 6.685E-13 | 6.834E-13 |
| 399 | 325 | DEAD | 4.886E-13 | 3.272E-13 |
| 399 | 326 | DEAD | -5.165E-13 | -1.292E-12 |
| 399 | 322 | DEAD | -5.647E-13 | 1.117E-12 |
| 399 | 321 | G1_smistamento | -1.269E-13 | -1.39 |
| 399 | 325 | G1_smistamento | 5.292E-14 | -1.39 |
| 399 | 326 | G1_smistamento | -7.853E-13 | -1.39 |
| 399 | 322 | G1_smistamento | -7.371E-13 | -1.39 |
| 399 | 321 | G2_smistamento | -7.092E-14 | -0.51 |
| 399 | 325 | G2_smistamento | 1.900E-14 | -0.51 |
| 399 | 326 | G2_smistamento | -5.092E-15 | -0.51 |
| 399 | 322 | G2_smistamento | 1.900E-14 | -0.51 |
| 399 | 321 | Q_smistamento | -7.092E-14 | -0.51 |
| 399 | 325 | Q_smistamento | 1.900E-14 | -0.51 |
| 399 | 326 | Q_smistamento | -5.092E-15 | -0.51 |
| 399 | 322 | Q_smistamento | 1.900E-14 | -0.51 |
| 399 | 321 | Q_neve | -3.683E-14 | 3.121E-14 |
| 399 | 325 | Q_neve | -8.179E-14 | -1.165E-13 |
| 399 | 326 | Q_neve | -2.672E-13 | -3.638E-13 |
| 399 | 322 | Q_neve | -2.793E-13 | 9.748E-14 |
| 400 | 322 | DEAD | 8.147E-14 | 4.619E-14 |
| 400 | 326 | DEAD | 8.147E-14 | 3.091E-12 |
| 400 | 226 | DEAD | 1.135E-12 | 1.626E-12 |
| 400 | 228 | DEAD | 1.135E-12 | 1.774E-12 |
| 400 | 322 | G1_smistamento | -2.226E-13 | -2.85 |
| 400 | 326 | G1_smistamento | -2.226E-13 | -2.85 |
| 400 | 226 | G1_smistamento | 8.307E-13 | -2.85 |

Table 20: Element Forces - Area Shells, Part 3 of 3

| Area | Joint | OutputCase | V13 KN/m | V23 KN/m |
|------|-------|----------------|-------------|-------------|
| 400 | 228 | G1_smistamento | 8.307E-13 | -2.85 |
| 400 | 322 | G2_smistamento | 1.317E-13 | -1.06 |
| 400 | 326 | G2_smistamento | 2.280E-13 | -1.06 |
| 400 | 226 | G2_smistamento | -1.317E-13 | -1.06 |
| 400 | 228 | G2_smistamento | 2.280E-13 | -1.06 |
| 400 | 322 | Q_smistamento | 1.317E-13 | -1.06 |
| 400 | 326 | Q_smistamento | 2.280E-13 | -1.06 |
| 400 | 226 | Q_smistamento | -1.317E-13 | -1.06 |
| 400 | 228 | Q_smistamento | 2.280E-13 | -1.06 |
| 400 | 322 | Q_neve | -3.134E-13 | 1.306E-13 |
| 400 | 326 | Q_neve | -3.134E-13 | 4.602E-13 |
| 400 | 226 | Q_neve | 1.804E-13 | 3.445E-13 |
| 400 | 228 | Q_neve | 1.804E-13 | 3.285E-13 |
| 401 | 268 | DEAD | 8.409E-13 | 7.723E-13 |
| 401 | 270 | DEAD | 3.013E-13 | -9.169E-13 |
| 401 | 327 | DEAD | -8.074E-14 | -5.443E-13 |
| 401 | 323 | DEAD | -2.253E-13 | 4.727E-15 |
| 401 | 268 | G1_smistamento | 0.14 | 2.85 |
| 401 | 270 | G1_smistamento | 0.14 | 2.85 |
| 401 | 327 | G1_smistamento | 0.14 | 2.85 |
| 401 | 323 | G1_smistamento | 0.14 | 2.85 |
| 401 | 268 | G2_smistamento | 5.094E-02 | 1.06 |
| 401 | 270 | G2_smistamento | 5.094E-02 | 1.06 |
| 401 | 327 | G2_smistamento | 5.134E-02 | 1.06 |
| 401 | 323 | G2_smistamento | 5.134E-02 | 1.06 |
| 401 | 268 | Q_smistamento | 5.094E-02 | 1.06 |
| 401 | 270 | Q_smistamento | 5.094E-02 | 1.06 |
| 401 | 327 | Q_smistamento | 5.134E-02 | 1.06 |
| 401 | 323 | Q_smistamento | 5.134E-02 | 1.06 |
| 401 | 268 | Q_neve | -1.266E-13 | -1.219E-13 |
| 401 | 270 | Q_neve | -2.647E-13 | -1.328E-13 |
| 401 | 327 | Q_neve | 2.026E-13 | -3.962E-14 |
| 401 | 323 | Q_neve | -1.364E-15 | -3.138E-13 |
| 402 | 323 | DEAD | -7.853E-13 | -1.218E-12 |
| 402 | 327 | DEAD | -5.292E-14 | 2.300E-13 |
| 402 | 328 | DEAD | -1.269E-13 | 2.300E-13 |
| 402 | 324 | DEAD | 7.371E-13 | -1.218E-12 |
| 402 | 323 | G1_smistamento | 0.14 | 1.39 |

Table 20: Element Forces - Area Shells, Part 3 of 3

| Area | Joint | OutputCase | V13 KN/m | V23 KN/m |
|------|-------|----------------|-------------|-------------|
| 402 | 327 | G1_smistamento | 0.14 | 1.39 |
| 402 | 328 | G1_smistamento | 0.14 | 1.39 |
| 402 | 324 | G1_smistamento | 0.14 | 1.39 |
| 402 | 323 | G2_smistamento | 5.144E-02 | 0.51 |
| 402 | 327 | G2_smistamento | 5.144E-02 | 0.51 |
| 402 | 328 | G2_smistamento | 5.186E-02 | 0.51 |
| 402 | 324 | G2_smistamento | 5.186E-02 | 0.51 |
| 402 | 323 | Q_smistamento | 5.144E-02 | 0.51 |
| 402 | 327 | Q_smistamento | 5.144E-02 | 0.51 |
| 402 | 328 | Q_smistamento | 5.186E-02 | 0.51 |
| 402 | 324 | Q_smistamento | 5.186E-02 | 0.51 |
| 402 | 323 | Q_neve | 8.484E-14 | -1.938E-13 |
| 402 | 327 | Q_neve | 1.748E-13 | 1.354E-13 |
| 402 | 328 | Q_neve | -4.683E-14 | 3.728E-15 |
| 402 | 324 | Q_neve | -2.273E-14 | -3.254E-13 |
| 403 | 324 | DEAD | -3.597E-13 | -1.771E-12 |
| 403 | 328 | DEAD | -5.525E-13 | -5.858E-13 |
| 403 | 329 | DEAD | -9.639E-14 | -5.858E-13 |
| 403 | 325 | DEAD | -8.158E-13 | -1.771E-12 |
| 403 | 324 | G1_smistamento | 0.14 | -3.460E-12 |
| 403 | 328 | G1_smistamento | 0.14 | 3.488E-13 |
| 403 | 329 | G1_smistamento | 0.14 | -3.674E-14 |
| 403 | 325 | G1_smistamento | 0.14 | -2.021E-12 |
| 403 | 324 | G2_smistamento | 5.183E-02 | -7.055E-13 |
| 403 | 328 | G2_smistamento | 5.183E-02 | -2.447E-13 |
| 403 | 329 | G2_smistamento | 5.183E-02 | -2.447E-13 |
| 403 | 325 | G2_smistamento | 5.183E-02 | -7.055E-13 |
| 403 | 324 | Q_smistamento | 5.183E-02 | -7.055E-13 |
| 403 | 328 | Q_smistamento | 5.183E-02 | -2.447E-13 |
| 403 | 329 | Q_smistamento | 5.183E-02 | -2.447E-13 |
| 403 | 325 | Q_smistamento | 5.183E-02 | -7.055E-13 |
| 403 | 324 | Q_neve | 1.864E-15 | -4.775E-13 |
| 403 | 328 | Q_neve | 1.864E-15 | -1.664E-14 |
| 403 | 329 | Q_neve | -9.688E-14 | -1.664E-14 |
| 403 | 325 | Q_neve | -9.688E-14 | -4.775E-13 |
| 404 | 325 | DEAD | 3.550E-13 | 4.827E-13 |
| 404 | 329 | DEAD | -3.774E-13 | 2.515E-12 |
| 404 | 330 | DEAD | 1.013E-12 | 3.774E-12 |

Table 20: Element Forces - Area Shells, Part 3 of 3

| Area | Joint | OutputCase | V13 | V23 |
|------|-------|----------------|------------|------------|
| | | | KN/m | KN/m |
| 404 | 326 | DEAD | 1.493E-13 | 1.453E-13 |
| 404 | 325 | G1_smistamento | 0.14 | -1.39 |
| 404 | 329 | G1_smistamento | 0.14 | -1.39 |
| 404 | 330 | G1_smistamento | 0.14 | -1.39 |
| 404 | 326 | G1_smistamento | 0.14 | -1.39 |
| 404 | 325 | G2_smistamento | 5.186E-02 | -0.51 |
| 404 | 329 | G2_smistamento | 5.186E-02 | -0.51 |
| 404 | 330 | G2_smistamento | 5.144E-02 | -0.51 |
| 404 | 326 | G2_smistamento | 5.144E-02 | -0.51 |
| 404 | 325 | Q_smistamento | 5.186E-02 | -0.51 |
| 404 | 329 | Q_smistamento | 5.186E-02 | -0.51 |
| 404 | 330 | Q_smistamento | 5.144E-02 | -0.51 |
| 404 | 326 | Q_smistamento | 5.144E-02 | -0.51 |
| 404 | 325 | Q_neve | 8.179E-14 | -2.657E-13 |
| 404 | 329 | Q_neve | 3.683E-14 | 5.966E-13 |
| 404 | 330 | Q_neve | 2.793E-13 | 7.218E-13 |
| 404 | 326 | Q_neve | 2.672E-13 | 2.016E-13 |
| 405 | 326 | DEAD | 1.292E-12 | 1.783E-12 |
| 405 | 330 | DEAD | 2.165E-12 | -1.811E-12 |
| 405 | 224 | DEAD | -6.834E-13 | -7.187E-13 |
| 405 | 226 | DEAD | -1.785E-12 | 8.225E-13 |
| 405 | 326 | G1_smistamento | 0.14 | -2.85 |
| 405 | 330 | G1_smistamento | 0.14 | -2.85 |
| 405 | 224 | G1_smistamento | 0.14 | -2.85 |
| 405 | 226 | G1_smistamento | 0.14 | -2.85 |
| 405 | 326 | G2_smistamento | 5.134E-02 | -1.06 |
| 405 | 330 | G2_smistamento | 5.134E-02 | -1.06 |
| 405 | 224 | G2_smistamento | 5.094E-02 | -1.06 |
| 405 | 226 | G2_smistamento | 5.094E-02 | -1.06 |
| 405 | 326 | Q_smistamento | 5.134E-02 | -1.06 |
| 405 | 330 | Q_smistamento | 5.134E-02 | -1.06 |
| 405 | 224 | Q_smistamento | 5.094E-02 | -1.06 |
| 405 | 226 | Q_smistamento | 5.094E-02 | -1.06 |
| 405 | 326 | Q_neve | 3.141E-13 | 3.195E-13 |
| 405 | 330 | Q_neve | 5.389E-13 | -1.133E-13 |
| 405 | 224 | Q_neve | -4.801E-14 | 8.909E-14 |
| 405 | 226 | Q_neve | 1.223E-14 | 2.653E-13 |
| 406 | 270 | DEAD | -7.798E-13 | -3.041E-13 |

Table 20: Element Forces - Area Shells, Part 3 of 3

| Area | Joint | OutputCase | V13 KN/m | V23 KN/m |
|------|-------|----------------|-------------|-------------|
| 406 | 272 | DEAD | -4.588E-13 | 6.081E-13 |
| 406 | 331 | DEAD | 9.318E-13 | -3.041E-13 |
| 406 | 327 | DEAD | -9.855E-13 | 6.081E-13 |
| 406 | 270 | G1_smistamento | 0.24 | 2.85 |
| 406 | 272 | G1_smistamento | 0.24 | 2.85 |
| 406 | 331 | G1_smistamento | 0.25 | 2.85 |
| 406 | 327 | G1_smistamento | 0.25 | 2.85 |
| 406 | 270 | G2_smistamento | 8.997E-02 | 1.06 |
| 406 | 272 | G2_smistamento | 8.997E-02 | 1.06 |
| 406 | 331 | G2_smistamento | 9.120E-02 | 1.06 |
| 406 | 327 | G2_smistamento | 9.120E-02 | 1.06 |
| 406 | 270 | Q_smistamento | 8.997E-02 | 1.06 |
| 406 | 272 | Q_smistamento | 8.997E-02 | 1.06 |
| 406 | 331 | Q_smistamento | 9.120E-02 | 1.06 |
| 406 | 327 | Q_smistamento | 9.120E-02 | 1.06 |
| 406 | 270 | Q_neve | -3.728E-15 | -1.669E-13 |
| 406 | 272 | Q_neve | -1.001E-13 | 1.314E-13 |
| 406 | 331 | Q_neve | 1.938E-13 | -5.167E-14 |
| 406 | 327 | Q_neve | -1.659E-13 | 4.912E-14 |
| 407 | 327 | DEAD | -2.939E-13 | 6.783E-14 |
| 407 | 331 | DEAD | 9.909E-13 | 1.324E-13 |
| 407 | 332 | DEAD | -1.622E-13 | -1.512E-12 |
| 407 | 328 | DEAD | 1.518E-12 | 1.844E-12 |
| 407 | 327 | G1_smistamento | 0.25 | 1.39 |
| 407 | 331 | G1_smistamento | 0.25 | 1.39 |
| 407 | 332 | G1_smistamento | 0.25 | 1.39 |
| 407 | 328 | G1_smistamento | 0.25 | 1.39 |
| 407 | 327 | G2_smistamento | 9.100E-02 | 0.51 |
| 407 | 331 | G2_smistamento | 9.100E-02 | 0.51 |
| 407 | 332 | G2_smistamento | 9.213E-02 | 0.51 |
| 407 | 328 | G2_smistamento | 9.213E-02 | 0.51 |
| 407 | 327 | Q_smistamento | 9.100E-02 | 0.51 |
| 407 | 331 | Q_smistamento | 9.100E-02 | 0.51 |
| 407 | 332 | Q_smistamento | 9.213E-02 | 0.51 |
| 407 | 328 | Q_smistamento | 9.213E-02 | 0.51 |
| 407 | 327 | Q_neve | -1.228E-13 | 4.012E-14 |
| 407 | 331 | Q_neve | 1.951E-13 | -1.497E-13 |
| 407 | 332 | Q_neve | 8.820E-15 | -2.397E-13 |

Table 20: Element Forces - Area Shells, Part 3 of 3

| Area | Joint | OutputCase | V13 | V23 |
|------|-------|----------------|-----------|------------|
| | | | KN/m | KN/m |
| 407 | 328 | Q_neve | 2.610E-13 | 6.422E-14 |
| 408 | 328 | DEAD | 1.100E-12 | -1.543E-12 |
| 408 | 332 | DEAD | 2.131E-13 | -1.578E-12 |
| 408 | 333 | DEAD | 5.729E-13 | -3.577E-13 |
| 408 | 329 | DEAD | 1.003E-12 | 1.337E-13 |
| 408 | 328 | G1_smistamento | 0.25 | -1.637E-12 |
| 408 | 332 | G1_smistamento | 0.25 | -1.752E-12 |
| 408 | 333 | G1_smistamento | 0.25 | -2.164E-12 |
| 408 | 329 | G1_smistamento | 0.25 | 1.144E-12 |
| 408 | 328 | G2_smistamento | 9.191E-02 | -7.412E-13 |
| 408 | 332 | G2_smistamento | 9.191E-02 | -9.016E-13 |
| 408 | 333 | G2_smistamento | 9.191E-02 | -7.412E-13 |
| 408 | 329 | G2_smistamento | 9.191E-02 | 2.175E-13 |
| 408 | 328 | Q_smistamento | 9.191E-02 | -7.412E-13 |
| 408 | 332 | Q_smistamento | 9.191E-02 | -9.016E-13 |
| 408 | 333 | Q_smistamento | 9.191E-02 | -7.412E-13 |
| 408 | 329 | Q_smistamento | 9.191E-02 | 2.175E-13 |
| 408 | 328 | Q_neve | 2.325E-13 | -2.831E-13 |
| 408 | 332 | Q_neve | 9.757E-14 | -2.859E-13 |
| 408 | 333 | Q_neve | 1.666E-13 | -1.350E-13 |
| 408 | 329 | Q_neve | 1.305E-13 | 1.034E-14 |
| 409 | 329 | DEAD | 9.753E-13 | 2.373E-12 |
| 409 | 333 | DEAD | 1.695E-12 | -3.657E-13 |
| 409 | 334 | DEAD | 3.170E-13 | 1.351E-13 |
| 409 | 330 | DEAD | 5.097E-13 | 4.243E-12 |
| 409 | 329 | G1_smistamento | 0.25 | -1.39 |
| 409 | 333 | G1_smistamento | 0.25 | -1.39 |
| 409 | 334 | G1_smistamento | 0.25 | -1.39 |
| 409 | 330 | G1_smistamento | 0.25 | -1.39 |
| 409 | 329 | G2_smistamento | 9.213E-02 | -0.51 |
| 409 | 333 | G2_smistamento | 9.213E-02 | -0.51 |
| 409 | 334 | G2_smistamento | 9.100E-02 | -0.51 |
| 409 | 330 | G2_smistamento | 9.100E-02 | -0.51 |
| 409 | 329 | Q_smistamento | 9.213E-02 | -0.51 |
| 409 | 333 | Q_smistamento | 9.213E-02 | -0.51 |
| 409 | 334 | Q_smistamento | 9.100E-02 | -0.51 |
| 409 | 330 | Q_smistamento | 9.100E-02 | -0.51 |
| 409 | 329 | Q_neve | 1.184E-13 | 6.681E-13 |

Table 20: Element Forces - Area Shells, Part 3 of 3

| Area | Joint | OutputCase | V13 | V23 |
|------|-------|----------------|------------|------------|
| | | | KN/m | KN/m |
| 409 | 333 | Q_neve | 1.634E-13 | -1.070E-13 |
| 409 | 334 | Q_neve | 5.260E-14 | 9.207E-14 |
| 409 | 330 | Q_neve | 6.465E-14 | 7.817E-13 |
| 410 | 330 | DEAD | -5.443E-13 | -1.882E-12 |
| 410 | 334 | DEAD | 9.075E-13 | 7.418E-13 |
| 410 | 222 | DEAD | 7.723E-13 | -1.704E-13 |
| 410 | 224 | DEAD | 1.829E-12 | -9.698E-13 |
| 410 | 330 | G1_smistamento | 0.25 | -2.85 |
| 410 | 334 | G1_smistamento | 0.25 | -2.85 |
| 410 | 222 | G1_smistamento | 0.24 | -2.85 |
| 410 | 224 | G1_smistamento | 0.24 | -2.85 |
| 410 | 330 | G2_smistamento | 9.120E-02 | -1.06 |
| 410 | 334 | G2_smistamento | 9.120E-02 | -1.06 |
| 410 | 222 | G2_smistamento | 8.997E-02 | -1.06 |
| 410 | 224 | G2_smistamento | 8.997E-02 | -1.06 |
| 410 | 330 | Q_smistamento | 9.120E-02 | -1.06 |
| 410 | 334 | Q_smistamento | 9.120E-02 | -1.06 |
| 410 | 222 | Q_smistamento | 8.997E-02 | -1.06 |
| 410 | 224 | Q_smistamento | 8.997E-02 | -1.06 |
| 410 | 330 | Q_neve | -1.228E-13 | -1.831E-13 |
| 410 | 334 | Q_neve | 1.951E-13 | 1.919E-13 |
| 410 | 222 | Q_neve | 8.820E-15 | -2.160E-13 |
| 410 | 224 | Q_neve | 2.610E-13 | 9.316E-14 |
| 411 | 272 | DEAD | -6.258E-13 | -6.258E-13 |
| 411 | 274 | DEAD | 4.405E-13 | -6.834E-13 |
| 411 | 335 | DEAD | -3.624E-13 | -3.624E-13 |
| 411 | 331 | DEAD | -7.445E-13 | 1.292E-12 |
| 411 | 272 | G1_smistamento | 0.28 | 2.85 |
| 411 | 274 | G1_smistamento | 0.28 | 2.85 |
| 411 | 335 | G1_smistamento | 0.29 | 2.85 |
| 411 | 331 | G1_smistamento | 0.29 | 2.85 |
| 411 | 272 | G2_smistamento | 0.1 | 1.06 |
| 411 | 274 | G2_smistamento | 0.1 | 1.06 |
| 411 | 335 | G2_smistamento | 0.11 | 1.06 |
| 411 | 331 | G2_smistamento | 0.11 | 1.06 |
| 411 | 272 | Q_smistamento | 0.1 | 1.06 |
| 411 | 274 | Q_smistamento | 0.1 | 1.06 |
| 411 | 335 | Q_smistamento | 0.11 | 1.06 |

Table 20: Element Forces - Area Shells, Part 3 of 3

| Area | Joint | OutputCase | V13 KN/m | V23 KN/m |
|------|-------|----------------|-------------|-------------|
| 411 | 331 | Q_smistamento | 0.11 | 1.06 |
| 411 | 272 | Q_neve | -2.026E-13 | -2.299E-13 |
| 411 | 274 | Q_neve | 1.900E-14 | -1.247E-13 |
| 411 | 335 | Q_neve | 1.266E-13 | -1.312E-13 |
| 411 | 331 | Q_neve | 1.900E-14 | 1.057E-13 |
| 412 | 331 | DEAD | -3.746E-13 | -9.346E-13 |
| 412 | 335 | DEAD | -1.621E-12 | 1.522E-12 |
| 412 | 336 | DEAD | 6.787E-13 | 2.504E-13 |
| 412 | 332 | DEAD | 1.013E-12 | 7.402E-14 |
| 412 | 331 | G1_smistamento | 0.29 | 1.39 |
| 412 | 335 | G1_smistamento | 0.29 | 1.38 |
| 412 | 336 | G1_smistamento | 0.29 | 1.38 |
| 412 | 332 | G1_smistamento | 0.29 | 1.39 |
| 412 | 331 | G2_smistamento | 0.11 | 0.51 |
| 412 | 335 | G2_smistamento | 0.11 | 0.51 |
| 412 | 336 | G2_smistamento | 0.11 | 0.51 |
| 412 | 332 | G2_smistamento | 0.11 | 0.51 |
| 412 | 331 | Q_smistamento | 0.11 | 0.51 |
| 412 | 335 | Q_smistamento | 0.11 | 0.51 |
| 412 | 336 | Q_smistamento | 0.11 | 0.51 |
| 412 | 332 | Q_smistamento | 0.11 | 0.51 |
| 412 | 331 | Q_neve | -1.068E-14 | -2.827E-13 |
| 412 | 335 | Q_neve | -2.323E-13 | 2.039E-13 |
| 412 | 336 | Q_neve | 2.197E-13 | 1.782E-13 |
| 412 | 332 | Q_neve | 3.273E-13 | -1.088E-13 |
| 413 | 332 | DEAD | 4.134E-13 | -2.606E-13 |
| 413 | 336 | DEAD | 3.875E-13 | -4.663E-13 |
| 413 | 337 | DEAD | 1.335E-12 | 7.927E-13 |
| 413 | 333 | DEAD | -7.455E-15 | -5.979E-13 |
| 413 | 332 | G1_smistamento | 0.29 | -9.346E-13 |
| 413 | 336 | G1_smistamento | 0.29 | -4.432E-13 |
| 413 | 337 | G1_smistamento | 0.29 | 2.504E-13 |
| 413 | 333 | G1_smistamento | 0.29 | 2.151E-13 |
| 413 | 332 | G2_smistamento | 0.11 | -7.863E-13 |
| 413 | 336 | G2_smistamento | 0.11 | -2.067E-13 |
| 413 | 337 | G2_smistamento | 0.11 | 5.962E-13 |
| 413 | 333 | G2_smistamento | 0.11 | -6.675E-13 |
| 413 | 332 | Q_smistamento | 0.11 | -7.863E-13 |

Table 20: Element Forces - Area Shells, Part 3 of 3

| Area | Joint | OutputCase | V13 | V23 |
|------|-------|----------------|------------|------------|
| | | | KN/m | KN/m |
| 413 | 336 | Q_smistamento | 0.11 | -2.067E-13 |
| 413 | 337 | Q_smistamento | 0.11 | 5.962E-13 |
| 413 | 333 | Q_smistamento | 0.11 | -6.675E-13 |
| 413 | 332 | Q_neve | 2.661E-13 | -3.062E-14 |
| 413 | 336 | Q_neve | 2.179E-13 | -1.138E-13 |
| 413 | 337 | Q_neve | 2.661E-13 | 2.492E-13 |
| 413 | 333 | Q_neve | 8.620E-14 | -2.948E-13 |
| 414 | 333 | DEAD | -7.520E-13 | -4.710E-13 |
| 414 | 337 | DEAD | 6.998E-13 | 8.456E-13 |
| 414 | 338 | DEAD | 8.280E-13 | 3.190E-13 |
| 414 | 334 | DEAD | 1.885E-12 | -9.977E-13 |
| 414 | 333 | G1_smistamento | 0.29 | -1.39 |
| 414 | 337 | G1_smistamento | 0.29 | -1.38 |
| 414 | 338 | G1_smistamento | 0.29 | -1.38 |
| 414 | 334 | G1_smistamento | 0.29 | -1.39 |
| 414 | 333 | G2_smistamento | 0.11 | -0.51 |
| 414 | 337 | G2_smistamento | 0.11 | -0.51 |
| 414 | 338 | G2_smistamento | 0.11 | -0.51 |
| 414 | 334 | G2_smistamento | 0.11 | -0.51 |
| 414 | 333 | Q_smistamento | 0.11 | -0.51 |
| 414 | 337 | Q_smistamento | 0.11 | -0.51 |
| 414 | 338 | Q_smistamento | 0.11 | -0.51 |
| 414 | 334 | Q_smistamento | 0.11 | -0.51 |
| 414 | 333 | Q_neve | 1.341E-14 | 2.546E-15 |
| 414 | 337 | Q_neve | 2.832E-13 | 1.222E-13 |
| 414 | 338 | Q_neve | 3.097E-13 | 3.546E-14 |
| 414 | 334 | Q_neve | 3.819E-13 | -1.412E-13 |
| 415 | 334 | DEAD | 5.294E-13 | 2.645E-12 |
| 415 | 338 | DEAD | 1.429E-12 | -1.846E-13 |
| 415 | 220 | DEAD | 2.729E-15 | 1.460E-12 |
| 415 | 222 | DEAD | 2.437E-13 | 8.687E-13 |
| 415 | 334 | G1_smistamento | 0.29 | -2.85 |
| 415 | 338 | G1_smistamento | 0.29 | -2.85 |
| 415 | 220 | G1_smistamento | 0.28 | -2.85 |
| 415 | 222 | G1_smistamento | 0.28 | -2.85 |
| 415 | 334 | G2_smistamento | 0.11 | -1.06 |
| 415 | 338 | G2_smistamento | 0.11 | -1.06 |
| 415 | 220 | G2_smistamento | 0.1 | -1.06 |

Table 20: Element Forces - Area Shells, Part 3 of 3

| Area | Joint | OutputCase | V13 KN/m | V23 KN/m |
|------|-------|----------------|-------------|-------------|
| 415 | 222 | G2_smistamento | 0.1 | -1.06 |
| 415 | 334 | Q_smistamento | 0.11 | -1.06 |
| 415 | 338 | Q_smistamento | 0.11 | -1.06 |
| 415 | 220 | Q_smistamento | 0.1 | -1.06 |
| 415 | 222 | Q_smistamento | 0.1 | -1.06 |
| 415 | 334 | Q_neve | 3.083E-13 | 3.160E-13 |
| 415 | 338 | Q_neve | 4.464E-13 | -1.003E-13 |
| 415 | 220 | Q_neve | -2.513E-13 | 1.021E-13 |
| 415 | 222 | Q_neve | -4.733E-14 | 2.618E-13 |
| 416 | 274 | DEAD | -6.712E-13 | -1.203E-12 |
| 416 | 276 | DEAD | -1.391E-12 | 3.328E-14 |
| 416 | 339 | DEAD | -1.291E-14 | -5.450E-13 |
| 416 | 335 | DEAD | -2.057E-13 | 9.549E-13 |
| 416 | 274 | G1_smistamento | 0.22 | 2.85 |
| 416 | 276 | G1_smistamento | 0.22 | 2.83 |
| 416 | 339 | G1_smistamento | 0.23 | 2.83 |
| 416 | 335 | G1_smistamento | 0.23 | 2.85 |
| 416 | 274 | G2_smistamento | 8.090E-02 | 1.06 |
| 416 | 276 | G2_smistamento | 8.090E-02 | 1.05 |
| 416 | 339 | G2_smistamento | 8.644E-02 | 1.05 |
| 416 | 335 | G2_smistamento | 8.644E-02 | 1.06 |
| 416 | 274 | Q_smistamento | 8.090E-02 | 1.06 |
| 416 | 276 | Q_smistamento | 8.090E-02 | 1.05 |
| 416 | 339 | Q_smistamento | 8.644E-02 | 1.05 |
| 416 | 335 | Q_smistamento | 8.644E-02 | 1.06 |
| 416 | 274 | Q_neve | -1.210E-13 | -2.606E-13 |
| 416 | 276 | Q_neve | -3.908E-13 | -1.009E-14 |
| 416 | 339 | Q_neve | -8.806E-14 | -1.290E-13 |
| 416 | 335 | Q_neve | -1.604E-13 | 1.051E-13 |
| 417 | 335 | DEAD | 3.312E-13 | 1.242E-13 |
| 417 | 339 | DEAD | -3.237E-13 | 4.486E-13 |
| 417 | 340 | DEAD | -1.775E-12 | 2.559E-13 |
| 417 | 336 | DEAD | 1.388E-12 | 8.436E-13 |
| 417 | 335 | G1_smistamento | 0.22 | 1.39 |
| 417 | 339 | G1_smistamento | 0.22 | 1.36 |
| 417 | 340 | G1_smistamento | 0.23 | 1.36 |
| 417 | 336 | G1_smistamento | 0.23 | 1.39 |
| 417 | 335 | G2_smistamento | 8.231E-02 | 0.51 |

Table 20: Element Forces - Area Shells, Part 3 of 3

| Area | Joint | OutputCase | V13 KN/m | V23 KN/m |
|------|-------|----------------|-------------|-------------|
| 417 | 339 | G2_smistamento | 8.231E-02 | 0.51 |
| 417 | 340 | G2_smistamento | 8.672E-02 | 0.51 |
| 417 | 336 | G2_smistamento | 8.672E-02 | 0.51 |
| 417 | 335 | Q_smistamento | 8.231E-02 | 0.51 |
| 417 | 339 | Q_smistamento | 8.231E-02 | 0.51 |
| 417 | 340 | Q_smistamento | 8.672E-02 | 0.51 |
| 417 | 336 | Q_smistamento | 8.672E-02 | 0.51 |
| 417 | 335 | Q_neve | -8.365E-14 | 2.074E-13 |
| 417 | 339 | Q_neve | -3.020E-13 | 7.695E-14 |
| 417 | 340 | Q_neve | -1.824E-13 | 1.251E-13 |
| 417 | 336 | Q_neve | 9.297E-14 | 2.757E-14 |
| 418 | 336 | DEAD | -4.432E-13 | 4.459E-13 |
| 418 | 340 | DEAD | -2.762E-13 | -1.523E-12 |
| 418 | 341 | DEAD | 2.151E-13 | 3.143E-13 |
| 418 | 337 | DEAD | -4.079E-13 | -2.050E-12 |
| 418 | 336 | G1_smistamento | 0.23 | -4.017E-13 |
| 418 | 340 | G1_smistamento | 0.23 | -3.252E-13 |
| 418 | 341 | G1_smistamento | 0.23 | 2.758E-12 |
| 418 | 337 | G1_smistamento | 0.23 | -2.563E-12 |
| 418 | 336 | G2_smistamento | 8.479E-02 | -2.000E-14 |
| 418 | 340 | G2_smistamento | 8.479E-02 | -3.814E-13 |
| 418 | 341 | G2_smistamento | 8.479E-02 | 7.042E-13 |
| 418 | 337 | G2_smistamento | 8.479E-02 | -6.448E-13 |
| 418 | 336 | Q_smistamento | 8.479E-02 | -2.000E-14 |
| 418 | 340 | Q_smistamento | 8.479E-02 | -3.814E-13 |
| 418 | 341 | Q_smistamento | 8.479E-02 | 7.042E-13 |
| 418 | 337 | Q_smistamento | 8.479E-02 | -6.448E-13 |
| 418 | 336 | Q_neve | -1.254E-13 | 1.109E-13 |
| 418 | 340 | Q_neve | -3.223E-14 | -1.505E-13 |
| 418 | 341 | Q_neve | -2.664E-14 | 1.932E-13 |
| 418 | 337 | Q_neve | 1.653E-13 | -3.151E-13 |
| 419 | 337 | DEAD | -6.210E-13 | -8.429E-13 |
| 419 | 341 | DEAD | -1.263E-12 | 1.180E-12 |
| 419 | 342 | DEAD | -1.279E-12 | 1.527E-12 |
| 419 | 338 | DEAD | 2.555E-12 | -2.681E-13 |
| 419 | 337 | G1_smistamento | 0.23 | -1.39 |
| 419 | 341 | G1_smistamento | 0.23 | -1.36 |
| 419 | 342 | G1_smistamento | 0.22 | -1.36 |

Table 20: Element Forces - Area Shells, Part 3 of 3

| Area | Joint | OutputCase | V13 KN/m | V23 KN/m |
|------|-------|----------------|-------------|-------------|
| 419 | 338 | G1_smistamento | 0.22 | -1.39 |
| 419 | 337 | G2_smistamento | 8.672E-02 | -0.51 |
| 419 | 341 | G2_smistamento | 8.672E-02 | -0.51 |
| 419 | 342 | G2_smistamento | 8.231E-02 | -0.51 |
| 419 | 338 | G2_smistamento | 8.231E-02 | -0.51 |
| 419 | 337 | Q_smistamento | 8.672E-02 | -0.51 |
| 419 | 341 | Q_smistamento | 8.672E-02 | -0.51 |
| 419 | 342 | Q_smistamento | 8.231E-02 | -0.51 |
| 419 | 338 | Q_smistamento | 8.231E-02 | -0.51 |
| 419 | 337 | Q_neve | -1.087E-14 | -4.115E-14 |
| 419 | 341 | Q_neve | -9.111E-14 | 1.536E-13 |
| 419 | 342 | Q_neve | -2.742E-13 | 4.115E-14 |
| 419 | 338 | Q_neve | 2.051E-13 | -1.102E-14 |
| 420 | 338 | DEAD | -1.690E-12 | -4.561E-13 |
| 420 | 342 | DEAD | -5.721E-13 | 1.317E-12 |
| 420 | 218 | DEAD | -1.427E-12 | -4.561E-13 |
| 420 | 220 | DEAD | 8.762E-13 | -1.317E-12 |
| 420 | 338 | G1_smistamento | 0.23 | -2.85 |
| 420 | 342 | G1_smistamento | 0.23 | -2.83 |
| 420 | 218 | G1_smistamento | 0.22 | -2.83 |
| 420 | 220 | G1_smistamento | 0.22 | -2.85 |
| 420 | 338 | G2_smistamento | 8.644E-02 | -1.06 |
| 420 | 342 | G2_smistamento | 8.644E-02 | -1.05 |
| 420 | 218 | G2_smistamento | 8.090E-02 | -1.05 |
| 420 | 220 | G2_smistamento | 8.090E-02 | -1.06 |
| 420 | 338 | Q_smistamento | 8.644E-02 | -1.06 |
| 420 | 342 | Q_smistamento | 8.644E-02 | -1.05 |
| 420 | 218 | Q_smistamento | 8.090E-02 | -1.05 |
| 420 | 220 | Q_smistamento | 8.090E-02 | -1.06 |
| 420 | 338 | Q_neve | -3.780E-13 | -2.280E-13 |
| 420 | 342 | Q_neve | -1.950E-13 | 2.633E-13 |
| 420 | 218 | Q_neve | 1.696E-14 | -2.280E-13 |
| 420 | 220 | Q_neve | 2.330E-13 | -2.633E-13 |
| 421 | 276 | DEAD | 5.749E-13 | -9.400E-13 |
| 421 | 278 | DEAD | 3.821E-13 | -1.335E-12 |
| 421 | 343 | DEAD | -3.468E-13 | -8.084E-13 |
| 421 | 339 | DEAD | -1.066E-12 | -4.134E-13 |
| 421 | 276 | G1_smistamento | 1.292E-02 | 2.84 |

Table 20: Element Forces - Area Shells, Part 3 of 3

| Area | Joint | OutputCase | V13 KN/m | V23 KN/m |
|------|-------|----------------|-------------|-------------|
| 421 | 278 | G1_smistamento | 1.292E-02 | 2.78 |
| 421 | 343 | G1_smistamento | 3.523E-02 | 2.78 |
| 421 | 339 | G1_smistamento | 3.523E-02 | 2.84 |
| 421 | 276 | G2_smistamento | 4.791E-03 | 1.05 |
| 421 | 278 | G2_smistamento | 4.791E-03 | 1.03 |
| 421 | 343 | G2_smistamento | 1.306E-02 | 1.03 |
| 421 | 339 | G2_smistamento | 1.306E-02 | 1.05 |
| 421 | 276 | Q_smistamento | 4.791E-03 | 1.05 |
| 421 | 278 | Q_smistamento | 4.791E-03 | 1.03 |
| 421 | 343 | Q_smistamento | 1.306E-02 | 1.03 |
| 421 | 339 | Q_smistamento | 1.306E-02 | 1.05 |
| 421 | 276 | Q_neve | -2.664E-14 | -1.504E-13 |
| 421 | 278 | Q_neve | 1.083E-13 | -2.897E-13 |
| 421 | 343 | Q_neve | -1.254E-13 | -6.813E-14 |
| 421 | 339 | Q_neve | -8.925E-14 | -4.285E-14 |
| 422 | 339 | DEAD | -1.040E-12 | 4.839E-13 |
| 422 | 343 | DEAD | -1.593E-12 | 6.861E-13 |
| 422 | 344 | DEAD | 1.725E-12 | 3.523E-13 |
| 422 | 340 | DEAD | 9.087E-13 | -7.622E-13 |
| 422 | 339 | G1_smistamento | 1.004E-02 | 1.37 |
| 422 | 343 | G1_smistamento | 1.004E-02 | 1.33 |
| 422 | 344 | G1_smistamento | 2.675E-02 | 1.33 |
| 422 | 340 | G1_smistamento | 2.675E-02 | 1.37 |
| 422 | 339 | G2_smistamento | 3.723E-03 | 0.51 |
| 422 | 343 | G2_smistamento | 3.723E-03 | 0.49 |
| 422 | 344 | G2_smistamento | 9.917E-03 | 0.49 |
| 422 | 340 | G2_smistamento | 9.917E-03 | 0.51 |
| 422 | 339 | Q_smistamento | 3.723E-03 | 0.51 |
| 422 | 343 | Q_smistamento | 3.723E-03 | 0.49 |
| 422 | 344 | Q_smistamento | 9.917E-03 | 0.49 |
| 422 | 340 | Q_smistamento | 9.917E-03 | 0.51 |
| 422 | 339 | Q_neve | -2.633E-13 | 1.124E-13 |
| 422 | 343 | Q_neve | -2.633E-13 | -5.981E-14 |
| 422 | 344 | Q_neve | 2.633E-13 | 3.012E-14 |
| 422 | 340 | Q_neve | 2.633E-13 | 8.831E-14 |
| 423 | 340 | DEAD | 6.156E-13 | 2.729E-15 |
| 423 | 344 | DEAD | 2.300E-13 | -9.224E-13 |
| 423 | 345 | DEAD | 2.206E-13 | 5.294E-13 |

Table 20: Element Forces - Area Shells, Part 3 of 3

| Area | Joint | OutputCase | V13 KN/m | V23 KN/m |
|------|-------|----------------|-------------|-------------|
| 423 | 341 | DEAD | -1.218E-12 | -1.054E-12 |
| 423 | 340 | G1_smistamento | 1.564E-02 | 1.975E-13 |
| 423 | 344 | G1_smistamento | 1.564E-02 | 1.751E-13 |
| 423 | 345 | G1_smistamento | 1.564E-02 | -1.975E-13 |
| 423 | 341 | G1_smistamento | 1.564E-02 | 9.651E-13 |
| 423 | 340 | G2_smistamento | 5.799E-03 | 3.940E-13 |
| 423 | 344 | G2_smistamento | 5.799E-03 | -2.243E-13 |
| 423 | 345 | G2_smistamento | 5.799E-03 | 3.282E-13 |
| 423 | 341 | G2_smistamento | 5.799E-03 | -4.218E-13 |
| 423 | 340 | Q_smistamento | 5.799E-03 | 3.940E-13 |
| 423 | 344 | Q_smistamento | 5.799E-03 | -2.243E-13 |
| 423 | 345 | Q_smistamento | 5.799E-03 | 3.282E-13 |
| 423 | 341 | Q_smistamento | 5.799E-03 | -4.218E-13 |
| 423 | 340 | Q_neve | 6.024E-14 | 1.609E-13 |
| 423 | 344 | Q_neve | 1.205E-14 | -1.089E-13 |
| 423 | 345 | Q_neve | 2.248E-13 | 2.919E-14 |
| 423 | 341 | Q_neve | 4.496E-14 | -4.310E-14 |
| 424 | 341 | DEAD | 2.159E-13 | 6.109E-13 |
| 424 | 345 | DEAD | 3.601E-14 | 1.651E-12 |
| 424 | 346 | DEAD | 1.533E-12 | 1.138E-12 |
| 424 | 342 | DEAD | 1.484E-12 | -5.870E-13 |
| 424 | 341 | G1_smistamento | 2.675E-02 | -1.37 |
| 424 | 345 | G1_smistamento | 2.675E-02 | -1.33 |
| 424 | 346 | G1_smistamento | 1.004E-02 | -1.33 |
| 424 | 342 | G1_smistamento | 1.004E-02 | -1.37 |
| 424 | 341 | G2_smistamento | 9.917E-03 | -0.51 |
| 424 | 345 | G2_smistamento | 9.917E-03 | -0.49 |
| 424 | 346 | G2_smistamento | 3.723E-03 | -0.49 |
| 424 | 342 | G2_smistamento | 3.723E-03 | -0.51 |
| 424 | 341 | Q_smistamento | 9.917E-03 | -0.51 |
| 424 | 345 | Q_smistamento | 9.917E-03 | -0.49 |
| 424 | 346 | Q_smistamento | 3.723E-03 | -0.49 |
| 424 | 342 | Q_smistamento | 3.723E-03 | -0.51 |
| 424 | 341 | Q_neve | 2.554E-13 | -1.323E-14 |
| 424 | 345 | Q_neve | 1.173E-13 | 1.810E-13 |
| 424 | 346 | Q_neve | 4.858E-13 | 1.843E-13 |
| 424 | 342 | Q_neve | 2.818E-13 | -1.810E-13 |
| 425 | 342 | DEAD | 1.919E-12 | 9.298E-13 |

Table 20: Element Forces - Area Shells, Part 3 of 3

| Area | Joint | OutputCase | V13 | V23 |
|------|-------|----------------|------------|------------|
| | | | KN/m | KN/m |
| 425 | 346 | DEAD | 1.752E-12 | 3.197E-13 |
| 425 | 216 | DEAD | -1.767E-12 | 6.665E-13 |
| 425 | 218 | DEAD | -1.144E-12 | 1.505E-12 |
| 425 | 342 | G1_smistamento | 3.523E-02 | -2.84 |
| 425 | 346 | G1_smistamento | 3.523E-02 | -2.78 |
| 425 | 216 | G1_smistamento | 1.292E-02 | -2.78 |
| 425 | 218 | G1_smistamento | 1.292E-02 | -2.84 |
| 425 | 342 | G2_smistamento | 1.306E-02 | -1.05 |
| 425 | 346 | G2_smistamento | 1.306E-02 | -1.03 |
| 425 | 216 | G2_smistamento | 4.791E-03 | -1.03 |
| 425 | 218 | G2_smistamento | 4.791E-03 | -1.05 |
| 425 | 342 | Q_smistamento | 1.306E-02 | -1.05 |
| 425 | 346 | Q_smistamento | 1.306E-02 | -1.03 |
| 425 | 216 | Q_smistamento | 4.791E-03 | -1.03 |
| 425 | 218 | Q_smistamento | 4.791E-03 | -1.05 |
| 425 | 342 | Q_neve | 5.039E-13 | 2.630E-14 |
| 425 | 346 | Q_neve | 4.622E-13 | 1.299E-13 |
| 425 | 216 | Q_neve | -3.519E-13 | 5.922E-14 |
| 425 | 218 | Q_neve | -1.961E-13 | 2.122E-13 |
| 426 | 278 | DEAD | 8.233E-13 | -1.099E-12 |
| 426 | 280 | DEAD | 2.262E-12 | -2.181E-12 |
| 426 | 347 | DEAD | 1.649E-13 | 1.403E-12 |
| 426 | 343 | DEAD | 5.505E-13 | -1.391E-12 |
| 426 | 278 | G1_smistamento | -0.37 | 2.79 |
| 426 | 280 | G1_smistamento | -0.37 | 2.67 |
| 426 | 347 | G1_smistamento | -0.35 | 2.67 |
| 426 | 343 | G1_smistamento | -0.35 | 2.79 |
| 426 | 278 | G2_smistamento | -0.14 | 1.04 |
| 426 | 280 | G2_smistamento | -0.14 | 0.99 |
| 426 | 347 | G2_smistamento | -0.13 | 0.99 |
| 426 | 343 | G2_smistamento | -0.13 | 1.04 |
| 426 | 278 | Q_smistamento | -0.14 | 1.04 |
| 426 | 280 | Q_smistamento | -0.14 | 0.99 |
| 426 | 347 | Q_smistamento | -0.13 | 0.99 |
| 426 | 343 | Q_smistamento | -0.13 | 1.04 |
| 426 | 278 | Q_neve | -7.602E-14 | -5.437E-14 |
| 426 | 280 | Q_neve | 2.837E-13 | -1.568E-13 |
| 426 | 347 | Q_neve | -7.602E-14 | 2.254E-13 |

Table 20: Element Forces - Area Shells, Part 3 of 3

| Area | Joint | OutputCase | V13 | V23 |
|------|-------|----------------|------------|------------|
| | | | KN/m | KN/m |
| 426 | 343 | Q_neve | 2.037E-14 | -1.568E-13 |
| 427 | 343 | DEAD | 3.523E-13 | -1.183E-12 |
| 427 | 347 | DEAD | -3.672E-13 | -4.283E-13 |
| 427 | 348 | DEAD | 4.839E-13 | -2.613E-13 |
| 427 | 344 | DEAD | 2.912E-13 | -5.599E-13 |
| 427 | 343 | G1_smistamento | -0.4 | 1.34 |
| 427 | 347 | G1_smistamento | -0.4 | 1.25 |
| 427 | 348 | G1_smistamento | -0.39 | 1.25 |
| 427 | 344 | G1_smistamento | -0.39 | 1.34 |
| 427 | 343 | G2_smistamento | -0.15 | 0.5 |
| 427 | 347 | G2_smistamento | -0.15 | 0.46 |
| 427 | 348 | G2_smistamento | -0.15 | 0.46 |
| 427 | 344 | G2_smistamento | -0.15 | 0.5 |
| 427 | 343 | Q_smistamento | -0.15 | 0.5 |
| 427 | 347 | Q_smistamento | -0.15 | 0.46 |
| 427 | 348 | Q_smistamento | -0.15 | 0.46 |
| 427 | 344 | Q_smistamento | -0.15 | 0.5 |
| 427 | 343 | Q_neve | 4.565E-14 | -3.860E-13 |
| 427 | 347 | Q_neve | -1.792E-13 | 1.772E-15 |
| 427 | 348 | Q_neve | 1.444E-13 | -1.556E-13 |
| 427 | 344 | Q_neve | 8.415E-14 | -3.438E-13 |
| 428 | 344 | DEAD | -6.367E-13 | 9.291E-13 |
| 428 | 348 | DEAD | 1.393E-12 | -5.898E-13 |
| 428 | 349 | DEAD | -2.480E-12 | -1.309E-12 |
| 428 | 345 | DEAD | 7.351E-13 | 1.122E-12 |
| 428 | 344 | G1_smistamento | -0.41 | 1.246E-12 |
| 428 | 348 | G1_smistamento | -0.41 | -8.605E-13 |
| 428 | 349 | G1_smistamento | -0.41 | -3.339E-13 |
| 428 | 345 | G1_smistamento | -0.41 | 1.773E-12 |
| 428 | 344 | G2_smistamento | -0.15 | 6.717E-13 |
| 428 | 348 | G2_smistamento | -0.15 | -8.534E-14 |
| 428 | 349 | G2_smistamento | -0.15 | -3.487E-13 |
| 428 | 345 | G2_smistamento | -0.15 | 4.084E-13 |
| 428 | 344 | Q_smistamento | -0.15 | 6.717E-13 |
| 428 | 348 | Q_smistamento | -0.15 | -8.534E-14 |
| 428 | 349 | Q_smistamento | -0.15 | -3.487E-13 |
| 428 | 345 | Q_smistamento | -0.15 | 4.084E-13 |
| 428 | 344 | Q_neve | -5.651E-14 | 3.275E-13 |

Table 20: Element Forces - Area Shells, Part 3 of 3

| Area | Joint | OutputCase | V13 | V23 |
|------|-------|----------------|------------|------------|
| | | | KN/m | KN/m |
| 428 | 348 | Q_neve | 2.197E-13 | -1.433E-13 |
| 428 | 349 | Q_neve | -4.186E-13 | -4.131E-13 |
| 428 | 345 | Q_neve | -1.068E-14 | 3.998E-13 |
| 429 | 345 | DEAD | -1.647E-12 | 8.036E-13 |
| 429 | 349 | DEAD | 3.570E-13 | 4.052E-13 |
| 429 | 350 | DEAD | -2.306E-12 | 1.857E-12 |
| 429 | 346 | DEAD | -4.330E-13 | -2.531E-13 |
| 429 | 345 | G1_smistamento | -0.39 | -1.34 |
| 429 | 349 | G1_smistamento | -0.39 | -1.25 |
| 429 | 350 | G1_smistamento | -0.4 | -1.25 |
| 429 | 346 | G1_smistamento | -0.4 | -1.34 |
| 429 | 345 | G2_smistamento | -0.15 | -0.5 |
| 429 | 349 | G2_smistamento | -0.15 | -0.46 |
| 429 | 350 | G2_smistamento | -0.15 | -0.46 |
| 429 | 346 | G2_smistamento | -0.15 | -0.5 |
| 429 | 345 | Q_smistamento | -0.15 | -0.5 |
| 429 | 349 | Q_smistamento | -0.15 | -0.46 |
| 429 | 350 | Q_smistamento | -0.15 | -0.46 |
| 429 | 346 | Q_smistamento | -0.15 | -0.5 |
| 429 | 345 | Q_neve | -1.553E-13 | -1.354E-13 |
| 429 | 349 | Q_neve | -1.488E-13 | 1.456E-13 |
| 429 | 350 | Q_neve | -3.198E-13 | 3.254E-13 |
| 429 | 346 | Q_neve | 1.578E-14 | -1.836E-13 |
| 430 | 346 | DEAD | -5.321E-13 | -3.421E-13 |
| 430 | 350 | DEAD | -5.063E-13 | 7.500E-13 |
| 430 | 214 | DEAD | -5.321E-13 | -3.421E-13 |
| 430 | 216 | DEAD | 8.104E-13 | 6.183E-13 |
| 430 | 346 | G1_smistamento | -0.35 | -2.79 |
| 430 | 350 | G1_smistamento | -0.35 | -2.67 |
| 430 | 214 | G1_smistamento | -0.37 | -2.67 |
| 430 | 216 | G1_smistamento | -0.37 | -2.79 |
| 430 | 346 | G2_smistamento | -0.13 | -1.04 |
| 430 | 350 | G2_smistamento | -0.13 | -0.99 |
| 430 | 214 | G2_smistamento | -0.14 | -0.99 |
| 430 | 216 | G2_smistamento | -0.14 | -1.04 |
| 430 | 346 | Q_smistamento | -0.13 | -1.04 |
| 430 | 350 | Q_smistamento | -0.13 | -0.99 |
| 430 | 214 | Q_smistamento | -0.14 | -0.99 |

Table 20: Element Forces - Area Shells, Part 3 of 3

| Area | Joint | OutputCase | V13 KN/m | V23 KN/m |
|------|-------|----------------|-------------|-------------|
| 430 | 216 | Q_smistamento | -0.14 | -1.04 |
| 430 | 346 | Q_neve | 4.410E-15 | 3.198E-14 |
| 430 | 350 | Q_neve | 9.757E-14 | 1.087E-13 |
| 430 | 214 | Q_neve | -6.142E-14 | 1.553E-14 |
| 430 | 216 | Q_neve | 1.305E-13 | 2.239E-13 |
| 431 | 280 | DEAD | -7.629E-13 | -3.652E-13 |
| 431 | 282 | DEAD | -1.084E-12 | -9.882E-13 |
| 431 | 351 | DEAD | -1.290E-12 | -1.155E-12 |
| 431 | 347 | DEAD | 6.278E-13 | -9.882E-13 |
| 431 | 280 | G1_smistamento | -0.93 | 2.68 |
| 431 | 282 | G1_smistamento | -0.93 | 2.43 |
| 431 | 351 | G1_smistamento | -0.98 | 2.43 |
| 431 | 347 | G1_smistamento | -0.98 | 2.68 |
| 431 | 280 | G2_smistamento | -0.35 | 0.99 |
| 431 | 282 | G2_smistamento | -0.35 | 0.9 |
| 431 | 351 | G2_smistamento | -0.36 | 0.9 |
| 431 | 347 | G2_smistamento | -0.36 | 0.99 |
| 431 | 280 | Q_smistamento | -0.35 | 0.99 |
| 431 | 282 | Q_smistamento | -0.35 | 0.9 |
| 431 | 351 | Q_smistamento | -0.36 | 0.9 |
| 431 | 347 | Q_smistamento | -0.36 | 0.99 |
| 431 | 280 | Q_neve | -1.685E-13 | 1.288E-13 |
| 431 | 282 | Q_neve | -1.171E-13 | -2.173E-13 |
| 431 | 351 | Q_neve | -1.356E-13 | -2.333E-13 |
| 431 | 347 | Q_neve | 2.121E-13 | -2.008E-13 |
| 432 | 347 | DEAD | 4.255E-13 | -1.948E-13 |
| 432 | 351 | DEAD | -1.412E-12 | -1.098E-12 |
| 432 | 352 | DEAD | 3.055E-14 | 7.269E-13 |
| 432 | 348 | DEAD | -2.465E-12 | -2.019E-12 |
| 432 | 347 | G1_smistamento | -1.06 | 1.24 |
| 432 | 351 | G1_smistamento | -1.06 | 1.11 |
| 432 | 352 | G1_smistamento | -1.14 | 1.11 |
| 432 | 348 | G1_smistamento | -1.14 | 1.24 |
| 432 | 347 | G2_smistamento | -0.39 | 0.46 |
| 432 | 351 | G2_smistamento | -0.39 | 0.41 |
| 432 | 352 | G2_smistamento | -0.42 | 0.41 |
| 432 | 348 | G2_smistamento | -0.42 | 0.46 |
| 432 | 347 | Q_smistamento | -0.39 | 0.46 |

Table 20: Element Forces - Area Shells, Part 3 of 3

| Area | Joint | OutputCase | V13 | V23 |
|------|-------|----------------|------------|------------|
| | | | KN/m | KN/m |
| 432 | 351 | Q_smistamento | -0.39 | 0.41 |
| 432 | 352 | Q_smistamento | -0.42 | 0.41 |
| 432 | 348 | Q_smistamento | -0.42 | 0.46 |
| 432 | 347 | Q_neve | 2.146E-13 | -5.251E-14 |
| 432 | 351 | Q_neve | -1.515E-13 | -3.208E-14 |
| 432 | 352 | Q_neve | -8.161E-14 | 1.285E-13 |
| 432 | 348 | Q_neve | -5.136E-13 | -2.625E-13 |
| 433 | 348 | DEAD | -1.776E-12 | -2.004E-12 |
| 433 | 352 | DEAD | 7.676E-13 | -2.437E-13 |
| 433 | 353 | DEAD | -1.645E-12 | 1.031E-13 |
| 433 | 349 | DEAD | 3.726E-13 | -1.429E-12 |
| 433 | 348 | G1_smistamento | -1.16 | -1.654E-12 |
| 433 | 352 | G1_smistamento | -1.16 | -6.360E-13 |
| 433 | 353 | G1_smistamento | -1.16 | 5.765E-14 |
| 433 | 349 | G1_smistamento | -1.16 | -5.043E-13 |
| 433 | 348 | G2_smistamento | -0.43 | -9.821E-13 |
| 433 | 352 | G2_smistamento | -0.43 | -2.546E-15 |
| 433 | 353 | G2_smistamento | -0.43 | 2.029E-13 |
| 433 | 349 | G2_smistamento | -0.43 | -3.546E-14 |
| 433 | 348 | Q_smistamento | -0.43 | -9.821E-13 |
| 433 | 352 | Q_smistamento | -0.43 | -2.546E-15 |
| 433 | 353 | Q_smistamento | -0.43 | 2.029E-13 |
| 433 | 349 | Q_smistamento | -0.43 | -3.546E-14 |
| 433 | 348 | Q_neve | -4.162E-13 | -5.234E-13 |
| 433 | 352 | Q_neve | 8.806E-14 | 2.298E-14 |
| 433 | 353 | Q_neve | -5.150E-13 | 1.975E-14 |
| 433 | 349 | Q_neve | 1.210E-13 | -3.556E-13 |
| 434 | 349 | DEAD | 1.568E-13 | 1.013E-12 |
| 434 | 353 | DEAD | -5.498E-13 | 5.348E-13 |
| 434 | 354 | DEAD | -7.649E-13 | 3.550E-13 |
| 434 | 350 | DEAD | -2.864E-13 | 1.062E-12 |
| 434 | 349 | G1_smistamento | -1.14 | -1.24 |
| 434 | 353 | G1_smistamento | -1.14 | -1.11 |
| 434 | 354 | G1_smistamento | -1.06 | -1.11 |
| 434 | 350 | G1_smistamento | -1.06 | -1.24 |
| 434 | 349 | G2_smistamento | -0.42 | -0.46 |
| 434 | 353 | G2_smistamento | -0.42 | -0.41 |
| 434 | 354 | G2_smistamento | -0.39 | -0.41 |

Table 20: Element Forces - Area Shells, Part 3 of 3

| Area | Joint | OutputCase | V13 KN/m | V23 KN/m |
|------|-------|----------------|-------------|-------------|
| 434 | 350 | G2_smistamento | -0.39 | -0.46 |
| 434 | 349 | Q_smistamento | -0.42 | -0.46 |
| 434 | 353 | Q_smistamento | -0.42 | -0.41 |
| 434 | 354 | Q_smistamento | -0.39 | -0.41 |
| 434 | 350 | Q_smistamento | -0.39 | -0.46 |
| 434 | 349 | Q_neve | 0. | 1.324E-13 |
| 434 | 353 | Q_neve | -1.317E-13 | 2.252E-13 |
| 434 | 354 | Q_neve | 0. | 2.476E-13 |
| 434 | 350 | Q_neve | 1.317E-13 | 1.264E-13 |
| 435 | 350 | DEAD | -1.147E-12 | -3.543E-13 |
| 435 | 354 | DEAD | -1.019E-12 | 7.954E-13 |
| 435 | 212 | DEAD | 1.223E-12 | 9.624E-13 |
| 435 | 214 | DEAD | -1.414E-12 | 2.688E-13 |
| 435 | 350 | G1_smistamento | -0.98 | -2.68 |
| 435 | 354 | G1_smistamento | -0.98 | -2.43 |
| 435 | 212 | G1_smistamento | -0.93 | -2.43 |
| 435 | 214 | G1_smistamento | -0.93 | -2.68 |
| 435 | 350 | G2_smistamento | -0.36 | -0.99 |
| 435 | 354 | G2_smistamento | -0.36 | -0.9 |
| 435 | 212 | G2_smistamento | -0.35 | -0.9 |
| 435 | 214 | G2_smistamento | -0.35 | -0.99 |
| 435 | 350 | Q_smistamento | -0.36 | -0.99 |
| 435 | 354 | Q_smistamento | -0.36 | -0.9 |
| 435 | 212 | Q_smistamento | -0.35 | -0.9 |
| 435 | 214 | Q_smistamento | -0.35 | -0.99 |
| 435 | 350 | Q_neve | -1.127E-13 | 6.940E-14 |
| 435 | 354 | Q_neve | 6.074E-14 | 1.007E-13 |
| 435 | 212 | Q_neve | 1.507E-13 | 1.681E-13 |
| 435 | 214 | Q_neve | -1.368E-13 | 5.133E-14 |
| 436 | 282 | DEAD | -9.706E-13 | -1.057E-12 |
| 436 | 22 | DEAD | -2.382E-13 | -8.993E-13 |
| 436 | 284 | DEAD | -1.234E-12 | -1.452E-12 |
| 436 | 351 | DEAD | -3.699E-13 | -2.410E-13 |
| 436 | 282 | G1_smistamento | -1.65 | 2.37 |
| 436 | 22 | G1_smistamento | -1.65 | 1.92 |
| 436 | 284 | G1_smistamento | -2.08 | 1.92 |
| 436 | 351 | G1_smistamento | -2.08 | 2.37 |
| 436 | 282 | G2_smistamento | -0.61 | 0.88 |

Table 20: Element Forces - Area Shells, Part 3 of 3

| Area | Joint | OutputCase | V13 KN/m | V23 KN/m |
|------|-------|----------------|-------------|-------------|
| 436 | 22 | G2_smistamento | -0.61 | 0.71 |
| 436 | 284 | G2_smistamento | -0.77 | 0.71 |
| 436 | 351 | G2_smistamento | -0.77 | 0.88 |
| 436 | 282 | Q_smistamento | -0.61 | 0.88 |
| 436 | 22 | Q_smistamento | -0.61 | 0.71 |
| 436 | 284 | Q_smistamento | -0.77 | 0.71 |
| 436 | 351 | Q_smistamento | -0.77 | 0.88 |
| 436 | 282 | Q_neve | -1.590E-13 | -1.491E-13 |
| 436 | 22 | Q_neve | -2.087E-14 | -1.628E-13 |
| 436 | 284 | Q_neve | -1.261E-13 | -5.040E-14 |
| 436 | 351 | Q_neve | 7.788E-14 | -1.793E-13 |
| 437 | 351 | DEAD | 5.565E-14 | 6.536E-13 |
| 437 | 284 | DEAD | -1.717E-12 | 5.292E-14 |
| 437 | 286 | DEAD | -2.077E-13 | 2.586E-13 |
| 437 | 352 | DEAD | 6.529E-13 | -7.371E-13 |
| 437 | 351 | G1_smistamento | -2.17 | 1.07 |
| 437 | 284 | G1_smistamento | -2.17 | 0.99 |
| 437 | 286 | G1_smistamento | -2.34 | 0.99 |
| 437 | 352 | G1_smistamento | -2.34 | 1.07 |
| 437 | 351 | G2_smistamento | -0.8 | 0.4 |
| 437 | 284 | G2_smistamento | -0.8 | 0.37 |
| 437 | 286 | G2_smistamento | -0.87 | 0.37 |
| 437 | 352 | G2_smistamento | -0.87 | 0.4 |
| 437 | 351 | Q_smistamento | -0.8 | 0.4 |
| 437 | 284 | Q_smistamento | -0.8 | 0.37 |
| 437 | 286 | Q_smistamento | -0.87 | 0.37 |
| 437 | 352 | Q_smistamento | -0.87 | 0.4 |
| 437 | 351 | Q_neve | 2.102E-13 | 1.738E-13 |
| 437 | 284 | Q_neve | -2.844E-13 | -2.571E-14 |
| 437 | 286 | Q_neve | -2.019E-14 | 2.571E-14 |
| 437 | 352 | Q_neve | -1.527E-13 | -1.738E-13 |
| 438 | 352 | DEAD | 3.061E-13 | 6.454E-13 |
| 438 | 286 | DEAD | 1.385E-12 | -9.698E-13 |
| 438 | 288 | DEAD | -1.142E-12 | -1.330E-12 |
| 438 | 353 | DEAD | -8.531E-13 | 7.418E-13 |
| 438 | 352 | G1_smistamento | -2.35 | 8.687E-13 |
| 438 | 286 | G1_smistamento | -2.35 | -1.277E-12 |
| 438 | 288 | G1_smistamento | -2.35 | -1.846E-13 |

Table 20: Element Forces - Area Shells, Part 3 of 3

| Area | Joint | OutputCase | V13 | V23 |
|------|-------|----------------|------------|------------|
| | | | KN/m | KN/m |
| 438 | 353 | G1_smistamento | -2.35 | -9.166E-14 |
| 438 | 352 | G2_smistamento | -0.87 | -3.310E-14 |
| 438 | 286 | G2_smistamento | -0.87 | -1.398E-13 |
| 438 | 288 | G2_smistamento | -0.87 | -4.610E-13 |
| 438 | 353 | G2_smistamento | -0.87 | 3.869E-13 |
| 438 | 352 | Q_smistamento | -0.87 | -3.310E-14 |
| 438 | 286 | Q_smistamento | -0.87 | -1.398E-13 |
| 438 | 288 | Q_smistamento | -0.87 | -4.610E-13 |
| 438 | 353 | Q_smistamento | -0.87 | 3.869E-13 |
| 438 | 352 | Q_neve | -1.045E-13 | 5.285E-14 |
| 438 | 286 | Q_neve | 3.037E-14 | -1.972E-13 |
| 438 | 288 | Q_neve | -1.045E-13 | -6.235E-14 |
| 438 | 353 | Q_neve | -6.838E-14 | 1.671E-14 |
| 439 | 353 | DEAD | -9.502E-13 | 2.735E-13 |
| 439 | 288 | DEAD | -7.703E-13 | 4.181E-13 |
| 439 | 290 | DEAD | -9.502E-13 | -1.215E-13 |
| 439 | 354 | DEAD | -9.020E-13 | 4.181E-13 |
| 439 | 353 | G1_smistamento | -2.34 | -1.07 |
| 439 | 288 | G1_smistamento | -2.34 | -0.99 |
| 439 | 290 | G1_smistamento | -2.17 | -0.99 |
| 439 | 354 | G1_smistamento | -2.17 | -1.07 |
| 439 | 353 | G2_smistamento | -0.87 | -0.4 |
| 439 | 288 | G2_smistamento | -0.87 | -0.37 |
| 439 | 290 | G2_smistamento | -0.8 | -0.37 |
| 439 | 354 | G2_smistamento | -0.8 | -0.4 |
| 439 | 353 | Q_smistamento | -0.87 | -0.4 |
| 439 | 288 | Q_smistamento | -0.87 | -0.37 |
| 439 | 290 | Q_smistamento | -0.8 | -0.37 |
| 439 | 354 | Q_smistamento | -0.8 | -0.4 |
| 439 | 353 | Q_neve | -7.602E-14 | 1.872E-13 |
| 439 | 288 | Q_neve | -7.602E-14 | 1.526E-13 |
| 439 | 290 | Q_neve | -7.602E-14 | 8.841E-14 |
| 439 | 354 | Q_neve | -7.602E-14 | 3.742E-14 |
| 440 | 354 | DEAD | -2.729E-15 | -1.056E-12 |
| 440 | 290 | DEAD | 5.368E-13 | 9.224E-13 |
| 440 | 9 | DEAD | -5.294E-13 | 5.239E-13 |
| 440 | 212 | DEAD | -3.848E-13 | 1.054E-12 |
| 440 | 354 | G1_smistamento | -2.08 | -2.37 |

Table 20: Element Forces - Area Shells, Part 3 of 3

| Area | Joint | OutputCase | V13 KN/m | V23 KN/m |
|------|-------|----------------|-------------|-------------|
| 440 | 290 | G1_smistamento | -2.08 | -1.92 |
| 440 | 9 | G1_smistamento | -1.65 | -1.92 |
| 440 | 212 | G1_smistamento | -1.65 | -2.37 |
| 440 | 354 | G2_smistamento | -0.77 | -0.88 |
| 440 | 290 | G2_smistamento | -0.77 | -0.71 |
| 440 | 9 | G2_smistamento | -0.61 | -0.71 |
| 440 | 212 | G2_smistamento | -0.61 | -0.88 |
| 440 | 354 | Q_smistamento | -0.77 | -0.88 |
| 440 | 290 | Q_smistamento | -0.77 | -0.71 |
| 440 | 9 | Q_smistamento | -0.61 | -0.71 |
| 440 | 212 | Q_smistamento | -0.61 | -0.88 |
| 440 | 354 | Q_neve | 3.733E-14 | -1.200E-13 |
| 440 | 290 | Q_neve | 1.240E-13 | 3.160E-13 |
| 440 | 9 | Q_neve | -9.434E-14 | 1.105E-13 |
| 440 | 212 | Q_neve | -2.381E-13 | 1.021E-13 |

Table 21: Element Stresses - Area Shells, Part 1 of 3

Table 21: Element Stresses - Area Shells, Part 1 of 3

| Area | AreaElem | Joint | OutputCase | S11Top KN/m2 | S22Top KN/m2 | S12Top KN/m2 |
|------|----------|-------|----------------|-----------------|-----------------|-----------------|
| 1 | 1 | 7 | DEAD | -5.294E-13 | 4.507E-12 | -1.499E-11 |
| 1 | 1 | 8 | DEAD | 5.931E-12 | 4.987E-12 | -1.499E-11 |
| 1 | 1 | 9 | DEAD | -1.477E-12 | 7.351E-12 | -2.004E-11 |
| 1 | 1 | 10 | DEAD | 1.067E-11 | 2.110E-11 | -2.004E-11 |
| 1 | 1 | 7 | G1_smistamento | 1.13 | 0.74 | 10.43 |
| 1 | 1 | 8 | G1_smistamento | -45.54 | -5.152E-02 | 14.72 |
| 1 | 1 | 9 | G1_smistamento | -47.78 | -62.01 | 17.59 |
| 1 | 1 | 10 | G1_smistamento | -0.11 | -57.7 | 13.3 |
| 1 | 1 | 7 | G2_smistamento | 0.42 | 0.28 | 3.87 |
| 1 | 1 | 8 | G2_smistamento | -16.88 | -1.910E-02 | 5.46 |
| 1 | 1 | 9 | G2_smistamento | -17.71 | -22.99 | 6.52 |
| 1 | 1 | 10 | G2_smistamento | -4.041E-02 | -21.39 | 4.93 |
| 1 | 1 | 7 | Q_smistamento | 0.42 | 0.28 | 3.87 |
| 1 | 1 | 8 | Q_smistamento | -16.88 | -1.910E-02 | 5.46 |
| 1 | 1 | 9 | Q_smistamento | -17.71 | -22.99 | 6.52 |

Table 21: Element Stresses - Area Shells, Part 1 of 3

| Area | AreaElem | Joint | OutputCase | S11Top KN/m2 | S22Top KN/m2 | S12Top KN/m2 |
|------|----------|-------|----------------|-----------------|-----------------|-----------------|
| 1 | 1 | 10 | Q_smistamento | -4.041E-02 | -21.39 | 4.93 |
| 1 | 1 | 7 | Q_neve | -2.933E-12 | -2.701E-12 | -3.017E-12 |
| 1 | 1 | 8 | Q_neve | 5.365E-12 | 2.899E-12 | -3.649E-12 |
| 1 | 1 | 9 | Q_neve | 1.017E-12 | 1.880E-12 | -4.281E-12 |
| 1 | 1 | 10 | Q_neve | -1.652E-13 | 5.585E-12 | -3.649E-12 |
| 2 | 2 | 11 | DEAD | -5.037E-11 | 5.564E-12 | 9.826E-12 |
| 2 | 2 | 12 | DEAD | 2.557E-11 | 4.176E-12 | 7.298E-12 |
| 2 | 2 | 13 | DEAD | -1.750E-11 | -1.213E-11 | 4.770E-12 |
| 2 | 2 | 14 | DEAD | -2.119E-11 | -1.731E-11 | 7.298E-12 |
| 2 | 2 | 11 | G1_smistamento | -45.54 | -5.152E-02 | -14.72 |
| 2 | 2 | 12 | G1_smistamento | 1.13 | 0.74 | -10.43 |
| 2 | 2 | 13 | G1_smistamento | -0.11 | -57.7 | -13.3 |
| 2 | 2 | 14 | G1_smistamento | -47.78 | -62.01 | -17.59 |
| 2 | 2 | 11 | G2_smistamento | -16.88 | -1.910E-02 | -5.46 |
| 2 | 2 | 12 | G2_smistamento | 0.42 | 0.28 | -3.87 |
| 2 | 2 | 13 | G2_smistamento | -4.041E-02 | -21.39 | -4.93 |
| 2 | 2 | 14 | G2_smistamento | -17.71 | -22.99 | -6.52 |
| 2 | 2 | 11 | Q_smistamento | -16.88 | -1.910E-02 | -5.46 |
| 2 | 2 | 12 | Q_smistamento | 0.42 | 0.28 | -3.87 |
| 2 | 2 | 13 | Q_smistamento | -4.041E-02 | -21.39 | -4.93 |
| 2 | 2 | 14 | Q_smistamento | -17.71 | -22.99 | -6.52 |
| 2 | 2 | 11 | Q_neve | -1.099E-11 | -1.556E-12 | 1.460E-12 |
| 2 | 2 | 12 | Q_neve | 3.305E-12 | -2.146E-13 | 1.460E-12 |
| 2 | 2 | 13 | Q_neve | -6.483E-12 | -3.689E-12 | 1.460E-12 |
| 2 | 2 | 14 | Q_neve | -2.495E-13 | -9.256E-13 | 1.460E-12 |
| 3 | 3 | 15 | DEAD | 4.067E-12 | 2.705E-12 | 5.643E-12 |
| 3 | 3 | 16 | DEAD | 1.894E-11 | 1.693E-11 | 6.568E-12 |
| 3 | 3 | 17 | DEAD | -1.647E-11 | -1.657E-11 | 3.115E-12 |
| 3 | 3 | 18 | DEAD | 3.138E-12 | 3.652E-11 | 6.568E-12 |
| 3 | 3 | 15 | G1_smistamento | -0.11 | -57.7 | 13.3 |
| 3 | 3 | 16 | G1_smistamento | 1.13 | 0.74 | 10.43 |
| 3 | 3 | 17 | G1_smistamento | -45.54 | -5.152E-02 | 14.72 |
| 3 | 3 | 18 | G1_smistamento | -47.78 | -62.01 | 17.59 |
| 3 | 3 | 15 | G2_smistamento | -4.041E-02 | -21.39 | 4.93 |
| 3 | 3 | 16 | G2_smistamento | 0.42 | 0.28 | 3.87 |
| 3 | 3 | 17 | G2_smistamento | -16.88 | -1.910E-02 | 5.46 |
| 3 | 3 | 18 | G2_smistamento | -17.71 | -22.99 | 6.52 |
| 3 | 3 | 15 | Q_smistamento | -4.041E-02 | -21.39 | 4.93 |

Table 21: Element Stresses - Area Shells, Part 1 of 3

| Area | AreaElem | Joint | OutputCase | S11Top KN/m2 | S22Top KN/m2 | S12Top KN/m2 |
|------|----------|-------|----------------|-----------------|-----------------|-----------------|
| 3 | 3 | 16 | Q_smistamento | 0.42 | 0.28 | 3.87 |
| 3 | 3 | 17 | Q_smistamento | -16.88 | -1.910E-02 | 5.46 |
| 3 | 3 | 18 | Q_smistamento | -17.71 | -22.99 | 6.52 |
| 3 | 3 | 15 | Q_neve | 5.419E-12 | 4.117E-12 | 4.626E-13 |
| 3 | 3 | 16 | Q_neve | 2.183E-12 | 4.174E-12 | 1.095E-12 |
| 3 | 3 | 17 | Q_neve | -1.770E-12 | -3.388E-12 | 1.727E-12 |
| 3 | 3 | 18 | Q_neve | -1.134E-12 | 6.544E-12 | 1.095E-12 |
| 4 | 4 | 19 | DEAD | -4.745E-11 | -1.970E-12 | -9.826E-12 |
| 4 | 4 | 20 | DEAD | 1.057E-12 | -3.589E-12 | 2.863E-13 |
| 4 | 4 | 21 | DEAD | 1.480E-11 | -1.682E-11 | -4.770E-12 |
| 4 | 4 | 22 | DEAD | -1.948E-11 | -2.286E-11 | -1.488E-11 |
| 4 | 4 | 19 | G1_smistamento | -45.54 | -5.152E-02 | -14.72 |
| 4 | 4 | 20 | G1_smistamento | 1.13 | 0.74 | -10.43 |
| 4 | 4 | 21 | G1_smistamento | -0.11 | -57.7 | -13.3 |
| 4 | 4 | 22 | G1_smistamento | -47.78 | -62.01 | -17.59 |
| 4 | 4 | 19 | G2_smistamento | -16.88 | -1.910E-02 | -5.46 |
| 4 | 4 | 20 | G2_smistamento | 0.42 | 0.28 | -3.87 |
| 4 | 4 | 21 | G2_smistamento | -4.041E-02 | -21.39 | -4.93 |
| 4 | 4 | 22 | G2_smistamento | -17.71 | -22.99 | -6.52 |
| 4 | 4 | 19 | Q_smistamento | -16.88 | -1.910E-02 | -5.46 |
| 4 | 4 | 20 | Q_smistamento | 0.42 | 0.28 | -3.87 |
| 4 | 4 | 21 | Q_smistamento | -4.041E-02 | -21.39 | -4.93 |
| 4 | 4 | 22 | Q_smistamento | -17.71 | -22.99 | -6.52 |
| 4 | 4 | 19 | Q_neve | -1.190E-11 | -3.468E-12 | -2.359E-12 |
| 4 | 4 | 20 | Q_neve | 1.739E-12 | 3.301E-12 | 1.693E-13 |
| 4 | 4 | 21 | Q_neve | 1.453E-12 | -4.969E-12 | 1.693E-13 |
| 4 | 4 | 22 | Q_neve | -2.606E-12 | -3.256E-12 | -2.359E-12 |
| 42 | 42 | 1 | DEAD | 6.721E-13 | 1.064E-12 | -7.786E-13 |
| 42 | 42 | 57 | DEAD | -1.234E-12 | -8.851E-13 | -4.626E-13 |
| 42 | 42 | 58 | DEAD | -1.105E-12 | -2.136E-12 | -1.411E-12 |
| 42 | 42 | 59 | DEAD | 9.380E-13 | 4.974E-13 | -1.727E-12 |
| 42 | 42 | 1 | G1_smistamento | 1.1 | 0.72 | 12.93 |
| 42 | 42 | 57 | G1_smistamento | -34.21 | -0.25 | 16.77 |
| 42 | 42 | 58 | G1_smistamento | -31.99 | -44.24 | 19.16 |
| 42 | 42 | 59 | G1_smistamento | -0.29 | -43.3 | 15.32 |
| 42 | 42 | 1 | G2_smistamento | 0.41 | 0.27 | 4.79 |
| 42 | 42 | 57 | G2_smistamento | -12.68 | -9.155E-02 | 6.22 |
| 42 | 42 | 58 | G2_smistamento | -11.86 | -16.4 | 7.1 |

Table 21: Element Stresses - Area Shells, Part 1 of 3

| Area | AreaElem | Joint | OutputCase | S11Top KN/m2 | S22Top KN/m2 | S12Top KN/m2 |
|------|----------|-------|----------------|-----------------|-----------------|-----------------|
| 42 | 42 | 59 | G2_smistamento | -0.11 | -16.05 | 5.68 |
| 42 | 42 | 1 | Q_smistamento | 0.41 | 0.27 | 4.79 |
| 42 | 42 | 57 | Q_smistamento | -12.68 | -9.155E-02 | 6.22 |
| 42 | 42 | 58 | Q_smistamento | -11.86 | -16.4 | 7.1 |
| 42 | 42 | 59 | Q_smistamento | -0.11 | -16.05 | 5.68 |
| 42 | 42 | 1 | Q_neve | -1.389E-13 | 5.503E-13 | -1.034E-13 |
| 42 | 42 | 57 | Q_neve | -2.396E-13 | -6.006E-13 | -6.394E-14 |
| 42 | 42 | 58 | Q_neve | -1.290E-13 | -1.113E-13 | -2.614E-13 |
| 42 | 42 | 59 | Q_neve | -1.310E-13 | -2.945E-13 | -3.009E-13 |
| 44 | 44 | 60 | DEAD | -2.624E-14 | 1.765E-13 | 1.277E-12 |
| 44 | 44 | 2 | DEAD | -2.954E-12 | 2.477E-13 | 1.277E-12 |
| 44 | 44 | 61 | DEAD | 9.612E-13 | -1.522E-12 | 1.277E-12 |
| 44 | 44 | 6 | DEAD | -4.731E-12 | -2.004E-12 | 1.277E-12 |
| 44 | 44 | 60 | G1_smistamento | -34.21 | -0.25 | -16.77 |
| 44 | 44 | 2 | G1_smistamento | 1.1 | 0.72 | -12.93 |
| 44 | 44 | 61 | G1_smistamento | -0.29 | -43.3 | -15.32 |
| 44 | 44 | 6 | G1_smistamento | -31.99 | -44.24 | -19.16 |
| 44 | 44 | 60 | G2_smistamento | -12.68 | -9.155E-02 | -6.22 |
| 44 | 44 | 2 | G2_smistamento | 0.41 | 0.27 | -4.79 |
| 44 | 44 | 61 | G2_smistamento | -0.11 | -16.05 | -5.68 |
| 44 | 44 | 6 | G2_smistamento | -11.86 | -16.4 | -7.1 |
| 44 | 44 | 60 | Q_smistamento | -12.68 | -9.155E-02 | -6.22 |
| 44 | 44 | 2 | Q_smistamento | 0.41 | 0.27 | -4.79 |
| 44 | 44 | 61 | Q_smistamento | -0.11 | -16.05 | -5.68 |
| 44 | 44 | 6 | Q_smistamento | -11.86 | -16.4 | -7.1 |
| 44 | 44 | 60 | Q_neve | -4.473E-13 | -5.447E-13 | 2.114E-13 |
| 44 | 44 | 2 | Q_neve | 1.508E-13 | 5.034E-13 | 2.114E-13 |
| 44 | 44 | 61 | Q_neve | -4.078E-13 | -5.842E-13 | 2.904E-13 |
| 44 | 44 | 6 | Q_neve | -1.850E-13 | 9.685E-15 | 2.904E-13 |
| 46 | 46 | 62 | DEAD | 1.309E-12 | -3.531E-12 | 2.961E-12 |
| 46 | 46 | 3 | DEAD | 4.267E-12 | 1.315E-12 | 3.077E-12 |
| 46 | 46 | 64 | DEAD | -5.209E-12 | -9.477E-14 | 2.329E-12 |
| 46 | 46 | 63 | DEAD | -3.514E-12 | -6.309E-12 | 2.761E-12 |
| 46 | 46 | 62 | G1_smistamento | -0.29 | -43.3 | 15.32 |
| 46 | 46 | 3 | G1_smistamento | 1.1 | 0.72 | 12.93 |
| 46 | 46 | 64 | G1_smistamento | -34.21 | -0.25 | 16.77 |
| 46 | 46 | 63 | G1_smistamento | -31.99 | -44.24 | 19.16 |
| 46 | 46 | 62 | G2_smistamento | -0.11 | -16.05 | 5.68 |

Table 21: Element Stresses - Area Shells, Part 1 of 3

| Area | AreaElem | Joint | OutputCase | S11Top KN/m2 | S22Top KN/m2 | S12Top KN/m2 |
|------|----------|-------|----------------|-----------------|-----------------|-----------------|
| 46 | 46 | 3 | G2_smistamento | 0.41 | 0.27 | 4.79 |
| 46 | 46 | 64 | G2_smistamento | -12.68 | -9.155E-02 | 6.22 |
| 46 | 46 | 63 | G2_smistamento | -11.86 | -16.4 | 7.1 |
| 46 | 46 | 62 | Q_smistamento | -0.11 | -16.05 | 5.68 |
| 46 | 46 | 3 | Q_smistamento | 0.41 | 0.27 | 4.79 |
| 46 | 46 | 64 | Q_smistamento | -12.68 | -9.155E-02 | 6.22 |
| 46 | 46 | 63 | Q_smistamento | -11.86 | -16.4 | 7.1 |
| 46 | 46 | 62 | Q_neve | -3.248E-13 | -8.520E-13 | 5.215E-13 |
| 46 | 46 | 3 | Q_neve | 8.334E-13 | 3.370E-13 | 5.359E-13 |
| 46 | 46 | 64 | Q_neve | -9.864E-13 | -3.681E-13 | 4.820E-13 |
| 46 | 46 | 63 | Q_neve | -7.511E-14 | -6.505E-13 | 5.359E-13 |
| 48 | 48 | 65 | DEAD | -2.182E-12 | 1.652E-12 | -3.160E-13 |
| 48 | 48 | 4 | DEAD | -5.416E-13 | -3.186E-13 | 3.160E-13 |
| 48 | 48 | 66 | DEAD | 2.667E-13 | -4.115E-12 | 3.160E-13 |
| 48 | 48 | 5 | DEAD | -1.648E-12 | -6.797E-12 | -3.160E-13 |
| 48 | 48 | 65 | G1_smistamento | -34.21 | -0.25 | -16.77 |
| 48 | 48 | 4 | G1_smistamento | 1.1 | 0.72 | -12.93 |
| 48 | 48 | 66 | G1_smistamento | -0.29 | -43.3 | -15.32 |
| 48 | 48 | 5 | G1_smistamento | -31.99 | -44.24 | -19.16 |
| 48 | 48 | 65 | G2_smistamento | -12.68 | -9.155E-02 | -6.22 |
| 48 | 48 | 4 | G2_smistamento | 0.41 | 0.27 | -4.79 |
| 48 | 48 | 66 | G2_smistamento | -0.11 | -16.05 | -5.68 |
| 48 | 48 | 5 | G2_smistamento | -11.86 | -16.4 | -7.1 |
| 48 | 48 | 65 | Q_smistamento | -12.68 | -9.155E-02 | -6.22 |
| 48 | 48 | 4 | Q_smistamento | 0.41 | 0.27 | -4.79 |
| 48 | 48 | 66 | Q_smistamento | -0.11 | -16.05 | -5.68 |
| 48 | 48 | 5 | Q_smistamento | -11.86 | -16.4 | -7.1 |
| 48 | 48 | 65 | Q_neve | -8.497E-13 | 2.373E-13 | -1.413E-13 |
| 48 | 48 | 4 | Q_neve | -6.688E-16 | -3.344E-15 | 5.619E-14 |
| 48 | 48 | 66 | Q_neve | 6.864E-14 | -8.588E-13 | 9.569E-14 |
| 48 | 48 | 5 | Q_neve | -2.673E-13 | -1.336E-12 | -1.018E-13 |
| 183 | 183 | 57 | DEAD | 1.890E-12 | -2.756E-14 | -1.277E-12 |
| 183 | 183 | 67 | DEAD | -5.865E-12 | -1.528E-12 | -1.277E-12 |
| 183 | 183 | 68 | DEAD | -2.415E-12 | -2.595E-12 | -1.277E-12 |
| 183 | 183 | 58 | DEAD | -1.638E-12 | -3.147E-12 | -1.277E-12 |
| 183 | 183 | 57 | G1_smistamento | -34.96 | -0.4 | 21.2 |
| 183 | 183 | 67 | G1_smistamento | -56.52 | 2.982E-02 | 22.29 |
| 183 | 183 | 68 | G1_smistamento | -73.05 | -50.81 | 23.68 |

Table 21: Element Stresses - Area Shells, Part 1 of 3

| Area | AreaElem | Joint | OutputCase | S11Top KN/m2 | S22Top KN/m2 | S12Top KN/m2 |
|------|----------|-------|----------------|-----------------|-----------------|-----------------|
| 183 | 183 | 58 | G1_smistamento | -31.89 | -44.22 | 22.58 |
| 183 | 183 | 57 | G2_smistamento | -12.96 | -0.15 | 7.86 |
| 183 | 183 | 67 | G2_smistamento | -20.95 | 1.106E-02 | 8.26 |
| 183 | 183 | 68 | G2_smistamento | -27.08 | -18.84 | 8.78 |
| 183 | 183 | 58 | G2_smistamento | -11.82 | -16.39 | 8.37 |
| 183 | 183 | 57 | Q_smistamento | -12.96 | -0.15 | 7.86 |
| 183 | 183 | 67 | Q_smistamento | -20.95 | 1.106E-02 | 8.26 |
| 183 | 183 | 68 | Q_smistamento | -27.08 | -18.84 | 8.78 |
| 183 | 183 | 58 | Q_smistamento | -11.82 | -16.39 | 8.37 |
| 183 | 183 | 57 | Q_neve | 3.292E-13 | -2.999E-13 | -2.052E-13 |
| 183 | 183 | 67 | Q_neve | -9.732E-13 | -3.835E-13 | -2.447E-13 |
| 183 | 183 | 68 | Q_neve | -5.003E-13 | -4.184E-13 | -2.052E-13 |
| 183 | 183 | 58 | Q_neve | -3.609E-13 | -4.033E-13 | -1.657E-13 |
| 184 | 184 | 67 | DEAD | -3.478E-12 | -2.185E-12 | -1.228E-12 |
| 184 | 184 | 69 | DEAD | -6.256E-12 | 1.681E-12 | -1.228E-12 |
| 184 | 184 | 70 | DEAD | -7.309E-12 | -5.227E-12 | -5.962E-13 |
| 184 | 184 | 68 | DEAD | -3.847E-12 | -2.388E-12 | -5.962E-13 |
| 184 | 184 | 67 | G1_smistamento | -57.43 | -0.15 | 21.29 |
| 184 | 184 | 69 | G1_smistamento | -62.98 | -9.774E-02 | 19.16 |
| 184 | 184 | 70 | G1_smistamento | -79.05 | -53.33 | 19.13 |
| 184 | 184 | 68 | G1_smistamento | -72.77 | -50.75 | 21.25 |
| 184 | 184 | 67 | G2_smistamento | -21.29 | -5.656E-02 | 7.89 |
| 184 | 184 | 69 | G2_smistamento | -23.35 | -3.624E-02 | 7.1 |
| 184 | 184 | 70 | G2_smistamento | -29.3 | -19.77 | 7.09 |
| 184 | 184 | 68 | G2_smistamento | -26.98 | -18.81 | 7.88 |
| 184 | 184 | 67 | Q_smistamento | -21.29 | -5.656E-02 | 7.89 |
| 184 | 184 | 69 | Q_smistamento | -23.35 | -3.624E-02 | 7.1 |
| 184 | 184 | 70 | Q_smistamento | -29.3 | -19.77 | 7.09 |
| 184 | 184 | 68 | Q_smistamento | -26.98 | -18.81 | 7.88 |
| 184 | 184 | 67 | Q_neve | -4.058E-13 | -2.173E-13 | -2.280E-13 |
| 184 | 184 | 69 | Q_neve | -1.370E-12 | 9.517E-14 | -2.280E-13 |
| 184 | 184 | 70 | Q_neve | -1.156E-12 | -8.888E-13 | -2.280E-13 |
| 184 | 184 | 68 | Q_neve | -8.763E-13 | -5.171E-13 | -2.280E-13 |
| 185 | 185 | 69 | DEAD | -8.048E-12 | 5.855E-13 | -7.298E-13 |
| 185 | 185 | 71 | DEAD | -8.119E-12 | -3.194E-12 | -4.138E-13 |
| 185 | 185 | 72 | DEAD | -5.362E-12 | -3.048E-12 | -7.298E-13 |
| 185 | 185 | 70 | DEAD | -1.049E-11 | -5.564E-12 | -1.046E-12 |
| 185 | 185 | 69 | G1_smistamento | -62.98 | -9.729E-02 | 17.59 |

Table 21: Element Stresses - Area Shells, Part 1 of 3

| Area | AreaElem | Joint | OutputCase | S11Top KN/m2 | S22Top KN/m2 | S12Top KN/m2 |
|------|----------|-------|----------------|-----------------|-----------------|-----------------|
| 185 | 185 | 71 | G1_smistamento | -51.55 | -3.528E-02 | 15.6 |
| 185 | 185 | 72 | G1_smistamento | -66.92 | -53.93 | 14.46 |
| 185 | 185 | 70 | G1_smistamento | -78.99 | -53.31 | 16.45 |
| 185 | 185 | 69 | G2_smistamento | -23.35 | -3.607E-02 | 6.52 |
| 185 | 185 | 71 | G2_smistamento | -19.11 | -1.308E-02 | 5.78 |
| 185 | 185 | 72 | G2_smistamento | -24.81 | -19.99 | 5.36 |
| 185 | 185 | 70 | G2_smistamento | -29.28 | -19.76 | 6.1 |
| 185 | 185 | 69 | Q_smistamento | -23.35 | -3.607E-02 | 6.52 |
| 185 | 185 | 71 | Q_smistamento | -19.11 | -1.308E-02 | 5.78 |
| 185 | 185 | 72 | Q_smistamento | -24.81 | -19.99 | 5.36 |
| 185 | 185 | 70 | Q_smistamento | -29.28 | -19.76 | 6.1 |
| 185 | 185 | 69 | Q_neve | -1.938E-12 | 1.692E-14 | -9.122E-14 |
| 185 | 185 | 71 | Q_neve | -1.067E-12 | -6.789E-14 | -5.172E-14 |
| 185 | 185 | 72 | Q_neve | -1.237E-12 | -9.804E-13 | -9.122E-14 |
| 185 | 185 | 70 | Q_neve | -2.006E-12 | -1.203E-12 | -1.307E-13 |
| 186 | 186 | 71 | DEAD | -8.026E-12 | -3.175E-12 | -6.809E-13 |
| 186 | 186 | 73 | DEAD | -2.128E-12 | 3.564E-12 | -6.809E-13 |
| 186 | 186 | 74 | DEAD | -3.286E-12 | -4.123E-12 | -4.888E-14 |
| 186 | 186 | 72 | DEAD | -7.815E-12 | -4.020E-12 | -4.888E-14 |
| 186 | 186 | 71 | G1_smistamento | -51.5 | -2.533E-02 | 13.97 |
| 186 | 186 | 73 | G1_smistamento | -33.85 | 6.776E-03 | 12.27 |
| 186 | 186 | 74 | G1_smistamento | -48.51 | -53.87 | 10.72 |
| 186 | 186 | 72 | G1_smistamento | -66.88 | -53.92 | 12.42 |
| 186 | 186 | 71 | G2_smistamento | -19.09 | -9.388E-03 | 5.18 |
| 186 | 186 | 73 | G2_smistamento | -12.55 | 2.512E-03 | 4.55 |
| 186 | 186 | 74 | G2_smistamento | -17.98 | -19.97 | 3.98 |
| 186 | 186 | 72 | G2_smistamento | -24.79 | -19.99 | 4.6 |
| 186 | 186 | 71 | Q_smistamento | -19.09 | -9.388E-03 | 5.18 |
| 186 | 186 | 73 | Q_smistamento | -12.55 | 2.512E-03 | 4.55 |
| 186 | 186 | 74 | Q_smistamento | -17.98 | -19.97 | 3.98 |
| 186 | 186 | 72 | Q_smistamento | -24.79 | -19.99 | 4.6 |
| 186 | 186 | 71 | Q_neve | -1.904E-12 | -3.821E-13 | -1.474E-13 |
| 186 | 186 | 73 | Q_neve | -1.060E-13 | 9.314E-13 | -1.474E-13 |
| 186 | 186 | 74 | Q_neve | -9.067E-13 | -1.083E-12 | 1.058E-14 |
| 186 | 186 | 72 | Q_neve | -1.439E-12 | -9.942E-13 | 1.058E-14 |
| 187 | 187 | 73 | DEAD | -4.159E-12 | 3.719E-12 | 8.633E-13 |
| 187 | 187 | 75 | DEAD | 1.349E-12 | -8.406E-13 | 8.633E-13 |
| 187 | 187 | 76 | DEAD | -1.315E-12 | -4.813E-12 | 2.313E-13 |

Table 21: Element Stresses - Area Shells, Part 1 of 3

| Area | AreaElem | Joint | OutputCase | S11Top KN/m2 | S22Top KN/m2 | S12Top KN/m2 |
|------|----------|-------|----------------|-----------------|-----------------|-----------------|
| 187 | 187 | 74 | DEAD | -2.443E-12 | -4.633E-12 | 2.313E-13 |
| 187 | 187 | 73 | G1_smistamento | -33.8 | 1.671E-02 | 10.66 |
| 187 | 187 | 75 | G1_smistamento | -17. | 2.614E-02 | 9.21 |
| 187 | 187 | 76 | G1_smistamento | -31.1 | -53.74 | 7.76 |
| 187 | 187 | 74 | G1_smistamento | -48.5 | -53.87 | 9.21 |
| 187 | 187 | 73 | G2_smistamento | -12.53 | 6.193E-03 | 3.95 |
| 187 | 187 | 75 | G2_smistamento | -6.3 | 9.692E-03 | 3.42 |
| 187 | 187 | 76 | G2_smistamento | -11.53 | -19.92 | 2.88 |
| 187 | 187 | 74 | G2_smistamento | -17.98 | -19.97 | 3.41 |
| 187 | 187 | 73 | Q_smistamento | -12.53 | 6.193E-03 | 3.95 |
| 187 | 187 | 75 | Q_smistamento | -6.3 | 9.692E-03 | 3.42 |
| 187 | 187 | 76 | Q_smistamento | -11.53 | -19.92 | 2.88 |
| 187 | 187 | 74 | Q_smistamento | -17.98 | -19.97 | 3.41 |
| 187 | 187 | 73 | Q_neve | -6.209E-13 | 7.036E-13 | 2.014E-13 |
| 187 | 187 | 75 | Q_neve | 7.192E-14 | -7.118E-13 | 2.409E-13 |
| 187 | 187 | 76 | Q_neve | -6.505E-13 | -6.295E-13 | 3.874E-15 |
| 187 | 187 | 74 | Q_neve | -2.145E-13 | -9.587E-13 | -3.563E-14 |
| 188 | 188 | 75 | DEAD | 3.583E-12 | -3.995E-13 | -3.828E-13 |
| 188 | 188 | 77 | DEAD | -1.464E-12 | -2.140E-12 | -6.678E-14 |
| 188 | 188 | 78 | DEAD | 3.030E-12 | 6.275E-13 | 5.652E-13 |
| 188 | 188 | 76 | DEAD | -1.227E-12 | -4.747E-12 | 2.492E-13 |
| 188 | 188 | 75 | G1_smistamento | -16.95 | 3.516E-02 | 7.7 |
| 188 | 188 | 77 | G1_smistamento | -4.15 | 3.097E-02 | 6.44 |
| 188 | 188 | 78 | G1_smistamento | -17.82 | -53.72 | 5.31 |
| 188 | 188 | 76 | G1_smistamento | -31.1 | -53.74 | 6.57 |
| 188 | 188 | 75 | G2_smistamento | -6.29 | 1.303E-02 | 2.86 |
| 188 | 188 | 77 | G2_smistamento | -1.54 | 1.148E-02 | 2.39 |
| 188 | 188 | 78 | G2_smistamento | -6.61 | -19.91 | 1.97 |
| 188 | 188 | 76 | G2_smistamento | -11.53 | -19.92 | 2.44 |
| 188 | 188 | 75 | Q_smistamento | -6.29 | 1.303E-02 | 2.86 |
| 188 | 188 | 77 | Q_smistamento | -1.54 | 1.148E-02 | 2.39 |
| 188 | 188 | 78 | Q_smistamento | -6.61 | -19.91 | 1.97 |
| 188 | 188 | 76 | Q_smistamento | -11.53 | -19.92 | 2.44 |
| 188 | 188 | 75 | Q_neve | 2.404E-13 | -6.368E-13 | -1.725E-13 |
| 188 | 188 | 77 | Q_neve | -1.528E-14 | -2.266E-13 | -1.330E-13 |
| 188 | 188 | 78 | Q_neve | 6.946E-13 | -2.455E-14 | 1.040E-13 |
| 188 | 188 | 76 | Q_neve | -2.128E-13 | -5.031E-13 | 6.454E-14 |
| 189 | 189 | 77 | DEAD | 2.005E-12 | -4.425E-13 | 3.160E-13 |

Table 21: Element Stresses - Area Shells, Part 1 of 3

| Area | AreaElem | Joint | OutputCase | S11Top KN/m2 | S22Top KN/m2 | S12Top KN/m2 |
|------|----------|-------|----------------|-----------------|-----------------|-----------------|
| 189 | 189 | 79 | DEAD | -8.171E-13 | -4.009E-13 | 0. |
| 189 | 189 | 80 | DEAD | -1.116E-12 | -2.773E-12 | -3.160E-13 |
| 189 | 189 | 78 | DEAD | -6.196E-13 | -1.309E-12 | 0. |
| 189 | 189 | 77 | G1_smistamento | -4.11 | 3.864E-02 | 5.06 |
| 189 | 189 | 79 | G1_smistamento | 4.02 | 2.995E-02 | 3.95 |
| 189 | 189 | 80 | G1_smistamento | -9.36 | -53.79 | 3.21 |
| 189 | 189 | 78 | G1_smistamento | -17.83 | -53.72 | 4.33 |
| 189 | 189 | 77 | G2_smistamento | -1.52 | 1.432E-02 | 1.88 |
| 189 | 189 | 79 | G2_smistamento | 1.49 | 1.110E-02 | 1.46 |
| 189 | 189 | 80 | G2_smistamento | -3.47 | -19.94 | 1.19 |
| 189 | 189 | 78 | G2_smistamento | -6.61 | -19.91 | 1.6 |
| 189 | 189 | 77 | Q_smistamento | -1.52 | 1.432E-02 | 1.88 |
| 189 | 189 | 79 | Q_smistamento | 1.49 | 1.110E-02 | 1.46 |
| 189 | 189 | 80 | Q_smistamento | -3.47 | -19.94 | 1.19 |
| 189 | 189 | 78 | Q_smistamento | -6.61 | -19.91 | 1.6 |
| 189 | 189 | 77 | Q_neve | -2.285E-13 | -2.712E-13 | 1.307E-13 |
| 189 | 189 | 79 | Q_neve | 5.604E-13 | 4.358E-13 | 5.172E-14 |
| 189 | 189 | 80 | Q_neve | -3.075E-13 | -9.032E-13 | 5.172E-14 |
| 189 | 189 | 78 | Q_neve | 6.670E-14 | 1.001E-13 | 1.307E-13 |
| 190 | 190 | 79 | DEAD | -1.443E-12 | 2.458E-13 | 8.467E-14 |
| 190 | 190 | 81 | DEAD | 7.855E-13 | -2.948E-12 | -5.473E-13 |
| 190 | 190 | 82 | DEAD | -2.707E-12 | -5.126E-12 | -1.179E-12 |
| 190 | 190 | 80 | DEAD | -5.575E-13 | -3.027E-12 | -5.473E-13 |
| 190 | 190 | 79 | G1_smistamento | 4.05 | 3.524E-02 | 2.7 |
| 190 | 190 | 81 | G1_smistamento | 7.9 | 2.911E-02 | 1.67 |
| 190 | 190 | 82 | G1_smistamento | -5.35 | -53.85 | 1.31 |
| 190 | 190 | 80 | G1_smistamento | -9.37 | -53.79 | 2.34 |
| 190 | 190 | 79 | G2_smistamento | 1.5 | 1.307E-02 | 1. |
| 190 | 190 | 81 | G2_smistamento | 2.93 | 1.079E-02 | 0.62 |
| 190 | 190 | 82 | G2_smistamento | -1.98 | -19.96 | 0.49 |
| 190 | 190 | 80 | G2_smistamento | -3.47 | -19.94 | 0.87 |
| 190 | 190 | 79 | Q_smistamento | 1.5 | 1.307E-02 | 1. |
| 190 | 190 | 81 | Q_smistamento | 2.93 | 1.079E-02 | 0.62 |
| 190 | 190 | 82 | Q_smistamento | -1.98 | -19.96 | 0.49 |
| 190 | 190 | 80 | Q_smistamento | -3.47 | -19.94 | 0.87 |
| 190 | 190 | 79 | Q_neve | 4.394E-13 | 6.247E-13 | -6.394E-14 |
| 190 | 190 | 81 | Q_neve | -6.525E-13 | -9.962E-13 | -1.429E-13 |
| 190 | 190 | 82 | Q_neve | -5.876E-13 | -9.553E-13 | -3.009E-13 |

Table 21: Element Stresses - Area Shells, Part 1 of 3

| Area | AreaElem | Joint | OutputCase | S11Top KN/m2 | S22Top KN/m2 | S12Top KN/m2 |
|------|----------|-------|----------------|-----------------|-----------------|-----------------|
| 190 | 190 | 80 | Q_neve | -3.167E-13 | -9.764E-13 | -2.219E-13 |
| 191 | 191 | 81 | DEAD | -4.765E-12 | -2.918E-12 | -1.411E-12 |
| 191 | 191 | 83 | DEAD | 1.358E-12 | 1.794E-12 | -1.411E-12 |
| 191 | 191 | 84 | DEAD | -4.449E-12 | -7.025E-12 | -7.786E-13 |
| 191 | 191 | 82 | DEAD | -2.908E-12 | -6.264E-12 | -7.786E-13 |
| 191 | 191 | 81 | G1_smistamento | 7.91 | 3.101E-02 | 0.5 |
| 191 | 191 | 83 | G1_smistamento | 7.91 | 3.101E-02 | -0.5 |
| 191 | 191 | 84 | G1_smistamento | -5.35 | -53.85 | -0.5 |
| 191 | 191 | 82 | G1_smistamento | -5.35 | -53.85 | 0.5 |
| 191 | 191 | 81 | G2_smistamento | 2.93 | 1.150E-02 | 0.18 |
| 191 | 191 | 83 | G2_smistamento | 2.93 | 1.150E-02 | -0.18 |
| 191 | 191 | 84 | G2_smistamento | -1.98 | -19.96 | -0.18 |
| 191 | 191 | 82 | G2_smistamento | -1.98 | -19.96 | 0.18 |
| 191 | 191 | 81 | Q_smistamento | 2.93 | 1.150E-02 | 0.18 |
| 191 | 191 | 83 | Q_smistamento | 2.93 | 1.150E-02 | -0.18 |
| 191 | 191 | 84 | Q_smistamento | -1.98 | -19.96 | -0.18 |
| 191 | 191 | 82 | Q_smistamento | -1.98 | -19.96 | 0.18 |
| 191 | 191 | 81 | Q_neve | -3.449E-13 | -8.071E-13 | -3.755E-13 |
| 191 | 191 | 83 | Q_neve | -4.102E-13 | 4.621E-13 | -4.150E-13 |
| 191 | 191 | 84 | Q_neve | -8.979E-13 | -1.439E-12 | -2.175E-13 |
| 191 | 191 | 82 | Q_neve | -6.274E-13 | -8.612E-13 | -1.780E-13 |
| 192 | 192 | 83 | DEAD | -2.568E-12 | 5.867E-13 | -1.375E-12 |
| 192 | 192 | 85 | DEAD | 4.722E-12 | -1.998E-12 | -2.323E-12 |
| 192 | 192 | 86 | DEAD | -4.227E-12 | -3.916E-12 | -2.639E-12 |
| 192 | 192 | 84 | DEAD | -5.712E-13 | -5.711E-12 | -1.691E-12 |
| 192 | 192 | 83 | G1_smistamento | 7.9 | 2.911E-02 | -1.67 |
| 192 | 192 | 85 | G1_smistamento | 4.05 | 3.524E-02 | -2.7 |
| 192 | 192 | 86 | G1_smistamento | -9.37 | -53.79 | -2.34 |
| 192 | 192 | 84 | G1_smistamento | -5.35 | -53.85 | -1.31 |
| 192 | 192 | 83 | G2_smistamento | 2.93 | 1.079E-02 | -0.62 |
| 192 | 192 | 85 | G2_smistamento | 1.5 | 1.307E-02 | -1. |
| 192 | 192 | 86 | G2_smistamento | -3.47 | -19.94 | -0.87 |
| 192 | 192 | 84 | G2_smistamento | -1.98 | -19.96 | -0.49 |
| 192 | 192 | 83 | Q_smistamento | 2.93 | 1.079E-02 | -0.62 |
| 192 | 192 | 85 | Q_smistamento | 1.5 | 1.307E-02 | -1. |
| 192 | 192 | 86 | Q_smistamento | -3.47 | -19.94 | -0.87 |
| 192 | 192 | 84 | Q_smistamento | -1.98 | -19.96 | -0.49 |
| 192 | 192 | 83 | Q_neve | -4.956E-13 | 4.323E-13 | -2.008E-13 |

Table 21: Element Stresses - Area Shells, Part 1 of 3

| Area | AreaElem | Joint | OutputCase | S11Top KN/m2 | S22Top KN/m2 | S12Top KN/m2 |
|------|----------|-------|----------------|-----------------|-----------------|-----------------|
| 192 | 192 | 85 | Q_neve | 1.020E-12 | -4.520E-13 | -3.588E-13 |
| 192 | 192 | 86 | Q_neve | -8.214E-13 | -7.231E-13 | -4.378E-13 |
| 192 | 192 | 84 | Q_neve | 2.298E-14 | -1.173E-12 | -2.798E-13 |
| 193 | 193 | 85 | DEAD | -2.908E-12 | -5.249E-12 | -2.621E-12 |
| 193 | 193 | 87 | DEAD | 4.031E-12 | 1.309E-13 | -1.989E-12 |
| 193 | 193 | 88 | DEAD | 2.977E-12 | -4.261E-12 | -2.305E-12 |
| 193 | 193 | 86 | DEAD | 2.788E-13 | -1.568E-12 | -2.937E-12 |
| 193 | 193 | 85 | G1_smistamento | 4.02 | 2.995E-02 | -3.95 |
| 193 | 193 | 87 | G1_smistamento | -4.11 | 3.864E-02 | -5.06 |
| 193 | 193 | 88 | G1_smistamento | -17.83 | -53.72 | -4.33 |
| 193 | 193 | 86 | G1_smistamento | -9.36 | -53.79 | -3.21 |
| 193 | 193 | 85 | G2_smistamento | 1.49 | 1.110E-02 | -1.46 |
| 193 | 193 | 87 | G2_smistamento | -1.52 | 1.432E-02 | -1.88 |
| 193 | 193 | 88 | G2_smistamento | -6.61 | -19.91 | -1.6 |
| 193 | 193 | 86 | G2_smistamento | -3.47 | -19.94 | -1.19 |
| 193 | 193 | 85 | Q_smistamento | 1.49 | 1.110E-02 | -1.46 |
| 193 | 193 | 87 | Q_smistamento | -1.52 | 1.432E-02 | -1.88 |
| 193 | 193 | 88 | Q_smistamento | -6.61 | -19.91 | -1.6 |
| 193 | 193 | 86 | Q_smistamento | -3.47 | -19.94 | -1.19 |
| 193 | 193 | 85 | Q_neve | -5.279E-13 | -6.702E-13 | -5.496E-13 |
| 193 | 193 | 87 | Q_neve | 8.776E-13 | -1.174E-13 | -4.706E-13 |
| 193 | 193 | 88 | Q_neve | 5.471E-14 | -6.011E-13 | -4.311E-13 |
| 193 | 193 | 86 | Q_neve | 3.938E-13 | -6.408E-13 | -5.101E-13 |
| 194 | 194 | 87 | DEAD | 3.249E-12 | -2.045E-13 | -3.004E-12 |
| 194 | 194 | 89 | DEAD | -2.680E-12 | -5.303E-13 | -2.688E-12 |
| 194 | 194 | 90 | DEAD | -1.333E-12 | -2.258E-12 | -1.740E-12 |
| 194 | 194 | 88 | DEAD | 1.586E-12 | -3.848E-12 | -2.056E-12 |
| 194 | 194 | 87 | G1_smistamento | -4.15 | 3.097E-02 | -6.44 |
| 194 | 194 | 89 | G1_smistamento | -16.95 | 3.516E-02 | -7.7 |
| 194 | 194 | 90 | G1_smistamento | -31.1 | -53.74 | -6.57 |
| 194 | 194 | 88 | G1_smistamento | -17.82 | -53.72 | -5.31 |
| 194 | 194 | 87 | G2_smistamento | -1.54 | 1.148E-02 | -2.39 |
| 194 | 194 | 89 | G2_smistamento | -6.29 | 1.303E-02 | -2.86 |
| 194 | 194 | 90 | G2_smistamento | -11.53 | -19.92 | -2.44 |
| 194 | 194 | 88 | G2_smistamento | -6.61 | -19.91 | -1.97 |
| 194 | 194 | 87 | Q_smistamento | -1.54 | 1.148E-02 | -2.39 |
| 194 | 194 | 89 | Q_smistamento | -6.29 | 1.303E-02 | -2.86 |
| 194 | 194 | 90 | Q_smistamento | -11.53 | -19.92 | -2.44 |

Table 21: Element Stresses - Area Shells, Part 1 of 3

| Area | AreaElem | Joint | OutputCase | S11Top KN/m2 | S22Top KN/m2 | S12Top KN/m2 |
|------|----------|-------|----------------|-----------------|-----------------|-----------------|
| 194 | 194 | 88 | Q_smistamento | -6.61 | -19.91 | -1.97 |
| 194 | 194 | 87 | Q_neve | 6.523E-13 | -1.031E-13 | -5.123E-13 |
| 194 | 194 | 89 | Q_neve | -5.838E-13 | 9.823E-14 | -4.728E-13 |
| 194 | 194 | 90 | Q_neve | -2.760E-13 | -4.784E-13 | -3.543E-13 |
| 194 | 194 | 88 | Q_neve | 3.444E-13 | -4.745E-13 | -3.938E-13 |
| 195 | 195 | 89 | DEAD | 1.799E-12 | 7.175E-13 | -1.824E-12 |
| 195 | 195 | 91 | DEAD | -4.724E-12 | -3.593E-12 | -1.824E-12 |
| 195 | 195 | 92 | DEAD | -8.869E-13 | 5.595E-13 | -1.824E-12 |
| 195 | 195 | 90 | DEAD | -9.318E-13 | -1.697E-12 | -1.824E-12 |
| 195 | 195 | 89 | G1_smistamento | -17. | 2.614E-02 | -9.21 |
| 195 | 195 | 91 | G1_smistamento | -33.8 | 1.671E-02 | -10.66 |
| 195 | 195 | 92 | G1_smistamento | -48.5 | -53.87 | -9.21 |
| 195 | 195 | 90 | G1_smistamento | -31.1 | -53.74 | -7.76 |
| 195 | 195 | 89 | G2_smistamento | -6.3 | 9.692E-03 | -3.42 |
| 195 | 195 | 91 | G2_smistamento | -12.53 | 6.193E-03 | -3.95 |
| 195 | 195 | 92 | G2_smistamento | -17.98 | -19.97 | -3.41 |
| 195 | 195 | 90 | G2_smistamento | -11.53 | -19.92 | -2.88 |
| 195 | 195 | 89 | Q_smistamento | -6.3 | 9.692E-03 | -3.42 |
| 195 | 195 | 91 | Q_smistamento | -12.53 | 6.193E-03 | -3.95 |
| 195 | 195 | 92 | Q_smistamento | -17.98 | -19.97 | -3.41 |
| 195 | 195 | 90 | Q_smistamento | -11.53 | -19.92 | -2.88 |
| 195 | 195 | 89 | Q_neve | 2.655E-13 | 2.026E-13 | -3.649E-13 |
| 195 | 195 | 91 | Q_neve | -9.252E-13 | -3.639E-13 | -3.649E-13 |
| 195 | 195 | 92 | Q_neve | -6.133E-13 | -1.627E-13 | -3.649E-13 |
| 195 | 195 | 90 | Q_neve | 2.696E-13 | -3.145E-13 | -3.649E-13 |
| 196 | 196 | 91 | DEAD | -4.275E-12 | -3.690E-12 | -1.727E-12 |
| 196 | 196 | 93 | DEAD | -1.118E-11 | 2.686E-12 | -1.095E-12 |
| 196 | 196 | 94 | DEAD | -8.541E-12 | -5.112E-12 | -4.626E-13 |
| 196 | 196 | 92 | DEAD | -3.829E-12 | 5.527E-13 | -1.095E-12 |
| 196 | 196 | 91 | G1_smistamento | -33.85 | 6.776E-03 | -12.27 |
| 196 | 196 | 93 | G1_smistamento | -51.5 | -2.533E-02 | -13.97 |
| 196 | 196 | 94 | G1_smistamento | -66.88 | -53.92 | -12.42 |
| 196 | 196 | 92 | G1_smistamento | -48.51 | -53.87 | -10.72 |
| 196 | 196 | 91 | G2_smistamento | -12.55 | 2.512E-03 | -4.55 |
| 196 | 196 | 93 | G2_smistamento | -19.09 | -9.388E-03 | -5.18 |
| 196 | 196 | 94 | G2_smistamento | -24.79 | -19.99 | -4.6 |
| 196 | 196 | 92 | G2_smistamento | -17.98 | -19.97 | -3.98 |
| 196 | 196 | 91 | Q_smistamento | -12.55 | 2.512E-03 | -4.55 |

Table 21: Element Stresses - Area Shells, Part 1 of 3

| Area | AreaElem | Joint | OutputCase | S11Top KN/m2 | S22Top KN/m2 | S12Top KN/m2 |
|------|----------|-------|----------------|-----------------|-----------------|-----------------|
| 196 | 196 | 93 | Q_smistamento | -19.09 | -9.388E-03 | -5.18 |
| 196 | 196 | 94 | Q_smistamento | -24.79 | -19.99 | -4.6 |
| 196 | 196 | 92 | Q_smistamento | -17.98 | -19.97 | -3.98 |
| 196 | 196 | 91 | Q_neve | -6.386E-13 | -1.864E-13 | -3.694E-13 |
| 196 | 196 | 93 | Q_neve | -2.273E-12 | 6.616E-13 | -2.114E-13 |
| 196 | 196 | 94 | Q_neve | -1.340E-12 | -1.085E-12 | -1.324E-13 |
| 196 | 196 | 92 | Q_neve | -1.177E-12 | -2.568E-13 | -2.904E-13 |
| 197 | 197 | 93 | DEAD | -1.358E-11 | 5.956E-13 | 1.277E-12 |
| 197 | 197 | 95 | DEAD | -6.825E-12 | -8.842E-13 | 1.909E-12 |
| 197 | 197 | 96 | DEAD | -1.192E-11 | -4.381E-12 | 1.277E-12 |
| 197 | 197 | 94 | DEAD | -6.904E-12 | -3.175E-12 | 6.451E-13 |
| 197 | 197 | 93 | G1_smistamento | -51.55 | -3.528E-02 | -15.6 |
| 197 | 197 | 95 | G1_smistamento | -62.98 | -9.729E-02 | -17.59 |
| 197 | 197 | 96 | G1_smistamento | -78.99 | -53.31 | -16.45 |
| 197 | 197 | 94 | G1_smistamento | -66.92 | -53.93 | -14.46 |
| 197 | 197 | 93 | G2_smistamento | -19.11 | -1.308E-02 | -5.78 |
| 197 | 197 | 95 | G2_smistamento | -23.35 | -3.607E-02 | -6.52 |
| 197 | 197 | 96 | G2_smistamento | -29.28 | -19.76 | -6.1 |
| 197 | 197 | 94 | G2_smistamento | -24.81 | -19.99 | -5.36 |
| 197 | 197 | 93 | Q_smistamento | -19.11 | -1.308E-02 | -5.78 |
| 197 | 197 | 95 | Q_smistamento | -23.35 | -3.607E-02 | -6.52 |
| 197 | 197 | 96 | Q_smistamento | -29.28 | -19.76 | -6.1 |
| 197 | 197 | 94 | Q_smistamento | -24.81 | -19.99 | -5.36 |
| 197 | 197 | 93 | Q_neve | -2.445E-12 | 6.150E-13 | 2.509E-13 |
| 197 | 197 | 95 | Q_neve | -1.257E-12 | -2.654E-13 | 3.694E-13 |
| 197 | 197 | 96 | Q_neve | -1.962E-12 | -7.576E-13 | 2.509E-13 |
| 197 | 197 | 94 | Q_neve | -1.405E-12 | -1.006E-12 | 1.324E-13 |
| 198 | 198 | 95 | DEAD | -8.310E-12 | -1.422E-12 | 9.611E-13 |
| 198 | 198 | 97 | DEAD | -4.929E-12 | 1.706E-12 | 9.611E-13 |
| 198 | 198 | 98 | DEAD | -4.597E-12 | -1.817E-12 | 1.593E-12 |
| 198 | 198 | 96 | DEAD | -8.800E-12 | -2.481E-12 | 1.593E-12 |
| 198 | 198 | 95 | G1_smistamento | -62.98 | -9.774E-02 | -19.16 |
| 198 | 198 | 97 | G1_smistamento | -57.43 | -0.15 | -21.29 |
| 198 | 198 | 98 | G1_smistamento | -72.77 | -50.75 | -21.25 |
| 198 | 198 | 96 | G1_smistamento | -79.05 | -53.33 | -19.13 |
| 198 | 198 | 95 | G2_smistamento | -23.35 | -3.624E-02 | -7.1 |
| 198 | 198 | 97 | G2_smistamento | -21.29 | -5.656E-02 | -7.89 |
| 198 | 198 | 98 | G2_smistamento | -26.98 | -18.81 | -7.88 |

Table 21: Element Stresses - Area Shells, Part 1 of 3

| Area | AreaElem | Joint | OutputCase | S11Top KN/m2 | S22Top KN/m2 | S12Top KN/m2 |
|------|----------|-------|----------------|-----------------|-----------------|-----------------|
| 198 | 198 | 96 | G2_smistamento | -29.3 | -19.77 | -7.09 |
| 198 | 198 | 95 | Q_smistamento | -23.35 | -3.624E-02 | -7.1 |
| 198 | 198 | 97 | Q_smistamento | -21.29 | -5.656E-02 | -7.89 |
| 198 | 198 | 98 | Q_smistamento | -26.98 | -18.81 | -7.88 |
| 198 | 198 | 96 | Q_smistamento | -29.3 | -19.77 | -7.09 |
| 198 | 198 | 95 | Q_neve | -1.279E-12 | -1.264E-13 | 1.491E-13 |
| 198 | 198 | 97 | Q_neve | -1.263E-12 | 3.510E-13 | 1.096E-13 |
| 198 | 198 | 98 | Q_neve | -1.052E-12 | -1.758E-13 | 3.070E-13 |
| 198 | 198 | 96 | Q_neve | -1.924E-12 | -8.242E-13 | 3.465E-13 |
| 199 | 199 | 97 | DEAD | -2.212E-12 | 2.089E-12 | 1.593E-12 |
| 199 | 199 | 60 | DEAD | -3.398E-12 | -8.770E-13 | 1.593E-12 |
| 199 | 199 | 6 | DEAD | -5.928E-13 | -2.416E-13 | 9.611E-13 |
| 199 | 199 | 98 | DEAD | -5.017E-12 | -2.338E-12 | 9.611E-13 |
| 199 | 199 | 97 | G1_smistamento | -56.52 | 2.982E-02 | -22.29 |
| 199 | 199 | 60 | G1_smistamento | -34.96 | -0.4 | -21.2 |
| 199 | 199 | 6 | G1_smistamento | -31.89 | -44.22 | -22.58 |
| 199 | 199 | 98 | G1_smistamento | -73.05 | -50.81 | -23.68 |
| 199 | 199 | 97 | G2_smistamento | -20.95 | 1.106E-02 | -8.26 |
| 199 | 199 | 60 | G2_smistamento | -12.96 | -0.15 | -7.86 |
| 199 | 199 | 6 | G2_smistamento | -11.82 | -16.39 | -8.37 |
| 199 | 199 | 98 | G2_smistamento | -27.08 | -18.84 | -8.78 |
| 199 | 199 | 97 | Q_smistamento | -20.95 | 1.106E-02 | -8.26 |
| 199 | 199 | 60 | Q_smistamento | -12.96 | -0.15 | -7.86 |
| 199 | 199 | 6 | Q_smistamento | -11.82 | -16.39 | -8.37 |
| 199 | 199 | 98 | Q_smistamento | -27.08 | -18.84 | -8.78 |
| 199 | 199 | 97 | Q_neve | -4.734E-13 | 4.233E-13 | 2.842E-13 |
| 199 | 199 | 60 | Q_neve | -7.809E-13 | -6.742E-13 | 2.842E-13 |
| 199 | 199 | 6 | Q_neve | 4.010E-14 | 1.468E-13 | 1.262E-13 |
| 199 | 199 | 98 | Q_neve | -1.294E-12 | -3.977E-13 | 1.262E-13 |
| 200 | 200 | 61 | DEAD | 6.539E-13 | -2.120E-12 | 7.053E-13 |
| 200 | 200 | 99 | DEAD | 3.353E-12 | -2.630E-14 | 5.050E-13 |
| 200 | 200 | 100 | DEAD | -5.192E-12 | -1.962E-12 | 3.893E-13 |
| 200 | 200 | 6 | DEAD | -3.718E-12 | -1.251E-12 | 1.137E-12 |
| 200 | 200 | 61 | G1_smistamento | -0.5 | -44.34 | -17.55 |
| 200 | 200 | 99 | G1_smistamento | 8.144E-02 | -82.51 | -16.19 |
| 200 | 200 | 100 | G1_smistamento | -37.31 | -103.17 | -19.25 |
| 200 | 200 | 6 | G1_smistamento | -31.95 | -44.02 | -20.61 |
| 200 | 200 | 61 | G2_smistamento | -0.18 | -16.44 | -6.51 |

Table 21: Element Stresses - Area Shells, Part 1 of 3

| Area | AreaElem | Joint | OutputCase | S11Top KN/m2 | S22Top KN/m2 | S12Top KN/m2 |
|------|----------|-------|----------------|-----------------|-----------------|-----------------|
| 200 | 200 | 99 | G2_smistamento | 3.019E-02 | -30.59 | -6. |
| 200 | 200 | 100 | G2_smistamento | -13.83 | -38.25 | -7.13 |
| 200 | 200 | 6 | G2_smistamento | -11.84 | -16.32 | -7.64 |
| 200 | 200 | 61 | Q_smistamento | -0.18 | -16.44 | -6.51 |
| 200 | 200 | 99 | Q_smistamento | 3.019E-02 | -30.59 | -6. |
| 200 | 200 | 100 | Q_smistamento | -13.83 | -38.25 | -7.13 |
| 200 | 200 | 6 | Q_smistamento | -11.84 | -16.32 | -7.64 |
| 200 | 200 | 61 | Q_neve | -2.489E-13 | -2.487E-13 | 1.816E-13 |
| 200 | 200 | 99 | Q_neve | 5.632E-13 | -2.065E-13 | 1.171E-13 |
| 200 | 200 | 100 | Q_neve | -1.108E-12 | -5.153E-13 | 2.362E-14 |
| 200 | 200 | 6 | Q_neve | -2.268E-13 | 1.095E-13 | 1.566E-13 |
| 201 | 201 | 99 | DEAD | 2.395E-12 | -2.044E-12 | 1.467E-13 |
| 201 | 201 | 101 | DEAD | -5.348E-13 | 2.384E-12 | 1.411E-12 |
| 201 | 201 | 102 | DEAD | -4.083E-12 | -6.942E-12 | 2.043E-12 |
| 201 | 201 | 100 | DEAD | -3.616E-12 | -6.967E-13 | 7.786E-13 |
| 201 | 201 | 99 | G1_smistamento | -0.14 | -83.62 | -12.36 |
| 201 | 201 | 101 | G1_smistamento | -0.12 | -106.43 | -7.21 |
| 201 | 201 | 102 | G1_smistamento | -39.08 | -127.15 | -8.8 |
| 201 | 201 | 100 | G1_smistamento | -37.25 | -102.86 | -13.95 |
| 201 | 201 | 99 | G2_smistamento | -5.146E-02 | -31. | -4.58 |
| 201 | 201 | 101 | G2_smistamento | -4.566E-02 | -39.46 | -2.67 |
| 201 | 201 | 102 | G2_smistamento | -14.49 | -47.14 | -3.26 |
| 201 | 201 | 100 | G2_smistamento | -13.81 | -38.13 | -5.17 |
| 201 | 201 | 99 | Q_smistamento | -5.146E-02 | -31. | -4.58 |
| 201 | 201 | 101 | Q_smistamento | -4.566E-02 | -39.46 | -2.67 |
| 201 | 201 | 102 | Q_smistamento | -14.49 | -47.14 | -3.26 |
| 201 | 201 | 100 | Q_smistamento | -13.81 | -38.13 | -5.17 |
| 201 | 201 | 99 | Q_neve | 3.883E-13 | -6.886E-13 | 3.055E-14 |
| 201 | 201 | 101 | Q_neve | -1.563E-13 | 7.564E-13 | 3.070E-13 |
| 201 | 201 | 102 | Q_neve | -4.510E-13 | -8.565E-13 | 4.255E-13 |
| 201 | 201 | 100 | Q_neve | -1.035E-12 | -5.569E-13 | 1.491E-13 |
| 202 | 202 | 101 | DEAD | -8.177E-13 | 1.091E-12 | 3.417E-12 |
| 202 | 202 | 103 | DEAD | 1.336E-12 | 4.862E-13 | 3.733E-12 |
| 202 | 202 | 104 | DEAD | -1.857E-13 | 4.594E-13 | 2.785E-12 |
| 202 | 202 | 102 | DEAD | -2.614E-12 | -3.038E-13 | 2.469E-12 |
| 202 | 202 | 101 | G1_smistamento | -0.14 | -106.5 | -2.67 |
| 202 | 202 | 103 | G1_smistamento | -0.14 | -106.5 | 2.67 |
| 202 | 202 | 104 | G1_smistamento | -39.07 | -127.12 | 2.67 |

Table 21: Element Stresses - Area Shells, Part 1 of 3

| Area | AreaElem | Joint | OutputCase | S11Top KN/m2 | S22Top KN/m2 | S12Top KN/m2 |
|------|----------|-------|----------------|-----------------|-----------------|-----------------|
| 202 | 202 | 102 | G1_smistamento | -39.07 | -127.12 | -2.67 |
| 202 | 202 | 101 | G2_smistamento | -5.038E-02 | -39.48 | -0.99 |
| 202 | 202 | 103 | G2_smistamento | -5.038E-02 | -39.48 | 0.99 |
| 202 | 202 | 104 | G2_smistamento | -14.48 | -47.12 | 0.99 |
| 202 | 202 | 102 | G2_smistamento | -14.48 | -47.12 | -0.99 |
| 202 | 202 | 101 | Q_smistamento | -5.038E-02 | -39.48 | -0.99 |
| 202 | 202 | 103 | Q_smistamento | -5.038E-02 | -39.48 | 0.99 |
| 202 | 202 | 104 | Q_smistamento | -14.48 | -47.12 | 0.99 |
| 202 | 202 | 102 | Q_smistamento | -14.48 | -47.12 | -0.99 |
| 202 | 202 | 101 | Q_neve | -6.265E-13 | -1.954E-13 | 6.719E-13 |
| 202 | 202 | 103 | Q_neve | 7.166E-13 | 3.923E-13 | 6.719E-13 |
| 202 | 202 | 104 | Q_neve | -3.598E-13 | 1.897E-13 | 5.139E-13 |
| 202 | 202 | 102 | Q_neve | -3.005E-13 | 4.669E-14 | 5.139E-13 |
| 203 | 203 | 103 | DEAD | 3.017E-13 | -2.283E-12 | 2.919E-12 |
| 203 | 203 | 105 | DEAD | 2.707E-12 | -6.177E-13 | 3.235E-12 |
| 203 | 203 | 106 | DEAD | -1.989E-12 | -6.154E-12 | 2.919E-12 |
| 203 | 203 | 104 | DEAD | 2.578E-13 | 2.305E-12 | 2.603E-12 |
| 203 | 203 | 103 | G1_smistamento | -0.12 | -106.43 | 7.21 |
| 203 | 203 | 105 | G1_smistamento | -0.14 | -83.62 | 12.36 |
| 203 | 203 | 106 | G1_smistamento | -37.25 | -102.86 | 13.95 |
| 203 | 203 | 104 | G1_smistamento | -39.08 | -127.15 | 8.8 |
| 203 | 203 | 103 | G2_smistamento | -4.566E-02 | -39.46 | 2.67 |
| 203 | 203 | 105 | G2_smistamento | -5.146E-02 | -31. | 4.58 |
| 203 | 203 | 106 | G2_smistamento | -13.81 | -38.13 | 5.17 |
| 203 | 203 | 104 | G2_smistamento | -14.49 | -47.14 | 3.26 |
| 203 | 203 | 103 | Q_smistamento | -4.566E-02 | -39.46 | 2.67 |
| 203 | 203 | 105 | Q_smistamento | -5.146E-02 | -31. | 4.58 |
| 203 | 203 | 106 | Q_smistamento | -13.81 | -38.13 | 5.17 |
| 203 | 203 | 104 | Q_smistamento | -14.49 | -47.14 | 3.26 |
| 203 | 203 | 103 | Q_neve | 4.246E-13 | -3.312E-14 | 5.701E-13 |
| 203 | 203 | 105 | Q_neve | 6.055E-13 | -4.870E-13 | 6.096E-13 |
| 203 | 203 | 106 | Q_neve | -4.246E-13 | -1.198E-12 | 5.701E-13 |
| 203 | 203 | 104 | Q_neve | -2.635E-13 | 1.450E-13 | 5.306E-13 |
| 204 | 204 | 105 | DEAD | 8.425E-13 | -8.952E-12 | 2.372E-12 |
| 204 | 204 | 62 | DEAD | 1.384E-12 | -5.559E-13 | 1.740E-12 |
| 204 | 204 | 63 | DEAD | -2.712E-12 | -5.871E-12 | 2.372E-12 |
| 204 | 204 | 106 | DEAD | -1.065E-12 | -3.321E-12 | 3.004E-12 |
| 204 | 204 | 105 | G1_smistamento | 8.144E-02 | -82.51 | 16.19 |

Table 21: Element Stresses - Area Shells, Part 1 of 3

| Area | AreaElem | Joint | OutputCase | S11Top KN/m2 | S22Top KN/m2 | S12Top KN/m2 |
|------|----------|-------|----------------|-----------------|-----------------|-----------------|
| 204 | 204 | 62 | G1_smistamento | -0.5 | -44.34 | 17.55 |
| 204 | 204 | 63 | G1_smistamento | -31.95 | -44.02 | 20.61 |
| 204 | 204 | 106 | G1_smistamento | -37.31 | -103.17 | 19.25 |
| 204 | 204 | 105 | G2_smistamento | 3.019E-02 | -30.59 | 6. |
| 204 | 204 | 62 | G2_smistamento | -0.18 | -16.44 | 6.51 |
| 204 | 204 | 63 | G2_smistamento | -11.84 | -16.32 | 7.64 |
| 204 | 204 | 106 | G2_smistamento | -13.83 | -38.25 | 7.13 |
| 204 | 204 | 105 | Q_smistamento | 3.019E-02 | -30.59 | 6. |
| 204 | 204 | 62 | Q_smistamento | -0.18 | -16.44 | 6.51 |
| 204 | 204 | 63 | Q_smistamento | -11.84 | -16.32 | 7.64 |
| 204 | 204 | 106 | Q_smistamento | -13.83 | -38.25 | 7.13 |
| 204 | 204 | 105 | Q_neve | 5.411E-13 | -1.480E-12 | 4.850E-13 |
| 204 | 204 | 62 | Q_neve | -1.820E-13 | -3.895E-13 | 4.455E-13 |
| 204 | 204 | 63 | Q_neve | -2.390E-13 | -1.114E-12 | 5.640E-13 |
| 204 | 204 | 106 | Q_neve | -5.079E-13 | -5.968E-13 | 6.035E-13 |
| 205 | 205 | 64 | DEAD | 1.265E-12 | 1.332E-12 | 3.144E-12 |
| 205 | 205 | 107 | DEAD | 2.170E-13 | -1.505E-12 | 2.080E-12 |
| 205 | 205 | 108 | DEAD | -2.132E-12 | -2.381E-12 | 2.512E-12 |
| 205 | 205 | 63 | DEAD | -8.100E-13 | -4.744E-12 | 3.028E-12 |
| 205 | 205 | 64 | G1_smistamento | -34.96 | -0.4 | 21.2 |
| 205 | 205 | 107 | G1_smistamento | -56.52 | 2.982E-02 | 22.29 |
| 205 | 205 | 108 | G1_smistamento | -73.05 | -50.81 | 23.68 |
| 205 | 205 | 63 | G1_smistamento | -31.89 | -44.22 | 22.58 |
| 205 | 205 | 64 | G2_smistamento | -12.96 | -0.15 | 7.86 |
| 205 | 205 | 107 | G2_smistamento | -20.95 | 1.106E-02 | 8.26 |
| 205 | 205 | 108 | G2_smistamento | -27.08 | -18.84 | 8.78 |
| 205 | 205 | 63 | G2_smistamento | -11.82 | -16.39 | 8.37 |
| 205 | 205 | 64 | Q_smistamento | -12.96 | -0.15 | 7.86 |
| 205 | 205 | 107 | Q_smistamento | -20.95 | 1.106E-02 | 8.26 |
| 205 | 205 | 108 | Q_smistamento | -27.08 | -18.84 | 8.78 |
| 205 | 205 | 63 | Q_smistamento | -11.82 | -16.39 | 8.37 |
| 205 | 205 | 64 | Q_neve | 4.499E-13 | 1.301E-13 | 5.610E-13 |
| 205 | 205 | 107 | Q_neve | -4.866E-13 | -7.140E-13 | 4.964E-13 |
| 205 | 205 | 108 | Q_neve | -3.302E-13 | -2.156E-13 | 4.425E-13 |
| 205 | 205 | 63 | Q_neve | -1.805E-13 | -8.424E-13 | 5.754E-13 |
| 206 | 206 | 107 | DEAD | 3.998E-13 | -3.288E-12 | 4.561E-13 |
| 206 | 206 | 109 | DEAD | -7.431E-13 | 4.133E-12 | 4.871E-13 |
| 206 | 206 | 110 | DEAD | -1.654E-12 | -4.078E-12 | 4.561E-13 |

Table 21: Element Stresses - Area Shells, Part 1 of 3

| Area | AreaElem | Joint | OutputCase | S11Top KN/m2 | S22Top KN/m2 | S12Top KN/m2 |
|------|----------|-------|----------------|-----------------|-----------------|-----------------|
| 206 | 206 | 108 | DEAD | -3.864E-12 | -1.989E-12 | 2.067E-12 |
| 206 | 206 | 107 | G1_smistamento | -57.43 | -0.15 | 21.29 |
| 206 | 206 | 109 | G1_smistamento | -62.98 | -9.774E-02 | 19.16 |
| 206 | 206 | 110 | G1_smistamento | -79.05 | -53.33 | 19.13 |
| 206 | 206 | 108 | G1_smistamento | -72.77 | -50.75 | 21.25 |
| 206 | 206 | 107 | G2_smistamento | -21.29 | -5.656E-02 | 7.89 |
| 206 | 206 | 109 | G2_smistamento | -23.35 | -3.624E-02 | 7.1 |
| 206 | 206 | 110 | G2_smistamento | -29.3 | -19.77 | 7.09 |
| 206 | 206 | 108 | G2_smistamento | -26.98 | -18.81 | 7.88 |
| 206 | 206 | 107 | Q_smistamento | -21.29 | -5.656E-02 | 7.89 |
| 206 | 206 | 109 | Q_smistamento | -23.35 | -3.624E-02 | 7.1 |
| 206 | 206 | 110 | Q_smistamento | -29.3 | -19.77 | 7.09 |
| 206 | 206 | 108 | Q_smistamento | -26.98 | -18.81 | 7.88 |
| 206 | 206 | 107 | Q_neve | 1.066E-13 | -3.965E-13 | 1.399E-13 |
| 206 | 206 | 109 | Q_neve | 5.790E-14 | 7.245E-13 | -4.315E-14 |
| 206 | 206 | 110 | Q_neve | -3.575E-13 | -5.841E-13 | 1.794E-13 |
| 206 | 206 | 108 | Q_neve | -1.147E-12 | -5.592E-13 | 4.308E-13 |
| 207 | 207 | 109 | DEAD | -5.510E-12 | 1.913E-12 | 7.542E-13 |
| 207 | 207 | 111 | DEAD | 1.210E-14 | 1.033E-12 | 9.122E-14 |
| 207 | 207 | 112 | DEAD | -5.984E-12 | -5.197E-12 | 1.070E-12 |
| 207 | 207 | 110 | DEAD | -4.254E-12 | -4.180E-12 | 9.122E-14 |
| 207 | 207 | 109 | G1_smistamento | -62.98 | -9.729E-02 | 17.59 |
| 207 | 207 | 111 | G1_smistamento | -51.55 | -3.528E-02 | 15.6 |
| 207 | 207 | 112 | G1_smistamento | -66.92 | -53.93 | 14.46 |
| 207 | 207 | 110 | G1_smistamento | -78.99 | -53.31 | 16.45 |
| 207 | 207 | 109 | G2_smistamento | -23.35 | -3.607E-02 | 6.52 |
| 207 | 207 | 111 | G2_smistamento | -19.11 | -1.308E-02 | 5.78 |
| 207 | 207 | 112 | G2_smistamento | -24.81 | -19.99 | 5.36 |
| 207 | 207 | 110 | G2_smistamento | -29.28 | -19.76 | 6.1 |
| 207 | 207 | 109 | Q_smistamento | -23.35 | -3.607E-02 | 6.52 |
| 207 | 207 | 111 | Q_smistamento | -19.11 | -1.308E-02 | 5.78 |
| 207 | 207 | 112 | Q_smistamento | -24.81 | -19.99 | 5.36 |
| 207 | 207 | 110 | Q_smistamento | -29.28 | -19.76 | 6.1 |
| 207 | 207 | 109 | Q_neve | -5.449E-13 | 6.560E-13 | -6.230E-14 |
| 207 | 207 | 111 | Q_neve | -4.589E-13 | -2.552E-13 | -2.280E-14 |
| 207 | 207 | 112 | Q_neve | -1.177E-12 | -3.710E-13 | 1.669E-14 |
| 207 | 207 | 110 | Q_neve | -7.156E-13 | -8.280E-13 | -2.280E-14 |
| 208 | 208 | 111 | DEAD | 1.474E-13 | 1.524E-12 | -1.003E-12 |

Table 21: Element Stresses - Area Shells, Part 1 of 3

| Area | AreaElem | Joint | OutputCase | S11Top KN/m2 | S22Top KN/m2 | S12Top KN/m2 |
|------|----------|-------|----------------|-----------------|-----------------|-----------------|
| 208 | 208 | 113 | DEAD | -3.854E-12 | 1.033E-12 | -1.751E-12 |
| 208 | 208 | 114 | DEAD | -2.223E-12 | -3.690E-12 | -1.003E-12 |
| 208 | 208 | 112 | DEAD | -4.447E-12 | -4.773E-12 | -8.031E-13 |
| 208 | 208 | 111 | G1_smistamento | -51.5 | -2.533E-02 | 13.97 |
| 208 | 208 | 113 | G1_smistamento | -33.85 | 6.776E-03 | 12.27 |
| 208 | 208 | 114 | G1_smistamento | -48.51 | -53.87 | 10.72 |
| 208 | 208 | 112 | G1_smistamento | -66.88 | -53.92 | 12.42 |
| 208 | 208 | 111 | G2_smistamento | -19.09 | -9.388E-03 | 5.18 |
| 208 | 208 | 113 | G2_smistamento | -12.55 | 2.512E-03 | 4.55 |
| 208 | 208 | 114 | G2_smistamento | -17.98 | -19.97 | 3.98 |
| 208 | 208 | 112 | G2_smistamento | -24.79 | -19.99 | 4.6 |
| 208 | 208 | 111 | Q_smistamento | -19.09 | -9.388E-03 | 5.18 |
| 208 | 208 | 113 | Q_smistamento | -12.55 | 2.512E-03 | 4.55 |
| 208 | 208 | 114 | Q_smistamento | -17.98 | -19.97 | 3.98 |
| 208 | 208 | 112 | Q_smistamento | -24.79 | -19.99 | 4.6 |
| 208 | 208 | 111 | Q_neve | -5.543E-13 | -3.088E-13 | -8.898E-14 |
| 208 | 208 | 113 | Q_neve | -1.974E-13 | 1.812E-13 | -2.759E-13 |
| 208 | 208 | 114 | Q_neve | -5.346E-13 | -2.100E-13 | -2.075E-13 |
| 208 | 208 | 112 | Q_neve | -4.640E-13 | -2.040E-13 | -1.574E-13 |
| 209 | 209 | 113 | DEAD | 1.170E-12 | 1.561E-12 | -1.021E-12 |
| 209 | 209 | 115 | DEAD | -3.630E-12 | -2.646E-12 | -1.052E-12 |
| 209 | 209 | 116 | DEAD | 2.592E-12 | -8.087E-13 | -7.333E-14 |
| 209 | 209 | 114 | DEAD | -2.801E-12 | -3.238E-12 | -1.684E-12 |
| 209 | 209 | 113 | G1_smistamento | -33.8 | 1.671E-02 | 10.66 |
| 209 | 209 | 115 | G1_smistamento | -17. | 2.614E-02 | 9.21 |
| 209 | 209 | 116 | G1_smistamento | -31.1 | -53.74 | 7.76 |
| 209 | 209 | 114 | G1_smistamento | -48.5 | -53.87 | 9.21 |
| 209 | 209 | 113 | G2_smistamento | -12.53 | 6.193E-03 | 3.95 |
| 209 | 209 | 115 | G2_smistamento | -6.3 | 9.692E-03 | 3.42 |
| 209 | 209 | 116 | G2_smistamento | -11.53 | -19.92 | 2.88 |
| 209 | 209 | 114 | G2_smistamento | -17.98 | -19.97 | 3.41 |
| 209 | 209 | 113 | Q_smistamento | -12.53 | 6.193E-03 | 3.95 |
| 209 | 209 | 115 | Q_smistamento | -6.3 | 9.692E-03 | 3.42 |
| 209 | 209 | 116 | Q_smistamento | -11.53 | -19.92 | 2.88 |
| 209 | 209 | 114 | Q_smistamento | -17.98 | -19.97 | 3.41 |
| 209 | 209 | 113 | Q_neve | -3.235E-13 | -1.688E-13 | -1.474E-13 |
| 209 | 209 | 115 | Q_neve | -3.482E-13 | -1.991E-13 | -1.262E-13 |
| 209 | 209 | 116 | Q_neve | 5.060E-13 | -2.873E-13 | 1.058E-14 |

Table 21: Element Stresses - Area Shells, Part 1 of 3

| Area | AreaElem | Joint | OutputCase | S11Top KN/m2 | S22Top KN/m2 | S12Top KN/m2 |
|------|----------|-------|----------------|-----------------|-----------------|-----------------|
| 209 | 209 | 114 | Q_neve | -4.272E-13 | -1.201E-13 | -2.842E-13 |
| 210 | 210 | 115 | DEAD | -2.753E-12 | -3.901E-12 | 1.368E-12 |
| 210 | 210 | 117 | DEAD | 3.799E-12 | 1.387E-12 | 1.885E-12 |
| 210 | 210 | 118 | DEAD | -1.055E-12 | -5.837E-12 | 1.368E-12 |
| 210 | 210 | 116 | DEAD | 4.707E-12 | 1.190E-12 | 3.047E-13 |
| 210 | 210 | 115 | G1_smistamento | -16.95 | 3.516E-02 | 7.7 |
| 210 | 210 | 117 | G1_smistamento | -4.15 | 3.097E-02 | 6.44 |
| 210 | 210 | 118 | G1_smistamento | -17.82 | -53.72 | 5.31 |
| 210 | 210 | 116 | G1_smistamento | -31.1 | -53.74 | 6.57 |
| 210 | 210 | 115 | G2_smistamento | -6.29 | 1.303E-02 | 2.86 |
| 210 | 210 | 117 | G2_smistamento | -1.54 | 1.148E-02 | 2.39 |
| 210 | 210 | 118 | G2_smistamento | -6.61 | -19.91 | 1.97 |
| 210 | 210 | 116 | G2_smistamento | -11.53 | -19.92 | 2.44 |
| 210 | 210 | 115 | Q_smistamento | -6.29 | 1.303E-02 | 2.86 |
| 210 | 210 | 117 | Q_smistamento | -1.54 | 1.148E-02 | 2.39 |
| 210 | 210 | 118 | Q_smistamento | -6.61 | -19.91 | 1.97 |
| 210 | 210 | 116 | Q_smistamento | -11.53 | -19.92 | 2.44 |
| 210 | 210 | 115 | Q_neve | -8.186E-14 | -1.625E-13 | 2.000E-13 |
| 210 | 210 | 117 | Q_neve | 2.473E-13 | -2.516E-13 | 3.040E-13 |
| 210 | 210 | 118 | Q_neve | -4.769E-13 | -7.155E-13 | 2.790E-13 |
| 210 | 210 | 116 | Q_neve | 9.385E-13 | -1.133E-13 | 1.065E-13 |
| 211 | 211 | 117 | DEAD | -1.457E-12 | -2.270E-14 | 1.028E-12 |
| 211 | 211 | 119 | DEAD | -1.691E-12 | -1.761E-13 | 1.891E-12 |
| 211 | 211 | 120 | DEAD | -2.602E-12 | -3.854E-12 | 1.344E-12 |
| 211 | 211 | 118 | DEAD | -1.108E-13 | -5.548E-12 | 1.575E-12 |
| 211 | 211 | 117 | G1_smistamento | -4.11 | 3.864E-02 | 5.06 |
| 211 | 211 | 119 | G1_smistamento | 4.02 | 2.995E-02 | 3.95 |
| 211 | 211 | 120 | G1_smistamento | -9.36 | -53.79 | 3.21 |
| 211 | 211 | 118 | G1_smistamento | -17.83 | -53.72 | 4.33 |
| 211 | 211 | 117 | G2_smistamento | -1.52 | 1.432E-02 | 1.88 |
| 211 | 211 | 119 | G2_smistamento | 1.49 | 1.110E-02 | 1.46 |
| 211 | 211 | 120 | G2_smistamento | -3.47 | -19.94 | 1.19 |
| 211 | 211 | 118 | G2_smistamento | -6.61 | -19.91 | 1.6 |
| 211 | 211 | 117 | Q_smistamento | -1.52 | 1.432E-02 | 1.88 |
| 211 | 211 | 119 | Q_smistamento | 1.49 | 1.110E-02 | 1.46 |
| 211 | 211 | 120 | Q_smistamento | -3.47 | -19.94 | 1.19 |
| 211 | 211 | 118 | Q_smistamento | -6.61 | -19.91 | 1.6 |
| 211 | 211 | 117 | Q_neve | -3.350E-13 | -3.800E-13 | 2.631E-13 |

Table 21: Element Stresses - Area Shells, Part 1 of 3

| Area | AreaElem | Joint | OutputCase | S11Top KN/m2 | S22Top KN/m2 | S12Top KN/m2 |
|------|----------|-------|----------------|-----------------|-----------------|-----------------|
| 211 | 211 | 119 | Q_neve | -3.107E-13 | -2.583E-13 | 2.737E-13 |
| 211 | 211 | 120 | Q_neve | -2.066E-13 | -6.861E-13 | 4.211E-13 |
| 211 | 211 | 118 | Q_neve | -1.625E-13 | -4.657E-13 | 2.737E-13 |
| 212 | 212 | 119 | DEAD | 2.008E-12 | 3.098E-14 | 1.319E-12 |
| 212 | 212 | 121 | DEAD | -8.796E-13 | 8.551E-13 | 1.119E-12 |
| 212 | 212 | 122 | DEAD | -3.878E-12 | -6.644E-12 | 6.874E-13 |
| 212 | 212 | 120 | DEAD | -1.196E-12 | -3.569E-12 | 1.435E-12 |
| 212 | 212 | 119 | G1_smistamento | 4.05 | 3.524E-02 | 2.7 |
| 212 | 212 | 121 | G1_smistamento | 7.9 | 2.911E-02 | 1.67 |
| 212 | 212 | 122 | G1_smistamento | -5.35 | -53.85 | 1.31 |
| 212 | 212 | 120 | G1_smistamento | -9.37 | -53.79 | 2.34 |
| 212 | 212 | 119 | G2_smistamento | 1.5 | 1.307E-02 | 1. |
| 212 | 212 | 121 | G2_smistamento | 2.93 | 1.079E-02 | 0.62 |
| 212 | 212 | 122 | G2_smistamento | -1.98 | -19.96 | 0.49 |
| 212 | 212 | 120 | G2_smistamento | -3.47 | -19.94 | 0.87 |
| 212 | 212 | 119 | Q_smistamento | 1.5 | 1.307E-02 | 1. |
| 212 | 212 | 121 | Q_smistamento | 2.93 | 1.079E-02 | 0.62 |
| 212 | 212 | 122 | Q_smistamento | -1.98 | -19.96 | 0.49 |
| 212 | 212 | 120 | Q_smistamento | -3.47 | -19.94 | 0.87 |
| 212 | 212 | 119 | Q_neve | 7.931E-13 | -4.857E-15 | 3.185E-13 |
| 212 | 212 | 121 | Q_neve | -5.170E-13 | -1.501E-13 | 2.144E-13 |
| 212 | 212 | 122 | Q_neve | -5.993E-13 | -8.047E-13 | 1.605E-13 |
| 212 | 212 | 120 | Q_neve | -1.615E-13 | -5.056E-13 | 3.329E-13 |
| 213 | 213 | 121 | DEAD | -8.015E-13 | 1.992E-13 | -1.336E-13 |
| 213 | 213 | 123 | DEAD | 1.560E-12 | 2.207E-12 | -1.336E-13 |
| 213 | 213 | 124 | DEAD | 2.398E-12 | -3.711E-12 | 4.984E-13 |
| 213 | 213 | 122 | DEAD | -3.180E-12 | -5.377E-12 | 4.984E-13 |
| 213 | 213 | 121 | G1_smistamento | 7.91 | 3.101E-02 | 0.5 |
| 213 | 213 | 123 | G1_smistamento | 7.91 | 3.101E-02 | -0.5 |
| 213 | 213 | 124 | G1_smistamento | -5.35 | -53.85 | -0.5 |
| 213 | 213 | 122 | G1_smistamento | -5.35 | -53.85 | 0.5 |
| 213 | 213 | 121 | G2_smistamento | 2.93 | 1.150E-02 | 0.18 |
| 213 | 213 | 123 | G2_smistamento | 2.93 | 1.150E-02 | -0.18 |
| 213 | 213 | 124 | G2_smistamento | -1.98 | -19.96 | -0.18 |
| 213 | 213 | 122 | G2_smistamento | -1.98 | -19.96 | 0.18 |
| 213 | 213 | 121 | Q_smistamento | 2.93 | 1.150E-02 | 0.18 |
| 213 | 213 | 123 | Q_smistamento | 2.93 | 1.150E-02 | -0.18 |
| 213 | 213 | 124 | Q_smistamento | -1.98 | -19.96 | -0.18 |

Table 21: Element Stresses - Area Shells, Part 1 of 3

| Area | AreaElem | Joint | OutputCase | S11Top KN/m2 | S22Top KN/m2 | S12Top KN/m2 |
|------|----------|-------|----------------|-----------------|-----------------|-----------------|
| 213 | 213 | 122 | Q_smistamento | -1.98 | -19.96 | 0.18 |
| 213 | 213 | 121 | Q_neve | 3.372E-13 | 1.976E-13 | -1.079E-13 |
| 213 | 213 | 123 | Q_neve | -1.392E-13 | 2.446E-13 | -3.950E-14 |
| 213 | 213 | 124 | Q_neve | 9.000E-13 | -3.060E-13 | -2.892E-14 |
| 213 | 213 | 122 | Q_neve | -1.018E-12 | -8.318E-13 | 3.950E-14 |
| 214 | 214 | 123 | DEAD | 5.164E-12 | 1.597E-12 | -9.122E-14 |
| 214 | 214 | 125 | DEAD | -1.093E-13 | 2.424E-12 | 3.404E-13 |
| 214 | 214 | 126 | DEAD | 1.609E-12 | -3.854E-12 | -9.122E-14 |
| 214 | 214 | 124 | DEAD | 2.462E-13 | -3.382E-12 | 2.444E-14 |
| 214 | 214 | 123 | G1_smistamento | 7.9 | 2.911E-02 | -1.67 |
| 214 | 214 | 125 | G1_smistamento | 4.05 | 3.524E-02 | -2.7 |
| 214 | 214 | 126 | G1_smistamento | -9.37 | -53.79 | -2.34 |
| 214 | 214 | 124 | G1_smistamento | -5.35 | -53.85 | -1.31 |
| 214 | 214 | 123 | G2_smistamento | 2.93 | 1.079E-02 | -0.62 |
| 214 | 214 | 125 | G2_smistamento | 1.5 | 1.307E-02 | -1. |
| 214 | 214 | 126 | G2_smistamento | -3.47 | -19.94 | -0.87 |
| 214 | 214 | 124 | G2_smistamento | -1.98 | -19.96 | -0.49 |
| 214 | 214 | 123 | Q_smistamento | 2.93 | 1.079E-02 | -0.62 |
| 214 | 214 | 125 | Q_smistamento | 1.5 | 1.307E-02 | -1. |
| 214 | 214 | 126 | Q_smistamento | -3.47 | -19.94 | -0.87 |
| 214 | 214 | 124 | Q_smistamento | -1.98 | -19.96 | -0.49 |
| 214 | 214 | 123 | Q_neve | 5.273E-13 | 9.150E-14 | 0. |
| 214 | 214 | 125 | Q_neve | 3.618E-13 | 8.828E-13 | 1.763E-13 |
| 214 | 214 | 126 | Q_neve | 2.310E-13 | -6.787E-13 | 0. |
| 214 | 214 | 124 | Q_neve | 1.741E-13 | -5.293E-13 | 9.733E-14 |
| 215 | 215 | 125 | DEAD | 1.380E-12 | 2.402E-12 | 5.718E-13 |
| 215 | 215 | 127 | DEAD | -3.035E-12 | -1.918E-12 | 7.721E-13 |
| 215 | 215 | 128 | DEAD | -2.886E-12 | -2.812E-12 | 8.878E-13 |
| 215 | 215 | 126 | DEAD | -1.121E-13 | -3.419E-12 | 1.401E-13 |
| 215 | 215 | 125 | G1_smistamento | 4.02 | 2.995E-02 | -3.95 |
| 215 | 215 | 127 | G1_smistamento | -4.11 | 3.864E-02 | -5.06 |
| 215 | 215 | 128 | G1_smistamento | -17.83 | -53.72 | -4.33 |
| 215 | 215 | 126 | G1_smistamento | -9.36 | -53.79 | -3.21 |
| 215 | 215 | 125 | G2_smistamento | 1.49 | 1.110E-02 | -1.46 |
| 215 | 215 | 127 | G2_smistamento | -1.52 | 1.432E-02 | -1.88 |
| 215 | 215 | 128 | G2_smistamento | -6.61 | -19.91 | -1.6 |
| 215 | 215 | 126 | G2_smistamento | -3.47 | -19.94 | -1.19 |
| 215 | 215 | 125 | Q_smistamento | 1.49 | 1.110E-02 | -1.46 |

Table 21: Element Stresses - Area Shells, Part 1 of 3

| Area | AreaElem | Joint | OutputCase | S11Top KN/m2 | S22Top KN/m2 | S12Top KN/m2 |
|------|----------|-------|----------------|-----------------|-----------------|-----------------|
| 215 | 215 | 127 | Q_smistamento | -1.52 | 1.432E-02 | -1.88 |
| 215 | 215 | 128 | Q_smistamento | -6.61 | -19.91 | -1.6 |
| 215 | 215 | 126 | Q_smistamento | -3.47 | -19.94 | -1.19 |
| 215 | 215 | 125 | Q_neve | 6.818E-14 | 7.075E-13 | 2.189E-13 |
| 215 | 215 | 127 | Q_neve | -3.941E-13 | -4.949E-13 | 2.728E-13 |
| 215 | 215 | 128 | Q_neve | -1.077E-12 | -2.799E-13 | 1.004E-13 |
| 215 | 215 | 126 | Q_neve | 7.020E-13 | -7.023E-13 | 1.148E-13 |
| 216 | 216 | 127 | DEAD | 2.630E-13 | -1.597E-12 | -1.204E-12 |
| 216 | 216 | 129 | DEAD | -6.370E-12 | 1.498E-12 | -1.088E-12 |
| 216 | 216 | 130 | DEAD | -4.003E-12 | -3.967E-12 | -2.558E-13 |
| 216 | 216 | 128 | DEAD | -5.580E-12 | -2.136E-12 | 1.759E-13 |
| 216 | 216 | 127 | G1_smistamento | -4.15 | 3.097E-02 | -6.44 |
| 216 | 216 | 129 | G1_smistamento | -16.95 | 3.516E-02 | -7.7 |
| 216 | 216 | 130 | G1_smistamento | -31.1 | -53.74 | -6.57 |
| 216 | 216 | 128 | G1_smistamento | -17.82 | -53.72 | -5.31 |
| 216 | 216 | 127 | G2_smistamento | -1.54 | 1.148E-02 | -2.39 |
| 216 | 216 | 129 | G2_smistamento | -6.29 | 1.303E-02 | -2.86 |
| 216 | 216 | 130 | G2_smistamento | -11.53 | -19.92 | -2.44 |
| 216 | 216 | 128 | G2_smistamento | -6.61 | -19.91 | -1.97 |
| 216 | 216 | 127 | Q_smistamento | -1.54 | 1.148E-02 | -2.39 |
| 216 | 216 | 129 | Q_smistamento | -6.29 | 1.303E-02 | -2.86 |
| 216 | 216 | 130 | Q_smistamento | -11.53 | -19.92 | -2.44 |
| 216 | 216 | 128 | Q_smistamento | -6.61 | -19.91 | -1.97 |
| 216 | 216 | 127 | Q_neve | -8.110E-14 | -5.826E-13 | -2.417E-13 |
| 216 | 216 | 129 | Q_neve | -1.008E-12 | 3.582E-13 | -2.378E-13 |
| 216 | 216 | 130 | Q_neve | -4.662E-13 | -3.752E-13 | -1.232E-13 |
| 216 | 216 | 128 | Q_neve | -1.541E-12 | -6.490E-13 | 7.818E-14 |
| 217 | 217 | 129 | DEAD | -5.295E-12 | 2.726E-12 | 1.344E-12 |
| 217 | 217 | 131 | DEAD | -3.516E-12 | -1.233E-12 | 1.789E-14 |
| 217 | 217 | 132 | DEAD | -3.439E-12 | -3.159E-12 | 1.028E-12 |
| 217 | 217 | 130 | DEAD | -3.713E-12 | -3.168E-12 | -9.301E-13 |
| 217 | 217 | 129 | G1_smistamento | -17. | 2.614E-02 | -9.21 |
| 217 | 217 | 131 | G1_smistamento | -33.8 | 1.671E-02 | -10.66 |
| 217 | 217 | 132 | G1_smistamento | -48.5 | -53.87 | -9.21 |
| 217 | 217 | 130 | G1_smistamento | -31.1 | -53.74 | -7.76 |
| 217 | 217 | 129 | G2_smistamento | -6.3 | 9.692E-03 | -3.42 |
| 217 | 217 | 131 | G2_smistamento | -12.53 | 6.193E-03 | -3.95 |
| 217 | 217 | 132 | G2_smistamento | -17.98 | -19.97 | -3.41 |

Table 21: Element Stresses - Area Shells, Part 1 of 3

| Area | AreaElem | Joint | OutputCase | S11Top KN/m2 | S22Top KN/m2 | S12Top KN/m2 |
|------|----------|-------|----------------|-----------------|-----------------|-----------------|
| 217 | 217 | 130 | G2_smistamento | -11.53 | -19.92 | -2.88 |
| 217 | 217 | 129 | Q_smistamento | -6.3 | 9.692E-03 | -3.42 |
| 217 | 217 | 131 | Q_smistamento | -12.53 | 6.193E-03 | -3.95 |
| 217 | 217 | 132 | Q_smistamento | -17.98 | -19.97 | -3.41 |
| 217 | 217 | 130 | Q_smistamento | -11.53 | -19.92 | -2.88 |
| 217 | 217 | 129 | Q_neve | -9.598E-13 | 5.273E-13 | 2.904E-13 |
| 217 | 217 | 131 | Q_neve | -8.056E-13 | -3.437E-13 | 2.728E-14 |
| 217 | 217 | 132 | Q_neve | -8.018E-13 | -5.786E-13 | 2.114E-13 |
| 217 | 217 | 130 | Q_neve | -4.600E-13 | -5.115E-13 | -2.097E-13 |
| 218 | 218 | 131 | DEAD | -4.571E-13 | -4.237E-13 | 3.160E-13 |
| 218 | 218 | 133 | DEAD | 6.333E-13 | -1.260E-12 | -5.473E-13 |
| 218 | 218 | 134 | DEAD | -1.208E-12 | -1.332E-12 | -3.160E-13 |
| 218 | 218 | 132 | DEAD | -3.119E-12 | -2.959E-12 | -5.473E-13 |
| 218 | 218 | 131 | G1_smistamento | -33.85 | 6.776E-03 | -12.27 |
| 218 | 218 | 133 | G1_smistamento | -51.5 | -2.533E-02 | -13.97 |
| 218 | 218 | 134 | G1_smistamento | -66.88 | -53.92 | -12.42 |
| 218 | 218 | 132 | G1_smistamento | -48.51 | -53.87 | -10.72 |
| 218 | 218 | 131 | G2_smistamento | -12.55 | 2.512E-03 | -4.55 |
| 218 | 218 | 133 | G2_smistamento | -19.09 | -9.388E-03 | -5.18 |
| 218 | 218 | 134 | G2_smistamento | -24.79 | -19.99 | -4.6 |
| 218 | 218 | 132 | G2_smistamento | -17.98 | -19.97 | -3.98 |
| 218 | 218 | 131 | Q_smistamento | -12.55 | 2.512E-03 | -4.55 |
| 218 | 218 | 133 | Q_smistamento | -19.09 | -9.388E-03 | -5.18 |
| 218 | 218 | 134 | Q_smistamento | -24.79 | -19.99 | -4.6 |
| 218 | 218 | 132 | Q_smistamento | -17.98 | -19.97 | -3.98 |
| 218 | 218 | 131 | Q_neve | 1.470E-14 | -2.270E-13 | 3.950E-14 |
| 218 | 218 | 133 | Q_neve | 1.903E-13 | 4.977E-14 | -1.474E-13 |
| 218 | 218 | 134 | Q_neve | -3.112E-13 | -4.344E-13 | -3.950E-14 |
| 218 | 218 | 132 | Q_neve | -7.775E-13 | -5.230E-13 | 1.058E-14 |
| 219 | 219 | 133 | DEAD | -2.161E-12 | -3.177E-12 | -1.344E-12 |
| 219 | 219 | 135 | DEAD | 1.084E-12 | 5.002E-12 | -1.429E-12 |
| 219 | 219 | 136 | DEAD | -3.859E-12 | -5.033E-12 | -1.028E-12 |
| 219 | 219 | 134 | DEAD | 2.154E-13 | -1.239E-12 | 1.514E-13 |
| 219 | 219 | 133 | G1_smistamento | -51.55 | -3.528E-02 | -15.6 |
| 219 | 219 | 135 | G1_smistamento | -62.98 | -9.729E-02 | -17.59 |
| 219 | 219 | 136 | G1_smistamento | -78.99 | -53.31 | -16.45 |
| 219 | 219 | 134 | G1_smistamento | -66.92 | -53.93 | -14.46 |
| 219 | 219 | 133 | G2_smistamento | -19.11 | -1.308E-02 | -5.78 |

Table 21: Element Stresses - Area Shells, Part 1 of 3

| Area | AreaElem | Joint | OutputCase | S11Top KN/m2 | S22Top KN/m2 | S12Top KN/m2 |
|------|----------|-------|----------------|-----------------|-----------------|-----------------|
| 219 | 219 | 135 | G2_smistamento | -23.35 | -3.607E-02 | -6.52 |
| 219 | 219 | 136 | G2_smistamento | -29.28 | -19.76 | -6.1 |
| 219 | 219 | 134 | G2_smistamento | -24.81 | -19.99 | -5.36 |
| 219 | 219 | 133 | Q_smistamento | -19.11 | -1.308E-02 | -5.78 |
| 219 | 219 | 135 | Q_smistamento | -23.35 | -3.607E-02 | -6.52 |
| 219 | 219 | 136 | Q_smistamento | -29.28 | -19.76 | -6.1 |
| 219 | 219 | 134 | Q_smistamento | -24.81 | -19.99 | -5.36 |
| 219 | 219 | 133 | Q_neve | -4.748E-13 | -5.001E-13 | -3.132E-13 |
| 219 | 219 | 135 | Q_neve | -4.943E-14 | 6.557E-13 | -2.447E-13 |
| 219 | 219 | 136 | Q_neve | -2.378E-13 | -7.371E-13 | -2.342E-13 |
| 219 | 219 | 134 | Q_neve | -9.880E-14 | -3.022E-13 | -1.657E-13 |
| 220 | 220 | 135 | DEAD | -2.906E-12 | 3.674E-12 | -8.210E-13 |
| 220 | 220 | 137 | DEAD | 2.527E-13 | 4.162E-14 | 4.740E-13 |
| 220 | 220 | 138 | DEAD | -1.997E-12 | -4.107E-12 | -8.210E-13 |
| 220 | 220 | 136 | DEAD | -1.051E-12 | -4.580E-12 | -4.740E-13 |
| 220 | 220 | 135 | G1_smistamento | -62.98 | -9.774E-02 | -19.16 |
| 220 | 220 | 137 | G1_smistamento | -57.43 | -0.15 | -21.29 |
| 220 | 220 | 138 | G1_smistamento | -72.77 | -50.75 | -21.25 |
| 220 | 220 | 136 | G1_smistamento | -79.05 | -53.33 | -19.13 |
| 220 | 220 | 135 | G2_smistamento | -23.35 | -3.624E-02 | -7.1 |
| 220 | 220 | 137 | G2_smistamento | -21.29 | -5.656E-02 | -7.89 |
| 220 | 220 | 138 | G2_smistamento | -26.98 | -18.81 | -7.88 |
| 220 | 220 | 136 | G2_smistamento | -29.3 | -19.77 | -7.09 |
| 220 | 220 | 135 | Q_smistamento | -23.35 | -3.624E-02 | -7.1 |
| 220 | 220 | 137 | Q_smistamento | -21.29 | -5.656E-02 | -7.89 |
| 220 | 220 | 138 | Q_smistamento | -26.98 | -18.81 | -7.88 |
| 220 | 220 | 136 | Q_smistamento | -29.3 | -19.77 | -7.09 |
| 220 | 220 | 135 | Q_neve | -3.057E-14 | 2.907E-13 | -1.535E-13 |
| 220 | 220 | 137 | Q_neve | -1.333E-13 | 3.315E-13 | 6.230E-14 |
| 220 | 220 | 138 | Q_neve | -9.786E-13 | -1.368E-12 | -7.453E-14 |
| 220 | 220 | 136 | Q_neve | 1.333E-13 | -4.683E-13 | -1.669E-14 |
| 221 | 221 | 137 | DEAD | 1.622E-12 | 1.048E-12 | 2.916E-13 |
| 221 | 221 | 65 | DEAD | -2.850E-12 | -3.558E-14 | -1.867E-12 |
| 221 | 221 | 5 | DEAD | 1.069E-12 | -4.560E-12 | -6.564E-13 |
| 221 | 221 | 138 | DEAD | -6.089E-12 | -5.802E-12 | -1.235E-12 |
| 221 | 221 | 137 | G1_smistamento | -56.52 | 2.982E-02 | -22.29 |
| 221 | 221 | 65 | G1_smistamento | -34.96 | -0.4 | -21.2 |
| 221 | 221 | 5 | G1_smistamento | -31.89 | -44.22 | -22.58 |

Table 21: Element Stresses - Area Shells, Part 1 of 3

| Area | AreaElem | Joint | OutputCase | S11Top KN/m2 | S22Top KN/m2 | S12Top KN/m2 |
|------|----------|-------|----------------|-----------------|-----------------|-----------------|
| 221 | 221 | 138 | G1_smistamento | -73.05 | -50.81 | -23.68 |
| 221 | 221 | 137 | G2_smistamento | -20.95 | 1.106E-02 | -8.26 |
| 221 | 221 | 65 | G2_smistamento | -12.96 | -0.15 | -7.86 |
| 221 | 221 | 5 | G2_smistamento | -11.82 | -16.39 | -8.37 |
| 221 | 221 | 138 | G2_smistamento | -27.08 | -18.84 | -8.78 |
| 221 | 221 | 137 | Q_smistamento | -20.95 | 1.106E-02 | -8.26 |
| 221 | 221 | 65 | Q_smistamento | -12.96 | -0.15 | -7.86 |
| 221 | 221 | 5 | Q_smistamento | -11.82 | -16.39 | -8.37 |
| 221 | 221 | 138 | Q_smistamento | -27.08 | -18.84 | -8.78 |
| 221 | 221 | 137 | Q_neve | 6.007E-14 | 3.088E-13 | -2.362E-14 |
| 221 | 221 | 65 | Q_neve | -4.476E-13 | 1.299E-13 | -3.618E-13 |
| 221 | 221 | 5 | Q_neve | 9.957E-14 | -1.153E-12 | -1.816E-13 |
| 221 | 221 | 138 | Q_neve | -1.001E-12 | -1.213E-12 | -3.223E-13 |
| 222 | 222 | 66 | DEAD | -1.611E-12 | -3.486E-12 | 7.655E-13 |
| 222 | 222 | 139 | DEAD | 2.041E-12 | -5.826E-12 | 1.336E-13 |
| 222 | 222 | 140 | DEAD | 4.393E-12 | -2.854E-12 | -1.130E-12 |
| 222 | 222 | 5 | DEAD | 1.014E-12 | -2.429E-12 | -4.984E-13 |
| 222 | 222 | 66 | G1_smistamento | -0.5 | -44.34 | -17.55 |
| 222 | 222 | 139 | G1_smistamento | 8.144E-02 | -82.51 | -16.19 |
| 222 | 222 | 140 | G1_smistamento | -37.31 | -103.17 | -19.25 |
| 222 | 222 | 5 | G1_smistamento | -31.95 | -44.02 | -20.61 |
| 222 | 222 | 66 | G2_smistamento | -0.18 | -16.44 | -6.51 |
| 222 | 222 | 139 | G2_smistamento | 3.019E-02 | -30.59 | -6. |
| 222 | 222 | 140 | G2_smistamento | -13.83 | -38.25 | -7.13 |
| 222 | 222 | 5 | G2_smistamento | -11.84 | -16.32 | -7.64 |
| 222 | 222 | 66 | Q_smistamento | -0.18 | -16.44 | -6.51 |
| 222 | 222 | 139 | Q_smistamento | 3.019E-02 | -30.59 | -6. |
| 222 | 222 | 140 | Q_smistamento | -13.83 | -38.25 | -7.13 |
| 222 | 222 | 5 | Q_smistamento | -11.84 | -16.32 | -7.64 |
| 222 | 222 | 66 | Q_neve | -6.540E-14 | -8.341E-13 | 1.352E-13 |
| 222 | 222 | 139 | Q_neve | 4.888E-13 | -8.434E-13 | 1.669E-14 |
| 222 | 222 | 140 | Q_neve | 3.790E-13 | -7.452E-13 | -1.808E-13 |
| 222 | 222 | 5 | Q_neve | 6.420E-14 | -3.595E-13 | -6.230E-14 |
| 223 | 223 | 139 | DEAD | 9.714E-13 | -5.556E-12 | -2.408E-12 |
| 223 | 223 | 141 | DEAD | -1.490E-12 | -5.216E-12 | -2.408E-12 |
| 223 | 223 | 142 | DEAD | -1.359E-12 | -6.781E-12 | -5.115E-13 |
| 223 | 223 | 140 | DEAD | 5.344E-12 | -2.332E-12 | -5.115E-13 |
| 223 | 223 | 139 | G1_smistamento | -0.14 | -83.62 | -12.36 |

Table 21: Element Stresses - Area Shells, Part 1 of 3

| Area | AreaElem | Joint | OutputCase | S11Top KN/m2 | S22Top KN/m2 | S12Top KN/m2 |
|------|----------|-------|----------------|-----------------|-----------------|-----------------|
| 223 | 223 | 141 | G1_smistamento | -0.12 | -106.43 | -7.21 |
| 223 | 223 | 142 | G1_smistamento | -39.08 | -127.15 | -8.8 |
| 223 | 223 | 140 | G1_smistamento | -37.25 | -102.86 | -13.95 |
| 223 | 223 | 139 | G2_smistamento | -5.146E-02 | -31. | -4.58 |
| 223 | 223 | 141 | G2_smistamento | -4.566E-02 | -39.46 | -2.67 |
| 223 | 223 | 142 | G2_smistamento | -14.49 | -47.14 | -3.26 |
| 223 | 223 | 140 | G2_smistamento | -13.81 | -38.13 | -5.17 |
| 223 | 223 | 139 | Q_smistamento | -5.146E-02 | -31. | -4.58 |
| 223 | 223 | 141 | Q_smistamento | -4.566E-02 | -39.46 | -2.67 |
| 223 | 223 | 142 | Q_smistamento | -14.49 | -47.14 | -3.26 |
| 223 | 223 | 140 | Q_smistamento | -13.81 | -38.13 | -5.17 |
| 223 | 223 | 139 | Q_neve | 4.146E-13 | -7.173E-13 | -3.465E-13 |
| 223 | 223 | 141 | Q_neve | -4.920E-13 | -1.458E-12 | -3.860E-13 |
| 223 | 223 | 142 | Q_neve | -3.063E-13 | -1.478E-12 | -1.096E-13 |
| 223 | 223 | 140 | Q_neve | 7.029E-13 | -2.238E-13 | -7.005E-14 |
| 224 | 224 | 141 | DEAD | -1.836E-12 | -6.991E-12 | -1.144E-12 |
| 224 | 224 | 143 | DEAD | 3.020E-12 | -7.222E-12 | -1.144E-12 |
| 224 | 224 | 144 | DEAD | -2.429E-12 | -9.953E-12 | -1.776E-12 |
| 224 | 224 | 142 | DEAD | -1.127E-12 | -5.207E-12 | -1.776E-12 |
| 224 | 224 | 141 | G1_smistamento | -0.14 | -106.5 | -2.67 |
| 224 | 224 | 143 | G1_smistamento | -0.14 | -106.5 | 2.67 |
| 224 | 224 | 144 | G1_smistamento | -39.07 | -127.12 | 2.67 |
| 224 | 224 | 142 | G1_smistamento | -39.07 | -127.12 | -2.67 |
| 224 | 224 | 141 | G2_smistamento | -5.038E-02 | -39.48 | -0.99 |
| 224 | 224 | 143 | G2_smistamento | -5.038E-02 | -39.48 | 0.99 |
| 224 | 224 | 144 | G2_smistamento | -14.48 | -47.12 | 0.99 |
| 224 | 224 | 142 | G2_smistamento | -14.48 | -47.12 | -0.99 |
| 224 | 224 | 141 | Q_smistamento | -5.038E-02 | -39.48 | -0.99 |
| 224 | 224 | 143 | Q_smistamento | -5.038E-02 | -39.48 | 0.99 |
| 224 | 224 | 144 | Q_smistamento | -14.48 | -47.12 | 0.99 |
| 224 | 224 | 142 | Q_smistamento | -14.48 | -47.12 | -0.99 |
| 224 | 224 | 141 | Q_neve | -4.255E-13 | -1.707E-12 | -2.236E-13 |
| 224 | 224 | 143 | Q_neve | 7.693E-13 | -1.260E-12 | -3.026E-13 |
| 224 | 224 | 144 | Q_neve | -8.402E-13 | -1.885E-12 | -4.606E-13 |
| 224 | 224 | 142 | Q_neve | -1.194E-13 | -9.636E-13 | -3.816E-13 |
| 225 | 225 | 143 | DEAD | 2.718E-12 | -1.215E-11 | -1.922E-12 |
| 225 | 225 | 145 | DEAD | -1.162E-12 | -5.025E-12 | -3.186E-12 |
| 225 | 225 | 146 | DEAD | 2.481E-12 | -2.904E-12 | -3.186E-12 |

Table 21: Element Stresses - Area Shells, Part 1 of 3

| Area | AreaElem | Joint | OutputCase | S11Top KN/m2 | S22Top KN/m2 | S12Top KN/m2 |
|------|----------|-------|----------------|-----------------|-----------------|-----------------|
| 225 | 225 | 144 | DEAD | -3.216E-12 | -8.658E-12 | -1.922E-12 |
| 225 | 225 | 143 | G1_smistamento | -0.12 | -106.43 | 7.21 |
| 225 | 225 | 145 | G1_smistamento | -0.14 | -83.62 | 12.36 |
| 225 | 225 | 146 | G1_smistamento | -37.25 | -102.86 | 13.95 |
| 225 | 225 | 144 | G1_smistamento | -39.08 | -127.15 | 8.8 |
| 225 | 225 | 143 | G2_smistamento | -4.566E-02 | -39.46 | 2.67 |
| 225 | 225 | 145 | G2_smistamento | -5.146E-02 | -31. | 4.58 |
| 225 | 225 | 146 | G2_smistamento | -13.81 | -38.13 | 5.17 |
| 225 | 225 | 144 | G2_smistamento | -14.49 | -47.14 | 3.26 |
| 225 | 225 | 143 | Q_smistamento | -4.566E-02 | -39.46 | 2.67 |
| 225 | 225 | 145 | Q_smistamento | -5.146E-02 | -31. | 4.58 |
| 225 | 225 | 146 | Q_smistamento | -13.81 | -38.13 | 5.17 |
| 225 | 225 | 144 | Q_smistamento | -14.49 | -47.14 | 3.26 |
| 225 | 225 | 143 | Q_neve | 6.869E-13 | -1.959E-12 | -4.911E-13 |
| 225 | 225 | 145 | Q_neve | 2.140E-13 | -9.764E-13 | -6.886E-13 |
| 225 | 225 | 146 | Q_neve | -1.624E-13 | -7.545E-13 | -6.491E-13 |
| 225 | 225 | 144 | Q_neve | -8.525E-13 | -1.806E-12 | -4.516E-13 |
| 226 | 226 | 145 | DEAD | -5.235E-13 | -3.311E-12 | -3.733E-12 |
| 226 | 226 | 59 | DEAD | -5.214E-13 | 9.990E-13 | -2.785E-12 |
| 226 | 226 | 58 | DEAD | 2.270E-13 | -1.455E-12 | -2.469E-12 |
| 226 | 226 | 146 | DEAD | 1.730E-12 | -4.807E-12 | -3.417E-12 |
| 226 | 226 | 145 | G1_smistamento | 8.144E-02 | -82.51 | 16.19 |
| 226 | 226 | 59 | G1_smistamento | -0.5 | -44.34 | 17.55 |
| 226 | 226 | 58 | G1_smistamento | -31.95 | -44.02 | 20.61 |
| 226 | 226 | 146 | G1_smistamento | -37.31 | -103.17 | 19.25 |
| 226 | 226 | 145 | G2_smistamento | 3.019E-02 | -30.59 | 6. |
| 226 | 226 | 59 | G2_smistamento | -0.18 | -16.44 | 6.51 |
| 226 | 226 | 58 | G2_smistamento | -11.84 | -16.32 | 7.64 |
| 226 | 226 | 146 | G2_smistamento | -13.83 | -38.25 | 7.13 |
| 226 | 226 | 145 | Q_smistamento | 3.019E-02 | -30.59 | 6. |
| 226 | 226 | 59 | Q_smistamento | -0.18 | -16.44 | 6.51 |
| 226 | 226 | 58 | Q_smistamento | -11.84 | -16.32 | 7.64 |
| 226 | 226 | 146 | Q_smistamento | -13.83 | -38.25 | 7.13 |
| 226 | 226 | 145 | Q_neve | 2.458E-13 | -4.535E-13 | -6.202E-13 |
| 226 | 226 | 59 | Q_neve | -3.003E-14 | 8.029E-17 | -4.622E-13 |
| 226 | 226 | 58 | Q_neve | -1.887E-13 | -4.930E-13 | -3.832E-13 |
| 226 | 226 | 146 | Q_neve | -4.978E-14 | -8.097E-13 | -5.412E-13 |
| 227 | 227 | 58 | DEAD | -1.005E-12 | -1.680E-12 | -1.624E-12 |

Table 21: Element Stresses - Area Shells, Part 1 of 3

| Area | AreaElem | Joint | OutputCase | S11Top KN/m2 | S22Top KN/m2 | S12Top KN/m2 |
|------|----------|-------|----------------|-----------------|-----------------|-----------------|
| 227 | 227 | 68 | DEAD | -3.316E-12 | -4.542E-12 | -1.624E-12 |
| 227 | 227 | 147 | DEAD | -3.967E-12 | -5.116E-12 | -2.572E-12 |
| 227 | 227 | 146 | DEAD | -6.297E-13 | -5.332E-12 | -2.572E-12 |
| 227 | 227 | 58 | G1_smistamento | -31.85 | -44. | 23.46 |
| 227 | 227 | 68 | G1_smistamento | -73.03 | -50.68 | 23.34 |
| 227 | 227 | 147 | G1_smistamento | -95.62 | -128.12 | 20.79 |
| 227 | 227 | 146 | G1_smistamento | -37.17 | -103.14 | 20.91 |
| 227 | 227 | 58 | G2_smistamento | -11.81 | -16.31 | 8.7 |
| 227 | 227 | 68 | G2_smistamento | -27.07 | -18.79 | 8.65 |
| 227 | 227 | 147 | G2_smistamento | -35.45 | -47.5 | 7.71 |
| 227 | 227 | 146 | G2_smistamento | -13.78 | -38.23 | 7.75 |
| 227 | 227 | 58 | Q_smistamento | -11.81 | -16.31 | 8.7 |
| 227 | 227 | 68 | Q_smistamento | -27.07 | -18.79 | 8.65 |
| 227 | 227 | 147 | Q_smistamento | -35.45 | -47.5 | 7.71 |
| 227 | 227 | 146 | Q_smistamento | -13.78 | -38.23 | 7.75 |
| 227 | 227 | 58 | Q_neve | -4.008E-13 | -3.888E-13 | -2.456E-13 |
| 227 | 227 | 68 | Q_neve | -5.310E-13 | -7.860E-13 | -2.494E-13 |
| 227 | 227 | 147 | Q_neve | -8.649E-13 | -1.287E-12 | -3.246E-13 |
| 227 | 227 | 146 | Q_neve | -1.360E-13 | -1.181E-12 | -5.259E-13 |
| 228 | 228 | 146 | DEAD | -5.937E-14 | -1.714E-12 | -3.010E-12 |
| 228 | 228 | 147 | DEAD | -5.611E-12 | -8.110E-12 | -2.579E-12 |
| 228 | 228 | 148 | DEAD | -4.365E-12 | -6.177E-12 | -3.010E-12 |
| 228 | 228 | 144 | DEAD | 7.084E-13 | -8.742E-12 | -2.895E-12 |
| 228 | 228 | 146 | G1_smistamento | -37.11 | -102.83 | 15.51 |
| 228 | 228 | 147 | G1_smistamento | -95.61 | -128.1 | 15.52 |
| 228 | 228 | 148 | G1_smistamento | -103.83 | -154.54 | 9.44 |
| 228 | 228 | 144 | G1_smistamento | -38.95 | -127.12 | 9.42 |
| 228 | 228 | 146 | G2_smistamento | -13.76 | -38.12 | 5.75 |
| 228 | 228 | 147 | G2_smistamento | -35.44 | -47.49 | 5.76 |
| 228 | 228 | 148 | G2_smistamento | -38.49 | -57.29 | 3.5 |
| 228 | 228 | 144 | G2_smistamento | -14.44 | -47.13 | 3.49 |
| 228 | 228 | 146 | Q_smistamento | -13.76 | -38.12 | 5.75 |
| 228 | 228 | 147 | Q_smistamento | -35.44 | -47.49 | 5.76 |
| 228 | 228 | 148 | Q_smistamento | -38.49 | -57.29 | 3.5 |
| 228 | 228 | 144 | Q_smistamento | -14.44 | -47.13 | 3.49 |
| 228 | 228 | 146 | Q_neve | -1.323E-13 | -5.186E-13 | -4.789E-13 |
| 228 | 228 | 147 | Q_neve | -8.803E-13 | -1.207E-12 | -5.078E-13 |
| 228 | 228 | 148 | Q_neve | -1.327E-12 | -1.990E-12 | -4.789E-13 |

Table 21: Element Stresses - Area Shells, Part 1 of 3

| Area | AreaElem | Joint | OutputCase | S11Top KN/m2 | S22Top KN/m2 | S12Top KN/m2 |
|------|----------|-------|----------------|-----------------|-----------------|-----------------|
| 228 | 228 | 144 | Q_neve | 6.009E-13 | -1.148E-12 | -5.868E-13 |
| 229 | 229 | 144 | DEAD | 7.821E-13 | -9.132E-12 | -2.408E-12 |
| 229 | 229 | 148 | DEAD | -5.477E-12 | -6.758E-12 | -1.144E-12 |
| 229 | 229 | 149 | DEAD | 4.266E-13 | -6.170E-12 | -5.115E-13 |
| 229 | 229 | 142 | DEAD | -1.251E-12 | -5.534E-12 | -1.776E-12 |
| 229 | 229 | 144 | G1_smistamento | -38.94 | -127.09 | 3.16 |
| 229 | 229 | 148 | G1_smistamento | -103.84 | -154.62 | 3.16 |
| 229 | 229 | 149 | G1_smistamento | -103.84 | -154.62 | -3.16 |
| 229 | 229 | 142 | G1_smistamento | -38.94 | -127.09 | -3.16 |
| 229 | 229 | 144 | G2_smistamento | -14.44 | -47.11 | 1.17 |
| 229 | 229 | 148 | G2_smistamento | -38.5 | -57.32 | 1.17 |
| 229 | 229 | 149 | G2_smistamento | -38.5 | -57.32 | -1.17 |
| 229 | 229 | 142 | G2_smistamento | -14.44 | -47.11 | -1.17 |
| 229 | 229 | 144 | Q_smistamento | -14.44 | -47.11 | 1.17 |
| 229 | 229 | 148 | Q_smistamento | -38.5 | -57.32 | 1.17 |
| 229 | 229 | 149 | Q_smistamento | -38.5 | -57.32 | -1.17 |
| 229 | 229 | 142 | Q_smistamento | -14.44 | -47.11 | -1.17 |
| 229 | 229 | 144 | Q_neve | 6.184E-13 | -1.491E-12 | -5.001E-13 |
| 229 | 229 | 148 | Q_neve | -1.263E-12 | -1.530E-12 | -3.026E-13 |
| 229 | 229 | 149 | Q_neve | 2.587E-14 | -8.982E-13 | -1.841E-13 |
| 229 | 229 | 142 | Q_neve | -2.653E-13 | -1.047E-12 | -3.816E-13 |
| 230 | 230 | 142 | DEAD | -7.712E-13 | -7.462E-12 | 3.583E-13 |
| 230 | 230 | 149 | DEAD | 2.050E-13 | -3.969E-12 | -1.885E-12 |
| 230 | 230 | 150 | DEAD | -3.813E-12 | -5.605E-12 | -9.056E-13 |
| 230 | 230 | 140 | DEAD | -2.599E-12 | -4.720E-12 | -3.047E-13 |
| 230 | 230 | 142 | G1_smistamento | -38.95 | -127.12 | -9.42 |
| 230 | 230 | 149 | G1_smistamento | -103.83 | -154.54 | -9.44 |
| 230 | 230 | 150 | G1_smistamento | -95.61 | -128.1 | -15.52 |
| 230 | 230 | 140 | G1_smistamento | -37.11 | -102.83 | -15.51 |
| 230 | 230 | 142 | G2_smistamento | -14.44 | -47.13 | -3.49 |
| 230 | 230 | 149 | G2_smistamento | -38.49 | -57.29 | -3.5 |
| 230 | 230 | 150 | G2_smistamento | -35.44 | -47.49 | -5.76 |
| 230 | 230 | 140 | G2_smistamento | -13.76 | -38.12 | -5.75 |
| 230 | 230 | 142 | Q_smistamento | -14.44 | -47.13 | -3.49 |
| 230 | 230 | 149 | Q_smistamento | -38.49 | -57.29 | -3.5 |
| 230 | 230 | 150 | Q_smistamento | -35.44 | -47.49 | -5.76 |
| 230 | 230 | 140 | Q_smistamento | -13.76 | -38.12 | -5.75 |
| 230 | 230 | 142 | Q_neve | -2.198E-13 | -1.550E-12 | -4.643E-14 |

Table 21: Element Stresses - Area Shells, Part 1 of 3

| Area | AreaElem | Joint | OutputCase | S11Top KN/m2 | S22Top KN/m2 | S12Top KN/m2 |
|------|----------|-------|----------------|-----------------|-----------------|-----------------|
| 230 | 230 | 149 | Q_neve | 9.406E-14 | -6.280E-13 | -3.663E-13 |
| 230 | 230 | 150 | Q_neve | -5.556E-13 | -1.096E-12 | -2.044E-13 |
| 230 | 230 | 140 | Q_neve | -4.589E-13 | -7.860E-13 | -8.980E-14 |
| 231 | 231 | 140 | DEAD | -2.892E-12 | -3.526E-12 | -1.477E-12 |
| 231 | 231 | 150 | DEAD | -5.192E-12 | -6.613E-12 | -1.393E-12 |
| 231 | 231 | 138 | DEAD | -4.748E-12 | -2.381E-12 | -5.294E-13 |
| 231 | 231 | 5 | DEAD | 1.247E-12 | -3.809E-12 | -1.709E-12 |
| 231 | 231 | 140 | G1_smistamento | -37.17 | -103.14 | -20.91 |
| 231 | 231 | 150 | G1_smistamento | -95.62 | -128.12 | -20.79 |
| 231 | 231 | 138 | G1_smistamento | -73.03 | -50.68 | -23.34 |
| 231 | 231 | 5 | G1_smistamento | -31.85 | -44. | -23.46 |
| 231 | 231 | 140 | G2_smistamento | -13.78 | -38.23 | -7.75 |
| 231 | 231 | 150 | G2_smistamento | -35.45 | -47.5 | -7.71 |
| 231 | 231 | 138 | G2_smistamento | -27.07 | -18.79 | -8.65 |
| 231 | 231 | 5 | G2_smistamento | -11.81 | -16.31 | -8.7 |
| 231 | 231 | 140 | Q_smistamento | -13.78 | -38.23 | -7.75 |
| 231 | 231 | 150 | Q_smistamento | -35.45 | -47.5 | -7.71 |
| 231 | 231 | 138 | Q_smistamento | -27.07 | -18.79 | -8.65 |
| 231 | 231 | 5 | Q_smistamento | -11.81 | -16.31 | -8.7 |
| 231 | 231 | 140 | Q_neve | -6.307E-13 | -7.175E-13 | -1.307E-13 |
| 231 | 231 | 150 | Q_neve | -5.680E-13 | -4.967E-13 | -2.965E-13 |
| 231 | 231 | 138 | Q_neve | -1.045E-12 | -1.369E-12 | -5.172E-14 |
| 231 | 231 | 5 | Q_neve | 1.233E-13 | -3.585E-13 | -2.965E-13 |
| 232 | 232 | 68 | DEAD | -5.826E-12 | -5.479E-12 | -1.326E-12 |
| 232 | 232 | 70 | DEAD | -6.641E-12 | -6.502E-12 | -1.326E-12 |
| 232 | 232 | 151 | DEAD | -1.128E-11 | -9.982E-12 | -1.958E-12 |
| 232 | 232 | 147 | DEAD | -1.980E-12 | -5.949E-12 | -1.958E-12 |
| 232 | 232 | 68 | G1_smistamento | -72.75 | -50.63 | 20.82 |
| 232 | 232 | 70 | G1_smistamento | -79.02 | -53.19 | 18.01 |
| 232 | 232 | 151 | G1_smistamento | -102.93 | -139.03 | 15.67 |
| 232 | 232 | 147 | G1_smistamento | -95.58 | -128.12 | 18.48 |
| 232 | 232 | 68 | G2_smistamento | -26.97 | -18.77 | 7.72 |
| 232 | 232 | 70 | G2_smistamento | -29.29 | -19.72 | 6.68 |
| 232 | 232 | 151 | G2_smistamento | -38.16 | -51.54 | 5.81 |
| 232 | 232 | 147 | G2_smistamento | -35.43 | -47.49 | 6.85 |
| 232 | 232 | 68 | Q_smistamento | -26.97 | -18.77 | 7.72 |
| 232 | 232 | 70 | Q_smistamento | -29.29 | -19.72 | 6.68 |
| 232 | 232 | 151 | Q_smistamento | -38.16 | -51.54 | 5.81 |

Table 21: Element Stresses - Area Shells, Part 1 of 3

| Area | AreaElem | Joint | OutputCase | S11Top KN/m2 | S22Top KN/m2 | S12Top KN/m2 |
|------|----------|-------|----------------|-----------------|-----------------|-----------------|
| 232 | 232 | 147 | Q_smistamento | -35.43 | -47.49 | 6.85 |
| 232 | 232 | 68 | Q_neve | -8.098E-13 | -1.266E-12 | -2.798E-13 |
| 232 | 232 | 70 | Q_neve | -1.357E-12 | -8.134E-13 | -3.193E-13 |
| 232 | 232 | 151 | Q_neve | -1.402E-12 | -1.858E-12 | -3.588E-13 |
| 232 | 232 | 147 | Q_neve | -9.230E-13 | -1.011E-12 | -3.193E-13 |
| 233 | 233 | 147 | DEAD | -2.836E-12 | -7.458E-12 | -3.362E-12 |
| 233 | 233 | 151 | DEAD | -9.569E-12 | -6.719E-12 | -2.214E-12 |
| 233 | 233 | 152 | DEAD | -5.443E-12 | -4.377E-12 | -8.341E-13 |
| 233 | 233 | 148 | DEAD | -1.788E-12 | -5.732E-12 | -2.530E-12 |
| 233 | 233 | 147 | G1_smistamento | -95.57 | -128.09 | 13.9 |
| 233 | 233 | 151 | G1_smistamento | -102.91 | -138.9 | 12.42 |
| 233 | 233 | 152 | G1_smistamento | -113.61 | -169.51 | 7.56 |
| 233 | 233 | 148 | G1_smistamento | -103.69 | -154.51 | 9.04 |
| 233 | 233 | 147 | G2_smistamento | -35.43 | -47.49 | 5.15 |
| 233 | 233 | 151 | G2_smistamento | -38.15 | -51.49 | 4.6 |
| 233 | 233 | 152 | G2_smistamento | -42.12 | -62.84 | 2.8 |
| 233 | 233 | 148 | G2_smistamento | -38.44 | -57.28 | 3.35 |
| 233 | 233 | 147 | Q_smistamento | -35.43 | -47.49 | 5.15 |
| 233 | 233 | 151 | Q_smistamento | -38.15 | -51.49 | 4.6 |
| 233 | 233 | 152 | Q_smistamento | -42.12 | -62.84 | 2.8 |
| 233 | 233 | 148 | Q_smistamento | -38.44 | -57.28 | 3.35 |
| 233 | 233 | 147 | Q_neve | -4.577E-13 | -9.152E-13 | -4.484E-13 |
| 233 | 233 | 151 | Q_neve | -1.724E-12 | -1.743E-12 | -4.455E-13 |
| 233 | 233 | 152 | Q_neve | -6.256E-13 | -8.066E-13 | -5.336E-14 |
| 233 | 233 | 148 | Q_neve | -1.053E-12 | -1.467E-12 | -6.035E-13 |
| 234 | 234 | 148 | DEAD | -1.774E-12 | -4.727E-12 | -1.645E-13 |
| 234 | 234 | 152 | DEAD | -5.442E-12 | -6.048E-12 | -2.523E-12 |
| 234 | 234 | 153 | DEAD | -3.631E-12 | -6.425E-12 | -1.113E-12 |
| 234 | 234 | 149 | DEAD | -6.667E-12 | -7.430E-12 | -9.432E-13 |
| 234 | 234 | 148 | G1_smistamento | -103.71 | -154.59 | 2.8 |
| 234 | 234 | 152 | G1_smistamento | -113.6 | -169.48 | 2.8 |
| 234 | 234 | 153 | G1_smistamento | -113.6 | -169.48 | -2.8 |
| 234 | 234 | 149 | G1_smistamento | -103.71 | -154.59 | -2.8 |
| 234 | 234 | 148 | G2_smistamento | -38.45 | -57.31 | 1.04 |
| 234 | 234 | 152 | G2_smistamento | -42.11 | -62.83 | 1.04 |
| 234 | 234 | 153 | G2_smistamento | -42.11 | -62.83 | -1.04 |
| 234 | 234 | 149 | G2_smistamento | -38.45 | -57.31 | -1.04 |
| 234 | 234 | 148 | Q_smistamento | -38.45 | -57.31 | 1.04 |

Table 21: Element Stresses - Area Shells, Part 1 of 3

| Area | AreaElem | Joint | OutputCase | S11Top KN/m2 | S22Top KN/m2 | S12Top KN/m2 |
|------|----------|-------|----------------|-----------------|-----------------|-----------------|
| 234 | 234 | 152 | Q_smistamento | -42.11 | -62.83 | 1.04 |
| 234 | 234 | 153 | Q_smistamento | -42.11 | -62.83 | -1.04 |
| 234 | 234 | 149 | Q_smistamento | -38.45 | -57.31 | -1.04 |
| 234 | 234 | 148 | Q_neve | -9.830E-13 | -1.481E-12 | -6.312E-14 |
| 234 | 234 | 152 | Q_neve | -6.506E-13 | -1.414E-12 | -4.013E-13 |
| 234 | 234 | 153 | Q_neve | -7.559E-13 | -1.056E-12 | -1.421E-13 |
| 234 | 234 | 149 | Q_neve | -9.172E-13 | -1.088E-12 | -2.828E-13 |
| 235 | 235 | 149 | DEAD | -6.278E-12 | -5.967E-12 | -1.429E-12 |
| 235 | 235 | 153 | DEAD | -3.954E-12 | -6.001E-12 | -9.432E-13 |
| 235 | 235 | 154 | DEAD | -2.684E-12 | -6.006E-12 | 1.514E-13 |
| 235 | 235 | 150 | DEAD | -1.861E-12 | -5.014E-12 | -2.523E-12 |
| 235 | 235 | 149 | G1_smistamento | -103.69 | -154.51 | -9.04 |
| 235 | 235 | 153 | G1_smistamento | -113.61 | -169.51 | -7.56 |
| 235 | 235 | 154 | G1_smistamento | -102.91 | -138.9 | -12.42 |
| 235 | 235 | 150 | G1_smistamento | -95.57 | -128.09 | -13.9 |
| 235 | 235 | 149 | G2_smistamento | -38.44 | -57.28 | -3.35 |
| 235 | 235 | 153 | G2_smistamento | -42.12 | -62.84 | -2.8 |
| 235 | 235 | 154 | G2_smistamento | -38.15 | -51.49 | -4.6 |
| 235 | 235 | 150 | G2_smistamento | -35.43 | -47.49 | -5.15 |
| 235 | 235 | 149 | Q_smistamento | -38.44 | -57.28 | -3.35 |
| 235 | 235 | 153 | Q_smistamento | -42.12 | -62.84 | -2.8 |
| 235 | 235 | 154 | Q_smistamento | -38.15 | -51.49 | -4.6 |
| 235 | 235 | 150 | Q_smistamento | -35.43 | -47.49 | -5.15 |
| 235 | 235 | 149 | Q_neve | -7.526E-13 | -9.077E-13 | -2.067E-13 |
| 235 | 235 | 153 | Q_neve | -6.738E-13 | -8.839E-13 | -1.894E-13 |
| 235 | 235 | 154 | Q_neve | -7.526E-13 | -1.145E-12 | 6.983E-14 |
| 235 | 235 | 150 | Q_neve | -3.183E-13 | -1.476E-12 | -4.264E-13 |
| 236 | 236 | 150 | DEAD | -1.536E-12 | -5.108E-12 | -1.709E-12 |
| 236 | 236 | 154 | DEAD | -1.902E-12 | -5.459E-12 | 1.789E-14 |
| 236 | 236 | 136 | DEAD | 2.813E-13 | -1.711E-12 | -1.393E-12 |
| 236 | 236 | 138 | DEAD | -2.020E-12 | -3.207E-12 | -9.301E-13 |
| 236 | 236 | 150 | G1_smistamento | -95.58 | -128.12 | -18.48 |
| 236 | 236 | 154 | G1_smistamento | -102.93 | -139.03 | -15.67 |
| 236 | 236 | 136 | G1_smistamento | -79.02 | -53.19 | -18.01 |
| 236 | 236 | 138 | G1_smistamento | -72.75 | -50.63 | -20.82 |
| 236 | 236 | 150 | G2_smistamento | -35.43 | -47.49 | -6.85 |
| 236 | 236 | 154 | G2_smistamento | -38.16 | -51.54 | -5.81 |
| 236 | 236 | 136 | G2_smistamento | -29.29 | -19.72 | -6.68 |

Table 21: Element Stresses - Area Shells, Part 1 of 3

| Area | AreaElem | Joint | OutputCase | S11Top KN/m2 | S22Top KN/m2 | S12Top KN/m2 |
|------|----------|-------|----------------|-----------------|-----------------|-----------------|
| 236 | 236 | 138 | G2_smistamento | -26.97 | -18.77 | -7.72 |
| 236 | 236 | 150 | Q_smistamento | -35.43 | -47.49 | -6.85 |
| 236 | 236 | 154 | Q_smistamento | -38.16 | -51.54 | -5.81 |
| 236 | 236 | 136 | Q_smistamento | -29.29 | -19.72 | -6.68 |
| 236 | 236 | 138 | Q_smistamento | -26.97 | -18.77 | -7.72 |
| 236 | 236 | 150 | Q_neve | 4.939E-13 | 3.304E-13 | -3.315E-13 |
| 236 | 236 | 154 | Q_neve | -6.268E-13 | -1.596E-12 | -2.342E-13 |
| 236 | 236 | 136 | Q_neve | 5.038E-13 | 1.428E-13 | -4.895E-13 |
| 236 | 236 | 138 | Q_neve | -1.249E-12 | -1.625E-12 | -3.132E-13 |
| 237 | 237 | 70 | DEAD | -1.073E-11 | -6.433E-12 | -1.909E-12 |
| 237 | 237 | 72 | DEAD | -5.730E-12 | -6.974E-12 | -9.611E-13 |
| 237 | 237 | 155 | DEAD | -5.395E-12 | -6.315E-12 | -6.451E-13 |
| 237 | 237 | 151 | DEAD | -8.614E-12 | -1.002E-11 | -1.593E-12 |
| 237 | 237 | 70 | G1_smistamento | -78.96 | -53.18 | 15.2 |
| 237 | 237 | 72 | G1_smistamento | -66.91 | -53.88 | 12.86 |
| 237 | 237 | 155 | G1_smistamento | -89.51 | -142.73 | 10.8 |
| 237 | 237 | 151 | G1_smistamento | -103.02 | -139.05 | 13.13 |
| 237 | 237 | 70 | G2_smistamento | -29.27 | -19.71 | 5.63 |
| 237 | 237 | 72 | G2_smistamento | -24.8 | -19.98 | 4.77 |
| 237 | 237 | 155 | G2_smistamento | -33.18 | -52.91 | 4. |
| 237 | 237 | 151 | G2_smistamento | -38.19 | -51.55 | 4.87 |
| 237 | 237 | 70 | Q_smistamento | -29.27 | -19.71 | 5.63 |
| 237 | 237 | 72 | Q_smistamento | -24.8 | -19.98 | 4.77 |
| 237 | 237 | 155 | Q_smistamento | -33.18 | -52.91 | 4. |
| 237 | 237 | 151 | Q_smistamento | -38.19 | -51.55 | 4.87 |
| 237 | 237 | 70 | Q_neve | -1.891E-12 | -9.174E-13 | -1.763E-13 |
| 237 | 237 | 72 | Q_neve | -1.453E-12 | -1.663E-12 | -1.833E-14 |
| 237 | 237 | 155 | Q_neve | -1.387E-12 | -1.243E-12 | -9.733E-14 |
| 237 | 237 | 151 | Q_neve | -1.107E-12 | -1.831E-12 | -2.553E-13 |
| 238 | 238 | 151 | DEAD | -9.372E-12 | -7.883E-12 | -4.317E-13 |
| 238 | 238 | 155 | DEAD | -3.842E-12 | -5.482E-12 | -1.157E-13 |
| 238 | 238 | 156 | DEAD | -2.578E-12 | -4.249E-12 | -1.157E-13 |
| 238 | 238 | 152 | DEAD | -8.108E-12 | -5.008E-12 | -4.317E-13 |
| 238 | 238 | 151 | G1_smistamento | -102.99 | -138.91 | 9.97 |
| 238 | 238 | 155 | G1_smistamento | -89.49 | -142.67 | 8.43 |
| 238 | 238 | 156 | G1_smistamento | -99.33 | -175.73 | 5.05 |
| 238 | 238 | 152 | G1_smistamento | -113.59 | -169.51 | 6.59 |
| 238 | 238 | 151 | G2_smistamento | -38.18 | -51.5 | 3.7 |

Table 21: Element Stresses - Area Shells, Part 1 of 3

| Area | AreaElem | Joint | OutputCase | S11Top KN/m2 | S22Top KN/m2 | S12Top KN/m2 |
|------|----------|-------|----------------|-----------------|-----------------|-----------------|
| 238 | 238 | 155 | G2_smistamento | -33.18 | -52.89 | 3.12 |
| 238 | 238 | 156 | G2_smistamento | -36.82 | -65.15 | 1.87 |
| 238 | 238 | 152 | G2_smistamento | -42.11 | -62.84 | 2.44 |
| 238 | 238 | 151 | Q_smistamento | -38.18 | -51.5 | 3.7 |
| 238 | 238 | 155 | Q_smistamento | -33.18 | -52.89 | 3.12 |
| 238 | 238 | 156 | Q_smistamento | -36.82 | -65.15 | 1.87 |
| 238 | 238 | 152 | Q_smistamento | -42.11 | -62.84 | 2.44 |
| 238 | 238 | 151 | Q_neve | -1.088E-12 | -1.636E-12 | -1.566E-13 |
| 238 | 238 | 155 | Q_neve | -1.628E-12 | -1.679E-12 | -1.315E-13 |
| 238 | 238 | 156 | Q_neve | -4.459E-13 | -5.593E-13 | -1.171E-13 |
| 238 | 238 | 152 | Q_neve | -1.342E-12 | -7.212E-13 | -2.105E-13 |
| 239 | 239 | 152 | DEAD | -9.062E-12 | -5.546E-12 | -2.492E-13 |
| 239 | 239 | 156 | DEAD | -2.348E-12 | -5.739E-12 | 3.828E-13 |
| 239 | 239 | 157 | DEAD | -4.598E-12 | -6.928E-12 | 6.678E-14 |
| 239 | 239 | 153 | DEAD | -1.597E-12 | -5.778E-12 | -5.652E-13 |
| 239 | 239 | 152 | G1_smistamento | -113.58 | -169.47 | 1.97 |
| 239 | 239 | 156 | G1_smistamento | -99.33 | -175.7 | 1.97 |
| 239 | 239 | 157 | G1_smistamento | -99.33 | -175.7 | -1.97 |
| 239 | 239 | 153 | G1_smistamento | -113.58 | -169.47 | -1.97 |
| 239 | 239 | 152 | G2_smistamento | -42.11 | -62.83 | 0.73 |
| 239 | 239 | 156 | G2_smistamento | -36.82 | -65.14 | 0.73 |
| 239 | 239 | 157 | G2_smistamento | -36.82 | -65.14 | -0.73 |
| 239 | 239 | 153 | G2_smistamento | -42.11 | -62.83 | -0.73 |
| 239 | 239 | 152 | Q_smistamento | -42.11 | -62.83 | 0.73 |
| 239 | 239 | 156 | Q_smistamento | -36.82 | -65.14 | 0.73 |
| 239 | 239 | 157 | Q_smistamento | -36.82 | -65.14 | -0.73 |
| 239 | 239 | 153 | Q_smistamento | -42.11 | -62.83 | -0.73 |
| 239 | 239 | 152 | Q_neve | -1.683E-12 | -1.475E-12 | -7.065E-14 |
| 239 | 239 | 156 | Q_neve | -8.258E-13 | -1.097E-12 | 1.163E-13 |
| 239 | 239 | 157 | Q_neve | -8.141E-13 | -1.159E-12 | 4.785E-14 |
| 239 | 239 | 153 | Q_neve | -3.715E-13 | -1.195E-12 | -2.237E-15 |
| 240 | 240 | 153 | DEAD | -3.206E-12 | -6.012E-12 | -4.561E-13 |
| 240 | 240 | 157 | DEAD | -3.480E-12 | -6.275E-12 | -2.444E-14 |
| 240 | 240 | 158 | DEAD | -4.114E-12 | -4.866E-12 | -4.561E-13 |
| 240 | 240 | 154 | DEAD | -2.335E-12 | -5.287E-12 | -3.404E-13 |
| 240 | 240 | 153 | G1_smistamento | -113.59 | -169.51 | -6.59 |
| 240 | 240 | 157 | G1_smistamento | -99.33 | -175.73 | -5.05 |
| 240 | 240 | 158 | G1_smistamento | -89.49 | -142.67 | -8.43 |

Table 21: Element Stresses - Area Shells, Part 1 of 3

| Area | AreaElem | Joint | OutputCase | S11Top KN/m2 | S22Top KN/m2 | S12Top KN/m2 |
|------|----------|-------|----------------|-----------------|-----------------|-----------------|
| 240 | 240 | 154 | G1_smistamento | -102.99 | -138.91 | -9.97 |
| 240 | 240 | 153 | G2_smistamento | -42.11 | -62.84 | -2.44 |
| 240 | 240 | 157 | G2_smistamento | -36.82 | -65.15 | -1.87 |
| 240 | 240 | 158 | G2_smistamento | -33.18 | -52.89 | -3.12 |
| 240 | 240 | 154 | G2_smistamento | -38.18 | -51.5 | -3.7 |
| 240 | 240 | 153 | Q_smistamento | -42.11 | -62.84 | -2.44 |
| 240 | 240 | 157 | Q_smistamento | -36.82 | -65.15 | -1.87 |
| 240 | 240 | 158 | Q_smistamento | -33.18 | -52.89 | -3.12 |
| 240 | 240 | 154 | Q_smistamento | -38.18 | -51.5 | -3.7 |
| 240 | 240 | 153 | Q_neve | -2.234E-13 | -7.836E-13 | -1.482E-13 |
| 240 | 240 | 157 | Q_neve | -8.584E-13 | -1.368E-12 | -2.586E-14 |
| 240 | 240 | 158 | Q_neve | -5.690E-13 | -8.527E-13 | -1.482E-13 |
| 240 | 240 | 154 | Q_neve | -7.893E-13 | -1.260E-12 | -6.536E-14 |
| 241 | 241 | 154 | DEAD | -1.413E-12 | -5.062E-12 | -5.718E-13 |
| 241 | 241 | 158 | DEAD | -5.254E-12 | -6.968E-12 | -1.401E-13 |
| 241 | 241 | 134 | DEAD | 9.569E-13 | -2.692E-12 | -8.878E-13 |
| 241 | 241 | 136 | DEAD | -4.780E-12 | -2.702E-12 | -7.721E-13 |
| 241 | 241 | 154 | G1_smistamento | -103.02 | -139.05 | -13.13 |
| 241 | 241 | 158 | G1_smistamento | -89.51 | -142.73 | -10.8 |
| 241 | 241 | 134 | G1_smistamento | -66.91 | -53.88 | -12.86 |
| 241 | 241 | 136 | G1_smistamento | -78.96 | -53.18 | -15.2 |
| 241 | 241 | 154 | G2_smistamento | -38.19 | -51.55 | -4.87 |
| 241 | 241 | 158 | G2_smistamento | -33.18 | -52.91 | -4. |
| 241 | 241 | 134 | G2_smistamento | -24.8 | -19.98 | -4.77 |
| 241 | 241 | 136 | G2_smistamento | -29.27 | -19.71 | -5.63 |
| 241 | 241 | 154 | Q_smistamento | -38.19 | -51.55 | -4.87 |
| 241 | 241 | 158 | Q_smistamento | -33.18 | -52.91 | -4. |
| 241 | 241 | 134 | Q_smistamento | -24.8 | -19.98 | -4.77 |
| 241 | 241 | 136 | Q_smistamento | -29.27 | -19.71 | -5.63 |
| 241 | 241 | 154 | Q_neve | -8.044E-13 | -1.555E-12 | -9.428E-14 |
| 241 | 241 | 158 | Q_neve | -7.227E-13 | -1.448E-12 | 6.760E-14 |
| 241 | 241 | 134 | Q_neve | -7.363E-14 | -5.086E-13 | -1.338E-13 |
| 241 | 241 | 136 | Q_neve | -1.895E-13 | 3.366E-14 | -9.040E-14 |
| 242 | 242 | 72 | DEAD | -8.448E-12 | -8.410E-12 | -5.652E-13 |
| 242 | 242 | 74 | DEAD | -3.731E-12 | -6.190E-12 | 9.301E-13 |
| 242 | 242 | 159 | DEAD | -1.062E-12 | -4.657E-12 | 3.828E-13 |
| 242 | 242 | 155 | DEAD | -7.010E-12 | -6.467E-12 | -1.789E-14 |
| 242 | 242 | 72 | G1_smistamento | -66.87 | -53.88 | 10.78 |

Table 21: Element Stresses - Area Shells, Part 1 of 3

| Area | AreaElem | Joint | OutputCase | S11Top KN/m2 | S22Top KN/m2 | S12Top KN/m2 |
|------|----------|-------|----------------|-----------------|-----------------|-----------------|
| 242 | 242 | 74 | G1_smistamento | -48.51 | -53.86 | 9.13 |
| 242 | 242 | 159 | G1_smistamento | -69.8 | -143.52 | 7.31 |
| 242 | 242 | 155 | G1_smistamento | -89.53 | -142.74 | 8.96 |
| 242 | 242 | 72 | G2_smistamento | -24.79 | -19.97 | 4. |
| 242 | 242 | 74 | G2_smistamento | -17.98 | -19.96 | 3.39 |
| 242 | 242 | 159 | G2_smistamento | -25.87 | -53.21 | 2.71 |
| 242 | 242 | 155 | G2_smistamento | -33.19 | -52.91 | 3.32 |
| 242 | 242 | 72 | Q_smistamento | -24.79 | -19.97 | 4. |
| 242 | 242 | 74 | Q_smistamento | -17.98 | -19.96 | 3.39 |
| 242 | 242 | 159 | Q_smistamento | -25.87 | -53.21 | 2.71 |
| 242 | 242 | 155 | Q_smistamento | -33.19 | -52.91 | 3.32 |
| 242 | 242 | 72 | Q_neve | -1.841E-12 | -1.673E-12 | -1.049E-13 |
| 242 | 242 | 74 | Q_neve | -5.149E-13 | -1.309E-12 | 5.701E-14 |
| 242 | 242 | 159 | Q_neve | 4.510E-14 | -1.012E-12 | 1.364E-14 |
| 242 | 242 | 155 | Q_neve | -1.828E-12 | -1.240E-12 | 5.701E-14 |
| 243 | 243 | 155 | DEAD | -8.345E-12 | -6.576E-12 | 4.138E-13 |
| 243 | 243 | 159 | DEAD | 4.007E-13 | -3.084E-12 | 7.298E-13 |
| 243 | 243 | 160 | DEAD | -4.790E-12 | -4.917E-12 | 1.046E-12 |
| 243 | 243 | 156 | DEAD | -1.495E-12 | -4.032E-12 | 7.298E-13 |
| 243 | 243 | 155 | G1_smistamento | -89.52 | -142.67 | 6.6 |
| 243 | 243 | 159 | G1_smistamento | -69.79 | -143.49 | 5.55 |
| 243 | 243 | 160 | G1_smistamento | -78.61 | -177.42 | 3.24 |
| 243 | 243 | 156 | G1_smistamento | -99.37 | -175.74 | 4.3 |
| 243 | 243 | 155 | G2_smistamento | -33.19 | -52.89 | 2.45 |
| 243 | 243 | 159 | G2_smistamento | -25.87 | -53.19 | 2.06 |
| 243 | 243 | 160 | G2_smistamento | -29.14 | -65.77 | 1.2 |
| 243 | 243 | 156 | G2_smistamento | -36.84 | -65.15 | 1.59 |
| 243 | 243 | 155 | Q_smistamento | -33.19 | -52.89 | 2.45 |
| 243 | 243 | 159 | Q_smistamento | -25.87 | -53.19 | 2.06 |
| 243 | 243 | 160 | Q_smistamento | -29.14 | -65.77 | 1.2 |
| 243 | 243 | 156 | Q_smistamento | -36.84 | -65.15 | 1.59 |
| 243 | 243 | 155 | Q_neve | -1.743E-12 | -1.543E-12 | 1.719E-13 |
| 243 | 243 | 159 | Q_neve | -4.598E-14 | -7.808E-13 | 2.904E-13 |
| 243 | 243 | 160 | Q_neve | -5.088E-13 | -8.226E-13 | 3.299E-13 |
| 243 | 243 | 156 | Q_neve | -5.298E-13 | -5.932E-13 | 2.114E-13 |
| 244 | 244 | 156 | DEAD | -1.469E-12 | -4.154E-12 | 1.824E-13 |
| 244 | 244 | 160 | DEAD | -5.372E-12 | -7.941E-12 | 4.984E-13 |
| 244 | 244 | 161 | DEAD | -5.606E-13 | -4.352E-12 | 1.824E-13 |

Table 21: Element Stresses - Area Shells, Part 1 of 3

| Area | AreaElem | Joint | OutputCase | S11Top KN/m2 | S22Top KN/m2 | S12Top KN/m2 |
|------|----------|-------|----------------|-----------------|-----------------|-----------------|
| 244 | 244 | 157 | DEAD | -3.910E-12 | -7.270E-12 | -1.336E-13 |
| 244 | 244 | 156 | G1_smistamento | -99.37 | -175.71 | 1.27 |
| 244 | 244 | 160 | G1_smistamento | -78.61 | -177.41 | 1.27 |
| 244 | 244 | 161 | G1_smistamento | -78.61 | -177.41 | -1.27 |
| 244 | 244 | 157 | G1_smistamento | -99.37 | -175.71 | -1.27 |
| 244 | 244 | 156 | G2_smistamento | -36.84 | -65.14 | 0.47 |
| 244 | 244 | 160 | G2_smistamento | -29.14 | -65.77 | 0.47 |
| 244 | 244 | 161 | G2_smistamento | -29.14 | -65.77 | -0.47 |
| 244 | 244 | 157 | G2_smistamento | -36.84 | -65.14 | -0.47 |
| 244 | 244 | 156 | Q_smistamento | -36.84 | -65.14 | 0.47 |
| 244 | 244 | 160 | Q_smistamento | -29.14 | -65.77 | 0.47 |
| 244 | 244 | 161 | Q_smistamento | -29.14 | -65.77 | -0.47 |
| 244 | 244 | 157 | Q_smistamento | -36.84 | -65.14 | -0.47 |
| 244 | 244 | 156 | Q_neve | -5.113E-13 | -9.379E-13 | 6.841E-14 |
| 244 | 244 | 160 | Q_neve | -8.264E-13 | -1.519E-12 | 1.474E-13 |
| 244 | 244 | 161 | Q_neve | -3.040E-13 | -1.086E-12 | 6.841E-14 |
| 244 | 244 | 157 | Q_neve | -6.388E-13 | -1.292E-12 | -1.058E-14 |
| 245 | 245 | 157 | DEAD | -3.128E-12 | -6.463E-12 | 2.248E-13 |
| 245 | 245 | 161 | DEAD | -2.202E-12 | -7.106E-12 | 3.404E-13 |
| 245 | 245 | 162 | DEAD | -3.326E-12 | -5.555E-12 | -4.072E-13 |
| 245 | 245 | 158 | DEAD | -1.926E-12 | -4.775E-12 | 2.444E-14 |
| 245 | 245 | 157 | G1_smistamento | -99.37 | -175.74 | -4.3 |
| 245 | 245 | 161 | G1_smistamento | -78.61 | -177.42 | -3.24 |
| 245 | 245 | 162 | G1_smistamento | -69.79 | -143.49 | -5.55 |
| 245 | 245 | 158 | G1_smistamento | -89.52 | -142.67 | -6.6 |
| 245 | 245 | 157 | G2_smistamento | -36.84 | -65.15 | -1.59 |
| 245 | 245 | 161 | G2_smistamento | -29.14 | -65.77 | -1.2 |
| 245 | 245 | 162 | G2_smistamento | -25.87 | -53.19 | -2.06 |
| 245 | 245 | 158 | G2_smistamento | -33.19 | -52.89 | -2.45 |
| 245 | 245 | 157 | Q_smistamento | -36.84 | -65.15 | -1.59 |
| 245 | 245 | 161 | Q_smistamento | -29.14 | -65.77 | -1.2 |
| 245 | 245 | 162 | Q_smistamento | -25.87 | -53.19 | -2.06 |
| 245 | 245 | 158 | Q_smistamento | -33.19 | -52.89 | -2.45 |
| 245 | 245 | 157 | Q_neve | -7.374E-13 | -1.356E-12 | -5.172E-14 |
| 245 | 245 | 161 | Q_neve | -3.013E-13 | -1.488E-12 | 1.246E-13 |
| 245 | 245 | 162 | Q_neve | -8.361E-13 | -9.017E-13 | -1.307E-13 |
| 245 | 245 | 158 | Q_neve | -1.433E-13 | -4.614E-13 | -3.339E-14 |
| 246 | 246 | 158 | DEAD | -1.186E-12 | -7.074E-12 | 1.336E-13 |

Table 21: Element Stresses - Area Shells, Part 1 of 3

| Area | AreaElem | Joint | OutputCase | S11Top KN/m2 | S22Top KN/m2 | S12Top KN/m2 |
|------|----------|-------|----------------|-----------------|-----------------|-----------------|
| 246 | 246 | 162 | DEAD | -4.185E-12 | -6.809E-12 | -1.824E-13 |
| 246 | 246 | 132 | DEAD | -3.991E-12 | -4.032E-12 | -4.984E-13 |
| 246 | 246 | 134 | DEAD | -1.539E-12 | -2.108E-12 | -1.824E-13 |
| 246 | 246 | 158 | G1_smistamento | -89.53 | -142.74 | -8.96 |
| 246 | 246 | 162 | G1_smistamento | -69.8 | -143.52 | -7.31 |
| 246 | 246 | 132 | G1_smistamento | -48.51 | -53.86 | -9.13 |
| 246 | 246 | 134 | G1_smistamento | -66.87 | -53.88 | -10.78 |
| 246 | 246 | 158 | G2_smistamento | -33.19 | -52.91 | -3.32 |
| 246 | 246 | 162 | G2_smistamento | -25.87 | -53.21 | -2.71 |
| 246 | 246 | 132 | G2_smistamento | -17.98 | -19.96 | -3.39 |
| 246 | 246 | 134 | G2_smistamento | -24.79 | -19.97 | -4. |
| 246 | 246 | 158 | Q_smistamento | -33.19 | -52.91 | -3.32 |
| 246 | 246 | 162 | Q_smistamento | -25.87 | -53.21 | -2.71 |
| 246 | 246 | 132 | Q_smistamento | -17.98 | -19.96 | -3.39 |
| 246 | 246 | 134 | Q_smistamento | -24.79 | -19.97 | -4. |
| 246 | 246 | 158 | Q_neve | -5.062E-13 | -1.458E-12 | -7.676E-14 |
| 246 | 246 | 162 | Q_neve | -5.982E-13 | -9.934E-13 | -4.785E-14 |
| 246 | 246 | 132 | Q_neve | -8.222E-13 | -6.683E-13 | -3.726E-14 |
| 246 | 246 | 134 | Q_neve | -3.710E-13 | -5.688E-13 | 7.065E-14 |
| 247 | 247 | 74 | DEAD | -2.054E-12 | -5.709E-12 | 1.192E-12 |
| 247 | 247 | 76 | DEAD | -1.548E-12 | -4.974E-13 | 7.298E-13 |
| 247 | 247 | 163 | DEAD | -1.185E-12 | -6.104E-12 | 2.456E-12 |
| 247 | 247 | 159 | DEAD | -2.101E-12 | -5.158E-12 | 7.298E-13 |
| 247 | 247 | 74 | G1_smistamento | -48.49 | -53.85 | 7.6 |
| 247 | 247 | 76 | G1_smistamento | -31.1 | -53.74 | 6.44 |
| 247 | 247 | 163 | G1_smistamento | -51.48 | -143.35 | 4.95 |
| 247 | 247 | 159 | G1_smistamento | -69.8 | -143.52 | 6.11 |
| 247 | 247 | 74 | G2_smistamento | -17.98 | -19.96 | 2.82 |
| 247 | 247 | 76 | G2_smistamento | -11.53 | -19.92 | 2.39 |
| 247 | 247 | 163 | G2_smistamento | -19.08 | -53.14 | 1.83 |
| 247 | 247 | 159 | G2_smistamento | -25.88 | -53.21 | 2.27 |
| 247 | 247 | 74 | Q_smistamento | -17.98 | -19.96 | 2.82 |
| 247 | 247 | 76 | Q_smistamento | -11.53 | -19.92 | 2.39 |
| 247 | 247 | 163 | Q_smistamento | -19.08 | -53.14 | 1.83 |
| 247 | 247 | 159 | Q_smistamento | -25.88 | -53.21 | 2.27 |
| 247 | 247 | 74 | Q_neve | -1.156E-13 | -1.110E-12 | 2.297E-13 |
| 247 | 247 | 76 | Q_neve | -4.320E-13 | -1.724E-13 | 7.453E-14 |
| 247 | 247 | 163 | Q_neve | -6.883E-13 | -1.130E-12 | 5.457E-13 |

Table 21: Element Stresses - Area Shells, Part 1 of 3

| Area | AreaElem | Joint | OutputCase | S11Top KN/m2 | S22Top KN/m2 | S12Top KN/m2 |
|------|----------|-------|----------------|-----------------|-----------------|-----------------|
| 247 | 247 | 159 | Q_neve | -4.689E-14 | -8.538E-13 | 1.535E-13 |
| 248 | 248 | 159 | DEAD | -1.537E-12 | -3.432E-12 | 9.301E-13 |
| 248 | 248 | 163 | DEAD | -1.413E-12 | -6.510E-12 | 3.828E-13 |
| 248 | 248 | 164 | DEAD | -2.682E-12 | -7.263E-12 | -1.789E-14 |
| 248 | 248 | 160 | DEAD | -3.901E-12 | -4.733E-12 | -5.652E-13 |
| 248 | 248 | 159 | G1_smistamento | -69.8 | -143.49 | 4.35 |
| 248 | 248 | 163 | G1_smistamento | -51.48 | -143.34 | 3.67 |
| 248 | 248 | 164 | G1_smistamento | -59.63 | -177.36 | 2.09 |
| 248 | 248 | 160 | G1_smistamento | -78.65 | -177.43 | 2.77 |
| 248 | 248 | 159 | G2_smistamento | -25.88 | -53.19 | 1.61 |
| 248 | 248 | 163 | G2_smistamento | -19.08 | -53.14 | 1.36 |
| 248 | 248 | 164 | G2_smistamento | -22.1 | -65.75 | 0.78 |
| 248 | 248 | 160 | G2_smistamento | -29.16 | -65.78 | 1.03 |
| 248 | 248 | 159 | Q_smistamento | -25.88 | -53.19 | 1.61 |
| 248 | 248 | 163 | Q_smistamento | -19.08 | -53.14 | 1.36 |
| 248 | 248 | 164 | Q_smistamento | -22.1 | -65.75 | 0.78 |
| 248 | 248 | 160 | Q_smistamento | -29.16 | -65.78 | 1.03 |
| 248 | 248 | 159 | Q_neve | 7.446E-14 | -5.390E-13 | 2.462E-13 |
| 248 | 248 | 163 | Q_neve | -7.698E-13 | -1.523E-12 | 1.132E-13 |
| 248 | 248 | 164 | Q_neve | -5.477E-13 | -1.280E-12 | -1.093E-13 |
| 248 | 248 | 160 | Q_neve | -6.612E-13 | -9.799E-13 | -4.479E-14 |
| 249 | 249 | 160 | DEAD | -4.189E-12 | -7.464E-12 | 2.916E-13 |
| 249 | 249 | 164 | DEAD | -1.187E-12 | -2.442E-12 | -5.408E-13 |
| 249 | 249 | 165 | DEAD | -4.545E-12 | -8.294E-12 | -6.564E-13 |
| 249 | 249 | 161 | DEAD | -7.547E-12 | -6.748E-12 | 7.232E-13 |
| 249 | 249 | 160 | G1_smistamento | -78.65 | -177.42 | 0.81 |
| 249 | 249 | 164 | G1_smistamento | -59.63 | -177.36 | 0.81 |
| 249 | 249 | 165 | G1_smistamento | -59.63 | -177.36 | -0.81 |
| 249 | 249 | 161 | G1_smistamento | -78.65 | -177.42 | -0.81 |
| 249 | 249 | 160 | G2_smistamento | -29.16 | -65.77 | 0.3 |
| 249 | 249 | 164 | G2_smistamento | -22.1 | -65.75 | 0.3 |
| 249 | 249 | 165 | G2_smistamento | -22.1 | -65.75 | -0.3 |
| 249 | 249 | 161 | G2_smistamento | -29.16 | -65.77 | -0.3 |
| 249 | 249 | 160 | Q_smistamento | -29.16 | -65.77 | 0.3 |
| 249 | 249 | 164 | Q_smistamento | -22.1 | -65.75 | 0.3 |
| 249 | 249 | 165 | Q_smistamento | -22.1 | -65.75 | -0.3 |
| 249 | 249 | 161 | Q_smistamento | -29.16 | -65.77 | -0.3 |
| 249 | 249 | 160 | Q_neve | -9.995E-13 | -1.732E-12 | 3.339E-14 |

Table 21: Element Stresses - Area Shells, Part 1 of 3

| Area | AreaElem | Joint | OutputCase | S11Top KN/m2 | S22Top KN/m2 | S12Top KN/m2 |
|------|----------|-------|----------------|-----------------|-----------------|-----------------|
| 249 | 249 | 164 | Q_neve | -3.148E-13 | -1.129E-12 | -2.036E-13 |
| 249 | 249 | 165 | Q_neve | -8.020E-13 | -9.817E-13 | -1.246E-13 |
| 249 | 249 | 161 | Q_neve | -1.658E-12 | -1.208E-12 | 1.124E-13 |
| 250 | 250 | 161 | DEAD | -6.531E-12 | -8.362E-12 | -1.429E-12 |
| 250 | 250 | 165 | DEAD | -4.948E-12 | -8.771E-12 | 6.678E-14 |
| 250 | 250 | 166 | DEAD | -4.477E-13 | -3.543E-12 | 1.514E-13 |
| 250 | 250 | 162 | DEAD | -8.187E-12 | -6.006E-12 | -2.492E-13 |
| 250 | 250 | 161 | G1_smistamento | -78.65 | -177.43 | -2.77 |
| 250 | 250 | 165 | G1_smistamento | -59.63 | -177.36 | -2.09 |
| 250 | 250 | 166 | G1_smistamento | -51.48 | -143.34 | -3.67 |
| 250 | 250 | 162 | G1_smistamento | -69.8 | -143.49 | -4.35 |
| 250 | 250 | 161 | G2_smistamento | -29.16 | -65.78 | -1.03 |
| 250 | 250 | 165 | G2_smistamento | -22.1 | -65.75 | -0.78 |
| 250 | 250 | 166 | G2_smistamento | -19.08 | -53.14 | -1.36 |
| 250 | 250 | 162 | G2_smistamento | -25.88 | -53.19 | -1.61 |
| 250 | 250 | 161 | Q_smistamento | -29.16 | -65.78 | -1.03 |
| 250 | 250 | 165 | Q_smistamento | -22.1 | -65.75 | -0.78 |
| 250 | 250 | 166 | Q_smistamento | -19.08 | -53.14 | -1.36 |
| 250 | 250 | 162 | Q_smistamento | -25.88 | -53.19 | -1.61 |
| 250 | 250 | 161 | Q_neve | -1.711E-12 | -1.676E-12 | -1.527E-13 |
| 250 | 250 | 165 | Q_neve | -5.153E-13 | -1.203E-12 | 1.961E-13 |
| 250 | 250 | 166 | Q_neve | -1.049E-12 | -1.449E-12 | 8.429E-14 |
| 250 | 250 | 162 | Q_neve | -6.535E-13 | -9.463E-13 | 7.758E-14 |
| 251 | 251 | 162 | DEAD | -7.701E-12 | -7.188E-12 | 1.824E-13 |
| 251 | 251 | 166 | DEAD | -1.170E-12 | -4.222E-12 | -1.336E-13 |
| 251 | 251 | 130 | DEAD | -4.226E-12 | -5.924E-12 | 1.824E-13 |
| 251 | 251 | 132 | DEAD | -3.026E-12 | -3.076E-12 | 4.984E-13 |
| 251 | 251 | 162 | G1_smistamento | -69.8 | -143.52 | -6.11 |
| 251 | 251 | 166 | G1_smistamento | -51.48 | -143.35 | -4.95 |
| 251 | 251 | 130 | G1_smistamento | -31.1 | -53.74 | -6.44 |
| 251 | 251 | 132 | G1_smistamento | -48.49 | -53.85 | -7.6 |
| 251 | 251 | 162 | G2_smistamento | -25.88 | -53.21 | -2.27 |
| 251 | 251 | 166 | G2_smistamento | -19.08 | -53.14 | -1.83 |
| 251 | 251 | 130 | G2_smistamento | -11.53 | -19.92 | -2.39 |
| 251 | 251 | 132 | G2_smistamento | -17.98 | -19.96 | -2.82 |
| 251 | 251 | 162 | Q_smistamento | -25.88 | -53.21 | -2.27 |
| 251 | 251 | 166 | Q_smistamento | -19.08 | -53.14 | -1.83 |
| 251 | 251 | 130 | Q_smistamento | -11.53 | -19.92 | -2.39 |

Table 21: Element Stresses - Area Shells, Part 1 of 3

| Area | AreaElem | Joint | OutputCase | S11Top KN/m2 | S22Top KN/m2 | S12Top KN/m2 |
|------|----------|-------|----------------|-----------------|-----------------|-----------------|
| 251 | 251 | 132 | Q_smistamento | -17.98 | -19.96 | -2.82 |
| 251 | 251 | 162 | Q_neve | -9.633E-13 | -1.319E-12 | -1.110E-13 |
| 251 | 251 | 166 | Q_neve | -7.451E-13 | -1.176E-12 | 5.090E-14 |
| 251 | 251 | 130 | Q_neve | -5.190E-13 | -7.562E-13 | -7.147E-14 |
| 251 | 251 | 132 | Q_neve | -6.859E-13 | -6.427E-13 | -2.810E-14 |
| 252 | 252 | 76 | DEAD | 4.552E-13 | -7.682E-13 | 8.812E-13 |
| 252 | 252 | 78 | DEAD | 1.830E-12 | -1.478E-12 | 1.645E-13 |
| 252 | 252 | 167 | DEAD | -1.915E-12 | -5.982E-12 | -6.988E-13 |
| 252 | 252 | 163 | DEAD | -3.700E-12 | -7.324E-12 | 1.113E-12 |
| 252 | 252 | 76 | G1_smistamento | -31.1 | -53.74 | 5.25 |
| 252 | 252 | 78 | G1_smistamento | -17.82 | -53.72 | 4.36 |
| 252 | 252 | 167 | G1_smistamento | -37.65 | -143.05 | 3.25 |
| 252 | 252 | 163 | G1_smistamento | -51.48 | -143.35 | 4.14 |
| 252 | 252 | 76 | G2_smistamento | -11.53 | -19.92 | 1.95 |
| 252 | 252 | 78 | G2_smistamento | -6.61 | -19.91 | 1.62 |
| 252 | 252 | 167 | G2_smistamento | -13.96 | -53.03 | 1.21 |
| 252 | 252 | 163 | G2_smistamento | -19.08 | -53.14 | 1.53 |
| 252 | 252 | 76 | Q_smistamento | -11.53 | -19.92 | 1.95 |
| 252 | 252 | 78 | Q_smistamento | -6.61 | -19.91 | 1.62 |
| 252 | 252 | 167 | Q_smistamento | -13.96 | -53.03 | 1.21 |
| 252 | 252 | 163 | Q_smistamento | -19.08 | -53.14 | 1.53 |
| 252 | 252 | 76 | Q_neve | -3.577E-13 | -4.303E-13 | 1.185E-13 |
| 252 | 252 | 78 | Q_neve | 8.485E-13 | -1.336E-13 | 5.783E-14 |
| 252 | 252 | 167 | Q_neve | -8.125E-14 | -9.437E-13 | -1.185E-13 |
| 252 | 252 | 163 | Q_neve | -8.599E-13 | -1.565E-12 | 2.158E-13 |
| 253 | 253 | 163 | DEAD | -3.140E-12 | -6.518E-12 | -1.157E-13 |
| 253 | 253 | 167 | DEAD | -2.432E-12 | -7.514E-12 | 1.157E-13 |
| 253 | 253 | 168 | DEAD | -6.734E-12 | -8.374E-12 | -4.317E-13 |
| 253 | 253 | 164 | DEAD | 7.673E-13 | -5.736E-12 | 4.317E-13 |
| 253 | 253 | 163 | G1_smistamento | -51.48 | -143.34 | 2.85 |
| 253 | 253 | 167 | G1_smistamento | -37.65 | -143.05 | 2.39 |
| 253 | 253 | 168 | G1_smistamento | -45.41 | -176.91 | 1.33 |
| 253 | 253 | 164 | G1_smistamento | -59.65 | -177.37 | 1.8 |
| 253 | 253 | 163 | G2_smistamento | -19.08 | -53.14 | 1.06 |
| 253 | 253 | 167 | G2_smistamento | -13.96 | -53.03 | 0.88 |
| 253 | 253 | 168 | G2_smistamento | -16.84 | -65.58 | 0.49 |
| 253 | 253 | 164 | G2_smistamento | -22.11 | -65.75 | 0.67 |
| 253 | 253 | 163 | Q_smistamento | -19.08 | -53.14 | 1.06 |

Table 21: Element Stresses - Area Shells, Part 1 of 3

| Area | AreaElem | Joint | OutputCase | S11Top KN/m2 | S22Top KN/m2 | S12Top KN/m2 |
|------|----------|-------|----------------|-----------------|-----------------|-----------------|
| 253 | 253 | 167 | Q_smistamento | -13.96 | -53.03 | 0.88 |
| 253 | 253 | 168 | Q_smistamento | -16.84 | -65.58 | 0.49 |
| 253 | 253 | 164 | Q_smistamento | -22.11 | -65.75 | 0.67 |
| 253 | 253 | 163 | Q_neve | -7.824E-13 | -1.536E-12 | 0. |
| 253 | 253 | 167 | Q_neve | -1.780E-13 | -1.104E-12 | 2.892E-14 |
| 253 | 253 | 168 | Q_neve | -7.626E-13 | -1.674E-12 | 0. |
| 253 | 253 | 164 | Q_neve | -5.631E-13 | -1.370E-12 | 1.079E-13 |
| 254 | 254 | 164 | DEAD | 7.006E-13 | -3.133E-12 | -1.435E-12 |
| 254 | 254 | 168 | DEAD | -6.729E-12 | -1.040E-11 | -2.414E-12 |
| 254 | 254 | 169 | DEAD | -2.183E-12 | -4.279E-12 | -1.119E-12 |
| 254 | 254 | 165 | DEAD | -5.426E-12 | -7.679E-12 | -1.782E-12 |
| 254 | 254 | 164 | G1_smistamento | -59.65 | -177.36 | 0.52 |
| 254 | 254 | 168 | G1_smistamento | -45.41 | -176.91 | 0.52 |
| 254 | 254 | 169 | G1_smistamento | -45.41 | -176.91 | -0.52 |
| 254 | 254 | 165 | G1_smistamento | -59.65 | -177.36 | -0.52 |
| 254 | 254 | 164 | G2_smistamento | -22.11 | -65.75 | 0.19 |
| 254 | 254 | 168 | G2_smistamento | -16.84 | -65.58 | 0.19 |
| 254 | 254 | 169 | G2_smistamento | -16.84 | -65.58 | -0.19 |
| 254 | 254 | 165 | G2_smistamento | -22.11 | -65.75 | -0.19 |
| 254 | 254 | 164 | Q_smistamento | -22.11 | -65.75 | 0.19 |
| 254 | 254 | 168 | Q_smistamento | -16.84 | -65.58 | 0.19 |
| 254 | 254 | 169 | Q_smistamento | -16.84 | -65.58 | -0.19 |
| 254 | 254 | 165 | Q_smistamento | -22.11 | -65.75 | -0.19 |
| 254 | 254 | 164 | Q_neve | -4.831E-13 | -1.083E-12 | -2.136E-13 |
| 254 | 254 | 168 | Q_neve | -9.477E-13 | -1.880E-12 | -3.215E-13 |
| 254 | 254 | 169 | Q_neve | -1.016E-12 | -6.678E-13 | -1.741E-13 |
| 254 | 254 | 165 | Q_neve | -2.268E-13 | -1.119E-12 | -2.030E-13 |
| 255 | 255 | 165 | DEAD | -3.997E-12 | -7.570E-12 | -2.981E-13 |
| 255 | 255 | 169 | DEAD | -2.540E-12 | -4.449E-12 | -6.988E-13 |
| 255 | 255 | 170 | DEAD | -7.315E-12 | -5.200E-12 | -6.141E-13 |
| 255 | 255 | 166 | DEAD | -4.120E-12 | -4.765E-12 | 8.812E-13 |
| 255 | 255 | 165 | G1_smistamento | -59.65 | -177.37 | -1.8 |
| 255 | 255 | 169 | G1_smistamento | -45.41 | -176.91 | -1.33 |
| 255 | 255 | 170 | G1_smistamento | -37.65 | -143.05 | -2.39 |
| 255 | 255 | 166 | G1_smistamento | -51.48 | -143.34 | -2.85 |
| 255 | 255 | 165 | G2_smistamento | -22.11 | -65.75 | -0.67 |
| 255 | 255 | 169 | G2_smistamento | -16.84 | -65.58 | -0.49 |
| 255 | 255 | 170 | G2_smistamento | -13.96 | -53.03 | -0.88 |

Table 21: Element Stresses - Area Shells, Part 1 of 3

| Area | AreaElem | Joint | OutputCase | S11Top KN/m2 | S22Top KN/m2 | S12Top KN/m2 |
|------|----------|-------|----------------|-----------------|-----------------|-----------------|
| 255 | 255 | 166 | G2_smistamento | -19.08 | -53.14 | -1.06 |
| 255 | 255 | 165 | Q_smistamento | -22.11 | -65.75 | -0.67 |
| 255 | 255 | 169 | Q_smistamento | -16.84 | -65.58 | -0.49 |
| 255 | 255 | 170 | Q_smistamento | -13.96 | -53.03 | -0.88 |
| 255 | 255 | 166 | Q_smistamento | -19.08 | -53.14 | -1.06 |
| 255 | 255 | 165 | Q_neve | -4.323E-13 | -1.071E-12 | -7.453E-14 |
| 255 | 255 | 169 | Q_neve | -1.068E-12 | -1.013E-12 | -1.641E-13 |
| 255 | 255 | 170 | Q_neve | -9.360E-13 | -9.818E-13 | -1.535E-13 |
| 255 | 255 | 166 | Q_neve | -1.207E-12 | -1.467E-12 | 7.289E-14 |
| 256 | 256 | 166 | DEAD | -3.966E-12 | -5.141E-12 | -1.824E-13 |
| 256 | 256 | 170 | DEAD | -8.054E-12 | -8.933E-12 | -1.824E-13 |
| 256 | 256 | 128 | DEAD | -5.270E-12 | -2.179E-12 | -1.824E-13 |
| 256 | 256 | 130 | DEAD | -5.013E-12 | -6.050E-12 | -1.824E-13 |
| 256 | 256 | 166 | G1_smistamento | -51.48 | -143.35 | -4.14 |
| 256 | 256 | 170 | G1_smistamento | -37.65 | -143.05 | -3.25 |
| 256 | 256 | 128 | G1_smistamento | -17.82 | -53.72 | -4.36 |
| 256 | 256 | 130 | G1_smistamento | -31.1 | -53.74 | -5.25 |
| 256 | 256 | 166 | G2_smistamento | -19.08 | -53.14 | -1.53 |
| 256 | 256 | 170 | G2_smistamento | -13.96 | -53.03 | -1.21 |
| 256 | 256 | 128 | G2_smistamento | -6.61 | -19.91 | -1.62 |
| 256 | 256 | 130 | G2_smistamento | -11.53 | -19.92 | -1.95 |
| 256 | 256 | 166 | Q_smistamento | -19.08 | -53.14 | -1.53 |
| 256 | 256 | 170 | Q_smistamento | -13.96 | -53.03 | -1.21 |
| 256 | 256 | 128 | Q_smistamento | -6.61 | -19.91 | -1.62 |
| 256 | 256 | 130 | Q_smistamento | -11.53 | -19.92 | -1.95 |
| 256 | 256 | 166 | Q_neve | -1.318E-12 | -1.377E-12 | 7.371E-14 |
| 256 | 256 | 170 | Q_neve | -1.039E-12 | -1.093E-12 | 4.867E-14 |
| 256 | 256 | 128 | Q_neve | -1.852E-12 | -1.200E-12 | -5.292E-15 |
| 256 | 256 | 130 | Q_neve | -2.492E-13 | -6.976E-13 | 8.816E-14 |
| 257 | 257 | 78 | DEAD | 7.610E-14 | -2.263E-12 | -9.366E-13 |
| 257 | 257 | 80 | DEAD | -3.105E-12 | -6.419E-12 | -1.368E-12 |
| 257 | 257 | 171 | DEAD | -1.741E-12 | -6.608E-12 | -1.253E-12 |
| 257 | 257 | 167 | DEAD | -3.144E-12 | -5.668E-12 | -1.368E-12 |
| 257 | 257 | 78 | G1_smistamento | -17.83 | -53.72 | 3.38 |
| 257 | 257 | 80 | G1_smistamento | -9.36 | -53.79 | 2.65 |
| 257 | 257 | 171 | G1_smistamento | -28.88 | -142.87 | 1.92 |
| 257 | 257 | 167 | G1_smistamento | -37.66 | -143.05 | 2.66 |
| 257 | 257 | 78 | G2_smistamento | -6.61 | -19.92 | 1.25 |

Table 21: Element Stresses - Area Shells, Part 1 of 3

| Area | AreaElem | Joint | OutputCase | S11Top KN/m2 | S22Top KN/m2 | S12Top KN/m2 |
|------|----------|-------|----------------|-----------------|-----------------|-----------------|
| 257 | 257 | 80 | G2_smistamento | -3.47 | -19.94 | 0.98 |
| 257 | 257 | 171 | G2_smistamento | -10.71 | -52.96 | 0.71 |
| 257 | 257 | 167 | G2_smistamento | -13.96 | -53.03 | 0.98 |
| 257 | 257 | 78 | Q_smistamento | -6.61 | -19.92 | 1.25 |
| 257 | 257 | 80 | Q_smistamento | -3.47 | -19.94 | 0.98 |
| 257 | 257 | 171 | Q_smistamento | -10.71 | -52.96 | 0.71 |
| 257 | 257 | 167 | Q_smistamento | -13.96 | -53.03 | 0.98 |
| 257 | 257 | 78 | Q_neve | 1.371E-13 | -5.812E-13 | -5.783E-14 |
| 257 | 257 | 80 | Q_neve | -4.248E-13 | -8.705E-13 | -1.657E-13 |
| 257 | 257 | 171 | Q_neve | -6.331E-13 | -1.351E-12 | -2.158E-13 |
| 257 | 257 | 167 | Q_neve | -1.991E-14 | -1.216E-12 | -2.447E-13 |
| 258 | 258 | 167 | DEAD | -1.482E-12 | -6.715E-12 | -1.277E-12 |
| 258 | 258 | 171 | DEAD | -3.260E-12 | -6.261E-12 | -1.593E-12 |
| 258 | 258 | 172 | DEAD | -1.916E-12 | -6.991E-12 | -1.277E-12 |
| 258 | 258 | 168 | DEAD | -5.748E-12 | -9.224E-12 | -9.611E-13 |
| 258 | 258 | 167 | G1_smistamento | -37.66 | -143.05 | 1.78 |
| 258 | 258 | 171 | G1_smistamento | -28.88 | -142.87 | 1.42 |
| 258 | 258 | 172 | G1_smistamento | -36.43 | -176.56 | 0.76 |
| 258 | 258 | 168 | G1_smistamento | -45.42 | -176.91 | 1.13 |
| 258 | 258 | 167 | G2_smistamento | -13.96 | -53.03 | 0.66 |
| 258 | 258 | 171 | G2_smistamento | -10.71 | -52.97 | 0.53 |
| 258 | 258 | 172 | G2_smistamento | -13.51 | -65.45 | 0.28 |
| 258 | 258 | 168 | G2_smistamento | -16.84 | -65.58 | 0.42 |
| 258 | 258 | 167 | Q_smistamento | -13.96 | -53.03 | 0.66 |
| 258 | 258 | 171 | Q_smistamento | -10.71 | -52.97 | 0.53 |
| 258 | 258 | 172 | Q_smistamento | -13.51 | -65.45 | 0.28 |
| 258 | 258 | 168 | Q_smistamento | -16.84 | -65.58 | 0.42 |
| 258 | 258 | 167 | Q_neve | 1.669E-13 | -9.344E-13 | -2.342E-13 |
| 258 | 258 | 171 | Q_neve | -9.410E-13 | -1.895E-12 | -3.527E-13 |
| 258 | 258 | 172 | Q_neve | -2.182E-13 | -9.641E-13 | -3.132E-13 |
| 258 | 258 | 168 | Q_neve | -1.129E-12 | -1.885E-12 | -1.947E-13 |
| 259 | 259 | 168 | DEAD | -5.658E-12 | -1.011E-11 | -2.313E-13 |
| 259 | 259 | 172 | DEAD | -2.079E-12 | -8.766E-12 | -7.786E-13 |
| 259 | 259 | 173 | DEAD | -1.708E-12 | -6.473E-12 | -8.633E-13 |
| 259 | 259 | 169 | DEAD | -3.303E-12 | -4.461E-12 | -1.411E-12 |
| 259 | 259 | 168 | G1_smistamento | -45.42 | -176.91 | 0.31 |
| 259 | 259 | 172 | G1_smistamento | -36.43 | -176.56 | 0.31 |
| 259 | 259 | 173 | G1_smistamento | -36.43 | -176.56 | -0.31 |

Table 21: Element Stresses - Area Shells, Part 1 of 3

| Area | AreaElem | Joint | OutputCase | S11Top KN/m2 | S22Top KN/m2 | S12Top KN/m2 |
|------|----------|-------|----------------|-----------------|-----------------|-----------------|
| 259 | 259 | 169 | G1_smistamento | -45.42 | -176.91 | -0.31 |
| 259 | 259 | 168 | G2_smistamento | -16.84 | -65.58 | 0.12 |
| 259 | 259 | 172 | G2_smistamento | -13.51 | -65.45 | 0.12 |
| 259 | 259 | 173 | G2_smistamento | -13.51 | -65.45 | -0.12 |
| 259 | 259 | 169 | G2_smistamento | -16.84 | -65.58 | -0.12 |
| 259 | 259 | 168 | Q_smistamento | -16.84 | -65.58 | 0.12 |
| 259 | 259 | 172 | Q_smistamento | -13.51 | -65.45 | 0.12 |
| 259 | 259 | 173 | Q_smistamento | -13.51 | -65.45 | -0.12 |
| 259 | 259 | 169 | Q_smistamento | -16.84 | -65.58 | -0.12 |
| 259 | 259 | 168 | Q_neve | -1.086E-12 | -2.033E-12 | -5.783E-14 |
| 259 | 259 | 172 | Q_neve | -3.932E-13 | -1.691E-12 | -2.342E-13 |
| 259 | 259 | 173 | Q_neve | 5.963E-14 | -1.046E-12 | -2.158E-13 |
| 259 | 259 | 169 | Q_neve | -9.067E-13 | -7.035E-13 | -3.132E-13 |
| 260 | 260 | 169 | DEAD | -4.082E-12 | -4.895E-12 | -2.000E-12 |
| 260 | 260 | 173 | DEAD | -1.180E-12 | -5.179E-12 | -1.484E-12 |
| 260 | 260 | 174 | DEAD | 2.554E-12 | -1.103E-12 | -7.363E-13 |
| 260 | 260 | 170 | DEAD | -4.932E-12 | -4.034E-12 | -1.800E-12 |
| 260 | 260 | 169 | G1_smistamento | -45.42 | -176.91 | -1.13 |
| 260 | 260 | 173 | G1_smistamento | -36.43 | -176.56 | -0.76 |
| 260 | 260 | 174 | G1_smistamento | -28.88 | -142.87 | -1.42 |
| 260 | 260 | 170 | G1_smistamento | -37.66 | -143.05 | -1.78 |
| 260 | 260 | 169 | G2_smistamento | -16.84 | -65.58 | -0.42 |
| 260 | 260 | 173 | G2_smistamento | -13.51 | -65.45 | -0.28 |
| 260 | 260 | 174 | G2_smistamento | -10.71 | -52.97 | -0.53 |
| 260 | 260 | 170 | G2_smistamento | -13.96 | -53.03 | -0.66 |
| 260 | 260 | 169 | Q_smistamento | -16.84 | -65.58 | -0.42 |
| 260 | 260 | 173 | Q_smistamento | -13.51 | -65.45 | -0.28 |
| 260 | 260 | 174 | Q_smistamento | -10.71 | -52.97 | -0.53 |
| 260 | 260 | 170 | Q_smistamento | -13.96 | -53.03 | -0.66 |
| 260 | 260 | 169 | Q_neve | -9.583E-13 | -9.897E-13 | -3.527E-13 |
| 260 | 260 | 173 | Q_neve | 8.361E-14 | -8.206E-13 | -3.132E-13 |
| 260 | 260 | 174 | Q_neve | 3.254E-13 | -2.589E-13 | -1.947E-13 |
| 260 | 260 | 170 | Q_neve | -9.730E-13 | -8.897E-13 | -2.342E-13 |
| 261 | 261 | 170 | DEAD | -6.161E-12 | -8.124E-12 | -5.587E-13 |
| 261 | 261 | 174 | DEAD | 1.811E-12 | -2.575E-12 | -3.583E-13 |
| 261 | 261 | 126 | DEAD | 1.304E-12 | -3.028E-12 | 1.653E-12 |
| 261 | 261 | 128 | DEAD | -3.521E-12 | -2.693E-12 | 9.056E-13 |
| 261 | 261 | 170 | G1_smistamento | -37.66 | -143.05 | -2.66 |

Table 21: Element Stresses - Area Shells, Part 1 of 3

| Area | AreaElem | Joint | OutputCase | S11Top KN/m2 | S22Top KN/m2 | S12Top KN/m2 |
|------|----------|-------|----------------|-----------------|-----------------|-----------------|
| 261 | 261 | 174 | G1_smistamento | -28.88 | -142.87 | -1.92 |
| 261 | 261 | 126 | G1_smistamento | -9.36 | -53.79 | -2.65 |
| 261 | 261 | 128 | G1_smistamento | -17.83 | -53.72 | -3.38 |
| 261 | 261 | 170 | G2_smistamento | -13.96 | -53.03 | -0.98 |
| 261 | 261 | 174 | G2_smistamento | -10.71 | -52.96 | -0.71 |
| 261 | 261 | 126 | G2_smistamento | -3.47 | -19.94 | -0.98 |
| 261 | 261 | 128 | G2_smistamento | -6.61 | -19.92 | -1.25 |
| 261 | 261 | 170 | Q_smistamento | -13.96 | -53.03 | -0.98 |
| 261 | 261 | 174 | Q_smistamento | -10.71 | -52.96 | -0.71 |
| 261 | 261 | 126 | Q_smistamento | -3.47 | -19.94 | -0.98 |
| 261 | 261 | 128 | Q_smistamento | -6.61 | -19.92 | -1.25 |
| 261 | 261 | 170 | Q_neve | -1.374E-12 | -1.453E-12 | -1.975E-13 |
| 261 | 261 | 174 | Q_neve | 4.970E-13 | -3.541E-13 | -5.008E-14 |
| 261 | 261 | 126 | Q_neve | 3.247E-13 | -7.817E-13 | 1.975E-13 |
| 261 | 261 | 128 | Q_neve | -9.645E-13 | -1.026E-12 | 1.869E-13 |
| 262 | 262 | 80 | DEAD | -7.707E-13 | -5.510E-12 | -1.824E-12 |
| 262 | 262 | 82 | DEAD | -3.619E-12 | -5.599E-12 | -1.909E-12 |
| 262 | 262 | 175 | DEAD | -2.627E-12 | -4.365E-12 | -1.824E-12 |
| 262 | 262 | 171 | DEAD | -2.789E-12 | -6.191E-12 | -6.451E-13 |
| 262 | 262 | 80 | G1_smistamento | -9.37 | -53.79 | 1.78 |
| 262 | 262 | 82 | G1_smistamento | -5.35 | -53.85 | 1.13 |
| 262 | 262 | 175 | G1_smistamento | -24.72 | -142.81 | 0.77 |
| 262 | 262 | 171 | G1_smistamento | -28.88 | -142.87 | 1.43 |
| 262 | 262 | 80 | G2_smistamento | -3.47 | -19.94 | 0.66 |
| 262 | 262 | 82 | G2_smistamento | -1.98 | -19.96 | 0.42 |
| 262 | 262 | 175 | G2_smistamento | -9.16 | -52.94 | 0.29 |
| 262 | 262 | 171 | G2_smistamento | -10.71 | -52.96 | 0.53 |
| 262 | 262 | 80 | Q_smistamento | -3.47 | -19.94 | 0.66 |
| 262 | 262 | 82 | Q_smistamento | -1.98 | -19.96 | 0.42 |
| 262 | 262 | 175 | Q_smistamento | -9.16 | -52.94 | 0.29 |
| 262 | 262 | 171 | Q_smistamento | -10.71 | -52.96 | 0.53 |
| 262 | 262 | 80 | Q_neve | -1.009E-13 | -7.647E-13 | -4.188E-13 |
| 262 | 262 | 82 | Q_neve | -7.102E-13 | -1.128E-12 | -3.610E-13 |
| 262 | 262 | 175 | Q_neve | -4.164E-14 | -1.179E-12 | -3.793E-13 |
| 262 | 262 | 171 | Q_neve | -1.194E-12 | -1.415E-12 | -1.635E-13 |
| 263 | 263 | 171 | DEAD | -2.399E-12 | -6.428E-12 | -1.095E-12 |
| 263 | 263 | 175 | DEAD | -3.302E-12 | -5.952E-12 | -1.095E-12 |
| 263 | 263 | 176 | DEAD | -3.781E-12 | -8.600E-12 | -1.095E-12 |

Table 21: Element Stresses - Area Shells, Part 1 of 3

| Area | AreaElem | Joint | OutputCase | S11Top KN/m2 | S22Top KN/m2 | S12Top KN/m2 |
|------|----------|-------|----------------|-----------------|-----------------|-----------------|
| 263 | 263 | 172 | DEAD | -1.920E-12 | -7.571E-12 | -1.095E-12 |
| 263 | 263 | 171 | G1_smistamento | -28.88 | -142.87 | 0.92 |
| 263 | 263 | 175 | G1_smistamento | -24.72 | -142.81 | 0.61 |
| 263 | 263 | 176 | G1_smistamento | -32.18 | -176.39 | 0.29 |
| 263 | 263 | 172 | G1_smistamento | -36.44 | -176.56 | 0.61 |
| 263 | 263 | 171 | G2_smistamento | -10.71 | -52.97 | 0.34 |
| 263 | 263 | 175 | G2_smistamento | -9.16 | -52.94 | 0.23 |
| 263 | 263 | 176 | G2_smistamento | -11.93 | -65.39 | 0.11 |
| 263 | 263 | 172 | G2_smistamento | -13.51 | -65.45 | 0.22 |
| 263 | 263 | 171 | Q_smistamento | -10.71 | -52.97 | 0.34 |
| 263 | 263 | 175 | Q_smistamento | -9.16 | -52.94 | 0.23 |
| 263 | 263 | 176 | Q_smistamento | -11.93 | -65.39 | 0.11 |
| 263 | 263 | 172 | Q_smistamento | -13.51 | -65.45 | 0.22 |
| 263 | 263 | 171 | Q_neve | -1.144E-12 | -1.836E-12 | -2.904E-13 |
| 263 | 263 | 175 | Q_neve | -1.070E-13 | -1.136E-12 | -2.509E-13 |
| 263 | 263 | 176 | Q_neve | -5.320E-13 | -1.619E-12 | -2.114E-13 |
| 263 | 263 | 172 | Q_neve | -6.798E-13 | -1.156E-12 | -2.509E-13 |
| 264 | 264 | 172 | DEAD | -2.447E-12 | -8.694E-12 | -7.721E-13 |
| 264 | 264 | 176 | DEAD | -2.510E-12 | -5.308E-12 | -1.204E-12 |
| 264 | 264 | 177 | DEAD | -3.869E-12 | -5.376E-12 | -1.401E-13 |
| 264 | 264 | 173 | DEAD | -2.233E-12 | -5.821E-12 | -2.558E-13 |
| 264 | 264 | 172 | G1_smistamento | -36.44 | -176.56 | 0.15 |
| 264 | 264 | 176 | G1_smistamento | -32.18 | -176.39 | 0.15 |
| 264 | 264 | 177 | G1_smistamento | -32.18 | -176.39 | -0.15 |
| 264 | 264 | 173 | G1_smistamento | -36.44 | -176.56 | -0.15 |
| 264 | 264 | 172 | G2_smistamento | -13.51 | -65.45 | 5.510E-02 |
| 264 | 264 | 176 | G2_smistamento | -11.93 | -65.39 | 5.510E-02 |
| 264 | 264 | 177 | G2_smistamento | -11.93 | -65.39 | -5.510E-02 |
| 264 | 264 | 173 | G2_smistamento | -13.51 | -65.45 | -5.510E-02 |
| 264 | 264 | 172 | Q_smistamento | -13.51 | -65.45 | 5.510E-02 |
| 264 | 264 | 176 | Q_smistamento | -11.93 | -65.39 | 5.510E-02 |
| 264 | 264 | 177 | Q_smistamento | -11.93 | -65.39 | -5.510E-02 |
| 264 | 264 | 173 | Q_smistamento | -13.51 | -65.45 | -5.510E-02 |
| 264 | 264 | 172 | Q_neve | -6.506E-13 | -1.720E-12 | -1.786E-13 |
| 264 | 264 | 176 | Q_neve | -1.856E-13 | -1.407E-12 | -2.470E-13 |
| 264 | 264 | 177 | Q_neve | -9.172E-13 | -9.199E-13 | 1.893E-14 |
| 264 | 264 | 173 | Q_neve | -1.165E-13 | -1.062E-12 | -4.948E-14 |
| 265 | 265 | 173 | DEAD | -1.171E-12 | -3.849E-12 | -4.495E-13 |

Table 21: Element Stresses - Area Shells, Part 1 of 3

| Area | AreaElem | Joint | OutputCase | S11Top KN/m2 | S22Top KN/m2 | S12Top KN/m2 |
|------|----------|-------|----------------|-----------------|-----------------|-----------------|
| 265 | 265 | 177 | DEAD | -4.193E-12 | -6.197E-12 | 1.130E-12 |
| 265 | 265 | 178 | DEAD | 1.239E-12 | -1.282E-12 | 8.144E-13 |
| 265 | 265 | 174 | DEAD | 2.483E-12 | -1.260E-12 | -7.655E-13 |
| 265 | 265 | 173 | G1_smistamento | -36.44 | -176.56 | -0.61 |
| 265 | 265 | 177 | G1_smistamento | -32.18 | -176.39 | -0.29 |
| 265 | 265 | 178 | G1_smistamento | -24.72 | -142.81 | -0.61 |
| 265 | 265 | 174 | G1_smistamento | -28.88 | -142.87 | -0.92 |
| 265 | 265 | 173 | G2_smistamento | -13.51 | -65.45 | -0.22 |
| 265 | 265 | 177 | G2_smistamento | -11.93 | -65.39 | -0.11 |
| 265 | 265 | 178 | G2_smistamento | -9.16 | -52.94 | -0.23 |
| 265 | 265 | 174 | G2_smistamento | -10.71 | -52.97 | -0.34 |
| 265 | 265 | 173 | Q_smistamento | -13.51 | -65.45 | -0.22 |
| 265 | 265 | 177 | Q_smistamento | -11.93 | -65.39 | -0.11 |
| 265 | 265 | 178 | Q_smistamento | -9.16 | -52.94 | -0.23 |
| 265 | 265 | 174 | Q_smistamento | -10.71 | -52.97 | -0.34 |
| 265 | 265 | 173 | Q_neve | -1.691E-13 | -9.924E-13 | -9.569E-14 |
| 265 | 265 | 177 | Q_neve | -8.746E-13 | -9.820E-13 | 1.808E-13 |
| 265 | 265 | 178 | Q_neve | 3.345E-13 | -3.702E-13 | 1.413E-13 |
| 265 | 265 | 174 | Q_neve | 4.585E-13 | -4.353E-15 | -1.352E-13 |
| 266 | 266 | 174 | DEAD | 1.528E-12 | -2.519E-12 | 1.824E-13 |
| 266 | 266 | 178 | DEAD | 1.761E-12 | -1.538E-12 | 1.824E-13 |
| 266 | 266 | 124 | DEAD | -9.138E-14 | -3.980E-12 | 1.824E-13 |
| 266 | 266 | 126 | DEAD | 2.275E-12 | -1.814E-12 | 1.824E-13 |
| 266 | 266 | 174 | G1_smistamento | -28.88 | -142.87 | -1.43 |
| 266 | 266 | 178 | G1_smistamento | -24.72 | -142.81 | -0.77 |
| 266 | 266 | 124 | G1_smistamento | -5.35 | -53.85 | -1.13 |
| 266 | 266 | 126 | G1_smistamento | -9.37 | -53.79 | -1.78 |
| 266 | 266 | 174 | G2_smistamento | -10.71 | -52.96 | -0.53 |
| 266 | 266 | 178 | G2_smistamento | -9.16 | -52.94 | -0.29 |
| 266 | 266 | 124 | G2_smistamento | -1.98 | -19.96 | -0.42 |
| 266 | 266 | 126 | G2_smistamento | -3.47 | -19.94 | -0.66 |
| 266 | 266 | 174 | Q_smistamento | -10.71 | -52.96 | -0.53 |
| 266 | 266 | 178 | Q_smistamento | -9.16 | -52.94 | -0.29 |
| 266 | 266 | 124 | Q_smistamento | -1.98 | -19.96 | -0.42 |
| 266 | 266 | 126 | Q_smistamento | -3.47 | -19.94 | -0.66 |
| 266 | 266 | 174 | Q_neve | 3.596E-13 | -5.648E-13 | 2.280E-14 |
| 266 | 266 | 178 | Q_neve | 3.032E-13 | -1.529E-13 | -1.669E-14 |
| 266 | 266 | 124 | Q_neve | 4.386E-13 | -6.438E-13 | 2.280E-14 |

Table 21: Element Stresses - Area Shells, Part 1 of 3

| Area | AreaElem | Joint | OutputCase | S11Top KN/m2 | S22Top KN/m2 | S12Top KN/m2 |
|------|----------|-------|----------------|-----------------|-----------------|-----------------|
| 266 | 266 | 126 | Q_neve | -5.232E-14 | -5.084E-13 | 6.230E-14 |
| 267 | 267 | 82 | DEAD | -2.325E-12 | -7.631E-12 | -1.460E-12 |
| 267 | 267 | 84 | DEAD | -4.421E-12 | -6.182E-12 | -1.144E-12 |
| 267 | 267 | 179 | DEAD | -3.892E-13 | -6.485E-12 | -1.460E-12 |
| 267 | 267 | 175 | DEAD | -3.355E-12 | -3.693E-12 | -1.776E-12 |
| 267 | 267 | 82 | G1_smistamento | -5.35 | -53.85 | 0.32 |
| 267 | 267 | 84 | G1_smistamento | -5.35 | -53.85 | -0.32 |
| 267 | 267 | 179 | G1_smistamento | -24.72 | -142.81 | -0.32 |
| 267 | 267 | 175 | G1_smistamento | -24.72 | -142.81 | 0.32 |
| 267 | 267 | 82 | G2_smistamento | -1.98 | -19.96 | 0.12 |
| 267 | 267 | 84 | G2_smistamento | -1.98 | -19.96 | -0.12 |
| 267 | 267 | 179 | G2_smistamento | -9.16 | -52.94 | -0.12 |
| 267 | 267 | 175 | G2_smistamento | -9.16 | -52.94 | 0.12 |
| 267 | 267 | 82 | Q_smistamento | -1.98 | -19.96 | 0.12 |
| 267 | 267 | 84 | Q_smistamento | -1.98 | -19.96 | -0.12 |
| 267 | 267 | 179 | Q_smistamento | -9.16 | -52.94 | -0.12 |
| 267 | 267 | 175 | Q_smistamento | -9.16 | -52.94 | 0.12 |
| 267 | 267 | 82 | Q_neve | -6.413E-13 | -1.091E-12 | -2.737E-13 |
| 267 | 267 | 84 | Q_neve | -7.360E-13 | -1.217E-12 | -1.947E-13 |
| 267 | 267 | 179 | Q_neve | -4.932E-13 | -1.298E-12 | -2.737E-13 |
| 267 | 267 | 175 | Q_neve | -7.064E-13 | -1.069E-12 | -3.527E-13 |
| 268 | 268 | 175 | DEAD | -3.653E-12 | -6.937E-12 | -7.786E-13 |
| 268 | 268 | 179 | DEAD | -1.570E-12 | -5.401E-12 | -2.590E-12 |
| 268 | 268 | 180 | DEAD | -2.231E-12 | -5.515E-12 | -1.411E-12 |
| 268 | 268 | 176 | DEAD | -4.177E-12 | -8.008E-12 | -6.940E-13 |
| 268 | 268 | 175 | G1_smistamento | -24.72 | -142.81 | 0.15 |
| 268 | 268 | 179 | G1_smistamento | -24.72 | -142.81 | -0.15 |
| 268 | 268 | 180 | G1_smistamento | -32.19 | -176.39 | -0.15 |
| 268 | 268 | 176 | G1_smistamento | -32.19 | -176.39 | 0.15 |
| 268 | 268 | 175 | G2_smistamento | -9.16 | -52.94 | 5.539E-02 |
| 268 | 268 | 179 | G2_smistamento | -9.16 | -52.94 | -5.539E-02 |
| 268 | 268 | 180 | G2_smistamento | -11.93 | -65.39 | -5.539E-02 |
| 268 | 268 | 176 | G2_smistamento | -11.93 | -65.39 | 5.539E-02 |
| 268 | 268 | 175 | Q_smistamento | -9.16 | -52.94 | 5.539E-02 |
| 268 | 268 | 179 | Q_smistamento | -9.16 | -52.94 | -5.539E-02 |
| 268 | 268 | 180 | Q_smistamento | -11.93 | -65.39 | -5.539E-02 |
| 268 | 268 | 176 | Q_smistamento | -11.93 | -65.39 | 5.539E-02 |
| 268 | 268 | 175 | Q_neve | -7.864E-13 | -1.451E-12 | -1.004E-13 |

Table 21: Element Stresses - Area Shells, Part 1 of 3

| Area | AreaElem | Joint | OutputCase | S11Top KN/m2 | S22Top KN/m2 | S12Top KN/m2 |
|------|----------|-------|----------------|-----------------|-----------------|-----------------|
| 268 | 268 | 179 | Q_neve | -3.841E-13 | -7.576E-13 | -3.413E-13 |
| 268 | 268 | 180 | Q_neve | -8.555E-13 | -1.559E-12 | -2.189E-13 |
| 268 | 268 | 176 | Q_neve | -5.224E-13 | -1.449E-12 | -1.833E-13 |
| 269 | 269 | 176 | DEAD | -3.215E-12 | -6.173E-12 | -1.362E-12 |
| 269 | 269 | 180 | DEAD | -3.764E-12 | -7.254E-12 | -1.824E-13 |
| 269 | 269 | 181 | DEAD | 1.367E-12 | -3.268E-13 | -9.777E-14 |
| 269 | 269 | 177 | DEAD | -3.488E-12 | -4.924E-12 | -1.824E-13 |
| 269 | 269 | 176 | G1_smistamento | -32.19 | -176.39 | -1.477E-12 |
| 269 | 269 | 180 | G1_smistamento | -32.19 | -176.39 | -6.678E-14 |
| 269 | 269 | 181 | G1_smistamento | -32.19 | -176.39 | -5.294E-13 |
| 269 | 269 | 177 | G1_smistamento | -32.19 | -176.39 | 2.492E-13 |
| 269 | 269 | 176 | G2_smistamento | -11.93 | -65.39 | -6.931E-13 |
| 269 | 269 | 180 | G2_smistamento | -11.93 | -65.39 | 1.124E-13 |
| 269 | 269 | 181 | G2_smistamento | -11.93 | -65.39 | -2.191E-13 |
| 269 | 269 | 177 | G2_smistamento | -11.93 | -65.39 | -2.036E-13 |
| 269 | 269 | 176 | Q_smistamento | -11.93 | -65.39 | -6.931E-13 |
| 269 | 269 | 180 | Q_smistamento | -11.93 | -65.39 | 1.124E-13 |
| 269 | 269 | 181 | Q_smistamento | -11.93 | -65.39 | -2.191E-13 |
| 269 | 269 | 177 | Q_smistamento | -11.93 | -65.39 | -2.036E-13 |
| 269 | 269 | 176 | Q_neve | -5.492E-13 | -1.283E-12 | -2.553E-13 |
| 269 | 269 | 180 | Q_neve | -6.851E-13 | -9.907E-13 | -6.841E-14 |
| 269 | 269 | 181 | Q_neve | -9.500E-14 | -4.334E-13 | -1.833E-14 |
| 269 | 269 | 177 | Q_neve | -1.815E-13 | -6.056E-13 | -6.841E-14 |
| 270 | 270 | 177 | DEAD | -2.031E-12 | -5.448E-12 | 1.715E-12 |
| 270 | 270 | 181 | DEAD | 8.624E-13 | 1.392E-13 | 8.210E-13 |
| 270 | 270 | 182 | DEAD | -1.162E-12 | -3.947E-12 | 2.663E-12 |
| 270 | 270 | 178 | DEAD | -2.140E-12 | -1.599E-12 | 8.210E-13 |
| 270 | 270 | 177 | G1_smistamento | -32.19 | -176.39 | -0.15 |
| 270 | 270 | 181 | G1_smistamento | -32.19 | -176.39 | 0.15 |
| 270 | 270 | 182 | G1_smistamento | -24.72 | -142.81 | 0.15 |
| 270 | 270 | 178 | G1_smistamento | -24.72 | -142.81 | -0.15 |
| 270 | 270 | 177 | G2_smistamento | -11.93 | -65.39 | -5.539E-02 |
| 270 | 270 | 181 | G2_smistamento | -11.93 | -65.39 | 5.539E-02 |
| 270 | 270 | 182 | G2_smistamento | -9.16 | -52.94 | 5.539E-02 |
| 270 | 270 | 178 | G2_smistamento | -9.16 | -52.94 | -5.539E-02 |
| 270 | 270 | 177 | Q_smistamento | -11.93 | -65.39 | -5.539E-02 |
| 270 | 270 | 181 | Q_smistamento | -11.93 | -65.39 | 5.539E-02 |
| 270 | 270 | 182 | Q_smistamento | -9.16 | -52.94 | 5.539E-02 |

Table 21: Element Stresses - Area Shells, Part 1 of 3

| Area | AreaElem | Joint | OutputCase | S11Top KN/m2 | S22Top KN/m2 | S12Top KN/m2 |
|------|----------|-------|----------------|-----------------|-----------------|-----------------|
| 270 | 270 | 178 | Q_smistamento | -9.16 | -52.94 | -5.539E-02 |
| 270 | 270 | 177 | Q_neve | -2.008E-13 | -9.943E-13 | 2.236E-13 |
| 270 | 270 | 181 | Q_neve | 6.251E-14 | 2.759E-13 | 2.737E-13 |
| 270 | 270 | 182 | Q_neve | -5.859E-13 | -1.024E-12 | 4.606E-13 |
| 270 | 270 | 178 | Q_neve | 2.301E-14 | -3.956E-13 | 2.737E-13 |
| 271 | 271 | 178 | DEAD | -1.977E-12 | -2.932E-12 | 9.122E-13 |
| 271 | 271 | 182 | DEAD | -1.014E-12 | -5.241E-12 | 1.544E-12 |
| 271 | 271 | 122 | DEAD | -3.952E-12 | -4.275E-12 | 9.122E-13 |
| 271 | 271 | 124 | DEAD | 3.568E-12 | -2.239E-12 | 2.802E-13 |
| 271 | 271 | 178 | G1_smistamento | -24.72 | -142.81 | -0.32 |
| 271 | 271 | 182 | G1_smistamento | -24.72 | -142.81 | 0.32 |
| 271 | 271 | 122 | G1_smistamento | -5.35 | -53.85 | 0.32 |
| 271 | 271 | 124 | G1_smistamento | -5.35 | -53.85 | -0.32 |
| 271 | 271 | 178 | G2_smistamento | -9.16 | -52.94 | -0.12 |
| 271 | 271 | 182 | G2_smistamento | -9.16 | -52.94 | 0.12 |
| 271 | 271 | 122 | G2_smistamento | -1.98 | -19.96 | 0.12 |
| 271 | 271 | 124 | G2_smistamento | -1.98 | -19.96 | -0.12 |
| 271 | 271 | 178 | Q_smistamento | -9.16 | -52.94 | -0.12 |
| 271 | 271 | 182 | Q_smistamento | -9.16 | -52.94 | 0.12 |
| 271 | 271 | 122 | Q_smistamento | -1.98 | -19.96 | 0.12 |
| 271 | 271 | 124 | Q_smistamento | -1.98 | -19.96 | -0.12 |
| 271 | 271 | 178 | Q_neve | 1.051E-14 | -4.250E-13 | 1.763E-13 |
| 271 | 271 | 182 | Q_neve | -6.185E-13 | -1.120E-12 | 2.553E-13 |
| 271 | 271 | 122 | Q_neve | -8.486E-13 | -1.166E-12 | 9.733E-14 |
| 271 | 271 | 124 | Q_neve | 6.356E-13 | -3.000E-13 | 1.833E-14 |
| 272 | 272 | 84 | DEAD | -5.491E-13 | -5.722E-12 | -1.277E-12 |
| 272 | 272 | 86 | DEAD | -4.614E-12 | -6.156E-12 | -1.277E-12 |
| 272 | 272 | 183 | DEAD | 7.544E-13 | -5.840E-12 | -1.277E-12 |
| 272 | 272 | 179 | DEAD | -5.443E-12 | -7.459E-12 | -1.277E-12 |
| 272 | 272 | 84 | G1_smistamento | -5.35 | -53.85 | -1.13 |
| 272 | 272 | 86 | G1_smistamento | -9.37 | -53.79 | -1.78 |
| 272 | 272 | 183 | G1_smistamento | -28.88 | -142.87 | -1.43 |
| 272 | 272 | 179 | G1_smistamento | -24.72 | -142.81 | -0.77 |
| 272 | 272 | 84 | G2_smistamento | -1.98 | -19.96 | -0.42 |
| 272 | 272 | 86 | G2_smistamento | -3.47 | -19.94 | -0.66 |
| 272 | 272 | 183 | G2_smistamento | -10.71 | -52.96 | -0.53 |
| 272 | 272 | 179 | G2_smistamento | -9.16 | -52.94 | -0.29 |
| 272 | 272 | 84 | Q_smistamento | -1.98 | -19.96 | -0.42 |

Table 21: Element Stresses - Area Shells, Part 1 of 3

| Area | AreaElem | Joint | OutputCase | S11Top KN/m2 | S22Top KN/m2 | S12Top KN/m2 |
|------|----------|-------|----------------|-----------------|-----------------|-----------------|
| 272 | 272 | 86 | Q_smistamento | -3.47 | -19.94 | -0.66 |
| 272 | 272 | 183 | Q_smistamento | -10.71 | -52.96 | -0.53 |
| 272 | 272 | 179 | Q_smistamento | -9.16 | -52.94 | -0.29 |
| 272 | 272 | 84 | Q_neve | 2.188E-14 | -1.162E-12 | -2.904E-13 |
| 272 | 272 | 86 | Q_neve | -7.790E-13 | -9.814E-13 | -2.509E-13 |
| 272 | 272 | 183 | Q_neve | -4.324E-13 | -1.301E-12 | -2.114E-13 |
| 272 | 272 | 179 | Q_neve | -3.840E-13 | -1.139E-12 | -2.509E-13 |
| 273 | 273 | 179 | DEAD | -6.073E-12 | -7.516E-12 | -1.678E-12 |
| 273 | 273 | 183 | DEAD | 1.996E-12 | -4.537E-12 | -9.777E-14 |
| 273 | 273 | 184 | DEAD | -2.667E-13 | -5.027E-12 | 2.182E-13 |
| 273 | 273 | 180 | DEAD | -5.777E-14 | -4.379E-12 | -1.362E-12 |
| 273 | 273 | 179 | G1_smistamento | -24.72 | -142.81 | -0.61 |
| 273 | 273 | 183 | G1_smistamento | -28.88 | -142.87 | -0.92 |
| 273 | 273 | 184 | G1_smistamento | -36.44 | -176.56 | -0.61 |
| 273 | 273 | 180 | G1_smistamento | -32.18 | -176.39 | -0.29 |
| 273 | 273 | 179 | G2_smistamento | -9.16 | -52.94 | -0.23 |
| 273 | 273 | 183 | G2_smistamento | -10.71 | -52.97 | -0.34 |
| 273 | 273 | 184 | G2_smistamento | -13.51 | -65.45 | -0.22 |
| 273 | 273 | 180 | G2_smistamento | -11.93 | -65.39 | -0.11 |
| 273 | 273 | 179 | Q_smistamento | -9.16 | -52.94 | -0.23 |
| 273 | 273 | 183 | Q_smistamento | -10.71 | -52.97 | -0.34 |
| 273 | 273 | 184 | Q_smistamento | -13.51 | -65.45 | -0.22 |
| 273 | 273 | 180 | Q_smistamento | -11.93 | -65.39 | -0.11 |
| 273 | 273 | 179 | Q_neve | -3.967E-13 | -9.450E-13 | -2.781E-13 |
| 273 | 273 | 183 | Q_neve | -8.294E-14 | -8.789E-13 | -1.491E-13 |
| 273 | 273 | 184 | Q_neve | 4.822E-13 | -8.167E-13 | -4.114E-14 |
| 273 | 273 | 180 | Q_neve | -8.236E-13 | -1.738E-12 | -3.070E-13 |
| 274 | 274 | 180 | DEAD | -1.071E-12 | -7.071E-12 | 3.649E-13 |
| 274 | 274 | 184 | DEAD | 1.967E-13 | -3.229E-12 | -1.130E-12 |
| 274 | 274 | 185 | DEAD | 7.063E-13 | 8.682E-13 | 3.649E-13 |
| 274 | 274 | 181 | DEAD | -3.563E-13 | -3.059E-13 | 7.655E-13 |
| 274 | 274 | 180 | G1_smistamento | -32.18 | -176.39 | -0.15 |
| 274 | 274 | 184 | G1_smistamento | -36.44 | -176.56 | -0.15 |
| 274 | 274 | 185 | G1_smistamento | -36.44 | -176.56 | 0.15 |
| 274 | 274 | 181 | G1_smistamento | -32.18 | -176.39 | 0.15 |
| 274 | 274 | 180 | G2_smistamento | -11.93 | -65.39 | -5.510E-02 |
| 274 | 274 | 184 | G2_smistamento | -13.51 | -65.45 | -5.510E-02 |
| 274 | 274 | 185 | G2_smistamento | -13.51 | -65.45 | 5.510E-02 |

Table 21: Element Stresses - Area Shells, Part 1 of 3

| Area | AreaElem | Joint | OutputCase | S11Top KN/m2 | S22Top KN/m2 | S12Top KN/m2 |
|------|----------|-------|----------------|-----------------|-----------------|-----------------|
| 274 | 274 | 181 | G2_smistamento | -11.93 | -65.39 | 5.510E-02 |
| 274 | 274 | 180 | Q_smistamento | -11.93 | -65.39 | -5.510E-02 |
| 274 | 274 | 184 | Q_smistamento | -13.51 | -65.45 | -5.510E-02 |
| 274 | 274 | 185 | Q_smistamento | -13.51 | -65.45 | 5.510E-02 |
| 274 | 274 | 181 | Q_smistamento | -11.93 | -65.39 | 5.510E-02 |
| 274 | 274 | 180 | Q_neve | -7.819E-13 | -1.375E-12 | 3.726E-14 |
| 274 | 274 | 184 | Q_neve | 6.070E-13 | -2.344E-13 | -1.891E-13 |
| 274 | 274 | 185 | Q_neve | 1.795E-14 | 1.773E-14 | 7.676E-14 |
| 274 | 274 | 181 | Q_neve | 1.447E-14 | -3.529E-13 | 1.663E-13 |
| 275 | 275 | 181 | DEAD | 2.612E-13 | 3.971E-13 | 1.021E-12 |
| 275 | 275 | 185 | DEAD | -5.105E-13 | 3.308E-13 | 1.052E-12 |
| 275 | 275 | 186 | DEAD | -2.701E-12 | -4.935E-12 | 7.333E-14 |
| 275 | 275 | 182 | DEAD | -1.656E-12 | -3.501E-12 | 1.684E-12 |
| 275 | 275 | 181 | G1_smistamento | -32.18 | -176.39 | 0.29 |
| 275 | 275 | 185 | G1_smistamento | -36.44 | -176.56 | 0.61 |
| 275 | 275 | 186 | G1_smistamento | -28.88 | -142.87 | 0.92 |
| 275 | 275 | 182 | G1_smistamento | -24.72 | -142.81 | 0.61 |
| 275 | 275 | 181 | G2_smistamento | -11.93 | -65.39 | 0.11 |
| 275 | 275 | 185 | G2_smistamento | -13.51 | -65.45 | 0.22 |
| 275 | 275 | 186 | G2_smistamento | -10.71 | -52.97 | 0.34 |
| 275 | 275 | 182 | G2_smistamento | -9.16 | -52.94 | 0.23 |
| 275 | 275 | 181 | Q_smistamento | -11.93 | -65.39 | 0.11 |
| 275 | 275 | 185 | Q_smistamento | -13.51 | -65.45 | 0.22 |
| 275 | 275 | 186 | Q_smistamento | -10.71 | -52.97 | 0.34 |
| 275 | 275 | 182 | Q_smistamento | -9.16 | -52.94 | 0.23 |
| 275 | 275 | 181 | Q_neve | -1.427E-13 | 1.845E-13 | 1.246E-13 |
| 275 | 275 | 185 | Q_neve | 3.261E-14 | 1.595E-13 | 1.429E-13 |
| 275 | 275 | 186 | Q_neve | -3.406E-14 | -9.314E-13 | -3.339E-14 |
| 275 | 275 | 182 | Q_neve | -6.883E-13 | -8.379E-13 | 2.219E-13 |
| 276 | 276 | 182 | DEAD | -2.348E-12 | -5.078E-12 | 7.298E-13 |
| 276 | 276 | 186 | DEAD | -1.609E-12 | -5.360E-12 | 7.298E-13 |
| 276 | 276 | 120 | DEAD | -3.217E-12 | -4.683E-12 | 7.298E-13 |
| 276 | 276 | 122 | DEAD | -1.767E-12 | -3.306E-12 | 7.298E-13 |
| 276 | 276 | 182 | G1_smistamento | -24.72 | -142.81 | 0.77 |
| 276 | 276 | 186 | G1_smistamento | -28.88 | -142.87 | 1.43 |
| 276 | 276 | 120 | G1_smistamento | -9.37 | -53.79 | 1.78 |
| 276 | 276 | 122 | G1_smistamento | -5.35 | -53.85 | 1.13 |
| 276 | 276 | 182 | G2_smistamento | -9.16 | -52.94 | 0.29 |

Table 21: Element Stresses - Area Shells, Part 1 of 3

| Area | AreaElem | Joint | OutputCase | S11Top KN/m2 | S22Top KN/m2 | S12Top KN/m2 |
|------|----------|-------|----------------|-----------------|-----------------|-----------------|
| 276 | 276 | 186 | G2_smistamento | -10.71 | -52.96 | 0.53 |
| 276 | 276 | 120 | G2_smistamento | -3.47 | -19.94 | 0.66 |
| 276 | 276 | 122 | G2_smistamento | -1.98 | -19.96 | 0.42 |
| 276 | 276 | 182 | Q_smistamento | -9.16 | -52.94 | 0.29 |
| 276 | 276 | 186 | Q_smistamento | -10.71 | -52.96 | 0.53 |
| 276 | 276 | 120 | Q_smistamento | -3.47 | -19.94 | 0.66 |
| 276 | 276 | 122 | Q_smistamento | -1.98 | -19.96 | 0.42 |
| 276 | 276 | 182 | Q_neve | -9.265E-13 | -1.268E-12 | 1.118E-13 |
| 276 | 276 | 186 | Q_neve | -7.989E-14 | -8.269E-13 | 1.118E-13 |
| 276 | 276 | 120 | Q_neve | 3.138E-14 | -7.446E-13 | 2.303E-13 |
| 276 | 276 | 122 | Q_neve | -7.810E-13 | -1.015E-12 | 2.303E-13 |
| 277 | 277 | 86 | DEAD | 3.309E-13 | -5.866E-12 | -2.225E-12 |
| 277 | 277 | 88 | DEAD | 4.441E-12 | 9.955E-13 | -1.277E-12 |
| 277 | 277 | 187 | DEAD | 3.135E-12 | -4.168E-12 | -3.291E-13 |
| 277 | 277 | 183 | DEAD | -2.274E-12 | -6.035E-12 | -1.277E-12 |
| 277 | 277 | 86 | G1_smistamento | -9.36 | -53.79 | -2.65 |
| 277 | 277 | 88 | G1_smistamento | -17.83 | -53.72 | -3.38 |
| 277 | 277 | 187 | G1_smistamento | -37.66 | -143.05 | -2.66 |
| 277 | 277 | 183 | G1_smistamento | -28.88 | -142.87 | -1.92 |
| 277 | 277 | 86 | G2_smistamento | -3.47 | -19.94 | -0.98 |
| 277 | 277 | 88 | G2_smistamento | -6.61 | -19.92 | -1.25 |
| 277 | 277 | 187 | G2_smistamento | -13.96 | -53.03 | -0.98 |
| 277 | 277 | 183 | G2_smistamento | -10.71 | -52.96 | -0.71 |
| 277 | 277 | 86 | Q_smistamento | -3.47 | -19.94 | -0.98 |
| 277 | 277 | 88 | Q_smistamento | -6.61 | -19.92 | -1.25 |
| 277 | 277 | 187 | Q_smistamento | -13.96 | -53.03 | -0.98 |
| 277 | 277 | 183 | Q_smistamento | -10.71 | -52.96 | -0.71 |
| 277 | 277 | 86 | Q_neve | 8.293E-14 | -8.718E-13 | -2.584E-13 |
| 277 | 277 | 88 | Q_neve | 5.117E-13 | -3.468E-13 | -3.018E-13 |
| 277 | 277 | 187 | Q_neve | 2.705E-13 | -6.447E-13 | -6.089E-14 |
| 277 | 277 | 183 | Q_neve | 2.352E-13 | -1.255E-12 | -2.228E-13 |
| 278 | 278 | 183 | DEAD | -2.418E-12 | -6.547E-12 | -2.069E-13 |
| 278 | 278 | 187 | DEAD | 2.989E-12 | -5.225E-12 | 2.248E-13 |
| 278 | 278 | 188 | DEAD | 8.213E-13 | -3.624E-12 | -5.229E-13 |
| 278 | 278 | 184 | DEAD | 6.646E-14 | -4.672E-12 | -4.072E-13 |
| 278 | 278 | 183 | G1_smistamento | -28.88 | -142.87 | -1.42 |
| 278 | 278 | 187 | G1_smistamento | -37.66 | -143.05 | -1.78 |
| 278 | 278 | 188 | G1_smistamento | -45.42 | -176.91 | -1.13 |

Table 21: Element Stresses - Area Shells, Part 1 of 3

| Area | AreaElem | Joint | OutputCase | S11Top KN/m2 | S22Top KN/m2 | S12Top KN/m2 |
|------|----------|-------|----------------|-----------------|-----------------|-----------------|
| 278 | 278 | 184 | G1_smistamento | -36.43 | -176.56 | -0.76 |
| 278 | 278 | 183 | G2_smistamento | -10.71 | -52.97 | -0.53 |
| 278 | 278 | 187 | G2_smistamento | -13.96 | -53.03 | -0.66 |
| 278 | 278 | 188 | G2_smistamento | -16.84 | -65.58 | -0.42 |
| 278 | 278 | 184 | G2_smistamento | -13.51 | -65.45 | -0.28 |
| 278 | 278 | 183 | Q_smistamento | -10.71 | -52.97 | -0.53 |
| 278 | 278 | 187 | Q_smistamento | -13.96 | -53.03 | -0.66 |
| 278 | 278 | 188 | Q_smistamento | -16.84 | -65.58 | -0.42 |
| 278 | 278 | 184 | Q_smistamento | -13.51 | -65.45 | -0.28 |
| 278 | 278 | 183 | Q_neve | 7.152E-14 | -8.421E-13 | -7.676E-14 |
| 278 | 278 | 187 | Q_neve | 2.095E-13 | -1.424E-12 | -1.057E-13 |
| 278 | 278 | 188 | Q_neve | 2.591E-13 | -3.780E-13 | -3.726E-14 |
| 278 | 278 | 184 | Q_neve | -6.698E-14 | -1.147E-12 | -1.452E-13 |
| 279 | 279 | 184 | DEAD | 2.652E-13 | -3.605E-12 | -1.520E-12 |
| 279 | 279 | 188 | DEAD | 1.474E-12 | -2.277E-12 | 9.122E-14 |
| 279 | 279 | 189 | DEAD | 4.136E-12 | 1.530E-12 | 6.023E-14 |
| 279 | 279 | 185 | DEAD | -6.985E-13 | 1.329E-13 | 9.122E-14 |
| 279 | 279 | 184 | G1_smistamento | -36.43 | -176.56 | -0.31 |
| 279 | 279 | 188 | G1_smistamento | -45.42 | -176.91 | -0.31 |
| 279 | 279 | 189 | G1_smistamento | -45.42 | -176.91 | 0.31 |
| 279 | 279 | 185 | G1_smistamento | -36.43 | -176.56 | 0.31 |
| 279 | 279 | 184 | G2_smistamento | -13.51 | -65.45 | -0.12 |
| 279 | 279 | 188 | G2_smistamento | -16.84 | -65.58 | -0.12 |
| 279 | 279 | 189 | G2_smistamento | -16.84 | -65.58 | 0.12 |
| 279 | 279 | 185 | G2_smistamento | -13.51 | -65.45 | 0.12 |
| 279 | 279 | 184 | Q_smistamento | -13.51 | -65.45 | -0.12 |
| 279 | 279 | 188 | Q_smistamento | -16.84 | -65.58 | -0.12 |
| 279 | 279 | 189 | Q_smistamento | -16.84 | -65.58 | 0.12 |
| 279 | 279 | 185 | Q_smistamento | -13.51 | -65.45 | 0.12 |
| 279 | 279 | 184 | Q_neve | 3.422E-14 | -5.412E-13 | -1.816E-13 |
| 279 | 279 | 188 | Q_neve | 4.145E-13 | -5.125E-13 | -1.975E-14 |
| 279 | 279 | 189 | Q_neve | 5.872E-13 | 9.080E-14 | -2.362E-14 |
| 279 | 279 | 185 | Q_neve | -4.962E-14 | 1.083E-14 | 1.975E-14 |
| 280 | 280 | 185 | DEAD | 1.271E-12 | 1.964E-12 | 2.671E-13 |
| 280 | 280 | 189 | DEAD | 3.101E-12 | -4.501E-13 | -9.969E-13 |
| 280 | 280 | 190 | DEAD | -2.047E-12 | -4.198E-12 | -9.969E-13 |
| 280 | 280 | 186 | DEAD | -2.508E-12 | -4.795E-12 | 2.671E-13 |
| 280 | 280 | 185 | G1_smistamento | -36.43 | -176.56 | 0.76 |

Table 21: Element Stresses - Area Shells, Part 1 of 3

| Area | AreaElem | Joint | OutputCase | S11Top KN/m2 | S22Top KN/m2 | S12Top KN/m2 |
|------|----------|-------|----------------|-----------------|-----------------|-----------------|
| 280 | 280 | 189 | G1_smistamento | -45.42 | -176.91 | 1.13 |
| 280 | 280 | 190 | G1_smistamento | -37.66 | -143.05 | 1.78 |
| 280 | 280 | 186 | G1_smistamento | -28.88 | -142.87 | 1.42 |
| 280 | 280 | 185 | G2_smistamento | -13.51 | -65.45 | 0.28 |
| 280 | 280 | 189 | G2_smistamento | -16.84 | -65.58 | 0.42 |
| 280 | 280 | 190 | G2_smistamento | -13.96 | -53.03 | 0.66 |
| 280 | 280 | 186 | G2_smistamento | -10.71 | -52.97 | 0.53 |
| 280 | 280 | 185 | Q_smistamento | -13.51 | -65.45 | 0.28 |
| 280 | 280 | 189 | Q_smistamento | -16.84 | -65.58 | 0.42 |
| 280 | 280 | 190 | Q_smistamento | -13.96 | -53.03 | 0.66 |
| 280 | 280 | 186 | Q_smistamento | -10.71 | -52.97 | 0.53 |
| 280 | 280 | 185 | Q_neve | -2.042E-14 | 1.215E-13 | -5.478E-14 |
| 280 | 280 | 189 | Q_neve | 5.080E-13 | -1.266E-13 | -1.299E-13 |
| 280 | 280 | 190 | Q_neve | -2.475E-13 | -7.771E-13 | -1.733E-13 |
| 280 | 280 | 186 | Q_neve | -3.313E-13 | -7.685E-13 | 1.071E-13 |
| 281 | 281 | 186 | DEAD | -2.639E-12 | -5.318E-12 | 2.558E-13 |
| 281 | 281 | 190 | DEAD | -1.301E-12 | -1.031E-12 | 6.874E-13 |
| 281 | 281 | 118 | DEAD | 2.445E-13 | -2.276E-12 | 1.204E-12 |
| 281 | 281 | 120 | DEAD | -2.051E-12 | -4.784E-12 | 1.319E-12 |
| 281 | 281 | 186 | G1_smistamento | -28.88 | -142.87 | 1.92 |
| 281 | 281 | 190 | G1_smistamento | -37.66 | -143.05 | 2.66 |
| 281 | 281 | 118 | G1_smistamento | -17.83 | -53.72 | 3.38 |
| 281 | 281 | 120 | G1_smistamento | -9.36 | -53.79 | 2.65 |
| 281 | 281 | 186 | G2_smistamento | -10.71 | -52.96 | 0.71 |
| 281 | 281 | 190 | G2_smistamento | -13.96 | -53.03 | 0.98 |
| 281 | 281 | 118 | G2_smistamento | -6.61 | -19.92 | 1.25 |
| 281 | 281 | 120 | G2_smistamento | -3.47 | -19.94 | 0.98 |
| 281 | 281 | 186 | Q_smistamento | -10.71 | -52.96 | 0.71 |
| 281 | 281 | 190 | Q_smistamento | -13.96 | -53.03 | 0.98 |
| 281 | 281 | 118 | Q_smistamento | -6.61 | -19.92 | 1.25 |
| 281 | 281 | 120 | Q_smistamento | -3.47 | -19.94 | 0.98 |
| 281 | 281 | 186 | Q_neve | -2.037E-13 | -9.181E-13 | 7.758E-14 |
| 281 | 281 | 190 | Q_neve | -2.954E-13 | -8.207E-14 | 1.605E-13 |
| 281 | 281 | 118 | Q_neve | -3.579E-14 | -5.528E-13 | 1.961E-13 |
| 281 | 281 | 120 | Q_neve | -9.794E-14 | -5.166E-13 | 3.185E-13 |
| 282 | 282 | 88 | DEAD | 1.883E-12 | 3.305E-13 | -1.958E-12 |
| 282 | 282 | 90 | DEAD | -1.479E-12 | -1.031E-12 | -1.095E-12 |
| 282 | 282 | 191 | DEAD | -1.298E-14 | -6.305E-12 | -1.326E-12 |

Table 21: Element Stresses - Area Shells, Part 1 of 3

| Area | AreaElem | Joint | OutputCase | S11Top KN/m2 | S22Top KN/m2 | S12Top KN/m2 |
|------|----------|-------|----------------|-----------------|-----------------|-----------------|
| 282 | 282 | 187 | DEAD | 3.384E-13 | -5.218E-12 | -1.095E-12 |
| 282 | 282 | 88 | G1_smistamento | -17.82 | -53.72 | -4.36 |
| 282 | 282 | 90 | G1_smistamento | -31.1 | -53.74 | -5.25 |
| 282 | 282 | 191 | G1_smistamento | -51.48 | -143.35 | -4.14 |
| 282 | 282 | 187 | G1_smistamento | -37.65 | -143.05 | -3.25 |
| 282 | 282 | 88 | G2_smistamento | -6.61 | -19.91 | -1.62 |
| 282 | 282 | 90 | G2_smistamento | -11.53 | -19.92 | -1.95 |
| 282 | 282 | 191 | G2_smistamento | -19.08 | -53.14 | -1.53 |
| 282 | 282 | 187 | G2_smistamento | -13.96 | -53.03 | -1.21 |
| 282 | 282 | 88 | Q_smistamento | -6.61 | -19.91 | -1.62 |
| 282 | 282 | 90 | Q_smistamento | -11.53 | -19.92 | -1.95 |
| 282 | 282 | 191 | Q_smistamento | -19.08 | -53.14 | -1.53 |
| 282 | 282 | 187 | Q_smistamento | -13.96 | -53.03 | -1.21 |
| 282 | 282 | 88 | Q_neve | 4.098E-13 | -3.271E-13 | -3.109E-13 |
| 282 | 282 | 90 | Q_neve | -3.817E-13 | -5.291E-14 | -3.610E-13 |
| 282 | 282 | 191 | Q_neve | 1.432E-13 | -1.423E-12 | -3.504E-13 |
| 282 | 282 | 187 | Q_neve | -1.941E-13 | -7.738E-13 | -1.635E-13 |
| 283 | 283 | 187 | DEAD | -4.044E-13 | -7.270E-12 | -9.366E-13 |
| 283 | 283 | 191 | DEAD | -4.943E-14 | -4.665E-12 | -1.453E-12 |
| 283 | 283 | 192 | DEAD | -2.537E-12 | -8.712E-13 | -1.253E-12 |
| 283 | 283 | 188 | DEAD | 1.965E-12 | -2.177E-12 | -1.890E-13 |
| 283 | 283 | 187 | G1_smistamento | -37.65 | -143.05 | -2.39 |
| 283 | 283 | 191 | G1_smistamento | -51.48 | -143.34 | -2.85 |
| 283 | 283 | 192 | G1_smistamento | -59.65 | -177.37 | -1.8 |
| 283 | 283 | 188 | G1_smistamento | -45.41 | -176.91 | -1.33 |
| 283 | 283 | 187 | G2_smistamento | -13.96 | -53.03 | -0.88 |
| 283 | 283 | 191 | G2_smistamento | -19.08 | -53.14 | -1.06 |
| 283 | 283 | 192 | G2_smistamento | -22.11 | -65.75 | -0.67 |
| 283 | 283 | 188 | G2_smistamento | -16.84 | -65.58 | -0.49 |
| 283 | 283 | 187 | Q_smistamento | -13.96 | -53.03 | -0.88 |
| 283 | 283 | 191 | Q_smistamento | -19.08 | -53.14 | -1.06 |
| 283 | 283 | 192 | Q_smistamento | -22.11 | -65.75 | -0.67 |
| 283 | 283 | 188 | Q_smistamento | -16.84 | -65.58 | -0.49 |
| 283 | 283 | 187 | Q_neve | -3.550E-13 | -1.500E-12 | -2.022E-13 |
| 283 | 283 | 191 | Q_neve | 1.375E-13 | -1.096E-12 | -1.983E-13 |
| 283 | 283 | 192 | Q_neve | -7.796E-13 | -6.799E-14 | -1.627E-13 |
| 283 | 283 | 188 | Q_neve | 4.041E-13 | -7.111E-13 | 3.868E-14 |
| 284 | 284 | 188 | DEAD | 1.673E-12 | -2.613E-12 | 2.492E-13 |

Table 21: Element Stresses - Area Shells, Part 1 of 3

| Area | AreaElem | Joint | OutputCase | S11Top KN/m2 | S22Top KN/m2 | S12Top KN/m2 |
|------|----------|-------|----------------|-----------------|-----------------|-----------------|
| 284 | 284 | 192 | DEAD | -3.298E-12 | -3.052E-12 | 7.965E-13 |
| 284 | 284 | 193 | DEAD | 6.070E-13 | -1.309E-12 | -6.678E-14 |
| 284 | 284 | 189 | DEAD | 1.679E-12 | 9.768E-13 | 4.805E-13 |
| 284 | 284 | 188 | G1_smistamento | -45.41 | -176.91 | -0.52 |
| 284 | 284 | 192 | G1_smistamento | -59.65 | -177.36 | -0.52 |
| 284 | 284 | 193 | G1_smistamento | -59.65 | -177.36 | 0.52 |
| 284 | 284 | 189 | G1_smistamento | -45.41 | -176.91 | 0.52 |
| 284 | 284 | 188 | G2_smistamento | -16.84 | -65.58 | -0.19 |
| 284 | 284 | 192 | G2_smistamento | -22.11 | -65.75 | -0.19 |
| 284 | 284 | 193 | G2_smistamento | -22.11 | -65.75 | 0.19 |
| 284 | 284 | 189 | G2_smistamento | -16.84 | -65.58 | 0.19 |
| 284 | 284 | 188 | Q_smistamento | -16.84 | -65.58 | -0.19 |
| 284 | 284 | 192 | Q_smistamento | -22.11 | -65.75 | -0.19 |
| 284 | 284 | 193 | Q_smistamento | -22.11 | -65.75 | 0.19 |
| 284 | 284 | 189 | Q_smistamento | -16.84 | -65.58 | 0.19 |
| 284 | 284 | 188 | Q_neve | 5.442E-13 | -1.795E-13 | 2.892E-14 |
| 284 | 284 | 192 | Q_neve | -9.464E-13 | -8.568E-13 | 1.079E-13 |
| 284 | 284 | 193 | Q_neve | 2.084E-13 | -4.362E-13 | 1.079E-13 |
| 284 | 284 | 189 | Q_neve | 1.596E-13 | -6.681E-14 | 2.892E-14 |
| 285 | 285 | 189 | DEAD | 1.886E-12 | 6.480E-13 | -1.155E-12 |
| 285 | 285 | 193 | DEAD | -8.594E-13 | -5.123E-12 | -5.539E-13 |
| 285 | 285 | 194 | DEAD | 6.073E-12 | 3.571E-12 | 4.251E-13 |
| 285 | 285 | 190 | DEAD | 2.182E-12 | -4.136E-12 | -1.818E-12 |
| 285 | 285 | 189 | G1_smistamento | -45.41 | -176.91 | 1.33 |
| 285 | 285 | 193 | G1_smistamento | -59.65 | -177.37 | 1.8 |
| 285 | 285 | 194 | G1_smistamento | -51.48 | -143.34 | 2.85 |
| 285 | 285 | 190 | G1_smistamento | -37.65 | -143.05 | 2.39 |
| 285 | 285 | 189 | G2_smistamento | -16.84 | -65.58 | 0.49 |
| 285 | 285 | 193 | G2_smistamento | -22.11 | -65.75 | 0.67 |
| 285 | 285 | 194 | G2_smistamento | -19.08 | -53.14 | 1.06 |
| 285 | 285 | 190 | G2_smistamento | -13.96 | -53.03 | 0.88 |
| 285 | 285 | 189 | Q_smistamento | -16.84 | -65.58 | 0.49 |
| 285 | 285 | 193 | Q_smistamento | -22.11 | -65.75 | 0.67 |
| 285 | 285 | 194 | Q_smistamento | -19.08 | -53.14 | 1.06 |
| 285 | 285 | 190 | Q_smistamento | -13.96 | -53.03 | 0.88 |
| 285 | 285 | 189 | Q_neve | 3.698E-13 | 1.507E-13 | -2.142E-13 |
| 285 | 285 | 193 | Q_neve | -1.222E-13 | -9.676E-13 | -1.324E-13 |
| 285 | 285 | 194 | Q_neve | 1.318E-12 | 6.247E-13 | 2.598E-13 |

Table 21: Element Stresses - Area Shells, Part 1 of 3

| Area | AreaElem | Joint | OutputCase | S11Top KN/m2 | S22Top KN/m2 | S12Top KN/m2 |
|------|----------|-------|----------------|-----------------|-----------------|-----------------|
| 285 | 285 | 190 | Q_neve | 5.098E-13 | -6.516E-13 | -3.694E-13 |
| 286 | 286 | 190 | DEAD | 3.355E-12 | -1.404E-13 | 1.113E-12 |
| 286 | 286 | 194 | DEAD | 5.938E-12 | 1.588E-12 | -6.678E-14 |
| 286 | 286 | 116 | DEAD | 3.236E-12 | -3.577E-12 | 1.645E-13 |
| 286 | 286 | 118 | DEAD | -5.791E-13 | -1.611E-12 | 2.492E-13 |
| 286 | 286 | 190 | G1_smistamento | -37.65 | -143.05 | 3.25 |
| 286 | 286 | 194 | G1_smistamento | -51.48 | -143.35 | 4.14 |
| 286 | 286 | 116 | G1_smistamento | -31.1 | -53.74 | 5.25 |
| 286 | 286 | 118 | G1_smistamento | -17.82 | -53.72 | 4.36 |
| 286 | 286 | 190 | G2_smistamento | -13.96 | -53.03 | 1.21 |
| 286 | 286 | 194 | G2_smistamento | -19.08 | -53.14 | 1.53 |
| 286 | 286 | 116 | G2_smistamento | -11.53 | -19.92 | 1.95 |
| 286 | 286 | 118 | G2_smistamento | -6.61 | -19.91 | 1.62 |
| 286 | 286 | 190 | Q_smistamento | -13.96 | -53.03 | 1.21 |
| 286 | 286 | 194 | Q_smistamento | -19.08 | -53.14 | 1.53 |
| 286 | 286 | 116 | Q_smistamento | -11.53 | -19.92 | 1.95 |
| 286 | 286 | 118 | Q_smistamento | -6.61 | -19.91 | 1.62 |
| 286 | 286 | 190 | Q_neve | 5.144E-13 | 2.177E-13 | 1.246E-13 |
| 286 | 286 | 194 | Q_neve | 1.197E-12 | -1.384E-13 | -1.018E-13 |
| 286 | 286 | 116 | Q_neve | 8.995E-13 | 1.034E-14 | -3.339E-14 |
| 286 | 286 | 118 | Q_neve | -2.448E-13 | -7.111E-13 | 5.619E-14 |
| 287 | 287 | 90 | DEAD | 2.080E-13 | -9.779E-13 | -1.460E-12 |
| 287 | 287 | 92 | DEAD | -2.186E-12 | -3.699E-13 | -1.776E-12 |
| 287 | 287 | 195 | DEAD | -4.769E-12 | -5.955E-12 | -1.460E-12 |
| 287 | 287 | 191 | DEAD | -1.554E-12 | -5.742E-12 | -1.144E-12 |
| 287 | 287 | 90 | G1_smistamento | -31.1 | -53.74 | -6.44 |
| 287 | 287 | 92 | G1_smistamento | -48.49 | -53.85 | -7.6 |
| 287 | 287 | 195 | G1_smistamento | -69.8 | -143.52 | -6.11 |
| 287 | 287 | 191 | G1_smistamento | -51.48 | -143.35 | -4.95 |
| 287 | 287 | 90 | G2_smistamento | -11.53 | -19.92 | -2.39 |
| 287 | 287 | 92 | G2_smistamento | -17.98 | -19.96 | -2.82 |
| 287 | 287 | 195 | G2_smistamento | -25.88 | -53.21 | -2.27 |
| 287 | 287 | 191 | G2_smistamento | -19.08 | -53.14 | -1.83 |
| 287 | 287 | 90 | Q_smistamento | -11.53 | -19.92 | -2.39 |
| 287 | 287 | 92 | Q_smistamento | -17.98 | -19.96 | -2.82 |
| 287 | 287 | 195 | Q_smistamento | -25.88 | -53.21 | -2.27 |
| 287 | 287 | 191 | Q_smistamento | -19.08 | -53.14 | -1.83 |
| 287 | 287 | 90 | Q_neve | 2.657E-13 | -2.472E-13 | -3.193E-13 |

Table 21: Element Stresses - Area Shells, Part 1 of 3

| Area | AreaElem | Joint | OutputCase | S11Top KN/m2 | S22Top KN/m2 | S12Top KN/m2 |
|------|----------|-------|----------------|-----------------|-----------------|-----------------|
| 287 | 287 | 92 | Q_neve | -6.994E-13 | -3.327E-13 | -4.378E-13 |
| 287 | 287 | 195 | Q_neve | -1.127E-12 | -1.047E-12 | -3.193E-13 |
| 287 | 287 | 191 | Q_neve | -1.957E-13 | -1.133E-12 | -2.008E-13 |
| 288 | 288 | 191 | DEAD | -5.570E-13 | -4.794E-12 | -1.039E-12 |
| 288 | 288 | 195 | DEAD | -4.797E-12 | -5.369E-12 | -4.382E-13 |
| 288 | 288 | 196 | DEAD | 1.971E-12 | 3.106E-12 | 8.568E-13 |
| 288 | 288 | 192 | DEAD | 1.285E-12 | 3.977E-13 | -1.386E-12 |
| 288 | 288 | 191 | G1_smistamento | -51.48 | -143.34 | -3.67 |
| 288 | 288 | 195 | G1_smistamento | -69.8 | -143.49 | -4.35 |
| 288 | 288 | 196 | G1_smistamento | -78.65 | -177.43 | -2.77 |
| 288 | 288 | 192 | G1_smistamento | -59.63 | -177.36 | -2.09 |
| 288 | 288 | 191 | G2_smistamento | -19.08 | -53.14 | -1.36 |
| 288 | 288 | 195 | G2_smistamento | -25.88 | -53.19 | -1.61 |
| 288 | 288 | 196 | G2_smistamento | -29.16 | -65.78 | -1.03 |
| 288 | 288 | 192 | G2_smistamento | -22.1 | -65.75 | -0.78 |
| 288 | 288 | 191 | Q_smistamento | -19.08 | -53.14 | -1.36 |
| 288 | 288 | 195 | Q_smistamento | -25.88 | -53.19 | -1.61 |
| 288 | 288 | 196 | Q_smistamento | -29.16 | -65.78 | -1.03 |
| 288 | 288 | 192 | Q_smistamento | -22.1 | -65.75 | -0.78 |
| 288 | 288 | 191 | Q_neve | -1.311E-13 | -1.003E-12 | -1.944E-13 |
| 288 | 288 | 195 | Q_neve | -1.201E-12 | -1.170E-12 | -2.973E-14 |
| 288 | 288 | 196 | Q_neve | 4.219E-13 | 8.144E-13 | 2.401E-13 |
| 288 | 288 | 192 | Q_neve | -6.503E-14 | -2.322E-13 | -2.667E-13 |
| 289 | 289 | 192 | DEAD | 7.976E-13 | -1.779E-12 | 8.454E-13 |
| 289 | 289 | 196 | DEAD | 1.413E-12 | 1.300E-12 | 1.393E-12 |
| 289 | 289 | 197 | DEAD | 1.232E-12 | -3.398E-12 | 1.161E-12 |
| 289 | 289 | 193 | DEAD | 1.848E-12 | -3.194E-13 | 1.709E-12 |
| 289 | 289 | 192 | G1_smistamento | -59.63 | -177.36 | -0.81 |
| 289 | 289 | 196 | G1_smistamento | -78.65 | -177.42 | -0.81 |
| 289 | 289 | 197 | G1_smistamento | -78.65 | -177.42 | 0.81 |
| 289 | 289 | 193 | G1_smistamento | -59.63 | -177.36 | 0.81 |
| 289 | 289 | 192 | G2_smistamento | -22.1 | -65.75 | -0.3 |
| 289 | 289 | 196 | G2_smistamento | -29.16 | -65.77 | -0.3 |
| 289 | 289 | 197 | G2_smistamento | -29.16 | -65.77 | 0.3 |
| 289 | 289 | 193 | G2_smistamento | -22.1 | -65.75 | 0.3 |
| 289 | 289 | 192 | Q_smistamento | -22.1 | -65.75 | -0.3 |
| 289 | 289 | 196 | Q_smistamento | -29.16 | -65.77 | -0.3 |
| 289 | 289 | 197 | Q_smistamento | -29.16 | -65.77 | 0.3 |

Table 21: Element Stresses - Area Shells, Part 1 of 3

| Area | AreaElem | Joint | OutputCase | S11Top KN/m2 | S22Top KN/m2 | S12Top KN/m2 |
|------|----------|-------|----------------|-----------------|-----------------|-----------------|
| 289 | 289 | 193 | Q_smistamento | -22.1 | -65.75 | 0.3 |
| 289 | 289 | 192 | Q_neve | 4.185E-14 | -7.352E-13 | 1.916E-13 |
| 289 | 289 | 196 | Q_neve | 4.386E-13 | 6.011E-13 | 2.456E-13 |
| 289 | 289 | 197 | Q_neve | 1.406E-13 | -9.524E-13 | 3.101E-13 |
| 289 | 289 | 193 | Q_neve | 3.596E-13 | -3.093E-14 | 3.246E-13 |
| 290 | 290 | 193 | DEAD | 4.829E-13 | -5.223E-12 | 2.000E-12 |
| 290 | 290 | 197 | DEAD | 2.113E-12 | -1.608E-12 | 1.337E-12 |
| 290 | 290 | 198 | DEAD | -3.151E-12 | -5.381E-12 | 7.363E-13 |
| 290 | 290 | 194 | DEAD | 5.549E-12 | 3.250E-12 | -2.427E-13 |
| 290 | 290 | 193 | G1_smistamento | -59.63 | -177.36 | 2.09 |
| 290 | 290 | 197 | G1_smistamento | -78.65 | -177.43 | 2.77 |
| 290 | 290 | 198 | G1_smistamento | -69.8 | -143.49 | 4.35 |
| 290 | 290 | 194 | G1_smistamento | -51.48 | -143.34 | 3.67 |
| 290 | 290 | 193 | G2_smistamento | -22.1 | -65.75 | 0.78 |
| 290 | 290 | 197 | G2_smistamento | -29.16 | -65.78 | 1.03 |
| 290 | 290 | 198 | G2_smistamento | -25.88 | -53.19 | 1.61 |
| 290 | 290 | 194 | G2_smistamento | -19.08 | -53.14 | 1.36 |
| 290 | 290 | 193 | Q_smistamento | -22.1 | -65.75 | 0.78 |
| 290 | 290 | 197 | Q_smistamento | -29.16 | -65.78 | 1.03 |
| 290 | 290 | 198 | Q_smistamento | -25.88 | -53.19 | 1.61 |
| 290 | 290 | 194 | Q_smistamento | -19.08 | -53.14 | 1.36 |
| 290 | 290 | 193 | Q_neve | 1.892E-13 | -6.627E-13 | 2.614E-13 |
| 290 | 290 | 197 | Q_neve | 2.016E-13 | -6.936E-13 | 1.930E-13 |
| 290 | 290 | 198 | Q_neve | -4.230E-13 | -6.429E-13 | 1.034E-13 |
| 290 | 290 | 194 | Q_neve | 7.448E-13 | 3.630E-13 | 3.503E-14 |
| 291 | 291 | 194 | DEAD | 5.283E-12 | 5.922E-13 | -1.645E-13 |
| 291 | 291 | 198 | DEAD | -2.900E-12 | -2.029E-12 | -1.344E-12 |
| 291 | 291 | 114 | DEAD | -2.341E-12 | -3.397E-12 | -1.113E-12 |
| 291 | 291 | 116 | DEAD | 1.326E-12 | -3.649E-12 | -1.028E-12 |
| 291 | 291 | 194 | G1_smistamento | -51.48 | -143.35 | 4.95 |
| 291 | 291 | 198 | G1_smistamento | -69.8 | -143.52 | 6.11 |
| 291 | 291 | 114 | G1_smistamento | -48.49 | -53.85 | 7.6 |
| 291 | 291 | 116 | G1_smistamento | -31.1 | -53.74 | 6.44 |
| 291 | 291 | 194 | G2_smistamento | -19.08 | -53.14 | 1.83 |
| 291 | 291 | 198 | G2_smistamento | -25.88 | -53.21 | 2.27 |
| 291 | 291 | 114 | G2_smistamento | -17.98 | -19.96 | 2.82 |
| 291 | 291 | 116 | G2_smistamento | -11.53 | -19.92 | 2.39 |
| 291 | 291 | 194 | Q_smistamento | -19.08 | -53.14 | 1.83 |

Table 21: Element Stresses - Area Shells, Part 1 of 3

| Area | AreaElem | Joint | OutputCase | S11Top KN/m2 | S22Top KN/m2 | S12Top KN/m2 |
|------|----------|-------|----------------|-----------------|-----------------|-----------------|
| 291 | 291 | 198 | Q_smistamento | -25.88 | -53.21 | 2.27 |
| 291 | 291 | 114 | Q_smistamento | -17.98 | -19.96 | 2.82 |
| 291 | 291 | 116 | Q_smistamento | -11.53 | -19.92 | 2.39 |
| 291 | 291 | 194 | Q_neve | 4.201E-13 | -1.960E-13 | -8.369E-14 |
| 291 | 291 | 198 | Q_neve | -2.730E-13 | -5.635E-13 | -1.482E-13 |
| 291 | 291 | 114 | Q_neve | -7.451E-13 | -3.342E-13 | -2.812E-13 |
| 291 | 291 | 116 | Q_neve | 5.466E-13 | -2.574E-13 | -1.482E-13 |
| 292 | 292 | 92 | DEAD | -3.610E-12 | -1.608E-12 | -2.134E-12 |
| 292 | 292 | 94 | DEAD | -7.618E-12 | -1.398E-12 | 3.404E-13 |
| 292 | 292 | 199 | DEAD | -4.281E-12 | -1.174E-12 | -2.379E-13 |
| 292 | 292 | 195 | DEAD | -1.298E-12 | -4.874E-12 | 2.444E-14 |
| 292 | 292 | 92 | G1_smistamento | -48.51 | -53.86 | -9.13 |
| 292 | 292 | 94 | G1_smistamento | -66.87 | -53.88 | -10.78 |
| 292 | 292 | 199 | G1_smistamento | -89.53 | -142.74 | -8.96 |
| 292 | 292 | 195 | G1_smistamento | -69.8 | -143.52 | -7.31 |
| 292 | 292 | 92 | G2_smistamento | -17.98 | -19.96 | -3.39 |
| 292 | 292 | 94 | G2_smistamento | -24.79 | -19.97 | -4. |
| 292 | 292 | 199 | G2_smistamento | -33.19 | -52.91 | -3.32 |
| 292 | 292 | 195 | G2_smistamento | -25.87 | -53.21 | -2.71 |
| 292 | 292 | 92 | Q_smistamento | -17.98 | -19.96 | -3.39 |
| 292 | 292 | 94 | Q_smistamento | -24.79 | -19.97 | -4. |
| 292 | 292 | 199 | Q_smistamento | -33.19 | -52.91 | -3.32 |
| 292 | 292 | 195 | Q_smistamento | -25.87 | -53.21 | -2.71 |
| 292 | 292 | 92 | Q_neve | -7.739E-13 | -3.253E-13 | -3.571E-13 |
| 292 | 292 | 94 | Q_neve | -1.263E-12 | -2.729E-13 | 1.669E-14 |
| 292 | 292 | 199 | Q_neve | -9.023E-13 | -2.562E-13 | 3.786E-14 |
| 292 | 292 | 195 | Q_neve | -1.568E-13 | -6.678E-13 | -6.230E-14 |
| 293 | 293 | 195 | DEAD | -7.799E-13 | -4.431E-12 | 1.168E-12 |
| 293 | 293 | 199 | DEAD | -3.513E-12 | -1.176E-12 | 1.052E-12 |
| 293 | 293 | 200 | DEAD | -8.798E-12 | -1.863E-12 | 2.116E-12 |
| 293 | 293 | 196 | DEAD | 3.992E-12 | 4.117E-12 | 1.684E-12 |
| 293 | 293 | 195 | G1_smistamento | -69.79 | -143.49 | -5.55 |
| 293 | 293 | 199 | G1_smistamento | -89.52 | -142.67 | -6.6 |
| 293 | 293 | 200 | G1_smistamento | -99.37 | -175.74 | -4.3 |
| 293 | 293 | 196 | G1_smistamento | -78.61 | -177.42 | -3.24 |
| 293 | 293 | 195 | G2_smistamento | -25.87 | -53.19 | -2.06 |
| 293 | 293 | 199 | G2_smistamento | -33.19 | -52.89 | -2.45 |
| 293 | 293 | 200 | G2_smistamento | -36.84 | -65.15 | -1.59 |

Table 21: Element Stresses - Area Shells, Part 1 of 3

| Area | AreaElem | Joint | OutputCase | S11Top KN/m2 | S22Top KN/m2 | S12Top KN/m2 |
|------|----------|-------|----------------|-----------------|-----------------|-----------------|
| 293 | 293 | 196 | G2_smistamento | -29.14 | -65.77 | -1.2 |
| 293 | 293 | 195 | Q_smistamento | -25.87 | -53.19 | -2.06 |
| 293 | 293 | 199 | Q_smistamento | -33.19 | -52.89 | -2.45 |
| 293 | 293 | 200 | Q_smistamento | -36.84 | -65.15 | -1.59 |
| 293 | 293 | 196 | Q_smistamento | -29.14 | -65.77 | -1.2 |
| 293 | 293 | 195 | Q_neve | 1.731E-13 | -9.740E-13 | 2.631E-13 |
| 293 | 293 | 199 | Q_neve | -1.015E-12 | 2.332E-14 | 1.947E-13 |
| 293 | 293 | 200 | Q_neve | -1.348E-12 | -5.197E-13 | 4.211E-13 |
| 293 | 293 | 196 | Q_neve | 3.875E-13 | 3.986E-13 | 3.527E-13 |
| 294 | 294 | 196 | DEAD | 3.961E-12 | 2.957E-12 | 1.386E-12 |
| 294 | 294 | 200 | DEAD | -7.927E-12 | -2.283E-12 | 6.385E-13 |
| 294 | 294 | 201 | DEAD | -2.319E-12 | -5.693E-12 | 4.382E-13 |
| 294 | 294 | 197 | DEAD | -2.951E-12 | -3.942E-12 | 6.385E-13 |
| 294 | 294 | 196 | G1_smistamento | -78.61 | -177.41 | -1.27 |
| 294 | 294 | 200 | G1_smistamento | -99.37 | -175.71 | -1.27 |
| 294 | 294 | 201 | G1_smistamento | -99.37 | -175.71 | 1.27 |
| 294 | 294 | 197 | G1_smistamento | -78.61 | -177.41 | 1.27 |
| 294 | 294 | 196 | G2_smistamento | -29.14 | -65.77 | -0.47 |
| 294 | 294 | 200 | G2_smistamento | -36.84 | -65.14 | -0.47 |
| 294 | 294 | 201 | G2_smistamento | -36.84 | -65.14 | 0.47 |
| 294 | 294 | 197 | G2_smistamento | -29.14 | -65.77 | 0.47 |
| 294 | 294 | 196 | Q_smistamento | -29.14 | -65.77 | -0.47 |
| 294 | 294 | 200 | Q_smistamento | -36.84 | -65.14 | -0.47 |
| 294 | 294 | 201 | Q_smistamento | -36.84 | -65.14 | 0.47 |
| 294 | 294 | 197 | Q_smistamento | -29.14 | -65.77 | 0.47 |
| 294 | 294 | 196 | Q_neve | 5.827E-13 | 4.517E-13 | 1.110E-13 |
| 294 | 294 | 200 | Q_neve | -1.529E-12 | -4.193E-13 | 2.728E-13 |
| 294 | 294 | 201 | Q_neve | -4.344E-13 | -1.079E-12 | 7.147E-14 |
| 294 | 294 | 197 | Q_neve | -6.998E-13 | -1.012E-12 | 1.148E-13 |
| 295 | 295 | 197 | DEAD | -2.509E-12 | -2.757E-12 | -4.382E-13 |
| 295 | 295 | 201 | DEAD | -2.606E-12 | -5.093E-12 | -1.039E-12 |
| 295 | 295 | 202 | DEAD | -8.118E-12 | -3.310E-12 | -1.386E-12 |
| 295 | 295 | 198 | DEAD | -2.685E-12 | -5.488E-12 | 8.568E-13 |
| 295 | 295 | 197 | G1_smistamento | -78.61 | -177.42 | 3.24 |
| 295 | 295 | 201 | G1_smistamento | -99.37 | -175.74 | 4.3 |
| 295 | 295 | 202 | G1_smistamento | -89.52 | -142.67 | 6.6 |
| 295 | 295 | 198 | G1_smistamento | -69.79 | -143.49 | 5.55 |
| 295 | 295 | 197 | G2_smistamento | -29.14 | -65.77 | 1.2 |

Table 21: Element Stresses - Area Shells, Part 1 of 3

| Area | AreaElem | Joint | OutputCase | S11Top KN/m2 | S22Top KN/m2 | S12Top KN/m2 |
|------|----------|-------|----------------|-----------------|-----------------|-----------------|
| 295 | 295 | 201 | G2_smistamento | -36.84 | -65.15 | 1.59 |
| 295 | 295 | 202 | G2_smistamento | -33.19 | -52.89 | 2.45 |
| 295 | 295 | 198 | G2_smistamento | -25.87 | -53.19 | 2.06 |
| 295 | 295 | 197 | Q_smistamento | -29.14 | -65.77 | 1.2 |
| 295 | 295 | 201 | Q_smistamento | -36.84 | -65.15 | 1.59 |
| 295 | 295 | 202 | Q_smistamento | -33.19 | -52.89 | 2.45 |
| 295 | 295 | 198 | Q_smistamento | -25.87 | -53.19 | 2.06 |
| 295 | 295 | 197 | Q_neve | -7.524E-13 | -6.174E-13 | -3.197E-14 |
| 295 | 295 | 201 | Q_neve | -5.241E-13 | -1.281E-12 | -2.150E-13 |
| 295 | 295 | 202 | Q_neve | -1.967E-12 | -5.285E-13 | -1.505E-13 |
| 295 | 295 | 198 | Q_neve | -4.028E-14 | -9.942E-13 | 1.010E-13 |
| 296 | 296 | 198 | DEAD | -1.541E-12 | -1.552E-12 | -1.137E-12 |
| 296 | 296 | 202 | DEAD | -9.410E-12 | -7.598E-12 | -3.047E-13 |
| 296 | 296 | 112 | DEAD | -4.069E-12 | -1.868E-12 | -5.050E-13 |
| 296 | 296 | 114 | DEAD | -2.221E-12 | -2.937E-12 | -1.885E-12 |
| 296 | 296 | 198 | G1_smistamento | -69.8 | -143.52 | 7.31 |
| 296 | 296 | 202 | G1_smistamento | -89.53 | -142.74 | 8.96 |
| 296 | 296 | 112 | G1_smistamento | -66.87 | -53.88 | 10.78 |
| 296 | 296 | 114 | G1_smistamento | -48.51 | -53.86 | 9.13 |
| 296 | 296 | 198 | G2_smistamento | -25.87 | -53.21 | 2.71 |
| 296 | 296 | 202 | G2_smistamento | -33.19 | -52.91 | 3.32 |
| 296 | 296 | 112 | G2_smistamento | -24.79 | -19.97 | 4. |
| 296 | 296 | 114 | G2_smistamento | -17.98 | -19.96 | 3.39 |
| 296 | 296 | 198 | Q_smistamento | -25.87 | -53.21 | 2.71 |
| 296 | 296 | 202 | Q_smistamento | -33.19 | -52.91 | 3.32 |
| 296 | 296 | 112 | Q_smistamento | -24.79 | -19.97 | 4. |
| 296 | 296 | 114 | Q_smistamento | -17.98 | -19.96 | 3.39 |
| 296 | 296 | 198 | Q_neve | -3.692E-14 | -7.123E-13 | -2.052E-13 |
| 296 | 296 | 202 | Q_neve | -2.089E-12 | -1.653E-12 | -1.833E-14 |
| 296 | 296 | 112 | Q_neve | -6.985E-13 | -2.284E-13 | -2.052E-13 |
| 296 | 296 | 114 | Q_neve | -4.596E-13 | -1.425E-13 | -2.553E-13 |
| 297 | 297 | 94 | DEAD | -6.974E-12 | -1.136E-12 | 1.326E-12 |
| 297 | 297 | 96 | DEAD | -1.135E-11 | -2.478E-12 | 1.411E-12 |
| 297 | 297 | 203 | DEAD | -7.211E-12 | -1.373E-12 | 1.958E-12 |
| 297 | 297 | 199 | DEAD | -6.530E-12 | -2.083E-12 | 7.786E-13 |
| 297 | 297 | 94 | G1_smistamento | -66.91 | -53.88 | -12.86 |
| 297 | 297 | 96 | G1_smistamento | -78.96 | -53.18 | -15.2 |
| 297 | 297 | 203 | G1_smistamento | -103.02 | -139.05 | -13.13 |

Table 21: Element Stresses - Area Shells, Part 1 of 3

| Area | AreaElem | Joint | OutputCase | S11Top KN/m2 | S22Top KN/m2 | S12Top KN/m2 |
|------|----------|-------|----------------|-----------------|-----------------|-----------------|
| 297 | 297 | 199 | G1_smistamento | -89.51 | -142.73 | -10.8 |
| 297 | 297 | 94 | G2_smistamento | -24.8 | -19.98 | -4.77 |
| 297 | 297 | 96 | G2_smistamento | -29.27 | -19.71 | -5.63 |
| 297 | 297 | 203 | G2_smistamento | -38.19 | -51.55 | -4.87 |
| 297 | 297 | 199 | G2_smistamento | -33.18 | -52.91 | -4. |
| 297 | 297 | 94 | Q_smistamento | -24.8 | -19.98 | -4.77 |
| 297 | 297 | 96 | Q_smistamento | -29.27 | -19.71 | -5.63 |
| 297 | 297 | 203 | Q_smistamento | -38.19 | -51.55 | -4.87 |
| 297 | 297 | 199 | Q_smistamento | -33.18 | -52.91 | -4. |
| 297 | 297 | 94 | Q_neve | -1.731E-12 | -5.205E-13 | 2.228E-13 |
| 297 | 297 | 96 | Q_neve | -1.595E-12 | -1.869E-13 | 3.268E-13 |
| 297 | 297 | 203 | Q_neve | -1.524E-12 | -4.316E-13 | 3.018E-13 |
| 297 | 297 | 199 | Q_neve | -1.250E-12 | -3.547E-13 | 1.293E-13 |
| 298 | 298 | 199 | DEAD | -6.117E-12 | -2.187E-12 | 1.593E-12 |
| 298 | 298 | 203 | DEAD | -7.240E-12 | -6.817E-13 | 1.277E-12 |
| 298 | 298 | 204 | DEAD | -1.208E-11 | -4.518E-12 | 9.611E-13 |
| 298 | 298 | 200 | DEAD | -4.870E-12 | -2.077E-13 | 1.277E-12 |
| 298 | 298 | 199 | G1_smistamento | -89.49 | -142.67 | -8.43 |
| 298 | 298 | 203 | G1_smistamento | -102.99 | -138.91 | -9.97 |
| 298 | 298 | 204 | G1_smistamento | -113.59 | -169.51 | -6.59 |
| 298 | 298 | 200 | G1_smistamento | -99.33 | -175.73 | -5.05 |
| 298 | 298 | 199 | G2_smistamento | -33.18 | -52.89 | -3.12 |
| 298 | 298 | 203 | G2_smistamento | -38.18 | -51.5 | -3.7 |
| 298 | 298 | 204 | G2_smistamento | -42.11 | -62.84 | -2.44 |
| 298 | 298 | 200 | G2_smistamento | -36.82 | -65.15 | -1.87 |
| 298 | 298 | 199 | Q_smistamento | -33.18 | -52.89 | -3.12 |
| 298 | 298 | 203 | Q_smistamento | -38.18 | -51.5 | -3.7 |
| 298 | 298 | 204 | Q_smistamento | -42.11 | -62.84 | -2.44 |
| 298 | 298 | 200 | Q_smistamento | -36.82 | -65.15 | -1.87 |
| 298 | 298 | 199 | Q_neve | -1.183E-12 | -2.423E-13 | 2.417E-13 |
| 298 | 298 | 203 | Q_neve | -1.466E-12 | -8.257E-14 | 1.771E-13 |
| 298 | 298 | 204 | Q_neve | -1.815E-12 | -7.953E-13 | 1.232E-13 |
| 298 | 298 | 200 | Q_neve | -1.328E-12 | -3.393E-13 | 2.561E-13 |
| 299 | 299 | 200 | DEAD | -3.826E-12 | -1.657E-12 | 1.046E-12 |
| 299 | 299 | 204 | DEAD | -1.298E-11 | -3.765E-12 | 4.138E-13 |
| 299 | 299 | 205 | DEAD | -1.097E-11 | -6.120E-12 | 4.138E-13 |
| 299 | 299 | 201 | DEAD | -9.621E-12 | -6.885E-12 | 1.046E-12 |
| 299 | 299 | 200 | G1_smistamento | -99.33 | -175.7 | -1.97 |

Table 21: Element Stresses - Area Shells, Part 1 of 3

| Area | AreaElem | Joint | OutputCase | S11Top KN/m2 | S22Top KN/m2 | S12Top KN/m2 |
|------|----------|-------|----------------|-----------------|-----------------|-----------------|
| 299 | 299 | 204 | G1_smistamento | -113.58 | -169.47 | -1.97 |
| 299 | 299 | 205 | G1_smistamento | -113.58 | -169.47 | 1.97 |
| 299 | 299 | 201 | G1_smistamento | -99.33 | -175.7 | 1.97 |
| 299 | 299 | 200 | G2_smistamento | -36.82 | -65.14 | -0.73 |
| 299 | 299 | 204 | G2_smistamento | -42.11 | -62.83 | -0.73 |
| 299 | 299 | 205 | G2_smistamento | -42.11 | -62.83 | 0.73 |
| 299 | 299 | 201 | G2_smistamento | -36.82 | -65.14 | 0.73 |
| 299 | 299 | 200 | Q_smistamento | -36.82 | -65.14 | -0.73 |
| 299 | 299 | 204 | Q_smistamento | -42.11 | -62.83 | -0.73 |
| 299 | 299 | 205 | Q_smistamento | -42.11 | -62.83 | 0.73 |
| 299 | 299 | 201 | Q_smistamento | -36.82 | -65.14 | 0.73 |
| 299 | 299 | 200 | Q_neve | -1.034E-12 | -2.481E-13 | 1.702E-13 |
| 299 | 299 | 204 | Q_neve | -2.136E-12 | -8.790E-13 | 5.172E-14 |
| 299 | 299 | 205 | Q_neve | -1.725E-12 | -1.097E-12 | 1.222E-14 |
| 299 | 299 | 201 | Q_neve | -2.334E-12 | -1.630E-12 | 1.307E-13 |
| 300 | 300 | 201 | DEAD | -9.836E-12 | -6.276E-12 | -6.809E-13 |
| 300 | 300 | 205 | DEAD | -1.246E-11 | -9.405E-12 | 8.991E-13 |
| 300 | 300 | 206 | DEAD | -7.427E-12 | -5.605E-12 | -4.888E-14 |
| 300 | 300 | 202 | DEAD | -3.572E-12 | -2.887E-12 | -1.629E-12 |
| 300 | 300 | 201 | G1_smistamento | -99.33 | -175.73 | 5.05 |
| 300 | 300 | 205 | G1_smistamento | -113.59 | -169.51 | 6.59 |
| 300 | 300 | 206 | G1_smistamento | -102.99 | -138.91 | 9.97 |
| 300 | 300 | 202 | G1_smistamento | -89.49 | -142.67 | 8.43 |
| 300 | 300 | 201 | G2_smistamento | -36.82 | -65.15 | 1.87 |
| 300 | 300 | 205 | G2_smistamento | -42.11 | -62.84 | 2.44 |
| 300 | 300 | 206 | G2_smistamento | -38.18 | -51.5 | 3.7 |
| 300 | 300 | 202 | G2_smistamento | -33.18 | -52.89 | 3.12 |
| 300 | 300 | 201 | Q_smistamento | -36.82 | -65.15 | 1.87 |
| 300 | 300 | 205 | Q_smistamento | -42.11 | -62.84 | 2.44 |
| 300 | 300 | 206 | Q_smistamento | -38.18 | -51.5 | 3.7 |
| 300 | 300 | 202 | Q_smistamento | -33.18 | -52.89 | 3.12 |
| 300 | 300 | 201 | Q_neve | -2.159E-12 | -1.688E-12 | -1.058E-14 |
| 300 | 300 | 205 | Q_neve | -1.823E-12 | -1.097E-12 | 3.449E-13 |
| 300 | 300 | 206 | Q_neve | -1.843E-12 | -1.767E-12 | 1.474E-13 |
| 300 | 300 | 202 | Q_neve | -2.632E-13 | -1.687E-13 | -2.081E-13 |
| 301 | 301 | 202 | DEAD | -5.481E-12 | -7.447E-12 | 2.981E-13 |
| 301 | 301 | 206 | DEAD | -6.234E-12 | -2.057E-12 | -5.652E-13 |
| 301 | 301 | 110 | DEAD | -3.664E-12 | -2.154E-12 | 6.141E-13 |

Table 21: Element Stresses - Area Shells, Part 1 of 3

| Area | AreaElem | Joint | OutputCase | S11Top KN/m2 | S22Top KN/m2 | S12Top KN/m2 |
|------|----------|-------|----------------|-----------------|-----------------|-----------------|
| 301 | 301 | 112 | DEAD | -5.168E-12 | -2.413E-12 | 3.828E-13 |
| 301 | 301 | 202 | G1_smistamento | -89.51 | -142.73 | 10.8 |
| 301 | 301 | 206 | G1_smistamento | -103.02 | -139.05 | 13.13 |
| 301 | 301 | 110 | G1_smistamento | -78.96 | -53.18 | 15.2 |
| 301 | 301 | 112 | G1_smistamento | -66.91 | -53.88 | 12.86 |
| 301 | 301 | 202 | G2_smistamento | -33.18 | -52.91 | 4. |
| 301 | 301 | 206 | G2_smistamento | -38.19 | -51.55 | 4.87 |
| 301 | 301 | 110 | G2_smistamento | -29.27 | -19.71 | 5.63 |
| 301 | 301 | 112 | G2_smistamento | -24.8 | -19.98 | 4.77 |
| 301 | 301 | 202 | Q_smistamento | -33.18 | -52.91 | 4. |
| 301 | 301 | 206 | Q_smistamento | -38.19 | -51.55 | 4.87 |
| 301 | 301 | 110 | Q_smistamento | -29.27 | -19.71 | 5.63 |
| 301 | 301 | 112 | Q_smistamento | -24.8 | -19.98 | 4.77 |
| 301 | 301 | 202 | Q_neve | -4.751E-13 | -1.445E-12 | 7.982E-14 |
| 301 | 301 | 206 | Q_neve | -1.801E-12 | -6.045E-13 | -1.216E-13 |
| 301 | 301 | 110 | Q_neve | -5.739E-13 | -5.165E-13 | 7.982E-14 |
| 301 | 301 | 112 | Q_neve | -1.129E-12 | -9.103E-14 | 7.594E-14 |
| 302 | 302 | 96 | DEAD | -8.292E-12 | -2.256E-12 | 2.232E-12 |
| 302 | 302 | 98 | DEAD | -5.282E-12 | -8.962E-13 | 1.484E-12 |
| 302 | 302 | 207 | DEAD | -5.369E-12 | -9.135E-13 | 1.600E-12 |
| 302 | 302 | 203 | DEAD | -1.077E-11 | -2.753E-12 | 1.800E-12 |
| 302 | 302 | 96 | G1_smistamento | -79.02 | -53.19 | -18.01 |
| 302 | 302 | 98 | G1_smistamento | -72.75 | -50.63 | -20.82 |
| 302 | 302 | 207 | G1_smistamento | -95.58 | -128.12 | -18.48 |
| 302 | 302 | 203 | G1_smistamento | -102.93 | -139.03 | -15.67 |
| 302 | 302 | 96 | G2_smistamento | -29.29 | -19.72 | -6.68 |
| 302 | 302 | 98 | G2_smistamento | -26.97 | -18.77 | -7.72 |
| 302 | 302 | 207 | G2_smistamento | -35.43 | -47.49 | -6.85 |
| 302 | 302 | 203 | G2_smistamento | -38.16 | -51.54 | -5.81 |
| 302 | 302 | 96 | Q_smistamento | -29.29 | -19.72 | -6.68 |
| 302 | 302 | 98 | Q_smistamento | -26.97 | -18.77 | -7.72 |
| 302 | 302 | 207 | Q_smistamento | -35.43 | -47.49 | -6.85 |
| 302 | 302 | 203 | Q_smistamento | -38.16 | -51.54 | -5.81 |
| 302 | 302 | 96 | Q_neve | -1.632E-12 | -1.814E-13 | 3.983E-13 |
| 302 | 302 | 98 | Q_neve | -1.373E-12 | -4.360E-13 | 3.193E-13 |
| 302 | 302 | 207 | Q_neve | -1.276E-12 | -5.369E-13 | 2.403E-13 |
| 302 | 302 | 203 | Q_neve | -1.945E-12 | -6.928E-13 | 3.193E-13 |
| 303 | 303 | 203 | DEAD | -1.141E-11 | -2.964E-12 | 8.878E-13 |

Table 21: Element Stresses - Area Shells, Part 1 of 3

| Area | AreaElem | Joint | OutputCase | S11Top KN/m2 | S22Top KN/m2 | S12Top KN/m2 |
|------|----------|-------|----------------|-----------------|-----------------|-----------------|
| 303 | 303 | 207 | DEAD | -6.251E-12 | -4.920E-12 | 7.721E-13 |
| 303 | 303 | 208 | DEAD | -4.418E-12 | -1.187E-12 | 5.718E-13 |
| 303 | 303 | 204 | DEAD | -1.115E-11 | -3.814E-12 | 1.401E-13 |
| 303 | 303 | 203 | G1_smistamento | -102.91 | -138.9 | -12.42 |
| 303 | 303 | 207 | G1_smistamento | -95.57 | -128.09 | -13.9 |
| 303 | 303 | 208 | G1_smistamento | -103.69 | -154.51 | -9.04 |
| 303 | 303 | 204 | G1_smistamento | -113.61 | -169.51 | -7.56 |
| 303 | 303 | 203 | G2_smistamento | -38.15 | -51.49 | -4.6 |
| 303 | 303 | 207 | G2_smistamento | -35.43 | -47.49 | -5.15 |
| 303 | 303 | 208 | G2_smistamento | -38.44 | -57.28 | -3.35 |
| 303 | 303 | 204 | G2_smistamento | -42.12 | -62.84 | -2.8 |
| 303 | 303 | 203 | Q_smistamento | -38.15 | -51.49 | -4.6 |
| 303 | 303 | 207 | Q_smistamento | -35.43 | -47.49 | -5.15 |
| 303 | 303 | 208 | Q_smistamento | -38.44 | -57.28 | -3.35 |
| 303 | 303 | 204 | Q_smistamento | -42.12 | -62.84 | -2.8 |
| 303 | 303 | 203 | Q_neve | -1.722E-12 | -2.439E-14 | 1.649E-13 |
| 303 | 303 | 207 | Q_neve | -1.732E-12 | -9.721E-13 | 1.505E-13 |
| 303 | 303 | 208 | Q_neve | -1.140E-12 | -1.923E-13 | 8.593E-14 |
| 303 | 303 | 204 | Q_neve | -1.969E-12 | -9.721E-13 | 3.197E-14 |
| 304 | 304 | 204 | DEAD | -1.049E-11 | -4.160E-12 | 1.824E-13 |
| 304 | 304 | 208 | DEAD | -5.651E-12 | -5.111E-12 | 1.824E-13 |
| 304 | 304 | 209 | DEAD | -4.765E-12 | -2.066E-12 | 1.824E-13 |
| 304 | 304 | 205 | DEAD | -1.193E-11 | -6.177E-12 | 1.824E-13 |
| 304 | 304 | 204 | G1_smistamento | -113.6 | -169.48 | -2.8 |
| 304 | 304 | 208 | G1_smistamento | -103.71 | -154.59 | -2.8 |
| 304 | 304 | 209 | G1_smistamento | -103.71 | -154.59 | 2.8 |
| 304 | 304 | 205 | G1_smistamento | -113.6 | -169.48 | 2.8 |
| 304 | 304 | 204 | G2_smistamento | -42.11 | -62.83 | -1.04 |
| 304 | 304 | 208 | G2_smistamento | -38.45 | -57.31 | -1.04 |
| 304 | 304 | 209 | G2_smistamento | -38.45 | -57.31 | 1.04 |
| 304 | 304 | 205 | G2_smistamento | -42.11 | -62.83 | 1.04 |
| 304 | 304 | 204 | Q_smistamento | -42.11 | -62.83 | -1.04 |
| 304 | 304 | 208 | Q_smistamento | -38.45 | -57.31 | -1.04 |
| 304 | 304 | 209 | Q_smistamento | -38.45 | -57.31 | 1.04 |
| 304 | 304 | 205 | Q_smistamento | -42.11 | -62.83 | 1.04 |
| 304 | 304 | 204 | Q_neve | -2.011E-12 | -8.227E-13 | 6.841E-14 |
| 304 | 304 | 208 | Q_neve | -1.247E-12 | -8.909E-13 | 6.841E-14 |
| 304 | 304 | 209 | Q_neve | -1.803E-12 | -7.338E-13 | 6.841E-14 |

Table 21: Element Stresses - Area Shells, Part 1 of 3

| Area | AreaElem | Joint | OutputCase | S11Top KN/m2 | S22Top KN/m2 | S12Top KN/m2 |
|------|----------|-------|----------------|-----------------|-----------------|-----------------|
| 304 | 304 | 205 | Q_neve | -1.712E-12 | -1.315E-12 | 6.841E-14 |
| 305 | 305 | 205 | DEAD | -1.195E-11 | -1.042E-11 | 1.108E-12 |
| 305 | 305 | 209 | DEAD | -5.657E-12 | -1.147E-12 | 2.056E-12 |
| 305 | 305 | 210 | DEAD | -2.970E-13 | -4.293E-12 | 3.636E-12 |
| 305 | 305 | 206 | DEAD | -1.083E-11 | -5.216E-12 | 2.688E-12 |
| 305 | 305 | 205 | G1_smistamento | -113.61 | -169.51 | 7.56 |
| 305 | 305 | 209 | G1_smistamento | -103.69 | -154.51 | 9.04 |
| 305 | 305 | 210 | G1_smistamento | -95.57 | -128.09 | 13.9 |
| 305 | 305 | 206 | G1_smistamento | -102.91 | -138.9 | 12.42 |
| 305 | 305 | 205 | G2_smistamento | -42.12 | -62.84 | 2.8 |
| 305 | 305 | 209 | G2_smistamento | -38.44 | -57.28 | 3.35 |
| 305 | 305 | 210 | G2_smistamento | -35.43 | -47.49 | 5.15 |
| 305 | 305 | 206 | G2_smistamento | -38.15 | -51.49 | 4.6 |
| 305 | 305 | 205 | Q_smistamento | -42.12 | -62.84 | 2.8 |
| 305 | 305 | 209 | Q_smistamento | -38.44 | -57.28 | 3.35 |
| 305 | 305 | 210 | Q_smistamento | -35.43 | -47.49 | 5.15 |
| 305 | 305 | 206 | Q_smistamento | -38.15 | -51.49 | 4.6 |
| 305 | 305 | 205 | Q_neve | -1.748E-12 | -1.119E-12 | 1.112E-13 |
| 305 | 305 | 209 | Q_neve | -1.666E-12 | -5.206E-13 | 3.482E-13 |
| 305 | 305 | 210 | Q_neve | -1.388E-13 | -6.545E-13 | 6.642E-13 |
| 305 | 305 | 206 | Q_neve | -2.308E-12 | -1.834E-12 | 4.272E-13 |
| 306 | 306 | 206 | DEAD | -1.069E-11 | -4.393E-12 | 3.235E-12 |
| 306 | 306 | 210 | DEAD | 2.624E-14 | -4.008E-12 | 3.088E-12 |
| 306 | 306 | 108 | DEAD | -5.435E-12 | -5.618E-12 | 2.603E-12 |
| 306 | 306 | 110 | DEAD | -9.612E-13 | -2.309E-12 | 5.604E-13 |
| 306 | 306 | 206 | G1_smistamento | -102.93 | -139.03 | 15.67 |
| 306 | 306 | 210 | G1_smistamento | -95.58 | -128.12 | 18.48 |
| 306 | 306 | 108 | G1_smistamento | -72.75 | -50.63 | 20.82 |
| 306 | 306 | 110 | G1_smistamento | -79.02 | -53.19 | 18.01 |
| 306 | 306 | 206 | G2_smistamento | -38.16 | -51.54 | 5.81 |
| 306 | 306 | 210 | G2_smistamento | -35.43 | -47.49 | 6.85 |
| 306 | 306 | 108 | G2_smistamento | -26.97 | -18.77 | 7.72 |
| 306 | 306 | 110 | G2_smistamento | -29.29 | -19.72 | 6.68 |
| 306 | 306 | 206 | Q_smistamento | -38.16 | -51.54 | 5.81 |
| 306 | 306 | 210 | Q_smistamento | -35.43 | -47.49 | 6.85 |
| 306 | 306 | 108 | Q_smistamento | -26.97 | -18.77 | 7.72 |
| 306 | 306 | 110 | Q_smistamento | -29.29 | -19.72 | 6.68 |
| 306 | 306 | 206 | Q_neve | -2.220E-12 | -7.317E-13 | 6.522E-13 |

Table 21: Element Stresses - Area Shells, Part 1 of 3

| Area | AreaElem | Joint | OutputCase | S11Top KN/m2 | S22Top KN/m2 | S12Top KN/m2 |
|------|----------|-------|----------------|-----------------|-----------------|-----------------|
| 306 | 306 | 210 | Q_neve | 3.659E-14 | -8.017E-13 | 6.589E-13 |
| 306 | 306 | 108 | Q_neve | -1.183E-12 | -1.235E-12 | 5.337E-13 |
| 306 | 306 | 110 | Q_neve | -1.905E-13 | -5.153E-13 | 1.849E-13 |
| 307 | 307 | 98 | DEAD | -4.452E-12 | -2.120E-12 | 1.502E-12 |
| 307 | 307 | 6 | DEAD | -8.311E-13 | -4.799E-13 | 1.070E-12 |
| 307 | 307 | 100 | DEAD | -2.595E-12 | -1.369E-12 | 8.699E-13 |
| 307 | 307 | 207 | DEAD | -5.532E-12 | -1.230E-12 | 7.542E-13 |
| 307 | 307 | 98 | G1_smistamento | -73.03 | -50.68 | -23.34 |
| 307 | 307 | 6 | G1_smistamento | -31.85 | -44. | -23.46 |
| 307 | 307 | 100 | G1_smistamento | -37.17 | -103.14 | -20.91 |
| 307 | 307 | 207 | G1_smistamento | -95.62 | -128.12 | -20.79 |
| 307 | 307 | 98 | G2_smistamento | -27.07 | -18.79 | -8.65 |
| 307 | 307 | 6 | G2_smistamento | -11.81 | -16.31 | -8.7 |
| 307 | 307 | 100 | G2_smistamento | -13.78 | -38.23 | -7.75 |
| 307 | 307 | 207 | G2_smistamento | -35.45 | -47.5 | -7.71 |
| 307 | 307 | 98 | Q_smistamento | -27.07 | -18.79 | -8.65 |
| 307 | 307 | 6 | Q_smistamento | -11.81 | -16.31 | -8.7 |
| 307 | 307 | 100 | Q_smistamento | -13.78 | -38.23 | -7.75 |
| 307 | 307 | 207 | Q_smistamento | -35.45 | -47.5 | -7.71 |
| 307 | 307 | 98 | Q_neve | -1.050E-12 | -3.899E-13 | 2.478E-13 |
| 307 | 307 | 6 | Q_neve | -3.209E-13 | 8.902E-14 | 1.543E-13 |
| 307 | 307 | 100 | Q_neve | -5.861E-13 | -6.763E-13 | 2.083E-13 |
| 307 | 307 | 207 | Q_neve | -1.042E-12 | -1.973E-13 | 2.333E-13 |
| 308 | 308 | 207 | DEAD | -6.336E-12 | -5.799E-12 | 1.137E-12 |
| 308 | 308 | 100 | DEAD | -2.381E-12 | -1.100E-12 | 1.569E-12 |
| 308 | 308 | 102 | DEAD | -1.714E-12 | -5.444E-12 | 5.050E-13 |
| 308 | 308 | 208 | DEAD | -4.711E-12 | -4.282E-13 | 6.206E-13 |
| 308 | 308 | 207 | G1_smistamento | -95.61 | -128.1 | -15.52 |
| 308 | 308 | 100 | G1_smistamento | -37.11 | -102.83 | -15.51 |
| 308 | 308 | 102 | G1_smistamento | -38.95 | -127.12 | -9.42 |
| 308 | 308 | 208 | G1_smistamento | -103.83 | -154.54 | -9.44 |
| 308 | 308 | 207 | G2_smistamento | -35.44 | -47.49 | -5.76 |
| 308 | 308 | 100 | G2_smistamento | -13.76 | -38.12 | -5.75 |
| 308 | 308 | 102 | G2_smistamento | -14.44 | -47.13 | -3.49 |
| 308 | 308 | 208 | G2_smistamento | -38.49 | -57.29 | -3.5 |
| 308 | 308 | 207 | Q_smistamento | -35.44 | -47.49 | -5.76 |
| 308 | 308 | 100 | Q_smistamento | -13.76 | -38.12 | -5.75 |
| 308 | 308 | 102 | Q_smistamento | -14.44 | -47.13 | -3.49 |

Table 21: Element Stresses - Area Shells, Part 1 of 3

| Area | AreaElem | Joint | OutputCase | S11Top KN/m2 | S22Top KN/m2 | S12Top KN/m2 |
|------|----------|-------|----------------|-----------------|-----------------|-----------------|
| 308 | 308 | 208 | Q_smistamento | -38.49 | -57.29 | -3.5 |
| 308 | 308 | 207 | Q_neve | -9.206E-13 | -6.730E-13 | 1.794E-13 |
| 308 | 308 | 100 | Q_neve | -8.386E-13 | -7.942E-13 | 2.044E-13 |
| 308 | 308 | 102 | Q_neve | -7.139E-14 | -4.558E-13 | 1.399E-13 |
| 308 | 308 | 208 | Q_neve | -1.214E-12 | -3.004E-13 | 4.643E-14 |
| 309 | 309 | 208 | DEAD | -6.095E-12 | -4.633E-12 | -7.812E-14 |
| 309 | 309 | 102 | DEAD | -9.450E-13 | 6.749E-13 | 1.618E-12 |
| 309 | 309 | 104 | DEAD | 1.055E-12 | 7.787E-13 | 2.450E-12 |
| 309 | 309 | 209 | DEAD | -1.221E-12 | -1.656E-12 | 1.302E-12 |
| 309 | 309 | 208 | G1_smistamento | -103.84 | -154.62 | -3.16 |
| 309 | 309 | 102 | G1_smistamento | -38.94 | -127.09 | -3.16 |
| 309 | 309 | 104 | G1_smistamento | -38.94 | -127.09 | 3.16 |
| 309 | 309 | 209 | G1_smistamento | -103.84 | -154.62 | 3.16 |
| 309 | 309 | 208 | G2_smistamento | -38.5 | -57.32 | -1.17 |
| 309 | 309 | 102 | G2_smistamento | -14.44 | -47.11 | -1.17 |
| 309 | 309 | 104 | G2_smistamento | -14.44 | -47.11 | 1.17 |
| 309 | 309 | 209 | G2_smistamento | -38.5 | -57.32 | 1.17 |
| 309 | 309 | 208 | Q_smistamento | -38.5 | -57.32 | -1.17 |
| 309 | 309 | 102 | Q_smistamento | -14.44 | -47.11 | -1.17 |
| 309 | 309 | 104 | Q_smistamento | -14.44 | -47.11 | 1.17 |
| 309 | 309 | 209 | Q_smistamento | -38.5 | -57.32 | 1.17 |
| 309 | 309 | 208 | Q_neve | -1.160E-12 | -5.975E-13 | 1.691E-14 |
| 309 | 309 | 102 | Q_neve | -1.935E-13 | -2.286E-13 | 2.000E-13 |
| 309 | 309 | 104 | Q_neve | 2.819E-13 | 4.493E-13 | 5.304E-13 |
| 309 | 309 | 209 | Q_neve | -4.108E-13 | -6.038E-13 | 2.790E-13 |
| 310 | 310 | 209 | DEAD | -2.134E-12 | -1.990E-12 | 3.235E-12 |
| 310 | 310 | 104 | DEAD | 1.511E-12 | 1.436E-12 | 2.603E-12 |
| 310 | 310 | 106 | DEAD | 3.548E-13 | -4.715E-12 | 2.603E-12 |
| 310 | 310 | 210 | DEAD | -6.231E-12 | -3.146E-12 | 3.235E-12 |
| 310 | 310 | 209 | G1_smistamento | -103.83 | -154.54 | 9.44 |
| 310 | 310 | 104 | G1_smistamento | -38.95 | -127.12 | 9.42 |
| 310 | 310 | 106 | G1_smistamento | -37.11 | -102.83 | 15.51 |
| 310 | 310 | 210 | G1_smistamento | -95.61 | -128.1 | 15.52 |
| 310 | 310 | 209 | G2_smistamento | -38.49 | -57.29 | 3.5 |
| 310 | 310 | 104 | G2_smistamento | -14.44 | -47.13 | 3.49 |
| 310 | 310 | 106 | G2_smistamento | -13.76 | -38.12 | 5.75 |
| 310 | 310 | 210 | G2_smistamento | -35.44 | -47.49 | 5.76 |
| 310 | 310 | 209 | Q_smistamento | -38.49 | -57.29 | 3.5 |

Table 21: Element Stresses - Area Shells, Part 1 of 3

| Area | AreaElem | Joint | OutputCase | S11Top KN/m2 | S22Top KN/m2 | S12Top KN/m2 |
|------|----------|-------|----------------|-----------------|-----------------|-----------------|
| 310 | 310 | 104 | Q_smistamento | -14.44 | -47.13 | 3.49 |
| 310 | 310 | 106 | Q_smistamento | -13.76 | -38.12 | 5.75 |
| 310 | 310 | 210 | Q_smistamento | -35.44 | -47.49 | 5.76 |
| 310 | 310 | 209 | Q_neve | -3.336E-13 | 9.229E-14 | 7.175E-13 |
| 310 | 310 | 104 | Q_neve | 3.372E-13 | 2.324E-13 | 5.990E-13 |
| 310 | 310 | 106 | Q_neve | -6.299E-13 | -1.626E-12 | 5.595E-13 |
| 310 | 310 | 210 | Q_neve | -4.626E-13 | -4.490E-13 | 6.780E-13 |
| 311 | 311 | 210 | DEAD | -6.391E-12 | -6.751E-12 | 2.627E-12 |
| 311 | 311 | 106 | DEAD | 1.733E-12 | -2.019E-12 | 2.828E-12 |
| 311 | 311 | 63 | DEAD | -2.046E-12 | -5.882E-12 | 3.575E-12 |
| 311 | 311 | 108 | DEAD | -3.876E-12 | -5.416E-12 | 2.828E-12 |
| 311 | 311 | 210 | G1_smistamento | -95.62 | -128.12 | 20.79 |
| 311 | 311 | 106 | G1_smistamento | -37.17 | -103.14 | 20.91 |
| 311 | 311 | 63 | G1_smistamento | -31.85 | -44. | 23.46 |
| 311 | 311 | 108 | G1_smistamento | -73.03 | -50.68 | 23.34 |
| 311 | 311 | 210 | G2_smistamento | -35.45 | -47.5 | 7.71 |
| 311 | 311 | 106 | G2_smistamento | -13.78 | -38.23 | 7.75 |
| 311 | 311 | 63 | G2_smistamento | -11.81 | -16.31 | 8.7 |
| 311 | 311 | 108 | G2_smistamento | -27.07 | -18.79 | 8.65 |
| 311 | 311 | 210 | Q_smistamento | -35.45 | -47.5 | 7.71 |
| 311 | 311 | 106 | Q_smistamento | -13.78 | -38.23 | 7.75 |
| 311 | 311 | 63 | Q_smistamento | -11.81 | -16.31 | 8.7 |
| 311 | 311 | 108 | Q_smistamento | -27.07 | -18.79 | 8.65 |
| 311 | 311 | 210 | Q_neve | -7.210E-13 | -8.650E-13 | 4.714E-13 |
| 311 | 311 | 106 | Q_neve | -1.569E-13 | -5.880E-13 | 5.754E-13 |
| 311 | 311 | 63 | Q_neve | -2.767E-13 | -1.250E-12 | 6.689E-13 |
| 311 | 311 | 108 | Q_neve | -6.013E-13 | -1.151E-12 | 4.964E-13 |
| 312 | 312 | 8 | DEAD | 4.338E-11 | 2.226E-12 | -2.200E-11 |
| 312 | 312 | 211 | DEAD | -1.617E-12 | -2.154E-11 | -3.464E-11 |
| 312 | 312 | 212 | DEAD | -3.846E-11 | -1.263E-11 | -4.222E-11 |
| 312 | 312 | 9 | DEAD | 1.639E-11 | 7.852E-12 | -2.958E-11 |
| 312 | 312 | 8 | G1_smistamento | -46.41 | -0.22 | 18.24 |
| 312 | 312 | 211 | G1_smistamento | -100.83 | 2.603E-02 | 19.17 |
| 312 | 312 | 212 | G1_smistamento | -121.68 | -72.56 | 22.51 |
| 312 | 312 | 9 | G1_smistamento | -47.75 | -62. | 21.57 |
| 312 | 312 | 8 | G2_smistamento | -17.2 | -8.327E-02 | 6.76 |
| 312 | 312 | 211 | G2_smistamento | -37.38 | 9.649E-03 | 7.11 |
| 312 | 312 | 212 | G2_smistamento | -45.11 | -26.9 | 8.35 |

Table 21: Element Stresses - Area Shells, Part 1 of 3

| Area | AreaElem | Joint | OutputCase | S11Top KN/m2 | S22Top KN/m2 | S12Top KN/m2 |
|------|----------|-------|----------------|-----------------|-----------------|-----------------|
| 312 | 312 | 9 | G2_smistamento | -17.7 | -22.98 | 8. |
| 312 | 312 | 8 | Q_smistamento | -17.2 | -8.327E-02 | 6.76 |
| 312 | 312 | 211 | Q_smistamento | -37.38 | 9.649E-03 | 7.11 |
| 312 | 312 | 212 | Q_smistamento | -45.11 | -26.9 | 8.35 |
| 312 | 312 | 9 | Q_smistamento | -17.7 | -22.98 | 8. |
| 312 | 312 | 8 | Q_neve | 6.818E-12 | 2.955E-12 | -4.574E-12 |
| 312 | 312 | 211 | Q_neve | -1.209E-12 | -2.036E-12 | -6.470E-12 |
| 312 | 312 | 212 | Q_neve | -6.453E-12 | 1.059E-12 | -7.102E-12 |
| 312 | 312 | 9 | Q_neve | 3.215E-12 | 1.124E-12 | -5.206E-12 |
| 313 | 313 | 211 | DEAD | -1.883E-11 | -3.137E-11 | -4.845E-11 |
| 313 | 313 | 213 | DEAD | -4.672E-11 | 3.088E-12 | -4.339E-11 |
| 313 | 313 | 214 | DEAD | -2.641E-11 | 6.554E-12 | -3.328E-11 |
| 313 | 313 | 212 | DEAD | -1.385E-11 | 5.604E-13 | -3.834E-11 |
| 313 | 313 | 211 | G1_smistamento | -101.62 | -0.13 | 17.99 |
| 313 | 313 | 213 | G1_smistamento | -142.53 | -0.15 | 15.97 |
| 313 | 313 | 214 | G1_smistamento | -162.98 | -78.8 | 18.18 |
| 313 | 313 | 212 | G1_smistamento | -121.51 | -72.53 | 20.2 |
| 313 | 313 | 211 | G2_smistamento | -37.67 | -4.903E-02 | 6.67 |
| 313 | 313 | 213 | G2_smistamento | -52.84 | -5.490E-02 | 5.92 |
| 313 | 313 | 214 | G2_smistamento | -60.42 | -29.21 | 6.74 |
| 313 | 313 | 212 | G2_smistamento | -45.05 | -26.89 | 7.49 |
| 313 | 313 | 211 | Q_smistamento | -37.67 | -4.903E-02 | 6.67 |
| 313 | 313 | 213 | Q_smistamento | -52.84 | -5.490E-02 | 5.92 |
| 313 | 313 | 214 | Q_smistamento | -60.42 | -29.21 | 6.74 |
| 313 | 313 | 212 | Q_smistamento | -45.05 | -26.89 | 7.49 |
| 313 | 313 | 211 | Q_neve | -8.595E-12 | -1.164E-12 | -7.930E-12 |
| 313 | 313 | 213 | Q_neve | -3.384E-12 | 1.395E-12 | -7.298E-12 |
| 313 | 313 | 214 | Q_neve | -5.909E-12 | 8.902E-13 | -6.666E-12 |
| 313 | 313 | 212 | Q_neve | -2.910E-12 | -2.684E-14 | -7.298E-12 |
| 314 | 314 | 213 | DEAD | -3.870E-11 | 1.200E-11 | -3.250E-11 |
| 314 | 314 | 215 | DEAD | 4.007E-12 | -2.312E-11 | -3.250E-11 |
| 314 | 314 | 216 | DEAD | -2.479E-11 | 2.084E-11 | -3.756E-11 |
| 314 | 314 | 214 | DEAD | -1.495E-11 | 3.420E-12 | -3.756E-11 |
| 314 | 314 | 213 | G1_smistamento | -142.44 | -0.13 | 14.85 |
| 314 | 314 | 215 | G1_smistamento | -158.77 | -0.11 | 13.2 |
| 314 | 314 | 216 | G1_smistamento | -178.58 | -82.02 | 13.89 |
| 314 | 314 | 214 | G1_smistamento | -162.98 | -78.8 | 15.54 |
| 314 | 314 | 213 | G2_smistamento | -52.81 | -4.813E-02 | 5.5 |

Table 21: Element Stresses - Area Shells, Part 1 of 3

| Area | AreaElem | Joint | OutputCase | S11Top KN/m2 | S22Top KN/m2 | S12Top KN/m2 |
|------|----------|-------|----------------|-----------------|-----------------|-----------------|
| 314 | 314 | 215 | G2_smistamento | -58.86 | -3.918E-02 | 4.89 |
| 314 | 314 | 216 | G2_smistamento | -66.2 | -30.4 | 5.15 |
| 314 | 314 | 214 | G2_smistamento | -60.42 | -29.21 | 5.76 |
| 314 | 314 | 213 | Q_smistamento | -52.81 | -4.813E-02 | 5.5 |
| 314 | 314 | 215 | Q_smistamento | -58.86 | -3.918E-02 | 4.89 |
| 314 | 314 | 216 | Q_smistamento | -66.2 | -30.4 | 5.15 |
| 314 | 314 | 214 | Q_smistamento | -60.42 | -29.21 | 5.76 |
| 314 | 314 | 213 | Q_neve | -6.340E-12 | 1.754E-12 | -6.301E-12 |
| 314 | 314 | 215 | Q_neve | -6.170E-13 | -3.114E-12 | -6.933E-12 |
| 314 | 314 | 216 | Q_neve | -3.101E-12 | 4.677E-12 | -7.565E-12 |
| 314 | 314 | 214 | Q_neve | -4.172E-12 | -3.307E-14 | -6.933E-12 |
| 315 | 315 | 215 | DEAD | -9.848E-12 | -2.406E-11 | -4.087E-11 |
| 315 | 315 | 217 | DEAD | -1.976E-11 | 2.550E-11 | -4.592E-11 |
| 315 | 315 | 218 | DEAD | -4.872E-11 | -6.045E-12 | -4.087E-11 |
| 315 | 315 | 216 | DEAD | -4.876E-13 | 3.087E-11 | -3.581E-11 |
| 315 | 315 | 215 | G1_smistamento | -158.68 | -8.862E-02 | 12.34 |
| 315 | 315 | 217 | G1_smistamento | -157.26 | -5.285E-02 | 11.09 |
| 315 | 315 | 218 | G1_smistamento | -176.64 | -83.24 | 10.69 |
| 315 | 315 | 216 | G1_smistamento | -178.56 | -82.01 | 11.94 |
| 315 | 315 | 215 | G2_smistamento | -58.82 | -3.285E-02 | 4.57 |
| 315 | 315 | 217 | G2_smistamento | -58.3 | -1.959E-02 | 4.11 |
| 315 | 315 | 218 | G2_smistamento | -65.48 | -30.86 | 3.96 |
| 315 | 315 | 216 | G2_smistamento | -66.2 | -30.4 | 4.43 |
| 315 | 315 | 215 | Q_smistamento | -58.82 | -3.285E-02 | 4.57 |
| 315 | 315 | 217 | Q_smistamento | -58.3 | -1.959E-02 | 4.11 |
| 315 | 315 | 218 | Q_smistamento | -65.48 | -30.86 | 3.96 |
| 315 | 315 | 216 | Q_smistamento | -66.2 | -30.4 | 4.43 |
| 315 | 315 | 215 | Q_neve | -2.758E-12 | -1.887E-12 | -8.027E-12 |
| 315 | 315 | 217 | Q_neve | -1.056E-12 | 5.882E-12 | -8.659E-12 |
| 315 | 315 | 218 | Q_neve | -8.051E-12 | -1.808E-12 | -8.027E-12 |
| 315 | 315 | 216 | Q_neve | 9.191E-13 | 4.381E-12 | -7.395E-12 |
| 316 | 316 | 217 | DEAD | -6.010E-11 | 2.758E-11 | -3.994E-11 |
| 316 | 316 | 219 | DEAD | 1.093E-11 | 6.823E-12 | -3.741E-11 |
| 316 | 316 | 220 | DEAD | -5.283E-11 | 3.250E-12 | -3.741E-11 |
| 316 | 316 | 218 | DEAD | -4.549E-12 | -9.925E-12 | -3.994E-11 |
| 316 | 316 | 217 | G1_smistamento | -157.24 | -4.763E-02 | 10.26 |
| 316 | 316 | 219 | G1_smistamento | -146.06 | -9.144E-03 | 9.19 |
| 316 | 316 | 220 | G1_smistamento | -165.33 | -83.27 | 8.22 |

Table 21: Element Stresses - Area Shells, Part 1 of 3

| Area | AreaElem | Joint | OutputCase | S11Top KN/m2 | S22Top KN/m2 | S12Top KN/m2 |
|------|----------|-------|----------------|-----------------|-----------------|-----------------|
| 316 | 316 | 218 | G1_smistamento | -176.61 | -83.23 | 9.29 |
| 316 | 316 | 217 | G2_smistamento | -58.29 | -1.766E-02 | 3.8 |
| 316 | 316 | 219 | G2_smistamento | -54.15 | -3.390E-03 | 3.41 |
| 316 | 316 | 220 | G2_smistamento | -61.29 | -30.87 | 3.05 |
| 316 | 316 | 218 | G2_smistamento | -65.47 | -30.85 | 3.44 |
| 316 | 316 | 217 | Q_smistamento | -58.29 | -1.766E-02 | 3.8 |
| 316 | 316 | 219 | Q_smistamento | -54.15 | -3.390E-03 | 3.41 |
| 316 | 316 | 220 | Q_smistamento | -61.29 | -30.87 | 3.05 |
| 316 | 316 | 218 | Q_smistamento | -65.47 | -30.85 | 3.44 |
| 316 | 316 | 217 | Q_neve | -1.155E-11 | 2.411E-12 | -8.027E-12 |
| 316 | 316 | 219 | Q_neve | 7.548E-13 | 2.143E-12 | -7.395E-12 |
| 316 | 316 | 220 | Q_neve | -4.597E-12 | 1.147E-12 | -8.027E-12 |
| 316 | 316 | 218 | Q_neve | -5.407E-12 | -2.272E-13 | -8.659E-12 |
| 317 | 317 | 219 | DEAD | -1.113E-11 | 1.033E-11 | -4.831E-11 |
| 317 | 317 | 221 | DEAD | -3.443E-11 | -4.023E-12 | -4.578E-11 |
| 317 | 317 | 222 | DEAD | -2.061E-11 | 2.360E-11 | -4.072E-11 |
| 317 | 317 | 220 | DEAD | -1.483E-11 | 2.929E-12 | -4.325E-11 |
| 317 | 317 | 219 | G1_smistamento | -146.08 | -1.279E-02 | 8.22 |
| 317 | 317 | 221 | G1_smistamento | -131.92 | 2.184E-02 | 7.15 |
| 317 | 317 | 222 | G1_smistamento | -151.27 | -82.76 | 6.04 |
| 317 | 317 | 220 | G1_smistamento | -165.29 | -83.26 | 7.11 |
| 317 | 317 | 219 | G2_smistamento | -54.15 | -4.741E-03 | 3.05 |
| 317 | 317 | 221 | G2_smistamento | -48.9 | 8.095E-03 | 2.65 |
| 317 | 317 | 222 | G2_smistamento | -56.08 | -30.68 | 2.24 |
| 317 | 317 | 220 | G2_smistamento | -61.28 | -30.87 | 2.63 |
| 317 | 317 | 219 | Q_smistamento | -54.15 | -4.741E-03 | 3.05 |
| 317 | 317 | 221 | Q_smistamento | -48.9 | 8.095E-03 | 2.65 |
| 317 | 317 | 222 | Q_smistamento | -56.08 | -30.68 | 2.24 |
| 317 | 317 | 220 | Q_smistamento | -61.28 | -30.87 | 2.63 |
| 317 | 317 | 219 | Q_neve | -1.476E-12 | 1.136E-12 | -8.392E-12 |
| 317 | 317 | 221 | Q_neve | -9.191E-12 | -1.924E-12 | -8.392E-12 |
| 317 | 317 | 222 | Q_neve | -7.874E-12 | 1.373E-12 | -8.392E-12 |
| 317 | 317 | 220 | Q_neve | -1.528E-12 | 4.159E-12 | -8.392E-12 |
| 318 | 318 | 221 | DEAD | -2.049E-11 | -3.290E-12 | -4.193E-11 |
| 318 | 318 | 223 | DEAD | 2.052E-11 | -1.873E-11 | -3.688E-11 |
| 318 | 318 | 224 | DEAD | 5.314E-11 | 6.149E-11 | -3.688E-11 |
| 318 | 318 | 222 | DEAD | -1.961E-11 | 2.329E-11 | -4.193E-11 |
| 318 | 318 | 221 | G1_smistamento | -131.96 | 1.474E-02 | 5.94 |

Table 21: Element Stresses - Area Shells, Part 1 of 3

| Area | AreaElem | Joint | OutputCase | S11Top KN/m2 | S22Top KN/m2 | S12Top KN/m2 |
|------|----------|-------|----------------|-----------------|-----------------|-----------------|
| 318 | 318 | 223 | G1_smistamento | -119.83 | 4.032E-02 | 4.79 |
| 318 | 318 | 224 | G1_smistamento | -139.31 | -82.19 | 3.88 |
| 318 | 318 | 222 | G1_smistamento | -151.24 | -82.76 | 5.03 |
| 318 | 318 | 221 | G2_smistamento | -48.92 | 5.463E-03 | 2.2 |
| 318 | 318 | 223 | G2_smistamento | -44.42 | 1.495E-02 | 1.78 |
| 318 | 318 | 224 | G2_smistamento | -51.64 | -30.47 | 1.44 |
| 318 | 318 | 222 | G2_smistamento | -56.07 | -30.68 | 1.86 |
| 318 | 318 | 221 | Q_smistamento | -48.92 | 5.463E-03 | 2.2 |
| 318 | 318 | 223 | Q_smistamento | -44.42 | 1.495E-02 | 1.78 |
| 318 | 318 | 224 | Q_smistamento | -51.64 | -30.47 | 1.44 |
| 318 | 318 | 222 | Q_smistamento | -56.07 | -30.68 | 1.86 |
| 318 | 318 | 221 | Q_neve | -6.572E-12 | -3.643E-13 | -7.298E-12 |
| 318 | 318 | 223 | Q_neve | 7.491E-12 | 5.795E-13 | -7.298E-12 |
| 318 | 318 | 224 | Q_neve | 2.513E-12 | 5.245E-12 | -7.298E-12 |
| 318 | 318 | 222 | Q_neve | -3.301E-13 | 1.290E-12 | -7.298E-12 |
| 319 | 319 | 223 | DEAD | 7.041E-12 | -2.546E-11 | -3.357E-11 |
| 319 | 319 | 225 | DEAD | 1.060E-11 | 8.587E-12 | -3.357E-11 |
| 319 | 319 | 226 | DEAD | -1.160E-11 | 2.659E-12 | -3.357E-11 |
| 319 | 319 | 224 | DEAD | 4.504E-11 | 5.946E-11 | -3.357E-11 |
| 319 | 319 | 223 | G1_smistamento | -119.86 | 3.423E-02 | 3.39 |
| 319 | 319 | 225 | G1_smistamento | -113. | 4.779E-02 | 2.15 |
| 319 | 319 | 226 | G1_smistamento | -132.57 | -81.83 | 1.64 |
| 319 | 319 | 224 | G1_smistamento | -139.29 | -82.18 | 2.88 |
| 319 | 319 | 223 | G2_smistamento | -44.43 | 1.269E-02 | 1.26 |
| 319 | 319 | 225 | G2_smistamento | -41.89 | 1.771E-02 | 0.8 |
| 319 | 319 | 226 | G2_smistamento | -49.14 | -30.34 | 0.61 |
| 319 | 319 | 224 | G2_smistamento | -51.64 | -30.47 | 1.07 |
| 319 | 319 | 223 | Q_smistamento | -44.43 | 1.269E-02 | 1.26 |
| 319 | 319 | 225 | Q_smistamento | -41.89 | 1.771E-02 | 0.8 |
| 319 | 319 | 226 | Q_smistamento | -49.14 | -30.34 | 0.61 |
| 319 | 319 | 224 | Q_smistamento | -51.64 | -30.47 | 1.07 |
| 319 | 319 | 223 | Q_neve | 4.335E-12 | 9.843E-13 | -7.298E-12 |
| 319 | 319 | 225 | Q_neve | -1.523E-12 | 3.678E-13 | -6.666E-12 |
| 319 | 319 | 226 | Q_neve | 5.836E-12 | 2.801E-12 | -7.298E-12 |
| 319 | 319 | 224 | Q_neve | 2.664E-12 | 4.239E-12 | -7.930E-12 |
| 320 | 320 | 225 | DEAD | -4.890E-12 | 9.319E-12 | -3.143E-11 |
| 320 | 320 | 227 | DEAD | 3.780E-11 | 2.282E-12 | -3.396E-11 |
| 320 | 320 | 228 | DEAD | 4.156E-11 | -1.109E-12 | -4.154E-11 |

Table 21: Element Stresses - Area Shells, Part 1 of 3

| Area | AreaElem | Joint | OutputCase | S11Top KN/m2 | S22Top KN/m2 | S12Top KN/m2 |
|------|----------|-------|----------------|-----------------|-----------------|-----------------|
| 320 | 320 | 226 | DEAD | -2.193E-11 | 7.022E-12 | -3.902E-11 |
| 320 | 320 | 225 | G1_smistamento | -113.01 | 4.546E-02 | 0.63 |
| 320 | 320 | 227 | G1_smistamento | -113.01 | 4.546E-02 | -0.63 |
| 320 | 320 | 228 | G1_smistamento | -132.56 | -81.83 | -0.63 |
| 320 | 320 | 226 | G1_smistamento | -132.56 | -81.83 | 0.63 |
| 320 | 320 | 225 | G2_smistamento | -41.9 | 1.685E-02 | 0.24 |
| 320 | 320 | 227 | G2_smistamento | -41.9 | 1.685E-02 | -0.24 |
| 320 | 320 | 228 | G2_smistamento | -49.14 | -30.34 | -0.24 |
| 320 | 320 | 226 | G2_smistamento | -49.14 | -30.34 | 0.24 |
| 320 | 320 | 225 | Q_smistamento | -41.9 | 1.685E-02 | 0.24 |
| 320 | 320 | 227 | Q_smistamento | -41.9 | 1.685E-02 | -0.24 |
| 320 | 320 | 228 | Q_smistamento | -49.14 | -30.34 | -0.24 |
| 320 | 320 | 226 | Q_smistamento | -49.14 | -30.34 | 0.24 |
| 320 | 320 | 225 | Q_neve | 4.152E-15 | -3.511E-13 | -6.301E-12 |
| 320 | 320 | 227 | Q_neve | 7.249E-12 | 2.763E-12 | -6.301E-12 |
| 320 | 320 | 228 | Q_neve | 3.006E-12 | -4.301E-12 | -7.565E-12 |
| 320 | 320 | 226 | Q_neve | 1.395E-13 | 1.341E-12 | -7.565E-12 |
| 321 | 321 | 227 | DEAD | 3.637E-11 | 3.086E-13 | -4.087E-11 |
| 321 | 321 | 229 | DEAD | 1.941E-11 | -3.198E-11 | -4.339E-11 |
| 321 | 321 | 230 | DEAD | 3.606E-11 | 2.906E-11 | -4.087E-11 |
| 321 | 321 | 228 | DEAD | 1.909E-11 | -3.228E-12 | -3.834E-11 |
| 321 | 321 | 227 | G1_smistamento | -113. | 4.779E-02 | -2.15 |
| 321 | 321 | 229 | G1_smistamento | -119.86 | 3.423E-02 | -3.39 |
| 321 | 321 | 230 | G1_smistamento | -139.29 | -82.18 | -2.88 |
| 321 | 321 | 228 | G1_smistamento | -132.57 | -81.83 | -1.64 |
| 321 | 321 | 227 | G2_smistamento | -41.89 | 1.771E-02 | -0.8 |
| 321 | 321 | 229 | G2_smistamento | -44.43 | 1.269E-02 | -1.26 |
| 321 | 321 | 230 | G2_smistamento | -51.64 | -30.47 | -1.07 |
| 321 | 321 | 228 | G2_smistamento | -49.14 | -30.34 | -0.61 |
| 321 | 321 | 227 | Q_smistamento | -41.89 | 1.771E-02 | -0.8 |
| 321 | 321 | 229 | Q_smistamento | -44.43 | 1.269E-02 | -1.26 |
| 321 | 321 | 230 | Q_smistamento | -51.64 | -30.47 | -1.07 |
| 321 | 321 | 228 | Q_smistamento | -49.14 | -30.34 | -0.61 |
| 321 | 321 | 227 | Q_neve | 4.465E-12 | 6.468E-13 | -8.027E-12 |
| 321 | 321 | 229 | Q_neve | 6.141E-12 | -6.141E-12 | -8.659E-12 |
| 321 | 321 | 230 | Q_neve | 7.941E-12 | 6.651E-12 | -8.027E-12 |
| 321 | 321 | 228 | Q_neve | 2.981E-12 | -2.981E-12 | -7.395E-12 |
| 322 | 322 | 229 | DEAD | 3.508E-11 | -4.267E-11 | -4.286E-11 |

Table 21: Element Stresses - Area Shells, Part 1 of 3

| Area | AreaElem | Joint | OutputCase | S11Top KN/m2 | S22Top KN/m2 | S12Top KN/m2 |
|------|----------|-------|----------------|-----------------|-----------------|-----------------|
| 322 | 322 | 231 | DEAD | 4.241E-11 | 5.082E-12 | -4.286E-11 |
| 322 | 322 | 232 | DEAD | 5.815E-11 | 2.716E-11 | -4.033E-11 |
| 322 | 322 | 230 | DEAD | 5.410E-11 | 4.837E-11 | -4.033E-11 |
| 322 | 322 | 229 | G1_smistamento | -119.83 | 4.032E-02 | -4.79 |
| 322 | 322 | 231 | G1_smistamento | -131.96 | 1.474E-02 | -5.94 |
| 322 | 322 | 232 | G1_smistamento | -151.24 | -82.76 | -5.03 |
| 322 | 322 | 230 | G1_smistamento | -139.31 | -82.19 | -3.88 |
| 322 | 322 | 229 | G2_smistamento | -44.42 | 1.495E-02 | -1.78 |
| 322 | 322 | 231 | G2_smistamento | -48.92 | 5.463E-03 | -2.2 |
| 322 | 322 | 232 | G2_smistamento | -56.07 | -30.68 | -1.86 |
| 322 | 322 | 230 | G2_smistamento | -51.64 | -30.47 | -1.44 |
| 322 | 322 | 229 | Q_smistamento | -44.42 | 1.495E-02 | -1.78 |
| 322 | 322 | 231 | Q_smistamento | -48.92 | 5.463E-03 | -2.2 |
| 322 | 322 | 232 | Q_smistamento | -56.07 | -30.68 | -1.86 |
| 322 | 322 | 230 | Q_smistamento | -51.64 | -30.47 | -1.44 |
| 322 | 322 | 229 | Q_neve | 2.816E-13 | -6.705E-12 | -8.294E-12 |
| 322 | 322 | 231 | Q_neve | 1.613E-11 | 2.782E-12 | -8.294E-12 |
| 322 | 322 | 232 | Q_neve | 9.524E-12 | 5.382E-12 | -7.030E-12 |
| 322 | 322 | 230 | Q_neve | 1.147E-11 | 6.021E-12 | -7.030E-12 |
| 323 | 323 | 231 | DEAD | 3.571E-11 | -2.389E-12 | -3.503E-11 |
| 323 | 323 | 233 | DEAD | 1.825E-11 | -1.627E-12 | -3.503E-11 |
| 323 | 323 | 234 | DEAD | 1.264E-11 | 3.395E-11 | -3.503E-11 |
| 323 | 323 | 232 | DEAD | 5.965E-11 | 2.334E-11 | -3.503E-11 |
| 323 | 323 | 231 | G1_smistamento | -131.92 | 2.184E-02 | -7.15 |
| 323 | 323 | 233 | G1_smistamento | -146.08 | -1.279E-02 | -8.22 |
| 323 | 323 | 234 | G1_smistamento | -165.29 | -83.26 | -7.11 |
| 323 | 323 | 232 | G1_smistamento | -151.27 | -82.76 | -6.04 |
| 323 | 323 | 231 | G2_smistamento | -48.9 | 8.095E-03 | -2.65 |
| 323 | 323 | 233 | G2_smistamento | -54.15 | -4.741E-03 | -3.05 |
| 323 | 323 | 234 | G2_smistamento | -61.28 | -30.87 | -2.63 |
| 323 | 323 | 232 | G2_smistamento | -56.08 | -30.68 | -2.24 |
| 323 | 323 | 231 | Q_smistamento | -48.9 | 8.095E-03 | -2.65 |
| 323 | 323 | 233 | Q_smistamento | -54.15 | -4.741E-03 | -3.05 |
| 323 | 323 | 234 | Q_smistamento | -61.28 | -30.87 | -2.63 |
| 323 | 323 | 232 | Q_smistamento | -56.08 | -30.68 | -2.24 |
| 323 | 323 | 231 | Q_neve | 1.318E-11 | 3.906E-12 | -8.027E-12 |
| 323 | 323 | 233 | Q_neve | 6.474E-13 | -4.686E-13 | -8.027E-12 |
| 323 | 323 | 234 | Q_neve | 2.195E-12 | 3.985E-12 | -8.027E-12 |

Table 21: Element Stresses - Area Shells, Part 1 of 3

| Area | AreaElem | Joint | OutputCase | S11Top KN/m2 | S22Top KN/m2 | S12Top KN/m2 |
|------|----------|-------|----------------|-----------------|-----------------|-----------------|
| 323 | 323 | 232 | Q_neve | 1.226E-11 | 2.612E-12 | -8.027E-12 |
| 324 | 324 | 233 | DEAD | 1.719E-11 | -5.921E-12 | -3.795E-11 |
| 324 | 324 | 235 | DEAD | -1.446E-11 | -4.369E-12 | -4.048E-11 |
| 324 | 324 | 236 | DEAD | -2.357E-11 | 1.778E-11 | -3.795E-11 |
| 324 | 324 | 234 | DEAD | 3.325E-11 | 3.703E-11 | -3.542E-11 |
| 324 | 324 | 233 | G1_smistamento | -146.06 | -9.144E-03 | -9.19 |
| 324 | 324 | 235 | G1_smistamento | -157.24 | -4.763E-02 | -10.26 |
| 324 | 324 | 236 | G1_smistamento | -176.61 | -83.23 | -9.29 |
| 324 | 324 | 234 | G1_smistamento | -165.33 | -83.27 | -8.22 |
| 324 | 324 | 233 | G2_smistamento | -54.15 | -3.390E-03 | -3.41 |
| 324 | 324 | 235 | G2_smistamento | -58.29 | -1.766E-02 | -3.8 |
| 324 | 324 | 236 | G2_smistamento | -65.47 | -30.85 | -3.44 |
| 324 | 324 | 234 | G2_smistamento | -61.29 | -30.87 | -3.05 |
| 324 | 324 | 233 | Q_smistamento | -54.15 | -3.390E-03 | -3.41 |
| 324 | 324 | 235 | Q_smistamento | -58.29 | -1.766E-02 | -3.8 |
| 324 | 324 | 236 | Q_smistamento | -65.47 | -30.85 | -3.44 |
| 324 | 324 | 234 | Q_smistamento | -61.29 | -30.87 | -3.05 |
| 324 | 324 | 233 | Q_neve | 4.243E-12 | 2.504E-13 | -6.568E-12 |
| 324 | 324 | 235 | Q_neve | -2.759E-12 | 2.791E-12 | -6.568E-12 |
| 324 | 324 | 236 | Q_neve | -5.474E-12 | -9.346E-13 | -6.568E-12 |
| 324 | 324 | 234 | Q_neve | 7.274E-12 | 5.556E-12 | -6.568E-12 |
| 325 | 325 | 235 | DEAD | -2.861E-11 | -9.357E-12 | -3.930E-11 |
| 325 | 325 | 237 | DEAD | -1.003E-10 | 2.397E-12 | -2.413E-11 |
| 325 | 325 | 238 | DEAD | -2.703E-11 | 2.888E-11 | -1.908E-11 |
| 325 | 325 | 236 | DEAD | -1.778E-11 | 2.041E-11 | -3.425E-11 |
| 325 | 325 | 235 | G1_smistamento | -157.26 | -5.285E-02 | -11.09 |
| 325 | 325 | 237 | G1_smistamento | -158.68 | -8.862E-02 | -12.34 |
| 325 | 325 | 238 | G1_smistamento | -178.56 | -82.01 | -11.94 |
| 325 | 325 | 236 | G1_smistamento | -176.64 | -83.24 | -10.69 |
| 325 | 325 | 235 | G2_smistamento | -58.3 | -1.959E-02 | -4.11 |
| 325 | 325 | 237 | G2_smistamento | -58.82 | -3.285E-02 | -4.57 |
| 325 | 325 | 238 | G2_smistamento | -66.2 | -30.4 | -4.43 |
| 325 | 325 | 236 | G2_smistamento | -65.48 | -30.86 | -3.96 |
| 325 | 325 | 235 | Q_smistamento | -58.3 | -1.959E-02 | -4.11 |
| 325 | 325 | 237 | Q_smistamento | -58.82 | -3.285E-02 | -4.57 |
| 325 | 325 | 238 | Q_smistamento | -66.2 | -30.4 | -4.43 |
| 325 | 325 | 236 | Q_smistamento | -65.48 | -30.86 | -3.96 |
| 325 | 325 | 235 | Q_neve | -3.815E-12 | 1.618E-12 | -8.829E-12 |

Table 21: Element Stresses - Area Shells, Part 1 of 3

| Area | AreaElem | Joint | OutputCase | S11Top KN/m2 | S22Top KN/m2 | S12Top KN/m2 |
|------|----------|-------|----------------|-----------------|-----------------|-----------------|
| 325 | 325 | 237 | Q_neve | -2.076E-11 | -6.063E-13 | -6.301E-12 |
| 325 | 325 | 238 | Q_neve | -3.894E-12 | 6.911E-12 | -5.037E-12 |
| 325 | 325 | 236 | Q_neve | -5.830E-12 | 1.046E-13 | -7.565E-12 |
| 326 | 326 | 237 | DEAD | -6.626E-11 | 8.280E-12 | -6.620E-12 |
| 326 | 326 | 239 | DEAD | -1.236E-10 | -5.636E-12 | -6.620E-12 |
| 326 | 326 | 240 | DEAD | -1.257E-10 | -3.090E-11 | -1.673E-11 |
| 326 | 326 | 238 | DEAD | -6.171E-11 | 1.585E-11 | -1.673E-11 |
| 326 | 326 | 237 | G1_smistamento | -158.77 | -0.11 | -13.2 |
| 326 | 326 | 239 | G1_smistamento | -142.44 | -0.13 | -14.85 |
| 326 | 326 | 240 | G1_smistamento | -162.98 | -78.8 | -15.54 |
| 326 | 326 | 238 | G1_smistamento | -178.58 | -82.02 | -13.89 |
| 326 | 326 | 237 | G2_smistamento | -58.86 | -3.918E-02 | -4.89 |
| 326 | 326 | 239 | G2_smistamento | -52.81 | -4.813E-02 | -5.5 |
| 326 | 326 | 240 | G2_smistamento | -60.42 | -29.21 | -5.76 |
| 326 | 326 | 238 | G2_smistamento | -66.2 | -30.4 | -5.15 |
| 326 | 326 | 237 | Q_smistamento | -58.86 | -3.918E-02 | -4.89 |
| 326 | 326 | 239 | Q_smistamento | -52.81 | -4.813E-02 | -5.5 |
| 326 | 326 | 240 | Q_smistamento | -60.42 | -29.21 | -5.76 |
| 326 | 326 | 238 | Q_smistamento | -66.2 | -30.4 | -5.15 |
| 326 | 326 | 237 | Q_neve | -1.519E-11 | -7.849E-13 | -5.604E-13 |
| 326 | 326 | 239 | Q_neve | -2.062E-11 | -3.137E-12 | -5.604E-13 |
| 326 | 326 | 240 | Q_neve | -2.380E-11 | -5.920E-12 | -3.088E-12 |
| 326 | 326 | 238 | Q_neve | -1.154E-11 | 4.368E-12 | -3.088E-12 |
| 327 | 327 | 239 | DEAD | -1.193E-10 | -6.809E-12 | -9.826E-12 |
| 327 | 327 | 241 | DEAD | -8.231E-11 | -1.215E-11 | -7.298E-12 |
| 327 | 327 | 242 | DEAD | -5.733E-11 | -4.888E-13 | -4.770E-12 |
| 327 | 327 | 240 | DEAD | -1.228E-10 | -3.237E-11 | -7.298E-12 |
| 327 | 327 | 239 | G1_smistamento | -142.53 | -0.15 | -15.97 |
| 327 | 327 | 241 | G1_smistamento | -101.62 | -0.13 | -17.99 |
| 327 | 327 | 242 | G1_smistamento | -121.51 | -72.53 | -20.2 |
| 327 | 327 | 240 | G1_smistamento | -162.98 | -78.8 | -18.18 |
| 327 | 327 | 239 | G2_smistamento | -52.84 | -5.490E-02 | -5.92 |
| 327 | 327 | 241 | G2_smistamento | -37.67 | -4.903E-02 | -6.67 |
| 327 | 327 | 242 | G2_smistamento | -45.05 | -26.89 | -7.49 |
| 327 | 327 | 240 | G2_smistamento | -60.42 | -29.21 | -6.74 |
| 327 | 327 | 239 | Q_smistamento | -52.84 | -5.490E-02 | -5.92 |
| 327 | 327 | 241 | Q_smistamento | -37.67 | -4.903E-02 | -6.67 |
| 327 | 327 | 242 | Q_smistamento | -45.05 | -26.89 | -7.49 |

Table 21: Element Stresses - Area Shells, Part 1 of 3

| Area | AreaElem | Joint | OutputCase | S11Top KN/m2 | S22Top KN/m2 | S12Top KN/m2 |
|------|----------|-------|----------------|-----------------|-----------------|-----------------|
| 327 | 327 | 240 | Q_smistamento | -60.42 | -29.21 | -6.74 |
| 327 | 327 | 239 | Q_neve | -2.372E-11 | -3.313E-12 | -2.092E-12 |
| 327 | 327 | 241 | Q_neve | -1.547E-11 | -2.774E-12 | -1.460E-12 |
| 327 | 327 | 242 | Q_neve | -1.550E-11 | -1.532E-13 | -8.275E-13 |
| 327 | 327 | 240 | Q_neve | -2.211E-11 | -5.618E-12 | -1.460E-12 |
| 328 | 328 | 241 | DEAD | -7.615E-11 | -1.100E-11 | 1.460E-12 |
| 328 | 328 | 11 | DEAD | -3.149E-11 | 1.107E-11 | 3.987E-12 |
| 328 | 328 | 14 | DEAD | -2.401E-11 | -8.156E-12 | 1.460E-12 |
| 328 | 328 | 242 | DEAD | -7.415E-11 | -5.048E-12 | -1.068E-12 |
| 328 | 328 | 241 | G1_smistamento | -100.83 | 2.603E-02 | -19.17 |
| 328 | 328 | 11 | G1_smistamento | -46.41 | -0.22 | -18.24 |
| 328 | 328 | 14 | G1_smistamento | -47.75 | -62. | -21.57 |
| 328 | 328 | 242 | G1_smistamento | -121.68 | -72.56 | -22.51 |
| 328 | 328 | 241 | G2_smistamento | -37.38 | 9.649E-03 | -7.11 |
| 328 | 328 | 11 | G2_smistamento | -17.2 | -8.327E-02 | -6.76 |
| 328 | 328 | 14 | G2_smistamento | -17.7 | -22.98 | -8. |
| 328 | 328 | 242 | G2_smistamento | -45.11 | -26.9 | -8.35 |
| 328 | 328 | 241 | Q_smistamento | -37.38 | 9.649E-03 | -7.11 |
| 328 | 328 | 11 | Q_smistamento | -17.2 | -8.327E-02 | -6.76 |
| 328 | 328 | 14 | Q_smistamento | -17.7 | -22.98 | -8. |
| 328 | 328 | 242 | Q_smistamento | -45.11 | -26.9 | -8.35 |
| 328 | 328 | 241 | Q_neve | -1.404E-11 | -2.049E-12 | -9.777E-14 |
| 328 | 328 | 11 | Q_neve | -1.023E-11 | -2.250E-12 | -9.777E-14 |
| 328 | 328 | 14 | Q_neve | -3.294E-12 | -1.417E-12 | -1.362E-12 |
| 328 | 328 | 242 | Q_neve | -1.750E-11 | -6.695E-13 | -1.362E-12 |
| 329 | 329 | 13 | DEAD | -2.155E-11 | -2.905E-11 | 6.463E-12 |
| 329 | 329 | 243 | DEAD | 3.747E-11 | -1.263E-12 | -2.723E-12 |
| 329 | 329 | 244 | DEAD | -3.008E-11 | 1.172E-11 | -1.376E-11 |
| 329 | 329 | 14 | DEAD | -1.467E-11 | -1.169E-11 | -1.955E-13 |
| 329 | 329 | 13 | G1_smistamento | -0.32 | -58.77 | -14.91 |
| 329 | 329 | 243 | G1_smistamento | 5.894E-03 | -130.61 | -13.69 |
| 329 | 329 | 244 | G1_smistamento | -57.73 | -154.35 | -18.53 |
| 329 | 329 | 14 | G1_smistamento | -47.76 | -61.92 | -19.74 |
| 329 | 329 | 13 | G2_smistamento | -0.12 | -21.79 | -5.53 |
| 329 | 329 | 243 | G2_smistamento | 2.185E-03 | -48.42 | -5.07 |
| 329 | 329 | 244 | G2_smistamento | -21.4 | -57.22 | -6.87 |
| 329 | 329 | 14 | G2_smistamento | -17.71 | -22.96 | -7.32 |
| 329 | 329 | 13 | Q_smistamento | -0.12 | -21.79 | -5.53 |

Table 21: Element Stresses - Area Shells, Part 1 of 3

| Area | AreaElem | Joint | OutputCase | S11Top KN/m2 | S22Top KN/m2 | S12Top KN/m2 |
|------|----------|-------|----------------|-----------------|-----------------|-----------------|
| 329 | 329 | 243 | Q_smistamento | 2.185E-03 | -48.42 | -5.07 |
| 329 | 329 | 244 | Q_smistamento | -21.4 | -57.22 | -6.87 |
| 329 | 329 | 14 | Q_smistamento | -17.71 | -22.96 | -7.32 |
| 329 | 329 | 13 | Q_neve | -5.276E-12 | -2.017E-12 | 1.896E-12 |
| 329 | 329 | 243 | Q_neve | 3.119E-12 | -5.592E-12 | 0. |
| 329 | 329 | 244 | Q_neve | 8.066E-13 | 3.750E-12 | -1.896E-12 |
| 329 | 329 | 14 | Q_neve | -2.253E-12 | -2.116E-12 | 0. |
| 330 | 330 | 243 | DEAD | 3.839E-11 | -5.840E-12 | -2.111E-11 |
| 330 | 330 | 245 | DEAD | 1.271E-12 | 2.685E-11 | -1.858E-11 |
| 330 | 330 | 246 | DEAD | -2.070E-11 | -2.828E-11 | -1.100E-11 |
| 330 | 330 | 244 | DEAD | -3.064E-11 | 1.895E-11 | -1.353E-11 |
| 330 | 330 | 243 | G1_smistamento | -0.18 | -131.55 | -10.39 |
| 330 | 330 | 245 | G1_smistamento | -0.26 | -178.57 | -5.68 |
| 330 | 330 | 246 | G1_smistamento | -62.43 | -202.47 | -8.65 |
| 330 | 330 | 244 | G1_smistamento | -57.7 | -154.22 | -13.36 |
| 330 | 330 | 243 | G2_smistamento | -6.736E-02 | -48.77 | -3.85 |
| 330 | 330 | 245 | G2_smistamento | -9.645E-02 | -66.2 | -2.1 |
| 330 | 330 | 246 | G2_smistamento | -23.14 | -75.06 | -3.21 |
| 330 | 330 | 244 | G2_smistamento | -21.39 | -57.17 | -4.95 |
| 330 | 330 | 243 | Q_smistamento | -6.736E-02 | -48.77 | -3.85 |
| 330 | 330 | 245 | Q_smistamento | -9.645E-02 | -66.2 | -2.1 |
| 330 | 330 | 246 | Q_smistamento | -23.14 | -75.06 | -3.21 |
| 330 | 330 | 244 | Q_smistamento | -21.39 | -57.17 | -4.95 |
| 330 | 330 | 243 | Q_neve | 1.860E-12 | -5.283E-12 | -5.278E-12 |
| 330 | 330 | 245 | Q_neve | 2.431E-12 | 9.964E-12 | -4.646E-12 |
| 330 | 330 | 246 | Q_neve | -5.645E-12 | -4.888E-12 | -2.750E-12 |
| 330 | 330 | 244 | Q_neve | 1.720E-12 | 6.410E-12 | -3.382E-12 |
| 331 | 331 | 245 | DEAD | -3.602E-12 | 2.363E-11 | -1.022E-11 |
| 331 | 331 | 247 | DEAD | 1.682E-11 | 3.378E-11 | -1.022E-11 |
| 331 | 331 | 248 | DEAD | -2.541E-11 | 2.837E-11 | -1.022E-11 |
| 331 | 331 | 246 | DEAD | -7.514E-12 | 2.588E-11 | -1.022E-11 |
| 331 | 331 | 245 | G1_smistamento | -0.26 | -178.58 | -2.39 |
| 331 | 331 | 247 | G1_smistamento | -0.26 | -178.58 | 2.39 |
| 331 | 331 | 248 | G1_smistamento | -62.43 | -202.5 | 2.39 |
| 331 | 331 | 246 | G1_smistamento | -62.43 | -202.5 | -2.39 |
| 331 | 331 | 245 | G2_smistamento | -9.670E-02 | -66.2 | -0.89 |
| 331 | 331 | 247 | G2_smistamento | -9.670E-02 | -66.2 | 0.89 |
| 331 | 331 | 248 | G2_smistamento | -23.15 | -75.07 | 0.89 |

Table 21: Element Stresses - Area Shells, Part 1 of 3

| Area | AreaElem | Joint | OutputCase | S11Top KN/m2 | S22Top KN/m2 | S12Top KN/m2 |
|------|----------|-------|----------------|-----------------|-----------------|-----------------|
| 331 | 331 | 246 | G2_smistamento | -23.15 | -75.07 | -0.89 |
| 331 | 331 | 245 | Q_smistamento | -9.670E-02 | -66.2 | -0.89 |
| 331 | 331 | 247 | Q_smistamento | -9.670E-02 | -66.2 | 0.89 |
| 331 | 331 | 248 | Q_smistamento | -23.15 | -75.07 | 0.89 |
| 331 | 331 | 246 | Q_smistamento | -23.15 | -75.07 | -0.89 |
| 331 | 331 | 245 | Q_neve | 2.365E-12 | 8.515E-12 | -1.460E-12 |
| 331 | 331 | 247 | Q_neve | -9.086E-13 | 5.788E-12 | -1.460E-12 |
| 331 | 331 | 248 | Q_neve | -2.137E-12 | 6.856E-12 | -1.460E-12 |
| 331 | 331 | 246 | Q_neve | -3.516E-12 | 6.025E-12 | -1.460E-12 |
| 332 | 332 | 247 | DEAD | -9.000E-13 | 2.518E-11 | -9.434E-12 |
| 332 | 332 | 249 | DEAD | 2.527E-11 | 6.001E-11 | 6.774E-13 |
| 332 | 332 | 250 | DEAD | -3.376E-11 | -1.022E-11 | 6.774E-13 |
| 332 | 332 | 248 | DEAD | -1.834E-11 | 3.157E-11 | -9.434E-12 |
| 332 | 332 | 247 | G1_smistamento | -0.26 | -178.57 | 5.68 |
| 332 | 332 | 249 | G1_smistamento | -0.18 | -131.55 | 10.39 |
| 332 | 332 | 250 | G1_smistamento | -57.7 | -154.22 | 13.36 |
| 332 | 332 | 248 | G1_smistamento | -62.43 | -202.47 | 8.65 |
| 332 | 332 | 247 | G2_smistamento | -9.645E-02 | -66.2 | 2.1 |
| 332 | 332 | 249 | G2_smistamento | -6.736E-02 | -48.77 | 3.85 |
| 332 | 332 | 250 | G2_smistamento | -21.39 | -57.17 | 4.95 |
| 332 | 332 | 248 | G2_smistamento | -23.14 | -75.06 | 3.21 |
| 332 | 332 | 247 | Q_smistamento | -9.645E-02 | -66.2 | 2.1 |
| 332 | 332 | 249 | Q_smistamento | -6.736E-02 | -48.77 | 3.85 |
| 332 | 332 | 250 | Q_smistamento | -21.39 | -57.17 | 4.95 |
| 332 | 332 | 248 | Q_smistamento | -23.14 | -75.06 | 3.21 |
| 332 | 332 | 247 | Q_neve | -1.701E-12 | 4.044E-12 | -1.362E-12 |
| 332 | 332 | 249 | Q_neve | -1.400E-12 | 8.322E-12 | -9.777E-14 |
| 332 | 332 | 250 | Q_neve | -9.900E-13 | 1.517E-14 | -9.777E-14 |
| 332 | 332 | 248 | Q_neve | -2.111E-12 | 4.768E-12 | -1.362E-12 |
| 333 | 333 | 249 | DEAD | 2.400E-11 | 5.100E-11 | 1.566E-11 |
| 333 | 333 | 15 | DEAD | 1.667E-12 | 9.515E-13 | 1.566E-11 |
| 333 | 333 | 18 | DEAD | -6.477E-13 | 2.635E-11 | 1.061E-11 |
| 333 | 333 | 250 | DEAD | -2.867E-11 | 8.535E-12 | 1.061E-11 |
| 333 | 333 | 249 | G1_smistamento | 5.894E-03 | -130.61 | 13.69 |
| 333 | 333 | 15 | G1_smistamento | -0.32 | -58.77 | 14.91 |
| 333 | 333 | 18 | G1_smistamento | -47.76 | -61.92 | 19.74 |
| 333 | 333 | 250 | G1_smistamento | -57.73 | -154.35 | 18.53 |
| 333 | 333 | 249 | G2_smistamento | 2.185E-03 | -48.42 | 5.07 |

Table 21: Element Stresses - Area Shells, Part 1 of 3

| Area | AreaElem | Joint | OutputCase | S11Top KN/m2 | S22Top KN/m2 | S12Top KN/m2 |
|------|----------|-------|----------------|-----------------|-----------------|-----------------|
| 333 | 333 | 15 | G2_smistamento | -0.12 | -21.79 | 5.53 |
| 333 | 333 | 18 | G2_smistamento | -17.71 | -22.96 | 7.32 |
| 333 | 333 | 250 | G2_smistamento | -21.4 | -57.22 | 6.87 |
| 333 | 333 | 249 | Q_smistamento | 2.185E-03 | -48.42 | 5.07 |
| 333 | 333 | 15 | Q_smistamento | -0.12 | -21.79 | 5.53 |
| 333 | 333 | 18 | Q_smistamento | -17.71 | -22.96 | 7.32 |
| 333 | 333 | 250 | Q_smistamento | -21.4 | -57.22 | 6.87 |
| 333 | 333 | 249 | Q_neve | -4.338E-12 | 4.905E-12 | 2.456E-12 |
| 333 | 333 | 15 | Q_neve | 5.006E-12 | 3.110E-12 | 2.456E-12 |
| 333 | 333 | 18 | Q_neve | -8.618E-13 | 5.221E-12 | 1.192E-12 |
| 333 | 333 | 250 | Q_neve | 7.405E-13 | 2.636E-12 | 1.192E-12 |
| 334 | 334 | 17 | DEAD | 6.734E-12 | -1.441E-11 | 4.131E-12 |
| 334 | 334 | 251 | DEAD | -1.417E-11 | 1.349E-11 | -5.981E-12 |
| 334 | 334 | 252 | DEAD | -3.592E-11 | -1.877E-13 | -8.509E-12 |
| 334 | 334 | 18 | DEAD | -1.228E-11 | 3.814E-11 | 1.603E-12 |
| 334 | 334 | 17 | G1_smistamento | -46.41 | -0.22 | 18.24 |
| 334 | 334 | 251 | G1_smistamento | -100.83 | 2.603E-02 | 19.17 |
| 334 | 334 | 252 | G1_smistamento | -121.68 | -72.56 | 22.51 |
| 334 | 334 | 18 | G1_smistamento | -47.75 | -62. | 21.57 |
| 334 | 334 | 17 | G2_smistamento | -17.2 | -8.327E-02 | 6.76 |
| 334 | 334 | 251 | G2_smistamento | -37.38 | 9.649E-03 | 7.11 |
| 334 | 334 | 252 | G2_smistamento | -45.11 | -26.9 | 8.35 |
| 334 | 334 | 18 | G2_smistamento | -17.7 | -22.98 | 8. |
| 334 | 334 | 17 | Q_smistamento | -17.2 | -8.327E-02 | 6.76 |
| 334 | 334 | 251 | Q_smistamento | -37.38 | 9.649E-03 | 7.11 |
| 334 | 334 | 252 | Q_smistamento | -45.11 | -26.9 | 8.35 |
| 334 | 334 | 18 | Q_smistamento | -17.7 | -22.98 | 8. |
| 334 | 334 | 17 | Q_neve | -3.836E-12 | -3.910E-12 | 1.629E-12 |
| 334 | 334 | 251 | Q_neve | 3.134E-12 | -8.880E-13 | -2.671E-13 |
| 334 | 334 | 252 | Q_neve | -1.126E-11 | 6.718E-13 | -8.991E-13 |
| 334 | 334 | 18 | Q_neve | -5.794E-13 | 7.091E-12 | 9.969E-13 |
| 335 | 335 | 251 | DEAD | -6.587E-12 | 9.363E-12 | -1.596E-11 |
| 335 | 335 | 253 | DEAD | -2.940E-12 | 3.212E-12 | -2.262E-11 |
| 335 | 335 | 254 | DEAD | 7.317E-12 | 3.043E-12 | -3.366E-11 |
| 335 | 335 | 252 | DEAD | -5.982E-11 | 7.004E-12 | -2.262E-11 |
| 335 | 335 | 251 | G1_smistamento | -101.62 | -0.13 | 17.99 |
| 335 | 335 | 253 | G1_smistamento | -142.53 | -0.15 | 15.97 |
| 335 | 335 | 254 | G1_smistamento | -162.98 | -78.8 | 18.18 |

Table 21: Element Stresses - Area Shells, Part 1 of 3

| Area | AreaElem | Joint | OutputCase | S11Top KN/m2 | S22Top KN/m2 | S12Top KN/m2 |
|------|----------|-------|----------------|-----------------|-----------------|-----------------|
| 335 | 335 | 252 | G1_smistamento | -121.51 | -72.53 | 20.2 |
| 335 | 335 | 251 | G2_smistamento | -37.67 | -4.903E-02 | 6.67 |
| 335 | 335 | 253 | G2_smistamento | -52.84 | -5.490E-02 | 5.92 |
| 335 | 335 | 254 | G2_smistamento | -60.42 | -29.21 | 6.74 |
| 335 | 335 | 252 | G2_smistamento | -45.05 | -26.89 | 7.49 |
| 335 | 335 | 251 | Q_smistamento | -37.67 | -4.903E-02 | 6.67 |
| 335 | 335 | 253 | Q_smistamento | -52.84 | -5.490E-02 | 5.92 |
| 335 | 335 | 254 | Q_smistamento | -60.42 | -29.21 | 6.74 |
| 335 | 335 | 252 | Q_smistamento | -45.05 | -26.89 | 7.49 |
| 335 | 335 | 251 | Q_neve | 2.304E-12 | -7.863E-13 | -6.069E-12 |
| 335 | 335 | 253 | Q_neve | -5.118E-12 | 5.970E-13 | -5.607E-12 |
| 335 | 335 | 254 | Q_neve | 7.913E-12 | 2.611E-12 | -6.701E-12 |
| 335 | 335 | 252 | Q_neve | -1.792E-11 | -8.250E-13 | -4.975E-12 |
| 336 | 336 | 253 | DEAD | -3.271E-11 | -4.501E-12 | -2.009E-11 |
| 336 | 336 | 255 | DEAD | -7.989E-12 | 7.363E-12 | -2.793E-11 |
| 336 | 336 | 256 | DEAD | -2.687E-12 | -6.081E-12 | -2.515E-11 |
| 336 | 336 | 254 | DEAD | -1.810E-11 | 2.307E-12 | -3.045E-11 |
| 336 | 336 | 253 | G1_smistamento | -142.44 | -0.13 | 14.85 |
| 336 | 336 | 255 | G1_smistamento | -158.77 | -0.11 | 13.2 |
| 336 | 336 | 256 | G1_smistamento | -178.58 | -82.02 | 13.89 |
| 336 | 336 | 254 | G1_smistamento | -162.98 | -78.8 | 15.54 |
| 336 | 336 | 253 | G2_smistamento | -52.81 | -4.813E-02 | 5.5 |
| 336 | 336 | 255 | G2_smistamento | -58.86 | -3.918E-02 | 4.89 |
| 336 | 336 | 256 | G2_smistamento | -66.2 | -30.4 | 5.15 |
| 336 | 336 | 254 | G2_smistamento | -60.42 | -29.21 | 5.76 |
| 336 | 336 | 253 | Q_smistamento | -52.81 | -4.813E-02 | 5.5 |
| 336 | 336 | 255 | Q_smistamento | -58.86 | -3.918E-02 | 4.89 |
| 336 | 336 | 256 | Q_smistamento | -66.2 | -30.4 | 5.15 |
| 336 | 336 | 254 | Q_smistamento | -60.42 | -29.21 | 5.76 |
| 336 | 336 | 253 | Q_neve | -7.491E-12 | 1.610E-12 | -4.245E-12 |
| 336 | 336 | 255 | Q_neve | 1.045E-12 | -1.585E-12 | -5.340E-12 |
| 336 | 336 | 256 | Q_neve | 3.301E-13 | 8.988E-13 | -4.877E-12 |
| 336 | 336 | 254 | Q_neve | -5.196E-12 | -5.583E-13 | -5.972E-12 |
| 337 | 337 | 255 | DEAD | 1.409E-11 | 1.790E-11 | -2.793E-11 |
| 337 | 337 | 257 | DEAD | 1.793E-11 | -1.347E-12 | -2.953E-11 |
| 337 | 337 | 258 | DEAD | 8.717E-12 | -8.960E-12 | -3.045E-11 |
| 337 | 337 | 256 | DEAD | -2.030E-11 | -1.051E-11 | -2.447E-11 |
| 337 | 337 | 255 | G1_smistamento | -158.68 | -8.862E-02 | 12.34 |

Table 21: Element Stresses - Area Shells, Part 1 of 3

| Area | AreaElem | Joint | OutputCase | S11Top KN/m2 | S22Top KN/m2 | S12Top KN/m2 |
|------|----------|-------|----------------|-----------------|-----------------|-----------------|
| 337 | 337 | 257 | G1_smistamento | -157.26 | -5.285E-02 | 11.09 |
| 337 | 337 | 258 | G1_smistamento | -176.64 | -83.24 | 10.69 |
| 337 | 337 | 256 | G1_smistamento | -178.56 | -82.01 | 11.94 |
| 337 | 337 | 255 | G2_smistamento | -58.82 | -3.285E-02 | 4.57 |
| 337 | 337 | 257 | G2_smistamento | -58.3 | -1.959E-02 | 4.11 |
| 337 | 337 | 258 | G2_smistamento | -65.48 | -30.86 | 3.96 |
| 337 | 337 | 256 | G2_smistamento | -66.2 | -30.4 | 4.43 |
| 337 | 337 | 255 | Q_smistamento | -58.82 | -3.285E-02 | 4.57 |
| 337 | 337 | 257 | Q_smistamento | -58.3 | -1.959E-02 | 4.11 |
| 337 | 337 | 258 | Q_smistamento | -65.48 | -30.86 | 3.96 |
| 337 | 337 | 256 | Q_smistamento | -66.2 | -30.4 | 4.43 |
| 337 | 337 | 255 | Q_neve | 4.924E-12 | -2.916E-13 | -4.525E-12 |
| 337 | 337 | 257 | Q_neve | -7.660E-14 | 6.043E-13 | -6.021E-12 |
| 337 | 337 | 258 | Q_neve | 1.842E-13 | 6.564E-13 | -6.421E-12 |
| 337 | 337 | 256 | Q_neve | -1.657E-12 | -1.608E-12 | -6.021E-12 |
| 338 | 338 | 257 | DEAD | 1.729E-11 | 1.461E-11 | -3.298E-11 |
| 338 | 338 | 259 | DEAD | 4.428E-11 | 1.860E-11 | -3.391E-11 |
| 338 | 338 | 260 | DEAD | 4.510E-11 | 1.714E-11 | -2.540E-11 |
| 338 | 338 | 258 | DEAD | 8.260E-12 | -9.841E-12 | -2.885E-11 |
| 338 | 338 | 257 | G1_smistamento | -157.24 | -4.763E-02 | 10.26 |
| 338 | 338 | 259 | G1_smistamento | -146.06 | -9.144E-03 | 9.19 |
| 338 | 338 | 260 | G1_smistamento | -165.33 | -83.27 | 8.22 |
| 338 | 338 | 258 | G1_smistamento | -176.61 | -83.23 | 9.29 |
| 338 | 338 | 257 | G2_smistamento | -58.29 | -1.766E-02 | 3.8 |
| 338 | 338 | 259 | G2_smistamento | -54.15 | -3.390E-03 | 3.41 |
| 338 | 338 | 260 | G2_smistamento | -61.29 | -30.87 | 3.05 |
| 338 | 338 | 258 | G2_smistamento | -65.47 | -30.85 | 3.44 |
| 338 | 338 | 257 | Q_smistamento | -58.29 | -1.766E-02 | 3.8 |
| 338 | 338 | 259 | Q_smistamento | -54.15 | -3.390E-03 | 3.41 |
| 338 | 338 | 260 | Q_smistamento | -61.29 | -30.87 | 3.05 |
| 338 | 338 | 258 | Q_smistamento | -65.47 | -30.85 | 3.44 |
| 338 | 338 | 257 | Q_neve | 1.863E-12 | -2.444E-12 | -6.701E-12 |
| 338 | 338 | 259 | Q_neve | 9.850E-12 | 4.194E-12 | -5.607E-12 |
| 338 | 338 | 260 | Q_neve | 7.077E-12 | -1.022E-12 | -6.069E-12 |
| 338 | 338 | 258 | Q_neve | 5.110E-12 | -5.456E-13 | -4.975E-12 |
| 339 | 339 | 259 | DEAD | 4.132E-11 | 1.363E-11 | -3.236E-11 |
| 339 | 339 | 261 | DEAD | 5.342E-11 | -1.540E-11 | -2.613E-11 |
| 339 | 339 | 262 | DEAD | 4.954E-11 | -5.965E-12 | -4.500E-11 |

Table 21: Element Stresses - Area Shells, Part 1 of 3

| Area | AreaElem | Joint | OutputCase | S11Top KN/m2 | S22Top KN/m2 | S12Top KN/m2 |
|------|----------|-------|----------------|-----------------|-----------------|-----------------|
| 339 | 339 | 260 | DEAD | 1.992E-11 | 1.430E-11 | -3.371E-11 |
| 339 | 339 | 259 | G1_smistamento | -146.08 | -1.279E-02 | 8.22 |
| 339 | 339 | 261 | G1_smistamento | -131.92 | 2.184E-02 | 7.15 |
| 339 | 339 | 262 | G1_smistamento | -151.27 | -82.76 | 6.04 |
| 339 | 339 | 260 | G1_smistamento | -165.29 | -83.26 | 7.11 |
| 339 | 339 | 259 | G2_smistamento | -54.15 | -4.741E-03 | 3.05 |
| 339 | 339 | 261 | G2_smistamento | -48.9 | 8.095E-03 | 2.65 |
| 339 | 339 | 262 | G2_smistamento | -56.08 | -30.68 | 2.24 |
| 339 | 339 | 260 | G2_smistamento | -61.28 | -30.87 | 2.63 |
| 339 | 339 | 259 | Q_smistamento | -54.15 | -4.741E-03 | 3.05 |
| 339 | 339 | 261 | Q_smistamento | -48.9 | 8.095E-03 | 2.65 |
| 339 | 339 | 262 | Q_smistamento | -56.08 | -30.68 | 2.24 |
| 339 | 339 | 260 | Q_smistamento | -61.28 | -30.87 | 2.63 |
| 339 | 339 | 259 | Q_neve | 7.700E-12 | 4.451E-12 | -5.304E-12 |
| 339 | 339 | 261 | Q_neve | 1.117E-11 | -5.595E-12 | -5.936E-12 |
| 339 | 339 | 262 | Q_neve | 1.173E-11 | 1.844E-12 | -7.832E-12 |
| 339 | 339 | 260 | Q_neve | 7.382E-13 | -2.751E-12 | -7.200E-12 |
| 340 | 340 | 261 | DEAD | 6.923E-11 | -1.201E-11 | -5.030E-11 |
| 340 | 340 | 263 | DEAD | 1.662E-11 | -1.257E-12 | -4.339E-11 |
| 340 | 340 | 264 | DEAD | 8.219E-11 | 7.266E-12 | -4.019E-11 |
| 340 | 340 | 262 | DEAD | 2.041E-11 | 2.535E-12 | -3.834E-11 |
| 340 | 340 | 261 | G1_smistamento | -131.96 | 1.474E-02 | 5.94 |
| 340 | 340 | 263 | G1_smistamento | -119.83 | 4.032E-02 | 4.79 |
| 340 | 340 | 264 | G1_smistamento | -139.31 | -82.19 | 3.88 |
| 340 | 340 | 262 | G1_smistamento | -151.24 | -82.76 | 5.03 |
| 340 | 340 | 261 | G2_smistamento | -48.92 | 5.463E-03 | 2.2 |
| 340 | 340 | 263 | G2_smistamento | -44.42 | 1.495E-02 | 1.78 |
| 340 | 340 | 264 | G2_smistamento | -51.64 | -30.47 | 1.44 |
| 340 | 340 | 262 | G2_smistamento | -56.07 | -30.68 | 1.86 |
| 340 | 340 | 261 | Q_smistamento | -48.92 | 5.463E-03 | 2.2 |
| 340 | 340 | 263 | Q_smistamento | -44.42 | 1.495E-02 | 1.78 |
| 340 | 340 | 264 | Q_smistamento | -51.64 | -30.47 | 1.44 |
| 340 | 340 | 262 | Q_smistamento | -56.07 | -30.68 | 1.86 |
| 340 | 340 | 261 | Q_neve | 1.004E-11 | -5.691E-12 | -7.662E-12 |
| 340 | 340 | 263 | Q_neve | 6.747E-12 | -8.535E-13 | -7.662E-12 |
| 340 | 340 | 264 | Q_neve | 1.241E-11 | -1.425E-12 | -7.662E-12 |
| 340 | 340 | 262 | Q_neve | 6.115E-12 | 1.674E-12 | -7.662E-12 |
| 341 | 341 | 263 | DEAD | 5.127E-11 | 1.379E-11 | -4.505E-11 |

Table 21: Element Stresses - Area Shells, Part 1 of 3

| Area | AreaElem | Joint | OutputCase | S11Top KN/m2 | S22Top KN/m2 | S12Top KN/m2 |
|------|----------|-------|----------------|-----------------|-----------------|-----------------|
| 341 | 341 | 265 | DEAD | 6.144E-11 | 2.174E-11 | -4.227E-11 |
| 341 | 341 | 266 | DEAD | 3.357E-11 | 1.632E-11 | -4.252E-11 |
| 341 | 341 | 264 | DEAD | 4.912E-11 | 5.625E-12 | -3.216E-11 |
| 341 | 341 | 263 | G1_smistamento | -119.86 | 3.423E-02 | 3.39 |
| 341 | 341 | 265 | G1_smistamento | -113. | 4.779E-02 | 2.15 |
| 341 | 341 | 266 | G1_smistamento | -132.57 | -81.83 | 1.64 |
| 341 | 341 | 264 | G1_smistamento | -139.29 | -82.18 | 2.88 |
| 341 | 341 | 263 | G2_smistamento | -44.43 | 1.269E-02 | 1.26 |
| 341 | 341 | 265 | G2_smistamento | -41.89 | 1.771E-02 | 0.8 |
| 341 | 341 | 266 | G2_smistamento | -49.14 | -30.34 | 0.61 |
| 341 | 341 | 264 | G2_smistamento | -51.64 | -30.47 | 1.07 |
| 341 | 341 | 263 | Q_smistamento | -44.43 | 1.269E-02 | 1.26 |
| 341 | 341 | 265 | Q_smistamento | -41.89 | 1.771E-02 | 0.8 |
| 341 | 341 | 266 | Q_smistamento | -49.14 | -30.34 | 0.61 |
| 341 | 341 | 264 | Q_smistamento | -51.64 | -30.47 | 1.07 |
| 341 | 341 | 263 | Q_neve | 1.408E-11 | -5.037E-13 | -9.754E-12 |
| 341 | 341 | 265 | Q_neve | 9.332E-12 | 4.448E-12 | -9.923E-12 |
| 341 | 341 | 266 | Q_neve | 9.732E-12 | 2.419E-12 | -8.490E-12 |
| 341 | 341 | 264 | Q_neve | 5.856E-12 | 3.406E-13 | -6.131E-12 |
| 342 | 342 | 265 | DEAD | 3.671E-11 | 2.219E-11 | -4.710E-11 |
| 342 | 342 | 267 | DEAD | -7.892E-12 | 4.872E-12 | -4.457E-11 |
| 342 | 342 | 268 | DEAD | 5.430E-12 | -1.289E-11 | -5.215E-11 |
| 342 | 342 | 266 | DEAD | 1.391E-11 | 7.716E-12 | -5.468E-11 |
| 342 | 342 | 265 | G1_smistamento | -113.01 | 4.546E-02 | 0.63 |
| 342 | 342 | 267 | G1_smistamento | -113.01 | 4.546E-02 | -0.63 |
| 342 | 342 | 268 | G1_smistamento | -132.56 | -81.83 | -0.63 |
| 342 | 342 | 266 | G1_smistamento | -132.56 | -81.83 | 0.63 |
| 342 | 342 | 265 | G2_smistamento | -41.9 | 1.685E-02 | 0.24 |
| 342 | 342 | 267 | G2_smistamento | -41.9 | 1.685E-02 | -0.24 |
| 342 | 342 | 268 | G2_smistamento | -49.14 | -30.34 | -0.24 |
| 342 | 342 | 266 | G2_smistamento | -49.14 | -30.34 | 0.24 |
| 342 | 342 | 265 | Q_smistamento | -41.9 | 1.685E-02 | 0.24 |
| 342 | 342 | 267 | Q_smistamento | -41.9 | 1.685E-02 | -0.24 |
| 342 | 342 | 268 | Q_smistamento | -49.14 | -30.34 | -0.24 |
| 342 | 342 | 266 | Q_smistamento | -49.14 | -30.34 | 0.24 |
| 342 | 342 | 265 | Q_neve | 1.311E-11 | 4.515E-12 | -8.988E-12 |
| 342 | 342 | 267 | Q_neve | -7.914E-12 | 1.154E-12 | -8.356E-12 |
| 342 | 342 | 268 | Q_neve | -5.854E-12 | -8.757E-12 | -9.620E-12 |

Table 21: Element Stresses - Area Shells, Part 1 of 3

| Area | AreaElem | Joint | OutputCase | S11Top KN/m2 | S22Top KN/m2 | S12Top KN/m2 |
|------|----------|-------|----------------|-----------------|-----------------|-----------------|
| 342 | 342 | 266 | Q_neve | 1.065E-11 | 4.867E-12 | -1.025E-11 |
| 343 | 343 | 267 | DEAD | 5.157E-12 | 2.173E-12 | -5.633E-11 |
| 343 | 343 | 269 | DEAD | -1.798E-11 | -1.790E-12 | -4.850E-11 |
| 343 | 343 | 270 | DEAD | -1.191E-11 | 7.861E-12 | -4.875E-11 |
| 343 | 343 | 268 | DEAD | 1.926E-12 | -8.426E-12 | -4.345E-11 |
| 343 | 343 | 267 | G1_smistamento | -113. | 4.779E-02 | -2.15 |
| 343 | 343 | 269 | G1_smistamento | -119.86 | 3.423E-02 | -3.39 |
| 343 | 343 | 270 | G1_smistamento | -139.29 | -82.18 | -2.88 |
| 343 | 343 | 268 | G1_smistamento | -132.57 | -81.83 | -1.64 |
| 343 | 343 | 267 | G2_smistamento | -41.89 | 1.771E-02 | -0.8 |
| 343 | 343 | 269 | G2_smistamento | -44.43 | 1.269E-02 | -1.26 |
| 343 | 343 | 270 | G2_smistamento | -51.64 | -30.47 | -1.07 |
| 343 | 343 | 268 | G2_smistamento | -49.14 | -30.34 | -0.61 |
| 343 | 343 | 267 | Q_smistamento | -41.89 | 1.771E-02 | -0.8 |
| 343 | 343 | 269 | Q_smistamento | -44.43 | 1.269E-02 | -1.26 |
| 343 | 343 | 270 | Q_smistamento | -51.64 | -30.47 | -1.07 |
| 343 | 343 | 268 | Q_smistamento | -49.14 | -30.34 | -0.61 |
| 343 | 343 | 267 | Q_neve | -2.108E-12 | 1.236E-12 | -1.067E-11 |
| 343 | 343 | 269 | Q_neve | 1.868E-12 | -1.263E-12 | -1.153E-11 |
| 343 | 343 | 270 | Q_neve | 3.659E-12 | 5.423E-12 | -9.402E-12 |
| 343 | 343 | 268 | Q_neve | -7.296E-12 | -7.266E-12 | -9.634E-12 |
| 344 | 344 | 269 | DEAD | -1.749E-11 | -8.635E-12 | -4.777E-11 |
| 344 | 344 | 271 | DEAD | -4.970E-11 | -1.504E-11 | -4.019E-11 |
| 344 | 344 | 272 | DEAD | -1.717E-11 | -7.055E-12 | -4.272E-11 |
| 344 | 344 | 270 | DEAD | -1.178E-11 | 2.288E-11 | -5.030E-11 |
| 344 | 344 | 269 | G1_smistamento | -119.83 | 4.032E-02 | -4.79 |
| 344 | 344 | 271 | G1_smistamento | -131.96 | 1.474E-02 | -5.94 |
| 344 | 344 | 272 | G1_smistamento | -151.24 | -82.76 | -5.03 |
| 344 | 344 | 270 | G1_smistamento | -139.31 | -82.19 | -3.88 |
| 344 | 344 | 269 | G2_smistamento | -44.42 | 1.495E-02 | -1.78 |
| 344 | 344 | 271 | G2_smistamento | -48.92 | 5.463E-03 | -2.2 |
| 344 | 344 | 272 | G2_smistamento | -56.07 | -30.68 | -1.86 |
| 344 | 344 | 270 | G2_smistamento | -51.64 | -30.47 | -1.44 |
| 344 | 344 | 269 | Q_smistamento | -44.42 | 1.495E-02 | -1.78 |
| 344 | 344 | 271 | Q_smistamento | -48.92 | 5.463E-03 | -2.2 |
| 344 | 344 | 272 | Q_smistamento | -56.07 | -30.68 | -1.86 |
| 344 | 344 | 270 | Q_smistamento | -51.64 | -30.47 | -1.44 |
| 344 | 344 | 269 | Q_neve | -3.957E-12 | -1.761E-12 | -8.940E-12 |

Table 21: Element Stresses - Area Shells, Part 1 of 3

| Area | AreaElem | Joint | OutputCase | S11Top KN/m2 | S22Top KN/m2 | S12Top KN/m2 |
|------|----------|-------|----------------|-----------------|-----------------|-----------------|
| 344 | 344 | 271 | Q_neve | -9.345E-12 | -2.801E-12 | -8.539E-12 |
| 344 | 344 | 272 | Q_neve | -1.745E-12 | 1.715E-12 | -8.940E-12 |
| 344 | 344 | 270 | Q_neve | -2.788E-12 | 3.440E-12 | -1.043E-11 |
| 345 | 345 | 271 | DEAD | -3.524E-12 | -3.856E-12 | -4.738E-11 |
| 345 | 345 | 273 | DEAD | -4.950E-11 | 2.450E-11 | -4.300E-11 |
| 345 | 345 | 274 | DEAD | -2.786E-11 | -4.172E-12 | -3.727E-11 |
| 345 | 345 | 272 | DEAD | -3.497E-11 | -8.994E-12 | -3.289E-11 |
| 345 | 345 | 271 | G1_smistamento | -131.92 | 2.184E-02 | -7.15 |
| 345 | 345 | 273 | G1_smistamento | -146.08 | -1.279E-02 | -8.22 |
| 345 | 345 | 274 | G1_smistamento | -165.29 | -83.26 | -7.11 |
| 345 | 345 | 272 | G1_smistamento | -151.27 | -82.76 | -6.04 |
| 345 | 345 | 271 | G2_smistamento | -48.9 | 8.095E-03 | -2.65 |
| 345 | 345 | 273 | G2_smistamento | -54.15 | -4.741E-03 | -3.05 |
| 345 | 345 | 274 | G2_smistamento | -61.28 | -30.87 | -2.63 |
| 345 | 345 | 272 | G2_smistamento | -56.08 | -30.68 | -2.24 |
| 345 | 345 | 271 | Q_smistamento | -48.9 | 8.095E-03 | -2.65 |
| 345 | 345 | 273 | Q_smistamento | -54.15 | -4.741E-03 | -3.05 |
| 345 | 345 | 274 | Q_smistamento | -61.28 | -30.87 | -2.63 |
| 345 | 345 | 272 | Q_smistamento | -56.08 | -30.68 | -2.24 |
| 345 | 345 | 271 | Q_neve | -3.990E-12 | -2.248E-12 | -9.572E-12 |
| 345 | 345 | 273 | Q_neve | -8.272E-12 | 2.241E-12 | -7.614E-12 |
| 345 | 345 | 274 | Q_neve | -4.859E-12 | 2.887E-12 | -8.308E-12 |
| 345 | 345 | 272 | Q_neve | -7.008E-12 | -9.186E-13 | -6.982E-12 |
| 346 | 346 | 273 | DEAD | -3.455E-11 | 2.857E-11 | -2.209E-11 |
| 346 | 346 | 275 | DEAD | -4.102E-11 | 1.181E-11 | -4.053E-11 |
| 346 | 346 | 276 | DEAD | 4.632E-12 | -3.029E-12 | -2.462E-11 |
| 346 | 346 | 274 | DEAD | -5.239E-11 | -1.473E-11 | -4.558E-11 |
| 346 | 346 | 273 | G1_smistamento | -146.06 | -9.144E-03 | -9.19 |
| 346 | 346 | 275 | G1_smistamento | -157.24 | -4.763E-02 | -10.26 |
| 346 | 346 | 276 | G1_smistamento | -176.61 | -83.23 | -9.29 |
| 346 | 346 | 274 | G1_smistamento | -165.33 | -83.27 | -8.22 |
| 346 | 346 | 273 | G2_smistamento | -54.15 | -3.390E-03 | -3.41 |
| 346 | 346 | 275 | G2_smistamento | -58.29 | -1.766E-02 | -3.8 |
| 346 | 346 | 276 | G2_smistamento | -65.47 | -30.85 | -3.44 |
| 346 | 346 | 274 | G2_smistamento | -61.29 | -30.87 | -3.05 |
| 346 | 346 | 273 | Q_smistamento | -54.15 | -3.390E-03 | -3.41 |
| 346 | 346 | 275 | Q_smistamento | -58.29 | -1.766E-02 | -3.8 |
| 346 | 346 | 276 | Q_smistamento | -65.47 | -30.85 | -3.44 |

Table 21: Element Stresses - Area Shells, Part 1 of 3

| Area | AreaElem | Joint | OutputCase | S11Top KN/m2 | S22Top KN/m2 | S12Top KN/m2 |
|------|----------|-------|----------------|-----------------|-----------------|-----------------|
| 346 | 346 | 274 | Q_smistamento | -61.29 | -30.87 | -3.05 |
| 346 | 346 | 273 | Q_neve | -9.215E-12 | 5.415E-13 | -3.564E-12 |
| 346 | 346 | 275 | Q_neve | -7.975E-12 | 1.937E-12 | -7.079E-12 |
| 346 | 346 | 276 | Q_neve | -3.054E-12 | -2.776E-12 | -4.828E-12 |
| 346 | 346 | 274 | Q_neve | -5.526E-12 | 2.806E-12 | -8.975E-12 |
| 347 | 347 | 275 | DEAD | -1.166E-11 | 1.824E-11 | -2.559E-11 |
| 347 | 347 | 277 | DEAD | -2.022E-11 | -6.821E-12 | -3.503E-11 |
| 347 | 347 | 278 | DEAD | -5.748E-11 | -1.368E-11 | -3.571E-11 |
| 347 | 347 | 276 | DEAD | -2.812E-11 | -1.598E-11 | -3.503E-11 |
| 347 | 347 | 275 | G1_smistamento | -157.26 | -5.285E-02 | -11.09 |
| 347 | 347 | 277 | G1_smistamento | -158.68 | -8.862E-02 | -12.34 |
| 347 | 347 | 278 | G1_smistamento | -178.56 | -82.01 | -11.94 |
| 347 | 347 | 276 | G1_smistamento | -176.64 | -83.24 | -10.69 |
| 347 | 347 | 275 | G2_smistamento | -58.3 | -1.959E-02 | -4.11 |
| 347 | 347 | 277 | G2_smistamento | -58.82 | -3.285E-02 | -4.57 |
| 347 | 347 | 278 | G2_smistamento | -66.2 | -30.4 | -4.43 |
| 347 | 347 | 276 | G2_smistamento | -65.48 | -30.86 | -3.96 |
| 347 | 347 | 275 | Q_smistamento | -58.3 | -1.959E-02 | -4.11 |
| 347 | 347 | 277 | Q_smistamento | -58.82 | -3.285E-02 | -4.57 |
| 347 | 347 | 278 | Q_smistamento | -66.2 | -30.4 | -4.43 |
| 347 | 347 | 276 | Q_smistamento | -65.48 | -30.86 | -3.96 |
| 347 | 347 | 275 | Q_neve | 1.690E-12 | 4.015E-12 | -6.069E-12 |
| 347 | 347 | 277 | Q_neve | -5.735E-12 | -2.031E-12 | -7.796E-12 |
| 347 | 347 | 278 | Q_neve | -7.711E-12 | -1.278E-12 | -6.701E-12 |
| 347 | 347 | 276 | Q_neve | -1.000E-11 | -4.400E-12 | -7.164E-12 |
| 348 | 348 | 277 | DEAD | -3.952E-11 | -6.686E-12 | -4.135E-11 |
| 348 | 348 | 279 | DEAD | -5.827E-11 | 2.908E-11 | -3.284E-11 |
| 348 | 348 | 280 | DEAD | -6.228E-11 | -2.944E-11 | -2.871E-11 |
| 348 | 348 | 278 | DEAD | -9.602E-12 | -6.215E-13 | -3.284E-11 |
| 348 | 348 | 277 | G1_smistamento | -158.77 | -0.11 | -13.2 |
| 348 | 348 | 279 | G1_smistamento | -142.44 | -0.13 | -14.85 |
| 348 | 348 | 280 | G1_smistamento | -162.98 | -78.8 | -15.54 |
| 348 | 348 | 278 | G1_smistamento | -178.58 | -82.02 | -13.89 |
| 348 | 348 | 277 | G2_smistamento | -58.86 | -3.918E-02 | -4.89 |
| 348 | 348 | 279 | G2_smistamento | -52.81 | -4.813E-02 | -5.5 |
| 348 | 348 | 280 | G2_smistamento | -60.42 | -29.21 | -5.76 |
| 348 | 348 | 278 | G2_smistamento | -66.2 | -30.4 | -5.15 |
| 348 | 348 | 277 | Q_smistamento | -58.86 | -3.918E-02 | -4.89 |

Table 21: Element Stresses - Area Shells, Part 1 of 3

| Area | AreaElem | Joint | OutputCase | S11Top KN/m2 | S22Top KN/m2 | S12Top KN/m2 |
|------|----------|-------|----------------|-----------------|-----------------|-----------------|
| 348 | 348 | 279 | Q_smistamento | -52.81 | -4.813E-02 | -5.5 |
| 348 | 348 | 280 | Q_smistamento | -60.42 | -29.21 | -5.76 |
| 348 | 348 | 278 | Q_smistamento | -66.2 | -30.4 | -5.15 |
| 348 | 348 | 277 | Q_neve | -1.328E-11 | -5.094E-12 | -7.832E-12 |
| 348 | 348 | 279 | Q_neve | -7.382E-12 | 6.104E-12 | -6.568E-12 |
| 348 | 348 | 280 | Q_neve | -9.019E-12 | -4.620E-12 | -5.304E-12 |
| 348 | 348 | 278 | Q_neve | -4.933E-12 | 1.285E-12 | -6.568E-12 |
| 349 | 349 | 279 | DEAD | -5.104E-11 | 3.110E-11 | -2.899E-11 |
| 349 | 349 | 281 | DEAD | -4.516E-11 | 1.351E-12 | -1.864E-11 |
| 349 | 349 | 282 | DEAD | -4.346E-11 | -2.198E-11 | -2.647E-11 |
| 349 | 349 | 280 | DEAD | -7.233E-11 | -2.835E-11 | -2.369E-11 |
| 349 | 349 | 279 | G1_smistamento | -142.53 | -0.15 | -15.97 |
| 349 | 349 | 281 | G1_smistamento | -101.62 | -0.13 | -17.99 |
| 349 | 349 | 282 | G1_smistamento | -121.51 | -72.53 | -20.2 |
| 349 | 349 | 280 | G1_smistamento | -162.98 | -78.8 | -18.18 |
| 349 | 349 | 279 | G2_smistamento | -52.84 | -5.490E-02 | -5.92 |
| 349 | 349 | 281 | G2_smistamento | -37.67 | -4.903E-02 | -6.67 |
| 349 | 349 | 282 | G2_smistamento | -45.05 | -26.89 | -7.49 |
| 349 | 349 | 280 | G2_smistamento | -60.42 | -29.21 | -6.74 |
| 349 | 349 | 279 | Q_smistamento | -52.84 | -5.490E-02 | -5.92 |
| 349 | 349 | 281 | Q_smistamento | -37.67 | -4.903E-02 | -6.67 |
| 349 | 349 | 282 | Q_smistamento | -45.05 | -26.89 | -7.49 |
| 349 | 349 | 280 | Q_smistamento | -60.42 | -29.21 | -6.74 |
| 349 | 349 | 279 | Q_neve | -8.526E-12 | 3.961E-12 | -5.607E-12 |
| 349 | 349 | 281 | Q_neve | -1.347E-11 | 3.175E-13 | -3.880E-12 |
| 349 | 349 | 282 | Q_neve | -7.894E-12 | -6.151E-12 | -4.975E-12 |
| 349 | 349 | 280 | Q_neve | -1.252E-11 | -4.422E-12 | -4.512E-12 |
| 350 | 350 | 281 | DEAD | -4.127E-11 | -8.494E-13 | -1.460E-11 |
| 350 | 350 | 19 | DEAD | -4.468E-11 | 4.277E-12 | -2.082E-11 |
| 350 | 350 | 22 | DEAD | -3.463E-11 | -2.834E-11 | -1.460E-11 |
| 350 | 350 | 282 | DEAD | -5.037E-11 | -2.416E-11 | -2.588E-11 |
| 350 | 350 | 281 | G1_smistamento | -100.83 | 2.603E-02 | -19.17 |
| 350 | 350 | 19 | G1_smistamento | -46.41 | -0.22 | -18.24 |
| 350 | 350 | 22 | G1_smistamento | -47.75 | -62. | -21.57 |
| 350 | 350 | 282 | G1_smistamento | -121.68 | -72.56 | -22.51 |
| 350 | 350 | 281 | G2_smistamento | -37.38 | 9.649E-03 | -7.11 |
| 350 | 350 | 19 | G2_smistamento | -17.2 | -8.327E-02 | -6.76 |
| 350 | 350 | 22 | G2_smistamento | -17.7 | -22.98 | -8. |

Table 21: Element Stresses - Area Shells, Part 1 of 3

| Area | AreaElem | Joint | OutputCase | S11Top KN/m2 | S22Top KN/m2 | S12Top KN/m2 |
|------|----------|-------|----------------|-----------------|-----------------|-----------------|
| 350 | 350 | 282 | G2_smistamento | -45.11 | -26.9 | -8.35 |
| 350 | 350 | 281 | Q_smistamento | -37.38 | 9.649E-03 | -7.11 |
| 350 | 350 | 19 | Q_smistamento | -17.2 | -8.327E-02 | -6.76 |
| 350 | 350 | 22 | Q_smistamento | -17.7 | -22.98 | -8. |
| 350 | 350 | 282 | Q_smistamento | -45.11 | -26.9 | -8.35 |
| 350 | 350 | 281 | Q_neve | -1.077E-11 | 1.128E-12 | -2.554E-12 |
| 350 | 350 | 19 | Q_neve | -3.584E-12 | -1.237E-12 | -4.743E-12 |
| 350 | 350 | 22 | Q_neve | -5.240E-12 | -3.454E-12 | -2.554E-12 |
| 350 | 350 | 282 | Q_neve | -9.825E-12 | -7.794E-12 | -4.743E-12 |
| 351 | 351 | 21 | DEAD | 2.606E-11 | -3.164E-11 | -1.460E-11 |
| 351 | 351 | 283 | DEAD | -3.312E-12 | 1.354E-11 | -1.965E-11 |
| 351 | 351 | 284 | DEAD | -1.091E-11 | 1.102E-11 | -1.460E-11 |
| 351 | 351 | 22 | DEAD | -3.080E-11 | -1.774E-11 | -9.539E-12 |
| 351 | 351 | 21 | G1_smistamento | -0.32 | -58.77 | -14.91 |
| 351 | 351 | 283 | G1_smistamento | 5.894E-03 | -130.61 | -13.69 |
| 351 | 351 | 284 | G1_smistamento | -57.73 | -154.35 | -18.53 |
| 351 | 351 | 22 | G1_smistamento | -47.76 | -61.92 | -19.74 |
| 351 | 351 | 21 | G2_smistamento | -0.12 | -21.79 | -5.53 |
| 351 | 351 | 283 | G2_smistamento | 2.185E-03 | -48.42 | -5.07 |
| 351 | 351 | 284 | G2_smistamento | -21.4 | -57.22 | -6.87 |
| 351 | 351 | 22 | G2_smistamento | -17.71 | -22.96 | -7.32 |
| 351 | 351 | 21 | Q_smistamento | -0.12 | -21.79 | -5.53 |
| 351 | 351 | 283 | Q_smistamento | 2.185E-03 | -48.42 | -5.07 |
| 351 | 351 | 284 | Q_smistamento | -21.4 | -57.22 | -6.87 |
| 351 | 351 | 22 | Q_smistamento | -17.71 | -22.96 | -7.32 |
| 351 | 351 | 21 | Q_neve | 1.119E-12 | -4.283E-12 | -2.287E-12 |
| 351 | 351 | 283 | Q_neve | -5.127E-13 | -1.576E-12 | -4.183E-12 |
| 351 | 351 | 284 | Q_neve | -1.804E-12 | 1.957E-12 | -3.551E-12 |
| 351 | 351 | 22 | Q_neve | -1.540E-12 | -1.023E-12 | -1.655E-12 |
| 352 | 352 | 283 | DEAD | 3.068E-12 | -7.525E-12 | -2.335E-11 |
| 352 | 352 | 285 | DEAD | -4.956E-12 | 2.210E-11 | -2.588E-11 |
| 352 | 352 | 286 | DEAD | -2.095E-11 | 1.322E-12 | -2.335E-11 |
| 352 | 352 | 284 | DEAD | -1.949E-11 | 1.767E-11 | -2.082E-11 |
| 352 | 352 | 283 | G1_smistamento | -0.18 | -131.55 | -10.39 |
| 352 | 352 | 285 | G1_smistamento | -0.26 | -178.57 | -5.68 |
| 352 | 352 | 286 | G1_smistamento | -62.43 | -202.47 | -8.65 |
| 352 | 352 | 284 | G1_smistamento | -57.7 | -154.22 | -13.36 |
| 352 | 352 | 283 | G2_smistamento | -6.736E-02 | -48.77 | -3.85 |

Table 21: Element Stresses - Area Shells, Part 1 of 3

| Area | AreaElem | Joint | OutputCase | S11Top KN/m2 | S22Top KN/m2 | S12Top KN/m2 |
|------|----------|-------|----------------|-----------------|-----------------|-----------------|
| 352 | 352 | 285 | G2_smistamento | -9.645E-02 | -66.2 | -2.1 |
| 352 | 352 | 286 | G2_smistamento | -23.14 | -75.06 | -3.21 |
| 352 | 352 | 284 | G2_smistamento | -21.39 | -57.17 | -4.95 |
| 352 | 352 | 283 | Q_smistamento | -6.736E-02 | -48.77 | -3.85 |
| 352 | 352 | 285 | Q_smistamento | -9.645E-02 | -66.2 | -2.1 |
| 352 | 352 | 286 | Q_smistamento | -23.14 | -75.06 | -3.21 |
| 352 | 352 | 284 | Q_smistamento | -21.39 | -57.17 | -4.95 |
| 352 | 352 | 283 | Q_neve | 1.155E-12 | 1.662E-12 | -4.743E-12 |
| 352 | 352 | 285 | Q_neve | 5.754E-13 | 3.063E-12 | -4.743E-12 |
| 352 | 352 | 286 | Q_neve | -3.664E-12 | 2.215E-12 | -4.743E-12 |
| 352 | 352 | 284 | Q_neve | -1.716E-12 | 1.088E-12 | -4.743E-12 |
| 353 | 353 | 285 | DEAD | 4.984E-13 | 3.111E-11 | -2.228E-11 |
| 353 | 353 | 287 | DEAD | 6.232E-12 | 2.944E-11 | -2.481E-11 |
| 353 | 353 | 288 | DEAD | -1.336E-13 | 5.829E-11 | -2.734E-11 |
| 353 | 353 | 286 | DEAD | -1.462E-11 | 1.617E-11 | -2.481E-11 |
| 353 | 353 | 285 | G1_smistamento | -0.26 | -178.58 | -2.39 |
| 353 | 353 | 287 | G1_smistamento | -0.26 | -178.58 | 2.39 |
| 353 | 353 | 288 | G1_smistamento | -62.43 | -202.5 | 2.39 |
| 353 | 353 | 286 | G1_smistamento | -62.43 | -202.5 | -2.39 |
| 353 | 353 | 285 | G2_smistamento | -9.670E-02 | -66.2 | -0.89 |
| 353 | 353 | 287 | G2_smistamento | -9.670E-02 | -66.2 | 0.89 |
| 353 | 353 | 288 | G2_smistamento | -23.15 | -75.07 | 0.89 |
| 353 | 353 | 286 | G2_smistamento | -23.15 | -75.07 | -0.89 |
| 353 | 353 | 285 | Q_smistamento | -9.670E-02 | -66.2 | -0.89 |
| 353 | 353 | 287 | Q_smistamento | -9.670E-02 | -66.2 | 0.89 |
| 353 | 353 | 288 | Q_smistamento | -23.15 | -75.07 | 0.89 |
| 353 | 353 | 286 | Q_smistamento | -23.15 | -75.07 | -0.89 |
| 353 | 353 | 285 | Q_neve | 7.533E-13 | 7.236E-12 | -4.476E-12 |
| 353 | 353 | 287 | Q_neve | -1.715E-12 | 4.745E-12 | -5.740E-12 |
| 353 | 353 | 288 | Q_neve | -1.301E-12 | 6.446E-12 | -5.740E-12 |
| 353 | 353 | 286 | Q_neve | -2.663E-12 | 9.485E-12 | -4.476E-12 |
| 354 | 354 | 287 | DEAD | 6.878E-12 | 4.166E-11 | -2.812E-11 |
| 354 | 354 | 289 | DEAD | 8.955E-12 | 3.985E-11 | -2.812E-11 |
| 354 | 354 | 290 | DEAD | 2.268E-11 | 4.482E-11 | -3.318E-11 |
| 354 | 354 | 288 | DEAD | -1.443E-11 | 2.911E-11 | -3.318E-11 |
| 354 | 354 | 287 | G1_smistamento | -0.26 | -178.57 | 5.68 |
| 354 | 354 | 289 | G1_smistamento | -0.18 | -131.55 | 10.39 |
| 354 | 354 | 290 | G1_smistamento | -57.7 | -154.22 | 13.36 |

Table 21: Element Stresses - Area Shells, Part 1 of 3

| Area | AreaElem | Joint | OutputCase | S11Top KN/m2 | S22Top KN/m2 | S12Top KN/m2 |
|------|----------|-------|----------------|-----------------|-----------------|-----------------|
| 354 | 354 | 288 | G1_smistamento | -62.43 | -202.47 | 8.65 |
| 354 | 354 | 287 | G2_smistamento | -9.645E-02 | -66.2 | 2.1 |
| 354 | 354 | 289 | G2_smistamento | -6.736E-02 | -48.77 | 3.85 |
| 354 | 354 | 290 | G2_smistamento | -21.39 | -57.17 | 4.95 |
| 354 | 354 | 288 | G2_smistamento | -23.14 | -75.06 | 3.21 |
| 354 | 354 | 287 | Q_smistamento | -9.645E-02 | -66.2 | 2.1 |
| 354 | 354 | 289 | Q_smistamento | -6.736E-02 | -48.77 | 3.85 |
| 354 | 354 | 290 | Q_smistamento | -21.39 | -57.17 | 4.95 |
| 354 | 354 | 288 | Q_smistamento | -23.14 | -75.06 | 3.21 |
| 354 | 354 | 287 | Q_neve | -2.370E-12 | 3.103E-12 | -5.571E-12 |
| 354 | 354 | 289 | Q_neve | 5.665E-12 | 1.396E-11 | -4.939E-12 |
| 354 | 354 | 290 | Q_neve | 2.370E-12 | 7.843E-12 | -6.835E-12 |
| 354 | 354 | 288 | Q_neve | -1.287E-12 | 5.744E-12 | -7.467E-12 |
| 355 | 355 | 289 | DEAD | 1.129E-11 | 2.697E-11 | -3.026E-11 |
| 355 | 355 | 10 | DEAD | -7.799E-13 | 2.323E-11 | -2.773E-11 |
| 355 | 355 | 9 | DEAD | 2.758E-12 | -5.189E-13 | -2.520E-11 |
| 355 | 355 | 290 | DEAD | 1.154E-11 | 3.935E-11 | -2.773E-11 |
| 355 | 355 | 289 | G1_smistamento | 5.894E-03 | -130.61 | 13.69 |
| 355 | 355 | 10 | G1_smistamento | -0.32 | -58.77 | 14.91 |
| 355 | 355 | 9 | G1_smistamento | -47.76 | -61.92 | 19.74 |
| 355 | 355 | 290 | G1_smistamento | -57.73 | -154.35 | 18.53 |
| 355 | 355 | 289 | G2_smistamento | 2.185E-03 | -48.42 | 5.07 |
| 355 | 355 | 10 | G2_smistamento | -0.12 | -21.79 | 5.53 |
| 355 | 355 | 9 | G2_smistamento | -17.71 | -22.96 | 7.32 |
| 355 | 355 | 290 | G2_smistamento | -21.4 | -57.22 | 6.87 |
| 355 | 355 | 289 | Q_smistamento | 2.185E-03 | -48.42 | 5.07 |
| 355 | 355 | 10 | Q_smistamento | -0.12 | -21.79 | 5.53 |
| 355 | 355 | 9 | Q_smistamento | -17.71 | -22.96 | 7.32 |
| 355 | 355 | 290 | Q_smistamento | -21.4 | -57.22 | 6.87 |
| 355 | 355 | 289 | Q_neve | 5.037E-12 | 6.070E-12 | -5.740E-12 |
| 355 | 355 | 10 | Q_neve | -2.416E-12 | 2.656E-12 | -5.108E-12 |
| 355 | 355 | 9 | Q_neve | 2.351E-12 | 2.241E-13 | -4.476E-12 |
| 355 | 355 | 290 | Q_neve | -4.649E-14 | 6.922E-12 | -5.108E-12 |
| 356 | 356 | 18 | DEAD | -2.415E-11 | 2.063E-11 | -2.242E-12 |
| 356 | 356 | 252 | DEAD | -2.559E-11 | -6.774E-13 | -1.235E-11 |
| 356 | 356 | 291 | DEAD | -7.218E-11 | 2.316E-11 | -1.235E-11 |
| 356 | 356 | 250 | DEAD | -3.571E-11 | 9.434E-12 | -2.242E-12 |
| 356 | 356 | 18 | G1_smistamento | -47.73 | -61.92 | 23.32 |

Table 21: Element Stresses - Area Shells, Part 1 of 3

| Area | AreaElem | Joint | OutputCase | S11Top KN/m2 | S22Top KN/m2 | S12Top KN/m2 |
|------|----------|-------|----------------|-----------------|-----------------|-----------------|
| 356 | 356 | 252 | G1_smistamento | -121.65 | -72.43 | 23.69 |
| 356 | 356 | 291 | G1_smistamento | -151.26 | -186.34 | 21.73 |
| 356 | 356 | 250 | G1_smistamento | -57.54 | -154.31 | 21.36 |
| 356 | 356 | 18 | G2_smistamento | -17.69 | -22.95 | 8.64 |
| 356 | 356 | 252 | G2_smistamento | -45.1 | -26.85 | 8.78 |
| 356 | 356 | 291 | G2_smistamento | -56.07 | -69.08 | 8.05 |
| 356 | 356 | 250 | G2_smistamento | -21.33 | -57.2 | 7.92 |
| 356 | 356 | 18 | Q_smistamento | -17.69 | -22.95 | 8.64 |
| 356 | 356 | 252 | Q_smistamento | -45.1 | -26.85 | 8.78 |
| 356 | 356 | 291 | Q_smistamento | -56.07 | -69.08 | 8.05 |
| 356 | 356 | 250 | Q_smistamento | -21.33 | -57.2 | 7.92 |
| 356 | 356 | 18 | Q_neve | 1.666E-12 | 6.025E-12 | -1.955E-13 |
| 356 | 356 | 252 | Q_neve | -1.222E-11 | 6.678E-14 | -2.723E-12 |
| 356 | 356 | 291 | Q_neve | -1.571E-11 | 2.549E-12 | -2.723E-12 |
| 356 | 356 | 250 | Q_neve | -6.211E-12 | -2.492E-13 | -1.955E-13 |
| 357 | 357 | 250 | DEAD | -4.381E-11 | -1.573E-11 | -1.460E-12 |
| 357 | 357 | 291 | DEAD | -7.430E-11 | 7.886E-12 | -3.987E-12 |
| 357 | 357 | 292 | DEAD | -1.136E-10 | -8.751E-13 | -1.460E-12 |
| 357 | 357 | 248 | DEAD | -7.620E-12 | 3.791E-11 | 1.068E-12 |
| 357 | 357 | 250 | G1_smistamento | -57.52 | -154.18 | 16.06 |
| 357 | 357 | 291 | G1_smistamento | -151.25 | -186.32 | 16.55 |
| 357 | 357 | 292 | G1_smistamento | -164.12 | -238.28 | 10.28 |
| 357 | 357 | 248 | G1_smistamento | -62.22 | -202.42 | 9.79 |
| 357 | 357 | 250 | G2_smistamento | -21.32 | -57.16 | 5.95 |
| 357 | 357 | 291 | G2_smistamento | -56.07 | -69.07 | 6.14 |
| 357 | 357 | 292 | G2_smistamento | -60.84 | -88.33 | 3.81 |
| 357 | 357 | 248 | G2_smistamento | -23.06 | -75.04 | 3.63 |
| 357 | 357 | 250 | Q_smistamento | -21.32 | -57.16 | 5.95 |
| 357 | 357 | 291 | Q_smistamento | -56.07 | -69.07 | 6.14 |
| 357 | 357 | 292 | Q_smistamento | -60.84 | -88.33 | 3.81 |
| 357 | 357 | 248 | Q_smistamento | -23.06 | -75.04 | 3.63 |
| 357 | 357 | 250 | Q_neve | -5.533E-12 | -3.083E-12 | -7.298E-13 |
| 357 | 357 | 291 | Q_neve | -1.713E-11 | 2.026E-12 | -7.298E-13 |
| 357 | 357 | 292 | Q_neve | -1.928E-11 | -1.661E-12 | -7.298E-13 |
| 357 | 357 | 248 | Q_neve | -3.854E-12 | 5.818E-12 | -7.298E-13 |
| 358 | 358 | 248 | DEAD | -1.502E-11 | 2.720E-11 | -8.757E-12 |
| 358 | 358 | 292 | DEAD | -1.063E-10 | -1.369E-12 | -3.701E-12 |
| 358 | 358 | 293 | DEAD | -8.295E-11 | -9.139E-12 | -8.757E-12 |

Table 21: Element Stresses - Area Shells, Part 1 of 3

| Area | AreaElem | Joint | OutputCase | S11Top KN/m2 | S22Top KN/m2 | S12Top KN/m2 |
|------|----------|-------|----------------|-----------------|-----------------|-----------------|
| 358 | 358 | 246 | DEAD | -2.126E-11 | 2.928E-11 | -1.381E-11 |
| 358 | 358 | 248 | G1_smistamento | -62.22 | -202.45 | 3.37 |
| 358 | 358 | 292 | G1_smistamento | -164.14 | -238.37 | 3.37 |
| 358 | 358 | 293 | G1_smistamento | -164.14 | -238.37 | -3.37 |
| 358 | 358 | 246 | G1_smistamento | -62.22 | -202.45 | -3.37 |
| 358 | 358 | 248 | G2_smistamento | -23.07 | -75.05 | 1.25 |
| 358 | 358 | 292 | G2_smistamento | -60.85 | -88.37 | 1.25 |
| 358 | 358 | 293 | G2_smistamento | -60.85 | -88.37 | -1.25 |
| 358 | 358 | 246 | G2_smistamento | -23.07 | -75.05 | -1.25 |
| 358 | 358 | 248 | Q_smistamento | -23.07 | -75.05 | 1.25 |
| 358 | 358 | 292 | Q_smistamento | -60.85 | -88.37 | 1.25 |
| 358 | 358 | 293 | Q_smistamento | -60.85 | -88.37 | -1.25 |
| 358 | 358 | 246 | Q_smistamento | -23.07 | -75.05 | -1.25 |
| 358 | 358 | 248 | Q_neve | -3.072E-12 | 5.857E-12 | -1.557E-12 |
| 358 | 358 | 292 | Q_neve | -1.829E-11 | 1.197E-12 | -1.557E-12 |
| 358 | 358 | 293 | Q_neve | -1.508E-11 | 8.016E-13 | -2.821E-12 |
| 358 | 358 | 246 | Q_neve | -6.435E-12 | 5.462E-12 | -2.821E-12 |
| 359 | 359 | 246 | DEAD | -4.160E-11 | -3.276E-11 | -1.109E-11 |
| 359 | 359 | 293 | DEAD | -6.442E-11 | -7.802E-12 | -9.487E-12 |
| 359 | 359 | 294 | DEAD | -7.699E-11 | 1.780E-11 | -3.506E-12 |
| 359 | 359 | 244 | DEAD | -2.461E-11 | 9.262E-12 | -9.487E-12 |
| 359 | 359 | 246 | G1_smistamento | -62.22 | -202.42 | -9.79 |
| 359 | 359 | 293 | G1_smistamento | -164.12 | -238.28 | -10.28 |
| 359 | 359 | 294 | G1_smistamento | -151.25 | -186.32 | -16.55 |
| 359 | 359 | 244 | G1_smistamento | -57.52 | -154.18 | -16.06 |
| 359 | 359 | 246 | G2_smistamento | -23.06 | -75.04 | -3.63 |
| 359 | 359 | 293 | G2_smistamento | -60.84 | -88.33 | -3.81 |
| 359 | 359 | 294 | G2_smistamento | -56.07 | -69.07 | -6.14 |
| 359 | 359 | 244 | G2_smistamento | -21.32 | -57.16 | -5.95 |
| 359 | 359 | 246 | Q_smistamento | -23.06 | -75.04 | -3.63 |
| 359 | 359 | 293 | Q_smistamento | -60.84 | -88.33 | -3.81 |
| 359 | 359 | 294 | Q_smistamento | -56.07 | -69.07 | -6.14 |
| 359 | 359 | 244 | Q_smistamento | -21.32 | -57.16 | -5.95 |
| 359 | 359 | 246 | Q_neve | -9.807E-12 | -7.016E-12 | -1.179E-12 |
| 359 | 359 | 293 | Q_neve | -1.449E-11 | 1.206E-12 | -1.411E-12 |
| 359 | 359 | 294 | Q_neve | -1.984E-11 | -2.197E-12 | 8.467E-14 |
| 359 | 359 | 244 | Q_neve | 1.944E-12 | 9.421E-12 | -7.786E-13 |
| 360 | 360 | 244 | DEAD | -9.923E-12 | 2.084E-11 | -8.953E-12 |

Table 21: Element Stresses - Area Shells, Part 1 of 3

| Area | AreaElem | Joint | OutputCase | S11Top KN/m2 | S22Top KN/m2 | S12Top KN/m2 |
|------|----------|-------|----------------|-----------------|-----------------|-----------------|
| 360 | 360 | 294 | DEAD | -8.896E-11 | -1.847E-11 | -3.649E-12 |
| 360 | 360 | 242 | DEAD | -7.217E-11 | -2.229E-12 | -1.148E-11 |
| 360 | 360 | 14 | DEAD | -2.324E-11 | -8.353E-12 | -3.649E-12 |
| 360 | 360 | 244 | G1_smistamento | -57.54 | -154.31 | -21.36 |
| 360 | 360 | 294 | G1_smistamento | -151.26 | -186.34 | -21.73 |
| 360 | 360 | 242 | G1_smistamento | -121.65 | -72.43 | -23.69 |
| 360 | 360 | 14 | G1_smistamento | -47.73 | -61.92 | -23.32 |
| 360 | 360 | 244 | G2_smistamento | -21.33 | -57.2 | -7.92 |
| 360 | 360 | 294 | G2_smistamento | -56.07 | -69.08 | -8.05 |
| 360 | 360 | 242 | G2_smistamento | -45.1 | -26.85 | -8.78 |
| 360 | 360 | 14 | G2_smistamento | -17.69 | -22.95 | -8.64 |
| 360 | 360 | 244 | Q_smistamento | -21.33 | -57.2 | -7.92 |
| 360 | 360 | 294 | Q_smistamento | -56.07 | -69.08 | -8.05 |
| 360 | 360 | 242 | Q_smistamento | -45.1 | -26.85 | -8.78 |
| 360 | 360 | 14 | Q_smistamento | -17.69 | -22.95 | -8.64 |
| 360 | 360 | 244 | Q_neve | 3.037E-13 | 3.300E-12 | -1.241E-12 |
| 360 | 360 | 294 | Q_neve | -2.015E-11 | -4.795E-12 | -1.642E-12 |
| 360 | 360 | 242 | Q_neve | -1.700E-11 | -3.573E-12 | -3.137E-12 |
| 360 | 360 | 14 | Q_neve | -4.346E-12 | -1.636E-12 | -1.642E-12 |
| 361 | 361 | 252 | DEAD | -6.451E-11 | -1.188E-12 | -2.520E-11 |
| 361 | 361 | 254 | DEAD | 1.249E-11 | 2.346E-11 | -2.841E-11 |
| 361 | 361 | 295 | DEAD | -4.112E-11 | 2.472E-11 | -3.026E-11 |
| 361 | 361 | 291 | DEAD | -4.533E-11 | 2.251E-11 | -1.830E-11 |
| 361 | 361 | 252 | G1_smistamento | -121.48 | -72.4 | 21.27 |
| 361 | 361 | 254 | G1_smistamento | -162.95 | -78.63 | 18.51 |
| 361 | 361 | 295 | G1_smistamento | -194.95 | -204.39 | 16.94 |
| 361 | 361 | 291 | G1_smistamento | -151.2 | -186.33 | 19.69 |
| 361 | 361 | 252 | G2_smistamento | -45.04 | -26.84 | 7.88 |
| 361 | 361 | 254 | G2_smistamento | -60.41 | -29.15 | 6.86 |
| 361 | 361 | 295 | G2_smistamento | -72.27 | -75.77 | 6.28 |
| 361 | 361 | 291 | G2_smistamento | -56.05 | -69.07 | 7.3 |
| 361 | 361 | 252 | Q_smistamento | -45.04 | -26.84 | 7.88 |
| 361 | 361 | 254 | Q_smistamento | -60.41 | -29.15 | 6.86 |
| 361 | 361 | 295 | Q_smistamento | -72.27 | -75.77 | 6.28 |
| 361 | 361 | 291 | Q_smistamento | -56.05 | -69.07 | 7.3 |
| 361 | 361 | 252 | Q_neve | -1.683E-11 | -1.909E-13 | -4.160E-12 |
| 361 | 361 | 254 | Q_neve | 7.314E-12 | 7.302E-12 | -5.825E-12 |
| 361 | 361 | 295 | Q_neve | -8.532E-12 | 1.468E-12 | -6.056E-12 |

Table 21: Element Stresses - Area Shells, Part 1 of 3

| Area | AreaElem | Joint | OutputCase | S11Top KN/m2 | S22Top KN/m2 | S12Top KN/m2 |
|------|----------|-------|----------------|-----------------|-----------------|-----------------|
| 361 | 361 | 291 | Q_neve | -9.275E-12 | 5.880E-12 | -3.297E-12 |
| 362 | 362 | 291 | DEAD | -5.217E-11 | 2.936E-12 | -1.527E-11 |
| 362 | 362 | 295 | DEAD | -4.060E-11 | 4.750E-11 | -1.712E-11 |
| 362 | 362 | 296 | DEAD | -7.302E-12 | 1.494E-11 | -5.161E-12 |
| 362 | 362 | 292 | DEAD | -8.674E-11 | -1.162E-12 | -1.207E-11 |
| 362 | 362 | 291 | G1_smistamento | -151.19 | -186.31 | 15.21 |
| 362 | 362 | 295 | G1_smistamento | -194.92 | -204.25 | 13.8 |
| 362 | 362 | 296 | G1_smistamento | -211.27 | -262.39 | 8.61 |
| 362 | 362 | 292 | G1_smistamento | -163.95 | -238.24 | 10.03 |
| 362 | 362 | 291 | G2_smistamento | -56.05 | -69.07 | 5.64 |
| 362 | 362 | 295 | G2_smistamento | -72.26 | -75.72 | 5.12 |
| 362 | 362 | 296 | G2_smistamento | -78.32 | -97.27 | 3.19 |
| 362 | 362 | 292 | G2_smistamento | -60.78 | -88.32 | 3.72 |
| 362 | 362 | 291 | Q_smistamento | -56.05 | -69.07 | 5.64 |
| 362 | 362 | 295 | Q_smistamento | -72.26 | -75.72 | 5.12 |
| 362 | 362 | 296 | Q_smistamento | -78.32 | -97.27 | 3.19 |
| 362 | 362 | 292 | Q_smistamento | -60.78 | -88.32 | 3.72 |
| 362 | 362 | 291 | Q_neve | -1.114E-11 | 9.985E-14 | -2.688E-12 |
| 362 | 362 | 295 | Q_neve | -6.848E-12 | 1.066E-11 | -2.688E-12 |
| 362 | 362 | 296 | Q_neve | 7.877E-13 | 2.865E-12 | -2.056E-12 |
| 362 | 362 | 292 | Q_neve | -2.020E-11 | 7.866E-13 | -2.056E-12 |
| 363 | 363 | 292 | DEAD | -9.101E-11 | 6.106E-12 | -7.822E-13 |
| 363 | 363 | 296 | DEAD | 2.834E-12 | 3.357E-11 | -1.089E-11 |
| 363 | 363 | 297 | DEAD | -6.352E-11 | -8.113E-12 | -1.089E-11 |
| 363 | 363 | 293 | DEAD | -7.964E-11 | -1.478E-11 | -7.822E-13 |
| 363 | 363 | 292 | G1_smistamento | -163.97 | -238.33 | 3.16 |
| 363 | 363 | 296 | G1_smistamento | -211.26 | -262.35 | 3.16 |
| 363 | 363 | 297 | G1_smistamento | -211.26 | -262.35 | -3.16 |
| 363 | 363 | 293 | G1_smistamento | -163.97 | -238.33 | -3.16 |
| 363 | 363 | 292 | G2_smistamento | -60.78 | -88.35 | 1.17 |
| 363 | 363 | 296 | G2_smistamento | -78.32 | -97.26 | 1.17 |
| 363 | 363 | 297 | G2_smistamento | -78.32 | -97.26 | -1.17 |
| 363 | 363 | 293 | G2_smistamento | -60.78 | -88.35 | -1.17 |
| 363 | 363 | 292 | Q_smistamento | -60.78 | -88.35 | 1.17 |
| 363 | 363 | 296 | Q_smistamento | -78.32 | -97.26 | 1.17 |
| 363 | 363 | 297 | Q_smistamento | -78.32 | -97.26 | -1.17 |
| 363 | 363 | 293 | Q_smistamento | -60.78 | -88.35 | -1.17 |
| 363 | 363 | 292 | Q_neve | -2.010E-11 | 2.626E-13 | -4.626E-13 |

Table 21: Element Stresses - Area Shells, Part 1 of 3

| Area | AreaElem | Joint | OutputCase | S11Top KN/m2 | S22Top KN/m2 | S12Top KN/m2 |
|------|----------|-------|----------------|-----------------|-----------------|-----------------|
| 363 | 363 | 296 | Q_neve | 1.738E-12 | 6.601E-12 | -1.727E-12 |
| 363 | 363 | 297 | Q_neve | -1.196E-11 | -7.643E-13 | -1.727E-12 |
| 363 | 363 | 293 | Q_neve | -1.382E-11 | 8.338E-13 | -4.626E-13 |
| 364 | 364 | 293 | DEAD | -8.860E-11 | -1.713E-11 | -9.487E-12 |
| 364 | 364 | 297 | DEAD | -6.258E-11 | -2.243E-11 | -1.547E-11 |
| 364 | 364 | 298 | DEAD | -8.544E-11 | 1.384E-11 | -9.487E-12 |
| 364 | 364 | 294 | DEAD | -7.206E-11 | 6.010E-12 | -7.884E-12 |
| 364 | 364 | 293 | G1_smistamento | -163.95 | -238.24 | -10.03 |
| 364 | 364 | 297 | G1_smistamento | -211.27 | -262.39 | -8.61 |
| 364 | 364 | 298 | G1_smistamento | -194.92 | -204.25 | -13.8 |
| 364 | 364 | 294 | G1_smistamento | -151.19 | -186.31 | -15.21 |
| 364 | 364 | 293 | G2_smistamento | -60.78 | -88.32 | -3.72 |
| 364 | 364 | 297 | G2_smistamento | -78.32 | -97.27 | -3.19 |
| 364 | 364 | 298 | G2_smistamento | -72.26 | -75.72 | -5.12 |
| 364 | 364 | 294 | G2_smistamento | -56.05 | -69.07 | -5.64 |
| 364 | 364 | 293 | Q_smistamento | -60.78 | -88.32 | -3.72 |
| 364 | 364 | 297 | Q_smistamento | -78.32 | -97.27 | -3.19 |
| 364 | 364 | 298 | Q_smistamento | -72.26 | -75.72 | -5.12 |
| 364 | 364 | 294 | Q_smistamento | -56.05 | -69.07 | -5.64 |
| 364 | 364 | 293 | Q_neve | -1.302E-11 | 9.354E-13 | -1.837E-12 |
| 364 | 364 | 297 | Q_neve | -1.176E-11 | -3.133E-12 | -3.502E-12 |
| 364 | 364 | 298 | Q_neve | -1.658E-11 | 2.120E-12 | -4.365E-12 |
| 364 | 364 | 294 | Q_neve | -1.674E-11 | -1.474E-12 | -1.606E-12 |
| 365 | 365 | 294 | DEAD | -7.150E-11 | -5.973E-12 | -5.838E-12 |
| 365 | 365 | 298 | DEAD | -9.515E-11 | -1.696E-11 | -8.366E-12 |
| 365 | 365 | 240 | DEAD | -1.173E-10 | 7.615E-12 | -5.838E-12 |
| 365 | 365 | 242 | DEAD | -5.755E-11 | -1.095E-11 | -3.310E-12 |
| 365 | 365 | 294 | G1_smistamento | -151.2 | -186.33 | -19.69 |
| 365 | 365 | 298 | G1_smistamento | -194.95 | -204.39 | -16.94 |
| 365 | 365 | 240 | G1_smistamento | -162.95 | -78.63 | -18.51 |
| 365 | 365 | 242 | G1_smistamento | -121.48 | -72.4 | -21.27 |
| 365 | 365 | 294 | G2_smistamento | -56.05 | -69.07 | -7.3 |
| 365 | 365 | 298 | G2_smistamento | -72.27 | -75.77 | -6.28 |
| 365 | 365 | 240 | G2_smistamento | -60.41 | -29.15 | -6.86 |
| 365 | 365 | 242 | G2_smistamento | -45.04 | -26.84 | -7.88 |
| 365 | 365 | 294 | Q_smistamento | -56.05 | -69.07 | -7.3 |
| 365 | 365 | 298 | Q_smistamento | -72.27 | -75.77 | -6.28 |
| 365 | 365 | 240 | Q_smistamento | -60.41 | -29.15 | -6.86 |

Table 21: Element Stresses - Area Shells, Part 1 of 3

| Area | AreaElem | Joint | OutputCase | S11Top KN/m2 | S22Top KN/m2 | S12Top KN/m2 |
|------|----------|-------|----------------|-----------------|-----------------|-----------------|
| 365 | 365 | 242 | Q_smistamento | -45.04 | -26.84 | -7.88 |
| 365 | 365 | 294 | Q_neve | -1.783E-11 | -4.761E-12 | -2.092E-12 |
| 365 | 365 | 298 | Q_neve | -1.707E-11 | 1.051E-12 | -2.092E-12 |
| 365 | 365 | 240 | Q_neve | -2.067E-11 | -3.813E-12 | -8.275E-13 |
| 365 | 365 | 242 | Q_neve | -1.486E-11 | -3.057E-12 | -8.275E-13 |
| 366 | 366 | 254 | DEAD | -1.510E-11 | 2.960E-11 | -3.736E-11 |
| 366 | 366 | 256 | DEAD | 4.361E-12 | -4.015E-13 | -2.953E-11 |
| 366 | 366 | 299 | DEAD | -6.249E-12 | 7.384E-11 | -2.978E-11 |
| 366 | 366 | 295 | DEAD | 2.300E-11 | 3.215E-11 | -2.447E-11 |
| 366 | 366 | 254 | G1_smistamento | -162.95 | -78.63 | 15.74 |
| 366 | 366 | 256 | G1_smistamento | -178.57 | -81.93 | 13.38 |
| 366 | 366 | 299 | G1_smistamento | -209.82 | -213.62 | 11.98 |
| 366 | 366 | 295 | G1_smistamento | -195.03 | -204.4 | 14.34 |
| 366 | 366 | 254 | G2_smistamento | -60.41 | -29.15 | 5.83 |
| 366 | 366 | 256 | G2_smistamento | -66.2 | -30.37 | 4.96 |
| 366 | 366 | 299 | G2_smistamento | -77.78 | -79.19 | 4.44 |
| 366 | 366 | 295 | G2_smistamento | -72.3 | -75.78 | 5.32 |
| 366 | 366 | 254 | Q_smistamento | -60.41 | -29.15 | 5.83 |
| 366 | 366 | 256 | Q_smistamento | -66.2 | -30.37 | 4.96 |
| 366 | 366 | 299 | Q_smistamento | -77.78 | -79.19 | 4.44 |
| 366 | 366 | 295 | Q_smistamento | -72.3 | -75.78 | 5.32 |
| 366 | 366 | 254 | Q_neve | -2.349E-12 | 6.581E-12 | -6.835E-12 |
| 366 | 366 | 256 | Q_neve | 1.647E-12 | 4.540E-12 | -5.740E-12 |
| 366 | 366 | 299 | Q_neve | -6.773E-12 | 9.109E-12 | -5.571E-12 |
| 366 | 366 | 295 | Q_neve | 7.019E-12 | 4.856E-12 | -4.476E-12 |
| 367 | 367 | 295 | DEAD | 3.193E-11 | 6.863E-11 | -1.669E-11 |
| 367 | 367 | 299 | DEAD | -3.818E-12 | 4.753E-11 | -2.933E-11 |
| 367 | 367 | 300 | DEAD | -1.642E-11 | 8.907E-12 | -3.439E-11 |
| 367 | 367 | 296 | DEAD | -4.964E-11 | 4.492E-13 | -2.175E-11 |
| 367 | 367 | 295 | G1_smistamento | -195. | -204.26 | 11.3 |
| 367 | 367 | 299 | G1_smistamento | -209.8 | -213.53 | 9.68 |
| 367 | 367 | 300 | G1_smistamento | -225.79 | -275.97 | 5.99 |
| 367 | 367 | 296 | G1_smistamento | -211.23 | -262.38 | 7.61 |
| 367 | 367 | 295 | G2_smistamento | -72.29 | -75.72 | 4.19 |
| 367 | 367 | 299 | G2_smistamento | -77.78 | -79.16 | 3.59 |
| 367 | 367 | 300 | G2_smistamento | -83.7 | -102.31 | 2.22 |
| 367 | 367 | 296 | G2_smistamento | -78.31 | -97.27 | 2.82 |
| 367 | 367 | 295 | Q_smistamento | -72.29 | -75.72 | 4.19 |

Table 21: Element Stresses - Area Shells, Part 1 of 3

| Area | AreaElem | Joint | OutputCase | S11Top KN/m2 | S22Top KN/m2 | S12Top KN/m2 |
|------|----------|-------|----------------|-----------------|-----------------|-----------------|
| 367 | 367 | 299 | Q_smistamento | -77.78 | -79.16 | 3.59 |
| 367 | 367 | 300 | Q_smistamento | -83.7 | -102.31 | 2.22 |
| 367 | 367 | 296 | Q_smistamento | -78.31 | -97.27 | 2.82 |
| 367 | 367 | 295 | Q_neve | 1.002E-11 | 1.398E-11 | -3.346E-12 |
| 367 | 367 | 299 | Q_neve | -6.397E-12 | 7.206E-12 | -5.874E-12 |
| 367 | 367 | 300 | Q_neve | -3.493E-12 | 3.311E-12 | -6.506E-12 |
| 367 | 367 | 296 | Q_neve | -9.794E-12 | 1.597E-12 | -3.978E-12 |
| 368 | 368 | 296 | DEAD | -4.844E-11 | 1.646E-11 | -1.936E-11 |
| 368 | 368 | 300 | DEAD | -8.139E-12 | 4.109E-11 | -2.695E-11 |
| 368 | 368 | 301 | DEAD | -6.613E-11 | -1.135E-11 | -2.442E-11 |
| 368 | 368 | 297 | DEAD | -4.732E-11 | -3.146E-12 | -1.684E-11 |
| 368 | 368 | 296 | G1_smistamento | -211.23 | -262.35 | 2.32 |
| 368 | 368 | 300 | G1_smistamento | -225.78 | -275.93 | 2.32 |
| 368 | 368 | 301 | G1_smistamento | -225.78 | -275.93 | -2.32 |
| 368 | 368 | 297 | G1_smistamento | -211.23 | -262.35 | -2.32 |
| 368 | 368 | 296 | G2_smistamento | -78.3 | -97.26 | 0.86 |
| 368 | 368 | 300 | G2_smistamento | -83.7 | -102.29 | 0.86 |
| 368 | 368 | 301 | G2_smistamento | -83.7 | -102.29 | -0.86 |
| 368 | 368 | 297 | G2_smistamento | -78.3 | -97.26 | -0.86 |
| 368 | 368 | 296 | Q_smistamento | -78.3 | -97.26 | 0.86 |
| 368 | 368 | 300 | Q_smistamento | -83.7 | -102.29 | 0.86 |
| 368 | 368 | 301 | Q_smistamento | -83.7 | -102.29 | -0.86 |
| 368 | 368 | 297 | Q_smistamento | -78.3 | -97.26 | -0.86 |
| 368 | 368 | 296 | Q_neve | -9.322E-12 | 3.529E-12 | -4.476E-12 |
| 368 | 368 | 300 | Q_neve | -3.215E-12 | 2.983E-12 | -6.372E-12 |
| 368 | 368 | 301 | Q_neve | -1.161E-11 | 3.450E-12 | -5.740E-12 |
| 368 | 368 | 297 | Q_neve | -1.088E-11 | -1.204E-12 | -3.844E-12 |
| 369 | 369 | 297 | DEAD | -5.197E-11 | -1.261E-11 | -1.557E-11 |
| 369 | 369 | 301 | DEAD | -6.495E-11 | -1.240E-11 | -2.155E-11 |
| 369 | 369 | 302 | DEAD | -4.691E-11 | -1.767E-11 | -2.821E-11 |
| 369 | 369 | 298 | DEAD | -7.443E-11 | 1.604E-11 | -2.661E-11 |
| 369 | 369 | 297 | G1_smistamento | -211.23 | -262.38 | -7.61 |
| 369 | 369 | 301 | G1_smistamento | -225.79 | -275.97 | -5.99 |
| 369 | 369 | 302 | G1_smistamento | -209.8 | -213.53 | -9.68 |
| 369 | 369 | 298 | G1_smistamento | -195. | -204.26 | -11.3 |
| 369 | 369 | 297 | G2_smistamento | -78.31 | -97.27 | -2.82 |
| 369 | 369 | 301 | G2_smistamento | -83.7 | -102.31 | -2.22 |
| 369 | 369 | 302 | G2_smistamento | -77.78 | -79.16 | -3.59 |

Table 21: Element Stresses - Area Shells, Part 1 of 3

| Area | AreaElem | Joint | OutputCase | S11Top KN/m2 | S22Top KN/m2 | S12Top KN/m2 |
|------|----------|-------|----------------|-----------------|-----------------|-----------------|
| 369 | 369 | 298 | G2_smistamento | -72.29 | -75.72 | -4.19 |
| 369 | 369 | 297 | Q_smistamento | -78.31 | -97.27 | -2.82 |
| 369 | 369 | 301 | Q_smistamento | -83.7 | -102.31 | -2.22 |
| 369 | 369 | 302 | Q_smistamento | -77.78 | -79.16 | -3.59 |
| 369 | 369 | 298 | Q_smistamento | -72.29 | -75.72 | -4.19 |
| 369 | 369 | 297 | Q_neve | -1.242E-11 | -4.483E-12 | -3.747E-12 |
| 369 | 369 | 301 | Q_neve | -1.209E-11 | 4.948E-13 | -3.747E-12 |
| 369 | 369 | 302 | Q_neve | -6.967E-12 | -3.772E-12 | -5.011E-12 |
| 369 | 369 | 298 | Q_neve | -1.359E-11 | 2.470E-12 | -5.011E-12 |
| 370 | 370 | 298 | DEAD | -8.039E-11 | -7.876E-12 | -2.248E-11 |
| 370 | 370 | 302 | DEAD | -2.937E-11 | 2.375E-11 | -3.352E-11 |
| 370 | 370 | 238 | DEAD | -8.071E-11 | -9.456E-12 | -3.006E-11 |
| 370 | 370 | 240 | DEAD | -1.131E-10 | -5.809E-13 | -2.340E-11 |
| 370 | 370 | 298 | G1_smistamento | -195.03 | -204.4 | -14.34 |
| 370 | 370 | 302 | G1_smistamento | -209.82 | -213.62 | -11.98 |
| 370 | 370 | 238 | G1_smistamento | -178.57 | -81.93 | -13.38 |
| 370 | 370 | 240 | G1_smistamento | -162.95 | -78.63 | -15.74 |
| 370 | 370 | 298 | G2_smistamento | -72.3 | -75.78 | -5.32 |
| 370 | 370 | 302 | G2_smistamento | -77.78 | -79.19 | -4.44 |
| 370 | 370 | 238 | G2_smistamento | -66.2 | -30.37 | -4.96 |
| 370 | 370 | 240 | G2_smistamento | -60.41 | -29.15 | -5.83 |
| 370 | 370 | 298 | Q_smistamento | -72.3 | -75.78 | -5.32 |
| 370 | 370 | 302 | Q_smistamento | -77.78 | -79.19 | -4.44 |
| 370 | 370 | 238 | Q_smistamento | -66.2 | -30.37 | -4.96 |
| 370 | 370 | 240 | Q_smistamento | -60.41 | -29.15 | -5.83 |
| 370 | 370 | 298 | Q_neve | -1.322E-11 | -3.302E-13 | -4.525E-12 |
| 370 | 370 | 302 | Q_neve | -6.172E-12 | 2.560E-12 | -7.284E-12 |
| 370 | 370 | 238 | Q_neve | -1.141E-11 | 3.067E-12 | -6.421E-12 |
| 370 | 370 | 240 | Q_neve | -2.434E-11 | -2.970E-12 | -4.757E-12 |
| 371 | 371 | 256 | DEAD | -1.779E-11 | -5.206E-12 | -2.433E-11 |
| 371 | 371 | 258 | DEAD | 1.492E-11 | 1.477E-11 | -2.593E-11 |
| 371 | 371 | 303 | DEAD | 1.286E-11 | 4.188E-11 | -3.697E-11 |
| 371 | 371 | 299 | DEAD | 1.081E-11 | 7.007E-11 | -3.099E-11 |
| 371 | 371 | 256 | G1_smistamento | -178.55 | -81.92 | 11.38 |
| 371 | 371 | 258 | G1_smistamento | -176.63 | -83.18 | 9.72 |
| 371 | 371 | 303 | G1_smistamento | -206.9 | -217.73 | 8.34 |
| 371 | 371 | 299 | G1_smistamento | -209.84 | -213.63 | 10. |
| 371 | 371 | 256 | G2_smistamento | -66.19 | -30.37 | 4.22 |

Table 21: Element Stresses - Area Shells, Part 1 of 3

| Area | AreaElem | Joint | OutputCase | S11Top KN/m2 | S22Top KN/m2 | S12Top KN/m2 |
|------|----------|-------|----------------|-----------------|-----------------|-----------------|
| 371 | 371 | 258 | G2_smistamento | -65.48 | -30.84 | 3.6 |
| 371 | 371 | 303 | G2_smistamento | -76.7 | -80.72 | 3.09 |
| 371 | 371 | 299 | G2_smistamento | -77.79 | -79.19 | 3.71 |
| 371 | 371 | 256 | Q_smistamento | -66.19 | -30.37 | 4.22 |
| 371 | 371 | 258 | Q_smistamento | -65.48 | -30.84 | 3.6 |
| 371 | 371 | 303 | Q_smistamento | -76.7 | -80.72 | 3.09 |
| 371 | 371 | 299 | Q_smistamento | -77.79 | -79.19 | 3.71 |
| 371 | 371 | 256 | Q_neve | -1.456E-12 | 2.856E-12 | -6.118E-12 |
| 371 | 371 | 258 | Q_neve | 2.379E-12 | 1.866E-12 | -5.887E-12 |
| 371 | 371 | 303 | Q_neve | 4.785E-12 | 9.413E-12 | -7.382E-12 |
| 371 | 371 | 299 | Q_neve | 4.036E-13 | 1.095E-11 | -6.519E-12 |
| 372 | 372 | 299 | DEAD | 6.096E-12 | 6.316E-11 | -3.629E-11 |
| 372 | 372 | 303 | DEAD | 1.542E-11 | 2.987E-11 | -4.227E-11 |
| 372 | 372 | 304 | DEAD | 1.178E-11 | 6.126E-11 | -3.376E-11 |
| 372 | 372 | 300 | DEAD | -2.819E-11 | -6.153E-12 | -3.216E-11 |
| 372 | 372 | 299 | G1_smistamento | -209.83 | -213.53 | 7.73 |
| 372 | 372 | 303 | G1_smistamento | -206.89 | -217.67 | 6.57 |
| 372 | 372 | 304 | G1_smistamento | -222.13 | -282.38 | 3.99 |
| 372 | 372 | 300 | G1_smistamento | -225.83 | -275.98 | 5.15 |
| 372 | 372 | 299 | G2_smistamento | -77.79 | -79.16 | 2.87 |
| 372 | 372 | 303 | G2_smistamento | -76.7 | -80.69 | 2.44 |
| 372 | 372 | 304 | G2_smistamento | -82.35 | -104.68 | 1.48 |
| 372 | 372 | 300 | G2_smistamento | -83.72 | -102.31 | 1.91 |
| 372 | 372 | 299 | Q_smistamento | -77.79 | -79.16 | 2.87 |
| 372 | 372 | 303 | Q_smistamento | -76.7 | -80.69 | 2.44 |
| 372 | 372 | 304 | Q_smistamento | -82.35 | -104.68 | 1.48 |
| 372 | 372 | 300 | Q_smistamento | -83.72 | -102.31 | 1.91 |
| 372 | 372 | 299 | Q_neve | -5.863E-13 | 7.897E-12 | -7.480E-12 |
| 372 | 372 | 303 | Q_neve | 5.201E-12 | 4.281E-12 | -7.249E-12 |
| 372 | 372 | 304 | Q_neve | 5.102E-12 | 1.359E-11 | -7.480E-12 |
| 372 | 372 | 300 | Q_neve | -6.570E-12 | 4.202E-12 | -6.617E-12 |
| 373 | 373 | 300 | DEAD | -1.143E-11 | 4.560E-11 | -3.289E-11 |
| 373 | 373 | 304 | DEAD | -2.156E-12 | -1.015E-11 | -3.542E-11 |
| 373 | 373 | 305 | DEAD | -1.174E-11 | 1.369E-11 | -4.300E-11 |
| 373 | 373 | 301 | DEAD | -2.649E-11 | -1.047E-11 | -4.048E-11 |
| 373 | 373 | 300 | G1_smistamento | -225.82 | -275.94 | 1.55 |
| 373 | 373 | 304 | G1_smistamento | -222.12 | -282.35 | 1.55 |
| 373 | 373 | 305 | G1_smistamento | -222.12 | -282.35 | -1.55 |

Table 21: Element Stresses - Area Shells, Part 1 of 3

| Area | AreaElem | Joint | OutputCase | S11Top KN/m2 | S22Top KN/m2 | S12Top KN/m2 |
|------|----------|-------|----------------|-----------------|-----------------|-----------------|
| 373 | 373 | 301 | G1_smistamento | -225.82 | -275.94 | -1.55 |
| 373 | 373 | 300 | G2_smistamento | -83.71 | -102.3 | 0.58 |
| 373 | 373 | 304 | G2_smistamento | -82.34 | -104.67 | 0.58 |
| 373 | 373 | 305 | G2_smistamento | -82.34 | -104.67 | -0.58 |
| 373 | 373 | 301 | G2_smistamento | -83.71 | -102.3 | -0.58 |
| 373 | 373 | 300 | Q_smistamento | -83.71 | -102.3 | 0.58 |
| 373 | 373 | 304 | Q_smistamento | -82.34 | -104.67 | 0.58 |
| 373 | 373 | 305 | Q_smistamento | -82.34 | -104.67 | -0.58 |
| 373 | 373 | 301 | Q_smistamento | -83.71 | -102.3 | -0.58 |
| 373 | 373 | 300 | Q_neve | -5.569E-12 | 4.621E-12 | -6.301E-12 |
| 373 | 373 | 304 | Q_neve | 3.307E-12 | -2.269E-14 | -6.301E-12 |
| 373 | 373 | 305 | Q_neve | -2.093E-12 | 3.041E-12 | -7.565E-12 |
| 373 | 373 | 301 | Q_neve | -1.117E-12 | 4.401E-12 | -7.565E-12 |
| 374 | 374 | 301 | DEAD | -3.191E-11 | -1.250E-11 | -3.323E-11 |
| 374 | 374 | 305 | DEAD | -7.635E-12 | 3.118E-12 | -5.185E-11 |
| 374 | 374 | 306 | DEAD | 1.265E-12 | 1.688E-11 | -3.829E-11 |
| 374 | 374 | 302 | DEAD | -8.158E-11 | -2.570E-12 | -2.404E-11 |
| 374 | 374 | 301 | G1_smistamento | -225.83 | -275.98 | -5.15 |
| 374 | 374 | 305 | G1_smistamento | -222.13 | -282.38 | -3.99 |
| 374 | 374 | 306 | G1_smistamento | -206.89 | -217.67 | -6.57 |
| 374 | 374 | 302 | G1_smistamento | -209.83 | -213.53 | -7.73 |
| 374 | 374 | 301 | G2_smistamento | -83.72 | -102.31 | -1.91 |
| 374 | 374 | 305 | G2_smistamento | -82.35 | -104.68 | -1.48 |
| 374 | 374 | 306 | G2_smistamento | -76.7 | -80.69 | -2.44 |
| 374 | 374 | 302 | G2_smistamento | -77.79 | -79.16 | -2.87 |
| 374 | 374 | 301 | Q_smistamento | -83.72 | -102.31 | -1.91 |
| 374 | 374 | 305 | Q_smistamento | -82.35 | -104.68 | -1.48 |
| 374 | 374 | 306 | Q_smistamento | -76.7 | -80.69 | -2.44 |
| 374 | 374 | 302 | Q_smistamento | -77.79 | -79.16 | -2.87 |
| 374 | 374 | 301 | Q_neve | -1.157E-12 | 1.106E-12 | -6.350E-12 |
| 374 | 374 | 305 | Q_neve | -3.341E-12 | 2.280E-15 | -1.037E-11 |
| 374 | 374 | 306 | Q_neve | 3.346E-12 | 6.557E-12 | -8.246E-12 |
| 374 | 374 | 302 | Q_neve | -2.088E-11 | -6.160E-12 | -5.317E-12 |
| 375 | 375 | 302 | DEAD | -9.057E-11 | 2.136E-11 | -3.770E-11 |
| 375 | 375 | 306 | DEAD | 1.338E-12 | -2.297E-12 | -2.827E-11 |
| 375 | 375 | 236 | DEAD | -9.043E-12 | 4.980E-11 | -2.506E-11 |
| 375 | 375 | 238 | DEAD | -3.089E-11 | 3.391E-12 | -2.574E-11 |
| 375 | 375 | 302 | G1_smistamento | -209.84 | -213.63 | -10. |

Table 21: Element Stresses - Area Shells, Part 1 of 3

| Area | AreaElem | Joint | OutputCase | S11Top KN/m2 | S22Top KN/m2 | S12Top KN/m2 |
|------|----------|-------|----------------|-----------------|-----------------|-----------------|
| 375 | 375 | 306 | G1_smistamento | -206.9 | -217.73 | -8.34 |
| 375 | 375 | 236 | G1_smistamento | -176.63 | -83.18 | -9.72 |
| 375 | 375 | 238 | G1_smistamento | -178.55 | -81.92 | -11.38 |
| 375 | 375 | 302 | G2_smistamento | -77.79 | -79.19 | -3.71 |
| 375 | 375 | 306 | G2_smistamento | -76.7 | -80.72 | -3.09 |
| 375 | 375 | 236 | G2_smistamento | -65.48 | -30.84 | -3.6 |
| 375 | 375 | 238 | G2_smistamento | -66.19 | -30.37 | -4.22 |
| 375 | 375 | 302 | Q_smistamento | -77.79 | -79.19 | -3.71 |
| 375 | 375 | 306 | Q_smistamento | -76.7 | -80.72 | -3.09 |
| 375 | 375 | 236 | Q_smistamento | -65.48 | -30.84 | -3.6 |
| 375 | 375 | 238 | Q_smistamento | -66.19 | -30.37 | -4.22 |
| 375 | 375 | 302 | Q_neve | -1.964E-11 | 4.868E-13 | -6.239E-12 |
| 375 | 375 | 306 | Q_neve | 1.824E-12 | 4.605E-12 | -4.975E-12 |
| 375 | 375 | 236 | Q_neve | -5.030E-12 | 5.306E-12 | -4.343E-12 |
| 375 | 375 | 238 | Q_neve | -3.785E-12 | 3.104E-12 | -5.607E-12 |
| 376 | 376 | 258 | DEAD | 1.852E-11 | 1.089E-11 | -2.632E-11 |
| 376 | 376 | 260 | DEAD | 4.443E-11 | -4.608E-12 | -3.416E-11 |
| 376 | 376 | 307 | DEAD | 5.563E-12 | 2.195E-11 | -3.644E-11 |
| 376 | 376 | 303 | DEAD | 1.852E-11 | 4.785E-11 | -4.174E-11 |
| 376 | 376 | 258 | G1_smistamento | -176.6 | -83.17 | 8.3 |
| 376 | 376 | 260 | G1_smistamento | -165.32 | -83.24 | 7.12 |
| 376 | 376 | 307 | G1_smistamento | -194.95 | -218.93 | 5.83 |
| 376 | 376 | 303 | G1_smistamento | -206.92 | -217.73 | 7.01 |
| 376 | 376 | 258 | G2_smistamento | -65.47 | -30.83 | 3.08 |
| 376 | 376 | 260 | G2_smistamento | -61.29 | -30.86 | 2.64 |
| 376 | 376 | 307 | G2_smistamento | -72.27 | -81.16 | 2.16 |
| 376 | 376 | 303 | G2_smistamento | -76.71 | -80.72 | 2.6 |
| 376 | 376 | 258 | Q_smistamento | -65.47 | -30.83 | 3.08 |
| 376 | 376 | 260 | Q_smistamento | -61.29 | -30.86 | 2.64 |
| 376 | 376 | 307 | Q_smistamento | -72.27 | -81.16 | 2.16 |
| 376 | 376 | 303 | Q_smistamento | -76.71 | -80.72 | 2.6 |
| 376 | 376 | 258 | Q_neve | 6.688E-12 | 1.698E-12 | -6.483E-12 |
| 376 | 376 | 260 | Q_neve | 7.089E-12 | -7.380E-13 | -7.346E-12 |
| 376 | 376 | 307 | Q_neve | 7.952E-12 | 8.017E-12 | -7.747E-12 |
| 376 | 376 | 303 | Q_neve | 8.476E-13 | 9.769E-12 | -7.978E-12 |
| 377 | 377 | 303 | DEAD | 1.955E-11 | 3.027E-11 | -4.072E-11 |
| 377 | 377 | 307 | DEAD | 1.675E-11 | 5.254E-11 | -4.325E-11 |
| 377 | 377 | 308 | DEAD | 4.704E-11 | 3.122E-11 | -4.831E-11 |

Table 21: Element Stresses - Area Shells, Part 1 of 3

| Area | AreaElem | Joint | OutputCase | S11Top KN/m2 | S22Top KN/m2 | S12Top KN/m2 |
|------|----------|-------|----------------|-----------------|-----------------|-----------------|
| 377 | 377 | 304 | DEAD | -3.793E-12 | 5.601E-11 | -4.578E-11 |
| 377 | 377 | 303 | G1_smistamento | -206.9 | -217.68 | 5.25 |
| 377 | 377 | 307 | G1_smistamento | -194.95 | -218.9 | 4.48 |
| 377 | 377 | 308 | G1_smistamento | -209.65 | -284.61 | 2.66 |
| 377 | 377 | 304 | G1_smistamento | -222.16 | -282.38 | 3.44 |
| 377 | 377 | 303 | G2_smistamento | -76.7 | -80.7 | 1.95 |
| 377 | 377 | 307 | G2_smistamento | -72.27 | -81.15 | 1.66 |
| 377 | 377 | 308 | G2_smistamento | -77.72 | -105.51 | 0.99 |
| 377 | 377 | 304 | G2_smistamento | -82.36 | -104.68 | 1.27 |
| 377 | 377 | 303 | Q_smistamento | -76.7 | -80.7 | 1.95 |
| 377 | 377 | 307 | Q_smistamento | -72.27 | -81.15 | 1.66 |
| 377 | 377 | 308 | Q_smistamento | -77.72 | -105.51 | 0.99 |
| 377 | 377 | 304 | Q_smistamento | -82.36 | -104.68 | 1.27 |
| 377 | 377 | 303 | Q_neve | 2.278E-13 | 4.080E-12 | -7.213E-12 |
| 377 | 377 | 307 | Q_neve | 9.531E-12 | 1.545E-11 | -8.076E-12 |
| 377 | 377 | 308 | Q_neve | 7.891E-12 | 2.579E-12 | -8.477E-12 |
| 377 | 377 | 304 | Q_neve | 3.668E-13 | 1.324E-11 | -8.708E-12 |
| 378 | 378 | 304 | DEAD | -2.593E-11 | -1.826E-11 | -4.432E-11 |
| 378 | 378 | 308 | DEAD | 5.518E-11 | 5.213E-11 | -4.247E-11 |
| 378 | 378 | 309 | DEAD | 3.031E-11 | 5.124E-12 | -4.179E-11 |
| 378 | 378 | 305 | DEAD | -1.687E-11 | 2.559E-11 | -3.489E-11 |
| 378 | 378 | 304 | G1_smistamento | -222.16 | -282.36 | 1.03 |
| 378 | 378 | 308 | G1_smistamento | -209.65 | -284.6 | 1.03 |
| 378 | 378 | 309 | G1_smistamento | -209.65 | -284.6 | -1.03 |
| 378 | 378 | 305 | G1_smistamento | -222.16 | -282.36 | -1.03 |
| 378 | 378 | 304 | G2_smistamento | -82.36 | -104.67 | 0.38 |
| 378 | 378 | 308 | G2_smistamento | -77.72 | -105.51 | 0.38 |
| 378 | 378 | 309 | G2_smistamento | -77.72 | -105.51 | -0.38 |
| 378 | 378 | 305 | G2_smistamento | -82.36 | -104.67 | -0.38 |
| 378 | 378 | 304 | Q_smistamento | -82.36 | -104.67 | 0.38 |
| 378 | 378 | 308 | Q_smistamento | -77.72 | -105.51 | 0.38 |
| 378 | 378 | 309 | Q_smistamento | -77.72 | -105.51 | -0.38 |
| 378 | 378 | 305 | Q_smistamento | -82.36 | -104.67 | -0.38 |
| 378 | 378 | 304 | Q_neve | -2.109E-12 | 1.392E-13 | -9.073E-12 |
| 378 | 378 | 308 | Q_neve | 8.985E-12 | 1.214E-11 | -7.747E-12 |
| 378 | 378 | 309 | Q_neve | 2.473E-12 | -1.599E-12 | -8.441E-12 |
| 378 | 378 | 305 | Q_neve | 1.371E-13 | 3.919E-12 | -6.483E-12 |
| 379 | 379 | 305 | DEAD | -1.927E-11 | 1.217E-11 | -3.994E-11 |

Table 21: Element Stresses - Area Shells, Part 1 of 3

| Area | AreaElem | Joint | OutputCase | S11Top KN/m2 | S22Top KN/m2 | S12Top KN/m2 |
|------|----------|-------|----------------|-----------------|-----------------|-----------------|
| 379 | 379 | 309 | DEAD | 3.569E-11 | 3.023E-11 | -3.741E-11 |
| 379 | 379 | 310 | DEAD | 1.580E-11 | 5.530E-12 | -3.741E-11 |
| 379 | 379 | 306 | DEAD | 1.010E-11 | 2.359E-11 | -3.994E-11 |
| 379 | 379 | 305 | G1_smistamento | -222.16 | -282.38 | -3.44 |
| 379 | 379 | 309 | G1_smistamento | -209.65 | -284.61 | -2.66 |
| 379 | 379 | 310 | G1_smistamento | -194.95 | -218.9 | -4.48 |
| 379 | 379 | 306 | G1_smistamento | -206.9 | -217.68 | -5.25 |
| 379 | 379 | 305 | G2_smistamento | -82.36 | -104.68 | -1.27 |
| 379 | 379 | 309 | G2_smistamento | -77.72 | -105.51 | -0.99 |
| 379 | 379 | 310 | G2_smistamento | -72.27 | -81.15 | -1.66 |
| 379 | 379 | 306 | G2_smistamento | -76.7 | -80.7 | -1.95 |
| 379 | 379 | 305 | Q_smistamento | -82.36 | -104.68 | -1.27 |
| 379 | 379 | 309 | Q_smistamento | -77.72 | -105.51 | -0.99 |
| 379 | 379 | 310 | Q_smistamento | -72.27 | -81.15 | -1.66 |
| 379 | 379 | 306 | Q_smistamento | -76.7 | -80.7 | -1.95 |
| 379 | 379 | 305 | Q_neve | -1.174E-12 | 1.313E-12 | -8.027E-12 |
| 379 | 379 | 309 | Q_neve | 3.790E-12 | 2.343E-13 | -7.395E-12 |
| 379 | 379 | 310 | Q_neve | 2.223E-12 | 5.026E-12 | -8.027E-12 |
| 379 | 379 | 306 | Q_neve | 3.553E-12 | 4.737E-12 | -8.659E-12 |
| 380 | 380 | 306 | DEAD | 5.769E-12 | 1.070E-11 | -3.270E-11 |
| 380 | 380 | 310 | DEAD | 2.287E-11 | 6.070E-11 | -3.245E-11 |
| 380 | 380 | 234 | DEAD | 3.200E-11 | 2.050E-11 | -4.028E-11 |
| 380 | 380 | 236 | DEAD | -2.232E-11 | 4.712E-11 | -2.739E-11 |
| 380 | 380 | 306 | G1_smistamento | -206.92 | -217.73 | -7.01 |
| 380 | 380 | 310 | G1_smistamento | -194.95 | -218.93 | -5.83 |
| 380 | 380 | 234 | G1_smistamento | -165.32 | -83.24 | -7.12 |
| 380 | 380 | 236 | G1_smistamento | -176.6 | -83.17 | -8.3 |
| 380 | 380 | 306 | G2_smistamento | -76.71 | -80.72 | -2.6 |
| 380 | 380 | 310 | G2_smistamento | -72.27 | -81.16 | -2.16 |
| 380 | 380 | 234 | G2_smistamento | -61.29 | -30.86 | -2.64 |
| 380 | 380 | 236 | G2_smistamento | -65.47 | -30.83 | -3.08 |
| 380 | 380 | 306 | Q_smistamento | -76.71 | -80.72 | -2.6 |
| 380 | 380 | 310 | Q_smistamento | -72.27 | -81.16 | -2.16 |
| 380 | 380 | 234 | Q_smistamento | -61.29 | -30.86 | -2.64 |
| 380 | 380 | 236 | Q_smistamento | -65.47 | -30.83 | -3.08 |
| 380 | 380 | 306 | Q_neve | 2.594E-12 | 4.350E-12 | -7.298E-12 |
| 380 | 380 | 310 | Q_neve | 2.870E-12 | 9.622E-12 | -7.930E-12 |
| 380 | 380 | 234 | Q_neve | 8.124E-12 | 5.456E-12 | -7.298E-12 |

Table 21: Element Stresses - Area Shells, Part 1 of 3

| Area | AreaElem | Joint | OutputCase | S11Top KN/m2 | S22Top KN/m2 | S12Top KN/m2 |
|------|----------|-------|----------------|-----------------|-----------------|-----------------|
| 380 | 380 | 236 | Q_neve | -5.425E-12 | 6.067E-12 | -6.666E-12 |
| 381 | 381 | 260 | DEAD | 1.991E-11 | -1.022E-11 | -4.792E-11 |
| 381 | 381 | 262 | DEAD | 4.982E-11 | 3.905E-12 | -4.286E-11 |
| 381 | 381 | 311 | DEAD | 4.266E-11 | 4.287E-11 | -3.528E-11 |
| 381 | 381 | 307 | DEAD | 5.709E-11 | 4.024E-11 | -4.033E-11 |
| 381 | 381 | 260 | G1_smistamento | -165.29 | -83.23 | 6. |
| 381 | 381 | 262 | G1_smistamento | -151.27 | -82.76 | 5.07 |
| 381 | 381 | 311 | G1_smistamento | -180.58 | -218.73 | 3.98 |
| 381 | 381 | 307 | G1_smistamento | -194.96 | -218.93 | 4.91 |
| 381 | 381 | 260 | G2_smistamento | -61.27 | -30.86 | 2.22 |
| 381 | 381 | 262 | G2_smistamento | -56.08 | -30.68 | 1.88 |
| 381 | 381 | 311 | G2_smistamento | -66.95 | -81.09 | 1.48 |
| 381 | 381 | 307 | G2_smistamento | -72.27 | -81.16 | 1.82 |
| 381 | 381 | 260 | Q_smistamento | -61.27 | -30.86 | 2.22 |
| 381 | 381 | 262 | Q_smistamento | -56.08 | -30.68 | 1.88 |
| 381 | 381 | 311 | Q_smistamento | -66.95 | -81.09 | 1.48 |
| 381 | 381 | 307 | Q_smistamento | -72.27 | -81.16 | 1.82 |
| 381 | 381 | 260 | Q_neve | 1.798E-12 | -1.155E-12 | -8.112E-12 |
| 381 | 381 | 262 | Q_neve | 1.234E-11 | -9.795E-13 | -7.249E-12 |
| 381 | 381 | 311 | Q_neve | 4.405E-12 | 8.088E-12 | -6.848E-12 |
| 381 | 381 | 307 | Q_neve | 1.534E-11 | 1.024E-11 | -6.617E-12 |
| 382 | 382 | 307 | DEAD | 5.176E-11 | 5.183E-11 | -4.072E-11 |
| 382 | 382 | 311 | DEAD | 5.193E-11 | 3.348E-11 | -4.140E-11 |
| 382 | 382 | 312 | DEAD | 5.460E-11 | 5.088E-11 | -4.831E-11 |
| 382 | 382 | 308 | DEAD | 3.582E-11 | 2.874E-11 | -3.887E-11 |
| 382 | 382 | 307 | G1_smistamento | -194.95 | -218.9 | 3.56 |
| 382 | 382 | 311 | G1_smistamento | -180.58 | -218.72 | 3. |
| 382 | 382 | 312 | G1_smistamento | -195. | -284.8 | 1.74 |
| 382 | 382 | 308 | G1_smistamento | -209.67 | -284.62 | 2.3 |
| 382 | 382 | 307 | G2_smistamento | -72.27 | -81.15 | 1.32 |
| 382 | 382 | 311 | G2_smistamento | -66.94 | -81.08 | 1.11 |
| 382 | 382 | 312 | G2_smistamento | -72.29 | -105.58 | 0.65 |
| 382 | 382 | 308 | G2_smistamento | -77.73 | -105.51 | 0.85 |
| 382 | 382 | 307 | Q_smistamento | -72.27 | -81.15 | 1.32 |
| 382 | 382 | 311 | Q_smistamento | -66.94 | -81.08 | 1.11 |
| 382 | 382 | 312 | Q_smistamento | -72.29 | -105.58 | 0.65 |
| 382 | 382 | 308 | Q_smistamento | -77.73 | -105.51 | 0.85 |
| 382 | 382 | 307 | Q_neve | 1.677E-11 | 1.621E-11 | -8.721E-12 |

Table 21: Element Stresses - Area Shells, Part 1 of 3

| Area | AreaElem | Joint | OutputCase | S11Top KN/m2 | S22Top KN/m2 | S12Top KN/m2 |
|------|----------|-------|----------------|-----------------|-----------------|-----------------|
| 382 | 382 | 311 | Q_neve | 1.004E-12 | -2.801E-13 | -7.627E-12 |
| 382 | 382 | 312 | Q_neve | 1.306E-11 | 1.471E-11 | -1.062E-11 |
| 382 | 382 | 308 | Q_neve | 5.427E-12 | 2.880E-12 | -9.523E-12 |
| 383 | 383 | 308 | DEAD | 3.975E-11 | 5.073E-11 | -5.089E-11 |
| 383 | 383 | 312 | DEAD | 4.530E-11 | 2.890E-11 | -4.558E-11 |
| 383 | 383 | 313 | DEAD | 4.417E-11 | 2.735E-11 | -4.836E-11 |
| 383 | 383 | 309 | DEAD | 2.002E-11 | 8.679E-12 | -4.053E-11 |
| 383 | 383 | 308 | G1_smistamento | -209.67 | -284.61 | 0.68 |
| 383 | 383 | 312 | G1_smistamento | -195. | -284.8 | 0.68 |
| 383 | 383 | 313 | G1_smistamento | -195. | -284.8 | -0.68 |
| 383 | 383 | 309 | G1_smistamento | -209.67 | -284.61 | -0.68 |
| 383 | 383 | 308 | G2_smistamento | -77.73 | -105.51 | 0.25 |
| 383 | 383 | 312 | G2_smistamento | -72.29 | -105.58 | 0.25 |
| 383 | 383 | 313 | G2_smistamento | -72.29 | -105.58 | -0.25 |
| 383 | 383 | 309 | G2_smistamento | -77.73 | -105.51 | -0.25 |
| 383 | 383 | 308 | Q_smistamento | -77.73 | -105.51 | 0.25 |
| 383 | 383 | 312 | Q_smistamento | -72.29 | -105.58 | 0.25 |
| 383 | 383 | 313 | Q_smistamento | -72.29 | -105.58 | -0.25 |
| 383 | 383 | 309 | Q_smistamento | -77.73 | -105.51 | -0.25 |
| 383 | 383 | 308 | Q_neve | 8.040E-12 | 1.170E-11 | -8.806E-12 |
| 383 | 383 | 312 | Q_neve | 1.114E-11 | 9.451E-12 | -1.030E-11 |
| 383 | 383 | 313 | Q_neve | 8.198E-12 | 4.904E-12 | -9.438E-12 |
| 383 | 383 | 309 | Q_neve | 4.822E-12 | 2.499E-12 | -9.037E-12 |
| 384 | 384 | 309 | DEAD | 3.394E-11 | 3.430E-11 | -4.087E-11 |
| 384 | 384 | 313 | DEAD | 3.125E-11 | -1.398E-12 | -4.592E-11 |
| 384 | 384 | 314 | DEAD | 2.699E-11 | 6.021E-11 | -4.087E-11 |
| 384 | 384 | 310 | DEAD | 3.188E-11 | 1.762E-12 | -3.581E-11 |
| 384 | 384 | 309 | G1_smistamento | -209.67 | -284.62 | -2.3 |
| 384 | 384 | 313 | G1_smistamento | -195. | -284.8 | -1.74 |
| 384 | 384 | 314 | G1_smistamento | -180.58 | -218.72 | -3. |
| 384 | 384 | 310 | G1_smistamento | -194.95 | -218.9 | -3.56 |
| 384 | 384 | 309 | G2_smistamento | -77.73 | -105.51 | -0.85 |
| 384 | 384 | 313 | G2_smistamento | -72.29 | -105.58 | -0.65 |
| 384 | 384 | 314 | G2_smistamento | -66.94 | -81.08 | -1.11 |
| 384 | 384 | 310 | G2_smistamento | -72.27 | -81.15 | -1.32 |
| 384 | 384 | 309 | Q_smistamento | -77.73 | -105.51 | -0.85 |
| 384 | 384 | 313 | Q_smistamento | -72.29 | -105.58 | -0.65 |
| 384 | 384 | 314 | Q_smistamento | -66.94 | -81.08 | -1.11 |

Table 21: Element Stresses - Area Shells, Part 1 of 3

| Area | AreaElem | Joint | OutputCase | S11Top KN/m2 | S22Top KN/m2 | S12Top KN/m2 |
|------|----------|-------|----------------|-----------------|-----------------|-----------------|
| 384 | 384 | 310 | Q_smistamento | -72.27 | -81.15 | -1.32 |
| 384 | 384 | 309 | Q_neve | 6.372E-12 | 1.423E-12 | -8.027E-12 |
| 384 | 384 | 313 | Q_neve | 6.564E-12 | 3.511E-13 | -8.659E-12 |
| 384 | 384 | 314 | Q_neve | 1.032E-11 | 9.797E-12 | -8.027E-12 |
| 384 | 384 | 310 | Q_neve | 3.562E-12 | 4.301E-12 | -7.395E-12 |
| 385 | 385 | 310 | DEAD | 3.406E-11 | 5.348E-11 | -3.556E-11 |
| 385 | 385 | 314 | DEAD | 2.458E-11 | 3.127E-11 | -3.489E-11 |
| 385 | 385 | 232 | DEAD | 6.282E-11 | 4.558E-11 | -3.303E-11 |
| 385 | 385 | 234 | DEAD | 1.099E-11 | 2.401E-11 | -4.247E-11 |
| 385 | 385 | 310 | G1_smistamento | -194.96 | -218.93 | -4.91 |
| 385 | 385 | 314 | G1_smistamento | -180.58 | -218.73 | -3.98 |
| 385 | 385 | 232 | G1_smistamento | -151.27 | -82.76 | -5.07 |
| 385 | 385 | 234 | G1_smistamento | -165.29 | -83.23 | -6. |
| 385 | 385 | 310 | G2_smistamento | -72.27 | -81.16 | -1.82 |
| 385 | 385 | 314 | G2_smistamento | -66.95 | -81.09 | -1.48 |
| 385 | 385 | 232 | G2_smistamento | -56.08 | -30.68 | -1.88 |
| 385 | 385 | 234 | G2_smistamento | -61.27 | -30.86 | -2.22 |
| 385 | 385 | 310 | Q_smistamento | -72.27 | -81.16 | -1.82 |
| 385 | 385 | 314 | Q_smistamento | -66.95 | -81.09 | -1.48 |
| 385 | 385 | 232 | Q_smistamento | -56.08 | -30.68 | -1.88 |
| 385 | 385 | 234 | Q_smistamento | -61.27 | -30.86 | -2.22 |
| 385 | 385 | 310 | Q_neve | 5.236E-12 | 1.157E-11 | -7.796E-12 |
| 385 | 385 | 314 | Q_neve | 9.600E-12 | 6.013E-12 | -6.069E-12 |
| 385 | 385 | 232 | Q_neve | 1.456E-11 | 1.078E-11 | -7.164E-12 |
| 385 | 385 | 234 | Q_neve | 2.806E-12 | 2.379E-12 | -6.701E-12 |
| 386 | 386 | 262 | DEAD | 2.230E-11 | -2.319E-12 | -3.250E-11 |
| 386 | 386 | 264 | DEAD | 8.107E-11 | 3.989E-11 | -3.941E-11 |
| 386 | 386 | 315 | DEAD | 1.820E-11 | -2.286E-11 | -3.756E-11 |
| 386 | 386 | 311 | DEAD | 7.601E-11 | 4.495E-11 | -3.941E-11 |
| 386 | 386 | 262 | G1_smistamento | -151.24 | -82.75 | 4.06 |
| 386 | 386 | 264 | G1_smistamento | -139.31 | -82.19 | 3.22 |
| 386 | 386 | 315 | G1_smistamento | -168.51 | -218.11 | 2.44 |
| 386 | 386 | 311 | G1_smistamento | -180.59 | -218.73 | 3.27 |
| 386 | 386 | 262 | G2_smistamento | -56.07 | -30.68 | 1.5 |
| 386 | 386 | 264 | G2_smistamento | -51.64 | -30.47 | 1.2 |
| 386 | 386 | 315 | G2_smistamento | -62.47 | -80.86 | 0.9 |
| 386 | 386 | 311 | G2_smistamento | -66.95 | -81.09 | 1.21 |
| 386 | 386 | 262 | Q_smistamento | -56.07 | -30.68 | 1.5 |

Table 21: Element Stresses - Area Shells, Part 1 of 3

| Area | AreaElem | Joint | OutputCase | S11Top KN/m2 | S22Top KN/m2 | S12Top KN/m2 |
|------|----------|-------|----------------|-----------------|-----------------|-----------------|
| 386 | 386 | 264 | Q_smistamento | -51.64 | -30.47 | 1.2 |
| 386 | 386 | 315 | Q_smistamento | -62.47 | -80.86 | 0.9 |
| 386 | 386 | 311 | Q_smistamento | -66.95 | -81.09 | 1.21 |
| 386 | 386 | 262 | Q_neve | 5.734E-12 | -1.152E-12 | -7.662E-12 |
| 386 | 386 | 264 | Q_neve | 1.313E-11 | 5.139E-12 | -8.125E-12 |
| 386 | 386 | 315 | Q_neve | 1.087E-11 | -1.250E-13 | -7.662E-12 |
| 386 | 386 | 311 | Q_neve | 1.045E-11 | 8.772E-12 | -9.389E-12 |
| 387 | 387 | 311 | DEAD | 7.606E-11 | 4.291E-11 | -4.875E-11 |
| 387 | 387 | 315 | DEAD | 2.880E-11 | 1.234E-11 | -5.220E-11 |
| 387 | 387 | 316 | DEAD | 4.162E-11 | 3.754E-11 | -5.633E-11 |
| 387 | 387 | 312 | DEAD | 4.618E-11 | 3.856E-11 | -5.726E-11 |
| 387 | 387 | 311 | G1_smistamento | -180.59 | -218.72 | 2.29 |
| 387 | 387 | 315 | G1_smistamento | -168.51 | -218.11 | 1.84 |
| 387 | 387 | 316 | G1_smistamento | -182.8 | -284.29 | 1.03 |
| 387 | 387 | 312 | G1_smistamento | -195.01 | -284.8 | 1.48 |
| 387 | 387 | 311 | G2_smistamento | -66.95 | -81.08 | 0.85 |
| 387 | 387 | 315 | G2_smistamento | -62.47 | -80.86 | 0.68 |
| 387 | 387 | 316 | G2_smistamento | -67.77 | -105.39 | 0.38 |
| 387 | 387 | 312 | G2_smistamento | -72.29 | -105.58 | 0.55 |
| 387 | 387 | 311 | Q_smistamento | -66.95 | -81.08 | 0.85 |
| 387 | 387 | 315 | Q_smistamento | -62.47 | -80.86 | 0.68 |
| 387 | 387 | 316 | Q_smistamento | -67.77 | -105.39 | 0.38 |
| 387 | 387 | 312 | Q_smistamento | -72.29 | -105.58 | 0.55 |
| 387 | 387 | 311 | Q_neve | 8.885E-12 | 1.042E-12 | -9.402E-12 |
| 387 | 387 | 315 | Q_neve | 1.175E-11 | 5.390E-12 | -9.803E-12 |
| 387 | 387 | 316 | Q_neve | 1.054E-11 | 7.441E-12 | -1.067E-11 |
| 387 | 387 | 312 | Q_neve | 8.909E-12 | 1.582E-11 | -9.171E-12 |
| 388 | 388 | 312 | DEAD | 4.485E-11 | 2.197E-11 | -5.347E-11 |
| 388 | 388 | 316 | DEAD | 4.825E-11 | 1.973E-11 | -5.600E-11 |
| 388 | 388 | 317 | DEAD | 4.327E-11 | 5.958E-11 | -5.600E-11 |
| 388 | 388 | 313 | DEAD | 2.455E-11 | 3.774E-11 | -5.347E-11 |
| 388 | 388 | 312 | G1_smistamento | -195.01 | -284.8 | 0.42 |
| 388 | 388 | 316 | G1_smistamento | -182.8 | -284.28 | 0.42 |
| 388 | 388 | 317 | G1_smistamento | -182.8 | -284.28 | -0.42 |
| 388 | 388 | 313 | G1_smistamento | -195.01 | -284.8 | -0.42 |
| 388 | 388 | 312 | G2_smistamento | -72.29 | -105.58 | 0.16 |
| 388 | 388 | 316 | G2_smistamento | -67.77 | -105.39 | 0.16 |
| 388 | 388 | 317 | G2_smistamento | -67.77 | -105.39 | -0.16 |

Table 21: Element Stresses - Area Shells, Part 1 of 3

| Area | AreaElem | Joint | OutputCase | S11Top KN/m2 | S22Top KN/m2 | S12Top KN/m2 |
|------|----------|-------|----------------|-----------------|-----------------|-----------------|
| 388 | 388 | 313 | G2_smistamento | -72.29 | -105.58 | -0.16 |
| 388 | 388 | 312 | Q_smistamento | -72.29 | -105.58 | 0.16 |
| 388 | 388 | 316 | Q_smistamento | -67.77 | -105.39 | 0.16 |
| 388 | 388 | 317 | Q_smistamento | -67.77 | -105.39 | -0.16 |
| 388 | 388 | 313 | Q_smistamento | -72.29 | -105.58 | -0.16 |
| 388 | 388 | 312 | Q_neve | 9.026E-12 | 7.323E-12 | -9.901E-12 |
| 388 | 388 | 316 | Q_neve | 9.189E-12 | 6.107E-12 | -1.140E-11 |
| 388 | 388 | 317 | Q_neve | 1.132E-11 | 1.119E-11 | -1.053E-11 |
| 388 | 388 | 313 | Q_neve | 4.449E-12 | 5.159E-12 | -1.013E-11 |
| 389 | 389 | 313 | DEAD | 1.688E-11 | -1.812E-11 | -4.261E-11 |
| 389 | 389 | 317 | DEAD | 4.960E-11 | 6.261E-11 | -3.503E-11 |
| 389 | 389 | 318 | DEAD | 5.701E-11 | 4.603E-11 | -2.744E-11 |
| 389 | 389 | 314 | DEAD | 6.698E-11 | 7.367E-11 | -3.503E-11 |
| 389 | 389 | 313 | G1_smistamento | -195.01 | -284.8 | -1.48 |
| 389 | 389 | 317 | G1_smistamento | -182.8 | -284.29 | -1.03 |
| 389 | 389 | 318 | G1_smistamento | -168.51 | -218.11 | -1.84 |
| 389 | 389 | 314 | G1_smistamento | -180.59 | -218.72 | -2.29 |
| 389 | 389 | 313 | G2_smistamento | -72.29 | -105.58 | -0.55 |
| 389 | 389 | 317 | G2_smistamento | -67.77 | -105.39 | -0.38 |
| 389 | 389 | 318 | G2_smistamento | -62.47 | -80.86 | -0.68 |
| 389 | 389 | 314 | G2_smistamento | -66.95 | -81.08 | -0.85 |
| 389 | 389 | 313 | Q_smistamento | -72.29 | -105.58 | -0.55 |
| 389 | 389 | 317 | Q_smistamento | -67.77 | -105.39 | -0.38 |
| 389 | 389 | 318 | Q_smistamento | -62.47 | -80.86 | -0.68 |
| 389 | 389 | 314 | Q_smistamento | -66.95 | -81.08 | -0.85 |
| 389 | 389 | 313 | Q_neve | 4.217E-12 | 2.053E-14 | -7.832E-12 |
| 389 | 389 | 317 | Q_neve | 1.117E-11 | 1.167E-11 | -7.200E-12 |
| 389 | 389 | 318 | Q_neve | 1.038E-11 | 6.182E-12 | -5.304E-12 |
| 389 | 389 | 314 | Q_neve | 1.054E-11 | 1.041E-11 | -5.936E-12 |
| 390 | 390 | 314 | DEAD | 6.201E-11 | 3.688E-11 | -2.924E-11 |
| 390 | 390 | 318 | DEAD | 6.276E-11 | 5.986E-11 | -2.647E-11 |
| 390 | 390 | 230 | DEAD | 3.705E-11 | 3.071E-12 | -3.935E-11 |
| 390 | 390 | 232 | DEAD | 5.929E-11 | 4.248E-11 | -2.899E-11 |
| 390 | 390 | 314 | G1_smistamento | -180.59 | -218.73 | -3.27 |
| 390 | 390 | 318 | G1_smistamento | -168.51 | -218.11 | -2.44 |
| 390 | 390 | 230 | G1_smistamento | -139.31 | -82.19 | -3.22 |
| 390 | 390 | 232 | G1_smistamento | -151.24 | -82.75 | -4.06 |
| 390 | 390 | 314 | G2_smistamento | -66.95 | -81.09 | -1.21 |

Table 21: Element Stresses - Area Shells, Part 1 of 3

| Area | AreaElem | Joint | OutputCase | S11Top KN/m2 | S22Top KN/m2 | S12Top KN/m2 |
|------|----------|-------|----------------|-----------------|-----------------|-----------------|
| 390 | 390 | 318 | G2_smistamento | -62.47 | -80.86 | -0.9 |
| 390 | 390 | 230 | G2_smistamento | -51.64 | -30.47 | -1.2 |
| 390 | 390 | 232 | G2_smistamento | -56.07 | -30.68 | -1.5 |
| 390 | 390 | 314 | Q_smistamento | -66.95 | -81.09 | -1.21 |
| 390 | 390 | 318 | Q_smistamento | -62.47 | -80.86 | -0.9 |
| 390 | 390 | 230 | Q_smistamento | -51.64 | -30.47 | -1.2 |
| 390 | 390 | 232 | Q_smistamento | -56.07 | -30.68 | -1.5 |
| 390 | 390 | 314 | Q_neve | 1.113E-11 | 7.946E-12 | -6.252E-12 |
| 390 | 390 | 318 | Q_neve | 1.239E-11 | 1.166E-11 | -5.389E-12 |
| 390 | 390 | 230 | Q_neve | 8.843E-12 | 2.179E-12 | -6.884E-12 |
| 390 | 390 | 232 | Q_neve | 1.018E-11 | 8.182E-12 | -6.652E-12 |
| 391 | 391 | 264 | DEAD | 4.498E-11 | 3.222E-11 | -4.816E-11 |
| 391 | 391 | 266 | DEAD | 2.596E-11 | -4.066E-11 | -4.564E-11 |
| 391 | 391 | 319 | DEAD | 4.150E-11 | 1.484E-11 | -4.816E-11 |
| 391 | 391 | 315 | DEAD | 1.837E-11 | -1.791E-11 | -5.069E-11 |
| 391 | 391 | 264 | G1_smistamento | -139.29 | -82.19 | 2.22 |
| 391 | 391 | 266 | G1_smistamento | -132.57 | -81.84 | 1.41 |
| 391 | 391 | 319 | G1_smistamento | -161.74 | -217.67 | 1. |
| 391 | 391 | 315 | G1_smistamento | -168.51 | -218.11 | 1.81 |
| 391 | 391 | 264 | G2_smistamento | -51.64 | -30.47 | 0.82 |
| 391 | 391 | 266 | G2_smistamento | -49.15 | -30.34 | 0.52 |
| 391 | 391 | 319 | G2_smistamento | -59.96 | -80.69 | 0.37 |
| 391 | 391 | 315 | G2_smistamento | -62.47 | -80.86 | 0.67 |
| 391 | 391 | 264 | Q_smistamento | -51.64 | -30.47 | 0.82 |
| 391 | 391 | 266 | Q_smistamento | -49.15 | -30.34 | 0.52 |
| 391 | 391 | 319 | Q_smistamento | -59.96 | -80.69 | 0.37 |
| 391 | 391 | 315 | Q_smistamento | -62.47 | -80.86 | 0.67 |
| 391 | 391 | 264 | Q_neve | 5.760E-12 | 3.771E-12 | -8.210E-12 |
| 391 | 391 | 266 | Q_neve | 7.665E-12 | -5.209E-12 | -8.441E-12 |
| 391 | 391 | 319 | Q_neve | 5.049E-12 | 2.112E-12 | -8.210E-12 |
| 391 | 391 | 315 | Q_neve | 9.166E-12 | -1.496E-12 | -9.073E-12 |
| 392 | 392 | 315 | DEAD | 2.518E-11 | 8.242E-12 | -4.384E-11 |
| 392 | 392 | 319 | DEAD | 5.029E-11 | 2.355E-11 | -4.914E-11 |
| 392 | 392 | 320 | DEAD | 4.414E-11 | -3.134E-12 | -5.395E-11 |
| 392 | 392 | 316 | DEAD | 2.122E-11 | 4.504E-11 | -6.178E-11 |
| 392 | 392 | 315 | G1_smistamento | -168.51 | -218.11 | 1.21 |
| 392 | 392 | 319 | G1_smistamento | -161.74 | -217.67 | 0.8 |
| 392 | 392 | 320 | G1_smistamento | -175.98 | -283.85 | 0.4 |

Table 21: Element Stresses - Area Shells, Part 1 of 3

| Area | AreaElem | Joint | OutputCase | S11Top KN/m2 | S22Top KN/m2 | S12Top KN/m2 |
|------|----------|-------|----------------|-----------------|-----------------|-----------------|
| 392 | 392 | 316 | G1_smistamento | -182.8 | -284.29 | 0.81 |
| 392 | 392 | 315 | G2_smistamento | -62.47 | -80.86 | 0.45 |
| 392 | 392 | 319 | G2_smistamento | -59.96 | -80.69 | 0.3 |
| 392 | 392 | 320 | G2_smistamento | -65.24 | -105.23 | 0.15 |
| 392 | 392 | 316 | G2_smistamento | -67.77 | -105.39 | 0.3 |
| 392 | 392 | 315 | Q_smistamento | -62.47 | -80.86 | 0.45 |
| 392 | 392 | 319 | Q_smistamento | -59.96 | -80.69 | 0.3 |
| 392 | 392 | 320 | Q_smistamento | -65.24 | -105.23 | 0.15 |
| 392 | 392 | 316 | Q_smistamento | -67.77 | -105.39 | 0.3 |
| 392 | 392 | 315 | Q_neve | 8.737E-12 | 3.768E-12 | -8.405E-12 |
| 392 | 392 | 319 | Q_neve | 5.465E-12 | 2.948E-12 | -8.637E-12 |
| 392 | 392 | 320 | Q_neve | 6.999E-12 | 2.663E-12 | -1.093E-11 |
| 392 | 392 | 316 | Q_neve | 7.124E-12 | 7.451E-12 | -1.180E-11 |
| 393 | 393 | 316 | DEAD | 2.114E-11 | 1.249E-11 | -6.645E-11 |
| 393 | 393 | 320 | DEAD | 5.560E-11 | 5.386E-11 | -5.103E-11 |
| 393 | 393 | 321 | DEAD | 8.687E-11 | 9.844E-11 | -3.864E-11 |
| 393 | 393 | 317 | DEAD | 4.802E-11 | 6.144E-11 | -4.092E-11 |
| 393 | 393 | 316 | G1_smistamento | -182.8 | -284.29 | 0.2 |
| 393 | 393 | 320 | G1_smistamento | -175.98 | -283.85 | 0.2 |
| 393 | 393 | 321 | G1_smistamento | -175.98 | -283.85 | -0.2 |
| 393 | 393 | 317 | G1_smistamento | -182.8 | -284.29 | -0.2 |
| 393 | 393 | 316 | G2_smistamento | -67.77 | -105.39 | 7.483E-02 |
| 393 | 393 | 320 | G2_smistamento | -65.24 | -105.23 | 7.483E-02 |
| 393 | 393 | 321 | G2_smistamento | -65.24 | -105.23 | -7.483E-02 |
| 393 | 393 | 317 | G2_smistamento | -67.77 | -105.39 | -7.483E-02 |
| 393 | 393 | 316 | Q_smistamento | -67.77 | -105.39 | 7.483E-02 |
| 393 | 393 | 320 | Q_smistamento | -65.24 | -105.23 | 7.483E-02 |
| 393 | 393 | 321 | Q_smistamento | -65.24 | -105.23 | -7.483E-02 |
| 393 | 393 | 317 | Q_smistamento | -67.77 | -105.39 | -7.483E-02 |
| 393 | 393 | 316 | Q_neve | 6.415E-12 | 4.336E-12 | -1.170E-11 |
| 393 | 393 | 320 | Q_neve | 9.579E-12 | 1.498E-11 | -1.067E-11 |
| 393 | 393 | 321 | Q_neve | 1.210E-11 | 1.382E-11 | -7.275E-12 |
| 393 | 393 | 317 | Q_neve | 1.195E-11 | 1.166E-11 | -9.402E-12 |
| 394 | 394 | 317 | DEAD | 4.180E-11 | 5.202E-11 | -2.705E-11 |
| 394 | 394 | 321 | DEAD | 8.133E-11 | 8.094E-11 | -3.464E-11 |
| 394 | 394 | 322 | DEAD | 1.147E-11 | 2.169E-11 | -3.717E-11 |
| 394 | 394 | 318 | DEAD | 5.732E-11 | 5.187E-11 | -2.958E-11 |
| 394 | 394 | 317 | G1_smistamento | -182.8 | -284.29 | -0.81 |

Table 21: Element Stresses - Area Shells, Part 1 of 3

| Area | AreaElem | Joint | OutputCase | S11Top KN/m2 | S22Top KN/m2 | S12Top KN/m2 |
|------|----------|-------|----------------|-----------------|-----------------|-----------------|
| 394 | 394 | 321 | G1_smistamento | -175.98 | -283.85 | -0.4 |
| 394 | 394 | 322 | G1_smistamento | -161.74 | -217.67 | -0.8 |
| 394 | 394 | 318 | G1_smistamento | -168.51 | -218.11 | -1.21 |
| 394 | 394 | 317 | G2_smistamento | -67.77 | -105.39 | -0.3 |
| 394 | 394 | 321 | G2_smistamento | -65.24 | -105.23 | -0.15 |
| 394 | 394 | 322 | G2_smistamento | -59.96 | -80.69 | -0.3 |
| 394 | 394 | 318 | G2_smistamento | -62.47 | -80.86 | -0.45 |
| 394 | 394 | 317 | Q_smistamento | -67.77 | -105.39 | -0.3 |
| 394 | 394 | 321 | Q_smistamento | -65.24 | -105.23 | -0.15 |
| 394 | 394 | 322 | Q_smistamento | -59.96 | -80.69 | -0.3 |
| 394 | 394 | 318 | Q_smistamento | -62.47 | -80.86 | -0.45 |
| 394 | 394 | 317 | Q_neve | 1.002E-11 | 1.223E-11 | -6.301E-12 |
| 394 | 394 | 321 | Q_neve | 1.209E-11 | 8.708E-12 | -7.565E-12 |
| 394 | 394 | 322 | Q_neve | 2.751E-12 | 1.002E-11 | -7.565E-12 |
| 394 | 394 | 318 | Q_neve | 1.272E-11 | 8.076E-12 | -6.301E-12 |
| 395 | 395 | 318 | DEAD | 5.526E-11 | 5.800E-11 | -3.503E-11 |
| 395 | 395 | 322 | DEAD | 2.371E-11 | 4.381E-11 | -3.503E-11 |
| 395 | 395 | 228 | DEAD | 2.082E-11 | 7.128E-12 | -3.503E-11 |
| 395 | 395 | 230 | DEAD | 2.719E-11 | 5.208E-13 | -3.503E-11 |
| 395 | 395 | 318 | G1_smistamento | -168.51 | -218.11 | -1.81 |
| 395 | 395 | 322 | G1_smistamento | -161.74 | -217.67 | -1. |
| 395 | 395 | 228 | G1_smistamento | -132.57 | -81.84 | -1.41 |
| 395 | 395 | 230 | G1_smistamento | -139.29 | -82.19 | -2.22 |
| 395 | 395 | 318 | G2_smistamento | -62.47 | -80.86 | -0.67 |
| 395 | 395 | 322 | G2_smistamento | -59.96 | -80.69 | -0.37 |
| 395 | 395 | 228 | G2_smistamento | -49.15 | -30.34 | -0.52 |
| 395 | 395 | 230 | G2_smistamento | -51.64 | -30.47 | -0.82 |
| 395 | 395 | 318 | Q_smistamento | -62.47 | -80.86 | -0.67 |
| 395 | 395 | 322 | Q_smistamento | -59.96 | -80.69 | -0.37 |
| 395 | 395 | 228 | Q_smistamento | -49.15 | -30.34 | -0.52 |
| 395 | 395 | 230 | Q_smistamento | -51.64 | -30.47 | -0.82 |
| 395 | 395 | 318 | Q_neve | 1.370E-11 | 1.153E-11 | -6.568E-12 |
| 395 | 395 | 322 | Q_neve | 2.624E-12 | 9.972E-12 | -6.568E-12 |
| 395 | 395 | 228 | Q_neve | 3.037E-12 | -8.236E-14 | -6.568E-12 |
| 395 | 395 | 230 | Q_neve | 6.179E-12 | 1.203E-12 | -6.568E-12 |
| 396 | 396 | 266 | DEAD | 6.098E-12 | -3.339E-11 | -5.069E-11 |
| 396 | 396 | 268 | DEAD | 1.968E-11 | 9.363E-12 | -5.322E-11 |
| 396 | 396 | 323 | DEAD | -1.413E-11 | 2.006E-12 | -4.564E-11 |

Table 21: Element Stresses - Area Shells, Part 1 of 3

| Area | AreaElem | Joint | OutputCase | S11Top KN/m2 | S22Top KN/m2 | S12Top KN/m2 |
|------|----------|-------|----------------|-----------------|-----------------|-----------------|
| 396 | 396 | 319 | DEAD | 3.359E-11 | 3.043E-12 | -4.311E-11 |
| 396 | 396 | 266 | G1_smistamento | -132.56 | -81.84 | 0.4 |
| 396 | 396 | 268 | G1_smistamento | -132.56 | -81.84 | -0.4 |
| 396 | 396 | 323 | G1_smistamento | -161.74 | -217.67 | -0.4 |
| 396 | 396 | 319 | G1_smistamento | -161.74 | -217.67 | 0.4 |
| 396 | 396 | 266 | G2_smistamento | -49.14 | -30.34 | 0.15 |
| 396 | 396 | 268 | G2_smistamento | -49.14 | -30.34 | -0.15 |
| 396 | 396 | 323 | G2_smistamento | -59.96 | -80.69 | -0.15 |
| 396 | 396 | 319 | G2_smistamento | -59.96 | -80.69 | 0.15 |
| 396 | 396 | 266 | Q_smistamento | -49.14 | -30.34 | 0.15 |
| 396 | 396 | 268 | Q_smistamento | -49.14 | -30.34 | -0.15 |
| 396 | 396 | 323 | Q_smistamento | -59.96 | -80.69 | -0.15 |
| 396 | 396 | 319 | Q_smistamento | -59.96 | -80.69 | 0.15 |
| 396 | 396 | 266 | Q_neve | 9.025E-12 | -3.899E-12 | -1.085E-11 |
| 396 | 396 | 268 | Q_neve | -5.023E-12 | -2.361E-12 | -1.148E-11 |
| 396 | 396 | 323 | Q_neve | 1.283E-12 | 2.895E-12 | -9.585E-12 |
| 396 | 396 | 319 | Q_neve | 4.931E-12 | 1.905E-12 | -8.953E-12 |
| 397 | 397 | 319 | DEAD | 1.982E-11 | 2.027E-11 | -5.229E-11 |
| 397 | 397 | 323 | DEAD | -8.186E-12 | -3.984E-11 | -4.471E-11 |
| 397 | 397 | 324 | DEAD | 2.835E-11 | 6.293E-11 | -3.965E-11 |
| 397 | 397 | 320 | DEAD | 4.048E-11 | -8.872E-12 | -4.724E-11 |
| 397 | 397 | 319 | G1_smistamento | -161.75 | -217.67 | 0.2 |
| 397 | 397 | 323 | G1_smistamento | -161.75 | -217.67 | -0.2 |
| 397 | 397 | 324 | G1_smistamento | -175.98 | -283.85 | -0.2 |
| 397 | 397 | 320 | G1_smistamento | -175.98 | -283.85 | 0.2 |
| 397 | 397 | 319 | G2_smistamento | -59.96 | -80.69 | 7.394E-02 |
| 397 | 397 | 323 | G2_smistamento | -59.96 | -80.69 | -7.394E-02 |
| 397 | 397 | 324 | G2_smistamento | -65.24 | -105.23 | -7.394E-02 |
| 397 | 397 | 320 | G2_smistamento | -65.24 | -105.23 | 7.394E-02 |
| 397 | 397 | 319 | Q_smistamento | -59.96 | -80.69 | 7.394E-02 |
| 397 | 397 | 323 | Q_smistamento | -59.96 | -80.69 | -7.394E-02 |
| 397 | 397 | 324 | Q_smistamento | -65.24 | -105.23 | -7.394E-02 |
| 397 | 397 | 320 | Q_smistamento | -65.24 | -105.23 | 7.394E-02 |
| 397 | 397 | 319 | Q_neve | 4.151E-12 | 1.345E-12 | -9.340E-12 |
| 397 | 397 | 323 | Q_neve | -3.329E-13 | -3.503E-12 | -8.940E-12 |
| 397 | 397 | 324 | Q_neve | 5.336E-12 | 1.106E-11 | -7.444E-12 |
| 397 | 397 | 320 | Q_neve | 8.041E-12 | 4.470E-13 | -8.940E-12 |
| 398 | 398 | 320 | DEAD | 4.241E-11 | 5.333E-11 | -3.620E-11 |

Table 21: Element Stresses - Area Shells, Part 1 of 3

| Area | AreaElem | Joint | OutputCase | S11Top KN/m2 | S22Top KN/m2 | S12Top KN/m2 |
|------|----------|-------|----------------|-----------------|-----------------|-----------------|
| 398 | 398 | 324 | DEAD | 2.904E-11 | 2.195E-11 | -4.126E-11 |
| 398 | 398 | 325 | DEAD | 5.754E-12 | 8.240E-11 | -5.137E-11 |
| 398 | 398 | 321 | DEAD | 6.948E-11 | 1.028E-10 | -4.631E-11 |
| 398 | 398 | 320 | G1_smistamento | -175.98 | -283.85 | -3.912E-11 |
| 398 | 398 | 324 | G1_smistamento | -175.98 | -283.85 | -4.418E-11 |
| 398 | 398 | 325 | G1_smistamento | -175.98 | -283.85 | -5.429E-11 |
| 398 | 398 | 321 | G1_smistamento | -175.98 | -283.85 | -4.923E-11 |
| 398 | 398 | 320 | G2_smistamento | -65.24 | -105.23 | -1.372E-11 |
| 398 | 398 | 324 | G2_smistamento | -65.24 | -105.23 | -1.625E-11 |
| 398 | 398 | 325 | G2_smistamento | -65.24 | -105.23 | -2.131E-11 |
| 398 | 398 | 321 | G2_smistamento | -65.24 | -105.23 | -1.878E-11 |
| 398 | 398 | 320 | Q_smistamento | -65.24 | -105.23 | -1.372E-11 |
| 398 | 398 | 324 | Q_smistamento | -65.24 | -105.23 | -1.625E-11 |
| 398 | 398 | 325 | Q_smistamento | -65.24 | -105.23 | -2.131E-11 |
| 398 | 398 | 321 | Q_smistamento | -65.24 | -105.23 | -1.878E-11 |
| 398 | 398 | 320 | Q_neve | 1.014E-11 | 1.323E-11 | -7.858E-12 |
| 398 | 398 | 324 | Q_neve | 5.161E-12 | 5.917E-12 | -8.490E-12 |
| 398 | 398 | 325 | Q_neve | 3.818E-12 | 1.386E-11 | -1.039E-11 |
| 398 | 398 | 321 | Q_neve | 8.795E-12 | 1.461E-11 | -9.754E-12 |
| 399 | 399 | 321 | DEAD | 7.375E-11 | 8.276E-11 | -5.356E-11 |
| 399 | 399 | 325 | DEAD | 1.190E-12 | 7.068E-11 | -3.999E-11 |
| 399 | 399 | 326 | DEAD | 3.899E-11 | 6.064E-11 | -3.839E-11 |
| 399 | 399 | 322 | DEAD | 2.837E-11 | 2.455E-11 | -4.758E-11 |
| 399 | 399 | 321 | G1_smistamento | -175.98 | -283.85 | -0.2 |
| 399 | 399 | 325 | G1_smistamento | -175.98 | -283.85 | 0.2 |
| 399 | 399 | 326 | G1_smistamento | -161.75 | -217.67 | 0.2 |
| 399 | 399 | 322 | G1_smistamento | -161.75 | -217.67 | -0.2 |
| 399 | 399 | 321 | G2_smistamento | -65.24 | -105.23 | -7.394E-02 |
| 399 | 399 | 325 | G2_smistamento | -65.24 | -105.23 | 7.394E-02 |
| 399 | 399 | 326 | G2_smistamento | -59.96 | -80.69 | 7.394E-02 |
| 399 | 399 | 322 | G2_smistamento | -59.96 | -80.69 | -7.394E-02 |
| 399 | 399 | 321 | Q_smistamento | -65.24 | -105.23 | -7.394E-02 |
| 399 | 399 | 325 | Q_smistamento | -65.24 | -105.23 | 7.394E-02 |
| 399 | 399 | 326 | Q_smistamento | -59.96 | -80.69 | 7.394E-02 |
| 399 | 399 | 322 | Q_smistamento | -59.96 | -80.69 | -7.394E-02 |
| 399 | 399 | 321 | Q_neve | 8.782E-12 | 9.603E-12 | -1.052E-11 |
| 399 | 399 | 325 | Q_neve | 3.551E-12 | 1.287E-11 | -8.624E-12 |
| 399 | 399 | 326 | Q_neve | 1.352E-11 | 1.434E-11 | -7.360E-12 |

Table 21: Element Stresses - Area Shells, Part 1 of 3

| Area | AreaElem | Joint | OutputCase | S11Top KN/m2 | S22Top KN/m2 | S12Top KN/m2 |
|------|----------|-------|----------------|-----------------|-----------------|-----------------|
| 399 | 399 | 322 | Q_neve | 1.102E-12 | 8.205E-12 | -9.256E-12 |
| 400 | 400 | 322 | DEAD | 2.793E-11 | 4.459E-11 | -3.435E-11 |
| 400 | 400 | 326 | DEAD | 4.896E-11 | 4.980E-11 | -4.193E-11 |
| 400 | 400 | 226 | DEAD | -3.432E-11 | -2.398E-11 | -4.446E-11 |
| 400 | 400 | 228 | DEAD | 4.864E-11 | 1.788E-11 | -3.688E-11 |
| 400 | 400 | 322 | G1_smistamento | -161.74 | -217.67 | -0.4 |
| 400 | 400 | 326 | G1_smistamento | -161.74 | -217.67 | 0.4 |
| 400 | 400 | 226 | G1_smistamento | -132.56 | -81.84 | 0.4 |
| 400 | 400 | 228 | G1_smistamento | -132.56 | -81.84 | -0.4 |
| 400 | 400 | 322 | G2_smistamento | -59.96 | -80.69 | -0.15 |
| 400 | 400 | 326 | G2_smistamento | -59.96 | -80.69 | 0.15 |
| 400 | 400 | 226 | G2_smistamento | -49.14 | -30.34 | 0.15 |
| 400 | 400 | 228 | G2_smistamento | -49.14 | -30.34 | -0.15 |
| 400 | 400 | 322 | Q_smistamento | -59.96 | -80.69 | -0.15 |
| 400 | 400 | 326 | Q_smistamento | -59.96 | -80.69 | 0.15 |
| 400 | 400 | 226 | Q_smistamento | -49.14 | -30.34 | 0.15 |
| 400 | 400 | 228 | Q_smistamento | -49.14 | -30.34 | -0.15 |
| 400 | 400 | 322 | Q_neve | 8.812E-13 | 9.586E-12 | -6.034E-12 |
| 400 | 400 | 326 | Q_neve | 1.425E-11 | 1.150E-11 | -7.930E-12 |
| 400 | 400 | 226 | Q_neve | -6.988E-13 | -2.106E-12 | -8.562E-12 |
| 400 | 400 | 228 | Q_neve | 5.087E-12 | -1.903E-13 | -6.666E-12 |
| 401 | 401 | 268 | DEAD | 1.985E-12 | 3.517E-12 | -4.670E-11 |
| 401 | 401 | 270 | DEAD | -1.660E-11 | 1.614E-12 | -4.165E-11 |
| 401 | 401 | 327 | DEAD | -6.546E-12 | -8.807E-12 | -4.670E-11 |
| 401 | 401 | 323 | DEAD | 1.532E-11 | 9.514E-12 | -5.176E-11 |
| 401 | 401 | 268 | G1_smistamento | -132.57 | -81.84 | -1.41 |
| 401 | 401 | 270 | G1_smistamento | -139.29 | -82.19 | -2.22 |
| 401 | 401 | 327 | G1_smistamento | -168.51 | -218.11 | -1.81 |
| 401 | 401 | 323 | G1_smistamento | -161.74 | -217.67 | -1. |
| 401 | 401 | 268 | G2_smistamento | -49.15 | -30.34 | -0.52 |
| 401 | 401 | 270 | G2_smistamento | -51.64 | -30.47 | -0.82 |
| 401 | 401 | 327 | G2_smistamento | -62.47 | -80.86 | -0.67 |
| 401 | 401 | 323 | G2_smistamento | -59.96 | -80.69 | -0.37 |
| 401 | 401 | 268 | Q_smistamento | -49.15 | -30.34 | -0.52 |
| 401 | 401 | 270 | Q_smistamento | -51.64 | -30.47 | -0.82 |
| 401 | 401 | 327 | Q_smistamento | -62.47 | -80.86 | -0.67 |
| 401 | 401 | 323 | Q_smistamento | -59.96 | -80.69 | -0.37 |
| 401 | 401 | 268 | Q_neve | -8.766E-12 | -3.409E-12 | -8.027E-12 |

Table 21: Element Stresses - Area Shells, Part 1 of 3

| Area | AreaElem | Joint | OutputCase | S11Top KN/m2 | S22Top KN/m2 | S12Top KN/m2 |
|------|----------|-------|----------------|-----------------|-----------------|-----------------|
| 401 | 401 | 270 | Q_neve | 4.159E-12 | -1.684E-12 | -7.395E-12 |
| 401 | 401 | 327 | Q_neve | -5.053E-12 | -1.190E-14 | -8.027E-12 |
| 401 | 401 | 323 | Q_neve | 6.924E-12 | 4.557E-12 | -8.659E-12 |
| 402 | 402 | 323 | DEAD | 6.620E-12 | -4.251E-11 | -3.941E-11 |
| 402 | 402 | 327 | DEAD | 2.411E-12 | 4.153E-11 | -3.941E-11 |
| 402 | 402 | 328 | DEAD | 1.673E-11 | -7.116E-12 | -3.941E-11 |
| 402 | 402 | 324 | DEAD | 9.995E-12 | 6.428E-11 | -3.941E-11 |
| 402 | 402 | 323 | G1_smistamento | -161.74 | -217.67 | -0.8 |
| 402 | 402 | 327 | G1_smistamento | -168.51 | -218.11 | -1.21 |
| 402 | 402 | 328 | G1_smistamento | -182.8 | -284.29 | -0.81 |
| 402 | 402 | 324 | G1_smistamento | -175.98 | -283.85 | -0.4 |
| 402 | 402 | 323 | G2_smistamento | -59.96 | -80.69 | -0.3 |
| 402 | 402 | 327 | G2_smistamento | -62.47 | -80.86 | -0.45 |
| 402 | 402 | 328 | G2_smistamento | -67.77 | -105.39 | -0.3 |
| 402 | 402 | 324 | G2_smistamento | -65.24 | -105.23 | -0.15 |
| 402 | 402 | 323 | Q_smistamento | -59.96 | -80.69 | -0.3 |
| 402 | 402 | 327 | Q_smistamento | -62.47 | -80.86 | -0.45 |
| 402 | 402 | 328 | Q_smistamento | -67.77 | -105.39 | -0.3 |
| 402 | 402 | 324 | Q_smistamento | -65.24 | -105.23 | -0.15 |
| 402 | 402 | 323 | Q_neve | 5.305E-12 | -1.748E-12 | -7.662E-12 |
| 402 | 402 | 327 | Q_neve | -3.249E-12 | 4.876E-12 | -7.030E-12 |
| 402 | 402 | 328 | Q_neve | 3.725E-12 | -1.678E-13 | -7.662E-12 |
| 402 | 402 | 324 | Q_neve | 1.333E-12 | 1.072E-11 | -8.294E-12 |
| 403 | 403 | 324 | DEAD | 5.196E-12 | 8.468E-12 | -4.884E-11 |
| 403 | 403 | 328 | DEAD | 2.211E-11 | 4.863E-11 | -4.379E-11 |
| 403 | 403 | 329 | DEAD | 1.341E-11 | 4.955E-11 | -3.873E-11 |
| 403 | 403 | 325 | DEAD | 5.561E-11 | 9.477E-11 | -4.379E-11 |
| 403 | 403 | 324 | G1_smistamento | -175.98 | -283.85 | -0.2 |
| 403 | 403 | 328 | G1_smistamento | -182.8 | -284.29 | -0.2 |
| 403 | 403 | 329 | G1_smistamento | -182.8 | -284.29 | 0.2 |
| 403 | 403 | 325 | G1_smistamento | -175.98 | -283.85 | 0.2 |
| 403 | 403 | 324 | G2_smistamento | -65.24 | -105.23 | -7.483E-02 |
| 403 | 403 | 328 | G2_smistamento | -67.77 | -105.39 | -7.483E-02 |
| 403 | 403 | 329 | G2_smistamento | -67.77 | -105.39 | 7.483E-02 |
| 403 | 403 | 325 | G2_smistamento | -65.24 | -105.23 | 7.483E-02 |
| 403 | 403 | 324 | Q_smistamento | -65.24 | -105.23 | -7.483E-02 |
| 403 | 403 | 328 | Q_smistamento | -67.77 | -105.39 | -7.483E-02 |
| 403 | 403 | 329 | Q_smistamento | -67.77 | -105.39 | 7.483E-02 |

Table 21: Element Stresses - Area Shells, Part 1 of 3

| Area | AreaElem | Joint | OutputCase | S11Top KN/m2 | S22Top KN/m2 | S12Top KN/m2 |
|------|----------|-------|----------------|-----------------|-----------------|-----------------|
| 403 | 403 | 325 | Q_smistamento | -65.24 | -105.23 | 7.483E-02 |
| 403 | 403 | 324 | Q_neve | 2.214E-12 | 5.889E-12 | -8.659E-12 |
| 403 | 403 | 328 | Q_neve | 4.222E-12 | 7.604E-12 | -7.395E-12 |
| 403 | 403 | 329 | Q_neve | 2.530E-12 | 1.126E-11 | -7.395E-12 |
| 403 | 403 | 325 | Q_neve | 9.278E-12 | 1.392E-11 | -8.659E-12 |
| 404 | 404 | 325 | DEAD | 4.222E-11 | 8.242E-11 | -3.343E-11 |
| 404 | 404 | 329 | DEAD | 3.497E-11 | 1.276E-10 | -4.286E-11 |
| 404 | 404 | 330 | DEAD | 9.043E-12 | 7.526E-12 | -4.101E-11 |
| 404 | 404 | 326 | DEAD | 2.834E-11 | 4.887E-11 | -4.033E-11 |
| 404 | 404 | 325 | G1_smistamento | -175.98 | -283.85 | 0.4 |
| 404 | 404 | 329 | G1_smistamento | -182.8 | -284.29 | 0.81 |
| 404 | 404 | 330 | G1_smistamento | -168.51 | -218.11 | 1.21 |
| 404 | 404 | 326 | G1_smistamento | -161.74 | -217.67 | 0.8 |
| 404 | 404 | 325 | G2_smistamento | -65.24 | -105.23 | 0.15 |
| 404 | 404 | 329 | G2_smistamento | -67.77 | -105.39 | 0.3 |
| 404 | 404 | 330 | G2_smistamento | -62.47 | -80.86 | 0.45 |
| 404 | 404 | 326 | G2_smistamento | -59.96 | -80.69 | 0.3 |
| 404 | 404 | 325 | Q_smistamento | -65.24 | -105.23 | 0.15 |
| 404 | 404 | 329 | Q_smistamento | -67.77 | -105.39 | 0.3 |
| 404 | 404 | 330 | Q_smistamento | -62.47 | -80.86 | 0.45 |
| 404 | 404 | 326 | Q_smistamento | -59.96 | -80.69 | 0.3 |
| 404 | 404 | 325 | Q_neve | 1.100E-11 | 1.403E-11 | -5.802E-12 |
| 404 | 404 | 329 | Q_neve | 3.490E-12 | 2.477E-11 | -7.529E-12 |
| 404 | 404 | 330 | Q_neve | -1.010E-12 | -2.401E-12 | -7.698E-12 |
| 404 | 404 | 326 | Q_neve | 9.099E-12 | 1.300E-11 | -8.161E-12 |
| 405 | 405 | 326 | DEAD | 2.454E-11 | 5.990E-11 | -5.746E-11 |
| 405 | 405 | 330 | DEAD | -2.792E-12 | -1.998E-12 | -4.617E-11 |
| 405 | 405 | 224 | DEAD | 3.749E-11 | 4.884E-11 | -5.493E-11 |
| 405 | 405 | 226 | DEAD | -4.688E-12 | -2.665E-11 | -4.870E-11 |
| 405 | 405 | 326 | G1_smistamento | -161.74 | -217.67 | 1. |
| 405 | 405 | 330 | G1_smistamento | -168.51 | -218.11 | 1.81 |
| 405 | 405 | 224 | G1_smistamento | -139.29 | -82.19 | 2.22 |
| 405 | 405 | 226 | G1_smistamento | -132.57 | -81.84 | 1.41 |
| 405 | 405 | 326 | G2_smistamento | -59.96 | -80.69 | 0.37 |
| 405 | 405 | 330 | G2_smistamento | -62.47 | -80.86 | 0.67 |
| 405 | 405 | 224 | G2_smistamento | -51.64 | -30.47 | 0.82 |
| 405 | 405 | 226 | G2_smistamento | -49.15 | -30.34 | 0.52 |
| 405 | 405 | 326 | Q_smistamento | -59.96 | -80.69 | 0.37 |

Table 21: Element Stresses - Area Shells, Part 1 of 3

| Area | AreaElem | Joint | OutputCase | S11Top KN/m2 | S22Top KN/m2 | S12Top KN/m2 |
|------|----------|-------|----------------|-----------------|-----------------|-----------------|
| 405 | 405 | 330 | Q_smistamento | -62.47 | -80.86 | 0.67 |
| 405 | 405 | 224 | Q_smistamento | -51.64 | -30.47 | 0.82 |
| 405 | 405 | 226 | Q_smistamento | -49.15 | -30.34 | 0.52 |
| 405 | 405 | 326 | Q_neve | 9.519E-12 | 1.094E-11 | -1.108E-11 |
| 405 | 405 | 330 | Q_neve | -1.582E-12 | 4.082E-12 | -9.353E-12 |
| 405 | 405 | 224 | Q_neve | 2.567E-12 | 4.617E-12 | -1.045E-11 |
| 405 | 405 | 226 | Q_neve | 4.501E-12 | -1.527E-12 | -9.985E-12 |
| 406 | 406 | 270 | DEAD | -2.011E-11 | -1.417E-11 | -4.519E-11 |
| 406 | 406 | 272 | DEAD | -7.057E-12 | 3.039E-11 | -3.921E-11 |
| 406 | 406 | 331 | DEAD | -1.127E-11 | 1.490E-11 | -3.508E-11 |
| 406 | 406 | 327 | DEAD | -1.338E-11 | -1.205E-12 | -3.668E-11 |
| 406 | 406 | 270 | G1_smistamento | -139.31 | -82.19 | -3.22 |
| 406 | 406 | 272 | G1_smistamento | -151.24 | -82.75 | -4.06 |
| 406 | 406 | 331 | G1_smistamento | -180.59 | -218.73 | -3.27 |
| 406 | 406 | 327 | G1_smistamento | -168.51 | -218.11 | -2.44 |
| 406 | 406 | 270 | G2_smistamento | -51.64 | -30.47 | -1.2 |
| 406 | 406 | 272 | G2_smistamento | -56.07 | -30.68 | -1.5 |
| 406 | 406 | 331 | G2_smistamento | -66.95 | -81.09 | -1.21 |
| 406 | 406 | 327 | G2_smistamento | -62.47 | -80.86 | -0.9 |
| 406 | 406 | 270 | Q_smistamento | -51.64 | -30.47 | -1.2 |
| 406 | 406 | 272 | Q_smistamento | -56.07 | -30.68 | -1.5 |
| 406 | 406 | 331 | Q_smistamento | -66.95 | -81.09 | -1.21 |
| 406 | 406 | 327 | Q_smistamento | -62.47 | -80.86 | -0.9 |
| 406 | 406 | 270 | Q_neve | -3.486E-12 | -4.548E-12 | -8.744E-12 |
| 406 | 406 | 272 | Q_neve | -6.722E-14 | 7.180E-12 | -8.343E-12 |
| 406 | 406 | 331 | Q_neve | -2.854E-12 | 2.404E-12 | -6.216E-12 |
| 406 | 406 | 327 | Q_neve | -9.362E-13 | 9.388E-13 | -7.711E-12 |
| 407 | 407 | 327 | DEAD | -2.156E-12 | 2.808E-11 | -3.921E-11 |
| 407 | 407 | 331 | DEAD | -1.722E-11 | -8.785E-12 | -3.138E-11 |
| 407 | 407 | 332 | DEAD | -2.649E-11 | 1.260E-11 | -3.668E-11 |
| 407 | 407 | 328 | DEAD | -4.745E-13 | -8.847E-13 | -3.138E-11 |
| 407 | 407 | 327 | G1_smistamento | -168.51 | -218.11 | -1.84 |
| 407 | 407 | 331 | G1_smistamento | -180.59 | -218.72 | -2.29 |
| 407 | 407 | 332 | G1_smistamento | -195.01 | -284.8 | -1.48 |
| 407 | 407 | 328 | G1_smistamento | -182.8 | -284.29 | -1.03 |
| 407 | 407 | 327 | G2_smistamento | -62.47 | -80.86 | -0.68 |
| 407 | 407 | 331 | G2_smistamento | -66.95 | -81.08 | -0.85 |
| 407 | 407 | 332 | G2_smistamento | -72.29 | -105.58 | -0.55 |

Table 21: Element Stresses - Area Shells, Part 1 of 3

| Area | AreaElem | Joint | OutputCase | S11Top KN/m2 | S22Top KN/m2 | S12Top KN/m2 |
|------|----------|-------|----------------|-----------------|-----------------|-----------------|
| 407 | 407 | 328 | G2_smistamento | -67.77 | -105.39 | -0.38 |
| 407 | 407 | 327 | Q_smistamento | -62.47 | -80.86 | -0.68 |
| 407 | 407 | 331 | Q_smistamento | -66.95 | -81.08 | -0.85 |
| 407 | 407 | 332 | Q_smistamento | -72.29 | -105.58 | -0.55 |
| 407 | 407 | 328 | Q_smistamento | -67.77 | -105.39 | -0.38 |
| 407 | 407 | 327 | Q_neve | 6.438E-13 | 5.741E-12 | -7.930E-12 |
| 407 | 407 | 331 | Q_neve | -4.002E-12 | -2.135E-12 | -5.571E-12 |
| 407 | 407 | 332 | Q_neve | -1.647E-12 | 5.662E-12 | -6.666E-12 |
| 407 | 407 | 328 | Q_neve | -1.790E-12 | -5.555E-13 | -6.835E-12 |
| 408 | 408 | 328 | DEAD | 5.792E-12 | 4.069E-11 | -3.357E-11 |
| 408 | 408 | 332 | DEAD | -2.365E-11 | 1.186E-11 | -3.289E-11 |
| 408 | 408 | 333 | DEAD | -2.075E-11 | 5.965E-11 | -3.357E-11 |
| 408 | 408 | 329 | DEAD | 3.386E-11 | 5.673E-11 | -4.300E-11 |
| 408 | 408 | 328 | G1_smistamento | -182.8 | -284.28 | -0.42 |
| 408 | 408 | 332 | G1_smistamento | -195.01 | -284.8 | -0.42 |
| 408 | 408 | 333 | G1_smistamento | -195.01 | -284.8 | 0.42 |
| 408 | 408 | 329 | G1_smistamento | -182.8 | -284.28 | 0.42 |
| 408 | 408 | 328 | G2_smistamento | -67.77 | -105.39 | -0.16 |
| 408 | 408 | 332 | G2_smistamento | -72.29 | -105.58 | -0.16 |
| 408 | 408 | 333 | G2_smistamento | -72.29 | -105.58 | 0.16 |
| 408 | 408 | 329 | G2_smistamento | -67.77 | -105.39 | 0.16 |
| 408 | 408 | 328 | Q_smistamento | -67.77 | -105.39 | -0.16 |
| 408 | 408 | 332 | Q_smistamento | -72.29 | -105.58 | -0.16 |
| 408 | 408 | 333 | Q_smistamento | -72.29 | -105.58 | 0.16 |
| 408 | 408 | 329 | Q_smistamento | -67.77 | -105.39 | 0.16 |
| 408 | 408 | 328 | Q_neve | -6.663E-13 | 9.844E-12 | -6.568E-12 |
| 408 | 408 | 332 | Q_neve | -2.569E-12 | 2.174E-12 | -7.030E-12 |
| 408 | 408 | 333 | Q_neve | -1.614E-12 | 1.269E-11 | -6.568E-12 |
| 408 | 408 | 329 | Q_neve | 5.488E-12 | 1.023E-11 | -8.294E-12 |
| 409 | 409 | 329 | DEAD | 4.905E-11 | 1.271E-10 | -4.875E-11 |
| 409 | 409 | 333 | DEAD | -1.940E-11 | 3.052E-11 | -4.345E-11 |
| 409 | 409 | 334 | DEAD | -1.257E-11 | 4.655E-11 | -5.633E-11 |
| 409 | 409 | 330 | DEAD | -4.864E-12 | -2.974E-12 | -4.850E-11 |
| 409 | 409 | 329 | G1_smistamento | -182.8 | -284.29 | 1.03 |
| 409 | 409 | 333 | G1_smistamento | -195.01 | -284.8 | 1.48 |
| 409 | 409 | 334 | G1_smistamento | -180.59 | -218.72 | 2.29 |
| 409 | 409 | 330 | G1_smistamento | -168.51 | -218.11 | 1.84 |
| 409 | 409 | 329 | G2_smistamento | -67.77 | -105.39 | 0.38 |

Table 21: Element Stresses - Area Shells, Part 1 of 3

| Area | AreaElem | Joint | OutputCase | S11Top KN/m2 | S22Top KN/m2 | S12Top KN/m2 |
|------|----------|-------|----------------|-----------------|-----------------|-----------------|
| 409 | 409 | 333 | G2_smistamento | -72.29 | -105.58 | 0.55 |
| 409 | 409 | 334 | G2_smistamento | -66.95 | -81.08 | 0.85 |
| 409 | 409 | 330 | G2_smistamento | -62.47 | -80.86 | 0.68 |
| 409 | 409 | 329 | Q_smistamento | -67.77 | -105.39 | 0.38 |
| 409 | 409 | 333 | Q_smistamento | -72.29 | -105.58 | 0.55 |
| 409 | 409 | 334 | Q_smistamento | -66.95 | -81.08 | 0.85 |
| 409 | 409 | 330 | Q_smistamento | -62.47 | -80.86 | 0.68 |
| 409 | 409 | 329 | Q_neve | 7.735E-12 | 2.468E-11 | -9.269E-12 |
| 409 | 409 | 333 | Q_neve | -1.745E-12 | 7.616E-12 | -8.575E-12 |
| 409 | 409 | 334 | Q_neve | -4.588E-12 | 8.567E-12 | -1.116E-11 |
| 409 | 409 | 330 | Q_neve | -7.180E-13 | -2.417E-12 | -8.575E-12 |
| 410 | 410 | 330 | DEAD | -2.762E-12 | -9.973E-12 | -4.115E-11 |
| 410 | 410 | 334 | DEAD | -1.178E-11 | 5.220E-11 | -3.542E-11 |
| 410 | 410 | 222 | DEAD | -2.077E-11 | 6.142E-12 | -2.599E-11 |
| 410 | 410 | 224 | DEAD | 5.173E-11 | 5.125E-11 | -4.048E-11 |
| 410 | 410 | 330 | G1_smistamento | -168.51 | -218.11 | 2.44 |
| 410 | 410 | 334 | G1_smistamento | -180.59 | -218.73 | 3.27 |
| 410 | 410 | 222 | G1_smistamento | -151.24 | -82.75 | 4.06 |
| 410 | 410 | 224 | G1_smistamento | -139.31 | -82.19 | 3.22 |
| 410 | 410 | 330 | G2_smistamento | -62.47 | -80.86 | 0.9 |
| 410 | 410 | 334 | G2_smistamento | -66.95 | -81.09 | 1.21 |
| 410 | 410 | 222 | G2_smistamento | -56.07 | -30.68 | 1.5 |
| 410 | 410 | 224 | G2_smistamento | -51.64 | -30.47 | 1.2 |
| 410 | 410 | 330 | Q_smistamento | -62.47 | -80.86 | 0.9 |
| 410 | 410 | 334 | Q_smistamento | -66.95 | -81.09 | 1.21 |
| 410 | 410 | 222 | Q_smistamento | -56.07 | -30.68 | 1.5 |
| 410 | 410 | 224 | Q_smistamento | -51.64 | -30.47 | 1.2 |
| 410 | 410 | 330 | Q_neve | 7.016E-13 | 3.694E-12 | -8.562E-12 |
| 410 | 410 | 334 | Q_neve | -3.988E-12 | 8.176E-12 | -6.666E-12 |
| 410 | 410 | 222 | Q_neve | -1.431E-12 | 2.509E-12 | -6.034E-12 |
| 410 | 410 | 224 | Q_neve | 3.122E-12 | 3.910E-12 | -7.930E-12 |
| 411 | 411 | 272 | DEAD | -2.414E-11 | 3.428E-11 | -4.213E-11 |
| 411 | 411 | 274 | DEAD | -3.390E-11 | -1.932E-12 | -3.615E-11 |
| 411 | 411 | 335 | DEAD | -8.337E-12 | 2.227E-11 | -3.960E-11 |
| 411 | 411 | 331 | DEAD | -3.579E-11 | 3.756E-12 | -4.121E-11 |
| 411 | 411 | 272 | G1_smistamento | -151.27 | -82.76 | -5.07 |
| 411 | 411 | 274 | G1_smistamento | -165.29 | -83.23 | -6. |
| 411 | 411 | 335 | G1_smistamento | -194.96 | -218.93 | -4.91 |

Table 21: Element Stresses - Area Shells, Part 1 of 3

| Area | AreaElem | Joint | OutputCase | S11Top KN/m2 | S22Top KN/m2 | S12Top KN/m2 |
|------|----------|-------|----------------|-----------------|-----------------|-----------------|
| 411 | 411 | 331 | G1_smistamento | -180.58 | -218.73 | -3.98 |
| 411 | 411 | 272 | G2_smistamento | -56.08 | -30.68 | -1.88 |
| 411 | 411 | 274 | G2_smistamento | -61.27 | -30.86 | -2.22 |
| 411 | 411 | 335 | G2_smistamento | -72.27 | -81.16 | -1.82 |
| 411 | 411 | 331 | G2_smistamento | -66.95 | -81.09 | -1.48 |
| 411 | 411 | 272 | Q_smistamento | -56.08 | -30.68 | -1.88 |
| 411 | 411 | 274 | Q_smistamento | -61.27 | -30.86 | -2.22 |
| 411 | 411 | 335 | Q_smistamento | -72.27 | -81.16 | -1.82 |
| 411 | 411 | 331 | Q_smistamento | -66.95 | -81.09 | -1.48 |
| 411 | 411 | 272 | Q_neve | -4.937E-12 | 6.579E-12 | -8.891E-12 |
| 411 | 411 | 274 | Q_neve | -6.400E-12 | -3.139E-12 | -7.164E-12 |
| 411 | 411 | 335 | Q_neve | -2.725E-12 | 4.367E-12 | -8.259E-12 |
| 411 | 411 | 331 | Q_neve | -4.820E-12 | 2.865E-12 | -7.796E-12 |
| 412 | 412 | 331 | DEAD | -3.773E-11 | -1.554E-11 | -3.449E-11 |
| 412 | 412 | 335 | DEAD | -5.578E-12 | 4.975E-11 | -3.517E-11 |
| 412 | 412 | 336 | DEAD | -4.437E-11 | -1.839E-11 | -3.702E-11 |
| 412 | 412 | 332 | DEAD | -8.105E-12 | 2.195E-11 | -2.759E-11 |
| 412 | 412 | 331 | G1_smistamento | -180.58 | -218.72 | -3. |
| 412 | 412 | 335 | G1_smistamento | -194.95 | -218.9 | -3.56 |
| 412 | 412 | 336 | G1_smistamento | -209.67 | -284.62 | -2.3 |
| 412 | 412 | 332 | G1_smistamento | -195. | -284.8 | -1.74 |
| 412 | 412 | 331 | G2_smistamento | -66.94 | -81.08 | -1.11 |
| 412 | 412 | 335 | G2_smistamento | -72.27 | -81.15 | -1.32 |
| 412 | 412 | 336 | G2_smistamento | -77.73 | -105.51 | -0.85 |
| 412 | 412 | 332 | G2_smistamento | -72.29 | -105.58 | -0.65 |
| 412 | 412 | 331 | Q_smistamento | -66.94 | -81.08 | -1.11 |
| 412 | 412 | 335 | Q_smistamento | -72.27 | -81.15 | -1.32 |
| 412 | 412 | 336 | Q_smistamento | -77.73 | -105.51 | -0.85 |
| 412 | 412 | 332 | Q_smistamento | -72.29 | -105.58 | -0.65 |
| 412 | 412 | 331 | Q_neve | -5.745E-12 | -3.579E-12 | -6.118E-12 |
| 412 | 412 | 335 | Q_neve | -3.280E-12 | 8.005E-12 | -6.519E-12 |
| 412 | 412 | 336 | Q_neve | -9.853E-12 | -3.263E-12 | -7.382E-12 |
| 412 | 412 | 332 | Q_neve | -2.778E-13 | 5.951E-12 | -5.887E-12 |
| 413 | 413 | 332 | DEAD | 2.743E-12 | 1.755E-11 | -3.469E-11 |
| 413 | 413 | 336 | DEAD | -4.198E-11 | 1.223E-11 | -3.124E-11 |
| 413 | 413 | 337 | DEAD | -1.369E-11 | 4.156E-11 | -3.975E-11 |
| 413 | 413 | 333 | DEAD | -2.808E-11 | 6.658E-11 | -3.882E-11 |
| 413 | 413 | 332 | G1_smistamento | -195. | -284.8 | -0.68 |

Table 21: Element Stresses - Area Shells, Part 1 of 3

| Area | AreaElem | Joint | OutputCase | S11Top KN/m2 | S22Top KN/m2 | S12Top KN/m2 |
|------|----------|-------|----------------|-----------------|-----------------|-----------------|
| 413 | 413 | 336 | G1_smistamento | -209.67 | -284.61 | -0.68 |
| 413 | 413 | 337 | G1_smistamento | -209.67 | -284.61 | 0.68 |
| 413 | 413 | 333 | G1_smistamento | -195. | -284.8 | 0.68 |
| 413 | 413 | 332 | G2_smistamento | -72.29 | -105.58 | -0.25 |
| 413 | 413 | 336 | G2_smistamento | -77.73 | -105.51 | -0.25 |
| 413 | 413 | 337 | G2_smistamento | -77.73 | -105.51 | 0.25 |
| 413 | 413 | 333 | G2_smistamento | -72.29 | -105.58 | 0.25 |
| 413 | 413 | 332 | Q_smistamento | -72.29 | -105.58 | -0.25 |
| 413 | 413 | 336 | Q_smistamento | -77.73 | -105.51 | -0.25 |
| 413 | 413 | 337 | Q_smistamento | -77.73 | -105.51 | 0.25 |
| 413 | 413 | 333 | Q_smistamento | -72.29 | -105.58 | 0.25 |
| 413 | 413 | 332 | Q_neve | -2.991E-13 | 3.627E-12 | -6.666E-12 |
| 413 | 413 | 336 | Q_neve | -8.527E-12 | 5.959E-12 | -7.298E-12 |
| 413 | 413 | 337 | Q_neve | -7.409E-12 | 5.997E-12 | -7.930E-12 |
| 413 | 413 | 333 | Q_neve | -2.602E-12 | 1.283E-11 | -7.298E-12 |
| 414 | 414 | 333 | DEAD | -2.159E-11 | 4.560E-11 | -4.154E-11 |
| 414 | 414 | 337 | DEAD | -1.132E-11 | 4.957E-11 | -3.581E-11 |
| 414 | 414 | 338 | DEAD | -3.423E-11 | 4.307E-11 | -3.143E-11 |
| 414 | 414 | 334 | DEAD | 3.102E-11 | 4.894E-11 | -4.592E-11 |
| 414 | 414 | 333 | G1_smistamento | -195. | -284.8 | 1.74 |
| 414 | 414 | 337 | G1_smistamento | -209.67 | -284.62 | 2.3 |
| 414 | 414 | 338 | G1_smistamento | -194.95 | -218.9 | 3.56 |
| 414 | 414 | 334 | G1_smistamento | -180.58 | -218.72 | 3. |
| 414 | 414 | 333 | G2_smistamento | -72.29 | -105.58 | 0.65 |
| 414 | 414 | 337 | G2_smistamento | -77.73 | -105.51 | 0.85 |
| 414 | 414 | 338 | G2_smistamento | -72.27 | -81.15 | 1.32 |
| 414 | 414 | 334 | G2_smistamento | -66.94 | -81.08 | 1.11 |
| 414 | 414 | 333 | Q_smistamento | -72.29 | -105.58 | 0.65 |
| 414 | 414 | 337 | Q_smistamento | -77.73 | -105.51 | 0.85 |
| 414 | 414 | 338 | Q_smistamento | -72.27 | -81.15 | 1.32 |
| 414 | 414 | 334 | Q_smistamento | -66.94 | -81.08 | 1.11 |
| 414 | 414 | 333 | Q_neve | -2.845E-12 | 8.225E-12 | -8.379E-12 |
| 414 | 414 | 337 | Q_neve | -7.705E-12 | 5.560E-12 | -7.809E-12 |
| 414 | 414 | 338 | Q_neve | -8.375E-12 | 9.015E-12 | -5.851E-12 |
| 414 | 414 | 334 | Q_neve | 8.253E-12 | 1.141E-11 | -9.705E-12 |
| 415 | 415 | 334 | DEAD | 3.280E-11 | 5.229E-11 | -2.778E-11 |
| 415 | 415 | 338 | DEAD | -4.105E-11 | 3.378E-11 | -5.196E-11 |
| 415 | 415 | 220 | DEAD | -1.365E-11 | 1.722E-11 | -3.790E-11 |

Table 21: Element Stresses - Area Shells, Part 1 of 3

| Area | AreaElem | Joint | OutputCase | S11Top KN/m2 | S22Top KN/m2 | S12Top KN/m2 |
|------|----------|-------|----------------|-----------------|-----------------|-----------------|
| 415 | 415 | 222 | DEAD | -1.861E-11 | 9.453E-12 | -4.437E-11 |
| 415 | 415 | 334 | G1_smistamento | -180.58 | -218.73 | 3.98 |
| 415 | 415 | 338 | G1_smistamento | -194.96 | -218.93 | 4.91 |
| 415 | 415 | 220 | G1_smistamento | -165.29 | -83.23 | 6. |
| 415 | 415 | 222 | G1_smistamento | -151.27 | -82.76 | 5.07 |
| 415 | 415 | 334 | G2_smistamento | -66.95 | -81.09 | 1.48 |
| 415 | 415 | 338 | G2_smistamento | -72.27 | -81.16 | 1.82 |
| 415 | 415 | 220 | G2_smistamento | -61.27 | -30.86 | 2.22 |
| 415 | 415 | 222 | G2_smistamento | -56.08 | -30.68 | 1.88 |
| 415 | 415 | 334 | Q_smistamento | -66.95 | -81.09 | 1.48 |
| 415 | 415 | 338 | Q_smistamento | -72.27 | -81.16 | 1.82 |
| 415 | 415 | 220 | Q_smistamento | -61.27 | -30.86 | 2.22 |
| 415 | 415 | 222 | Q_smistamento | -56.08 | -30.68 | 1.88 |
| 415 | 415 | 334 | Q_neve | 7.995E-12 | 8.319E-12 | -5.486E-12 |
| 415 | 415 | 338 | Q_neve | -1.116E-11 | 3.213E-12 | -9.803E-12 |
| 415 | 415 | 220 | Q_neve | -1.564E-12 | 4.132E-12 | -8.014E-12 |
| 415 | 415 | 222 | Q_neve | -6.495E-12 | 3.766E-12 | -9.171E-12 |
| 416 | 416 | 274 | DEAD | -5.084E-11 | -6.134E-12 | -3.649E-11 |
| 416 | 416 | 276 | DEAD | -1.698E-12 | 1.169E-11 | -2.958E-11 |
| 416 | 416 | 339 | DEAD | -3.125E-11 | 1.599E-11 | -3.649E-11 |
| 416 | 416 | 335 | DEAD | -2.129E-11 | 4.734E-12 | -3.464E-11 |
| 416 | 416 | 274 | G1_smistamento | -165.32 | -83.24 | -7.12 |
| 416 | 416 | 276 | G1_smistamento | -176.6 | -83.17 | -8.3 |
| 416 | 416 | 339 | G1_smistamento | -206.92 | -217.73 | -7.01 |
| 416 | 416 | 335 | G1_smistamento | -194.95 | -218.93 | -5.83 |
| 416 | 416 | 274 | G2_smistamento | -61.29 | -30.86 | -2.64 |
| 416 | 416 | 276 | G2_smistamento | -65.47 | -30.83 | -3.08 |
| 416 | 416 | 339 | G2_smistamento | -76.71 | -80.72 | -2.6 |
| 416 | 416 | 335 | G2_smistamento | -72.27 | -81.16 | -2.16 |
| 416 | 416 | 274 | Q_smistamento | -61.29 | -30.86 | -2.64 |
| 416 | 416 | 276 | Q_smistamento | -65.47 | -30.83 | -3.08 |
| 416 | 416 | 339 | Q_smistamento | -76.71 | -80.72 | -2.6 |
| 416 | 416 | 335 | Q_smistamento | -72.27 | -81.16 | -2.16 |
| 416 | 416 | 274 | Q_neve | -7.762E-12 | -2.805E-12 | -6.799E-12 |
| 416 | 416 | 276 | Q_neve | -1.648E-12 | 2.423E-12 | -7.431E-12 |
| 416 | 416 | 339 | Q_neve | -1.679E-12 | 4.858E-12 | -7.431E-12 |
| 416 | 416 | 335 | Q_neve | -6.151E-12 | 4.556E-12 | -6.799E-12 |
| 417 | 417 | 335 | DEAD | -2.457E-11 | 4.759E-11 | -3.775E-11 |

Table 21: Element Stresses - Area Shells, Part 1 of 3

| Area | AreaElem | Joint | OutputCase | S11Top KN/m2 | S22Top KN/m2 | S12Top KN/m2 |
|------|----------|-------|----------------|-----------------|-----------------|-----------------|
| 417 | 417 | 339 | DEAD | -2.663E-11 | 6.957E-12 | -3.868E-11 |
| 417 | 417 | 340 | DEAD | -1.794E-11 | 2.010E-11 | -3.522E-11 |
| 417 | 417 | 336 | DEAD | -3.011E-11 | -1.042E-11 | -3.868E-11 |
| 417 | 417 | 335 | G1_smistamento | -194.95 | -218.9 | -4.48 |
| 417 | 417 | 339 | G1_smistamento | -206.9 | -217.68 | -5.25 |
| 417 | 417 | 340 | G1_smistamento | -222.16 | -282.38 | -3.44 |
| 417 | 417 | 336 | G1_smistamento | -209.65 | -284.61 | -2.66 |
| 417 | 417 | 335 | G2_smistamento | -72.27 | -81.15 | -1.66 |
| 417 | 417 | 339 | G2_smistamento | -76.7 | -80.7 | -1.95 |
| 417 | 417 | 340 | G2_smistamento | -82.36 | -104.68 | -1.27 |
| 417 | 417 | 336 | G2_smistamento | -77.72 | -105.51 | -0.99 |
| 417 | 417 | 335 | Q_smistamento | -72.27 | -81.15 | -1.66 |
| 417 | 417 | 339 | Q_smistamento | -76.7 | -80.7 | -1.95 |
| 417 | 417 | 340 | Q_smistamento | -82.36 | -104.68 | -1.27 |
| 417 | 417 | 336 | Q_smistamento | -77.72 | -105.51 | -0.99 |
| 417 | 417 | 335 | Q_neve | -4.385E-12 | 9.045E-12 | -7.614E-12 |
| 417 | 417 | 339 | Q_neve | -4.941E-12 | 4.235E-12 | -7.845E-12 |
| 417 | 417 | 340 | Q_neve | -2.410E-12 | 1.856E-12 | -6.982E-12 |
| 417 | 417 | 336 | Q_neve | -8.970E-12 | -2.638E-12 | -7.845E-12 |
| 418 | 418 | 336 | DEAD | -2.646E-11 | 2.064E-11 | -3.376E-11 |
| 418 | 418 | 340 | DEAD | -2.649E-11 | 1.234E-11 | -3.722E-11 |
| 418 | 418 | 341 | DEAD | -1.003E-11 | 4.212E-11 | -3.629E-11 |
| 418 | 418 | 337 | DEAD | -3.408E-11 | 3.509E-11 | -3.722E-11 |
| 418 | 418 | 336 | G1_smistamento | -209.65 | -284.6 | -1.03 |
| 418 | 418 | 340 | G1_smistamento | -222.16 | -282.36 | -1.03 |
| 418 | 418 | 341 | G1_smistamento | -222.16 | -282.36 | 1.03 |
| 418 | 418 | 337 | G1_smistamento | -209.65 | -284.6 | 1.03 |
| 418 | 418 | 336 | G2_smistamento | -77.72 | -105.51 | -0.38 |
| 418 | 418 | 340 | G2_smistamento | -82.36 | -104.67 | -0.38 |
| 418 | 418 | 341 | G2_smistamento | -82.36 | -104.67 | 0.38 |
| 418 | 418 | 337 | G2_smistamento | -77.72 | -105.51 | 0.38 |
| 418 | 418 | 336 | Q_smistamento | -77.72 | -105.51 | -0.38 |
| 418 | 418 | 340 | Q_smistamento | -82.36 | -104.67 | -0.38 |
| 418 | 418 | 341 | Q_smistamento | -82.36 | -104.67 | 0.38 |
| 418 | 418 | 337 | Q_smistamento | -77.72 | -105.51 | 0.38 |
| 418 | 418 | 336 | Q_neve | -8.662E-12 | 2.144E-12 | -6.350E-12 |
| 418 | 418 | 340 | Q_neve | -2.078E-12 | 6.948E-12 | -6.118E-12 |
| 418 | 418 | 341 | Q_neve | -3.607E-12 | 6.568E-12 | -8.246E-12 |

Table 21: Element Stresses - Area Shells, Part 1 of 3

| Area | AreaElem | Joint | OutputCase | S11Top KN/m2 | S22Top KN/m2 | S12Top KN/m2 |
|------|----------|-------|----------------|-----------------|-----------------|-----------------|
| 418 | 418 | 337 | Q_neve | -5.949E-12 | 6.553E-12 | -7.382E-12 |
| 419 | 419 | 337 | DEAD | -3.252E-11 | 4.927E-11 | -3.629E-11 |
| 419 | 419 | 341 | DEAD | -1.084E-12 | 6.292E-11 | -3.216E-11 |
| 419 | 419 | 342 | DEAD | -2.020E-11 | 1.988E-11 | -3.376E-11 |
| 419 | 419 | 338 | DEAD | -2.099E-11 | 5.439E-11 | -4.227E-11 |
| 419 | 419 | 337 | G1_smistamento | -209.65 | -284.61 | 2.66 |
| 419 | 419 | 341 | G1_smistamento | -222.16 | -282.38 | 3.44 |
| 419 | 419 | 342 | G1_smistamento | -206.9 | -217.68 | 5.25 |
| 419 | 419 | 338 | G1_smistamento | -194.95 | -218.9 | 4.48 |
| 419 | 419 | 337 | G2_smistamento | -77.72 | -105.51 | 0.99 |
| 419 | 419 | 341 | G2_smistamento | -82.36 | -104.68 | 1.27 |
| 419 | 419 | 342 | G2_smistamento | -76.7 | -80.7 | 1.95 |
| 419 | 419 | 338 | G2_smistamento | -72.27 | -81.15 | 1.66 |
| 419 | 419 | 337 | Q_smistamento | -77.72 | -105.51 | 0.99 |
| 419 | 419 | 341 | Q_smistamento | -82.36 | -104.68 | 1.27 |
| 419 | 419 | 342 | Q_smistamento | -76.7 | -80.7 | 1.95 |
| 419 | 419 | 338 | Q_smistamento | -72.27 | -81.15 | 1.66 |
| 419 | 419 | 337 | Q_neve | -4.728E-12 | 8.095E-12 | -8.526E-12 |
| 419 | 419 | 341 | Q_neve | -2.758E-12 | 1.129E-11 | -6.799E-12 |
| 419 | 419 | 342 | Q_neve | 4.861E-13 | 5.725E-12 | -7.894E-12 |
| 419 | 419 | 338 | Q_neve | -1.010E-11 | 8.685E-12 | -7.431E-12 |
| 420 | 420 | 338 | DEAD | -2.542E-11 | 3.983E-11 | -4.412E-11 |
| 420 | 420 | 342 | DEAD | -1.537E-11 | 4.198E-11 | -3.562E-11 |
| 420 | 420 | 218 | DEAD | -1.088E-11 | 6.331E-12 | -3.907E-11 |
| 420 | 420 | 220 | DEAD | -4.666E-11 | 6.909E-12 | -4.320E-11 |
| 420 | 420 | 338 | G1_smistamento | -194.95 | -218.93 | 5.83 |
| 420 | 420 | 342 | G1_smistamento | -206.92 | -217.73 | 7.01 |
| 420 | 420 | 218 | G1_smistamento | -176.6 | -83.17 | 8.3 |
| 420 | 420 | 220 | G1_smistamento | -165.32 | -83.24 | 7.12 |
| 420 | 420 | 338 | G2_smistamento | -72.27 | -81.16 | 2.16 |
| 420 | 420 | 342 | G2_smistamento | -76.71 | -80.72 | 2.6 |
| 420 | 420 | 218 | G2_smistamento | -65.47 | -30.83 | 3.08 |
| 420 | 420 | 220 | G2_smistamento | -61.29 | -30.86 | 2.64 |
| 420 | 420 | 338 | Q_smistamento | -72.27 | -81.16 | 2.16 |
| 420 | 420 | 342 | Q_smistamento | -76.71 | -80.72 | 2.6 |
| 420 | 420 | 218 | Q_smistamento | -65.47 | -30.83 | 3.08 |
| 420 | 420 | 220 | Q_smistamento | -61.29 | -30.86 | 2.64 |
| 420 | 420 | 338 | Q_neve | -1.033E-11 | 2.406E-12 | -8.428E-12 |

Table 21: Element Stresses - Area Shells, Part 1 of 3

| Area | AreaElem | Joint | OutputCase | S11Top KN/m2 | S22Top KN/m2 | S12Top KN/m2 |
|------|----------|-------|----------------|-----------------|-----------------|-----------------|
| 420 | 420 | 342 | Q_neve | 2.047E-12 | 1.010E-11 | -7.164E-12 |
| 420 | 420 | 218 | Q_neve | -6.224E-12 | 1.939E-13 | -6.532E-12 |
| 420 | 420 | 220 | Q_neve | -4.510E-12 | 3.858E-12 | -7.796E-12 |
| 421 | 421 | 276 | DEAD | -3.081E-11 | 3.277E-12 | -4.306E-11 |
| 421 | 421 | 278 | DEAD | -4.825E-11 | -2.992E-11 | -3.707E-11 |
| 421 | 421 | 343 | DEAD | -1.280E-11 | 3.266E-11 | -4.306E-11 |
| 421 | 421 | 339 | DEAD | -4.351E-11 | 8.943E-12 | -4.466E-11 |
| 421 | 421 | 276 | G1_smistamento | -176.63 | -83.18 | -9.72 |
| 421 | 421 | 278 | G1_smistamento | -178.55 | -81.92 | -11.38 |
| 421 | 421 | 343 | G1_smistamento | -209.84 | -213.63 | -10. |
| 421 | 421 | 339 | G1_smistamento | -206.9 | -217.73 | -8.34 |
| 421 | 421 | 276 | G2_smistamento | -65.48 | -30.84 | -3.6 |
| 421 | 421 | 278 | G2_smistamento | -66.19 | -30.37 | -4.22 |
| 421 | 421 | 343 | G2_smistamento | -77.79 | -79.19 | -3.71 |
| 421 | 421 | 339 | G2_smistamento | -76.7 | -80.72 | -3.09 |
| 421 | 421 | 276 | Q_smistamento | -65.48 | -30.84 | -3.6 |
| 421 | 421 | 278 | Q_smistamento | -66.19 | -30.37 | -4.22 |
| 421 | 421 | 343 | Q_smistamento | -77.79 | -79.19 | -3.71 |
| 421 | 421 | 339 | Q_smistamento | -76.7 | -80.72 | -3.09 |
| 421 | 421 | 276 | Q_neve | -1.020E-11 | 1.368E-12 | -7.298E-12 |
| 421 | 421 | 278 | Q_neve | -7.868E-12 | -4.898E-12 | -6.034E-12 |
| 421 | 421 | 343 | Q_neve | -3.252E-12 | 5.792E-12 | -7.298E-12 |
| 421 | 421 | 339 | Q_neve | -4.629E-12 | 3.712E-12 | -8.562E-12 |
| 422 | 422 | 339 | DEAD | -3.914E-11 | 3.706E-12 | -3.323E-11 |
| 422 | 422 | 343 | DEAD | -1.061E-11 | 3.165E-11 | -3.736E-11 |
| 422 | 422 | 344 | DEAD | -4.387E-11 | 1.034E-11 | -3.829E-11 |
| 422 | 422 | 340 | DEAD | -2.862E-11 | 1.743E-11 | -2.978E-11 |
| 422 | 422 | 339 | G1_smistamento | -206.89 | -217.67 | -6.57 |
| 422 | 422 | 343 | G1_smistamento | -209.83 | -213.53 | -7.73 |
| 422 | 422 | 344 | G1_smistamento | -225.83 | -275.98 | -5.15 |
| 422 | 422 | 340 | G1_smistamento | -222.13 | -282.38 | -3.99 |
| 422 | 422 | 339 | G2_smistamento | -76.7 | -80.69 | -2.44 |
| 422 | 422 | 343 | G2_smistamento | -77.79 | -79.16 | -2.87 |
| 422 | 422 | 344 | G2_smistamento | -83.72 | -102.31 | -1.91 |
| 422 | 422 | 340 | G2_smistamento | -82.35 | -104.68 | -1.48 |
| 422 | 422 | 339 | Q_smistamento | -76.7 | -80.69 | -2.44 |
| 422 | 422 | 343 | Q_smistamento | -77.79 | -79.16 | -2.87 |
| 422 | 422 | 344 | Q_smistamento | -83.72 | -102.31 | -1.91 |

Table 21: Element Stresses - Area Shells, Part 1 of 3

| Area | AreaElem | Joint | OutputCase | S11Top KN/m2 | S22Top KN/m2 | S12Top KN/m2 |
|------|----------|-------|----------------|-----------------|-----------------|-----------------|
| 422 | 422 | 340 | Q_smistamento | -82.35 | -104.68 | -1.48 |
| 422 | 422 | 339 | Q_neve | -6.057E-12 | 3.912E-12 | -7.298E-12 |
| 422 | 422 | 343 | Q_neve | -3.083E-12 | 2.499E-12 | -7.930E-12 |
| 422 | 422 | 344 | Q_neve | -1.096E-11 | 4.070E-12 | -7.298E-12 |
| 422 | 422 | 340 | Q_neve | -2.846E-12 | 1.788E-12 | -6.666E-12 |
| 423 | 423 | 340 | DEAD | -2.215E-11 | -8.854E-12 | -3.862E-11 |
| 423 | 423 | 344 | DEAD | -4.159E-11 | 4.860E-11 | -2.919E-11 |
| 423 | 423 | 345 | DEAD | -1.835E-11 | 2.527E-11 | -2.851E-11 |
| 423 | 423 | 341 | DEAD | -1.315E-11 | 5.429E-11 | -2.919E-11 |
| 423 | 423 | 340 | G1_smistamento | -222.12 | -282.35 | -1.55 |
| 423 | 423 | 344 | G1_smistamento | -225.82 | -275.94 | -1.55 |
| 423 | 423 | 345 | G1_smistamento | -225.82 | -275.94 | 1.55 |
| 423 | 423 | 341 | G1_smistamento | -222.12 | -282.35 | 1.55 |
| 423 | 423 | 340 | G2_smistamento | -82.34 | -104.67 | -0.58 |
| 423 | 423 | 344 | G2_smistamento | -83.71 | -102.3 | -0.58 |
| 423 | 423 | 345 | G2_smistamento | -83.71 | -102.3 | 0.58 |
| 423 | 423 | 341 | G2_smistamento | -82.34 | -104.67 | 0.58 |
| 423 | 423 | 340 | Q_smistamento | -82.34 | -104.67 | -0.58 |
| 423 | 423 | 344 | Q_smistamento | -83.71 | -102.3 | -0.58 |
| 423 | 423 | 345 | Q_smistamento | -83.71 | -102.3 | 0.58 |
| 423 | 423 | 341 | Q_smistamento | -82.34 | -104.67 | 0.58 |
| 423 | 423 | 340 | Q_neve | -1.837E-12 | 4.390E-12 | -7.881E-12 |
| 423 | 423 | 344 | Q_neve | -1.174E-11 | 8.904E-12 | -5.291E-12 |
| 423 | 423 | 345 | Q_neve | -3.180E-12 | 3.363E-12 | -5.985E-12 |
| 423 | 423 | 341 | Q_neve | -1.626E-12 | 6.376E-12 | -5.291E-12 |
| 424 | 424 | 341 | DEAD | -5.846E-12 | 6.163E-11 | -3.216E-11 |
| 424 | 424 | 345 | DEAD | -1.145E-11 | 4.838E-11 | -3.124E-11 |
| 424 | 424 | 346 | DEAD | -6.020E-11 | 2.223E-12 | -4.227E-11 |
| 424 | 424 | 342 | DEAD | 5.613E-12 | 2.752E-11 | -3.882E-11 |
| 424 | 424 | 341 | G1_smistamento | -222.13 | -282.38 | 3.99 |
| 424 | 424 | 345 | G1_smistamento | -225.83 | -275.98 | 5.15 |
| 424 | 424 | 346 | G1_smistamento | -209.83 | -213.53 | 7.73 |
| 424 | 424 | 342 | G1_smistamento | -206.89 | -217.67 | 6.57 |
| 424 | 424 | 341 | G2_smistamento | -82.35 | -104.68 | 1.48 |
| 424 | 424 | 345 | G2_smistamento | -83.72 | -102.31 | 1.91 |
| 424 | 424 | 346 | G2_smistamento | -77.79 | -79.16 | 2.87 |
| 424 | 424 | 342 | G2_smistamento | -76.7 | -80.69 | 2.44 |
| 424 | 424 | 341 | Q_smistamento | -82.35 | -104.68 | 1.48 |

Table 21: Element Stresses - Area Shells, Part 1 of 3

| Area | AreaElem | Joint | OutputCase | S11Top KN/m2 | S22Top KN/m2 | S12Top KN/m2 |
|------|----------|-------|----------------|-----------------|-----------------|-----------------|
| 424 | 424 | 345 | Q_smistamento | -83.72 | -102.31 | 1.91 |
| 424 | 424 | 346 | Q_smistamento | -77.79 | -79.16 | 2.87 |
| 424 | 424 | 342 | Q_smistamento | -76.7 | -80.69 | 2.44 |
| 424 | 424 | 341 | Q_neve | 1.198E-13 | 1.306E-11 | -6.848E-12 |
| 424 | 424 | 345 | Q_neve | -3.775E-12 | 4.865E-12 | -5.985E-12 |
| 424 | 424 | 346 | Q_neve | -1.307E-11 | 2.081E-12 | -8.112E-12 |
| 424 | 424 | 342 | Q_neve | 4.915E-12 | 8.499E-12 | -7.881E-12 |
| 425 | 425 | 342 | DEAD | 7.491E-12 | 4.942E-11 | -4.393E-11 |
| 425 | 425 | 346 | DEAD | -5.397E-11 | 3.516E-11 | -5.016E-11 |
| 425 | 425 | 216 | DEAD | 5.279E-12 | 2.319E-11 | -3.634E-11 |
| 425 | 425 | 218 | DEAD | -4.765E-11 | -9.075E-12 | -4.763E-11 |
| 425 | 425 | 342 | G1_smistamento | -206.9 | -217.73 | 8.34 |
| 425 | 425 | 346 | G1_smistamento | -209.84 | -213.63 | 10. |
| 425 | 425 | 216 | G1_smistamento | -178.55 | -81.92 | 11.38 |
| 425 | 425 | 218 | G1_smistamento | -176.63 | -83.18 | 9.72 |
| 425 | 425 | 342 | G2_smistamento | -76.7 | -80.72 | 3.09 |
| 425 | 425 | 346 | G2_smistamento | -77.79 | -79.19 | 3.71 |
| 425 | 425 | 216 | G2_smistamento | -66.19 | -30.37 | 4.22 |
| 425 | 425 | 218 | G2_smistamento | -65.48 | -30.84 | 3.6 |
| 425 | 425 | 342 | Q_smistamento | -76.7 | -80.72 | 3.09 |
| 425 | 425 | 346 | Q_smistamento | -77.79 | -79.19 | 3.71 |
| 425 | 425 | 216 | Q_smistamento | -66.19 | -30.37 | 4.22 |
| 425 | 425 | 218 | Q_smistamento | -65.48 | -30.84 | 3.6 |
| 425 | 425 | 342 | Q_neve | 3.672E-12 | 1.088E-11 | -8.027E-12 |
| 425 | 425 | 346 | Q_neve | -1.109E-11 | 4.786E-12 | -9.122E-12 |
| 425 | 425 | 216 | Q_neve | 4.330E-13 | 4.168E-12 | -8.027E-12 |
| 425 | 425 | 218 | Q_neve | -7.930E-12 | -2.703E-13 | -9.122E-12 |
| 426 | 426 | 278 | DEAD | -1.070E-11 | -2.105E-11 | -3.595E-11 |
| 426 | 426 | 280 | DEAD | -6.720E-11 | -2.457E-11 | -2.905E-11 |
| 426 | 426 | 347 | DEAD | -3.345E-11 | 1.707E-12 | -3.848E-11 |
| 426 | 426 | 343 | DEAD | -3.497E-11 | 3.041E-11 | -3.663E-11 |
| 426 | 426 | 278 | G1_smistamento | -178.57 | -81.93 | -13.38 |
| 426 | 426 | 280 | G1_smistamento | -162.95 | -78.63 | -15.74 |
| 426 | 426 | 347 | G1_smistamento | -195.03 | -204.4 | -14.34 |
| 426 | 426 | 343 | G1_smistamento | -209.82 | -213.62 | -11.98 |
| 426 | 426 | 278 | G2_smistamento | -66.2 | -30.37 | -4.96 |
| 426 | 426 | 280 | G2_smistamento | -60.41 | -29.15 | -5.83 |
| 426 | 426 | 347 | G2_smistamento | -72.3 | -75.78 | -5.32 |

Table 21: Element Stresses - Area Shells, Part 1 of 3

| Area | AreaElem | Joint | OutputCase | S11Top KN/m2 | S22Top KN/m2 | S12Top KN/m2 |
|------|----------|-------|----------------|-----------------|-----------------|-----------------|
| 426 | 426 | 343 | G2_smistamento | -77.78 | -79.19 | -4.44 |
| 426 | 426 | 278 | Q_smistamento | -66.2 | -30.37 | -4.96 |
| 426 | 426 | 280 | Q_smistamento | -60.41 | -29.15 | -5.83 |
| 426 | 426 | 347 | Q_smistamento | -72.3 | -75.78 | -5.32 |
| 426 | 426 | 343 | Q_smistamento | -77.78 | -79.19 | -4.44 |
| 426 | 426 | 278 | Q_neve | -5.781E-12 | -4.635E-12 | -6.714E-12 |
| 426 | 426 | 280 | Q_neve | -9.188E-12 | -5.806E-13 | -6.021E-12 |
| 426 | 426 | 347 | Q_neve | -6.808E-12 | -2.905E-13 | -8.610E-12 |
| 426 | 426 | 343 | Q_neve | -1.093E-11 | 4.001E-12 | -6.021E-12 |
| 427 | 427 | 343 | DEAD | -3.655E-11 | 2.217E-11 | -4.320E-11 |
| 427 | 427 | 347 | DEAD | -2.843E-11 | 1.688E-11 | -3.975E-11 |
| 427 | 427 | 348 | DEAD | -4.445E-11 | 2.818E-11 | -3.562E-11 |
| 427 | 427 | 344 | DEAD | 3.801E-12 | 2.636E-11 | -3.469E-11 |
| 427 | 427 | 343 | G1_smistamento | -209.8 | -213.53 | -9.68 |
| 427 | 427 | 347 | G1_smistamento | -195. | -204.26 | -11.3 |
| 427 | 427 | 348 | G1_smistamento | -211.23 | -262.38 | -7.61 |
| 427 | 427 | 344 | G1_smistamento | -225.79 | -275.97 | -5.99 |
| 427 | 427 | 343 | G2_smistamento | -77.78 | -79.16 | -3.59 |
| 427 | 427 | 347 | G2_smistamento | -72.29 | -75.72 | -4.19 |
| 427 | 427 | 348 | G2_smistamento | -78.31 | -97.27 | -2.82 |
| 427 | 427 | 344 | G2_smistamento | -83.7 | -102.31 | -2.22 |
| 427 | 427 | 343 | Q_smistamento | -77.78 | -79.16 | -3.59 |
| 427 | 427 | 347 | Q_smistamento | -72.29 | -75.72 | -4.19 |
| 427 | 427 | 348 | Q_smistamento | -78.31 | -97.27 | -2.82 |
| 427 | 427 | 344 | Q_smistamento | -83.7 | -102.31 | -2.22 |
| 427 | 427 | 343 | Q_neve | -9.276E-12 | 2.918E-12 | -8.197E-12 |
| 427 | 427 | 347 | Q_neve | -5.687E-12 | 4.394E-12 | -6.933E-12 |
| 427 | 427 | 348 | Q_neve | -1.038E-11 | 4.972E-12 | -5.669E-12 |
| 427 | 427 | 344 | Q_neve | 3.961E-13 | 6.369E-12 | -6.933E-12 |
| 428 | 428 | 344 | DEAD | 9.362E-13 | 3.799E-11 | -2.890E-11 |
| 428 | 428 | 348 | DEAD | -4.685E-11 | 9.232E-12 | -3.902E-11 |
| 428 | 428 | 349 | DEAD | -1.644E-11 | 4.210E-11 | -4.407E-11 |
| 428 | 428 | 345 | DEAD | -6.170E-11 | 2.598E-11 | -3.396E-11 |
| 428 | 428 | 344 | G1_smistamento | -225.78 | -275.93 | -2.32 |
| 428 | 428 | 348 | G1_smistamento | -211.23 | -262.35 | -2.32 |
| 428 | 428 | 349 | G1_smistamento | -211.23 | -262.35 | 2.32 |
| 428 | 428 | 345 | G1_smistamento | -225.78 | -275.93 | 2.32 |
| 428 | 428 | 344 | G2_smistamento | -83.7 | -102.29 | -0.86 |

Table 21: Element Stresses - Area Shells, Part 1 of 3

| Area | AreaElem | Joint | OutputCase | S11Top KN/m2 | S22Top KN/m2 | S12Top KN/m2 |
|------|----------|-------|----------------|-----------------|-----------------|-----------------|
| 428 | 428 | 348 | G2_smistamento | -78.3 | -97.26 | -0.86 |
| 428 | 428 | 349 | G2_smistamento | -78.3 | -97.26 | 0.86 |
| 428 | 428 | 345 | G2_smistamento | -83.7 | -102.29 | 0.86 |
| 428 | 428 | 344 | Q_smistamento | -83.7 | -102.29 | -0.86 |
| 428 | 428 | 348 | Q_smistamento | -78.3 | -97.26 | -0.86 |
| 428 | 428 | 349 | Q_smistamento | -78.3 | -97.26 | 0.86 |
| 428 | 428 | 345 | Q_smistamento | -83.7 | -102.29 | 0.86 |
| 428 | 428 | 344 | Q_neve | 2.348E-12 | 1.051E-11 | -5.170E-12 |
| 428 | 428 | 348 | Q_neve | -9.517E-12 | 9.505E-13 | -8.793E-12 |
| 428 | 428 | 349 | Q_neve | -3.261E-12 | 9.010E-12 | -8.330E-12 |
| 428 | 428 | 345 | Q_neve | -1.315E-11 | 1.740E-12 | -6.897E-12 |
| 429 | 429 | 345 | DEAD | -5.663E-11 | 3.692E-11 | -4.154E-11 |
| 429 | 429 | 349 | DEAD | -1.883E-11 | 4.541E-11 | -2.958E-11 |
| 429 | 429 | 350 | DEAD | 1.194E-11 | 4.609E-11 | -3.143E-11 |
| 429 | 429 | 346 | DEAD | -4.885E-11 | 1.482E-12 | -3.464E-11 |
| 429 | 429 | 345 | G1_smistamento | -225.79 | -275.97 | 5.99 |
| 429 | 429 | 349 | G1_smistamento | -211.23 | -262.38 | 7.61 |
| 429 | 429 | 350 | G1_smistamento | -195. | -204.26 | 11.3 |
| 429 | 429 | 346 | G1_smistamento | -209.8 | -213.53 | 9.68 |
| 429 | 429 | 345 | G2_smistamento | -83.7 | -102.31 | 2.22 |
| 429 | 429 | 349 | G2_smistamento | -78.31 | -97.27 | 2.82 |
| 429 | 429 | 350 | G2_smistamento | -72.29 | -75.72 | 4.19 |
| 429 | 429 | 346 | G2_smistamento | -77.78 | -79.16 | 3.59 |
| 429 | 429 | 345 | Q_smistamento | -83.7 | -102.31 | 2.22 |
| 429 | 429 | 349 | Q_smistamento | -78.31 | -97.27 | 2.82 |
| 429 | 429 | 350 | Q_smistamento | -72.29 | -75.72 | 4.19 |
| 429 | 429 | 346 | Q_smistamento | -77.78 | -79.16 | 3.59 |
| 429 | 429 | 345 | Q_neve | -1.267E-11 | 4.194E-12 | -7.649E-12 |
| 429 | 429 | 349 | Q_neve | -3.604E-12 | 8.838E-12 | -5.522E-12 |
| 429 | 429 | 350 | Q_neve | -1.901E-13 | 5.932E-12 | -5.121E-12 |
| 429 | 429 | 346 | Q_neve | -5.974E-12 | 4.572E-12 | -6.154E-12 |
| 430 | 430 | 346 | DEAD | -4.298E-11 | 3.083E-11 | -2.978E-11 |
| 430 | 430 | 350 | DEAD | 9.133E-12 | 2.205E-11 | -2.632E-11 |
| 430 | 430 | 214 | DEAD | -2.434E-11 | 1.788E-11 | -3.736E-11 |
| 430 | 430 | 216 | DEAD | -1.077E-11 | 1.352E-11 | -3.644E-11 |
| 430 | 430 | 346 | G1_smistamento | -209.82 | -213.62 | 11.98 |
| 430 | 430 | 350 | G1_smistamento | -195.03 | -204.4 | 14.34 |
| 430 | 430 | 214 | G1_smistamento | -162.95 | -78.63 | 15.74 |

Table 21: Element Stresses - Area Shells, Part 1 of 3

| Area | AreaElem | Joint | OutputCase | S11Top KN/m2 | S22Top KN/m2 | S12Top KN/m2 |
|------|----------|-------|----------------|-----------------|-----------------|-----------------|
| 430 | 430 | 216 | G1_smistamento | -178.57 | -81.93 | 13.38 |
| 430 | 430 | 346 | G2_smistamento | -77.78 | -79.19 | 4.44 |
| 430 | 430 | 350 | G2_smistamento | -72.3 | -75.78 | 5.32 |
| 430 | 430 | 214 | G2_smistamento | -60.41 | -29.15 | 5.83 |
| 430 | 430 | 216 | G2_smistamento | -66.2 | -30.37 | 4.96 |
| 430 | 430 | 346 | Q_smistamento | -77.78 | -79.19 | 4.44 |
| 430 | 430 | 350 | Q_smistamento | -72.3 | -75.78 | 5.32 |
| 430 | 430 | 214 | Q_smistamento | -60.41 | -29.15 | 5.83 |
| 430 | 430 | 216 | Q_smistamento | -66.2 | -30.37 | 4.96 |
| 430 | 430 | 346 | Q_neve | -5.526E-12 | 7.212E-12 | -4.890E-12 |
| 430 | 430 | 350 | Q_neve | -7.913E-13 | 4.987E-12 | -5.121E-12 |
| 430 | 430 | 214 | Q_neve | -4.736E-12 | 1.682E-12 | -6.786E-12 |
| 430 | 430 | 216 | Q_neve | -2.766E-12 | 4.592E-12 | -7.649E-12 |
| 431 | 431 | 280 | DEAD | -5.664E-11 | -2.262E-11 | -2.972E-11 |
| 431 | 431 | 282 | DEAD | -3.809E-11 | -2.897E-11 | -2.720E-11 |
| 431 | 431 | 351 | DEAD | -1.177E-11 | 4.557E-12 | -2.720E-11 |
| 431 | 431 | 347 | DEAD | -5.167E-11 | 9.266E-12 | -2.972E-11 |
| 431 | 431 | 280 | G1_smistamento | -162.95 | -78.63 | -18.51 |
| 431 | 431 | 282 | G1_smistamento | -121.48 | -72.4 | -21.27 |
| 431 | 431 | 351 | G1_smistamento | -151.2 | -186.33 | -19.69 |
| 431 | 431 | 347 | G1_smistamento | -194.95 | -204.39 | -16.94 |
| 431 | 431 | 280 | G2_smistamento | -60.41 | -29.15 | -6.86 |
| 431 | 431 | 282 | G2_smistamento | -45.04 | -26.84 | -7.88 |
| 431 | 431 | 351 | G2_smistamento | -56.05 | -69.07 | -7.3 |
| 431 | 431 | 347 | G2_smistamento | -72.27 | -75.77 | -6.28 |
| 431 | 431 | 280 | Q_smistamento | -60.41 | -29.15 | -6.86 |
| 431 | 431 | 282 | Q_smistamento | -45.04 | -26.84 | -7.88 |
| 431 | 431 | 351 | Q_smistamento | -56.05 | -69.07 | -7.3 |
| 431 | 431 | 347 | Q_smistamento | -72.27 | -75.77 | -6.28 |
| 431 | 431 | 280 | Q_neve | -1.005E-11 | -1.644E-12 | -6.385E-12 |
| 431 | 431 | 282 | Q_neve | -7.564E-12 | -4.394E-12 | -6.154E-12 |
| 431 | 431 | 351 | Q_neve | -4.913E-12 | 1.279E-12 | -6.385E-12 |
| 431 | 431 | 347 | Q_neve | -8.354E-12 | -7.600E-13 | -5.522E-12 |
| 432 | 432 | 347 | DEAD | -5.239E-11 | 1.148E-11 | -3.556E-11 |
| 432 | 432 | 351 | DEAD | -7.223E-12 | 2.495E-11 | -3.051E-11 |
| 432 | 432 | 352 | DEAD | 3.859E-12 | 3.486E-11 | -3.303E-11 |
| 432 | 432 | 348 | DEAD | -3.693E-11 | 4.328E-11 | -3.809E-11 |
| 432 | 432 | 347 | G1_smistamento | -194.92 | -204.25 | -13.8 |

Table 21: Element Stresses - Area Shells, Part 1 of 3

| Area | AreaElem | Joint | OutputCase | S11Top KN/m2 | S22Top KN/m2 | S12Top KN/m2 |
|------|----------|-------|----------------|-----------------|-----------------|-----------------|
| 432 | 432 | 351 | G1_smistamento | -151.19 | -186.31 | -15.21 |
| 432 | 432 | 352 | G1_smistamento | -163.95 | -238.24 | -10.03 |
| 432 | 432 | 348 | G1_smistamento | -211.27 | -262.39 | -8.61 |
| 432 | 432 | 347 | G2_smistamento | -72.26 | -75.72 | -5.12 |
| 432 | 432 | 351 | G2_smistamento | -56.05 | -69.07 | -5.64 |
| 432 | 432 | 352 | G2_smistamento | -60.78 | -88.32 | -3.72 |
| 432 | 432 | 348 | G2_smistamento | -78.32 | -97.27 | -3.19 |
| 432 | 432 | 347 | Q_smistamento | -72.26 | -75.72 | -5.12 |
| 432 | 432 | 351 | Q_smistamento | -56.05 | -69.07 | -5.64 |
| 432 | 432 | 352 | Q_smistamento | -60.78 | -88.32 | -3.72 |
| 432 | 432 | 348 | Q_smistamento | -78.32 | -97.27 | -3.19 |
| 432 | 432 | 347 | Q_neve | -4.210E-12 | 3.675E-12 | -5.936E-12 |
| 432 | 432 | 351 | Q_neve | -3.531E-12 | 5.781E-12 | -5.936E-12 |
| 432 | 432 | 352 | Q_neve | 2.979E-12 | 5.492E-12 | -7.200E-12 |
| 432 | 432 | 348 | Q_neve | -1.056E-11 | 4.754E-12 | -7.200E-12 |
| 433 | 433 | 348 | DEAD | -5.208E-11 | -3.307E-12 | -3.405E-11 |
| 433 | 433 | 352 | DEAD | -1.829E-12 | 4.222E-11 | -3.430E-11 |
| 433 | 433 | 353 | DEAD | 7.014E-12 | 4.946E-11 | -2.141E-11 |
| 433 | 433 | 349 | DEAD | 1.647E-12 | 4.444E-11 | -3.430E-11 |
| 433 | 433 | 348 | G1_smistamento | -211.26 | -262.35 | -3.16 |
| 433 | 433 | 352 | G1_smistamento | -163.97 | -238.33 | -3.16 |
| 433 | 433 | 353 | G1_smistamento | -163.97 | -238.33 | 3.16 |
| 433 | 433 | 349 | G1_smistamento | -211.26 | -262.35 | 3.16 |
| 433 | 433 | 348 | G2_smistamento | -78.32 | -97.26 | -1.17 |
| 433 | 433 | 352 | G2_smistamento | -60.78 | -88.35 | -1.17 |
| 433 | 433 | 353 | G2_smistamento | -60.78 | -88.35 | 1.17 |
| 433 | 433 | 349 | G2_smistamento | -78.32 | -97.26 | 1.17 |
| 433 | 433 | 348 | Q_smistamento | -78.32 | -97.26 | -1.17 |
| 433 | 433 | 352 | Q_smistamento | -60.78 | -88.35 | -1.17 |
| 433 | 433 | 353 | Q_smistamento | -60.78 | -88.35 | 1.17 |
| 433 | 433 | 349 | Q_smistamento | -78.32 | -97.26 | 1.17 |
| 433 | 433 | 348 | Q_neve | -1.163E-11 | -1.479E-13 | -7.102E-12 |
| 433 | 433 | 352 | Q_neve | 2.966E-12 | 8.635E-12 | -6.933E-12 |
| 433 | 433 | 353 | Q_neve | 1.959E-12 | 1.091E-11 | -4.574E-12 |
| 433 | 433 | 349 | Q_neve | -1.142E-12 | 7.055E-12 | -6.933E-12 |
| 434 | 434 | 349 | DEAD | -8.150E-12 | 5.761E-11 | -2.267E-11 |
| 434 | 434 | 353 | DEAD | 1.231E-11 | 4.820E-11 | -3.464E-11 |
| 434 | 434 | 354 | DEAD | -9.730E-12 | 1.938E-11 | -3.279E-11 |

Table 21: Element Stresses - Area Shells, Part 1 of 3

| Area | AreaElem | Joint | OutputCase | S11Top KN/m2 | S22Top KN/m2 | S12Top KN/m2 |
|------|----------|-------|----------------|-----------------|-----------------|-----------------|
| 434 | 434 | 350 | DEAD | -2.308E-11 | 3.809E-11 | -2.958E-11 |
| 434 | 434 | 349 | G1_smistamento | -211.27 | -262.39 | 8.61 |
| 434 | 434 | 353 | G1_smistamento | -163.95 | -238.24 | 10.03 |
| 434 | 434 | 354 | G1_smistamento | -151.19 | -186.31 | 15.21 |
| 434 | 434 | 350 | G1_smistamento | -194.92 | -204.25 | 13.8 |
| 434 | 434 | 349 | G2_smistamento | -78.32 | -97.27 | 3.19 |
| 434 | 434 | 353 | G2_smistamento | -60.78 | -88.32 | 3.72 |
| 434 | 434 | 354 | G2_smistamento | -56.05 | -69.07 | 5.64 |
| 434 | 434 | 350 | G2_smistamento | -72.26 | -75.72 | 5.12 |
| 434 | 434 | 349 | Q_smistamento | -78.32 | -97.27 | 3.19 |
| 434 | 434 | 353 | Q_smistamento | -60.78 | -88.32 | 3.72 |
| 434 | 434 | 354 | Q_smistamento | -56.05 | -69.07 | 5.64 |
| 434 | 434 | 350 | Q_smistamento | -72.26 | -75.72 | 5.12 |
| 434 | 434 | 349 | Q_neve | -2.395E-12 | 9.705E-12 | -3.929E-12 |
| 434 | 434 | 353 | Q_neve | 7.468E-13 | 1.228E-11 | -6.519E-12 |
| 434 | 434 | 354 | Q_neve | -6.819E-12 | -1.039E-12 | -5.193E-12 |
| 434 | 434 | 350 | Q_neve | -2.571E-12 | 7.062E-12 | -5.887E-12 |
| 435 | 435 | 350 | DEAD | -3.584E-11 | 4.911E-12 | -3.741E-11 |
| 435 | 435 | 354 | DEAD | -8.073E-12 | 5.276E-11 | -2.428E-11 |
| 435 | 435 | 212 | DEAD | -3.928E-12 | -2.357E-12 | -3.994E-11 |
| 435 | 435 | 214 | DEAD | -1.692E-11 | 2.369E-11 | -2.681E-11 |
| 435 | 435 | 350 | G1_smistamento | -194.95 | -204.39 | 16.94 |
| 435 | 435 | 354 | G1_smistamento | -151.2 | -186.33 | 19.69 |
| 435 | 435 | 212 | G1_smistamento | -121.48 | -72.4 | 21.27 |
| 435 | 435 | 214 | G1_smistamento | -162.95 | -78.63 | 18.51 |
| 435 | 435 | 350 | G2_smistamento | -72.27 | -75.77 | 6.28 |
| 435 | 435 | 354 | G2_smistamento | -56.05 | -69.07 | 7.3 |
| 435 | 435 | 212 | G2_smistamento | -45.04 | -26.84 | 7.88 |
| 435 | 435 | 214 | G2_smistamento | -60.41 | -29.15 | 6.86 |
| 435 | 435 | 350 | Q_smistamento | -72.27 | -75.77 | 6.28 |
| 435 | 435 | 354 | Q_smistamento | -56.05 | -69.07 | 7.3 |
| 435 | 435 | 212 | Q_smistamento | -45.04 | -26.84 | 7.88 |
| 435 | 435 | 214 | Q_smistamento | -60.41 | -29.15 | 6.86 |
| 435 | 435 | 350 | Q_neve | -4.338E-12 | 3.407E-12 | -6.483E-12 |
| 435 | 435 | 354 | Q_neve | -6.657E-12 | 4.951E-12 | -4.525E-12 |
| 435 | 435 | 212 | Q_neve | -2.047E-12 | -3.057E-13 | -7.747E-12 |
| 435 | 435 | 214 | Q_neve | -3.971E-12 | 3.213E-12 | -6.421E-12 |
| 436 | 436 | 282 | DEAD | -5.067E-11 | -2.778E-11 | -2.150E-11 |

Table 21: Element Stresses - Area Shells, Part 1 of 3

| Area | AreaElem | Joint | OutputCase | S11Top KN/m2 | S22Top KN/m2 | S12Top KN/m2 |
|------|----------|-------|----------------|-----------------|-----------------|-----------------|
| 436 | 436 | 22 | DEAD | -3.688E-11 | -2.765E-11 | -1.645E-11 |
| 436 | 436 | 284 | DEAD | -1.690E-12 | 1.994E-11 | -1.645E-11 |
| 436 | 436 | 351 | DEAD | -3.846E-11 | 9.953E-12 | -2.150E-11 |
| 436 | 436 | 282 | G1_smistamento | -121.65 | -72.43 | -23.69 |
| 436 | 436 | 22 | G1_smistamento | -47.73 | -61.92 | -23.32 |
| 436 | 436 | 284 | G1_smistamento | -57.54 | -154.31 | -21.36 |
| 436 | 436 | 351 | G1_smistamento | -151.26 | -186.34 | -21.73 |
| 436 | 436 | 282 | G2_smistamento | -45.1 | -26.85 | -8.78 |
| 436 | 436 | 22 | G2_smistamento | -17.69 | -22.95 | -8.64 |
| 436 | 436 | 284 | G2_smistamento | -21.33 | -57.2 | -7.92 |
| 436 | 436 | 351 | G2_smistamento | -56.07 | -69.08 | -8.05 |
| 436 | 436 | 282 | Q_smistamento | -45.1 | -26.85 | -8.78 |
| 436 | 436 | 22 | Q_smistamento | -17.69 | -22.95 | -8.64 |
| 436 | 436 | 284 | Q_smistamento | -21.33 | -57.2 | -7.92 |
| 436 | 436 | 351 | Q_smistamento | -56.07 | -69.08 | -8.05 |
| 436 | 436 | 282 | Q_neve | -1.124E-11 | -6.178E-12 | -3.916E-12 |
| 436 | 436 | 22 | Q_neve | -4.850E-12 | -2.172E-12 | -2.652E-12 |
| 436 | 436 | 284 | Q_neve | -1.442E-12 | 2.986E-12 | -2.652E-12 |
| 436 | 436 | 351 | Q_neve | -5.640E-12 | 3.358E-12 | -3.916E-12 |
| 437 | 437 | 351 | DEAD | -4.407E-11 | 5.517E-12 | -2.189E-11 |
| 437 | 437 | 284 | DEAD | -1.037E-12 | 2.312E-11 | -1.936E-11 |
| 437 | 437 | 286 | DEAD | -1.595E-11 | 9.625E-12 | -2.189E-11 |
| 437 | 437 | 352 | DEAD | 5.598E-12 | 2.596E-11 | -2.442E-11 |
| 437 | 437 | 351 | G1_smistamento | -151.25 | -186.32 | -16.55 |
| 437 | 437 | 284 | G1_smistamento | -57.52 | -154.18 | -16.06 |
| 437 | 437 | 286 | G1_smistamento | -62.22 | -202.42 | -9.79 |
| 437 | 437 | 352 | G1_smistamento | -164.12 | -238.28 | -10.28 |
| 437 | 437 | 351 | G2_smistamento | -56.07 | -69.07 | -6.14 |
| 437 | 437 | 284 | G2_smistamento | -21.32 | -57.16 | -5.95 |
| 437 | 437 | 286 | G2_smistamento | -23.06 | -75.04 | -3.63 |
| 437 | 437 | 352 | G2_smistamento | -60.84 | -88.33 | -3.81 |
| 437 | 437 | 351 | Q_smistamento | -56.07 | -69.07 | -6.14 |
| 437 | 437 | 284 | Q_smistamento | -21.32 | -57.16 | -5.95 |
| 437 | 437 | 286 | Q_smistamento | -23.06 | -75.04 | -3.63 |
| 437 | 437 | 352 | Q_smistamento | -60.84 | -88.33 | -3.81 |
| 437 | 437 | 351 | Q_neve | -6.358E-12 | 3.668E-12 | -4.561E-12 |
| 437 | 437 | 284 | Q_neve | -1.014E-12 | 2.082E-12 | -4.160E-12 |
| 437 | 437 | 286 | Q_neve | -2.171E-12 | 1.851E-12 | -4.561E-12 |

Table 21: Element Stresses - Area Shells, Part 1 of 3

| Area | AreaElem | Joint | OutputCase | S11Top KN/m2 | S22Top KN/m2 | S12Top KN/m2 |
|------|----------|-------|----------------|-----------------|-----------------|-----------------|
| 437 | 437 | 352 | Q_neve | -2.041E-12 | 4.531E-12 | -6.056E-12 |
| 438 | 438 | 352 | DEAD | 1.267E-11 | 4.466E-11 | -3.644E-11 |
| 438 | 438 | 286 | DEAD | -1.897E-11 | 1.525E-11 | -3.230E-11 |
| 438 | 438 | 288 | DEAD | 1.962E-11 | 6.425E-11 | -2.632E-11 |
| 438 | 438 | 353 | DEAD | -4.014E-11 | 3.073E-11 | -3.483E-11 |
| 438 | 438 | 352 | G1_smistamento | -164.14 | -238.37 | -3.37 |
| 438 | 438 | 286 | G1_smistamento | -62.22 | -202.45 | -3.37 |
| 438 | 438 | 288 | G1_smistamento | -62.22 | -202.45 | 3.37 |
| 438 | 438 | 353 | G1_smistamento | -164.14 | -238.37 | 3.37 |
| 438 | 438 | 352 | G2_smistamento | -60.85 | -88.37 | -1.25 |
| 438 | 438 | 286 | G2_smistamento | -23.07 | -75.05 | -1.25 |
| 438 | 438 | 288 | G2_smistamento | -23.07 | -75.05 | 1.25 |
| 438 | 438 | 353 | G2_smistamento | -60.85 | -88.37 | 1.25 |
| 438 | 438 | 352 | Q_smistamento | -60.85 | -88.37 | -1.25 |
| 438 | 438 | 286 | Q_smistamento | -23.07 | -75.05 | -1.25 |
| 438 | 438 | 288 | Q_smistamento | -23.07 | -75.05 | 1.25 |
| 438 | 438 | 353 | Q_smistamento | -60.85 | -88.37 | 1.25 |
| 438 | 438 | 352 | Q_neve | -8.958E-14 | 8.563E-12 | -5.923E-12 |
| 438 | 438 | 286 | Q_neve | 5.460E-13 | 9.523E-12 | -5.522E-12 |
| 438 | 438 | 288 | Q_neve | 2.264E-13 | 6.351E-12 | -4.659E-12 |
| 438 | 438 | 353 | Q_neve | -3.009E-12 | 8.812E-12 | -6.154E-12 |
| 439 | 439 | 353 | DEAD | -2.415E-11 | 4.733E-11 | -3.211E-11 |
| 439 | 439 | 288 | DEAD | 1.199E-11 | 4.305E-11 | -3.464E-11 |
| 439 | 439 | 290 | DEAD | -7.407E-12 | 4.006E-11 | -3.211E-11 |
| 439 | 439 | 354 | DEAD | -2.056E-11 | 1.651E-12 | -2.958E-11 |
| 439 | 439 | 353 | G1_smistamento | -164.12 | -238.28 | 10.28 |
| 439 | 439 | 288 | G1_smistamento | -62.22 | -202.42 | 9.79 |
| 439 | 439 | 290 | G1_smistamento | -57.52 | -154.18 | 16.06 |
| 439 | 439 | 354 | G1_smistamento | -151.25 | -186.32 | 16.55 |
| 439 | 439 | 353 | G2_smistamento | -60.84 | -88.33 | 3.81 |
| 439 | 439 | 288 | G2_smistamento | -23.06 | -75.04 | 3.63 |
| 439 | 439 | 290 | G2_smistamento | -21.32 | -57.16 | 5.95 |
| 439 | 439 | 354 | G2_smistamento | -56.07 | -69.07 | 6.14 |
| 439 | 439 | 353 | Q_smistamento | -60.84 | -88.33 | 3.81 |
| 439 | 439 | 288 | Q_smistamento | -23.06 | -75.04 | 3.63 |
| 439 | 439 | 290 | Q_smistamento | -21.32 | -57.16 | 5.95 |
| 439 | 439 | 354 | Q_smistamento | -56.07 | -69.07 | 6.14 |
| 439 | 439 | 353 | Q_neve | -6.150E-13 | 1.324E-11 | -6.933E-12 |

Table 21: Element Stresses - Area Shells, Part 1 of 3

| Area | AreaElem | Joint | OutputCase | S11Top KN/m2 | S22Top KN/m2 | S12Top KN/m2 |
|------|----------|-------|----------------|-----------------|-----------------|-----------------|
| 439 | 439 | 288 | Q_neve | -7.363E-13 | 4.675E-12 | -6.933E-12 |
| 439 | 439 | 290 | Q_neve | -2.669E-12 | 8.655E-12 | -6.933E-12 |
| 439 | 439 | 354 | Q_neve | -2.000E-12 | 2.510E-13 | -6.933E-12 |
| 440 | 440 | 354 | DEAD | 2.469E-12 | 4.823E-11 | -3.668E-11 |
| 440 | 440 | 290 | DEAD | -1.173E-11 | 2.164E-11 | -2.195E-11 |
| 440 | 440 | 9 | DEAD | 3.733E-12 | 9.051E-12 | -3.921E-11 |
| 440 | 440 | 212 | DEAD | -3.132E-11 | -4.783E-13 | -3.206E-11 |
| 440 | 440 | 354 | G1_smistamento | -151.26 | -186.34 | 21.73 |
| 440 | 440 | 290 | G1_smistamento | -57.54 | -154.31 | 21.36 |
| 440 | 440 | 9 | G1_smistamento | -47.73 | -61.92 | 23.32 |
| 440 | 440 | 212 | G1_smistamento | -121.65 | -72.43 | 23.69 |
| 440 | 440 | 354 | G2_smistamento | -56.07 | -69.08 | 8.05 |
| 440 | 440 | 290 | G2_smistamento | -21.33 | -57.2 | 7.92 |
| 440 | 440 | 9 | G2_smistamento | -17.69 | -22.95 | 8.64 |
| 440 | 440 | 212 | G2_smistamento | -45.1 | -26.85 | 8.78 |
| 440 | 440 | 354 | Q_smistamento | -56.07 | -69.08 | 8.05 |
| 440 | 440 | 290 | Q_smistamento | -21.33 | -57.2 | 7.92 |
| 440 | 440 | 9 | Q_smistamento | -17.69 | -22.95 | 8.64 |
| 440 | 440 | 212 | Q_smistamento | -45.1 | -26.85 | 8.78 |
| 440 | 440 | 354 | Q_neve | -3.415E-14 | 5.224E-12 | -6.434E-12 |
| 440 | 440 | 290 | Q_neve | -2.818E-12 | 5.185E-12 | -5.340E-12 |
| 440 | 440 | 9 | Q_neve | 2.178E-12 | 1.116E-12 | -7.066E-12 |
| 440 | 440 | 212 | Q_neve | -8.585E-12 | -8.978E-13 | -5.972E-12 |

Table 21: Element Stresses - Area Shells, Part 2 of 3

Table 21: Element Stresses - Area Shells, Part 2 of 3

| Area | AreaElem | Joint | OutputCase | S11Bot KN/m2 | S22Bot KN/m2 | S12Bot KN/m2 |
|------|----------|-------|----------------|-----------------|-----------------|-----------------|
| 1 | 1 | 7 | DEAD | 5.294E-13 | -4.507E-12 | 1.499E-11 |
| 1 | 1 | 8 | DEAD | -5.931E-12 | -4.987E-12 | 1.499E-11 |
| 1 | 1 | 9 | DEAD | 1.477E-12 | -7.351E-12 | 2.004E-11 |
| 1 | 1 | 10 | DEAD | -1.067E-11 | -2.110E-11 | 2.004E-11 |
| 1 | 1 | 7 | G1_smistamento | -1.13 | -0.74 | -10.43 |
| 1 | 1 | 8 | G1_smistamento | 45.54 | 5.152E-02 | -14.72 |
| 1 | 1 | 9 | G1_smistamento | 47.78 | 62.01 | -17.59 |
| 1 | 1 | 10 | G1_smistamento | 0.11 | 57.7 | -13.3 |

Table 21: Element Stresses - Area Shells, Part 2 of 3

| Area | AreaElem | Joint | OutputCase | S11Bot KN/m2 | S22Bot KN/m2 | S12Bot KN/m2 |
|------|----------|-------|----------------|-----------------|-----------------|-----------------|
| 1 | 1 | 7 | G2_smistamento | -0.42 | -0.28 | -3.87 |
| 1 | 1 | 8 | G2_smistamento | 16.88 | 1.910E-02 | -5.46 |
| 1 | 1 | 9 | G2_smistamento | 17.71 | 22.99 | -6.52 |
| 1 | 1 | 10 | G2_smistamento | 4.041E-02 | 21.39 | -4.93 |
| 1 | 1 | 7 | Q_smistamento | -0.42 | -0.28 | -3.87 |
| 1 | 1 | 8 | Q_smistamento | 16.88 | 1.910E-02 | -5.46 |
| 1 | 1 | 9 | Q_smistamento | 17.71 | 22.99 | -6.52 |
| 1 | 1 | 10 | Q_smistamento | 4.041E-02 | 21.39 | -4.93 |
| 1 | 1 | 7 | Q_neve | 2.933E-12 | 2.701E-12 | 3.017E-12 |
| 1 | 1 | 8 | Q_neve | -5.365E-12 | -2.899E-12 | 3.649E-12 |
| 1 | 1 | 9 | Q_neve | -1.017E-12 | -1.880E-12 | 4.281E-12 |
| 1 | 1 | 10 | Q_neve | 1.652E-13 | -5.585E-12 | 3.649E-12 |
| 2 | 2 | 11 | DEAD | 5.037E-11 | -5.564E-12 | -9.826E-12 |
| 2 | 2 | 12 | DEAD | -2.557E-11 | -4.176E-12 | -7.298E-12 |
| 2 | 2 | 13 | DEAD | 1.750E-11 | 1.213E-11 | -4.770E-12 |
| 2 | 2 | 14 | DEAD | 2.119E-11 | 1.731E-11 | -7.298E-12 |
| 2 | 2 | 11 | G1_smistamento | 45.54 | 5.152E-02 | 14.72 |
| 2 | 2 | 12 | G1_smistamento | -1.13 | -0.74 | 10.43 |
| 2 | 2 | 13 | G1_smistamento | 0.11 | 57.7 | 13.3 |
| 2 | 2 | 14 | G1_smistamento | 47.78 | 62.01 | 17.59 |
| 2 | 2 | 11 | G2_smistamento | 16.88 | 1.910E-02 | 5.46 |
| 2 | 2 | 12 | G2_smistamento | -0.42 | -0.28 | 3.87 |
| 2 | 2 | 13 | G2_smistamento | 4.041E-02 | 21.39 | 4.93 |
| 2 | 2 | 14 | G2_smistamento | 17.71 | 22.99 | 6.52 |
| 2 | 2 | 11 | Q_smistamento | 16.88 | 1.910E-02 | 5.46 |
| 2 | 2 | 12 | Q_smistamento | -0.42 | -0.28 | 3.87 |
| 2 | 2 | 13 | Q_smistamento | 4.041E-02 | 21.39 | 4.93 |
| 2 | 2 | 14 | Q_smistamento | 17.71 | 22.99 | 6.52 |
| 2 | 2 | 11 | Q_neve | 1.099E-11 | 1.556E-12 | -1.460E-12 |
| 2 | 2 | 12 | Q_neve | -3.305E-12 | 2.146E-13 | -1.460E-12 |
| 2 | 2 | 13 | Q_neve | 6.483E-12 | 3.689E-12 | -1.460E-12 |
| 2 | 2 | 14 | Q_neve | 2.495E-13 | 9.256E-13 | -1.460E-12 |
| 3 | 3 | 15 | DEAD | -4.067E-12 | -2.705E-12 | -5.643E-12 |
| 3 | 3 | 16 | DEAD | -1.894E-11 | -1.693E-11 | -6.568E-12 |
| 3 | 3 | 17 | DEAD | 1.647E-11 | 1.657E-11 | -3.115E-12 |
| 3 | 3 | 18 | DEAD | -3.138E-12 | -3.652E-11 | -6.568E-12 |
| 3 | 3 | 15 | G1_smistamento | 0.11 | 57.7 | -13.3 |
| 3 | 3 | 16 | G1_smistamento | -1.13 | -0.74 | -10.43 |

Table 21: Element Stresses - Area Shells, Part 2 of 3

| Area | AreaElem | Joint | OutputCase | S11Bot KN/m2 | S22Bot KN/m2 | S12Bot KN/m2 |
|------|----------|-------|----------------|-----------------|-----------------|-----------------|
| 3 | 3 | 17 | G1_smistamento | 45.54 | 5.152E-02 | -14.72 |
| 3 | 3 | 18 | G1_smistamento | 47.78 | 62.01 | -17.59 |
| 3 | 3 | 15 | G2_smistamento | 4.041E-02 | 21.39 | -4.93 |
| 3 | 3 | 16 | G2_smistamento | -0.42 | -0.28 | -3.87 |
| 3 | 3 | 17 | G2_smistamento | 16.88 | 1.910E-02 | -5.46 |
| 3 | 3 | 18 | G2_smistamento | 17.71 | 22.99 | -6.52 |
| 3 | 3 | 15 | Q_smistamento | 4.041E-02 | 21.39 | -4.93 |
| 3 | 3 | 16 | Q_smistamento | -0.42 | -0.28 | -3.87 |
| 3 | 3 | 17 | Q_smistamento | 16.88 | 1.910E-02 | -5.46 |
| 3 | 3 | 18 | Q_smistamento | 17.71 | 22.99 | -6.52 |
| 3 | 3 | 15 | Q_neve | -5.419E-12 | -4.117E-12 | -4.626E-13 |
| 3 | 3 | 16 | Q_neve | -2.183E-12 | -4.174E-12 | -1.095E-12 |
| 3 | 3 | 17 | Q_neve | 1.770E-12 | 3.388E-12 | -1.727E-12 |
| 3 | 3 | 18 | Q_neve | 1.134E-12 | -6.544E-12 | -1.095E-12 |
| 4 | 4 | 19 | DEAD | 4.745E-11 | 1.970E-12 | 9.826E-12 |
| 4 | 4 | 20 | DEAD | -1.057E-12 | 3.589E-12 | -2.863E-13 |
| 4 | 4 | 21 | DEAD | -1.480E-11 | 1.682E-11 | 4.770E-12 |
| 4 | 4 | 22 | DEAD | 1.948E-11 | 2.286E-11 | 1.488E-11 |
| 4 | 4 | 19 | G1_smistamento | 45.54 | 5.152E-02 | 14.72 |
| 4 | 4 | 20 | G1_smistamento | -1.13 | -0.74 | 10.43 |
| 4 | 4 | 21 | G1_smistamento | 0.11 | 57.7 | 13.3 |
| 4 | 4 | 22 | G1_smistamento | 47.78 | 62.01 | 17.59 |
| 4 | 4 | 19 | G2_smistamento | 16.88 | 1.910E-02 | 5.46 |
| 4 | 4 | 20 | G2_smistamento | -0.42 | -0.28 | 3.87 |
| 4 | 4 | 21 | G2_smistamento | 4.041E-02 | 21.39 | 4.93 |
| 4 | 4 | 22 | G2_smistamento | 17.71 | 22.99 | 6.52 |
| 4 | 4 | 19 | Q_smistamento | 16.88 | 1.910E-02 | 5.46 |
| 4 | 4 | 20 | Q_smistamento | -0.42 | -0.28 | 3.87 |
| 4 | 4 | 21 | Q_smistamento | 4.041E-02 | 21.39 | 4.93 |
| 4 | 4 | 22 | Q_smistamento | 17.71 | 22.99 | 6.52 |
| 4 | 4 | 19 | Q_neve | 1.190E-11 | 3.468E-12 | 2.359E-12 |
| 4 | 4 | 20 | Q_neve | -1.739E-12 | -3.301E-12 | -1.693E-13 |
| 4 | 4 | 21 | Q_neve | -1.453E-12 | 4.969E-12 | -1.693E-13 |
| 4 | 4 | 22 | Q_neve | 2.606E-12 | 3.256E-12 | 2.359E-12 |
| 42 | 42 | 1 | DEAD | -6.721E-13 | -1.064E-12 | 7.786E-13 |
| 42 | 42 | 57 | DEAD | 1.234E-12 | 8.851E-13 | 4.626E-13 |
| 42 | 42 | 58 | DEAD | 1.105E-12 | 2.136E-12 | 1.411E-12 |
| 42 | 42 | 59 | DEAD | -9.380E-13 | -4.974E-13 | 1.727E-12 |

Table 21: Element Stresses - Area Shells, Part 2 of 3

| Area | AreaElem | Joint | OutputCase | S11Bot KN/m2 | S22Bot KN/m2 | S12Bot KN/m2 |
|------|----------|-------|----------------|-----------------|-----------------|-----------------|
| 42 | 42 | 1 | G1_smistamento | -1.1 | -0.72 | -12.93 |
| 42 | 42 | 57 | G1_smistamento | 34.21 | 0.25 | -16.77 |
| 42 | 42 | 58 | G1_smistamento | 31.99 | 44.24 | -19.16 |
| 42 | 42 | 59 | G1_smistamento | 0.29 | 43.3 | -15.32 |
| 42 | 42 | 1 | G2_smistamento | -0.41 | -0.27 | -4.79 |
| 42 | 42 | 57 | G2_smistamento | 12.68 | 9.155E-02 | -6.22 |
| 42 | 42 | 58 | G2_smistamento | 11.86 | 16.4 | -7.1 |
| 42 | 42 | 59 | G2_smistamento | 0.11 | 16.05 | -5.68 |
| 42 | 42 | 1 | Q_smistamento | -0.41 | -0.27 | -4.79 |
| 42 | 42 | 57 | Q_smistamento | 12.68 | 9.155E-02 | -6.22 |
| 42 | 42 | 58 | Q_smistamento | 11.86 | 16.4 | -7.1 |
| 42 | 42 | 59 | Q_smistamento | 0.11 | 16.05 | -5.68 |
| 42 | 42 | 1 | Q_neve | 1.389E-13 | -5.503E-13 | 1.034E-13 |
| 42 | 42 | 57 | Q_neve | 2.396E-13 | 6.006E-13 | 6.394E-14 |
| 42 | 42 | 58 | Q_neve | 1.290E-13 | 1.113E-13 | 2.614E-13 |
| 42 | 42 | 59 | Q_neve | 1.310E-13 | 2.945E-13 | 3.009E-13 |
| 44 | 44 | 60 | DEAD | 2.624E-14 | -1.765E-13 | -1.277E-12 |
| 44 | 44 | 2 | DEAD | 2.954E-12 | -2.477E-13 | -1.277E-12 |
| 44 | 44 | 61 | DEAD | -9.612E-13 | 1.522E-12 | -1.277E-12 |
| 44 | 44 | 6 | DEAD | 4.731E-12 | 2.004E-12 | -1.277E-12 |
| 44 | 44 | 60 | G1_smistamento | 34.21 | 0.25 | 16.77 |
| 44 | 44 | 2 | G1_smistamento | -1.1 | -0.72 | 12.93 |
| 44 | 44 | 61 | G1_smistamento | 0.29 | 43.3 | 15.32 |
| 44 | 44 | 6 | G1_smistamento | 31.99 | 44.24 | 19.16 |
| 44 | 44 | 60 | G2_smistamento | 12.68 | 9.155E-02 | 6.22 |
| 44 | 44 | 2 | G2_smistamento | -0.41 | -0.27 | 4.79 |
| 44 | 44 | 61 | G2_smistamento | 0.11 | 16.05 | 5.68 |
| 44 | 44 | 6 | G2_smistamento | 11.86 | 16.4 | 7.1 |
| 44 | 44 | 60 | Q_smistamento | 12.68 | 9.155E-02 | 6.22 |
| 44 | 44 | 2 | Q_smistamento | -0.41 | -0.27 | 4.79 |
| 44 | 44 | 61 | Q_smistamento | 0.11 | 16.05 | 5.68 |
| 44 | 44 | 6 | Q_smistamento | 11.86 | 16.4 | 7.1 |
| 44 | 44 | 60 | Q_neve | 4.473E-13 | 5.447E-13 | -2.114E-13 |
| 44 | 44 | 2 | Q_neve | -1.508E-13 | -5.034E-13 | -2.114E-13 |
| 44 | 44 | 61 | Q_neve | 4.078E-13 | 5.842E-13 | -2.904E-13 |
| 44 | 44 | 6 | Q_neve | 1.850E-13 | -9.685E-15 | -2.904E-13 |
| 46 | 46 | 62 | DEAD | -1.309E-12 | 3.531E-12 | -2.961E-12 |
| 46 | 46 | 3 | DEAD | -4.267E-12 | -1.315E-12 | -3.077E-12 |

Table 21: Element Stresses - Area Shells, Part 2 of 3

| Area | AreaElem | Joint | OutputCase | S11Bot KN/m2 | S22Bot KN/m2 | S12Bot KN/m2 |
|------|----------|-------|----------------|-----------------|-----------------|-----------------|
| 46 | 46 | 64 | DEAD | 5.209E-12 | 9.477E-14 | -2.329E-12 |
| 46 | 46 | 63 | DEAD | 3.514E-12 | 6.309E-12 | -2.761E-12 |
| 46 | 46 | 62 | G1_smistamento | 0.29 | 43.3 | -15.32 |
| 46 | 46 | 3 | G1_smistamento | -1.1 | -0.72 | -12.93 |
| 46 | 46 | 64 | G1_smistamento | 34.21 | 0.25 | -16.77 |
| 46 | 46 | 63 | G1_smistamento | 31.99 | 44.24 | -19.16 |
| 46 | 46 | 62 | G2_smistamento | 0.11 | 16.05 | -5.68 |
| 46 | 46 | 3 | G2_smistamento | -0.41 | -0.27 | -4.79 |
| 46 | 46 | 64 | G2_smistamento | 12.68 | 9.155E-02 | -6.22 |
| 46 | 46 | 63 | G2_smistamento | 11.86 | 16.4 | -7.1 |
| 46 | 46 | 62 | Q_smistamento | 0.11 | 16.05 | -5.68 |
| 46 | 46 | 3 | Q_smistamento | -0.41 | -0.27 | -4.79 |
| 46 | 46 | 64 | Q_smistamento | 12.68 | 9.155E-02 | -6.22 |
| 46 | 46 | 63 | Q_smistamento | 11.86 | 16.4 | -7.1 |
| 46 | 46 | 62 | Q_neve | 3.248E-13 | 8.520E-13 | -5.215E-13 |
| 46 | 46 | 3 | Q_neve | -8.334E-13 | -3.370E-13 | -5.359E-13 |
| 46 | 46 | 64 | Q_neve | 9.864E-13 | 3.681E-13 | -4.820E-13 |
| 46 | 46 | 63 | Q_neve | 7.511E-14 | 6.505E-13 | -5.359E-13 |
| 48 | 48 | 65 | DEAD | 2.182E-12 | -1.652E-12 | 3.160E-13 |
| 48 | 48 | 4 | DEAD | 5.416E-13 | 3.186E-13 | -3.160E-13 |
| 48 | 48 | 66 | DEAD | -2.667E-13 | 4.115E-12 | -3.160E-13 |
| 48 | 48 | 5 | DEAD | 1.648E-12 | 6.797E-12 | 3.160E-13 |
| 48 | 48 | 65 | G1_smistamento | 34.21 | 0.25 | 16.77 |
| 48 | 48 | 4 | G1_smistamento | -1.1 | -0.72 | 12.93 |
| 48 | 48 | 66 | G1_smistamento | 0.29 | 43.3 | 15.32 |
| 48 | 48 | 5 | G1_smistamento | 31.99 | 44.24 | 19.16 |
| 48 | 48 | 65 | G2_smistamento | 12.68 | 9.155E-02 | 6.22 |
| 48 | 48 | 4 | G2_smistamento | -0.41 | -0.27 | 4.79 |
| 48 | 48 | 66 | G2_smistamento | 0.11 | 16.05 | 5.68 |
| 48 | 48 | 5 | G2_smistamento | 11.86 | 16.4 | 7.1 |
| 48 | 48 | 65 | Q_smistamento | 12.68 | 9.155E-02 | 6.22 |
| 48 | 48 | 4 | Q_smistamento | -0.41 | -0.27 | 4.79 |
| 48 | 48 | 66 | Q_smistamento | 0.11 | 16.05 | 5.68 |
| 48 | 48 | 5 | Q_smistamento | 11.86 | 16.4 | 7.1 |
| 48 | 48 | 65 | Q_neve | 8.497E-13 | -2.373E-13 | 1.413E-13 |
| 48 | 48 | 4 | Q_neve | 6.688E-16 | 3.344E-15 | -5.619E-14 |
| 48 | 48 | 66 | Q_neve | -6.864E-14 | 8.588E-13 | -9.569E-14 |
| 48 | 48 | 5 | Q_neve | 2.673E-13 | 1.336E-12 | 1.018E-13 |

Table 21: Element Stresses - Area Shells, Part 2 of 3

| Area | AreaElem | Joint | OutputCase | S11Bot KN/m2 | S22Bot KN/m2 | S12Bot KN/m2 |
|------|----------|-------|----------------|-----------------|-----------------|-----------------|
| 183 | 183 | 57 | DEAD | -1.890E-12 | 2.756E-14 | 1.277E-12 |
| 183 | 183 | 67 | DEAD | 5.865E-12 | 1.528E-12 | 1.277E-12 |
| 183 | 183 | 68 | DEAD | 2.415E-12 | 2.595E-12 | 1.277E-12 |
| 183 | 183 | 58 | DEAD | 1.638E-12 | 3.147E-12 | 1.277E-12 |
| 183 | 183 | 57 | G1_smistamento | 34.96 | 0.4 | -21.2 |
| 183 | 183 | 67 | G1_smistamento | 56.52 | -2.982E-02 | -22.29 |
| 183 | 183 | 68 | G1_smistamento | 73.05 | 50.81 | -23.68 |
| 183 | 183 | 58 | G1_smistamento | 31.89 | 44.22 | -22.58 |
| 183 | 183 | 57 | G2_smistamento | 12.96 | 0.15 | -7.86 |
| 183 | 183 | 67 | G2_smistamento | 20.95 | -1.106E-02 | -8.26 |
| 183 | 183 | 68 | G2_smistamento | 27.08 | 18.84 | -8.78 |
| 183 | 183 | 58 | G2_smistamento | 11.82 | 16.39 | -8.37 |
| 183 | 183 | 57 | Q_smistamento | 12.96 | 0.15 | -7.86 |
| 183 | 183 | 67 | Q_smistamento | 20.95 | -1.106E-02 | -8.26 |
| 183 | 183 | 68 | Q_smistamento | 27.08 | 18.84 | -8.78 |
| 183 | 183 | 58 | Q_smistamento | 11.82 | 16.39 | -8.37 |
| 183 | 183 | 57 | Q_neve | -3.292E-13 | 2.999E-13 | 2.052E-13 |
| 183 | 183 | 67 | Q_neve | 9.732E-13 | 3.835E-13 | 2.447E-13 |
| 183 | 183 | 68 | Q_neve | 5.003E-13 | 4.184E-13 | 2.052E-13 |
| 183 | 183 | 58 | Q_neve | 3.609E-13 | 4.033E-13 | 1.657E-13 |
| 184 | 184 | 67 | DEAD | 3.478E-12 | 2.185E-12 | 1.228E-12 |
| 184 | 184 | 69 | DEAD | 6.256E-12 | -1.681E-12 | 1.228E-12 |
| 184 | 184 | 70 | DEAD | 7.309E-12 | 5.227E-12 | 5.962E-13 |
| 184 | 184 | 68 | DEAD | 3.847E-12 | 2.388E-12 | 5.962E-13 |
| 184 | 184 | 67 | G1_smistamento | 57.43 | 0.15 | -21.29 |
| 184 | 184 | 69 | G1_smistamento | 62.98 | 9.774E-02 | -19.16 |
| 184 | 184 | 70 | G1_smistamento | 79.05 | 53.33 | -19.13 |
| 184 | 184 | 68 | G1_smistamento | 72.77 | 50.75 | -21.25 |
| 184 | 184 | 67 | G2_smistamento | 21.29 | 5.656E-02 | -7.89 |
| 184 | 184 | 69 | G2_smistamento | 23.35 | 3.624E-02 | -7.1 |
| 184 | 184 | 70 | G2_smistamento | 29.3 | 19.77 | -7.09 |
| 184 | 184 | 68 | G2_smistamento | 26.98 | 18.81 | -7.88 |
| 184 | 184 | 67 | Q_smistamento | 21.29 | 5.656E-02 | -7.89 |
| 184 | 184 | 69 | Q_smistamento | 23.35 | 3.624E-02 | -7.1 |
| 184 | 184 | 70 | Q_smistamento | 29.3 | 19.77 | -7.09 |
| 184 | 184 | 68 | Q_smistamento | 26.98 | 18.81 | -7.88 |
| 184 | 184 | 67 | Q_neve | 4.058E-13 | 2.173E-13 | 2.280E-13 |
| 184 | 184 | 69 | Q_neve | 1.370E-12 | -9.517E-14 | 2.280E-13 |

Table 21: Element Stresses - Area Shells, Part 2 of 3

| Area | AreaElem | Joint | OutputCase | S11Bot KN/m2 | S22Bot KN/m2 | S12Bot KN/m2 |
|------|----------|-------|----------------|-----------------|-----------------|-----------------|
| 184 | 184 | 70 | Q_neve | 1.156E-12 | 8.888E-13 | 2.280E-13 |
| 184 | 184 | 68 | Q_neve | 8.763E-13 | 5.171E-13 | 2.280E-13 |
| 185 | 185 | 69 | DEAD | 8.048E-12 | -5.855E-13 | 7.298E-13 |
| 185 | 185 | 71 | DEAD | 8.119E-12 | 3.194E-12 | 4.138E-13 |
| 185 | 185 | 72 | DEAD | 5.362E-12 | 3.048E-12 | 7.298E-13 |
| 185 | 185 | 70 | DEAD | 1.049E-11 | 5.564E-12 | 1.046E-12 |
| 185 | 185 | 69 | G1_smistamento | 62.98 | 9.729E-02 | -17.59 |
| 185 | 185 | 71 | G1_smistamento | 51.55 | 3.528E-02 | -15.6 |
| 185 | 185 | 72 | G1_smistamento | 66.92 | 53.93 | -14.46 |
| 185 | 185 | 70 | G1_smistamento | 78.99 | 53.31 | -16.45 |
| 185 | 185 | 69 | G2_smistamento | 23.35 | 3.607E-02 | -6.52 |
| 185 | 185 | 71 | G2_smistamento | 19.11 | 1.308E-02 | -5.78 |
| 185 | 185 | 72 | G2_smistamento | 24.81 | 19.99 | -5.36 |
| 185 | 185 | 70 | G2_smistamento | 29.28 | 19.76 | -6.1 |
| 185 | 185 | 69 | Q_smistamento | 23.35 | 3.607E-02 | -6.52 |
| 185 | 185 | 71 | Q_smistamento | 19.11 | 1.308E-02 | -5.78 |
| 185 | 185 | 72 | Q_smistamento | 24.81 | 19.99 | -5.36 |
| 185 | 185 | 70 | Q_smistamento | 29.28 | 19.76 | -6.1 |
| 185 | 185 | 69 | Q_neve | 1.938E-12 | -1.692E-14 | 9.122E-14 |
| 185 | 185 | 71 | Q_neve | 1.067E-12 | 6.789E-14 | 5.172E-14 |
| 185 | 185 | 72 | Q_neve | 1.237E-12 | 9.804E-13 | 9.122E-14 |
| 185 | 185 | 70 | Q_neve | 2.006E-12 | 1.203E-12 | 1.307E-13 |
| 186 | 186 | 71 | DEAD | 8.026E-12 | 3.175E-12 | 6.809E-13 |
| 186 | 186 | 73 | DEAD | 2.128E-12 | -3.564E-12 | 6.809E-13 |
| 186 | 186 | 74 | DEAD | 3.286E-12 | 4.123E-12 | 4.888E-14 |
| 186 | 186 | 72 | DEAD | 7.815E-12 | 4.020E-12 | 4.888E-14 |
| 186 | 186 | 71 | G1_smistamento | 51.5 | 2.533E-02 | -13.97 |
| 186 | 186 | 73 | G1_smistamento | 33.85 | -6.776E-03 | -12.27 |
| 186 | 186 | 74 | G1_smistamento | 48.51 | 53.87 | -10.72 |
| 186 | 186 | 72 | G1_smistamento | 66.88 | 53.92 | -12.42 |
| 186 | 186 | 71 | G2_smistamento | 19.09 | 9.388E-03 | -5.18 |
| 186 | 186 | 73 | G2_smistamento | 12.55 | -2.512E-03 | -4.55 |
| 186 | 186 | 74 | G2_smistamento | 17.98 | 19.97 | -3.98 |
| 186 | 186 | 72 | G2_smistamento | 24.79 | 19.99 | -4.6 |
| 186 | 186 | 71 | Q_smistamento | 19.09 | 9.388E-03 | -5.18 |
| 186 | 186 | 73 | Q_smistamento | 12.55 | -2.512E-03 | -4.55 |
| 186 | 186 | 74 | Q_smistamento | 17.98 | 19.97 | -3.98 |
| 186 | 186 | 72 | Q_smistamento | 24.79 | 19.99 | -4.6 |

Table 21: Element Stresses - Area Shells, Part 2 of 3

| Area | AreaElem | Joint | OutputCase | S11Bot KN/m2 | S22Bot KN/m2 | S12Bot KN/m2 |
|------|----------|-------|----------------|-----------------|-----------------|-----------------|
| 186 | 186 | 71 | Q_neve | 1.904E-12 | 3.821E-13 | 1.474E-13 |
| 186 | 186 | 73 | Q_neve | 1.060E-13 | -9.314E-13 | 1.474E-13 |
| 186 | 186 | 74 | Q_neve | 9.067E-13 | 1.083E-12 | -1.058E-14 |
| 186 | 186 | 72 | Q_neve | 1.439E-12 | 9.942E-13 | -1.058E-14 |
| 187 | 187 | 73 | DEAD | 4.159E-12 | -3.719E-12 | -8.633E-13 |
| 187 | 187 | 75 | DEAD | -1.349E-12 | 8.406E-13 | -8.633E-13 |
| 187 | 187 | 76 | DEAD | 1.315E-12 | 4.813E-12 | -2.313E-13 |
| 187 | 187 | 74 | DEAD | 2.443E-12 | 4.633E-12 | -2.313E-13 |
| 187 | 187 | 73 | G1_smistamento | 33.8 | -1.671E-02 | -10.66 |
| 187 | 187 | 75 | G1_smistamento | 17. | -2.614E-02 | -9.21 |
| 187 | 187 | 76 | G1_smistamento | 31.1 | 53.74 | -7.76 |
| 187 | 187 | 74 | G1_smistamento | 48.5 | 53.87 | -9.21 |
| 187 | 187 | 73 | G2_smistamento | 12.53 | -6.193E-03 | -3.95 |
| 187 | 187 | 75 | G2_smistamento | 6.3 | -9.692E-03 | -3.42 |
| 187 | 187 | 76 | G2_smistamento | 11.53 | 19.92 | -2.88 |
| 187 | 187 | 74 | G2_smistamento | 17.98 | 19.97 | -3.41 |
| 187 | 187 | 73 | Q_smistamento | 12.53 | -6.193E-03 | -3.95 |
| 187 | 187 | 75 | Q_smistamento | 6.3 | -9.692E-03 | -3.42 |
| 187 | 187 | 76 | Q_smistamento | 11.53 | 19.92 | -2.88 |
| 187 | 187 | 74 | Q_smistamento | 17.98 | 19.97 | -3.41 |
| 187 | 187 | 73 | Q_neve | 6.209E-13 | -7.036E-13 | -2.014E-13 |
| 187 | 187 | 75 | Q_neve | -7.192E-14 | 7.118E-13 | -2.409E-13 |
| 187 | 187 | 76 | Q_neve | 6.505E-13 | 6.295E-13 | -3.874E-15 |
| 187 | 187 | 74 | Q_neve | 2.145E-13 | 9.587E-13 | 3.563E-14 |
| 188 | 188 | 75 | DEAD | -3.583E-12 | 3.995E-13 | 3.828E-13 |
| 188 | 188 | 77 | DEAD | 1.464E-12 | 2.140E-12 | 6.678E-14 |
| 188 | 188 | 78 | DEAD | -3.030E-12 | -6.275E-13 | -5.652E-13 |
| 188 | 188 | 76 | DEAD | 1.227E-12 | 4.747E-12 | -2.492E-13 |
| 188 | 188 | 75 | G1_smistamento | 16.95 | -3.516E-02 | -7.7 |
| 188 | 188 | 77 | G1_smistamento | 4.15 | -3.097E-02 | -6.44 |
| 188 | 188 | 78 | G1_smistamento | 17.82 | 53.72 | -5.31 |
| 188 | 188 | 76 | G1_smistamento | 31.1 | 53.74 | -6.57 |
| 188 | 188 | 75 | G2_smistamento | 6.29 | -1.303E-02 | -2.86 |
| 188 | 188 | 77 | G2_smistamento | 1.54 | -1.148E-02 | -2.39 |
| 188 | 188 | 78 | G2_smistamento | 6.61 | 19.91 | -1.97 |
| 188 | 188 | 76 | G2_smistamento | 11.53 | 19.92 | -2.44 |
| 188 | 188 | 75 | Q_smistamento | 6.29 | -1.303E-02 | -2.86 |
| 188 | 188 | 77 | Q_smistamento | 1.54 | -1.148E-02 | -2.39 |

Table 21: Element Stresses - Area Shells, Part 2 of 3

| Area | AreaElem | Joint | OutputCase | S11Bot KN/m2 | S22Bot KN/m2 | S12Bot KN/m2 |
|------|----------|-------|----------------|-----------------|-----------------|-----------------|
| 188 | 188 | 78 | Q_smistamento | 6.61 | 19.91 | -1.97 |
| 188 | 188 | 76 | Q_smistamento | 11.53 | 19.92 | -2.44 |
| 188 | 188 | 75 | Q_neve | -2.404E-13 | 6.368E-13 | 1.725E-13 |
| 188 | 188 | 77 | Q_neve | 1.528E-14 | 2.266E-13 | 1.330E-13 |
| 188 | 188 | 78 | Q_neve | -6.946E-13 | 2.455E-14 | -1.040E-13 |
| 188 | 188 | 76 | Q_neve | 2.128E-13 | 5.031E-13 | -6.454E-14 |
| 189 | 189 | 77 | DEAD | -2.005E-12 | 4.425E-13 | -3.160E-13 |
| 189 | 189 | 79 | DEAD | 8.171E-13 | 4.009E-13 | 0. |
| 189 | 189 | 80 | DEAD | 1.116E-12 | 2.773E-12 | 3.160E-13 |
| 189 | 189 | 78 | DEAD | 6.196E-13 | 1.309E-12 | 0. |
| 189 | 189 | 77 | G1_smistamento | 4.11 | -3.864E-02 | -5.06 |
| 189 | 189 | 79 | G1_smistamento | -4.02 | -2.995E-02 | -3.95 |
| 189 | 189 | 80 | G1_smistamento | 9.36 | 53.79 | -3.21 |
| 189 | 189 | 78 | G1_smistamento | 17.83 | 53.72 | -4.33 |
| 189 | 189 | 77 | G2_smistamento | 1.52 | -1.432E-02 | -1.88 |
| 189 | 189 | 79 | G2_smistamento | -1.49 | -1.110E-02 | -1.46 |
| 189 | 189 | 80 | G2_smistamento | 3.47 | 19.94 | -1.19 |
| 189 | 189 | 78 | G2_smistamento | 6.61 | 19.91 | -1.6 |
| 189 | 189 | 77 | Q_smistamento | 1.52 | -1.432E-02 | -1.88 |
| 189 | 189 | 79 | Q_smistamento | -1.49 | -1.110E-02 | -1.46 |
| 189 | 189 | 80 | Q_smistamento | 3.47 | 19.94 | -1.19 |
| 189 | 189 | 78 | Q_smistamento | 6.61 | 19.91 | -1.6 |
| 189 | 189 | 77 | Q_neve | 2.285E-13 | 2.712E-13 | -1.307E-13 |
| 189 | 189 | 79 | Q_neve | -5.604E-13 | -4.358E-13 | -5.172E-14 |
| 189 | 189 | 80 | Q_neve | 3.075E-13 | 9.032E-13 | -5.172E-14 |
| 189 | 189 | 78 | Q_neve | -6.670E-14 | -1.001E-13 | -1.307E-13 |
| 190 | 190 | 79 | DEAD | 1.443E-12 | -2.458E-13 | -8.467E-14 |
| 190 | 190 | 81 | DEAD | -7.855E-13 | 2.948E-12 | 5.473E-13 |
| 190 | 190 | 82 | DEAD | 2.707E-12 | 5.126E-12 | 1.179E-12 |
| 190 | 190 | 80 | DEAD | 5.575E-13 | 3.027E-12 | 5.473E-13 |
| 190 | 190 | 79 | G1_smistamento | -4.05 | -3.524E-02 | -2.7 |
| 190 | 190 | 81 | G1_smistamento | -7.9 | -2.911E-02 | -1.67 |
| 190 | 190 | 82 | G1_smistamento | 5.35 | 53.85 | -1.31 |
| 190 | 190 | 80 | G1_smistamento | 9.37 | 53.79 | -2.34 |
| 190 | 190 | 79 | G2_smistamento | -1.5 | -1.307E-02 | -1. |
| 190 | 190 | 81 | G2_smistamento | -2.93 | -1.079E-02 | -0.62 |
| 190 | 190 | 82 | G2_smistamento | 1.98 | 19.96 | -0.49 |
| 190 | 190 | 80 | G2_smistamento | 3.47 | 19.94 | -0.87 |

Table 21: Element Stresses - Area Shells, Part 2 of 3

| Area | AreaElem | Joint | OutputCase | S11Bot KN/m2 | S22Bot KN/m2 | S12Bot KN/m2 |
|------|----------|-------|----------------|-----------------|-----------------|-----------------|
| 190 | 190 | 79 | Q_smistamento | -1.5 | -1.307E-02 | -1. |
| 190 | 190 | 81 | Q_smistamento | -2.93 | -1.079E-02 | -0.62 |
| 190 | 190 | 82 | Q_smistamento | 1.98 | 19.96 | -0.49 |
| 190 | 190 | 80 | Q_smistamento | 3.47 | 19.94 | -0.87 |
| 190 | 190 | 79 | Q_neve | -4.394E-13 | -6.247E-13 | 6.394E-14 |
| 190 | 190 | 81 | Q_neve | 6.525E-13 | 9.962E-13 | 1.429E-13 |
| 190 | 190 | 82 | Q_neve | 5.876E-13 | 9.553E-13 | 3.009E-13 |
| 190 | 190 | 80 | Q_neve | 3.167E-13 | 9.764E-13 | 2.219E-13 |
| 191 | 191 | 81 | DEAD | 4.765E-12 | 2.918E-12 | 1.411E-12 |
| 191 | 191 | 83 | DEAD | -1.358E-12 | -1.794E-12 | 1.411E-12 |
| 191 | 191 | 84 | DEAD | 4.449E-12 | 7.025E-12 | 7.786E-13 |
| 191 | 191 | 82 | DEAD | 2.908E-12 | 6.264E-12 | 7.786E-13 |
| 191 | 191 | 81 | G1_smistamento | -7.91 | -3.101E-02 | -0.5 |
| 191 | 191 | 83 | G1_smistamento | -7.91 | -3.101E-02 | 0.5 |
| 191 | 191 | 84 | G1_smistamento | 5.35 | 53.85 | 0.5 |
| 191 | 191 | 82 | G1_smistamento | 5.35 | 53.85 | -0.5 |
| 191 | 191 | 81 | G2_smistamento | -2.93 | -1.150E-02 | -0.18 |
| 191 | 191 | 83 | G2_smistamento | -2.93 | -1.150E-02 | 0.18 |
| 191 | 191 | 84 | G2_smistamento | 1.98 | 19.96 | 0.18 |
| 191 | 191 | 82 | G2_smistamento | 1.98 | 19.96 | -0.18 |
| 191 | 191 | 81 | Q_smistamento | -2.93 | -1.150E-02 | -0.18 |
| 191 | 191 | 83 | Q_smistamento | -2.93 | -1.150E-02 | 0.18 |
| 191 | 191 | 84 | Q_smistamento | 1.98 | 19.96 | 0.18 |
| 191 | 191 | 82 | Q_smistamento | 1.98 | 19.96 | -0.18 |
| 191 | 191 | 81 | Q_neve | 3.449E-13 | 8.071E-13 | 3.755E-13 |
| 191 | 191 | 83 | Q_neve | 4.102E-13 | -4.621E-13 | 4.150E-13 |
| 191 | 191 | 84 | Q_neve | 8.979E-13 | 1.439E-12 | 2.175E-13 |
| 191 | 191 | 82 | Q_neve | 6.274E-13 | 8.612E-13 | 1.780E-13 |
| 192 | 192 | 83 | DEAD | 2.568E-12 | -5.867E-13 | 1.375E-12 |
| 192 | 192 | 85 | DEAD | -4.722E-12 | 1.998E-12 | 2.323E-12 |
| 192 | 192 | 86 | DEAD | 4.227E-12 | 3.916E-12 | 2.639E-12 |
| 192 | 192 | 84 | DEAD | 5.712E-13 | 5.711E-12 | 1.691E-12 |
| 192 | 192 | 83 | G1_smistamento | -7.9 | -2.911E-02 | 1.67 |
| 192 | 192 | 85 | G1_smistamento | -4.05 | -3.524E-02 | 2.7 |
| 192 | 192 | 86 | G1_smistamento | 9.37 | 53.79 | 2.34 |
| 192 | 192 | 84 | G1_smistamento | 5.35 | 53.85 | 1.31 |
| 192 | 192 | 83 | G2_smistamento | -2.93 | -1.079E-02 | 0.62 |
| 192 | 192 | 85 | G2_smistamento | -1.5 | -1.307E-02 | 1. |

Table 21: Element Stresses - Area Shells, Part 2 of 3

| Area | AreaElem | Joint | OutputCase | S11Bot KN/m2 | S22Bot KN/m2 | S12Bot KN/m2 |
|------|----------|-------|----------------|-----------------|-----------------|-----------------|
| 192 | 192 | 86 | G2_smistamento | 3.47 | 19.94 | 0.87 |
| 192 | 192 | 84 | G2_smistamento | 1.98 | 19.96 | 0.49 |
| 192 | 192 | 83 | Q_smistamento | -2.93 | -1.079E-02 | 0.62 |
| 192 | 192 | 85 | Q_smistamento | -1.5 | -1.307E-02 | 1. |
| 192 | 192 | 86 | Q_smistamento | 3.47 | 19.94 | 0.87 |
| 192 | 192 | 84 | Q_smistamento | 1.98 | 19.96 | 0.49 |
| 192 | 192 | 83 | Q_neve | 4.956E-13 | -4.323E-13 | 2.008E-13 |
| 192 | 192 | 85 | Q_neve | -1.020E-12 | 4.520E-13 | 3.588E-13 |
| 192 | 192 | 86 | Q_neve | 8.214E-13 | 7.231E-13 | 4.378E-13 |
| 192 | 192 | 84 | Q_neve | -2.298E-14 | 1.173E-12 | 2.798E-13 |
| 193 | 193 | 85 | DEAD | 2.908E-12 | 5.249E-12 | 2.621E-12 |
| 193 | 193 | 87 | DEAD | -4.031E-12 | -1.309E-13 | 1.989E-12 |
| 193 | 193 | 88 | DEAD | -2.977E-12 | 4.261E-12 | 2.305E-12 |
| 193 | 193 | 86 | DEAD | -2.788E-13 | 1.568E-12 | 2.937E-12 |
| 193 | 193 | 85 | G1_smistamento | -4.02 | -2.995E-02 | 3.95 |
| 193 | 193 | 87 | G1_smistamento | 4.11 | -3.864E-02 | 5.06 |
| 193 | 193 | 88 | G1_smistamento | 17.83 | 53.72 | 4.33 |
| 193 | 193 | 86 | G1_smistamento | 9.36 | 53.79 | 3.21 |
| 193 | 193 | 85 | G2_smistamento | -1.49 | -1.110E-02 | 1.46 |
| 193 | 193 | 87 | G2_smistamento | 1.52 | -1.432E-02 | 1.88 |
| 193 | 193 | 88 | G2_smistamento | 6.61 | 19.91 | 1.6 |
| 193 | 193 | 86 | G2_smistamento | 3.47 | 19.94 | 1.19 |
| 193 | 193 | 85 | Q_smistamento | -1.49 | -1.110E-02 | 1.46 |
| 193 | 193 | 87 | Q_smistamento | 1.52 | -1.432E-02 | 1.88 |
| 193 | 193 | 88 | Q_smistamento | 6.61 | 19.91 | 1.6 |
| 193 | 193 | 86 | Q_smistamento | 3.47 | 19.94 | 1.19 |
| 193 | 193 | 85 | Q_neve | 5.279E-13 | 6.702E-13 | 5.496E-13 |
| 193 | 193 | 87 | Q_neve | -8.776E-13 | 1.174E-13 | 4.706E-13 |
| 193 | 193 | 88 | Q_neve | -5.471E-14 | 6.011E-13 | 4.311E-13 |
| 193 | 193 | 86 | Q_neve | -3.938E-13 | 6.408E-13 | 5.101E-13 |
| 194 | 194 | 87 | DEAD | -3.249E-12 | 2.045E-13 | 3.004E-12 |
| 194 | 194 | 89 | DEAD | 2.680E-12 | 5.303E-13 | 2.688E-12 |
| 194 | 194 | 90 | DEAD | 1.333E-12 | 2.258E-12 | 1.740E-12 |
| 194 | 194 | 88 | DEAD | -1.586E-12 | 3.848E-12 | 2.056E-12 |
| 194 | 194 | 87 | G1_smistamento | 4.15 | -3.097E-02 | 6.44 |
| 194 | 194 | 89 | G1_smistamento | 16.95 | -3.516E-02 | 7.7 |
| 194 | 194 | 90 | G1_smistamento | 31.1 | 53.74 | 6.57 |
| 194 | 194 | 88 | G1_smistamento | 17.82 | 53.72 | 5.31 |

Table 21: Element Stresses - Area Shells, Part 2 of 3

| Area | AreaElem | Joint | OutputCase | S11Bot KN/m2 | S22Bot KN/m2 | S12Bot KN/m2 |
|------|----------|-------|----------------|-----------------|-----------------|-----------------|
| 194 | 194 | 87 | G2_smistamento | 1.54 | -1.148E-02 | 2.39 |
| 194 | 194 | 89 | G2_smistamento | 6.29 | -1.303E-02 | 2.86 |
| 194 | 194 | 90 | G2_smistamento | 11.53 | 19.92 | 2.44 |
| 194 | 194 | 88 | G2_smistamento | 6.61 | 19.91 | 1.97 |
| 194 | 194 | 87 | Q_smistamento | 1.54 | -1.148E-02 | 2.39 |
| 194 | 194 | 89 | Q_smistamento | 6.29 | -1.303E-02 | 2.86 |
| 194 | 194 | 90 | Q_smistamento | 11.53 | 19.92 | 2.44 |
| 194 | 194 | 88 | Q_smistamento | 6.61 | 19.91 | 1.97 |
| 194 | 194 | 87 | Q_neve | -6.523E-13 | 1.031E-13 | 5.123E-13 |
| 194 | 194 | 89 | Q_neve | 5.838E-13 | -9.823E-14 | 4.728E-13 |
| 194 | 194 | 90 | Q_neve | 2.760E-13 | 4.784E-13 | 3.543E-13 |
| 194 | 194 | 88 | Q_neve | -3.444E-13 | 4.745E-13 | 3.938E-13 |
| 195 | 195 | 89 | DEAD | -1.799E-12 | -7.175E-13 | 1.824E-12 |
| 195 | 195 | 91 | DEAD | 4.724E-12 | 3.593E-12 | 1.824E-12 |
| 195 | 195 | 92 | DEAD | 8.869E-13 | -5.595E-13 | 1.824E-12 |
| 195 | 195 | 90 | DEAD | 9.318E-13 | 1.697E-12 | 1.824E-12 |
| 195 | 195 | 89 | G1_smistamento | 17. | -2.614E-02 | 9.21 |
| 195 | 195 | 91 | G1_smistamento | 33.8 | -1.671E-02 | 10.66 |
| 195 | 195 | 92 | G1_smistamento | 48.5 | 53.87 | 9.21 |
| 195 | 195 | 90 | G1_smistamento | 31.1 | 53.74 | 7.76 |
| 195 | 195 | 89 | G2_smistamento | 6.3 | -9.692E-03 | 3.42 |
| 195 | 195 | 91 | G2_smistamento | 12.53 | -6.193E-03 | 3.95 |
| 195 | 195 | 92 | G2_smistamento | 17.98 | 19.97 | 3.41 |
| 195 | 195 | 90 | G2_smistamento | 11.53 | 19.92 | 2.88 |
| 195 | 195 | 89 | Q_smistamento | 6.3 | -9.692E-03 | 3.42 |
| 195 | 195 | 91 | Q_smistamento | 12.53 | -6.193E-03 | 3.95 |
| 195 | 195 | 92 | Q_smistamento | 17.98 | 19.97 | 3.41 |
| 195 | 195 | 90 | Q_smistamento | 11.53 | 19.92 | 2.88 |
| 195 | 195 | 89 | Q_neve | -2.655E-13 | -2.026E-13 | 3.649E-13 |
| 195 | 195 | 91 | Q_neve | 9.252E-13 | 3.639E-13 | 3.649E-13 |
| 195 | 195 | 92 | Q_neve | 6.133E-13 | 1.627E-13 | 3.649E-13 |
| 195 | 195 | 90 | Q_neve | -2.696E-13 | 3.145E-13 | 3.649E-13 |
| 196 | 196 | 91 | DEAD | 4.275E-12 | 3.690E-12 | 1.727E-12 |
| 196 | 196 | 93 | DEAD | 1.118E-11 | -2.686E-12 | 1.095E-12 |
| 196 | 196 | 94 | DEAD | 8.541E-12 | 5.112E-12 | 4.626E-13 |
| 196 | 196 | 92 | DEAD | 3.829E-12 | -5.527E-13 | 1.095E-12 |
| 196 | 196 | 91 | G1_smistamento | 33.85 | -6.776E-03 | 12.27 |
| 196 | 196 | 93 | G1_smistamento | 51.5 | 2.533E-02 | 13.97 |

Table 21: Element Stresses - Area Shells, Part 2 of 3

| Area | AreaElem | Joint | OutputCase | S11Bot KN/m2 | S22Bot KN/m2 | S12Bot KN/m2 |
|------|----------|-------|----------------|-----------------|-----------------|-----------------|
| 196 | 196 | 94 | G1_smistamento | 66.88 | 53.92 | 12.42 |
| 196 | 196 | 92 | G1_smistamento | 48.51 | 53.87 | 10.72 |
| 196 | 196 | 91 | G2_smistamento | 12.55 | -2.512E-03 | 4.55 |
| 196 | 196 | 93 | G2_smistamento | 19.09 | 9.388E-03 | 5.18 |
| 196 | 196 | 94 | G2_smistamento | 24.79 | 19.99 | 4.6 |
| 196 | 196 | 92 | G2_smistamento | 17.98 | 19.97 | 3.98 |
| 196 | 196 | 91 | Q_smistamento | 12.55 | -2.512E-03 | 4.55 |
| 196 | 196 | 93 | Q_smistamento | 19.09 | 9.388E-03 | 5.18 |
| 196 | 196 | 94 | Q_smistamento | 24.79 | 19.99 | 4.6 |
| 196 | 196 | 92 | Q_smistamento | 17.98 | 19.97 | 3.98 |
| 196 | 196 | 91 | Q_neve | 6.386E-13 | 1.864E-13 | 3.694E-13 |
| 196 | 196 | 93 | Q_neve | 2.273E-12 | -6.616E-13 | 2.114E-13 |
| 196 | 196 | 94 | Q_neve | 1.340E-12 | 1.085E-12 | 1.324E-13 |
| 196 | 196 | 92 | Q_neve | 1.177E-12 | 2.568E-13 | 2.904E-13 |
| 197 | 197 | 93 | DEAD | 1.358E-11 | -5.956E-13 | -1.277E-12 |
| 197 | 197 | 95 | DEAD | 6.825E-12 | 8.842E-13 | -1.909E-12 |
| 197 | 197 | 96 | DEAD | 1.192E-11 | 4.381E-12 | -1.277E-12 |
| 197 | 197 | 94 | DEAD | 6.904E-12 | 3.175E-12 | -6.451E-13 |
| 197 | 197 | 93 | G1_smistamento | 51.55 | 3.528E-02 | 15.6 |
| 197 | 197 | 95 | G1_smistamento | 62.98 | 9.729E-02 | 17.59 |
| 197 | 197 | 96 | G1_smistamento | 78.99 | 53.31 | 16.45 |
| 197 | 197 | 94 | G1_smistamento | 66.92 | 53.93 | 14.46 |
| 197 | 197 | 93 | G2_smistamento | 19.11 | 1.308E-02 | 5.78 |
| 197 | 197 | 95 | G2_smistamento | 23.35 | 3.607E-02 | 6.52 |
| 197 | 197 | 96 | G2_smistamento | 29.28 | 19.76 | 6.1 |
| 197 | 197 | 94 | G2_smistamento | 24.81 | 19.99 | 5.36 |
| 197 | 197 | 93 | Q_smistamento | 19.11 | 1.308E-02 | 5.78 |
| 197 | 197 | 95 | Q_smistamento | 23.35 | 3.607E-02 | 6.52 |
| 197 | 197 | 96 | Q_smistamento | 29.28 | 19.76 | 6.1 |
| 197 | 197 | 94 | Q_smistamento | 24.81 | 19.99 | 5.36 |
| 197 | 197 | 93 | Q_neve | 2.445E-12 | -6.150E-13 | -2.509E-13 |
| 197 | 197 | 95 | Q_neve | 1.257E-12 | 2.654E-13 | -3.694E-13 |
| 197 | 197 | 96 | Q_neve | 1.962E-12 | 7.576E-13 | -2.509E-13 |
| 197 | 197 | 94 | Q_neve | 1.405E-12 | 1.006E-12 | -1.324E-13 |
| 198 | 198 | 95 | DEAD | 8.310E-12 | 1.422E-12 | -9.611E-13 |
| 198 | 198 | 97 | DEAD | 4.929E-12 | -1.706E-12 | -9.611E-13 |
| 198 | 198 | 98 | DEAD | 4.597E-12 | 1.817E-12 | -1.593E-12 |
| 198 | 198 | 96 | DEAD | 8.800E-12 | 2.481E-12 | -1.593E-12 |

Table 21: Element Stresses - Area Shells, Part 2 of 3

| Area | AreaElem | Joint | OutputCase | S11Bot KN/m2 | S22Bot KN/m2 | S12Bot KN/m2 |
|------|----------|-------|----------------|-----------------|-----------------|-----------------|
| 198 | 198 | 95 | G1_smistamento | 62.98 | 9.774E-02 | 19.16 |
| 198 | 198 | 97 | G1_smistamento | 57.43 | 0.15 | 21.29 |
| 198 | 198 | 98 | G1_smistamento | 72.77 | 50.75 | 21.25 |
| 198 | 198 | 96 | G1_smistamento | 79.05 | 53.33 | 19.13 |
| 198 | 198 | 95 | G2_smistamento | 23.35 | 3.624E-02 | 7.1 |
| 198 | 198 | 97 | G2_smistamento | 21.29 | 5.656E-02 | 7.89 |
| 198 | 198 | 98 | G2_smistamento | 26.98 | 18.81 | 7.88 |
| 198 | 198 | 96 | G2_smistamento | 29.3 | 19.77 | 7.09 |
| 198 | 198 | 95 | Q_smistamento | 23.35 | 3.624E-02 | 7.1 |
| 198 | 198 | 97 | Q_smistamento | 21.29 | 5.656E-02 | 7.89 |
| 198 | 198 | 98 | Q_smistamento | 26.98 | 18.81 | 7.88 |
| 198 | 198 | 96 | Q_smistamento | 29.3 | 19.77 | 7.09 |
| 198 | 198 | 95 | Q_neve | 1.279E-12 | 1.264E-13 | -1.491E-13 |
| 198 | 198 | 97 | Q_neve | 1.263E-12 | -3.510E-13 | -1.096E-13 |
| 198 | 198 | 98 | Q_neve | 1.052E-12 | 1.758E-13 | -3.070E-13 |
| 198 | 198 | 96 | Q_neve | 1.924E-12 | 8.242E-13 | -3.465E-13 |
| 199 | 199 | 97 | DEAD | 2.212E-12 | -2.089E-12 | -1.593E-12 |
| 199 | 199 | 60 | DEAD | 3.398E-12 | 8.770E-13 | -1.593E-12 |
| 199 | 199 | 6 | DEAD | 5.928E-13 | 2.416E-13 | -9.611E-13 |
| 199 | 199 | 98 | DEAD | 5.017E-12 | 2.338E-12 | -9.611E-13 |
| 199 | 199 | 97 | G1_smistamento | 56.52 | -2.982E-02 | 22.29 |
| 199 | 199 | 60 | G1_smistamento | 34.96 | 0.4 | 21.2 |
| 199 | 199 | 6 | G1_smistamento | 31.89 | 44.22 | 22.58 |
| 199 | 199 | 98 | G1_smistamento | 73.05 | 50.81 | 23.68 |
| 199 | 199 | 97 | G2_smistamento | 20.95 | -1.106E-02 | 8.26 |
| 199 | 199 | 60 | G2_smistamento | 12.96 | 0.15 | 7.86 |
| 199 | 199 | 6 | G2_smistamento | 11.82 | 16.39 | 8.37 |
| 199 | 199 | 98 | G2_smistamento | 27.08 | 18.84 | 8.78 |
| 199 | 199 | 97 | Q_smistamento | 20.95 | -1.106E-02 | 8.26 |
| 199 | 199 | 60 | Q_smistamento | 12.96 | 0.15 | 7.86 |
| 199 | 199 | 6 | Q_smistamento | 11.82 | 16.39 | 8.37 |
| 199 | 199 | 98 | Q_smistamento | 27.08 | 18.84 | 8.78 |
| 199 | 199 | 97 | Q_neve | 4.734E-13 | -4.233E-13 | -2.842E-13 |
| 199 | 199 | 60 | Q_neve | 7.809E-13 | 6.742E-13 | -2.842E-13 |
| 199 | 199 | 6 | Q_neve | -4.010E-14 | -1.468E-13 | -1.262E-13 |
| 199 | 199 | 98 | Q_neve | 1.294E-12 | 3.977E-13 | -1.262E-13 |
| 200 | 200 | 61 | DEAD | -6.539E-13 | 2.120E-12 | -7.053E-13 |
| 200 | 200 | 99 | DEAD | -3.353E-12 | 2.630E-14 | -5.050E-13 |

Table 21: Element Stresses - Area Shells, Part 2 of 3

| Area | AreaElem | Joint | OutputCase | S11Bot KN/m2 | S22Bot KN/m2 | S12Bot KN/m2 |
|------|----------|-------|----------------|-----------------|-----------------|-----------------|
| 200 | 200 | 100 | DEAD | 5.192E-12 | 1.962E-12 | -3.893E-13 |
| 200 | 200 | 6 | DEAD | 3.718E-12 | 1.251E-12 | -1.137E-12 |
| 200 | 200 | 61 | G1_smistamento | 0.5 | 44.34 | 17.55 |
| 200 | 200 | 99 | G1_smistamento | -8.144E-02 | 82.51 | 16.19 |
| 200 | 200 | 100 | G1_smistamento | 37.31 | 103.17 | 19.25 |
| 200 | 200 | 6 | G1_smistamento | 31.95 | 44.02 | 20.61 |
| 200 | 200 | 61 | G2_smistamento | 0.18 | 16.44 | 6.51 |
| 200 | 200 | 99 | G2_smistamento | -3.019E-02 | 30.59 | 6. |
| 200 | 200 | 100 | G2_smistamento | 13.83 | 38.25 | 7.13 |
| 200 | 200 | 6 | G2_smistamento | 11.84 | 16.32 | 7.64 |
| 200 | 200 | 61 | Q_smistamento | 0.18 | 16.44 | 6.51 |
| 200 | 200 | 99 | Q_smistamento | -3.019E-02 | 30.59 | 6. |
| 200 | 200 | 100 | Q_smistamento | 13.83 | 38.25 | 7.13 |
| 200 | 200 | 6 | Q_smistamento | 11.84 | 16.32 | 7.64 |
| 200 | 200 | 61 | Q_neve | 2.489E-13 | 2.487E-13 | -1.816E-13 |
| 200 | 200 | 99 | Q_neve | -5.632E-13 | 2.065E-13 | -1.171E-13 |
| 200 | 200 | 100 | Q_neve | 1.108E-12 | 5.153E-13 | -2.362E-14 |
| 200 | 200 | 6 | Q_neve | 2.268E-13 | -1.095E-13 | -1.566E-13 |
| 201 | 201 | 99 | DEAD | -2.395E-12 | 2.044E-12 | -1.467E-13 |
| 201 | 201 | 101 | DEAD | 5.348E-13 | -2.384E-12 | -1.411E-12 |
| 201 | 201 | 102 | DEAD | 4.083E-12 | 6.942E-12 | -2.043E-12 |
| 201 | 201 | 100 | DEAD | 3.616E-12 | 6.967E-13 | -7.786E-13 |
| 201 | 201 | 99 | G1_smistamento | 0.14 | 83.62 | 12.36 |
| 201 | 201 | 101 | G1_smistamento | 0.12 | 106.43 | 7.21 |
| 201 | 201 | 102 | G1_smistamento | 39.08 | 127.15 | 8.8 |
| 201 | 201 | 100 | G1_smistamento | 37.25 | 102.86 | 13.95 |
| 201 | 201 | 99 | G2_smistamento | 5.146E-02 | 31. | 4.58 |
| 201 | 201 | 101 | G2_smistamento | 4.566E-02 | 39.46 | 2.67 |
| 201 | 201 | 102 | G2_smistamento | 14.49 | 47.14 | 3.26 |
| 201 | 201 | 100 | G2_smistamento | 13.81 | 38.13 | 5.17 |
| 201 | 201 | 99 | Q_smistamento | 5.146E-02 | 31. | 4.58 |
| 201 | 201 | 101 | Q_smistamento | 4.566E-02 | 39.46 | 2.67 |
| 201 | 201 | 102 | Q_smistamento | 14.49 | 47.14 | 3.26 |
| 201 | 201 | 100 | Q_smistamento | 13.81 | 38.13 | 5.17 |
| 201 | 201 | 99 | Q_neve | -3.883E-13 | 6.886E-13 | -3.055E-14 |
| 201 | 201 | 101 | Q_neve | 1.563E-13 | -7.564E-13 | -3.070E-13 |
| 201 | 201 | 102 | Q_neve | 4.510E-13 | 8.565E-13 | -4.255E-13 |
| 201 | 201 | 100 | Q_neve | 1.035E-12 | 5.569E-13 | -1.491E-13 |

Table 21: Element Stresses - Area Shells, Part 2 of 3

| Area | AreaElem | Joint | OutputCase | S11Bot KN/m2 | S22Bot KN/m2 | S12Bot KN/m2 |
|------|----------|-------|----------------|-----------------|-----------------|-----------------|
| 202 | 202 | 101 | DEAD | 8.177E-13 | -1.091E-12 | -3.417E-12 |
| 202 | 202 | 103 | DEAD | -1.336E-12 | -4.862E-13 | -3.733E-12 |
| 202 | 202 | 104 | DEAD | 1.857E-13 | -4.594E-13 | -2.785E-12 |
| 202 | 202 | 102 | DEAD | 2.614E-12 | 3.038E-13 | -2.469E-12 |
| 202 | 202 | 101 | G1_smistamento | 0.14 | 106.5 | 2.67 |
| 202 | 202 | 103 | G1_smistamento | 0.14 | 106.5 | -2.67 |
| 202 | 202 | 104 | G1_smistamento | 39.07 | 127.12 | -2.67 |
| 202 | 202 | 102 | G1_smistamento | 39.07 | 127.12 | 2.67 |
| 202 | 202 | 101 | G2_smistamento | 5.038E-02 | 39.48 | 0.99 |
| 202 | 202 | 103 | G2_smistamento | 5.038E-02 | 39.48 | -0.99 |
| 202 | 202 | 104 | G2_smistamento | 14.48 | 47.12 | -0.99 |
| 202 | 202 | 102 | G2_smistamento | 14.48 | 47.12 | 0.99 |
| 202 | 202 | 101 | Q_smistamento | 5.038E-02 | 39.48 | 0.99 |
| 202 | 202 | 103 | Q_smistamento | 5.038E-02 | 39.48 | -0.99 |
| 202 | 202 | 104 | Q_smistamento | 14.48 | 47.12 | -0.99 |
| 202 | 202 | 102 | Q_smistamento | 14.48 | 47.12 | 0.99 |
| 202 | 202 | 101 | Q_neve | 6.265E-13 | 1.954E-13 | -6.719E-13 |
| 202 | 202 | 103 | Q_neve | -7.166E-13 | -3.923E-13 | -6.719E-13 |
| 202 | 202 | 104 | Q_neve | 3.598E-13 | -1.897E-13 | -5.139E-13 |
| 202 | 202 | 102 | Q_neve | 3.005E-13 | -4.669E-14 | -5.139E-13 |
| 203 | 203 | 103 | DEAD | -3.017E-13 | 2.283E-12 | -2.919E-12 |
| 203 | 203 | 105 | DEAD | -2.707E-12 | 6.177E-13 | -3.235E-12 |
| 203 | 203 | 106 | DEAD | 1.989E-12 | 6.154E-12 | -2.919E-12 |
| 203 | 203 | 104 | DEAD | -2.578E-13 | -2.305E-12 | -2.603E-12 |
| 203 | 203 | 103 | G1_smistamento | 0.12 | 106.43 | -7.21 |
| 203 | 203 | 105 | G1_smistamento | 0.14 | 83.62 | -12.36 |
| 203 | 203 | 106 | G1_smistamento | 37.25 | 102.86 | -13.95 |
| 203 | 203 | 104 | G1_smistamento | 39.08 | 127.15 | -8.8 |
| 203 | 203 | 103 | G2_smistamento | 4.566E-02 | 39.46 | -2.67 |
| 203 | 203 | 105 | G2_smistamento | 5.146E-02 | 31. | -4.58 |
| 203 | 203 | 106 | G2_smistamento | 13.81 | 38.13 | -5.17 |
| 203 | 203 | 104 | G2_smistamento | 14.49 | 47.14 | -3.26 |
| 203 | 203 | 103 | Q_smistamento | 4.566E-02 | 39.46 | -2.67 |
| 203 | 203 | 105 | Q_smistamento | 5.146E-02 | 31. | -4.58 |
| 203 | 203 | 106 | Q_smistamento | 13.81 | 38.13 | -5.17 |
| 203 | 203 | 104 | Q_smistamento | 14.49 | 47.14 | -3.26 |
| 203 | 203 | 103 | Q_neve | -4.246E-13 | 3.312E-14 | -5.701E-13 |
| 203 | 203 | 105 | Q_neve | -6.055E-13 | 4.870E-13 | -6.096E-13 |

Table 21: Element Stresses - Area Shells, Part 2 of 3

| Area | AreaElem | Joint | OutputCase | S11Bot KN/m2 | S22Bot KN/m2 | S12Bot KN/m2 |
|------|----------|-------|----------------|-----------------|-----------------|-----------------|
| 203 | 203 | 106 | Q_neve | 4.246E-13 | 1.198E-12 | -5.701E-13 |
| 203 | 203 | 104 | Q_neve | 2.635E-13 | -1.450E-13 | -5.306E-13 |
| 204 | 204 | 105 | DEAD | -8.425E-13 | 8.952E-12 | -2.372E-12 |
| 204 | 204 | 62 | DEAD | -1.384E-12 | 5.559E-13 | -1.740E-12 |
| 204 | 204 | 63 | DEAD | 2.712E-12 | 5.871E-12 | -2.372E-12 |
| 204 | 204 | 106 | DEAD | 1.065E-12 | 3.321E-12 | -3.004E-12 |
| 204 | 204 | 105 | G1_smistamento | -8.144E-02 | 82.51 | -16.19 |
| 204 | 204 | 62 | G1_smistamento | 0.5 | 44.34 | -17.55 |
| 204 | 204 | 63 | G1_smistamento | 31.95 | 44.02 | -20.61 |
| 204 | 204 | 106 | G1_smistamento | 37.31 | 103.17 | -19.25 |
| 204 | 204 | 105 | G2_smistamento | -3.019E-02 | 30.59 | -6. |
| 204 | 204 | 62 | G2_smistamento | 0.18 | 16.44 | -6.51 |
| 204 | 204 | 63 | G2_smistamento | 11.84 | 16.32 | -7.64 |
| 204 | 204 | 106 | G2_smistamento | 13.83 | 38.25 | -7.13 |
| 204 | 204 | 105 | Q_smistamento | -3.019E-02 | 30.59 | -6. |
| 204 | 204 | 62 | Q_smistamento | 0.18 | 16.44 | -6.51 |
| 204 | 204 | 63 | Q_smistamento | 11.84 | 16.32 | -7.64 |
| 204 | 204 | 106 | Q_smistamento | 13.83 | 38.25 | -7.13 |
| 204 | 204 | 105 | Q_neve | -5.411E-13 | 1.480E-12 | -4.850E-13 |
| 204 | 204 | 62 | Q_neve | 1.820E-13 | 3.895E-13 | -4.455E-13 |
| 204 | 204 | 63 | Q_neve | 2.390E-13 | 1.114E-12 | -5.640E-13 |
| 204 | 204 | 106 | Q_neve | 5.079E-13 | 5.968E-13 | -6.035E-13 |
| 205 | 205 | 64 | DEAD | -1.265E-12 | -1.332E-12 | -3.144E-12 |
| 205 | 205 | 107 | DEAD | -2.170E-13 | 1.505E-12 | -2.080E-12 |
| 205 | 205 | 108 | DEAD | 2.132E-12 | 2.381E-12 | -2.512E-12 |
| 205 | 205 | 63 | DEAD | 8.100E-13 | 4.744E-12 | -3.028E-12 |
| 205 | 205 | 64 | G1_smistamento | 34.96 | 0.4 | -21.2 |
| 205 | 205 | 107 | G1_smistamento | 56.52 | -2.982E-02 | -22.29 |
| 205 | 205 | 108 | G1_smistamento | 73.05 | 50.81 | -23.68 |
| 205 | 205 | 63 | G1_smistamento | 31.89 | 44.22 | -22.58 |
| 205 | 205 | 64 | G2_smistamento | 12.96 | 0.15 | -7.86 |
| 205 | 205 | 107 | G2_smistamento | 20.95 | -1.106E-02 | -8.26 |
| 205 | 205 | 108 | G2_smistamento | 27.08 | 18.84 | -8.78 |
| 205 | 205 | 63 | G2_smistamento | 11.82 | 16.39 | -8.37 |
| 205 | 205 | 64 | Q_smistamento | 12.96 | 0.15 | -7.86 |
| 205 | 205 | 107 | Q_smistamento | 20.95 | -1.106E-02 | -8.26 |
| 205 | 205 | 108 | Q_smistamento | 27.08 | 18.84 | -8.78 |
| 205 | 205 | 63 | Q_smistamento | 11.82 | 16.39 | -8.37 |

Table 21: Element Stresses - Area Shells, Part 2 of 3

| Area | AreaElem | Joint | OutputCase | S11Bot KN/m2 | S22Bot KN/m2 | S12Bot KN/m2 |
|------|----------|-------|----------------|-----------------|-----------------|-----------------|
| 205 | 205 | 64 | Q_neve | -4.499E-13 | -1.301E-13 | -5.610E-13 |
| 205 | 205 | 107 | Q_neve | 4.866E-13 | 7.140E-13 | -4.964E-13 |
| 205 | 205 | 108 | Q_neve | 3.302E-13 | 2.156E-13 | -4.425E-13 |
| 205 | 205 | 63 | Q_neve | 1.805E-13 | 8.424E-13 | -5.754E-13 |
| 206 | 206 | 107 | DEAD | -3.998E-13 | 3.288E-12 | -4.561E-13 |
| 206 | 206 | 109 | DEAD | 7.431E-13 | -4.133E-12 | -4.871E-13 |
| 206 | 206 | 110 | DEAD | 1.654E-12 | 4.078E-12 | -4.561E-13 |
| 206 | 206 | 108 | DEAD | 3.864E-12 | 1.989E-12 | -2.067E-12 |
| 206 | 206 | 107 | G1_smistamento | 57.43 | 0.15 | -21.29 |
| 206 | 206 | 109 | G1_smistamento | 62.98 | 9.774E-02 | -19.16 |
| 206 | 206 | 110 | G1_smistamento | 79.05 | 53.33 | -19.13 |
| 206 | 206 | 108 | G1_smistamento | 72.77 | 50.75 | -21.25 |
| 206 | 206 | 107 | G2_smistamento | 21.29 | 5.656E-02 | -7.89 |
| 206 | 206 | 109 | G2_smistamento | 23.35 | 3.624E-02 | -7.1 |
| 206 | 206 | 110 | G2_smistamento | 29.3 | 19.77 | -7.09 |
| 206 | 206 | 108 | G2_smistamento | 26.98 | 18.81 | -7.88 |
| 206 | 206 | 107 | Q_smistamento | 21.29 | 5.656E-02 | -7.89 |
| 206 | 206 | 109 | Q_smistamento | 23.35 | 3.624E-02 | -7.1 |
| 206 | 206 | 110 | Q_smistamento | 29.3 | 19.77 | -7.09 |
| 206 | 206 | 108 | Q_smistamento | 26.98 | 18.81 | -7.88 |
| 206 | 206 | 107 | Q_neve | -1.066E-13 | 3.965E-13 | -1.399E-13 |
| 206 | 206 | 109 | Q_neve | -5.790E-14 | -7.245E-13 | 4.315E-14 |
| 206 | 206 | 110 | Q_neve | 3.575E-13 | 5.841E-13 | -1.794E-13 |
| 206 | 206 | 108 | Q_neve | 1.147E-12 | 5.592E-13 | -4.308E-13 |
| 207 | 207 | 109 | DEAD | 5.510E-12 | -1.913E-12 | -7.542E-13 |
| 207 | 207 | 111 | DEAD | -1.210E-14 | -1.033E-12 | -9.122E-14 |
| 207 | 207 | 112 | DEAD | 5.984E-12 | 5.197E-12 | -1.070E-12 |
| 207 | 207 | 110 | DEAD | 4.254E-12 | 4.180E-12 | -9.122E-14 |
| 207 | 207 | 109 | G1_smistamento | 62.98 | 9.729E-02 | -17.59 |
| 207 | 207 | 111 | G1_smistamento | 51.55 | 3.528E-02 | -15.6 |
| 207 | 207 | 112 | G1_smistamento | 66.92 | 53.93 | -14.46 |
| 207 | 207 | 110 | G1_smistamento | 78.99 | 53.31 | -16.45 |
| 207 | 207 | 109 | G2_smistamento | 23.35 | 3.607E-02 | -6.52 |
| 207 | 207 | 111 | G2_smistamento | 19.11 | 1.308E-02 | -5.78 |
| 207 | 207 | 112 | G2_smistamento | 24.81 | 19.99 | -5.36 |
| 207 | 207 | 110 | G2_smistamento | 29.28 | 19.76 | -6.1 |
| 207 | 207 | 109 | Q_smistamento | 23.35 | 3.607E-02 | -6.52 |
| 207 | 207 | 111 | Q_smistamento | 19.11 | 1.308E-02 | -5.78 |

Table 21: Element Stresses - Area Shells, Part 2 of 3

| Area | AreaElem | Joint | OutputCase | S11Bot KN/m2 | S22Bot KN/m2 | S12Bot KN/m2 |
|------|----------|-------|----------------|-----------------|-----------------|-----------------|
| 207 | 207 | 112 | Q_smistamento | 24.81 | 19.99 | -5.36 |
| 207 | 207 | 110 | Q_smistamento | 29.28 | 19.76 | -6.1 |
| 207 | 207 | 109 | Q_neve | 5.449E-13 | -6.560E-13 | 6.230E-14 |
| 207 | 207 | 111 | Q_neve | 4.589E-13 | 2.552E-13 | 2.280E-14 |
| 207 | 207 | 112 | Q_neve | 1.177E-12 | 3.710E-13 | -1.669E-14 |
| 207 | 207 | 110 | Q_neve | 7.156E-13 | 8.280E-13 | 2.280E-14 |
| 208 | 208 | 111 | DEAD | -1.474E-13 | -1.524E-12 | 1.003E-12 |
| 208 | 208 | 113 | DEAD | 3.854E-12 | -1.033E-12 | 1.751E-12 |
| 208 | 208 | 114 | DEAD | 2.223E-12 | 3.690E-12 | 1.003E-12 |
| 208 | 208 | 112 | DEAD | 4.447E-12 | 4.773E-12 | 8.031E-13 |
| 208 | 208 | 111 | G1_smistamento | 51.5 | 2.533E-02 | -13.97 |
| 208 | 208 | 113 | G1_smistamento | 33.85 | -6.776E-03 | -12.27 |
| 208 | 208 | 114 | G1_smistamento | 48.51 | 53.87 | -10.72 |
| 208 | 208 | 112 | G1_smistamento | 66.88 | 53.92 | -12.42 |
| 208 | 208 | 111 | G2_smistamento | 19.09 | 9.388E-03 | -5.18 |
| 208 | 208 | 113 | G2_smistamento | 12.55 | -2.512E-03 | -4.55 |
| 208 | 208 | 114 | G2_smistamento | 17.98 | 19.97 | -3.98 |
| 208 | 208 | 112 | G2_smistamento | 24.79 | 19.99 | -4.6 |
| 208 | 208 | 111 | Q_smistamento | 19.09 | 9.388E-03 | -5.18 |
| 208 | 208 | 113 | Q_smistamento | 12.55 | -2.512E-03 | -4.55 |
| 208 | 208 | 114 | Q_smistamento | 17.98 | 19.97 | -3.98 |
| 208 | 208 | 112 | Q_smistamento | 24.79 | 19.99 | -4.6 |
| 208 | 208 | 111 | Q_neve | 5.543E-13 | 3.088E-13 | 8.898E-14 |
| 208 | 208 | 113 | Q_neve | 1.974E-13 | -1.812E-13 | 2.759E-13 |
| 208 | 208 | 114 | Q_neve | 5.346E-13 | 2.100E-13 | 2.075E-13 |
| 208 | 208 | 112 | Q_neve | 4.640E-13 | 2.040E-13 | 1.574E-13 |
| 209 | 209 | 113 | DEAD | -1.170E-12 | -1.561E-12 | 1.021E-12 |
| 209 | 209 | 115 | DEAD | 3.630E-12 | 2.646E-12 | 1.052E-12 |
| 209 | 209 | 116 | DEAD | -2.592E-12 | 8.087E-13 | 7.333E-14 |
| 209 | 209 | 114 | DEAD | 2.801E-12 | 3.238E-12 | 1.684E-12 |
| 209 | 209 | 113 | G1_smistamento | 33.8 | -1.671E-02 | -10.66 |
| 209 | 209 | 115 | G1_smistamento | 17. | -2.614E-02 | -9.21 |
| 209 | 209 | 116 | G1_smistamento | 31.1 | 53.74 | -7.76 |
| 209 | 209 | 114 | G1_smistamento | 48.5 | 53.87 | -9.21 |
| 209 | 209 | 113 | G2_smistamento | 12.53 | -6.193E-03 | -3.95 |
| 209 | 209 | 115 | G2_smistamento | 6.3 | -9.692E-03 | -3.42 |
| 209 | 209 | 116 | G2_smistamento | 11.53 | 19.92 | -2.88 |
| 209 | 209 | 114 | G2_smistamento | 17.98 | 19.97 | -3.41 |

Table 21: Element Stresses - Area Shells, Part 2 of 3

| Area | AreaElem | Joint | OutputCase | S11Bot KN/m2 | S22Bot KN/m2 | S12Bot KN/m2 |
|------|----------|-------|----------------|-----------------|-----------------|-----------------|
| 209 | 209 | 113 | Q_smistamento | 12.53 | -6.193E-03 | -3.95 |
| 209 | 209 | 115 | Q_smistamento | 6.3 | -9.692E-03 | -3.42 |
| 209 | 209 | 116 | Q_smistamento | 11.53 | 19.92 | -2.88 |
| 209 | 209 | 114 | Q_smistamento | 17.98 | 19.97 | -3.41 |
| 209 | 209 | 113 | Q_neve | 3.235E-13 | 1.688E-13 | 1.474E-13 |
| 209 | 209 | 115 | Q_neve | 3.482E-13 | 1.991E-13 | 1.262E-13 |
| 209 | 209 | 116 | Q_neve | -5.060E-13 | 2.873E-13 | -1.058E-14 |
| 209 | 209 | 114 | Q_neve | 4.272E-13 | 1.201E-13 | 2.842E-13 |
| 210 | 210 | 115 | DEAD | 2.753E-12 | 3.901E-12 | -1.368E-12 |
| 210 | 210 | 117 | DEAD | -3.799E-12 | -1.387E-12 | -1.885E-12 |
| 210 | 210 | 118 | DEAD | 1.055E-12 | 5.837E-12 | -1.368E-12 |
| 210 | 210 | 116 | DEAD | -4.707E-12 | -1.190E-12 | -3.047E-13 |
| 210 | 210 | 115 | G1_smistamento | 16.95 | -3.516E-02 | -7.7 |
| 210 | 210 | 117 | G1_smistamento | 4.15 | -3.097E-02 | -6.44 |
| 210 | 210 | 118 | G1_smistamento | 17.82 | 53.72 | -5.31 |
| 210 | 210 | 116 | G1_smistamento | 31.1 | 53.74 | -6.57 |
| 210 | 210 | 115 | G2_smistamento | 6.29 | -1.303E-02 | -2.86 |
| 210 | 210 | 117 | G2_smistamento | 1.54 | -1.148E-02 | -2.39 |
| 210 | 210 | 118 | G2_smistamento | 6.61 | 19.91 | -1.97 |
| 210 | 210 | 116 | G2_smistamento | 11.53 | 19.92 | -2.44 |
| 210 | 210 | 115 | Q_smistamento | 6.29 | -1.303E-02 | -2.86 |
| 210 | 210 | 117 | Q_smistamento | 1.54 | -1.148E-02 | -2.39 |
| 210 | 210 | 118 | Q_smistamento | 6.61 | 19.91 | -1.97 |
| 210 | 210 | 116 | Q_smistamento | 11.53 | 19.92 | -2.44 |
| 210 | 210 | 115 | Q_neve | 8.186E-14 | 1.625E-13 | -2.000E-13 |
| 210 | 210 | 117 | Q_neve | -2.473E-13 | 2.516E-13 | -3.040E-13 |
| 210 | 210 | 118 | Q_neve | 4.769E-13 | 7.155E-13 | -2.790E-13 |
| 210 | 210 | 116 | Q_neve | -9.385E-13 | 1.133E-13 | -1.065E-13 |
| 211 | 211 | 117 | DEAD | 1.457E-12 | 2.270E-14 | -1.028E-12 |
| 211 | 211 | 119 | DEAD | 1.691E-12 | 1.761E-13 | -1.891E-12 |
| 211 | 211 | 120 | DEAD | 2.602E-12 | 3.854E-12 | -1.344E-12 |
| 211 | 211 | 118 | DEAD | 1.108E-13 | 5.548E-12 | -1.575E-12 |
| 211 | 211 | 117 | G1_smistamento | 4.11 | -3.864E-02 | -5.06 |
| 211 | 211 | 119 | G1_smistamento | -4.02 | -2.995E-02 | -3.95 |
| 211 | 211 | 120 | G1_smistamento | 9.36 | 53.79 | -3.21 |
| 211 | 211 | 118 | G1_smistamento | 17.83 | 53.72 | -4.33 |
| 211 | 211 | 117 | G2_smistamento | 1.52 | -1.432E-02 | -1.88 |
| 211 | 211 | 119 | G2_smistamento | -1.49 | -1.110E-02 | -1.46 |

Table 21: Element Stresses - Area Shells, Part 2 of 3

| Area | AreaElem | Joint | OutputCase | S11Bot KN/m2 | S22Bot KN/m2 | S12Bot KN/m2 |
|------|----------|-------|----------------|-----------------|-----------------|-----------------|
| 211 | 211 | 120 | G2_smistamento | 3.47 | 19.94 | -1.19 |
| 211 | 211 | 118 | G2_smistamento | 6.61 | 19.91 | -1.6 |
| 211 | 211 | 117 | Q_smistamento | 1.52 | -1.432E-02 | -1.88 |
| 211 | 211 | 119 | Q_smistamento | -1.49 | -1.110E-02 | -1.46 |
| 211 | 211 | 120 | Q_smistamento | 3.47 | 19.94 | -1.19 |
| 211 | 211 | 118 | Q_smistamento | 6.61 | 19.91 | -1.6 |
| 211 | 211 | 117 | Q_neve | 3.350E-13 | 3.800E-13 | -2.631E-13 |
| 211 | 211 | 119 | Q_neve | 3.107E-13 | 2.583E-13 | -2.737E-13 |
| 211 | 211 | 120 | Q_neve | 2.066E-13 | 6.861E-13 | -4.211E-13 |
| 211 | 211 | 118 | Q_neve | 1.625E-13 | 4.657E-13 | -2.737E-13 |
| 212 | 212 | 119 | DEAD | -2.008E-12 | -3.098E-14 | -1.319E-12 |
| 212 | 212 | 121 | DEAD | 8.796E-13 | -8.551E-13 | -1.119E-12 |
| 212 | 212 | 122 | DEAD | 3.878E-12 | 6.644E-12 | -6.874E-13 |
| 212 | 212 | 120 | DEAD | 1.196E-12 | 3.569E-12 | -1.435E-12 |
| 212 | 212 | 119 | G1_smistamento | -4.05 | -3.524E-02 | -2.7 |
| 212 | 212 | 121 | G1_smistamento | -7.9 | -2.911E-02 | -1.67 |
| 212 | 212 | 122 | G1_smistamento | 5.35 | 53.85 | -1.31 |
| 212 | 212 | 120 | G1_smistamento | 9.37 | 53.79 | -2.34 |
| 212 | 212 | 119 | G2_smistamento | -1.5 | -1.307E-02 | -1. |
| 212 | 212 | 121 | G2_smistamento | -2.93 | -1.079E-02 | -0.62 |
| 212 | 212 | 122 | G2_smistamento | 1.98 | 19.96 | -0.49 |
| 212 | 212 | 120 | G2_smistamento | 3.47 | 19.94 | -0.87 |
| 212 | 212 | 119 | Q_smistamento | -1.5 | -1.307E-02 | -1. |
| 212 | 212 | 121 | Q_smistamento | -2.93 | -1.079E-02 | -0.62 |
| 212 | 212 | 122 | Q_smistamento | 1.98 | 19.96 | -0.49 |
| 212 | 212 | 120 | Q_smistamento | 3.47 | 19.94 | -0.87 |
| 212 | 212 | 119 | Q_neve | -7.931E-13 | 4.857E-15 | -3.185E-13 |
| 212 | 212 | 121 | Q_neve | 5.170E-13 | 1.501E-13 | -2.144E-13 |
| 212 | 212 | 122 | Q_neve | 5.993E-13 | 8.047E-13 | -1.605E-13 |
| 212 | 212 | 120 | Q_neve | 1.615E-13 | 5.056E-13 | -3.329E-13 |
| 213 | 213 | 121 | DEAD | 8.015E-13 | -1.992E-13 | 1.336E-13 |
| 213 | 213 | 123 | DEAD | -1.560E-12 | -2.207E-12 | 1.336E-13 |
| 213 | 213 | 124 | DEAD | -2.398E-12 | 3.711E-12 | -4.984E-13 |
| 213 | 213 | 122 | DEAD | 3.180E-12 | 5.377E-12 | -4.984E-13 |
| 213 | 213 | 121 | G1_smistamento | -7.91 | -3.101E-02 | -0.5 |
| 213 | 213 | 123 | G1_smistamento | -7.91 | -3.101E-02 | 0.5 |
| 213 | 213 | 124 | G1_smistamento | 5.35 | 53.85 | 0.5 |
| 213 | 213 | 122 | G1_smistamento | 5.35 | 53.85 | -0.5 |

Table 21: Element Stresses - Area Shells, Part 2 of 3

| Area | AreaElem | Joint | OutputCase | S11Bot KN/m2 | S22Bot KN/m2 | S12Bot KN/m2 |
|------|----------|-------|----------------|-----------------|-----------------|-----------------|
| 213 | 213 | 121 | G2_smistamento | -2.93 | -1.150E-02 | -0.18 |
| 213 | 213 | 123 | G2_smistamento | -2.93 | -1.150E-02 | 0.18 |
| 213 | 213 | 124 | G2_smistamento | 1.98 | 19.96 | 0.18 |
| 213 | 213 | 122 | G2_smistamento | 1.98 | 19.96 | -0.18 |
| 213 | 213 | 121 | Q_smistamento | -2.93 | -1.150E-02 | -0.18 |
| 213 | 213 | 123 | Q_smistamento | -2.93 | -1.150E-02 | 0.18 |
| 213 | 213 | 124 | Q_smistamento | 1.98 | 19.96 | 0.18 |
| 213 | 213 | 122 | Q_smistamento | 1.98 | 19.96 | -0.18 |
| 213 | 213 | 121 | Q_neve | -3.372E-13 | -1.976E-13 | 1.079E-13 |
| 213 | 213 | 123 | Q_neve | 1.392E-13 | -2.446E-13 | 3.950E-14 |
| 213 | 213 | 124 | Q_neve | -9.000E-13 | 3.060E-13 | 2.892E-14 |
| 213 | 213 | 122 | Q_neve | 1.018E-12 | 8.318E-13 | -3.950E-14 |
| 214 | 214 | 123 | DEAD | -5.164E-12 | -1.597E-12 | 9.122E-14 |
| 214 | 214 | 125 | DEAD | 1.093E-13 | -2.424E-12 | -3.404E-13 |
| 214 | 214 | 126 | DEAD | -1.609E-12 | 3.854E-12 | 9.122E-14 |
| 214 | 214 | 124 | DEAD | -2.462E-13 | 3.382E-12 | -2.444E-14 |
| 214 | 214 | 123 | G1_smistamento | -7.9 | -2.911E-02 | 1.67 |
| 214 | 214 | 125 | G1_smistamento | -4.05 | -3.524E-02 | 2.7 |
| 214 | 214 | 126 | G1_smistamento | 9.37 | 53.79 | 2.34 |
| 214 | 214 | 124 | G1_smistamento | 5.35 | 53.85 | 1.31 |
| 214 | 214 | 123 | G2_smistamento | -2.93 | -1.079E-02 | 0.62 |
| 214 | 214 | 125 | G2_smistamento | -1.5 | -1.307E-02 | 1. |
| 214 | 214 | 126 | G2_smistamento | 3.47 | 19.94 | 0.87 |
| 214 | 214 | 124 | G2_smistamento | 1.98 | 19.96 | 0.49 |
| 214 | 214 | 123 | Q_smistamento | -2.93 | -1.079E-02 | 0.62 |
| 214 | 214 | 125 | Q_smistamento | -1.5 | -1.307E-02 | 1. |
| 214 | 214 | 126 | Q_smistamento | 3.47 | 19.94 | 0.87 |
| 214 | 214 | 124 | Q_smistamento | 1.98 | 19.96 | 0.49 |
| 214 | 214 | 123 | Q_neve | -5.273E-13 | -9.150E-14 | 0. |
| 214 | 214 | 125 | Q_neve | -3.618E-13 | -8.828E-13 | -1.763E-13 |
| 214 | 214 | 126 | Q_neve | -2.310E-13 | 6.787E-13 | 0. |
| 214 | 214 | 124 | Q_neve | -1.741E-13 | 5.293E-13 | -9.733E-14 |
| 215 | 215 | 125 | DEAD | -1.380E-12 | -2.402E-12 | -5.718E-13 |
| 215 | 215 | 127 | DEAD | 3.035E-12 | 1.918E-12 | -7.721E-13 |
| 215 | 215 | 128 | DEAD | 2.886E-12 | 2.812E-12 | -8.878E-13 |
| 215 | 215 | 126 | DEAD | 1.121E-13 | 3.419E-12 | -1.401E-13 |
| 215 | 215 | 125 | G1_smistamento | -4.02 | -2.995E-02 | 3.95 |
| 215 | 215 | 127 | G1_smistamento | 4.11 | -3.864E-02 | 5.06 |

Table 21: Element Stresses - Area Shells, Part 2 of 3

| Area | AreaElem | Joint | OutputCase | S11Bot KN/m2 | S22Bot KN/m2 | S12Bot KN/m2 |
|------|----------|-------|----------------|-----------------|-----------------|-----------------|
| 215 | 215 | 128 | G1_smistamento | 17.83 | 53.72 | 4.33 |
| 215 | 215 | 126 | G1_smistamento | 9.36 | 53.79 | 3.21 |
| 215 | 215 | 125 | G2_smistamento | -1.49 | -1.110E-02 | 1.46 |
| 215 | 215 | 127 | G2_smistamento | 1.52 | -1.432E-02 | 1.88 |
| 215 | 215 | 128 | G2_smistamento | 6.61 | 19.91 | 1.6 |
| 215 | 215 | 126 | G2_smistamento | 3.47 | 19.94 | 1.19 |
| 215 | 215 | 125 | Q_smistamento | -1.49 | -1.110E-02 | 1.46 |
| 215 | 215 | 127 | Q_smistamento | 1.52 | -1.432E-02 | 1.88 |
| 215 | 215 | 128 | Q_smistamento | 6.61 | 19.91 | 1.6 |
| 215 | 215 | 126 | Q_smistamento | 3.47 | 19.94 | 1.19 |
| 215 | 215 | 125 | Q_neve | -6.818E-14 | -7.075E-13 | -2.189E-13 |
| 215 | 215 | 127 | Q_neve | 3.941E-13 | 4.949E-13 | -2.728E-13 |
| 215 | 215 | 128 | Q_neve | 1.077E-12 | 2.799E-13 | -1.004E-13 |
| 215 | 215 | 126 | Q_neve | -7.020E-13 | 7.023E-13 | -1.148E-13 |
| 216 | 216 | 127 | DEAD | -2.630E-13 | 1.597E-12 | 1.204E-12 |
| 216 | 216 | 129 | DEAD | 6.370E-12 | -1.498E-12 | 1.088E-12 |
| 216 | 216 | 130 | DEAD | 4.003E-12 | 3.967E-12 | 2.558E-13 |
| 216 | 216 | 128 | DEAD | 5.580E-12 | 2.136E-12 | -1.759E-13 |
| 216 | 216 | 127 | G1_smistamento | 4.15 | -3.097E-02 | 6.44 |
| 216 | 216 | 129 | G1_smistamento | 16.95 | -3.516E-02 | 7.7 |
| 216 | 216 | 130 | G1_smistamento | 31.1 | 53.74 | 6.57 |
| 216 | 216 | 128 | G1_smistamento | 17.82 | 53.72 | 5.31 |
| 216 | 216 | 127 | G2_smistamento | 1.54 | -1.148E-02 | 2.39 |
| 216 | 216 | 129 | G2_smistamento | 6.29 | -1.303E-02 | 2.86 |
| 216 | 216 | 130 | G2_smistamento | 11.53 | 19.92 | 2.44 |
| 216 | 216 | 128 | G2_smistamento | 6.61 | 19.91 | 1.97 |
| 216 | 216 | 127 | Q_smistamento | 1.54 | -1.148E-02 | 2.39 |
| 216 | 216 | 129 | Q_smistamento | 6.29 | -1.303E-02 | 2.86 |
| 216 | 216 | 130 | Q_smistamento | 11.53 | 19.92 | 2.44 |
| 216 | 216 | 128 | Q_smistamento | 6.61 | 19.91 | 1.97 |
| 216 | 216 | 127 | Q_neve | 8.110E-14 | 5.826E-13 | 2.417E-13 |
| 216 | 216 | 129 | Q_neve | 1.008E-12 | -3.582E-13 | 2.378E-13 |
| 216 | 216 | 130 | Q_neve | 4.662E-13 | 3.752E-13 | 1.232E-13 |
| 216 | 216 | 128 | Q_neve | 1.541E-12 | 6.490E-13 | -7.818E-14 |
| 217 | 217 | 129 | DEAD | 5.295E-12 | -2.726E-12 | -1.344E-12 |
| 217 | 217 | 131 | DEAD | 3.516E-12 | 1.233E-12 | -1.789E-14 |
| 217 | 217 | 132 | DEAD | 3.439E-12 | 3.159E-12 | -1.028E-12 |
| 217 | 217 | 130 | DEAD | 3.713E-12 | 3.168E-12 | 9.301E-13 |

Table 21: Element Stresses - Area Shells, Part 2 of 3

| Area | AreaElem | Joint | OutputCase | S11Bot KN/m2 | S22Bot KN/m2 | S12Bot KN/m2 |
|------|----------|-------|----------------|-----------------|-----------------|-----------------|
| 217 | 217 | 129 | G1_smistamento | 17. | -2.614E-02 | 9.21 |
| 217 | 217 | 131 | G1_smistamento | 33.8 | -1.671E-02 | 10.66 |
| 217 | 217 | 132 | G1_smistamento | 48.5 | 53.87 | 9.21 |
| 217 | 217 | 130 | G1_smistamento | 31.1 | 53.74 | 7.76 |
| 217 | 217 | 129 | G2_smistamento | 6.3 | -9.692E-03 | 3.42 |
| 217 | 217 | 131 | G2_smistamento | 12.53 | -6.193E-03 | 3.95 |
| 217 | 217 | 132 | G2_smistamento | 17.98 | 19.97 | 3.41 |
| 217 | 217 | 130 | G2_smistamento | 11.53 | 19.92 | 2.88 |
| 217 | 217 | 129 | Q_smistamento | 6.3 | -9.692E-03 | 3.42 |
| 217 | 217 | 131 | Q_smistamento | 12.53 | -6.193E-03 | 3.95 |
| 217 | 217 | 132 | Q_smistamento | 17.98 | 19.97 | 3.41 |
| 217 | 217 | 130 | Q_smistamento | 11.53 | 19.92 | 2.88 |
| 217 | 217 | 129 | Q_neve | 9.598E-13 | -5.273E-13 | -2.904E-13 |
| 217 | 217 | 131 | Q_neve | 8.056E-13 | 3.437E-13 | -2.728E-14 |
| 217 | 217 | 132 | Q_neve | 8.018E-13 | 5.786E-13 | -2.114E-13 |
| 217 | 217 | 130 | Q_neve | 4.600E-13 | 5.115E-13 | 2.097E-13 |
| 218 | 218 | 131 | DEAD | 4.571E-13 | 4.237E-13 | -3.160E-13 |
| 218 | 218 | 133 | DEAD | -6.333E-13 | 1.260E-12 | 5.473E-13 |
| 218 | 218 | 134 | DEAD | 1.208E-12 | 1.332E-12 | 3.160E-13 |
| 218 | 218 | 132 | DEAD | 3.119E-12 | 2.959E-12 | 5.473E-13 |
| 218 | 218 | 131 | G1_smistamento | 33.85 | -6.776E-03 | 12.27 |
| 218 | 218 | 133 | G1_smistamento | 51.5 | 2.533E-02 | 13.97 |
| 218 | 218 | 134 | G1_smistamento | 66.88 | 53.92 | 12.42 |
| 218 | 218 | 132 | G1_smistamento | 48.51 | 53.87 | 10.72 |
| 218 | 218 | 131 | G2_smistamento | 12.55 | -2.512E-03 | 4.55 |
| 218 | 218 | 133 | G2_smistamento | 19.09 | 9.388E-03 | 5.18 |
| 218 | 218 | 134 | G2_smistamento | 24.79 | 19.99 | 4.6 |
| 218 | 218 | 132 | G2_smistamento | 17.98 | 19.97 | 3.98 |
| 218 | 218 | 131 | Q_smistamento | 12.55 | -2.512E-03 | 4.55 |
| 218 | 218 | 133 | Q_smistamento | 19.09 | 9.388E-03 | 5.18 |
| 218 | 218 | 134 | Q_smistamento | 24.79 | 19.99 | 4.6 |
| 218 | 218 | 132 | Q_smistamento | 17.98 | 19.97 | 3.98 |
| 218 | 218 | 131 | Q_neve | -1.470E-14 | 2.270E-13 | -3.950E-14 |
| 218 | 218 | 133 | Q_neve | -1.903E-13 | -4.977E-14 | 1.474E-13 |
| 218 | 218 | 134 | Q_neve | 3.112E-13 | 4.344E-13 | 3.950E-14 |
| 218 | 218 | 132 | Q_neve | 7.775E-13 | 5.230E-13 | -1.058E-14 |
| 219 | 219 | 133 | DEAD | 2.161E-12 | 3.177E-12 | 1.344E-12 |
| 219 | 219 | 135 | DEAD | -1.084E-12 | -5.002E-12 | 1.429E-12 |

Table 21: Element Stresses - Area Shells, Part 2 of 3

| Area | AreaElem | Joint | OutputCase | S11Bot KN/m2 | S22Bot KN/m2 | S12Bot KN/m2 |
|------|----------|-------|----------------|-----------------|-----------------|-----------------|
| 219 | 219 | 136 | DEAD | 3.859E-12 | 5.033E-12 | 1.028E-12 |
| 219 | 219 | 134 | DEAD | -2.154E-13 | 1.239E-12 | -1.514E-13 |
| 219 | 219 | 133 | G1_smistamento | 51.55 | 3.528E-02 | 15.6 |
| 219 | 219 | 135 | G1_smistamento | 62.98 | 9.729E-02 | 17.59 |
| 219 | 219 | 136 | G1_smistamento | 78.99 | 53.31 | 16.45 |
| 219 | 219 | 134 | G1_smistamento | 66.92 | 53.93 | 14.46 |
| 219 | 219 | 133 | G2_smistamento | 19.11 | 1.308E-02 | 5.78 |
| 219 | 219 | 135 | G2_smistamento | 23.35 | 3.607E-02 | 6.52 |
| 219 | 219 | 136 | G2_smistamento | 29.28 | 19.76 | 6.1 |
| 219 | 219 | 134 | G2_smistamento | 24.81 | 19.99 | 5.36 |
| 219 | 219 | 133 | Q_smistamento | 19.11 | 1.308E-02 | 5.78 |
| 219 | 219 | 135 | Q_smistamento | 23.35 | 3.607E-02 | 6.52 |
| 219 | 219 | 136 | Q_smistamento | 29.28 | 19.76 | 6.1 |
| 219 | 219 | 134 | Q_smistamento | 24.81 | 19.99 | 5.36 |
| 219 | 219 | 133 | Q_neve | 4.748E-13 | 5.001E-13 | 3.132E-13 |
| 219 | 219 | 135 | Q_neve | 4.943E-14 | -6.557E-13 | 2.447E-13 |
| 219 | 219 | 136 | Q_neve | 2.378E-13 | 7.371E-13 | 2.342E-13 |
| 219 | 219 | 134 | Q_neve | 9.880E-14 | 3.022E-13 | 1.657E-13 |
| 220 | 220 | 135 | DEAD | 2.906E-12 | -3.674E-12 | 8.210E-13 |
| 220 | 220 | 137 | DEAD | -2.527E-13 | -4.162E-14 | -4.740E-13 |
| 220 | 220 | 138 | DEAD | 1.997E-12 | 4.107E-12 | 8.210E-13 |
| 220 | 220 | 136 | DEAD | 1.051E-12 | 4.580E-12 | 4.740E-13 |
| 220 | 220 | 135 | G1_smistamento | 62.98 | 9.774E-02 | 19.16 |
| 220 | 220 | 137 | G1_smistamento | 57.43 | 0.15 | 21.29 |
| 220 | 220 | 138 | G1_smistamento | 72.77 | 50.75 | 21.25 |
| 220 | 220 | 136 | G1_smistamento | 79.05 | 53.33 | 19.13 |
| 220 | 220 | 135 | G2_smistamento | 23.35 | 3.624E-02 | 7.1 |
| 220 | 220 | 137 | G2_smistamento | 21.29 | 5.656E-02 | 7.89 |
| 220 | 220 | 138 | G2_smistamento | 26.98 | 18.81 | 7.88 |
| 220 | 220 | 136 | G2_smistamento | 29.3 | 19.77 | 7.09 |
| 220 | 220 | 135 | Q_smistamento | 23.35 | 3.624E-02 | 7.1 |
| 220 | 220 | 137 | Q_smistamento | 21.29 | 5.656E-02 | 7.89 |
| 220 | 220 | 138 | Q_smistamento | 26.98 | 18.81 | 7.88 |
| 220 | 220 | 136 | Q_smistamento | 29.3 | 19.77 | 7.09 |
| 220 | 220 | 135 | Q_neve | 3.057E-14 | -2.907E-13 | 1.535E-13 |
| 220 | 220 | 137 | Q_neve | 1.333E-13 | -3.315E-13 | -6.230E-14 |
| 220 | 220 | 138 | Q_neve | 9.786E-13 | 1.368E-12 | 7.453E-14 |
| 220 | 220 | 136 | Q_neve | -1.333E-13 | 4.683E-13 | 1.669E-14 |

Table 21: Element Stresses - Area Shells, Part 2 of 3

| Area | AreaElem | Joint | OutputCase | S11Bot KN/m2 | S22Bot KN/m2 | S12Bot KN/m2 |
|------|----------|-------|----------------|-----------------|-----------------|-----------------|
| 221 | 221 | 137 | DEAD | -1.622E-12 | -1.048E-12 | -2.916E-13 |
| 221 | 221 | 65 | DEAD | 2.850E-12 | 3.558E-14 | 1.867E-12 |
| 221 | 221 | 5 | DEAD | -1.069E-12 | 4.560E-12 | 6.564E-13 |
| 221 | 221 | 138 | DEAD | 6.089E-12 | 5.802E-12 | 1.235E-12 |
| 221 | 221 | 137 | G1_smistamento | 56.52 | -2.982E-02 | 22.29 |
| 221 | 221 | 65 | G1_smistamento | 34.96 | 0.4 | 21.2 |
| 221 | 221 | 5 | G1_smistamento | 31.89 | 44.22 | 22.58 |
| 221 | 221 | 138 | G1_smistamento | 73.05 | 50.81 | 23.68 |
| 221 | 221 | 137 | G2_smistamento | 20.95 | -1.106E-02 | 8.26 |
| 221 | 221 | 65 | G2_smistamento | 12.96 | 0.15 | 7.86 |
| 221 | 221 | 5 | G2_smistamento | 11.82 | 16.39 | 8.37 |
| 221 | 221 | 138 | G2_smistamento | 27.08 | 18.84 | 8.78 |
| 221 | 221 | 137 | Q_smistamento | 20.95 | -1.106E-02 | 8.26 |
| 221 | 221 | 65 | Q_smistamento | 12.96 | 0.15 | 7.86 |
| 221 | 221 | 5 | Q_smistamento | 11.82 | 16.39 | 8.37 |
| 221 | 221 | 138 | Q_smistamento | 27.08 | 18.84 | 8.78 |
| 221 | 221 | 137 | Q_neve | -6.007E-14 | -3.088E-13 | 2.362E-14 |
| 221 | 221 | 65 | Q_neve | 4.476E-13 | -1.299E-13 | 3.618E-13 |
| 221 | 221 | 5 | Q_neve | -9.957E-14 | 1.153E-12 | 1.816E-13 |
| 221 | 221 | 138 | Q_neve | 1.001E-12 | 1.213E-12 | 3.223E-13 |
| 222 | 222 | 66 | DEAD | 1.611E-12 | 3.486E-12 | -7.655E-13 |
| 222 | 222 | 139 | DEAD | -2.041E-12 | 5.826E-12 | -1.336E-13 |
| 222 | 222 | 140 | DEAD | -4.393E-12 | 2.854E-12 | 1.130E-12 |
| 222 | 222 | 5 | DEAD | -1.014E-12 | 2.429E-12 | 4.984E-13 |
| 222 | 222 | 66 | G1_smistamento | 0.5 | 44.34 | 17.55 |
| 222 | 222 | 139 | G1_smistamento | -8.144E-02 | 82.51 | 16.19 |
| 222 | 222 | 140 | G1_smistamento | 37.31 | 103.17 | 19.25 |
| 222 | 222 | 5 | G1_smistamento | 31.95 | 44.02 | 20.61 |
| 222 | 222 | 66 | G2_smistamento | 0.18 | 16.44 | 6.51 |
| 222 | 222 | 139 | G2_smistamento | -3.019E-02 | 30.59 | 6. |
| 222 | 222 | 140 | G2_smistamento | 13.83 | 38.25 | 7.13 |
| 222 | 222 | 5 | G2_smistamento | 11.84 | 16.32 | 7.64 |
| 222 | 222 | 66 | Q_smistamento | 0.18 | 16.44 | 6.51 |
| 222 | 222 | 139 | Q_smistamento | -3.019E-02 | 30.59 | 6. |
| 222 | 222 | 140 | Q_smistamento | 13.83 | 38.25 | 7.13 |
| 222 | 222 | 5 | Q_smistamento | 11.84 | 16.32 | 7.64 |
| 222 | 222 | 66 | Q_neve | 6.540E-14 | 8.341E-13 | -1.352E-13 |
| 222 | 222 | 139 | Q_neve | -4.888E-13 | 8.434E-13 | -1.669E-14 |

Table 21: Element Stresses - Area Shells, Part 2 of 3

| Area | AreaElem | Joint | OutputCase | S11Bot KN/m2 | S22Bot KN/m2 | S12Bot KN/m2 |
|------|----------|-------|----------------|-----------------|-----------------|-----------------|
| 222 | 222 | 140 | Q_neve | -3.790E-13 | 7.452E-13 | 1.808E-13 |
| 222 | 222 | 5 | Q_neve | -6.420E-14 | 3.595E-13 | 6.230E-14 |
| 223 | 223 | 139 | DEAD | -9.714E-13 | 5.556E-12 | 2.408E-12 |
| 223 | 223 | 141 | DEAD | 1.490E-12 | 5.216E-12 | 2.408E-12 |
| 223 | 223 | 142 | DEAD | 1.359E-12 | 6.781E-12 | 5.115E-13 |
| 223 | 223 | 140 | DEAD | -5.344E-12 | 2.332E-12 | 5.115E-13 |
| 223 | 223 | 139 | G1_smistamento | 0.14 | 83.62 | 12.36 |
| 223 | 223 | 141 | G1_smistamento | 0.12 | 106.43 | 7.21 |
| 223 | 223 | 142 | G1_smistamento | 39.08 | 127.15 | 8.8 |
| 223 | 223 | 140 | G1_smistamento | 37.25 | 102.86 | 13.95 |
| 223 | 223 | 139 | G2_smistamento | 5.146E-02 | 31. | 4.58 |
| 223 | 223 | 141 | G2_smistamento | 4.566E-02 | 39.46 | 2.67 |
| 223 | 223 | 142 | G2_smistamento | 14.49 | 47.14 | 3.26 |
| 223 | 223 | 140 | G2_smistamento | 13.81 | 38.13 | 5.17 |
| 223 | 223 | 139 | Q_smistamento | 5.146E-02 | 31. | 4.58 |
| 223 | 223 | 141 | Q_smistamento | 4.566E-02 | 39.46 | 2.67 |
| 223 | 223 | 142 | Q_smistamento | 14.49 | 47.14 | 3.26 |
| 223 | 223 | 140 | Q_smistamento | 13.81 | 38.13 | 5.17 |
| 223 | 223 | 139 | Q_neve | -4.146E-13 | 7.173E-13 | 3.465E-13 |
| 223 | 223 | 141 | Q_neve | 4.920E-13 | 1.458E-12 | 3.860E-13 |
| 223 | 223 | 142 | Q_neve | 3.063E-13 | 1.478E-12 | 1.096E-13 |
| 223 | 223 | 140 | Q_neve | -7.029E-13 | 2.238E-13 | 7.005E-14 |
| 224 | 224 | 141 | DEAD | 1.836E-12 | 6.991E-12 | 1.144E-12 |
| 224 | 224 | 143 | DEAD | -3.020E-12 | 7.222E-12 | 1.144E-12 |
| 224 | 224 | 144 | DEAD | 2.429E-12 | 9.953E-12 | 1.776E-12 |
| 224 | 224 | 142 | DEAD | 1.127E-12 | 5.207E-12 | 1.776E-12 |
| 224 | 224 | 141 | G1_smistamento | 0.14 | 106.5 | 2.67 |
| 224 | 224 | 143 | G1_smistamento | 0.14 | 106.5 | -2.67 |
| 224 | 224 | 144 | G1_smistamento | 39.07 | 127.12 | -2.67 |
| 224 | 224 | 142 | G1_smistamento | 39.07 | 127.12 | 2.67 |
| 224 | 224 | 141 | G2_smistamento | 5.038E-02 | 39.48 | 0.99 |
| 224 | 224 | 143 | G2_smistamento | 5.038E-02 | 39.48 | -0.99 |
| 224 | 224 | 144 | G2_smistamento | 14.48 | 47.12 | -0.99 |
| 224 | 224 | 142 | G2_smistamento | 14.48 | 47.12 | 0.99 |
| 224 | 224 | 141 | Q_smistamento | 5.038E-02 | 39.48 | 0.99 |
| 224 | 224 | 143 | Q_smistamento | 5.038E-02 | 39.48 | -0.99 |
| 224 | 224 | 144 | Q_smistamento | 14.48 | 47.12 | -0.99 |
| 224 | 224 | 142 | Q_smistamento | 14.48 | 47.12 | 0.99 |

Table 21: Element Stresses - Area Shells, Part 2 of 3

| Area | AreaElem | Joint | OutputCase | S11Bot KN/m2 | S22Bot KN/m2 | S12Bot KN/m2 |
|------|----------|-------|----------------|-----------------|-----------------|-----------------|
| 224 | 224 | 141 | Q_neve | 4.255E-13 | 1.707E-12 | 2.236E-13 |
| 224 | 224 | 143 | Q_neve | -7.693E-13 | 1.260E-12 | 3.026E-13 |
| 224 | 224 | 144 | Q_neve | 8.402E-13 | 1.885E-12 | 4.606E-13 |
| 224 | 224 | 142 | Q_neve | 1.194E-13 | 9.636E-13 | 3.816E-13 |
| 225 | 225 | 143 | DEAD | -2.718E-12 | 1.215E-11 | 1.922E-12 |
| 225 | 225 | 145 | DEAD | 1.162E-12 | 5.025E-12 | 3.186E-12 |
| 225 | 225 | 146 | DEAD | -2.481E-12 | 2.904E-12 | 3.186E-12 |
| 225 | 225 | 144 | DEAD | 3.216E-12 | 8.658E-12 | 1.922E-12 |
| 225 | 225 | 143 | G1_smistamento | 0.12 | 106.43 | -7.21 |
| 225 | 225 | 145 | G1_smistamento | 0.14 | 83.62 | -12.36 |
| 225 | 225 | 146 | G1_smistamento | 37.25 | 102.86 | -13.95 |
| 225 | 225 | 144 | G1_smistamento | 39.08 | 127.15 | -8.8 |
| 225 | 225 | 143 | G2_smistamento | 4.566E-02 | 39.46 | -2.67 |
| 225 | 225 | 145 | G2_smistamento | 5.146E-02 | 31. | -4.58 |
| 225 | 225 | 146 | G2_smistamento | 13.81 | 38.13 | -5.17 |
| 225 | 225 | 144 | G2_smistamento | 14.49 | 47.14 | -3.26 |
| 225 | 225 | 143 | Q_smistamento | 4.566E-02 | 39.46 | -2.67 |
| 225 | 225 | 145 | Q_smistamento | 5.146E-02 | 31. | -4.58 |
| 225 | 225 | 146 | Q_smistamento | 13.81 | 38.13 | -5.17 |
| 225 | 225 | 144 | Q_smistamento | 14.49 | 47.14 | -3.26 |
| 225 | 225 | 143 | Q_neve | -6.869E-13 | 1.959E-12 | 4.911E-13 |
| 225 | 225 | 145 | Q_neve | -2.140E-13 | 9.764E-13 | 6.886E-13 |
| 225 | 225 | 146 | Q_neve | 1.624E-13 | 7.545E-13 | 6.491E-13 |
| 225 | 225 | 144 | Q_neve | 8.525E-13 | 1.806E-12 | 4.516E-13 |
| 226 | 226 | 145 | DEAD | 5.235E-13 | 3.311E-12 | 3.733E-12 |
| 226 | 226 | 59 | DEAD | 5.214E-13 | -9.990E-13 | 2.785E-12 |
| 226 | 226 | 58 | DEAD | -2.270E-13 | 1.455E-12 | 2.469E-12 |
| 226 | 226 | 146 | DEAD | -1.730E-12 | 4.807E-12 | 3.417E-12 |
| 226 | 226 | 145 | G1_smistamento | -8.144E-02 | 82.51 | -16.19 |
| 226 | 226 | 59 | G1_smistamento | 0.5 | 44.34 | -17.55 |
| 226 | 226 | 58 | G1_smistamento | 31.95 | 44.02 | -20.61 |
| 226 | 226 | 146 | G1_smistamento | 37.31 | 103.17 | -19.25 |
| 226 | 226 | 145 | G2_smistamento | -3.019E-02 | 30.59 | -6. |
| 226 | 226 | 59 | G2_smistamento | 0.18 | 16.44 | -6.51 |
| 226 | 226 | 58 | G2_smistamento | 11.84 | 16.32 | -7.64 |
| 226 | 226 | 146 | G2_smistamento | 13.83 | 38.25 | -7.13 |
| 226 | 226 | 145 | Q_smistamento | -3.019E-02 | 30.59 | -6. |
| 226 | 226 | 59 | Q_smistamento | 0.18 | 16.44 | -6.51 |

Table 21: Element Stresses - Area Shells, Part 2 of 3

| Area | AreaElem | Joint | OutputCase | S11Bot KN/m2 | S22Bot KN/m2 | S12Bot KN/m2 |
|------|----------|-------|----------------|-----------------|-----------------|-----------------|
| 226 | 226 | 58 | Q_smistamento | 11.84 | 16.32 | -7.64 |
| 226 | 226 | 146 | Q_smistamento | 13.83 | 38.25 | -7.13 |
| 226 | 226 | 145 | Q_neve | -2.458E-13 | 4.535E-13 | 6.202E-13 |
| 226 | 226 | 59 | Q_neve | 3.003E-14 | -8.029E-17 | 4.622E-13 |
| 226 | 226 | 58 | Q_neve | 1.887E-13 | 4.930E-13 | 3.832E-13 |
| 226 | 226 | 146 | Q_neve | 4.978E-14 | 8.097E-13 | 5.412E-13 |
| 227 | 227 | 58 | DEAD | 1.005E-12 | 1.680E-12 | 1.624E-12 |
| 227 | 227 | 68 | DEAD | 3.316E-12 | 4.542E-12 | 1.624E-12 |
| 227 | 227 | 147 | DEAD | 3.967E-12 | 5.116E-12 | 2.572E-12 |
| 227 | 227 | 146 | DEAD | 6.297E-13 | 5.332E-12 | 2.572E-12 |
| 227 | 227 | 58 | G1_smistamento | 31.85 | 44. | -23.46 |
| 227 | 227 | 68 | G1_smistamento | 73.03 | 50.68 | -23.34 |
| 227 | 227 | 147 | G1_smistamento | 95.62 | 128.12 | -20.79 |
| 227 | 227 | 146 | G1_smistamento | 37.17 | 103.14 | -20.91 |
| 227 | 227 | 58 | G2_smistamento | 11.81 | 16.31 | -8.7 |
| 227 | 227 | 68 | G2_smistamento | 27.07 | 18.79 | -8.65 |
| 227 | 227 | 147 | G2_smistamento | 35.45 | 47.5 | -7.71 |
| 227 | 227 | 146 | G2_smistamento | 13.78 | 38.23 | -7.75 |
| 227 | 227 | 58 | Q_smistamento | 11.81 | 16.31 | -8.7 |
| 227 | 227 | 68 | Q_smistamento | 27.07 | 18.79 | -8.65 |
| 227 | 227 | 147 | Q_smistamento | 35.45 | 47.5 | -7.71 |
| 227 | 227 | 146 | Q_smistamento | 13.78 | 38.23 | -7.75 |
| 227 | 227 | 58 | Q_neve | 4.008E-13 | 3.888E-13 | 2.456E-13 |
| 227 | 227 | 68 | Q_neve | 5.310E-13 | 7.860E-13 | 2.494E-13 |
| 227 | 227 | 147 | Q_neve | 8.649E-13 | 1.287E-12 | 3.246E-13 |
| 227 | 227 | 146 | Q_neve | 1.360E-13 | 1.181E-12 | 5.259E-13 |
| 228 | 228 | 146 | DEAD | 5.937E-14 | 1.714E-12 | 3.010E-12 |
| 228 | 228 | 147 | DEAD | 5.611E-12 | 8.110E-12 | 2.579E-12 |
| 228 | 228 | 148 | DEAD | 4.365E-12 | 6.177E-12 | 3.010E-12 |
| 228 | 228 | 144 | DEAD | -7.084E-13 | 8.742E-12 | 2.895E-12 |
| 228 | 228 | 146 | G1_smistamento | 37.11 | 102.83 | -15.51 |
| 228 | 228 | 147 | G1_smistamento | 95.61 | 128.1 | -15.52 |
| 228 | 228 | 148 | G1_smistamento | 103.83 | 154.54 | -9.44 |
| 228 | 228 | 144 | G1_smistamento | 38.95 | 127.12 | -9.42 |
| 228 | 228 | 146 | G2_smistamento | 13.76 | 38.12 | -5.75 |
| 228 | 228 | 147 | G2_smistamento | 35.44 | 47.49 | -5.76 |
| 228 | 228 | 148 | G2_smistamento | 38.49 | 57.29 | -3.5 |
| 228 | 228 | 144 | G2_smistamento | 14.44 | 47.13 | -3.49 |

Table 21: Element Stresses - Area Shells, Part 2 of 3

| Area | AreaElem | Joint | OutputCase | S11Bot KN/m2 | S22Bot KN/m2 | S12Bot KN/m2 |
|------|----------|-------|----------------|-----------------|-----------------|-----------------|
| 228 | 228 | 146 | Q_smistamento | 13.76 | 38.12 | -5.75 |
| 228 | 228 | 147 | Q_smistamento | 35.44 | 47.49 | -5.76 |
| 228 | 228 | 148 | Q_smistamento | 38.49 | 57.29 | -3.5 |
| 228 | 228 | 144 | Q_smistamento | 14.44 | 47.13 | -3.49 |
| 228 | 228 | 146 | Q_neve | 1.323E-13 | 5.186E-13 | 4.789E-13 |
| 228 | 228 | 147 | Q_neve | 8.803E-13 | 1.207E-12 | 5.078E-13 |
| 228 | 228 | 148 | Q_neve | 1.327E-12 | 1.990E-12 | 4.789E-13 |
| 228 | 228 | 144 | Q_neve | -6.009E-13 | 1.148E-12 | 5.868E-13 |
| 229 | 229 | 144 | DEAD | -7.821E-13 | 9.132E-12 | 2.408E-12 |
| 229 | 229 | 148 | DEAD | 5.477E-12 | 6.758E-12 | 1.144E-12 |
| 229 | 229 | 149 | DEAD | -4.266E-13 | 6.170E-12 | 5.115E-13 |
| 229 | 229 | 142 | DEAD | 1.251E-12 | 5.534E-12 | 1.776E-12 |
| 229 | 229 | 144 | G1_smistamento | 38.94 | 127.09 | -3.16 |
| 229 | 229 | 148 | G1_smistamento | 103.84 | 154.62 | -3.16 |
| 229 | 229 | 149 | G1_smistamento | 103.84 | 154.62 | 3.16 |
| 229 | 229 | 142 | G1_smistamento | 38.94 | 127.09 | 3.16 |
| 229 | 229 | 144 | G2_smistamento | 14.44 | 47.11 | -1.17 |
| 229 | 229 | 148 | G2_smistamento | 38.5 | 57.32 | -1.17 |
| 229 | 229 | 149 | G2_smistamento | 38.5 | 57.32 | 1.17 |
| 229 | 229 | 142 | G2_smistamento | 14.44 | 47.11 | 1.17 |
| 229 | 229 | 144 | Q_smistamento | 14.44 | 47.11 | -1.17 |
| 229 | 229 | 148 | Q_smistamento | 38.5 | 57.32 | -1.17 |
| 229 | 229 | 149 | Q_smistamento | 38.5 | 57.32 | 1.17 |
| 229 | 229 | 142 | Q_smistamento | 14.44 | 47.11 | 1.17 |
| 229 | 229 | 144 | Q_neve | -6.184E-13 | 1.491E-12 | 5.001E-13 |
| 229 | 229 | 148 | Q_neve | 1.263E-12 | 1.530E-12 | 3.026E-13 |
| 229 | 229 | 149 | Q_neve | -2.587E-14 | 8.982E-13 | 1.841E-13 |
| 229 | 229 | 142 | Q_neve | 2.653E-13 | 1.047E-12 | 3.816E-13 |
| 230 | 230 | 142 | DEAD | 7.712E-13 | 7.462E-12 | -3.583E-13 |
| 230 | 230 | 149 | DEAD | -2.050E-13 | 3.969E-12 | 1.885E-12 |
| 230 | 230 | 150 | DEAD | 3.813E-12 | 5.605E-12 | 9.056E-13 |
| 230 | 230 | 140 | DEAD | 2.599E-12 | 4.720E-12 | 3.047E-13 |
| 230 | 230 | 142 | G1_smistamento | 38.95 | 127.12 | 9.42 |
| 230 | 230 | 149 | G1_smistamento | 103.83 | 154.54 | 9.44 |
| 230 | 230 | 150 | G1_smistamento | 95.61 | 128.1 | 15.52 |
| 230 | 230 | 140 | G1_smistamento | 37.11 | 102.83 | 15.51 |
| 230 | 230 | 142 | G2_smistamento | 14.44 | 47.13 | 3.49 |
| 230 | 230 | 149 | G2_smistamento | 38.49 | 57.29 | 3.5 |

Table 21: Element Stresses - Area Shells, Part 2 of 3

| Area | AreaElem | Joint | OutputCase | S11Bot KN/m2 | S22Bot KN/m2 | S12Bot KN/m2 |
|------|----------|-------|----------------|-----------------|-----------------|-----------------|
| 230 | 230 | 150 | G2_smistamento | 35.44 | 47.49 | 5.76 |
| 230 | 230 | 140 | G2_smistamento | 13.76 | 38.12 | 5.75 |
| 230 | 230 | 142 | Q_smistamento | 14.44 | 47.13 | 3.49 |
| 230 | 230 | 149 | Q_smistamento | 38.49 | 57.29 | 3.5 |
| 230 | 230 | 150 | Q_smistamento | 35.44 | 47.49 | 5.76 |
| 230 | 230 | 140 | Q_smistamento | 13.76 | 38.12 | 5.75 |
| 230 | 230 | 142 | Q_neve | 2.198E-13 | 1.550E-12 | 4.643E-14 |
| 230 | 230 | 149 | Q_neve | -9.406E-14 | 6.280E-13 | 3.663E-13 |
| 230 | 230 | 150 | Q_neve | 5.556E-13 | 1.096E-12 | 2.044E-13 |
| 230 | 230 | 140 | Q_neve | 4.589E-13 | 7.860E-13 | 8.980E-14 |
| 231 | 231 | 140 | DEAD | 2.892E-12 | 3.526E-12 | 1.477E-12 |
| 231 | 231 | 150 | DEAD | 5.192E-12 | 6.613E-12 | 1.393E-12 |
| 231 | 231 | 138 | DEAD | 4.748E-12 | 2.381E-12 | 5.294E-13 |
| 231 | 231 | 5 | DEAD | -1.247E-12 | 3.809E-12 | 1.709E-12 |
| 231 | 231 | 140 | G1_smistamento | 37.17 | 103.14 | 20.91 |
| 231 | 231 | 150 | G1_smistamento | 95.62 | 128.12 | 20.79 |
| 231 | 231 | 138 | G1_smistamento | 73.03 | 50.68 | 23.34 |
| 231 | 231 | 5 | G1_smistamento | 31.85 | 44. | 23.46 |
| 231 | 231 | 140 | G2_smistamento | 13.78 | 38.23 | 7.75 |
| 231 | 231 | 150 | G2_smistamento | 35.45 | 47.5 | 7.71 |
| 231 | 231 | 138 | G2_smistamento | 27.07 | 18.79 | 8.65 |
| 231 | 231 | 5 | G2_smistamento | 11.81 | 16.31 | 8.7 |
| 231 | 231 | 140 | Q_smistamento | 13.78 | 38.23 | 7.75 |
| 231 | 231 | 150 | Q_smistamento | 35.45 | 47.5 | 7.71 |
| 231 | 231 | 138 | Q_smistamento | 27.07 | 18.79 | 8.65 |
| 231 | 231 | 5 | Q_smistamento | 11.81 | 16.31 | 8.7 |
| 231 | 231 | 140 | Q_neve | 6.307E-13 | 7.175E-13 | 1.307E-13 |
| 231 | 231 | 150 | Q_neve | 5.680E-13 | 4.967E-13 | 2.965E-13 |
| 231 | 231 | 138 | Q_neve | 1.045E-12 | 1.369E-12 | 5.172E-14 |
| 231 | 231 | 5 | Q_neve | -1.233E-13 | 3.585E-13 | 2.965E-13 |
| 232 | 232 | 68 | DEAD | 5.826E-12 | 5.479E-12 | 1.326E-12 |
| 232 | 232 | 70 | DEAD | 6.641E-12 | 6.502E-12 | 1.326E-12 |
| 232 | 232 | 151 | DEAD | 1.128E-11 | 9.982E-12 | 1.958E-12 |
| 232 | 232 | 147 | DEAD | 1.980E-12 | 5.949E-12 | 1.958E-12 |
| 232 | 232 | 68 | G1_smistamento | 72.75 | 50.63 | -20.82 |
| 232 | 232 | 70 | G1_smistamento | 79.02 | 53.19 | -18.01 |
| 232 | 232 | 151 | G1_smistamento | 102.93 | 139.03 | -15.67 |
| 232 | 232 | 147 | G1_smistamento | 95.58 | 128.12 | -18.48 |

Table 21: Element Stresses - Area Shells, Part 2 of 3

| Area | AreaElem | Joint | OutputCase | S11Bot KN/m2 | S22Bot KN/m2 | S12Bot KN/m2 |
|------|----------|-------|----------------|-----------------|-----------------|-----------------|
| 232 | 232 | 68 | G2_smistamento | 26.97 | 18.77 | -7.72 |
| 232 | 232 | 70 | G2_smistamento | 29.29 | 19.72 | -6.68 |
| 232 | 232 | 151 | G2_smistamento | 38.16 | 51.54 | -5.81 |
| 232 | 232 | 147 | G2_smistamento | 35.43 | 47.49 | -6.85 |
| 232 | 232 | 68 | Q_smistamento | 26.97 | 18.77 | -7.72 |
| 232 | 232 | 70 | Q_smistamento | 29.29 | 19.72 | -6.68 |
| 232 | 232 | 151 | Q_smistamento | 38.16 | 51.54 | -5.81 |
| 232 | 232 | 147 | Q_smistamento | 35.43 | 47.49 | -6.85 |
| 232 | 232 | 68 | Q_neve | 8.098E-13 | 1.266E-12 | 2.798E-13 |
| 232 | 232 | 70 | Q_neve | 1.357E-12 | 8.134E-13 | 3.193E-13 |
| 232 | 232 | 151 | Q_neve | 1.402E-12 | 1.858E-12 | 3.588E-13 |
| 232 | 232 | 147 | Q_neve | 9.230E-13 | 1.011E-12 | 3.193E-13 |
| 233 | 233 | 147 | DEAD | 2.836E-12 | 7.458E-12 | 3.362E-12 |
| 233 | 233 | 151 | DEAD | 9.569E-12 | 6.719E-12 | 2.214E-12 |
| 233 | 233 | 152 | DEAD | 5.443E-12 | 4.377E-12 | 8.341E-13 |
| 233 | 233 | 148 | DEAD | 1.788E-12 | 5.732E-12 | 2.530E-12 |
| 233 | 233 | 147 | G1_smistamento | 95.57 | 128.09 | -13.9 |
| 233 | 233 | 151 | G1_smistamento | 102.91 | 138.9 | -12.42 |
| 233 | 233 | 152 | G1_smistamento | 113.61 | 169.51 | -7.56 |
| 233 | 233 | 148 | G1_smistamento | 103.69 | 154.51 | -9.04 |
| 233 | 233 | 147 | G2_smistamento | 35.43 | 47.49 | -5.15 |
| 233 | 233 | 151 | G2_smistamento | 38.15 | 51.49 | -4.6 |
| 233 | 233 | 152 | G2_smistamento | 42.12 | 62.84 | -2.8 |
| 233 | 233 | 148 | G2_smistamento | 38.44 | 57.28 | -3.35 |
| 233 | 233 | 147 | Q_smistamento | 35.43 | 47.49 | -5.15 |
| 233 | 233 | 151 | Q_smistamento | 38.15 | 51.49 | -4.6 |
| 233 | 233 | 152 | Q_smistamento | 42.12 | 62.84 | -2.8 |
| 233 | 233 | 148 | Q_smistamento | 38.44 | 57.28 | -3.35 |
| 233 | 233 | 147 | Q_neve | 4.577E-13 | 9.152E-13 | 4.484E-13 |
| 233 | 233 | 151 | Q_neve | 1.724E-12 | 1.743E-12 | 4.455E-13 |
| 233 | 233 | 152 | Q_neve | 6.256E-13 | 8.066E-13 | 5.336E-14 |
| 233 | 233 | 148 | Q_neve | 1.053E-12 | 1.467E-12 | 6.035E-13 |
| 234 | 234 | 148 | DEAD | 1.774E-12 | 4.727E-12 | 1.645E-13 |
| 234 | 234 | 152 | DEAD | 5.442E-12 | 6.048E-12 | 2.523E-12 |
| 234 | 234 | 153 | DEAD | 3.631E-12 | 6.425E-12 | 1.113E-12 |
| 234 | 234 | 149 | DEAD | 6.667E-12 | 7.430E-12 | 9.432E-13 |
| 234 | 234 | 148 | G1_smistamento | 103.71 | 154.59 | -2.8 |
| 234 | 234 | 152 | G1_smistamento | 113.6 | 169.48 | -2.8 |

Table 21: Element Stresses - Area Shells, Part 2 of 3

| Area | AreaElem | Joint | OutputCase | S11Bot KN/m2 | S22Bot KN/m2 | S12Bot KN/m2 |
|------|----------|-------|----------------|-----------------|-----------------|-----------------|
| 234 | 234 | 153 | G1_smistamento | 113.6 | 169.48 | 2.8 |
| 234 | 234 | 149 | G1_smistamento | 103.71 | 154.59 | 2.8 |
| 234 | 234 | 148 | G2_smistamento | 38.45 | 57.31 | -1.04 |
| 234 | 234 | 152 | G2_smistamento | 42.11 | 62.83 | -1.04 |
| 234 | 234 | 153 | G2_smistamento | 42.11 | 62.83 | 1.04 |
| 234 | 234 | 149 | G2_smistamento | 38.45 | 57.31 | 1.04 |
| 234 | 234 | 148 | Q_smistamento | 38.45 | 57.31 | -1.04 |
| 234 | 234 | 152 | Q_smistamento | 42.11 | 62.83 | -1.04 |
| 234 | 234 | 153 | Q_smistamento | 42.11 | 62.83 | 1.04 |
| 234 | 234 | 149 | Q_smistamento | 38.45 | 57.31 | 1.04 |
| 234 | 234 | 148 | Q_neve | 9.830E-13 | 1.481E-12 | 6.312E-14 |
| 234 | 234 | 152 | Q_neve | 6.506E-13 | 1.414E-12 | 4.013E-13 |
| 234 | 234 | 153 | Q_neve | 7.559E-13 | 1.056E-12 | 1.421E-13 |
| 234 | 234 | 149 | Q_neve | 9.172E-13 | 1.088E-12 | 2.828E-13 |
| 235 | 235 | 149 | DEAD | 6.278E-12 | 5.967E-12 | 1.429E-12 |
| 235 | 235 | 153 | DEAD | 3.954E-12 | 6.001E-12 | 9.432E-13 |
| 235 | 235 | 154 | DEAD | 2.684E-12 | 6.006E-12 | -1.514E-13 |
| 235 | 235 | 150 | DEAD | 1.861E-12 | 5.014E-12 | 2.523E-12 |
| 235 | 235 | 149 | G1_smistamento | 103.69 | 154.51 | 9.04 |
| 235 | 235 | 153 | G1_smistamento | 113.61 | 169.51 | 7.56 |
| 235 | 235 | 154 | G1_smistamento | 102.91 | 138.9 | 12.42 |
| 235 | 235 | 150 | G1_smistamento | 95.57 | 128.09 | 13.9 |
| 235 | 235 | 149 | G2_smistamento | 38.44 | 57.28 | 3.35 |
| 235 | 235 | 153 | G2_smistamento | 42.12 | 62.84 | 2.8 |
| 235 | 235 | 154 | G2_smistamento | 38.15 | 51.49 | 4.6 |
| 235 | 235 | 150 | G2_smistamento | 35.43 | 47.49 | 5.15 |
| 235 | 235 | 149 | Q_smistamento | 38.44 | 57.28 | 3.35 |
| 235 | 235 | 153 | Q_smistamento | 42.12 | 62.84 | 2.8 |
| 235 | 235 | 154 | Q_smistamento | 38.15 | 51.49 | 4.6 |
| 235 | 235 | 150 | Q_smistamento | 35.43 | 47.49 | 5.15 |
| 235 | 235 | 149 | Q_neve | 7.526E-13 | 9.077E-13 | 2.067E-13 |
| 235 | 235 | 153 | Q_neve | 6.738E-13 | 8.839E-13 | 1.894E-13 |
| 235 | 235 | 154 | Q_neve | 7.526E-13 | 1.145E-12 | -6.983E-14 |
| 235 | 235 | 150 | Q_neve | 3.183E-13 | 1.476E-12 | 4.264E-13 |
| 236 | 236 | 150 | DEAD | 1.536E-12 | 5.108E-12 | 1.709E-12 |
| 236 | 236 | 154 | DEAD | 1.902E-12 | 5.459E-12 | -1.789E-14 |
| 236 | 236 | 136 | DEAD | -2.813E-13 | 1.711E-12 | 1.393E-12 |
| 236 | 236 | 138 | DEAD | 2.020E-12 | 3.207E-12 | 9.301E-13 |

Table 21: Element Stresses - Area Shells, Part 2 of 3

| Area | AreaElem | Joint | OutputCase | S11Bot KN/m2 | S22Bot KN/m2 | S12Bot KN/m2 |
|------|----------|-------|----------------|-----------------|-----------------|-----------------|
| 236 | 236 | 150 | G1_smistamento | 95.58 | 128.12 | 18.48 |
| 236 | 236 | 154 | G1_smistamento | 102.93 | 139.03 | 15.67 |
| 236 | 236 | 136 | G1_smistamento | 79.02 | 53.19 | 18.01 |
| 236 | 236 | 138 | G1_smistamento | 72.75 | 50.63 | 20.82 |
| 236 | 236 | 150 | G2_smistamento | 35.43 | 47.49 | 6.85 |
| 236 | 236 | 154 | G2_smistamento | 38.16 | 51.54 | 5.81 |
| 236 | 236 | 136 | G2_smistamento | 29.29 | 19.72 | 6.68 |
| 236 | 236 | 138 | G2_smistamento | 26.97 | 18.77 | 7.72 |
| 236 | 236 | 150 | Q_smistamento | 35.43 | 47.49 | 6.85 |
| 236 | 236 | 154 | Q_smistamento | 38.16 | 51.54 | 5.81 |
| 236 | 236 | 136 | Q_smistamento | 29.29 | 19.72 | 6.68 |
| 236 | 236 | 138 | Q_smistamento | 26.97 | 18.77 | 7.72 |
| 236 | 236 | 150 | Q_neve | -4.939E-13 | -3.304E-13 | 3.315E-13 |
| 236 | 236 | 154 | Q_neve | 6.268E-13 | 1.596E-12 | 2.342E-13 |
| 236 | 236 | 136 | Q_neve | -5.038E-13 | -1.428E-13 | 4.895E-13 |
| 236 | 236 | 138 | Q_neve | 1.249E-12 | 1.625E-12 | 3.132E-13 |
| 237 | 237 | 70 | DEAD | 1.073E-11 | 6.433E-12 | 1.909E-12 |
| 237 | 237 | 72 | DEAD | 5.730E-12 | 6.974E-12 | 9.611E-13 |
| 237 | 237 | 155 | DEAD | 5.395E-12 | 6.315E-12 | 6.451E-13 |
| 237 | 237 | 151 | DEAD | 8.614E-12 | 1.002E-11 | 1.593E-12 |
| 237 | 237 | 70 | G1_smistamento | 78.96 | 53.18 | -15.2 |
| 237 | 237 | 72 | G1_smistamento | 66.91 | 53.88 | -12.86 |
| 237 | 237 | 155 | G1_smistamento | 89.51 | 142.73 | -10.8 |
| 237 | 237 | 151 | G1_smistamento | 103.02 | 139.05 | -13.13 |
| 237 | 237 | 70 | G2_smistamento | 29.27 | 19.71 | -5.63 |
| 237 | 237 | 72 | G2_smistamento | 24.8 | 19.98 | -4.77 |
| 237 | 237 | 155 | G2_smistamento | 33.18 | 52.91 | -4. |
| 237 | 237 | 151 | G2_smistamento | 38.19 | 51.55 | -4.87 |
| 237 | 237 | 70 | Q_smistamento | 29.27 | 19.71 | -5.63 |
| 237 | 237 | 72 | Q_smistamento | 24.8 | 19.98 | -4.77 |
| 237 | 237 | 155 | Q_smistamento | 33.18 | 52.91 | -4. |
| 237 | 237 | 151 | Q_smistamento | 38.19 | 51.55 | -4.87 |
| 237 | 237 | 70 | Q_neve | 1.891E-12 | 9.174E-13 | 1.763E-13 |
| 237 | 237 | 72 | Q_neve | 1.453E-12 | 1.663E-12 | 1.833E-14 |
| 237 | 237 | 155 | Q_neve | 1.387E-12 | 1.243E-12 | 9.733E-14 |
| 237 | 237 | 151 | Q_neve | 1.107E-12 | 1.831E-12 | 2.553E-13 |
| 238 | 238 | 151 | DEAD | 9.372E-12 | 7.883E-12 | 4.317E-13 |
| 238 | 238 | 155 | DEAD | 3.842E-12 | 5.482E-12 | 1.157E-13 |

Table 21: Element Stresses - Area Shells, Part 2 of 3

| Area | AreaElem | Joint | OutputCase | S11Bot KN/m2 | S22Bot KN/m2 | S12Bot KN/m2 |
|------|----------|-------|----------------|-----------------|-----------------|-----------------|
| 238 | 238 | 156 | DEAD | 2.578E-12 | 4.249E-12 | 1.157E-13 |
| 238 | 238 | 152 | DEAD | 8.108E-12 | 5.008E-12 | 4.317E-13 |
| 238 | 238 | 151 | G1_smistamento | 102.99 | 138.91 | -9.97 |
| 238 | 238 | 155 | G1_smistamento | 89.49 | 142.67 | -8.43 |
| 238 | 238 | 156 | G1_smistamento | 99.33 | 175.73 | -5.05 |
| 238 | 238 | 152 | G1_smistamento | 113.59 | 169.51 | -6.59 |
| 238 | 238 | 151 | G2_smistamento | 38.18 | 51.5 | -3.7 |
| 238 | 238 | 155 | G2_smistamento | 33.18 | 52.89 | -3.12 |
| 238 | 238 | 156 | G2_smistamento | 36.82 | 65.15 | -1.87 |
| 238 | 238 | 152 | G2_smistamento | 42.11 | 62.84 | -2.44 |
| 238 | 238 | 151 | Q_smistamento | 38.18 | 51.5 | -3.7 |
| 238 | 238 | 155 | Q_smistamento | 33.18 | 52.89 | -3.12 |
| 238 | 238 | 156 | Q_smistamento | 36.82 | 65.15 | -1.87 |
| 238 | 238 | 152 | Q_smistamento | 42.11 | 62.84 | -2.44 |
| 238 | 238 | 151 | Q_neve | 1.088E-12 | 1.636E-12 | 1.566E-13 |
| 238 | 238 | 155 | Q_neve | 1.628E-12 | 1.679E-12 | 1.315E-13 |
| 238 | 238 | 156 | Q_neve | 4.459E-13 | 5.593E-13 | 1.171E-13 |
| 238 | 238 | 152 | Q_neve | 1.342E-12 | 7.212E-13 | 2.105E-13 |
| 239 | 239 | 152 | DEAD | 9.062E-12 | 5.546E-12 | 2.492E-13 |
| 239 | 239 | 156 | DEAD | 2.348E-12 | 5.739E-12 | -3.828E-13 |
| 239 | 239 | 157 | DEAD | 4.598E-12 | 6.928E-12 | -6.678E-14 |
| 239 | 239 | 153 | DEAD | 1.597E-12 | 5.778E-12 | 5.652E-13 |
| 239 | 239 | 152 | G1_smistamento | 113.58 | 169.47 | -1.97 |
| 239 | 239 | 156 | G1_smistamento | 99.33 | 175.7 | -1.97 |
| 239 | 239 | 157 | G1_smistamento | 99.33 | 175.7 | 1.97 |
| 239 | 239 | 153 | G1_smistamento | 113.58 | 169.47 | 1.97 |
| 239 | 239 | 152 | G2_smistamento | 42.11 | 62.83 | -0.73 |
| 239 | 239 | 156 | G2_smistamento | 36.82 | 65.14 | -0.73 |
| 239 | 239 | 157 | G2_smistamento | 36.82 | 65.14 | 0.73 |
| 239 | 239 | 153 | G2_smistamento | 42.11 | 62.83 | 0.73 |
| 239 | 239 | 152 | Q_smistamento | 42.11 | 62.83 | -0.73 |
| 239 | 239 | 156 | Q_smistamento | 36.82 | 65.14 | -0.73 |
| 239 | 239 | 157 | Q_smistamento | 36.82 | 65.14 | 0.73 |
| 239 | 239 | 153 | Q_smistamento | 42.11 | 62.83 | 0.73 |
| 239 | 239 | 152 | Q_neve | 1.683E-12 | 1.475E-12 | 7.065E-14 |
| 239 | 239 | 156 | Q_neve | 8.258E-13 | 1.097E-12 | -1.163E-13 |
| 239 | 239 | 157 | Q_neve | 8.141E-13 | 1.159E-12 | -4.785E-14 |
| 239 | 239 | 153 | Q_neve | 3.715E-13 | 1.195E-12 | 2.237E-15 |

Table 21: Element Stresses - Area Shells, Part 2 of 3

| Area | AreaElem | Joint | OutputCase | S11Bot KN/m2 | S22Bot KN/m2 | S12Bot KN/m2 |
|------|----------|-------|----------------|-----------------|-----------------|-----------------|
| 240 | 240 | 153 | DEAD | 3.206E-12 | 6.012E-12 | 4.561E-13 |
| 240 | 240 | 157 | DEAD | 3.480E-12 | 6.275E-12 | 2.444E-14 |
| 240 | 240 | 158 | DEAD | 4.114E-12 | 4.866E-12 | 4.561E-13 |
| 240 | 240 | 154 | DEAD | 2.335E-12 | 5.287E-12 | 3.404E-13 |
| 240 | 240 | 153 | G1_smistamento | 113.59 | 169.51 | 6.59 |
| 240 | 240 | 157 | G1_smistamento | 99.33 | 175.73 | 5.05 |
| 240 | 240 | 158 | G1_smistamento | 89.49 | 142.67 | 8.43 |
| 240 | 240 | 154 | G1_smistamento | 102.99 | 138.91 | 9.97 |
| 240 | 240 | 153 | G2_smistamento | 42.11 | 62.84 | 2.44 |
| 240 | 240 | 157 | G2_smistamento | 36.82 | 65.15 | 1.87 |
| 240 | 240 | 158 | G2_smistamento | 33.18 | 52.89 | 3.12 |
| 240 | 240 | 154 | G2_smistamento | 38.18 | 51.5 | 3.7 |
| 240 | 240 | 153 | Q_smistamento | 42.11 | 62.84 | 2.44 |
| 240 | 240 | 157 | Q_smistamento | 36.82 | 65.15 | 1.87 |
| 240 | 240 | 158 | Q_smistamento | 33.18 | 52.89 | 3.12 |
| 240 | 240 | 154 | Q_smistamento | 38.18 | 51.5 | 3.7 |
| 240 | 240 | 153 | Q_neve | 2.234E-13 | 7.836E-13 | 1.482E-13 |
| 240 | 240 | 157 | Q_neve | 8.584E-13 | 1.368E-12 | 2.586E-14 |
| 240 | 240 | 158 | Q_neve | 5.690E-13 | 8.527E-13 | 1.482E-13 |
| 240 | 240 | 154 | Q_neve | 7.893E-13 | 1.260E-12 | 6.536E-14 |
| 241 | 241 | 154 | DEAD | 1.413E-12 | 5.062E-12 | 5.718E-13 |
| 241 | 241 | 158 | DEAD | 5.254E-12 | 6.968E-12 | 1.401E-13 |
| 241 | 241 | 134 | DEAD | -9.569E-13 | 2.692E-12 | 8.878E-13 |
| 241 | 241 | 136 | DEAD | 4.780E-12 | 2.702E-12 | 7.721E-13 |
| 241 | 241 | 154 | G1_smistamento | 103.02 | 139.05 | 13.13 |
| 241 | 241 | 158 | G1_smistamento | 89.51 | 142.73 | 10.8 |
| 241 | 241 | 134 | G1_smistamento | 66.91 | 53.88 | 12.86 |
| 241 | 241 | 136 | G1_smistamento | 78.96 | 53.18 | 15.2 |
| 241 | 241 | 154 | G2_smistamento | 38.19 | 51.55 | 4.87 |
| 241 | 241 | 158 | G2_smistamento | 33.18 | 52.91 | 4. |
| 241 | 241 | 134 | G2_smistamento | 24.8 | 19.98 | 4.77 |
| 241 | 241 | 136 | G2_smistamento | 29.27 | 19.71 | 5.63 |
| 241 | 241 | 154 | Q_smistamento | 38.19 | 51.55 | 4.87 |
| 241 | 241 | 158 | Q_smistamento | 33.18 | 52.91 | 4. |
| 241 | 241 | 134 | Q_smistamento | 24.8 | 19.98 | 4.77 |
| 241 | 241 | 136 | Q_smistamento | 29.27 | 19.71 | 5.63 |
| 241 | 241 | 154 | Q_neve | 8.044E-13 | 1.555E-12 | 9.428E-14 |
| 241 | 241 | 158 | Q_neve | 7.227E-13 | 1.448E-12 | -6.760E-14 |

Table 21: Element Stresses - Area Shells, Part 2 of 3

| Area | AreaElem | Joint | OutputCase | S11Bot KN/m2 | S22Bot KN/m2 | S12Bot KN/m2 |
|------|----------|-------|----------------|-----------------|-----------------|-----------------|
| 241 | 241 | 134 | Q_neve | 7.363E-14 | 5.086E-13 | 1.338E-13 |
| 241 | 241 | 136 | Q_neve | 1.895E-13 | -3.366E-14 | 9.040E-14 |
| 242 | 242 | 72 | DEAD | 8.448E-12 | 8.410E-12 | 5.652E-13 |
| 242 | 242 | 74 | DEAD | 3.731E-12 | 6.190E-12 | -9.301E-13 |
| 242 | 242 | 159 | DEAD | 1.062E-12 | 4.657E-12 | -3.828E-13 |
| 242 | 242 | 155 | DEAD | 7.010E-12 | 6.467E-12 | 1.789E-14 |
| 242 | 242 | 72 | G1_smistamento | 66.87 | 53.88 | -10.78 |
| 242 | 242 | 74 | G1_smistamento | 48.51 | 53.86 | -9.13 |
| 242 | 242 | 159 | G1_smistamento | 69.8 | 143.52 | -7.31 |
| 242 | 242 | 155 | G1_smistamento | 89.53 | 142.74 | -8.96 |
| 242 | 242 | 72 | G2_smistamento | 24.79 | 19.97 | -4. |
| 242 | 242 | 74 | G2_smistamento | 17.98 | 19.96 | -3.39 |
| 242 | 242 | 159 | G2_smistamento | 25.87 | 53.21 | -2.71 |
| 242 | 242 | 155 | G2_smistamento | 33.19 | 52.91 | -3.32 |
| 242 | 242 | 72 | Q_smistamento | 24.79 | 19.97 | -4. |
| 242 | 242 | 74 | Q_smistamento | 17.98 | 19.96 | -3.39 |
| 242 | 242 | 159 | Q_smistamento | 25.87 | 53.21 | -2.71 |
| 242 | 242 | 155 | Q_smistamento | 33.19 | 52.91 | -3.32 |
| 242 | 242 | 72 | Q_neve | 1.841E-12 | 1.673E-12 | 1.049E-13 |
| 242 | 242 | 74 | Q_neve | 5.149E-13 | 1.309E-12 | -5.701E-14 |
| 242 | 242 | 159 | Q_neve | -4.510E-14 | 1.012E-12 | -1.364E-14 |
| 242 | 242 | 155 | Q_neve | 1.828E-12 | 1.240E-12 | -5.701E-14 |
| 243 | 243 | 155 | DEAD | 8.345E-12 | 6.576E-12 | -4.138E-13 |
| 243 | 243 | 159 | DEAD | -4.007E-13 | 3.084E-12 | -7.298E-13 |
| 243 | 243 | 160 | DEAD | 4.790E-12 | 4.917E-12 | -1.046E-12 |
| 243 | 243 | 156 | DEAD | 1.495E-12 | 4.032E-12 | -7.298E-13 |
| 243 | 243 | 155 | G1_smistamento | 89.52 | 142.67 | -6.6 |
| 243 | 243 | 159 | G1_smistamento | 69.79 | 143.49 | -5.55 |
| 243 | 243 | 160 | G1_smistamento | 78.61 | 177.42 | -3.24 |
| 243 | 243 | 156 | G1_smistamento | 99.37 | 175.74 | -4.3 |
| 243 | 243 | 155 | G2_smistamento | 33.19 | 52.89 | -2.45 |
| 243 | 243 | 159 | G2_smistamento | 25.87 | 53.19 | -2.06 |
| 243 | 243 | 160 | G2_smistamento | 29.14 | 65.77 | -1.2 |
| 243 | 243 | 156 | G2_smistamento | 36.84 | 65.15 | -1.59 |
| 243 | 243 | 155 | Q_smistamento | 33.19 | 52.89 | -2.45 |
| 243 | 243 | 159 | Q_smistamento | 25.87 | 53.19 | -2.06 |
| 243 | 243 | 160 | Q_smistamento | 29.14 | 65.77 | -1.2 |
| 243 | 243 | 156 | Q_smistamento | 36.84 | 65.15 | -1.59 |

Table 21: Element Stresses - Area Shells, Part 2 of 3

| Area | AreaElem | Joint | OutputCase | S11Bot KN/m2 | S22Bot KN/m2 | S12Bot KN/m2 |
|------|----------|-------|----------------|-----------------|-----------------|-----------------|
| 243 | 243 | 155 | Q_neve | 1.743E-12 | 1.543E-12 | -1.719E-13 |
| 243 | 243 | 159 | Q_neve | 4.598E-14 | 7.808E-13 | -2.904E-13 |
| 243 | 243 | 160 | Q_neve | 5.088E-13 | 8.226E-13 | -3.299E-13 |
| 243 | 243 | 156 | Q_neve | 5.298E-13 | 5.932E-13 | -2.114E-13 |
| 244 | 244 | 156 | DEAD | 1.469E-12 | 4.154E-12 | -1.824E-13 |
| 244 | 244 | 160 | DEAD | 5.372E-12 | 7.941E-12 | -4.984E-13 |
| 244 | 244 | 161 | DEAD | 5.606E-13 | 4.352E-12 | -1.824E-13 |
| 244 | 244 | 157 | DEAD | 3.910E-12 | 7.270E-12 | 1.336E-13 |
| 244 | 244 | 156 | G1_smistamento | 99.37 | 175.71 | -1.27 |
| 244 | 244 | 160 | G1_smistamento | 78.61 | 177.41 | -1.27 |
| 244 | 244 | 161 | G1_smistamento | 78.61 | 177.41 | 1.27 |
| 244 | 244 | 157 | G1_smistamento | 99.37 | 175.71 | 1.27 |
| 244 | 244 | 156 | G2_smistamento | 36.84 | 65.14 | -0.47 |
| 244 | 244 | 160 | G2_smistamento | 29.14 | 65.77 | -0.47 |
| 244 | 244 | 161 | G2_smistamento | 29.14 | 65.77 | 0.47 |
| 244 | 244 | 157 | G2_smistamento | 36.84 | 65.14 | 0.47 |
| 244 | 244 | 156 | Q_smistamento | 36.84 | 65.14 | -0.47 |
| 244 | 244 | 160 | Q_smistamento | 29.14 | 65.77 | -0.47 |
| 244 | 244 | 161 | Q_smistamento | 29.14 | 65.77 | 0.47 |
| 244 | 244 | 157 | Q_smistamento | 36.84 | 65.14 | 0.47 |
| 244 | 244 | 156 | Q_neve | 5.113E-13 | 9.379E-13 | -6.841E-14 |
| 244 | 244 | 160 | Q_neve | 8.264E-13 | 1.519E-12 | -1.474E-13 |
| 244 | 244 | 161 | Q_neve | 3.040E-13 | 1.086E-12 | -6.841E-14 |
| 244 | 244 | 157 | Q_neve | 6.388E-13 | 1.292E-12 | 1.058E-14 |
| 245 | 245 | 157 | DEAD | 3.128E-12 | 6.463E-12 | -2.248E-13 |
| 245 | 245 | 161 | DEAD | 2.202E-12 | 7.106E-12 | -3.404E-13 |
| 245 | 245 | 162 | DEAD | 3.326E-12 | 5.555E-12 | 4.072E-13 |
| 245 | 245 | 158 | DEAD | 1.926E-12 | 4.775E-12 | -2.444E-14 |
| 245 | 245 | 157 | G1_smistamento | 99.37 | 175.74 | 4.3 |
| 245 | 245 | 161 | G1_smistamento | 78.61 | 177.42 | 3.24 |
| 245 | 245 | 162 | G1_smistamento | 69.79 | 143.49 | 5.55 |
| 245 | 245 | 158 | G1_smistamento | 89.52 | 142.67 | 6.6 |
| 245 | 245 | 157 | G2_smistamento | 36.84 | 65.15 | 1.59 |
| 245 | 245 | 161 | G2_smistamento | 29.14 | 65.77 | 1.2 |
| 245 | 245 | 162 | G2_smistamento | 25.87 | 53.19 | 2.06 |
| 245 | 245 | 158 | G2_smistamento | 33.19 | 52.89 | 2.45 |
| 245 | 245 | 157 | Q_smistamento | 36.84 | 65.15 | 1.59 |
| 245 | 245 | 161 | Q_smistamento | 29.14 | 65.77 | 1.2 |

Table 21: Element Stresses - Area Shells, Part 2 of 3

| Area | AreaElem | Joint | OutputCase | S11Bot KN/m2 | S22Bot KN/m2 | S12Bot KN/m2 |
|------|----------|-------|----------------|-----------------|-----------------|-----------------|
| 245 | 245 | 162 | Q_smistamento | 25.87 | 53.19 | 2.06 |
| 245 | 245 | 158 | Q_smistamento | 33.19 | 52.89 | 2.45 |
| 245 | 245 | 157 | Q_neve | 7.374E-13 | 1.356E-12 | 5.172E-14 |
| 245 | 245 | 161 | Q_neve | 3.013E-13 | 1.488E-12 | -1.246E-13 |
| 245 | 245 | 162 | Q_neve | 8.361E-13 | 9.017E-13 | 1.307E-13 |
| 245 | 245 | 158 | Q_neve | 1.433E-13 | 4.614E-13 | 3.339E-14 |
| 246 | 246 | 158 | DEAD | 1.186E-12 | 7.074E-12 | -1.336E-13 |
| 246 | 246 | 162 | DEAD | 4.185E-12 | 6.809E-12 | 1.824E-13 |
| 246 | 246 | 132 | DEAD | 3.991E-12 | 4.032E-12 | 4.984E-13 |
| 246 | 246 | 134 | DEAD | 1.539E-12 | 2.108E-12 | 1.824E-13 |
| 246 | 246 | 158 | G1_smistamento | 89.53 | 142.74 | 8.96 |
| 246 | 246 | 162 | G1_smistamento | 69.8 | 143.52 | 7.31 |
| 246 | 246 | 132 | G1_smistamento | 48.51 | 53.86 | 9.13 |
| 246 | 246 | 134 | G1_smistamento | 66.87 | 53.88 | 10.78 |
| 246 | 246 | 158 | G2_smistamento | 33.19 | 52.91 | 3.32 |
| 246 | 246 | 162 | G2_smistamento | 25.87 | 53.21 | 2.71 |
| 246 | 246 | 132 | G2_smistamento | 17.98 | 19.96 | 3.39 |
| 246 | 246 | 134 | G2_smistamento | 24.79 | 19.97 | 4. |
| 246 | 246 | 158 | Q_smistamento | 33.19 | 52.91 | 3.32 |
| 246 | 246 | 162 | Q_smistamento | 25.87 | 53.21 | 2.71 |
| 246 | 246 | 132 | Q_smistamento | 17.98 | 19.96 | 3.39 |
| 246 | 246 | 134 | Q_smistamento | 24.79 | 19.97 | 4. |
| 246 | 246 | 158 | Q_neve | 5.062E-13 | 1.458E-12 | 7.676E-14 |
| 246 | 246 | 162 | Q_neve | 5.982E-13 | 9.934E-13 | 4.785E-14 |
| 246 | 246 | 132 | Q_neve | 8.222E-13 | 6.683E-13 | 3.726E-14 |
| 246 | 246 | 134 | Q_neve | 3.710E-13 | 5.688E-13 | -7.065E-14 |
| 247 | 247 | 74 | DEAD | 2.054E-12 | 5.709E-12 | -1.192E-12 |
| 247 | 247 | 76 | DEAD | 1.548E-12 | 4.974E-13 | -7.298E-13 |
| 247 | 247 | 163 | DEAD | 1.185E-12 | 6.104E-12 | -2.456E-12 |
| 247 | 247 | 159 | DEAD | 2.101E-12 | 5.158E-12 | -7.298E-13 |
| 247 | 247 | 74 | G1_smistamento | 48.49 | 53.85 | -7.6 |
| 247 | 247 | 76 | G1_smistamento | 31.1 | 53.74 | -6.44 |
| 247 | 247 | 163 | G1_smistamento | 51.48 | 143.35 | -4.95 |
| 247 | 247 | 159 | G1_smistamento | 69.8 | 143.52 | -6.11 |
| 247 | 247 | 74 | G2_smistamento | 17.98 | 19.96 | -2.82 |
| 247 | 247 | 76 | G2_smistamento | 11.53 | 19.92 | -2.39 |
| 247 | 247 | 163 | G2_smistamento | 19.08 | 53.14 | -1.83 |
| 247 | 247 | 159 | G2_smistamento | 25.88 | 53.21 | -2.27 |

Table 21: Element Stresses - Area Shells, Part 2 of 3

| Area | AreaElem | Joint | OutputCase | S11Bot KN/m2 | S22Bot KN/m2 | S12Bot KN/m2 |
|------|----------|-------|----------------|-----------------|-----------------|-----------------|
| 247 | 247 | 74 | Q_smistamento | 17.98 | 19.96 | -2.82 |
| 247 | 247 | 76 | Q_smistamento | 11.53 | 19.92 | -2.39 |
| 247 | 247 | 163 | Q_smistamento | 19.08 | 53.14 | -1.83 |
| 247 | 247 | 159 | Q_smistamento | 25.88 | 53.21 | -2.27 |
| 247 | 247 | 74 | Q_neve | 1.156E-13 | 1.110E-12 | -2.297E-13 |
| 247 | 247 | 76 | Q_neve | 4.320E-13 | 1.724E-13 | -7.453E-14 |
| 247 | 247 | 163 | Q_neve | 6.883E-13 | 1.130E-12 | -5.457E-13 |
| 247 | 247 | 159 | Q_neve | 4.689E-14 | 8.538E-13 | -1.535E-13 |
| 248 | 248 | 159 | DEAD | 1.537E-12 | 3.432E-12 | -9.301E-13 |
| 248 | 248 | 163 | DEAD | 1.413E-12 | 6.510E-12 | -3.828E-13 |
| 248 | 248 | 164 | DEAD | 2.682E-12 | 7.263E-12 | 1.789E-14 |
| 248 | 248 | 160 | DEAD | 3.901E-12 | 4.733E-12 | 5.652E-13 |
| 248 | 248 | 159 | G1_smistamento | 69.8 | 143.49 | -4.35 |
| 248 | 248 | 163 | G1_smistamento | 51.48 | 143.34 | -3.67 |
| 248 | 248 | 164 | G1_smistamento | 59.63 | 177.36 | -2.09 |
| 248 | 248 | 160 | G1_smistamento | 78.65 | 177.43 | -2.77 |
| 248 | 248 | 159 | G2_smistamento | 25.88 | 53.19 | -1.61 |
| 248 | 248 | 163 | G2_smistamento | 19.08 | 53.14 | -1.36 |
| 248 | 248 | 164 | G2_smistamento | 22.1 | 65.75 | -0.78 |
| 248 | 248 | 160 | G2_smistamento | 29.16 | 65.78 | -1.03 |
| 248 | 248 | 159 | Q_smistamento | 25.88 | 53.19 | -1.61 |
| 248 | 248 | 163 | Q_smistamento | 19.08 | 53.14 | -1.36 |
| 248 | 248 | 164 | Q_smistamento | 22.1 | 65.75 | -0.78 |
| 248 | 248 | 160 | Q_smistamento | 29.16 | 65.78 | -1.03 |
| 248 | 248 | 159 | Q_neve | -7.446E-14 | 5.390E-13 | -2.462E-13 |
| 248 | 248 | 163 | Q_neve | 7.698E-13 | 1.523E-12 | -1.132E-13 |
| 248 | 248 | 164 | Q_neve | 5.477E-13 | 1.280E-12 | 1.093E-13 |
| 248 | 248 | 160 | Q_neve | 6.612E-13 | 9.799E-13 | 4.479E-14 |
| 249 | 249 | 160 | DEAD | 4.189E-12 | 7.464E-12 | -2.916E-13 |
| 249 | 249 | 164 | DEAD | 1.187E-12 | 2.442E-12 | 5.408E-13 |
| 249 | 249 | 165 | DEAD | 4.545E-12 | 8.294E-12 | 6.564E-13 |
| 249 | 249 | 161 | DEAD | 7.547E-12 | 6.748E-12 | -7.232E-13 |
| 249 | 249 | 160 | G1_smistamento | 78.65 | 177.42 | -0.81 |
| 249 | 249 | 164 | G1_smistamento | 59.63 | 177.36 | -0.81 |
| 249 | 249 | 165 | G1_smistamento | 59.63 | 177.36 | 0.81 |
| 249 | 249 | 161 | G1_smistamento | 78.65 | 177.42 | 0.81 |
| 249 | 249 | 160 | G2_smistamento | 29.16 | 65.77 | -0.3 |
| 249 | 249 | 164 | G2_smistamento | 22.1 | 65.75 | -0.3 |

Table 21: Element Stresses - Area Shells, Part 2 of 3

| Area | AreaElem | Joint | OutputCase | S11Bot KN/m2 | S22Bot KN/m2 | S12Bot KN/m2 |
|------|----------|-------|----------------|-----------------|-----------------|-----------------|
| 249 | 249 | 165 | G2_smistamento | 22.1 | 65.75 | 0.3 |
| 249 | 249 | 161 | G2_smistamento | 29.16 | 65.77 | 0.3 |
| 249 | 249 | 160 | Q_smistamento | 29.16 | 65.77 | -0.3 |
| 249 | 249 | 164 | Q_smistamento | 22.1 | 65.75 | -0.3 |
| 249 | 249 | 165 | Q_smistamento | 22.1 | 65.75 | 0.3 |
| 249 | 249 | 161 | Q_smistamento | 29.16 | 65.77 | 0.3 |
| 249 | 249 | 160 | Q_neve | 9.995E-13 | 1.732E-12 | -3.339E-14 |
| 249 | 249 | 164 | Q_neve | 3.148E-13 | 1.129E-12 | 2.036E-13 |
| 249 | 249 | 165 | Q_neve | 8.020E-13 | 9.817E-13 | 1.246E-13 |
| 249 | 249 | 161 | Q_neve | 1.658E-12 | 1.208E-12 | -1.124E-13 |
| 250 | 250 | 161 | DEAD | 6.531E-12 | 8.362E-12 | 1.429E-12 |
| 250 | 250 | 165 | DEAD | 4.948E-12 | 8.771E-12 | -6.678E-14 |
| 250 | 250 | 166 | DEAD | 4.477E-13 | 3.543E-12 | -1.514E-13 |
| 250 | 250 | 162 | DEAD | 8.187E-12 | 6.006E-12 | 2.492E-13 |
| 250 | 250 | 161 | G1_smistamento | 78.65 | 177.43 | 2.77 |
| 250 | 250 | 165 | G1_smistamento | 59.63 | 177.36 | 2.09 |
| 250 | 250 | 166 | G1_smistamento | 51.48 | 143.34 | 3.67 |
| 250 | 250 | 162 | G1_smistamento | 69.8 | 143.49 | 4.35 |
| 250 | 250 | 161 | G2_smistamento | 29.16 | 65.78 | 1.03 |
| 250 | 250 | 165 | G2_smistamento | 22.1 | 65.75 | 0.78 |
| 250 | 250 | 166 | G2_smistamento | 19.08 | 53.14 | 1.36 |
| 250 | 250 | 162 | G2_smistamento | 25.88 | 53.19 | 1.61 |
| 250 | 250 | 161 | Q_smistamento | 29.16 | 65.78 | 1.03 |
| 250 | 250 | 165 | Q_smistamento | 22.1 | 65.75 | 0.78 |
| 250 | 250 | 166 | Q_smistamento | 19.08 | 53.14 | 1.36 |
| 250 | 250 | 162 | Q_smistamento | 25.88 | 53.19 | 1.61 |
| 250 | 250 | 161 | Q_neve | 1.711E-12 | 1.676E-12 | 1.527E-13 |
| 250 | 250 | 165 | Q_neve | 5.153E-13 | 1.203E-12 | -1.961E-13 |
| 250 | 250 | 166 | Q_neve | 1.049E-12 | 1.449E-12 | -8.429E-14 |
| 250 | 250 | 162 | Q_neve | 6.535E-13 | 9.463E-13 | -7.758E-14 |
| 251 | 251 | 162 | DEAD | 7.701E-12 | 7.188E-12 | -1.824E-13 |
| 251 | 251 | 166 | DEAD | 1.170E-12 | 4.222E-12 | 1.336E-13 |
| 251 | 251 | 130 | DEAD | 4.226E-12 | 5.924E-12 | -1.824E-13 |
| 251 | 251 | 132 | DEAD | 3.026E-12 | 3.076E-12 | -4.984E-13 |
| 251 | 251 | 162 | G1_smistamento | 69.8 | 143.52 | 6.11 |
| 251 | 251 | 166 | G1_smistamento | 51.48 | 143.35 | 4.95 |
| 251 | 251 | 130 | G1_smistamento | 31.1 | 53.74 | 6.44 |
| 251 | 251 | 132 | G1_smistamento | 48.49 | 53.85 | 7.6 |

Table 21: Element Stresses - Area Shells, Part 2 of 3

| Area | AreaElem | Joint | OutputCase | S11Bot KN/m2 | S22Bot KN/m2 | S12Bot KN/m2 |
|------|----------|-------|----------------|-----------------|-----------------|-----------------|
| 251 | 251 | 162 | G2_smistamento | 25.88 | 53.21 | 2.27 |
| 251 | 251 | 166 | G2_smistamento | 19.08 | 53.14 | 1.83 |
| 251 | 251 | 130 | G2_smistamento | 11.53 | 19.92 | 2.39 |
| 251 | 251 | 132 | G2_smistamento | 17.98 | 19.96 | 2.82 |
| 251 | 251 | 162 | Q_smistamento | 25.88 | 53.21 | 2.27 |
| 251 | 251 | 166 | Q_smistamento | 19.08 | 53.14 | 1.83 |
| 251 | 251 | 130 | Q_smistamento | 11.53 | 19.92 | 2.39 |
| 251 | 251 | 132 | Q_smistamento | 17.98 | 19.96 | 2.82 |
| 251 | 251 | 162 | Q_neve | 9.633E-13 | 1.319E-12 | 1.110E-13 |
| 251 | 251 | 166 | Q_neve | 7.451E-13 | 1.176E-12 | -5.090E-14 |
| 251 | 251 | 130 | Q_neve | 5.190E-13 | 7.562E-13 | 7.147E-14 |
| 251 | 251 | 132 | Q_neve | 6.859E-13 | 6.427E-13 | 2.810E-14 |
| 252 | 252 | 76 | DEAD | -4.552E-13 | 7.682E-13 | -8.812E-13 |
| 252 | 252 | 78 | DEAD | -1.830E-12 | 1.478E-12 | -1.645E-13 |
| 252 | 252 | 167 | DEAD | 1.915E-12 | 5.982E-12 | 6.988E-13 |
| 252 | 252 | 163 | DEAD | 3.700E-12 | 7.324E-12 | -1.113E-12 |
| 252 | 252 | 76 | G1_smistamento | 31.1 | 53.74 | -5.25 |
| 252 | 252 | 78 | G1_smistamento | 17.82 | 53.72 | -4.36 |
| 252 | 252 | 167 | G1_smistamento | 37.65 | 143.05 | -3.25 |
| 252 | 252 | 163 | G1_smistamento | 51.48 | 143.35 | -4.14 |
| 252 | 252 | 76 | G2_smistamento | 11.53 | 19.92 | -1.95 |
| 252 | 252 | 78 | G2_smistamento | 6.61 | 19.91 | -1.62 |
| 252 | 252 | 167 | G2_smistamento | 13.96 | 53.03 | -1.21 |
| 252 | 252 | 163 | G2_smistamento | 19.08 | 53.14 | -1.53 |
| 252 | 252 | 76 | Q_smistamento | 11.53 | 19.92 | -1.95 |
| 252 | 252 | 78 | Q_smistamento | 6.61 | 19.91 | -1.62 |
| 252 | 252 | 167 | Q_smistamento | 13.96 | 53.03 | -1.21 |
| 252 | 252 | 163 | Q_smistamento | 19.08 | 53.14 | -1.53 |
| 252 | 252 | 76 | Q_neve | 3.577E-13 | 4.303E-13 | -1.185E-13 |
| 252 | 252 | 78 | Q_neve | -8.485E-13 | 1.336E-13 | -5.783E-14 |
| 252 | 252 | 167 | Q_neve | 8.125E-14 | 9.437E-13 | 1.185E-13 |
| 252 | 252 | 163 | Q_neve | 8.599E-13 | 1.565E-12 | -2.158E-13 |
| 253 | 253 | 163 | DEAD | 3.140E-12 | 6.518E-12 | 1.157E-13 |
| 253 | 253 | 167 | DEAD | 2.432E-12 | 7.514E-12 | -1.157E-13 |
| 253 | 253 | 168 | DEAD | 6.734E-12 | 8.374E-12 | 4.317E-13 |
| 253 | 253 | 164 | DEAD | -7.673E-13 | 5.736E-12 | -4.317E-13 |
| 253 | 253 | 163 | G1_smistamento | 51.48 | 143.34 | -2.85 |
| 253 | 253 | 167 | G1_smistamento | 37.65 | 143.05 | -2.39 |

Table 21: Element Stresses - Area Shells, Part 2 of 3

| Area | AreaElem | Joint | OutputCase | S11Bot KN/m2 | S22Bot KN/m2 | S12Bot KN/m2 |
|------|----------|-------|----------------|-----------------|-----------------|-----------------|
| 253 | 253 | 168 | G1_smistamento | 45.41 | 176.91 | -1.33 |
| 253 | 253 | 164 | G1_smistamento | 59.65 | 177.37 | -1.8 |
| 253 | 253 | 163 | G2_smistamento | 19.08 | 53.14 | -1.06 |
| 253 | 253 | 167 | G2_smistamento | 13.96 | 53.03 | -0.88 |
| 253 | 253 | 168 | G2_smistamento | 16.84 | 65.58 | -0.49 |
| 253 | 253 | 164 | G2_smistamento | 22.11 | 65.75 | -0.67 |
| 253 | 253 | 163 | Q_smistamento | 19.08 | 53.14 | -1.06 |
| 253 | 253 | 167 | Q_smistamento | 13.96 | 53.03 | -0.88 |
| 253 | 253 | 168 | Q_smistamento | 16.84 | 65.58 | -0.49 |
| 253 | 253 | 164 | Q_smistamento | 22.11 | 65.75 | -0.67 |
| 253 | 253 | 163 | Q_neve | 7.824E-13 | 1.536E-12 | 0. |
| 253 | 253 | 167 | Q_neve | 1.780E-13 | 1.104E-12 | -2.892E-14 |
| 253 | 253 | 168 | Q_neve | 7.626E-13 | 1.674E-12 | 0. |
| 253 | 253 | 164 | Q_neve | 5.631E-13 | 1.370E-12 | -1.079E-13 |
| 254 | 254 | 164 | DEAD | -7.006E-13 | 3.133E-12 | 1.435E-12 |
| 254 | 254 | 168 | DEAD | 6.729E-12 | 1.040E-11 | 2.414E-12 |
| 254 | 254 | 169 | DEAD | 2.183E-12 | 4.279E-12 | 1.119E-12 |
| 254 | 254 | 165 | DEAD | 5.426E-12 | 7.679E-12 | 1.782E-12 |
| 254 | 254 | 164 | G1_smistamento | 59.65 | 177.36 | -0.52 |
| 254 | 254 | 168 | G1_smistamento | 45.41 | 176.91 | -0.52 |
| 254 | 254 | 169 | G1_smistamento | 45.41 | 176.91 | 0.52 |
| 254 | 254 | 165 | G1_smistamento | 59.65 | 177.36 | 0.52 |
| 254 | 254 | 164 | G2_smistamento | 22.11 | 65.75 | -0.19 |
| 254 | 254 | 168 | G2_smistamento | 16.84 | 65.58 | -0.19 |
| 254 | 254 | 169 | G2_smistamento | 16.84 | 65.58 | 0.19 |
| 254 | 254 | 165 | G2_smistamento | 22.11 | 65.75 | 0.19 |
| 254 | 254 | 164 | Q_smistamento | 22.11 | 65.75 | -0.19 |
| 254 | 254 | 168 | Q_smistamento | 16.84 | 65.58 | -0.19 |
| 254 | 254 | 169 | Q_smistamento | 16.84 | 65.58 | 0.19 |
| 254 | 254 | 165 | Q_smistamento | 22.11 | 65.75 | 0.19 |
| 254 | 254 | 164 | Q_neve | 4.831E-13 | 1.083E-12 | 2.136E-13 |
| 254 | 254 | 168 | Q_neve | 9.477E-13 | 1.880E-12 | 3.215E-13 |
| 254 | 254 | 169 | Q_neve | 1.016E-12 | 6.678E-13 | 1.741E-13 |
| 254 | 254 | 165 | Q_neve | 2.268E-13 | 1.119E-12 | 2.030E-13 |
| 255 | 255 | 165 | DEAD | 3.997E-12 | 7.570E-12 | 2.981E-13 |
| 255 | 255 | 169 | DEAD | 2.540E-12 | 4.449E-12 | 6.988E-13 |
| 255 | 255 | 170 | DEAD | 7.315E-12 | 5.200E-12 | 6.141E-13 |
| 255 | 255 | 166 | DEAD | 4.120E-12 | 4.765E-12 | -8.812E-13 |

Table 21: Element Stresses - Area Shells, Part 2 of 3

| Area | AreaElem | Joint | OutputCase | S11Bot KN/m2 | S22Bot KN/m2 | S12Bot KN/m2 |
|------|----------|-------|----------------|-----------------|-----------------|-----------------|
| 255 | 255 | 165 | G1_smistamento | 59.65 | 177.37 | 1.8 |
| 255 | 255 | 169 | G1_smistamento | 45.41 | 176.91 | 1.33 |
| 255 | 255 | 170 | G1_smistamento | 37.65 | 143.05 | 2.39 |
| 255 | 255 | 166 | G1_smistamento | 51.48 | 143.34 | 2.85 |
| 255 | 255 | 165 | G2_smistamento | 22.11 | 65.75 | 0.67 |
| 255 | 255 | 169 | G2_smistamento | 16.84 | 65.58 | 0.49 |
| 255 | 255 | 170 | G2_smistamento | 13.96 | 53.03 | 0.88 |
| 255 | 255 | 166 | G2_smistamento | 19.08 | 53.14 | 1.06 |
| 255 | 255 | 165 | Q_smistamento | 22.11 | 65.75 | 0.67 |
| 255 | 255 | 169 | Q_smistamento | 16.84 | 65.58 | 0.49 |
| 255 | 255 | 170 | Q_smistamento | 13.96 | 53.03 | 0.88 |
| 255 | 255 | 166 | Q_smistamento | 19.08 | 53.14 | 1.06 |
| 255 | 255 | 165 | Q_neve | 4.323E-13 | 1.071E-12 | 7.453E-14 |
| 255 | 255 | 169 | Q_neve | 1.068E-12 | 1.013E-12 | 1.641E-13 |
| 255 | 255 | 170 | Q_neve | 9.360E-13 | 9.818E-13 | 1.535E-13 |
| 255 | 255 | 166 | Q_neve | 1.207E-12 | 1.467E-12 | -7.289E-14 |
| 256 | 256 | 166 | DEAD | 3.966E-12 | 5.141E-12 | 1.824E-13 |
| 256 | 256 | 170 | DEAD | 8.054E-12 | 8.933E-12 | 1.824E-13 |
| 256 | 256 | 128 | DEAD | 5.270E-12 | 2.179E-12 | 1.824E-13 |
| 256 | 256 | 130 | DEAD | 5.013E-12 | 6.050E-12 | 1.824E-13 |
| 256 | 256 | 166 | G1_smistamento | 51.48 | 143.35 | 4.14 |
| 256 | 256 | 170 | G1_smistamento | 37.65 | 143.05 | 3.25 |
| 256 | 256 | 128 | G1_smistamento | 17.82 | 53.72 | 4.36 |
| 256 | 256 | 130 | G1_smistamento | 31.1 | 53.74 | 5.25 |
| 256 | 256 | 166 | G2_smistamento | 19.08 | 53.14 | 1.53 |
| 256 | 256 | 170 | G2_smistamento | 13.96 | 53.03 | 1.21 |
| 256 | 256 | 128 | G2_smistamento | 6.61 | 19.91 | 1.62 |
| 256 | 256 | 130 | G2_smistamento | 11.53 | 19.92 | 1.95 |
| 256 | 256 | 166 | Q_smistamento | 19.08 | 53.14 | 1.53 |
| 256 | 256 | 170 | Q_smistamento | 13.96 | 53.03 | 1.21 |
| 256 | 256 | 128 | Q_smistamento | 6.61 | 19.91 | 1.62 |
| 256 | 256 | 130 | Q_smistamento | 11.53 | 19.92 | 1.95 |
| 256 | 256 | 166 | Q_neve | 1.318E-12 | 1.377E-12 | -7.371E-14 |
| 256 | 256 | 170 | Q_neve | 1.039E-12 | 1.093E-12 | -4.867E-14 |
| 256 | 256 | 128 | Q_neve | 1.852E-12 | 1.200E-12 | 5.292E-15 |
| 256 | 256 | 130 | Q_neve | 2.492E-13 | 6.976E-13 | -8.816E-14 |
| 257 | 257 | 78 | DEAD | -7.610E-14 | 2.263E-12 | 9.366E-13 |
| 257 | 257 | 80 | DEAD | 3.105E-12 | 6.419E-12 | 1.368E-12 |

Table 21: Element Stresses - Area Shells, Part 2 of 3

| Area | AreaElem | Joint | OutputCase | S11Bot KN/m2 | S22Bot KN/m2 | S12Bot KN/m2 |
|------|----------|-------|----------------|-----------------|-----------------|-----------------|
| 257 | 257 | 171 | DEAD | 1.741E-12 | 6.608E-12 | 1.253E-12 |
| 257 | 257 | 167 | DEAD | 3.144E-12 | 5.668E-12 | 1.368E-12 |
| 257 | 257 | 78 | G1_smistamento | 17.83 | 53.72 | -3.38 |
| 257 | 257 | 80 | G1_smistamento | 9.36 | 53.79 | -2.65 |
| 257 | 257 | 171 | G1_smistamento | 28.88 | 142.87 | -1.92 |
| 257 | 257 | 167 | G1_smistamento | 37.66 | 143.05 | -2.66 |
| 257 | 257 | 78 | G2_smistamento | 6.61 | 19.92 | -1.25 |
| 257 | 257 | 80 | G2_smistamento | 3.47 | 19.94 | -0.98 |
| 257 | 257 | 171 | G2_smistamento | 10.71 | 52.96 | -0.71 |
| 257 | 257 | 167 | G2_smistamento | 13.96 | 53.03 | -0.98 |
| 257 | 257 | 78 | Q_smistamento | 6.61 | 19.92 | -1.25 |
| 257 | 257 | 80 | Q_smistamento | 3.47 | 19.94 | -0.98 |
| 257 | 257 | 171 | Q_smistamento | 10.71 | 52.96 | -0.71 |
| 257 | 257 | 167 | Q_smistamento | 13.96 | 53.03 | -0.98 |
| 257 | 257 | 78 | Q_neve | -1.371E-13 | 5.812E-13 | 5.783E-14 |
| 257 | 257 | 80 | Q_neve | 4.248E-13 | 8.705E-13 | 1.657E-13 |
| 257 | 257 | 171 | Q_neve | 6.331E-13 | 1.351E-12 | 2.158E-13 |
| 257 | 257 | 167 | Q_neve | 1.991E-14 | 1.216E-12 | 2.447E-13 |
| 258 | 258 | 167 | DEAD | 1.482E-12 | 6.715E-12 | 1.277E-12 |
| 258 | 258 | 171 | DEAD | 3.260E-12 | 6.261E-12 | 1.593E-12 |
| 258 | 258 | 172 | DEAD | 1.916E-12 | 6.991E-12 | 1.277E-12 |
| 258 | 258 | 168 | DEAD | 5.748E-12 | 9.224E-12 | 9.611E-13 |
| 258 | 258 | 167 | G1_smistamento | 37.66 | 143.05 | -1.78 |
| 258 | 258 | 171 | G1_smistamento | 28.88 | 142.87 | -1.42 |
| 258 | 258 | 172 | G1_smistamento | 36.43 | 176.56 | -0.76 |
| 258 | 258 | 168 | G1_smistamento | 45.42 | 176.91 | -1.13 |
| 258 | 258 | 167 | G2_smistamento | 13.96 | 53.03 | -0.66 |
| 258 | 258 | 171 | G2_smistamento | 10.71 | 52.97 | -0.53 |
| 258 | 258 | 172 | G2_smistamento | 13.51 | 65.45 | -0.28 |
| 258 | 258 | 168 | G2_smistamento | 16.84 | 65.58 | -0.42 |
| 258 | 258 | 167 | Q_smistamento | 13.96 | 53.03 | -0.66 |
| 258 | 258 | 171 | Q_smistamento | 10.71 | 52.97 | -0.53 |
| 258 | 258 | 172 | Q_smistamento | 13.51 | 65.45 | -0.28 |
| 258 | 258 | 168 | Q_smistamento | 16.84 | 65.58 | -0.42 |
| 258 | 258 | 167 | Q_neve | -1.669E-13 | 9.344E-13 | 2.342E-13 |
| 258 | 258 | 171 | Q_neve | 9.410E-13 | 1.895E-12 | 3.527E-13 |
| 258 | 258 | 172 | Q_neve | 2.182E-13 | 9.641E-13 | 3.132E-13 |
| 258 | 258 | 168 | Q_neve | 1.129E-12 | 1.885E-12 | 1.947E-13 |

Table 21: Element Stresses - Area Shells, Part 2 of 3

| Area | AreaElem | Joint | OutputCase | S11Bot KN/m2 | S22Bot KN/m2 | S12Bot KN/m2 |
|------|----------|-------|----------------|-----------------|-----------------|-----------------|
| 259 | 259 | 168 | DEAD | 5.658E-12 | 1.011E-11 | 2.313E-13 |
| 259 | 259 | 172 | DEAD | 2.079E-12 | 8.766E-12 | 7.786E-13 |
| 259 | 259 | 173 | DEAD | 1.708E-12 | 6.473E-12 | 8.633E-13 |
| 259 | 259 | 169 | DEAD | 3.303E-12 | 4.461E-12 | 1.411E-12 |
| 259 | 259 | 168 | G1_smistamento | 45.42 | 176.91 | -0.31 |
| 259 | 259 | 172 | G1_smistamento | 36.43 | 176.56 | -0.31 |
| 259 | 259 | 173 | G1_smistamento | 36.43 | 176.56 | 0.31 |
| 259 | 259 | 169 | G1_smistamento | 45.42 | 176.91 | 0.31 |
| 259 | 259 | 168 | G2_smistamento | 16.84 | 65.58 | -0.12 |
| 259 | 259 | 172 | G2_smistamento | 13.51 | 65.45 | -0.12 |
| 259 | 259 | 173 | G2_smistamento | 13.51 | 65.45 | 0.12 |
| 259 | 259 | 169 | G2_smistamento | 16.84 | 65.58 | 0.12 |
| 259 | 259 | 168 | Q_smistamento | 16.84 | 65.58 | -0.12 |
| 259 | 259 | 172 | Q_smistamento | 13.51 | 65.45 | -0.12 |
| 259 | 259 | 173 | Q_smistamento | 13.51 | 65.45 | 0.12 |
| 259 | 259 | 169 | Q_smistamento | 16.84 | 65.58 | 0.12 |
| 259 | 259 | 168 | Q_neve | 1.086E-12 | 2.033E-12 | 5.783E-14 |
| 259 | 259 | 172 | Q_neve | 3.932E-13 | 1.691E-12 | 2.342E-13 |
| 259 | 259 | 173 | Q_neve | -5.963E-14 | 1.046E-12 | 2.158E-13 |
| 259 | 259 | 169 | Q_neve | 9.067E-13 | 7.035E-13 | 3.132E-13 |
| 260 | 260 | 169 | DEAD | 4.082E-12 | 4.895E-12 | 2.000E-12 |
| 260 | 260 | 173 | DEAD | 1.180E-12 | 5.179E-12 | 1.484E-12 |
| 260 | 260 | 174 | DEAD | -2.554E-12 | 1.103E-12 | 7.363E-13 |
| 260 | 260 | 170 | DEAD | 4.932E-12 | 4.034E-12 | 1.800E-12 |
| 260 | 260 | 169 | G1_smistamento | 45.42 | 176.91 | 1.13 |
| 260 | 260 | 173 | G1_smistamento | 36.43 | 176.56 | 0.76 |
| 260 | 260 | 174 | G1_smistamento | 28.88 | 142.87 | 1.42 |
| 260 | 260 | 170 | G1_smistamento | 37.66 | 143.05 | 1.78 |
| 260 | 260 | 169 | G2_smistamento | 16.84 | 65.58 | 0.42 |
| 260 | 260 | 173 | G2_smistamento | 13.51 | 65.45 | 0.28 |
| 260 | 260 | 174 | G2_smistamento | 10.71 | 52.97 | 0.53 |
| 260 | 260 | 170 | G2_smistamento | 13.96 | 53.03 | 0.66 |
| 260 | 260 | 169 | Q_smistamento | 16.84 | 65.58 | 0.42 |
| 260 | 260 | 173 | Q_smistamento | 13.51 | 65.45 | 0.28 |
| 260 | 260 | 174 | Q_smistamento | 10.71 | 52.97 | 0.53 |
| 260 | 260 | 170 | Q_smistamento | 13.96 | 53.03 | 0.66 |
| 260 | 260 | 169 | Q_neve | 9.583E-13 | 9.897E-13 | 3.527E-13 |
| 260 | 260 | 173 | Q_neve | -8.361E-14 | 8.206E-13 | 3.132E-13 |

Table 21: Element Stresses - Area Shells, Part 2 of 3

| Area | AreaElem | Joint | OutputCase | S11Bot KN/m2 | S22Bot KN/m2 | S12Bot KN/m2 |
|------|----------|-------|----------------|-----------------|-----------------|-----------------|
| 260 | 260 | 174 | Q_neve | -3.254E-13 | 2.589E-13 | 1.947E-13 |
| 260 | 260 | 170 | Q_neve | 9.730E-13 | 8.897E-13 | 2.342E-13 |
| 261 | 261 | 170 | DEAD | 6.161E-12 | 8.124E-12 | 5.587E-13 |
| 261 | 261 | 174 | DEAD | -1.811E-12 | 2.575E-12 | 3.583E-13 |
| 261 | 261 | 126 | DEAD | -1.304E-12 | 3.028E-12 | -1.653E-12 |
| 261 | 261 | 128 | DEAD | 3.521E-12 | 2.693E-12 | -9.056E-13 |
| 261 | 261 | 170 | G1_smistamento | 37.66 | 143.05 | 2.66 |
| 261 | 261 | 174 | G1_smistamento | 28.88 | 142.87 | 1.92 |
| 261 | 261 | 126 | G1_smistamento | 9.36 | 53.79 | 2.65 |
| 261 | 261 | 128 | G1_smistamento | 17.83 | 53.72 | 3.38 |
| 261 | 261 | 170 | G2_smistamento | 13.96 | 53.03 | 0.98 |
| 261 | 261 | 174 | G2_smistamento | 10.71 | 52.96 | 0.71 |
| 261 | 261 | 126 | G2_smistamento | 3.47 | 19.94 | 0.98 |
| 261 | 261 | 128 | G2_smistamento | 6.61 | 19.92 | 1.25 |
| 261 | 261 | 170 | Q_smistamento | 13.96 | 53.03 | 0.98 |
| 261 | 261 | 174 | Q_smistamento | 10.71 | 52.96 | 0.71 |
| 261 | 261 | 126 | Q_smistamento | 3.47 | 19.94 | 0.98 |
| 261 | 261 | 128 | Q_smistamento | 6.61 | 19.92 | 1.25 |
| 261 | 261 | 170 | Q_neve | 1.374E-12 | 1.453E-12 | 1.975E-13 |
| 261 | 261 | 174 | Q_neve | -4.970E-13 | 3.541E-13 | 5.008E-14 |
| 261 | 261 | 126 | Q_neve | -3.247E-13 | 7.817E-13 | -1.975E-13 |
| 261 | 261 | 128 | Q_neve | 9.645E-13 | 1.026E-12 | -1.869E-13 |
| 262 | 262 | 80 | DEAD | 7.707E-13 | 5.510E-12 | 1.824E-12 |
| 262 | 262 | 82 | DEAD | 3.619E-12 | 5.599E-12 | 1.909E-12 |
| 262 | 262 | 175 | DEAD | 2.627E-12 | 4.365E-12 | 1.824E-12 |
| 262 | 262 | 171 | DEAD | 2.789E-12 | 6.191E-12 | 6.451E-13 |
| 262 | 262 | 80 | G1_smistamento | 9.37 | 53.79 | -1.78 |
| 262 | 262 | 82 | G1_smistamento | 5.35 | 53.85 | -1.13 |
| 262 | 262 | 175 | G1_smistamento | 24.72 | 142.81 | -0.77 |
| 262 | 262 | 171 | G1_smistamento | 28.88 | 142.87 | -1.43 |
| 262 | 262 | 80 | G2_smistamento | 3.47 | 19.94 | -0.66 |
| 262 | 262 | 82 | G2_smistamento | 1.98 | 19.96 | -0.42 |
| 262 | 262 | 175 | G2_smistamento | 9.16 | 52.94 | -0.29 |
| 262 | 262 | 171 | G2_smistamento | 10.71 | 52.96 | -0.53 |
| 262 | 262 | 80 | Q_smistamento | 3.47 | 19.94 | -0.66 |
| 262 | 262 | 82 | Q_smistamento | 1.98 | 19.96 | -0.42 |
| 262 | 262 | 175 | Q_smistamento | 9.16 | 52.94 | -0.29 |
| 262 | 262 | 171 | Q_smistamento | 10.71 | 52.96 | -0.53 |

Table 21: Element Stresses - Area Shells, Part 2 of 3

| Area | AreaElem | Joint | OutputCase | S11Bot KN/m2 | S22Bot KN/m2 | S12Bot KN/m2 |
|------|----------|-------|----------------|-----------------|-----------------|-----------------|
| 262 | 262 | 80 | Q_neve | 1.009E-13 | 7.647E-13 | 4.188E-13 |
| 262 | 262 | 82 | Q_neve | 7.102E-13 | 1.128E-12 | 3.610E-13 |
| 262 | 262 | 175 | Q_neve | 4.164E-14 | 1.179E-12 | 3.793E-13 |
| 262 | 262 | 171 | Q_neve | 1.194E-12 | 1.415E-12 | 1.635E-13 |
| 263 | 263 | 171 | DEAD | 2.399E-12 | 6.428E-12 | 1.095E-12 |
| 263 | 263 | 175 | DEAD | 3.302E-12 | 5.952E-12 | 1.095E-12 |
| 263 | 263 | 176 | DEAD | 3.781E-12 | 8.600E-12 | 1.095E-12 |
| 263 | 263 | 172 | DEAD | 1.920E-12 | 7.571E-12 | 1.095E-12 |
| 263 | 263 | 171 | G1_smistamento | 28.88 | 142.87 | -0.92 |
| 263 | 263 | 175 | G1_smistamento | 24.72 | 142.81 | -0.61 |
| 263 | 263 | 176 | G1_smistamento | 32.18 | 176.39 | -0.29 |
| 263 | 263 | 172 | G1_smistamento | 36.44 | 176.56 | -0.61 |
| 263 | 263 | 171 | G2_smistamento | 10.71 | 52.97 | -0.34 |
| 263 | 263 | 175 | G2_smistamento | 9.16 | 52.94 | -0.23 |
| 263 | 263 | 176 | G2_smistamento | 11.93 | 65.39 | -0.11 |
| 263 | 263 | 172 | G2_smistamento | 13.51 | 65.45 | -0.22 |
| 263 | 263 | 171 | Q_smistamento | 10.71 | 52.97 | -0.34 |
| 263 | 263 | 175 | Q_smistamento | 9.16 | 52.94 | -0.23 |
| 263 | 263 | 176 | Q_smistamento | 11.93 | 65.39 | -0.11 |
| 263 | 263 | 172 | Q_smistamento | 13.51 | 65.45 | -0.22 |
| 263 | 263 | 171 | Q_neve | 1.144E-12 | 1.836E-12 | 2.904E-13 |
| 263 | 263 | 175 | Q_neve | 1.070E-13 | 1.136E-12 | 2.509E-13 |
| 263 | 263 | 176 | Q_neve | 5.320E-13 | 1.619E-12 | 2.114E-13 |
| 263 | 263 | 172 | Q_neve | 6.798E-13 | 1.156E-12 | 2.509E-13 |
| 264 | 264 | 172 | DEAD | 2.447E-12 | 8.694E-12 | 7.721E-13 |
| 264 | 264 | 176 | DEAD | 2.510E-12 | 5.308E-12 | 1.204E-12 |
| 264 | 264 | 177 | DEAD | 3.869E-12 | 5.376E-12 | 1.401E-13 |
| 264 | 264 | 173 | DEAD | 2.233E-12 | 5.821E-12 | 2.558E-13 |
| 264 | 264 | 172 | G1_smistamento | 36.44 | 176.56 | -0.15 |
| 264 | 264 | 176 | G1_smistamento | 32.18 | 176.39 | -0.15 |
| 264 | 264 | 177 | G1_smistamento | 32.18 | 176.39 | 0.15 |
| 264 | 264 | 173 | G1_smistamento | 36.44 | 176.56 | 0.15 |
| 264 | 264 | 172 | G2_smistamento | 13.51 | 65.45 | -5.510E-02 |
| 264 | 264 | 176 | G2_smistamento | 11.93 | 65.39 | -5.510E-02 |
| 264 | 264 | 177 | G2_smistamento | 11.93 | 65.39 | 5.510E-02 |
| 264 | 264 | 173 | G2_smistamento | 13.51 | 65.45 | 5.510E-02 |
| 264 | 264 | 172 | Q_smistamento | 13.51 | 65.45 | -5.510E-02 |
| 264 | 264 | 176 | Q_smistamento | 11.93 | 65.39 | -5.510E-02 |

Table 21: Element Stresses - Area Shells, Part 2 of 3

| Area | AreaElem | Joint | OutputCase | S11Bot KN/m2 | S22Bot KN/m2 | S12Bot KN/m2 |
|------|----------|-------|----------------|-----------------|-----------------|-----------------|
| 264 | 264 | 177 | Q_smistamento | 11.93 | 65.39 | 5.510E-02 |
| 264 | 264 | 173 | Q_smistamento | 13.51 | 65.45 | 5.510E-02 |
| 264 | 264 | 172 | Q_neve | 6.506E-13 | 1.720E-12 | 1.786E-13 |
| 264 | 264 | 176 | Q_neve | 1.856E-13 | 1.407E-12 | 2.470E-13 |
| 264 | 264 | 177 | Q_neve | 9.172E-13 | 9.199E-13 | -1.893E-14 |
| 264 | 264 | 173 | Q_neve | 1.165E-13 | 1.062E-12 | 4.948E-14 |
| 265 | 265 | 173 | DEAD | 1.171E-12 | 3.849E-12 | 4.495E-13 |
| 265 | 265 | 177 | DEAD | 4.193E-12 | 6.197E-12 | -1.130E-12 |
| 265 | 265 | 178 | DEAD | -1.239E-12 | 1.282E-12 | -8.144E-13 |
| 265 | 265 | 174 | DEAD | -2.483E-12 | 1.260E-12 | 7.655E-13 |
| 265 | 265 | 173 | G1_smistamento | 36.44 | 176.56 | 0.61 |
| 265 | 265 | 177 | G1_smistamento | 32.18 | 176.39 | 0.29 |
| 265 | 265 | 178 | G1_smistamento | 24.72 | 142.81 | 0.61 |
| 265 | 265 | 174 | G1_smistamento | 28.88 | 142.87 | 0.92 |
| 265 | 265 | 173 | G2_smistamento | 13.51 | 65.45 | 0.22 |
| 265 | 265 | 177 | G2_smistamento | 11.93 | 65.39 | 0.11 |
| 265 | 265 | 178 | G2_smistamento | 9.16 | 52.94 | 0.23 |
| 265 | 265 | 174 | G2_smistamento | 10.71 | 52.97 | 0.34 |
| 265 | 265 | 173 | Q_smistamento | 13.51 | 65.45 | 0.22 |
| 265 | 265 | 177 | Q_smistamento | 11.93 | 65.39 | 0.11 |
| 265 | 265 | 178 | Q_smistamento | 9.16 | 52.94 | 0.23 |
| 265 | 265 | 174 | Q_smistamento | 10.71 | 52.97 | 0.34 |
| 265 | 265 | 173 | Q_neve | 1.691E-13 | 9.924E-13 | 9.569E-14 |
| 265 | 265 | 177 | Q_neve | 8.746E-13 | 9.820E-13 | -1.808E-13 |
| 265 | 265 | 178 | Q_neve | -3.345E-13 | 3.702E-13 | -1.413E-13 |
| 265 | 265 | 174 | Q_neve | -4.585E-13 | 4.353E-15 | 1.352E-13 |
| 266 | 266 | 174 | DEAD | -1.528E-12 | 2.519E-12 | -1.824E-13 |
| 266 | 266 | 178 | DEAD | -1.761E-12 | 1.538E-12 | -1.824E-13 |
| 266 | 266 | 124 | DEAD | 9.138E-14 | 3.980E-12 | -1.824E-13 |
| 266 | 266 | 126 | DEAD | -2.275E-12 | 1.814E-12 | -1.824E-13 |
| 266 | 266 | 174 | G1_smistamento | 28.88 | 142.87 | 1.43 |
| 266 | 266 | 178 | G1_smistamento | 24.72 | 142.81 | 0.77 |
| 266 | 266 | 124 | G1_smistamento | 5.35 | 53.85 | 1.13 |
| 266 | 266 | 126 | G1_smistamento | 9.37 | 53.79 | 1.78 |
| 266 | 266 | 174 | G2_smistamento | 10.71 | 52.96 | 0.53 |
| 266 | 266 | 178 | G2_smistamento | 9.16 | 52.94 | 0.29 |
| 266 | 266 | 124 | G2_smistamento | 1.98 | 19.96 | 0.42 |
| 266 | 266 | 126 | G2_smistamento | 3.47 | 19.94 | 0.66 |

Table 21: Element Stresses - Area Shells, Part 2 of 3

| Area | AreaElem | Joint | OutputCase | S11Bot KN/m2 | S22Bot KN/m2 | S12Bot KN/m2 |
|------|----------|-------|----------------|-----------------|-----------------|-----------------|
| 266 | 266 | 174 | Q_smistamento | 10.71 | 52.96 | 0.53 |
| 266 | 266 | 178 | Q_smistamento | 9.16 | 52.94 | 0.29 |
| 266 | 266 | 124 | Q_smistamento | 1.98 | 19.96 | 0.42 |
| 266 | 266 | 126 | Q_smistamento | 3.47 | 19.94 | 0.66 |
| 266 | 266 | 174 | Q_neve | -3.596E-13 | 5.648E-13 | -2.280E-14 |
| 266 | 266 | 178 | Q_neve | -3.032E-13 | 1.529E-13 | 1.669E-14 |
| 266 | 266 | 124 | Q_neve | -4.386E-13 | 6.438E-13 | -2.280E-14 |
| 266 | 266 | 126 | Q_neve | 5.232E-14 | 5.084E-13 | -6.230E-14 |
| 267 | 267 | 82 | DEAD | 2.325E-12 | 7.631E-12 | 1.460E-12 |
| 267 | 267 | 84 | DEAD | 4.421E-12 | 6.182E-12 | 1.144E-12 |
| 267 | 267 | 179 | DEAD | 3.892E-13 | 6.485E-12 | 1.460E-12 |
| 267 | 267 | 175 | DEAD | 3.355E-12 | 3.693E-12 | 1.776E-12 |
| 267 | 267 | 82 | G1_smistamento | 5.35 | 53.85 | -0.32 |
| 267 | 267 | 84 | G1_smistamento | 5.35 | 53.85 | 0.32 |
| 267 | 267 | 179 | G1_smistamento | 24.72 | 142.81 | 0.32 |
| 267 | 267 | 175 | G1_smistamento | 24.72 | 142.81 | -0.32 |
| 267 | 267 | 82 | G2_smistamento | 1.98 | 19.96 | -0.12 |
| 267 | 267 | 84 | G2_smistamento | 1.98 | 19.96 | 0.12 |
| 267 | 267 | 179 | G2_smistamento | 9.16 | 52.94 | 0.12 |
| 267 | 267 | 175 | G2_smistamento | 9.16 | 52.94 | -0.12 |
| 267 | 267 | 82 | Q_smistamento | 1.98 | 19.96 | -0.12 |
| 267 | 267 | 84 | Q_smistamento | 1.98 | 19.96 | 0.12 |
| 267 | 267 | 179 | Q_smistamento | 9.16 | 52.94 | 0.12 |
| 267 | 267 | 175 | Q_smistamento | 9.16 | 52.94 | -0.12 |
| 267 | 267 | 82 | Q_neve | 6.413E-13 | 1.091E-12 | 2.737E-13 |
| 267 | 267 | 84 | Q_neve | 7.360E-13 | 1.217E-12 | 1.947E-13 |
| 267 | 267 | 179 | Q_neve | 4.932E-13 | 1.298E-12 | 2.737E-13 |
| 267 | 267 | 175 | Q_neve | 7.064E-13 | 1.069E-12 | 3.527E-13 |
| 268 | 268 | 175 | DEAD | 3.653E-12 | 6.937E-12 | 7.786E-13 |
| 268 | 268 | 179 | DEAD | 1.570E-12 | 5.401E-12 | 2.590E-12 |
| 268 | 268 | 180 | DEAD | 2.231E-12 | 5.515E-12 | 1.411E-12 |
| 268 | 268 | 176 | DEAD | 4.177E-12 | 8.008E-12 | 6.940E-13 |
| 268 | 268 | 175 | G1_smistamento | 24.72 | 142.81 | -0.15 |
| 268 | 268 | 179 | G1_smistamento | 24.72 | 142.81 | 0.15 |
| 268 | 268 | 180 | G1_smistamento | 32.19 | 176.39 | 0.15 |
| 268 | 268 | 176 | G1_smistamento | 32.19 | 176.39 | -0.15 |
| 268 | 268 | 175 | G2_smistamento | 9.16 | 52.94 | -5.539E-02 |
| 268 | 268 | 179 | G2_smistamento | 9.16 | 52.94 | 5.539E-02 |

Table 21: Element Stresses - Area Shells, Part 2 of 3

| Area | AreaElem | Joint | OutputCase | S11Bot KN/m2 | S22Bot KN/m2 | S12Bot KN/m2 |
|------|----------|-------|----------------|-----------------|-----------------|-----------------|
| 268 | 268 | 180 | G2_smistamento | 11.93 | 65.39 | 5.539E-02 |
| 268 | 268 | 176 | G2_smistamento | 11.93 | 65.39 | -5.539E-02 |
| 268 | 268 | 175 | Q_smistamento | 9.16 | 52.94 | -5.539E-02 |
| 268 | 268 | 179 | Q_smistamento | 9.16 | 52.94 | 5.539E-02 |
| 268 | 268 | 180 | Q_smistamento | 11.93 | 65.39 | 5.539E-02 |
| 268 | 268 | 176 | Q_smistamento | 11.93 | 65.39 | -5.539E-02 |
| 268 | 268 | 175 | Q_neve | 7.864E-13 | 1.451E-12 | 1.004E-13 |
| 268 | 268 | 179 | Q_neve | 3.841E-13 | 7.576E-13 | 3.413E-13 |
| 268 | 268 | 180 | Q_neve | 8.555E-13 | 1.559E-12 | 2.189E-13 |
| 268 | 268 | 176 | Q_neve | 5.224E-13 | 1.449E-12 | 1.833E-13 |
| 269 | 269 | 176 | DEAD | 3.215E-12 | 6.173E-12 | 1.362E-12 |
| 269 | 269 | 180 | DEAD | 3.764E-12 | 7.254E-12 | 1.824E-13 |
| 269 | 269 | 181 | DEAD | -1.367E-12 | 3.268E-13 | 9.777E-14 |
| 269 | 269 | 177 | DEAD | 3.488E-12 | 4.924E-12 | 1.824E-13 |
| 269 | 269 | 176 | G1_smistamento | 32.19 | 176.39 | 1.477E-12 |
| 269 | 269 | 180 | G1_smistamento | 32.19 | 176.39 | 6.678E-14 |
| 269 | 269 | 181 | G1_smistamento | 32.19 | 176.39 | 5.294E-13 |
| 269 | 269 | 177 | G1_smistamento | 32.19 | 176.39 | -2.492E-13 |
| 269 | 269 | 176 | G2_smistamento | 11.93 | 65.39 | 6.931E-13 |
| 269 | 269 | 180 | G2_smistamento | 11.93 | 65.39 | -1.124E-13 |
| 269 | 269 | 181 | G2_smistamento | 11.93 | 65.39 | 2.191E-13 |
| 269 | 269 | 177 | G2_smistamento | 11.93 | 65.39 | 2.036E-13 |
| 269 | 269 | 176 | Q_smistamento | 11.93 | 65.39 | 6.931E-13 |
| 269 | 269 | 180 | Q_smistamento | 11.93 | 65.39 | -1.124E-13 |
| 269 | 269 | 181 | Q_smistamento | 11.93 | 65.39 | 2.191E-13 |
| 269 | 269 | 177 | Q_smistamento | 11.93 | 65.39 | 2.036E-13 |
| 269 | 269 | 176 | Q_neve | 5.492E-13 | 1.283E-12 | 2.553E-13 |
| 269 | 269 | 180 | Q_neve | 6.851E-13 | 9.907E-13 | 6.841E-14 |
| 269 | 269 | 181 | Q_neve | 9.500E-14 | 4.334E-13 | 1.833E-14 |
| 269 | 269 | 177 | Q_neve | 1.815E-13 | 6.056E-13 | 6.841E-14 |
| 270 | 270 | 177 | DEAD | 2.031E-12 | 5.448E-12 | -1.715E-12 |
| 270 | 270 | 181 | DEAD | -8.624E-13 | -1.392E-13 | -8.210E-13 |
| 270 | 270 | 182 | DEAD | 1.162E-12 | 3.947E-12 | -2.663E-12 |
| 270 | 270 | 178 | DEAD | 2.140E-12 | 1.599E-12 | -8.210E-13 |
| 270 | 270 | 177 | G1_smistamento | 32.19 | 176.39 | 0.15 |
| 270 | 270 | 181 | G1_smistamento | 32.19 | 176.39 | -0.15 |
| 270 | 270 | 182 | G1_smistamento | 24.72 | 142.81 | -0.15 |
| 270 | 270 | 178 | G1_smistamento | 24.72 | 142.81 | 0.15 |

Table 21: Element Stresses - Area Shells, Part 2 of 3

| Area | AreaElem | Joint | OutputCase | S11Bot KN/m2 | S22Bot KN/m2 | S12Bot KN/m2 |
|------|----------|-------|----------------|-----------------|-----------------|-----------------|
| 270 | 270 | 177 | G2_smistamento | 11.93 | 65.39 | 5.539E-02 |
| 270 | 270 | 181 | G2_smistamento | 11.93 | 65.39 | -5.539E-02 |
| 270 | 270 | 182 | G2_smistamento | 9.16 | 52.94 | -5.539E-02 |
| 270 | 270 | 178 | G2_smistamento | 9.16 | 52.94 | 5.539E-02 |
| 270 | 270 | 177 | Q_smistamento | 11.93 | 65.39 | 5.539E-02 |
| 270 | 270 | 181 | Q_smistamento | 11.93 | 65.39 | -5.539E-02 |
| 270 | 270 | 182 | Q_smistamento | 9.16 | 52.94 | -5.539E-02 |
| 270 | 270 | 178 | Q_smistamento | 9.16 | 52.94 | 5.539E-02 |
| 270 | 270 | 177 | Q_neve | 2.008E-13 | 9.943E-13 | -2.236E-13 |
| 270 | 270 | 181 | Q_neve | -6.251E-14 | -2.759E-13 | -2.737E-13 |
| 270 | 270 | 182 | Q_neve | 5.859E-13 | 1.024E-12 | -4.606E-13 |
| 270 | 270 | 178 | Q_neve | -2.301E-14 | 3.956E-13 | -2.737E-13 |
| 271 | 271 | 178 | DEAD | 1.977E-12 | 2.932E-12 | -9.122E-13 |
| 271 | 271 | 182 | DEAD | 1.014E-12 | 5.241E-12 | -1.544E-12 |
| 271 | 271 | 122 | DEAD | 3.952E-12 | 4.275E-12 | -9.122E-13 |
| 271 | 271 | 124 | DEAD | -3.568E-12 | 2.239E-12 | -2.802E-13 |
| 271 | 271 | 178 | G1_smistamento | 24.72 | 142.81 | 0.32 |
| 271 | 271 | 182 | G1_smistamento | 24.72 | 142.81 | -0.32 |
| 271 | 271 | 122 | G1_smistamento | 5.35 | 53.85 | -0.32 |
| 271 | 271 | 124 | G1_smistamento | 5.35 | 53.85 | 0.32 |
| 271 | 271 | 178 | G2_smistamento | 9.16 | 52.94 | 0.12 |
| 271 | 271 | 182 | G2_smistamento | 9.16 | 52.94 | -0.12 |
| 271 | 271 | 122 | G2_smistamento | 1.98 | 19.96 | -0.12 |
| 271 | 271 | 124 | G2_smistamento | 1.98 | 19.96 | 0.12 |
| 271 | 271 | 178 | Q_smistamento | 9.16 | 52.94 | 0.12 |
| 271 | 271 | 182 | Q_smistamento | 9.16 | 52.94 | -0.12 |
| 271 | 271 | 122 | Q_smistamento | 1.98 | 19.96 | -0.12 |
| 271 | 271 | 124 | Q_smistamento | 1.98 | 19.96 | 0.12 |
| 271 | 271 | 178 | Q_neve | -1.051E-14 | 4.250E-13 | -1.763E-13 |
| 271 | 271 | 182 | Q_neve | 6.185E-13 | 1.120E-12 | -2.553E-13 |
| 271 | 271 | 122 | Q_neve | 8.486E-13 | 1.166E-12 | -9.733E-14 |
| 271 | 271 | 124 | Q_neve | -6.356E-13 | 3.000E-13 | -1.833E-14 |
| 272 | 272 | 84 | DEAD | 5.491E-13 | 5.722E-12 | 1.277E-12 |
| 272 | 272 | 86 | DEAD | 4.614E-12 | 6.156E-12 | 1.277E-12 |
| 272 | 272 | 183 | DEAD | -7.544E-13 | 5.840E-12 | 1.277E-12 |
| 272 | 272 | 179 | DEAD | 5.443E-12 | 7.459E-12 | 1.277E-12 |
| 272 | 272 | 84 | G1_smistamento | 5.35 | 53.85 | 1.13 |
| 272 | 272 | 86 | G1_smistamento | 9.37 | 53.79 | 1.78 |

Table 21: Element Stresses - Area Shells, Part 2 of 3

| Area | AreaElem | Joint | OutputCase | S11Bot KN/m2 | S22Bot KN/m2 | S12Bot KN/m2 |
|------|----------|-------|----------------|-----------------|-----------------|-----------------|
| 272 | 272 | 183 | G1_smistamento | 28.88 | 142.87 | 1.43 |
| 272 | 272 | 179 | G1_smistamento | 24.72 | 142.81 | 0.77 |
| 272 | 272 | 84 | G2_smistamento | 1.98 | 19.96 | 0.42 |
| 272 | 272 | 86 | G2_smistamento | 3.47 | 19.94 | 0.66 |
| 272 | 272 | 183 | G2_smistamento | 10.71 | 52.96 | 0.53 |
| 272 | 272 | 179 | G2_smistamento | 9.16 | 52.94 | 0.29 |
| 272 | 272 | 84 | Q_smistamento | 1.98 | 19.96 | 0.42 |
| 272 | 272 | 86 | Q_smistamento | 3.47 | 19.94 | 0.66 |
| 272 | 272 | 183 | Q_smistamento | 10.71 | 52.96 | 0.53 |
| 272 | 272 | 179 | Q_smistamento | 9.16 | 52.94 | 0.29 |
| 272 | 272 | 84 | Q_neve | -2.188E-14 | 1.162E-12 | 2.904E-13 |
| 272 | 272 | 86 | Q_neve | 7.790E-13 | 9.814E-13 | 2.509E-13 |
| 272 | 272 | 183 | Q_neve | 4.324E-13 | 1.301E-12 | 2.114E-13 |
| 272 | 272 | 179 | Q_neve | 3.840E-13 | 1.139E-12 | 2.509E-13 |
| 273 | 273 | 179 | DEAD | 6.073E-12 | 7.516E-12 | 1.678E-12 |
| 273 | 273 | 183 | DEAD | -1.996E-12 | 4.537E-12 | 9.777E-14 |
| 273 | 273 | 184 | DEAD | 2.667E-13 | 5.027E-12 | -2.182E-13 |
| 273 | 273 | 180 | DEAD | 5.777E-14 | 4.379E-12 | 1.362E-12 |
| 273 | 273 | 179 | G1_smistamento | 24.72 | 142.81 | 0.61 |
| 273 | 273 | 183 | G1_smistamento | 28.88 | 142.87 | 0.92 |
| 273 | 273 | 184 | G1_smistamento | 36.44 | 176.56 | 0.61 |
| 273 | 273 | 180 | G1_smistamento | 32.18 | 176.39 | 0.29 |
| 273 | 273 | 179 | G2_smistamento | 9.16 | 52.94 | 0.23 |
| 273 | 273 | 183 | G2_smistamento | 10.71 | 52.97 | 0.34 |
| 273 | 273 | 184 | G2_smistamento | 13.51 | 65.45 | 0.22 |
| 273 | 273 | 180 | G2_smistamento | 11.93 | 65.39 | 0.11 |
| 273 | 273 | 179 | Q_smistamento | 9.16 | 52.94 | 0.23 |
| 273 | 273 | 183 | Q_smistamento | 10.71 | 52.97 | 0.34 |
| 273 | 273 | 184 | Q_smistamento | 13.51 | 65.45 | 0.22 |
| 273 | 273 | 180 | Q_smistamento | 11.93 | 65.39 | 0.11 |
| 273 | 273 | 179 | Q_neve | 3.967E-13 | 9.450E-13 | 2.781E-13 |
| 273 | 273 | 183 | Q_neve | 8.294E-14 | 8.789E-13 | 1.491E-13 |
| 273 | 273 | 184 | Q_neve | -4.822E-13 | 8.167E-13 | 4.114E-14 |
| 273 | 273 | 180 | Q_neve | 8.236E-13 | 1.738E-12 | 3.070E-13 |
| 274 | 274 | 180 | DEAD | 1.071E-12 | 7.071E-12 | -3.649E-13 |
| 274 | 274 | 184 | DEAD | -1.967E-13 | 3.229E-12 | 1.130E-12 |
| 274 | 274 | 185 | DEAD | -7.063E-13 | -8.682E-13 | -3.649E-13 |
| 274 | 274 | 181 | DEAD | 3.563E-13 | 3.059E-13 | -7.655E-13 |

Table 21: Element Stresses - Area Shells, Part 2 of 3

| Area | AreaElem | Joint | OutputCase | S11Bot KN/m2 | S22Bot KN/m2 | S12Bot KN/m2 |
|------|----------|-------|----------------|-----------------|-----------------|-----------------|
| 274 | 274 | 180 | G1_smistamento | 32.18 | 176.39 | 0.15 |
| 274 | 274 | 184 | G1_smistamento | 36.44 | 176.56 | 0.15 |
| 274 | 274 | 185 | G1_smistamento | 36.44 | 176.56 | -0.15 |
| 274 | 274 | 181 | G1_smistamento | 32.18 | 176.39 | -0.15 |
| 274 | 274 | 180 | G2_smistamento | 11.93 | 65.39 | 5.510E-02 |
| 274 | 274 | 184 | G2_smistamento | 13.51 | 65.45 | 5.510E-02 |
| 274 | 274 | 185 | G2_smistamento | 13.51 | 65.45 | -5.510E-02 |
| 274 | 274 | 181 | G2_smistamento | 11.93 | 65.39 | -5.510E-02 |
| 274 | 274 | 180 | Q_smistamento | 11.93 | 65.39 | 5.510E-02 |
| 274 | 274 | 184 | Q_smistamento | 13.51 | 65.45 | 5.510E-02 |
| 274 | 274 | 185 | Q_smistamento | 13.51 | 65.45 | -5.510E-02 |
| 274 | 274 | 181 | Q_smistamento | 11.93 | 65.39 | -5.510E-02 |
| 274 | 274 | 180 | Q_neve | 7.819E-13 | 1.375E-12 | -3.726E-14 |
| 274 | 274 | 184 | Q_neve | -6.070E-13 | 2.344E-13 | 1.891E-13 |
| 274 | 274 | 185 | Q_neve | -1.795E-14 | -1.773E-14 | -7.676E-14 |
| 274 | 274 | 181 | Q_neve | -1.447E-14 | 3.529E-13 | -1.663E-13 |
| 275 | 275 | 181 | DEAD | -2.612E-13 | -3.971E-13 | -1.021E-12 |
| 275 | 275 | 185 | DEAD | 5.105E-13 | -3.308E-13 | -1.052E-12 |
| 275 | 275 | 186 | DEAD | 2.701E-12 | 4.935E-12 | -7.333E-14 |
| 275 | 275 | 182 | DEAD | 1.656E-12 | 3.501E-12 | -1.684E-12 |
| 275 | 275 | 181 | G1_smistamento | 32.18 | 176.39 | -0.29 |
| 275 | 275 | 185 | G1_smistamento | 36.44 | 176.56 | -0.61 |
| 275 | 275 | 186 | G1_smistamento | 28.88 | 142.87 | -0.92 |
| 275 | 275 | 182 | G1_smistamento | 24.72 | 142.81 | -0.61 |
| 275 | 275 | 181 | G2_smistamento | 11.93 | 65.39 | -0.11 |
| 275 | 275 | 185 | G2_smistamento | 13.51 | 65.45 | -0.22 |
| 275 | 275 | 186 | G2_smistamento | 10.71 | 52.97 | -0.34 |
| 275 | 275 | 182 | G2_smistamento | 9.16 | 52.94 | -0.23 |
| 275 | 275 | 181 | Q_smistamento | 11.93 | 65.39 | -0.11 |
| 275 | 275 | 185 | Q_smistamento | 13.51 | 65.45 | -0.22 |
| 275 | 275 | 186 | Q_smistamento | 10.71 | 52.97 | -0.34 |
| 275 | 275 | 182 | Q_smistamento | 9.16 | 52.94 | -0.23 |
| 275 | 275 | 181 | Q_neve | 1.427E-13 | -1.845E-13 | -1.246E-13 |
| 275 | 275 | 185 | Q_neve | -3.261E-14 | -1.595E-13 | -1.429E-13 |
| 275 | 275 | 186 | Q_neve | 3.406E-14 | 9.314E-13 | 3.339E-14 |
| 275 | 275 | 182 | Q_neve | 6.883E-13 | 8.379E-13 | -2.219E-13 |
| 276 | 276 | 182 | DEAD | 2.348E-12 | 5.078E-12 | -7.298E-13 |
| 276 | 276 | 186 | DEAD | 1.609E-12 | 5.360E-12 | -7.298E-13 |

Table 21: Element Stresses - Area Shells, Part 2 of 3

| Area | AreaElem | Joint | OutputCase | S11Bot KN/m2 | S22Bot KN/m2 | S12Bot KN/m2 |
|------|----------|-------|----------------|-----------------|-----------------|-----------------|
| 276 | 276 | 120 | DEAD | 3.217E-12 | 4.683E-12 | -7.298E-13 |
| 276 | 276 | 122 | DEAD | 1.767E-12 | 3.306E-12 | -7.298E-13 |
| 276 | 276 | 182 | G1_smistamento | 24.72 | 142.81 | -0.77 |
| 276 | 276 | 186 | G1_smistamento | 28.88 | 142.87 | -1.43 |
| 276 | 276 | 120 | G1_smistamento | 9.37 | 53.79 | -1.78 |
| 276 | 276 | 122 | G1_smistamento | 5.35 | 53.85 | -1.13 |
| 276 | 276 | 182 | G2_smistamento | 9.16 | 52.94 | -0.29 |
| 276 | 276 | 186 | G2_smistamento | 10.71 | 52.96 | -0.53 |
| 276 | 276 | 120 | G2_smistamento | 3.47 | 19.94 | -0.66 |
| 276 | 276 | 122 | G2_smistamento | 1.98 | 19.96 | -0.42 |
| 276 | 276 | 182 | Q_smistamento | 9.16 | 52.94 | -0.29 |
| 276 | 276 | 186 | Q_smistamento | 10.71 | 52.96 | -0.53 |
| 276 | 276 | 120 | Q_smistamento | 3.47 | 19.94 | -0.66 |
| 276 | 276 | 122 | Q_smistamento | 1.98 | 19.96 | -0.42 |
| 276 | 276 | 182 | Q_neve | 9.265E-13 | 1.268E-12 | -1.118E-13 |
| 276 | 276 | 186 | Q_neve | 7.989E-14 | 8.269E-13 | -1.118E-13 |
| 276 | 276 | 120 | Q_neve | -3.138E-14 | 7.446E-13 | -2.303E-13 |
| 276 | 276 | 122 | Q_neve | 7.810E-13 | 1.015E-12 | -2.303E-13 |
| 277 | 277 | 86 | DEAD | -3.309E-13 | 5.866E-12 | 2.225E-12 |
| 277 | 277 | 88 | DEAD | -4.441E-12 | -9.955E-13 | 1.277E-12 |
| 277 | 277 | 187 | DEAD | -3.135E-12 | 4.168E-12 | 3.291E-13 |
| 277 | 277 | 183 | DEAD | 2.274E-12 | 6.035E-12 | 1.277E-12 |
| 277 | 277 | 86 | G1_smistamento | 9.36 | 53.79 | 2.65 |
| 277 | 277 | 88 | G1_smistamento | 17.83 | 53.72 | 3.38 |
| 277 | 277 | 187 | G1_smistamento | 37.66 | 143.05 | 2.66 |
| 277 | 277 | 183 | G1_smistamento | 28.88 | 142.87 | 1.92 |
| 277 | 277 | 86 | G2_smistamento | 3.47 | 19.94 | 0.98 |
| 277 | 277 | 88 | G2_smistamento | 6.61 | 19.92 | 1.25 |
| 277 | 277 | 187 | G2_smistamento | 13.96 | 53.03 | 0.98 |
| 277 | 277 | 183 | G2_smistamento | 10.71 | 52.96 | 0.71 |
| 277 | 277 | 86 | Q_smistamento | 3.47 | 19.94 | 0.98 |
| 277 | 277 | 88 | Q_smistamento | 6.61 | 19.92 | 1.25 |
| 277 | 277 | 187 | Q_smistamento | 13.96 | 53.03 | 0.98 |
| 277 | 277 | 183 | Q_smistamento | 10.71 | 52.96 | 0.71 |
| 277 | 277 | 86 | Q_neve | -8.293E-14 | 8.718E-13 | 2.584E-13 |
| 277 | 277 | 88 | Q_neve | -5.117E-13 | 3.468E-13 | 3.018E-13 |
| 277 | 277 | 187 | Q_neve | -2.705E-13 | 6.447E-13 | 6.089E-14 |
| 277 | 277 | 183 | Q_neve | -2.352E-13 | 1.255E-12 | 2.228E-13 |

Table 21: Element Stresses - Area Shells, Part 2 of 3

| Area | AreaElem | Joint | OutputCase | S11Bot KN/m2 | S22Bot KN/m2 | S12Bot KN/m2 |
|------|----------|-------|----------------|-----------------|-----------------|-----------------|
| 278 | 278 | 183 | DEAD | 2.418E-12 | 6.547E-12 | 2.069E-13 |
| 278 | 278 | 187 | DEAD | -2.989E-12 | 5.225E-12 | -2.248E-13 |
| 278 | 278 | 188 | DEAD | -8.213E-13 | 3.624E-12 | 5.229E-13 |
| 278 | 278 | 184 | DEAD | -6.646E-14 | 4.672E-12 | 4.072E-13 |
| 278 | 278 | 183 | G1_smistamento | 28.88 | 142.87 | 1.42 |
| 278 | 278 | 187 | G1_smistamento | 37.66 | 143.05 | 1.78 |
| 278 | 278 | 188 | G1_smistamento | 45.42 | 176.91 | 1.13 |
| 278 | 278 | 184 | G1_smistamento | 36.43 | 176.56 | 0.76 |
| 278 | 278 | 183 | G2_smistamento | 10.71 | 52.97 | 0.53 |
| 278 | 278 | 187 | G2_smistamento | 13.96 | 53.03 | 0.66 |
| 278 | 278 | 188 | G2_smistamento | 16.84 | 65.58 | 0.42 |
| 278 | 278 | 184 | G2_smistamento | 13.51 | 65.45 | 0.28 |
| 278 | 278 | 183 | Q_smistamento | 10.71 | 52.97 | 0.53 |
| 278 | 278 | 187 | Q_smistamento | 13.96 | 53.03 | 0.66 |
| 278 | 278 | 188 | Q_smistamento | 16.84 | 65.58 | 0.42 |
| 278 | 278 | 184 | Q_smistamento | 13.51 | 65.45 | 0.28 |
| 278 | 278 | 183 | Q_neve | -7.152E-14 | 8.421E-13 | 7.676E-14 |
| 278 | 278 | 187 | Q_neve | -2.095E-13 | 1.424E-12 | 1.057E-13 |
| 278 | 278 | 188 | Q_neve | -2.591E-13 | 3.780E-13 | 3.726E-14 |
| 278 | 278 | 184 | Q_neve | 6.698E-14 | 1.147E-12 | 1.452E-13 |
| 279 | 279 | 184 | DEAD | -2.652E-13 | 3.605E-12 | 1.520E-12 |
| 279 | 279 | 188 | DEAD | -1.474E-12 | 2.277E-12 | -9.122E-14 |
| 279 | 279 | 189 | DEAD | -4.136E-12 | -1.530E-12 | -6.023E-14 |
| 279 | 279 | 185 | DEAD | 6.985E-13 | -1.329E-13 | -9.122E-14 |
| 279 | 279 | 184 | G1_smistamento | 36.43 | 176.56 | 0.31 |
| 279 | 279 | 188 | G1_smistamento | 45.42 | 176.91 | 0.31 |
| 279 | 279 | 189 | G1_smistamento | 45.42 | 176.91 | -0.31 |
| 279 | 279 | 185 | G1_smistamento | 36.43 | 176.56 | -0.31 |
| 279 | 279 | 184 | G2_smistamento | 13.51 | 65.45 | 0.12 |
| 279 | 279 | 188 | G2_smistamento | 16.84 | 65.58 | 0.12 |
| 279 | 279 | 189 | G2_smistamento | 16.84 | 65.58 | -0.12 |
| 279 | 279 | 185 | G2_smistamento | 13.51 | 65.45 | -0.12 |
| 279 | 279 | 184 | Q_smistamento | 13.51 | 65.45 | 0.12 |
| 279 | 279 | 188 | Q_smistamento | 16.84 | 65.58 | 0.12 |
| 279 | 279 | 189 | Q_smistamento | 16.84 | 65.58 | -0.12 |
| 279 | 279 | 185 | Q_smistamento | 13.51 | 65.45 | -0.12 |
| 279 | 279 | 184 | Q_neve | -3.422E-14 | 5.412E-13 | 1.816E-13 |
| 279 | 279 | 188 | Q_neve | -4.145E-13 | 5.125E-13 | 1.975E-14 |

Table 21: Element Stresses - Area Shells, Part 2 of 3

| Area | AreaElem | Joint | OutputCase | S11Bot KN/m2 | S22Bot KN/m2 | S12Bot KN/m2 |
|------|----------|-------|----------------|-----------------|-----------------|-----------------|
| 279 | 279 | 189 | Q_neve | -5.872E-13 | -9.080E-14 | 2.362E-14 |
| 279 | 279 | 185 | Q_neve | 4.962E-14 | -1.083E-14 | -1.975E-14 |
| 280 | 280 | 185 | DEAD | -1.271E-12 | -1.964E-12 | -2.671E-13 |
| 280 | 280 | 189 | DEAD | -3.101E-12 | 4.501E-13 | 9.969E-13 |
| 280 | 280 | 190 | DEAD | 2.047E-12 | 4.198E-12 | 9.969E-13 |
| 280 | 280 | 186 | DEAD | 2.508E-12 | 4.795E-12 | -2.671E-13 |
| 280 | 280 | 185 | G1_smistamento | 36.43 | 176.56 | -0.76 |
| 280 | 280 | 189 | G1_smistamento | 45.42 | 176.91 | -1.13 |
| 280 | 280 | 190 | G1_smistamento | 37.66 | 143.05 | -1.78 |
| 280 | 280 | 186 | G1_smistamento | 28.88 | 142.87 | -1.42 |
| 280 | 280 | 185 | G2_smistamento | 13.51 | 65.45 | -0.28 |
| 280 | 280 | 189 | G2_smistamento | 16.84 | 65.58 | -0.42 |
| 280 | 280 | 190 | G2_smistamento | 13.96 | 53.03 | -0.66 |
| 280 | 280 | 186 | G2_smistamento | 10.71 | 52.97 | -0.53 |
| 280 | 280 | 185 | Q_smistamento | 13.51 | 65.45 | -0.28 |
| 280 | 280 | 189 | Q_smistamento | 16.84 | 65.58 | -0.42 |
| 280 | 280 | 190 | Q_smistamento | 13.96 | 53.03 | -0.66 |
| 280 | 280 | 186 | Q_smistamento | 10.71 | 52.97 | -0.53 |
| 280 | 280 | 185 | Q_neve | 2.042E-14 | -1.215E-13 | 5.478E-14 |
| 280 | 280 | 189 | Q_neve | -5.080E-13 | 1.266E-13 | 1.299E-13 |
| 280 | 280 | 190 | Q_neve | 2.475E-13 | 7.771E-13 | 1.733E-13 |
| 280 | 280 | 186 | Q_neve | 3.313E-13 | 7.685E-13 | -1.071E-13 |
| 281 | 281 | 186 | DEAD | 2.639E-12 | 5.318E-12 | -2.558E-13 |
| 281 | 281 | 190 | DEAD | 1.301E-12 | 1.031E-12 | -6.874E-13 |
| 281 | 281 | 118 | DEAD | -2.445E-13 | 2.276E-12 | -1.204E-12 |
| 281 | 281 | 120 | DEAD | 2.051E-12 | 4.784E-12 | -1.319E-12 |
| 281 | 281 | 186 | G1_smistamento | 28.88 | 142.87 | -1.92 |
| 281 | 281 | 190 | G1_smistamento | 37.66 | 143.05 | -2.66 |
| 281 | 281 | 118 | G1_smistamento | 17.83 | 53.72 | -3.38 |
| 281 | 281 | 120 | G1_smistamento | 9.36 | 53.79 | -2.65 |
| 281 | 281 | 186 | G2_smistamento | 10.71 | 52.96 | -0.71 |
| 281 | 281 | 190 | G2_smistamento | 13.96 | 53.03 | -0.98 |
| 281 | 281 | 118 | G2_smistamento | 6.61 | 19.92 | -1.25 |
| 281 | 281 | 120 | G2_smistamento | 3.47 | 19.94 | -0.98 |
| 281 | 281 | 186 | Q_smistamento | 10.71 | 52.96 | -0.71 |
| 281 | 281 | 190 | Q_smistamento | 13.96 | 53.03 | -0.98 |
| 281 | 281 | 118 | Q_smistamento | 6.61 | 19.92 | -1.25 |
| 281 | 281 | 120 | Q_smistamento | 3.47 | 19.94 | -0.98 |

Table 21: Element Stresses - Area Shells, Part 2 of 3

| Area | AreaElem | Joint | OutputCase | S11Bot KN/m2 | S22Bot KN/m2 | S12Bot KN/m2 |
|------|----------|-------|----------------|-----------------|-----------------|-----------------|
| 281 | 281 | 186 | Q_neve | 2.037E-13 | 9.181E-13 | -7.758E-14 |
| 281 | 281 | 190 | Q_neve | 2.954E-13 | 8.207E-14 | -1.605E-13 |
| 281 | 281 | 118 | Q_neve | 3.579E-14 | 5.528E-13 | -1.961E-13 |
| 281 | 281 | 120 | Q_neve | 9.794E-14 | 5.166E-13 | -3.185E-13 |
| 282 | 282 | 88 | DEAD | -1.883E-12 | -3.305E-13 | 1.958E-12 |
| 282 | 282 | 90 | DEAD | 1.479E-12 | 1.031E-12 | 1.095E-12 |
| 282 | 282 | 191 | DEAD | 1.298E-14 | 6.305E-12 | 1.326E-12 |
| 282 | 282 | 187 | DEAD | -3.384E-13 | 5.218E-12 | 1.095E-12 |
| 282 | 282 | 88 | G1_smistamento | 17.82 | 53.72 | 4.36 |
| 282 | 282 | 90 | G1_smistamento | 31.1 | 53.74 | 5.25 |
| 282 | 282 | 191 | G1_smistamento | 51.48 | 143.35 | 4.14 |
| 282 | 282 | 187 | G1_smistamento | 37.65 | 143.05 | 3.25 |
| 282 | 282 | 88 | G2_smistamento | 6.61 | 19.91 | 1.62 |
| 282 | 282 | 90 | G2_smistamento | 11.53 | 19.92 | 1.95 |
| 282 | 282 | 191 | G2_smistamento | 19.08 | 53.14 | 1.53 |
| 282 | 282 | 187 | G2_smistamento | 13.96 | 53.03 | 1.21 |
| 282 | 282 | 88 | Q_smistamento | 6.61 | 19.91 | 1.62 |
| 282 | 282 | 90 | Q_smistamento | 11.53 | 19.92 | 1.95 |
| 282 | 282 | 191 | Q_smistamento | 19.08 | 53.14 | 1.53 |
| 282 | 282 | 187 | Q_smistamento | 13.96 | 53.03 | 1.21 |
| 282 | 282 | 88 | Q_neve | -4.098E-13 | 3.271E-13 | 3.109E-13 |
| 282 | 282 | 90 | Q_neve | 3.817E-13 | 5.291E-14 | 3.610E-13 |
| 282 | 282 | 191 | Q_neve | -1.432E-13 | 1.423E-12 | 3.504E-13 |
| 282 | 282 | 187 | Q_neve | 1.941E-13 | 7.738E-13 | 1.635E-13 |
| 283 | 283 | 187 | DEAD | 4.044E-13 | 7.270E-12 | 9.366E-13 |
| 283 | 283 | 191 | DEAD | 4.943E-14 | 4.665E-12 | 1.453E-12 |
| 283 | 283 | 192 | DEAD | 2.537E-12 | 8.712E-13 | 1.253E-12 |
| 283 | 283 | 188 | DEAD | -1.965E-12 | 2.177E-12 | 1.890E-13 |
| 283 | 283 | 187 | G1_smistamento | 37.65 | 143.05 | 2.39 |
| 283 | 283 | 191 | G1_smistamento | 51.48 | 143.34 | 2.85 |
| 283 | 283 | 192 | G1_smistamento | 59.65 | 177.37 | 1.8 |
| 283 | 283 | 188 | G1_smistamento | 45.41 | 176.91 | 1.33 |
| 283 | 283 | 187 | G2_smistamento | 13.96 | 53.03 | 0.88 |
| 283 | 283 | 191 | G2_smistamento | 19.08 | 53.14 | 1.06 |
| 283 | 283 | 192 | G2_smistamento | 22.11 | 65.75 | 0.67 |
| 283 | 283 | 188 | G2_smistamento | 16.84 | 65.58 | 0.49 |
| 283 | 283 | 187 | Q_smistamento | 13.96 | 53.03 | 0.88 |
| 283 | 283 | 191 | Q_smistamento | 19.08 | 53.14 | 1.06 |

Table 21: Element Stresses - Area Shells, Part 2 of 3

| Area | AreaElem | Joint | OutputCase | S11Bot KN/m2 | S22Bot KN/m2 | S12Bot KN/m2 |
|------|----------|-------|----------------|-----------------|-----------------|-----------------|
| 283 | 283 | 192 | Q_smistamento | 22.11 | 65.75 | 0.67 |
| 283 | 283 | 188 | Q_smistamento | 16.84 | 65.58 | 0.49 |
| 283 | 283 | 187 | Q_neve | 3.550E-13 | 1.500E-12 | 2.022E-13 |
| 283 | 283 | 191 | Q_neve | -1.375E-13 | 1.096E-12 | 1.983E-13 |
| 283 | 283 | 192 | Q_neve | 7.796E-13 | 6.799E-14 | 1.627E-13 |
| 283 | 283 | 188 | Q_neve | -4.041E-13 | 7.111E-13 | -3.868E-14 |
| 284 | 284 | 188 | DEAD | -1.673E-12 | 2.613E-12 | -2.492E-13 |
| 284 | 284 | 192 | DEAD | 3.298E-12 | 3.052E-12 | -7.965E-13 |
| 284 | 284 | 193 | DEAD | -6.070E-13 | 1.309E-12 | 6.678E-14 |
| 284 | 284 | 189 | DEAD | -1.679E-12 | -9.768E-13 | -4.805E-13 |
| 284 | 284 | 188 | G1_smistamento | 45.41 | 176.91 | 0.52 |
| 284 | 284 | 192 | G1_smistamento | 59.65 | 177.36 | 0.52 |
| 284 | 284 | 193 | G1_smistamento | 59.65 | 177.36 | -0.52 |
| 284 | 284 | 189 | G1_smistamento | 45.41 | 176.91 | -0.52 |
| 284 | 284 | 188 | G2_smistamento | 16.84 | 65.58 | 0.19 |
| 284 | 284 | 192 | G2_smistamento | 22.11 | 65.75 | 0.19 |
| 284 | 284 | 193 | G2_smistamento | 22.11 | 65.75 | -0.19 |
| 284 | 284 | 189 | G2_smistamento | 16.84 | 65.58 | -0.19 |
| 284 | 284 | 188 | Q_smistamento | 16.84 | 65.58 | 0.19 |
| 284 | 284 | 192 | Q_smistamento | 22.11 | 65.75 | 0.19 |
| 284 | 284 | 193 | Q_smistamento | 22.11 | 65.75 | -0.19 |
| 284 | 284 | 189 | Q_smistamento | 16.84 | 65.58 | -0.19 |
| 284 | 284 | 188 | Q_neve | -5.442E-13 | 1.795E-13 | -2.892E-14 |
| 284 | 284 | 192 | Q_neve | 9.464E-13 | 8.568E-13 | -1.079E-13 |
| 284 | 284 | 193 | Q_neve | -2.084E-13 | 4.362E-13 | -1.079E-13 |
| 284 | 284 | 189 | Q_neve | -1.596E-13 | 6.681E-14 | -2.892E-14 |
| 285 | 285 | 189 | DEAD | -1.886E-12 | -6.480E-13 | 1.155E-12 |
| 285 | 285 | 193 | DEAD | 8.594E-13 | 5.123E-12 | 5.539E-13 |
| 285 | 285 | 194 | DEAD | -6.073E-12 | -3.571E-12 | -4.251E-13 |
| 285 | 285 | 190 | DEAD | -2.182E-12 | 4.136E-12 | 1.818E-12 |
| 285 | 285 | 189 | G1_smistamento | 45.41 | 176.91 | -1.33 |
| 285 | 285 | 193 | G1_smistamento | 59.65 | 177.37 | -1.8 |
| 285 | 285 | 194 | G1_smistamento | 51.48 | 143.34 | -2.85 |
| 285 | 285 | 190 | G1_smistamento | 37.65 | 143.05 | -2.39 |
| 285 | 285 | 189 | G2_smistamento | 16.84 | 65.58 | -0.49 |
| 285 | 285 | 193 | G2_smistamento | 22.11 | 65.75 | -0.67 |
| 285 | 285 | 194 | G2_smistamento | 19.08 | 53.14 | -1.06 |
| 285 | 285 | 190 | G2_smistamento | 13.96 | 53.03 | -0.88 |

Table 21: Element Stresses - Area Shells, Part 2 of 3

| Area | AreaElem | Joint | OutputCase | S11Bot KN/m2 | S22Bot KN/m2 | S12Bot KN/m2 |
|------|----------|-------|----------------|-----------------|-----------------|-----------------|
| 285 | 285 | 189 | Q_smistamento | 16.84 | 65.58 | -0.49 |
| 285 | 285 | 193 | Q_smistamento | 22.11 | 65.75 | -0.67 |
| 285 | 285 | 194 | Q_smistamento | 19.08 | 53.14 | -1.06 |
| 285 | 285 | 190 | Q_smistamento | 13.96 | 53.03 | -0.88 |
| 285 | 285 | 189 | Q_neve | -3.698E-13 | -1.507E-13 | 2.142E-13 |
| 285 | 285 | 193 | Q_neve | 1.222E-13 | 9.676E-13 | 1.324E-13 |
| 285 | 285 | 194 | Q_neve | -1.318E-12 | -6.247E-13 | -2.598E-13 |
| 285 | 285 | 190 | Q_neve | -5.098E-13 | 6.516E-13 | 3.694E-13 |
| 286 | 286 | 190 | DEAD | -3.355E-12 | 1.404E-13 | -1.113E-12 |
| 286 | 286 | 194 | DEAD | -5.938E-12 | -1.588E-12 | 6.678E-14 |
| 286 | 286 | 116 | DEAD | -3.236E-12 | 3.577E-12 | -1.645E-13 |
| 286 | 286 | 118 | DEAD | 5.791E-13 | 1.611E-12 | -2.492E-13 |
| 286 | 286 | 190 | G1_smistamento | 37.65 | 143.05 | -3.25 |
| 286 | 286 | 194 | G1_smistamento | 51.48 | 143.35 | -4.14 |
| 286 | 286 | 116 | G1_smistamento | 31.1 | 53.74 | -5.25 |
| 286 | 286 | 118 | G1_smistamento | 17.82 | 53.72 | -4.36 |
| 286 | 286 | 190 | G2_smistamento | 13.96 | 53.03 | -1.21 |
| 286 | 286 | 194 | G2_smistamento | 19.08 | 53.14 | -1.53 |
| 286 | 286 | 116 | G2_smistamento | 11.53 | 19.92 | -1.95 |
| 286 | 286 | 118 | G2_smistamento | 6.61 | 19.91 | -1.62 |
| 286 | 286 | 190 | Q_smistamento | 13.96 | 53.03 | -1.21 |
| 286 | 286 | 194 | Q_smistamento | 19.08 | 53.14 | -1.53 |
| 286 | 286 | 116 | Q_smistamento | 11.53 | 19.92 | -1.95 |
| 286 | 286 | 118 | Q_smistamento | 6.61 | 19.91 | -1.62 |
| 286 | 286 | 190 | Q_neve | -5.144E-13 | -2.177E-13 | -1.246E-13 |
| 286 | 286 | 194 | Q_neve | -1.197E-12 | 1.384E-13 | 1.018E-13 |
| 286 | 286 | 116 | Q_neve | -8.995E-13 | -1.034E-14 | 3.339E-14 |
| 286 | 286 | 118 | Q_neve | 2.448E-13 | 7.111E-13 | -5.619E-14 |
| 287 | 287 | 90 | DEAD | -2.080E-13 | 9.779E-13 | 1.460E-12 |
| 287 | 287 | 92 | DEAD | 2.186E-12 | 3.699E-13 | 1.776E-12 |
| 287 | 287 | 195 | DEAD | 4.769E-12 | 5.955E-12 | 1.460E-12 |
| 287 | 287 | 191 | DEAD | 1.554E-12 | 5.742E-12 | 1.144E-12 |
| 287 | 287 | 90 | G1_smistamento | 31.1 | 53.74 | 6.44 |
| 287 | 287 | 92 | G1_smistamento | 48.49 | 53.85 | 7.6 |
| 287 | 287 | 195 | G1_smistamento | 69.8 | 143.52 | 6.11 |
| 287 | 287 | 191 | G1_smistamento | 51.48 | 143.35 | 4.95 |
| 287 | 287 | 90 | G2_smistamento | 11.53 | 19.92 | 2.39 |
| 287 | 287 | 92 | G2_smistamento | 17.98 | 19.96 | 2.82 |

Table 21: Element Stresses - Area Shells, Part 2 of 3

| Area | AreaElem | Joint | OutputCase | S11Bot KN/m2 | S22Bot KN/m2 | S12Bot KN/m2 |
|------|----------|-------|----------------|-----------------|-----------------|-----------------|
| 287 | 287 | 195 | G2_smistamento | 25.88 | 53.21 | 2.27 |
| 287 | 287 | 191 | G2_smistamento | 19.08 | 53.14 | 1.83 |
| 287 | 287 | 90 | Q_smistamento | 11.53 | 19.92 | 2.39 |
| 287 | 287 | 92 | Q_smistamento | 17.98 | 19.96 | 2.82 |
| 287 | 287 | 195 | Q_smistamento | 25.88 | 53.21 | 2.27 |
| 287 | 287 | 191 | Q_smistamento | 19.08 | 53.14 | 1.83 |
| 287 | 287 | 90 | Q_neve | -2.657E-13 | 2.472E-13 | 3.193E-13 |
| 287 | 287 | 92 | Q_neve | 6.994E-13 | 3.327E-13 | 4.378E-13 |
| 287 | 287 | 195 | Q_neve | 1.127E-12 | 1.047E-12 | 3.193E-13 |
| 287 | 287 | 191 | Q_neve | 1.957E-13 | 1.133E-12 | 2.008E-13 |
| 288 | 288 | 191 | DEAD | 5.570E-13 | 4.794E-12 | 1.039E-12 |
| 288 | 288 | 195 | DEAD | 4.797E-12 | 5.369E-12 | 4.382E-13 |
| 288 | 288 | 196 | DEAD | -1.971E-12 | -3.106E-12 | -8.568E-13 |
| 288 | 288 | 192 | DEAD | -1.285E-12 | -3.977E-13 | 1.386E-12 |
| 288 | 288 | 191 | G1_smistamento | 51.48 | 143.34 | 3.67 |
| 288 | 288 | 195 | G1_smistamento | 69.8 | 143.49 | 4.35 |
| 288 | 288 | 196 | G1_smistamento | 78.65 | 177.43 | 2.77 |
| 288 | 288 | 192 | G1_smistamento | 59.63 | 177.36 | 2.09 |
| 288 | 288 | 191 | G2_smistamento | 19.08 | 53.14 | 1.36 |
| 288 | 288 | 195 | G2_smistamento | 25.88 | 53.19 | 1.61 |
| 288 | 288 | 196 | G2_smistamento | 29.16 | 65.78 | 1.03 |
| 288 | 288 | 192 | G2_smistamento | 22.1 | 65.75 | 0.78 |
| 288 | 288 | 191 | Q_smistamento | 19.08 | 53.14 | 1.36 |
| 288 | 288 | 195 | Q_smistamento | 25.88 | 53.19 | 1.61 |
| 288 | 288 | 196 | Q_smistamento | 29.16 | 65.78 | 1.03 |
| 288 | 288 | 192 | Q_smistamento | 22.1 | 65.75 | 0.78 |
| 288 | 288 | 191 | Q_neve | 1.311E-13 | 1.003E-12 | 1.944E-13 |
| 288 | 288 | 195 | Q_neve | 1.201E-12 | 1.170E-12 | 2.973E-14 |
| 288 | 288 | 196 | Q_neve | -4.219E-13 | -8.144E-13 | -2.401E-13 |
| 288 | 288 | 192 | Q_neve | 6.503E-14 | 2.322E-13 | 2.667E-13 |
| 289 | 289 | 192 | DEAD | -7.976E-13 | 1.779E-12 | -8.454E-13 |
| 289 | 289 | 196 | DEAD | -1.413E-12 | -1.300E-12 | -1.393E-12 |
| 289 | 289 | 197 | DEAD | -1.232E-12 | 3.398E-12 | -1.161E-12 |
| 289 | 289 | 193 | DEAD | -1.848E-12 | 3.194E-13 | -1.709E-12 |
| 289 | 289 | 192 | G1_smistamento | 59.63 | 177.36 | 0.81 |
| 289 | 289 | 196 | G1_smistamento | 78.65 | 177.42 | 0.81 |
| 289 | 289 | 197 | G1_smistamento | 78.65 | 177.42 | -0.81 |
| 289 | 289 | 193 | G1_smistamento | 59.63 | 177.36 | -0.81 |

Table 21: Element Stresses - Area Shells, Part 2 of 3

| Area | AreaElem | Joint | OutputCase | S11Bot KN/m2 | S22Bot KN/m2 | S12Bot KN/m2 |
|------|----------|-------|----------------|-----------------|-----------------|-----------------|
| 289 | 289 | 192 | G2_smistamento | 22.1 | 65.75 | 0.3 |
| 289 | 289 | 196 | G2_smistamento | 29.16 | 65.77 | 0.3 |
| 289 | 289 | 197 | G2_smistamento | 29.16 | 65.77 | -0.3 |
| 289 | 289 | 193 | G2_smistamento | 22.1 | 65.75 | -0.3 |
| 289 | 289 | 192 | Q_smistamento | 22.1 | 65.75 | 0.3 |
| 289 | 289 | 196 | Q_smistamento | 29.16 | 65.77 | 0.3 |
| 289 | 289 | 197 | Q_smistamento | 29.16 | 65.77 | -0.3 |
| 289 | 289 | 193 | Q_smistamento | 22.1 | 65.75 | -0.3 |
| 289 | 289 | 192 | Q_neve | -4.185E-14 | 7.352E-13 | -1.916E-13 |
| 289 | 289 | 196 | Q_neve | -4.386E-13 | -6.011E-13 | -2.456E-13 |
| 289 | 289 | 197 | Q_neve | -1.406E-13 | 9.524E-13 | -3.101E-13 |
| 289 | 289 | 193 | Q_neve | -3.596E-13 | 3.093E-14 | -3.246E-13 |
| 290 | 290 | 193 | DEAD | -4.829E-13 | 5.223E-12 | -2.000E-12 |
| 290 | 290 | 197 | DEAD | -2.113E-12 | 1.608E-12 | -1.337E-12 |
| 290 | 290 | 198 | DEAD | 3.151E-12 | 5.381E-12 | -7.363E-13 |
| 290 | 290 | 194 | DEAD | -5.549E-12 | -3.250E-12 | 2.427E-13 |
| 290 | 290 | 193 | G1_smistamento | 59.63 | 177.36 | -2.09 |
| 290 | 290 | 197 | G1_smistamento | 78.65 | 177.43 | -2.77 |
| 290 | 290 | 198 | G1_smistamento | 69.8 | 143.49 | -4.35 |
| 290 | 290 | 194 | G1_smistamento | 51.48 | 143.34 | -3.67 |
| 290 | 290 | 193 | G2_smistamento | 22.1 | 65.75 | -0.78 |
| 290 | 290 | 197 | G2_smistamento | 29.16 | 65.78 | -1.03 |
| 290 | 290 | 198 | G2_smistamento | 25.88 | 53.19 | -1.61 |
| 290 | 290 | 194 | G2_smistamento | 19.08 | 53.14 | -1.36 |
| 290 | 290 | 193 | Q_smistamento | 22.1 | 65.75 | -0.78 |
| 290 | 290 | 197 | Q_smistamento | 29.16 | 65.78 | -1.03 |
| 290 | 290 | 198 | Q_smistamento | 25.88 | 53.19 | -1.61 |
| 290 | 290 | 194 | Q_smistamento | 19.08 | 53.14 | -1.36 |
| 290 | 290 | 193 | Q_neve | -1.892E-13 | 6.627E-13 | -2.614E-13 |
| 290 | 290 | 197 | Q_neve | -2.016E-13 | 6.936E-13 | -1.930E-13 |
| 290 | 290 | 198 | Q_neve | 4.230E-13 | 6.429E-13 | -1.034E-13 |
| 290 | 290 | 194 | Q_neve | -7.448E-13 | -3.630E-13 | -3.503E-14 |
| 291 | 291 | 194 | DEAD | -5.283E-12 | -5.922E-13 | 1.645E-13 |
| 291 | 291 | 198 | DEAD | 2.900E-12 | 2.029E-12 | 1.344E-12 |
| 291 | 291 | 114 | DEAD | 2.341E-12 | 3.397E-12 | 1.113E-12 |
| 291 | 291 | 116 | DEAD | -1.326E-12 | 3.649E-12 | 1.028E-12 |
| 291 | 291 | 194 | G1_smistamento | 51.48 | 143.35 | -4.95 |
| 291 | 291 | 198 | G1_smistamento | 69.8 | 143.52 | -6.11 |

Table 21: Element Stresses - Area Shells, Part 2 of 3

| Area | AreaElem | Joint | OutputCase | S11Bot KN/m2 | S22Bot KN/m2 | S12Bot KN/m2 |
|------|----------|-------|----------------|-----------------|-----------------|-----------------|
| 291 | 291 | 114 | G1_smistamento | 48.49 | 53.85 | -7.6 |
| 291 | 291 | 116 | G1_smistamento | 31.1 | 53.74 | -6.44 |
| 291 | 291 | 194 | G2_smistamento | 19.08 | 53.14 | -1.83 |
| 291 | 291 | 198 | G2_smistamento | 25.88 | 53.21 | -2.27 |
| 291 | 291 | 114 | G2_smistamento | 17.98 | 19.96 | -2.82 |
| 291 | 291 | 116 | G2_smistamento | 11.53 | 19.92 | -2.39 |
| 291 | 291 | 194 | Q_smistamento | 19.08 | 53.14 | -1.83 |
| 291 | 291 | 198 | Q_smistamento | 25.88 | 53.21 | -2.27 |
| 291 | 291 | 114 | Q_smistamento | 17.98 | 19.96 | -2.82 |
| 291 | 291 | 116 | Q_smistamento | 11.53 | 19.92 | -2.39 |
| 291 | 291 | 194 | Q_neve | -4.201E-13 | 1.960E-13 | 8.369E-14 |
| 291 | 291 | 198 | Q_neve | 2.730E-13 | 5.635E-13 | 1.482E-13 |
| 291 | 291 | 114 | Q_neve | 7.451E-13 | 3.342E-13 | 2.812E-13 |
| 291 | 291 | 116 | Q_neve | -5.466E-13 | 2.574E-13 | 1.482E-13 |
| 292 | 292 | 92 | DEAD | 3.610E-12 | 1.608E-12 | 2.134E-12 |
| 292 | 292 | 94 | DEAD | 7.618E-12 | 1.398E-12 | -3.404E-13 |
| 292 | 292 | 199 | DEAD | 4.281E-12 | 1.174E-12 | 2.379E-13 |
| 292 | 292 | 195 | DEAD | 1.298E-12 | 4.874E-12 | -2.444E-14 |
| 292 | 292 | 92 | G1_smistamento | 48.51 | 53.86 | 9.13 |
| 292 | 292 | 94 | G1_smistamento | 66.87 | 53.88 | 10.78 |
| 292 | 292 | 199 | G1_smistamento | 89.53 | 142.74 | 8.96 |
| 292 | 292 | 195 | G1_smistamento | 69.8 | 143.52 | 7.31 |
| 292 | 292 | 92 | G2_smistamento | 17.98 | 19.96 | 3.39 |
| 292 | 292 | 94 | G2_smistamento | 24.79 | 19.97 | 4. |
| 292 | 292 | 199 | G2_smistamento | 33.19 | 52.91 | 3.32 |
| 292 | 292 | 195 | G2_smistamento | 25.87 | 53.21 | 2.71 |
| 292 | 292 | 92 | Q_smistamento | 17.98 | 19.96 | 3.39 |
| 292 | 292 | 94 | Q_smistamento | 24.79 | 19.97 | 4. |
| 292 | 292 | 199 | Q_smistamento | 33.19 | 52.91 | 3.32 |
| 292 | 292 | 195 | Q_smistamento | 25.87 | 53.21 | 2.71 |
| 292 | 292 | 92 | Q_neve | 7.739E-13 | 3.253E-13 | 3.571E-13 |
| 292 | 292 | 94 | Q_neve | 1.263E-12 | 2.729E-13 | -1.669E-14 |
| 292 | 292 | 199 | Q_neve | 9.023E-13 | 2.562E-13 | -3.786E-14 |
| 292 | 292 | 195 | Q_neve | 1.568E-13 | 6.678E-13 | 6.230E-14 |
| 293 | 293 | 195 | DEAD | 7.799E-13 | 4.431E-12 | -1.168E-12 |
| 293 | 293 | 199 | DEAD | 3.513E-12 | 1.176E-12 | -1.052E-12 |
| 293 | 293 | 200 | DEAD | 8.798E-12 | 1.863E-12 | -2.116E-12 |
| 293 | 293 | 196 | DEAD | -3.992E-12 | -4.117E-12 | -1.684E-12 |

Table 21: Element Stresses - Area Shells, Part 2 of 3

| Area | AreaElem | Joint | OutputCase | S11Bot KN/m2 | S22Bot KN/m2 | S12Bot KN/m2 |
|------|----------|-------|----------------|-----------------|-----------------|-----------------|
| 293 | 293 | 195 | G1_smistamento | 69.79 | 143.49 | 5.55 |
| 293 | 293 | 199 | G1_smistamento | 89.52 | 142.67 | 6.6 |
| 293 | 293 | 200 | G1_smistamento | 99.37 | 175.74 | 4.3 |
| 293 | 293 | 196 | G1_smistamento | 78.61 | 177.42 | 3.24 |
| 293 | 293 | 195 | G2_smistamento | 25.87 | 53.19 | 2.06 |
| 293 | 293 | 199 | G2_smistamento | 33.19 | 52.89 | 2.45 |
| 293 | 293 | 200 | G2_smistamento | 36.84 | 65.15 | 1.59 |
| 293 | 293 | 196 | G2_smistamento | 29.14 | 65.77 | 1.2 |
| 293 | 293 | 195 | Q_smistamento | 25.87 | 53.19 | 2.06 |
| 293 | 293 | 199 | Q_smistamento | 33.19 | 52.89 | 2.45 |
| 293 | 293 | 200 | Q_smistamento | 36.84 | 65.15 | 1.59 |
| 293 | 293 | 196 | Q_smistamento | 29.14 | 65.77 | 1.2 |
| 293 | 293 | 195 | Q_neve | -1.731E-13 | 9.740E-13 | -2.631E-13 |
| 293 | 293 | 199 | Q_neve | 1.015E-12 | -2.332E-14 | -1.947E-13 |
| 293 | 293 | 200 | Q_neve | 1.348E-12 | 5.197E-13 | -4.211E-13 |
| 293 | 293 | 196 | Q_neve | -3.875E-13 | -3.986E-13 | -3.527E-13 |
| 294 | 294 | 196 | DEAD | -3.961E-12 | -2.957E-12 | -1.386E-12 |
| 294 | 294 | 200 | DEAD | 7.927E-12 | 2.283E-12 | -6.385E-13 |
| 294 | 294 | 201 | DEAD | 2.319E-12 | 5.693E-12 | -4.382E-13 |
| 294 | 294 | 197 | DEAD | 2.951E-12 | 3.942E-12 | -6.385E-13 |
| 294 | 294 | 196 | G1_smistamento | 78.61 | 177.41 | 1.27 |
| 294 | 294 | 200 | G1_smistamento | 99.37 | 175.71 | 1.27 |
| 294 | 294 | 201 | G1_smistamento | 99.37 | 175.71 | -1.27 |
| 294 | 294 | 197 | G1_smistamento | 78.61 | 177.41 | -1.27 |
| 294 | 294 | 196 | G2_smistamento | 29.14 | 65.77 | 0.47 |
| 294 | 294 | 200 | G2_smistamento | 36.84 | 65.14 | 0.47 |
| 294 | 294 | 201 | G2_smistamento | 36.84 | 65.14 | -0.47 |
| 294 | 294 | 197 | G2_smistamento | 29.14 | 65.77 | -0.47 |
| 294 | 294 | 196 | Q_smistamento | 29.14 | 65.77 | 0.47 |
| 294 | 294 | 200 | Q_smistamento | 36.84 | 65.14 | 0.47 |
| 294 | 294 | 201 | Q_smistamento | 36.84 | 65.14 | -0.47 |
| 294 | 294 | 197 | Q_smistamento | 29.14 | 65.77 | -0.47 |
| 294 | 294 | 196 | Q_neve | -5.827E-13 | -4.517E-13 | -1.110E-13 |
| 294 | 294 | 200 | Q_neve | 1.529E-12 | 4.193E-13 | -2.728E-13 |
| 294 | 294 | 201 | Q_neve | 4.344E-13 | 1.079E-12 | -7.147E-14 |
| 294 | 294 | 197 | Q_neve | 6.998E-13 | 1.012E-12 | -1.148E-13 |
| 295 | 295 | 197 | DEAD | 2.509E-12 | 2.757E-12 | 4.382E-13 |
| 295 | 295 | 201 | DEAD | 2.606E-12 | 5.093E-12 | 1.039E-12 |

Table 21: Element Stresses - Area Shells, Part 2 of 3

| Area | AreaElem | Joint | OutputCase | S11Bot KN/m2 | S22Bot KN/m2 | S12Bot KN/m2 |
|------|----------|-------|----------------|-----------------|-----------------|-----------------|
| 295 | 295 | 202 | DEAD | 8.118E-12 | 3.310E-12 | 1.386E-12 |
| 295 | 295 | 198 | DEAD | 2.685E-12 | 5.488E-12 | -8.568E-13 |
| 295 | 295 | 197 | G1_smistamento | 78.61 | 177.42 | -3.24 |
| 295 | 295 | 201 | G1_smistamento | 99.37 | 175.74 | -4.3 |
| 295 | 295 | 202 | G1_smistamento | 89.52 | 142.67 | -6.6 |
| 295 | 295 | 198 | G1_smistamento | 69.79 | 143.49 | -5.55 |
| 295 | 295 | 197 | G2_smistamento | 29.14 | 65.77 | -1.2 |
| 295 | 295 | 201 | G2_smistamento | 36.84 | 65.15 | -1.59 |
| 295 | 295 | 202 | G2_smistamento | 33.19 | 52.89 | -2.45 |
| 295 | 295 | 198 | G2_smistamento | 25.87 | 53.19 | -2.06 |
| 295 | 295 | 197 | Q_smistamento | 29.14 | 65.77 | -1.2 |
| 295 | 295 | 201 | Q_smistamento | 36.84 | 65.15 | -1.59 |
| 295 | 295 | 202 | Q_smistamento | 33.19 | 52.89 | -2.45 |
| 295 | 295 | 198 | Q_smistamento | 25.87 | 53.19 | -2.06 |
| 295 | 295 | 197 | Q_neve | 7.524E-13 | 6.174E-13 | 3.197E-14 |
| 295 | 295 | 201 | Q_neve | 5.241E-13 | 1.281E-12 | 2.150E-13 |
| 295 | 295 | 202 | Q_neve | 1.967E-12 | 5.285E-13 | 1.505E-13 |
| 295 | 295 | 198 | Q_neve | 4.028E-14 | 9.942E-13 | -1.010E-13 |
| 296 | 296 | 198 | DEAD | 1.541E-12 | 1.552E-12 | 1.137E-12 |
| 296 | 296 | 202 | DEAD | 9.410E-12 | 7.598E-12 | 3.047E-13 |
| 296 | 296 | 112 | DEAD | 4.069E-12 | 1.868E-12 | 5.050E-13 |
| 296 | 296 | 114 | DEAD | 2.221E-12 | 2.937E-12 | 1.885E-12 |
| 296 | 296 | 198 | G1_smistamento | 69.8 | 143.52 | -7.31 |
| 296 | 296 | 202 | G1_smistamento | 89.53 | 142.74 | -8.96 |
| 296 | 296 | 112 | G1_smistamento | 66.87 | 53.88 | -10.78 |
| 296 | 296 | 114 | G1_smistamento | 48.51 | 53.86 | -9.13 |
| 296 | 296 | 198 | G2_smistamento | 25.87 | 53.21 | -2.71 |
| 296 | 296 | 202 | G2_smistamento | 33.19 | 52.91 | -3.32 |
| 296 | 296 | 112 | G2_smistamento | 24.79 | 19.97 | -4. |
| 296 | 296 | 114 | G2_smistamento | 17.98 | 19.96 | -3.39 |
| 296 | 296 | 198 | Q_smistamento | 25.87 | 53.21 | -2.71 |
| 296 | 296 | 202 | Q_smistamento | 33.19 | 52.91 | -3.32 |
| 296 | 296 | 112 | Q_smistamento | 24.79 | 19.97 | -4. |
| 296 | 296 | 114 | Q_smistamento | 17.98 | 19.96 | -3.39 |
| 296 | 296 | 198 | Q_neve | 3.692E-14 | 7.123E-13 | 2.052E-13 |
| 296 | 296 | 202 | Q_neve | 2.089E-12 | 1.653E-12 | 1.833E-14 |
| 296 | 296 | 112 | Q_neve | 6.985E-13 | 2.284E-13 | 2.052E-13 |
| 296 | 296 | 114 | Q_neve | 4.596E-13 | 1.425E-13 | 2.553E-13 |

Table 21: Element Stresses - Area Shells, Part 2 of 3

| Area | AreaElem | Joint | OutputCase | S11Bot KN/m2 | S22Bot KN/m2 | S12Bot KN/m2 |
|------|----------|-------|----------------|-----------------|-----------------|-----------------|
| 297 | 297 | 94 | DEAD | 6.974E-12 | 1.136E-12 | -1.326E-12 |
| 297 | 297 | 96 | DEAD | 1.135E-11 | 2.478E-12 | -1.411E-12 |
| 297 | 297 | 203 | DEAD | 7.211E-12 | 1.373E-12 | -1.958E-12 |
| 297 | 297 | 199 | DEAD | 6.530E-12 | 2.083E-12 | -7.786E-13 |
| 297 | 297 | 94 | G1_smistamento | 66.91 | 53.88 | 12.86 |
| 297 | 297 | 96 | G1_smistamento | 78.96 | 53.18 | 15.2 |
| 297 | 297 | 203 | G1_smistamento | 103.02 | 139.05 | 13.13 |
| 297 | 297 | 199 | G1_smistamento | 89.51 | 142.73 | 10.8 |
| 297 | 297 | 94 | G2_smistamento | 24.8 | 19.98 | 4.77 |
| 297 | 297 | 96 | G2_smistamento | 29.27 | 19.71 | 5.63 |
| 297 | 297 | 203 | G2_smistamento | 38.19 | 51.55 | 4.87 |
| 297 | 297 | 199 | G2_smistamento | 33.18 | 52.91 | 4. |
| 297 | 297 | 94 | Q_smistamento | 24.8 | 19.98 | 4.77 |
| 297 | 297 | 96 | Q_smistamento | 29.27 | 19.71 | 5.63 |
| 297 | 297 | 203 | Q_smistamento | 38.19 | 51.55 | 4.87 |
| 297 | 297 | 199 | Q_smistamento | 33.18 | 52.91 | 4. |
| 297 | 297 | 94 | Q_neve | 1.731E-12 | 5.205E-13 | -2.228E-13 |
| 297 | 297 | 96 | Q_neve | 1.595E-12 | 1.869E-13 | -3.268E-13 |
| 297 | 297 | 203 | Q_neve | 1.524E-12 | 4.316E-13 | -3.018E-13 |
| 297 | 297 | 199 | Q_neve | 1.250E-12 | 3.547E-13 | -1.293E-13 |
| 298 | 298 | 199 | DEAD | 6.117E-12 | 2.187E-12 | -1.593E-12 |
| 298 | 298 | 203 | DEAD | 7.240E-12 | 6.817E-13 | -1.277E-12 |
| 298 | 298 | 204 | DEAD | 1.208E-11 | 4.518E-12 | -9.611E-13 |
| 298 | 298 | 200 | DEAD | 4.870E-12 | 2.077E-13 | -1.277E-12 |
| 298 | 298 | 199 | G1_smistamento | 89.49 | 142.67 | 8.43 |
| 298 | 298 | 203 | G1_smistamento | 102.99 | 138.91 | 9.97 |
| 298 | 298 | 204 | G1_smistamento | 113.59 | 169.51 | 6.59 |
| 298 | 298 | 200 | G1_smistamento | 99.33 | 175.73 | 5.05 |
| 298 | 298 | 199 | G2_smistamento | 33.18 | 52.89 | 3.12 |
| 298 | 298 | 203 | G2_smistamento | 38.18 | 51.5 | 3.7 |
| 298 | 298 | 204 | G2_smistamento | 42.11 | 62.84 | 2.44 |
| 298 | 298 | 200 | G2_smistamento | 36.82 | 65.15 | 1.87 |
| 298 | 298 | 199 | Q_smistamento | 33.18 | 52.89 | 3.12 |
| 298 | 298 | 203 | Q_smistamento | 38.18 | 51.5 | 3.7 |
| 298 | 298 | 204 | Q_smistamento | 42.11 | 62.84 | 2.44 |
| 298 | 298 | 200 | Q_smistamento | 36.82 | 65.15 | 1.87 |
| 298 | 298 | 199 | Q_neve | 1.183E-12 | 2.423E-13 | -2.417E-13 |
| 298 | 298 | 203 | Q_neve | 1.466E-12 | 8.257E-14 | -1.771E-13 |

Table 21: Element Stresses - Area Shells, Part 2 of 3

| Area | AreaElem | Joint | OutputCase | S11Bot KN/m2 | S22Bot KN/m2 | S12Bot KN/m2 |
|------|----------|-------|----------------|-----------------|-----------------|-----------------|
| 298 | 298 | 204 | Q_neve | 1.815E-12 | 7.953E-13 | -1.232E-13 |
| 298 | 298 | 200 | Q_neve | 1.328E-12 | 3.393E-13 | -2.561E-13 |
| 299 | 299 | 200 | DEAD | 3.826E-12 | 1.657E-12 | -1.046E-12 |
| 299 | 299 | 204 | DEAD | 1.298E-11 | 3.765E-12 | -4.138E-13 |
| 299 | 299 | 205 | DEAD | 1.097E-11 | 6.120E-12 | -4.138E-13 |
| 299 | 299 | 201 | DEAD | 9.621E-12 | 6.885E-12 | -1.046E-12 |
| 299 | 299 | 200 | G1_smistamento | 99.33 | 175.7 | 1.97 |
| 299 | 299 | 204 | G1_smistamento | 113.58 | 169.47 | 1.97 |
| 299 | 299 | 205 | G1_smistamento | 113.58 | 169.47 | -1.97 |
| 299 | 299 | 201 | G1_smistamento | 99.33 | 175.7 | -1.97 |
| 299 | 299 | 200 | G2_smistamento | 36.82 | 65.14 | 0.73 |
| 299 | 299 | 204 | G2_smistamento | 42.11 | 62.83 | 0.73 |
| 299 | 299 | 205 | G2_smistamento | 42.11 | 62.83 | -0.73 |
| 299 | 299 | 201 | G2_smistamento | 36.82 | 65.14 | -0.73 |
| 299 | 299 | 200 | Q_smistamento | 36.82 | 65.14 | 0.73 |
| 299 | 299 | 204 | Q_smistamento | 42.11 | 62.83 | 0.73 |
| 299 | 299 | 205 | Q_smistamento | 42.11 | 62.83 | -0.73 |
| 299 | 299 | 201 | Q_smistamento | 36.82 | 65.14 | -0.73 |
| 299 | 299 | 200 | Q_neve | 1.034E-12 | 2.481E-13 | -1.702E-13 |
| 299 | 299 | 204 | Q_neve | 2.136E-12 | 8.790E-13 | -5.172E-14 |
| 299 | 299 | 205 | Q_neve | 1.725E-12 | 1.097E-12 | -1.222E-14 |
| 299 | 299 | 201 | Q_neve | 2.334E-12 | 1.630E-12 | -1.307E-13 |
| 300 | 300 | 201 | DEAD | 9.836E-12 | 6.276E-12 | 6.809E-13 |
| 300 | 300 | 205 | DEAD | 1.246E-11 | 9.405E-12 | -8.991E-13 |
| 300 | 300 | 206 | DEAD | 7.427E-12 | 5.605E-12 | 4.888E-14 |
| 300 | 300 | 202 | DEAD | 3.572E-12 | 2.887E-12 | 1.629E-12 |
| 300 | 300 | 201 | G1_smistamento | 99.33 | 175.73 | -5.05 |
| 300 | 300 | 205 | G1_smistamento | 113.59 | 169.51 | -6.59 |
| 300 | 300 | 206 | G1_smistamento | 102.99 | 138.91 | -9.97 |
| 300 | 300 | 202 | G1_smistamento | 89.49 | 142.67 | -8.43 |
| 300 | 300 | 201 | G2_smistamento | 36.82 | 65.15 | -1.87 |
| 300 | 300 | 205 | G2_smistamento | 42.11 | 62.84 | -2.44 |
| 300 | 300 | 206 | G2_smistamento | 38.18 | 51.5 | -3.7 |
| 300 | 300 | 202 | G2_smistamento | 33.18 | 52.89 | -3.12 |
| 300 | 300 | 201 | Q_smistamento | 36.82 | 65.15 | -1.87 |
| 300 | 300 | 205 | Q_smistamento | 42.11 | 62.84 | -2.44 |
| 300 | 300 | 206 | Q_smistamento | 38.18 | 51.5 | -3.7 |
| 300 | 300 | 202 | Q_smistamento | 33.18 | 52.89 | -3.12 |

Table 21: Element Stresses - Area Shells, Part 2 of 3

| Area | AreaElem | Joint | OutputCase | S11Bot KN/m2 | S22Bot KN/m2 | S12Bot KN/m2 |
|------|----------|-------|----------------|-----------------|-----------------|-----------------|
| 300 | 300 | 201 | Q_neve | 2.159E-12 | 1.688E-12 | 1.058E-14 |
| 300 | 300 | 205 | Q_neve | 1.823E-12 | 1.097E-12 | -3.449E-13 |
| 300 | 300 | 206 | Q_neve | 1.843E-12 | 1.767E-12 | -1.474E-13 |
| 300 | 300 | 202 | Q_neve | 2.632E-13 | 1.687E-13 | 2.081E-13 |
| 301 | 301 | 202 | DEAD | 5.481E-12 | 7.447E-12 | -2.981E-13 |
| 301 | 301 | 206 | DEAD | 6.234E-12 | 2.057E-12 | 5.652E-13 |
| 301 | 301 | 110 | DEAD | 3.664E-12 | 2.154E-12 | -6.141E-13 |
| 301 | 301 | 112 | DEAD | 5.168E-12 | 2.413E-12 | -3.828E-13 |
| 301 | 301 | 202 | G1_smistamento | 89.51 | 142.73 | -10.8 |
| 301 | 301 | 206 | G1_smistamento | 103.02 | 139.05 | -13.13 |
| 301 | 301 | 110 | G1_smistamento | 78.96 | 53.18 | -15.2 |
| 301 | 301 | 112 | G1_smistamento | 66.91 | 53.88 | -12.86 |
| 301 | 301 | 202 | G2_smistamento | 33.18 | 52.91 | -4. |
| 301 | 301 | 206 | G2_smistamento | 38.19 | 51.55 | -4.87 |
| 301 | 301 | 110 | G2_smistamento | 29.27 | 19.71 | -5.63 |
| 301 | 301 | 112 | G2_smistamento | 24.8 | 19.98 | -4.77 |
| 301 | 301 | 202 | Q_smistamento | 33.18 | 52.91 | -4. |
| 301 | 301 | 206 | Q_smistamento | 38.19 | 51.55 | -4.87 |
| 301 | 301 | 110 | Q_smistamento | 29.27 | 19.71 | -5.63 |
| 301 | 301 | 112 | Q_smistamento | 24.8 | 19.98 | -4.77 |
| 301 | 301 | 202 | Q_neve | 4.751E-13 | 1.445E-12 | -7.982E-14 |
| 301 | 301 | 206 | Q_neve | 1.801E-12 | 6.045E-13 | 1.216E-13 |
| 301 | 301 | 110 | Q_neve | 5.739E-13 | 5.165E-13 | -7.982E-14 |
| 301 | 301 | 112 | Q_neve | 1.129E-12 | 9.103E-14 | -7.594E-14 |
| 302 | 302 | 96 | DEAD | 8.292E-12 | 2.256E-12 | -2.232E-12 |
| 302 | 302 | 98 | DEAD | 5.282E-12 | 8.962E-13 | -1.484E-12 |
| 302 | 302 | 207 | DEAD | 5.369E-12 | 9.135E-13 | -1.600E-12 |
| 302 | 302 | 203 | DEAD | 1.077E-11 | 2.753E-12 | -1.800E-12 |
| 302 | 302 | 96 | G1_smistamento | 79.02 | 53.19 | 18.01 |
| 302 | 302 | 98 | G1_smistamento | 72.75 | 50.63 | 20.82 |
| 302 | 302 | 207 | G1_smistamento | 95.58 | 128.12 | 18.48 |
| 302 | 302 | 203 | G1_smistamento | 102.93 | 139.03 | 15.67 |
| 302 | 302 | 96 | G2_smistamento | 29.29 | 19.72 | 6.68 |
| 302 | 302 | 98 | G2_smistamento | 26.97 | 18.77 | 7.72 |
| 302 | 302 | 207 | G2_smistamento | 35.43 | 47.49 | 6.85 |
| 302 | 302 | 203 | G2_smistamento | 38.16 | 51.54 | 5.81 |
| 302 | 302 | 96 | Q_smistamento | 29.29 | 19.72 | 6.68 |
| 302 | 302 | 98 | Q_smistamento | 26.97 | 18.77 | 7.72 |

Table 21: Element Stresses - Area Shells, Part 2 of 3

| Area | AreaElem | Joint | OutputCase | S11Bot KN/m2 | S22Bot KN/m2 | S12Bot KN/m2 |
|------|----------|-------|----------------|-----------------|-----------------|-----------------|
| 302 | 302 | 207 | Q_smistamento | 35.43 | 47.49 | 6.85 |
| 302 | 302 | 203 | Q_smistamento | 38.16 | 51.54 | 5.81 |
| 302 | 302 | 96 | Q_neve | 1.632E-12 | 1.814E-13 | -3.983E-13 |
| 302 | 302 | 98 | Q_neve | 1.373E-12 | 4.360E-13 | -3.193E-13 |
| 302 | 302 | 207 | Q_neve | 1.276E-12 | 5.369E-13 | -2.403E-13 |
| 302 | 302 | 203 | Q_neve | 1.945E-12 | 6.928E-13 | -3.193E-13 |
| 303 | 303 | 203 | DEAD | 1.141E-11 | 2.964E-12 | -8.878E-13 |
| 303 | 303 | 207 | DEAD | 6.251E-12 | 4.920E-12 | -7.721E-13 |
| 303 | 303 | 208 | DEAD | 4.418E-12 | 1.187E-12 | -5.718E-13 |
| 303 | 303 | 204 | DEAD | 1.115E-11 | 3.814E-12 | -1.401E-13 |
| 303 | 303 | 203 | G1_smistamento | 102.91 | 138.9 | 12.42 |
| 303 | 303 | 207 | G1_smistamento | 95.57 | 128.09 | 13.9 |
| 303 | 303 | 208 | G1_smistamento | 103.69 | 154.51 | 9.04 |
| 303 | 303 | 204 | G1_smistamento | 113.61 | 169.51 | 7.56 |
| 303 | 303 | 203 | G2_smistamento | 38.15 | 51.49 | 4.6 |
| 303 | 303 | 207 | G2_smistamento | 35.43 | 47.49 | 5.15 |
| 303 | 303 | 208 | G2_smistamento | 38.44 | 57.28 | 3.35 |
| 303 | 303 | 204 | G2_smistamento | 42.12 | 62.84 | 2.8 |
| 303 | 303 | 203 | Q_smistamento | 38.15 | 51.49 | 4.6 |
| 303 | 303 | 207 | Q_smistamento | 35.43 | 47.49 | 5.15 |
| 303 | 303 | 208 | Q_smistamento | 38.44 | 57.28 | 3.35 |
| 303 | 303 | 204 | Q_smistamento | 42.12 | 62.84 | 2.8 |
| 303 | 303 | 203 | Q_neve | 1.722E-12 | 2.439E-14 | -1.649E-13 |
| 303 | 303 | 207 | Q_neve | 1.732E-12 | 9.721E-13 | -1.505E-13 |
| 303 | 303 | 208 | Q_neve | 1.140E-12 | 1.923E-13 | -8.593E-14 |
| 303 | 303 | 204 | Q_neve | 1.969E-12 | 9.721E-13 | -3.197E-14 |
| 304 | 304 | 204 | DEAD | 1.049E-11 | 4.160E-12 | -1.824E-13 |
| 304 | 304 | 208 | DEAD | 5.651E-12 | 5.111E-12 | -1.824E-13 |
| 304 | 304 | 209 | DEAD | 4.765E-12 | 2.066E-12 | -1.824E-13 |
| 304 | 304 | 205 | DEAD | 1.193E-11 | 6.177E-12 | -1.824E-13 |
| 304 | 304 | 204 | G1_smistamento | 113.6 | 169.48 | 2.8 |
| 304 | 304 | 208 | G1_smistamento | 103.71 | 154.59 | 2.8 |
| 304 | 304 | 209 | G1_smistamento | 103.71 | 154.59 | -2.8 |
| 304 | 304 | 205 | G1_smistamento | 113.6 | 169.48 | -2.8 |
| 304 | 304 | 204 | G2_smistamento | 42.11 | 62.83 | 1.04 |
| 304 | 304 | 208 | G2_smistamento | 38.45 | 57.31 | 1.04 |
| 304 | 304 | 209 | G2_smistamento | 38.45 | 57.31 | -1.04 |
| 304 | 304 | 205 | G2_smistamento | 42.11 | 62.83 | -1.04 |

Table 21: Element Stresses - Area Shells, Part 2 of 3

| Area | AreaElem | Joint | OutputCase | S11Bot KN/m2 | S22Bot KN/m2 | S12Bot KN/m2 |
|------|----------|-------|----------------|-----------------|-----------------|-----------------|
| 304 | 304 | 204 | Q_smistamento | 42.11 | 62.83 | 1.04 |
| 304 | 304 | 208 | Q_smistamento | 38.45 | 57.31 | 1.04 |
| 304 | 304 | 209 | Q_smistamento | 38.45 | 57.31 | -1.04 |
| 304 | 304 | 205 | Q_smistamento | 42.11 | 62.83 | -1.04 |
| 304 | 304 | 204 | Q_neve | 2.011E-12 | 8.227E-13 | -6.841E-14 |
| 304 | 304 | 208 | Q_neve | 1.247E-12 | 8.909E-13 | -6.841E-14 |
| 304 | 304 | 209 | Q_neve | 1.803E-12 | 7.338E-13 | -6.841E-14 |
| 304 | 304 | 205 | Q_neve | 1.712E-12 | 1.315E-12 | -6.841E-14 |
| 305 | 305 | 205 | DEAD | 1.195E-11 | 1.042E-11 | -1.108E-12 |
| 305 | 305 | 209 | DEAD | 5.657E-12 | 1.147E-12 | -2.056E-12 |
| 305 | 305 | 210 | DEAD | 2.970E-13 | 4.293E-12 | -3.636E-12 |
| 305 | 305 | 206 | DEAD | 1.083E-11 | 5.216E-12 | -2.688E-12 |
| 305 | 305 | 205 | G1_smistamento | 113.61 | 169.51 | -7.56 |
| 305 | 305 | 209 | G1_smistamento | 103.69 | 154.51 | -9.04 |
| 305 | 305 | 210 | G1_smistamento | 95.57 | 128.09 | -13.9 |
| 305 | 305 | 206 | G1_smistamento | 102.91 | 138.9 | -12.42 |
| 305 | 305 | 205 | G2_smistamento | 42.12 | 62.84 | -2.8 |
| 305 | 305 | 209 | G2_smistamento | 38.44 | 57.28 | -3.35 |
| 305 | 305 | 210 | G2_smistamento | 35.43 | 47.49 | -5.15 |
| 305 | 305 | 206 | G2_smistamento | 38.15 | 51.49 | -4.6 |
| 305 | 305 | 205 | Q_smistamento | 42.12 | 62.84 | -2.8 |
| 305 | 305 | 209 | Q_smistamento | 38.44 | 57.28 | -3.35 |
| 305 | 305 | 210 | Q_smistamento | 35.43 | 47.49 | -5.15 |
| 305 | 305 | 206 | Q_smistamento | 38.15 | 51.49 | -4.6 |
| 305 | 305 | 205 | Q_neve | 1.748E-12 | 1.119E-12 | -1.112E-13 |
| 305 | 305 | 209 | Q_neve | 1.666E-12 | 5.206E-13 | -3.482E-13 |
| 305 | 305 | 210 | Q_neve | 1.388E-13 | 6.545E-13 | -6.642E-13 |
| 305 | 305 | 206 | Q_neve | 2.308E-12 | 1.834E-12 | -4.272E-13 |
| 306 | 306 | 206 | DEAD | 1.069E-11 | 4.393E-12 | -3.235E-12 |
| 306 | 306 | 210 | DEAD | -2.624E-14 | 4.008E-12 | -3.088E-12 |
| 306 | 306 | 108 | DEAD | 5.435E-12 | 5.618E-12 | -2.603E-12 |
| 306 | 306 | 110 | DEAD | 9.612E-13 | 2.309E-12 | -5.604E-13 |
| 306 | 306 | 206 | G1_smistamento | 102.93 | 139.03 | -15.67 |
| 306 | 306 | 210 | G1_smistamento | 95.58 | 128.12 | -18.48 |
| 306 | 306 | 108 | G1_smistamento | 72.75 | 50.63 | -20.82 |
| 306 | 306 | 110 | G1_smistamento | 79.02 | 53.19 | -18.01 |
| 306 | 306 | 206 | G2_smistamento | 38.16 | 51.54 | -5.81 |
| 306 | 306 | 210 | G2_smistamento | 35.43 | 47.49 | -6.85 |

Table 21: Element Stresses - Area Shells, Part 2 of 3

| Area | AreaElem | Joint | OutputCase | S11Bot KN/m2 | S22Bot KN/m2 | S12Bot KN/m2 |
|------|----------|-------|----------------|-----------------|-----------------|-----------------|
| 306 | 306 | 108 | G2_smistamento | 26.97 | 18.77 | -7.72 |
| 306 | 306 | 110 | G2_smistamento | 29.29 | 19.72 | -6.68 |
| 306 | 306 | 206 | Q_smistamento | 38.16 | 51.54 | -5.81 |
| 306 | 306 | 210 | Q_smistamento | 35.43 | 47.49 | -6.85 |
| 306 | 306 | 108 | Q_smistamento | 26.97 | 18.77 | -7.72 |
| 306 | 306 | 110 | Q_smistamento | 29.29 | 19.72 | -6.68 |
| 306 | 306 | 206 | Q_neve | 2.220E-12 | 7.317E-13 | -6.522E-13 |
| 306 | 306 | 210 | Q_neve | -3.659E-14 | 8.017E-13 | -6.589E-13 |
| 306 | 306 | 108 | Q_neve | 1.183E-12 | 1.235E-12 | -5.337E-13 |
| 306 | 306 | 110 | Q_neve | 1.905E-13 | 5.153E-13 | -1.849E-13 |
| 307 | 307 | 98 | DEAD | 4.452E-12 | 2.120E-12 | -1.502E-12 |
| 307 | 307 | 6 | DEAD | 8.311E-13 | 4.799E-13 | -1.070E-12 |
| 307 | 307 | 100 | DEAD | 2.595E-12 | 1.369E-12 | -8.699E-13 |
| 307 | 307 | 207 | DEAD | 5.532E-12 | 1.230E-12 | -7.542E-13 |
| 307 | 307 | 98 | G1_smistamento | 73.03 | 50.68 | 23.34 |
| 307 | 307 | 6 | G1_smistamento | 31.85 | 44. | 23.46 |
| 307 | 307 | 100 | G1_smistamento | 37.17 | 103.14 | 20.91 |
| 307 | 307 | 207 | G1_smistamento | 95.62 | 128.12 | 20.79 |
| 307 | 307 | 98 | G2_smistamento | 27.07 | 18.79 | 8.65 |
| 307 | 307 | 6 | G2_smistamento | 11.81 | 16.31 | 8.7 |
| 307 | 307 | 100 | G2_smistamento | 13.78 | 38.23 | 7.75 |
| 307 | 307 | 207 | G2_smistamento | 35.45 | 47.5 | 7.71 |
| 307 | 307 | 98 | Q_smistamento | 27.07 | 18.79 | 8.65 |
| 307 | 307 | 6 | Q_smistamento | 11.81 | 16.31 | 8.7 |
| 307 | 307 | 100 | Q_smistamento | 13.78 | 38.23 | 7.75 |
| 307 | 307 | 207 | Q_smistamento | 35.45 | 47.5 | 7.71 |
| 307 | 307 | 98 | Q_neve | 1.050E-12 | 3.899E-13 | -2.478E-13 |
| 307 | 307 | 6 | Q_neve | 3.209E-13 | -8.902E-14 | -1.543E-13 |
| 307 | 307 | 100 | Q_neve | 5.861E-13 | 6.763E-13 | -2.083E-13 |
| 307 | 307 | 207 | Q_neve | 1.042E-12 | 1.973E-13 | -2.333E-13 |
| 308 | 308 | 207 | DEAD | 6.336E-12 | 5.799E-12 | -1.137E-12 |
| 308 | 308 | 100 | DEAD | 2.381E-12 | 1.100E-12 | -1.569E-12 |
| 308 | 308 | 102 | DEAD | 1.714E-12 | 5.444E-12 | -5.050E-13 |
| 308 | 308 | 208 | DEAD | 4.711E-12 | 4.282E-13 | -6.206E-13 |
| 308 | 308 | 207 | G1_smistamento | 95.61 | 128.1 | 15.52 |
| 308 | 308 | 100 | G1_smistamento | 37.11 | 102.83 | 15.51 |
| 308 | 308 | 102 | G1_smistamento | 38.95 | 127.12 | 9.42 |
| 308 | 308 | 208 | G1_smistamento | 103.83 | 154.54 | 9.44 |

Table 21: Element Stresses - Area Shells, Part 2 of 3

| Area | AreaElem | Joint | OutputCase | S11Bot KN/m2 | S22Bot KN/m2 | S12Bot KN/m2 |
|------|----------|-------|----------------|-----------------|-----------------|-----------------|
| 308 | 308 | 207 | G2_smistamento | 35.44 | 47.49 | 5.76 |
| 308 | 308 | 100 | G2_smistamento | 13.76 | 38.12 | 5.75 |
| 308 | 308 | 102 | G2_smistamento | 14.44 | 47.13 | 3.49 |
| 308 | 308 | 208 | G2_smistamento | 38.49 | 57.29 | 3.5 |
| 308 | 308 | 207 | Q_smistamento | 35.44 | 47.49 | 5.76 |
| 308 | 308 | 100 | Q_smistamento | 13.76 | 38.12 | 5.75 |
| 308 | 308 | 102 | Q_smistamento | 14.44 | 47.13 | 3.49 |
| 308 | 308 | 208 | Q_smistamento | 38.49 | 57.29 | 3.5 |
| 308 | 308 | 207 | Q_neve | 9.206E-13 | 6.730E-13 | -1.794E-13 |
| 308 | 308 | 100 | Q_neve | 8.386E-13 | 7.942E-13 | -2.044E-13 |
| 308 | 308 | 102 | Q_neve | 7.139E-14 | 4.558E-13 | -1.399E-13 |
| 308 | 308 | 208 | Q_neve | 1.214E-12 | 3.004E-13 | -4.643E-14 |
| 309 | 309 | 208 | DEAD | 6.095E-12 | 4.633E-12 | 7.812E-14 |
| 309 | 309 | 102 | DEAD | 9.450E-13 | -6.749E-13 | -1.618E-12 |
| 309 | 309 | 104 | DEAD | -1.055E-12 | -7.787E-13 | -2.450E-12 |
| 309 | 309 | 209 | DEAD | 1.221E-12 | 1.656E-12 | -1.302E-12 |
| 309 | 309 | 208 | G1_smistamento | 103.84 | 154.62 | 3.16 |
| 309 | 309 | 102 | G1_smistamento | 38.94 | 127.09 | 3.16 |
| 309 | 309 | 104 | G1_smistamento | 38.94 | 127.09 | -3.16 |
| 309 | 309 | 209 | G1_smistamento | 103.84 | 154.62 | -3.16 |
| 309 | 309 | 208 | G2_smistamento | 38.5 | 57.32 | 1.17 |
| 309 | 309 | 102 | G2_smistamento | 14.44 | 47.11 | 1.17 |
| 309 | 309 | 104 | G2_smistamento | 14.44 | 47.11 | -1.17 |
| 309 | 309 | 209 | G2_smistamento | 38.5 | 57.32 | -1.17 |
| 309 | 309 | 208 | Q_smistamento | 38.5 | 57.32 | 1.17 |
| 309 | 309 | 102 | Q_smistamento | 14.44 | 47.11 | 1.17 |
| 309 | 309 | 104 | Q_smistamento | 14.44 | 47.11 | -1.17 |
| 309 | 309 | 209 | Q_smistamento | 38.5 | 57.32 | -1.17 |
| 309 | 309 | 208 | Q_neve | 1.160E-12 | 5.975E-13 | -1.691E-14 |
| 309 | 309 | 102 | Q_neve | 1.935E-13 | 2.286E-13 | -2.000E-13 |
| 309 | 309 | 104 | Q_neve | -2.819E-13 | -4.493E-13 | -5.304E-13 |
| 309 | 309 | 209 | Q_neve | 4.108E-13 | 6.038E-13 | -2.790E-13 |
| 310 | 310 | 209 | DEAD | 2.134E-12 | 1.990E-12 | -3.235E-12 |
| 310 | 310 | 104 | DEAD | -1.511E-12 | -1.436E-12 | -2.603E-12 |
| 310 | 310 | 106 | DEAD | -3.548E-13 | 4.715E-12 | -2.603E-12 |
| 310 | 310 | 210 | DEAD | 6.231E-12 | 3.146E-12 | -3.235E-12 |
| 310 | 310 | 209 | G1_smistamento | 103.83 | 154.54 | -9.44 |
| 310 | 310 | 104 | G1_smistamento | 38.95 | 127.12 | -9.42 |

Table 21: Element Stresses - Area Shells, Part 2 of 3

| Area | AreaElem | Joint | OutputCase | S11Bot KN/m2 | S22Bot KN/m2 | S12Bot KN/m2 |
|------|----------|-------|----------------|-----------------|-----------------|-----------------|
| 310 | 310 | 106 | G1_smistamento | 37.11 | 102.83 | -15.51 |
| 310 | 310 | 210 | G1_smistamento | 95.61 | 128.1 | -15.52 |
| 310 | 310 | 209 | G2_smistamento | 38.49 | 57.29 | -3.5 |
| 310 | 310 | 104 | G2_smistamento | 14.44 | 47.13 | -3.49 |
| 310 | 310 | 106 | G2_smistamento | 13.76 | 38.12 | -5.75 |
| 310 | 310 | 210 | G2_smistamento | 35.44 | 47.49 | -5.76 |
| 310 | 310 | 209 | Q_smistamento | 38.49 | 57.29 | -3.5 |
| 310 | 310 | 104 | Q_smistamento | 14.44 | 47.13 | -3.49 |
| 310 | 310 | 106 | Q_smistamento | 13.76 | 38.12 | -5.75 |
| 310 | 310 | 210 | Q_smistamento | 35.44 | 47.49 | -5.76 |
| 310 | 310 | 209 | Q_neve | 3.336E-13 | -9.229E-14 | -7.175E-13 |
| 310 | 310 | 104 | Q_neve | -3.372E-13 | -2.324E-13 | -5.990E-13 |
| 310 | 310 | 106 | Q_neve | 6.299E-13 | 1.626E-12 | -5.595E-13 |
| 310 | 310 | 210 | Q_neve | 4.626E-13 | 4.490E-13 | -6.780E-13 |
| 311 | 311 | 210 | DEAD | 6.391E-12 | 6.751E-12 | -2.627E-12 |
| 311 | 311 | 106 | DEAD | -1.733E-12 | 2.019E-12 | -2.828E-12 |
| 311 | 311 | 63 | DEAD | 2.046E-12 | 5.882E-12 | -3.575E-12 |
| 311 | 311 | 108 | DEAD | 3.876E-12 | 5.416E-12 | -2.828E-12 |
| 311 | 311 | 210 | G1_smistamento | 95.62 | 128.12 | -20.79 |
| 311 | 311 | 106 | G1_smistamento | 37.17 | 103.14 | -20.91 |
| 311 | 311 | 63 | G1_smistamento | 31.85 | 44. | -23.46 |
| 311 | 311 | 108 | G1_smistamento | 73.03 | 50.68 | -23.34 |
| 311 | 311 | 210 | G2_smistamento | 35.45 | 47.5 | -7.71 |
| 311 | 311 | 106 | G2_smistamento | 13.78 | 38.23 | -7.75 |
| 311 | 311 | 63 | G2_smistamento | 11.81 | 16.31 | -8.7 |
| 311 | 311 | 108 | G2_smistamento | 27.07 | 18.79 | -8.65 |
| 311 | 311 | 210 | Q_smistamento | 35.45 | 47.5 | -7.71 |
| 311 | 311 | 106 | Q_smistamento | 13.78 | 38.23 | -7.75 |
| 311 | 311 | 63 | Q_smistamento | 11.81 | 16.31 | -8.7 |
| 311 | 311 | 108 | Q_smistamento | 27.07 | 18.79 | -8.65 |
| 311 | 311 | 210 | Q_neve | 7.210E-13 | 8.650E-13 | -4.714E-13 |
| 311 | 311 | 106 | Q_neve | 1.569E-13 | 5.880E-13 | -5.754E-13 |
| 311 | 311 | 63 | Q_neve | 2.767E-13 | 1.250E-12 | -6.689E-13 |
| 311 | 311 | 108 | Q_neve | 6.013E-13 | 1.151E-12 | -4.964E-13 |
| 312 | 312 | 8 | DEAD | -4.338E-11 | -2.226E-12 | 2.200E-11 |
| 312 | 312 | 211 | DEAD | 1.617E-12 | 2.154E-11 | 3.464E-11 |
| 312 | 312 | 212 | DEAD | 3.846E-11 | 1.263E-11 | 4.222E-11 |
| 312 | 312 | 9 | DEAD | -1.639E-11 | -7.852E-12 | 2.958E-11 |

Table 21: Element Stresses - Area Shells, Part 2 of 3

| Area | AreaElem | Joint | OutputCase | S11Bot KN/m2 | S22Bot KN/m2 | S12Bot KN/m2 |
|------|----------|-------|----------------|-----------------|-----------------|-----------------|
| 312 | 312 | 8 | G1_smistamento | 46.41 | 0.22 | -18.24 |
| 312 | 312 | 211 | G1_smistamento | 100.83 | -2.603E-02 | -19.17 |
| 312 | 312 | 212 | G1_smistamento | 121.68 | 72.56 | -22.51 |
| 312 | 312 | 9 | G1_smistamento | 47.75 | 62. | -21.57 |
| 312 | 312 | 8 | G2_smistamento | 17.2 | 8.327E-02 | -6.76 |
| 312 | 312 | 211 | G2_smistamento | 37.38 | -9.649E-03 | -7.11 |
| 312 | 312 | 212 | G2_smistamento | 45.11 | 26.9 | -8.35 |
| 312 | 312 | 9 | G2_smistamento | 17.7 | 22.98 | -8. |
| 312 | 312 | 8 | Q_smistamento | 17.2 | 8.327E-02 | -6.76 |
| 312 | 312 | 211 | Q_smistamento | 37.38 | -9.649E-03 | -7.11 |
| 312 | 312 | 212 | Q_smistamento | 45.11 | 26.9 | -8.35 |
| 312 | 312 | 9 | Q_smistamento | 17.7 | 22.98 | -8. |
| 312 | 312 | 8 | Q_neve | -6.818E-12 | -2.955E-12 | 4.574E-12 |
| 312 | 312 | 211 | Q_neve | 1.209E-12 | 2.036E-12 | 6.470E-12 |
| 312 | 312 | 212 | Q_neve | 6.453E-12 | -1.059E-12 | 7.102E-12 |
| 312 | 312 | 9 | Q_neve | -3.215E-12 | -1.124E-12 | 5.206E-12 |
| 313 | 313 | 211 | DEAD | 1.883E-11 | 3.137E-11 | 4.845E-11 |
| 313 | 313 | 213 | DEAD | 4.672E-11 | -3.088E-12 | 4.339E-11 |
| 313 | 313 | 214 | DEAD | 2.641E-11 | -6.554E-12 | 3.328E-11 |
| 313 | 313 | 212 | DEAD | 1.385E-11 | -5.604E-13 | 3.834E-11 |
| 313 | 313 | 211 | G1_smistamento | 101.62 | 0.13 | -17.99 |
| 313 | 313 | 213 | G1_smistamento | 142.53 | 0.15 | -15.97 |
| 313 | 313 | 214 | G1_smistamento | 162.98 | 78.8 | -18.18 |
| 313 | 313 | 212 | G1_smistamento | 121.51 | 72.53 | -20.2 |
| 313 | 313 | 211 | G2_smistamento | 37.67 | 4.903E-02 | -6.67 |
| 313 | 313 | 213 | G2_smistamento | 52.84 | 5.490E-02 | -5.92 |
| 313 | 313 | 214 | G2_smistamento | 60.42 | 29.21 | -6.74 |
| 313 | 313 | 212 | G2_smistamento | 45.05 | 26.89 | -7.49 |
| 313 | 313 | 211 | Q_smistamento | 37.67 | 4.903E-02 | -6.67 |
| 313 | 313 | 213 | Q_smistamento | 52.84 | 5.490E-02 | -5.92 |
| 313 | 313 | 214 | Q_smistamento | 60.42 | 29.21 | -6.74 |
| 313 | 313 | 212 | Q_smistamento | 45.05 | 26.89 | -7.49 |
| 313 | 313 | 211 | Q_neve | 8.595E-12 | 1.164E-12 | 7.930E-12 |
| 313 | 313 | 213 | Q_neve | 3.384E-12 | -1.395E-12 | 7.298E-12 |
| 313 | 313 | 214 | Q_neve | 5.909E-12 | -8.902E-13 | 6.666E-12 |
| 313 | 313 | 212 | Q_neve | 2.910E-12 | 2.684E-14 | 7.298E-12 |
| 314 | 314 | 213 | DEAD | 3.870E-11 | -1.200E-11 | 3.250E-11 |
| 314 | 314 | 215 | DEAD | -4.007E-12 | 2.312E-11 | 3.250E-11 |

Table 21: Element Stresses - Area Shells, Part 2 of 3

| Area | AreaElem | Joint | OutputCase | S11Bot KN/m2 | S22Bot KN/m2 | S12Bot KN/m2 |
|------|----------|-------|----------------|-----------------|-----------------|-----------------|
| 314 | 314 | 216 | DEAD | 2.479E-11 | -2.084E-11 | 3.756E-11 |
| 314 | 314 | 214 | DEAD | 1.495E-11 | -3.420E-12 | 3.756E-11 |
| 314 | 314 | 213 | G1_smistamento | 142.44 | 0.13 | -14.85 |
| 314 | 314 | 215 | G1_smistamento | 158.77 | 0.11 | -13.2 |
| 314 | 314 | 216 | G1_smistamento | 178.58 | 82.02 | -13.89 |
| 314 | 314 | 214 | G1_smistamento | 162.98 | 78.8 | -15.54 |
| 314 | 314 | 213 | G2_smistamento | 52.81 | 4.813E-02 | -5.5 |
| 314 | 314 | 215 | G2_smistamento | 58.86 | 3.918E-02 | -4.89 |
| 314 | 314 | 216 | G2_smistamento | 66.2 | 30.4 | -5.15 |
| 314 | 314 | 214 | G2_smistamento | 60.42 | 29.21 | -5.76 |
| 314 | 314 | 213 | Q_smistamento | 52.81 | 4.813E-02 | -5.5 |
| 314 | 314 | 215 | Q_smistamento | 58.86 | 3.918E-02 | -4.89 |
| 314 | 314 | 216 | Q_smistamento | 66.2 | 30.4 | -5.15 |
| 314 | 314 | 214 | Q_smistamento | 60.42 | 29.21 | -5.76 |
| 314 | 314 | 213 | Q_neve | 6.340E-12 | -1.754E-12 | 6.301E-12 |
| 314 | 314 | 215 | Q_neve | 6.170E-13 | 3.114E-12 | 6.933E-12 |
| 314 | 314 | 216 | Q_neve | 3.101E-12 | -4.677E-12 | 7.565E-12 |
| 314 | 314 | 214 | Q_neve | 4.172E-12 | 3.307E-14 | 6.933E-12 |
| 315 | 315 | 215 | DEAD | 9.848E-12 | 2.406E-11 | 4.087E-11 |
| 315 | 315 | 217 | DEAD | 1.976E-11 | -2.550E-11 | 4.592E-11 |
| 315 | 315 | 218 | DEAD | 4.872E-11 | 6.045E-12 | 4.087E-11 |
| 315 | 315 | 216 | DEAD | 4.876E-13 | -3.087E-11 | 3.581E-11 |
| 315 | 315 | 215 | G1_smistamento | 158.68 | 8.862E-02 | -12.34 |
| 315 | 315 | 217 | G1_smistamento | 157.26 | 5.285E-02 | -11.09 |
| 315 | 315 | 218 | G1_smistamento | 176.64 | 83.24 | -10.69 |
| 315 | 315 | 216 | G1_smistamento | 178.56 | 82.01 | -11.94 |
| 315 | 315 | 215 | G2_smistamento | 58.82 | 3.285E-02 | -4.57 |
| 315 | 315 | 217 | G2_smistamento | 58.3 | 1.959E-02 | -4.11 |
| 315 | 315 | 218 | G2_smistamento | 65.48 | 30.86 | -3.96 |
| 315 | 315 | 216 | G2_smistamento | 66.2 | 30.4 | -4.43 |
| 315 | 315 | 215 | Q_smistamento | 58.82 | 3.285E-02 | -4.57 |
| 315 | 315 | 217 | Q_smistamento | 58.3 | 1.959E-02 | -4.11 |
| 315 | 315 | 218 | Q_smistamento | 65.48 | 30.86 | -3.96 |
| 315 | 315 | 216 | Q_smistamento | 66.2 | 30.4 | -4.43 |
| 315 | 315 | 215 | Q_neve | 2.758E-12 | 1.887E-12 | 8.027E-12 |
| 315 | 315 | 217 | Q_neve | 1.056E-12 | -5.882E-12 | 8.659E-12 |
| 315 | 315 | 218 | Q_neve | 8.051E-12 | 1.808E-12 | 8.027E-12 |
| 315 | 315 | 216 | Q_neve | -9.191E-13 | -4.381E-12 | 7.395E-12 |

Table 21: Element Stresses - Area Shells, Part 2 of 3

| Area | AreaElem | Joint | OutputCase | S11Bot KN/m2 | S22Bot KN/m2 | S12Bot KN/m2 |
|------|----------|-------|----------------|-----------------|-----------------|-----------------|
| 316 | 316 | 217 | DEAD | 6.010E-11 | -2.758E-11 | 3.994E-11 |
| 316 | 316 | 219 | DEAD | -1.093E-11 | -6.823E-12 | 3.741E-11 |
| 316 | 316 | 220 | DEAD | 5.283E-11 | -3.250E-12 | 3.741E-11 |
| 316 | 316 | 218 | DEAD | 4.549E-12 | 9.925E-12 | 3.994E-11 |
| 316 | 316 | 217 | G1_smistamento | 157.24 | 4.763E-02 | -10.26 |
| 316 | 316 | 219 | G1_smistamento | 146.06 | 9.144E-03 | -9.19 |
| 316 | 316 | 220 | G1_smistamento | 165.33 | 83.27 | -8.22 |
| 316 | 316 | 218 | G1_smistamento | 176.61 | 83.23 | -9.29 |
| 316 | 316 | 217 | G2_smistamento | 58.29 | 1.766E-02 | -3.8 |
| 316 | 316 | 219 | G2_smistamento | 54.15 | 3.390E-03 | -3.41 |
| 316 | 316 | 220 | G2_smistamento | 61.29 | 30.87 | -3.05 |
| 316 | 316 | 218 | G2_smistamento | 65.47 | 30.85 | -3.44 |
| 316 | 316 | 217 | Q_smistamento | 58.29 | 1.766E-02 | -3.8 |
| 316 | 316 | 219 | Q_smistamento | 54.15 | 3.390E-03 | -3.41 |
| 316 | 316 | 220 | Q_smistamento | 61.29 | 30.87 | -3.05 |
| 316 | 316 | 218 | Q_smistamento | 65.47 | 30.85 | -3.44 |
| 316 | 316 | 217 | Q_neve | 1.155E-11 | -2.411E-12 | 8.027E-12 |
| 316 | 316 | 219 | Q_neve | -7.548E-13 | -2.143E-12 | 7.395E-12 |
| 316 | 316 | 220 | Q_neve | 4.597E-12 | -1.147E-12 | 8.027E-12 |
| 316 | 316 | 218 | Q_neve | 5.407E-12 | 2.272E-13 | 8.659E-12 |
| 317 | 317 | 219 | DEAD | 1.113E-11 | -1.033E-11 | 4.831E-11 |
| 317 | 317 | 221 | DEAD | 3.443E-11 | 4.023E-12 | 4.578E-11 |
| 317 | 317 | 222 | DEAD | 2.061E-11 | -2.360E-11 | 4.072E-11 |
| 317 | 317 | 220 | DEAD | 1.483E-11 | -2.929E-12 | 4.325E-11 |
| 317 | 317 | 219 | G1_smistamento | 146.08 | 1.279E-02 | -8.22 |
| 317 | 317 | 221 | G1_smistamento | 131.92 | -2.184E-02 | -7.15 |
| 317 | 317 | 222 | G1_smistamento | 151.27 | 82.76 | -6.04 |
| 317 | 317 | 220 | G1_smistamento | 165.29 | 83.26 | -7.11 |
| 317 | 317 | 219 | G2_smistamento | 54.15 | 4.741E-03 | -3.05 |
| 317 | 317 | 221 | G2_smistamento | 48.9 | -8.095E-03 | -2.65 |
| 317 | 317 | 222 | G2_smistamento | 56.08 | 30.68 | -2.24 |
| 317 | 317 | 220 | G2_smistamento | 61.28 | 30.87 | -2.63 |
| 317 | 317 | 219 | Q_smistamento | 54.15 | 4.741E-03 | -3.05 |
| 317 | 317 | 221 | Q_smistamento | 48.9 | -8.095E-03 | -2.65 |
| 317 | 317 | 222 | Q_smistamento | 56.08 | 30.68 | -2.24 |
| 317 | 317 | 220 | Q_smistamento | 61.28 | 30.87 | -2.63 |
| 317 | 317 | 219 | Q_neve | 1.476E-12 | -1.136E-12 | 8.392E-12 |
| 317 | 317 | 221 | Q_neve | 9.191E-12 | 1.924E-12 | 8.392E-12 |

Table 21: Element Stresses - Area Shells, Part 2 of 3

| Area | AreaElem | Joint | OutputCase | S11Bot KN/m2 | S22Bot KN/m2 | S12Bot KN/m2 |
|------|----------|-------|----------------|-----------------|-----------------|-----------------|
| 317 | 317 | 222 | Q_neve | 7.874E-12 | -1.373E-12 | 8.392E-12 |
| 317 | 317 | 220 | Q_neve | 1.528E-12 | -4.159E-12 | 8.392E-12 |
| 318 | 318 | 221 | DEAD | 2.049E-11 | 3.290E-12 | 4.193E-11 |
| 318 | 318 | 223 | DEAD | -2.052E-11 | 1.873E-11 | 3.688E-11 |
| 318 | 318 | 224 | DEAD | -5.314E-11 | -6.149E-11 | 3.688E-11 |
| 318 | 318 | 222 | DEAD | 1.961E-11 | -2.329E-11 | 4.193E-11 |
| 318 | 318 | 221 | G1_smistamento | 131.96 | -1.474E-02 | -5.94 |
| 318 | 318 | 223 | G1_smistamento | 119.83 | -4.032E-02 | -4.79 |
| 318 | 318 | 224 | G1_smistamento | 139.31 | 82.19 | -3.88 |
| 318 | 318 | 222 | G1_smistamento | 151.24 | 82.76 | -5.03 |
| 318 | 318 | 221 | G2_smistamento | 48.92 | -5.463E-03 | -2.2 |
| 318 | 318 | 223 | G2_smistamento | 44.42 | -1.495E-02 | -1.78 |
| 318 | 318 | 224 | G2_smistamento | 51.64 | 30.47 | -1.44 |
| 318 | 318 | 222 | G2_smistamento | 56.07 | 30.68 | -1.86 |
| 318 | 318 | 221 | Q_smistamento | 48.92 | -5.463E-03 | -2.2 |
| 318 | 318 | 223 | Q_smistamento | 44.42 | -1.495E-02 | -1.78 |
| 318 | 318 | 224 | Q_smistamento | 51.64 | 30.47 | -1.44 |
| 318 | 318 | 222 | Q_smistamento | 56.07 | 30.68 | -1.86 |
| 318 | 318 | 221 | Q_neve | 6.572E-12 | 3.643E-13 | 7.298E-12 |
| 318 | 318 | 223 | Q_neve | -7.491E-12 | -5.795E-13 | 7.298E-12 |
| 318 | 318 | 224 | Q_neve | -2.513E-12 | -5.245E-12 | 7.298E-12 |
| 318 | 318 | 222 | Q_neve | 3.301E-13 | -1.290E-12 | 7.298E-12 |
| 319 | 319 | 223 | DEAD | -7.041E-12 | 2.546E-11 | 3.357E-11 |
| 319 | 319 | 225 | DEAD | -1.060E-11 | -8.587E-12 | 3.357E-11 |
| 319 | 319 | 226 | DEAD | 1.160E-11 | -2.659E-12 | 3.357E-11 |
| 319 | 319 | 224 | DEAD | -4.504E-11 | -5.946E-11 | 3.357E-11 |
| 319 | 319 | 223 | G1_smistamento | 119.86 | -3.423E-02 | -3.39 |
| 319 | 319 | 225 | G1_smistamento | 113. | -4.779E-02 | -2.15 |
| 319 | 319 | 226 | G1_smistamento | 132.57 | 81.83 | -1.64 |
| 319 | 319 | 224 | G1_smistamento | 139.29 | 82.18 | -2.88 |
| 319 | 319 | 223 | G2_smistamento | 44.43 | -1.269E-02 | -1.26 |
| 319 | 319 | 225 | G2_smistamento | 41.89 | -1.771E-02 | -0.8 |
| 319 | 319 | 226 | G2_smistamento | 49.14 | 30.34 | -0.61 |
| 319 | 319 | 224 | G2_smistamento | 51.64 | 30.47 | -1.07 |
| 319 | 319 | 223 | Q_smistamento | 44.43 | -1.269E-02 | -1.26 |
| 319 | 319 | 225 | Q_smistamento | 41.89 | -1.771E-02 | -0.8 |
| 319 | 319 | 226 | Q_smistamento | 49.14 | 30.34 | -0.61 |
| 319 | 319 | 224 | Q_smistamento | 51.64 | 30.47 | -1.07 |

Table 21: Element Stresses - Area Shells, Part 2 of 3

| Area | AreaElem | Joint | OutputCase | S11Bot KN/m2 | S22Bot KN/m2 | S12Bot KN/m2 |
|------|----------|-------|----------------|-----------------|-----------------|-----------------|
| 319 | 319 | 223 | Q_neve | -4.335E-12 | -9.843E-13 | 7.298E-12 |
| 319 | 319 | 225 | Q_neve | 1.523E-12 | -3.678E-13 | 6.666E-12 |
| 319 | 319 | 226 | Q_neve | -5.836E-12 | -2.801E-12 | 7.298E-12 |
| 319 | 319 | 224 | Q_neve | -2.664E-12 | -4.239E-12 | 7.930E-12 |
| 320 | 320 | 225 | DEAD | 4.890E-12 | -9.319E-12 | 3.143E-11 |
| 320 | 320 | 227 | DEAD | -3.780E-11 | -2.282E-12 | 3.396E-11 |
| 320 | 320 | 228 | DEAD | -4.156E-11 | 1.109E-12 | 4.154E-11 |
| 320 | 320 | 226 | DEAD | 2.193E-11 | -7.022E-12 | 3.902E-11 |
| 320 | 320 | 225 | G1_smistamento | 113.01 | -4.546E-02 | -0.63 |
| 320 | 320 | 227 | G1_smistamento | 113.01 | -4.546E-02 | 0.63 |
| 320 | 320 | 228 | G1_smistamento | 132.56 | 81.83 | 0.63 |
| 320 | 320 | 226 | G1_smistamento | 132.56 | 81.83 | -0.63 |
| 320 | 320 | 225 | G2_smistamento | 41.9 | -1.685E-02 | -0.24 |
| 320 | 320 | 227 | G2_smistamento | 41.9 | -1.685E-02 | 0.24 |
| 320 | 320 | 228 | G2_smistamento | 49.14 | 30.34 | 0.24 |
| 320 | 320 | 226 | G2_smistamento | 49.14 | 30.34 | -0.24 |
| 320 | 320 | 225 | Q_smistamento | 41.9 | -1.685E-02 | -0.24 |
| 320 | 320 | 227 | Q_smistamento | 41.9 | -1.685E-02 | 0.24 |
| 320 | 320 | 228 | Q_smistamento | 49.14 | 30.34 | 0.24 |
| 320 | 320 | 226 | Q_smistamento | 49.14 | 30.34 | -0.24 |
| 320 | 320 | 225 | Q_neve | -4.152E-15 | 3.511E-13 | 6.301E-12 |
| 320 | 320 | 227 | Q_neve | -7.249E-12 | -2.763E-12 | 6.301E-12 |
| 320 | 320 | 228 | Q_neve | -3.006E-12 | 4.301E-12 | 7.565E-12 |
| 320 | 320 | 226 | Q_neve | -1.395E-13 | -1.341E-12 | 7.565E-12 |
| 321 | 321 | 227 | DEAD | -3.637E-11 | -3.086E-13 | 4.087E-11 |
| 321 | 321 | 229 | DEAD | -1.941E-11 | 3.198E-11 | 4.339E-11 |
| 321 | 321 | 230 | DEAD | -3.606E-11 | -2.906E-11 | 4.087E-11 |
| 321 | 321 | 228 | DEAD | -1.909E-11 | 3.228E-12 | 3.834E-11 |
| 321 | 321 | 227 | G1_smistamento | 113. | -4.779E-02 | 2.15 |
| 321 | 321 | 229 | G1_smistamento | 119.86 | -3.423E-02 | 3.39 |
| 321 | 321 | 230 | G1_smistamento | 139.29 | 82.18 | 2.88 |
| 321 | 321 | 228 | G1_smistamento | 132.57 | 81.83 | 1.64 |
| 321 | 321 | 227 | G2_smistamento | 41.89 | -1.771E-02 | 0.8 |
| 321 | 321 | 229 | G2_smistamento | 44.43 | -1.269E-02 | 1.26 |
| 321 | 321 | 230 | G2_smistamento | 51.64 | 30.47 | 1.07 |
| 321 | 321 | 228 | G2_smistamento | 49.14 | 30.34 | 0.61 |
| 321 | 321 | 227 | Q_smistamento | 41.89 | -1.771E-02 | 0.8 |
| 321 | 321 | 229 | Q_smistamento | 44.43 | -1.269E-02 | 1.26 |

Table 21: Element Stresses - Area Shells, Part 2 of 3

| Area | AreaElem | Joint | OutputCase | S11Bot KN/m2 | S22Bot KN/m2 | S12Bot KN/m2 |
|------|----------|-------|----------------|-----------------|-----------------|-----------------|
| 321 | 321 | 230 | Q_smistamento | 51.64 | 30.47 | 1.07 |
| 321 | 321 | 228 | Q_smistamento | 49.14 | 30.34 | 0.61 |
| 321 | 321 | 227 | Q_neve | -4.465E-12 | -6.468E-13 | 8.027E-12 |
| 321 | 321 | 229 | Q_neve | -6.141E-12 | 6.141E-12 | 8.659E-12 |
| 321 | 321 | 230 | Q_neve | -7.941E-12 | -6.651E-12 | 8.027E-12 |
| 321 | 321 | 228 | Q_neve | -2.981E-12 | 2.981E-12 | 7.395E-12 |
| 322 | 322 | 229 | DEAD | -3.508E-11 | 4.267E-11 | 4.286E-11 |
| 322 | 322 | 231 | DEAD | -4.241E-11 | -5.082E-12 | 4.286E-11 |
| 322 | 322 | 232 | DEAD | -5.815E-11 | -2.716E-11 | 4.033E-11 |
| 322 | 322 | 230 | DEAD | -5.410E-11 | -4.837E-11 | 4.033E-11 |
| 322 | 322 | 229 | G1_smistamento | 119.83 | -4.032E-02 | 4.79 |
| 322 | 322 | 231 | G1_smistamento | 131.96 | -1.474E-02 | 5.94 |
| 322 | 322 | 232 | G1_smistamento | 151.24 | 82.76 | 5.03 |
| 322 | 322 | 230 | G1_smistamento | 139.31 | 82.19 | 3.88 |
| 322 | 322 | 229 | G2_smistamento | 44.42 | -1.495E-02 | 1.78 |
| 322 | 322 | 231 | G2_smistamento | 48.92 | -5.463E-03 | 2.2 |
| 322 | 322 | 232 | G2_smistamento | 56.07 | 30.68 | 1.86 |
| 322 | 322 | 230 | G2_smistamento | 51.64 | 30.47 | 1.44 |
| 322 | 322 | 229 | Q_smistamento | 44.42 | -1.495E-02 | 1.78 |
| 322 | 322 | 231 | Q_smistamento | 48.92 | -5.463E-03 | 2.2 |
| 322 | 322 | 232 | Q_smistamento | 56.07 | 30.68 | 1.86 |
| 322 | 322 | 230 | Q_smistamento | 51.64 | 30.47 | 1.44 |
| 322 | 322 | 229 | Q_neve | -2.816E-13 | 6.705E-12 | 8.294E-12 |
| 322 | 322 | 231 | Q_neve | -1.613E-11 | -2.782E-12 | 8.294E-12 |
| 322 | 322 | 232 | Q_neve | -9.524E-12 | -5.382E-12 | 7.030E-12 |
| 322 | 322 | 230 | Q_neve | -1.147E-11 | -6.021E-12 | 7.030E-12 |
| 323 | 323 | 231 | DEAD | -3.571E-11 | 2.389E-12 | 3.503E-11 |
| 323 | 323 | 233 | DEAD | -1.825E-11 | 1.627E-12 | 3.503E-11 |
| 323 | 323 | 234 | DEAD | -1.264E-11 | -3.395E-11 | 3.503E-11 |
| 323 | 323 | 232 | DEAD | -5.965E-11 | -2.334E-11 | 3.503E-11 |
| 323 | 323 | 231 | G1_smistamento | 131.92 | -2.184E-02 | 7.15 |
| 323 | 323 | 233 | G1_smistamento | 146.08 | 1.279E-02 | 8.22 |
| 323 | 323 | 234 | G1_smistamento | 165.29 | 83.26 | 7.11 |
| 323 | 323 | 232 | G1_smistamento | 151.27 | 82.76 | 6.04 |
| 323 | 323 | 231 | G2_smistamento | 48.9 | -8.095E-03 | 2.65 |
| 323 | 323 | 233 | G2_smistamento | 54.15 | 4.741E-03 | 3.05 |
| 323 | 323 | 234 | G2_smistamento | 61.28 | 30.87 | 2.63 |
| 323 | 323 | 232 | G2_smistamento | 56.08 | 30.68 | 2.24 |

Table 21: Element Stresses - Area Shells, Part 2 of 3

| Area | AreaElem | Joint | OutputCase | S11Bot KN/m2 | S22Bot KN/m2 | S12Bot KN/m2 |
|------|----------|-------|----------------|-----------------|-----------------|-----------------|
| 323 | 323 | 231 | Q_smistamento | 48.9 | -8.095E-03 | 2.65 |
| 323 | 323 | 233 | Q_smistamento | 54.15 | 4.741E-03 | 3.05 |
| 323 | 323 | 234 | Q_smistamento | 61.28 | 30.87 | 2.63 |
| 323 | 323 | 232 | Q_smistamento | 56.08 | 30.68 | 2.24 |
| 323 | 323 | 231 | Q_neve | -1.318E-11 | -3.906E-12 | 8.027E-12 |
| 323 | 323 | 233 | Q_neve | -6.474E-13 | 4.686E-13 | 8.027E-12 |
| 323 | 323 | 234 | Q_neve | -2.195E-12 | -3.985E-12 | 8.027E-12 |
| 323 | 323 | 232 | Q_neve | -1.226E-11 | -2.612E-12 | 8.027E-12 |
| 324 | 324 | 233 | DEAD | -1.719E-11 | 5.921E-12 | 3.795E-11 |
| 324 | 324 | 235 | DEAD | 1.446E-11 | 4.369E-12 | 4.048E-11 |
| 324 | 324 | 236 | DEAD | 2.357E-11 | -1.778E-11 | 3.795E-11 |
| 324 | 324 | 234 | DEAD | -3.325E-11 | -3.703E-11 | 3.542E-11 |
| 324 | 324 | 233 | G1_smistamento | 146.06 | 9.144E-03 | 9.19 |
| 324 | 324 | 235 | G1_smistamento | 157.24 | 4.763E-02 | 10.26 |
| 324 | 324 | 236 | G1_smistamento | 176.61 | 83.23 | 9.29 |
| 324 | 324 | 234 | G1_smistamento | 165.33 | 83.27 | 8.22 |
| 324 | 324 | 233 | G2_smistamento | 54.15 | 3.390E-03 | 3.41 |
| 324 | 324 | 235 | G2_smistamento | 58.29 | 1.766E-02 | 3.8 |
| 324 | 324 | 236 | G2_smistamento | 65.47 | 30.85 | 3.44 |
| 324 | 324 | 234 | G2_smistamento | 61.29 | 30.87 | 3.05 |
| 324 | 324 | 233 | Q_smistamento | 54.15 | 3.390E-03 | 3.41 |
| 324 | 324 | 235 | Q_smistamento | 58.29 | 1.766E-02 | 3.8 |
| 324 | 324 | 236 | Q_smistamento | 65.47 | 30.85 | 3.44 |
| 324 | 324 | 234 | Q_smistamento | 61.29 | 30.87 | 3.05 |
| 324 | 324 | 233 | Q_neve | -4.243E-12 | -2.504E-13 | 6.568E-12 |
| 324 | 324 | 235 | Q_neve | 2.759E-12 | -2.791E-12 | 6.568E-12 |
| 324 | 324 | 236 | Q_neve | 5.474E-12 | 9.346E-13 | 6.568E-12 |
| 324 | 324 | 234 | Q_neve | -7.274E-12 | -5.556E-12 | 6.568E-12 |
| 325 | 325 | 235 | DEAD | 2.861E-11 | 9.357E-12 | 3.930E-11 |
| 325 | 325 | 237 | DEAD | 1.003E-10 | -2.397E-12 | 2.413E-11 |
| 325 | 325 | 238 | DEAD | 2.703E-11 | -2.888E-11 | 1.908E-11 |
| 325 | 325 | 236 | DEAD | 1.778E-11 | -2.041E-11 | 3.425E-11 |
| 325 | 325 | 235 | G1_smistamento | 157.26 | 5.285E-02 | 11.09 |
| 325 | 325 | 237 | G1_smistamento | 158.68 | 8.862E-02 | 12.34 |
| 325 | 325 | 238 | G1_smistamento | 178.56 | 82.01 | 11.94 |
| 325 | 325 | 236 | G1_smistamento | 176.64 | 83.24 | 10.69 |
| 325 | 325 | 235 | G2_smistamento | 58.3 | 1.959E-02 | 4.11 |
| 325 | 325 | 237 | G2_smistamento | 58.82 | 3.285E-02 | 4.57 |

Table 21: Element Stresses - Area Shells, Part 2 of 3

| Area | AreaElem | Joint | OutputCase | S11Bot KN/m2 | S22Bot KN/m2 | S12Bot KN/m2 |
|------|----------|-------|----------------|-----------------|-----------------|-----------------|
| 325 | 325 | 238 | G2_smistamento | 66.2 | 30.4 | 4.43 |
| 325 | 325 | 236 | G2_smistamento | 65.48 | 30.86 | 3.96 |
| 325 | 325 | 235 | Q_smistamento | 58.3 | 1.959E-02 | 4.11 |
| 325 | 325 | 237 | Q_smistamento | 58.82 | 3.285E-02 | 4.57 |
| 325 | 325 | 238 | Q_smistamento | 66.2 | 30.4 | 4.43 |
| 325 | 325 | 236 | Q_smistamento | 65.48 | 30.86 | 3.96 |
| 325 | 325 | 235 | Q_neve | 3.815E-12 | -1.618E-12 | 8.829E-12 |
| 325 | 325 | 237 | Q_neve | 2.076E-11 | 6.063E-13 | 6.301E-12 |
| 325 | 325 | 238 | Q_neve | 3.894E-12 | -6.911E-12 | 5.037E-12 |
| 325 | 325 | 236 | Q_neve | 5.830E-12 | -1.046E-13 | 7.565E-12 |
| 326 | 326 | 237 | DEAD | 6.626E-11 | -8.280E-12 | 6.620E-12 |
| 326 | 326 | 239 | DEAD | 1.236E-10 | 5.636E-12 | 6.620E-12 |
| 326 | 326 | 240 | DEAD | 1.257E-10 | 3.090E-11 | 1.673E-11 |
| 326 | 326 | 238 | DEAD | 6.171E-11 | -1.585E-11 | 1.673E-11 |
| 326 | 326 | 237 | G1_smistamento | 158.77 | 0.11 | 13.2 |
| 326 | 326 | 239 | G1_smistamento | 142.44 | 0.13 | 14.85 |
| 326 | 326 | 240 | G1_smistamento | 162.98 | 78.8 | 15.54 |
| 326 | 326 | 238 | G1_smistamento | 178.58 | 82.02 | 13.89 |
| 326 | 326 | 237 | G2_smistamento | 58.86 | 3.918E-02 | 4.89 |
| 326 | 326 | 239 | G2_smistamento | 52.81 | 4.813E-02 | 5.5 |
| 326 | 326 | 240 | G2_smistamento | 60.42 | 29.21 | 5.76 |
| 326 | 326 | 238 | G2_smistamento | 66.2 | 30.4 | 5.15 |
| 326 | 326 | 237 | Q_smistamento | 58.86 | 3.918E-02 | 4.89 |
| 326 | 326 | 239 | Q_smistamento | 52.81 | 4.813E-02 | 5.5 |
| 326 | 326 | 240 | Q_smistamento | 60.42 | 29.21 | 5.76 |
| 326 | 326 | 238 | Q_smistamento | 66.2 | 30.4 | 5.15 |
| 326 | 326 | 237 | Q_neve | 1.519E-11 | 7.849E-13 | 5.604E-13 |
| 326 | 326 | 239 | Q_neve | 2.062E-11 | 3.137E-12 | 5.604E-13 |
| 326 | 326 | 240 | Q_neve | 2.380E-11 | 5.920E-12 | 3.088E-12 |
| 326 | 326 | 238 | Q_neve | 1.154E-11 | -4.368E-12 | 3.088E-12 |
| 327 | 327 | 239 | DEAD | 1.193E-10 | 6.809E-12 | 9.826E-12 |
| 327 | 327 | 241 | DEAD | 8.231E-11 | 1.215E-11 | 7.298E-12 |
| 327 | 327 | 242 | DEAD | 5.733E-11 | 4.888E-13 | 4.770E-12 |
| 327 | 327 | 240 | DEAD | 1.228E-10 | 3.237E-11 | 7.298E-12 |
| 327 | 327 | 239 | G1_smistamento | 142.53 | 0.15 | 15.97 |
| 327 | 327 | 241 | G1_smistamento | 101.62 | 0.13 | 17.99 |
| 327 | 327 | 242 | G1_smistamento | 121.51 | 72.53 | 20.2 |
| 327 | 327 | 240 | G1_smistamento | 162.98 | 78.8 | 18.18 |

Table 21: Element Stresses - Area Shells, Part 2 of 3

| Area | AreaElem | Joint | OutputCase | S11Bot KN/m2 | S22Bot KN/m2 | S12Bot KN/m2 |
|------|----------|-------|----------------|-----------------|-----------------|-----------------|
| 327 | 327 | 239 | G2_smistamento | 52.84 | 5.490E-02 | 5.92 |
| 327 | 327 | 241 | G2_smistamento | 37.67 | 4.903E-02 | 6.67 |
| 327 | 327 | 242 | G2_smistamento | 45.05 | 26.89 | 7.49 |
| 327 | 327 | 240 | G2_smistamento | 60.42 | 29.21 | 6.74 |
| 327 | 327 | 239 | Q_smistamento | 52.84 | 5.490E-02 | 5.92 |
| 327 | 327 | 241 | Q_smistamento | 37.67 | 4.903E-02 | 6.67 |
| 327 | 327 | 242 | Q_smistamento | 45.05 | 26.89 | 7.49 |
| 327 | 327 | 240 | Q_smistamento | 60.42 | 29.21 | 6.74 |
| 327 | 327 | 239 | Q_neve | 2.372E-11 | 3.313E-12 | 2.092E-12 |
| 327 | 327 | 241 | Q_neve | 1.547E-11 | 2.774E-12 | 1.460E-12 |
| 327 | 327 | 242 | Q_neve | 1.550E-11 | 1.532E-13 | 8.275E-13 |
| 327 | 327 | 240 | Q_neve | 2.211E-11 | 5.618E-12 | 1.460E-12 |
| 328 | 328 | 241 | DEAD | 7.615E-11 | 1.100E-11 | -1.460E-12 |
| 328 | 328 | 11 | DEAD | 3.149E-11 | -1.107E-11 | -3.987E-12 |
| 328 | 328 | 14 | DEAD | 2.401E-11 | 8.156E-12 | -1.460E-12 |
| 328 | 328 | 242 | DEAD | 7.415E-11 | 5.048E-12 | 1.068E-12 |
| 328 | 328 | 241 | G1_smistamento | 100.83 | -2.603E-02 | 19.17 |
| 328 | 328 | 11 | G1_smistamento | 46.41 | 0.22 | 18.24 |
| 328 | 328 | 14 | G1_smistamento | 47.75 | 62. | 21.57 |
| 328 | 328 | 242 | G1_smistamento | 121.68 | 72.56 | 22.51 |
| 328 | 328 | 241 | G2_smistamento | 37.38 | -9.649E-03 | 7.11 |
| 328 | 328 | 11 | G2_smistamento | 17.2 | 8.327E-02 | 6.76 |
| 328 | 328 | 14 | G2_smistamento | 17.7 | 22.98 | 8. |
| 328 | 328 | 242 | G2_smistamento | 45.11 | 26.9 | 8.35 |
| 328 | 328 | 241 | Q_smistamento | 37.38 | -9.649E-03 | 7.11 |
| 328 | 328 | 11 | Q_smistamento | 17.2 | 8.327E-02 | 6.76 |
| 328 | 328 | 14 | Q_smistamento | 17.7 | 22.98 | 8. |
| 328 | 328 | 242 | Q_smistamento | 45.11 | 26.9 | 8.35 |
| 328 | 328 | 241 | Q_neve | 1.404E-11 | 2.049E-12 | 9.777E-14 |
| 328 | 328 | 11 | Q_neve | 1.023E-11 | 2.250E-12 | 9.777E-14 |
| 328 | 328 | 14 | Q_neve | 3.294E-12 | 1.417E-12 | 1.362E-12 |
| 328 | 328 | 242 | Q_neve | 1.750E-11 | 6.695E-13 | 1.362E-12 |
| 329 | 329 | 13 | DEAD | 2.155E-11 | 2.905E-11 | -6.463E-12 |
| 329 | 329 | 243 | DEAD | -3.747E-11 | 1.263E-12 | 2.723E-12 |
| 329 | 329 | 244 | DEAD | 3.008E-11 | -1.172E-11 | 1.376E-11 |
| 329 | 329 | 14 | DEAD | 1.467E-11 | 1.169E-11 | 1.955E-13 |
| 329 | 329 | 13 | G1_smistamento | 0.32 | 58.77 | 14.91 |
| 329 | 329 | 243 | G1_smistamento | -5.894E-03 | 130.61 | 13.69 |

Table 21: Element Stresses - Area Shells, Part 2 of 3

| Area | AreaElem | Joint | OutputCase | S11Bot KN/m2 | S22Bot KN/m2 | S12Bot KN/m2 |
|------|----------|-------|----------------|-----------------|-----------------|-----------------|
| 329 | 329 | 244 | G1_smistamento | 57.73 | 154.35 | 18.53 |
| 329 | 329 | 14 | G1_smistamento | 47.76 | 61.92 | 19.74 |
| 329 | 329 | 13 | G2_smistamento | 0.12 | 21.79 | 5.53 |
| 329 | 329 | 243 | G2_smistamento | -2.185E-03 | 48.42 | 5.07 |
| 329 | 329 | 244 | G2_smistamento | 21.4 | 57.22 | 6.87 |
| 329 | 329 | 14 | G2_smistamento | 17.71 | 22.96 | 7.32 |
| 329 | 329 | 13 | Q_smistamento | 0.12 | 21.79 | 5.53 |
| 329 | 329 | 243 | Q_smistamento | -2.185E-03 | 48.42 | 5.07 |
| 329 | 329 | 244 | Q_smistamento | 21.4 | 57.22 | 6.87 |
| 329 | 329 | 14 | Q_smistamento | 17.71 | 22.96 | 7.32 |
| 329 | 329 | 13 | Q_neve | 5.276E-12 | 2.017E-12 | -1.896E-12 |
| 329 | 329 | 243 | Q_neve | -3.119E-12 | 5.592E-12 | 0. |
| 329 | 329 | 244 | Q_neve | -8.066E-13 | -3.750E-12 | 1.896E-12 |
| 329 | 329 | 14 | Q_neve | 2.253E-12 | 2.116E-12 | 0. |
| 330 | 330 | 243 | DEAD | -3.839E-11 | 5.840E-12 | 2.111E-11 |
| 330 | 330 | 245 | DEAD | -1.271E-12 | -2.685E-11 | 1.858E-11 |
| 330 | 330 | 246 | DEAD | 2.070E-11 | 2.828E-11 | 1.100E-11 |
| 330 | 330 | 244 | DEAD | 3.064E-11 | -1.895E-11 | 1.353E-11 |
| 330 | 330 | 243 | G1_smistamento | 0.18 | 131.55 | 10.39 |
| 330 | 330 | 245 | G1_smistamento | 0.26 | 178.57 | 5.68 |
| 330 | 330 | 246 | G1_smistamento | 62.43 | 202.47 | 8.65 |
| 330 | 330 | 244 | G1_smistamento | 57.7 | 154.22 | 13.36 |
| 330 | 330 | 243 | G2_smistamento | 6.736E-02 | 48.77 | 3.85 |
| 330 | 330 | 245 | G2_smistamento | 9.645E-02 | 66.2 | 2.1 |
| 330 | 330 | 246 | G2_smistamento | 23.14 | 75.06 | 3.21 |
| 330 | 330 | 244 | G2_smistamento | 21.39 | 57.17 | 4.95 |
| 330 | 330 | 243 | Q_smistamento | 6.736E-02 | 48.77 | 3.85 |
| 330 | 330 | 245 | Q_smistamento | 9.645E-02 | 66.2 | 2.1 |
| 330 | 330 | 246 | Q_smistamento | 23.14 | 75.06 | 3.21 |
| 330 | 330 | 244 | Q_smistamento | 21.39 | 57.17 | 4.95 |
| 330 | 330 | 243 | Q_neve | -1.860E-12 | 5.283E-12 | 5.278E-12 |
| 330 | 330 | 245 | Q_neve | -2.431E-12 | -9.964E-12 | 4.646E-12 |
| 330 | 330 | 246 | Q_neve | 5.645E-12 | 4.888E-12 | 2.750E-12 |
| 330 | 330 | 244 | Q_neve | -1.720E-12 | -6.410E-12 | 3.382E-12 |
| 331 | 331 | 245 | DEAD | 3.602E-12 | -2.363E-11 | 1.022E-11 |
| 331 | 331 | 247 | DEAD | -1.682E-11 | -3.378E-11 | 1.022E-11 |
| 331 | 331 | 248 | DEAD | 2.541E-11 | -2.837E-11 | 1.022E-11 |
| 331 | 331 | 246 | DEAD | 7.514E-12 | -2.588E-11 | 1.022E-11 |

Table 21: Element Stresses - Area Shells, Part 2 of 3

| Area | AreaElem | Joint | OutputCase | S11Bot KN/m2 | S22Bot KN/m2 | S12Bot KN/m2 |
|------|----------|-------|----------------|-----------------|-----------------|-----------------|
| 331 | 331 | 245 | G1_smistamento | 0.26 | 178.58 | 2.39 |
| 331 | 331 | 247 | G1_smistamento | 0.26 | 178.58 | -2.39 |
| 331 | 331 | 248 | G1_smistamento | 62.43 | 202.5 | -2.39 |
| 331 | 331 | 246 | G1_smistamento | 62.43 | 202.5 | 2.39 |
| 331 | 331 | 245 | G2_smistamento | 9.670E-02 | 66.2 | 0.89 |
| 331 | 331 | 247 | G2_smistamento | 9.670E-02 | 66.2 | -0.89 |
| 331 | 331 | 248 | G2_smistamento | 23.15 | 75.07 | -0.89 |
| 331 | 331 | 246 | G2_smistamento | 23.15 | 75.07 | 0.89 |
| 331 | 331 | 245 | Q_smistamento | 9.670E-02 | 66.2 | 0.89 |
| 331 | 331 | 247 | Q_smistamento | 9.670E-02 | 66.2 | -0.89 |
| 331 | 331 | 248 | Q_smistamento | 23.15 | 75.07 | -0.89 |
| 331 | 331 | 246 | Q_smistamento | 23.15 | 75.07 | 0.89 |
| 331 | 331 | 245 | Q_neve | -2.365E-12 | -8.515E-12 | 1.460E-12 |
| 331 | 331 | 247 | Q_neve | 9.086E-13 | -5.788E-12 | 1.460E-12 |
| 331 | 331 | 248 | Q_neve | 2.137E-12 | -6.856E-12 | 1.460E-12 |
| 331 | 331 | 246 | Q_neve | 3.516E-12 | -6.025E-12 | 1.460E-12 |
| 332 | 332 | 247 | DEAD | 9.000E-13 | -2.518E-11 | 9.434E-12 |
| 332 | 332 | 249 | DEAD | -2.527E-11 | -6.001E-11 | -6.774E-13 |
| 332 | 332 | 250 | DEAD | 3.376E-11 | 1.022E-11 | -6.774E-13 |
| 332 | 332 | 248 | DEAD | 1.834E-11 | -3.157E-11 | 9.434E-12 |
| 332 | 332 | 247 | G1_smistamento | 0.26 | 178.57 | -5.68 |
| 332 | 332 | 249 | G1_smistamento | 0.18 | 131.55 | -10.39 |
| 332 | 332 | 250 | G1_smistamento | 57.7 | 154.22 | -13.36 |
| 332 | 332 | 248 | G1_smistamento | 62.43 | 202.47 | -8.65 |
| 332 | 332 | 247 | G2_smistamento | 9.645E-02 | 66.2 | -2.1 |
| 332 | 332 | 249 | G2_smistamento | 6.736E-02 | 48.77 | -3.85 |
| 332 | 332 | 250 | G2_smistamento | 21.39 | 57.17 | -4.95 |
| 332 | 332 | 248 | G2_smistamento | 23.14 | 75.06 | -3.21 |
| 332 | 332 | 247 | Q_smistamento | 9.645E-02 | 66.2 | -2.1 |
| 332 | 332 | 249 | Q_smistamento | 6.736E-02 | 48.77 | -3.85 |
| 332 | 332 | 250 | Q_smistamento | 21.39 | 57.17 | -4.95 |
| 332 | 332 | 248 | Q_smistamento | 23.14 | 75.06 | -3.21 |
| 332 | 332 | 247 | Q_neve | 1.701E-12 | -4.044E-12 | 1.362E-12 |
| 332 | 332 | 249 | Q_neve | 1.400E-12 | -8.322E-12 | 9.777E-14 |
| 332 | 332 | 250 | Q_neve | 9.900E-13 | -1.517E-14 | 9.777E-14 |
| 332 | 332 | 248 | Q_neve | 2.111E-12 | -4.768E-12 | 1.362E-12 |
| 333 | 333 | 249 | DEAD | -2.400E-11 | -5.100E-11 | -1.566E-11 |
| 333 | 333 | 15 | DEAD | -1.667E-12 | -9.515E-13 | -1.566E-11 |

Table 21: Element Stresses - Area Shells, Part 2 of 3

| Area | AreaElem | Joint | OutputCase | S11Bot KN/m2 | S22Bot KN/m2 | S12Bot KN/m2 |
|------|----------|-------|----------------|-----------------|-----------------|-----------------|
| 333 | 333 | 18 | DEAD | 6.477E-13 | -2.635E-11 | -1.061E-11 |
| 333 | 333 | 250 | DEAD | 2.867E-11 | -8.535E-12 | -1.061E-11 |
| 333 | 333 | 249 | G1_smistamento | -5.894E-03 | 130.61 | -13.69 |
| 333 | 333 | 15 | G1_smistamento | 0.32 | 58.77 | -14.91 |
| 333 | 333 | 18 | G1_smistamento | 47.76 | 61.92 | -19.74 |
| 333 | 333 | 250 | G1_smistamento | 57.73 | 154.35 | -18.53 |
| 333 | 333 | 249 | G2_smistamento | -2.185E-03 | 48.42 | -5.07 |
| 333 | 333 | 15 | G2_smistamento | 0.12 | 21.79 | -5.53 |
| 333 | 333 | 18 | G2_smistamento | 17.71 | 22.96 | -7.32 |
| 333 | 333 | 250 | G2_smistamento | 21.4 | 57.22 | -6.87 |
| 333 | 333 | 249 | Q_smistamento | -2.185E-03 | 48.42 | -5.07 |
| 333 | 333 | 15 | Q_smistamento | 0.12 | 21.79 | -5.53 |
| 333 | 333 | 18 | Q_smistamento | 17.71 | 22.96 | -7.32 |
| 333 | 333 | 250 | Q_smistamento | 21.4 | 57.22 | -6.87 |
| 333 | 333 | 249 | Q_neve | 4.338E-12 | -4.905E-12 | -2.456E-12 |
| 333 | 333 | 15 | Q_neve | -5.006E-12 | -3.110E-12 | -2.456E-12 |
| 333 | 333 | 18 | Q_neve | 8.618E-13 | -5.221E-12 | -1.192E-12 |
| 333 | 333 | 250 | Q_neve | -7.405E-13 | -2.636E-12 | -1.192E-12 |
| 334 | 334 | 17 | DEAD | -6.734E-12 | 1.441E-11 | -4.131E-12 |
| 334 | 334 | 251 | DEAD | 1.417E-11 | -1.349E-11 | 5.981E-12 |
| 334 | 334 | 252 | DEAD | 3.592E-11 | 1.877E-13 | 8.509E-12 |
| 334 | 334 | 18 | DEAD | 1.228E-11 | -3.814E-11 | -1.603E-12 |
| 334 | 334 | 17 | G1_smistamento | 46.41 | 0.22 | -18.24 |
| 334 | 334 | 251 | G1_smistamento | 100.83 | -2.603E-02 | -19.17 |
| 334 | 334 | 252 | G1_smistamento | 121.68 | 72.56 | -22.51 |
| 334 | 334 | 18 | G1_smistamento | 47.75 | 62. | -21.57 |
| 334 | 334 | 17 | G2_smistamento | 17.2 | 8.327E-02 | -6.76 |
| 334 | 334 | 251 | G2_smistamento | 37.38 | -9.649E-03 | -7.11 |
| 334 | 334 | 252 | G2_smistamento | 45.11 | 26.9 | -8.35 |
| 334 | 334 | 18 | G2_smistamento | 17.7 | 22.98 | -8. |
| 334 | 334 | 17 | Q_smistamento | 17.2 | 8.327E-02 | -6.76 |
| 334 | 334 | 251 | Q_smistamento | 37.38 | -9.649E-03 | -7.11 |
| 334 | 334 | 252 | Q_smistamento | 45.11 | 26.9 | -8.35 |
| 334 | 334 | 18 | Q_smistamento | 17.7 | 22.98 | -8. |
| 334 | 334 | 17 | Q_neve | 3.836E-12 | 3.910E-12 | -1.629E-12 |
| 334 | 334 | 251 | Q_neve | -3.134E-12 | 8.880E-13 | 2.671E-13 |
| 334 | 334 | 252 | Q_neve | 1.126E-11 | -6.718E-13 | 8.991E-13 |
| 334 | 334 | 18 | Q_neve | 5.794E-13 | -7.091E-12 | -9.969E-13 |

Table 21: Element Stresses - Area Shells, Part 2 of 3

| Area | AreaElem | Joint | OutputCase | S11Bot KN/m2 | S22Bot KN/m2 | S12Bot KN/m2 |
|------|----------|-------|----------------|-----------------|-----------------|-----------------|
| 335 | 335 | 251 | DEAD | 6.587E-12 | -9.363E-12 | 1.596E-11 |
| 335 | 335 | 253 | DEAD | 2.940E-12 | -3.212E-12 | 2.262E-11 |
| 335 | 335 | 254 | DEAD | -7.317E-12 | -3.043E-12 | 3.366E-11 |
| 335 | 335 | 252 | DEAD | 5.982E-11 | -7.004E-12 | 2.262E-11 |
| 335 | 335 | 251 | G1_smistamento | 101.62 | 0.13 | -17.99 |
| 335 | 335 | 253 | G1_smistamento | 142.53 | 0.15 | -15.97 |
| 335 | 335 | 254 | G1_smistamento | 162.98 | 78.8 | -18.18 |
| 335 | 335 | 252 | G1_smistamento | 121.51 | 72.53 | -20.2 |
| 335 | 335 | 251 | G2_smistamento | 37.67 | 4.903E-02 | -6.67 |
| 335 | 335 | 253 | G2_smistamento | 52.84 | 5.490E-02 | -5.92 |
| 335 | 335 | 254 | G2_smistamento | 60.42 | 29.21 | -6.74 |
| 335 | 335 | 252 | G2_smistamento | 45.05 | 26.89 | -7.49 |
| 335 | 335 | 251 | Q_smistamento | 37.67 | 4.903E-02 | -6.67 |
| 335 | 335 | 253 | Q_smistamento | 52.84 | 5.490E-02 | -5.92 |
| 335 | 335 | 254 | Q_smistamento | 60.42 | 29.21 | -6.74 |
| 335 | 335 | 252 | Q_smistamento | 45.05 | 26.89 | -7.49 |
| 335 | 335 | 251 | Q_neve | -2.304E-12 | 7.863E-13 | 6.069E-12 |
| 335 | 335 | 253 | Q_neve | 5.118E-12 | -5.970E-13 | 5.607E-12 |
| 335 | 335 | 254 | Q_neve | -7.913E-12 | -2.611E-12 | 6.701E-12 |
| 335 | 335 | 252 | Q_neve | 1.792E-11 | 8.250E-13 | 4.975E-12 |
| 336 | 336 | 253 | DEAD | 3.271E-11 | 4.501E-12 | 2.009E-11 |
| 336 | 336 | 255 | DEAD | 7.989E-12 | -7.363E-12 | 2.793E-11 |
| 336 | 336 | 256 | DEAD | 2.687E-12 | 6.081E-12 | 2.515E-11 |
| 336 | 336 | 254 | DEAD | 1.810E-11 | -2.307E-12 | 3.045E-11 |
| 336 | 336 | 253 | G1_smistamento | 142.44 | 0.13 | -14.85 |
| 336 | 336 | 255 | G1_smistamento | 158.77 | 0.11 | -13.2 |
| 336 | 336 | 256 | G1_smistamento | 178.58 | 82.02 | -13.89 |
| 336 | 336 | 254 | G1_smistamento | 162.98 | 78.8 | -15.54 |
| 336 | 336 | 253 | G2_smistamento | 52.81 | 4.813E-02 | -5.5 |
| 336 | 336 | 255 | G2_smistamento | 58.86 | 3.918E-02 | -4.89 |
| 336 | 336 | 256 | G2_smistamento | 66.2 | 30.4 | -5.15 |
| 336 | 336 | 254 | G2_smistamento | 60.42 | 29.21 | -5.76 |
| 336 | 336 | 253 | Q_smistamento | 52.81 | 4.813E-02 | -5.5 |
| 336 | 336 | 255 | Q_smistamento | 58.86 | 3.918E-02 | -4.89 |
| 336 | 336 | 256 | Q_smistamento | 66.2 | 30.4 | -5.15 |
| 336 | 336 | 254 | Q_smistamento | 60.42 | 29.21 | -5.76 |
| 336 | 336 | 253 | Q_neve | 7.491E-12 | -1.610E-12 | 4.245E-12 |
| 336 | 336 | 255 | Q_neve | -1.045E-12 | 1.585E-12 | 5.340E-12 |

Table 21: Element Stresses - Area Shells, Part 2 of 3

| Area | AreaElem | Joint | OutputCase | S11Bot KN/m2 | S22Bot KN/m2 | S12Bot KN/m2 |
|------|----------|-------|----------------|-----------------|-----------------|-----------------|
| 336 | 336 | 256 | Q_neve | -3.301E-13 | -8.988E-13 | 4.877E-12 |
| 336 | 336 | 254 | Q_neve | 5.196E-12 | 5.583E-13 | 5.972E-12 |
| 337 | 337 | 255 | DEAD | -1.409E-11 | -1.790E-11 | 2.793E-11 |
| 337 | 337 | 257 | DEAD | -1.793E-11 | 1.347E-12 | 2.953E-11 |
| 337 | 337 | 258 | DEAD | -8.717E-12 | 8.960E-12 | 3.045E-11 |
| 337 | 337 | 256 | DEAD | 2.030E-11 | 1.051E-11 | 2.447E-11 |
| 337 | 337 | 255 | G1_smistamento | 158.68 | 8.862E-02 | -12.34 |
| 337 | 337 | 257 | G1_smistamento | 157.26 | 5.285E-02 | -11.09 |
| 337 | 337 | 258 | G1_smistamento | 176.64 | 83.24 | -10.69 |
| 337 | 337 | 256 | G1_smistamento | 178.56 | 82.01 | -11.94 |
| 337 | 337 | 255 | G2_smistamento | 58.82 | 3.285E-02 | -4.57 |
| 337 | 337 | 257 | G2_smistamento | 58.3 | 1.959E-02 | -4.11 |
| 337 | 337 | 258 | G2_smistamento | 65.48 | 30.86 | -3.96 |
| 337 | 337 | 256 | G2_smistamento | 66.2 | 30.4 | -4.43 |
| 337 | 337 | 255 | Q_smistamento | 58.82 | 3.285E-02 | -4.57 |
| 337 | 337 | 257 | Q_smistamento | 58.3 | 1.959E-02 | -4.11 |
| 337 | 337 | 258 | Q_smistamento | 65.48 | 30.86 | -3.96 |
| 337 | 337 | 256 | Q_smistamento | 66.2 | 30.4 | -4.43 |
| 337 | 337 | 255 | Q_neve | -4.924E-12 | 2.916E-13 | 4.525E-12 |
| 337 | 337 | 257 | Q_neve | 7.660E-14 | -6.043E-13 | 6.021E-12 |
| 337 | 337 | 258 | Q_neve | -1.842E-13 | -6.564E-13 | 6.421E-12 |
| 337 | 337 | 256 | Q_neve | 1.657E-12 | 1.608E-12 | 6.021E-12 |
| 338 | 338 | 257 | DEAD | -1.729E-11 | -1.461E-11 | 3.298E-11 |
| 338 | 338 | 259 | DEAD | -4.428E-11 | -1.860E-11 | 3.391E-11 |
| 338 | 338 | 260 | DEAD | -4.510E-11 | -1.714E-11 | 2.540E-11 |
| 338 | 338 | 258 | DEAD | -8.260E-12 | 9.841E-12 | 2.885E-11 |
| 338 | 338 | 257 | G1_smistamento | 157.24 | 4.763E-02 | -10.26 |
| 338 | 338 | 259 | G1_smistamento | 146.06 | 9.144E-03 | -9.19 |
| 338 | 338 | 260 | G1_smistamento | 165.33 | 83.27 | -8.22 |
| 338 | 338 | 258 | G1_smistamento | 176.61 | 83.23 | -9.29 |
| 338 | 338 | 257 | G2_smistamento | 58.29 | 1.766E-02 | -3.8 |
| 338 | 338 | 259 | G2_smistamento | 54.15 | 3.390E-03 | -3.41 |
| 338 | 338 | 260 | G2_smistamento | 61.29 | 30.87 | -3.05 |
| 338 | 338 | 258 | G2_smistamento | 65.47 | 30.85 | -3.44 |
| 338 | 338 | 257 | Q_smistamento | 58.29 | 1.766E-02 | -3.8 |
| 338 | 338 | 259 | Q_smistamento | 54.15 | 3.390E-03 | -3.41 |
| 338 | 338 | 260 | Q_smistamento | 61.29 | 30.87 | -3.05 |
| 338 | 338 | 258 | Q_smistamento | 65.47 | 30.85 | -3.44 |

Table 21: Element Stresses - Area Shells, Part 2 of 3

| Area | AreaElem | Joint | OutputCase | S11Bot KN/m2 | S22Bot KN/m2 | S12Bot KN/m2 |
|------|----------|-------|----------------|-----------------|-----------------|-----------------|
| 338 | 338 | 257 | Q_neve | -1.863E-12 | 2.444E-12 | 6.701E-12 |
| 338 | 338 | 259 | Q_neve | -9.850E-12 | -4.194E-12 | 5.607E-12 |
| 338 | 338 | 260 | Q_neve | -7.077E-12 | 1.022E-12 | 6.069E-12 |
| 338 | 338 | 258 | Q_neve | -5.110E-12 | 5.456E-13 | 4.975E-12 |
| 339 | 339 | 259 | DEAD | -4.132E-11 | -1.363E-11 | 3.236E-11 |
| 339 | 339 | 261 | DEAD | -5.342E-11 | 1.540E-11 | 2.613E-11 |
| 339 | 339 | 262 | DEAD | -4.954E-11 | 5.965E-12 | 4.500E-11 |
| 339 | 339 | 260 | DEAD | -1.992E-11 | -1.430E-11 | 3.371E-11 |
| 339 | 339 | 259 | G1_smistamento | 146.08 | 1.279E-02 | -8.22 |
| 339 | 339 | 261 | G1_smistamento | 131.92 | -2.184E-02 | -7.15 |
| 339 | 339 | 262 | G1_smistamento | 151.27 | 82.76 | -6.04 |
| 339 | 339 | 260 | G1_smistamento | 165.29 | 83.26 | -7.11 |
| 339 | 339 | 259 | G2_smistamento | 54.15 | 4.741E-03 | -3.05 |
| 339 | 339 | 261 | G2_smistamento | 48.9 | -8.095E-03 | -2.65 |
| 339 | 339 | 262 | G2_smistamento | 56.08 | 30.68 | -2.24 |
| 339 | 339 | 260 | G2_smistamento | 61.28 | 30.87 | -2.63 |
| 339 | 339 | 259 | Q_smistamento | 54.15 | 4.741E-03 | -3.05 |
| 339 | 339 | 261 | Q_smistamento | 48.9 | -8.095E-03 | -2.65 |
| 339 | 339 | 262 | Q_smistamento | 56.08 | 30.68 | -2.24 |
| 339 | 339 | 260 | Q_smistamento | 61.28 | 30.87 | -2.63 |
| 339 | 339 | 259 | Q_neve | -7.700E-12 | -4.451E-12 | 5.304E-12 |
| 339 | 339 | 261 | Q_neve | -1.117E-11 | 5.595E-12 | 5.936E-12 |
| 339 | 339 | 262 | Q_neve | -1.173E-11 | -1.844E-12 | 7.832E-12 |
| 339 | 339 | 260 | Q_neve | -7.382E-13 | 2.751E-12 | 7.200E-12 |
| 340 | 340 | 261 | DEAD | -6.923E-11 | 1.201E-11 | 5.030E-11 |
| 340 | 340 | 263 | DEAD | -1.662E-11 | 1.257E-12 | 4.339E-11 |
| 340 | 340 | 264 | DEAD | -8.219E-11 | -7.266E-12 | 4.019E-11 |
| 340 | 340 | 262 | DEAD | -2.041E-11 | -2.535E-12 | 3.834E-11 |
| 340 | 340 | 261 | G1_smistamento | 131.96 | -1.474E-02 | -5.94 |
| 340 | 340 | 263 | G1_smistamento | 119.83 | -4.032E-02 | -4.79 |
| 340 | 340 | 264 | G1_smistamento | 139.31 | 82.19 | -3.88 |
| 340 | 340 | 262 | G1_smistamento | 151.24 | 82.76 | -5.03 |
| 340 | 340 | 261 | G2_smistamento | 48.92 | -5.463E-03 | -2.2 |
| 340 | 340 | 263 | G2_smistamento | 44.42 | -1.495E-02 | -1.78 |
| 340 | 340 | 264 | G2_smistamento | 51.64 | 30.47 | -1.44 |
| 340 | 340 | 262 | G2_smistamento | 56.07 | 30.68 | -1.86 |
| 340 | 340 | 261 | Q_smistamento | 48.92 | -5.463E-03 | -2.2 |
| 340 | 340 | 263 | Q_smistamento | 44.42 | -1.495E-02 | -1.78 |

Table 21: Element Stresses - Area Shells, Part 2 of 3

| Area | AreaElem | Joint | OutputCase | S11Bot KN/m2 | S22Bot KN/m2 | S12Bot KN/m2 |
|------|----------|-------|----------------|-----------------|-----------------|-----------------|
| 340 | 340 | 264 | Q_smistamento | 51.64 | 30.47 | -1.44 |
| 340 | 340 | 262 | Q_smistamento | 56.07 | 30.68 | -1.86 |
| 340 | 340 | 261 | Q_neve | -1.004E-11 | 5.691E-12 | 7.662E-12 |
| 340 | 340 | 263 | Q_neve | -6.747E-12 | 8.535E-13 | 7.662E-12 |
| 340 | 340 | 264 | Q_neve | -1.241E-11 | 1.425E-12 | 7.662E-12 |
| 340 | 340 | 262 | Q_neve | -6.115E-12 | -1.674E-12 | 7.662E-12 |
| 341 | 341 | 263 | DEAD | -5.127E-11 | -1.379E-11 | 4.505E-11 |
| 341 | 341 | 265 | DEAD | -6.144E-11 | -2.174E-11 | 4.227E-11 |
| 341 | 341 | 266 | DEAD | -3.357E-11 | -1.632E-11 | 4.252E-11 |
| 341 | 341 | 264 | DEAD | -4.912E-11 | -5.625E-12 | 3.216E-11 |
| 341 | 341 | 263 | G1_smistamento | 119.86 | -3.423E-02 | -3.39 |
| 341 | 341 | 265 | G1_smistamento | 113. | -4.779E-02 | -2.15 |
| 341 | 341 | 266 | G1_smistamento | 132.57 | 81.83 | -1.64 |
| 341 | 341 | 264 | G1_smistamento | 139.29 | 82.18 | -2.88 |
| 341 | 341 | 263 | G2_smistamento | 44.43 | -1.269E-02 | -1.26 |
| 341 | 341 | 265 | G2_smistamento | 41.89 | -1.771E-02 | -0.8 |
| 341 | 341 | 266 | G2_smistamento | 49.14 | 30.34 | -0.61 |
| 341 | 341 | 264 | G2_smistamento | 51.64 | 30.47 | -1.07 |
| 341 | 341 | 263 | Q_smistamento | 44.43 | -1.269E-02 | -1.26 |
| 341 | 341 | 265 | Q_smistamento | 41.89 | -1.771E-02 | -0.8 |
| 341 | 341 | 266 | Q_smistamento | 49.14 | 30.34 | -0.61 |
| 341 | 341 | 264 | Q_smistamento | 51.64 | 30.47 | -1.07 |
| 341 | 341 | 263 | Q_neve | -1.408E-11 | 5.037E-13 | 9.754E-12 |
| 341 | 341 | 265 | Q_neve | -9.332E-12 | -4.448E-12 | 9.923E-12 |
| 341 | 341 | 266 | Q_neve | -9.732E-12 | -2.419E-12 | 8.490E-12 |
| 341 | 341 | 264 | Q_neve | -5.856E-12 | -3.406E-13 | 6.131E-12 |
| 342 | 342 | 265 | DEAD | -3.671E-11 | -2.219E-11 | 4.710E-11 |
| 342 | 342 | 267 | DEAD | 7.892E-12 | -4.872E-12 | 4.457E-11 |
| 342 | 342 | 268 | DEAD | -5.430E-12 | 1.289E-11 | 5.215E-11 |
| 342 | 342 | 266 | DEAD | -1.391E-11 | -7.716E-12 | 5.468E-11 |
| 342 | 342 | 265 | G1_smistamento | 113.01 | -4.546E-02 | -0.63 |
| 342 | 342 | 267 | G1_smistamento | 113.01 | -4.546E-02 | 0.63 |
| 342 | 342 | 268 | G1_smistamento | 132.56 | 81.83 | 0.63 |
| 342 | 342 | 266 | G1_smistamento | 132.56 | 81.83 | -0.63 |
| 342 | 342 | 265 | G2_smistamento | 41.9 | -1.685E-02 | -0.24 |
| 342 | 342 | 267 | G2_smistamento | 41.9 | -1.685E-02 | 0.24 |
| 342 | 342 | 268 | G2_smistamento | 49.14 | 30.34 | 0.24 |
| 342 | 342 | 266 | G2_smistamento | 49.14 | 30.34 | -0.24 |

Table 21: Element Stresses - Area Shells, Part 2 of 3

| Area | AreaElem | Joint | OutputCase | S11Bot KN/m2 | S22Bot KN/m2 | S12Bot KN/m2 |
|------|----------|-------|----------------|-----------------|-----------------|-----------------|
| 342 | 342 | 265 | Q_smistamento | 41.9 | -1.685E-02 | -0.24 |
| 342 | 342 | 267 | Q_smistamento | 41.9 | -1.685E-02 | 0.24 |
| 342 | 342 | 268 | Q_smistamento | 49.14 | 30.34 | 0.24 |
| 342 | 342 | 266 | Q_smistamento | 49.14 | 30.34 | -0.24 |
| 342 | 342 | 265 | Q_neve | -1.311E-11 | -4.515E-12 | 8.988E-12 |
| 342 | 342 | 267 | Q_neve | 7.914E-12 | -1.154E-12 | 8.356E-12 |
| 342 | 342 | 268 | Q_neve | 5.854E-12 | 8.757E-12 | 9.620E-12 |
| 342 | 342 | 266 | Q_neve | -1.065E-11 | -4.867E-12 | 1.025E-11 |
| 343 | 343 | 267 | DEAD | -5.157E-12 | -2.173E-12 | 5.633E-11 |
| 343 | 343 | 269 | DEAD | 1.798E-11 | 1.790E-12 | 4.850E-11 |
| 343 | 343 | 270 | DEAD | 1.191E-11 | -7.861E-12 | 4.875E-11 |
| 343 | 343 | 268 | DEAD | -1.926E-12 | 8.426E-12 | 4.345E-11 |
| 343 | 343 | 267 | G1_smistamento | 113. | -4.779E-02 | 2.15 |
| 343 | 343 | 269 | G1_smistamento | 119.86 | -3.423E-02 | 3.39 |
| 343 | 343 | 270 | G1_smistamento | 139.29 | 82.18 | 2.88 |
| 343 | 343 | 268 | G1_smistamento | 132.57 | 81.83 | 1.64 |
| 343 | 343 | 267 | G2_smistamento | 41.89 | -1.771E-02 | 0.8 |
| 343 | 343 | 269 | G2_smistamento | 44.43 | -1.269E-02 | 1.26 |
| 343 | 343 | 270 | G2_smistamento | 51.64 | 30.47 | 1.07 |
| 343 | 343 | 268 | G2_smistamento | 49.14 | 30.34 | 0.61 |
| 343 | 343 | 267 | Q_smistamento | 41.89 | -1.771E-02 | 0.8 |
| 343 | 343 | 269 | Q_smistamento | 44.43 | -1.269E-02 | 1.26 |
| 343 | 343 | 270 | Q_smistamento | 51.64 | 30.47 | 1.07 |
| 343 | 343 | 268 | Q_smistamento | 49.14 | 30.34 | 0.61 |
| 343 | 343 | 267 | Q_neve | 2.108E-12 | -1.236E-12 | 1.067E-11 |
| 343 | 343 | 269 | Q_neve | -1.868E-12 | 1.263E-12 | 1.153E-11 |
| 343 | 343 | 270 | Q_neve | -3.659E-12 | -5.423E-12 | 9.402E-12 |
| 343 | 343 | 268 | Q_neve | 7.296E-12 | 7.266E-12 | 9.634E-12 |
| 344 | 344 | 269 | DEAD | 1.749E-11 | 8.635E-12 | 4.777E-11 |
| 344 | 344 | 271 | DEAD | 4.970E-11 | 1.504E-11 | 4.019E-11 |
| 344 | 344 | 272 | DEAD | 1.717E-11 | 7.055E-12 | 4.272E-11 |
| 344 | 344 | 270 | DEAD | 1.178E-11 | -2.288E-11 | 5.030E-11 |
| 344 | 344 | 269 | G1_smistamento | 119.83 | -4.032E-02 | 4.79 |
| 344 | 344 | 271 | G1_smistamento | 131.96 | -1.474E-02 | 5.94 |
| 344 | 344 | 272 | G1_smistamento | 151.24 | 82.76 | 5.03 |
| 344 | 344 | 270 | G1_smistamento | 139.31 | 82.19 | 3.88 |
| 344 | 344 | 269 | G2_smistamento | 44.42 | -1.495E-02 | 1.78 |
| 344 | 344 | 271 | G2_smistamento | 48.92 | -5.463E-03 | 2.2 |

Table 21: Element Stresses - Area Shells, Part 2 of 3

| Area | AreaElem | Joint | OutputCase | S11Bot KN/m2 | S22Bot KN/m2 | S12Bot KN/m2 |
|------|----------|-------|----------------|-----------------|-----------------|-----------------|
| 344 | 344 | 272 | G2_smistamento | 56.07 | 30.68 | 1.86 |
| 344 | 344 | 270 | G2_smistamento | 51.64 | 30.47 | 1.44 |
| 344 | 344 | 269 | Q_smistamento | 44.42 | -1.495E-02 | 1.78 |
| 344 | 344 | 271 | Q_smistamento | 48.92 | -5.463E-03 | 2.2 |
| 344 | 344 | 272 | Q_smistamento | 56.07 | 30.68 | 1.86 |
| 344 | 344 | 270 | Q_smistamento | 51.64 | 30.47 | 1.44 |
| 344 | 344 | 269 | Q_neve | 3.957E-12 | 1.761E-12 | 8.940E-12 |
| 344 | 344 | 271 | Q_neve | 9.345E-12 | 2.801E-12 | 8.539E-12 |
| 344 | 344 | 272 | Q_neve | 1.745E-12 | -1.715E-12 | 8.940E-12 |
| 344 | 344 | 270 | Q_neve | 2.788E-12 | -3.440E-12 | 1.043E-11 |
| 345 | 345 | 271 | DEAD | 3.524E-12 | 3.856E-12 | 4.738E-11 |
| 345 | 345 | 273 | DEAD | 4.950E-11 | -2.450E-11 | 4.300E-11 |
| 345 | 345 | 274 | DEAD | 2.786E-11 | 4.172E-12 | 3.727E-11 |
| 345 | 345 | 272 | DEAD | 3.497E-11 | 8.994E-12 | 3.289E-11 |
| 345 | 345 | 271 | G1_smistamento | 131.92 | -2.184E-02 | 7.15 |
| 345 | 345 | 273 | G1_smistamento | 146.08 | 1.279E-02 | 8.22 |
| 345 | 345 | 274 | G1_smistamento | 165.29 | 83.26 | 7.11 |
| 345 | 345 | 272 | G1_smistamento | 151.27 | 82.76 | 6.04 |
| 345 | 345 | 271 | G2_smistamento | 48.9 | -8.095E-03 | 2.65 |
| 345 | 345 | 273 | G2_smistamento | 54.15 | 4.741E-03 | 3.05 |
| 345 | 345 | 274 | G2_smistamento | 61.28 | 30.87 | 2.63 |
| 345 | 345 | 272 | G2_smistamento | 56.08 | 30.68 | 2.24 |
| 345 | 345 | 271 | Q_smistamento | 48.9 | -8.095E-03 | 2.65 |
| 345 | 345 | 273 | Q_smistamento | 54.15 | 4.741E-03 | 3.05 |
| 345 | 345 | 274 | Q_smistamento | 61.28 | 30.87 | 2.63 |
| 345 | 345 | 272 | Q_smistamento | 56.08 | 30.68 | 2.24 |
| 345 | 345 | 271 | Q_neve | 3.990E-12 | 2.248E-12 | 9.572E-12 |
| 345 | 345 | 273 | Q_neve | 8.272E-12 | -2.241E-12 | 7.614E-12 |
| 345 | 345 | 274 | Q_neve | 4.859E-12 | -2.887E-12 | 8.308E-12 |
| 345 | 345 | 272 | Q_neve | 7.008E-12 | 9.186E-13 | 6.982E-12 |
| 346 | 346 | 273 | DEAD | 3.455E-11 | -2.857E-11 | 2.209E-11 |
| 346 | 346 | 275 | DEAD | 4.102E-11 | -1.181E-11 | 4.053E-11 |
| 346 | 346 | 276 | DEAD | -4.632E-12 | 3.029E-12 | 2.462E-11 |
| 346 | 346 | 274 | DEAD | 5.239E-11 | 1.473E-11 | 4.558E-11 |
| 346 | 346 | 273 | G1_smistamento | 146.06 | 9.144E-03 | 9.19 |
| 346 | 346 | 275 | G1_smistamento | 157.24 | 4.763E-02 | 10.26 |
| 346 | 346 | 276 | G1_smistamento | 176.61 | 83.23 | 9.29 |
| 346 | 346 | 274 | G1_smistamento | 165.33 | 83.27 | 8.22 |

Table 21: Element Stresses - Area Shells, Part 2 of 3

| Area | AreaElem | Joint | OutputCase | S11Bot KN/m2 | S22Bot KN/m2 | S12Bot KN/m2 |
|------|----------|-------|----------------|-----------------|-----------------|-----------------|
| 346 | 346 | 273 | G2_smistamento | 54.15 | 3.390E-03 | 3.41 |
| 346 | 346 | 275 | G2_smistamento | 58.29 | 1.766E-02 | 3.8 |
| 346 | 346 | 276 | G2_smistamento | 65.47 | 30.85 | 3.44 |
| 346 | 346 | 274 | G2_smistamento | 61.29 | 30.87 | 3.05 |
| 346 | 346 | 273 | Q_smistamento | 54.15 | 3.390E-03 | 3.41 |
| 346 | 346 | 275 | Q_smistamento | 58.29 | 1.766E-02 | 3.8 |
| 346 | 346 | 276 | Q_smistamento | 65.47 | 30.85 | 3.44 |
| 346 | 346 | 274 | Q_smistamento | 61.29 | 30.87 | 3.05 |
| 346 | 346 | 273 | Q_neve | 9.215E-12 | -5.415E-13 | 3.564E-12 |
| 346 | 346 | 275 | Q_neve | 7.975E-12 | -1.937E-12 | 7.079E-12 |
| 346 | 346 | 276 | Q_neve | 3.054E-12 | 2.776E-12 | 4.828E-12 |
| 346 | 346 | 274 | Q_neve | 5.526E-12 | -2.806E-12 | 8.975E-12 |
| 347 | 347 | 275 | DEAD | 1.166E-11 | -1.824E-11 | 2.559E-11 |
| 347 | 347 | 277 | DEAD | 2.022E-11 | 6.821E-12 | 3.503E-11 |
| 347 | 347 | 278 | DEAD | 5.748E-11 | 1.368E-11 | 3.571E-11 |
| 347 | 347 | 276 | DEAD | 2.812E-11 | 1.598E-11 | 3.503E-11 |
| 347 | 347 | 275 | G1_smistamento | 157.26 | 5.285E-02 | 11.09 |
| 347 | 347 | 277 | G1_smistamento | 158.68 | 8.862E-02 | 12.34 |
| 347 | 347 | 278 | G1_smistamento | 178.56 | 82.01 | 11.94 |
| 347 | 347 | 276 | G1_smistamento | 176.64 | 83.24 | 10.69 |
| 347 | 347 | 275 | G2_smistamento | 58.3 | 1.959E-02 | 4.11 |
| 347 | 347 | 277 | G2_smistamento | 58.82 | 3.285E-02 | 4.57 |
| 347 | 347 | 278 | G2_smistamento | 66.2 | 30.4 | 4.43 |
| 347 | 347 | 276 | G2_smistamento | 65.48 | 30.86 | 3.96 |
| 347 | 347 | 275 | Q_smistamento | 58.3 | 1.959E-02 | 4.11 |
| 347 | 347 | 277 | Q_smistamento | 58.82 | 3.285E-02 | 4.57 |
| 347 | 347 | 278 | Q_smistamento | 66.2 | 30.4 | 4.43 |
| 347 | 347 | 276 | Q_smistamento | 65.48 | 30.86 | 3.96 |
| 347 | 347 | 275 | Q_neve | -1.690E-12 | -4.015E-12 | 6.069E-12 |
| 347 | 347 | 277 | Q_neve | 5.735E-12 | 2.031E-12 | 7.796E-12 |
| 347 | 347 | 278 | Q_neve | 7.711E-12 | 1.278E-12 | 6.701E-12 |
| 347 | 347 | 276 | Q_neve | 1.000E-11 | 4.400E-12 | 7.164E-12 |
| 348 | 348 | 277 | DEAD | 3.952E-11 | 6.686E-12 | 4.135E-11 |
| 348 | 348 | 279 | DEAD | 5.827E-11 | -2.908E-11 | 3.284E-11 |
| 348 | 348 | 280 | DEAD | 6.228E-11 | 2.944E-11 | 2.871E-11 |
| 348 | 348 | 278 | DEAD | 9.602E-12 | 6.215E-13 | 3.284E-11 |
| 348 | 348 | 277 | G1_smistamento | 158.77 | 0.11 | 13.2 |
| 348 | 348 | 279 | G1_smistamento | 142.44 | 0.13 | 14.85 |

Table 21: Element Stresses - Area Shells, Part 2 of 3

| Area | AreaElem | Joint | OutputCase | S11Bot KN/m2 | S22Bot KN/m2 | S12Bot KN/m2 |
|------|----------|-------|----------------|-----------------|-----------------|-----------------|
| 348 | 348 | 280 | G1_smistamento | 162.98 | 78.8 | 15.54 |
| 348 | 348 | 278 | G1_smistamento | 178.58 | 82.02 | 13.89 |
| 348 | 348 | 277 | G2_smistamento | 58.86 | 3.918E-02 | 4.89 |
| 348 | 348 | 279 | G2_smistamento | 52.81 | 4.813E-02 | 5.5 |
| 348 | 348 | 280 | G2_smistamento | 60.42 | 29.21 | 5.76 |
| 348 | 348 | 278 | G2_smistamento | 66.2 | 30.4 | 5.15 |
| 348 | 348 | 277 | Q_smistamento | 58.86 | 3.918E-02 | 4.89 |
| 348 | 348 | 279 | Q_smistamento | 52.81 | 4.813E-02 | 5.5 |
| 348 | 348 | 280 | Q_smistamento | 60.42 | 29.21 | 5.76 |
| 348 | 348 | 278 | Q_smistamento | 66.2 | 30.4 | 5.15 |
| 348 | 348 | 277 | Q_neve | 1.328E-11 | 5.094E-12 | 7.832E-12 |
| 348 | 348 | 279 | Q_neve | 7.382E-12 | -6.104E-12 | 6.568E-12 |
| 348 | 348 | 280 | Q_neve | 9.019E-12 | 4.620E-12 | 5.304E-12 |
| 348 | 348 | 278 | Q_neve | 4.933E-12 | -1.285E-12 | 6.568E-12 |
| 349 | 349 | 279 | DEAD | 5.104E-11 | -3.110E-11 | 2.899E-11 |
| 349 | 349 | 281 | DEAD | 4.516E-11 | -1.351E-12 | 1.864E-11 |
| 349 | 349 | 282 | DEAD | 4.346E-11 | 2.198E-11 | 2.647E-11 |
| 349 | 349 | 280 | DEAD | 7.233E-11 | 2.835E-11 | 2.369E-11 |
| 349 | 349 | 279 | G1_smistamento | 142.53 | 0.15 | 15.97 |
| 349 | 349 | 281 | G1_smistamento | 101.62 | 0.13 | 17.99 |
| 349 | 349 | 282 | G1_smistamento | 121.51 | 72.53 | 20.2 |
| 349 | 349 | 280 | G1_smistamento | 162.98 | 78.8 | 18.18 |
| 349 | 349 | 279 | G2_smistamento | 52.84 | 5.490E-02 | 5.92 |
| 349 | 349 | 281 | G2_smistamento | 37.67 | 4.903E-02 | 6.67 |
| 349 | 349 | 282 | G2_smistamento | 45.05 | 26.89 | 7.49 |
| 349 | 349 | 280 | G2_smistamento | 60.42 | 29.21 | 6.74 |
| 349 | 349 | 279 | Q_smistamento | 52.84 | 5.490E-02 | 5.92 |
| 349 | 349 | 281 | Q_smistamento | 37.67 | 4.903E-02 | 6.67 |
| 349 | 349 | 282 | Q_smistamento | 45.05 | 26.89 | 7.49 |
| 349 | 349 | 280 | Q_smistamento | 60.42 | 29.21 | 6.74 |
| 349 | 349 | 279 | Q_neve | 8.526E-12 | -3.961E-12 | 5.607E-12 |
| 349 | 349 | 281 | Q_neve | 1.347E-11 | -3.175E-13 | 3.880E-12 |
| 349 | 349 | 282 | Q_neve | 7.894E-12 | 6.151E-12 | 4.975E-12 |
| 349 | 349 | 280 | Q_neve | 1.252E-11 | 4.422E-12 | 4.512E-12 |
| 350 | 350 | 281 | DEAD | 4.127E-11 | 8.494E-13 | 1.460E-11 |
| 350 | 350 | 19 | DEAD | 4.468E-11 | -4.277E-12 | 2.082E-11 |
| 350 | 350 | 22 | DEAD | 3.463E-11 | 2.834E-11 | 1.460E-11 |
| 350 | 350 | 282 | DEAD | 5.037E-11 | 2.416E-11 | 2.588E-11 |

Table 21: Element Stresses - Area Shells, Part 2 of 3

| Area | AreaElem | Joint | OutputCase | S11Bot KN/m2 | S22Bot KN/m2 | S12Bot KN/m2 |
|------|----------|-------|----------------|-----------------|-----------------|-----------------|
| 350 | 350 | 281 | G1_smistamento | 100.83 | -2.603E-02 | 19.17 |
| 350 | 350 | 19 | G1_smistamento | 46.41 | 0.22 | 18.24 |
| 350 | 350 | 22 | G1_smistamento | 47.75 | 62. | 21.57 |
| 350 | 350 | 282 | G1_smistamento | 121.68 | 72.56 | 22.51 |
| 350 | 350 | 281 | G2_smistamento | 37.38 | -9.649E-03 | 7.11 |
| 350 | 350 | 19 | G2_smistamento | 17.2 | 8.327E-02 | 6.76 |
| 350 | 350 | 22 | G2_smistamento | 17.7 | 22.98 | 8. |
| 350 | 350 | 282 | G2_smistamento | 45.11 | 26.9 | 8.35 |
| 350 | 350 | 281 | Q_smistamento | 37.38 | -9.649E-03 | 7.11 |
| 350 | 350 | 19 | Q_smistamento | 17.2 | 8.327E-02 | 6.76 |
| 350 | 350 | 22 | Q_smistamento | 17.7 | 22.98 | 8. |
| 350 | 350 | 282 | Q_smistamento | 45.11 | 26.9 | 8.35 |
| 350 | 350 | 281 | Q_neve | 1.077E-11 | -1.128E-12 | 2.554E-12 |
| 350 | 350 | 19 | Q_neve | 3.584E-12 | 1.237E-12 | 4.743E-12 |
| 350 | 350 | 22 | Q_neve | 5.240E-12 | 3.454E-12 | 2.554E-12 |
| 350 | 350 | 282 | Q_neve | 9.825E-12 | 7.794E-12 | 4.743E-12 |
| 351 | 351 | 21 | DEAD | -2.606E-11 | 3.164E-11 | 1.460E-11 |
| 351 | 351 | 283 | DEAD | 3.312E-12 | -1.354E-11 | 1.965E-11 |
| 351 | 351 | 284 | DEAD | 1.091E-11 | -1.102E-11 | 1.460E-11 |
| 351 | 351 | 22 | DEAD | 3.080E-11 | 1.774E-11 | 9.539E-12 |
| 351 | 351 | 21 | G1_smistamento | 0.32 | 58.77 | 14.91 |
| 351 | 351 | 283 | G1_smistamento | -5.894E-03 | 130.61 | 13.69 |
| 351 | 351 | 284 | G1_smistamento | 57.73 | 154.35 | 18.53 |
| 351 | 351 | 22 | G1_smistamento | 47.76 | 61.92 | 19.74 |
| 351 | 351 | 21 | G2_smistamento | 0.12 | 21.79 | 5.53 |
| 351 | 351 | 283 | G2_smistamento | -2.185E-03 | 48.42 | 5.07 |
| 351 | 351 | 284 | G2_smistamento | 21.4 | 57.22 | 6.87 |
| 351 | 351 | 22 | G2_smistamento | 17.71 | 22.96 | 7.32 |
| 351 | 351 | 21 | Q_smistamento | 0.12 | 21.79 | 5.53 |
| 351 | 351 | 283 | Q_smistamento | -2.185E-03 | 48.42 | 5.07 |
| 351 | 351 | 284 | Q_smistamento | 21.4 | 57.22 | 6.87 |
| 351 | 351 | 22 | Q_smistamento | 17.71 | 22.96 | 7.32 |
| 351 | 351 | 21 | Q_neve | -1.119E-12 | 4.283E-12 | 2.287E-12 |
| 351 | 351 | 283 | Q_neve | 5.127E-13 | 1.576E-12 | 4.183E-12 |
| 351 | 351 | 284 | Q_neve | 1.804E-12 | -1.957E-12 | 3.551E-12 |
| 351 | 351 | 22 | Q_neve | 1.540E-12 | 1.023E-12 | 1.655E-12 |
| 352 | 352 | 283 | DEAD | -3.068E-12 | 7.525E-12 | 2.335E-11 |
| 352 | 352 | 285 | DEAD | 4.956E-12 | -2.210E-11 | 2.588E-11 |

Table 21: Element Stresses - Area Shells, Part 2 of 3

| Area | AreaElem | Joint | OutputCase | S11Bot KN/m2 | S22Bot KN/m2 | S12Bot KN/m2 |
|------|----------|-------|----------------|-----------------|-----------------|-----------------|
| 352 | 352 | 286 | DEAD | 2.095E-11 | -1.322E-12 | 2.335E-11 |
| 352 | 352 | 284 | DEAD | 1.949E-11 | -1.767E-11 | 2.082E-11 |
| 352 | 352 | 283 | G1_smistamento | 0.18 | 131.55 | 10.39 |
| 352 | 352 | 285 | G1_smistamento | 0.26 | 178.57 | 5.68 |
| 352 | 352 | 286 | G1_smistamento | 62.43 | 202.47 | 8.65 |
| 352 | 352 | 284 | G1_smistamento | 57.7 | 154.22 | 13.36 |
| 352 | 352 | 283 | G2_smistamento | 6.736E-02 | 48.77 | 3.85 |
| 352 | 352 | 285 | G2_smistamento | 9.645E-02 | 66.2 | 2.1 |
| 352 | 352 | 286 | G2_smistamento | 23.14 | 75.06 | 3.21 |
| 352 | 352 | 284 | G2_smistamento | 21.39 | 57.17 | 4.95 |
| 352 | 352 | 283 | Q_smistamento | 6.736E-02 | 48.77 | 3.85 |
| 352 | 352 | 285 | Q_smistamento | 9.645E-02 | 66.2 | 2.1 |
| 352 | 352 | 286 | Q_smistamento | 23.14 | 75.06 | 3.21 |
| 352 | 352 | 284 | Q_smistamento | 21.39 | 57.17 | 4.95 |
| 352 | 352 | 283 | Q_neve | -1.155E-12 | -1.662E-12 | 4.743E-12 |
| 352 | 352 | 285 | Q_neve | -5.754E-13 | -3.063E-12 | 4.743E-12 |
| 352 | 352 | 286 | Q_neve | 3.664E-12 | -2.215E-12 | 4.743E-12 |
| 352 | 352 | 284 | Q_neve | 1.716E-12 | -1.088E-12 | 4.743E-12 |
| 353 | 353 | 285 | DEAD | -4.984E-13 | -3.111E-11 | 2.228E-11 |
| 353 | 353 | 287 | DEAD | -6.232E-12 | -2.944E-11 | 2.481E-11 |
| 353 | 353 | 288 | DEAD | 1.336E-13 | -5.829E-11 | 2.734E-11 |
| 353 | 353 | 286 | DEAD | 1.462E-11 | -1.617E-11 | 2.481E-11 |
| 353 | 353 | 285 | G1_smistamento | 0.26 | 178.58 | 2.39 |
| 353 | 353 | 287 | G1_smistamento | 0.26 | 178.58 | -2.39 |
| 353 | 353 | 288 | G1_smistamento | 62.43 | 202.5 | -2.39 |
| 353 | 353 | 286 | G1_smistamento | 62.43 | 202.5 | 2.39 |
| 353 | 353 | 285 | G2_smistamento | 9.670E-02 | 66.2 | 0.89 |
| 353 | 353 | 287 | G2_smistamento | 9.670E-02 | 66.2 | -0.89 |
| 353 | 353 | 288 | G2_smistamento | 23.15 | 75.07 | -0.89 |
| 353 | 353 | 286 | G2_smistamento | 23.15 | 75.07 | 0.89 |
| 353 | 353 | 285 | Q_smistamento | 9.670E-02 | 66.2 | 0.89 |
| 353 | 353 | 287 | Q_smistamento | 9.670E-02 | 66.2 | -0.89 |
| 353 | 353 | 288 | Q_smistamento | 23.15 | 75.07 | -0.89 |
| 353 | 353 | 286 | Q_smistamento | 23.15 | 75.07 | 0.89 |
| 353 | 353 | 285 | Q_neve | -7.533E-13 | -7.236E-12 | 4.476E-12 |
| 353 | 353 | 287 | Q_neve | 1.715E-12 | -4.745E-12 | 5.740E-12 |
| 353 | 353 | 288 | Q_neve | 1.301E-12 | -6.446E-12 | 5.740E-12 |
| 353 | 353 | 286 | Q_neve | 2.663E-12 | -9.485E-12 | 4.476E-12 |

Table 21: Element Stresses - Area Shells, Part 2 of 3

| Area | AreaElem | Joint | OutputCase | S11Bot KN/m2 | S22Bot KN/m2 | S12Bot KN/m2 |
|------|----------|-------|----------------|-----------------|-----------------|-----------------|
| 354 | 354 | 287 | DEAD | -6.878E-12 | -4.166E-11 | 2.812E-11 |
| 354 | 354 | 289 | DEAD | -8.955E-12 | -3.985E-11 | 2.812E-11 |
| 354 | 354 | 290 | DEAD | -2.268E-11 | -4.482E-11 | 3.318E-11 |
| 354 | 354 | 288 | DEAD | 1.443E-11 | -2.911E-11 | 3.318E-11 |
| 354 | 354 | 287 | G1_smistamento | 0.26 | 178.57 | -5.68 |
| 354 | 354 | 289 | G1_smistamento | 0.18 | 131.55 | -10.39 |
| 354 | 354 | 290 | G1_smistamento | 57.7 | 154.22 | -13.36 |
| 354 | 354 | 288 | G1_smistamento | 62.43 | 202.47 | -8.65 |
| 354 | 354 | 287 | G2_smistamento | 9.645E-02 | 66.2 | -2.1 |
| 354 | 354 | 289 | G2_smistamento | 6.736E-02 | 48.77 | -3.85 |
| 354 | 354 | 290 | G2_smistamento | 21.39 | 57.17 | -4.95 |
| 354 | 354 | 288 | G2_smistamento | 23.14 | 75.06 | -3.21 |
| 354 | 354 | 287 | Q_smistamento | 9.645E-02 | 66.2 | -2.1 |
| 354 | 354 | 289 | Q_smistamento | 6.736E-02 | 48.77 | -3.85 |
| 354 | 354 | 290 | Q_smistamento | 21.39 | 57.17 | -4.95 |
| 354 | 354 | 288 | Q_smistamento | 23.14 | 75.06 | -3.21 |
| 354 | 354 | 287 | Q_neve | 2.370E-12 | -3.103E-12 | 5.571E-12 |
| 354 | 354 | 289 | Q_neve | -5.665E-12 | -1.396E-11 | 4.939E-12 |
| 354 | 354 | 290 | Q_neve | -2.370E-12 | -7.843E-12 | 6.835E-12 |
| 354 | 354 | 288 | Q_neve | 1.287E-12 | -5.744E-12 | 7.467E-12 |
| 355 | 355 | 289 | DEAD | -1.129E-11 | -2.697E-11 | 3.026E-11 |
| 355 | 355 | 10 | DEAD | 7.799E-13 | -2.323E-11 | 2.773E-11 |
| 355 | 355 | 9 | DEAD | -2.758E-12 | 5.189E-13 | 2.520E-11 |
| 355 | 355 | 290 | DEAD | -1.154E-11 | -3.935E-11 | 2.773E-11 |
| 355 | 355 | 289 | G1_smistamento | -5.894E-03 | 130.61 | -13.69 |
| 355 | 355 | 10 | G1_smistamento | 0.32 | 58.77 | -14.91 |
| 355 | 355 | 9 | G1_smistamento | 47.76 | 61.92 | -19.74 |
| 355 | 355 | 290 | G1_smistamento | 57.73 | 154.35 | -18.53 |
| 355 | 355 | 289 | G2_smistamento | -2.185E-03 | 48.42 | -5.07 |
| 355 | 355 | 10 | G2_smistamento | 0.12 | 21.79 | -5.53 |
| 355 | 355 | 9 | G2_smistamento | 17.71 | 22.96 | -7.32 |
| 355 | 355 | 290 | G2_smistamento | 21.4 | 57.22 | -6.87 |
| 355 | 355 | 289 | Q_smistamento | -2.185E-03 | 48.42 | -5.07 |
| 355 | 355 | 10 | Q_smistamento | 0.12 | 21.79 | -5.53 |
| 355 | 355 | 9 | Q_smistamento | 17.71 | 22.96 | -7.32 |
| 355 | 355 | 290 | Q_smistamento | 21.4 | 57.22 | -6.87 |
| 355 | 355 | 289 | Q_neve | -5.037E-12 | -6.070E-12 | 5.740E-12 |
| 355 | 355 | 10 | Q_neve | 2.416E-12 | -2.656E-12 | 5.108E-12 |

Table 21: Element Stresses - Area Shells, Part 2 of 3

| Area | AreaElem | Joint | OutputCase | S11Bot KN/m2 | S22Bot KN/m2 | S12Bot KN/m2 |
|------|----------|-------|----------------|-----------------|-----------------|-----------------|
| 355 | 355 | 9 | Q_neve | -2.351E-12 | -2.241E-13 | 4.476E-12 |
| 355 | 355 | 290 | Q_neve | 4.649E-14 | -6.922E-12 | 5.108E-12 |
| 356 | 356 | 18 | DEAD | 2.415E-11 | -2.063E-11 | 2.242E-12 |
| 356 | 356 | 252 | DEAD | 2.559E-11 | 6.774E-13 | 1.235E-11 |
| 356 | 356 | 291 | DEAD | 7.218E-11 | -2.316E-11 | 1.235E-11 |
| 356 | 356 | 250 | DEAD | 3.571E-11 | -9.434E-12 | 2.242E-12 |
| 356 | 356 | 18 | G1_smistamento | 47.73 | 61.92 | -23.32 |
| 356 | 356 | 252 | G1_smistamento | 121.65 | 72.43 | -23.69 |
| 356 | 356 | 291 | G1_smistamento | 151.26 | 186.34 | -21.73 |
| 356 | 356 | 250 | G1_smistamento | 57.54 | 154.31 | -21.36 |
| 356 | 356 | 18 | G2_smistamento | 17.69 | 22.95 | -8.64 |
| 356 | 356 | 252 | G2_smistamento | 45.1 | 26.85 | -8.78 |
| 356 | 356 | 291 | G2_smistamento | 56.07 | 69.08 | -8.05 |
| 356 | 356 | 250 | G2_smistamento | 21.33 | 57.2 | -7.92 |
| 356 | 356 | 18 | Q_smistamento | 17.69 | 22.95 | -8.64 |
| 356 | 356 | 252 | Q_smistamento | 45.1 | 26.85 | -8.78 |
| 356 | 356 | 291 | Q_smistamento | 56.07 | 69.08 | -8.05 |
| 356 | 356 | 250 | Q_smistamento | 21.33 | 57.2 | -7.92 |
| 356 | 356 | 18 | Q_neve | -1.666E-12 | -6.025E-12 | 1.955E-13 |
| 356 | 356 | 252 | Q_neve | 1.222E-11 | -6.678E-14 | 2.723E-12 |
| 356 | 356 | 291 | Q_neve | 1.571E-11 | -2.549E-12 | 2.723E-12 |
| 356 | 356 | 250 | Q_neve | 6.211E-12 | 2.492E-13 | 1.955E-13 |
| 357 | 357 | 250 | DEAD | 4.381E-11 | 1.573E-11 | 1.460E-12 |
| 357 | 357 | 291 | DEAD | 7.430E-11 | -7.886E-12 | 3.987E-12 |
| 357 | 357 | 292 | DEAD | 1.136E-10 | 8.751E-13 | 1.460E-12 |
| 357 | 357 | 248 | DEAD | 7.620E-12 | -3.791E-11 | -1.068E-12 |
| 357 | 357 | 250 | G1_smistamento | 57.52 | 154.18 | -16.06 |
| 357 | 357 | 291 | G1_smistamento | 151.25 | 186.32 | -16.55 |
| 357 | 357 | 292 | G1_smistamento | 164.12 | 238.28 | -10.28 |
| 357 | 357 | 248 | G1_smistamento | 62.22 | 202.42 | -9.79 |
| 357 | 357 | 250 | G2_smistamento | 21.32 | 57.16 | -5.95 |
| 357 | 357 | 291 | G2_smistamento | 56.07 | 69.07 | -6.14 |
| 357 | 357 | 292 | G2_smistamento | 60.84 | 88.33 | -3.81 |
| 357 | 357 | 248 | G2_smistamento | 23.06 | 75.04 | -3.63 |
| 357 | 357 | 250 | Q_smistamento | 21.32 | 57.16 | -5.95 |
| 357 | 357 | 291 | Q_smistamento | 56.07 | 69.07 | -6.14 |
| 357 | 357 | 292 | Q_smistamento | 60.84 | 88.33 | -3.81 |
| 357 | 357 | 248 | Q_smistamento | 23.06 | 75.04 | -3.63 |

Table 21: Element Stresses - Area Shells, Part 2 of 3

| Area | AreaElem | Joint | OutputCase | S11Bot KN/m2 | S22Bot KN/m2 | S12Bot KN/m2 |
|------|----------|-------|----------------|-----------------|-----------------|-----------------|
| 357 | 357 | 250 | Q_neve | 5.533E-12 | 3.083E-12 | 7.298E-13 |
| 357 | 357 | 291 | Q_neve | 1.713E-11 | -2.026E-12 | 7.298E-13 |
| 357 | 357 | 292 | Q_neve | 1.928E-11 | 1.661E-12 | 7.298E-13 |
| 357 | 357 | 248 | Q_neve | 3.854E-12 | -5.818E-12 | 7.298E-13 |
| 358 | 358 | 248 | DEAD | 1.502E-11 | -2.720E-11 | 8.757E-12 |
| 358 | 358 | 292 | DEAD | 1.063E-10 | 1.369E-12 | 3.701E-12 |
| 358 | 358 | 293 | DEAD | 8.295E-11 | 9.139E-12 | 8.757E-12 |
| 358 | 358 | 246 | DEAD | 2.126E-11 | -2.928E-11 | 1.381E-11 |
| 358 | 358 | 248 | G1_smistamento | 62.22 | 202.45 | -3.37 |
| 358 | 358 | 292 | G1_smistamento | 164.14 | 238.37 | -3.37 |
| 358 | 358 | 293 | G1_smistamento | 164.14 | 238.37 | 3.37 |
| 358 | 358 | 246 | G1_smistamento | 62.22 | 202.45 | 3.37 |
| 358 | 358 | 248 | G2_smistamento | 23.07 | 75.05 | -1.25 |
| 358 | 358 | 292 | G2_smistamento | 60.85 | 88.37 | -1.25 |
| 358 | 358 | 293 | G2_smistamento | 60.85 | 88.37 | 1.25 |
| 358 | 358 | 246 | G2_smistamento | 23.07 | 75.05 | 1.25 |
| 358 | 358 | 248 | Q_smistamento | 23.07 | 75.05 | -1.25 |
| 358 | 358 | 292 | Q_smistamento | 60.85 | 88.37 | -1.25 |
| 358 | 358 | 293 | Q_smistamento | 60.85 | 88.37 | 1.25 |
| 358 | 358 | 246 | Q_smistamento | 23.07 | 75.05 | 1.25 |
| 358 | 358 | 248 | Q_neve | 3.072E-12 | -5.857E-12 | 1.557E-12 |
| 358 | 358 | 292 | Q_neve | 1.829E-11 | -1.197E-12 | 1.557E-12 |
| 358 | 358 | 293 | Q_neve | 1.508E-11 | -8.016E-13 | 2.821E-12 |
| 358 | 358 | 246 | Q_neve | 6.435E-12 | -5.462E-12 | 2.821E-12 |
| 359 | 359 | 246 | DEAD | 4.160E-11 | 3.276E-11 | 1.109E-11 |
| 359 | 359 | 293 | DEAD | 6.442E-11 | 7.802E-12 | 9.487E-12 |
| 359 | 359 | 294 | DEAD | 7.699E-11 | -1.780E-11 | 3.506E-12 |
| 359 | 359 | 244 | DEAD | 2.461E-11 | -9.262E-12 | 9.487E-12 |
| 359 | 359 | 246 | G1_smistamento | 62.22 | 202.42 | 9.79 |
| 359 | 359 | 293 | G1_smistamento | 164.12 | 238.28 | 10.28 |
| 359 | 359 | 294 | G1_smistamento | 151.25 | 186.32 | 16.55 |
| 359 | 359 | 244 | G1_smistamento | 57.52 | 154.18 | 16.06 |
| 359 | 359 | 246 | G2_smistamento | 23.06 | 75.04 | 3.63 |
| 359 | 359 | 293 | G2_smistamento | 60.84 | 88.33 | 3.81 |
| 359 | 359 | 294 | G2_smistamento | 56.07 | 69.07 | 6.14 |
| 359 | 359 | 244 | G2_smistamento | 21.32 | 57.16 | 5.95 |
| 359 | 359 | 246 | Q_smistamento | 23.06 | 75.04 | 3.63 |
| 359 | 359 | 293 | Q_smistamento | 60.84 | 88.33 | 3.81 |

Table 21: Element Stresses - Area Shells, Part 2 of 3

| Area | AreaElem | Joint | OutputCase | S11Bot KN/m2 | S22Bot KN/m2 | S12Bot KN/m2 |
|------|----------|-------|----------------|-----------------|-----------------|-----------------|
| 359 | 359 | 294 | Q_smistamento | 56.07 | 69.07 | 6.14 |
| 359 | 359 | 244 | Q_smistamento | 21.32 | 57.16 | 5.95 |
| 359 | 359 | 246 | Q_neve | 9.807E-12 | 7.016E-12 | 1.179E-12 |
| 359 | 359 | 293 | Q_neve | 1.449E-11 | -1.206E-12 | 1.411E-12 |
| 359 | 359 | 294 | Q_neve | 1.984E-11 | 2.197E-12 | -8.467E-14 |
| 359 | 359 | 244 | Q_neve | -1.944E-12 | -9.421E-12 | 7.786E-13 |
| 360 | 360 | 244 | DEAD | 9.923E-12 | -2.084E-11 | 8.953E-12 |
| 360 | 360 | 294 | DEAD | 8.896E-11 | 1.847E-11 | 3.649E-12 |
| 360 | 360 | 242 | DEAD | 7.217E-11 | 2.229E-12 | 1.148E-11 |
| 360 | 360 | 14 | DEAD | 2.324E-11 | 8.353E-12 | 3.649E-12 |
| 360 | 360 | 244 | G1_smistamento | 57.54 | 154.31 | 21.36 |
| 360 | 360 | 294 | G1_smistamento | 151.26 | 186.34 | 21.73 |
| 360 | 360 | 242 | G1_smistamento | 121.65 | 72.43 | 23.69 |
| 360 | 360 | 14 | G1_smistamento | 47.73 | 61.92 | 23.32 |
| 360 | 360 | 244 | G2_smistamento | 21.33 | 57.2 | 7.92 |
| 360 | 360 | 294 | G2_smistamento | 56.07 | 69.08 | 8.05 |
| 360 | 360 | 242 | G2_smistamento | 45.1 | 26.85 | 8.78 |
| 360 | 360 | 14 | G2_smistamento | 17.69 | 22.95 | 8.64 |
| 360 | 360 | 244 | Q_smistamento | 21.33 | 57.2 | 7.92 |
| 360 | 360 | 294 | Q_smistamento | 56.07 | 69.08 | 8.05 |
| 360 | 360 | 242 | Q_smistamento | 45.1 | 26.85 | 8.78 |
| 360 | 360 | 14 | Q_smistamento | 17.69 | 22.95 | 8.64 |
| 360 | 360 | 244 | Q_neve | -3.037E-13 | -3.300E-12 | 1.241E-12 |
| 360 | 360 | 294 | Q_neve | 2.015E-11 | 4.795E-12 | 1.642E-12 |
| 360 | 360 | 242 | Q_neve | 1.700E-11 | 3.573E-12 | 3.137E-12 |
| 360 | 360 | 14 | Q_neve | 4.346E-12 | 1.636E-12 | 1.642E-12 |
| 361 | 361 | 252 | DEAD | 6.451E-11 | 1.188E-12 | 2.520E-11 |
| 361 | 361 | 254 | DEAD | -1.249E-11 | -2.346E-11 | 2.841E-11 |
| 361 | 361 | 295 | DEAD | 4.112E-11 | -2.472E-11 | 3.026E-11 |
| 361 | 361 | 291 | DEAD | 4.533E-11 | -2.251E-11 | 1.830E-11 |
| 361 | 361 | 252 | G1_smistamento | 121.48 | 72.4 | -21.27 |
| 361 | 361 | 254 | G1_smistamento | 162.95 | 78.63 | -18.51 |
| 361 | 361 | 295 | G1_smistamento | 194.95 | 204.39 | -16.94 |
| 361 | 361 | 291 | G1_smistamento | 151.2 | 186.33 | -19.69 |
| 361 | 361 | 252 | G2_smistamento | 45.04 | 26.84 | -7.88 |
| 361 | 361 | 254 | G2_smistamento | 60.41 | 29.15 | -6.86 |
| 361 | 361 | 295 | G2_smistamento | 72.27 | 75.77 | -6.28 |
| 361 | 361 | 291 | G2_smistamento | 56.05 | 69.07 | -7.3 |

Table 21: Element Stresses - Area Shells, Part 2 of 3

| Area | AreaElem | Joint | OutputCase | S11Bot KN/m2 | S22Bot KN/m2 | S12Bot KN/m2 |
|------|----------|-------|----------------|-----------------|-----------------|-----------------|
| 361 | 361 | 252 | Q_smistamento | 45.04 | 26.84 | -7.88 |
| 361 | 361 | 254 | Q_smistamento | 60.41 | 29.15 | -6.86 |
| 361 | 361 | 295 | Q_smistamento | 72.27 | 75.77 | -6.28 |
| 361 | 361 | 291 | Q_smistamento | 56.05 | 69.07 | -7.3 |
| 361 | 361 | 252 | Q_neve | 1.683E-11 | 1.909E-13 | 4.160E-12 |
| 361 | 361 | 254 | Q_neve | -7.314E-12 | -7.302E-12 | 5.825E-12 |
| 361 | 361 | 295 | Q_neve | 8.532E-12 | -1.468E-12 | 6.056E-12 |
| 361 | 361 | 291 | Q_neve | 9.275E-12 | -5.880E-12 | 3.297E-12 |
| 362 | 362 | 291 | DEAD | 5.217E-11 | -2.936E-12 | 1.527E-11 |
| 362 | 362 | 295 | DEAD | 4.060E-11 | -4.750E-11 | 1.712E-11 |
| 362 | 362 | 296 | DEAD | 7.302E-12 | -1.494E-11 | 5.161E-12 |
| 362 | 362 | 292 | DEAD | 8.674E-11 | 1.162E-12 | 1.207E-11 |
| 362 | 362 | 291 | G1_smistamento | 151.19 | 186.31 | -15.21 |
| 362 | 362 | 295 | G1_smistamento | 194.92 | 204.25 | -13.8 |
| 362 | 362 | 296 | G1_smistamento | 211.27 | 262.39 | -8.61 |
| 362 | 362 | 292 | G1_smistamento | 163.95 | 238.24 | -10.03 |
| 362 | 362 | 291 | G2_smistamento | 56.05 | 69.07 | -5.64 |
| 362 | 362 | 295 | G2_smistamento | 72.26 | 75.72 | -5.12 |
| 362 | 362 | 296 | G2_smistamento | 78.32 | 97.27 | -3.19 |
| 362 | 362 | 292 | G2_smistamento | 60.78 | 88.32 | -3.72 |
| 362 | 362 | 291 | Q_smistamento | 56.05 | 69.07 | -5.64 |
| 362 | 362 | 295 | Q_smistamento | 72.26 | 75.72 | -5.12 |
| 362 | 362 | 296 | Q_smistamento | 78.32 | 97.27 | -3.19 |
| 362 | 362 | 292 | Q_smistamento | 60.78 | 88.32 | -3.72 |
| 362 | 362 | 291 | Q_neve | 1.114E-11 | -9.985E-14 | 2.688E-12 |
| 362 | 362 | 295 | Q_neve | 6.848E-12 | -1.066E-11 | 2.688E-12 |
| 362 | 362 | 296 | Q_neve | -7.877E-13 | -2.865E-12 | 2.056E-12 |
| 362 | 362 | 292 | Q_neve | 2.020E-11 | -7.866E-13 | 2.056E-12 |
| 363 | 363 | 292 | DEAD | 9.101E-11 | -6.106E-12 | 7.822E-13 |
| 363 | 363 | 296 | DEAD | -2.834E-12 | -3.357E-11 | 1.089E-11 |
| 363 | 363 | 297 | DEAD | 6.352E-11 | 8.113E-12 | 1.089E-11 |
| 363 | 363 | 293 | DEAD | 7.964E-11 | 1.478E-11 | 7.822E-13 |
| 363 | 363 | 292 | G1_smistamento | 163.97 | 238.33 | -3.16 |
| 363 | 363 | 296 | G1_smistamento | 211.26 | 262.35 | -3.16 |
| 363 | 363 | 297 | G1_smistamento | 211.26 | 262.35 | 3.16 |
| 363 | 363 | 293 | G1_smistamento | 163.97 | 238.33 | 3.16 |
| 363 | 363 | 292 | G2_smistamento | 60.78 | 88.35 | -1.17 |
| 363 | 363 | 296 | G2_smistamento | 78.32 | 97.26 | -1.17 |

Table 21: Element Stresses - Area Shells, Part 2 of 3

| Area | AreaElem | Joint | OutputCase | S11Bot KN/m2 | S22Bot KN/m2 | S12Bot KN/m2 |
|------|----------|-------|----------------|-----------------|-----------------|-----------------|
| 363 | 363 | 297 | G2_smistamento | 78.32 | 97.26 | 1.17 |
| 363 | 363 | 293 | G2_smistamento | 60.78 | 88.35 | 1.17 |
| 363 | 363 | 292 | Q_smistamento | 60.78 | 88.35 | -1.17 |
| 363 | 363 | 296 | Q_smistamento | 78.32 | 97.26 | -1.17 |
| 363 | 363 | 297 | Q_smistamento | 78.32 | 97.26 | 1.17 |
| 363 | 363 | 293 | Q_smistamento | 60.78 | 88.35 | 1.17 |
| 363 | 363 | 292 | Q_neve | 2.010E-11 | -2.626E-13 | 4.626E-13 |
| 363 | 363 | 296 | Q_neve | -1.738E-12 | -6.601E-12 | 1.727E-12 |
| 363 | 363 | 297 | Q_neve | 1.196E-11 | 7.643E-13 | 1.727E-12 |
| 363 | 363 | 293 | Q_neve | 1.382E-11 | -8.338E-13 | 4.626E-13 |
| 364 | 364 | 293 | DEAD | 8.860E-11 | 1.713E-11 | 9.487E-12 |
| 364 | 364 | 297 | DEAD | 6.258E-11 | 2.243E-11 | 1.547E-11 |
| 364 | 364 | 298 | DEAD | 8.544E-11 | -1.384E-11 | 9.487E-12 |
| 364 | 364 | 294 | DEAD | 7.206E-11 | -6.010E-12 | 7.884E-12 |
| 364 | 364 | 293 | G1_smistamento | 163.95 | 238.24 | 10.03 |
| 364 | 364 | 297 | G1_smistamento | 211.27 | 262.39 | 8.61 |
| 364 | 364 | 298 | G1_smistamento | 194.92 | 204.25 | 13.8 |
| 364 | 364 | 294 | G1_smistamento | 151.19 | 186.31 | 15.21 |
| 364 | 364 | 293 | G2_smistamento | 60.78 | 88.32 | 3.72 |
| 364 | 364 | 297 | G2_smistamento | 78.32 | 97.27 | 3.19 |
| 364 | 364 | 298 | G2_smistamento | 72.26 | 75.72 | 5.12 |
| 364 | 364 | 294 | G2_smistamento | 56.05 | 69.07 | 5.64 |
| 364 | 364 | 293 | Q_smistamento | 60.78 | 88.32 | 3.72 |
| 364 | 364 | 297 | Q_smistamento | 78.32 | 97.27 | 3.19 |
| 364 | 364 | 298 | Q_smistamento | 72.26 | 75.72 | 5.12 |
| 364 | 364 | 294 | Q_smistamento | 56.05 | 69.07 | 5.64 |
| 364 | 364 | 293 | Q_neve | 1.302E-11 | -9.354E-13 | 1.837E-12 |
| 364 | 364 | 297 | Q_neve | 1.176E-11 | 3.133E-12 | 3.502E-12 |
| 364 | 364 | 298 | Q_neve | 1.658E-11 | -2.120E-12 | 4.365E-12 |
| 364 | 364 | 294 | Q_neve | 1.674E-11 | 1.474E-12 | 1.606E-12 |
| 365 | 365 | 294 | DEAD | 7.150E-11 | 5.973E-12 | 5.838E-12 |
| 365 | 365 | 298 | DEAD | 9.515E-11 | 1.696E-11 | 8.366E-12 |
| 365 | 365 | 240 | DEAD | 1.173E-10 | -7.615E-12 | 5.838E-12 |
| 365 | 365 | 242 | DEAD | 5.755E-11 | 1.095E-11 | 3.310E-12 |
| 365 | 365 | 294 | G1_smistamento | 151.2 | 186.33 | 19.69 |
| 365 | 365 | 298 | G1_smistamento | 194.95 | 204.39 | 16.94 |
| 365 | 365 | 240 | G1_smistamento | 162.95 | 78.63 | 18.51 |
| 365 | 365 | 242 | G1_smistamento | 121.48 | 72.4 | 21.27 |

Table 21: Element Stresses - Area Shells, Part 2 of 3

| Area | AreaElem | Joint | OutputCase | S11Bot KN/m2 | S22Bot KN/m2 | S12Bot KN/m2 |
|------|----------|-------|----------------|-----------------|-----------------|-----------------|
| 365 | 365 | 294 | G2_smistamento | 56.05 | 69.07 | 7.3 |
| 365 | 365 | 298 | G2_smistamento | 72.27 | 75.77 | 6.28 |
| 365 | 365 | 240 | G2_smistamento | 60.41 | 29.15 | 6.86 |
| 365 | 365 | 242 | G2_smistamento | 45.04 | 26.84 | 7.88 |
| 365 | 365 | 294 | Q_smistamento | 56.05 | 69.07 | 7.3 |
| 365 | 365 | 298 | Q_smistamento | 72.27 | 75.77 | 6.28 |
| 365 | 365 | 240 | Q_smistamento | 60.41 | 29.15 | 6.86 |
| 365 | 365 | 242 | Q_smistamento | 45.04 | 26.84 | 7.88 |
| 365 | 365 | 294 | Q_neve | 1.783E-11 | 4.761E-12 | 2.092E-12 |
| 365 | 365 | 298 | Q_neve | 1.707E-11 | -1.051E-12 | 2.092E-12 |
| 365 | 365 | 240 | Q_neve | 2.067E-11 | 3.813E-12 | 8.275E-13 |
| 365 | 365 | 242 | Q_neve | 1.486E-11 | 3.057E-12 | 8.275E-13 |
| 366 | 366 | 254 | DEAD | 1.510E-11 | -2.960E-11 | 3.736E-11 |
| 366 | 366 | 256 | DEAD | -4.361E-12 | 4.015E-13 | 2.953E-11 |
| 366 | 366 | 299 | DEAD | 6.249E-12 | -7.384E-11 | 2.978E-11 |
| 366 | 366 | 295 | DEAD | -2.300E-11 | -3.215E-11 | 2.447E-11 |
| 366 | 366 | 254 | G1_smistamento | 162.95 | 78.63 | -15.74 |
| 366 | 366 | 256 | G1_smistamento | 178.57 | 81.93 | -13.38 |
| 366 | 366 | 299 | G1_smistamento | 209.82 | 213.62 | -11.98 |
| 366 | 366 | 295 | G1_smistamento | 195.03 | 204.4 | -14.34 |
| 366 | 366 | 254 | G2_smistamento | 60.41 | 29.15 | -5.83 |
| 366 | 366 | 256 | G2_smistamento | 66.2 | 30.37 | -4.96 |
| 366 | 366 | 299 | G2_smistamento | 77.78 | 79.19 | -4.44 |
| 366 | 366 | 295 | G2_smistamento | 72.3 | 75.78 | -5.32 |
| 366 | 366 | 254 | Q_smistamento | 60.41 | 29.15 | -5.83 |
| 366 | 366 | 256 | Q_smistamento | 66.2 | 30.37 | -4.96 |
| 366 | 366 | 299 | Q_smistamento | 77.78 | 79.19 | -4.44 |
| 366 | 366 | 295 | Q_smistamento | 72.3 | 75.78 | -5.32 |
| 366 | 366 | 254 | Q_neve | 2.349E-12 | -6.581E-12 | 6.835E-12 |
| 366 | 366 | 256 | Q_neve | -1.647E-12 | -4.540E-12 | 5.740E-12 |
| 366 | 366 | 299 | Q_neve | 6.773E-12 | -9.109E-12 | 5.571E-12 |
| 366 | 366 | 295 | Q_neve | -7.019E-12 | -4.856E-12 | 4.476E-12 |
| 367 | 367 | 295 | DEAD | -3.193E-11 | -6.863E-11 | 1.669E-11 |
| 367 | 367 | 299 | DEAD | 3.818E-12 | -4.753E-11 | 2.933E-11 |
| 367 | 367 | 300 | DEAD | 1.642E-11 | -8.907E-12 | 3.439E-11 |
| 367 | 367 | 296 | DEAD | 4.964E-11 | -4.492E-13 | 2.175E-11 |
| 367 | 367 | 295 | G1_smistamento | 195. | 204.26 | -11.3 |
| 367 | 367 | 299 | G1_smistamento | 209.8 | 213.53 | -9.68 |

Table 21: Element Stresses - Area Shells, Part 2 of 3

| Area | AreaElem | Joint | OutputCase | S11Bot KN/m2 | S22Bot KN/m2 | S12Bot KN/m2 |
|------|----------|-------|----------------|-----------------|-----------------|-----------------|
| 367 | 367 | 300 | G1_smistamento | 225.79 | 275.97 | -5.99 |
| 367 | 367 | 296 | G1_smistamento | 211.23 | 262.38 | -7.61 |
| 367 | 367 | 295 | G2_smistamento | 72.29 | 75.72 | -4.19 |
| 367 | 367 | 299 | G2_smistamento | 77.78 | 79.16 | -3.59 |
| 367 | 367 | 300 | G2_smistamento | 83.7 | 102.31 | -2.22 |
| 367 | 367 | 296 | G2_smistamento | 78.31 | 97.27 | -2.82 |
| 367 | 367 | 295 | Q_smistamento | 72.29 | 75.72 | -4.19 |
| 367 | 367 | 299 | Q_smistamento | 77.78 | 79.16 | -3.59 |
| 367 | 367 | 300 | Q_smistamento | 83.7 | 102.31 | -2.22 |
| 367 | 367 | 296 | Q_smistamento | 78.31 | 97.27 | -2.82 |
| 367 | 367 | 295 | Q_neve | -1.002E-11 | -1.398E-11 | 3.346E-12 |
| 367 | 367 | 299 | Q_neve | 6.397E-12 | -7.206E-12 | 5.874E-12 |
| 367 | 367 | 300 | Q_neve | 3.493E-12 | -3.311E-12 | 6.506E-12 |
| 367 | 367 | 296 | Q_neve | 9.794E-12 | -1.597E-12 | 3.978E-12 |
| 368 | 368 | 296 | DEAD | 4.844E-11 | -1.646E-11 | 1.936E-11 |
| 368 | 368 | 300 | DEAD | 8.139E-12 | -4.109E-11 | 2.695E-11 |
| 368 | 368 | 301 | DEAD | 6.613E-11 | 1.135E-11 | 2.442E-11 |
| 368 | 368 | 297 | DEAD | 4.732E-11 | 3.146E-12 | 1.684E-11 |
| 368 | 368 | 296 | G1_smistamento | 211.23 | 262.35 | -2.32 |
| 368 | 368 | 300 | G1_smistamento | 225.78 | 275.93 | -2.32 |
| 368 | 368 | 301 | G1_smistamento | 225.78 | 275.93 | 2.32 |
| 368 | 368 | 297 | G1_smistamento | 211.23 | 262.35 | 2.32 |
| 368 | 368 | 296 | G2_smistamento | 78.3 | 97.26 | -0.86 |
| 368 | 368 | 300 | G2_smistamento | 83.7 | 102.29 | -0.86 |
| 368 | 368 | 301 | G2_smistamento | 83.7 | 102.29 | 0.86 |
| 368 | 368 | 297 | G2_smistamento | 78.3 | 97.26 | 0.86 |
| 368 | 368 | 296 | Q_smistamento | 78.3 | 97.26 | -0.86 |
| 368 | 368 | 300 | Q_smistamento | 83.7 | 102.29 | -0.86 |
| 368 | 368 | 301 | Q_smistamento | 83.7 | 102.29 | 0.86 |
| 368 | 368 | 297 | Q_smistamento | 78.3 | 97.26 | 0.86 |
| 368 | 368 | 296 | Q_neve | 9.322E-12 | -3.529E-12 | 4.476E-12 |
| 368 | 368 | 300 | Q_neve | 3.215E-12 | -2.983E-12 | 6.372E-12 |
| 368 | 368 | 301 | Q_neve | 1.161E-11 | -3.450E-12 | 5.740E-12 |
| 368 | 368 | 297 | Q_neve | 1.088E-11 | 1.204E-12 | 3.844E-12 |
| 369 | 369 | 297 | DEAD | 5.197E-11 | 1.261E-11 | 1.557E-11 |
| 369 | 369 | 301 | DEAD | 6.495E-11 | 1.240E-11 | 2.155E-11 |
| 369 | 369 | 302 | DEAD | 4.691E-11 | 1.767E-11 | 2.821E-11 |
| 369 | 369 | 298 | DEAD | 7.443E-11 | -1.604E-11 | 2.661E-11 |

Table 21: Element Stresses - Area Shells, Part 2 of 3

| Area | AreaElem | Joint | OutputCase | S11Bot KN/m2 | S22Bot KN/m2 | S12Bot KN/m2 |
|------|----------|-------|----------------|-----------------|-----------------|-----------------|
| 369 | 369 | 297 | G1_smistamento | 211.23 | 262.38 | 7.61 |
| 369 | 369 | 301 | G1_smistamento | 225.79 | 275.97 | 5.99 |
| 369 | 369 | 302 | G1_smistamento | 209.8 | 213.53 | 9.68 |
| 369 | 369 | 298 | G1_smistamento | 195. | 204.26 | 11.3 |
| 369 | 369 | 297 | G2_smistamento | 78.31 | 97.27 | 2.82 |
| 369 | 369 | 301 | G2_smistamento | 83.7 | 102.31 | 2.22 |
| 369 | 369 | 302 | G2_smistamento | 77.78 | 79.16 | 3.59 |
| 369 | 369 | 298 | G2_smistamento | 72.29 | 75.72 | 4.19 |
| 369 | 369 | 297 | Q_smistamento | 78.31 | 97.27 | 2.82 |
| 369 | 369 | 301 | Q_smistamento | 83.7 | 102.31 | 2.22 |
| 369 | 369 | 302 | Q_smistamento | 77.78 | 79.16 | 3.59 |
| 369 | 369 | 298 | Q_smistamento | 72.29 | 75.72 | 4.19 |
| 369 | 369 | 297 | Q_neve | 1.242E-11 | 4.483E-12 | 3.747E-12 |
| 369 | 369 | 301 | Q_neve | 1.209E-11 | -4.948E-13 | 3.747E-12 |
| 369 | 369 | 302 | Q_neve | 6.967E-12 | 3.772E-12 | 5.011E-12 |
| 369 | 369 | 298 | Q_neve | 1.359E-11 | -2.470E-12 | 5.011E-12 |
| 370 | 370 | 298 | DEAD | 8.039E-11 | 7.876E-12 | 2.248E-11 |
| 370 | 370 | 302 | DEAD | 2.937E-11 | -2.375E-11 | 3.352E-11 |
| 370 | 370 | 238 | DEAD | 8.071E-11 | 9.456E-12 | 3.006E-11 |
| 370 | 370 | 240 | DEAD | 1.131E-10 | 5.809E-13 | 2.340E-11 |
| 370 | 370 | 298 | G1_smistamento | 195.03 | 204.4 | 14.34 |
| 370 | 370 | 302 | G1_smistamento | 209.82 | 213.62 | 11.98 |
| 370 | 370 | 238 | G1_smistamento | 178.57 | 81.93 | 13.38 |
| 370 | 370 | 240 | G1_smistamento | 162.95 | 78.63 | 15.74 |
| 370 | 370 | 298 | G2_smistamento | 72.3 | 75.78 | 5.32 |
| 370 | 370 | 302 | G2_smistamento | 77.78 | 79.19 | 4.44 |
| 370 | 370 | 238 | G2_smistamento | 66.2 | 30.37 | 4.96 |
| 370 | 370 | 240 | G2_smistamento | 60.41 | 29.15 | 5.83 |
| 370 | 370 | 298 | Q_smistamento | 72.3 | 75.78 | 5.32 |
| 370 | 370 | 302 | Q_smistamento | 77.78 | 79.19 | 4.44 |
| 370 | 370 | 238 | Q_smistamento | 66.2 | 30.37 | 4.96 |
| 370 | 370 | 240 | Q_smistamento | 60.41 | 29.15 | 5.83 |
| 370 | 370 | 298 | Q_neve | 1.322E-11 | 3.302E-13 | 4.525E-12 |
| 370 | 370 | 302 | Q_neve | 6.172E-12 | -2.560E-12 | 7.284E-12 |
| 370 | 370 | 238 | Q_neve | 1.141E-11 | -3.067E-12 | 6.421E-12 |
| 370 | 370 | 240 | Q_neve | 2.434E-11 | 2.970E-12 | 4.757E-12 |
| 371 | 371 | 256 | DEAD | 1.779E-11 | 5.206E-12 | 2.433E-11 |
| 371 | 371 | 258 | DEAD | -1.492E-11 | -1.477E-11 | 2.593E-11 |

Table 21: Element Stresses - Area Shells, Part 2 of 3

| Area | AreaElem | Joint | OutputCase | S11Bot KN/m2 | S22Bot KN/m2 | S12Bot KN/m2 |
|------|----------|-------|----------------|-----------------|-----------------|-----------------|
| 371 | 371 | 303 | DEAD | -1.286E-11 | -4.188E-11 | 3.697E-11 |
| 371 | 371 | 299 | DEAD | -1.081E-11 | -7.007E-11 | 3.099E-11 |
| 371 | 371 | 256 | G1_smistamento | 178.55 | 81.92 | -11.38 |
| 371 | 371 | 258 | G1_smistamento | 176.63 | 83.18 | -9.72 |
| 371 | 371 | 303 | G1_smistamento | 206.9 | 217.73 | -8.34 |
| 371 | 371 | 299 | G1_smistamento | 209.84 | 213.63 | -10. |
| 371 | 371 | 256 | G2_smistamento | 66.19 | 30.37 | -4.22 |
| 371 | 371 | 258 | G2_smistamento | 65.48 | 30.84 | -3.6 |
| 371 | 371 | 303 | G2_smistamento | 76.7 | 80.72 | -3.09 |
| 371 | 371 | 299 | G2_smistamento | 77.79 | 79.19 | -3.71 |
| 371 | 371 | 256 | Q_smistamento | 66.19 | 30.37 | -4.22 |
| 371 | 371 | 258 | Q_smistamento | 65.48 | 30.84 | -3.6 |
| 371 | 371 | 303 | Q_smistamento | 76.7 | 80.72 | -3.09 |
| 371 | 371 | 299 | Q_smistamento | 77.79 | 79.19 | -3.71 |
| 371 | 371 | 256 | Q_neve | 1.456E-12 | -2.856E-12 | 6.118E-12 |
| 371 | 371 | 258 | Q_neve | -2.379E-12 | -1.866E-12 | 5.887E-12 |
| 371 | 371 | 303 | Q_neve | -4.785E-12 | -9.413E-12 | 7.382E-12 |
| 371 | 371 | 299 | Q_neve | -4.036E-13 | -1.095E-11 | 6.519E-12 |
| 372 | 372 | 299 | DEAD | -6.096E-12 | -6.316E-11 | 3.629E-11 |
| 372 | 372 | 303 | DEAD | -1.542E-11 | -2.987E-11 | 4.227E-11 |
| 372 | 372 | 304 | DEAD | -1.178E-11 | -6.126E-11 | 3.376E-11 |
| 372 | 372 | 300 | DEAD | 2.819E-11 | 6.153E-12 | 3.216E-11 |
| 372 | 372 | 299 | G1_smistamento | 209.83 | 213.53 | -7.73 |
| 372 | 372 | 303 | G1_smistamento | 206.89 | 217.67 | -6.57 |
| 372 | 372 | 304 | G1_smistamento | 222.13 | 282.38 | -3.99 |
| 372 | 372 | 300 | G1_smistamento | 225.83 | 275.98 | -5.15 |
| 372 | 372 | 299 | G2_smistamento | 77.79 | 79.16 | -2.87 |
| 372 | 372 | 303 | G2_smistamento | 76.7 | 80.69 | -2.44 |
| 372 | 372 | 304 | G2_smistamento | 82.35 | 104.68 | -1.48 |
| 372 | 372 | 300 | G2_smistamento | 83.72 | 102.31 | -1.91 |
| 372 | 372 | 299 | Q_smistamento | 77.79 | 79.16 | -2.87 |
| 372 | 372 | 303 | Q_smistamento | 76.7 | 80.69 | -2.44 |
| 372 | 372 | 304 | Q_smistamento | 82.35 | 104.68 | -1.48 |
| 372 | 372 | 300 | Q_smistamento | 83.72 | 102.31 | -1.91 |
| 372 | 372 | 299 | Q_neve | 5.863E-13 | -7.897E-12 | 7.480E-12 |
| 372 | 372 | 303 | Q_neve | -5.201E-12 | -4.281E-12 | 7.249E-12 |
| 372 | 372 | 304 | Q_neve | -5.102E-12 | -1.359E-11 | 7.480E-12 |
| 372 | 372 | 300 | Q_neve | 6.570E-12 | -4.202E-12 | 6.617E-12 |

Table 21: Element Stresses - Area Shells, Part 2 of 3

| Area | AreaElem | Joint | OutputCase | S11Bot KN/m2 | S22Bot KN/m2 | S12Bot KN/m2 |
|------|----------|-------|----------------|-----------------|-----------------|-----------------|
| 373 | 373 | 300 | DEAD | 1.143E-11 | -4.560E-11 | 3.289E-11 |
| 373 | 373 | 304 | DEAD | 2.156E-12 | 1.015E-11 | 3.542E-11 |
| 373 | 373 | 305 | DEAD | 1.174E-11 | -1.369E-11 | 4.300E-11 |
| 373 | 373 | 301 | DEAD | 2.649E-11 | 1.047E-11 | 4.048E-11 |
| 373 | 373 | 300 | G1_smistamento | 225.82 | 275.94 | -1.55 |
| 373 | 373 | 304 | G1_smistamento | 222.12 | 282.35 | -1.55 |
| 373 | 373 | 305 | G1_smistamento | 222.12 | 282.35 | 1.55 |
| 373 | 373 | 301 | G1_smistamento | 225.82 | 275.94 | 1.55 |
| 373 | 373 | 300 | G2_smistamento | 83.71 | 102.3 | -0.58 |
| 373 | 373 | 304 | G2_smistamento | 82.34 | 104.67 | -0.58 |
| 373 | 373 | 305 | G2_smistamento | 82.34 | 104.67 | 0.58 |
| 373 | 373 | 301 | G2_smistamento | 83.71 | 102.3 | 0.58 |
| 373 | 373 | 300 | Q_smistamento | 83.71 | 102.3 | -0.58 |
| 373 | 373 | 304 | Q_smistamento | 82.34 | 104.67 | -0.58 |
| 373 | 373 | 305 | Q_smistamento | 82.34 | 104.67 | 0.58 |
| 373 | 373 | 301 | Q_smistamento | 83.71 | 102.3 | 0.58 |
| 373 | 373 | 300 | Q_neve | 5.569E-12 | -4.621E-12 | 6.301E-12 |
| 373 | 373 | 304 | Q_neve | -3.307E-12 | 2.269E-14 | 6.301E-12 |
| 373 | 373 | 305 | Q_neve | 2.093E-12 | -3.041E-12 | 7.565E-12 |
| 373 | 373 | 301 | Q_neve | 1.117E-12 | -4.401E-12 | 7.565E-12 |
| 374 | 374 | 301 | DEAD | 3.191E-11 | 1.250E-11 | 3.323E-11 |
| 374 | 374 | 305 | DEAD | 7.635E-12 | -3.118E-12 | 5.185E-11 |
| 374 | 374 | 306 | DEAD | -1.265E-12 | -1.688E-11 | 3.829E-11 |
| 374 | 374 | 302 | DEAD | 8.158E-11 | 2.570E-12 | 2.404E-11 |
| 374 | 374 | 301 | G1_smistamento | 225.83 | 275.98 | 5.15 |
| 374 | 374 | 305 | G1_smistamento | 222.13 | 282.38 | 3.99 |
| 374 | 374 | 306 | G1_smistamento | 206.89 | 217.67 | 6.57 |
| 374 | 374 | 302 | G1_smistamento | 209.83 | 213.53 | 7.73 |
| 374 | 374 | 301 | G2_smistamento | 83.72 | 102.31 | 1.91 |
| 374 | 374 | 305 | G2_smistamento | 82.35 | 104.68 | 1.48 |
| 374 | 374 | 306 | G2_smistamento | 76.7 | 80.69 | 2.44 |
| 374 | 374 | 302 | G2_smistamento | 77.79 | 79.16 | 2.87 |
| 374 | 374 | 301 | Q_smistamento | 83.72 | 102.31 | 1.91 |
| 374 | 374 | 305 | Q_smistamento | 82.35 | 104.68 | 1.48 |
| 374 | 374 | 306 | Q_smistamento | 76.7 | 80.69 | 2.44 |
| 374 | 374 | 302 | Q_smistamento | 77.79 | 79.16 | 2.87 |
| 374 | 374 | 301 | Q_neve | 1.157E-12 | -1.106E-12 | 6.350E-12 |
| 374 | 374 | 305 | Q_neve | 3.341E-12 | -2.280E-15 | 1.037E-11 |

Table 21: Element Stresses - Area Shells, Part 2 of 3

| Area | AreaElem | Joint | OutputCase | S11Bot KN/m2 | S22Bot KN/m2 | S12Bot KN/m2 |
|------|----------|-------|----------------|-----------------|-----------------|-----------------|
| 374 | 374 | 306 | Q_neve | -3.346E-12 | -6.557E-12 | 8.246E-12 |
| 374 | 374 | 302 | Q_neve | 2.088E-11 | 6.160E-12 | 5.317E-12 |
| 375 | 375 | 302 | DEAD | 9.057E-11 | -2.136E-11 | 3.770E-11 |
| 375 | 375 | 306 | DEAD | -1.338E-12 | 2.297E-12 | 2.827E-11 |
| 375 | 375 | 236 | DEAD | 9.043E-12 | -4.980E-11 | 2.506E-11 |
| 375 | 375 | 238 | DEAD | 3.089E-11 | -3.391E-12 | 2.574E-11 |
| 375 | 375 | 302 | G1_smistamento | 209.84 | 213.63 | 10. |
| 375 | 375 | 306 | G1_smistamento | 206.9 | 217.73 | 8.34 |
| 375 | 375 | 236 | G1_smistamento | 176.63 | 83.18 | 9.72 |
| 375 | 375 | 238 | G1_smistamento | 178.55 | 81.92 | 11.38 |
| 375 | 375 | 302 | G2_smistamento | 77.79 | 79.19 | 3.71 |
| 375 | 375 | 306 | G2_smistamento | 76.7 | 80.72 | 3.09 |
| 375 | 375 | 236 | G2_smistamento | 65.48 | 30.84 | 3.6 |
| 375 | 375 | 238 | G2_smistamento | 66.19 | 30.37 | 4.22 |
| 375 | 375 | 302 | Q_smistamento | 77.79 | 79.19 | 3.71 |
| 375 | 375 | 306 | Q_smistamento | 76.7 | 80.72 | 3.09 |
| 375 | 375 | 236 | Q_smistamento | 65.48 | 30.84 | 3.6 |
| 375 | 375 | 238 | Q_smistamento | 66.19 | 30.37 | 4.22 |
| 375 | 375 | 302 | Q_neve | 1.964E-11 | -4.868E-13 | 6.239E-12 |
| 375 | 375 | 306 | Q_neve | -1.824E-12 | -4.605E-12 | 4.975E-12 |
| 375 | 375 | 236 | Q_neve | 5.030E-12 | -5.306E-12 | 4.343E-12 |
| 375 | 375 | 238 | Q_neve | 3.785E-12 | -3.104E-12 | 5.607E-12 |
| 376 | 376 | 258 | DEAD | -1.852E-11 | -1.089E-11 | 2.632E-11 |
| 376 | 376 | 260 | DEAD | -4.443E-11 | 4.608E-12 | 3.416E-11 |
| 376 | 376 | 307 | DEAD | -5.563E-12 | -2.195E-11 | 3.644E-11 |
| 376 | 376 | 303 | DEAD | -1.852E-11 | -4.785E-11 | 4.174E-11 |
| 376 | 376 | 258 | G1_smistamento | 176.6 | 83.17 | -8.3 |
| 376 | 376 | 260 | G1_smistamento | 165.32 | 83.24 | -7.12 |
| 376 | 376 | 307 | G1_smistamento | 194.95 | 218.93 | -5.83 |
| 376 | 376 | 303 | G1_smistamento | 206.92 | 217.73 | -7.01 |
| 376 | 376 | 258 | G2_smistamento | 65.47 | 30.83 | -3.08 |
| 376 | 376 | 260 | G2_smistamento | 61.29 | 30.86 | -2.64 |
| 376 | 376 | 307 | G2_smistamento | 72.27 | 81.16 | -2.16 |
| 376 | 376 | 303 | G2_smistamento | 76.71 | 80.72 | -2.6 |
| 376 | 376 | 258 | Q_smistamento | 65.47 | 30.83 | -3.08 |
| 376 | 376 | 260 | Q_smistamento | 61.29 | 30.86 | -2.64 |
| 376 | 376 | 307 | Q_smistamento | 72.27 | 81.16 | -2.16 |
| 376 | 376 | 303 | Q_smistamento | 76.71 | 80.72 | -2.6 |

Table 21: Element Stresses - Area Shells, Part 2 of 3

| Area | AreaElem | Joint | OutputCase | S11Bot KN/m2 | S22Bot KN/m2 | S12Bot KN/m2 |
|------|----------|-------|----------------|-----------------|-----------------|-----------------|
| 376 | 376 | 258 | Q_neve | -6.688E-12 | -1.698E-12 | 6.483E-12 |
| 376 | 376 | 260 | Q_neve | -7.089E-12 | 7.380E-13 | 7.346E-12 |
| 376 | 376 | 307 | Q_neve | -7.952E-12 | -8.017E-12 | 7.747E-12 |
| 376 | 376 | 303 | Q_neve | -8.476E-13 | -9.769E-12 | 7.978E-12 |
| 377 | 377 | 303 | DEAD | -1.955E-11 | -3.027E-11 | 4.072E-11 |
| 377 | 377 | 307 | DEAD | -1.675E-11 | -5.254E-11 | 4.325E-11 |
| 377 | 377 | 308 | DEAD | -4.704E-11 | -3.122E-11 | 4.831E-11 |
| 377 | 377 | 304 | DEAD | 3.793E-12 | -5.601E-11 | 4.578E-11 |
| 377 | 377 | 303 | G1_smistamento | 206.9 | 217.68 | -5.25 |
| 377 | 377 | 307 | G1_smistamento | 194.95 | 218.9 | -4.48 |
| 377 | 377 | 308 | G1_smistamento | 209.65 | 284.61 | -2.66 |
| 377 | 377 | 304 | G1_smistamento | 222.16 | 282.38 | -3.44 |
| 377 | 377 | 303 | G2_smistamento | 76.7 | 80.7 | -1.95 |
| 377 | 377 | 307 | G2_smistamento | 72.27 | 81.15 | -1.66 |
| 377 | 377 | 308 | G2_smistamento | 77.72 | 105.51 | -0.99 |
| 377 | 377 | 304 | G2_smistamento | 82.36 | 104.68 | -1.27 |
| 377 | 377 | 303 | Q_smistamento | 76.7 | 80.7 | -1.95 |
| 377 | 377 | 307 | Q_smistamento | 72.27 | 81.15 | -1.66 |
| 377 | 377 | 308 | Q_smistamento | 77.72 | 105.51 | -0.99 |
| 377 | 377 | 304 | Q_smistamento | 82.36 | 104.68 | -1.27 |
| 377 | 377 | 303 | Q_neve | -2.278E-13 | -4.080E-12 | 7.213E-12 |
| 377 | 377 | 307 | Q_neve | -9.531E-12 | -1.545E-11 | 8.076E-12 |
| 377 | 377 | 308 | Q_neve | -7.891E-12 | -2.579E-12 | 8.477E-12 |
| 377 | 377 | 304 | Q_neve | -3.668E-13 | -1.324E-11 | 8.708E-12 |
| 378 | 378 | 304 | DEAD | 2.593E-11 | 1.826E-11 | 4.432E-11 |
| 378 | 378 | 308 | DEAD | -5.518E-11 | -5.213E-11 | 4.247E-11 |
| 378 | 378 | 309 | DEAD | -3.031E-11 | -5.124E-12 | 4.179E-11 |
| 378 | 378 | 305 | DEAD | 1.687E-11 | -2.559E-11 | 3.489E-11 |
| 378 | 378 | 304 | G1_smistamento | 222.16 | 282.36 | -1.03 |
| 378 | 378 | 308 | G1_smistamento | 209.65 | 284.6 | -1.03 |
| 378 | 378 | 309 | G1_smistamento | 209.65 | 284.6 | 1.03 |
| 378 | 378 | 305 | G1_smistamento | 222.16 | 282.36 | 1.03 |
| 378 | 378 | 304 | G2_smistamento | 82.36 | 104.67 | -0.38 |
| 378 | 378 | 308 | G2_smistamento | 77.72 | 105.51 | -0.38 |
| 378 | 378 | 309 | G2_smistamento | 77.72 | 105.51 | 0.38 |
| 378 | 378 | 305 | G2_smistamento | 82.36 | 104.67 | 0.38 |
| 378 | 378 | 304 | Q_smistamento | 82.36 | 104.67 | -0.38 |
| 378 | 378 | 308 | Q_smistamento | 77.72 | 105.51 | -0.38 |

Table 21: Element Stresses - Area Shells, Part 2 of 3

| Area | AreaElem | Joint | OutputCase | S11Bot KN/m2 | S22Bot KN/m2 | S12Bot KN/m2 |
|------|----------|-------|----------------|-----------------|-----------------|-----------------|
| 378 | 378 | 309 | Q_smistamento | 77.72 | 105.51 | 0.38 |
| 378 | 378 | 305 | Q_smistamento | 82.36 | 104.67 | 0.38 |
| 378 | 378 | 304 | Q_neve | 2.109E-12 | -1.392E-13 | 9.073E-12 |
| 378 | 378 | 308 | Q_neve | -8.985E-12 | -1.214E-11 | 7.747E-12 |
| 378 | 378 | 309 | Q_neve | -2.473E-12 | 1.599E-12 | 8.441E-12 |
| 378 | 378 | 305 | Q_neve | -1.371E-13 | -3.919E-12 | 6.483E-12 |
| 379 | 379 | 305 | DEAD | 1.927E-11 | -1.217E-11 | 3.994E-11 |
| 379 | 379 | 309 | DEAD | -3.569E-11 | -3.023E-11 | 3.741E-11 |
| 379 | 379 | 310 | DEAD | -1.580E-11 | -5.530E-12 | 3.741E-11 |
| 379 | 379 | 306 | DEAD | -1.010E-11 | -2.359E-11 | 3.994E-11 |
| 379 | 379 | 305 | G1_smistamento | 222.16 | 282.38 | 3.44 |
| 379 | 379 | 309 | G1_smistamento | 209.65 | 284.61 | 2.66 |
| 379 | 379 | 310 | G1_smistamento | 194.95 | 218.9 | 4.48 |
| 379 | 379 | 306 | G1_smistamento | 206.9 | 217.68 | 5.25 |
| 379 | 379 | 305 | G2_smistamento | 82.36 | 104.68 | 1.27 |
| 379 | 379 | 309 | G2_smistamento | 77.72 | 105.51 | 0.99 |
| 379 | 379 | 310 | G2_smistamento | 72.27 | 81.15 | 1.66 |
| 379 | 379 | 306 | G2_smistamento | 76.7 | 80.7 | 1.95 |
| 379 | 379 | 305 | Q_smistamento | 82.36 | 104.68 | 1.27 |
| 379 | 379 | 309 | Q_smistamento | 77.72 | 105.51 | 0.99 |
| 379 | 379 | 310 | Q_smistamento | 72.27 | 81.15 | 1.66 |
| 379 | 379 | 306 | Q_smistamento | 76.7 | 80.7 | 1.95 |
| 379 | 379 | 305 | Q_neve | 1.174E-12 | -1.313E-12 | 8.027E-12 |
| 379 | 379 | 309 | Q_neve | -3.790E-12 | -2.343E-13 | 7.395E-12 |
| 379 | 379 | 310 | Q_neve | -2.223E-12 | -5.026E-12 | 8.027E-12 |
| 379 | 379 | 306 | Q_neve | -3.553E-12 | -4.737E-12 | 8.659E-12 |
| 380 | 380 | 306 | DEAD | -5.769E-12 | -1.070E-11 | 3.270E-11 |
| 380 | 380 | 310 | DEAD | -2.287E-11 | -6.070E-11 | 3.245E-11 |
| 380 | 380 | 234 | DEAD | -3.200E-11 | -2.050E-11 | 4.028E-11 |
| 380 | 380 | 236 | DEAD | 2.232E-11 | -4.712E-11 | 2.739E-11 |
| 380 | 380 | 306 | G1_smistamento | 206.92 | 217.73 | 7.01 |
| 380 | 380 | 310 | G1_smistamento | 194.95 | 218.93 | 5.83 |
| 380 | 380 | 234 | G1_smistamento | 165.32 | 83.24 | 7.12 |
| 380 | 380 | 236 | G1_smistamento | 176.6 | 83.17 | 8.3 |
| 380 | 380 | 306 | G2_smistamento | 76.71 | 80.72 | 2.6 |
| 380 | 380 | 310 | G2_smistamento | 72.27 | 81.16 | 2.16 |
| 380 | 380 | 234 | G2_smistamento | 61.29 | 30.86 | 2.64 |
| 380 | 380 | 236 | G2_smistamento | 65.47 | 30.83 | 3.08 |

Table 21: Element Stresses - Area Shells, Part 2 of 3

| Area | AreaElem | Joint | OutputCase | S11Bot KN/m2 | S22Bot KN/m2 | S12Bot KN/m2 |
|------|----------|-------|----------------|-----------------|-----------------|-----------------|
| 380 | 380 | 306 | Q_smistamento | 76.71 | 80.72 | 2.6 |
| 380 | 380 | 310 | Q_smistamento | 72.27 | 81.16 | 2.16 |
| 380 | 380 | 234 | Q_smistamento | 61.29 | 30.86 | 2.64 |
| 380 | 380 | 236 | Q_smistamento | 65.47 | 30.83 | 3.08 |
| 380 | 380 | 306 | Q_neve | -2.594E-12 | -4.350E-12 | 7.298E-12 |
| 380 | 380 | 310 | Q_neve | -2.870E-12 | -9.622E-12 | 7.930E-12 |
| 380 | 380 | 234 | Q_neve | -8.124E-12 | -5.456E-12 | 7.298E-12 |
| 380 | 380 | 236 | Q_neve | 5.425E-12 | -6.067E-12 | 6.666E-12 |
| 381 | 381 | 260 | DEAD | -1.991E-11 | 1.022E-11 | 4.792E-11 |
| 381 | 381 | 262 | DEAD | -4.982E-11 | -3.905E-12 | 4.286E-11 |
| 381 | 381 | 311 | DEAD | -4.266E-11 | -4.287E-11 | 3.528E-11 |
| 381 | 381 | 307 | DEAD | -5.709E-11 | -4.024E-11 | 4.033E-11 |
| 381 | 381 | 260 | G1_smistamento | 165.29 | 83.23 | -6. |
| 381 | 381 | 262 | G1_smistamento | 151.27 | 82.76 | -5.07 |
| 381 | 381 | 311 | G1_smistamento | 180.58 | 218.73 | -3.98 |
| 381 | 381 | 307 | G1_smistamento | 194.96 | 218.93 | -4.91 |
| 381 | 381 | 260 | G2_smistamento | 61.27 | 30.86 | -2.22 |
| 381 | 381 | 262 | G2_smistamento | 56.08 | 30.68 | -1.88 |
| 381 | 381 | 311 | G2_smistamento | 66.95 | 81.09 | -1.48 |
| 381 | 381 | 307 | G2_smistamento | 72.27 | 81.16 | -1.82 |
| 381 | 381 | 260 | Q_smistamento | 61.27 | 30.86 | -2.22 |
| 381 | 381 | 262 | Q_smistamento | 56.08 | 30.68 | -1.88 |
| 381 | 381 | 311 | Q_smistamento | 66.95 | 81.09 | -1.48 |
| 381 | 381 | 307 | Q_smistamento | 72.27 | 81.16 | -1.82 |
| 381 | 381 | 260 | Q_neve | -1.798E-12 | 1.155E-12 | 8.112E-12 |
| 381 | 381 | 262 | Q_neve | -1.234E-11 | 9.795E-13 | 7.249E-12 |
| 381 | 381 | 311 | Q_neve | -4.405E-12 | -8.088E-12 | 6.848E-12 |
| 381 | 381 | 307 | Q_neve | -1.534E-11 | -1.024E-11 | 6.617E-12 |
| 382 | 382 | 307 | DEAD | -5.176E-11 | -5.183E-11 | 4.072E-11 |
| 382 | 382 | 311 | DEAD | -5.193E-11 | -3.348E-11 | 4.140E-11 |
| 382 | 382 | 312 | DEAD | -5.460E-11 | -5.088E-11 | 4.831E-11 |
| 382 | 382 | 308 | DEAD | -3.582E-11 | -2.874E-11 | 3.887E-11 |
| 382 | 382 | 307 | G1_smistamento | 194.95 | 218.9 | -3.56 |
| 382 | 382 | 311 | G1_smistamento | 180.58 | 218.72 | -3. |
| 382 | 382 | 312 | G1_smistamento | 195. | 284.8 | -1.74 |
| 382 | 382 | 308 | G1_smistamento | 209.67 | 284.62 | -2.3 |
| 382 | 382 | 307 | G2_smistamento | 72.27 | 81.15 | -1.32 |
| 382 | 382 | 311 | G2_smistamento | 66.94 | 81.08 | -1.11 |

Table 21: Element Stresses - Area Shells, Part 2 of 3

| Area | AreaElem | Joint | OutputCase | S11Bot KN/m2 | S22Bot KN/m2 | S12Bot KN/m2 |
|------|----------|-------|----------------|-----------------|-----------------|-----------------|
| 382 | 382 | 312 | G2_smistamento | 72.29 | 105.58 | -0.65 |
| 382 | 382 | 308 | G2_smistamento | 77.73 | 105.51 | -0.85 |
| 382 | 382 | 307 | Q_smistamento | 72.27 | 81.15 | -1.32 |
| 382 | 382 | 311 | Q_smistamento | 66.94 | 81.08 | -1.11 |
| 382 | 382 | 312 | Q_smistamento | 72.29 | 105.58 | -0.65 |
| 382 | 382 | 308 | Q_smistamento | 77.73 | 105.51 | -0.85 |
| 382 | 382 | 307 | Q_neve | -1.677E-11 | -1.621E-11 | 8.721E-12 |
| 382 | 382 | 311 | Q_neve | -1.004E-12 | 2.801E-13 | 7.627E-12 |
| 382 | 382 | 312 | Q_neve | -1.306E-11 | -1.471E-11 | 1.062E-11 |
| 382 | 382 | 308 | Q_neve | -5.427E-12 | -2.880E-12 | 9.523E-12 |
| 383 | 383 | 308 | DEAD | -3.975E-11 | -5.073E-11 | 5.089E-11 |
| 383 | 383 | 312 | DEAD | -4.530E-11 | -2.890E-11 | 4.558E-11 |
| 383 | 383 | 313 | DEAD | -4.417E-11 | -2.735E-11 | 4.836E-11 |
| 383 | 383 | 309 | DEAD | -2.002E-11 | -8.679E-12 | 4.053E-11 |
| 383 | 383 | 308 | G1_smistamento | 209.67 | 284.61 | -0.68 |
| 383 | 383 | 312 | G1_smistamento | 195. | 284.8 | -0.68 |
| 383 | 383 | 313 | G1_smistamento | 195. | 284.8 | 0.68 |
| 383 | 383 | 309 | G1_smistamento | 209.67 | 284.61 | 0.68 |
| 383 | 383 | 308 | G2_smistamento | 77.73 | 105.51 | -0.25 |
| 383 | 383 | 312 | G2_smistamento | 72.29 | 105.58 | -0.25 |
| 383 | 383 | 313 | G2_smistamento | 72.29 | 105.58 | 0.25 |
| 383 | 383 | 309 | G2_smistamento | 77.73 | 105.51 | 0.25 |
| 383 | 383 | 308 | Q_smistamento | 77.73 | 105.51 | -0.25 |
| 383 | 383 | 312 | Q_smistamento | 72.29 | 105.58 | -0.25 |
| 383 | 383 | 313 | Q_smistamento | 72.29 | 105.58 | 0.25 |
| 383 | 383 | 309 | Q_smistamento | 77.73 | 105.51 | 0.25 |
| 383 | 383 | 308 | Q_neve | -8.040E-12 | -1.170E-11 | 8.806E-12 |
| 383 | 383 | 312 | Q_neve | -1.114E-11 | -9.451E-12 | 1.030E-11 |
| 383 | 383 | 313 | Q_neve | -8.198E-12 | -4.904E-12 | 9.438E-12 |
| 383 | 383 | 309 | Q_neve | -4.822E-12 | -2.499E-12 | 9.037E-12 |
| 384 | 384 | 309 | DEAD | -3.394E-11 | -3.430E-11 | 4.087E-11 |
| 384 | 384 | 313 | DEAD | -3.125E-11 | 1.398E-12 | 4.592E-11 |
| 384 | 384 | 314 | DEAD | -2.699E-11 | -6.021E-11 | 4.087E-11 |
| 384 | 384 | 310 | DEAD | -3.188E-11 | -1.762E-12 | 3.581E-11 |
| 384 | 384 | 309 | G1_smistamento | 209.67 | 284.62 | 2.3 |
| 384 | 384 | 313 | G1_smistamento | 195. | 284.8 | 1.74 |
| 384 | 384 | 314 | G1_smistamento | 180.58 | 218.72 | 3. |
| 384 | 384 | 310 | G1_smistamento | 194.95 | 218.9 | 3.56 |

Table 21: Element Stresses - Area Shells, Part 2 of 3

| Area | AreaElem | Joint | OutputCase | S11Bot KN/m2 | S22Bot KN/m2 | S12Bot KN/m2 |
|------|----------|-------|----------------|-----------------|-----------------|-----------------|
| 384 | 384 | 309 | G2_smistamento | 77.73 | 105.51 | 0.85 |
| 384 | 384 | 313 | G2_smistamento | 72.29 | 105.58 | 0.65 |
| 384 | 384 | 314 | G2_smistamento | 66.94 | 81.08 | 1.11 |
| 384 | 384 | 310 | G2_smistamento | 72.27 | 81.15 | 1.32 |
| 384 | 384 | 309 | Q_smistamento | 77.73 | 105.51 | 0.85 |
| 384 | 384 | 313 | Q_smistamento | 72.29 | 105.58 | 0.65 |
| 384 | 384 | 314 | Q_smistamento | 66.94 | 81.08 | 1.11 |
| 384 | 384 | 310 | Q_smistamento | 72.27 | 81.15 | 1.32 |
| 384 | 384 | 309 | Q_neve | -6.372E-12 | -1.423E-12 | 8.027E-12 |
| 384 | 384 | 313 | Q_neve | -6.564E-12 | -3.511E-13 | 8.659E-12 |
| 384 | 384 | 314 | Q_neve | -1.032E-11 | -9.797E-12 | 8.027E-12 |
| 384 | 384 | 310 | Q_neve | -3.562E-12 | -4.301E-12 | 7.395E-12 |
| 385 | 385 | 310 | DEAD | -3.406E-11 | -5.348E-11 | 3.556E-11 |
| 385 | 385 | 314 | DEAD | -2.458E-11 | -3.127E-11 | 3.489E-11 |
| 385 | 385 | 232 | DEAD | -6.282E-11 | -4.558E-11 | 3.303E-11 |
| 385 | 385 | 234 | DEAD | -1.099E-11 | -2.401E-11 | 4.247E-11 |
| 385 | 385 | 310 | G1_smistamento | 194.96 | 218.93 | 4.91 |
| 385 | 385 | 314 | G1_smistamento | 180.58 | 218.73 | 3.98 |
| 385 | 385 | 232 | G1_smistamento | 151.27 | 82.76 | 5.07 |
| 385 | 385 | 234 | G1_smistamento | 165.29 | 83.23 | 6. |
| 385 | 385 | 310 | G2_smistamento | 72.27 | 81.16 | 1.82 |
| 385 | 385 | 314 | G2_smistamento | 66.95 | 81.09 | 1.48 |
| 385 | 385 | 232 | G2_smistamento | 56.08 | 30.68 | 1.88 |
| 385 | 385 | 234 | G2_smistamento | 61.27 | 30.86 | 2.22 |
| 385 | 385 | 310 | Q_smistamento | 72.27 | 81.16 | 1.82 |
| 385 | 385 | 314 | Q_smistamento | 66.95 | 81.09 | 1.48 |
| 385 | 385 | 232 | Q_smistamento | 56.08 | 30.68 | 1.88 |
| 385 | 385 | 234 | Q_smistamento | 61.27 | 30.86 | 2.22 |
| 385 | 385 | 310 | Q_neve | -5.236E-12 | -1.157E-11 | 7.796E-12 |
| 385 | 385 | 314 | Q_neve | -9.600E-12 | -6.013E-12 | 6.069E-12 |
| 385 | 385 | 232 | Q_neve | -1.456E-11 | -1.078E-11 | 7.164E-12 |
| 385 | 385 | 234 | Q_neve | -2.806E-12 | -2.379E-12 | 6.701E-12 |
| 386 | 386 | 262 | DEAD | -2.230E-11 | 2.319E-12 | 3.250E-11 |
| 386 | 386 | 264 | DEAD | -8.107E-11 | -3.989E-11 | 3.941E-11 |
| 386 | 386 | 315 | DEAD | -1.820E-11 | 2.286E-11 | 3.756E-11 |
| 386 | 386 | 311 | DEAD | -7.601E-11 | -4.495E-11 | 3.941E-11 |
| 386 | 386 | 262 | G1_smistamento | 151.24 | 82.75 | -4.06 |
| 386 | 386 | 264 | G1_smistamento | 139.31 | 82.19 | -3.22 |

Table 21: Element Stresses - Area Shells, Part 2 of 3

| Area | AreaElem | Joint | OutputCase | S11Bot KN/m2 | S22Bot KN/m2 | S12Bot KN/m2 |
|------|----------|-------|----------------|-----------------|-----------------|-----------------|
| 386 | 386 | 315 | G1_smistamento | 168.51 | 218.11 | -2.44 |
| 386 | 386 | 311 | G1_smistamento | 180.59 | 218.73 | -3.27 |
| 386 | 386 | 262 | G2_smistamento | 56.07 | 30.68 | -1.5 |
| 386 | 386 | 264 | G2_smistamento | 51.64 | 30.47 | -1.2 |
| 386 | 386 | 315 | G2_smistamento | 62.47 | 80.86 | -0.9 |
| 386 | 386 | 311 | G2_smistamento | 66.95 | 81.09 | -1.21 |
| 386 | 386 | 262 | Q_smistamento | 56.07 | 30.68 | -1.5 |
| 386 | 386 | 264 | Q_smistamento | 51.64 | 30.47 | -1.2 |
| 386 | 386 | 315 | Q_smistamento | 62.47 | 80.86 | -0.9 |
| 386 | 386 | 311 | Q_smistamento | 66.95 | 81.09 | -1.21 |
| 386 | 386 | 262 | Q_neve | -5.734E-12 | 1.152E-12 | 7.662E-12 |
| 386 | 386 | 264 | Q_neve | -1.313E-11 | -5.139E-12 | 8.125E-12 |
| 386 | 386 | 315 | Q_neve | -1.087E-11 | 1.250E-13 | 7.662E-12 |
| 386 | 386 | 311 | Q_neve | -1.045E-11 | -8.772E-12 | 9.389E-12 |
| 387 | 387 | 311 | DEAD | -7.606E-11 | -4.291E-11 | 4.875E-11 |
| 387 | 387 | 315 | DEAD | -2.880E-11 | -1.234E-11 | 5.220E-11 |
| 387 | 387 | 316 | DEAD | -4.162E-11 | -3.754E-11 | 5.633E-11 |
| 387 | 387 | 312 | DEAD | -4.618E-11 | -3.856E-11 | 5.726E-11 |
| 387 | 387 | 311 | G1_smistamento | 180.59 | 218.72 | -2.29 |
| 387 | 387 | 315 | G1_smistamento | 168.51 | 218.11 | -1.84 |
| 387 | 387 | 316 | G1_smistamento | 182.8 | 284.29 | -1.03 |
| 387 | 387 | 312 | G1_smistamento | 195.01 | 284.8 | -1.48 |
| 387 | 387 | 311 | G2_smistamento | 66.95 | 81.08 | -0.85 |
| 387 | 387 | 315 | G2_smistamento | 62.47 | 80.86 | -0.68 |
| 387 | 387 | 316 | G2_smistamento | 67.77 | 105.39 | -0.38 |
| 387 | 387 | 312 | G2_smistamento | 72.29 | 105.58 | -0.55 |
| 387 | 387 | 311 | Q_smistamento | 66.95 | 81.08 | -0.85 |
| 387 | 387 | 315 | Q_smistamento | 62.47 | 80.86 | -0.68 |
| 387 | 387 | 316 | Q_smistamento | 67.77 | 105.39 | -0.38 |
| 387 | 387 | 312 | Q_smistamento | 72.29 | 105.58 | -0.55 |
| 387 | 387 | 311 | Q_neve | -8.885E-12 | -1.042E-12 | 9.402E-12 |
| 387 | 387 | 315 | Q_neve | -1.175E-11 | -5.390E-12 | 9.803E-12 |
| 387 | 387 | 316 | Q_neve | -1.054E-11 | -7.441E-12 | 1.067E-11 |
| 387 | 387 | 312 | Q_neve | -8.909E-12 | -1.582E-11 | 9.171E-12 |
| 388 | 388 | 312 | DEAD | -4.485E-11 | -2.197E-11 | 5.347E-11 |
| 388 | 388 | 316 | DEAD | -4.825E-11 | -1.973E-11 | 5.600E-11 |
| 388 | 388 | 317 | DEAD | -4.327E-11 | -5.958E-11 | 5.600E-11 |
| 388 | 388 | 313 | DEAD | -2.455E-11 | -3.774E-11 | 5.347E-11 |

Table 21: Element Stresses - Area Shells, Part 2 of 3

| Area | AreaElem | Joint | OutputCase | S11Bot KN/m2 | S22Bot KN/m2 | S12Bot KN/m2 |
|------|----------|-------|----------------|-----------------|-----------------|-----------------|
| 388 | 388 | 312 | G1_smistamento | 195.01 | 284.8 | -0.42 |
| 388 | 388 | 316 | G1_smistamento | 182.8 | 284.28 | -0.42 |
| 388 | 388 | 317 | G1_smistamento | 182.8 | 284.28 | 0.42 |
| 388 | 388 | 313 | G1_smistamento | 195.01 | 284.8 | 0.42 |
| 388 | 388 | 312 | G2_smistamento | 72.29 | 105.58 | -0.16 |
| 388 | 388 | 316 | G2_smistamento | 67.77 | 105.39 | -0.16 |
| 388 | 388 | 317 | G2_smistamento | 67.77 | 105.39 | 0.16 |
| 388 | 388 | 313 | G2_smistamento | 72.29 | 105.58 | 0.16 |
| 388 | 388 | 312 | Q_smistamento | 72.29 | 105.58 | -0.16 |
| 388 | 388 | 316 | Q_smistamento | 67.77 | 105.39 | -0.16 |
| 388 | 388 | 317 | Q_smistamento | 67.77 | 105.39 | 0.16 |
| 388 | 388 | 313 | Q_smistamento | 72.29 | 105.58 | 0.16 |
| 388 | 388 | 312 | Q_neve | -9.026E-12 | -7.323E-12 | 9.901E-12 |
| 388 | 388 | 316 | Q_neve | -9.189E-12 | -6.107E-12 | 1.140E-11 |
| 388 | 388 | 317 | Q_neve | -1.132E-11 | -1.119E-11 | 1.053E-11 |
| 388 | 388 | 313 | Q_neve | -4.449E-12 | -5.159E-12 | 1.013E-11 |
| 389 | 389 | 313 | DEAD | -1.688E-11 | 1.812E-11 | 4.261E-11 |
| 389 | 389 | 317 | DEAD | -4.960E-11 | -6.261E-11 | 3.503E-11 |
| 389 | 389 | 318 | DEAD | -5.701E-11 | -4.603E-11 | 2.744E-11 |
| 389 | 389 | 314 | DEAD | -6.698E-11 | -7.367E-11 | 3.503E-11 |
| 389 | 389 | 313 | G1_smistamento | 195.01 | 284.8 | 1.48 |
| 389 | 389 | 317 | G1_smistamento | 182.8 | 284.29 | 1.03 |
| 389 | 389 | 318 | G1_smistamento | 168.51 | 218.11 | 1.84 |
| 389 | 389 | 314 | G1_smistamento | 180.59 | 218.72 | 2.29 |
| 389 | 389 | 313 | G2_smistamento | 72.29 | 105.58 | 0.55 |
| 389 | 389 | 317 | G2_smistamento | 67.77 | 105.39 | 0.38 |
| 389 | 389 | 318 | G2_smistamento | 62.47 | 80.86 | 0.68 |
| 389 | 389 | 314 | G2_smistamento | 66.95 | 81.08 | 0.85 |
| 389 | 389 | 313 | Q_smistamento | 72.29 | 105.58 | 0.55 |
| 389 | 389 | 317 | Q_smistamento | 67.77 | 105.39 | 0.38 |
| 389 | 389 | 318 | Q_smistamento | 62.47 | 80.86 | 0.68 |
| 389 | 389 | 314 | Q_smistamento | 66.95 | 81.08 | 0.85 |
| 389 | 389 | 313 | Q_neve | -4.217E-12 | -2.053E-14 | 7.832E-12 |
| 389 | 389 | 317 | Q_neve | -1.117E-11 | -1.167E-11 | 7.200E-12 |
| 389 | 389 | 318 | Q_neve | -1.038E-11 | -6.182E-12 | 5.304E-12 |
| 389 | 389 | 314 | Q_neve | -1.054E-11 | -1.041E-11 | 5.936E-12 |
| 390 | 390 | 314 | DEAD | -6.201E-11 | -3.688E-11 | 2.924E-11 |
| 390 | 390 | 318 | DEAD | -6.276E-11 | -5.986E-11 | 2.647E-11 |

Table 21: Element Stresses - Area Shells, Part 2 of 3

| Area | AreaElem | Joint | OutputCase | S11Bot KN/m2 | S22Bot KN/m2 | S12Bot KN/m2 |
|------|----------|-------|----------------|-----------------|-----------------|-----------------|
| 390 | 390 | 230 | DEAD | -3.705E-11 | -3.071E-12 | 3.935E-11 |
| 390 | 390 | 232 | DEAD | -5.929E-11 | -4.248E-11 | 2.899E-11 |
| 390 | 390 | 314 | G1_smistamento | 180.59 | 218.73 | 3.27 |
| 390 | 390 | 318 | G1_smistamento | 168.51 | 218.11 | 2.44 |
| 390 | 390 | 230 | G1_smistamento | 139.31 | 82.19 | 3.22 |
| 390 | 390 | 232 | G1_smistamento | 151.24 | 82.75 | 4.06 |
| 390 | 390 | 314 | G2_smistamento | 66.95 | 81.09 | 1.21 |
| 390 | 390 | 318 | G2_smistamento | 62.47 | 80.86 | 0.9 |
| 390 | 390 | 230 | G2_smistamento | 51.64 | 30.47 | 1.2 |
| 390 | 390 | 232 | G2_smistamento | 56.07 | 30.68 | 1.5 |
| 390 | 390 | 314 | Q_smistamento | 66.95 | 81.09 | 1.21 |
| 390 | 390 | 318 | Q_smistamento | 62.47 | 80.86 | 0.9 |
| 390 | 390 | 230 | Q_smistamento | 51.64 | 30.47 | 1.2 |
| 390 | 390 | 232 | Q_smistamento | 56.07 | 30.68 | 1.5 |
| 390 | 390 | 314 | Q_neve | -1.113E-11 | -7.946E-12 | 6.252E-12 |
| 390 | 390 | 318 | Q_neve | -1.239E-11 | -1.166E-11 | 5.389E-12 |
| 390 | 390 | 230 | Q_neve | -8.843E-12 | -2.179E-12 | 6.884E-12 |
| 390 | 390 | 232 | Q_neve | -1.018E-11 | -8.182E-12 | 6.652E-12 |
| 391 | 391 | 264 | DEAD | -4.498E-11 | -3.222E-11 | 4.816E-11 |
| 391 | 391 | 266 | DEAD | -2.596E-11 | 4.066E-11 | 4.564E-11 |
| 391 | 391 | 319 | DEAD | -4.150E-11 | -1.484E-11 | 4.816E-11 |
| 391 | 391 | 315 | DEAD | -1.837E-11 | 1.791E-11 | 5.069E-11 |
| 391 | 391 | 264 | G1_smistamento | 139.29 | 82.19 | -2.22 |
| 391 | 391 | 266 | G1_smistamento | 132.57 | 81.84 | -1.41 |
| 391 | 391 | 319 | G1_smistamento | 161.74 | 217.67 | -1. |
| 391 | 391 | 315 | G1_smistamento | 168.51 | 218.11 | -1.81 |
| 391 | 391 | 264 | G2_smistamento | 51.64 | 30.47 | -0.82 |
| 391 | 391 | 266 | G2_smistamento | 49.15 | 30.34 | -0.52 |
| 391 | 391 | 319 | G2_smistamento | 59.96 | 80.69 | -0.37 |
| 391 | 391 | 315 | G2_smistamento | 62.47 | 80.86 | -0.67 |
| 391 | 391 | 264 | Q_smistamento | 51.64 | 30.47 | -0.82 |
| 391 | 391 | 266 | Q_smistamento | 49.15 | 30.34 | -0.52 |
| 391 | 391 | 319 | Q_smistamento | 59.96 | 80.69 | -0.37 |
| 391 | 391 | 315 | Q_smistamento | 62.47 | 80.86 | -0.67 |
| 391 | 391 | 264 | Q_neve | -5.760E-12 | -3.771E-12 | 8.210E-12 |
| 391 | 391 | 266 | Q_neve | -7.665E-12 | 5.209E-12 | 8.441E-12 |
| 391 | 391 | 319 | Q_neve | -5.049E-12 | -2.112E-12 | 8.210E-12 |
| 391 | 391 | 315 | Q_neve | -9.166E-12 | 1.496E-12 | 9.073E-12 |

Table 21: Element Stresses - Area Shells, Part 2 of 3

| Area | AreaElem | Joint | OutputCase | S11Bot KN/m2 | S22Bot KN/m2 | S12Bot KN/m2 |
|------|----------|-------|----------------|-----------------|-----------------|-----------------|
| 392 | 392 | 315 | DEAD | -2.518E-11 | -8.242E-12 | 4.384E-11 |
| 392 | 392 | 319 | DEAD | -5.029E-11 | -2.355E-11 | 4.914E-11 |
| 392 | 392 | 320 | DEAD | -4.414E-11 | 3.134E-12 | 5.395E-11 |
| 392 | 392 | 316 | DEAD | -2.122E-11 | -4.504E-11 | 6.178E-11 |
| 392 | 392 | 315 | G1_smistamento | 168.51 | 218.11 | -1.21 |
| 392 | 392 | 319 | G1_smistamento | 161.74 | 217.67 | -0.8 |
| 392 | 392 | 320 | G1_smistamento | 175.98 | 283.85 | -0.4 |
| 392 | 392 | 316 | G1_smistamento | 182.8 | 284.29 | -0.81 |
| 392 | 392 | 315 | G2_smistamento | 62.47 | 80.86 | -0.45 |
| 392 | 392 | 319 | G2_smistamento | 59.96 | 80.69 | -0.3 |
| 392 | 392 | 320 | G2_smistamento | 65.24 | 105.23 | -0.15 |
| 392 | 392 | 316 | G2_smistamento | 67.77 | 105.39 | -0.3 |
| 392 | 392 | 315 | Q_smistamento | 62.47 | 80.86 | -0.45 |
| 392 | 392 | 319 | Q_smistamento | 59.96 | 80.69 | -0.3 |
| 392 | 392 | 320 | Q_smistamento | 65.24 | 105.23 | -0.15 |
| 392 | 392 | 316 | Q_smistamento | 67.77 | 105.39 | -0.3 |
| 392 | 392 | 315 | Q_neve | -8.737E-12 | -3.768E-12 | 8.405E-12 |
| 392 | 392 | 319 | Q_neve | -5.465E-12 | -2.948E-12 | 8.637E-12 |
| 392 | 392 | 320 | Q_neve | -6.999E-12 | -2.663E-12 | 1.093E-11 |
| 392 | 392 | 316 | Q_neve | -7.124E-12 | -7.451E-12 | 1.180E-11 |
| 393 | 393 | 316 | DEAD | -2.114E-11 | -1.249E-11 | 6.645E-11 |
| 393 | 393 | 320 | DEAD | -5.560E-11 | -5.386E-11 | 5.103E-11 |
| 393 | 393 | 321 | DEAD | -8.687E-11 | -9.844E-11 | 3.864E-11 |
| 393 | 393 | 317 | DEAD | -4.802E-11 | -6.144E-11 | 4.092E-11 |
| 393 | 393 | 316 | G1_smistamento | 182.8 | 284.29 | -0.2 |
| 393 | 393 | 320 | G1_smistamento | 175.98 | 283.85 | -0.2 |
| 393 | 393 | 321 | G1_smistamento | 175.98 | 283.85 | 0.2 |
| 393 | 393 | 317 | G1_smistamento | 182.8 | 284.29 | 0.2 |
| 393 | 393 | 316 | G2_smistamento | 67.77 | 105.39 | -7.483E-02 |
| 393 | 393 | 320 | G2_smistamento | 65.24 | 105.23 | -7.483E-02 |
| 393 | 393 | 321 | G2_smistamento | 65.24 | 105.23 | 7.483E-02 |
| 393 | 393 | 317 | G2_smistamento | 67.77 | 105.39 | 7.483E-02 |
| 393 | 393 | 316 | Q_smistamento | 67.77 | 105.39 | -7.483E-02 |
| 393 | 393 | 320 | Q_smistamento | 65.24 | 105.23 | -7.483E-02 |
| 393 | 393 | 321 | Q_smistamento | 65.24 | 105.23 | 7.483E-02 |
| 393 | 393 | 317 | Q_smistamento | 67.77 | 105.39 | 7.483E-02 |
| 393 | 393 | 316 | Q_neve | -6.415E-12 | -4.336E-12 | 1.170E-11 |
| 393 | 393 | 320 | Q_neve | -9.579E-12 | -1.498E-11 | 1.067E-11 |

Table 21: Element Stresses - Area Shells, Part 2 of 3

| Area | AreaElem | Joint | OutputCase | S11Bot KN/m2 | S22Bot KN/m2 | S12Bot KN/m2 |
|------|----------|-------|----------------|-----------------|-----------------|-----------------|
| 393 | 393 | 321 | Q_neve | -1.210E-11 | -1.382E-11 | 7.275E-12 |
| 393 | 393 | 317 | Q_neve | -1.195E-11 | -1.166E-11 | 9.402E-12 |
| 394 | 394 | 317 | DEAD | -4.180E-11 | -5.202E-11 | 2.705E-11 |
| 394 | 394 | 321 | DEAD | -8.133E-11 | -8.094E-11 | 3.464E-11 |
| 394 | 394 | 322 | DEAD | -1.147E-11 | -2.169E-11 | 3.717E-11 |
| 394 | 394 | 318 | DEAD | -5.732E-11 | -5.187E-11 | 2.958E-11 |
| 394 | 394 | 317 | G1_smistamento | 182.8 | 284.29 | 0.81 |
| 394 | 394 | 321 | G1_smistamento | 175.98 | 283.85 | 0.4 |
| 394 | 394 | 322 | G1_smistamento | 161.74 | 217.67 | 0.8 |
| 394 | 394 | 318 | G1_smistamento | 168.51 | 218.11 | 1.21 |
| 394 | 394 | 317 | G2_smistamento | 67.77 | 105.39 | 0.3 |
| 394 | 394 | 321 | G2_smistamento | 65.24 | 105.23 | 0.15 |
| 394 | 394 | 322 | G2_smistamento | 59.96 | 80.69 | 0.3 |
| 394 | 394 | 318 | G2_smistamento | 62.47 | 80.86 | 0.45 |
| 394 | 394 | 317 | Q_smistamento | 67.77 | 105.39 | 0.3 |
| 394 | 394 | 321 | Q_smistamento | 65.24 | 105.23 | 0.15 |
| 394 | 394 | 322 | Q_smistamento | 59.96 | 80.69 | 0.3 |
| 394 | 394 | 318 | Q_smistamento | 62.47 | 80.86 | 0.45 |
| 394 | 394 | 317 | Q_neve | -1.002E-11 | -1.223E-11 | 6.301E-12 |
| 394 | 394 | 321 | Q_neve | -1.209E-11 | -8.708E-12 | 7.565E-12 |
| 394 | 394 | 322 | Q_neve | -2.751E-12 | -1.002E-11 | 7.565E-12 |
| 394 | 394 | 318 | Q_neve | -1.272E-11 | -8.076E-12 | 6.301E-12 |
| 395 | 395 | 318 | DEAD | -5.526E-11 | -5.800E-11 | 3.503E-11 |
| 395 | 395 | 322 | DEAD | -2.371E-11 | -4.381E-11 | 3.503E-11 |
| 395 | 395 | 228 | DEAD | -2.082E-11 | -7.128E-12 | 3.503E-11 |
| 395 | 395 | 230 | DEAD | -2.719E-11 | -5.208E-13 | 3.503E-11 |
| 395 | 395 | 318 | G1_smistamento | 168.51 | 218.11 | 1.81 |
| 395 | 395 | 322 | G1_smistamento | 161.74 | 217.67 | 1. |
| 395 | 395 | 228 | G1_smistamento | 132.57 | 81.84 | 1.41 |
| 395 | 395 | 230 | G1_smistamento | 139.29 | 82.19 | 2.22 |
| 395 | 395 | 318 | G2_smistamento | 62.47 | 80.86 | 0.67 |
| 395 | 395 | 322 | G2_smistamento | 59.96 | 80.69 | 0.37 |
| 395 | 395 | 228 | G2_smistamento | 49.15 | 30.34 | 0.52 |
| 395 | 395 | 230 | G2_smistamento | 51.64 | 30.47 | 0.82 |
| 395 | 395 | 318 | Q_smistamento | 62.47 | 80.86 | 0.67 |
| 395 | 395 | 322 | Q_smistamento | 59.96 | 80.69 | 0.37 |
| 395 | 395 | 228 | Q_smistamento | 49.15 | 30.34 | 0.52 |
| 395 | 395 | 230 | Q_smistamento | 51.64 | 30.47 | 0.82 |

Table 21: Element Stresses - Area Shells, Part 2 of 3

| Area | AreaElem | Joint | OutputCase | S11Bot KN/m2 | S22Bot KN/m2 | S12Bot KN/m2 |
|------|----------|-------|----------------|-----------------|-----------------|-----------------|
| 395 | 395 | 318 | Q_neve | -1.370E-11 | -1.153E-11 | 6.568E-12 |
| 395 | 395 | 322 | Q_neve | -2.624E-12 | -9.972E-12 | 6.568E-12 |
| 395 | 395 | 228 | Q_neve | -3.037E-12 | 8.236E-14 | 6.568E-12 |
| 395 | 395 | 230 | Q_neve | -6.179E-12 | -1.203E-12 | 6.568E-12 |
| 396 | 396 | 266 | DEAD | -6.098E-12 | 3.339E-11 | 5.069E-11 |
| 396 | 396 | 268 | DEAD | -1.968E-11 | -9.363E-12 | 5.322E-11 |
| 396 | 396 | 323 | DEAD | 1.413E-11 | -2.006E-12 | 4.564E-11 |
| 396 | 396 | 319 | DEAD | -3.359E-11 | -3.043E-12 | 4.311E-11 |
| 396 | 396 | 266 | G1_smistamento | 132.56 | 81.84 | -0.4 |
| 396 | 396 | 268 | G1_smistamento | 132.56 | 81.84 | 0.4 |
| 396 | 396 | 323 | G1_smistamento | 161.74 | 217.67 | 0.4 |
| 396 | 396 | 319 | G1_smistamento | 161.74 | 217.67 | -0.4 |
| 396 | 396 | 266 | G2_smistamento | 49.14 | 30.34 | -0.15 |
| 396 | 396 | 268 | G2_smistamento | 49.14 | 30.34 | 0.15 |
| 396 | 396 | 323 | G2_smistamento | 59.96 | 80.69 | 0.15 |
| 396 | 396 | 319 | G2_smistamento | 59.96 | 80.69 | -0.15 |
| 396 | 396 | 266 | Q_smistamento | 49.14 | 30.34 | -0.15 |
| 396 | 396 | 268 | Q_smistamento | 49.14 | 30.34 | 0.15 |
| 396 | 396 | 323 | Q_smistamento | 59.96 | 80.69 | 0.15 |
| 396 | 396 | 319 | Q_smistamento | 59.96 | 80.69 | -0.15 |
| 396 | 396 | 266 | Q_neve | -9.025E-12 | 3.899E-12 | 1.085E-11 |
| 396 | 396 | 268 | Q_neve | 5.023E-12 | 2.361E-12 | 1.148E-11 |
| 396 | 396 | 323 | Q_neve | -1.283E-12 | -2.895E-12 | 9.585E-12 |
| 396 | 396 | 319 | Q_neve | -4.931E-12 | -1.905E-12 | 8.953E-12 |
| 397 | 397 | 319 | DEAD | -1.982E-11 | -2.027E-11 | 5.229E-11 |
| 397 | 397 | 323 | DEAD | 8.186E-12 | 3.984E-11 | 4.471E-11 |
| 397 | 397 | 324 | DEAD | -2.835E-11 | -6.293E-11 | 3.965E-11 |
| 397 | 397 | 320 | DEAD | -4.048E-11 | 8.872E-12 | 4.724E-11 |
| 397 | 397 | 319 | G1_smistamento | 161.75 | 217.67 | -0.2 |
| 397 | 397 | 323 | G1_smistamento | 161.75 | 217.67 | 0.2 |
| 397 | 397 | 324 | G1_smistamento | 175.98 | 283.85 | 0.2 |
| 397 | 397 | 320 | G1_smistamento | 175.98 | 283.85 | -0.2 |
| 397 | 397 | 319 | G2_smistamento | 59.96 | 80.69 | -7.394E-02 |
| 397 | 397 | 323 | G2_smistamento | 59.96 | 80.69 | 7.394E-02 |
| 397 | 397 | 324 | G2_smistamento | 65.24 | 105.23 | 7.394E-02 |
| 397 | 397 | 320 | G2_smistamento | 65.24 | 105.23 | -7.394E-02 |
| 397 | 397 | 319 | Q_smistamento | 59.96 | 80.69 | -7.394E-02 |
| 397 | 397 | 323 | Q_smistamento | 59.96 | 80.69 | 7.394E-02 |

Table 21: Element Stresses - Area Shells, Part 2 of 3

| Area | AreaElem | Joint | OutputCase | S11Bot KN/m2 | S22Bot KN/m2 | S12Bot KN/m2 |
|------|----------|-------|----------------|-----------------|-----------------|-----------------|
| 397 | 397 | 324 | Q_smistamento | 65.24 | 105.23 | 7.394E-02 |
| 397 | 397 | 320 | Q_smistamento | 65.24 | 105.23 | -7.394E-02 |
| 397 | 397 | 319 | Q_neve | -4.151E-12 | -1.345E-12 | 9.340E-12 |
| 397 | 397 | 323 | Q_neve | 3.329E-13 | 3.503E-12 | 8.940E-12 |
| 397 | 397 | 324 | Q_neve | -5.336E-12 | -1.106E-11 | 7.444E-12 |
| 397 | 397 | 320 | Q_neve | -8.041E-12 | -4.470E-13 | 8.940E-12 |
| 398 | 398 | 320 | DEAD | -4.241E-11 | -5.333E-11 | 3.620E-11 |
| 398 | 398 | 324 | DEAD | -2.904E-11 | -2.195E-11 | 4.126E-11 |
| 398 | 398 | 325 | DEAD | -5.754E-12 | -8.240E-11 | 5.137E-11 |
| 398 | 398 | 321 | DEAD | -6.948E-11 | -1.028E-10 | 4.631E-11 |
| 398 | 398 | 320 | G1_smistamento | 175.98 | 283.85 | 3.912E-11 |
| 398 | 398 | 324 | G1_smistamento | 175.98 | 283.85 | 4.418E-11 |
| 398 | 398 | 325 | G1_smistamento | 175.98 | 283.85 | 5.429E-11 |
| 398 | 398 | 321 | G1_smistamento | 175.98 | 283.85 | 4.923E-11 |
| 398 | 398 | 320 | G2_smistamento | 65.24 | 105.23 | 1.372E-11 |
| 398 | 398 | 324 | G2_smistamento | 65.24 | 105.23 | 1.625E-11 |
| 398 | 398 | 325 | G2_smistamento | 65.24 | 105.23 | 2.131E-11 |
| 398 | 398 | 321 | G2_smistamento | 65.24 | 105.23 | 1.878E-11 |
| 398 | 398 | 320 | Q_smistamento | 65.24 | 105.23 | 1.372E-11 |
| 398 | 398 | 324 | Q_smistamento | 65.24 | 105.23 | 1.625E-11 |
| 398 | 398 | 325 | Q_smistamento | 65.24 | 105.23 | 2.131E-11 |
| 398 | 398 | 321 | Q_smistamento | 65.24 | 105.23 | 1.878E-11 |
| 398 | 398 | 320 | Q_neve | -1.014E-11 | -1.323E-11 | 7.858E-12 |
| 398 | 398 | 324 | Q_neve | -5.161E-12 | -5.917E-12 | 8.490E-12 |
| 398 | 398 | 325 | Q_neve | -3.818E-12 | -1.386E-11 | 1.039E-11 |
| 398 | 398 | 321 | Q_neve | -8.795E-12 | -1.461E-11 | 9.754E-12 |
| 399 | 399 | 321 | DEAD | -7.375E-11 | -8.276E-11 | 5.356E-11 |
| 399 | 399 | 325 | DEAD | -1.190E-12 | -7.068E-11 | 3.999E-11 |
| 399 | 399 | 326 | DEAD | -3.899E-11 | -6.064E-11 | 3.839E-11 |
| 399 | 399 | 322 | DEAD | -2.837E-11 | -2.455E-11 | 4.758E-11 |
| 399 | 399 | 321 | G1_smistamento | 175.98 | 283.85 | 0.2 |
| 399 | 399 | 325 | G1_smistamento | 175.98 | 283.85 | -0.2 |
| 399 | 399 | 326 | G1_smistamento | 161.75 | 217.67 | -0.2 |
| 399 | 399 | 322 | G1_smistamento | 161.75 | 217.67 | 0.2 |
| 399 | 399 | 321 | G2_smistamento | 65.24 | 105.23 | 7.394E-02 |
| 399 | 399 | 325 | G2_smistamento | 65.24 | 105.23 | -7.394E-02 |
| 399 | 399 | 326 | G2_smistamento | 59.96 | 80.69 | -7.394E-02 |
| 399 | 399 | 322 | G2_smistamento | 59.96 | 80.69 | 7.394E-02 |

Table 21: Element Stresses - Area Shells, Part 2 of 3

| Area | AreaElem | Joint | OutputCase | S11Bot KN/m2 | S22Bot KN/m2 | S12Bot KN/m2 |
|------|----------|-------|----------------|-----------------|-----------------|-----------------|
| 399 | 399 | 321 | Q_smistamento | 65.24 | 105.23 | 7.394E-02 |
| 399 | 399 | 325 | Q_smistamento | 65.24 | 105.23 | -7.394E-02 |
| 399 | 399 | 326 | Q_smistamento | 59.96 | 80.69 | -7.394E-02 |
| 399 | 399 | 322 | Q_smistamento | 59.96 | 80.69 | 7.394E-02 |
| 399 | 399 | 321 | Q_neve | -8.782E-12 | -9.603E-12 | 1.052E-11 |
| 399 | 399 | 325 | Q_neve | -3.551E-12 | -1.287E-11 | 8.624E-12 |
| 399 | 399 | 326 | Q_neve | -1.352E-11 | -1.434E-11 | 7.360E-12 |
| 399 | 399 | 322 | Q_neve | -1.102E-12 | -8.205E-12 | 9.256E-12 |
| 400 | 400 | 322 | DEAD | -2.793E-11 | -4.459E-11 | 3.435E-11 |
| 400 | 400 | 326 | DEAD | -4.896E-11 | -4.980E-11 | 4.193E-11 |
| 400 | 400 | 226 | DEAD | 3.432E-11 | 2.398E-11 | 4.446E-11 |
| 400 | 400 | 228 | DEAD | -4.864E-11 | -1.788E-11 | 3.688E-11 |
| 400 | 400 | 322 | G1_smistamento | 161.74 | 217.67 | 0.4 |
| 400 | 400 | 326 | G1_smistamento | 161.74 | 217.67 | -0.4 |
| 400 | 400 | 226 | G1_smistamento | 132.56 | 81.84 | -0.4 |
| 400 | 400 | 228 | G1_smistamento | 132.56 | 81.84 | 0.4 |
| 400 | 400 | 322 | G2_smistamento | 59.96 | 80.69 | 0.15 |
| 400 | 400 | 326 | G2_smistamento | 59.96 | 80.69 | -0.15 |
| 400 | 400 | 226 | G2_smistamento | 49.14 | 30.34 | -0.15 |
| 400 | 400 | 228 | G2_smistamento | 49.14 | 30.34 | 0.15 |
| 400 | 400 | 322 | Q_smistamento | 59.96 | 80.69 | 0.15 |
| 400 | 400 | 326 | Q_smistamento | 59.96 | 80.69 | -0.15 |
| 400 | 400 | 226 | Q_smistamento | 49.14 | 30.34 | -0.15 |
| 400 | 400 | 228 | Q_smistamento | 49.14 | 30.34 | 0.15 |
| 400 | 400 | 322 | Q_neve | -8.812E-13 | -9.586E-12 | 6.034E-12 |
| 400 | 400 | 326 | Q_neve | -1.425E-11 | -1.150E-11 | 7.930E-12 |
| 400 | 400 | 226 | Q_neve | 6.988E-13 | 2.106E-12 | 8.562E-12 |
| 400 | 400 | 228 | Q_neve | -5.087E-12 | 1.903E-13 | 6.666E-12 |
| 401 | 401 | 268 | DEAD | -1.985E-12 | -3.517E-12 | 4.670E-11 |
| 401 | 401 | 270 | DEAD | 1.660E-11 | -1.614E-12 | 4.165E-11 |
| 401 | 401 | 327 | DEAD | 6.546E-12 | 8.807E-12 | 4.670E-11 |
| 401 | 401 | 323 | DEAD | -1.532E-11 | -9.514E-12 | 5.176E-11 |
| 401 | 401 | 268 | G1_smistamento | 132.57 | 81.84 | 1.41 |
| 401 | 401 | 270 | G1_smistamento | 139.29 | 82.19 | 2.22 |
| 401 | 401 | 327 | G1_smistamento | 168.51 | 218.11 | 1.81 |
| 401 | 401 | 323 | G1_smistamento | 161.74 | 217.67 | 1. |
| 401 | 401 | 268 | G2_smistamento | 49.15 | 30.34 | 0.52 |
| 401 | 401 | 270 | G2_smistamento | 51.64 | 30.47 | 0.82 |

Table 21: Element Stresses - Area Shells, Part 2 of 3

| Area | AreaElem | Joint | OutputCase | S11Bot KN/m2 | S22Bot KN/m2 | S12Bot KN/m2 |
|------|----------|-------|----------------|-----------------|-----------------|-----------------|
| 401 | 401 | 327 | G2_smistamento | 62.47 | 80.86 | 0.67 |
| 401 | 401 | 323 | G2_smistamento | 59.96 | 80.69 | 0.37 |
| 401 | 401 | 268 | Q_smistamento | 49.15 | 30.34 | 0.52 |
| 401 | 401 | 270 | Q_smistamento | 51.64 | 30.47 | 0.82 |
| 401 | 401 | 327 | Q_smistamento | 62.47 | 80.86 | 0.67 |
| 401 | 401 | 323 | Q_smistamento | 59.96 | 80.69 | 0.37 |
| 401 | 401 | 268 | Q_neve | 8.766E-12 | 3.409E-12 | 8.027E-12 |
| 401 | 401 | 270 | Q_neve | -4.159E-12 | 1.684E-12 | 7.395E-12 |
| 401 | 401 | 327 | Q_neve | 5.053E-12 | 1.190E-14 | 8.027E-12 |
| 401 | 401 | 323 | Q_neve | -6.924E-12 | -4.557E-12 | 8.659E-12 |
| 402 | 402 | 323 | DEAD | -6.620E-12 | 4.251E-11 | 3.941E-11 |
| 402 | 402 | 327 | DEAD | -2.411E-12 | -4.153E-11 | 3.941E-11 |
| 402 | 402 | 328 | DEAD | -1.673E-11 | 7.116E-12 | 3.941E-11 |
| 402 | 402 | 324 | DEAD | -9.995E-12 | -6.428E-11 | 3.941E-11 |
| 402 | 402 | 323 | G1_smistamento | 161.74 | 217.67 | 0.8 |
| 402 | 402 | 327 | G1_smistamento | 168.51 | 218.11 | 1.21 |
| 402 | 402 | 328 | G1_smistamento | 182.8 | 284.29 | 0.81 |
| 402 | 402 | 324 | G1_smistamento | 175.98 | 283.85 | 0.4 |
| 402 | 402 | 323 | G2_smistamento | 59.96 | 80.69 | 0.3 |
| 402 | 402 | 327 | G2_smistamento | 62.47 | 80.86 | 0.45 |
| 402 | 402 | 328 | G2_smistamento | 67.77 | 105.39 | 0.3 |
| 402 | 402 | 324 | G2_smistamento | 65.24 | 105.23 | 0.15 |
| 402 | 402 | 323 | Q_smistamento | 59.96 | 80.69 | 0.3 |
| 402 | 402 | 327 | Q_smistamento | 62.47 | 80.86 | 0.45 |
| 402 | 402 | 328 | Q_smistamento | 67.77 | 105.39 | 0.3 |
| 402 | 402 | 324 | Q_smistamento | 65.24 | 105.23 | 0.15 |
| 402 | 402 | 323 | Q_neve | -5.305E-12 | 1.748E-12 | 7.662E-12 |
| 402 | 402 | 327 | Q_neve | 3.249E-12 | -4.876E-12 | 7.030E-12 |
| 402 | 402 | 328 | Q_neve | -3.725E-12 | 1.678E-13 | 7.662E-12 |
| 402 | 402 | 324 | Q_neve | -1.333E-12 | -1.072E-11 | 8.294E-12 |
| 403 | 403 | 324 | DEAD | -5.196E-12 | -8.468E-12 | 4.884E-11 |
| 403 | 403 | 328 | DEAD | -2.211E-11 | -4.863E-11 | 4.379E-11 |
| 403 | 403 | 329 | DEAD | -1.341E-11 | -4.955E-11 | 3.873E-11 |
| 403 | 403 | 325 | DEAD | -5.561E-11 | -9.477E-11 | 4.379E-11 |
| 403 | 403 | 324 | G1_smistamento | 175.98 | 283.85 | 0.2 |
| 403 | 403 | 328 | G1_smistamento | 182.8 | 284.29 | 0.2 |
| 403 | 403 | 329 | G1_smistamento | 182.8 | 284.29 | -0.2 |
| 403 | 403 | 325 | G1_smistamento | 175.98 | 283.85 | -0.2 |

Table 21: Element Stresses - Area Shells, Part 2 of 3

| Area | AreaElem | Joint | OutputCase | S11Bot KN/m2 | S22Bot KN/m2 | S12Bot KN/m2 |
|------|----------|-------|----------------|-----------------|-----------------|-----------------|
| 403 | 403 | 324 | G2_smistamento | 65.24 | 105.23 | 7.483E-02 |
| 403 | 403 | 328 | G2_smistamento | 67.77 | 105.39 | 7.483E-02 |
| 403 | 403 | 329 | G2_smistamento | 67.77 | 105.39 | -7.483E-02 |
| 403 | 403 | 325 | G2_smistamento | 65.24 | 105.23 | -7.483E-02 |
| 403 | 403 | 324 | Q_smistamento | 65.24 | 105.23 | 7.483E-02 |
| 403 | 403 | 328 | Q_smistamento | 67.77 | 105.39 | 7.483E-02 |
| 403 | 403 | 329 | Q_smistamento | 67.77 | 105.39 | -7.483E-02 |
| 403 | 403 | 325 | Q_smistamento | 65.24 | 105.23 | -7.483E-02 |
| 403 | 403 | 324 | Q_neve | -2.214E-12 | -5.889E-12 | 8.659E-12 |
| 403 | 403 | 328 | Q_neve | -4.222E-12 | -7.604E-12 | 7.395E-12 |
| 403 | 403 | 329 | Q_neve | -2.530E-12 | -1.126E-11 | 7.395E-12 |
| 403 | 403 | 325 | Q_neve | -9.278E-12 | -1.392E-11 | 8.659E-12 |
| 404 | 404 | 325 | DEAD | -4.222E-11 | -8.242E-11 | 3.343E-11 |
| 404 | 404 | 329 | DEAD | -3.497E-11 | -1.276E-10 | 4.286E-11 |
| 404 | 404 | 330 | DEAD | -9.043E-12 | -7.526E-12 | 4.101E-11 |
| 404 | 404 | 326 | DEAD | -2.834E-11 | -4.887E-11 | 4.033E-11 |
| 404 | 404 | 325 | G1_smistamento | 175.98 | 283.85 | -0.4 |
| 404 | 404 | 329 | G1_smistamento | 182.8 | 284.29 | -0.81 |
| 404 | 404 | 330 | G1_smistamento | 168.51 | 218.11 | -1.21 |
| 404 | 404 | 326 | G1_smistamento | 161.74 | 217.67 | -0.8 |
| 404 | 404 | 325 | G2_smistamento | 65.24 | 105.23 | -0.15 |
| 404 | 404 | 329 | G2_smistamento | 67.77 | 105.39 | -0.3 |
| 404 | 404 | 330 | G2_smistamento | 62.47 | 80.86 | -0.45 |
| 404 | 404 | 326 | G2_smistamento | 59.96 | 80.69 | -0.3 |
| 404 | 404 | 325 | Q_smistamento | 65.24 | 105.23 | -0.15 |
| 404 | 404 | 329 | Q_smistamento | 67.77 | 105.39 | -0.3 |
| 404 | 404 | 330 | Q_smistamento | 62.47 | 80.86 | -0.45 |
| 404 | 404 | 326 | Q_smistamento | 59.96 | 80.69 | -0.3 |
| 404 | 404 | 325 | Q_neve | -1.100E-11 | -1.403E-11 | 5.802E-12 |
| 404 | 404 | 329 | Q_neve | -3.490E-12 | -2.477E-11 | 7.529E-12 |
| 404 | 404 | 330 | Q_neve | 1.010E-12 | 2.401E-12 | 7.698E-12 |
| 404 | 404 | 326 | Q_neve | -9.099E-12 | -1.300E-11 | 8.161E-12 |
| 405 | 405 | 326 | DEAD | -2.454E-11 | -5.990E-11 | 5.746E-11 |
| 405 | 405 | 330 | DEAD | 2.792E-12 | 1.998E-12 | 4.617E-11 |
| 405 | 405 | 224 | DEAD | -3.749E-11 | -4.884E-11 | 5.493E-11 |
| 405 | 405 | 226 | DEAD | 4.688E-12 | 2.665E-11 | 4.870E-11 |
| 405 | 405 | 326 | G1_smistamento | 161.74 | 217.67 | -1. |
| 405 | 405 | 330 | G1_smistamento | 168.51 | 218.11 | -1.81 |

Table 21: Element Stresses - Area Shells, Part 2 of 3

| Area | AreaElem | Joint | OutputCase | S11Bot KN/m2 | S22Bot KN/m2 | S12Bot KN/m2 |
|------|----------|-------|----------------|-----------------|-----------------|-----------------|
| 405 | 405 | 224 | G1_smistamento | 139.29 | 82.19 | -2.22 |
| 405 | 405 | 226 | G1_smistamento | 132.57 | 81.84 | -1.41 |
| 405 | 405 | 326 | G2_smistamento | 59.96 | 80.69 | -0.37 |
| 405 | 405 | 330 | G2_smistamento | 62.47 | 80.86 | -0.67 |
| 405 | 405 | 224 | G2_smistamento | 51.64 | 30.47 | -0.82 |
| 405 | 405 | 226 | G2_smistamento | 49.15 | 30.34 | -0.52 |
| 405 | 405 | 326 | Q_smistamento | 59.96 | 80.69 | -0.37 |
| 405 | 405 | 330 | Q_smistamento | 62.47 | 80.86 | -0.67 |
| 405 | 405 | 224 | Q_smistamento | 51.64 | 30.47 | -0.82 |
| 405 | 405 | 226 | Q_smistamento | 49.15 | 30.34 | -0.52 |
| 405 | 405 | 326 | Q_neve | -9.519E-12 | -1.094E-11 | 1.108E-11 |
| 405 | 405 | 330 | Q_neve | 1.582E-12 | -4.082E-12 | 9.353E-12 |
| 405 | 405 | 224 | Q_neve | -2.567E-12 | -4.617E-12 | 1.045E-11 |
| 405 | 405 | 226 | Q_neve | -4.501E-12 | 1.527E-12 | 9.985E-12 |
| 406 | 406 | 270 | DEAD | 2.011E-11 | 1.417E-11 | 4.519E-11 |
| 406 | 406 | 272 | DEAD | 7.057E-12 | -3.039E-11 | 3.921E-11 |
| 406 | 406 | 331 | DEAD | 1.127E-11 | -1.490E-11 | 3.508E-11 |
| 406 | 406 | 327 | DEAD | 1.338E-11 | 1.205E-12 | 3.668E-11 |
| 406 | 406 | 270 | G1_smistamento | 139.31 | 82.19 | 3.22 |
| 406 | 406 | 272 | G1_smistamento | 151.24 | 82.75 | 4.06 |
| 406 | 406 | 331 | G1_smistamento | 180.59 | 218.73 | 3.27 |
| 406 | 406 | 327 | G1_smistamento | 168.51 | 218.11 | 2.44 |
| 406 | 406 | 270 | G2_smistamento | 51.64 | 30.47 | 1.2 |
| 406 | 406 | 272 | G2_smistamento | 56.07 | 30.68 | 1.5 |
| 406 | 406 | 331 | G2_smistamento | 66.95 | 81.09 | 1.21 |
| 406 | 406 | 327 | G2_smistamento | 62.47 | 80.86 | 0.9 |
| 406 | 406 | 270 | Q_smistamento | 51.64 | 30.47 | 1.2 |
| 406 | 406 | 272 | Q_smistamento | 56.07 | 30.68 | 1.5 |
| 406 | 406 | 331 | Q_smistamento | 66.95 | 81.09 | 1.21 |
| 406 | 406 | 327 | Q_smistamento | 62.47 | 80.86 | 0.9 |
| 406 | 406 | 270 | Q_neve | 3.486E-12 | 4.548E-12 | 8.744E-12 |
| 406 | 406 | 272 | Q_neve | 6.722E-14 | -7.180E-12 | 8.343E-12 |
| 406 | 406 | 331 | Q_neve | 2.854E-12 | -2.404E-12 | 6.216E-12 |
| 406 | 406 | 327 | Q_neve | 9.362E-13 | -9.388E-13 | 7.711E-12 |
| 407 | 407 | 327 | DEAD | 2.156E-12 | -2.808E-11 | 3.921E-11 |
| 407 | 407 | 331 | DEAD | 1.722E-11 | 8.785E-12 | 3.138E-11 |
| 407 | 407 | 332 | DEAD | 2.649E-11 | -1.260E-11 | 3.668E-11 |
| 407 | 407 | 328 | DEAD | 4.745E-13 | 8.847E-13 | 3.138E-11 |

Table 21: Element Stresses - Area Shells, Part 2 of 3

| Area | AreaElem | Joint | OutputCase | S11Bot KN/m2 | S22Bot KN/m2 | S12Bot KN/m2 |
|------|----------|-------|----------------|-----------------|-----------------|-----------------|
| 407 | 407 | 327 | G1_smistamento | 168.51 | 218.11 | 1.84 |
| 407 | 407 | 331 | G1_smistamento | 180.59 | 218.72 | 2.29 |
| 407 | 407 | 332 | G1_smistamento | 195.01 | 284.8 | 1.48 |
| 407 | 407 | 328 | G1_smistamento | 182.8 | 284.29 | 1.03 |
| 407 | 407 | 327 | G2_smistamento | 62.47 | 80.86 | 0.68 |
| 407 | 407 | 331 | G2_smistamento | 66.95 | 81.08 | 0.85 |
| 407 | 407 | 332 | G2_smistamento | 72.29 | 105.58 | 0.55 |
| 407 | 407 | 328 | G2_smistamento | 67.77 | 105.39 | 0.38 |
| 407 | 407 | 327 | Q_smistamento | 62.47 | 80.86 | 0.68 |
| 407 | 407 | 331 | Q_smistamento | 66.95 | 81.08 | 0.85 |
| 407 | 407 | 332 | Q_smistamento | 72.29 | 105.58 | 0.55 |
| 407 | 407 | 328 | Q_smistamento | 67.77 | 105.39 | 0.38 |
| 407 | 407 | 327 | Q_neve | -6.438E-13 | -5.741E-12 | 7.930E-12 |
| 407 | 407 | 331 | Q_neve | 4.002E-12 | 2.135E-12 | 5.571E-12 |
| 407 | 407 | 332 | Q_neve | 1.647E-12 | -5.662E-12 | 6.666E-12 |
| 407 | 407 | 328 | Q_neve | 1.790E-12 | 5.555E-13 | 6.835E-12 |
| 408 | 408 | 328 | DEAD | -5.792E-12 | -4.069E-11 | 3.357E-11 |
| 408 | 408 | 332 | DEAD | 2.365E-11 | -1.186E-11 | 3.289E-11 |
| 408 | 408 | 333 | DEAD | 2.075E-11 | -5.965E-11 | 3.357E-11 |
| 408 | 408 | 329 | DEAD | -3.386E-11 | -5.673E-11 | 4.300E-11 |
| 408 | 408 | 328 | G1_smistamento | 182.8 | 284.28 | 0.42 |
| 408 | 408 | 332 | G1_smistamento | 195.01 | 284.8 | 0.42 |
| 408 | 408 | 333 | G1_smistamento | 195.01 | 284.8 | -0.42 |
| 408 | 408 | 329 | G1_smistamento | 182.8 | 284.28 | -0.42 |
| 408 | 408 | 328 | G2_smistamento | 67.77 | 105.39 | 0.16 |
| 408 | 408 | 332 | G2_smistamento | 72.29 | 105.58 | 0.16 |
| 408 | 408 | 333 | G2_smistamento | 72.29 | 105.58 | -0.16 |
| 408 | 408 | 329 | G2_smistamento | 67.77 | 105.39 | -0.16 |
| 408 | 408 | 328 | Q_smistamento | 67.77 | 105.39 | 0.16 |
| 408 | 408 | 332 | Q_smistamento | 72.29 | 105.58 | 0.16 |
| 408 | 408 | 333 | Q_smistamento | 72.29 | 105.58 | -0.16 |
| 408 | 408 | 329 | Q_smistamento | 67.77 | 105.39 | -0.16 |
| 408 | 408 | 328 | Q_neve | 6.663E-13 | -9.844E-12 | 6.568E-12 |
| 408 | 408 | 332 | Q_neve | 2.569E-12 | -2.174E-12 | 7.030E-12 |
| 408 | 408 | 333 | Q_neve | 1.614E-12 | -1.269E-11 | 6.568E-12 |
| 408 | 408 | 329 | Q_neve | -5.488E-12 | -1.023E-11 | 8.294E-12 |
| 409 | 409 | 329 | DEAD | -4.905E-11 | -1.271E-10 | 4.875E-11 |
| 409 | 409 | 333 | DEAD | 1.940E-11 | -3.052E-11 | 4.345E-11 |

Table 21: Element Stresses - Area Shells, Part 2 of 3

| Area | AreaElem | Joint | OutputCase | S11Bot KN/m2 | S22Bot KN/m2 | S12Bot KN/m2 |
|------|----------|-------|----------------|-----------------|-----------------|-----------------|
| 409 | 409 | 334 | DEAD | 1.257E-11 | -4.655E-11 | 5.633E-11 |
| 409 | 409 | 330 | DEAD | 4.864E-12 | 2.974E-12 | 4.850E-11 |
| 409 | 409 | 329 | G1_smistamento | 182.8 | 284.29 | -1.03 |
| 409 | 409 | 333 | G1_smistamento | 195.01 | 284.8 | -1.48 |
| 409 | 409 | 334 | G1_smistamento | 180.59 | 218.72 | -2.29 |
| 409 | 409 | 330 | G1_smistamento | 168.51 | 218.11 | -1.84 |
| 409 | 409 | 329 | G2_smistamento | 67.77 | 105.39 | -0.38 |
| 409 | 409 | 333 | G2_smistamento | 72.29 | 105.58 | -0.55 |
| 409 | 409 | 334 | G2_smistamento | 66.95 | 81.08 | -0.85 |
| 409 | 409 | 330 | G2_smistamento | 62.47 | 80.86 | -0.68 |
| 409 | 409 | 329 | Q_smistamento | 67.77 | 105.39 | -0.38 |
| 409 | 409 | 333 | Q_smistamento | 72.29 | 105.58 | -0.55 |
| 409 | 409 | 334 | Q_smistamento | 66.95 | 81.08 | -0.85 |
| 409 | 409 | 330 | Q_smistamento | 62.47 | 80.86 | -0.68 |
| 409 | 409 | 329 | Q_neve | -7.735E-12 | -2.468E-11 | 9.269E-12 |
| 409 | 409 | 333 | Q_neve | 1.745E-12 | -7.616E-12 | 8.575E-12 |
| 409 | 409 | 334 | Q_neve | 4.588E-12 | -8.567E-12 | 1.116E-11 |
| 409 | 409 | 330 | Q_neve | 7.180E-13 | 2.417E-12 | 8.575E-12 |
| 410 | 410 | 330 | DEAD | 2.762E-12 | 9.973E-12 | 4.115E-11 |
| 410 | 410 | 334 | DEAD | 1.178E-11 | -5.220E-11 | 3.542E-11 |
| 410 | 410 | 222 | DEAD | 2.077E-11 | -6.142E-12 | 2.599E-11 |
| 410 | 410 | 224 | DEAD | -5.173E-11 | -5.125E-11 | 4.048E-11 |
| 410 | 410 | 330 | G1_smistamento | 168.51 | 218.11 | -2.44 |
| 410 | 410 | 334 | G1_smistamento | 180.59 | 218.73 | -3.27 |
| 410 | 410 | 222 | G1_smistamento | 151.24 | 82.75 | -4.06 |
| 410 | 410 | 224 | G1_smistamento | 139.31 | 82.19 | -3.22 |
| 410 | 410 | 330 | G2_smistamento | 62.47 | 80.86 | -0.9 |
| 410 | 410 | 334 | G2_smistamento | 66.95 | 81.09 | -1.21 |
| 410 | 410 | 222 | G2_smistamento | 56.07 | 30.68 | -1.5 |
| 410 | 410 | 224 | G2_smistamento | 51.64 | 30.47 | -1.2 |
| 410 | 410 | 330 | Q_smistamento | 62.47 | 80.86 | -0.9 |
| 410 | 410 | 334 | Q_smistamento | 66.95 | 81.09 | -1.21 |
| 410 | 410 | 222 | Q_smistamento | 56.07 | 30.68 | -1.5 |
| 410 | 410 | 224 | Q_smistamento | 51.64 | 30.47 | -1.2 |
| 410 | 410 | 330 | Q_neve | -7.016E-13 | -3.694E-12 | 8.562E-12 |
| 410 | 410 | 334 | Q_neve | 3.988E-12 | -8.176E-12 | 6.666E-12 |
| 410 | 410 | 222 | Q_neve | 1.431E-12 | -2.509E-12 | 6.034E-12 |
| 410 | 410 | 224 | Q_neve | -3.122E-12 | -3.910E-12 | 7.930E-12 |

Table 21: Element Stresses - Area Shells, Part 2 of 3

| Area | AreaElem | Joint | OutputCase | S11Bot KN/m2 | S22Bot KN/m2 | S12Bot KN/m2 |
|------|----------|-------|----------------|-----------------|-----------------|-----------------|
| 411 | 411 | 272 | DEAD | 2.414E-11 | -3.428E-11 | 4.213E-11 |
| 411 | 411 | 274 | DEAD | 3.390E-11 | 1.932E-12 | 3.615E-11 |
| 411 | 411 | 335 | DEAD | 8.337E-12 | -2.227E-11 | 3.960E-11 |
| 411 | 411 | 331 | DEAD | 3.579E-11 | -3.756E-12 | 4.121E-11 |
| 411 | 411 | 272 | G1_smistamento | 151.27 | 82.76 | 5.07 |
| 411 | 411 | 274 | G1_smistamento | 165.29 | 83.23 | 6. |
| 411 | 411 | 335 | G1_smistamento | 194.96 | 218.93 | 4.91 |
| 411 | 411 | 331 | G1_smistamento | 180.58 | 218.73 | 3.98 |
| 411 | 411 | 272 | G2_smistamento | 56.08 | 30.68 | 1.88 |
| 411 | 411 | 274 | G2_smistamento | 61.27 | 30.86 | 2.22 |
| 411 | 411 | 335 | G2_smistamento | 72.27 | 81.16 | 1.82 |
| 411 | 411 | 331 | G2_smistamento | 66.95 | 81.09 | 1.48 |
| 411 | 411 | 272 | Q_smistamento | 56.08 | 30.68 | 1.88 |
| 411 | 411 | 274 | Q_smistamento | 61.27 | 30.86 | 2.22 |
| 411 | 411 | 335 | Q_smistamento | 72.27 | 81.16 | 1.82 |
| 411 | 411 | 331 | Q_smistamento | 66.95 | 81.09 | 1.48 |
| 411 | 411 | 272 | Q_neve | 4.937E-12 | -6.579E-12 | 8.891E-12 |
| 411 | 411 | 274 | Q_neve | 6.400E-12 | 3.139E-12 | 7.164E-12 |
| 411 | 411 | 335 | Q_neve | 2.725E-12 | -4.367E-12 | 8.259E-12 |
| 411 | 411 | 331 | Q_neve | 4.820E-12 | -2.865E-12 | 7.796E-12 |
| 412 | 412 | 331 | DEAD | 3.773E-11 | 1.554E-11 | 3.449E-11 |
| 412 | 412 | 335 | DEAD | 5.578E-12 | -4.975E-11 | 3.517E-11 |
| 412 | 412 | 336 | DEAD | 4.437E-11 | 1.839E-11 | 3.702E-11 |
| 412 | 412 | 332 | DEAD | 8.105E-12 | -2.195E-11 | 2.759E-11 |
| 412 | 412 | 331 | G1_smistamento | 180.58 | 218.72 | 3. |
| 412 | 412 | 335 | G1_smistamento | 194.95 | 218.9 | 3.56 |
| 412 | 412 | 336 | G1_smistamento | 209.67 | 284.62 | 2.3 |
| 412 | 412 | 332 | G1_smistamento | 195. | 284.8 | 1.74 |
| 412 | 412 | 331 | G2_smistamento | 66.94 | 81.08 | 1.11 |
| 412 | 412 | 335 | G2_smistamento | 72.27 | 81.15 | 1.32 |
| 412 | 412 | 336 | G2_smistamento | 77.73 | 105.51 | 0.85 |
| 412 | 412 | 332 | G2_smistamento | 72.29 | 105.58 | 0.65 |
| 412 | 412 | 331 | Q_smistamento | 66.94 | 81.08 | 1.11 |
| 412 | 412 | 335 | Q_smistamento | 72.27 | 81.15 | 1.32 |
| 412 | 412 | 336 | Q_smistamento | 77.73 | 105.51 | 0.85 |
| 412 | 412 | 332 | Q_smistamento | 72.29 | 105.58 | 0.65 |
| 412 | 412 | 331 | Q_neve | 5.745E-12 | 3.579E-12 | 6.118E-12 |
| 412 | 412 | 335 | Q_neve | 3.280E-12 | -8.005E-12 | 6.519E-12 |

Table 21: Element Stresses - Area Shells, Part 2 of 3

| Area | AreaElem | Joint | OutputCase | S11Bot KN/m2 | S22Bot KN/m2 | S12Bot KN/m2 |
|------|----------|-------|----------------|-----------------|-----------------|-----------------|
| 412 | 412 | 336 | Q_neve | 9.853E-12 | 3.263E-12 | 7.382E-12 |
| 412 | 412 | 332 | Q_neve | 2.778E-13 | -5.951E-12 | 5.887E-12 |
| 413 | 413 | 332 | DEAD | -2.743E-12 | -1.755E-11 | 3.469E-11 |
| 413 | 413 | 336 | DEAD | 4.198E-11 | -1.223E-11 | 3.124E-11 |
| 413 | 413 | 337 | DEAD | 1.369E-11 | -4.156E-11 | 3.975E-11 |
| 413 | 413 | 333 | DEAD | 2.808E-11 | -6.658E-11 | 3.882E-11 |
| 413 | 413 | 332 | G1_smistamento | 195. | 284.8 | 0.68 |
| 413 | 413 | 336 | G1_smistamento | 209.67 | 284.61 | 0.68 |
| 413 | 413 | 337 | G1_smistamento | 209.67 | 284.61 | -0.68 |
| 413 | 413 | 333 | G1_smistamento | 195. | 284.8 | -0.68 |
| 413 | 413 | 332 | G2_smistamento | 72.29 | 105.58 | 0.25 |
| 413 | 413 | 336 | G2_smistamento | 77.73 | 105.51 | 0.25 |
| 413 | 413 | 337 | G2_smistamento | 77.73 | 105.51 | -0.25 |
| 413 | 413 | 333 | G2_smistamento | 72.29 | 105.58 | -0.25 |
| 413 | 413 | 332 | Q_smistamento | 72.29 | 105.58 | 0.25 |
| 413 | 413 | 336 | Q_smistamento | 77.73 | 105.51 | 0.25 |
| 413 | 413 | 337 | Q_smistamento | 77.73 | 105.51 | -0.25 |
| 413 | 413 | 333 | Q_smistamento | 72.29 | 105.58 | -0.25 |
| 413 | 413 | 332 | Q_neve | 2.991E-13 | -3.627E-12 | 6.666E-12 |
| 413 | 413 | 336 | Q_neve | 8.527E-12 | -5.959E-12 | 7.298E-12 |
| 413 | 413 | 337 | Q_neve | 7.409E-12 | -5.997E-12 | 7.930E-12 |
| 413 | 413 | 333 | Q_neve | 2.602E-12 | -1.283E-11 | 7.298E-12 |
| 414 | 414 | 333 | DEAD | 2.159E-11 | -4.560E-11 | 4.154E-11 |
| 414 | 414 | 337 | DEAD | 1.132E-11 | -4.957E-11 | 3.581E-11 |
| 414 | 414 | 338 | DEAD | 3.423E-11 | -4.307E-11 | 3.143E-11 |
| 414 | 414 | 334 | DEAD | -3.102E-11 | -4.894E-11 | 4.592E-11 |
| 414 | 414 | 333 | G1_smistamento | 195. | 284.8 | -1.74 |
| 414 | 414 | 337 | G1_smistamento | 209.67 | 284.62 | -2.3 |
| 414 | 414 | 338 | G1_smistamento | 194.95 | 218.9 | -3.56 |
| 414 | 414 | 334 | G1_smistamento | 180.58 | 218.72 | -3. |
| 414 | 414 | 333 | G2_smistamento | 72.29 | 105.58 | -0.65 |
| 414 | 414 | 337 | G2_smistamento | 77.73 | 105.51 | -0.85 |
| 414 | 414 | 338 | G2_smistamento | 72.27 | 81.15 | -1.32 |
| 414 | 414 | 334 | G2_smistamento | 66.94 | 81.08 | -1.11 |
| 414 | 414 | 333 | Q_smistamento | 72.29 | 105.58 | -0.65 |
| 414 | 414 | 337 | Q_smistamento | 77.73 | 105.51 | -0.85 |
| 414 | 414 | 338 | Q_smistamento | 72.27 | 81.15 | -1.32 |
| 414 | 414 | 334 | Q_smistamento | 66.94 | 81.08 | -1.11 |

Table 21: Element Stresses - Area Shells, Part 2 of 3

| Area | AreaElem | Joint | OutputCase | S11Bot KN/m2 | S22Bot KN/m2 | S12Bot KN/m2 |
|------|----------|-------|----------------|-----------------|-----------------|-----------------|
| 414 | 414 | 333 | Q_neve | 2.845E-12 | -8.225E-12 | 8.379E-12 |
| 414 | 414 | 337 | Q_neve | 7.705E-12 | -5.560E-12 | 7.809E-12 |
| 414 | 414 | 338 | Q_neve | 8.375E-12 | -9.015E-12 | 5.851E-12 |
| 414 | 414 | 334 | Q_neve | -8.253E-12 | -1.141E-11 | 9.705E-12 |
| 415 | 415 | 334 | DEAD | -3.280E-11 | -5.229E-11 | 2.778E-11 |
| 415 | 415 | 338 | DEAD | 4.105E-11 | -3.378E-11 | 5.196E-11 |
| 415 | 415 | 220 | DEAD | 1.365E-11 | -1.722E-11 | 3.790E-11 |
| 415 | 415 | 222 | DEAD | 1.861E-11 | -9.453E-12 | 4.437E-11 |
| 415 | 415 | 334 | G1_smistamento | 180.58 | 218.73 | -3.98 |
| 415 | 415 | 338 | G1_smistamento | 194.96 | 218.93 | -4.91 |
| 415 | 415 | 220 | G1_smistamento | 165.29 | 83.23 | -6. |
| 415 | 415 | 222 | G1_smistamento | 151.27 | 82.76 | -5.07 |
| 415 | 415 | 334 | G2_smistamento | 66.95 | 81.09 | -1.48 |
| 415 | 415 | 338 | G2_smistamento | 72.27 | 81.16 | -1.82 |
| 415 | 415 | 220 | G2_smistamento | 61.27 | 30.86 | -2.22 |
| 415 | 415 | 222 | G2_smistamento | 56.08 | 30.68 | -1.88 |
| 415 | 415 | 334 | Q_smistamento | 66.95 | 81.09 | -1.48 |
| 415 | 415 | 338 | Q_smistamento | 72.27 | 81.16 | -1.82 |
| 415 | 415 | 220 | Q_smistamento | 61.27 | 30.86 | -2.22 |
| 415 | 415 | 222 | Q_smistamento | 56.08 | 30.68 | -1.88 |
| 415 | 415 | 334 | Q_neve | -7.995E-12 | -8.319E-12 | 5.486E-12 |
| 415 | 415 | 338 | Q_neve | 1.116E-11 | -3.213E-12 | 9.803E-12 |
| 415 | 415 | 220 | Q_neve | 1.564E-12 | -4.132E-12 | 8.014E-12 |
| 415 | 415 | 222 | Q_neve | 6.495E-12 | -3.766E-12 | 9.171E-12 |
| 416 | 416 | 274 | DEAD | 5.084E-11 | 6.134E-12 | 3.649E-11 |
| 416 | 416 | 276 | DEAD | 1.698E-12 | -1.169E-11 | 2.958E-11 |
| 416 | 416 | 339 | DEAD | 3.125E-11 | -1.599E-11 | 3.649E-11 |
| 416 | 416 | 335 | DEAD | 2.129E-11 | -4.734E-12 | 3.464E-11 |
| 416 | 416 | 274 | G1_smistamento | 165.32 | 83.24 | 7.12 |
| 416 | 416 | 276 | G1_smistamento | 176.6 | 83.17 | 8.3 |
| 416 | 416 | 339 | G1_smistamento | 206.92 | 217.73 | 7.01 |
| 416 | 416 | 335 | G1_smistamento | 194.95 | 218.93 | 5.83 |
| 416 | 416 | 274 | G2_smistamento | 61.29 | 30.86 | 2.64 |
| 416 | 416 | 276 | G2_smistamento | 65.47 | 30.83 | 3.08 |
| 416 | 416 | 339 | G2_smistamento | 76.71 | 80.72 | 2.6 |
| 416 | 416 | 335 | G2_smistamento | 72.27 | 81.16 | 2.16 |
| 416 | 416 | 274 | Q_smistamento | 61.29 | 30.86 | 2.64 |
| 416 | 416 | 276 | Q_smistamento | 65.47 | 30.83 | 3.08 |

Table 21: Element Stresses - Area Shells, Part 2 of 3

| Area | AreaElem | Joint | OutputCase | S11Bot KN/m2 | S22Bot KN/m2 | S12Bot KN/m2 |
|------|----------|-------|----------------|-----------------|-----------------|-----------------|
| 416 | 416 | 339 | Q_smistamento | 76.71 | 80.72 | 2.6 |
| 416 | 416 | 335 | Q_smistamento | 72.27 | 81.16 | 2.16 |
| 416 | 416 | 274 | Q_neve | 7.762E-12 | 2.805E-12 | 6.799E-12 |
| 416 | 416 | 276 | Q_neve | 1.648E-12 | -2.423E-12 | 7.431E-12 |
| 416 | 416 | 339 | Q_neve | 1.679E-12 | -4.858E-12 | 7.431E-12 |
| 416 | 416 | 335 | Q_neve | 6.151E-12 | -4.556E-12 | 6.799E-12 |
| 417 | 417 | 335 | DEAD | 2.457E-11 | -4.759E-11 | 3.775E-11 |
| 417 | 417 | 339 | DEAD | 2.663E-11 | -6.957E-12 | 3.868E-11 |
| 417 | 417 | 340 | DEAD | 1.794E-11 | -2.010E-11 | 3.522E-11 |
| 417 | 417 | 336 | DEAD | 3.011E-11 | 1.042E-11 | 3.868E-11 |
| 417 | 417 | 335 | G1_smistamento | 194.95 | 218.9 | 4.48 |
| 417 | 417 | 339 | G1_smistamento | 206.9 | 217.68 | 5.25 |
| 417 | 417 | 340 | G1_smistamento | 222.16 | 282.38 | 3.44 |
| 417 | 417 | 336 | G1_smistamento | 209.65 | 284.61 | 2.66 |
| 417 | 417 | 335 | G2_smistamento | 72.27 | 81.15 | 1.66 |
| 417 | 417 | 339 | G2_smistamento | 76.7 | 80.7 | 1.95 |
| 417 | 417 | 340 | G2_smistamento | 82.36 | 104.68 | 1.27 |
| 417 | 417 | 336 | G2_smistamento | 77.72 | 105.51 | 0.99 |
| 417 | 417 | 335 | Q_smistamento | 72.27 | 81.15 | 1.66 |
| 417 | 417 | 339 | Q_smistamento | 76.7 | 80.7 | 1.95 |
| 417 | 417 | 340 | Q_smistamento | 82.36 | 104.68 | 1.27 |
| 417 | 417 | 336 | Q_smistamento | 77.72 | 105.51 | 0.99 |
| 417 | 417 | 335 | Q_neve | 4.385E-12 | -9.045E-12 | 7.614E-12 |
| 417 | 417 | 339 | Q_neve | 4.941E-12 | -4.235E-12 | 7.845E-12 |
| 417 | 417 | 340 | Q_neve | 2.410E-12 | -1.856E-12 | 6.982E-12 |
| 417 | 417 | 336 | Q_neve | 8.970E-12 | 2.638E-12 | 7.845E-12 |
| 418 | 418 | 336 | DEAD | 2.646E-11 | -2.064E-11 | 3.376E-11 |
| 418 | 418 | 340 | DEAD | 2.649E-11 | -1.234E-11 | 3.722E-11 |
| 418 | 418 | 341 | DEAD | 1.003E-11 | -4.212E-11 | 3.629E-11 |
| 418 | 418 | 337 | DEAD | 3.408E-11 | -3.509E-11 | 3.722E-11 |
| 418 | 418 | 336 | G1_smistamento | 209.65 | 284.6 | 1.03 |
| 418 | 418 | 340 | G1_smistamento | 222.16 | 282.36 | 1.03 |
| 418 | 418 | 341 | G1_smistamento | 222.16 | 282.36 | -1.03 |
| 418 | 418 | 337 | G1_smistamento | 209.65 | 284.6 | -1.03 |
| 418 | 418 | 336 | G2_smistamento | 77.72 | 105.51 | 0.38 |
| 418 | 418 | 340 | G2_smistamento | 82.36 | 104.67 | 0.38 |
| 418 | 418 | 341 | G2_smistamento | 82.36 | 104.67 | -0.38 |
| 418 | 418 | 337 | G2_smistamento | 77.72 | 105.51 | -0.38 |

Table 21: Element Stresses - Area Shells, Part 2 of 3

| Area | AreaElem | Joint | OutputCase | S11Bot KN/m2 | S22Bot KN/m2 | S12Bot KN/m2 |
|------|----------|-------|----------------|-----------------|-----------------|-----------------|
| 418 | 418 | 336 | Q_smistamento | 77.72 | 105.51 | 0.38 |
| 418 | 418 | 340 | Q_smistamento | 82.36 | 104.67 | 0.38 |
| 418 | 418 | 341 | Q_smistamento | 82.36 | 104.67 | -0.38 |
| 418 | 418 | 337 | Q_smistamento | 77.72 | 105.51 | -0.38 |
| 418 | 418 | 336 | Q_neve | 8.662E-12 | -2.144E-12 | 6.350E-12 |
| 418 | 418 | 340 | Q_neve | 2.078E-12 | -6.948E-12 | 6.118E-12 |
| 418 | 418 | 341 | Q_neve | 3.607E-12 | -6.568E-12 | 8.246E-12 |
| 418 | 418 | 337 | Q_neve | 5.949E-12 | -6.553E-12 | 7.382E-12 |
| 419 | 419 | 337 | DEAD | 3.252E-11 | -4.927E-11 | 3.629E-11 |
| 419 | 419 | 341 | DEAD | 1.084E-12 | -6.292E-11 | 3.216E-11 |
| 419 | 419 | 342 | DEAD | 2.020E-11 | -1.988E-11 | 3.376E-11 |
| 419 | 419 | 338 | DEAD | 2.099E-11 | -5.439E-11 | 4.227E-11 |
| 419 | 419 | 337 | G1_smistamento | 209.65 | 284.61 | -2.66 |
| 419 | 419 | 341 | G1_smistamento | 222.16 | 282.38 | -3.44 |
| 419 | 419 | 342 | G1_smistamento | 206.9 | 217.68 | -5.25 |
| 419 | 419 | 338 | G1_smistamento | 194.95 | 218.9 | -4.48 |
| 419 | 419 | 337 | G2_smistamento | 77.72 | 105.51 | -0.99 |
| 419 | 419 | 341 | G2_smistamento | 82.36 | 104.68 | -1.27 |
| 419 | 419 | 342 | G2_smistamento | 76.7 | 80.7 | -1.95 |
| 419 | 419 | 338 | G2_smistamento | 72.27 | 81.15 | -1.66 |
| 419 | 419 | 337 | Q_smistamento | 77.72 | 105.51 | -0.99 |
| 419 | 419 | 341 | Q_smistamento | 82.36 | 104.68 | -1.27 |
| 419 | 419 | 342 | Q_smistamento | 76.7 | 80.7 | -1.95 |
| 419 | 419 | 338 | Q_smistamento | 72.27 | 81.15 | -1.66 |
| 419 | 419 | 337 | Q_neve | 4.728E-12 | -8.095E-12 | 8.526E-12 |
| 419 | 419 | 341 | Q_neve | 2.758E-12 | -1.129E-11 | 6.799E-12 |
| 419 | 419 | 342 | Q_neve | -4.861E-13 | -5.725E-12 | 7.894E-12 |
| 419 | 419 | 338 | Q_neve | 1.010E-11 | -8.685E-12 | 7.431E-12 |
| 420 | 420 | 338 | DEAD | 2.542E-11 | -3.983E-11 | 4.412E-11 |
| 420 | 420 | 342 | DEAD | 1.537E-11 | -4.198E-11 | 3.562E-11 |
| 420 | 420 | 218 | DEAD | 1.088E-11 | -6.331E-12 | 3.907E-11 |
| 420 | 420 | 220 | DEAD | 4.666E-11 | -6.909E-12 | 4.320E-11 |
| 420 | 420 | 338 | G1_smistamento | 194.95 | 218.93 | -5.83 |
| 420 | 420 | 342 | G1_smistamento | 206.92 | 217.73 | -7.01 |
| 420 | 420 | 218 | G1_smistamento | 176.6 | 83.17 | -8.3 |
| 420 | 420 | 220 | G1_smistamento | 165.32 | 83.24 | -7.12 |
| 420 | 420 | 338 | G2_smistamento | 72.27 | 81.16 | -2.16 |
| 420 | 420 | 342 | G2_smistamento | 76.71 | 80.72 | -2.6 |

Table 21: Element Stresses - Area Shells, Part 2 of 3

| Area | AreaElem | Joint | OutputCase | S11Bot KN/m2 | S22Bot KN/m2 | S12Bot KN/m2 |
|------|----------|-------|----------------|-----------------|-----------------|-----------------|
| 420 | 420 | 218 | G2_smistamento | 65.47 | 30.83 | -3.08 |
| 420 | 420 | 220 | G2_smistamento | 61.29 | 30.86 | -2.64 |
| 420 | 420 | 338 | Q_smistamento | 72.27 | 81.16 | -2.16 |
| 420 | 420 | 342 | Q_smistamento | 76.71 | 80.72 | -2.6 |
| 420 | 420 | 218 | Q_smistamento | 65.47 | 30.83 | -3.08 |
| 420 | 420 | 220 | Q_smistamento | 61.29 | 30.86 | -2.64 |
| 420 | 420 | 338 | Q_neve | 1.033E-11 | -2.406E-12 | 8.428E-12 |
| 420 | 420 | 342 | Q_neve | -2.047E-12 | -1.010E-11 | 7.164E-12 |
| 420 | 420 | 218 | Q_neve | 6.224E-12 | -1.939E-13 | 6.532E-12 |
| 420 | 420 | 220 | Q_neve | 4.510E-12 | -3.858E-12 | 7.796E-12 |
| 421 | 421 | 276 | DEAD | 3.081E-11 | -3.277E-12 | 4.306E-11 |
| 421 | 421 | 278 | DEAD | 4.825E-11 | 2.992E-11 | 3.707E-11 |
| 421 | 421 | 343 | DEAD | 1.280E-11 | -3.266E-11 | 4.306E-11 |
| 421 | 421 | 339 | DEAD | 4.351E-11 | -8.943E-12 | 4.466E-11 |
| 421 | 421 | 276 | G1_smistamento | 176.63 | 83.18 | 9.72 |
| 421 | 421 | 278 | G1_smistamento | 178.55 | 81.92 | 11.38 |
| 421 | 421 | 343 | G1_smistamento | 209.84 | 213.63 | 10. |
| 421 | 421 | 339 | G1_smistamento | 206.9 | 217.73 | 8.34 |
| 421 | 421 | 276 | G2_smistamento | 65.48 | 30.84 | 3.6 |
| 421 | 421 | 278 | G2_smistamento | 66.19 | 30.37 | 4.22 |
| 421 | 421 | 343 | G2_smistamento | 77.79 | 79.19 | 3.71 |
| 421 | 421 | 339 | G2_smistamento | 76.7 | 80.72 | 3.09 |
| 421 | 421 | 276 | Q_smistamento | 65.48 | 30.84 | 3.6 |
| 421 | 421 | 278 | Q_smistamento | 66.19 | 30.37 | 4.22 |
| 421 | 421 | 343 | Q_smistamento | 77.79 | 79.19 | 3.71 |
| 421 | 421 | 339 | Q_smistamento | 76.7 | 80.72 | 3.09 |
| 421 | 421 | 276 | Q_neve | 1.020E-11 | -1.368E-12 | 7.298E-12 |
| 421 | 421 | 278 | Q_neve | 7.868E-12 | 4.898E-12 | 6.034E-12 |
| 421 | 421 | 343 | Q_neve | 3.252E-12 | -5.792E-12 | 7.298E-12 |
| 421 | 421 | 339 | Q_neve | 4.629E-12 | -3.712E-12 | 8.562E-12 |
| 422 | 422 | 339 | DEAD | 3.914E-11 | -3.706E-12 | 3.323E-11 |
| 422 | 422 | 343 | DEAD | 1.061E-11 | -3.165E-11 | 3.736E-11 |
| 422 | 422 | 344 | DEAD | 4.387E-11 | -1.034E-11 | 3.829E-11 |
| 422 | 422 | 340 | DEAD | 2.862E-11 | -1.743E-11 | 2.978E-11 |
| 422 | 422 | 339 | G1_smistamento | 206.89 | 217.67 | 6.57 |
| 422 | 422 | 343 | G1_smistamento | 209.83 | 213.53 | 7.73 |
| 422 | 422 | 344 | G1_smistamento | 225.83 | 275.98 | 5.15 |
| 422 | 422 | 340 | G1_smistamento | 222.13 | 282.38 | 3.99 |

Table 21: Element Stresses - Area Shells, Part 2 of 3

| Area | AreaElem | Joint | OutputCase | S11Bot KN/m2 | S22Bot KN/m2 | S12Bot KN/m2 |
|------|----------|-------|----------------|-----------------|-----------------|-----------------|
| 422 | 422 | 339 | G2_smistamento | 76.7 | 80.69 | 2.44 |
| 422 | 422 | 343 | G2_smistamento | 77.79 | 79.16 | 2.87 |
| 422 | 422 | 344 | G2_smistamento | 83.72 | 102.31 | 1.91 |
| 422 | 422 | 340 | G2_smistamento | 82.35 | 104.68 | 1.48 |
| 422 | 422 | 339 | Q_smistamento | 76.7 | 80.69 | 2.44 |
| 422 | 422 | 343 | Q_smistamento | 77.79 | 79.16 | 2.87 |
| 422 | 422 | 344 | Q_smistamento | 83.72 | 102.31 | 1.91 |
| 422 | 422 | 340 | Q_smistamento | 82.35 | 104.68 | 1.48 |
| 422 | 422 | 339 | Q_neve | 6.057E-12 | -3.912E-12 | 7.298E-12 |
| 422 | 422 | 343 | Q_neve | 3.083E-12 | -2.499E-12 | 7.930E-12 |
| 422 | 422 | 344 | Q_neve | 1.096E-11 | -4.070E-12 | 7.298E-12 |
| 422 | 422 | 340 | Q_neve | 2.846E-12 | -1.788E-12 | 6.666E-12 |
| 423 | 423 | 340 | DEAD | 2.215E-11 | 8.854E-12 | 3.862E-11 |
| 423 | 423 | 344 | DEAD | 4.159E-11 | -4.860E-11 | 2.919E-11 |
| 423 | 423 | 345 | DEAD | 1.835E-11 | -2.527E-11 | 2.851E-11 |
| 423 | 423 | 341 | DEAD | 1.315E-11 | -5.429E-11 | 2.919E-11 |
| 423 | 423 | 340 | G1_smistamento | 222.12 | 282.35 | 1.55 |
| 423 | 423 | 344 | G1_smistamento | 225.82 | 275.94 | 1.55 |
| 423 | 423 | 345 | G1_smistamento | 225.82 | 275.94 | -1.55 |
| 423 | 423 | 341 | G1_smistamento | 222.12 | 282.35 | -1.55 |
| 423 | 423 | 340 | G2_smistamento | 82.34 | 104.67 | 0.58 |
| 423 | 423 | 344 | G2_smistamento | 83.71 | 102.3 | 0.58 |
| 423 | 423 | 345 | G2_smistamento | 83.71 | 102.3 | -0.58 |
| 423 | 423 | 341 | G2_smistamento | 82.34 | 104.67 | -0.58 |
| 423 | 423 | 340 | Q_smistamento | 82.34 | 104.67 | 0.58 |
| 423 | 423 | 344 | Q_smistamento | 83.71 | 102.3 | 0.58 |
| 423 | 423 | 345 | Q_smistamento | 83.71 | 102.3 | -0.58 |
| 423 | 423 | 341 | Q_smistamento | 82.34 | 104.67 | -0.58 |
| 423 | 423 | 340 | Q_neve | 1.837E-12 | -4.390E-12 | 7.881E-12 |
| 423 | 423 | 344 | Q_neve | 1.174E-11 | -8.904E-12 | 5.291E-12 |
| 423 | 423 | 345 | Q_neve | 3.180E-12 | -3.363E-12 | 5.985E-12 |
| 423 | 423 | 341 | Q_neve | 1.626E-12 | -6.376E-12 | 5.291E-12 |
| 424 | 424 | 341 | DEAD | 5.846E-12 | -6.163E-11 | 3.216E-11 |
| 424 | 424 | 345 | DEAD | 1.145E-11 | -4.838E-11 | 3.124E-11 |
| 424 | 424 | 346 | DEAD | 6.020E-11 | -2.223E-12 | 4.227E-11 |
| 424 | 424 | 342 | DEAD | -5.613E-12 | -2.752E-11 | 3.882E-11 |
| 424 | 424 | 341 | G1_smistamento | 222.13 | 282.38 | -3.99 |
| 424 | 424 | 345 | G1_smistamento | 225.83 | 275.98 | -5.15 |

Table 21: Element Stresses - Area Shells, Part 2 of 3

| Area | AreaElem | Joint | OutputCase | S11Bot KN/m2 | S22Bot KN/m2 | S12Bot KN/m2 |
|------|----------|-------|----------------|-----------------|-----------------|-----------------|
| 424 | 424 | 346 | G1_smistamento | 209.83 | 213.53 | -7.73 |
| 424 | 424 | 342 | G1_smistamento | 206.89 | 217.67 | -6.57 |
| 424 | 424 | 341 | G2_smistamento | 82.35 | 104.68 | -1.48 |
| 424 | 424 | 345 | G2_smistamento | 83.72 | 102.31 | -1.91 |
| 424 | 424 | 346 | G2_smistamento | 77.79 | 79.16 | -2.87 |
| 424 | 424 | 342 | G2_smistamento | 76.7 | 80.69 | -2.44 |
| 424 | 424 | 341 | Q_smistamento | 82.35 | 104.68 | -1.48 |
| 424 | 424 | 345 | Q_smistamento | 83.72 | 102.31 | -1.91 |
| 424 | 424 | 346 | Q_smistamento | 77.79 | 79.16 | -2.87 |
| 424 | 424 | 342 | Q_smistamento | 76.7 | 80.69 | -2.44 |
| 424 | 424 | 341 | Q_neve | -1.198E-13 | -1.306E-11 | 6.848E-12 |
| 424 | 424 | 345 | Q_neve | 3.775E-12 | -4.865E-12 | 5.985E-12 |
| 424 | 424 | 346 | Q_neve | 1.307E-11 | -2.081E-12 | 8.112E-12 |
| 424 | 424 | 342 | Q_neve | -4.915E-12 | -8.499E-12 | 7.881E-12 |
| 425 | 425 | 342 | DEAD | -7.491E-12 | -4.942E-11 | 4.393E-11 |
| 425 | 425 | 346 | DEAD | 5.397E-11 | -3.516E-11 | 5.016E-11 |
| 425 | 425 | 216 | DEAD | -5.279E-12 | -2.319E-11 | 3.634E-11 |
| 425 | 425 | 218 | DEAD | 4.765E-11 | 9.075E-12 | 4.763E-11 |
| 425 | 425 | 342 | G1_smistamento | 206.9 | 217.73 | -8.34 |
| 425 | 425 | 346 | G1_smistamento | 209.84 | 213.63 | -10. |
| 425 | 425 | 216 | G1_smistamento | 178.55 | 81.92 | -11.38 |
| 425 | 425 | 218 | G1_smistamento | 176.63 | 83.18 | -9.72 |
| 425 | 425 | 342 | G2_smistamento | 76.7 | 80.72 | -3.09 |
| 425 | 425 | 346 | G2_smistamento | 77.79 | 79.19 | -3.71 |
| 425 | 425 | 216 | G2_smistamento | 66.19 | 30.37 | -4.22 |
| 425 | 425 | 218 | G2_smistamento | 65.48 | 30.84 | -3.6 |
| 425 | 425 | 342 | Q_smistamento | 76.7 | 80.72 | -3.09 |
| 425 | 425 | 346 | Q_smistamento | 77.79 | 79.19 | -3.71 |
| 425 | 425 | 216 | Q_smistamento | 66.19 | 30.37 | -4.22 |
| 425 | 425 | 218 | Q_smistamento | 65.48 | 30.84 | -3.6 |
| 425 | 425 | 342 | Q_neve | -3.672E-12 | -1.088E-11 | 8.027E-12 |
| 425 | 425 | 346 | Q_neve | 1.109E-11 | -4.786E-12 | 9.122E-12 |
| 425 | 425 | 216 | Q_neve | -4.330E-13 | -4.168E-12 | 8.027E-12 |
| 425 | 425 | 218 | Q_neve | 7.930E-12 | 2.703E-13 | 9.122E-12 |
| 426 | 426 | 278 | DEAD | 1.070E-11 | 2.105E-11 | 3.595E-11 |
| 426 | 426 | 280 | DEAD | 6.720E-11 | 2.457E-11 | 2.905E-11 |
| 426 | 426 | 347 | DEAD | 3.345E-11 | -1.707E-12 | 3.848E-11 |
| 426 | 426 | 343 | DEAD | 3.497E-11 | -3.041E-11 | 3.663E-11 |

Table 21: Element Stresses - Area Shells, Part 2 of 3

| Area | AreaElem | Joint | OutputCase | S11Bot KN/m2 | S22Bot KN/m2 | S12Bot KN/m2 |
|------|----------|-------|----------------|-----------------|-----------------|-----------------|
| 426 | 426 | 278 | G1_smistamento | 178.57 | 81.93 | 13.38 |
| 426 | 426 | 280 | G1_smistamento | 162.95 | 78.63 | 15.74 |
| 426 | 426 | 347 | G1_smistamento | 195.03 | 204.4 | 14.34 |
| 426 | 426 | 343 | G1_smistamento | 209.82 | 213.62 | 11.98 |
| 426 | 426 | 278 | G2_smistamento | 66.2 | 30.37 | 4.96 |
| 426 | 426 | 280 | G2_smistamento | 60.41 | 29.15 | 5.83 |
| 426 | 426 | 347 | G2_smistamento | 72.3 | 75.78 | 5.32 |
| 426 | 426 | 343 | G2_smistamento | 77.78 | 79.19 | 4.44 |
| 426 | 426 | 278 | Q_smistamento | 66.2 | 30.37 | 4.96 |
| 426 | 426 | 280 | Q_smistamento | 60.41 | 29.15 | 5.83 |
| 426 | 426 | 347 | Q_smistamento | 72.3 | 75.78 | 5.32 |
| 426 | 426 | 343 | Q_smistamento | 77.78 | 79.19 | 4.44 |
| 426 | 426 | 278 | Q_neve | 5.781E-12 | 4.635E-12 | 6.714E-12 |
| 426 | 426 | 280 | Q_neve | 9.188E-12 | 5.806E-13 | 6.021E-12 |
| 426 | 426 | 347 | Q_neve | 6.808E-12 | 2.905E-13 | 8.610E-12 |
| 426 | 426 | 343 | Q_neve | 1.093E-11 | -4.001E-12 | 6.021E-12 |
| 427 | 427 | 343 | DEAD | 3.655E-11 | -2.217E-11 | 4.320E-11 |
| 427 | 427 | 347 | DEAD | 2.843E-11 | -1.688E-11 | 3.975E-11 |
| 427 | 427 | 348 | DEAD | 4.445E-11 | -2.818E-11 | 3.562E-11 |
| 427 | 427 | 344 | DEAD | -3.801E-12 | -2.636E-11 | 3.469E-11 |
| 427 | 427 | 343 | G1_smistamento | 209.8 | 213.53 | 9.68 |
| 427 | 427 | 347 | G1_smistamento | 195. | 204.26 | 11.3 |
| 427 | 427 | 348 | G1_smistamento | 211.23 | 262.38 | 7.61 |
| 427 | 427 | 344 | G1_smistamento | 225.79 | 275.97 | 5.99 |
| 427 | 427 | 343 | G2_smistamento | 77.78 | 79.16 | 3.59 |
| 427 | 427 | 347 | G2_smistamento | 72.29 | 75.72 | 4.19 |
| 427 | 427 | 348 | G2_smistamento | 78.31 | 97.27 | 2.82 |
| 427 | 427 | 344 | G2_smistamento | 83.7 | 102.31 | 2.22 |
| 427 | 427 | 343 | Q_smistamento | 77.78 | 79.16 | 3.59 |
| 427 | 427 | 347 | Q_smistamento | 72.29 | 75.72 | 4.19 |
| 427 | 427 | 348 | Q_smistamento | 78.31 | 97.27 | 2.82 |
| 427 | 427 | 344 | Q_smistamento | 83.7 | 102.31 | 2.22 |
| 427 | 427 | 343 | Q_neve | 9.276E-12 | -2.918E-12 | 8.197E-12 |
| 427 | 427 | 347 | Q_neve | 5.687E-12 | -4.394E-12 | 6.933E-12 |
| 427 | 427 | 348 | Q_neve | 1.038E-11 | -4.972E-12 | 5.669E-12 |
| 427 | 427 | 344 | Q_neve | -3.961E-13 | -6.369E-12 | 6.933E-12 |
| 428 | 428 | 344 | DEAD | -9.362E-13 | -3.799E-11 | 2.890E-11 |
| 428 | 428 | 348 | DEAD | 4.685E-11 | -9.232E-12 | 3.902E-11 |

Table 21: Element Stresses - Area Shells, Part 2 of 3

| Area | AreaElem | Joint | OutputCase | S11Bot KN/m2 | S22Bot KN/m2 | S12Bot KN/m2 |
|------|----------|-------|----------------|-----------------|-----------------|-----------------|
| 428 | 428 | 349 | DEAD | 1.644E-11 | -4.210E-11 | 4.407E-11 |
| 428 | 428 | 345 | DEAD | 6.170E-11 | -2.598E-11 | 3.396E-11 |
| 428 | 428 | 344 | G1_smistamento | 225.78 | 275.93 | 2.32 |
| 428 | 428 | 348 | G1_smistamento | 211.23 | 262.35 | 2.32 |
| 428 | 428 | 349 | G1_smistamento | 211.23 | 262.35 | -2.32 |
| 428 | 428 | 345 | G1_smistamento | 225.78 | 275.93 | -2.32 |
| 428 | 428 | 344 | G2_smistamento | 83.7 | 102.29 | 0.86 |
| 428 | 428 | 348 | G2_smistamento | 78.3 | 97.26 | 0.86 |
| 428 | 428 | 349 | G2_smistamento | 78.3 | 97.26 | -0.86 |
| 428 | 428 | 345 | G2_smistamento | 83.7 | 102.29 | -0.86 |
| 428 | 428 | 344 | Q_smistamento | 83.7 | 102.29 | 0.86 |
| 428 | 428 | 348 | Q_smistamento | 78.3 | 97.26 | 0.86 |
| 428 | 428 | 349 | Q_smistamento | 78.3 | 97.26 | -0.86 |
| 428 | 428 | 345 | Q_smistamento | 83.7 | 102.29 | -0.86 |
| 428 | 428 | 344 | Q_neve | -2.348E-12 | -1.051E-11 | 5.170E-12 |
| 428 | 428 | 348 | Q_neve | 9.517E-12 | -9.505E-13 | 8.793E-12 |
| 428 | 428 | 349 | Q_neve | 3.261E-12 | -9.010E-12 | 8.330E-12 |
| 428 | 428 | 345 | Q_neve | 1.315E-11 | -1.740E-12 | 6.897E-12 |
| 429 | 429 | 345 | DEAD | 5.663E-11 | -3.692E-11 | 4.154E-11 |
| 429 | 429 | 349 | DEAD | 1.883E-11 | -4.541E-11 | 2.958E-11 |
| 429 | 429 | 350 | DEAD | -1.194E-11 | -4.609E-11 | 3.143E-11 |
| 429 | 429 | 346 | DEAD | 4.885E-11 | -1.482E-12 | 3.464E-11 |
| 429 | 429 | 345 | G1_smistamento | 225.79 | 275.97 | -5.99 |
| 429 | 429 | 349 | G1_smistamento | 211.23 | 262.38 | -7.61 |
| 429 | 429 | 350 | G1_smistamento | 195. | 204.26 | -11.3 |
| 429 | 429 | 346 | G1_smistamento | 209.8 | 213.53 | -9.68 |
| 429 | 429 | 345 | G2_smistamento | 83.7 | 102.31 | -2.22 |
| 429 | 429 | 349 | G2_smistamento | 78.31 | 97.27 | -2.82 |
| 429 | 429 | 350 | G2_smistamento | 72.29 | 75.72 | -4.19 |
| 429 | 429 | 346 | G2_smistamento | 77.78 | 79.16 | -3.59 |
| 429 | 429 | 345 | Q_smistamento | 83.7 | 102.31 | -2.22 |
| 429 | 429 | 349 | Q_smistamento | 78.31 | 97.27 | -2.82 |
| 429 | 429 | 350 | Q_smistamento | 72.29 | 75.72 | -4.19 |
| 429 | 429 | 346 | Q_smistamento | 77.78 | 79.16 | -3.59 |
| 429 | 429 | 345 | Q_neve | 1.267E-11 | -4.194E-12 | 7.649E-12 |
| 429 | 429 | 349 | Q_neve | 3.604E-12 | -8.838E-12 | 5.522E-12 |
| 429 | 429 | 350 | Q_neve | 1.901E-13 | -5.932E-12 | 5.121E-12 |
| 429 | 429 | 346 | Q_neve | 5.974E-12 | -4.572E-12 | 6.154E-12 |

Table 21: Element Stresses - Area Shells, Part 2 of 3

| Area | AreaElem | Joint | OutputCase | S11Bot KN/m2 | S22Bot KN/m2 | S12Bot KN/m2 |
|------|----------|-------|----------------|-----------------|-----------------|-----------------|
| 430 | 430 | 346 | DEAD | 4.298E-11 | -3.083E-11 | 2.978E-11 |
| 430 | 430 | 350 | DEAD | -9.133E-12 | -2.205E-11 | 2.632E-11 |
| 430 | 430 | 214 | DEAD | 2.434E-11 | -1.788E-11 | 3.736E-11 |
| 430 | 430 | 216 | DEAD | 1.077E-11 | -1.352E-11 | 3.644E-11 |
| 430 | 430 | 346 | G1_smistamento | 209.82 | 213.62 | -11.98 |
| 430 | 430 | 350 | G1_smistamento | 195.03 | 204.4 | -14.34 |
| 430 | 430 | 214 | G1_smistamento | 162.95 | 78.63 | -15.74 |
| 430 | 430 | 216 | G1_smistamento | 178.57 | 81.93 | -13.38 |
| 430 | 430 | 346 | G2_smistamento | 77.78 | 79.19 | -4.44 |
| 430 | 430 | 350 | G2_smistamento | 72.3 | 75.78 | -5.32 |
| 430 | 430 | 214 | G2_smistamento | 60.41 | 29.15 | -5.83 |
| 430 | 430 | 216 | G2_smistamento | 66.2 | 30.37 | -4.96 |
| 430 | 430 | 346 | Q_smistamento | 77.78 | 79.19 | -4.44 |
| 430 | 430 | 350 | Q_smistamento | 72.3 | 75.78 | -5.32 |
| 430 | 430 | 214 | Q_smistamento | 60.41 | 29.15 | -5.83 |
| 430 | 430 | 216 | Q_smistamento | 66.2 | 30.37 | -4.96 |
| 430 | 430 | 346 | Q_neve | 5.526E-12 | -7.212E-12 | 4.890E-12 |
| 430 | 430 | 350 | Q_neve | 7.913E-13 | -4.987E-12 | 5.121E-12 |
| 430 | 430 | 214 | Q_neve | 4.736E-12 | -1.682E-12 | 6.786E-12 |
| 430 | 430 | 216 | Q_neve | 2.766E-12 | -4.592E-12 | 7.649E-12 |
| 431 | 431 | 280 | DEAD | 5.664E-11 | 2.262E-11 | 2.972E-11 |
| 431 | 431 | 282 | DEAD | 3.809E-11 | 2.897E-11 | 2.720E-11 |
| 431 | 431 | 351 | DEAD | 1.177E-11 | -4.557E-12 | 2.720E-11 |
| 431 | 431 | 347 | DEAD | 5.167E-11 | -9.266E-12 | 2.972E-11 |
| 431 | 431 | 280 | G1_smistamento | 162.95 | 78.63 | 18.51 |
| 431 | 431 | 282 | G1_smistamento | 121.48 | 72.4 | 21.27 |
| 431 | 431 | 351 | G1_smistamento | 151.2 | 186.33 | 19.69 |
| 431 | 431 | 347 | G1_smistamento | 194.95 | 204.39 | 16.94 |
| 431 | 431 | 280 | G2_smistamento | 60.41 | 29.15 | 6.86 |
| 431 | 431 | 282 | G2_smistamento | 45.04 | 26.84 | 7.88 |
| 431 | 431 | 351 | G2_smistamento | 56.05 | 69.07 | 7.3 |
| 431 | 431 | 347 | G2_smistamento | 72.27 | 75.77 | 6.28 |
| 431 | 431 | 280 | Q_smistamento | 60.41 | 29.15 | 6.86 |
| 431 | 431 | 282 | Q_smistamento | 45.04 | 26.84 | 7.88 |
| 431 | 431 | 351 | Q_smistamento | 56.05 | 69.07 | 7.3 |
| 431 | 431 | 347 | Q_smistamento | 72.27 | 75.77 | 6.28 |
| 431 | 431 | 280 | Q_neve | 1.005E-11 | 1.644E-12 | 6.385E-12 |
| 431 | 431 | 282 | Q_neve | 7.564E-12 | 4.394E-12 | 6.154E-12 |

Table 21: Element Stresses - Area Shells, Part 2 of 3

| Area | AreaElem | Joint | OutputCase | S11Bot KN/m2 | S22Bot KN/m2 | S12Bot KN/m2 |
|------|----------|-------|----------------|-----------------|-----------------|-----------------|
| 431 | 431 | 351 | Q_neve | 4.913E-12 | -1.279E-12 | 6.385E-12 |
| 431 | 431 | 347 | Q_neve | 8.354E-12 | 7.600E-13 | 5.522E-12 |
| 432 | 432 | 347 | DEAD | 5.239E-11 | -1.148E-11 | 3.556E-11 |
| 432 | 432 | 351 | DEAD | 7.223E-12 | -2.495E-11 | 3.051E-11 |
| 432 | 432 | 352 | DEAD | -3.859E-12 | -3.486E-11 | 3.303E-11 |
| 432 | 432 | 348 | DEAD | 3.693E-11 | -4.328E-11 | 3.809E-11 |
| 432 | 432 | 347 | G1_smistamento | 194.92 | 204.25 | 13.8 |
| 432 | 432 | 351 | G1_smistamento | 151.19 | 186.31 | 15.21 |
| 432 | 432 | 352 | G1_smistamento | 163.95 | 238.24 | 10.03 |
| 432 | 432 | 348 | G1_smistamento | 211.27 | 262.39 | 8.61 |
| 432 | 432 | 347 | G2_smistamento | 72.26 | 75.72 | 5.12 |
| 432 | 432 | 351 | G2_smistamento | 56.05 | 69.07 | 5.64 |
| 432 | 432 | 352 | G2_smistamento | 60.78 | 88.32 | 3.72 |
| 432 | 432 | 348 | G2_smistamento | 78.32 | 97.27 | 3.19 |
| 432 | 432 | 347 | Q_smistamento | 72.26 | 75.72 | 5.12 |
| 432 | 432 | 351 | Q_smistamento | 56.05 | 69.07 | 5.64 |
| 432 | 432 | 352 | Q_smistamento | 60.78 | 88.32 | 3.72 |
| 432 | 432 | 348 | Q_smistamento | 78.32 | 97.27 | 3.19 |
| 432 | 432 | 347 | Q_neve | 4.210E-12 | -3.675E-12 | 5.936E-12 |
| 432 | 432 | 351 | Q_neve | 3.531E-12 | -5.781E-12 | 5.936E-12 |
| 432 | 432 | 352 | Q_neve | -2.979E-12 | -5.492E-12 | 7.200E-12 |
| 432 | 432 | 348 | Q_neve | 1.056E-11 | -4.754E-12 | 7.200E-12 |
| 433 | 433 | 348 | DEAD | 5.208E-11 | 3.307E-12 | 3.405E-11 |
| 433 | 433 | 352 | DEAD | 1.829E-12 | -4.222E-11 | 3.430E-11 |
| 433 | 433 | 353 | DEAD | -7.014E-12 | -4.946E-11 | 2.141E-11 |
| 433 | 433 | 349 | DEAD | -1.647E-12 | -4.444E-11 | 3.430E-11 |
| 433 | 433 | 348 | G1_smistamento | 211.26 | 262.35 | 3.16 |
| 433 | 433 | 352 | G1_smistamento | 163.97 | 238.33 | 3.16 |
| 433 | 433 | 353 | G1_smistamento | 163.97 | 238.33 | -3.16 |
| 433 | 433 | 349 | G1_smistamento | 211.26 | 262.35 | -3.16 |
| 433 | 433 | 348 | G2_smistamento | 78.32 | 97.26 | 1.17 |
| 433 | 433 | 352 | G2_smistamento | 60.78 | 88.35 | 1.17 |
| 433 | 433 | 353 | G2_smistamento | 60.78 | 88.35 | -1.17 |
| 433 | 433 | 349 | G2_smistamento | 78.32 | 97.26 | -1.17 |
| 433 | 433 | 348 | Q_smistamento | 78.32 | 97.26 | 1.17 |
| 433 | 433 | 352 | Q_smistamento | 60.78 | 88.35 | 1.17 |
| 433 | 433 | 353 | Q_smistamento | 60.78 | 88.35 | -1.17 |
| 433 | 433 | 349 | Q_smistamento | 78.32 | 97.26 | -1.17 |

Table 21: Element Stresses - Area Shells, Part 2 of 3

| Area | AreaElem | Joint | OutputCase | S11Bot KN/m2 | S22Bot KN/m2 | S12Bot KN/m2 |
|------|----------|-------|----------------|-----------------|-----------------|-----------------|
| 433 | 433 | 348 | Q_neve | 1.163E-11 | 1.479E-13 | 7.102E-12 |
| 433 | 433 | 352 | Q_neve | -2.966E-12 | -8.635E-12 | 6.933E-12 |
| 433 | 433 | 353 | Q_neve | -1.959E-12 | -1.091E-11 | 4.574E-12 |
| 433 | 433 | 349 | Q_neve | 1.142E-12 | -7.055E-12 | 6.933E-12 |
| 434 | 434 | 349 | DEAD | 8.150E-12 | -5.761E-11 | 2.267E-11 |
| 434 | 434 | 353 | DEAD | -1.231E-11 | -4.820E-11 | 3.464E-11 |
| 434 | 434 | 354 | DEAD | 9.730E-12 | -1.938E-11 | 3.279E-11 |
| 434 | 434 | 350 | DEAD | 2.308E-11 | -3.809E-11 | 2.958E-11 |
| 434 | 434 | 349 | G1_smistamento | 211.27 | 262.39 | -8.61 |
| 434 | 434 | 353 | G1_smistamento | 163.95 | 238.24 | -10.03 |
| 434 | 434 | 354 | G1_smistamento | 151.19 | 186.31 | -15.21 |
| 434 | 434 | 350 | G1_smistamento | 194.92 | 204.25 | -13.8 |
| 434 | 434 | 349 | G2_smistamento | 78.32 | 97.27 | -3.19 |
| 434 | 434 | 353 | G2_smistamento | 60.78 | 88.32 | -3.72 |
| 434 | 434 | 354 | G2_smistamento | 56.05 | 69.07 | -5.64 |
| 434 | 434 | 350 | G2_smistamento | 72.26 | 75.72 | -5.12 |
| 434 | 434 | 349 | Q_smistamento | 78.32 | 97.27 | -3.19 |
| 434 | 434 | 353 | Q_smistamento | 60.78 | 88.32 | -3.72 |
| 434 | 434 | 354 | Q_smistamento | 56.05 | 69.07 | -5.64 |
| 434 | 434 | 350 | Q_smistamento | 72.26 | 75.72 | -5.12 |
| 434 | 434 | 349 | Q_neve | 2.395E-12 | -9.705E-12 | 3.929E-12 |
| 434 | 434 | 353 | Q_neve | -7.468E-13 | -1.228E-11 | 6.519E-12 |
| 434 | 434 | 354 | Q_neve | 6.819E-12 | 1.039E-12 | 5.193E-12 |
| 434 | 434 | 350 | Q_neve | 2.571E-12 | -7.062E-12 | 5.887E-12 |
| 435 | 435 | 350 | DEAD | 3.584E-11 | -4.911E-12 | 3.741E-11 |
| 435 | 435 | 354 | DEAD | 8.073E-12 | -5.276E-11 | 2.428E-11 |
| 435 | 435 | 212 | DEAD | 3.928E-12 | 2.357E-12 | 3.994E-11 |
| 435 | 435 | 214 | DEAD | 1.692E-11 | -2.369E-11 | 2.681E-11 |
| 435 | 435 | 350 | G1_smistamento | 194.95 | 204.39 | -16.94 |
| 435 | 435 | 354 | G1_smistamento | 151.2 | 186.33 | -19.69 |
| 435 | 435 | 212 | G1_smistamento | 121.48 | 72.4 | -21.27 |
| 435 | 435 | 214 | G1_smistamento | 162.95 | 78.63 | -18.51 |
| 435 | 435 | 350 | G2_smistamento | 72.27 | 75.77 | -6.28 |
| 435 | 435 | 354 | G2_smistamento | 56.05 | 69.07 | -7.3 |
| 435 | 435 | 212 | G2_smistamento | 45.04 | 26.84 | -7.88 |
| 435 | 435 | 214 | G2_smistamento | 60.41 | 29.15 | -6.86 |
| 435 | 435 | 350 | Q_smistamento | 72.27 | 75.77 | -6.28 |
| 435 | 435 | 354 | Q_smistamento | 56.05 | 69.07 | -7.3 |

Table 21: Element Stresses - Area Shells, Part 2 of 3

| Area | AreaElem | Joint | OutputCase | S11Bot KN/m2 | S22Bot KN/m2 | S12Bot KN/m2 |
|------|----------|-------|----------------|-----------------|-----------------|-----------------|
| 435 | 435 | 212 | Q_smistamento | 45.04 | 26.84 | -7.88 |
| 435 | 435 | 214 | Q_smistamento | 60.41 | 29.15 | -6.86 |
| 435 | 435 | 350 | Q_neve | 4.338E-12 | -3.407E-12 | 6.483E-12 |
| 435 | 435 | 354 | Q_neve | 6.657E-12 | -4.951E-12 | 4.525E-12 |
| 435 | 435 | 212 | Q_neve | 2.047E-12 | 3.057E-13 | 7.747E-12 |
| 435 | 435 | 214 | Q_neve | 3.971E-12 | -3.213E-12 | 6.421E-12 |
| 436 | 436 | 282 | DEAD | 5.067E-11 | 2.778E-11 | 2.150E-11 |
| 436 | 436 | 22 | DEAD | 3.688E-11 | 2.765E-11 | 1.645E-11 |
| 436 | 436 | 284 | DEAD | 1.690E-12 | -1.994E-11 | 1.645E-11 |
| 436 | 436 | 351 | DEAD | 3.846E-11 | -9.953E-12 | 2.150E-11 |
| 436 | 436 | 282 | G1_smistamento | 121.65 | 72.43 | 23.69 |
| 436 | 436 | 22 | G1_smistamento | 47.73 | 61.92 | 23.32 |
| 436 | 436 | 284 | G1_smistamento | 57.54 | 154.31 | 21.36 |
| 436 | 436 | 351 | G1_smistamento | 151.26 | 186.34 | 21.73 |
| 436 | 436 | 282 | G2_smistamento | 45.1 | 26.85 | 8.78 |
| 436 | 436 | 22 | G2_smistamento | 17.69 | 22.95 | 8.64 |
| 436 | 436 | 284 | G2_smistamento | 21.33 | 57.2 | 7.92 |
| 436 | 436 | 351 | G2_smistamento | 56.07 | 69.08 | 8.05 |
| 436 | 436 | 282 | Q_smistamento | 45.1 | 26.85 | 8.78 |
| 436 | 436 | 22 | Q_smistamento | 17.69 | 22.95 | 8.64 |
| 436 | 436 | 284 | Q_smistamento | 21.33 | 57.2 | 7.92 |
| 436 | 436 | 351 | Q_smistamento | 56.07 | 69.08 | 8.05 |
| 436 | 436 | 282 | Q_neve | 1.124E-11 | 6.178E-12 | 3.916E-12 |
| 436 | 436 | 22 | Q_neve | 4.850E-12 | 2.172E-12 | 2.652E-12 |
| 436 | 436 | 284 | Q_neve | 1.442E-12 | -2.986E-12 | 2.652E-12 |
| 436 | 436 | 351 | Q_neve | 5.640E-12 | -3.358E-12 | 3.916E-12 |
| 437 | 437 | 351 | DEAD | 4.407E-11 | -5.517E-12 | 2.189E-11 |
| 437 | 437 | 284 | DEAD | 1.037E-12 | -2.312E-11 | 1.936E-11 |
| 437 | 437 | 286 | DEAD | 1.595E-11 | -9.625E-12 | 2.189E-11 |
| 437 | 437 | 352 | DEAD | -5.598E-12 | -2.596E-11 | 2.442E-11 |
| 437 | 437 | 351 | G1_smistamento | 151.25 | 186.32 | 16.55 |
| 437 | 437 | 284 | G1_smistamento | 57.52 | 154.18 | 16.06 |
| 437 | 437 | 286 | G1_smistamento | 62.22 | 202.42 | 9.79 |
| 437 | 437 | 352 | G1_smistamento | 164.12 | 238.28 | 10.28 |
| 437 | 437 | 351 | G2_smistamento | 56.07 | 69.07 | 6.14 |
| 437 | 437 | 284 | G2_smistamento | 21.32 | 57.16 | 5.95 |
| 437 | 437 | 286 | G2_smistamento | 23.06 | 75.04 | 3.63 |
| 437 | 437 | 352 | G2_smistamento | 60.84 | 88.33 | 3.81 |

Table 21: Element Stresses - Area Shells, Part 2 of 3

| Area | AreaElem | Joint | OutputCase | S11Bot KN/m2 | S22Bot KN/m2 | S12Bot KN/m2 |
|------|----------|-------|----------------|-----------------|-----------------|-----------------|
| 437 | 437 | 351 | Q_smistamento | 56.07 | 69.07 | 6.14 |
| 437 | 437 | 284 | Q_smistamento | 21.32 | 57.16 | 5.95 |
| 437 | 437 | 286 | Q_smistamento | 23.06 | 75.04 | 3.63 |
| 437 | 437 | 352 | Q_smistamento | 60.84 | 88.33 | 3.81 |
| 437 | 437 | 351 | Q_neve | 6.358E-12 | -3.668E-12 | 4.561E-12 |
| 437 | 437 | 284 | Q_neve | 1.014E-12 | -2.082E-12 | 4.160E-12 |
| 437 | 437 | 286 | Q_neve | 2.171E-12 | -1.851E-12 | 4.561E-12 |
| 437 | 437 | 352 | Q_neve | 2.041E-12 | -4.531E-12 | 6.056E-12 |
| 438 | 438 | 352 | DEAD | -1.267E-11 | -4.466E-11 | 3.644E-11 |
| 438 | 438 | 286 | DEAD | 1.897E-11 | -1.525E-11 | 3.230E-11 |
| 438 | 438 | 288 | DEAD | -1.962E-11 | -6.425E-11 | 2.632E-11 |
| 438 | 438 | 353 | DEAD | 4.014E-11 | -3.073E-11 | 3.483E-11 |
| 438 | 438 | 352 | G1_smistamento | 164.14 | 238.37 | 3.37 |
| 438 | 438 | 286 | G1_smistamento | 62.22 | 202.45 | 3.37 |
| 438 | 438 | 288 | G1_smistamento | 62.22 | 202.45 | -3.37 |
| 438 | 438 | 353 | G1_smistamento | 164.14 | 238.37 | -3.37 |
| 438 | 438 | 352 | G2_smistamento | 60.85 | 88.37 | 1.25 |
| 438 | 438 | 286 | G2_smistamento | 23.07 | 75.05 | 1.25 |
| 438 | 438 | 288 | G2_smistamento | 23.07 | 75.05 | -1.25 |
| 438 | 438 | 353 | G2_smistamento | 60.85 | 88.37 | -1.25 |
| 438 | 438 | 352 | Q_smistamento | 60.85 | 88.37 | 1.25 |
| 438 | 438 | 286 | Q_smistamento | 23.07 | 75.05 | 1.25 |
| 438 | 438 | 288 | Q_smistamento | 23.07 | 75.05 | -1.25 |
| 438 | 438 | 353 | Q_smistamento | 60.85 | 88.37 | -1.25 |
| 438 | 438 | 352 | Q_neve | 8.958E-14 | -8.563E-12 | 5.923E-12 |
| 438 | 438 | 286 | Q_neve | -5.460E-13 | -9.523E-12 | 5.522E-12 |
| 438 | 438 | 288 | Q_neve | -2.264E-13 | -6.351E-12 | 4.659E-12 |
| 438 | 438 | 353 | Q_neve | 3.009E-12 | -8.812E-12 | 6.154E-12 |
| 439 | 439 | 353 | DEAD | 2.415E-11 | -4.733E-11 | 3.211E-11 |
| 439 | 439 | 288 | DEAD | -1.199E-11 | -4.305E-11 | 3.464E-11 |
| 439 | 439 | 290 | DEAD | 7.407E-12 | -4.006E-11 | 3.211E-11 |
| 439 | 439 | 354 | DEAD | 2.056E-11 | -1.651E-12 | 2.958E-11 |
| 439 | 439 | 353 | G1_smistamento | 164.12 | 238.28 | -10.28 |
| 439 | 439 | 288 | G1_smistamento | 62.22 | 202.42 | -9.79 |
| 439 | 439 | 290 | G1_smistamento | 57.52 | 154.18 | -16.06 |
| 439 | 439 | 354 | G1_smistamento | 151.25 | 186.32 | -16.55 |
| 439 | 439 | 353 | G2_smistamento | 60.84 | 88.33 | -3.81 |
| 439 | 439 | 288 | G2_smistamento | 23.06 | 75.04 | -3.63 |

Table 21: Element Stresses - Area Shells, Part 2 of 3

| Area | AreaElem | Joint | OutputCase | S11Bot KN/m2 | S22Bot KN/m2 | S12Bot KN/m2 |
|------|----------|-------|----------------|-----------------|-----------------|-----------------|
| 439 | 439 | 290 | G2_smistamento | 21.32 | 57.16 | -5.95 |
| 439 | 439 | 354 | G2_smistamento | 56.07 | 69.07 | -6.14 |
| 439 | 439 | 353 | Q_smistamento | 60.84 | 88.33 | -3.81 |
| 439 | 439 | 288 | Q_smistamento | 23.06 | 75.04 | -3.63 |
| 439 | 439 | 290 | Q_smistamento | 21.32 | 57.16 | -5.95 |
| 439 | 439 | 354 | Q_smistamento | 56.07 | 69.07 | -6.14 |
| 439 | 439 | 353 | Q_neve | 6.150E-13 | -1.324E-11 | 6.933E-12 |
| 439 | 439 | 288 | Q_neve | 7.363E-13 | -4.675E-12 | 6.933E-12 |
| 439 | 439 | 290 | Q_neve | 2.669E-12 | -8.655E-12 | 6.933E-12 |
| 439 | 439 | 354 | Q_neve | 2.000E-12 | -2.510E-13 | 6.933E-12 |
| 440 | 440 | 354 | DEAD | -2.469E-12 | -4.823E-11 | 3.668E-11 |
| 440 | 440 | 290 | DEAD | 1.173E-11 | -2.164E-11 | 2.195E-11 |
| 440 | 440 | 9 | DEAD | -3.733E-12 | -9.051E-12 | 3.921E-11 |
| 440 | 440 | 212 | DEAD | 3.132E-11 | 4.783E-13 | 3.206E-11 |
| 440 | 440 | 354 | G1_smistamento | 151.26 | 186.34 | -21.73 |
| 440 | 440 | 290 | G1_smistamento | 57.54 | 154.31 | -21.36 |
| 440 | 440 | 9 | G1_smistamento | 47.73 | 61.92 | -23.32 |
| 440 | 440 | 212 | G1_smistamento | 121.65 | 72.43 | -23.69 |
| 440 | 440 | 354 | G2_smistamento | 56.07 | 69.08 | -8.05 |
| 440 | 440 | 290 | G2_smistamento | 21.33 | 57.2 | -7.92 |
| 440 | 440 | 9 | G2_smistamento | 17.69 | 22.95 | -8.64 |
| 440 | 440 | 212 | G2_smistamento | 45.1 | 26.85 | -8.78 |
| 440 | 440 | 354 | Q_smistamento | 56.07 | 69.08 | -8.05 |
| 440 | 440 | 290 | Q_smistamento | 21.33 | 57.2 | -7.92 |
| 440 | 440 | 9 | Q_smistamento | 17.69 | 22.95 | -8.64 |
| 440 | 440 | 212 | Q_smistamento | 45.1 | 26.85 | -8.78 |
| 440 | 440 | 354 | Q_neve | 3.415E-14 | -5.224E-12 | 6.434E-12 |
| 440 | 440 | 290 | Q_neve | 2.818E-12 | -5.185E-12 | 5.340E-12 |
| 440 | 440 | 9 | Q_neve | -2.178E-12 | -1.116E-12 | 7.066E-12 |
| 440 | 440 | 212 | Q_neve | 8.585E-12 | 8.978E-13 | 5.972E-12 |

Table 21: Element Stresses - Area Shells, Part 3 of 3

Table 21: Element Stresses - Area Shells, Part 3 of 3

| Area | AreaElem | Joint | OutputCase | S13Avg KN/m2 | S23Avg KN/m2 |
|------|----------|-------|------------|-----------------|-----------------|
| 1 | 1 | 7 | DEAD | 4.154E-13 | -2.006E-12 |

Table 21: Element Stresses - Area Shells, Part 3 of 3

| Area | AreaElem | Joint | OutputCase | S13Avg KN/m2 | S23Avg KN/m2 |
|------|----------|-------|----------------|-----------------|-----------------|
| 1 | 1 | 8 | DEAD | 4.154E-13 | -2.481E-12 |
| 1 | 1 | 9 | DEAD | -1.113E-13 | -4.263E-13 |
| 1 | 1 | 10 | DEAD | -1.113E-13 | 2.785E-12 |
| 1 | 1 | 7 | G1_smistamento | -3.65 | -4.51 |
| 1 | 1 | 8 | G1_smistamento | -3.65 | -4.81 |
| 1 | 1 | 9 | G1_smistamento | -3.73 | -4.81 |
| 1 | 1 | 10 | G1_smistamento | -3.73 | -4.51 |
| 1 | 1 | 7 | G2_smistamento | -1.35 | -1.67 |
| 1 | 1 | 8 | G2_smistamento | -1.35 | -1.78 |
| 1 | 1 | 9 | G2_smistamento | -1.38 | -1.78 |
| 1 | 1 | 10 | G2_smistamento | -1.38 | -1.67 |
| 1 | 1 | 7 | Q_smistamento | -1.35 | -1.67 |
| 1 | 1 | 8 | Q_smistamento | -1.35 | -1.78 |
| 1 | 1 | 9 | Q_smistamento | -1.38 | -1.78 |
| 1 | 1 | 10 | Q_smistamento | -1.38 | -1.67 |
| 1 | 1 | 7 | Q_neve | 8.826E-13 | 3.292E-14 |
| 1 | 1 | 8 | Q_neve | 8.826E-13 | -6.495E-13 |
| 1 | 1 | 9 | Q_neve | -2.365E-13 | -3.292E-14 |
| 1 | 1 | 10 | Q_neve | -2.365E-13 | 5.355E-13 |
| 2 | 2 | 11 | DEAD | 4.984E-12 | -4.995E-12 |
| 2 | 2 | 12 | DEAD | 4.984E-12 | -2.837E-12 |
| 2 | 2 | 13 | DEAD | -1.336E-12 | -7.820E-13 |
| 2 | 2 | 14 | DEAD | -1.336E-12 | -2.037E-13 |
| 2 | 2 | 11 | G1_smistamento | 3.65 | -4.81 |
| 2 | 2 | 12 | G1_smistamento | 3.65 | -4.51 |
| 2 | 2 | 13 | G1_smistamento | 3.73 | -4.51 |
| 2 | 2 | 14 | G1_smistamento | 3.73 | -4.81 |
| 2 | 2 | 11 | G2_smistamento | 1.35 | -1.78 |
| 2 | 2 | 12 | G2_smistamento | 1.35 | -1.67 |
| 2 | 2 | 13 | G2_smistamento | 1.38 | -1.67 |
| 2 | 2 | 14 | G2_smistamento | 1.38 | -1.78 |
| 2 | 2 | 11 | Q_smistamento | 1.35 | -1.78 |
| 2 | 2 | 12 | Q_smistamento | 1.35 | -1.67 |
| 2 | 2 | 13 | Q_smistamento | 1.38 | -1.67 |
| 2 | 2 | 14 | Q_smistamento | 1.38 | -1.78 |
| 2 | 2 | 11 | Q_neve | 1.090E-12 | -3.268E-13 |
| 2 | 2 | 12 | Q_neve | 1.090E-12 | -7.459E-13 |
| 2 | 2 | 13 | Q_neve | -2.922E-13 | -1.293E-13 |

Table 21: Element Stresses - Area Shells, Part 3 of 3

| Area | AreaElem | Joint | OutputCase | S13Avg KN/m2 | S23Avg KN/m2 |
|------|----------|-------|----------------|-----------------|-----------------|
| 2 | 2 | 14 | Q_neve | -2.922E-13 | 1.758E-13 |
| 3 | 3 | 15 | DEAD | -9.202E-13 | 5.459E-12 |
| 3 | 3 | 16 | DEAD | 2.870E-12 | 1.811E-12 |
| 3 | 3 | 17 | DEAD | 4.873E-12 | -4.547E-12 |
| 3 | 3 | 18 | DEAD | 6.556E-12 | -8.196E-12 |
| 3 | 3 | 15 | G1_smistamento | 3.73 | 4.51 |
| 3 | 3 | 16 | G1_smistamento | 3.65 | 4.51 |
| 3 | 3 | 17 | G1_smistamento | 3.65 | 4.81 |
| 3 | 3 | 18 | G1_smistamento | 3.73 | 4.81 |
| 3 | 3 | 15 | G2_smistamento | 1.38 | 1.67 |
| 3 | 3 | 16 | G2_smistamento | 1.35 | 1.67 |
| 3 | 3 | 17 | G2_smistamento | 1.35 | 1.78 |
| 3 | 3 | 18 | G2_smistamento | 1.38 | 1.78 |
| 3 | 3 | 15 | Q_smistamento | 1.38 | 1.67 |
| 3 | 3 | 16 | Q_smistamento | 1.35 | 1.67 |
| 3 | 3 | 17 | Q_smistamento | 1.35 | 1.78 |
| 3 | 3 | 18 | Q_smistamento | 1.38 | 1.78 |
| 3 | 3 | 15 | Q_neve | 4.931E-13 | 3.923E-13 |
| 3 | 3 | 16 | Q_neve | 5.107E-13 | -3.401E-13 |
| 3 | 3 | 17 | Q_neve | 1.217E-12 | -9.244E-13 |
| 3 | 3 | 18 | Q_neve | 9.716E-13 | -1.788E-12 |
| 4 | 4 | 19 | DEAD | -4.094E-12 | 4.224E-12 |
| 4 | 4 | 20 | DEAD | -4.094E-12 | -2.147E-12 |
| 4 | 4 | 21 | DEAD | -1.987E-12 | -2.096E-12 |
| 4 | 4 | 22 | DEAD | -1.987E-12 | 1.539E-12 |
| 4 | 4 | 19 | G1_smistamento | -3.65 | 4.81 |
| 4 | 4 | 20 | G1_smistamento | -3.65 | 4.51 |
| 4 | 4 | 21 | G1_smistamento | -3.73 | 4.51 |
| 4 | 4 | 22 | G1_smistamento | -3.73 | 4.81 |
| 4 | 4 | 19 | G2_smistamento | -1.35 | 1.78 |
| 4 | 4 | 20 | G2_smistamento | -1.35 | 1.67 |
| 4 | 4 | 21 | G2_smistamento | -1.38 | 1.67 |
| 4 | 4 | 22 | G2_smistamento | -1.38 | 1.78 |
| 4 | 4 | 19 | Q_smistamento | -1.35 | 1.78 |
| 4 | 4 | 20 | Q_smistamento | -1.35 | 1.67 |
| 4 | 4 | 21 | Q_smistamento | -1.38 | 1.67 |
| 4 | 4 | 22 | Q_smistamento | -1.38 | 1.78 |
| 4 | 4 | 19 | Q_neve | -1.394E-12 | 2.990E-13 |

Table 21: Element Stresses - Area Shells, Part 3 of 3

| Area | AreaElem | Joint | OutputCase | S13Avg KN/m2 | S23Avg KN/m2 |
|------|----------|-------|----------------|-----------------|-----------------|
| 4 | 4 | 20 | Q_neve | -1.394E-12 | 8.497E-13 |
| 4 | 4 | 21 | Q_neve | -1.191E-14 | 2.331E-13 |
| 4 | 4 | 22 | Q_neve | -1.191E-14 | -2.036E-13 |
| 42 | 42 | 1 | DEAD | -2.002E-13 | 1.089E-13 |
| 42 | 42 | 57 | DEAD | -2.002E-13 | -4.065E-13 |
| 42 | 42 | 58 | DEAD | -3.319E-13 | 4.310E-14 |
| 42 | 42 | 59 | DEAD | -3.319E-13 | -1.155E-14 |
| 42 | 42 | 1 | G1_smistamento | -2.74 | -3.35 |
| 42 | 42 | 57 | G1_smistamento | -2.74 | -3.35 |
| 42 | 42 | 58 | G1_smistamento | -2.44 | -3.35 |
| 42 | 42 | 59 | G1_smistamento | -2.44 | -3.35 |
| 42 | 42 | 1 | G2_smistamento | -1.02 | -1.24 |
| 42 | 42 | 57 | G2_smistamento | -1.02 | -1.24 |
| 42 | 42 | 58 | G2_smistamento | -0.91 | -1.24 |
| 42 | 42 | 59 | G2_smistamento | -0.91 | -1.24 |
| 42 | 42 | 1 | Q_smistamento | -1.02 | -1.24 |
| 42 | 42 | 57 | Q_smistamento | -1.02 | -1.24 |
| 42 | 42 | 58 | Q_smistamento | -0.91 | -1.24 |
| 42 | 42 | 59 | Q_smistamento | -0.91 | -1.24 |
| 42 | 42 | 1 | Q_neve | 3.245E-14 | -1.189E-13 |
| 42 | 42 | 57 | Q_neve | 3.245E-14 | -4.781E-14 |
| 42 | 42 | 58 | Q_neve | -8.695E-15 | 9.510E-14 |
| 42 | 42 | 59 | Q_neve | -8.695E-15 | 9.797E-15 |
| 44 | 44 | 60 | DEAD | 4.446E-14 | -2.559E-13 |
| 44 | 44 | 2 | DEAD | 4.446E-14 | -2.912E-13 |
| 44 | 44 | 61 | DEAD | 3.736E-13 | -1.242E-13 |
| 44 | 44 | 6 | DEAD | 3.736E-13 | 3.672E-13 |
| 44 | 44 | 60 | G1_smistamento | 2.74 | -3.35 |
| 44 | 44 | 2 | G1_smistamento | 2.74 | -3.35 |
| 44 | 44 | 61 | G1_smistamento | 2.44 | -3.35 |
| 44 | 44 | 6 | G1_smistamento | 2.44 | -3.35 |
| 44 | 44 | 60 | G2_smistamento | 1.02 | -1.24 |
| 44 | 44 | 2 | G2_smistamento | 1.02 | -1.24 |
| 44 | 44 | 61 | G2_smistamento | 0.91 | -1.24 |
| 44 | 44 | 6 | G2_smistamento | 0.91 | -1.24 |
| 44 | 44 | 60 | Q_smistamento | 1.02 | -1.24 |
| 44 | 44 | 2 | Q_smistamento | 1.02 | -1.24 |
| 44 | 44 | 61 | Q_smistamento | 0.91 | -1.24 |

Table 21: Element Stresses - Area Shells, Part 3 of 3

| Area | AreaElem | Joint | OutputCase | S13Avg KN/m2 | S23Avg KN/m2 |
|------|----------|-------|----------------|-----------------|-----------------|
| 44 | 44 | 6 | Q_smistamento | 0.91 | -1.24 |
| 44 | 44 | 60 | Q_neve | 4.450E-14 | 3.478E-15 |
| 44 | 44 | 2 | Q_neve | 4.450E-14 | -7.881E-14 |
| 44 | 44 | 61 | Q_neve | 3.627E-14 | -1.298E-14 |
| 44 | 44 | 6 | Q_neve | 3.627E-14 | 6.931E-14 |
| 46 | 46 | 62 | DEAD | 4.083E-13 | 1.068E-12 |
| 46 | 46 | 3 | DEAD | 8.274E-13 | 1.558E-13 |
| 46 | 46 | 64 | DEAD | 1.264E-12 | 8.705E-13 |
| 46 | 46 | 63 | DEAD | 9.590E-13 | -4.174E-14 |
| 46 | 46 | 62 | G1_smistamento | 2.44 | 3.35 |
| 46 | 46 | 3 | G1_smistamento | 2.74 | 3.35 |
| 46 | 46 | 64 | G1_smistamento | 2.74 | 3.35 |
| 46 | 46 | 63 | G1_smistamento | 2.44 | 3.35 |
| 46 | 46 | 62 | G2_smistamento | 0.91 | 1.24 |
| 46 | 46 | 3 | G2_smistamento | 1.02 | 1.24 |
| 46 | 46 | 64 | G2_smistamento | 1.02 | 1.24 |
| 46 | 46 | 63 | G2_smistamento | 0.91 | 1.24 |
| 46 | 46 | 62 | Q_smistamento | 0.91 | 1.24 |
| 46 | 46 | 3 | Q_smistamento | 1.02 | 1.24 |
| 46 | 46 | 64 | Q_smistamento | 1.02 | 1.24 |
| 46 | 46 | 63 | Q_smistamento | 0.91 | 1.24 |
| 46 | 46 | 62 | Q_neve | 5.422E-14 | 1.407E-13 |
| 46 | 46 | 3 | Q_neve | 9.154E-14 | 8.454E-14 |
| 46 | 46 | 64 | Q_neve | 2.023E-13 | 2.554E-14 |
| 46 | 46 | 63 | Q_neve | 1.080E-13 | 1.048E-14 |
| 48 | 48 | 65 | DEAD | -2.596E-13 | 4.775E-13 |
| 48 | 48 | 4 | DEAD | -2.596E-13 | 3.764E-13 |
| 48 | 48 | 66 | DEAD | 6.956E-14 | 1.664E-14 |
| 48 | 48 | 5 | DEAD | 6.956E-14 | 5.739E-13 |
| 48 | 48 | 65 | G1_smistamento | -2.74 | 3.35 |
| 48 | 48 | 4 | G1_smistamento | -2.74 | 3.35 |
| 48 | 48 | 66 | G1_smistamento | -2.44 | 3.35 |
| 48 | 48 | 5 | G1_smistamento | -2.44 | 3.35 |
| 48 | 48 | 65 | G2_smistamento | -1.02 | 1.24 |
| 48 | 48 | 4 | G2_smistamento | -1.02 | 1.24 |
| 48 | 48 | 66 | G2_smistamento | -0.91 | 1.24 |
| 48 | 48 | 5 | G2_smistamento | -0.91 | 1.24 |
| 48 | 48 | 65 | Q_smistamento | -1.02 | 1.24 |

Table 21: Element Stresses - Area Shells, Part 3 of 3

| Area | AreaElem | Joint | OutputCase | S13Avg KN/m2 | S23Avg KN/m2 |
|------|----------|-------|----------------|-----------------|-----------------|
| 48 | 48 | 4 | Q_smistamento | -1.02 | 1.24 |
| 48 | 48 | 66 | Q_smistamento | -0.91 | 1.24 |
| 48 | 48 | 5 | Q_smistamento | -0.91 | 1.24 |
| 48 | 48 | 65 | Q_neve | -9.642E-14 | 9.973E-14 |
| 48 | 48 | 4 | Q_neve | -9.642E-14 | 5.336E-14 |
| 48 | 48 | 66 | Q_neve | -2.236E-14 | -2.371E-14 |
| 48 | 48 | 5 | Q_neve | -2.236E-14 | 3.691E-14 |
| 183 | 183 | 57 | DEAD | -3.444E-13 | -2.837E-13 |
| 183 | 183 | 67 | DEAD | -8.905E-13 | 7.602E-14 |
| 183 | 183 | 68 | DEAD | 1.164E-13 | -2.037E-14 |
| 183 | 183 | 58 | DEAD | -3.638E-13 | 7.602E-14 |
| 183 | 183 | 57 | G1_smistamento | -1.76 | -3.56 |
| 183 | 183 | 67 | G1_smistamento | -1.76 | -4.14 |
| 183 | 183 | 68 | G1_smistamento | -3.46 | -4.14 |
| 183 | 183 | 58 | G1_smistamento | -3.46 | -3.56 |
| 183 | 183 | 57 | G2_smistamento | -0.65 | -1.32 |
| 183 | 183 | 67 | G2_smistamento | -0.65 | -1.54 |
| 183 | 183 | 68 | G2_smistamento | -1.28 | -1.54 |
| 183 | 183 | 58 | G2_smistamento | -1.28 | -1.32 |
| 183 | 183 | 57 | Q_smistamento | -0.65 | -1.32 |
| 183 | 183 | 67 | Q_smistamento | -0.65 | -1.54 |
| 183 | 183 | 68 | Q_smistamento | -1.28 | -1.54 |
| 183 | 183 | 58 | Q_smistamento | -1.28 | -1.32 |
| 183 | 183 | 57 | Q_neve | -1.330E-13 | -5.875E-14 |
| 183 | 183 | 67 | Q_neve | -7.839E-14 | -2.643E-14 |
| 183 | 183 | 68 | Q_neve | -9.548E-15 | -5.052E-14 |
| 183 | 183 | 58 | Q_neve | -7.839E-14 | 3.118E-14 |
| 184 | 184 | 67 | DEAD | -2.114E-13 | 5.428E-14 |
| 184 | 184 | 69 | DEAD | -4.042E-13 | -2.026E-13 |
| 184 | 184 | 70 | DEAD | 2.494E-13 | -4.724E-13 |
| 184 | 184 | 68 | DEAD | -4.700E-13 | 1.266E-13 |
| 184 | 184 | 67 | G1_smistamento | -0.48 | -4.4 |
| 184 | 184 | 69 | G1_smistamento | -0.48 | -4.62 |
| 184 | 184 | 70 | G1_smistamento | -0.55 | -4.62 |
| 184 | 184 | 68 | G1_smistamento | -0.55 | -4.4 |
| 184 | 184 | 67 | G2_smistamento | -0.18 | -1.63 |
| 184 | 184 | 69 | G2_smistamento | -0.18 | -1.71 |
| 184 | 184 | 70 | G2_smistamento | -0.2 | -1.71 |

Table 21: Element Stresses - Area Shells, Part 3 of 3

| Area | AreaElem | Joint | OutputCase | S13Avg KN/m2 | S23Avg KN/m2 |
|------|----------|-------|----------------|-----------------|-----------------|
| 184 | 184 | 68 | G2_smistamento | -0.2 | -1.63 |
| 184 | 184 | 67 | Q_smistamento | -0.18 | -1.63 |
| 184 | 184 | 69 | Q_smistamento | -0.18 | -1.71 |
| 184 | 184 | 70 | Q_smistamento | -0.2 | -1.71 |
| 184 | 184 | 68 | Q_smistamento | -0.2 | -1.63 |
| 184 | 184 | 67 | Q_neve | -5.841E-14 | -1.697E-14 |
| 184 | 184 | 69 | Q_neve | -5.841E-14 | -1.165E-13 |
| 184 | 184 | 70 | Q_neve | 1.565E-14 | -8.280E-14 |
| 184 | 184 | 68 | Q_neve | 1.565E-14 | -2.601E-14 |
| 185 | 185 | 69 | DEAD | -1.595E-13 | -1.247E-12 |
| 185 | 185 | 71 | DEAD | 3.328E-14 | 2.684E-13 |
| 185 | 185 | 72 | DEAD | 2.355E-13 | 6.919E-14 |
| 185 | 185 | 70 | DEAD | 9.549E-13 | -1.924E-13 |
| 185 | 185 | 69 | G1_smistamento | 0.9 | -4.61 |
| 185 | 185 | 71 | G1_smistamento | 0.9 | -4.66 |
| 185 | 185 | 72 | G1_smistamento | 0.95 | -4.66 |
| 185 | 185 | 70 | G1_smistamento | 0.95 | -4.61 |
| 185 | 185 | 69 | G2_smistamento | 0.33 | -1.71 |
| 185 | 185 | 71 | G2_smistamento | 0.33 | -1.73 |
| 185 | 185 | 72 | G2_smistamento | 0.35 | -1.73 |
| 185 | 185 | 70 | G2_smistamento | 0.35 | -1.71 |
| 185 | 185 | 69 | Q_smistamento | 0.33 | -1.71 |
| 185 | 185 | 71 | Q_smistamento | 0.33 | -1.73 |
| 185 | 185 | 72 | Q_smistamento | 0.35 | -1.73 |
| 185 | 185 | 70 | Q_smistamento | 0.35 | -1.71 |
| 185 | 185 | 69 | Q_neve | 7.886E-14 | -2.056E-13 |
| 185 | 185 | 71 | Q_neve | 9.171E-14 | 4.806E-14 |
| 185 | 185 | 72 | Q_neve | 5.417E-14 | -8.150E-15 |
| 185 | 185 | 70 | Q_neve | 1.411E-13 | -1.906E-13 |
| 186 | 186 | 71 | DEAD | 9.132E-13 | -1.256E-13 |
| 186 | 186 | 73 | DEAD | 7.333E-13 | -9.702E-13 |
| 186 | 186 | 74 | DEAD | 1.890E-13 | -5.206E-13 |
| 186 | 186 | 72 | DEAD | 1.408E-13 | -2.461E-13 |
| 186 | 186 | 71 | G1_smistamento | 1.4 | -4.64 |
| 186 | 186 | 73 | G1_smistamento | 1.4 | -4.64 |
| 186 | 186 | 74 | G1_smistamento | 1.47 | -4.64 |
| 186 | 186 | 72 | G1_smistamento | 1.47 | -4.64 |
| 186 | 186 | 71 | G2_smistamento | 0.52 | -1.72 |

Table 21: Element Stresses - Area Shells, Part 3 of 3

| Area | AreaElem | Joint | OutputCase | S13Avg KN/m2 | S23Avg KN/m2 |
|------|----------|-------|----------------|-----------------|-----------------|
| 186 | 186 | 73 | G2_smistamento | 0.52 | -1.72 |
| 186 | 186 | 74 | G2_smistamento | 0.54 | -1.72 |
| 186 | 186 | 72 | G2_smistamento | 0.54 | -1.72 |
| 186 | 186 | 71 | Q_smistamento | 0.52 | -1.72 |
| 186 | 186 | 73 | Q_smistamento | 0.52 | -1.72 |
| 186 | 186 | 74 | Q_smistamento | 0.54 | -1.72 |
| 186 | 186 | 72 | Q_smistamento | 0.54 | -1.72 |
| 186 | 186 | 71 | Q_neve | 1.406E-13 | -7.687E-14 |
| 186 | 186 | 73 | Q_neve | 1.069E-13 | -2.045E-13 |
| 186 | 186 | 74 | Q_neve | 1.159E-13 | -2.414E-13 |
| 186 | 186 | 72 | Q_neve | 1.069E-13 | 9.998E-14 |
| 187 | 187 | 73 | DEAD | 5.433E-13 | -5.572E-13 |
| 187 | 187 | 75 | DEAD | 4.469E-13 | -7.875E-14 |
| 187 | 187 | 76 | DEAD | -4.919E-14 | 1.011E-13 |
| 187 | 187 | 74 | DEAD | -4.089E-13 | -6.054E-13 |
| 187 | 187 | 73 | G1_smistamento | 1.34 | -4.62 |
| 187 | 187 | 75 | G1_smistamento | 1.34 | -4.61 |
| 187 | 187 | 76 | G1_smistamento | 1.39 | -4.61 |
| 187 | 187 | 74 | G1_smistamento | 1.39 | -4.62 |
| 187 | 187 | 73 | G2_smistamento | 0.5 | -1.71 |
| 187 | 187 | 75 | G2_smistamento | 0.5 | -1.71 |
| 187 | 187 | 76 | G2_smistamento | 0.52 | -1.71 |
| 187 | 187 | 74 | G2_smistamento | 0.52 | -1.71 |
| 187 | 187 | 73 | Q_smistamento | 0.5 | -1.71 |
| 187 | 187 | 75 | Q_smistamento | 0.5 | -1.71 |
| 187 | 187 | 76 | Q_smistamento | 0.52 | -1.71 |
| 187 | 187 | 74 | Q_smistamento | 0.52 | -1.71 |
| 187 | 187 | 73 | Q_neve | 9.133E-14 | -1.433E-13 |
| 187 | 187 | 75 | Q_neve | 6.723E-14 | -4.797E-15 |
| 187 | 187 | 76 | Q_neve | -4.857E-14 | -6.100E-14 |
| 187 | 187 | 74 | Q_neve | -1.385E-13 | -1.282E-13 |
| 188 | 188 | 75 | DEAD | -3.746E-13 | 1.520E-13 |
| 188 | 188 | 77 | DEAD | -3.746E-13 | 1.520E-13 |
| 188 | 188 | 78 | DEAD | 6.787E-13 | 1.520E-13 |
| 188 | 188 | 76 | DEAD | 6.787E-13 | 1.520E-13 |
| 188 | 188 | 75 | G1_smistamento | 1.02 | -4.59 |
| 188 | 188 | 77 | G1_smistamento | 1.02 | -4.59 |
| 188 | 188 | 78 | G1_smistamento | 1.06 | -4.59 |

Table 21: Element Stresses - Area Shells, Part 3 of 3

| Area | AreaElem | Joint | OutputCase | S13Avg KN/m2 | S23Avg KN/m2 |
|------|----------|-------|----------------|-----------------|-----------------|
| 188 | 188 | 76 | G1_smistamento | 1.06 | -4.59 |
| 188 | 188 | 75 | G2_smistamento | 0.38 | -1.7 |
| 188 | 188 | 77 | G2_smistamento | 0.38 | -1.7 |
| 188 | 188 | 78 | G2_smistamento | 0.39 | -1.7 |
| 188 | 188 | 76 | G2_smistamento | 0.39 | -1.7 |
| 188 | 188 | 75 | Q_smistamento | 0.38 | -1.7 |
| 188 | 188 | 77 | Q_smistamento | 0.38 | -1.7 |
| 188 | 188 | 78 | Q_smistamento | 0.39 | -1.7 |
| 188 | 188 | 76 | Q_smistamento | 0.39 | -1.7 |
| 188 | 188 | 75 | Q_neve | 2.223E-14 | 7.080E-14 |
| 188 | 188 | 77 | Q_neve | 2.223E-14 | -1.854E-14 |
| 188 | 188 | 78 | Q_neve | 1.868E-13 | 9.549E-14 |
| 188 | 188 | 76 | Q_neve | 1.868E-13 | -4.323E-14 |
| 189 | 189 | 77 | DEAD | -7.974E-14 | 7.465E-14 |
| 189 | 189 | 79 | DEAD | -1.761E-13 | -2.786E-13 |
| 189 | 189 | 80 | DEAD | 1.178E-13 | -1.887E-13 |
| 189 | 189 | 78 | DEAD | -2.420E-13 | 5.056E-14 |
| 189 | 189 | 77 | G1_smistamento | 0.65 | -4.58 |
| 189 | 189 | 79 | G1_smistamento | 0.65 | -4.58 |
| 189 | 189 | 80 | G1_smistamento | 0.67 | -4.58 |
| 189 | 189 | 78 | G1_smistamento | 0.67 | -4.58 |
| 189 | 189 | 77 | G2_smistamento | 0.24 | -1.7 |
| 189 | 189 | 79 | G2_smistamento | 0.24 | -1.7 |
| 189 | 189 | 80 | G2_smistamento | 0.25 | -1.7 |
| 189 | 189 | 78 | G2_smistamento | 0.25 | -1.7 |
| 189 | 189 | 77 | Q_smistamento | 0.24 | -1.7 |
| 189 | 189 | 79 | Q_smistamento | 0.24 | -1.7 |
| 189 | 189 | 80 | Q_smistamento | 0.25 | -1.7 |
| 189 | 189 | 78 | Q_smistamento | 0.25 | -1.7 |
| 189 | 189 | 77 | Q_neve | 9.039E-14 | -7.172E-15 |
| 189 | 189 | 79 | Q_neve | 6.630E-14 | -1.531E-13 |
| 189 | 189 | 80 | Q_neve | -1.249E-16 | -1.306E-13 |
| 189 | 189 | 78 | Q_neve | -9.005E-14 | -1.320E-14 |
| 190 | 190 | 79 | DEAD | -7.602E-14 | -1.103E-13 |
| 190 | 190 | 81 | DEAD | 2.037E-14 | -3.078E-13 |
| 190 | 190 | 82 | DEAD | -7.602E-14 | -3.078E-13 |
| 190 | 190 | 80 | DEAD | 2.837E-13 | -1.103E-13 |
| 190 | 190 | 79 | G1_smistamento | 0.3 | -4.57 |

Table 21: Element Stresses - Area Shells, Part 3 of 3

| Area | AreaElem | Joint | OutputCase | S13Avg KN/m2 | S23Avg KN/m2 |
|------|----------|-------|----------------|-----------------|-----------------|
| 190 | 190 | 81 | G1_smistamento | 0.3 | -4.58 |
| 190 | 190 | 82 | G1_smistamento | 0.32 | -4.58 |
| 190 | 190 | 80 | G1_smistamento | 0.32 | -4.57 |
| 190 | 190 | 79 | G2_smistamento | 0.11 | -1.7 |
| 190 | 190 | 81 | G2_smistamento | 0.11 | -1.7 |
| 190 | 190 | 82 | G2_smistamento | 0.12 | -1.7 |
| 190 | 190 | 80 | G2_smistamento | 0.12 | -1.7 |
| 190 | 190 | 79 | Q_smistamento | 0.11 | -1.7 |
| 190 | 190 | 81 | Q_smistamento | 0.11 | -1.7 |
| 190 | 190 | 82 | Q_smistamento | 0.12 | -1.7 |
| 190 | 190 | 80 | Q_smistamento | 0.12 | -1.7 |
| 190 | 190 | 79 | Q_neve | -1.683E-13 | -1.384E-13 |
| 190 | 190 | 81 | Q_neve | -1.442E-13 | -2.316E-14 |
| 190 | 190 | 82 | Q_neve | 2.099E-14 | -2.316E-14 |
| 190 | 190 | 80 | Q_neve | 1.109E-13 | -1.384E-13 |
| 191 | 191 | 81 | DEAD | 3.407E-13 | -7.821E-15 |
| 191 | 191 | 83 | DEAD | 4.306E-13 | -1.146E-12 |
| 191 | 191 | 84 | DEAD | 7.738E-14 | -6.003E-13 |
| 191 | 191 | 82 | DEAD | 1.015E-13 | -4.880E-13 |
| 191 | 191 | 81 | G1_smistamento | 1.154E-13 | -4.58 |
| 191 | 191 | 83 | G1_smistamento | 2.546E-14 | -4.58 |
| 191 | 191 | 84 | G1_smistamento | 3.787E-13 | -4.58 |
| 191 | 191 | 82 | G1_smistamento | 3.546E-13 | -4.58 |
| 191 | 191 | 81 | G2_smistamento | 1.520E-13 | -1.7 |
| 191 | 191 | 83 | G2_smistamento | 1.520E-13 | -1.7 |
| 191 | 191 | 84 | G2_smistamento | 1.520E-13 | -1.7 |
| 191 | 191 | 82 | G2_smistamento | 1.520E-13 | -1.7 |
| 191 | 191 | 81 | Q_smistamento | 1.520E-13 | -1.7 |
| 191 | 191 | 83 | Q_smistamento | 1.520E-13 | -1.7 |
| 191 | 191 | 84 | Q_smistamento | 1.520E-13 | -1.7 |
| 191 | 191 | 82 | Q_smistamento | 1.520E-13 | -1.7 |
| 191 | 191 | 81 | Q_neve | 2.740E-14 | -4.119E-14 |
| 191 | 191 | 83 | Q_neve | 1.616E-14 | -1.402E-13 |
| 191 | 191 | 84 | Q_neve | 4.386E-14 | -8.234E-14 |
| 191 | 191 | 82 | Q_neve | 4.085E-14 | -1.402E-13 |
| 192 | 192 | 83 | DEAD | 1.965E-13 | -3.509E-13 |
| 192 | 192 | 85 | DEAD | 1.965E-13 | -5.854E-13 |
| 192 | 192 | 86 | DEAD | 5.257E-13 | -2.192E-13 |

Table 21: Element Stresses - Area Shells, Part 3 of 3

| Area | AreaElem | Joint | OutputCase | S13Avg KN/m2 | S23Avg KN/m2 |
|------|----------|-------|----------------|-----------------|-----------------|
| 192 | 192 | 84 | DEAD | 5.257E-13 | -7.829E-13 |
| 192 | 192 | 83 | G1_smistamento | -0.3 | -4.58 |
| 192 | 192 | 85 | G1_smistamento | -0.3 | -4.57 |
| 192 | 192 | 86 | G1_smistamento | -0.32 | -4.57 |
| 192 | 192 | 84 | G1_smistamento | -0.32 | -4.58 |
| 192 | 192 | 83 | G2_smistamento | -0.11 | -1.7 |
| 192 | 192 | 85 | G2_smistamento | -0.11 | -1.7 |
| 192 | 192 | 86 | G2_smistamento | -0.12 | -1.7 |
| 192 | 192 | 84 | G2_smistamento | -0.12 | -1.7 |
| 192 | 192 | 83 | Q_smistamento | -0.11 | -1.7 |
| 192 | 192 | 85 | Q_smistamento | -0.11 | -1.7 |
| 192 | 192 | 86 | Q_smistamento | -0.12 | -1.7 |
| 192 | 192 | 84 | Q_smistamento | -0.12 | -1.7 |
| 192 | 192 | 83 | Q_neve | 1.354E-13 | -1.633E-14 |
| 192 | 192 | 85 | Q_neve | 1.354E-13 | -5.307E-14 |
| 192 | 192 | 86 | Q_neve | 1.192E-14 | -7.394E-14 |
| 192 | 192 | 84 | Q_neve | 1.192E-14 | -9.421E-14 |
| 193 | 193 | 85 | DEAD | 5.043E-13 | 6.370E-13 |
| 193 | 193 | 87 | DEAD | 5.043E-13 | -4.116E-13 |
| 193 | 193 | 88 | DEAD | 6.360E-13 | -2.189E-13 |
| 193 | 193 | 86 | DEAD | 6.360E-13 | -8.247E-14 |
| 193 | 193 | 85 | G1_smistamento | -0.65 | -4.58 |
| 193 | 193 | 87 | G1_smistamento | -0.65 | -4.58 |
| 193 | 193 | 88 | G1_smistamento | -0.67 | -4.58 |
| 193 | 193 | 86 | G1_smistamento | -0.67 | -4.58 |
| 193 | 193 | 85 | G2_smistamento | -0.24 | -1.7 |
| 193 | 193 | 87 | G2_smistamento | -0.24 | -1.7 |
| 193 | 193 | 88 | G2_smistamento | -0.25 | -1.7 |
| 193 | 193 | 86 | G2_smistamento | -0.25 | -1.7 |
| 193 | 193 | 85 | Q_smistamento | -0.24 | -1.7 |
| 193 | 193 | 87 | Q_smistamento | -0.24 | -1.7 |
| 193 | 193 | 88 | Q_smistamento | -0.25 | -1.7 |
| 193 | 193 | 86 | Q_smistamento | -0.25 | -1.7 |
| 193 | 193 | 85 | Q_neve | 4.263E-14 | 6.931E-14 |
| 193 | 193 | 87 | Q_neve | 4.263E-14 | -7.881E-14 |
| 193 | 193 | 88 | Q_neve | 1.332E-13 | -7.881E-14 |
| 193 | 193 | 86 | Q_neve | 1.332E-13 | 6.931E-14 |
| 194 | 194 | 87 | DEAD | -4.191E-13 | -3.217E-13 |

Table 21: Element Stresses - Area Shells, Part 3 of 3

| Area | AreaElem | Joint | OutputCase | S13Avg KN/m2 | S23Avg KN/m2 |
|------|----------|-------|----------------|-----------------|-----------------|
| 194 | 194 | 89 | DEAD | -4.191E-13 | 2.179E-13 |
| 194 | 194 | 90 | DEAD | 3.051E-13 | -5.838E-14 |
| 194 | 194 | 88 | DEAD | 3.051E-13 | 8.620E-14 |
| 194 | 194 | 87 | G1_smistamento | -1.02 | -4.59 |
| 194 | 194 | 89 | G1_smistamento | -1.02 | -4.59 |
| 194 | 194 | 90 | G1_smistamento | -1.06 | -4.59 |
| 194 | 194 | 88 | G1_smistamento | -1.06 | -4.59 |
| 194 | 194 | 87 | G2_smistamento | -0.38 | -1.7 |
| 194 | 194 | 89 | G2_smistamento | -0.38 | -1.7 |
| 194 | 194 | 90 | G2_smistamento | -0.39 | -1.7 |
| 194 | 194 | 88 | G2_smistamento | -0.39 | -1.7 |
| 194 | 194 | 87 | Q_smistamento | -0.38 | -1.7 |
| 194 | 194 | 89 | Q_smistamento | -0.38 | -1.7 |
| 194 | 194 | 90 | Q_smistamento | -0.39 | -1.7 |
| 194 | 194 | 88 | Q_smistamento | -0.39 | -1.7 |
| 194 | 194 | 87 | Q_neve | -1.062E-13 | -6.825E-14 |
| 194 | 194 | 89 | Q_neve | -9.497E-14 | 9.036E-15 |
| 194 | 194 | 90 | Q_neve | 2.545E-14 | -6.002E-14 |
| 194 | 194 | 88 | Q_neve | 2.846E-14 | 3.372E-14 |
| 195 | 195 | 89 | DEAD | -4.395E-13 | 8.111E-14 |
| 195 | 195 | 91 | DEAD | -5.358E-13 | 1.534E-13 |
| 195 | 195 | 92 | DEAD | 2.137E-14 | 1.469E-13 |
| 195 | 195 | 90 | DEAD | -3.383E-13 | 4.167E-13 |
| 195 | 195 | 89 | G1_smistamento | -1.34 | -4.61 |
| 195 | 195 | 91 | G1_smistamento | -1.34 | -4.62 |
| 195 | 195 | 92 | G1_smistamento | -1.39 | -4.62 |
| 195 | 195 | 90 | G1_smistamento | -1.39 | -4.61 |
| 195 | 195 | 89 | G2_smistamento | -0.5 | -1.71 |
| 195 | 195 | 91 | G2_smistamento | -0.5 | -1.71 |
| 195 | 195 | 92 | G2_smistamento | -0.52 | -1.71 |
| 195 | 195 | 90 | G2_smistamento | -0.52 | -1.71 |
| 195 | 195 | 89 | Q_smistamento | -0.5 | -1.71 |
| 195 | 195 | 91 | Q_smistamento | -0.5 | -1.71 |
| 195 | 195 | 92 | Q_smistamento | -0.52 | -1.71 |
| 195 | 195 | 90 | Q_smistamento | -0.52 | -1.71 |
| 195 | 195 | 89 | Q_neve | -5.557E-14 | -8.170E-14 |
| 195 | 195 | 91 | Q_neve | -9.091E-14 | 5.922E-14 |
| 195 | 195 | 92 | Q_neve | -6.195E-15 | -3.233E-14 |

Table 21: Element Stresses - Area Shells, Part 3 of 3

| Area | AreaElem | Joint | OutputCase | S13Avg KN/m2 | S23Avg KN/m2 |
|------|----------|-------|----------------|-----------------|-----------------|
| 195 | 195 | 90 | Q_neve | -9.914E-14 | 2.630E-14 |
| 196 | 196 | 91 | DEAD | -6.397E-13 | 6.064E-13 |
| 196 | 196 | 93 | DEAD | -7.361E-13 | -8.243E-13 |
| 196 | 196 | 94 | DEAD | -3.105E-13 | -6.444E-13 |
| 196 | 196 | 92 | DEAD | -6.702E-13 | 5.582E-13 |
| 196 | 196 | 91 | G1_smistamento | -1.4 | -4.64 |
| 196 | 196 | 93 | G1_smistamento | -1.4 | -4.64 |
| 196 | 196 | 94 | G1_smistamento | -1.47 | -4.64 |
| 196 | 196 | 92 | G1_smistamento | -1.47 | -4.64 |
| 196 | 196 | 91 | G2_smistamento | -0.52 | -1.72 |
| 196 | 196 | 93 | G2_smistamento | -0.52 | -1.72 |
| 196 | 196 | 94 | G2_smistamento | -0.54 | -1.72 |
| 196 | 196 | 92 | G2_smistamento | -0.54 | -1.72 |
| 196 | 196 | 91 | Q_smistamento | -0.52 | -1.72 |
| 196 | 196 | 93 | Q_smistamento | -0.52 | -1.72 |
| 196 | 196 | 94 | Q_smistamento | -0.54 | -1.72 |
| 196 | 196 | 92 | Q_smistamento | -0.54 | -1.72 |
| 196 | 196 | 91 | Q_neve | -1.354E-13 | 2.290E-14 |
| 196 | 196 | 93 | Q_neve | -1.354E-13 | -1.513E-13 |
| 196 | 196 | 94 | Q_neve | -1.192E-14 | -1.417E-13 |
| 196 | 196 | 92 | Q_neve | -1.192E-14 | 1.038E-13 |
| 197 | 197 | 93 | DEAD | 1.558E-13 | -7.092E-13 |
| 197 | 197 | 95 | DEAD | 1.558E-13 | -4.941E-13 |
| 197 | 197 | 96 | DEAD | -4.174E-14 | -5.092E-14 |
| 197 | 197 | 94 | DEAD | -4.174E-14 | -4.941E-13 |
| 197 | 197 | 93 | G1_smistamento | -0.9 | -4.66 |
| 197 | 197 | 95 | G1_smistamento | -0.9 | -4.61 |
| 197 | 197 | 96 | G1_smistamento | -0.95 | -4.61 |
| 197 | 197 | 94 | G1_smistamento | -0.95 | -4.66 |
| 197 | 197 | 93 | G2_smistamento | -0.33 | -1.73 |
| 197 | 197 | 95 | G2_smistamento | -0.33 | -1.71 |
| 197 | 197 | 96 | G2_smistamento | -0.35 | -1.71 |
| 197 | 197 | 94 | G2_smistamento | -0.35 | -1.73 |
| 197 | 197 | 93 | Q_smistamento | -0.33 | -1.73 |
| 197 | 197 | 95 | Q_smistamento | -0.33 | -1.71 |
| 197 | 197 | 96 | Q_smistamento | -0.35 | -1.71 |
| 197 | 197 | 94 | Q_smistamento | -0.35 | -1.73 |
| 197 | 197 | 93 | Q_neve | 6.079E-14 | -9.561E-14 |

Table 21: Element Stresses - Area Shells, Part 3 of 3

| Area | AreaElem | Joint | OutputCase | S13Avg KN/m2 | S23Avg KN/m2 |
|------|----------|-------|----------------|-----------------|-----------------|
| 197 | 197 | 95 | Q_neve | 4.954E-14 | -1.169E-13 |
| 197 | 197 | 96 | Q_neve | -1.328E-14 | 1.959E-14 |
| 197 | 197 | 94 | Q_neve | -1.629E-14 | -2.157E-13 |
| 198 | 198 | 95 | DEAD | 3.244E-13 | 4.037E-14 |
| 198 | 198 | 97 | DEAD | 2.280E-13 | -1.507E-13 |
| 198 | 198 | 98 | DEAD | 5.878E-13 | -4.205E-13 |
| 198 | 198 | 96 | DEAD | 2.280E-13 | 1.127E-13 |
| 198 | 198 | 95 | G1_smistamento | 0.48 | -4.62 |
| 198 | 198 | 97 | G1_smistamento | 0.48 | -4.4 |
| 198 | 198 | 98 | G1_smistamento | 0.55 | -4.4 |
| 198 | 198 | 96 | G1_smistamento | 0.55 | -4.62 |
| 198 | 198 | 95 | G2_smistamento | 0.18 | -1.71 |
| 198 | 198 | 97 | G2_smistamento | 0.18 | -1.63 |
| 198 | 198 | 98 | G2_smistamento | 0.2 | -1.63 |
| 198 | 198 | 96 | G2_smistamento | 0.2 | -1.71 |
| 198 | 198 | 95 | Q_smistamento | 0.18 | -1.71 |
| 198 | 198 | 97 | Q_smistamento | 0.18 | -1.63 |
| 198 | 198 | 98 | Q_smistamento | 0.2 | -1.63 |
| 198 | 198 | 96 | Q_smistamento | 0.2 | -1.71 |
| 198 | 198 | 95 | Q_neve | 5.701E-14 | -4.531E-14 |
| 198 | 198 | 97 | Q_neve | 3.292E-14 | -7.661E-14 |
| 198 | 198 | 98 | Q_neve | 5.701E-14 | -7.822E-14 |
| 198 | 198 | 96 | Q_neve | -3.292E-14 | 3.860E-14 |
| 199 | 199 | 97 | DEAD | -3.190E-13 | -7.329E-14 |
| 199 | 199 | 60 | DEAD | -3.190E-13 | -1.826E-13 |
| 199 | 199 | 6 | DEAD | 4.710E-13 | 4.534E-13 |
| 199 | 199 | 98 | DEAD | 4.710E-13 | -5.776E-13 |
| 199 | 199 | 97 | G1_smistamento | 1.76 | -4.14 |
| 199 | 199 | 60 | G1_smistamento | 1.76 | -3.56 |
| 199 | 199 | 6 | G1_smistamento | 3.46 | -3.56 |
| 199 | 199 | 98 | G1_smistamento | 3.46 | -4.14 |
| 199 | 199 | 97 | G2_smistamento | 0.65 | -1.54 |
| 199 | 199 | 60 | G2_smistamento | 0.65 | -1.32 |
| 199 | 199 | 6 | G2_smistamento | 1.28 | -1.32 |
| 199 | 199 | 98 | G2_smistamento | 1.28 | -1.54 |
| 199 | 199 | 97 | Q_smistamento | 0.65 | -1.54 |
| 199 | 199 | 60 | Q_smistamento | 0.65 | -1.32 |
| 199 | 199 | 6 | Q_smistamento | 1.28 | -1.32 |

Table 21: Element Stresses - Area Shells, Part 3 of 3

| Area | AreaElem | Joint | OutputCase | S13Avg KN/m2 | S23Avg KN/m2 |
|------|----------|-------|----------------|-----------------|-----------------|
| 199 | 199 | 98 | Q_smistamento | 1.28 | -1.54 |
| 199 | 199 | 97 | Q_neve | -1.864E-15 | -3.275E-14 |
| 199 | 199 | 60 | Q_neve | -1.864E-15 | 8.183E-15 |
| 199 | 199 | 6 | Q_neve | 9.688E-14 | 6.600E-14 |
| 199 | 199 | 98 | Q_neve | 9.688E-14 | -1.317E-13 |
| 200 | 200 | 61 | DEAD | 9.224E-13 | 7.496E-13 |
| 200 | 200 | 99 | DEAD | 2.253E-13 | 3.964E-13 |
| 200 | 200 | 100 | DEAD | 1.054E-12 | -3.695E-13 |
| 200 | 200 | 6 | DEAD | -3.013E-13 | -1.303E-13 |
| 200 | 200 | 61 | G1_smistamento | 2.73 | -2.93 |
| 200 | 200 | 99 | G1_smistamento | 3.23 | -2.93 |
| 200 | 200 | 100 | G1_smistamento | 3.23 | -4.67 |
| 200 | 200 | 6 | G1_smistamento | 2.73 | -4.67 |
| 200 | 200 | 61 | G2_smistamento | 1.01 | -1.08 |
| 200 | 200 | 99 | G2_smistamento | 1.2 | -1.08 |
| 200 | 200 | 100 | G2_smistamento | 1.2 | -1.73 |
| 200 | 200 | 6 | G2_smistamento | 1.01 | -1.73 |
| 200 | 200 | 61 | Q_smistamento | 1.01 | -1.08 |
| 200 | 200 | 99 | Q_smistamento | 1.2 | -1.08 |
| 200 | 200 | 100 | Q_smistamento | 1.2 | -1.73 |
| 200 | 200 | 6 | Q_smistamento | 1.01 | -1.73 |
| 200 | 200 | 61 | Q_neve | 9.328E-14 | 1.179E-13 |
| 200 | 200 | 99 | Q_neve | 1.432E-13 | -5.729E-15 |
| 200 | 200 | 100 | Q_neve | 1.015E-13 | -4.666E-14 |
| 200 | 200 | 6 | Q_neve | -6.248E-14 | -7.979E-14 |
| 201 | 201 | 99 | DEAD | 5.827E-13 | 7.079E-13 |
| 201 | 201 | 101 | DEAD | 4.398E-13 | 7.838E-14 |
| 201 | 201 | 102 | DEAD | 2.535E-13 | -2.138E-13 |
| 201 | 201 | 100 | DEAD | 9.665E-13 | -3.824E-13 |
| 201 | 201 | 99 | G1_smistamento | 3.52 | -1.77 |
| 201 | 201 | 101 | G1_smistamento | 3.68 | -1.77 |
| 201 | 201 | 102 | G1_smistamento | 3.68 | -1.89 |
| 201 | 201 | 100 | G1_smistamento | 3.52 | -1.89 |
| 201 | 201 | 99 | G2_smistamento | 1.31 | -0.66 |
| 201 | 201 | 101 | G2_smistamento | 1.36 | -0.66 |
| 201 | 201 | 102 | G2_smistamento | 1.36 | -0.7 |
| 201 | 201 | 100 | G2_smistamento | 1.31 | -0.7 |
| 201 | 201 | 99 | Q_smistamento | 1.31 | -0.66 |

Table 21: Element Stresses - Area Shells, Part 3 of 3

| Area | AreaElem | Joint | OutputCase | S13Avg KN/m2 | S23Avg KN/m2 |
|------|----------|-------|----------------|-----------------|-----------------|
| 201 | 201 | 101 | Q_smistamento | 1.36 | -0.66 |
| 201 | 201 | 102 | Q_smistamento | 1.36 | -0.7 |
| 201 | 201 | 100 | Q_smistamento | 1.31 | -0.7 |
| 201 | 201 | 99 | Q_neve | 1.509E-13 | 1.689E-13 |
| 201 | 201 | 101 | Q_neve | 9.049E-14 | 4.526E-14 |
| 201 | 201 | 102 | Q_neve | 4.391E-14 | -1.213E-14 |
| 201 | 201 | 100 | Q_neve | 2.468E-13 | -4.526E-14 |
| 202 | 202 | 101 | DEAD | 1.609E-13 | 2.304E-13 |
| 202 | 202 | 103 | DEAD | 1.191E-13 | 1.405E-13 |
| 202 | 202 | 104 | DEAD | 2.919E-14 | -2.304E-13 |
| 202 | 202 | 102 | DEAD | 1.849E-13 | -2.545E-13 |
| 202 | 202 | 101 | G1_smistamento | 3.69 | 4.565E-14 |
| 202 | 202 | 103 | G1_smistamento | 3.69 | 1.805E-13 |
| 202 | 202 | 104 | G1_smistamento | 3.69 | 1.444E-13 |
| 202 | 202 | 102 | G1_smistamento | 3.69 | 1.805E-13 |
| 202 | 202 | 101 | G2_smistamento | 1.37 | 1.409E-13 |
| 202 | 202 | 103 | G2_smistamento | 1.37 | 1.409E-13 |
| 202 | 202 | 104 | G2_smistamento | 1.37 | 5.863E-14 |
| 202 | 202 | 102 | G2_smistamento | 1.37 | 5.863E-14 |
| 202 | 202 | 101 | Q_smistamento | 1.37 | 1.409E-13 |
| 202 | 202 | 103 | Q_smistamento | 1.37 | 1.409E-13 |
| 202 | 202 | 104 | Q_smistamento | 1.37 | 5.863E-14 |
| 202 | 202 | 102 | Q_smistamento | 1.37 | 5.863E-14 |
| 202 | 202 | 101 | Q_neve | 1.439E-13 | 7.788E-14 |
| 202 | 202 | 103 | Q_neve | -4.577E-14 | 7.788E-14 |
| 202 | 202 | 104 | Q_neve | 6.987E-14 | -2.087E-14 |
| 202 | 202 | 102 | Q_neve | -5.400E-14 | -2.087E-14 |
| 203 | 203 | 103 | DEAD | 1.826E-13 | 1.099E-13 |
| 203 | 203 | 105 | DEAD | 3.801E-14 | 1.164E-13 |
| 203 | 203 | 106 | DEAD | 5.776E-13 | -6.801E-13 |
| 203 | 203 | 104 | DEAD | 3.801E-14 | -3.444E-13 |
| 203 | 203 | 103 | G1_smistamento | 3.68 | 1.77 |
| 203 | 203 | 105 | G1_smistamento | 3.52 | 1.77 |
| 203 | 203 | 106 | G1_smistamento | 3.52 | 1.89 |
| 203 | 203 | 104 | G1_smistamento | 3.68 | 1.89 |
| 203 | 203 | 103 | G2_smistamento | 1.36 | 0.66 |
| 203 | 203 | 105 | G2_smistamento | 1.31 | 0.66 |
| 203 | 203 | 106 | G2_smistamento | 1.31 | 0.7 |

Table 21: Element Stresses - Area Shells, Part 3 of 3

| Area | AreaElem | Joint | OutputCase | S13Avg KN/m2 | S23Avg KN/m2 |
|------|----------|-------|----------------|-----------------|-----------------|
| 203 | 203 | 104 | G2_smistamento | 1.36 | 0.7 |
| 203 | 203 | 103 | Q_smistamento | 1.36 | 0.66 |
| 203 | 203 | 105 | Q_smistamento | 1.31 | 0.66 |
| 203 | 203 | 106 | Q_smistamento | 1.31 | 0.7 |
| 203 | 203 | 104 | Q_smistamento | 1.36 | 0.7 |
| 203 | 203 | 103 | Q_neve | 4.518E-14 | -1.476E-14 |
| 203 | 203 | 105 | Q_neve | 1.124E-14 | -1.159E-13 |
| 203 | 203 | 106 | Q_neve | 1.686E-13 | -1.135E-13 |
| 203 | 203 | 104 | Q_neve | 3.012E-15 | -1.406E-13 |
| 204 | 204 | 105 | DEAD | 4.167E-13 | 3.115E-13 |
| 204 | 204 | 62 | DEAD | 1.469E-13 | 3.115E-13 |
| 204 | 204 | 63 | DEAD | 1.534E-13 | -8.347E-14 |
| 204 | 204 | 106 | DEAD | 8.111E-14 | -8.347E-14 |
| 204 | 204 | 105 | G1_smistamento | 3.23 | 2.93 |
| 204 | 204 | 62 | G1_smistamento | 2.73 | 2.93 |
| 204 | 204 | 63 | G1_smistamento | 2.73 | 4.67 |
| 204 | 204 | 106 | G1_smistamento | 3.23 | 4.67 |
| 204 | 204 | 105 | G2_smistamento | 1.2 | 1.08 |
| 204 | 204 | 62 | G2_smistamento | 1.01 | 1.08 |
| 204 | 204 | 63 | G2_smistamento | 1.01 | 1.73 |
| 204 | 204 | 106 | G2_smistamento | 1.2 | 1.73 |
| 204 | 204 | 105 | Q_smistamento | 1.2 | 1.08 |
| 204 | 204 | 62 | Q_smistamento | 1.01 | 1.08 |
| 204 | 204 | 63 | Q_smistamento | 1.01 | 1.73 |
| 204 | 204 | 106 | Q_smistamento | 1.2 | 1.73 |
| 204 | 204 | 105 | Q_neve | 1.371E-13 | 1.146E-13 |
| 204 | 204 | 62 | Q_neve | 2.792E-14 | 3.750E-14 |
| 204 | 204 | 63 | Q_neve | 5.433E-15 | -1.241E-13 |
| 204 | 204 | 106 | Q_neve | 1.431E-13 | -6.125E-14 |
| 205 | 205 | 64 | DEAD | 5.002E-13 | 1.029E-12 |
| 205 | 205 | 107 | DEAD | 3.268E-13 | -1.710E-13 |
| 205 | 205 | 108 | DEAD | -1.581E-13 | 5.678E-13 |
| 205 | 205 | 63 | DEAD | 1.293E-13 | -1.710E-13 |
| 205 | 205 | 64 | G1_smistamento | 1.76 | 3.56 |
| 205 | 205 | 107 | G1_smistamento | 1.76 | 4.14 |
| 205 | 205 | 108 | G1_smistamento | 3.46 | 4.14 |
| 205 | 205 | 63 | G1_smistamento | 3.46 | 3.56 |
| 205 | 205 | 64 | G2_smistamento | 0.65 | 1.32 |

Table 21: Element Stresses - Area Shells, Part 3 of 3

| Area | AreaElem | Joint | OutputCase | S13Avg KN/m2 | S23Avg KN/m2 |
|------|----------|-------|----------------|-----------------|-----------------|
| 205 | 205 | 107 | G2_smistamento | 0.65 | 1.54 |
| 205 | 205 | 108 | G2_smistamento | 1.28 | 1.54 |
| 205 | 205 | 63 | G2_smistamento | 1.28 | 1.32 |
| 205 | 205 | 64 | Q_smistamento | 0.65 | 1.32 |
| 205 | 205 | 107 | Q_smistamento | 0.65 | 1.54 |
| 205 | 205 | 108 | Q_smistamento | 1.28 | 1.54 |
| 205 | 205 | 63 | Q_smistamento | 1.28 | 1.32 |
| 205 | 205 | 64 | Q_neve | 4.989E-14 | 7.266E-14 |
| 205 | 205 | 107 | Q_neve | -6.319E-15 | -2.549E-14 |
| 205 | 205 | 108 | Q_neve | 4.989E-14 | -1.398E-15 |
| 205 | 205 | 63 | Q_neve | 3.483E-14 | -1.727E-14 |
| 206 | 206 | 107 | DEAD | -1.469E-13 | 1.140E-13 |
| 206 | 206 | 109 | DEAD | 3.027E-13 | 2.939E-13 |
| 206 | 206 | 110 | DEAD | -8.111E-14 | 1.140E-13 |
| 206 | 206 | 108 | DEAD | 3.937E-14 | 1.622E-13 |
| 206 | 206 | 107 | G1_smistamento | 0.48 | 4.4 |
| 206 | 206 | 109 | G1_smistamento | 0.48 | 4.62 |
| 206 | 206 | 110 | G1_smistamento | 0.55 | 4.62 |
| 206 | 206 | 108 | G1_smistamento | 0.55 | 4.4 |
| 206 | 206 | 107 | G2_smistamento | 0.18 | 1.63 |
| 206 | 206 | 109 | G2_smistamento | 0.18 | 1.71 |
| 206 | 206 | 110 | G2_smistamento | 0.2 | 1.71 |
| 206 | 206 | 108 | G2_smistamento | 0.2 | 1.63 |
| 206 | 206 | 107 | Q_smistamento | 0.18 | 1.63 |
| 206 | 206 | 109 | Q_smistamento | 0.18 | 1.71 |
| 206 | 206 | 110 | Q_smistamento | 0.2 | 1.71 |
| 206 | 206 | 108 | Q_smistamento | 0.2 | 1.63 |
| 206 | 206 | 107 | Q_neve | -3.478E-15 | -6.044E-14 |
| 206 | 206 | 109 | Q_neve | 1.739E-14 | 1.598E-13 |
| 206 | 206 | 110 | Q_neve | 1.298E-14 | 7.945E-14 |
| 206 | 206 | 108 | Q_neve | -6.490E-14 | 4.454E-14 |
| 207 | 207 | 109 | DEAD | -7.398E-13 | -1.609E-13 |
| 207 | 207 | 111 | DEAD | 2.688E-13 | 1.056E-12 |
| 207 | 207 | 112 | DEAD | -4.765E-13 | -2.919E-14 |
| 207 | 207 | 110 | DEAD | 7.954E-13 | 4.639E-13 |
| 207 | 207 | 109 | G1_smistamento | -0.9 | 4.61 |
| 207 | 207 | 111 | G1_smistamento | -0.9 | 4.66 |
| 207 | 207 | 112 | G1_smistamento | -0.95 | 4.66 |

Table 21: Element Stresses - Area Shells, Part 3 of 3

| Area | AreaElem | Joint | OutputCase | S13Avg KN/m2 | S23Avg KN/m2 |
|------|----------|-------|----------------|-----------------|-----------------|
| 207 | 207 | 110 | G1_smistamento | -0.95 | 4.61 |
| 207 | 207 | 109 | G2_smistamento | -0.33 | 1.71 |
| 207 | 207 | 111 | G2_smistamento | -0.33 | 1.73 |
| 207 | 207 | 112 | G2_smistamento | -0.35 | 1.73 |
| 207 | 207 | 110 | G2_smistamento | -0.35 | 1.71 |
| 207 | 207 | 109 | Q_smistamento | -0.33 | 1.71 |
| 207 | 207 | 111 | Q_smistamento | -0.33 | 1.73 |
| 207 | 207 | 112 | Q_smistamento | -0.35 | 1.73 |
| 207 | 207 | 110 | Q_smistamento | -0.35 | 1.71 |
| 207 | 207 | 109 | Q_neve | 2.671E-15 | 8.009E-14 |
| 207 | 207 | 111 | Q_neve | 7.335E-14 | 6.083E-14 |
| 207 | 207 | 112 | Q_neve | -5.493E-14 | -5.158E-14 |
| 207 | 207 | 110 | Q_neve | 1.309E-13 | 1.102E-13 |
| 208 | 208 | 111 | DEAD | -3.027E-13 | 8.548E-13 |
| 208 | 208 | 113 | DEAD | 3.397E-13 | 4.775E-13 |
| 208 | 208 | 114 | DEAD | -3.937E-14 | -1.327E-13 |
| 208 | 208 | 112 | DEAD | 8.005E-13 | 1.664E-14 |
| 208 | 208 | 111 | G1_smistamento | -1.4 | 4.64 |
| 208 | 208 | 113 | G1_smistamento | -1.4 | 4.64 |
| 208 | 208 | 114 | G1_smistamento | -1.47 | 4.64 |
| 208 | 208 | 112 | G1_smistamento | -1.47 | 4.64 |
| 208 | 208 | 111 | G2_smistamento | -0.52 | 1.72 |
| 208 | 208 | 113 | G2_smistamento | -0.52 | 1.72 |
| 208 | 208 | 114 | G2_smistamento | -0.54 | 1.72 |
| 208 | 208 | 112 | G2_smistamento | -0.54 | 1.72 |
| 208 | 208 | 111 | Q_smistamento | -0.52 | 1.72 |
| 208 | 208 | 113 | Q_smistamento | -0.52 | 1.72 |
| 208 | 208 | 114 | Q_smistamento | -0.54 | 1.72 |
| 208 | 208 | 112 | Q_smistamento | -0.54 | 1.72 |
| 208 | 208 | 111 | Q_neve | -1.471E-13 | -3.517E-14 |
| 208 | 208 | 113 | Q_neve | 1.354E-14 | 1.312E-13 |
| 208 | 208 | 114 | Q_neve | 9.286E-15 | -5.985E-14 |
| 208 | 208 | 112 | Q_neve | 2.193E-13 | 1.604E-14 |
| 209 | 209 | 113 | DEAD | -1.890E-13 | 5.433E-13 |
| 209 | 209 | 115 | DEAD | 4.598E-13 | -5.888E-13 |
| 209 | 209 | 116 | DEAD | -9.132E-13 | -4.919E-14 |
| 209 | 209 | 114 | DEAD | 2.623E-13 | 3.987E-13 |
| 209 | 209 | 113 | G1_smistamento | -1.34 | 4.62 |

Table 21: Element Stresses - Area Shells, Part 3 of 3

| Area | AreaElem | Joint | OutputCase | S13Avg KN/m2 | S23Avg KN/m2 |
|------|----------|-------|----------------|-----------------|-----------------|
| 209 | 209 | 115 | G1_smistamento | -1.34 | 4.61 |
| 209 | 209 | 116 | G1_smistamento | -1.39 | 4.61 |
| 209 | 209 | 114 | G1_smistamento | -1.39 | 4.62 |
| 209 | 209 | 113 | G2_smistamento | -0.5 | 1.71 |
| 209 | 209 | 115 | G2_smistamento | -0.5 | 1.71 |
| 209 | 209 | 116 | G2_smistamento | -0.52 | 1.71 |
| 209 | 209 | 114 | G2_smistamento | -0.52 | 1.71 |
| 209 | 209 | 113 | Q_smistamento | -0.5 | 1.71 |
| 209 | 209 | 115 | Q_smistamento | -0.5 | 1.71 |
| 209 | 209 | 116 | Q_smistamento | -0.52 | 1.71 |
| 209 | 209 | 114 | Q_smistamento | -0.52 | 1.71 |
| 209 | 209 | 113 | Q_neve | -1.457E-13 | 6.460E-14 |
| 209 | 209 | 115 | Q_neve | 2.613E-14 | 4.580E-15 |
| 209 | 209 | 116 | Q_neve | -1.869E-13 | 3.992E-14 |
| 209 | 209 | 114 | Q_neve | 2.613E-14 | -2.834E-14 |
| 210 | 210 | 115 | DEAD | 5.465E-14 | -8.584E-14 |
| 210 | 210 | 117 | DEAD | -2.216E-13 | 1.276E-13 |
| 210 | 210 | 118 | DEAD | 5.155E-13 | 7.700E-13 |
| 210 | 210 | 116 | DEAD | 1.076E-13 | -9.257E-13 |
| 210 | 210 | 115 | G1_smistamento | -1.02 | 4.59 |
| 210 | 210 | 117 | G1_smistamento | -1.02 | 4.59 |
| 210 | 210 | 118 | G1_smistamento | -1.06 | 4.59 |
| 210 | 210 | 116 | G1_smistamento | -1.06 | 4.59 |
| 210 | 210 | 115 | G2_smistamento | -0.38 | 1.7 |
| 210 | 210 | 117 | G2_smistamento | -0.38 | 1.7 |
| 210 | 210 | 118 | G2_smistamento | -0.39 | 1.7 |
| 210 | 210 | 116 | G2_smistamento | -0.39 | 1.7 |
| 210 | 210 | 115 | Q_smistamento | -0.38 | 1.7 |
| 210 | 210 | 117 | Q_smistamento | -0.38 | 1.7 |
| 210 | 210 | 118 | Q_smistamento | -0.39 | 1.7 |
| 210 | 210 | 116 | Q_smistamento | -0.39 | 1.7 |
| 210 | 210 | 115 | Q_neve | 3.644E-14 | 1.438E-13 |
| 210 | 210 | 117 | Q_neve | 7.016E-14 | -4.513E-14 |
| 210 | 210 | 118 | Q_neve | 7.758E-14 | 3.678E-14 |
| 210 | 210 | 116 | Q_neve | 8.662E-14 | -4.513E-14 |
| 211 | 211 | 117 | DEAD | -2.623E-13 | -1.001E-13 |
| 211 | 211 | 119 | DEAD | 1.391E-14 | 8.297E-13 |
| 211 | 211 | 120 | DEAD | -4.598E-13 | -1.659E-13 |

Table 21: Element Stresses - Area Shells, Part 3 of 3

| Area | AreaElem | Joint | OutputCase | S13Avg KN/m2 | S23Avg KN/m2 |
|------|----------|-------|----------------|-----------------|-----------------|
| 211 | 211 | 118 | DEAD | -5.192E-14 | 5.006E-13 |
| 211 | 211 | 117 | G1_smistamento | -0.65 | 4.58 |
| 211 | 211 | 119 | G1_smistamento | -0.65 | 4.58 |
| 211 | 211 | 120 | G1_smistamento | -0.67 | 4.58 |
| 211 | 211 | 118 | G1_smistamento | -0.67 | 4.58 |
| 211 | 211 | 117 | G2_smistamento | -0.24 | 1.7 |
| 211 | 211 | 119 | G2_smistamento | -0.24 | 1.7 |
| 211 | 211 | 120 | G2_smistamento | -0.25 | 1.7 |
| 211 | 211 | 118 | G2_smistamento | -0.25 | 1.7 |
| 211 | 211 | 117 | Q_smistamento | -0.24 | 1.7 |
| 211 | 211 | 119 | Q_smistamento | -0.24 | 1.7 |
| 211 | 211 | 120 | Q_smistamento | -0.25 | 1.7 |
| 211 | 211 | 118 | Q_smistamento | -0.25 | 1.7 |
| 211 | 211 | 117 | Q_neve | -6.558E-14 | -9.332E-15 |
| 211 | 211 | 119 | Q_neve | 3.478E-15 | 3.483E-14 |
| 211 | 211 | 120 | Q_neve | -1.150E-13 | 2.358E-14 |
| 211 | 211 | 118 | Q_neve | -1.298E-14 | -6.319E-15 |
| 212 | 212 | 119 | DEAD | -3.152E-13 | 2.471E-13 |
| 212 | 212 | 121 | DEAD | 1.408E-13 | 2.535E-13 |
| 212 | 212 | 122 | DEAD | 2.772E-13 | 2.471E-13 |
| 212 | 212 | 120 | DEAD | 7.333E-13 | 5.827E-13 |
| 212 | 212 | 119 | G1_smistamento | -0.3 | 4.57 |
| 212 | 212 | 121 | G1_smistamento | -0.3 | 4.58 |
| 212 | 212 | 122 | G1_smistamento | -0.32 | 4.58 |
| 212 | 212 | 120 | G1_smistamento | -0.32 | 4.57 |
| 212 | 212 | 119 | G2_smistamento | -0.11 | 1.7 |
| 212 | 212 | 121 | G2_smistamento | -0.11 | 1.7 |
| 212 | 212 | 122 | G2_smistamento | -0.12 | 1.7 |
| 212 | 212 | 120 | G2_smistamento | -0.12 | 1.7 |
| 212 | 212 | 119 | Q_smistamento | -0.11 | 1.7 |
| 212 | 212 | 121 | Q_smistamento | -0.11 | 1.7 |
| 212 | 212 | 122 | Q_smistamento | -0.12 | 1.7 |
| 212 | 212 | 120 | Q_smistamento | -0.12 | 1.7 |
| 212 | 212 | 119 | Q_neve | -6.537E-14 | 5.388E-15 |
| 212 | 212 | 121 | Q_neve | 7.275E-14 | 9.392E-14 |
| 212 | 212 | 122 | Q_neve | 4.161E-14 | 1.362E-14 |
| 212 | 212 | 120 | Q_neve | 2.456E-13 | 1.104E-13 |
| 213 | 213 | 121 | DEAD | -2.827E-13 | 2.030E-13 |

Table 21: Element Stresses - Area Shells, Part 3 of 3

| Area | AreaElem | Joint | OutputCase | S13Avg KN/m2 | S23Avg KN/m2 |
|------|----------|-------|----------------|-----------------|-----------------|
| 213 | 213 | 123 | DEAD | 1.605E-13 | 1.548E-13 |
| 213 | 213 | 124 | DEAD | -7.435E-13 | 8.613E-13 |
| 213 | 213 | 122 | DEAD | -9.587E-13 | 6.814E-13 |
| 213 | 213 | 121 | G1_smistamento | -5.229E-14 | 4.58 |
| 213 | 213 | 123 | G1_smistamento | 3.010E-13 | 4.58 |
| 213 | 213 | 124 | G1_smistamento | -9.739E-13 | 4.58 |
| 213 | 213 | 122 | G1_smistamento | -1.213E-12 | 4.58 |
| 213 | 213 | 121 | G2_smistamento | -1.154E-13 | 1.7 |
| 213 | 213 | 123 | G2_smistamento | 1.062E-13 | 1.7 |
| 213 | 213 | 124 | G2_smistamento | -3.787E-13 | 1.7 |
| 213 | 213 | 122 | G2_smistamento | -4.863E-13 | 1.7 |
| 213 | 213 | 121 | Q_smistamento | -1.154E-13 | 1.7 |
| 213 | 213 | 123 | Q_smistamento | 1.062E-13 | 1.7 |
| 213 | 213 | 124 | Q_smistamento | -3.787E-13 | 1.7 |
| 213 | 213 | 122 | Q_smistamento | -4.863E-13 | 1.7 |
| 213 | 213 | 121 | Q_neve | 4.394E-14 | 5.748E-14 |
| 213 | 213 | 123 | Q_neve | 4.233E-14 | 7.937E-14 |
| 213 | 213 | 124 | Q_neve | -1.865E-13 | 3.279E-14 |
| 213 | 213 | 122 | Q_neve | -2.704E-13 | 1.534E-13 |
| 214 | 214 | 123 | DEAD | -2.823E-13 | 4.826E-13 |
| 214 | 214 | 125 | DEAD | 2.637E-13 | 9.402E-14 |
| 214 | 214 | 126 | DEAD | 2.443E-13 | 8.757E-14 |
| 214 | 214 | 124 | DEAD | 7.245E-13 | 8.182E-13 |
| 214 | 214 | 123 | G1_smistamento | 0.3 | 4.58 |
| 214 | 214 | 125 | G1_smistamento | 0.3 | 4.57 |
| 214 | 214 | 126 | G1_smistamento | 0.32 | 4.57 |
| 214 | 214 | 124 | G1_smistamento | 0.32 | 4.58 |
| 214 | 214 | 123 | G2_smistamento | 0.11 | 1.7 |
| 214 | 214 | 125 | G2_smistamento | 0.11 | 1.7 |
| 214 | 214 | 126 | G2_smistamento | 0.12 | 1.7 |
| 214 | 214 | 124 | G2_smistamento | 0.12 | 1.7 |
| 214 | 214 | 123 | Q_smistamento | 0.11 | 1.7 |
| 214 | 214 | 125 | Q_smistamento | 0.11 | 1.7 |
| 214 | 214 | 126 | Q_smistamento | 0.12 | 1.7 |
| 214 | 214 | 124 | Q_smistamento | 0.12 | 1.7 |
| 214 | 214 | 123 | Q_neve | -9.451E-14 | 9.421E-14 |
| 214 | 214 | 125 | Q_neve | 3.237E-14 | 8.104E-15 |
| 214 | 214 | 126 | Q_neve | 4.239E-15 | 5.307E-14 |

Table 21: Element Stresses - Area Shells, Part 3 of 3

| Area | AreaElem | Joint | OutputCase | S13Avg KN/m2 | S23Avg KN/m2 |
|------|----------|-------|----------------|-----------------|-----------------|
| 214 | 214 | 124 | Q_neve | 2.052E-13 | 8.217E-14 |
| 215 | 215 | 125 | DEAD | 1.683E-13 | 2.949E-13 |
| 215 | 215 | 127 | DEAD | 3.546E-13 | 3.383E-13 |
| 215 | 215 | 128 | DEAD | -3.583E-13 | -5.609E-13 |
| 215 | 215 | 126 | DEAD | 2.546E-14 | 5.358E-13 |
| 215 | 215 | 125 | G1_smistamento | 0.65 | 4.58 |
| 215 | 215 | 127 | G1_smistamento | 0.65 | 4.58 |
| 215 | 215 | 128 | G1_smistamento | 0.67 | 4.58 |
| 215 | 215 | 126 | G1_smistamento | 0.67 | 4.58 |
| 215 | 215 | 125 | G2_smistamento | 0.24 | 1.7 |
| 215 | 215 | 127 | G2_smistamento | 0.24 | 1.7 |
| 215 | 215 | 128 | G2_smistamento | 0.25 | 1.7 |
| 215 | 215 | 126 | G2_smistamento | 0.25 | 1.7 |
| 215 | 215 | 125 | Q_smistamento | 0.24 | 1.7 |
| 215 | 215 | 127 | Q_smistamento | 0.24 | 1.7 |
| 215 | 215 | 128 | Q_smistamento | 0.25 | 1.7 |
| 215 | 215 | 126 | Q_smistamento | 0.25 | 1.7 |
| 215 | 215 | 125 | Q_neve | 4.937E-14 | 9.701E-14 |
| 215 | 215 | 127 | Q_neve | 5.260E-14 | -2.330E-15 |
| 215 | 215 | 128 | Q_neve | -4.937E-14 | -9.226E-14 |
| 215 | 215 | 126 | Q_neve | 1.184E-13 | 1.211E-13 |
| 216 | 216 | 127 | DEAD | 5.002E-13 | -6.648E-13 |
| 216 | 216 | 129 | DEAD | 1.340E-13 | 5.155E-13 |
| 216 | 216 | 130 | DEAD | -1.581E-13 | 3.227E-13 |
| 216 | 216 | 128 | DEAD | -5.901E-13 | 5.465E-14 |
| 216 | 216 | 127 | G1_smistamento | 1.02 | 4.59 |
| 216 | 216 | 129 | G1_smistamento | 1.02 | 4.59 |
| 216 | 216 | 130 | G1_smistamento | 1.06 | 4.59 |
| 216 | 216 | 128 | G1_smistamento | 1.06 | 4.59 |
| 216 | 216 | 127 | G2_smistamento | 0.38 | 1.7 |
| 216 | 216 | 129 | G2_smistamento | 0.38 | 1.7 |
| 216 | 216 | 130 | G2_smistamento | 0.39 | 1.7 |
| 216 | 216 | 128 | G2_smistamento | 0.39 | 1.7 |
| 216 | 216 | 127 | Q_smistamento | 0.38 | 1.7 |
| 216 | 216 | 129 | Q_smistamento | 0.38 | 1.7 |
| 216 | 216 | 130 | Q_smistamento | 0.39 | 1.7 |
| 216 | 216 | 128 | Q_smistamento | 0.39 | 1.7 |
| 216 | 216 | 127 | Q_neve | 1.070E-13 | -7.563E-14 |

Table 21: Element Stresses - Area Shells, Part 3 of 3

| Area | AreaElem | Joint | OutputCase | S13Avg KN/m2 | S23Avg KN/m2 |
|------|----------|-------|----------------|-----------------|-----------------|
| 216 | 216 | 129 | Q_neve | 3.953E-14 | 3.656E-14 |
| 216 | 216 | 130 | Q_neve | -1.070E-13 | 1.136E-13 |
| 216 | 216 | 128 | Q_neve | -1.250E-13 | -1.281E-14 |
| 217 | 217 | 129 | DEAD | 3.533E-13 | 8.284E-13 |
| 217 | 217 | 131 | DEAD | -3.533E-13 | 3.129E-13 |
| 217 | 217 | 132 | DEAD | -2.392E-13 | 2.359E-13 |
| 217 | 217 | 130 | DEAD | 2.392E-13 | 1.812E-13 |
| 217 | 217 | 129 | G1_smistamento | 1.34 | 4.61 |
| 217 | 217 | 131 | G1_smistamento | 1.34 | 4.62 |
| 217 | 217 | 132 | G1_smistamento | 1.39 | 4.62 |
| 217 | 217 | 130 | G1_smistamento | 1.39 | 4.61 |
| 217 | 217 | 129 | G2_smistamento | 0.5 | 1.71 |
| 217 | 217 | 131 | G2_smistamento | 0.5 | 1.71 |
| 217 | 217 | 132 | G2_smistamento | 0.52 | 1.71 |
| 217 | 217 | 130 | G2_smistamento | 0.52 | 1.71 |
| 217 | 217 | 129 | Q_smistamento | 0.5 | 1.71 |
| 217 | 217 | 131 | Q_smistamento | 0.5 | 1.71 |
| 217 | 217 | 132 | Q_smistamento | 0.52 | 1.71 |
| 217 | 217 | 130 | Q_smistamento | 0.52 | 1.71 |
| 217 | 217 | 129 | Q_neve | 1.062E-13 | 1.502E-13 |
| 217 | 217 | 131 | Q_neve | -3.669E-14 | 4.467E-14 |
| 217 | 217 | 132 | Q_neve | -2.545E-14 | 3.504E-14 |
| 217 | 217 | 130 | Q_neve | 1.032E-13 | 6.936E-14 |
| 218 | 218 | 131 | DEAD | 7.974E-14 | 2.433E-13 |
| 218 | 218 | 133 | DEAD | -2.800E-13 | -1.887E-13 |
| 218 | 218 | 134 | DEAD | -1.178E-13 | 4.408E-13 |
| 218 | 218 | 132 | DEAD | -2.141E-13 | 7.465E-14 |
| 218 | 218 | 131 | G1_smistamento | 1.4 | 4.64 |
| 218 | 218 | 133 | G1_smistamento | 1.4 | 4.64 |
| 218 | 218 | 134 | G1_smistamento | 1.47 | 4.64 |
| 218 | 218 | 132 | G1_smistamento | 1.47 | 4.64 |
| 218 | 218 | 131 | G2_smistamento | 0.52 | 1.72 |
| 218 | 218 | 133 | G2_smistamento | 0.52 | 1.72 |
| 218 | 218 | 134 | G2_smistamento | 0.54 | 1.72 |
| 218 | 218 | 132 | G2_smistamento | 0.54 | 1.72 |
| 218 | 218 | 131 | Q_smistamento | 0.52 | 1.72 |
| 218 | 218 | 133 | Q_smistamento | 0.52 | 1.72 |
| 218 | 218 | 134 | Q_smistamento | 0.54 | 1.72 |

Table 21: Element Stresses - Area Shells, Part 3 of 3

| Area | AreaElem | Joint | OutputCase | S13Avg KN/m2 | S23Avg KN/m2 |
|------|----------|-------|----------------|-----------------|-----------------|
| 218 | 218 | 132 | Q_smistamento | 0.54 | 1.72 |
| 218 | 218 | 131 | Q_neve | -1.251E-14 | 2.944E-14 |
| 218 | 218 | 133 | Q_neve | -1.024E-13 | 6.999E-14 |
| 218 | 218 | 134 | Q_neve | -2.074E-14 | -1.994E-14 |
| 218 | 218 | 132 | Q_neve | -4.484E-14 | 5.353E-14 |
| 219 | 219 | 133 | DEAD | -6.447E-14 | 1.005E-13 |
| 219 | 219 | 135 | DEAD | 2.053E-13 | 3.444E-13 |
| 219 | 219 | 136 | DEAD | 3.305E-13 | 1.154E-12 |
| 219 | 219 | 134 | DEAD | 4.028E-13 | -1.164E-13 |
| 219 | 219 | 133 | G1_smistamento | 0.9 | 4.66 |
| 219 | 219 | 135 | G1_smistamento | 0.9 | 4.61 |
| 219 | 219 | 136 | G1_smistamento | 0.95 | 4.61 |
| 219 | 219 | 134 | G1_smistamento | 0.95 | 4.66 |
| 219 | 219 | 133 | G2_smistamento | 0.33 | 1.73 |
| 219 | 219 | 135 | G2_smistamento | 0.33 | 1.71 |
| 219 | 219 | 136 | G2_smistamento | 0.35 | 1.71 |
| 219 | 219 | 134 | G2_smistamento | 0.35 | 1.73 |
| 219 | 219 | 133 | Q_smistamento | 0.33 | 1.73 |
| 219 | 219 | 135 | Q_smistamento | 0.33 | 1.71 |
| 219 | 219 | 136 | Q_smistamento | 0.35 | 1.71 |
| 219 | 219 | 134 | Q_smistamento | 0.35 | 1.73 |
| 219 | 219 | 133 | Q_neve | -1.565E-14 | -1.879E-14 |
| 219 | 219 | 135 | Q_neve | 2.770E-14 | 7.012E-14 |
| 219 | 219 | 136 | Q_neve | 5.841E-14 | 1.376E-13 |
| 219 | 219 | 134 | Q_neve | -1.345E-14 | -3.686E-14 |
| 220 | 220 | 135 | DEAD | -3.315E-13 | 8.260E-13 |
| 220 | 220 | 137 | DEAD | -5.178E-13 | 5.838E-14 |
| 220 | 220 | 138 | DEAD | 7.876E-13 | 6.943E-13 |
| 220 | 220 | 136 | DEAD | 4.038E-13 | 3.217E-13 |
| 220 | 220 | 135 | G1_smistamento | -0.48 | 4.62 |
| 220 | 220 | 137 | G1_smistamento | -0.48 | 4.4 |
| 220 | 220 | 138 | G1_smistamento | -0.55 | 4.4 |
| 220 | 220 | 136 | G1_smistamento | -0.55 | 4.62 |
| 220 | 220 | 135 | G2_smistamento | -0.18 | 1.71 |
| 220 | 220 | 137 | G2_smistamento | -0.18 | 1.63 |
| 220 | 220 | 138 | G2_smistamento | -0.2 | 1.63 |
| 220 | 220 | 136 | G2_smistamento | -0.2 | 1.71 |
| 220 | 220 | 135 | Q_smistamento | -0.18 | 1.71 |

Table 21: Element Stresses - Area Shells, Part 3 of 3

| Area | AreaElem | Joint | OutputCase | S13Avg KN/m2 | S23Avg KN/m2 |
|------|----------|-------|----------------|-----------------|-----------------|
| 220 | 220 | 137 | Q_smistamento | -0.18 | 1.63 |
| 220 | 220 | 138 | Q_smistamento | -0.2 | 1.63 |
| 220 | 220 | 136 | Q_smistamento | -0.2 | 1.71 |
| 220 | 220 | 135 | Q_neve | -1.352E-15 | 9.125E-14 |
| 220 | 220 | 137 | Q_neve | -1.259E-14 | 8.501E-14 |
| 220 | 220 | 138 | Q_neve | 1.961E-13 | 1.653E-13 |
| 220 | 220 | 136 | Q_neve | 1.931E-13 | -1.374E-14 |
| 221 | 221 | 137 | DEAD | 1.971E-13 | 1.211E-12 |
| 221 | 221 | 65 | DEAD | -2.267E-13 | -1.330E-13 |
| 221 | 221 | 5 | DEAD | -1.185E-12 | 1.145E-12 |
| 221 | 221 | 138 | DEAD | 3.664E-14 | -1.330E-13 |
| 221 | 221 | 137 | G1_smistamento | -1.76 | 4.14 |
| 221 | 221 | 65 | G1_smistamento | -1.76 | 3.56 |
| 221 | 221 | 5 | G1_smistamento | -3.46 | 3.56 |
| 221 | 221 | 138 | G1_smistamento | -3.46 | 4.14 |
| 221 | 221 | 137 | G2_smistamento | -0.65 | 1.54 |
| 221 | 221 | 65 | G2_smistamento | -0.65 | 1.32 |
| 221 | 221 | 5 | G2_smistamento | -1.28 | 1.32 |
| 221 | 221 | 138 | G2_smistamento | -1.28 | 1.54 |
| 221 | 221 | 137 | Q_smistamento | -0.65 | 1.54 |
| 221 | 221 | 65 | Q_smistamento | -0.65 | 1.32 |
| 221 | 221 | 5 | Q_smistamento | -1.28 | 1.32 |
| 221 | 221 | 138 | Q_smistamento | -1.28 | 1.54 |
| 221 | 221 | 137 | Q_neve | -1.319E-15 | 1.749E-13 |
| 221 | 221 | 65 | Q_neve | -1.442E-13 | 1.866E-14 |
| 221 | 221 | 5 | Q_neve | -1.412E-13 | 2.242E-13 |
| 221 | 221 | 138 | Q_neve | -1.256E-14 | -4.717E-14 |
| 222 | 222 | 66 | DEAD | 1.826E-13 | 3.709E-13 |
| 222 | 222 | 139 | DEAD | 3.013E-13 | 3.709E-13 |
| 222 | 222 | 140 | DEAD | 5.776E-13 | -4.849E-13 |
| 222 | 222 | 5 | DEAD | -2.253E-13 | -4.849E-13 |
| 222 | 222 | 66 | G1_smistamento | -2.73 | 2.93 |
| 222 | 222 | 139 | G1_smistamento | -3.23 | 2.93 |
| 222 | 222 | 140 | G1_smistamento | -3.23 | 4.67 |
| 222 | 222 | 5 | G1_smistamento | -2.73 | 4.67 |
| 222 | 222 | 66 | G2_smistamento | -1.01 | 1.08 |
| 222 | 222 | 139 | G2_smistamento | -1.2 | 1.08 |
| 222 | 222 | 140 | G2_smistamento | -1.2 | 1.73 |

Table 21: Element Stresses - Area Shells, Part 3 of 3

| Area | AreaElem | Joint | OutputCase | S13Avg KN/m2 | S23Avg KN/m2 |
|------|----------|-------|----------------|-----------------|-----------------|
| 222 | 222 | 5 | G2_smistamento | -1.01 | 1.73 |
| 222 | 222 | 66 | Q_smistamento | -1.01 | 1.08 |
| 222 | 222 | 139 | Q_smistamento | -1.2 | 1.08 |
| 222 | 222 | 140 | Q_smistamento | -1.2 | 1.73 |
| 222 | 222 | 5 | Q_smistamento | -1.01 | 1.73 |
| 222 | 222 | 66 | Q_neve | 1.706E-16 | 1.391E-14 |
| 222 | 222 | 139 | Q_neve | -6.365E-16 | 1.391E-14 |
| 222 | 222 | 140 | Q_neve | 3.309E-14 | -5.192E-14 |
| 222 | 222 | 5 | Q_neve | -8.866E-15 | -5.192E-14 |
| 223 | 223 | 139 | DEAD | 4.065E-13 | 2.484E-13 |
| 223 | 223 | 141 | DEAD | -7.838E-14 | 2.484E-13 |
| 223 | 223 | 142 | DEAD | 1.155E-14 | 5.117E-13 |
| 223 | 223 | 140 | DEAD | 3.824E-13 | 5.117E-13 |
| 223 | 223 | 139 | G1_smistamento | -3.52 | 1.77 |
| 223 | 223 | 141 | G1_smistamento | -3.68 | 1.77 |
| 223 | 223 | 142 | G1_smistamento | -3.68 | 1.89 |
| 223 | 223 | 140 | G1_smistamento | -3.52 | 1.89 |
| 223 | 223 | 139 | G2_smistamento | -1.31 | 0.66 |
| 223 | 223 | 141 | G2_smistamento | -1.36 | 0.66 |
| 223 | 223 | 142 | G2_smistamento | -1.36 | 0.7 |
| 223 | 223 | 140 | G2_smistamento | -1.31 | 0.7 |
| 223 | 223 | 139 | Q_smistamento | -1.31 | 0.66 |
| 223 | 223 | 141 | Q_smistamento | -1.36 | 0.66 |
| 223 | 223 | 142 | Q_smistamento | -1.36 | 0.7 |
| 223 | 223 | 140 | Q_smistamento | -1.31 | 0.7 |
| 223 | 223 | 139 | Q_neve | -8.524E-15 | 6.953E-14 |
| 223 | 223 | 141 | Q_neve | 3.181E-14 | 6.953E-14 |
| 223 | 223 | 142 | Q_neve | 6.554E-14 | 7.776E-14 |
| 223 | 223 | 140 | Q_neve | -1.756E-14 | 7.776E-14 |
| 224 | 224 | 141 | DEAD | 1.493E-13 | -7.455E-15 |
| 224 | 224 | 143 | DEAD | -5.572E-13 | -7.455E-15 |
| 224 | 224 | 144 | DEAD | -3.774E-13 | 3.875E-13 |
| 224 | 224 | 142 | DEAD | 1.011E-13 | 3.875E-13 |
| 224 | 224 | 141 | G1_smistamento | -3.69 | -1.854E-13 |
| 224 | 224 | 143 | G1_smistamento | -3.69 | -1.854E-13 |
| 224 | 224 | 144 | G1_smistamento | -3.69 | 2.425E-13 |
| 224 | 224 | 142 | G1_smistamento | -3.69 | 2.425E-13 |
| 224 | 224 | 141 | G2_smistamento | -1.37 | 1.773E-14 |

Table 21: Element Stresses - Area Shells, Part 3 of 3

| Area | AreaElem | Joint | OutputCase | S13Avg KN/m2 | S23Avg KN/m2 |
|------|----------|-------|----------------|-----------------|-----------------|
| 224 | 224 | 143 | G2_smistamento | -1.37 | -4.751E-15 |
| 224 | 224 | 144 | G2_smistamento | -1.37 | 1.273E-15 |
| 224 | 224 | 142 | G2_smistamento | -1.37 | -4.751E-15 |
| 224 | 224 | 141 | Q_smistamento | -1.37 | 1.773E-14 |
| 224 | 224 | 143 | Q_smistamento | -1.37 | -4.751E-15 |
| 224 | 224 | 144 | Q_smistamento | -1.37 | 1.273E-15 |
| 224 | 224 | 142 | Q_smistamento | -1.37 | -4.751E-15 |
| 224 | 224 | 141 | Q_neve | -8.911E-15 | -7.422E-15 |
| 224 | 224 | 143 | Q_neve | -8.077E-14 | -7.422E-15 |
| 224 | 224 | 144 | Q_neve | -1.241E-13 | 5.018E-14 |
| 224 | 224 | 142 | Q_neve | -8.077E-14 | 5.018E-14 |
| 225 | 225 | 143 | DEAD | -4.037E-14 | -5.979E-13 |
| 225 | 225 | 145 | DEAD | 4.140E-13 | -4.181E-13 |
| 225 | 225 | 146 | DEAD | 4.205E-13 | -4.663E-13 |
| 225 | 225 | 144 | DEAD | -3.760E-13 | -4.181E-13 |
| 225 | 225 | 143 | G1_smistamento | -3.68 | -1.77 |
| 225 | 225 | 145 | G1_smistamento | -3.52 | -1.77 |
| 225 | 225 | 146 | G1_smistamento | -3.52 | -1.89 |
| 225 | 225 | 144 | G1_smistamento | -3.68 | -1.89 |
| 225 | 225 | 143 | G2_smistamento | -1.36 | -0.66 |
| 225 | 225 | 145 | G2_smistamento | -1.31 | -0.66 |
| 225 | 225 | 146 | G2_smistamento | -1.31 | -0.7 |
| 225 | 225 | 144 | G2_smistamento | -1.36 | -0.7 |
| 225 | 225 | 143 | Q_smistamento | -1.36 | -0.66 |
| 225 | 225 | 145 | Q_smistamento | -1.31 | -0.66 |
| 225 | 225 | 146 | Q_smistamento | -1.31 | -0.7 |
| 225 | 225 | 144 | Q_smistamento | -1.36 | -0.7 |
| 225 | 225 | 143 | Q_neve | -9.086E-14 | -1.552E-13 |
| 225 | 225 | 145 | Q_neve | -2.062E-14 | -8.772E-14 |
| 225 | 225 | 146 | Q_neve | 2.435E-14 | -7.288E-14 |
| 225 | 225 | 144 | Q_neve | -1.029E-13 | -5.481E-14 |
| 226 | 226 | 145 | DEAD | 5.660E-13 | -6.346E-13 |
| 226 | 226 | 59 | DEAD | -4.103E-13 | -2.813E-13 |
| 226 | 226 | 58 | DEAD | -2.240E-13 | -2.396E-13 |
| 226 | 226 | 146 | DEAD | 1.822E-13 | -4.788E-13 |
| 226 | 226 | 145 | G1_smistamento | -3.23 | -2.93 |
| 226 | 226 | 59 | G1_smistamento | -2.73 | -2.93 |
| 226 | 226 | 58 | G1_smistamento | -2.73 | -4.67 |

Table 21: Element Stresses - Area Shells, Part 3 of 3

| Area | AreaElem | Joint | OutputCase | S13Avg KN/m2 | S23Avg KN/m2 |
|------|----------|-------|----------------|-----------------|-----------------|
| 226 | 226 | 146 | G1_smistamento | -3.23 | -4.67 |
| 226 | 226 | 145 | G2_smistamento | -1.2 | -1.08 |
| 226 | 226 | 59 | G2_smistamento | -1.01 | -1.08 |
| 226 | 226 | 58 | G2_smistamento | -1.01 | -1.73 |
| 226 | 226 | 146 | G2_smistamento | -1.2 | -1.73 |
| 226 | 226 | 145 | Q_smistamento | -1.2 | -1.08 |
| 226 | 226 | 59 | Q_smistamento | -1.01 | -1.08 |
| 226 | 226 | 58 | Q_smistamento | -1.01 | -1.73 |
| 226 | 226 | 146 | Q_smistamento | -1.2 | -1.73 |
| 226 | 226 | 145 | Q_neve | 9.968E-15 | 2.736E-14 |
| 226 | 226 | 59 | Q_neve | -3.720E-14 | -6.257E-14 |
| 226 | 226 | 58 | Q_neve | -1.472E-14 | -7.962E-14 |
| 226 | 226 | 146 | Q_neve | 3.944E-15 | -1.037E-13 |
| 227 | 227 | 58 | DEAD | -4.524E-13 | -3.560E-13 |
| 227 | 227 | 68 | DEAD | 2.671E-13 | -1.103E-13 |
| 227 | 227 | 147 | DEAD | -6.499E-13 | -2.902E-13 |
| 227 | 227 | 146 | DEAD | -4.571E-13 | -3.078E-13 |
| 227 | 227 | 58 | G1_smistamento | -3.79 | -4.94 |
| 227 | 227 | 68 | G1_smistamento | -3.79 | -6.46 |
| 227 | 227 | 147 | G1_smistamento | -5.29 | -6.46 |
| 227 | 227 | 146 | G1_smistamento | -5.29 | -4.94 |
| 227 | 227 | 58 | G2_smistamento | -1.41 | -1.83 |
| 227 | 227 | 68 | G2_smistamento | -1.41 | -2.4 |
| 227 | 227 | 147 | G2_smistamento | -1.96 | -2.4 |
| 227 | 227 | 146 | G2_smistamento | -1.96 | -1.83 |
| 227 | 227 | 58 | Q_smistamento | -1.41 | -1.83 |
| 227 | 227 | 68 | Q_smistamento | -1.41 | -2.4 |
| 227 | 227 | 147 | Q_smistamento | -1.96 | -2.4 |
| 227 | 227 | 146 | Q_smistamento | -1.96 | -1.83 |
| 227 | 227 | 58 | Q_neve | -1.349E-13 | -1.067E-13 |
| 227 | 227 | 68 | Q_neve | 2.087E-14 | -2.723E-14 |
| 227 | 227 | 147 | Q_neve | -3.614E-14 | -7.381E-14 |
| 227 | 227 | 146 | Q_neve | -7.788E-14 | -1.078E-14 |
| 228 | 228 | 146 | DEAD | 2.137E-14 | -5.840E-13 |
| 228 | 228 | 147 | DEAD | -7.110E-13 | 2.141E-13 |
| 228 | 228 | 148 | DEAD | -4.395E-13 | -5.182E-13 |
| 228 | 228 | 144 | DEAD | -1.303E-12 | 2.800E-13 |
| 228 | 228 | 146 | G1_smistamento | -5.59 | -2.02 |

Table 21: Element Stresses - Area Shells, Part 3 of 3

| Area | AreaElem | Joint | OutputCase | S13Avg KN/m2 | S23Avg KN/m2 |
|------|----------|-------|----------------|-----------------|-----------------|
| 228 | 228 | 147 | G1_smistamento | -5.59 | -2.2 |
| 228 | 228 | 148 | G1_smistamento | -6.15 | -2.2 |
| 228 | 228 | 144 | G1_smistamento | -6.15 | -2.02 |
| 228 | 228 | 146 | G2_smistamento | -2.07 | -0.75 |
| 228 | 228 | 147 | G2_smistamento | -2.07 | -0.82 |
| 228 | 228 | 148 | G2_smistamento | -2.28 | -0.82 |
| 228 | 228 | 144 | G2_smistamento | -2.28 | -0.75 |
| 228 | 228 | 146 | Q_smistamento | -2.07 | -0.75 |
| 228 | 228 | 147 | Q_smistamento | -2.07 | -0.82 |
| 228 | 228 | 148 | Q_smistamento | -2.28 | -0.82 |
| 228 | 228 | 144 | Q_smistamento | -2.28 | -0.75 |
| 228 | 228 | 146 | Q_neve | 1.166E-14 | -1.337E-13 |
| 228 | 228 | 147 | Q_neve | -1.136E-13 | 7.468E-15 |
| 228 | 228 | 148 | Q_neve | -1.447E-13 | -1.419E-13 |
| 228 | 228 | 144 | Q_neve | -2.617E-13 | 7.330E-14 |
| 229 | 229 | 144 | DEAD | -1.975E-13 | 6.156E-13 |
| 229 | 229 | 148 | DEAD | -7.371E-13 | 1.242E-13 |
| 229 | 229 | 149 | DEAD | 1.975E-13 | 2.206E-13 |
| 229 | 229 | 142 | DEAD | 5.292E-14 | 2.559E-13 |
| 229 | 229 | 144 | G1_smistamento | -6.17 | 7.257E-13 |
| 229 | 229 | 148 | G1_smistamento | -6.17 | 1.694E-13 |
| 229 | 229 | 149 | G1_smistamento | -6.17 | 3.446E-14 |
| 229 | 229 | 142 | G1_smistamento | -6.17 | 7.618E-13 |
| 229 | 229 | 144 | G2_smistamento | -2.29 | 8.297E-14 |
| 229 | 229 | 148 | G2_smistamento | -2.29 | 5.006E-14 |
| 229 | 229 | 149 | G2_smistamento | -2.29 | 5.006E-14 |
| 229 | 229 | 142 | G2_smistamento | -2.29 | 8.297E-14 |
| 229 | 229 | 144 | Q_smistamento | -2.29 | 8.297E-14 |
| 229 | 229 | 148 | Q_smistamento | -2.29 | 5.006E-14 |
| 229 | 229 | 149 | Q_smistamento | -2.29 | 5.006E-14 |
| 229 | 229 | 142 | Q_smistamento | -2.29 | 8.297E-14 |
| 229 | 229 | 144 | Q_neve | -1.276E-14 | 1.680E-13 |
| 229 | 229 | 148 | Q_neve | -2.858E-13 | -2.150E-14 |
| 229 | 229 | 149 | Q_neve | 1.600E-13 | 3.631E-14 |
| 229 | 229 | 142 | Q_neve | -8.005E-14 | 6.901E-14 |
| 230 | 230 | 142 | DEAD | 2.976E-13 | 1.900E-14 |
| 230 | 230 | 149 | DEAD | 1.178E-13 | -3.343E-13 |
| 230 | 230 | 150 | DEAD | -3.155E-14 | 1.900E-14 |

Table 21: Element Stresses - Area Shells, Part 3 of 3

| Area | AreaElem | Joint | OutputCase | S13Avg KN/m2 | S23Avg KN/m2 |
|------|----------|-------|----------------|-----------------|-----------------|
| 230 | 230 | 140 | DEAD | -7.974E-14 | 2.582E-13 |
| 230 | 230 | 142 | G1_smistamento | -6.15 | 2.02 |
| 230 | 230 | 149 | G1_smistamento | -6.15 | 2.2 |
| 230 | 230 | 150 | G1_smistamento | -5.59 | 2.2 |
| 230 | 230 | 140 | G1_smistamento | -5.59 | 2.02 |
| 230 | 230 | 142 | G2_smistamento | -2.28 | 0.75 |
| 230 | 230 | 149 | G2_smistamento | -2.28 | 0.82 |
| 230 | 230 | 150 | G2_smistamento | -2.07 | 0.82 |
| 230 | 230 | 140 | G2_smistamento | -2.07 | 0.75 |
| 230 | 230 | 142 | Q_smistamento | -2.28 | 0.75 |
| 230 | 230 | 149 | Q_smistamento | -2.28 | 0.82 |
| 230 | 230 | 150 | Q_smistamento | -2.07 | 0.82 |
| 230 | 230 | 140 | Q_smistamento | -2.07 | 0.75 |
| 230 | 230 | 142 | Q_neve | 8.136E-14 | 1.090E-14 |
| 230 | 230 | 149 | Q_neve | 6.049E-14 | -1.065E-13 |
| 230 | 230 | 150 | Q_neve | -3.385E-14 | -6.316E-14 |
| 230 | 230 | 140 | Q_neve | 4.403E-14 | 8.276E-14 |
| 231 | 231 | 140 | DEAD | 3.102E-13 | 2.729E-15 |
| 231 | 231 | 150 | DEAD | -1.395E-13 | -2.735E-13 |
| 231 | 231 | 138 | DEAD | -3.482E-13 | 5.294E-13 |
| 231 | 231 | 5 | DEAD | -4.686E-13 | 1.215E-13 |
| 231 | 231 | 140 | G1_smistamento | -5.29 | 4.94 |
| 231 | 231 | 150 | G1_smistamento | -5.29 | 6.46 |
| 231 | 231 | 138 | G1_smistamento | -3.79 | 6.46 |
| 231 | 231 | 5 | G1_smistamento | -3.79 | 4.94 |
| 231 | 231 | 140 | G2_smistamento | -1.96 | 1.83 |
| 231 | 231 | 150 | G2_smistamento | -1.96 | 2.4 |
| 231 | 231 | 138 | G2_smistamento | -1.41 | 2.4 |
| 231 | 231 | 5 | G2_smistamento | -1.41 | 1.83 |
| 231 | 231 | 140 | Q_smistamento | -1.96 | 1.83 |
| 231 | 231 | 150 | Q_smistamento | -1.96 | 2.4 |
| 231 | 231 | 138 | Q_smistamento | -1.41 | 2.4 |
| 231 | 231 | 5 | Q_smistamento | -1.41 | 1.83 |
| 231 | 231 | 140 | Q_neve | 7.198E-14 | -4.751E-14 |
| 231 | 231 | 150 | Q_neve | 7.360E-14 | -1.342E-13 |
| 231 | 231 | 138 | Q_neve | -1.337E-13 | -4.751E-14 |
| 231 | 231 | 5 | Q_neve | -4.984E-14 | 9.620E-14 |
| 232 | 232 | 68 | DEAD | -6.347E-14 | 4.608E-13 |

Table 21: Element Stresses - Area Shells, Part 3 of 3

| Area | AreaElem | Joint | OutputCase | S13Avg KN/m2 | S23Avg KN/m2 |
|------|----------|-------|----------------|-----------------|-----------------|
| 232 | 232 | 70 | DEAD | -1.663E-13 | -7.371E-13 |
| 232 | 232 | 151 | DEAD | -3.926E-13 | -4.608E-13 |
| 232 | 232 | 147 | DEAD | -1.088E-12 | 5.292E-14 |
| 232 | 232 | 68 | G1_smistamento | -0.74 | -6.7 |
| 232 | 232 | 70 | G1_smistamento | -0.74 | -7.4 |
| 232 | 232 | 151 | G1_smistamento | -0.83 | -7.4 |
| 232 | 232 | 147 | G1_smistamento | -0.83 | -6.7 |
| 232 | 232 | 68 | G2_smistamento | -0.27 | -2.48 |
| 232 | 232 | 70 | G2_smistamento | -0.27 | -2.74 |
| 232 | 232 | 151 | G2_smistamento | -0.31 | -2.74 |
| 232 | 232 | 147 | G2_smistamento | -0.31 | -2.48 |
| 232 | 232 | 68 | Q_smistamento | -0.27 | -2.48 |
| 232 | 232 | 70 | Q_smistamento | -0.27 | -2.74 |
| 232 | 232 | 151 | Q_smistamento | -0.31 | -2.74 |
| 232 | 232 | 147 | Q_smistamento | -0.31 | -2.48 |
| 232 | 232 | 68 | Q_neve | -3.198E-14 | -3.784E-14 |
| 232 | 232 | 70 | Q_neve | -5.608E-14 | -3.864E-14 |
| 232 | 232 | 151 | Q_neve | -1.553E-14 | -4.922E-15 |
| 232 | 232 | 147 | Q_neve | -1.055E-13 | -4.687E-14 |
| 233 | 233 | 147 | DEAD | 1.140E-13 | -5.801E-14 |
| 233 | 233 | 151 | DEAD | -6.183E-13 | 6.726E-13 |
| 233 | 233 | 152 | DEAD | 1.140E-13 | 6.661E-13 |
| 233 | 233 | 148 | DEAD | -7.500E-13 | 2.776E-13 |
| 233 | 233 | 147 | G1_smistamento | -1.04 | -2.33 |
| 233 | 233 | 151 | G1_smistamento | -1.04 | -2.68 |
| 233 | 233 | 152 | G1_smistamento | -1.27 | -2.68 |
| 233 | 233 | 148 | G1_smistamento | -1.27 | -2.33 |
| 233 | 233 | 147 | G2_smistamento | -0.39 | -0.86 |
| 233 | 233 | 151 | G2_smistamento | -0.39 | -0.99 |
| 233 | 233 | 152 | G2_smistamento | -0.47 | -0.99 |
| 233 | 233 | 148 | G2_smistamento | -0.47 | -0.86 |
| 233 | 233 | 147 | Q_smistamento | -0.39 | -0.86 |
| 233 | 233 | 151 | Q_smistamento | -0.39 | -0.99 |
| 233 | 233 | 152 | Q_smistamento | -0.47 | -0.99 |
| 233 | 233 | 148 | Q_smistamento | -0.47 | -0.86 |
| 233 | 233 | 147 | Q_neve | 7.487E-14 | -9.429E-14 |
| 233 | 233 | 151 | Q_neve | -6.002E-14 | 1.062E-13 |
| 233 | 233 | 152 | Q_neve | -3.211E-14 | 1.608E-13 |

Table 21: Element Stresses - Area Shells, Part 3 of 3

| Area | AreaElem | Joint | OutputCase | S13Avg KN/m2 | S23Avg KN/m2 |
|------|----------|-------|----------------|-----------------|-----------------|
| 233 | 233 | 148 | Q_neve | -6.825E-14 | -2.545E-14 |
| 234 | 234 | 148 | DEAD | -3.885E-13 | -3.814E-13 |
| 234 | 234 | 152 | DEAD | 2.216E-13 | 1.775E-13 |
| 234 | 234 | 153 | DEAD | 7.306E-13 | -6.448E-13 |
| 234 | 234 | 149 | DEAD | -1.076E-13 | 5.067E-13 |
| 234 | 234 | 148 | G1_smistamento | -1.33 | -2.169E-13 |
| 234 | 234 | 152 | G1_smistamento | -1.33 | 2.827E-13 |
| 234 | 234 | 153 | G1_smistamento | -1.33 | -8.094E-13 |
| 234 | 234 | 149 | G1_smistamento | -1.33 | 7.435E-13 |
| 234 | 234 | 148 | G2_smistamento | -0.49 | -2.446E-13 |
| 234 | 234 | 152 | G2_smistamento | -0.49 | -6.990E-14 |
| 234 | 234 | 153 | G2_smistamento | -0.49 | -4.586E-13 |
| 234 | 234 | 149 | G2_smistamento | -0.49 | 1.934E-13 |
| 234 | 234 | 148 | Q_smistamento | -0.49 | -2.446E-13 |
| 234 | 234 | 152 | Q_smistamento | -0.49 | -6.990E-14 |
| 234 | 234 | 153 | Q_smistamento | -0.49 | -4.586E-13 |
| 234 | 234 | 149 | Q_smistamento | -0.49 | 1.934E-13 |
| 234 | 234 | 148 | Q_neve | -3.020E-14 | -9.362E-14 |
| 234 | 234 | 152 | Q_neve | 1.127E-13 | 1.519E-13 |
| 234 | 234 | 153 | Q_neve | 1.015E-13 | -1.677E-13 |
| 234 | 234 | 149 | Q_neve | -2.719E-14 | 2.424E-13 |
| 235 | 235 | 149 | DEAD | -1.140E-13 | -1.799E-13 |
| 235 | 235 | 153 | DEAD | 4.255E-13 | 4.079E-13 |
| 235 | 235 | 154 | DEAD | -1.140E-13 | -4.819E-14 |
| 235 | 235 | 150 | DEAD | 3.055E-14 | 2.762E-13 |
| 235 | 235 | 149 | G1_smistamento | -1.27 | 2.33 |
| 235 | 235 | 153 | G1_smistamento | -1.27 | 2.68 |
| 235 | 235 | 154 | G1_smistamento | -1.04 | 2.68 |
| 235 | 235 | 150 | G1_smistamento | -1.04 | 2.33 |
| 235 | 235 | 149 | G2_smistamento | -0.47 | 0.86 |
| 235 | 235 | 153 | G2_smistamento | -0.47 | 0.99 |
| 235 | 235 | 154 | G2_smistamento | -0.39 | 0.99 |
| 235 | 235 | 150 | G2_smistamento | -0.39 | 0.86 |
| 235 | 235 | 149 | Q_smistamento | -0.47 | 0.86 |
| 235 | 235 | 153 | Q_smistamento | -0.47 | 0.99 |
| 235 | 235 | 154 | Q_smistamento | -0.39 | 0.99 |
| 235 | 235 | 150 | Q_smistamento | -0.39 | 0.86 |
| 235 | 235 | 149 | Q_neve | 1.786E-14 | -2.757E-14 |

Table 21: Element Stresses - Area Shells, Part 3 of 3

| Area | AreaElem | Joint | OutputCase | S13Avg KN/m2 | S23Avg KN/m2 |
|------|----------|-------|----------------|-----------------|-----------------|
| 235 | 235 | 153 | Q_neve | 1.527E-13 | 3.708E-14 |
| 235 | 235 | 154 | Q_neve | -8.912E-14 | -7.695E-14 |
| 235 | 235 | 150 | Q_neve | -5.298E-14 | 8.645E-14 |
| 236 | 236 | 150 | DEAD | -2.861E-13 | 2.067E-13 |
| 236 | 236 | 154 | DEAD | -1.961E-13 | 1.408E-13 |
| 236 | 236 | 136 | DEAD | 4.381E-13 | 6.675E-13 |
| 236 | 236 | 138 | DEAD | 4.622E-13 | 7.333E-13 |
| 236 | 236 | 150 | G1_smistamento | -0.83 | 6.7 |
| 236 | 236 | 154 | G1_smistamento | -0.83 | 7.4 |
| 236 | 236 | 136 | G1_smistamento | -0.74 | 7.4 |
| 236 | 236 | 138 | G1_smistamento | -0.74 | 6.7 |
| 236 | 236 | 150 | G2_smistamento | -0.31 | 2.48 |
| 236 | 236 | 154 | G2_smistamento | -0.31 | 2.74 |
| 236 | 236 | 136 | G2_smistamento | -0.27 | 2.74 |
| 236 | 236 | 138 | G2_smistamento | -0.27 | 2.48 |
| 236 | 236 | 150 | Q_smistamento | -0.31 | 2.48 |
| 236 | 236 | 154 | Q_smistamento | -0.31 | 2.74 |
| 236 | 236 | 136 | Q_smistamento | -0.27 | 2.74 |
| 236 | 236 | 138 | Q_smistamento | -0.27 | 2.48 |
| 236 | 236 | 150 | Q_neve | -9.255E-14 | -1.372E-13 |
| 236 | 236 | 154 | Q_neve | -3.635E-14 | 8.640E-14 |
| 236 | 236 | 136 | Q_neve | 1.543E-13 | 2.084E-13 |
| 236 | 236 | 138 | Q_neve | 1.694E-13 | -8.640E-14 |
| 237 | 237 | 70 | DEAD | 3.054E-13 | -8.270E-13 |
| 237 | 237 | 72 | DEAD | 4.917E-13 | -5.465E-14 |
| 237 | 237 | 155 | DEAD | 5.688E-13 | 2.882E-14 |
| 237 | 237 | 151 | DEAD | 9.526E-13 | -5.155E-13 |
| 237 | 237 | 70 | G1_smistamento | 0.88 | -7.36 |
| 237 | 237 | 72 | G1_smistamento | 0.88 | -7.61 |
| 237 | 237 | 155 | G1_smistamento | 1. | -7.61 |
| 237 | 237 | 151 | G1_smistamento | 1. | -7.36 |
| 237 | 237 | 70 | G2_smistamento | 0.32 | -2.73 |
| 237 | 237 | 72 | G2_smistamento | 0.32 | -2.82 |
| 237 | 237 | 155 | G2_smistamento | 0.37 | -2.82 |
| 237 | 237 | 151 | G2_smistamento | 0.37 | -2.73 |
| 237 | 237 | 70 | Q_smistamento | 0.32 | -2.73 |
| 237 | 237 | 72 | Q_smistamento | 0.32 | -2.82 |
| 237 | 237 | 155 | Q_smistamento | 0.37 | -2.82 |

Table 21: Element Stresses - Area Shells, Part 3 of 3

| Area | AreaElem | Joint | OutputCase | S13Avg KN/m2 | S23Avg KN/m2 |
|------|----------|-------|----------------|-----------------|-----------------|
| 237 | 237 | 151 | Q_smistamento | 0.37 | -2.73 |
| 237 | 237 | 70 | Q_neve | 7.888E-15 | -7.063E-14 |
| 237 | 237 | 72 | Q_neve | 3.198E-14 | 1.790E-14 |
| 237 | 237 | 155 | Q_neve | -7.440E-14 | -6.240E-14 |
| 237 | 237 | 151 | Q_neve | 1.553E-14 | 3.436E-14 |
| 238 | 238 | 151 | DEAD | 5.117E-13 | -1.683E-13 |
| 238 | 238 | 155 | DEAD | 2.484E-13 | 1.015E-13 |
| 238 | 238 | 156 | DEAD | 2.484E-13 | 3.583E-13 |
| 238 | 238 | 152 | DEAD | 5.117E-13 | 4.306E-13 |
| 238 | 238 | 151 | G1_smistamento | 0.89 | -2.68 |
| 238 | 238 | 155 | G1_smistamento | 0.89 | -2.89 |
| 238 | 238 | 156 | G1_smistamento | 0.96 | -2.89 |
| 238 | 238 | 152 | G1_smistamento | 0.96 | -2.68 |
| 238 | 238 | 151 | G2_smistamento | 0.33 | -0.99 |
| 238 | 238 | 155 | G2_smistamento | 0.33 | -1.07 |
| 238 | 238 | 156 | G2_smistamento | 0.35 | -1.07 |
| 238 | 238 | 152 | G2_smistamento | 0.35 | -0.99 |
| 238 | 238 | 151 | Q_smistamento | 0.33 | -0.99 |
| 238 | 238 | 155 | Q_smistamento | 0.33 | -1.07 |
| 238 | 238 | 156 | Q_smistamento | 0.35 | -1.07 |
| 238 | 238 | 152 | Q_smistamento | 0.35 | -0.99 |
| 238 | 238 | 151 | Q_neve | -5.361E-14 | 2.524E-14 |
| 238 | 238 | 155 | Q_neve | -1.773E-13 | 8.564E-14 |
| 238 | 238 | 156 | Q_neve | 1.439E-13 | 1.981E-13 |
| 238 | 238 | 152 | Q_neve | 1.108E-13 | -4.876E-15 |
| 239 | 239 | 152 | DEAD | 6.940E-13 | -1.975E-13 |
| 239 | 239 | 156 | DEAD | -1.154E-13 | 2.810E-13 |
| 239 | 239 | 157 | DEAD | -1.619E-13 | 1.975E-13 |
| 239 | 239 | 153 | DEAD | -3.787E-13 | -5.090E-13 |
| 239 | 239 | 152 | G1_smistamento | 0.91 | -1.910E-13 |
| 239 | 239 | 156 | G1_smistamento | 0.91 | 5.202E-13 |
| 239 | 239 | 157 | G1_smistamento | 0.91 | 5.331E-13 |
| 239 | 239 | 153 | G1_smistamento | 0.91 | -8.623E-13 |
| 239 | 239 | 152 | G2_smistamento | 0.34 | -2.515E-13 |
| 239 | 239 | 156 | G2_smistamento | 0.34 | -8.753E-15 |
| 239 | 239 | 157 | G2_smistamento | 0.34 | 4.891E-13 |
| 239 | 239 | 153 | G2_smistamento | 0.34 | -5.519E-13 |
| 239 | 239 | 152 | Q_smistamento | 0.34 | -2.515E-13 |

Table 21: Element Stresses - Area Shells, Part 3 of 3

| Area | AreaElem | Joint | OutputCase | S13Avg KN/m2 | S23Avg KN/m2 |
|------|----------|-------|----------------|-----------------|-----------------|
| 239 | 239 | 156 | Q_smistamento | 0.34 | -8.753E-15 |
| 239 | 239 | 157 | Q_smistamento | 0.34 | 4.891E-13 |
| 239 | 239 | 153 | Q_smistamento | 0.34 | -5.519E-13 |
| 239 | 239 | 152 | Q_neve | 2.185E-13 | 7.996E-14 |
| 239 | 239 | 156 | Q_neve | -7.979E-15 | -5.273E-14 |
| 239 | 239 | 157 | Q_neve | -2.841E-14 | 3.882E-14 |
| 239 | 239 | 153 | Q_neve | -1.726E-13 | -2.804E-14 |
| 240 | 240 | 153 | DEAD | 1.975E-13 | 5.749E-13 |
| 240 | 240 | 157 | DEAD | -7.018E-13 | 2.762E-13 |
| 240 | 240 | 158 | DEAD | -1.975E-13 | -3.468E-13 |
| 240 | 240 | 154 | DEAD | -4.385E-13 | 4.079E-13 |
| 240 | 240 | 153 | G1_smistamento | 0.96 | 2.68 |
| 240 | 240 | 157 | G1_smistamento | 0.96 | 2.89 |
| 240 | 240 | 158 | G1_smistamento | 0.89 | 2.89 |
| 240 | 240 | 154 | G1_smistamento | 0.89 | 2.68 |
| 240 | 240 | 153 | G2_smistamento | 0.35 | 0.99 |
| 240 | 240 | 157 | G2_smistamento | 0.35 | 1.07 |
| 240 | 240 | 158 | G2_smistamento | 0.33 | 1.07 |
| 240 | 240 | 154 | G2_smistamento | 0.33 | 0.99 |
| 240 | 240 | 153 | Q_smistamento | 0.35 | 0.99 |
| 240 | 240 | 157 | Q_smistamento | 0.35 | 1.07 |
| 240 | 240 | 158 | Q_smistamento | 0.33 | 1.07 |
| 240 | 240 | 154 | Q_smistamento | 0.33 | 0.99 |
| 240 | 240 | 153 | Q_neve | -5.557E-14 | -4.922E-15 |
| 240 | 240 | 157 | Q_neve | -1.567E-13 | 8.420E-14 |
| 240 | 240 | 158 | Q_neve | -6.195E-15 | -3.784E-14 |
| 240 | 240 | 154 | Q_neve | -3.330E-14 | -5.569E-14 |
| 241 | 241 | 154 | DEAD | 1.534E-13 | 3.814E-13 |
| 241 | 241 | 158 | DEAD | -3.797E-13 | 1.528E-14 |
| 241 | 241 | 134 | DEAD | 4.167E-13 | 6.448E-13 |
| 241 | 241 | 136 | DEAD | 6.078E-13 | 2.128E-13 |
| 241 | 241 | 154 | G1_smistamento | 1. | 7.36 |
| 241 | 241 | 158 | G1_smistamento | 1. | 7.61 |
| 241 | 241 | 134 | G1_smistamento | 0.88 | 7.61 |
| 241 | 241 | 136 | G1_smistamento | 0.88 | 7.36 |
| 241 | 241 | 154 | G2_smistamento | 0.37 | 2.73 |
| 241 | 241 | 158 | G2_smistamento | 0.37 | 2.82 |
| 241 | 241 | 134 | G2_smistamento | 0.32 | 2.82 |

Table 21: Element Stresses - Area Shells, Part 3 of 3

| Area | AreaElem | Joint | OutputCase | S13Avg KN/m2 | S23Avg KN/m2 |
|------|----------|-------|----------------|-----------------|-----------------|
| 241 | 241 | 136 | G2_smistamento | 0.32 | 2.73 |
| 241 | 241 | 154 | Q_smistamento | 0.37 | 2.73 |
| 241 | 241 | 158 | Q_smistamento | 0.37 | 2.82 |
| 241 | 241 | 134 | Q_smistamento | 0.32 | 2.82 |
| 241 | 241 | 136 | Q_smistamento | 0.32 | 2.73 |
| 241 | 241 | 154 | Q_neve | -4.607E-14 | 7.538E-14 |
| 241 | 241 | 158 | Q_neve | -7.818E-14 | 1.256E-14 |
| 241 | 241 | 134 | Q_neve | 3.307E-15 | 6.715E-14 |
| 241 | 241 | 136 | Q_neve | 7.818E-14 | 1.442E-13 |
| 242 | 242 | 72 | DEAD | 2.345E-13 | 1.558E-13 |
| 242 | 242 | 74 | DEAD | -2.087E-13 | 4.014E-13 |
| 242 | 242 | 159 | DEAD | 5.637E-13 | -4.174E-14 |
| 242 | 242 | 155 | DEAD | 7.788E-13 | -5.938E-14 |
| 242 | 242 | 72 | G1_smistamento | 1.44 | -7.55 |
| 242 | 242 | 74 | G1_smistamento | 1.44 | -7.62 |
| 242 | 242 | 159 | G1_smistamento | 1.56 | -7.62 |
| 242 | 242 | 155 | G1_smistamento | 1.56 | -7.55 |
| 242 | 242 | 72 | G2_smistamento | 0.54 | -2.8 |
| 242 | 242 | 74 | G2_smistamento | 0.54 | -2.82 |
| 242 | 242 | 159 | G2_smistamento | 0.58 | -2.82 |
| 242 | 242 | 155 | G2_smistamento | 0.58 | -2.8 |
| 242 | 242 | 72 | Q_smistamento | 0.54 | -2.8 |
| 242 | 242 | 74 | Q_smistamento | 0.54 | -2.82 |
| 242 | 242 | 159 | Q_smistamento | 0.58 | -2.82 |
| 242 | 242 | 155 | Q_smistamento | 0.58 | -2.8 |
| 242 | 242 | 72 | Q_neve | 8.858E-14 | 9.968E-15 |
| 242 | 242 | 74 | Q_neve | 1.150E-14 | 1.427E-13 |
| 242 | 242 | 159 | Q_neve | 2.202E-13 | -1.472E-14 |
| 242 | 242 | 155 | Q_neve | 2.831E-13 | 5.214E-14 |
| 243 | 243 | 155 | DEAD | 4.079E-13 | 4.381E-13 |
| 243 | 243 | 159 | DEAD | 4.079E-13 | -1.961E-13 |
| 243 | 243 | 160 | DEAD | 2.762E-13 | -2.861E-13 |
| 243 | 243 | 156 | DEAD | 2.762E-13 | 4.622E-13 |
| 243 | 243 | 155 | G1_smistamento | 1.52 | -2.85 |
| 243 | 243 | 159 | G1_smistamento | 1.52 | -2.92 |
| 243 | 243 | 160 | G1_smistamento | 1.61 | -2.92 |
| 243 | 243 | 156 | G1_smistamento | 1.61 | -2.85 |
| 243 | 243 | 155 | G2_smistamento | 0.56 | -1.06 |

Table 21: Element Stresses - Area Shells, Part 3 of 3

| Area | AreaElem | Joint | OutputCase | S13Avg KN/m2 | S23Avg KN/m2 |
|------|----------|-------|----------------|-----------------|-----------------|
| 243 | 243 | 159 | G2_smistamento | 0.56 | -1.08 |
| 243 | 243 | 160 | G2_smistamento | 0.6 | -1.08 |
| 243 | 243 | 156 | G2_smistamento | 0.6 | -1.06 |
| 243 | 243 | 155 | Q_smistamento | 0.56 | -1.06 |
| 243 | 243 | 159 | Q_smistamento | 0.56 | -1.08 |
| 243 | 243 | 160 | Q_smistamento | 0.6 | -1.08 |
| 243 | 243 | 156 | Q_smistamento | 0.6 | -1.06 |
| 243 | 243 | 155 | Q_neve | 2.058E-13 | 2.292E-13 |
| 243 | 243 | 159 | Q_neve | 2.058E-13 | -7.024E-14 |
| 243 | 243 | 160 | Q_neve | 4.124E-14 | -1.182E-15 |
| 243 | 243 | 156 | Q_neve | 4.124E-14 | 1.273E-13 |
| 244 | 244 | 156 | DEAD | -4.052E-13 | -3.152E-13 |
| 244 | 244 | 160 | DEAD | -2.253E-13 | 4.571E-13 |
| 244 | 244 | 161 | DEAD | 2.531E-13 | 2.772E-13 |
| 244 | 244 | 157 | DEAD | 3.013E-13 | -2.671E-13 |
| 244 | 244 | 156 | G1_smistamento | 1.59 | 5.219E-13 |
| 244 | 244 | 160 | G1_smistamento | 1.59 | 1.764E-14 |
| 244 | 244 | 161 | G1_smistamento | 1.59 | 3.903E-13 |
| 244 | 244 | 157 | G1_smistamento | 1.59 | -2.457E-13 |
| 244 | 244 | 156 | G2_smistamento | 0.59 | 2.647E-13 |
| 244 | 244 | 160 | G2_smistamento | 0.59 | 9.129E-14 |
| 244 | 244 | 161 | G2_smistamento | 0.59 | 1.364E-15 |
| 244 | 244 | 157 | G2_smistamento | 0.59 | 2.888E-13 |
| 244 | 244 | 156 | Q_smistamento | 0.59 | 2.647E-13 |
| 244 | 244 | 160 | Q_smistamento | 0.59 | 9.129E-14 |
| 244 | 244 | 161 | Q_smistamento | 0.59 | 1.364E-15 |
| 244 | 244 | 157 | Q_smistamento | 0.59 | 2.888E-13 |
| 244 | 244 | 156 | Q_neve | -9.625E-14 | 9.022E-14 |
| 244 | 244 | 160 | Q_neve | -4.004E-14 | 2.299E-14 |
| 244 | 244 | 161 | Q_neve | 1.073E-14 | -3.321E-14 |
| 244 | 244 | 157 | Q_neve | 2.579E-14 | 1.053E-13 |
| 245 | 245 | 157 | DEAD | -7.092E-14 | 8.956E-13 |
| 245 | 245 | 161 | DEAD | 2.823E-13 | -3.940E-13 |
| 245 | 245 | 162 | DEAD | -5.092E-15 | 4.347E-13 |
| 245 | 245 | 158 | DEAD | -2.443E-13 | -3.282E-13 |
| 245 | 245 | 157 | G1_smistamento | 1.61 | 2.85 |
| 245 | 245 | 161 | G1_smistamento | 1.61 | 2.92 |
| 245 | 245 | 162 | G1_smistamento | 1.52 | 2.92 |

Table 21: Element Stresses - Area Shells, Part 3 of 3

| Area | AreaElem | Joint | OutputCase | S13Avg KN/m2 | S23Avg KN/m2 |
|------|----------|-------|----------------|-----------------|-----------------|
| 245 | 245 | 158 | G1_smistamento | 1.52 | 2.85 |
| 245 | 245 | 157 | G2_smistamento | 0.6 | 1.06 |
| 245 | 245 | 161 | G2_smistamento | 0.6 | 1.08 |
| 245 | 245 | 162 | G2_smistamento | 0.56 | 1.08 |
| 245 | 245 | 158 | G2_smistamento | 0.56 | 1.06 |
| 245 | 245 | 157 | Q_smistamento | 0.6 | 1.06 |
| 245 | 245 | 161 | Q_smistamento | 0.6 | 1.08 |
| 245 | 245 | 162 | Q_smistamento | 0.56 | 1.08 |
| 245 | 245 | 158 | Q_smistamento | 0.56 | 1.06 |
| 245 | 245 | 157 | Q_neve | 8.866E-15 | 1.206E-13 |
| 245 | 245 | 161 | Q_neve | 6.346E-14 | 4.115E-14 |
| 245 | 245 | 162 | Q_neve | 6.365E-16 | 2.189E-14 |
| 245 | 245 | 158 | Q_neve | -6.821E-14 | -4.115E-14 |
| 246 | 246 | 158 | DEAD | -8.070E-13 | 5.901E-13 |
| 246 | 246 | 162 | DEAD | -4.279E-13 | 4.826E-13 |
| 246 | 246 | 132 | DEAD | -6.753E-13 | -1.340E-13 |
| 246 | 246 | 134 | DEAD | 4.279E-13 | 8.757E-14 |
| 246 | 246 | 158 | G1_smistamento | 1.56 | 7.55 |
| 246 | 246 | 162 | G1_smistamento | 1.56 | 7.62 |
| 246 | 246 | 132 | G1_smistamento | 1.44 | 7.62 |
| 246 | 246 | 134 | G1_smistamento | 1.44 | 7.55 |
| 246 | 246 | 158 | G2_smistamento | 0.58 | 2.8 |
| 246 | 246 | 162 | G2_smistamento | 0.58 | 2.82 |
| 246 | 246 | 132 | G2_smistamento | 0.54 | 2.82 |
| 246 | 246 | 134 | G2_smistamento | 0.54 | 2.8 |
| 246 | 246 | 158 | Q_smistamento | 0.58 | 2.8 |
| 246 | 246 | 162 | Q_smistamento | 0.58 | 2.82 |
| 246 | 246 | 132 | Q_smistamento | 0.54 | 2.82 |
| 246 | 246 | 134 | Q_smistamento | 0.54 | 2.8 |
| 246 | 246 | 158 | Q_neve | -1.253E-13 | 1.464E-13 |
| 246 | 246 | 162 | Q_neve | -1.204E-13 | 1.073E-14 |
| 246 | 246 | 132 | Q_neve | -1.170E-13 | -1.815E-14 |
| 246 | 246 | 134 | Q_neve | 1.347E-13 | -9.625E-14 |
| 247 | 247 | 74 | DEAD | 3.597E-13 | -2.420E-13 |
| 247 | 247 | 76 | DEAD | 4.303E-13 | -7.992E-13 |
| 247 | 247 | 163 | DEAD | 9.639E-14 | -1.761E-13 |
| 247 | 247 | 159 | DEAD | -8.864E-13 | -7.502E-14 |
| 247 | 247 | 74 | G1_smistamento | 1.39 | -7.57 |

Table 21: Element Stresses - Area Shells, Part 3 of 3

| Area | AreaElem | Joint | OutputCase | S13Avg KN/m2 | S23Avg KN/m2 |
|------|----------|-------|----------------|-----------------|-----------------|
| 247 | 247 | 76 | G1_smistamento | 1.39 | -7.57 |
| 247 | 247 | 163 | G1_smistamento | 1.47 | -7.57 |
| 247 | 247 | 159 | G1_smistamento | 1.47 | -7.57 |
| 247 | 247 | 74 | G2_smistamento | 0.51 | -2.81 |
| 247 | 247 | 76 | G2_smistamento | 0.51 | -2.81 |
| 247 | 247 | 163 | G2_smistamento | 0.54 | -2.81 |
| 247 | 247 | 159 | G2_smistamento | 0.54 | -2.81 |
| 247 | 247 | 74 | Q_smistamento | 0.51 | -2.81 |
| 247 | 247 | 76 | Q_smistamento | 0.51 | -2.81 |
| 247 | 247 | 163 | Q_smistamento | 0.54 | -2.81 |
| 247 | 247 | 159 | Q_smistamento | 0.54 | -2.81 |
| 247 | 247 | 74 | Q_neve | 4.004E-14 | 3.911E-14 |
| 247 | 247 | 76 | Q_neve | 4.806E-14 | -1.460E-13 |
| 247 | 247 | 163 | Q_neve | -2.579E-14 | 2.265E-14 |
| 247 | 247 | 159 | Q_neve | -1.906E-13 | -6.070E-15 |
| 248 | 248 | 159 | DEAD | -5.776E-13 | -8.070E-13 |
| 248 | 248 | 163 | DEAD | -3.013E-13 | 3.268E-13 |
| 248 | 248 | 164 | DEAD | -1.826E-13 | -6.753E-13 |
| 248 | 248 | 160 | DEAD | 2.253E-13 | 1.293E-13 |
| 248 | 248 | 159 | G1_smistamento | 1.46 | -2.89 |
| 248 | 248 | 163 | G1_smistamento | 1.46 | -2.89 |
| 248 | 248 | 164 | G1_smistamento | 1.52 | -2.89 |
| 248 | 248 | 160 | G1_smistamento | 1.52 | -2.89 |
| 248 | 248 | 159 | G2_smistamento | 0.54 | -1.07 |
| 248 | 248 | 163 | G2_smistamento | 0.54 | -1.07 |
| 248 | 248 | 164 | G2_smistamento | 0.56 | -1.07 |
| 248 | 248 | 160 | G2_smistamento | 0.56 | -1.07 |
| 248 | 248 | 159 | Q_smistamento | 0.54 | -1.07 |
| 248 | 248 | 163 | Q_smistamento | 0.54 | -1.07 |
| 248 | 248 | 164 | Q_smistamento | 0.56 | -1.07 |
| 248 | 248 | 160 | Q_smistamento | 0.56 | -1.07 |
| 248 | 248 | 159 | Q_neve | -1.762E-13 | -1.096E-13 |
| 248 | 248 | 163 | Q_neve | -7.504E-14 | 4.920E-14 |
| 248 | 248 | 164 | Q_neve | -2.809E-14 | -5.197E-14 |
| 248 | 248 | 160 | Q_neve | -9.776E-16 | -8.246E-14 |
| 249 | 249 | 160 | DEAD | 1.381E-13 | -7.602E-14 |
| 249 | 249 | 164 | DEAD | 6.777E-13 | -1.724E-13 |
| 249 | 249 | 165 | DEAD | 2.040E-13 | -7.602E-14 |

Table 21: Element Stresses - Area Shells, Part 3 of 3

| Area | AreaElem | Joint | OutputCase | S13Avg KN/m2 | S23Avg KN/m2 |
|------|----------|-------|----------------|-----------------|-----------------|
| 249 | 249 | 161 | DEAD | 3.485E-13 | -4.357E-13 |
| 249 | 249 | 160 | G1_smistamento | 1.52 | -2.216E-13 |
| 249 | 249 | 164 | G1_smistamento | 1.52 | -8.520E-14 |
| 249 | 249 | 165 | G1_smistamento | 1.52 | 1.076E-13 |
| 249 | 249 | 161 | G1_smistamento | 1.52 | -9.410E-13 |
| 249 | 249 | 160 | G2_smistamento | 0.56 | -1.502E-13 |
| 249 | 249 | 164 | G2_smistamento | 0.56 | 2.007E-13 |
| 249 | 249 | 165 | G2_smistamento | 0.56 | -2.489E-13 |
| 249 | 249 | 161 | G2_smistamento | 0.56 | -2.969E-14 |
| 249 | 249 | 160 | Q_smistamento | 0.56 | -1.502E-13 |
| 249 | 249 | 164 | Q_smistamento | 0.56 | 2.007E-13 |
| 249 | 249 | 165 | Q_smistamento | 0.56 | -2.489E-13 |
| 249 | 249 | 161 | Q_smistamento | 0.56 | -2.969E-14 |
| 249 | 249 | 160 | Q_neve | 1.053E-13 | -2.299E-14 |
| 249 | 249 | 164 | Q_neve | 5.875E-14 | 8.581E-14 |
| 249 | 249 | 165 | Q_neve | 1.465E-13 | -1.053E-13 |
| 249 | 249 | 161 | Q_neve | 5.052E-14 | 2.821E-14 |
| 250 | 250 | 161 | DEAD | 7.690E-13 | 3.472E-13 |
| 250 | 250 | 165 | DEAD | 4.992E-13 | 4.065E-13 |
| 250 | 250 | 166 | DEAD | 6.373E-13 | 4.130E-13 |
| 250 | 250 | 162 | DEAD | 5.650E-13 | 1.155E-14 |
| 250 | 250 | 161 | G1_smistamento | 1.52 | 2.89 |
| 250 | 250 | 165 | G1_smistamento | 1.52 | 2.89 |
| 250 | 250 | 166 | G1_smistamento | 1.46 | 2.89 |
| 250 | 250 | 162 | G1_smistamento | 1.46 | 2.89 |
| 250 | 250 | 161 | G2_smistamento | 0.56 | 1.07 |
| 250 | 250 | 165 | G2_smistamento | 0.56 | 1.07 |
| 250 | 250 | 166 | G2_smistamento | 0.54 | 1.07 |
| 250 | 250 | 162 | G2_smistamento | 0.54 | 1.07 |
| 250 | 250 | 161 | Q_smistamento | 0.56 | 1.07 |
| 250 | 250 | 165 | Q_smistamento | 0.56 | 1.07 |
| 250 | 250 | 166 | Q_smistamento | 0.54 | 1.07 |
| 250 | 250 | 162 | Q_smistamento | 0.54 | 1.07 |
| 250 | 250 | 161 | Q_neve | 1.757E-13 | 7.300E-14 |
| 250 | 250 | 165 | Q_neve | 5.048E-14 | -9.260E-14 |
| 250 | 250 | 166 | Q_neve | 5.231E-14 | 6.478E-14 |
| 250 | 250 | 162 | Q_neve | -6.473E-14 | 3.084E-14 |
| 251 | 251 | 162 | DEAD | 5.396E-13 | 3.964E-13 |

Table 21: Element Stresses - Area Shells, Part 3 of 3

| Area | AreaElem | Joint | OutputCase | S13Avg KN/m2 | S23Avg KN/m2 |
|------|----------|-------|----------------|-----------------|-----------------|
| 251 | 251 | 166 | DEAD | 7.065E-13 | -4.037E-14 |
| 251 | 251 | 130 | DEAD | 1.446E-13 | -1.303E-13 |
| 251 | 251 | 132 | DEAD | -4.785E-13 | 4.205E-13 |
| 251 | 251 | 162 | G1_smistamento | 1.47 | 7.57 |
| 251 | 251 | 166 | G1_smistamento | 1.47 | 7.57 |
| 251 | 251 | 130 | G1_smistamento | 1.39 | 7.57 |
| 251 | 251 | 132 | G1_smistamento | 1.39 | 7.57 |
| 251 | 251 | 162 | G2_smistamento | 0.54 | 2.81 |
| 251 | 251 | 166 | G2_smistamento | 0.54 | 2.81 |
| 251 | 251 | 130 | G2_smistamento | 0.51 | 2.81 |
| 251 | 251 | 132 | G2_smistamento | 0.51 | 2.81 |
| 251 | 251 | 162 | Q_smistamento | 0.54 | 2.81 |
| 251 | 251 | 166 | Q_smistamento | 0.54 | 2.81 |
| 251 | 251 | 130 | Q_smistamento | 0.51 | 2.81 |
| 251 | 251 | 132 | Q_smistamento | 0.51 | 2.81 |
| 251 | 251 | 162 | Q_neve | -1.137E-14 | -4.573E-14 |
| 251 | 251 | 166 | Q_neve | -1.459E-14 | 1.048E-13 |
| 251 | 251 | 130 | Q_neve | 8.738E-14 | 6.948E-14 |
| 251 | 251 | 132 | Q_neve | -8.043E-14 | 4.721E-14 |
| 252 | 252 | 76 | DEAD | 1.154E-13 | -1.032E-12 |
| 252 | 252 | 78 | DEAD | -1.673E-13 | -2.711E-13 |
| 252 | 252 | 167 | DEAD | 3.787E-13 | -3.740E-13 |
| 252 | 252 | 163 | DEAD | -3.648E-13 | -3.370E-13 |
| 252 | 252 | 76 | G1_smistamento | 1.06 | -7.54 |
| 252 | 252 | 78 | G1_smistamento | 1.06 | -7.52 |
| 252 | 252 | 167 | G1_smistamento | 1.11 | -7.52 |
| 252 | 252 | 163 | G1_smistamento | 1.11 | -7.54 |
| 252 | 252 | 76 | G2_smistamento | 0.39 | -2.8 |
| 252 | 252 | 78 | G2_smistamento | 0.39 | -2.79 |
| 252 | 252 | 167 | G2_smistamento | 0.41 | -2.79 |
| 252 | 252 | 163 | G2_smistamento | 0.41 | -2.8 |
| 252 | 252 | 76 | Q_smistamento | 0.39 | -2.8 |
| 252 | 252 | 78 | Q_smistamento | 0.39 | -2.79 |
| 252 | 252 | 167 | Q_smistamento | 0.41 | -2.79 |
| 252 | 252 | 163 | Q_smistamento | 0.41 | -2.8 |
| 252 | 252 | 76 | Q_neve | 9.943E-14 | -1.191E-13 |
| 252 | 252 | 78 | Q_neve | 5.447E-14 | -9.519E-14 |
| 252 | 252 | 167 | Q_neve | 3.360E-14 | -6.147E-14 |

Table 21: Element Stresses - Area Shells, Part 3 of 3

| Area | AreaElem | Joint | OutputCase | S13Avg KN/m2 | S23Avg KN/m2 |
|------|----------|-------|----------------|-----------------|-----------------|
| 252 | 252 | 163 | Q_neve | 2.155E-14 | -1.281E-13 |
| 253 | 253 | 163 | DEAD | -4.398E-13 | 1.761E-13 |
| 253 | 253 | 167 | DEAD | 4.659E-13 | -6.573E-13 |
| 253 | 253 | 168 | DEAD | -9.665E-13 | 2.420E-13 |
| 253 | 253 | 164 | DEAD | -3.899E-13 | -6.483E-14 |
| 253 | 253 | 163 | G1_smistamento | 1.11 | -2.88 |
| 253 | 253 | 167 | G1_smistamento | 1.11 | -2.86 |
| 253 | 253 | 168 | G1_smistamento | 1.15 | -2.86 |
| 253 | 253 | 164 | G1_smistamento | 1.15 | -2.88 |
| 253 | 253 | 163 | G2_smistamento | 0.41 | -1.07 |
| 253 | 253 | 167 | G2_smistamento | 0.41 | -1.06 |
| 253 | 253 | 168 | G2_smistamento | 0.43 | -1.06 |
| 253 | 253 | 164 | G2_smistamento | 0.43 | -1.07 |
| 253 | 253 | 163 | Q_smistamento | 0.41 | -1.07 |
| 253 | 253 | 167 | Q_smistamento | 0.41 | -1.06 |
| 253 | 253 | 168 | Q_smistamento | 0.43 | -1.06 |
| 253 | 253 | 164 | Q_smistamento | 0.43 | -1.07 |
| 253 | 253 | 163 | Q_neve | 1.959E-14 | 1.116E-13 |
| 253 | 253 | 167 | Q_neve | 1.111E-13 | -1.708E-13 |
| 253 | 253 | 168 | Q_neve | -9.561E-14 | -1.183E-14 |
| 253 | 253 | 164 | Q_neve | 1.239E-14 | -1.447E-14 |
| 254 | 254 | 164 | DEAD | -5.548E-13 | -6.950E-13 |
| 254 | 254 | 168 | DEAD | -3.685E-13 | 6.281E-13 |
| 254 | 254 | 169 | DEAD | -3.574E-13 | 8.850E-13 |
| 254 | 254 | 165 | DEAD | 2.646E-14 | -9.602E-14 |
| 254 | 254 | 164 | G1_smistamento | 1.15 | -6.227E-13 |
| 254 | 254 | 168 | G1_smistamento | 1.15 | 8.850E-13 |
| 254 | 254 | 169 | G1_smistamento | 1.15 | 1.155E-12 |
| 254 | 254 | 165 | G1_smistamento | 1.15 | -6.950E-13 |
| 254 | 254 | 164 | G2_smistamento | 0.43 | -1.398E-13 |
| 254 | 254 | 168 | G2_smistamento | 0.43 | 1.620E-13 |
| 254 | 254 | 169 | G2_smistamento | 0.43 | 3.869E-13 |
| 254 | 254 | 165 | G2_smistamento | 0.43 | -2.000E-13 |
| 254 | 254 | 164 | Q_smistamento | 0.43 | -1.398E-13 |
| 254 | 254 | 168 | Q_smistamento | 0.43 | 1.620E-13 |
| 254 | 254 | 169 | Q_smistamento | 0.43 | 3.869E-13 |
| 254 | 254 | 165 | Q_smistamento | 0.43 | -2.000E-13 |
| 254 | 254 | 164 | Q_neve | -5.290E-14 | 7.445E-14 |

Table 21: Element Stresses - Area Shells, Part 3 of 3

| Area | AreaElem | Joint | OutputCase | S13Avg KN/m2 | S23Avg KN/m2 |
|------|----------|-------|----------------|-----------------|-----------------|
| 254 | 254 | 168 | Q_neve | 4.827E-14 | 1.477E-13 |
| 254 | 254 | 169 | Q_neve | -6.113E-14 | 1.156E-13 |
| 254 | 254 | 165 | Q_neve | -3.402E-14 | -4.203E-16 |
| 255 | 255 | 165 | DEAD | -3.937E-14 | 4.724E-13 |
| 255 | 255 | 169 | DEAD | -1.164E-13 | 2.026E-13 |
| 255 | 255 | 170 | DEAD | -3.027E-13 | -5.428E-14 |
| 255 | 255 | 166 | DEAD | 3.444E-13 | -1.266E-13 |
| 255 | 255 | 165 | G1_smistamento | 1.15 | 2.88 |
| 255 | 255 | 169 | G1_smistamento | 1.15 | 2.86 |
| 255 | 255 | 170 | G1_smistamento | 1.11 | 2.86 |
| 255 | 255 | 166 | G1_smistamento | 1.11 | 2.88 |
| 255 | 255 | 165 | G2_smistamento | 0.43 | 1.07 |
| 255 | 255 | 169 | G2_smistamento | 0.43 | 1.06 |
| 255 | 255 | 170 | G2_smistamento | 0.41 | 1.06 |
| 255 | 255 | 166 | G2_smistamento | 0.41 | 1.07 |
| 255 | 255 | 165 | Q_smistamento | 0.43 | 1.07 |
| 255 | 255 | 169 | Q_smistamento | 0.43 | 1.06 |
| 255 | 255 | 170 | Q_smistamento | 0.41 | 1.06 |
| 255 | 255 | 166 | Q_smistamento | 0.41 | 1.07 |
| 255 | 255 | 165 | Q_neve | -8.900E-14 | -1.289E-13 |
| 255 | 255 | 169 | Q_neve | -4.080E-14 | 1.212E-13 |
| 255 | 255 | 170 | Q_neve | -7.254E-14 | -1.366E-14 |
| 255 | 255 | 166 | Q_neve | 1.073E-13 | -9.272E-14 |
| 256 | 256 | 166 | DEAD | -8.867E-13 | -3.115E-13 |
| 256 | 256 | 170 | DEAD | -6.040E-13 | 6.360E-13 |
| 256 | 256 | 128 | DEAD | -5.576E-13 | 8.347E-14 |
| 256 | 256 | 130 | DEAD | 1.859E-13 | 5.043E-13 |
| 256 | 256 | 166 | G1_smistamento | 1.11 | 7.54 |
| 256 | 256 | 170 | G1_smistamento | 1.11 | 7.52 |
| 256 | 256 | 128 | G1_smistamento | 1.06 | 7.52 |
| 256 | 256 | 130 | G1_smistamento | 1.06 | 7.54 |
| 256 | 256 | 166 | G2_smistamento | 0.41 | 2.8 |
| 256 | 256 | 170 | G2_smistamento | 0.41 | 2.79 |
| 256 | 256 | 128 | G2_smistamento | 0.39 | 2.79 |
| 256 | 256 | 130 | G2_smistamento | 0.39 | 2.8 |
| 256 | 256 | 166 | Q_smistamento | 0.41 | 2.8 |
| 256 | 256 | 170 | Q_smistamento | 0.41 | 2.79 |
| 256 | 256 | 128 | Q_smistamento | 0.39 | 2.79 |

Table 21: Element Stresses - Area Shells, Part 3 of 3

| Area | AreaElem | Joint | OutputCase | S13Avg KN/m2 | S23Avg KN/m2 |
|------|----------|-------|----------------|-----------------|-----------------|
| 256 | 256 | 130 | Q_smistamento | 0.39 | 2.8 |
| 256 | 256 | 166 | Q_neve | -5.103E-14 | -3.852E-14 |
| 256 | 256 | 170 | Q_neve | -1.570E-14 | 7.793E-14 |
| 256 | 256 | 128 | Q_neve | -1.580E-13 | -1.373E-13 |
| 256 | 256 | 130 | Q_neve | -6.507E-14 | 1.026E-13 |
| 257 | 257 | 78 | DEAD | -9.875E-14 | -8.720E-14 |
| 257 | 257 | 80 | DEAD | 1.581E-13 | -1.307E-13 |
| 257 | 257 | 171 | DEAD | 9.875E-14 | 5.053E-13 |
| 257 | 257 | 167 | DEAD | -5.002E-13 | -5.915E-13 |
| 257 | 257 | 78 | G1_smistamento | 0.68 | -7.51 |
| 257 | 257 | 80 | G1_smistamento | 0.68 | -7.49 |
| 257 | 257 | 171 | G1_smistamento | 0.7 | -7.49 |
| 257 | 257 | 167 | G1_smistamento | 0.7 | -7.51 |
| 257 | 257 | 78 | G2_smistamento | 0.25 | -2.78 |
| 257 | 257 | 80 | G2_smistamento | 0.25 | -2.78 |
| 257 | 257 | 171 | G2_smistamento | 0.26 | -2.78 |
| 257 | 257 | 167 | G2_smistamento | 0.26 | -2.78 |
| 257 | 257 | 78 | Q_smistamento | 0.25 | -2.78 |
| 257 | 257 | 80 | Q_smistamento | 0.25 | -2.78 |
| 257 | 257 | 171 | Q_smistamento | 0.26 | -2.78 |
| 257 | 257 | 167 | Q_smistamento | 0.26 | -2.78 |
| 257 | 257 | 78 | Q_neve | -4.386E-14 | -1.013E-13 |
| 257 | 257 | 80 | Q_neve | -1.175E-14 | -4.751E-14 |
| 257 | 257 | 171 | Q_neve | -2.740E-14 | 6.329E-14 |
| 257 | 257 | 167 | Q_neve | -1.023E-13 | -4.751E-14 |
| 258 | 258 | 167 | DEAD | 4.496E-13 | -3.268E-13 |
| 258 | 258 | 171 | DEAD | 2.698E-13 | -4.826E-13 |
| 258 | 258 | 172 | DEAD | 1.205E-13 | -1.293E-13 |
| 258 | 258 | 168 | DEAD | 7.229E-14 | -8.757E-14 |
| 258 | 258 | 167 | G1_smistamento | 0.71 | -2.85 |
| 258 | 258 | 171 | G1_smistamento | 0.71 | -2.84 |
| 258 | 258 | 172 | G1_smistamento | 0.73 | -2.84 |
| 258 | 258 | 168 | G1_smistamento | 0.73 | -2.85 |
| 258 | 258 | 167 | G2_smistamento | 0.26 | -1.06 |
| 258 | 258 | 171 | G2_smistamento | 0.26 | -1.05 |
| 258 | 258 | 172 | G2_smistamento | 0.27 | -1.05 |
| 258 | 258 | 168 | G2_smistamento | 0.27 | -1.06 |
| 258 | 258 | 167 | Q_smistamento | 0.26 | -1.06 |

Table 21: Element Stresses - Area Shells, Part 3 of 3

| Area | AreaElem | Joint | OutputCase | S13Avg KN/m2 | S23Avg KN/m2 |
|------|----------|-------|----------------|-----------------|-----------------|
| 258 | 258 | 171 | Q_smistamento | 0.26 | -1.05 |
| 258 | 258 | 172 | Q_smistamento | 0.27 | -1.05 |
| 258 | 258 | 168 | Q_smistamento | 0.27 | -1.06 |
| 258 | 258 | 167 | Q_neve | -2.532E-14 | -5.760E-14 |
| 258 | 258 | 171 | Q_neve | -5.905E-14 | -3.071E-14 |
| 258 | 258 | 172 | Q_neve | 1.582E-14 | 5.760E-14 |
| 258 | 258 | 168 | Q_neve | 6.785E-15 | 2.205E-15 |
| 259 | 259 | 168 | DEAD | -1.011E-13 | 6.295E-13 |
| 259 | 259 | 172 | DEAD | 6.054E-13 | -1.910E-13 |
| 259 | 259 | 173 | DEAD | 5.572E-13 | 1.687E-13 |
| 259 | 259 | 169 | DEAD | 7.875E-14 | 5.331E-13 |
| 259 | 259 | 168 | G1_smistamento | 0.73 | 4.371E-13 |
| 259 | 259 | 172 | G1_smistamento | 0.73 | 3.343E-13 |
| 259 | 259 | 173 | G1_smistamento | 0.73 | 4.371E-13 |
| 259 | 259 | 169 | G1_smistamento | 0.73 | -2.582E-13 |
| 259 | 259 | 168 | G2_smistamento | 0.27 | 3.718E-13 |
| 259 | 259 | 172 | G2_smistamento | 0.27 | -1.766E-13 |
| 259 | 259 | 173 | G2_smistamento | 0.27 | 1.413E-13 |
| 259 | 259 | 169 | G2_smistamento | 0.27 | 1.196E-13 |
| 259 | 259 | 168 | Q_smistamento | 0.27 | 3.718E-13 |
| 259 | 259 | 172 | Q_smistamento | 0.27 | -1.766E-13 |
| 259 | 259 | 173 | Q_smistamento | 0.27 | 1.413E-13 |
| 259 | 259 | 169 | Q_smistamento | 0.27 | 1.196E-13 |
| 259 | 259 | 168 | Q_neve | -1.565E-14 | 1.872E-13 |
| 259 | 259 | 172 | Q_neve | 1.417E-13 | -9.307E-14 |
| 259 | 259 | 173 | Q_neve | 5.841E-14 | 8.841E-14 |
| 259 | 259 | 169 | Q_neve | 1.006E-13 | 5.506E-14 |
| 260 | 260 | 169 | DEAD | 4.436E-13 | -4.863E-13 |
| 260 | 260 | 173 | DEAD | 4.500E-13 | 1.025E-12 |
| 260 | 260 | 174 | DEAD | 7.727E-13 | 1.062E-13 |
| 260 | 260 | 170 | DEAD | 1.108E-12 | 7.615E-13 |
| 260 | 260 | 169 | G1_smistamento | 0.73 | 2.85 |
| 260 | 260 | 173 | G1_smistamento | 0.73 | 2.84 |
| 260 | 260 | 174 | G1_smistamento | 0.71 | 2.84 |
| 260 | 260 | 170 | G1_smistamento | 0.71 | 2.85 |
| 260 | 260 | 169 | G2_smistamento | 0.27 | 1.06 |
| 260 | 260 | 173 | G2_smistamento | 0.27 | 1.05 |
| 260 | 260 | 174 | G2_smistamento | 0.26 | 1.05 |

Table 21: Element Stresses - Area Shells, Part 3 of 3

| Area | AreaElem | Joint | OutputCase | S13Avg KN/m2 | S23Avg KN/m2 |
|------|----------|-------|----------------|-----------------|-----------------|
| 260 | 260 | 170 | G2_smistamento | 0.26 | 1.06 |
| 260 | 260 | 169 | Q_smistamento | 0.27 | 1.06 |
| 260 | 260 | 173 | Q_smistamento | 0.27 | 1.05 |
| 260 | 260 | 174 | Q_smistamento | 0.26 | 1.05 |
| 260 | 260 | 170 | Q_smistamento | 0.26 | 1.06 |
| 260 | 260 | 169 | Q_neve | 5.956E-14 | -2.851E-14 |
| 260 | 260 | 173 | Q_neve | 1.286E-13 | 1.546E-13 |
| 260 | 260 | 174 | Q_neve | 9.247E-14 | -2.851E-14 |
| 260 | 260 | 170 | Q_neve | 1.945E-13 | 1.875E-13 |
| 261 | 261 | 170 | DEAD | 1.801E-14 | 3.180E-13 |
| 261 | 261 | 174 | DEAD | 1.091E-12 | -2.745E-13 |
| 261 | 261 | 126 | DEAD | 7.422E-13 | 2.521E-13 |
| 261 | 261 | 128 | DEAD | 6.957E-13 | 8.446E-13 |
| 261 | 261 | 170 | G1_smistamento | 0.7 | 7.51 |
| 261 | 261 | 174 | G1_smistamento | 0.7 | 7.49 |
| 261 | 261 | 126 | G1_smistamento | 0.68 | 7.49 |
| 261 | 261 | 128 | G1_smistamento | 0.68 | 7.51 |
| 261 | 261 | 170 | G2_smistamento | 0.26 | 2.78 |
| 261 | 261 | 174 | G2_smistamento | 0.26 | 2.78 |
| 261 | 261 | 126 | G2_smistamento | 0.25 | 2.78 |
| 261 | 261 | 128 | G2_smistamento | 0.25 | 2.78 |
| 261 | 261 | 170 | Q_smistamento | 0.26 | 2.78 |
| 261 | 261 | 174 | Q_smistamento | 0.26 | 2.78 |
| 261 | 261 | 126 | Q_smistamento | 0.25 | 2.78 |
| 261 | 261 | 128 | Q_smistamento | 0.25 | 2.78 |
| 261 | 261 | 170 | Q_neve | 6.516E-14 | -6.189E-14 |
| 261 | 261 | 174 | Q_neve | 1.647E-13 | -8.055E-14 |
| 261 | 261 | 126 | Q_neve | 2.627E-13 | 2.863E-14 |
| 261 | 261 | 128 | Q_neve | 2.059E-13 | 7.580E-14 |
| 262 | 262 | 80 | DEAD | -1.646E-13 | -3.115E-13 |
| 262 | 262 | 82 | DEAD | -3.509E-13 | 1.799E-13 |
| 262 | 262 | 175 | DEAD | 1.646E-13 | 8.347E-14 |
| 262 | 262 | 171 | DEAD | -2.192E-13 | 4.819E-14 |
| 262 | 262 | 80 | G1_smistamento | 0.32 | -7.48 |
| 262 | 262 | 82 | G1_smistamento | 0.32 | -7.47 |
| 262 | 262 | 175 | G1_smistamento | 0.33 | -7.47 |
| 262 | 262 | 171 | G1_smistamento | 0.33 | -7.48 |
| 262 | 262 | 80 | G2_smistamento | 0.12 | -2.77 |

Table 21: Element Stresses - Area Shells, Part 3 of 3

| Area | AreaElem | Joint | OutputCase | S13Avg KN/m2 | S23Avg KN/m2 |
|------|----------|-------|----------------|-----------------|-----------------|
| 262 | 262 | 82 | G2_smistamento | 0.12 | -2.77 |
| 262 | 262 | 175 | G2_smistamento | 0.12 | -2.77 |
| 262 | 262 | 171 | G2_smistamento | 0.12 | -2.77 |
| 262 | 262 | 80 | Q_smistamento | 0.12 | -2.77 |
| 262 | 262 | 82 | Q_smistamento | 0.12 | -2.77 |
| 262 | 262 | 175 | Q_smistamento | 0.12 | -2.77 |
| 262 | 262 | 171 | Q_smistamento | 0.12 | -2.77 |
| 262 | 262 | 80 | Q_neve | 5.433E-15 | -1.244E-13 |
| 262 | 262 | 82 | Q_neve | -8.611E-14 | 3.877E-14 |
| 262 | 262 | 175 | Q_neve | 1.371E-13 | 4.840E-14 |
| 262 | 262 | 171 | Q_neve | 2.910E-14 | -4.352E-14 |
| 263 | 263 | 171 | DEAD | -1.368E-13 | 3.166E-13 |
| 263 | 263 | 175 | DEAD | -2.267E-13 | -6.550E-13 |
| 263 | 263 | 176 | DEAD | 6.074E-14 | -1.255E-14 |
| 263 | 263 | 172 | DEAD | 3.664E-14 | -5.233E-13 |
| 263 | 263 | 171 | G1_smistamento | 0.34 | -2.83 |
| 263 | 263 | 175 | G1_smistamento | 0.34 | -2.83 |
| 263 | 263 | 176 | G1_smistamento | 0.34 | -2.83 |
| 263 | 263 | 172 | G1_smistamento | 0.34 | -2.83 |
| 263 | 263 | 171 | G2_smistamento | 0.12 | -1.05 |
| 263 | 263 | 175 | G2_smistamento | 0.12 | -1.05 |
| 263 | 263 | 176 | G2_smistamento | 0.13 | -1.05 |
| 263 | 263 | 172 | G2_smistamento | 0.13 | -1.05 |
| 263 | 263 | 171 | Q_smistamento | 0.12 | -1.05 |
| 263 | 263 | 175 | Q_smistamento | 0.12 | -1.05 |
| 263 | 263 | 176 | Q_smistamento | 0.13 | -1.05 |
| 263 | 263 | 172 | Q_smistamento | 0.13 | -1.05 |
| 263 | 263 | 171 | Q_neve | 5.748E-14 | 5.430E-14 |
| 263 | 263 | 175 | Q_neve | 5.748E-14 | -2.278E-14 |
| 263 | 263 | 176 | Q_neve | 3.279E-14 | -1.154E-14 |
| 263 | 263 | 172 | Q_neve | 3.279E-14 | 5.128E-14 |
| 264 | 264 | 172 | DEAD | -2.002E-13 | 2.939E-13 |
| 264 | 264 | 176 | DEAD | 5.192E-13 | -1.140E-13 |
| 264 | 264 | 177 | DEAD | -3.319E-13 | 1.622E-13 |
| 264 | 264 | 173 | DEAD | -1.391E-13 | -1.140E-13 |
| 264 | 264 | 172 | G1_smistamento | 0.34 | 9.159E-13 |
| 264 | 264 | 176 | G1_smistamento | 0.34 | -1.391E-14 |
| 264 | 264 | 177 | G1_smistamento | 0.34 | 7.184E-13 |

Table 21: Element Stresses - Area Shells, Part 3 of 3

| Area | AreaElem | Joint | OutputCase | S13Avg KN/m2 | S23Avg KN/m2 |
|------|----------|-------|----------------|-----------------|-----------------|
| 264 | 264 | 173 | G1_smistamento | 0.34 | 5.192E-14 |
| 264 | 264 | 172 | G2_smistamento | 0.13 | 7.483E-14 |
| 264 | 264 | 176 | G2_smistamento | 0.13 | 8.043E-14 |
| 264 | 264 | 177 | G2_smistamento | 0.13 | 3.052E-13 |
| 264 | 264 | 173 | G2_smistamento | 0.13 | 1.459E-14 |
| 264 | 264 | 172 | Q_smistamento | 0.13 | 7.483E-14 |
| 264 | 264 | 176 | Q_smistamento | 0.13 | 8.043E-14 |
| 264 | 264 | 177 | Q_smistamento | 0.13 | 3.052E-13 |
| 264 | 264 | 173 | Q_smistamento | 0.13 | 1.459E-14 |
| 264 | 264 | 172 | Q_neve | -4.878E-14 | 9.943E-14 |
| 264 | 264 | 176 | Q_neve | 6.363E-14 | -1.137E-14 |
| 264 | 264 | 177 | Q_neve | -6.524E-14 | 3.360E-14 |
| 264 | 264 | 173 | Q_neve | -3.512E-14 | 8.738E-14 |
| 265 | 265 | 173 | DEAD | -3.152E-13 | 2.725E-13 |
| 265 | 265 | 177 | DEAD | -3.152E-13 | 8.779E-13 |
| 265 | 265 | 178 | DEAD | 2.772E-13 | 6.017E-13 |
| 265 | 265 | 174 | DEAD | 2.772E-13 | 6.804E-13 |
| 265 | 265 | 173 | G1_smistamento | 0.34 | 2.83 |
| 265 | 265 | 177 | G1_smistamento | 0.34 | 2.83 |
| 265 | 265 | 178 | G1_smistamento | 0.34 | 2.83 |
| 265 | 265 | 174 | G1_smistamento | 0.34 | 2.83 |
| 265 | 265 | 173 | G2_smistamento | 0.13 | 1.05 |
| 265 | 265 | 177 | G2_smistamento | 0.13 | 1.05 |
| 265 | 265 | 178 | G2_smistamento | 0.12 | 1.05 |
| 265 | 265 | 174 | G2_smistamento | 0.12 | 1.05 |
| 265 | 265 | 173 | Q_smistamento | 0.13 | 1.05 |
| 265 | 265 | 177 | Q_smistamento | 0.13 | 1.05 |
| 265 | 265 | 178 | Q_smistamento | 0.12 | 1.05 |
| 265 | 265 | 174 | Q_smistamento | 0.12 | 1.05 |
| 265 | 265 | 173 | Q_neve | -1.242E-13 | 1.243E-13 |
| 265 | 265 | 177 | Q_neve | -1.242E-13 | 7.572E-14 |
| 265 | 265 | 178 | Q_neve | 8.148E-14 | 4.200E-14 |
| 265 | 265 | 174 | Q_neve | 8.148E-14 | 1.333E-13 |
| 266 | 266 | 174 | DEAD | -2.912E-13 | -1.483E-13 |
| 266 | 266 | 178 | DEAD | -3.875E-13 | -4.293E-13 |
| 266 | 266 | 124 | DEAD | 3.672E-13 | -3.458E-13 |
| 266 | 266 | 126 | DEAD | 7.455E-15 | 1.632E-13 |
| 266 | 266 | 174 | G1_smistamento | 0.33 | 7.48 |

Table 21: Element Stresses - Area Shells, Part 3 of 3

| Area | AreaElem | Joint | OutputCase | S13Avg KN/m2 | S23Avg KN/m2 |
|------|----------|-------|----------------|-----------------|-----------------|
| 266 | 266 | 178 | G1_smistamento | 0.33 | 7.47 |
| 266 | 266 | 124 | G1_smistamento | 0.32 | 7.47 |
| 266 | 266 | 126 | G1_smistamento | 0.32 | 7.48 |
| 266 | 266 | 174 | G2_smistamento | 0.12 | 2.77 |
| 266 | 266 | 178 | G2_smistamento | 0.12 | 2.77 |
| 266 | 266 | 124 | G2_smistamento | 0.12 | 2.77 |
| 266 | 266 | 126 | G2_smistamento | 0.12 | 2.77 |
| 266 | 266 | 174 | Q_smistamento | 0.12 | 2.77 |
| 266 | 266 | 178 | Q_smistamento | 0.12 | 2.77 |
| 266 | 266 | 124 | Q_smistamento | 0.12 | 2.77 |
| 266 | 266 | 126 | Q_smistamento | 0.12 | 2.77 |
| 266 | 266 | 174 | Q_neve | 3.250E-14 | -1.234E-14 |
| 266 | 266 | 178 | Q_neve | -2.841E-15 | 4.607E-14 |
| 266 | 266 | 124 | Q_neve | 1.148E-13 | 1.234E-14 |
| 266 | 266 | 126 | Q_neve | 2.185E-14 | -3.307E-15 |
| 267 | 267 | 82 | DEAD | -5.565E-14 | 2.939E-13 |
| 267 | 267 | 84 | DEAD | -5.565E-14 | -1.140E-13 |
| 267 | 267 | 179 | DEAD | 2.077E-13 | 1.622E-13 |
| 267 | 267 | 175 | DEAD | 2.077E-13 | -1.140E-13 |
| 267 | 267 | 82 | G1_smistamento | -1.228E-13 | -7.47 |
| 267 | 267 | 84 | G1_smistamento | -3.292E-14 | -7.47 |
| 267 | 267 | 179 | G1_smistamento | 8.820E-15 | -7.47 |
| 267 | 267 | 175 | G1_smistamento | 3.292E-14 | -7.47 |
| 267 | 267 | 82 | G2_smistamento | -2.782E-14 | -2.77 |
| 267 | 267 | 84 | G2_smistamento | -2.782E-14 | -2.77 |
| 267 | 267 | 179 | G2_smistamento | 1.038E-13 | -2.77 |
| 267 | 267 | 175 | G2_smistamento | 1.038E-13 | -2.77 |
| 267 | 267 | 82 | Q_smistamento | -2.782E-14 | -2.77 |
| 267 | 267 | 84 | Q_smistamento | -2.782E-14 | -2.77 |
| 267 | 267 | 179 | Q_smistamento | 1.038E-13 | -2.77 |
| 267 | 267 | 175 | Q_smistamento | 1.038E-13 | -2.77 |
| 267 | 267 | 82 | Q_neve | -3.307E-15 | 3.830E-14 |
| 267 | 267 | 84 | Q_neve | 7.934E-15 | -7.712E-14 |
| 267 | 267 | 179 | Q_neve | 4.607E-14 | -1.930E-14 |
| 267 | 267 | 175 | Q_neve | 4.908E-14 | -6.066E-14 |
| 268 | 268 | 175 | DEAD | 6.856E-14 | -6.447E-14 |
| 268 | 268 | 179 | DEAD | -2.782E-14 | -7.422E-13 |
| 268 | 268 | 180 | DEAD | 4.636E-13 | 3.305E-13 |

Table 21: Element Stresses - Area Shells, Part 3 of 3

| Area | AreaElem | Joint | OutputCase | S13Avg KN/m2 | S23Avg KN/m2 |
|------|----------|-------|----------------|-----------------|-----------------|
| 268 | 268 | 176 | DEAD | 1.038E-13 | -1.801E-14 |
| 268 | 268 | 175 | G1_smistamento | -9.738E-14 | -2.82 |
| 268 | 268 | 179 | G1_smistamento | 8.247E-14 | -2.82 |
| 268 | 268 | 180 | G1_smistamento | 3.634E-13 | -2.82 |
| 268 | 268 | 176 | G1_smistamento | 4.116E-13 | -2.82 |
| 268 | 268 | 175 | G2_smistamento | -1.323E-14 | -1.05 |
| 268 | 268 | 179 | G2_smistamento | 3.173E-14 | -1.05 |
| 268 | 268 | 180 | G2_smistamento | 1.843E-13 | -1.05 |
| 268 | 268 | 176 | G2_smistamento | 1.963E-13 | -1.05 |
| 268 | 268 | 175 | Q_smistamento | -1.323E-14 | -1.05 |
| 268 | 268 | 179 | Q_smistamento | 3.173E-14 | -1.05 |
| 268 | 268 | 180 | Q_smistamento | 1.843E-13 | -1.05 |
| 268 | 268 | 176 | Q_smistamento | 1.963E-13 | -1.05 |
| 268 | 268 | 175 | Q_neve | 5.968E-14 | 1.849E-14 |
| 268 | 268 | 179 | Q_neve | -7.763E-15 | -1.348E-13 |
| 268 | 268 | 180 | Q_neve | 2.080E-15 | -8.026E-14 |
| 268 | 268 | 176 | Q_neve | -1.599E-14 | 8.734E-14 |
| 269 | 269 | 176 | DEAD | -1.999E-13 | 4.144E-13 |
| 269 | 269 | 180 | DEAD | -2.898E-13 | 1.558E-13 |
| 269 | 269 | 181 | DEAD | 6.560E-13 | 6.119E-13 |
| 269 | 269 | 177 | DEAD | 6.319E-13 | -4.174E-14 |
| 269 | 269 | 176 | G1_smistamento | -5.110E-13 | -7.069E-13 |
| 269 | 269 | 180 | G1_smistamento | -1.642E-13 | 6.726E-13 |
| 269 | 269 | 181 | G1_smistamento | 1.727E-12 | -5.094E-13 |
| 269 | 269 | 177 | G1_smistamento | 1.152E-12 | 2.776E-13 |
| 269 | 269 | 176 | G2_smistamento | -5.174E-14 | 1.318E-13 |
| 269 | 269 | 180 | G2_smistamento | -9.670E-14 | 2.274E-13 |
| 269 | 269 | 181 | G2_smistamento | 5.078E-13 | 3.623E-13 |
| 269 | 269 | 177 | G2_smistamento | 4.958E-13 | 9.570E-14 |
| 269 | 269 | 176 | Q_smistamento | -5.174E-14 | 1.318E-13 |
| 269 | 269 | 180 | Q_smistamento | -9.670E-14 | 2.274E-13 |
| 269 | 269 | 181 | Q_smistamento | 5.078E-13 | 3.623E-13 |
| 269 | 269 | 177 | Q_smistamento | 4.958E-13 | 9.570E-14 |
| 269 | 269 | 176 | Q_neve | -3.924E-14 | 5.035E-14 |
| 269 | 269 | 180 | Q_neve | -7.296E-14 | -8.058E-15 |
| 269 | 269 | 181 | Q_neve | 6.774E-14 | 2.566E-14 |
| 269 | 269 | 177 | Q_neve | 5.871E-14 | 4.132E-14 |
| 270 | 270 | 177 | DEAD | -2.318E-13 | 4.534E-13 |

Table 21: Element Stresses - Area Shells, Part 3 of 3

| Area | AreaElem | Joint | OutputCase | S13Avg KN/m2 | S23Avg KN/m2 |
|------|----------|-------|----------------|-----------------|-----------------|
| 270 | 270 | 181 | DEAD | 5.840E-13 | -2.531E-13 |
| 270 | 270 | 182 | DEAD | -3.428E-14 | -7.329E-14 |
| 270 | 270 | 178 | DEAD | 5.182E-13 | 4.052E-13 |
| 270 | 270 | 177 | G1_smistamento | 3.728E-15 | 2.82 |
| 270 | 270 | 181 | G1_smistamento | 7.232E-13 | 2.82 |
| 270 | 270 | 182 | G1_smistamento | -1.938E-13 | 2.82 |
| 270 | 270 | 178 | G1_smistamento | -9.988E-16 | 2.82 |
| 270 | 270 | 177 | G2_smistamento | -4.496E-14 | 1.05 |
| 270 | 270 | 181 | G2_smistamento | 6.327E-13 | 1.05 |
| 270 | 270 | 182 | G2_smistamento | -1.205E-14 | 1.05 |
| 270 | 270 | 178 | G2_smistamento | 3.365E-13 | 1.05 |
| 270 | 270 | 177 | Q_smistamento | -4.496E-14 | 1.05 |
| 270 | 270 | 181 | Q_smistamento | 6.327E-13 | 1.05 |
| 270 | 270 | 182 | Q_smistamento | -1.205E-14 | 1.05 |
| 270 | 270 | 178 | Q_smistamento | 3.365E-13 | 1.05 |
| 270 | 270 | 177 | Q_neve | -1.617E-13 | 1.472E-14 |
| 270 | 270 | 181 | Q_neve | 8.564E-14 | -1.208E-13 |
| 270 | 270 | 182 | Q_neve | -7.114E-14 | -9.968E-15 |
| 270 | 270 | 178 | Q_neve | -4.876E-15 | 6.850E-14 |
| 271 | 271 | 178 | DEAD | -2.173E-14 | -7.974E-14 |
| 271 | 271 | 182 | DEAD | -1.117E-13 | -1.585E-13 |
| 271 | 271 | 122 | DEAD | -5.484E-13 | 1.178E-13 |
| 271 | 271 | 124 | DEAD | -5.725E-13 | -4.877E-13 |
| 271 | 271 | 178 | G1_smistamento | -2.674E-13 | 7.47 |
| 271 | 271 | 182 | G1_smistamento | -1.775E-13 | 7.47 |
| 271 | 271 | 122 | G1_smistamento | -5.308E-13 | 7.47 |
| 271 | 271 | 124 | G1_smistamento | -5.067E-13 | 7.47 |
| 271 | 271 | 178 | G2_smistamento | 3.728E-15 | 2.77 |
| 271 | 271 | 182 | G2_smistamento | 3.728E-15 | 2.77 |
| 271 | 271 | 122 | G2_smistamento | -1.938E-13 | 2.77 |
| 271 | 271 | 124 | G2_smistamento | -1.938E-13 | 2.77 |
| 271 | 271 | 178 | Q_smistamento | 3.728E-15 | 2.77 |
| 271 | 271 | 182 | Q_smistamento | 3.728E-15 | 2.77 |
| 271 | 271 | 122 | Q_smistamento | -1.938E-13 | 2.77 |
| 271 | 271 | 124 | Q_smistamento | -1.938E-13 | 2.77 |
| 271 | 271 | 178 | Q_neve | -1.010E-13 | 6.537E-14 |
| 271 | 271 | 182 | Q_neve | -1.010E-13 | 1.739E-15 |
| 271 | 271 | 122 | Q_neve | -1.175E-13 | -4.161E-14 |

Table 21: Element Stresses - Area Shells, Part 3 of 3

| Area | AreaElem | Joint | OutputCase | S13Avg KN/m2 | S23Avg KN/m2 |
|------|----------|-------|----------------|-----------------|-----------------|
| 271 | 271 | 124 | Q_neve | -1.175E-13 | -6.490E-15 |
| 272 | 272 | 84 | DEAD | -3.061E-13 | 2.786E-13 |
| 272 | 272 | 86 | DEAD | -4.024E-13 | -5.701E-14 |
| 272 | 272 | 183 | DEAD | 1.142E-12 | -5.056E-14 |
| 272 | 272 | 179 | DEAD | 7.825E-13 | -5.701E-14 |
| 272 | 272 | 84 | G1_smistamento | -0.32 | -7.47 |
| 272 | 272 | 86 | G1_smistamento | -0.32 | -7.48 |
| 272 | 272 | 183 | G1_smistamento | -0.33 | -7.48 |
| 272 | 272 | 179 | G1_smistamento | -0.33 | -7.47 |
| 272 | 272 | 84 | G2_smistamento | -0.12 | -2.77 |
| 272 | 272 | 86 | G2_smistamento | -0.12 | -2.77 |
| 272 | 272 | 183 | G2_smistamento | -0.12 | -2.77 |
| 272 | 272 | 179 | G2_smistamento | -0.12 | -2.77 |
| 272 | 272 | 84 | Q_smistamento | -0.12 | -2.77 |
| 272 | 272 | 86 | Q_smistamento | -0.12 | -2.77 |
| 272 | 272 | 183 | Q_smistamento | -0.12 | -2.77 |
| 272 | 272 | 179 | Q_smistamento | -0.12 | -2.77 |
| 272 | 272 | 84 | Q_neve | -1.122E-13 | 9.319E-16 |
| 272 | 272 | 86 | Q_neve | -1.122E-13 | -3.478E-15 |
| 272 | 272 | 183 | Q_neve | 1.264E-13 | -4.844E-14 |
| 272 | 272 | 179 | Q_neve | 1.264E-13 | 1.298E-14 |
| 273 | 273 | 179 | DEAD | -1.581E-13 | 2.559E-13 |
| 273 | 273 | 183 | DEAD | 5.548E-13 | 4.839E-13 |
| 273 | 273 | 184 | DEAD | 5.002E-13 | 1.242E-13 |
| 273 | 273 | 180 | DEAD | 3.574E-13 | 3.523E-13 |
| 273 | 273 | 179 | G1_smistamento | -0.34 | -2.83 |
| 273 | 273 | 183 | G1_smistamento | -0.34 | -2.83 |
| 273 | 273 | 184 | G1_smistamento | -0.34 | -2.83 |
| 273 | 273 | 180 | G1_smistamento | -0.34 | -2.83 |
| 273 | 273 | 179 | G2_smistamento | -0.12 | -1.05 |
| 273 | 273 | 183 | G2_smistamento | -0.12 | -1.05 |
| 273 | 273 | 184 | G2_smistamento | -0.13 | -1.05 |
| 273 | 273 | 180 | G2_smistamento | -0.13 | -1.05 |
| 273 | 273 | 179 | Q_smistamento | -0.12 | -1.05 |
| 273 | 273 | 183 | Q_smistamento | -0.12 | -1.05 |
| 273 | 273 | 184 | Q_smistamento | -0.13 | -1.05 |
| 273 | 273 | 180 | Q_smistamento | -0.13 | -1.05 |
| 273 | 273 | 179 | Q_neve | -1.502E-13 | -7.717E-15 |

Table 21: Element Stresses - Area Shells, Part 3 of 3

| Area | AreaElem | Joint | OutputCase | S13Avg KN/m2 | S23Avg KN/m2 |
|------|----------|-------|----------------|-----------------|-----------------|
| 273 | 273 | 183 | Q_neve | 2.965E-14 | 2.880E-14 |
| 273 | 273 | 184 | Q_neve | 8.844E-14 | 1.075E-13 |
| 273 | 273 | 180 | Q_neve | 1.366E-13 | -2.880E-14 |
| 274 | 274 | 180 | DEAD | 1.446E-13 | 4.344E-13 |
| 274 | 274 | 184 | DEAD | -3.115E-13 | -1.822E-13 |
| 274 | 274 | 185 | DEAD | 5.396E-13 | -9.229E-14 |
| 274 | 274 | 181 | DEAD | 8.347E-14 | 4.103E-13 |
| 274 | 274 | 180 | G1_smistamento | -0.34 | 5.063E-13 |
| 274 | 274 | 184 | G1_smistamento | -0.34 | 7.602E-14 |
| 274 | 274 | 185 | G1_smistamento | -0.34 | -8.104E-13 |
| 274 | 274 | 181 | G1_smistamento | -0.34 | 7.602E-14 |
| 274 | 274 | 180 | G2_smistamento | -0.13 | 1.069E-13 |
| 274 | 274 | 184 | G2_smistamento | -0.13 | -3.919E-14 |
| 274 | 274 | 185 | G2_smistamento | -0.13 | -3.539E-13 |
| 274 | 274 | 181 | G2_smistamento | -0.13 | 1.912E-13 |
| 274 | 274 | 180 | Q_smistamento | -0.13 | 1.069E-13 |
| 274 | 274 | 184 | Q_smistamento | -0.13 | -3.919E-14 |
| 274 | 274 | 185 | Q_smistamento | -0.13 | -3.539E-13 |
| 274 | 274 | 181 | Q_smistamento | -0.13 | 1.912E-13 |
| 274 | 274 | 180 | Q_neve | 1.564E-13 | 4.080E-14 |
| 274 | 274 | 184 | Q_neve | 2.155E-14 | 2.757E-14 |
| 274 | 274 | 185 | Q_neve | 9.061E-14 | -1.073E-13 |
| 274 | 274 | 181 | Q_neve | 5.447E-14 | 7.695E-14 |
| 275 | 275 | 181 | DEAD | -4.001E-13 | -3.523E-13 |
| 275 | 275 | 185 | DEAD | -4.900E-13 | -5.803E-13 |
| 275 | 275 | 186 | DEAD | 3.241E-13 | -4.839E-13 |
| 275 | 275 | 182 | DEAD | 3.000E-13 | -7.120E-13 |
| 275 | 275 | 181 | G1_smistamento | -0.34 | 2.83 |
| 275 | 275 | 185 | G1_smistamento | -0.34 | 2.83 |
| 275 | 275 | 186 | G1_smistamento | -0.34 | 2.83 |
| 275 | 275 | 182 | G1_smistamento | -0.34 | 2.83 |
| 275 | 275 | 181 | G2_smistamento | -0.13 | 1.05 |
| 275 | 275 | 185 | G2_smistamento | -0.13 | 1.05 |
| 275 | 275 | 186 | G2_smistamento | -0.12 | 1.05 |
| 275 | 275 | 182 | G2_smistamento | -0.12 | 1.05 |
| 275 | 275 | 181 | Q_smistamento | -0.13 | 1.05 |
| 275 | 275 | 185 | Q_smistamento | -0.13 | 1.05 |
| 275 | 275 | 186 | Q_smistamento | -0.12 | 1.05 |

Table 21: Element Stresses - Area Shells, Part 3 of 3

| Area | AreaElem | Joint | OutputCase | S13Avg KN/m2 | S23Avg KN/m2 |
|------|----------|-------|----------------|-----------------|-----------------|
| 275 | 275 | 182 | Q_smistamento | -0.12 | 1.05 |
| 275 | 275 | 181 | Q_neve | -9.811E-14 | -4.628E-14 |
| 275 | 275 | 185 | Q_neve | -1.077E-13 | -1.212E-13 |
| 275 | 275 | 186 | Q_neve | 1.076E-13 | -1.533E-13 |
| 275 | 275 | 182 | Q_neve | 1.885E-13 | -1.212E-13 |
| 276 | 276 | 182 | DEAD | -2.671E-13 | 2.559E-13 |
| 276 | 276 | 186 | DEAD | -2.671E-13 | -2.355E-13 |
| 276 | 276 | 120 | DEAD | 4.571E-13 | 1.242E-13 |
| 276 | 276 | 122 | DEAD | 4.571E-13 | 1.595E-13 |
| 276 | 276 | 182 | G1_smistamento | -0.33 | 7.47 |
| 276 | 276 | 186 | G1_smistamento | -0.33 | 7.48 |
| 276 | 276 | 120 | G1_smistamento | -0.32 | 7.48 |
| 276 | 276 | 122 | G1_smistamento | -0.32 | 7.47 |
| 276 | 276 | 182 | G2_smistamento | -0.12 | 2.77 |
| 276 | 276 | 186 | G2_smistamento | -0.12 | 2.77 |
| 276 | 276 | 120 | G2_smistamento | -0.12 | 2.77 |
| 276 | 276 | 122 | G2_smistamento | -0.12 | 2.77 |
| 276 | 276 | 182 | Q_smistamento | -0.12 | 2.77 |
| 276 | 276 | 186 | Q_smistamento | -0.12 | 2.77 |
| 276 | 276 | 120 | Q_smistamento | -0.12 | 2.77 |
| 276 | 276 | 122 | Q_smistamento | -0.12 | 2.77 |
| 276 | 276 | 182 | Q_neve | 2.872E-14 | 6.919E-14 |
| 276 | 276 | 186 | Q_neve | 2.872E-14 | -1.251E-14 |
| 276 | 276 | 120 | Q_neve | 1.851E-13 | 1.158E-14 |
| 276 | 276 | 122 | Q_neve | 1.851E-13 | -2.074E-14 |
| 277 | 277 | 86 | DEAD | -2.077E-13 | -1.900E-13 |
| 277 | 277 | 88 | DEAD | 7.045E-13 | -2.735E-13 |
| 277 | 277 | 187 | DEAD | 5.565E-14 | -1.900E-13 |
| 277 | 277 | 183 | DEAD | 9.678E-13 | 1.215E-13 |
| 277 | 277 | 86 | G1_smistamento | -0.68 | -7.49 |
| 277 | 277 | 88 | G1_smistamento | -0.68 | -7.51 |
| 277 | 277 | 187 | G1_smistamento | -0.7 | -7.51 |
| 277 | 277 | 183 | G1_smistamento | -0.7 | -7.49 |
| 277 | 277 | 86 | G2_smistamento | -0.25 | -2.78 |
| 277 | 277 | 88 | G2_smistamento | -0.25 | -2.78 |
| 277 | 277 | 187 | G2_smistamento | -0.26 | -2.78 |
| 277 | 277 | 183 | G2_smistamento | -0.26 | -2.78 |
| 277 | 277 | 86 | Q_smistamento | -0.25 | -2.78 |

Table 21: Element Stresses - Area Shells, Part 3 of 3

| Area | AreaElem | Joint | OutputCase | S13Avg KN/m2 | S23Avg KN/m2 |
|------|----------|-------|----------------|-----------------|-----------------|
| 277 | 277 | 88 | Q_smistamento | -0.25 | -2.78 |
| 277 | 277 | 187 | Q_smistamento | -0.26 | -2.78 |
| 277 | 277 | 183 | Q_smistamento | -0.26 | -2.78 |
| 277 | 277 | 86 | Q_neve | -1.116E-13 | -2.091E-14 |
| 277 | 277 | 88 | Q_neve | 1.357E-13 | 1.222E-14 |
| 277 | 277 | 187 | Q_neve | 1.183E-14 | -4.560E-14 |
| 277 | 277 | 183 | Q_neve | 7.810E-14 | 7.805E-14 |
| 278 | 278 | 183 | DEAD | 4.992E-13 | 3.787E-13 |
| 278 | 278 | 187 | DEAD | -1.432E-13 | -2.379E-13 |
| 278 | 278 | 188 | DEAD | 5.650E-13 | 1.154E-13 |
| 278 | 278 | 184 | DEAD | -2.749E-13 | 6.180E-13 |
| 278 | 278 | 183 | G1_smistamento | -0.71 | -2.84 |
| 278 | 278 | 187 | G1_smistamento | -0.71 | -2.85 |
| 278 | 278 | 188 | G1_smistamento | -0.73 | -2.85 |
| 278 | 278 | 184 | G1_smistamento | -0.73 | -2.84 |
| 278 | 278 | 183 | G2_smistamento | -0.26 | -1.05 |
| 278 | 278 | 187 | G2_smistamento | -0.26 | -1.06 |
| 278 | 278 | 188 | G2_smistamento | -0.27 | -1.06 |
| 278 | 278 | 184 | G2_smistamento | -0.27 | -1.05 |
| 278 | 278 | 183 | Q_smistamento | -0.26 | -1.05 |
| 278 | 278 | 187 | Q_smistamento | -0.26 | -1.06 |
| 278 | 278 | 188 | Q_smistamento | -0.27 | -1.06 |
| 278 | 278 | 184 | Q_smistamento | -0.27 | -1.05 |
| 278 | 278 | 183 | Q_neve | -1.374E-14 | 1.455E-14 |
| 278 | 278 | 187 | Q_neve | -7.156E-14 | 5.973E-14 |
| 278 | 278 | 188 | Q_neve | 8.501E-14 | -4.305E-14 |
| 278 | 278 | 184 | Q_neve | -1.396E-14 | 1.256E-13 |
| 279 | 279 | 184 | DEAD | 1.479E-13 | 8.757E-14 |
| 279 | 279 | 188 | DEAD | 8.867E-13 | 5.854E-13 |
| 279 | 279 | 189 | DEAD | -6.420E-13 | 4.826E-13 |
| 279 | 279 | 185 | DEAD | 5.576E-13 | 7.829E-13 |
| 279 | 279 | 184 | G1_smistamento | -0.73 | -1.595E-13 |
| 279 | 279 | 188 | G1_smistamento | -0.73 | 9.808E-13 |
| 279 | 279 | 189 | G1_smistamento | -0.73 | 2.355E-13 |
| 279 | 279 | 185 | G1_smistamento | -0.73 | 1.376E-12 |
| 279 | 279 | 184 | G2_smistamento | -0.27 | -6.274E-15 |
| 279 | 279 | 188 | G2_smistamento | -0.27 | 4.795E-13 |
| 279 | 279 | 189 | G2_smistamento | -0.27 | 1.583E-13 |

Table 21: Element Stresses - Area Shells, Part 3 of 3

| Area | AreaElem | Joint | OutputCase | S13Avg KN/m2 | S23Avg KN/m2 |
|------|----------|-------|----------------|-----------------|-----------------|
| 279 | 279 | 185 | G2_smistamento | -0.27 | 4.137E-13 |
| 279 | 279 | 184 | Q_smistamento | -0.27 | -6.274E-15 |
| 279 | 279 | 188 | Q_smistamento | -0.27 | 4.795E-13 |
| 279 | 279 | 189 | Q_smistamento | -0.27 | 1.583E-13 |
| 279 | 279 | 185 | Q_smistamento | -0.27 | 4.137E-13 |
| 279 | 279 | 184 | Q_neve | 3.953E-14 | 6.698E-14 |
| 279 | 279 | 188 | Q_neve | 8.934E-14 | 1.097E-13 |
| 279 | 279 | 189 | Q_neve | -1.250E-13 | 4.229E-14 |
| 279 | 279 | 185 | Q_neve | 1.387E-13 | 8.505E-14 |
| 280 | 280 | 185 | DEAD | 2.912E-13 | -6.651E-13 |
| 280 | 280 | 189 | DEAD | 3.875E-13 | -3.954E-13 |
| 280 | 280 | 190 | DEAD | -3.672E-13 | -6.651E-13 |
| 280 | 280 | 186 | DEAD | -7.455E-15 | -5.929E-13 |
| 280 | 280 | 185 | G1_smistamento | -0.73 | 2.84 |
| 280 | 280 | 189 | G1_smistamento | -0.73 | 2.85 |
| 280 | 280 | 190 | G1_smistamento | -0.71 | 2.85 |
| 280 | 280 | 186 | G1_smistamento | -0.71 | 2.84 |
| 280 | 280 | 185 | G2_smistamento | -0.27 | 1.05 |
| 280 | 280 | 189 | G2_smistamento | -0.27 | 1.06 |
| 280 | 280 | 190 | G2_smistamento | -0.26 | 1.06 |
| 280 | 280 | 186 | G2_smistamento | -0.26 | 1.05 |
| 280 | 280 | 185 | Q_smistamento | -0.27 | 1.05 |
| 280 | 280 | 189 | Q_smistamento | -0.27 | 1.06 |
| 280 | 280 | 190 | Q_smistamento | -0.26 | 1.06 |
| 280 | 280 | 186 | Q_smistamento | -0.26 | 1.05 |
| 280 | 280 | 185 | Q_neve | 6.583E-14 | -1.600E-13 |
| 280 | 280 | 189 | Q_neve | 0. | -8.400E-15 |
| 280 | 280 | 190 | Q_neve | -6.583E-14 | -2.011E-13 |
| 280 | 280 | 186 | Q_neve | 0. | -2.486E-14 |
| 281 | 281 | 186 | DEAD | -5.114E-13 | -3.664E-14 |
| 281 | 281 | 190 | DEAD | -3.380E-13 | 1.368E-13 |
| 281 | 281 | 118 | DEAD | 7.394E-13 | 2.267E-13 |
| 281 | 281 | 120 | DEAD | 4.520E-13 | -6.074E-14 |
| 281 | 281 | 186 | G1_smistamento | -0.7 | 7.49 |
| 281 | 281 | 190 | G1_smistamento | -0.7 | 7.51 |
| 281 | 281 | 118 | G1_smistamento | -0.68 | 7.51 |
| 281 | 281 | 120 | G1_smistamento | -0.68 | 7.49 |
| 281 | 281 | 186 | G2_smistamento | -0.26 | 2.78 |

Table 21: Element Stresses - Area Shells, Part 3 of 3

| Area | AreaElem | Joint | OutputCase | S13Avg KN/m2 | S23Avg KN/m2 |
|------|----------|-------|----------------|-----------------|-----------------|
| 281 | 281 | 190 | G2_smistamento | -0.26 | 2.78 |
| 281 | 281 | 118 | G2_smistamento | -0.25 | 2.78 |
| 281 | 281 | 120 | G2_smistamento | -0.25 | 2.78 |
| 281 | 281 | 186 | Q_smistamento | -0.26 | 2.78 |
| 281 | 281 | 190 | Q_smistamento | -0.26 | 2.78 |
| 281 | 281 | 118 | Q_smistamento | -0.25 | 2.78 |
| 281 | 281 | 120 | Q_smistamento | -0.25 | 2.78 |
| 281 | 281 | 186 | Q_neve | -4.284E-14 | 8.552E-14 |
| 281 | 281 | 190 | Q_neve | -1.472E-13 | -7.347E-14 |
| 281 | 281 | 118 | Q_neve | 1.711E-13 | 8.552E-14 |
| 281 | 281 | 120 | Q_neve | -2.380E-14 | -4.055E-14 |
| 282 | 282 | 88 | DEAD | -3.064E-13 | -7.982E-13 |
| 282 | 282 | 90 | DEAD | -3.129E-13 | -4.255E-13 |
| 282 | 282 | 191 | DEAD | 1.544E-13 | -7.982E-13 |
| 282 | 282 | 187 | DEAD | -1.812E-13 | -3.055E-14 |
| 282 | 282 | 88 | G1_smistamento | -1.06 | -7.52 |
| 282 | 282 | 90 | G1_smistamento | -1.06 | -7.54 |
| 282 | 282 | 191 | G1_smistamento | -1.11 | -7.54 |
| 282 | 282 | 187 | G1_smistamento | -1.11 | -7.52 |
| 282 | 282 | 88 | G2_smistamento | -0.39 | -2.79 |
| 282 | 282 | 90 | G2_smistamento | -0.39 | -2.8 |
| 282 | 282 | 191 | G2_smistamento | -0.41 | -2.8 |
| 282 | 282 | 187 | G2_smistamento | -0.41 | -2.79 |
| 282 | 282 | 88 | Q_smistamento | -0.39 | -2.79 |
| 282 | 282 | 90 | Q_smistamento | -0.39 | -2.8 |
| 282 | 282 | 191 | Q_smistamento | -0.41 | -2.8 |
| 282 | 282 | 187 | Q_smistamento | -0.41 | -2.79 |
| 282 | 282 | 88 | Q_neve | -6.693E-14 | -1.706E-13 |
| 282 | 282 | 90 | Q_neve | -1.231E-13 | 3.118E-14 |
| 282 | 282 | 191 | Q_neve | 8.119E-14 | -1.953E-13 |
| 282 | 282 | 187 | Q_neve | 6.613E-14 | -2.643E-14 |
| 283 | 283 | 187 | DEAD | 3.824E-13 | 1.255E-14 |
| 283 | 283 | 191 | DEAD | 2.925E-13 | 6.726E-13 |
| 283 | 283 | 192 | DEAD | -7.838E-14 | -3.166E-13 |
| 283 | 283 | 188 | DEAD | -1.025E-13 | 2.776E-13 |
| 283 | 283 | 187 | G1_smistamento | -1.11 | -2.86 |
| 283 | 283 | 191 | G1_smistamento | -1.11 | -2.88 |
| 283 | 283 | 192 | G1_smistamento | -1.15 | -2.88 |

Table 21: Element Stresses - Area Shells, Part 3 of 3

| Area | AreaElem | Joint | OutputCase | S13Avg KN/m2 | S23Avg KN/m2 |
|------|----------|-------|----------------|-----------------|-----------------|
| 283 | 283 | 188 | G1_smistamento | -1.15 | -2.86 |
| 283 | 283 | 187 | G2_smistamento | -0.41 | -1.06 |
| 283 | 283 | 191 | G2_smistamento | -0.41 | -1.07 |
| 283 | 283 | 192 | G2_smistamento | -0.43 | -1.07 |
| 283 | 283 | 188 | G2_smistamento | -0.43 | -1.06 |
| 283 | 283 | 187 | Q_smistamento | -0.41 | -1.06 |
| 283 | 283 | 191 | Q_smistamento | -0.41 | -1.07 |
| 283 | 283 | 192 | Q_smistamento | -0.43 | -1.07 |
| 283 | 283 | 188 | Q_smistamento | -0.43 | -1.06 |
| 283 | 283 | 187 | Q_neve | 7.864E-14 | 6.265E-14 |
| 283 | 283 | 191 | Q_neve | 1.365E-13 | 1.259E-13 |
| 283 | 283 | 192 | Q_neve | -1.024E-13 | -1.102E-13 |
| 283 | 283 | 188 | Q_neve | -3.432E-15 | 1.259E-13 |
| 284 | 284 | 188 | DEAD | 7.838E-14 | 6.244E-13 |
| 284 | 284 | 192 | DEAD | -4.676E-13 | -1.720E-13 |
| 284 | 284 | 193 | DEAD | -3.824E-13 | 9.775E-14 |
| 284 | 284 | 189 | DEAD | -8.626E-13 | 5.521E-13 |
| 284 | 284 | 188 | G1_smistamento | -1.15 | 1.101E-12 |
| 284 | 284 | 192 | G1_smistamento | -1.15 | -7.042E-13 |
| 284 | 284 | 193 | G1_smistamento | -1.15 | 8.375E-13 |
| 284 | 284 | 189 | G1_smistamento | -1.15 | 2.000E-14 |
| 284 | 284 | 188 | G2_smistamento | -0.43 | 5.542E-13 |
| 284 | 284 | 192 | G2_smistamento | -0.43 | -1.379E-13 |
| 284 | 284 | 193 | G2_smistamento | -0.43 | 2.250E-13 |
| 284 | 284 | 189 | G2_smistamento | -0.43 | 2.900E-13 |
| 284 | 284 | 188 | Q_smistamento | -0.43 | 5.542E-13 |
| 284 | 284 | 192 | Q_smistamento | -0.43 | -1.379E-13 |
| 284 | 284 | 193 | Q_smistamento | -0.43 | 2.250E-13 |
| 284 | 284 | 189 | Q_smistamento | -0.43 | 2.900E-13 |
| 284 | 284 | 188 | Q_neve | -4.878E-14 | 1.482E-13 |
| 284 | 284 | 192 | Q_neve | -1.162E-13 | -1.340E-14 |
| 284 | 284 | 193 | Q_neve | -6.524E-14 | -2.464E-14 |
| 284 | 284 | 189 | Q_neve | -8.331E-14 | 1.512E-13 |
| 285 | 285 | 189 | DEAD | 1.130E-13 | 1.422E-13 |
| 285 | 285 | 193 | DEAD | -4.395E-13 | 4.520E-13 |
| 285 | 285 | 194 | DEAD | 8.372E-13 | 9.980E-13 |
| 285 | 285 | 190 | DEAD | 2.137E-14 | -3.380E-13 |
| 285 | 285 | 189 | G1_smistamento | -1.15 | 2.86 |

Table 21: Element Stresses - Area Shells, Part 3 of 3

| Area | AreaElem | Joint | OutputCase | S13Avg KN/m2 | S23Avg KN/m2 |
|------|----------|-------|----------------|-----------------|-----------------|
| 285 | 285 | 193 | G1_smistamento | -1.15 | 2.88 |
| 285 | 285 | 194 | G1_smistamento | -1.11 | 2.88 |
| 285 | 285 | 190 | G1_smistamento | -1.11 | 2.86 |
| 285 | 285 | 189 | G2_smistamento | -0.43 | 1.06 |
| 285 | 285 | 193 | G2_smistamento | -0.43 | 1.07 |
| 285 | 285 | 194 | G2_smistamento | -0.41 | 1.07 |
| 285 | 285 | 190 | G2_smistamento | -0.41 | 1.06 |
| 285 | 285 | 189 | Q_smistamento | -0.43 | 1.06 |
| 285 | 285 | 193 | Q_smistamento | -0.43 | 1.07 |
| 285 | 285 | 194 | Q_smistamento | -0.41 | 1.07 |
| 285 | 285 | 190 | Q_smistamento | -0.41 | 1.06 |
| 285 | 285 | 189 | Q_neve | 4.425E-14 | 6.749E-14 |
| 285 | 285 | 193 | Q_neve | -1.388E-13 | 1.078E-13 |
| 285 | 285 | 194 | Q_neve | 2.171E-13 | 1.416E-13 |
| 285 | 285 | 190 | Q_neve | 1.057E-15 | 5.846E-14 |
| 286 | 286 | 190 | DEAD | 6.457E-15 | -2.141E-13 |
| 286 | 286 | 194 | DEAD | 1.863E-13 | -6.397E-13 |
| 286 | 286 | 116 | DEAD | 3.356E-13 | -2.800E-13 |
| 286 | 286 | 118 | DEAD | 3.838E-13 | -3.105E-13 |
| 286 | 286 | 190 | G1_smistamento | -1.11 | 7.52 |
| 286 | 286 | 194 | G1_smistamento | -1.11 | 7.54 |
| 286 | 286 | 116 | G1_smistamento | -1.06 | 7.54 |
| 286 | 286 | 118 | G1_smistamento | -1.06 | 7.52 |
| 286 | 286 | 190 | G2_smistamento | -0.41 | 2.79 |
| 286 | 286 | 194 | G2_smistamento | -0.41 | 2.8 |
| 286 | 286 | 116 | G2_smistamento | -0.39 | 2.8 |
| 286 | 286 | 118 | G2_smistamento | -0.39 | 2.79 |
| 286 | 286 | 190 | Q_smistamento | -0.41 | 2.79 |
| 286 | 286 | 194 | Q_smistamento | -0.41 | 2.8 |
| 286 | 286 | 116 | Q_smistamento | -0.39 | 2.8 |
| 286 | 286 | 118 | Q_smistamento | -0.39 | 2.79 |
| 286 | 286 | 190 | Q_neve | -7.724E-14 | -2.265E-14 |
| 286 | 286 | 194 | Q_neve | 3.058E-15 | -2.948E-14 |
| 286 | 286 | 116 | Q_neve | 2.973E-14 | -3.911E-14 |
| 286 | 286 | 118 | Q_neve | 1.347E-13 | -1.035E-13 |
| 287 | 287 | 90 | DEAD | -2.318E-13 | -2.155E-13 |
| 287 | 287 | 92 | DEAD | -3.282E-13 | -6.346E-13 |
| 287 | 287 | 195 | DEAD | -3.428E-14 | -5.447E-13 |

Table 21: Element Stresses - Area Shells, Part 3 of 3

| Area | AreaElem | Joint | OutputCase | S13Avg KN/m2 | S23Avg KN/m2 |
|------|----------|-------|----------------|-----------------|-----------------|
| 287 | 287 | 191 | DEAD | -3.940E-13 | -2.396E-13 |
| 287 | 287 | 90 | G1_smistamento | -1.39 | -7.57 |
| 287 | 287 | 92 | G1_smistamento | -1.39 | -7.57 |
| 287 | 287 | 195 | G1_smistamento | -1.47 | -7.57 |
| 287 | 287 | 191 | G1_smistamento | -1.47 | -7.57 |
| 287 | 287 | 90 | G2_smistamento | -0.51 | -2.81 |
| 287 | 287 | 92 | G2_smistamento | -0.51 | -2.81 |
| 287 | 287 | 195 | G2_smistamento | -0.54 | -2.81 |
| 287 | 287 | 191 | G2_smistamento | -0.54 | -2.81 |
| 287 | 287 | 90 | Q_smistamento | -0.51 | -2.81 |
| 287 | 287 | 92 | Q_smistamento | -0.51 | -2.81 |
| 287 | 287 | 195 | Q_smistamento | -0.54 | -2.81 |
| 287 | 287 | 191 | Q_smistamento | -0.54 | -2.81 |
| 287 | 287 | 90 | Q_neve | -2.787E-14 | -1.318E-13 |
| 287 | 287 | 92 | Q_neve | -4.072E-14 | 3.411E-16 |
| 287 | 287 | 195 | Q_neve | -1.964E-14 | -1.153E-13 |
| 287 | 287 | 191 | Q_neve | -1.066E-13 | 6.617E-14 |
| 288 | 288 | 191 | DEAD | 1.103E-13 | 1.466E-12 |
| 288 | 288 | 195 | DEAD | -1.659E-13 | 9.266E-14 |
| 288 | 288 | 196 | DEAD | 3.078E-13 | 1.005E-12 |
| 288 | 288 | 192 | DEAD | -1.001E-13 | 5.535E-13 |
| 288 | 288 | 191 | G1_smistamento | -1.46 | -2.89 |
| 288 | 288 | 195 | G1_smistamento | -1.46 | -2.89 |
| 288 | 288 | 196 | G1_smistamento | -1.52 | -2.89 |
| 288 | 288 | 192 | G1_smistamento | -1.52 | -2.89 |
| 288 | 288 | 191 | G2_smistamento | -0.54 | -1.07 |
| 288 | 288 | 195 | G2_smistamento | -0.54 | -1.07 |
| 288 | 288 | 196 | G2_smistamento | -0.56 | -1.07 |
| 288 | 288 | 192 | G2_smistamento | -0.56 | -1.07 |
| 288 | 288 | 191 | Q_smistamento | -0.54 | -1.07 |
| 288 | 288 | 195 | Q_smistamento | -0.54 | -1.07 |
| 288 | 288 | 196 | Q_smistamento | -0.56 | -1.07 |
| 288 | 288 | 192 | Q_smistamento | -0.56 | -1.07 |
| 288 | 288 | 191 | Q_neve | -7.313E-14 | 2.493E-13 |
| 288 | 288 | 195 | Q_neve | -9.561E-14 | 3.487E-14 |
| 288 | 288 | 196 | Q_neve | 2.562E-14 | 2.163E-13 |
| 288 | 288 | 192 | Q_neve | 1.959E-14 | 1.172E-13 |
| 289 | 289 | 192 | DEAD | 2.888E-13 | -2.002E-13 |

Table 21: Element Stresses - Area Shells, Part 3 of 3

| Area | AreaElem | Joint | OutputCase | S13Avg KN/m2 | S23Avg KN/m2 |
|------|----------|-------|----------------|-----------------|-----------------|
| 289 | 289 | 196 | DEAD | 1.154E-13 | -4.988E-13 |
| 289 | 289 | 197 | DEAD | 9.129E-14 | -3.319E-13 |
| 289 | 289 | 193 | DEAD | 3.787E-13 | 4.228E-13 |
| 289 | 289 | 192 | G1_smistamento | -1.52 | -2.772E-13 |
| 289 | 289 | 196 | G1_smistamento | -1.52 | -9.308E-13 |
| 289 | 289 | 197 | G1_smistamento | -1.52 | 3.152E-13 |
| 289 | 289 | 193 | G1_smistamento | -1.52 | 5.665E-14 |
| 289 | 289 | 192 | G2_smistamento | -0.56 | 1.386E-13 |
| 289 | 289 | 196 | G2_smistamento | -0.56 | -2.893E-13 |
| 289 | 289 | 197 | G2_smistamento | -0.56 | -1.576E-13 |
| 289 | 289 | 193 | G2_smistamento | -0.56 | 2.703E-13 |
| 289 | 289 | 192 | Q_smistamento | -0.56 | 1.386E-13 |
| 289 | 289 | 196 | Q_smistamento | -0.56 | -2.893E-13 |
| 289 | 289 | 197 | Q_smistamento | -0.56 | -1.576E-13 |
| 289 | 289 | 193 | Q_smistamento | -0.56 | 2.703E-13 |
| 289 | 289 | 192 | Q_neve | 1.930E-14 | 3.639E-14 |
| 289 | 289 | 196 | Q_neve | 7.712E-14 | -2.017E-13 |
| 289 | 289 | 197 | Q_neve | -3.830E-14 | -4.590E-14 |
| 289 | 289 | 193 | Q_neve | 6.066E-14 | 7.813E-14 |
| 290 | 290 | 193 | DEAD | -1.789E-13 | 4.598E-13 |
| 290 | 290 | 197 | DEAD | 2.643E-13 | -5.406E-13 |
| 290 | 290 | 198 | DEAD | -7.713E-13 | 2.623E-13 |
| 290 | 290 | 194 | DEAD | -9.865E-13 | 5.786E-13 |
| 290 | 290 | 193 | G1_smistamento | -1.52 | 2.89 |
| 290 | 290 | 197 | G1_smistamento | -1.52 | 2.89 |
| 290 | 290 | 198 | G1_smistamento | -1.46 | 2.89 |
| 290 | 290 | 194 | G1_smistamento | -1.46 | 2.89 |
| 290 | 290 | 193 | G2_smistamento | -0.56 | 1.07 |
| 290 | 290 | 197 | G2_smistamento | -0.56 | 1.07 |
| 290 | 290 | 198 | G2_smistamento | -0.54 | 1.07 |
| 290 | 290 | 194 | G2_smistamento | -0.54 | 1.07 |
| 290 | 290 | 193 | Q_smistamento | -0.56 | 1.07 |
| 290 | 290 | 197 | Q_smistamento | -0.56 | 1.07 |
| 290 | 290 | 198 | Q_smistamento | -0.54 | 1.07 |
| 290 | 290 | 194 | Q_smistamento | -0.54 | 1.07 |
| 290 | 290 | 193 | Q_neve | -1.132E-13 | 6.384E-14 |
| 290 | 290 | 197 | Q_neve | -2.490E-14 | -5.841E-14 |
| 290 | 290 | 198 | Q_neve | -7.207E-14 | 1.214E-13 |

Table 21: Element Stresses - Area Shells, Part 3 of 3

| Area | AreaElem | Joint | OutputCase | S13Avg KN/m2 | S23Avg KN/m2 |
|------|----------|-------|----------------|-----------------|-----------------|
| 290 | 290 | 194 | Q_neve | -1.319E-13 | 1.565E-14 |
| 291 | 291 | 194 | DEAD | -6.407E-13 | -3.824E-13 |
| 291 | 291 | 198 | DEAD | -1.206E-12 | -4.676E-13 |
| 291 | 291 | 114 | DEAD | 4.126E-13 | 7.838E-14 |
| 291 | 291 | 116 | DEAD | -1.074E-12 | -8.626E-13 |
| 291 | 291 | 194 | G1_smistamento | -1.47 | 7.57 |
| 291 | 291 | 198 | G1_smistamento | -1.47 | 7.57 |
| 291 | 291 | 114 | G1_smistamento | -1.39 | 7.57 |
| 291 | 291 | 116 | G1_smistamento | -1.39 | 7.57 |
| 291 | 291 | 194 | G2_smistamento | -0.54 | 2.81 |
| 291 | 291 | 198 | G2_smistamento | -0.54 | 2.81 |
| 291 | 291 | 114 | G2_smistamento | -0.51 | 2.81 |
| 291 | 291 | 116 | G2_smistamento | -0.51 | 2.81 |
| 291 | 291 | 194 | Q_smistamento | -0.54 | 2.81 |
| 291 | 291 | 198 | Q_smistamento | -0.54 | 2.81 |
| 291 | 291 | 114 | Q_smistamento | -0.51 | 2.81 |
| 291 | 291 | 116 | Q_smistamento | -0.51 | 2.81 |
| 291 | 291 | 194 | Q_neve | -1.949E-13 | 1.854E-14 |
| 291 | 291 | 198 | Q_neve | -1.194E-13 | -6.919E-14 |
| 291 | 291 | 114 | Q_neve | 1.908E-14 | 4.323E-14 |
| 291 | 291 | 116 | Q_neve | -1.276E-13 | -1.158E-14 |
| 292 | 292 | 92 | DEAD | -5.348E-13 | 2.141E-13 |
| 292 | 292 | 94 | DEAD | 3.055E-14 | -2.725E-13 |
| 292 | 292 | 199 | DEAD | -1.062E-12 | 2.800E-13 |
| 292 | 292 | 195 | DEAD | 4.255E-13 | -6.017E-13 |
| 292 | 292 | 92 | G1_smistamento | -1.44 | -7.62 |
| 292 | 292 | 94 | G1_smistamento | -1.44 | -7.55 |
| 292 | 292 | 199 | G1_smistamento | -1.56 | -7.55 |
| 292 | 292 | 195 | G1_smistamento | -1.56 | -7.62 |
| 292 | 292 | 92 | G2_smistamento | -0.54 | -2.82 |
| 292 | 292 | 94 | G2_smistamento | -0.54 | -2.8 |
| 292 | 292 | 199 | G2_smistamento | -0.58 | -2.8 |
| 292 | 292 | 195 | G2_smistamento | -0.58 | -2.82 |
| 292 | 292 | 92 | Q_smistamento | -0.54 | -2.82 |
| 292 | 292 | 94 | Q_smistamento | -0.54 | -2.8 |
| 292 | 292 | 199 | Q_smistamento | -0.58 | -2.8 |
| 292 | 292 | 195 | Q_smistamento | -0.58 | -2.82 |
| 292 | 292 | 92 | Q_neve | -3.347E-14 | 9.776E-16 |

Table 21: Element Stresses - Area Shells, Part 3 of 3

| Area | AreaElem | Joint | OutputCase | S13Avg KN/m2 | S23Avg KN/m2 |
|------|----------|-------|----------------|-----------------|-----------------|
| 292 | 292 | 94 | Q_neve | 3.720E-14 | -3.649E-15 |
| 292 | 292 | 199 | Q_neve | -1.898E-13 | 7.504E-14 |
| 292 | 292 | 195 | Q_neve | -3.944E-15 | -2.011E-14 |
| 293 | 293 | 195 | DEAD | -3.133E-13 | 2.939E-13 |
| 293 | 293 | 199 | DEAD | 3.098E-13 | 7.875E-14 |
| 293 | 293 | 200 | DEAD | -1.169E-12 | 1.622E-13 |
| 293 | 293 | 196 | DEAD | -1.336E-12 | 6.054E-13 |
| 293 | 293 | 195 | G1_smistamento | -1.52 | -2.92 |
| 293 | 293 | 199 | G1_smistamento | -1.52 | -2.85 |
| 293 | 293 | 200 | G1_smistamento | -1.61 | -2.85 |
| 293 | 293 | 196 | G1_smistamento | -1.61 | -2.92 |
| 293 | 293 | 195 | G2_smistamento | -0.56 | -1.08 |
| 293 | 293 | 199 | G2_smistamento | -0.56 | -1.06 |
| 293 | 293 | 200 | G2_smistamento | -0.6 | -1.06 |
| 293 | 293 | 196 | G2_smistamento | -0.6 | -1.08 |
| 293 | 293 | 195 | Q_smistamento | -0.56 | -1.08 |
| 293 | 293 | 199 | Q_smistamento | -0.56 | -1.06 |
| 293 | 293 | 200 | Q_smistamento | -0.6 | -1.06 |
| 293 | 293 | 196 | Q_smistamento | -0.6 | -1.08 |
| 293 | 293 | 195 | Q_neve | -8.921E-14 | 1.395E-13 |
| 293 | 293 | 199 | Q_neve | 2.158E-14 | -4.678E-14 |
| 293 | 293 | 200 | Q_neve | -2.291E-13 | 7.809E-15 |
| 293 | 293 | 196 | Q_neve | -2.829E-13 | 2.083E-13 |
| 294 | 294 | 196 | DEAD | -1.391E-12 | -7.602E-14 |
| 294 | 294 | 200 | DEAD | -1.198E-12 | -3.652E-13 |
| 294 | 294 | 201 | DEAD | -2.057E-13 | -7.602E-14 |
| 294 | 294 | 197 | DEAD | 5.137E-13 | -1.155E-12 |
| 294 | 294 | 196 | G1_smistamento | -1.59 | 4.646E-14 |
| 294 | 294 | 200 | G1_smistamento | -1.59 | -1.086E-12 |
| 294 | 294 | 201 | G1_smistamento | -1.59 | -1.073E-12 |
| 294 | 294 | 197 | G1_smistamento | -1.59 | -6.248E-13 |
| 294 | 294 | 196 | G2_smistamento | -0.59 | -1.590E-13 |
| 294 | 294 | 200 | G2_smistamento | -0.59 | -2.225E-13 |
| 294 | 294 | 201 | G2_smistamento | -0.59 | -1.261E-13 |
| 294 | 294 | 197 | G2_smistamento | -0.59 | -5.187E-13 |
| 294 | 294 | 196 | Q_smistamento | -0.59 | -1.590E-13 |
| 294 | 294 | 200 | Q_smistamento | -0.59 | -2.225E-13 |
| 294 | 294 | 201 | Q_smistamento | -0.59 | -1.261E-13 |

Table 21: Element Stresses - Area Shells, Part 3 of 3

| Area | AreaElem | Joint | OutputCase | S13Avg KN/m2 | S23Avg KN/m2 |
|------|----------|-------|----------------|-----------------|-----------------|
| 294 | 294 | 197 | Q_smistamento | -0.59 | -5.187E-13 |
| 294 | 294 | 196 | Q_neve | -2.526E-13 | -1.137E-13 |
| 294 | 294 | 200 | Q_neve | -2.285E-13 | -4.947E-14 |
| 294 | 294 | 201 | Q_neve | 4.360E-14 | -4.785E-14 |
| 294 | 294 | 197 | Q_neve | 1.335E-13 | -1.976E-13 |
| 295 | 295 | 197 | DEAD | 2.504E-13 | -4.608E-13 |
| 295 | 295 | 201 | DEAD | 3.468E-13 | 2.810E-13 |
| 295 | 295 | 202 | DEAD | -9.346E-13 | 4.608E-13 |
| 295 | 295 | 198 | DEAD | -5.749E-13 | -5.090E-13 |
| 295 | 295 | 197 | G1_smistamento | -1.61 | 2.92 |
| 295 | 295 | 201 | G1_smistamento | -1.61 | 2.85 |
| 295 | 295 | 202 | G1_smistamento | -1.52 | 2.85 |
| 295 | 295 | 198 | G1_smistamento | -1.52 | 2.92 |
| 295 | 295 | 197 | G2_smistamento | -0.6 | 1.08 |
| 295 | 295 | 201 | G2_smistamento | -0.6 | 1.06 |
| 295 | 295 | 202 | G2_smistamento | -0.56 | 1.06 |
| 295 | 295 | 198 | G2_smistamento | -0.56 | 1.08 |
| 295 | 295 | 197 | Q_smistamento | -0.6 | 1.08 |
| 295 | 295 | 201 | Q_smistamento | -0.6 | 1.06 |
| 295 | 295 | 202 | Q_smistamento | -0.56 | 1.06 |
| 295 | 295 | 198 | Q_smistamento | -0.56 | 1.08 |
| 295 | 295 | 197 | Q_neve | 1.480E-14 | -8.386E-14 |
| 295 | 295 | 201 | Q_neve | 5.014E-14 | 6.728E-14 |
| 295 | 295 | 202 | Q_neve | -2.238E-13 | 1.219E-13 |
| 295 | 295 | 198 | Q_neve | -1.309E-13 | -1.501E-14 |
| 296 | 296 | 198 | DEAD | -4.826E-13 | -5.428E-14 |
| 296 | 296 | 202 | DEAD | -8.487E-13 | 6.587E-13 |
| 296 | 296 | 112 | DEAD | -8.757E-14 | 4.724E-13 |
| 296 | 296 | 114 | DEAD | -5.196E-13 | 3.295E-13 |
| 296 | 296 | 198 | G1_smistamento | -1.56 | 7.62 |
| 296 | 296 | 202 | G1_smistamento | -1.56 | 7.55 |
| 296 | 296 | 112 | G1_smistamento | -1.44 | 7.55 |
| 296 | 296 | 114 | G1_smistamento | -1.44 | 7.62 |
| 296 | 296 | 198 | G2_smistamento | -0.58 | 2.82 |
| 296 | 296 | 202 | G2_smistamento | -0.58 | 2.8 |
| 296 | 296 | 112 | G2_smistamento | -0.54 | 2.8 |
| 296 | 296 | 114 | G2_smistamento | -0.54 | 2.82 |
| 296 | 296 | 198 | Q_smistamento | -0.58 | 2.82 |

Table 21: Element Stresses - Area Shells, Part 3 of 3

| Area | AreaElem | Joint | OutputCase | S13Avg KN/m2 | S23Avg KN/m2 |
|------|----------|-------|----------------|-----------------|-----------------|
| 296 | 296 | 202 | Q_smistamento | -0.58 | 2.8 |
| 296 | 296 | 112 | Q_smistamento | -0.54 | 2.8 |
| 296 | 296 | 114 | Q_smistamento | -0.54 | 2.82 |
| 296 | 296 | 198 | Q_neve | -1.588E-13 | 6.228E-14 |
| 296 | 296 | 202 | Q_neve | -2.278E-13 | 1.273E-13 |
| 296 | 296 | 112 | Q_neve | 3.049E-14 | 1.610E-13 |
| 296 | 296 | 114 | Q_neve | -7.148E-14 | 5.324E-14 |
| 297 | 297 | 94 | DEAD | -9.875E-14 | -6.347E-14 |
| 297 | 297 | 96 | DEAD | -3.685E-13 | 2.369E-13 |
| 297 | 297 | 203 | DEAD | 9.875E-14 | -3.926E-13 |
| 297 | 297 | 199 | DEAD | 2.646E-14 | 1.052E-13 |
| 297 | 297 | 94 | G1_smistamento | -0.88 | -7.61 |
| 297 | 297 | 96 | G1_smistamento | -0.88 | -7.36 |
| 297 | 297 | 203 | G1_smistamento | -1. | -7.36 |
| 297 | 297 | 199 | G1_smistamento | -1. | -7.61 |
| 297 | 297 | 94 | G2_smistamento | -0.32 | -2.82 |
| 297 | 297 | 96 | G2_smistamento | -0.32 | -2.73 |
| 297 | 297 | 203 | G2_smistamento | -0.37 | -2.73 |
| 297 | 297 | 199 | G2_smistamento | -0.37 | -2.82 |
| 297 | 297 | 94 | Q_smistamento | -0.32 | -2.82 |
| 297 | 297 | 96 | Q_smistamento | -0.32 | -2.73 |
| 297 | 297 | 203 | Q_smistamento | -0.37 | -2.73 |
| 297 | 297 | 199 | Q_smistamento | -0.37 | -2.82 |
| 297 | 297 | 94 | Q_neve | 2.723E-14 | 5.854E-14 |
| 297 | 297 | 96 | Q_neve | -4.021E-14 | 2.723E-14 |
| 297 | 297 | 203 | Q_neve | 1.078E-14 | -1.060E-13 |
| 297 | 297 | 199 | Q_neve | -7.297E-15 | 1.078E-14 |
| 298 | 298 | 199 | DEAD | 3.834E-13 | 2.972E-13 |
| 298 | 298 | 203 | DEAD | 1.137E-13 | -1.266E-13 |
| 298 | 298 | 204 | DEAD | -8.015E-13 | -1.019E-12 |
| 298 | 298 | 200 | DEAD | -8.738E-13 | 2.026E-13 |
| 298 | 298 | 199 | G1_smistamento | -0.89 | -2.89 |
| 298 | 298 | 203 | G1_smistamento | -0.89 | -2.68 |
| 298 | 298 | 204 | G1_smistamento | -0.96 | -2.68 |
| 298 | 298 | 200 | G1_smistamento | -0.96 | -2.89 |
| 298 | 298 | 199 | G2_smistamento | -0.33 | -1.07 |
| 298 | 298 | 203 | G2_smistamento | -0.33 | -0.99 |
| 298 | 298 | 204 | G2_smistamento | -0.35 | -0.99 |

Table 21: Element Stresses - Area Shells, Part 3 of 3

| Area | AreaElem | Joint | OutputCase | S13Avg KN/m2 | S23Avg KN/m2 |
|------|----------|-------|----------------|-----------------|-----------------|
| 298 | 298 | 200 | G2_smistamento | -0.35 | -1.07 |
| 298 | 298 | 199 | Q_smistamento | -0.33 | -1.07 |
| 298 | 298 | 203 | Q_smistamento | -0.33 | -0.99 |
| 298 | 298 | 204 | Q_smistamento | -0.35 | -0.99 |
| 298 | 298 | 200 | Q_smistamento | -0.35 | -1.07 |
| 298 | 298 | 199 | Q_neve | 3.703E-14 | -2.380E-14 |
| 298 | 298 | 203 | Q_neve | -4.166E-14 | -2.520E-14 |
| 298 | 298 | 204 | Q_neve | -3.703E-14 | -1.472E-13 |
| 298 | 298 | 200 | Q_neve | -5.811E-14 | -7.457E-14 |
| 299 | 299 | 200 | DEAD | -7.232E-13 | -3.268E-13 |
| 299 | 299 | 204 | DEAD | -7.232E-13 | -6.753E-13 |
| 299 | 299 | 205 | DEAD | 9.988E-16 | -1.293E-13 |
| 299 | 299 | 201 | DEAD | 9.988E-16 | -8.070E-13 |
| 299 | 299 | 200 | G1_smistamento | -0.91 | -1.359E-12 |
| 299 | 299 | 204 | G1_smistamento | -0.91 | -6.831E-13 |
| 299 | 299 | 205 | G1_smistamento | -0.91 | -5.033E-13 |
| 299 | 299 | 201 | G1_smistamento | -0.91 | -1.407E-12 |
| 299 | 299 | 200 | G2_smistamento | -0.34 | -2.710E-13 |
| 299 | 299 | 204 | G2_smistamento | -0.34 | -2.959E-13 |
| 299 | 299 | 205 | G2_smistamento | -0.34 | 1.569E-13 |
| 299 | 299 | 201 | G2_smistamento | -0.34 | -5.593E-13 |
| 299 | 299 | 200 | Q_smistamento | -0.34 | -2.710E-13 |
| 299 | 299 | 204 | Q_smistamento | -0.34 | -2.959E-13 |
| 299 | 299 | 205 | Q_smistamento | -0.34 | 1.569E-13 |
| 299 | 299 | 201 | Q_smistamento | -0.34 | -5.593E-13 |
| 299 | 299 | 200 | Q_neve | -6.583E-14 | -4.827E-14 |
| 299 | 299 | 204 | Q_neve | -6.583E-14 | -1.137E-13 |
| 299 | 299 | 205 | Q_neve | 6.583E-14 | 3.402E-14 |
| 299 | 299 | 201 | Q_neve | 6.583E-14 | -1.713E-13 |
| 300 | 300 | 201 | DEAD | -4.079E-13 | 3.003E-13 |
| 300 | 300 | 205 | DEAD | -4.079E-13 | 3.180E-13 |
| 300 | 300 | 206 | DEAD | -2.762E-13 | 4.978E-13 |
| 300 | 300 | 202 | DEAD | -2.762E-13 | 2.521E-13 |
| 300 | 300 | 201 | G1_smistamento | -0.96 | 2.89 |
| 300 | 300 | 205 | G1_smistamento | -0.96 | 2.68 |
| 300 | 300 | 206 | G1_smistamento | -0.89 | 2.68 |
| 300 | 300 | 202 | G1_smistamento | -0.89 | 2.89 |
| 300 | 300 | 201 | G2_smistamento | -0.35 | 1.07 |

Table 21: Element Stresses - Area Shells, Part 3 of 3

| Area | AreaElem | Joint | OutputCase | S13Avg KN/m2 | S23Avg KN/m2 |
|------|----------|-------|----------------|-----------------|-----------------|
| 300 | 300 | 205 | G2_smistamento | -0.35 | 0.99 |
| 300 | 300 | 206 | G2_smistamento | -0.33 | 0.99 |
| 300 | 300 | 202 | G2_smistamento | -0.33 | 1.07 |
| 300 | 300 | 201 | Q_smistamento | -0.35 | 1.07 |
| 300 | 300 | 205 | Q_smistamento | -0.35 | 0.99 |
| 300 | 300 | 206 | Q_smistamento | -0.33 | 0.99 |
| 300 | 300 | 202 | Q_smistamento | -0.33 | 1.07 |
| 300 | 300 | 201 | Q_neve | -5.117E-16 | 2.546E-13 |
| 300 | 300 | 205 | Q_neve | 1.073E-14 | -9.892E-14 |
| 300 | 300 | 206 | Q_neve | -9.926E-14 | -1.700E-14 |
| 300 | 300 | 202 | Q_neve | -9.625E-14 | 6.566E-14 |
| 301 | 301 | 202 | DEAD | -2.443E-13 | 7.042E-13 |
| 301 | 301 | 206 | DEAD | -3.343E-13 | -7.330E-13 |
| 301 | 301 | 110 | DEAD | 2.823E-13 | -2.000E-14 |
| 301 | 301 | 112 | DEAD | 2.582E-13 | 8.470E-13 |
| 301 | 301 | 202 | G1_smistamento | -1. | 7.61 |
| 301 | 301 | 206 | G1_smistamento | -1. | 7.36 |
| 301 | 301 | 110 | G1_smistamento | -0.88 | 7.36 |
| 301 | 301 | 112 | G1_smistamento | -0.88 | 7.61 |
| 301 | 301 | 202 | G2_smistamento | -0.37 | 2.82 |
| 301 | 301 | 206 | G2_smistamento | -0.37 | 2.73 |
| 301 | 301 | 110 | G2_smistamento | -0.32 | 2.73 |
| 301 | 301 | 112 | G2_smistamento | -0.32 | 2.82 |
| 301 | 301 | 202 | Q_smistamento | -0.37 | 2.82 |
| 301 | 301 | 206 | Q_smistamento | -0.37 | 2.73 |
| 301 | 301 | 110 | Q_smistamento | -0.32 | 2.73 |
| 301 | 301 | 112 | Q_smistamento | -0.32 | 2.82 |
| 301 | 301 | 202 | Q_neve | -1.091E-13 | 1.713E-13 |
| 301 | 301 | 206 | Q_neve | -1.107E-13 | -9.968E-14 |
| 301 | 301 | 110 | Q_neve | 4.729E-14 | -9.752E-15 |
| 301 | 301 | 112 | Q_neve | -3.661E-14 | 1.472E-13 |
| 302 | 302 | 96 | DEAD | 8.757E-14 | -2.966E-13 |
| 302 | 302 | 98 | DEAD | 3.574E-13 | 3.875E-13 |
| 302 | 302 | 207 | DEAD | 4.826E-13 | -6.916E-13 |
| 302 | 302 | 203 | DEAD | 5.548E-13 | -7.455E-15 |
| 302 | 302 | 96 | G1_smistamento | 0.74 | -7.4 |
| 302 | 302 | 98 | G1_smistamento | 0.74 | -6.7 |
| 302 | 302 | 207 | G1_smistamento | 0.83 | -6.7 |

Table 21: Element Stresses - Area Shells, Part 3 of 3

| Area | AreaElem | Joint | OutputCase | S13Avg KN/m2 | S23Avg KN/m2 |
|------|----------|-------|----------------|-----------------|-----------------|
| 302 | 302 | 203 | G1_smistamento | 0.83 | -7.4 |
| 302 | 302 | 96 | G2_smistamento | 0.27 | -2.74 |
| 302 | 302 | 98 | G2_smistamento | 0.27 | -2.48 |
| 302 | 302 | 207 | G2_smistamento | 0.31 | -2.48 |
| 302 | 302 | 203 | G2_smistamento | 0.31 | -2.74 |
| 302 | 302 | 96 | Q_smistamento | 0.27 | -2.74 |
| 302 | 302 | 98 | Q_smistamento | 0.27 | -2.48 |
| 302 | 302 | 207 | Q_smistamento | 0.31 | -2.48 |
| 302 | 302 | 203 | Q_smistamento | 0.31 | -2.74 |
| 302 | 302 | 96 | Q_neve | 6.588E-14 | -7.415E-14 |
| 302 | 302 | 98 | Q_neve | 3.054E-14 | 3.105E-14 |
| 302 | 302 | 207 | Q_neve | 5.765E-14 | -1.729E-13 |
| 302 | 302 | 203 | Q_neve | -3.529E-14 | 6.397E-14 |
| 303 | 303 | 203 | DEAD | 9.129E-14 | 1.364E-15 |
| 303 | 303 | 207 | DEAD | 9.775E-14 | 2.582E-13 |
| 303 | 303 | 208 | DEAD | 2.888E-13 | 2.647E-13 |
| 303 | 303 | 204 | DEAD | 6.244E-13 | -3.343E-13 |
| 303 | 303 | 203 | G1_smistamento | 1.04 | -2.68 |
| 303 | 303 | 207 | G1_smistamento | 1.04 | -2.33 |
| 303 | 303 | 208 | G1_smistamento | 1.27 | -2.33 |
| 303 | 303 | 204 | G1_smistamento | 1.27 | -2.68 |
| 303 | 303 | 203 | G2_smistamento | 0.39 | -0.99 |
| 303 | 303 | 207 | G2_smistamento | 0.39 | -0.86 |
| 303 | 303 | 208 | G2_smistamento | 0.47 | -0.86 |
| 303 | 303 | 204 | G2_smistamento | 0.47 | -0.99 |
| 303 | 303 | 203 | Q_smistamento | 0.39 | -0.99 |
| 303 | 303 | 207 | Q_smistamento | 0.39 | -0.86 |
| 303 | 303 | 208 | Q_smistamento | 0.47 | -0.86 |
| 303 | 303 | 204 | Q_smistamento | 0.47 | -0.99 |
| 303 | 303 | 203 | Q_neve | -4.937E-14 | -3.754E-14 |
| 303 | 303 | 207 | Q_neve | -4.410E-15 | 7.428E-14 |
| 303 | 303 | 208 | Q_neve | 4.937E-14 | -6.223E-14 |
| 303 | 303 | 204 | Q_neve | 6.142E-14 | 8.251E-14 |
| 304 | 304 | 204 | DEAD | 4.890E-13 | 3.937E-14 |
| 304 | 304 | 208 | DEAD | 5.789E-13 | 1.164E-13 |
| 304 | 304 | 209 | DEAD | 4.232E-13 | 3.027E-13 |
| 304 | 304 | 205 | DEAD | 4.473E-13 | -3.444E-13 |
| 304 | 304 | 204 | G1_smistamento | 1.33 | -4.683E-14 |

Table 21: Element Stresses - Area Shells, Part 3 of 3

| Area | AreaElem | Joint | OutputCase | S13Avg KN/m2 | S23Avg KN/m2 |
|------|----------|-------|----------------|-----------------|-----------------|
| 304 | 304 | 208 | G1_smistamento | 1.33 | -2.813E-13 |
| 304 | 304 | 209 | G1_smistamento | 1.33 | 8.484E-14 |
| 304 | 304 | 205 | G1_smistamento | 1.33 | -4.788E-13 |
| 304 | 304 | 204 | G2_smistamento | 0.49 | 1.323E-13 |
| 304 | 304 | 208 | G2_smistamento | 0.49 | -1.339E-13 |
| 304 | 304 | 209 | G2_smistamento | 0.49 | -2.463E-13 |
| 304 | 304 | 205 | G2_smistamento | 0.49 | 1.624E-13 |
| 304 | 304 | 204 | Q_smistamento | 0.49 | 1.323E-13 |
| 304 | 304 | 208 | Q_smistamento | 0.49 | -1.339E-13 |
| 304 | 304 | 209 | Q_smistamento | 0.49 | -2.463E-13 |
| 304 | 304 | 205 | Q_smistamento | 0.49 | 1.624E-13 |
| 304 | 304 | 204 | Q_neve | 5.099E-14 | 1.408E-14 |
| 304 | 304 | 208 | Q_neve | 5.099E-14 | -5.256E-14 |
| 304 | 304 | 209 | Q_neve | 3.453E-14 | -1.883E-14 |
| 304 | 304 | 205 | Q_neve | 3.453E-14 | 5.046E-15 |
| 305 | 305 | 205 | DEAD | 9.882E-13 | 5.915E-13 |
| 305 | 305 | 209 | DEAD | 8.918E-13 | -4.919E-14 |
| 305 | 305 | 210 | DEAD | 9.882E-13 | 1.307E-13 |
| 305 | 305 | 206 | DEAD | 6.285E-13 | 5.433E-13 |
| 305 | 305 | 205 | G1_smistamento | 1.27 | 2.68 |
| 305 | 305 | 209 | G1_smistamento | 1.27 | 2.33 |
| 305 | 305 | 210 | G1_smistamento | 1.04 | 2.33 |
| 305 | 305 | 206 | G1_smistamento | 1.04 | 2.68 |
| 305 | 305 | 205 | G2_smistamento | 0.47 | 0.99 |
| 305 | 305 | 209 | G2_smistamento | 0.47 | 0.86 |
| 305 | 305 | 210 | G2_smistamento | 0.39 | 0.86 |
| 305 | 305 | 206 | G2_smistamento | 0.39 | 0.99 |
| 305 | 305 | 205 | Q_smistamento | 0.47 | 0.99 |
| 305 | 305 | 209 | Q_smistamento | 0.47 | 0.86 |
| 305 | 305 | 210 | Q_smistamento | 0.39 | 0.86 |
| 305 | 305 | 206 | Q_smistamento | 0.39 | 0.99 |
| 305 | 305 | 205 | Q_neve | 9.269E-14 | -3.307E-15 |
| 305 | 305 | 209 | Q_neve | 9.269E-14 | 1.234E-14 |
| 305 | 305 | 210 | Q_neve | 2.161E-13 | 4.607E-14 |
| 305 | 305 | 206 | Q_neve | 2.161E-13 | -1.234E-14 |
| 306 | 306 | 206 | DEAD | 2.189E-13 | 4.283E-13 |
| 306 | 306 | 210 | DEAD | 6.750E-13 | -6.156E-13 |
| 306 | 306 | 108 | DEAD | -6.370E-13 | 5.599E-13 |

Table 21: Element Stresses - Area Shells, Part 3 of 3

| Area | AreaElem | Joint | OutputCase | S13Avg KN/m2 | S23Avg KN/m2 |
|------|----------|-------|----------------|-----------------|-----------------|
| 306 | 306 | 110 | DEAD | -1.809E-13 | -2.206E-13 |
| 306 | 306 | 206 | G1_smistamento | 0.83 | 7.4 |
| 306 | 306 | 210 | G1_smistamento | 0.83 | 6.7 |
| 306 | 306 | 108 | G1_smistamento | 0.74 | 6.7 |
| 306 | 306 | 110 | G1_smistamento | 0.74 | 7.4 |
| 306 | 306 | 206 | G2_smistamento | 0.31 | 2.74 |
| 306 | 306 | 210 | G2_smistamento | 0.31 | 2.48 |
| 306 | 306 | 108 | G2_smistamento | 0.27 | 2.48 |
| 306 | 306 | 110 | G2_smistamento | 0.27 | 2.74 |
| 306 | 306 | 206 | Q_smistamento | 0.31 | 2.74 |
| 306 | 306 | 210 | Q_smistamento | 0.31 | 2.48 |
| 306 | 306 | 108 | Q_smistamento | 0.27 | 2.48 |
| 306 | 306 | 110 | Q_smistamento | 0.27 | 2.74 |
| 306 | 306 | 206 | Q_neve | 1.165E-13 | 1.036E-13 |
| 306 | 306 | 210 | Q_neve | 1.839E-13 | -1.409E-13 |
| 306 | 306 | 108 | Q_neve | -9.748E-14 | 1.530E-13 |
| 306 | 306 | 110 | Q_neve | -7.940E-14 | -5.863E-14 |
| 307 | 307 | 98 | DEAD | -5.548E-13 | -3.838E-13 |
| 307 | 307 | 6 | DEAD | 2.803E-13 | -6.457E-15 |
| 307 | 307 | 100 | DEAD | -3.574E-13 | -1.863E-13 |
| 307 | 307 | 207 | DEAD | 1.202E-12 | -3.356E-13 |
| 307 | 307 | 98 | G1_smistamento | 3.79 | -6.46 |
| 307 | 307 | 6 | G1_smistamento | 3.79 | -4.94 |
| 307 | 307 | 100 | G1_smistamento | 5.29 | -4.94 |
| 307 | 307 | 207 | G1_smistamento | 5.29 | -6.46 |
| 307 | 307 | 98 | G2_smistamento | 1.41 | -2.4 |
| 307 | 307 | 6 | G2_smistamento | 1.41 | -1.83 |
| 307 | 307 | 100 | G2_smistamento | 1.96 | -1.83 |
| 307 | 307 | 207 | G2_smistamento | 1.96 | -2.4 |
| 307 | 307 | 98 | Q_smistamento | 1.41 | -2.4 |
| 307 | 307 | 6 | Q_smistamento | 1.41 | -1.83 |
| 307 | 307 | 100 | Q_smistamento | 1.96 | -1.83 |
| 307 | 307 | 207 | Q_smistamento | 1.96 | -2.4 |
| 307 | 307 | 98 | Q_neve | -1.316E-13 | -6.367E-14 |
| 307 | 307 | 6 | Q_neve | 1.093E-13 | 5.777E-14 |
| 307 | 307 | 100 | Q_neve | -8.221E-14 | -8.836E-14 |
| 307 | 307 | 207 | Q_neve | 2.328E-13 | -2.452E-14 |
| 308 | 308 | 207 | DEAD | -2.053E-13 | 8.382E-13 |

Table 21: Element Stresses - Area Shells, Part 3 of 3

| Area | AreaElem | Joint | OutputCase | S13Avg KN/m2 | S23Avg KN/m2 |
|------|----------|-------|----------------|-----------------|-----------------|
| 308 | 308 | 100 | DEAD | 9.767E-13 | -1.799E-13 |
| 308 | 308 | 102 | DEAD | -4.028E-13 | -6.101E-13 |
| 308 | 308 | 208 | DEAD | 5.817E-13 | -4.819E-14 |
| 308 | 308 | 207 | G1_smistamento | 5.59 | -2.2 |
| 308 | 308 | 100 | G1_smistamento | 5.59 | -2.02 |
| 308 | 308 | 102 | G1_smistamento | 6.15 | -2.02 |
| 308 | 308 | 208 | G1_smistamento | 6.15 | -2.2 |
| 308 | 308 | 207 | G2_smistamento | 2.07 | -0.82 |
| 308 | 308 | 100 | G2_smistamento | 2.07 | -0.75 |
| 308 | 308 | 102 | G2_smistamento | 2.28 | -0.75 |
| 308 | 308 | 208 | G2_smistamento | 2.28 | -0.82 |
| 308 | 308 | 207 | Q_smistamento | 2.07 | -0.82 |
| 308 | 308 | 100 | Q_smistamento | 2.07 | -0.75 |
| 308 | 308 | 102 | Q_smistamento | 2.28 | -0.75 |
| 308 | 308 | 208 | Q_smistamento | 2.28 | -0.82 |
| 308 | 308 | 207 | Q_neve | -1.773E-14 | 1.190E-13 |
| 308 | 308 | 100 | Q_neve | 1.188E-13 | 4.717E-14 |
| 308 | 308 | 102 | Q_neve | -1.273E-15 | -6.201E-14 |
| 308 | 308 | 208 | Q_neve | 1.188E-13 | -1.866E-14 |
| 309 | 309 | 208 | DEAD | 5.206E-13 | 8.620E-14 |
| 309 | 309 | 102 | DEAD | 9.702E-13 | 3.977E-13 |
| 309 | 309 | 104 | DEAD | 1.256E-13 | 2.179E-13 |
| 309 | 309 | 209 | DEAD | 2.461E-13 | 1.344E-13 |
| 309 | 309 | 208 | G1_smistamento | 6.17 | -3.987E-13 |
| 309 | 309 | 102 | G1_smistamento | 6.17 | 5.053E-13 |
| 309 | 309 | 104 | G1_smistamento | 6.17 | 5.888E-13 |
| 309 | 309 | 209 | G1_smistamento | 6.17 | -8.720E-14 |
| 309 | 309 | 208 | G2_smistamento | 2.29 | -1.494E-13 |
| 309 | 309 | 102 | G2_smistamento | 2.29 | 1.978E-13 |
| 309 | 309 | 104 | G2_smistamento | 2.29 | 1.304E-13 |
| 309 | 309 | 209 | G2_smistamento | 2.29 | -1.313E-13 |
| 309 | 309 | 208 | Q_smistamento | 2.29 | -1.494E-13 |
| 309 | 309 | 102 | Q_smistamento | 2.29 | 1.978E-13 |
| 309 | 309 | 104 | Q_smistamento | 2.29 | 1.304E-13 |
| 309 | 309 | 209 | Q_smistamento | 2.29 | -1.313E-13 |
| 309 | 309 | 208 | Q_neve | 8.378E-14 | 5.574E-14 |
| 309 | 309 | 102 | Q_neve | 1.962E-13 | 3.767E-14 |
| 309 | 309 | 104 | Q_neve | 9.201E-14 | 3.928E-14 |

Table 21: Element Stresses - Area Shells, Part 3 of 3

| Area | AreaElem | Joint | OutputCase | S13Avg KN/m2 | S23Avg KN/m2 |
|------|----------|-------|----------------|-----------------|-----------------|
| 309 | 309 | 209 | Q_neve | 1.221E-13 | -2.817E-14 |
| 310 | 310 | 209 | DEAD | -5.938E-14 | -1.028E-13 |
| 310 | 310 | 104 | DEAD | 3.967E-13 | -7.229E-14 |
| 310 | 310 | 106 | DEAD | 4.014E-13 | -6.953E-13 |
| 310 | 310 | 210 | DEAD | 8.575E-13 | -2.698E-13 |
| 310 | 310 | 209 | G1_smistamento | 6.15 | 2.2 |
| 310 | 310 | 104 | G1_smistamento | 6.15 | 2.02 |
| 310 | 310 | 106 | G1_smistamento | 5.59 | 2.02 |
| 310 | 310 | 210 | G1_smistamento | 5.59 | 2.2 |
| 310 | 310 | 209 | G2_smistamento | 2.28 | 0.82 |
| 310 | 310 | 104 | G2_smistamento | 2.28 | 0.75 |
| 310 | 310 | 106 | G2_smistamento | 2.07 | 0.75 |
| 310 | 310 | 210 | G2_smistamento | 2.07 | 0.82 |
| 310 | 310 | 209 | Q_smistamento | 2.28 | 0.82 |
| 310 | 310 | 104 | Q_smistamento | 2.28 | 0.75 |
| 310 | 310 | 106 | Q_smistamento | 2.07 | 0.75 |
| 310 | 310 | 210 | Q_smistamento | 2.07 | 0.82 |
| 310 | 310 | 209 | Q_neve | -7.002E-15 | -7.653E-14 |
| 310 | 310 | 104 | Q_neve | 2.323E-13 | -1.399E-13 |
| 310 | 310 | 106 | Q_neve | -9.752E-14 | -1.753E-13 |
| 310 | 310 | 210 | Q_neve | 1.335E-13 | 1.641E-14 |
| 311 | 311 | 210 | DEAD | 2.141E-13 | 1.822E-13 |
| 311 | 311 | 106 | DEAD | 1.113E-12 | -2.240E-13 |
| 311 | 311 | 63 | DEAD | 2.800E-13 | -4.103E-13 |
| 311 | 311 | 108 | DEAD | 5.209E-13 | 5.660E-13 |
| 311 | 311 | 210 | G1_smistamento | 5.29 | 6.46 |
| 311 | 311 | 106 | G1_smistamento | 5.29 | 4.94 |
| 311 | 311 | 63 | G1_smistamento | 3.79 | 4.94 |
| 311 | 311 | 108 | G1_smistamento | 3.79 | 6.46 |
| 311 | 311 | 210 | G2_smistamento | 1.96 | 2.4 |
| 311 | 311 | 106 | G2_smistamento | 1.96 | 1.83 |
| 311 | 311 | 63 | G2_smistamento | 1.41 | 1.83 |
| 311 | 311 | 108 | G2_smistamento | 1.41 | 2.4 |
| 311 | 311 | 210 | Q_smistamento | 1.96 | 2.4 |
| 311 | 311 | 106 | Q_smistamento | 1.96 | 1.83 |
| 311 | 311 | 63 | Q_smistamento | 1.41 | 1.83 |
| 311 | 311 | 108 | Q_smistamento | 1.41 | 2.4 |
| 311 | 311 | 210 | Q_neve | -8.524E-15 | 2.566E-14 |

Table 21: Element Stresses - Area Shells, Part 3 of 3

| Area | AreaElem | Joint | OutputCase | S13Avg KN/m2 | S23Avg KN/m2 |
|------|----------|-------|----------------|-----------------|-----------------|
| 311 | 311 | 106 | Q_neve | 1.151E-13 | -9.578E-14 |
| 311 | 311 | 63 | Q_neve | 6.554E-14 | 5.035E-14 |
| 311 | 311 | 108 | Q_neve | 9.867E-14 | -1.349E-14 |
| 312 | 312 | 8 | DEAD | -1.298E-12 | 3.855E-13 |
| 312 | 312 | 211 | DEAD | -6.385E-12 | 6.678E-13 |
| 312 | 312 | 212 | DEAD | -2.351E-12 | 1.439E-12 |
| 312 | 312 | 9 | DEAD | -6.385E-12 | -2.492E-12 |
| 312 | 312 | 8 | G1_smistamento | -4.45 | -5.07 |
| 312 | 312 | 211 | G1_smistamento | -4.45 | -5.97 |
| 312 | 312 | 212 | G1_smistamento | -6.15 | -5.97 |
| 312 | 312 | 9 | G1_smistamento | -6.15 | -5.07 |
| 312 | 312 | 8 | G2_smistamento | -1.65 | -1.88 |
| 312 | 312 | 211 | G2_smistamento | -1.65 | -2.21 |
| 312 | 312 | 212 | G2_smistamento | -2.28 | -2.21 |
| 312 | 312 | 9 | G2_smistamento | -2.28 | -1.88 |
| 312 | 312 | 8 | Q_smistamento | -1.65 | -1.88 |
| 312 | 312 | 211 | Q_smistamento | -1.65 | -2.21 |
| 312 | 312 | 212 | Q_smistamento | -2.28 | -2.21 |
| 312 | 312 | 9 | Q_smistamento | -2.28 | -1.88 |
| 312 | 312 | 8 | Q_neve | -5.145E-13 | 6.648E-13 |
| 312 | 312 | 211 | Q_neve | -8.871E-13 | -5.155E-13 |
| 312 | 312 | 212 | Q_neve | -7.778E-13 | -3.227E-13 |
| 312 | 312 | 9 | Q_neve | -1.545E-12 | -5.465E-14 |
| 313 | 313 | 211 | DEAD | -2.237E-12 | 2.959E-12 |
| 313 | 313 | 213 | DEAD | -5.270E-12 | 4.670E-13 |
| 313 | 313 | 214 | DEAD | 6.190E-12 | 1.906E-12 |
| 313 | 313 | 212 | DEAD | -2.636E-12 | 2.574E-12 |
| 313 | 313 | 211 | G1_smistamento | -3.37 | -6.21 |
| 313 | 313 | 213 | G1_smistamento | -3.37 | -6.73 |
| 313 | 313 | 214 | G1_smistamento | -3.42 | -6.73 |
| 313 | 313 | 212 | G1_smistamento | -3.42 | -6.21 |
| 313 | 313 | 211 | G2_smistamento | -1.25 | -2.3 |
| 313 | 313 | 213 | G2_smistamento | -1.25 | -2.49 |
| 313 | 313 | 214 | G2_smistamento | -1.27 | -2.49 |
| 313 | 313 | 212 | G2_smistamento | -1.27 | -2.3 |
| 313 | 313 | 211 | Q_smistamento | -1.25 | -2.3 |
| 313 | 313 | 213 | Q_smistamento | -1.25 | -2.49 |
| 313 | 313 | 214 | Q_smistamento | -1.27 | -2.49 |

Table 21: Element Stresses - Area Shells, Part 3 of 3

| Area | AreaElem | Joint | OutputCase | S13Avg KN/m2 | S23Avg KN/m2 |
|------|----------|-------|----------------|-----------------|-----------------|
| 313 | 313 | 212 | Q_smistamento | -1.27 | -2.3 |
| 313 | 313 | 211 | Q_neve | 4.561E-13 | 4.167E-13 |
| 313 | 313 | 213 | Q_neve | 2.633E-13 | -1.164E-13 |
| 313 | 313 | 214 | Q_neve | 4.561E-13 | 1.534E-13 |
| 313 | 313 | 212 | Q_neve | -2.633E-13 | 3.444E-13 |
| 314 | 314 | 213 | DEAD | 1.083E-12 | -1.640E-12 |
| 314 | 314 | 215 | DEAD | 3.396E-12 | 4.013E-12 |
| 314 | 314 | 216 | DEAD | -2.603E-12 | 4.680E-12 |
| 314 | 314 | 214 | DEAD | 6.030E-12 | 8.526E-13 |
| 314 | 314 | 213 | G1_smistamento | -1.36 | -6.7 |
| 314 | 314 | 215 | G1_smistamento | -1.36 | -6.97 |
| 314 | 314 | 216 | G1_smistamento | -1.3 | -6.97 |
| 314 | 314 | 214 | G1_smistamento | -1.3 | -6.7 |
| 314 | 314 | 213 | G2_smistamento | -0.5 | -2.48 |
| 314 | 314 | 215 | G2_smistamento | -0.5 | -2.58 |
| 314 | 314 | 216 | G2_smistamento | -0.48 | -2.58 |
| 314 | 314 | 214 | G2_smistamento | -0.48 | -2.48 |
| 314 | 314 | 213 | Q_smistamento | -0.5 | -2.48 |
| 314 | 314 | 215 | Q_smistamento | -0.5 | -2.58 |
| 314 | 314 | 216 | Q_smistamento | -0.48 | -2.58 |
| 314 | 314 | 214 | Q_smistamento | -0.48 | -2.48 |
| 314 | 314 | 213 | Q_neve | 2.484E-13 | -8.154E-13 |
| 314 | 314 | 215 | Q_neve | 4.412E-13 | 5.511E-13 |
| 314 | 314 | 216 | Q_neve | 5.117E-13 | 4.354E-13 |
| 314 | 314 | 214 | Q_neve | 1.231E-12 | 5.511E-13 |
| 315 | 315 | 215 | DEAD | 5.565E-13 | 2.411E-12 |
| 315 | 315 | 217 | DEAD | -1.653E-12 | -5.348E-12 |
| 315 | 315 | 218 | DEAD | -2.077E-12 | -1.803E-12 |
| 315 | 315 | 216 | DEAD | -5.340E-12 | 4.132E-12 |
| 315 | 315 | 215 | G1_smistamento | 8.964E-02 | -6.94 |
| 315 | 315 | 217 | G1_smistamento | 8.964E-02 | -7.04 |
| 315 | 315 | 218 | G1_smistamento | 0.13 | -7.04 |
| 315 | 315 | 216 | G1_smistamento | 0.13 | -6.94 |
| 315 | 315 | 215 | G2_smistamento | 3.323E-02 | -2.57 |
| 315 | 315 | 217 | G2_smistamento | 3.323E-02 | -2.61 |
| 315 | 315 | 218 | G2_smistamento | 4.942E-02 | -2.61 |
| 315 | 315 | 216 | G2_smistamento | 4.942E-02 | -2.57 |
| 315 | 315 | 215 | Q_smistamento | 3.323E-02 | -2.57 |

Table 21: Element Stresses - Area Shells, Part 3 of 3

| Area | AreaElem | Joint | OutputCase | S13Avg KN/m2 | S23Avg KN/m2 |
|------|----------|-------|----------------|-----------------|-----------------|
| 315 | 315 | 217 | Q_smistamento | 3.323E-02 | -2.61 |
| 315 | 315 | 218 | Q_smistamento | 4.942E-02 | -2.61 |
| 315 | 315 | 216 | Q_smistamento | 4.942E-02 | -2.57 |
| 315 | 315 | 215 | Q_neve | 2.986E-13 | 1.771E-13 |
| 315 | 315 | 217 | Q_neve | -6.111E-14 | -1.188E-12 |
| 315 | 315 | 218 | Q_neve | -7.547E-13 | -4.812E-13 |
| 315 | 315 | 216 | Q_neve | -8.511E-13 | 6.556E-13 |
| 316 | 316 | 217 | DEAD | 6.097E-12 | -8.147E-14 |
| 316 | 316 | 219 | DEAD | 5.326E-12 | 3.041E-13 |
| 316 | 316 | 220 | DEAD | -5.489E-12 | -1.135E-12 |
| 316 | 316 | 218 | DEAD | -8.367E-12 | 3.041E-13 |
| 316 | 316 | 217 | G1_smistamento | 0.89 | -7.02 |
| 316 | 316 | 219 | G1_smistamento | 0.89 | -7.03 |
| 316 | 316 | 220 | G1_smistamento | 0.9 | -7.03 |
| 316 | 316 | 218 | G1_smistamento | 0.9 | -7.02 |
| 316 | 316 | 217 | G2_smistamento | 0.33 | -2.6 |
| 316 | 316 | 219 | G2_smistamento | 0.33 | -2.61 |
| 316 | 316 | 220 | G2_smistamento | 0.33 | -2.61 |
| 316 | 316 | 218 | G2_smistamento | 0.33 | -2.6 |
| 316 | 316 | 217 | Q_smistamento | 0.33 | -2.6 |
| 316 | 316 | 219 | Q_smistamento | 0.33 | -2.61 |
| 316 | 316 | 220 | Q_smistamento | 0.33 | -2.61 |
| 316 | 316 | 218 | Q_smistamento | 0.33 | -2.6 |
| 316 | 316 | 217 | Q_neve | 1.495E-12 | -4.965E-13 |
| 316 | 316 | 219 | Q_neve | 1.302E-12 | 4.140E-13 |
| 316 | 316 | 220 | Q_neve | 1.779E-13 | -3.564E-14 |
| 316 | 316 | 218 | Q_neve | -5.416E-13 | -3.760E-13 |
| 317 | 317 | 219 | DEAD | -3.798E-12 | 3.152E-12 |
| 317 | 317 | 221 | DEAD | -3.798E-12 | 1.854E-12 |
| 317 | 317 | 222 | DEAD | 4.102E-12 | 2.625E-12 |
| 317 | 317 | 220 | DEAD | 4.102E-12 | 2.742E-13 |
| 317 | 317 | 219 | G1_smistamento | 1.14 | -7.03 |
| 317 | 317 | 221 | G1_smistamento | 1.14 | -6.99 |
| 317 | 317 | 222 | G1_smistamento | 1.13 | -6.99 |
| 317 | 317 | 220 | G1_smistamento | 1.13 | -7.03 |
| 317 | 317 | 219 | G2_smistamento | 0.42 | -2.61 |
| 317 | 317 | 221 | G2_smistamento | 0.42 | -2.59 |
| 317 | 317 | 222 | G2_smistamento | 0.42 | -2.59 |

Table 21: Element Stresses - Area Shells, Part 3 of 3

| Area | AreaElem | Joint | OutputCase | S13Avg KN/m2 | S23Avg KN/m2 |
|------|----------|-------|----------------|-----------------|-----------------|
| 317 | 317 | 220 | G2_smistamento | 0.42 | -2.61 |
| 317 | 317 | 219 | Q_smistamento | 0.42 | -2.61 |
| 317 | 317 | 221 | Q_smistamento | 0.42 | -2.59 |
| 317 | 317 | 222 | Q_smistamento | 0.42 | -2.59 |
| 317 | 317 | 220 | Q_smistamento | 0.42 | -2.61 |
| 317 | 317 | 219 | Q_neve | -8.307E-13 | 1.134E-12 |
| 317 | 317 | 221 | Q_neve | -8.307E-13 | -3.003E-13 |
| 317 | 317 | 222 | Q_neve | 2.226E-13 | 8.046E-13 |
| 317 | 317 | 220 | Q_neve | 2.226E-13 | -4.978E-13 |
| 318 | 318 | 221 | DEAD | 3.519E-12 | 2.454E-12 |
| 318 | 318 | 223 | DEAD | 2.028E-12 | 6.000E-12 |
| 318 | 318 | 224 | DEAD | 7.732E-12 | 6.668E-12 |
| 318 | 318 | 222 | DEAD | 4.661E-12 | 4.947E-12 |
| 318 | 318 | 221 | G1_smistamento | 0.98 | -7. |
| 318 | 318 | 223 | G1_smistamento | 0.98 | -6.95 |
| 318 | 318 | 224 | G1_smistamento | 0.96 | -6.95 |
| 318 | 318 | 222 | G1_smistamento | 0.96 | -7. |
| 318 | 318 | 221 | G2_smistamento | 0.36 | -2.59 |
| 318 | 318 | 223 | G2_smistamento | 0.36 | -2.58 |
| 318 | 318 | 224 | G2_smistamento | 0.36 | -2.58 |
| 318 | 318 | 222 | G2_smistamento | 0.36 | -2.59 |
| 318 | 318 | 221 | Q_smistamento | 0.36 | -2.59 |
| 318 | 318 | 223 | Q_smistamento | 0.36 | -2.58 |
| 318 | 318 | 224 | Q_smistamento | 0.36 | -2.58 |
| 318 | 318 | 222 | Q_smistamento | 0.36 | -2.59 |
| 318 | 318 | 221 | Q_neve | 9.604E-13 | 7.018E-13 |
| 318 | 318 | 223 | Q_neve | 7.676E-13 | 2.586E-13 |
| 318 | 318 | 224 | Q_neve | 1.092E-12 | 4.385E-13 |
| 318 | 318 | 222 | Q_neve | 3.726E-13 | 6.536E-13 |
| 319 | 319 | 223 | DEAD | -1.439E-12 | 9.190E-12 |
| 319 | 319 | 225 | DEAD | -6.678E-13 | -3.412E-12 |
| 319 | 319 | 226 | DEAD | -3.855E-13 | 2.364E-13 |
| 319 | 319 | 224 | DEAD | 2.492E-12 | 5.541E-12 |
| 319 | 319 | 223 | G1_smistamento | 0.55 | -6.96 |
| 319 | 319 | 225 | G1_smistamento | 0.55 | -6.93 |
| 319 | 319 | 226 | G1_smistamento | 0.54 | -6.93 |
| 319 | 319 | 224 | G1_smistamento | 0.54 | -6.96 |
| 319 | 319 | 223 | G2_smistamento | 0.21 | -2.58 |

Table 21: Element Stresses - Area Shells, Part 3 of 3

| Area | AreaElem | Joint | OutputCase | S13Avg KN/m2 | S23Avg KN/m2 |
|------|----------|-------|----------------|-----------------|-----------------|
| 319 | 319 | 225 | G2_smistamento | 0.21 | -2.57 |
| 319 | 319 | 226 | G2_smistamento | 0.2 | -2.57 |
| 319 | 319 | 224 | G2_smistamento | 0.2 | -2.58 |
| 319 | 319 | 223 | Q_smistamento | 0.21 | -2.58 |
| 319 | 319 | 225 | Q_smistamento | 0.21 | -2.57 |
| 319 | 319 | 226 | Q_smistamento | 0.2 | -2.57 |
| 319 | 319 | 224 | Q_smistamento | 0.2 | -2.58 |
| 319 | 319 | 223 | Q_neve | -7.418E-13 | 8.029E-13 |
| 319 | 319 | 225 | Q_neve | -7.418E-13 | -1.188E-13 |
| 319 | 319 | 226 | Q_neve | 9.698E-13 | -1.188E-13 |
| 319 | 319 | 224 | Q_neve | 9.698E-13 | 8.029E-13 |
| 320 | 320 | 225 | DEAD | 3.812E-12 | 4.074E-14 |
| 320 | 320 | 227 | DEAD | 3.041E-12 | -3.801E-12 |
| 320 | 320 | 228 | DEAD | 5.918E-12 | 5.674E-13 |
| 320 | 320 | 226 | DEAD | 3.041E-12 | -3.801E-12 |
| 320 | 320 | 225 | G1_smistamento | -8.904E-13 | -6.93 |
| 320 | 320 | 227 | G1_smistamento | -8.904E-13 | -6.93 |
| 320 | 320 | 228 | G1_smistamento | 3.323E-12 | -6.93 |
| 320 | 320 | 226 | G1_smistamento | 3.323E-12 | -6.93 |
| 320 | 320 | 225 | G2_smistamento | 9.937E-13 | -2.57 |
| 320 | 320 | 227 | G2_smistamento | 9.937E-13 | -2.57 |
| 320 | 320 | 228 | G2_smistamento | 2.047E-12 | -2.57 |
| 320 | 320 | 226 | G2_smistamento | 2.047E-12 | -2.57 |
| 320 | 320 | 225 | Q_smistamento | 9.937E-13 | -2.57 |
| 320 | 320 | 227 | Q_smistamento | 9.937E-13 | -2.57 |
| 320 | 320 | 228 | Q_smistamento | 2.047E-12 | -2.57 |
| 320 | 320 | 226 | Q_smistamento | 2.047E-12 | -2.57 |
| 320 | 320 | 225 | Q_neve | 2.966E-13 | 8.484E-14 |
| 320 | 320 | 227 | Q_neve | 2.966E-13 | -1.229E-12 |
| 320 | 320 | 228 | Q_neve | 6.916E-13 | -4.683E-14 |
| 320 | 320 | 226 | Q_neve | 6.916E-13 | -8.997E-13 |
| 321 | 321 | 227 | DEAD | -2.997E-12 | 5.594E-13 |
| 321 | 321 | 229 | DEAD | -2.997E-12 | 5.774E-12 |
| 321 | 321 | 230 | DEAD | 5.430E-12 | 5.826E-12 |
| 321 | 321 | 228 | DEAD | 5.430E-12 | -2.126E-12 |
| 321 | 321 | 227 | G1_smistamento | -0.55 | -6.93 |
| 321 | 321 | 229 | G1_smistamento | -0.55 | -6.96 |
| 321 | 321 | 230 | G1_smistamento | -0.54 | -6.96 |

Table 21: Element Stresses - Area Shells, Part 3 of 3

| Area | AreaElem | Joint | OutputCase | S13Avg KN/m2 | S23Avg KN/m2 |
|------|----------|-------|----------------|-----------------|-----------------|
| 321 | 321 | 228 | G1_smistamento | -0.54 | -6.93 |
| 321 | 321 | 227 | G2_smistamento | -0.21 | -2.57 |
| 321 | 321 | 229 | G2_smistamento | -0.21 | -2.58 |
| 321 | 321 | 230 | G2_smistamento | -0.2 | -2.58 |
| 321 | 321 | 228 | G2_smistamento | -0.2 | -2.57 |
| 321 | 321 | 227 | Q_smistamento | -0.21 | -2.57 |
| 321 | 321 | 229 | Q_smistamento | -0.21 | -2.58 |
| 321 | 321 | 230 | Q_smistamento | -0.2 | -2.58 |
| 321 | 321 | 228 | Q_smistamento | -0.2 | -2.57 |
| 321 | 321 | 227 | Q_neve | -3.339E-13 | -7.228E-13 |
| 321 | 321 | 229 | Q_neve | -3.339E-13 | 1.259E-12 |
| 321 | 321 | 230 | Q_neve | 1.246E-12 | 9.888E-13 |
| 321 | 321 | 228 | Q_neve | 1.246E-12 | -6.505E-13 |
| 322 | 322 | 229 | DEAD | -1.751E-12 | 6.972E-12 |
| 322 | 322 | 231 | DEAD | -1.751E-12 | 2.758E-12 |
| 322 | 322 | 232 | DEAD | 5.096E-12 | 2.758E-12 |
| 322 | 322 | 230 | DEAD | 5.096E-12 | 6.972E-12 |
| 322 | 322 | 229 | G1_smistamento | -0.98 | -6.95 |
| 322 | 322 | 231 | G1_smistamento | -0.98 | -7. |
| 322 | 322 | 232 | G1_smistamento | -0.96 | -7. |
| 322 | 322 | 230 | G1_smistamento | -0.96 | -6.95 |
| 322 | 322 | 229 | G2_smistamento | -0.36 | -2.58 |
| 322 | 322 | 231 | G2_smistamento | -0.36 | -2.59 |
| 322 | 322 | 232 | G2_smistamento | -0.36 | -2.59 |
| 322 | 322 | 230 | G2_smistamento | -0.36 | -2.58 |
| 322 | 322 | 229 | Q_smistamento | -0.36 | -2.58 |
| 322 | 322 | 231 | Q_smistamento | -0.36 | -2.59 |
| 322 | 322 | 232 | Q_smistamento | -0.36 | -2.59 |
| 322 | 322 | 230 | Q_smistamento | -0.36 | -2.58 |
| 322 | 322 | 229 | Q_neve | 8.640E-13 | 1.620E-12 |
| 322 | 322 | 231 | Q_neve | 1.057E-12 | -2.894E-13 |
| 322 | 322 | 232 | Q_neve | 7.323E-13 | -2.894E-13 |
| 322 | 322 | 230 | Q_neve | 1.452E-12 | 1.620E-12 |
| 323 | 323 | 231 | DEAD | -1.632E-12 | 4.053E-12 |
| 323 | 323 | 233 | DEAD | -1.632E-12 | 2.139E-12 |
| 323 | 323 | 234 | DEAD | -1.105E-12 | 1.420E-12 |
| 323 | 323 | 232 | DEAD | -1.105E-12 | 4.246E-12 |
| 323 | 323 | 231 | G1_smistamento | -1.14 | -6.99 |

Table 21: Element Stresses - Area Shells, Part 3 of 3

| Area | AreaElem | Joint | OutputCase | S13Avg KN/m2 | S23Avg KN/m2 |
|------|----------|-------|----------------|-----------------|-----------------|
| 323 | 323 | 233 | G1_smistamento | -1.14 | -7.03 |
| 323 | 323 | 234 | G1_smistamento | -1.13 | -7.03 |
| 323 | 323 | 232 | G1_smistamento | -1.13 | -6.99 |
| 323 | 323 | 231 | G2_smistamento | -0.42 | -2.59 |
| 323 | 323 | 233 | G2_smistamento | -0.42 | -2.61 |
| 323 | 323 | 234 | G2_smistamento | -0.42 | -2.61 |
| 323 | 323 | 232 | G2_smistamento | -0.42 | -2.59 |
| 323 | 323 | 231 | Q_smistamento | -0.42 | -2.59 |
| 323 | 323 | 233 | Q_smistamento | -0.42 | -2.61 |
| 323 | 323 | 234 | Q_smistamento | -0.42 | -2.61 |
| 323 | 323 | 232 | Q_smistamento | -0.42 | -2.59 |
| 323 | 323 | 231 | Q_neve | -1.023E-12 | -2.240E-13 |
| 323 | 323 | 233 | Q_neve | -1.023E-12 | 3.092E-13 |
| 323 | 323 | 234 | Q_neve | -4.968E-13 | 5.660E-13 |
| 323 | 323 | 232 | Q_neve | -4.968E-13 | 3.750E-13 |
| 324 | 324 | 233 | DEAD | -4.216E-12 | 4.246E-12 |
| 324 | 324 | 235 | DEAD | -3.497E-12 | 1.420E-12 |
| 324 | 324 | 236 | DEAD | -3.690E-12 | 2.139E-12 |
| 324 | 324 | 234 | DEAD | -3.497E-12 | 4.053E-12 |
| 324 | 324 | 233 | G1_smistamento | -0.89 | -7.03 |
| 324 | 324 | 235 | G1_smistamento | -0.89 | -7.02 |
| 324 | 324 | 236 | G1_smistamento | -0.9 | -7.02 |
| 324 | 324 | 234 | G1_smistamento | -0.9 | -7.03 |
| 324 | 324 | 233 | G2_smistamento | -0.33 | -2.61 |
| 324 | 324 | 235 | G2_smistamento | -0.33 | -2.6 |
| 324 | 324 | 236 | G2_smistamento | -0.33 | -2.6 |
| 324 | 324 | 234 | G2_smistamento | -0.33 | -2.61 |
| 324 | 324 | 233 | Q_smistamento | -0.33 | -2.61 |
| 324 | 324 | 235 | Q_smistamento | -0.33 | -2.6 |
| 324 | 324 | 236 | Q_smistamento | -0.33 | -2.6 |
| 324 | 324 | 234 | Q_smistamento | -0.33 | -2.61 |
| 324 | 324 | 233 | Q_neve | -4.486E-13 | 3.152E-13 |
| 324 | 324 | 235 | Q_neve | -6.414E-13 | -2.643E-13 |
| 324 | 324 | 236 | Q_neve | -8.436E-13 | -2.772E-13 |
| 324 | 324 | 234 | Q_neve | -1.563E-12 | 9.865E-13 |
| 325 | 325 | 235 | DEAD | -5.188E-12 | 5.392E-12 |
| 325 | 325 | 237 | DEAD | -5.907E-12 | 5.006E-12 |
| 325 | 325 | 238 | DEAD | -1.501E-12 | 4.338E-12 |

Table 21: Element Stresses - Area Shells, Part 3 of 3

| Area | AreaElem | Joint | OutputCase | S13Avg KN/m2 | S23Avg KN/m2 |
|------|----------|-------|----------------|-----------------|-----------------|
| 325 | 325 | 236 | DEAD | -1.694E-12 | 2.900E-12 |
| 325 | 325 | 235 | G1_smistamento | -8.964E-02 | -7.04 |
| 325 | 325 | 237 | G1_smistamento | -8.964E-02 | -6.94 |
| 325 | 325 | 238 | G1_smistamento | -0.13 | -6.94 |
| 325 | 325 | 236 | G1_smistamento | -0.13 | -7.04 |
| 325 | 325 | 235 | G2_smistamento | -3.323E-02 | -2.61 |
| 325 | 325 | 237 | G2_smistamento | -3.323E-02 | -2.57 |
| 325 | 325 | 238 | G2_smistamento | -4.942E-02 | -2.57 |
| 325 | 325 | 236 | G2_smistamento | -4.942E-02 | -2.61 |
| 325 | 325 | 235 | Q_smistamento | -3.323E-02 | -2.61 |
| 325 | 325 | 237 | Q_smistamento | -3.323E-02 | -2.57 |
| 325 | 325 | 238 | Q_smistamento | -4.942E-02 | -2.57 |
| 325 | 325 | 236 | Q_smistamento | -4.942E-02 | -2.61 |
| 325 | 325 | 235 | Q_neve | -1.517E-12 | 7.615E-13 |
| 325 | 325 | 237 | Q_neve | -1.710E-12 | 5.623E-13 |
| 325 | 325 | 238 | Q_neve | 9.848E-13 | 1.025E-12 |
| 325 | 325 | 236 | Q_neve | 2.653E-13 | -3.019E-14 |
| 326 | 326 | 237 | DEAD | -7.509E-12 | 5.411E-12 |
| 326 | 326 | 239 | DEAD | -6.790E-12 | -8.117E-12 |
| 326 | 326 | 240 | DEAD | -4.349E-12 | 6.707E-13 |
| 326 | 326 | 238 | DEAD | -4.157E-12 | -4.957E-12 |
| 326 | 326 | 237 | G1_smistamento | 1.36 | -6.97 |
| 326 | 326 | 239 | G1_smistamento | 1.36 | -6.7 |
| 326 | 326 | 240 | G1_smistamento | 1.3 | -6.7 |
| 326 | 326 | 238 | G1_smistamento | 1.3 | -6.97 |
| 326 | 326 | 237 | G2_smistamento | 0.5 | -2.58 |
| 326 | 326 | 239 | G2_smistamento | 0.5 | -2.48 |
| 326 | 326 | 240 | G2_smistamento | 0.48 | -2.48 |
| 326 | 326 | 238 | G2_smistamento | 0.48 | -2.58 |
| 326 | 326 | 237 | Q_smistamento | 0.5 | -2.58 |
| 326 | 326 | 239 | Q_smistamento | 0.5 | -2.48 |
| 326 | 326 | 240 | Q_smistamento | 0.48 | -2.48 |
| 326 | 326 | 238 | Q_smistamento | 0.48 | -2.58 |
| 326 | 326 | 237 | Q_neve | -1.328E-12 | 7.904E-13 |
| 326 | 326 | 239 | Q_neve | -1.328E-12 | -9.841E-13 |
| 326 | 326 | 240 | Q_neve | -8.009E-13 | 1.979E-13 |
| 326 | 326 | 238 | Q_neve | -8.009E-13 | -1.941E-13 |
| 327 | 327 | 239 | DEAD | 1.645E-12 | -3.616E-12 |

Table 21: Element Stresses - Area Shells, Part 3 of 3

| Area | AreaElem | Joint | OutputCase | S13Avg KN/m2 | S23Avg KN/m2 |
|------|----------|-------|----------------|-----------------|-----------------|
| 327 | 327 | 241 | DEAD | 8.744E-13 | 1.984E-12 |
| 327 | 327 | 242 | DEAD | 1.113E-11 | 2.704E-12 |
| 327 | 327 | 240 | DEAD | 8.248E-12 | -3.809E-12 |
| 327 | 327 | 239 | G1_smistamento | 3.37 | -6.73 |
| 327 | 327 | 241 | G1_smistamento | 3.37 | -6.21 |
| 327 | 327 | 242 | G1_smistamento | 3.42 | -6.21 |
| 327 | 327 | 240 | G1_smistamento | 3.42 | -6.73 |
| 327 | 327 | 239 | G2_smistamento | 1.25 | -2.49 |
| 327 | 327 | 241 | G2_smistamento | 1.25 | -2.3 |
| 327 | 327 | 242 | G2_smistamento | 1.27 | -2.3 |
| 327 | 327 | 240 | G2_smistamento | 1.27 | -2.49 |
| 327 | 327 | 239 | Q_smistamento | 1.25 | -2.49 |
| 327 | 327 | 241 | Q_smistamento | 1.25 | -2.3 |
| 327 | 327 | 242 | Q_smistamento | 1.27 | -2.3 |
| 327 | 327 | 240 | Q_smistamento | 1.27 | -2.49 |
| 327 | 327 | 239 | Q_neve | 6.489E-13 | 1.018E-14 |
| 327 | 327 | 241 | Q_neve | 4.561E-13 | -3.801E-14 |
| 327 | 327 | 242 | Q_neve | 1.176E-12 | 1.418E-13 |
| 327 | 327 | 240 | Q_neve | 4.561E-13 | -3.801E-14 |
| 328 | 328 | 241 | DEAD | 4.865E-12 | 4.235E-12 |
| 328 | 328 | 11 | DEAD | 4.865E-12 | -7.944E-12 |
| 328 | 328 | 14 | DEAD | 4.865E-12 | 2.183E-14 |
| 328 | 328 | 242 | DEAD | 4.865E-12 | -5.703E-13 |
| 328 | 328 | 241 | G1_smistamento | 4.45 | -5.97 |
| 328 | 328 | 11 | G1_smistamento | 4.45 | -5.07 |
| 328 | 328 | 14 | G1_smistamento | 6.15 | -5.07 |
| 328 | 328 | 242 | G1_smistamento | 6.15 | -5.97 |
| 328 | 328 | 241 | G2_smistamento | 1.65 | -2.21 |
| 328 | 328 | 11 | G2_smistamento | 1.65 | -1.88 |
| 328 | 328 | 14 | G2_smistamento | 2.28 | -1.88 |
| 328 | 328 | 242 | G2_smistamento | 2.28 | -2.21 |
| 328 | 328 | 241 | Q_smistamento | 1.65 | -2.21 |
| 328 | 328 | 11 | Q_smistamento | 1.65 | -1.88 |
| 328 | 328 | 14 | Q_smistamento | 2.28 | -1.88 |
| 328 | 328 | 242 | Q_smistamento | 2.28 | -2.21 |
| 328 | 328 | 241 | Q_neve | -2.982E-14 | 3.054E-13 |
| 328 | 328 | 11 | Q_neve | -2.982E-14 | -6.132E-13 |
| 328 | 328 | 14 | Q_neve | 1.550E-12 | 5.688E-13 |

Table 21: Element Stresses - Area Shells, Part 3 of 3

| Area | AreaElem | Joint | OutputCase | S13Avg KN/m2 | S23Avg KN/m2 |
|------|----------|-------|----------------|-----------------|-----------------|
| 328 | 328 | 242 | Q_neve | 1.550E-12 | -6.791E-13 |
| 329 | 329 | 13 | DEAD | 3.660E-12 | 7.295E-12 |
| 329 | 329 | 243 | DEAD | 2.066E-12 | 3.801E-12 |
| 329 | 329 | 244 | DEAD | 5.766E-12 | -6.052E-13 |
| 329 | 329 | 14 | DEAD | -2.674E-12 | 3.801E-12 |
| 329 | 329 | 13 | G1_smistamento | 4.06 | -5.58 |
| 329 | 329 | 243 | G1_smistamento | 4.91 | -5.58 |
| 329 | 329 | 244 | G1_smistamento | 4.91 | -7.3 |
| 329 | 329 | 14 | G1_smistamento | 4.06 | -7.3 |
| 329 | 329 | 13 | G2_smistamento | 1.5 | -2.07 |
| 329 | 329 | 243 | G2_smistamento | 1.82 | -2.07 |
| 329 | 329 | 244 | G2_smistamento | 1.82 | -2.71 |
| 329 | 329 | 14 | G2_smistamento | 1.5 | -2.71 |
| 329 | 329 | 13 | Q_smistamento | 1.5 | -2.07 |
| 329 | 329 | 243 | Q_smistamento | 1.82 | -2.07 |
| 329 | 329 | 244 | Q_smistamento | 1.82 | -2.71 |
| 329 | 329 | 14 | Q_smistamento | 1.5 | -2.71 |
| 329 | 329 | 13 | Q_neve | 1.493E-13 | 5.386E-13 |
| 329 | 329 | 243 | Q_neve | 4.961E-13 | -3.607E-13 |
| 329 | 329 | 244 | Q_neve | -3.774E-13 | 8.677E-13 |
| 329 | 329 | 14 | Q_neve | -9.522E-13 | 6.268E-13 |
| 330 | 330 | 243 | DEAD | 7.580E-12 | 7.274E-13 |
| 330 | 330 | 245 | DEAD | 2.595E-12 | 1.498E-12 |
| 330 | 330 | 246 | DEAD | 3.367E-12 | -5.592E-12 |
| 330 | 330 | 244 | DEAD | 4.702E-12 | -2.715E-12 |
| 330 | 330 | 243 | G1_smistamento | 5.19 | -3.67 |
| 330 | 330 | 245 | G1_smistamento | 5.57 | -3.67 |
| 330 | 330 | 246 | G1_smistamento | 5.57 | -3.77 |
| 330 | 330 | 244 | G1_smistamento | 5.19 | -3.77 |
| 330 | 330 | 243 | G2_smistamento | 1.92 | -1.36 |
| 330 | 330 | 245 | G2_smistamento | 2.07 | -1.36 |
| 330 | 330 | 246 | G2_smistamento | 2.07 | -1.4 |
| 330 | 330 | 244 | G2_smistamento | 1.92 | -1.4 |
| 330 | 330 | 243 | Q_smistamento | 1.92 | -1.36 |
| 330 | 330 | 245 | Q_smistamento | 2.07 | -1.36 |
| 330 | 330 | 246 | Q_smistamento | 2.07 | -1.4 |
| 330 | 330 | 244 | Q_smistamento | 1.92 | -1.4 |
| 330 | 330 | 243 | Q_neve | 5.270E-13 | 9.013E-13 |

Table 21: Element Stresses - Area Shells, Part 3 of 3

| Area | AreaElem | Joint | OutputCase | S13Avg KN/m2 | S23Avg KN/m2 |
|------|----------|-------|----------------|-----------------|-----------------|
| 330 | 330 | 245 | Q_neve | 9.108E-13 | 1.094E-12 |
| 330 | 330 | 246 | Q_neve | 4.612E-13 | -1.205E-12 |
| 330 | 330 | 244 | Q_neve | 6.475E-13 | -4.859E-13 |
| 331 | 331 | 245 | DEAD | 4.135E-12 | 1.661E-12 |
| 331 | 331 | 247 | DEAD | 1.835E-12 | 1.661E-12 |
| 331 | 331 | 248 | DEAD | 2.555E-12 | -4.452E-13 |
| 331 | 331 | 246 | DEAD | 3.942E-12 | -4.452E-13 |
| 331 | 331 | 245 | G1_smistamento | 5.58 | -1.409E-12 |
| 331 | 331 | 247 | G1_smistamento | 5.58 | -6.380E-13 |
| 331 | 331 | 248 | G1_smistamento | 5.58 | -1.936E-12 |
| 331 | 331 | 246 | G1_smistamento | 5.58 | 9.420E-13 |
| 331 | 331 | 245 | G2_smistamento | 2.07 | 2.237E-14 |
| 331 | 331 | 247 | G2_smistamento | 2.07 | 4.079E-13 |
| 331 | 331 | 248 | G2_smistamento | 2.07 | -1.163E-12 |
| 331 | 331 | 246 | G2_smistamento | 2.07 | 2.762E-13 |
| 331 | 331 | 245 | Q_smistamento | 2.07 | 2.237E-14 |
| 331 | 331 | 247 | Q_smistamento | 2.07 | 4.079E-13 |
| 331 | 331 | 248 | Q_smistamento | 2.07 | -1.163E-12 |
| 331 | 331 | 246 | Q_smistamento | 2.07 | 2.762E-13 |
| 331 | 331 | 245 | Q_neve | 1.317E-12 | -4.524E-13 |
| 331 | 331 | 247 | Q_neve | -5.986E-13 | -6.683E-14 |
| 331 | 331 | 248 | Q_neve | -3.288E-13 | -6.499E-13 |
| 331 | 331 | 246 | Q_neve | 1.245E-12 | 7.890E-13 |
| 332 | 332 | 247 | DEAD | 5.918E-12 | 9.202E-13 |
| 332 | 332 | 249 | DEAD | 3.041E-12 | 2.462E-12 |
| 332 | 332 | 250 | DEAD | 3.812E-12 | -4.873E-12 |
| 332 | 332 | 248 | DEAD | 3.041E-12 | 8.824E-13 |
| 332 | 332 | 247 | G1_smistamento | 5.57 | 3.67 |
| 332 | 332 | 249 | G1_smistamento | 5.19 | 3.67 |
| 332 | 332 | 250 | G1_smistamento | 5.19 | 3.77 |
| 332 | 332 | 248 | G1_smistamento | 5.57 | 3.77 |
| 332 | 332 | 247 | G2_smistamento | 2.07 | 1.36 |
| 332 | 332 | 249 | G2_smistamento | 1.92 | 1.36 |
| 332 | 332 | 250 | G2_smistamento | 1.92 | 1.4 |
| 332 | 332 | 248 | G2_smistamento | 2.07 | 1.4 |
| 332 | 332 | 247 | Q_smistamento | 2.07 | 1.36 |
| 332 | 332 | 249 | Q_smistamento | 1.92 | 1.36 |
| 332 | 332 | 250 | Q_smistamento | 1.92 | 1.4 |

Table 21: Element Stresses - Area Shells, Part 3 of 3

| Area | AreaElem | Joint | OutputCase | S13Avg KN/m2 | S23Avg KN/m2 |
|------|----------|-------|----------------|-----------------|-----------------|
| 332 | 332 | 248 | Q_smistamento | 2.07 | 1.4 |
| 332 | 332 | 247 | Q_neve | 2.240E-13 | 5.823E-13 |
| 332 | 332 | 249 | Q_neve | 7.638E-14 | 7.751E-13 |
| 332 | 332 | 250 | Q_neve | -5.660E-13 | -7.343E-13 |
| 332 | 332 | 248 | Q_neve | 1.064E-12 | -1.491E-14 |
| 333 | 333 | 249 | DEAD | 5.481E-12 | -4.183E-12 |
| 333 | 333 | 15 | DEAD | -1.083E-12 | -4.183E-12 |
| 333 | 333 | 18 | DEAD | -3.121E-13 | 2.663E-12 |
| 333 | 333 | 250 | DEAD | 2.603E-12 | 2.663E-12 |
| 333 | 333 | 249 | G1_smistamento | 4.91 | 5.58 |
| 333 | 333 | 15 | G1_smistamento | 4.06 | 5.58 |
| 333 | 333 | 18 | G1_smistamento | 4.06 | 7.3 |
| 333 | 333 | 250 | G1_smistamento | 4.91 | 7.3 |
| 333 | 333 | 249 | G2_smistamento | 1.82 | 2.07 |
| 333 | 333 | 15 | G2_smistamento | 1.5 | 2.07 |
| 333 | 333 | 18 | G2_smistamento | 1.5 | 2.71 |
| 333 | 333 | 250 | G2_smistamento | 1.82 | 2.71 |
| 333 | 333 | 249 | Q_smistamento | 1.82 | 2.07 |
| 333 | 333 | 15 | Q_smistamento | 1.5 | 2.07 |
| 333 | 333 | 18 | Q_smistamento | 1.5 | 2.71 |
| 333 | 333 | 250 | Q_smistamento | 1.82 | 2.71 |
| 333 | 333 | 249 | Q_neve | -2.063E-13 | -2.633E-13 |
| 333 | 333 | 15 | Q_neve | 2.433E-13 | -7.056E-14 |
| 333 | 333 | 18 | Q_neve | 3.203E-13 | 2.633E-13 |
| 333 | 333 | 250 | Q_neve | 4.408E-13 | 9.828E-13 |
| 334 | 334 | 17 | DEAD | -3.969E-12 | -2.473E-12 |
| 334 | 334 | 251 | DEAD | 9.122E-13 | 3.475E-12 |
| 334 | 334 | 252 | DEAD | 7.618E-12 | -3.000E-12 |
| 334 | 334 | 18 | DEAD | 9.122E-13 | -7.383E-13 |
| 334 | 334 | 17 | G1_smistamento | 4.45 | 5.07 |
| 334 | 334 | 251 | G1_smistamento | 4.45 | 5.97 |
| 334 | 334 | 252 | G1_smistamento | 6.15 | 5.97 |
| 334 | 334 | 18 | G1_smistamento | 6.15 | 5.07 |
| 334 | 334 | 17 | G2_smistamento | 1.65 | 1.88 |
| 334 | 334 | 251 | G2_smistamento | 1.65 | 2.21 |
| 334 | 334 | 252 | G2_smistamento | 2.28 | 2.21 |
| 334 | 334 | 18 | G2_smistamento | 2.28 | 1.88 |
| 334 | 334 | 17 | Q_smistamento | 1.65 | 1.88 |

Table 21: Element Stresses - Area Shells, Part 3 of 3

| Area | AreaElem | Joint | OutputCase | S13Avg KN/m2 | S23Avg KN/m2 |
|------|----------|-------|----------------|-----------------|-----------------|
| 334 | 334 | 251 | Q_smistamento | 1.65 | 2.21 |
| 334 | 334 | 252 | Q_smistamento | 2.28 | 2.21 |
| 334 | 334 | 18 | Q_smistamento | 2.28 | 1.88 |
| 334 | 334 | 17 | Q_neve | -1.359E-12 | -4.551E-13 |
| 334 | 334 | 251 | Q_neve | -8.585E-13 | 7.863E-13 |
| 334 | 334 | 252 | Q_neve | 2.196E-12 | -1.179E-12 |
| 334 | 334 | 18 | Q_neve | 3.264E-13 | -5.962E-13 |
| 335 | 335 | 251 | DEAD | 3.149E-12 | 5.267E-13 |
| 335 | 335 | 253 | DEAD | -1.219E-12 | 5.332E-12 |
| 335 | 335 | 254 | DEAD | -5.277E-12 | -5.267E-13 |
| 335 | 335 | 252 | DEAD | -9.119E-12 | 7.439E-12 |
| 335 | 335 | 251 | G1_smistamento | 3.37 | 6.21 |
| 335 | 335 | 253 | G1_smistamento | 3.37 | 6.73 |
| 335 | 335 | 254 | G1_smistamento | 3.42 | 6.73 |
| 335 | 335 | 252 | G1_smistamento | 3.42 | 6.21 |
| 335 | 335 | 251 | G2_smistamento | 1.25 | 2.3 |
| 335 | 335 | 253 | G2_smistamento | 1.25 | 2.49 |
| 335 | 335 | 254 | G2_smistamento | 1.27 | 2.49 |
| 335 | 335 | 252 | G2_smistamento | 1.27 | 2.3 |
| 335 | 335 | 251 | Q_smistamento | 1.25 | 2.3 |
| 335 | 335 | 253 | Q_smistamento | 1.25 | 2.49 |
| 335 | 335 | 254 | Q_smistamento | 1.27 | 2.49 |
| 335 | 335 | 252 | Q_smistamento | 1.27 | 2.3 |
| 335 | 335 | 251 | Q_neve | 2.626E-13 | 8.131E-13 |
| 335 | 335 | 253 | Q_neve | -2.770E-13 | -1.568E-13 |
| 335 | 335 | 254 | Q_neve | -2.239E-12 | 2.310E-14 |
| 335 | 335 | 252 | Q_neve | -2.384E-12 | 7.649E-13 |
| 336 | 336 | 253 | DEAD | -6.598E-13 | -9.122E-13 |
| 336 | 336 | 255 | DEAD | -5.541E-12 | 3.404E-12 |
| 336 | 336 | 256 | DEAD | -3.293E-12 | -9.122E-13 |
| 336 | 336 | 254 | DEAD | 3.412E-12 | 2.444E-13 |
| 336 | 336 | 253 | G1_smistamento | 1.36 | 6.7 |
| 336 | 336 | 255 | G1_smistamento | 1.36 | 6.97 |
| 336 | 336 | 256 | G1_smistamento | 1.3 | 6.97 |
| 336 | 336 | 254 | G1_smistamento | 1.3 | 6.7 |
| 336 | 336 | 253 | G2_smistamento | 0.5 | 2.48 |
| 336 | 336 | 255 | G2_smistamento | 0.5 | 2.58 |
| 336 | 336 | 256 | G2_smistamento | 0.48 | 2.58 |

Table 21: Element Stresses - Area Shells, Part 3 of 3

| Area | AreaElem | Joint | OutputCase | S13Avg KN/m2 | S23Avg KN/m2 |
|------|----------|-------|----------------|-----------------|-----------------|
| 336 | 336 | 254 | G2_smistamento | 0.48 | 2.48 |
| 336 | 336 | 253 | Q_smistamento | 0.5 | 2.48 |
| 336 | 336 | 255 | Q_smistamento | 0.5 | 2.58 |
| 336 | 336 | 256 | Q_smistamento | 0.48 | 2.58 |
| 336 | 336 | 254 | Q_smistamento | 0.48 | 2.48 |
| 336 | 336 | 253 | Q_neve | -7.982E-13 | -4.561E-13 |
| 336 | 336 | 255 | Q_neve | -1.479E-12 | 2.633E-13 |
| 336 | 336 | 256 | Q_neve | -7.982E-13 | -4.561E-13 |
| 336 | 336 | 254 | Q_neve | 1.023E-12 | -2.633E-13 |
| 337 | 337 | 255 | DEAD | 3.687E-12 | 3.081E-12 |
| 337 | 337 | 257 | DEAD | 2.248E-12 | -1.531E-12 |
| 337 | 337 | 258 | DEAD | -3.687E-12 | 3.608E-12 |
| 337 | 337 | 256 | DEAD | -4.072E-12 | -3.638E-12 |
| 337 | 337 | 255 | G1_smistamento | -8.964E-02 | 6.94 |
| 337 | 337 | 257 | G1_smistamento | -8.964E-02 | 7.04 |
| 337 | 337 | 258 | G1_smistamento | -0.13 | 7.04 |
| 337 | 337 | 256 | G1_smistamento | -0.13 | 6.94 |
| 337 | 337 | 255 | G2_smistamento | -3.323E-02 | 2.57 |
| 337 | 337 | 257 | G2_smistamento | -3.323E-02 | 2.61 |
| 337 | 337 | 258 | G2_smistamento | -4.942E-02 | 2.61 |
| 337 | 337 | 256 | G2_smistamento | -4.942E-02 | 2.57 |
| 337 | 337 | 255 | Q_smistamento | -3.323E-02 | 2.57 |
| 337 | 337 | 257 | Q_smistamento | -3.323E-02 | 2.61 |
| 337 | 337 | 258 | Q_smistamento | -4.942E-02 | 2.61 |
| 337 | 337 | 256 | Q_smistamento | -4.942E-02 | 2.57 |
| 337 | 337 | 255 | Q_neve | 8.280E-13 | 2.874E-13 |
| 337 | 337 | 257 | Q_neve | 8.409E-13 | -5.460E-13 |
| 337 | 337 | 258 | Q_neve | -7.520E-13 | -1.734E-13 |
| 337 | 337 | 256 | Q_neve | -8.074E-14 | -4.802E-13 |
| 338 | 338 | 257 | DEAD | -6.787E-13 | -1.640E-12 |
| 338 | 338 | 259 | DEAD | -8.696E-12 | -1.743E-12 |
| 338 | 338 | 260 | DEAD | 3.746E-13 | 4.680E-12 |
| 338 | 338 | 258 | DEAD | -7.116E-12 | -6.896E-13 |
| 338 | 338 | 257 | G1_smistamento | -0.89 | 7.02 |
| 338 | 338 | 259 | G1_smistamento | -0.89 | 7.03 |
| 338 | 338 | 260 | G1_smistamento | -0.9 | 7.03 |
| 338 | 338 | 258 | G1_smistamento | -0.9 | 7.02 |
| 338 | 338 | 257 | G2_smistamento | -0.33 | 2.6 |

Table 21: Element Stresses - Area Shells, Part 3 of 3

| Area | AreaElem | Joint | OutputCase | S13Avg KN/m2 | S23Avg KN/m2 |
|------|----------|-------|----------------|-----------------|-----------------|
| 338 | 338 | 259 | G2_smistamento | -0.33 | 2.61 |
| 338 | 338 | 260 | G2_smistamento | -0.33 | 2.61 |
| 338 | 338 | 258 | G2_smistamento | -0.33 | 2.6 |
| 338 | 338 | 257 | Q_smistamento | -0.33 | 2.6 |
| 338 | 338 | 259 | Q_smistamento | -0.33 | 2.61 |
| 338 | 338 | 260 | Q_smistamento | -0.33 | 2.61 |
| 338 | 338 | 258 | Q_smistamento | -0.33 | 2.6 |
| 338 | 338 | 257 | Q_neve | -1.215E-13 | 2.196E-13 |
| 338 | 338 | 259 | Q_neve | -1.933E-12 | -2.929E-13 |
| 338 | 338 | 260 | Q_neve | 2.735E-13 | 1.339E-12 |
| 338 | 338 | 258 | Q_neve | -8.796E-13 | -8.854E-13 |
| 339 | 339 | 259 | DEAD | -7.639E-12 | 1.302E-13 |
| 339 | 339 | 261 | DEAD | -1.113E-12 | -2.593E-12 |
| 339 | 339 | 262 | DEAD | -2.663E-13 | -4.083E-12 |
| 339 | 339 | 260 | DEAD | 4.154E-12 | 3.201E-12 |
| 339 | 339 | 259 | G1_smistamento | -1.14 | 7.03 |
| 339 | 339 | 261 | G1_smistamento | -1.14 | 6.99 |
| 339 | 339 | 262 | G1_smistamento | -1.13 | 6.99 |
| 339 | 339 | 260 | G1_smistamento | -1.13 | 7.03 |
| 339 | 339 | 259 | G2_smistamento | -0.42 | 2.61 |
| 339 | 339 | 261 | G2_smistamento | -0.42 | 2.59 |
| 339 | 339 | 262 | G2_smistamento | -0.42 | 2.59 |
| 339 | 339 | 260 | G2_smistamento | -0.42 | 2.61 |
| 339 | 339 | 259 | Q_smistamento | -0.42 | 2.61 |
| 339 | 339 | 261 | Q_smistamento | -0.42 | 2.59 |
| 339 | 339 | 262 | Q_smistamento | -0.42 | 2.59 |
| 339 | 339 | 260 | Q_smistamento | -0.42 | 2.61 |
| 339 | 339 | 259 | Q_neve | -1.446E-12 | 6.681E-13 |
| 339 | 339 | 261 | Q_neve | -5.341E-13 | -1.055E-12 |
| 339 | 339 | 262 | Q_neve | 1.998E-15 | -1.504E-12 |
| 339 | 339 | 260 | Q_neve | 9.142E-13 | 7.886E-13 |
| 340 | 340 | 261 | DEAD | -9.857E-13 | -4.702E-12 |
| 340 | 340 | 263 | DEAD | 4.102E-12 | 3.931E-12 |
| 340 | 340 | 264 | DEAD | -7.832E-12 | -2.595E-12 |
| 340 | 340 | 262 | DEAD | -3.798E-12 | -2.822E-13 |
| 340 | 340 | 261 | G1_smistamento | -0.98 | 7. |
| 340 | 340 | 263 | G1_smistamento | -0.98 | 6.95 |
| 340 | 340 | 264 | G1_smistamento | -0.96 | 6.95 |

Table 21: Element Stresses - Area Shells, Part 3 of 3

| Area | AreaElem | Joint | OutputCase | S13Avg KN/m2 | S23Avg KN/m2 |
|------|----------|-------|----------------|-----------------|-----------------|
| 340 | 340 | 262 | G1_smistamento | -0.96 | 7. |
| 340 | 340 | 261 | G2_smistamento | -0.36 | 2.59 |
| 340 | 340 | 263 | G2_smistamento | -0.36 | 2.58 |
| 340 | 340 | 264 | G2_smistamento | -0.36 | 2.58 |
| 340 | 340 | 262 | G2_smistamento | -0.36 | 2.59 |
| 340 | 340 | 261 | Q_smistamento | -0.36 | 2.59 |
| 340 | 340 | 263 | Q_smistamento | -0.36 | 2.58 |
| 340 | 340 | 264 | Q_smistamento | -0.36 | 2.58 |
| 340 | 340 | 262 | Q_smistamento | -0.36 | 2.59 |
| 340 | 340 | 261 | Q_neve | -2.790E-13 | -1.393E-12 |
| 340 | 340 | 263 | Q_neve | 9.366E-14 | 8.836E-13 |
| 340 | 340 | 264 | Q_neve | -9.373E-13 | -7.351E-13 |
| 340 | 340 | 262 | Q_neve | -1.697E-13 | -9.597E-13 |
| 341 | 341 | 263 | DEAD | -7.406E-12 | 7.194E-13 |
| 341 | 341 | 265 | DEAD | -2.267E-12 | -4.792E-12 |
| 341 | 341 | 266 | DEAD | 1.021E-12 | 1.928E-13 |
| 341 | 341 | 264 | DEAD | 7.740E-12 | 2.055E-12 |
| 341 | 341 | 263 | G1_smistamento | -0.55 | 6.96 |
| 341 | 341 | 265 | G1_smistamento | -0.55 | 6.93 |
| 341 | 341 | 266 | G1_smistamento | -0.54 | 6.93 |
| 341 | 341 | 264 | G1_smistamento | -0.54 | 6.96 |
| 341 | 341 | 263 | G2_smistamento | -0.21 | 2.58 |
| 341 | 341 | 265 | G2_smistamento | -0.21 | 2.57 |
| 341 | 341 | 266 | G2_smistamento | -0.2 | 2.57 |
| 341 | 341 | 264 | G2_smistamento | -0.2 | 2.58 |
| 341 | 341 | 263 | Q_smistamento | -0.21 | 2.58 |
| 341 | 341 | 265 | Q_smistamento | -0.21 | 2.57 |
| 341 | 341 | 266 | Q_smistamento | -0.2 | 2.57 |
| 341 | 341 | 264 | Q_smistamento | -0.2 | 2.58 |
| 341 | 341 | 263 | Q_neve | -1.135E-12 | -3.937E-14 |
| 341 | 341 | 265 | Q_neve | -2.226E-13 | -3.797E-13 |
| 341 | 341 | 266 | Q_neve | -8.147E-14 | -3.027E-13 |
| 341 | 341 | 264 | Q_neve | 8.307E-13 | 6.078E-13 |
| 342 | 342 | 265 | DEAD | 2.563E-12 | -1.458E-12 |
| 342 | 342 | 267 | DEAD | 6.160E-12 | 1.227E-12 |
| 342 | 342 | 268 | DEAD | -1.651E-12 | 3.282E-12 |
| 342 | 342 | 266 | DEAD | -6.867E-13 | 3.334E-12 |
| 342 | 342 | 265 | G1_smistamento | 6.070E-12 | 6.93 |

Table 21: Element Stresses - Area Shells, Part 3 of 3

| Area | AreaElem | Joint | OutputCase | S13Avg KN/m2 | S23Avg KN/m2 |
|------|----------|-------|----------------|-----------------|-----------------|
| 342 | 342 | 267 | G1_smistamento | 8.229E-12 | 6.93 |
| 342 | 342 | 268 | G1_smistamento | 3.964E-12 | 6.93 |
| 342 | 342 | 266 | G1_smistamento | 4.542E-12 | 6.93 |
| 342 | 342 | 265 | G2_smistamento | 3.334E-12 | 2.57 |
| 342 | 342 | 267 | G2_smistamento | 5.107E-12 | 2.57 |
| 342 | 342 | 268 | G2_smistamento | 1.227E-12 | 2.57 |
| 342 | 342 | 266 | G2_smistamento | 3.666E-13 | 2.57 |
| 342 | 342 | 265 | Q_smistamento | 3.334E-12 | 2.57 |
| 342 | 342 | 267 | Q_smistamento | 5.107E-12 | 2.57 |
| 342 | 342 | 268 | Q_smistamento | 1.227E-12 | 2.57 |
| 342 | 342 | 266 | Q_smistamento | 3.666E-13 | 2.57 |
| 342 | 342 | 265 | Q_neve | 1.586E-12 | -2.060E-13 |
| 342 | 342 | 267 | Q_neve | 2.293E-12 | 2.420E-13 |
| 342 | 342 | 268 | Q_neve | 1.454E-12 | 1.308E-12 |
| 342 | 342 | 266 | Q_neve | 9.760E-13 | 1.761E-13 |
| 343 | 343 | 267 | DEAD | -5.622E-12 | 2.288E-12 |
| 343 | 343 | 269 | DEAD | -1.202E-12 | -4.892E-12 |
| 343 | 343 | 270 | DEAD | 2.278E-12 | -3.505E-12 |
| 343 | 343 | 268 | DEAD | 8.804E-12 | 4.588E-12 |
| 343 | 343 | 267 | G1_smistamento | 0.55 | 6.93 |
| 343 | 343 | 269 | G1_smistamento | 0.55 | 6.96 |
| 343 | 343 | 270 | G1_smistamento | 0.54 | 6.96 |
| 343 | 343 | 268 | G1_smistamento | 0.54 | 6.93 |
| 343 | 343 | 267 | G2_smistamento | 0.21 | 2.57 |
| 343 | 343 | 269 | G2_smistamento | 0.21 | 2.58 |
| 343 | 343 | 270 | G2_smistamento | 0.2 | 2.58 |
| 343 | 343 | 268 | G2_smistamento | 0.2 | 2.57 |
| 343 | 343 | 267 | Q_smistamento | 0.21 | 2.57 |
| 343 | 343 | 269 | Q_smistamento | 0.21 | 2.58 |
| 343 | 343 | 270 | Q_smistamento | 0.2 | 2.58 |
| 343 | 343 | 268 | Q_smistamento | 0.2 | 2.57 |
| 343 | 343 | 267 | Q_neve | -1.743E-12 | 3.223E-13 |
| 343 | 343 | 269 | Q_neve | -8.307E-13 | -8.174E-13 |
| 343 | 343 | 270 | Q_neve | -6.896E-13 | -1.653E-12 |
| 343 | 343 | 268 | Q_neve | 2.226E-13 | 1.882E-12 |
| 344 | 344 | 269 | DEAD | 2.307E-12 | -4.135E-12 |
| 344 | 344 | 271 | DEAD | 5.288E-12 | -1.835E-12 |
| 344 | 344 | 272 | DEAD | -7.172E-12 | -2.555E-12 |

Table 21: Element Stresses - Area Shells, Part 3 of 3

| Area | AreaElem | Joint | OutputCase | S13Avg KN/m2 | S23Avg KN/m2 |
|------|----------|-------|----------------|-----------------|-----------------|
| 344 | 344 | 270 | DEAD | -1.031E-12 | -3.942E-12 |
| 344 | 344 | 269 | G1_smistamento | 0.98 | 6.95 |
| 344 | 344 | 271 | G1_smistamento | 0.98 | 7. |
| 344 | 344 | 272 | G1_smistamento | 0.96 | 7. |
| 344 | 344 | 270 | G1_smistamento | 0.96 | 6.95 |
| 344 | 344 | 269 | G2_smistamento | 0.36 | 2.58 |
| 344 | 344 | 271 | G2_smistamento | 0.36 | 2.59 |
| 344 | 344 | 272 | G2_smistamento | 0.36 | 2.59 |
| 344 | 344 | 270 | G2_smistamento | 0.36 | 2.58 |
| 344 | 344 | 269 | Q_smistamento | 0.36 | 2.58 |
| 344 | 344 | 271 | Q_smistamento | 0.36 | 2.59 |
| 344 | 344 | 272 | Q_smistamento | 0.36 | 2.59 |
| 344 | 344 | 270 | Q_smistamento | 0.36 | 2.58 |
| 344 | 344 | 269 | Q_neve | 1.642E-13 | -7.449E-13 |
| 344 | 344 | 271 | Q_neve | 3.699E-13 | 4.289E-13 |
| 344 | 344 | 272 | Q_neve | -1.152E-12 | -5.474E-13 |
| 344 | 344 | 270 | Q_neve | 2.382E-13 | -1.151E-12 |
| 345 | 345 | 271 | DEAD | 3.556E-12 | -6.401E-12 |
| 345 | 345 | 273 | DEAD | 6.270E-13 | 2.411E-12 |
| 345 | 345 | 274 | DEAD | 3.965E-13 | 5.185E-12 |
| 345 | 345 | 272 | DEAD | -3.060E-12 | -1.803E-12 |
| 345 | 345 | 271 | G1_smistamento | 1.14 | 6.99 |
| 345 | 345 | 273 | G1_smistamento | 1.14 | 7.03 |
| 345 | 345 | 274 | G1_smistamento | 1.13 | 7.03 |
| 345 | 345 | 272 | G1_smistamento | 1.13 | 6.99 |
| 345 | 345 | 271 | G2_smistamento | 0.42 | 2.59 |
| 345 | 345 | 273 | G2_smistamento | 0.42 | 2.61 |
| 345 | 345 | 274 | G2_smistamento | 0.42 | 2.61 |
| 345 | 345 | 272 | G2_smistamento | 0.42 | 2.59 |
| 345 | 345 | 271 | Q_smistamento | 0.42 | 2.59 |
| 345 | 345 | 273 | Q_smistamento | 0.42 | 2.61 |
| 345 | 345 | 274 | Q_smistamento | 0.42 | 2.61 |
| 345 | 345 | 272 | Q_smistamento | 0.42 | 2.59 |
| 345 | 345 | 271 | Q_neve | 4.405E-13 | -1.363E-12 |
| 345 | 345 | 273 | Q_neve | -9.911E-14 | -2.837E-13 |
| 345 | 345 | 274 | Q_neve | -7.445E-13 | -3.095E-13 |
| 345 | 345 | 272 | Q_neve | -8.891E-13 | -2.037E-14 |
| 346 | 346 | 273 | DEAD | 3.909E-12 | 5.400E-12 |

Table 21: Element Stresses - Area Shells, Part 3 of 3

| Area | AreaElem | Joint | OutputCase | S13Avg KN/m2 | S23Avg KN/m2 |
|------|----------|-------|----------------|-----------------|-----------------|
| 346 | 346 | 275 | DEAD | -2.514E-12 | 2.870E-12 |
| 346 | 346 | 276 | DEAD | -4.517E-12 | -1.447E-12 |
| 346 | 346 | 274 | DEAD | -3.567E-12 | 6.556E-12 |
| 346 | 346 | 273 | G1_smistamento | 0.89 | 7.03 |
| 346 | 346 | 275 | G1_smistamento | 0.89 | 7.02 |
| 346 | 346 | 276 | G1_smistamento | 0.9 | 7.02 |
| 346 | 346 | 274 | G1_smistamento | 0.9 | 7.03 |
| 346 | 346 | 273 | G2_smistamento | 0.33 | 2.61 |
| 346 | 346 | 275 | G2_smistamento | 0.33 | 2.6 |
| 346 | 346 | 276 | G2_smistamento | 0.33 | 2.6 |
| 346 | 346 | 274 | G2_smistamento | 0.33 | 2.61 |
| 346 | 346 | 273 | Q_smistamento | 0.33 | 2.61 |
| 346 | 346 | 275 | Q_smistamento | 0.33 | 2.6 |
| 346 | 346 | 276 | Q_smistamento | 0.33 | 2.6 |
| 346 | 346 | 274 | Q_smistamento | 0.33 | 2.61 |
| 346 | 346 | 273 | Q_neve | 1.140E-12 | 1.989E-13 |
| 346 | 346 | 275 | Q_neve | -2.864E-13 | 6.967E-13 |
| 346 | 346 | 276 | Q_neve | -8.355E-13 | 6.720E-14 |
| 346 | 346 | 274 | Q_neve | -5.498E-13 | 3.675E-13 |
| 347 | 347 | 275 | DEAD | 9.639E-13 | 1.591E-12 |
| 347 | 347 | 277 | DEAD | -1.914E-12 | -2.288E-12 |
| 347 | 347 | 278 | DEAD | 3.597E-12 | 5.376E-13 |
| 347 | 347 | 276 | DEAD | 2.826E-12 | 3.505E-12 |
| 347 | 347 | 275 | G1_smistamento | 8.964E-02 | 7.04 |
| 347 | 347 | 277 | G1_smistamento | 8.964E-02 | 6.94 |
| 347 | 347 | 278 | G1_smistamento | 0.13 | 6.94 |
| 347 | 347 | 276 | G1_smistamento | 0.13 | 7.04 |
| 347 | 347 | 275 | G2_smistamento | 3.323E-02 | 2.61 |
| 347 | 347 | 277 | G2_smistamento | 3.323E-02 | 2.57 |
| 347 | 347 | 278 | G2_smistamento | 4.942E-02 | 2.57 |
| 347 | 347 | 276 | G2_smistamento | 4.942E-02 | 2.61 |
| 347 | 347 | 275 | Q_smistamento | 3.323E-02 | 2.61 |
| 347 | 347 | 277 | Q_smistamento | 3.323E-02 | 2.57 |
| 347 | 347 | 278 | Q_smistamento | 4.942E-02 | 2.57 |
| 347 | 347 | 276 | Q_smistamento | 4.942E-02 | 2.61 |
| 347 | 347 | 275 | Q_neve | 4.561E-13 | 3.750E-13 |
| 347 | 347 | 277 | Q_neve | -2.633E-13 | 3.937E-14 |
| 347 | 347 | 278 | Q_neve | 4.561E-13 | 3.092E-13 |

Table 21: Element Stresses - Area Shells, Part 3 of 3

| Area | AreaElem | Joint | OutputCase | S13Avg KN/m2 | S23Avg KN/m2 |
|------|----------|-------|----------------|-----------------|-----------------|
| 347 | 347 | 276 | Q_neve | 2.633E-13 | 3.027E-13 |
| 348 | 348 | 277 | DEAD | 1.379E-12 | -3.646E-12 |
| 348 | 348 | 279 | DEAD | 4.257E-12 | 5.745E-12 |
| 348 | 348 | 280 | DEAD | 3.486E-12 | 4.254E-12 |
| 348 | 348 | 278 | DEAD | 4.257E-12 | -5.754E-13 |
| 348 | 348 | 277 | G1_smistamento | -1.36 | 6.97 |
| 348 | 348 | 279 | G1_smistamento | -1.36 | 6.7 |
| 348 | 348 | 280 | G1_smistamento | -1.3 | 6.7 |
| 348 | 348 | 278 | G1_smistamento | -1.3 | 6.97 |
| 348 | 348 | 277 | G2_smistamento | -0.5 | 2.58 |
| 348 | 348 | 279 | G2_smistamento | -0.5 | 2.48 |
| 348 | 348 | 280 | G2_smistamento | -0.48 | 2.48 |
| 348 | 348 | 278 | G2_smistamento | -0.48 | 2.58 |
| 348 | 348 | 277 | Q_smistamento | -0.5 | 2.58 |
| 348 | 348 | 279 | Q_smistamento | -0.5 | 2.48 |
| 348 | 348 | 280 | Q_smistamento | -0.48 | 2.48 |
| 348 | 348 | 278 | Q_smistamento | -0.48 | 2.58 |
| 348 | 348 | 277 | Q_neve | 1.975E-13 | -3.821E-13 |
| 348 | 348 | 279 | Q_neve | 7.371E-13 | -1.291E-14 |
| 348 | 348 | 280 | Q_neve | -1.975E-13 | 1.066E-12 |
| 348 | 348 | 278 | Q_neve | -5.292E-14 | -6.712E-13 |
| 349 | 349 | 279 | DEAD | -3.171E-12 | 6.122E-12 |
| 349 | 349 | 281 | DEAD | -3.890E-12 | -1.368E-12 |
| 349 | 349 | 282 | DEAD | 1.042E-12 | 6.649E-12 |
| 349 | 349 | 280 | DEAD | 8.496E-13 | -1.368E-12 |
| 349 | 349 | 279 | G1_smistamento | -3.37 | 6.73 |
| 349 | 349 | 281 | G1_smistamento | -3.37 | 6.21 |
| 349 | 349 | 282 | G1_smistamento | -3.42 | 6.21 |
| 349 | 349 | 280 | G1_smistamento | -3.42 | 6.73 |
| 349 | 349 | 279 | G2_smistamento | -1.25 | 2.49 |
| 349 | 349 | 281 | G2_smistamento | -1.25 | 2.3 |
| 349 | 349 | 282 | G2_smistamento | -1.27 | 2.3 |
| 349 | 349 | 280 | G2_smistamento | -1.27 | 2.49 |
| 349 | 349 | 279 | Q_smistamento | -1.25 | 2.49 |
| 349 | 349 | 281 | Q_smistamento | -1.25 | 2.3 |
| 349 | 349 | 282 | Q_smistamento | -1.27 | 2.3 |
| 349 | 349 | 280 | Q_smistamento | -1.27 | 2.49 |
| 349 | 349 | 279 | Q_neve | -2.810E-13 | 9.187E-13 |

Table 21: Element Stresses - Area Shells, Part 3 of 3

| Area | AreaElem | Joint | OutputCase | S13Avg KN/m2 | S23Avg KN/m2 |
|------|----------|-------|----------------|-----------------|-----------------|
| 349 | 349 | 281 | Q_neve | -4.608E-13 | -2.410E-14 |
| 349 | 349 | 282 | Q_neve | 5.090E-13 | 1.248E-12 |
| 349 | 349 | 280 | Q_neve | 4.608E-13 | -8.993E-14 |
| 350 | 350 | 281 | DEAD | -3.965E-13 | 3.671E-12 |
| 350 | 350 | 19 | DEAD | -4.558E-12 | -3.730E-12 |
| 350 | 350 | 22 | DEAD | -3.556E-12 | 7.884E-12 |
| 350 | 350 | 282 | DEAD | 3.342E-12 | -4.784E-12 |
| 350 | 350 | 281 | G1_smistamento | -4.45 | 5.97 |
| 350 | 350 | 19 | G1_smistamento | -4.45 | 5.07 |
| 350 | 350 | 22 | G1_smistamento | -6.15 | 5.07 |
| 350 | 350 | 282 | G1_smistamento | -6.15 | 5.97 |
| 350 | 350 | 281 | G2_smistamento | -1.65 | 2.21 |
| 350 | 350 | 19 | G2_smistamento | -1.65 | 1.88 |
| 350 | 350 | 22 | G2_smistamento | -2.28 | 1.88 |
| 350 | 350 | 282 | G2_smistamento | -2.28 | 2.21 |
| 350 | 350 | 281 | Q_smistamento | -1.65 | 2.21 |
| 350 | 350 | 19 | Q_smistamento | -1.65 | 1.88 |
| 350 | 350 | 22 | Q_smistamento | -2.28 | 1.88 |
| 350 | 350 | 282 | Q_smistamento | -2.28 | 2.21 |
| 350 | 350 | 281 | Q_neve | 1.218E-14 | 1.118E-12 |
| 350 | 350 | 19 | Q_neve | -1.028E-12 | -2.396E-13 |
| 350 | 350 | 22 | Q_neve | -1.304E-12 | 1.315E-12 |
| 350 | 350 | 282 | Q_neve | 4.201E-13 | -6.346E-13 |
| 351 | 351 | 21 | DEAD | -5.440E-12 | -4.124E-12 |
| 351 | 351 | 283 | DEAD | -4.824E-12 | -4.124E-12 |
| 351 | 351 | 284 | DEAD | 8.795E-13 | -4.372E-13 |
| 351 | 351 | 22 | DEAD | -4.298E-12 | -4.372E-13 |
| 351 | 351 | 21 | G1_smistamento | -4.06 | 5.58 |
| 351 | 351 | 283 | G1_smistamento | -4.91 | 5.58 |
| 351 | 351 | 284 | G1_smistamento | -4.91 | 7.3 |
| 351 | 351 | 22 | G1_smistamento | -4.06 | 7.3 |
| 351 | 351 | 21 | G2_smistamento | -1.5 | 2.07 |
| 351 | 351 | 283 | G2_smistamento | -1.82 | 2.07 |
| 351 | 351 | 284 | G2_smistamento | -1.82 | 2.71 |
| 351 | 351 | 22 | G2_smistamento | -1.5 | 2.71 |
| 351 | 351 | 21 | Q_smistamento | -1.5 | 2.07 |
| 351 | 351 | 283 | Q_smistamento | -1.82 | 2.07 |
| 351 | 351 | 284 | Q_smistamento | -1.82 | 2.71 |

Table 21: Element Stresses - Area Shells, Part 3 of 3

| Area | AreaElem | Joint | OutputCase | S13Avg KN/m2 | S23Avg KN/m2 |
|------|----------|-------|----------------|-----------------|-----------------|
| 351 | 351 | 22 | Q_smistamento | -1.5 | 2.71 |
| 351 | 351 | 21 | Q_neve | -2.582E-13 | -5.711E-13 |
| 351 | 351 | 283 | Q_neve | -4.751E-13 | -5.711E-13 |
| 351 | 351 | 284 | Q_neve | 3.343E-13 | 1.530E-13 |
| 351 | 351 | 22 | Q_neve | -4.751E-13 | 1.530E-13 |
| 352 | 352 | 283 | DEAD | -4.317E-12 | -2.107E-12 |
| 352 | 352 | 285 | DEAD | -3.263E-12 | -2.107E-12 |
| 352 | 352 | 286 | DEAD | -1.157E-12 | 2.107E-12 |
| 352 | 352 | 284 | DEAD | -2.210E-12 | 2.107E-12 |
| 352 | 352 | 283 | G1_smistamento | -5.19 | 3.67 |
| 352 | 352 | 285 | G1_smistamento | -5.57 | 3.67 |
| 352 | 352 | 286 | G1_smistamento | -5.57 | 3.77 |
| 352 | 352 | 284 | G1_smistamento | -5.19 | 3.77 |
| 352 | 352 | 283 | G2_smistamento | -1.92 | 1.36 |
| 352 | 352 | 285 | G2_smistamento | -2.07 | 1.36 |
| 352 | 352 | 286 | G2_smistamento | -2.07 | 1.4 |
| 352 | 352 | 284 | G2_smistamento | -1.92 | 1.4 |
| 352 | 352 | 283 | Q_smistamento | -1.92 | 1.36 |
| 352 | 352 | 285 | Q_smistamento | -2.07 | 1.36 |
| 352 | 352 | 286 | Q_smistamento | -2.07 | 1.4 |
| 352 | 352 | 284 | Q_smistamento | -1.92 | 1.4 |
| 352 | 352 | 283 | Q_neve | -6.448E-13 | -1.558E-13 |
| 352 | 352 | 285 | Q_neve | -9.980E-13 | -1.558E-13 |
| 352 | 352 | 286 | Q_neve | -3.814E-13 | 4.174E-14 |
| 352 | 352 | 284 | Q_neve | -1.422E-13 | 4.174E-14 |
| 353 | 353 | 285 | DEAD | -3.668E-12 | 4.750E-13 |
| 353 | 353 | 287 | DEAD | 7.056E-14 | 4.750E-13 |
| 353 | 353 | 288 | DEAD | 1.891E-14 | -3.212E-12 |
| 353 | 353 | 286 | DEAD | -9.828E-13 | -3.212E-12 |
| 353 | 353 | 285 | G1_smistamento | -5.58 | -3.293E-12 |
| 353 | 353 | 287 | G1_smistamento | -5.58 | -3.293E-12 |
| 353 | 353 | 288 | G1_smistamento | -5.58 | -6.598E-13 |
| 353 | 353 | 286 | G1_smistamento | -5.58 | -6.598E-13 |
| 353 | 353 | 285 | G2_smistamento | -2.07 | -4.005E-13 |
| 353 | 353 | 287 | G2_smistamento | -2.07 | -4.005E-13 |
| 353 | 353 | 288 | G2_smistamento | -2.07 | -6.638E-13 |
| 353 | 353 | 286 | G2_smistamento | -2.07 | -6.638E-13 |
| 353 | 353 | 285 | Q_smistamento | -2.07 | -4.005E-13 |

Table 21: Element Stresses - Area Shells, Part 3 of 3

| Area | AreaElem | Joint | OutputCase | S13Avg KN/m2 | S23Avg KN/m2 |
|------|----------|-------|----------------|-----------------|-----------------|
| 353 | 353 | 287 | Q_smistamento | -2.07 | -4.005E-13 |
| 353 | 353 | 288 | Q_smistamento | -2.07 | -6.638E-13 |
| 353 | 353 | 286 | Q_smistamento | -2.07 | -6.638E-13 |
| 353 | 353 | 285 | Q_neve | -9.091E-13 | 1.558E-13 |
| 353 | 353 | 287 | Q_neve | -1.155E-14 | 1.558E-13 |
| 353 | 353 | 288 | Q_neve | 6.050E-13 | -4.174E-14 |
| 353 | 353 | 286 | Q_neve | -4.065E-13 | -4.174E-14 |
| 354 | 354 | 287 | DEAD | -3.616E-12 | -1.661E-12 |
| 354 | 354 | 289 | DEAD | -2.229E-12 | -1.661E-12 |
| 354 | 354 | 290 | DEAD | 2.704E-12 | 4.452E-13 |
| 354 | 354 | 288 | DEAD | 4.044E-13 | 4.452E-13 |
| 354 | 354 | 287 | G1_smistamento | -5.57 | -3.67 |
| 354 | 354 | 289 | G1_smistamento | -5.19 | -3.67 |
| 354 | 354 | 290 | G1_smistamento | -5.19 | -3.77 |
| 354 | 354 | 288 | G1_smistamento | -5.57 | -3.77 |
| 354 | 354 | 287 | G2_smistamento | -2.07 | -1.36 |
| 354 | 354 | 289 | G2_smistamento | -1.92 | -1.36 |
| 354 | 354 | 290 | G2_smistamento | -1.92 | -1.4 |
| 354 | 354 | 288 | G2_smistamento | -2.07 | -1.4 |
| 354 | 354 | 287 | Q_smistamento | -2.07 | -1.36 |
| 354 | 354 | 289 | Q_smistamento | -1.92 | -1.36 |
| 354 | 354 | 290 | Q_smistamento | -1.92 | -1.4 |
| 354 | 354 | 288 | Q_smistamento | -2.07 | -1.4 |
| 354 | 354 | 287 | Q_neve | 3.787E-13 | -1.031E-12 |
| 354 | 354 | 289 | Q_neve | -1.413E-12 | -1.031E-12 |
| 354 | 354 | 290 | Q_neve | 1.154E-13 | -1.093E-13 |
| 354 | 354 | 288 | Q_neve | -3.092E-14 | -1.093E-13 |
| 355 | 355 | 289 | DEAD | -4.873E-12 | 2.433E-12 |
| 355 | 355 | 10 | DEAD | 3.557E-13 | 2.433E-12 |
| 355 | 355 | 9 | DEAD | 9.202E-13 | 2.433E-12 |
| 355 | 355 | 290 | DEAD | 2.989E-12 | 2.433E-12 |
| 355 | 355 | 289 | G1_smistamento | -4.91 | -5.58 |
| 355 | 355 | 10 | G1_smistamento | -4.06 | -5.58 |
| 355 | 355 | 9 | G1_smistamento | -4.06 | -7.3 |
| 355 | 355 | 290 | G1_smistamento | -4.91 | -7.3 |
| 355 | 355 | 289 | G2_smistamento | -1.82 | -2.07 |
| 355 | 355 | 10 | G2_smistamento | -1.5 | -2.07 |
| 355 | 355 | 9 | G2_smistamento | -1.5 | -2.71 |

Table 21: Element Stresses - Area Shells, Part 3 of 3

| Area | AreaElem | Joint | OutputCase | S13Avg KN/m2 | S23Avg KN/m2 |
|------|----------|-------|----------------|-----------------|-----------------|
| 355 | 355 | 290 | G2_smistamento | -1.82 | -2.71 |
| 355 | 355 | 289 | Q_smistamento | -1.82 | -2.07 |
| 355 | 355 | 10 | Q_smistamento | -1.5 | -2.07 |
| 355 | 355 | 9 | Q_smistamento | -1.5 | -2.71 |
| 355 | 355 | 290 | Q_smistamento | -1.82 | -2.71 |
| 355 | 355 | 289 | Q_neve | -2.314E-13 | 7.120E-13 |
| 355 | 355 | 10 | Q_neve | -5.752E-13 | 7.120E-13 |
| 355 | 355 | 9 | Q_neve | 9.536E-13 | 5.803E-13 |
| 355 | 355 | 290 | Q_neve | -6.410E-13 | 5.803E-13 |
| 356 | 356 | 18 | DEAD | 2.462E-12 | 1.528E-12 |
| 356 | 356 | 252 | DEAD | 2.462E-12 | 3.700E-12 |
| 356 | 356 | 291 | DEAD | 8.824E-13 | -4.265E-12 |
| 356 | 356 | 250 | DEAD | 8.824E-13 | 6.334E-12 |
| 356 | 356 | 18 | G1_smistamento | 6.59 | 7.67 |
| 356 | 356 | 252 | G1_smistamento | 6.59 | 9.46 |
| 356 | 356 | 291 | G1_smistamento | 8.31 | 9.46 |
| 356 | 356 | 250 | G1_smistamento | 8.31 | 7.67 |
| 356 | 356 | 18 | G2_smistamento | 2.44 | 2.84 |
| 356 | 356 | 252 | G2_smistamento | 2.44 | 3.51 |
| 356 | 356 | 291 | G2_smistamento | 3.08 | 3.51 |
| 356 | 356 | 250 | G2_smistamento | 3.08 | 2.84 |
| 356 | 356 | 18 | Q_smistamento | 2.44 | 2.84 |
| 356 | 356 | 252 | Q_smistamento | 2.44 | 3.51 |
| 356 | 356 | 291 | Q_smistamento | 3.08 | 3.51 |
| 356 | 356 | 250 | Q_smistamento | 3.08 | 2.84 |
| 356 | 356 | 18 | Q_neve | 1.127E-12 | 6.720E-14 |
| 356 | 356 | 252 | Q_neve | 1.127E-12 | 6.614E-13 |
| 356 | 356 | 291 | Q_neve | 4.690E-13 | 1.989E-13 |
| 356 | 356 | 250 | Q_neve | 4.690E-13 | 8.589E-13 |
| 357 | 357 | 250 | DEAD | 3.589E-12 | -6.505E-12 |
| 357 | 357 | 291 | DEAD | 3.589E-12 | 2.796E-12 |
| 357 | 357 | 292 | DEAD | 6.749E-12 | -1.848E-13 |
| 357 | 357 | 248 | DEAD | 6.749E-12 | -3.637E-13 |
| 357 | 357 | 250 | G1_smistamento | 8.67 | 3.98 |
| 357 | 357 | 291 | G1_smistamento | 8.67 | 4.29 |
| 357 | 357 | 292 | G1_smistamento | 9.38 | 4.29 |
| 357 | 357 | 248 | G1_smistamento | 9.38 | 3.98 |
| 357 | 357 | 250 | G2_smistamento | 3.21 | 1.47 |

Table 21: Element Stresses - Area Shells, Part 3 of 3

| Area | AreaElem | Joint | OutputCase | S13Avg KN/m2 | S23Avg KN/m2 |
|------|----------|-------|----------------|-----------------|-----------------|
| 357 | 357 | 291 | G2_smistamento | 3.21 | 1.59 |
| 357 | 357 | 292 | G2_smistamento | 3.48 | 1.59 |
| 357 | 357 | 248 | G2_smistamento | 3.48 | 1.47 |
| 357 | 357 | 250 | Q_smistamento | 3.21 | 1.47 |
| 357 | 357 | 291 | Q_smistamento | 3.21 | 1.59 |
| 357 | 357 | 292 | Q_smistamento | 3.48 | 1.59 |
| 357 | 357 | 248 | Q_smistamento | 3.48 | 1.47 |
| 357 | 357 | 250 | Q_neve | 5.932E-13 | -6.930E-13 |
| 357 | 357 | 291 | Q_neve | 5.932E-13 | 6.207E-13 |
| 357 | 357 | 292 | Q_neve | 1.383E-12 | -5.613E-13 |
| 357 | 357 | 248 | Q_neve | 1.383E-12 | 2.915E-13 |
| 358 | 358 | 248 | DEAD | 9.849E-12 | 1.357E-12 |
| 358 | 358 | 292 | DEAD | 9.849E-12 | 6.896E-13 |
| 358 | 358 | 293 | DEAD | 3.530E-12 | -7.492E-13 |
| 358 | 358 | 246 | DEAD | 3.530E-12 | 1.743E-12 |
| 358 | 358 | 248 | G1_smistamento | 9.42 | -2.553E-12 |
| 358 | 358 | 292 | G1_smistamento | 9.42 | 5.316E-12 |
| 358 | 358 | 293 | G1_smistamento | 9.42 | -1.833E-13 |
| 358 | 358 | 246 | G1_smistamento | 9.42 | 4.262E-12 |
| 358 | 358 | 248 | G2_smistamento | 3.49 | 1.364E-13 |
| 358 | 358 | 292 | G2_smistamento | 3.49 | -5.090E-13 |
| 358 | 358 | 293 | G2_smistamento | 3.49 | -1.049E-12 |
| 358 | 358 | 246 | G2_smistamento | 3.49 | 2.810E-13 |
| 358 | 358 | 248 | Q_smistamento | 3.49 | 1.364E-13 |
| 358 | 358 | 292 | Q_smistamento | 3.49 | -5.090E-13 |
| 358 | 358 | 293 | Q_smistamento | 3.49 | -1.049E-12 |
| 358 | 358 | 246 | Q_smistamento | 3.49 | 2.810E-13 |
| 358 | 358 | 248 | Q_neve | 1.431E-12 | -8.172E-13 |
| 358 | 358 | 292 | Q_neve | 1.431E-12 | 5.576E-13 |
| 358 | 358 | 293 | Q_neve | 7.731E-13 | -8.172E-13 |
| 358 | 358 | 246 | Q_neve | 7.731E-13 | 8.867E-13 |
| 359 | 359 | 246 | DEAD | 2.273E-12 | 7.194E-13 |
| 359 | 359 | 293 | DEAD | 7.820E-13 | -2.120E-12 |
| 359 | 359 | 294 | DEAD | 8.066E-12 | 1.928E-13 |
| 359 | 359 | 244 | DEAD | 4.995E-12 | -7.914E-12 |
| 359 | 359 | 246 | G1_smistamento | 9.38 | -3.98 |
| 359 | 359 | 293 | G1_smistamento | 9.38 | -4.29 |
| 359 | 359 | 294 | G1_smistamento | 8.67 | -4.29 |

Table 21: Element Stresses - Area Shells, Part 3 of 3

| Area | AreaElem | Joint | OutputCase | S13Avg KN/m2 | S23Avg KN/m2 |
|------|----------|-------|----------------|-----------------|-----------------|
| 359 | 359 | 244 | G1_smistamento | 8.67 | -3.98 |
| 359 | 359 | 246 | G2_smistamento | 3.48 | -1.47 |
| 359 | 359 | 293 | G2_smistamento | 3.48 | -1.59 |
| 359 | 359 | 294 | G2_smistamento | 3.21 | -1.59 |
| 359 | 359 | 244 | G2_smistamento | 3.21 | -1.47 |
| 359 | 359 | 246 | Q_smistamento | 3.48 | -1.47 |
| 359 | 359 | 293 | Q_smistamento | 3.48 | -1.59 |
| 359 | 359 | 294 | Q_smistamento | 3.21 | -1.59 |
| 359 | 359 | 244 | Q_smistamento | 3.21 | -1.47 |
| 359 | 359 | 246 | Q_neve | 2.742E-13 | -2.363E-15 |
| 359 | 359 | 293 | Q_neve | 2.742E-13 | 1.499E-13 |
| 359 | 359 | 294 | Q_neve | 1.854E-12 | 4.585E-13 |
| 359 | 359 | 244 | Q_neve | 1.854E-12 | -2.088E-12 |
| 360 | 360 | 244 | DEAD | 8.614E-12 | 5.440E-12 |
| 360 | 360 | 294 | DEAD | 4.349E-12 | -5.144E-12 |
| 360 | 360 | 242 | DEAD | 5.981E-12 | -8.795E-13 |
| 360 | 360 | 14 | DEAD | 7.509E-12 | 6.969E-12 |
| 360 | 360 | 244 | G1_smistamento | 8.31 | -7.67 |
| 360 | 360 | 294 | G1_smistamento | 8.31 | -9.46 |
| 360 | 360 | 242 | G1_smistamento | 6.59 | -9.46 |
| 360 | 360 | 14 | G1_smistamento | 6.59 | -7.67 |
| 360 | 360 | 244 | G2_smistamento | 3.08 | -2.84 |
| 360 | 360 | 294 | G2_smistamento | 3.08 | -3.51 |
| 360 | 360 | 242 | G2_smistamento | 2.44 | -3.51 |
| 360 | 360 | 14 | G2_smistamento | 2.44 | -2.84 |
| 360 | 360 | 244 | Q_smistamento | 3.08 | -2.84 |
| 360 | 360 | 294 | Q_smistamento | 3.08 | -3.51 |
| 360 | 360 | 242 | Q_smistamento | 2.44 | -3.51 |
| 360 | 360 | 14 | Q_smistamento | 2.44 | -2.84 |
| 360 | 360 | 244 | Q_neve | 2.040E-12 | 7.459E-13 |
| 360 | 360 | 294 | Q_neve | 1.513E-12 | -4.326E-13 |
| 360 | 360 | 242 | Q_neve | 1.381E-12 | -1.758E-13 |
| 360 | 360 | 14 | Q_neve | 1.908E-12 | 1.345E-12 |
| 361 | 361 | 252 | DEAD | -1.058E-11 | -7.602E-13 |
| 361 | 361 | 254 | DEAD | -5.592E-12 | 2.837E-12 |
| 361 | 361 | 295 | DEAD | 2.063E-12 | -7.602E-13 |
| 361 | 361 | 291 | DEAD | 7.274E-13 | 2.037E-13 |
| 361 | 361 | 252 | G1_smistamento | 3.74 | 9.73 |

Table 21: Element Stresses - Area Shells, Part 3 of 3

| Area | AreaElem | Joint | OutputCase | S13Avg KN/m2 | S23Avg KN/m2 |
|------|----------|-------|----------------|-----------------|-----------------|
| 361 | 361 | 254 | G1_smistamento | 3.74 | 10.72 |
| 361 | 361 | 295 | G1_smistamento | 3.93 | 10.72 |
| 361 | 361 | 291 | G1_smistamento | 3.93 | 9.73 |
| 361 | 361 | 252 | G2_smistamento | 1.38 | 3.61 |
| 361 | 361 | 254 | G2_smistamento | 1.38 | 3.97 |
| 361 | 361 | 295 | G2_smistamento | 1.46 | 3.97 |
| 361 | 361 | 291 | G2_smistamento | 1.46 | 3.61 |
| 361 | 361 | 252 | Q_smistamento | 1.38 | 3.61 |
| 361 | 361 | 254 | Q_smistamento | 1.38 | 3.97 |
| 361 | 361 | 295 | Q_smistamento | 1.46 | 3.97 |
| 361 | 361 | 291 | Q_smistamento | 1.46 | 3.61 |
| 361 | 361 | 252 | Q_neve | -3.478E-12 | 3.092E-13 |
| 361 | 361 | 254 | Q_neve | -2.219E-12 | 2.851E-13 |
| 361 | 361 | 295 | Q_neve | 2.089E-13 | 3.750E-13 |
| 361 | 361 | 291 | Q_neve | 5.463E-13 | 2.851E-13 |
| 362 | 362 | 291 | DEAD | 4.143E-12 | -3.890E-12 |
| 362 | 362 | 295 | DEAD | -4.645E-12 | 2.443E-12 |
| 362 | 362 | 296 | DEAD | -3.231E-12 | 8.496E-13 |
| 362 | 362 | 292 | DEAD | -1.360E-11 | 4.550E-12 |
| 362 | 362 | 291 | G1_smistamento | 4.23 | 4.45 |
| 362 | 362 | 295 | G1_smistamento | 4.23 | 4.97 |
| 362 | 362 | 296 | G1_smistamento | 4.55 | 4.97 |
| 362 | 362 | 292 | G1_smistamento | 4.55 | 4.45 |
| 362 | 362 | 291 | G2_smistamento | 1.57 | 1.65 |
| 362 | 362 | 295 | G2_smistamento | 1.57 | 1.84 |
| 362 | 362 | 296 | G2_smistamento | 1.68 | 1.84 |
| 362 | 362 | 292 | G2_smistamento | 1.68 | 1.65 |
| 362 | 362 | 291 | Q_smistamento | 1.57 | 1.65 |
| 362 | 362 | 295 | Q_smistamento | 1.57 | 1.84 |
| 362 | 362 | 296 | Q_smistamento | 1.68 | 1.84 |
| 362 | 362 | 292 | Q_smistamento | 1.68 | 1.65 |
| 362 | 362 | 291 | Q_neve | 5.490E-13 | -7.551E-13 |
| 362 | 362 | 295 | Q_neve | -3.632E-13 | 3.258E-13 |
| 362 | 362 | 296 | Q_neve | -1.689E-12 | -6.892E-13 |
| 362 | 362 | 292 | Q_neve | -2.601E-12 | 8.525E-13 |
| 363 | 363 | 292 | DEAD | -7.398E-12 | -8.946E-14 |
| 363 | 363 | 296 | DEAD | -7.346E-12 | 6.089E-12 |
| 363 | 363 | 297 | DEAD | -4.765E-12 | 4.650E-12 |

Table 21: Element Stresses - Area Shells, Part 3 of 3

| Area | AreaElem | Joint | OutputCase | S13Avg KN/m2 | S23Avg KN/m2 |
|------|----------|-------|----------------|-----------------|-----------------|
| 363 | 363 | 293 | DEAD | -2.080E-12 | 2.961E-13 |
| 363 | 363 | 292 | G1_smistamento | 4.64 | 2.555E-12 |
| 363 | 363 | 296 | G1_smistamento | 4.64 | 4.083E-12 |
| 363 | 363 | 297 | G1_smistamento | 4.64 | 4.135E-12 |
| 363 | 363 | 293 | G1_smistamento | 4.64 | -1.302E-13 |
| 363 | 363 | 292 | G2_smistamento | 1.72 | -4.832E-13 |
| 363 | 363 | 296 | G2_smistamento | 1.72 | -2.110E-14 |
| 363 | 363 | 297 | G2_smistamento | 1.72 | 1.623E-12 |
| 363 | 363 | 293 | G2_smistamento | 1.72 | -2.259E-12 |
| 363 | 363 | 292 | Q_smistamento | 1.72 | -4.832E-13 |
| 363 | 363 | 296 | Q_smistamento | 1.72 | -2.110E-14 |
| 363 | 363 | 297 | Q_smistamento | 1.72 | 1.623E-12 |
| 363 | 363 | 293 | Q_smistamento | 1.72 | -2.259E-12 |
| 363 | 363 | 292 | Q_neve | -1.591E-12 | 1.826E-13 |
| 363 | 363 | 296 | Q_neve | -1.398E-12 | 3.719E-13 |
| 363 | 363 | 297 | Q_neve | -5.376E-13 | 5.776E-13 |
| 363 | 363 | 293 | Q_neve | 1.819E-13 | -1.208E-12 |
| 364 | 364 | 293 | DEAD | -2.248E-12 | -3.081E-12 |
| 364 | 364 | 297 | DEAD | -1.580E-12 | -1.092E-14 |
| 364 | 364 | 298 | DEAD | 4.072E-12 | -3.608E-12 |
| 364 | 364 | 294 | DEAD | 1.580E-12 | -2.118E-12 |
| 364 | 364 | 293 | G1_smistamento | 4.55 | -4.45 |
| 364 | 364 | 297 | G1_smistamento | 4.55 | -4.97 |
| 364 | 364 | 298 | G1_smistamento | 4.23 | -4.97 |
| 364 | 364 | 294 | G1_smistamento | 4.23 | -4.45 |
| 364 | 364 | 293 | G2_smistamento | 1.68 | -1.65 |
| 364 | 364 | 297 | G2_smistamento | 1.68 | -1.84 |
| 364 | 364 | 298 | G2_smistamento | 1.57 | -1.84 |
| 364 | 364 | 294 | G2_smistamento | 1.57 | -1.65 |
| 364 | 364 | 293 | Q_smistamento | 1.68 | -1.65 |
| 364 | 364 | 297 | Q_smistamento | 1.68 | -1.84 |
| 364 | 364 | 298 | Q_smistamento | 1.57 | -1.84 |
| 364 | 364 | 294 | Q_smistamento | 1.57 | -1.65 |
| 364 | 364 | 293 | Q_neve | -1.391E-13 | 4.432E-13 |
| 364 | 364 | 297 | Q_neve | 2.782E-14 | -7.418E-13 |
| 364 | 364 | 298 | Q_neve | 5.192E-13 | -2.151E-13 |
| 364 | 364 | 294 | Q_neve | -1.038E-13 | 9.698E-13 |
| 365 | 365 | 294 | DEAD | 9.529E-13 | -3.141E-12 |

Table 21: Element Stresses - Area Shells, Part 3 of 3

| Area | AreaElem | Joint | OutputCase | S13Avg KN/m2 | S23Avg KN/m2 |
|------|----------|-------|----------------|-----------------|-----------------|
| 365 | 365 | 298 | DEAD | 1.776E-12 | -1.895E-12 |
| 365 | 365 | 240 | DEAD | 1.480E-12 | -5.078E-13 |
| 365 | 365 | 242 | DEAD | 7.042E-12 | -8.416E-13 |
| 365 | 365 | 294 | G1_smistamento | 3.93 | -9.73 |
| 365 | 365 | 298 | G1_smistamento | 3.93 | -10.72 |
| 365 | 365 | 240 | G1_smistamento | 3.74 | -10.72 |
| 365 | 365 | 242 | G1_smistamento | 3.74 | -9.73 |
| 365 | 365 | 294 | G2_smistamento | 1.46 | -3.61 |
| 365 | 365 | 298 | G2_smistamento | 1.46 | -3.97 |
| 365 | 365 | 240 | G2_smistamento | 1.38 | -3.97 |
| 365 | 365 | 242 | G2_smistamento | 1.38 | -3.61 |
| 365 | 365 | 294 | Q_smistamento | 1.46 | -3.61 |
| 365 | 365 | 298 | Q_smistamento | 1.46 | -3.97 |
| 365 | 365 | 240 | Q_smistamento | 1.38 | -3.97 |
| 365 | 365 | 242 | Q_smistamento | 1.38 | -3.61 |
| 365 | 365 | 294 | Q_neve | -1.018E-14 | 5.838E-14 |
| 365 | 365 | 298 | Q_neve | 2.729E-15 | 3.088E-13 |
| 365 | 365 | 240 | Q_neve | -1.418E-13 | 3.217E-13 |
| 365 | 365 | 242 | Q_neve | 5.294E-13 | -6.129E-13 |
| 366 | 366 | 254 | DEAD | -1.832E-12 | -8.744E-13 |
| 366 | 366 | 256 | DEAD | -4.813E-12 | -2.492E-12 |
| 366 | 366 | 299 | DEAD | 3.961E-12 | -8.248E-12 |
| 366 | 366 | 295 | DEAD | -2.180E-12 | 6.678E-13 |
| 366 | 366 | 254 | G1_smistamento | 1.47 | 10.69 |
| 366 | 366 | 256 | G1_smistamento | 1.47 | 11.18 |
| 366 | 366 | 299 | G1_smistamento | 1.4 | 11.18 |
| 366 | 366 | 295 | G1_smistamento | 1.4 | 10.69 |
| 366 | 366 | 254 | G2_smistamento | 0.55 | 3.96 |
| 366 | 366 | 256 | G2_smistamento | 0.55 | 4.14 |
| 366 | 366 | 299 | G2_smistamento | 0.52 | 4.14 |
| 366 | 366 | 295 | G2_smistamento | 0.52 | 3.96 |
| 366 | 366 | 254 | Q_smistamento | 0.55 | 3.96 |
| 366 | 366 | 256 | Q_smistamento | 0.55 | 4.14 |
| 366 | 366 | 299 | Q_smistamento | 0.52 | 4.14 |
| 366 | 366 | 295 | Q_smistamento | 0.52 | 3.96 |
| 366 | 366 | 254 | Q_neve | -9.565E-14 | -3.082E-13 |
| 366 | 366 | 256 | Q_neve | -6.611E-13 | 6.234E-13 |
| 366 | 366 | 299 | Q_neve | 1.616E-12 | -1.098E-12 |

Table 21: Element Stresses - Area Shells, Part 3 of 3

| Area | AreaElem | Joint | OutputCase | S13Avg KN/m2 | S23Avg KN/m2 |
|------|----------|-------|----------------|-----------------|-----------------|
| 366 | 366 | 295 | Q_neve | 1.289E-13 | 8.209E-13 |
| 367 | 367 | 295 | DEAD | 3.637E-13 | 7.784E-12 |
| 367 | 367 | 299 | DEAD | 2.574E-12 | 1.835E-12 |
| 367 | 367 | 300 | DEAD | -2.796E-12 | 6.204E-12 |
| 367 | 367 | 296 | DEAD | 4.670E-13 | 3.942E-12 |
| 367 | 367 | 295 | G1_smistamento | 1.59 | 4.98 |
| 367 | 367 | 299 | G1_smistamento | 1.59 | 5.34 |
| 367 | 367 | 300 | G1_smistamento | 1.57 | 5.34 |
| 367 | 367 | 296 | G1_smistamento | 1.57 | 4.98 |
| 367 | 367 | 295 | G2_smistamento | 0.59 | 1.85 |
| 367 | 367 | 299 | G2_smistamento | 0.59 | 1.98 |
| 367 | 367 | 300 | G2_smistamento | 0.58 | 1.98 |
| 367 | 367 | 296 | G2_smistamento | 0.58 | 1.85 |
| 367 | 367 | 295 | Q_smistamento | 0.59 | 1.85 |
| 367 | 367 | 299 | Q_smistamento | 0.59 | 1.98 |
| 367 | 367 | 300 | Q_smistamento | 0.58 | 1.98 |
| 367 | 367 | 296 | Q_smistamento | 0.58 | 1.85 |
| 367 | 367 | 295 | Q_neve | 1.416E-12 | 7.995E-13 |
| 367 | 367 | 299 | Q_neve | 1.596E-12 | 4.205E-13 |
| 367 | 367 | 300 | Q_neve | -4.275E-13 | 1.063E-12 |
| 367 | 367 | 296 | Q_neve | -3.794E-13 | -4.037E-14 |
| 368 | 368 | 296 | DEAD | -2.462E-12 | 1.298E-12 |
| 368 | 368 | 300 | DEAD | -2.462E-12 | 8.210E-12 |
| 368 | 368 | 301 | DEAD | -8.824E-13 | 2.351E-12 |
| 368 | 368 | 297 | DEAD | -8.824E-13 | 8.210E-12 |
| 368 | 368 | 296 | G1_smistamento | 1.65 | -9.639E-13 |
| 368 | 368 | 300 | G1_smistamento | 1.65 | 5.139E-12 |
| 368 | 368 | 301 | G1_smistamento | 1.65 | -3.597E-12 |
| 368 | 368 | 297 | G1_smistamento | 1.65 | 6.719E-12 |
| 368 | 368 | 296 | G2_smistamento | 0.61 | -2.253E-13 |
| 368 | 368 | 300 | G2_smistamento | 0.61 | 2.665E-12 |
| 368 | 368 | 301 | G2_smistamento | 0.61 | 3.013E-13 |
| 368 | 368 | 297 | G2_smistamento | 0.61 | 1.744E-12 |
| 368 | 368 | 296 | Q_smistamento | 0.61 | -2.253E-13 |
| 368 | 368 | 300 | Q_smistamento | 0.61 | 2.665E-12 |
| 368 | 368 | 301 | Q_smistamento | 0.61 | 3.013E-13 |
| 368 | 368 | 297 | Q_smistamento | 0.61 | 1.744E-12 |
| 368 | 368 | 296 | Q_neve | -6.156E-13 | 3.937E-14 |

Table 21: Element Stresses - Area Shells, Part 3 of 3

| Area | AreaElem | Joint | OutputCase | S13Avg KN/m2 | S23Avg KN/m2 |
|------|----------|-------|----------------|-----------------|-----------------|
| 368 | 368 | 300 | Q_neve | -6.156E-13 | 7.653E-13 |
| 368 | 368 | 301 | Q_neve | -2.206E-13 | 3.027E-13 |
| 368 | 368 | 297 | Q_neve | -2.206E-13 | 8.311E-13 |
| 369 | 369 | 297 | DEAD | 1.194E-12 | -1.094E-12 |
| 369 | 369 | 301 | DEAD | 3.404E-12 | 4.343E-13 |
| 369 | 369 | 302 | DEAD | -3.019E-12 | 4.859E-13 |
| 369 | 369 | 298 | DEAD | 2.444E-13 | -3.779E-12 |
| 369 | 369 | 297 | G1_smistamento | 1.57 | -4.98 |
| 369 | 369 | 301 | G1_smistamento | 1.57 | -5.34 |
| 369 | 369 | 302 | G1_smistamento | 1.59 | -5.34 |
| 369 | 369 | 298 | G1_smistamento | 1.59 | -4.98 |
| 369 | 369 | 297 | G2_smistamento | 0.58 | -1.85 |
| 369 | 369 | 301 | G2_smistamento | 0.58 | -1.98 |
| 369 | 369 | 302 | G2_smistamento | 0.59 | -1.98 |
| 369 | 369 | 298 | G2_smistamento | 0.59 | -1.85 |
| 369 | 369 | 297 | Q_smistamento | 0.58 | -1.85 |
| 369 | 369 | 301 | Q_smistamento | 0.58 | -1.98 |
| 369 | 369 | 302 | Q_smistamento | 0.59 | -1.98 |
| 369 | 369 | 298 | Q_smistamento | 0.59 | -1.85 |
| 369 | 369 | 297 | Q_neve | 2.810E-13 | -6.040E-13 |
| 369 | 369 | 301 | Q_neve | 4.608E-13 | 2.888E-13 |
| 369 | 369 | 302 | Q_neve | -5.090E-13 | 1.859E-13 |
| 369 | 369 | 298 | Q_neve | -4.608E-13 | 9.129E-14 |
| 370 | 370 | 298 | DEAD | 2.147E-12 | -6.380E-13 |
| 370 | 370 | 302 | DEAD | -9.415E-12 | 4.488E-12 |
| 370 | 370 | 238 | DEAD | -1.539E-12 | 9.420E-13 |
| 370 | 370 | 240 | DEAD | -7.308E-12 | -2.359E-12 |
| 370 | 370 | 298 | G1_smistamento | 1.4 | -10.69 |
| 370 | 370 | 302 | G1_smistamento | 1.4 | -11.18 |
| 370 | 370 | 238 | G1_smistamento | 1.47 | -11.18 |
| 370 | 370 | 240 | G1_smistamento | 1.47 | -10.69 |
| 370 | 370 | 298 | G2_smistamento | 0.52 | -3.96 |
| 370 | 370 | 302 | G2_smistamento | 0.52 | -4.14 |
| 370 | 370 | 238 | G2_smistamento | 0.55 | -4.14 |
| 370 | 370 | 240 | G2_smistamento | 0.55 | -3.96 |
| 370 | 370 | 298 | Q_smistamento | 0.52 | -3.96 |
| 370 | 370 | 302 | Q_smistamento | 0.52 | -4.14 |
| 370 | 370 | 238 | Q_smistamento | 0.55 | -4.14 |

Table 21: Element Stresses - Area Shells, Part 3 of 3

| Area | AreaElem | Joint | OutputCase | S13Avg KN/m2 | S23Avg KN/m2 |
|------|----------|-------|----------------|-----------------|-----------------|
| 370 | 370 | 240 | Q_smistamento | 0.55 | -3.96 |
| 370 | 370 | 298 | Q_neve | 4.099E-13 | -1.924E-13 |
| 370 | 370 | 302 | Q_neve | -1.389E-12 | 7.181E-13 |
| 370 | 370 | 238 | Q_neve | -1.170E-12 | 2.684E-13 |
| 370 | 370 | 240 | Q_neve | -1.652E-12 | -7.192E-14 |
| 371 | 371 | 256 | DEAD | -1.002E-12 | -2.270E-12 |
| 371 | 371 | 258 | DEAD | 1.773E-12 | -4.583E-12 |
| 371 | 371 | 303 | DEAD | 3.738E-12 | -1.629E-13 |
| 371 | 371 | 299 | DEAD | -8.605E-13 | -8.796E-12 |
| 371 | 371 | 256 | G1_smistamento | -5.169E-02 | 11.12 |
| 371 | 371 | 258 | G1_smistamento | -5.169E-02 | 11.36 |
| 371 | 371 | 303 | G1_smistamento | -0.14 | 11.36 |
| 371 | 371 | 299 | G1_smistamento | -0.14 | 11.12 |
| 371 | 371 | 256 | G2_smistamento | -1.916E-02 | 4.12 |
| 371 | 371 | 258 | G2_smistamento | -1.916E-02 | 4.21 |
| 371 | 371 | 303 | G2_smistamento | -5.225E-02 | 4.21 |
| 371 | 371 | 299 | G2_smistamento | -5.225E-02 | 4.12 |
| 371 | 371 | 256 | Q_smistamento | -1.916E-02 | 4.12 |
| 371 | 371 | 258 | Q_smistamento | -1.916E-02 | 4.21 |
| 371 | 371 | 303 | Q_smistamento | -5.225E-02 | 4.21 |
| 371 | 371 | 299 | Q_smistamento | -5.225E-02 | 4.12 |
| 371 | 371 | 256 | Q_neve | 8.891E-13 | 5.801E-14 |
| 371 | 371 | 258 | Q_neve | 6.834E-13 | -1.129E-12 |
| 371 | 371 | 303 | Q_neve | 9.911E-14 | -6.661E-13 |
| 371 | 371 | 299 | Q_neve | -1.292E-12 | -7.337E-13 |
| 372 | 372 | 299 | DEAD | -8.177E-12 | 2.006E-12 |
| 372 | 372 | 303 | DEAD | 3.282E-12 | -1.898E-13 |
| 372 | 372 | 304 | DEAD | -1.857E-12 | 4.263E-13 |
| 372 | 372 | 300 | DEAD | -1.458E-12 | 7.183E-12 |
| 372 | 372 | 299 | G1_smistamento | -4.017E-02 | 5.3 |
| 372 | 372 | 303 | G1_smistamento | -4.017E-02 | 5.49 |
| 372 | 372 | 304 | G1_smistamento | -0.11 | 5.49 |
| 372 | 372 | 300 | G1_smistamento | -0.11 | 5.3 |
| 372 | 372 | 299 | G2_smistamento | -1.489E-02 | 1.97 |
| 372 | 372 | 303 | G2_smistamento | -1.489E-02 | 2.04 |
| 372 | 372 | 304 | G2_smistamento | -3.967E-02 | 2.04 |
| 372 | 372 | 300 | G2_smistamento | -3.967E-02 | 1.97 |
| 372 | 372 | 299 | Q_smistamento | -1.489E-02 | 1.97 |

Table 21: Element Stresses - Area Shells, Part 3 of 3

| Area | AreaElem | Joint | OutputCase | S13Avg KN/m2 | S23Avg KN/m2 |
|------|----------|-------|----------------|-----------------|-----------------|
| 372 | 372 | 303 | Q_smistamento | -1.489E-02 | 2.04 |
| 372 | 372 | 304 | Q_smistamento | -3.967E-02 | 2.04 |
| 372 | 372 | 300 | Q_smistamento | -3.967E-02 | 1.97 |
| 372 | 372 | 299 | Q_neve | -1.725E-12 | 2.796E-13 |
| 372 | 372 | 303 | Q_neve | -2.993E-13 | -6.580E-13 |
| 372 | 372 | 304 | Q_neve | -9.353E-13 | -7.737E-13 |
| 372 | 372 | 300 | Q_neve | -1.221E-12 | 1.646E-12 |
| 373 | 373 | 300 | DEAD | -3.855E-13 | 1.751E-12 |
| 373 | 373 | 304 | DEAD | -3.855E-13 | 2.870E-12 |
| 373 | 373 | 305 | DEAD | -1.439E-12 | -5.096E-12 |
| 373 | 373 | 301 | DEAD | -1.439E-12 | 6.556E-12 |
| 373 | 373 | 300 | G1_smistamento | -6.257E-02 | -3.508E-12 |
| 373 | 373 | 304 | G1_smistamento | -6.257E-02 | 3.122E-12 |
| 373 | 373 | 305 | G1_smistamento | -6.257E-02 | -5.614E-12 |
| 373 | 373 | 301 | G1_smistamento | -6.257E-02 | 4.175E-12 |
| 373 | 373 | 300 | G2_smistamento | -2.319E-02 | -1.672E-12 |
| 373 | 373 | 304 | G2_smistamento | -2.319E-02 | 1.257E-12 |
| 373 | 373 | 305 | G2_smistamento | -2.319E-02 | -1.672E-12 |
| 373 | 373 | 301 | G2_smistamento | -2.319E-02 | 1.784E-12 |
| 373 | 373 | 300 | Q_smistamento | -2.319E-02 | -1.672E-12 |
| 373 | 373 | 304 | Q_smistamento | -2.319E-02 | 1.257E-12 |
| 373 | 373 | 305 | Q_smistamento | -2.319E-02 | -1.672E-12 |
| 373 | 373 | 301 | Q_smistamento | -2.319E-02 | 1.784E-12 |
| 373 | 373 | 300 | Q_neve | -2.002E-13 | -5.827E-13 |
| 373 | 373 | 304 | Q_neve | -2.002E-13 | 2.090E-13 |
| 373 | 373 | 305 | Q_neve | -3.319E-13 | -2.535E-13 |
| 373 | 373 | 301 | Q_neve | -3.319E-13 | 2.090E-13 |
| 374 | 374 | 301 | DEAD | -2.932E-12 | 6.263E-12 |
| 374 | 374 | 305 | DEAD | 4.210E-12 | -1.895E-12 |
| 374 | 374 | 306 | DEAD | -1.136E-11 | 4.683E-12 |
| 374 | 374 | 302 | DEAD | -1.212E-11 | -8.416E-13 |
| 374 | 374 | 301 | G1_smistamento | -0.11 | -5.3 |
| 374 | 374 | 305 | G1_smistamento | -0.11 | -5.49 |
| 374 | 374 | 306 | G1_smistamento | -4.017E-02 | -5.49 |
| 374 | 374 | 302 | G1_smistamento | -4.017E-02 | -5.3 |
| 374 | 374 | 301 | G2_smistamento | -3.967E-02 | -1.97 |
| 374 | 374 | 305 | G2_smistamento | -3.967E-02 | -2.04 |
| 374 | 374 | 306 | G2_smistamento | -1.489E-02 | -2.04 |

Table 21: Element Stresses - Area Shells, Part 3 of 3

| Area | AreaElem | Joint | OutputCase | S13Avg KN/m2 | S23Avg KN/m2 |
|------|----------|-------|----------------|-----------------|-----------------|
| 374 | 374 | 302 | G2_smistamento | -1.489E-02 | -1.97 |
| 374 | 374 | 301 | Q_smistamento | -3.967E-02 | -1.97 |
| 374 | 374 | 305 | Q_smistamento | -3.967E-02 | -2.04 |
| 374 | 374 | 306 | Q_smistamento | -1.489E-02 | -2.04 |
| 374 | 374 | 302 | Q_smistamento | -1.489E-02 | -1.97 |
| 374 | 374 | 301 | Q_neve | -4.147E-14 | 1.021E-12 |
| 374 | 374 | 305 | Q_neve | 8.578E-13 | -4.065E-13 |
| 374 | 374 | 306 | Q_neve | -2.543E-12 | 9.553E-13 |
| 374 | 374 | 302 | Q_neve | -2.302E-12 | -1.155E-14 |
| 375 | 375 | 302 | DEAD | -8.522E-12 | 1.004E-13 |
| 375 | 375 | 306 | DEAD | -4.976E-12 | -6.130E-12 |
| 375 | 375 | 236 | DEAD | -2.729E-12 | -2.533E-12 |
| 375 | 375 | 238 | DEAD | -4.450E-12 | -8.635E-13 |
| 375 | 375 | 302 | G1_smistamento | -0.14 | -11.12 |
| 375 | 375 | 306 | G1_smistamento | -0.14 | -11.36 |
| 375 | 375 | 236 | G1_smistamento | -5.169E-02 | -11.36 |
| 375 | 375 | 238 | G1_smistamento | -5.169E-02 | -11.12 |
| 375 | 375 | 302 | G2_smistamento | -5.225E-02 | -4.12 |
| 375 | 375 | 306 | G2_smistamento | -5.225E-02 | -4.21 |
| 375 | 375 | 236 | G2_smistamento | -1.916E-02 | -4.21 |
| 375 | 375 | 238 | G2_smistamento | -1.916E-02 | -4.12 |
| 375 | 375 | 302 | Q_smistamento | -5.225E-02 | -4.12 |
| 375 | 375 | 306 | Q_smistamento | -5.225E-02 | -4.21 |
| 375 | 375 | 236 | Q_smistamento | -1.916E-02 | -4.21 |
| 375 | 375 | 238 | Q_smistamento | -1.916E-02 | -4.12 |
| 375 | 375 | 302 | Q_neve | -1.380E-12 | 2.874E-13 |
| 375 | 375 | 306 | Q_neve | -1.201E-12 | -5.460E-13 |
| 375 | 375 | 236 | Q_neve | -6.383E-14 | -1.734E-13 |
| 375 | 375 | 238 | Q_neve | -1.564E-14 | -4.802E-13 |
| 376 | 376 | 258 | DEAD | 3.790E-12 | -1.309E-12 |
| 376 | 376 | 260 | DEAD | -2.633E-12 | -4.520E-12 |
| 376 | 376 | 307 | DEAD | 1.683E-12 | -4.469E-12 |
| 376 | 376 | 303 | DEAD | 2.633E-12 | -3.994E-12 |
| 376 | 376 | 258 | G1_smistamento | -0.87 | 11.32 |
| 376 | 376 | 260 | G1_smistamento | -0.87 | 11.41 |
| 376 | 376 | 307 | G1_smistamento | -0.93 | 11.41 |
| 376 | 376 | 303 | G1_smistamento | -0.93 | 11.32 |
| 376 | 376 | 258 | G2_smistamento | -0.32 | 4.19 |

Table 21: Element Stresses - Area Shells, Part 3 of 3

| Area | AreaElem | Joint | OutputCase | S13Avg KN/m2 | S23Avg KN/m2 |
|------|----------|-------|----------------|-----------------|-----------------|
| 376 | 376 | 260 | G2_smistamento | -0.32 | 4.23 |
| 376 | 376 | 307 | G2_smistamento | -0.35 | 4.23 |
| 376 | 376 | 303 | G2_smistamento | -0.35 | 4.19 |
| 376 | 376 | 258 | Q_smistamento | -0.32 | 4.19 |
| 376 | 376 | 260 | Q_smistamento | -0.32 | 4.23 |
| 376 | 376 | 307 | Q_smistamento | -0.35 | 4.23 |
| 376 | 376 | 303 | Q_smistamento | -0.35 | 4.19 |
| 376 | 376 | 258 | Q_neve | 4.608E-13 | -9.639E-14 |
| 376 | 376 | 260 | Q_neve | -2.457E-13 | -1.465E-12 |
| 376 | 376 | 307 | Q_neve | -4.608E-13 | -3.597E-13 |
| 376 | 376 | 303 | Q_neve | 1.764E-14 | -1.728E-12 |
| 377 | 377 | 303 | DEAD | 2.256E-12 | -5.147E-12 |
| 377 | 377 | 307 | DEAD | 1.691E-12 | 5.592E-12 |
| 377 | 377 | 308 | DEAD | -9.857E-12 | -9.340E-13 |
| 377 | 377 | 304 | DEAD | -1.995E-12 | -7.274E-13 |
| 377 | 377 | 303 | G1_smistamento | -0.89 | 5.46 |
| 377 | 377 | 307 | G1_smistamento | -0.89 | 5.54 |
| 377 | 377 | 308 | G1_smistamento | -0.94 | 5.54 |
| 377 | 377 | 304 | G1_smistamento | -0.94 | 5.46 |
| 377 | 377 | 303 | G2_smistamento | -0.33 | 2.02 |
| 377 | 377 | 307 | G2_smistamento | -0.33 | 2.06 |
| 377 | 377 | 308 | G2_smistamento | -0.35 | 2.06 |
| 377 | 377 | 304 | G2_smistamento | -0.35 | 2.02 |
| 377 | 377 | 303 | Q_smistamento | -0.33 | 2.02 |
| 377 | 377 | 307 | Q_smistamento | -0.33 | 2.06 |
| 377 | 377 | 308 | Q_smistamento | -0.35 | 2.06 |
| 377 | 377 | 304 | Q_smistamento | -0.35 | 2.02 |
| 377 | 377 | 303 | Q_neve | -1.564E-14 | -4.632E-13 |
| 377 | 377 | 307 | Q_neve | -3.624E-13 | 8.164E-13 |
| 377 | 377 | 308 | Q_neve | -1.201E-12 | 9.193E-13 |
| 377 | 377 | 304 | Q_neve | -6.258E-13 | -1.159E-12 |
| 378 | 378 | 304 | DEAD | -3.850E-12 | -4.224E-12 |
| 378 | 378 | 308 | DEAD | -1.048E-11 | 7.903E-12 |
| 378 | 378 | 309 | DEAD | 1.417E-12 | 2.096E-12 |
| 378 | 378 | 305 | DEAD | -8.373E-12 | 2.925E-15 |
| 378 | 378 | 304 | G1_smistamento | -0.91 | -4.343E-12 |
| 378 | 378 | 308 | G1_smistamento | -0.91 | 8.348E-12 |
| 378 | 378 | 309 | G1_smistamento | -0.91 | 8.296E-12 |

Table 21: Element Stresses - Area Shells, Part 3 of 3

| Area | AreaElem | Joint | OutputCase | S13Avg KN/m2 | S23Avg KN/m2 |
|------|----------|-------|----------------|-----------------|-----------------|
| 378 | 378 | 305 | G1_smistamento | -0.91 | -1.659E-12 |
| 378 | 378 | 304 | G2_smistamento | -0.34 | -1.889E-12 |
| 378 | 378 | 308 | G2_smistamento | -0.34 | 3.121E-12 |
| 378 | 378 | 309 | G2_smistamento | -0.34 | 2.171E-13 |
| 378 | 378 | 305 | G2_smistamento | -0.34 | 2.241E-13 |
| 378 | 378 | 304 | Q_smistamento | -0.34 | -1.889E-12 |
| 378 | 378 | 308 | Q_smistamento | -0.34 | 3.121E-12 |
| 378 | 378 | 309 | Q_smistamento | -0.34 | 2.171E-13 |
| 378 | 378 | 305 | Q_smistamento | -0.34 | 2.241E-13 |
| 378 | 378 | 304 | Q_neve | -6.861E-13 | -1.211E-13 |
| 378 | 378 | 308 | Q_neve | -1.791E-12 | 1.891E-12 |
| 378 | 378 | 309 | Q_neve | 7.622E-13 | 1.261E-12 |
| 378 | 378 | 305 | Q_neve | -8.695E-13 | 4.756E-14 |
| 379 | 379 | 305 | DEAD | -1.958E-12 | -1.773E-12 |
| 379 | 379 | 309 | DEAD | -1.958E-12 | 8.605E-13 |
| 379 | 379 | 310 | DEAD | -5.644E-12 | 8.605E-13 |
| 379 | 379 | 306 | DEAD | -5.644E-12 | -1.773E-12 |
| 379 | 379 | 305 | G1_smistamento | -0.94 | -5.46 |
| 379 | 379 | 309 | G1_smistamento | -0.94 | -5.54 |
| 379 | 379 | 310 | G1_smistamento | -0.89 | -5.54 |
| 379 | 379 | 306 | G1_smistamento | -0.89 | -5.46 |
| 379 | 379 | 305 | G2_smistamento | -0.35 | -2.02 |
| 379 | 379 | 309 | G2_smistamento | -0.35 | -2.06 |
| 379 | 379 | 310 | G2_smistamento | -0.33 | -2.06 |
| 379 | 379 | 306 | G2_smistamento | -0.33 | -2.02 |
| 379 | 379 | 305 | Q_smistamento | -0.35 | -2.02 |
| 379 | 379 | 309 | Q_smistamento | -0.35 | -2.06 |
| 379 | 379 | 310 | Q_smistamento | -0.33 | -2.06 |
| 379 | 379 | 306 | Q_smistamento | -0.33 | -2.02 |
| 379 | 379 | 305 | Q_neve | -4.347E-14 | -7.473E-13 |
| 379 | 379 | 309 | Q_neve | -2.233E-13 | -8.893E-14 |
| 379 | 379 | 310 | Q_neve | -1.097E-12 | -8.893E-14 |
| 379 | 379 | 306 | Q_neve | -1.145E-12 | -7.473E-13 |
| 380 | 380 | 306 | DEAD | -5.565E-13 | -2.663E-12 |
| 380 | 380 | 310 | DEAD | -1.431E-12 | 4.183E-12 |
| 380 | 380 | 234 | DEAD | 2.077E-12 | 4.183E-12 |
| 380 | 380 | 236 | DEAD | -6.171E-12 | -2.663E-12 |
| 380 | 380 | 306 | G1_smistamento | -0.93 | -11.32 |

Table 21: Element Stresses - Area Shells, Part 3 of 3

| Area | AreaElem | Joint | OutputCase | S13Avg KN/m2 | S23Avg KN/m2 |
|------|----------|-------|----------------|-----------------|-----------------|
| 380 | 380 | 310 | G1_smistamento | -0.93 | -11.41 |
| 380 | 380 | 234 | G1_smistamento | -0.87 | -11.41 |
| 380 | 380 | 236 | G1_smistamento | -0.87 | -11.32 |
| 380 | 380 | 306 | G2_smistamento | -0.35 | -4.19 |
| 380 | 380 | 310 | G2_smistamento | -0.35 | -4.23 |
| 380 | 380 | 234 | G2_smistamento | -0.32 | -4.23 |
| 380 | 380 | 236 | G2_smistamento | -0.32 | -4.19 |
| 380 | 380 | 306 | Q_smistamento | -0.35 | -4.19 |
| 380 | 380 | 310 | Q_smistamento | -0.35 | -4.23 |
| 380 | 380 | 234 | Q_smistamento | -0.32 | -4.23 |
| 380 | 380 | 236 | Q_smistamento | -0.32 | -4.19 |
| 380 | 380 | 306 | Q_neve | 1.140E-13 | 1.385E-13 |
| 380 | 380 | 310 | Q_neve | -2.844E-13 | 9.819E-15 |
| 380 | 380 | 234 | Q_neve | 1.140E-13 | 1.192E-12 |
| 380 | 380 | 236 | Q_neve | -1.996E-12 | -8.460E-13 |
| 381 | 381 | 260 | DEAD | -2.593E-12 | -8.288E-12 |
| 381 | 381 | 262 | DEAD | -7.732E-12 | -2.058E-12 |
| 381 | 381 | 311 | DEAD | 3.201E-12 | -1.442E-12 |
| 381 | 381 | 307 | DEAD | -3.519E-12 | -3.111E-12 |
| 381 | 381 | 260 | G1_smistamento | -1.13 | 11.39 |
| 381 | 381 | 262 | G1_smistamento | -1.13 | 11.41 |
| 381 | 381 | 311 | G1_smistamento | -1.16 | 11.41 |
| 381 | 381 | 307 | G1_smistamento | -1.16 | 11.39 |
| 381 | 381 | 260 | G2_smistamento | -0.42 | 4.22 |
| 381 | 381 | 262 | G2_smistamento | -0.42 | 4.23 |
| 381 | 381 | 311 | G2_smistamento | -0.43 | 4.23 |
| 381 | 381 | 307 | G2_smistamento | -0.43 | 4.22 |
| 381 | 381 | 260 | Q_smistamento | -0.42 | 4.22 |
| 381 | 381 | 262 | Q_smistamento | -0.42 | 4.23 |
| 381 | 381 | 311 | Q_smistamento | -0.43 | 4.23 |
| 381 | 381 | 307 | Q_smistamento | -0.43 | 4.22 |
| 381 | 381 | 260 | Q_neve | -7.112E-13 | -1.976E-12 |
| 381 | 381 | 262 | Q_neve | -1.277E-12 | -3.475E-13 |
| 381 | 381 | 311 | Q_neve | 1.395E-12 | -7.312E-16 |
| 381 | 381 | 307 | Q_neve | -9.166E-14 | -1.401E-12 |
| 382 | 382 | 307 | DEAD | -3.285E-12 | 2.685E-12 |
| 382 | 382 | 311 | DEAD | 6.222E-12 | 1.491E-12 |
| 382 | 382 | 312 | DEAD | -6.445E-12 | 5.165E-14 |

Table 21: Element Stresses - Area Shells, Part 3 of 3

| Area | AreaElem | Joint | OutputCase | S13Avg KN/m2 | S23Avg KN/m2 |
|------|----------|-------|----------------|-----------------|-----------------|
| 382 | 382 | 308 | DEAD | 4.116E-12 | 3.070E-12 |
| 382 | 382 | 307 | G1_smistamento | -1.14 | 5.52 |
| 382 | 382 | 311 | G1_smistamento | -1.14 | 5.56 |
| 382 | 382 | 312 | G1_smistamento | -1.17 | 5.56 |
| 382 | 382 | 308 | G1_smistamento | -1.17 | 5.52 |
| 382 | 382 | 307 | G2_smistamento | -0.42 | 2.05 |
| 382 | 382 | 311 | G2_smistamento | -0.42 | 2.06 |
| 382 | 382 | 312 | G2_smistamento | -0.43 | 2.06 |
| 382 | 382 | 308 | G2_smistamento | -0.43 | 2.05 |
| 382 | 382 | 307 | Q_smistamento | -0.42 | 2.05 |
| 382 | 382 | 311 | Q_smistamento | -0.42 | 2.06 |
| 382 | 382 | 312 | Q_smistamento | -0.43 | 2.06 |
| 382 | 382 | 308 | Q_smistamento | -0.43 | 2.05 |
| 382 | 382 | 307 | Q_neve | 4.479E-13 | 4.822E-13 |
| 382 | 382 | 311 | Q_neve | 1.733E-12 | -8.874E-13 |
| 382 | 382 | 312 | Q_neve | -1.132E-12 | -9.003E-13 |
| 382 | 382 | 308 | Q_neve | 5.478E-13 | 1.153E-12 |
| 383 | 383 | 308 | DEAD | 3.564E-12 | 3.972E-12 |
| 383 | 383 | 312 | DEAD | 2.845E-12 | 2.443E-12 |
| 383 | 383 | 313 | DEAD | -5.389E-12 | 2.852E-13 |
| 383 | 383 | 309 | DEAD | -5.582E-12 | 4.550E-12 |
| 383 | 383 | 308 | G1_smistamento | -1.16 | 9.657E-12 |
| 383 | 383 | 312 | G1_smistamento | -1.16 | 2.707E-12 |
| 383 | 383 | 313 | G1_smistamento | -1.16 | 2.810E-12 |
| 383 | 383 | 309 | G1_smistamento | -1.16 | 4.287E-12 |
| 383 | 383 | 308 | G2_smistamento | -0.43 | 2.696E-12 |
| 383 | 383 | 312 | G2_smistamento | -0.43 | 1.450E-12 |
| 383 | 383 | 313 | G2_smistamento | -0.43 | 2.169E-12 |
| 383 | 383 | 309 | G2_smistamento | -0.43 | 2.503E-12 |
| 383 | 383 | 308 | Q_smistamento | -0.43 | 2.696E-12 |
| 383 | 383 | 312 | Q_smistamento | -0.43 | 1.450E-12 |
| 383 | 383 | 313 | Q_smistamento | -0.43 | 2.169E-12 |
| 383 | 383 | 309 | Q_smistamento | -0.43 | 2.503E-12 |
| 383 | 383 | 308 | Q_neve | 1.438E-13 | 1.858E-12 |
| 383 | 383 | 312 | Q_neve | 5.165E-13 | 2.603E-13 |
| 383 | 383 | 313 | Q_neve | -1.436E-12 | 8.048E-14 |
| 383 | 383 | 309 | Q_neve | -6.685E-13 | 1.906E-12 |
| 384 | 384 | 309 | DEAD | -3.259E-13 | -7.114E-13 |

Table 21: Element Stresses - Area Shells, Part 3 of 3

| Area | AreaElem | Joint | OutputCase | S13Avg KN/m2 | S23Avg KN/m2 |
|------|----------|-------|----------------|-----------------|-----------------|
| 384 | 384 | 313 | DEAD | -3.259E-13 | -3.100E-12 |
| 384 | 384 | 314 | DEAD | -4.539E-12 | -5.978E-12 |
| 384 | 384 | 310 | DEAD | -4.539E-12 | 5.964E-14 |
| 384 | 384 | 309 | G1_smistamento | -1.17 | -5.52 |
| 384 | 384 | 313 | G1_smistamento | -1.17 | -5.56 |
| 384 | 384 | 314 | G1_smistamento | -1.14 | -5.56 |
| 384 | 384 | 310 | G1_smistamento | -1.14 | -5.52 |
| 384 | 384 | 309 | G2_smistamento | -0.43 | -2.05 |
| 384 | 384 | 313 | G2_smistamento | -0.43 | -2.06 |
| 384 | 384 | 314 | G2_smistamento | -0.42 | -2.06 |
| 384 | 384 | 310 | G2_smistamento | -0.42 | -2.05 |
| 384 | 384 | 309 | Q_smistamento | -0.43 | -2.05 |
| 384 | 384 | 313 | Q_smistamento | -0.43 | -2.06 |
| 384 | 384 | 314 | Q_smistamento | -0.42 | -2.06 |
| 384 | 384 | 310 | Q_smistamento | -0.42 | -2.05 |
| 384 | 384 | 309 | Q_neve | 2.237E-14 | -7.449E-13 |
| 384 | 384 | 313 | Q_neve | 2.237E-14 | -6.244E-13 |
| 384 | 384 | 314 | Q_neve | -1.163E-12 | -5.474E-13 |
| 384 | 384 | 310 | Q_neve | -1.163E-12 | -9.775E-14 |
| 385 | 385 | 310 | DEAD | -2.251E-12 | 1.284E-12 |
| 385 | 385 | 314 | DEAD | 6.787E-13 | -3.249E-12 |
| 385 | 385 | 232 | DEAD | -3.831E-12 | -7.669E-12 |
| 385 | 385 | 234 | DEAD | -3.746E-13 | 7.810E-12 |
| 385 | 385 | 310 | G1_smistamento | -1.16 | -11.39 |
| 385 | 385 | 314 | G1_smistamento | -1.16 | -11.41 |
| 385 | 385 | 232 | G1_smistamento | -1.13 | -11.41 |
| 385 | 385 | 234 | G1_smistamento | -1.13 | -11.39 |
| 385 | 385 | 310 | G2_smistamento | -0.43 | -4.22 |
| 385 | 385 | 314 | G2_smistamento | -0.43 | -4.23 |
| 385 | 385 | 232 | G2_smistamento | -0.42 | -4.23 |
| 385 | 385 | 234 | G2_smistamento | -0.42 | -4.22 |
| 385 | 385 | 310 | Q_smistamento | -0.43 | -4.22 |
| 385 | 385 | 314 | Q_smistamento | -0.43 | -4.23 |
| 385 | 385 | 232 | Q_smistamento | -0.42 | -4.23 |
| 385 | 385 | 234 | Q_smistamento | -0.42 | -4.22 |
| 385 | 385 | 310 | Q_neve | -1.224E-12 | 9.156E-13 |
| 385 | 385 | 314 | Q_neve | -3.115E-13 | -5.392E-13 |
| 385 | 385 | 232 | Q_neve | -8.287E-13 | -2.694E-13 |

Table 21: Element Stresses - Area Shells, Part 3 of 3

| Area | AreaElem | Joint | OutputCase | S13Avg KN/m2 | S23Avg KN/m2 |
|------|----------|-------|----------------|-----------------|-----------------|
| 385 | 385 | 234 | Q_neve | 8.347E-14 | 8.433E-13 |
| 386 | 386 | 262 | DEAD | -3.310E-13 | -7.933E-12 |
| 386 | 386 | 264 | DEAD | -6.909E-12 | 1.023E-11 |
| 386 | 386 | 315 | DEAD | 9.149E-12 | 1.547E-12 |
| 386 | 386 | 311 | DEAD | 2.044E-12 | -2.934E-12 |
| 386 | 386 | 262 | G1_smistamento | -0.97 | 11.4 |
| 386 | 386 | 264 | G1_smistamento | -0.97 | 11.4 |
| 386 | 386 | 315 | G1_smistamento | -0.98 | 11.4 |
| 386 | 386 | 311 | G1_smistamento | -0.98 | 11.4 |
| 386 | 386 | 262 | G2_smistamento | -0.36 | 4.23 |
| 386 | 386 | 264 | G2_smistamento | -0.36 | 4.23 |
| 386 | 386 | 315 | G2_smistamento | -0.36 | 4.23 |
| 386 | 386 | 311 | G2_smistamento | -0.36 | 4.23 |
| 386 | 386 | 262 | Q_smistamento | -0.36 | 4.23 |
| 386 | 386 | 264 | Q_smistamento | -0.36 | 4.23 |
| 386 | 386 | 315 | Q_smistamento | -0.36 | 4.23 |
| 386 | 386 | 311 | Q_smistamento | -0.36 | 4.23 |
| 386 | 386 | 262 | Q_neve | 4.765E-13 | -1.041E-12 |
| 386 | 386 | 264 | Q_neve | -7.954E-13 | 1.008E-12 |
| 386 | 386 | 315 | Q_neve | 7.398E-13 | -2.511E-13 |
| 386 | 386 | 311 | Q_neve | -2.688E-13 | -7.038E-13 |
| 387 | 387 | 311 | DEAD | 4.702E-12 | 9.311E-13 |
| 387 | 387 | 315 | DEAD | 1.824E-12 | -1.368E-12 |
| 387 | 387 | 316 | DEAD | 2.595E-12 | -2.756E-12 |
| 387 | 387 | 312 | DEAD | 1.824E-12 | -1.368E-12 |
| 387 | 387 | 311 | G1_smistamento | -0.98 | 5.55 |
| 387 | 387 | 315 | G1_smistamento | -0.98 | 5.55 |
| 387 | 387 | 316 | G1_smistamento | -0.99 | 5.55 |
| 387 | 387 | 312 | G1_smistamento | -0.99 | 5.55 |
| 387 | 387 | 311 | G2_smistamento | -0.36 | 2.06 |
| 387 | 387 | 315 | G2_smistamento | -0.36 | 2.06 |
| 387 | 387 | 316 | G2_smistamento | -0.37 | 2.06 |
| 387 | 387 | 312 | G2_smistamento | -0.37 | 2.06 |
| 387 | 387 | 311 | Q_smistamento | -0.36 | 2.06 |
| 387 | 387 | 315 | Q_smistamento | -0.36 | 2.06 |
| 387 | 387 | 316 | Q_smistamento | -0.37 | 2.06 |
| 387 | 387 | 312 | Q_smistamento | -0.37 | 2.06 |
| 387 | 387 | 311 | Q_neve | 4.819E-14 | -2.586E-13 |

Table 21: Element Stresses - Area Shells, Part 3 of 3

| Area | AreaElem | Joint | OutputCase | S13Avg KN/m2 | S23Avg KN/m2 |
|------|----------|-------|----------------|-----------------|-----------------|
| 387 | 387 | 315 | Q_neve | -6.712E-13 | -4.737E-13 |
| 387 | 387 | 316 | Q_neve | 1.799E-13 | -6.536E-13 |
| 387 | 387 | 312 | Q_neve | -1.291E-14 | -2.104E-13 |
| 388 | 388 | 312 | DEAD | -3.994E-12 | -9.013E-13 |
| 388 | 388 | 316 | DEAD | 1.146E-12 | -2.852E-13 |
| 388 | 388 | 317 | DEAD | -4.520E-12 | 1.205E-12 |
| 388 | 388 | 313 | DEAD | 2.199E-12 | -3.972E-12 |
| 388 | 388 | 312 | G1_smistamento | -0.99 | 5.967E-12 |
| 388 | 388 | 316 | G1_smistamento | -0.99 | -6.545E-12 |
| 388 | 388 | 317 | G1_smistamento | -0.99 | -1.406E-12 |
| 388 | 388 | 313 | G1_smistamento | -0.99 | -7.522E-13 |
| 388 | 388 | 312 | G2_smistamento | -0.37 | 2.837E-13 |
| 388 | 388 | 316 | G2_smistamento | -0.37 | 7.656E-13 |
| 388 | 388 | 317 | G2_smistamento | -0.37 | 2.037E-14 |
| 388 | 388 | 313 | G2_smistamento | -0.37 | 1.819E-12 |
| 388 | 388 | 312 | Q_smistamento | -0.37 | 2.837E-13 |
| 388 | 388 | 316 | Q_smistamento | -0.37 | 7.656E-13 |
| 388 | 388 | 317 | Q_smistamento | -0.37 | 2.037E-14 |
| 388 | 388 | 313 | Q_smistamento | -0.37 | 1.819E-12 |
| 388 | 388 | 312 | Q_neve | -5.525E-13 | 2.471E-13 |
| 388 | 388 | 316 | Q_neve | 1.669E-13 | -3.954E-13 |
| 388 | 388 | 317 | Q_neve | -8.158E-13 | 2.471E-13 |
| 388 | 388 | 313 | Q_neve | -6.230E-13 | -5.929E-13 |
| 389 | 389 | 313 | DEAD | -3.070E-12 | -9.290E-12 |
| 389 | 389 | 317 | DEAD | -2.299E-12 | 2.245E-12 |
| 389 | 389 | 318 | DEAD | -1.491E-12 | 2.296E-12 |
| 389 | 389 | 314 | DEAD | 1.387E-12 | -1.197E-11 |
| 389 | 389 | 313 | G1_smistamento | -0.99 | -5.55 |
| 389 | 389 | 317 | G1_smistamento | -0.99 | -5.55 |
| 389 | 389 | 318 | G1_smistamento | -0.98 | -5.55 |
| 389 | 389 | 314 | G1_smistamento | -0.98 | -5.55 |
| 389 | 389 | 313 | G2_smistamento | -0.37 | -2.06 |
| 389 | 389 | 317 | G2_smistamento | -0.37 | -2.06 |
| 389 | 389 | 318 | G2_smistamento | -0.36 | -2.06 |
| 389 | 389 | 314 | G2_smistamento | -0.36 | -2.06 |
| 389 | 389 | 313 | Q_smistamento | -0.37 | -2.06 |
| 389 | 389 | 317 | Q_smistamento | -0.37 | -2.06 |
| 389 | 389 | 318 | Q_smistamento | -0.36 | -2.06 |

Table 21: Element Stresses - Area Shells, Part 3 of 3

| Area | AreaElem | Joint | OutputCase | S13Avg KN/m2 | S23Avg KN/m2 |
|------|----------|-------|----------------|-----------------|-----------------|
| 389 | 389 | 314 | Q_smistamento | -0.36 | -2.06 |
| 389 | 389 | 313 | Q_neve | -1.079E-12 | -1.242E-12 |
| 389 | 389 | 317 | Q_neve | -8.864E-13 | 3.200E-13 |
| 389 | 389 | 318 | Q_neve | -2.892E-13 | 1.401E-13 |
| 389 | 389 | 314 | Q_neve | 4.303E-13 | -1.194E-12 |
| 390 | 390 | 314 | DEAD | 1.819E-13 | 7.929E-13 |
| 390 | 390 | 318 | DEAD | -1.102E-12 | 2.796E-12 |
| 390 | 390 | 230 | DEAD | -1.398E-12 | 7.113E-12 |
| 390 | 390 | 232 | DEAD | 6.271E-12 | -3.637E-13 |
| 390 | 390 | 314 | G1_smistamento | -0.98 | -11.4 |
| 390 | 390 | 318 | G1_smistamento | -0.98 | -11.4 |
| 390 | 390 | 230 | G1_smistamento | -0.97 | -11.4 |
| 390 | 390 | 232 | G1_smistamento | -0.97 | -11.4 |
| 390 | 390 | 314 | G2_smistamento | -0.36 | -4.23 |
| 390 | 390 | 318 | G2_smistamento | -0.36 | -4.23 |
| 390 | 390 | 230 | G2_smistamento | -0.36 | -4.23 |
| 390 | 390 | 232 | G2_smistamento | -0.36 | -4.23 |
| 390 | 390 | 314 | Q_smistamento | -0.36 | -4.23 |
| 390 | 390 | 318 | Q_smistamento | -0.36 | -4.23 |
| 390 | 390 | 230 | Q_smistamento | -0.36 | -4.23 |
| 390 | 390 | 232 | Q_smistamento | -0.36 | -4.23 |
| 390 | 390 | 314 | Q_neve | 2.253E-13 | 8.403E-13 |
| 390 | 390 | 318 | Q_neve | 7.129E-14 | 2.684E-13 |
| 390 | 390 | 230 | Q_neve | -3.013E-13 | 1.630E-12 |
| 390 | 390 | 232 | Q_neve | 9.929E-13 | -1.924E-13 |
| 391 | 391 | 264 | DEAD | -7.194E-13 | 2.096E-12 |
| 391 | 391 | 266 | DEAD | 2.826E-12 | -6.279E-12 |
| 391 | 391 | 319 | DEAD | -1.928E-13 | -4.224E-12 |
| 391 | 391 | 315 | DEAD | -1.914E-12 | 6.887E-12 |
| 391 | 391 | 264 | G1_smistamento | -0.55 | 11.4 |
| 391 | 391 | 266 | G1_smistamento | -0.55 | 11.39 |
| 391 | 391 | 319 | G1_smistamento | -0.55 | 11.39 |
| 391 | 391 | 315 | G1_smistamento | -0.55 | 11.4 |
| 391 | 391 | 264 | G2_smistamento | -0.2 | 4.23 |
| 391 | 391 | 266 | G2_smistamento | -0.2 | 4.22 |
| 391 | 391 | 319 | G2_smistamento | -0.21 | 4.22 |
| 391 | 391 | 315 | G2_smistamento | -0.21 | 4.23 |
| 391 | 391 | 264 | Q_smistamento | -0.2 | 4.23 |

Table 21: Element Stresses - Area Shells, Part 3 of 3

| Area | AreaElem | Joint | OutputCase | S13Avg KN/m2 | S23Avg KN/m2 |
|------|----------|-------|----------------|-----------------|-----------------|
| 391 | 391 | 266 | Q_smistamento | -0.2 | 4.22 |
| 391 | 391 | 319 | Q_smistamento | -0.21 | 4.22 |
| 391 | 391 | 315 | Q_smistamento | -0.21 | 4.23 |
| 391 | 391 | 264 | Q_neve | 1.168E-13 | -5.650E-13 |
| 391 | 391 | 266 | Q_neve | 9.093E-14 | -9.101E-13 |
| 391 | 391 | 319 | Q_neve | 6.434E-13 | -4.992E-13 |
| 391 | 391 | 315 | Q_neve | -6.991E-13 | 1.328E-12 |
| 392 | 392 | 315 | DEAD | -1.672E-12 | -5.346E-13 |
| 392 | 392 | 319 | DEAD | -5.270E-12 | 1.995E-12 |
| 392 | 392 | 320 | DEAD | -1.672E-12 | 6.312E-12 |
| 392 | 392 | 316 | DEAD | -2.636E-12 | -1.691E-12 |
| 392 | 392 | 315 | G1_smistamento | -0.56 | 5.55 |
| 392 | 392 | 319 | G1_smistamento | -0.56 | 5.55 |
| 392 | 392 | 320 | G1_smistamento | -0.56 | 5.55 |
| 392 | 392 | 316 | G1_smistamento | -0.56 | 5.55 |
| 392 | 392 | 315 | G2_smistamento | -0.21 | 2.06 |
| 392 | 392 | 319 | G2_smistamento | -0.21 | 2.06 |
| 392 | 392 | 320 | G2_smistamento | -0.21 | 2.06 |
| 392 | 392 | 316 | G2_smistamento | -0.21 | 2.06 |
| 392 | 392 | 315 | Q_smistamento | -0.21 | 2.06 |
| 392 | 392 | 319 | Q_smistamento | -0.21 | 2.06 |
| 392 | 392 | 320 | Q_smistamento | -0.21 | 2.06 |
| 392 | 392 | 316 | Q_smistamento | -0.21 | 2.06 |
| 392 | 392 | 315 | Q_neve | 1.564E-14 | -9.597E-13 |
| 392 | 392 | 319 | Q_neve | -1.076E-12 | 1.771E-13 |
| 392 | 392 | 320 | Q_neve | 1.201E-12 | 8.836E-13 |
| 392 | 392 | 316 | Q_neve | 2.402E-13 | -4.812E-13 |
| 393 | 393 | 316 | DEAD | -7.517E-12 | -1.629E-13 |
| 393 | 393 | 320 | DEAD | -3.252E-12 | -6.689E-12 |
| 393 | 393 | 321 | DEAD | 1.436E-12 | -2.270E-12 |
| 393 | 393 | 317 | DEAD | -9.239E-14 | -6.689E-12 |
| 393 | 393 | 316 | G1_smistamento | -0.56 | -5.267E-13 |
| 393 | 393 | 320 | G1_smistamento | -0.56 | -5.332E-12 |
| 393 | 393 | 321 | G1_smistamento | -0.56 | 5.267E-13 |
| 393 | 393 | 317 | G1_smistamento | -0.56 | -7.439E-12 |
| 393 | 393 | 316 | G2_smistamento | -0.21 | 5.823E-13 |
| 393 | 393 | 320 | G2_smistamento | -0.21 | -2.944E-12 |
| 393 | 393 | 321 | G2_smistamento | -0.21 | -7.343E-13 |

Table 21: Element Stresses - Area Shells, Part 3 of 3

| Area | AreaElem | Joint | OutputCase | S13Avg KN/m2 | S23Avg KN/m2 |
|------|----------|-------|----------------|-----------------|-----------------|
| 393 | 393 | 317 | G2_smistamento | -0.21 | -2.681E-12 |
| 393 | 393 | 316 | Q_smistamento | -0.21 | 5.823E-13 |
| 393 | 393 | 320 | Q_smistamento | -0.21 | -2.944E-12 |
| 393 | 393 | 321 | Q_smistamento | -0.21 | -7.343E-13 |
| 393 | 393 | 317 | Q_smistamento | -0.21 | -2.681E-12 |
| 393 | 393 | 316 | Q_neve | -3.292E-13 | -1.418E-13 |
| 393 | 393 | 320 | Q_neve | 2.104E-13 | -9.095E-13 |
| 393 | 393 | 321 | Q_neve | 3.292E-13 | -1.018E-14 |
| 393 | 393 | 317 | Q_neve | 4.737E-13 | -3.828E-13 |
| 394 | 394 | 317 | DEAD | 8.605E-13 | 3.204E-12 |
| 394 | 394 | 321 | DEAD | 8.605E-13 | 5.310E-12 |
| 394 | 394 | 322 | DEAD | -1.773E-12 | 5.310E-12 |
| 394 | 394 | 318 | DEAD | -1.773E-12 | 3.204E-12 |
| 394 | 394 | 317 | G1_smistamento | -0.56 | -5.55 |
| 394 | 394 | 321 | G1_smistamento | -0.56 | -5.55 |
| 394 | 394 | 322 | G1_smistamento | -0.56 | -5.55 |
| 394 | 394 | 318 | G1_smistamento | -0.56 | -5.55 |
| 394 | 394 | 317 | G2_smistamento | -0.21 | -2.06 |
| 394 | 394 | 321 | G2_smistamento | -0.21 | -2.06 |
| 394 | 394 | 322 | G2_smistamento | -0.21 | -2.06 |
| 394 | 394 | 318 | G2_smistamento | -0.21 | -2.06 |
| 394 | 394 | 317 | Q_smistamento | -0.21 | -2.06 |
| 394 | 394 | 321 | Q_smistamento | -0.21 | -2.06 |
| 394 | 394 | 322 | Q_smistamento | -0.21 | -2.06 |
| 394 | 394 | 318 | Q_smistamento | -0.21 | -2.06 |
| 394 | 394 | 317 | Q_neve | 0. | 2.484E-13 |
| 394 | 394 | 321 | Q_neve | 0. | 5.117E-13 |
| 394 | 394 | 322 | Q_neve | 0. | 5.117E-13 |
| 394 | 394 | 318 | Q_neve | 0. | 2.484E-13 |
| 395 | 395 | 318 | DEAD | 4.376E-12 | 2.878E-12 |
| 395 | 395 | 322 | DEAD | 3.605E-12 | 4.420E-12 |
| 395 | 395 | 228 | DEAD | -1.944E-12 | 7.711E-13 |
| 395 | 395 | 230 | DEAD | -4.821E-12 | 6.527E-12 |
| 395 | 395 | 318 | G1_smistamento | -0.55 | -11.4 |
| 395 | 395 | 322 | G1_smistamento | -0.55 | -11.39 |
| 395 | 395 | 228 | G1_smistamento | -0.55 | -11.39 |
| 395 | 395 | 230 | G1_smistamento | -0.55 | -11.4 |
| 395 | 395 | 318 | G2_smistamento | -0.21 | -4.23 |

Table 21: Element Stresses - Area Shells, Part 3 of 3

| Area | AreaElem | Joint | OutputCase | S13Avg KN/m2 | S23Avg KN/m2 |
|------|----------|-------|----------------|-----------------|-----------------|
| 395 | 395 | 322 | G2_smistamento | -0.21 | -4.22 |
| 395 | 395 | 228 | G2_smistamento | -0.2 | -4.22 |
| 395 | 395 | 230 | G2_smistamento | -0.2 | -4.23 |
| 395 | 395 | 318 | Q_smistamento | -0.21 | -4.23 |
| 395 | 395 | 322 | Q_smistamento | -0.21 | -4.22 |
| 395 | 395 | 228 | Q_smistamento | -0.2 | -4.22 |
| 395 | 395 | 230 | Q_smistamento | -0.2 | -4.23 |
| 395 | 395 | 318 | Q_neve | 9.420E-13 | 3.865E-13 |
| 395 | 395 | 322 | Q_neve | 9.420E-13 | 9.085E-13 |
| 395 | 395 | 228 | Q_neve | -6.380E-13 | 7.157E-13 |
| 395 | 395 | 230 | Q_neve | -6.380E-13 | 1.106E-12 |
| 396 | 396 | 266 | DEAD | -1.680E-12 | -6.545E-12 |
| 396 | 396 | 268 | DEAD | -1.732E-12 | 2.948E-12 |
| 396 | 396 | 323 | DEAD | 4.113E-12 | -7.522E-13 |
| 396 | 396 | 319 | DEAD | 1.428E-12 | -2.117E-13 |
| 396 | 396 | 266 | G1_smistamento | 5.926E-12 | 11.39 |
| 396 | 396 | 268 | G1_smistamento | 7.365E-12 | 11.39 |
| 396 | 396 | 323 | G1_smistamento | -1.974E-12 | 11.39 |
| 396 | 396 | 319 | G1_smistamento | -1.588E-12 | 11.39 |
| 396 | 396 | 266 | G2_smistamento | 4.357E-13 | 4.22 |
| 396 | 396 | 268 | G2_smistamento | 4.099E-13 | 4.22 |
| 396 | 396 | 323 | G2_smistamento | 1.724E-13 | 4.22 |
| 396 | 396 | 319 | G2_smistamento | -1.170E-12 | 4.22 |
| 396 | 396 | 266 | Q_smistamento | 4.357E-13 | 4.22 |
| 396 | 396 | 268 | Q_smistamento | 4.099E-13 | 4.22 |
| 396 | 396 | 323 | Q_smistamento | 1.724E-13 | 4.22 |
| 396 | 396 | 319 | Q_smistamento | -1.170E-12 | 4.22 |
| 396 | 396 | 266 | Q_neve | 1.097E-12 | -7.032E-13 |
| 396 | 396 | 268 | Q_neve | 1.277E-12 | -7.802E-13 |
| 396 | 396 | 323 | Q_neve | 4.347E-14 | -7.032E-13 |
| 396 | 396 | 319 | Q_neve | 9.166E-14 | -5.601E-14 |
| 397 | 397 | 319 | DEAD | 2.524E-13 | 1.325E-12 |
| 397 | 397 | 323 | DEAD | 6.779E-12 | -8.592E-12 |
| 397 | 397 | 324 | DEAD | -2.381E-12 | -7.102E-12 |
| 397 | 397 | 320 | DEAD | 2.039E-12 | -1.746E-12 |
| 397 | 397 | 319 | G1_smistamento | -1.629E-13 | 5.55 |
| 397 | 397 | 323 | G1_smistamento | 4.257E-12 | 5.55 |
| 397 | 397 | 324 | G1_smistamento | -2.270E-12 | 5.55 |

Table 21: Element Stresses - Area Shells, Part 3 of 3

| Area | AreaElem | Joint | OutputCase | S13Avg KN/m2 | S23Avg KN/m2 |
|------|----------|-------|----------------|-----------------|-----------------|
| 397 | 397 | 320 | G1_smistamento | 4.257E-12 | 5.55 |
| 397 | 397 | 319 | G2_smistamento | -8.158E-13 | 2.06 |
| 397 | 397 | 323 | G2_smistamento | 1.009E-12 | 2.06 |
| 397 | 397 | 324 | G2_smistamento | -5.525E-13 | 2.06 |
| 397 | 397 | 320 | G2_smistamento | 1.272E-12 | 2.06 |
| 397 | 397 | 319 | Q_smistamento | -8.158E-13 | 2.06 |
| 397 | 397 | 323 | Q_smistamento | 1.009E-12 | 2.06 |
| 397 | 397 | 324 | Q_smistamento | -5.525E-13 | 2.06 |
| 397 | 397 | 320 | Q_smistamento | 1.272E-12 | 2.06 |
| 397 | 397 | 319 | Q_neve | 7.455E-15 | 3.491E-14 |
| 397 | 397 | 323 | Q_neve | 9.197E-13 | -1.569E-12 |
| 397 | 397 | 324 | Q_neve | -3.875E-13 | -1.479E-12 |
| 397 | 397 | 320 | Q_neve | 5.247E-13 | 1.082E-14 |
| 398 | 398 | 320 | DEAD | 2.655E-12 | -5.047E-12 |
| 398 | 398 | 324 | DEAD | 3.426E-12 | -4.186E-12 |
| 398 | 398 | 325 | DEAD | 1.602E-12 | -3.467E-12 |
| 398 | 398 | 321 | DEAD | 4.480E-12 | -5.240E-12 |
| 398 | 398 | 320 | G1_smistamento | 7.629E-12 | 1.618E-12 |
| 398 | 398 | 324 | G1_smistamento | 6.909E-12 | -1.025E-11 |
| 398 | 398 | 325 | G1_smistamento | -1.851E-12 | -8.915E-12 |
| 398 | 398 | 321 | G1_smistamento | -2.044E-12 | 6.602E-12 |
| 398 | 398 | 320 | G2_smistamento | 3.501E-12 | -8.147E-14 |
| 398 | 398 | 324 | G2_smistamento | 3.501E-12 | -1.520E-12 |
| 398 | 398 | 325 | G2_smistamento | 6.041E-13 | -1.135E-12 |
| 398 | 398 | 321 | G2_smistamento | 6.041E-13 | -1.520E-12 |
| 398 | 398 | 320 | Q_smistamento | 3.501E-12 | -8.147E-14 |
| 398 | 398 | 324 | Q_smistamento | 3.501E-12 | -1.520E-12 |
| 398 | 398 | 325 | Q_smistamento | 6.041E-13 | -1.135E-12 |
| 398 | 398 | 321 | Q_smistamento | 6.041E-13 | -1.520E-12 |
| 398 | 398 | 320 | Q_neve | 1.038E-12 | 2.389E-13 |
| 398 | 398 | 324 | Q_neve | 1.038E-12 | -8.915E-13 |
| 398 | 398 | 325 | Q_neve | -2.782E-13 | -1.341E-12 |
| 398 | 398 | 321 | Q_neve | -2.782E-13 | 3.593E-13 |
| 399 | 399 | 321 | DEAD | 2.674E-12 | 2.734E-12 |
| 399 | 399 | 325 | DEAD | 1.955E-12 | 1.309E-12 |
| 399 | 399 | 326 | DEAD | -2.066E-12 | -5.166E-12 |
| 399 | 399 | 322 | DEAD | -2.259E-12 | 4.469E-12 |
| 399 | 399 | 321 | G1_smistamento | -5.078E-13 | -5.55 |

Table 21: Element Stresses - Area Shells, Part 3 of 3

| Area | AreaElem | Joint | OutputCase | S13Avg KN/m2 | S23Avg KN/m2 |
|------|----------|-------|----------------|-----------------|-----------------|
| 399 | 399 | 325 | G1_smistamento | 2.117E-13 | -5.55 |
| 399 | 399 | 326 | G1_smistamento | -3.141E-12 | -5.55 |
| 399 | 399 | 322 | G1_smistamento | -2.948E-12 | -5.55 |
| 399 | 399 | 321 | G2_smistamento | -2.837E-13 | -2.06 |
| 399 | 399 | 325 | G2_smistamento | 7.602E-14 | -2.06 |
| 399 | 399 | 326 | G2_smistamento | -2.037E-14 | -2.06 |
| 399 | 399 | 322 | G2_smistamento | 7.602E-14 | -2.06 |
| 399 | 399 | 321 | Q_smistamento | -2.837E-13 | -2.06 |
| 399 | 399 | 325 | Q_smistamento | 7.602E-14 | -2.06 |
| 399 | 399 | 326 | Q_smistamento | -2.037E-14 | -2.06 |
| 399 | 399 | 322 | Q_smistamento | 7.602E-14 | -2.06 |
| 399 | 399 | 321 | Q_neve | -1.473E-13 | 1.248E-13 |
| 399 | 399 | 325 | Q_neve | -3.272E-13 | -4.659E-13 |
| 399 | 399 | 326 | Q_neve | -1.069E-12 | -1.455E-12 |
| 399 | 399 | 322 | Q_neve | -1.117E-12 | 3.899E-13 |
| 400 | 400 | 322 | DEAD | 3.259E-13 | 1.848E-13 |
| 400 | 400 | 326 | DEAD | 3.259E-13 | 1.236E-11 |
| 400 | 400 | 226 | DEAD | 4.539E-12 | 6.505E-12 |
| 400 | 400 | 228 | DEAD | 4.539E-12 | 7.097E-12 |
| 400 | 400 | 322 | G1_smistamento | -8.904E-13 | -11.39 |
| 400 | 400 | 326 | G1_smistamento | -8.904E-13 | -11.39 |
| 400 | 400 | 226 | G1_smistamento | 3.323E-12 | -11.39 |
| 400 | 400 | 228 | G1_smistamento | 3.323E-12 | -11.39 |
| 400 | 400 | 322 | G2_smistamento | 5.267E-13 | -4.22 |
| 400 | 400 | 326 | G2_smistamento | 9.122E-13 | -4.22 |
| 400 | 400 | 226 | G2_smistamento | -5.267E-13 | -4.22 |
| 400 | 400 | 228 | G2_smistamento | 9.122E-13 | -4.22 |
| 400 | 400 | 322 | Q_smistamento | 5.267E-13 | -4.22 |
| 400 | 400 | 326 | Q_smistamento | 9.122E-13 | -4.22 |
| 400 | 400 | 226 | Q_smistamento | -5.267E-13 | -4.22 |
| 400 | 400 | 228 | Q_smistamento | 9.122E-13 | -4.22 |
| 400 | 400 | 322 | Q_neve | -1.254E-12 | 5.223E-13 |
| 400 | 400 | 326 | Q_neve | -1.254E-12 | 1.841E-12 |
| 400 | 400 | 226 | Q_neve | 7.214E-13 | 1.378E-12 |
| 400 | 400 | 228 | Q_neve | 7.214E-13 | 1.314E-12 |
| 401 | 401 | 268 | DEAD | 3.364E-12 | 3.089E-12 |
| 401 | 401 | 270 | DEAD | 1.205E-12 | -3.668E-12 |
| 401 | 401 | 327 | DEAD | -3.230E-13 | -2.177E-12 |

Table 21: Element Stresses - Area Shells, Part 3 of 3

| Area | AreaElem | Joint | OutputCase | S13Avg KN/m2 | S23Avg KN/m2 |
|------|----------|-------|----------------|-----------------|-----------------|
| 401 | 401 | 323 | DEAD | -9.013E-13 | 1.891E-14 |
| 401 | 401 | 268 | G1_smistamento | 0.55 | 11.39 |
| 401 | 401 | 270 | G1_smistamento | 0.55 | 11.4 |
| 401 | 401 | 327 | G1_smistamento | 0.55 | 11.4 |
| 401 | 401 | 323 | G1_smistamento | 0.55 | 11.39 |
| 401 | 401 | 268 | G2_smistamento | 0.2 | 4.22 |
| 401 | 401 | 270 | G2_smistamento | 0.2 | 4.23 |
| 401 | 401 | 327 | G2_smistamento | 0.21 | 4.23 |
| 401 | 401 | 323 | G2_smistamento | 0.21 | 4.22 |
| 401 | 401 | 268 | Q_smistamento | 0.2 | 4.22 |
| 401 | 401 | 270 | Q_smistamento | 0.2 | 4.23 |
| 401 | 401 | 327 | Q_smistamento | 0.21 | 4.23 |
| 401 | 401 | 323 | Q_smistamento | 0.21 | 4.22 |
| 401 | 401 | 268 | Q_neve | -5.063E-13 | -4.877E-13 |
| 401 | 401 | 270 | Q_neve | -1.059E-12 | -5.311E-13 |
| 401 | 401 | 327 | Q_neve | 8.104E-13 | -1.585E-13 |
| 401 | 401 | 323 | Q_neve | -5.458E-15 | -1.255E-12 |
| 402 | 402 | 323 | DEAD | -3.141E-12 | -4.873E-12 |
| 402 | 402 | 327 | DEAD | -2.117E-13 | 9.202E-13 |
| 402 | 402 | 328 | DEAD | -5.078E-13 | 9.202E-13 |
| 402 | 402 | 324 | DEAD | 2.948E-12 | -4.873E-12 |
| 402 | 402 | 323 | G1_smistamento | 0.56 | 5.55 |
| 402 | 402 | 327 | G1_smistamento | 0.56 | 5.55 |
| 402 | 402 | 328 | G1_smistamento | 0.56 | 5.55 |
| 402 | 402 | 324 | G1_smistamento | 0.56 | 5.55 |
| 402 | 402 | 323 | G2_smistamento | 0.21 | 2.06 |
| 402 | 402 | 327 | G2_smistamento | 0.21 | 2.06 |
| 402 | 402 | 328 | G2_smistamento | 0.21 | 2.06 |
| 402 | 402 | 324 | G2_smistamento | 0.21 | 2.06 |
| 402 | 402 | 323 | Q_smistamento | 0.21 | 2.06 |
| 402 | 402 | 327 | Q_smistamento | 0.21 | 2.06 |
| 402 | 402 | 328 | Q_smistamento | 0.21 | 2.06 |
| 402 | 402 | 324 | Q_smistamento | 0.21 | 2.06 |
| 402 | 402 | 323 | Q_neve | 3.393E-13 | -7.751E-13 |
| 402 | 402 | 327 | Q_neve | 6.991E-13 | 5.416E-13 |
| 402 | 402 | 328 | Q_neve | -1.873E-13 | 1.491E-14 |
| 402 | 402 | 324 | Q_neve | -9.093E-14 | -1.302E-12 |
| 403 | 403 | 324 | DEAD | -1.439E-12 | -7.083E-12 |

Table 21: Element Stresses - Area Shells, Part 3 of 3

| Area | AreaElem | Joint | OutputCase | S13Avg KN/m2 | S23Avg KN/m2 |
|------|----------|-------|----------------|-----------------|-----------------|
| 403 | 403 | 328 | DEAD | -2.210E-12 | -2.343E-12 |
| 403 | 403 | 329 | DEAD | -3.855E-13 | -2.343E-12 |
| 403 | 403 | 325 | DEAD | -3.263E-12 | -7.083E-12 |
| 403 | 403 | 324 | G1_smistamento | 0.56 | -1.384E-11 |
| 403 | 403 | 328 | G1_smistamento | 0.56 | 1.395E-12 |
| 403 | 403 | 329 | G1_smistamento | 0.56 | -1.470E-13 |
| 403 | 403 | 325 | G1_smistamento | 0.56 | -8.085E-12 |
| 403 | 403 | 324 | G2_smistamento | 0.21 | -2.822E-12 |
| 403 | 403 | 328 | G2_smistamento | 0.21 | -9.788E-13 |
| 403 | 403 | 329 | G2_smistamento | 0.21 | -9.788E-13 |
| 403 | 403 | 325 | G2_smistamento | 0.21 | -2.822E-12 |
| 403 | 403 | 324 | Q_smistamento | 0.21 | -2.822E-12 |
| 403 | 403 | 328 | Q_smistamento | 0.21 | -9.788E-13 |
| 403 | 403 | 329 | Q_smistamento | 0.21 | -9.788E-13 |
| 403 | 403 | 325 | Q_smistamento | 0.21 | -2.822E-12 |
| 403 | 403 | 324 | Q_neve | 7.455E-15 | -1.910E-12 |
| 403 | 403 | 328 | Q_neve | 7.455E-15 | -6.656E-14 |
| 403 | 403 | 329 | Q_neve | -3.875E-13 | -6.656E-14 |
| 403 | 403 | 325 | Q_neve | -3.875E-13 | -1.910E-12 |
| 404 | 404 | 325 | DEAD | 1.420E-12 | 1.931E-12 |
| 404 | 404 | 329 | DEAD | -1.509E-12 | 1.006E-11 |
| 404 | 404 | 330 | DEAD | 4.053E-12 | 1.510E-11 |
| 404 | 404 | 326 | DEAD | 5.972E-13 | 5.812E-13 |
| 404 | 404 | 325 | G1_smistamento | 0.56 | -5.55 |
| 404 | 404 | 329 | G1_smistamento | 0.56 | -5.55 |
| 404 | 404 | 330 | G1_smistamento | 0.56 | -5.55 |
| 404 | 404 | 326 | G1_smistamento | 0.56 | -5.55 |
| 404 | 404 | 325 | G2_smistamento | 0.21 | -2.06 |
| 404 | 404 | 329 | G2_smistamento | 0.21 | -2.06 |
| 404 | 404 | 330 | G2_smistamento | 0.21 | -2.06 |
| 404 | 404 | 326 | G2_smistamento | 0.21 | -2.06 |
| 404 | 404 | 325 | Q_smistamento | 0.21 | -2.06 |
| 404 | 404 | 329 | Q_smistamento | 0.21 | -2.06 |
| 404 | 404 | 330 | Q_smistamento | 0.21 | -2.06 |
| 404 | 404 | 326 | Q_smistamento | 0.21 | -2.06 |
| 404 | 404 | 325 | Q_neve | 3.272E-13 | -1.063E-12 |
| 404 | 404 | 329 | Q_neve | 1.473E-13 | 2.386E-12 |
| 404 | 404 | 330 | Q_neve | 1.117E-12 | 2.887E-12 |

Table 21: Element Stresses - Area Shells, Part 3 of 3

| Area | AreaElem | Joint | OutputCase | S13Avg KN/m2 | S23Avg KN/m2 |
|------|----------|-------|----------------|-----------------|-----------------|
| 404 | 404 | 326 | Q_neve | 1.069E-12 | 8.064E-13 |
| 405 | 405 | 326 | DEAD | 5.166E-12 | 7.132E-12 |
| 405 | 405 | 330 | DEAD | 8.660E-12 | -7.243E-12 |
| 405 | 405 | 224 | DEAD | -2.734E-12 | -2.875E-12 |
| 405 | 405 | 226 | DEAD | -7.140E-12 | 3.290E-12 |
| 405 | 405 | 326 | G1_smistamento | 0.55 | -11.39 |
| 405 | 405 | 330 | G1_smistamento | 0.55 | -11.4 |
| 405 | 405 | 224 | G1_smistamento | 0.55 | -11.4 |
| 405 | 405 | 226 | G1_smistamento | 0.55 | -11.39 |
| 405 | 405 | 326 | G2_smistamento | 0.21 | -4.22 |
| 405 | 405 | 330 | G2_smistamento | 0.21 | -4.23 |
| 405 | 405 | 224 | G2_smistamento | 0.2 | -4.23 |
| 405 | 405 | 226 | G2_smistamento | 0.2 | -4.22 |
| 405 | 405 | 326 | Q_smistamento | 0.21 | -4.22 |
| 405 | 405 | 330 | Q_smistamento | 0.21 | -4.23 |
| 405 | 405 | 224 | Q_smistamento | 0.2 | -4.23 |
| 405 | 405 | 226 | Q_smistamento | 0.2 | -4.22 |
| 405 | 405 | 326 | Q_neve | 1.256E-12 | 1.278E-12 |
| 405 | 405 | 330 | Q_neve | 2.156E-12 | -4.530E-13 |
| 405 | 405 | 224 | Q_neve | -1.920E-13 | 3.564E-13 |
| 405 | 405 | 226 | Q_neve | 4.892E-14 | 1.061E-12 |
| 406 | 406 | 270 | DEAD | -3.119E-12 | -1.216E-12 |
| 406 | 406 | 272 | DEAD | -1.835E-12 | 2.433E-12 |
| 406 | 406 | 331 | DEAD | 3.727E-12 | -1.216E-12 |
| 406 | 406 | 327 | DEAD | -3.942E-12 | 2.433E-12 |
| 406 | 406 | 270 | G1_smistamento | 0.97 | 11.4 |
| 406 | 406 | 272 | G1_smistamento | 0.97 | 11.4 |
| 406 | 406 | 331 | G1_smistamento | 0.98 | 11.4 |
| 406 | 406 | 327 | G1_smistamento | 0.98 | 11.4 |
| 406 | 406 | 270 | G2_smistamento | 0.36 | 4.23 |
| 406 | 406 | 272 | G2_smistamento | 0.36 | 4.23 |
| 406 | 406 | 331 | G2_smistamento | 0.36 | 4.23 |
| 406 | 406 | 327 | G2_smistamento | 0.36 | 4.23 |
| 406 | 406 | 270 | Q_smistamento | 0.36 | 4.23 |
| 406 | 406 | 272 | Q_smistamento | 0.36 | 4.23 |
| 406 | 406 | 331 | Q_smistamento | 0.36 | 4.23 |
| 406 | 406 | 327 | Q_smistamento | 0.36 | 4.23 |
| 406 | 406 | 270 | Q_neve | -1.491E-14 | -6.675E-13 |

Table 21: Element Stresses - Area Shells, Part 3 of 3

| Area | AreaElem | Joint | OutputCase | S13Avg KN/m2 | S23Avg KN/m2 |
|------|----------|-------|----------------|-----------------|-----------------|
| 406 | 406 | 272 | Q_neve | -4.005E-13 | 5.257E-13 |
| 406 | 406 | 331 | Q_neve | 7.751E-13 | -2.067E-13 |
| 406 | 406 | 327 | Q_neve | -6.638E-13 | 1.965E-13 |
| 407 | 407 | 327 | DEAD | -1.176E-12 | 2.713E-13 |
| 407 | 407 | 331 | DEAD | 3.964E-12 | 5.296E-13 |
| 407 | 407 | 332 | DEAD | -6.489E-13 | -6.049E-12 |
| 407 | 407 | 328 | DEAD | 6.070E-12 | 7.376E-12 |
| 407 | 407 | 327 | G1_smistamento | 0.98 | 5.55 |
| 407 | 407 | 331 | G1_smistamento | 0.98 | 5.55 |
| 407 | 407 | 332 | G1_smistamento | 0.99 | 5.55 |
| 407 | 407 | 328 | G1_smistamento | 0.99 | 5.55 |
| 407 | 407 | 327 | G2_smistamento | 0.36 | 2.06 |
| 407 | 407 | 331 | G2_smistamento | 0.36 | 2.06 |
| 407 | 407 | 332 | G2_smistamento | 0.37 | 2.06 |
| 407 | 407 | 328 | G2_smistamento | 0.37 | 2.06 |
| 407 | 407 | 327 | Q_smistamento | 0.36 | 2.06 |
| 407 | 407 | 331 | Q_smistamento | 0.36 | 2.06 |
| 407 | 407 | 332 | Q_smistamento | 0.37 | 2.06 |
| 407 | 407 | 328 | Q_smistamento | 0.37 | 2.06 |
| 407 | 407 | 327 | Q_neve | -4.914E-13 | 1.605E-13 |
| 407 | 407 | 331 | Q_neve | 7.805E-13 | -5.989E-13 |
| 407 | 407 | 332 | Q_neve | 3.528E-14 | -9.587E-13 |
| 407 | 407 | 328 | Q_neve | 1.044E-12 | 2.569E-13 |
| 408 | 408 | 328 | DEAD | 4.398E-12 | -6.171E-12 |
| 408 | 408 | 332 | DEAD | 8.526E-13 | -6.312E-12 |
| 408 | 408 | 333 | DEAD | 2.291E-12 | -1.431E-12 |
| 408 | 408 | 329 | DEAD | 4.013E-12 | 5.346E-13 |
| 408 | 408 | 328 | G1_smistamento | 0.99 | -6.548E-12 |
| 408 | 408 | 332 | G1_smistamento | 0.99 | -7.009E-12 |
| 408 | 408 | 333 | G1_smistamento | 0.99 | -8.655E-12 |
| 408 | 408 | 329 | G1_smistamento | 0.99 | 4.577E-12 |
| 408 | 408 | 328 | G2_smistamento | 0.37 | -2.965E-12 |
| 408 | 408 | 332 | G2_smistamento | 0.37 | -3.607E-12 |
| 408 | 408 | 333 | G2_smistamento | 0.37 | -2.965E-12 |
| 408 | 408 | 329 | G2_smistamento | 0.37 | 8.700E-13 |
| 408 | 408 | 328 | Q_smistamento | 0.37 | -2.965E-12 |
| 408 | 408 | 332 | Q_smistamento | 0.37 | -3.607E-12 |
| 408 | 408 | 333 | Q_smistamento | 0.37 | -2.965E-12 |

Table 21: Element Stresses - Area Shells, Part 3 of 3

| Area | AreaElem | Joint | OutputCase | S13Avg KN/m2 | S23Avg KN/m2 |
|------|----------|-------|----------------|-----------------|-----------------|
| 408 | 408 | 329 | Q_smistamento | 0.37 | 8.700E-13 |
| 408 | 408 | 328 | Q_neve | 9.298E-13 | -1.132E-12 |
| 408 | 408 | 332 | Q_neve | 3.903E-13 | -1.144E-12 |
| 408 | 408 | 333 | Q_neve | 6.665E-13 | -5.399E-13 |
| 408 | 408 | 329 | Q_neve | 5.219E-13 | 4.137E-14 |
| 409 | 409 | 329 | DEAD | 3.901E-12 | 9.494E-12 |
| 409 | 409 | 333 | DEAD | 6.779E-12 | -1.463E-12 |
| 409 | 409 | 334 | DEAD | 1.268E-12 | 5.405E-13 |
| 409 | 409 | 330 | DEAD | 2.039E-12 | 1.697E-11 |
| 409 | 409 | 329 | G1_smistamento | 0.99 | -5.55 |
| 409 | 409 | 333 | G1_smistamento | 0.99 | -5.55 |
| 409 | 409 | 334 | G1_smistamento | 0.98 | -5.55 |
| 409 | 409 | 330 | G1_smistamento | 0.98 | -5.55 |
| 409 | 409 | 329 | G2_smistamento | 0.37 | -2.06 |
| 409 | 409 | 333 | G2_smistamento | 0.37 | -2.06 |
| 409 | 409 | 334 | G2_smistamento | 0.36 | -2.06 |
| 409 | 409 | 330 | G2_smistamento | 0.36 | -2.06 |
| 409 | 409 | 329 | Q_smistamento | 0.37 | -2.06 |
| 409 | 409 | 333 | Q_smistamento | 0.37 | -2.06 |
| 409 | 409 | 334 | Q_smistamento | 0.36 | -2.06 |
| 409 | 409 | 330 | Q_smistamento | 0.36 | -2.06 |
| 409 | 409 | 329 | Q_neve | 4.737E-13 | 2.672E-12 |
| 409 | 409 | 333 | Q_neve | 6.536E-13 | -4.282E-13 |
| 409 | 409 | 334 | Q_neve | 2.104E-13 | 3.683E-13 |
| 409 | 409 | 330 | Q_neve | 2.586E-13 | 3.127E-12 |
| 410 | 410 | 330 | DEAD | -2.177E-12 | -7.528E-12 |
| 410 | 410 | 334 | DEAD | 3.630E-12 | 2.967E-12 |
| 410 | 410 | 222 | DEAD | 3.089E-12 | -6.816E-13 |
| 410 | 410 | 224 | DEAD | 7.316E-12 | -3.879E-12 |
| 410 | 410 | 330 | G1_smistamento | 0.98 | -11.4 |
| 410 | 410 | 334 | G1_smistamento | 0.98 | -11.4 |
| 410 | 410 | 222 | G1_smistamento | 0.97 | -11.4 |
| 410 | 410 | 224 | G1_smistamento | 0.97 | -11.4 |
| 410 | 410 | 330 | G2_smistamento | 0.36 | -4.23 |
| 410 | 410 | 334 | G2_smistamento | 0.36 | -4.23 |
| 410 | 410 | 222 | G2_smistamento | 0.36 | -4.23 |
| 410 | 410 | 224 | G2_smistamento | 0.36 | -4.23 |
| 410 | 410 | 330 | Q_smistamento | 0.36 | -4.23 |

Table 21: Element Stresses - Area Shells, Part 3 of 3

| Area | AreaElem | Joint | OutputCase | S13Avg KN/m2 | S23Avg KN/m2 |
|------|----------|-------|----------------|-----------------|-----------------|
| 410 | 410 | 334 | Q_smistamento | 0.36 | -4.23 |
| 410 | 410 | 222 | Q_smistamento | 0.36 | -4.23 |
| 410 | 410 | 224 | Q_smistamento | 0.36 | -4.23 |
| 410 | 410 | 330 | Q_neve | -4.914E-13 | -7.323E-13 |
| 410 | 410 | 334 | Q_neve | 7.805E-13 | 7.676E-13 |
| 410 | 410 | 222 | Q_neve | 3.528E-14 | -8.640E-13 |
| 410 | 410 | 224 | Q_neve | 1.044E-12 | 3.726E-13 |
| 411 | 411 | 272 | DEAD | -2.503E-12 | -2.503E-12 |
| 411 | 411 | 274 | DEAD | 1.762E-12 | -2.734E-12 |
| 411 | 411 | 335 | DEAD | -1.450E-12 | -1.450E-12 |
| 411 | 411 | 331 | DEAD | -2.978E-12 | 5.166E-12 |
| 411 | 411 | 272 | G1_smistamento | 1.13 | 11.41 |
| 411 | 411 | 274 | G1_smistamento | 1.13 | 11.39 |
| 411 | 411 | 335 | G1_smistamento | 1.16 | 11.39 |
| 411 | 411 | 331 | G1_smistamento | 1.16 | 11.41 |
| 411 | 411 | 272 | G2_smistamento | 0.42 | 4.23 |
| 411 | 411 | 274 | G2_smistamento | 0.42 | 4.22 |
| 411 | 411 | 335 | G2_smistamento | 0.43 | 4.22 |
| 411 | 411 | 331 | G2_smistamento | 0.43 | 4.23 |
| 411 | 411 | 272 | Q_smistamento | 0.42 | 4.23 |
| 411 | 411 | 274 | Q_smistamento | 0.42 | 4.22 |
| 411 | 411 | 335 | Q_smistamento | 0.43 | 4.22 |
| 411 | 411 | 331 | Q_smistamento | 0.43 | 4.23 |
| 411 | 411 | 272 | Q_neve | -8.104E-13 | -9.197E-13 |
| 411 | 411 | 274 | Q_neve | 7.602E-14 | -4.988E-13 |
| 411 | 411 | 335 | Q_neve | 5.063E-13 | -5.247E-13 |
| 411 | 411 | 331 | Q_neve | 7.602E-14 | 4.228E-13 |
| 412 | 412 | 331 | DEAD | -1.498E-12 | -3.738E-12 |
| 412 | 412 | 335 | DEAD | -6.483E-12 | 6.089E-12 |
| 412 | 412 | 336 | DEAD | 2.715E-12 | 1.002E-12 |
| 412 | 412 | 332 | DEAD | 4.050E-12 | 2.961E-13 |
| 412 | 412 | 331 | G1_smistamento | 1.14 | 5.56 |
| 412 | 412 | 335 | G1_smistamento | 1.14 | 5.52 |
| 412 | 412 | 336 | G1_smistamento | 1.17 | 5.52 |
| 412 | 412 | 332 | G1_smistamento | 1.17 | 5.56 |
| 412 | 412 | 331 | G2_smistamento | 0.42 | 2.06 |
| 412 | 412 | 335 | G2_smistamento | 0.42 | 2.05 |
| 412 | 412 | 336 | G2_smistamento | 0.43 | 2.05 |

Table 21: Element Stresses - Area Shells, Part 3 of 3

| Area | AreaElem | Joint | OutputCase | S13Avg KN/m2 | S23Avg KN/m2 |
|------|----------|-------|----------------|-----------------|-----------------|
| 412 | 412 | 332 | G2_smistamento | 0.43 | 2.06 |
| 412 | 412 | 331 | Q_smistamento | 0.42 | 2.06 |
| 412 | 412 | 335 | Q_smistamento | 0.42 | 2.05 |
| 412 | 412 | 336 | Q_smistamento | 0.43 | 2.05 |
| 412 | 412 | 332 | Q_smistamento | 0.43 | 2.06 |
| 412 | 412 | 331 | Q_neve | -4.273E-14 | -1.131E-12 |
| 412 | 412 | 335 | Q_neve | -9.291E-13 | 8.154E-13 |
| 412 | 412 | 336 | Q_neve | 8.789E-13 | 7.126E-13 |
| 412 | 412 | 332 | Q_neve | 1.309E-12 | -4.354E-13 |
| 413 | 413 | 332 | DEAD | 1.653E-12 | -1.042E-12 |
| 413 | 413 | 336 | DEAD | 1.550E-12 | -1.865E-12 |
| 413 | 413 | 337 | DEAD | 5.340E-12 | 3.171E-12 |
| 413 | 413 | 333 | DEAD | -2.982E-14 | -2.392E-12 |
| 413 | 413 | 332 | G1_smistamento | 1.16 | -3.738E-12 |
| 413 | 413 | 336 | G1_smistamento | 1.16 | -1.773E-12 |
| 413 | 413 | 337 | G1_smistamento | 1.16 | 1.002E-12 |
| 413 | 413 | 333 | G1_smistamento | 1.16 | 8.605E-13 |
| 413 | 413 | 332 | G2_smistamento | 0.43 | -3.145E-12 |
| 413 | 413 | 336 | G2_smistamento | 0.43 | -8.267E-13 |
| 413 | 413 | 337 | G2_smistamento | 0.43 | 2.385E-12 |
| 413 | 413 | 333 | G2_smistamento | 0.43 | -2.670E-12 |
| 413 | 413 | 332 | Q_smistamento | 0.43 | -3.145E-12 |
| 413 | 413 | 336 | Q_smistamento | 0.43 | -8.267E-13 |
| 413 | 413 | 337 | Q_smistamento | 0.43 | 2.385E-12 |
| 413 | 413 | 333 | Q_smistamento | 0.43 | -2.670E-12 |
| 413 | 413 | 332 | Q_neve | 1.064E-12 | -1.225E-13 |
| 413 | 413 | 336 | Q_neve | 8.715E-13 | -4.551E-13 |
| 413 | 413 | 337 | Q_neve | 1.064E-12 | 9.967E-13 |
| 413 | 413 | 333 | Q_neve | 3.448E-13 | -1.179E-12 |
| 414 | 414 | 333 | DEAD | -3.008E-12 | -1.884E-12 |
| 414 | 414 | 337 | DEAD | 2.799E-12 | 3.383E-12 |
| 414 | 414 | 338 | DEAD | 3.312E-12 | 1.276E-12 |
| 414 | 414 | 334 | DEAD | 7.539E-12 | -3.991E-12 |
| 414 | 414 | 333 | G1_smistamento | 1.17 | -5.56 |
| 414 | 414 | 337 | G1_smistamento | 1.17 | -5.52 |
| 414 | 414 | 338 | G1_smistamento | 1.14 | -5.52 |
| 414 | 414 | 334 | G1_smistamento | 1.14 | -5.56 |
| 414 | 414 | 333 | G2_smistamento | 0.43 | -2.06 |

Table 21: Element Stresses - Area Shells, Part 3 of 3

| Area | AreaElem | Joint | OutputCase | S13Avg KN/m2 | S23Avg KN/m2 |
|------|----------|-------|----------------|-----------------|-----------------|
| 414 | 414 | 337 | G2_smistamento | 0.43 | -2.05 |
| 414 | 414 | 338 | G2_smistamento | 0.42 | -2.05 |
| 414 | 414 | 334 | G2_smistamento | 0.42 | -2.06 |
| 414 | 414 | 333 | Q_smistamento | 0.43 | -2.06 |
| 414 | 414 | 337 | Q_smistamento | 0.43 | -2.05 |
| 414 | 414 | 338 | Q_smistamento | 0.42 | -2.05 |
| 414 | 414 | 334 | Q_smistamento | 0.42 | -2.06 |
| 414 | 414 | 333 | Q_neve | 5.365E-14 | 1.018E-14 |
| 414 | 414 | 337 | Q_neve | 1.133E-12 | 4.886E-13 |
| 414 | 414 | 338 | Q_neve | 1.239E-12 | 1.418E-13 |
| 414 | 414 | 334 | Q_neve | 1.528E-12 | -5.647E-13 |
| 415 | 415 | 334 | DEAD | 2.118E-12 | 1.058E-11 |
| 415 | 415 | 338 | DEAD | 5.715E-12 | -7.383E-13 |
| 415 | 415 | 220 | DEAD | 1.092E-14 | 5.840E-12 |
| 415 | 415 | 222 | DEAD | 9.748E-13 | 3.475E-12 |
| 415 | 415 | 334 | G1_smistamento | 1.16 | -11.41 |
| 415 | 415 | 338 | G1_smistamento | 1.16 | -11.39 |
| 415 | 415 | 220 | G1_smistamento | 1.13 | -11.39 |
| 415 | 415 | 222 | G1_smistamento | 1.13 | -11.41 |
| 415 | 415 | 334 | G2_smistamento | 0.43 | -4.23 |
| 415 | 415 | 338 | G2_smistamento | 0.43 | -4.22 |
| 415 | 415 | 220 | G2_smistamento | 0.42 | -4.22 |
| 415 | 415 | 222 | G2_smistamento | 0.42 | -4.23 |
| 415 | 415 | 334 | Q_smistamento | 0.43 | -4.23 |
| 415 | 415 | 338 | Q_smistamento | 0.43 | -4.22 |
| 415 | 415 | 220 | Q_smistamento | 0.42 | -4.22 |
| 415 | 415 | 222 | Q_smistamento | 0.42 | -4.23 |
| 415 | 415 | 334 | Q_neve | 1.233E-12 | 1.264E-12 |
| 415 | 415 | 338 | Q_neve | 1.786E-12 | -4.011E-13 |
| 415 | 415 | 220 | Q_neve | -1.005E-12 | 4.083E-13 |
| 415 | 415 | 222 | Q_neve | -1.893E-13 | 1.047E-12 |
| 416 | 416 | 274 | DEAD | -2.685E-12 | -4.813E-12 |
| 416 | 416 | 276 | DEAD | -5.563E-12 | 1.331E-13 |
| 416 | 416 | 339 | DEAD | -5.165E-14 | -2.180E-12 |
| 416 | 416 | 335 | DEAD | -8.227E-13 | 3.820E-12 |
| 416 | 416 | 274 | G1_smistamento | 0.87 | 11.41 |
| 416 | 416 | 276 | G1_smistamento | 0.87 | 11.32 |
| 416 | 416 | 339 | G1_smistamento | 0.93 | 11.32 |

Table 21: Element Stresses - Area Shells, Part 3 of 3

| Area | AreaElem | Joint | OutputCase | S13Avg KN/m2 | S23Avg KN/m2 |
|------|----------|-------|----------------|-----------------|-----------------|
| 416 | 416 | 335 | G1_smistamento | 0.93 | 11.41 |
| 416 | 416 | 274 | G2_smistamento | 0.32 | 4.23 |
| 416 | 416 | 276 | G2_smistamento | 0.32 | 4.19 |
| 416 | 416 | 339 | G2_smistamento | 0.35 | 4.19 |
| 416 | 416 | 335 | G2_smistamento | 0.35 | 4.23 |
| 416 | 416 | 274 | Q_smistamento | 0.32 | 4.23 |
| 416 | 416 | 276 | Q_smistamento | 0.32 | 4.19 |
| 416 | 416 | 339 | Q_smistamento | 0.35 | 4.19 |
| 416 | 416 | 335 | Q_smistamento | 0.35 | 4.23 |
| 416 | 416 | 274 | Q_neve | -4.839E-13 | -1.042E-12 |
| 416 | 416 | 276 | Q_neve | -1.563E-12 | -4.037E-14 |
| 416 | 416 | 339 | Q_neve | -3.523E-13 | -5.158E-13 |
| 416 | 416 | 335 | Q_neve | -6.414E-13 | 4.205E-13 |
| 417 | 417 | 335 | DEAD | 1.325E-12 | 4.968E-13 |
| 417 | 417 | 339 | DEAD | -1.295E-12 | 1.795E-12 |
| 417 | 417 | 340 | DEAD | -7.102E-12 | 1.023E-12 |
| 417 | 417 | 336 | DEAD | 5.552E-12 | 3.375E-12 |
| 417 | 417 | 335 | G1_smistamento | 0.89 | 5.54 |
| 417 | 417 | 339 | G1_smistamento | 0.89 | 5.46 |
| 417 | 417 | 340 | G1_smistamento | 0.94 | 5.46 |
| 417 | 417 | 336 | G1_smistamento | 0.94 | 5.54 |
| 417 | 417 | 335 | G2_smistamento | 0.33 | 2.06 |
| 417 | 417 | 339 | G2_smistamento | 0.33 | 2.02 |
| 417 | 417 | 340 | G2_smistamento | 0.35 | 2.02 |
| 417 | 417 | 336 | G2_smistamento | 0.35 | 2.06 |
| 417 | 417 | 335 | Q_smistamento | 0.33 | 2.06 |
| 417 | 417 | 339 | Q_smistamento | 0.33 | 2.02 |
| 417 | 417 | 340 | Q_smistamento | 0.35 | 2.02 |
| 417 | 417 | 336 | Q_smistamento | 0.35 | 2.06 |
| 417 | 417 | 335 | Q_neve | -3.346E-13 | 8.297E-13 |
| 417 | 417 | 339 | Q_neve | -1.208E-12 | 3.078E-13 |
| 417 | 417 | 340 | Q_neve | -7.296E-13 | 5.006E-13 |
| 417 | 417 | 336 | Q_neve | 3.719E-13 | 1.103E-13 |
| 418 | 418 | 336 | DEAD | -1.773E-12 | 1.784E-12 |
| 418 | 418 | 340 | DEAD | -1.105E-12 | -6.092E-12 |
| 418 | 418 | 341 | DEAD | 8.605E-13 | 1.257E-12 |
| 418 | 418 | 337 | DEAD | -1.632E-12 | -8.199E-12 |
| 418 | 418 | 336 | G1_smistamento | 0.91 | -1.607E-12 |

Table 21: Element Stresses - Area Shells, Part 3 of 3

| Area | AreaElem | Joint | OutputCase | S13Avg KN/m2 | S23Avg KN/m2 |
|------|----------|-------|----------------|-----------------|-----------------|
| 418 | 418 | 340 | G1_smistamento | 0.91 | -1.301E-12 |
| 418 | 418 | 341 | G1_smistamento | 0.91 | 1.103E-11 |
| 418 | 418 | 337 | G1_smistamento | 0.91 | -1.025E-11 |
| 418 | 418 | 336 | G2_smistamento | 0.34 | -8.001E-14 |
| 418 | 418 | 340 | G2_smistamento | 0.34 | -1.526E-12 |
| 418 | 418 | 341 | G2_smistamento | 0.34 | 2.817E-12 |
| 418 | 418 | 337 | G2_smistamento | 0.34 | -2.579E-12 |
| 418 | 418 | 336 | Q_smistamento | 0.34 | -8.001E-14 |
| 418 | 418 | 340 | Q_smistamento | 0.34 | -1.526E-12 |
| 418 | 418 | 341 | Q_smistamento | 0.34 | 2.817E-12 |
| 418 | 418 | 337 | Q_smistamento | 0.34 | -2.579E-12 |
| 418 | 418 | 336 | Q_neve | -5.016E-13 | 4.436E-13 |
| 418 | 418 | 340 | Q_neve | -1.289E-13 | -6.020E-13 |
| 418 | 418 | 341 | Q_neve | -1.066E-13 | 7.727E-13 |
| 418 | 418 | 337 | Q_neve | 6.611E-13 | -1.260E-12 |
| 419 | 419 | 337 | DEAD | -2.484E-12 | -3.372E-12 |
| 419 | 419 | 341 | DEAD | -5.052E-12 | 4.721E-12 |
| 419 | 419 | 342 | DEAD | -5.117E-12 | 6.108E-12 |
| 419 | 419 | 338 | DEAD | 1.022E-11 | -1.072E-12 |
| 419 | 419 | 337 | G1_smistamento | 0.94 | -5.54 |
| 419 | 419 | 341 | G1_smistamento | 0.94 | -5.46 |
| 419 | 419 | 342 | G1_smistamento | 0.89 | -5.46 |
| 419 | 419 | 338 | G1_smistamento | 0.89 | -5.54 |
| 419 | 419 | 337 | G2_smistamento | 0.35 | -2.06 |
| 419 | 419 | 341 | G2_smistamento | 0.35 | -2.02 |
| 419 | 419 | 342 | G2_smistamento | 0.33 | -2.02 |
| 419 | 419 | 338 | G2_smistamento | 0.33 | -2.06 |
| 419 | 419 | 337 | Q_smistamento | 0.35 | -2.06 |
| 419 | 419 | 341 | Q_smistamento | 0.35 | -2.02 |
| 419 | 419 | 342 | Q_smistamento | 0.33 | -2.02 |
| 419 | 419 | 338 | Q_smistamento | 0.33 | -2.06 |
| 419 | 419 | 337 | Q_neve | -4.347E-14 | -1.646E-13 |
| 419 | 419 | 341 | Q_neve | -3.644E-13 | 6.142E-13 |
| 419 | 419 | 342 | Q_neve | -1.097E-12 | 1.646E-13 |
| 419 | 419 | 338 | Q_neve | 8.205E-13 | -4.410E-14 |
| 420 | 420 | 338 | DEAD | -6.760E-12 | -1.824E-12 |
| 420 | 420 | 342 | DEAD | -2.288E-12 | 5.267E-12 |
| 420 | 420 | 218 | DEAD | -5.707E-12 | -1.824E-12 |

Table 21: Element Stresses - Area Shells, Part 3 of 3

| Area | AreaElem | Joint | OutputCase | S13Avg KN/m2 | S23Avg KN/m2 |
|------|----------|-------|----------------|-----------------|-----------------|
| 420 | 420 | 220 | DEAD | 3.505E-12 | -5.267E-12 |
| 420 | 420 | 338 | G1_smistamento | 0.93 | -11.41 |
| 420 | 420 | 342 | G1_smistamento | 0.93 | -11.32 |
| 420 | 420 | 218 | G1_smistamento | 0.87 | -11.32 |
| 420 | 420 | 220 | G1_smistamento | 0.87 | -11.41 |
| 420 | 420 | 338 | G2_smistamento | 0.35 | -4.23 |
| 420 | 420 | 342 | G2_smistamento | 0.35 | -4.19 |
| 420 | 420 | 218 | G2_smistamento | 0.32 | -4.19 |
| 420 | 420 | 220 | G2_smistamento | 0.32 | -4.23 |
| 420 | 420 | 338 | Q_smistamento | 0.35 | -4.23 |
| 420 | 420 | 342 | Q_smistamento | 0.35 | -4.19 |
| 420 | 420 | 218 | Q_smistamento | 0.32 | -4.19 |
| 420 | 420 | 220 | Q_smistamento | 0.32 | -4.23 |
| 420 | 420 | 338 | Q_neve | -1.512E-12 | -9.122E-13 |
| 420 | 420 | 342 | Q_neve | -7.798E-13 | 1.053E-12 |
| 420 | 420 | 218 | Q_neve | 6.783E-14 | -9.122E-13 |
| 420 | 420 | 220 | Q_neve | 9.318E-13 | -1.053E-12 |
| 421 | 421 | 276 | DEAD | 2.299E-12 | -3.760E-12 |
| 421 | 421 | 278 | DEAD | 1.528E-12 | -5.340E-12 |
| 421 | 421 | 343 | DEAD | -1.387E-12 | -3.233E-12 |
| 421 | 421 | 339 | DEAD | -4.265E-12 | -1.653E-12 |
| 421 | 421 | 276 | G1_smistamento | 5.169E-02 | 11.36 |
| 421 | 421 | 278 | G1_smistamento | 5.169E-02 | 11.12 |
| 421 | 421 | 343 | G1_smistamento | 0.14 | 11.12 |
| 421 | 421 | 339 | G1_smistamento | 0.14 | 11.36 |
| 421 | 421 | 276 | G2_smistamento | 1.916E-02 | 4.21 |
| 421 | 421 | 278 | G2_smistamento | 1.916E-02 | 4.12 |
| 421 | 421 | 343 | G2_smistamento | 5.225E-02 | 4.12 |
| 421 | 421 | 339 | G2_smistamento | 5.225E-02 | 4.21 |
| 421 | 421 | 276 | Q_smistamento | 1.916E-02 | 4.21 |
| 421 | 421 | 278 | Q_smistamento | 1.916E-02 | 4.12 |
| 421 | 421 | 343 | Q_smistamento | 5.225E-02 | 4.12 |
| 421 | 421 | 339 | Q_smistamento | 5.225E-02 | 4.21 |
| 421 | 421 | 276 | Q_neve | -1.066E-13 | -6.017E-13 |
| 421 | 421 | 278 | Q_neve | 4.330E-13 | -1.159E-12 |
| 421 | 421 | 343 | Q_neve | -5.016E-13 | -2.725E-13 |
| 421 | 421 | 339 | Q_neve | -3.570E-13 | -1.714E-13 |
| 422 | 422 | 339 | DEAD | -4.162E-12 | 1.936E-12 |

Table 21: Element Stresses - Area Shells, Part 3 of 3

| Area | AreaElem | Joint | OutputCase | S13Avg KN/m2 | S23Avg KN/m2 |
|------|----------|-------|----------------|-----------------|-----------------|
| 422 | 422 | 343 | DEAD | -6.372E-12 | 2.745E-12 |
| 422 | 422 | 344 | DEAD | 6.898E-12 | 1.409E-12 |
| 422 | 422 | 340 | DEAD | 3.635E-12 | -3.049E-12 |
| 422 | 422 | 339 | G1_smistamento | 4.017E-02 | 5.49 |
| 422 | 422 | 343 | G1_smistamento | 4.017E-02 | 5.3 |
| 422 | 422 | 344 | G1_smistamento | 0.11 | 5.3 |
| 422 | 422 | 340 | G1_smistamento | 0.11 | 5.49 |
| 422 | 422 | 339 | G2_smistamento | 1.489E-02 | 2.04 |
| 422 | 422 | 343 | G2_smistamento | 1.489E-02 | 1.97 |
| 422 | 422 | 344 | G2_smistamento | 3.967E-02 | 1.97 |
| 422 | 422 | 340 | G2_smistamento | 3.967E-02 | 2.04 |
| 422 | 422 | 339 | Q_smistamento | 1.489E-02 | 2.04 |
| 422 | 422 | 343 | Q_smistamento | 1.489E-02 | 1.97 |
| 422 | 422 | 344 | Q_smistamento | 3.967E-02 | 1.97 |
| 422 | 422 | 340 | Q_smistamento | 3.967E-02 | 2.04 |
| 422 | 422 | 339 | Q_neve | -1.053E-12 | 4.496E-13 |
| 422 | 422 | 343 | Q_neve | -1.053E-12 | -2.392E-13 |
| 422 | 422 | 344 | Q_neve | 1.053E-12 | 1.205E-13 |
| 422 | 422 | 340 | Q_neve | 1.053E-12 | 3.533E-13 |
| 423 | 423 | 340 | DEAD | 2.462E-12 | 1.092E-14 |
| 423 | 423 | 344 | DEAD | 9.202E-13 | -3.690E-12 |
| 423 | 423 | 345 | DEAD | 8.824E-13 | 2.118E-12 |
| 423 | 423 | 341 | DEAD | -4.873E-12 | -4.216E-12 |
| 423 | 423 | 340 | G1_smistamento | 6.257E-02 | 7.900E-13 |
| 423 | 423 | 344 | G1_smistamento | 6.257E-02 | 7.005E-13 |
| 423 | 423 | 345 | G1_smistamento | 6.257E-02 | -7.900E-13 |
| 423 | 423 | 341 | G1_smistamento | 6.257E-02 | 3.860E-12 |
| 423 | 423 | 340 | G2_smistamento | 2.319E-02 | 1.576E-12 |
| 423 | 423 | 344 | G2_smistamento | 2.319E-02 | -8.973E-13 |
| 423 | 423 | 345 | G2_smistamento | 2.319E-02 | 1.313E-12 |
| 423 | 423 | 341 | G2_smistamento | 2.319E-02 | -1.687E-12 |
| 423 | 423 | 340 | Q_smistamento | 2.319E-02 | 1.576E-12 |
| 423 | 423 | 344 | Q_smistamento | 2.319E-02 | -8.973E-13 |
| 423 | 423 | 345 | Q_smistamento | 2.319E-02 | 1.313E-12 |
| 423 | 423 | 341 | Q_smistamento | 2.319E-02 | -1.687E-12 |
| 423 | 423 | 340 | Q_neve | 2.410E-13 | 6.434E-13 |
| 423 | 423 | 344 | Q_neve | 4.819E-14 | -4.357E-13 |
| 423 | 423 | 345 | Q_neve | 8.993E-13 | 1.168E-13 |

Table 21: Element Stresses - Area Shells, Part 3 of 3

| Area | AreaElem | Joint | OutputCase | S13Avg KN/m2 | S23Avg KN/m2 |
|------|----------|-------|----------------|-----------------|-----------------|
| 423 | 423 | 341 | Q_neve | 1.799E-13 | -1.724E-13 |
| 424 | 424 | 341 | DEAD | 8.635E-13 | 2.443E-12 |
| 424 | 424 | 345 | DEAD | 1.440E-13 | 6.605E-12 |
| 424 | 424 | 346 | DEAD | 6.130E-12 | 4.550E-12 |
| 424 | 424 | 342 | DEAD | 5.937E-12 | -2.348E-12 |
| 424 | 424 | 341 | G1_smistamento | 0.11 | -5.49 |
| 424 | 424 | 345 | G1_smistamento | 0.11 | -5.3 |
| 424 | 424 | 346 | G1_smistamento | 4.017E-02 | -5.3 |
| 424 | 424 | 342 | G1_smistamento | 4.017E-02 | -5.49 |
| 424 | 424 | 341 | G2_smistamento | 3.967E-02 | -2.04 |
| 424 | 424 | 345 | G2_smistamento | 3.967E-02 | -1.97 |
| 424 | 424 | 346 | G2_smistamento | 1.489E-02 | -1.97 |
| 424 | 424 | 342 | G2_smistamento | 1.489E-02 | -2.04 |
| 424 | 424 | 341 | Q_smistamento | 3.967E-02 | -2.04 |
| 424 | 424 | 345 | Q_smistamento | 3.967E-02 | -1.97 |
| 424 | 424 | 346 | Q_smistamento | 1.489E-02 | -1.97 |
| 424 | 424 | 342 | Q_smistamento | 1.489E-02 | -2.04 |
| 424 | 424 | 341 | Q_neve | 1.021E-12 | -5.292E-14 |
| 424 | 424 | 345 | Q_neve | 4.690E-13 | 7.242E-13 |
| 424 | 424 | 346 | Q_neve | 1.943E-12 | 7.371E-13 |
| 424 | 424 | 342 | Q_neve | 1.127E-12 | -7.242E-13 |
| 425 | 425 | 342 | DEAD | 7.677E-12 | 3.719E-12 |
| 425 | 425 | 346 | DEAD | 7.009E-12 | 1.279E-12 |
| 425 | 425 | 216 | DEAD | -7.069E-12 | 2.666E-12 |
| 425 | 425 | 218 | DEAD | -4.577E-12 | 6.019E-12 |
| 425 | 425 | 342 | G1_smistamento | 0.14 | -11.36 |
| 425 | 425 | 346 | G1_smistamento | 0.14 | -11.12 |
| 425 | 425 | 216 | G1_smistamento | 5.169E-02 | -11.12 |
| 425 | 425 | 218 | G1_smistamento | 5.169E-02 | -11.36 |
| 425 | 425 | 342 | G2_smistamento | 5.225E-02 | -4.21 |
| 425 | 425 | 346 | G2_smistamento | 5.225E-02 | -4.12 |
| 425 | 425 | 216 | G2_smistamento | 1.916E-02 | -4.12 |
| 425 | 425 | 218 | G2_smistamento | 1.916E-02 | -4.21 |
| 425 | 425 | 342 | Q_smistamento | 5.225E-02 | -4.21 |
| 425 | 425 | 346 | Q_smistamento | 5.225E-02 | -4.12 |
| 425 | 425 | 216 | Q_smistamento | 1.916E-02 | -4.12 |
| 425 | 425 | 218 | Q_smistamento | 1.916E-02 | -4.21 |
| 425 | 425 | 342 | Q_neve | 2.016E-12 | 1.052E-13 |

Table 21: Element Stresses - Area Shells, Part 3 of 3

| Area | AreaElem | Joint | OutputCase | S13Avg KN/m2 | S23Avg KN/m2 |
|------|----------|-------|----------------|-----------------|-----------------|
| 425 | 425 | 346 | Q_neve | 1.849E-12 | 5.196E-13 |
| 425 | 425 | 216 | Q_neve | -1.408E-12 | 2.369E-13 |
| 425 | 425 | 218 | Q_neve | -7.845E-13 | 8.487E-13 |
| 426 | 426 | 278 | DEAD | 3.293E-12 | -4.395E-12 |
| 426 | 426 | 280 | DEAD | 9.048E-12 | -8.726E-12 |
| 426 | 426 | 347 | DEAD | 6.598E-13 | 5.611E-12 |
| 426 | 426 | 343 | DEAD | 2.202E-12 | -5.566E-12 |
| 426 | 426 | 278 | G1_smistamento | -1.47 | 11.18 |
| 426 | 426 | 280 | G1_smistamento | -1.47 | 10.69 |
| 426 | 426 | 347 | G1_smistamento | -1.4 | 10.69 |
| 426 | 426 | 343 | G1_smistamento | -1.4 | 11.18 |
| 426 | 426 | 278 | G2_smistamento | -0.55 | 4.14 |
| 426 | 426 | 280 | G2_smistamento | -0.55 | 3.96 |
| 426 | 426 | 347 | G2_smistamento | -0.52 | 3.96 |
| 426 | 426 | 343 | G2_smistamento | -0.52 | 4.14 |
| 426 | 426 | 278 | Q_smistamento | -0.55 | 4.14 |
| 426 | 426 | 280 | Q_smistamento | -0.55 | 3.96 |
| 426 | 426 | 347 | Q_smistamento | -0.52 | 3.96 |
| 426 | 426 | 343 | Q_smistamento | -0.52 | 4.14 |
| 426 | 426 | 278 | Q_neve | -3.041E-13 | -2.175E-13 |
| 426 | 426 | 280 | Q_neve | 1.135E-12 | -6.271E-13 |
| 426 | 426 | 347 | Q_neve | -3.041E-13 | 9.016E-13 |
| 426 | 426 | 343 | Q_neve | 8.147E-14 | -6.271E-13 |
| 427 | 427 | 343 | DEAD | 1.409E-12 | -4.732E-12 |
| 427 | 427 | 347 | DEAD | -1.469E-12 | -1.713E-12 |
| 427 | 427 | 348 | DEAD | 1.936E-12 | -1.045E-12 |
| 427 | 427 | 344 | DEAD | 1.165E-12 | -2.240E-12 |
| 427 | 427 | 343 | G1_smistamento | -1.59 | 5.34 |
| 427 | 427 | 347 | G1_smistamento | -1.59 | 4.98 |
| 427 | 427 | 348 | G1_smistamento | -1.57 | 4.98 |
| 427 | 427 | 344 | G1_smistamento | -1.57 | 5.34 |
| 427 | 427 | 343 | G2_smistamento | -0.59 | 1.98 |
| 427 | 427 | 347 | G2_smistamento | -0.59 | 1.85 |
| 427 | 427 | 348 | G2_smistamento | -0.58 | 1.85 |
| 427 | 427 | 344 | G2_smistamento | -0.58 | 1.98 |
| 427 | 427 | 343 | Q_smistamento | -0.59 | 1.98 |
| 427 | 427 | 347 | Q_smistamento | -0.59 | 1.85 |
| 427 | 427 | 348 | Q_smistamento | -0.58 | 1.85 |

Table 21: Element Stresses - Area Shells, Part 3 of 3

| Area | AreaElem | Joint | OutputCase | S13Avg KN/m2 | S23Avg KN/m2 |
|------|----------|-------|----------------|-----------------|-----------------|
| 427 | 427 | 344 | Q_smistamento | -0.58 | 1.98 |
| 427 | 427 | 343 | Q_neve | 1.826E-13 | -1.544E-12 |
| 427 | 427 | 347 | Q_neve | -7.167E-13 | 7.090E-15 |
| 427 | 427 | 348 | Q_neve | 5.776E-13 | -6.224E-13 |
| 427 | 427 | 344 | Q_neve | 3.366E-13 | -1.375E-12 |
| 428 | 428 | 344 | DEAD | -2.547E-12 | 3.716E-12 |
| 428 | 428 | 348 | DEAD | 5.574E-12 | -2.359E-12 |
| 428 | 428 | 349 | DEAD | -9.920E-12 | -5.237E-12 |
| 428 | 428 | 345 | DEAD | 2.940E-12 | 4.488E-12 |
| 428 | 428 | 344 | G1_smistamento | -1.65 | 4.984E-12 |
| 428 | 428 | 348 | G1_smistamento | -1.65 | -3.442E-12 |
| 428 | 428 | 349 | G1_smistamento | -1.65 | -1.336E-12 |
| 428 | 428 | 345 | G1_smistamento | -1.65 | 7.091E-12 |
| 428 | 428 | 344 | G2_smistamento | -0.61 | 2.687E-12 |
| 428 | 428 | 348 | G2_smistamento | -0.61 | -3.413E-13 |
| 428 | 428 | 349 | G2_smistamento | -0.61 | -1.395E-12 |
| 428 | 428 | 345 | G2_smistamento | -0.61 | 1.634E-12 |
| 428 | 428 | 344 | Q_smistamento | -0.61 | 2.687E-12 |
| 428 | 428 | 348 | Q_smistamento | -0.61 | -3.413E-13 |
| 428 | 428 | 349 | Q_smistamento | -0.61 | -1.395E-12 |
| 428 | 428 | 345 | Q_smistamento | -0.61 | 1.634E-12 |
| 428 | 428 | 344 | Q_neve | -2.261E-13 | 1.310E-12 |
| 428 | 428 | 348 | Q_neve | 8.789E-13 | -5.731E-13 |
| 428 | 428 | 349 | Q_neve | -1.674E-12 | -1.652E-12 |
| 428 | 428 | 345 | Q_neve | -4.273E-14 | 1.599E-12 |
| 429 | 429 | 345 | DEAD | -6.589E-12 | 3.215E-12 |
| 429 | 429 | 349 | DEAD | 1.428E-12 | 1.621E-12 |
| 429 | 429 | 350 | DEAD | -9.222E-12 | 7.428E-12 |
| 429 | 429 | 346 | DEAD | -1.732E-12 | -1.013E-12 |
| 429 | 429 | 345 | G1_smistamento | -1.57 | -5.34 |
| 429 | 429 | 349 | G1_smistamento | -1.57 | -4.98 |
| 429 | 429 | 350 | G1_smistamento | -1.59 | -4.98 |
| 429 | 429 | 346 | G1_smistamento | -1.59 | -5.34 |
| 429 | 429 | 345 | G2_smistamento | -0.58 | -1.98 |
| 429 | 429 | 349 | G2_smistamento | -0.58 | -1.85 |
| 429 | 429 | 350 | G2_smistamento | -0.59 | -1.85 |
| 429 | 429 | 346 | G2_smistamento | -0.59 | -1.98 |
| 429 | 429 | 345 | Q_smistamento | -0.58 | -1.98 |

Table 21: Element Stresses - Area Shells, Part 3 of 3

| Area | AreaElem | Joint | OutputCase | S13Avg KN/m2 | S23Avg KN/m2 |
|------|----------|-------|----------------|-----------------|-----------------|
| 429 | 429 | 349 | Q_smistamento | -0.58 | -1.85 |
| 429 | 429 | 350 | Q_smistamento | -0.59 | -1.85 |
| 429 | 429 | 346 | Q_smistamento | -0.59 | -1.98 |
| 429 | 429 | 345 | Q_neve | -6.210E-13 | -5.416E-13 |
| 429 | 429 | 349 | Q_neve | -5.952E-13 | 5.823E-13 |
| 429 | 429 | 350 | Q_neve | -1.279E-12 | 1.302E-12 |
| 429 | 429 | 346 | Q_neve | 6.310E-14 | -7.343E-13 |
| 430 | 430 | 346 | DEAD | -2.128E-12 | -1.368E-12 |
| 430 | 430 | 350 | DEAD | -2.025E-12 | 3.000E-12 |
| 430 | 430 | 214 | DEAD | -2.128E-12 | -1.368E-12 |
| 430 | 430 | 216 | DEAD | 3.241E-12 | 2.473E-12 |
| 430 | 430 | 346 | G1_smistamento | -1.4 | -11.18 |
| 430 | 430 | 350 | G1_smistamento | -1.4 | -10.69 |
| 430 | 430 | 214 | G1_smistamento | -1.47 | -10.69 |
| 430 | 430 | 216 | G1_smistamento | -1.47 | -11.18 |
| 430 | 430 | 346 | G2_smistamento | -0.52 | -4.14 |
| 430 | 430 | 350 | G2_smistamento | -0.52 | -3.96 |
| 430 | 430 | 214 | G2_smistamento | -0.55 | -3.96 |
| 430 | 430 | 216 | G2_smistamento | -0.55 | -4.14 |
| 430 | 430 | 346 | Q_smistamento | -0.52 | -4.14 |
| 430 | 430 | 350 | Q_smistamento | -0.52 | -3.96 |
| 430 | 430 | 214 | Q_smistamento | -0.55 | -3.96 |
| 430 | 430 | 216 | Q_smistamento | -0.55 | -4.14 |
| 430 | 430 | 346 | Q_neve | 1.764E-14 | 1.279E-13 |
| 430 | 430 | 350 | Q_neve | 3.903E-13 | 4.347E-13 |
| 430 | 430 | 214 | Q_neve | -2.457E-13 | 6.210E-14 |
| 430 | 430 | 216 | Q_neve | 5.219E-13 | 8.956E-13 |
| 431 | 431 | 280 | DEAD | -3.052E-12 | -1.461E-12 |
| 431 | 431 | 282 | DEAD | -4.335E-12 | -3.953E-12 |
| 431 | 431 | 351 | DEAD | -5.158E-12 | -4.621E-12 |
| 431 | 431 | 347 | DEAD | 2.511E-12 | -3.953E-12 |
| 431 | 431 | 280 | G1_smistamento | -3.74 | 10.72 |
| 431 | 431 | 282 | G1_smistamento | -3.74 | 9.73 |
| 431 | 431 | 351 | G1_smistamento | -3.93 | 9.73 |
| 431 | 431 | 347 | G1_smistamento | -3.93 | 10.72 |
| 431 | 431 | 280 | G2_smistamento | -1.38 | 3.97 |
| 431 | 431 | 282 | G2_smistamento | -1.38 | 3.61 |
| 431 | 431 | 351 | G2_smistamento | -1.46 | 3.61 |

Table 21: Element Stresses - Area Shells, Part 3 of 3

| Area | AreaElem | Joint | OutputCase | S13Avg KN/m2 | S23Avg KN/m2 |
|------|----------|-------|----------------|-----------------|-----------------|
| 431 | 431 | 347 | G2_smistamento | -1.46 | 3.97 |
| 431 | 431 | 280 | Q_smistamento | -1.38 | 3.97 |
| 431 | 431 | 282 | Q_smistamento | -1.38 | 3.61 |
| 431 | 431 | 351 | Q_smistamento | -1.46 | 3.61 |
| 431 | 431 | 347 | Q_smistamento | -1.46 | 3.97 |
| 431 | 431 | 280 | Q_neve | -6.740E-13 | 5.151E-13 |
| 431 | 431 | 282 | Q_neve | -4.683E-13 | -8.691E-13 |
| 431 | 431 | 351 | Q_neve | -5.423E-13 | -9.332E-13 |
| 431 | 431 | 347 | Q_neve | 8.484E-13 | -8.033E-13 |
| 432 | 432 | 347 | DEAD | 1.702E-12 | -7.791E-13 |
| 432 | 432 | 351 | DEAD | -5.647E-12 | -4.390E-12 |
| 432 | 432 | 352 | DEAD | 1.222E-13 | 2.908E-12 |
| 432 | 432 | 348 | DEAD | -9.860E-12 | -8.077E-12 |
| 432 | 432 | 347 | G1_smistamento | -4.23 | 4.97 |
| 432 | 432 | 351 | G1_smistamento | -4.23 | 4.45 |
| 432 | 432 | 352 | G1_smistamento | -4.55 | 4.45 |
| 432 | 432 | 348 | G1_smistamento | -4.55 | 4.97 |
| 432 | 432 | 347 | G2_smistamento | -1.57 | 1.84 |
| 432 | 432 | 351 | G2_smistamento | -1.57 | 1.65 |
| 432 | 432 | 352 | G2_smistamento | -1.68 | 1.65 |
| 432 | 432 | 348 | G2_smistamento | -1.68 | 1.84 |
| 432 | 432 | 347 | Q_smistamento | -1.57 | 1.84 |
| 432 | 432 | 351 | Q_smistamento | -1.57 | 1.65 |
| 432 | 432 | 352 | Q_smistamento | -1.68 | 1.65 |
| 432 | 432 | 348 | Q_smistamento | -1.68 | 1.84 |
| 432 | 432 | 347 | Q_neve | 8.585E-13 | -2.100E-13 |
| 432 | 432 | 351 | Q_neve | -6.061E-13 | -1.283E-13 |
| 432 | 432 | 352 | Q_neve | -3.264E-13 | 5.141E-13 |
| 432 | 432 | 348 | Q_neve | -2.054E-12 | -1.050E-12 |
| 433 | 433 | 348 | DEAD | -7.105E-12 | -8.014E-12 |
| 433 | 433 | 352 | DEAD | 3.070E-12 | -9.748E-13 |
| 433 | 433 | 353 | DEAD | -6.578E-12 | 4.124E-13 |
| 433 | 433 | 349 | DEAD | 1.491E-12 | -5.715E-12 |
| 433 | 433 | 348 | G1_smistamento | -4.64 | -6.616E-12 |
| 433 | 433 | 352 | G1_smistamento | -4.64 | -2.544E-12 |
| 433 | 433 | 353 | G1_smistamento | -4.64 | 2.306E-13 |
| 433 | 433 | 349 | G1_smistamento | -4.64 | -2.017E-12 |
| 433 | 433 | 348 | G2_smistamento | -1.72 | -3.928E-12 |

Table 21: Element Stresses - Area Shells, Part 3 of 3

| Area | AreaElem | Joint | OutputCase | S13Avg KN/m2 | S23Avg KN/m2 |
|------|----------|-------|----------------|-----------------|-----------------|
| 433 | 433 | 352 | G2_smistamento | -1.72 | -1.018E-14 |
| 433 | 433 | 353 | G2_smistamento | -1.72 | 8.116E-13 |
| 433 | 433 | 349 | G2_smistamento | -1.72 | -1.418E-13 |
| 433 | 433 | 348 | Q_smistamento | -1.72 | -3.928E-12 |
| 433 | 433 | 352 | Q_smistamento | -1.72 | -1.018E-14 |
| 433 | 433 | 353 | Q_smistamento | -1.72 | 8.116E-13 |
| 433 | 433 | 349 | Q_smistamento | -1.72 | -1.418E-13 |
| 433 | 433 | 348 | Q_neve | -1.665E-12 | -2.093E-12 |
| 433 | 433 | 352 | Q_neve | 3.523E-13 | 9.193E-14 |
| 433 | 433 | 353 | Q_neve | -2.060E-12 | 7.901E-14 |
| 433 | 433 | 349 | Q_neve | 4.839E-13 | -1.422E-12 |
| 434 | 434 | 349 | DEAD | 6.270E-13 | 4.053E-12 |
| 434 | 434 | 353 | DEAD | -2.199E-12 | 2.139E-12 |
| 434 | 434 | 354 | DEAD | -3.060E-12 | 1.420E-12 |
| 434 | 434 | 350 | DEAD | -1.146E-12 | 4.246E-12 |
| 434 | 434 | 349 | G1_smistamento | -4.55 | -4.97 |
| 434 | 434 | 353 | G1_smistamento | -4.55 | -4.45 |
| 434 | 434 | 354 | G1_smistamento | -4.23 | -4.45 |
| 434 | 434 | 350 | G1_smistamento | -4.23 | -4.97 |
| 434 | 434 | 349 | G2_smistamento | -1.68 | -1.84 |
| 434 | 434 | 353 | G2_smistamento | -1.68 | -1.65 |
| 434 | 434 | 354 | G2_smistamento | -1.57 | -1.65 |
| 434 | 434 | 350 | G2_smistamento | -1.57 | -1.84 |
| 434 | 434 | 349 | Q_smistamento | -1.68 | -1.84 |
| 434 | 434 | 353 | Q_smistamento | -1.68 | -1.65 |
| 434 | 434 | 354 | Q_smistamento | -1.57 | -1.65 |
| 434 | 434 | 350 | Q_smistamento | -1.57 | -1.84 |
| 434 | 434 | 349 | Q_neve | 0. | 5.298E-13 |
| 434 | 434 | 353 | Q_neve | -5.267E-13 | 9.006E-13 |
| 434 | 434 | 354 | Q_neve | 0. | 9.906E-13 |
| 434 | 434 | 350 | Q_neve | 5.267E-13 | 5.057E-13 |
| 435 | 435 | 350 | DEAD | -4.588E-12 | -1.417E-12 |
| 435 | 435 | 354 | DEAD | -4.075E-12 | 3.182E-12 |
| 435 | 435 | 212 | DEAD | 4.892E-12 | 3.850E-12 |
| 435 | 435 | 214 | DEAD | -5.655E-12 | 1.075E-12 |
| 435 | 435 | 350 | G1_smistamento | -3.93 | -10.72 |
| 435 | 435 | 354 | G1_smistamento | -3.93 | -9.73 |
| 435 | 435 | 212 | G1_smistamento | -3.74 | -9.73 |

Table 21: Element Stresses - Area Shells, Part 3 of 3

| Area | AreaElem | Joint | OutputCase | S13Avg KN/m2 | S23Avg KN/m2 |
|------|----------|-------|----------------|-----------------|-----------------|
| 435 | 435 | 214 | G1_smistamento | -3.74 | -10.72 |
| 435 | 435 | 350 | G2_smistamento | -1.46 | -3.97 |
| 435 | 435 | 354 | G2_smistamento | -1.46 | -3.61 |
| 435 | 435 | 212 | G2_smistamento | -1.38 | -3.61 |
| 435 | 435 | 214 | G2_smistamento | -1.38 | -3.97 |
| 435 | 435 | 350 | Q_smistamento | -1.46 | -3.97 |
| 435 | 435 | 354 | Q_smistamento | -1.46 | -3.61 |
| 435 | 435 | 212 | Q_smistamento | -1.38 | -3.61 |
| 435 | 435 | 214 | Q_smistamento | -1.38 | -3.97 |
| 435 | 435 | 350 | Q_neve | -4.506E-13 | 2.776E-13 |
| 435 | 435 | 354 | Q_neve | 2.430E-13 | 4.028E-13 |
| 435 | 435 | 212 | Q_neve | 6.027E-13 | 6.726E-13 |
| 435 | 435 | 214 | Q_neve | -5.470E-13 | 2.053E-13 |
| 436 | 436 | 282 | DEAD | -3.882E-12 | -4.227E-12 |
| 436 | 436 | 22 | DEAD | -9.529E-13 | -3.597E-12 |
| 436 | 436 | 284 | DEAD | -4.936E-12 | -5.807E-12 |
| 436 | 436 | 351 | DEAD | -1.480E-12 | -9.639E-13 |
| 436 | 436 | 282 | G1_smistamento | -6.59 | 9.46 |
| 436 | 436 | 22 | G1_smistamento | -6.59 | 7.67 |
| 436 | 436 | 284 | G1_smistamento | -8.31 | 7.67 |
| 436 | 436 | 351 | G1_smistamento | -8.31 | 9.46 |
| 436 | 436 | 282 | G2_smistamento | -2.44 | 3.51 |
| 436 | 436 | 22 | G2_smistamento | -2.44 | 2.84 |
| 436 | 436 | 284 | G2_smistamento | -3.08 | 2.84 |
| 436 | 436 | 351 | G2_smistamento | -3.08 | 3.51 |
| 436 | 436 | 282 | Q_smistamento | -2.44 | 3.51 |
| 436 | 436 | 22 | Q_smistamento | -2.44 | 2.84 |
| 436 | 436 | 284 | Q_smistamento | -3.08 | 2.84 |
| 436 | 436 | 351 | Q_smistamento | -3.08 | 3.51 |
| 436 | 436 | 282 | Q_neve | -6.360E-13 | -5.966E-13 |
| 436 | 436 | 22 | Q_neve | -8.347E-14 | -6.512E-13 |
| 436 | 436 | 284 | Q_neve | -5.043E-13 | -2.016E-13 |
| 436 | 436 | 351 | Q_neve | 3.115E-13 | -7.171E-13 |
| 437 | 437 | 351 | DEAD | 2.226E-13 | 2.614E-12 |
| 437 | 437 | 284 | DEAD | -6.868E-12 | 2.117E-13 |
| 437 | 437 | 286 | DEAD | -8.307E-13 | 1.034E-12 |
| 437 | 437 | 352 | DEAD | 2.611E-12 | -2.948E-12 |
| 437 | 437 | 351 | G1_smistamento | -8.67 | 4.29 |

Table 21: Element Stresses - Area Shells, Part 3 of 3

| Area | AreaElem | Joint | OutputCase | S13Avg KN/m2 | S23Avg KN/m2 |
|------|----------|-------|----------------|-----------------|-----------------|
| 437 | 437 | 284 | G1_smistamento | -8.67 | 3.98 |
| 437 | 437 | 286 | G1_smistamento | -9.38 | 3.98 |
| 437 | 437 | 352 | G1_smistamento | -9.38 | 4.29 |
| 437 | 437 | 351 | G2_smistamento | -3.21 | 1.59 |
| 437 | 437 | 284 | G2_smistamento | -3.21 | 1.47 |
| 437 | 437 | 286 | G2_smistamento | -3.48 | 1.47 |
| 437 | 437 | 352 | G2_smistamento | -3.48 | 1.59 |
| 437 | 437 | 351 | Q_smistamento | -3.21 | 1.59 |
| 437 | 437 | 284 | Q_smistamento | -3.21 | 1.47 |
| 437 | 437 | 286 | Q_smistamento | -3.48 | 1.47 |
| 437 | 437 | 352 | Q_smistamento | -3.48 | 1.59 |
| 437 | 437 | 351 | Q_neve | 8.409E-13 | 6.953E-13 |
| 437 | 437 | 284 | Q_neve | -1.138E-12 | -1.028E-13 |
| 437 | 437 | 286 | Q_neve | -8.074E-14 | 1.028E-13 |
| 437 | 437 | 352 | Q_neve | -6.109E-13 | -6.953E-13 |
| 438 | 438 | 352 | DEAD | 1.224E-12 | 2.582E-12 |
| 438 | 438 | 286 | DEAD | 5.541E-12 | -3.879E-12 |
| 438 | 438 | 288 | DEAD | -4.569E-12 | -5.318E-12 |
| 438 | 438 | 353 | DEAD | -3.412E-12 | 2.967E-12 |
| 438 | 438 | 352 | G1_smistamento | -9.42 | 3.475E-12 |
| 438 | 438 | 286 | G1_smistamento | -9.42 | -5.107E-12 |
| 438 | 438 | 288 | G1_smistamento | -9.42 | -7.383E-13 |
| 438 | 438 | 353 | G1_smistamento | -9.42 | -3.666E-13 |
| 438 | 438 | 352 | G2_smistamento | -3.49 | -1.324E-13 |
| 438 | 438 | 286 | G2_smistamento | -3.49 | -5.592E-13 |
| 438 | 438 | 288 | G2_smistamento | -3.49 | -1.844E-12 |
| 438 | 438 | 353 | G2_smistamento | -3.49 | 1.547E-12 |
| 438 | 438 | 352 | Q_smistamento | -3.49 | -1.324E-13 |
| 438 | 438 | 286 | Q_smistamento | -3.49 | -5.592E-13 |
| 438 | 438 | 288 | Q_smistamento | -3.49 | -1.844E-12 |
| 438 | 438 | 353 | Q_smistamento | -3.49 | 1.547E-12 |
| 438 | 438 | 352 | Q_neve | -4.181E-13 | 2.114E-13 |
| 438 | 438 | 286 | Q_neve | 1.215E-13 | -7.890E-13 |
| 438 | 438 | 288 | Q_neve | -4.181E-13 | -2.494E-13 |
| 438 | 438 | 353 | Q_neve | -2.735E-13 | 6.683E-14 |
| 439 | 439 | 353 | DEAD | -3.801E-12 | 1.094E-12 |
| 439 | 439 | 288 | DEAD | -3.081E-12 | 1.672E-12 |
| 439 | 439 | 290 | DEAD | -3.801E-12 | -4.859E-13 |

Table 21: Element Stresses - Area Shells, Part 3 of 3

| Area | AreaElem | Joint | OutputCase | S13Avg KN/m2 | S23Avg KN/m2 |
|------|----------|-------|----------------|-----------------|-----------------|
| 439 | 439 | 354 | DEAD | -3.608E-12 | 1.672E-12 |
| 439 | 439 | 353 | G1_smistamento | -9.38 | -4.29 |
| 439 | 439 | 288 | G1_smistamento | -9.38 | -3.98 |
| 439 | 439 | 290 | G1_smistamento | -8.67 | -3.98 |
| 439 | 439 | 354 | G1_smistamento | -8.67 | -4.29 |
| 439 | 439 | 353 | G2_smistamento | -3.48 | -1.59 |
| 439 | 439 | 288 | G2_smistamento | -3.48 | -1.47 |
| 439 | 439 | 290 | G2_smistamento | -3.21 | -1.47 |
| 439 | 439 | 354 | G2_smistamento | -3.21 | -1.59 |
| 439 | 439 | 353 | Q_smistamento | -3.48 | -1.59 |
| 439 | 439 | 288 | Q_smistamento | -3.48 | -1.47 |
| 439 | 439 | 290 | Q_smistamento | -3.21 | -1.47 |
| 439 | 439 | 354 | Q_smistamento | -3.21 | -1.59 |
| 439 | 439 | 353 | Q_neve | -3.041E-13 | 7.486E-13 |
| 439 | 439 | 288 | Q_neve | -3.041E-13 | 6.105E-13 |
| 439 | 439 | 290 | Q_neve | -3.041E-13 | 3.536E-13 |
| 439 | 439 | 354 | Q_neve | -3.041E-13 | 1.497E-13 |
| 440 | 440 | 354 | DEAD | -1.092E-14 | -4.224E-12 |
| 440 | 440 | 290 | DEAD | 2.147E-12 | 3.690E-12 |
| 440 | 440 | 9 | DEAD | -2.118E-12 | 2.096E-12 |
| 440 | 440 | 212 | DEAD | -1.539E-12 | 4.216E-12 |
| 440 | 440 | 354 | G1_smistamento | -8.31 | -9.46 |
| 440 | 440 | 290 | G1_smistamento | -8.31 | -7.67 |
| 440 | 440 | 9 | G1_smistamento | -6.59 | -7.67 |
| 440 | 440 | 212 | G1_smistamento | -6.59 | -9.46 |
| 440 | 440 | 354 | G2_smistamento | -3.08 | -3.51 |
| 440 | 440 | 290 | G2_smistamento | -3.08 | -2.84 |
| 440 | 440 | 9 | G2_smistamento | -2.44 | -2.84 |
| 440 | 440 | 212 | G2_smistamento | -2.44 | -3.51 |
| 440 | 440 | 354 | Q_smistamento | -3.08 | -3.51 |
| 440 | 440 | 290 | Q_smistamento | -3.08 | -2.84 |
| 440 | 440 | 9 | Q_smistamento | -2.44 | -2.84 |
| 440 | 440 | 212 | Q_smistamento | -2.44 | -3.51 |
| 440 | 440 | 354 | Q_neve | 1.493E-13 | -4.798E-13 |
| 440 | 440 | 290 | Q_neve | 4.961E-13 | 1.264E-12 |
| 440 | 440 | 9 | Q_neve | -3.774E-13 | 4.418E-13 |
| 440 | 440 | 212 | Q_neve | -9.522E-13 | 4.083E-13 |

9. Material take-off

This section provides a material take-off.

Table 22: Material List 2 - By Section Property

Table 22: Material List 2 - By Section Property

| Section | ObjectType | NumPieces | TotalLength m | TotalWeight KN |
|-----------|------------|-----------|------------------|-------------------|
| PLATEA_25 | Area | | | 400.194 |

10. Design preferences

This section provides the design preferences for each type of design, which typically include material reduction factors, framing type, stress ratio limit, deflection limits, and other code specific items.

10.1. Steel design

Table 23: Preferences - Steel Design - AISC 360-16, Part 1 of 3

Table 23: Preferences - Steel Design - AISC 360-16, Part 1 of 3

| THDesign | FrameType | PatLLF | SRatioLimit | MaxIter | SDC | SeisCode | SeisLoad | ImpFactor | SystemRho | SystemSds | SystemR |
|-----------|-----------|--------|-------------|---------|-----|----------|----------|-----------|-----------|-----------|---------|
| Envelopes | SMF | 0.75 | 0.95 | 1 | D | No | No | 1. | 1. | 0.5 | 8. |

Table 23: Preferences - Steel Design - AISC 360-16, Part 2 of 3

Table 23: Preferences - Steel Design - AISC 360-16, Part 2 of 3

| SystemCd | Omega0 | Provision | AMethod | SOMethod | SRMethod | NLCoeff | PhiB | PhiC | PhiTY | PhiTF | PhiV |
|----------|--------|-----------|-----------------|-------------------|-------------|---------|------|------|-------|-------|------|
| 5.5 | 3. | LRFD | Direct Analysis | General 2nd Order | Tau-b Fixed | 0.002 | 0.9 | 0.9 | 0.9 | 0.75 | 0.9 |

Table 23: Preferences - Steel Design - AISC 360-16, Part 3 of 3

| Table 23: Preferences - Steel Design - AISC 360-16, Part 3 of 3 | | | | | | | | | | |
|---|-------|----------|------------|----------------|-----------|-------|-----------------|-------|----------|--------|
| PhiVRolledI | PhiVT | PlugWeld | HSSWelding | HSSReduce T | CheckDefl | DLRat | SDLAndLLR at | LLRat | TotalRat | NetRat |
| 1. | 0.9 | Yes | ERW | No | No | 120. | 120. | 360. | 240. | 240. |

10.2. Concrete design

Table 24: Preferences - Concrete Design - ACI 318-19, Part 1 of 2

| Table 24: Preferences - Concrete Design - ACI 318-19, Part 1 of 2 | | | | | | | | | | | |
|---|-----------|-----------|----------|-----------|-----------|----------|--------|---------|---------|-----|-----|
| THDesign | NumCurves | NumPoints | MinEccen | BCCDesign | IgnoreBPu | CTorsion | PatLLF | UFLimit | SeisCat | Rho | Sds |
| Envelopes | 24 | 11 | Yes | Yes | Yes | Yes | 0.75 | 0.95 | D | 1. | 0.5 |

Table 24: Preferences - Concrete Design - ACI 318-19, Part 2 of 2

| Table 24: Preferences - Concrete Design - ACI 318-19, Part 2 of 2 | | | | | | |
|---|----------|------------|------|-----------------|-----------|----------|
| PhiT | PhiCTied | PhiCSpiral | PhiV | PhiVSeismi c | PhiVJoint | TanTheta |
| 0.9 | 0.65 | 0.75 | 0.75 | 0.6 | 0.85 | 1. |

Table 25: Preferences - Concrete Shell Design - Eurocode 2-2004

| Table 25: Preferences - Concrete Shell Design - Eurocode 2-2004 | | | | | | | |
|---|--------|--------|---------|---------|-----------------------|-----------|----------|
| Country | GammaS | GammaC | AlphaCC | AlphaCT | CrackCond | ShrDesMet | CotTheta |
| CEN Default | 1.15 | 1.5 | 1. | 1. | Program Determined | Method 1 | 1. |

10.3. Aluminum design

Table 26: Preferences - Aluminum Design - AA 2015, Part 1 of 2

| Table 26: Preferences - Aluminum Design - AA 2015, Part 1 of 2 | | | | | | | | | | | |
|--|-------------|-----------|----------|------------|--------|-------|-------|------|-------|-------|-------|
| THDesign | SRatioLimit | Provision | LatFact | UseLatFact | Bridge | PhiTy | PhiTr | PhiC | PhiBo | PhiBr | PhiVo |
| Envelopes | 1. | LRFD | 1.333333 | No | No | 0.9 | 0.75 | 0.9 | 0.9 | 0.75 | 0.9 |

Table 26: Preferences - Aluminum Design - AA 2015, Part 2 of 2

Table 26:
Preferences
- Aluminum
Design - AA
2015, Part 2
of 2

| PhiVr |
|-------|
| 0.75 |

10.4. Cold formed design

Table 27: Preferences - Cold Formed Design - AISI-16, Part 1 of 2

| Table 27: Preferences - Cold Formed Design - AISI-16, Part 1 of 2 | | | | | | | | | | | |
|---|-----------------|-------------|----------------------|-----------|----------|------------|-------|-------|------|------|----------|
| THDesign | FrameType | SRatioLimit | SOMethod | Provision | LatFact | UseLatFact | PhiTy | PhiTr | PhiC | PhiB | PhiBPipe |
| Envelopes | Braced Frame | 1. | General 2nd Order | LRFD | 1.333333 | No | 0.9 | 0.75 | 0.85 | 0.9 | 0.95 |

Table 27: Preferences - Cold Formed Design - AISI-16, Part 2 of 2

Table 27:
Preferences
- Cold
Formed
Design -
AISI-16, Part
2 of 2

| |
|-------------|
| PhiV |
|-------------|

0.95